

76 65 cat.  
АКАДЕМИЯ НАУК СССР  
ИНСТИТУТ НАУЧНОЙ ИНФОРМАЦИИ

JUL 7 1958

CHEMISTRY  
LIBRARY

233  
1958  
27495-31306  
РЕФЕРАТИВНЫЙ  
ЖУРНАЛ

ХИМИЯ

РЕФЕРАТЫ

27495—31306

\*

№ 9

1958

ИЗДАТЕЛЬСТВО АКАДЕМИИ НАУК СССР  
МОСКВА



# РЕФЕРАТИВНЫЙ ЖУРНАЛ ХИМИИ

ГЛАВНЫЙ РЕДАКТОР **В. В. Серпинский**

ЧЛЕНЫ РЕДКОЛЛЕГИИ: **Д. А. Бочвар, В. В. Кафаров, В. Л. Кретович,**  
**Д. Н. Курсанов, К. С. Топчиев, Н. А. Функ**

УЧЕНЫЙ СЕКРЕТАРЬ **Е. А. Терентьева**

## СОДЕРЖАНИЕ

ОБЩИЕ ВОПРОСЫ . . . . .	1	Элементы. Окислы. Минеральные кислоты, основания, соли . . . . .	304
ФИЗИЧЕСКАЯ ХИМИЯ . . . . .		Удобрения . . . . .	308
Общие вопросы . . . . .	3	Люминесцентные материалы . . . . .	310
Некоторые вопросы субатомного строения вещества . . . . .	4	Производство катализаторов и сорбентов . . . . .	310
Атом . . . . .	4	Электрохимические производства. Электроосаждение. Химические источники тока . . . . .	312
Молекула. Химическая связь . . . . .	7	Керамика. Стекло. Вязущие вещества. Бетоны . . . . .	319
Кристаллы . . . . .	25	Получение и разделение газов . . . . .	339
Жидкости. Аморфные тела. Газы . . . . .	39	Промышленный органический синтез . . . . .	357
Радиохимия. Изотопы . . . . .	43	Промышленный синтез красителей . . . . .	357
Термодинамика. Термохимия. Равновесия. Физико-химический анализ. Фазовые переходы . . . . .	45	Лекарственные вещества. Витамины. Антибиотики . . . . .	362
Кинетика. Горение. Взрывы. Топохимия. Катализ . . . . .	59	Пестициды . . . . .	381
Радиационная химия. Фотохимия. Теория фотографического процесса . . . . .	66	Душистые вещества. Эфирные масла. Парфюмерия и косметика . . . . .	391
Растворы. Теория кислот и оснований . . . . .	70	Фотографические материалы . . . . .	394
Электрохимия . . . . .	73	Взрывчатые вещества. Пиротехнические составы. Средства химической защиты . . . . .	398
Поверхностные явления. Адсорбция. Хромотография. Ионный обмен . . . . .	79	Переработка твердых горючих ископаемых . . . . .	398
Химия коллоидов. Дисперсные системы . . . . .	85	Переработка природных газов и нефти. Моторное и ракетное топливо. Смазки . . . . .	406
НЕОРГАНИЧЕСКАЯ ХИМИЯ. КОМПЛЕКСНЫЕ СОЕДИНЕНИЯ . . . . .	90	Лесохимические производства. Гидролизная промышленность . . . . .	425
КОСМОХИМИЯ. ГЕОХИМИЯ. ГИДРОХИМИЯ . . . . .	100	Жиры и масла. Воски. Мыла. Моющие средства. Флотореагенты . . . . .	429
АНАЛИТИЧЕСКАЯ ХИМИЯ . . . . .		Углеводы и их переработка . . . . .	440
Общие вопросы . . . . .	115	Бродильная промышленность . . . . .	445
Анализ неорганических веществ . . . . .	117	Пищевая промышленность . . . . .	453
Анализ органических веществ . . . . .	140	Синтетические полимеры. Пластмассы . . . . .	474
ОБОРУДОВАНИЕ ЛАБОРАТОРИЙ. ПРИБОРЫ, ИХ ТЕОРИЯ, КОНСТРУКЦИЯ, ПРИМЕНЕНИЕ . . . . .	142	Лаки. Краски. Лакокрасочные покрытия . . . . .	485
ОРГАНИЧЕСКАЯ ХИМИЯ . . . . .		Каучук натуральный и синтетический. Резина . . . . .	492
Общие и теоретические вопросы органической химии . . . . .	153	Искусственные и синтетические волокна . . . . .	503
Синтетическая органическая химия . . . . .	164	Целлюлоза и ее производные. Бумага . . . . .	507
Природные вещества и их синтетические аналоги . . . . .	233	Крашение и химическая обработка текстильных материалов . . . . .	522
ХИМИЧЕСКАЯ ТЕХНОЛОГИЯ. ХИМИЧЕСКИЕ ПРОДУКТЫ И ИХ ПРИМЕНЕНИЕ . . . . .		Кожа. Мех. Желатина. Дубители. Технические белки . . . . .	529
Общие вопросы . . . . .	263	ХИМИЯ ВЫСОКОМОЛЕКУЛЯРНЫХ ВЕЩЕСТВ . . . . .	533
Процессы и аппараты химической технологии . . . . .	263	НОВЫЕ КНИГИ, ПОСТУПИВШИЕ В РЕДАКЦИЮ . . . . .	—
Контрольно-измерительные приборы. Автоматическое регулирование . . . . .	273	АВТОРСКИЙ УКАЗАТЕЛЬ . . . . .	545
Коррозия. Защита от коррозии . . . . .	276	УКАЗАТЕЛЬ ДЕРЖАТЕЛЕЙ ПАТЕНТОВ . . . . .	563
Подготовка воды. Сточные воды . . . . .	287		
Техника безопасности. Санитарная техника . . . . .	296		
Химико-технологические вопросы ядерной техники . . . . .	302		

Адрес редакции: Москва, Д-219, Батыйский поселок, д. 42-Б

# REFERATIVNYI ZHURNAL KHIMIYA

EDITOR: *V. V. Serpinsky*

EDITORIAL BOARD: *D. A. Bochvar, V. V. Kafarov, W. L. Kretovich,  
D. N. Kursanov, K. S. Topchiev, N. A. Fuchs*

EXECUTIVE SECRETARY *E. A. Terentjeva*

*Chem*  
*QD*

*R33*  
*1958*

*27495-34997*

## CONTENTS

### GENERAL PHYSICAL CHEMISTRY

General  
Some Subatomic Phenomena  
Atoms  
Molecule Chemical Bond  
Crystals  
Liquids. Amorphous Substances. Gases  
Radiochemistry. Isotopes  
Thermodynamics. Thermochemistry. Equilibria  
Physico-Chemical Analysis. Phase Transitions  
Kinetics. Combustion. Explosions. Topochemistry.  
Catalysis  
Radiation Chemistry. Photochemistry. Theory of  
Photographic Process  
Solutions. Theory of Acids and Bases  
Electrochemistry  
Surface Phenomena. Adsorption. Chromatography.  
Ion Exchange  
Colloid Chemistry. Disperse Systems

### ORGANIC CHEMISTRY. COMPLEX COMPOUNDS

### ORGANOCHEMISTRY. GEOCHEMISTRY. HYDROCHEMISTRY ANALYTICAL CHEMISTRY

General  
Analysis of Inorganic Substances  
Analysis of Organic Substances

### LABORATORY EQUIPMENT. INSTRUMENTATION

### ORGANIC CHEMISTRY

Theoretical Organic Chemistry  
Organic Synthesis  
Natural Compounds and Their Synthetic Analogues

### CHEMICAL TECHNOLOGY. CHEMICAL PRODUCTS AND THEIR APPLICATIONS

General  
Chemical Engineering  
Instruments and Automation  
Corrosion. Corrosion Control  
Water Treatment. Sewage  
Safety and Sanitation

### Chemical and Technological Aspects of the Nuclear Industry

Elements. Oxides. Mineral Acids, Bases, Salts  
Fertilizers

Luminescent Materials

Catalysts and Sorbents

Electrochemical Industries. Electroplating. Galvanic  
Cells

Ceramics. Glass. Binding Materials. Concrete  
Production and Separation of Gases

Industrial Organic Synthesis

Industrial Synthesis of Dyes

Pharmaceuticals. Vitamins. Antibiotics

Pesticides

Perfumes and Cosmetics. Essential Oils

Photographic Materials

Explosives. Pyrotechnical Compounds. Chemical  
Defence Agents

Chemical Processing of Solid Fossil Fuels

Chemical Processing of Natural Gases and Petroleum.  
Motor and Rocket Fuels. Lubricants

Chemical Wood Products. Hydrolysis Industry

Fats and Oils. Waxes. Soaps and Detergents.  
Flotation Agents

Carbohydrates and Their Processing

Fermentation Industry

Food Industry

Synthetic Polymers. Plastics

Lacquers. Paints. Coatings

Caoutchouc, Natural and Synthetic. Rubber

Artificial and Synthetic Fibres

Cellulose and Its Derivatives. Paper

Dyeing and Chemical Treatment of Textile Materials

Leather. Fur. Gelatine. Tanning Materials. Industrial  
Proteins

### HIGH POLYMER CHEMISTRY

### NEW BOOKS

### AUTHOR INDEX

### INDEX OF PATENTERS

27495. И  
Велико  
Пейв  
АН Лат

27496. И  
ской р  
Союзе.  
zialistis  
der Ch  
per),  
(нем.)

27497.  
власти  
täs att  
M älm  
Изв. А

27498.  
Ионн  
вып. 2

27499.  
рых  
Гуцо  
Одесс

27500.  
зическ  
Борн  
метаф  
химич  
(Бълг

27501.  
мнени  
А. Сн  
химич  
Опшб

1957, 3  
рутения  
го Сняд  
27502.

реакт  
ckung  
stat  
602 (  
На о



# РЕФЕРАТИВНЫЙ ЖУРНАЛ ХИМИЯ

Рефераты 27495—31306

№ 9

10 мая 1958 г.

## I

(Рефераты 27495—28615)

### ОБЩИЕ ВОПРОСЫ

МЕТОДОЛОГИЯ. ИСТОРИЯ. НАУЧНЫЕ УЧРЕЖДЕНИЯ И КОНФЕРЕНЦИИ. ПРЕПОДАВАНИЕ.  
ВОПРОСЫ БИБЛИОГРАФИИ И НАУЧНОЙ ДОКУМЕНТАЦИИ

Редактор Д. И. Тумаркин

27495. Наука в Советской Латвии к 40-й годовщине Великой Октябрьской социалистической революции. Пейве Я. В. LatvPSR Zinātņu Akad. vēstis, Изв. АН ЛатвССР, 1957, № 10, 7—17

27496. Влияние Великой Октябрьской социалистической революции на развитие химии в Советском Союзе. Хейдингер (Der Einfluß der Großen Sozialistischen Oktoberrevolution auf die Entwicklung der Chemie in der Sowjetunion. Heidinger Werner), Chem. Technik, 1957, 9, № 10, 570—572 (нем.)

27497. Развитие науки о бетоне за 40 лет Советской власти. Малмейстерс (Zinātne par betonu un tās attīstība socialistiskās padomju varas 40 gados. Mälmeisters A.), LatvPSR Zinātņu Akad. vēstis, Изв. АН ЛатвССР, 1957, № 10, 153—158 (лат.)

27498. Борьба материализма с идеализмом в химии. Иониди П. П., Тр. Моск. автомоб.-дор. ин-та, 1957, вып. 20, 3—20

27499. О проявлении законов диалектики в некоторых теориях современной химической кинетики. Гуцол А. З., Тр. Кафедры марксизма-ленинизма. Одесск. высш. мореходн. уч-ще. М., 1957, 3—10

27500. Прогрессивно-материалистические и метафизические тенденции в развитии геохимических наук. Борисов (Прогрессивно-материалистические и метафизические тенденции в развитии геохимических наук. Борисов Иван), Природа (Бълг.), 1957, 6, № 2, 15—18 (болг.)

27501. Письмо в редакцию (по поводу ошибочного мнения А. Ф. Капустинского об открытии рутения А. Снядецким). Звягинцев О. Е., Ж. неорган. химии, 1957, 2, № 12, 2839—2840

Ошибочность мнения А. Ф. Капустинского (РЖХим, 1957, 33377) обосновывается сопоставлением свойств рутения со свойствами элемента «вестия», описанного Снядецким. Д. Т.

27502. К истории открытия йода и йодкрахмальной реакции. Аугустат (Zur Geschichte der Entdeckung des Jods sowie der Jod-Stärke-Reaktion. Augustat S.), Ernährungsforschung, 1957, 2, № 4, 599—602 (нем.)

На основе данных из оригинальной литературы до-

казывается, что: 1) йод был открыт Б. Куртуа не в 1811 г., как это обычно считается, а в середине 1812 г.; 2) йодкрахмальная р-ция (ЙКР) была открыта в течение 1814 г. Коленом (J. J. Colin) и Готье де Клобри (H. Gaultier de Claubry) и независимо от них Штроемeyerом (F. Stromeyer), причем историч. приоритет принадлежит первым, так как их сообщение появилось раньше; 3) аналитич. значение ЙКР было открыто Штроемeyerом. Д. Т.

27503. Густав Пётровский. К 100-летию открытия реакции на белки. Остаховский (Gustaw Piotrowski (1833—1884). (Na stuletnią rocznicę odkrycia odczynu białkowego). Ostachowski Emilian), Kwart. historii nauki i techn., 1957, 2, № 3, 515—528 (польск.; рез. русск., англ.)

Очерк жизни и научной деятельности Г. Пётровского (1833—1884), проф. физиологии и микроскопии Краковского ун-та. Подробно рассматривается его работа по р-ции на белки и приводятся доказательства того, что он автор биуретовой р-ции. Д. Т.

27504. Мишель Эжен Шеврёль. Мёре (Michel Eugène Chevreul. 1786—1889. Meurs G. J. van), Voeding, 1957, 18, № 12, 675—681 (гол.)

См. также РЖХим, 1957, 40151. Д. Т.

27505. А. Ф. Волкова, Е. А. Фомина-Жуковская и В. Е. Богдановская-Попова — русские химики-материалисты. Гуцол А. З., Тр. Кафедры марксизма-ленинизма. Одесск. высш. мореходн. уч-ще. М., 1957, 50—56

Краткие сведения о жизни и деятельности первых женщин-химиков в России. Д. Т.

27506. Памяти Виталия Григорьевича Хлопина (1890—1950). Старик И. Е., Тр. Раднев. ин-та, АН СССР, 1957, 6, 5—11

27507. Памяти Бориса Александровича Никитина (1906—1952). Вдовенко В. М., Тр. Раднев. ин-та. АН СССР, 1957, 6, 12—16

Б. А. Никитин — чл.-корр. АН СССР, видный исследователь в области неорганич. химии и радиохимии.

27508. Альвин Митташ. Хольдерман (Alwin Mittasch. 1869—1953. Holdermann K.), Chem. Ber., 1957, 90, № 12, XLI—LIV (нем.)

Очерк жизни и деятельности немецкого физио-хи-

мика А. Митташа (1869—1953), известного исследователя в области промышленного катализа. Д. Т.

27509. Профессор Юлиан Камецкий. Сендзимир, Зембура (Profesor doktor Julian Kamecki. Śędzimir Jerzy, Zembura Zdzisław), Zesz. nauk. Akad. gór.-hutn., 1957, № 10, 13—24 (польск.).

Очерк жизни и научной деятельности проф. Ю. Камецкого (1909—1955), чл.-корр. Польской АН, директора Ин-та физ. химии и электрохимии Горно-металлургич. академии в Кракове. Приведен список трудов.

27510. Богдан Шолая. Шушич (Др. инж. Богдан П. Шолая (1883—1956). Шушич С. К.), Гласник Хем. друштва, 1957, 22, № 2, 121—123 (сербо-хорв.). Некролог. Приведен список трудов. См. также РЖХим, 1957, 43596.

27511. Алексей Михайлович Григоровский. — Мед. пром-сть СССР, 1957, № 11, 64—65

Некролог проф. А. М. Григоровского (1906—1957) — специалиста и исследователя в области химии лекарственных препаратов (Всес. н.-и. хим.-фарм. ин-т).

27512. А. И. Жилин. Августиник, Азаров, Барзакский и др., Стекло и керамика, 1957, № 12, 29

Некролог А. И. Жилина (1902—1957), проф. Уральского политехнич. ин-та, исследователя в области технологии силикатов и строительных материалов. Д. Т.

27513. Джон Лайонел Саймонсен. Рао (Sir John Lionel Simonsen (1884—1957). Rao P. S.), Indian Forester, 1957, 83, № 11, 688—692 (англ.)

Краткий очерк научной деятельности проф. Дж. Л. Саймонсена (1884—1957), крупного исследователя в области терпенов и эфирных масел. Д. Т.

27514. О развитии химической технологии в Германии. Памяти профессора Вальтера Фукса. Брётц (Zur Entwicklung der Chemischen Technologie in Deutschland. Prof. Walter Fuchs zum Gedächtnis. Brötz Walter), Chem.-Ingr.-Techn., 1957, 29, № 12, 765—767 (нем.).

См. также РЖХим, 1958, 20282. Д. Т.

27515. 75-летие Маттаса Пира. Заксе (Mattias Pier zum 75. Geburtstag. Sachsse Hans), Z. Elektrochem., 1957, 61, № 8, 857—858 (нем.).

Профессор М. Пир (род. 1882) — исследователь и технич. деятель в области промышленного синтеза аммиака и метанола и в области гидрирования угля.

27516. 65-летие профессора Теодора Бёма. — (Professor Theodor Boehm zum 65. Geburtstag. H. Th.), Pharmazie, 1957, 12, № 11, 709—710 (нем.).

См. также РЖХим, 1958, 23755. Д. Т.

27517. Академик Анатолий Георгиевич Бетехтин. Малиновский Ф. М., Сов. геология, сб. 58, 1957, 3—7

К 60-летию со дня рождения и 30-летию научной деятельности А. Г. Бетехтина (род. 1897), геолога, минералога и геохимика. Д. Т.

27518. Академик В. А. Каргин — выдающийся ученый в области физико-химии полимеров и коллоидной химии. Михайлов Н. В., Ребиндер П. А. Гаофэнцза тунсюнь, 1957, 1, № 3, 170—173 (кит.).

Перевод. См. РЖХим, 1957, 50314. Д. Т.

27519. Нобелевская премия по химии [Александр Тодд]. Димрот (Der Nobelpreis für Chemie. Dimroth K.), Chem. Labor und Betrieb, 1957, 8, № 12, 485—488 (нем.).

27520. Французское химическое общество, 1857—1957. Партингтон (The Chemical Society of France, 1857—1957. Partington J. R.), Nature, 1957, 180, № 4596, 1165 (англ.).

Сообщение о торжественном заседании, посвященном столетию об-ва (Сорбонна, 16 июля 1957 г.) и краткое изложение доклада президента об-ва. См. также РЖХим, 1957, № 24, стр. 396. Д. Т.

27521. Десять лет сотрудничества с СССР. Соберанский (Dziesięć lat współpracy z ZSRR. Sobierański W.), Przem. chem., 1957, 13, № 10, 557—558 (польск.).

Обзор научно-технич. сотрудничества в области хим. пром-сти. Д. Т.

27522. Самодельные коллекции по химии. Варфоломеева Е. К., Химия в школе, 1958, № 1, 50—53

27523. Производственная тематика в задачах по химии. Христенко Л. М., В сб.: Политехн. обучение в школе. Ростов-на-Дону, Книгоиздат, 1957, 67—73

Приведено 15 задач. Д. Т.

27524. Количественное определение кислорода в воздухе. Пятницкий М. П., Ганина С., Гудимова Н., Химия в школе, 1958, № 1, 48—50

Подробное описание работы, рекомендуемой для внеклассных занятий. Определение основано на взаимодействии  $O_2$  с металлич. Cu и водным  $NH_3$ . Д. Т.

27525. Прибор для демонстрации некоторых опытов на уроках химии. Овчинников Е. Н., Химия в школе, 1958, № 1, 42—43

Описание прибора и методика проведения опыта определения объемных соотношений  $O_2$  и  $N_2$  в воздухе. Д. Т.

27526. Лабораторная работа по определению количества кислорода в воздухе. Королев Д. П., Химия в школе, 1958, № 1, 36—37

Опыт основан на накаливании свежесоставленной мелкозернистой или порошкообразной меди в замкнутом объеме. Д. Т.

27527. Демонстрация плотности углекислого газа. Бudyxo П. К., Золотова З. Г., Химия в школе, 1958, № 1, 53—54

Большой стеклянный сосуд наполняют на  $\frac{3}{4}$   $CO_2$  и сбрасывают в него мыльные пузыри, которые, достигнув слоя  $CO_2$ , отскакивают от него. Д. Т.

27528. К методике изучения условий химического равновесия. Полосин В. С., Надиров Н. К., Химия в школе, 1958, № 1, 31—36

Описание аппаратуры и порядка проведения опытов, а также методич. указания для р-ций:  $2HI \rightleftharpoons H_2 + I_2$ ;  $2NH_3 \rightleftharpoons N_2 + 3H_2$ ;  $2NO \rightleftharpoons N_2O_4$ . Д. Т.

27529. Аппарат для получения гремучего газа. Митков И. (Апарат за получаване гърмъщ газ. Митков Ив.), Учил. практ., 1957, 9, № 2, 126—127 (болг.).

Описана лабораторная установка для получения взрывчатых газовых смесей (для школьных опытов).

27530. Ознакомление учащихся с основами современного химического производства. Джелаухов Г. М., В сб.: Политехн. обучение в школе. Ростов-на-Дону, Книгоиздат, 1957, 34—40

Описаны устройство и действие лабораторных установок для получения синтетич.  $HCl$  (к-ты), для синтеза  $NH_3$ , для одновременного получения сульфата, фосфата и нитрата  $NH_4$ , для получения  $HNO_3$  окислением  $NH_3$ . Д. Т.

27531 К. Рукописные материалы химиков второй половины XVIII в. в архиве Академии наук СССР. Научное описание. Сост. Раскин Н. М. (Тр. Архива АН СССР, вып. 15). М.—Л., 1957, 213 стр., илл., 12 р. 45 к.

Книга содержит: 1) обстоятельный очерк «Документальное наследие химиков второй половины XVIII в. в архиве АН СССР (из истории кафедры химии Петербургской АН)»; 2) описание рукописных материалов М. В. Ломоносова, В. И. Клементьева, И.-Г. Лемана, Э. Г. Лаксмана, И.-Г. Георги, Н. П. Соколова, Т. Е. Ловица; 3) список печатных трудов указанных химиков (кроме Клементьева). Д. Т.

27532 К. Основные результаты работ Всесоюзного научно-исследовательского института масличных и

эфиромас (Бюл. науч. и эфиромас. бань), 1957, № 1, 19

27533 К. лекций ков, Харп

27534 К. úlohách. 2,86 Kcs)

27535 К. зователи сов (Хи Гъльб6 Алекс ил., 3,80

27536 К. X класс Ангел съединеи образ. у ка, Цо 136 стр.

27537 К. зователи Сimeo образ. у Сimeo ил., 3,85

27538 К. химичес (Organic i. diel.

27539. A 1952 г. данные Ролл the ato Cohel Layte Mod. P

Данные стоящих машини матич. ои галась т вестным

Из этой каждой несоммес ты полу и вспомо ± 0,3 ж ± 10<sup>22</sup> e<sup>-1</sup> ± 10<sup>-10</sup> э = (7,297 ± 0,0000 ± 0,0000 см R<sub>∞</sub> = для л



эфиромасличных культур за годы Советской власти. (Бюл. научно-техн. информ. Всес. н.-и. ин-та масличн. и эфиромасличн. культур, № 4). Краснодар, «Сов. Кубань», 1957, 69 стр., илл., беспл.

27533 К. Физическая и коллоидная химия (Курс лекций для биологов). Буланкин И. Н. Харьков, Харьковский ун-т, 1957, 347 стр., илл., 7 р. 60 к.

27534 К. Химия в задачах. Острый (Chemie v úlohách. Ostrý Metoděj. Praha, SPN, 1956, 130 s., 2,86 Kčs) (чешск.)

27535 К. Химия. Учебник для IX класса общеобразовательной школы. Гыльбов, Илиева, Спасов (Химия. Учебник за 9 кл. на общообраз. уч-ща. Гыльбов Иван, Илиева Мара, Спасов Александър. София, Нар. просв., 1957, 152 стр., ил., 3,80 лв.) (болг.)

27536 К. Химия. Жирные соединения. Учебник для X класса средней общеобразовательной школы. Ангелова, Иванова, Цокова (Химия. Мазни соединения. Учебник за 10 кл. на средните общообраз. уч-ща. Ангелова Вера, Иванова Бойна, Цокова Василка. София, Нар. просв., 1956, 136 стр., ил., 3,40 лв.) (болг.)

27537 К. Химия. Учебник для XI класса общеобразовательной школы. Близнаков, Таслакова, Симеонова З. София, Нар. просв., 1957, 154 стр., образ. уч-ща. Близнаков Г., Таслакова Н., Симеонова З. София, Нар. просв., 1957, 154 стр., ил., 3,85 лв.) (болг.)

27538 К. Органическая химия для промышленной химической школы. Т. 1. Петру, Андрилик (Organická chemia pre priemyselné chemické školy. I. diel. Petrú František, Andrilik Karel.

Bratislava, SVTL, 1957, 267 s., il., 13,45 Kčs) (словацк.)

См. также: Проблема происхождения жизни 10795Бх. Новый элемент 28163, 28164. Уточненные атомные постоянные 27539. Периодич. классификация элементов 27541. Периодич. система 27540. Классификация: углеродные формации 28288; опасные в-ва 29303; добавки к гипсу 29624; поверхн.-акт. в-ва 30355; природн. газы 30174; изоляц. масла 30196. Номенклатура; хим. (русск. и рум.) 28157; факторы свертыв. крови 11583Бх, 11584Бх. Терминология: нефтеперераб. пром-сть 30143. История: аналитич. химия 28350, 28351; удобрения 29434; парфюмерия 30009; муком. произ-во 30544; хлебопечение 30557; хим. волокна 30991. Институты: неорганич. химия 28575; коррозия 29159; цемент 29628, 29637; фармация 29831; биохимия 29831. Ассоциации: биохимия 10793Бх. Конференции: молек. спектроскопия 27596; кристаллография, кристаллофизика 27668; сжатые жидкости и межмолек. взаимодействие 27805; поверхн. р-ции газов на металлах 27991; термодинамика и электрохим. кинетика 28041; электрохим. методы анализа 28357; коррозия 29145; радиоакт. сточные воды 29269; удаление пром. отходов 29299; углеродная химия 30074; маслосб. пром-сть 30323; бум. пром-сть 31053; проблема белка 10792Бх. Учебная лит-ра: электрохимия 28084; коллоидн. химия 28156; минералогия и кристаллогр. 28347, 28348; аналитич. химия 28376—28378; 28526; неорганич. химия 28377; органич. химия 28526; проц. и аппар. хим. технол. 29077, 29078; техника безоп. 29349, 29354; репродукц. фотографии 30047; сах. произ-во 30428; консервн. произ-во 30526; произ-во регенерата 30966. Документация: крахмал 30421. Стандартизация: пластмассы 30755. Примен. счетно-реш. устройств 27539.

## ФИЗИЧЕСКАЯ ХИМИЯ

### ОБЩИЕ ВОПРОСЫ

Редактор А. Б. Нейдинг

27539. Анализ взаимной согласованности данных 1952 г. по атомным постоянным и новые уточненные данные 1955 г. Коэн, Дю-Монд, Лейтон, Роллетт (Analysis of variance of the 1952, data on the atomic constants and a new adjustment, 1955. Cohen E. Richard, DuMond Jesse W. M., Layton Thomas W., Rollett John S.), Revs Mod. Phys., 1955, 27, № 4, Part I, 363—380 (англ.)

Данные 1952 г. по численным значениям атомных постоянных исследованы с помощью электронной счетной машины для выяснения того, содержат ли они систематич. ошибки. При расчете скорость света предполагалась точно известной. Остальные 11 ур-ний с 4 неизвестными были подвергнуты детальному исследованию. Из этой системы были выбраны 219 подсистем, для каждой из которых определялась величина  $\chi^2$  — степень несовместности системы. В результате настоящей работы получены следующие уточненные значения атомных и вспомогательных констант: скорость света  $c = 299\,793,0 \pm 0,3$  км/сек<sup>-1</sup>, число Авогадро  $N = (6,02486 \pm 0,00016) \cdot 10^{23}$  г<sup>-1</sup> моль<sup>-1</sup>; заряд электрона  $e = (4,80286 \pm 0,00009) \cdot 10^{-10}$  эл.-ст. ед.; постоянная тонкой структуры  $\alpha = (7,29729 \pm 0,00003) \cdot 10^{-3}$ ; множитель для перевода э-единиц Зигбана в миллангстремы  $\lambda_e / \lambda_s = 1,002039 \pm 0,000014$ ; постоянная Ридберга для бесконечной массы  $R_\infty = 109\,737,309 \pm 0,012$  см<sup>-1</sup>; постоянные Ридберга для легких ядер  $R_H = 109\,677,576 \pm 0,012$ ,  $R_D =$

$= 109\,707,419 \pm 0,012$ ,  $R_{He} = 109\,717,345 \pm 0,012$ ,  $R_{He} = 109\,722,267 \pm 0,012$ ; масса нейтрона (физ. шкала)  $m = 1,008982 \pm 0,000003$ ; масса атома водорода (физ. шкала)  $H = 1,008142 \pm 0,000003$ ; отношение массы атома водорода к массе протона  $H / M_p = 1,00054461$ ; масса протона (физ. шкала)  $M_p = 1,007593 \pm 0,000003$ ; масса атома дейтерия (физ. шкала)  $D = 2,014735 \pm 0,000006$ ; отношение массы атома дейтерия к массе дейтрона  $D / M_d = 1,00027244$ ; отношение магнитных моментов электрона и протона  $[M_p / (M m \mu)] [1 + \alpha / 2\pi - 2,973 \alpha^2 / \pi^2] = 658,2288 \pm 0,0004$ ; поправочный множитель для аномального магнитного момента электрона  $\mu_e / \mu_0 = 1,0011453$ ; газовая постоянная на моль (физ. шкала)  $R_0 = (8,31696 \pm 0,00054) \cdot 10^7$  эрг моль<sup>-1</sup> град<sup>-1</sup>; стандартный объем идеального газа (физ. шкала)  $V_0 = 22\,420,7 \pm 0,6$  см<sup>3</sup> атм. моль<sup>-1</sup>. Приведены также значения ряда других производных величин.

В. Александрия

27540. Об изображении периодической системы элементов. Васильев А. М., Ж. общ. химии, 1957, 27, № 10, 2902—2907

27541. О современной периодической классификации элементов. Ионеску (Asupra clasificării periodice moderne a elementelor. Ionescu Mircea V.), Studii și cercetări chim. Acad. RPR Fil. Cluj, 1956, 7, № 1-4, 7—21 (рум.; рез. русск., франц.)

27542 К. Возбужденные состояния в химии и биологии. Рид (Excited states in chemistry and biology. Reid C. London. Butterworths Scient. Publs., 1957, ix, 215 pp., ill., 45 sh.) (англ.).



# НЕКОТОРЫЕ ВОПРОСЫ СУБАТОМНОГО СТРОЕНИЯ ВЕЩЕСТВА

Редактор Г. А. Соколик

27543. О возбужденных уровнях  $Dy^{161}$ . Вернь (Sur les niveaux excités du  $^{161}Dy$ . Vergnes Michel), J. phys. et radium, 1957, 18, № 10, 579—584, 608 (франц.; рез. англ.)

Изучены возбужденные уровни  $Dy^{161}$ , появляющиеся вследствие  $\beta$ -распада  $Tb^{161}$ . Найдены три  $\gamma$ -кванта с  $E$  25,5—49 и 74,5 кэв. Найдены возбужденные уровни  $Dy^{161}$  с  $E$  25,5 и 74,5 кэв с  $T_{1/2}$  равными  $(2,7 \pm 0,2) \cdot 10^{-8}$  и  $(2,3 \pm 0,7) \cdot 10^{-9}$  сек. соответственно.  $\gamma$ -Излучение с  $E$  25,5 и 74,5 кэв является электрич. дипольным с возможной примесью магнитного квадрупольного.

Резюме автора

27544. К вопросу о схеме распада  $AcX$  ( $Ra^{223}$ ). Пауль, Варганек (Zum Zerfallsschema des  $AcX$  ( $Ra^{223}$ ). Paul H., Warhanek H.), Helv. phys. acta, 1957, 30, № 4, 272—274 (нем.)

$\alpha$ -Спектр  $AcX$  ( $Ra^{223}$ ) изучался в совпадении с  $\gamma$ -излучением продукта распада  $AcX$  — изотопа  $Em^{219}$ . Найдено, что  $\gamma$ -переход  $E = 268$  кэв следует за интенсивной (24%)  $\alpha$ -линией с  $E = 5,60 \pm 0,02$  Мэв. Наиболее слабая  $\alpha$ -линия ( $\ll 1\%$ )  $AcX$  ведет к основному состоянию  $Em^{219}$ . Приведена схема распада  $Ra^{223}$ .

Г. Соколик

27545. Кулоновское возбуждение  $Eu^{151}$  и  $Eu^{153}$ . Класс, Мейер-Беркхоут (The coulomb excitation of  $Eu^{151}$  and  $Eu^{153}$ . Class C. M., Meyer-Berkhout U.), Nucl. Phys., 1957, 3, № 5, 656—669 (англ.)

Исследовалось кулоновское возбуждение низших возбужденных состояний  $Eu^{151}$  и  $Eu^{153}$  под действием протонов и  $\alpha$ -частиц с  $E$  от 2 до 4 Мэв, ускоренных на генераторе Ван-де-Граафа. Использовались тонкие мишени из обогащенных изотопов  $Eu^{151}$  и  $Eu^{153}$ . Измерения с  $Eu^{153}$  подтвердили существование ротационных состояний 83 и 190 кэв. Переходы, наблюдаемые в  $Eu^{151}$ , находятся в согласии с существованием состояний с  $E$  20, 193 и 304 кэв. Уровень с  $E$  20 кэв наблюдался также при  $\beta$ -распаде  $Sm^{151}$ . Найден М1 переход с уровня с  $E$  304 кэв на основной. Б. Юрьев

27546. Существование второго максимума в сечении реакции  $(\gamma, n)$  на ядрах  $Cr$ ,  $As$ ,  $J$ ,  $Ta$ . Ферреро, Мальвано, Трибуно (Evidence of a second maximum in the cross section for fast photoneutron emission in  $Cr$ ,  $As$ ,  $J$ ,  $Ta$ . Ferrero F., Malvano R., Tribuno C.), Nuovo cimento, 1957, 6, № 2, 385—386 (англ.)

С целью изучения возбужденных уровней элементов измерялись кривые возбуждения для 25 элементов в области с  $Z$  от 13 до 82. Измерения проводились на бетатроне, дающем  $\gamma$ -лучи с  $E$  до 30 Мэв. Анализ кривых выхода для элементов  $Cr$ ,  $As$ ,  $J$ ,  $Ta$  методом последовательных приближений позволил обнаружить 2 раздельных максимума в сечении р-ции  $(\gamma, n)$ . Показано, что  $As$ ,  $J$ ,  $Ta$  изотопически чисты; в  $Cr$ ,  $Cr^{52}$  составляет 83,7%. Это дает возможность предположить, что 2-й резонанс имеется и у других элементов, где он замаскирован присутствием изотопов. В случае  $Ta$  измерен выход р-ции  $(\gamma, n)$  и найден 2-й максимум.

С. Балдин

27547. Общие проблемы управляемой термоядерной реакции. Теллер Э., Успехи физ. наук, 1957, 61, № 3, 331—340

27548. Степень торможения  $\alpha$ -частиц в воде и водяном паре. Эллис, Россен, Файлла (Stopping power of water and water vapor for  $\alpha$ -particles. Ellis

R. Hobart, Jr, Rossi H. H., Failla G.), Radiation Res., 1954, 1, № 1-6, 493 (англ.)

27549. Замечания к вопросу о слабо-энергетическом  $\gamma$ -излучении на больших глубинах. Менсевич, Юркевич, Массальский (Some notes on low-energy gamma-radiation at great depths. Mięsowicz M., Jurkiewicz L., Massalski J. M.), Bull. Acad. polon. sci., 1955, Cl 3, 3, № 7, 373—376 (англ.)

27550. Наблюдение антипротонов. Чемберлен О., Сегрэ Э., Виганд К., Ипсилантис Т., Успехи физ. наук, 1956, 58, № 4, 685—692

См. также: раздел Изотопы

## АТОМ

Редактор Н. М. Яшин

27551. Применение к водородным волновым функциям критерия  $\delta^2$ . Прейсс, Трафц ( $\delta^2$  test for atomic wave functions, applied on H. Preuss H., Trefftz E.), Phys. Rev., 1957, 107, № 5, 1282 (англ.)

Вычислена вариационным методом волновая функция основного состояния водорода по минимумам энергии,  $\delta^2 = \int (H - E) \psi^2 d\tau$  и  $q^2 = \int (\psi - \psi_1)^2 d\tau$ , где  $\psi_1$  — точная функция. Пробная функция бралась в форме  $\exp(-\alpha r^2)$ . Критерий  $\delta^2$  дает наилучший результат для  $\psi(0)$ , но, по-видимому, хуже в остальных отношениях.

Л. Вайнштейн

27552. Энергия взаимодействия атомов при малых расстояниях между ядрами. Фирсов О. Б., Ж. эксперим. и теор. физики, 1957, 32, № 6, 1464—1469 (рез. англ.)

Рассматривается энергия взаимодействия системы атомов, когда расстояние между ядрами меньше размеров боровской орбиты. В этом случае основной вклад в энергию вносится взаимодействием внутренних частей электронных оболочек. Гамильтониан  $H$  электронных оболочек является лишь функцией электронной плотности  $\rho$  и при  $\rho = \rho_0$ , где  $\rho_0$  — решение самосогласованного уравнения Томаса — Ферми,  $H(\rho)$  достигает минимума — энергии системы  $-H_0$ , а при  $\rho \neq \rho_0$   $H(\rho) > H_0$ . Верхняя оценка энергии электронной оболочки может быть получена прямым вариационным путем минимизации гамильтониана. Для нижней оценки энергии системы  $H_0$  в рассмотрение вводится функционал  $H_1(f)$ :  $H_1(f) = -1/4\pi \int [(\nabla f)^2 / 2 + 8\pi / 5\lambda^{1/2} (\sum_i Z_i / r_i - f)^{1/2}] dv$ , где  $\lambda = (3\pi^2)^{1/3} \hbar^2 / 2me^2$ ;  $Z_i$  — заряд  $i$ -го ядра. Показывается, что при  $f = f_0$   $H_1(f_0)$  достигает максимума. Причем  $f_0$  должно удовлетворять уравнениям:  $\nabla^2 f_0 + 4\pi\lambda^{-1/2} (\sum_i Z_i / r_i - f_0)^{1/2} = 0$ ,  $f_0 = \sum_i Z_i / r_i - \lambda\rho_0^{1/2}$ . Кроме того, при значении  $f = f_0$   $H_1$  совпадает с точным значением энергии электронных оболочек  $H_0$ , и если  $f \neq f_0$ , то  $H_1(f) < H_0$ . Это позволяет путем прямого варьирования функционала  $H_1(f)$  получать нижнюю оценку для энергии системы атомов. Отмечается, что физ. смысл функции  $f$  зависит от способа сопоставления  $f$  с плотностью  $\rho$ . В качестве примера оценивается возможная ошибка для энергии  $H_0$  в случае задачи столкновения двух атомов. Д. Гречухин

27553. Расчеты атома лития по методу открытой конфигурации. Бригман, Матсен (Open configuration calculations for lithium. Briggman George H., Matsen F. A.), J. Chem. Phys., 1957, 27, № 3, 829—830 (англ.)

Приводятся результаты нескольких расчетов основного электронного состояния атома Li по методу открытой конфигурации. Наилучший результат полу-

чен с волно

$\psi =$

Орбиты 1s. функций с аксионент: полной эн. Эксперим.

27554. Св. (Properties of Lunn N. 808 (англ.) Пересмотр

значения из основн. бования, ч. рали четы. испрavlени

дующие х. ния, магн. диамагнит. уровней, с. при стол. взаимодей. значения

ными дан. 27555. Теор. (Theory of les), P.

Вычисл. в выраже. решениям. лом Тип.  $+(Z-1)$

принцип. значениям с относ. для следу. In 5p, Те. чения рел.

найден. лениям  $\alpha Z$ . венным д. и для с. хождение interaction 1936) дак.

чения  $Z_1$ . Отношен. а сами п. правка (О. Она обу. ных р-вл. лый вкл. нением р. ное расч. heimer F.

математи. предлага. квадра.  $r^2(x =$

где а и. СТС, р. релятив.

чен с волновой функцией (1)

$$\psi = 0,5261 \left[ \begin{pmatrix} 1s & 1s' & 2s \\ \alpha & \beta & \alpha \end{pmatrix} - \begin{pmatrix} 1s & 1s' & 2s \\ \beta & \alpha & \alpha \end{pmatrix} \right] - \\ - 0,0067 \left[ \begin{pmatrix} 1s & 1s' & 2s \\ \beta & \alpha & \alpha \end{pmatrix} - \begin{pmatrix} 1s & 1s' & 2s \\ \alpha & \alpha & \beta \end{pmatrix} \right] \quad (1)$$

Орбиты  $1s$ ,  $1s'$  и  $2s$  имеют вид водородоподобных функций со следующими значениями орбитальных экспонент: 3,300; 2,065 и 0,642. Вычисленное значение полной энергии атома лития равно  $-14,8873R_{\infty} \text{ hc}$ . Эксперим. значение  $-14,9563 R_{\infty} \text{ hc}$ . Т. Ребане

27554. Свойства атома гелия. Далгарно, Линн (Properties of the helium atom. Dalgarno A., Lynn N.), Proc. Phys. Soc., 1957, A70, № 11, 802—808 (англ.)

Пересмотрены имеющиеся в литературе теоретич. значения сил осцилляторов  $f_n$  дипольных переходов из основного состояния атома гелия (на основе требования, чтобы исправленные значения  $f_n$  удовлетворяли четырем различным правилам сумм). С помощью исправленных теоретич. значений  $f_n$  рассчитаны следующие характеристики гелия: показатель преломления, магнитное вращение плоскости поляризации, диамагнитная восприимчивость, лэмбовский сдвиг уровней, средняя потеря энергии быстрым протоном при столкновении, константа ван-дер-ваальсового взаимодействия двух атомов гелия. Все вычисленные значения хорошо согласуются с имеющимися опытными данными. Т. Ребане

27555. Теория сверхтонкой структуры. Шварц (Theory of hyperfine structure. Schwartz Charles), Phys. Rev., 1957, 105, № 1, 173—183 (англ.)

Вычисляются одноэлектронные интегралы, входящие в выражение сверхтонкой структуры (СТС) атомов, по решениям ур-ния Дирака с однопараметрич. потенциалом Тиди  $V(r) = (e/a_0)\Phi(x)$ , где  $\Phi(x) = x^{-1}[1 + (Z-1)/(1+\beta x^2)] - \text{экранирующее поле}$ ,  $\beta$  — вариационный параметр, определяющийся по правильным значениям энергии ( $0,5 < \beta < 3$ ). Расчеты выполнены с относительной точностью  $10^{-5}$  в интервале  $10^{-4} \leq x \leq 12$  для следующих  $p$ -конфигураций: В 2 $p$ , Al 3 $p$ , Ga 4 $p$ , In 5 $p$ , Te 6 $p$ , Cl 3 $p^5$ , Br 4 $p^5$ , J 5 $p^5$ . Более точные значения релятивистских поправок Казимира ( $F, R$  и т. д.) найдены из разложений отношений интегралов по степеням  $\alpha Z$ . Экранирование оказывается наиболее существенным для легких атомов, хотя им нельзя пренебрегать и для самых тяжелых элементов. Особенно сильное расхождение с результатами Казимира (Casimir. On the interaction between atomic nuclei and electrons. Haarlem, 1936) дают поправки к оккупольным интегралам. Значения  $Z_1$ , полученные автором, больше казимировских.

Отношения интегралов слабо зависят от параметра  $\beta$ , а сами интегралы — сильно. Вычислена обменная поправка (взаимодействие Брейта) с точностью до 20%. Она обусловлена в основном взаимодействием валентных  $p$ -электронов с  $K$ -оболочкой ( $L$ -оболочка дает малый вклад). Поляризационные эффекты найдены сравнением результатов расчетов с эксперим. данными. Сильное расхождение с результатами Штернхеймера (Sternheimer R., Phys. Rev., 1952, 86, 316) автор объясняет математич. неточностями метода Штернхеймера. Автор предлагает модифицированную  $\phi$ -лу для определения квадратурного момента по параметрам состояния  $r^x (x = \pm 1)^2 P_{1/2}$ :  $Q = \pm b \mu F_{1/2} \cdot 0,269/a_{1/2} ICR (1 - \beta_{1/2}) \text{ барн}$ , где  $a$  и  $b$  — магнитная и квадрупольная постоянные СТС,  $\mu$  и  $I$  — магнитный момент и спин ядра,  $F/R$  — релятивистские поправки (рассчитанные в работе),  $\beta$  —

вклад  $s$ -электронов в СТС,  $C$  — штернхеймеровская поляризационная поправка. Эта  $\phi$ -ла, как указывает автор, согласуется со всеми эксперим. данными. Аналогично для оккупольного момента  $\Omega = 1,96 \cdot 10^8 \text{ см}^2 F_{1/2}/a_{1/2} ITZ^2 \times (1 - \beta_{1/2})$  (в единицах  $(e\hbar/2Mc) \cdot 10^{-24} \text{ см}^2$ ), где  $c$  — константа оккупольного взаимодействия,  $T/F$  — релятивистская поправка. В заключение рассматриваются эффекты, обуславливающие аномалию в СТС. А. Зимин

27556. Сечение возбуждения гелия вблизи порога. Баранджер, Джерджуой (Helium excitation cross sections near threshold. Baranger Elizabeth, Gerjuoy Edward), Phys. Rev., 1957, 106, № 6, 1182—1185 (англ.)

Возбуждение метастабильного уровня  $2^3S_1$  He электронами авторы интерпретируют как переход через компаунд-состояние  $2^3S_{1/2}$  отрицательного иона He. Применение теории Вигнера дает следующее выражение для сечения возбуждения  $\sigma = C(E - E_1)^{1/2} [(E - E_a)^2 + (2m/h^2) \gamma_1^2 (E - E_1)]$ , где  $E_1 = 19,79 \text{ эв}$ ,  $E_a = 20,43 \text{ эв}$ ,  $\gamma_1^2 = 1,4 \cdot 10^{-8} \text{ см эв}$ .  $E_a$  согласуется с величиной энергии компаунд-ядра,  $E_1$  — с пороговой энергией, величина  $\gamma_1$  дает правильную величину времени жизни компаунд-состояния ( $2,5 \cdot 10^{-16} \text{ сек.}$ ). Приведенное выражение дает значительно лучшее согласие с экспериментом, чем 4-параметрич.  $\phi$ -ла (разложение по  $E$ ). А. Зимин

27557. Теоретическое определение электронной поляризуемости лития и скандия. Фишер-Яльман, Сундбум (Theoretical determination of the electronic polarizability of lithium and scandium. Fischer-Hjalmar Ingmar, Sundbom Marianne), Acta chem. scand., 1957, 11, № 6, 1068—1069 (англ.)

Методом, сходным с описанным ранее (РЖХим, 1955, 24378), найдены электронные поляризуемости  $\alpha$  для Li ( $1s^2 2s$ ) и Sc ( $3d^4 s^2$ ), которые соответственно равны  $20 \cdot 10^{-24}$  и  $90 \cdot 10^{-24} \text{ см}^3$ . С целью проверки правильности программирования машины тем же методом вычислена  $\alpha$  Ca<sup>2+</sup>; получено  $\alpha = 0,83 \cdot 10^{-24} \text{ см}^3$  (у Штернхеймера  $\alpha = 0,73 \cdot 10^{-24} \text{ см}^3$ ). Вклад внутренних оболочек в  $\alpha$ , как показано, незначителен.

А. Алмазов

27558. Естественный контур уровней энергии. Степанов Б. И., Апанасевич П. А., Докл. АН СССР, 1957, 115, № 3, 488—490

В первом приближении рассчитана вероятность возбужденного состояния атома в нулевом электромагнитном поле в зависимости от полной энергии системы. При решении системы ур-ний используется слабая зависимость матричных элементов взаимодействия и плотности уровней поля от энергии. Полученная  $\phi$ -ла для плотности вероятности возбужденного состояния подобна при соответствующей нормировке выражению для контура спектральной линии.  $\phi$ -ла для плотности вероятности возбужденного состояния на этом основании трактуется как контур энергетич. уровня атома, обусловленный взаимодействием атома с нулевым электромагнитным полем. Е. Никитин

27559. Исследование однократных столкновений атомов He, Ne и Ar с энергией до 100 кэв при рассеянии на большие углы. Фалс, Джонс, Зимба, Эверхарт (Measurements of large-angle single collisions between helium, neon and argon atoms at energies to 100 kev. Fuls E. N., Jones P. R., Ziemba F. P., Everhart E.), Phys. Rev., 1957, 107, № 3, 704—710 (англ.)

Изучалось рассеяние ионов He<sup>+</sup>, Ne<sup>+</sup> и Ar<sup>+</sup> с энергией 25, 50 и 100 кэв при однократных столкновениях с атомами Ne и Ar. Исследованы пары He<sup>+</sup> — He, He<sup>+</sup> — Ne, He<sup>+</sup> — Ar, Ne<sup>+</sup> — Ne, Ne<sup>+</sup> — Ar и Ar<sup>+</sup> — Ar. Для He<sup>+</sup> — He, He<sup>+</sup> — Ne и He<sup>+</sup> — Ar имеет место зависимость зарядного состава рассеянного пучка



от энергии ионов и рода атома мишени, но не наблюдается зависимости от  $\theta$  (угла рассеяния). Для остальных пар зарядный состав сильно зависит не только от энергии и рода атома, но и от  $\theta$ . Как правило, с увеличением  $\theta$  растет относительное содержание частиц с более высокой степенью ионизации. Данные измерения дифференциальных сечений рассеяния приведены в виде кривых  $\sigma = f(\theta)$ . Эксперим. результаты сравнивались с данными расчета, произведенными в предположении, что потенциальная энергия взаимодействия сталкивающихся частиц выражается ф-лой:  $V(r) = (z_1 z_2 e^2 / r) \exp(-a/r)$ . Экспоненциальный множитель учитывает экранирующее действие электронных оболочек на ядерное взаимодействие. Радиус экранирования вычислялся по ф-ле:  $a = a_0 / (z_1^{1/2} + z_2^{1/2})^{1/2}$ , где  $a_0$  — радиус первой борховской орбиты. Для пары  $\text{He}^+ - \text{He}$  экранирующий эффект очень мал и поэтому  $\sigma$  рассчитывалось по ф-ле Резерфорда. В этом случае наблюдается прекрасное совпадение эксперим. и расчетных данных. Для остальных пар хорошее совпадение эксперим. и расчетных данных имеется только для меньших  $\theta$ . Для больших  $\theta$  эксперим. кривые идут систематически ниже расчетных. Я. Фогель

**27560. Изменения в эмиссионном спектре Rb вследствие атомного взаимодействия.** Ефименко, Кертис (Modifications of the Rb emission spectrum due to atomic interactions. Jefimenko Oleg, Curtis Waldo), J. Chem. Phys., 1957, 27, № 4, 953—956 (англ.)

Исследован эмиссионный спектр Rb в газовых смесях Rb-He, Rb-Ne, Rb-Ar, Rb-Kr и Rb-Xe. В качестве источника света использовалась разрядная трубка Гейслера. Давление паров Rb менялось в пределах  $10^{-3} - 1$  мм рт. ст., а инертных газов в диапазоне 250—700 мм рт. ст. Наблюдены «красные» полосы, связанные с линиями главной, резкой и диффузной серий. «Красные» полосы около линий резкой серии очень узки и интенсивны, полосы около диффузных атомных линий менее интенсивны, однако шире и размыты. Расстояние между максимумом полосы и соответствующей линией Rb изменяется в зависимости от вида инертного газа, серийной принадлежности атомной линии и от линии к линии в серии. Внутри каждой серии полосы появляются только вблизи тех атомных линий, которые оканчиваются на самых низких уровнях. «Фиолетовые» эмиссионные полосы найдены только для главной серии дублетов Rb. Закономерности в появлении этих полос такие же, как и для полос, найденных в поглощении (РЖХим, 1957, 18112). Обширный континуум наблюден со стороны длинных волн от резонансных линий и второго дублета главной серии.

Н. Яшин

**27561. Относительные числа  $f$ -спектральных линий скандия.** Островский Ю. И., Пенкин Н. П., Оптика и спектроскопия, 1957, 3, № 4, 391—393

Методом крюков Рождественского с помощью высокотемпературной печи Кинга измерены относительные значения чисел  $f$  для 33 спектральных линий с нижними уровнями  $a^2D$ ,  $a^4F$  и  $a^2F$ . Приводится таблица линий с измеренными числами  $f$ . Ю. Донцов

**27562.  $^6P$ -состояние иона  $\text{Gd}^{3+}$ .** Кук, Дике ( $^6P$  state of the  $\text{Gd}^{3+}$  ion. Cook S. P., Dieke G. H.), J. Chem. Phys., 1957, 27, № 5, 1213 (англ.)

Изучался с целью идентификации уровней  $^6P$ -состояния иона  $\text{Gd}^{3+}$  спектр поглощения кристаллов  $\text{GdAcO}_3 \cdot 4\text{H}_2\text{O}$  и  $\text{Gd}_2(\text{SO}_4) \cdot 8\text{H}_2\text{O}$  и его земановская структура.

Н. Яшин

**27563. К вопросу об измерении концентрации атомов Na в столбе дугового разряда.** Колесников В. Н., Похилько Л. Г., Оптика и спектроскопия, 1957, 2, № 6, 689—694

Разбирается предложенный Н. А. Прилежаевой (Тр. СОТИ, 1949, 28, 83) метод определения концентрации атомов легкоионизируемых примесей в изотермической плазме. Обсуждаются ошибки в работах ряда авторов, которые применяют этот метод. Показано, что измерение  $t$ -ры и вероятностей переходов в разобранной работе сделано с такой ошибкой, что для концентрации можно получить только порядок величины. Рассмотрены условия применения метода Прилежаевой.

Ю. Донцов

**27564. Исследование спектров испускания и поглощения урана.** Пенкин Н. П., Фриш С. Э., Оптика и спектроскопия, 1957, 3, № 5, 473—479

Исследованы спектры испускания и поглощения урана в вакуумной высокотемпературной печи Кинга при  $t$ -ре 2800—3000° К. Плотность паров, достаточную для получения спектров поглощения, удалось получить только в печи с танталовой трубкой. Всего обнаружено 167 линий испускания и 47 линий поглощения. Не обнаружено линий испускания в области  $\lambda < 2900$  Å. Все линии поглощения укладываются в схему Кисса. На основании полученных данных делается вывод о правильности прежней классификации спектра урана, а также, что уровень  $^5L_6$  расположен наиболее глубоко. Приводится таблица исследованных линий испускания и поглощения. Ю. Донцов

**27565. Рентгеновский К-спектр испускания Те.** Рогоса, Пид (Te K X-ray spectrum. Rogosa George L., Reed William F.), Phys. Rev., 1955, 100, № 6, 1763 (англ.)

К-спектр Тс в соединении  $\text{KTc}^{99}\text{O}_4$  исследовался на флуоресцентном спектрометре с кристаллом слюды (плоскости (331)), изогнутым по радиусу 145 мм. Источником первичного излучения служила трубка с W-анодом, работавшая при напряжении 48 кВ и силе тока 20 мА. Результаты измерения длин волн линий К-серии Тс (в Å):  $K\alpha_1$  673,57,  $K\alpha_2$  677,90,  $K\beta_{1,2}$  600,20,  $K\beta_{2,1}$  588,99.

Р. Баринский

**27566. Изотопическое смещение в резонансных линиях Mg I.** Келли (Isotope shift in the resonance lines of Mg I. Kelly F. M.), Canad. J. Phys., 1957, 35, № 10, 1220—1222 (англ.)

Измерено изотопич. смещение на линиях Mg I 2852 и 4571 Å. Линия 2852 Å изучалась с помощью источника с атомным пучком. Для этой линии изотопич. смещение между изотопами  $\text{Mg}^{24}$  и  $\text{Mg}^{26}$  равно  $0,0229 \pm 0,0002$  см $^{-1}$ , а между  $\text{Mg}^{24}$  и  $\text{Mg}^{26}$  —  $0,0461 \pm 0,0009$  см $^{-1}$ . Интеркомбинационная линия 4571 Å изучалась в источнике света с полным катодом из магния, охлаждаемым жидким азотом. Изотопич. смещение в этом случае между  $\text{Mg}^{24}$  и  $\text{Mg}^{26}$  равно  $0,0628 \pm 0,0007$  см $^{-1}$ . Произведено вычисление величин специфич. массового смещения для обеих линий, которые, как оказалось, значительно отличаются от эксперим. значений.

Н. Яшин

**27567. Изотопическое смещение в спектре индия I.** Джексон (Isotope shift in the spectrum of indium I. Jackson D. A.), Phys. Rev., 1957, 105, № 6, 1926 (англ.)

На основе измерений, сделанных ранее (РЖХим, 1956, 70882) автором, произведено вычисление изотопич. смещения на пяти линиях в спектре In I между  $\text{In}^{113}$  и естественным In (для линии 4101 Å между изотопами  $\text{In}^{113}$  и  $\text{In}^{115}$ ). Предварительно вновь произведен анализ образца In для определения содержания в нем  $\text{In}^{113}$ . Для смещений получены величины (в см $^{-1}$ ): 4514 Å ( $8,7 \cdot 10^{-3}$ ); 4101 Å ( $8,9 \cdot 10^{-3}$ ); 3256 Å ( $7,5 \cdot 10^{-3}$ ); 3039 Å ( $7,5 \cdot 10^{-3}$ ); 2710 Å ( $7,0 \cdot 10^{-3}$ ), с вероятной ошибкой для изотопич. смещения  $0,5 \cdot 10^{-3}$  см $^{-1}$  для линий в видимой области спектра и  $1 \cdot 10^{-3}$  см $^{-1}$  для УФ-линий.

Н. Яшин



27568. Изотопическое смещение в спектре церия. Коростылева Л. А., Оптика и спектроскопия, 1957, 3, № 5, 536—544

Исследовано изотопич. смещение в спектре церия. Смещение между изотопами Се (140—142) измерено на 102 линиях. Во всех случаях оно оказалось отрицательным. Результаты измерений использованы для расширения классификации спектра Се. На четырех линиях графич. методом по полуширине контура измерено смещение между изотопами (136—138—140). Величина «скачка» при добавлении к магн. числу 82 пары нейтронов, т. е. отношение  $\Delta\nu$  (138—140):  $\Delta\nu$  (140—142) равна 0,26. В статье приводится таблица линий с измеренным изотопич. смещением и приведены контуры линий в зависимости от величины изотопич. смещения.

Ю. Донцов

27569. Отношение ядерных квадрупольных моментов  $\text{Re}^{185}$  и  $\text{Re}^{187}$ . Сигел, Барнс (Nuclear quadrupole moment ratio of  $\text{Re}^{185}$  and  $\text{Re}^{187}$ . Segel S. L., Barnes R. G.), Phys. Rev., 1957, 107, № 2, 638 (англ.)

Наблюдается спектр ядерного квадрупольного резонанса изотопов  $\text{Re}^{185}$  и  $\text{Re}^{187}$  в  $\text{Re}_2(\text{CO})_{10}$  при комнатной т-ре. Для каждого изотопа наблюдались два резонанса, соответствующие переходам  $\pm 5/2 \leftrightarrow \pm 3/2$  и  $\pm 3/2 \leftrightarrow \pm 1/2$  для спина  $I = 5/2$ . Так как оба изотопа имеют одинаковый спин, то отношение ядерных квадрупольных моментов определялось непосредственно из отношения частот, соответствующих одинаковым переходам. Получено следующее среднее значение отношения квадрупольных моментов  $Q(\text{Re}^{185})/Q(\text{Re}^{187}) = 1,056 \pm 0,005$ . Этот результат согласуется с данными, полученными из оптич. измерений сверхтонкой структуры.

А. Ахматов

27570. Сверхтонкая структура парамагнитного резонанса  $\text{Np}^{239}$ . Эйбрахам, Джеффрис, Кедзи, Уолман (Paramagnetic resonance hyperfine structure of  $\text{Np}^{239}$ . Abraham M., Jeffries C. D., Kedzie R. W., Wallmann J. C.), Phys. Rev., 1957, 106, № 6, 1357—1358 (англ.)

Авторы методом микроволнового парамагнитного поглощения предприняли попытку определить ядерный спин  $\text{Np}^{239}$ . Исследовался монокристалл  $\text{UO}_2\text{Rb}(\text{NO}_3)_3$ , в который в виде ионов  $\text{NpO}_2^{+2}$  были включены  $\text{Np}^{239}$  в кол-ве 4 мк ( $\sim 1$  юри) и 3 мк  $\text{Np}^{237}$ . Резонансный спектр при 4,3° К показал 2 линии ( $g_1 \approx 3,4$ ), которые приписаны изотопу  $\text{Np}^{239}$ . На этом основании сделано заключение, что спин  $I(\text{Np}^{239}) = 1/2$ . Линии  $\text{Np}^{237}$  не были наблюдаемы. Эксперимент не исключает возможности существования изомерного состояния  $\text{Np}^{239}$  со спином  $I = 5/2$ . Определена постоянная сверхтонкого расщепления  $A(\text{Np}^{239}) = 0,0503 \pm 0,0005$  см<sup>-1</sup>. Используя величину  $A(\text{Np}^{237})$ , определенную ранее (РЖХИМ, 1955, 45206), получено отношение ядерных g-факторов  $g(\text{Np}^{237})/g(\text{Np}^{239}) = A(\text{Np}^{237})/A(\text{Np}^{239}) = 3,287 \pm 0,04$ . Пренебрегая аномалией в сверхтонкой структуре, авторы дают величину отношения магнитных моментов ядер  $|\mu(\text{Np}^{237})|/|\mu(\text{Np}^{239})| = 16,45 \pm 0,17$ . Поскольку  $|\mu(\text{Np}^{237})| = 6 \pm 2,5$  (РЖХИМ, 1955, 45206), то  $|\mu(\text{Np}^{239})| \approx 0,3$  м (яд.)

Н. Яшин

См. также: Периодич. системы 27540, 27541. Атомные постоянные 27539

## МОЛЕКУЛА. ХИМИЧЕСКАЯ СВЯЗЬ

Редакторы Д. А. Бочвар, А. А. Мальцев

27571. Неупругие столкновения молекул с максвелловской энергией взаимодействия. Уайдом (Inelastic molecular collisions with a Maxwellian interaction energy. Widom B.), J. Chem. Phys., 1957, 27, № 4, 940—952 (англ.)

Решено ур-ние Шредингера для относительного движения двух молекул, взаимодействующих по закону  $V(R) = A/R^4$ ,  $A > 0$ . Радиальные волновые функции  $\psi_e(R)$  выражаются через функции Матве комплексного аргумента, линейного относительно  $\ln R$ . При малых волновых числах  $k$   $\psi_e(R) \approx k^{2l+1}$ , при больших  $k$   $\psi_e(R) \approx \exp(k\sqrt{2\mu A/n})^{1/2}$ . Методом искаженных волн вычислена вероятность  $P$  колебательного возбуждения вблизи порога, причем молекулы моделировались изотропно вибрирующими сферами, а энергия возмущения выбиралась в виде  $\text{const}/R^4$ . Величина  $P$  экспоненциально зависит от  $-(\Delta\epsilon)^{1/2}$  ( $\Delta\epsilon$  — энергия перехода) и пропорциональна быстро осциллирующему в зависимости от  $\Delta\epsilon$  множителю. Вычисленное после усреднения  $P$  по тепловому распределению сталкивающихся молекул время релаксации  $J$  зависит экспоненциально от  $-T^{1/2}$ , что следует сравнить с экспоненциальной зависимостью от  $T^{-1/2}$  в ф-ле Ландау-Теллера для экспоненциального потенциала. При сравнении с опытными данными найдено, что в некоторых случаях  $(O_2) \ln J$  линейно зависит от  $T^{1/2}$ , в других же случаях нельзя различить зависимость от  $-T^{1/2}$  и  $T^{-1/2}$ . Вычисленный из зависимости  $\ln J$  от  $T$  радиус действия репульсивных сил для различных молекул заключен в интервале 0,2—1 А.

Е. Никитин

27572. О вариационной задаче, связанной с методом Томаса — Ферми. Танабэ (On the variational problem connected with the Thomas Fermi method. Tanabe Yukito), J. Phys. Soc. Japan, 1957, 12, № 8, 974 (англ.)

Сформулирован вариационный принцип для ур-ния Томаса — Ферми в задаче многих центров, с помощью которого получены неравенства, позволяющие для любого приближенного решения ур-ния Томаса — Ферми оценить нижнюю и верхнюю границы полной энергии системы, а также верхнюю границу средней квадратичной ошибки приближенного выражения потенциала.

Т. Ребане

27573. Представление функции Ферми  $\eta_0$  в виде степенного ряда. Кобаяси (Series expansion of the Fermi part of the TF function. Kobayashi Shigehiro), J. Phys. Soc. Japan, 1957, 12, № 8, 980 (англ.)

Функция Ферми  $\eta_0(x)$ , входящая в функцию Томаса — Ферми для свободного положительного иона  $\phi(x) = \phi_0(x) + k\eta_0(x)$  ( $\phi_0(x)$  — обычная функция Томаса — Ферми), разложена в степенной ряд в окрестности точки  $x=0$ . Приведены первые 15 членов ряда (до члена с  $x^{10/2}$  включительно).

Т. Ребане

27574. Применение метода ЛКАО МО к отрицательным ионам углеводородов. Балк, Брэйи, Хойтинк (A one-electron L.C.A.O. MO. treatment of hydrocarbon negative ions. Balk P., Bruijn S. de, Hooijink G. J.), Recueil trav. chim., 1957, 76, № 9-10, 860—868 (англ.)

Метод ЛКАО МО применяется к моноотрицательным ионам некоторых альтернатных углеводородов. Предполагается, что поле, в котором движется дополнительный электрон иона, образуется из электростатич. полей, даваемых 2 n-нейтр. углеродными атомами, которые остаются после удаления рассматриваемого электрона; МО строятся из 2p АО атомов C; длины связей считаются равными. Авторы исходят из результатов расчетов Хюккеля для основных состояний рассматриваемых углеводородных молекул. Учитываются взаимодействия между мета-положениями как возмущение энергии электрона в данной л-орбите и перекрывания АО для орто- и мета-положений. Приводятся значения

для резонансного параметра  $\beta_0'$ , вычисленные для соседних АО рассматриваемых альтернатных углеводородов. Используя связь между полярографич. потенциалом полувольтны и энергией добавочного электрона в углеводородном ионе  $\epsilon_{1/2} = a\beta_0' + C$ , авторы вычисляют значения параметра  $a$  при  $C = 0$ . И. Станкевич 27575. Одноцентровая волновая функция метода молекулярных орбит для метана. Кондэ, Сэкияма, Нагасима (One-center molecular orbital wave function for methane. Koide Shoichiro, Sekiyama Hisao, Nagashima Toshio), J. Phys. Soc. Japan, 1957, 12, № 9, 1016—1021 (англ.)

Строятся аналитич. МО для основной конфигурации молекулы метана:  $(1a_1)^2(2a_1)^2(2t_{2x})^2(2t_{2y})^2(2t_{2z})^2$ . (орбиты  $a$  и  $t$  относятся к неприводимым представлениям  $A_1$  и  $T_2$  группы тетраэдра). МО  $1a_1$  предполагается сферически симметричный; в выражениях остальных МО учитываются высшие сферич. гармоники (до  $l = 3$  включительно). Полная волновая функция содержит 7 независимых вариационных параметров: 3 эффективных заряда  $\alpha$ ,  $\beta$  и  $\gamma$  (РЖХим, 1954, 17712) и 4 независимых весовых коэф., определяющих вклад высших сферич. гармоник. Значение параметра  $\alpha$  заимствуется у Бернала:  $\alpha = 5.52$ . Минимум полной энергии молекулы метана ( $-39.64$  ат. ед.) реализуется при  $\beta = 1.73$  и  $\gamma = 1.3$  и при следующих значениях весовых коэф.:  $C_2 = 0.9851$ ;  $C_3 = 0.172$ ;  $C_4 = 0.9718$ ;  $C_5 = 0.227$  и  $C_6 = -0.064$  (последние подчинены условиям нормировки:  $C_2^2 + C_3^2 + C_4^2 + C_5^2 + C_6^2 = 1$ ). В приближении Бернала, не учитывающем высших сферич. гармоник (т. е., при  $C_2 = C_4 = 1$  и  $C_3 = C_5 = C_6 = 0$ ), получается значение:  $-39.33$  ат. ед. Тем самым более точный учет угловой зависимости МО позволяет понизить вычисленную энергию на 0,3 ат. ед. По мнению авторов, отрицательное значение вычисленной энергии связи  $\text{CH}_4$  (РЖХим, 1957, 65460) обусловлено пренебрежением высшими сферич. гармониками. Введение соответствующей поправки (0,3 ат. ед.) приводит к положительному значению энергии связи (0,1 ат. ед.  $\sim 2,7$  эв). В заключение показывается, что учет высших сферич. гармоник существенно влияет на угловое распределение валентных электронов в молекуле  $\text{CH}_4$ , значительно повышая их плотность в окрестности протонов. Т. Ребане

27576. Последовательные потенциалы ионизации ненасыщенных углеводородов. Хапш (Successive ionization potentials of unsaturated hydrocarbons. Hush N. S.), J. Chem. Phys., 1957, 27, № 3, 612—613 (англ.) Для молекул некоторых ненасыщ. углеводородов вычислены вторые ионизационные потенциалы (соответствующие отрыву  $\pi$ -электрона). В вычислениях используется метод самосогласованных МО в ЛКАО-форме (РЖХим, 1955, 28255), а также полуэмпирич. значения, предложенные Паризером и Парром (РЖХим, 1955, 83) и Хашем и Поплом (РЖХим, 1956, 67611) для интегралов взаимодействия и интегралов остова. Значение, найденное для бензола (16,9 эв), хорошо согласуется со значением, вычисленным другими авторами (Hustrulid, Kusch и др. Phys. Rev., 1938, 54, 1037). Д. Б.

27577. К методу атомов в молекулах. Прейсс (Zur Methode der Atome in Molekülen. Preuss H.), Z. Naturforsch., 1957, 12a, № 8, 599—603 (нем.)

В связи с тем, что метод Моффитта дает плохие результаты для уровней энергий МО при малых межатомных расстояниях, а метод Бингеля — для больших (РЖХим, 1957, 65459), автор приводит их объединение в рамках метода атомов в молекулах. Предлагается такое разбиение оператора  $\hat{H}$  системы, состоящей из  $N$  атомов и  $n$  электронов, чтобы предельные случаи давали

метод Моффитта при бесконечных межъядерных расстояниях и метод Бингеля — при малых.  $\hat{H} = [(\hat{H}_0 + \hat{V}_0) + (\hat{H}_\infty + \hat{V}_\infty) p] / (1 + p)$ , где  $p = p(R)$  — некоторая произвольная функция от межъядерных расстояний, обладающая следующими свойствами:  $\lim_{R \rightarrow \infty} p(R) = \infty$

$\lim_{R \rightarrow 0} p(R) = 0$  (1). Здесь оператор  $\hat{H}_0 = -\frac{1}{2} \sum_{i=1}^n \Delta_i - \sum_{i=1}^n z / r_{ix} + \sum_{i>k}^n \sum_{l=1}^n 1 / r_{ik}$  означает оператор объединенного атома, который лежит в точке  $x$  (центре тяжести зарядов ядер) и ядерный заряд которого равен сумме зарядов ядер атомов, содержащихся в молекуле ( $Z = \sum_{\lambda=1}^N Z_\lambda$ );  $\hat{V}_0 = \sum_{i=1}^n (Z / r_{ix} - \sum_{\lambda=1}^N Z_\lambda / r_{li})$  — оператор взаимодействия в методе Бингеля;  $\hat{H}_\infty = \sum_{\lambda=1}^N \hat{H}_\lambda$  — оператор энергии бесконечно удаленных атомов ( $\hat{H}_\lambda$  — оператор энергии атома  $\lambda$ );  $\hat{V}_\infty = \sum_i \sum_\lambda Z_\lambda / r_{li} + \sum_i \sum_{k \neq l} 1 / r_{ik}$  — оператор взаимодействия электронов различных атомов и электронов с чужим ядром. Оператор кулоновского отталкивания ядер в вычислениях опущен, так как при постоянных межъядерных расстояниях он дает в выражениях энергий МО аддитивную постоянную. В предельных случаях  $R \rightarrow \infty$ ,  $\hat{H} \rightarrow \hat{H}_0 + \hat{V}_0$ ,  $\hat{V}_\infty \rightarrow 0$  (метод Моффитта),  $R \rightarrow 0$ ,  $\hat{H} \rightarrow \hat{H}_0 + \hat{V}_0$ ,  $\hat{V}_\infty \rightarrow 0$  (метод Бингеля).

В качестве исходных функций применяются строгие собственные функции атома  $\lambda$  ( $\phi_{\lambda r}$ ) и объединенного атома ( $\Phi_r$ )  $\hat{H}_\lambda \phi_{\lambda r} = W_{\lambda r} \phi_{\lambda r}$ ,  $\hat{H}_0 \Phi_r = W_0^r \Phi_r$ . Из функций  $\phi_{\lambda r}$  составляется антисимметризованное произведение  $\Phi_s$ , где  $s$  представляет номер конфигурации. Мол. функции ищутся в виде  $\Omega_a = \sum_r \gamma_{ar} \chi_r$ , где  $\chi_r = (\Phi_r + \psi_r) / (1 + p)$ . Вариационная задача, как обычно, приводит к секулярному уравнению  $|\hat{H} - SE| = 0$ , где  $H_{ik} = (\chi_i, \hat{H} \chi_k)$ ,  $S_{ik} = (\chi_i, \chi_k)$ . Эти матрицы разлагаются на более простые в соответствии с разложением оператора Гамильтона данной системы  $(1 + p)^2 \hat{H} = \hat{H}_0 + p \hat{H}_M + p^2 \hat{H}_\infty$   $(1 + p)^2 S = S + p(K + \bar{K}) + p^2 M$ , причем  $\{H_0 = W_0 + V_0$ ,  $[H_0]_{ik} = (\Phi_i, \hat{H}_0 \Phi_k)$ ;  $[W_0]_{ik} = W_i^0 \delta_{ik}$ ;  $[V_0]_{ik} = (\Phi_i, \hat{V}_0 \Phi_k)$ ;  $H_\infty = W_\infty M + V_\infty$ ;  $[H_\infty]_{ik} = (\Phi_i, \hat{H}_\infty \Phi_k)$ ;  $M_{ik} = (\Phi_i, \Phi_k)$ ;  $[W_\infty]_{ik} = W_i^\infty \delta_{ik}$ ;  $[V_\infty]_{ik} = (\Phi_i, \hat{V}_\infty \Phi_k)$ ;  $K_{ik} = (\Phi_i, \Phi_k)$ ;  $\bar{K}_{ik} = (\Phi_i, \Phi_k)$ ;  $H_M = \frac{1}{2} [K(W_0 + W_\infty) + (W_0 + W_\infty)K] + \frac{1}{2} [u_0 + u_\infty + \bar{u}_0 + \bar{u}_\infty]$ ;  $[u_0]_{ik} = (\psi_i, \hat{V}_0 \psi_k)$ ;  $[\bar{u}_\infty]_{ik} = (\psi_i, \hat{V}_\infty \psi_k)$  (2). Слабые ограничения (1) на функцию  $p(R)$  позволяют понижать уровни энергий путем подбора подходящей функции  $p(R)$ . Невозможность нахождения точных функций  $\Phi_r$  и  $\psi_r$  приводит к необходимости заменить их приближенными  $\tilde{\Phi}_r$  и  $\tilde{\psi}_r$ . С помощью последних вычисляются все матрицы (2) в разложении  $H$  и  $S$ , кроме  $W_\infty$  и  $W_0$ , которые берутся соответственно из спектров изолированных атомов и объединенного атома. Применение эмпирич. данных для  $W_\infty$

и  $W_0$  при плохих функциях  $\tilde{\Phi}_r$ ,  $\tilde{\psi}_r$  может привести к тому, что получаемые уровни энергий окажутся ниже действительных. Метод демонстрируется на примерах молекул  $\text{H}_2^+$  и  $\text{H}_2$ . В то время как метод Моффитта дает для  $\text{H}_2^+$  энергию связи  $-1,75$  эв ( $R = 2,6$  ат. ед.), а метод Бингеля не дает никакой связи, метод автора дает  $-1,95$  эв при  $R = 2,3$  ат. ед. Для  $\text{H}_2$  по методу Моффитта  $E = 4,35$  эв,  $R = 1,40$  ат. ед., по методу Прейсса  $E = 4,71$  эв,  $R = 1,466$  ат. ед. Действительные значения составляют  $E = -4,72$  эв и  $R = 1,40$  ат. ед. А. Чистяков

27578. Эн-  
фит, Ор-  
ries. Gri-  
1957, 26,  
Выполне

ния электр-  
данных сле-  
дов на низ-  
 $f^2 < f^3 < f^4$ .  
яснения воз-  
нидов. Най-  
возможны т-  
энергии):  $a_2$   
 $f_1(x^2 - x^3)$  и  
нов (частич-  
ронов) опре-  
ния с разл-  
с  $\Delta = (a_2 -$   
рядок велич-  
что значите-  
определя-  
постому си-  
ние имеет  
5/2-конфигу-  
данных по-  
оболочке по-  
ванимают  
согласно о-  
Заполнение  
октаэдра,  
октаэдрич.  
ментально  
ционных к-  
дающиеся  
объясняетс-  
несвязанно

27579. Н-  
числа  $\text{H}_2$   
Ширм  
химии,  
Методом  
1940, 8, 10  
ционном  
чие орби-



ричной  
что при  
симметри  
гурации  
в  $(\text{C}_5\text{H}_5)_2$   
атома U  
типа) в  
Руха для  
27580.

Электр-  
the hy-  
structu-  
1957, 1  
Методом  
тронной  
констан-  
структу-  
состояни-  
ции чет-  
функции



27578. Энергия спаривания в актинидах. Гриффит, Оргел (Pairing energies in the actinide series. Griffith J. S., Orgel L. E.), J. Chem. Phys., 1957, 26, № 5, 988—992 (англ.)

Выполнен квантовомеханич. расчет энергии спаривания электронов для  $f^n$ -конфигураций. Из полученных данных следует, что энергия спаривания электронов на низшей орбите растет в ряду конфигураций  $f^2 < f^3 < f^4$ . Полученные данные используются для выяснения возможности спаривания  $f$ -электронов у актинидов. Найдено, что в полях октаэдрич. симметрии возможны три типа орбит (в порядке возрастания их энергии):  $a_2(f_{xy2})$ ,  $t_2(f_{3x^2-3y^2}, f_{5y^2-3z^2}, f_{5z^2-3x^2})$  и  $t_1(f_{x(y^2-z^2)}, f_{y(z^2-x^2)}, f_{z(x^2-y^2)})$ . Возможность спаривания электронов (частичного или полного «погашения» спинов электронов) определяется соизмеримостью энергии спаривания с разницей энергий орбит  $a_2$ ,  $t_2$  и  $t_1$ , а именно:  $\Delta = (a_2 - t_2)$  и  $\theta = (t_2 - t_1)$ . Для редких земель порядок величин  $\Delta$  и  $\theta$  составляет приблизительно 100  $\text{см}^{-1}$ , что значительно меньше значений параметров  $B$ ,  $C$ ,  $D$  и  $\chi$ , определяющих энергию спаривания электронов, поэтому спаривание не осуществляется. Иное положение имеет место для актинидов. Подробно рассмотрена  $5f^n$ -конфигурация. Расчет с использованием магнитных данных по  $\text{PuF}_6$  показывает, что два электрона в  $5f$ -оболочке плутония спарены и, как полагают авторы, занимают наинизшую орбиту,  $a_2(f_{xy2})$ . Величина  $\Delta$ , согласно оценке авторов, значительно больше 7000  $\text{см}^{-1}$ . Заполнение орбиты  $a_2$ , направленной к центрам граней октаэдра, должно привести к увеличению жесткости октаэдрич. конфигурации, что согласуется с экспериментально наблюдаемым увеличением частот деформационных колебаний в ряду  $\text{UF}_6 < \text{NpF}_6 < \text{PuF}_6$ . Наблюдающееся понижение частот валентных колебаний объясняется наличием кулоновского отталкивания между несвязанными электронами и атомами фтора.

В. Алексанян  
27579. Новая гибридизация для координационного числа 9 и строение трициклопентадиенила урана. Ширмазан М. Г., Дяткина М. Е., Ж. неорган. химии, 1957, 2, № 8, 1761—1762

Методом теории групп (Kimball G. E., J. Chem. Phys., 1940, 8, 188) рассмотрена гибридизация при координационном числе 9 и симметрии  $C_{3h}$  (см. рис.). Гибридные орбиты с такой симметрией могут возникнуть из

следующих наборов электронов  $f^1d^2$ ,  $f^5d^4$ ,  $f^7p^2$ ,  $f^6d^2p$ ,  $f^5d^2p^2$ ,  $f^4d^2p^3$ ,  $f^4d^4p$ ,  $f^3d^4p^3$ ,  $f^3d^4p^2$  и  $f^3p^3$ , т. е. только с участием  $f$ -электронов. Другие возможные наборы электронов могут приводить к более симметричной конфигурации  $D_{3h}$  и поэтому предполагается, что при них не будет осуществляться более низкая симметрия  $C_3$ .

Возможность осуществления конфигурации  $C_{3h}$  при участии  $f$ -электронов показывает, что в  $(\text{C}_5\text{H}_5)_3\text{U}^+$  не исключено образование трех связей атома U с каждым кольцом (донорно-акцепторного типа) в соответствии с представлениями Фишера — Руха для ферроцена. М. Дяткина

27580. Теория сверхтонкой структуры молекулы NO. Электронная структура. Мидзусима (Theory of the hyperfine structure of NO molecule. Electronic structure. Mizushima Masataka), Phys. Rev., 1957, 105, № 4, 1262—1270 (англ.)

Методом Гейтлера — Лондона с использованием электронной волновой функции Хартри рассчитываются константы связи магнитной и электрич. сверхтонкой структуры NO. При гомеополарной связи основное состояние представляется в виде линейной комбинации четырех слейтеровских детерминантов. Волновая функция применена также для вычисления константы

спин-орбитальной связи и дублетного расщепления ( $\Lambda$ -типа). Магнитная сверхтонкая структура (ее «с-характер») объясняется конфигурационным взаимодействием с возбужденным состоянием N-атома, в котором один из  $2s$ -электронов поднимается на  $3s$ -орбиту. Эффективное число нечетных электронов, обуславливающих сверхтонкую структуру, составляет 0,46;  $Q$  для N ядер равна  $0,03 \cdot 10^{-24} \text{ см}^2$ . Никаких ионных структур не вводится. Резюме автора

27581. Учет упругого  $\sigma$ -остова в теории свободных электронов. I. Спектры и длины связей в длинных полиенах. II. Изменение размеров молекулы при оптическом возбуждении. Лабхарт (FE theory including an elastic  $\sigma$  skeleton. I. Spectra and bond lengths in long polyenes. II. Changes of molecule dimensions due to optical excitation. Labhart H.), J. Chem. Phys., 1957, 27, № 4, 957—962, 963—965 (англ.)

I. Предлагается усовершенствование модели свободных электронов с учетом упругости  $\sigma$ -остова молекулы и взаимодействия  $\pi$ -электронов. Стационарные состояния молекулы определяются из условия минимума полной энергии, представляемой в виде:  $E = E_1 + E_2 + E_3$  ( $E_1$  — энергия  $\pi$ -электронов в поле остова;  $E_2$  — энергия взаимодействия  $\pi$ -электронов;  $E_3$  — энергия упругой деформации  $\sigma$ -связей). Учитываются только такие деформации углеродной цепочки, при которых чередующиеся друг за другом связи C—C то растянуты, то сжаты (длины  $(1,40 \pm \delta) \text{ \AA}$ ). Зависимость  $E_3$  от  $\delta$  определяется с помощью известного эксперим. значения силовой постоянной связи C—C. Влияние чередования длинных и коротких связей C—C на величину  $E_1$  учитывается введением одномерного косинусоидального потенциала с амплитудой  $\mu\delta$  ( $\mu = 40 \text{ эв/\AA}$ ). Зависящая от  $\delta$  часть энергии взаимодействия  $\pi$ -электронов имеет вид  $\Delta E_2 = 1,17 \mu^2 \delta^2 / 4E^n$ . ( $E_0^n$  — энергия  $n$ -ой орбиты электрона в потенциальном ящике с гладким дном). Численные коэф. в выражениях одномерного потенциала и  $E_2$  подобраны эмпирически с использованием эксперим. данных для 1,8-дифенил-1,3,5,7-октатетраена,  $\gamma$ -ионилидинкетоновой к-ты и 15,15'-дегидро- $\beta$ -каротина. По описанному методу рассмотрены молекулы полиенов, симметричных полиметинов и бензола. В случае полиенов равновесная величина  $\delta$  слабо зависит от числа двойных связей  $n$ . Вариации длин связей в очень длинных полиенах примерно такие же, как и при  $n = 5$  ( $\delta \approx 0,03 \text{ \AA}$ ). В возбужденных электронных состояниях равновесные значения  $\delta$  несколько больше. Теоретич. разность значений  $\delta$  в первом возбужденном и в основном состояниях  $\beta$ -каротина (0,0026  $\text{\AA}$ ) по порядку величины согласуется со значением, определенным из анализа колебательной структуры электронного спектра. В случае симметричных полиметинов, при  $n \leq 31$  равновесные теоретич. значения  $\delta$  равны нулю (в согласии с опытом), а при очень больших  $n$  асимптотич. поведение величины  $\delta$  такое же, как и для полиенов. В случае бензола теория приводит к эквивалентности всех шести связей C—C. В отличие от теории Араки (РЖХим, 1957, 7160) автор считает, что сходимость длинноволнового электронного спектра полиенов к конечному пределу обусловлена вариациями длин связей C—C, а не колебаниями плазмы  $\pi$ -электронов.

II. Дана простая теория изменений размеров сопряженных молекул при оптич. возбуждении  $\pi$ -электронов, базирующаяся на следующих предположениях: потенциальная энергия  $\pi$ -электронов в поле остова молекулы  $E(\text{пот.})$  и энергия взаимодействия  $\pi$ -электронов  $E(\text{вн.})$  обратно пропорциональны длине сопряженной цепочки  $L$ ; кинетич. энергия  $\pi$ -электронов  $E(\text{кин.})$  обратно пропорциональна  $L^2$ ; при измерении размеров



молекулы длины всех связей С—С изменяются одинаково. Если оптич. переход характеризуется изменениями энергии  $\pi$ -электронов  $\Delta E(\text{кин.})$  и  $\Delta E(\text{вн.})$ , то изменение длины сопряженной цепочки при этом составляет  $\Delta L = (2\Delta E(\text{кин.}) + \Delta E(\text{вн.})) / f$  ( $f$  и  $l$  — силовая постоянная и длина связи С—С). Величина  $\Delta E(\text{кин.})$  определяется как среднее значение энергий синглетного и триплетного возбуждения, а величина  $\Delta E(\text{вн.})$  считается малой поправкой, равной для этилена 2 эв и убывающей, как  $1/L$ , при увеличении числа двойных связей. По указанной ф-ле вычислены значения  $\Delta L$  для полиенов, полиметинов и для различных возбужденных состояний бензола. Теоретич. значения  $\Delta L$  монотонно убывают с ростом  $L$ . Данных для сопоставления теории с опытом нет, кроме случая бутадиена и гексатриена, когда теоретич. значения  $\Delta L$  в 3 раза меньше полуэмпирич. значений (Kynch G. J., Penney W. G., Proc. Roy. Soc., 1941, A179, 214). Т. Ребане

27582. Об электронной структуре молекулы ВН. Оно (On the electronic structure of the BN molecule. Ohno Kimio), J. Phys. Soc. Japan, 1957, 12, № 8, 938—950 (англ.).

Более подробное изложение работы, опубликованной ранее (РЖХим, 1958, 6883). А. М.

27583. Электронные уровни модели жидкого калия. Эйзеншиц, Дин (Electronic levels of a model of liquid potassium. Eisen Schitz R., Dean P.), Proc. Phys. Soc., 1957, A70, № 10, 713—720 (англ.).

Жидкий калий моделируется линейной цепочкой атомов с  $4s$ - (основное состояние) и  $5s$ - (возбужденное состояние) АО. Расстояния между атомами рассматриваются как независимые переменные, подчиненные вероятностному распределению  $p(R)$ . Волновые функции цепочки строятся из одной, двух, трех и так далее АО и последовательно ортонормируются. В качестве  $4s$  — АО выбраны орбиты Хартри, а  $5s$  — АО — водородоподобные орбиты. Учитывается взаимодействие только соседних атомов, что приводит при определении уровней энергии к якобиевой матрице. Методом Дайсона (РЖМех, 1955, 2598) рассчитана плотность уровней в  $4s$ - и  $5s$ -полосах цепочки. При этом принималась линейная зависимость  $p(R)$  от  $R^2$ ,  $4s$ - и  $5s$ -полосы жидкого К перекрываются приблизительно в интервале энергий 0,15 ат. ед. Подобный расчет может быть выполнен и для жидкого Аг. При этом положение  $4s$ -полосы Аг должно приблизительно совпадать с  $4s$ -полосой К, так как энергия возбужденного  $4s$ -состояния атома Аг близка к энергии основного  $4s$ -состояния атома К. Между нижним краем  $4s$ -полосы и верхним краем заполненной  $3p$ -полосы жидкого Аг остается запрещенная зона шириной  $\approx 0,1$  ат. ед. Этим объясняется тот факт, что кристаллич. Аг при плавлении сохраняет свойства изолятора. Е. Никитин

27584. Условия равновесия цепочки атомов. Орлов А. Н., Плишкин Ю. М., Шепелева И. М., Физ. металлов и металловедение, 1957, 4, № 3, 540—542

Исследуются условия устойчивости цепочки длины  $Nl$ , состоящей из  $N$  атомов, при следующем виде потенциальной энергии взаимодействия ближайших соседних атомов:  $V(x) = -Ax^{-\mu} + Bx^{-\nu}$  ( $A, B, \mu$  и  $\nu > 0$ ;  $\mu < \nu$ ;  $x$  — расстояние между атомами). Взаимодействие более далеких атомов не учитывается. В зависимости от величины  $l$  возможны следующие случаи равновесия цепочки: а) при  $l = l_0$  (свободная цепочка) имеется одно равновесное положение, в котором все межатомные расстояния равны  $l_0$ . б)  $l < l_0$  (сжатая цепочка). Все межатомные расстояния равны  $l$ . в)  $l_N > l > l_0$  (слабо растянутая цепочка); все межатомные расстояния равны  $l$ . г)  $l_M > l > l_N$  (умеренно растянутая цепочка); одно равновесное положение с одинаковыми межатомными расстояниями и  $N$  равновесных положений,

в которых одно из  $N$  межатомных расстояний значительно превосходит остальные (разрыв  $N$ -й связи). д)  $l > l_M$  (сильно растянутая цепочка);  $N$  равновесн. положений, соответствующих разрывам цепочки в различных местах. Обозначения:  $l_0$  — расстояние, при котором  $V(x)$  имеет минимум;  $M = [(v+1)/(u+1)]^{1/(v-u)}$ ; «крит. длина» — сложным образом зависит от  $N$  и от вида потенциала  $V(x)$ ; при больших  $N$  она близка к  $l_0$ . Т. Ребане

27585. Об условиях непрерывности в металлической модели молекулы. Ребане Т. К., Вестн. Ленингр. ун-та, 1957, № 10, 11—20 (рез. англ.).

Рассматриваются условия, которым в металлич. модели молекулы (модели свободных электронов) подчиняются производные от одномерных волновых функций в точках разветвления (узлах) системы сопряженных связей. Дается новый, вариационный вывод этих условий. Впервые устанавливается вид этих условий для случая, когда молекула находится в однородном магнитном поле, перпендикулярном к ее плоскости. Показывается, что в этом случае, наряду с требованием непрерывности в узле значений одновременной волновой функции:  $\psi_1 = \psi_2 = \dots = \psi_p$ , производные от нее должны удовлетворять ур-нию:  $\sum_{i=1}^p (\psi_i' + (ie/hc) A_i \psi_i) = K\psi$  (1). Обозначения:  $\psi_i$  — производная от одномерной волновой функции в узле, взятая вдоль  $i$ -ой ветки, исходящей из узла;  $A_i$  — проекция векторного потенциала на эту ветку;  $p$  — число веток, расходящихся из узла;  $K$  — вещественная константа, значение которой пропорционально мощности  $\Delta$ -образной особенности одномерного скалярного потенциала в узле. Показывается, что ур-ние (1) обеспечивает самосопряженность одномерного оператора энергии  $H(s_i)$  для электронов в однородном магнитном поле:  $H(s_i) = \exp(-ie/hc) A_i \times s_i [-(\hbar^2/2m)(d^2/ds_i^2) + V(s_i)] \exp(ie/hc) A_i s_i$  на сетке сопряженных связей, а вместе с тем неразрывность тока, текущего по этой сетке. Условия ур-ния (1) применялись ранее в работе автора (РЖХим, 1958, 27587), посвященной расчету магнитных свойств  $\pi$ -электронов в ароматич. молекулах с помощью модели свободных электронов. В работе отмечается также одна ошибка, допущенная в работе Руденберга и Шерра (РЖХим, 1956, 21666). Т. Ребане

27586. К расчету магнитных свойств молекул по методу металлической модели. Ребане Т. К., Вестн. Ленингр. ун-та, 1957, № 16, 19—31 (рез. англ.).

Разработана математич. схема, позволяющая точно определить одновременные волновые функции и спектр энергии  $\pi$ -электронов в металлич. модели молекулы, когда молекула находится в магнитном поле. Показано, что общее выражение одномерной волновой функции  $\psi(s)$  на отдельной сопряженной связи в однородном магнитном поле следующим образом связано с ее общим выражением  $\psi(s)$  в отсутствие магнитного поля:  $\psi(s) = u(s) \exp(-iA_s S/c)$ . ( $A_s$  — проекция векторного потенциала на связь). Произвольные постоянные в выражениях одномерных волновых функций на отдельных связях и спектр энергии  $\pi$ -электронов в магнитном поле определяются из условий непрерывности в узлах, обобщенных ранее (см. пред. реф.) на случай наличия магнитного поля. В качестве примеров по описанной схеме вычислены  $\pi$ -электронные диамагнитные восприимчивости  $\chi_\pi$  циклич. ароматич. молекулы, пенталена, нафталина и гепталена в перпендикулярном магнитном поле. Для ароматич. цикла получена ф-ла:  $\chi_\pi = -(NS^2/c^2L^3)$  ат. ед. ( $N$  — число  $\pi$ -электронов;  $S$  —  $L$  — площадь и периметр цикла), приводящая в случае

молекулы бензола к результатам, полученным ранее (Волькенштейн М. В., Боровинский Л. А., Докл. АН СССР, 1952, 85, 977). В то же время показано, что для менее симметричных молекул метод расчета Волькенштейна и Боровинского приводит к значительным ошибкам. Для молекул пенталена, нафталина и гепталена (с учетом разветвлений системы сопряженных связей) получено:  $\chi_\pi$  (пентален) = -2,840;  $\chi_\pi$  (нафталин) = -2,011 и  $\chi_\pi$  (гептален) = -9,495 (за единицу принята диамагнитная восприимчивость  $\pi$ -электронов бензола в шестиугольной металлич. модели). Приблизительно вычислена диамагнитная восприимчивость  $\pi$ -электронов в молекулах полиаценов, пренебрегая разветвленными системами сопряженных связей. Получена следующая ф-ла  $\chi_\pi(v) = [6v^3 / (5v+1)] \chi_\pi(1)$ , удовлетворительно согласующаяся с опытом ( $v$  число бензольных ядер в молекуле полиацена).

Т. Ребане  
27587. Расчет анизотропии диамагнитной восприимчивости ароматических молекул по методу металлической модели молекулы. Ребане Т. К., Докл. АН СССР, 1957, 114, № 1, 70—72

Краткое изложение результатов работ (РЖХим, 1958, 27585, 27586). Дополнительно указывается, что спектр энергии  $E$   $\pi$ -электронов в однородном магнитном поле в металлич. модели молекулы определяется из векового ур-ния  $\det W(E, H) = 0$ , где  $W$  — матрица с элементами:  $W_{lm} = -p_l \delta_{lm} \cos \sqrt{2Ea} + (1 - \delta_{lm}) \eta_{lm} \exp(iHS_{lm}/c)$ , где  $\delta_{lm}$  — символ Кронекера;  $p_l$  — число атомов  $C$ , соседних с  $l$ -м атомом  $C$ ;  $\eta_{lm} = 1$  или  $0$ , смотря по тому, связаны ли атомы  $l$  и  $m$  между собой или нет;  $S_{lm}$  — алгебраич. значение площади треугольника, вершинами которого являются:  $l$ -й атом  $C$ ,  $m$ -й атом  $C$  и начало координат,  $a$  — длина ароматич. связи  $C-C$ . Это вековое ур-ние по форме близко к соответствующему ур-нию, определяющему спектр энергии  $\pi$ -электронов в однородном магнитном поле в методе мол. орбит. Сообщаются также следующие значения  $\pi$ -электронной диамагнитной восприимчивости  $\chi_\pi$  в перпендикулярном магнитном поле, вычисленные по методу металлич. модели:  $\chi_\pi$  (азулен) = 2,141;  $\chi_\pi$  (антрацен) = 3,077 (за единицу принята  $\pi$ -электронная диамагнитная восприимчивость шестиугольной металлич. модели молекулы бензола).

Т. Ребане

27588. Электронная структура и магнитные свойства уранилоподобных ионов. II. Ион плутония. Эйзенштейн, Прайс (The electronic structure and magnetic properties of uranyl-like ions. II. Plutonyl. Eisenstein J. C., Pryce M. H. L.), Proc. Roy. Soc., 1956, A238, № 1212, 31—45 (англ.)

На основе ранее предложенной модели строения уранила и подобных ему ионов (Часть I, РЖХим, 1958, 23914) в параметрич. форме выполнен квантовомеханич. расчет энергий уровней двух  $5f$ -электронов,  $PuO_2^{2+}$  в аксиальном поле уранилового остова. Влияние аксиального поля и кулоновского взаимодействия  $5f$ -электронов учитывалось методами теории возмущения. При значениях параметров  $X$ ,  $Y$ ,  $\zeta$ ,  $L$ ,  $A$  и  $B$ , равных соответственно 17 000, 31 000, 1300, 2000, 5978 и 299  $см^{-1}$ , для энергии уровней  $5f$ -электронов  $PuO_2^{2+}$  получены следующие значения в  $см^{-1}$ : 0 ( $^3H_4$ ), 832 ( $^3F_4$ ), 2621 ( $^3F_2$ ), 3424 ( $^3H_5$ ), 6398 ( $^3H_6$ ), 10 144 ( $^3P_1$ ), 11 083 ( $^3P_0$ ), 11 434 ( $^3P_2$ ), 12 058 ( $^3P_2$ ), 12 169 ( $^1S_0$ ), 12 952 ( $^1D_2$ ), 14 878 ( $^3G_3$ ), 17 501 ( $^3G_4$ ), 19 662 ( $^1P_1$ ), 20 049 ( $^3G_2$ ), 20 855 ( $^3D_1$ ), 20 779 ( $^3D_2$ ), 22 861 ( $^3D_3$ ) и 25 956 ( $^1G_4$ ), хорошо согласующиеся с эксперим. данными по спектрам поглощения. Принятая рабочая модель  $PuO_2^{2+}$  позволяет с учетом различных взаимодействий объяснить эксперим. данные по парамагнитному резо-

нансу в соединениях плутония и по их магнитной восприимчивости.

В. Алексанян

27589. О спектрах поглощения комплексных ионов.

III. Вычисление силы кристаллического поля. Танаба, Сугано (On the absorption spectra of complex ions. III. The calculation of the crystalline field strength. Tanabe Yukito, Sugano Satoru), J. Phys. Soc. Japan, 1956, 11, № 8, 864—877 (англ.)

В рамках ранее предложенной модели (часть II, РЖХим, 1956, 42280) произведен расчет параметра кристаллич. поля  $Dq$  для иона  $[Cr(H_2O)_6]^{3+}$  в хромовых квасцах. Деформация электронного облака  $Cr^{3+}$  учитывалась путем ортогонализации  $3d$ -орбит  $Cr^{3+}$  с орбитами аддендов. Расчет, в отличие от ранее выполненного Клейнером (Kleiner W. H., J. Chem. Phys., 1952, 20, 1784), дает правильный знак для  $Dq$  ( $\epsilon_2 - \epsilon_1 > 0$ ).

Этот факт авторы приписывают учету эффекта перекрывания орбит, в результате чего орбита  $e$ , интеграл перекрывания которой с орбитами аддендов велик, в принятой модели имеет большую энергию, чем орбита  $f_2$ . Численное значение параметра  $Dq = 5,9$  эв значительно больше эксперим. найденного 2,45 эв. Обнаруженное расхождение объясняется следующим: 1) при расчете для  $Cr^{3+}$  использовались функции Хартри для  $Cr^{2+}$  (последние для  $Cr^{3+}$  неизвестны); 2) в расчете не учитывались многоцентровые интегралы; 3) при вычислениях пренебрегалась величина  $\Delta v$ , представляющая собой изменение суммарного поля  $Cr^{3+}$  и 6 молекул  $H_2O$  при образовании иона  $[Cr(H_2O)_6]^{3+}$ . Расчет не объясняет также экспериментально обнаруженного уменьшения интегралов  $F_2$  и постоянной спин-орбитального взаимодействия при переходе от свободного иона к комплексному. Объяснить это не удалось и при расчете, произведенном методом МО. Один из возможных путей для устранения указанных трудностей авторы усматривают в применении более диффузных  $3d$ -функций и в учете изменения поля.

В. Алексанян

27590. Расчет индуктивного и мезомерного влияния заместителя на реакционную способность тиофена по методу молекулярных орбит. Меландер (Molecular orbital calculations on the influence of a  $\alpha$ -I—M substituent on the reactivity of thiophene. Melander Lars), Arkiv kemi, 1957, 11, № 5, 397—405 (англ.)

В приближении ЛКАО МО (с учетом интегралов неортогональности) исследуется индуктивное и мезомерное влияние нитрогруппы на реакционную способность тиофена (I). Для I принята модель Лонгет—Хиггинса (Longuet—Higgins H. C., Trans., Faraday Soc., 1949, 45, 173). Параметры нитрогруппы заимствованы из опубликованной ранее работы (РЖХим, 1956, 57897). Рассмотрены 3 значения отношения резонансных интегралов связей  $C-S$  и  $C-C$ :  $x = 1,0$  (нитробензол);  $x = 0,8$  (I с энергией делокализации в 30 ккал/моль) и  $x = 0,6$  (I с энергией делокализации в 20 ккал/моль). Реакционные способности различных положений в 2-нитротииофене (II) и в 3-нитротииофене (III) сопоставлены с соответствующими энергиями локализации, а также с распределением  $\pi$ -заряда в II и III. Анализ значений энергии делокализации приводит к следующим выводам, согласующимся с опытом. В II преобладает ориентирующее влияние атома серы: заместители всех типов направляются преимущественно в положение 5. В III электрофильные реакционные способности отдельных положений убывают в ряду  $5 > 2 > 4$ . В то же время выводы, сделанные на основе анализа распределения  $\pi$ -заряда в II и III, находятся в противоречии с опытом. Вычислены также порядки связей в II и III. Порядки связей  $C-N$  в нитробензоле, в II и III находятся в хорошем согласии со значениями, определенными из самополяризуемостей атома  $C$



в бензоле, атомов 2 и 3 в II и III. В заключение модель Лонгет — Хиггинса для I интерпретируется в терминах метода валентных связей.

**27591. Электроотрицательность радикалов. Метод вычисления. Уилмшерст** (Electronegativity of radicals. A method of calculation. Wilmshurst J. K.), J. Chem. Phys., 1957, 27, № 5, 1129—1131 (англ.)

Ф-ла Горди (Gordy W., Phys. Rev., 1946, 69, 604  $x = 0,31(n+1)/r + 0,50$ , связывающая электроотрицательность  $x$  атома с числом валентных электронов  $n$  и ковалентным радиусом  $r$  обобщается на случай, радикала АВ в молекуле  $X-AB$  (В может быть группой атомов). Для радикала АВ ковалентный радиус  $r$  можно отождествить с ковалентным радиусом А в связи с В, чем учитывается влияние гибридизации на электроотрицательность А, так как  $r$  зависит от состояния гибридизации А. Число валентных электронов  $n^*$  определяется как сумма  $n^* = (N - p) + 2mx_A/(x_A + x_B) + sx_A/(x_A + x_B)$ , где  $N$  есть число валентных электронов атома А;  $p$  — число валентных электронов атома А, связывающих А с В;  $2x_A/(x_A + x_B)$  — для электронной пары осуществляющей отдельную ковалентную связь А и В, принадлежащую А;  $m$  — число ковалентных связей между А и В, величина  $sx_A/(x_A + x_B)$  есть суммарный отрицательный заряд, доставляемый атому А атомом В за счет состояний типа  $A^+B^-$  (число «резонансных» электронов). Электроотрицательности радикалов, подсчитанные по ф-ле  $x = 0,31(n^*+1)/r + 0,50$ , находятся в согласии с найденными из «чувствительных» частот деф. кол. связей СН, но не согласуются с электроотрицательными, найденными из других спектроскопич. данных. Обсуждены причины такого расхождения.

**27592. Зонная структура переходных металлов. Мотт, Стивенс** (The band structure of the transition metals. Mott N. F., Stevens K. W. H.), Philos. Mag., 1957, 2, № 23, 1364—1386 (англ.)

В свете последних теоретич. и эксперим. исследований рассматривается структура энергетич. спектра электронов в переходных металлах. Приводится различие между плотно упакованными переходными металлами (Со и Ni) и объемноцентрированными переходными металлами (Cr и Fe), причем для последних предлагается следующее новое описание электронной структуры. В Cr и Fe в зоне проводимости, происходящей главным образом из атомных 3d-функций (с малой примесью 4s-функций) типа  $xyf(r)$ , заняты все 6 связывающих электронных состояний на каждый атом. Радиальные волновые функции электронов в этой зоне растянуты (по сравнению со свободным атомом). Кроме того, в объемноцентрированных кристаллах переходных металлов существует узкая зона, образованная 3d-функциями типа  $(x^2 - y^2)f(r)$ , которая в случае Cr свободна, а в случае Fe — содержит по 2 электрона на атом. По мнению авторов, магнитный момент железа ( $2,2 \mu_B$  на атом) почти целиком обусловлен ненасыщ. спинами указанных электронов (небольшой добавочный вклад порядка  $0,2 \mu_B$  на атом приписывается поляризации электронов на поверхности зоны проводимости). Указанные «магнитные» электроны Fe не участвуют в проводимости, а радиальные функции их близки к 3d-функциям свободного атома. С точки зрения такого описания электронной структуры переходных металлов с объемноцентрированными решетками рассматриваются: рентгеновские спектры поглощения Fe, Со и Ni; плотности 3d-электронов в Fe, Ni, Cr и Со, определенные по рассеянию рентгеновских лучей; различия ферромагнитных свойств сплавов Fe и сплавов Ni; температурная зависимость электропроводности; энергия сцепления. Т. Ребане

**27593. Магнитное поведение триады железо — рутений — осмий. Эрншоу, Фиггис, Льюис, Нильхольм** (Magnetic behaviour of the iron — ruthenium — osmium triad. Earnshaw A., Figgis B. N., Lewis J., Nyholm R. S.), Nature, 1957, 179, № 4570, 1121—1124 (англ.)

Теория поля лигандов применена для объяснения магнитных моментов ( $\mu$ ) комплексных соединений переходных металлов (ПМ). Ион  $Fe^{2+}$  в отсутствие поля находится в  $D^5D_4$ -состоянии; в поле 6 лигандов расположенных октаэдрически, этот уровень расщепляется на более низкий — вырожденный триплет (орбиты  $d_{xy}$ ) и более высокий — вырожденный дублет (орбиты  $d_{yz}$ ), причем  $\mu$  увеличивается благодаря вкладу орбитального момента. Для  $K_2OsCl_6$   $\mu$  меньше чем спин-момент, только объясняется высоким значением константы спин-орбитального взаимодействия. Для  $d^4$ -конфигурации  $\mu$  обусловлен величиной только спин-момент. Для других конфигураций  $\mu$  зависит от т-р спин-орбитального взаимодействия. В определенном интервале значений  $kT/A$   $\mu$  должно быть постоянным для  $d^4$ -и  $d^5$ -конфигураций в первом ряду ПМ и изменяться для  $d^1$  и  $d^2$ . Несимметричное замещение в октаэдрическом комплексе ведет к различным расщеплениям разных уровней энергии. С этим связаны отклонения в магнитных моментах соединений Fe, Ru, Os от теории. Для  $K_2RuCl_6$  и  $K_2OsCl_6$ , представляющих примеры  $d^4$ -конфигурации, установлено, что  $\mu$  заметно изменяется с т-рой. Диамагнетизм  $K_2[OsO_5(NO_2)_2] \cdot 3H_2O$  и  $K_2[OsNCl_6]$  возможно, связан с гибридизацией  $d^4sp$  и спариванием двух электронов на остающейся d-орбите Os.

**27594. Симметрия молекул. I. Об одной общей стереохимической закономерности. Полтораки О. М.** Ж. физ. химии, 1957, 31, № 9, 1949—1958 (реф. англ.)

Предлагается рациональная стереохим. классификация молекул (или частей молекул)  $A(X_i)_n$ , учитывающая не только группу периодической системы для А и его координационное число  $n$ , но и кратность его связей. Рассматриваются 2 основных типа симметрии таких молекул: «высший» — линейная (для  $AX_2$ ), плоская, треугольная (для  $AX_3$ ), тетраэдрическая (для  $AX_4$ ), тригональнодипирамидальная (для  $AX_5$ ) и октаэдрическая (для  $AX_6$ ) и «низший» — угловая, пирамидальная, квадратная. Из рассмотренных эксперим. материалов сформулирована следующая закономерность, позволяющая предвидеть общий облик молекул по конфигурациям их частей  $A(X_i)_n$ : если валентность  $V_A$  центрального атома равна номеру  $N_A$  его группы в периодической системе, то независимо от полярности или кратности связи  $A \dots X$ , заряда А или  $X_i$ , осуществляются конфигурации высшего типа симметрии; при  $V_A \neq N_A$  осуществляются конфигурации «низшего» типа симметрии. При  $n=6$  и 8 осуществляются октаэдрич. и куб. конфигурации. При различных  $X_i$  валентные углы могут отличаться в пределах значений, не приводящих к переходу от одного типа симметрии к другому. На основе указанной закономерности предсказано строение некоторых радикалов и молекул.

**27595. Стереохимия соединений двухвалентной меди. Оргел, Дьюниц** (Stereochemistry of cupric compounds. Orgel L. E., Dunitz J. D.), Nature, 1957, 179, № 4557, 462—465 (англ.)

Стереохимия соединений двухвалентной меди обсуждена на основе предложенной ранее теории (Orgel L. E., J. Chem. Soc., 1952, 4756). Рассматривая плоский квадрат как предельный случай неправильного октаэдра



с 4 короткими и 2 длинными связями, авторы обсуждают совместно оба случая. В правильном октаэдрич. поле нижние орбиты  $t_{2g}$  ( $d_{xz}$ ,  $d_{yz}$ ,  $d_{xy}$ ) могут быть заняты только 6 электронами, поэтому остающиеся три  $3d$ -электрона иона  $\text{Cu}^{2+}$  занимают верхние орбиты  $e_g$  ( $3d_{x^2-y^2}$ )<sup>2</sup> или ( $3d_{z^2}$ )<sup>2</sup> ( $3d_{x^2-y^2}$ )<sup>2</sup>, что приводит к орбитальному вырождению основного состояния, причем вследствие эффекта Яна — Теллера дублет  $e_g$  расщепляется на два уровня, где  $d_{x^2-y^2}$  лежит выше  $d_{z^2}$ . В изолированном октаэдрич. комплексе возмущение в любом из трех взаимно перпендикулярных направлений равновероятно, но благодаря решетке кристалла уже может быть выделена одна определенная возмущенная конфигурация молекулы, что и имеет место в комплексах  $\text{Cu}^{2+}$ . Физ. картина не изменится, если все 6 лигандов одинаковы, хотя  $e_g$ -орбиты уже не будут точно вырождены. В этом случае играет роль относительная сила поля различных лигандов. Показано, что наличие искаженных октаэдрич. или плоских комплексов иона  $\text{Cu}^{2+}$  можно объяснить, если в  $3d$ -оболочке имеется только одно свободное место на  $d_{x^2-y^2}$ -орбите. С точки зрения электростатич. теории, это ведет к меньшему экранированию лигандов в плоскости  $xy$  по сравнению с экранированием вдоль осей  $z$ , следовательно, к образованию 4 коротких и 2 длинных связей. К аналогичным выводам приводит теория МО, ибо разрыхляющая комбинация, включающая орбиту  $d_{x^2-y^2}$ , содержит только один электрон, в то время как комбинация, включающая орбиту  $d_{z^2}$ , содержит два электрона. В подтверждение взглядов авторов приведены экспериментально изученные примеры комплексов, где ион  $\text{Cu}^{2+}$  замещен на другой 2-валентный ион.

Е. Шусторович  
27596. Международный съезд европейских ученых, занимающихся молекулярной спектроскопией, 9—13 июля 1957 г. во Фрайбурге. — (Internationale Tagung der Europäischen Molekülspektroskopiker vom 9 bis 13 Juli 1957 in Freiburg i. Br.), Angew. Chem., 1957, 69, № 20, 644—650 (нем.)

Краткое содержание докладов. А. М.  
27597. Некоторые соображения об аддитивности связи. Синъяку. Буссейрон кэнкю, 1956, № 93, 53—63 (японск.)

Подробно обсуждаются квантовомеханич. условия аддитивности энергии связи.

Chem. Abstrs, 1957, 51, № 8, 5479. Hideaki Chiharu  
27598. Соотношения между энергией связи и меж-  
атомным расстоянием. Глоклер (Relation between  
bond energies and bond distances. Glockler George), J. Phys. Chem., 1957, 61, № 1, 31—38 (англ.)

Даны 2 эмпирич. соотношения, связывающие энергии  
связей C—C и C—H с межатомными расстояниями:  
 $B(\text{CC}) = 68,2477 R_{\text{CC}}^{-1} - 423, 5984 R_{\text{CC}}^{-2} + 1050, 653$   
 $R_{\text{CC}}^{-3} - 380,5358 R_{\text{CC}}^{-4}$  и  $B(\text{CH}) = -53, 7136 + 166,0571$   
 $R_{\text{CH}}^{-1}$ . Указывается, что ранее предложенная ф-ла для

описания зависимости  $B(\text{CC})$  от  $R_{\text{CC}}$  (РЖХим, 1954,  
28436; 1956, 18489) не дает удовлетворительных резуль-  
татов при применении к циклопарафинам. Найденные  
соотношения применены для вычисления энергии резонанса и энергии напряжения ряда молекул. В. Алексанян

27599. Исправление к статье: Теннис и Грин «Опре-  
деление энергии диссоциации окиси углерода и азо-  
та методом отраженной ударной волны». (Errata:  
Toennies J. P., Greene E. F.), J. Chem. Phys.,  
1957, 27, № 4, 981 (англ.)

К РЖХим, 1957, 73665.

27600. Энергия взаимодействия и сечения рассеяния  
ионов водорода в гелии. Мейсон, Вандерслайс

(Interaction energies and scattering cross sections of  
hydrogen ions in helium. Mason Edward A., Van-  
derslice Joseph T.), J. Chem. Phys., 1957, 27,  
№ 4, 917—929 (англ.)

Вычислена энергия взаимодействия системы  $\text{H}^+ -$   
He. В волновой функции учитывались структуры  $\text{HNe}^+$   
и  $\text{H}^+\text{He}$ . В качестве АО использовались  $1s$ -орбиты водо-  
рода и  $1s$ -орбиты He с эффективными зарядами 2 для  
гомеополярной и  $27/16$  для ионной структуры. Вычис-  
ленная энергия системы с учетом индукционного  
взаимодействия (второе приближение) на малых рас-  
стояниях с удовлетворительной точностью совпадает с  
энергией, вычисленной ранее с помощью волновой  
функции с 23 вариационными параметрами. При  
 $R > 3$  ат. ед.  $V(R) \approx -5,95/R^2$  ат. ед. Вычисленное с  
этим потенциалом сечение рассеяния и его зависи-  
мость от энергии очень хорошо согласуется с опытно-  
ми данными, если принять треугольную функцию рас-  
пределения интенсивности потоков ионов по диаметру  
пучка. Вычислена энергия системы  $\text{H}_2^+ - \text{He}$  с по-  
мощью волновой функции одной ионной структуры  
 $\text{H}_2^+\text{He}$ , причем в МО иона водорода эффективные за-  
ряды брались равными 1,228 и равновесное расстояние  
 $2a_0$ . МО иона  $\text{H}_2^+$  строились как линейные комбина-  
ции  $1s$ -орбит с варьируемым весовым параметром. Для  
линейной конфигурации энергии взаимодействия  
может быть представлена в виде  $V(R) = 26,3/R^7$  ат. ед.,  
для треугольной  $V(R) = 0,696/R^4$  ат. ед. ( $1,4 < R <$   
 $< 3$  ат. ед.). Вычисление сечения производилось в  
предположении, что при столкновении не происходит  
возбуждения колебаний  $\text{H}_2^+$  и что полное сечение равно  
взвешенной сумме сечений для линейного и попе-  
речного столкновений. Вычисленные и опытные вели-  
чины сечений хорошо совпадают в широком интервале  
энергий иона  $\text{H}_2^+$ . Для энергии, усредненной по раз-  
личным ориентациям системы  $\text{H}_2^+\text{He}$ , предположена  
экспоненциальная форма зависимости от расстояния  
 $\text{He} - \text{H}_2^+$ . Сравнение эксперим. и теоретич. сечений  
приводит к выражению  $V_{\text{HeH}_2^+} + (R) = 2,41 \exp(-R/$   
 $/0,299)$  эв, где  $R$  — выражено в А. В последнем выраже-  
нии числовые коэф. мало меняются при учете распре-  
деления интенсивности по сечению пучка ионов  $\text{H}_2^+$ .

Е. Никитин

27601. Исправление к статье: Тальрозе В. Л.,  
Франкевич Е. Л. «Метод ионного удара и оцен-  
ка сродства молекул к протону», Докл. АН СССР,  
1957, 113, № 3, 466  
К РЖХим, 1957, 43702

27602. Метастабильные ионы в масс-спектрах. Ро-  
зенсток, Уархафтиг, Эйринг (Metastable  
ions in mass spectra. Rosenstock H. M., Wahr-  
haftig A. L., Eyring H.), J. Chem. Phys., 1955,  
23, № 11, 2200 (англ.)

Общая теория масс-спектров, предложенная ранее  
(Rosenstock H. M. и др., Proc. Natl. Acad. Sci., 1952,  
38, 667), приводит к понятию о трех классах первич-  
ных ионов, образующихся при электронном ударе:  
1) с энергией возбуждения, недостаточной для их рас-  
пада в заметном кол-ве перед попаданием на коллек-  
тор; 2) с энергией, достаточной для полного распада  
перед выходом из области ионизации; 3) с промежу-  
точным интервалом энергий, таким, что они распада-  
ются с образованием дочерних ионов преимуще-  
ственно после выхода из области ионизации. Часть  
из них («метастабильные ионы») вызывает появление  
в масс-спектре небольших диффузных пиков, обычно  
при нецелочисленных значениях  $m/q$ . Метастабильные  
переходы в общем соответствуют р-циям, имеющим  
высокую вероятность в схеме распада первичного  
иона. Однако нельзя установить простой связи интен-  
сивности пика метастабильного перехода с интенсив-

ностями соответствующих первичного и дочернего ионов.

**27603.** Пики перестройки в масс-спектрах неопентана меченного  $C^{13}$  в центре. Джонсон, Лангер (Rearrangement peaks in the mass spectra of centrally  $C^{13}$ -labeled neopentane. Johnson C. Peter, Jr., Langer Alois), J. Phys. Chem., 1957, 61, № 7, 1010—1013 (англ.)

С целью получения сведений о «скелетной» перегруппировке в молекулах углеводородов при ионизации электронным ударом регистрировались масс-спектры нормального неопентана (I) и неопентана, меченного в центре атомом  $C^{13}$  (II) (неопентан-2- $C^{13}$ ). Ионизация производилась электронами с энергией 75 эв. Сравнение масс-спектров I и II показало, что 1) ионы группы  $C_4$  являются мечеными примерно на 100%, масс-спектры I и II в этой области совершенно аналогичны, из этого следует, что замещение центрального атома C на  $C^{13}$  не изменяет заметным образом вероятности разрыва связей; 2) среди ионов группы  $C_1$  нет меченых, след. ионы с одним атомом C образуются только из метильных групп (миграция атомов H происходит); 3) в группе  $C_2$  мечеными являются 42—47% ионов, вместо 100%, при предположении, что происходит только разрыв связей; 4) в группе  $C_3$  мечеными являются 90% ионов, вместо 100%, при предположении, что перегруппировки нет. Таким образом, из результатов сравнения следует, что при образовании ионов группы  $C_2$  примерно равновероятна комбинация любых двух атомов C в неопентане. Это подтверждает выводы авторов, сделанные ранее при изучении масс-спектров неопентана-1- $C^{13}$  (РЖХим, 1958, 16764). Интересно отметить, что образование связей между метильными группами не происходит, если центральным атомом является не углерод, а какой-либо 4-валентный металл (Dibeler V. H., J. Res. Nat. Bur. Standards, 1952, 49, 235). Е. Франкевич

**27604.** Край поглощения мягких рентгеновских лучей ионами металлов в комплексах. II. К-край у некоторых комплексов Cu (2+). Коттон, Хансон (Soft X-ray absorption edges of metal ions in complexes. II. Cu K edge in some cupric complexes. Cotton F. Albert, Hanson Harold P.), J. Chem. Phys., 1956, 25, № 4, 619—623 (англ.)

Изучена тонкая структура вблизи K-края поглощения в  $CuCl_2 \cdot 2H_2O$ , безводн.  $CuCl_2$ ,  $CuSO_4 \cdot 5H_2O$ , ионе  $Cu^{2+}$  в воде. p-ре Cu (пролин) $_2 \cdot 2H_2O$ ,  $Cu(En)_2(NO_3)_2$ ,  $Cu(NH_3)_4SO_4 \cdot H_2O$ ,  $Cu(NH_3)_4(NO_3)_2$ , ионе  $Cu(NH_3)_4^{2+}$  в водн. p-ре. У иона  $Cu^{2+}$  в водн. p-ре главный пик при  $\sim 16,5$  э не обнаруживает расщепления и имеет нормальную ширину. Такое строение пика согласуется с теорией (сообщение I, РЖХим, 1958, 13488), так как ион в p-ре окружен почти не искаженным октаэдром из 6 молекул  $H_2O$ . Такой же вид, только несколько расширенный, имеет пик в  $CuSO_4 \cdot 5H_2O$ , где принимается, что вокруг Cu также имеется почти правильный октаэдр из 4 атомов O молекул  $H_2O$  и 2 атомов O ионов  $SO_4^{2-}$ , причем все атомы O имеют примерно одинаковые заряды. У  $Cu(NH_3)_4^{2+}$  в водн. p-ре,  $Cu(En)_2(NO_3)_2$ ,  $Cu(NH_3)_4SO_4 \cdot H_2O$ ,  $Cu(NH_3)_4(NO_3)_2$  вокруг атома Cu расположены 4 молекулы  $NH_3$  в плоскости и еще 2 адденда (анионы, молекулы  $H_2O$ ) по оси z, так что симметрия понижена до  $D_{4h}$ . При этом в соответствии с теорией наблюдается расщепление пика на дублет с расстоянием 5—7 э (ср. 5,5 э). У дигидрата DL-пролина  $Cu(2+)$  имеется два соседа — атомы N по оси z, 2 карбоксильных атома O по оси y и 2 молекулы  $H_2O$  по оси x, так что  $Q_x \neq Q_y \neq Q_z$ , но, по-видимому, атомы O из  $COO^-$  и  $H_2O$  ведут себя одинаково и наблюдается расщепление только на 2 компонента. У всех комплексов наблюдается слабый пик (с интенсивностью  $\sim 5\%$

от интенсивности главного пика) при 7—9 э. Авторы относят его предположительно в переходу  $1s \rightarrow 4s$ . У  $CuCl_2$  и его дигидрата не наблюдается расщепления пика, но заметно его уширение, несмотря на симметрию  $D_{4h}$ . Авторы полагают, что подчинение всех аква-аммино-комплексов теории кристаллич. поля указывает на ионный характер связи Cu — адденд в них, а аномалии у галогенидов свидетельствуют о ковалентном характере связей.

**27605.** Полосатый спектр испускания азота (исследование некоторых синглетных систем). Лофтуэ (Emission band spectra of nitrogen. A study of some singlet systems. Lofthus Alf), Canad. J. Phys., 1957, 35, № 2, 216—234 (англ.)

Детально изучена тонкая структура 18 синглетных полос в спектре  $N_2$ , полученном при большом разрешении. 10 полос относятся к известным системам Гейдона и Германа: (0,0) системы  $p^1\Sigma_u^+ - a^1\pi_g$ , (0,0), (0,1) и (0,2)  $m^1\pi_u - a^1\pi_g$ , (0,0)  $r^1\Sigma_u^+ - a^1\pi_g$ , (0,0) и (0,2)  $s^1\Sigma_u^+ - a^1\pi_g$ , (0,0), (0,1) и (0,3)  $h^1\Sigma_u^+ - a^1\pi_g$ . 8 полос исследованы впервые, 3 из них не удалось отнести к какому-либо переходу, 1 отнесена к  $g^1\Sigma_u^+ - a^1\pi_g$ , 2 к  $1^1_u - a^1\pi_g$  и 2 (предположительно) к  $z^1\Delta_g - w^1\Delta_u$ . Состояния  $h^1\Sigma_u^+$  и  $z^1\Delta_g$  обнаружены впервые. Возмущения во вращательной структуре состояния  $r^1\Sigma_u^+$  объясняются влиянием  $b^1\Sigma_u^+$ -состояния, а  $r'$ -,  $s'$ -,  $h'$ -,  $g'$  и  $k^1\Sigma_u^+$ -состояний — переходом от случая Гунда  $b'$  к  $d'$ . Анализ преддиссоциаций указывает на преддиссоциационный предел  $h'$ - и  $g'$ -состояний 13,330 эв ( $^4S + ^2P$ ), а  $r'$ - и  $m'$ -состояний 12,139 эв ( $^4S + ^2D$ ).  $z^1\Delta_g$ -состояние имеет преддиссоциационный предел 12,139 эв ( $^2D + ^2P$ ). Для состояний  $z$ ,  $h$ ,  $s'$ ,  $g$ ,  $k$ ,  $r'$ ,  $m$  и  $p'$  соответственно даны значения  $\nu_0$  и  $B_0$  (в  $cm^{-1}$ ): 118 134<sup>2</sup> и 1,753; 112 769,5 и 1,655; 110 658,3 и 1,595; 108 953,7 и 1,356; 108 546,5 и 1,435; 106 370,1 и 1,711; 105 347,5 и 1,361; 104 324,2 и 1,929. Для  $z$ -состояния даны также  $a_g = 0,0153$  и  $\omega_e \sim 1700$ . Для  $a^1\pi_g$ -состояния даны  $B_v$  и  $\Delta G(v)$  при  $v = 0, 1$  и 2. Обсуждается вопрос об электронных структурах высших состояний азота. См. также РЖХим, 1957, 18134, 29560; 1958, 84.

**27606.** Новые полосы в  $\gamma$ -,  $\epsilon$ - и  $\beta$ -системах полос молекулярного спектра окиси азота. Деэжи, Матрай (Ujabb sávok az NO-molekula szinkrónképek  $\gamma$ -,  $\epsilon$ - és  $\beta$ -sávrendszerében. Deézi Irén, Mátrai Tibor), Magyar fiz. folyóirat, 1957, 5, № 3, 201—205 (венг.)

См. РЖХим, 1958, 85

**27607.** К теории поляризации флуоресценции растворов. Кудряшов П. И., Свешников Б. Я., Докл. АН СССР, 1957, 115, № 5, 894—897

Теоретически и экспериментально исследована зависимость степени поляризации флуоресценции (Ф) p-ров от вязкости, т-ры, а также объема молекулы и длительности ее возбужденного состояния для случая неэкспоненциального затухания Ф при тушении посторонними тушителями (РЖХим, 1958, 13840). Ранее выведенная для этой зависимости Левшиным (Zs. Physik., 1924, 26, 274) и Перреном (Perrin F., Ann. Phys., 1929, 12, 169) ф-ла пригодна только для случая экспоненциального затухания Ф. Вычисление предельной поляризации свечения флуоресценции для различных кон-ций тушителя (КJ) по выведенной в данной статье ф-ле показало, что она удовлетворительно согласуется с экспериментом.

**27608.** Хлоридные комплексные ионы  $Pu(6+)$ . Ньютон, Бейкер (Chloride complex ions of  $Pu(VI)$ . Newton T. W., Baker F. B.), J. Phys. Chem., 1957, 61, № 7, 934—938 (англ.)



С целью колич. описания системы  $Pu^{4+} - Cl^-$  исследовано влияние иона  $Cl^-$  на спектр поглощения  $Pu^{4+}$  в р-рах с ионной силой  $\mu = 2$ . Авторы нашли, что выше 5000 Å появляются 4 новые полосы 5050, 6350, 8370 и 9870 Å, доказывающие наличие по крайней мере одного комплекса  $Pu^{4+} - Cl^-$ . Коэф. погашения при 8 различных длинах волн при 25 и 50° как функция конц-ии  $Cl^-$  от 0 до 1,8 М. Найдено, что при любой длине волн соответствует образованию ординарного комплексного иона с постоянной константой ассоциации постоянным  $\epsilon$ . Однако кажущиеся константы ассоциации не постоянны, а зависят от длины волн. Для объяснения авторы предполагают наличие высшего комплекса, в котором ионили присут. конц-ии  $Cl^-$  при некоторых длинах волн, или наличие обоих комплексов. Опыты при 50° указывают на большее комплексобразование при повышении т-рат.

Е. Шусторович  
Изучение ультрафиолетовых спектров поглощения кумаринов и хромонов. Часть I. Гангули, Багчи (Studies on the ultraviolet absorption spectra of coumarins and chromones. Part I. Ganguly B. K., Bagchi P.), J. Organ. Chem., 1956, 21, № 12, 1415-1419 (англ.)

Получены УФ-спектры в области 220-340 мμ: кумарина (I) и его метильных производных и хромона (II) и его метильных производных в спирт. р-ре. В спектрах соединений I имеются минимумы:  $\lambda(\text{мин.})$  244 ± 4 мμ ( $\lg \epsilon$  3,26-3,54),  $\lambda(\text{мин.})$  300 ± 5 мμ ( $\lg \epsilon$  3,52-3,87), и максимумы: главный  $\lambda(\text{макс.})$  275 ± 4 мμ ( $\lg \epsilon$  3,98-4,10),  $\lambda(\text{макс.})$  315 ± 8 мμ ( $\lg \epsilon$  3,70-3,95), причем более коротковолновые минимумы и максимумы резче, чем длинноволновые (некоторые отличия имеются лишь в спектре 4,8-диметилкумарина). В спектрах соединений II наблюдаются максимумы; главный  $\lambda(\text{макс.})$  225 мμ ( $\lg \epsilon$  4,33-4,42) (у исходного II он имеет  $\lambda(\text{макс.})$  ниже 220 мμ),  $\lambda(\text{макс.})$  300 ± 5 мμ ( $\lg \epsilon$  3,82-3,94), и минимумы:  $\lambda(\text{мин.})$  275 ± 5 мμ ( $\lg \epsilon$  3,22-3,74); длинноволновый максимум также шире коротковолнового. В области 245-268 мμ у соединений II наблюдаются перегибы. Более длинноволновое поглощение соединений I по сравнению с соединениями II объясняется наличием у первых линейной сопряженной системы. Введение  $CH_3$ -группы в бензольное или гетероциклич. кольцо I или II по существу не изменяет значения  $\lambda$  и  $\epsilon$ . Так как соединения II сильно поглощают в области 240-250 мμ ( $\lg \epsilon > 3,8$ ), где соединения I имеют глубокий максимум, их спектры удобны для анализа. О. Г.

27610. Спектроскопическое изучение некоторых ароматических кислот с гетероатомом в боковой цепи. Кисс, Мут (Spectroscopic studies of some aromatic acids with a heteroatom in the sidechain. Kiss S. I., Muth B. R.), J. Chem. Phys., 1955, 23, № 11, 2187-2189 (англ.)

Получены и рассмотрены УФ-спектры поглощения следующих ароматич. к-т:  $C_6H_5COOH$  (I),  $o\text{-COOH}-I$  (II),  $o\text{-COOH}-CH_2-I$ ,  $o\text{-COOH}-CH_2-O-I$ ,  $o\text{-COOH}-CH_2-S-I$ ,  $o\text{-COOH}-CH_2-Se-I$ ,  $o\text{-OH}-I$  (III),  $o\text{-SH}-I$  (IV). При переходе от I ко всем орто-замещенным к-там в УФ-спектре наблюдается bathochromный сдвиг. При наличии гетероатома в орто-положении сдвиг полос тем сильнее, чем больше электроположительность гетероатома. Спектры III и II подобны, некоторое отличие в положении полос поглощения объясняется мезомерным эффектом  $OH$ -группы. В спектре IV по сравнению с III появляется новая полоса при 275 мμ.

Е. Переслени  
27611. Физические свойства аминазобензольных красителей. Часть V. Отношение  $C_2/A_2$ . Савицкий (Physical properties of aminoazobenzene dyes. V. The  $C_2/A_2$  ratio. Sawicki Eugene), J. Organ. Chem., 1957, 22, № 6, 621-625 (англ.)

Спектрофотометрически исследовались р-ры 73 производных азобензола в 50%-ной смеси  $C_2H_5OH$  и соляной к-ты. Из кривых поглощения вычислено отношение  $C_2/A_2$ , где  $C_2$  и  $A_2$  — мол. коэф. погашения полос, относимых соответственно к катионной ( $C_6H_5-N^+H = N-C_6H_4-NR_2$ ) и аммонийной ( $C_6H_5-N=N-N-C_6H_4-NR_2H$ ) формам молекул, присутствующих в кислотном р-ре. Приводится корреляция между величиной отношения  $C_2/A_2$  и основностью производных азобензола с тем или иным заместителем. С повышением основности  $\beta$ -азота или с понижением основности азота аминогруппы повышается величина  $C_2/A_2$ . Предлагается использовать отношение  $C_2/A_2$  для определения структуры неизвестных азокрасителей. Часть IV см. РЖХим, 1958, 3525

В. Броуде

27612. Ультрафиолетовые спектры некоторых  $\alpha$ - и  $\beta$ -монозамещенных производных тиофена. Андриано, Палпалардо (Spettri u. v. di alcuni derivati  $\alpha$ - e  $\beta$ -tiofenici monosostituiti. Andrisano Renato, Pappalardo Giovanni), Boll. scient. Fac. chim. industr. Bologna, 1956, 14, № 4, 100-101 (итал.)

В развитии прежних исследований (РЖХим, 1957, 50428) изучены УФ-спектры тиофена и его монозамещ.  $\alpha$ -производных (I): I —  $CHO$ ,  $-COCH_3$ ,  $-COOH$ ,  $-COOCH_3$ ,  $-COOC_2H_5$ , и  $CONH_2$  и  $\beta$ -производных (II):  $COOH$ ,  $-COOCH_3$ ,  $-COOC_2H_5$  и  $-CONH_2$ . В спектрах I найдены 2 полосы в областях 2310-2480 и 2640-2850 Å, а в спектрах II — 1 полоса 2390-2410 Å, откуда сделан вывод о значительно более сильном сопряжении у I сравнительно с II.

А. Сергеев

27613. Спектроскопическое исследование 3-ацилпиразолов. Кочетков Н. К., Амбруш Иван, Ж. общ. химии, 1957, 27, № 10, 2741-2745

Из данных УФ-спектров поглощения при pH среды от 7 до 14 (приведены кривые) рассчитаны константы кислотности метил-, трет-бутил- (т. пл. 99-100°) и фенилпиразолил-3-кетонов, равные соответственно  $(1,42 \pm 0,03) \cdot 10^{-12}$ ,  $(3,74 \pm 0,06) \cdot 10^{-13}$  и  $(1,07 \pm 0,01) \cdot 10^{-12}$ . Высказано предположение, что металл. производные 3-ацилпиразолов имеют строение  $RC(ONa)=CCH=CH-N=N$ .

И. Амбруш

27614. Спектроскопические исследования. Часть I. 2,4-динитрофенилгидразоны в нейтральных и щелочных растворах. Тиммонс (Spectroscopic studies. Part I. 2:4-dinitrophenylhydrazones in neutral and in alkaline solutions. Timmons C. J.), J. Chem. Soc., 1957, June, 2613-2623 (англ.)

Исследованы спектры поглощения (СП) 2,4-динитрофенилгидразонов (I) 60 карбонильных соединений (альдегидов, кетонов и diketонов) в различных нейтр. р-рителях (Р), а также в нейтр. и щел. спирт. р-рах, содержащих 10% хлороформа, и в щел. р-рах диметилформамида. СП всех соединений имеют 4 полосы поглощения, хотя иногда некоторые из них не разрешаются. Рассмотрена зависимость  $\lambda_{\text{акс.}}$  от числа сопряженных двойных связей. Р разбиваются на 3 группы: а) гидроксилсодержащие ( $CH_3COOH$ ,  $C_2H_5OH$ ,  $CH_3OH$ , 80%-ный водн.  $CH_3OH$ ); б) неионизирующиеся (циклогексан, диоксан, бензол, уксусноэтиловый эфир, хлороформ, хлористый метилен, пентан-2-он, ацетон, нитрометан, ацетонитрил, формамид) и в) дающие необычно большое смещение  $\lambda_{\text{макс}}$  (сероуглерод, пиридин, диметилформамид, бензонитрил). Внутри каждой группы Р имеет место bathochromное смещение всех полос с увеличением диэлектрич. постоянной (ДП) Р, но не одинаковое по величине для Р разных групп с одинаковой ДП. Рас-





spectra involving saturated hydrocarbons. Evans D. F., J. Chem. Soc., 1957, Oct., 4229—4232 (англ.)

Изучалось поглощение йода, растворенного в насыщ. углеводородах (НУ) при комнатной и низкой т-рах. НУ (метилциклогексан, 2-метилпентан, метилциклопентан, *цис*- и *транс*-декалины) тщательно очищались от примесей насыщ. соединений. Р-р йода в НУ обнаруживает новые полосы поглощения в области  $\sim 2400$  Å, в *цис*- и *транс*-декалинах у  $\sim 2600$  Å. Спектры интерпретируются как спектры переноса электрона в комплексе йода с НУ или как спектры переноса электрона, осуществляющегося в момент столкновения йода с молекулой НУ, согласно теоретич. предположениям Маллика (РЖХим, 1957, 76378). Исследование интенсивности спектров переноса показало, что циклогексановое кольцо обладает большей донорностью, чем открытая цепь углеводородов или циклопентановое кольцо. Аналогичные спектры переноса электрона в области  $\sim 2500$  Å получены для р-ра тетранитрометана в циклогексане или триметилпентане. Нитрометан не обнаруживает заметного эффекта с НУ.

В. Ермолаев

27621. Коэффициенты поглощения для экситонных линий поглощения. Дресслхаус (Absorption coefficients for exciton absorption lines. Dresselhaus G.), Phys. Rev., 1957, 106, № 1, 76—78 (англ.)

Вычислен коэф. поглощения для экситонных возбуждений. Экситон (Э) рассматривается в приближении Ванье. Коэф. поглощения оказывается в  $e^{-1}(a_0/a_B)^3$  раз меньше, чем соответствующий коэф. для свободных атомов;  $e$  — диэлектрич. постоянная и  $a_0/a_B$  — отношение постоянной решетки к радиусу Э. Для Э большого радиуса это уменьшение коэф. может достигать пяти порядков. Время жизни Э при этом будет на пять порядков больше времени жизни возбужденных атомов. Эти результаты теории, по-видимому, не противоречат эксперим. данным для  $\text{Cu}_2\text{O}$ ,  $\text{CdS}$ ,  $\text{HgJ}_2$ ,  $\text{PbJ}_2$  и  $\text{CdJ}_2$ .

Г. Талуц

27622. Об ионном равновесии в водных растворах кислых сульфитов. Зимой, Кригсман (Zu den Ionengleichgewichten in den wäßrigen Lösungen der sauren Sulfite. Simon Arthur, Kriegsmann Heinrich), Chem. Ber., 1956, 89, № 10, 2442—2446 (нем.)

На основании проведенных ранее исследований колебательных спектров сульфитов (РЖХим, 1957, 43746, 1958, 16800, 23862) обсуждается вопрос о существовании ионов  $\text{HSO}_3^-$  со связью S—H и  $\text{SO}_3\text{H}^-$  (РЖХим, 1957, 70925). Ион  $\text{HSO}_3^-$  должен иметь симметрию  $C_{2v}$ , как  $\text{CH}_3\text{SO}_3^-$ . Из известных частот  $\text{CSO}_3^-$  и  $\text{CH}_3\text{SO}_3^-$  выведены ожидаемые частоты ионов  $\text{HSO}_3^-$  и  $\text{SO}_3\text{H}^-$ . Для  $\text{HSO}_3^-$  дано следующее отнесение наблюдаемых частот  $\text{HSO}_3^-$  ( $\text{см}^{-1}$ ): 457 и 586  $\delta(\text{SO})$ , 1019 и 1089  $\nu(\text{SO})$ , 2532  $\nu(\text{SH})$ . Наблюдаемая частота 709  $\text{см}^{-1}$  не может относиться к  $\delta(\text{SH})$ , так как она не изменяется при дейтерировании. Поэтому авторы относят частоту 709  $\text{см}^{-1}$  к  $\nu(\text{S}—\text{OH})$  в ионе  $\text{SO}_3\text{H}^-$ , к которому отнесены также частоты 1089  $\nu(\text{SO})$  и 1125  $\delta(\text{OH})$ . На этом основании авторы предполагают наличие в водн. р-рах кислых сульфитов равновесия  $\text{SO}_3^{2-} + \text{H}_2\text{O} \rightleftharpoons \text{HSO}_3^- + \text{H}^+$  (1) с преобладанием  $\text{SO}_3^{2-}$  и  $\text{HSO}_3^-$ . Для объяснения расхождения между этими выводами и результатами изучения эффекта Фарадея, приведшего к структуре  $\text{SO}_3\text{H}^-$ , авторы исследовали спектр комб. расс. водн. р-ра  $\text{CH}_3\text{OSO}_3\text{Na}$  (I). Показано, что I быстро гидролизуется на  $\text{CH}_3\text{OH}$  и  $\text{HSO}_3^-$ , для которого устанавливается равновесие (1), и расхождение в выводах обусловлено тем, что не учитывались большие кон-ции  $\text{S}_2\text{O}_5^{2-}$ .

Е. Попов

27623. Колебательный спектр дисилана. Бетке, Вильсон (Vibrational spectrum of disilane. Bethke George W., Wilson M. Kent), J. Chem. Phys., 1957, 26, № 5, 1107—1117 (англ.)

Исследованы ИК-спектры газообразных  $\text{Si}_2\text{H}_6$  (I) и  $\text{Si}_2\text{D}_6$  (II) и спектры комб. расс. жидких I и II при т-ре от  $-50$  до  $-60^\circ$ . Наблюдались все основные частоты, кроме частот крутильных колебаний, и сделано отнесение к типам колебаний группы  $D_{3d}$  и колебаниям связей и углов (в  $\text{см}^{-1}$ ; первое число для I, второе — для II):  $a_{1g} \nu_1$  2152, 1548 вал. кол. Si—H,  $\nu_2$  909, 683 деф. кол.  $\text{SiH}_3$ ,  $\nu_3$  434, 408 вал. кол. Si—Si;  $a_{1u} \nu_4$ ?, ? крут. кол.;  $a_{2u} \nu_5$  2154, 1549 вал. кол. Si—H,  $\nu_6$  844, 625 деф. кол.  $\text{SiH}_3$ ;  $e_u \nu_7$  2179, 1585 вал. кол. Si—H,  $\nu_8$  и  $\nu_9$  940, 683 и 379, 277 деф. кол.  $\text{SiH}_3$ ;  $e_g \nu_{10}$   $\sim$  2155, 1569 вал. кол. Si—H,  $\nu_{11}$  и  $\nu_{12}$  929, 677 и 625, 475 деф. кол.  $\text{SiH}_3$ . Исследована вращательная структура Q-ветви перпендикулярных полос  $\nu_8$  и  $\nu_9$  I. В низкочастотных областях полос наблюдается правильное чередование интенсивностей линий: сильная, слабая, слабая; в 134-областях имеются искажения. Вращательная структура соответствует наличию заторможенного внутреннего вращения в I. Постоянные кориолисова взаимодействия перпендикулярных полос равны  $\zeta_7 = 0,026 \pm 0,029$ ,  $\zeta_8 = -0,313 \pm 0,030$ ,  $\zeta_9 = 0,241 \pm 0,017$ .

Т. Бирштейн

27624. Влияние растворителя на полосу OD в спектрах комбинационного рассеяния карбоновых кислот и фенолов. Титов Е. В., Измайлов Н. А., Уч. зап. Харьковск. ун-та, 1957, 82, Тр. Хим. фак. и Н.-и. ин-та химии, 16, 139—147

Получены спектры комб. расс. дейтерированных карбоновых к-т и фенолов  $\text{CH}_3\text{COOD}$  (I),  $\text{CH}_2\text{ClCOOD}$  (II),  $\text{CCl}_3\text{COOD}$ ,  $\text{C}_6\text{H}_5\text{OD}$  и *n*- $\text{ClC}_6\text{H}_4\text{OD}$  и их р-ров (10 мол.%) в  $\text{CCl}_4$ , спирте, ацетоне (III) и диоксане (IV). Для тяжелых к-т, так же как и для легких, существует линейная зависимость между частотой OD мономерных молекул в  $\text{CCl}_4$  и  $\rho K$  этих к-т. Полосы OD I и II в  $\text{C}_6\text{H}_5\text{OD}$  смещаются к более низким частотам, указывая, по мнению авторов, на большую прочность комплексов между молекулами к-т и спирта. В III и IV максимумы полос OD к-т имеют одну и ту же частоту, смещаясь по сравнению с ее положением в чистых к-тах, что согласуется с большой близостью значений констант нестойкости комплексов молекул этих к-т с молекулами III и IV. Из соответствия между частотами и  $\rho K$  нестойкости делается вывод, что частота группы OD пропорциональна энергии водородной связи. Показана невозможность использования частоты OD в качестве меры силы к-т (РЖХим, 1956, 461). Полосы OD фенолов практически не смещаются при переходе от чистого в-ва к р-рам.

О. Гайсинская

27625. Современное состояние ИК-спектроскопии. Ричль (Der gegenwärtige Stand der Infrarot-Spektroskopie. Ritschl R.), Technik, 1957, 12, № 11, 729—732 (нем.)

Популярная статья.

А. М.

27626. Инфракрасные спектры щелочных галогенидов. I. Галогениды лития. II. Инфракрасные спектры галогенидов натрия и калия,  $\text{RbCl}$  и  $\text{CsCl}$ . Райс Клемперер. III. Электронные спектры хлорида лития, бромиды лития и йодида лития. Берри, Клемперер (Infrared spectra of the alkali halides. I. Lithium halides. II. The infrared spectra of the sodium and potassium halides,  $\text{RbCl}$ , and  $\text{CsCl}$ . Rice Stuart A., Klemperer William), III. Electronic spectra of lithium chloride, lithium bromide, and lithium iodide. Berry R. Stephen, Klemperer William), J. Chem. Phys., 1957, 26, № 3, 618—624; 27, № 2, 573—579; 26, № 4, 724—728 (англ.)



I. Исследованы ИК-спектры LiI (I), LiBr (II) и LiCl (III) в газовой фазе в области 425—700  $\text{см}^{-1}$ . При анализе спектров использованы значения вращательных постоянных I—III, найденные ранее (РЖХим, 1955, 54437). Форма спектра I согласуется с рассчитанной для двухатомных молекул, что указывает на то, что содержание димеров не превышает 15%. Распределение интенсивностей в спектрах II и III аналогично распределению в спектре I, так что содержание димеров II и III также мало. Найденные значения  $\omega_e$ : 501  $\pm$  4; 576  $\pm$  4; 662  $\text{см}^{-1}$  соответственно для I—III отличаются от определенных из электронных спектров. Рассчитаны кривые потенциальной энергии I и II на основе ионной модели молекул (Rittner E. S., J. Chem. Phys., 1951, 19, 1030). Приведена таблица молекулярных постоянных I—III.

Т. Вирштейн

II. Получены в области выше 200  $\text{см}^{-1}$  ИК-спектры поглощения ряда щел. галогенидов в парообразном состоянии. Показывается, что их свойства количественно могут быть объяснены на основании ионной модели Риттнера. Теоретич. расчет  $d\mu/dr$  приводит к приблизительно постоянной величине  $+7D/A$ , что находится в удовлетворительном согласии с опытом. В случае KBr имеет место очень сильное расхождение ( $d\mu/dr = -22,6 D/A$ ). Объяснения этому пока не может быть дано. Отмечается линейная зависимость между силовой постоянной  $k$  и равновесным межатомным расстоянием  $r_e$ , а также между первым ионизационным потенциалом атома галогена или щел. элемента и  $k$ . Это позволяет находить  $\omega_e$  для неисследованных молекул. Концентрация димеров в условиях опыта не превышает 15%. Из спектров получены следующие постоянные (первая цифра —  $\omega_e$ , вторая  $\omega_e X_e$ , третья  $B_e$ , четвертая  $\alpha_e \cdot 10^4$ , пятая —  $D_e \cdot 10^7$  в  $\text{см}^{-1}$ ): NaCl 366,1  $\pm$  4; 2,05; 0,2181; 16,10; 3,09; NaBr 302  $\pm$  4; 1,50; 0,1495; 9,394; 1,46; NaJ 258  $\pm$  6; 1,08; 0,1177; 6,480; 0,980; KCl 281  $\pm$  6; 1,30; 0,1285; 7,893; 1,083; KBr 213  $\pm$  6; 0,80; 0,08117; 4,045; 0,474; RbCl 228  $\pm$  6; 0,92; 0,08764; 4,536; 0,523; CsCl 209  $\pm$  6; 0,75; 0,07204; 3,362; 0,349. Экстраполяцией получены следующие значения  $\omega_e$  ( $\text{см}^{-1}$ ): KJ 173  $\pm$  6; RbBr 166  $\pm$  6; RbJ 128  $\pm$  6; CsBr 139  $\pm$  6; CsJ 101  $\pm$  6.

III. В УФ-области получены диффузные полосы поглощения газообразных III ( $\nu$  7—9), II ( $\nu$  5—9) и I ( $\nu$  4—10) при  $t$ -рах до 1300°. Полученные данные сравниваются со значениями колебательных частот, полученными методом ИК-спектроскопии. Обсуждаются свойства симметрии и потенциальные кривые возбужденных электронных состояний.

В. Коряжкин

27627. Замещенные метаны. XXVII. Потенциальные постоянные и вычисленные термодинамические свойства для  $\text{CH}_2\text{F}_2$ ,  $\text{CHDF}_2$ ,  $\text{CD}_2\text{F}_2$ . Мастер, Даулинг, Белецкий (Substituted methanes. XXVII. Potential constants and calculated thermodynamic properties for  $\text{CH}_2\text{F}_2$ ,  $\text{CHDF}_2$  and  $\text{CD}_2\text{F}_2$ . Meister Arnold G., Dowling Jerome M., Bielecki Anthony J., J. Chem. Phys., 1956, 25, № 5, 941—942 (англ.))

По методу Вильсона вычислены силовые постоянные молекулы  $\text{CH}_2\text{F}_2$  и использованы затем для определения частот колебаний  $\text{CHDF}_2$  и  $\text{CD}_2\text{F}_2$ . Также вычислены теплоемкость, свободная энергия, энтропия и теплоемкость в интервале  $t$ -р 100—1000° К.

М. Ковнер

27628. Колебательные спектры молекул и комплексов ионов в кристаллах. IX. Борная кислота. Хорниг, Плам (Vibrational spectra of molecules and complex ions in crystals. IX. Boric acid. Hornig D. F., Plumb R. C., J. Chem. Phys., 1957, 26, № 3, 637—641 (англ.))

Согласно рентгеноструктурным данным Захаряева (РЖХим, 1955, 33916), кристалл борной к-ты (I) состоит из 6-членных колец, стороны которых образуются связями O—H ... O. Однако расположение этих колец может быть упорядоченным и беспорядочным. Для выяснения этого вопроса получены ИК-спектры в области 600—3400  $\text{см}^{-1}$  монокристаллов и поликристаллич. пленок I при  $t$ -рах 25 и  $-195^\circ$ . Число наблюдаемых частот и их отнесение к колебаниям «скелета» из тяжелых атомов водорода, подтвержденное сравнением с частотами в  $\text{BF}_3$ , согласуются с тем, что в беспорядочном кристалле молекул I существуют в формах, отличающихся свойствами симметрии и правилами отбора; в монокристалле молекулы обладают симметрией  $C_{3v}$ , а кольца — симметрией  $C_{6v}$ . Кроме того, наблюдаемые частоты и их отнесение согласуются с тем фактом, что частоты плоских колебаний могут проявляться в спектрах моно- и поликристаллов, а частоты неплоских колебаний — только в спектрах поликристаллов. Элементарный расчет приводит к выводу, что силовые постоянные связи O—H и взаимодействия двух соседних связей O—H равны 6,17 и  $-0,099 \text{ мдн/А}$ . Установленное существование порядка объясняется тем, что при его нарушении атомы водорода были бы сдвинуты с линии O ... O и переход от упорядоченной структуры к беспорядочной потребовал бы затраты энергии, равной 1,4 ккал/моль. Наблюдаемый в области от 20° до 150° К (Iohnston H. L., Kerr E. C., J. Amer. Chem. Soc., 1950, 72, 4783) горб на кривой теплоемкости следует объяснить не изменением структуры, а возможно, двумерной природой решетки.

М. Ковнер

27629. О строении некоторых молекулярных соединений нитробензола. Гроссман (Note on the structure of certain nitrobenzene addition compounds. Grossman R. F., J. Organ. Chem., 1957, 22, № 5, 581—582 (англ.))

В ИК-спектрах мол. соединений  $\text{C}_6\text{H}_5\text{NO}_2$  с  $\text{TiCl}_4$ ,  $\text{AlCl}_3$  и  $\text{SbCl}_5$  обнаружена только одна частота нитрогруппы при 1330—1340  $\text{см}^{-1}$ , что указывает на наличие только одной группы N=O. Автор заключает, что координация происходит через один из атомов O нитрогруппы с металлом и предлагает для изученных в-в ф-лы  $\text{C}_6\text{H}_5\text{—N(=O)—O—MCl}_x$ , причем атом O является донором электронов.

М. Дяткина

27630. Стереохимическое исследование дикарбоновых кислот. IV. Попытки идентификации мезо- и рацемической конфигураций методом инфракрасных спектров. Шотте (Stereochemical studies on dicarboxylic acids. IV. An attempt to indicate meso or racemoid configuration by infrared absorption. Schotte Lennart, Arkiv kemi, 1956, 9, № 5, 397—405 (англ.))

Исследованы ИК-спектры высоко- (а) и низкотемпературных (б) диастереомеров  $\alpha$ -этил- $\alpha'$ -метил-янтарной (I) и  $\alpha$ -этил- $\alpha'$ -метилглутаровой (II) к-т в области 3,4—13,5  $\mu$ . В спектрах в области поглощения C=O наблюдались следующие полосы (в  $\mu$ ): Ia — 5,91, Ib — 5,82 и 5,89, IIa — 5,82 и 5,88, IIб — 5,85. Сравнивая эти результаты с ранее полученными данными по спектрам мезо- и рацеформ производных I и II (РЖХим, 1955, 2308; 1956, 77311; 1957, 43733) автор заключает, что Ia и IIб являются мезо-формами, а Ib и IIа — рацемическими. Сообщение III см. РЖХим, 1958, 1033.

В. Александрия

27631. Инфракрасные спектры и структура некоторых монооксисов хинонов. Хаджи (Infrared spectra and structure of some quinone monoximes. Hаджи D., J. Chem. Soc., 1956, Aug., 2725—2731 (англ.))

Исследовались ИК-спектры в области 700—3600  $\text{см}^{-1}$  нормальных и дейтерированных монооксисов  $n$ -бензо-



хинона (I), 1,4-нафтохинона (II), 1,2-нафтохинона-1-оксима (III) и 1,2-нафтохинон-2-оксима (IV). Показано, что исследованные соединения в твердом состоянии и в р-ре  $\text{CHCl}_3$  имеют оксимное строение, а IV в р-ре  $\text{CCl}_4$ , по-видимому, находится в нитрозоформе. Сделано отнесение наблюдаемых частот в вал. кол. групп  $\text{C}=\text{O}$  (1618—1668  $\text{см}^{-1}$  в спектрах твердых в-в и 1632—1680  $\text{см}^{-1}$  в р-ре  $\text{CHCl}_3$ ),  $\text{C}=\text{N}$  (1520—1570  $\text{см}^{-1}$ ) и  $\text{N}=\text{O}$  (975—1075  $\text{см}^{-1}$ ). Полоса 1440  $\text{см}^{-1}$  отнесена к деф. кол. группы  $\text{O}-\text{H}$ , полоса 2900  $\text{см}^{-1}$  в спектрах твердых I и II отнесена к вал. кол. ассоциированных групп  $\text{O}-\text{H}$ .

И. Качкурова  
27632. О полосе 720  $\text{см}^{-1}$  инфракрасного спектра кристаллических длинноцепочечных соединений. Чапман (The 720  $\text{см}^{-1}$  band in the infrared spectra of crystalline long-chain compounds. Chapman D.), J. Chem. Soc., 1957, Nov., 4489—4491 (англ.)

На основании обсуждения эксперим. материала выявлена корреляция между типом субъединицы длинноцепочечных кристаллов органич. соединений и расщепление полосы  $\sim 720 \text{ см}^{-1}$  ИК-спектра этих кристаллов. Указывается, что во всех случаях, когда наблюдается дублет, субъединица имеет орторомбич. симметрию, хотя обратное не всегда верно. В случае гексагон. субъединицы имеется одна интенсивная полоса с частотой 720  $\text{см}^{-1}$ , в случае трикл. 717  $\text{см}^{-1}$ . Расщепление качественно объясняется тем, что, с одной стороны, симметрия кристаллич. поля орторомбич. субъединицы ниже симметрии при гексагон. субъединице, а с другой — трикл. субъединица, в отличие от орторомбической, содержит не две, а только одну цепочку и потому возможна только одна (а не две) составляющая для каждого основного колебания. В случае, когда оси цепочек внутри одного слоя не параллельны, можно наблюдать полосу 717  $\text{см}^{-1}$  и слабую добавочную 737  $\text{см}^{-1}$ .

Е. Никитин  
27633. Стереохимия производных циклогексана. Часть V. Инфракрасные спектры и конформации стереоизомерных диолов 1,2. Кол. Джеффериес (Stereochimistry of cyclohexane derivatives. Part V. Infrared spectra and conformations of stereoisomeric 1:2-diols. Cole A. R. H., Jefferies P. R.), J. Chem. Soc., 1956, Nov., 4391—4397 (англ.)

Основываясь на значениях частот колебаний групп  $\text{OH}$  22 диолов циклогексанового ряда, полученных из ИК-спектров, и принимая частоты 3629 и 3618  $\text{см}^{-1}$  за частоты колебаний свободных вторичной и третичной групп  $\text{OH}$ , разработан метод определения конформаций. Выведены следующие правила образования водородной связи (ВС): вторичные группы  $\text{OH}$  образуют ВС легче, чем третичные, а  $\text{P}-\text{OH}$ -группы — легче, чем  $\text{Э}-\text{OH}$ -группы. Рассмотрены ИК-спектры *цис*-циклогександиола-1,2 (*цис*-I), *цис*-1-метилциклогександиола-1,2 (*цис*-II), 1-этилциклогександиола-1,2, *цис*-1-изопропилциклогександиола-1,2 (*цис*-III), *цис*-2-оксиментола (*цис*-IV), *цис*-2-оксизоментола (*цис*-V), *цис*-2-оксинеоментола (*цис*-VI), *цис*-2-оксинеоизоментола, *цис*-*П*-ментанлиола-3,4 (*цис*-VII), 1-оксикарвоментола (т. пл. 49°) (VIII), 1-оксинеоизокарвоментола (т. пл. 72,5°) (IX), *транс*-I, *транс*-II, *транс*-III, *транс*-IV, *транс*-V, *транс*-VI, *транс*-VII, *транс*-VIII, *транс*-IX, 1-оксикарвоментола, 1-оксинеокарвоментола. В *цис*-диолах-1,2 ярко выражена ВС, так как у них одна  $\text{OH}$ -группа занимает пара-положение, а другая  $\text{Э}$ -положение, т. е. в любой конформации  $\text{OH}$ -группы достаточно близки. Отсутствие ВС в *транс*-IV показывает, что группа *изо*- $\text{C}_3\text{H}_7$  занимает  $\text{Э}$ -положение вопреки энергетич. выгоды двух групп  $\text{Э}-\text{OH}$  и  $\text{BC}$ . В этом случае частоты  $\text{P}-\text{OH}$ -второй и  $\text{P}-\text{OH}$ -третьей групп неразличимы. Объем группы  $\text{CH}_3$  меньше и для *транс*-II наблюдается обратный случай

( $\text{P}-\text{CH}_3$  и 2  $\text{Э}-\text{OH}$ -группы), на что указывает  $\text{BC}$  (за счет  $\text{OH}$ -втор-группы). Для *транс*-III обнаружены частоты свободной трет-, свободной втор- и связанной втор- $\text{OH}$ -группы, что говорит о промежуточном случае, когда молекулы *транс*-III присутствуют в двух конформациях (2  $\text{P}-\text{OH}$  и 2  $\text{Э}-\text{OH}$ , первая не дает  $\text{BC}$ , вторая дает). Наличие двух конформаций имеет место также у *транс*-VIII, для которого из интенсивностей поглощения для  $\text{C}-\text{OH}$ - и  $\text{BC}-\text{OH}$ -групп вычислен состав смеси (80% 2  $\text{P}-\text{OH}$  и 20% 2  $\text{Э}-\text{OH}$ ). Исходя из этого сделан вывод, что неизомером, очевидно, имеет конформацию: *Э*-*изо*- $\text{C}_3\text{H}_7$ ,  $\text{P}-\text{CH}_3$  и  $\text{P}-\text{OH}$ . Конформации остальных в-в, приведенных в таблице, найдены тем же способом. Отмечено, что на образование  $\text{BC}$  влияет взаимное отталкивание между группой  $\text{OH}$  и алкилом, что сказывается на значениях  $\Delta\nu$  (ср.  $\Delta\nu$  *транс*-II и *транс*-III). Высказано предположение, что пониженное значение  $\Delta\nu$  для *цис*-VIII зависит от того, что  $\text{P}-\text{CH}_3$ -группа смещает  $\text{H}$ -атом  $\text{P}-\text{OH}$ -группы и тем, увеличивая длину, ослабляет силу  $\text{BC}$ . Приведены кривые поглощения. Часть IV см. РЖХим, 1957, 57377.

Н. Волькенгау  
27634. Вероятность перехода при столкновениях молекул. Часть 3. Экспериментальные значения времени релаксации в метане. Коттрелл, Мартин (Transition probability in molecular encounters. Part 3. Experimental values for relaxation time in methane. Cottrell T. L., Martin P. E., Miss), Trans. Faraday Soc., 1957, 53, № 9, 1157—1159 (англ.)

Измерено время колебательной релаксации в метане ультразвуковым методом при  $t$ -рах 30 и 60°. При давлении  $p = 1 \text{ атм}$  наблюдалась область дисперсии с центром  $\sim 100 \text{ кГц}$ . Время релаксации  $\beta$  определялось по положению точки изгиба на кривой зависимости  $V^2$  от  $\lg f/p$  ( $V$  — скорость звука,  $f$  — частота). Точность определения  $\sim 10\%$ . Найдено  $\beta = 1,7 \cdot 10^{-6} \text{ сек}$ . при 30 и 60°, что согласуется с ранее опубликованными данными, согласно которым отличие  $\beta$  при 30 и 60° менее 10% (Eucken, Aybar, Z. phys. Chem., 1940, B46, 195), и указывает на необходимость пересмотра теории, дающей сильную температурную зависимость  $\beta$ . Часть 2 см. РЖХим, 1957, 65516.

Т. Бириштейн  
27635. Сверхтонкая структура вращательного перехода  $I = 3 \rightarrow 4$  молекулы  $\text{CH}_3\text{I}^{127}$ . Осипов Б. Д., Оптика и спектроскопия, 1957, 3, № 1, 94—95

С помощью радиоспектроскопа с электрич. мол. модуляцией в диапазоне 60  $\text{МГц}$  измерены частоты 14 линий сверхтонкой структуры перехода  $I = 3 \rightarrow 4$  в  $\text{CH}_3\text{I}^{127}$ . Измеренные частоты в пределах точности измерений  $\pm 200 \text{ кГц}$  согласуются с рассчитанными при  $B = 7501,31 \text{ МГц}$ ;  $D_J = 7,95 \text{ кГц}$ ;  $D_{JK} = 99,4 \text{ кГц}$ ;  $eQq = -1934 \text{ МГц}$ .

Т. Бириштейн  
27636. Штарк-эффект во вращательных спектрах молекул типа асимметричного волчка при наличии квадрупольной связи (случай  $q_e \approx eQq$ ). Земсков Е. М., Весселого В. Г. Оптика и спектроскопия, 1957, 3, № 2, 183—186

Рассмотрен эффект Штарка во вращательных спектрах молекул типа асимметричного волчка при наличии квадрупольного взаимодействия одного порядка со штарковским. Исследован случай  $J = 1$ . Полная матрица возмущений, представляющая сумму штарковского и квадрупольного взаимодействия, в представлении  $JM_J M_I$  распадается на 6 субматриц, по 2 1-го, 2-го и 3-го порядков. Симметрия матрицы соответствует вырождению по знаку  $M_F = M_J + M_I$ , т. е. каждый из получающихся шести подуровней дважды вырожден. Вычислены поправки к энергии подуровней и соответствующие волновые функции. При лю-

бом соотношения величин штарковского и квадрупольного взаимодействий подуровни не пересекаются между собой. С помощью найденных волновых функций вычислены относительные интенсивности компонент трех возможных переходов  $J = 0 \rightarrow 1$  асимметричного волчка. Для переходов на линейный подуровень интенсивности переходов равны нулю.

Т. Бирштейн

**27637.** Определение потенциального барьера и структуры молекул метилмерcaptана из микроволнового спектра. Кодзима, Нисикава (Potential barrier and molecular structure of methyl mercaptan from its microwave spectra. Kojima Takeshi, Nishikawa Tetsuji, J. Phys. Soc. Japan, 1957, 12, № 6, 680—686 (англ.))

С помощью спектрометра со штарковской модуляцией в диапазоне 14—29  $\text{кМгц}$  исследован спектр  $\text{CH}_3\text{SH}$ . Наблюдалось  $\sim 140$  линий. Три слабые серии линий связаны с переходами типа  $\Delta J = 0$ ,  $\Delta K = \pm 1$ , одна — из серий в возбужденном состоянии крутильных колебаний. Идентифицировано 7 линий переходов  $\Delta J = \pm 1$ ,  $\Delta K = \pm 1$  с  $J \leq 9$ ; линия  $J = 0 \rightarrow 1$ ,  $K = 0 \rightarrow 0$  и 6 линий переходов между уровнями  $K$ -дублетов  $\Delta J = 0$ ,  $\Delta K = 0$  с  $J = 5-10$ ,  $K = 1$ . Высота барьера внутреннего вращения определялась посредством анализа линий  $\Delta J = \pm 1$ ,  $\Delta K = \pm 1$ . Получено значение  $444 \text{ см}^{-1}$ . Наблюдалась также две серии линий  $K_{\text{пл}} = 0, 1, 1 \leftarrow -1, 1, 1$  и  $3-1, 1 \leftarrow 2, -1, 1$  с началом серий при 32 и 33,82  $\text{кМгц}$  соответственно, положение которых подтверждает найденное значение высоты барьера. С указанным значением согласуется также колебательная тонкая структура перехода  $J = 0 \rightarrow 1$ ,  $K = 0 \rightarrow 0$  в молекулах  $\text{C}^{13}\text{H}_5\text{S}^{32}\text{N}$  и  $\text{C}^{13}\text{H}_5\text{S}^{34}\text{N}$ , анализ которой проведен по ранее предложенному методу (РЖХим, 1957, 53716). Для определения параметров молекулы  $\text{CH}_3\text{SH}$  исследована тонкая структура перехода  $J = 0 \rightarrow 1$ ,  $K = 0 \rightarrow 0$  в  $\text{CH}_3\text{SD}$  и исправлена ранее предложенная идентификация (РЖХим, 1955, 48299). Найден угол между связью  $\text{CS}$  и осью метильной группы  $2^\circ 0' \pm 30'$ . Остальные параметры молекул:  $d_{\text{SH}} 1,336 \pm 0,01 \text{ \AA}$ ;  $d_{\text{SC}} 1,819 \pm 0,05 \text{ \AA}$ ;  $d_{\text{CH}} 1,091 \pm 0,01 \text{ \AA} < \text{CSN } 96^\circ 30' \pm 1'$ ;  $\angle \text{HCH } 109^\circ 45' \pm 30'$ . Авторы произвели расчет потенциального барьера внутреннего вращения на основе модифицированной теории (Lassetre E. N., Dean L. B., Jr, J. Chem. Phys., 1949, 17, 317), учитывающей квадруполь-квадрупольные и квадруполь-дипольные взаимодействия связей, и получили  $490 \text{ см}^{-1}$  для указанной структуры молекул. По эффекту Штарка найдено для компонент дипольного момента, параллельных и перпендикулярных оси  $\text{CH}_3$ :  $\mu_{\parallel} 1,35 \pm 0,005 \text{ Д}$ ,  $\mu_{\perp} 0,64 \pm 0,05 \text{ Д}$ .

Т. Бирштейн

**27638.** Сверхтонкая структура микроволнового спектра воды. I. Квадрупольное взаимодействие в дейтерированной воде. Познер (Hyperfine structure in the microwave spectrum of water. I. Quadrupole coupling in deuterated water. Posener D. W., Austral. J. Phys., 1957, 10, № 2, 276—285 (англ.))

С помощью спектрометра со штарковской модуляцией исследована сверхтонкая структура перехода  $2_2 \rightarrow 2_0$  в  $\text{HDO}$  и  $2_0 \rightarrow 3_{12}$  в  $\text{D}_2\text{O}$ . В случае  $\text{D}_2\text{O}$  спектр хорошо согласуется с предположением о цилиндрической симметрии градиента электрич. поля  $q$  относительно связи  $\text{OD}$ . Найдена постоянная квадрупольного взаимодействия дейтерона в направлении связи  $(eqQ)_{\text{OD}} = 353 \pm 4 \text{ кгц}$  и  $q_{\text{OD}} = (1,78 \pm 0,02) \cdot 10^{18} \text{ CGSE}$ . Значение  $q_{\text{OD}}$  должно быть одинаково для  $\text{D}_2\text{O}$  и  $\text{HDO}$ , однако рассчитанная по спектру  $\text{D}_2\text{O}$  сверхтонкая структура перехода в  $\text{HDO}$  плохо согласуется с наблюдаемой. По-видимому, причиной этого является

пренебрежение магнитными взаимодействиями, существующими для  $\text{HDO}$ .

Т. Бирштейн

**27639.** Микроволновый спектр  $\text{BrCN}$  и зависимость постоянной квадрупольного взаимодействия от колебательного состояния. Ока, Хиракава (Microwave spectrum of  $\text{BrCN}$  and dependence of quadrupole coupling constant on the vibrational state. Oka Takeshi, Hirakawa Hiromasa, J. Phys. Soc. Japan, 1957, 12, № 7, 820—823 (англ.))

Исследована сверхтонкая структура переходов  $J = 0 \rightarrow 1$  и  $J = 1 \rightarrow 2$  в  $\text{Br}^{79}\text{CN}$  и  $\text{Br}^{81}\text{CN}$  в колебательных состояниях  $(0, 0, 0)$ ,  $(1, 0, 0)$  и  $(0, 2^0, 0)$ . Наблюдаемая структура в основном обусловлена квадрупольным моментом ядра  $\text{Br}$ , и лишь в отдельных случаях разрешалась сверхтонкая структура, обусловленная квадрупольным моментом  $\text{N}^{14}$ . Найдено  $eqQ(\text{N}^{14}) = -3,89 \text{ Мгц}$ . Найдены значения вращательных постоянных и постоянных квадрупольного взаимодействия в различных колебательных состояниях:  $eqQ(\text{Br}^{79})$  (в  $\text{Мгц}$ , первое число из перехода  $J = 0 \rightarrow 1$ ; второе из  $J = 0 \rightarrow 2$ ):  $(0, 0, 0)$   $685,6 \pm 0,4$ ;  $685,3 \pm 0,8$ ;  $(1, 0, 0)$   $687,9 \pm 0,6$ ;  $689,1 \pm 0,7$ ;  $(0, 2^0, 0)$   $681,6 \pm 0,7$ ;  $680,2 \pm 0,9$ ;  $eqQ(\text{Br}^{81})$ :  $(0, 0, 0)$   $572,8 \pm 0,2$ ;  $572,7 \pm 0,6$ ;  $(1, 0, 0)$   $576,1 \pm 0,9$ ;  $574,2 \pm 0,7$ ;  $(0, 2^0, 0)$   $568,9 \pm 1,5$ ;  $567,3 \pm 1,5$ . Увеличение  $eqQ$  в возбужденном состоянии вал. кол.  $\nu_1 = 1$  объясняется уменьшением двойного характера связи  $\text{Br}-\text{C}$  при удлинении. Эксперим. значение  $(eqQ)_{\nu_1}/(eqQ)_0 = 1,0026-1,0058$  при  $\nu_1 = 1$  хорошо согласуется с рассчитанным по изменению момента инерции  $q_{\nu_1}/q_0 = 1,0044$ . Уменьшение  $eqQ$  в состоянии колебаний изгиба  $\nu_2 = 2$  связано с изменением компонент  $z$  тензора  $q$ .

Т. Бирштейн

**27640.** Эффект Зеемана в квадрупольном спектре хлоратов натрия, калия и бария. Зелдс, Ливингстон (Zeeman effect on the quadrupole spectra of sodium, potassium, and barium chlorates. Zeldes Henry, Livingston Ralph, J. Chem. Phys., 1957, 26, № 5, 1102—1106 (англ.))

С помощью описанной ранее эксперим. установки (РЖХим, 1958, 10345) изучена ориентация главных осей тензора градиента электрич. поля и величина параметра асимметрии в  $\text{NaClO}_3$ ,  $\text{KClO}_3$  и  $\text{Ba}(\text{ClO}_3)_2 \cdot \text{H}_2\text{O}$ . В каждом из хлоратов элементарная ячейка содержит более одной молекулы, однако атомы хлора кристаллографически эквивалентны, так что квадрупольный спектр состоит из одной линии для  $\text{Cl}^{35}$  ( $\pm 1/2 \leftrightarrow \pm 3/2$ ). При наличии внешнего магнитного поля число зеемановских компонент зависит от структуры кристалла и угла  $\Theta$ , образованного осью  $z$  тензора градиента электрич. поля и направлением внешнего поля. В хлорате натрия, ввиду куб. симметрии кристалла при 4 молекулах в элементарной ячейке, параметр асимметрии  $\eta = 0$ . При направлении магнитного поля по четверной оси кристалла число зеемановских компонент равно 3, по тройной оси 8, по двойной 6. Это используется авторами для определения ориентации в магнитном поле кристаллов  $\text{KClO}_3$  и  $\text{Ba}(\text{ClO}_3)_2 \cdot \text{H}_2\text{O}$ , склеенных с кристаллом  $\text{NaClO}_3$ . Из величины расщепления зеемановских компонент при  $\Theta = 54,73^\circ$  в  $\text{KClO}_3$  найден параметр асимметрии  $\eta = 0,006$ . Ось  $z$  перпендикулярна кристаллографич. оси  $b$ , образуя с осью  $a$  угол  $52,1 \pm 0,5^\circ$ . Ширина линии 0,29  $\text{кгц}$ . Малая величина  $\eta$  ставит под сомнение значительную деформацию аниона  $\text{ClO}_3^-$ , следующую из данных по длинам связей  $\text{Cl}-\text{O}$ . В  $\text{Ba}(\text{ClO}_3)_2 \cdot \text{H}_2\text{O}$   $\eta = 0,05$ . Ось  $z$  образует с осью  $b$  угол  $48^\circ$ , с осью  $a$   $30 \pm 3^\circ$ . Структурные данные по длинам связей  $\text{Cl}-\text{O}$  согласуются с величиной  $\eta$ .

В. Бендерский

**27641.** Спектры поглощения электронного спинового резонанса некоторых органических радикалов. Лу-



инский (Electron spin resonance absorption spectra of some organic free radicals. Lupinski J. H.), J. Chem. Phys., 1957, 26, № 6, 1766 (англ.)

Сообщается, что наблюдаемую сверхтонкую структуру электронного резонанса в свободном радикале трифенилметила удается интерпретировать при следующих значениях констант  $a$  связи неспаренного электрона и протонов:  $a_0/a_m$  (или  $a_m/a_0$ )  $\approx 2$ ,  $a_p \ll a_0$  и  $a_m$  индексы  $o$ ,  $p$ ,  $m$  отличают протоны в орто-, мета- и пара-положениях. При указанных значениях констант должны наблюдаться 19 линий с интенсивностями 1, 6, 21, 56, 120, 216, 336, 456, 546, 580... (левая часть спектра и центральная линия). Спектр свободного радикала дифенилнитроксида состоит из 35 линий, интенсивности которых хорошо объясняются при значениях констант:  $a_0/a_m$  (или  $a_m/a_0$ )  $\approx 2$ ,  $a_p \approx 0$ . Протоны расщепляют линию на 13 компонент, каждая из которых расщепляется на триплет под влиянием ядра  $N^{14}$  (со спином  $I$ ) — всего 39 линий; часть линий, по-видимому, перекрывается. Чтобы выяснить  $a_0/a_m$  или  $a_m/a_0 \approx 2$  следует провести опыты с орто- или пара-замещенными производными радикалов.

К. Валиев  
27642. Отрицательные спиновые плотности в ароматических радикалах. Мак-Коннелл, Чеснат (Negative spin densities in aromatic radicals. McConnell Harden M., Chesnut Donald B.), J. Chem. Phys., 1957, 27, № 4, 984—985 (англ.)

Уточняется смысл величины  $\rho_N$  в ф-ле сверхтонкой структуры сигнала электронного парамагнитного резонанса (РЖХим, 1956, 77323, 1957, 40332):  $a_N = Q\rho_N$  (1). Величина  $\rho_N$  является математич. ожиданием оператора плотности некомпенсированного спина у  $N$ -го ароматич. атома. На основе квантовомеханич. расчетов свободных радикалов трифенилметила (I) и перинафтенила (II) показывается, что  $\rho_N$  может принимать как положительные, так и отрицательные значения, подстановка которых в ф-лу (1) приводит к удовлетворительному согласию с экспериментом. Тем самым отпадает возражение (РЖХим, 1957, 76596) против пригодности ф-лы (1) в случае электронного парамагнитного резонанса в радикалах I и II. Отмечается, что отрицательные значения  $\rho_N$  в теории валентных связей появляются уже в нулевом приближении, а в методе МО — при учете взаимодействия основной и возбужденных конфигураций. В последнем случае отрицательные значения  $\rho_N$  наиболее вероятны для тех ароматич. атомов, для которых в основной конфигурации  $\rho_N = 0$ .

Т. Ребане

27643. Анализ высокоразрешенных спектров ядерного магнитного резонанса. Андерсон, Мак-Коннелл (Analysis of high-resolution NMR spectra. Anderson Weston, McConnell Harden M.), J. Chem. Phys., 1957, 26, № 6, 1496—1504 (англ.)  
Выясняется возможность применения метода моментов, довольно широко используемого при анализе форм линий электронного магнитного резонанса в кристаллах, для интерпретации высокоразрешенных спектров ядерного магнитного резонанса в жидкостях. В последнем случае наблюдаемый спектр можно интерпретировать с помощью гамильтониана  $H_c = -\hbar \sum_i \omega_i I_{iz} + \sum_{i < j} J_{ij} I_i I_j$ , где  $J_{ij}$  — константа спин-спиновой связи ядер  $i$  и  $j$ , обладающих соответственно спинами  $I_i$  и  $I_j$ ;  $\omega_i$  — частота ядерного резонанса на ядре  $i$  в отсутствие связи между ядрами; при этом определяются частоты  $\omega_i$ , различные для каждого из ядер из-за хим. сдвига, и константы  $J_{ij}$ . Однако прямое решение задачи о собственных значениях га-

мильтониана  $H_c$  в случае больших молекул сталкивается с вычислительными трудностями, заключающимися обычно в решении векового ур-ния/высокого порядка. Автор показал, что в этом случае метод моментов окажется очень полезным, причем, в простых случаях этим методом можно найти значения  $\omega_i$  и  $J_{ij}$  непосредственно, а в случае сложных молекул использование метода моментов облегчает решение векового ур-ния для молекулы. В сложной молекуле можно различить группы ядер  $A$ ,  $B$ ... такие, что переходы между состояниями ядер группы  $A$  образуют в спектре отдельный мультиплет  $a$ , переходы для ядер группы  $B$  — мультиплет  $b$  и т. д. Показано, что такое разделение возможно при условии:  $\lambda_{im}^{AB} = |\omega_i - \omega_m| / |J_{im}^{AB}| \gg 1$  (верхний индекс показывает группу, к которой принадлежит ядро). Момент порядка  $\tau$  для мультиплета определяется по ур-нию  $\langle (\omega^a)^\tau \rangle = \sum_{mn} (\omega_{mn}^a)^\tau L_{mn}^a / \sum_{mn} L_{mn}^a$ .  $\omega_{mn}^a$  — наблюдаемая частота линии в мультиплете,  $L_{mn}^a$  — ее интенсивность (площадь под линией поглощения, или при равенстве ширины всех линий — ее высота). С другой стороны, момент  $\langle (\omega^a)^\tau \rangle$  может быть вычислен методом диагональных сумм (при этом не требуется знать уровни энергии системы), причем выражения для этих моментов будут зависеть от искоемых  $\omega_i$  и  $J_{ij}$ . Для спектра молекулы с одной группой ядер  $A$  получено  $\langle \Delta \omega^a \rangle = 0$ ,  $\langle (\Delta \omega^a)^2 \rangle = N_A^{-1} \sum_i (\Delta \omega_i^a)^2$ ,  $\langle (\Delta \omega^a)^3 \rangle = N_A^{-1} \sum_i (\Delta \omega_i^a)^3$ ,  $\langle (\Delta \omega_i^a)^4 \rangle = N_A^{-1} \{ \sum_i (\Delta \omega_i^a)^4 + \frac{1}{2} I^A (I^A + 1) \sum_{i < j} (\Delta \omega_i^a - \Delta \omega_j^a)^2 (J_{ij}^A)^2 \}$ , где  $\Delta \omega_i^a = \omega_i^a - \langle \omega^a \rangle$ . Рассмотрен случай одного мультиплета линий, создаваемого двумя химически неэквивалентными группами ядер; здесь получены прямые соотношения, определяющие  $\omega_i$  и  $J_{ij}$  через измеренные моменты. Этот случай осуществлен в опытах на одихлорбензоле, который имеет 2 группы (по 2 ядра) неэквивалентных протонов. В случае одного мультиплета и трех химически неэквивалентных групп ядер в молекуле можно найти хим. сдвиги ядер, поскольку первые 3 момента (вычисленные) для одного мультиплета не содержат констант  $J_{ij}$  и дают 3 ур-ния. Решения этих ур-ний даны графически для случаев:  $N_1 = N_2 = N_3$ ,  $2N_1 = 2N_2 = N_3$ ,  $2N_1 = N_2 = N_3$  ( $N$  — число ядер в химически неэквивалентной группе молекулы). Получены ф-лы для первых четырех моментов в случае молекулы с двумя группами  $A$  и  $B$ , дающей 2 мультиплета в спектре:  $a$  и  $b$ . Рассматривается вопрос о разделении групп  $A$ ,  $B$ ... на подгруппы и о соответственном разделении мультиплетов  $a$ ,  $b$ ... Показано, что такое разделение полезно при наличии элементов симметрии внутри групп  $A$ ,  $B$ ... молекулы. Обсуждается вопрос о погрешностях в измеренных значениях моментов, зависящих от условий измерения (напр., эффекта насыщения).

К. Валиев

27644. Спектры магнитного резонанса протонов и ядер азота и структура нитрамида и нитроуретана. Рей, Огг (Proton and nitrogen magnetic resonance spectra and structure of nitramide and nitrourethane. Ray James D., Ogg Richard A., Jr.), J. Chem. Phys., 1957, 26, № 6, 1452—1454 (англ.)

Наблюдался протонный резонанс в жидком уретане при  $t$ -ре  $60^\circ$ . Спектр состоит из ряда узких линий протонного резонанса этиловой группы и значительно более широкой линии от протонов группы  $NH_2$ . При насыщении резонанса на ядрах  $N^{14}$  (опыты с двойным резонансом) широкая линия протонного резонанса заметно сужается; это показывает, что ее ширина определяется квадрупольными взаимодействиями ядер

$N^{14}$ . Для нитроуретана и нитрамида в эфире, помимо линий от протонов этиловой группы и эфира, наблюдаются линии от протонов  $N-H$ , настолько широкие, что насыщение резонанса на ядрах  $N^{14}$  их уже не сужает. Это показывает, что протон связан с атомом  $N$ , а связь с атомом кислорода исключается. Судя по ширине линии, квадрупольная связь ядер  $N^{14}$  (следовательно, и релаксация) последовательно возрастает при переходе от уретана к нитриду и нитроуретану. Между тем резонанс на ядрах  $N^{14}$  в уретане не удалось наблюдать, по-видимому, из-за большой ширины линии, тогда как в нитроуретане и нитриде эти линии наблюдаются. Очевидно, эти наблюдаемые линии обязаны ядру азота из группы  $NO_2$ ; такой группы в уретане нет, и линия не наблюдается.

К. Валиев

27645. Приготовление безводного аммиака и изучение его с помощью протонного магнитного резонанса. Огг, Рей (Preparation and proton magnetic resonance studies of anhydrous ammonia. Ogg Richard A., Jr, Ray James D.), J. Chem. Phys., 1957, 26, № 6, 1515—1516 (англ.)

Сравнение ширины линии протонного резонанса в безводн. и очищ. от примесей  $Na$  аммиаке с естественным отношением изотопов  $N^{14}$  и  $N^{15}$  с шириной линии от обогащенного изотопом  $N^{15}$  (до 99,8%) аммиака показывает, что ширина линии протонного резонанса в безводном  $N^{14}H_3$  обусловлена квадрупольной релаксацией ядер  $N^{14}$ . В  $N^{14}H_3$  наблюдались три широкие линии (интервал между соседними линиями равен  $46 \pm 2$  гц), тогда как в  $N^{15}H_3$  — 2 очень узкие линии, разделенные интервалом  $64 \pm 2$  гц. В  $N^{14}H_3$  наблюдаются также 2 маленьких пика, возникшие под влиянием спинов ядер  $N^{15}$ . Наблюдение относительно большой ширины линий протонного резонанса в  $N^{14}H_3$  не согласуется с данными, приведенными Робертсом (РЖХим, 1958, 155). Описан новый метод приготовления безводн., очищ. от примесей  $Na$ , аммиака.

К. Валиев

27646. Экспериментальное подтверждение нелинейной связи между интенсивностью ультразвука и числом наблюдаемых дифракционных спектров. Самал (Experimental evidence of nonlinear relation between spectral number and ultrasonic intensity. Samal K.), Acustica, 1957, 7, № 4, 251—252 (англ.; рез. нем., франц.)

Экспериментально изучена связь между интенсивностью ультразвука (частота  $f = 5$  Мгц) и числом (порядком  $n$ ) дифракционных спектров, возникающих при прохождении светового луча через жидкость, в которой распространяется проходящая ультразвуковая волна. Показана нелинейность зависимости  $n$  от интенсивности ультразвука ( $I$ ). На основании экспериментально установленной зависимости между  $n$  и  $I$  для  $CCl_4$ ,  $C_6H_6$  и  $CS_2$  определены коэф. поглощения звука  $\alpha$ . Найденные величины  $\alpha/f^2 \cdot 10^{17}$  (для  $C_6H_6$ , 808,  $CS_2$ , 5920,  $CCl_4$ , 424) удовлетворительно согласуются с аналогичными величинами, определенными другими методами.

Б. Кудрявцев

27647 П. Использование рефрактометрии для количественной характеристики трансвлияния. Бацапов С. С., Ручкин Е. Д., Ж. неорганической химии, 1957, 2, № 11, 2553—2561

Измерена дисперсия показателей преломления и плотности ряда комплексных соединений  $Pt$  и  $Ni$ . По экстраполированным на бесконечную длину волны показателям преломления вычислены молекулярные и координатные рефракции ( $R$ ). Вычитанием инкрементов рефракции  $Pt$  и  $Ni$  определены  $R$  аддендов, подвергнутых транс-влиянию. Отношения этих величин к собственным значениям  $R$  аддендов, названные коэф. подвижности, показывают закономерное

увеличение по мере увеличения транс-активности адденда. Вскоре значение рефракционного эффекта транс-влияния этилена требует признания наличия на центральном атоме соответствующего комплекса отрицательного заряда. Рефрактометрич. данные позволяют наметить также последовательность атомов «поддаваться» трансвлиянию:  $NH_3 > Cl > NO_2 > CNS$ . Рефрактометрич. исследование показало, что при обезвоживании  $K_2Pt(CN)_4 \cdot 3H_2O$  происходит вращение групп  $CN$ . Часть I см. РЖХим, 1958, 16819. С. Бацапов

27648. Релеевское рассеяние света растворами в области полосы поглощения. Овандер Л. Н., Оптика и спектроскопия, 1957, 3, № 3, 224—226

Рассматривается релеевское рассеяние света в  $p$ -рай в области полосы поглощения на основе модели, применявшейся ранее (РЖФиз, 1958, 6926). На основании дифференциального ур-ния для амплитуды вероятности  $i\hbar b_n = \sum_m H_{nm} b_m \exp[i(E_m - E_n)t/\hbar]$  (где  $b_n$  — амплитуда вероятности состояния  $n$ ,  $E_n$  — энергия этого состояния,  $H_{nm}$  — матричные элементы возмущения) составлены ур-ния для начального, промежуточного и конечного состояний. Решением этих ур-ний показывается, что ширина энергетич. уровня системы представляет собой сумму естественной ширины, обусловленной взаимодействием с излучением, и ширины, связанной с наличием безызлучательных переходов. Исследование решений дифференциальных ур-ний приводит к заключению, что интенсивность рассеянного света меняется с изменением частоты падающего света пропорционально ординате полосы поглощения и что возможно температурное и примесное тушение. Форма линии рассеянного света совпадает с формой возбуждающей линии.

В. Корякин

27649. Поляризуемость молекул. Кажущаяся анизотропия метана и других квазисферических молекул. Ле-Февр, Ле-Февр, Рао (Molecular polarizability. The apparent anisotropy of methane and other quasi-spherical molecules. LeFevre C. G., (Mrs.), LeFevre R. J. W., Rao D. A. A. S. Narayana), J. Chem. Soc., 1956, March, 708—713 (англ.)

Исследованы причины, обуславливающие кажущуюся анизотропию тетраэдрич. молекул типа  $CH_4$ . Пользуясь методом, ранее примененным при вычислении атомной поляризации (РЖХим, 1955, 20609; 1956, 12157), авторы получили следующее выражение для мол. постоянной Керра тетраэдрич. молекул  $mK = 16\pi N/45 [\mu^2(a-b)/18K_0 + 2\mu e/9kk_0(da/dr - db/dr)]$ , где  $a$  и  $b$  — соответственно продольная и поперечная поляризуемость связи  $C-X$ ,  $k$  и  $k_0$  — силовые постоянные вал. и деф. кол. Сравнение вычисленных значений  $mK$  с опытными показывает, что для их согласия необходимо, чтобы величина  $(da/dr - db/dr)$  была бы на 2—3 порядка больше величины  $da/dr$ . Исследован эффект Керра в  $CH_4$ . Показано, что зависимость его величины от напряжения поля подчиняется закону Керра. Впервые определены для  $CH_4$  значения величины  $\infty P_2$  ( $38,6$  см<sup>3</sup>) и  $\infty (mK_2)$  ( $7,30 \cdot 10^{-12}$ ).

В. Алексанян

27650. Время релаксации и природа ориентирующихся единиц. Мурти (Relaxation time and nature of the orienting unit. Murty C. R. K.), J. Scient. and Industr. Res., 1957, B316, № 8, B334—B336 (англ.)

Измерена комплексная диэлектрич. постоянная  $p$ -ров фенола (I),  $o$ - (II) и  $n$ -хлорофенола (III), анилина (IV) и бензилового спирта (V) в бензоле при 9515 Мгц и 30°. Определены дипольные моменты  $\mu$  и времена релаксации молекул  $\tau$ , равные соответственно для I—V  $\mu$  (D): 1,46; 1,24; 1,82; 1,32; 1,59;  $\tau$  ( $\times 10^{12}$  сек.) 7,4; 4,8; 11,9; 3,0; 4,7. Различие  $\tau$  для



I—III свидетельствует, что вращающимися единицами являются не группы OH, а молекулы в целом. По уравнению Дебая вычислены радиусы ориентирующихся единиц при значении вязкости  $\eta$  и 0,36  $\eta$ . Проведен анализ ранее опубликованных экспериментальных данных по временам релаксации гомологич. ряда спиртов в разб. р-рах и жидком состоянии.

**27651. Обоснование уравнения Хигаси для быстрого определения дипольного момента в растворе.** Кришна, Сривастава (Range of validity of Higashi's equation for a quick determination of dipole moment in solution. Krishna Bal, Srivastava K. K.), J. Chem. Phys., 1957, 27, № 4, 835—837 (англ.)

Методом биений (приводится краткое описание аппаратуры) определены в бензоле дипольные моменты ( $\mu$ ) хлорбензола, нитробензола, *o*-дихлорбензола, метилдихлорида, этилдихлорида и этилендибромида. Для расчета применено уравнение Хигаси  $\mu = \beta(d\epsilon_{12}/d\epsilon_2)^{1/2}$ , где  $\epsilon_{12}$  — диэлектрич. проницаемость р-ра,  $\epsilon_2$  — мол. доля растворенного в-ва,  $\beta$  — постоянная, характерная для р-рителя. Для бензола  $\beta = 0,828$ . Уравнение дает линейную зависимость диэлектрич. проницаемости р-ра от мол. доли растворенного в-ва. Полученные  $\mu$  достаточно хорошо совпадают с  $\mu$ , измеренными другими авторами, за исключением этилдихлорида и этилендибромида, имеющих заторможенное вращение.

**27652. Дипольные моменты  $ZrCl_4$ ,  $ZrBr_4$  и  $TiCl_4$  в диоксане.** Осипов О. А., Клетеник Ю. Б., Ж. неорганич. химии, 1957, 2, № 10, 2406—2409

Из концентрационной зависимости диэлектрич. проницаемости и плотности при 20° в диоксане определены дипольные моменты ( $\mu$ ) в D следующих соединений:  $ZrCl_4$  5,94;  $TiCl_4$  3,48 и  $ZrBr_4$  4,68. Большие  $\mu$  указывают на взаимодействие галогенидов с диоксаном с образованием комплексных соединений и на сильно полярную донорноакцепторную связь между атомом металла и кислородом диоксана. Выделены и описаны комплексные соединения:  $ZrCl_4 \cdot 2C_4H_8O_2$ ;  $TiCl_4 \cdot 2C_4H_8O_2$  и  $ZrBr_4 \cdot 2C_4H_8O_2$ . Сопоставление полученных  $\mu$  с  $\mu$  для галогенидов Si, Ge и Sn показывает, что прочность комплексных соединений тетрагалогенидов элементов IV группы растет с увеличением ковалентного радиуса центрального атома.

**27653. Дипольные моменты тризамещенных бензолов. Часть III. Нарасимха-Рао (Dipole moments of tri-substituted benzenes. Part III. Narasimha Rao D. V. G. L.), Indian J. Phys., 1957, 31, № 6, 334 (англ.)**

В продолжение предыдущей работы (часть II, РЖХим, 1957, 68213) по тризамещенным бензолам приведена таблица для четырех других тризамещенных бензолов. Измерения были проведены для бензольных р-ров при 30°. Вычисленные дипольные моменты  $\mu$  удовлетворительно согласуются с наблюдаемыми (первая цифра наблюдаемая, вторая вычисленная): для 2-нитро-*m*-ксилола 3,39; 3,40; 2-нитро-*l*-ксилола 4,06; 4,08; 4-нитро-*o*-ксилола 4,82; 4,67; 4-нитро-*m*-ксилола 4,40; 4,34.

**27654. Дипольные моменты солей жирных кислот с додециламином.** Сиран (Dipole moment of fatty acid salts of dodecylamine. Shirai Michio), Scient. Papers Coll. Gen. Educ. Univ. Tokyo, 1956, 6, № 2, 147—151 (англ.)

Методом резонанса при 30° в бензоле определены дипольные моменты ( $\mu$ ) в D следующих соединений додециламмония: формата (I) 1,78; ацетата (II) 2,24; *n*-пропionato (III) 1,79 и *n*-бутирата (IV) 1,32. Значительная ориентационная поляризация ( $P_{or}$ ) и высокие величины  $\mu$  при низких конц-ях указывают

на существование конных диполей и их ассоциацию. Наклон кривых зависимости  $P_{or}$  от конц-и для II, III и IV тем больше, чем длиннее углеводородная цепь. Ассоциация возникает вследствие взаимодействия диполей и взаимодействия между углеводородными цепями. Это подтверждается почти горизонтальным ходом кривой для I.

**27655. Дипольные моменты и электронные структуры некоторых производных азулена.** Курита, Кубо (The dipole moments and electronic structures of some azulene derivatives. Kurita Yukio, Kubo Masaji), J. Amer. Chem. Soc., 1957, 79, № 20, 5460—5463 (англ.)

Методом биений в разб. р-рах бензола определены дипольные моменты ( $\mu$  в D, в скобках  $\mu$  в  $^\circ C$ ) производных азулена: 2-хлоразулена (I) (35) 2,69; 2-аминоазулена (II) (30) 2,09; 2-цианазулена (III) (25) 5,68; 6-бром-2-аминоазулена (25) 3,72; 2-ацетиламиноазулена (30) 3,26; 1,3-диоксикарбонилазулена (30) 1,72; 2-хлор-1-азоазулена (35) 4,47; 2,6-дихлор-1-азоазулена (30) 3,25; 1,3-диазоазулена  $\cdot H_2O$  (IV) (25) 4,39; 1-оксаазулан-2-она (V) (30) 5,64; 1-азоазулан-2-она (VI) (30) 2,73. Как и  $\mu$  азулена,  $\mu$  связи C—Cl I направлен вдоль оси, соединяющей два атома углерода в 2- и 6-положениях, что подтверждает правильность предсказания на основании расчета методом МО. Ненасыщ. 7-членное кольцо ведет себя как донор электрона, а ненасыщ. 5-членное, — как акцептор. Сравнение  $\mu$  (опыт.) с  $\mu$  (расч.) для II указывает на отсутствие иминной формы II, что подтверждается изучением ИК-спектров. Взаимодействие ненасыщ. кольца с присоединенным к нему атомом или группой выражается  $\mu$  мезомерными, подсчитанными для I, 6-бромазулена, II и III. Большой мезомерный  $\mu$  аминогруппы объясняется резонансом гуанидинового типа. Для IV  $\mu$  (опыт.) совпадает с  $\mu$  (расч.), если считать, что IV представляет моногидрат с параллельно направленными составляющими моментами. Большой  $\mu$  V объясняется резонансом полярных структур. VI, возможно, образует межмолекулярные водородные связи. Образование димеров, имеющих незначительные  $\mu$ , ведет к понижению  $\mu$  VI по сравнению с одномерными молекулами.

**27656. Магнитная восприимчивость  $NpFe$ . Уэйл-сток, Мам (Magnetic susceptibility of  $NpFe$ . Weinstock Bernard, Malm John G.), J. Chem. Phys., 1957, 27, № 2, 594—595 (англ.)**

Исследована магнитная восприимчивость  $NpFe$  при различных  $\mu$ -рах. Найденные значения восприимчивости значительно меньше измеренных для  $Np(6+)$  в  $NaNpO_2 \cdot (CH_3COO)_3$  и вычисленных для чисто спинового и спин-орбитального магнетизма одного холостого 5 $f$ -электрона. Предполагается, что в  $NpFe$  (кристаллич. поле куб. симметрии) расщепление уровней за счет кристаллич. поля и спин-орбитального расщепления имеет приблизительно одинаковый порядок, т. е. осуществляется случай, при котором, согласно литературным данным, следует ожидать наиболее низких значений восприимчивости (РЖХим, 1955, 3339).

**27657. Магнетохимическое изучение сиднонов.** Мадзунага (Magnetochemical study of sydnone. Matsunaga Yoshio), Bull. Chem. Soc. Japan, 1957, 30, № 3, 227—230 (англ.)

С целью выявления ароматич. характера кольца сиднона (I) определена методом Гун мол. магнитная восприимчивость ( $-\chi_m \cdot 10^6$ ) соединений: N-фенилсиднона 87,6; N-*n*-толилсиднона 98,0; N-*n*-метоксифенилсиднона 104,2; N-*n*-хлорфенилсиднона 101,8; N-*m*-нитрофенилсиднона 94,9; N-*n*-нитрофенилсиднона 94,9; N- $\beta$ -нафтилсиднона 125,8; N-бензилсиднона 100,1;

N-фенил-С-бромсиднона 111,1 (II); N-фенил-С-йодсиднона 123,6 (III); N-фенил-С-хлормеркурсиднона 150,1; бис-(N-фенилсиднонил-С)-меркур (IV) 200,3. Пренебрегая незначительным влиянием на мол. восприимчивость сопряжения между арил- и сиднонилгруппами, —  $\chi_m \cdot 10^6$  незаметн. I найдена равной 38,7, изотропная часть, определенная методом Грей-Крукшанка (Gray F. W. and Cruickshank I. H., Trans. Faraday Soc., 1935, 31, 1491), равна 24,57. Сравнивая экзальтацию мол. восприимчивости I (14,1) с близкими по величине экзальтациями фурана и пиррола и их изоэлектронные структуры, автор допускает для I ароматич. характер того же порядка, что у колец фурана и пиррола. Наблюденные  $\chi_m$  для II, III и IV совпадают с рассчитанными данными, сделанными с учетом  $\chi_m$  для I.

М. Луфурова

27658. О фотомagnetизме и фотохроми. I. Кортюм, Литман, Литман, Гейлаккер (Über Photomagnetismus und Photochromie. I. Kortüm G., Littmann G. II. Kortüm G., Littmann G., Theilacker W.), Z. Naturforsch., 1957, 12a, № 5, 395—401; 401—404 (нем.)

I. Методом магнитных весов подтверждены опыты по фотомagnetизму р-ра флуоресценции в глицирине (переход флуоресценции в парамагнитное состояние под воздействием света). Аналогичный эффект наблюдается и при облучении светом акридинового оранжевого, растворенного в глицирине при низких т-рах (от  $-60$  до  $-180^\circ$ ). Подробно описаны установка, методика проведения эксперимента и возможные источники ошибок.

II. При облучении светом при низких т-рах ( $-60^\circ$ ) р-ров производных дегидродиаантрона: 1,2,7,8'-дигидродегидродиаантрона (I) и 1,3,6,8'-тетраметилдигидродиаантрона (II) — последние переходят в окрашенное (фотохромное) состояние, характеризующееся ростом магнитной восприимчивости. При выключении света окраска I быстро исчезает, а окраска II сохраняется в течение нескольких часов. В твердом состоянии I и II не окрашиваются, но, будучи окрашены в р-ре и заморожены, сохраняют свою окраску в течение многих часов без заметных изменений. Длительное сохранение окраски и невозможность перехода в фотохромное состояние твердых в-в свидетельствует о том, что природа фотохромии отлична от обычной фосфоресценции органич. в-в. По мнению авторов, в данном случае происходит переход молекул в состояние двойных радикалов.

Э. Казбеков

27659. О возможности спектроскопического определения разностей энергий поворотных изомеров сложных молекул. Пентин Ю. А., Татаевский В. М., Ж. физ. хим., 1957, 31, № 8, 1830—1838 (рез. англ.)

Рассмотрена теория о возможности определения разностей энергий ( $\Delta U$ ) всех поворотных изомеров сложных молекул по данным о температурной зависимости отношения интенсивностей двух спектральных линий ( $I_\alpha$  и  $I_\beta$ ), когда каждая из этих линий относится сразу к нескольким изомерам (как, напр., в случае галлоидных алкилов). Принято, что группа изомеров  $\alpha$  включает  $i$  изомеров, а группа  $\beta$  —  $l$  изомеров. Выведено ур-ние:  $I_\alpha/I_\beta = B_{11}^{\alpha\beta} \exp(-\Delta U_{11}^{\alpha\beta}/RT) \{ [g_1^\alpha + g_2^\alpha B_{21}^{\alpha\beta} \exp(-\Delta U_{21}^{\alpha\beta}/RT) + \dots + g_j^\alpha B_{j1}^{\alpha\beta} \exp(-\Delta U_{j1}^{\alpha\beta}/RT)] / [g_1^\beta + g_2^\beta B_{21}^{\beta\alpha} \exp(-\Delta U_{21}^{\beta\alpha}/RT) + \dots + g_l^\beta B_{l1}^{\beta\alpha} \exp(-\Delta U_{l1}^{\beta\alpha}/RT)] \}$  (1), содержащее миним. число постоянных, подлежащих определению. Здесь  $g$  — статистич. веса изомеров, а  $B$  — постоянные, включающие отношение нулевых интенсивностей и энтропийный член. Показано, что решая систему 2 ( $j+l$ ) — 2 ур-ний вида (1), принципиально возможно определить все значения  $\Delta U_{nt}$ .

Выяснен физ. смысл определяемых обычно в таких случаях эффективных значений  $\Delta U$  поворотных изомеров.

Ю. Пентин

27660. Алициклические соединения с четвертичным атомом углерода. VI. Поворотная изомерия 2-этоксикарбонил-1-оксациклопропан-спиро-циклоанов. Шюрдолу, Матье, Дельсемм (Composés alicycliques à carbone quaternaire. VI. Isomérisie de rotation des 2-éthoxycarbonyl-1-oxacyclopropane-spiro-cyclanees. Chiurdoglu G., Mathieu M., Delsemmé A.), Bull. Soc. chim. belges, 1956, 65, № 7-8, 675-683 (франц.)

У 2-этоксикарбонил-1-оксациклопропан-спиро-циклогексана (I), его аналогов и некоторых их метилированных производных в жидком состоянии или в неполярных р-рителях обнаруживают отчетливое удвоение колебательной частоты  $\nu_{C=O}$  в ИК-спектре или спектре комб. рас  $\sim 1730$  и  $1750$  см $^{-1}$ . 1-Этоксикарбонил-1-оксациклопропан-спиро-циклогексан (II) и его аналоги не дают удвоения. Приведены кривые ИК-спектров I и II. Удвоение не обусловлено наличием примесей и не является следствием резонанса Ферми, так как для последнего не соблюдаются все необходимые условия. Для удвоения  $\nu_{C=O}$  замена  $CH_2$  в 3-членном цикле на O необходима, но недостаточна, так как у 2-этоксикарбонил-4-оксациклопропана (III) не обнаруживается удвоения; последнее появляется лишь при замещении N в положении 3 оксиранового цикла III на  $CH_2$  или  $CH_3$ . Рассмотрение модели I и расчет показывают, что возможные повторные *цис*- и *транс*-изомеры, образуемые вращением  $C_2H_5OCO$  в экваториальной форме I, вследствие низкого «стерич.» потенциального барьера также не могут вызвать удвоения. Последнее обусловлено наличием *з-цис* и *з-транс*-изомеров, образующихся вследствие сопряжения асимметич. оксиранового цикла с двойной связью  $CO$ -группы; частоты  $1750$  и  $1730$  см $^{-1}$  отнесены к *цис*- и соответственно *транс*-изомерам. В Na-соли к-ты, полученной омылением I, благодаря равноценности обоих атомов O в  $COO^-$  исчезает изомерия и вызываемое ею удвоение. Часть V см. РЖХим, 1958, 20395.

А. Сергеев

27661. Внутреннее вращение. X. Спектр комбинационного рассеяния жидкого 1-хлор-2-бромэтана-1,1- $D_2$ . Уилмшерст, Бернштейн (Internal rotation. X. The Raman spectrum of liquid 1-chloro-2-bromoethane-1,1- $d_2$ . Wilmsheurst J. K., Bernstein H. J.), Canad. J. Chem., 1957, 35, № 7, 734—736 (англ.)

С целью изучения поворотной изомерии  $ClD_2C-CH_2Br$  (I) исследован спектр комб. рас. жидкого I с помощью фотоэлектрич. методики. Измерена такая степень деполаризации спектральных линий. По аналогии с нейдетерированной молекулой проведено отнесение всех частот обоих поворотных изомеров (*транс*- и *гош*-), за исключением крутильных колебаний. Исследована температурная зависимость отношения интенсивностей I линий, отвечающих валентным колебаниям  $C-Cl$  для *транс*-изомера ( $696$  см $^{-1}$ ) и  $C-Br$  для *гош*-изомера ( $541$  см $^{-1}$ ). Зависимость  $\ln J_{C-Cl}/J_{C-Br}$  от  $1/T$  в интервале от  $-3$  до  $+100^\circ$  хорошо описывается прямой линией. Из наклона прямой определена разность энергий  $\Delta E$  *гош*- и *транс*-форм ( $489 \pm 100$  кал/моль), что находится в хорошем согласии со значением  $\Delta E$  для нейдетерированной молекулы ( $395 \pm 160$  кал/моль) (Аронов О. Л. и др., Докл. АН СССР, 1948, 50, 387). Часть IX см. РЖХим, 1958, 6975.

О. Птицын

27662. IV. Рефракция водородной связи в неорганических соединениях. Бацанов С. С., Ж. неорг. химии, 1957, 2, № 3, 628—631

Измерена дисперсия показателей преломления



14. Фторсодержащих солей K и NH<sub>4</sub>. По этим данным и плотностям, измеренным пикнометрически или вычисленным из литературы, вычислены мол. рефракции (R). Сравнение R аналогичных солей показывает стандартную разницу, равную 1,60 см<sup>3</sup> в отсутствие водородных связей (BC), и заметное повышение R при наличии BC. Экзальтация R приписана эффекту образования BC. Показано, что рефракции BC растут по мере увеличения отрицательных зарядов на атоме F и уменьшения числа атомов H, с которыми образует связь атом F. Специфич. особенности в синтезах фторсодержащих соединений объяснены с позиций образования BC в этих в-вах. Часть III см. РЖХим, 1958, 6974. С. Бацапов

27663. Внутримолекулярная водородная связь и спектры поглощения в ультрафиолетовой области. III. Электронные спектры аминокетофенонов и их некоторых производных. IV. Влияние растворителей на электронные спектры аминокетофенонов и их некоторых производных. Луцкий А. Е., Дорофеев В. В., Ж. общ. химии, 1957, 27, № 4, 1059—1064; 1064—1072

III. Исследованы УФ-спектры поглощения в изоксане о- (Ia), м- (Ib) и п-амино- (Iв), о- (IIa), м- (IIb) и п-ацетамин- (IIв) и о- (IIIa), м- (IIIb) и п-диметиламинокетофенонов (IIIв). Найдено, что Ia и IIa поглощают в более длинноволновой области, чем Ib и IIb; при переходе от Ia к IIIa наблюдается гипсохромный, а от Ib к IIIb — батохромный сдвиг. Авторы относят особенности спектров Ia и IIa за счет образования внутримолекулярной водородной связи. Ib получен восстановлением м-нитроацетофенона, т. пл. 99,2° (из воды). Iв синтезирован конденсацией C<sub>6</sub>H<sub>5</sub>NHCOCH<sub>3</sub> и CH<sub>3</sub>COCl, т. пл. 106° (из воды). II получены р-цией I и (CH<sub>3</sub>CO)<sub>2</sub>O; перечисляются в-во, т. пл. в °C (из воды): IIa, 77; IIb, 129; IIв, 166. III синтезированы р-цией I и CH<sub>3</sub>J, перечисляются в-во, т. кип. в °C, т. пл. в °C: IIIa, 105, —; IIIb, —, 41; IIIв, —, 106.

IV. Для проверки предположения (см. выше) о наличии водородной связи у Ia и IIa УФ-спектры Ia — Ib, IIa — IIв и IIIa — IIIв изучены также в этиловом эфире, спирте и воде. Наблюдаемые факты подтвердили указанное предположение. Часть II см. Ж. физ. химии, 1945, 19, 286. А. Сергеев

27664. Спектрофотометрические исследования органических веществ. VIII. Влияние водородной связи на ультрафиолетовые спектры поглощения (главным образом коротковолновые полосы поглощения) различных гетероциклических N-оксисоединений. IX. Влияние водородной связи на ультрафиолетовый спектр поглощения антипирина. Кубота (Kubota Tanekazu), Якугаку дзасси, J. Pharm. Soc. Japan, 1957, 77, № 7, 785—789, 818—819 (японск.; рез. англ.)

VIII. Исследованы константа равновесия K и степень смещения УФ-поглощения при образовании водородной связи (BC) 1-окси-2-пиридином (I), 1-окси-3-пиридином (II), 1-окси-2,6-лутидином (III) и 2-окси-4-пиридином (IV) — с одной стороны, и этанолом (V) в гептане — с другой. Получены следующие результаты. 1. Во всех этих случаях очевидно образование BC и полосы поглощения π — π\* и π — π\*\* обнаруживают заметное гипсохромное смещение. Эти общие свойства рассмотрены в связи с дипольным моментом μ<sub>g</sub> и μ<sub>v</sub> в основном и возбужденном состояниях, а также с эффектом электронной миграции. 2. Значение K после образования BC I, II, III, IV с V составляет, соответственно, 14,9; 16,4; 6,06 и 14,0. На основании этих значений рассмотрено соотношение между структурой и способностью образовывать BC.

IX. Количественно изучено влияние BC на спектр антипирина (VI) в ближней УФ-области в трехкомпонентной системе с этанолом (VII) и гептаном в качестве р-рителя. Оказалось, что образование BC между VI и VII происходит при их соотношении 1:1, причем константа равновесия K равна 5,42. Полоса поглощения 280,5 мμ претерпевает при образовании BC гипсохромное смещение на 713 см<sup>-1</sup>, тогда как полоса 239,5 мμ смещается батохромно на 1020 см<sup>-1</sup>. Эти эксперим. результаты объясняются строением VI как мезоонного соединения. Предполагается, что полоса 239,5 мμ отчасти обусловлена бензольным кольцом VI. Часть VII см. РЖХим, 1957, 40305. Резюме автора

27665. Диэлектрическая поляризация систем с водородной связью. II. Комплексы органических кислот с хинолином, акридином и триэтиламиноном. Собчик, Сыркин (Polaryzacja dielektryczna układów z wiązaniem wodorowym. II. Kompleksy kwasów organicznych z chinoliną, akrydyną i trójetylamoiną. Sobczyk Lucjan, Syrkina Jakow K.), Roczn. chem., 1956, 30, № 3, 893—899 (польск.; рез. русск.) Проводились измерения диэлектрич. поляризации 3-компонентных систем: индифферентный р-ритель, к-та, основание. Рассматривается влияние свойств основания: дипольного момента (μ), константы ионизации и валентного состояния протоноакцептора, на поляриность водородной связи Δε. Исследовались комплексы (K), образованные пиридином (I), хинолином (II), акридином (III) и триэтиламиноном (IV) с органич. к-тами: пропионовой (V), хлоруксусной (VI), трихлоруксусной (VII) и пириневой (VIII) в бензоле. Методы измерения такие же, как в части I (РЖХим, 1958, 23912). Установлено, что 1) μ K с I, II, III со всеми исследуемыми сильными к-тами возрастают по мере роста числа сопряженных двойных связей ароматич. ядра основания; 2) Δε не зависит от μ взаимодействующих в-в; 3) на Δε не оказывают решающего влияния константы ионизации протоноакцепторов; 4) особенно высокой Δε обладают K, образованные IV с V — VIII. Сделан вывод, что величина Δε обусловлена валентным состоянием атома — акцептора. Свободная электронная пара азота проявляет донорные свойства в значительно высшей степени в соединениях алифатич. ряда (IV), чем в ароматич. (I — III). Выдвинута гипотеза, что значение поляриности водородного мостика может служить мерой силы к-т и оснований в неполярных р-рителях, а также может быть одной из важнейших величин, характеризующих водородные мостиковые системы. А. Fuliński

27666 Д. Определение энергии электронного сродства методом поверхностной ионизации. Бакулина И. Н. Автореф. дисс. канд. хим. н. ЛГУ, Л., 1957

См. также: Структура молекул: органич. 28616; по рентген. данным 27696—27701. Энергия связей 27846, 27856, 28035. Спектры 28166. Дипольные моменты и диэлектрич. св-ва 27718, 28169, 28620. Магнитные св-ва 27753—27756, 27758, 27759, 28206. Реакц. способность 28172, 28645, 28656. Межмол. взаимодействие и водородная связь 28631. Стерическое влияние 28212, внутримолекулярное окисление 28650

## КРИСТАЛЛЫ

Редакторы Э. А. Гулинская, А. Б. Нейдине, А. Б. Шегтер

27667. Упаковка цепочечных молекул. II. Сложные молекулы парафинов. Китайгородский А. П., Кристаллография, 1957, 2, № 5, 646—652

На основе теории плотной упаковки молекул дается вывод параметров и симметрии возможных слоев молекул парафинов. Часть I см. РЖХим, 1958, 6981.

Резюме автора

27668. Кристаллография и кристаллофизика. Либберман (Crystallography and crystal physics. Lieberman David S.), Phys. Today, 1957, 10, № 11, 50—54 (англ.)

Сообщение о состоявшихся в июле 1957 г. двух конференциях: Международного конгресса по современным проблемам кристаллофизики (Массачусетс, Технологический институт) и IV международного конгресса кристаллографич. союза (Монреаль, Квебек, Канада).

27669. Точечные группы симметрии кристаллов и их физическая интерпретация. Желудев Н. С., Кристаллография, 1957, 2, № 6, 728—733

Показано, что 32 кристаллографич. точечные группы могут быть получены путем скалярных, векторных и тензорных воздействий на куб. Высказывается предположение, что получающемуся при этом многообразию групп, имеющих одинаковую симметрию, соответствуют различие в свойствах кристаллов, принадлежащих к одной и той же группе симметрии.

Резюме автора

27670. Об определении кристаллографических направлений. Дейвиссон, Пастернак (On the determination of crystallographic directions. Davisson J. W., Pasternak J.), Acta crystallogr., 1957, 10, № 11, 711 (англ.)

Указывается на возможность определения кристаллографич. направления  $R_2$  (непосредственно из гониометрич. измерений) при использовании ранее выведенных ур-ний (РЖХим, 1957, 68233) и соотношений:  $\theta = \theta_{02}$ ,  $\varphi = \cos^{-1}\{(\cos\theta_{12} - \cos\theta_{01}\cos\theta_{02})/\sin\theta_{01}\sin\theta_{02}\}$ , где  $\theta_{01}$ ,  $\theta_{02}$  и  $\theta_{12}$  — углы между направлениями  $R_0$ ,  $R_1$  и  $R_2$ ;  $R_0$  и  $R_1$  — известные направления.

О. Гайсинская

27671. Новая формулировка температурной зависимости дебаевской характеристической температуры; следствие для теории Дебая — Валлера. Паскин (A reformulation of the temperature dependence of the Debye characteristic temperature and its effect on Debye — Waller theory. Paskin Arthur), Acta crystallogr., 1957, 10, № 10, 667—669 (англ.)

С помощью константы Грюнайзена дано выражение температурной зависимости интенсивности дифрагированных кристаллом рентгеновских лучей  $I$  через объем кристалла. Для кристаллов KCl (I) и NaCl (II) выведенная зависимость дает приблизительно те же результаты, что и ф-ла, использовавшаяся ранее (Zener C., Bilinsky S., Phys. Rev., 1936, 50, 104). Фактор Дебая — Валлера преобразован так, что зависимость  $I$  от  $T$ -ры изображается прямой, угол наклона которой связан с величиной дебаевской характеристич.  $T$ -ры  $\Theta$ . Соответствующие комнатной  $T$ -ре значения  $\Theta$  найдены равными 231° K для I и 302° K для II, что близко к величинам, полученным ранее из измерений уд. теплоемкости (Джеймс, Р. Оптические принципы дифракции рентгеновских лучей. М., 1950, стр. 205). Отмечается, что I дает лучшее соответствие теории, чем II; это объяснено близостью масс атомов K и Cl.

П. Зоркий

27672. Примечания к данным рентгенограмм порошков Американского общества исследования материалов. Хьюз, Льюис, Вильсон (Comments on the A.S.T.M. Powder Data File. Hughes J. W., Lewis Isabel E., Wilson A. J. C.), J. Scient. Instrum., 1957, 34, № 5, 241 (англ.)

Указывается, что ежегодно будут публиковаться примечания к таблицам рентгенограмм порошков. См. также РЖХим, 1956, 60844.

О. Г.

27673. Расчет структурных факторов с помощью видоизмененной оптической машины Эллера. II. Фотометрическая оценка. Перес-Родригес, Куберо, Лопес-Кастро (Calculo de factores de estructura mediante una modificación de la maquina optica de Eller. II. Estimación fotométrica. Pérez Rodríguez M., Cubero Mercedes, López Castro Amparo), An Real. soc. esp. fis. y quim., 1957, A53, № 5-6, 95—100 (исп.; рез. англ.)

Описан метод, позволяющий быстро рассчитать структурные факторы с помощью видоизмененной оптич. машины Эллера. Численные величины всех структурных факторов в одно- и двумерном пространстве получали одновременно с фотометрич. данными на фотографиях. Подчеркивается, что результаты достаточно точны для предварительного определения структуры. Сообщение 1 см. РЖХим, 1958, 23923.

Резюме авторов

27674. Рассеяние рентгеновских лучей под малыми углами гетерогенным веществом. I. Теория. Лузати (Diffusion centrale multiple des rayons X par la matière hétérogène. I. Etude théorique. Luzzati V.), Acta crystallogr., 1957, 10, № 10, 643—648 (франц.; рез. англ.)

Приводится обобщенный расчет угловой зависимости интенсивности рассеяния и рассматриваются, в качестве примеров, два частных случая, для которых получаются конкретные ф-лы; а) когда гетерогенность обусловлена непрерывными флуктуациями электронной плотности, б) когда образец содержит зерна одного в-ва (с однородной электронной плотностью), погруженные в среду с другой однородной электронной плотностью.

Б. Пинес

27675. Гексагональные упорядоченные фазы в системах титан — алюминий и титан — индий. Андерко, Загель, Цвиккер (Hexagonale Ordnungsphasen in den Systemen Titan — Aluminium und Titan — Indium. Anderko Kurt, Sagel Konrad, Zwickler Ulrich), Z. Metallkunde, 1957, 48, № 2, 57—58 (нем.; рез. англ.)

Рентгенографически исследованы фазы в системах Ti — Al (6—15% Al), Ti — In и Ti — Al — In. Применялось Cu-K $\alpha$ -излучение, вторичное характеристич. излучение образцов отфильтровывалось Al-фольгой толщиной 40  $\mu$ . На рентгенограммах Ti — In сплава (39% In) найдены сверхструктурные линии, отвечающие гексагон. ячейке с параметрами  $2a$  и  $c$ . Это приводит к заключению о существовании гексагон. упорядоченной фазы Ti<sub>3</sub>In. Для системы Ti — Al установлено существование упорядоченной фазы Ti<sub>3</sub>Al, типичной Ti<sub>3</sub>In. Обе фазы образуют непрерывный ряд твердых р-ров. Предполагается возможность полной взаимной растворимости в фазах Ti<sub>3</sub>In — Ti<sub>3</sub>Sn. А. Р.

27676. Синтезы, кристаллические решетки и некоторые электрические свойства теллуридов и селенидов индия. Сугаике (Synthesis, crystal lattices and some electrical properties of indium tellurides and selenides. Sugaike Suezio), Mineral J., 1957, 2, № 2, 63—77 (англ.)

Синтезированы методом сдвоенной печи (Lawson W. D., J. Appl. Phys., 1951, 22, 1444) и исследованы рентгенографически InTe (I), In<sub>2</sub>Te<sub>3</sub> (II), InTe<sub>3</sub> (III), InSe (IV) и In<sub>2</sub>Se<sub>3</sub> (V). Все изученные соединения являются полупроводниками. II и IV хуже проводят ток, причем их проводимость носит до некоторой степени ионный характер, I, III и V имеют более высокую электропроводность, порядка  $1 \sim 1 \cdot 10^4$  (ом см)<sup>-1</sup> при комнатной  $T$ -ре. Для V по кривым температурной зависимости электропроводности обнаружен особый фазовый переход при 200°. Для I и II определены параметры решетки, подтверждающие правильность ранее полученных данных (РЖХим, 1955, 39554; 1956,



31723). Для III установлена монокл. сингония,  $a$  19,7,  $b$  4,37,  $c$  12,8,  $\beta$  101°,  $\rho$  6,08;  $Z = 8$ , ф. гр.  $C2/m$ ,  $C2$  или  $Cm$ ; для IV — гексагон. симметрия,  $a$  19,2,  $c$  4,00,  $\rho$  5,72,  $Z = 22,7 \pm 0,4$  ф. гр.  $C6_22$ ; для V — гексагон. симметрия,  $a$  4,00,  $c$  19,24, ф. гр.  $C6/mmc$ ,  $C6mc$  или  $C6_22$ . Симметрия изученных соединений сопоставляется с симметрией халькогенидов других элементов III и подгруппы.

27677. Рентгенографическое исследование двойного сплава, содержащего металлы с различными кристаллическими структурами, валентностями и ионными радиусами. Чаттерджи, Мукхерджи, Сом (X-ray diffraction studies of a binary alloy containing metals with dissimilar crystal structures valencies and ionic radii. Chatterjee G. P., Mukherjee J. K., Som K. C.), Trans. Indian Inst. Metals, 1955—1956, 9, 219—225 (англ.)

Проведено рентгеновое исследование кристаллич. структуры сплава  $Cu_2Mg$  (метод порошка,  $\lambda$  Co-K $\alpha$ ). Симметрия куб. с параметром решетки  $a$  7,064 Å,  $z = 8$ ,  $\rho$  (изм.) 5,19,  $\rho$  (рент.) 5,687. Методом проб установлена принадлежность  $Cu_2Mg$  к структурному типу, близкому к куб.  $ZnS$ . Связь  $Cu - Mg$  не является числом металлической.

27678.  $\sigma$ -Фаза в системе Ru—W. Обровский (Eine  $\sigma$ -Phase im System Ru-W. Obrowski Walter), Naturwissenschaften, 1957, 44, № 22, 581 (нем.). Новые исследования системы Ru—W показали, что ранее отрицавшаяся  $\sigma$ -фаза (Raub E., Walter P. Feitschr. W. C. Heraeus, 1951, S. 3; РЖХим, 1957, 30715) образуется при перитектич. р-ции сплава со смешанными кристаллами W и имеет состав  $Ru_2W_3$  (75 вес. % W) и  $\sigma$ -структуру с параметрами  $a$  9,55 Å,  $\rho$  0,52. Фаза устойчива при  $t$ -рах  $> 1650^\circ$ ; при более низких  $t$ -рах она распадается на эвтектично смешанные кристаллы W и Ru.

27679. Дискуссия по статье: Глейзер, Иваник «Изучение превращения разупорядочения в сплавах Fe—Si». Сато. — Ответ авторов (Study of the Fe—Si order-disorder transformation by Frank W. Glasser and W. Ivanick. Discussion. Sato Hiroshi. Authors' reply), J. Metals, 1957, 9, № 4, Sec. 2, 529—530 (англ.)

РЖХим, 1957, 60082.

27680. Кристаллические структуры моносилицидов осмия, иридия и рутения. Корст, Финни, Серни (The crystal structures of the monosilicides of osmium, iridium and ruthenium. Korst William L., Finnie Lies N., Searcy Alan W.), J. Phys. Chem., 1957, 61, № 11, 1541—1543 (англ.)

Моносилициды OsSi, IrSi, RuSi получены методом спекания порошков (РЖХим, 1955, 11472). Структура определена по рентгенограммам порошков. OsSi — структура типа FeSi (ф. гр.  $P 2_13$ ),  $a$  4,729 Å; положение атомов: Os  $x$  0,14, Si  $z$  0,84. IrSi — структура типа  $MnP$ ,  $a$  5,558,  $b$  3,211,  $c$  6,273, ф. гр.  $Pnma$ . Положение атомов (In  $x$  0,005,  $z$  0,200, Si 0,19, 0,57) определено сравнением эксперим. и вычисленных интенсивностей. Подтверждено установленное ранее (Buddery H. N., Welch A. J. E., Nature, 1951, 167, 362) существование двух модификаций RuSi. Структура 1-й модификации — тип CsCl,  $a$  2,909 Å. Для 2-й модификации предполагается куб. ячейка;  $a$  4,73 Å, структурный тип FeSi.

27681. Структуры сульфидов хрома. Еллинек (The structures of the chromium sulphides. Jellinek F.), Acta crystallogr., 1957, 10, № 10, 620—628 (англ.)

Рентгенографически ( $\lambda$ Mo-K $\alpha$  и  $\lambda$ Cu-K $\alpha$ ) изучены сульфиды Cr в ряду от Cr до  $CrS_{1,50}$ , полученные нагреванием в вакууме при  $1000^\circ$  смесей соответствую-

щих составов; в случае фаз, где содержание Cr выше, чем в  $Cr_{0,88}S$ , продукты подвергались длительному нагреванию при  $300^\circ$ . Этим способом не удалось получить фаз с содержанием серы более высоким, чем в  $Cr_{0,67}S$ . При комнатной  $t$ -ре отмечено наличие следующих фаз: куб  $\alpha$ -Cr (I), монокл. CrS (II), тригон.  $Cr_7S_8$  (III), тригон  $Cr_5S_6$  (IV), монокл.  $Cr_3S_4$  (V), тригон.  $Cr_2S_3$  (VI), ромбоэдрич.  $Cr_2S_3$  (VII). Области гомогенности всех этих фаз очень узки. В отличие от предыдущих исследований сульфидов (Haraldsen H., Z. anorgan., Chem., 1937, 234, 372; Rüdorff W., Stegemann K., Z. anorgan., Chem., 1943, 251, 376), учитывалось большое кол-во сверхструктурных рефлексов. Параметры решетки: I  $a$  2,885 Å,  $\rho$  (выч.) 7,193; II  $a$  3,826,  $b$  5,913,  $c$  6,089,  $\beta$  101°36',  $\rho$  (эксп.) 4,241, ф. гр.  $C2/c$ ; III  $a$  3,459—3,464,  $c$  5,761—5,763,  $\rho$  (эксп.) 4,260, ф. гр.  $P3m1$ ; IV  $a$  5,982,  $c$  11,509,  $\rho$  (эксп.) 4,239, ф. гр.  $P31c$ ; V  $a$  5,964,  $b$  3,468,  $c$  11,272,  $\beta$  91°30', ф. гр.  $I2/m$ ; VI  $a$  5,939—5,943,  $c$  11,192—11,171,  $\rho$  (выч.) 3,972, ф. гр.  $P31c$ ; VII  $a$  5,937—5,939,  $c$  16,698—16,65,  $\rho$  (выч.) 3,922, ф. гр.  $R3$ . Кристаллы II исследовались методами порошка и Вейсберга. Найдено, что выделенный кристалл представляет собой эпитаксич. сросток II и III. Высказывается предположение, что II образуется за счет р-ции между I и III, протекающей в твердой фазе. Структура II является промежуточной между структурами NiAs и PtS и формально изотипна структуре CrO, однако, по мнению авторов, в связи с различием в форме ячеек, II надо рассматривать как самостоятельный структурный тип. Остальные фазы изучались только методом порошка. Кристаллы III имеют структуру, промежуточную между NiAs и Cd(OH) $_2$ ; каждый второй металлический слой ( $\perp$  тригон. оси) — неупорядоченный, возможна, однако, некоторая степень ближнего порядка. Структуры остальных в-в также промежуточны между типами NiAs и Cd(OH) $_2$ , но здесь наблюдается полная упорядоченность. Структура IV найдена одинаковой при  $10^\circ$  и при  $60^\circ$ , т. е. выше и ниже  $t$ -ры Нееля ( $\sim 30^\circ$ ); ферромагнитные кристаллы обладают отчетливой магнитной анизотропией (магнитно отрицательны). Приведены координаты атомов в изученных структурах. Из малых величин расстояний Cr—Cr сделан вывод о наличии связей металл—металл. Взаимная связь структур изученных сульфидов (кроме II) указывает на сходство системы Cr—S с бертоллидной системой. Подтверждено ранее высказанное предположение (РЖХим, 1956, 197) об упорядочении ионных структур (исключением является III). Рассмотрены магнитные свойства кристаллич. структур, относящихся к типу NiAs.

П. Зоркий  
27682. Исследование кристаллической структуры галогенидов рубидия при высоком давлении. Вережанин Л. Ф., Кабалкина С. С., Докл. АН СССР, 1957, 113, № 4, 797—798

Исследована кристаллич. структура RbJ и RbCl при давл. 11 000 и 7500  $\kappa\Gamma/\text{см}^2$  в рентгеновской камере высокого давления конструкции Л. Ф. Вережанина и И. В. Брандт. Исследуемое в-во в виде цилиндрич. столбика диам. 0,6 мм, получаемого предварительной прессовкой в-ва под давлением, помещали в канал Ве-конуса, заполненный Li. Съемка проводилась на монохроматич. Cu-излучении. На одной пленке получали 2 рентгенограммы под давлением и без давления. Оценку давления производили по сжимаемости  $Li - \Delta v/v = 3\Delta d/d$ , при этом использовали данные Бриджмена для декрементов объема. Как показывают полученные данные, при высоком давлении и комнатной  $t$ -ре RbJ и RbCl имеют структуру типа CsCl.

С. Кабалкина  
27683. О кристаллических структурах гексагональной  $HgO$  и  $Hg_2O_2NaJ$ . Ауривиллиус, Карлссон

(Note on the crystal structures of hexagonal  $\text{HgO}$  and  $\text{Hg}_2\text{O}_2\text{NaJ}$ . Aurivillius Karin, Carlsson Inga-Britt, Acta chem. scand., 1957, 11, № 6, 1069 (англ.)

Методом порошка изучена гексаг.  $\text{HgO}(\lambda\text{Cu-K}_\alpha)$ :  $a$  3,577;  $c$  8,681 Å;  $Z=3$ , ф. гр.  $P$  3,21.  $\text{Hg}$  в 3(а) с  $x=0,745$ ;  $\text{O}$  в 3(б) с  $x=0,46$ ;  $\text{Hg}-\text{O}$  2,03,  $\angle \text{OHgO}$  109°;  $\angle \text{OHgO}$  180°. В структуре имеются бесконечные спиральные цепочки  $-\text{O}-\text{Hg}-\text{O}-$  параллельно оси  $c$ . Для  $\text{Hg}_2\text{O}_2\text{NaJ}$ :  $a$  6,667;  $c$  10,054 Å;  $Z=3$ ; ф. гр.  $P6_322$ ;  $\text{Hg}$  в 6(ф) с  $x=1/3$ ;  $\text{J}$  в 3(с). Л. Ковба

27684. О кристаллической структуре монооксида ниобия. Андерссон, Магнели (Note on the crystal structure of niobium monoxide. Andersson Georg, Magneli Arne), Acta chem. scand., 1957, 11, № 6, 1065—1066 (англ.)

Рентгенографически (Г—М-дифрактометр,  $\lambda$  Cu, метод порошка) подтверждена ранее предложенная (Brauer G., Z. anorgan. Chem., 1941, 248, 1) структура  $\text{NbO}$  (дефектная структура типа  $\text{NaCl}$  с вакантными позициями 0, 0, 0 и  $1/2, 1/2, 1/2$ );  $a$  4,210 Å (20°),  $c$  7,3,  $Z=3$ . Л. Ковба

27685. Предварительное исследование полиморфизма, связанного с высоким давлением до 24,000 бар, с помощью рентгеновской дифракции; некоторые замечания о кальците II. Джеймсон (Introductory studies of high-pressure polymorphism to 24,000 bars by X-ray diffraction with some comments on calcite II. Jamieson John C.), J. Geol., 1957, 65, № 3, 334—343 (англ.)

Рентгенографически исследована кристаллич. структура  $\text{KJ}$ ,  $\text{Cd}$  и кальцита под давлением до 24 500  $\text{кг/см}^2$ . Исследуемое в-во помещали в цилиндр высокого давления, в качестве которого служил монокристалл алмаза весом примерно в 3 карата; в алмазе, параллельно направлению куб. оси, был просверлен канал диам. 0,37 мм, длиной 4,21 мм, поверхность которого тщательно полировалась. Применялись камера и миниатюрный пресс, описанные ранее (Lawson A. W., Riley A. N., Rev. Sci. Instruments, 1949, 20, 763). Получены снимки  $\text{KJ}$  при давл. 22 433 и 24 473  $\text{кг/см}^2$ , а также до и после давления. При 22 433  $\text{кг/см}^2$  переход частичный, при 24 473 — полный. Модификация при высоком давлении имеет куб. структуру типа  $\text{CsCl}$  с  $a$   $4,13 \pm 0,02$  Å. Снимки порошкового  $\text{Cd}$  ( $\sim 0,01\%$   $\text{Pb}$ ;  $\sim 0,01\%$   $\text{Cu}$  и  $\sim 0,001\%$   $\text{Ag}$ ), разбавленного с тремя частями стеарата  $\text{Zn}$ , получены при давл. 0, 4079, 10 497 и 16 345  $\text{кг/см}^2$ . Никаких изменений структуры на снимках не обнаружено. Автор предполагает, что найденный Бриджменом скачок линейной сжимаемости для монокристалла  $\text{Cd}$  является результатом двойникования, а не полиморфного перехода. Полученные при 24 881  $\text{кг/см}^2$  рентгенограммы спектрально чистого кальцита относятся, видимо, к кальциту II; они отличаются от рентгенограмм обычного кальцита заметным ослаблением далеких пятен (приписывается напряженному состоянию исследуемого в-ва) и уменьшением относительной интенсивности линии (413) по мере возрастания давления. Последнее объяснено наличием ориентационного беспорядка среди ионов  $\text{CO}_3$ . Приведены термодинамич. доказательства большей стабильности при высоком давлении арагонита по сравнению с кальцитом II и III. Однако превращения кальцита в арагонит под высоким давлением не наблюдалось. С. Кабалкина

27686. Элементарная ячейка и пространственная группа  $\text{Eu}_2(\text{SO}_4)_3 \cdot 8\text{H}_2\text{O}$ . Геллер (Unit cell and space group of  $\text{Eu}_2(\text{SO}_4)_3 \cdot 8\text{H}_2\text{O}$ . Geller S.), Acta crystallogr., 1957, 10, № 11, 713 (англ.)

Параметры решетки  $\text{Eu}_2(\text{SO}_4)_3 \cdot 8\text{H}_2\text{O}$  (I) получены рентгеновской в прецессионной камере:  $a$  18,25,  $b$  6,74,  $c$  13,49 Å;  $\beta$   $102^\circ 15'$ ,  $\rho$  (рент.) 3,02,  $Z=4$ ,

ф. гр.  $A2/a$  или  $Aa$ . I, по-видимому, изоструктурен с кристаллами  $\text{M}_2(\text{SO}_4)_3 \cdot 8\text{H}_2\text{O}$ , где  $\text{M} = \text{Pr}^{3+}, \text{Nd}^{3+}, \text{Sm}^{3+}$  (Ивернова В. И. и др., Изв. АН СССР. Сер. физ., 1951, 15, 164).

27687. Структура аминов галогенидов аммония. Ульвссон (The structure of ammonium halides. Olovsson Ivar), Acta chem. scand., 1957, 11, № 7, 1273 (англ.)

Приводятся данные предварительного рентгеноструктурного анализа соединений  $\text{NH}_4\text{Cl} \cdot 3\text{NH}_3$  (I),  $\text{NH}_4\text{Br} \cdot 3\text{NH}_3$  (II),  $\text{NH}_4\text{I} \cdot 3\text{NH}_3$  (III) и  $\text{NH}_4\text{I} \cdot 4\text{NH}_3$  (IV), выполненного при  $t$ -рах  $-35$ ,  $-80$  и  $-140^\circ$ . Показано отсутствие полиморфных превращений в этом интервале  $t$ -р для всех соединений. Параметры решетки: I  $a$  8,795,  $b$  8,68 с 8,989 Å (при  $-35^\circ$ ),  $Z=4$ , ф. гр.  $P2_12_12_1$ . II  $a$  8,96,  $b$  8,996,  $c$  9,263 Å, III  $a$  8,32,  $b$  9,91,  $c$  9,96 Å (при  $-35^\circ$ ); II и III изоморфны I; IV  $a$  8,94,  $c$  6,55 Å (при  $-140^\circ$ ),  $Z=2$ , ф. гр.  $P4/n$ . В структуре I методом сечений Паттерсона — Харкера найдены координаты атомов Cl. Координаты атомов N определены по проекциям и сечениям Фурье. Ион  $\text{NH}_4^+$  тетраэдрически окружен  $3\text{NH}_3$  и ионом  $\text{Cl}^-$ . Расстояния:  $\text{N}-\text{Cl}$  3,26; 2,83; 2,88 и 2,93 Å. Е. Шутам

27688. Некоторые двойные окислы четырехвалентного молибдена. Мак-Карролл, Кац, Уорд (Some ternary oxides or tetravalent molybdenum. McCarrroll William H., Katz Lewis, Ward Roland), J. Amer. Chem. Soc., 1957, 79, № 20, 5410—5414 (англ.)

Проведено исследование кристаллич. структуры, электрич. и магнитных свойств изоморфных соединений типа  $\text{A}_2\text{Mo}_8\text{O}_{24}$ , где  $\text{A} = \text{Mg}$  (I),  $\text{Mn}$  (II),  $\text{Fe}$  (III),  $\text{Co}$  (IV),  $\text{Ni}$  (V),  $\text{Zn}$  (VI),  $\text{Cd}$  (VII). Соединения получены длительным прокаливанием без доступа воздуха смеси  $\text{MoO}_3$ ,  $\text{Mo}$  и  $\text{AO}$ . Методами порошка ( $\lambda\text{Cu-K}_\alpha$ ) определены параметры гексагон. решетки: I  $a$  5,761,  $c$  9,893 Å,  $\rho$  (изм.) 5,30,  $\rho$  (рент.) 5,43; II 5,795; 10,267; 5,75; 5,85; III 5,782; 10,046; 6,04; 6,02; IV 5,767; 9,915; 6,21; 6,21, V 5,752, 9,865; 6,22; 6,26; VI 5,775; 9,915; 6,23; 6,33; VII 5,835, 10,815; 6,75; 6,87; вероятная ф. гр.  $P6_3mc$ ,  $Z=2$ . Съемки монокристаллов проводились методами колебаний, вращения и рентгенгонометра ( $\lambda\text{Cu-K}_\alpha$ ,  $\text{Mo-K}_\alpha$ ). Структуры VI и I изучались детально методом проб и расчетом проекций Фурье. Фактор достоверности  $R$  равен 0,118 для VI и 0,108 для II. Межатомные расстояния: VI  $\text{Mo}-\text{O}_{(1)}$  1,98,  $\text{Mo}-\text{O}_{(2)}$  2,21,  $\text{Mo}-\text{O}_{(3)}$  2,07,  $\text{Mo}-\text{O}_{(4)}$  1,91,  $\text{Mo}-\text{Mo}$  2,53 и 3,25,  $\text{Zn}_{(1)}-\text{O}_{(2)}$  1,94 и  $\text{Zn}_{(1)}-\text{O}_{(3)}$  1,92 (тетраэдрич. Zn),  $\text{Zn}_{(2)}-\text{O}_{(3)}$  2,08 и  $\text{Zn}_{(2)}-\text{O}_{(4)}$  2,21 Å (октаэдрич. Zn). Атомы O образуют искаженную плотнейшую упаковку типа  $(abcb)$ , в которой слои атомов O соединяются между собой чередующимися слоями атомов A и Mo. Атомы Mo и половина атомов A располагаются в октаэдрич. пустотах упаковки, остальные атомы A занимают тетраэдрич. пустоты. Атомы Mo образуют трехчленные кольца с длиной связи  $\text{Mo}-\text{Mo}$  2,53 Å, которая меньше соответствующего расстояния в структуре металла. Образование связей  $\text{Mo}-\text{Mo}$  объясняет особенности электрич. и магнитных свойств соединений  $\text{A}_2\text{Mo}_8\text{O}_{24}$ . Попытки получить подобные соединения с W и Re не удалось. Л. Школьников

27689. Окислы урана. Часть VIII. Система двойных урана — окись иттрия. Фергусон, Фогг (The oxides of uranium. Part VIII. The system uranium dioxide — yttria. Ferguson I. F., Fogg P. G. T.), J. Chem. Soc., 1957, Aug., 3679—3681 (англ.)

Рентгенографически (метод порошка,  $\lambda\text{Cu-K}_\alpha$ ) исследована система  $\text{UO}_2-\text{Y}_2\text{O}_3$ . Образцы приготавливались в вакууме, так как они поглощали  $\text{O}_2$  при комнатной



ен  
зм<sup>3</sup>—  
1951,  
ская  
иша.  
омб-  
and,

гено-  
(I),  
(IV),  
зано  
тер-  
етки:  
= 4,  
8,32,  
ы I;  
P4/n.

кера  
омов  
Ион  
Cl—  
угам  
гно  
Some  
Сат-  
Ro—  
5414

алек-  
нений  
I), Со  
учены  
смеси  
елены  
А, р  
5,85;  
24, V  
; VII  
у = 2.

коле-  
Мо-  
тодом  
верно-  
омные  
—O<sub>(3)</sub>  
1,94  
2,08 ш  
азуют

кото-  
реду-  
лови-  
стотат  
адрич.  
льда с  
соот-  
бразо-  
ктрич.  
пытны

дались.  
икова  
токий  
(The  
alish  
С. Т.),

иссле-  
лись в  
натной

р-ре. Между 0 и 65 мол.% YO<sub>1.5</sub> имеется область твердых р-ров с псевдофлюоритной структурой. Зависимость периода ячейки от состава нелинейна, но для 0—25 мол.% YO<sub>1.5</sub> почти линейна. При 96—100 мол.% YO<sub>1.5</sub> существует вторая область твердых р-ров со структурой, близкой Ti<sub>2</sub>O<sub>3</sub>. Измерения плотности указывают на наличие в структурах твердых р-ров вакансий анионов. Часть VII см. РЖХим, 1956, 64681.

Л. Ковба

27690. Рентгенографическое исследование двойных фторидов двухвалентного марганца. Симанов Ю. П., Бацанова Л. Р., Ковба Л. М., Ж. неорг. химии, 1957, 2, № 10, 2440—2445. Методом порошка ( $\lambda\text{Fe-K}_\alpha$ ) изучены NH<sub>4</sub>MnF<sub>3</sub> (тип CaTiO<sub>3</sub>,  $a$  4,230 ± 0,001), KMnF<sub>3</sub> (тип CaTiO<sub>3</sub>,  $a$  4,178 ± 0,003), RbMnF<sub>3</sub> (тип CaTiO<sub>3</sub>,  $a$  4,234 ± 0,001), NaMnF<sub>3</sub> (аналог CaZrO<sub>3</sub>,  $a$  4,152,  $b$  7,994,  $c$  11,492) и CaMnF<sub>3</sub> (тип гексагон BaTiO<sub>3</sub>,  $a$  6,209,  $c$  15,16 кХ).

Л. Ковба

27691. Абсолютная конфигурация хлората натрия. Рамачандран, Чандрасекаран (The absolute configuration of sodium chlorate. Ramachandran G. N., Chandrasekaran K. S.), Acta crystallogr., 1957, 10, № 10, 671—675 (англ.).

Рентгенографически (метод рентгенгонометра,  $\lambda\text{Cu-K}_\alpha$ ) при использовании аномального рассеяния атома Cl определена абс. конфигурация оптически активных кристаллов NaClO<sub>3</sub>, структура которых изучена ранее (Zachariasen W. H., Z. Kristallogr., 1929, 71, 517; Viervoll H., Ögrim O., Acta crystallogr., 1949, 2, 279). При произвольном выборе координатной оси  $x$  две другие оси оказываются фиксированными, что ранее было подтверждено исследованием фотоупругих свойств кристаллов (Ramachandran G. N., Chandrasekaran V., Proc. Indian Acad. Sci., 1951, A33, 199); поэтому направление осей устанавливалось для лево- и правовращающих кристаллов с помощью лауэграмм, причем в обоих случаях использовалась правая система осей координат. Для расчетов использовались интенсивности рефлексов  $hkl$  зоны [011], которые измерялись с помощью Г.—М-счетчика. Получено хорошее совпадение вычисленных и эксперим. значений  $\Delta I = I_{hkl} - I_{\bar{h}\bar{k}\bar{l}}$  (в %). Особо тщательные измерения производились для рефлексов  $h11$  и  $h\bar{1}\bar{1}$ ,  $\bar{h}11$  и  $\bar{h}\bar{1}\bar{1}$ , где  $h = 5$  и  $6$ , для которых значение  $\Delta I$  особенно велико (40%). Найдено, что координаты атомов, соответствующие правовращающим кристаллам, имеют значения (ф. гр. P2<sub>1</sub>3):  $4\text{Na } x = y = z = 0,064$ ;  $4\text{Cl } x = y = z = 0,417$ ;  $12\text{O } x$  0,303,  $y$  0,592,  $z$  0,500. Найденная абс. конфигурация согласуется с результатами расчетов, производившихся ранее на основе общей теории оптич. активности кристаллов (Ramachandran G. N., Proc. Indian Acad. Sci., 1951, A33, 217, 309). П. Зоркий

27692. Использование аномального рассеяния для определения кристаллических структур, KMnO<sub>4</sub>. Рамасешан, Венкатесан, Мани (The use of anomalous scattering for the determination of crystal structures — KMnO<sub>4</sub>. Ramaseshan S., Venkatesan K., Mani N. V.), Proc. Indian Acad. Sci., 1957, A46, № 2, 95—111 (англ.). Рентгенографически (метод Вейссенберга,  $\lambda\text{Cu-K}_\alpha$ ,  $\lambda\text{Fe-K}_\alpha$ ) изучена структура кристаллов KMnO<sub>4</sub>. Для определения структуры использовалось аномальное рассеяние атомов Mn. Применялся цилиндрич. образец. Интенсивности оценивались визуально. Учитывались факторы Лоренца и поляризации, а также поглощения; экспозиция для различных излучений подбиралась так, чтобы компенсировать разницу в коэф. поглощения. Данные, полученные при различных излучениях, приводились к одной относительной шкале по методу, пред-

ложенному ранее (РЖХим, 1957, 50503); отмечается, что применение абс. шкалы оказалось менее успешным. Построены разностные паттерсоновские проекции, в которых в качестве коэф. использовались  $(|F_{\text{Cu}}|^2 - |F_{\text{Fe}}|^2)$  (А) и  $(|F_{\text{Cu}}| - |F_{\text{Fe}}|)^2$  (В), где  $F_{\text{Cu}}$  и  $F_{\text{Fe}}$  — структурные амплитуды одноименных рефлексов, полученные для  $\lambda\text{Cu-K}_\alpha$  и  $\lambda\text{Fe-K}_\alpha$ . Проекция  $P(u0w)$  типа А оказывалась очень сходной с разностной паттерсоновской проекцией, построенной по ранее разработанному методу (РЖХим, 1957, 3532) для данных, которые получались при  $\lambda\text{Cu-K}_\alpha$  от изоморфных кристаллов KMnO<sub>4</sub> и KClO<sub>4</sub>; минимизацией (Buerger M. J., Acta crystallogr., 1951, 4, 531) проекций типа А приблизительно определены координаты всех атомов. На проекциях типа В, аналогичных предложенным ранее для метода изоморфного замещения (РЖХим, 1955, 9070), присутствуют только пики, которые соответствуют векторам, соединяющим аномально рассеивающие атомы; из этих проекций определялось положение атомов Mn. Координаты атомов уточнялись по проекциям электронной плотности и методом наименьших квадратов.  $R_{\text{hol}}$  0,145,  $R_{\text{hko}}$  0,153 (для  $\lambda\text{Cu } K_\alpha$ ). Полученные координаты атомов заметно отличаются от найденных ранее (Mooney R. C. L., Phys. Rev., 1931, 37, 1306). Межатомные расстояния (в А): Mn—O<sub>(1)</sub> 1,56, Mn—O<sub>(2)</sub> 1,56, Mn—O<sub>(3)</sub> 1,54, Mn—O<sub>(4)</sub> 1,54, O<sub>(1)</sub>—O<sub>(2)</sub> 2,53, O<sub>(2)</sub>—O<sub>(3)</sub> 2,55, O<sub>(1)</sub>—O<sub>(3)</sub> 2,55, O<sub>(3)</sub>—O<sub>(4)</sub> 2,44. Предложен также метод определения знаков структурных амплитуд  $F_{hkl}$ , основанный на использовании ур-ния:  $F_{\text{Cu}} - F_{\text{Fe}} = \sum_j (f_j\text{Cu} - f_j\text{Fe}) \cos 2\pi(hx_j + ky_j + lz_j)$ , где индекс  $j$  соответствует аномально рассеивающему атому,  $f_j\text{Cu}$  и  $f_j\text{Fe}$  — атомные факторы для  $\lambda\text{Cu-K}_\alpha$  и  $\lambda\text{Fe-K}_\alpha$ . Правая часть этого ур-ния может быть вычислена, если известно положение аномально рассеивающих атомов. Определены знаки 50%  $F_{hkl}$ . П. З.

27693. Кристаллическая структура перхлората аммония, NH<sub>4</sub>ClO<sub>4</sub>. Венкатесан (The crystal structure of ammonium perchlorate — NH<sub>4</sub>ClO<sub>4</sub>. Venkatesan K.), Proc. Indian Acad. Sci., 1957, A46, № 2, 134—142 (англ.).

Проведено рентгеноструктурное (метод Вейссенберга,  $\lambda\text{Cu}$ ) исследование NH<sub>4</sub>ClO<sub>4</sub>. Кристаллы получены в виде игл, вытянутых вдоль оси  $b$ , с преобладающими гравиями {110} и {001}. Показатели преломления:  $n_p$  1,481,  $n_m$  1,483,  $n_g$  1,488,  $2V$  68°. Параметры ромбич. решетки:  $a$  9,13,  $b$  5,79,  $c$  7,47 А,  $q$  (изм.) 1,952,  $Z = 4$ , ф. гр. Pnma. Координаты атомов определены из проекций Паттерсона по данным изоморфной соли KMnO<sub>4</sub> (см. пред. реф.) и построением рядов электронной плотности с последующим уточнением методом наименьших квадратов. Точность определения 0,02 А. Положение атомов Н получено из разностного синтеза (010) и в предположении расстояния N—Н 1 А. Каждый атом Cl находится в центре тетраэдра из атомов О со средними межатомными расстояниями Cl—O 1,46 А и O—O 2,37 А. Каждый ион NH<sub>4</sub><sup>+</sup> окружен 12 атомами О на расстояниях 6(N—O) 2,89—2,95 и 6(N—O) 3,15—3,39 А. Показано, что атомы Н образуют слабые водородные мостики NH...О с четырьмя ближайшими атомами О. Полученные координаты атомов N, Cl и О в NH<sub>4</sub>ClO<sub>4</sub> близки к ранее найденным координатам (Gottfried C., Schusterius C., Z. Kristallogr., 1933, 84, 65). Л. Школьников

27694. Кристаллическая структура N<sub>2</sub>S<sub>4</sub>H<sub>4</sub>. Лунд, Свенсен (The crystal structure of N<sub>2</sub>S<sub>4</sub>H<sub>4</sub>. Lund E. Wang, Svendsen Sven R.), Acta chem. scand., 1957, 11, № 6, 940—944 (англ.).

Методами колебания, вращения, Вейсберга (λ Cu-K) исследованы кристаллы  $N_4S_4H_4$ :  $a$  6,75,  $b$  7,97  $c$  12,19;  $\rho$  (рент.) 1,907;  $Z = 4$ ; ф. гр.  $Pbmn$ . Для определения  $N$  и  $S$  построены проекции Паттерсона и Фурье на (001) и (010) и проекции  $F_{оп.} - F_S$  на (001).

Структура содержит 8-членные кольца из чередующихся атомов  $N$  и  $S$ :  $N-S$   $1,65 \pm 0,02$ ;  $\angle SNS$   $122^\circ \pm 3^\circ$ ;  $\angle NSN$   $109^\circ \pm 1^\circ$ ;  $R = 0,13$  (для  $F_{hol}$ ),  $R = 0,17$  (для  $F_{hko}$ ). Данные авторов не находятся в соответствии с ранее опубликованными (Jaeger F. M., Zanstra J. E., Proc. Koninkl. Akad. Wetenschap Amsterdam, 1931, 34, 782). Для  $N_4S_4(CH_2OH)_4$  найдено:  $a$  12,0,  $b$  13,1,  $c$  15,8 Å,  $\rho$  (плотн.) 1,55,  $Z = 8$ , ф. гр.  $Pbca$ . Л. Ковба

27695. Изменение абсолютного размера ячейки Hg-тетраэдритов под влиянием различного химического состава. II. Исследование минералов группы тетраэдритов. Боушка (Změna mřížkové konstanty Hg tetraedritů vlivem různého chemického složení. Výzkum nerostů tetraedritové skupiny. II. Bouška Vladimír, Rozpr. CSAV, 1956, MPV66, № 13, 1-30 (чеш.; рез. русск., англ.))

Рентгенографическое исследование Hg-тетраэдритов (I) показывает, что с повышением кол-ва Hg увеличивается параметр  $a$  (до тех пор пока влияние Hg не компенсируется за счет As) и уд. вес. На увеличение абс. размеров ячейки влияет также присутствие Ag и Bi; влияние примеси Ag на увеличение  $a$  проявляется в большей степени, чем влияние Hg. У образцов I с большим кол-вом Hg наблюдается слабая спайность. Автор считает, что In тоже может изоморфно входить в решетку I. Подтверждается также точка зрения (РЖХим, 1956, 28817) о возможности изоморфного вхождения Cd в решетку I. Диагностич. травление показывает, что I с большим кол-вом Hg поддаются травлению  $HNO_3$  позже, чем образцы I с меньшим кол-вом Hg. Резюме автора

27696. Кристаллическая структура уранофана. Смит, Грунер, Липком (The crystal structure of uranophane  $[Ca(H_2O)_2](UO_2)_2 \cdot (SiO_4)_2 \cdot 3H_2O$ . Smith Deane K., Jr, Gruner John W., Lipscomb William N.), Amer. Mineralogist, 1957, 42, № 9-10, 594-618 (англ.)

Рентгенографически исследованы кристаллы уранофана из Шинколоб. Развертка нулевой слоевой линии вокруг оси  $b$  и прецизионные снимки  $0kl$  зоны дали возможность получить приемлемую структуру. Параметры решетки:  $a$  15,97,  $b$  7,07,  $c$  6,68 Å,  $\beta$   $97,3^\circ$ ,  $Z = 2$   $Ca(H_2O)_2(UO_2)_2(SiO_4)_2 \cdot 3H_2O$ , ф. гр.  $P2_1$ ; псевдосимметрия (без ионов  $Ca$  и  $H_2O$ )  $P2_1/a$ . Структура состоит из слоев  $[(UO_2)_2(SiO_4)_2]^{4-}$ , параллельных плоскости (100). Слои связаны ионами  $Ca$  и молекулами  $H_2O$ . У окружен 7 O; 2 O принадлежат линейному иону  $UO_2^{2+}$  с расстоянием U-O, равным 1,91 Å. Остальные 5 O входят в октаэдры  $SiO_4$  и лежат в плоскости, перпендикулярной оси иона  $UO_2^{2+}$ . Атом  $Ca$  окружен 5 молекулами  $H_2O$  или  $H_2O$  и 3 атомами O. Л. Белова

27697. Структура соли Эрмана  $NH_4[Co(NH_3)_2(NO_2)_4]$  и некоторых других нитроаммиачных комплексов трехвалентного кобальта. Комияма (Structures of the Erdmann's salt,  $NH_4[Co(NH_3)_2(NO_2)_4]$  and some other related nitro-ammine-cobalt (III) complexes. Komiyama Yoshimichi, Bull. Chem. Soc. Japan, 1957, 30, № 1, 13-21 (англ.))

Рентгенографически ( $\lambda Fe-K_\alpha$ ) изучены кристаллы  $NH_4[Co(NH_3)_2(NO_2)_4]$  (I), изоморфные исследованным ранее (РЖХим, 1957, 179) кристаллам  $K[Co(NH_3)_2 \cdot (NO_2)_4]$  (II). Синтез проводился по описанной ранее методике (Jørgensen S. M., Z. anorg. Chem., 1898, 17, 477). Параметры ромбич. решетки I:  $a$  11,39,  $b$  12,97,  $c$  6,74 Å,  $\rho$  (эксп.) 1,954,  $Z = 4$ , ф. гр.  $P2_12_12_1$ . При опре-

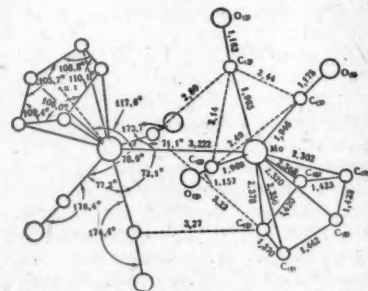
делении структуры I использовались проекции Паттерсона, двумерные синтезы Фурье и данные, полученные для кристаллов II. Постоянная температурного фактора принята равной  $2,5 \text{ Å}^2$ .  $R_{hol}$  0,160,  $R_{hkl}$  0,243,  $R_{hol}$  0,208. Установлено, что молекулы  $NH_3$  находятся в транс-положении, это согласуется с ранее опубликованными работами (РЖХим, 1954, 14206). Межатомные расстояния: Co-NH<sub>3</sub> 2,01 Å, Co-N 1,96, N-O 1,20-1,26; валентный угол ONO равен  $116-119^\circ$ . Дан обзор структурных данных для нитроаммиачных комплексов 3-валентного Co. Изучены спектры поглощения (от 230 до 500 мμ) водн. р-ров  $cis-[Co(NH_3)_4(NO_2)_2]NO_3$ ,  $trans-[Co(NH_3)_4(NO_2)_2]Cl$ ,  $[Co(NH_3)_3(NO_2)_3]$ ,  $[Co(NH_3)_2(NO_2)_2Cl]$  и II. Полученные данные хорошо согласуются с предыдущими исследованиями (Linhard M., Weigel M., Z. anorgan. und allgem. Chem., 1951, 267, 113). Подтверждено, что наличие  $NO_2$ -группы приводит к образованию характерных спектров с максимумом в области 350-330 мμ. По мнению авторов, доказано, что наличие двух отрицательных групп в транс-положении дает максимум при  $\sim 250$  мμ. П. Зоркий

27698. Рентгеноструктурное исследование дипаратолудиндихлорида кобальта. Малиновский Т. И., Кристаллография, 1957, 2, № 6, 734-741

Определена структура кристаллов дипаратолудиндихлорида Co, оказавшаяся молекулярной. Кристаллы  $[CoCl_2H_2NC_6H_5CH_3]$  монокл.:  $a$  12,30,  $b$  4,59,  $c$  26,10 кХ,  $\beta$   $93,45^\circ$ ,  $Z = 4$ , ф. гр.  $I2/a$ . Методом трехмерного синтеза Паттерсона, построенного по 556 независимым рефлексам 5 слоевых линий при вращении кристалла вокруг оси Y, определены координаты всех атомов, кроме водорода. Расстояние Co-Cl 2,26; Co-N 1,95, N-C<sub>(1)</sub> 1,45, C<sub>(4)</sub>-C<sub>(7)</sub> 1,50 кХ. Валентный угол Co-N-C<sub>(1)</sub>  $105^\circ$ . К. ч. Co равно 4, координационный многогранник — тетраэдр. Молекула паратолудина плоская. Резюме автора

27699. Молекулярная структура бис-циклопентадиенилтрикарбонилмолибдена. Вильсон, Шумейкер (Molecular structure of bis(cyclopentadienyl) molybdenum tricarbonyl. Wilson Frank C., Shoemaker David P.), J. Chem. Phys., 1957, 27, № 3, 809-810 (англ.)

Проведено полное рентгенографич. исследование морф. Формы молекулы, межатомные расстояния ( $C_2H_5)_2W_2(CO)_6$  и  $(C_5H_5)_2Mo_2(CO)_6$  РЖХим, 1956, 49980). Показано, что эти соединения являются изо-



и углы между связями представлены на рисунке. Каждый атом Mo расположен как бы в центре куба. Центр циклопентадиенильного кольца лежит в центре грани куба и связи атома Mo с тремя группами CO и другим атомом Mo направлены к четырем углам противоположной грани. При этом у атома Mo образуется заполненная 18-электронная оболочка, что согласуется с диамагнетизмом соединения. Е. Шугам

27700. Рентгенографическое изучение полиморфизма свинцового и медного мыл методом вращающегося цилиндра. Трийа, Барбежа, Жакко (Etude aux



rayons X du polymorphisme des savons de plomb et de cuivre par la méthode du cylindre tangent rotatif. Trillat J.-J., Barbezat S., Jacquot A.), Bull. Soc. franç. minéral. et cristallogr., 1957, 80, № 1-3, 67-79 (франц.)

Использование бани с к-той жирного ряда (лауриновой и стеариновой) и металлич. (свинцового и медного) цилиндра позволило изучить кинетику образования мыла и структурные модификации в зависимости от т-ры. Из рентгеновских снимков определены степени взаимной ориентации молекул мыла на металле, а также изменения расстояний между плоскостями, образуемыми длинными молекулами. Осуществление термич. циклов дало возможность обнаружить существование многочисленных полиморфных модификаций, более или менее устойчивых, которые различаются наклоном молекул мыла по отношению к поверхности металла. См. также РЖХим, 1957, 74785; 1958, 10402.

Резюме авторов

27701. Кристаллическая структура N,N'-гексаметиленбиспропионамида. Дженсен, Кримм, Парриш, Вуд (The crystal structure of N,N'-hexamethylenebispromionamide. Jensen L. H., Krime Samuel, Parrish Robert G., Wood Darwin L.), Acta crystallogr., 1957, 10, № 8, 528-533 (англ.). Рентгенографически определены параметры решетки:  $a$  18,60,  $b$  4,96,  $c$  7,49,  $\beta$  95°15',  $\rho$  (рент.) 1,11,  $Z$  = 2 ф. гр.  $P2_1/a$ . Модель структуры предложена, исходя из данных по ИК-спектру соединения и очень большой интенсивности рефлекса 401. После многократных пов-



торных синтезов Фурье и разностных синтезов найдены координаты всех атомов, включая и координаты атомов Н. Межатомные расстояния (в Å):  $C_{(1)}-C_{(1)}$  1,512;  $C_{(1)}-C_{(2)}$  1,529;  $C_{(2)}-C_{(3)}$  1,512,  $C_{(3)}-N$  1,458,  $N-C_{(4)}$  1,346;  $C_{(4)}-C_{(5)}$  1,512;  $C_{(5)}-C_{(6)}$  1,509;  $C_{(4)}-O$  1,255;  $N-H$ ...O 2,951. Валентные углы между связями C-C увеличены по сравнению с тетраэдрическими (111-113°). Молекулы связаны водородными связями NH...O с образованием мол. лент (см. рис.). В. М. Пахомов

27702. О кристаллографических и рентгенографических данных для этинамата. Ван-Кемп, Пфейффер (A note on crystallographic and X-ray diffraction data for ethinamate. Van Camp Ann, Pfeiffer R. R.), J. Amer. Pharmac. Assoc. Scient. Ed., 1957, 46, № 9, 571 (англ.)

Рентгенографически (фильтрованное излучение Cr, метод Вейсберга) исследована структура этинилциклопентилкарбамата  $C_9H_{13}NO_2$ . Кристаллы ромбич.,  $a$  15,41,  $b$  24,59,  $c$  9,81 Å,  $\rho$  (эксп.) 1,187,  $Z$  = 16, ф. гр.  $Pbca$ ,  $n_D$  = 1,530,  $n_m$  = 1,536,  $n_g$  = 1,546,  $2V$  = +76°, плоскость осей 001,  $n_g = c$ .

О. Гайсинская

27703. Кристаллографическое, оптическое и рентгенографическое исследование амида камфен-1-карбоновой кислоты. Пенко (Ricerche cristallografiche, ottiche e röntgenografiche sull'amide dell'acido camfen-1-carbonico. Penso Anna Maria), Period. Mineral., 1957, 26, № 1, 13-38 (итал.; рез. англ.). Амида камфен-1-карбоновой к-ты  $C_{11}H_{17}ON$  кристаллизуется в монокл. сингонии. Простые формы: {100}, {001}, {102}, {101}, {110};  $a$  14, 318,  $b$  7,335,  $c$  10, 069 Å,  $\beta$  107°10',  $\rho$  1,1758,  $Z$  = 4, ф. гр.  $P2_1/m$ . Показатели преломления:  $n_p$  = 1,5739,  $n_m$  = 1,5821;  $n_g$  = 1,6064; спайность по {100}.

О. Гайсинская

27704. Кристаллографическое изучение структуры оксима кетопинеола. Галли (Studio cristallografico-strutturale sull'ossima del chetocineolo. Galli Mario), Period. mineral., 1957, 26, № 1, 39-62 (итал.; рез. англ.)

Кристаллы оксима кетопинеола  $C_{16}H_{18}O=N-OH$  (т. пл. 139-140°, мол. в. 183) ромбич. сингония; найдены простые формы {100}, {010}, {110}, {011}, {101}, {111};  $a$  12, 839,  $b$  12, 944,  $c$  6, 186 Å.  $\rho$  1,1852,  $Z$  = 4, ф. гр.  $P2_12_1$ . Показатели преломления:  $n_p$  = 1,5277,  $n_m$  = 1,5305,  $n_g$  = 1,5922, спайность по {010}.

Из резюме автора

27705. Кристаллографические данные для артабсина. Ханиц, Бауэр (Kryštalové údaje o artabsine. Hanic F., Bauer J.), Chem. zvesti, 1957, 11, № 7, 418-424 (словацк.; рез. русск., нем.)

Рентгенографически определены (Cu- $K_\alpha$ ) параметры решетки для артабсина  $C_{16}H_{20}O_8$ :  $a$  9,22,  $b$  15,94,  $c$  8,86 Å,  $Z$  = 4,  $\rho$  (изм.) 1,25,  $n_p$  ( $\parallel c$ ) = 1,4996,  $n_m$  ( $\parallel a$ ) = 1,6126,  $n_g$  ( $\parallel b$ ) = 1,6277.

О. Гайсинская

27706. Кристаллическая структура 1-фенил-2-меркапто-4-аработетраоксимутилимидазола. I. Кристаллическая модификация А. Бру, Перес-Родригес, Рольдан-Гонсалес. II. Кристаллическая модификация В. Бру, Куберо, Рольдан-Гонсалес (Estructura cristalina del 1-fenil-2-mercapto-4-arabotetrahidroxibutil-imidazol. Modificación cristalina A. I. Brú L., Pérez Rodríguez M., Roldán González L. Modificación chistalina B. II. Brú L., Cubero Mercedes, Roldán González L.), An. Real. soc. esp. fis. y quim., 1957, A53, № 7-8, 149-154; 155-160 (исп.; рез. англ.)

I. Определены параметры монокл. решетки А-модификации:  $a$  14,78,  $b$  10,39,  $c$  4,72 Å,  $\beta$  93°31',  $Z$  = 2; ф. гр.  $P2_1$ . Из проекции  $hk0$  Паттерсона, полученной при помощи фотосумматора Эллера, найдены параметры атома S. Из проекции Фурье определены ориентация молекулы и примерные координаты других атомов.

II. Параметры ромбич. решетки В-модификации:  $a$  9,55,  $b$  12,32,  $c$  11,45 Å,  $Z$  = 4, ф. гр.  $P2_12_12_1$ . Из проекции Паттерсона, построенной при помощи фотосумматора Эллера, найдены координаты атома S. Применением метода оптич. трансформации в сочетании с методом перестановок Вульфсона и соотношением Захариасена для зависимости между фазами и структурой определены положения фенильных колец и координаты атомов С.

Г. Гольдер

27707. Трехмерная функция Паттерсона для рибонуклеазы. II. Магдофф, Крик, Лудзати (The three-dimensional patterson function of ribonuclease II. Magdoff Beatrice S., Crick F. H. C., Luzzati V.), Acta crystallogr., 1956, 9, № 2, 156-162 (англ.)

В процессе структурных исследований белка рибонуклеазы для одной из модификаций — рибонуклеазы II (ф. гр.  $P2_1$ ,  $a$  30,28,  $b$  38,39,  $c$  53,16,  $\beta$  105,83°,  $Z$  = 2), была построена трехмерная паттерсоновская функция. Измерение интенсивностей производилось на дифрактометре со спец. насадкой для исследования монокристаллов. Погрешности измерений, обусловленные поглощением в кристалле, колебанием его влажности и неточной установкой прибора, не учитывались, так как они были малы. Однако была произведена поправка на поглощение рентгеновских лучей в капилляре, в который помещался кристалл во время съемки. Расчету функции Паттерсона предшествовало построение функции, характеризующей зависимость  $I$  (ср.) от  $1/d$ . На ней выявились 2 максимума, характерные для белковых структур при  $d \sim 5$  Å и  $d \sim 10$  Å, а также максимум возле начала координат, обуслов-

ленный резкой разницей электронной плотности молекул белка и жидкости, входящей в кристалл. Этот максимум был вычтен из общей кривой рассеяния посредством специально подобранной экстраполяционной ф-лы. Ряд был построен по 5700 интерференциям через интервалы  $a/40$ ,  $b/40$ ,  $c/80$  с помощью IBM-машины. Наиболее характерной особенностью ряда является наличие сферич. оболочки радиусом 5 Å с высокой плотностью векторов. Плотность векторов неравномерна, большая часть их концентрируется в нескольких направлениях. Эти результаты не согласуются с принятым ранее представлением о расположении  $\alpha$ -спиралей вдоль оси с кристалла. Они указывают, что  $\alpha$ -спирали могут располагаться вдоль нескольких направлений, среди которых преимущественным должно быть направление, составляющее угол  $30^\circ$  с осью с, что согласуется с результатами измерения дихроизма ИК-спектров поглощения (Elliot A., Proc. Roy. Soc., 1952, A211, 490). Второй особенностью ряда является усиление плотности векторов в плоскостях  $y=0$  и  $y=1/2$ . Это объясняется тем, что плоскости паттерсоновской функции  $y=0$  и  $y=1/2$  для пространственной группы  $P2_1$  являются плоскостями симметрии, и случайные вектора, не обусловленные симметрией пространственной группы, приобретают в этих плоскостях двойной вес. Наличие сравнительно большого числа таких векторов характерно для сложных белковых структур. Полученные данные позволили лишь указать на характерных сечениях области, куда не могут попасть векторы, связывающие центральные части молекул. Эти результаты согласуются с ранее высказанными предположениями о расположении молекул в ячейках (РЖХим, 1956, 74197). А Андреева

**27708. Электронная дифракция от кристаллов, содержащих дефекты наложения. II. Уилан, Херш** (Electron diffraction from crystals containing stacking faults: II. Whelan M. J., Hirsch P. B.), Philos. Mag., 1957, 2, № 23, 1303—1324 (англ.)

Приводятся электронномикроскопич. снимки и электронограммы тонких пленок аустенитной нержавеющей стали, обнаруживающие интерференционную «бахрому», обусловленную дефектами наложения слоев по плоскости (111) гранецентр. решетки. Для детальной интерпретации эффектов используется динамич. теория рассеяния электронов, изложенная в 1-й части работы авторов (часть I, РЖХим, 1958, 16880). Дается подробное толкование «бахромы» как на электронномикроскопич. снимках, так и на электронограммах с учетом толщины образца, изгиба и наклона его, расходимости пучка и пр. Авторы считают, что на электронномикроскопич. снимках в проходящем пучке могут обнаруживаться отдельные ошибки наложения и полагают, что подобное исследование может выяснить, происходят ли бездиффузионные превращения за счет движения частичных дислокаций. Б. Пинес

**27709. Изменение интенсивностей электронографических рефлексов в зависимости от размеров кристаллов. Кувабара** (Variation of electron diffraction intensity with crystal size. Kuwabara Shigeo), J. Phys. Soc. Japan, 1957, 12, № 6, 637—643 (англ.)

Установлено, что относительные интенсивности рефлексов электронограмм от пленок Al, Ag, Au, NaCl, KCl, полученных напылением в вакууме на целлюлозные подложки, зависят от размеров кристалликов. Уже с размеров  $\sim 100$  Å наблюдаются отклонения от значений, определяемых кинематич. теорией. Показано, что при вычислении интенсивностей в электронографии нельзя пренебрегать температурным фактором. Б. Звягич

**27710. Метод исключения эффекта первичной экстинкции в дифракции электронов. Хондзэ, Китаamura** (A method of eliminating the primary extinction effect in electron diffraction. Honjo Goro, Kitamura Norihisa), Acta crystallogr., 1957, 10, № 8, 533—534 (англ.)

В связи с тем, что, как показано Кувабара (см. пред. реф.), начиная с размеров кристалликов 100 Å кинематич. ф-лы интенсивностей дифракции электронов становятся несправедливыми, предлагается исключить влияние динамич. эффектов экстраполяцией кривых  $I(\lambda)$  к значению  $\lambda=0$ , чтобы из предельного значения интенсивностей  $I(0)$  можно было находить структурфакторы  $F$  согласно равенству  $\ln I = \ln |F|^2 - 1/3c^2 |F|^2 H^2 \lambda^2 + \text{const}$  ( $c$  — постоянная,  $H$  — толщина кристалла). Это было осуществлено экспериментально для пленок Al толщиной  $\sim 200$  Å, исследованных при напряжениях от 10 до 240 кэ, в высоковольтном электронном микроскопе Хитахи. Б. Звягич

**27711. Электронограммы от нового вида сплавов олово-висмут. Бюлов** (Elektronenbeugungsaufnahmen von neuartigen Zinn — Wismut-Legierungen. Bülow H.), Z. Phys., 1957, 148, № 3, 324—332 (нем.)

Пленки притовлялись испарением маленьких шариков (диам. 0,5—0,6 мм) готового сплава на подложку из коллодия при  $4,2^\circ$  К. Из электронограмм и измерения сопротивления слоя установлено существование двух областей конеч- (от 0 до 50 ат. % и от 50 до 100 ат. % Bi) с различными свойствами. Найдена зависимость т-ры перехода от процентного содержания Bi и толщины слоя. По изменению сопротивления и электронограммам можно представить процесс кристаллизации. Л. Татаринова

**27712. Магнетохимический и кристаллографический анализ ферромагнитных окислов с помощью дифракции электронов. Ямагучи, Хори** (Magnetochimische und kristallographische Analyse der ferromagnetischen Oxide mittels Elektronenbeugung. Yamaguchi Sh., Hori T.), Z. analyt. Chem., 1957, 158, № 5, 360—361 (нем.)

Получены электронограммы (ЭГ) для ферромагнитных окислов: NiO (I), Fe<sub>3</sub>O<sub>4</sub> (II),  $\gamma$ -Fe<sub>2</sub>O<sub>3</sub> (III), а также для Al<sub>2</sub>O<sub>3</sub> (IV), снимавшихся вместе с Au. В-ва получались по ранее описанной методике (РЖХим, 1958, 838). В результате дифракции электронов ферромагнитными в-вами на ЭГ I, II, III кольца, соответствующие окислу, и кольца Au не концентричны. На ЭГ IV кольца концентричны. По мнению авторов, описанное явление может быть использовано в качестве анализе III группы. П. Зоркий

**27713. Структура электроосажденных металлов. Уэйл, Рид** (The structure of electrodeposited metals. Weil Rolf, Read Harold J.), Metal Finish., 1955, 53, № 12, 60—64 (англ.)

Электронографически изучена структура электролитич. осадков Ni, Co и Cu. Обнаружена зависимость кристаллич. структуры и дисперсности осадков от характера ванны, значения pH, т-ры и плотности тока. Предыдущее сообщение см. РЖХим, 1956, 60846.

**27714. Вторичная электронная эмиссия монокристаллов MgO. Уэттен, Лапонский** (Secondary electron emission of single crystals of MgO. Whetten N. Rey, Laponsky A. B.), J. Appl. Phys., 1957, 28, № 4, 515—516 (англ.)

Показано, что коэф. вторичной электронной эмиссии покрытой газом поверхности монокристалла MgO достигает  $\sim 20$ —25 при давл.  $10^{-7}$ — $10^{-10}$  мм рт. ст. и не зависит от давления. Г. Степанов

**27715. О функциях и металлах. Ломбар** (Impromptu sur les fonctions et les métaux. Lombard



Jeau), Rev. gén. sci. pures et appl., 1957, 64, № 1-2, 29-38 (франц.)

27716. Изотропное вращательное броуновское движение. Ферри (Isotropic rotational Brownian motion. Furry W. H.), Phys. Rev., 1957, 107, № 1, 7-13 (англ.)

Рассчитано броуновское изменение ориентации твердого тела в случае отдельных случайных бесконечно малых вращений, вероятности которых не зависят от направления оси вращения (изотропный случай). Вычисления выполнены при помощи кватернионов; наиболее важные ф-лы получаются выраженными через угол поворота и ориентации оси вращения. Единственное решение, т. е. распределение ориентаций, возникающих из частных начальных ориентаций, найдено в виде рядов, быстро сходящихся для не очень малых времен. Решение можно выразить при помощи  $\xi$ -функций, так что имеются подходящие ряды, быстро сходящиеся и при малых временах. Резюме авторов

27717. Константа Маделунга для некоторых кубических кристаллов. Бенсон, Зеггерен (Madelung constants of some cubic crystals. Benson G. C., Zeggeren F. van), J. Chem. Phys., 1957, 26, № 5, 1083-1085 (англ.)

Описан простой способ вычисления константы Маделунга (KM) для кристаллов типа CsCl. Вычислены значения KM для решеток типа  $\text{CaF}_2$  и типа ZnS с 10 десятичными знаками, исходя из линейной зависимости между KM этих кристаллов и KM кристаллов типа NaCl и типа CsCl. В. Урбах

27718. Диэлектрические потери и дефекты решетчатых минералов. Кеймейлен, Декайзер (Dielectric loss of and defects in clay minerals. Van Keumeulen J., Dekeyser W.), J. Chem. Phys., 1957, 27, № 1, 172-175 (англ.)

Измерена зависимость диэлектрич. потерь  $\text{tg} \delta$  от частоты  $\nu$  (100  $\text{гц}$  — 20  $\text{Мгц}$ ) при 20—300° для каолинитов различных месторождений. Все кривые  $\text{tg} \delta = f(\nu)$  имеют максимум, который смещается в сторону высоких  $\nu$  при повышении т-ры. Зависимость  $\lg(\nu_{\text{макс.}}) = f(1/T)$  для всех каолинитов выражается прямой, из наклона которых определена энергия активации  $U$  реориентации диполей, входящая в у-ние  $2\text{лн}(\nu_{\text{макс.}}) \cdot \tau_0 = \exp(-U/kT)$ . Для различных каолинитов  $U$  колеблется от 0,69 до 0,83 эв. Для полностью обезвоженных каолинитов зависимость  $\text{tg} \delta = f(\nu)$  линейна. На основании рассмотрения возможных точечных дефектов в решетке каолинита и сопоставления результатов с данными для галогенидов щелочных металлов сделан вывод, что диполь, обуславливающий максимумы на кривых  $\text{tg} \delta = f(\nu)$ , представляет собой группу, возникшую в результате замещения иона  $\text{Al}^{3+}$  в октаэдрич. слое на 2-валентный катион и вакантный узел иона  $\text{OH}^-$ . Предложен механизм дегидратации каолинита: молекулы  $\text{H}_2\text{O}$  покидают кристалл путем межслойной диффузии с участием  $\text{OH}^-$ -вакансий. А. Хейнман

27719. Расчет поверхностной энергии кристаллов галогенидов щелочных металлов. Зеггерен, Бенсон (Calculation of the surface energies of alkali halide crystals. Zeggeren F. van, Benson G. C.), J. Chem. Phys., 1957, 26, № 5, 1077-1082 (англ.)

Выполненный ранее (Shuttleworth R., Proc. Phys. Soc., 1949, A62, 167) по теории Борна — Майера расчет поверхностной энергии кристаллов галогенидов Na и K распространен на галогениды остальных щел. металлов. Получены быстро сходящиеся суммы для вкладов электростатич. сил и сил ван-дер-Ваальса в поверхностную энергию решетки кристаллов обобщенного NaCl-типа. Численный расчет этих сумм произведен для частных случаев граней {100} и {110} кри-

сталла NaCl-типа и грани {110} кристалла CsCl-типа. По этим данным вычислены поверхностные энергии для грани {100} NaCl-типа и для грани {110} CsCl-типа для всех солей. В. Урбах

27720. Поверхностные состояния на поверхностях кремния и германия. Стац, Де-Марс, Дэйвис, Адамс (Surface states on silicon and germanium surfaces. Stutz H., deMars G., Davis L., Jr., Adams A., Jr.), Phys. Rev., 1957, 106, № 3, 455-464 (англ.)

27721. Диффузия ионов и электронов. П. Эль (Diffusion von Ionen und Elektronen. P. Oel H. J.), Z. phys. Chem. (BRD), 1957, 12, № 3-4, 264-271 (нем.)

Часть I см. РЖХим, 1957, 50561.

27722. Диффузия Cu в PbS. Блум, Крёгер (Diffusion of Cu in PbS. Bloom J., Kröger F. A.), Chem. weekbl., 1957, 53, № 1, 1-4 (гол.)

Из эксперим. результатов сделан вывод, что Cu в виде ионов  $\text{Cu}^+$  стремится занять узлы решетки  $\text{Pb}^{2+}$ . При т-рах  $> 500^\circ$   $\text{Cu}^+$  диффундирует преимущественно по  $\text{Pb}^{2+}$ -вакансиям, а при т-рах  $< 500^\circ$  — по междоузлиям. При низких т-рах в атмосфере  $\text{H}_2$  или  $\text{H}_2\text{S}$  возможна диффузия Cu как внутрь кристаллов PbS, так и наружу из кристаллов PbS на их поверхность. А. Хейман

27723. Диффузия в золоте и сплавах золото-серебро.

Мид, Берченалл (Diffusion in gold and Au-Ag alloys. Mead H. W., Birchenall C. E.), J. Metals, 1957, 9, № 7, Sec. 2, 874-877 (англ.)

Измерен коэф. самодиффузии в Au и сплавах Au с Ag при 650—1000°. Для чистого Au (99,99%), сплавов с 75 ат. % Au и 25% Au и чистого Ag (99,99%) получены соответственно значения энергии активации диффузии: 42,9; 40,7; 42,8 и 46,4 ккал/моль, и предэкспоненциальных множителей у-ния диффузии: 0,14; 0,041; 0,064 и 0,41  $\text{см}^2/\text{сек}$ . Изучена взаимная диффузия указанных выше в-в. Результаты, полученные для сплава Au-Ag, проанализированы с применением у-ния Даркена. Получено хорошее согласие для коэф. взаимной диффузии и самодиффузии. И. Д.

27724. Получение и свойства монокристаллов твердых растворов титанатов бария и свинца. Шолохович М. Л., Фесенко Е. Г., Крамаров О. П., Ходаков А. Л., Докл. АН СССР, 1956, 111, № 5, 1025-1028

27725. Растворение атомов инертного газа в металлах. Риммер, Коттрелл (The solution of inert gas atoms in metals. Rimmer D. E., Cottrell A. H.), Philos. Mag., 1957, 2, № 23, 1345-1353 (англ.)

27726. Измерение упругих констант LiF в диапазоне температур 4,2—300° K ультразвуковым методом. Бриско, Скуайр (Elastic constants of LiF from 4.2° K to 300° K by ultrasonic methods. Briscoe C. V., Squire C. F.), Phys. Rev., 1957, 106, № 6, 1175-1177 (англ.)

27727. Поглощение ультразвука в германии и кремнии. Блатт (Ultrasonic attenuation in germanium and silicon. Blatt F. J.), Phys. Rev., 1957, 105, 1118-1119 (англ.)

27728. Физико-химическая теория пластичности. Губкин С. И. (Teoria fizico-chimică a plasticității. Gubkin S. I.), An. Rom.-Sov. Metalurgie și constr. mașini, 1957, 11, № 2, 20-37 (рум.)

Перевод. См. РЖХим, 1957, 47360.

27729. О влиянии поляризационных явлений на термическую устойчивость твердых веществ. Алексеев Л. А., Сб. науч. работ. Ин-т химии АН БССР, 1956, вып. 5 (1), 36-50

Указана роль поляризационных явлений в токах. разложении нитратов и хлоратов. Термич. устойчивость нитратов и хлоратов сопоставлена с изменением поляризационных характеристик катиона. Классифи-

кация нитратов по хим. типу их термич. разложения рассмотрена с учетом поляризационных явлений и обоснована последними. Изменение характера распада одного и того же нитрата или хлората при различных  $t$ -рах трактуется как результат изменения поляризующей способности катиона. Показано, что поляризационный подход позволяет охватить единой трактовкой опытные данные об устойчивости аммиаков галогенидов кобальта, никеля, меди, щел.-зем. металлов. Резюме автора

**27730.** Оптические свойства и размеры кристаллической ячейки кордиерита и индиалита. Ийяма (Optical properties and unit cell dimensions of cordierite and indialite. Iiyama Toshimichi), Mineral J., 1956, 1, № 6, 372—394 (англ.)

Изучены оптич. свойства и размеры ячейки 3 модификаций  $(\text{Mg}, \text{Fe}^{2+})_2 \cdot \text{Al}_4\text{Si}_8\text{O}_{22}$ : индиалита, высоко- и низкотемпературного кордиеритов. Установлено, что размеры ячейки у кордиерита больше, чем у индиалита, а оптич. свойства кордиеритов зависят от  $t$ -ры их образования. Показатели преломления вулканич. кордиерита значительно ниже показателей преломления кордиеритов из пегматитов и метаморфич. пород.

В. Кудряшова

**27731.** Оптические свойства и окисление пленок титана, полученных испарением. Хасс, Бранфорд (Optical properties and oxidation of evaporated titanium films. Hass Georg, Bradford Alan R.), J. Opt. Soc. America, 1957, 47, № 2, 125—129 (англ.)

Измерением оптич. свойств тонких пленок чистого (99,9%) Ti, напыленных в высоком вакууме на плавленый кварц или стекло со скоростью 40—100 Å/сек по ранее описанному методу (РЖХим, 1957, 43831), установлено, что при комнатной  $t$ -ре скорость окисления ( $v$ ) Ti составляет  $\sim 35$  Å  $\text{TiO}_2$  в месяц, т. е. почти равна  $v$  Al; с повышением  $t$ -ры  $v$  Ti возрастает быстрее, чем  $v$  Al.

Г. Леви

**27732.** К теории рассеяния света вблизи точек фазового перехода второго рода. Кривоглаз М. А., Рыбак С. А., Ж. эксперим. и теор. физики, 1957, 33, № 1 (7), 139—150 (рез. англ.)

Рассмотрено рассеяние света сегнетоэлектрич. или ферромагнитными кристаллами вблизи точек фазового перехода 2-го рода. Расчет проведен как для однокомпонентных кристаллов, так и для твердых  $r$ -ров. В качестве примеров рассмотрено рассеяние кристаллами типа  $\text{BaTiO}_3$ , а также кристаллами типа сегнетовой соли или  $\text{KNH}_4\text{PO}_4$ . Исследовано влияние внешнего поля на рассеяние света. Резюме авторов

**27733.** Оптический спектр пропускания титаната бария. Яценко А. Ф., Ж. техн. физики, 1957, 27, № 10, 2422—2424

**27734.** Оптическое исследование полиморфных модификаций сернистого марганца. Бацанов С. С., Копытина В. В., Вестн. Моск. ун-та. Сер. матем. механ., астрон., физ., химии, 1957, № 3, 227—236

**27735.** Оптические свойства колеманита. II. Шредер (Zur Optik des Colemanits. II. Schröder Alfred), Neues Jahrb. Mineral. Monatsh., 1957, № 6, 141—146 (нем.)

**27736.** Краевое поглощение и излучение  $\text{CdS}$ . Зейверт (Die Absorption und Emission im Bereich der «Kante» bei  $\text{CdS}$ . Seiwert R.), Z. phys. Chem. (DDR), 1957, 207, № 1-2, 141—146 (нем.)

Измерено температурное смещение края собственного поглощения  $\text{CdS}$  (I) в неполяризованном свете при 21—980° K. В этом интервале  $t$ -р  $dE/dT$  (в эв°K) изменяется от  $-3,2 \cdot 10^{-4}$  до  $-7,6 \cdot 10^{-4}$ . Критически рассмотрены литературные данные по спектрам поглощения и излучения I в области края собственного поглощения. Сделан вывод, что линейчатая флуоресцен-

ция I в области 4850—5100 Å, наблюдаемая Грайо (РЖХим, 1956, 74234) и приписанная этим автором экситону, скорее обусловлена примесями и дефектами решетки.

**27737.** Водородоподобная серия линий в спектре кристалла сульфида кадмия у края основного поглощения. Гросс Е. Ф., Разбирин Б. С., Ж. техн. физики, 1957, 27, № 6, 1398—1399

См. также РЖХим, 1958, 23980.

**27738.** Люминесценция твердых тел (II). Сионо (Shiono Shigeo), Кагаку-но рёнки, J. Japan. Chem., 1957, 11, № 2, 15—24 (японск.)

Обзор. Библ. 45 назв. Часть 1 см. РЖХим, 1957, 76503.

**27739.** Термолюминесценция  $\text{Na}_2\text{SO}_4$  и  $\text{PbSO}_4$  и смешанных сульфатов, карбонатов и окислов. Мур (Termoluminescence of sodium sulfate and lead sulfate, and miscellaneous sulfates, carbonates, and oxides. Moore Louise E.), J. Phys. Chem., 1957, 61, № 5, 636—639 (англ.)

Исследована термолюминесценция (ТЛ) различных сульфатов, карбонатов и окислов (ч. д. а. и спектрально чистых) и влияние на нее примесей, кристаллизационной воды, перекристаллизации и замельчения. Возбуждение производилось  $\gamma$ -лучами  $\text{Co}^{60}$  при 0° Табулированы пики термовысвечивания для сульфатов Li, Na, K, Mg, Sr, Ca, Ba, Cd, Pb, Tl, Mn. Сульфаты Ag, Ni, Cu и Fe не обнаруживают ТЛ. Измельчение  $\text{LiSO}_4 \cdot \text{H}_2\text{O}$  создает новый устойчивый пик при 230—260°.  $\text{CaSO}_4$  и  $\text{MnSO}_4$ , содержащие примеси, обнаруживают ТЛ и без возбуждения. Некоторые сульфаты обнаруживают ТЛ даже после тщательной очистки, другие (напр.,  $\text{PbSO}_4$ ) светятся только в присутствии примесей, которые сами по себе не люминесцируют. Дегидратация  $\text{Na}_2\text{SO}_4 \cdot 10\text{H}_2\text{O}$  в процессе нагревания создает дефекты решетки и вызывает появление новых пиков свечения. Спектрально чистые  $\text{Li}_2\text{CO}_3$  и  $\text{Ti}_2\text{CO}_3$  обнаруживают слабую ТЛ,  $\text{Na}_2\text{CO}_3$ ,  $\text{CaCO}_3$  и  $\text{BaCO}_3$  — сильную, а у  $\text{BeCO}_3$ ,  $\text{CsCO}_3$  и  $\text{K}_2\text{CO}_3$  ТЛ отсутствует. Спектрально чистые  $\text{BeO}$ ,  $\text{MgO}$ ,  $\text{Al}_2\text{O}_3$  и  $\text{ThO}_2$  обнаруживают сильную ТЛ; в  $\text{Ag}_2\text{O}$ ,  $\text{Bi}_2\text{O}_3$ ,  $\text{CdO}$ ,  $\text{Cr}_2\text{O}_3$ ,  $\text{CuO}$ ,  $\text{Fe}_2\text{O}_3$ ,  $\text{Mn}_2\text{O}_4$ ,  $\text{MoO}_3$ ,  $\text{Sb}_2\text{O}_3$ ,  $\text{SiO}_2$ ,  $\text{SnO}_2$ ,  $\text{Ta}_2\text{O}_5$ ,  $\text{TiO}_2$ ,  $\text{Ti}_2\text{O}_3$ ,  $\text{U}_3\text{O}_8$ ,  $\text{V}_2\text{O}_5$ ,  $\text{WO}_3$  и Si ТЛ отсутствует. А. Хейнман

**27740.** Исправление к статье: Юлс, Стед. «Люминесценция и электропроводность, связанные с дефектами решетки щелочногалогидных кристаллов» (Corrigendum. Ewles J., Stead J. C.), Proc. Phys. Soc., 1956, B69, № 5, 591 (англ.)

К РЖХим, 1957, 74227.

**27741.** О колебательном спектре карборунда. Матье, Пуле (Sur le spectre de vibration du carborundum. Mathieu Jean-Paul, Poulet Henri), C. r. Acad. sci., 1957, 244, № 23, 2794—2796 (франц.)

**27742.** Пленки бора. Барнс, Маккензи, Эйвс (Boron films. Barnes D., Mackenzie R. B., Aves R. Repts. Atomic Energy Res. Establ., 1957, № R/M 125, 4 pp., 2 pp., ill.) (англ.)

Нанесением на различные подложки приготовлены тонкие пленки В высокой чистоты (испарением В в вакууме из Та-тигля) и изучены их оптич. свойства.

**27743.** Оптическая энергия активации монокристаллических пластинок  $m$ -диоксипбензола (резорцина). Роleder (Optyczna energia aktywacji monokryształicznych płytek  $m$ -dwohydroksybenzenu (rezorcyna). Rohleder Józef), Roczn. chem., 1956, 30, № 3, 1001—1002 (польск.)

Исследован УФ-спектр поглощения твердых монокристаллич. пластинок резорцина в связи с исследованиями его полупроводниковых свойств.

Н. Wróblowa

**27744.** Фотопроводимость фталоцианинов в присутствии кислорода. Борман (Photoconduction of



phthalocyanines in presence of oxygen. Bornmann John A.), J. Chem. Phys., 1957, 27, № 2, 604—605 (англ.)

Обнаружено, что  $O_2$  не влияет на темновой ток  $i_t$  и фототок  $i_f$  фталоцианина, не содержащего металл. В случае фталоцианина-Cu (I), -Co (II) и -Pb (III)  $i_t$  линейно возрастает с парц. давлением  $O_2$ . Для I и II  $i_f$  изменяется приблизительно по изотерме адсорбции Ленгмюра с изменением  $p_{O_2}$ . Для I, II и III при  $p_{O_2} < 1$  мм рт. ст.  $i_f$  при освещении быстро достигает стационарного значения, при  $p_{O_2} > 1$  мм рт. ст.  $i_f$  продолжает возрастать в течение 2 час., а после прекращения освещения падает до некоторого стационарного значения  $i_s$  (превышающего исходное значение  $i_t$ ). Для I и II кривые спектрального распределения  $i_f$  в области 300—1000 мμ соответствуют кривым оптич. поглощения. Для I, II и III  $i_t$  и  $i_f$  в атмосфере  $O_2$  подчиняются закону Ома.

А. Хейнман  
27745. Влияние примесей на фотопроводимость оксида цинка. Папазян, Флинн, Тривич (Influence of impurities on the photoconductance of zinc oxide. Papazian Harold A., Flinn Paul A., Trivich Dan), J. Electrochem. Soc., 1957, 104, № 2, 84—92 (англ.)

Конденсаторным методом исследована фотопроводимость порошкообразных образцов чистого ZnO и ZnO с примесями Li, Cu, Al, Ga. Фототок зависит от предшествующих облучений образца светом. Такая «память» связана, по-видимому, с тем, что под действием света в ZnO возникают не только носители тока, но и устойчивые ловушки для них. Концентрация ловушек и скорость нарастания фототока чувствительны к концентрации примесей и к т-ре. Между началом освещения и появлением фототока наблюдается, особенно при малых интенсивностях света, некоторый индукционный период. Это указывает на то, что процесс фотопроводимости включает какой-то процесс переноса возбуждений, возникших под действием света. Затухание фотопроводимости можно удовлетворительно представить в виде суммы двух процессов первого порядка. Предложен механизм для качеств. объяснения полученных результатов.

III. Коган  
27746. Эксперименты по фотогальваномагнитному эффекту в германии. Бак, Мак-Ким (Experiments on the photomagnetolectric effect in germanium. Buck T. M., McKim F. S.), Phys. Rev., 1957, 106, № 5, 904—909 (англ.)

27747. Структурные коэффициенты внутреннего поля в сегнетоэлектриках со структурой типа перовскита. Жданов Г. С., Соловьев С. П., Веневцев Ю. Н., Кристаллография, 1957, 2, № 5, 639—645

Критически рассмотрены имеющиеся в литературе данные о значениях структурных коэф. внутреннего поля в кристаллах со структурой типа перовскита. Установлена связь между структурными коэф. для случаев ориентировок диполей по направлениям [101], [011] и [111] в куб. ячейке типа перовскита. Вычислены структурные коэф. для тетрагон. ячейки титаната свинца при комнатной т-ре с учетом смещения ионов.

Резюме авторов  
27748. Электрическое сопротивление и фазовые превращения лантана, церия, празеодима и неодима. Спеддинг, Дане, Герман (Electrical resistivities and phase transformations of lanthanum, cerium, praseodymium, and neodymium. Spedding F. H., Daane A. H., Hermann K. W.), J. Metals, 1957, 9, № 7, Sec. 2, 895—897 (англ.)

Потенциометрическим методом в высоком вакууме исследовано электросопротивление образцов La, Ce,

Pr и Nd высокой чистоты в интервале т-р от комнатной до соответствующей точки плавления. У Ce, Pr и Nd обнаружено по одному фазовому переходу (при 730, 792 и 862° соответственно), а у La — два: при 320—340 и 864°. Эти данные подтверждены рентгеноструктурными исследованиями.

Д. Б.  
27749. Электрические свойства теллура в точке плавления и в жидком состоянии. Эпштейн, Фрицше, Ларк-Хоровиц (Electrical properties of tellurium at the melting point and in the liquid state. Epstein A. S., Fritzsche H., Lark-Horowitz K.), Phys. Rev., 1957, 107, № 2, 412—419 (англ.)

27750. Температурная зависимость проводимости MgO, индуцированной электронной бомбардировкой. Маршалл, Померанц, Шатас (Temperature dependence of electron bombardment-induced conductivity in MgO. Marshall J. F., Pomerantz M. A., Shatas R. A.), Phys. Rev., 1957, 106, № 3, 432—434 (англ.)

27751. Проводимость натрия при низких температурах. Вудс (The conductivity of sodium at low temperatures. Woods S. B.), Canad. J. Phys., 1956, 34, № 2, 223—226 (англ.)

27752. Эффект поля в германии на высоких частотах. Монтгомери (Field effect in germanium at high frequencies. Montgomery H. C.), Phys. Rev., 1957, 106, № 3, 441—445; (Erratum.—) 108, № 6, 1647 (англ.)

27753. Парамагнитные свойства некоторых солей элементов группы железа. Бозе А., Изв. АН СССР. Сер. физ., 1957, 21, № 6, 802—816

С помощью уточненной методики Кришнаана исследована парамагнитная анизотропия большого числа монокристаллов сильно гидратированных солей Cu(2+) и Ni(2+), изоморфных или близких по строению. Для всех этих солей константы анизотропии измерены с точностью до 0,1% в интервале т-р от 90 до 300° К и выше (вплоть до точки перехода в поликристаллич. состояние). Предполагая в 1-м приближении, что группа парамагнитных ионов в рассматриваемых солях обладает тетрагональной симметрией, автор нашел анизотропию ионов, т. е. различие восприимчивостей ионов параллельно и перпендикулярно тетрагональной оси, равной  $K_{\parallel} - K_{\perp}$  для Cu<sup>2+</sup> и  $K_{\parallel} = K_{\perp}$  для Ni<sup>2+</sup>. Установлено также, что ориентация магнитных осей в кристаллах не определяется однозначно их симметрией и заметно меняется с т-рой, особенно при т-рах выше комнатной. Наблюдаемые изменения ориентации магнитных осей с т-рой целиком обусловлены вращением главных осей парамагнитных ионов в элементарных ячейках благодаря анизотропному тепловому расширению решетки. Исследовано также изменение анизотропии ионов Cu<sup>2+</sup> и Ni<sup>2+</sup> с т-рой. Опыты показали заметные отклонения от теоретич. ф-л во всех исследованных солях. Эти отклонения объясняются изменением электрич. поля кристалла благодаря тепловому расширению решетки. Показано, что в случае солей Ni(2+) может быть рассчитана константа спин-орбитального взаимодействия путем измерения анизотропии при двух различных т-рах в пренебрежении температурными изменениями электрич. поля. Получаемое при этом значение отличается на 5% от значения ( $-324 \text{ см}^{-1}$ ), полученного спектроскопически для свободного Ni<sup>2+</sup>.

А. Пахомов  
27754. Определение минимального размера области спонтанной намагниченности кобальта по его парамагнитной восприимчивости. Кнаппвост (Die Bestimmung der Mindestgröße spontan magnetisierter Bereiche des Kobalts aus ihrem Paramagnetismus. Knappwost A.), Z. phys. Chem. (BRD), 1957, 12, № 1-2, 30—46 (нем.)

Разработан способ определения миним. размеров ферромагнитных областей, который в отличие от предыдущих методов позволяет измерять не линейный размер области, а ее объем. Было обнаружено, что в начальной стадии выпадения зерен Co в пересыщ. смешанных кристаллах Cu—Co эти кристаллы обнаруживают сильный парамагнетизм: магнитная восприимчивость возрастает почти в 20 раз по сравнению с восприимчивостью гомог. смешанных кристаллов. Парамагнитная восприимчивость выделившихся зерен Co может быть подсчитана на основании теории Ланжевена по ф-ле  $\chi = I^2 v / 3QkT$ , где  $I$  — величина спонтанной намагниченности,  $v$  — объем спонтанно намагниченной области,  $Q$  — плотность Co,  $k$  — константа Больцмана,  $T$  — абс. т-ра.  $\chi$  может быть найдена по методу измерения силы, действующей на исследуемое тело в неоднородном магнитном поле; она выражается уравнением:  $k = (\chi m / 2l) (H_{\text{макс}}^2 - H_0^2)$ , где  $k$  — сила, действующая на образец,  $l$  — длина образца,  $m$  — масса выпавших в твердом р-ре зерен Co. Масса  $m$  определяется путем измерения электропроводности разбавляемых смешанных кристаллов после получения кривой зависимости электропроводности от конц-ии Co для гомог. твердого р-ра Cu—Co. Спонтанная намагниченность определяется тем же методом, что и  $\chi$ , на относительно больших зернах Co, которые возникают при т-ре  $\sim 600^\circ$ . Тот факт, что спонтанная намагниченность частиц, имеющих размер  $< 100$  Å, является функцией размеров зерен, учитывается методом итераций. Наименьший крит. объем зерен Co, при котором появляется спонтанная намагниченность, найден равным  $v = 1500$  Å.

**27755. Магнитная восприимчивость графита с нарушенной нейтронным облучением решеткой.** Хов, Мак-Клелленд (Magnetic susceptibility of neutron-damaged graphite. Hove John E., McClelland J. D.), J. Chem. Phys., 1957, 26, № 5, 1028—1030 (англ.).

Если графит подвергается облучению малым потоком быстрых нейтронов, то его электронные свойства меняются в двух направлениях: 1) изменяется (убывает) время релаксации электронов при рассеянии, 2) изменяется число электронов проводимости благодаря захвату их в местах нарушений решетки. При исследовании механизма радиационных нарушений решетки важно разделить эти 2 эффекта. Это можно сделать с помощью измерений магнитной восприимчивости графита, величина которой весьма чувствительна к изменениям эффективного числа электронов проводимости. Измерения магнитной восприимчивости графита, подвергнутого облучению быстрыми нейтронами, показали, что число захватываемых электронов, приходящихся на атом углерода (степень захвата), пропорционально  $t^{2/3}$ , где  $t$  — величина потока нейтронов. Однако, по мнению авторов, эта зависимость не может считаться абсолютно точной, так как данные измерений не являются достаточно хорошими.

**27756. Расположение протонов в кристаллах брукита.** Эллеман, Вильямс (Proton positions in brucite crystals. Elleman Daniel D., Williams Dudley), J. Chem. Phys. 1956, 25, № 4, 742—744 (англ.). Исследован магнитный резонанс протонов в монокристалле брукита в постоянном магнитном поле 7800 гс. Изучалась угловая зависимость формы резонансных кривых. Привлекая данные рентгеноструктурного анализа, авторы нашли, что все протоны расположены в плоскостях, перпендикулярных кристаллографич. оси с. Расстояния какой-либо из этих плоскостей до двух ближайших равны  $0,69 \pm 0,02$  и  $4,04 \pm 0,02$  Å. В данной плоскости каждый протон окружен шестью соседями, расположенными в вершинах правильного

шестиугольника со стороной  $3,12 \pm 0,02$  Å. Ось с, проведенная через любой протон, проходит через центр равностороннего треугольника, образованного протонами ближайшей плоскости. Протон, ближайший к данному, расположен в соседней плоскости на расстоянии  $1,93 \pm 0,02$  Å. Все расстояния O—H равны  $0,98 \pm 0,02$  Å. Все связи O—H направлены вдоль оси с. При такой структуре ИК-спектр OH в бруките должен состоять из одной полосы. Однако другие авторы наблюдали сложный ИК-спектр. Это говорит о том, что шестиугольники, образуемые протонами, искажены. Однако эти искажения, вероятно, слишком малы, чтобы быть обнаруженными методом магнитного резонанса.

**27757. Инфракрасный циклотронный резонанс в Bi, InSb и InAs в сильных импульсных магнитных полях.** Киз, Зуэрдлинг, Фонер, Колм, Ламе (Infrared cyclotron resonance in Bi, InSb, and InAs with high pulsed magnetic fields. Keyes R. J., Zwerdling S., Foner S., Kolm H. H., Lax Benjamin), Phys. Rev., 1956, 104, № 6, 1804—1805 (англ.).

Опыты проводились с ИК-светом, на длинах волн  $10$ — $22$  м, при комнатной т-ре, в импульсном магнитном поле  $H$ , достигавшем 320 кэс. Измерения велись с проходящим и с отраженным светом. Образцы InSb и InAs были  $n$ -типа. Приведена кривая зависимости эффективной массы  $m$  носителей от  $H$  для InSb. Значения  $m$ , определенные другими авторами из опытов на более низких частотах, хорошо ложатся на кривую. При увеличении  $H$  от 0 до 250 кэс  $m$  линейно возрастает от  $0,013 m_0$  до  $0,031 m_0$  ( $m_0$  — масса покоя электрона). Далее, до 320 кэс,  $m$  от  $H$  не зависит. Наблюден циклотронный резонанс в монокристалле металла Bi. Когда  $H$  направлено вдоль кристаллографич. направления  $[11\bar{2}0]$ , наблюдается 2 резонансных пика, что соответствует двум различным эффективным массам. В направлении  $[10\bar{1}0]$  наблюдается 1 пик. Эффективные массы линейно возрастают с полем, принимая значения  $0,006$ — $0,026 m_0$  для полей от 26 до 230 кэс (приведены кривые). Для InAs между 150 и 250 кэс  $m \approx 0,03 m_0$ .

**27758. Ферромагнетизм электронов проводимости.** Криччик Г. С., Изв. АН СССР. Сер. физ., 1957, 21, № 6, 869—878

Предложена модель ферромагнетизма, согласно которой в ферромагнетизме переходных металлов существенную роль, наряду с  $3d$ -электронами, играют электроны проводимости. Считается, что выше точки Кюри распределение электронов по энергиям в переходных металлах правильно описывается обычной зонной теорией. Предполагается далее, что между  $4s$ -электронами и  $4s$ - и  $3d$ -электронами обменное взаимодействие положительно, в то время как обменное взаимодействие между  $3d$ -электронами, в противоположность принятому в настоящее время критерию ферромагнетизма Слэтера — Бете, отрицательно. При понижении т-ры переходного металла от точки Кюри до абс. нуля указанное взаимодействие между электронами, не меняя формы энергетич. полос, приводит к переходу половины  $4s$ -электронов в  $3d$ -полосу и полному намагничиванию как  $4s$ -, так и  $3d$ -электронов. С точки зрения изложенной модели дается качеств. объяснение ряда эксперим. данных: а) конц-ий электронов проводимости в сплавах Fe-Ni, Ni-Co, Ni-Cu, полученных из измерений эффекта Холла; б) величин атомных магнитных моментов чистых металлов, бинарных сплавов из ферромагнитных компонентов, бинарных сплавов на основе Ni; в) величин, не зависящих от т-ры части парамагнитной восприимчивости Ni и его сплавов; г) величин факторов спектроскопич. расщепления Ni и его сплавов.

А. Пахомов



27759. Ядерная релаксация через сверхтонкие взаимодействия ядер со спинами ионных остовов в ферромагнитных и антиферромагнитных кристаллах. Митчелл (Nuclear relaxation by the hyperfine interaction with the ion core spins in ferromagnetic and antiferromagnetic crystals. Mitchell A. H.), J. Chem. Phys., 1957, 27, № 1, 17—19 (англ.)

Произведен расчет времени решеточной релаксации ядерных спинов магнитных атомов в ферромагнитных и антиферромагнитных кристаллах, протекающей через сверхтонкие взаимодействия вида  $A(IS)$  ( $I$  — спин ядра,  $S$  — спин ионного остова). Механизм релаксации заключается в рассеянии электронных спиновых волн; энергия ядерного спина передается при этом спиновой волне (изменяются волновое число и энергия волны). Расчет произведен отдельно для ферромагнитного и антиферромагнитного кристаллов. В обоих случаях релаксационные переходы появляются в первом приближении, что обязано тому, что спины  $I$  и  $S$  ориентированы под углом  $\Theta$  друг к другу;  $I$  — вдоль внешнего поля,  $S$  — вдоль поля, образованного в результате наложения внешнего и внутреннего обменного полей. Вычисленные для ферромагнитного  $\text{Co}$  значения времени равны 400, 8, 0,3 сек. для  $t$ -р 4, 20, 77° К соответственно. Эти значения гораздо больше, чем времена ядерной релаксации, происходящей за счет рассеяния электронов проводимости (механизм Корринга). Таким образом, взаимодействия вида  $A(IS)$  могут дать лишь малый вклад в ядерную релаксацию. Однако роль взаимодействий вида  $A(IS)$  может стать доминирующей в непроводящих антиферромагнитных кристаллах. Расчеты автора дают для  $T_1$  в  $\text{MnF}_2$  значения  $2 \cdot 10^{-5}$ ,  $10^{-3}$ , 1 сек. для  $t$ -р 70, 20, 4° К соответственно.

К. Валиев

27760. Преимущественное направление роста в металлах. Тиллер (Preferred growth direction of metals. Tiller William A.), J. Metals, 1957, 9, № 7, Sec. 2, 847—855 (англ.)

Развита теория для гранецентр. куб. металлов, позволяющая предсказать предпочтительную ориентацию, возникающую при застывании столбчатой зоны слитка.

Э. Г.

27761. Дискуссия по статье: Треко «Рекристаллизация и рост зерен в йодиде циркония». Перриман (Recrystallization and grain growth in iodide zirconium by R. M. Treco. Discussion. Perigman E. C. W.), J. Metals, 1957, 9, № 4, Sec. 2, 528 (англ.)

К РЖХим, 1957, 33788.

27762. К дислокационной теории испарения кристаллов. Кабрера, Левин (On the dislocation theory of evaporation of crystals. Cabrera N., Levine M. M.), Philos. Mag., 1956, 1, № 5, 450—458 (англ.)

Подробно исследуется устойчивое состояние спирали на кристаллич. поверхности как при росте, так и при испарении кристалла. Показано, что при испарении кристалла имеется критич. значение ненасыщенности, за которым невозможно устойчивое состояние. При этом найдено, что центр дислокации не может остаться уединенным, и на выходе винтовой дислокации появляется микроскопич. углубление (ямка); кроме того, найдена ф-ла для скорости перемещения ступенек кристаллич. поверхности и даются условия ее применимости.

И. А.

27763. Начальные стадии роста тонких металлических пленок на подложке монокристалла серебра. Ньюман (The initial stages of growth of thin metal films on a silver — crystal substrate. Newman R. C.), Philos. Mag., 1957, 2, № 18, 750—760 (англ.)

Пленки металлов толщиной до десятков  $\text{\AA}$  получались напылением на полированную грань (111) монокристалла Ag. Напыление производилось непосредственно в электронографе при давл.  $\leq 10^{-4}$  мм рт. ст.

Pb, Tl и Ag кристаллизовались в виде ориентированных монослоев. В случае Pb этот эффект был уже замечен при средней толщине пленки  $\sim 1 \mu$ . В пленках Au и Ni кристаллизация начиналась с образования трехмерных кристаллов. Пленки Sn и Sb при толщине 8  $\mu$  аморфны. При увеличении толщины пленки этих металлов происходит спонтанная кристаллизация, и более толстые пленки Sn и Sb кристаллически. В некоторых случаях часть кристаллов пленки имеет произвольную ориентацию, причем доля произвольно ориентированных кристаллов увеличивается с увеличением толщины пленки. Явлений псевдоморфизма не наблюдалось.

Е. Понятовский

27764. Связь между формами роста и преимущественным направлением роста. Розенберг, Тиллер (The relationship between growth forms and the preferred direction of growth. Rosenberg A., Tiller W. A.), Acta Metallurgica, 1957, 5, № 10, 565—573 (англ.; реф. франц., нем.)

Установлено, что морфология форм роста кристаллов Pb, возникающих при различных способах кристаллизации, находится в связи с габитусными гранями. С условиями затвердевания связаны также в предпочтительное направление кристаллов столбчатой зоны слитка. В очищенном зонной плавкой Pb при застывании возникает преимущественная ориентация  $\langle 111 \rangle$ . При добавке  $5 \cdot 10^{-4}$  вес. % Ag образуется преимущественная ориентация  $\langle 100 \rangle$ .

Д. О.

27765. Рост пластинок ртути из пара. Серс (Growth of mercury platelets from the vapor. Sears Gerald W.), J. Chem. Phys., 1956, 25, № 4, 637—642 (англ.)

Изучены некоторые закономерности конденсации паров Hg на стекле. При небольших пересыщениях, когда рост кристаллов за счет образования двумерных зародышей невозможен, наблюдается образование нитевидных, а также тонких пластинчатых кристаллов, что может быть объяснено наличием на стеклышней подложке винтовых дислокаций соответствующих направлений, продолжающихся затем в кристаллах. Дан метод расчета толщины и механич. прочности вырастающих пластинок, основанный на анализе их тепловых колебаний.

Г. Щербинский

27766. О выращивании искусственных пьезоэлектрических кристаллов. Фуруя (Furuя Naomii), Яманаси дайгаку когакубу кэнкю хококу, Repts Fac. Engng Yamanashi Univ., 1957, № 8, 151—154 (японск.; реф. англ.)

Из рассмотрения микрофотографий выращенных кристаллов этилендиаминтартрата делаются выводы: а) габитус кристаллов при нестимулированной (1) и стимулированной (2) кристаллизации различен; б) в случае (1) форма радиальная, в случае (2) габитус такой же, как в природных кристаллах, и аналогичен габитусу кристаллов  $\text{K}_2\text{C}_4\text{H}_4\text{O}_6 \cdot \frac{1}{2}\text{H}_2\text{O}$ ; в) образование смолы (вследствие окисления р-ра с поверхности) деформирует кристаллы, причем, если ее мало или она вообще не образуется, скорость роста пропорциональна  $t$ -ре, в противоположном случае рост замедляется.

О. Гайсинская

27767. Простой метод получения монокристаллов ромбической окиси ртути. Ауривиллиус, Карлссон (A simple procedure for the preparation of single crystals of orthorhombic mercury (II) oxide. Aurivillius Karin, Carlsson Inga-Britt), Acta chem. scand., 1957, 11, № 6, 1070 (англ.)

Монокристаллы ромбич.  $\text{HgO}$  получены нагреванием в течение 70 час. при  $100\text{--}175^\circ \text{C}$  1 ч. 0,1  $M$  р-ра  $\text{K}_2\text{HgJ}_4$  с 2 ч.  $10\text{--}13 M$  р-ра  $\text{NaOH}$  в Au-трубке, помещенной в запаянную трубку из пирекса.

Л. Ковба

27768. Рост кристаллов льда. Вулф (The growth of ice crystals. Wolff G. A.) Artific. Stimulat. Rain.

London — New York — Paris, 1957, 332—338. Discuss., 338—339 (англ.)

Исследовано образование кристаллов льда различного габитуса. Дан анализ роста кристаллов льда из пара в условиях квазиравновесия и в случае, когда равновесие у поверхности кристалла не установилось. В 1-м случае возникают последовательно грани (0001), (1010), (1011), (1120) и (1012), во 2-м случае (0001), (1010), (1012), (1011) и (1120). При высоких пересыщениях (т-ра от  $-8$  до  $-20^\circ$ ), когда диффузия в паровой фазе определяет скорость процесса роста, образуются дендриты по [1120]. В электр. поле образуются кристаллы игольчатого габитуса. Рассматривается также механизм образования куб. кристаллов льда.

Н. Глики  
27769. Узоры, выявляемые в природных кристаллах ZnS. Бонтинк, Декейзер (Decoration patterns in natural ZnS crystals. Bontinck W., Dekeyser W.), Physica, 1956, 22, № 7, 607—618 (англ.)

В природных прозрачных кристаллах ZnS, деформированные и недеформированные, вводится избыток Zn или Ag путем нагревания в парах металла или путем электрофореза. Избыточный металл выделяется не по линиям дислокаций, как в ионных кристаллах, а в полостях, имеющих форму тонких чечевиц, вытянутых вдоль плоскостей {110} и трактуемых как локальные трещинки спайности, возникающие в процессе термообработки. Отдельные пятнышки внутри чечевиц располагаются вдоль направлений [001], [111], [111] и в процессе роста полостей распространяются по указанным направлениям. Полученные данные не дают возможности решить, является ли это дендритным ростом или ростом усев.

М. Ш.  
27770. Выделение кальция в природных кристаллах флюорита. Бонтинк, Декейзер (Precipitation of calcium in natural calcium fluoride crystals. Bontinck W., Dekeyser W.), Physica, 1956, 22, № 7, 595—606 (англ.)

При нагревании в парах в недеформированных кристаллах природного флюорита выявляются узоры, которые интерпретируются как следы линий дислокаций. С помощью рентгеновского анализа и спектров поглощения показано, что появление всех линий узоров объясняется выделением Ca на порогах линейных дислокаций.

М. Ш.  
27771. Два различных закона двойникования пентаэритрита  $C(CH_2OH)_4$ . Ренингер (Zwei verschiedene Zwillingsgesetze bei Pentaerythrit,  $C(CH_2OH)_4$ . Renninger M.), Z. Kristallogr., 1957, 108, № 5-6, 375—384 (нем.; рез. англ.)

Показано, что в некоторых случаях в кристаллах пентаэритрита можно наблюдать, кроме двойникования по (001), также двойникование по (100) или (110). Плоскости прорастания таких двойников пересекаются с плоскостями (110) без заметных закономерностей. Показано также, что двойникование по (100) или (110) можно обнаружить только рентгеновскими методами, а двойникование по (001) — только оптич. методами.

К. Александров  
27772. Поликристалл пирит-уранинит. Кинг (Pyrite-uraninite polycrystal. King A. G.), Amer. Mineralogist, 1957, 42, № 9-10, 648—656 (англ.)

В образце руды из Колорадо под микроскопом наблюдалась следующая текстура: пирит и уранинит прослеживаются в виде тонких чередующихся слоев, параллельных граням кристалла пирита, находящегося в центре. Такая текстура может возникнуть или в процессе замещения, или же в ходе синтексиса (одновременного роста). Отсутствие постепенного перехода и различная ширина полос позволяют считать, что в

данном случае имеет место поликристалл уранинита и пирита, возникший в результате синтексиса. Л. В.

27773. Равновесная форма кристаллических тел. Фулман (The equilibrium form of crystalline bodies. Fullman R. L.), Acta metallurgica, 1957, 5, № 11, 638—648 (англ.; рез. франц., нем.)

Проведено сравнение полной поверхностной свободной энергии  $\Phi$  2- и 3-мерных монокристаллов, имеющих равновесную форму, удовлетворяющую правилу Вульфа, с  $\Phi$  поликристаллич. образований (ПО) с радиальными и тангенциальными межкристаллитными поверхностями, содержащих такое же кол-во в-ва. В случае достаточно большой анизотропии уд. свободной энергии  $\sigma$  и достаточно малой  $\sigma$  на границе между кристаллами за счет исчезновения граней с высокой  $\sigma$   $\Phi$  может оказаться меньшей у ПО, чем у монокристаллов. Отмечается, что имеющиеся эксперим. данные об анизотропии и величине  $\Phi$  и граничной свободной энергии недостаточны для выяснения вопроса о возможности образования термодинамически равновесных ПО в конкретных кристаллах. Обсуждается вопрос об относительной стабильности ПО различных типов.

М. К.  
27774. О механизме образования двойников деформации в гранцентрированном кубическом кристалле. Окава (On the mechanism of deformation twin in fcc crystal. Ooka Akiya), J. Phys. Soc. Japan, 1957, 12, № 7, 825 (англ.)

27775. О равновесной форме кристаллов в поле силы тяжести. Белюстин А. В., Кристаллография, 1957, 2, № 5, 590—593

Рассмотрено влияние силы тяжести на равновесную форму кристалла, ограниченного гранями куба или ромбоэдра и находящегося на дне кристаллизатора. Получена ф-ла, связывающая высоту равновесного кристалла с поперечными размерами его. Исследованы изменения формы свободного и закрепленного кристалла  $NaNO_3$ , к которым приводят колебания т-ры р-ра.

Резюме автора  
27776. Межкристаллитные прослойки в гипсе. Золотов В. А. Докл. АН СССР, 1957, 115, № 3, 534—536

Изучались межкристаллитные границы в чистом мелкозернистом гипсе Пешеланского месторождения Арзамасской области. Различными методами (кристаллооптич. исследования, хим. травление, прокрашивание, механич. испытания, исследование процесса дегидратации при нагревании) доказывалось наличие межкристаллитных прослоек в гипсе, толщину 0,002—0,01 мм.

И. Анники  
27777. Кольцо краевой дислокации в кристалле сегнетовой соли. Инденбом В. Л., Чернышев М. А., Докл. АН СССР, 1956, 111, № 3, 596—598

Изменение доменной (двойниковой) структуры кристалла сегнетовой соли под воздействием напряжений исследовано оптич. методом, принципиально отличающимся от известного поляризационно-оптич. метода исследования напряжений. Приведена фотография кристалла, доменная структура которого соответствует кольцу краевой дислокации. Ориентировочные подсчеты дают для вектора Бюргера величину порядка сотен ангстрем, таким образом, обнаруженная дислокация является макро-, а не микроскопической, а «лишняя плоскость» не является атомарной и может быть просто включением. Последнее предположение подтверждается фотографией доменной структуры кристалла с заметным продолговатым включением. Отмечаются недостатки работы Бонда и Андруса (РЖФиз, 1957, 6766).

В. Б.И.  
27778. Ориентировка монокристаллов рутила, полученных методом плавления в пламени. Таки, Кунитоми (Taki Sadao, Kunitomi Minoru), Яманаси кайгаку когакубу кэнкю хококу, Repts Fac.



Engg Yamanashi Univ., 1956, № 7, 115—116 (японск.; рез. англ.)

Ориентировка монокристаллов рутила, полученных методом плавления в пламени, определялась оптич. путем. Установлено, что ось с параллельна направлению роста.

И. Аникин  
27779. Природа граней кристаллов льда. Накая (Surface nature of ice crystals. Nakaya Ukichi-ro), Artific. Stimulat. Rain. London—New York—Paris, 1957, 386—389. Discuss., 389 (англ.)

Изучена геометрия фигур травления, полученных на полированной поверхности льда, покрытой пленкой поливинилформала. На плоскости (0001) образуются 6-угольные ямки со сторонами, параллельными сторонам  $a$  грани базиса; при продолжительном травлении возникает ступенчатая структура со слоями толщиной 3—16  $\mu$ . Термич. ямки травления получены экспонированием в течение 10—20 мин. кристалла в холодильной камере с относительной влажностью 80%. Плотность 6-угольных ямок на (0001)  $10^7$ — $10^8$  см $^{-2}$ ; предполагается, что ямки совпадают с дислокациями в кристалле снега, а их расположение указывает на существование сетки дислокаций в кристалле. Н. Глики

27780. Симметрия кристаллов снега. Толанский (Symmetry of snow crystals. Tolansky S.), Nature, 1958, 181, № 4604, 256—257 (англ.)

Рассматривается симметричный рост отдельных «лучей» снежинки. Предполагается, что растущий кристалл представляет собой механически колеблющуюся систему со сложным, но симметричным расположением узлов и пучностей. Симметричный рост всех лучей снежинки объясняется одновременным отложением в-ва в местах локального демпфирования колебаний, возникающего в каждом луче в результате случайного отложения в-ва на одном из лучей.

Н. Глики  
27781 К. Ахроматизм в рентгеновских лучах, применение к изучению дифракции лучей в 4%-ном твердом растворе Al-Cu в процессе структурного затвердевания. Себийо (Achomatisme en rayonnement X, application à l'étude des raies de diffraction de la solution solide aluminium—cuivre à 4% au cours du durcissement structural. Sebillieu Francois. Châtillon—sous—Bagneux, Office nat. études et rech. aéronaut., 1957, 65 p., ill. 2000 fr.) (франц.)

27782 П. Получение монокристаллов рутила. Билс, Миллер (Preparation of monocrystalline rutile. Beals Malcolm D., Miller James F.) [National Lead Co.], Пат. США 2756157, 24.07.56

Предложено получение почти прозрачных монокристаллических булей рутила TiO $_2$  (I) с примесью 0,05—1,0% окисла Ga, образующего с I твердый р-р. Були получают плавлением в окислительном пламени очень чистой и мелкой пудры I, размер частиц в среднем 0,1  $\mu$ . Указывается, что не должен применяться материал с размером частиц  $> 5 \mu$ . Оптимальное соотношение объемов газов в пламени O $_2$ :H $_2$  = 1:1. Но и в этом случае були получают почти всегда темными и поэтому требуют дополнительного окисления в токе воздуха или O $_2$  при 650—1500°, после чего они становятся почти воднисто-прозрачными.

И. Аникин

См. также: Рентгеногр. исслед. 28141, 28169, 28171, 28197, 28223, 28229. Электроногр. исслед. 28020. Электрономикроскопич. исслед. 28168. Магнитный резонанс 27570, 27643. Фазовые превращения 27843, 27865, 27867—27869. Термодинамика 27832, 27836—27840. Магнитные св-ва 27592, 27593, 27640, 27656, 28206. Спектры и др. оптич. св-ва 27619, 27628, 27631, 27632, 27647, 28166. Природа хим. связи 27595, 27604. Приборы и оборудование 28537—28541, 28571

## ЖИДКОСТИ И АМОРФНЫЕ ТЕЛА. ГАЗЫ

Редактор А. Б. Алмазов

27783. Выпуклые молекулы в неоднородных газах. Дополнение. Кихара, Оути (Convex molecules in non-uniform gases. Supplement. Kihara Taro, Ouchi Akiji), J. Phys. Soc. Japan, 1957, 12, № 9, 1052 (англ.)

Параметры, необходимые для вычисления характеристик твердых тел—моделей выпуклых молекул (РЖХим, 1958, 13675), табулированы для CS $_2$ , CH $_4$ , C $_2$ H $_4$ , C $_{10}$ H $_8$ , C $_{14}$ H $_{10}$ . Исправляется опечатка в основной работе.

В. Цукерман

27784. Теория газа. XXIII. Расчет коэффициентов конденсации и испарения. Дюкло (Théorie des gaz. XXIII. Calcul des coefficients de condensation. Lois d'iscondensation. Duclaux Jacques), J. phys. et radium, 1957, 18, № 8-9, 505—511 (франц.)

Дается конкретное применение развитой ранее автором (РЖХим, 1956, 18679) теории конденсации, основными уравнениями которой являются:  $P(V-b)/RT = S_1/S_2$  и  $C_1C_n = k_nC_{n+1}$ , где  $P$ —давление,  $V$ —объем,  $b$ —коэффициент Ван-дер-Ваальса,  $T$ —абс. т-ра,  $R$ —газовая постоянная,  $S_1 = C_1 + C_2 + \dots$ ;  $S_2 = C_1 + 2C_2 + \dots = 1/(V-b)$ ,  $C_i$ —концентрация конденсированной группы на  $i$  молекул. Указывается метод расчета  $k_i$  и приводятся расчеты для ряда газов.

К. Гуров

27785. Протекание газов через капиллярные трубки с кольцеобразным сечением. Мерча (Scurgeri prin tuburi capilare cu secțiune inelară. Mercea Victor), Studii și cercetări științ. Acad. RPR Fil. Cluj. Ser. I, 1955, 6, № 1-2, 79—105 (рум.; рез. русск., франц.)

Исследуется протекание газов через капиллярные сосуды с кольцеобразным сечением. Исходя из общего случая протекания через пространство между двумя концентрич. цилиндрами изучается в особенности случай, когда разность радиусов этих цилиндров мала. Результаты относятся и к конич. капиллярам и могут быть применены к вычислению клапанов.

Из резюме автора

27786. Потенциал отталкивания между двумя атомами гелия в нормальном состоянии. Фудзинана (The repulsive potential between two normal helium atoms. Huzinaga Sigeru), Progr. Theoret. Phys., 1957, 18, № 2, 139—153 (англ.)

Методом ЛКАО—МО вычислен потенциал отталкивания между двумя нормальными атомами гелия. Главной идеей является то, что вводятся два различных эффективных заряда для орбиталей  $\sigma_g$  и  $\sigma_u$ , снимающих ограничения в величине заряда для обеих орбиталей. Установлено, что достигается заметное уточнение теоретич. расчета, но все же остается большое расхождение между теорией и опытом. Делается попытка подробно критически проанализировать современные методы расчетов.

Резюме автора

27787. Термодиффузия и приближение к стационарному состоянию в системах H $_2$ —CO $_2$  и He—CO $_2$ . Лонсдейл, Мейсон (Thermal diffusion and the approach to the steady state in H $_2$ —CO $_2$  and He—CO $_2$ . Lonsdale Harold K., Mason Edward A.), J. Phys. Chem., 1957, 61, № 11, 1544—1551 (англ.)

Два цилиндрич. сосуда, один из которых содержал 2 коаксиальных электрода и работал как ионизационная камера, соединялись тонкой трубкой. Самодиффузия и термодиффузия (в случае термодиффузии сосуды имели разные т-ры) на этой аппаратуре наблюдалась путем включения в состав газа в одном из сосудов радиоактивного компонента C $^{14}$ O $_2$  и на-

блюдения за током через ионизационную камеру. Изложена теория прибора. Измерения показали, что термодиффузионный фактор  $\alpha_T$ , связанный с термодиффузионным соотношением  $k_T$  Ф-лой  $k_T = x(1-x)\alpha_T$  ( $x$  — мол. доля диффундирующего компонента), в интервале 194—423°K имеет вид: для  $\text{H}_2\text{—CO}_2$   $\alpha_T = (0,866 \pm 0,011) - (110,3 \pm 3,1)T^{-1}$  и для  $\text{He—CO}_2$   $\alpha_T = (0,988 \pm 0,009) - (11,59 \pm 0,69)T^{-2}$ . Средние значения коэф. диффузии  $D_{12}$  (в  $\text{см}^2/\text{сек}$ ; в скобках —  $t$ -ры в °K): для  $\text{H}_2\text{—CO}_2$  0,50 (259), 0,52 (282), 0,84 (358), для  $\text{He—CO}_2$  0,50 (260), 0,52 (283), 0,70 (358). Результаты хорошо согласуются с измерениями другими методами. Параметры потенциалов  $\epsilon_{\text{H}_2\text{—CO}_2}$  и  $\epsilon_{\text{He—CO}_2}$  Леннарда-Джонса, вычисленные по полученным величинам, также близки к литературным данным (для потенциала Леннарда-Джонса силовые постоянные вычислялись по известному правилу средних геометрических и средних арифметических).

В. Цукерман

**27788.** Коэффициенты диффузии систем  $\text{Xe—Xe}$  и  $\text{Ar—Xe}$ . Амдур, Шацкий (Diffusion coefficients of the systems  $\text{Xe—Xe}$  and  $\text{Ar—Xe}$ . Amdur I., Schatzki T. F.), J. Chem. Phys., 1957, 27, № 5, 1049—1054 (англ.)

Считая ток ионизации мерой конц-ии радиоактивного изотопа, авторы измерили коэф. диффузии  $\text{Ar}^{37}$  и  $\text{Xe}^{131\text{m}}$  в  $\text{Xe}$  при  $-78^\circ$ ,  $0^\circ$ ,  $57^\circ$ ,  $105^\circ\text{C}$ . Точность измерений 1%. Беря потенциал Леннарда-Джонса в виде  $V(r) = e[(r/r_m)^{-12} - 2(r/r_m)^{-6}]$ , авторы получили для взаимодействия  $\text{Xe—Xe}$   $e/k = 163^\circ\text{K}$ ,  $r_m = 4,84 \text{ \AA}$  и для  $\text{Ar—Xe}$   $e/k = 144^\circ\text{K}$ ,  $r_m = 4,26 \text{ \AA}$ ; оценки производились по приведенному интегралу столкновений Хиршфельдера. Найденные параметры потенциала хорошо согласуются с параметрами, вычисленными по данным о теплопроводности в исследованном температурном интервале, но расходятся с параметрами, полученными на основе вторых вириальных коэф. и кристаллич. свойств, а также с расчетами для высоких  $t$ -р по вязкости и теплопроводности.

В. Цукерман

**27789.** Колебательная релаксация в смесях  $\text{N}_2\text{O—H}_2\text{O}$  и  $\text{N}_2\text{O—D}_2\text{O}$ . Уайт (Vibrational relaxation in  $\text{N}_2\text{O—H}_2\text{O}$  and  $\text{N}_2\text{O—D}_2\text{O}$  mixtures. Wight Howard M.), J. Acoust. Soc. America, 1956, 28, № 3, 459—461 (англ.)

Импульсным методом (частота  $\sim 113 \text{ кГц}$ ) измерено поглощение в смесях  $\text{N}_2\text{O—H}_2\text{O}$  и  $\text{N}_2\text{O—D}_2\text{O}$  при разных отношениях частоты к давлению в интервале 100—700  $\text{кГц/атм}$  при  $21^\circ$ . Исследованные смеси содержали 0,39; 0,76; 1,13%  $\text{D}_2\text{O}$  и 0,39; 0,77; 1,14%  $\text{H}_2\text{O}$ . В сухом  $\text{N}_2\text{O}$  коэф. поглощения, рассчитанный на длину волны ( $\mu$ ), имеет максимум при 210  $\text{кГц/атм}$ . В сухом  $\text{N}_2\text{O}$  эксперимент хорошо согласуется с расчетом, учитывающим наличие одного времени релаксации ( $\tau$ ). В смесях на основании опыта предполагается наличие двух времен релаксации:  $\tau_1$ , обусловленного соударениями  $\text{N}_2\text{O} \rightleftharpoons \text{N}_2\text{O}$  (I) и  $\tau_2$ , обусловленного соударениями  $\text{N}_2\text{O} \rightleftharpoons \text{H}_2\text{O}$  (II) или  $\text{N}_2\text{O} \rightleftharpoons \text{D}_2\text{O}$  (III). При добавках  $\text{H}_2\text{O}$  и  $\text{D}_2\text{O}$   $\mu_{\text{макс}}$  смещается в область более высоких частот, что свидетельствует о большей эффективности в отношении возбуждения колебательных состояний молекул  $\text{N}_2\text{O}$  соударений II и III по сравнению с соударениями I. Соударения II в  $1,72 \pm 0,10$  раз более эффективны в отношении смещения положения  $\mu_{\text{макс}}$  по сравнению с соударениями III. Возможно, что при соударениях II и III преимущественно возбуждаются деформационные колебания молекул  $\text{N}_2\text{O}$ .

Б. Кудрявцев

**27790.** Определение скорости звука в шестифтористой сере импульсным методом. Гласс, Холл

(Determination of the speed of sound in sulfurhexafluoride in a shock tube. Glass I. I., Hall J. G.), J. Chem. Phys., 1957, 27, № 5, 1123 (англ.)

Описанным ранее методом (Glass I. I., J. Aeronaut. Sci., 1952, 19, 286) скорость звука в  $\text{SF}_6$  при  $30,0^\circ$  и 750 мм рт. ст. найдена равной 146,3 м/сек. Результат согласуется с литературными данными.

В. Цукерман

**27791.** Дисперсия ультразвука в газообразной двуокиси серы. Ламберт, Солтер (Ultrasonic dispersion in gaseous sulphur dioxide. Lambert J. D., Salter R.), Proc. Roy. Soc., 1957, A243, № 1232, 78—83 (англ.)

Исследована скорость ультразвука в  $\text{SO}_2$  в интервале  $f/p$  от 200  $\text{кГц}^{-1}\text{атм}^{-1}$  до 7  $\text{МГц}^{-1}\text{атм}^{-1}$ . Экспериментальные точки во всех случаях удовлетворительно ложатся на кривые, полученные в предположении двух времен релаксации,  $\tau_1$  (первые числа) и  $\tau_2$  (третьи числа), с соответствующими вкладами в колебательную часть теплоемкости  $C_1$  (вторые числа) и  $C_2$  (четвертые числа): при  $20^\circ$   $5,6 \cdot 10^{-8}$ ; 1,19;  $5,6 \cdot 10^{-7}$ ; 0,34, при  $102^\circ$   $8,9 \cdot 10^{-8}$ ; 1,45;  $8,9 \cdot 10^{-7}$ ; 0,78; при  $200^\circ$   $5,0 \cdot 10^{-8}$ ; 1,62;  $5,0 \cdot 10^{-7}$ ; 1,34. Времена релаксации всюду даны в сек., а теплоемкости — в  $\text{кал/моль}$ . Вычисления проводились по известным  $\phi$ -лам (Buschmann K. F., Schäfer K., Z. phys. Chem., 1941, B50, 73). Меньшее время релаксации соответствует возбуждению нормального колебания  $519 \text{ см}^{-1}$ , а большее — возбуждению остальных нормальных колебаний. Для двух ( $519$  и  $1151 \text{ см}^{-1}$ ) нормальных колебаний вычислено среднее число столкновений, необходимое для потери кванта молекулой; отмечаются некоторые аномалии в зависимости этого числа от  $t$ -ры.

В. Цукерман

**27792.** Сжимаемость газов. II. Смеси двуокиси углерода и гелия при  $30^\circ$ . Харпер, Миллер. III. Второй и третий вириальный коэффициенты смесей гелия и азота при  $30^\circ$ . Креймер, Миллер (Compressibility of gases. II. Mixtures of carbon dioxide and helium at  $30^\circ\text{C}$ . Harper Robert C., Jr., Miller John G. III. The second and third virial coefficients of mixtures of helium and nitrogen at  $30^\circ\text{C}$ . Kramer George M., Miller John G.), J. Chem. Phys., 1957, 27, № 1, 36—39; 61, № 6, 785—788 (англ.)

II. Известным методом (часть I, РЖХим, 1956, 9231) исследовались свойства смесей  $\text{CO}_2\text{—He}$  при  $30^\circ$  во всей области составов. Показано, что если рассчитывать 2-й вириальный коэф. смеси по правилу Леннарда-Джонса и Кука:  $B = x_1^2 B_{11} + 2x_1 x_2 B_{12} + x_2^2 B_{22}$  ( $x_1$  и  $x_2$  — мол. доли компонентов,  $B_{11}$  и  $B_{22}$  — 2-е вириальные коэф. чистых компонентов), то для  $B_{12} \cdot 10^4$  (в  $\text{атм}^{-1}$ ; в скобках даны соответствующие мол. доли  $\text{He}$ ) следует принять: 8,71 (0,9742); 0,90 (0,9267); 9,17 (0,8873); 9,44 (0,8025); 9,40 (0,7266); 8,76 (0,6406); 8,47 (0,5629); 8,12 (0,4696); 6,05 (0,3576); 10,53 (0,2304); 5,50 (0,1160); 37,9 (0,0314). При этом эксперим. точки очень хорошо ложатся на теоретич. кривую.

В. Цукерман

III. По опубликованным ранее данным (Burnett E. S., J. Appl. Mechanics, Trans. ASME, 1936, 58, A136) и на основе собственных наблюдений рассчитаны 2-й (B) и 3-й (C) вириальные коэф. (в  $\text{атм}^{-1}$ ) смеси  $\text{He—N}_2$  при  $30^\circ$  во всем интервале составов. Если B вычислять по  $\phi$ -ле ( $x$  — мол. дробь):  $B = x_1^2 B_{11} + 2x_1 x_2 B_{12} + x_2^2 B_{22}$ , то  $B_{\text{He}} = 4,631 \cdot 10^{-4}$  (4,715  $\cdot 10^{-4}$ ),  $B_{\text{He—N}_2} = 8,779 \cdot 10^{-4}$  и  $B_{\text{N}_2} = -1,416 \cdot 10^{-4}$  ( $-1,668 \cdot 10^{-4}$ ). Аналогично для C:  $C = x_1^3 C_{111} + 3x_1^2 x_2 C_{112} + 3x_1 x_2^2 C_{122} + x_2^3 C_{222}$  найдено:  $C_{\text{He}} = -4,519 \cdot 10^{-8}$  ( $-4,697 \cdot 10^{-8}$ ),  $C_{\text{He—N}_2} = 12,10 \cdot 10^{-8}$  и  $C_{\text{N}_2} = 48,08 \cdot 10^{-8}$ ,  $C_{\text{N}_2} = 231,0 \cdot 10^{-8}$  (238,2  $\cdot 10^{-8}$ )



(в скобках даны средние значения, полученные экстраполяцией к  $x = 1$ ).

В. Анзигтов  
27793. Зависимость среднего заряда ионов от плотности окружающей среды. Нейфельд, Снайдер (Dependence of the average charge of an ion on the density of the surrounding medium. Neufeld Jacob, Snyder W. S.), Phys. Rev., 1957, 107, № 1, 96—102 (англ.)

Эксперименты Лассена (Lassen N. O., Kgl. danske vid. selskab. Mat.-fys. medd., 1951, 26, № 5, № 12) выявили существование двух «эффектов плотности», заключающихся в зависимости среднего заряда движущегося тяжелого иона от плотности окружающей среды: 1) «эффекта давления», свойственного газам, и 2) «эффекта степени конденсации», свойственного твердым телам и жидкостям. Феноменологич. сходство (РЖХим, 1955, 30972) не является полным, так как эффект степени конденсации зависит от влияния поляризационного поля, создающего р-цию возмущенной среды на движущийся ион. Это поле вызывает спонтанную эмиссию электронов иона, увеличивая, таким образом, его эффективный заряд. Установлено соотношение между полем поляризации и соответствующим средним зарядом тяжелого иона, у которого орбитальные электроны непрерывно поддерживаются в возбужденном состоянии в результате непрерывных соударений с атомами окружающей среды. Величина поля поляризации определена для случая тяжелого осколка деления в Au. Показано, что автоионизация вносит существенный вклад, который должен приниматься во внимание при оценке прироста эффекта степени конденсации.

В. К.  
27794. Использование теории подобия для описания свойств жидких металлов. Давление насыщенных паров и теплота испарения. Филиппов Л. П., Вестн. Моск. ун-та. Сер. матем., механ., астрон. физ., химия, 1957, № 3, 85—88

В соответствии с общей методикой использования теории подобия для описания свойств жидкостей (РЖХим, 1957, 37042, 71026) исследуются безразмерные соотношения вида  $N = N(K)$ , где  $N = T \partial \lg P / \partial T$  и  $K = T \rho / MP$ ,  $\rho$  — плотность,  $M$  — мол. вес. Как видно из графиков, кривые  $N = N(\lg K)$  практически образуют однопараметрич. семейство за исключением, быть может, Ga. Для металлов с компактными решетками кривые  $N = N(\lg K)$  практически совпадают друг с другом. Так, для Mg, Zn, Cd, Ag, Pb, Li и Rb при  $-2 < \lg K < +3$  справедливо соотношение:  $N = 1,06 \lg K + 6,06$ , отклонения от которого лишь в нескольких случаях составляют 4—5%. Это ур-ние, как показано, может быть использовано для расчета давления насыщ. паров и теплоты парообразования.

В. Цукерман  
27795. Вращательное движение вязкой жидкости. Ульсен (Rotational flow of a viscous fluid. Olsen Tore), J. Acoust. Soc. America, 1956, 28, № 2, 313—314 (англ.)

27796. Явления в жидкостях в критической области. Креглевский (Zjawiska w obszarze krytycznym cieczy. Kreglewski Aleksander), Kosmos (Polska), 1957, ВЗ, № 2, 135—144 (польск.)

Обсужден ряд работ, посвященных явлениям в жидкой и газовой фазах в крит. области. Рассмотрены вопросы сосуществования фаз, опалесценции, влияния силы тяжести на разделение фаз, поведения фазов вблизи крит. точки.

В. Войткевич  
27797. Химия сжиженных газов. 4. Симо, Коагу тасу кёкайси, J. Soc. High Pressure Gas Ind., 1957, 21, № 5, 189—193 (японск.)

Часть III см. РЖХим, 1957, 76541.

27798. Испарение тонкой пленки жидкости в высоком вакууме. Руккенштейн (Vaporizarea unui

film subțire de lichid în vid înaintat. Ruckenstein E.), Studii și cercetări fiz., 1957, 8, № 1, 25—39 (рум.; рез. русск., франц.)

Приводятся с некоторыми дополнениями результаты, полученные автором ранее (РЖХим, 1957, 3282; 65275), а также замечания, касающиеся случая волнового течения.

Из резюме автора  
27799. Об ассоциации бензола. Чешко Ф. Ф., Ж. физ. химии, 1957, 31, № 10, 2260—2268 (рез. англ.)

Обсуждается предположение об ассоциации бензола в жидкой фазе. Автор приходит к выводу, что эта ассоциация — магнитной природы. На основе металлических модели сила  $\pi$ -электронного тока оценена в  $17,8149 \cdot 10^6$  CGSE, а средняя напряженность результирующего магнитного потока в центре бензольного кольца — в  $31,0204 \cdot 10^4$  э; средняя энергия магнитного поля  $\pi$  — электронного тока бензольного кольца равна  $8,1342$  ккал/моль. Показано, что вдали от т-ры кипения энергии теплового движения бензольных молекул недостаточно для разрушения магнитных ассоциатов. Представление о магнитной ассоциации бензола согласуется с наблюдением над его светопоглощением.

В. Цукерман  
27800. Жидкие кристаллы и строение молекул. VI. Влияние структуры на точку плавления и на точку просветления соединений с жидко-кристаллической фазой. Виганд (Flüssige Kristalle und Molekelbau. VI. Konstitutionseinfluß auf Schmelzpunkt und Klärpunkt kristallin-flüssiger Verbindungen. Wiegand Christian), Z. Naturforsch., 1957, 12b, № 8-9, 512—513 (нем.)

Показано, что группы R в азометине  $R-C_6H_4-N = CH-C_6H_4-CH = N-C_6H_4-R$  и его изомерах, получающихся перестановкой N и CH в азометиновых группах, имеют определяющее влияние на положение точки просветления жидко-кристаллич. в-в. Часть V см. РЖХим, 1955, 31069.

В. Цукерман  
27801. Рентгенографическое исследование структуры жидкой ртути и жидких сплавов ртути-таллий. Смолман, Фрост (An X-ray investigation of the structure of liquid mercury and liquid mercury-thallium alloys. Smallman R. E., Frost B. R. T.), Acta Metallurgica, 1956, 4, № 6, 611—618 (англ.; рез. франц., нем.)

Получены кривые интенсивности рентгеновских лучей ( $Cu-K_{\alpha}$ -излучение), рассеянных жидкими Hg и сплавами Hg-Tl, содержащими 8,5, 30, 34 и 40 вес.% Tl, при  $17 \pm 1^\circ$ . Ошибка в измерении интенсивности 2%. Рассчитаны кривые радиального атомного распределения и кривые радиального распределения электронной плотности. Для чистой Hg расстояние наибольшего сближения атомов  $d$  составляет 3,1 Å, координационное число в 1 сфере равно 8,2. Найдено, что изменение  $d$  с составом происходит нелинейно,  $d$  имеет максимум 3,3 Å при составе, отвечающем составу соединения  $Hg_3Tl_2$  (30 вес.% Tl). Показано, что при этом составе структура жидкости является наиболее упорядоченной. Это объясняется не только наличием взаимодействия между Hg и Tl, но и тем, что в случае смеси Hg + 30 вес.% Tl измерения проводились наиболее близко к ее т-ре плавления ( $14,5^\circ$ ).

Ю. Кесслер  
27802. Влияние молекулярной ориентации на рассеяние рентгеновских и видимых лучей в жидкости. Принс, Принс (Influence of molecular orientation on X-ray and optical scattering by liquids. Prins J. A., Prins W.), Physica, 1957, 23, № 3, 253—258 (англ.)

Только в случае сферич. молекул статистич. поря-

док в жидкости достаточно полно описывается радиальной функцией распределения  $g(r)$ . Если молекулы геометрически и оптически или только оптически анизотропны, то необходимо принимать во внимание поправки, связанные с взаимной ориентацией соседних молекул. В этом случае интенсивность рассеянного излучения от какой-либо произвольной молекулы будет периодически зависеть не только от времени и расстояния, но и от ориентации. Общее теоретич. рассмотрение задачи для ансамбля из  $N$  молекул дает следующее выражение для величины энергии, рассеянной одной молекулой,  $I/N = \bar{A}_1^2 + A_1 \int g(r) dr A_r \cdot \cos(s \cdot r)$ , где  $A_1$  — амплитуда рассеянного излучения,  $s$  — вектор рассеяния. Рассматривается ряд упрощений этой общей ф-лы. Для оптич. длин волн они приводят к выражению, позволяющему утверждать, что «паратропные» жидкости (тенденция к параллельному установлению молекул) являются исключением, а «диатропные» (обратная тенденция) — правилом. В. Кущнер

**27803. Вязкость жидкого индия и жидкого олова.** Калпин (The viscosity of liquid indium and liquid tin. Culpin M. F.), Proc. Phys. Soc., 1957, B70, № 11, 1069—1078 (англ.)

Описан прибор, работающий на принципе осциллирующей сферы, для измерения вязкости  $\eta$  жидкостей при сравнительно высоких т-рах. Приводятся ф-лы для расчета  $\eta$  по показаниям прибора. Контрольные измерения  $\eta$  Вг (дан график) дали результаты, весьма близкие к литературным данным. Измеренные  $\eta$  In и Sn описываются ур-нием Андраде  $\eta/\eta_0^{1/2} = b \exp(-c/\eta_0)$ , где  $\eta_0$  — плотность с  $b = 2.24 \cdot 10^{-3}$  и  $c = 86.5$  (In),  $b = 2.30 \cdot 10^{-3}$  и  $c = 114$  (Sn);  $\eta$  измерена в мпуаз, а  $\eta_0$  — в г/см<sup>3</sup>. Найденные экстраполяцией  $\eta$  в точках плавления равны для In 19.4 и для Sn 21.4 мпуаз. В. Цукерман

**27804. Вязкости жидкого магния и жидкого кальция.** Калпин (The viscosity of liquid magnesium and liquid calcium. Culpin M. F.), Proc. Phys. Soc., 1957, B70, № 11, 1079—1086 (англ.)

На аппаратуре, слегка видоизмененной по сравнению с описанной ранее (см. пред. реф.), измерены вязкости Mg и Ca. Результаты согласуются с литературными данными и описываются ур-нием Андраде. Экстраполированные к точке плавления вязкости равны 12.3 (Mg) и 12.2 (Ca) мпуаз. В. Цукерман

**27805. Международный коллоквиум, посвященный исследованию оптических и акустических свойств сжатых жидкостей и межмолекулярным взаимодействиям.** Ноздрев В. Ф., Акуст. ж., 1957, 3, № 4, 368

**27806. Вязкость жидкостей и ультразвуковые исследования.** Датта, Рай, Роут (Viscosity of liquids and ultrasonic studies. Dutta A. K., Ray B. C., Rout H. K.), Nature, 1956, 177, № 4522, 1227—1228 (англ.)

**27807. Основные идеи ультразвуковой интерферометрии жидкостей.** Каром, Гutowский, Шюле (Basic concepts of ultrasonic interferometry in liquids. Carome E. F., Gutowski F. A., Schuele D. E.), Amer. J. Phys., 1957, 25, № 8, 556—564 (англ.)

Осуждается использование акустич. интерферометра для исследования поглощения ультразвука в жидкости. Излагается элементарная теория распространения ультразвуковых волн в жидкостях и свойств пьезоэлектрич. источника ультразвука; описывается метод измерения коэф. поглощения. Приводятся результаты измерения поглощения в касторовом масле. В. Цукерман

**27808. Ультразвуковая релаксация и колебательная часть теплоемкости жидкой двуокиси серы.** Басс,

Лам (Ultrasonic relaxation and the vibrational specific heat of liquid sulphur dioxide. Bass R., Lamb J.), Proc. Roy. Soc., 1957, A243, № 1232, 94—106 (англ.)

Коэффициент поглощения  $\alpha$  SO<sub>2</sub> измерен импульсным методом при 0°, 25 и 50° и в интервале частот  $f$  3—45 Мгц. Результаты описываются ур-нием  $\alpha/f^2 = A/[1 + (f/f_0)^2] + B$ , где  $A$ ,  $B$  и  $f_0$  — при данной т-ре постоянные. Дан вывод этого ур-ния. Частоты релаксации распределены вблизи 23 Мгц; это связано с задержкой времени деактивации двух (1143 и 1338 см<sup>-1</sup>) из трех нормальных колебаний. Третье (523 см<sup>-1</sup>) ответственно за релаксацию на более высоких частотах. Результаты обсуждаются в связи с наблюдениями над дисперсией в газообразном состоянии. В. Цукерман

**27809. Точные измерения плотности ртути при 20°.** I. Абсолютный метод вытеснения. Кук, Стоун (Precise measurements of the density of mercury at 20° C. I. Absolute displacement method. Cook A. H., Stone N. W. B. Philos. Trans. Roy. Soc. London, 1957, A250, № 978, pp. 279—323, ill.) (англ.)

Методом измерения массы Hg, вытесненной погруженным в нее кубом точно измеренного объема, плотность Hg при 20° найдена равной 13,5458924 г/см<sup>3</sup>. Плотность при 0°, вычисленная по известному ур-нию (Beattie J. A. и др., Proc. Amer. Acad. Arts Sci., 1941, 71, 371), равна 13,5950861 г/см<sup>3</sup>. Обзор предыдущих исследований. Библ. 38 назв. В. Цукерман

**27810. Вычисление термодинамических величин для смесей He<sup>3</sup>-He<sup>4</sup> в интервале температур от 1.2 до 1.9° К по давлению пара.** Вансинк (Calculation of thermodynamic quantities of <sup>3</sup>He-<sup>4</sup>He mixtures from the vapour pressure at temperatures between 1.2 and 1.9° K. Wansink D. H. N.), Physica, 1957, 23, № 2, 140—153 (англ.)

Термодинамические величины жидких смесей He<sup>3</sup>-He<sup>4</sup> вычисляются по данным об упругости пара и виральных коэф. для He<sup>3</sup> и He<sup>4</sup>. Приводятся данные по энтропии, теплоемкости, энтальпии и свободной энергии смешения. Экстраполируя результаты к низким т-рам, автор обсуждает фазовое разделение в смесях He<sup>3</sup>-He<sup>4</sup>. Рассматриваются данные по отношению конц-ии He<sup>3</sup> в газообразной и жидкой фазах. Р. Ченцов

**27811. Стеклование флуктуаций и рассеяние света.** Волькенштейн М. В., Докл. АН СССР, 1957, 116, № 2, 207—210

Исходя из кинетич. представлений (РЖХим, 1957, 33817), автор выводит соотношение

$$\frac{I_0}{I} = A T_g \frac{(\partial v / \partial p)_{T_g} (C_v / C_p)_{T_g} T_g (C_p)_{T_g}}{(\partial v / \partial p)_T (C_v / C_p)_T T (C_p)_T} + A \frac{(C_p)_T}{(C_p)_T} \quad (1)$$

где  $A(C_p - C_v)/C_v$ ;  $I_0$  — интенсивность центральной компоненты релеевской линии стекла или вязкой жидкости,  $I$  — интенсивность смещенной компоненты,  $c$  — теплоемкости,  $v$  — уд. объем,  $T_g$  — т-ра стеклования, а остальные обозначения имеют обычный смысл; индекс 1 относится с поступательным и вращательным степеням свободы, индекс 2 — к колебательным степеням свободы. При  $T = T_g$  эта ф-ла переходит в формулу Ландау — Плачека; она качественно согласуется с опытом. При выводе предполагается, что в жидкости, состоящей из изотропных молекул, рассеяние света определяется флуктуациями уд. объема:  $\Delta v = \Delta v' + \Delta v''$ , где  $\Delta v = (\partial v / \partial p)_g \Delta p$ ,  $\Delta v'' = (\partial v / \partial S)_p \Delta S = (T/C_p) (\partial v / \partial T)_p \Delta S$  и поскольку  $\Delta S =$



$= \Delta S_1 + \Delta S_2$ , то  $\Delta v'' = (T/C_p)(\partial v/\partial T)_p(\Delta S_1 + \Delta S_2) = \Delta v_1 + \Delta v_2$ . Для распределения  $\Delta v_1$  в первом приближении получено выражение:  $W(\Delta v_1) = (\pi D)^{-1/2} \exp[-(\Delta v_1)^2/D]$ , где  $D = [2kT_g^2(C_{p1})_T_g/(C_{p2})_T_g]$ .

Повышенная интенсивность рассеяния  $[(\partial v/\partial T)_p]^2 T_g$  в стеклах объясняется замораживанием флуктуаций структурной энтропии. Если жидкость состоит из изотропных молекул, то, кроме того, замораживаются флуктуации ориентации, которые, таким образом, вносят свой вклад в интенсивность центральной компоненты для стекол. В неоднородных жидкостях замерзает флуктуация конц-ии, так как скорость их рассасывания, определяемого диффузией, сильно зависит от температуры. Флуктуации могут частично застекловываться, чем вся жидкость.

**В. Цукерман**  
27812. Возникновение электродвижущих сил в аморфном селене под действием рентгеновского излучения. Коломойцев Ф. И., Коджеспиров Ф. Ф., Ж. техн. физики, 1957, 27, № 5, 899—904

Обнаружен эффект возникновения эдс. в аморфном Se при облучении рентгеновскими лучами, аналогичный кристалл-фотоэффекту в видимом свете. Это показывает, что в аморфных в-вах, как и в кристаллах, возможна диффузия фотоносителей (в случае Se — дырок). Нарастание эдс. при облучении и ее спадание в темноте следуют экспоненциальному закону (сумме двух экспонентов). Зависимости эдс. от температуры и интенсивности облучения укладываются в рамки диффузионной теории.

**А. Хейнман**

См. также: Термодинамика 27826, 27827, 27835. Межмолекулярное взаимодействие 27557, 27559, 27649, 27650, 27652—27656, 27662, 27663, 27665. Др. вопр. 27646

## РАДИОХИМИЯ. ИЗОТОПЫ

Редакторы **В. И. Левин, В. В. Лосев, Г. А. Соколик**

27813. Исследование равновесия жидкость — пар в области разбавленных растворов с использованием радиоактивных индикаторов. Зельвенский Я. Д., Шалыгин В. А. Ж. физ. химии, 1957, 31, № 7, 1501—1509 (рез. англ.)

Для изучения равновесия жидкость — пар некоторых бинарных смесей с малым содержанием одного из компонентов, меченного  $C^{14}$  или  $S^{35}$ , использован метод простой перегонки. Перегонный куб емк. 500—600 мл, снабженный магнитной мешалкой, помещается в воздушный термостат, температура в котором на 10—15° выше, чем температура кипения изучаемого пара; взвешиванием куба определяется начальное и конечное количество пара; активность пара определяется до и после перегонки по ранее описанной методике (РЖХим, 1956, 47414) и по формуле Релея вычисляется коэффициент разделения  $\alpha$ . Исследованы следующие системы: 1)  $CH_3COOH$  (I) —  $H_2O$ ; в интервале конц-ий от 0,02—0,03 до 2—3 мол. % I; значения  $\alpha$  постоянно  $\alpha(ср.) = 1,410 \pm 0,028$ , что хорошо согласуется с литературными данными, но ниже, чем для идеального пара  $\alpha(ид.) = 1,82$ ; при конц-иях  $I < 0,02$ —0,03 мол. %  $\alpha$  быстро растет до значений  $> \alpha(ид.)$ , что, вероятно, объясняется различным изменением степени ассоциации I в жидкой и паровой фазах; 2) тиофен (II) —  $C_2H_5Cl$ ; при конц-иях 0,29—1,35 мол. %,  $\Pi \alpha(ср.) = 1,400 \pm 0,001$ , что близко к  $\alpha(ид.) = 1,098$ ; 3)  $\Pi$  —  $C_6H_6$ ; при конц-иях 0,0405—0,491 мол. %,  $\Pi \alpha(ср.) = 1,0935 \pm 0,0020$ , тогда как  $\alpha(ид.) = 1,132$ ; 4)  $изо-C_3H_7OH$  (III) —  $C_2H_5OH$ ; при конц-иях 0,006—0,664 мол. %,  $\Pi \alpha(ср.) = 1,155 \pm 0,007$ ,

что близко к  $\alpha(ид.) = 1,161$ ; при увеличении конц-ии III до 7,02 мол. %  $\alpha$  снижается до 1,105; 5)  $CH_3COO-C_2H_5$  (IV) —  $CS_2$ ; при конц-иях 0,00329—0,2957 мол. % IV  $\alpha(ср.) = 1,257 \pm 0,008$ ; при конц-иях IV  $> 0,5$  мол. %  $\alpha$  уменьшается и при 7,3 мол. % IV (azeотропная смесь)  $\alpha = 1$ .

**В. Любимов**

27814. Изучение уровня 6,89 Мэв  $B^{10}$ . Бишопп, Бизо (Etude du niveau de 6,89 MeV du  $B^{10}$ . Bishop G. R., Bizot J.-C.), J. phys. et radium, 1957, 18, № 7, 434—440 (франц.)

Ядро  $B^{10}$  в возбужденном состоянии 6,89 Мэв получалось в реакции  $Be^9(p, \gamma)B^{10}$  на ускорителе Кокрофта — Уолтона ( $E_p = 300$ —400 Мэв). Авторы повторили ранее известные измерения углового распределения  $\gamma$ -квантов 4,74, 5,15, 6,17 и 6,89 Мэв, а также исследовали угловую корреляцию последовательно испускаемых  $\gamma$ -квантов 6,17 и 0,72 Мэв. Обнаружен  $\gamma$ -переход 6,89—3,58 Мэв.

**Э. Т.**

27815.  $\beta$ -Спектр  $Ni^{63}$  без носителя. Прейсс, Финк, Робинсон (The beta spectrum of carrier-free  $Ni^{63}$ . Preiss Ivor L., Fink R. W., Robinson B. L.), J. Inorg. and Nucl. Chem., 1957, 4, № 5-6, 233—236 (англ.)

Получен  $Ni^{63}$  по реакции  $Cu^{63}(n, p)$  (сечение  $\sim 31 \pm 0,5$  мбарн). Выделен препарат  $Ni^{63}$  без носителя при помощи аннионита дауэкс-1. При электролизе 7 н. HCl Cu поглощается анодом, а Ni проходит сквозь колонну (РЖХим, 1956, 74583; Moore G. E., Kraus K. A., J. Amer. Chem. Soc., 1952, 74, 843). Исследован  $\beta$ -спектр  $Ni^{63}$ ; граничная энергия  $67,0 \pm 0,5$  кэв.

**В. Левин**

27816. Простой лабораторный метод получения обогащенного  $C^{13}$ . Бернштейн (Simple laboratory method for producing enriched carbon-13. Bernstein Richard B.), Science, 1957, 126, № 3264, 119—120 (англ.)

Описан простой лабор. метод обогащения углерода изотопом  $C^{13}$ , основанный на различии скоростей хим. взаимодействия молекул, содержащих легкий и тяжелый изотопы, при реакции дегидратации  $HCOOH$  действием  $H_2SO_4$ . Получение препаратов, обогащенных по  $C^{13}$ , проводилось при комнатной температуре (после некоторого начального периода при 0°) методом истощения.  $CO_2$ , выделившийся при разложении полученных проб, был обогащен на 40,8, 51,9 и 52,6%. Выход обогащенного  $C^{13}$  соответствует  $\alpha = 1,050$ .

**С. Катальников**

27817. Получение меченных тритием органических соединений путем взаимодействия с газообразным тритием. Бергстрем, Линдстедт (A note on the tritiation of organic compounds in tritium gas. Bergström Sune, Lindstedt Sven), Acta chem. scand., 1957, 11, № 7, 1275 (англ.)

Описана стеклянная установка для получения меченных Т органич. соединений путем изотопного обмена с газообразным Т. Этим методом (РЖХим, 1957, 63012) получались многие меченые соединения. При взаимодействии с 1 кюри Т в течение 28 дней получена холевая кислота с уд. активностью  $\sim 3,2$  мкюри/мг. Продукты разложения составляли  $< 5\%$ .

**В. Левин**

27818. Получение  $Al^{26}$  и  $Na^{22}$  без носителя. Райтмайр, Коман, Аллен (Production of carrier-free aluminum-26 and sodium-22. Rightmire Robert A., Kohman Truman P., Allen Alexander J.), Internat. J. Appl. Radiat. and Isotopes, 1957, 2, № 3-4, 274—279 (англ.; рез. франц., русск., нем.)

Вращающиеся мишени из Mg высокой чистоты облучают дейтонами с энергией 15 Мэв при интенсивности потока до 180  $\mu$ A.  $Al^{26}$  (изомер с  $T_{1/2} \sim 10^6$  лет; см. РЖХим, 1956, 38597) образуется по реакциям

$Mg^{25}(d, n)Al^{26}$  и  $Mg^{26}(d, 2n)Al^{26}$ . Одновременно образуется  $Na^{22}$  по р-ции  $Mg^{24}(d, \alpha)Na^{22}$ . Активированную поверхность мишени растворяют 6 н. HCl. К р-ру добавляют носители  $Be^{2+}$ ,  $Ca^{2+}$ ,  $Sc^{3+}$  и осаждают гидроксиды аммиаком. Осадок содержит  $Al^{26}$ , а р-р —  $Na^{22}$ . Осадок растворяют в 0,15 н. HCl + 0,1 М  $H_2C_2O_4$  (р-р I) и полученный р-р пропускают через анионообменную колонку (Al поглощается смолой).  $Be^{2+}$  вымывают р-ром I, затем  $Al^{26}$  12 н. HCl. В Al-элюате осаждают  $Fe(OH)_3$ ; осадок растворяют в 0,5 н. HCl и пропускают через катионообменную колонку. Al и Fe вымывают из колонки 5 н. HCl и элюат нагревают с  $HNO_3$  (для окисления V); вводят носитель V. Осаждают  $Fe(OH)_3$ , растворяют в 12 н. HCl, насыщают р-р HCl газом и пропускают через анионит.  $Al^{26}$  без носителя вымывают 1,5 объемами колонки 12 н. HCl. Для получения  $Na^{22}$  в фильтрате после первичного отделения  $Al^{26}$  осаждают  $Mg(OH)_2$  аммиаком; осадок отбрасывают. Р-р упаривают, разрушают  $NH_4$ -соли смесью 12 н. HCl и 15 н.  $HNO_3$ . Затем следует очистка  $Na^{22}$  на катионите. Хим. выходы  $Al^{26}$  и  $Na^{22}$  > 95%. Коэф. очистки для  $Al^{26}$  >  $10^6$ , для  $Na^{22}$  ~  $10^6$ . Приведены результаты исследования выходов при облучении. Средний выход  $Na^{22}$   $(4,62 \pm 0,28) \cdot 10^6$  распадов (мин.) на час, выход  $Al^{26}$   $(1,40 \pm 0,13)$  распадов (мин.) на час. Отношение  $Al^{26}$ :  $Na^{22}$  равно в среднем  $(3,18 \pm 0,23) \cdot 10^{-7}$ . Определен  $T_{1/2}$   $Al^{26}$  ~  $10^6$  лет с точностью до множителя 2.

В. Левин  
27819. Опыты по определению скорости переноса нитратов между водной и трибутилфосфатной фазами. Мак-Кей, Рие (Some experiments on rates of transfer of nitrates between an aqueous and a tributyl phosphate phase. McKay H. A. C., Rees D. Miss), Repts. Atomic Energy Res. Establ., 1957, NC/R 1199, 8 pp., ill. (англ.)

Для определения скорости переноса нитратов из р-ра трибутилфосфата (I) в керосине в водн. фазу капли анализируемого р-ра поступают в нижнюю часть колонки (K) с водн. фазой. Органич. фазу, собирающуюся по каплям в верхней части K и вытекающую из K, анализируют. Помимо конц-ии р-ра C определяют время прохождения капли через K (t) и объем капли (v). По полученным данным рассчитывают скорость переноса в-ва на единицу конц-ии (R), которая равна  $4,76 \cdot 10^{-4} (v/t)^{1/2} \lg C_0/C$ . R выражают в г/см<sup>2</sup> сек на г/л. Точность результатов возрастает с длиной K. В равновесных условиях R для  $Pu(4+)$  понижается с увеличением кислотности органич. слоя, но, по-видимому, не изменяется значительно с конц-ией I ( $R_{Pu(4+)} \approx 3 \cdot 10^{-6}$ ). Если кислотность органич. слоя превышает равновесную, то вместе с  $HNO_3$  в водн. фазу может переходить и  $Pu(4+)$ , что ведет к возрастанию R.  $Pu$  и  $Np$  на перенос U не оказывают влияния.  $R_{Np}$  несколько больше, чем  $R_{Pu}$ .  $R_{U(6+)}$  составляет  $\sim 3 \cdot 10^{-6}$ ; с повышением кислотности органич. слоя  $R_{U(6+)}$  понижается. Перенос остальных нитратов исследован при равновесной кислотности. С увеличением порядкового номера величина R в ряду  $Y - Ce(3+) - Ce(4+) - Th(4+)$  уменьшается от  $(5,0 \pm 0,4) \cdot 10^{-6}$  у Y до  $(3,4 \pm 0,4) \cdot 10^{-6}$  у Th (4+). Изменение валентности существенного влияния на R не оказывает.

Н. Полянский

27820. Изучение применения моногидрата оксалата кальция при исследовании радиоактивных редких земель и Th. Пуркайастха, Бхаттачария (On the study of the use of calcium oxalate monohydrate in the investigation of rare earth and thorium activities. Purkayastha B. C., Bhattacharya S. N.), J. Indian Chem. Soc., 1957, 34, № 6, 427—433 (англ.)

Показано, что  $CaC_2O_4 \cdot H_2O$  (I) является хорошим

носителем для редкоземельных элементов (РЗ) и Th. Для проверки равномерности соосаждения с I радиоактивных РЗ и Th производили осажжение I из р-ра  $CH_3COOH$  в 50%-ном  $C_2H_5OH$  в присутствии индикаторов  $Pm^{147}$ ,  $UX_1$  и  $Y^{91}$ . Этот метод можно использовать для радиометрич. определения Са. В качестве радиоактивного индикатора при определении Са можно использовать также выдержанные р-ры  $UO_2(NO_3)_2$ , являющиеся источниками  $UX_1$ . Из р-ра U выделен практически полностью  $UX_1$  следующим методом: 1) соосаждение I с  $UX_1$ ; 2) отделение  $UX_1$  от Са соосаждением с  $Fe(OH)_3$ ; 3) отделение Fe непрерывной экстракцией изопропиловым эфиром. Путем повторного осажжения I получена глубокая очистка U, Th, Zr, Be, Al от радиоактивных РЗ. В. Левин  
27821. Методы изотопного анализа воды. 5. Поплавковый метод с точностью  $\pm 0,2$  у. Шатенштейн А. И., Звягинцева Е. П., Ж. аналит. химии, 1957, 12, № 4, 516—522 (рез. англ.)

Предложена усовершенствованная методика изотопного анализа природных вод при помощи измерения плотности с точностью  $\pm 0,2$  у/мл ( $\pm 0,0002$  ат. % D или  $O^{18}$ ). Очистка образца воды (100 мл) состоит из окисления загрязнений в щел. среде (0,3 г  $KMnO_4$  + 0,1 г NaOH), перегонки, окисления в кислотной среде (0,1 г  $KMnO_4$  + 2 капли  $H_2SO_4$ ), двукратной перегонки и перегонки в токе  $N_2$ . Измерение плотности поплавковым методом проводится в термостате, поддерживающем т-ру с точностью  $\pm 0,0005^\circ$ . Необходимо вводить поправки на изменение изотопного состава воды при очистке, на показания термометра Бекмана, на зависимость показаний поплавка от атмосферного давления (часть 4 см. РЖХим, 1958, 11025).

В. Любимов  
27822. Определение эффективности измерения активности  $Np^{239}$ . Лайон (Determination of neptunium-239 counting efficiency. Lyon W. S.), Analyt. Chem., 1957, 29, № 7, 1048—1050 (англ.)

Абсолютную активность пробы U, содержащей  $U^{239}$ , определяли по методу  $\beta\gamma$ -совпадений при помощи 4т-го метанового проточного пропорционального счетчика и  $\gamma$ -счетчика с кристаллом NaI(Tl) (РЖФиз, 1957, 27108). Через 5—6 час. определяли сумму активностей  $U^{239}$  и накопившегося  $Np^{239}$  в тех же пробах при помощи 1) 4т-го счетчика с подложкой толщиной 50  $\mu/cm^2$ , 2) люминесцентного счетчика с помещением образца в углублении кристалла и 3) 2т-го счетчика с проточным газом и Pt-подложкой. Эффективность счета  $\beta$ -лучей  $Np^{239}$  составляла в первом случае 100%, во втором 66,7% и в третьем 92,8%. Высокую эффективность счета  $Np^{239}$ , несмотря на мягкость  $\beta$ -излучения, автор объясняет высокой степенью  $\gamma$ -излучения  $Np^{239}$ .

В. Левин

27823. Изучение химического состояния ThC, образующегося при распаде ThB, входящего в состав некоторых фенилпроизводных свинца. Нефедов В. Д., Бельды М. П., Ж. физ. химии, 1957, 31, № 5, 986—995 (рез. англ.)

Изучено хим. состояние ThC, возникающего при распаде ThB, входящего в состав кристаллов  $Pb(C_6H_5)_4$  (I) и  $Pb(C_6H_5)_3Cl$  (II). Неорганич. ThC выделялся экстракцией из бензольного р-ра I и II 5%-ной соляной к-той и методом адсорбции на стекле, а ThC в форме органич. соединений, извлекался путем добавления соответствующих органич. соединений Bi и их выделения. Найдено, что хим. формы стабилизации ThC зависят от хим. формы исходного в-ва. Авторы предполагают, что разрушение молекул исходных в-в происходит в результате внутренней конверсии. Показана возможность получения радио-химически чистых ThC и ThC' при помощи фенил-производных ThB и ThC.

К. Лаазарев



27824. Различия в поведении изомеров  $\text{Se}^{81}$  после нейтронного захвата. Апер, Капрон, Жилли (Difference in the behaviour of the  $^{81}\text{Se}$  isomers following neutron capture. Apers D. J., Capron P. C., Gilly L. J.), J. Inorg. and Nucl. Chem., 1957, 5, № 1, 23—30 (англ.).

Сравнивалось хим. поведение изомеров  $\text{Se}^{81}$  при облучении  $\text{SeO}_2$  (I) нейтронами в зависимости от энергии нейтронов и физ. состояния I. Нейтроны получали по р-ции  $\text{Be}^9(d, n)\text{B}^{10}$  на циклотроне при энергии дейтронов 11,5 Мэв и токе 50—100 мкА. Для опытов с медленными нейтронами замедление производилось в парафиновом блоке. Время облучения 10 мин. При облучении твердой I (мишень площадью 4 см<sup>2</sup>, 125 мг/см<sup>2</sup>) немедленно после облучения растворяли мишень в 10 мл воды, р-р пропускали через фарфоровый фильтр, который затем промывали водой. Часть активности при этом прочно адсорбируется на фильтре («остаток»). Это, по-видимому, свободный селен. Фильтр непосредственно использовали для измерения активности с помощью торцового счетчика. Из фильтрата осаждали  $\text{BaSeO}_3$  и измеряли активность последнего. Для каждого образца расчетным путем по кривой распада определяли отношение активностей изомеров в момент окончания облучения  $R = C_0(18)/C_0(62)$  (РЖХим, 1954, 49474). Сравнивали R для остатка и фильтрата. В других опытах подвергали облучению р-р I в 10 мл воды и обрабатывали таким же путем. При облучении твердой I медленными нейтронами R для остатка и фильтрата равно 12,2 и 16,6 соответственно, быстрыми нейтронами 4,4 и 4,9. При облучении водн. р-ра I медленными нейтронами значения R равны 14,8 и 15,1, быстрыми нейтронами 5,4 и 8,3. Различия в поведении изомеров авторы приписывают различной величине энергии отдачи или заряду изомеров. Определены периоды полураспада: 18,6 мин. для  $\text{Se}^{81}$  и 62,0 мин. для  $\text{Se}^{81m}$ . И. Звара

27825. О механизме реакций атомов отдачи галогенов и трития. Гордус, Сауэр, Уиллард (Evidence on mechanisms of halogen and tritium recoil labelling reactions. Gordus Adon A., Sauer Myran C., Jr., Willard John E.), J. Amer. Chem. Soc., 1957, 79, № 12, 3284—3285 (англ.).

Изучалось взаимодействие атомов отдачи T, получаемых по р-ции  $\text{Ne}^3(n, p)\text{H}^3$ , с  $\text{CH}_4$ ,  $\text{C}_2\text{H}_6$  и  $\text{C}_3\text{H}_8$ . В реакторе облучали смесь газообразного алкана с  $\text{H}_2$  и  $\text{Ne}^3$  (парц. давления соответственно ~ 1 атм, 6 мм рт. ст. и 6 мм рт. ст.), в некоторых опытах добавляли  $\text{J}_2$  (0,2 мм) или  $\text{Br}_2$  (200 мм). Продукты разделяли газовой хроматографией без прибавления носителей. В отсутствие галогенов ~ 45% трития найдено в форме  $\text{HT}$ , ~ 30% в исходном алкане, остальное в форме нескольких более простых и более сложных углеводородов. Добавки галогенов препятствуют образованию более сложных продуктов, часть T при этом найдена в виде галогенопроизводных углеводородов. Авторы считают, что удлинение цепи вызвано ионно-мол. р-циями типа  $\text{CH}_4 + \text{T}^+ \rightarrow \text{CH}_2\text{T}^+ + \text{H}_2$ ;  $\text{CH}_2\text{T}^+ + \text{CH}_4 \rightarrow \text{C}_2\text{H}_4\text{T}^+ + \text{H}_2$  и т. д. и что такой механизм может частично встречаться при р-циях атомов отдачи галогенидов в газовой и жидкой фазах. В исходный алкан тритий входит, по-видимому, в одну ступень  $\text{T}^+ + \text{CH}_4 \rightarrow \text{CH}_3\text{T} + \text{H}^+$  или  $\text{T} + \text{CH}_4 \rightarrow \text{CH}_3\text{T} + \text{H}$ , поэтому добавки галогенов не влияют на его выход. И. Звара

См. также: Радиоактивн. св-ва 27543, 27544. Изотопные эффекты 27566—27570. Изотопный обмен 27974. Приборы с радиоактивн. датчиками 29111, 29112, 29366. Применения в исслед.: кинетики и механизма р-ций 27998, 27999, 28003—28006, 28043,

28632, 28751, 29834; строения хим. соединений 27603, 27624, 27627, 27635, 27638, 27639, 27645, 27789; в физ. процессах 27788, 28108; в биохимии:  $\text{C}^{14}$  10847Bx, 10891Bx, 10922Bx, 10987Bx, 11168Bx, 11282Bx, 11283Bx, 11302Bx, 11305Bx, 11420Bx, 11460Bx, 11462Bx, 11627Bx, 11629Bx, 11632Bx, 11705Bx;  $\text{P}^{32}$  11087Bx, 11167Bx, 11478Bx;  $\text{S}^{35}$  10928Bx, 11381—11383Bx, 11479Bx;  $\text{F}^{18}$  11424Bx,  $\text{Co}^{60}$  10927Bx, 11623Bx;  $\text{J}^{131}$  11077Bx, 11081Bx, 11401—11403Bx, 11625Bx, 11684Bx; общие вопросы 11227Bx, 11494Bx, 11576Bx; в промышленности 29007—29009, 29033, 29210, 29211, 30752, 30932; в аналитич. химии 28368, 28385, 28396—28398, 29212. Хим. технол. вопросы ядерной техники 29371, 29372. Изотопы в геохимии 28238, 28240, 28248, 28333. Защита от излучений 29305, 29306, 30751. Др. вопр.: элемент 102 28162—28164; 30927

## ТЕРМОДИНАМИКА. ТЕРМОХИМИЯ. РАВНОВЕСИЯ. ФИЗИКО-ХИМИЧЕСКИЙ АНАЛИЗ. ФАЗОВЫЕ ПЕРЕХОДЫ

Редактор В. А. Соколов

27826. Термодинамика необратимых процессов как приближение теории газа Энскага. I. Однокомпонентные системы. II. Многокомпонентные системы. Рейк (Die Thermodynamik irreversibler Prozesse als Näherung der Enskog'schen Gastheorie. I. Einkomponentensysteme. II. Mehrkomponentensysteme. Reik Helmut G.), Z. Phys., 1957, 148, № 2, 156—176; № 3, 333—354 (нем.).

I. Получено выражение для скорости возникновения энтропии в однокомпонентной системе, соответствующее нулевому 1-му и 2-му приближению Энскога при решении ур-ния Больцмана. Кинетич. выражение для скорости возникновения энтропии совпадает с термодинамич. при условии, что состояние системы описывается 1-м приближением Энскога. Настоящая работа отличается от аналогичной работы Пригожина (Prigogine I., Physica, 1949, 15, 272) тем, что полученные результаты применимы к газовым системам, в которых могут происходить релаксационные процессы.

II. Развитый выше метод применен к исследованию многокомпонентных систем. Показано, что для газовых смесей кинетич. описание необратимых процессов (включая хим. р-ции) совпадает с термодинамич. при условии, что состояние системы можно описывать функцией распределения  $f_j^{(0)} + f_j^{(1)}$ , являющейся 1-м приближением Энскога при решении ур-ния Больцмана. А. Осипов

27827. О статистической механике необратимых процессов. Пригожин (On the statistical mechanics of irreversible processes. Prigogine I.), Canad. J. Phys., 1956, 34, № 12A, 1236—1243. Discuss., 1244—1245 (англ.).

Сопоставляются два метода описания статистич. процессов 1) механич., в котором задается произвольное начальное состояние (функция распределения  $q$ ), а изменение по времени описывается ур-нием Лиувилля  $\dot{\rho} = [q, H]$ , и 2) вероятностный, описываемый уравнением  $\dot{\rho} = Oq$ , где  $O$  — наиболее общий интегро-дифференциальный оператор (процессы Маркова). Для механ. описания системы автор ограничивается классич. гамильтонианом в представлении канонич. переменных, а функцию распределения  $q$  разлагает по соответствующим стационарным состояниям. Необратимые процессы системы описываются малой добавкой к гамильтониану  $H = H_0 + \lambda V$ . При этом рассматриваются 2 качественно различных требования малости возмущения ( $|V| \ll |H_0|$ ): а) при

всех конфигурациях, б) для средних по времени величин. Ограничиваясь первым отличным от нуля членом разложения оператора Лиувилля по  $\lambda$  ( $\sim \lambda^2 t$ ), автор показывает, что ур-нию Маркова удовлетворяет лишь нулевой член  $q_0$  разложения  $q$  по канонич. состояниям. Этот член соответствует усреднению  $q$  по канонич. фазам.  $H$ -теорема также выражается в терминах  $q_0$ . Для  $q_0$  получается ур-ние Маркова с дифференциальным оператором  $O$  в случае а) и с интегро-дифференциальным — в случае б). Показано, что при наличии малых макроскопич. градиентов  $\partial T/\partial x$  изменение функции распределения  $\partial q/\partial t$  может быть представлено суммой 2 процессов: марковским процессом для  $q_0$  и однородным потоком, описываемым функцией  $(\partial q/\partial t)_0$ , где индекс 0 относит производную к временным экспоненциальным функциям стационарных канонич. состояний. См. также РЖХим, 1956, 28114. А. Зимин

# 27828. Флуктуации и необратимая термодинамика.

Тиса, Маннинг (Fluctuations and irreversible thermodynamics. Tisza Laszlo, Manning Irwin), Phys. Rev., 1957, 105, № 6, 1695—1705 (англ.)

Делается попытка дать аксиоматич. построение теории тепловых флуктуаций, в котором за основу берутся не кинетич. ур-ния, дополняемые случайными силами (метод Ланжевена), а конечномерные функции распределения флуктуационного процесса. Для простоты рассматривается случай одной флуктуационной величины  $\alpha(t)$ . Дифференциальное кинетич. ур-ние для  $\alpha$  предполагается линейным:  $R\dot{\alpha} + s\alpha = 0$ ,  $s = (\partial^2 S/\partial \alpha^2)_0$ , где  $S$  — энтропия системы и термостата,  $R$  — «сопротивление» системы или же ее связи с другими подсистемами, индекс 0 указывает на состояние несвязанного равновесия. Постулируются некоторые свойства  $p$ -мерной функции  $w_p$  распределения  $\alpha$  (плотности вероятности). Вычисление при помощи  $w_p$  различных средних значений, в том числе функции корреляции  $\overline{\alpha(t)\alpha(t+\tau)}$  и условного среднего  $\overline{\alpha(t+\tau)}_{\alpha(t)=\alpha^{(2)}}$ , приводит к обычным результатам с тем принципиальным отличием, что совпадение условного среднего с решением кинетич. ур-ния теперь не постулируется, а оказывается следствием одного из постулатов. Устанавливается функция распределения  $f_N(\alpha_1, \dots, \alpha_N)$  первых  $N$  коэф. Фурье в гармонич. разложении  $\alpha(t)$ . Рассмотрены частные случаи, указан ряд возможных обобщений теории. Библ. 20 назв.

С. Рытов

# 27829. О законе затухания необратимых химических превращений. Гландорф (Sur une loi de modulation des transformations chimiques irréversibles. Glandsdorff P.), Bull. cl. sci. Acad. roy. Belgique, 1956, 42, № 5, 628—630 (франц.)

Ранее опубликованная (РЖХим, 1955, 39696) теорема об убывании скорости возникновения энтропии при приближении к равновесию через стационарное состояние рассмотрена применительно к хим. р-циям, для того чтобы показать ее независимость от кинетич. гипотез.

В. С.

# 27830. Об определении потоков диффузии в бинарных смесях. Шаню (Remarque sur la définition des flux de diffusion dans les mélanges binaires. Chanu Jacques), C. r. Acad. sci., 1957, 245, № 8, 829—831 (франц.)

Показано, что коэф. переноса в бинарных системах по феноменологич. теории не являются независимыми, тогда как по кинетич. теории Александера (РЖХим, 1956, 57608; 1957, 302) эти коэф. рассматриваются как независимые. См. также РЖХим, 1957, 65637.

В. С.

# 27831. К вопросу об эргодической гипотезе и понятии макроскопических наблюдаемых. Людвиг

(Zum Ergodensatz und zum Begriff der makroskopischen Observablen. Ludwig G.), Z. Naturforsch., 1957, 12a, № 8, 662—663 (нем.)

Кратко формулируются условия достижения равновесия системой из одинаковых частиц в связи с характером спектра собственных значений оператора Гамильтона, а также условия возможности макроскопич. описания неравновесных процессов. Вводится понятие об эргодичности системы до данного порядка  $n$ . Указывается, что эргодич. поведение системы, стремящейся к равновесию, не связано с наблюдателем. Макроскопич. наблюдаемые определяются не наблюдателем в смысле теории информации, а самой системой. Приведены уточнения более ранней работы автора (РЖФиз, 1954, 6896).

А. Глауберман

# 27832. Термодинамика упругого твердого тела в электростатическом поле. I. Общие соотношения.

Ли, Дин Цзунань-у (Thermodynamics for elastic solids in the electrostatic field. I. General formulation. Li James C. M., Ting Tsuan Wu), J. Chem. Phys., 1957, 27, № 3, 693—700 (англ.)

Рассматривается твердое тело, находящееся под воздействием механич. нагрузок в электростатич. поле. Известный метод якобианов применен к расчету соотношений между производными термодинамич. величин. Рассмотрены некоторые примеры.

А. Алмазов

# 27833. Равновесие химических реакций во внешнем электрическом поле. Тиман Б. Л., Ж. физ. химии, 1957, 31, № 9, 2143—2144

Рассматривается вопрос о влиянии внешнего электрич. поля на хим. р-цию, протекающую в твердой, жидкой или газообразной фазах в случае, когда исходными в-вами р-ции являются недипольные молекулы, а продуктами р-ции — дипольные молекулы. Показано, что соотношение равновесных конц-й реагирующих в-в существенно зависит от напряженности поля; окончательное ур-ние может быть использовано для выяснения влияния электрич. поля на равновесный состав любой р-ции. Рассмотрена р-ция  $O_2 + 2H_2 = 2H_2O$ . Показано, что электрич. поле смещает равновесие р-ции в сторону увеличения продуктов р-ции и тем больше, чем больше напряженность поля, и что в случае, если в-ва, вступающие в р-цию, состоят из дипольных молекул, а продукты р-ции из недипольных, то электрич. поле смещает равновесие в сторону увеличения исходных в-в. Аналогичные рассуждения применимы и к диссоциации молекул.

А. Алмазов

# 27834. Действие магнитного поля на физико-химические превращения. I. II. Деле (L'influence du champ magnétique sur les transformations physico-chimiques. I. II. Delhez Robert), Bull. Soc. roy. sci. Liège, 1957, 26, № 2, 83—86; № 4, 161—164 (франц.)

I. Теоретически выясняется справедливость эмпирич. правила, найденного Бхатнагаром, Матхуром и др. (Bhatnagar S. S., Mathur K. N., Physical principles and applications of magnetochemistry. London, 1935, chap. XIII, 326—335) для однородных систем: если сумма мол. магнитных восприимчивостей продуктов данной р-ции выше суммы восприимчивости исходных в-в, то магнитное поле ускоряет р-цию; в противном случае оно ее замедляет; при равенстве восприимчивостей магнитное поле не влияет на ход р-ции. Автор рассматривает вопрос термодинамически и получает подтверждение эмпирич. правила.

Я. Дорфман

II. Вычислено влияние магнитного поля на константу равновесия  $K$  и теплоту р-ции  $Q$ .  $\ln K$  и  $Q$  возрастают линейно с  $H^2$ , где  $H$  — напряженность





ных эффектов. Показано также, что выражение Чанга (Chang T. S., Proc. Camb. phil. Soc., 1939, 35, 265; Proc. Roy. Soc., 1939, A169, 512) для вычисления энтропии 2-атомной молекулы в решетке может быть непосредственно выведено методом Паулинга. К. Родинон 27840. О межкатионных вкладах в удельную теплоемкость кобальтаммониевой соли  $\text{Co}(\text{NH}_4)_2(\text{SO}_4)_2 \cdot 6\text{H}_2\text{O}$  при очень низких температурах. Накамура, Урю (On the interionic contributions to the specific heat of cobalt ammonium tutton salt  $\text{Co}(\text{NH}_4)_2(\text{SO}_4)_2 \cdot 6\text{H}_2\text{O}$  at very low temperatures. Nakamura Tuto, Uryu Norikiyo), J. Phys. Soc. Japan, 1956, 11, № 7, 760—769 (англ.)

Теоретически исследована магнитная теплоемкость соли  $\text{Co}(\text{NH}_4)_2(\text{SO}_4)_2 \cdot 6\text{H}_2\text{O}$  в области т-р жидкого гелия. Вычислена часть  $C_v$  этой теплоемкости, обусловленная магнитными диполь-дипольными и обменными взаимодействиями между ионами  $\text{Co}^{2+}$ . При расчетах использовалось то обстоятельство, что ион  $\text{Co}^{2+}$  в кристалле имеет нижним энергетич. уровнем крамеров дублет, отделенный от верхних уровней интервалом в  $245 \text{ см}^{-1}$ . Таким образом, в области т-р жидкого гелия заселен лишь нижний уровень энергии. Поэтому диполь-дипольные взаимодействия вычисляются с помощью  $g$ -факторов нижнего крамерсова дублета, определенных другими авторами из экспериментов по парамагнитному резонансу. С использованием волновых функций этого же уровня обменные взаимодействия определяются как полудиagonalная часть от изотропных обменных взаимодействий. Обмен учитывается лишь с первыми и вторыми соседями иона  $\text{Co}^{2+}$ . Обменные интегралы оцениваются с помощью экспериментально наблюдаемых констант Вейсса. Используя метод разложения по степеням  $1/kT$ , авторы оценивают величину  $C_v T^2/R$  в  $30,2 \cdot 10^{-4}$ , что находится в хорошем согласии с эксперим. значением  $27 \cdot 10^{-4}$ .

Б. Кочелаев 27841. Определение стандартных теплоемкостей газообразных метанола, этанола, метана и этана при 279° К при помощи удельной теплопроводности. Халфорд, Миллер (Standard heat capacities of gaseous methanol, ethanol, methane and ethane at 279° K. by thermal conductivity. Halford J. O., Miller George A.), J. Phys. Chem., 1957, 61, № 11, 1536—1539 (англ.)

Теплоемкости ( $C_v$ ) определены при 279° К методом теплопроводности в приборе, описанном ранее (Eucken A., Krome H., Z. phys. Chem. 1940, В 45, 175). Для измерения давления (порядка  $10^{-3} \text{ мм рт. ст.}$ ) применялся манометр Кнудсена. Описана методика измерений. Полученные значения  $C_v$  для  $\text{N}_2$ ,  $\text{CH}_4$ ,  $\text{C}_2\text{H}_6$  и  $\text{C}_2\text{H}_5\text{OH}$  (для последнего  $C_v = 12,90 \pm 0,13 \text{ кал/моль град}$ ) хорошо согласуются с литературными данными. Для  $\text{CH}_3\text{OH}$   $C_v = 8,14 \pm 0,08 \text{ кал/моль град}$ , т. е. на 2—3% ниже ряда ранее полученных значений. Точность измерений  $\pm 1\%$ .

В. Болтунов 27842. Теплоемкость, теплота плавления, теплота превращения и теплота испарения хлордифторметана между 16° К и температурой кипения. Нилсон, Уайт (The heat capacity, heat of fusion, heat of transition and heat of vaporization of chlorodifluoromethane between 16° K. and the boiling point. Neilson Eleanor F., White David), J. Amer. Chem. Soc., 1957, 79, № 21, 5618—5621 (англ.)

В калориметре, описанном ранее (Johnston H. L. и др., J. Amer. Chem. Soc., 1950, 72, 3933), измерена теплоемкость  $\text{CHClF}_2$  при 16—230° К. При  $\sim 59^\circ \text{ К}$  обнаружено превращение  $\lambda$ -типа, теплота превращения  $16 \pm 2 \text{ кал/моль}$ . Теплота плавления при т. пл.  $115,73 \pm 0,01^\circ \text{ К}$  составляет  $985,47 \pm 1,82 \text{ кал/моль}$ . Теплота

испарения при т. кип.  $232,50 \pm 0,07^\circ \text{ К}$  равна  $4832,5 \pm 12,5 \text{ кал/моль}$ . В интервале 15—232,5° К рассчитаны и табулированы функции  $S$ ,  $(H - H_0)/T$  и  $(F - H_0)/T$ . Калориметрически найденное значение энтропии идеального газа при 232,5° К ( $760 \text{ мм рт. ст.}$ ),  $63,92 \pm 0,28 \text{ энтр. ед.}$ , расходится с рассчитанным из спектроскопич. данных всего на 0,11 энтр. ед. Кратко обсуждаются аномалии температурной зависимости теплоемкости кристаллич. и жидкого (минимум около 150° К)  $\text{CHClF}_2$ . Ю. Кесслер

27843. Энтальпия криолита, безводного фтористого алюминия и фтористого натрия при высоких температурах. О'Брайен, Келли (High temperature heat contents of cryolite, anhydrous aluminum fluoride and sodium fluoride. O'Brien C. J., Kelley K. K.), J. Amer. Chem. Soc., 1957, 79, № 21, 5616—5618 (англ.)

Методом, описанным ранее (Kelley K. K. и др., U. S. Bur. Mines Tech. Paper, 1946, 686), измерено изменение энтальпии  $\text{Na}_3\text{AlF}_6$  (I),  $\text{AlF}_3$  (II) и  $\text{NaF}$  (III) при т-рах от 298,15° до 1370°; 1401° и 1746° К соответственно. При 845° К I подвергается полиморфному превращению, теплота превращения  $\Delta H$  (пр.) = 2160 кал/моль, т. пл. I 1300° К,  $\Delta H$  (пл.) = 27640 кал/моль. II претерпевает превращение при 727° К,  $\Delta H$  (пр.) = 150 кал/моль. Т. пл. III 1285° К,  $\Delta H$  (пл.) = 8030 кал/моль. Полученные данные описываются уравнениями: I ( $\alpha$ )  $H_T - H_{298,15} = 45,95 T + 14,73 \cdot 10^{-3} T^2 + 2,78 \cdot 10^5 / T - 15942$  (0,2%, 298—845° К), I ( $\beta$ )  $H_T - H_{298,15} = 52,15 T + 7,93 \cdot 10^{-3} T^2 - 13840$  (0,1%, 845—1300° К), I (жидк.)  $H_T - H_{298,15} = 93,40 T - 26420$  (0,2%, 1300—1400° К), II ( $\alpha$ )  $H_T - H_{298,15} = 17,27 T + 5,48 \cdot 10^{-3} T^2 + 2,30 \cdot 10^6 / T - 6408$  (0,2%, 298—727° К), II ( $\beta$ )  $H_T - H_{298,15} = 20,93 T + 1,50 \cdot 10^{-3} T^2 - 6500$  (0,1%, 727—1400° К), III (кр.)  $H_T - H_{298,15} = 10,40 T + 1,94 \cdot 10^{-3} T^2 + 0,33 \cdot 10^6 / T - 3384$  (0,3%, 298—1285° К), III (жидк.)  $H_T - H_{298,15} = 16,40 T + 170$  (0,1%, 1285—1800° К). Рассчитаны и табулированы величины  $S_T - S_{298,15}$ . Ю. Кесслер

27844. К определению температуры вольтовой дуги в углеводородах. II. Расчет термической плазмы из смесей углерода с водородом. Крепелин, Нейман (Berechnung des thermischen Plasmas von Kohlenstoff — Wasserstoff — Mischungen. (Zur Temperaturbestimmung is Lichtbögen unter Kohlenwasserstoffen. II). Kroepelin H., Neumann Kl.-K.), Optik, 1957, 14, № 7-8, 341—348 (нем.; рез. англ.)

Для определения т-ры малой вольтовой дуги, горящей в жидких углеводородах (РЖХим, 1957, 45518), проведены модельные опыты в когасине (синтетич. углеводород с отношением  $\text{C}:\text{H} \approx 1:2,1$ ). Для этого с помощью ур-ния  $(p^+/p) p_e = [(2\pi m_e)^{1/2} (kT)^{1/2} Z^+ Z_e / h^2 Z] \times \exp(-E/kT)$  рассчитан состав термич. плазмы в зоне дуги в зависимости от т-ры при 5000—15000° К и общем давл. 1 бар. Здесь  $p^+$ ,  $p$  и  $p_e$  — парц. давления ионизированных и неионизированных атомов и электронов,  $Z^+$ ,  $Z$  и  $Z_e$  — их суммы состояний,  $m_e$  — масса покоя электрона,  $h$  — постоянная Планка и  $E$  — энергия ионизации атома. По ур-нию  $J_n^m = A_n^m n(T) [g_m / Z(T)] \times \exp(E_m/kT) / h \nu_n^m$ , где  $A_n^m$  — вероятность перехода между состояниями  $m$  и  $n$ ,  $n(T)$  — число атомов в  $\text{см}^3$ ,  $g_m$  — статистич. вес высшего состояния,  $Z(T)$  — сумма состояний,  $E_m$  — энергия возбуждения высшего состояния,  $l$  — длина испускающего слоя, рассчитаны интенсивности  $J^+$  и  $J$  линий 2836 и 2583 А углерода  $\text{C}^+$  и  $\text{C}$  и построен график  $\lg(J^+/J) - T$ . Спектрографически измерено  $J^+/J$  в когасине при горении дуги длиной 2 мм, токе 15 а и напряжении 70 в. По графику



$\lg J^+/J^- - T$  найдено  $T = 10\,700^\circ\text{K}$ . Ошибка 100% в определении  $J^+/J^-$  дает ошибку в определении  $t$ -ры не более  $300^\circ$ . Ю. Кесслер

27845. Об оценке величины хемисорбционного сродства. Ланге, Редлейн (Zur Abschätzung von Chemisorptionsaffinitäten. Lange E., Rädlein G.), Z. Elektrochem., 1957, 61, № 6, 724—726 (нем.) Обсуждено сродство образования окисей ( $A_{\text{MO}}$ ) у Ag

и Pt. Изложенные соображения использованы для оценки величины хемисорбционного сродства атомов O, образующихся при диссоциации  $O_2$  ( $A_{\text{хем}, O_2}$ ) в поверхностном слое M. Предположено, что связь атомов O с атомами M в поверхностном слое при хемисорбции энергетически подобна связи свободных атомов O и M в газообразной MO.  $A_{\text{хем}, O_2}$  практически равна  $A_{\text{MO}}$  с добавлением разности абс. значений теплот сублимации  $S_M - S_{\text{MO}}$ . Оцененные для ряда металлов  $A_{\text{хем}, O_2}$  и  $A_{\text{MO}}$  представлены графически. Отмечено, что на основе такой оценки можно объяснить некоторые эксперим. результаты. Г. Бабкин

27846. Масс-спектрометрическое изучение молекул  $\text{Cu}_2$ ,  $\text{Ag}_2$  и  $\text{Au}_2$ . Дровар, Хониг (Mass spectrometric study of the molecules  $\text{Cu}_2$ ,  $\text{Ag}_2$  and  $\text{Au}_2$ . Drowart Jean, Honig Richard E.), Mém. Soc. roy. sci. Liège, 1957, 18, Fasc. univ., 536—537 (англ.)

В масс-спектре, полученном при давл.  $10^{-6}$ — $10^{-3}$  мм рт. ст. после бомбардировки паров электронами с энергией 70 эв, наблюдаются следующие величины отношения интенсивностей:  $\text{Cu}_2:\text{Cu}$   $8 \cdot 10^{-4}$  при  $1540^\circ\text{K}$ ,  $\text{Ag}_2:\text{Ag}$   $5 \cdot 10^{-4}$  при  $1260^\circ\text{K}$ ,  $\text{Au}_2:\text{Au}$   $7 \cdot 10^{-4}$  при  $1600^\circ\text{K}$ . Приближенные величины энергии диссоциации, вычисленные с использованием этих отношений, равны:  $D_0(\text{Cu}_2) = 2,02$ ,  $D_0(\text{Ag}_2) = 1,63$ ,  $D_0(\text{Au}_2) = 2,18$  эв. Р. Хмельницкий

27847. Калориметрические исследования теплот образования некоторых бинарных твердых и жидких сплавов. Клеппа (Calorimetric investigations of the heats of formation of some binary solid and liquid alloys. Kleppa O. J. Kgl. norske vid. selskabs skr., 1956, № 6, 28 pp., ill.) (англ.)

Обзор результатов работ автора (см. РЖХим, 1958, 20593—20597).

27848. Термодинамика реакции образования комплексного иона  $\text{Ag}(\text{S}_2\text{O}_3)_2^{3-}$ . Шато, Эрвье, Пурадье (Thermodynamique de la réaction de formation de l'ion complexe argentidithiosulfate. Chateau Henri, Hervier Bernadette, Pouradier Jacques), J. Chim. phys. et phys.-chim. biol., 1957, 54, № 3, 246—250 (франц.)

Равновесие р-ции  $\text{Ag}^+ + 2\text{S}_2\text{O}_3^{2-} \rightleftharpoons \text{Ag}(\text{S}_2\text{O}_3)_2^{3-}$  (1) изучено потенциометрич. методом с применением электродов из Ag или из  $\text{Ag}_2\text{S}$  путем постепенного добавления р-ра  $\text{AgNO}_3$  к р-ру  $\text{Na}_2\text{S}_2\text{O}_3$  (0,001—0,1 M) при  $t$ -рах 25; 35; 49,5 и  $68^\circ (\pm 0,2^\circ)$ . Электрод из  $\text{Ag}_2\text{S}$  имеет тот же потенциал, что и электрод из Ag, но последний может вызвать разложение  $\text{Na}_2\text{S}_2\text{O}_3$ . Активность ионов Ag определяется из нормального потенциала электрода, выраженного в функции от  $t$ -ры. Между Ag-электродом и каломольным электродом сравнения включалось жидкостное соединение из 2 M р-ра  $\text{KNO}_3$ . Из полученных эдс. вычислены константы диссоциации  $\text{Ag}(\text{S}_2\text{O}_3)_2^{3-}$ :  $25^\circ$   $3,47 \cdot 10^{-14}$ ;  $35^\circ$   $1,00 \cdot 10^{-13}$ ;  $49,5^\circ$   $3,70 \cdot 10^{-13}$ ;  $68^\circ$   $2,10 \cdot 10^{-12}$ . Зависимость от  $t$ -ры выражается ур-нием  $\lg K = -4166/T + 0,510$ . Для р-ции (1) вычислено:  $\Delta H_{298} = -19,05 \pm 0,5$  ккал/моль;  $\Delta G = 19\,050 + 2,33 T$  кал/моль;  $\Delta G_{298} = -18,35$  ккал/моль;  $\Delta S = -2,3 \pm 2$  энтр. ед. Б. Анвар

27849. К термохимии тиосульфатных комплексов кадмия и цинка. Яцимирский К. Б., Гуськова Л. В., Ж. неорган. химии, 1957, 2, № 9, 2039—2042

Определены теплоты смешения р-ров  $\text{Cd}(\text{NO}_3)_2$  (I) и  $\text{Zn}(\text{NO}_3)_2$  (II) с р-рами  $\text{Na}_2\text{S}_2\text{O}_3$  (III) различной конц-ии. Используя литературные данные по константам устойчивости, авторы определили изменения термодинамич. функций для р-ций типа  $\text{M}^{2+} + n\text{S}_2\text{O}_3^{2-} = \text{M}(\text{S}_2\text{O}_3)_n^{n-}$ . Для комплексов  $\text{ZnS}_2\text{O}_3$ ,  $\text{CdS}_2\text{O}_3$ ,  $\text{Cd}(\text{S}_2\text{O}_3)_2^{2-}$ ,  $\text{Cd}(\text{S}_2\text{O}_3)_3^{4-}$   $\Delta H$  соответственно равны 3,5; 0; -1,5; -3,4 ккал/моль, а  $\Delta S$  равны 17, 12, 18, 17 энтр. ед. Присоединение каждой последующей частицы  $\text{S}_2\text{O}_3^{2-}$  связано с убыванием  $\Delta H$  и  $\Delta S$ . Все цифры относятся к  $t$ -ре  $25^\circ$  и ионной силе  $\mu = 1$ .

К. Яцимирский  
27850. Теплоты образования окиси алюминия, трехокиси молибдена и диоксида молибдена. Ма (Heats of formation of alumina, molybdenum trioxide and molybdenum dioxide. Mah Alla D.), J. Phys. Chem., 1957, 61, № 11, 1572—1573 (англ.)

В калориметре, описанном ранее (Humphrey G. L., J. Amer. Chem. Soc., 1951, 73, 1587), определены теплоты сгорания Al, Mo и  $\text{MoO}_2$  при  $30^\circ$ . Рассчитаны теплоты образования из элементов  $\text{Al}_2\text{O}_3$  ( $-400,4 \pm 0,3$  ккал/моль),  $\text{MoO}_3$  ( $-178,1 \pm 0,1$  ккал/моль) и  $\text{MoO}_2$  ( $-140,8 \pm 0,2$  ккал/моль) при  $298,15^\circ\text{K}$ . Полученные данные находятся в хорошем соответствии с литературными. Ю. Кесслер

27851. Теплота образования газообразной пятиокиси азота. Рей, Огг (The heat of formation of gaseous nitrogen pentoxide. Ray James D., Ogg Richard A., Jr.), J. Phys. Chem., 1957, 61, № 8, 1087—1088 (англ.)

Определена теплота р-ции  $\text{N}_2\text{O}_5(\text{газ}) + \text{NO}(\text{газ}) = 0,742\text{N}_2\text{O}_2(\text{газ}) + 1,129\text{N}_2\text{O}_4(\text{газ})$ . Калориметром служил сосуд Дьюара с жидким хлорбензолом. Калибровка калориметра производилась как описано ранее (РЖХим, 1957, 47312). С привлечением литературных данных по теплотам образования NO и  $\text{NO}_2$  и теплоте димеризации  $2\text{NO}_2 \rightarrow \text{N}_2\text{O}_4$  авторы вычислили теплоту образования (эндотермическую)  $\text{N}_2\text{O}_5$  из элементов при  $25^\circ$   $\Delta H_{\text{N}_2\text{O}_5(\text{газ})} = 3,06 \pm 0,20$  ккал/моль.

Л. Резницкий  
27852. Экспериментальное определение свободной энергии образования трехфтористого плутония. Байерс, Мербак (Experimental estimate of the free energy of formation of plutonium trifluoride. Buyers A. G., Murbach E. W.), Nucl. Sci. and Engng, 1957, 2, № 5, 679—686 (англ.)

Изучено равновесие между расплавленными  $\text{UF}_4$  и облученным ураном, содержащим Pu в кол-ве  $\sim 0,95 \mu\text{e}$  на 1 г U при  $1573 \pm 50^\circ\text{K}$ . В расплаве возможны р-ции  $1/3 \text{Pu} (\text{жидк.}) + 1/4 \text{UF}_4 (\text{жидк.}) \rightleftharpoons 1/3 \text{PuF}_3 (\text{жидк.}) + 1/4 \text{U} (\text{жидк.})$  и  $1/3 \text{Pu} (\text{жидк.}) + 1/3 \text{UF}_3 (\text{тв.}) \rightleftharpoons 1/3 \text{PuF}_3 (\text{жидк.}) + 1/3 \text{U} (\text{жидк.})$ . Для обеих р-ций  $K = (N_{\text{PuF}_3}/N_{\text{Pu}})^{1/3} = 4,7$ , т. е. фториды урана являются хорошим р-рителем Pu. Из эксперим. данных вычислено значение свободной энергии образования  $\text{PuF}_3$  при  $1573^\circ\text{K}$  по ф-ле  $1/3 \Delta F_{\text{PuF}_3}^0 = 1/4 \Delta F_{\text{UF}_4}^0 - 2,3 RT \lg K$ ;  $1/3 \Delta F_{\text{PuF}_3}^0 = 93 \pm 1,5$  ккал/эв. Эта величина согласуется с литературными данными. Л. Резницкий

27853. О количественном применении дифференциального термографа к некоторым практическим проблемам. Имото, Хирао (Imoto Fumio, Hiraio Kazushige), Eгё кёкайси, J. Ceram. Assoc. Japan, 1957, 65, № 736, 84—88 (японск.; реф. англ.)

Обсуждается существование линейной зависимости между площадью пика A на диф. термограмме и теплотой р-ции  $\Delta H$ .  $A/\Delta H$  мало изменяется с  $t$ -рой. Это подтверждается измерением теплоты превращения для нескольких солей; отмечается, что поправочный член, обусловленный различием в теплоемкости, может быть большим. Объяснена диф. термограмма титановых

эмалей. Теплота осаждения  $TiO_2$  во фритте  $\sim 11$  кал/моль. Подтверждено, что широкий пик между  $550-800^\circ$  объясняется эндотермич. р-цией, связанной с изменением упаковки образца. Резюме авторов 27854. О термодинамическом анализе при помощи только калориметрии. Мейеринг (On thermodynamical analysis by calorimetry alone. Meijering J. L.), Acta metallurgica, 1956, 4, № 3, 333—335 (англ.).

Рассматривается применение метода (РЖХим, 1957, 40552) к термодинамич. анализу систем с образованием твердых р-ров. Предложен принципиально аналогичный метод нахождения свободной энергии смешения в жидком состоянии в простых эвтектич. системах с использованием в качестве переменных давления и объема. Ю. Кесслер

27855. О редуцированных уравнениях, выражающих свойства некоторых серий положительных бинарных азеотропных систем. Свентославский В., Малесинский В., Бюл. Польской АН, 1956, Отд. 3, 4, № 3, 155—160

На основании работ, опубликованных ранее (Roczn. Chem., 1930, 10, 97; 1951, 25, 98, 109, 381; РЖХим, 1957, 7454), введены ур-ния, в которых выступают приведенные азеотропные параметры, выражающие универсальные зависимости для серий азеотропных смесей, образующих регулярные р-ры. Эксперим. данные для шести азеотропных серий, образованных шестью различными агентами (ацетон, *n*-пропилформат, изомилловый спирт, фенол, пирокатехин и резорцин) и 3 гомологич. рядами (парафинов, 1- и 2-ядерных ароматич. углеводородов), хорошо укладываются на универсальную кривую, полученную на основании предложенных ф-л. Значительные отклонения от универсальной кривой обнаружены у двух серий, в которых азеотропными агентами были метанол и уксусная к-та. С. Бык

27856. Молекулярная интерпретация азеотропных явлений. I. Общее рассмотрение. II. Постоянство молекулярных обменных энергий в рядах гомологических азеотропов и расчет области образования азеотропов. Масико, Йосимото (Mashiko J. Ichiro, Yoshimoto Toshio), Toki koré sikan-sé хококу, Repts Govt Chem. Industr. Res. Inst., Tokyo, 1957, 52, № 5, 158—164, XVIII; 165—170, XVIII (японск.; рез. англ.)

I. Даны общие выражения для «силы, обуславливающей образование азеотропов» в бинарных р-рах, и для условий существования азеотропов. Допускается квазикристаллич. модель для р-ров, которые предполагаются в азеотропной точке «строго регулярными р-рами». Вводится представление для энергии взаимодействия молекул компонентов. Азеотропные смеси разбиты на 4 класса в зависимости от типа мол. взаимодействия. Рассчитана и обсуждена «сила, обуславливающая образование азеотропов» (мол. обменная энергия).

II. Применяя правило Трутона к гомологич. рядам, авторы показывают на примерах постоянство мол. обменной энергии  $w$  для азеотропов, составленных из индивидуальных компонентов и из смеси гомологов. На основе ур-ний, выведенных в части I, найдены максим. и миним. т-ры кипения компонентов в азеотропных смесях гомологов и сравнены с величинами, полученными иными методами. Основное ур-ние, выведенное в I части, может быть применено для корреляции данных по азеотропии. Резюме авторов

27857. Статистический метод измерения давления пара над раствором. Купина Н. А., Равдель А. А., Ж. прикл. химии, 1957, 30, № 9, 1405—1408  
Описана лабор. установка для измерения давления пара над р-рами статич. методом. Принцип действия установки: давление пара в замкнутом пространстве

передается на служащую нуль-инструментом манометрич. трубку, наполненную ртутью; возникшее в нуль-инструменте давление уравнивают внешним давлением, которое отсчитывают на закрытом манометре с помощью катометра. Приведена схема установки, излагается методика измерений. Конструкция установки позволяет проводить измерения при низких т-рах (до  $-10^\circ$ ). Измерено давление пара в системах  $NaCl-H_2O$  (при  $-6^\circ$ ) и  $CoCl-H_2O$  (при  $+25^\circ$ ). Эксперим. и литературные данные хорошо совпадают. Точность описанного метода  $\pm 0,2-0,5\%$ . С. Бык

27858. Давление пара металлического тупия. Спендинг, Бартон, Дана (The vapor pressure of thulium metal. Spedding F. H., Barton R. J., Daane A. H.), J. Amer. Chem. Soc., 1957, 79, № 49, 5160—5163 (англ.)

Эффузионным методом а) по потере веса образца и б) радиометрич. определением кол-ва паров  $Tu$ , содержащих радиоактивный изотоп  $Tu^{170}$ , сконденсированных на танталовом диске, измерено давление пара  $Tu$  при  $809-1219^\circ K$ . Оба метода дали совпадающие результаты, выражающиеся ур-нием  $lgP(мм) = -[(1,2552 \pm 0,0045) \cdot 10^4/T] + 9,1761 \pm 0,0457$ . Рассчитанная теплота сублимации составляет  $57,44 \pm 0,20$  ккал/моль. Высокое давление пара трактуется как следствие ослабления межатомных связей  $Tu$  из-за почти полного заполнения 4f-оболочки.

Ю. Кесслер  
27859. Термодинамика системы  $Ti-TiO_2$  и энергии диссоциации  $TiO$  и  $TiO_2$ . Берковиц, Чупка, Инграм (Thermodynamics of the  $Ti-TiO_2$  system and the dissociation energy of  $TiO$  and  $TiO_2$ . Berkowitz J., Chupka W. A., Inghram Mark G.), J. Phys. Chem., 1957, 61, № 11, 1569—1572 (англ.)

Масс-спектрометрическим анализом паров, эффузирующих из  $Mo$ - или  $Ta$ -ячейки Кнудсена или ячейки из окиси тория, найдено, что газообразная фаза, находящаяся в равновесии с твердой системой  $Ti-TiO_2$  при  $1800-2000^\circ K$ , содержит  $Ti$ ,  $TiO$  и  $TiO_2$ . Определены теплоты сублимаций для  $TiO$   $\Delta H_{298}^\circ = 139 \pm 5$  ккал/моль, для  $TiO_2$   $\Delta H_{298}^\circ = 146 \pm 5$  ккал/моль; рассчитаны энергии атомизации  $TiO$  и  $TiO_2$ , равные 6,8 и 13,5 эв соответственно. Э. Чудинко

27860. Пятифтористая сурьма; плотность, точка плавления и давление пара. Гофман, Джолия (Antimony pentafluoride: density, melting point, and vapor pressure. Hoffman Charles J., Jolly William L.), J. Phys. Chem., 1957, 61, № 11, 1574—1575 (англ.)

Измерен уд. вес  $SbF_5$  в интервале  $10-70^\circ$ . Эксперим. данные с точностью  $\pm 0,3\%$  подчиняются ф-ле:  $\rho = 3,193 - 3,67 \cdot 10^{-3}t + 3 \cdot 10^{-6}t^2$ ; точка плавления  $8,3 \pm 0,3^\circ$ . Давление пара, определенное статич. методом в стеклянном изотенсископе в пределах  $9-50^\circ$ , выражается ф-лой  $lgP_{мм} = 8,567 - 2364,1/T$ . Высокое значение константы Трутона ( $\sim 25$ ) указывает на высокую степень ассоциации жидкости. Э. Чудинко

27861. Равновесие жидкость—пар в системе ацетон—бензол—циклогексан. Курманадхарао, Кришнамурти, Венкатарао (Vapour-liquid equilibria: System acetone (1)-benzene (2)-cyclo-hexane (3). Kurmanadharao K. V., Krishnamurty V. V. G., Venkatarao C.), Recueil trav. chim., 1957, 76, № 9—10, 769—778 (англ.)  
Равновесие жидкость—пар в тройной системе ацетон—бензол—циклогексан исследовано при 760 мм рт. ст. Измерения проводились на видоизмененном приборе Колбурна. Эксперим. скорректированные данные  $T-x-y$  представлены в таблице и на двух треугольных диаграммах. Вычислены  $lg(\gamma_1/\gamma_2)$  и  $lg(\gamma_1/\gamma_3)$  по ф-ле  $lg(\gamma_i/\gamma_j) = lg \alpha_{ij} + lg(P_j^0/P_i^0)$ , где  $\alpha_{ij}$ —отноше-



малая летучесть,  $\gamma$  — коэф. активности. Термодинамич. соответствие эксперим. данных проверено при помощи предположений ранее (РЖХим, 1957, 26095) ф.-л, а также видоизмененного ур-ния Маргулеса для тройных систем (РЖХим, 1957, 56991). Проведено коррелирование величин  $\gamma$  при среднем значении константы видоизмененного ур-ния Маргулеса  $C_1 = 0,7$ . Установлено хорошее совпадение эксперим. данных с величинами, вычисленными из коррелированных значений  $\gamma$ . В исследованной системе не обнаружено тройного азеотропа. С. Бык

27862. Равновесие жидкость — пар в системах циклогексан — метилизобутилкетон и бензол — метилизобутилкетон. Дакшинамурати, Рама-Рао, Ражавачария, Венката-Рао (Vapour-liquid equilibria: cyclohexanemethyl isobutyl ketone and benzene-methyl isobutyl ketone systems. Dakshinamurti P., Rama Rao G. Jaya, Raghavacharya M. V., Venkata Rao C.), J. Scient. and Industr. Res., 1957, BC16, № 8, B340—B344 (англ.)

Равновесие жидкость — пар в бинарных системах циклогексан (I) — метилизобутилкетон (II) и бензол (III) — II исследовано в изобарич. (760, 600 и 400 мм рт. ст.) и изотермич. (80°) условиях. Измерения проводились на приборе типа Кольбуна. Состав равновесных фаз определялся рефрактометрически. У системы I—II равновесные изотермич. и изобарич. данные хорошо коррелируются при помощи предложенного уравнения (Wohl, Kurt, Trans. Amer. Inst. Chem. Engrs, 1942, 42, 215) видоизмененного ур-ния Маргулеса. Термодинамич. соответствие эксперим. данных проверено по Редлиху и Кистеру. Изотермич. данные для  $t=f(x)$ , где  $x$  — общее давление и  $t$  — состав, указывают на отклонение системы I—II от закона Рауля. Величины  $\lg \gamma_1$  и  $\lg \gamma_2$ , где  $\gamma$  — коэф. активности, показывают максимум и соответственно минимум для одного и того же состава жидкой фазы. Среднее расхождение между эксперим. и вычисленными значениями  $\gamma$  равно 2%. У системы III — II величина относительной летучести  $\alpha$  практически не зависит от давления. Характер зависимости величины  $\alpha$  от состава, проверка эксперим. данных по предложенному ранее Стерном (Othmer D. F., Gilmont R., Industr. and Engng Chem., 1944, 36, 858) методу, а также по Редлиху и Кистеру, указывают на то, что система III — II может рассматриваться как идеальная. С. Бык

27863. Равновесие жидкость — пар в неидеальных растворах при высоких давлениях. Часть III. Система бензол — *n*-пропанол. Кумаркришна-Рао, Свами, Рао (High pressure vapour-liquid equilibria of non-ideal solutions. Part III. Benzene — *n*-propanol system. Kumarkrishna Rao V. N., Swami D. R., Rao M. Narasinga), J. Scient. and Industr. Res., 1957, BC16, № 6, B233—B240 (англ.)

Равновесие жидкость — пар в системе бензол — *n*-пропанол исследовано в интервале давл. 3—21 кг/см<sup>2</sup>. Состав равновесных фаз определялся по плотности и показателю преломления. Построены диаграммы  $t-x$ ;  $t-y$ ;  $x-y$ ;  $\lg \gamma-x$ . Проведено коррелирование эксперим. данных по ур-нию Редлиха — Кистера:  $\lg \gamma_B/\gamma_P = B(1-2x_B) + C[6x_B(1-x_B) - 1] + D(1-2x_B) \times [1-8x_B(1-x_B)]$ , где индекс «В» относится к бензолу, а «Р» — к пропанолу. При увеличении давления содержание *n*-пропанола в азеотропной смеси заметно возрастает (до  $p=8$  кг/см<sup>2</sup>); при дальнейшем увеличении давления этот эффект уменьшается. Предложено ур-ние:  $T = 0,4177 \lg(\pi/0,07) + 2,4167$ , где  $T$  — т-ра кипения азеотропа в °К,  $\pi$  — общее давление в кг/см<sup>2</sup>. Зависимость  $\lg \gamma_B/\gamma_P$  от  $\lg x_B/x_P$  носит прямолинейный характер и описывается ур-нием  $\lg \gamma_B/\gamma_P = m \lg x_B/x_P + C$ . Вычислены константы  $m$  и  $C$  как функции общего дав-

ления  $\pi$ . Получено ур-ние:  $x_{Baz} = 1/(1+10^k)$ ;  $k = (\pi - 9,11)/(3,265\pi - 77,55)$ , где  $x_{Baz}$  — мольная доля бензола в азеотропной смеси. Часть II см. РЖХим, 1958, 3772.

С. Бык  
27864. Растворимость двуокиси углерода в воде при повышенных давлениях. Бартоломе, Фриц (Löslichkeit von Kohlendioxyd in Wasser bei höheren Drucken. Bartholomé E., Friz Hans), Chem.-Ingr-Techn., 1956, 28, № 11, 706—708 (нем.; рез. англ., франц.)

Исследована растворимость CO<sub>2</sub> в воде при 10,20 и 30° и давл. 1—20 атм. Показана зависимость коэф. растворимости от т-ры и от парц. давл. CO<sub>2</sub>. А. Мамет

27865. Термические превращения в твердых телах. Уббеллоде (Thermal transformations in solids. Ubbelohde A. R.), Quart. Revs. London. Chem. Soc., 1957, 11, № 3, 246—272 (англ.)

Обзор. Библ. 66 назв.  
27866. О противоречиях в теории П. С. Эренфеста. (Ответ И. П. Базарову). Мохнаткин М. П., Ж. физ. химии, 1957, 31, № 11, 2584—2585

Дискуссионная статья. К РЖХим, 1957, 29906.

27867. Предплавление и образование твердых растворов. Уббеллоде (Premelting and the formation of solid solutions. Ubbelohde A. R.), Analyt. chim. acta, 1957, 17, № 1, 1—6 (англ.; рез. франц., нем.)

Обсуждая вопрос о предплавлении, заключающемся в появлении аномалий ряда свойств в твердой фазе вблизи их точки плавления, автор рассматривает механизм плавления и явление предплавления для различных типов кристаллич. решеток. Рассмотрены критерии появления гомофазного предплавления и указывается на необходимость не только термодинамического, но и структурного исследования явлений предплавления. Отмечена связь между образованием твердых р-ров при наличии примесей и явлением предплавления. А. Золотаревский

27868. Гетерофазные флуктуации вблизи точки плавления. Лукашик (Heterophase fluctuations near the freezing point. Lukasik S. J.), J. Chem. Phys., 1957, 27, № 2, 523—527 (англ.)

На основе теории Френкеля произведены для о-крезола и бензола численные расчеты безразмерной величины  $I'(T)$ , характеризующей эффект, обусловленный гетерофазными флуктуациями. Результаты расчета, представленные графически, показывают обратную зависимость  $C = I'(T) \cdot kT_0^2/\lambda$  от  $T - T_0$ , где  $T_0$  — т-ра плавления,  $T$  — т-ра жидкой фазы,  $\lambda$  — скрытая теплота плавления. Для максим. эффекта гетерофазных флуктуаций  $C \sim \sigma^{-1/2}$ , где  $\sigma$  — поверхностная энергия на раздле твердой и жидкой фаз. Расчетные значения сопоставлены с эксперим. данными и дана оценка параметра  $g_0$ , характеризующего размеры областей, где происходит предпереходные фазовые изменения. А. Золотаревский

27869. Несегнетоэлектрические фазовые переходы в твердых растворах, образующихся в системах (Ca, Sr)(Ti, Zr)O<sub>3</sub> и Na(Nb, Ta)O<sub>3</sub>. Смоленский Г. А., Исупов В. А., Аграновская А. И., Шолохова Е. Д., Ж. техн. физики, 1957, 27, № 11, 2528—2534

Исследована температурная зависимость диэлектрич. проницаемости ( $\epsilon$ ) и коэф. линейного расширения ( $\alpha$ ) в твердых р-рах, образующихся в системах SrTiO<sub>3</sub> — CaTiO<sub>3</sub> (I), SrTiO<sub>3</sub> — CaZrO<sub>3</sub> (II), SrZrO<sub>3</sub> — CaTiO<sub>3</sub> (III), NaNbO<sub>3</sub> — NaTaO<sub>3</sub> (IV). В системах I, II, III  $\epsilon$  всех изученных образцов уменьшается при увеличении т-ры. Отмечены максимумы на кривых  $\epsilon$  и изменение  $\alpha$  при т-рах, соответствующих максимумам. Полученные данные указывают на отсутствие антисегнетоэлектрич. переходов и на наличие обыч-

ных кристаллографич. переходов (из тетрагональной в орторомбическую или в фазу, близкую к кубической). В системе IV также получены указания на наличие обычных кристаллографич. переходов и сделан вывод, что  $\text{NaTaO}_3$  не является сегнетоэлектриком.

Л. Витинг

**27870. Измерения газовым термометром при высоких температурах. I. Новый метод измерений газовым термометром. II. Определение точки золота. Мозер, Отто, Томас (Gasthermometrische Messungen bei hohen Temperaturen. I. Neue gasthermometrische Methode. II. Bestimmung des Goldpunktes. Moser H., Otto J., Thomas W.), Z. Phys., 1957, 147, № 1, 59—75, 76—91 (нем.)**

I. Описан газовый термометр, основанный на новом принципе. До сих пор принятые методы постоянного объема и постоянного давления основаны на нагревании сосуда термометра от некоторой опорной т-ры (напр.  $0^\circ$ ) до т-ры, которую надлежит измерить; новый термометр работает при «постоянной т-ре термометрического сосуда» так, что неконтролируемые эффекты десорбции при нагревании в заметной мере исключаются, оказывая влияние на измеренную т-ру, в 2,5 раза меньшее, чем при первых двух методах. Необходимое для измерений изменение состояния достигается при расширении термометрич. газа, причем часть газа переходит во вспомогательный объем, находящийся при опорной т-ре. Разработанный ртутный дифференциальный манометр (погрешность  $\pm 0,002$  мм рт. ст.) позволяет уравновешивать давление в термометре противодавлением во втором вспомогательном объеме, изменение которого измеряется. Измерения т-ры сводятся к измерению объемов путем взвешивания ртути. Погрешности составляют  $\sim 0,1^\circ$  в точке затвердевания Au.

II. Определена т-ра золотой точки, оказавшаяся равной  $1064,76 \pm 0,1^\circ$ . Для исключения систематич. ошибок применялись разные газы:  $\text{N}_2$ , Ar,  $\text{CO}_2$ , Kr, Xe. Определялись как точка плавления, так и точка затвердевания (разность  $< 0,1^\circ$ ) при различных (от  $\sim 750$  до  $\sim 350$  мм рт. ст.) давлениях, что позволяло проводить экстраполяцию к нулевому давлению без применения значения второго вирального коэф. Выполнены контрольные измерения с той же аппаратурой, но методами постоянного давления и постоянного объема. Новое значение точки золота уменьшается на  $\sim 1/3$  разность значений константы излучения, вычисленных из атомных констант и определенных экспериментально. Авторы считают, что объяснение остальных  $\sim 2/3$  этой разности можно ожидать лишь путем новых измерений излучения.

В. Соколов

**27871. О полиморфном превращении кристаллов камфоры. Жафре (Remarques sur une transformation polymorphique des cristaux de camphre. Jaffray Jean), J. phys. et radium, 1957, 18, № 4, 280 (франц.)**

При помощи термич. анализа и дилатометрии исследовано полиморфное превращение камфоры при  $90^\circ$ . Указывается на невозможность обнаружить полиморфизм по измерению давления пара. И. Каменцев

**27872. Состояние ацетилена вблизи критической точки. Бруни (Lo stato precritico dell'acetilene. Bruni Giordano), Idrocarburi, 1955, 4, № 5, 23—28 (итал.; рез. франц., англ.)**

**27873. Влияние ионов на процессы образования зародышей в жидкостях. II. Жидкости при положительном давлении в метастабильном термодинамическом равновесии (перегретые жидкости). Бертанца, Мартелли (Influence of ions on the nucleation processes in liquids. II. Liquids under positive pressure in metastable thermodynamical equilibrium (overheated liquids). Bertanza L., Mar-**

telli J.), Nuovo cimento, 1955, 1, № 2, 324—336 (англ.; рез. итал.)

Опираясь на данные, приведенные в ранее опубликованной статье (часть I, РЖХим, 1956, 3395), авторы рассматривают поведение перегретой жидкости, закипание которой стимулируется ионами, в предположении метастабильного термодинамич. равновесия. Анализируются условия равновесия пузырька (II), содержащего  $\mu$  молекул и  $N$  ионов, для ряда случаев, и вводится понятие крит. радиуса  $\Pi$ , не достигший крит. радиуса, может увеличиваться только с затратой свободной энергии. Если же радиус  $\Pi$  превысит критический, дальнейшее увеличение становится энергетически выгодным, и  $\Pi$  быстро растет. Дается общее выражение для числа крит.  $\Pi$ , образующихся в единицу времени. Из него оценивается «время ожидания», т. е. время между моментом возникновения метастабильного равновесия и моментом появления первого крит.  $\Pi$ . Сравнение с экспериментом показывает, что в некоторых случаях вкладом ионов в образование центров закипания пренебрегать нельзя. Наличие ионов сильно сокращает время ожидания. Авторы вычислили плотность  $\Pi$  для следов релятивистских частиц в пузырьковой камере, наполненной диэтиловым эфиром при  $145^\circ$ , и получили значение, равное 30  $\Pi$  на 1 см (эксперим. 25  $\Pi$ ).

**27874. Об испарении капелек в камере ракетного двигателя. Содха, Джайн (On evaporation of droplets in rocket motor chamber. Sodha Mahendra Singh, Jain Virendra Kumar), Proc. Nat. Inst. Sci. India, 1957, A23, № 3, 143—149 (англ.)**

Рассмотрена теория испарения капелек в изотермич. и неизотермич. условиях. В отличие от работы, опубликованной ранее (РЖХим, 1954, 11704; 1955, 28456), где результаты были получены на основе ур-ния Клаузеуса, авторы исходят из известного ур-ния для скорости испарения, данного Максвеллом и Лэнгмюром, что приводит к ур-ниям, более удобным для численного решения. Приведен пример вычисления по изотермич. модели времени жизни капелек анилина начального радиуса  $10^{-2}$  см.

А. Золотаревский

**27875. Образование ядер металлической меди из водного раствора. Кортни (Nucleation of copper metal from aqueous solution. Courtney Welby G.), J. Phys. Chem., 1956, 60, № 10, 1461—1462 (японск.)**

Измерена величина индукционного периода  $\tau$  образования ядер меди по р-ции  $2\text{Cu}^{2+} = \text{Cu}^0 + \text{Cu}^{2+}$ , который определяется как период времени от момента добавления  $\text{H}_2\text{SO}_4$  к р-ру, содержащему  $\text{Cu}^{2+}$ , до появления эффекта Тиндалля; найдена графич. зависимость  $\tau$  от начальной конц-ии  $\text{Cu}^{2+}$  при конц-ии  $\text{H}^+ 1 \text{ M}$ . Обсуждается механизм этого процесса.

Н. Афонский

**27876. Влияние полиэлектролитов на осаждение углекислого кальция. Вильямс, Руруэйн (Effect of polyelectrolytes on the precipitation of calcium carbonate. Williams Forrest V., Ruehrwein Robert A.), J. Amer. Chem. Soc., 1957, 79, № 18, 4898—4900 (англ.)**

Исследовано осаждение  $\text{CaCO}_3$  из р-ров, содержащих  $5,2 \cdot 10^{-3} \text{ M}$   $\text{Ca}^{2+}$  и  $4,6 \cdot 10^{-3} \text{ M}$   $\text{Na}_2\text{CO}_3$  в присутствии полимерных электролитов: полиметакрилата натрия со степенью полимеризации  $\sim 6000$  (I) и продукта присоединения  $\text{NH}_3$  к сополимеру изобутилена и малеинового ангидрида (II). Проводилось фотометрич. измерение помутнения. Если время до начала осаждения (период индукции) возрастает, то скорость осаждения и кол-во осажденного  $\text{CaCO}_3$  уменьшаются. Чем больше конц-ия полимера, тем период индукции больше; при конц-ии I  $> 0,025 \text{ н.}$  и II  $> 0,0088 \text{ н.}$  осаждения не происходит. При уменьшении степени полимеризации I период индукции уменьшается. На микрофотографиях показано влияние конц-ии полимера на форму



и размер кристалла. Из изменения сопротивления  $p$ -ра при осаждении делается вывод, что скорость образования зародышей очень велика; присутствие полимера сказывается лишь на 2-й стадии образования кристалла — росте зародышей до макроскопич. размеров.

Б. Анваер

27877. Определение скорости роста частиц гидраргиллита в алюминатном растворе за счет линейного роста кристаллических граней. Ляпунов А. Н., Холмогорцева Е. П., Ж. прикл. химии, 1957, 30, № 9, 1306—1310

Предлагается метод вычисления средней скорости роста кристаллич. частиц за счет линейного роста граней кристаллов из результатов определения веса фракции частиц известных размеров в затравке и в кристаллич. осадке по истечении некоторого времени. Для применения предполагаемого метода необходимо знать функцию распределения кристаллов по размерам для затравки и исключить слипание кристаллов в процессе роста. Метод разработан применительно к исследованию роста частиц гидраргиллита в алюминатном  $p$ -ре.

М. Баранаев

27878. Плавление границ зерен. Шеймон (The melting of grain boundaries. Shewmon P.), Acta Metallurgica, 1957, 5, № 6, 335—336 (англ.)

Обсуждается на основе законов термодинамики различие в точках плавления границ зерен (ГЗ) и их объема. Автор указывает, что это различие может быть обусловлено рядом причин, как-то: неравновесной концентр.  $p$ -ра у ГЗ; быстрым падением механ. проч. ГЗ при  $t$ -ре, близкой к точке плавления; быстрым образованием и увеличением кол-ва расплава у ГЗ.

Ф. Сломьянская

27879. Количественное исследование процессов осаждения. XIII. Изучение осаждения малорастворимых фторидов. Черницкий, Тежак (Methorics of the precipitation processes. XIII. Study of the precipitation of sparingly soluble metal fluorides. Cernicki B., Težak B.), Croat. chem. acta, 1956, 28, № 3, 175—179 (англ.; рез. сербохорв.)

Нефелометрически изучено образование малорастворимых  $\text{CaF}_2$  (I),  $\text{MgF}_2$  (II),  $\text{LaF}_3$  (III) и  $\text{ThF}_4$  (IV) по ур-нию  $\text{M}(\text{NO}_3)_n + n\text{NH}_4\text{F} \rightarrow n\text{NH}_4\text{NO}_3 + \text{MF}$ , где М — ион металла, в разб.  $p$ -рах. Определены кривые зависимости мутности образующегося золя при постоянной конц-ии одного реагента от переменной конц-ии другого. Частицы I чрезвычайно быстро (в течение 1 мин.) достигают постоянного размера ( $\sim 250$  мк). Совпадение максимума мутности при более высоких конц-иях золя с эквивалентной точкой указывает на то, что он является изоэлектрич. максимумом (ИМ). Сдвиг максимума в область более высоких конц-ий  $\text{F}^-$  при понижении конц-ии золя указывает, что он является и кристаллизационным максимумом (КМ). Аналогично ведет себя и II, за исключением более медленного роста частиц. Для III максимумы выражены резко, но и они, по-видимому, являются КМ. Золи IV обладают очень значительной мутностью и проявляют раздельные ИМ и КМ. Вычисленные произведения растворимости I—IV зависят от конц-ии золя. Для III найдены величины  $\text{PR}$  от  $4,1 \cdot 10^{-11}$  до  $4,1 \cdot 10^{-8}$ . Часть XII см. РЖХим, 1957, 43991. И. Рысс

27880. Спонтанная конденсация в сверхзвуковом потоке влажного воздуха. Вакесима (Spontaneous condensation in a supersonic flow of humid air. Wakeshima Hiromu), J. Phys. Soc. Japan, 1955, 10, № 2, 141—148 (англ.)

См. РЖФиз, 1956, 27264.

27881. IV. Влияние величины ионов на количественные соотношения компонентов в двойных солях. V. Постепенный переход от соединений, плавящихся инконгруэнтно, к соединениям, плавящимся конгру-

энтно, в сериях двухкомпонентных систем. Пенкаля, Бюл. Польской АН, 1956, отд. 3, 4, № 9, 605—607, 609—611

IV. Ранее (РЖХим, 1957, 3725) показано, что в схеме Свентославского (Świętosławski W., Roczn. chem., 1949, 23, 7) постепенного перехода от истинных твердых  $p$ -ров к типичным эвтектикам в ряду двухкомпонентных систем, образованных каким-либо органич. соединением и членами данного гомологич. ряда с все более низкими  $t$ -рами плавления, можно также включить двухкомпонентные системы неорганич. солей. Когда размеры ионов обоих компонентов сильно различаются, образуются двойные соли (ДС), состав которых зависит главным образом от отношения радиусов ионов. ДС, в состав которых входят соединения с одинаковым анионом (А) и различными равновалентными катионами (К), содержат тем больше меньшего К, чем больше различие в размерах К. Отклонение от этой закономерности наблюдается в случае очень сильной ионной поляризации. В ДС, образованных соединениями с одинаковыми А и равновалентными К (1- и 2-валентными), содержание 2-валентного К возрастает с уменьшением его радиуса и с ростом радиуса 1-валентного К.

V. Показано, что в ряду 2-компонентных систем, образованных солью А с солями  $B_1, B_2, B_3, \dots$ , содержащими тот же А, происходит постепенный переход от соединений, плавящихся инконгруэнтно (СПИ), к соединениям, плавящимся конгруэнтно (СПК). В системах, состоящих из одно-одновалентной соли А с достаточно большим К и солей ряда  $B_1, B_2, B_3, \dots$ , содержащих тот же А и 2-валентные К, вероятность образования СПК тем больше, чем меньше 2-валентный К. В системах, образованных солью А с относительно небольшим 2-валентным ионом с рядом солей  $B_1, B_2, B_3, \dots$ , содержащих тот же А, что и соль А, и 1-валентные К, вероятность перехода от СПИ к такого же типа СПК тем больше, чем больше 1-валентный К. Сообщение III см. РЖХим, 1957, 3726.

Н. Wróblowa

27882. К термодинамике оптических антиподов. I, II. Маузер (Zur Thermodynamik optischer Antipoden. I, II. Mauser Heinz), Chem. Ber., 1957, 90, № 3, 299—306, 307—319 (нем.)

I. Бинарные системы оптич. антиподов в жидком состоянии не отклоняются от законов идеальных  $p$ -ров даже в случае образования рацемич. соединений. В этом случае, однако, принято считать (Rozeboom H. W., Aten A. H. W., Z. Phys. Chem., 1899, 53, 494), что соединение должно присутствовать в жидкой фазе и что, следовательно, жидкие смеси оптич. антиподов не могут быть идеальными.

II. Показано, что если в смешанной жидкой фазе образуются мол. соединения, то эта жидкая фаза все же может вести себя, как идеальный  $p$ -р; при этом активности компонентов равны стехиометрическим мольным долям и, разумеется, отличны от действительных мольных долей. Отсюда следует, что из зависимости активностей от стехиометрич. мольных долей (т. е. из термодинамич. поведения смешанной фазы) нельзя сделать заключения об образовании соединения. Таким образом, нельзя без крит. рассмотрения считать, как это делали Роозебоом и Атен, активности равными действительным мольным долям; основанное на этом предположении объяснение кривой плавления с дистектикой неверно. При выводе выражения для кривой дистектич. плавления безразлично, исходить ли из представления о сингулярной смешанной фазе или из представления об образовании мол. соединения. Обработка литературных данных о двойных системах оптич. антиподов (6 систем) и данных автора для двух систем указывает на идеальное поведение расплавов вплоть до точки затвердевания. В. С.

27883. О растворимости в воде твердых веществ и газов. Люно (Sur la solubilité dans l'eau des solides et des gaz. Luneau J.), Bull. Union physiciens, 1957, 51, № 435, 472—474 (франц.)

Указывается на ограничения правила растворимости твердых и газообразных в-в, предложенного ранее (Custaud, Bull. Union physiciens, № 432), согласно которому из аналогичных соединений двух элементов одной и той же группы периодической системы соединение более тяжелого элемента менее летуче, менее растворимо в воде, если оно твердое, и более растворимо, если оно газ. Показана неверность этого правила для летучести водородных соединений металлоидов, растворимости газов, напр., CO, NO, NH<sub>3</sub>, HCl, SO<sub>2</sub>, растворимости сульфатов и гидратов окисей щел.-зем. металлов и гидратов CaSO<sub>4</sub>.

Б. Аншаер  
27884. Методы расчета свойств тройных систем по данным для двойных систем. Громаков С. Д., Ж. физ. химии, 1956, 30, № 11, 2373—2383

На основе исследования поверхностей переноса предложен метод расчета свойств, представленных одним полем, тройной системы по данным для двойных систем. Схема вычислений дана в аналитич. форме, примененной к числовым расчетам. Проведен расчет ликвидуса, солидуса и уд. электросопротивления системы Ni—Cu—Mn, общего давления пара в тройной системе этанол—1,2-дихлорэтан—бензол, т-р кипения (при давл. 760 мм рт. ст.) для системы бензол—толуол—м-ксилол, уд. веса, вязкости и поверхностного натяжения для системы этанол—глицерин—вода. По мнению автора, метод нуждается в дальнейшей разработке. См. также РЖХим, 1955, 54628.

Ю. Любитов  
27885. О системе Ga-Ge. Рош (Zur Kenntnis des Systems Gallium-Germanium. Roche Ninon de), Z. Metallkunde, 1957, 48, № 2, 59—60 (нем.; рез. англ.). Система Ga—Ge исследовалась методами термич., рентгеноструктурного анализа и термодинамич. расчетом. Построена диаграмма квазиэвтектич. типа с малой растворимостью Ga в твердом Ge (при 30° 2,1 ат. % Ga). Со стороны Ga возможна перитектика при 0,1 вес. % Ge. Рассчитана энтропия плавления Ga 4,42 и Ge 6,71 энтр. ед.

Р. Минц  
27886. Сплавы Pd-Ir. Рауб, Плате (Die Palladium—Iridium—Legierungen. Raub Ernst, Plate Werner), Z. Metallkunde, 1957, 48, № 8, 444—447 (нем.; рез. англ.)

Сплавы Pd-Ir исследовались методами рентгеноструктурного и микроструктурного анализа, измерением твердости и микротвердости. В области, прилегающей к чистому Pd, определялась т-ра солидуса. Диаграмма состояния системы Pd-Ir подобно диаграмме Pt-Ir представляет непрерывный ряд твердых р-ров, но имеет широкую 2-фазную область при низких т-рах. Крит. т-ра разделения фаз в системе Pd-Ir равна 1480°, что на 400° ниже, чем в системе Pt-Ir. При прибавлении Pd к твердым р-рам Pd-Ir твердость сплавов значительно возрастает. Влияние длительно-го отпуска при 700° на твердость сплавов Pd-Ir неизвестно.

Р. М.  
27887. Равновесие в системе медь—бериллий—алюминий. I. Тройная диаграмма состояния. Никель (Gleichgewichtsverhältnisse im System Kupfer—Beryllium—Aluminium. I. Das ternäre Zustandsschaubild. Nickel Otto), Z. Metallkunde, 1957, 48, № 7, 417—424 (нем.; рез. англ.)

Исследован Cu-углол диаграммы Cu—Be—Al до 26% Be и 18% Al. Образцы готовились сплавлением Cu, Al и Cu-Be-сплава в вакууме или атмосфере CO<sub>2</sub>. Предварительно гомогенизированные образцы выдерживались при 450—800°, закалялись в воду, после чего подвергались рентгено- и микроструктурному

анализам. Кристаллизация сплавов происходит по двум перитектич. 4-фазным р-циям. В области затвердевания имеется крит. точка. β-Фаза в тройной системе испытывает перитектоидный распад при 647°, что свидетельствует о различии в характере β-фаз систем Cu—Be и Cu—Al. Фазы γ Юм-Розери из систем Cu—Be и β из Cu—Al, имеющие одинаковую аллотропную конц-ию, не переходят прямо одна в другую. Это указывает на большую стабильность фазы Лаваса. В твердом состоянии протекают перитектоидные и эвтектоидные 4-фазные р-ции. δ-Фаза возникает при 500° уже при весьма малых содержаниях Be (0,21% Be при 7,8% Al). Библ. 20 назв.

Е. Понятовский  
27888. Соединения переходных металлов с бериллием, кремнием, германием и оловом. Черкашин Е. Е., Гладышевский, Крип'якевич (Спунли переходных металлов с бериллием, кремнием, германием и оловом. Черкашин Е. Е., Гладышевский Е. И., Крип'якевич П. И.), Доповід та повідомлення. Львівськ. ун-т, 1957, вып. 7, ч. 3, 180—183 (укр.)

Методами рентгеноструктурного анализа и микроструктуры исследованы сплавы в системах: Mn—Be, Cr—Be, V—Be, Nb—Be, Mo—Be, W—Be, Mn—Co—Si, Mn—Ni—Si, Mn—Co—Ge, Mn—Ni—Ge, Mn—Co—Sn, Mn—Ni—Sn. Найдены следующие соединения (приводятся ф-ла соединения, структурный тип, сингония и константы решетки в кЭ): MnBe<sub>3</sub>→<sub>13</sub>(MgCu<sub>2</sub>), куб., *a* 5,91; CrBe<sub>12</sub>(ThMn<sub>12</sub>) тетрагон., *a* 7,219, *c* 4,168, *c/a* 0,577; MoBe<sub>12</sub>(ThMn<sub>12</sub>)<sub>12</sub>, *a* 7,240, *c* 4,180, *c/a* 0,577; VBe<sub>12</sub>(ThMn<sub>12</sub>), *a* 7,251, *c* 4,186, *c/a* 0,577; NbBe<sub>12</sub>(ThMn<sub>12</sub>), *a* 7,357, *c* 4,247, *c/a* 0,577; Co<sub>2</sub>MnSi(CsCl), куб., *a* 2,827; Co<sub>2</sub>MnGe(Cu<sub>2</sub>MnAl), куб., *a* 5,72; Ni<sub>2</sub>MnGe(Cu<sub>2</sub>MnAl), *a* 5,68; Co<sub>2</sub>MnSn(Cu<sub>2</sub>MnAl), *a* 5,991; Ni<sub>2</sub>MnSn(Cu<sub>2</sub>MnAl), *a* 6,045; Mn<sub>3</sub>Co<sub>2</sub>Si<sub>2</sub>(MgZn<sub>2</sub>) гексагон., *a* 4,738, *c* 7,452, *c/a* 1,572; Mn<sub>3</sub>Ni<sub>2</sub>Si<sub>2</sub>(MgZn<sub>2</sub>) *a* 4,752, *c* 7,492, *c/a* 1,576.

П. Крип'якевич  
27889. Равновесие между металлическим титаном, TiCl<sub>2</sub> и TiCl<sub>3</sub> в расплавах NaCl-KCl. Крей, Келлогг (The equilibrium between titanium metal, TiCl<sub>2</sub> and TiCl<sub>3</sub> in NaCl-KCl melts. Kreye Warren C., Kellogg Herbert H.), J. Electrochem. Soc., 1957, 104, № 8, 504—508 (англ.)

Изучено равновесие между TiCl<sub>2</sub>, TiCl<sub>3</sub> и Ti в расплаве NaCl-KCl (1:1 мол.). Исследование проводилось при 700 и 780°, время испытания от 1 до 625 час. Разработан прибор, позволяющий работать в атмосфере аргона, обеспечивающий отбор проб. Ti металлический получен термич. разложением TiJ<sub>4</sub>. Чистота TiCl<sub>2</sub> 99,99%. Равновесие между металлич. Ti и образующимися хлоридами устанавливалось после пропускания газообразного TiCl<sub>4</sub> в смесь расплавленных солей NaCl + KCl и металлич. Ti. Установлено, что Ti при равновесии находится главным образом в 2-валентной форме TiCl<sub>2</sub>; его содержание соответствует 87—91% от общей конц-ии растворенного в расплаве Ti; TiCl<sub>3</sub>—остальное кол-во, за исключением незначительной конц-ии Ti<sup>4+</sup> в виде TiO<sub>2</sub> (<1%). Ti<sup>4+</sup>, получающийся в результате окисления титана (несмотря на все предосторожности), практически в равновесии не участвует. Кажущаяся «константа» *K*<sub>с</sub> (активности заменены на мол. конц-ии) является функцией общей конц-ии Ti в расплаве. Р-ция равновесия экзотермическая.

Н. Домбровская  
27890. Гетерогенные реакции окисления и восстановления при высоких давлениях и температурах. Эйгстер (Heterogeneous reactions involving oxidation and reduction at high pressures and temperatures. Eugster H. P.), J. Chem. Phys., 1957, 26, № 6, 1760—1761 (англ.)

Предложена методика исследования окислительно-



восстановительных гетерог. р-ций твердое тело — газ в присутствии воды путем проведения их в запаянной Р-пробирке (длина 20, внешний диам. 3, толщина стенки 0,25 мм), помещаемой в запаянную Аи-пробирку. Пространство между пробирками заполняется кислородной буферной смесью (окислы железа + фаялит  $\text{Fe}_2\text{SiO}_4$ ) и  $\text{H}_2\text{O}$ ; нагревание пробирок ведут извне.  $\text{H}_2$ , образующийся при диссоциации  $\text{H}_2\text{O}$ , проникает через Рт. Приведена диаграмма парц. давления  $\text{O}_2$  (порядка  $10^{-26}$ — $10^{-16}$  атм) в координатах  $\text{P}_a$ — $T$  для ряда силикатов, с выделением области существования железистого биотита  $\text{KFe}_3^{2+}\text{AlSi}_3\text{O}_{10}(\text{OH})_2$ ; при общем давл. 2000 ат и т-рах 500—850°.

Г. Леви

27891. Идентификация кубических окислов, присутствующих в пленках на железе. Дейвис, Эванс (The identity of the cubic oxide present in films on iron. Davies D. Eurof, Evans U. R.), J. Chem. Soc., 1956, Nov., 4373—4375 (англ.)

Рентгенографически и электронографически изучен состав пленок, образующихся на Fe при окислении. Установлена различимость порошкограмм  $\text{Fe}_3\text{O}_4$  (I) и  $\gamma\text{-Fe}_2\text{O}_3$  (II); при нагревании I до 400° содержание Fe уменьшается и, когда переход I → II осуществлен на ~ 80%, появляются линии, соответствующие 3,72; 4,40; 2,77; 2,64; 2,32; 2,24 А, что подтверждает литературные данные. Fe нагревалось в токе  $\text{H}_2$  (для уничтожения первоначальной пленки), затем в  $\text{O}_2$ , после чего образовавшиеся пленки снимались с металла. При 175 и 225° пленки содержали только  $\alpha\text{-Fe}_2\text{O}_3$  (III), при 200° кроме того, куб. окисел. После 2 час. нагревания при 250° найден только III, после 10 час., кроме того, куб. окисел. Исследование производилось и при комнатной т-ре, причем образцы предварительно нагревались в вакууме при 360° в течение 1 часа; при этом происходит перекристаллизация без изменения хим. состава. Пленка в последнем случае содержала II. Окисление I на воздухе дало III. Ни в одном из опытов не было найдено линий Fe. Результаты подтверждены гравиметрич., электрометрич. и хим. изучением пленок.

П. Зоркий

27892. Исследование ферритной области на диаграмме состояния Fe—Co—O. Смиттенс (Investigation of the ferrite region of the phase diagram Fe—Co—O. Smiltens J.), J. Amer. Chem. Soc., 1957, 79, № 18, 4881—4884 (англ.)

Изучена возможность получения монокристаллов ферромагнетиков из феррита с замещением железа никелем, что приводит к смещению изотропической точки в область более высоких т-р. Смесь окислов Co и Fe получалась медленным разложением совместно смешанной смеси гидроокисей при 105—140°. Исследование велось с пропусканием при постоянной т-ре смеси  $\text{CO}$  и  $\text{CO}_2$  со скоростью 1 л/мин в течение 48 час. с последующей закалкой равновесия. Закаленные образцы анализировались на содержание O и Co хим. методами; фазовый рентгеновский анализ проводился на дифрактометре. Кобальто-магнетитовая фаза при 1200° в равновесии со смесью 98,13 об.%  $\text{CO}_2$  и 1,87 об.%  $\text{CO}$  устойчива от  $x = 0$  до  $x = 55,8$ , где  $x$  — число атомов Co, замещающих атомы Fe в соединении  $\text{Co}_{x/100}\text{-Fe}_{1-x/100}$ . В чистом кислороде интервал стабильности простирается от  $x = 0$  до  $x > 120$ . При 1400° в смеси 98,93%  $\text{CO}_2$  и 1,07%  $\text{O}_2$  интервал стабильности простирается от  $x = 0$  до  $x = 94,5$ ; в чистом кислороде верхняя граница стабильности лежит при  $x = 113,5$  (нижняя граница не определена). Со не замещает Fe в гематитовой области при 1200°. При исходном  $x = 100$  (1628° в кислороде) возникает фаза с атомной долей O, равной 0,5611, значительно меньшей, чем требуется для образования соединения  $\text{CoFe}_2\text{O}_4$  (0,5712). Это обстоятель-

ство, а также исследование линий солидуса указывает на необходимость давления кислорода  $> 1$  атм для выращивания монокристаллов  $\text{CoFe}_2\text{O}_4$ . А. Грановская

27893. Исследование условий образования литиевых алюмосиликатов. Молдван (Litiumaluminiumszilikátok képződési viszonyainak vizsgálata. Moldvai Rezsőné), Magyar kém. folyóirat, 1957, 63, № 10, 275—283 (венг.; реф. нем.)

Методом рентгеновского и термогравиметрич. анализа исследована система  $\text{Li}_2\text{O} - \text{Al}_2\text{O}_3 - \text{SiO}_2$ . На керамич. образцах изучены р-ции, протекающие в твердом состоянии. Структурные изменения кристаллич. решетки имеют непрерывный характер. Рентгеноаморфного состояния ни в одном случае не наблюдалось. Образование новых кристаллич. структур начинается при 600—700°. При нагревании вначале образуется структура  $\alpha$ -эвкриптита и  $\beta$ -сподумена, в зависимости от состава. Структура  $\beta$ -эвкриптита появляется при т-ре  $> 900^\circ$ . Кристаллич. структура керамич. образца образуется в основном до 1100°, но и при дальнейшем нагревании наблюдаются структурные изменения, особенно в отношении полиморфных форм  $\text{SiO}_2$ .

27894. Исследование составов фаз в богатых железом никель-цинковых феррошпинелях. Джефферсон, Уэстрем (An investigation of the phase compositions of an iron-rich nickel-zinc ferrosinipel. Jefferson C. F., Westrum Edgar F., Jr.), J. Phys. Chem., 1957, 61, № 10, 1430—1432 (англ.)

Исследованы хим., микроскопич., магнитным и рентгенографич. методом составы фаз в системе  $\text{Ni}_{1-x}\text{Zn}_x\text{-Fe}_2\text{O}_4 - \text{Fe}_2\text{O}_3$ , находящихся в равновесии с воздухом при атмосферном давлении. Образцы приготовлялись размолотом в шаровой мельнице в течение 6 час. х. ч. окислов (в ацетоне) и последующей сушкой на воздухе при 100°. Сухая смесь прессовалась в торчиды и отжигалась на воздухе при т-рах от 1000° (5 дней) до 1400° (3 часа). Образцы для хим. анализа при т-рах отжига  $< 1000^\circ$  предварительно спекались при 1150° (4 часа), затем размалывались и отжигались при желаемой т-ре в течение 24 час. Все образцы закалялись в воде, чтобы избежать сдвига равновесия в процессе охлаждения. Проводился анализ образцов на содержание  $\text{Fe}^{2+}$  и определялась т-ра Кюри (как т-ра, при которой проницаемость начинает падать до 1). Состав шпинель-фазы можно представить в виде ф-лы  $a\text{Ni}_x\text{Zn}_{1-x}\text{Fe}_2\text{O}_4 \cdot b\text{Fe}_2\text{O}_3$ . Величина  $b/a$  — растворимость магнетита в никель-цинковой феррошпинели — определена в интервале 700—1300°. Шпинель содержит также некоторое кол-во гематита  $\text{Fe}_2\text{O}_3$ , присутствующего, по-видимому, в  $\gamma$ -модификации. Обнаружено, что величина  $b/(b+c)$  на границе раздела между фазовыми полями шпинели и смеси шпинель-гематит не зависит от величины  $a$ . Д. Белащенко

27895. Изоморфизм у тетрагалогенидов элементов IV группы. Сообщение II. О равновесии затвердевания в системе  $\text{CCl}_4 - \text{CBr}_4$ . Сообщение III. Равновесие затвердевания двойных систем, образованных  $\text{PbCl}_4$  с  $\text{CCl}_4$ ,  $\text{SiCl}_4$ ,  $\text{TiCl}_4$  и  $\text{SnCl}_4$ , и систематика затвердевающих систем из тетрагалогенидов. Закман (Isomorphiebeziehungen zwischen Tetrahalogeniden der IV. Gruppe. II. Mitteilung: Über die Erstarrungsgleichgewichte im System  $\text{CCl}_4 - \text{CBr}_4$ . III. Mitteilung [1]: Die binären Erstarrungsgleichgewichte von  $\text{PbCl}_4$  mit  $\text{CCl}_4$ ,  $\text{SiCl}_4$ ,  $\text{TiCl}_4$ ,  $\text{SnCl}_4$ , und über einen Ordnungsversuch der Erstarrungssysteme von Tetrahalogeniden [2] Sackmann Horst), Z. phys. Chem. (DDR), 1955, 204, 299—309; 1957, 207, № 3/4, 242—249 (нем.)

II. Методами термич. и микроскопич. анализом исследовано равновесие затвердевания в системе  $\text{CCl}_4 - \text{CBr}_4$  в области, богатой  $\text{CCl}_4$ . При содержании  $\text{CBr}_4$  Из резюме авторов

до 20 мол. % образуются твердые р-ры. Опровергается ранее полученная (Sohier J. P., Bull. Soc. chim. belges, 1931, 40, 403) диаграмма состояния этой системы. Полученные результаты обсуждены с точки зрения размеров частиц и строения решетки. Резюме авторов

III. Исследованы диаграммы плавки двойных систем, образуемых  $PbCl_2$  (I) с  $CCl_4$ ,  $SiCl_4$ ,  $TiCl_4$  и  $SnCl_4$ . Методика получения в-в, работы с ними и термич. анализа изложены ранее (сообщение I, РЖХим, 1957, 3741). Вновь определена т-ра плавления I, равная  $-6^\circ$ , что выше ранее известных значений. Диаграммы плавки изучались только в областях конц-ий I < 80%. Возможным источником ошибок является невозможность полностью устранить разложение I. Диаграмма плавки систем I с  $CCl_4$  и с  $SiCl_4$  эвтектич. типа. В системах I с  $TiCl_4$  и с  $SnCl_4$ , где определены только линии ликвидуса, образуются непрерывные ряды твердых р-ров. Линия ликвидуса системы I с  $TiCl_4$  имеет форму кривой с минимумом, соответствующим конц-ии I 30–40 мол. % и т-ре около  $-30^\circ$ . Обсуждена наблюдаемая зависимость типа диаграмм состояния двойных систем, образуемых тетрагалогенидами элементов IV группы, от разницы расстояний между центральным атомом и галогеном  $\Delta(Z-X)$  у молекул компонентов системы. И. Левитин

27896. Взаимодействие четыреххлористого титана с хлоридами тантала, ниобия и алюминия. Морозов И. С., Топтыгин Д. Я., Ж. неорган. химии, 1957, 2, № 8, 1915–1921

Методами растворимости и термич. анализа показано, что двойные системы  $TiCl_4-AlCl_3$ ,  $TiCl_4-TaCl_5$  и  $TiCl_4-NbCl_5$  являются системами с простой эвтектикой; хим. соединения не образуются. Растворимость в  $TiCl_4$  для  $TaCl_5$  при  $18-110^\circ$  в пределах 0,40–10,7 вес.%; для  $NbCl_5$  при  $18-106^\circ$  в пределах 0,45–12,2 вес.%, т. е. того же порядка, что и  $TaCl_5$ . Растворимость  $AlCl_3$  в  $TiCl_4$  при  $18$  и  $80^\circ$  соответственно 0,26 и 3,8%. Эвтектика в системе  $TiCl_4-NbCl_5$  содержит < 0,4 вес. %  $NbCl_5$  и плавится при  $-24^\circ$ , в системе  $TiCl_4-AlCl_3$  < 0,26 вес. %  $AlCl_3$  и плавится при  $-24^\circ$ . При изучении системы  $TiCl_4-NbCl_5$  следует очищать  $NbCl_5$  от хлороксида  $NbOCl_3$ , растворимость которой в  $TiCl_4$  при низких т-рах не превышает сотых долей процента и лишь при  $280-300^\circ$  доходит до 1,5–2 вес. %.  $AlCl_3$  в р-ре в  $TiCl_4$  химически взаимодействует с  $NaCl$  с образованием соединения, нелетучего при низких т-рах, что использовано для отделения основной массы  $TiCl_4$  от  $AlCl_3$  при анализе смесей. Методом термич. анализа изучены системы  $TiCl_4-NbCl_5$ ,  $TiCl_4-TaCl_5$ ,  $TiCl_4-NbCl_5-AlCl_3$  и  $TiCl_4-TaCl_5-AlCl_3$ . В присутствии  $AlCl_3$  при т-ре ниже т-ры кип.  $TiCl_4$  наблюдается неограниченная растворимость  $TaCl_5$  и  $NbCl_5$ . И. Слоним

27897. Исследование тройной системы хлористый натрий — углекислый натрий — фтористый натрий. Абрамов Г. А., Малиновский М. А., Тр. Ленингр. политехн. ин-та, 1957, № 188, 79–89

Методом термич. анализа исследована тройная система  $NaCl$  (I) —  $Na_2CO_3$  (II) —  $NaF$  (III) — и образующие ее двойные системы I — II, I — III, II — III. Построена диаграмма состояния системы I — II — III, нанесены изотермы ликвидуса. Двойные системы I — II, I — III и II — III — с простой эвтектикой (состав в мол. %): 56,7 I,  $638^\circ$ ; 34,0 III,  $68,1^\circ$ ; 39,0 III,  $692^\circ$  соответственно. Тройная система I — II — III — с простой эвтектикой (40,7 I, 37,6 II, 21,7 III,  $581^\circ$ ).

Л. Витинг

27898. Исследование диаграммы равновесия тройной смеси  $NaOH-NaBr-NaI$  вблизи эвтектической точки. Окада, Иосидзава, Ватанабэ, Фукагава (Osada Shinzo, Yoshizawa Shiro, Watanabe Nobuatsu, Fukagawa Kunio), Kore ка-

гаку дзасси, J. Chem. Soc. Japan. Industr. Chem. Sec., 1957, 60, № 4, 377–379 (японск.)

Построена равновесная диаграмма системы  $NaOH-NaBr-NaI$  вблизи эвтектич. точки и исследовано мол. соединение, образующееся вблизи эвтектич. точки.

Ли Мен-ю

27899. Исследование диаграммы состояния четверной системы криолит — фтористый алюминий — фтористый кальций — глинозем. Абрамов Г. А., Костюков А. А., Кулаков Л. Б., Тр. Ленингр. политехн. ин-та, 1957, № 188, 45–47

Методами термич. анализа и оптическим исследованием сечение  $5NaF \cdot 3AlF_3$  (I) —  $CaF_2$  (II) —  $Al_2O_3$  (III) четверной системы  $Na_3AlF_6$  (IV) —  $AlF_3$  (V) — II — III, построена диаграмма состояния системы I — II — III, в которой поверхность ликвидуса образована 3 полями первичной кристаллизации IV, II и III; поле последнего занимает большую часть концентрационного треугольника. Добавление II к сплавам системы III — IV — V, лежащим в области первичной кристаллизации IV, приводит к снижению т-ры плавления смеси, если мол. отношение  $NaF:V > 2,2-2,0$ ; снижение тем значительнее, чем больше это отношение и содержание III в сплаве. Сечение I — II — III делит тетраэдр четверной системы II — III — IV — V на два объема. Сплавы, лежащие в объеме криолитового угла тетраэдра, ограниченного плоскостью I — II — III, окончательно затвердевают в четверной перитектич. точке ( $685^\circ$ ). Сплавы, лежащие в объеме, ограниченном плоскостью I — II — III и вершиной V, окончательно затвердевают в четверной эвтектич. точке ( $665^\circ$ ).

Л. Витинг

27900. Плотность расплавленных солей изомоцентричного разреза [10% (вес.)  $MgCl_2$ ] системы  $MgCl_2-CaCl_2-KCl-NaCl$ . Стрелец Х. Л., Десятников О. Г., Тр. Всес. алюмин.-магн. ин-та, 1957, № 39, 401–412

См. РЖХим, 1956, 50188

27901. Взаимная система из ацетатов и нитратов лития и калия. Диогенов Г. Г., Нурминский Н. Н., Гимельштейн В. Г., Ж. неорган. химии, 1957, 2, № 7, 1596–1600

Взаимная система  $Li, K||CH_3COO, NO_3$  исследовалась визуально-политермич. методом. Впервые изучена двойная система  $LiNO_3-CH_3COOLi$  с простой эвтектикой при  $176^\circ$  и 51%  $CH_3COOLi$  (составы даны в мол. %). При  $265^\circ$   $CH_3COOLi$  претерпевает полиморфное превращение. Полученные авторами данные о системе  $KNO_3-CH_3COOK$  несколько отличаются от опубликованных ранее (РЖХим, 1957, 73904): для соединения  $CH_3COOK \cdot KNO_3$  определена, т. пл.  $229^\circ$ , эвтектики соответствуют 61%  $KNO_3$ , 21% и 61%  $CH_3COOK$ ,  $220^\circ$ . Для  $CH_3COOK$  найдено полиморфное превращение при  $292^\circ$ . В процессе изучения взаимной системы выполнено 2 диагональных сечения и 17 внутренних разрезов. Проекция ликвидуса системы на квадрат состава характеризуется наличием семи полей кристаллизации, сходящихся в пяти невариантных точках, из которых одна эвтектич. и 4 переходные. Вопреки отрицательному тепловому эффекту обратной р-ции  $CH_3COOK + LiNO_3 \rightleftharpoons CH_3COOLi + KNO_3$  ( $-1,26$  ккал/г-экс), изученная система характеризуется резким сдвигом равновесия в сторону паров солей  $KNO_3-CH_3COOLi$ . Ю. Завернев

27902. Экспериментальное исследование теплопроводности водных растворов электролитов. Осми-нин Ю. П., Вестн. Моск. ун-та. Сер. матем., мех., астрон., физ., химия, 1957, № 2, 117–125

Для исследования теплопроводности ( $\lambda$ ) водн. р-ров электролитов применен метод ртутной нагретой нити (Варгафтик Н. Б. и др., Изв. ВТИ, 1952, № 9). Получены эксперим. данные о  $\lambda$  р-ров  $NaCl, KCl, BaCl_2$

$Na_2SO_4, Na_2SO_4$  р-ром диапозита в р-ре  $\lambda$  и изменение  $\lambda$  в  $HNO_3$ . Для зависимости  $\lambda$  от  $\lambda$  р-ра  $\lambda$  увеличивается с увеличением  $\lambda$  в изученном для  $\lambda$  конц.  $\lambda$  турный коэф. с вычисленными химии, 1948, 1951, 23, № достаточным по ф-ле Пре которых слу опытом.

27903. Растворы в Густав Густав орган. хим. Разработано  $Na_2UO_4 \cdot 9H_2O$  ( $UO_2(NO_3)_2 + 6H_2O$  и водн. р-ра  $9H_2O$  в водн. р-ра  $25^\circ$ . Раствор  $NaOH$  и  $HNO_3$  в р-ра  $+2HNO_3$  и  $NaNO_3$  в р-ра  $Na_2UO_4 \cdot 9H_2O$  в водн. р-ра  $0,5$  н. р-ра  $0^\circ$  и  $27904$ . Раствор ко Н. химии, Растворной  $P_2O_5$  11,4 двойной шей до  $La_2O_3$  проведен значите.  $2H_2O$ .

27905.

$As_2O_3$

ко Г

2454

Раств

исследо

ния о

мышья

термы

вых ф

I при

стигае

затем

чивает

пенне

сте

0° то

интер



$\text{ZnSO}_4$ ,  $\text{Na}_2\text{SO}_4$ ,  $\text{H}_2\text{SO}_4$ ,  $\text{HNO}_3$ ,  $\text{HCl}$  и  $\text{KOH}$  при  $30^\circ$  в широком диапазоне конц-ий. С ростом конц-ии электролита в р-ре  $\lambda$ , как правило, уменьшается. Наибольшие изменения  $\lambda$  обнаружены в случае р-ров  $\text{H}_2\text{SO}_4$  и  $\text{HNO}_3$ . Для последних была изучена температурная зависимость  $\lambda$  в интервале  $10-90^\circ$ . С ростом т-ры возрастает  $\lambda$  р-ров сравнительно небольшой конц-ии. С увеличением конц-ии р-ров зависимость  $\lambda$  от т-ры становится более слабой. Для конц.  $\text{H}_2\text{SO}_4$  увеличение  $\lambda$  в изученном интервале т-р составляет всего  $\sim 10\%$ , для  $\lambda$  конц.  $\text{HNO}_3$  установлен отрицательный температурный коэф. Полученные значения  $\lambda$  сопоставлены с вычисленными по ф-лам Предводителя (Ж. физ. химии, 1948, 22) и Риделя (Riedel L., Chem.-Ingr-Techn., 1951, 23, № 3). Расчет  $\lambda$  водн. р-ров электролитов с достаточным приближением может быть произведен по ф-ле Предводителя, тогда как ф-ла Риделя в некоторых случаях дает значительные расхождения с опытом.

Ю. Заверьяев

**27903.** Растворимость соли  $\text{Na}_4\text{UO}_6 \cdot 9\text{H}_2\text{O}$  в воде и растворах различных электролитов. Ратнер А. П., Гуревич А. М., Положенская Л. П., Ж. неорган. химии, 1957, 2, № 10, 2316—2322

Разработаны оптимальные условия получения  $\text{Na}_4\text{UO}_6 \cdot 9\text{H}_2\text{O}$  (с выходом 95%) согласно ур-нию:  $\text{UO}_2(\text{NO}_3)_2 + 6\text{NaOH} + 3\text{H}_2\text{O}_2 \rightarrow \text{Na}_4\text{UO}_6 + 2\text{NaNO}_3 + 6\text{H}_2\text{O}$ , и методика перекристаллизации  $\text{Na}_4\text{UO}_6$  из водн. р-ра (с выходом 98%). Растворимость  $\text{Na}_4\text{UO}_6 \cdot 9\text{H}_2\text{O}$  в воде, р-рах  $\text{NaOH}$  и  $\text{HNO}_3$  исследована при  $25^\circ$ . Растворимость падает с увеличением конц-ии  $\text{NaOH}$  и резко возрастает с увеличением конц-ии  $\text{HNO}_3$  в р-рителе. Для р-ции растворения  $\text{Na}_4\text{UO}_6 + 2\text{HNO}_3 \rightarrow \text{Na}_2\text{UO}_6 + 2\text{NaNO}_3 + \text{H}_2\text{O}_2$  вычислены величины растворимости негидролизованной соли.  $\text{Na}_2\text{CO}_3$ ,  $\text{NaNO}_3$ ,  $\text{NaC}_2\text{H}_3\text{O}_2$  подавляют растворимость соли  $\text{Na}_4\text{UO}_6 \cdot 9\text{H}_2\text{O}$ ;  $\text{NaHCO}_3$  резко увеличивает растворимость. Зависимость растворимости соли в воде, 1 и 0,5 н. р-рах  $\text{NaOH}$  и  $\text{HNO}_3$  от т-ры исследована в интервале  $0-80^\circ$ ; с ростом т-ры растворимость резко увеличивается вследствие разложения соли.

С. Бык

**27904.** Растворимость фосфата лантана в водных растворах фосфорной кислоты при  $80^\circ$ . Василенко Н. А., Чепелевский М. Л., Ж. неорган. химии, 1957, 2, № 10, 2486—2489

Растворимость  $\text{LaPO}_4 \cdot n\text{H}_2\text{O}$  (I) в водн. р-рах фосфорной к-ты исследована при  $80^\circ$  в интервале конц-ий  $\text{P}_2\text{O}_5$  11,0—42%. Описана методика получения I из двойной соли  $2\text{La}(\text{NO}_3)_3 \cdot 3\text{Mg}(\text{NO}_3)_2 \cdot 24\text{H}_2\text{O}$ , содержащей до 6% Се. Уточнены методики определения  $\text{P}_2\text{O}_5$  и  $\text{La}_2\text{O}_3$  в жидкой и твердой фазах. Описана методика проведения опытов. Растворимость I в фосфорной к-те значительно меньше, чем у  $\text{AlPO}_4 \cdot 2\text{H}_2\text{O}$  и  $\text{FePO}_4 \cdot 2\text{H}_2\text{O}$ .

С. Бык

**27905.** Исследование растворимости в системе  $\text{As}_2\text{O}_3-\text{HF}-\text{H}_2\text{O}$ . Тананаев И. В., Савченко Г. С., Ж. неорган. химии, 1957, 2, № 10, 2449—2454

Растворимость в системе  $\text{As}_2\text{O}_3$  (I) —  $\text{HF}$  (II) —  $\text{H}_2\text{O}$  исследована при  $0^\circ$  и  $25^\circ$ . Описаны методики проведения опытов и аналитич. методики определения мышьяка и II в равновесных фазах. Построены изотермы растворимости и кривые составов р-ров и донных фаз при разных содержаниях II. Растворимость I при  $25^\circ$  возрастает с увеличением конц-ии II и достигает максим. значения 72,8 вес.% I при 24,75% II, затем резко падает, после чего снова заметно увеличивается. Результаты анализа донных фаз и их отношение к воде подтверждают сосуществование в системе двух различных твердых фаз: I и  $\text{AsOF}$ . При  $0^\circ$  точка превращения I в  $\text{AsOF}$  расположена в интервале конц-ий II от 22,5 до 25%.

С. Бык

**27906.** Фазовое изучение системы  $\text{Pb}(\text{NO}_3)_2-\text{KNO}_3-\text{H}_2\text{O}$ . Вартак, Кабади (Phase study in the system  $\text{Pb}(\text{NO}_3)_2-\text{KNO}_3-\text{H}_2\text{O}$ . Vartak D. G., Kabadi M. B.), J. Indian Chem. Soc., 1957, 34, № 8, 606—610 (англ.)

Анализом донных фаз, выделенных при испарении (при комнатной т-ре) из водн. р-ров смесей  $\text{KNO}_3 + \text{Pb}(\text{NO}_3)_2$  с различным соотношением компонентов обнаружены кристаллы состава  $4\text{KNO}_3 \cdot \text{Pb}(\text{NO}_3)_2$ ;  $2\text{KNO}_3 \cdot \text{Pb}(\text{NO}_3)_2$ ;  $\text{KNO}_3 \cdot \text{Pb}(\text{NO}_3)_2$ . Полученные данные согласуются с результатами изучения электропроводности и термометрич. титрования. См. также РЖХим, 1956, 28773.

В. Зломанов

**27907.** О щелочных арсенатах. I. Исследование системы  $\text{As}_2\text{O}_5-\text{Na}_2\text{O}-\text{H}_2\text{O}$  при  $25^\circ$ . Герен. II. Исследование системы  $\text{K}_2\text{O}-\text{As}_2\text{O}_5-\text{H}_2\text{O}$  при  $20^\circ$ . Дюк, Може, Герен (Sur les arsénates alcalins. I. Etude du système  $\text{As}_2\text{O}_5-\text{Na}_2\text{O}-\text{OH}_2$  à  $25^\circ$ . Guérin Henri. II. Etude du système  $\text{K}_2\text{O}-\text{As}_2\text{O}_5-\text{H}_2\text{O}$  à  $20^\circ$ . Duc-Maugé Cyrille, Guérin Henri), Bull. Soc. chim. France, 1957, № 3, 323—329; № 8-9, 995—997 (франц.)

I. В дополнение прежних исследований (РЖХим, 1956, 53911; 1957, 15019, 71340), недостаточно подробных в сильноокислой и сильнощел. областях диаграммы, авторы, произведя более 150 опытов, построили диаграмму растворимости системы при  $25^\circ$ , включающую 9 ветвей растворимости со следующими твердыми фазами: 1)  $\text{Na}_2\text{O} \cdot 3\text{As}_2\text{O}_5 \cdot 6\text{H}_2\text{O}$ ; 2)  $\text{Na}_2\text{O} \cdot 2\text{As}_2\text{O}_5 \cdot 5\text{H}_2\text{O}$ ; 3)  $\text{Na}_2\text{O} \cdot \text{As}_2\text{O}_5 \cdot 4\text{H}_2\text{O}$ ; 4)  $2\text{Na}_2\text{O} \cdot \text{As}_2\text{O}_5 \cdot 15\text{H}_2\text{O}$ ; 5)  $3\text{Na}_2\text{O} \cdot \text{As}_2\text{O}_5 \cdot 24\text{H}_2\text{O}$ ; 6)  $3\text{Na}_2\text{O} \cdot \text{As}_2\text{O}_5 \cdot 16\text{H}_2\text{O}$ ; 7)  $3\text{Na}_2\text{O} \cdot \text{As}_2\text{O}_5 \cdot 8\text{H}_2\text{O}$ ; 8)  $3\text{Na}_2\text{O} \cdot \text{As}_2\text{O}_5 \cdot 6\text{H}_2\text{O}$ ; 9)  $\text{NaOH} \cdot \text{H}_2\text{O}$ ; из них 1, 6, 7 и 8 установлены впервые. Авторы сопоставляют арсенаты с фосфатами и ванадатами, а также с гидроксидом.

II. Продолжая свои прежние исследования тройной системы  $\text{K}_2\text{O}-\text{As}_2\text{O}_5-\text{H}_2\text{O}$  при  $20^\circ$  (см. ссылки выше), авторы дополнили данные и уточнили природу стабильных фаз и концентрационные области их существования. Применяв метод «остатков» и внесение затравок изоморфных солей соответствующих фосфатов калия, авторы установили образование следующих фаз при  $20^\circ$ : 1)  $\text{K}_2\text{O} \cdot 5\text{H}_2\text{O}$ ; 2)  $5\text{K}_2\text{O} \cdot \text{As}_2\text{O}_5 \cdot 18\text{H}_2\text{O}$ ; 3)  $3\text{K}_2\text{O} \cdot \text{As}_2\text{O}_5 \cdot 14\text{H}_2\text{O}$ ; 4)  $2\text{K}_2\text{O} \cdot \text{As}_2\text{O}_5 \cdot 3\text{H}_2\text{O}$ ; 5)  $\text{K}_2\text{O} \cdot \text{As}_2\text{O}_5 \cdot 2\text{H}_2\text{O}$ ; 6)  $\text{K}_2\text{O} \cdot 2\text{As}_2\text{O}_5 \cdot 5\text{H}_2\text{O}$ ; 7)  $\text{K}_2\text{O} \cdot 3\text{As}_2\text{O}_5 \cdot 4\text{H}_2\text{O}$ ; 8)  $\text{As}_2\text{O}_5 \cdot 4\text{H}_2\text{O}$ . Кроме того, показано существование нестабильных фаз:  $\text{K}_2\text{O} \cdot \text{As}_2\text{O}_5$ ;  $\text{K}_2\text{O} \cdot \text{As}_2\text{O}_5 \cdot \text{H}_2\text{O}$ ;  $3\text{As}_2\text{O}_5 \cdot 5\text{H}_2\text{O}$ ;  $2\text{K}_2\text{O} \cdot \text{As}_2\text{O}_5 \cdot \text{H}_2\text{O}$  и  $2\text{K}_2\text{O} \cdot \text{As}_2\text{O}_5$ . Ранее опубликованные данные (Paul R. C. и др., J. Ind. Chem. Soc., 1952, 29, № 12, 937) о наличии смешанных кристаллов между  $\text{K}_2\text{O} \cdot \text{As}_2\text{O}_5 \cdot \text{H}_2\text{O}$  и  $\text{As}_2\text{O}_5 \cdot 3\text{H}_2\text{O}$ , по мнению авторов, неправильны.

Н. Домбровская

**27908.** Исследование тройных систем борная кислота — монокалий (натрий) — борат — вода. Электрометрический анализ равновесных фаз. Влияние температуры. Карпени (Contribution à l'étude du système ternaire acide borique — borate monopotassique (sodique) — eau. Analyses électrométriques des phases en équilibre. Influence de la température. Carpéni Georges), Bull. Soc. chim. France, 1955, № 10, 1327—1335 (франц.)

Изучение тройной системы с «изогидричной точкой»  $\text{H}_3\text{BO}_3-\text{KH}_2\text{BO}_3-\text{H}_2\text{O}$  показало, что при низких т-рах в равновесии с изогидричным р-ром существует соединение  $\text{KB}_5\text{O}_8$ , при  $85-95^\circ$  состав кристаллов которого отвечает соединению  $\text{K}_2\text{HB}_5\text{O}_9$ . В конц. водн. р-рах калиевых (или натриевых) боратов при всех т-рах имеют место равновесия между мономерным  $\text{KH}_2\text{BO}_3$  и изогидричным соединением  $\text{K}_2\text{HB}_5\text{O}_9$ . Равновесие  $\text{K}_2\text{HB}_5\text{O}_9 \rightleftharpoons \text{KH}_2\text{BO}_3$  является функцией pH и введения. В работе описывается методика потенциомет-

рич. измерений и измерений pH при разных т-рах. Изогидричные р-ры рассматриваются с точки зрения буферных р-ров.

И. Рассовская

**27909.** Исследование процесса образования комплексных соединений между двухвалентной и одновалентной солями в растворе. Система  $\text{HgBr}_2 - \text{KBr} - \text{H}_2\text{O}$ . Агарвал (A study on the formation of complex compounds between bivalent and univalent salts in solution. System  $\text{HgBr}_2 - \text{KBr} - \text{H}_2\text{O}$ . Aggarwal R. C.), Z. anorgan. und allgem. Chem., 1957, 291, № 1—4, 140—142 (англ.)

В системе  $\text{HgBr}_2 - \text{KBr} - \text{H}_2\text{O}$  измерены понижения т-ры замерзания ( $\Delta t$ ), электропроводность ( $\lambda$ ), pH и вязкость. Измерения  $\Delta t$ ,  $\lambda$  (при 35°) и pH (при 21°) проводились по методике описанной ранее (РЖХим, 1958, 17040). Вязкость измерялась по Оствальду. Установлено существование в исследованной системе соединения  $\text{HgBr}_2 \cdot 2\text{KBr}$ . Выказано предположение о существовании нестабильного комплекса состава  $\text{K}_2\text{HgBr}_4$ .

С. Бык

**27910.** Растворимость в четверной взаимной системе  $\text{UO}_2(\text{NO}_3)_2 + \text{H}_2\text{C}_2\text{O}_4 \rightleftharpoons \text{UO}_2\text{C}_2\text{O}_4 + \text{H}_2(\text{NO}_3)_2$  при 25°. Большаков К. А., Коровин С. С., Ж. неорганической химии, 1957, 2, № 8, 1940—1950

Исследована растворимость в тройных системах  $\text{H}_2\text{C}_2\text{O}_4 - \text{HNO}_3 - \text{H}_2\text{O}$ ;  $\text{UO}_2(\text{NO}_3)_2 - \text{UO}_2\text{C}_2\text{O}_4 - \text{H}_2\text{O}$  и в четверной взаимной системе  $\text{UO}_2(\text{NO}_3)_2 + \text{H}_2\text{C}_2\text{O}_4 \rightleftharpoons \text{UO}_2\text{C}_2\text{O}_4 + \text{H}_2(\text{NO}_3)_2$  изотермич. методом при 25°. Для системы  $\text{H}_2\text{C}_2\text{O}_4 - \text{HNO}_3 - \text{H}_2\text{O}$  увеличение конц-ий безвод.  $\text{HNO}_3$  уменьшает растворимость  $\text{H}_2\text{C}_2\text{O}_4$  и при конц-ии  $\text{HNO}_3 > 67,5\%$  двухводная  $\text{H}_2\text{C}_2\text{O}_4$  обезвоживается; состав р-ра в переходной точке 67,46 вес. %  $\text{HNO}_3$  и 6,98 вес. %  $\text{H}_2\text{C}_2\text{O}_4$ . У системы  $\text{UO}_2\text{C}_2\text{O}_4 - \text{UO}_2(\text{NO}_3)_2 - \text{H}_2\text{O}$  изотерма совместной растворимости состоит из ветвей кристаллизации  $\text{UO}_2(\text{NO}_3)_2 \cdot 6\text{H}_2\text{O}$  и  $\text{UO}_2\text{C}_2\text{O}_4 \cdot 3\text{H}_2\text{O}$ . Состав р-ра в эвтектич. точке:  $\text{UO}_2(\text{NO}_3)_2$  55,50 вес. %;  $\text{UO}_2\text{C}_2\text{O}_4$  0,31 вес. %. Изучение четверной взаимной системы проведено методом разрезов в интервале конц-ий  $\text{HNO}_3$  0—22 вес. % и частично до 70 вес. %. Р-ция протекает практически в сторону образования  $\text{UO}_2\text{C}_2\text{O}_4 \cdot 3\text{H}_2\text{O}$ ; при конц-ии  $\text{HNO}_3 > 47$  вес. % образуется  $\text{UO}_2\text{C}_2\text{O}_4 \cdot \text{H}_2\text{O}$ . В четверной системе найдены твердые фазы:  $\text{UO}_2(\text{NO}_3)_2 \cdot 6\text{H}_2\text{O}$ ;  $\text{UO}_2\text{C}_2\text{O}_4 \cdot 3\text{H}_2\text{O}$ ,  $\text{UO}_2\text{C}_2\text{O}_4 \cdot \text{H}_2\text{O}$  и  $\text{H}_2\text{C}_2\text{O}_4 \cdot 2\text{H}_2\text{O}$ .

С. Бык

**27911.** Удельный вес тройных систем. Громаков С. Д., Бергер Л. М., Уч. зап. Казанск. ун-та, 1956, 116, № 5, 127—131

С целью эксперим. проверки интерполяционного ур-ния, предложенного одним из авторов (РЖХим, 1957, 57005) для расчета свойств тройных систем по опытным данным для двойных, проведены определения уд. веса систем ацетон (I) — метанол (II) — этанол (III), I—III — вода (IV), I—II—IV и II—III—IV при 0°. Полученные данные сопоставлены с расчетными. Как правило, расхождения между ними не превышают 0,1%. Наибольшее расхождение (~1%) наблюдается в системе I—II—III.

Ю. Заверняев

**27912.** Поверхностное натяжение тройных систем. Громаков С. Д., Бергер Л. М., Уч. зап. Казанск. ун-та, 1956, 116, № 5, 132—136

Изучено поверхностное натяжение в тройных системах, состоящих из ацетона, воды, метанола и этанола. Показана пригодность интерполяционной ф-лы С. Д. Громакова (РЖХим, 1957, 57005) для расчета свойств тройных систем по опытным данным для двойных систем.

Резюме авторов

**27913.** Законы растворимости в бинарных жидких системах и структура таких растворов. Миличев (The laws of solubility in binary liquid systems and the structure of such solutions. Miličević

B. T.), Bull. scient. Conseil acad. RPFY, 1957, 3, № 3, 75—76 (англ.)

Выведены ур-ния растворимости твердых в-в в смесях двух жидкостей. Изучена растворимость 1,1,1-трихлор-2,2-бис-(*n*-хлорфенил)-этана и  $\gamma$ -1,2,3,4,5,6-гексахлорциклогексана в двойных смесях. Точность ~1%.

Э. Чуданов

**27914.** Система 2,4,6-тринитротолуол — 2,4-динитротолуол. Беркардт (The system 2,4,6-trinitrotoluene — 2,4-dinitrotoluene. Burkardt Lohr A.), J. Phys. Chem., 1957, 61, № 10, 1447—1448 (англ.)

Определена диаграмма плавкости данной системы во всем диапазоне конц-ий. Методика и аппаратура описаны ранее (РЖХим, 1957, 51689). Найдена эвтектика при 58,1 мол. % 2,4-динитротолуола, т. пл. 46,3°. Образования комплексов не обнаружено.

В. Урбах

**27915.** Система 1,3,5-тринитробензол — 2,4-динитротолуол. Беркардт (The system 1,3,5-trinitrobenzene — 2,4-dinitrotoluene. Burkardt Lohr A.), J. Phys. Chem., 1957, 61, № 10, 1445 (англ.)

Определена диаграмма плавкости указанной системы. Методика и аппаратура описаны ранее (РЖХим, 1957, 51689). Система образует эвтектику при 34 мол. % 1,3,5-тринитробензола, т. пл. 51,3°. Чистые компоненты плавятся при 70,2° (2,4-динитротолуол) и 123,6° (1,3,5-тринитробензол).

В. Урбах

**27916.** Жидкий аммиак — селективный растворитель для углеводородов. Сравнение с другими растворителями. Исида (Solvent selectivity of liquid ammonia for pure hydrocarbons tie — line data and comparison of selectivity with other solvents. Ishida Kiyoharu), Bull. Chem. Soc. Japan, 1957, 30, № 6, 612—618 (англ.)

Изучены равновесия в системах *n*-гексан — бензол (I) — жидкий аммиак (II), циклогексан — I—II при 20 и 0° и этилбензол — стирол — II при 0° и —15,5°. Предложен графич. метод определения селективности действия различных р-рителей. Показано, что II на селективный р-ритель при разделении насыщ.  $\text{C}_6 - \text{C}_7$  углеводородов и олефиновых или ароматич. соединений сравним с диэтиленгликолем и превосходит жидкий  $\text{SO}_2$ . См. также РЖХим, 1956, 71159; 1957, 57040.

Л. Резницкий

**27917.** К изучению моноалкильных эфиров полиэтиленгликолей. II. Критические температуры смешения в системах, образованных моноалкильными эфирами полиэтиленгликолей и водой; влияние третьего компонента. Шаховской (Contribution à l'étude des éthers monoalcoylés des (poly)éthylène glycols. II. Températures critiques de démixtion des systèmes éther monoalcoylé de (poly)éthylène glycol — eau et influence d'un troisième constituant. Chakhovskoy N.), Bull. Soc. chim. belges, 1956, 63, № 5-6, 474—493 (франц.; рез. англ.)

Определены крит. т-ры смешения (КТС) в следующих бинарных системах (в скобках крит. т-ра и весовая конц-ия эфира):  $\text{C}_4\text{H}_9\text{O} \cdot \text{C}_2\text{H}_5\text{OH} - \text{H}_2\text{O}$  (нижняя: 44,5°, 27%; верхняя: 135,5°, 26,7%);  $\text{C}_5\text{H}_{11}\text{O}(\text{C}_2\text{H}_4\text{O})_2 - \text{H}_2\text{O}$  (36°, 10%);  $\text{C}_6\text{H}_{13}\text{O}(\text{C}_2\text{H}_4\text{O})_2\text{H} - \text{H}_2\text{O}$  (ниже 0°, 6,6%);  $\text{C}_8\text{H}_{17}\text{O}(\text{C}_2\text{H}_4\text{O})_3\text{H} - \text{H}_2\text{O}$  (39,6°, 10%);  $\text{C}_8\text{H}_{17}\text{O}(\text{C}_2\text{H}_4\text{O})_4\text{H} - \text{H}_2\text{O}$  (60°, 15%);  $\text{C}_9\text{H}_{19}\text{O}(\text{C}_2\text{H}_4\text{O})_3\text{H} - \text{H}_2\text{O}$  (8°, 4%);  $\text{C}_9\text{H}_{19}\text{O}(\text{C}_2\text{H}_4\text{O})_4\text{H} - \text{H}_2\text{O}$  (35,5°, 5%);  $\text{C}_{10}\text{H}_{21}\text{O}(\text{C}_2\text{H}_4\text{O})_5\text{H} - \text{H}_2\text{O}$  (5,5°, 7,5%). Для систем  $\text{C}_8\text{H}_{17}\text{O}(\text{C}_2\text{H}_4\text{O})_4\text{H} - \text{H}_2\text{O}$  и  $\text{C}_{12}\text{H}_{25}\text{O}(\text{C}_2\text{H}_4\text{O})_5\text{H} - \text{H}_2\text{O}$  нельзя было получить точных данных вследствие большой вязкости. Исследовано влияние добавок 3-го компонента на КТС; из пяти добавляющихся в-в:  $\text{C}_8\text{H}_{17}\text{O}(\text{C}_2\text{H}_4\text{O})_3\text{H}$ , *n*- $\text{ClC}_6\text{H}_4\text{SO}_3\text{Na}$ ,  $\text{C}_4\text{H}_9\text{OSO}_3\text{Na}$ ,  $\text{C}_6\text{H}_{17}\text{OSO}_3\text{Na}$  и  $\text{C}_{12}\text{H}_{25}\text{OSO}_3\text{Na}$ , последние два, добавляемые в малых кол-вах, особенно сильно повышают КТС. Синтез в-в см. часть I, РЖХим, 1957, 45240.

С. Рубинчик



27918. Взаимная растворимость в тройной системе пиридин — вода — бензол. Рахимов Х. Р., Фаткулина Л. Г., Юхновская В. А., Тр. Среднеаз. политехн. ин-та, 1957, вып. 4, 326—330

Взаимная растворимость в тройной системе пиридин (I) — вода (II) — бензол (III) изучена политермич. методом Алексеева (Wied. anal., 1886, 28, 305) в интервале 20—70°. Составы сопряженных р-ров определены при 20°. Установлена солотропность системы. Состав крит. точки растворимости определялся по Алексееву и методом Трейбела (Treybal и др., Industr. and Engng Chem., 1946, 38, 817), давшими хорошо согласующиеся результаты (вес.%): I 53, II 14,2 и III 32,8. С. Бык

27919. Изучение фазового равновесия в системе *n*-гептан — вода под давлением водорода. Ито (Ito Kentaro), Кагаку канкюдзе хококу, Repts. Scient. Res. Inst., 1957, 33, № 1, 34—40 (японск.)

Изучение проводилось методом кривых нагревания. Построена диаграмма равновесия при нач. давл.  $H_2$  40  $kg/cm^2$ . Крит. т-ра взаимной растворимости 256—261°. Крит. т-ра для *n*-гептана, 267°, увеличивается до 360° с ростом давления  $H_2$  и понижается при добавлении воды. Ли Мен-юн

27920. Растворимость тиомочевинны в некоторых смесях электронодонорных растворителей. Анджееску, Корни (Solubilitatea tioureei in cteva amestecuri de solvenți donatori de electroni. Angelescu E., Cornea F.), An. Univ. «C. I. Parhon». Ser. științ. natur., 1957, № 15, 87—91 (рум.; рез. русск., франц.)

Изучена растворимость тиомочевинны (I) в смесях вода (II) — пиридин (III), II — диоксан (IV) и III — IV. Смес. II — III и II — IV характеризуются положительными отклонениями от аддитивности, смесь III — IV — отрицательным отклонением. Высказано предположение, что смеси II — III и II — IV благоприятствуют таутомерному превращению I в тиоловую форму.

Из резюме авторов  
27921. Способ определения отношения  $CH_3/Si$  в бинарной смеси метилхлорсиланов. Хирата, Такигучи, Накаидо (Hirata Fumio, Takiguchi Toshio, Nakaido Yasuaki), Korō kaгаку дзас-си, J. Chem. Soc. Japan Industr. Chem. Sec., 1957, 60, № 1, 81—84 (японск.)

Выяснив зависимость между  $CH_3/Si$  и кол-вом  $Cl$ , получили возможность по содержанию  $Cl$  точно определять величину  $CH_3/Si$ . Исследовались диметилдихлорсилан и метилтрихлорсилан с известным значением  $CH_3/Si$ . Ли Мен-юн

27922. Исследование смесей производных фурана физико-химическими методами. Надь (Prüfung von Gemischen aus Furanderivaten durch physikalisch-chemische Methoden. Nagy S. B.), Acta chim. Acad. sci. hung., 1957, 12, № 1, 15—29 (нем.; рез. русск., англ.)

Исследован метод физ.-хим. анализа двойных и тройных смесей, содержащих фулфурил (I), тетрагидрофуриловый спирт (II), фуриловый спирт (III), метилфуран (IV) и  $H_2O$  (V). Для анализа двойных смесей применены кривые показателя преломления  $n$  и уд. веса  $d$ . Приведены треугольные диаграммы для смесей I — II — III, I — III — IV и I — III — V с нанесением изолиний  $n$ ; для определения состава смеси необходимо проведение хим. анализа на один из компонентов. Приведен также метод треугольных диаграмм, основанный на определении  $n$  и точки помутнения. Для смеси III — IV — V дан треугольник составов с нанесением изолиний  $n$  и  $d$  и выделением области расщепления. Метод предназначен для целей быстрого производственного контроля. Из резюме авторов

27923. Волюметрическое исследование двойных

жидких систем. (Этиловый спирт — анилин, этиловый спирт — хлороформ и хлороформ — анилин). Белоцкий Д. П., Уч. зап. Черновицк. ун-т, 1956, 21, 11—16

Исследованы по уд. весу системы этиловый спирт (I) — анилин (II), I — хлороформ (III) и III — II при 0° и 20°. На основании расчета атомных кон-ий и их отклонений от средневыхчисленных значений показано, что в системе I — II проявляется наибольшее хим. взаимодействие, в системе I — III — незначительное (в 5 раз меньшее, чем в системе I — II); в системе III — II — отсутствует. Резюме автора

27924. Изотермы 30 и 0° тройной системы вода — мочевины — едкий калий. Козн-Ада (Isothermes 30 et 0 degré du ternaire eau-urée-potasse. Cohen-Adad Roger), Bull. Soc. chim. France, 1957, № 4, 544—545 (франц.)

Определены изотермы системы  $CO(NH_2)_2$  (I) —  $KOH$  (II) —  $H_2O$  при 0° и 30°. Нонвариантные точки при 0°: 9,2% I; 45,2% II; тв. фазы I и  $KOH \cdot 2H_2O$ ; при 30°: 24,1% I; 49,2% II; тв. фазы  $KOH \cdot H_2O$  и  $KOH \cdot 2H_2O$ . Точка совместной кристаллизации I и II отсутствует. Растворимость в воде: I 0°: 40,0%; 30°: 57,2%;  $KOH \cdot 2H_2O$  0°: 49%, 30°: 56,3% (везде вес.%). Не обнаружено никаких признаков соединения между I и II. Б. Анвар

27925. Экстракция органическими жидкостями сульфатов железа, кобальта и никеля. Шлей, Джинкопье (Extraction of iron, cobalt, and nickel sulfates by organic liquids. Schlea Carl S., Geankoplis Christie J.), Industr. and Engng Chem., 1957, 49, № 6, 1056—1057 (англ.)

Выполнено эксперим. исследование коэф. распределения  $Fe_2(SO_4)_3$ ,  $CoSO_4$  и  $NiSO_4$  между водой и 22 различными органич. жидкостями при 25°, а также для сложных систем сульфат — серная к-та — вода — *n*-бутиловый спирт при 25°. Ю. Петровский

27926 Д. Термодинамическое исследование газообразного селена и бинарной системы сера — селен. Лапина Л. М. Автореф. дисс. канд. хим. н., Научн. ин-т по удобр. и инсектофунгицидам им. Я. В. Самойлова, М., 1957

См. также: Фазовые переходы 27680, 27681, 27685, 27732, 27734, 27748, 27765, 27766, 27768, 27796, 28143. Термохимия 28063, 28099, 28115. Термодинамика: кристаллов 27671, 27719, 27773, 27775, 28088; жидкостей, газов и р-ров 27627, 27794, 27808, 27810, 28022, 28027, 28040. Ур-ния состояния 27784. Равновесия 27622, 27624, 27664, 27979, 28029, 28030, 28038, 28075, 28173, 28182, 28187, 28189, 28207, 28211, 28213, 28216, 28217. Физ.-хим. анализ систем: металл. 27675, 27677—27679, 27711, 27723, 27801, 28060, 28061, 29488; неорганич. 27689, 27724, 27729, 27787—27789, 27792, 28048, 28169, 28185, 28221, 28229; органич. 28034, 28039, 28044, 28141, 28184. Приборы и методы 28572—28577. Др. вопр. 28037, 28041, 28139, 28140, 28230, 29019, 31214, 31267

## КИНЕТИКА.

## ГОРЕНИЕ. ВЗРЫВЫ. ТОПОХИМИЯ. КАТАЛИЗ

Редакторы Х. С. Багдасарьян, А. С. Соколин, А. Б. Шефтер

27927. Вычисление кинетического частотного фактора. Аксуэрти, Бенсон (Kinetic frequency factor calculations. Axworthy Arthur E., Jr., Benson Sidney W.), J. Chem. Phys., 1957, 27, № 4, 976—977 (англ.)

Указывается, что изменение энтропии в р-ции  $A \rightarrow B + C$  связано с предэкспоненциальными множите-

лями прямой ( $A_d$ ) и обратной ( $A_r$ ) р-ций соотношением  $\Delta S = R \ln(A_d/A_r) + R \Delta n$ , в котором  $\Delta n$  обозначает изменение числа молей в р-ции.

Е. Никитин

27928. Анализ последовательных реакций. Отаке, Дои (Otake Tsutao, Doi Nobuo), Нихон кагаку дзасси, J. Chem. Soc. Japan. Pure Chem. Sec., 1956, 77, № 9, 1378—1383 (японск.)

27929. Ценные реакции. Сунь Чэн-э, Хуасюэ тунбао, 1956, 1, 4—5 (кит.)  
Обзор. Библ. 13 назв.

27930. Теоретическое рассмотрение кинетики реакций, лимитируемых диффузией. Уэйт (Theoretical treatment of the kinetics of diffusion-limited reactions. Waite T. R.), Phys. Rev., 1957, 107, № 2, 463—470 (англ.)

Для математич. исследования кинетики р-ций типа  $A + B \rightarrow AB$  скорость которых лимитируется диффузией частиц А и В, использовано приближение, в котором предполагается, что состояние системы может быть полностью охарактеризовано заданием вероятности нахождения пар частиц А и В на определенном расстоянии. Составлено дифференциальное уравнение для определения изменения во времени этой вероятности вследствие диффузии и протекающей р-ции. Явные решения уравнения получены для случая полностью хаотич. начального распределения частиц. Параметры, входящие в ф-лу для скорости р-ции, выражены через коэф. диффузии и радиус захвата. Полученные результаты могут быть применены при исследовании роста коллоидов, затухания люминесценции, хим. р-ций в твердых телах и исчезновения дефектов в кристаллах после облучения.

М. Кривоглаз

27931. Заместители и их реакционные способности (окончание). Об аномалии констант заместителей. Цурута, Фуэно, Кагаку, Chemistry (Japan), 1957, 12, № 3, 28—33 (японск.)

Обзор. Библ. 17 назв. Начало см. РЖХим, 1957, 50404.

27932. Получение нестабильных веществ в ударных волнах. Хорниг (The production of unstable species in shock waves. Hornig Donald F.), Ann. N. Y. Acad. Sci., 1957, 67, № 9, 463—473. Discuss., 473—476 (англ.)

Обзор. Библ. 23 назв.

Р. Васильев

27933. Взаимодействие ионных пучков с твердыми поверхностями. Мур, О'Брайен, Линднер (The interaction of ionic beams with solid surfaces. Moore Walter J., O'Brian Cormac D., Lindner Amelie), Ann. N. Y. Acad. Sci., 1957, 67, № 9, 600—618 (англ.)

Изучалось распыление поверхности Ag при бомбардировке ионами  $H^+$ ,  $H_2^+$ ,  $D^+$  с энергией 9250 эв. Определены значения коэф. распыления  $\Theta$  (число атомов Ag, выбитых одним ионом) для гладкой (полированной) и матовой поверхностей Ag. Для ионов  $H^+$   $\Theta_I = 0,025$ ;  $\Theta_{II} = 0,032$ ; для  $H_2^+$   $\Theta_I = 0,065$ ; для  $D^+$   $\Theta_I = 0,072$ . Индексы I и II относятся соответственно к гладкой и матовой поверхности. В исследованном интервале 0,5—4,0 мк  $\Theta$  не зависит от толщины слоя Ag. Интенсивность распыления I зависит от угла  $\alpha$  между направлением ионного пучка и направлением распыления по закону  $I \approx \cos \alpha$ . Авторы считают, что значения  $\Theta \approx 1$ , полученные другими исследователями, завышены вследствие взаимодействия поверхности в условиях их опытов не только с ионами, но и с радикалами, образующимися в газовом разряде. Приведено подробное описание установки и методики исследования.

В. Скурат

27934. Роль свободных радикалов в механизмах органических реакций. Уоллинг (The role of free radicals in organic reaction mechanisms. Walling

Cheves), Ann. N. Y. Acad. Sci., 1957, 67, № 9, 633—647 (англ.)

Обзор. Библ. 42 назв.

Х. Б.

27935. Роль свободных радикалов в биологических окислительных реакциях. Баррон (The role of free radicals in biological oxidations. Barron E. S. Guzman), Ann. N. Y. Acad. Sci., 1957, 67, № 9, 648—660 (англ.)

Обзор. Библ. 35 назв.

Р. Васильев

27936. Последние достижения в области исследования нестабильных веществ. Маркус (Some recent developments in the study of unstable species. Marcus R. A.), Ann. N. Y. Acad. Sci., 1957, 67, № 9, 661—669 (англ.)

Обзор. Библ. 54 назв.

Р. Васильев

27937. Скорость рекомбинации радикалов. III. Скорость рекомбинации этильных радикалов. Шепп, Кучке (Rate of recombination of radicals. III. Rate of recombination of ethyl radicals. Shepp A., Kutschke K. O.), J. Chem. Phys., 1957, 26, № 5, 1020—1028 (англ.)

Теория вращающегося сектора применена к фотолизу диэтилкетона (часть I, РЖХим, 1956, 74390) с целью определения константы скорости рекомбинации ( $k_2$ ) и диспропорционирования ( $k_3$ ) этильных радикалов. В условиях, когда квантовый выход CO равен 1, для  $10^{-13}$  ( $k_2 + k_3$ ) при 50, 100 и 150° получены величины  $1,7 \pm 1$ ;  $2,3 \pm 0,5$  и  $4,7 \pm 0,8$  см<sup>3</sup>/моль сек. Отношение  $k_3 : k_2 = 0,12$ . Температурная зависимость ( $k_2 + k_3$ ) подчиняется уравнению Аррениуса и дает энергию активации процесса рекомбинации этильных радикалов  $2 \pm 1$  ккал/моль. Найденные значения  $k_2$  близки к данным для константы скорости рекомбинации радикалов  $CH_3$  и  $CF_3$ . Расчет  $k_2$  на основе теории переходного состояния согласуется с опытной величиной. Часть II см. РЖХим, 1956, 77573.

В. Маркович

27938. Свободные радикалы при горении. Сидэ (Shida Shoji), Koré кагаку дзасси, J. Chem. Soc. Japan. Industr. Chem. Sec., 1957, 60, № 2, 94—99 (японск.)

Обзор. Библ. 35 назв.

27939. Реакции аммиака и гидразина с атомами водорода и кислорода в атомарных пламенах. Мур, Шулер, Силверман, Герман (The reactions of ammonia and hydrazine with oxygen atoms and hydrogen atoms in atomic flames. Moore Gordon E., Shuler Kurt E., Silverman Shirleigh, Herman Robert), J. Phys. Chem., 1956, 60, № 6, 813—815 (англ.)

В атомарные пламена, получавшиеся при электро-разряде в  $H_2$  или  $O_2$ , подмешивались  $NH_3$  или  $N_2H_4$ , и продукты р-ции определялись спектроскопически и путем хим. анализа. В случае системы  $O + N_2H_4$  происходит быстрое разложение  $N_2H_4$ , в ходе которого образуются NO и радикалы  $NH_2$ , NH и OH. В случае системы  $O + NH_3$  превращение протекает медленно и в ходе его образуется лишь NH (в очень малых кол-вах). При р-ции в системе  $H + N_2H_4$  образуется  $NH_2$  и в меньшей степени NH. Превращение в системе  $H + NH_3$  не обнаружено.

Г. Королев

27940. Скорости рекомбинации ионов в метано-воздушных пламенах. Кинг (Ion recombination rates in methane-air flames. King I. R.), J. Chem. Phys., 1957, 27, № 3, 817—818 (англ.)

Применение зонда Ленгмюра (РЖХим, 1958, 468) позволило измерить скорость рекомбинации ионов в метано-воздушном пламени. Измеряя ионный ток на зонд на различных расстояниях от фронта пламени и учитывая скорость потока газа, можно вычислить кон-цию ионов  $n^+$  через время  $t$  от момента их образования:  $1/n^+ = at + 1/n_0$ , где  $n_0$  — начальная кон-ция ионов,  $a$  — коэф. рекомбинации ионов. Измерения



$1/n = f(t)$  дали  $\alpha = 2,5 \cdot 10^{-7}$  см<sup>3</sup>/сек. Показано, что охлаждающее действие зонда на пламя пренебрежимо мало и не сказывается на измеряемой величине  $\alpha$ .

Е. Франкевич

27941. Процессы переноса энергии при мономолекулярном разложении нитрилхлорида. Волп, Джонстон (Energy transfer processes in the unimolecular decomposition of nitril chloride. Volpe Milton, Johnston Harold S.), J. Amer. Chem. Soc., 1956, 78, № 16, 3903—3910 (англ.)

Путем колориметрич. ( $\lambda = 436$  мμ) определений конц-ии NO<sub>2</sub> по ходу превращения при 203° и давл. 3—9 мм рт. ст. измерены скорости р-ции  $2\text{NO}_2\text{Cl} = 2\text{NO}_2 + \text{Cl}_2$  в присутствии 16 различных газов (М). Скорость р-ции при данных эксперим. условиях представляет собой скорость активации молекул NO<sub>2</sub>Cl путем соударений (РЖХим, 1956, 46382). Определены константы скорости ( $k$ ), представленные в виде сумм двух членов  $k = a[\text{NO}_2\text{Cl}] + a_m[M]$ , где  $a_m$  и  $a$  — константы скорости активации при соударениях с молекулами NO<sub>2</sub>Cl и М соответственно;  $a = 13,8$  л/моль сек, а величина  $a_m$  меняется от 2,48 для Ne до 17,6 для NO<sub>2</sub>. Величина относительной эффективности переноса энергии при одном столкновении  $\rho$  для NO<sub>2</sub> равна 1,38, а для других газов меняется от 0,15 до 0,70. В ряду благородных газов  $\rho$  возрастает от He (0,15) и Xe (0,46). Для сферич. молекул приблизительно равной массы (Xe, SiF<sub>4</sub>, SiF<sub>6</sub>)  $\rho = 0,46$ —0,51. Для молекул приблизительно равной массы и с одинаковым числом атомов величины  $\rho$  могут сильно различаться: O<sub>2</sub> 0,34 и HCl 0,63; SiF<sub>4</sub> 0,51 и CCl<sub>2</sub>F<sub>2</sub> 0,71; CO<sub>2</sub> 0,49 и NO<sub>2</sub> 1,38. Возрастает  $\rho$  с увеличением т-ры кипения газа. Для  $\rho$  дипольных молекул выше, чем для неполярных. Обнаружено эмпирич. соответствие между величиной  $\rho$  и константами ур-ния для потенциала Леннарда-Джонса.

Г. Королев

27942. Скорость реакции прямого образования формамида из CO и NH<sub>3</sub>. Кодاما, Носэ, Томихиса, Тотитани, Ямахара (Kodama Shinji, Nose Shinji, Tomihisa Noboru, Tochitani Akinobu, Yamahara Takeshi), Koré кагаку дзасси, J. Chem. Soc. Japan. Industr. Chem. Sec., 1956, 59, № 9, 1043—1047 (японск.)

27943. Скорость реакции образования метилформина из окиси углерода и метанола под высоким давлением. Кодاما, Носэ, Томихиса, Ямахара (Kodama Shinji, Nose Shinji, Tomihisa Noboru, Yamahara Takeshi), Koré кагаку дзасси, J. Chem. Soc. Japan. Industr. Chem. Sec., 1956, 59, № 8, 871—875 (японск.)

27944. Окисление гидразина железом (3+) в кислом водном растворе. Россейнский (The oxidation of hydrazine by iron (III) in acid aqueous solution. Rosseinsky D. R.), J. Chem. Soc., 1957, Nov., 4685—4686 (англ.)

Кинетика окисления N<sub>2</sub>H<sub>4</sub> железа (3+) в присутствии разных кол-в Cu(2+) соответствует механизму (РЖХим, 1956, 50232), включающего обратную р-цию  $\text{Fe} (3+) + \text{N}_2\text{H}_4 \rightleftharpoons \text{Fe} (2+) + \text{N}_2\text{H}_5$ .

А. Ревзин

27945. Электрическая дисперсия борной кислоты в воде. Скорость рекомбинации H<sup>+</sup> и H<sub>2</sub>BO<sub>3</sub><sup>-</sup> при 35°. Гилкерсон (Dielectric dispersion of boric acid in water. The rate of recombination of H<sup>+</sup> and H<sub>2</sub>BO<sub>3</sub><sup>-</sup> at 35° C. Gilkerson W. R.), J. Chem. Phys., 1957, 27, № 4, 914—917 (англ.)

Возбуждение полей переменного тока в жидкофазных системах, находящихся в подвижном равновесии  $\text{HA} \rightleftharpoons \text{H}^+ + \text{A}^-$  (1), приводит к заметному смещению равновесия вследствие дополнительного образования пар ионов под действием электрич. поля. Через некоторое время ( $\tau$ ) после прекращения действия элек-

трич. поля система возвращается в исходное состояние. Метод (РЖХим, 1956, 15614), позволяющий определять скорости быстрых ионных р-ций в р-рах по величинам  $\tau$ , модифицирован таким образом, что трудноразрешимые измерения очень малых приращений электропроводности в системах типа (1) под действием электрич. полей заменили измерениями диэлектрич. постоянной р-ра как функции частоты приложенного электрич. поля. При помощи этой новой методики при 35° определена константа скорости  $(1,3 \cdot 10^{10}$  л/моль · сек) р-ции  $\text{H}^+ + \text{H}_2\text{BO}_3^-$ .

Г. Королев

27946. Влияние хлорид-иона на реакцию обмена между таллием (1+) и таллием (3+) в сернокислых растворах. Брубейкер, Гровс, Миккел, Ноп (The effect of chloride ion on the exchange reaction between thallium (I) and thallium (III) in sulfuric acid solutions. Brubaker C. H., Jr, Groves K. O., Mickel J. P., Knop C. P.), J. Amer. Chem. Soc., 1957, 79, № 17, 4641—4643 (англ.)

Добавки Cl<sup>-</sup> замедляют обмен между Tl (1+) и Tl (3+) в 2,19 M H<sub>2</sub>SO<sub>4</sub>, причем миним. скорость наблюдается при  $[\text{Cl}^-]:[\text{Tl} (3+)] \approx 2,5$ . При дальнейшем увеличении  $[\text{Cl}^-]$  скорость обмена вновь начинает возрастать. Показано, что уменьшение скорости обмена связано с образованием TlCl<sub>2</sub><sup>+</sup> и TlCl<sub>2</sub><sup>+</sup>, неспособных вступать в обмен с Tl (1+). Ускорение обмена при больших конц-иях Cl<sup>-</sup> объясняется легкостью обмена комплекса TlCl<sub>4</sub><sup>-</sup> с хлоридами Tl (1+).

А. Шиллов

27947. Растворение свинцово-сульфидных руд в кислых растворах хлора. Шерман, Стрикленд (Dissolution of lead sulfide ores in acid chlorine solutions. Sherman M. I., Strickland J. D. H.), J. Metals, 1957, 9, № 6, 795—800 (англ.)

Взаимодействие Cl<sub>2</sub> в водн. р-ре с галенитом (PbS) является р-цией 1-го порядка, в результате которой образуются как сульфат, так и элементарная S, последняя получается в результате гидролиза S<sub>2</sub>Cl<sub>2</sub>, частично содержащейся в руде. При 45° скорость р-ции определяется скоростью поступления Cl<sub>2</sub> к поверхности PbS, при комнатной т-ре скорость р-ции зависит также от скорости хим. р-ции. Энергия активации хим. р-ции равна 21,0 ккал/моль. При некоторых условиях р-ция образования S является р-цией нулевого порядка по отношению к Cl<sub>2</sub> с той же энергией активации. Сделан вывод об условиях, при которых возможно получение максим. кол-в сульфата или S.

Н. В.

27948. Кинетика катализированной йодидом реакции между ионами четырехвалентного церия и трехвалентного мышьяка. Йейтс, Томас (Kinetics of the iodide-catalyzed reaction between cerium (IV) and arsenic (III). Yates John Stanley, Thomas Henry C.), J. Amer. Chem. Soc., 1956, 78, № 16, 3950—3953 (англ.)

При 25° изучена кинетика катализированной KJ р-ции между CeSO<sub>4</sub> и HAsO<sub>2</sub> в сернокислых р-рах. Зависимость конц-ии реагентов от времени  $t$  превращения описывается ур-нием  $\ln[a/(a-s)] + k's/2c \cdot (c-s) = kjt$  (1), где  $a$ ,  $c$  и  $j$  — начальные конц-ии HAsO<sub>2</sub>, CeSO<sub>4</sub> и KJ соответственно,  $s$  — кол-во прореагировавшего в-ва,  $k = 1,4 \cdot 10^6$  л/моль мин,  $k' = 0,047$  моль/л. Предложен механизм превращения, включающий р-ции анионного комплекса димеризованного иона Ce<sup>4+</sup> с J<sup>-</sup> и с образующейся при этом HJO; HAsO<sub>2</sub> окисляется HJO до HAsO<sub>3</sub>. Отклонения от ур-ния (1) при  $a:c > 2,4$  авторы объясняют изменением механизма р-ции при малых конц-иях Ce(8O<sub>4</sub>)<sub>2</sub>.

Г. Королев

27949. Об автоторможении автоокисления. II. Абель (Über selbsttätige Autoxydationhemmung. II. Abel E.), Monatsh. Chem., 1957, 88, № 4, 706—708 (нем.)

Примером автоторможения является р-ция автоокисления FeCl<sub>2</sub> в р-ре CH<sub>3</sub>COOH + CH<sub>3</sub>COOK, скорость

которой имеет минимум при увеличении конц-ии  $\text{CH}_3\text{COOH}$ . Часть I см. РЖХим, 1958, 24198. А. Ревзин 27950. Скорость реакции конденсации диметилмочевинны при умеренно высокой концентрации в кислом растворе при нормальной температуре. Хамада, Курияма, Утида, Икегами (Hamada Hiderô, Kuriyama Sutezô, Uchida Takashi, Ikegami Yoshikata), Korë какаку дзасси, J. Chem. Soc. Japan. Industr. Chem. Sec., 1956, 59, № 7, 847—853 (японск.)

27951. Определение свободных радикалов — промежуточных веществ при действии ингибиторов окисления. Харл, Томас (Detection of free radical intermediates in the action of oxidation inhibitors. Harle O. L., Thomas J. R.), J. Amer. Chem. Soc., 1957, 79, № 11, 2973—2974 (англ.)

Методом электронного парамагнитного резонанса измерена конц-ия стабильных радикалов, образующихся при ингибировании фенил- $\alpha$ -нафтиламиноном (0,0108 M) процесса окисления октадекана при 171°. Измерялись также кол-во поглощенного  $\text{O}_2$  и расход ингибитора. Полученная кинетич. кривая накопления радикала в ходе р-ции сопоставлена с соответствующими кривыми, вычисленными на основании механизмов, предложенных ранее (РЖХим, 1956, 50614, 50615; 1957, 30005). При окислении октадекана в этих условиях в присутствии других ингибиторов: 4-амино-3-пентадецилфенола, ди-*трет*-бутил-*n*-крезола и *трет*-бутилкатахола, радикалы не образуются. З. Майзус

27952. Распад перекиси бензоила в растворе при высоких давлениях. Николсон, Норриш (The decomposition of benzoyl peroxide in solution at high pressures. Nicholson A. E., Norrish R. G. W.), Disc. Faraday Soc., 1956, № 22, 97—103. Discuss., 144—154 (англ.)

Исследован распад перекиси бензоила в р-рах  $\text{C}_6\text{H}_6$  и  $\text{CCl}_4$  конц-ии 0,05 и 0,2 M в отсутствие воздуха под давл. 0—3000 атм при 60—80°. Установлено, что механизм распада не зависит от давления. Из кинетич. анализа эксперим. данных следует, что величина константы мономолекулярного распада под давл. в ~ 1,5—2 раза меньше, чем при нормальном давлении, константа инициированного распада в ~ 2—2,5 раза больше, чем при нормальном давлении. Энергия активации с давлением не меняется. Таким образом, сильное увеличение скорости полимеризации стирола под давлением не вызвано увеличением скорости распада инициатора — перекиси бензоила. Р. Милютинская

27953. Реакции диацилперекисей. II. Реакция  $\delta$ -фенилвалерилперекиси с четыреххлористым углеродом. Де-Тар, Уейс (Diacyl peroxide reactions. II. The reaction of  $\delta$ -phenylvaleryl peroxide with carbon tetrachloride. De Los F. De Tar, Claus Weis), J. Amer. Chem. Soc., 1957, 79, № 12, 3041—3044 (англ.)

Термическое разложение  $\delta$ -фенилвалерилперекиси в  $\text{CCl}_4$  (0,001—0,6 M) исследовалось при 55—57°. Продуктами разложения являются:  $\text{CO}_2$ ,  $\text{C}_2\text{Cl}_6$ ,  $\text{C}_6\text{H}_5(\text{CH}_2)_4\text{Cl}$ ,  $\text{C}_6\text{H}_5(\text{CH}_2)_4\text{COO}(\text{CH}_2)_4\text{C}_6\text{H}_5$ ,  $\text{C}_6\text{H}_5(\text{CH}_2)_4\text{C}_6\text{H}_5$ ,  $\text{C}_6\text{H}_5(\text{CH}_2)_2\text{CHClCH}_2\text{CCl}_3$ ,  $\text{C}_6\text{H}_5(\text{CH}_2)_4\text{COOH}$ . Состав продуктов разложения показывает, что > 55% радикалов, получающихся из перекиси, вступают в р-цию внутри клетки. Р-ция точно 1-го порядка, и скорость исчезновения перекиси не зависит от  $\text{O}_2$ . Выход продуктов разложения не зависит от конц-ии перекиси и т-ры. Индуцированное разложение почти отсутствует. Отмечается, что алифатич. диацилперекиси могут быть использованы при определенных условиях как источники свободных алкильных радикалов в р-ре. Часть I см. РЖХим, 1957, 30478. В. Пикаева

27954. Жидкофазное окисление *n*-ксилола воздухом. Акиёси, Асо, Кобаяси, Окамура, Вака-

са, Тасиро, Корё какаку дзасси, J. Chem. Soc. Japan, Industr. Chem. Sec., 1956, 59, № 4, 444—446 (японск.)

27955. Влияние воды и некоторых оснований на гидрогенизацию ацетона. Орито, Кавати (Orito Yoshio, Kawachi Sumi), Tokë korë сикансё хококу, Repts Govt Chem. Industr. Res. Inst., Tokyo, 1956, 51, № 6, 239—243, XXII (японск.; рез. англ.)

Исследовано влияние  $\text{H}_2\text{O}$ , триэтиламина и NaOH на гидрогенизацию ацетона в жидкой фазе на катализаторах Ni—Cr — кизельгур (I) (1:0,1:1), Co—Cr — кизельгур (1:0,1:1) (II) и Cu—Cr — кизельгур 1:0,1:1 (III). При катализе системой I добавление к ацетону небольшого кол-ва упомянутых в-в значительно прототирует р-цию (наиболее сильное действие оказывает NaOH). при катализе системой II добавление этих в-в оказывает меньшее влияние. В случае III добавление небольшого кол-ва триэтиламина слабо прототирует р-цию,  $\text{H}_2\text{O}$  оказывает замедляющее действие. Резюме авторов

27956. Некоторые наблюдения, касающиеся сольватических реакций. Томмилла (Eräitä solvoluutisia reaktioita koskevia huomioita. Tommila Eero), Suomen kem., 1956, 29, № 9, A205—A220 (финск.)

Исследовано влияние изменения содержания воды в р-рителе на скорость р-ции гидролиза в ацетон-водн. смесях этилбромид (I), *трет*-бутилхлорида (II) и *трет*-бутилбромида (III). Влияние р-рителя на скорость гидролиза II и III значительно больше, чем на скорость гидролиза I. Гидролиз III протекает с меньшей энергией активации, чем гидролиз II. При содержании ацетона > 60—70% энергия активации гидролиза II и III быстро увеличивается, а I уменьшается. При прибавлении ацетона к воде энергия активации сначала уменьшается, а затем увеличивается.

М. Тойкка

27957. Кинетическое исследование реакции формальдегида с фенолом и фенолоспиртами, катализируемой гидроокисью натрия. Минами, Андо, Корё какаку дзасси, J. Chem. Soc. Japan. Industr. Chem. Sec., 1956, 59, № 6, 668—672 (японск.)

27958. Кинетическое исследование реакции формальдегида с фенолом и фенолоспиртами, катализируемой гидроокисью калия. Минами, Андо, Корё какаку дзасси, J. Chem. Soc. Japan. Industr. Chem. Sec., 1956, 59, № 6, 673—674 (японск.)

27959. Скорости реакций фенола и диоксидифенилметанов с формальдегидом. Имото, Танигаки, Корё какаку дзасси, J. Chem. Soc. Japan. Industr. Chem. Sec., 1956, 59, № 6, 712—714 (японск.)

27960. Некоторые проблемы спектрофотометрического анализа пламени. Гото (Goto Hidehiro), Karaku to korë, Chem. and Chem. Ind., 1956, 9, № 8, 350—354 (японск.)

Обзор. Библ. 29 назв.

27961. Температура пламени хлороводородных смесей. Бартель (Températures des flammes hydrogène-chlore. Barthel Ch.), Génie chim., 1957, 77, № 2, suppl., 34—36 (франц.; рез. англ.)

Приведены значения т-ры пламени хлороводородных смесей, рассчитанные из термодинамич. данных в зависимости от начального состава смесей. Кривая зависимости т-ры пламени от состава не симметрична, что зависит от различий в теплоемкостях, а также в теплотах и степенях диссоциации на атомы молекул исходных элементов. Максим. т-ра пламени 2500°K соответствует смеси, содержащей 48 мол.%  $\text{Cl}_2$ .

В. Щекня

27962. Физика взрывчатых веществ. Медар (Physique des explosifs. Médard Louis), Mém. artill. franç., 1957, 31, № 2, 553—584 (франц.)



Краткое содержание курса, читанного автором:  
1) Взрыв и его определение. Общие свойства взрывчатых в-в. Различия между порохом и взрывчатыми в-вами. 2) Зависимость свойств взрывчатых в-в от их хим. строения. Теория эксплозифоров и ее критика.

М. Фишбейн

27963. Воспламенение. Горение и детонация взрывчатых веществ. Хино (Hino Kumaō), Korō нагаку дзасси, J. Chem. Soc. Japan. Industr. Chem. Sec., 1957, 60, № 2, 113—117 (японск.)  
Обзор. Библ. 42 назв.

Х. Б.

27964. Реакции предвоспламенения и воспламенения в системах перекись бария + магний + резинат кальция. Хоген, Гордон (Pre-ignition and ignition reactions of the system barium peroxide-magnesium-calcium resinate. Hogan Virginia D., Gordon Saul), J. Phys. Chem., 1957, 61, № 10, 1401—1405 (англ.)

Для изучения хим. р-ций в смесях 81% BaO<sub>2</sub> + 17% Mg + 2% резината кальция (I), обычно применяемых в пиротехнике, определен ряд свойств каждого из компонентов, а также их бинарных и тройных смесей в функции от т-ры. Гравиметрич. измерения при помощи саморегистрирующих термовесов при постоянной скорости нагревания показывают, что при 600° происходит скачкообразное уменьшение в весе BaO<sub>2</sub>, соответствующее потере одного атома O, и скачкообразное увеличение в весе Mg; при увеличении т-ры от 350 до 550° вес образцов I заметно уменьшается. Путем дифференциального термоанализа (РЖХим, 1956, 19471) изучен режим тепловыделения и теплопоглощения при нагревании с постоянной скоростью всех трех компонент и их смесей при 50—700°. Из температурной зависимости времен воспламенения по ур-нию Аррениуса определены энергии активации (E, ккал/моль) р-ций воспламенения в смесях BaO<sub>2</sub>-Mg (при 530—650°, E = 37), BaO<sub>2</sub>-I (при 290—350° E = 23, при 350—440° E = 12) и BaO<sub>2</sub>-Mg-I (при 290—440° E = 13) и концентрационные факторы (РЖХим, 1957, 30033), величины которых согласуются с рассчитанными по методу активированного комплекса. Авторы предлагают механизм р-ции, включающий промежуточное образование продуктов распада I, последующие р-ции которых приводят к воспламенению смесей.

Г. Королев

27965. Разложение азиды бария. Барлетт, Темпкинс, Янг (Decomposition of barium azide. Bartlett B. E., Tompkins F. C., Young D. A.), Nature, 1957, 179, № 4555, 365—366 (англ.)

В вакууме под микроскопом (500×), снабженным нагревательным столиком, изучено разложение достаточно совершенных крупных кристаллов моногидрата азиды бария, выращенных в тщательно контролируемых условиях; кристаллы высушены и медленно дегидратированы в вакууме при комнатной т-ре; скорость образования ядер связана со временем степенной зависимости и зависит от микроскопич. несовершенств (царапин). Предложено объяснение найденных закономерностей.

Г. Леви

27966. Исследование восстановления водородом сульфида серебра и сульфида одновалентной меди. Кобаяши, Вагнер (Investigations on the reduction of silver sulfide and cuprous sulfide by hydrogen. Kobayashi Haruo, Wagner Carl), J. Chem. Phys., 1957, 26, № 6, 1609—1614 (англ.)

Скорость удаления S из Ag<sub>2</sub>S (I) и Cu<sub>2</sub>S (II) водородом при 300 и 385° определялась электрохимически в цепях Ag|AgJ (тв.)|Ag<sub>2</sub>S (тв.)|Pt и Cu|CuJ (тв.)|Cu<sub>2</sub>S (тв.)|Pt. Авторы делают вывод, что при восстановлении I молекулы H<sub>2</sub> реагируют с S-атомами, адсорбированными на поверхности I, а при восстановлении II с S-ионами, адсорбированными на по-

верхности II. Обсуждается значение полученных результатов для исследования гетерог. каталитич. р-ций на сульфидах и окислах.

М. Сахаров

27967. Об окислении нитрида титана. I. Кинетика окисления. II. Механизм окисления. Мюнстер, Шлам (Über die Oxydation des Titanitrids. I. Die Kinetik der Oxydation. II. Der Mechanismus der Oxydation. Münster A., Schlamp G.), J. phys. Chem. (BRD), 1957, 13, № 1—2, 59—75, 76—94 (нем.)

I. Кинетика окисления TiN (I) в чистом O<sub>2</sub> при атмосферном давлении и при 625—1075° изучена весовым методом с использованием весов Мак-Бена. Объектом окисления служили как чистый I в виде спиралей, так и I, нанесенный тощим слоем на пластинки корунда. Изотермы окисления имеют вид  $t = ay^2 + by$ , где  $t$  — время,  $a$  и  $b$  — константы, зависящие от т-ры,  $y$  — привес на единицу поверхности. Существенные отклонения от указанного ур-ния наблюдаются лишь при т-рах > 900° при значительном увеличении продолжительности опытов. По мнению авторов, суммарный процесс окисления складывается из протекающих с близкими скоростями диффузии компонентов через слой окисла (параболич. член ур-ния) и р-ции на границе фаз (линейный член ур-ния). Энергии активации для параболич. и линейного членов ур-ния найдены равными, соответственно, 46 400 и 24 500 кал/моль.

II. По данным микроскопич. и рентгеноструктурного анализов, окисная пленка, образующаяся при окислении I, имеет слоистое строение и не содержит других фаз, кроме фазы рутила. Ур-ние р-ции имеет вид:  $TiN + O_2 \rightarrow TiO_2 + \frac{1}{2} N_2$ . Сохранение на поверхности окисленного образца Pt-метки, нанесенной на поверхность I, свидетельствует, что образование TiO<sub>2</sub> (II) происходит на межфазовой границе I—II. Высказано предположение, что р-ция на границе фаз состоит в обмене азота на кислород и перестройке куб. решетки I в тетрагон. решетку рутила. Перенос в-ва к межфазовой границе происходит, по мнению авторов, в результате диффузии кислорода через пустые анионные узлы, через которые, возможно, происходит также перенос азота от межфазовой границы I—II к наружной границе II. Отклонение кинетики окисления от линейно-параболич. закона, наблюдающееся при т-рах > 900° и большой продолжительности опытов, авторы приписывают образованию трещин и пор в окисной пленке и протекающим в ней процессам рекристаллизации и спекания.

М. Сахаров

27968. Кинетика взаимодействия галогенидов некоторых щелочных металлов в твердом состоянии. Мейсон (The kinetics of reactions of some alkali halides in the solid state. Mason Harold F.), J. Phys. Chem., 1957, 61, № 6, 796—802 (англ.)

Рентгенографически изучены кинетика и механизм твердофазных р-ций в системах NaBr—KCl (I) и CsCl—KBr (II) при ~ 450° и проведено термодинамич. рассмотрение этих р-ций. Расчет показывает, что скорость р-ций в системах I и II, а также в системе NaJ—KBr (Wood L. J. и др., J. Amer. Chem. Soc., 1952, 74, 2355) описывается ур-нием:  $1 - x = (6/\pi^2) \sum_{n=1}^{\infty} 1/n^2 \exp(-n^2 Kt)$ , где  $x$  характеризует степень протекания р-ции ко времени  $t$ ,  $K$  — константа скорости. В системе I обнаружено существование 4 фаз: KBr, NaCl и двойных солей Na(Cl, Br) и K(Cl, Br). Аналогичные данные получены для системы II. Большая скорость р-ций в системе II объясняется протеканием полиморфного превращения при т-ре опыта. Эксперим. данные объясняются на основе гипотезы о быстрой диффузии катионов, сопровождающейся более медленной диффузией анионов.

Л. Березкина

27969. Кинетика твердофазных реакций сульфата серебра с окислами кальция и стронция. РИМЕН, ДАНИЭЛС (Kinetics of solid state reactions of silver sulfate with calcium and strontium oxides. Riemen William P., Daniels Farrington), J. Phys. Chem., 1957, 61, № 6, 802—805 (англ.)

Весовым и химико-аналитич. методами изучена скорость твердофазных р-ций:  $\text{Ag}_2\text{SO}_4 + \text{CaO} \rightarrow 2\text{Ag} + \frac{1}{2}\text{O}_2 + \text{CaSO}_4$  (1) при 500—600° и  $\text{Ag}_2\text{SO}_4 + \text{SrO} \rightarrow 2\text{Ag} + \frac{1}{2}\text{O}_2 + \text{SrSO}_4$  (2) при 400—450°. Опытные данные описываются кинетич. ур-нием, выведенным ранее (см. пред. реф.). Энергия активации р-ции (1) 41 000 кал/моль; р-ции (2) 14 000 кал/моль. Наблюдающаяся большая скорость р-ций в начальный период объясняется протеканием быстрой поверхностной р-ции.

Л. Березкина

27970. Кинетика взаимодействия серебра и серы в твердом состоянии. РИМЕН (Kinetics of the reaction between silver and sulfur in the solid state. Riemen William P.), J. Phys. Chem., 1957, 61, № 6, 813—814 (англ.)

Изучена кинетика взаимодействия Ag и S при комнатной т-ре. Показано, что скорость р-ции практически не зависит от давления при прессовании образцов и подчиняется ур-нию, приведенному ранее (РЖХим, 1958, 27968).

Л. Березкина

27971. Взаимодействие перегретого водяного пара с фторидами металлов II группы периодической системы Д. И. Менделеева. МИХАЙЛОВ М. А., Тр. Томского ун-та, 1957, 145, 11—24

Проведено разложение флюорида перегретым водяным паром и изучена кинетика процессов пиролизиса фторидов металлов II группы периодической системы. Взаимодействие фторидов Mg, Ca, Zn и Cd с перегретым водяным паром является топочим. процессом. Конечными продуктами разложения всех рассматриваемых фторидов являются окислы соответствующих металлов. Механизм р-ции можно рассматривать как явление контраполяризации иона кислорода молекулы  $\text{H}_2\text{O}$  катионом фторида с вероятным образованием промежуточного неустойчивого соединения типа  $\text{M}(\text{OH})\text{F}$ . Реакционная способность фторида определяется поляризационными свойствами катиона. Показана возможность применения кинетич. ур-ний П. П. Будникова и А. М. Гинстлинга к топочим. р-циям типа обмена между твердыми солями и газообразным реагентом.

Резюме автора

27972. Кинетика взаимодействия сульфида свинца с окислами. ПОЛЫВАННЫЙ И. Р., ПОНОМАРЕВ В. Д., КазССР Гылым Акад. хабарлары, Изв. АН КазССР. Сер. горн. дела, металлургии, стро-ва и стройматериалов, 1957, вып. 4(15), 97—108 (рез. каз.)

Экспериментально изучена кинетика взаимодействия сульфида свинца с окислами свинца и железа по следующим конечным схемам:  $\text{PbS} + 2\text{PbO} = 3\text{Pb} + \text{SO}_2$ ,  $\text{PbS} + 3\text{Fe}_2\text{O}_3 = \text{PbO} + 6\text{FeO} + \text{SO}_2$ ,  $\text{PbS} + 4\text{Fe}_2\text{O}_3 = \text{PbO} \cdot \text{Fe}_2\text{O}_3 + 6\text{FeO} + \text{SO}_2$ . Показано, что взаимодействие сульфида свинца с окислами свинца и железа относится к числу автокаталитич. процессов. Показано, что р-ции сульфида свинца с окислами свинца и железа вполне возможны при агломерирующем обжиге, словесом окислительном обжиге и др.

Резюме авторов

27973. Изучение реакции сероводорода с окислами железа. Часть 5. Исследование промышленных очистительных масс. МИШЕЛЬ, ШОАЭН (Étude de la réaction de l'hydrogène sulfure sur les oxydes de fer. 5e partie. Étude des matières épurantes industrielles. Michel A., Choain, m-me), Bull. Soc. chim. France, 1957, № 4, 577—580 (франц.)

Методами дифференциального / термич. анализа, термоманнитным, адсорбционным и рентгенографич.

методами изучены структура и физ.-хим. свойства различных газоочистительных масс как активных по отношению к  $\text{H}_2\text{S}$ : масса Ламинга (I), «Люкс» (II), «Пюрфер» (III), природные окислы (IV), отходы при произ-ве анилина (V), так и инертных: красные отходы при переработке боксита по способу Байера (VI) и пиритные огарки (VII). Отмечено, что эффективность I — V объясняется активностью всех окислов Fe при взаимодействии с  $\text{H}_2\text{S}$ ; присутствие гидратных форм в очистительной массе необязательно; определение эффективности этих масс следует производить непосредственно по адсорбции  $\text{H}_2\text{S}$  в условиях, аналогичных условиям работы; определение же «активного железа» (Sainte-Claire Deville. Manuel de chimie gazière. Dunod ed., 1933, p. 197) дает неверные результаты. Путем сплавления VI и VII с NaOH и  $\text{Na}_2\text{CO}_3$  авторы получили массы, не уступающие по эффективности II. Часть 4 см. РЖХим, 1957, 11259.

В. Вассерберг

27974. Изотопный обмен между углеродом карбоната марганца и двуокисью углерода. СИГОВ С. А., ЛЕЙКИН З. М., Тр. Среднеаз. политехн. ин-та, 1957, вып. 2, 10—16

Показано, что при 26—28° происходит изотопный обмен между углеродом  $\text{MnCl}^{14}\text{O}_3$  и газообразной  $\text{CO}_2$ . Изотопный обмен происходит также, если вместо  $\text{CO}_2$  пропускать над  $\text{MnCl}^{14}\text{O}_3$  эквивалентную смесь CO и  $\text{O}_2$ . Авторы предполагают, что в процессе обмена CO окисляется в  $\text{CO}_2$ , т. е. что  $\text{MnCl}^{14}\text{O}_3$  является катализатором окисления CO в  $\text{CO}_2$  при низких т-рах.

В. Пикаева

27975. Новые соображения о кинетике гетерогенных реакций. Часть III. Дальнейшее исследование свойств переходных слоев на границах между жидкой и твердыми фазами. ИМРЕ (Neuere prinzipielle Bemerkungen zur heterogenen Reaktionskinetik. III. Teil: Weitere Untersuchungen über die Eigenschaften der Übergangsschichten an fest-flüssigen Phasengrenzen. Imre L.), Kolloid-Z., 1957, 154, № 2, 119—130 (нем.)

Методом радиоактивных индикаторов показано на ряде примеров, что начальные стадии адсорбции и изотопного обмена в системах металл/р-р электролита отличаются повышенными значениями констант скорости. Автор объясняет это, исходя из общих представлений, развитых им ранее (часть II, РЖХим, 1956, 67919), о нестационарном протекании процессов на границе между жидкой и твердой фазами в начальной их стадии и образовании на границе фаз переходных слоев, играющих роль, аналогичную роли промежуточных продуктов в обычной кинетике. В подтверждение развиваемых представлений дан математич. анализ процесса адсорбции ионов на границе фаз в системе р-р электролита/металл.

М. Сахаров

27976. О величине температурных коэффициентов скоростей гетерогенных процессов. Сообщение 1. БАРАМ (Про визначення температурних коефіцієнтів швидкостей гетерогенних процесів. Подовження 1. Барам О. М.), Наук. зап. Ніжинськ. держ. пед. ін-т, 1956, 7, 94—99 (укр.)

На примере изучения растворения монокристаллов NaCl (р-ция 1) и взаимодействия Hg с р-ром  $\text{J}_2$  в KI (р-ция 2) подтвержден вывод о том, что при вычислении температурных коэф. скорости (v) гетерог. процессов на границе твердое тело — жидкость необходимо соблюдать условия геометрич. и гидродинамич. подобия. Найдено, что при малой турбулентности потока, создаваемого мешалкой (число Рейнольдса  $\text{Re} < 1000—1200$ ), v р-ции (1) в основном определяется гидродинамич. факторами, при  $\text{Re} \geq 2000$  процесс переходит в кинетич. или, возможно, промежуточную



область. Для р-ции (2) установлена эмпирич. степенная зависимость константы скорости р-ции от  $\text{Re}$

Г. Леви

27977. Методика определения температурных коэффициентов скоростей гетерогенных процессов. Сообщение 2. Барам (Методика визначення температурних коефіцієнтів швидкостей гетерогенних процесів. Повідомлення 2. Барам О. М.), Наук. зап. Ніжинськ. держ. пед. ін-т, 1956, 7, 100—103 (укр.)

Описана методика опытов, проведенных ранее (см. пред. реф.).

Г. Леви

27978. Зависимость кинетики гетерогенных процессов от продолжительности контакта реагирующих веществ. Барам (Залежність кінетики деяких гетерогенних процесів від тривалості контакту реагуючих речовин. Барам О. М.), Наук. зап. Ніжинськ. держ. пед. ін-т, 1956, 7, 104—109 (укр.)

Автор указывает, что для выявления специфич. особенностей гетерогенно-каталитич. процессов необходимо изучать их начальные стадии до установления стационарного диффузионного режима. Правильность ранее выведенной автором зависимости скорости ( $v$ ) гетерог. процессов от времени контакта фаз ( $t$ )  $v \propto t^{1/2}$  проверена на нескольких примерах.

Г. Леви

27979. Общая теорема о соотношении между константами скорости и константой равновесия. Хорнуги (General theorem on the relation between rate constants and the equilibrium constant. Hornuti Juro), Z. phys. Chem. (BRD), 1957, 12, № 5-6, 324—323 (англ.)

Дан вывод ур-ния для зависимости между константами прямых и обратных р-ций и константой равновесия для общего случая, когда р-ция протекает в несколько стадий.

М. Сахаров

27980. Изучение состояния азота, адсорбированного на испаренной бариевой пленке. Сасаки (Study on the state of nitrogen adsorbed on evaporated barium film. Sasaki Yozo), J. Chem. Phys., 1957, 27, № 1, 281—285 (англ.)

Показано, что пленка Ва, свеженапыленная в высоком вакууме, хемосорбирует азот при  $t$ -рах  $-55^\circ$ . При комнатной  $t$ -ре хемосорбция практически заканчивается за  $\sim 200$  мин. Десорбция хемосорбированного азота наблюдается только при нагревании пленки до  $t$ -ры  $> 60^\circ$ . Энергия активации хемосорбции  $11 \text{ ккал/моль}$ . Опыты по вытеснению адсорбированного азота кислородом показали, что сразу после адсорбции 30% адсорбированного азота слабо связано с поверхностью пленки и вытесняется кислородом. Доля прочно адсорбированного азота увеличивается со временем и по истечении 4 час. составляет 90%. Как показали опыты по десорбции под влиянием бомбардировки электронами различных энергий, слабо связанный адсорбированный азот находится в мол. форме, его электронная конфигурация незначительно отличается от основного состояния газообразного азота  $\text{KX}_2^+$ . Автор предполагает, что на поверхности напыленной пленки Ва существуют адсорбированные ионизованные молекулы азота в состоянии  $\text{N}_2 + (2\text{X}_2^+)$ .

В. Фролов

27981. Исследование механизма синтеза Фишера — Тропша. Добавление радиоактивного метанола, двуокиси углерода и газообразного формальдегида. Холл, Кокс, Эмметт (Mechanism studies of the Fischer-Tropsch synthesis. The addition of radioactive methanol, carbon dioxide and gaseous formaldehyde. Hall W. Keith, Kokes R. J., Emmett P. H.), J. Amer. Chem. Soc., 1957, 79, № 12, 2983—2989 (англ.)

Проведены опыты по синтезу углеводов (У) из

$\text{CO}$  и  $\text{H}_2$  над  $\text{Fe}$ -катализаторами при  $227-237^\circ$  с добавлением к исходной смеси 1,0—1,4 об. % газообразных радиоактивных  $\text{CH}_3\text{OH}$  (I),  $\text{CO}_2$  (II) и  $\text{CH}_2\text{O}$  (III). Характер зависимости мол. радиоактивности (МР) У от числа С-атомов в их молекулах, найденной в опыте с добавлением I, проведенном при 7,8 атм, подтверждает ранее сделанный вывод (РЖХим, 1954, 49641), что комплекс, образующийся при адсорбции I, может участвовать как в р-циях зарождения углеводородной цепочки, так и (хотя и в меньшей мере) в р-циях ее роста. Незначительные МР У и  $\text{CO}$ , обнаруженные в опыте с добавлением II, проведенном при 1 атм, показывают, что II лишь в очень малой степени участвует в образовании У и что конверсия водяного газа в изученных условиях протекает с незначительной скоростью. В опыте с добавлением III, проведенном при 1 атм, обнаружен линейный рост МР У с увеличением числа С-атомов, который следует объяснить высокой радиоактивностью  $\text{CO}$ , образующейся при разложении III. Из радиометрич. данных следует, что III в условиях синтеза почти нацело разлагается с образованием  $\text{CO}$  и  $\text{CO}_2$ . Авторы приходят к выводу, что комплексы, образующиеся при адсорбции I и II, не идентичны комплексу, образующемуся из  $\text{CO}$  и  $\text{H}_2$  в обычных условиях синтеза.

М. Сахаров

27982. Применение спектрофотометрического анализа для расшифровки характера действия медного купороса как катализатора. Чистозвонова З. М., Тр. Моск. автомоб.-дор. ин-та, 1957, вып. 20, 239—240

Данные спектрофотометрич. анализа показывают, что при окислении масляной и лимонной к-т перекисью водорода в присутствии медного купороса как катализатора вначале происходит образование комплексной соли этих к-т с медью, а затем уже происходит процесс окисления последней. Из резюме автора

27983. Оценка методов, применявшихся в промышленной практике для определения активности ванадиевого контакта. Восолебе (Zhodnocení method používaných v průmyslové praxi k zjišťování aktivity vanadové kontaktní hmoty. Vosolobě Jan), Chem. průmysl, 1957, 7, № 5, 253—256 (чешск.)

Описаны различные методы исследования каталитич. активности промышленных ванадиевых катализаторов. Испытания в динамич. условиях при неизотермич. режиме не дают достоверных результатов и позволяют только качественно сравнивать каталитич. активности различных катализаторов. Указано, что колич. оценка активности катализаторов возможна при испытаниях в изотермич. условиях. Ю. Мищенко

27984. Каталитические свойства адсорбированных красителей. I. Юшина В. В., Ж. физ. химии, 1957, 31, № 10, 2357—2360 (рез. англ.)

Показано, что метиленовая синь и тионин являются катализаторами окисления метола и пирогаллола в узком интервале рН. Установлено, что адсорбция красителей на клейстеризованном крахмале и декстрине значительно повышает окислительную активность красителя. Показано, что каталитич. действие красителей не связано с понижением энергии активации. Указано на значение активирующего действия полисахаридов в процессах промежуточного обмена, связанных с переносом водорода.

Резюме автора

27985. Каталитические свойства нанесенных натриевых и литиевых катализаторов. Волц (The catalytic properties of supported sodium and lithium catalysts. Voltz Sterling E.), J. Phys. Chem., 1957, 61, № 6, 756—758 (англ.)

Изучена каталитич. активность Na и Li, нанесенных в расплавленном состоянии на порошкообразные окиси алюминия и силикагель, в р-циях изотопного обмена водорода с дейтерием (I) и гидрирования

этилена (2). Уд. поверхность носителей после пропитки их металлами уменьшается в  $\sim 2$  раза, как указывает автор, за счет блокирования мелких пор. Активность  $\text{Na}/\text{Al}_2\text{O}_3$  в р-ции (1) при  $-123$  и  $-100^\circ$  не превышает активности чистой  $\text{Al}_2\text{O}_3$ ; при  $-195^\circ$  катализатор обладает заметной активностью только после обработки водородом при  $300^\circ$ . В р-ции (1)  $\text{Na}/\text{SiO}_2$  менее активен, чем  $\text{Na}/\text{Al}_2\text{O}_3$ . В р-ции (2), протекающей уже при  $t$ -рах ниже комнатной,  $\text{Na}/\text{SiO}_2$  более активен, чем  $\text{Na}/\text{Al}_2\text{O}_3$  и  $\text{Li}/\text{Al}_2\text{O}_3$ , а чистые носители неактивны; предварительная обработка водородом при  $300^\circ$  незначительно повышает активность  $\text{Na}/\text{Al}_2\text{O}_3$ , резко уменьшает активность  $\text{Na}/\text{SiO}_2$  и сильно увеличивает активность  $\text{Li}/\text{Al}_2\text{O}_3$ . Активность нанесенных катализаторов в обеих р-циях выше активности препаратов  $\text{NaH}$  и  $\text{LiH}$ , что автор приписывает влиянию поверхности носителей;  $\text{LiH}$  в р-ции (1) активнее, чем  $\text{NaH}$ , а в р-ции (2) менее активен, что, по мнению автора, связано с легкостью активации водорода или этилена на соответствующих активных центрах. Энергия активации р-ции (2) в интервале  $100-200^\circ$  в присутствии нанесенных катализаторов  $2-9$  ккал/моль, в присутствии  $\text{NaH}$  и  $\text{LiH}$  соответственно  $8$  и  $17$  ккал/моль. С. Киперман

**27986. Скрытые структурные дефекты пространственной решетки и их особое значение при исследовании гетерогенных катализаторов.** Краузе (O utajonych błędach strukturalnych sieci przestrzennej i ich doniosłym znaczeniu w badaniu katalizatorów — kontaktów. Krause Alfons), Roczn. chem., 1956, 30, № 4, 1047—1054 (польск.; рез. нем.) Показано, что скрытые дефекты кристаллич. решетки катализатора можно обнаружить по адсорбции на его поверхности определенных ионов, повышающих его каталитич. активность. Резюме автора

**27987. Гидрирование с ионами в качестве катализаторов.** Тулунов В. А., Ж. физ. химии, 1957, 31, № 2, 519—521

Проведены опыты по гидрированию пентена-2, бензола и олеиновой к-ты в р-ре в присутствии ряда солей органич. к-т металлов VIII группы (стеарат  $\text{Ni}$ ,  $\text{Fe}(3+)$ ,  $\text{Co}(2+)$ , бензоат  $\text{Ni}$ , адипат  $\text{Ni}$ , ацетат  $\text{Pb}$ ). Обнаружено, что связанные ионы металлов VIII группы являются катализаторами гидрирования некоторых непредельных органич. соединений. Вода в р-циях гидрирования ионами является каталитич. ядом.

**27988. Кинетическое толкование эмпирически определенной поверхности, отображающий выход реакции парофазного окисления нафталина во фталевый ангидрид.** Пинчбек (The kinetic implications of an empirically fitted yield surface for the vapour — phase oxidation of naphthalene to phthalic anhydride. Pinchbeck P. H.), Chem. Engng Sci., 1957, 6, № 3, 105—111 (англ.; рез. франц.)

Кинетическое ур-ние, выведенное автором на основе модели, предложенной ранее (РЖХим, 1956, 71225), в предположении, что порядок р-ции по нафталину равен  $1/2$ , приводит к зависимости выхода фталевого ангидрида от  $t$ -ры, времени контакта и содержания нафталина в исходной смеси, весьма близким к экспериментально найденным автором на катализаторе  $\text{V}_2\text{O}_5/\text{K}_2\text{SO}_4$  на силикателе. В. Фролов

**27989. Кинетика каталитического гидрохлорирования олефинов.** Лепренс, Лимидо (La cinétique de l'hydrochloration catalytique des oléfines. Lerprens Pierre, Limido Jean), C. r. Acad. sci., 1957, 244, № 15, 2044—2046 (франц.)

Исследована кинетика р-ции присоединения газообразного  $\text{HCl}$  к жидкому циклогексену при  $20^\circ$  в присутствии  $\text{SnCl}_4$  в качестве катализатора. Найдено, что р-ция протекает по 2-му порядку относительно  $\text{HCl}$

и по 1-му порядку относительно  $\text{SnCl}_4$ . При повторных загрузках  $\text{HCl}$  может быть достигнуто колич. превращение циклогексена. Каталитически активной формой в этой р-ции авторы считают оловохлористоводородную к-ту. В. Вассерберг

**27990 К. Скелетные катализаторы, их свойства и применение в органической химии.** Богословский Б. М., Казакова З. С. М., Госхимиздат, 1957, 144 стр., ил., 6 р. 35 к.

**27991 К. Поверхностные реакции газов на металлах (6-е заседание Французского физико-химического общества 29—31 мая и 1 июня 1956 г.).** (Réactions superficielles des des gaz sur les métaux (6e réunion Soc. chim. phys. 29—31 mai et 1er juin 1956). Chartres, impr. Durand, 1957, 340 p., ill.) (франц.)

См. также: раздел Производство катализаторов и сорбентов и рефераты: Реакционная способность и строение 27590, 27601. Кинетика и механизмы р-ции 28622, 28623, 28625, 28627, 28630—28634, 28637—28641, 28645, 28647—28651. Гетерогенный органич. катализ: 28665, 28710. Топохимия 29142. Пронз-во и св-ва катализатора 29170, 30158, 30233, 30234, 30764. Каталитические процессы 29695, 29784, 30156, 30157, 30228—30231. Гетерогенные р-ции окисления и восстановления 27890. Адсорбция 28096, 28097

## РАДИАЦИОННАЯ ХИМИЯ. ФОТОХИМИЯ. ТЕОРИЯ ФОТОГРАФИЧЕСКОГО ПРОЦЕССА

Редактор Х. С. Багдасарьян

**27992. Импульсная фотохимия. II. Импульсный фотолит водных растворов перекиси водорода.** Фуэди, Сиди, Кури, Нихон кагаку дзасси, J. Chem. Soc. Japan. Pure Chem. Sec., 1956, 77, № 10, 1532—1536 (японск.)

Исследован фотолит  $\text{H}_2\text{O}_2$  при облучении светом импульсной разрядной трубки или  $\text{Hg}$ -лампы. Квантовый выход  $(1,35 \pm 0,1)$  не зависит от интенсивности света и конц-ии. Предполагаются р-ции обрыва цепи:  $2\text{HO}_2 \rightarrow \text{H}_2\text{O}_2 + \text{O}_2$  или  $\text{OH} + \text{HO}_2 \rightarrow \text{H}_2\text{O} + \text{O}_2$ . Часть 1 см. РЖХим, 1956, 71231.

Chem. Abstrs, 1957, 51, № 13, 9332. Т. Katsurai  
**27993. Фотохимические реакции озона в растворе.** Тауб (Photochemical reactions of ozone in solution. Taube Henry), Trans. Faraday Soc., 1957, 53, № 5, 656—665 (англ.)

Определены мол. коэф. экстинкции  $\alpha$  озона в водн. р-ре. В спектре поглощения водн. р-ра  $\text{O}_3$  имеются максимумы при  $258 \text{ мμ}$  ( $\alpha = 3,6 \cdot 10^3$ ) и при  $590 \text{ мμ}$  ( $\alpha = 5,1$ ). При освещении водн. р-ра  $\text{O}_3$  светом в области УФ-максимума поглощения  $\text{O}_3$  почти стехиометрически происходит р-ция  $\text{O}_3 + \text{H}_2\text{O} \rightarrow \text{O}_2 + \text{H}_2\text{O}_2$ . Р-ция протекает в разб. р-рах  $\text{HCl}$  или  $\text{CH}_3\text{COOH}$ , присутствие которых ингибирует цепную р-цию  $\text{O}_3$  и  $\text{H}_2\text{O}_2$ . Опыты, проведенные в воде, обогащенной  $\text{O}^{18}$ , показывают, что при образовании  $\text{H}_2\text{O}_2$  приблизительно  $1/2$  кислорода поступает из р-рителя и  $1/2$  — из  $\text{O}_3$ . При больших конц-иях  $\text{SO}_4^{2-}$  или  $\text{CH}_3\text{COOH}$  наблюдается присоединение кислорода с образованием  $\text{SO}_5^-$  и  $\text{CH}_3\text{COOOH}$ ; при большой конц-ии  $\text{ClO}_4^-$  образуется  $\text{ClO}_3^-$ . Квантовый выход убыли  $\text{O}_3$  при  $254, 310$  и  $\sim 600 \text{ мμ}$  соответственно равен  $0,62$ ;  $0,23$  и  $0,002-0,006$ . При действии света большей длины волны образование  $\text{H}_2\text{O}_2$  не наблюдается. Происходящие при коротких длинах волн р-ции связаны с образованием атомарного  $\text{O}$  в состоянии  $^1D$ , который эффективно образует связь  $\text{O}-\text{O}$  при взаимодействии с водой.

И. Вережницкий



27994. Фотозомеризационные равновесия в азокрасителях. Фишер, Фрей (Photoisomerization equilibria in azo dyes. Fischer Ernst, Frei Yael), J. Chem. Phys., 1957, 27, № 1, 328—330 (англ.)

Освещение р-ра 4-диметиламиноазобензола в толуоле при  $-60^\circ$  приводит к превращению транс-формы в цис-форму. Положение фотозомеризационного равновесия определяется относительными коэф. экстинкции обоих изомеров для длины волны монохроматич. света, используемого для освещения. Энергия активации термич. цис-транс-превращения в толуоле 21 ккал/моль. При  $25^\circ$  период половинного превращения равен 220 мин.

И. Вережницкий  
27995. Фотовосстановление метиленового голубого этилендиаминтетрауксусной кислотой. Остер, Уотерспун (Photoreduction of methylene blue by ethylenediaminetetraacetic acid. Oster Gerald, Wotherspoon Neil), J. Amer. Chem. Soc., 1957, 79, № 18, 4836—4838 (англ.)

При освещении красным светом р-р метиленового голубого (I) в присутствии этилендиаминтетрауксусной к-ты (II) восстанавливается в лейкоформу. Зависимость скорости фотовосстановления (ФВ) от pH р-ра имеет тот же вид, что и кривая титрования II р-ром щелочи. ФВ I происходит также в присутствии ряда азотсодержащих соединений с вторичным или третичным атомом N: гидроксипропилендиаминтриуксусной к-ты, дитилендиаминпентауксусной к-ты, 1,2-диаминциклогексантетрауксусной к-ты, оксипропилендиаминтриуксусной к-ты, бис-гидроксипропилендиаминтриуксусной к-ты, метиламинодиуксусной к-ты и N-фенилглицина. ФВ I замедляется в присутствии малых кол-в n-фенилдиамин. В ФВ участвует длительно живущее возбужденное состояние со временем жизни  $\geq 8,7 \cdot 10^{-5}$  сек. Донорами электронов в фотохим. р-ции служат соединения с вторичным или третичным атомом N. Фотоокисление лейко-I под действием ближнего УФ-излучения включает возбужденное состояние молекулы лейко-I; скорость фотоокисления увеличивается с уменьшением pH.

И. Вережницкий  
27996. Фотовосстановление эозина в связанном состоянии. Беллин, Остер (Photoreduction of eosin in the bound state. Bellin Judith S., Oster Gerald), J. Amer. Chem. Soc., 1957, 79, № 10, 2461—2464 (англ.)

Спектральные и фотохим. свойства эозина Y (2',4',5',7'-тетрабромфлуоресцеин) (I), связанного с поливинилпирролидоном, значительно отличаются от свойств свободного красителя (РЖХим, 1956, 74672). Самотухение флуоресценции проявляется при значительно меньших, а самотухение фосфоресценции в вязких средах при значительно больших конц-ях связанного I, чем в соответствующих случаях со свободным I. На флуоресценцию связанного I не оказывает тушащего действия n-фенилдиамин (II). Нитробензол ингибирует фотовосстановление (ФВ) связанного I аскорбиновой к-той, продолжительность периода ингибирования пропорциональна конц-и ингибитора. II ингибирует и замедляет ФВ связанного I. При малых конц-ях I квантовый выход ФВ связанного I возрастает с увеличением конц-и I. Применяя кинетич. схему, ранее предложенную для связанных трифенилметановых красителей (РЖХим, 1957, 60177), авторы приняли, что связанные молекулы I в первом электронно-возбужденном состоянии быстро обмениваются энергией со связанными молекулами I в основном состоянии, образуя долгоживущие возбужденные в-ва, которые реагируют с восстановителем. Методом стационарных конц-й выведено кинетич. ур-ние, связывающее отношение скоростей ФВ в отсутствие и в присутствии II с его

конц-ией. Предположено, что в фотохимич. эмульсии, содержащей I, происходит ФВ связанного I. Восстановленный I отдает электрон галоидному Ag, образуя скрытое изображение.

И. Вережницкий  
27997. Радиационная дозиметрия. Химические и оптические методы. Синохара, Кондо, Мори, Бунсэки кагаку, Japan Analyst, 1957, 6, № 1, 50—57 (японск.)

Обзор. Библ. 53 назв.

27998. Неорганические химические реакции, вызываемые действием радиоактивного излучения. Йо сидзава, Кагаку, Chemistry (Japan), 1957, 12, № 8, 617—623 (японск.)

Обзор. Библ. 23 назв.

27999. Разложение окиси азота и двуокиси азота ударами осколков деления урана-235. Хартек, Донде (Decomposition of nitric oxide and nitrogen dioxide by the impact of fission fragments of uranium-235. Hardeck P., Dondes S.), J. Chem. Phys., 1957, 27, № 2, 546—551 (англ.)

Исследовалось разложение NO и NO<sub>2</sub> при действии осколков деления U<sup>235</sup>. Кварцевые сосуды объемом 23 см<sup>3</sup>, содержащие исследуемый газ и 5 мг порошкообразной окиси U<sup>235</sup>, помещались в реактор Брукхавенской Национальной Лаборатории и подвергались действию потока нейтронов  $3 \cdot 10^{12}$  нейтрон/см<sup>2</sup> сек при t-ре 70°. Интенсивность излучения, измеренная при помощи дозиметра с N<sub>2</sub>O, составляла  $1,0 \cdot 10^7$  рентген/мин для NO и  $1,2 \cdot 10^7$  рентген/мин для NO<sub>2</sub>. Образование N<sub>2</sub> и O<sub>2</sub> при разложении NO почти пропорционально дозе. Выход разложения NO  $9,5 \pm 1,0$  для дозы  $2 \cdot 10^6$  рентген;  $11,4 \pm 1,15$  для  $1 \cdot 10^6$  и  $13,8 \pm 1,4$  для  $1 \cdot 10^6$ . Поскольку разложение одной молекулы NO приводит дополнительно к разложению еще трех молекул NO, выход первичного разложения NO для дозы  $10^6$  рентген равен  $3,45 \pm 0,35$ . В случае разложения NO<sub>2</sub> образуются N<sub>2</sub>, N<sub>2</sub>O и O<sub>2</sub>. Выход разложения NO<sub>2</sub> для дозы  $5 \cdot 10^7$  рентген 0,5, для дозы  $3 \cdot 10^6$  рентген 1,2. Когда при разложении NO<sub>2</sub> конц-и образующихся N<sub>2</sub> и N<sub>2</sub>O становятся заметными, разложение NO<sub>2</sub> становится автокаталитическим, так как в нем принимают участие продукты радиолиза. И. Вережницкий

28000. Химическое действие ионизирующих излучений в растворе. Часть XVII. Дegradaция дезоксирибонуклеиновой кислоты в водном растворе при облучении рентгеновскими лучами (200 кэ). Даниэлс, Сколс, Уэйсс, Уилер. Часть XVIII. Действие рентгеновских лучей (200 кэ) на α- и β-глицерофосфат в водном растворе. Сколс, Тейлор, Уэйсс. Часть XIX. Некоторые вопросы восстановления метиленового голубого рентгеновскими лучами в водных системах. Хейон, Сколс, Уэйсс. Часть XX. Действие рентгеновских лучей (200 кэ) на этанол в водном растворе. Джейсон, Сколс, Уэйсс (Chemical action of ionising radiations in solution. Part XVII. Degradation of deoxyribonucleic acid in aqueous solution by irradiation with X-rays (200 kv). Daniels M., Scholes G., Weiss J., Wheeler C. M. Part XVIII. Action of X-rays (200 kv) on α- and β-glycerophosphate in aqueous solution. Scholes G., Taylor W., Weiss J. Part XIX. Some aspects of the reduction of methylene blue by X-rays in aqueous systems. Hayon E., Scholes G., Weiss J. Part XX. Action of X-rays (200 kv) on ethanol in aqueous solution. Jayson G. G., Scholes G., Weiss J.), J. Chem. Soc., 1957, Jan., 226—234; 235—246; 301—311; March, 1358—1368 (англ.)

XVII. Водные р-ры различных препаратов дезоксирибонуклеиновой к-ты (I) облучались рентгеновскими лучами (200 кэ, 15 ма) при 25° и мощностях дозы 1185 и 6000 ф. а. р. в 1 мин. Уменьшение вязкости, про-

исходящее во время облучения, связано с разрывом межнуклеотидных фосфатных связей при действии радикалов, возникающих вследствие радиолиза воды. Медленное уменьшение вязкости, происходящее в р-рах I после прекращения облучения в присутствии  $O_2$ , связано с медленным гидролизом лабильных фосфатных эфиров, образующихся в качестве промежуточных продуктов. При облучении р-ров I в присутствии  $O_2$  образуется гидроперекись, возникающая, по-видимому, из пиримидиновых оснований.

XVIII. Исследовано действие рентгеновского излучения (200 кэ, 15 ма, мощность дозы  $\sim 2,3 \cdot 10^{17}$  эв/мл мин) на водн.  $10^{-2}$  M р-ры Na-соли  $\alpha$ -глицерофосфата (II) или  $\beta$ -глицерофосфата (III). В р-рах II, насыщенных  $O_2$ , радиационным выходом G при pH 1,2 и 6,8 равны для неорганич. фосфата (IV) 1,36 и 1,24, лабильного фосфата (V) 1,34 и 1,25 соответственно. В вакууме при pH 1,2 и 6,8 G IV составляют 3,85 и 2,70, V — 1,05 и 0,40. В р-рах III, насыщенных  $O_2$ , при pH 1,2 и 6,8 G IV 2,85 и 1,85, V 1,55 и 1,30. В вакууме при pH 1,2 и 6,5 G IV 4,60 и 3,12, V 0,15 и 0,10 соответственно. В присутствии  $O_2$  образуется  $H_2CO$ . Из II получается дигидроксиацетонфосфат  $HO \cdot CH_2 \cdot CO \cdot CH_2 \cdot O \cdot PO_3H_2$ , из III — фосфорный эфир, гидролизующийся к-той. Обсужден механизм радиолиза II и III.

XIX. Водн.  $10^{-4}$  M р-ры метиленового голубого (VI), содержащие избыток ( $10^{-1}$  M) другого органич. в-ва ( $RH_2$ ), в отсутствие воздуха подвергались действию рентгеновских лучей (мощность дозы  $\sim 2 \cdot 10^{17}$  эв/мл мин). Определены радиационным выходом G обратимого и необратимого обесцвечивания VI при облучении в присутствии различных  $RH_2$ . G ( $H_2$ ) 0,62 в  $2 \cdot 10^{-2}$  M р-ре VI и 1,01 в  $10^{-4}$  M р-ре VI без  $RH_2$ , в присутствии этанола 2,30, лактата 1,29, формата 1,90, бензоата 0,64, d,l-аланина 0,84, фенил- $\beta$ -аланина 0,88, бензола, насыщенного водой, 0,69. При облучении р-ров VI + молочная к-та G водорода, пировиноградной к-ты, обратимого и необратимого обесцвечивания VI уменьшаются по мере увеличения pH от 1,9 до 9,9. При облучении р-ров VI + этанол (VII) G водорода и ацетальдегида уменьшались при увеличении pH и уменьшении конц-ии VII. G обратимого и необратимого обесцвечивания уменьшается при увеличении pH, но мало изменяется при уменьшении конц-ии VII. Обсужден механизм происходящих р-ций. VI может восстанавливаться атомами H или радикалами RH, образующимися из  $RH_2$ . Даже в присутствии VI атомы H дегидрогенизируют добавленные VII, лактат и формат.

XX. При действии рентгеновского излучения (200 кэ, 15 ма, мощность дозы  $5,4-16,2 \cdot 10^{16}$  эв/мл сек) на водн. р-ры VII в присутствии  $O_2$  образуется ацетальдегид; не обнаружены уксусная к-та, бутан-2,3-диол, этиленгликоль, гликоальдегид, этилгидроперекись, диэтилперекись, перуксусная к-та и этилацетат. В  $10^{-3}$  M р-ре VII, насыщенном  $O_2$ , G ( $CH_3COH$ ) постоянен в широком интервале pH и равен 2,55. При pH  $> 4$  G ( $H_2O_2$ ) = 3,5; с уменьшением pH G ( $H_2O_2$ ) увеличивается, достигая  $\sim 4,2$  при pH  $\sim 0,8$ . В эвакуированных р-рах VII G ( $H_2$ ) и G ( $CH_3COH$ ) значительно уменьшаются при увеличении pH, в то время как радиационным выходом бутан-2,3-диола мало зависит от pH. При облучении в вакууме при pH 1,2 G ( $CH_3COH$ ) и G (бутан-2,3-диол) равны соответственно 1,90 и 1,65 (в  $3,4 \cdot 10^{-2}$  M р-ре VII). В  $3,4 \cdot 10^{-2}$  M р-ре при pH 1,2 G ( $H_2O_2$ ) = 4,15 и не зависит от т-ры; G ( $CH_3COH$ ) при т-рах 15, 25 и 33° равен соответственно 2,5; 2,75 и 3,1. Обсужден механизм происходящих радикальных р-ций. В отсутствие кислорода протекает р-ция  $CH_3CH_2OH + H \rightarrow CH_3CH(OH) + H_2$ . Часть XVI см. РЖХим, 1957, 47496.

И. Верещинский

28001. Облучение неопентана электронами большой энергии. Ламп (High-energy electron irradiation of neopentane. Lampe F. W.), J. Phys. Chem., 1957, 61, № 7, 1015—1017 (англ.)

По ранее описанной методике (РЖХим, 1957, 65745) исследовалось действие быстрых электронов на неопентан (I). При давлении I 50 мм рт. ст. и 300° K радиационным выходом убыли I 6,6; образования  $CH_4$  1,8;  $C_2H_4$  0,31;  $C_2H_6$  2,3;  $C_3H_8$  0,26;  $C_3H_6$  0,54;  $C_4H_{10}$  0,33;  $изо-C_4H_{10}$  1,2;  $изо-C_5H_{12}$  0,22; неогексана 0,34;  $H_2$  4,3; конденсирующихся  $CH_2$ -групп 16. Радикалы  $CH_3$ , образующиеся из I, вступают в р-ции  $CH_3 + I \rightarrow CH_3 + (CH_3)_2CCH_2$  (1) и  $CH_3 + CH_3 \rightarrow C_2H_6$  (2). Отношение  $k_1/k_2^{1/2} = 8,5 \cdot 10^{-13}$ .

И. Верещинский  
28002. Диффузионная кинетика и кинетика горячих радикалов при фотолизе жидкого этилиодида. Банберри, Вильямс, Хамилл (Diffusion and hot radical kinetics in the photolysis of liquid ethyl iodide. Bunbury David L., Williams Russell R., Jr., Hamill William H.), J. Amer. Chem. Soc., 1956, 78, № 24, 6228—6233 (англ.)

Состав продуктов фотолиза жидкого этилиодида в отсутствие воздуха при действии УФ-излучения  $\lambda$  2537 Å не зависит от интенсивности и продолжительности экспозиции. Продукты фотолиза содержат (мол. %):  $C_2H_4$  38,8;  $C_2H_6$  26,0;  $J_2$  24,2;  $HJ$  11,3;  $H_2$  0,03. Добавление  $HJ$  и  $J_2$ , являющихся акцепторами свободных радикалов, влияет на соотношение продуктов радиолиза. Отношение  $C_2H_4:C_2H_6$  линейная функция  $J_2:HJ$ . При низких конц-иях  $HJ$  квантовый выход ( $\Phi$ )  $C_2H_4$  постоянен.  $\Phi$  ( $C_2H_4$ ) уменьшается при конц-ии  $HJ > 10^{-2}$  M.  $\Phi$  ( $C_2H_6$ ) равен  $\Phi$  ( $J_2$ ). При добавлении пиридина  $\Phi$  ( $C_2H_6$ ) сильно уменьшается. Предложен механизм р-ций, в котором первичным актом является разрыв связи  $C-J$ :  $C_2H_5J + h\nu \rightarrow (C_2H_5) + J$ . Между радикалами  $C_2H_5$  и атомами J происходит р-ция диспропорционирования  $(C_2H_5 + J) \rightarrow C_2H_4 + HJ$  ( $\Phi = 0,19$ ), рекомбинации  $(C_2H_5 + J) \rightarrow C_2H_5J$  ( $\Phi = 0,60$ ) и диффузии в объем  $(C_2H_5 + J) \rightarrow C_2H_5 + J$  ( $\Phi = 0,21$ ). При больших конц-иях  $HJ$  практически все диффундирующие радикалы  $C_2H_5$  реагируют с  $HJ$ , образуя  $C_2H_6$ .

И. Верещинский  
28003. Влияние строения, концентрации продуктов, кислорода, температуры и фазового состояния на радиолиз алкилиодидов. Хорниг, Уиллард (Effects of structure, product concentration, oxygen, temperature and phase on the radiolysis of alkyl iodides. Hornig Evalyn O., Willard John E.), J. Amer. Chem. Soc., 1957, 79, № 10, 2429—2434 (англ.)

Исследовано действие  $\gamma$ -излучения  $Co^{60}$  на эвакуированные жидкие алкилиодиды. При мощности дозы  $1,33 \cdot 10^{19}$  эв/мл час (по ферросульфатному дозиметру) радиационно-хим. выход G ( $J_2$ ) при комнатной т-ре составляет в случае радиолиза  $CH_3J$  2,52,  $C_2H_5J$  4,25,  $n-C_3H_7J$  3,20,  $изо-C_3H_7J$  5,36,  $n-C_4H_9J$  3,38,  $изо-C_4H_9J$  1,89,  $втор-C_4H_9J$  5,04. С увеличением дозы для всех алкилиодидов зависимость конц-ии образующегося  $J_2$  отклоняется от линейной, в случае  $изо-C_3H_7J$  это отклонение заметно с самого начала облучения. В отсутствие добавок за тепловые алкильные радикалы R конкурируют  $HJ$  и  $J_2$ , вступающие в р-ции  $R + HJ \rightarrow RH + J$  и  $R + J_2 \rightarrow RJ + J$ . Скорость обмена с  $J^{131}$  во время радиолиза зависит от конц-ии добавленного  $J_2$  или  $O_2$ . Добавленный  $O_2$  увеличивает начальный G ( $J_2$ ) в случае радиолиза  $C_2H_5J$  на величину, не зависящую от давления  $O_2$  в интервале 2—188 мм рт. ст. При увеличении конц-ии  $J_2$  с возрастанием дозы G ( $J_2$ ) снижается до величины G ( $J_2$ ) в эвакуированном р-ре со скоростью, обратно пропорциональной давлению  $O_2$ . Когда конц-ия добавленного  $J_2$  в 11 раз превосходит конц-ию растворенного  $O_2$ , начальный G ( $J_2$ ) тот же самый, что в отсутствие добавок. G ( $J_2$ ) зависит от со-



дормания  $\beta$ -водородов в алкилйодиде, что приписывается увеличению вероятности образования НД при разложении возбужденных молекул по мере возрастания числа  $\beta$ -водородов в молекуле. Для ряда алкилйодидов  $G(J_2)$  не зависит от т-ры жидкой фазы в интервале от +20 до  $-78^\circ$ , для  $C_2H_5J$  — от +108 до  $-78^\circ$ . В твердой кристаллич. фазе  $G(J_2)$  для  $CH_3J$  и  $C_2H_5J$  имеет положительный температурный коэф. При  $-190^\circ G(J_2)$  больше для стекловидного состояния, чем для кристаллического.

И. Верещинский  
28004. Индуцируемый излучением обмен хлора с четыреххлористым углеродом. Шулте (Radiation-induced exchange of chlorine with carbon tetrachloride. Schulte John W.), J. Amer. Chem. Soc., 1957, 79, № 17, 4643—4648 (англ.)

При действии  $\gamma$ -излучения  $Co^{60}$  на р-р хлора, содержащего изотоп  $Cl^{36}$ , в  $CCl_4$  происходит обмен  $Cl_2$  с  $CCl_4$  и разложение  $CCl_4$  с образованием  $C_2Cl_6$  и  $Cl_2$ . При мощности дозы  $8,83 \cdot 10^{16}$  эв/л сек изменение начальной конц-ии  $Cl_2$  от  $7 \cdot 10^{-4}$  до  $7 \cdot 10^{-3} M$  не меняет скорость обмена. Скорость обмена возрастает линейно при увеличении мощности дозы от  $3,28 \cdot 10^{16}$  до  $1,85 \cdot 10^{17}$  эв/л сек. Радиационно-хим. выход обмена  $3,5 \pm 0,35$  молекулы хлора. В  $CCl_4$ , не содержащем хлора, и в р-рах скорость образования хлора пропорциональна мощности дозы. Радиационно-хим. выход  $C_2Cl_6$  и  $Cl_2$   $0,80 \pm 0,06$ .

И. Верещинский  
28005. Какая доза действует на органические вещества при экстракции топлива растворителем. Гуд (How radiation affects organics in solvent extraction of fuel. Goode J. H.), Nucleonics, 1957, 15, № 2, 68—71 (англ.)

Рассмотрено действие излучения продуктов деления на органич. в-ва, применяемые при экстракции ядерного горючего. Помимо обзора литературных данных приведены результаты опытов по действию  $\gamma$ -излучения  $Co^{60}$  (мощность дозы 2,48 эв/л) на смесь углеводородов типа керосина Special Naphta № 1, т. кип.  $172-207^\circ (I)$ . При действии 1,2 эв-ч/л  $I$  приобретает заметное поглощение в области 220—250 м. При поглощении 595 эв-ч/л появляется добавочная полоса в ИК-области, соответствующая  $C=C$ -связям. При анализе ИК-спектра и методом газовой хроматографии не были обнаружены изменения в другом разбавителе, смеси алканов Amso 125—82, после его облучения дозой 68 эв-ч/л. Действие излучения на р-ры трибутилфосфата в  $I$  приводит к ряду хим. изменений, радиационно-хим. выход гидролиза трибутилфосфата 0,24. Доза 3,5 эв-ч/л заметно уменьшает экстракционную способность в отношении уранилнитрата, при дозе 35 эв-ч/л экстракция становится неполной. Образование эмульсий в облученном р-ре вносит серьезные осложнения.

И. Верещинский  
28006. Радиолитз твердых нитратов. Хоканадел, Дейвис (Radiolysis of solid nitrates. Hochanadel C. J., Davis T. W.), J. Chem. Phys., 1957, 27, № 1, 333—334 (англ.)

Накопление  $NO_2$  при действии  $\gamma$ -излучения  $Co^{60}$  (мощность дозы  $1,5 \cdot 10^{17}$  эв/г мин) на твердые нитраты прямо пропорционально интегральной дозе в исследованном интервале до  $5 \cdot 10^{20}$  эв/г. Радиационно-хим. выход  $NO_2$  при радиолитзе  $CsNO_3$  1,68,  $KNO_3$  1,57,  $NaNO_3$  0,25,  $LiNO_3$  0,02,  $AgNO_3$  0,20,  $Ba(NO_3)_2$  1,88,  $Pb(NO_3)_2$  0,44,  $La(NO_3)_3$  1,5,  $La(NO_3)_3 \cdot 6H_2O$  2,5. Подобная относительной стабильности ряда нитратов по отношению к УФ-свету и действию  $\gamma$ -излучения, а также низкие абс. величины квантового выхода (Doi-ran P., Davis T. W., J. Phys. Chem., 1952, 56, 764) показывают, что разложение определяется конкуренцией р-ции рекомбинации  $NO_2$  с атомом O и р-ции атома O с соседним ионом  $NO_3^-$  с образованием  $O_2$  и  $NO_2^-$ .

И. Верещинский

28007. Радиационная устойчивость фталоцианина меди. Робинсон, Клейн (Radiation stability of copper phthalocyanine. Robinson Mark T., Klein Gilbert E.), J. Phys. Chem., 1957, 61, № 7, 1004 (англ.)

Облучение почти аморфного тетрагон. образца фталоцианина Cu (I) в графитовом реакторе ORNL при  $25-40^\circ$  и потоке  $2 \cdot 10^{18}$  нейтрон/см<sup>2</sup> приводит к частичной кристаллизации. При последующем хранении в течение 6 месяцев при комнатной т-ре образец становится полностью кристаллическим. Образец, облученный потоком  $7 \cdot 10^{18}$  нейтрон/см<sup>2</sup>, остается почти аморфным. Тетрагон. ( $\alpha$ ) и монокл. ( $\beta$ ) образцы I при облучении в испытательном реакторе малой интенсивности при  $30^\circ$  сохраняли свои кристаллич. формы.

И. Верещинский

28008. Влияние паров ртути на регрессию скрытого изображения для крупнозернистых фотоаграфических эмульсий. Николая, Грюнберг (Influența vaporilor de mercur asupra regresiei imaginii latente la emulsiile fotografice groase. Nicolae M., Grünberg F.), Studii și cercetări fiz., 1956, 7, № 1, 223—224 (рум.)

28009. Исследования температурных зависимостей фотоаграфического проявления. II. Зависимость энергии активации проявления от степени созревания и состава фотоаграфической эмульсии. Шеберстов В. И., Донатова В. П., Ж. научн. и прикл. fotogr. и кинематогр., 1957, 2, № 4, 277—283

Способом, изложенным ранее (РЖХим, 1957, 50820), определены в оптимуме 2-го созревания энергии активации проявления вуали  $E_1$  и изображения  $E_2$  у AgBr-фотоэмульсий, содержащих 0, 2 и 6% AgJ (I) или 0, 15, 30 и 100% AgCl (II). С ростом конц-ии  $I$   $E_1$  и  $E_2$  увеличиваются соответственно от 20 до 29 и от 10 до 20 ккал/моль. Введение II в эмульсию вызывает уменьшение  $E_1$  и  $E_2$  с 31 до 6 и с 14 до 6 ккал/моль. При конц-ии  $I$  2% в AgBr-эмульсии изучено изменение  $E_1$  и  $E_2$  в зависимости от продолжительности 2-го созревания.  $E_1$  непрерывно уменьшается в процессе 2-го созревания, тогда как  $E_2$  уменьшается только до достижения оптимальных фотоаграфич. характеристик. Показано, что степень избирательного действия проявителя экспозиционно зависит от разности  $E_1 - E_2$ .

Ю. Мошковский

28010. Электронномикроскопические исследования фотоаграфических слоев. Клейн (Elektronenmikroskopische Untersuchungen an photographischen Schichten. Klein E.), Umschau, 1957, 57, № 14, 426—428 (нем.)

См. РЖХим, 1958, 10663.

28011. Фотодихроизм серебра видимого почернения. II. Теоретическое рассмотрение механизма на основе представления о фотодихроизме, как о анизотропном эффекте Гершеля. III. Спектры поглощения и дихроизм. Камия (Photo-dichroism of printed-out silver. II. Theoretical consideration of the mechanism from the point of view that the phenomenon of photo-dichroism would be an anisotropic Herschel effect. III. Absorption spectra and dichroism. Kamiya I. sa o), Bull. Chem. Soc. Japan, 1957, 30, № 3, 294—298; 298—302 (англ.)

Часть I см. РЖХим, 1958, 13856.

28012. Разрешающая способность фотоаграфической эмульсии. Блумова, Грдличка (Le pouvoir résolvant de l'émulsion photographique. Blumová Věra, Hrdlička Josef), Rev. optique, 1957, 36, № 6, 261—271 (франц.; рез. англ.)

Математически рассмотрена зависимость разреша-

ющей способности фотослоя от контраста тест-объекта в учетом рассеяния света в слое. А. Картужанский

28013. Сенситометрические исследования в широком интервале освещенностей. III. Проверка сенситометра статистическими методами. Вартбург (Sensitometrische Studien in weiten Belichtungs-bereichen. III. (Prüfung des Sensitometers mit statistischen Methoden). Wartburg René von), Z. Elektrochem., 1956, 60, № 5, 479—486 (нем.)  
Часть II см. РЖХим, 1957, 3888.

28014. О процессе закрепления в фотографии. Кикуги, Сайсан кэнкю, 1955, 7, № 7, 5—8 (японск.)

См. также: Фотохимия 31251. Радиационная химия 31276. Реакции в тихом разряде 28080, 28083.

## РАСТВОРЫ. ТЕОРИЯ КИСЛОТ И ОСНОВАНИЙ

Редактор М. Д. Сурова

28015. Некоторые вопросы развития химии растворов. Голуб А. М. (Про деякі питання розвитку хімії розчинів. Голуб А. М.), Наук. зап. Київськ. ун-т, 1957, 16, № 15, 13—29 (укр.; рез. русск.)

Рассмотрены важнейшие этапы развития представлений о р-рах (физические и химические) в связи с теорией Менделеева. Показано, что как процесс растворения, так и свойства р-ров прежде всего зависят от взаимодействия между р-рителем и растворенным в-вом. Изучение комплексобразования в р-рах в зависимости от природы р-рителя позволяет решить вопрос о структуре р-ра, а также о ближайшем координационном порядке р-ров. На примере роданидных солей показано, что координационное число образующихся комплексов увеличивается с добавлением в данный р-р р-рителей: ацетона, спирта и диоксиана.

Из резюме автора

28016. К развитию феноменологической теории электротермодиффузионного метода. Барановский, Демичович-Пигонёва (Extension of the phenomenological theory of the electrothermodynamic method. Baranowski B., Demichowicz-Pigoniowa J.), Bull. Acad. polon. sci., 1957, Cl. 3, 5, № 1, 83—87 (англ.; рез. русск.)

В развитии теории электротермодиффузионного метода определения коэф. Сорэ  $S$  учтено влияние изменения конц-ии в капилляре на распределение в нем т-р введением ур-ния  $-\text{div} \mathbf{J}_q + \sigma_q = 0$ , где  $\mathbf{J}_q$  — тепловой поток,  $\sigma_q$  — тепло, выделяемое в капилляре при прохождении тока. Для вычисления  $S$  выведено ур-ние. Отмечено влияние конц-ии и т-ры на электропроводность электролита. Ур-ние теплопроводности оставлено без изменений. Вычисленные при помощи этого ур-ния  $S$  для 1, 0,5, 0,1 и 0,05 н. р-ров  $\text{CuSO}_4$  (РЖХим, 1955, 42654) соответственно равны 8,3, 9,3, 9,3 и  $6,8 \cdot 10^{-3}$ .

С. Дракин

28017. Температурная зависимость коэффициента Сорэ водного раствора KCl. Лонгсуорт (The temperature dependence of the Soret coefficient of aqueous potassium chloride. Longworth L. G.), J. Phys. Chem., 1957, 61, № 11, 1557—1562 (англ.)

Термодиффузия KCl в водн. р-ре исследовалась в спец. двойной кювете, содержащей наряду с р-ром чистый р-ритель при том же градиенте т-ры. Течение процесса регистрировалось с помощью интерферометра Рэлея (метод регистрации изотермич. диффузии см. J. Amer. Chem. Soc., 1952, 74, 4155). Измерения проводились в 1—4 М р-рах KCl в интервале т-р 10—50°. С ростом т-ры наблюдалось усиление миграции соли в направлении холодной стенки. С. Френкель

28018. Скорость распространения ультразвука в гидратации растворов. Дубинина Е. Ф., Курявцев Б. Б., Ж. физ. химии, 1957, 31, № 10, 2191—2199 (рез. англ.)

См. РЖХим, 1957, 63162.

28019. Релаксационные явления при распространении ультразвука в водных растворах ацетатов. Кришнамурти, Сурьянараяна (Ultrasonic relaxation in aqueous solutions of acetates. Krishnamurthi M., Suryanarayana M.), Current Sci., 1957, 26, № 10, 317 (англ.)

Импульсным методом измерено поглощение ультразвука  $\alpha$  0,1—1,0 М р-рами ацетатов и бинарными смесями, содержащими 0—100 вес. % уксусной к-ты, в интервале частот ( $f$ ) 2—26 Мгц. Для р-ров ацетатов так же, как в работе, опубликованной ранее (РЖХим, 1957, 30092), обнаружены две области релаксации: высокочастотная в интервале 10—26 Мгц (ВЧ) и низкочастотная при  $f < 10$  Мгц (НЧ). Механизм явлений обуславливающих область релаксации ВЧ выяснен. Область релаксации НЧ объясняется влиянием катионов уксусной к-ты. Отмечена аналогия в поведении р-ров ацетатов и смесей уксусная к-та-вода. М. Сурова

28020. Сжимаемость минеральных кислот. Бхимасеначар, Субрахманьям (Compressibilities of mineral acids. Bhimasenachar J., Subrahmanya S. V.), J. Acoust. Soc. America, 1957, 29, № 8, 899—901 (англ.)

Изучены адиабатич. и кажущаяся мол. сжимаемости водн. р-ров минер. к-т: HCl, HNO<sub>3</sub> и H<sub>2</sub>SO<sub>4</sub>, в широком интервале конц-ий ( $C$ ) с помощью дифракционного эффекта Дебая. Предложен новый тип кристаллодержателя. Конц-ия к-т определялась титрованием стандартным р-ром NaOH. Величина адиабатич. сжимаемости рассчитывалась по ур-нию  $\beta = \beta_0 + AC + BC^2$ , где  $\beta$  — сжимаемость при  $C$ ,  $\beta_0$  — сжимаемость воды,  $A$  и  $B$  — константы, разные для разных к-т. Изменение кажущейся мол. сжимаемости следует корню квадратному из  $C$ :  $\phi(K_2) = \phi^0(K_2) + SkC^{1/2}$ , где  $\phi^0(K_2)$  — кажущаяся мол. сжимаемость при бесконечном разведении,  $Sk$  — постоянная. Отмечено специфич. поведение серной кислоты благодаря двум типам диссоциации на ионы:  $\text{H}^+ + \text{H}_2\text{SO}_4^-$  (1) и  $2\text{H}^+ + \text{SO}_4^{2-}$  (2), а тому, что при конц-ии  $> 2,25$  М имеет место только (2).

28021. Исследование процесса растворения и структуры растворов с помощью рассеяния света. Симеонов (Исследване процес на разтваряване и структурата на разтворите чрез разсейване на светлината. Симеонов П. Д., Симеонов С. Д.), Изв. Бълг. АН. Отд. физ.-матем. и техн. н. Сер. физ., 1957, 6, 423—433 (болг.; рез. русск., нем.)

В развитие работы (Симеонов П. Д., Изв. БАН. Сер. физ., 1952, 3, 3) исследованы водн. р-ры муравьиной к-ты методом рассеяния света (РС) и деполаризации РС. Приведены графики изменения интенсивности РС в зависимости от времени, прошедшего после смешения обеих неограниченно смешивающихся жидкостей. Установлено, что сразу после смешения жидкостей величина деполаризации РС  $\Delta_h$  отлична от единицы, т.е. размер частиц, рассеивающих свет, соизмерим с длиной волны. С течением времени  $\Delta_h$  стремится к единице и при  $\Delta_h = 1$  получается р-р, в котором рассеивающие частицы значительно меньше длины волны света.

Из резюме авторов

28022. К термодинамике экстракции трибутилфосфатом. Розен А. М., Хорхорина Л. П., Ж. неорг. химии, 1957, 2, № 8, 1956—1969

Термодинамическая интерпретация эксперим. данных (РЖХим, 1957, 76716) по распределению  $\text{UO}_2$



( $\text{NO}_3$ )<sub>2</sub> (II) и  $\text{HNO}_3$  (II) между водн. фазой и р-рами трибутилфосфата в дибутиловом эфире или керосине. Вычислены коэф. распределения I и II между органич. и водн. фазами. Р-ры трибутилфосфата в органич. фазе подчиняются закономерностям правильных р-ров. Выведено ур-ние для расчета совместного распределения I и II. Особенности распределения микроэлементов (U, Th, Pa, Zr, редкие земли, Am, Pu) в присутствии макроколичеств I или II связаны с вытесняющим действием нитратов в водной и вытесняющим действием нитратов в органич. фазах. Рост коэф. распределения Am при высокой кислотности объяснен экстракцией его в виде комплекса  $\text{H}_2\text{Am}(\text{NO}_3)_3 + \text{p}$ .

И. Рысс

28023. Парциальные молярные объемы ионов в водном растворе. Хенлер (Partial molal volumes of aqueous ions. Henler Loren G.), J. Phys. Chem., 1957, 61, № 10, 1426—1428 (англ.)

Парциальные молярные объемы ионов в водн. р-ре хорошо описываются теоретич. ур-нием  $\bar{V} = \text{Ar}^3 + \text{Bz}^2/r$  ( $r$  — радиус иона,  $z$  — валентность), первый член которого характеризует собственный объем иона, а второй — электрострикции. Эмпирические постоянные A и B для катионов соответственно равны 5,3 и 4,7; для анионов 4,6 и 19.

С. Дракин

28024. Координационные числа ионов  $\text{Rb}^+$  и  $\text{Cs}^+$  в водных растворах. Самойлов О. Я., Изв. АН СССР. Отд. хим. н., 1956, № 11, 1415—1416

Разработанным ранее методом (Изв. АН СССР. Отд. хим. н., 1952, 398) определены координационные числа ионов  $\text{Rb}^+$  и  $\text{Cs}^+$ , равные 3,8 и 3,5. Для ионов  $\text{Rb}^+$  и  $\text{Cs}^+$  характерна отрицательная гидратация. С. Дракин

28025. Гидратация ионов  $\text{H}^+$ ,  $\text{Ag}^+$  и некоторых двухвалентных положительных ионов. Рёйвен (De hydratatie van het  $\text{H}^+$ -ion, het  $\text{Ag}^+$ -ion en van enige tweewaardige positieve ionen. Ruysen B. H. van), Chem. weekbl., 1956, 52, № 47, 833—838 (голл.)

Графическим методом (РЖХим, 1955, 270) по понижению т-ры замерзания изучены системы  $\text{H}_2\text{O} - \text{HCl}$  и  $\text{H}_2\text{O} - \text{HNO}_3$  и найдено, что ион  $\text{H}^+$  гидратирован 13 молекулами воды, как было показано на примере системы  $\text{H}_2\text{O} - \text{H}_2\text{SO}_4$  (РЖХим, 1955, 51554). По мнению автора, на основании исследования систем  $\text{H}_2\text{O} - \text{NaNO}_3$  (РЖХим, 1957, 14872) и  $\text{H}_2\text{O} - \text{NaCl}$  (РЖХим, 1957, 14874) молекула воды находится в первичной гидратной оболочке, образуя ион гидроксония,  $\text{H}_3\text{O}^+$ , а остальные 12 молекул воды образуют вторичную оболочку. Определено из повышения т-ры кипения водн. р-ров  $\text{AgNO}_3$ , что гидратная оболочка иона  $\text{Ag}^+$  содержит также 13 молекул воды. Число молекул воды в гидратной оболочке двухвалентных ионов:  $\text{Pb}^{2+}$ ,  $\text{Mg}^{2+}$ ,  $\text{Be}^{2+}$ ,  $\text{Fe}^{2+}$ ,  $\text{Mn}^{2+}$ ,  $\text{Ni}^{2+}$ ,  $\text{Co}^{2+}$ ,  $\text{Zn}^{2+}$ ,  $\text{Cu}^{2+}$ ,  $\text{Cd}^{2+}$ , соответственно равно: 11, 15, 30, 26, 22, 26, 26, 21, 24, 15.

В. Михайлов

28026. Исследование растворов 2,2-электролитов и вычисление числа гидратирующих молекул для некоторых двухвалентных положительных ионов на основании данных по 1,2-электролитам. Рёйвен (Nader onderzoek van oplossingen van 2-2 elektrolyten (sulfaten) en bepaling van de hydratatiegetallen van enige tweewaardige positieve ionen met behulp van 1-2 elektrolyten. Ruysen B. H. van), Chem. weekbl., 1957, 53, № 4, 29—34 (голл.)

Отмечено, что вычисление степени диссоциации 2,2-электролитов (сульфатов) в водн. р-рах по величине понижения давления пара при малых конц-ях приводит к неправильным результатам, т. е. к отрицательным значениям степени диссоциации. Последнее, по мнению автора, обусловлено аккумуляцией ионов, связанной с уменьшением числа частиц в единице объема р-ра, причем это уменьшение числа частиц не ком-

пенсировается возрастанием числа частиц вследствие диссоциации. Числа гидратации положительных ионов, входящих в состав сульфатов, определены графич. методом, разработанным автором (РЖХим, 1955, 270). На основании данных по депрессии давления пара над р-рами  $\text{BaBr}_2$ ,  $\text{BaCl}_2$ ,  $\text{Ba}(\text{NO}_3)_2$ ,  $\text{Ba}(\text{OH})_2$ ,  $\text{SrCl}_2$ ,  $\text{Sr}(\text{NO}_3)_2$ ,  $\text{CaCl}_2$ ,  $\text{CaBr}_2$  и  $\text{Ca}(\text{NO}_3)_2$  рассчитаны степень диссоциации и число молекул воды в гидратной оболочке иона. Установлено, что число молекул воды в гидратной оболочке ионов  $\text{Ba}^{2+}$ ,  $\text{Sr}^{2+}$  и  $\text{Ca}^{2+}$  соответственно равно 9, 9,5 и 10,5. Сравнение данных, полученных при разных т-рах и для р-ров различной конц-ии, показывает, что с ростом т-ры и конц-ии вторичная гидратная оболочка уменьшается.

В. Михайлов

28027. Термодинамика ионной ассоциации. Часть III.

Ионные пары  $\text{Ti}^+$  с одновалентными анионами. Наир, Нанколлас (Thermodynamics of ion association. Part III. Some thalious ion pairs with univalent anions. Nair V. S. K., Nancollas G. H.), J. Chem. Soc., 1957, Jan., 318—323 (англ.)

Измерены растворимость  $\text{TiO}_2$  в р-рах  $\text{NaN}_3$  и  $\text{KNO}_3$  и  $\text{TiBr}$  в р-рах  $\text{KNO}_3$  и  $\text{NaClO}_4$ , а также электропроводности р-ров  $\text{TiCl}$  и  $\text{TiBr}$ . На основании полученных данных рассчитаны термодинамич. функции ионных пар  $\text{TiCl}$ ,  $\text{TiBr}$ ,  $\text{TiNO}_3$  и  $\text{TiN}_3$ . Для р-ций образования указанных ионных пар  $\Delta G$ ,  $\Delta H$  и  $\Delta S$  соответственно равны:  $-0,93$ ,  $-1,2$ ,  $-0,45$  и  $-0,53$  ккал/моль;  $-1,43$ ,  $-2,45$ ,  $-0,65$  и  $-1,33$  ккал/моль и  $-1,7$ ,  $-4,2$ ,  $-1,0$  и  $-2,7$  энтр. ед. Энтропия гидратации данных ионных пар соответственно равна  $-19,0$ ,  $-17,4$ ,  $-16,0$  и  $-7,0$  энтр. ед. Для приведенных значений наблюдается линейная зависимость от  $(r_a + r_c)^{-1}$ , где  $r_c$  и  $r_a$  — радиусы катиона и аниона в ионной паре. Часть II см. РЖХим, 1957, 74013.

С. Дракин

28028. Определение параметра  $a$  ионных пар при помощи «карпет» диаграмм. Гриффитс, Лоренс (The determination of ion-pair «a» parameter by the use of carpet diagrams. Griffiths V. S., Lawrence K. S.), Chemistry and Industry, 1956, № 33, 867—868 (англ.)

Для вычисления параметра  $a$  (наименьшее расстояние между центрами двух ближайших ионов), из теории ассоциации ионов Бьеррума, предложен интерполяционный метод с применением «карпет» диаграмм (Yates A. H., Aircraft Engng, 1946, 18, 8), широко используемых в США инженерами-аэронавигаторами. При этом необходимо знание диэлектрич. проницаемости р-рителя и константы ассоциации электролита в этом р-рителе.

Н. Хомутов

28029. Диссоциация электролитов в растворах. Исайлов Н. А., Ж. физ. химии, 1956, 30, № 10, 2164—2184 (рез. англ.)

В продолжение работ (РЖХим, 1957, 65766, 65777; 1958, 13869) выведено ур-ние для определения величин константы диссоциации  $[K]$  в случае р-ров солей. Получены также ур-ния для показателей констант диссоциации  $pK$  с учетом перехода от одного р-рителя к другому. Показано, что зависимость между величиной  $pK$  для солей одной природы в разных р-рителях имеет линейный характер. Наблюдается различие во взаимодействии р-рителей с солями разных природных групп. Подтверждена теоретически ожидаемая линейная зависимость  $pK$  электролита от обратной величины диэлектрич. проницаемости р-рителя. Предложено более общее выражение для определения  $pK$  при переходе от одного р-рителя к другому  $\Delta pK = 2 \lg \gamma_1 - \lg \gamma_2$ , где  $\gamma_1$ ,  $\gamma_2$  — коэф. активности, характеризующие энергичию переноса соответственно ионов и молекул из одного р-рителя в другой. По мнению авторов, в случае неводн. р-ров не следует выделять сильные электролиты в особую группу. Изменения сильных электроли-

тов с конц-ией и их свойств с заменой р-рителей описываются, как и для слабых электролитов, с помощью закона действующих масс, т. е. на основании представлений об образовании недиссоциированных молекул. Природа сил, вызывающих ассоциацию ионов, еще не установлена и не известно, можно ли эти силы свести к кулоновскому взаимодействию. По-видимому, изучение оптич. свойств р-ров позволит решить эту задачу.

В. Михайлов

**28030.** О диссоциации сероводорода в водных растворах при разных температурах. Туманова Т. А., Мищенко К. П., Флис И. Е., Ж. неорганич. химии, 1957, 2, № 9, 1990—1997

Потенциометрическим титрованием разб. р-ров  $\text{Na}_2\text{S}$  серной к-той при помощи стеклянного электрода определены константы диссоциации и термодинамич. функции для первой и второй ступеней диссоциации  $\text{H}_2\text{S}$  при 10, 25, 35 и 50°. Вычислена степень гидролиза; рассмотрена зависимость состава водн. р-ров  $\text{H}_2\text{S}$  от рН при разных ионных силах. Методом наименьших квадратов выведены ур-ния зависимости термодинамич. функций от т-ры ( $\Delta H$  и  $\Delta Z$  выражены в кал/моль,  $\Delta S$  — в энтр. ед.).

С. Дракин

**28031.** Ультрафиолетовые спектры поглощения и константы диссоциации производных барбитуровой кислоты. Сато, Нихон кагаку дааси, J. Chem. Soc. Japan. Pure Chem. Sec., 1957, 78, № 3, 382—385 (японск.)

Измерены УФ-спектры поглощения в интервале 210—300 мμ для 15 производных барбитуровой к-ты (I) в р-рах с различной величиной рН при 25°. Из полученных данных рассчитаны  $pK_1$  и  $pK_2$ . Величина  $pK_5$  фенилзамещенной I или 1-циклогексенилазамещенной I меньше, чем у соответствующих алкилпроизводных I, что автор объясняет индукционным эффектом фенильной или циклогексенильной группы. Наблюдаемое максимальное поглощение при 240 и 255 мμ связано с анионами, содержащими группы  $-\text{N}=\text{C}$  и  $\text{N}=\text{C}=\text{N}=\text{C}-$ . Поглощение кристаллич. образцов указывает на присутствие группы  $-\text{N}=\text{C}$ . Показано, что этим же методом можно определить константы диссоциации урацила и гидантоина.

Chem. Abstrs, 1957, 51, № 14, 10236. Masaji Kubo

**28032.** Экспериментальное исследование концентрации и температурной зависимости вязкости водных растворов сильных электролитов. Сообщение 3. Растворы  $\text{KCl}$ ,  $\text{K}_2\text{SO}_4$ ,  $\text{MgCl}_2$ ,  $\text{BeSO}_4$  и  $\text{MgSO}_4$ . Каминский (Experimentelle Untersuchungen über die Konzentrations- und Temperaturabhängigkeit der Zähigkeit wässriger Lösungen starker Elektrolyte. III. Mitt.  $\text{KCl}$ ,  $\text{K}_2\text{SO}_4$ ,  $\text{MgCl}_2$ ,  $\text{BeSO}_4$  und  $\text{MgSO}_4$ -Lösungen. Kaminsky Manfred), Z. phys. Chem. (BdD), 1957, 12, 3—4, 206—231 (нем.)

Измерены относительные вязкости  $\eta$  р-ров вышеуказанных солей в интервале конц-ий  $\gamma$  от  $\sim 0,001$  до  $0,1$ — $0,5 M$  при т-рах 12,5—42,5°. Для р-ров  $\text{BeSO}_4$  и  $\text{MgCl}_2$  определены также плотности. Результаты хорошо описываются ур-нием Джонса — Дола:  $\eta_r = 1 + AV\sqrt{\gamma} + B\gamma + D\gamma^2$ . Приведены значения  $A$ ,  $B$  и  $D$  для различных электролитов. Для р-ров  $\text{BeSO}_4$  и  $\text{MgSO}_4$  температурный коэф.  $B$  — отрицательная величина, что совпадает с данными предыдущей работы для р-ров  $\text{Li}_2\text{SO}_4$ . Эксперим. значения  $A$  близки к вычисленным на основании теории Фалькенхагена. Сообщение II см. РЖХим, 1957, 22476.

С. Дракин

**28033.** Полуэмпирическая теория антираулевых свойств трехкомпонентных растворов электролита в летучем неэлектролите. Барановский, Сарновский (Półempiryczna teoria własności anty-raułowatych w trójskładnikowych roztworach elektrolitu i lotnego nieelektrolitu. Baranowski B.,

Sarnowski M.), Przem. chem., 1957, 13, № 5, 270—272 (польск.; рез. русск., англ.)

На основании адсорбционных представлений процесса сольватации выведено ур-ние, связывающее конц-ию р-рителя ( $\Delta m$ ) с конц-ией компонентов р-ра и с тремя эмпирич. параметрами. Один из параметров зависит от т-ры, длительности изопиестич. опыта и т. д., второй характеризует эффективное число сольватированных ионов, третий — различие между энергией взаимодействия ионов с молекулами неэлектролита и энергией сольватации. Для упрощения считают параметры независимыми от состава сольватов. Подбор эмпирич. параметров для пяти ранее изученных антираулевых систем, содержащих мочевины в качестве неэлектролита (РЖХим, 1956, 50331; 1957, 57156), позволил определить теоретич. кривые зависимости  $\Delta m$  от соотношения конц-ий мочевины и электролита. При этом для чисел сольватации получены дробные значения. По мнению авторов, учет полимолекулярной адсорбции позволил бы получить для чисел сольватации значения, более соответствующие их физ. смыслу.

Б. Каплан

**28034.** Поведение электролитов в смешанных растворителях. Часть II. Вязкость хлористого калия в смеси метиловый спирт — вода при 35°. Сингх, Дас, Патнаик (The behaviour of electrolytes in mixed solvents. Part II. Viscosity of potassium chloride in methyl alcohol — water mixtures at 35°. Singh K., Das P. K., Patnaik D.), J. Indian Chem. Soc., 1957, 34, № 7, 494—496 (англ.)

В развитие ранее опубликованной работы (часть I, РЖХим, 1957, 63167) изучена вязкость р-ров  $\text{KCl}$  (I) в смесях  $\text{CH}_3\text{OH}$  (II) +  $\text{H}_2\text{O}$ , содержащих 10, 20, 30, 40 и 50 вес. % II. Относительная вязкость связана с конц-ией I ур-нием Джонса — Дола  $\eta/\eta_0 = 1 + AV\sqrt{C} + B \cdot C$  (1), где  $A$  и  $B$  — константы. Величина  $A$  рассчитана на основании данных по электропроводности и диэлектрич. проницаемости.  $B$  определена подстановкой в ур-ние 1  $A$  и экспериментально найденный  $\eta/\eta_0$ . Для р-ров при конц-ии II  $< 30$  вес. %  $B$  мала, что свидетельствует о незначительном влиянии II на природу сольватных оболочек. При 40 и 50 вес. % II константа  $B$  возрастает, следовательно, II влияет на состав сольватной оболочки.

Б. Шахмудин

**28035.** Комплексы йода в инертных растворителях. VI. Процессы сольватации в растворах из кислородсодержащих растворителей и йода, брома или диоксида серы. Мейн (Iodine complexes in inert solvents. VI. Solvation processes in solutions of oxygenated solvents and iodine, bromine, or sulfur dioxide. Maine P. A. D.), J. Chem. Phys., 1957, 26, № 5, 1199—1204 (англ.)

Обзор данных для систем из галогена или  $\text{SO}_2$  в инертных и содержащих кислород алифатич. р-рителях. Показано, что классич. представления о процессах сольватации непригодны для этих систем; результаты лучше объясняются теорией «комплексов внедрения в жидкую решетку», если принять, что энергия, стабилизирующая гетерог. агрегаты, вызывается силами переноса заряда по Мулликену. Дана новая интерпретация активности (как способности отдельной молекулы-акцептора проникать в жидкую решетку) и коэф. активности.

И. Рыс

**28036.** Растворители с высокими диэлектрическими постоянными. VII. Числа переноса ионов калия и хлора в формамиде при 25°. Досон, Берджер (Solvents having high dielectric constants. VII. Transference numbers of potassium and chloride ions in formamide at 25°. Dawson Lyle R., Berger Carl), J. Amer. Chem. Soc., 1957, 79, № 16, 4269—4270 (англ.)

Определены по методу Гитторфа с погрешностью



2-3% при 25° числа переноса ионов  $K^+$  и  $Cl^-$  в формамиде (I) в интервале концентраций  $KCl$  0,2—0,6 н. Экстраполяцией к бесконечному разбавлению предельное число переноса  $K^+$  найдено равным 0,406. Из полученных и ранее найденных (РЖХим, 1955, 31312) величин предельной электропроводности  $KCl$  и  $HCl$  в I вычислены предельные ионные электропроводности ( $cm^{-1} \cdot \Omega^{-1} \cdot экв^{-1}$ ) в I  $K^+$ ,  $Cl^-$  и  $H^+$ , равные 12,4; 17,6 и 10,3, а также предельное число переноса  $H^+$  в р-ре  $HCl$  в I, равное 0,37. Уменьшение чисел переноса  $K^+$  и  $H^+$  при переходе от водн. р-ров к р-рам в I объясняется более сильным взаимодействием катионов с дипольными молекулами I. Сообщение VI см. РЖХим, 1958, 20741.

28037. Растворимость кремнекислоты в растворах электролитов. Гринберг, Прайс (The solubility of silica in solutions of electrolytes. Greenberg S. A., Price E. W.), J. Phys. Chem., 1957, 61, № 11, 1539—1541 (англ.).

Ранее описанным методом (РЖХим, 1957, 65646) при 25 и 35° определялось содержание  $H_4SiO_4$  (I) и pH в равновесных водн. р-рах колл. кремнекислоты (II) в присутствии и в отсутствие электролитов. На основании различной растворимости II (0,0018 M) и кварцевого стекла (0,0008 M) рассчитана свободная энергия перехода кварцевого стекла в II, равная  $-0,55$  ккал/моль. Растворимость II в нейтральных (0,1—0,2 н.) р-рах  $NaCl$  (III) и  $Na_2SO_4$  (IV) не зависит от концентрации солей. В 1,0 н. нейтр. р-ре III и выше растворимость II снижается. При подщелачивании р-ров III  $NaOH$  (V) или  $Ca(OH)_2$  наблюдается заметное повышение растворимости II при pH > 9—9,5. Графически определена константа диссоциации I: 9,77 при 25° и 9,70 при 35°. Введение IV в 0,008 н. р-ры V, насыщенные I, сопровождается понижением pH и концентрации I.

28038. Константы основности амидов алифатических карбоновых кислот. Хейсен, Браде (Die Basizitätskonstanten offenkettiger Carbonsäure-amide. Huisgen Rolf, Brade Heinz), Chem. Ber., 1957, 90, № 8, 1432—1436 (нем.).

В продолжение исследования амидов карбоновых к-т (РЖХим, 1957, 51133) потенциометрич. методом определены при 20° константы гидролиза: формамида  $-0,48$ , N-метилформамида  $-0,04$ , N-диметилформамида  $-0,01$ , ацетамида  $+0,11$ , N-метилацетамида  $+0,80$ , N-метиламида янтарной к-ты  $+0,79$ , N-бензилформамида  $-0,33$ , N-бензилацетамида  $+0,31$ , N-бензилтриметилацетамида  $-0,43$ , N-н-бутилацетамида  $+0,84$ , N-циклогексилацетамида  $+0,77$ , N-н-бутилформамида  $+0,03$  и N-бензгидрилформамида  $-0,63$ . На основании зависимости pK амидов от заместителей при атоме N и от характера ацильного остатка авторы считают, что при гидролизе протон присоединяется к кислороду амидной группы. В выводах используется теория мезомерии.

28039. Избыточный объем некоторых бинарных растворов. Бельман (Le volume d'excès de quelques solutions binaires. Bellemans A.), Bull. Soc. chim. belges, 1957, 66, № 11—12, 636—639 (франц.; рез. англ.).

Дилатометрическим методом измерен избыточный объем трех бинарных смесей: циклогексан-циклопентан, четыреххлористый углерод-циклогексан и циклопентан-четырехлористый углерод, который равен  $0,042 \pm 0,003$ ,  $0,163 \pm 0,002$  и  $-0,026 \pm 0,002$  см<sup>3</sup>/моль. Ценность метода, как отмечает автор, заключается в том, что для проведения измерений требуется очень небольшое кол-во в-ва.

28040. Термодинамические свойства нерегулярных растворов. Птак (Własności termodynamiczne rozтворów nieregularnych. Płak Władysław), Arch.

hutn., 1957, 2, № 3, 269—286 (польск.; рез. русск., англ.).

В развитие ранее опубликованной работы (РЖХим, 1955, 22051) с учетом по Гильдебранту независимости парц. теплот растворения от т-ры и используя эксперим. данные (РЖХим, 1957, 57909), определены эмпирич. константы  $k$ ,  $\alpha$  и  $m$  для жидких систем  $Zn-Sn$ ,  $Cd-Sn$ , равные соответственно: 2,192684 и 1,3; 1,6, 10 900 и 1,6. Показано, что различные величины термодинамич. функций для этих систем, найденные экспериментально при 623—798° K, хорошо укладываются на теоретически рассчитанную кривую автора. Термодинамич. функции трехкомпонентного р-ра  $Sn-Cd-Zn$  при 750° K, вычисленные по ф-лам, предложенным Крупновским (Бюл. Польск. АН. Сер. А, 1951, 1, 15), согласуются с эксперим. данными, полученными автором.

В. Каплан

См. также: Р-римость 27896, 27903—27905, 27907, 27910, 27913, 27918, 27920, 28195. Термохимия р-ров 27849. Диффузия 27721, 27787, 27830. Структура и послед. состояния в-в в р-рах 27614, 27622, 27805, 27835, 27839, 27848, 28183, 28200, 28213, 28638. Р-ры электролитов 27902. Кислотно-основные равновесия 28232. Гидролиз 27956, 28649. Твердые р-ры 27867, 27724, 27869. Расплавы 28046, 28048

## ЭЛЕКТРОХИМИЯ

Редакторы О. А. Есин, В. В. Лосев

28041. IX ежегодная конференция Международного комитета электрохимической термодинамики и кинетики (Париж, 18—25 июля 1957 г.). Томасси. (IX doroczna konferencja międzynarodowego komitetu termodynamiki i kinetyki elektrochemicznej w Paryżu, 18—25 lipca 1957 r. Tomassi W.), Przem. chem., 1957, 13, № 9, 549—551 (польск.).

28042. Изучение электропроводности растворов силиката натрия. Манвелян М. Г., Крмоян Т. В., Еганян А. Г., Изв. АН АрмССР. Сер. хим. н., 1957, 10, № 4, 225—236 (рез. арм.).

Изучена электропроводность ( $\Sigma$ ) р-ров силиката натрия (I) при концентрациях  $NaOH$  0,725—8,47 н., различных отношениях  $n = SiO_2/Na_2O$  (0—3,8) при 25—85°. С ростом  $n$   $\Sigma$  постепенно уменьшается. Показано, что  $\Sigma$  негидролизированных метасиликата Na и карбоната Na приблизительно одинаковы, причем первичные структурные единицы в этих р-рах также одинаковы и гидролиз  $HSiO_3^-$  незначителен. По мнению авторов, в р-рах I с избытком  $SiO_2$  присутствуют в основном ионы  $HSiO_3^-$ , а не  $SiO_3^{2-}$ . Предполагается, что при  $n = 2$  образуется комплексный ион  $(HSiO_3)_3^{3-}$ , а при  $n = 4$   $(SiO_2HSiO_3)_3^{3-}$ .

Л. Кабанец

28043. Об электролитической диссоциации комплексных соединений хлорного олова. Климов В., Усанович М., Сумарокова Т., КазССР Гылым Акад. хабарлары. Изв. АН КазССР. Сер. хим., 1957, вып. 2 (12), 3—13 (рез. каз.).

Изучен перенос ионов в системах  $SnCl_4-A$  (где A обозначает  $CH_3COOH$  (I),  $CH_3OH$  (II),  $CH_3COOC_2H_5$  (III),  $iso-CH_3COOC_2H_5$ ,  $C_2H_5OH$ ,  $CH_3COOC_2H_5$  (IV)). Установлено, что во время электролиза во всех системах  $Cl^-$  и  $Sn$  (4+) переносятся к аноду. Исследования с применением радиоактивного изотопа  $Cl^{36}$  показали, что I, II и III движутся при электролизе как к аноду, так и к катоду. Сделан вывод, что  $SnCl_4$  входит в состав комплексного аниона, а органич. в-во — в состав как катиона, так и аниона, причем состав комплекса дается ф-лой  $SnCl_4 \cdot 3A$  или  $SnCl_4 \cdot 4A$ . Предложены

схемы электролитич. диссоциации этих соединений (Усанович М. И., Калабановская Е., Ж. общ. химии, 1957, 17, 1235).

**28044.** Потенциометрическое исследование неводных жидких систем. Потенциалы водородного и стеклянного электродов в жидкой системе уксусная кислота — пиридин. Тутунджич, Путанов (Потенциометрико испитиване течних неводних система. Потенцијали водоникове и стаклене електроде у течном систему сирћетче киселине и пиридина. Тутунџи Панта, Путанов Паула), Гласник Хем. друштва, 1955, 20, № 3, 157—179 (серб.; рез. нем.)

Измерены потенциалы платинированного и гладкого Рт-электродов, а также стеклянного электрода в смесях  $\text{CH}_3\text{COOH}$  с пиридином (I) в интервале конц-ий от 0 до 100 Мол.%. Лучшие результаты получены с водородным электродом и электродом из платинированной Рт. Авторы приходят к выводу, что  $\text{CH}_3\text{COOH}$  и I не образуют при комнатной т-ре определенных устойчивых соединений, однако в интервале конц-ий I 20—40 Мол.% происходит образование неустойчивых мол. соединений. М. Сурова

**28045.** Влияние некоторых органических кислот и оснований на потенциал сурьмяного электрода в спиртовых растворах. Было, Валигура (Wpływ niektórych kwasów i zasad organicznych na potencjał elektrody antymonowej w roztworach alkoholowych. Było Zbigniew, Waligóra Bolesław), Zesz. nauk. Univ. Jagiellońskiego, Mat., fiz., chem., 1956, № 2, 67—92 (польск.; рез. русск.)

Изучена зависимость потенциалов E Sb-микроэлектрода (ПСМ) от pH и от содержания спирта (I) (метилового, этилового и пропилового) в водн.-спирт. буферных р-рах. E является почти линейной функцией логарифма конц-ии органич. к-ты при данной конц-ии I. Чувствительность электрода уменьшается при более высоких конц-иях I. Влияние I на E меньше в сильно разб. р-рах. Хотя зависимость E от pH в спирт. р-рах отклоняется от значений, соответствующих у-нию Нерста, все же сдвиги E регулярны и воспроизводимы и могут быть использованы для определения конц-ии ионов  $\text{H}^+$ . J. Młodecka

**28046.** Исследование физико-химических свойств электролита алюминиевых ванн, содержащего фтористый магний. Беляев А. И., Жемчужина Е. А., Фирсанова Л. А., Сб. научн. тр. Моск. ин-та цветн. мет. и золота и ВНИТО цветн. металлургии, 1957, № 26, 143—161

Показано, что добавки  $\text{MgF}_2$  (до 10%) в большей мере снижают т-ру плавления смесей  $\text{NaF} + \text{AlF}_3$ , чем  $\text{CaF}_2$ , особенно в присутствии  $\text{Al}_2\text{O}_3$ . Скорость растворения  $\text{Al}_2\text{O}_3$  сильно уменьшается при добавке  $\text{CaF}_2$ , но не изменяется от  $\text{MgF}_2$ . Поверхностное натяжение расплава повышается от  $\text{MgF}_2$  сильнее, чем от  $\text{CaF}_2$ ; соответственно снижается крит. плотность тока анодного эффекта. Потери Al при выдерживании его под слоем расплавленного электролита, зависящие от соотношения  $\text{NaF} : \text{AlF}_3$  (минимум при  $\text{NaF} : \text{AlF}_3 = 2,5-2,6$ ), возрастают в присутствии  $\text{Al}_2\text{O}_3$  и снижаются при добавках  $\text{CaF}_2$  и особенно  $\text{MgF}_2$ . Потери сохраняются и при катодной поляризации Al; они проходят через максимум при  $i = 0,2 \text{ а/см}^2$ . Выделение Na на Рб-катоде несколько снижается при добавках  $\text{CaF}_2$  и  $\text{MgF}_2$ . Обе добавки увеличивают плотность расплава и уменьшают электропроводность, причем  $\text{CaF}_2$  влияет сильнее, чем  $\text{MgF}_2$ . В Al-ваннах рекомендуется применять  $\text{MgF}_2$  взамен  $\text{CaF}_2$ . А. Машовец

**28047.** Э. Д. С. некоторых гальванических цепей в криолито-глиноземных расплавах. Машовец В. П., Ревезян А. А., Ж. прикл. химии, 1957, 30, № 7, 1006—1012

Измерены э. д. с. цепей в расплавленном криолите, насыщенном глиноземом при 1000—1015°. Анодом служил Al, катодом — Pt или графит, насыщенные  $\text{O}_2$  или  $\text{CO}_2$ . Платино-кислородный электрод дает термодинамически обратимую э. д. с. 2,12 в, отвечающую энергии образования глинозема. При разбавлении кислорода инертным газом электрод не проявляет себя как обратимый. Электроды из Pt, насыщенной  $\text{CO}_2$ , или из графита, насыщенного  $\text{O}_2$  или  $\text{CO}_2$  ведут себя как углеродные электроды с устойчивой э. д. с. (1,11 в), отвечающей термодинамич. значению, если  $\text{CO}_2$  рассматривать как потенциалопределяющее в-во. При разбавлении  $\text{CO}_2$  инертным газом закономерности газового электрода не выполняются. Электроды в начальный период давали повышенную э. д. с., что объяснено присутствием на них хемосорбционных окислов  $\text{C}_x\text{O}$ . В. Машовец

**28048.** Изучение свойств расплавов  $\text{PbO-Na}_2\text{O-SiO}_2$  методом электродвижущих сил. Есин О. А., Срывалин И. Т., Хлынов В. В., Ж. неорг. химии, 1957, 2, № 10, 2429—2435

Измерялись э. д. с. концентрационной цепи Рб (жидк.) |  $(\text{PbO}, \text{Na}_2\text{O}, \text{SiO}_2)$  (жидк.) |  $\text{MgO}$  (тв.) | Рб (жидк.) | Рб (жидк.) при 900° с графитовыми токоподводами. Найдено, что расплавы  $\text{PbO-SiO}_2$  не сильно отклоняются от идеальных р-ров, а в расплавах  $\text{PbO-Na}_2\text{O}$  наблюдаются значительные отрицательные отклонения (0). При  $N_{\text{Na}_2\text{O}} = 0,5$  на изотерме э. д. с. наблюдается излом, отвечающий соединению  $\text{Na}_2\text{PbO}_2$ . Показано, что диаграмму  $\text{PbO-Na}_2\text{O-SiO}_2$  можно разбить на 2 области: кислую, где  $N_{\text{Na}_2\text{O}}/N_{\text{SiO}_2} \gg 1$  с небольшими положительными O, и основную, где  $N_{\text{Na}_2\text{O}}/N_{\text{SiO}_2} < 1$  с заметными отрицательными O. Б. Ленинский

**28049.** Изучение поляризационной емкости ртутного электрода в растворе KCl при потенциалах положительнее потенциала каломельного электрода. Деван (Megfigyelések higany elektródnak KCl-oldatban, a kalomel elektród potenciáljánál pozitívabb elektród-potenciálokban levő polarizációs kapacitásával kapcsolatban. Dévay József), Magyar kém. folyóirat, 1957, 63, № 4-5, 117—123 (венг.; рез. нем.)

С помощью прямоугольных импульсов с частотой 50 гц измерена поляризационная емкость (C) неподвижного Hg-электрода в 1,0 н. KCl при потенциалах (φ) положительнее φ каломельного электрода. Найдено, что C зависит от конц-ий ионов  $\text{Cl}^-$  и  $\text{Hg}_2^{2+}$  в р-ре у поверхности электрода (Э), а также от скорости их диффузии. Наименьшее значение C наблюдается при приблизительно равных поверхностных конц-иях обоих ионов. При φ, соответствующих выпадению осадка гидроокиси Hg, C возрастает; увеличение C наблюдается также при φ, отвечающем нормальному потенциалу редокс-системы  $\text{Hg}_2^{2+} + 2\text{e}^- \rightleftharpoons 2\text{Hg}$ . С. Майрановский

**28050.** Распределение тока на поляризованном ртутном электроде. Деван (Árameloszlás polarizált higany elektródon. Dévay József), Magyar kém. folyóirat, 1957, 63, № 4-5, 109—114 (венг.; рез. нем.)

При помощи двух электродов, помещенных у центра и у края большого стационарного катодно-поляризованного ртутного электрода (РЭ) в 1,0 н. KCl, установлено, что при наложении на РЭ прямоугольных импульсов (ПИ) участки двойного электрич. слоя РЭ, находящиеся на разном удалении от анода, поляризованы неодинаково; последнее, как было показано (РЖХим, 1958, 24329), является причиной дивергенции р-ра у РЭ и повышения тока депольаризации на нем. При малых частотах ПИ разность потенциалов (РП) в разных частях РЭ не зависит от потенциала РЭ и частоты ПИ и пропорциональна силе тока



ПИ; при высоких частотах ПИ эта разность потенциалов отсутствует. С. Майрановский

**28051. Влияние факторов, определяющих рассеивающую способность растворов электролитов, на распределение тока на поляризуемом ртутном электроде.** Деван (Elektrolitoldat szóró hatását megszabó tényezők befolyása az áramcsűrűségnek polarizálható higany elektródon való eloszlására. Dévay József), Magyar kém. folyóirat, 1957, 63, № 4-5, 114—117 (венг.; рез. нем.)

В продолжение работы, опубликованной ранее (см. пред. реф.) показано, что разность потенциалов (РП) в разных частях Hg-электрода возрастает с увеличением омич. сопротивления р-ра. При добавлении поверхностноактивных в-в (ПАВ) РП не изменяется, однако в присутствии ПАВ не наблюдается повышения тока деполаризации при наложении синусоидального тока, которое происходит в отсутствие ПАВ (РХХим, 1958, 24329). Автор полагает, что добавление ПАВ затрудняет тот сдвиг ионов в наружной обкладке двойного слоя, который вызывает движение р-ра у Hg-электрода. С. Майрановский

**28052. Водородный мостик в электрохимии.** Конов (Vätebryggen i elkemin. Konow R. von), Tekn. fören. Finland förhandl., 1957, 77, № 8, 194—198 (шведск.) Обзор.

**28053. О законах распределения тока в электрохимических системах.** Пьонтели (Sulle leggi di ripartizione della corrente nei sistemi elettrochimici. Piontelli Roberto), Rend. Ist. lombardo sci. e lettere. Cl. sci. mat. e natur., 1953, 86, № 2, 803—830 (итал.; рез. англ.)

Распределение тока (РТ) в гомог. проводящих средах осложняется следующими эффектами: 1) при изменении состава р-ра от точки к точке меняется электропроводность, появляются «распределенные э. д. с.» и возникают диффузионные процессы; 2) у поверхности раздела фаз наряду с действием «распределенных э. д. с.» протекают процессы поляризации, зависящие от силы тока; 3) прохождение тока обычно сопровождается несколькими параллельными хим. процессами. С применением термодинамики необратимых процессов рассмотрены 3 основных случая РТ: в физ. и хим. однородной среде в стационарных условиях; в однородной среде, состав которой изменяется от точки к точке; на границе двух фаз, где физ.-хим. свойства меняются скачкообразно. В заключение рассматривается «полная электрохим. система» (электролитич. ячейка), работающая в изотермич. условиях, причем учитывается как пространственное РТ, так и РТ на электродах между возможными электродными р-циями. В. Михайлов

**28054. Кинетическое изучение реакции электроосаждения металлов.** Шоо (Studiul cinetic al reacției de separare electrolitică a metalelor. Soó Attila), Studii și cercetări mat. și fiz. Acad. RPR Fil. Cluj, 1956, 7, № 1-4, 113—125 (рум.; рез. русск., франц.)

Изучены результаты применения теории Имре (Imre L., Acta Bolyaiana, 1948) к обратимому и необратимому электроосаждению металлов в случае электролиза р-ра  $\text{NiSO}_4$  с Ni-электродами. Эксперим. значения плотности тока  $i$  очень сильно отличаются от рассчитанных по ур-нию Нернста-Бруннера и Фёрстера. Методом радиоактивных индикаторов определена активная часть поверхности электрода  $\chi$ . Эксперим. значения  $i$  по порядку величины совпадают с рассчитанными по ур-нию Имре с учетом  $\chi$  даже в тех случаях, когда ур-ние Нернста-Бруннера и Фёрстера дает значения  $i$ , отличающиеся от экспериментальных в несколько тысяч раз. З. Соловьева

**28055. Влияние добавок на электроосаждение никеля.** Госвами (Effect of addition agents on the plating of nickel. Goswami A.), J. Scient. and Indust. Res., 1957, BC16, № 7, B315—B317 (англ.)

Электронографически исследованы осадки Ni на катоде, полученные из ванны Уотта с различными добавками при pH 4. Этанол, фурфурол, этилендиамин, *n*-фенилендиамин и сульфониловая к-та обуславливают образование матовых осадков. Бензальдегид, анилин, нитробензол, пиридин,  $\alpha$ -пиколин, пиперидин, хинолин и меламин ведут к получению матовых, отделяющихся осадков. Бензолсульфокислота, бензойная к-та и фенол дают полублестящие плоскорастущие осадки. Бензонитрил, *o*-аминофенол и желатина дают плохо блестящие отделяющиеся осадки. Хорошие зеркальные плоскорастущие осадки получены с нафталин-1,3,6-сульфонатом и с сахарином. Кумарин и хинальдин дали зеркальные, но обладающие плохим сцеплением осадки. С тиомочевинной и ацетонитрилом получены черные осадки, которые не дали четкой дифракционной картины. М. Баранов

**28056. Окисляемость порошкообразного кадмия при его получении электролитическим путем.** Грицан Д. Н., Булгакова А. М., Овчаренко Н. Н., Уч. зап. Харьковск. ун-т, 1956, 76, 53—58

Изучено влияние плотности тока  $i$  и состава электролита на степень окисленности (СО) электролитич. порошка (ЭП) Cd. ЭП Cd получают высокодисперсными и сильно окисленными из водн. р-ров сульфата и нитрата. СО порошка Cd в р-рах сульфата почти в 2 раза меньше, чем в р-рах нитрата, и увеличивается на 60% с ростом  $i$  от 7 до 55  $\text{a/dm}^2$ . Предполагается, что повышение СО может быть обусловлено повышением локальной т-ры на границе катод — р-р. Интенсивное охлаждение электролита снижает СО до значения, соответствующего самой низкой  $i$ . Введение в 0,1  $M$   $\text{CdSO}_4$  желатин (0,25%) позволяет получать неокисленные ЭП, структура которых не отличается от чистого Cd. Высказывается мнение об адсорбционном механизме защиты ЭП от окисления и стабилизации высокой степени его дисперсности. З. Соловьева

**28057. Адсорбционные явления и катодные процессы при электроосаждении железа в компактной и порошкообразной форме.** Левин А. И., Пушкарёва С. А., Ж. физ. химии, 1957, 31, № 9, 1983—1991 (рез. англ.)

Изучены катодная поляризация (КП) и выход по току (ВТ) при электроосаждении Fe из сернокислых р-ров. Зависимость ВТ от катодного потенциала  $\phi$  имеет максимум, смещенный в отрицательную сторону при уменьшении pH от 3,2 до 2,2. На восходящей ветви образуются компактные осадки Fe, а на нисходящей — полидисперсные порошки Fe. Изменение ВТ и структуры Fe-осадка объясняется сдвигом в ионном состоянии катода и, в частности, особенностями поверхностных гидроокисных пленок, образующихся вследствие гидролиза Fe-солей. При электроосаждении Fe в компактной форме КП имеет хим. характер и зависит от свойств и строения адсорбционной пленки, образованной из малорастворимой гидроокиси и основных солей Fe. Плотная адсорбционная пленка регулирует рост кристаллов, и микроструктура осадка не имеет явно кристаллич. формы. Путем анализа поляризационных кривых показано, что максим. ВТ имеет место при  $\phi$ , соответствующем предельному току выделения Fe. Образование микродендритной структуры порошкообразного Fe при высоких  $i$  объясняется усиленным выделением  $\text{H}_2$  и концентрированием колл. взвесей вблизи растущих граней. КП при осаждении Fe в дендритной форме складывается из хим. и концентрационной составляющих. З. Соловьева

28058. Растворимость  $\text{Ag}_2\text{SO}_4$  в различных электролитах. Влияние растворимости  $\text{Ag}_2\text{SO}_4$  и  $\text{AgCl}$  на электроды  $\text{Ag}$ ,  $\text{Ag}_2\text{SO}_4$  и  $\text{Ag}$ ,  $\text{AgCl}$ . Лицке, Стаутон (On the solubility of  $\text{Ag}_2\text{SO}_4$  in various electrolyte media. Effects of the solubility of  $\text{Ag}_2\text{SO}_4$  and  $\text{AgCl}$  on the  $\text{Ag}$ ,  $\text{Ag}_2\text{SO}_4$  and the  $\text{Ag}$ ,  $\text{AgCl}$  electrodes. Lietzke M. H., Staughton R. W.), J. Amer. Chem. Soc., 1957, 79, № 9, 2067—2071 (англ.)

Кривые зависимости  $\lg S$  ( $S$  — произведение растворимости, выраженное в молярной концентрации), вычисленные при допущении полной диссоциации электролитов, от  $\sqrt{I}$  ( $I$  — ионная сила) имеют одинаковый вид для  $\text{Ag}_2\text{SO}_4$  в р-рах  $\text{KNO}_3$ ,  $\text{AgNO}_3$ ,  $\text{Mg}(\text{NO}_3)_2$ ,  $\text{Al}(\text{NO}_3)_3$ ,  $\text{Na}_2\text{SO}_4$ ,  $\text{MgSO}_4$ ,  $\text{Al}_2(\text{SO}_4)_3$ ,  $\text{La}_2(\text{SO}_4)_3$  и  $\text{In}_2(\text{SO}_4)_3$ . Расчет  $S$  и  $I$  для 2—3 электролитов, диссоциирующих по ур-ниям  $\text{M}_2(\text{SO}_4)_3 = 2\text{M}^{3+} + 3\text{SO}_4^{2-}$  (1);  $\text{M}_2(\text{SO}_4)_3 = 2\text{MSO}_4^+ + \text{SO}_4^{2-}$  (2);  $\text{M}_2(\text{SO}_4)_3 = \text{M}(\text{SO}_4)^+ + \text{M}(\text{SO}_4)_2^-$  (3), показал, что для всех указанных электролитов, за исключением  $\text{In}_2(\text{SO}_4)_3$ , наиболее вероятно диссоциация по ур-нию (1). Кривые ( $\lg S$ ,  $\sqrt{I}$ ) для  $\text{AgCl}$  следуют предельному закону Дебая — Гюккеля в р-ре  $\text{HNO}_3$  и дают отклоняющиеся от него одинаковые кривые в р-рах  $\text{HCl}$  и  $\text{AgNO}_3$ , что указывает на одинаковое комплексообразование в этих двух р-рах. На основе предположения о комплексах  $\text{AgCl}_2^-$ ,  $\text{AgCl}_3^{2-}$  или  $\text{Ag}_2\text{Cl}^+$ ,  $\text{Ag}_3\text{Cl}^{2+}$  рассчитана степень комплексообразования; она увеличивается при нагревании, что мешает применению электрода  $\text{Ag}/\text{AgCl}$  (насыщ.) при повышенных т-рах. А. Городецкая

28059. Растворение меди, железа и свинца в азотной кислоте. Лошкарев А. Г., Ж. прикл. химии, 1957, № 10, 1558—1564

Изучена кинетика «бесстружкового растворения» (Тананаев Н. А., Заводск. лаборатория, 1947, 13, 4, 389)  $\text{Cu}$ ,  $\text{Fe}$  и  $\text{Pb}$  в 2,6—13,0 н.  $\text{HNO}_3$  при 17; 27 и 37° в отсутствие перемешивания р-ра.  $\text{Cu}$  и  $\text{Fe}$  растворяются в  $\text{HNO}_3$  с выделением  $\text{NO}_2$ . Скорость растворения ( $v$ ) в 1-й период растворения постоянна и составляет (в  $\text{a}/\text{cm}^2$ ):  $\text{Cu}$  (в 6,5 н.  $\text{HNO}_3$ ) 0,32;  $\text{Fe}$  (в 6,5 н.  $\text{HNO}_3$ ) 0,55;  $\text{Pb}$  (в 4,33 н.  $\text{HNO}_3$ ) 0,05. С повышением т-ры до 37°  $v$   $\text{Cu}$  не изменяется, а  $v$   $\text{Pb}$  незначительно возрастает. В процессе растворения стационарные потенциалы изученных металлов сдвигаются в положительную сторону. Сделан вывод, что  $v$  лимитируется скоростью диффузии  $\text{HNO}_3$  к поверхности металла. Г. Тедорадзе

28060. Об анодном поведении медно-цинковых сплавов в растворах цианида натрия. I. Маху, Аззам, Хабаш (Über das anodische Verhalten von Kupfer-Zink-Legierungen in Natriumcyanidlösungen. I. Machu Willi, Azzam A. M., Habashi G. M.), Werkstoffe und Korrosion, 1957, 8, № 1, 17—23 (нем.; рез. англ., франц.)

В продолжение работ (РЖХим, 1955, 814, 39242) исследовалась анодная пассивация (II) сплавов  $\text{Cu}$  и  $\text{Zn}$ , содержащих 58%  $\text{Cu}$  ( $\text{C}_{58}$ ) и 80%  $\text{Cu}$  ( $\text{C}_{80}$ ). Определялись изменения во времени ( $t$ ) плотности тока ( $i$ ) и потенциала ( $E$ ). В р-рах  $\text{NaCN}$  (11—92 г/л) на ( $i$ ,  $t$ )-кривых для  $\text{C}_{58}$  наблюдаются 2 последовательных падения  $i$ , которым на ( $E$ ,  $t$ )-кривых соответствуют скачки  $E$  в положительную сторону. Скачки  $i$  и  $E$  связываются с II  $\text{C}_{58}$ , протекающей в 2 стадии. На пассивном  $\text{C}_{58}$  в исследованных условиях не наблюдается выделения  $\text{O}_2$ . Анализ р-ра на  $\text{Zn}$  и  $\text{Cu}$  показывает, что в период до 1-й П имеет место преимущественное растворение  $\text{Zn}$ ; в период от 1-й до 2-й П преобладает растворение  $\text{Cu}$ ; в конечном состоянии II сплав растворяется в соответствии с его составом. Время II  $t_p$  для обеих стадий растет с ростом конц-ии  $\text{NaCN}$ . Полученные результаты показывают, что 1-я стадия II  $\text{C}_{58}$  связана с II  $\text{Zn}$ , а 2-я — с II  $\text{Cu}$ . Аналогичные явления

наблюдаются и для  $\text{C}_{80}$ , однако в этом случае меньше и при высоких  $i$  появляется промежуточная стадия II.

28061. Электрохимическое поведение сплавов золота с медью. Ключко М. А., Никитина В. К., Ж. неорг. химии, 1957, 2, № 11, 2598—2608

Исследованы электродные потенциалы (ЭП) в 5 н.  $\text{HCl}$ , э. д. с. цепи сплав  $\text{Au}-\text{Cu}$  | 1 н.  $\text{CuSO}_4$  |  $\text{Cu}$  в 1 н.  $\text{CuSO}_4$ , анодное растворение и поляризационные кривые (ПК) в 5 н.  $\text{HCl}$  сплавов (C)  $\text{Cu}-\text{Au}$ . На кривых (состав — ЭП) и (состав — э. д. с.) имеются минимумы, соответствующие соединениям  $\text{AuCu}_3$ ,  $\text{Au}_2\text{Cu}$ ,  $\text{AuCu}$  и  $\text{Au}_3\text{Cu}$ . При анодном растворении C, содержащего 0—30 ат. %  $\text{Au}$ , при  $i = 25 \text{ ма}/\text{cm}^2$  в р-р переходит преимущественно  $\text{Cu}$ ; для C, содержащих 60—100%  $\text{Au}$ , растворенная часть примерно отвечает составу исходного C. Метод измерения ЭП и э. д. с. дает возможность обнаружить хим. соединения на закаленных образцах C более определенно, чем на отожженных. Г. Тедорадзе

28062. Пассивация и депассивация свинцового анода в концентрированных кремнефтористоводородной, хлорной и бромфтористоводородной кислотах. Никифорова М. М., Иофа З. А., Докл. АН СССР, 1957, 115, № 6, 1131—1134

Найдено, что при постоянной т-ре в к-те данной конц-ии  $\text{Pb}$ -анод остается активным и мало поляризуется, если анодная плотность тока ( $i_a$ ) не превышает определенной крит. величины. Время, после истечения которого анод пассивируется ( $t_p$ ), связано с  $i_a$  известным ур-нием:  $\lg t_p = A - B \lg i_a$ . Снижение т-ры сильно уменьшает величину  $i_a$ , при которой анод пассивируется за тот же срок; при большом снижении конц-ии к-ты эта величина  $i_a$  заметно увеличивается. Перемешивание увеличивает  $t_p$ . После выключения тока потенциал анода быстро падает до 0,70—0,66 в (н. в. э.). Начальная стадия пассивации является диффузионным процессом. В результате увеличения конц-ии  $\text{Pb}^{2+}$  у поверхности электрода образуется пористый фазовый слой  $\text{Pb}$ -соли данной к-ты, переходящий при возрастании  $i_a$  в слой  $\text{PbO}_2$ . Депассивация представляет собой разряд короткозамкнутого элемента  $\text{PbO}_2$  | к-та |  $\text{Pb}$ . Г. Тедорадзе

28063. Теплоты активации в электродных процессах. Разряд иона гидроксония по механизму электрохимической десорбции. Конуэй, Бокрис (Heats of activation in electrode processes. The electrochemical desorption mechanism of the discharge of hydroxonium ions. Conway B. E., Bockris J. O'M.), Canad. J. Chem., 1957, 35, № 10, 1124—1136 (англ.)

Рассчитаны изменения теплосодержания ( $\Delta H$ ) для р-ции  $\text{H}_3\text{O}^+ + \text{H}(\text{адс.}) + e = \text{H}_2\text{O} + \text{H}_2$  (A) на  $\text{Ni}$ ,  $\text{Cu}$ ,  $\text{W}$ ,  $\text{Hg}$  и произведен полуколич. расчет потенциальных кривых для р-ции A на этих металлах; получены соответствующие величины теплот активации ( $\Delta H_a^0$ ) на этих металлах: 16,0; 11,5; 6,5; 2,0 ккал/моль. Эти величины  $\Delta H_a^0$  удовлетворительно согласуются с эксперим. данными для всех металлов, кроме  $\text{Hg}$ . С ростом теплоты адсорбции атомарного  $\text{H}$   $\Delta H_a^0$  растет и, следовательно, ток обмена уменьшается (РЖХим, 1957, 22505; 1958, 7305), в то время как при выделении  $\text{H}_2$  по р-ции  $\text{H}_2\text{O} + e = \text{H}(\text{адс.})$  (B) должен был бы наблюдаться обратный эффект. Сделана попытка объяснить тот факт, что на  $\text{Ni}$ ,  $\text{Cu}$  и  $\text{W}$  коэф. электролитич. разделения изотопов  $\text{H}_2$  и  $\text{D}_2$  в 2—3 раза превосходит таковой для  $\text{Hg}$ , на которой  $\text{H}_2$  выделяется по схеме B. Г. Тедорадзе

28064. Изучение механизма и кинетики электрохимического окисления водорода методом анодной вольтрографии на  $\text{Pt}$ -электроде. Розенталь К. И.,



Веселовский В. И., Ж. физ. химии, 1957, 31, № 8, 1732—1739 (рез. англ.)

Исследован механизм р-ции ионизации водорода (РИВ) на Pt методом измерения анодных полярограмм кривых (ПК) (РЖХим, 1954, 35690) на вращающемся дисковом и игольчатом Pt-электродах в 1 н.  $\text{HClO}_4$  (I),  $\text{H}_2\text{SO}_4$  (II) и  $\text{NaOH}$  (III). На ПК в I различаются 2 области (отрицательнее и положительнее 0,9 в) с максимумами тока  $M_1$  и  $M_2$ , причем  $M_1 > M_2$ . Предварительная катодная поляризация Pt приводит к резкому уменьшению  $M_1$  и небольшому падению  $M_2$ ; предварительная анодная обработка Pt, особенно длительная, способствует ее активации —  $M_1$  и  $M_2$  возрастают. При увеличении скорости наложения потенциала от 4 до 32 мВ/сек происходит постепенное расширение областей  $M_1$  и  $M_2$  по потенциалам ( $E$ ), рост  $M_1$  и  $M_2$  и сдвиг  $E$  начала пассивации ( $E_p$ ) в положительную сторону. На ПК в II, в отличие от I,  $M_1$  переходит в предельный ток (от 0,3 до 0,9 в), а  $M_2$  отсутствует. Скорости РИВ в II выше, а  $E_p$  положительнее, чем в I. В III ПК имеют больший наклон в начале кривой и характеризуются падением тока до нуля после  $M_1$ . Торможение РИВ в первой области  $E$  связывается с адсорбцией кислорода на Pt. Предполагается, что во второй области  $E$ , наряду с РИВ, возможно окисление  $\text{H}_2$  адсорбированным на Pt кислородом.

Г. Флорианович  
28065. Об обильном выделении водорода, которое может сопровождать электролиз растворов хлорида натрия на ртутном катоде. Додеро, Берун (On the copious evolution of hydrogen which can accompany the electrolysis of solutions of sodium chloride at a mercury cathode. Dodero M., Behroun M.), Proc. Meet. Internat. Comm. Electrochem. Thermodyn. and Kinet., 1954, London, 1955, 290—293 (англ.)

Изучалась скорость выделения  $\text{H}_2$  на Hg-катоде при электролизе р-ров NaCl в эксперим. условиях, приближающихся к промышленным. Обнаружено обильное выделение  $\text{H}_2$  по прошествии некоторого промежутка времени от начала электролиза; длительность этого промежутка уменьшается с возрастанием плотности тока ПТ. Процессу обильного выделения  $\text{H}_2$  предшествует образование на поверхности Hg-катода пленки насыщ. амальгамы Na и резкий сдвиг электродного потенциала в отрицательную сторону, что, по мнению авторов, ведет к замедлению процесса разряда ионов  $\text{Na}^+$  и к резкому увеличению скорости разряда ионов  $\text{H}^+$ . Для получения  $\text{Cl}_2$ , не содержащего  $\text{H}_2$ , рекомендуется соблюдение условий электролиза, препятствующих образованию пленок насыщ. амальгамы. Na.

Н. Хомутов

28066. Изменения напряжения на зажимах ячейки и электродных потенциалов с изменением плотности тока в процессе электролиза хлоридов. Валера (The variations of terminal voltage and electrode potentials with current density during chloride electrolysis. Valera Vivion de. Proc. Roy. Irish Acad., 1957, B58, № 10, pp. 207—236, ill.) (англ.)

Изучался электролиз водн. р-ров NaCl (190 г/л) со стальными катодами и угольными анодами при различных плотностях тока  $I$ . В спокойном и в перемешиваемом электролитах при разной продолжительности электролиза и при различных рН (близких к нейтральным) измерялись напряжения на зажимах ячеек, катодные и анодные потенциалы  $E_a$  и сопротивляемость электролита в ячейке. Наблюдаемые значения  $E$  могут быть выражены в виде суммы перенапряжений на аноде и катоде, омич. падения напряжения в ячейке и некоторого постоянного члена. Сделан вывод, что при электролизе NaCl потенциал угольного анода обусловлен процессом разряда ионов  $\text{OH}^-$  и лишь при

очень низких  $I$  анод ведет себя, как хлорный электрод (РЖХим, 1955, 1876; 1957, 3956).

Н. Хомутов

28067. О соотношении между спектральными и электрохимическими характеристиками при восстановлении нитросоединений. Горбачев С. В., Белеский С. Ф., Ж. физ. химии, 1957, 31, № 7, 1656—1658

Для солянокислых (0,025 н.) водно-спиртовых р-ров (0,1 М) нитробензола, *n*-нитротолуола, *m*-нитрофенола, *o*-нитрофенола, *m*-нитроанилина, *p*-нитроанилина и нитрометана изучались УФ-спектры поглощения и определялись потенциалы восстановления  $\pi$  на Sn- и Cu-электродах. Из спектров определены энергии  $E$  длинноволновой границы полосы поглощения и сопоставлены с  $\pi$  на Sn-катоде при  $i = 1$  мА/см<sup>2</sup> и на Cu-катоде при  $i = 6,0$  мА/см<sup>2</sup>. В вышеприведенном ряду в-в  $E$  уменьшаются, а  $\pi$  возрастают от нитробензола к *p*-нитроанилину. Зависимости  $E$  от  $\pi$ , как правило, линейны для обоих катодов. Существование линейной зависимости ( $E$ ,  $\pi$ ), по мнению авторов, обусловлено наличием сходства в механизмах р-ций электровосстановления и фотовосстановления нитросоединений.

Н. Хомутов

28068. Осциллографическое исследование анодного окисления метанола. Павела (An oscillographic study of the anodic oxidation of methanol. Pavela T. O.), Suomen kem., 1957, 30, № 9, B152—B155 (англ.)

Осциллографич. методом исследовано окисление  $\text{CH}_3\text{OH}$  в 1 н. NaOH при 20° на Pt-, Au- и Ni-анодах при  $i = 1$ —20 мА/см<sup>2</sup>. Зависимость ( $\phi$ , lg  $i$ ) характеризуется прямой линией с коэф. наклона 0,13 в. Предполагается, что анодное окисление  $\text{CH}_3\text{OH}$  сопровождается переносом протона.

Е. Гальперин

28069. Анодное растворение тория в солевых расплавах. Юшина Л. Д., Смирнов М. В., Докл. АН СССР, 1957, 115, № 5, 949—952

Металлический Th поляризовали анодно в эквивалентной смеси NaCl—KCl при заданной  $D_A$  ( $2 \cdot 10^{-3}$ — $8$  а/см<sup>2</sup>) и т-ре 710 и 815° в течение 3—4 сек. и его потенциал ( $\Pi$ ) измеряли относительно  $\text{Cl}_2$ -электрода. При  $D_A < 0,05$  а/см<sup>2</sup>  $\Pi$  мало меняется с  $D_A$ ; при  $D_A = 0,05$ — $1$  а/см<sup>2</sup>  $\Pi$  линейно возрастает с lg  $D_A$  (коэф. наклона при 710 и 815° равны соответственно 95 и 105 мВ), поскольку начинает сказываться диффузия ионов Th и подавляется р-ция вытеснения и восстановления ионов щел. металла металлическим Th. При  $D_A = 1$ — $4$  а/см<sup>2</sup> поляризационные кривые отклоняются в сторону положительных  $\Pi$ , а при более высоких  $D_A$   $\Pi$  не меняется с  $D_A$ , так как конц-ия хлорида Th в прианодном слое расплава приближается к 100% и  $\Pi$  достигает величины, близкой к равновесному значению.

Б. Лепинских

28070. Поведение углеродистого анода при электролизе криолит-глиноземных расплавов. Антипин Л. Н., Дудырев В. К., Ж. физ. химии, 1957, 31, № 9, 2032—2035

Изучался механизм анодного окисления углеродистого электрода в зависимости от плотности тока  $I$ . В графитовом стакане — катоде — расплавлялся электролит (42% NaF; 55%  $\text{AlF}_3$ ; 3%  $\text{Al}_2\text{O}_3$ ), в который погружалась графитовая пробирка — анод — с графитовым стержнем — электродом сравнения (ЭС). Между ЭС и внутренней стороной пробирки производились замеры потенциала  $E$  при различных  $I$ . Отмечается ступенчатый характер процессов, протекающих на аноде (РЖХим, 1955, 31338). При увеличении  $I$  до 0,1 а/см<sup>2</sup> ф диффузионной стороны пробирки не меняется, так как весь  $\text{O}_2$ , разряжающийся на ее поляризационной стороне, расходуется на образование поверхностных соединений. При  $I = 0,1$ — $0,3$  а/см<sup>2</sup> про-

исходит увеличение  $E$  на диффузионной стороне и наблюдается рост линейных размеров анода. При  $I = 0,3 \text{ а/см}^2$  начинается образование  $\text{CO}_2$ , а кол-во диффундирующего  $\text{O}_2$  сокращается до нуля.

Б. Лепинских  
28071. О механизме электролитического выпрямления. Смит (On the mechanism of electrolytic rectification. Smith Archibald W.), *Canad. J. Phys.*, 1957, 35, № 9, 1151—1155 (англ.)

Описаны выпрямляющие свойства Al-электрода, покрытого  $\text{Al}_2\text{O}_3$ , в р-ре  $\text{H}_3\text{BO}_3 + \text{NH}_4\text{OH}$ . Ток в пропускном направлении зависит от напряжения экспоненциально, в заперном — линейно. Автор считает, что выпрямляющее действие локализовано на границе раздела электролит/окисел; последний рассматривается как изолятор с большой шириной запретной зоны. В пропускном направлении ток переносится дырками, инжектируемыми в валентную зону окисла при разряде ионов  $\text{H}_3\text{O}^+$ ; в заперном — электронами, инжектируемыми в зону проводимости при разряде ионов  $\text{OH}^-$  (или анионов). Рассматриваемое явление подтверждено количественному анализу на основе представлений теории замедленного разряда.

Ю. Плесков  
28072. Влияние введения Li в положительные пластины Ni-аккумуляторов. Сангхи, Уинн-Джонс (Effect of introducing Li in the positive plates of Ni-accumulators. Sanghi Indra, Wynne-Jones W. F. K.), *J. Sci. and Industr. Res.*, 1957, BC16, № 8, B-376—B-377 (англ.)

В Ni-Fe-аккумуляторе с положительными электродами, спрессованными из порошка окислов Ni, прокаленного при 600—700° и содержащего 1—40 ат. % Li, происходит бурное газовыделение, и аккумулятор прекращает отдачу тока даже после длительной подзарядки разными режимами. Такое влияние Li+ авторы объясняют тем, что в применяемой смеси Ni содержится в основном в виде NiO и является электрохимически неактивным. Спекшированные гидратированные окислы Ni обладают электронной проводимостью, в то время как электрохим. окисление низших гидратированных окислов Ni является ионопроводящим процессом.

В. Левинсон  
28073. Исследование обратимых и необратимых процессов на капельном Hg-электроде. В. Тиамин, Санчо, Сальмерон (Estudios de procesos reversibles e irreversibles en el electrodo de gotas. V. Tiamina. Sancho J., Salmeron P.), *An. Real soc. esp. fis. y quim.*, 1957, B53, № 2, 117—128 (исп.; рез. англ.)

Исследовано полярографич. поведение тиамин (I) в 0,1 н. KCl (II), 0,1 н. NaCl (III), а также в нейтр. и щел. буферных р-рах. I при  $\text{pH} > 8$  дает анодную (AB) и катодную (KB) диффузионные волны с близкими  $E_{1/2}$  и в некоторых условиях также смешанные анодно-катодные волны (AKB). При окислении  $\text{O}_2$  слабощел. р-ра I AB не изменяется, KB возрастает, стремясь к пределу. В сильнощел. среде KB не замедляется в присутствии  $\text{O}_2$ . KB в II и III, а также AKB в слабощел. р-рах могут быть использованы для аналитич. определений I вплоть до конц-ий  $> 2 \cdot 10^{-4} \text{ М}$ . Осциллографич. полярограммы (РЖХим, 1957, 42691) указывают на обратимость AB в слабощел. р-рах ( $E_{1/2} = -0,17 \text{ в}$ ) и на необратимость AKB и KB в разных средах. Сообщение IV см. РЖХим, 1956, 35500.

С. Майрановский  
28074. Новый метод снятия производных полярограмм. Паулик, Прост (Eine neue Methode zur Derivation von Polarogrammen. Paulik J., Prosz J.), *Acta chim. Acad. sci. hung.*, 1956, 9, № 1—4, 161—169 (нем.; рез. англ.)

Разработан новый способ снятия производных поля-

рограмм (ПП), основанный на том, что ток, протекающий в полярографич. цепи при равномерном изменении прикладываемого к ячейке напряжения, проходит через первичную обмотку трансформатора; при этом через вторичную обмотку, соединенную с регистрирующим гальванометром, протекает ток, пропорциональный производной по времени (или по напряжению) тока в основной цепи. Отмечено, что этот способ дает строго симметричные ПП. Высоты ПП хорошо воспроизводимы и пропорциональны конц-ии деполаризатора. Потенциал пика ПП точно совпадает с  $E_{1/2}$  обычных волн.

С. Майрановский  
28075. Полярографические исследования металлических комплексов. III. Определение последовательных констант нестойкости многоядерных комплексов из полярографических данных. Янь Цзинь (Yen Chi-min), Бэйцзин дасюэ сюэбао Цзыжань кэсюэ, *Acta Scient. natur. Univ. pekinensis*, 1957, 3, № 3, 351—355 (кит.; рез. англ.)

Выведено ур-ние, позволяющее определять константы нестойкости комплексов ( $K_{\text{р}}$ ) при постоянной ионной силе по сдвигу  $E_{1/2}$  волны комплексного иона по сравнению с  $E_{1/2}$  простого иона-комплексобразователя. Сообщение II см. РЖХим, 1957, 63291.

С. Майрановский  
28076. Полярографическое исследование явления кетенольной изомерии на примере ацетониллактона. Витяева С. И., Маркман А. Л., УССР Фанлар Акад. докладари, Докл. АН УССР, 1957, № 8, 33—36

Для объяснения появления двух волн у ацетониллактона (РЖХим, 1958, 13916) проведено его полярографич. исследование после облучения светом ртутно-кварцевой лампы. Предполагается, что 1-я волна отвечает восстановлению кетонной формы, а 2-я — енольной. В ходе облучения  $i_d$  1-й волны падает, а  $i_d$  2-й — возрастает. После облучения р-ра постепенно восстанавливается первоначальное равновесие кетонной и енольной форм. Вычислена константа скорости р-ции превращения енольной формы в кетонную ( $k = 0,186$ ).

Н. Малогина  
28077. Полярография 2,2-динитропропана. Сток (The polarography of 2:2-dinitropropane. Stock John T.), *J. Chem. Soc.*, 1957, Nov., 4532—4536 (англ.)

Изучено полярографич. поведение 2,2-динитропропана (I) в буферных водно-этаноловых (80%  $\text{C}_2\text{H}_5\text{OH}$ ) р-рах с постоянной ионной силой при  $\text{pH} 1-12$ , а также в 0,1 н. NaOH. Во всех р-рах I дает волну ( $B_1$ ) без максимумов. В кислых р-рах появляется 2-я размытая волна ( $B_2$ ). При постоянном  $E$  ( $-0,55 \text{ в}$  по насыщ. к. э.) высота  $B_1$  линейно зависит от конц-ии I в пределах  $10^{-5}-10^{-3} \text{ М}$ . В кислых р-рах высота  $B_1$  заметно зависит от  $\text{pH}$ , в щел. р-рах — не зависит. При  $\text{pH} 8-12$   $E_{1/2} = -0,4 \text{ в}$  и сдвигается в анодную сторону с уменьшением  $\text{pH}$ . Показано, что в щел. р-рах  $B_1$  соответствует двухэлектронному процессу, причем восстановление I происходит по электронному механизму, а продуктами являются  $(\text{CH}_3)_2\text{CNO}_2^-$  и  $\text{NO}_2^-$ .  $B_2$  связана с трехэлектронным процессом восстановления  $\text{NO}_2^-$ .

Г. Тедораде  
28078. Исследования полярографической реакции на белки. Калоус (Erfahrungen über die polarographische Eiweissreaktion. Kalous V.), *Acta chim. Acad. sci. hung.*, 1956, 9, № 1—4, 301—310 (нем.; рез. англ.)

Исследованы полярографич. методом (ПМ) по р-ции Брдики и электрофоретич. методом (ЭМ) в-ва, оставшиеся в фильтрате после обработки сыворожки криомсульфосалициловой к-той (I). Все 3 в-ва, обнаружен-



ЭМ, дают каталитич. волны водорода (КВВ) в смещенном р-ре  $\text{Co}(3+)$ ; высота КВВ максимальна при очень малых и очень высоких конц-ях I. Показано, что ПМ (по зависимости высоты КВВ от конц-й солей) легко установить кривые высаливания. При исследовании КВВ, вызываемых цистином (II), найдено, что при высоких конц-ях II в р-ре  $\text{Co}(3+)$  на полярограммах появляется новая волна, приписанная восстановлению комплекса  $\text{Co}(3+)$  с II. С. Майрановский

28079. Применение полярографического метода с использованием твердых неподвижных микроэлектродов с целью подбора эффективных электродов для частичной гидрогенизации тройной связи. Като, Сакума (Kato Jiro, Sakuma Masatoshi), Дэнки какаку, J. Electrochem. Soc. Japan, 1957, 25, № 3, 126—131, E-28—E-29 (японск.; рез. англ.)

С целью нахождения условий и материала катода для электролитич. получения из 2-бутин-1,4-диола (I) продукта его частичного гидрирования 2-бутен-1,4-диола (II) без примеси бутандиола исследовано поведение р-ров I и II в 2%-ном КОН в атмосфере  $\text{N}_2$  на неподвижных микроэлектродах — катодах (К) в форме проволочки длиной 2 мм и диам. 0,2—0,5 мм. Кривые ( $i$ ,  $E$ ) снимались для установившихся значений тока. I и II не восстанавливаются на капельном Нг-электроде ни в буферных р-рах, ни в р-рах четвертичных аммониевых солей, а также на К из Ni, Fe и Pb. На Pt и Pd К получены волны I и II (при разных  $E$ ); эти К пригодны для получения II путем электролиза при заданном  $E$ . На Ag и Cu восстанавливается лишь I; поэтому перечисленные К наиболее пригодны для получения II. С. Майрановский

28080. Тихие разряды и химические реакции. I. Судзуки, Дэнки какаку, J. Electrochem. Soc. Japan, 1956, 24, № 5, 207—211 (японск.)

Обзор работ по электросинтезу  $\text{O}_3$  в тихом электрич. разряде. Сообщаются конструктивные и эксплуатационные характеристики некоторых типов промышленных озонаторов и дается их краткое описание. Приводятся данные о конц-ии получаемого  $\text{O}_3$  и о затратах электроэнергии на 1 кг  $\text{O}_3$ , получаемого из воздуха и из  $\text{O}_2$ . Библ. 9 назв. Ю. Емельянов

28081. Энергетические соотношения при пробое газов. Воробьев А. А., Калганов А. Ф., Ж. физ. химии, 1957, 31, № 7, 1455—1458 (рез. англ.)

Из сопоставления электрич. прочности 7 групп газов (1)  $\text{Cl}_2$ ,  $\text{Br}_2$ ,  $\text{J}_2$ ; 2)  $\text{HCl}$ ,  $\text{HBr}$ ,  $\text{HJ}$ ; 3)  $\text{CH}_3\text{Cl}$ ,  $\text{CH}_3\text{Br}$ ,  $\text{CH}_3\text{J}$ ; 4)  $\text{C}_2\text{H}_5\text{Cl}$ ,  $\text{C}_2\text{H}_5\text{Br}$ ,  $\text{C}_2\text{H}_5\text{J}$ ; 5)  $\text{C}_3\text{H}_8$ ,  $\text{C}_4\text{H}_{10}$ ; 6)  $\text{CF}_4$ ,  $\text{CCl}_2\text{F}_2$ ,  $\text{CCl}_3\text{F}$ ; 7)  $\text{CF}_4$ ,  $\text{C}_2\text{F}_6$ ,  $\text{C}_3\text{F}_8$ ,  $\text{C}_4\text{F}_{10}$ ,  $\text{C}_5\text{F}_{12}$  с различными физ.-хим. свойствами явствует, что для всех групп газов электрич. прочность растет с увеличением тех характеристик, которые определяют межмолекулярные силы связи в газе (плотность, поляризация и т. д.), и уменьшается с увеличением характеристик, определяющих внутримолекулярные силы связи (термодинамич. потенциал, энергия диссоциации и др.). Ю. Емельянов

28082. К поведению бензола и его гомологов в положительном столбе тлеющего разряда. Крёпелин, Винке, Вильдт (Zum Verhalten von Benzol und seinen Homologen in der positiven Säule der Glimmentladung. Kroeplin H., Wienke K., Wildt A.), Z. Naturforsch., 1957, 12a, № 9, 752 (нем.)

Изучалась зависимость интенсивностей некоторых линий УФ-спектров излучения и поглощения плазмы тлеющего разряда в парах бензола (I), толуола (II) и этилбензола (III) от силы разрядного тока  $i$ . Уже при малых  $i$  сильно уменьшается поглощение, причем чем длиннее боковая цепь молекул паров, тем быстрее происходит уменьшение. Относительная интенсив-

ность некоторых линий испускания с ростом  $i$  проходит через максимум. Масс-спектрометрич. анализом в продуктах разложения I найдены (в об. %):  $\text{CH}_4$  2,3;  $\text{C}_2\text{H}_4$  8,6;  $\text{C}_2\text{H}_2$  23,8;  $\text{C}_3\text{H}_4$  4,2;  $\text{C}_3\text{H}_2$  5,1;  $\text{C}_4\text{H}_2$  2,3; I 50,5; II 3,2; в продуктах разложения II найдены:  $\text{CH}_4$ ,  $\text{C}_2\text{H}_4$ ,  $\text{C}_2\text{H}_2$ ,  $\text{C}_3\text{H}_4$ ,  $\text{C}_3\text{H}_2$ ,  $\text{C}_4\text{H}_2$ , бутулен  $\text{C}_4\text{H}_6$ , I, II и III.

Ю. Емельянов  
28083. Модельное исследование образования органических соединений в атмосферах простых газов при электрическом разряде. Хейне, Вальтер, Мейер (Modelluntersuchungen zur Bildung organischer Verbindungen in Atmosphären einfacher Gase durch elektrische Entladungen. Heynes Kurt, Walter Wolfgang, Meyer Ernst), Naturwissenschaften, 1957, 44, № 14, 385—389 (нем.)

Путем изучения продуктов р-ций, протекающих под влиянием искрового разряда в циркуляционной системе, содержащей смесь газов различного состава (предположительно похожих на состав газов первичной атмосферы (А) Земли), выяснено, что образование аминокислот происходит только при наличии в исходном газе значительных кол-в  $\text{CH}_4$  и  $\text{NH}_3$ . Хроматографич. анализом обнаружены:  $\alpha$ -аланин,  $\beta$ -аланин, саркозин,  $\alpha$ -аминомасляная к-та, глицин и др. В присутствии добавок  $\text{H}_2\text{S}$  кроме упомянутых аминокислот в реакционной смеси содержатся также в-ва, содержащие гуанидиновую группу. Авторы приходят к выводу, что ко времени, когда А Земли образовывались органич. молекулы, А должна была обладать восстановительными свойствами. Ю. Емельянов

28084 К. Руководство к лабораторным занятиям по теоретической электрохимии. (Для техн. вузов). [В 2-х ч.]. Ч. I. Левин А. И., Помосов А. В., Укше Е. А. Уральский политехн. ин-т. Свердловск, 1957, 143 стр., илл.

28085 Д. Механизм электровосстановления хромовой кислоты. Усачев Д. П. Автореф. дисс. канд. хим. н., Ин-т физ. химии АН СССР, М., 1957

См. также: Электроосаждение металлов 27713, 29468, 29479—29481, 29483, 29488, 29509, 29511. Коррозия 28137, 29139, 29140—29143, 29145. Полярография 28205, 28389, 28390, 28422, 28423, 28439, 28483, 28523. Хим. источники тока 29499, 29501. Электропроводность 28129, 28140, 28205, 28036. Методика электрохим. 28130, 28160, 28204, 27945, 28448, 28497. Газовая электрохимия 27939, 27940, 27991. Электрохимия расплавов 28160

## ПОВЕРХНОСТНЫЕ ЯВЛЕНИЯ. АДСОРБЦИЯ. ХРОМАТОГРАФИЯ. ИОННЫЙ ОБМЕН

Редактор Н. А. Фукс

28086. Механизм адгезии. I, II. Канамару, Кобунси, 1957, 6, № 62, 247—251; № 63, 285—289 (японск.)

Обзор. Библ. 26 назв.

28087. Дальнейшее развитие теории резиновой мембраны и уравнение Лапласа. Фьюлон (Some further results on the rubber membrane theory and Laplace's equation. Fulop W.), J. Scient. Instrum., 1957, 34, № 11, 453—454 (англ.)

В развитие работы, опубликованной ранее (РЖХим, 1956, 13088) показано, что в случае осесимметричной формы мембраны (М) теория малых отклонений в предположении постоянного результирующего натяжения М не может объяснить ни пропорциональности между изгибающей силой и деформацией М, ни строгой применимости ур-ния Лапласа к форме М.

Оба эти факта вполне объяснимы на основе измененной автором теории. Опыты подтверждают наличие упомянутой выше пропорциональности также в случае асимметрич. формы М.

По резюме автора  
28088. Определение свободной поверхностной энергии хлорида натрия. Зеггерен, Бенсон (A determination of the surface free energy of sodium chloride. Zeggeren F. van, Benson G. C.), Canad. J. Chem., 1957, 35, № 10, 1150—1156 (англ.)

Выведено общее ур-ние для расчета свободной поверхностной энергии  $\sigma$  по увеличению растворимости в-ва при уменьшении размера частиц:  $(2/3)\sigma A = (RT/M) \ln(a_F/a_B)$  (1), где  $A$  — уд. поверхность мелких частиц,  $a_F$  и  $a_B$  — активности в-ва в р-ре, насыщенном относительно мелких частиц и крупных кусков,  $R$  — газовая постоянная,  $T$  — абс. т-ра,  $M$  — мол. вес в-ва. Если в-во полностью диссоциирует в р-ре, и одна молекула его дает  $\nu$  ионов, то ур-ние (1) переходит в  $(2/3)\sigma A = (\nu RT/M) \ln[(c_{\pm})_F/(c_{\pm})_B]$  (2), где  $c$  — конц-ии и  $\pm$  — средние коэф. активности. Кондуктометрич. методом измерена растворимость в абс. этаноле при 25° ряда препаратов тонкого порошка NaCl, полученного электростатич. осаждением дыма NaCl (РЖХим, 1957, 60293). Для порошка растворимость значительно выше, чем для крупных кусков соли, при  $A = 42,5 \text{ м}^2/\text{г}$  отношение  $c_F/c_B$  достигает 1,0671. В согласии с ур-нием (2)  $\lg(c_F/c_B)$  линейно растет с  $A$ . Рассчитанная по (2) величина  $\sigma = 171 \pm 12 \text{ эрг/см}^2$ . Пользуясь определенным ранее (РЖХим, 1957, 26350) значением поверхностной энтальпии, авторы рассчитали величину поверхностной энтропии NaCl при 298°K  $0,35 \text{ эрг/град} \cdot \text{см}^2$ . См. также РЖХим, 1957, 25885, 26349.

И. Слоним  
28089. Тензиметрическое исследование уменьшения смачиваемости кварца водой в присутствии бромида лаурилтриметиламмония. Применение тензиметрического метода к флотации кварца олеатом бария. Гуасталла (Etude tensiométrique du démoillage du quartz par le bromure de lauryl-triméthylammonium. Application de la méthode à la flottation du quartz par l'oléate de baryum. Guastalla Lina), C. r. Acad. sci., 1956, 243, № 18, 4314—4316 (франц.)

При помощи описанного ранее (РЖХим, 1955, 34163) тензиметра установлена полная аналогия между гидрофобизацией кварца и стекла под действием бромида лаурилтриметиламмония. Этим же методом изучена гидрофобизация кварца олеатом Ba при различных pH и конц-иях добавленного  $\text{BaCl}_2$ . По мнению автора, тензиметрич. метод изучения флотируемости более точен и быстр, чем метод измерения краевых углов. Н. Фукс  
28090. Электронографическое исследование монослоев, образующихся при отступании раствора. Чапман, Тейбор (An electron diffraction study of retracted monolayers. Chapman J. A., Tabor D.), Proc. Roy. Soc., 1957, A242, № 1228, 96—107 (англ.)

Методом дифракции электронов исследована структура монослоев длинноцепочечных молекул на поверхности свежееобразованных испарением в вакууме тонких слоев металлов (Pt, Ag, Cu, Fe). Монослои (МС) жирных к-т (I)  $\text{C}_n\text{H}_{2n+1}\text{COOH}$ , где  $n = 7-45$ , октадециламина (II), октадецилового спирта (III) и перфтороктадецилового к-ты  $\text{C}_8\text{F}_{19}\text{COOH}$  получались на подкладке — адсорбцией из отступающего р-ра в неводн. р-рителе или из расплава этих в-в (Zisman, J. Coll. Sci., 1947, 2, 563). На химически инертных Pt и Ag полярные группы молекул I, независимо от их размеров, упакованы в МС так же, как и в  $\beta$ -поли-

морфной форме объемных кристаллов, углеводородные же цепи ориентируются не наклонно, а перпендикулярно к подкладке, что отвечает площади  $21,3 \text{ Å}^2$  на молекулу. На реакционно-активных Cu и Fe в слоях, образующихся на поверхности металлич. мыл, цепи упаковываются более плотно, чем на Pt и Ag. То же имеет место и в МС II и III с полярными группами меньших размеров на всех металлах. С повышением т-ры упорядоченное расположение молекул в МС I нарушается и практически исчезает при т-рах, близких к т-рам плавления соответствующих к-т или мыл в объеме. Эти изменения обратимы, так как при охлаждении дифракционная картина возникает вновь.

А. Таубман  
28091. Уравнение состояния монослоев лецитина. Хедж (An equation of state for lecithin monolayers. Hedge D. G.), J. Colloid Sci., 1957, 12, № 4, 417—418 (англ.)

Путем преобразования ур-ния состояния монослоев (РЖХим, 1956, 18916)  $\pi - E_T - A(dE_T/dA) + (kT/c_s)(dc_s/dA) = 0$ , где  $\pi$  — поверхностное давление,  $E_T$  — энергия когезии,  $A$  — площадь в слое на молекулу и  $c_s$  — поверхностная конц-ия, выведено ур-ние в форме:  $(\pi + a/A^2)(A - A_0) = kT$  (1), в котором  $a/A^2 = E_T$  и  $A_0$  — собственная площадь молекул. Ур-ние (1) удовлетворительно описывает свойства монослоев лецитина, что следует из постоянства величины  $a$  в широком интервале значений  $A$ .

А. Таубман  
28092. Статистическая механика гибких высокополимеров на поверхностях. Фриш, Симха (Statistical mechanics of flexible high polymers at surfaces. Frisch H. L., Simha Robert), J. Chem. Phys., 1957, 27, № 3, 702—706 (англ.)

Выведены изотерма мономолекулярной адсорбции и ур-ние состояния монослоя на жидкой поверхности раздела. Как и ранее (РЖХим, 1955, 48677), полное кол-во действительно адсорбированных сегментов в каждой цепочке заменяется на среднюю величину, пропорциональную квадратному корню из степени полимеризации и зависящую от гибкости цепочек. Такой подход значительно упрощает проблему и в то же время позволяет устранить имевшую ранее место переоценку кол-ва возможных конфигураций на поверхности. В первую очередь это отражается на результатах для умеренной адсорбции и приводит к ожидаемым предельным законам. Изотермы существенно отличаются от лэнгмюровских, однако не в такой степени, как для жестких макромолекул с той же длиной цепи. Рассчитано изменение  $\Delta\sigma$  поверхностного натяжения (по сравнению с чистым р-рителем) в функции полной конц-ии, мол. веса  $M$  и активности р-рителя.  $\Delta\sigma$  весьма малы, хотя и измеримы. При сильной адсорбции  $\Delta\sigma < 0$  и возрастает по абс. величине с  $M$ .

С. Френкель  
28093. Влияние температуры на способность мономолекулярных слоев снижать испарение. Рамдас, Нарасимхан (Effect of temperature on the efficiency of monomolecular films in suppressing evaporation. Ramdas L. A., Narasimhan S.), J. Scient. and Industr. Res., 1957, 16A, № 8, 357—358 (англ.)

Определено кол-во воды, испаряющейся при разных т-рах с чистой поверхности и поверхности, покрытой монослоем цетилового спирта. Показано, что влияние монослоя при повышенных т-рах проявляется слабее. Снижение скорости испарения равно 60% при 20° и 13% при 60°.

А. Таубман  
28094. Адсорбция лаурилсульфата натрия и лаурилового спирта на поверхности раздела воздух —



Адсорбция. Вильсон, Эпштейн, Росс (The adsorption of sodium lauryl sulfate and lauryl alcohol at the air-liquid interface. Wilson A., Epstein M. B., Ross John), J. Colloid Sci., 1957, 12, № 4, 345—355 (англ.)

Изучено изменение конц-ии водн. р-ров лаурилсульфата Na (I) и лаурилового спирта (II) при образовании из них пены с большой суммарной поверхностью. Кол-во I, адсорбируемое на поверхности раздела воздух — р-р, растет с увеличением конц-ии I, достигает  $4,06 \cdot 10^{-10}$  моль/см<sup>2</sup> при крит. конц-ии микрообразования, а затем остается постоянным. Максимум адсорбции I соответствует площади на молекулу  $40 \text{ \AA}^2$ , т. е. вдвое большей, чем в конденсированном монослое. При адсорбции I pH не изменяется и гидролиз I, по-видимому, не происходит. В системе  $\text{I} + \text{H}_2\text{O}$  кол-во адсорбируемого II  $4 \cdot 10^{-10}$  моль/см<sup>2</sup> одинаково при т-рах выше и ниже т-ры перехода от медленного дренажа пены к быстрому. Для поддержания медленной скорости дренажа пены достаточно адсорбции монослоя I и II.

И. Слоним  
1956. О роли неоднородности поверхности при адсорбции и ионизации натрия и лития на вольфраме. Романов А. М., Стародубцев С. В., УЗССР Фанлари Акад. ахбороти. Физ.-матем. фанлари сер., Янв. АН УЗССР. Сер. физ.-матем. н., 1957, № 3, 11—26 (рез. узб.)

Исходя из представления о поверхности W как о наборе пятен, различающихся структурой и эмиссионными постоянными, по известным ф-лам и графикам Ричардсона вычислены доли тока электронной эмиссии (ЭЭ) для шести возможных типов сложных кривых поверхностей, отвечающих трем наборам пятен. Результаты сравнены с литературными данными по эмиссионным постоянным W, полученным при измерении термоэлектронной, фотоэлектрич. и термоэлектронной эмиссии. Обсужден вопрос об ионизации атомов Na и Li на W. Показано, что статист. веса пятен с данной работой выхода ф неодинаковы при ЭЭ и ионной эмиссии (ИЭ) с неоднородной поверхностью, что позволяет путем сравнения результатов измерений ЭЭ и ИЭ количественно оценивать характер неоднородности поверхности и истинную ф-цию. Вычислены энергии адсорбции Na на разных участках различных граней W, рассмотрена поверхностная диффузия Na и Li на W и показано, что неоднородность поверхности W проявляется по-разному в отношении адсорбции и ионизации Na и Li. На основании кристаллогеометрич. соображений сделан вывод, что на гранях (110) и (100) W возможно образование конц. когерентных пленок атомов, причем канка на грани (100) гораздо более устойчива, что подтверждается литературными эксперим. данными, полученными с помощью электронных проекторов. См. также РЖХим, 1958, 3999.

З. Высоцкий  
1956. Механизм хемосорбции водорода на никеле. П. Ли, Сабатка, Селвуд (The mechanism of chemisorption: hydrogen on nickel. H. Lee Edward L., Sabatka Jean A., Selwood P. W.), J. Amer. Chem. Soc., 1957, 79, № 20, 5391—5397 (англ.)

Продолжено (часть I, РЖХим, 1957, 26359) изучение изменения намагниченности  $\sigma/\sigma_0$  при адсорбции  $\text{H}_2$  на различных образцах катализаторов Ni-SiO<sub>2</sub> с разным содержанием Ni. Определена воспроизводимость результатов  $\sigma/\sigma_0$  при адсорбции  $\text{H}_2$ , вычислена теплота адсорбции  $q$  по изменению  $\sigma/\sigma_0$ , выяснена природа медленного поглощения, следующего за быстрой адсорбцией  $\text{H}_2$ , и изучен гидридный эффект при низких т-рах. С ростом заполнения поверхности  $\theta$  наблюдалось линейное падение  $\sigma/\sigma_0$  вследствие заполнения полостей Ni. Отклонение от линейной зависимости при  $p \rightarrow 1$  атм. приписано медленной сорбции  $\text{H}_2$ . Зна-

чения  $\Delta\sigma/\sigma$ , рассчитанные по ф-ле  $\Delta\sigma/\sigma = \pm n/0,6N$ , где  $n$  — число атомов Ni на поверхности,  $N$  — их общее число, сопоставлялись с опытными величинами, полученными при  $\theta = 1$ . Колич. расхождение обусловлено не только отклонением от истинной ковалентной связи Ni-H, но существенной долей малых частей, неферромагнитных при комнатной т-ре, а также разбавлением ферромагнитного Ni диамагнитным  $\text{H}_2$ . Поэтому никакого простого соотношения между типом связи и  $\sigma/\sigma_0$  обнаружить нельзя. На основании того факта, что в момент контакта  $\text{H}_2$  с поверхностью Ni происходит резкая избыточная потеря  $\sigma/\sigma_0$ , приписываемая нагреванию образца за счет выделения тепла, были вычислены  $q$ , равные 35—45 ккал/моль при  $\theta = 0$  и линейно падающие до  $q = 0$  при  $\theta = 1$ . Хемосорбция  $\text{H}_2$  протекает даже тогда, когда  $q = 0$ , так как  $\sigma/\sigma_0$  при этом продолжает уменьшаться. Медленное поглощение  $\text{H}_2$  при малых  $\theta$  является также истинной хемосорбцией; в области больших  $\theta$  при медленном процессе  $\sigma/\sigma_0$  не изменяется, очевидно, вследствие того, что  $\text{H}_2$  хемосорбируется на малых, менее доступных участках. Подтверждено образование при адсорбции  $\text{H}_2$  на поверхности Ni при 20° К гидридонов, поскольку вместо ожидаемого падения происходит увеличение  $\sigma/\sigma_0$ ; кроме того, адсорбируемость  $\text{H}_2$  уменьшается примерно вдвое вследствие больших размеров гидридонов.

Ю. Эльтеков  
28097. Исследование хемосорбции окиси углерода на родии с помощью инфракрасной спектроскопии. Ян, Гарленд (Infrared studies of carbon monoxide chemisorbed on rhodium. Yang Andrew C., Garland Carl W.), J. Phys. Chem., 1957, 61, № 11, 1504—1512 (англ.)

В интервале 1700—400 см<sup>-1</sup> с применением призм из CaF<sub>2</sub> сняты ИК-спектры CO, хемосорбированной на Rh, нанесенном в кол-ве от 2 до 16 вес. % на непористый высокодисперсный (90 м<sup>2</sup>/г по БЭТ) порошок Al<sub>2</sub>O<sub>3</sub> из водн. р-ра RhCl<sub>3</sub> и восстановленном с помощью  $\text{H}_2$  при ~ 200 и ~ 400°; изучена зависимость спектров от степени покрытия при адсорбции и десорбции CO. Этим же методом исследованы р-ции хемосорбированной CO с O<sub>2</sub>, H<sub>2</sub> и H<sub>2</sub>O. Сделан вывод, что в зависимости от содержания Rh на носителе и его обработки и, следовательно, от степени дисперсности его частиц могут образоваться 3 типа поверхностных соединений: 1) 2 молекулы CO связываются с одним поверхностным атомом Rh, 2) 1 молекула CO связана с одним атомом Rh и 3) мостикобразная связь 1 молекулы CO с 2 соседними атомами Rh, каждый из которых связан еще с 1 молекулой CO. Изменения спектров при р-циях CO с O<sub>2</sub>, H<sub>2</sub> и H<sub>2</sub>O объяснены с помощью этих трех структур, а при десорбции CO — р-цией диспропорционирования с образованием CO<sub>2</sub> и поверхностного карбида Rh (см. также РЖХим, 1957, 30180).

З. Высоцкий  
28098. Образование аргон-ксеноновых слоев на графитизированной саже при 65—80° К. Пренцлов, Халси (Argon-xenon layer formation on graphitized carbon black from 65 to 80° K. Prenzlows C. F., Halsey G. D., Jr), J. Phys. Chem., 1957, 61, № 9, 1158—1165 (англ.)

Изотермы адсорбции Ag на чистой поверхности графитизированной сажи P-33 (2700) и на той же поверхности, покрытой 1 или 6 слоями предварительно адсорбированного Хе, измерены при 70—80° К методом, описанным ранее (РЖХим, 1955, 23389). Рассчитанные дифференциальные величины теплоты и энтропии адсорбции указывают на аналогию адсорбции во 2-м слое на чистой поверхности и в 1-м слое на монослое Хе. Связь с поверхностью несколько больше при адсорбции 2-го слоя Ag на слое Ag, чем на слое Хе. Увеличение числа предварительно адсорби-

рованных слоев Хе не позволяет получить ясно выраженные слои Аг. Хотя понижение  $t$ -ры усиливает ступенчатый характер изотерм, спец. опыты при  $64,5^\circ\text{K}$  не смогли обнаружить вертикального скачка на изотермах  $\text{N}_2$ ,  $\text{O}_2$  и Аг. К изученной системе нельзя применить модель двумерного кристалла (РЖХим 1955, 28617).

А. Клячко  
28099. Теплота адсорбции паров бензола и гексана на прокаленном и гидратированном кремнеземе. Исириян А. А., Киселев А. В., Докл. АН СССР, 1957, 115, № 2, 343—346

Изучена адсорбция паров бензола (I) и гексана (II) на двух образцах кремнезема (III): исходном, полученном сжиганием кремнийорганич. соединений и затем прокаленном при  $800$ — $1000^\circ$ , и на гидратированном, полученном выдерживанием исходного образца в воде в течение 7 месяцев и высушиванием при  $120^\circ$  (перед опытами оба образца откачивались при  $200^\circ$ ). Дифференциальная теплота адсорбции паров II мало чувствительна к изменению степени гидратации поверхности III, в то время как теплота адсорбции I при увеличении концентрации OH на поверхности от 3,5 до  $10,8 \mu \text{ моль/м}^2$  увеличилась в средней области заполнения монослоя приблизительно на  $1,0 \text{ ккал/моль}$ , т. е. на 10%. Однако чистая теплота адсорбции увеличилась в этой области в  $\sim 2$  раза. Такое увеличение теплоты адсорбции I в результате гидратации поверхности III авторы приписывают энергии образования  $\pi$ - $\pi$ -комплексов между молекулой I и двумя-тремя гидроксильными III. Сделан вывод, что при адсорбции I и II на III основную роль играют неполярные ван-дер-ваальсовы взаимодействия. При адсорбции I на гидратированном III энергия взаимодействия возрастает за счет образования  $\pi$ -комплексов с III.

О. Джигит  
28100. О химическом строении поверхности кварца и силикагеля и ее гидратации. Жданов С. П., Киселев А. В., Ж. физ. химии, 1957, 31, № 10, 2213—2223 (рез. англ.)

Рассмотрены возможные состояния атомов Si на поверхностях раскола  $\alpha$ -кварца (I) и из кристаллохим. представлений вычислены средние площади  $\omega$ , занимаемая группой OH на поверхностях I и силикагеля (II), и максим. число  $n$  групп OH на единице поверхности I и II; вычисленные  $\omega$  и  $n$  хорошо согласуются с определенными в опытах по термич. дегидратации I и II с известными величинами поверхности и по необратимой адсорбции  $\text{H}_2\text{O}$  на II. Сняты изотермы адсорбции паров  $\text{H}_2\text{O}$  и  $\text{CH}_3\text{OH}$  на крупнопористом ( $\bar{r} \approx 70 \text{ \AA}$ ,  $S \approx 400 \text{ м}^2/\text{г}$ ) II, прокаленном в вакууме при  $200$ — $650^\circ$ , и показано, что с ростом  $t$ -ры одновременно с уменьшением  $n$  значительно снижается адсорбция  $\text{H}_2\text{O}$ , а изотерма из выпуклой становится вогнутой; регидратация II восстанавливает адсорбционные свойства и форму изотермы даже после прокалывания при  $650^\circ$ . В случае  $\text{CH}_3\text{OH}$  влияние дегидратации слабее. Результаты объяснены на основе представления о решающей роли групп OH как активных мест поверхности I и II, на которых в первую очередь адсорбируются молекулы  $\text{H}_2\text{O}$ .

З. Высоцкий  
28101. Сорбция паров метилового спирта в широком интервале температур на дегидратирующих катализаторах. Смирнова И. В., Топчиева К. В., Юнгман В. С., Ж. физ. химии, 1957, 31, № 6, 1337—1344 (рез. англ.)

Методом градуированного капилляра измерена адсорбция паров метилового спирта (I) при  $-20$ ,  $0$ ,  $20$ ,  $60$ ,  $80$  и  $110^\circ$  на окиси алюминия (II) и на алюмосиликатном катализаторе (III) состава  $50\% \text{ Al}_2\text{O}_3$ ,  $50\% \text{ SiO}_2$ . Общая адсорбция паров I и изотермич. теплота адсорбции на III выше, чем на II. Во всем интервале исследованных давлений адсорбционные и десорбционные ветви изотерм не совпадают. Часть I не-

обратимо удерживается поверхностью, очевидно, за счет образования поверхностного хим. соединения. С ростом  $t$ -ры общая адсорбция I падает, а хемосорбция увеличивается. Доля поверхности, участвующей в хемосорбции, увеличивается с 10% при  $-20^\circ$  до 25—28% при  $80^\circ$ . Она одинакова для II и III, но падает при переходе к III состава  $30\% \text{ Al}_2\text{O}_3$ ,  $70\% \text{ SiO}_2$  и к силикагелю. При  $110^\circ$  происходит каталитич. разложение I. Предполагается, что образование хим. соединения на поверхности предшествует каталитич. разложению I и что активные центры в хемосорбции и катализе идентичны для II и III.

А. Клячко  
28102. Адсорбция паров на стекле пирекс и ее влияние при измерении вириальных коэффициентов. Ботомли, Ривз (The adsorption of vapours on pyrex glass and its influence in the measurement of virial coefficients. Bottomley G. A., Reeves C. G.), Trans. Faraday Soc., 1957, 53, № 11, 1455—1461 (англ.)

Методом вытеснения ртутью пара из пирексового сосуда с последующим измерением кол-ва пара, ступенчато десорбируемого из адсорбционного слоя, зажатого ртутью при вытеснении пара, измерена адсорбция бензола,  $\text{CS}_2$ ,  $\text{CCl}_4$ , циклогексана, диэтилового эфира,  $\text{C}_2\text{H}_5\text{Cl}$  и перфторметилциклопентана на стекле пирекс при  $10$ ,  $22$ ,  $35$  и  $100^\circ$  в интервале давлений  $20$ — $400 \text{ мм рт. ст.}$  Показано, что при определении вторых вириальных коэф.  $B$  паров методами предизонной волюмометрии в неблагоприятных случаях ( $B < -1000 \text{ см}^3/\text{моль}$ ) следует учитывать адсорбцию паров на стенках измерительных сосудов. Наблюдаемое аномальное поведение  $\text{CCl}_4$  объясняется р-цией  $4\text{Hg} + \text{CCl}_4 \rightarrow 2\text{Hg}_2\text{Cl}_2 + \text{C}$  и, следовательно,  $\text{CCl}_4$  не может применяться для операций с Hg в приборах из пирекса.

З. Высоцкий  
28103. Свободная энергия погружения прессованных порошков в различные жидкости. II. Порошки кремнезема. Ван-Вориз, Крейг, Бартелл (Free energy of immersion of compressed powders with different liquids. II. Silica powder. Van Voorhis J. J., Craig R. G., Bartell F. E.), J. Phys. Chem., 1957, 61, № 11, 1513—1519 (англ.)

Описанным в части I (РЖХим, 1957, 34085) методом сняты изотермы адсорбции при  $26$  и  $40^\circ$  паров ряда жидкостей на пористых таблетках (ПТ), спрессованных из аморфного непористого кремнезема фирмы Линде № 2669—95 В. Анализ изотерм адсорбции и десорбции, на которых в ряде случаев имеются петли гистерезиса, показывает, что ПТ не набухают при адсорбции паров жидкостей и ведут себя, как жесткие капиллярно-пористые тела. При больших  $p/p_s$  поры целиком заполняются жидкостью вследствие капиллярной конденсации. С помощью ур-ния Гиббса рассчитаны значения свободной энергии погружения  $\Phi$ , практически не зависящие от уд. поверхности ПТ и давления прессования ( $900$ — $1800 \text{ атм.}$ ).  $\Phi$  уменьшается в ряду жидкостей: вода, метанол, этанол, 1-пропанол, бензол, толуол, хлороформ,  $\text{CCl}_4$ ,  $n$ -гептан,  $n$ -гексан, циклогексан, от  $139,5$  до  $27,5 \text{ эрг/см}^2$  при  $26^\circ$  и близка к  $\Phi$  силикагеля в тех же жидкостях. Рассчитанные по  $\Phi$  значения коэф. растекания жидкостей удовлетворительно совпадают с измеренными значениями. Температурный коэф.  $\Phi$  для воды, метанола, циклогексана и бензола равен  $-0,406$ ;  $-0,247$ ;  $-0,135$ ;  $-0,158 \text{ эрг/см}^2\text{град.}$  По ур-нию БЭТ рассчитаны объемы монослоев, толщины адсорбированных слоев и площади, приходящиеся на молекулу в монослое. Показано, что молекулы спиртов ориентированы перпендикулярно к поверхности, будучи обращены к ней OH-группами; молекулы алифатич. углеводородов, по видимому, плоско лежат на поверхности. И. Слоним



28104. Сравнение значений свободной энергии погружения, найденных по измерениям адсорбции на рыхлых и прессованных порошках. Крейг, Ван-Ворна, Бартелл (Comparison of free energy of immersion values from adsorption measurements on loose and on compressed powders. Craig R. G., Van Voorhis J. J., Bartell F. E.), J. Phys. Chem., 1957, 61, № 11, 1520—1524 (англ.)

Сняты изотермы адсорбции паров 1-пропанола и циклогексана на двух образцах порошкообразного графита и бензола на кремнеземе Линде (см. пред. реф.). Расчет  $\Phi$  по изотермам адсорбции затрудняется тем, что при больших  $p/p_s$  происходит капиллярная конденсация, не приводящая, однако, к полному заполнению пор между частицами порошка. Применение уравнения, выведенного для непористых тел, дает вследствие этого завышенные значения  $\Phi$ . Применение уравнения, выведенного для жестких капиллярно-пористых тел, дает заниженные значения  $\Phi$  и по существу неправомерно, так как при адсорбции объем порошка сокращается. Надежные значения  $\Phi$  могут быть получены лишь по измерениям адсорбции на пористых таблетках, спрессованных из порошка под большим давлением (см. пред. реф.). И. Слоним

28105. Адсорбция и десорбция паров воды холоцеллюлозой. Одинцов П. Н., LatvPSR Zinātņu Akad. vēstis, Изв. АН ЛатвССР, 1957, № 8, 79—84 (рез. лат.)

Изучена адсорбция и десорбция водяных паров образцами холоцеллюлозы (I), полученной из еловых опилок по методу Шмидта. Опыты проводились при 20° в эксикаторах над  $H_2SO_4$  разных конц-ий. Получены изотермы сорбции для воздушно-сухой свежеприготовленной I (снята за 207 суток), для I, предварительно адсорбированной и десорбированной воду (снята за 688 суток), и др. Показано, что свежая I неустойчива и процесс ее старения выражен более резко, чем у целлюлозы (II). Уд. поверхность I, определенная в разные моменты старения, в 1,7—1,4 раза больше уд. поверхности II. Обнаружено упорное задерживание воды I при 1-й сушке. Изотермы десорбции II, как правило, ниже изотерм адсорбции. Такой аномальный гистерезис вызван, по мнению автора, быстрым старением гемцеллюлоз, их «ороговением». При старении I происходит изменение поликапиллярной системы в сторону сужения наиболее тонких капилляров и уменьшения уд. поверхности. В области низких давлений водяного пара вода присоединяется к I химически. М. Липец

28106. Кинетика десорбции уксусной кислоты с активированного угля. Товбин М. В., Баглий Т. Г. (Кинетика десорбції оцтової кислоти з активованого вугілля. Товбін М. В., Баглій Т. Г.), Наук. зап. Київськ. ун-т, 1957, 16, № 15, 31—37 (укр.; рез. русск.)

Изучена кинетика десорбции (Д) уксусной к-ты (I) с двух образцов технич. активированных углей (АУ) с различной емкостью и зольностью 6—8% в зависимости от скорости перемешивания р-ра, исходного содержания I в АУ, т-ры (25—45°), зернения АУ, добавка поверхностно-активного изоамилового спирта. Показано, что Д I с АУ протекает во внутренне-диффузионной области и не вполне подчиняется уравнению скорости Д, выведенному ранее (РЖХим, 1955, 51631) методом квазистационарных конц-ий для сорбентов с однородной поверхностью: константа  $k$  скорости Д закономерно уменьшается со временем. Предполагается, что изменение  $k$ , вычисленной по этому уравнению, может служить мерой неоднородности поверхности АУ. З. З. Высоцкий

28107. Метод определения максимума адсорбции фосфора почвами по изотерме адсорбции Ленгмюра.

Олсен, Ватанабэ (A method to determine a phosphorus adsorption maximum of soils as measured by the Langmuir isotherm. Olsen Sterling R., Watanabe Frank S.), Soil Sci. Soc. America Proc., 1957, 21, № 2, 144—149 (англ.)

Опыты по адсорбции Р глинисто-содержащими кислотами и щел. почвами проводились путем встряхивания образцов (5 г) с 100 мл р-ров  $K_2HPO_4$  разных конц-ий в течение 24 час. при т-ре 24°. Изучена также адсорбция этиленгликоля на двух группах кислотных и щел. почв. Данные по адсорбции Р почвами согласуются с уравнением Ленгмюра лучше, чем с уравнением Фрейндлиха. М. Липец

28108. Изучение влияния газов на плотность слоя этилового ксантогената калия на поверхности золота, серебра, меди и их сплавов с применением радиоактивных изотопов. Плаксин И. Н., Зайцева С. П., Сб. научн. тр. Моск. ин-та цветн. мет. и золота и ВНИТО цветн. металлургии, 1957, № 28, 21—32

Методом радиоактивного изотопа ( $S^{35}$ ) изучено влияние  $O_2$ ,  $N_2$  и  $H_2$  на плотность  $\delta$  адсорбционного слоя этилксантогената К (I), образованного на поверхности металлов Au, Ag и Cu, и их двойного (80% Au + 20% Ag) и тройного (70% Au + 20% Ag + 10% Cu) сплавов. При одновременном действии газов и I повышение содержания  $O_2$  в р-ре от 2 до 45 мг/л приводит к увеличению  $\delta$  как на чистых металлах, так и на сплавах. Наибольшее возрастание  $\delta$  (64%) происходит на поверхности Ag, наименьшее (27%) — на поверхности Au.  $N_2$  и  $H_2$  не влияют на адсорбционную способность Au, Ag, Cu и их сплавов. Сделан вывод, что  $O_2$  является активным фактором, способствующим сокращению расхода собирателя во флотационном процессе благодаря повышению  $\delta$ . М. Липец

28109. Свойства поверхности осажденного глинозема. I. Приготовление активных образцов и определение изотерм адсорбции азота. II. Старение при комнатной температуре. Гаррис, Синг (The surface properties of precipitated alumina. I. Preparation of active samples and determination of nitrogen adsorption isotherms. II. Ageing at room temperature. Harris M. R., Sing K. S. W.), J. appl. Chem., 1955, 5, № 5, 223—227; 1957, 7, № 7, 397—401 (англ.)

I. Образцы глинозема (I) с большой уд. поверхностью S получены действием щелочи на р-ры солей Al при pH 5 с последующей промывкой водой и спиртом и высушиванием под вакуумом при комнатной т-ре. Предлагаемая методика позволяет получить I с большей S, чем при обычном активировании нагреванием. Для расчета S по методу БЭТ сняты объемным методом изотермы адсорбции  $N_2$  при —196°. Образцы I с наибольшей S (до 470 м<sup>2</sup>/г) получены из  $AlCl_3$  в присутствии ацетатного буфера. С увеличением числа промывок водой или спиртом величина S проходит через максимум. Изучение дифракции рентгеновских лучей указывает на аморфное строение осадков I.

II. Исследовано влияние условий старения осадков I на величину S. Осадки получались смешиванием р-ров  $AlCl_3$  и NaOH при постоянных конц-ях и pH, отделялись центрифугированием и промывались трижды водой и один раз спиртом. Продолжительная откочка при комнатной т-ре приводит все образцы к составу  $Al_2O_3 \cdot 3H_2O$ , но рентгеноанализом не удалось установить структуру гидрата. При старении S достигает максимума при составе  $Al_2O_3 \cdot 6H_2O$ , после чего начинается постепенное уменьшение S. В вакууме осадки I долго сохраняют практически неизменную величину S. Выдерживание I 28 суток в парах  $H_2O$  при относительном давлении 0,7 уменьшает S всех об-

разцов до 60 м<sup>2</sup>/г, несмотря на различные величины первоначальной  $S$ . На поверхности I адсорбированы в большом кол-ве ионы  $\text{Cl}^-$ .

А. Клячко  
28110. Прочность сильно пористых хрупких материалов. Шиллер (Strength of highly porous brittle materials. Schiller K.), Nature, 1957, 180, № 4591, 862—863 (англ.)

Разработана теория прочности пористых тел, в которой приняты две модели: со сферич. и с трубчатыми порами. Приведены лишь конечные результаты. Для обеих моделей прочность  $S = q \lg(P_{cr}/P)$ , где  $P$  — пористость,  $P_{cr}$  и  $q$  — константы, характеризующие соответственно форму пор и прочность материала. Эти результаты подтверждены опытами с гипсом при различных содержаниях избыточной воды, определяющей пористость; получены линейные зависимости между  $\lg P$  и прочностью  $S$  при растяжении, сжатии и сдвиге. При  $S = 0$   $P = P_{cr} = 0,79$ .

В. Дунский

28111. Газовая хроматография. Филлипс (Gas chromatography. Phillips C. S. G.), Discovery, 1957, 18, № 11, 472—476 (англ.)

Обзор.

28112. Газовый анализ хроматографическим методом. Стрален (Gasanalyse langs chromatografische weg. Stralen H. A. C. van), Analyst (Nederl.), 1957, 12, № 12, 248—251 (гол.)

Обзор. Библ. 10 назв.

А. Бусев

28113. Распределительная хроматография. Новая диаграмма. Харгривс (Partition chromatography: a new diagram. Hargreaves M. K.), Chemistry and Industry, 1957, № 43, 1414—1415 (англ.)

Для демонстрации процесса распределительной хроматографии предложена схема, на которой в кружках, разделенных на две части, наносятся вычисленные значения содержания компонентов  $x$  и  $y$  в подвижной и неподвижной фазах до и после установления равновесия на каждой ступени. При этом допускается независимость растворимости одного компонента от содержания другого и, таким образом, игнорируется эффект вытеснения. На примере коэф. распределения  $K_x = 2$  и  $K_y = 3$  показано, что доля компонентов в нижнем слое подвижной фазы на 6-й ступени доходит до 0,0041  $x$  и 0,0010  $y$ , где  $x$  и  $y$  — содержание компонентов в исходной подвижной фазе.

Б. Анваер

28114. Ионообменники и их техническое применение. Янссен (Ionenuitwisselaars en hun technische toepassing I. Janssen C.), Polytechn. tijdschr., 1957, A12, № 35—36, a765—a769 (гол.)

Обзор.

28115. Термодинамика катионного обмена. Часть 1. Определение теплоты и свободной энергии обмена на смолах. Часть 2. Сравнение смол с концентрированными растворами хлоридов. Крукшанк, Мирс (The thermodynamics of cation-exchange. Part 1. Determination of the heats and free energies of exchange by resins. Part 2. Comparison between resins and concentrated chloride solutions. Cruickshank E. H., Meares P.), Trans. Faraday Soc., 1957, 53, № 10, 1289—1298; 1299—1308 (англ.)

1. Описан неадиабатич. калориметр, с помощью которого измерены тепловые эффекты при обмене катионов между р-рами хлоридов и образцами различных катионитов (сульфополистирольных с различной степенью поперечной связанности, цео-карб-225 и др.). Измеренные приращения энтальпии  $\Delta H$  лежат в пределах +387 (обмен  $\text{Li}^+ - \text{H}^+$ ) и —2293 (обмен  $\text{K}^+ - \text{Li}^+$ ) кал/экв. Из равновесных соотношений кон-ций вычислены значения свободной энтальпии  $\Delta G$ , лежащие для тех же систем в пределах +119 и —776, на смоле с 10% дивинилбензола (I). При увели-

чении содержания I в смоле значения  $\Delta H$  и  $\Delta G$  закономерно повышаются, сохраняя во всех случаях одинаковый знак. Изменения энтропийного члена  $T\Delta S$  в большинстве случаев имеют тот же знак, но при обмене  $\text{Cs}^+ - \text{K}^+$  и  $\text{Sr}^{2+} - \text{H}^+$  знаки  $\Delta H$  и  $T\Delta S$  противоположны. Гидратация  $\text{H}^+$  при сорбции на смолах с содержанием  $\text{I} \geq 5,5\%$ , по-видимому, уменьшается, сравнительно с его состоянием в свободном р-ре. Наблюдается колич. согласие увеличения коэф. избирательности при повышении содержания I с величиной работы набухания. Большое сродство 2-валентных катионов к смолам обусловлено не только большим зарядом, но и величиной  $T\Delta S$ , очевидно, за счет избыточной конфигурационной энтропии.

2. Произведено сопоставление значений  $\Delta H$ ,  $\Delta G$  и  $T\Delta S$ , найденных экспериментально для обмена катионов на смолах, с значениями тех же функций, вычисленных для гипотетич. процесса обмена эквивалентных кол-в хлоридов тех же катионов между гомог. р-рами различной молярности. Значения  $\Delta G$  для смол и р-ров имеют одинаковый порядок величин и для данной пары катионов их отношения почти постоянны. На смолах наблюдается большая специфичность взаимодействия с катионами, чем в свободных р-рах: в 1-м случае наблюдаются большие значения  $\Delta H$  и  $T\Delta S$ , чем во 2-м. Изменение степени гидратации и влияние ван-дер-ваальсовских сил не играют существенной роли в определении величин избирательности, но большое значение имеет образование ионных пар между катионами и анионами смолы.

В. Анохин

28116. Молекулярная сорбция на ионообменных смолах. Часть II. Изучение сорбции и десорбции фенола. Говиндан, Бафна (Molecular sorption on ion-exchange resins. Part 2. Phenol sorption-desorption studies. Govindan K. P., Bafna S. L.), J. Sci. and Industr. Res., 1957, B16, № 7, B321—B322 (англ.)

Изучено поглощение фенола и элюирование его водой в колонках с ионообменными смолами: нальцитом (HCR) (I), амберлитом IRC-50 (II) и смолкой PF (III) в H-форме. I представляет собой полистирол с поперечными связями и сульфогруппами, II — шпигу полиметакриловую к-ту, III — фенолформальдегидную смолу, в которой ионогенными группами являются фенольные OH-группы. Показано, что сорбционное равновесие быстро устанавливается для I, медленнее — для II и весьма медленно — для III. Сорбция полностью обратима, при промывании колонки водой фенол количественно десорбируется, причем кон-ция в элюирующем р-ре мало отличается от кон-ции исходного р-ра. Сильные к-ты (HCl) и соли ( $\text{BaCl}_2$ ) не влияют на сорбцию фенола на ионообменных смолах. Авторы считают, что преимуществом метода мол. сорбции является возможность элюирования водой, без применения к-т или щелочей. Часть I см. РЖХим, 1957, 60266.

И. Слоним

28117. Адсорбция фосфатов в катионообменных системах. Митра, Пракаш (Die Phosphatadsorption in Kationenaustauschersystemen. Mitra S. P., Prakash Dharan), Z. anorgan. und. allgem. Chem., 1957, 291, № 1—4, 143—150 (нем.)

Для выяснения вопроса о механизме связывания фосфатов почвами количественно исследована сорбция фосфатов образцами монтмориллонитовых глин в различных солевых формах. Наблюдается большая зависимость сорбции фосфатов от вида катиона, связанного с глиной. Сорбция убывает в последовательности:  $\text{Ca}^{2+} > \text{Al}^{3+} > \text{Ba}^{2+} > \text{H}^+ > \text{Mg}^{2+} > \text{NH}_4^+ > \text{K}^+ > \text{Na}^+$ . Из анализа результатов авторы делают вывод, что механизм сорбции фосфатов в случае одно- и 2-валентных катионов одинаков и что поэтому рассматривать обменные катионы как мостики, связы-



яющие анионы фосфатов с монтмориллонитом, недопустимо. В. Анохин

28118. Адсорбция урана на анексе OAL. Алекса, Малий, Маргол, Новак, Вагнерова (Adsorption uranium на анекс OAL. Alexa Jifi, Malý Jaromír, Marhol Milan, Novák Milan, Wagnerová, Dana), Jaderná energie, 1957, 3, № 7, 200—203 (чешск.)

Исследована способность анекса OAL (I) чехословацкого производства поглощать U из р-ров его комплексных солей в присутствии  $\text{NaClO}_4$  (II) или  $\text{Ca}(\text{ClO}_4)_2$  (III), добавляемых для сохранения постоянства ионной силы р-ров. К 2 г промытого HCl и водой и высушенного I прибавляют 50 мл исследуемого р-ра, содержащего 6 г/л U, и смесь оставляют на 1 неделю, взвешивая время от времени. Содержание U в р-рах определяют гравиметрич., полярографич. или манганометрич. методами. При исследовании р-ра  $\text{UO}_2\text{Cl}_2$  в системах  $\text{CaCl}_2$ —III,  $\text{NaCl}$ —II,  $\text{HCl}$ —III,  $\text{HCl}$ —II наблюдается солевой эффект, т. е. конц-ия U на I (I) меньше в присутствии HCl, чем в присутствии  $\text{CaCl}_2$  и NaCl. Это явление связано с возникновением диссоциированных комплексных к-т в р-рах с низкими значениями pH, причем одновременно с ростом конц-ии  $\text{Cl}^-$  в р-ре возрастает и  $\text{C}_i$ . В системах  $\text{CaCl}_2$ —III и  $\text{NaCl}$ —II с ростом конц-ии  $\text{Cl}^-$   $\text{C}_i$  сначала уменьшается, а затем возрастает. Солевой эффект наблюдается также в р-рах  $\text{UO}_2(\text{NO}_3)_2$  в системах  $\text{Ca}(\text{NO}_3)_2$ —III и  $\text{HNO}_3$ —III, причем в этих двух случаях с ростом конц-ии  $\text{NO}_3^-$   $\text{C}_i$  возрастает. В р-рах  $\text{UO}_2\text{SO}_4$  не наблюдается солевого эффекта и  $\text{C}_i$  в системе  $\text{H}_2\text{SO}_4$ —II значительно выше, чем в системе  $\text{Na}_2\text{SO}_4$ —II.

Н. Туркевич

28119. Вытеснение адсорбированных глинами фосфатов другими анионами. Чаттерджи (Exchange of phosphates adsorbed by clays for other anions. Chatterjee A.), J. Indian Chem. Soc., 1957, 34, № 8, 595—598 (англ.)

Изучено вытеснение адсорбированного каолинитом (K)  $\text{PO}_4^{3-}$  анионитом амберлит УК-410 в гидроксильной, оксалатной, цитратной и фторидной форме. Исходным препаратом служила 4%-ная суспензия K, полученная обработкой электродиализованного K 0,1 л  $\text{H}_3\text{PO}_4$  и содержащая 17,8 мэкв  $\text{PO}_4^{3-}$  на 100 г K. Целлофановый мешочек, содержащий переменное кол-во анионита, погружался на 7 дней в суспензию различной конц-ии. Степень вытеснения фосфата зависит от природы вытесняющего иона. Фтор-ион не способен вытеснить фосфат, а остальные ионы по вытесняющей способности могут быть расположены в ряд  $\text{цитрат} > \text{ОН}^- > \text{оксалат}$ . Кол-во вытесненного фосфата, как правило, уменьшается с ростом конц-ии суспензии, что, по мнению автора, обусловлено уменьшением доступности фосфата. И. Гуревич

28120. Ионный обмен и строение гуминовых кислот. Ларина Н. К., Касаточкин В. И., Почвоведение, 1957, № 9, 28—32 (рез. англ.)

При определении порогов осаждения щел. р-ров гуминовых к-т (I) с различной степенью обуглерожения, полученных из ряда каменных углей,  $\text{CaCl}_2$  и  $\text{BaCl}_2$  найдено закономерное уменьшение порога осаждения с ростом обуглерожения. Эти исследования, дополненные изучением ИК-спектров и рентгенограмм, подтверждают представление о том, что щел. р-ры I являются истинными р-рами и различная устойчивость к  $\text{CaCl}_2$  и  $\text{BaCl}_2$  отражает различие в структуре их молекул. Наиболее вероятной моделью этих молекул, по мнению авторов, являются структуры в виде плоских ароматич. углеродных ядер с боковыми радика-

лами, содержащими достаточное число гидрофильных групп. С этой точки зрения ионный обмен представляет собой не колл., а мол. процесс. И. Гуревич

28121 К. Сорбция. Чмутов К. В. М., Гостехиздат, 1957, 60 стр., илл., 90 коп.

См. также: Адсорбция 28033, 28057, 29096, 30020, 30075. Поверхн. натяжение, смачивание 28275, 28566, 27912. Исслед. поверхностей 27719. Хроматография 28583, 28584, 28586; 10814Бх, 10823Бх, 10851Бх. Ионный обмен 28385, 27818. Электрофорез 28078, 28587, 29864; 10807Бх, 10808Бх, 10816Бх, 10824Бх. Тонкие пленки 27742

## ХИМИЯ КОЛЛОИДОВ. ДИСПЕРСНЫЕ СИСТЕМЫ

Редактор Н. А. Фукс

28122. Кремниевая кислота в воде. III, IV. Тарутани (Tagutani Toshikazu), Нихон кагаку дзасси, J. Chem. Soc. Japan. Pure Chem. Sec., 1956, 77, № 12, 1811—1818 (японск.)

III. Установлено, что скорость  $v$  образования колл. кремниевых кислот (I) из кремнийсодержащих ионов зависит от pH и конц-ии  $\text{C}_F$  ионов  $\text{F}^-$ . В кислой среде (pH 1—4) при  $\text{C}_F < \text{C}_{\text{Si}}$   $v$  больше, чем в обратном случае. В среде, близкой к нейтральной,  $v$  возрастает с  $\text{C}_F$ . В щел. среде  $v$  зависит только от pH. При мол. отношении  $\text{Si}:\text{F}$ , равном 1:6, при pH < 3 I присутствует исключительно в виде ионов  $\text{SiF}_6^{2-}$ ; при pH > 5 устойчивость этих ионов резко убывает, а при pH ~ 7 ионов  $\text{SiF}_6^{2-}$  почти не существует. В кислой среде колл. I легко растворяется в присутствии ионов  $\text{F}^-$ ; кол-во образующихся ионов  $\text{SiO}_3^{2-}$  определяется величиной pH и содержанием ионов  $\text{F}^-$ .

IV. Изучено каталитич. влияние ионов  $\text{F}^-$  на величину  $v$  в кислом (3 н. по HCl) р-ре I. До некоторого предела увеличение  $\text{C}_F$  вызывает возрастание  $v$ . Автор полагает, что ионы  $\text{F}^-$  каталитически ускоряют образование и полимеризацию колл. I. Часть II см. РЖХим, 1958, 10753.

Л. Левин

28123. Вязкость суспензий сферических частиц. III. Седиментационный объем как определяющий параметр. Робинсон (The viscosity of suspensions of spheres. III. Sediment volume as a determining parameter. Robinson James V.), Trans. Soc. Rheology, 1957, 1, 15—24 (англ.)

Результаты измерений вязкости ( $\eta$ ) суспензий (C) на стеклянных шариках по описанному ранее способу (Vand V., J. Phys. Colloid Chem., 1948, 52, 277) и опубликованные ранее данные (часть II, там же, 1951, 55, 455), а также результаты измерения седиментационных объемов ( $V(\text{сед.})$ ) показывают, что  $(\eta_r/\eta - 1) = KV/(1 - S'V)$ , где  $\eta_r$  — относительная вязкость C, V — объемная доля твердой фазы,  $S' = V(\text{сед.})/V$  — относительный седиментационный объем, K — константа.

Б. Шахмалдыев

28124. Влияние температуры на структурообразование в гелях  $\text{Fe}(\text{OH})_3$  и  $\text{Al}(\text{OH})_3$ . Полонский Т. М., Комова Э. М., Доповіді та повідомлення. Львівськ. ун-т, 1957, вип. 7, ч. 3, 218—221

С помощью прибора Вейлера — Ребиндера исследовано структурообразование в 8%-ном геле  $\text{Fe}(\text{OH})_3$  (I) и 3,8%-ном геле  $\text{Al}(\text{OH})_3$  (II) в интервале т-р 0°—70° и времени структурообразования 0,5—18 час. Прочность полученной структуры оценивалась по предельному напряжению сдвига, измеренному по диаграмме деформации — напряжение. Показано, что

во всех случаях (за исключением I при 70°) увеличение т-ры и времени структурообразования ведет к упрочнению структуры. Прочность II в несколько раз больше, чем I. Влияние т-ры авторы объясняют увеличением числа контактов в единицу времени и десорбцией ионов-стабилизаторов вследствие усиленного гидролиза.

И. Гуревич

**28125.** Влияние размера частиц на растворимость аморфной кремнекислоты в воде. Александр (The effect of particle size on the solubility of amorphous silica in water. Alexander G. B.), J. Phys. Chem., 1957, 61, № 11, 1563—1564 (англ.)

Пропусканием р-ра метасиликата Na через колонку с катионообменной смолкой и выдерживанием при 80° приготовлен ряд зольей кремнекислоты (I) с различным размером частиц и определена уд. поверхность A и растворимость I в воде S при pH 2, 4, 6 и 8. S не меняется с pH, но равновесное значение S устанавливается при pH 2 и 8 быстрее, чем при pH 4 и 6. S растет с уменьшением размера частиц. При 25° соблюдается соотношение  $\lg S = 4,8 \cdot 10^{-4} A - 2,043$ , где S — в % и A — в м<sup>2</sup>/г. Отсюда вычислена свободная поверхностная энергия частиц I при pH 2—8, равная  $1,1 \cdot 10^{-6}$  кал/см<sup>2</sup>. Для массивных кусков I при 25° S = 0,0001%. S зависит от содержания силикатных групп в I; для образцов, полученных полимеризацией при комнатной т-ре, S на 24% выше, чем у полученных при 80—100°. Катионные примеси сильно влияют на S технич. препаратов I.

И. Слоним

**28126.** О новом объяснении электрокинетических явлений. I. Миличка (Über eine neue Erklärung der elektrokinetischen Erscheinungen. I. Milička L.), Kolloid-Z., 1957, 155, № 1, 32—38 (нем.)

Предложено новое объяснение явлений электрофореза, электроосмоса и потенциала течения. При пропускании тока через электролит, содержащий взвешенные частицы, на поверхности, обращенной к аноду (катоде), происходит отложение катионов (анионов). Структура двойного слоя меняется, происходит неодинаковая поляризация обеих сторон частиц, что и приводит к ее движению под действием электрич. поля. Ур-ния Гельмгольца — Смолуховского сохраняются и в новой теории, но величина  $\zeta$  обозначает уже не электрокинетич. потенциал, а разность абс. величин катодной и анодной поляризации  $\Phi_K - \Phi_A$ . С помощью капиллярного зонда, соединенного с электродом сравнения, автор измерил  $\Phi_K$  и  $\Phi_A$  на обеих поверхностях металлич. пластинок и спрессованных порошков кварца, стекла и др., погруженных в р-р электролита, и показал, что во всех случаях разность  $\Phi_K - \Phi_A$  близка к рассчитанной по классич. ф-лам величине  $\zeta$ . При конц-ии электролита  $\geq 10^{-3}$  н.  $\Phi_K \approx \Phi_A$  и электрофорез прекращается. При электрофорезе твердая фаза движется в направлении менее поляризованной стороны, при электроосмосе жидкость течет в направлении большой поляризации. Потенциал течения связан с разностью поляризаций по концам капилляра, обнаруживаемой прямым измерением. Новая теория позволяет понять аномалии, трудно объяснимые в рамках классич. представлений.

М. Слоним

**28127.** Изучение коллоидных свойств суспензий окиси алюминия. I. Электрокинетический потенциал суспензий с добавками соляной кислоты. Усков, Ускова. II. Потенциометрическое и кондуктометрическое титрование суспензий с добавками соляной кислоты. Усков (Вивчення колоїдно-хімічних властивостей суспензій окису алюмінію. I. Електрокінетичний потенціал суспензій з добавками соляної кислоти. Усков І. О., Ускова О. Т. II. Потенціометричне та кондуктометричне дослідження суспензій з добавками соляної кислоти. Усков

І. О.), Наук. зап. Київськ. ун-т, 1957, 16, № 15, 49—53; 55—60 (укр.; рез. русск.)

I. Изучено изменение электрокинетич. потенциала суспензий Al<sub>2</sub>O<sub>3</sub> в зависимости от кол-ва добавленной HCl. Для этой цели разработан простой и надежный в работе прибор для измерения  $\zeta$  методом электрофореза. Малые добавки HCl вызывают некоторое понижение  $\zeta$ , который при значительных добавках увеличивается, проходит через максимум, а затем начинает уменьшаться. Высказано предположение о природе стабилизации суспензий Al<sub>2</sub>O<sub>3</sub> соляной к-той.

II. Изучено влияние добавок HCl на pH и электропроводность l суспензий Al<sub>2</sub>O<sub>3</sub>. При добавлении малых кол-в HCl pH суспензий незначительно уменьшается, но после достижения определенного соотношения к-та — окисел наступает резкое увеличение кислотности. l суспензий с малыми добавками к-ты почти не изменяется, а затем увеличение кислотности вызывает резкое ее возрастание. Методами кондуктометрич. и потенциометрич. титрований Al<sub>2</sub>O<sub>3</sub> с различными добавками HCl щелочью изучена хим. природа стабилизатора в этих суспензиях.

Резюме авторов

**28128.** Об изучении электрокинетических свойств окисленных свинцовых минералов при флотации. Анфимова Е. А., Шевелева А. С., Изв. АН СССР. Отд. техн. н., 1957, № 9, 159—162

Электроосмотическими измерениями изучено влияние Na<sub>2</sub>S, бутилксантогената K и pH на изменение  $\zeta$ -потенциала поверхности окисленных свинцовых минералов: церуссита, вульфенита, миметезита и бедантита. Сделан вывод, что изучение флотационных свойств окисленных свинцовых минералов не может ограничиться одними измерениями  $\zeta$ ; электрокинетич. метод является только ценным дополнением к другим методам изучения взаимодействия минералов с реагентами.

М. Липец

**28129.** Изучение электропроводности растворов поверхностноактивных веществ. II. Влияние добавок неионного поверхностноактивного вещества к растворам ионных поверхностноактивных веществ. Иода, Мэгуро, Кондо, Ино. III. Кондуктометрическое титрование растворов катионных поверхностноактивных веществ. Иода. Нихон кагаку дзасси, J. Chem. Soc. Japan. Pure Chem. Sec., 1956, 77, № 6, 905—910; № 7, 1087—1089 (японск.)

II. Измерено изменение электропроводности ( $\lambda$ ) р-ра додецилсульфата Na (I), вызываемое добавлением полиоксизетилендодецилового эфира (II). Перелом на кривой ( $\lambda$ , C), соответствующий крит. конц-ии мицеллообразования I, постепенно исчезает при возрастании конц-ии II.

III. При кондуктометрич. титровании хлоргидратов гексадециламина и октадециламина, а также хлорида додецилдиметиламмония додецилсульфатом Ag в присутствии II наблюдается отчетливый минимум  $\lambda$ . Это свойство может быть использовано для колич. анализа указанных соединений. Сообщение I см. РЖХим, 1957, 30417.

Chem. Abstrs, 1957, 51, № 11, 7805.

T. Kasurai

**28130.** Исследование электрокинетического потенциала частиц кварца методом измерения потенциала течения. Дзё, Фудзии (Jyo Onzo, Fujii Yujiro), Нихон корё кайси, J. Mining and Metallurg. Inst. Japan, 1957, 73, № 826, 231—233 (японск.; рез. англ.)

Методом потенциала течения определен  $\zeta$ -потенциал частиц кварца в дистил. воде и показано, что размер частиц в интервале 14—65 меш мало влияет на величину  $\zeta$ , среднее значение которого равно —43,6 мВ и почти не отличается от величины —42,9 мВ, найден-



ной для частиц размером 1—5  $\mu$  электрофоретич. методом. С уменьшением размера частиц поверхностная электропроводность кварца возрастает. При вычислении  $\zeta$  из ур-ния  $\zeta = 4\pi\eta H/DP$  надо принять  $\lambda$  за уд. электропроводность жидкости между частицами кварца.

Резюме авторов  
28131. О методике измерения потенциалов на минералах. Ясюкевич С. М., Тихонов С. А., Цвети. металлы, 1957, № 6, 21—24

Исследовалась зависимость потенциала  $E$  галенита и халькопирита от времени (после зачистки в испыт. р-ре), рН (6,6—11) и конц-ии бутилового ксантогената (I). Принимая, что смещение  $E$  во времени характеризует окисление поверхности минерала, авторы показали, что скорость окисления растет с ростом рН. При добавлении I  $E$  смещается на величину, линейно зависящую от рН и конц-ии I. В присутствии гидрофильных пленок гидроокисей металлов, а в присутствии I — гидрофобный ксантогенат металла. В первом случае флотация минерала затрудняется, во втором — облегчается.

А. Чемоданов  
28132. Титрование смесей кислот. Симс, Питерс (Titration of mixtures of acids, Sims D., Peters L.), Nature, 1957, 180, № 4590, 805—806 (англ.)

Выведено неравенство, определяющее для титрования смеси к-т условия, при которых удается определить конечную точку полного титрования более слабой к-ты. Условие имеет вид:  $K_1/K_2 > 59,7 (a_1/a_2)$ , где  $K_1, K_2, a_1$  и  $a_2$  — соответственно константы диссоциации и конц-ии сильной (1) и слабой (2) к-ты. Обсуждены приложения этого неравенства к проблеме титрования полипептидов и полиамидов и, в частности, к проблеме определения мол. веса этих в-в методом титрования.

С. Френкель  
28133. Ионная проницаемость высокомолекулярной перегородки. Кобатака, Нихон буцури гаккайси, Proc. Phys. Soc., Japan., 1956, 11, № 11, 506—507 (японск.)

Обзор. Библ. 12 назв.

28134. Влияние анионов мембраногенов на структурные и электрокинетические свойства осадочных мембран из ферроцианида меди. Карпова И. Ф., Долженкова А. Н., Вести. Ленингр. ун-та, 1957, № 16, 117—126 (рез. англ.)

28135. Решение задачи многократного рассеяния излучения дисперсной системой с частично отражающей границей методом шестикомпонентного представления. Чжу Цзяо-минь, Кларк, Черчилл (A six flux solution of multiple scattering by dispersion with a partially reflecting boundary. Chu Chiao-Min, Clark George C., Churchill Stuart W.), J. Phys. Chem., 1957, 61, № 10, 1303—1309 (англ.)

Теоретически исследовано рассеяние электромагнитного излучения плотными дисперсиями с частично отражающей границей. Рассмотрены изодисперсные, ограниченные 2 параллельными плоскостями дисперсии из непоглощающих частиц. Для сведения проблемы к системе обыкновенных дифференциальных ур-ний использован метод шестикомпонентного представления (РЖХим, 1956, 35587). Получены аналитич. решения для этих ур-ний в подходящие граничные условия для отражения. Найдены выражения для интенсивности рассеяния в любом направлении и потока энергии, падающей на произвольно ориентированную плоскость, расположенную в любом месте внутри дисперсии.

По резюме авторов  
28136. Новые таблицы полных коэффициентов рассеяния теории Ми для сферических частиц с вещественными показателями преломления ( $1,33 \leq n \leq 1,50$ ). Пендорф (New tables of total Mie scatter-

ring coefficients for spherical particles of real refractive indexes ( $1,33 \leq n \leq 1,50$ ). Penndorf Rudolf B.), J. Opt. Soc. America, 1957, 47, № 11, 1010—1015 (англ.)

Полный коэф. рассеяния Ми  $K$  рассчитан с помощью счетной машины в диапазоне  $0 \leq 2\pi r/\lambda \leq 30$  через интервалы  $\Delta a = 0,1$  для  $n = 1,33; 1,40; 1,44; 1,486$  и  $1,50$ . Закон Рэлея практически применим при  $a \leq 0,3$ . Наряду с основными (затухающими) колебаниями  $K(a)$  наблюдаются вторичные колебания («выбы»), заметные уже до 1-го максимума. При неограниченном возрастании  $a$   $K$  асимптотически стремится к 2,0, а интервал между соседними максимумами — к  $2\pi(n-1)$ .

С. Френкель  
28137. Природа растворов лиофильных коллоидов и изменение их под влиянием различных факторов. Лапин И. И., Тр. Моск. техн. ин-та рыбн. пром-сти и х-ва, 1957, вып. 8, 313—321

Обзор работ автора. См. РЖХим, 1954, 33971, 33972; 1955, 45646, 54810.

Н. Ф.  
28138. Дальнейшие исследования второго вирального коэффициента в растворах полиэлектролитов, содержащих посторонние соли. Инагаки, Хотта, Хирами (Further study on the second virial coefficient in polyelectrolyte solutions with extraneous salts. Inagaki Hiroshi, Hotta Sadakatsu, Hirami Matsuo), Makromolekul. Chem., 1957, 23, № 1, 1—15 (англ.; рез. нем.)

В продолжение работы (РЖХим, 1957, 37347) определены 2-й виральный коэф. осмотич. ур-ния  $A_2$  и характеристич. вязкость  $[\eta]$  водн. р-ров Na-карбоксиметилцеллюлозы (I) в присутствии NaCl, MgCl<sub>2</sub> и CaCl<sub>2</sub>. Графики ( $\Pi/C, C$ ) линейны, причем  $A_2$  при прочих равных условиях убывает в ряду NaCl — MgCl<sub>2</sub> — CaCl<sub>2</sub>. С увеличением конц-ии  $C$  солей  $[\eta]$  также убывает, причем падение  $[\eta]$  под влиянием 2:1-электролитов происходит значительно быстрее (т. е. при меньших ионных силах  $\mu$ ), чем под влиянием NaCl. Для теоретич. интерпретации этих наблюдений выводится ур-ние для осмотич. давления в системе 2:1-электролит — полиэлектролит в предположении о полной ионизации последнего. Из этого ур-ния следует, что  $A_2$  является линейной функцией  $C^{-1}$ , что подтверждается и опытом. Для того чтобы точки на графиках ( $A_2, C^{-1}$ ) легли на одну прямую для всех солей, по оси абсцисс следует отложить вместо  $C^{-1}$  обратное значение «эффективной ионной силы»  $I_s = \sum v_j z_j^2 C_j$ ; здесь  $v_j$  — кол-во, а  $z_j$  — валентность ионов сорта  $j$ , заряды которых противоположны заряду полииона; суммирование производится только для таких ионов. С помощью такого подхода удается правильно предсказать общий характер зависимости  $\Pi$  и  $A_2$  от конц-ии солей, однако эксперим. и теоретич. значения  $A_2$  существенно расходятся. Эти расхождения обусловлены ассоциацией противоионов с ионами I; для оценки степени этой ассоциации авторы вводят осмотич. коэф.  $g^* = \Pi/\Pi_D$ , где  $\Pi$  — измеренное, а  $\Pi_D$  — вычисленное осмотич. давление при заданной конц-ии I.

С. Френкель  
28139. Теплоемкость водных растворов некоторых мыл. Солянышкин В. И., Коллоидн. ж., 1957, 19, № 5, 629—632 (рез. англ.)

Исследованием теплоемкости р-ров олеата и рицинолеата Na установлена возможность истолкования изменений колл. свойств этих р-ров в связи с образованием в них мицелл разных типов. В частности, показано, что возникновение на кривых теплоемкость — конц-ия горизонтального участка (плато Девиса) связано с превращением шарообразных мицелл в пластичные. Обсуждена связь между процессами мицеллообразования и явлениями гидролиза в р-рах исследованных мыл.

А. Таубман

28140. Электропроводность водных растворов некоторых солей с парафиновыми цепями. Годдард, Бенсон (Conductivity of aqueous solutions of some paraffin chain salts. Goddard E. D., Benson G. C.), *Canad. J. Chem.*, 1957, 35, № 9, 986—991 (англ.) С помощью измерений уд. электропроводности  $\rho$ -ров алкилсульфатов Na, где алкил —  $C_8$ ,  $C_{10}$  и  $C_{12}$ , в широкой области конц-ий и  $t$ -р ( $t$  10—55°) определены их крит. конц-ии мицеллообразования  $C$  (кр.) и рассчитаны изменения теплосодержания  $\rho$ -ров  $\Delta H_M = -KT^2 \times \times d \ln C(\text{кр.})/dT$ , вызванные мицеллообразованием. Установлено, что в соответствии с видом кривых зависимости величины  $C$  (кр.) от  $t$ , характеризующихся минимумом близ 25°,  $\Delta H_M > 0$  при  $t < 25^\circ$  и  $< 0$  при  $t > 25^\circ$ . Возможность положительных значений  $\Delta H_M$  находится в противоречии с общепринятыми теориями процесса мицеллообразования, предполагающими полное или частичное исчезновение поверхностей раздела углеводородные цепи — вода. Поэтому полученные результаты рассматриваются как качественное подтверждение ранее высказанных авторами представлений об этом процессе как энтропийном эффекте. См. РЖХим, 1958, 643.

А. Таубман  
28141. Строение жидкокристаллических фаз системы мыло — вода: среднее и прозрачное мыло. Лудзати, Мустакки, Скулиос (Structure of the liquid-crystal phases of the soap-water system: middle soap and neat soap. Luzzati V., Mustacchi H., Skoulios A.), *Nature*, 1957, 180, № 4586, 600—601 (англ.)

Рентгенографическим методом изучено строение жидко-кристаллич. фаз, образующихся в системе пальмитат калия (I) — вода при конц-ии  $C_1 = 10$ —90% и  $t$ -ре 20—100°. В мицеллярной области при  $C_1 = 10$ —30% на рентгенограмме имеются лишь диффузные полосы, а в области существования среднего мыла (СМ) при  $C_1 = 33$ —53% и прозрачного мыла (ПМ) при  $C_1 = 64$ —87% — четкие линии, позволяющие определить строение фаз. Структура СМ представляет собой совокупность эквидистантных параллельных цилиндров, образующих гексагон. решетку. Диаметр цилиндров, состоящих из I, равен  $\sim 38$  А и не зависит от  $C_1$ , расстояния между осями цилиндров уменьшается от 62 до 50 А с увеличением  $C_1$  от 31 до 51%. Структура ПМ состоит из параллельных слоев I, разделенных прослойками воды; толщина слоев растет от 26 до 40 А, а толщина прослоек уменьшается от 11 А до 0 при увеличении  $C_1$  от 67 до 100%. В СМ и ПМ молекулы I ориентированы преимущественно перпендикулярно поверхности раздела I/вода; при этом полярные группы I направлены к воде, а углеводородные цепи равномерно заполняют внутренность цилиндров или слоев. По классификации Фриделя СМ является смектич. фазой, а ПМ — нематической. При нагревании СМ и ПМ сжимаются, среднее значение линейного коэф. расширения  $\alpha \approx -3 \cdot 10^{-3}$ . Строение жидкокристаллич. фаз в водн.  $\rho$ -рах калиевых и натриевых солей насыщ. жирных к-т  $C_{12}$ — $C_{18}$  сходно со структурой соответствующих фаз в системе I — вода.

И. Слоним  
28142. К изучению Р-коацерватов. VI. Р-коацервация яичных фосфатидов в присутствии низшего спирта. Бюнгенберг-де-Йонг, Давиде (Contributions to the knowledge of P-coacervates. VI. P-coacervation of egg-phosphatides in the presence of a lower alcohol. Bungenberg de Jong H. G., Davids J. A. G.), *Proc. Koninkl. nederl. akad. wet.*, 1957, B60, № 4, 245—254 (англ.)

При прибавлении высших спиртов (ВС) к суспензии яичных фосфатидов (I) в 15—20%-ном водн. трет-бутаноле при 25° образуются Р-коацерваты. В Р-ко-

ацерватах связывается от 0,5 до 1 моля ВС на 1 моль I. Кол-во связанного ВС, соответствующее началу коацервации, уменьшается в ряду:  $n$ -гексанол >  $n$ -октанол >  $n$ -деканол > лауриловый спирт > олеиловый спирт; уменьшение отношения ВС:I в ряду меньше, чем отношение обратных величин для углеводородных цепей ВС. Алифатич. углеводороды:  $n$ -гептан,  $n$ -октан,  $n$ -нонан,  $n$ -декан,  $n$ -гексадекан и цетен, также вызывают образование Р-коацерватов в прозрачном  $\rho$ -ре I в 25%-ном трет-бутаноле. Ранее образования Р-коацерватов под действием неполярных в-в не было обнаружено ни в одной системе; по-видимому, наличие трет-бутанола способствует коацервации. В отсутствие ВС или алифатич. углеводородов трет-бутанол может вызвать образование Р-коацерваты лишь при повышенной  $t$ -ре и в очень узком интервале конц-ий. Часть V см. РЖХим, 1956, 50461.

И. Слоним  
28143. Коллоидная химия фосфатидов. VA, VB. 1. Коллоидные системы различных типов, получаемые из растворов яичных фосфатидов в смеси  $n$ -пропанола или трет-бутанола с водой. 2. Влияние холестерина и некоторых других органических неэлектролитов. Бюнгенберг-де-Йонг, Давиде (Contributions to the colloid chemistry of phosphatides. VA, VB. 1. Colloid systems of various kinds obtainable from egg-phosphatides dissolved in  $n$ -propanol —  $H_2O$  or *tert*-butanol —  $H_2O$  mixtures. 2. Influence of cholesterol and some other organic nonelectrolytes. Bungenberg de Jong H. G., Davids J. A. G.), *Proc. Koninkl. nederl. akad. wet.*, 1957, B60, № 4, 255—264; 265—274 (англ.)

Разработан способ очистки яичных фосфатидов (I) — лецитина и кефалина — от аминокислот и пептидов экстракцией примесей 60%-ным этанолом из  $\rho$ -ра I в  $CCl_4$ . Микроскопич. и макроскопич. методами изучены превращения, происходящие с  $\rho$ -рами очис. препаратов I в водн.  $n$ -пропаноле или водн. трет-бутаноле при прибавлении воды и при изменении  $t$ -ры. Прибавление воды к  $\rho$ -ру I вызывает появление синей опалесценции, связанной с образованием в  $\rho$ -ре частиц смектич. фазы;  $\rho$ -р превращается в колл. систему высшего порядка. При более высокой  $t$ -ре первоначально в  $\rho$ -ре появляются капельки О-коацервата, а затем уже — смектич. фазы. В присутствии органич. неэлектролитов —  $n$ -деканол, олеилового спирта, цетена или холестерина, на диаграмме зависимости состояния системы от  $t$ -ры и конц-ии трет-бутанола появляется также область Р-коацервата. В системе I + трет-бутанол + вода + холестерин наблюдается ряд обратимых превращений по схеме: смектич. фаза  $\rightleftharpoons$  Р-коацерват  $\rightleftharpoons$  О-коацерват  $\rightleftharpoons$   $\rho$ -р. С понижением конц-ии холестерина и с понижением  $t$ -ры области существования Р-коацервата и О-коацервата сужаются. Детально описаны морфологич. особенности образующихся коацерватов. Влияние низкомолекулярных спиртов на колл. свойства I объясняется адсорбцией молекул спиртов на поверхности мицелл и ослаблением взаимодействия молекул I в бимолекулярных слоях. Солюбилизация неэлектролитов в  $\rho$ -рах I уменьшается с увеличением конц-ии низших спиртов. Часть IV см. РЖХим, 1956, 71366. И. Слоним

28144. Защитное коллоидное действие желатин. Дейвис (Protective colloid action of gelatin. Davis P.), *Trans. Faraday Soc.*, 1957, 53, № 10, 1390—1394 (англ.)

Путем добавления различных кол-в  $\rho$ -ра  $KBrO$  (I) исследовано уничтожение защитных свойств желатин-ны (II) относительно гидрозолей  $AgBr$ ,  $BaSO_4$ ,  $Fe(OH)_3$ ,  $SiO_2$ , суспензий стекла и угля. Во всех случаях, кроме  $AgBr$ , защитные свойства II можно устранить примерно одним и тем же кол-вом I ( $\sim 3$  ммоль



на 1 г сухой П) независимо от т-ры (20—40°), pH (9,5—13), конц-ии дисперсида и от порядка смещения компонентов. То же кол-во I необходимо для предотвращения образования в 2,5%-ном р-ре II геля и пены с устойчивостью в течение 1 мин. Поскольку для подавления способности II давать окрашенные комплексы с ионами  $\text{Cu}^{2+}$  необходимо в 16 раз больше I (47 ммоль на 1 г II), сделан вывод, что найденное значение I соответствует только частичному разрушению всей возможной защитной способности молекулы II, а именно разрушению какой-то одной группы. Приведены доказательства, что такой наиболее вероятной группой является гуанидиновая цепь в молекуле аргинина.

И. Гуревич

**28145. Об истечении раствора из пленок пены. Шелудко (Über das Ausfließen der Lösung aus Schaumfilmen. Scheludko A.), Kolloid-Z., 1957, 155, № 1, 39—44 (нем.)**

Разработаны методы изучения скорости истечения р-ра из горизонтальных пленок пены, основанные на измерении толщины пленки  $h$ . Для пленок, имеющих форму плоского кольца между цилиндрич. и центр. электродами, измеряют возрастание электрич. сопротивления, пропорционального  $h^{-1}$ .  $h$  круглых пленок, образующихся на конце вынимаемой из р-ра трубки, измеряют оптич. методом с помощью самопишущего интерферометра с фотосопротивлением. Опыты с пленками из р-ров олеата Na, изомиллового спирта и сапонина с  $h \geq 0,2$  м подтверждают справедливость следующих ур-ий. Для кольцеобразной пленки с радиусами  $r_1$  и  $r_2$ :  $1/h^2 - 1/h_0^2 = (4/3\eta)P(t - t_0)/[r_1^2 + r_2^2 + (r_1^2 - r_2^2)\ln^{-1}(r_2/r_1)]$  (1), для круга с радиусом  $r$ :  $1/h^2 - 1/h_0^2 = (4/3\eta)P(t - t_0)/r^2$  (2), где  $h_0$  — значение  $h$  при  $t = t_0$ ,  $\eta$  — вязкость жидкости,  $P$  — давление, под действием которого происходит истечение. Для горизонтальных пленок пены  $P$  — капиллярное всасывание, связанное с вогнутостью краевых утолщенных частей пленки и не меняющееся со временем. Ур-ния (1) и (2) выведены с помощью модели истечения жидкости из зазора между двумя стенками. Скорость истечения не зависит от природы и конц-ии поверхностно-активного в-ва. Режим истечения р-ров изомиллового спирта такой же, как и р-ра сапонина, хотя устойчивость пленок в последнем случае значительно выше. По-видимому, действие стабилизаторов пен основано на уменьшении скорости истечения, а на уменьшении крит. толщины, при которой происходит разрыв пленки. При  $h \geq 0,2$  м истечение жидкости из пленки замедляется взаимодействием диффузных частей электрич. двойных слоев. Прибавление KCl снимает этот эффект.

И. Слоним

**28146. Дефлокуляция в углеводородных маслах. Бонди, Даймонд (Deflocculation in hydrocarbon oils. Bondi A., Diamond H.), J. Colloid Sci., 1957, 12, № 5, 510—522 (англ.)**

Разработан метод изучения дефлокулирующего действия поверхностно-активных в-в (ПАВ) на суспензии электропроводящих частиц в маслах при т-рах до 200°. Метод основан на измерении электрич. сопротивления постоянному току при малых градиентах потенциала в ячейке с вращающимся электродом. При флокуляции образуются цепочки частиц, проводящие ток, и сопротивление невелико. В присутствии ПАВ столкновение частиц не ведет к образованию электропроводного мостика, и сопротивление растет тем больше, чем эффективнее дефлокуляция. Изучено действие трех применяемых в технике ПАВ — ионогенных и неионогенных полимеров — на суспензии ацетиленовой и канальной сажи в углеводородных маслах. В суспензиях сажи с кислотной поверхностью дефлокуляция под действием ПАВ эффективнее, чем для нейтр. саж, особенно если масло содержит поли-

ароматич. углеводороды. Конц-ии ПАВ, достаточные для дефлокуляции, невелики, напр. для Са-селей сульфированных углеводородов нефти достаточно  $\sim 10$  ммоль на кг 10%-ной суспензии сажи при комнатной т-ре. Показано, что диспергирующее действие ПАВ связано с их адсорбцией на частицах сажи с образованием полимолекулярных слоев.

И. Слоним

**28147. Теория течения газа в пористом теле в околокнудсеновской области. Псевдомолекулярный поток. Дерягин Б. В., Баканов С. П., Докл. АН СССР, 1957, 115, № 2, 267—270**

Цель работы — объяснить наблюдаемую на опыте немонокотную зависимость потока газа  $Q$  в пористом теле (или в отдельных капиллярах) от давления газа. Рассматривается тело с очень высокой пористостью  $\delta$ . Опираясь на работу (Дерягин Б. В., Докл. АН СССР, 1946, 53, 267), авторы показывают, что в этом случае существует область давлений газа, в которой удовлетворяется (1) условие отсутствия кнудсеновского режима при одновременной (2) независимости конвективной слагающей от координат. Для случая, когда выполняется только условие (2), получено выражение для  $Q$  и коэф. фильтрации  $k$ . Последний немонотонно зависит от  $\alpha = \lambda_0/\lambda$  ( $\lambda_0$  — средний просвет пор,  $\lambda$  — средняя длина пробега газовых молекул при данном  $p$ ); максим. падение  $k$  с ростом  $\alpha$  происходит на  $\sim 11,7\%$ . Для давлений, при которых условие (2) нарушается, также получено выражение для коэф. фильтрации. На кривых  $k(\alpha/\delta)/k_0$  ( $k_0$  — кнудсеновский коэф. фильтрации), приводимых для различных  $\delta$ , виден четко выраженный минимум. Существование, что при режиме с соблюдением условия (2) (авторы называют такой режим псевдомолекулярным) и при  $\alpha/\delta < 2$   $k \approx k_0$  несмотря на существенное различие механизмов кнудсеновского и псевдомолекулярного течения.

В. Цукерман

**28148. Теория силового взаимодействия покоящихся капель на любом расстоянии при психрометрической температуре. Духин С. С., Дерягин Б. В., Докл. АН СССР, 1957, 115, № 1, 126—129**

В развитие ранее опубликованных работ (РЖХим, 1956, 74609; 1957, 40844, 71328; 1958, 13960) рассмотрено диффузионное взаимодействие покоящихся капель при стационарном и адиабатном протекании процессов испарения или конденсации. Составлена система ур-ий и граничных условий, определяющих поле скоростей и потоков диффузии при фазовом переходе на поверхностях двух покоящихся капель 1 и 2. Стефановское ламинарное течение ( $Re \ll 1$ ) вязкой среды оказывается потенциальным, что существенно облегчает задачу, которая сводится к решению ур-ния для потенциала. В результате получено приближенное значение для результирующей силы, действующей со стороны капли 1 на каплю 2. В первом приближении эта сила на всех расстояниях равна нулю. При помощи аналогии между диффузионным и электрич. взаимодействием показано, что во втором приближении сила обратно пропорциональна квадрату расстояния между каплями; ее знак определяется совпадением или различием направлений фазового перехода, а также качеством составом паро-газовой смеси. Капли воды в воздухе отталкиваются при одновременном испарении или конденсации и притягиваются, если направления фазового перехода не совпадают.

В. Дунский

**28149. О роли кинетики адсорбции в явлениях смазывания частиц пыли каплями растворов поверхностно-активных веществ. Никитина С. А., Таубман А. Б., Докл. АН СССР, 1957, 116, № 1, 113—116**

В развитие предыдущих работ (РЖХим, 1957, 34122, 34123) с помощью измерений статич.  $\sigma$ , и неравновес-

ного динамич.  $\sigma_d$  поверхностного натяжения водн. р-ров поверхностно-активных в-в (ПАВ) в функции конц-ии с установлена связь между скоростью достижения в них адсорбционного равновесия и их пылеулавливающей способностью в условиях кратковременного соприкосновения витающих частиц пыли с падающими в запыленной атмосфере каплями р-ра. Выяснена роль в процессе пылеулавливания р-рами ПАВ — полукolloидов (мыл), явлений мицеллообразования и кинетики формирования в них адсорбционных слоев на поверхности раздела р-р — воздух. Метод совместного снятия изотерм ( $\sigma_s, c$ ) и ( $\sigma_d, c$ ) может быть положен в основу классификации и подбора смачивателей по эффективности их пылеулавливающего действия. А. Таубман

28150. Рассеяние света коагулирующим аэрозолем. Тодес О. М., Чекунов А. А., Коллоидн. ж., 1957, 19, № 5, 633—639 (рез. англ.)

Исследовано изменение оптич. свойств коагулирующего полидисперсного аэрозоля. Для вычисления рассеяния света на частицах, размеры которых соизмеримы с длиной световой волны, предложена интерполяционная ф-ла  $y = x^2/(1 + x^{1/2})$ , где  $x$  — безразмерный объем частицы,  $y$  — безразмерное эффективное сечение рассеяния. С учетом этой ф-лы и асимптотич. функции распределения размеров частиц в коагулирующем аэрозоле (Тодес О. М., Проблемы кинетики и катализа, 1949, 7, 157) выведено ур-ние для уменьшения мутности аэрозоля с течением времени. Опыты с мазутным туманом дали хорошее согласие с этим ур-нием. В. Дунский

28151. Силы, действующие на аэрозольные частицы в термопреципитаторе. Шадт, Кейдл (Thermal forces on aerosol particles in a thermal precipitator. Schadt C. F., Cadle R. D.), J. Colloid Sci., 1957, 12, № 4, 356—362 (англ.) См. РЖХим, 1958, 11138.

28152. К вопросу о величине элементарных зародышей при коагуляции водных аэрозолей. Товбин М. В., Савинова О. В. (До питання про розміри елементарних зародків при коагуляції аерозолей води. Товбін М. В., Савінова О. В.), Наук. зап. Київськ. ун-т, 1957, 16, № 15, 45—47 (укр.; рез. русск.)

Теоретически показано, что при определенной, достаточно высокой степени дисперсности, процесс слипания частиц дисперсной фазы перестает быть самопроизвольным, так как он не приводит к уменьшению свободной энергии системы. Вычислены значения поверхностного натяжения ( $\sigma$ ) и упругости насыщенного пара для капель воды различного размера. Связь между  $\sigma$  и радиусом сферич. капель воды описывается ур-нием:  $\sigma = \sigma_0 \exp(-\beta/r)$ , где  $\sigma_0$  — поверхностное натяжение на плоской поверхности и  $\beta$  — постоянная величина. Показано, что коалесценция капель в водяных туманах возможна лишь при  $r > 3.7 \cdot 10^{-8}$  см. См. также РЖХим, 1957, 12724. Резюме авторов

28153. Теория испарения водяных облаков. Милберн (Theory of evaporating water clouds. Mil-

burn Richard H.), J. Colloid Sci., 1957, 12, № 4, 378—388 (англ.)

Теоретически изучена передача тепла и массы в водяном облаке ограниченного объема. При этом конц-ия пара, т-ра и размер капелек выражены в непрерывных функциях поля. Выведено простое нелинейное дифференциальное ур-ние для изменения этих параметров во времени и пространстве. Даны решения аппроксимирующего линейного дифференциального ур-ния, позволяющие описать начальные стадии испарения облака при двух типах краевых условий.

Резюме автора

28154. Об изменении спектра размеров частиц в облаке при испарении, горении или ускорении. Шапиро, Эрикссон (On the changing size spectrum of particle clouds undergoing evaporation, combustion, or acceleration. Shapiro A. H., Erickson A. J.), Trans. ASMB, 1957, 79, № 4, 775—786. Discuss., 786—788 (англ.)

Рассмотрено полидисперсное облако, одномерно движущееся со скоростью  $U$  в канале переменного сечения  $A$  при испарении или другом процессе, вызывающем изменение размеров частиц  $D$ . Изменение функции распределения размеров частиц  $G$  со временем  $t$  описывается ур-нием  $\partial G/\partial t + U \partial G/\partial S + R \partial G/\partial D = -G[\partial U/\partial S + (U/A) \partial A/\partial S + \partial R/\partial D]$ , где  $S$  — координата,  $R = dD/dt$ . Рассмотрено решение этого ур-ния для случая испарения неподвижного облака в неизменяющейся среде при  $R = -K/D$  ( $K$  — константа). В этом случае при начальной функции распределения  $D^*G = n_0(D/D^*) \exp[-1/2(D/D^*)^2]$  ( $D^*$  — значение  $D$ , соответствующее максимуму  $G$  в начальный момент;  $n_0$  — начальная счетная конц-ия) средний диаметр частиц не изменяется во времени; поэтому можно оперировать при вычислениях вместо полидисперсной системы — монодисперсной, но с переменной счетной конц-ией  $n$ . По мнению авторов, эта модель дает качественно и количественно лучшие результаты, чем обычная (монодисперсное облако,  $n = \text{const}$ ). Рассмотрено также изменение  $G$  и  $n$  при испарении с учетом изменения свойств среды, при движении испаряющегося аэрозоля в канале в случае  $UA = \text{const}$ , при гравитационном оседании испаряющегося облака, при установившемся движении не испаряющегося аэрозоля в канале переменного сечения и др. В. Дунский

28155 К. Коллоиды. Бонне (Les colloïdes. Bonnamy Maurice. Paris, Presses univ. France, 1957, 128 p., ill., 153 fr.) (франц.)

28156 К. Коллоидная химия. Часть I. Шелудко (Коллоидна химия. Ч. I. Шелудко Алексей. София, Наука и изкуство, 1957, 112 стр., ил., 4.60 лв.) (болг.)

См. также: раздел Химия высокомолекулярных веществ и рефераты: Суспензии 28298, 29006. Дисперсные системы 28588, 28590, 28611, 29551. Эмульсии 28009, 28012, 30039, 30040, 30048, 30049

## НЕОРГАНИЧЕСКАЯ ХИМИЯ. КОМПЛЕКСНЫЕ СОЕДИНЕНИЯ

Редактор А. Б. Нейдин

28157. Русская химическая номенклатура. I. Розмарин (Nomenclatura chimică rusă. Rozmarin G. h.), Bul. Inst. politehn. Iași, 1956, 2, № 3-4, 459—468 (рум.)

Номенклатура неорган. соединений на рум. и русск. языках. А. Н.

28158. О получении металлического рубидия и йодида рубидия. Мингазин Т. А., Ж. неорган. химии, 1957, 2, № 5, 995—996

Для получения металлич. Rb из RbJ применено восстановление в вакууме при высокой т-ре по ранее описанной методике. Реакционную смесь готовили из



хорошообразного RbJ и кусочков металлич. Ca (в качестве восстановителя). Р-цию вели в кварцевом приборе при  $10^{-2}$  мм рт. ст. и  $750^\circ$ . Пары восстановленного Rb конденсировались на холодных частях прибора, откуда слабым пламенем горелки постепенно собирались в ампулу. Очистку рубидия производили перегонкой при  $6-8 \cdot 10^{-2}$  мм рт. ст. и  $300-350^\circ$  в кварцевом приборе, аналогичном первому. После охлаждения и отсоединения от вакуума прибор заливали осушенным керосином, и ампулу с Rb отрезали. Выход металлич. Rb 60%.

Ч. Максимова  
28159. К химии наиболее редких элементов. III. Получение скандия в компактном состоянии. Петру, Прохазка, Гаек (Příspěvky k chemii vzácnějších prvků. III. Příprava kovového skandia v kompaktním stavu. Petrů František, Procházka Vladimír, Hájek Bohumil), Chem. listy, 1957, 51, № 4, 672-675 (чешск.).

Для получения металлич. Sc использовано восстановление  $\text{ScF}_3$  (I) или безводн.  $\text{ScCl}_3$  (II) действием металлич. Ca. Восстановление проводили в Ta- или Mo-тигле, который нагревали в атмосфере Ag при помощи высокочастотного индукционного нагрева. Смесь, содержащую 10 вес. ч. Ca и 17 вес. ч. I, нагревали до  $850^\circ$  и после окончания энергичной р-ции — до  $1500^\circ$ . Была получена черная масса, не реагирующая с водой. Аналогично протекало восстановление II: смесь, содержащую 6 вес. ч. II и 2,4 вес. ч. Ca-стружек, нагревали до  $850^\circ$ , причем произошла энергичная р-ция, при которой на дне тигля образовался спекшийся металл. Путем перегонки неочищенного металла в вакууме при давл.  $10^{-4}$  мм рт. ст. и  $1600^\circ$  был получен весьма чистый металлич. Sc в виде серебристо-белого слоя на крышке тигля для возгонки. Часть II см. РЖХим, 1958, 7363.

V. Růžička  
28160. О получении циркония и некоторых его сплавов электролизом расплавов. Андриё, Дофен (Sur la préparation du zirconium et de quelques alliages de zirconium par électrolyse ignée. Andrieux Jean—Lucien, Dauphin Jeanne), C. r. Acad. sci., 1957, 245, № 17, 1359-1362 (франц.). Губчатый цирконий ~ 99% чистоты получен электролизом  $\text{ZrCl}_4$  в расплавах хлоридов щел. и щел.-зем. металлов, в атмосфере Ag при  $600-700^\circ$  и напряжении 3,3-3,4 в (сила тока 10-15 а). Электролиз проводился в графитовом тигле, который одновременно служил анодом. Конструкция катода, в качестве которого использовался Mo-стержень, позволяла избежать соприкосновение с корродирующими газами, выделяющимися при электролизе. Рекомендуются 2 электролита (состав в вес. частях):  $\text{ZrCl}_4$  20, эвтектика ( $\text{CaCl}_2$  68%,  $\text{NaCl}$  32%) 160 и  $\text{ZrCl}_4$  20, эвтектика ( $\text{CaCl}_2$  74%,  $\text{KCl}$  26%) 160. Сплавы Zr с Be, Mn, Al, U и Ti получены электролизом  $\text{ZrCl}_4$  или  $\text{K}_2\text{ZrF}_6$  в расплавах NaCl, содержащих  $\text{NaBeF}_3$ ,  $\text{MnCl}_2$ ,  $\text{Na}_3\text{AlF}_6$ ,  $\text{UF}_4$  или  $\text{K}_2\text{TiF}_6$  при  $800-850^\circ$ . В зависимости от состава ванны получены сплавы, которые согласно кристаллографич. анализу представляют собой:  $\alpha\text{-Zr} + \text{ZrBe}_2$  (содержание Be в сплаве 4,2-12%, сплав окрашен в красноватый цвет вследствие присутствия небольших кол-в свободного Be);  $\text{ZrMn}_2$  с избытком металлич. Zr или Mn в зависимости от содержания  $\text{ZrCl}_4$  или  $\text{MnCl}_2$  в расплаве; кристаллич. осадки состава  $\text{Zr}_2\text{Al}_3$ ,  $\text{ZrAl}$ ,  $\text{Zr}_2\text{Al}_3$  или их смеси с содержанием Al 7,6-25,4%; твердые р-ры  $\alpha\text{-Zr} - \alpha\text{-U} + \beta\text{-Zr} - \gamma\text{-U}$  с содержанием Zr 18-80%; твердые р-ры  $\alpha\text{-Zr} - \alpha\text{-Ti}$  или смеси твердых р-ров  $\alpha\text{-Zr} - \alpha\text{-Ti}$  и  $\beta\text{-Zr} - \beta\text{-Ti}$ .

A. Соловкин  
28161. О механизме образования циркониевой губки при магнетермическом процессе получения циркония. Решетников Ф. Г., Обломеев Е. Н., Атомн. энергия, 1957, 2, № 5, 459-462

Путем введения в магний хорошо растворимых, но

труднолетучих Sn и Al и анализа циркониевой губки (в различных ее местах) на содержание этих элементов установлено, что в начальной стадии процесса магнетермич. образования циркония р-ция восстановления  $\text{ZrCl}_4$  жидким Mg происходит на поверхности расплавленной магниевой ванны преимущественно у стенок тигля, катализирующих р-цию. Получающийся при этом Zr образует донную и боковую губки. Верхняя губка, выше первоначального уровня жидкого Mg, появляется при установившемся режиме ( $800-850^\circ$ ) в результате р-ции паров  $\text{ZrCl}_4$  и жидкого Mg, поднимающегося за счет капиллярных сил по ранее образовавшейся губке. Авторы приходят к выводу, что скорость р-ции определяется не столько площадью зеркала ванны, сколько периметром тигля. В случае применения тиглей большого размера рекомендуется вводить дополнительные перегородки, которые могут выполнять ту же роль, что и стенки тигля.

A. Соловкин

28162. Получение трансурановых элементов. Мак-Кей (Preparation of trans-uranium elements. McCauley H. A. C.), Nature, 1957, 180, № 4594, 1010-1012 (англ.)

О получении nobelia. B. Ш.  
28163. Новый элемент. Коулсон (A new element. Coulson Thomas), J. Franklin Inst., 1957, 264, № 3, 237-238 (англ.)

О получении nobelia. B. Ш.  
28164. Получение nobelia. Милстед (The preparation of nobelium. Milsted J.), Nature, 1957, 180, № 4594, 1012-1013 (англ.)

28165. Пирофорные свойства металлов. Циммер (Le proprietà piroforiche dei metalli. Zimmer E. L.), Energia nucl., 1957, 4, № 3, 182-186 (итал.)

28166. Строение стannата натрия. Вильямс, Пейс (The structure of sodium stannate. Williams R. L., Pace R. J.), J. Chem. Soc., 1957, Sept., 4143-4144 (англ.)

ИК-спектр гидратированного стannата Na (I) содержит сильную полосу  $3597 \pm 10$  и слабую полосу  $898 \pm 5 \text{ см}^{-1}$ , соответствующие вал. и деф. кол. OH. В спектре отсутствуют полосы, соответствующие наличию кристаллизационной воды. ИК-спектр показывает, что I обладает строением  $\text{Na}_2[\text{Sn}(\text{OH})_6]$ . И. Рысе  
28167. Реакция гидрида натрия с метилборатом в растворителях. Новый удобный метод синтеза борогидрида натрия. Браун, Мид, Тирни (The reaction of sodium hydride with methyl borate in solvents. Convenient new procedures for the synthesis of sodium borohydride. Brown Herbert C., Mead Edward J., Tierney Paul A.), J. Amer. Chem. Soc., 1957, 79, № 20, 5400-5404 (англ.)

В отсутствие р-рителей NaN реагирует с  $\text{B}(\text{OCH}_3)_3$ , образуя  $\text{NaN}(\text{OCH}_3)_3$  (I) по ур-нию:  $\text{NaN} + \text{B}(\text{OCH}_3)_3 \rightarrow \text{I}$  (1). При проведении р-ции в р-рителе диглиме  $(\text{CH}_3\text{O}(\text{CH}_2)_2\text{O}(\text{CH}_2)_2\text{OCH}_3)$  (II) первоначально образующийся по ур-нию (1) I, растворимый в II, быстро диспропорционируется:  $4 \text{I} \rightarrow \text{NaNH}_2 + 3 \text{NaN}(\text{OCH}_3)_4$  (III) (2).  $\text{NaNH}_2$  остается в р-ре, а III выпадает в осадок. В среде тетрагидрофурана (IV) также идет диспропорционирование I по ур-нию (2), но в этом случае III остается в р-ре, а  $\text{NaNH}_2$  частично выпадает в осадок. Остальная часть  $\text{NaNH}_2$  образует растворимый в IV комплекс 1:1 с III; комплексобразование увеличивается при  $0^\circ$ . При пропускании небольшого избытка  $\text{B}_2\text{H}_6$  через р-р III в IV идет р-ция  $3 \text{III} + \text{B}_2\text{H}_6 \rightarrow 3 \text{NaNH}_4 + 4 \text{B}(\text{OCH}_3)_3$  (3) и получается  $\text{NaNH}_4$  в виде осадка белых мелких частиц. По окончании р-ции отгоняют IV; выход колич., и р-ция (3) представляет удобный путь синтеза  $\text{NaNH}_4$ .

И. Слоним

28168. Некоторые особенности образования цирконата кальция. Кузнецов А. К., Ж. неорган. химии, 1957, 2, № 10, 2327—2333

Изучен процесс образования  $\text{CaZrO}_3$  с помощью термографич., рентгенографич., фазового хим. и электронномикроскопич. методов исследования. Начало р-ции образования  $\text{CaZrO}_3 \sim 900^\circ$ ; наиболее интенсивно р-ция протекает при  $980-1240^\circ$ . Образование соединения сопровождается увеличением пористости и объема образца; это обусловлено тем, что продукт р-ции, откалываясь от зерен  $\text{ZrO}_2$ , образует рыхлую массу. Из резюме автора

28169. О природе дихлорида индия. Пузако В. Д., Крылов Е. Н., Штольц А. К., Ж. неорган. химии, 1957, 2, № 8, 1753—1756

Для установления природы димерной молекулы  $(\text{InCl}_2)_2$  исследована магнитная восприимчивость в системе  $(\text{InCl}_2)_2-\text{InCl}$ . Обнаружено, что диамагнитный  $(\text{InCl}_2)_2$  после растворения его в расплавленном  $\text{InCl}$  становится парамагнитным и что кривая зависимости магнитной восприимчивости от состава имеет максимум. Так как величина эффективного магнитного момента  $0,49 \mu_B$ , соответствующая максимуму, отлична от теоретически рассчитанной ( $1,73 \mu_B$ ) при допущении полной диссоциации димера  $(\text{InCl}_2)_2$  на парамагнитные молекулы-радикалы  $\text{InCl}_2$ , то возможен лишь частичный разрыв связи  $\text{In}-\text{In}$ . На основании полученных результатов авторы заключают, что структура  $\text{Cl}_2\text{In}-\text{InCl}_2$  (Klemm W., Tilk W. T., Z. anorg. und allgem. Chem., 1932, 207, 175) лучше соответствует магнитным свойствам, чем структура  $\text{In}+[\text{In}^{3+}\text{Cl}_2]$ , что не противоречит также данным рентгенофазового анализа. В. Зломанов

28170. Строение и реакции  $\text{N}_2\text{O}_4$ . Смит (The structure and reactions of dinitrogen tetroxide. Smith J. W.), Sci. Progr., 1957, 45, № 180, 653—663 (англ.). Обзор. Библ. 22 назв.

28171. Об йодидах тантала. Чижигов Д. М., Рабинович Б. Н., Ж. неорган. химии, 1957, 2, № 11, 2513—2516

Йодид Та получали нагреванием порошкообразного Та в парах йода при т-ре, начиная с  $550^\circ$ . Методом рентгеноструктурного анализа получены данные об интенсивности линий и межплоскостных расстояниях, соответствующих три- и тетраиодидам Та, отличающихся от таковых для йода и Та. Термограмма йодида имеет на кривой нагревания три эндотермич. эффекта с минимумами при  $150$ ;  $350$  и  $475^\circ$ . Резюме авторов

28172. Строение и реакционная способность анионов кислородных кислот переходных элементов. Часть III. Гипохромат-ион. Бейли, Саймонс (Structure and reactivity of the oxyanions of transition metals. Part III. The hypochromate ion. Bailey N., Symons M. C. R.), J. Chem. Soc., 1957, Jan., 203—207 (англ.)

При сплавлении  $\text{K}_2\text{CrO}_4$  (I) в отсутствие  $\text{O}_2$  с большим избытком  $\text{KOH}$  и малым кол-вом воды (напр.,  $5 \text{ г KOH}$ ,  $1 \text{ г H}_2\text{O}$  и  $0,1-0,01 \text{ г I}$ ) происходит восстановление I до желтовато-зеленого гипохромата  $\text{CrO}_4^{3-}$  (II) по ур-нию:  $4\text{CrO}_4^{2-} \text{ (III)} + 4\text{OH}^- = 4\text{II} + 2\text{H}_2\text{O} + \text{O}_2$ . В спектре поглощения застывшего сплава наблюден широкий максимум при  $625 \text{ мμ}$  ( $\epsilon$  250) и еще более интенсивный максимум при  $365 \text{ мμ}$ ; спектр отличен от спектра смеси III и  $\text{Cr}(\text{OH})_6^{3-}$  (IV). Наличие II подтверждено и характером температурной зависимости парамагнитного резонанса. При разбавлении водой II диспропорционируется на III и IV. Сплав II в  $\text{KOH}$  быстро окисляется действием  $\text{O}_2$ ,  $\text{Na}_2\text{O}_2$  или щел. р-ра  $\text{H}_2\text{O}_2$ . II не восстанавливается действием  $\text{Na}_2\text{SO}_3$  или  $\text{NaN}_3$ . Часть II см. РЖХим, 1957, 59951. И. Рысс

28173. Изучение реакции образования наддуановой кислоты в растворе. Гуревич А. М., Преображенская Л. Д., Комаров Е. В., Ж. неорган. химии, 1957, 2, № 10, 2307—2315

Изучена р-ция взаимодействия  $\text{UO}_2(\text{NO}_3)_2$  с  $\text{H}_2\text{O}_2$  в р-ре. Установлено образование надкислоты, отвечающей ф-ле  $\text{H}_2\text{U}_2\text{O}_9$ . Оценены константы диссоциации  $\text{H}_2\text{U}_2\text{O}_9$ :  $K_1 \sim 10^{-7}$ ,  $K_2 \sim 10^{-10}$ , и рассчитана константа равновесия р-ции образования  $\text{H}_2\text{U}_2\text{O}_9$ , равная  $2 \cdot 10^{-9}$ . Из резюме авторов

28174. Гексафторид платины. Уэйнсток, Клаасен, Мам (Platinum hexafluoride. Weinstock Bernard, Claassen Howard H., Malm John G.), J. Amer. Chem. Soc., 1957, 79, № 24, 5832 (англ.)

При пропускании  $\text{F}_2$  под давл.  $300 \text{ мм рт. ст.}$  над нагретой пропусканием электрич. тока  $\text{Pt}$ -спиралью происходила экзотермич. р-ция образования  $\text{PtF}_6$  и  $\text{PtF}_5$  (I); последний конденсировался на находящейся непосредственно за спиралью поверхности, охлаждаемой жидким  $\text{N}_2$ . Из  $10 \text{ г Pt}$  получено  $1,4 \text{ г}$  очпш. I. Давление насыщ. пара I при  $0^\circ$  и  $21^\circ$  соответственно равно  $29$  и  $96 \text{ мм рт. ст.}$ , т. пл.  $56,7^\circ$ . I изоструктурен  $\text{OsF}_6$  и  $\text{IrF}_6$ , окрашен в темно-красный цвет; пар I сходен по цвету с паром  $\text{Br}_2$ . В контакте с  $\text{SiO}_2$  или пирексом I медленно разлагается; в  $\text{Ni}$ -сосуде I сохраняется неделями.  $\text{Np}$  фторируется действием I до  $\text{NpF}_6$ . И. Рысс

28175. Условия образования арсенатов трехвалентного таллия. Фаворская Л. В., Столяр И. Е., КазССР. Гылым Акад. хабарлары. Изв. АН КазССР. Сер. горн. дела, металлургии, стры и стройматериалов, 1957, вып. 4 (15), 53—58 (рез. каз.)

Установлено, что состав арсенатов таллия, осаждаемых из р-ров, содержащих мышьяк, зависит от pH среды. Отношение  $\text{Cl}:\text{As}$  колеблется от  $1:2$  при pH  $1,6-2$  до  $1:0,5$  при pH  $8,7$ . Относительное уменьшение содержания мышьяка в осадках объясняется образованием в щел. среде основных арсенатов таллия типа  $\text{Ti}(\text{OH})_3 \cdot \text{TiAsO}_4$ . Из резюме авторов

28176. Сернистые соединения W и Mo, образующиеся в полисульфидной среде. Давришева Т. А., Сообщ. АН ГрузССР, 1957, 18, № 6, 679—686

Окрашенное соединение W, образующееся в полисульфидной среде, содержит агрегированную вольфрамовую к-ту и серу и является, очевидно, комплексным анионом. Производное Mo, образующееся в полисульфидной среде, представляет собой сульфогидрокси- или оксисульфосоль Mo. Резюме автора

28177. Хлорная кислота и ее производные. IV. Гидраты хлорной кислоты. Зинovieв А. А., Бабаева В. П., Ж. неорган. химии, 1957, 2, № 9, 2188—2195

Исследованы уд. веса  $\rho$  и вязкости  $\eta$  смесей  $\text{HClO}_4$  и  $\text{H}_2\text{O}$  при  $20$ ,  $55$  и  $75^\circ$ . По мнению авторов, величина  $\rho$ ,  $\eta$  и  $d\eta/dT$  указывают на существование гидратов  $\text{HClO}_4$  с  $1$ ,  $2$ ,  $2,5$ ,  $3$  и  $3,5 \text{ H}_2\text{O}$ ; эти гидраты существуют в р-ре и при  $75^\circ$  (последние три — в весьма диссоциированном состоянии). И. Рысс

28178. Гидраты окислов и окислы железа, пригодные для получения ферромагнитных ферритов. Краузе, Вольский (O wodorotlenkach i tlenkach żelazowych nadających się do otrzymywania ferromagnetycznych żelazinów. Krause Alfons, Wolski Włodzimierz), Roczn. chem., 1957, 31, № 1, 323—325 (польск.; рез. нем.)

Исследовались возможности получения ферромагнитных ферритов из ряда окислов и гидратов окислов железа. Получение ферритов состоит из операций растворения окисла с солью соответствующего металла и прокаливания. Лучшими исходными материалами являются  $\gamma\text{-FeOOH}$  и гётит;  $\alpha\text{-Fe}_2\text{O}_3$  непригодны. Обсужден механизм образования ферритов. J. Majchrowa



28179. Новый простой метод получения ферромагнитных ферритов. Краузе, Вольский (O nowej prostej metodzie otrzymywania ferromagnetycznych żelazinów. Krause Alfons, Wolski Włodzimierz), Rozpr. chem., 1957, 31, № 1, 319—324 (польск.; рез. нем.)

Получены ферромагнитные ферриты путем увлажнения оухой  $\gamma$ -FeOOH водн. р-ром соли соответствующего металла. Смесь сушили и прокаливали при 350—1200°. Таким образом получены устойчивые ферриты Mg, Ba, Zn, Cd, Cu, Mn, Ni и Co. J. Majchrowa

28180. Получение ферромагнитных ферритов термической обработкой соответствующих солей. Краузе, Вольский (O otrzymywaniu ferromagnetycznych żelazinów przez termiczną obróbkę odpowiednich soli. Krause Alfons, Wolski Włodzimierz), Rozpr. chem., 1957, 31, № 1, 327—328 (польск.; рез. нем.)

Ферромагнитные ферриты получены прокаливанием  $\text{FeSO}_4 \cdot 7\text{H}_2\text{O}$ , смешанного растиранем с солью соответствующего металла. Таким образом получены ферриты Mg, Cu, Mn, Ni, Co, Sm и других металлов.

J. Majchrowa

28181. Об этилацетоацетате двухвалентной меди. Ситарамая (On cupric ethyl acetoacetate. Sitarai G.), J. Indian Chem. Soc., 1957, 34, № 7, 552—553 (англ.)

Методом титриметрич. титрования установлено, что состав комплекса  $\text{Cu}(2+)$  с этилацетоацетатом отвечает ф-ле  $\text{Cu}(\text{C}_6\text{H}_9\text{O}_3)_2$ , что согласуется с данными о составе, полученными другими методами.

В. Зломанов

28182. Константы устойчивости комплексов металлов с некоторыми N-диалкилдитиокарбаминами кислотами. Часть II. Комплексы меди в водно-этаноловых смесях различного состава. Янссен (The stability constants of metal complexes of some N-dialkyldithiocarbamic acids. Part. II. Copper complexes in ethanol/water mixtures of various compositions. Janssen M. J.), Recueil trav. chim., 1957, 76, № 9-10, 827—835 (англ.)

С применением описанного ранее (часть I, РЖХим, 1957, 57275) метода измерены константы устойчивости  $K$  ряда комплексов  $\text{Cu}(2+)$  в водно-спирт. смесях при  $20 \pm 2^\circ$  и ионной силе 0,04; в качестве сравнительного комплексобразователя применялись 8-оксихинолин-3-сульфокислота, а в 89%-ном спирте и оксихинолин. Экстраполяции получены следующие значения логарифмов констант устойчивости в водн. р-рах для диметил-, дипропил- и циклотетраметилэндитиокарбаматных комплексов  $\text{Cu}(2+)$ :  $\lg K_1$  11,4, 12,5 и 10,9;  $\lg K_2$  10,3, 11,5 и 9,9;  $\lg K$  21,7, 24,0 и 20,8 ( $K_1$  и  $K_2$  — ступенчатые, а  $K$  — общая константа устойчивости). При экстраполяции использована зависимость  $K$  комплексных карбоксидитиокарбаматных комплексов  $\text{Cu}(2+)$  от состава р-ра; для них в чистой воде  $\lg K_1$  11,9,  $\lg K_2$  10,5,  $\lg K$  22,4.

И. Рысс

28183. Электрометрическое изучение состава тиосульфатных комплексов одновалентной ртути. Саксена (Electrometric studies on the composition of mercurous thiosulphate complexes. Saxena Ram Sahai), Z. analyt. Chem., 1957, 158, № 1, 24—30 (англ.)

Кондуктометрическим и потенциометрич. титрованием р-ров  $\text{Na}_2\text{S}_2\text{O}_3$  р-рами  $\text{Hg}_2(\text{NO}_3)_2$  установлено образование в р-ре комплекса  $\text{Na}_2(\text{Hg}_2)_2(\text{S}_2\text{O}_3)_3$  и  $\text{Hg}_2\text{S}_2\text{O}_3$ . При обратном титровании имеется лишь 1 точка эквивалентности, отвечающая образованию  $\text{Hg}_2\text{S}_2\text{O}_3$ . В водн. р-рах изломы на кондуктометрич. кривых и максимумы изменения э.д.с. для потенциометрич. кривых несколько смещены. Конечные точки титрования в присутствии 20%-ного спирта точно

соответствуют отношению  $\text{Hg}_2(\text{NO}_3)_2 : \text{Na}_2\text{S}_2\text{O}_3 = 2 : 3$  и 3 : 1, что позволяет использовать электрометрич. титрование для колич. определения  $\text{Hg}_2^{2+}$  и  $\text{S}_2\text{O}_3^{2-}$  в р-ре. Выпадающий при титровании белый осадок тиосульфата Hg постепенно темнеет, превращаясь в сульфид, что, однако, не сказывается на точности определения.

И. Слоним

28184. О комплексных соединениях олова. IV. Сумарокова Т., Литвяк И., Ж. общ. химии, 1957, 27, № 5, 1125—1130

Произведено изучение вязкости, плотности и электропроводности систем  $\text{SnCl}_4 \cdot 2\text{C}_6\text{H}_5\text{COOH} - \text{CCl}_3\text{COOH}$  (I),  $\text{SnCl}_4 \cdot 2\text{C}_6\text{H}_5\text{COOH} - \text{C}_6\text{H}_5\text{NO}_2$  (II) и  $\text{SnCl}_4 \cdot 2\text{CH}_3\text{COOH} - \text{C}_6\text{H}_5\text{NO}_2$  (III). Методами физ.-хим. анализа установлено отсутствие кислотно-основного взаимодействия между компонентами в системе I, образование комплексного соединения  $\text{SnCl}_4 \cdot 2\text{C}_6\text{H}_5\text{COOH} \cdot \text{C}_6\text{H}_5\text{NO}_2$  в системе II и соединения  $\text{SnCl}_4 \cdot 2\text{CH}_3\text{COOH} \cdot 2\text{C}_6\text{H}_5\text{NO}_2$  в системе III. Часть III см. РЖХим., 1958, 4085.

В. Шмидт

28185. О ферроцианидах циркония. I. О взаимодействии  $\text{ZrOCl}_2$  с  $\text{Na}_4[\text{Fe}(\text{CN})_6]$  и  $\text{K}_4[\text{Fe}(\text{CN})_6]$  в водных растворах. Тананаев И. В., Ионов Е. А., Ж. неорган. химии, 1957, 2, № 10, 2468—2474

По данным метода растворимости в системе  $\text{ZrOCl}_2$  (I) —  $\text{Na}_4[\text{Fe}(\text{CN})_6]$  (II) —  $\text{H}_2\text{O}$  при отношении I : II в р-ре от 0,30 до 1,20 выпадает осадок  $\text{ZrO}[\text{ZrO}(\text{OH})_2][\text{Fe}(\text{CN})_6]$  (III). Осадок III не вступает во взаимодействие с II и потому смешанные ферроцианиды в данной системе образовываться не могут. В системе I —  $\text{K}_4[\text{Fe}(\text{CN})_6]$  (IV) —  $\text{H}_2\text{O}$  образование осадка начинается с отношения IV : I = 0,15—0,20, но при повышении отношения IV : I до 0,22—0,24 осадок не выпадает. Начиная с отношения IV : I = 0,25 Zr осаждается количественно в виде  $[\text{ZrO}(\text{OH})_2][\text{Fe}(\text{CN})_6]$  (V). С дальнейшим повышением отношения IV : I выпадает смесь III и V. При отношении IV : I > 0,33 в осадок выпадает III. Образование III и V в системе I — IV —  $\text{H}_2\text{O}$  установлено методами растворимости, потенциометрич. титрования и измерения кажущегося объема осадков. Хотя V в системе с II не обнаружен, авторы предполагают одинаковый химизм образования ферроцианидов в обеих исследованных системах. Нормальные ферроцианиды Zr или смешанные ферроцианиды Zr и щел. металлов в обеих системах не образуются.

Н. Полянский

28186. К вопросу о строении комплексных соединений сурьмы. Климов В., Усанович М., Сумарокова Т., КазССР Гылым Акад. хабарлары, Изв. АН КазССР. Сер. хим., 1957, вып. 2 (12), 14—19 (рез. каз.)

Установлено, что при электролизе р-ров, образуемых  $\text{SbCl}_3$  с  $\text{CH}_3\text{COOH}$ , последняя переносится к катоду, т. е. входит в состав комплексного катиона. Доказана следующая схема электролитич. диссоциации комплексных соединений трихлорида сурьмы:  $\text{SbX}_3 + \text{A} \rightleftharpoons [\text{SbX}_2 \cdot \text{A}]^+ + \text{X}^-$ , где A — адденд. Резюме авторов

28187. Спектрофотометрическое исследование хлоридных комплексов висмута. Ньюман, Хьюм (A spectrophotometric study of the bismuth-chloride complexes. Newman Leonard, Hume David N.), J. Amer. Chem. Soc., 1957, 79, № 17, 4576—4581 (англ.)

Измерены УФ-спектры поглощения р-ров, содержащих 15 мг/л Bi и различные конц-ии  $\text{Cl}^-$ . Описанным ранее (РЖХим, 1958, 17342) методом показано, что в р-ре образуется 5 хлоридных комплексов Bi и вычислены их ступенчатые константы образования:  $[\text{BiCl}_2^+]/[\text{Bi}^{3+}][\text{Cl}^-] = 270 \pm 5$ ;  $[\text{BiCl}_2]/[\text{BiCl}_2^+][\text{Cl}^-] = 900 \pm 100$ ;  $[\text{BiCl}_3]/[\text{BiCl}_2][\text{Cl}^-] = 20 \pm 10$ ;  $[\text{BiCl}_4^-]/[\text{BiCl}_3][\text{Cl}^-] = 60 \pm 5$ ;  $[\text{BiCl}_4^-]/[\text{BiCl}_3][\text{Cl}^-] = 2,7 \pm 1$ ;  $[\text{BiCl}_5^{2-}]/[\text{BiCl}_4^-][\text{Cl}^-] = 3,0 \pm 0,5$ . Комплексам  $\text{BiCl}_5^{2-}$ ,

$\text{BiCl}_4^-$ ,  $\text{BiCl}_3$ ,  $\text{BiCl}_2^+$ ,  $\text{BiCl}^{2+}$  и иону  $\text{Bi}^{3+}$  соответствуют максимумы поглощения  $327 \pm 1$ ,  $317 \pm 2$ ,  $300 \pm 10$ ,  $255 \pm 10$ ,  $238 \pm 2$ ,  $222 \pm 1$  мμ; определены значения соответствующих коэф. экстинкции. Величины констант образования и характеристики поглощения  $\text{BiCl}_2^+$  и  $\text{BiCl}_2^-$  определены при ионной силе 1,0 в присутствии  $\text{HClO}_4$ ; остальные константы — в р-ре 1,0 M по  $\text{HClO}_4$  и 4,0 M по  $(\text{NaCl} + \text{NaClO}_4)$  при ионной силе 5,0.

И. Слоним  
28188. Спектрофотометрическое исследование смешанных хлоридных и бромидных комплексов висмута. Ньюман, Хьюм (A spectrophotometric study of the mixed ligand complexes of bismuth with chloride and bromide. Newman Leonard, Hume David N.), J. Amer. Chem. Soc., 1957, 79, № 17, 4581—4585 (англ.)

Сняты УФ-спектры поглощения р-ров, содержащих 15 мг/л Bi, 1 M  $\text{HClO}_4$  и различные конц-ии Cl<sup>-</sup> и Br<sup>-</sup> при общем содержании галогенид-ионов 4,0 M и ионной силе 5,0. Описанным ранее (РЖХим, 1958, 17342) методом показано, что в дополнение к комплексам  $\text{BiBr}_3^{2-}$  и  $\text{BiCl}_3^{2-}$  образуются смешанные комплексы  $\text{BiBr}_2\text{Cl}^{2-}$ ,  $\text{BiBrCl}_2^{2-}$ ,  $\text{BiBrCl}_2^-$  и в небольшом кол-ве  $\text{BiBr}_2\text{Cl}_2^{2-}$ . Рассчитаны ступенчатые константы образования комплексов:  $[\text{BiBr}_2^{2-}]\text{Cl}^- / [\text{BiBr}_2\text{Cl}^{2-}][\text{Br}^-] = 0,55 \pm 0,05$ ;  $[\text{BiBr}_2\text{Cl}^{2-}]\text{Cl}^- / [\text{BiBr}_2\text{Cl}_2^{2-}][\text{Br}^-] = 3,3 \pm 0,05$ ;  $[\text{BiBr}_2\text{Cl}_2^{2-}]\text{Cl}^- / [\text{BiBr}_2\text{Cl}_2^{2-}][\text{Br}^-] \approx 0,3 \pm 0,2$ ;  $[\text{BiBr}_2\text{Cl}_2^{2-}]\text{Cl}^- / [\text{BiBr}_2\text{Cl}_2^{2-}][\text{Br}^-] = 5,9 \pm 0,9$ ;  $[\text{BiBrCl}_2^{2-}]\text{Cl}^- / [\text{BiCl}_3^{2-}][\text{Br}^-] = 17 \pm 2$ .

И. Слоним  
28189. Реакция ванадата с дифенилкарбазидом. Бос (The reaction of vanadate with diphenylcarbazine. Rose Monisha), Naturwissenschaften, 1957, 44, № 19, 511—512 (англ.)

Дифенилкарбазид (I) и дифенилкарбазон (II) дают в нейтр. или слабнокислой среде красно-фиолетовое окрашивание с V(5+); при увеличении конц-ии к-ты окраска переходит в желтую или коричневую. По-видимому, р-ция связана с восстановлением V(5+) до V(4+) и комплексобразованием, так как  $\text{VO}^{2+}$  при pH 4—5 дает окраску лишь с II, но не с I. Комплекс (III)  $\text{VO}^{2+}$  с II получен в виде темно-фиолетовых кристаллов при р-ции спирт. р-ра II с водн. р-ром ванадата аммония в кислой среде. III растворим в спирте,  $\text{CHCl}_3$ ,  $\text{C}_6\text{H}_6$  и других органич. р-рителях; в воде нерастворим, но растворяется в 0,1 н. р-ре щелочи и выпадает при подкислении. Сухой III устойчив, в нейтр. и щел. р-рах разлагается через 1—2 дня. Спектр III идентичен спектрам смесей ванадата с I, максимум поглощения при 530—535 мμ. III адсорбируется из спирт. р-ра на  $\text{Al}_2\text{O}_3$ , что свидетельствует о наличии свободных полярных групп. Отношение V: II в III равно 1:2; III кристаллизуется с 2 молекулами  $\text{H}_2\text{O}$ , при высушивании в вакууме над  $\text{H}_2\text{SO}_4$  теряет воду.

И. Слоним  
28190. Кинетика акватации *цис*-дихлоро-*бис*-(этилендиамин)хром-иона. Селбин, Бейлар (The kinetics of aquation of *cis*-dichloro-*bis*-(ethylenediamine)-chromium (III) ion. Selbin Joel, Bailar John C., Jr.), J. Amer. Chem. Soc., 1957, 79, № 16, 4285—4289 (англ.)

В 0,1 н.  $\text{HNO}_3$  активация иона *цис*- $[\text{CrEn}_2\text{Cl}_2]^+$  (I), протекает в 2 стадии:  $\text{I} + \text{H}_2\text{O} \rightarrow \text{цис-}[\text{CrEn}_2\text{Cl}(\text{H}_2\text{O})]^+ + \text{Cl}^-$  (II) +  $\text{Cl}^-$  и  $\text{II} + \text{H}_2\text{O} \rightarrow \text{цис-}[\text{CrEn}_2(\text{H}_2\text{O})_2]^+ + \text{Cl}^-$ . 1-й процесс протекает по р-ции псевдопервого порядка; между 20—30° константа скорости (сек.<sup>-1</sup>)  $k_1 = 9,65 \cdot 10^{11} \exp(-21100/RT)$ ; для процесса акватации  $\Delta E^\ddagger = 21,1$ ,  $\Delta H^\ddagger = 20,5$ ,  $\Delta F^\ddagger_{298} = 22,2$  ккал,  $\Delta S^\ddagger = -5,72$  энтр. ед. и  $\lg Z = 11,98$ . Освещение и изменение ионной силы практически не влияют на скорость р-ции. Значения  $k_2$  для второго процесса (сек.<sup>-1</sup>) равны  $\sim 1,0 \cdot 10^{-6}$  при 20° и  $2,8 \cdot 10^{-6}$  при 25°. Резуль-

таты измерений уд. вращения р-ров *l*-*цис*-I во времени объяснены так, что они вызваны в основном образованием оптически активного хлороаквокомплекса, испытывающего рацемизацию. Сходство свойств кинетики акватации комплексов  $\text{Co}(3+)$  и  $\text{Cr}(3+)$  авторы связывают с тем, что три 3d-орбиты атома  $\text{Co}(3+)$ , не участвующие в  $d^2sp^3$ -гибридизации, заполнены, а те же орбиты атома  $\text{Cr}(3+)$  заполнены наполовину.

И. Рынс  
28191. К исследованию конденсации вольфрамат-ионов. Лишка, Пльско (Prispevek k sledovaniu kondenzacie volframatonových ionov. Liška M., Plško E.), Chem. zvesti, 1957, 11, № 7, 390—393 (словацк.; рез. русск., нем.)

Опытами по интерферометрич. титрованию водн. р-ра  $\text{Na}_2\text{WO}_4$  сильными неорганич. к-тами установлено, что на кривой зависимости показателя преломления от состава р-ра находятся 2 минимума, соответствующие отношениям 1,15H+:1W и 1,6H+:1W. Результаты измерений не указывают на присутствие в водн. р-ре ионов  $\text{W}_2\text{O}_7^{2-}$ .

Резюме авторов  
28192. Тетрагетерополиокислоты с центральным атомом фосфора. VII. Кокорин А. И., Ж. общ. химии, 1957, 27, № 3, 549—556

Разработаны оптимальные условия синтеза и выделены в свободном состоянии 4 тетрагетерополиокислоты с центральным атомом P, содержащие в качестве аддендов одновременно Mo, W и V в различных отношениях:  $\text{H}_7\text{P}(\text{Mo}_2\text{O}_7)_2(\text{W}_2\text{O}_7\text{V}_2\text{O}_6) \cdot n\text{H}_2\text{O}$  (I),  $\text{H}_7\text{P}(\text{Mo}_2\text{O}_7)_3(\text{W}_2\text{O}_7)_2\text{V}_2\text{O}_6 \cdot n\text{H}_2\text{O}$  (II),  $\text{H}_7\text{P}(\text{Mo}_2\text{O}_7)_4(\text{W}_2\text{O}_7)_3\text{V}_2\text{O}_7 \cdot n\text{H}_2\text{O}$  (III) и  $\text{H}_7\text{P}(\text{Mo}_2\text{O}_7)(\text{W}_2\text{O}_7)_4\text{V}_2\text{O}_6 \cdot n\text{H}_2\text{O}$  (IV). При синтезе исходили из стехиометрич. кол-в применяемых в-в (кроме V, соль которого бралась в 2-кратном избытке). Навески  $\text{Na}_2\text{WO}_4 \cdot 2\text{H}_2\text{O}$  растворяли в 5-кратном, а  $\text{Na}_2\text{MoO}_4 \cdot 2\text{H}_2\text{O}$  — в 3-кратном кол-ве воды; эти в-ва предварительно переводили в мета-соединения добавлением рассчитанного кол-ва 6 н.  $\text{HCl}$ . В горячий р-р образовавшегося метавольфрамата вводили горячий р-р метамolibдата Na. Р-р приобретал при этом темно-красный цвет. Смесей исходных в-в ( $\text{Na}_2\text{HPO}_4 \cdot 12\text{H}_2\text{O}$ , метавольфрамата, метамolibдата и  $\text{NaVO}_3$ ) кипятили 2 часа. Получение эфирата и дальнейшие операции проводились, как при синтезе фосфорномолибденовольфрамовых тригетерополиокислот. I—IV кристаллизуются в виде оранжевых правильных октаэдров, иногда со срезанными углами. Содержание кристаллизационной воды велико ( $n = 29—32$ ); при нагревании до 160° кристаллизационная вода удаляется. Затем при нагревании до 260° в течение 5 час. не происходит изменения в весе. Конституционная вода удаляется при длительном нагревании до 460°, что сопровождается разрушением I—IV с образованием окислов компонентов. Потенциометрич. титрованием 0,2 н. КОН и измерением электропроводности найдено, что I имеет 5 замещенных на калий ионов водорода, а II, III и IV шестисоставны. I—IV дают с  $\text{CsCl}$  ярко-желтые осадки, с  $\text{TiNO}_3$  — объемистые оранжевые осадки не растворимые на холоду в разб. (1:1) неорганич. к-тах. Осадки, образующиеся с нитратами Th (желтые), Zr (светло-оранжевые), Ag и Hg (светло-фиолетовые), растворяются на холоду в  $\text{HNO}_3$  (1:1). I—IV осаждаются уротропином, купференом, 8-оксихинолином, пирогаллолом, пирамидоном, диметилглиоксимом, бензидином в виде осадков от желтого до оранжево-коричневого цвета, трудно растворимых в разб. (1:1) неорганич. к-тах. I—IV восстанавливаются солями Fe(2+), Sn(2+), Ti(3+) и Sb(3+) дифенилкарбазидом, дифениламиноном, гидрохиноном и тиомочевой. Кристаллы I—IV хорошо растворимы в  $\text{C}_4\text{H}_{11}\text{OH}$ , *изо*- $\text{C}_4\text{H}_{11}\text{OH}$ , лед.  $\text{CH}_3\text{COOH}$ ,  $\text{CH}_3\text{COSn}$ . Сделаны главные обобщения исследований по три-



и тетрагетерополикислотам. Часть VI см. РЖХим, 1958, 20882.

Ю. Муромский  
28193. Потенциометрическое исследование молибдатов. Биз, Швинг (Contribution à l'étude potentiométrique des molybdates. Byé Jean, Schwing Jean-Paul), Bull. Soc. chim. France, 1957, № 8-9, 1023—1027 (франц.)

С целью определения изогидрич. точки (ИТ) измерены рН р-ров  $\text{Na}_2\text{MoO}_4$  с различными добавками  $\text{HCl}$ . Для получения устойчивых значений потенциала необходимо дважды перекристаллизовать из спирта хингидрон, используемый для индикаторного электрода; такой очисткой достигается удаление избытка гидрохинона. В качестве электрода сравнения применяют Ag-электрод, потенциал которого проверяют по другому такому же электроду, погруженному в воду при комнатной т-ре. Применяв пару из хингидронного и Ag-электродов, авторы не наблюдали тех кинетич. эффектов, которые были описаны (Sagreni G., С. г. Acad. sci., 1947, 224, 1012) при измерении рН смесей молибденовой к-ты и молибдата натрия с помощью стеклянного электрода. По данным авторов, в системе  $\text{Na}_2\text{MoO}_4 - \text{HCl}$  при постоянной конц-ии  $\text{NaCl}$  (2 М), но переменной конц-ии  $\text{HCl}$ , ИТ линейно изменяется с повышением т-ры от 0° до 80°. С понижением т-ры ИТ смещается в сторону меньших добавок  $\text{HCl}$ . В том же направлении смещается ИТ с повышением конц-ии  $\text{NaCl}$  в р-ре. По мнению авторов, в области ИТ существуют конденсированные ионы с 4 атомами Мо, а также «псевдоформы» с 6—7 атомами Мо.

Н. Полянский  
28194. Исследование лаков, образующихся при действии молибдата аммония на тионин. Енсен, Марквельд, Тайо (Etude des laques formées par action du molybdate d'ammonium sur la thionine. Jensen Raymond, Marquevielle Jean, Teyau Francis), Bull. Soc. chim. France, 1957, № 10, 1142—1144 (франц.)

Лаки тионина (I) с тримоллибдат-ионом (II) получены взаимодействием насыщ. р-ра I с переменными кол-вами молибдата аммония (III). При добавлении небольшого кол-ва III к I сначала наблюдается значительное понижение рН. С дальнейшим увеличением добавок I рН возрастает, а затем снова резко падает в связи с образованием комплекса между I и III. Образующийся комплекс авторы рассматривают как соединение II с I состава  $(\text{H}_2\text{MoO}_4\text{O}_2) \cdot (\text{C}_{12}\text{H}_9\text{N}_3\text{S})_4$ , к которому может присоединяться до 4 молекул I. Окраска соединений изменяется с изменением их состава от синей до фиолетовой. Изменение окраски авторы связывают с адсорбцией лаком ионов  $\text{NH}_4^+$  и происходящим при этом понижением рН р-ра. При конц-ии III порядка 5,5 г/л образуется лак иного состава. На холоду выпадает соединение I с II, удерживающее переменные кол-ва II. Если же при той же конц-ии III р-цию проводить при нагревании, то образующийся лак, как и при меньшем содержании III в р-ре, присоединяет до 4 молекул I. Лаки, полученные при конц-ии III ~ 5,5 г/л, малорастворимы в воде, но растворяются при ее подщелачивании или подкислении.

Н. Полянский  
28195. О составе и устойчивости некоторых фтороалюминатов в растворе. Тананаев И. В., Виноградова А. Д., Ж. неорган. химии, 1957, 2, № 10, 2455—2467

Образование комплексных фтороалюминатов исследовалось методом определения растворимости  $\text{CaF}_2$  (I) в р-рах, содержащих  $\text{Al}(\text{NO}_3)_3$  (II),  $\text{AlCl}_3$  (III) или  $\text{Al}_2(\text{SO}_4)_3$  (IV). С увеличением конц-ии II, III или IV в р-ре растворимость I быстро возрастает, что авторы объясняют образованием комплексов. По данным определения растворимости, образующийся ком-

плекс имеет состав  $\text{AlF}_2^+$  и характеризуется константой нестойкости  $0,87 \cdot 10^{-9}$ . В соответствии с предположением об образовании  $\text{AlF}_2^+$ , растворимость I в II понижается с увеличением конц-ии  $\text{NaF}$  или  $\text{AlF}_3$  в р-ре, достигая величины его растворимости в воде при отношении  $\text{NaF}:\text{II}$  или  $\text{AlF}_3:\text{II}$ , равном 2. По мнению авторов, предлагаемый метод может быть установлен непосредственно по кривой растворимости. По ходу кривой изменения растворимости I в р-рах солей алюминия, содержащих добавки роданидов, тарترات или цитратов, можно приблизительно оценить степень диссоциации образующихся соединений Al. Так, ионы  $\text{SCN}^-$  характеризуются слабо выраженным комплексобразованием с  $\text{Al}^{3+}$ , а анионы лимонной к-ты образуют с  $\text{Al}^{3+}$  более прочный комплекс, чем анионы винной к-ты. Р-ция образования комплекса  $\text{AlF}_2^+$  использована для определения произведения растворимости фосфата и оксихинолята Al, которое найдено равным соответственно  $3,87 \cdot 10^{-11}$  и  $1 \cdot 10^{-10}$ . Соответствующие значения растворимости этих солей в воде составляют  $6,2 \cdot 10^{-6}$  и  $1,35 \cdot 10^{-5}$  моль/л.

Н. Полянский

28196. Тетрафтороборат пиридина. Рысс И. Г., Идельс С. Л., Ж. неорган. химии, 1957, 2, № 9, 2270—2272

Оптически анизотропные дендриты  $\text{C}_6\text{H}_5\text{NHF}_4$  (I) выделены нейтр-цией р-ра  $\text{HBF}_4$ , полученного введением  $\text{H}_2\text{BO}_3$  в 40%-ную  $\text{HF}$ , взятую с 5%-ным избытком, пиридином и охлаждением маточного р-ра во льду; выход I 60%. Растворимость I при 28° в  $\text{CH}_3\text{OH}$  равна 11,0%, в  $\text{C}_2\text{H}_5\text{OH}$  3,73%; растворимость в воде 0° 22,22, 28° 53,43, 50° 68,79, 82—86° 78,7 и 167—176° 92,5% (последние две цифры определены визуально-политермич. методом); донной фазой при всех т-рах был безводн. I. В  $\text{C}_6\text{H}_6$  и в эфире I нерастворим. Т. пл. I 217°. I устойчив при 108°; при 137° происходит улетучивание I, вызываемое разложением  $\text{I} \neq \text{C}_6\text{H}_5\text{N} + \text{HF} + \text{BF}_3$ .

И. Рысс

28197. Гексафтороманганаты Ba, Sr, Ca и Mg. Хоппе, Блинне (Hexafluoromanganate (IV) der Elemente Ba, Sr, Ca und Mg. Hoppe Rudolf, Blinne Klaus), Z. anorgan. und allgem. Chem., 1957, 291, № 5-6, 269—275 (нем.)

Комплексы  $\text{MnF}_6$ , где М — Ba (I), Sr (II), Ca (III) и Mg (IV), получены действием  $\text{F}_2$  на  $\text{BaMnO}_4$  (400°),  $\text{SrMnO}_3$  (300—400°), эквимольные смеси сульфатов и хлоридов Ca и Mn, а также Mg и Mn (500—550°). I—III окрашены в желтый цвет, IV имеет оранжевый оттенок. I—IV гидролизуются водой и диспропорционируются действием  $\text{NH}_4\text{OH}$ . I и II устойчивы в вакууме до 450°, III и IV разлагаются при ~ 400°. I начинает восстанавливаться в токе  $\text{H}_2$  при 250°; помимо  $\text{HF}$  образуется красное в-во (возможно,  $\text{BaMnF}_3$ ). Магнитная восприимчивость I—IV соответствует закону Кюри, эффективные магнитные моменты их равны 3,8—3,9 м. Дебаграммы I и II и  $\text{BaTiF}_6$  сходны; гексагон. ячейки I и II имеют параметры а 7,35 и 7,02 и с 7,09 и 6,78 А; комплексы содержат правильные октаэдры  $\text{MnF}_6^{2-}$  с расстояниями  $\text{Mn}-\text{F} = 1,73\text{—}1,75$  А. Дебаграммы III, IV и  $\text{VF}_3$  очень сходны; параметры гексагон. ячеек III и IV равны: а 5,21 и 5,01 и с 14,13 и 13,17 А; в IV проявляется статистич. распределение ионов  $\text{Mg}^{2+}$  и  $\text{Mn}^{4+}$ .  $\rho$  (рент.) II 4,43, III 3,07, IV 3,39; значения  $\rho$  (II 4,13, III 3,16, IV 3,30) определены приблизительно вследствие р-ций в-в со стенками пикнометра. И. Рысс

28198. Взаимодействие солей марганца с сегнетовой солью. Комлев (Взаємодія солей марганцю з сегнетовою сіллю. Комлев О. Й.), Доводи та повідомлення. Львівськ. ун-т, 1957, вип. 7, ч. 3, 214—217 (укр.)

Полярнографически исследовано взаимодействие  $MnCl_2$  с  $KNaC_4H_4O_6$  при мол. отношении  $KNaC_4H_4O_6 : MnCl_2$  от 0:1 до 100:1. Установлено, что стойких комплексных соединений не образуется. В. Штерн 28199. Цианидно-1,10-фенантролиновые комплексы двухвалентного железа. Шилт (The cyanide-1,10-phenanthroline complexes of iron (II). Schilt Alfred A.), J. Amer. Chem. Soc., 1957, 79, № 20, 5421—5425 (англ.)

Спектрофотометрически методом непрерывных изменений исследованы р-ры ферроина и KCN, а также  $K_4[Fe(CN)_6]$  и 1,10-фенантролина (Phen). Установлено образование  $[FePhen_2(CN)_2]$  (I) и  $[FePhen(CN)_4]^{2-}$  (II); мол. вес труднорастворимого в воде I подтвержден криоскопически в м-динитробензоле. Изучены спектры поглощения р-ров I в  $CHCl_3$  (III), в смесях III и спирта, спирта и воды, р-ров II в воде, а также растворимость I в воде и в водн. р-рах ряда реагентов. Вычислены константы равновесия (K) при 10, 25 и 40° следующих р-ций:  $I + Phen \rightleftharpoons [FePhen_2]^{2+}$  (IV) +  $2CN^-$  ( $6 \cdot 10^{-6}$ ,  $1 \cdot 10^{-6}$  и  $2 \cdot 10^{-6}$ );  $I + 2CN^- \rightleftharpoons II + Phen$  ( $6 \cdot 10^{-6}$ ,  $1 \cdot 10^{-6}$  и  $2 \cdot 10^{-6}$ );  $2I \rightleftharpoons IV + II$  ( $4 \cdot 10^{-11}$ ,  $1,4 \cdot 10^{-10}$  и  $4,1 \cdot 10^{-10}$ );  $IV + 4CN^- \rightleftharpoons II + 2Phen$  (1, 1, 1). При 25° значения K р-ций  $II \rightleftharpoons Fe^{2+} + Phen + 4CN^-$  и  $I \rightleftharpoons Fe^{2+} + 2Phen + 2CN^-$  равны соответственно  $5 \cdot 10^{-22}$  и  $5 \cdot 10^{-27}$ .

И. Рысс

28200. Ассоциация ферроцианид-ионов с различными катионами. Коэн, Плейн (The association of ferrocyanide ions with various cations. Cohen Stephen R., Plane Robert A.), J. Phys. Chem., 1957, 61, № 8, 1096—1100 (англ.)

Изучены спектры поглощения в видимой и УФ-областях  $K_4[Fe(CN)_6]$  (I) и  $K_3[Fe(CN)_6]$  (II) в водн. р-рах при 25°. Спектр I не подчиняется закону Бера, коэф. поглощения для 320—250 мμ незначительно уменьшаются с ростом конц-ии или при введении солей K, Ba или Mg. Эффект приписан образованию ионных пар  $KFe(CN)_6^{2-}$ ,  $BaFe(CN)_6^{2-}$  и  $Mg(H_2O)_6Fe(CN)_6^{2-}$ , термодинамич. константы образования которых равны соответственно 237, 6300 и 6500; расстояния наибольшего сближения в ионных парах, вычисленные по теории Бьеррума — Фуосса, равны 4,17, 6,00 и 5,69 Å; согласие с оцененными исходя из кристаллич. радиусов величинами (5,0, 5,0 и 5,6) указывает на преимущественно электростатич. характер ассоциации. Ассоциация  $Ba^{2+}$  и  $Fe(CN)_6^{4-}$  (III) в смесях изопропилового спирта и воды с диэлектрич. постоянной  $\geq 70$ , 7 также соответствует теории Бьеррума — Фуосса. В р-рах I, содержащих высокую конц-ию KCl, проявляются признаки образования ионного триплета  $K_2Fe(CN)_6^{2-}$ . Спектры поглощения р-ров  $TlCl$  (IV) и его смесей с I указывают на ассоциацию IV и взаимодействие иона  $Tl^+$  и III; обнаружено также взаимодействие III с ионами  $NH_4^+$  и гуанидиния. Спектр II не изменяется в присутствии ионов  $NH_4^+$ ,  $N(CH_3)_4^+$ ,  $Mg^{2+}$ ,  $Ba^{2+}$  и  $Tl^+$ .

И. Рысс

28201. Синтез и изучение некоторых физико-химических свойств сульфатопентаминкобальтисульфата. Филалков Я. А., Панасюк В. Д., Ж. неорган. химии, 1957, 2, № 5, 1007—1014

Внесены уточнения в метод синтеза  $[Co(NH_3)_5SO_4] \cdot HSO_4 \cdot 2H_2O$  (I), позволяющие получить I с высоким выходом и в свободном от примесей виде. Исходным в-вом для синтеза I служил  $[Co(NH_3)_5H_2O_2](SO_4)_2 \cdot 3H_2O$  (II), получаемый при нагревании  $[Co(NH_3)_5Cl]Cl_2$  с избытком конц.  $H_2SO_4$ . Кристаллы I выделялись при охлаждении р-ра, полученного после 4-часовой обработки II избытком конц.  $H_2SO_4$  при 100°. Показано, что 50% ионов  $SO_4^{2-}$  в I находятся во внутренней сфере комплекса и не осаждаются при действии хлоргидрата бензидина при 20—30°. Изучена электропроводность водн. р-ров I в зависимости от времени

и конц-ии I. Сняты спектры поглощения свежеприготовленного и выдержанного 16 суток водн. р-ров I. Полученные результаты указывают на большую устойчивость иона  $[Co(NH_3)_5SO_4]^+$  в кислых р-рах. Изучена кинетика изотопного обмена ионов  $SO_4^{2-}$  в водн. р-рах I. При всех исследованных т-рах и конц-иях р-ция изотопного обмена хорошо описывается ур-нием кинетики 1-го порядка. Рассчитана величина энергии активации процесса изотопного обмена, равная 25 ккал/моль. При увеличении конц-ии I скорость изотопного обмена увеличивается, откуда авторы делают вывод о бимолекулярном механизме процесса обмена. Показано, что скорость обмена не зависит от конц-ии внешнесферных ионов  $SO_4^{2-}$ . На основании результатов изучения зависимости скорости обмена от т-ры и конц-ии авторы высказывают предположение, что обмен в изучаемой системе протекает через промежуточное образование иона  $[Co(NH_3)_5H_2O]^+$ .

В. Шмидт

28202. Изучение комплексных соединений дихлоротетрапиридинкобальти-иона. Спаку, Яну, Николэу (Studii asupra clasei de complexe diclorotetrapiridin cobaltici și combinații noi din aceasta clasă. Spacu P., Ianu A., Nicolau E.), An. Univ. «C. J. Parhon». Ser. științ. natur., 1957, № 15, 73—81 (рум.; рез. русск., франц.)

Получены  $[CoPy_2Cl_2]X$ , где X —  $Cl \cdot 6H_2O$  (I),  $ClO_4$ ,  $ClO_4 \cdot 2HCl$ ,  $Cr_2O_7 \cdot 6H_2O$ ,  $MnO_4$  и  $VO_3$ , а также  $[CoCl_4]H_2Py_2$  и  $[Co(SCN)_4]H_2Py_2 \cdot HSCNPy$ . I получен с выходом 47%. Проведены р-ции замещения Py другими группами.

По резюме авторов

28203. О действии гидразина на динитротетраминкобальтинитрат в присутствии углекислого газа. Горюшвили П. В., Цицишвили Л. Д., Каркашвили М. В., Ж. неорган. химии, 1957, 2, № 3, 532—535

При действии  $N_2H_4 \cdot H_2O$  и  $CO_2$  на *цис*- и *транс*-изомеры динитротетраминкобальтинитрата получено внутриклеточное соединение состава  $(N_2H_5COO)_2Co(N_2H_4)_2$  (I) (оранжевые кристаллы), в котором остатки гидразинкарбоневой к-ты замыкают с Co 5-членные циклы, а молекулы  $N_2H_4$  занимают по одному координационному месту. I труднорастворим в воде и является плохим электролитом; кристаллизуется в тригональной сингонии,  $n_1$  1,6285,  $n_2$  1,5985. Двухвалентность Co в I подтверждается измерением магнитной восприимчивости, которая соответствует 4,84 м.р. При действии на холоду 1—2 моль HCl на I происходит отщепление обеих молекул  $N_2H_4$  с образованием  $(N_2H_5COO)_2Co \cdot 2H_2O$  (розового цвета), а при нагревании  $(N_2H_5COO)_2Co$ . Действие 3—4 моль HCl приводит к размыканию циклов, разрушению  $N_2H_5COON$  и образованию гидразинатов Co. А. Аблов

28204. О валентности кобальта в солях ряда декамин-μ-пероксокобальти(3)-кобальте(4). Хахам И. Б., Рейбель И. М., Тр. Кишиневск. с.-х. ин-та, 1956, 11, 159—163

Авторы полагают, что предложенную Вернером структурную ф-лу для 2-ядерных аммиаков ряда декамин-μ-пероксокобальти(3)-кобальте(4) с 3- и 4-валентным кобальтом нельзя считать обоснованной и однозначно подтвержденной магнитными данными. Наличие неспаренного электрона можно объяснить в образовании в качестве мостика  $O_2^-$  и предложить ф-лу  $[(NH_3)_5Co(3+)(O_2^-)Co(3+)(NH_3)_5]^{5+}$ . Изменения ионной электропроводности, анализы полярнограмм 2-ядерных аммиаков Co и определение их окислительных потенциалов не подтвердили наличия  $Co(4+)$  в рассматриваемых комплексах.

А. Аблов

28205. Устойчивость двуядерных комплексных аммиаков кобальта. Хахам И. Б., Рейбель И. М., Тр. Кишиневск. с.-х. ин-та, 1956, 11, 165—168



Сравнение катионов  $[(\text{NH}_3)_5\text{Co}(3+)_2\text{O}_2\text{Co}(4+)](\text{NH}_3)_5^{7+}$  (I) и  $[(\text{NH}_3)_5\text{Co}(3+)_2\text{O}_2\text{Co}(3+)](\text{NH}_3)_5^{6+}$  (II) показывает, что водородные ионы оказывают стабилизирующее действие на I, что объяснено, исходя из предположений А. А. Гринберга о кислотных свойствах  $\text{NH}_3$ ; ион II мгновенно разлагается в воде. p-ре с выделением кислорода и устойчив только в сильноаммиачном p-ре. Величина потенциала полуволны при полярографии. Исследования этих соединений не может служить критерием устойчивости, так как их восстановление необратимо. Авторы предлагают в качестве условной меры для сравнения устойчивости комплексных соединений изменение их мол. электропроводности с разбавлением или во времени. А. Аблов

28206. Исследования по химии координационных соединений. I. Влияние растворителя на некоторые бис-(N-алкилсалицилалдимины)-никель-комплексы. Сакони, Паолетти, Дель-Ре (Studies in coordination chemistry. I. The effect of solvents on some bis-(N-alkylsalicylaldimine)-nickel (II) complexes. Sacconi Luigi, Paoletti Piero, Oel Re Giuseppe), J. Amer. Chem. Soc., 1957, 79, № 15, 4062—4067 (англ.)

Измерены магнитные восприимчивости, спектры поглощения и диэлектрич. поляризация бис-(N-алкилсалицилалдимины)-никель-комплексов с алкилами —  $\text{C}_2\text{H}_5$  (I),  $\text{C}_2\text{H}_5$ ,  $\text{C}-\text{C}_2\text{H}_5$ ,  $\text{C}-\text{C}_4\text{H}_9$  и  $\text{C}-\text{C}_6\text{H}_{11}$  в p-рах и в кристаллич. состоянии. В твердом состоянии все комплексы диамагнитны, что указывает на плоскую  $d^8$ -конфигурацию. В p-рах  $\text{CHCl}_3$ ,  $\text{C}_6\text{H}_6$ , диоксане и пирдине все комплексы парамагнитны с  $\mu(\text{эфф.})$  до  $\sim 3\mu_B$ , что указывает на наличие равновесия между диа- и парамагнитной формами. Разность между  $P_{\text{дв.}} \text{ C}_6\text{H}_6$  и диоксане и  $P_{\text{эл.}}$  (вместо последней было взято значение  $R_D$ ) принята равной  $P_{\text{ат}}$ , так как при предположении, что  $P_{\text{ат}}$  составляет 17—26% от  $P_{\text{эл.}}$  в  $\text{C}_6\text{H}_6$  и 21—44% в диоксане, дипольные моменты равны нулю, а у других комплексных соединений известны  $P_{\text{ат}}$ , превосходящие эти величины. Тот факт, что  $\mu = 0$ , отвергает плоскую  $\text{cis-}$  и тетраэдрич. структуру комплексов в p-рах, оставляя возможной только плоскую  $\text{trans-}$ структуру. В спектрах поглощения всех комплексов в  $\text{CHCl}_3$  имеются 3 полосы при 326, 414—418 и 610—620 мμ. В  $\text{C}_6\text{H}_6$  и диоксане они смещаются на 3—25 и 2—20 мμ соответственно. Полоса 610—640 мμ отнесена к запрещенному  $3d-3d$ -переходу в центральном атоме, причем предполагается наличие незаполненной  $3d$ -оболочки при растворении комплексов. Полоса 420 мμ является характеристич. для внутрикомплексных соединений  $\text{Ni}(2+)$ . В спектре твердого I наблюдается полоса 354 мμ, которая у остальных в-в смещается и расширяется с ростом алкильной цепи, переходя в полосы, наблюдаемые у p-ров. На кривых поглощения I в  $\text{C}_6\text{H}_6$  имеется изобестич. точка при 445 мμ, что указывает на равновесие двух поглощающих форм. По мнению авторов, второй, парамагнитной формой, является плоская структура со связями за счет  $4d^8 2d$ -орбит («внешний комплекс»), тогда как в твердых в-вах из-за влияния поля кристалла, вызывающего спаривание всех спинов, имеется только «внутренний»  $3d^8 4s^2$ -комплекс. Отмечена зигзагообразная зависимость  $P(\text{ат.})$ ,  $\mu(\text{эфф.})$  и  $t$ -ры плавления от числа атомов C в алкильной цепи; зависимость объясняется тем, что амины с нечетным числом атомов C имеют меньшие  $pK_a$ , более слабые донорные свойства и дают комплексы с более полярными связями, более близкие к типу «внешних» комплексов. М. Дяткина

28207. Цитратный комплекс никеля. Патнаик, Пани (Citrate complex of nickel. Patnaik Ra-

bindra Kumar, Pani S.), J. Indian Chem. Soc., 1957, 34, № 8, 619—628 (англ.)

Потенциометрическим методом изучено образование комплексов  $\text{Ni}^{2+}$  с лимонной к-той ( $\text{H}_3\text{Cit}$ ) в области pH 2.5—7. При pH до 3.5 идет р-ция  $\text{Ni}^{2+} + \text{H}_3\text{Cit} \rightarrow [\text{NiHCit}] + 2\text{H}^+$  с константой равновесия  $K = 7.97 \cdot 10^{-5}$  и образуется нейтр. комплекс  $[\text{NiHCit}]$ . Авторы считают, что координационное число Ni в комплексе равно 4 и он содержит 1 молекулу  $\text{H}_2\text{O}$ . При повышении pH отщепляется  $\text{H}^+$  от карбоксильной группы (константа диссоциации  $1.75 \cdot 10^{-4}$ ) и образуется комплексный анион  $[\text{NiCit}]^-$ . При р-ции среды, близкой к нейтр., отщепляется  $\text{H}^+$  из  $\text{H}_2\text{O}$  (константа диссоциации  $1.35 \cdot 10^{-6}$ ) и образуется гидроксокомплекс.

И. Слоним

28208. Внутрикомплексные соединения двухвалентного никеля с пиколиновой кислотой. Грин (Chelate compounds of nickel (II) with picolinic acid. Green R. W.), J. Amer. Chem. Soc., 1957, 79, № 21, 5608—5611 (англ.)

Спектрофотометрически исследовано образование комплексов  $\text{Ni}(2+)$  с пиколиновой к-той (НА) при 25° и ионной силе, не превышающей  $10^{-3}$ . Логарифмы констант образования  $\text{NiA}^+$ ,  $\text{NiA}$  и  $\text{NiA}_2^-$  равны соответственно 6.68, 5.98 и 5.12 и выше найденных другими авторами методом потенциометрич. титрования с измерением pH. Обсуждены источники ошибок потенциометрич. метода.

И. Рысс

28209. Реакция нитрования хлоропалладата. Черняев И. И., Муравейская Г. С., Ж. неорган. химии, 1957, 2, № 4, 772—775

Подтверждено, что при действии стехиометрич. кол-в  $\text{NaNO}_2$  на  $\text{M}_2[\text{PdCl}_4]$  из расчета замещения одного, двух, трех и четырех атомов хлора происходит последовательное замещение атомов хлора нитрогруппой с образованием моно-, ди-, три- и тетранитросоединений. Для выделения  $[\text{Pd}(\text{NO}_2)_2\text{Cl}][\text{Pd}(\text{NH}_3)_4]$  навеску  $\text{Na}_2[\text{PdCl}_4]$  смачивают водой и растворяют с рассчитанным кол-вом  $\text{NaNO}_2$ . К смеси добавляют 2—3 мл  $\text{H}_2\text{O}$ , и спустя 1—1.5 часа продукты р-ции выделяются в виде зеленовато-желтых кристаллов. Показатели преломления  $n_1 = 1.710$ ,  $n_2 = 1.612$ . Погасание прямое, удлинение отрицательное. Показано, что нитросоединения  $\text{Pd}(4+)$  неустойчивы и действие  $\text{KNO}_2$  на  $\text{K}_2[\text{PdCl}_6]$  приводит к образованию  $\text{K}_2[\text{PdCl}_4]$ .

Н. Красовская

28210. О синтезе  $\text{cis-}$ тетрамина  $[\text{PtPn}_2\text{Cl}_2]\text{Cl}_2$ . Врублевская Л. В., Гринберг А. А., Тр. Ленингр. технол. ин-та им. Ленсовета, 1957, вып. 40, 16—20

Описана методика синтеза  $\text{cis-}$ изомера  $[\text{PtPn}_2\text{Cl}_2]\text{Cl}_2$  (I). В качестве исходного продукта для синтеза I использован  $[\text{PtPnCl}_4]$  (II), получаемый при взаимодействии  $\text{K}_2[\text{PtCl}_4]$  с пропилендиаминном (Pn) с последующим окислением образующегося  $[\text{PtPnCl}_2]$  (III) хлором. I получен взаимодействием II с p-ром Pn и очищен 2-кратной перекристаллизацией. Обнаружено, что р-ция получения I сопровождается частичным восстановлением II до III. Изучена растворимость I и  $\text{trans-}$ изомера  $[\text{PtPn}_2\text{Cl}_2]\text{Cl}_2$  (IV), а также их способности восстанавливаться при действии KJ и  $\text{N}_2\text{H}_4 \cdot \text{H}_2\text{SO}_4$ . Растворимость в 100 г воды составляет при 25°: I 1.9 г, IV 4.4 г. I не восстанавливается при действии KJ и относительно медленно восстанавливается при действии  $\text{N}_2\text{H}_4 \cdot \text{H}_2\text{SO}_4$ , в то время как IV легко восстанавливается этими восстановителями. Эти различия подтверждают, что I и IV являются изомерами. Относительная трудность восстановления I указывает, по мнению авторов, на  $\text{cis-}$ строение этого соединения. Ввиду  $\text{cis-}$ строения I можно было ожидать, что удастся получить гексамин  $[\text{PtPn}_3]\text{Cl}_4$  (V) действием Pn на I. Однако попытка получения V таким путем

оказалась неудачной, так как при этом происходило глубокое восстановление I. В. Шмидт

28211. Третья константа диссоциации *транс*-ацетилацетонатных комплексов двухвалентных металлов. Дуайер, Сарджесон (The third dissociation constant of the trisacetylacetone complexes — with bivalent metals. Dwyer F. P., Sargeson A. M.), J. and Proc. Roy. Soc. N. S. Wales, 1956, 90, № 4, 141—146 (англ.)

Методом потенциометрич. титрования определены ступенчатые константы диссоциации  $[M(Asa)_3]^-$  (I), где Asa — анион ацетилацетона, а M — двухвалентный металл, в 80%-ном водн. р-ре диоксана. Для 1-й ступени диссоциации I (с M — Ni, Co, Zn, Fe, Mn, Mg и Cd) величины  $pK_3$  почти одинаковы и близки к 6. Предполагая, что зависимость  $pK_3$  от конц-ии диоксана такая же, как для  $pK_2$  и  $pK_1$ , авторы выводят, что в чистой воде  $pK_3 \sim 0,4$  и что ион  $[M(Asa)_3]^-$  диссоциирован на  $\sim 50\%$ . И. Рыс

28212. Стерические влияния на строение внутрикомплексобразующих агентов и на устойчивость внутрикомплексных соединений металлов. Бранч (Steric influences on the structure of chelating agents and on the stability of metal chelates. Branch R. F.), Nature, 1957, 179, № 4549, 42—44 (англ.)

2-фенилпиридин (I), 6-метил-2-фенилпиридин (II) и  $\alpha$ -1-нафтоил-2-метилпиридин (III) существуют преимущественно в енольных формах; при замещении одного атома Н в кето-метиленовой группе I на бензил сохраняется енольная форма, а при замещении на алкил образуется кето-форма. II не образует внутрикомплексных соединений с  $Cu(2+)$ ,  $Fe(2+)$ ,  $Fe(3+)$  и  $Co$ ; 2-о-хлорфенилпиридин имеет только слабую тенденцию к образованию комплексов. Строение I, II и III и продуктов замещения I установлено на основании ИК-спектров, а II — также УФ-спектра и спектра протонного резонанса. Наблюдаемые факты объяснены с точки зрения влияния стерич. препятствий, сверхсопряжения и резонанса. И. Рыс

28213. Термодинамика образования внутрикомплексных соединений металлов с некоторыми 8-оксихинолин-5-сульфокислотами, замещенными в положении 7. Ууситало (The thermodynamics of the formation of metal chelates of some 7-substituted 8-hydroxyquinoline-5-sulphonic acids. Uusitalo Eino. Suomalais. tiedeakat. toimittuks., 1957, Sar. A 11, № 87, 62 pp., ill.) (англ.)

Исследовалась 8-оксихинолин-5-сульфокислота (I) и ее производные: 7-йодо- (II), 7-нитро- (III), 7-фенилазо- (IV) и 7-(4-нитрофенилазо)- (V). Константы ионизации I—V определялись методом измерения э. д. с., а для определения констант устойчивости комплексов металлов с I—V применялись потенциометрич. методы определения рН и конц-ии металла. Константы равновесия определялись при 0°, 25° и 50° и вычислялись  $\Delta H$  и  $\Delta S$  соответствующих р-ций. Измерения производились при нескольких значениях ионной силы и экстраполюровались при помощи ур-ния Дебая — Хюккеля к ее нулевому значению. Определены 1-я (NH) и 2-я (OH) константы диссоциации IV и V; при 0° и 50° определены константы диссоциации I, II и III. Вычислены  $\Delta H$  и  $\Delta S$  р-ций диссоциации, I—V при трех т-рах. Определены константы устойчивости внутрикомплексных соединений  $Ba^{2+}$ ,  $Sr^{2+}$ ,  $Ca^{2+}$ ,  $Mg^{2+}$ ,  $Mn^{2+}$ ,  $Co^{2+}$ ,  $Ni^{2+}$ ,  $Cu^{2+}$ ,  $Zn^{2+}$  и  $Sd^{2+}$  с IV и V и  $Mg^{2+}$  с I, II и III. Вычислены  $\Delta H$ ,  $\Delta F$  и  $\Delta S$  р-ций образования соответствующих комплексов IV и V, а также комплексов  $Mg^{2+}$  с I, II и III. Показано, что сила к-т I—V возрастает с повышением т-ры и тем резче, чем слабее к-та.  $\Delta H$  при ионизации к-т всегда положительна за исключением III. В 1-м приближении  $\Delta H$  связана линейной зависимостью с  $pK$ , увеличиваясь

по абс. значению с ростом  $pK_1$  и  $pK_2$ .  $\Delta S$  при ионизации изученных к-т положительно: при ионизации NH-группы  $\Delta S$  лежит в пределах 4—10 энтр. ед., а при ионизации OH-группы — в пределах 18—23 энтр. ед.  $\Delta S$  связана также с величиной  $pK$ . Стабильность внутрикомплексных соединений щел.-зем. металлов и Mg увеличивается с уменьшением ионного радиуса. Для всех металлов наблюдается увеличение стабильности соединений с ростом потенциала ионизации и электроотрицательности. Во всех случаях введение заместителя в положение 7 уменьшает стабильность комплексов, в особенности тяжелых металлов.  $\Delta H$  находится в линейной зависимости от величины электроотрицательности соответствующих ионов металлов. Рассмотрены изменения значений  $\Delta H$  для элементов середины 4-го периода системы Менделеева с точки зрения теории кристаллич. поля. При изменении заместителя в положении 7 изменяются  $\Delta H$  и  $\Delta F$ ; изменения  $\Delta S$  незначительны. К. Яцимирский

28214. Комплексные соединения металлов со степенью окисления нуль. Йосино (Yoshino Tamotsu), Кагаку-но рёики, J. Japan. Chem., 1957, 11, № 7, 491—499 (японск.)

Обзор. Библ. 36 назв.

28215. Простые и комплексные соли никотиновой кислоты. Богдан, Крэчун (Săruri simple și complexe ale acidului nicotinic. Bogdan E. I., Crăciun A.), Studii și cercetări științ. Acad. RPR Fil. Iași. Chim., 1956, 7, № 1, 9—16 (рум.; рез. русск., франц.)

Исследовано взаимодействие р-ра никотиновой к-ты с  $CuCl$ ,  $CuBr$ ,  $CuJ$ ,  $KBiJ_4$  и некоторыми солями Cd, Co и Mn. Получены соединения:  $CuCl(C_6H_5NO_2) \cdot 2X$ , где  $X = H_2O$  или  $C_2H_5OH$ ;  $CuHal(C_6H_5NO_2)$ , где  $Hal = Cl$ ,  $Br$  или  $J$ ;  $BiJ_3 \cdot 3(C_6H_5NO_2 \cdot JH) \cdot 6H_2O$ ;  $Cd(C_6H_5NO_2)_2 \cdot 3(C_6H_5NO_2)_2Co \cdot 2Co(OH)_2 \cdot nH_2O$  с  $n = 26$  или 8;  $[Mn(C_6H_7N)_2Mn(OH)_2](C_6H_5NO_2)_2 \cdot nH_2O$  с  $n = 4$  или 0.

В. Штерн

28216. Метод вычисления констант устойчивости комплексов. Кивало, Растас (A method for the calculation of stability constants of complexes. Kivalo P., Rastas J.), Suomen kem., 1957, 30, № 7-8, B128—B134 (англ.)

Предлагается метод вычисления констант устойчивости комплексов, пригодный для тех случаев, когда общая и равновесная конц-ии адденда практически совпадают, и измеряемая функция может быть представлена в виде степенного ряда типа:  $F(A) = K_1 + K_2A + K_3A^2 + K_4A^3$ , где  $K_1$ ,  $K_2$ ,  $K_3$  — общие константы устойчивости, а  $A$  — конц-ия адденда. Значения констант устойчивости находятся при помощи предложенного авторами варианта метода наименьших квадратов (конц-ия адденда должна при этом изменяться на равные величины). Приведены ф-лы для вычисления погрешности в найденных величинах. Если величина погрешности превосходит данную величину, то последняя отбрасывается. Приводится пример применения метода. К. Яцимирский

28217. Применение последовательных разностей при вычислении констант образования. Растас, Кивало (Application of successive differences in the calculation of formation constants. Rastas J., Kivalo P.), Suomen kem., 1957, 30, № 9, B143—B147 (англ.)

Продолжение ранее опубликованной работы (см. пред. реф.). Константы устойчивости серии комплексов могут быть при рассмотренных ранее условиях найдены также по методу последовательных разностей с применением теории метода наименьших квадратов. К. Яцимирский

28218. Экстракция галогенидных комплексных соединений. Жаровский (Экстрагирования галогенидных комплексных сполук. Жаровский Ф. Г.),



Наук зап. Київськ. ун-т, 1957, 16, № 15, 87—99 (укр.; рез. русск.)

Обзор. Библ. 31 назв. В. Ш. 28219. О комплексобразующих веществах. Уль (Über Komplexbildner. Uhl Oscar), Seifen — Öle — Fette — Wachs, 1957, 83, № 21/1, 613—616 (нем.; рез. англ., франц., исп.)

28220. Заметка о синтетическом криолите. Нийоги (A note on synthetic cryolite. Niyogi S. C.), J. and Proc. Instn. Chemists (India), 1957, 29, № 2, 77—78 (англ.)  $\text{Na}_2\text{AlF}_6$  получается смешением р-ров  $\text{AlF}_3$  (I),  $\text{NH}_4\text{F}$  и  $\text{NaNO}_3$  (II); р-р I может быть частично заменен осадком нерастворимой формы I при условии длительного перемешивания. Вместо II могут быть использованы  $\text{NaCl}$ ,  $\text{Na}_2\text{SO}_4$  или  $\text{NaHSO}_4$ . И. Рысс

28221. Окисление и термическое разложение борогидридов натрия и калия. Остров, Сандерсон (Oxidation and thermal decomposition of sodium and potassium borohydrides. Ostroff A. G., Sander-son R. T.), J. Inorg. and Nucl. Chem., 1957, 4, № 3-4, 230—232 (англ.)

Изучение зависимости потери в весе от т-ры нагревания показало, что при нагревании  $\text{NaBH}_4$  (I) и  $\text{KBH}_4$  (II) на воздухе происходит образование соответствующих метабороатов. В атмосфере  $\text{H}_2$  или  $\text{N}_2$  борогидриды I и II устойчивы к достаточно высоким т-рам. Нагревание I и II в указанных условиях приводит к разложению, протекающему довольно сложным путем, при чем удаляется и водород, и щел. металл, и бор (последний, возможно, в виде борводорода). Характерно, что разложение в атмосфере  $\text{H}_2$  начинается при более высокой т-ре, чем в атмосфере  $\text{N}_2$ . Данные дифференциального термич. анализа показывают, что кроме изменений, сопровождающихся потерей в весе, не протекает никаких других процессов. Различия в термич. устойчивости I и II и их способности к окислению объясняются, по мнению авторов, большим поляризующим действием  $\text{Na}^+$  по сравнению с  $\text{K}^+$ .

Н. Красовская 28222. О взаимодействии солей цезия с кремнеземом и глиноземом при нагревании. Петров Е. С., Изв. вост. фил. АН СССР, 1957, № 4-5, 100—113

Изучены условия образования силикатов и  $\text{Cs}_2\text{OAl}_2\text{O}_3$  при взаимодействии солей Cs с кремнеземом и глиноземом при нагревании в безводн. состоянии и получены общие характеристики силикатов и алюминатов Cs.

В. Штерн 28223. Об обезвоживании основания Миллона  $(\text{Hg}_2\text{N})\text{OH} \cdot 2\text{H}_2\text{O}$ . Вебер (Über die Entwässerung von Millons Base  $(\text{Hg}_2\text{N})\text{OH} \cdot 2\text{H}_2\text{O}$ . Weber Richard), Naturwissenschaften, 1957, 44, № 17, 465—466 (нем.)

Изучено обезвоживание основания Миллона (I) при длительном выдерживании над КОН в атмосфере  $\text{NH}_3$  при комнатной т-ре. Показано, что процесс идет в стадии по ур-нию  $(\text{Hg}_2\text{N})\text{OH} \cdot 2\text{H}_2\text{O}$  (I)  $\longrightarrow$   $\text{Hg}_2\text{NH}(\text{OH})_2$  (II)  $\longrightarrow$   $\text{HgNH}_2\text{OH} \cdot \text{HgO}$  (III). Рентгенограмма II соответствует гексагональной слоистой структуре с параметрами  $a$  6,46,  $c$  10,70 (РЖХим, 1955, 25988; 1956, 40878). При длительном (6-месячном) обезвоживании в вакууме с II образуется III с куб. решеткой ( $a$  9,27 Å), содержащей цепи  $\text{Hg}-\text{NH}_2-\text{Hg}-\text{NH}_2$ . В ИК-спектрах I и II частоты, характерные для групп  $\text{NH}$  ( $1060 \text{ см}^{-1}$ ) и  $\text{NH}_2$  ( $885 \text{ см}^{-1}$ ), весьма слабы; по-видимому, свободных групп  $\text{NH}$  и  $\text{NH}_2$  в I и II практически нет из-за образования водородных связей  $\text{N}-\text{H} \dots \text{O}$ .

И. Слоним 28224. Исследование взаимодействия треххлористого бора с водородом в присутствии алюминия и некоторых его сплавов. Михеева В. И., Дымова Т. Н., Ж. неорг. химии, 1957, 2, № 11, 2530—2538

Изучено влияние замены Al его сплавами в р-ции  $\text{BCl}_3$  с  $\text{H}_2$  в условиях прохождения газовой смеси через металл. порошки. Показано: 1) выход дигборана за один проход может быть повышен при легировании Al переходными металлами, 2) для систематически изученных сплавов Al-Cu установлена закономерность состава сплава — выход р-ции, аналогичная закономерностям Н. С. Курнакова для диаграмм состав — механич. свойство; 3) на примере сплава Al с 5,3% Cu подтверждено влияние термич. обработки на хим. активность металл. сплавов. Резюме авторов

28225. Кинетика восстановления кремния жидким железом. Есин О. А., Шихов В. Н., Тр. Уральского политехн. ин-та, 1957, сб. 72, 246—251

При 1580—1670° исследовалась кинетика процесса восстановления кремнезема жидким малоуглеродистым железом из шлаков, насыщенных  $\text{SiO}_2$ . Установлено, что с ростом т-ры увеличивается скорость восстановления кремния. Кажущаяся энергия активации процесса для шлака  $\text{CaO}-\text{SiO}_2-\text{Al}_2\text{O}_3$  составляет  $\sim 64000 \text{ кал/моль}$ . Установлено, что замена  $\text{MgO}$  в шлаке окисями Ca или Ba сильно замедляет процесс восстановления кремния. Это объяснено различным влиянием катионов шлака на прочность связи кремния с кислородом.

Из резюме авторов 28226. К механизму реакции взаимодействия сульфида свинца со щелочами. Смирнов М. П., Кудряшова Л. Н., Сб. научн. тр. Гос. н.-и. ин-та цветн. мет., 1957, № 13, 217—223

Показано, что взаимодействие  $\text{PbS}$  с едкими щелочами проходит с образованием  $\text{Pb}$ ,  $\text{Na}_2\text{S}$  и  $\text{Na}_2\text{SO}_4$ . В плавах содержится также избыточный  $\text{NaOH}$ , необходимый для получения жидкоплавкого расплава. Других соединений Na в расплаве не содержится или содержится очень мало не зависимо от условий проведения плавки. Высказано предположение о механизме р-ции взаимодействия  $\text{PbS}$  с едкими щелочами.

Резюме авторов 28227. О восстановлении  $\text{GeO}_2$  водородом. Тани, Сумиёси (Tanii S., Sumiyoshi H.), Дэнки сикансё ихо, Bull. Electrotechn. Lab., 1957, 21, № 9, 688—691, 714 (японск.; рез. англ.)

Установлены оптимальные условия восстановления  $\text{GeO}_2$  водородом. 50—70 г  $\text{GeO}_2$  при применении графитовой лодочки (ширина 37, глубина 10, длина 200 мм) восстанавливаются при скорости тока  $\text{H}_2$  500  $\text{см}^3/\text{мин}$  и т-ре 690° за 3—3,5 часа. Восстановленный Ge плавится при 1050°, выход 99%.

Резюме авторов 28228. Исследование диссоциации йодида циркония на горячей проволоке. Курода, Тани, Судзуки (Kuroda T., Tanii S., Suzuki T.), Дэнки сикансё ихо, Bull. Electrotechn. Lab., 1957, 21, № 9, 691—695, 717 (японск.; рез. англ.)

Исследование диссоциации  $\text{ZrI}_4$  проводилось по методу ван-Аркеля и де-Бура. Реакционные сосуды были выполнены из стеклянных трубок, W-стержней и W-проволок. Установлено, что: 1) максим. скорость образования осадка  $\text{Zr}(v)$  на горячей проволоке с т-рой 1320° наблюдается при т-ре сосуда  $\sim 250^\circ$ ; 2)  $v$  возрастает с т-рой проволоки; 3) возрастание веса горячей проволоки со временем линейно, но в начале осадкообразования несколько больше; 4) вертикальный тип реакционного сосуда менее пригоден для получения хороших результатов из-за диффузии газов.

Резюме авторов 28229. Термическое разложение карбоната свинца. Перетти (Thermal decomposition of lead carbonate. Peretti E. A.), J. Amer. Ceram. Soc., 1957, 40, № 5, 171—173 (англ.)

Изучались продукты термич. разложения  $\text{PbCO}_3$  в среде  $\text{CO}_2$  при различных давлениях и при очень

медленном нагреве. Продукты разложения идентифицировались по изменению веса и рентгенографически. При повышении т-ры разложение происходит через 3 стадии, соответствующие образованию компонентов:  $\text{PbO} \cdot \text{PbCO}_3$ ,  $2\text{PbO}$ ,  $\text{PbCO}_3$ ,  $\text{PbO}$ . Для каждой из трех р-ций разложения имеется прямолинейная зависимость между логарифмом давления и  $1/T$ . А. Говоров

28230. Исследование реакции:  $2\text{UF}_4 + \text{O}_2 \rightarrow \text{UF}_6 + \text{UO}_2\text{F}_2$ . I. Побочные реакции и термодинамика. Феррис (A study of the reaction:  $2\text{UF}_4 + \text{O}_2 \rightarrow \text{UF}_6 + \text{UO}_2\text{F}_2$ . I. Side reactions and thermodynamics. Ferris L. M.), J. Amer. Chem. Soc., 1957, 79, № 20, 5419—5421 (англ.)

Исследована р-ция  $\text{UF}_4$ , находящегося в помещенной в кварцевой трубке Pt-лодочке, с током сухого  $\text{O}_2$  при 600—900°. Основная р-ция:  $2\text{UF}_4 + \text{O}_2 \rightarrow \text{UF}_6 + \text{UO}_2\text{F}_2$ , начинающаяся выше 750°, сопровождается побочной р-цией  $\text{UF}_4 + \text{UF}_6 \rightleftharpoons 2\text{UF}_5$ , приводящей к увеличению расхода  $\text{UF}_4$  из лодочки, конденсации  $\text{UF}_4$  и  $\text{UF}_5$  в более холодных зонах и загрязнению  $\text{UF}_6$ , конденсированного в ловушке, примесью  $\text{UF}_5$ . Образование  $\text{U}_3\text{O}_8$  в горячей зоне вызвано р-цией  $\text{UF}_6$  с  $\text{SiO}_2$ . Скорость испарения  $\text{UF}_4$  при 600—900° крайне низка ( $\sim 1/50$  скорости основной р-ции). Константы скорости р-ции первого порядка  $3\text{UO}_2\text{F}_2 = \text{UF}_6 + 1/2\text{U}_3\text{O}_8 + 1/2\text{O}_2$  равны при 700°  $(7,6-6,7) \cdot 10^{-5}$  и при 800°  $(7,7-7,8) \cdot 10^{-4}$  мин.<sup>-1</sup> ( $\sim 1/50$  скорости основной

р-ции); энергия активации составляет  $\sim 50$  ккал/моль. Приведены графики температурной зависимости  $\Delta F^\circ$  (значения  $\Delta F^\circ$  оценены) ряда р-ций разложения  $\text{UO}_2$  и р-ции  $2\text{UF}_5 \rightleftharpoons \text{UF}_4 + \text{UF}_6$ .

28231. Реакции обмена йода между соединениями йода разных степеней окисления. Павлов В. Л., Филалков Ю. Я. (Реакції обміну йоду між сполуками йоду різних ступенів окиснення. Павлов В. Л., Фіалков Ю. Я.), Наук. зап. Київськ. ун-ту, 1957, 16, № 15, 71—78 (укр.; рез. русск.)

Исследованы р-ции изотопного обмена йода в системах:  $\text{J}^- - \text{J}_2$ ;  $\text{J}^- - \text{JO}_3^-$ ;  $\text{J}^- - \text{JO}_4^-$ ;  $\text{J}_2 - \text{J}^+$ ;  $\text{J}_2 - \text{JO}_3^-$ ;  $\text{J}_2 - \text{JO}_4^-$ ;  $\text{J}^+ - \text{J}^{3+}$ ;  $\text{J}^+ - \text{JO}_3^-$ ;  $\text{J}^+ - \text{JO}_4^-$ ;  $\text{J}^{3+} - \text{JO}_3^-$ ;  $\text{J}^{3+} - \text{JO}_4^-$ . Установлено, что обмен во всех случаях является следствием обратной р-ции комплексобразования или окислительно-восстановительного процесса. По резюме авторов

28232. Кислотно-основные свойства металлургических шлаков. Шварцман Л. А., Томина И. А., Успехи химии, 1957, 26, № 5, 554—567. Обзор. Библ. 24 назв.

См. также: Элементы и простые в-ва 29379. Строение и св-ва молекул и кристаллов 27629, 27683, 27687, 27688, 27693, 27694. Комплексные соед. 27579, 27604, 27608, 27628, 27647, 27697, 27699, 27909, 28043, 28075. Синтез неорг. соед. 29377, 29378

## КОСМОХИМИЯ. ГЕОХИМИЯ. ГИДРОХИМИЯ

Редакторы Г. Г. Воробьев, М. С. Яншина

28233. Полосы циана как индикатор относительной затемненности при 4200 и 7900 Å в атмосфере углеродных звезд. Кинан (Cyanogen bands as indicators of the relative opacities at 4200 Å and 7900 Å in atmospheres of cool stars. Keenan Philip C.), Proc. Nat. Sci. Found. Conf. Stellar Atmosph. Indiana Univ., 1954, 20—22 (англ.)

28234. Эволюция и белые карлики. Гринстейн (Evolution and the white dwarfs. Greenstein Jesse L.), Publ. Astron. Soc. Pacif., 1956, 68, № 405, 501—503 (англ.)

См. РЖАстр, 1957, 7581.

28235. Метеориты. Райнхарт (Meteorites. Rinehart John S.), Discovery, 1957, 18, № 8, 336—340 (англ.)

Популярная статья.

28236. О линии натрия в ночном и сумеречном свечении. Омхольт (Considerations regarding the sodium lines in the nightglow and twilight. Omholt A.), J. Geophys. Res., 1957, 62, № 2, 207—212 (англ.)

Рассмотрены некоторые фотохим. процессы, связанные с эмиссией линии Na в ночном и сумеречном свечении атмосферы. В качестве наиболее важного принят процесс окисления:  $\text{Na} + \text{O}_2 + \text{M} \rightarrow \text{NaO}_2 + \text{M}$ . Отсутствие данных о константах скоростей р-ций препятствует точным колич. расчетам. Однако установлено, что образование испускающего слоя и интенсивность ночного свечения могут быть объяснены фотохим. р-циями. Резюме автора

28237. Комбинация тонкостратиграфического и геохимического методов для рационализации разведочных работ на месторождениях известняков. Юбиц (Kombinierte feinstratigraphisch-geochemische Methoden zur Rationalisierung der Kalklagerstätten erkundung. Jubitz Karl-Bernhard), Ber. Geol. Ges., 1957, 2, № 2, 121 (нем.)

Описан новый метод разведки месторождений известняков, основанный на том, что стратиграфич.

лежание и висячие контакты совпадают с отчетливо выраженными геохим. границами раздела, на которых резко меняется содержание  $\text{CaO}$  и  $\text{MgO}$ . Поэтому построение стратиграфич. профиля может быть заменено построением геохим. профиля, что является менее трудоемким, более дешевым и точным.

28238. Изотопный состав обычных свинцов и непрерывная дифференциация земной коры из мантии. Маршалл (Isotopic composition of common leads and continuous differentiation of the crust of the earth from the mantle. Marshall Royal R.), Geochim. et cosmochim. acta, 1957, 12, № 3, 225—237 (англ.)

На основании литературных данных по изотопному анализу неаномальных обычных свинцов вычислены современные величины отношений  $\text{U}^{238}:\text{Pb}^{204}$  и  $\text{Th}^{232}:\text{U}^{238}$ , равные соответственно  $9,3 \pm 0,2$  и  $4,1 \pm 0,1$ . Эти величины непрерывно изменяются в зависимости от «модельного»  $\text{Pb} = \text{Pb}$  возраста свинцовых руд. Существование такого изменения автор объясняет непрерывным добавлением в земную кору из осадочной мантии первичного Pb с более высоким содержанием  $\text{Pb}^{204}$  со скоростью 0,09 атома Pb на 1 атом U за  $10^9$  лет и дифференциацией U и Th со скоростью 0,01 атома U на 1 атом Th за  $10^9$  лет. Обнаруженные закономерности свидетельствуют о непрерывном развитии земной коры из мантии. Р. Хмельницкий

28239. Альфа-свинцовый возраст гранитных пород штата Род-Айленд, сопоставленный с их геологическим возрастом [США]. Кунин, Джафф, Смит, Уэринг (Lead-alpha ages of Rhode Island granitic rocks compared to their geologic ages. Quinn Alonzo W., Jaffe Howard W., Smith W. L., Waring C. L.), Amer. J. Sci., 1957, 255, № 8, 547—560 (англ.)

Исследовано 15 обр. циркона и 1 обр. монацита, выделенных из пород гранитного состава. Пределы со-



содержания Рb  $0,14-5,85 \cdot 10^{-2}\%$ . Среднее значение возраста для поздних пенсильванских пород  $234 \pm 23$  млн. лет (по геологич. шкале времени 210—235 млн. лет), для миссисипских (?) пород  $270 \pm 7$  (235—265), девонских  $306 \pm 18$  (265—320). Р. Хмельницкий

**28240. Ионный метод определения возраста.** Волчок, Кали (The ionium method of age determination. Volchok Herbert L., Kulp J. Laurance), Geochim. et cosmochim. acta, 1957, 11, № 4, 219—246 (англ.)

Проведено детальное изучение метода с рассмотрением ряда допущений и лимитирующих условий. В 39 образцах из 8 кернов илов Тихого океана, Карайского моря и Атлантического океана определено содержание Ra, Rn, общей  $\alpha$ -активности, абс. площади поверхности. Большая часть этих кернов оказалась не пригодной для определения возраста. Возраст 4 образцов — от  $1100 \pm 400$  до  $16\,000 \pm 1000$  — совпадает с возрастом по  $C^{14}$ -методу (от  $1400 \pm 500$  до  $17\,500 \pm 2000$  лет). Скорость отложения для керна красной глины из Тихого океана  $0,15 \pm 0,05$  см в 1000 лет. В интервале времени ~ 200 000 лет (за исключением последних 10 000 лет) эти скорости в основном постоянны. Для определения возраста  $Io$ -методом необходимо выполнение ряда условий. Концентрация  $Io$  в океане должна сохраняться неизменной, но крайней мере, в течение последних 400 000 лет. Равновесие между  $Io$  и Ra не должно нарушаться путем миграции одного из этих элементов. Отложение материала в кернах должно быть обусловлено только нормальной седиментацией. Осадочный материал должен быть однородным вдоль всей длины керна в отношении своих хемисорбционных свойств. Точность полученных данных определяется точностью анализа Ra, а также кол-вом образцов, взятых из различных частей керна. Метод является перспективным для определения скорости отложения глубоководных морских осадков и разработки детальной хронологии плейстоценового периода. Р. Хмельницкий

**28241. Основные итоги изучения структур рудных полей и месторождений в СССР.** Вольфсон Ф. И., Крейтер В. М., Лукин Л. И., Изв. АН СССР. Сер. геол., 1957, № 11, 58—81

**28242. К вопросу о генезисе богатых железных руд Саксаганского района Криворожского бассейна.** Мартыненко Л. И., Сб. тр. Н.-и. горнорудн. ин-та УССР, 1957, 1, 436—464

Богатые руды Кривого Рога представляют зону окисления, которая формировалась в условиях слабо дислоцированных железистых пород, высоко поднятых над уровнем моря. При этом происходил односторонний вынос  $SiO_2$  и  $Al_2O_3$  из зоны инфильтрации спец. гипергенных р-ров. В результате при разложении силикатов наблюдается стадийность, образующая ряд минералов: биотит — мусковит — монтмориллонит — бейделлит — галлуазит — гидрагиллит, и рудные минералы: магнетит — мартит — гидрогематит — гётит — гидрогётит. Различия в богатых рудах Саксаганской полосы определяются характером исходных железистых пород. Маргито-гематитовые руды возникают за счет магнетито-гематитовых роговиков, маргито-гидрогематитовые руды — за счет силикатных роговиков и «красковые» руды — за счет аспидно-хлоритовых сланцев. Приведены хим. анализы названных пород и руд. Установлено, что железные руды представляют многофазные образования, претерпевшие, по крайней мере дважды, воздействие контакто-метаморфич. процессов и гипергенных процессов нескольких генераций. В. Кудряшова

**28243. Новые данные по железорудным месторождениям Западной Сибири.** Калугин А. С., Вестн. Зап.-Сиб. геол. упр., 1957, № 1, 1—35

Обзор (частично по неопубликованным данным) магматич., контактово-метасоматич., гидротермальных, осадочно- и эффузивно-осадочно-метаморфогенных, осадочных и элювиально-метатетич. месторождений Горной Шории, Кузнецкого Алатау, Алтая, Салаира, Колывань-Томской зоны, Кузбасса и Западно-Сибирской низменности. Приведен хим. состав некоторых руд. Общие геологич. запасы составляют (в млрд. т): контактово-метасоматич.-магнетитовые 2,2, магматич.-титаномagnetитовые и ильменито-магнетитовые 3,5—6, осадочные — бурые железняки с глауконитом, шамозитом, сидеритом свыше 100. Г. Воробьев

**28244. Генетические типы и перспективы свинцово-цинковых месторождений Армянской ССР.** Сипаян Г. А., Тр. Арм. геол. упр. М-ва геол. и охраны недр СССР, 1957, № 1, 41—49

Кратко описаны следующие генетич. типы полиметаллич. месторождений: 1) свинцово-цинковый — пластовый, среди карбонатных и туфо-осадочных известковых отложений (Привольненское, Цахкарское, Мовсесское и Енгиджинское рудные поля); 2) медно-серноколчеданный (среднетемпературный) — в кислых эффузивных и вулканогенно-осадочных отложениях (Алавердская, Присеванская и Кафанская тектонич. зоны); 3) колчеданно-полиметаллический (среднетемпературный) — самая распространённая группа месторождений Армении; 4) собственно-полиметаллический (среднетемпературный) — в порфиридах, туфах и близких к ним породах Ахтинской тектонич. зоны; 5) свинцово-цинковый (среднетемпературный) — в порфиридах, их туфах и туфобрекчиях северо-западной части Присеванской тектонич. зоны; 6) золото-серебряно-сурьмяно-ртутно-полиметаллический (среднетемпературный) — в порфиридах, их туфах и туфобрекчиях, туфитах и андезитах бассейна среднего течения р. Арпа; 1) мышьяково-полиметаллический (высокотемпературный) — в монцонитах Пирмазринского района; 8) контактово-метасоматический (скарновый) — полиметаллический — по контакту порфиридов с известняково-сланцевой и песчаной толщей (Пейганское и Дражарское месторождения). Наиболее перспективными являются 1 и 3 типы, менее перспективными 4, 5 и 6, мало перспективным 2 и совсем неперспективными 7 и 8. Г. Воробьев

**28245. Генезис месторождений меди Внешне-Судетской мульды.** Константинович (Geneza złóż miedzi niecki Zewnętrzno-Sudeckiej. Konstantynowicz Erast), Rudy i metale nievel., 1957, 2, № 2, 39—44 (польск.)

**28246. Быстрый физический анализ хромовых руд на содержание  $Cr_2O_3$  и  $SiO_2$ .** Шёвегярто (Analyse physique rapide de la teneur en  $Cr_2O_3$  et  $SiO_2$  des minerais de chrome. Sövegjarto M. J.), Bull. Soc. franç. céram., 1957, № 36, 57—60 (франц.; рез. англ., нем.)

Длительность хим. анализа хромовых руд (ХР) ( $\geq 22-25$  час.) вследствие трудности их разложения не удовлетворяет требованиям пром-сти. Предложен физ. способ анализа их, применительно к албанским рудам. Метод основан на том, что уд. вес хромитов и серпентинитов, из которых в основном состоят ХР, достаточно сильно различается (4,5—4,8 для хромитов и 2,7—3,0 для серпентинитов). Авторами составлены диаграммы и таблицы, позволяющие по уд. весу образца руды определять процентное содержание  $Cr_2O_3$  и  $SiO_2$  в нем. Сопоставление полученных данных с результатами хим. анализа для 12 образцов албанских руд дает расхождение 0,2—1,0%. Предполагается возможность составления таких таблиц для ХР другого происхождения. Т. Попова

**28247. Эзкуррит** ( $2\text{Na}_2\text{O} \cdot 5\text{B}_2\text{O}_3 \cdot 7\text{H}_2\text{O}$ ) — натриевый борат из Аргентины: местонахождение, минералогия и ассоциирующие минералы. Мьюссиг, Аллен (Ezcurrite ( $2\text{Na}_2\text{O} \cdot 5\text{B}_2\text{O}_3 \cdot 7\text{H}_2\text{O}$ ), a new sodium borate from Argentina: occurrence, mineralogy, and associated minerals. Muessig Siegfried, Allen Robert D.), Econ. Geol., 1957, 52, № 4, 426—437 (англ.)

В боратном руднике Тинкалаху (провинция Сальта, Аргентина) обнаружен новый минерал, названный эзкурритом в честь директора «Компания Продуктора де Боратос» Ж. М. де Эзкурра. Район слагают сильно дислоцированные соленосные алевролиты, песчаники и глины с прослоями туфов, индерита, крупнокристаллич. буры и улексита. Месторождение Тинкалаху представляет собой куполообразное тело, сложенное почти исключительно бурой, с примесью кернита, эзкуррита и небольшими прослоями вмещающих пород. Эзкуррит внешне похож на кернит. Сложение пластинчатое-волокнистое или лучистое (до  $7 \times 1,5$  см). Бесцветный, прозрачный, с шелковистым блеском. Твердость 2,5. Уд. в. 2,153. В Na-свете:  $N_m$  1,506,  $N_x$  1,526;  $2V$  73,5 (вычисл.); оптически (—). Сингония триклинная? Наиболее интенсивные линии на дебаеграмме: 6,94; 3,08; 2,77 Å. На кривой нагревания отмечается эндотермич. эффект при  $160-170^\circ$  с максимумом при  $260-265^\circ$  (в отличие от кернита). Результаты 2 хим. анализов (в %):  $\text{B}_2\text{O}_3$  58,86; 59,34;  $\text{Na}_2\text{O}$  20,67; 20,37;  $\text{H}_2\text{O}$  20,47 (по разности); 20,89; сумма (100,00); 100,60. Спектральный анализ дополнительно обнаружил  $n \cdot 10^{-2}\%$  Si и Al,  $n \cdot 10^{-3}\%$  Ag, Fe, Ca и Cu,  $n \cdot 10^{-4}\%$  Mg. Предполагается, что в процессе метаморфизма месторождения бура подверглась перекристаллизации и при повышенной т-ре частично дегидратировалась с образованием кернита; эзкуррит образовался одновременно с кернитом в особых условиях т-ры, давления и колич. соотношения Na, B и  $\text{H}_2\text{O}$ . Г. Воробьев

**28248. Радиоактивные минералы (Обзор).** Маркис-ди-Алмейда-Рольф (Minerais radioativos (Sintese). Marques de Almeida Rolff Paulo A.), Rev. Escola minas, 1957, 21, № 1, 3—12 (порт.)

Приведены краткое описание основных типов урановых и ториевых руд, методы их изучения и цены на минер. сырье различного качества. Г. Воробьев

**28249. Минеральный состав гуммита.** Фрондел (Mineral composition of gummite. Frondel Clifford), Amer. Mineralogist, 1956, 41, № 7-8, 539—568 (англ.)

**28250. Текстульная эволюция в ильменитах из Кашангарх (Раджастхан).** Рой, Чаудхури (Textural evolution in Kishangarh (Rajasthan) ilmenites. Roy Supriya, Chaudhuri S. Ray), Proc. Nat. Inst. Sci. India, 1956, A22, № 5, 294—297 (англ.)

**28251. Об образовании термическим путем тридимита и кристобалита на основе осажденного аморфного кремнезема.** Папайу (Sur la formation par voie thermique de tridymite et de cristobalite à partir de silice amorphe précipitée. Pailhau Jean), C. r. Acad. sci., 1957, 245, № 17, 1443—1445 (франц.) Чистый гель  $\text{SiO}_2$  при нагревании кристаллизуется с трудом. В присутствии  $\text{Na}_2\text{CO}_3$  и  $\text{K}_2\text{CO}_3$  (при достижении определенной т-ры)  $\text{SiO}_2$  мгновенно переходит в кристобалит. При добавлении в качестве минерализатора NaF или KF  $\text{SiO}_2$  превращается в тридимит, но кристобалит всегда является переходной ступенью между аморфным гелем и тридимитом.

В. Красинцева  
**28252. Морфогенетические типы конкреций никеля в связи с ультрабазитами-змеевиками.** Бок

И. И., Изв. АН КазССР. Сер. геол., 1956, вып. 23, 22—45 (рез. каз.)

В ультрабазитах-змеевиках (УЗ) заключена основная масса Ni земной коры. При выветривании этих пород оливины (первичный носитель Ni) разрушаются, а Ni остается в серпентине и в дальнейшем обогащается из него в виде гидросиликатов Ni или переходит в колл. р-ры. Выделено 8 морфогенетич. типов конкреций Ni, возникающих при выветривании УЗ. Инфильтрационные типы: 1) площадная охристо-нотронитовая кора выветривания УЗ (наиболее широко распространенный тип), 2) линейная охристо-керолитовая или охристо-керолит-нотронитовая кора выветривания (в связи с зонами нарушений), 3) контактно-карстовый глинисто-гидросиликатный тип на тектонич. контакте змеевиков с известняками, 4) охристо-древянная кора выветривания змеевиков. Типы горизонтальной миграции: 5) перестроенные нотрониты и другие продукты распада змеевиков, 6) конкреции Ni в форме гипергенных сульфидов и адсорбционных систем в каустобиолитах. Типы сульфидных конкреций Ni: 7) гипогенные сульфиды Ni в змеевиках, появившиеся в связи с серпентинизацией ультрабазитов, 8) вторичные гипогенные Ni-содержащие сульфиды в ливенитизированных ультраосновных породах. Для каждого случая определены геол. и геохим. факторы конкреций Ni. Общим во всех этих процессах является позднейшая конкреция Ni, первоначально рассеянного в высокотемпературных породообразующих минералах УЗ. Л. Тарасов

**28253. Об эквивалентном анализе эпидота из Либрамона [Бельгия].** Делькур (Sur l'analyse équivalente d'une épidote de Libramont. Deleccourt J.), Bull. Soc. belge géol., 1956, 65, 220—227. Discuss., 227 (франц.)

Для вывода мол. ф-лы эпидота использовано предположение, что в основе эпидота лежит квадратная цепь с 26-валентным радикалом  $\text{Si}_6\text{O}_{25}$ . Это предположение приводит к ф-ле  $(\text{Al}^{3+}, \text{Fe}^{3+}, \text{Mn}^{3+})_3(\text{Ca}^{2+}, \text{Fe}^{2+})_2\text{Si}_6\text{O}_{25} \cdot \text{H}_2\text{O}$ , которая характеризуется следующими эквивалентными соотношениями:  $\text{Si } E = 360 : 26 = 13,85$  (360 — мол. вес  $6\text{SiO}_2$ );  $\text{H}_2\text{O } E = 18 : 26 = 0,69$ ;  $n(\text{Al}^{3+}, \text{Fe}^{3+}, \text{Mn}^{3+}) : n(\text{Ca}^{2+} + \text{Fe}^{2+}) = 2,25$ . Эти соотношения должны соблюдаться для всех эмпирич. ф-л эпидота, если они основаны на правильных анализах. Расчет подтвержден данными точного анализа образца эпидота из Либрамона (РЖХим, 1957, 74230).

Л. Афанасьева  
**28254. Опыты по сплавлению гранита в присутствии воды.** Хитаров Н. И., Арсеньева Р. В., Лебедев Е. Б. Геохимия, 1957, № 5, 380—384 (рез. англ.)

Сплавление гранита в присутствии воды производилось в условиях т-ры  $700-900^\circ$  и  $P$  4000—2000 атм. Выдержка во времени в зависимости от режима опыта составляла от 30 мин. до 5,5 часа. Обработанные препараты изучались в прозрачных шлифах. Выявлено различное оплавление породообразующих минералов и преимущественное образование стекла из щел. полевых шпатов — альбита и микроклина. Более устойчивы кварц, плагиоклаз и биотит. В итоге наблюдается конкреция щелочей в выплавке стекла. Путем повышения давления до 4000 атм при т-ре  $700^\circ$  можно добиться расплавления гранита, в то время как при меньшем давлении это не удается. Увеличение времени вызывает повышение степени оплавления. Подобная порода, попав на глубине в условия опыта может расплавляться с отщеплением в начале процесса подвижной, обогащенной щелочами части. Этот дифференциат может мигрировать с образованием щел. пород, а при обогащении водой способствовать развитию метасоматоза. А. Попов



28255. Наблюдения над разрушением гранита перекисью водорода. Энен, Педро (Mise en évidence d'un effet de dislocation du granite à biotite par traitement à l'eau oxygénée. Hénin Stéphane, Pédro Georges), C. r. Acad. sci., 1957, 245, № 17, 1451—1453 (франц.).

При воздействии  $H_2O_2$  на образец биотитового гранита с целью разрушения органич. загрязнений наблюдалось интенсивное разрушение самого гранита. При нагревании на водяной бане обр. с  $H_2O_2$  в течение 16 час. разрушалось 46,3% всего обр. Гранулометрич. и минералогич. анализ продуктов разрушения показали, что 60% гранита подверглось лишь механич. разрушению; из трех минералов наиболее подвержена действию  $H_2O_2$  слюда. На холоду полное механич. разрушение гранита наблюдается при длительном воздействии, тогда как образец вулканич. лавы почти не разрушается (на 0,03%). Сделан вывод, что при обработке обр. перед гранулометрич. анализом следует с осторожностью относиться к применению  $H_2O_2$ . Относительно легкая разрушаемость биотитового гранита энергичным хим. реагентом обусловлена способностью биотита давать наиболее мелкие фракции и, в конце концов, глину. Это подтверждается наблюдениями над изменением материалов в природных условиях.

Т. Попова

28256. О возрасте дезинтеграции гранитов в Гарце. Шик (Zur Altersstellung der Granitvergrusung im Harz. Schick Manfred), Mitt. Geogr. Ges. Wien, 1956, 98, № 3, 209—212 (нем.).

Рассмотрен вопрос о характере и возрасте дезинтеграции гранитов в массивах Брокен и Рамберг (Гарц). В гранитной древесине по внешнему виду можно выделить три составляющих: желтовато-коричневую (I), полностью обесцвеченную (II) и розовую (до красной) (III), которые отвечают трем стадиям выветривания гранита. Фракция I образовалась путем атмосферного выветривания в современном климате. Этот процесс сопровождался небольшим повышением содержания  $SiO_2$  и  $Al_2O_3$  и более значительным увеличением кол-ва Fe, в то время как содержание Mg и K не менялось, а содержание Ca и Na сильно уменьшилось. Образование II обусловлено в основном выветриванием под воздействием гуминовых к-т также в настоящее время: при этом происходило некоторое увеличение содержания  $SiO_2$ ,  $Fe_2O_3$  и CaO и уменьшение содержания  $Al_2O_3$ , MgO,  $K_2O$  и  $Na_2O$ . Фракция III находится под солифлюкционным слоем; по сравнению с первоначальным гранитом она существенно обогащена Al, Fe и гидратной водой, содержание Ca, K и Na заметно ниже, а содержание Mg снижено незначительно. Эти факты указывают на то, что образование III обусловлено выветриванием во влажном тропич. климате и, следовательно, относится к третичному периоду. Поэтому высказывавшиеся в литературе мнения о том, что дезинтеграция этих гранитов произошла путем механич. выветривания в ледниковый период, являются неправильными. Приведено 4 хим. анализа гранита на различных стадиях выветривания. Л. Афанасьева

28257. Плотность вулканической «дуги» и относительное количество алюминия в породах «дуги». Матчинский («Densité» dans un arc volcanique et quantité relative d'alumine dans ses roches. Matschinski M.), Compt. rend. Soc. géol. France, 1956, № 11-12, 221—224 (франц.).

Приведены данные о содержании  $Al_2O_3$  в различных породах 15 вулканич. районов; среднее содержание вычислено на основании многократных анализов 255 различных пород по данным 80 авторов (всего ~2500 анализов). Графич. обработка материала показывает явную зависимость между «плотностью» в

вулканич. дуге и содержанием  $Al_2O_3$  в породах данной дуги.

В. Красинцева

28258. Граниты, содержащие колумбит, близ Джос-Плато, Нигерия. Мак-Кей (The columbite-bearing granites, Jos Plateau, Nigeria. Mac Kay R. A.), Econ. Geol., 1957, 52, № 1, 83 (англ.).

28259. Некоторые проблемы петрологии коренных алмазоносных пород в СССР. Лебедев А. П., Изв. АН СССР. Сер. геол., 1957, № 11, 50—57.

28260. О происхождении диоритовых порфиритов района Таштагол в Горной Шаори. Вахрушев В. А., Изв. АН СССР. Сер. геол., 1957, № 10, 39—47.

Описаны диоритовые порфириты, образованные в результате магматич. замещения известняков. Порода заключает в себе реликтовый карбонатный материал и вторичные кальцитовые прожилки. Хим. состав 2 образцов (первый — из приконтактной зоны; в %):  $SiO_2$  49,90; 50,72;  $TiO_2$  0,51; 0,51;  $Al_2O_3$  10,65; 14,04;  $Fe_2O_3$  5,89; 5,19; FeO 2,51; 3,59; MgO 7,24; 7,13; CaO 9,78; 9,48; MnO 0,20; 0,17;  $Na_2O$  3,76; 2,09;  $K_2O$  2,16; 2,60;  $P_2O_5$  0,66; 1,07; п. п. п. 5,82; 3,76; сумма 99,08; 100,35. Спектральный анализ в этих образцах дополнительно открыл: Sr — средние линии, V, Ba, Sr, Cu, Ni, Co, Pb и Ga — слабые и очень слабые линии, Mo — следы. Поскольку отсутствуют все признаки ассимиляции CaO, предполагается, что под воздействием магмы происходил полный вынос  $CaCO_3$ .

Г. Воробьев

28261. Основные петрохимические особенности мезозойского вулканического цикла Кафанского рудного района. Малхасян Э. Г., Тр. Арм. геол. упр. М-ва геол. и охраны недр СССР, 1957, № 1, 83—87.

Район сложен дислоцированными палеозойскими и мезо-кайнозойскими вулканогенно-осадочными породами. По данным хим. анализов, которые в статье не приводятся, устанавливается повышенное содержание  $SiO_2$  (альбитофиты и кварцевые порфиры), Fe и Mg, наряду с пониженным кол-вом Ca; резко преобладание Na > K, частая пересыщенность  $Al_2O_3$ , преобладание  $Fe^{2+} > Fe^{3+}$ . Суммарное кол-во Fe обычно высокое (7—15%), содержание MgO колеблется в пределах 0,14—10,6%, понижаясь в альбитофитах и преобладающая в габбро-диабазе и эпидотизированных порфири-тах, содержание CaO колеблется в еще больших пределах (0,3—12,2%), содержание  $Na_2O$  и  $K_2O$  сравнительно устойчиво (4—5%), в повышенных кол-вах присутствуют  $TiO_2$  (до 3%) и кристаллизационная вода (до 8—10%). Приведены вариационные диаграммы.

Г. Воробьев

28262. Несколько фаз гранитных интрузивов массива Труа-Сеньёр. Ньивенхёйс (Quelques phases granitiques intrusives dans le Massif des Trois Seigneurs. Nieuwenhuys W. H.), Leidse geol. meded., 1956, 21, № 2, 490—503 (франц.).

Приведены хим. анализы ортогнейса, двуслюдистого гранита и 2 гранитов с биотитом из массива Труа-Сеньёр (Восточные Пиренеи).

М. Яншина

28263. Геохимическое исследование малых элементов в породах Майкульской гранитной интрузии. Пламеневская Н. Л., Тр. Ин-та геол. рудн. месторожд., петрогр., минералогии и геохимии. АН СССР, 1957, вып. 5, 193—212.

Интрузия сложена биотитовыми гранитами без явных следов гибридизма. Приведено 10 хим. анализов различных фацialsных разновидностей пород массива. Средний состав (в %):  $SiO_2$  74,41,  $TiO_2$  0,09,  $Al_2O_3$  14,15,  $Fe_2O_3$  0,74, FeO 0,50, MnO 0,05, MgO 0,16, CaO 0,68,  $Na_2O$  3,80,  $K_2O$  5,13,  $H_2O$  — 0,08,  $H_2O$  + 0,40, сумма 100,19. Поведение микроэлементов в породах и минералах изучалось спектральным и рентгеноспектральным методами. Установлено, что накопление основной массы микроэлементов происходило в постмагматич. стадии — в ходе процессов грейзенизации, амазонитиза-

ции и рудообразования. Выделяются типично петрогенные элементы — Li, Be, Rb, Sr, Ba; металлогенные — Cu, Zn, Ga, Sn, Pb, Bi, V, Mo, W, и редкоземельные — Se, Nb, Ta. Редкометалльное оруденение (Sn, W), генетически связанное с гранитами Майкульской интрузии, приурочено к зоне зап. экзоконтакта массива. Приведены вариационные диаграммы макро- и микросостава пород.

В. Кудряшова

28264. Антофиллитовые асбесты в Центральном Сьерра-Леоне [Западная Африка]. Мармо (Anthophyllite asbestos in central Sierra Leone. Marmo V. I., Schweiz. mineral. und petrogr. Mitt., 1957, 37, № 1, 31—50 (англ.).

В метаморфич. толще пород отмечена зона протяженностью 8 и шириной 0,5 км, сложенная антофиллитовыми породами волокнистого строения (приведен 1 хим. анализ). Считают, что антофиллит образовался за счет антигорита при одностороннем давлении и привносе  $\text{SiO}_2$ . Возникновение волокнистости (асбеста) вызвано дальнейшей перекристаллизацией.

В. Кудряшова

28265. К вопросу о генезисе «лабрадорских андезитов» Даралагаза. Григорян Г. О., Научн. тр. Ереванск. ун-та, 1957, 59, 93—110 (рез. арм.).

«Лабрадорские андезиты» залегают в контактовых зонах интрузивных пород разнообразного состава, прорывающих вулканогенно-осадочные отложения эоцена и туфогенные породы олигоцена. Они состоят из плагиоклаза (лабрадор № 55—60), К-полевого шпата, диопсида, частично кварца и биотита. В небольшом кол-ве присутствуют апатит, сфен, рудные минералы и вторичные минералы: серицит, хлорит, эпидит и карбонат. Хим. состав по двум анализам (в %):  $\text{SiO}_2$  49,75;  $\text{TiO}_2$  0,83;  $\text{Al}_2\text{O}_3$  19,53;  $\text{FeO}$  —, 5,86;  $\text{FeO} + \text{Fe}_2\text{O}_3$  9,94; —;  $\text{Fe}_2\text{O}_3$  —; 2,43;  $\text{MnO}$  0,17; —;  $\text{MgO}$  2,63; 6,20;  $\text{CaO}$  10,50; 12,60;  $\text{K}_2\text{O}$  0,95; 0,57;  $\text{Na}_2\text{O}$  2,90; 2,20; влага 0,64; не обн.; п. п. п. 1,28; 1,0; сумма 98,96; 100,20. Приведены также хим. анализы интрузивных пород: кварцевого габбро, ортоклазового габбро, габбро и вмещающего их туфа основного состава. Образование «лабрадорских андезитов» автор рассматривает как результат ассимиляции или контаминации туфогенных пород массивами гранитоидов третичного возраста. Формирование интрузий имело место на относительно небольшой глубине, при быстром падении т-ры, вследствие чего возникла серия гибридных пород, с которыми одновременно формировались и «лабрадорские андезиты» — производные новой гибридной магмы.

В. Кудряшова

28266. Плиоценовый лакколлит в бассейне р. Кыртык. Милановский Е. Е., Вестн. Моск. ун-та. Сер. биол., почвовед., геол., геогр., 1957, № 3, 157—172

Приведено геологич. описание района р. Кыртык на левобережье р. Баксана (центральная часть Сев. Кавказа) с новыми данными по интрузиву липаритов, названных ранее делленитами (дацито-липариты). Получен новый хим. анализ липарита. Г. Воробьев

28267. О молодых базальтах Минусинского межгорного прогиба. Лучицкий И. В., Изв. АН СССР. Сер. геол., 1957, № 10, 94—97

Посткаменноугольные базальты образуют дайки, трубообразные тела (некки) и редкопластовые залежи в породах от верхнего девона до перми. По составу они отвечают преимущественно платобазальтам. Произведен хим. анализ 3 обр. и определены оптич. константы важнейших породообразующих минералов. Устанавливается некоторое сходство некков с трубками взрыва в Южной Африке и на Сибирской платформе.

Г. Воробьев

28268. О нахождении аксинита в лавах Вентерсдорп (Кинросс, Трансвааль, Южная Африка). Барбор, Берд, Голд (An occurrence of axinite in Venters-

dorp lavas from Kinross, Transvaal, South Africa. Barbour E. A., Bird H. H., Gold D. P.), Mineral. Mag., 1957, 31, № 237, 495—496 (англ.).

Скважиной алмазного бурения в покрове андезитовой лавы вскрыты аксинитсодержащие кварц-ортоклазовые жилы. Хим. состав аксинита (в %):  $\text{SiO}_2$  45,80;  $\text{Al}_2\text{O}_3$  17,29;  $\text{Fe}_2\text{O}_3$  2,34;  $\text{FeO}$  6,03;  $\text{MnO}$  0,93;  $\text{MgO}$  2,19;  $\text{CaO}$  18,62;  $\text{Na}_2\text{O}$  0,22;  $\text{K}_2\text{O}$  0,20;  $\text{B}_2\text{O}_3$  3,85;  $\text{TiO}_2$  0,20;  $\text{P}_2\text{O}_5$  0,26;  $\text{H}_2\text{O} + 1,65$ ;  $\text{H}_2\text{O} - 0,05$ , сумма 99,63. Уд. в. 3,23. Определены простейшие физ. свойства и оптич. константы. Предполагается, что жилы образовались в пневматолитовую стадию в связи с интрузией бушвельдского гранита.

Г. Воробьев

28269. Трубчатая структура серпофита. Меренков Б. Я., Толстухина К. И., Александров А. Л., Докл. АН СССР, 1957, 112, № 3, 516—518

Проведено электронномикроскопич. исследование структуры образцов серпофита двух типов: а) продольностоватого из Красноуральского месторождения и б) аморфного из Баженовского месторождения на Урале. Первый имеет кораллоподобную структуру, которая выявляет множество плотно прилегающих одна к другой трубок с более или менее одинаковыми диаметром и толщиной стенок. Внутренний диаметр трубок 0,03—0,06  $\mu$ , внешний 0,09—12  $\mu$ , что на много больше, чем у хризотиласбеста. Кроме того, в отличие от последнего у серпофита наблюдаются трубки двух диаметров, которые вставлены одна в другую, образуя структуру «трубка в трубке». Аморфный серпофит на общем фоне бесформенной серой массы выявляет пятна темно-серого цвета, которые соответствуют углублениям, разделяющим всю массу на отдельные участки с неправильными очертаниями. В бесформенной массе изредка встречаются отдельные черные мелкие пятна округлой формы или группы таких пятен, которые авторы рассматривают как выходы неравномерно распределенных в аморфной массе отдельных трубок серпофита или группы их. Это подтверждается наличием некоторой оптич. анизотропии аморфного серпофита.

В. Франк-Каменецкий

28270. Муассанит в кимберлитах Восточно-Сибирской платформы. Бобриневич А. П., Калужный В. Л. А., Смирнов Г. И., Докл. АН СССР, 1957, 115, № 6, 1189—1192

При минералогич. анализе шлихов кимберлитов, вместе с пиропом, хромдиопсидом и оливином был обнаружен редкий минерал муассанит  $\text{SiC}$ , достоверно известный до этого только в метеоритах. Минерал под бинокулярном окрашен в голубые и зеленые тона; отмечены в отдельных зернах переходы из одной окраски в другую. Цвет при нагревании до 600—700° не меняется. Твердость 9, уд. вес 3,4,  $N_0 = 2,655$ ,  $N'_e = 2,697$ . Спектр. анализ кроме Si и C показал присутствие Fe, Al и Mg. В отличие от алмаза он не сгорает в струе кислорода при 1100°.

Л. Флерова

28271. Происхождение остаточных пегматитов камерного типа на Воляни. Ермаков Н. П. В сб.: Пеззооптич. кристаллосырье. № 1. М., 1956, 21—38

Автор выделяет по морфологии и строению 4 типа пегматитов (П) Воляни: камерные, шпировые, жильные и штоковые. Только в первом типе отмечаются промышленные скопления кристаллов кварца (морон), топаза, берилла и фенакита. Особенностью бескорневых камерных П является постепенный переход к вмещающим крупнозернистым гранитам и первичное зональное строение. Формирование этих П происходило из неперемещенных «остаточных» гранитных расплавов, которые образовывали дочерние очажки в коре консолидировавшегося плутона. Происхождение крупных ограненных кристаллов кварца и топаза происходила из ультраостаточного кремне-галогид-



h Africa  
, Mineralандезито-  
ортотла-  
SiO<sub>2</sub> 45,80,  
MgO 2,19,  
TiO<sub>2</sub> 0,20,  
д. в. 3,23,  
тит. кон-  
вались в  
ей буш-  
Воробьев  
ренков  
ов А. Л.исследован-  
а) про-  
сторонде-  
рождения  
структуру,  
гегающих  
наковыми  
диаметр  
на много  
в отли-  
трубки  
другую,  
ный сер-  
ассы вы-  
соответ-  
у на от-  
и. В бес-  
ные чер-  
ты таких  
ходы не-  
ассе от-  
Это под-  
зотропии  
тенецкий  
ибирской  
о жный  
957, 115,ерлитов,  
том был  
стоверно  
ерал под  
она; от-  
ой окра-  
не ме-  
= 2,697.  
твие Fe,  
в струе  
Флерова  
тов ка-  
В сб.:  
21—38  
4 типа  
жил-  
еаются  
(мор-  
ью бес-  
переход  
первич-  
прон-  
нитных  
оачки  
ализа-  
и топа-  
галоид

ного водн. расплава-раствора, соответствовавшего гидротермальной «рапе» при  $t$ -рах от  $> 600$  до  $< 60^\circ$  и заключившего камеру-жеоду». По морфолого-генетич. особенностям камерный тип II противопоставляется инъекционному (жильному) типу.

В. Кудряшова  
28272. Петрология и общие черты металлогении Ом-сукчанского рудного узла (Северо-Восток СССР). Матвеев В. Т., Тр. Всес. Магаданск. н.-и. ин-та-1 М-ва цветн. металлургии СССР, 1957, вып. 31, 75 стр., илл.

В районе Балыгчан-Сугойского прогиба, выполненного нижнемеловыми континентальными осадками, описано 2 магматич. комплекса: вулканогенный (сеноман — сенон) и интрузивный (верхний мел — начало палеогена); последний сложен петрографич. рядом пород от габбро до ультракислых гранитов, а также/пироксенитами и горблендитами. Оруденение (преимущественно Sn и частично W) приурочено к пегматитам и более поздним дериватам интрузии. Среди них выделены формации: касситеритово-пегматитовая, собственно касситеритово-кварцевая и с Fe-силикатами, окислами Fe и сульфидами (типы: турмалиновый, магнетит-хлоритово-турмалиновый, магнетитово-хлоритовый, хлоритовый, сульфидно-турмалиновый и сульфидно-хлоритовый); слабо развиты оловоносные скарны. Подчиненные хим. элементы: Zn, Pb, Cu, Bi, Co, Ag, Au. Акцессорные элементы: Ga, Ge, Cd, Ta, Nb, Ti, Zr, Se, Te, Sc. Приведены хим. анализы: 13 оловоносных гранитов, 2 гибридных пород (гранодиориты), 5 глинистых сланцев (а также среднее из 15 анализов песчаников и сланцев), 1 арсенопирита, 1 альбита, 1 турмалина и 2 биотитов (с дополнительным рентгеноспектральным определением).

Г. Воробьев  
28273. Метасоматические сиениты из Кирумба (Киву) и калиевый характер лав из Вирунга. Денайер (Les syénites métasomatiques de Kirumba (Kivu) et le caractère potassique des laves de Virunga. Denaeyer Marcel-E.), C. r. Acad. sci., 1957, 245, № 17, 1448—1451 (франц.)

Проведено систематич. исследование массива Кирумба в Африке. Массив сложен в основном содалито-канкринитовыми сиенитами с нефелином или без него, местами переходящими в лувзит. В северной части массива развиты слюдястые сиениты, которые образуют переход к слюдястым сланцам вмещающих пород. На основе петрографич. и хим. изучения автор приходит к выводу о том, что данные сиениты образовались в результате Na-метасоматоза и десицикации слюдястых сланцев с частичным выносом калия. При этом имели место следующие процессы: 1) микроклинизация мусковита, 2) альбитизация микроклина с выносом K, 3) десицикация альбита и образование нефелина, содалита и канкринита; барилиты образовались на основе лепидомелана по следующей схеме: 4) альбитизация лепидомелана с выносом K и Fe, 5) альбит + магнетит + CaCO<sub>3</sub> → нефелин + акмит + меланит. Эти р-ции происходили на месте и исключали диффузию на большие расстояния. В результате побочных р-ций образовались сфен, флюорит, апатит, цокраз и др. С большей или меньшей надежностью установлено присутствие торита, церита, чевкинита, анкситита, пирохлора и минералов группы ловенита и вёлерита. Исключительная свежесть сиенитов, отсутствие механич. деформаций и метаморфизма, слабая метамиктность радиоактивных минералов приводят к заключению об относительно молодом возрасте образования. Небольшие сиенитовые массивы, аналогичные массиву Кирумба, известны на западе Вирунга и в Урунди. Автор считает возможным, что их подстилают иттершел. породы. Калий, освобождающийся в ходе р-ций (2) и (4) в этих породах, может входить в состав базальтовых магм, которые сами по себе диф-

ференцированы на базаниты, нефелиниты и т. д. в результате десицикации путем ассимиляции известняков. Таким образом, можно объяснить особый характер калиевых (лейциты, микениты) и натриево-калиевых (кивиты, лейцит-нефелиниты) лав из Вирунга. Приведено 5 хим. анализов мусковитового сланца, сиенитов и лувзита.

Л. Афанасьева  
28274. Новый факт в пользу коллоидного образования кварцевых жил. Фирсов Л. В., Тр. Всес. Магаданск. н.-и. ин-та-1 М-ва цветн. металлургии СССР, 1957, вып. 19, 1—8

Описан случай пересечения жильного кварца более поздними прожилками того же минерала, что, по мнению автора, является доказательством образования трещин в аморфном жильном материале (до раскристаллизации его в кварц), по которым формировались более поздние кварцевые прожилки.

Резюме автора  
28275. Поверхностное натяжение расплавленных йодистых соединений тяжелых металлов и их отношение к сульфидным парагенезисам. Рингвуд (Surface tensions of molten heavy metal iodides and their relation to sulphide paragenesis. Ringwood A. E.), Proc. Australas. Inst. Mining and Metallurgy, 1956, № 180, 55—74 (англ.)

Исследования поверхностного натяжения расплавов йодистых соединений тяжелых металлов методом максим. давления при кипении позволяли интерпретировать некоторые взаимоотношения сульфидов в рудных отложениях. Установлено, что способность понижать поверхностное натяжение в силикатных расплавах зависит от характера хим. связи в соединениях типа сульфидов. Соединения с ковалентной связью наиболее эффективны в понижении натяжения. Эта способность уменьшается в ряду: CuS, FeS, ZnS, Bi<sub>2</sub>S<sub>3</sub>, PbS, Cu<sub>2</sub>S, Ag<sub>2</sub>S, по мере преобладания в соединениях ионной связи. Этот ряд весьма сходен с парагенетич. рядом сульфидов в рудных отложениях. В. Кудряшова

28276. Исследования по микроэлементам в рудных минералах. Такимото, Минато (Studies on the minor elements in ore minerals. Takimoto, Kiyoshi, Minato Taneo), Mem. Fac. Engng, Kyoto Univ., 1956, 18, № 3, 237—254 (англ.)

Произведено морфологич., минераграфич., хим. и спектральное изучение сфалеритовых руд, приуроченных к пирометасоматич. образованиям Тотибора (рудный Каммоока, Япония). Со сфалеритом ассоциируют: галенит, магнетит, халькопирит, пирит и пирротин. Пределы хим. состава сфалеритовых концентратов по 21 анализу (в %): Zn 37,36—59,18, Pb 0,47—17,37, Fe 2,42—6,43, Mn 1,0·10<sup>-3</sup>—1,38·10<sup>-1</sup>, S 22,04—31,01, Se 1,4—9,2·10<sup>-4</sup>. 12 спектральных анализов качественно дополнительно обнаружили: Bi, Ag, Ca, Cd, Cu, Sb, Mg, Sn, As, Al и Si. Произведены также 1 хим. анализ и 2 спектральных анализа галенитового концентрата. Обсуждаются условия генезиса руд в связи с т-рой среды.

Г. Воробьев  
28277. О рентгенометрическом исследовании сульфогаленитов Азатекского месторождения Армянской ССР. Сагателян Э. А., Научн. тр. Ереванск. ун-та, 1957, 59, 179—184 (рез. арм.)

Приведены рентгенограммы буланжерита, геокронита, плагионита и семсента.

Г. Воробьев  
28278. О последовательности выделения халькопирита и блеклых руд в некоторых полиметаллических месторождениях Армении. Григорян Г. О., Гулян Э. Х., Тр. Арм. геол. упр. М-ва геол. и охраны недр СССР, 1957, № 1, 109—113

На примере месторождений Гюмюшхана, Гамза, Чирахлу, Маданидзор и имени С. Шаумяна описано в пределах одной стадии минерализации более раннее выделение блеклых руд по отношению к халькопириту.

Предпосылками этого служат определенный парагенезис минералов и приуроченность к областям развития сурьмяной и мышьяковой минерализации. Предполагается, что при наличии в рудоносных р-рах ионов Cu, Fe, As, Sb и S могут скорее образоваться блеклые руды с пиритом, чем халькопирит с антимонитом или реальгаром и аурипигментом. Г. Воробьев

**28279. Замечание о метаморфизме и перекристаллизации в цинковых гранулах при обжиге.** Амстутц (A note on metamorphism and re-crystallization in zinc pellets during roasting. Amstutz G. C.), Schweiz. mineral. und petrogr. Mitt., 1957, 37, № 1, 64—67 (англ.)

Анализ состава и строения цинковых гранул после обжига при t-рах 950 и > 1000° показывает, что в результате этого процесса происходит миграция Fe и частично Zn к внешним частям гранул, где они фиксируются в форме магнетита или франклинита. Кроме того, здесь появляется слоистая текстура и крупнозернистая структура, что указывает на процессы метаморфизма при обжиге. Предполагается, что аналогичный процесс происходит в природе, напр. в цинкито-франклинито-магнетитовых рудах мест-ния Нью-Джерси (США). В. Кудряшова

**28280. Месторождения и генезис пирротина и халькопирита в осадочных породах близ Роклей, Новый Южный Уэльс.** Стантон (The occurrence and genesis of pyrrhotite and chalcopyrite in sediments near Rockley, New South Wales. Stanton R. L.), J. and Proc. Roy. Soc. N. S. Wales, 1955 (1956), 89, № 1, 73—77 (англ.)

В углистых туфогенных сланцах Роклей найдено сульфидное месторождение. Основной рудный минерал — пирротин, в небольшом кол-ве встречается халькопирит. По мнению автора, отсутствие следов замещения силикатов сульфидами и значительное расстояние (12—14 км) от интрузивных массивов являются чертами, не подтверждающими гидротермальный генезис месторождения. По-видимому, это сингенетич. месторождение, претерпевшее последующий метаморфизм: в богатых органич. в-ом морских илах за счет жизнедеятельности микроорганизмов шли процессы восстановления сульфатов морской воды до  $H_2S$ ; при наличии гидроокислов Fe образовывался гидротроилит, который в присутствии  $S^{2-}$  или  $H_2S$  превращался в пирит; при последующих процессах метаморфизма происходила диссоциация пирита на пирротин и S; халькопирит образовывался аналогичным путем, причем источником Cu являлись вулканич. породы.

Г. Волков

**28281. Некоторые замечания к гипотезе осадочного рудообразования цветных и редких металлов.** Русаков М. П., Каз. ССР гылым Акад. хабаршысы, Вестн. АН КазССР, 1957, № 9, 68—73 (рез. каз.)

Не отрицая возможности первично-осадочного или осадочно-эффузивного генезиса названных руд, автор считает, что месторождения этого типа не являются промышленными. Разведкой установлены на них только ничтожные забалансовые запасы металлов. Так, напр., руды Атбасар-Терсакканского района содержат 0,3—0,5% Cu, а руды месторождений Западного Прибалхашья 0,1—0,2% Pb. В. Кудряшова

**28282. Описание и распространение атоловых фосфатных пород в Микронезии.** Фосберг (Description and occurrence of atoll phosphate rock in Micronesia. Fosberg F. R.), Amer. J. Sci., 1957, 255, № 8, 584—592 (англ.)

По данным рентгеноанализа, слои фосфатных пород на атоллах севернее Маршалльских о-вов состоят из зерен органич. карбоната Ca (кальцита и арагонита), сцементированных апатитом. Хим. и спектральные анализы дают содержание P 2,7—14%, среднее ~9,5%,

Ca 31,3—36,2%. Распространение этих слоев под поверхностными слоями гумуса, наносами фосфатного гуано и под корнями деревьев указывает на их генетич. взаимосвязь. Автор считает, что Ca-фосфат выпалчивался из гуано гуминовыми к-тами, уносился вниз подземными водами и осаждался на контакте с известковистыми осадками. Запасы этих пород достаточны для промышленной эксплуатации, но они могут служить фосфатным удобрением для местных нужд на плантациях какао. В. Кудряшова

**28283. Некоторые закономерности распределения химических элементов в осадочных породах Северного Байдырского района Центрального Каратау.** Лурье А. М., Геохимия, 1957, № 5, 401—407 (рез. англ.)

В ходе изучения осадочных отложений одного из р-нов Центрального Каратау было установлено, что некоторая часть пород стратиграфич. разреза отличается высоким содержанием Pb, Zn, Ag, Ba, Mn и Fe. Конц-ия Pb превышает в 100 раз кларк Pb в карбонатных породах. Он присутствует в виде тонкораспыленного галенита. Среднее содержание элементов (в %): Zn 0,1, Ag 0,001, Cu 0,0005—0,001, Ba 0,17, Mn 0,06, Fe 0,1; в повышенном кол-ве по сравнению с кларками присутствуют Ti и V. Четкий стратиграфич. контроль в распределении указанных элементов, развитие их на большой площади, относительно равномерное распределение и связь с литологией и фациальными изменениями указывают на их первично-осадочное происхождение. В. Кудряшова

**28284. Донижнепалеозойская кора выветривания на Русской платформе (по материалам глубокого бурения).** Веселовская М. М., Изв. АН СССР. Сер. геол., 1957, № 2, 75—92

Древняя кора выветривания обнаружена на обширной территории северо-западной и центральной части Русской платформы. Она залегает на архейских породах и перекрывается гдовскими отложениями. Выделяется 2 типа коры выветривания: белая каолинистая и красно-бурая, богатая окислами Fe. Приведены хим. анализы обоих типов древних элювиальных пород и, для сравнения, подстилающих пород. Во всех случаях сохранились «корни» коры выветривания — начальные стадии изменения пород. По данным 8 хим. анализов отмечается небольшое уменьшение  $SiO_2$ ,  $Na_2O$  и  $CaO$  при незначительном накоплении  $Al_2O_3$ . На характер элювиальных пород подстилающие и перекрывающие породы заметного влияния не оказывают. Появление на одинаковых породах разных типов элювиальных образований, вероятно, связано с различным положением этих пород в рельефе того времени. В. Кудряшова

**28285. Болеславичские кварциты и их экономическое значение.** Хмура, Левовицкий (Kwarcyty boleslawieckie i ich ekonomiczna wartosc. Chmura Kazimierz, Lewowicki Stanislaw), Przegl. geol., 1957, 5, № 6, 264—271 (польск.)

Исследованы третичные кварциты, выход которых связан с бурными миоценовыми углями. Хим. состав образцов из 10 месторождений по 127 анализам (в %): п. п. п. до 7,81,  $SiO_2$  87,89—99,60,  $Al_2O_3$  0,02—7,95;  $Fe_2O_3$  0,05—2,16,  $CaO$  до 0,50,  $MgO$  до 0,23,  $TiO_2$  до 0,45. Физико-технологич. показатели: до прокаливания — пористость 0,20—22,00, об. в. 2,10—2,98, уд. в. 2,18—2,66, жаростойкость 32/35 кон. Зеэра; после прокаливания — пористость 2,31—22,8, об. в. 1,92—2,58, уд. в. 2,40—2,61. Исследован минер. и гранулометрич. состав. Промышленное значение имеют два месторождения: Клецово — Осечница и Олджухув. По окатанности зерен и минералогич. составу принимается происхождение кварцитов за счет верхнемеловых песчаников. Однако условия образования и связанный с этим про-



цесс силификации остается еще невыясненным.

Н. Лобанов

28286. Петрографическая характеристика триасовых отложений Шаруро-Джувлифского антиклинория. Азизбеков Ш. А., Ахундов Ф. А., Ма'рузалер. АзербССР Эмлар Акад. Докл. АН АзербССР, 1957, 13, № 10, 1063—1067 (рез. азерб.).

Приведены краткая петрографич. характеристика и пределы хим. состава (по 65 анализам) карбонатных пород, в том числе доломитов, из всех трех отделов триаса. Выделены 3 генетич. разновидности доломитов: периферо-осадочная (хемогенная), сингенетическая и диагенетическая.

Г. Воробьев

28287. Новый глауконито-сидеритовый горизонт в третичных отложениях Западной Сибири. Харин Г. С., Вестн. Зап.-Сиб. геол. упр., 1957, № 1, 58—61. Описан горизонт кварц-глауконитовых песков с прослоями сидеритов (известных ранее под названием зеленовато-серых песков с прослоями доломитизированных песчаников). Хим. состав сидеритов с примесью кварца и глауконита (по 8 анализам, в %): Fe (валовое) 26,00—39,86, Fe<sub>2</sub>O<sub>3</sub> 1,05—4,35, Al<sub>2</sub>O<sub>3</sub> 1,35—5,41, FeO 32,51—49,72, MgO 0,25—1,45, CaO 0,42—2,17, SiO<sub>2</sub> 13,45—34—14, TiO<sub>2</sub> 0,10—0,88, P<sub>2</sub>O<sub>5</sub> 0,147—0,378, Mn 0,18—0,40, п. п. п. 17,01—25,23. Определен минералогич. состав сидерита, песков и алевролитов, получена термодинамическая и произведен спорово-пыльцевой анализ. Предполагается, что в прибрежно-морских условиях возможен переход глауконито-сидеритового осадочного в сидерито-гидрогетитовое.

Г. Воробьев

28288. К вопросу о генетической классификации угленосных формаций. Пичук О. И., Изв. Днепротр. горн. ин-та, 1957, 29, 132—157.

28289. Минеральные новообразования в конкрециях угленосных отложений западной части Донецкого бассейна. Зарицкий П. В., Докл. АН СССР, 1957, 116, № 1, 131—134.

Кратко описаны новообразования кальцита, анкерита, барита, каолинита, кварца, халцедона, пирита, гаггенита и сфалерита. Отсутствие сидерита свидетельствует о более позднем образовании кальцита, когда Fe теряет свою подвижность в силу меньшей растворимости FeCO<sub>3</sub>. Энергичное движение FeCO<sub>3</sub> осуществляется лишь в ранний период диагенеза, при высокой концентрации CO<sub>2</sub> в иловых р-рах. Позднедиагенетич. минералы образуются после разложения органич. в-ва в осадке. Наличие CO<sub>2</sub> и H<sub>2</sub> в иловых р-рах подтверждается присутствием сульфидов. К аутигенным новообразованиям относятся гидроокислы Fe, мелантерит и гипс.

Г. Воробьев

28290. Фации озерного типа в юрских отложениях нижнего течения реки Большой Нарын. Карабаев К. К., УзССР Фанлар Акад. ахбороти. Геол. фанлари сер., Изв. АН УзССР. Сер. геол., 1957, № 3, 49—56 (рез. узб.).

Юрские отложения Нарынского месторождения каменного угля слагают южное крыло антиклинальной Карагундайской складки и делятся на 3 свиты: угленосную, надугольную и пестроцветную. При изучении отложений надугольной свиты установлено, что они представлены фациями (Ф) озерных водоемов. Выделены 2 основные Ф: I — береговой зоны и II — центральной зоны озера. I Ф характеризуется песчано-алевритовым составом, цемент глинистый, железисто-глинистый и карбонатный. II Ф — представлена алевролитами и пелитами, отмечены прослои углистого в-ва и аргиллитов, а также линзы и конкреции сидерита. Хим. состав (в %) осадков надугольной свиты (среднее из 4 проб): SiO<sub>2</sub> 53,4; Fe<sub>2</sub>O<sub>3</sub> 1,75; FeO 3,96; TiO<sub>2</sub> 0,64; MnO 0,22; P<sub>2</sub>O<sub>5</sub> 0,31; Al<sub>2</sub>O<sub>3</sub> 11,21; CaO 10,88; MgO 1,44; Na<sub>2</sub>O 1,05; K<sub>2</sub>O 1,8; H<sub>2</sub>O 0,66; CO<sub>2</sub> 8,18. По

сравнению с хим. составом осадков угленосной свиты отмечено увеличение содержания CaO, MgO, CO<sub>2</sub> и FeO.

Л. Флерова

28291. Доломитовые осадки на юго-востоке Южной Австралии. Олдерман, Скиннер (Dolomite sedimentation in the South-East of South Australia. Alderman A. R., Skinner H. Catherine W.), Amer. J. Sci., 1957, 255, № 8, 561—567 (англ.).

Тонкозернистые карбонатные осадки плейстоцено-четвертичного возраста встречаются на широкой площади Юго-Восточной провинции Австралии. Породы сложены (по данным рентгеноанализа) доломитом и кальцитом с примесью обломков кварца и органич. в-ва; в небольшом кол-ве всегда присутствуют глины и галит. Пределы хим. состава по 6 анализам (в %): SiO<sub>2</sub> 6,86—54,34, TiO<sub>2</sub> до 0,56, Al<sub>2</sub>O<sub>3</sub> 1,11—13,92, Fe<sub>2</sub>O<sub>3</sub> 0,25—4,44, CaO 3,11—34,77, MgO 1,34—11,22, CO<sub>2</sub> 6,43—39,39, SO<sub>3</sub> 0,02—1,46, NaCl 0,07—7,88, H<sub>2</sub>O 1,84—12,06, органич. в-во 0,17—1,28. Осадки формировались в многочисленных соленых озерах и мелководных морских заливах. Приведены 11 анализов озерной и морской воды, соленость которой колеблется от 0,25 до 22,6‰. Выделению доломитовых осадков способствует увеличение pH при усыхании бассейнов.

В. Кудряшова

28292. О составе и свойствах дикинонемового сланца месторождения Маарду, ЭССР. Киррет О. Г., Поликарпов Н. К., Луцковская Н. Л., Валдек Р. Г., Эйзен Ю. И., Изв. АН ЭстССР. Сер. техн. и физ.-матем. н., 1957, 6, № 2, 170—183 (рез. эст., англ.).

Верхнекембрийский дикинонемовый сланец в пределах мест-ния находится между горизонтами песчаников — сверху оболовым и снизу глауконитовым. Приводятся данные по хим., физ. и термич. анализам 11 обр. этой породы. В состав сланца входят 15—18% органич. в-ва и 82—85% минер. части, состоящей из К-полевого шпата, кварца, глинистого в-ва. В виде включений встречаются гипс, пирит, марказит. 80% SiO<sub>2</sub> входит в состав полевого шпата и кварца, а 20% — глинистого в-ва. Al<sub>2</sub>O<sub>3</sub> распределяется между полевым шпатом (54%) и глинистыми минералами (46%); SiO<sub>2</sub>:Al<sub>2</sub>O<sub>3</sub> ≈ 7. 56% Fe приходится на долю пирита, 43,4% — окислов Fe и 0,6% — нерастворимых силикатов. Ca<sup>2+</sup> и Mg<sup>2+</sup> находятся в виде сернокислых солей, окислов и гидратов и в крайне малом кол-ве в виде углекислых солей. Среднее содержание органич. углерода равно 11,16%, пиритной серы 1,29%. Средний состав органич. массы (в %): C 67,65, H 7,58, O 18,53, N 3,63, S 2,61. При перегонке сланцев выделяются следующие газы (в %): H<sub>2</sub>S 16,4, CO<sub>2</sub> 10,4, CO 3,5, C<sub>n</sub>H<sub>m</sub> 5,3, H<sub>2</sub> 27,9, C<sub>n</sub>H<sub>2n+2</sub> 35 и H<sub>2</sub> 1. Жидкие продукты: смола 3,15% и вода 1,88%.

Г. Волков

28293. О седиментации, доломитизации и силификации верхнесилурийских слоев Баррандиена. Напрстек (Přispěvek k řešení otázky sedimentace, dolomitizace a silicifikace svrchnosilurských vrstev Barrandienu. Náprstek Vladimír. Acta Univ. carolinae. Geol., 1954, № 2, 64 s., il.) (чешск.; рез. русск., англ.).

Изложены результаты осадочно-петрографич. исследования карбонатных пород, в хим. отношении представленных диагенетич. и эпигенетич. слабо доломитными известняками и доломитами. К раннедиагенетич. относятся слоистые неорганические доломиты, встречающиеся среди глин. В диагенетич. доломитных известняках обломки раковин тентакулит и остракод доломитизированы, а криноидей — кальцитизированы. Эпигенетич. разновидности более пористы, и обломки раковин доломитизированы и в большей степени выщелочены. В их полостях обычно находится битуминозное в-во. При доломитизации органодектритных из-

вестняков решающими были следующие факторы: обогащение нижних слоев стоячей морской воды Mg, аккумуляция органич. остатков, содержащих повышенные кол-ва  $MgCO_3$ , с последующим выщелачиванием; наличие  $CO_2$ , способствующее растворению горных пород и обогащению вод солями Mg. Другим источником Mg в морской воде может быть батский морской вулканизм. По мере доломитизации уменьшается зернистость известняков, причем глинисто-битуминозное в-во вытесняется и скапливается в определенных местах. Возникновение пористости является результатом объемных изменений при метасоматич. замещении известняка в доломит. Силификация пород (диагенетич. процесс) происходила или при доломитизации или после нее. Источником  $SiO_2$  были иглы губок. Миграция  $SiO_2$  осуществлялась только в карбонатной среде в присутствии  $Mg^{2+}$ , в глинистых горизонтах она отсутствовала. Выпадение  $SiO_2$  (образование роговиков) происходило в процессе разрушения коллоидов, образовавшихся при отмирании фауны. Приведено 11 неполных хим. анализов исследованных пород. Г. Волков

**28294. Минералогическая характеристика горных пород соленосной толщи Приереванского района. Джафаров А. А., Тр. Арм. геол. упр. М-ва геол. и охраны недр СССР, 1957, № 1, 103—108**

Кратко описаны выделения каменной соли и вмещающие породы — песчаники, глины и ангидриды. По данным многочисленных хим. анализов (анализы не приводятся), содержание Cl в галите достигает (в %) 55,81, Na 37,67, Ca 1,21, Mg 0,65,  $SO_4$  2,73, K 1,26. Фазовый состав соли (в %): NaCl до 98,0;  $CaSO_4$  до 3,86,  $MgSO_4$  до 1,16,  $CaCl_2$  до 0,47,  $MgCl_2$  до 2,53, KCl до 2,41. Ассоциирующие с галитом минералы: карналлит (до 7,95%), ангидрит (до 3,56%), каниит (до 2,21%), сильвин (до 1,15%). В нерастворимом остатке обнаружено 23 терригенных и аутигенных минерала. Хорошо сохранившиеся скелетно-зональные образования говорят о процессах первичной седиментации, а отсутствие следов зональности связывается со вторичными процессами, в результате которых галит подвергся перекристаллизации. Г. Воробьев

**28295. Клодавские калийные соли. Бобровницкий, Канёк, Сикора (Kłodawskie sole potasowe. Bobrownicki Włodzimierz, Kaniok Kazimierz, Sikora Stanisław), Chemik, 1957, 10, № 7-8, 199—202 (польск.)**

Исследованные соли по фазовому составу являются смешанными и состоят из галита, карналлита, сильвинита, кизерита с незначительной примесью ангидрида, ила, а в некоторых слоях лангбейнита. Преобладающим минералом является карналлит. Приведен хим. состав некоторых характерных проб. Месторождение имеет большое практич. значение. Н. Лобанов

**28296. О фациях, калиеносности и бороносности галогенного кунгура Прикаспийской низменности, Актюбинского, Чкаловского и Башкирского Приуралья. Корневский С. М., Докл. АН СССР, 1957, 116, № 3, 474—477**

**28297. Доказательство многократности лёссовобразования в западной Айове. Ханди, Дейвидсон (Evidence of multiple loess deposition in western Iowa. Handy R. L., Davidson D. T.), Proc. Iowa Acad. Sci., 1956, 63, 470—476 (англ.)**

В лёссовых отложениях карьера Кресент Сити выделяется несколько зон, обогащенных глинистым в-вом. Хим. исследования по разрезу мощностью 50 м позволили выделить 4 пачки, отвечающие четырем наступлениям висконсинского оледенения. Содержание глины, карбоната и органич. в-ва (по 29 анализам) колеблется в пределах соответственно (в %): 17,8—24,0, 1,9—14,6 и 0,18—1,59 в верхних частях пачек и 13,0—

16,6, 8,0—20,5 и 0,05—0,52 — в нижних. Такой анализ позволяет более точно стратифицировать разрезы. В. Кудряшова

**28298. Изучение морфологии монтмориллонитов методом электроосаждения. Влияние катионов кальция. Меринг, Оберлен, Вильер (Etude par électrodeposition de la morphologie des montmorillonites. Effet des cations calcium. Mering J., Oberlin A., Villière J.), Bull. Soc. franç. minéral. et cristallogr., 1956, 79, № 10-12, 515—522 (франц.)**

Для предотвращения коагуляции частиц при высушивании суспензии предложен метод электрич. осаждения предварительно диспергированных частиц на угольной пленке, нанесенной на металлич. объектоноситель (анод). Анод и платиновую проволоку (катод) погружают вертикально в бидистил. воду, в которую опускают 2—3 капли исследуемой суспензии. Между электродами в течение нескольких секунд пропускают ток ~ 100  $\mu$ а при напряжении ~ 110 в. С помощью нового метода подтверждено найденное ранее (Mathieu-Sicaud A. и др., Bull. Soc. franç. minéral. et cristallogr., 1951, 74, 439) влияние обменных катионов Ca на поведение монтмориллонита из Кан-Берто. Установлена связь между формой первичных частиц (палочки толщиной 20 А) монтмориллонита из Вайоминга и его реологич. свойствам. С. Янковский

**28299. Некоторые соображения относительно образования бентонитов из Славшиште, Карамата (Einige Betrachtungen über die Entstehung der Bentonite von Slavište. Karamata S.), Heidelberg. Beitr. Mineral. und Petrogr., 1957, 5, № 4, 289—295 (нем.)**

На основании 6 хим. анализов туфов и бентонитов в долине Славшиште в Югославии рассмотрен вопрос о генетич. связи этих пород. Предполагается, что бентониты могли образоваться: 1) путем изменения туфов на месте залегания последних (серые бентониты) и 2) путем седиментации из водн. суспензий и р-ров (зеленые и желтовато-коричневые бентониты). Расчет хим. баланса в-в, сделанный в предположении, что содержание Al остается постоянным, показывает, что в ходе первого процесса происходит очень сильный вынос Na, K, Ca; Ti выносятся примерно на 50%, Si — на 20%. Напротив, содержание Mg удваивается. Отношение Si:Al:Mg или Si:Al:(Mg+Fe) приближается к значению 5:2:1. Превращение туфов происходит в две стадии: а) изменяется основная масса туфа, которая по хим. составу соответствует смеси кварца и К-полевого шпата, и б) происходит изменение обломочных включений, среди которых чаще всего встречается андезин и биотит. Образование бентонитов происходило, по-видимому, в слабокислой восстановительной среде, которая могла возникнуть в результате поступления термальных р-ров. Л. Афанасьев

**28300. О месторождении и свойствах глин в Вичентино. Коллура (Sulle caratteristiche delle argille pregiate del Vicentino e relativi giacimenti. Collura P. a. P. a. l. n. o.), Riv. ingegneria, 1957, 7, № 8, 909—921 (итал.)**

**28301. О бокситовых глинах из Неди (Верхняя Уэле) [Северное Конго]. Матьё (A propos des argiles bauxitiques de la Nedi (Haut-Uele). Methieu F. F.), Bull. séances. Acad. roy. sci. colon., 1956, 2, № 4, 658—661 (франц.)**

Исследование (см. след. реф.) частично проведено на образцах, взятых автором в Неди в 1918 г. Образцы состоят из каолина, боксита (смесь гиббита и диаспора), окислов Fe и Ti с примесью известняка и жильбертита, обнаруживая, таким образом, сходство с бокситовыми глинами Ниапу. Л. Афанасьев

**28302. Сведения о бокситах северного Конго. Вандерстаппен, Корниль (Note sur les «bauxites» du Congo septentrional. Vanderstappen R., Cor-**



nil J.), Bull. séances. Acad. roy. sci. colon, 1955, 1, № 4, 690—709 (франц.)

28303. Глинистые минералы бассейна Вентура, Калифорния. Куэйд (Clay minerals from the Ventura Basin, California. Quaide William), J. Sediment. Petrol., 1957, 27, № 3, 336—341 (англ.)

28304. О каолинитизации полевого шпата и слюды при образовании тонштейнов. Шюллер (Über die Kaolinisierung von Feldspat und Glimmer bei der Bildung von Tonsteinen. Schüller Arno), Chem. Erde, 1956, 18, № 1-2, 47—55 (нем.)

В Сааре установлен новый тип тонштейна (Т), названный автором псевдоморфным или переходным. По внешнему виду и хим. составу он идентичен нормальным угольным Т и переходит в них непрерывно, но резко отличается по структуре и текстуре. Каолинит (К) в нем встречается в двух различных формах: 1) в виде резко ограниченных агрегатов червеобразных или столбчатых кристалликов размером 5—15 м (псевдоморфозы к I по К-полевоому шпату и плагиоклазу) и 2) в виде очень тонких листочков размером до 0,5 м (псевдоморфозы I по слюде, до сих пор не описанные); хим. анализ этих листочков дал почти теоретич. состав I (в %):  $\text{SiO}_2$  45,2,  $\text{Al}_2\text{O}_3$  38,7,  $\text{Fe}_2\text{O}_3$  0,5,  $\text{H}_2\text{O}^+$  (110°) 44; рентгенограмма типична для I. Таким образом, в угольных Т происходит полное выщелачивание силикатов до хим. состава I, без промежуточных ступеней, с участием гуминовых к-т. При образовании псевдоморфоз по полевоому шпату происходит предварительное разрушение решетки последнего. В случае псевдоморфоз по слюде образующиеся листочки I обладают размером и ориентацией старых листочков слюды. Основная масса Т состоит из пропитанного гуминовыми к-тами каолинитового ила. Последний образуется не путем выщелачивания силикатов, а выщелачивается из р-ров, содержащих  $\text{SiO}_2$ ,  $\text{Al}_2\text{O}_3$ , гуминовые к-ты и образующегося за счет выветривания детрита. Сделан вывод о том, что угольные Т представляют собой нормальные осадки, которые образовались в каменноугольных болотах сингенетически при воздействии болотных вод. Частично они представляют собой разрушенные силикаты, а большей частью новообразования из р-ров. Процессы новообразования и разрушения протекают параллельно на одном участке. От соотношения интенсивности этих процессов зависит степень развития отдельных фаций Т. Расчленение Т по фациям является важным вспомогательным средством при поисках каменноугольных пластов.

Л. Афанасьева

28305. О свойствах вулканических пепловых почв в районе Токати (остров Хоккайдо). 2. Свойства неорганических коллоидов. Сасаки, Исидзука (Sasaki Seiichi, Ishizuka Yoshiaki) Нихон додзёхирёгаку дзасси, J. Sci. Soil and Manure, Japan, 1956, 27, № 4, 135—139 (японск.; рез. англ.) Выделены неорганич. колл. фракции (< 2 м) из различных слоев исследуемых почв и подвергнуты хим. анализу. Дифференциальным термич. анализом в коллоидах из нижних слоев установлено присутствие гиббсита. С помощью электронного микроскопа в пробах, взятых с поверхности, обнаружены игольчатые кристаллы гидратированного галлуазита. Рентгенографич. анализ обнаружил гидратированный галлуазит, гиббсит, аллофан, гётит, бёмит. Предположен следующий механизм образования этих почв: основной материал вулканич. пепла при изменении дает золи различных окислов и соединений, из которых в слабодиссоциированной среде (рН 6—7) образуется аллофан и после его деалюминизации — гидратированный галлуазит. В иных условиях эти золи выпадают в осадок, образуя гётит, бёмит и другие минералы — окислы. Часть 1 см. РЖХим, 1958, 24635.

Л. Левин

28306. Каменные угли Экибастузского месторождения (Общая химико-технологическая характеристика). Халтурин А. И., Омаров С. Т., КазССР Гылым Акад. хабарлары, Изв. КазССР. Сер. хим., 1957, вып. 2 (12), 90—97 (рез. каз.)

В 19 обр. углей определены технич. показатели и элементарный состав. Содержание битумов, определенное в нескольких обр., колеблется от 0,83 до 0,93%. Хим. состав золы (по 5 анализам, в %):  $\text{SiO}_2$  59,25—73,00;  $\text{Al}_2\text{O}_3$  7,10—23,45;  $\text{Fe}_2\text{O}_3$  4,00—12,00;  $\text{CaO}$  3,00—13,45;  $\text{MgO}$  0,80—1,12;  $\text{SO}_3$  0,03—0,09; прочие окислы + + потери 0,82—2,57. Огнеупорность золы составляет 1500—1630° (5 определений). Угли отнесены к удовлетворительному и частично к низкосортному энергетич. топливу и могут быть использованы с попутным применением золы в качестве огнеупорного материала.

Г. Воробьев

28307. Хроматографический микроанализ горных битумов. Шмерал (Chromatografická mikroanalýza horninových bitumenů. Šmeral J.), Sbírnka prací výzkumn. úst., 1956, E, № 17-21, 73—79 (чешск.; рез. русск., нем.)

Рассмотрены преимущества нового битуминол. метода поисков и разведки нефтяных и газовых месторождений — микрохроматографии. Метод позволяет разделять масла, смолы и асфальтены с точностью 0,0001—0,1 мг и отличать органич. в-ва нефтяного происхождения от обычных органич. в-в горных пород (напр., гуминовых).

Г. Воробьев

28308. Сезонные изменения общей жесткости воды р. Волги в районе строительства Куйбышевской ГЭС за 1951—1954 гг. Зими́на О. Н., Стяжкина Е. Г., Тр. Куйбышевск. мед. ин-та, 1957, 7, 28—32

Общая жесткость (в мг-экв/л) р. Волги на створе у Поляны Фрунзе перед вскрытием колеблется между 3,68—5,41, в паводок понижается до 1,58, летом равна 2,2—4,14, зимой 3,76—4,64. В осеннее время 1951 г. она колебалась между 4,04—5,28, в 1952—1954 гг. с сентября по ноябрь уменьшилась с 4,57 до 2,34. Среднее годовое значение жесткости колеблется от 2,53 до 4,30. Непосредственно в районе строительства Куйбышевской ГЭС жесткость воды не меняется. В. Коншин

28309. Гидробиологические и гидрохимические материалы по притокам р. Волги в границах Самарской Луки. Шиклеев С. М., Тр. Куйбышевск. мед. ин-та, 1957, 7, 33—40

Приводятся данные по минерализации, солевому составу и соединениям азота для рек Самары, Б. Кинель, Сока, Сургу́та, Чапаевки (б. Моча), Усы и Усолки. Все эти реки отличаются высокой минерализацией и высокой жесткостью воды, что объясняется питанием в межень водами пермских горизонтов; засоление Чапаевки обусловлено почвенными солончаками и солонцами, а Усолки, и, вероятно, Усы — выходом рассолов девонских и пермо-карбонных горизонтов. В Самаре и Усе кол-во  $\text{SO}_4^{2-}$  и  $\text{Cl}^-$  в мг-экв почти равно кол-ву  $\text{HCO}_3^-$ ; Б. Кинель, Сок и Сургут характеризуются преобладанием сульфатов щел. и щел.-зем. металлов над карбонатами. Высокое содержание соединений N обнаружено в Самаре ( $\text{NH}_3$  до 5,8,  $\text{NO}_2^-$  до 13,44,  $\text{NO}_3^-$  до 3,5) и Чапаевке ниже г. Чапаевска ( $\text{NH}_3$  60—70,  $\text{NO}_2^-$  35,  $\text{NO}_3^-$  15—18); в последней, кроме того, содержится общего Fe 100—150, Mn до 1,5, As до 15—20 и Cu до 1,2 мг/л, окисляемость 135 мг/л  $\text{O}_2$ , рН 1,5—2,7. В Усолке кол-во Br— 18 и J— 0,5 мг/л. В. Коншин

28310. Комплексные исследования биологического стока реки Волги в районе г. Куйбышева (методика и организация работ). Шиклеев С. М., Колосова Н. Н., Рухлядев Ю. П., Тр. Куйбышевск. мед. ин-та, 1957, 7, 3—21

Приводятся краткие гидрохим. данные по газовому режиму, а также по режиму и стоку солей, органич.

в-ва и биогенных элементов, подробно изложенные в спец. статьях сотрудников Куйбышевского мед. ин-та.

В. Коншин

**28311. Химическая денудация в верховье р. Камы.** Максимович Г. А., Абрамов М. С., Уч. зап. Молотовск. ун-та, 1957, 11, № 2, 95—97

Химическая денудация (ХД) в верховье р. Камы (в пределах Молотовской области) изменяется от 10 до 145  $\mu$  в год, в зависимости от географич. зон и особенностей геологич. строения. В бассейнах рек Вишеры и Яйвы она составляет 30—160  $\mu$ , в бассейнах рек Косью и Чусовой 19—20  $\mu$ , выше впадения реки Вишеры в Каму и в бассейне правых ее притоков Кандаса, Иньвы и Обви 12—25  $\mu$ , южнее в правобережье Камы 10—11  $\mu$  в год. Коэф. ХД рек Молотовской области обычно 1,5—5. В бассейне реки Вишерки с многочисленными соляными источниками ХД 62—145  $\mu$ , коэф. 6,89—16,1; в бассейнах рек Ирени, Сылвы и Атера в области развития гилсов и ангидридов ХД 53—87  $\mu$ , ее коэф. 7,86—12,43. В крупных реках ХД увеличивается от истоков к устью. В течение года ХД наиболее интенсивна в период паводка, минимальна в период ледостава.

В. Коншин

**28312. Гидрохимическая характеристика верховьев рек Тобол и Аят.** Соседов И. С., Слуцкая Ц. И. КазССР Ғылым Акад. хабарлары, Изв. АН КазССР. Сер. энерг., 1956, вып. 11, 3—12 (рез. каз.)

На р. Тобол у с. Козыревки в 1953 г. сумма минер. в-в в  $\text{мг/л}$  равна на пике половодья 147, зимой 1300; у г. Кустаная за 1941 г. соответственно 130 и 1320  $\text{мг/л}$ , у г. Кургана в 1949 г. 433 и 1195  $\text{мг/л}$ . В половодье вода р. Тобол до впадения р. Уй относится по Алейкину ко 2-му, иногда 3-му типу, преобладает  $\text{HCO}_3^-$ , жесткость 3—4°; ниже р. Уй до Кургана 2-й тип воды сохраняется с увеличенным содержанием  $\text{SO}_4^{2-}$  и  $\text{Mg}^{2+}$ , жесткость 7—9°. После спада половодья вода переходит в хлоридный тип (в нижней части реки несколько позже, чем в верхней). Гидрохимия р. Аят в низовьях очень сходна с р. Тобол, при меньшей минерализации ( $\text{мг/л}$ ) (110 в половодье, 900 в ноябре); жесткость воды в половодье 2—4°, к концу осени 25°. В 1953 г. (близкий к среднему за многолетие) годовой сток растворенных в-в р. Аят и р. Тобол до впадения Аята составляет ~100 тыс. т, у г. Кургана — до 700 тыс. т. Показатель ионного стока в год по бассейну в целом ~6  $\text{т/км}^2$ , для р. Аят ~8,5  $\text{т/км}^2$ . В половодье (апрель — май) ионный сток Тобола у Козыревки составляет ~90% от годового, у Кургана ~76%; в зимние месяцы 0,3—2%.

В. Коншин

**28313. Биогидрохимический режим р. Алазани в нижнем течении.** Журавлев М. В., Ма'рузэлэр. АзербССР Эмлэр Акад., Докл. АН АзербССР, 1957, 13, № 9, 1009—1012 (рез. азерб.)

Исследования производились в 1952—1953 гг. и в мае 1954 г. у с. Томуллу Самухского района. Т-ра воды 6,2—28,8°, прозрачность по Снеллену 0—2,0 см, взвешенных в-в 166—1682  $\text{мг/л}$ , с максимумом в паводочный период; pH 7,97—8,42,  $\text{CO}_2$  свободной (III и V 1953 г.) 2,2—3,3  $\text{мг/л}$ ; максимум бикарбонатной  $\text{CO}_2$  (конец зимы) 151,8—169,4  $\text{мг/л}$ ;  $\text{O}_2$  100—111% насыщения, окисляемость 5,2—19,9  $\text{мгO}_2/\text{л}$  с резким увеличением (до 176—195  $\text{мг/л}$ )  $\text{O}_2$  в период сильных дождей при прохождении так называемой «черной воды». По солевому составу вода р. Алазани гидрокарбонатного класса, группы Са, сухой остаток 196—361  $\text{мг/л}$ . Содержание Si, P,  $\text{NO}_2$ ,  $\text{NO}_3$  и Fe невелико и соответствует их содержанию в реках горного питания.

В. Коншин

**28314. Элементы гидрохимии реки Калауса.** Бабанский М. М., Материалы по изуч. Ставропольск. края. Вып. 8, 1956, 133—170

Река Калаус, в центральной части Сев. Кавказа,

имеет длину 364 км, площадь бассейна 9860  $\text{км}^2$ , принимает в себя 81 приток и 24 балки. Минерализация реки в верхнем течении (у с. Сергиевки) достигает во внепаводковый период до 16,3  $\text{г/л}$ , в весенний паводок снижается до 0,4—0,5  $\text{г/л}$ . Колебания в минерализации воды и в конц-ии отдельных ионов отмечаются как по продольному профилю реки, так и во времени и зависят от разнообразия геологич. строения и от выпадения осадков. В общем замечается нарастание общей минерализации и конц-ии отдельных ионов вниз по течению. Сульфатный тип воды в верхнем течении меняется в хлоридно-сульфатный в нижнем. Приток Калауса, как правило, также сильно минерализован (до 21,1  $\text{г/л}$ ), то же наблюдается и для вод колодезь; минерализация родниковых вод значительно ниже. Все эти воды преимущественно сульфатного и отчасти хлоридного типа, причем  $\text{SO}_4^{2-}$  в значительной части образуется за счет окисления сульфидной S, находящейся в майкопских глинах.

**28315. Гидрогеологическая характеристика Помярецкого озера (курорт Трускавец).** Гаюн К. Г., Зайцева А. Г., Левченко Т. Ф., Геол. сб. Львовск. геол. о-ва при ун-те, 1957, № 4, 343—345

Помярецкое озеро, образовавшееся вследствие обвала старой шахты озокеритовой выработки, имеет площадь 6—7 тыс.  $\text{м}^2$  и максим. глубину 6—6,5 м. Источниками водн. питания озера являются атмосферные осадки и подземный подток высокоминерализованной воды хлоридно-сульфатно-натриевого и хлоридно-натриевого состава. Благодаря этому вода по вертикали неоднородна. Минерализация воды на поверхности до 1  $\text{г/л}$ , с 1,5—2 м — резко увеличивается, достигая в придонных слоях 10—14  $\text{г/л}$ . Сульфаты, преобладающие среди анионов на поверхности, в придонном слое почти исчезают в процессе десульфатизации; кол-во  $\text{Cl}^-$  и  $\text{HCO}_3^-$  у дна сильно увеличивается. На поверхности  $\text{O}_2$  5,5,  $\text{CO}_2$  9,2,  $\text{H}_2\text{S}$  1—2, углеводов 0,67  $\text{мг/л}$ . На глубине 1,5—2 м  $\text{O}_2$  полностью исчезает. В придонных слоях  $\text{CO}_2$  до 250,  $\text{H}_2\text{S}$  до 300 и углеводов до 20  $\text{мг/л}$ . На глубине 4—5,5 м обнаружены пурпурные бактерии. Озеро может быть использовано для лечебных целей.

В. Коншин

**28316. Физико-химические данные воды озера Дружно.** Громадская (Stosunki fizyko-chemiczne wody jeziora Družno. Gromadska Melityna), Ekol. polska, 1956, A4, № 10, с. 317—332 (польск.; рез. русск., англ.)

Исследования сводились к определению прозрачности, т-ры, растворенного  $\text{O}_2$ , карбонатной жидкости, органич. в-в (окисляемость),  $\text{NO}_3$ ,  $\text{PO}_4$ , Fe, Cl (соленость). Общая характеристика озера Дружно: плоский водоем ~1 м глубины; термич. и кислородные условия ввиду хорошего перемешивания во всем слое воды одинаковы; pH зимой и осенью 7,3—7,6, весной и летом 8,2—8,3; прозрачность малая; вода мягкая; периодич. увеличение содержания Cl от 20 до 600  $\text{мг/л}$ ; окисляемость большая;  $\text{NO}_2^-$ ,  $\text{NH}_3$ ,  $\text{PO}_4^{3-}$  и  $\text{Fe}^{3+}$  имеются в малом кол-ве и их следует считать случайными. Озеро Дружно по характеру — прудовый водоем. Приложены таблицы физ.-хим. показатели в марте, мае, июле и ноябре 1951 г., а также т-р и содержания  $\text{O}_2$  по сезонам 1951 г.

Н. Лобанов

**28317. Гидрохимическая и гидробиологическая характеристика озер поймы р. Волги в границах Куйбышевской области.** Шиклев С. М., Тр. Куйбышевск. мед. ин-та, 1957, 7, 101—104

Круглогодичные стационарные исследования режима оз. Зелененького и Песочного и полевые — оз. Ставропольского, Липового, Карасевого, Белого, Теплого и Климовского показали, что содержание (в  $\text{мг/л}$ )  $\text{O}_2$  весной и осенью 8—20, в конце февраля падает до 0,5—0,  $\text{CO}_2$  от 3 до 59, pH 7—8; из биогенов: Fe 0,1—



0,5;  $\text{P}$  0,01—0,05;  $\text{NO}_3$  до 0,5,  $\text{NO}_2$  до 14,1. Повышенное содержание  $\text{SO}_4^{2-}$  в оз. Липовом и высокое в оз. Белье объясняются питанием их в межень грунтовыми водами. Высокая минерализация оз. Карасева обязана поступлению хозяйственно-бытовых сточных вод.

**В. Коншин**  
28318. К химизму воды озера Нейзидлер. Хок (Ein Beitrag zur Chemie des Neusiedlersee-Wassers. Hock Rudolf), Prakt. Chem., 1957, 8, № 6, 163, 164, 166 (нем.)

Озеро Нейзидлер, в вост. части Австрии, представляет собой озеро длиной 36 км, шириной 7—15 км, площадью 320 км<sup>2</sup>, глубиной 0,8—1 м. Минерализация воды (в мг/л) ~ 2000; вода имеет пониженное содержание  $\text{Ca}^{2+}$  (16—18) и значительное кол-во  $\text{Na}^+$  ~ 420,  $\text{Mg}^{2+}$  ~ 140,  $\text{Cl}^-$  ~ 230 и  $\text{SO}_4^{2-}$  ~ 580. Наряду с  $\text{NaHCO}_3$  вода содержит  $\text{Na}_2\text{CO}_3$ , что обусловлено высоким pH (8,45). Таким образом, вода озера представляет гипотонич. слабо щел. горько-соленую минер. воду. Разницы в солевом составе воды открытой части озера и в зарослях не наблюдается, в последних только больше органич. в-в и меньше  $\text{O}_2$ , который здесь при низком состоянии уровня почти исчезает; одновременно, особенно в теплые дни, в этих местах вода приобретает желтое окрашивание и сильный запах  $\text{H}_2\text{S}$ .

**В. Коншин**  
28319. Химические исследования воды Плитвицких озер в Хорватии. Ивекович (Chemical investigations of the water of Plitvice Lakes in Croatia. Iveković H.), Bull. Scient. Conseil acad. RPFY, 1956, 3, № 2, 40—41 (англ.)

Наблюдения производились в 1951—1954 гг. Вода озер и их притоков содержит почти исключительно гидрокарбонаты  $\text{Ca}$  и  $\text{Mg}$  и лишь следы органич. в-в. Общая жесткость в верхних озерах 240 мг/л  $\text{CaCO}_3$  (21°), в нижних — 200 мг/л (17,5°), из которых на долю карбонатной жесткости приходится не более 25 мг/л (2,5°). При прохождении через озера щелочность уменьшается. С глубиной общая щелочность иногда увеличивается, карбонатная щелочность всегда уменьшается, в гипolimнионе, как правило, карбонатов нет, и осаждение их происходит только в мелководьях. Осаждение карбонатов больше в верхних озерах, чем в нижних. Так как в небольших озерах уменьшение щелочности гораздо значительнее, чем в больших, их заполнение отложениями происходит быстрее. По расчетам автора, полное заполнение озер отложениями произойдет за 40 тыс. лет. Отложения озер состоят преимущественно из  $\text{CaCO}_3$  и кол-во приносимой ( $\text{SiO}_2$ ,  $\text{Fe}$ ,  $\text{Al}$ , органич. в-в) уменьшается от верхних озер к нижним.

**В. Коншин**  
28320. Растворимость карбоната кальция (кальцита) в природных водах при различных парциальных давлениях  $\text{CO}_2$  и температуре 25°. Еременко В. Я., Гидрохим. материалы, 1955, 25, 196—208

Изучалась растворимость  $\text{CaCO}_3$  в различных природных водах и в синтетич. р-рах, имеющих тот же ионный состав, что и природные. Опыты выполнены при парц. давлениях  $\text{CO}_2$  0,00442, 0,0157, 0,0602 и 0,0765 атм при 25° и в двух образцах вод при 0° и парц. давлении  $\text{CO}_2$  0,0160 атм. Исследования показали, что для природных вод с минерализацией до 1 г/л растворимость  $\text{CaCO}_3$  при 25° и  $\text{P}_{\text{CO}_2}$  до 0,08 атм может быть подсчитана теоретически с погрешностью +8—5%, а с минерализацией от 1 до 15 г/л — с погрешностью +10—10%. Выведено мнение, что в интервале т-р 0—25° вычисления могут быть произведены с той же погрешностью. Опыты показали, что влияние органич. в-в незаметно при их малом содержании.

**Ю. Трусков**  
28321. Геохимические исследования по содержанию тяжелых металлов в поверхностных водах. Берг, Геден, Штегена (The geochemical investigations

on method utilizing heavy metal contents of running waters. Bergh A., Gedeon A. Z. T., Stegena L.), Acta geol. Acad. sci. hung., 1957, 4, № 3-4, 321—329 (англ.; реф. русск.)

При проведении исследований на одном из месторождений гор Матра (Венгрия) отмечено, что содержание тяжелых металлов (ТМ), определявшихся дитизоновым методом, в реках и ручьях, протекающих по рудным полям, очень невелико, а иногда и отрицательно. При определении содержания  $\text{Cu}^{2+}$  отмечено, что кол-во его резко падает (от 23 до 0,00571 мг/л) на расстоянии 54 м от месторождения. Предполагается, что ионы ТМ привносятся в воду ручьев грунтовыми водами, циркулирующими на большой глубине. Причиной исчезновения ионов из вод ручьев являются обменные р-ции с неорганич. коллоидами, находящимися в поверхностных водах.

**Л. Флерова**  
28322. Пример изменения минерализации пластовых вод. Дигурова Т. М., Мэрузалар. АзербСССР Эмлер Акад., Докл. АН АзербСССР, 1957, 13, № 10, 1087—1090 (рез. азерб.)

Описан опыт по исследованию пластовой воды свиты ПК (южное крыло Балахано-Раманинской складки). Изучаемая вода испарялась в стеклянном баллоне при комнатной т-ре. Хим. анализ воды (мг/экв):  $\text{Ca}^{2+}$  0,23;  $\text{Mg}^{2+}$  0,18;  $\text{Na}^+ + \text{K}^+$  25,81;  $\text{Cl}^-$  17,03;  $\text{SO}_4^{2-}$  0,04;  $\text{HCO}_3^-$  6,28;  $\text{CO}_3^{2-}$  1,3; уд. в. 1,0122. Хим. анализы через 10 и 14 месяцев после начала опыта показали (соответственно): увеличение уд. в. 1,0242 и 1,0641;  $\text{Cl}^-$  31,02 и 86,6;  $\text{CO}_3^{2-}$  13,19 и 40,79;  $\text{Na}^+ + \text{K}^+$  49,07 и 136,91; небольшое увеличение  $\text{Mg}^{2+}$  0,19 и 0,25; сульфатов 0,05 и 0,19 и нафтеновых к-т. Кол-во  $\text{Ca}^{2+}$  практически остается постоянным. Содержание В и J увеличивается в 5 и 1,5 раза. Отмечено, что тип воды остается прежним (гидрокарбонатно-натровым) вода сохраняет щел. свойства. Предполагается, что появление таких аномальных щел. вод с большой минерализацией в нефтяных районах связано с миграцией углеводородных газов снизу вверх, способствующих коп-ии солей в пластовой воде.

**Л. Флерова**  
28323. Об особенностях формирования трещинных вод Украинского кристаллического щита. Бабинец А. Е., Докл. АН СССР, 1957, 114, № 2, 404—406

В трещинной зоне щита встречаются: 1. Воды зоны выветривания, формирующиеся под влиянием ландшафтно-климатич. условий, гидрокарбонатные в северной части щита (минерализация 0,5—1,0 г/л, растворенных газов, в % 2—6, из них  $\text{CO}_2$  8—20,  $\text{O}_2$  3—18,  $\text{N}_2$  70—88) и сульфатные в южной (минер-ия до 5,0 г/л, растворенных газов, в % 4,0, из них  $\text{CO}_2$  2—3,  $\text{O}_2$  8—20,  $\text{N}_2$  80—90). 2. Метаморфизованные галитные воды осадочно-метаморфич. толщи пород Криворожской синклинали, по-видимому, морского генезиса. Воды встречаются в глубоких шахтах (минер-ия 72—81 г/л, Br 126—147 мг/л, J 0,3—1,0 мг/л, Cl/Br = 329—344, растворенных газов, в % 1,0—2,0, из них  $\text{CO}_2$  3—12,  $\text{O}_2$  8—12, He 0,16—1,43,  $\text{N}_2$  70—80). 3. Углекислые воды, связанные с зонами древних разломов, формирующиеся при участии вадозных вод и  $\text{CO}_2$ , метаморфич. происхождения. Воды г. Хмельника гидрокарбонатно-хлоридно-натриево-кальциевые (минер-ия до 5 г/л, Br 0,007 мг/л, J 0,048 мг/л, Cl/Br = 16 500, растворенных газов, в основном  $\text{CO}_2$ , более 20%,  $\text{CO}_2$  0,7—0,8 г/л); воды г. Мироновки гидрокарбонатно-магниево-кальциевые (минер-ия 2,5,  $\text{CO}_2$  — 0,2 г/л).

**В. Кононов**  
28324. Гидрогеологические условия сернистых терм в Велке Лосинах в Моравии. Шилар (Hydrogeologické poměry sírných termů ve Velkých Losinách na Moravě. Šilar Jan), Univ. carolina. Geol., 1956, 2, № 1, 25—43 (чешск.; реф. русск., нем.)

Указывается, что в Чехословакии на базе большинства минер. источников созданы курорты. Наиболее старым курортом является курорт Велке-Лосины в Моравии, где проведены гидрогеол. работы и разработаны предложения для более рационального использования минер. воды. Сероводородные слабоминерализованные термы курорта Велке-Лосины являются единственными минер. источниками в Чешском массиве с большим содержанием  $H_2S$  и  $H_2SiO_3$ . Минерализация воды — 250—340 мг/кг, т-ра двух теплых источников Элишка и Мария 27°, т-ра холодных источников Карел и Мария Терезия 10,7°. Курорт расположен на аллювиальной террасе реки Десна в Северной Моравии. Выход минер. источников приурочен к комплексу метаморфич. пород Высокого Есеника, осложненного тектонич. разломами. Сероводородные термы — это трещинные воды, выход которых наблюдается по долине реки на протяжении 4 км. На курорте дебит теплых эксплуатируемых источников составляет 118 л/мин. Дебит холодных источников незначителен. Хим. состав холодных и теплых минер. источников идентичен. Минер. вода поступает на поверхность с глубины, по-видимому, ~ 1000 м, в связи с разгрузкой в вышележащие наносные аллювиальные отложения. Считалось ранее, что  $H_2S$  в воде является ювениальным. На основании хим. состава минер. вод можно судить, что возникновение  $H_2S$  происходит на глубине в результате сульфатной редукции. Предполагается, что глубоким бурением возможно получить минер. воды аналогичного состава, но более высокой т-ры, обладающей большой бальнеологич. ценностью, возможно, с большим кол-вом  $H_2S$  и большой радиоактивностью.

К. Богородицкий  
28325. О термальных минеральных водах Новоселовского района степного Крыма. Кудрин Л. Н., Довідні та повідомлення. Львівськ. ун-т, 1957, вып. 7, ч. 3, 178—179

Исследовались воды нижнемелового возраста, вскрытые скважиной и С.-В. от Евпатории. Водовосный горизонт в интервале 1290—1377 м дал самоизливающуюся воду с дебитом 2,2 л/сек; т-ра на забое 72°, у устья 52°. Хим. состав (г/л):  $Na^+ + K^+$  12,968;  $Ca^{2+}$  1,348;  $Mg^{2+}$  0,237;  $Fe^{2+} + Fe^{3+}$  0,029;  $Cl^-$  22,755;  $SO_4^{2-}$  0,093;  $HCO_3^-$  0,476; Br 0,097;  $HBO_2$  0,018; pH 7,0. Отмечено выделение метана. Спектральный анализ обнаружил Sr, Ba, Bi и (тысячные доли %) Al, Si, Ti, Fe, Mn. Вода слабо радиоактивна. Тип хлоридно-кальциево-натриевый.

Л. Флерова  
28326. О составе вод и спонтанных газов некоторых термальных источников Гаити. Бланке, Моретт (Sur la composition des eaux et des gaz spontanés de quelques sources thermominérales de Haïti. Blanquet Lucienne, Morette André), C. r. Acad. sci., 1957, 245, № 18, 1556—1559 (франц.)

Исследованы воды трех источников, расположенных внутри страны, вытекающих из четвертичных отложений (I), из базальтов (II) и андезитов и диоритов (III), а также воды (IV) источника, расположенного на берегу моря. Типы вод: I — бикарбонатно-хлоридный, II и III — хлоридно-бикарбонатный; плотный остаток (в мг/л): I — 417, II — 497, III — 1040. Вода IV — сильно минерализованная хлоридно-сульфатно-натровая, с плотным остатком 12414 мг/л, бескислородная. Состав растворенных газов (в мг/л):  $H_2S$  93,  $CO_2$  95,  $CH_4$  0,36,  $N_2$  и невалентные газы ~ 9,2. Анализ приведенных данных по сопоставлению с составом морской воды позволяет предположить о происхождении воды источника из морской воды, которая при просачивании в подземных слоях подвергалась ферментативному восстановлению, а также разбавлению infiltrирующей метеоритной водой.

Т. Попова

28327. Гидрохимическое исследование тбилисских термальных вод. Мзареулишвили М. В. Сообщ. АН ГрузССР, 1957, 18, № 3, 299—305 (груз.). Тбилисское месторождение термальных вод расположено в бассейне р. Куры, на ее обоих берегах. По хим. составу термальные воды разделяются на 3 основные группы: хлоридно-гидрокарбонатно-натриевые, хлоридно-сульфатно-натриево-кальциевые и хлоридно-натриево-кальциевые с общей минерализацией от 0,24 до 4,7 г/л. Все воды содержат  $H_2S$ ,  $HS^-$ ,  $S_2O_3^{2-}$  и  $SO_4^{2-}$ . Производилось исследование водных вытяжек из кернов по разрезу вулканогенной толщи среднего эоцена и нижнего эоцена-палеоцена (19 образцов). Автор считает, что в районе Тбилиси можно выделить 3 основные гидрогеохим. зоны; верхняя зона с гидрокарбонатно-кальциевой или сульфатно-кальциевой водами; средняя зона с метаморфизированной гидрокарбонатно-натриевой или сульфатно-натриевой водами; нижняя зона морского типа с хлоридно-натриевой водой. Состав термальных вод является результатом смешения вод различных зон и обусловлен геодинамикой, обстановкой, определенным морфоструктурным строением района. Хим. анализы представлены лишь ф-лами Курлова.

В. Красничева

28328. История аналитических исследований минеральных источников Японии. Хаттори (Hattori Yasuzo), Бунсэки кагаку, Japan Analyst, 1957, 6, № 8, 524—530 (японск.)

28329. Углекислые натриево-гидрокарбонатные минеральные источники долин Слэник, Сэлэрия и Чунд-жет [Румыния]. Петреску (Manifestările hidrominerale carbogazoase bicarbonate alcaline din Văile Slănicului Moldovei, Sălăriei și Ciungutului. Petrescu P.), Anuarul Com. geol., 1956, 29, 197—239 (рум.). Приведены подробные описания геологич. условий выходов источников (геологич. карта района и разрезы), данные по режиму источников и подробных хим. анализов. Минерализация колеблется от 0,2 до 27 г/л, дебит от 430 до 14 600 л/сутки, т-ра 8—10,5°. Содержание отдельных компонентов следующее (в мг/л) свободный  $CO_2$  880—2500;  $Cl^-$  2—9560;  $HCO_3^-$  7394—6,1;  $SO_4^{2-}$  264—4;  $Ca$  142—4,0;  $Mg$  71—1,0; Br 5—следы;  $I_2$  —следы;  $HBO_2$  373—4,0; незначительные кол-ва Fe, Sr, Al и Mn. Обсуждается связь хим. состава с геологич. условиями и режимом.

Б. Манолов

28330. Кислые воды Кисляка в Боснии. Геохимическое изучение. Михолич (The acidulated water of Kiseljak in Bosnia. A geochemical study. Miholić S.), Croat. chem. acta, 1956, 28, № 2, 113—118 (англ.; рез. сербо-хорв.)

Минеральные воды содержат Sn (мг/л) в Иллиджо — 0,0217, в Кисляке — 0,04355. Воды обладают наибольшей радиоактивностью в карбонатно-железистых отложениях палеозоя, в то время как в отложениях триаса и олигоцена она очень низка. В Фейнице в известковых отложениях найдены образцы вторичного обогащения U, где он осажден с Fe из воды и в связи с этим пропорционально повышается радиоактивность вод в туфах от 10,26 до 48,96 ед. махе. Воды обогащены ювенильной и метаморфич.  $CO_2$ . Хим. состав вод (в мг/кг): Na 502,4, K 27,55, Si 0,519, Ca 815,8, Mg 172,2, Sr 1475, Ba 0,0297, Mn 0,0488, Zn 0,0189, Pb 0,0050, Sn 0,0436, Cu 0,034, Ni 0,0216, Co 0,0143, Cl 153,4,  $SO_4$  1051,  $HCO_3$  3203,  $SiO_2$  — 13,76,  $Al_2O_3$  1,20,  $Fe_2O_3$  6,58. Минерализация 4285.

Ч. Кроп

28331. Ресурсы подземных вод Эйнсуэрт на территории округов Черри и Браун, штат Небраска. Кроппин, Ньюпорт, Кригер (Ground-water resources of the Ainsworth unit Cherry and Brown counties, Nebraska. Cronin James G., Newport Thomas G., Krieger Robert A. Chemical quality



of ground water. Geol. Surv. Water — Supply Paper, 1956, № 1371, V. 120 pp., ill maps) (англ.)

28332. Геология и особенности подземных вод долины реки Смит, округа Дель-Норт, Калифорния. Барк (Geology and ground-water features of the Smith River plain Del Norte County California. Back William. Geol. Surv. Water-Supply Paper, 1957, № 1254, iv, 76 pp., ill., maps) (англ.)

28333. Зависимость между содержанием радона и радия В в некоторых радиоактивных минеральных источниках. Умэмото (Relation between the contents of radon and radium В in several radioactive mineral springs. Umamoto Shunji), Bull. Chem. Soc. Japan, 1957, 30, № 4, 421—427 (англ.)

Исследовались 3 группы горячих источников в префектуре Тоттори, расположенных: 1) среди песчаных холмов вдоль берега моря, 2) по долине р. Мизаса, 3) вдоль горного потока, впадающего в р. Огамо. Один раз в месяц в течение года измерялась т-ра воды, скорость течения, содержание (в мл/л) Cl, SO<sub>4</sub>, соответствующие Rn, RaB. В 1 группе т-ра воды 69,6—70,0°, скорость течения 16,24—22,17 л/мин, Cl— 281,6—297, SO<sub>4</sub><sup>2-</sup> 392,1—465,1, RaB/Rn 0,128—0,376. Во 2 группе: т-ра 39,2—69,8°, скорость течения 0,696—11,59, Cl— 182,1—661,8, RaB/Rn 0,123—1,503. В 3 группе: т-ра 45,7—47,0°, скорость течения 10,61—11,91, Cl— 101,5—110,5, SO<sub>4</sub><sup>2-</sup> 80,5—95,6, RaB/Rn 0,308—0,600. По корреляции между скоростью течения и отношением RaB/Rn выделяются 3 типа источников: а) корреляция отрицательная, б) положительная, в) корреляции не наблюдается. В типе а Rn в пункте питания источника свободен от продуктов его распада, а все другие радиоактивные виды в минер. воде происходят от него и сходны между собой по хим. поведению. Происхождение типа б в настоящее время объяснить затруднительно. Для типа в, охватывающего наибольшее кол-во источников, можно предположить, что путь питания и хим. поведение вод, уже после поступления Rn, слишком сложны и нарушаются вторичными явлениями вблизи поверхности. Л. Листопа

28334. Колебания в составе воды талгнских источников. Соколов П. Т., Сб. научн. тр. Дагест. мед. ин-та, 1956, 6, 332—334

Приводятся результаты систематич. исследований состава H<sub>2</sub>S — талгнских вод (источники № 1 и № 2) и в небольшой степени источника Кафтар-Кутана. За период 1938—1956 гг. наблюдаются значительные периодич. колебания в минерализации и особенно в конц-ии H<sub>2</sub>S + HS<sup>-</sup> в водах. С начала наблюдений отмечался постепенный рост минерализации и H<sub>2</sub>S + HS<sup>-</sup>, достигший максим. в 1943—1944 гг. (в источнике № 1 до 620—640 мг/л H<sub>2</sub>S + HS<sup>-</sup>). После этого начался период снижения конц-ии, и в 1950 г. отмечены наименьшие конц-ии (в источнике № 1 368—388 мг/л H<sub>2</sub>S + HS<sup>-</sup>). С 1951 г. вновь наблюдается подъем конц-ии, достигший в 1956 г. 600 мг/л для H<sub>2</sub>S + HS<sup>-</sup>. В. Красинцева

28335. Углекислые мышьяковистые Синегорские воды на Южном Сахалине. Аверьев В. В., Бюл. Моск. о-ва испыт. природы. Сер. геол., 1957, 32, № 3, 143—149

Приводится геологич. и гидрогеологич. характеристика месторождения и состав воды (скважина № 9) в мг/л: NH<sub>4</sub> 3,08, K 3,9, Na 285,90, Mg 17,10, Ca 13,00, Sr 0,20, Ba 0,01, Fe 0,05, F 0,05, Cl 174,61, Br 0,39, J 0,10, SO<sub>4</sub> 0,75, HCO<sub>3</sub> 146,60, H<sub>2</sub>PO<sub>4</sub> 0,01, HPO<sub>4</sub> 0,02; (в г/л) CO<sub>2</sub> 3,00, H<sub>2</sub>SiO<sub>3</sub> 0,036, H<sub>2</sub>AsO<sub>3</sub> 0,102, HBO<sub>2</sub> 2,291, сухой остаток 20,07; pH 6,1; Eh + 97 мВ. Дебит восьми скважин ~ 11 000 л за 1 сутки. На основании материалов разведки автор считает, что обогащение вод бором происходит в ходе циркуляции ее в толще осадочных

пород. Происхождение As в углекислых водах обусловлено теми же процессами, что и происхождение самой CO<sub>2</sub>, а именно молодым термометаморфизмом горных пород на больших глубинах. Реальгар-ауригигментовое оруденение, развитое на Синегорском месторождении, автор рассматривает как результат смешения углекислых мышьяковистых вод в очаге разгрузки с р-рами, содержащими H<sub>2</sub>S. При этом происходит выпадение геля As<sub>2</sub>S<sub>3</sub>. В. Красинцева

28336. Хлоридно-натрий-кальциевые воды в четвертичных отложениях Черного моря. Шишкина О. В., Докл. АН СССР, 1957, 116, № 2, 259—262

Исследованы иловые воды, отжатые под давлением до 400 кг/см<sup>2</sup> из донных отложений. Колонки длиной свыше 10 м были отобраны на различных глубинах Черного моря. В ряде колонок с глубиной наблюдалось превращение вод морского типа (хлоридно-натрий-магниевого) в воды хлоридно-натрий-кальциевые. Одновременно происходит падение конц-ии Cl<sup>-</sup> (от 11,65 до 0,79%) и общей минерализации (от 21,2 до 14,5 г/кг). Прослежено изменение геохим. коэф.: Na<sup>+</sup> : Cl<sup>-</sup> понижается от 0,555 в слое 20—30 см до 0,468 в слое 650—600 см. Для других коэф. изменения в тех же слоях: K<sup>+</sup> : Cl<sup>-</sup> от 0,023 до 0,004; Mg<sup>2+</sup> : Cl<sup>-</sup> от 0,0598 до 0,0312; NH<sub>4</sub><sup>+</sup> : Cl<sup>-</sup> от 0,0008 до 0,0104; Ca<sup>2+</sup> : Cl<sup>-</sup> от 0,0296 до 0,1039. Изменения конц-ии Ca<sup>2+</sup> и Na<sup>+</sup>, видимо, связаны с процессом обмена между твердой и жидкой фазами. Исследование дает новые данные для решения проблемы образования пластовых вод. Т. Попова

28337. О присутствии в органических илах Балтийского моря гексагонального сульфида марганца. Барон, Дебизе (Sur la présence dans des vases organiques de la mer Baltique du sulfure manganéux β hexagonal. Baron Guy, Debyser Jacques), C. r. Acad. sci., 1957, 245, № 14, 1148—1150 (франц.)

В органич. илах района Ландсортской впадины найдены на глубине 420—455 м прослой розового цвета, мощностью 0,5—2,0 мм. Основные минералы: кварц, полевые шпаты, иллит, каолинит. Содержание С органич. 2,35—3,4%, S ~ 27,3%. Спектрально обнаружен Mn, который, по данным рентгеноструктурного анализа, представлен гексагональной β-формой MnS (типа ZnO). Авторы считают этот минерал аутигенного происхождения. М. Яншина

28338. Состав глинистых минералов современных осадков глубин Сигзби. Меррей, Гаррисон (Clay mineral composition of recent sediments from Sigsbee deep. Murray Haydn H., Harrison Jack L.), J. Sediment. Petrol., 1956, 26, № 4, 363—368 (англ.)

Исследован минералогич. состав 6 колонок осадков, взятых в глубоководном районе западной части Мексиканского залива. 2 колонки взяты на подводной возвышенности, поднимающейся на 366 м от дна, 2 — у подножья возвышенности, 2 — на абиссальной равнине. В состав осадков входят в различных соотношениях минералы: кварц, кальцит, монтмориллонит, иллит, хлорит и в меньшем кол-ве каолинит. Разницы в составе глинистых минералов осадков подводной возвышенности и абиссальной равнины отмечено не было. В противоположность прежним исследованиям установлено преобладание в осадках монтмориллонита, объясняющееся большим выносом его реками и переносом в составе суспензий на большие глубины. Отмечается влияние процесса диагенеза на преобразование кристаллич. структуры иллита и хлорита — преобладающих минералов на глубинах нескольких см от дна. О. Шишкина

28339. Органическое вещество в колонках донных отложений северо-западной части Тихого океана (к востоку от Камчатки). Романкевич Е. А., Докл. АН СССР, 1957, 117, № 3, 447—450

Для выяснения колич. распределения С органич. гуминовых, битуминозных в-в и растительных пигментов в толще океанич. осадков произведены анализы по 29 колонкам донных отложений. Во всех колонках на горизонте 0,4—2,5 м выделяется слой с повышенным содержанием органич. в-ва мощностью 0,5—1,7 м; в большинстве колонок на глубине 0,5—4,5 м имеется слой, в котором содержание битумов в 4—16, а гуминовых в-в в 2—8 раз больше, чем в вышележащих. В составе битумов вниз по колонке увеличивается содержание масел и смол и падает содержание асфальтенов. Слой с повышенным содержанием гуминовых в-в, пигментов и асфальтенов одно-возрастный и может служить маркирующим горизонтом при стратиграфич. расчленении осадков. Т. Попова 28340. Применение микрометода Кьельдаля для определения органического азота в подземных водах. Дудова М. Я., Тр. Всес. н.-и. ин-та гидрогеол. и инж. геол., 1957, сб. 15, 145—148

Введено изменение в метод Кьельдаля для определения органич. N, связанное с непосредственным определением отогнаного  $\text{NH}_3$ . После сжигания анализируемого в-ва, содержащего 55—374  $\mu$  N со смесью (1:3)  $\text{H}_2\text{SO}_4 + \text{CuSO}_4$  и 1 мл конц.  $\text{H}_2\text{SO}_4$ ,  $\text{NH}_3$  отгонялся в течение 20—26 мин. с водяным паром в присутствии щелочи.  $\text{NH}_3$  поглощался в конич. колбе 5 мл 0,01 н. р-ра  $\text{KH}(\text{JO}_3)_2$  с образованием  $\text{NH}_4\text{JO}_3$ . Избыток  $\text{KH}(\text{JO}_3)_2$  определяется йодометрически. Данные по определению органич. N в гликоле дают воспроизводимость  $\pm 2\%$  при средней ошибке  $\pm 2,5\%$ . Из проб воды, содержащих солевой  $\text{NH}_3$ , он предварительно удаляется отгонкой в присутствии боратного буфера с pH 7,4. В этом случае средняя ошибка составлена  $\pm 8\%$ , средняя воспроизводимость  $\pm 7\%$ . Изучено влияние  $\text{H}_2\text{S}$ ,  $\text{NO}_3^-$ ,  $\text{NO}_2^-$ ,  $\text{Cl}^-$  на определение органич. N. Содержание в пробе до 5 мг  $\text{H}_2\text{S}$  и до 500 мг  $\text{Cl}^-$  не отражается на результатах. Нитраты и нитриты понижают результат анализа, величина ошибки при этом зависит от соотношения между органич. N и N нитратов и нитритов. Л. Матвеева

28341. Применение азотно-кислого метода В. Г. Дацко для определения органического углерода в подземных водах. Бродовская А. А., Дудова М. Я., Тр. Всес. н.-и. ин-та гидрогеол. и инж. геол., 1957, сб. 15, 142—144

Усовершенствован метод Дацко (Докл. АН СССР, 1950, 73, № 2) для определения органич. С: 1) уменьшена скорость пропускания воздуха при сжигании от 2100 до 700—800 мл/час; 2) йод-крахмальный поглотитель для окислов азота заменен на 0,02 н. р-р  $\text{KMnO}_4$  в конц.  $\text{H}_2\text{SO}_4$ ; 3) на основе малого содержания С (до 35  $\mu$  в пробе) уменьшена конц-я поглощающего  $\text{CO}_2$  р-ра  $\text{Ba}(\text{OH})_2$  до 0,05 н. и применяемой для титрования  $\text{HCl}$  до 0,02 н. Более полного сжигания достигают введением в пробу 0,3 г морских солей. Метод проведен на образцах сахарозы, маннита, гликоля, аланина и фенилаланина, % ошибки от взятого кол-ва для них колеблется в пределах 14—40. Кроме того, проанализированы 84 пробы подземной воды Грозненского района, воспроизводимость результатов  $\pm 6\%$ . Л. Матвеева

28342. Некоторые проблемы потока грунтовых вод. Уэрнер (Some problems in non-artesian groundwater flow. Werner P. Wilh.), Trans. Amer. Geophys. Union, 1957, 38, № 4, 511—518 (англ.)

28343. Происхождение вечной мерзлоты на горе Развалка Пятигорья и генезис источников массивов трещиноватых пород. Козлов А. Л., Бюл. Моск. о-ва испыт. природы. Отд. геол., 1957, 32, № 2, 127—132

Описывается участок вечной мерзлоты на горе Раз-

валка, расположенный в 3 км от Железноволска. Автор критически рассматривает существующие теории происхождения вечной мерзлоты на Развалке и высказывает следующую гипотезу. В результате интенсивной циркуляции воздуха в системе очень крупных трещин в восточной части лакколита вся толщина трещиноватых пород за зиму сильно охлаждается. Летом начинается обратное течение холодного воздуха вниз по трещинам к подножию горы. При циркуляции теплового воздуха в системе трещин и соответствующего охлаждения пара воды из воздуха конденсируются и образуют холодный пресный источник. Автор предполагает, что во многих карстовых областях и одиночных трещиноватых горных массивах могут иметь место интенсивная сезонная циркуляция воздуха и в связи с этим термич. аномалии и конденсационные источники. В. Красица

28344. Содержание лития в австрийских солевых маточных растворах. Гамснер, Орниг, Шарц-Бергкамф (Der Lithiumgehalt österreicherischer Salzmutterlaugen. Gamsjäger H., Ornig H., Schwarz-Bergkamp E.), Mikrochim. acta, 1957, № 3-4, 607—612 (нем.; рез. англ., франц.)

Описана методика определения Li с помощью пламенной фотометрии после удаления из р-ра  $\text{NaCl}$ . Содержание Li в 8 образцах из 6 солевых стран колеблется от 0,007 до 0,49 г/л. Р. Хмельницкий

23345. Корреляционное значение йода, брома, бора и аммония в водах продуктивных горизонтов палеогена Западной Кубани. Кудрявцева Е. С., Геол. нефти, 1957, № 12, 36—39

На основании 110 хим. анализов вод установлено содержание (в мг/л): J 6—120, Br 30—165, B 30—86, NH<sub>4</sub> 7—50. Содержание галоидов повышается параллельно увеличению минерализации вод и тем самым может служить корреляционным признаком для расчленения изученных водоносных горизонтов между собой, так как общая минерализация планомерно увеличивается от крыльев складок к сводовым частям. Содержание  $\text{NH}_4$  менее отчетливо следует этой закономерности. М. Яншина

28346 К. Физика и химия Земли. Том 2. Ред. Аренс, Пресс, Ранкама, Ранкорн (Physics and chemistry of the earth. Vol. 2. Eds. Ahtens L. H., Press Frank, Rankama Kalervo, Runcorn S. K., London—New York—Paris, Pergamon Press, 1957, 259 pp., ill.) (англ.) Том I см. РЖХим, 1957, 57370.

28347 К. Минералогия и кристаллография. Изд. 2-е. Андреатта (Mineralogia e cristallografia. 2 ed. Andreatta Ciro. Bologna, Ed. Libr. univ. L. Tinarelli, 1957, XII, 880 p., 9000 L.) (итал.)

28348 К. Основы минералогии и кристаллографии. Пикон, Флао (Eléments de minéralogie et de cristallographie. Picon Marius, Flahaut Jean. Paris, Soc. éd. enseign. supérieur, 1957, 295 p., ill., 2 000 fr.) (франц.)

28349 К. Химия доломита. Гедра, Гедра (La chimie de la dolomie. Guédra Marcel, Guédra S André. Paris, Eyrolles, Gauthier—Villars, 1956 91 p., ill., 930 fr.) (франц.)

См. также: Физ. и хим. методы анализа минералов 27718, 27730, 27769, 27771, 27776, 29525. Структура, состав и св-ва минералов 28508, 28512, 27676, 27695, 27696, 27772. Состав и св-ва руд, почв, пород, природных вод, углей и нефти 28375, 28390, 28396, 28411, 28413, 28415, 28420, 28428, 28432, 28435, 28439, 28441, 28447, 28454, 28474, 28480, 27821, 29213, 29215—29217, 30131, 30203, 30204, 30208, 30209. Новые элементы 28163. Микроэлементы и минералы в живых организмах 10849Бх, 10857Бх. Синтез минералов 27676, 28220, 29577



## АНАЛИТИЧЕСКАЯ ХИМИЯ

## ОБЩИЕ ВОПРОСЫ

Редактор А. И. Бусев

28350. Развитие аналитической химии в СССР. Бабаев А. К., Заводск. лаборатория, 1957, 23, № 10, 1153—1161

28351. [Химические методы анализа в СССР]. Вольфович С. И., Клячко Ю. А., Козловский М. Т., Дымов А. М., Лурье Ю. Ю., Монастырский Д. Н., Морачевский Ю. В., Ребиндер П. А., Шманенков И. В., Заводск. лаборатория, 1957, 23, № 10, 1171—1172; 1173; 1174—1175; 1175; 1181—1182; 1182—1183; 1183—1184; 1184—1185; 1186

28352. Современные тенденции в области аналитической химии. Ясумори (Yasumori Zenichi), Бундоки кагаку, Japan Analyst, 1957, 6, № 9, 604—608 (японск.)

28353. Принципы и области применения оксидиметрии. Нильссон (Oximetri princip och användningsområdet. Nilsson Nils Johan), Svenska läkartidn., 1957, 54, № 41, 3045—3054 (шведск.)

28354. Применение бромных реакций осаждения в аналитической химии. I. Баньян, Эрден (Csapadékesérőlése reakciók alkalmazása az analitikai kémiaiában, I. Bányai Eva, Erdey László), Magyar tud. akad. Kém. tud. oszt. közl., 1956, 7, № 2, 165—174 (венг.)

См. РЖХим, 1956, 78375.

28355. Фотометрическое определение с помощью индикаторов конечной точки титрования при комплексометрических титрованиях. Мусья, Муноэри, Огава (Photometric determinations of indicator end points in complexometric titrations. Musha Soichiro, Munemori Makoto, Ogawa Kin'ya), Bull. Chem. Soc. Japan, 1957, 30, № 6, 675—676 (англ.)

На примере титрования Mg р-ром этилендиаминтетрауксусной к-ты (I) разработан график. метод определения точки эквивалентности при фотометрич. титровании металлов р-ром I с индикатором (EBT). Если  $A_{sI}$  — светопоглощение анализируемого р-ра без индикатора,  $A_{MI}$  — светопоглощение комплекса металла с индикатором и  $A_s$  — светопоглощение р-ра в процессе титрования, то график в координатах  $(A_{sI} - A_s)/(A_s - A_{sMI})$  — объем добавленного р-ра I представляет собой прямую линию, пересекающую ось объемов в точке эквивалентности. Ошибка определения  $< 1,5\%$ . Н. Чудинова

28356. Исследование двузамещенных дитиокарбаминатов. Сообщение VI. Реакции вытеснения между внутрикомплексными дитиокарбаминатами металлов в органической фазе и ионами металлов в водной фазе. Бодде, Тусше (Untersuchungen über disubstituierte Dithiocarbamate. VI. Mitt. Verdrängungsreaktionen zwischen innerkomplexen Metall-Diäthyl-dithiocarbaminaten in organischer Phase und Metallionen in wässriger Phase. Bode Helmut, Tusch Klaus-Joachim), Z. analyt. Chem., 1957, 157, № 6, 414—427 (нем.)

Многочисленно изучены р-ции вытеснения ионов металлов из растворенных в  $CCl_4$  внутрикомплексных дитиокарбаминатов  $Hg^{2+}$ ,  $Pd^{2+}$ ,  $Ag^+$ ,  $Cu^{2+}$ ,  $Tl^+$ ,  $Ni^{2+}$ ,  $Bi^{3+}$ ,  $Pb^{2+}$ ,  $Co^{3+}$ ,  $Cd^{2+}$ ,  $Tl^+$ ,  $Zn^{2+}$  водн. р-рами солей тех же металлов (за исключением  $Co$ , применявшегося в виде  $Co^{2+}$ ) при pH 11, и дитиокарбаминатов  $In^{3+}$ ,  $Sb^{3+}$ ,  $Fe^{3+}$ ,  $Te^{4+}$ ,  $Mn^{3+}$  водн.

р-рами солей всех указанных металлов при pH 8,5. В большинстве случаев наблюдается или отсутствие вытеснения, или полное вытеснение одного иона другим; в ряде случаев наблюдается частичное обратимое вытеснение, степень которого зависит от конц-ий. В некоторых случаях ( $Hg-Pd$ ,  $Pd-Ag$ ,  $Cu-Ni$ ,  $Ni-Tl^{3+}$ ,  $Ni-Bi$ ,  $In-Sb$ , в р-циях  $Hg$ ,  $Pd$ ,  $Ag$ ,  $Cu$ ,  $Ni$ ,  $Tl^{3+}$ ,  $Bi$  и  $Pb$  с  $Co^{3+}$ ) процессы взаимного вытеснения не проходили в определенной степени в течение применявшегося времени встряхивания (5 мин.), вероятно из-за медленности р-ций. В некоторых случаях (вытеснение  $Mn$  действием  $Bi$ ,  $Zn$  действием  $Cd$  и др.) частичное вытеснение также вызвано медленностью р-ций. Сообщение V см. РЖХим, 1957, 57269. И. Рысс

28357. Коллоквиум по электрохимическим методам анализа. Шарло (Le colloque sur les méthodes électrochimiques d'analyse. Charlot G.), Chim. analyt., 1957, 39, № 12, 461—462 (франц.)

28358. Потенциометрическое титрование солей в дифференцирующих растворителях. I. Аргентометрическое титрование смесей солей с одним анионом. Измайлов Н. А., Вайль Е. И., Укр. хим. ж., 1957, 23, № 5, 662—668

При применении дифференцирующих р-рителей: ацетона (I) и ацетонитрила, возможно раздельное потенциометрич. титрование смесей солей и к-т с общим анионом:  $HBr$  — бромид  $Li$ ,  $Na$ ,  $NH_4^+$ ;  $(CH_3)_4NBr-HBr$ ;  $(CH_3)_4NBr$  — бромид  $Na$ ,  $K$ ,  $NH_4^+$ ;  $(CH_3)_4NBr-CH_3NH_3Br-NaBr$ ;  $(CH_3)_4NBr-CH_3NH_3Br$ ;  $(C_2H_5)_4NBr-C_2H_5NH_3Br$ ;  $HJ$  — йодид  $K$ ,  $Na$ ,  $NH_4^+$ ;  $HJ-(CH_3)_4NJ$ ;  $(CH_3)_4NJ$  — йодид  $K$ ,  $Na$ ,  $NH_4^+$ ;  $Na_2S-H_2S$  аргентометрич. методом. В смесях  $I-H_2O$  ( $< 90\%$  I) и в 96%-ном спирте в указанных системах появляется один общий скачок. Раздельное титрование хлоридов в I и ацетонитриле также не удается. Н. Чудинова

28359. Измерение и регулирование pH. Эванс (PH measurement and control. Evans R. S.), Electr. J., 1957, 159, № 22, 1558—1560; № 23, 1638—1643 (англ.)

Популярный обзор. А. Бусев

28360. Кислотно-основной индикатор в цветах рактакарави (*Nerium odoratum* Soland). Саньял, Дас (An acid base indicator principle in the flowers of Rakta-karavi. (*Nerium odoratum* Soland). Sanyal P. K., Das H. K.), J. and Proc. Instn Chemists (India), 1956, 28, № 2, 153—156 (англ.)

Для получения настойки из цветов рактакарави 100 г цветов сушат при  $60^\circ$ , измельчают в порошок и 2 часа мацерируют в 95%-ном спирте. Влажный порошок перколируют 90%-ным спиртом 10 час. Спирт. экстракт (95%-ный спирт) сухих цветов имеет розовую окраску, pH экстракта 5,1. Прибавление небольшого кол-ва щелочи изменяет окраску р-ра на зеленую, прибавление к-ты восстанавливает розовую окраску. Если несколько капель спирт. экстракта прибавить к 10 мл 0,1 н. щел. р-ра появляется не зеленое, а желтое окрашивание р-ра. При прибавлении и-ты желтая окраска исчезает, р-р становится бесцветным, и розовая окраска не появляется. В-по со свойствами индикатора (I) очищают хроматографированием. Для оценки I к небольшому кол-ву его р-ра прибавляют из бюретки по каплям 0,1 н. р-р едкой щелочи, при этом красная окраска резко изменяется на зеленую от одной капли. Прибавляют еще немного щелочи и обратно оттитровывают 0,1 н.  $HCl$  до резкого изменения окраски на красную. Опыты проводили с р-рами:  $Na_2CO_3$ ,  $HCl$ ,  $NH_4OH$ ,  $KOH$ ,  $CH_3COOH$ . I меняло окраску при pH между 5,4 и 5,7. Установлено, что I дает хорошие результаты с умеренно сильными к-тами.

Л. Михельсон

**28361.** О буферных свойствах растворов сульфата никеля и гидратообразование в них. Журни А. И., Шойхет М. Г., Тр. Ленингр. политехн. ин-та, 1957, № 188, 173—180

Для определения pH начала гидратообразования р-ров  $\text{NiSO}_4$  (I) в порциях по 50 мл 1—1,5 н. р-ра I прибавляли по 20 мл смеси 0,2 н. р-ра  $\text{NaOH}$  и воды (в каждом случае с различным их соотношением) и оставляли на 1 сутки. Затем помещали в прямоугольную кювету емк. 100 мл, освещали сбоку и определяли интенсивность рассеянного света с помощью фотометра Пульфриха, применяя в качестве р-ра сравнения такой же р-р I, в который вместо 20 мл смеси 0,2 н. р-ра  $\text{NaOH}$  и воды прибавляли 20 мл воды. pH измеряли с помощью стеклянного электрода. Полученные результаты показывают, что р-ры I при  $\text{pH} < 4$  не содержат твердой фазы (ТФ). Выпадение ТФ из р-ров I, содержащих  $\text{H}_3\text{BO}_3$  (II) и  $(\text{NH}_4)_2\text{SO}_4$  (III), происходит в две стадии. При  $\text{pH} 4—5,5$  выпадает ТФ (подтверждаемая оптич. измерениями), которая по своему составу отличается от простых основных солей Ni. Высказано предположение, что в присутствии II ТФ представляет собой  $\text{Ni}(\text{H}_2\text{BO}_3)_2$ , а в случае III —  $(\text{NH}_4)_2\text{Ni}(\text{OH})_2\text{SO}_4$ . Во 2-й стадии в присутствии II при  $\text{pH} 6,8—7,0$  и в присутствии III при  $\text{pH} 7,2—7,5$  выпадает ТФ (являющаяся основной солью Ni), видимая невооруженным глазом. В случае р-ров I, содержащих  $\text{CH}_3\text{COOH}$  (IV), имеется только одна стадия выпадения ТФ, состоящей из частиц колл. размеров и более крупных частиц, видимых невооруженным глазом. При титровании р-ров I, не содержащих буферных добавок, 1-я и 2-я фазы почти сливаются. Высказаны соображения о механизме буферного действия II, III и IV. А. Немодрук

**28362.** Применение ионообменных смол в аналитической химии. Исибаси, Морин (Kagaku, Chemistry (Japan), 1957, 12, № 7, 467—471 (японск.) Обзор. А. Бусев

**28363.** Масс-спектрометр в химической промышленности. Росс (The mass spectrometer in the chemical industry. Ross G. N.), Brit. Chem. Engng, 1957, 2, № 11, 614—619 (англ.)

Изложены основные принципы устройства масс-спектрометров (МС) и методы работы с ними. Приведены примеры анализов сложных газовых смесей, выполненных с помощью МС. Приведено сопоставление масс-спектрального метода с методами газовой хроматографии, низкотемпературной дистилляции, ИК- и УФ-спектрометрии на примере анализа газа, содержащего парафиновые и олефиновые углеводороды с числом С от 1 до 5,  $\text{N}_2$ ,  $\text{H}_2$ ,  $\text{O}_2$ ,  $\text{CO}_2$  и  $\text{CO}$ . Показано, что для выполнения определения масс-спектральным методом требуется наименьшее кол-во пробы (~1 мл) и что достигаемая точность 0,3—1,0% в зависимости от компонента является максимальной из всех сравниваемых методов. Масс-спектральный метод также значительно превосходит все остальные по скорости (30—40 анализов за 8 час.), за исключением метода газовой хроматографии, обладающего такой же скоростью. Приведены примеры применения МС для анализа жидких и твердых в-в. Высказаны соображения о целесообразности применения МС в ряде отраслей хим. пром-сти. А. Немодрук

**28364.** Инфракрасная спектроскопия. Саломон (Infrared spectroscopy. Salomon G.), Chem. weerbl., 1957, 53, № 44, 581—590 (гол.; рез. англ.)

Кратко изложена техника получения инфракрасных спектров. Подробнее охарактеризованы кривые поглощения, соответствующие отдельным структурным составляющим сложных молекул органич. в-в.

Г. Кибисов

**28365.** Поправки в фотометрии на отражение, поглощение и рассеяние; коэффициент экстинкции газообразного хлора при 4358 А. Дигнам, Ле-Рой (Correction for reflection, absorption, and scattering in photometric experiments; the extinction coefficient of gaseous chlorine at 4358 Å. Dignam M. J., Le Roy D. J.), J. Chem. Phys., 1957, 26, № 4, 964—965 (англ.)

Описывается способ учета поправок в фотометрии на отражение, поглощение и рассеяние света окошечной кюветы. Предлагается метод расчета истинного коэффициента экстинкции  $K$  по зависимости  $K_a L$  от  $\alpha_a^2$ , где  $K_a$  — кажущийся коэф. экстинкции ( $\text{см}^2/\text{моль}$ ),  $L$  — длина кюветы ( $\text{см}$ ) и  $\alpha_a$  — отношение сигналов после и до поглощения. На примере линии хлора 4358 А показано, что эта зависимость выражается прямой линией, экстраполяцией которой в точку  $\alpha_a = 0$  дает величину  $KL$ . Для линии 4358 А  $K = 1,51 \cdot 10^3 \pm 0,5\%$  ( $\text{см}^2/\text{моль}$ ). Эта величина меньше полученных другими авторами без учета предложенных поправок. В. Юнгис

**28366.** Общие принципы метода пламенной фотометрии и его применение. Лю Го-дзюнь, Хуасюньбао, 1957, № 11, 31—36 (кит.)

**28367.** Очистка хлорида серебра, применяемого в спектрохимии. Бейкер (Purification of silver chloride for spectrochemical use. Baker Drexel W.), Chemist Analyst, 1957, 46, № 2, 56 (англ.)

Описана очистка  $\text{AgCl}$ , служащего носителем в методе дистилляции. Навеску 20 г х. ч.  $\text{AgCl}$  растворяют в 400 мл водн.  $\text{NH}_4\text{OH}$ , добавляют 10 мл 4%-ного р-ра винной к-ты, фильтруют и перемешивают. Через 5 час. выпавшие кристаллы отфильтровывают, промывают водой, конц.  $\text{HCl}$ , опять водой и сушат 6 час. при  $100^\circ$ . Фильтрат для выделения оставшегося в нем  $\text{AgCl}$  подкисляют  $\text{HCl}$  и осаждают кристаллы обрабатывают, как указано. После очистки  $\text{AgCl}$  содержит (%):  $\text{Ca}$  0,001;  $\text{Cu}$  0,001;  $\text{Fe}$  0;  $\text{Mg}$  0,001,  $\text{Si}$  0,001. Т. Гуревич

**28368.** Радиоактивный анализ. Библиография. Гиббонс, Лавридж, Миллетт (Radioactivation analysis — a bibliography. Compl. Gibbons D., Loveridge B. A., Millett R. J. Repts. Atomic Energy Res. Establ., 1957, № 1/R 2208, 35 pp.) (англ.)

**28369.** Активационный анализ посредством ядерной спектроскопии. Като (Activation analysis by nuclear spectroscopy. Kato Ryuhei), Миз — Кэнрицу дайгаку кэнкю нэмпо (сидзэн кагаку), Annual Rept. Prefect. Univ. Mie, 1957, 2, № 2, 74—77 (англ.)

Рассматривается возможность качеств. и колич. определения миним. кол-в элементов в образце путем точного измерения их характеристич. спектра  $\gamma$ - или  $\beta$ -излучения после активации облучением заряженными частицами,  $\gamma$ -квантами или нейтронами различной энергии. Для повышения точности анализа активированные элементы можно разделить химически с помощью неактивных носителей. Обсуждаются методы  $\gamma$ -спектроскопии. Э. Чудинов

**28370.** Метод исследования твердых образцов в К-захватной спектроскопии. Определение хлора и брома. Симан, Лоренс, Крейг (Solid-sample techniques in K-capture spectroscopy. Determination of chlorine and bromine. Seaman William, Lawrence H. C., Craig H. C.), Analyt. Chem., 1957, 29, № 11, 1631—1632 (англ.)

Рентгеновское излучение, источником которого является  $\text{Fe}^{55}$ , проходит через образец, расположенный вблизи от источника, и регистрируется Г.—М.-счетчиком. Наблюдаемая интенсивность  $I$  сравнивается с интенсивностью  $I_0$  пропускаемой стандартной алюминиевой пластинкой. Для введения поправки на  $\gamma$ -излучение образец заменяется пластинкой из  $\text{Pb}$  14,94 г/см<sup>2</sup>.



пропускающей только  $\gamma$ -лучи. Отношение исправленных интенсивностей I и II позволяет определить содержание в образце сильно поглощающей компоненты. Градуировочные кривые строятся по стандартным образцам. Растворимые образцы исследуются в р-ре. Нерастворимые прессуются в тонкий диск или размалываются и испытываются в виде взвеси в достаточно вязком масле. Кол-во Cl в дихлоридантоне найдено со средней ошибкой 0,31% (диск) и Br в бромобензантоне 0,45% (взвесь).

Л. Смирнов  
28371. Применение микроскопии в рентгеновских лучах в химическом анализе. Ямагучи (Yamaguchi Shigeto), Оё буцури, J. Appl. Phys., Japan, 1957, 26, № 8, 403—404 (японск.)

28372. Электронный микроскоп как аналитический инструмент. Карлс (Electron microscope as an analytical tool. Carls William H.), Petrol. Engr, 1957, 29, № 12, C20—C22 (англ.)

28373. Интерферометрический газовый анализ. Небе (Interferometrische Gasanalyse. Nebe Wolfgang), Industriebetrieb, 1957, 5, № 10, Messen-Steuern-Regeln, 124—128 (нем.)

Метод основан на сравнении двух интерференционных картин, получаемых: 1) при наложении двух когерентных лучей, один из которых проходит через камеру с анализируемой (бинарной) смесью газов (I), а другой — через эталонный газ (обычно один из компонентов 1) и 2) в результате интерференции двух когерентных лучей, прошедших одинаковые пути в воздухе. Вследствие различия в коэф. преломления у компонентов I 1-я серия интерференционных полос сдвигается относительно 2-й на определенное расстояние, которое и служит мерой содержания одного газа в другом. Величину сдвига (число полос)  $h$  и, следовательно, разность хода  $h\lambda$  измеряют с помощью оптич. компенсатора. Приведена схема лабор. интерферометра по Рэлею и дана диаграмма для определения оптимальной длины камеры. Окончательный результат вычисляют по ф-ле:  $P_2 (\%) = 10^8 \cdot h\lambda F / l(\beta_2 - \beta_1)$ , где  $\lambda$  — средняя длина волны света ( $546 \cdot 10^{-6}$  м),  $h\lambda$  — разность хода, возникающая при прохождении когерентных лучей через I и эталонный газ,  $l$  — длина камеры,  $\beta_1$  и  $\beta_2$  — последние значащие цифры в численном значении коэф. преломления,  $n_1$  и  $n_2$  — компоненты I и  $F = 760(1 + 1/273)/P$  — фактор, учитывающий приведение исследуемых газов к нормальным условиям; определяется по номограмме. Для иллюстрации метода рассмотрено определение содержания № в Не. Помимо бинарных I, возможен анализ и 3-компонентных (и даже многокомпонентных) I при условии предварительного удаления одного (или нескольких) компонента с помощью подходящего поглотителя с тем, чтобы измерению подвергалась каждая раз- лишь бинарная I. Метод пригоден и для непрерывного измерения состава I как в лабор., так и в производственных условиях; в последнем случае также с помощью переносной модели газового интерферометра. Область применения метода чрезвычайно обширна.

А. Горюнов  
28374. Простой способ автоматического титрования при акватметрии. Ковач (Jednoduchý spôsob automatickej titrácie v akvometrii. Kováč Jozef), Chem. zvesti, 1957, 11, № 7, 432—434 (словацк.; рез. русск., нем.)

Описана аппаратура для автоматич. титрования, основанная на обычном электрометрич. титровании с тем отличием, что вместо гальванометра в цепи титрационного прибора включено чувствительное реле. Контакты этого реле образуют вместе с вспомогательным реле цепь соленоида, электромагнит которого способен сжимать резиновую трубку автоматич. бю-

ретки и мгновенно прекращать приток прибавляемого реактива Фишера в точке эквивалентности.

Н. Туркевич  
28375. Упрощение методов химического анализа почвы в условиях Латвийской ССР. Ринькис (Vienkāršotais augsnes analīžu metodikas Latvijas PSR apstākļos. Rīņķis G.), Latv. PSR Zinātņu Akad. vēstis, Изв. АН ЛатвССР, 1957, № 9, 73—86 (лат.; рез. русск.)

Для агрохим. характеристики почв Латвийской ССР предлагаются упрощенные методы определения рН,  $P_2O_5$ ,  $K_2O$ ,  $NH_4^+$ ,  $NO_3^-$ ,  $\alpha$ - и  $\beta$ -гуматов, проводимые непосредственно в полевых условиях.

Н. Чудинов

28376 К. Неорганический качественный анализ. Теоретические основы, реакция катионов и анионов. Карбони (Analisi qualitativa inorganica. Fondamenti teorici, reazioni dei cationi, reazioni degli anioni reattivi. Carboni Paolo. Milano, Ed. Göllich, 1956, xiv, 259 p., ill., 2000-L.) (итал.)

28377 К. Учебник аналитической и препаративной неорганической химии (без количественного анализа). Изд. 2-е расшир. Яндер, Вендт (Lehrbuch der analytischen und präparativen anorganischen Chemie. Mit Ausnahme d. quantitativen Analyse. 2. verb. Aufl. Bearb. Jander Gerhart, Wendt Hildegard. Leipzig, Hirzel, 1957, XI, 348 S., ill., 15.—DM) (нем.)

28378 К. Основы качественного анализа. (Практикум). Голобрадýй (Základy analytckej kvalitatívnej chémie. (Praktikum). Holobradý Konštantín. Bratislava, Slov. vyd. pôdohosp. lit., 1956, 118 s., il., 2.90 Kčs) (чешск.)

28379 К. Комплексометрические титрования. Шварценбах. Перев. с немец. (Complexometric titrations. Schwarzenbach Gerold. Transl. from the Germ. London, Methuen; New York, Interscience, 1957, XVIII, 132 pp., ill., 21 sh.) (англ.)

28380 К. Потенциометрия. Берчик, Тёлдешши (Potenciometria. Berčík Juraj, Tölgyessy Juraj. Bratislava, SVTL, 1957, 328 s., il., 20 Kčs) (словацк.)

28381 К. Избранные химические методы исследований в производстве стали и железа. Изд. 5-е, расшир. и перераб. Ницольди (Ausgewählte chemische Untersuchungsmethoden für die Stahl- und Eisenindustrie. 5. verm. und verb. Aufl. Niezoldi Otto. Berlin—Göttingen—Heidelberg, Springer, 1957, VIII, 189 S., 15.60 DM) (нем.)

## АНАЛИЗ НЕОРГАНИЧЕСКИХ ВЕЩЕСТВ

Редактор Ф. П. Судакос

28382. Исследование с солями двухвалентного хрома. Часть I. Установка титра растворов 2-валентного хрома по солям 3-валентного железа и 2-валентной меди с применением визуальных индикаторов. Тандон, Мехротра (Studies in bivalent chromium salts. I. Standardisation of chromous solutions with ferric and cupric salts, using visual indicators. Tandon J. P., Mehrotra R. C.), Z. analyt. Chem., 1957, 158, № 1, 20—24 (англ.)

Установлено, что метиленовый голубой, индигокармин, нейтральный красный, метиловый красный и феносафранин являются хорошими внутренними индикаторами при титровании р-ров  $Fe(3+)$  или  $Cu(2+)$  р-ром  $CrSO_4$ . При установке титра р-ров  $Cr(2+)$  по  $Fe(3+)$  и  $Cu(2+)$  получаются практически совпадающие результаты (расхождение  $\pm 0,5\%$ ).

М. Иванютия

**28383.** Экстракционное разделение элементов с применением легкоплавких органических веществ. Кузнецов В. И., Серякова И. В., Заводск. лаборатория, 1957, 23, № 10, 1176—1180

Изучено экстрагирование ряда элементов легкоплавкими органич. экстрагентами (ЛОЭ) и смесями твердых и жидких органич. в-в. Эфиры к-т, содержащих оксигруппы, экстрагируют Fe(3+) слабее, чем эфиры к-т, не содержащих оксигрупп. При экстрагировании Fe(3+) диметилловым эфиром себадиновой к-ты из 10 н. HCl коэф. распределения равен 130, в то время как диметилловый эфир рацемата винной к-ты экстрагирует Fe(3+) из 6—11,5 н. HCl довольно слабо (коэф. распределения ~0,1). Cu(2+), Ag, Be, Mg, Ca, Zn, Cd, Hg(2+), Al, Pb, Bi, U(6+), Mn(2+), Fe(3+), Co, Ni, Sb(3+), V(5+), As(3+), As(5+), W(6+), и Mo(6+) экстрагируются α-нафтиламином (I), обладающим по сравнению с дифениламином и п-толуидином рядом преимуществ, из ~0,3 н. HCl после добавления NH<sub>4</sub>Cl, NH<sub>4</sub>Br, NH<sub>4</sub>I или NH<sub>4</sub>SCN. Установлено, что избыток I экстрагируются те элементы, которые присутствуют в экстрагируемом р-ре в форме прочных комплексных анионов (CdI<sub>4</sub><sup>2-</sup>, Zn(SCN)<sub>4</sub><sup>2-</sup> и др.), образующих с катионом I соответствующие соли. Хлоридные комплексные анионы экстрагируются в большинстве случаев хуже бромидных, йодидных и роданидных. Для экстрагирования пригодны также легкоплавкие смеси амилацетата с парафином, церезином, стеариновой к-той, бензойной к-той, коричной к-той и нафталином. Приведены примеры экстракционного отделения Cu от Co с помощью I и Fe от Al смесью амилацетата с парафином (2:1 или 3:1). А. Немодрук

**28384.** Отделение тория от редкоземельных элементов ионообменным методом. Иинума, Иванага (Iinuma Hiroshi, Iwanaga Tadakatsu), Гифу дайгаку когакубу кэнкю хококу, Res. Repts Fac. Engng Gifu Prefect. Univ., 1953, № 3, 62—65 (японск.; рез. англ.)

Для отделения Th от редкоземельных элементов (РЗЭ) использован катионит «Диакон К». Почти нейтр. р-р, содержащий Th и РЗЭ в форме нитратов, медленно пропускают через колонку с указанным катионитом (8 г). Первыми элюируют РЗЭ 1 н. р-ром HCl, причем для избирательного вымывания 0,1—0,3 г РЗЭ достаточно 400—500 мл элюента. Затем с помощью 250—300 мл 3 н. HCl количественно элюируют Th (0,1 г). Значительная продолжительность операции разделения (~15 час.), однако, требует дальнейшего изучения описанного метода с целью его ускорения. Резюме авторов

**28385.** Отделение протактиния от тория ионообменным методом. Кимура, Йокояма, Сано, Мабуты (Kimura Kenjiro, Yokoyama Yuji, Sano Hirotooshi, Mabuchi Hisao), Бунсэки кагаку, Japan Analyst, 1957, 6, № 10, 637—641 (японск.; рез. англ.)

Описан простой метод отделения Pa от Th с использованием катионита дауэкс-50. Указанный катионит с сорбированным Th<sup>234</sup> (UX<sub>1</sub>) обрабатывают 1—2 н. р-ром HNO<sub>3</sub> или 0,1—0,7%-ным р-ром H<sub>2</sub>C<sub>2</sub>O<sub>4</sub> для вымывания Pa<sup>234</sup> (UX<sub>2</sub>). В этих условиях Th<sup>234</sup> сорбируется в верхней части колонки и практически не перемещается. По кривым вымывания Pa<sup>234</sup> рассчитаны приближительные значения коэф. распределения K<sub>d</sub>. На основании изучения зависимости между конц-ней элюента и K<sub>d</sub> сделано предположение, что Pa при использовании HNO<sub>3</sub> в качестве элюента проходит в элюат в форме одновалентного катиона PaO<sub>2</sub><sup>+</sup>. В случае использования в качестве элюента р-ра H<sub>2</sub>C<sub>2</sub>O<sub>4</sub> происходит изменение валентного состояния

Pa при конц-ии H<sub>2</sub>C<sub>2</sub>O<sub>4</sub> ~0,1%, что в свою очередь указывает на изменение структуры комплексного иона. Описанным методом осуществлено успешное отделение Pa<sup>234</sup> (UX<sub>2</sub>) — ядерного изомера Pa<sup>234</sup> (UX<sub>1</sub>) от Th<sup>234</sup> (UX<sub>1</sub>).

**28386.** Синтез производных дитизона и их применение в аналитической химии. Ц. о,о'-диметилдитизон и его применение для определения ртути и меди. Такэи (Takei Shinsuke), Бунсэки кагаку, Japan Analyst, 1957, 6, № 10, 630—637 (японск.; рез. англ.)

Спектрофотометрически изучен о,о'-диметилдитизон (I), приготовленный введением CH<sub>3</sub>-групп в орто-положения по отношению к C<sub>6</sub>H<sub>5</sub>-группам. Максимум светопоглощения λ(макс.) р-ра I в CCl<sub>4</sub> как и λ(макс.) п,п'-диметилдитизона, находится при более длинной волне, чем λ(макс.) дитизона, тогда как λ(макс.) комплексов металлов с I находятся при более коротких длинах волн, чем соответствующие λ(макс.) комплексов металлов с дитизоном и п,п'-диметилдитизоном. Zn<sup>2+</sup>, Cd<sup>2+</sup>, Pb<sup>2+</sup> и Bi<sup>3+</sup> не реагируют с I в цитратном буферном р-ре до pH ~6,3 и ацетатном буферном р-ре до pH ~5, тогда как Cu<sup>2+</sup> реагируют с I количественно при pH 2,0—4,5 и образующийся комплекс частично превращается в енольную форму при pH >4,5. Hg<sup>2+</sup> и Ag<sup>2+</sup> также количественно взаимодействуют с I при pH >1. Cu<sup>2+</sup> и Ag<sup>2+</sup> могут быть полностью маскированы с помощью комплексона III и KSCN соответственно. На основании полученных результатов сделан вывод, что I является более чувствительным реактивом на Hg<sup>2+</sup> и Cu<sup>2+</sup>, чем дитизон. Описаны условия колич. определения Hg<sup>2+</sup> и Cu<sup>2+</sup> с помощью I. Сообщение I см. РЖХим, 1957, 48248.

**28387.** Комплексометрическое определение моновалентного голубого в качестве окислительно-восстановительного индикатора. Эрден, Полош (Chelatometrische Bestimmung von Zink-, Cadmium- und Bleitionen in Anwesenheit von Variaminblau als Redoxindikator. Erdey L., Pólos L.), Analyst. chim. acta, 1951, 17, № 5, 458—462 (нем.; рез. англ., франц.) Установлено, что вариаминовый голубой (I) пригоден в качестве индикатора при прямом комплексометрич. титровании Zn<sup>2+</sup>, Cd<sup>2+</sup> и Pb<sup>2+</sup>. К анализируемому р-ру, содержащему один из перечисленных ионов, прибавляют 50 мл ацетатного буферного р-ра (19,2 г CH<sub>3</sub>COONa и 29,5 мл 0,2 M CH<sub>3</sub>COOH разбавляют водой до 1 л), 0,5 мл 1%-ного водн. р-ра хлорида I, 1—2 капли смеси (1:4) 0,1 M K<sub>2</sub>[Fe(CN)<sub>6</sub>] и 0,1 M K<sub>4</sub>[Fe(CN)<sub>6</sub>], нагревают до 50—60° (для устранения замедленного индикаторного перехода I) и титруют 0,05 M р-ром комплексона III до исчезновения голубой окраски I. При титровании 10—30 мл 0,05 M р-ром солей Zn, Cd и Pb ошибка ≤0,5%, ≤0,8% и ≤1,6% соответственно. Так как титрование ведется в кислых р-рах (pH ~5,0), то поэтому щел. и щел.-зем. элементы не мешают. А. Немодрук

**28388.** Комплексометрическое определение меди и марганца при их совместном присутствии. Мартене, Шварц (Über die komplexometrische Bestimmung von Kupfer und Mangan nebeneinander. Martens G., Schwarz K.), Z. analyt. Chem., 1957, 159, № 1, 22—25 (нем.)

Описан метод, при котором в одной аликвотной порции анализируемого р-ра титруют сумму Cu + Mn в среде ацетатного буферного р-ра (pH 6,0—6,5), а в другой — Mn в присутствии KCN, маскирующего Cu. Около 0,15 г анализируемого материала (катализатор, сплав) растворяют в разб. H<sub>2</sub>SO<sub>4</sub> (1:1), прибавляют H<sub>2</sub>O<sub>2</sub>, охлаждают и разбавляют водой до 1 л. К 10 мл полученного р-ра прибавляют ~90 мл воды,



0,2 г комплексоната Zn, 0,5 г  $\text{CH}_3\text{COONa}$ , нагревают до 70–80°, прибавляют ~ 50 мл смеси эриохромового тиниона Т с NaCl (1:400), 0,01 М р-р комплексона III (I) и при т-ре кипения оттитровывают избыток I 0,01 М р-ром  $\text{ZnSO}_4$  (определяют сумму Cu + Mn). Другую аликвотную порцию р-ра 10 мл разбавляют водой до ~ 100 мл, прибавляют 0,5 г тартрата K-Na, 5–6 мл буферного р-ра (54 г  $\text{NH}_4\text{Cl}$  и 350 мл  $\text{NH}_4\text{OH}$ , уд. в. 0,90, в 1 л), ~ 0,1 г аскорбиновой к-ты, 0,1–0,2 г KSCN, нагревают до 70–80° и титруют 0,01 М р-ром I до перехода красной окраски индикатора в зелено-голубую (определяют Mn). По разности результатов двух титрований определяют содержание Cu.

А. Немодрук

28389. Определение меди, кадмия, никели, кобальта и цинка методом производной полярографии. Герцева Н. С., Тр. Научно-техн. о-ва черной металлургии. Укр. респ. правл., 1956, 4, 49–55

Описано применение электронного полярографа С. Б. Цфасмана для определения различных элементов. Указанный полярограф позволяет полярографировать как обычным методом, так и методом производных кривых; значительно увеличивается чувствительность и точность определения. Прибор прост, не боится вибраций и может быть использован в заводских условиях. Показана возможность определения обычным методом до 0,1 мг/л Cu и до 0,05 мг/л Cd, Ni, Co и Zn; при работе методом производных кривых предельные конц-ии несколько выше. Установлено, что даже небольшой избыток Cu влияет на высоту производной кривой Cd. Методом производных кривых Ni можно определить в присутствии 100-кратного избытка Sn, а Co — в присутствии 400-кратного избытка Cu. Обычным полярографич. методом с применением Hg-катода с принудительным отрывом капли можно определить Cd, Ni, Co и Zn в присутствии 50–80-кратного избытка Cu. Установлено влияние конц-ии желатини на высоту волны Ni и Co: показана возможность определения малых кол-в Ni методом производных кривых без добавления желатини, что увеличивает чувствительность и точность определения. Сделан вывод, что методом производных кривых можно расширить область применения полярографич. анализа до конц-ии 8 мг/л.

Л. Горин

28390. Определение фосфора, нитратов, калия и натрия полярографическим методом. Петров-Спиридонов А. Е., Удобрение и урожай, 1957, № 11, 44–46

Описан косвенный полярографич. метод определения P, основанный на способности  $\text{PO}_4^{3-}$  образовывать в кислой среде нерастворимый осадок с уранилацетатом. К 5,00 мл анализируемого р-ра прибавляют 2,00 мл 0,002 М р-ра уранилацетата, нагревают до 70°, охлаждают до комнатной т-ры, отбирают 1,50 мл р-ра над осадком, помещают в электролитич. ячейку (ЭЯ) емк. 3 мл, прибавляют 1,50 мл 0,125 М  $\text{CH}_3\text{COONa}$ , подкисленного до pH 4,8–5,5, и полярографируют (анод — к. э.). Таким образом определяют избыток оставшегося после осаждения  $\text{PO}_4^{3-}$  уранилацетата, потенциал восстановления которого равен 0,38 в. Определяемая конц-ия P 0,5–10,5 мг/л; ошибка определения менее  $\pm 2\%$ .  $\text{Cl}^-$ ,  $\text{NO}_3^-$ ,  $\text{SO}_4^{2-}$ ,  $\text{Fe}^{3+}$ ,  $\text{Zn}^{2+}$ ,  $\text{Mn}^{2+}$  и  $\text{Co}^{2+}$  не мешают. K<sup>+</sup>, Ca<sup>2+</sup> и Mg<sup>2+</sup> также не мешают, если их конц-ия в р-ре < 0,02 н. При полярографич. определении  $\text{NO}_3^-$  в ЭЯ емк. 5 мл (анод — к. э.) вносят 3,00 мл 0,00066 н. р-ра уранил-ацетата, 0,1 н. по HCl, 2,00 мл анализируемого р-ра и р-р продувают  $\text{CO}_2$  в течение 4 мин. Начальное напряжение на потенциометре равно –0,6 в; потенциал восстановления  $\text{NO}_3^-$  равен –0,8 в. Линейная зависимость между конц-ией  $\text{NO}_3^-$  и высотой волны сохраняется при 0–10 мг/л  $\text{NO}_3^-$ . Ошибка определе-

ния < 1%.  $\text{Cl}^-$ ,  $\text{PO}_4^{3-}$ ,  $\text{SO}_4^{2-}$ ,  $\text{C}_2\text{O}_4^{2-}$ , K<sup>+</sup>, Ca<sup>2+</sup>, Mg<sup>2+</sup>, Fe<sup>3+</sup>, тартраты и цитраты не мешают; углеводы и аминокислоты при конц-ии < 300 мг/л также не мешают. Полипептиды и белки затрудняют определение  $\text{NO}_3^-$ . При полярографич. определении K и Ca в ЭЯ емк. 5 мл с донной Hg вносят 0,5 мл 0,2–0,4 н.  $(\text{CH}_3)_4\text{NOH}$  (фон), 2,00 мл анализируемого р-ра и полярографируют от –1,6 до –2,4 в. Ошибка определения K менее  $\pm 4\%$ , Ca менее  $\pm 9\%$ . Описанными методами P,  $\text{NO}_3^-$ , K и Ca определяют непосредственно в питательных р-рах и солянокислых вытяжках из подзолистых, слабокультуренных и лесных почв. При анализе почв, богатых органич. в-вом, или при анализе растительной массы полученные вытяжки предварительно очищают пропусканием через ионообменные смолы.

А. Немодрук

28391. Определение меди и цинка в сплавах методом амперометрического титрования с вращающимся платиновым микроэлектродом. Хадеев В. А., Жданов А. К., Заводск. лаборатория, 1957, 23, № 11, 1290–1291

Описан метод быстрого определения Cu и Zn амперометрич. титрованием соотносительно р-ром KSCN и р-ром  $\text{K}_2[\text{Hg}(\text{SCN})_4]$  без предварительного разделения и отделения от сопутствующих элементов и свободной  $\text{HNO}_3$ . Для восстановления  $\text{Cu}^{2+}$  до Cu<sup>+</sup> применяют аскорбиновую к-ту. Cu титруют при 0,3 в, а Zn при 0,08 в. Ошибка определения Cu и Zn при их совместном присутствии  $\leq 1\%$ ; продолжительность определения обоих компонентов 12–15 мин. Определению Cu мешают  $\text{Bi}^{3+}$  и  $\text{Cl}^-$ . При использовании описанного метода к анализу латуни и бронзы получены удовлетворительные результаты Р. Моторкина

28392. Кулонометрическое определение соединений молибдена. Часть I. Определение молибдена и фосфора. Иинума, Йосимори (Iinuma Hiroshi, Yoshimori Takayoshi), Гифу дайгаку когакубу дэнкю хококу. Res. Repts Fac. Engng Gifu Prefect. Univ., 1957, № 7, 66–70 (японск.; реэ. англ.)

При определении 50–400 γ Mo анализируемый р-р  $(\text{NH}_4)_2\text{MoO}_4$  обрабатывают Zn-амальгамой в атмосфере  $\text{CO}_2$ . К полученному р-ру, содержащему Mo(3+), прибавляют р-р соли Fe(3+) и образующееся Fe(2+) оттитровывают кулонометрически. Для установления конечной точки титрования применяют метод, описанный ранее Фурманом с сотр. (Furman и др., *Analyt. Chem.*, 1951, 23, 1662). Присутствие в титруемом р-ре Mo(6+) не мешает. При косвенном определении 20–200 γ P к анализируемому р-ру фосфата прибавляют азотнокислый р-р  $(\text{NH}_4)_2\text{MoO}_4$ , нагревают до 60° и выдерживают 8–10 час. Выделившийся осадок фосфоромолибдата аммония отфильтровывают, промывают разб. р-ром  $\text{NH}_4\text{NO}_3$  и  $\text{HNO}_3$ , растворяют в р-ре NaOH, прибавляют  $\text{H}_2\text{SO}_4$  и выпаривают для удаления  $\text{HNO}_3$ . Полученный таким образом р-р титруют кулонометрически, как указано выше. Присутствие в титруемом р-ре небольших кол-в  $\text{PO}_4^{3-}$  не мешает.

Из резюме авторов

28393. Микроопределение тяжелых элементов, таких как ртуть и йод, в растворах рентгеновским абсорбционным методом. Леру, Маффетт, Монкман (Microdetermination of heavy elements such as mercury and iodine, in solution, by x-ray absorption. Leroux Jean, Maffett Patricia A., Monkman J. L.), *Analyt. Chem.*, 1957, 29, № 7, 1089–1092 (англ.)

Разработана методика определения Hg и J в р-рах при их конц-ии 0,1 γ в 0,5 мл. Пучок полихроматич. излучения пропускают сквозь стеклянную трубку diam. 0,161 мм и длиной 24,4 мм, заполненную чистым р-рителем или анализируемым р-ром, и регистрируют Г.—М.-счетчиком с аргоновым наполнением. Ошибка

определения Hg при конц-ии 0,25—2,5  $\gamma$  в 0,5 мл (объем трубки) равна 0,045  $\gamma$ , а ошибка определения J при конц-ии 0,003—0,050 н. равна  $\pm 0,001$  (в единицах нормальности). При анализе применяют трубку с Мо-анодом при 20 кВ и 20 ма.

Л. Смирнов  
28394. Одновременное спектрофотометрическое определение микроколичеств железа и алюминия. Экстрагирование из больших объемов анализируемого раствора. Мотохима, Хаситани (Motojima Kenji, Hashitani Hiroshi), Буп-эки какагу, Japan Analyst, 1957, 6, № 10, 642—646 (японск.; рез. англ.).

Отбирают сравнительно большой объем подкисленного анализируемого р-ра, обрабатывают р-ром оксалина и ацетатным буферным р-ром (рН 5,2—5,5), переносят в делительную воронку и доводят до определенного объема (200, 300 или 400 мл). Оксалинаты Fe и Al экстрагируют хлороформом (точно 10 мл) и полученный хлороформный экстракт спектрофотометрируют при 470 м $\mu$  (определяют Fe) и 390 м $\mu$  (определяют Al). Так как  $\text{CHCl}_3$  несколько растворяется в воде, то его объем после экстрагирования уменьшается в соответствии с объемом водн. р-ра, из которого происходит экстракция. Поэтому калибровочный график для Fe и Al строят для каждого определенного объема водн. р-ра. Описанным методом быстро и точно определяют 5  $\gamma$  Fe или Al в 400 мл водн. р-ра.

Резюме авторов  
28395. Определение урана и ниобия методом дифференциальной спектрофотометрии. Банкс, Берк, О'Лафлин, Томпсон (Differential spectrophotometric determination of uranium and niobium. Banks Charles V., Burke Keith E., O'Laughlin Jerome W., Thompson James A.), Analyst. Chem., 1957, 29, № 7, 995—998 (англ.).

Описан метод определения U и Nb из одного р-ра, основанный на измерении оптич. плотности (ОП) р-ров U(6+) в 50%-ной  $\text{H}_2\text{SO}_4$  при 420 м $\mu$  и надниобиевой к-ты в конц.  $\text{H}_2\text{SO}_4$  при 360 м $\mu$ . Метод пригоден для определения U и Nb в бинарных U-Nb-сплавах, содержащих до 90% U. Установлено, что максимум светопоглощения надниобиевой к-ты (360 м $\mu$ ) соответствует минимуму светопоглощения U(6+) (максимум светопоглощения U(6+) находится при 420 м $\mu$ ). Присутствие Nb не влияет на ОП р-ра U(6+); при измерении ОП надниобиевой к-ты необходимо вносить поправку на U. При анализе навеску U-Nb-сплава ( $1,90 \pm 0,05$  г) растворяют в смеси  $\text{HNO}_3 + \text{HF}$  (HF вводят для предотвращения возможного воспламенения), добавляют 25 мл конц.  $\text{H}_2\text{SO}_4$ , упаривают до появления паров  $\text{SO}_3$  (выпаривание с  $\text{H}_2\text{SO}_4$  повторяют дважды), охлаждают и разбавляют р-ром  $\text{H}_2\text{SO}_4$  до 250 мл так, чтобы конечная конц-ия р-ра была 50%-ная по  $\text{H}_2\text{SO}_4$  (по объему). Отбирают аликвотную порцию полученного р-ра и спектрофотометрируют при 420 м $\mu$ , используя в качестве р-ра сравнения р-р U, содержащий 12,83 г U в 2 л 50%-ной  $\text{H}_2\text{SO}_4$  (ОП р-ра сравнения должна быть немного меньше ОП анализируемого р-ра). Кол-во U определяют по калибровочному графику, построенному по стандартным сернокислым р-рам U. Для определения Nb аликвотную порцию (25 мл) того же р-ра упаривают до появления паров  $\text{SO}_3$ , охлаждают, прибавляют 0,5 мл 30%-ной  $\text{H}_2\text{O}_2$ , разбавляют конц. р-ром  $\text{H}_2\text{SO}_4$  и спектрофотометрируют при 360 м $\mu$ , используя в качестве р-ра сравнения р-р, содержащий 16,5 мг Nb в 0,5 мл 30%-ной  $\text{H}_2\text{O}_2$  в 100 мл конц.  $\text{H}_2\text{SO}_4$ . Кол-во Nb определяют по калибровочному графику, построенному по стандартным сернокислым р-рам Nb.

Р. Моторкина  
28396. Раздельное определение естественных радиоактивных элементов с помощью лабораторных ра-

диометрических методов. Назаров И. М., Атом. энергия, 1957, 3, № 8, 121—129

Описываются радиометрич. методики раздельного определения естественных радиоактивных элементов в горных породах, рудах, минералах и т. п., основанные на: а) измерении разных типов излучения ( $\alpha, \beta, \gamma$ ), б) дискриминации излучения одного типа, в) использовании, кроме измерений одного вида, дополнительных эманационных измерений, г) комбинации измерений типа а и б. Приводятся в общем виде ур-ния для раздельного определения радиоактивных элементов и дается их анализ для конкретных условий измерения при определении U, Ra, Th. Обсуждается точность определений.

Э. Чудинов

28397. Радиохроматографическое разделение натрия и калия. Шиллер, Тёлдешши (Rädiokromatografiské oddelovanie sodíka a draslíka. Schiller P., Tölgyessy J.), Chem. zvesti, 1957, 11, № 8, 508—510 (словацк.; рез. русск., нем.).

Разработан радиохроматографич. метод разделения K и Na в присутствии  $\text{J}^{131}$ . На бумагу ватман № 1 ( $3 \times 50$  см) наносят 0,05 мл анализируемого р-ра содержащего 80  $\gamma$  Na, 80  $\gamma$  K и  $\text{J}^{131}$  в кол-ве, обуславливающем 3000—5000 имп/мин, и хроматографируют по нисходящему методу в течение 6—8 час. с использованием  $\text{CH}_3\text{OH}$  в качестве р-рителя. Определение Na и K на хроматограммах производят автораддиографически или радиометрически. Описанный метод позволяет более точно и быстро определить R<sub>f</sub> для Na и K, чем другие известные методы.

Н. Турквич

28398. Соосаждение следовых количеств цезия с солями одновалентного таллия. Ямагата, Ямагата, Ватанабэ (Cocprecipitation of a trace amount of cesium with thallous salts. Yamagata Noboru, Yamagata Toshiko, Watanabe Sadakata), Bull. Chem. Soc. Japan, 1957, 30, № 6, 577—580 (англ.).

Сравнительным изучением соосаждения свободного от носителя радиоцезия  $\text{Cs}^+$  с дипикрилатом (I), кобальтинитритом (II), хлороплатинатом (III), фосфоровольфрамом (IV), кремневольфрамом (V), фосфоромолибдатом (VI), куприферроцианидом (VII), хлоридом (VIII), бромидом (IX), йодидом (X) и сульфидом (XI)  $\text{Tl}^+$  установлено, что по степени увлечения  $\text{Cs}^+$  в осадок эти соли располагаются в следующий ряд: VII (99,1%); IV (98,1%); II (95,1%); III (93,2%); I (83,1%); X (40,4%); VI (9,3%); XI (8,7%); IX (8,2%); VIII (5,5%); V (1,6%). Из числа пригодных для соосаждения  $\text{Cs}^+$  солей  $\text{Tl}^+$  авторы отдают предпочтение соли  $\text{Tl}^+$  с I по той причине, что I может быть получен наиболее свободной от загрязнений Cs и Rb, чем, напр., II и VII, а III слишком дорог для практич. использования. Другим достоинством соли  $\text{Tl}^+$  с I является то, что она легко разлагается минер. к-тами с выделением свободного дипикрилатина, который легко удаляется из р-ра экстрагированием органич. р-рителями ( $\text{Cs}^+$  при этом остается в р-ре).  $\text{Tl}^+$  удаляют из р-ра окислением до  $\text{Tl}^{3+}$  с последующим осаждением в форме  $\text{Tl}(\text{OH})_3$ , почти не захватывающей  $\text{Cs}^+$ . Так как осаждение  $\text{Tl}^+$  с I происходит в слабощел. среде, то Fe, Al и другие тяжелые металлы необходимо предварительно удалить. Кроме того, в анализируемом р-ре должны отсутствовать  $\text{NH}_4^+$ ,  $\text{K}^+$  и  $\text{Rb}^+$ , которые также осаждаются I. Другие хорошо известные осадители  $\text{Tl}^+$ , такие как йодовисмутат, перхлорат и периодат, не испытывались, так как они окисляют  $\text{Tl}^+$  до  $\text{Tl}^{3+}$  уже в процессе осаждения.

А. Горюнов

28399. Количественное определение щелочных металлов в растворах спектральным методом. Арнаутов Н. В. В сб.: Материалы 2-й Научно-техн. кон-



ференции молодых ученых ЗСФАН. 1955 г. Новосибирск, Книгоиздат, 1957, 77—82

Анализируемый р-р, полученный при выщелачивании слесов сподумена, наливают в тигель, в который погружают конец угольного электрода с продольным каналом диам. 1 мм. Верхним электродом служит Si-стержень диам. 3 мм. Спектр возбуждают в разряде конденсированной искры (простая схема) при емк. 0,005 мкф и самоиндукции 2,2 мкн и фотографируют на среднем кварцевом спектрографе с обжимом 1 мин. и экспозицией 3 мин. Градуировочные графики в координатах  $\Delta S, C$  прямолинейны; «элементом» сравнения служит фон. Аналитич. линии: Li 3232,6, K 4047,2 и Na 3302,3 Å. Определяемая конц-ия K 0,1—0,8; Li 0,05—0,2% и Na 0,1—2,0%. Ошибка анализа  $\pm 5-6\%$ .

Г. Кибисов  
28400. Применение метода пламенной фотометрии в техническом анализе I. Определение натрия в вискозных жидких растворах. Такэути, Фурусавы, Арай, Такаима (Takeuchi Tsugio, Furusawa Motohisa, Arai Kenji, Takayama Yuiji), Яманаси дайгаку когакубу кэнкю хококу, Repts Fac. Engng Yamanashi Univ., 1957, № 8, 25—29 (японск.; рез. англ.)

Спектр возбуждают в кислородном пламени. Пробу разбавляют до конц-ии Na  $1 \cdot 10^{-1}$ — $3 \cdot 10^{-2}$  и измеряют излучение при 589 мμ. Другие основные компоненты анализируемого р-ра:  $H_2SO_4$ ,  $ZnSO_4$ , и глюкоза не мешают определению.

Т. Гуревич  
28401. Дробная реакция обнаружения меди. Козлов А. С., Вестн. Моск. ун-та. Сер. матем., механ., астрон., физ., химия, 1957, № 3, 223—226

Установлено, что  $Ni^{2+}$ ,  $Co^{2+}$  и  $Mn^{2+}$  образуют с  $K_4Fe(CN)_6$  в слабоаммиачной среде в присутствии избытка аммониевых солей и при наличии  $Cu^{2+}$  розовые осадки смешанных кристаллов типа  $(NH_4)_2(M,Cu)_2Fe(CN)_6$  (где M — Ni, Co, Mn), близкие по свойствам подобным смешанным кристаллич. соединениям  $Cd^{2+}$ ,  $Cu^{2+}$  и  $NH_4^+$ . Эти р-ции могут быть использованы для открытия  $Cu^{2+}$ . Описан дробный метод открытия  $Cu^{2+}$  в смеси катионов всех пяти аналитич. групп, основанный на фракционированном осаждении  $Cu_2Fe(CN)_6$  на фоне Cd-соли, используемой в качестве носителя. К 4—5 каплям анализируемого р-ра в центрифужной пробирке прибавляют 2 н.  $NH_4OH$  до шел. р-ции и сверх того еще 3—4 капли 2 н.  $NH_4OH$ , осадок отфильтровывают, р-р над осадком нейтрализуют 2 н. р-ром  $CH_3COOH$  до слабокислой р-ции, прибавляют 8—10 капель р-ра  $CdSO_4$  или  $CdCl_2$  (10 мг/мл  $Cd^{2+}$ ) и 1 каплю 3%-ного р-ра  $K_4Fe(CN)_6$ , перемешивают и центрифугируют; розовый цвет осадка свидетельствует о наличии  $Cu^{2+}$  в анализируемом р-ре. Если розовая окраска не отчетлива, то рекомендуется, не взмучивая осадка, прибавить в ту же пробирку еще 3—4 капли р-ра  $K_4Fe(CN)_6$  и вновь центрифугировать; в этом случае выпадает почти белый осадок, на фоне которого в присутствии  $Cu^{2+}$  четко вырисовывается розовое пятно.

Л. Горин  
28402. Определение минимальных количеств меди в различных нерастворимых веществах без их предварительного растворения. Голубев Н. А., Тр. Отчетн. научн. конференции (Ростовск.-н/Д. мед. ин-т) за 1956 г. Ростов-на-Дону, 1957, 829—832

Описаны 2 варианта капельного метода открытия следовых кол-в Cu в нерастворимых ( $CuS$ ,  $CuFeS_2$  и др.) и растворимых соединениях с помощью  $K_4Fe(CN)_6$ . По 1-му варианту на фильтровальную бумагу с предполагаемым включением  $CuS$  наносят 1—2 капли конц.  $NH_4OH$ , 1—2 капли конц. р-ра  $K_4Fe(CN)_6$  и 1—2 капли р-ра полийодида К (к 14 г растертого  $I_2$  добавляют 6,5 г KI и 4,6 мл воды). Затем пятно обрабатывают насыщ. водн. р-ром  $SO_2$

или отмывают водой (для удаления избытка  $I_2$ ) и добавляют 1—2 капли р-ра  $K_4Fe(CN)_6$  и 1—2 капли лед.  $CH_3COOH$ . Появление красно-бурой окраски свидетельствует о присутствии Cu. По 2-му варианту для обработки пятна вместо  $SO_2$  используют газообразный хлор (фильтровальную бумагу помещают в пробирку, на дне которой находится 4—5 капель  $HCl$ , 5:1, и несколько кристаллов  $KMnO_4$ ). Чувствительность открытия 0,01 γ Cu. В случае неотчетливой окраски пятно проводят поверочную р-цию с рубановодородной к-той (пятно обрабатывают 1—2 каплями  $NH_4OH$  и 1—2 каплями р-ра рубановодородной к-ты и высушивают; возникновение черной окраски свидетельствует о присутствии Cu). Для концентрирования очень малых кол-в Cu применяют методы осаждения с коллкторами или флотации.

Р. Моторкина  
28403. Триэтилентетрамин (триен) как аналитический реактив. II. Фотометрическое титрование меди в присутствии других металлов. Флашка, Золиман (Triäthylentetramin (Trien) als analytisches Reagens. II. Photometrische Titrationen von Kupfer neben anderen Metallen. Flaschka H., Soliman A.), Z. analyt. Chem., 1957, 159, № 1, 30—35 (нем.)

Описан метод определения Cu в присутствии ряда других элементов, основанный на титровании Cu р-ром сульфата триэтилентетрамина (I) с фотометрич. установлением конечной точки. Мешающее влияние Hg устраняют добавлением KBr. Ni и Co не мешают, если титрование проводить при pH ~5. Al маскируют с помощью цитрата и титрование в этом случае выполняют pH 5 или 10. Если присутствует  $Cr(3+)$ , то его предварительно окисляют до  $Cr(6+)$ . Присутствие 100—1000-кратных кол-в шел. и шел.-зем. элементов, Mg, Mn, Zn, Cd,  $Fe(3+)$ , Bi, Ga, In, Tl, Ag, Sb, Be, La, Y, Mo, V, Zr, Th и U определению не мешают. Приведены примеры определения Cu в Al-сплавах сложного состава. Описанный метод по сравнению с йодометрич. методом определения Cu обладает рядом преимуществ (отсутствие мешающего влияния окислителей, высокая устойчивость р-ров I). Сообщение I см. РЖХим, 1958, 24704.

А. Немодрук  
28404. 2,2'-дихинолил и его применение для фотокolorиметрического определения меди в металлах и сплавах. Гершунс А. Л., Тр. Научно-техн. о-ва черной металлургии. Укр. респ. правл., 1956, 4, 149—153

Метод определения  $Cu^{+}$  с помощью 2,2'-дихинолила (I) (РЖХим, 1954, 38199, 50203; 1956, 19516) применен к анализу металлч. алюминия, цинка, магния и силумина. Для удержания в р-ре значительных кол-в Zn или Al при pH 5—6 в процессе определения малых кол-в Cu к анализируемому р-ру прибавляли винную к-ту, а для получения удовлетворительных результатов при однократном экстрагировании Cu 0,02%-ным р-ром I в изоамиловом спирте применяли интенсивное размешивание анализируемого р-ра с помощью механич. пропеллерной мешалки в небольшом сосуде, термостатированном в пределах 1—2°. Фотометрирование производили при 545 мμ. Метод применим для определения тысячных и сотых долей процента Cu. Специфичность I дает возможность избежать операции выделения сопутствующих ионов и тем самым значительно сократить продолжительность анализа.

Л. Горин  
28405. Анализ никелевых сплавов для окислных катодов. Сообщение 4. Определение меди. Ридель (Analyse von Nickellegierungen für Oxydkathoden. 4. Mitt. Die Bestimmung des Kupfers. Riedel K.), Z. analyt. Chem., 1957, 159, № 1, 25—29 (нем.)

Описан метод определения Cu, основанный на экстрагировании Cu в форме диэтилдитиокарбамината с помощью  $CCl_4$  и последующем фотометрировании.

экстракта. Около 0,1 г анализируемого образца растворяют в небольшом кол-ве конц.  $\text{HNO}_3$  и упаривают до удаления большей части  $\text{HNO}_3$ . Остаток разбавляют водой, прибавляют 5 мл буферного р-ра (1,5 г  $\text{CH}_3\text{COONH}_4$  растворяют в 25 мл  $\text{CH}_3\text{COOH}$  и разбавляют водой до 100 мл), переносят в делительную воронку, прибавляют 10 мл хлороформного р-ра диэтилдитиокарбамината кадмия (I) (40 мг диэтилдитиокарбамината Na и 80 мг  $\text{CdCl}_2 \cdot 6\text{H}_2\text{O}$  растворяют каждый в 25 мл воды, оба р-ра смешивают и экстрагируют двумя порциями  $\text{CCl}_4$  (по 100 мл); экстракт, содержащий I, отделяют и разбавляют с помощью  $\text{CCl}_4$  до 500 мл и встряхивают в течение 0,5 мин. Применение I вместо диэтилдитиокарбамината Na исключает образование диэтилдитиокарбаминатов ряда мешающих элементов, характеризующихся меньшей прочностью по сравнению с I. Слой  $\text{CCl}_4$  отделяют, водн. слой промывают с помощью 2 мл  $\text{CCl}_4$ , помещают в делительную воронку, прибавляют 5 мл ацетатного буферного р-ра, ~40 мл воды и 5 мл 0,01%-ного р-ра  $\text{HgCl}_2$  (для вытеснения Cu, Cd и других элементов, диэтилдитиокарбаминаты которых обладают меньшей прочностью) и встряхивают. После обезвреживания слоя  $\text{CCl}_4$  его отделяют, к водн. слою прибавляют 1 мл 0,1 M р-ра комплексона III (для маскирования оставшегося Ni), перемешивают, прибавляют 1 мл 1 M  $\text{MgSO}_4$  (для связывания избытка комплексона III). Добавляют 10 мл хлороформного р-ра I, встряхивают 1—2 мин. и фотометрируют со светофильтром Hg 436. 5—60 у Cu определяют с ошибкой < 5%. Продолжительность определения ~ 0,5 часа. Сообщение 3 см. РЖХим, 1957, 27159.

А. Немодрук

**28406.** Микрогетерометрическое определение серебра с помощью *n*-диметиламинобензилденроданина. Прямое определение следовых количеств серебра в сплавах и растворах. Бобтельский, Эйзенштадтер (The micro-heterometric determination of silver with *p*-dimethylamino-benzylidene-rhodanine. Direct determination of traces of silver in alloys and solutions. Bobtelsky M., Eisenstadter J.), *Anal. chim. acta*, 1957, 17, № 5, 503—511 (англ.; рез. нем., франц.)

Гетерометрически изучена р-ция *n*-диметиламинобензилденроданина (I) с Ag. I с Ag образует чрезвычайно мало растворимое соединение, состав которого характеризуется соотношением  $\text{Ag}:\text{I} = 1:1$ . Титрование Ag с помощью I проводят в аммиачно-щел. среде (для удержания I в р-ре). Оптит. плотность (ОП) р-ра измеряют на фотометре с зеленым светофильтром (525 мμ). Конечную точку титрования находят графически по кривой ОП — объем р-ра I. При определении Ag в отсутствие других элементов к 20 мл водн. р-ра, содержащего 0,05—0,1 мг Ag, прибавляют 1 мл 0,1—1,0 M  $\text{NH}_4\text{NO}_3$ , 0,5 мл конц.  $\text{NH}_4\text{OH}$  и титруют 0,0002—0,0003 M спирт. р-ром I. Продолжительность титрования ~ 5 мин.; ошибка определения ≤ 1,5%. При титровании Ag в присутствии 1- и 2-валентных металлов к анализируемому р-ру прибавляют 5 мл 1 M р-ра цитрата Na (II), 1 мл 0,1—1,0 M  $\text{NH}_4\text{NO}_3$ , 0,5 мл конц.  $\text{NH}_4\text{OH}$  и титруют р-ром I аналогичным образом. При титровании Ag в присутствии  $\text{Ti}^{4+}$  и  $\text{Hg}^{2+}$  в качестве маскирующего комплексообразующего реактива (МКР) вместо II применяют комплексон III (5—10 мл 0,2 M р-ра). В присутствии многовалентных металлов ( $\text{Al}^{3+}$ ,  $\text{Cr}^{3+}$ ,  $\text{Fe}^{3+}$ ,  $\text{U}(6+)$ ,  $\text{Zr}^{4+}$ ,  $\text{Th}^{4+}$ ,  $\text{Ce}^{3+}$ ) в качестве МКР вместо II применяют тартрат Na. В присутствии  $\text{Au}^{3+}$ ,  $\text{Pt}^{4+}$ ,  $\text{Pd}^{2+}$ ,  $\text{Sb}^{3+}$  и  $\text{Bi}^{3+}$  титрование Ag выполняют с применением в качестве МКР II (в случае  $\text{Sb}^{3+}$  и  $\text{Bi}^{3+}$  увеличивают кол-во добавляемого конц.  $\text{NH}_4\text{OH}$  до 1,0 мл). Ошибка определения Ag в присутствии 99,7—99,9%  $\text{Ca}^{2+}$ ,  $\text{Ba}^{2+}$ ,

$\text{Mg}^{2+}$ ,  $\text{Zn}^{2+}$ ,  $\text{Mn}^{2+}$ ,  $\text{Ni}^{2+}$ ,  $\text{Co}^{2+}$ ,  $\text{Al}^{3+}$ ,  $\text{Fe}^{3+}$ ,  $\text{Pb}^{2+}$ ,  $\text{Sn}^{2+}$ ,  $\text{Sb}^{3+}$ ,  $\text{Bi}^{3+}$ ,  $\text{U}(6+)$ ,  $\text{Hg}^{2+}$ ,  $\text{Zr}^{4+}$ ,  $\text{Ce}^{3+}$ ,  $\text{Th}^{4+}$ ,  $\text{Ti}^{4+}$  и до 99%  $\text{Cr}^{3+}$  составляет < 2%, в присутствии до 95%  $\text{Pd}^{2+}$ , 90%  $\text{Au}^{3+}$  и 97%  $\text{Pt}^{4+}$  < 3%.

А. Немодрук

**28407.** Электрометрическое определение серебра. Каданов Р. З., Земляничев М. М., Радиотех. произ-во, 1957, № 8, 17—19

При определении Ag на мелких посеребренных деталях из цветных металлов одну или несколько деталей, в зависимости от величины детали и толщины посеребренного слоя, помещают в стакан емк. 250 мл, прибавляют 3—10 мл  $\text{HNO}_3$ , закрывают часовым стеклом и растворяют при нагревании. После полного растворения часовое стекло и стенки стакана обмывают водой, р-р с промывными водами разбавляют до 100 мл и нейтрализуют насыщ. р-ром  $\text{Na}_2\text{CO}_3$  до слабокислой р-ции. Стакан с анализируемым р-ром устанавливают на диск механ. мешалки, опускают электроды (индикаторным электродом служит амальгамированная Ag-проволока диам. 0,8—1,5 и длиной 80—100 мм, а стандартный электрод изготавливают из Ag-проволоки диам. 0,8—1,5 мм, агар-агарового геля и пасты из  $\text{Ag}_2\text{CrO}_4$ ) со стеклянной мешалкой, включают электромотор и титруют 0,1 или 0,01 н. р-ром NaCl до нулевого показания гальванометра. Продолжительность определения 5—10 мин. При определении Ag в сплавах 0,2—0,5 г сплава растворяют в 5—10 мл  $\text{HNO}_3$  и далее продолжают, как описано выше. Метод применен также для определения Ag в пианистых электролитах серебрения.

Л. Горня

**28408.** Пламенифотометрическое исследование соединений магния. Пунгор, Конкой-Тере (Flammenphotometrische Untersuchungen von Magnesiumverbindungen. Pungor E., Konkoly Thege I.), *Acta chim. Acad. sci. hung.*, 1957, 11, № 1-2, 23—43 (нем.; рез. русск., англ.)

Изучена возможность повышения чувствительности определения Mg и исключения мешающего действия различных анионов и катионов. Установлено, что  $\text{CH}_3\text{OH}$  и  $\text{C}_2\text{H}_5\text{OH}$  повышают излучение Mg, уменьшая поверхностное натяжение и увеличивая степень распыления р-ра и при сгорании повышают т-ру пламени.  $\text{HClO}_4$  также повышает излучение Mg вследствие разложения перхлоратов в пламени. Остальные изученные анионы снижают излучение Mg в зависимости от степени отрицательного характера аниона:  $\text{Cl}^-$  на 1,5%,  $\text{NO}_3^-$  на 8—10%,  $\text{CH}_3\text{COO}^-$  на 37%,  $\text{C}_2\text{O}_4^{2-}$  на 58% и  $\text{SO}_4^{2-}$  на 61%. Влияние в-в, повышающих или понижающих излучение, аддитивно. Установлено, что одним анионом можно компенсировать влияние другого. Мешающее действие анионов устраняют добавлением эталонным р-рам анионов, присутствующих в исследуемом р-ре. Если нельзя сохранить во всех р-рах одну и ту же конц-ию анионов, то добавляют один анион в большом кол-ве. Са и щел. металлы, за исключением Li, мешают определению Mg. К пробам и эталонам добавляют избыток HCl так как  $\text{MgCl}_2$  повышает излучение Mg. Анализ ведут на пламенном фотометре Бекмана (модель DU) при ширине щели 0,5 мм. Спектры возбуждают в водородно-кислородном пламени при давлении  $\text{H}_2$  0,35 *атм* и  $\text{O}_2$  1,19 *атм*. Расчет производят по двум линиям: 350 и 371 мμ с применением поправок:  $a = E_{\text{Mg}, 350}^0 / E_{\text{Mg}, 371}^0$ ;  $b = E_{\text{x}, 350} / E_{\text{x}, 371}$ ,  $k = E_{\text{Mg}, 371}^0 / c_{\text{Mg}}$ , где  $E_{\text{Mg}, 350}^0$  и  $E_{\text{Mg}, 371}^0$  — значения излучения чистых р-ров Mg,  $E_{\text{x}, 350}$  и  $E_{\text{x}, 371}$  — значения излучения мешающих солей и  $c_{\text{Mg}}$  — конц-ия Mg. Определяемая конц-ия Mg  $10^{-3}$  ммоль/мл. Библ. 35 назв.

Т. Гуревич

**28409.** Влияние анионов на комплексометрическое определение магния. Рамана-Рао (Interference



of anions in the chelatometric estimation of magnesium. Ramana Rao D. V.), Current Sci., 1957, 26, № 8, 246—247 (англ.)

Изучено влияние на комплексометрич. титрование  $Mg^{2+}$  (в буферной среде  $NH_4OH - NH_4Cl$  с рН 10 и присутствии индикатора эриохромового черного Т) ионов  $F^-$ ,  $CO_3^{2-}$  и  $MoO_4^{2-}$ , остающихся в качестве примесей в фильтрате после удаления  $Ca^{2+}$  в форме  $CaF_2$ ,  $CaCO_3$  или  $CaMoO_4$  соответственно. Введение в титруемый р-р  $MgSO_4$  небольших кол-в  $NaF$  или  $(NH_4)_2C_2O_4$  приводит к изменению окраски р-ра из фиолетово-красной в синюю даже без добавления титранта — комплексона III. Это, по мнению автора, обусловлено комплексобразующим действием  $F^-$  и  $C_2O_4^{2-}$ . Присутствие  $MoO_4^{2-}$  (0,1654—1,654 г  $Na_2MoO_4 \cdot 2H_2O$ ) не мешает титрованию  $Mg^{2+}$ . Предварительными опытами установлено, что при рН ~ 2,5, где  $Mo$  существует в форме  $MoO_2^{2+}$  (РЖХим, 1954, 44539), добавление комплексона III предотвращает осаждение  $(MoO_2)_2Fe(CN)_6$ , что свидетельствует об образовании устойчивого комплекса  $Mo$  с комплексом III и указывает на возможность комплексометрич. титрования  $Mo$ , напр., с использованием индикатора пирокатехинового фиолетового, позволяющего вести титрование при рН 2—3.

Л. Горин  
28410. Исследование реакции магния с алюминием и применение ее в колориметрическом анализе. Сердюк Л. Т., Федорова Г. П., Тр. Научно-техн. о-ва черной металлургии. Укр. респ. правл., 1956, 4, 154—159

Изучены оптимальные условия комплексобразования  $Mg$  с алюминием (I). Установлено, что определение  $Mg$  с помощью I следует производить при рН 11, применяя 0,2%-ный водно-аммиачный р-р I. Методом изомольных серий и предельного логарифмирования установлен состав образующегося соединения (соотношение  $Mg:I$  равно 1:1) и определены максимум светопоглощения (533 мμ) и мол. коэф. экстинкции (~ 5000) этого соединения. На основе полученных результатов разработан фотометрич. метод определения  $Mg$  в почвах и  $Ni$ -ваннах. При определении  $Mg$  в  $Ni$ -ваннах 10 мл р-ра электролитной ванны разбавляют водой до 100 мл, отбирают 10 мл р-ра, разбавляют водой до ~ 75 мл, нагревают до 80°, прибавляют 20 мл 1%-ного спирт. р-ра диметилглиоксима и конц.  $NH_4OH$  до появления запаха, выдерживают 30 мин. на теплом месте, фильтруют и промывают горячей водой 5—6 раз. Фильтрат нагревают до удаления  $NH_3$ , охлаждают, разбавляют водой до 200 мл, отбирают 5 мл р-ра, прибавляют немного ацетатного буферного р-ра с рН 11 (смешивают 97,5 мл 0,2 н.  $NH_4OH$  с 2,5 мл 0,2 н.  $CH_3COOH$  и разбавляют водой до 200 мл) и 5 мл свежеприготовленного 0,2%-ного водно-аммиачного р-ра I (0,1 г I растворяют в 0,5 мл конц.  $NH_4OH$  и разбавляют водой до 100 мл), разбавляют тем же буферным р-ром до 50 мл и фотометрируют с зеленым светофильтром; р-р сравнения готовят разбавлением 5 мл 0,2%-ного р-ра I буферным р-ром до 50 мл. Продолжительность определения 20—25 мин.

Л. Горин  
28411. Пламеннофотометрическое определение кальция в фосфатных, карбонатных и силикатных породах. Креймер (The flame photometric determination of calcium in phosphate, carbonate, and silicate rocks. Kramer Henry), Analyt. chim. acta, 1957, 17, № 5, 521—525 (англ.; рез. нем., франц.)

Описан метод определения  $Ca$  в горных породах без предварительного выделения. Влияние других компонентов горных пород устраняют добавлением к анализируемому и стандартным р-рам «радиационного буфера» (РБ). Состав РБ выбирается на основе изучения зависимости излучения  $Ca$  от кол-ва мешаю-

щих элементов ( $Al$ ,  $Mg$ ,  $K$ ,  $Na$ ,  $Fe$ ,  $P$ ). Спектры возбуждают в водородно-кислородном пламени при давлении  $O_2$  0,82 г/см<sup>2</sup>,  $H_2$  0,31 г/см<sup>2</sup>. Интенсивность излучения измеряют на спектрофотометре Бекмана DU при 554 мμ. Для приготовления РБ 4 г  $Al$ , 9 г  $Mg$ , 0,5 г  $Fe$ , 2,975 г  $NaNO_3$  и 0,776 г  $KNO_3$  растворяют в 100 мл конц.  $HNO_3$ , р-р выпаривают, остаток растворяют в 1,2 л  $HNO_3$  (1:1) и фильтруют;  $Pb$  РБ вводят в виде р-ра, содержащего 22 мл 85%-ной  $H_3PO_4$ , в 200 мл воды. Стандартный р-р  $Ca$  (1 мг/мл) готовят растворением 2,498 г  $Ca$  в 10 мл  $HNO_3$  (1:1) и разбавлением водой до 1 л. Рабочие стандартные р-ры, содержащие 50, 40, 30, 20 и 10 γ  $Ca$ , получают добавлением к 5, 4, 3, 2 и 1 мл исходного стандартного р-ра  $Ca$  по 2,5 мл 75%-ной  $H_3PO_4$  и 20 мл РБ и последующим разбавлением водой до 100 мл. При определении  $Ca$  0,1 г пробы помещают в  $Pt$ -чашку, прибавляют 5 мл  $HNO_3$  (1:1), 2,5 мл 75%-ной  $HClO_4$  и 5 мл 47%-ной  $HF$ , выпаривают, и остатку добавляют 20 мл воды, 20 мл РБ и разбавляют водой до 100 мл. Если в пробе содержится 7%  $Ca$ , то перед введением РБ анализируемый р-р разбавляют так, чтобы конц-ия  $Ca$  в р-ре была < 0,05 мг/мл. Присутствие небольших кол-в  $Cr$ ,  $Ti$ ,  $V$ ,  $Li$  и  $Ba$  для определения  $Ca$  не мешает. Ошибка определения ± 2%  $CaO$ .

Л. Капорский

28412. О влиянии алюминия на излучение кальция в пламени. Алкемаде, Иёкен (Zur Frage des Aluminiumeinflusses auf die Calciumemission in der Flamme. Alkemade C. T. J., Jeuken M. E. J.), Z. anorg. Chem., 1957, 158, № 6, 401—409 (нем.)

Исследовано влияние  $Al$  на излучение  $Ca$  при 6162 Å. Опыты вели с ацетилено-воздушным пламенем при 2450° и пропаново-воздушным при 21500° К.  $Al$  вводили в пламя в виде р-ров  $Al(NO_3)_3$  и  $AlCl_3$  разной конц-ии. Подтверждено предположение, согласно которому снижение излучения  $Ca$  при добавлении  $Al(NO_3)_3$  объясняется образованием труднотлетучего комплекса  $Ca-Al-O$  из солевых частиц аэрозоли. При избытке  $Ca$  или  $Al$  этот комплекс становится насыщенным. По литературным данным в случае  $AlCl_3$  снижение интенсивности  $Ca$  значительно меньше, что объясняется образованием комплексов металлов в газовой фазе. Полученные результаты имеют практич. значение при определении  $Ca$  и  $Al$  в р-рах.

Т. Гуревич

28413. Метод определения кальция и магния в горных породах рентгеновским дифракционным методом. Мацци (Metodo di determinazione del calcio e del magnesio nelle rocce mediante il diffrattometro a raggi X. Mazzi Fiorenzo), Atti Accad. naz. Lincei. Rend. Cl. sci. fis., mat. e natur., 1957, 22, № 8, 739—748 (итал.)

Метод Шеффера (Schäffer K., Z. Krist., 1938, 90, 142) применен для определения  $Ca$  и  $Mg$  в горных породах. При анализе основной породы, содержащей 12%  $CaO$  и 6%  $MgO$ , получено 12,12—11,88%  $CaO$  и 6,09—5,91%  $MgO$ , а при анализе кислой породы, содержащей 2%  $CaO$  и 1%  $MgO$ , получено 2,03—1,97%  $CaO$  и 1,03—0,97%  $MgO$ .

Н. Туркевич

28414. Весовое определение бария в металлическом цирконии и некоторых солях циркония. Силверман, Трего (Gravimetric determination of barium in zirconium metal and in certain zirconium salts. Silverman Louis, Trego Katherine), Analyt. chim. acta, 1957, 17, № 3, 280—285 (англ.; рез. нем., франц.)

Основную массу  $Zr$  удаляют двойным осаждением в среде  $HCl$ , оставшиеся следы  $Zr$  экстрагируют в форме купфероната хлороформом и  $Ba$  в фильтрате определяют весовым методом в форме  $BaSO_4$ . 30 г  $ZrOCl_2 \cdot 8H_2O$  растворяют в 30—35 мл воды, прибавляют 40 мл  $HCl$  (уд. в. 1,19), упаривают до ~ 5 мл,

прибавляют 2,5 мл воды, 12,5 мл конц. HCl, охлаждают льдом и фильтруют через воронку с фильтрующим дном. Осадок промывают миним. кол-вом HCl (3:1), фильтрат упаривают до ~ 5 мл, прибавляют 5 мл конц. HCl, охлаждают льдом, фильтруют через воронку с фильтрующим дном и промывают миним. кол-вом HCl (3:1). Фильтрат переносят в делительную воронку емк. 500 мл, прибавляют 15 мл HCl, 75 мл воды и 100 мл 6%-ного р-ра купферона, перемешивают, прибавляют 100 мл  $\text{CHCl}_3$ , встряхивают 2—3 мин., сливают и отбрасывают слой  $\text{CHCl}_3$ , прибавляют 100 мл  $\text{CHCl}_3$ , встряхивают и отбрасывают слой  $\text{CHCl}_3$ . Водн. слой упаривают до 1/2 объема, прибавляют 100 мл  $\text{HNO}_3$ , вновь упаривают до 1/2 объема, прибавляют 25 мл  $\text{HNO}_3$  и 15 мл  $\text{HClO}_4$ , выпаривают почти досуха, охлаждают, прибавляют 50 мл воды, кипятят 5 мин. и фильтруют. Осадок  $\text{SiO}_2$  промывают горячим 2%-ным р-ром HCl и отбрасывают. Фильтрат разбавляют до 150 мл, нейтрализуют р-ром  $\text{NH}_4\text{OH}$  (1:1), добавлением HCl (1:1) устанавливают pH на уровне 0,85, нагревают до кипения, прибавляют по каплям 15 мл свежеприготовленного 50%-ного р-ра  $(\text{NH}_4)_2\text{SO}_4$ , кипятят 15—20 мин., разбавляют до прежнего объема, прибавляют еще 15 мл 50%-ного р-ра  $(\text{NH}_4)_2\text{SO}_4$ , кипятят до коагуляции  $\text{BaSO}_4$  и оставляют на 8—10 час. Осадок отфильтровывают через фильтр ватман № 42 с добавлением бумажной массы, промывают горячим 1%-ным р-ром  $(\text{NH}_4)_2\text{SO}_4$  в 0,1 н.  $\text{H}_2\text{SO}_4$ , прокалывают при  $850^\circ$ , охлаждают и взвешивают. При определении Ba в металлич. Zr к 10 г образца в Рт-чашке прибавляют 10 мл воды и по каплям 25 мл HF, нагревают для удаления избытка HF, прибавляют ~ 40 мл конц. HCl, 12 г  $\text{H}_3\text{BO}_3$ , упаривают до малого объема, прибавляют 2,5 мл воды, 12,5 мл конц. HCl и далее продолжают, как описано выше. Воспроизводимость результатов 0,001%. Ф. Линкова

**28415. Определение цинка в цинковых рудах с помощью комплексона III. Ато, Танабаси, Ватанабэ (Ato Sunao, Tanabashi Motonari, Watanabe Isamu), Кагаку канкюдзэ хококу, Repts Scient. Res. Inst., 1957, 33, № 1, 24—33 (японск.); Гифу дайгаку гакугэй гакубу канкю хококу, Res. Repts. Fac. Engng Gifu Prefect. Univ., 1957, 1, № 5, 517 (англ.)**

С целью повышения точности определения Zn в ранее описанном методе (Treadwell, Hall, *Analyt. Chem.*, 1951, 11, 668) в качестве титрующего реактива вместо  $\text{K}_4\text{Fe}(\text{CN})_6$  использован комплексон III. Анализируемую Zn-руду растворяют в HCl и  $\text{HNO}_3$ , элементы Cu- и Sn-групп отделяют с помощью  $\text{H}_2\text{S}$ , pH фильтрата добавлением  $\text{H}_2\text{SO}_4$  или буферного р-ра  $(\text{CH}_2\text{Cl} \cdot \text{COOH} + \text{CH}_2\text{Cl} \cdot \text{COONa})$  устанавливают на уровне 2,4 и полученный р-р насыщают сероводородом. Выделяющийся осадок ZnS растворяют в HCl, и если в р-ре присутствуют Ni и Co, то их от Zn отделяют с помощью  $\text{Na}_2\text{O}_2$  и NaOH. Фильтрат нейтрализуют аммиаком и Zn оттитровывают р-ром комплексона III.

Резюме авторов

**28416. Исследование методов анализа, основанных на каталитических и индуцированных реакциях. Часть VIII. Определение ртути на основе индуцирующей реакции между  $\text{MnO}_4^-$  и  $\text{C}_2\text{O}_4^{2-}$ . Часть IX. Определение ртути на основе индуцирующей реакции разложения оксалатных комплексов  $\text{Mn}(3+)$ . Сакураба (Sakuraba Shukichi), Сидзуока дайгаку когакубу канкю хококу, Repts Fac. Engng Shizuoka Univ., 1956, № 7, 57—64 (японск.; рез. англ.)**

Ср. РЖХим, 1957, 15764. Установлено, что восстановление  $\text{HgCl}_2$  до  $\text{Hg}_2\text{Cl}_2$  индуцируется р-цией между  $\text{MnO}_4^-$  и  $\text{C}_2\text{O}_4^{2-}$  или р-цией разложения оксалатных комплексов  $\text{Mn}(3+)$ . Эти индуцирующие р-ции, в ко-

торых активная  $\text{H}_2\text{C}_2\text{O}_4$  рассматривается как передатчик цепи, использованы для определения  $\text{Hg}^{2+}$ . При определении 0,02—0,20 г Hg к анализируемому р-ру прибавляют 15 мл 0,1 М  $\text{Na}_2\text{C}_2\text{O}_4$  и 1 мл 1 н.  $\text{H}_2\text{SO}_4$  (рН р-ра поддерживают на уровне 3,2), разбавляют водой до 50 мл, нагревают в водяной бане при  $50-60^\circ$  и прибавляют 5 мл 0,1 н.  $\text{KMnO}_4$  или 20—50 мг твердого  $\text{K}_2[\text{Mn}(\text{C}_2\text{O}_4)_3] \cdot 3\text{H}_2\text{O}$ . По выделении осадка  $\text{Hg}_2\text{Cl}_2$  стакан с содержимым вынимают из водяной бани и выдерживают 1 час при комнатной т-ре. Затем осадок отфильтровывают, промывают, сушат при  $110^\circ$  и взвешивают. Определению мешают  $\text{Cu}(2+)$ ,  $\text{Au}(3+)$ ,  $\text{Pb}(2+)$  и  $\text{Pt}(4+)$ . Часть VII см. РЖХим, 1956, 47267.

Резюме автора

**28417. Исследование методов анализа, основанных на каталитических и индуцированных реакциях. Часть X. Определение ртути на основе фотохимического индуцирующего действия системы  $\text{Mn}(2+)-\text{C}_2\text{O}_4^{2-}$ . Сакураба, Икэя (Sakuraba Shukichi, Ikeya Shozo), Сидзуока дайгаку когакубу канкю хококу, Repts Fac. Engng Shizuoka Univ., 1956, № 7, 65—69 (японск.; рез. англ.)**

Ср. РЖХим, 1957, 51549. Установлено, что восстановление  $\text{HgCl}_2$  до  $\text{Hg}_2\text{Cl}_2$  протекает количественно при фотохим. индуцирующем действии системы  $\text{Mn}(2+)-\text{C}_2\text{O}_4^{2-}$ . На этой основе разработан метод определения  $\text{Hg}^{2+}$ . К анализируемому р-ру, содержащему 0,02—0,20 г Hg, прибавляют 20 мг 0,1 М  $\text{Na}_2\text{C}_2\text{O}_4$ , 1—14 мл 0,14 М  $\text{MnSO}_4$  и 1 мл 1 н.  $\text{H}_2\text{SO}_4$  (рН р-ра поддерживают на уровне 3,2), разбавляют водой до ~ 50 мл и выдерживают на солнечном свете или при свете Hg-лампы в течение 80 мин. при  $20-30^\circ$ . Осадок  $\text{Hg}_2\text{Cl}_2$  отфильтровывают, промывают, сушат при  $105^\circ$  и взвешивают. Определению мешают  $\text{Cu}(2+)$ ,  $\text{Au}(3+)$ ,  $\text{Pb}(2+)$  и  $\text{Pt}(4+)$ .

Резюме авторов

**28418. Открытие алюминия с помощью ализарина после отделения мешающих элементов методом экстрагирования. Жаровский (Відкриття алюмінію ализарином за допомогою екстрагування. Жаровський Ф. Г.), Наук. зап. Київськ. ун-т, 1957, 16, № 15, 147—148 (укр.; рез. русск.)**

Описан метод открытия Al с помощью ализарина после предварительного отделения V, Ti, Zr и Fe в форме N-бензоилфенилгидроксиламинов. Анализируемый р-р в делительной воронке нейтрализуют р-ром  $\text{NH}_4\text{OH}$  до появления муты, которую растворяют прибавлением 1—2 капли разб. HCl (1:5), добавляют равный объем 0,2 н. HCl, 1 мл 5%-ного спирт. р-ра N-бензоилфенилгидроксилamina и экстрагируют хлороформом (1—2 мл). Экстрагирование повторяют до получения бесцветного слоя  $\text{CHCl}_3$ . После отделения слоя  $\text{CHCl}_3$  к водн. слою прибавляют 4—5 капель насыщ. спирт. р-ра ализарина, 1,0 н. NaOH (до флюетовой окраски р-ра) и равный объем ацетатно-аммиачного буферного р-ра (рН 5). Избыток ализарина экстрагируют эфиром (5—10 мл). В присутствии небольших кол-в Al р-р окрашивается в розовый цвет, а в присутствии больших кол-в Al образуется также красный осадок. Посторонние элементы, за исключением  $\text{Cr}(3+)$ , Co, Ni и Cu, определению не мешают.

А. Немодрук

**28419. Флуорометрическое определение алюминия с помощью пантохромового темно-синего R. Исибаси, Сигэмацу, Нисикава (Ishibashi Masayoshi, Shigematsu Tsunenobu, Nishikawa Yasuhara), Бунсэки кагаку, Japan Analyst, 1957, 6, № 9, 568—571 (японск.; рез. англ.)**

Разработаны оптимальные условия флуорометрич. определения Al с помощью пантохромового темно-синего R (I). К анализируемому р-рам с рН 4,8, содержащим 0,2—18 γ Al в 1—2 мл, прибавляют 1%-ный водн. р-р I, нагревают 10 мин. на водяной бане, охла-



дают, разбавляют водой до 50 мл и измеряют интенсивность флуоресценции. Определению мешают  $\text{Fe}^{3+}$ ,  $\text{Ca}^{2+}$ ,  $\text{Co}^{2+}$  и  $\text{VO}_3^-$ , а также большие кол-ва  $\text{Cu}^{2+}$ ,  $\text{Ti}^{4+}$  и  $\text{Ni}^{2+}$ . Резюме авторов

**28420. О точности и скорости некоторых химических и физических методов определения алюминия в алюмосиликатах.** Войнович, Дебра (Sur la précision et la rapidité de certains dosages chimiques et physiques de l'alumine dans les silico-alumineux. Voinovitch I. A., Debras J.), Chim. analyt. 1957, 39, № 11, 418—428 (франц.)

Описаны результаты изучения различных методов определения Al в алюмосиликатах после сплавления анализируемой пробы с  $\text{NaOH}$ ,  $\text{Na}_2\text{CO}_3$  или  $\text{KNaCO}_3$ . Самый быстрый из хим. методов является оксихинолиновый метод с броматометрич. оттитровыванием избытка оксихинолина без отделения  $\text{SiO}_2$ . Наиболее надежным, но не быстрым, является метод с использованием бензоата аммония (отделяют  $\text{SiO}_2$ , восстанавливают  $\text{Fe}_2\text{O}_3$  с помощью  $\text{Na}_2\text{S}_2\text{O}_4$ , сплавляют с  $\text{K}_2\text{Cr}_2\text{O}_7$  в течение 1 часа при  $1000^\circ$ , в полученном сплаве Ti определяют фотометрически с  $\text{H}_2\text{O}_2$ , а  $\text{Al}_2\text{O}_3$  — по разности). Простым, но дающим завышенные результаты в случае прокаливания при  $<1350$ — $1380^\circ$ , является метод осаждения аммиаком после удаления  $\text{SiO}_2$  с помощью  $\text{HCl}$  или  $\text{HCl} + \text{желатина}$ . Фотометрич. метод с использованием феррона в присутствии Fe и Ti быстр и особенно пригоден для серийного анализа. Спектрографич. метод определения Al специфичен, чувствителен и быстр, если не считать времени на составление градуировочных графиков. Все методы дают хорошо воспроизводимые результаты; расхождение между данными различных методов колеблется от  $\pm 0,2$  до  $\pm 1,2\%$ . С. Кобрин

**28421. О некоторых закономерностях в системе алюминатный щелок — этанол.** II. Приближенное определение алюминия в алюминатных щелоках. Ивелич, Бачич (Über einige Gesetzmäßigkeiten im System Aluminatlauge — Athanol. II. Approximative Bestimmung von Aluminium in Aluminatlauge. Ivelović H., Bačić I.), Croat. chem. acta, 1958, 28, № 3, 191—193 (нем.; рез. сербо-хорв.)

Описан метод быстрого приближенного определения Al в чистых алюминатных щелоках (I), основанный на титриметрич. определении кол-ва  $\text{C}_2\text{H}_5\text{OH}$ , необходимого для образования в I первого помутнения, сохраняющегося 1 мин. На основе рассмотрения химизма р-ций (часть I, РЖХим, 1958, 3785) составлены ур-ния для расчета конц-ий  $\text{Al}_2\text{O}_3$ . В технич. I примеси оказывают постоянное, практически не зависящее от конц-ий  $\text{Al}_2\text{O}_3$  влияние на кол-во расходуемого  $\text{C}_2\text{H}_5\text{OH}$ . Метод может быть применен при выделении  $\text{Al}(\text{OH})_3$  из I. Е. Евсеева

**28422. К полярографии индия.** Бухман С. П., Заботин П. И., КазССР Ғылым Акад. хабарлары, Изв. АН КазССР. Сер. хим., 1957, вып. 2(12), 58—62 (рез. каз.)

Изучено влияние различных факторов на полярографич. поведение In. Волна восстановления In на фоне  $\text{H}_2\text{SO}_4$  в присутствии желатины слабо выражена, так как находится недалеко от волны водорода; но она становится более четкой, если произвести «вычитание» фона. Волна In появляется при потенциалах от  $-0,9$  до  $-1,1$  в (насыщ. к. э.), причем наблюдается пропорциональность между высотой волны и конц-ией In в р-ре. С увеличением конц-ии  $\text{H}_2\text{SO}_4$ ,  $E_{1/2}$  In сдвигается в сторону электроотрицательных значений, и при конц-ии  $\text{H}_2\text{SO}_4 > 10$  г/л волна In сливается с волной водорода. Добавление  $\text{NaCl}$  к сернокислым р-рам обуславливает появление волны In при потенциалах от  $-0,55$  до  $0,65$  в (насыщ. к. э.), причем увеличение

конц-ии  $\text{NaCl}$  вызывает, с одной стороны, сдвиг  $E_{1/2}$  In в сторону электроотрицательных значений, с другой стороны — увеличение высоты волны до некоторого максимума при данной конц-ии In. Волны In очень четки и в отсутствие желатины. Между высотой волны и конц-ией In наблюдается прямая зависимость; изменение конц-ии  $\text{H}_2\text{SO}_4$  в р-ре от 0 до 240 г/л не влияет на высоту волны In. При постепенной замене  $\text{NaCl}$  на  $\text{Na}_2\text{SO}_4$  в полярографируемых р-рах происходит закономерный сдвиг анодного и катодного потенциалов In в электроположительную сторону. Л. Горин

**28423. Полярографическое изучение индия. VI. Определение индия в присутствии цинка, кадмия и свинца.** Мацумаэ, Нака (Matsumae Teiichi, Naka Kaoru), Nagoya kōgō gidaigyo sikenōsō hōoku, Repts Govt Industr. Res. Inst. Nagoya, 1957, 6, № 4, 202—204, A-24 (японск.; рез. англ.)

Малые кол-ва In совместно с Pb, Fe и другими элементами отделяют от Cd и Zn в аммиачном р-ре и определяют затем полярографически. Установлена эффективность применения Fe как коллектора при осаждении In аммиаком. Изучено влияние Mn, Sn(2+) и других элементов на полярографич. волну In. Указанным методом определяют несколько мг In в присутствии 562 мг Cd, 275 мг Zn и 401 мг Pb с ошибкой 3%. Резюме авторов

**28424. Фотометрия. VII. Новая цветная реакция таллия с пиридином и ее использование в фотометрии.** Камэмонт (Kamemoto Yuichiro), Нихон кагаку дзасси, J. Chem. Soc. Japan. Pure Chem. Sec., 1957, 78, № 5, 604—607 (японск.)

К определенному объему 0,01103 M титрованного р-ра  $\text{Tl}_2\text{SO}_4$  прибавляют 2—3 капли конц.  $\text{HCl}$ , 2%-ную бромную воду и нагревают. При этом  $\text{Tl}^+$  окисляется до  $\text{Tl}^{3+}$ . После охлаждения до комнатной т-ры к р-ру снова добавляют по каплям бромную воду. Если исчезает окраска от Br, то повторяют окисление при нагревании. Если окраска от Br не исчезает, то прибавляют 0,1 мл 5%-ного р-ра фенола для удаления избытка Br добавлением 0,1 или 1 н.  $\text{NaOH}$  рН р-ра устанавливают на уровне 4,0 и р-р разбавляют водой до 50 мл. К 25 мл полученного р-ра прибавляют 4 мл р-ра пиридина (2,5553 г в 100 мл воды). При этом возникает фиолетовая окраска, переходящая затем в красную (сразу после прибавления р-ра пиридина появляется белая муть). Первые 50 мин. после прибавления реактива интенсивность окраски уменьшается, затем остается практически постоянной по крайней мере в течение последующих 50 мин. На оптич. плотность окрашенного р-ра, почти постоянную при рН 3,5—4,5, влияет присутствие  $\text{HNO}_3$ , но не влияет присутствие  $\text{H}_2\text{SO}_4$  и  $\text{HClO}_4$ . Максимум светопоглощения р-ра находится при 510 мμ. Закон Бера соблюдается при 0,05—5,0 мг Tl и 50 мл конечного р-ра. Определению 4 мг Tl не мешает присутствие (в мг) до 200  $\text{Pb}^{2+}$ , 100  $\text{Bi}^{2+}$ , 50  $\text{Zn}^{2+}$  или 100  $\text{Cd}^{2+}$ . Мешают  $\text{Fe}^{3+}$ ,  $\text{As}(5+)$ ,  $\text{Hg}_2^{2+}$  и  $\text{Cu}^{2+}$ . Сообщение VI см. РЖХим, 1957, 4739. Ли Чан Бен

**28425. Фотометрическое определение таллия с помощью родамина В.** Ониси (Photometric determination of thallium with rhodamine B. Onishi Hiroshi), Bull. Chem. Soc. Japan, 1957, 30, № 6, 567—571 (англ.)

Изучен более подробно метод, описанный ранее (РЖХим, 1957, 54697). Установлено, что для окисления  $\text{Tl}(1+)$  до  $\text{Tl}(3+)$  наряду с бромом можно использовать также  $(\text{NH}_4)_2\text{S}_2\text{O}_8$ . Для отделения Tl от других элементов  $\text{Tl}(1+)$  экстрагируют хлороформным р-ром дитизона из основного р-ра, содержащего KCN, а затем реэкстрагируют разб. азотной к-той. Приведена подробная методика спектрофотометрич. определения

1—10  $\gamma$  Ti, предусматривающая присутствие Sb, Ga, Au, Fe и W. Л. Горин

**28426.** Реакция 8-оксихинолина и 2-метил-8-оксихинолина с редкоземельными элементами. Уэндландт (Reaction of 8-quinolinol and 2-methyl-8-quinolinol with rareearth elements. Wendlandt Wesley W.), Science, 1957, 125, № 3256, 1042—1043 (англ.)

Изучена способность 8-оксихинолина (I) и 2-метил-I (II) осаждать редкоземельные элементы (PЗЗ). К 6,2 мл р-ра 0,01—0,001 M р-ра хлорида PЗЗ, содержащего 2 мл буферного р-ра (100 г  $\text{NH}_4\text{Cl}$  + 60 мл конц.  $\text{NH}_4\text{OH}$  + 440 мл воды) и имеющего pH 9,5, прибавляли 0,1 M р-ра I или II в 95%-ном  $\text{C}_2\text{H}_5\text{OH}$ , нагревали 10 мин. при 70° и охлаждали до комнатной т-ры. Установлено, что чувствительность II как осадителя PЗЗ намного меньше чувствительности I (далее приведены исследованные PЗЗ и миним. конц-ии PЗЗ в  $\gamma/\text{мл}$ , при которых происходит осаждение PЗЗ с I и II соответственно): La 0,91 и 36; Ce 0,93 и 18; Pr 3,7 и 37; Nd 3,7 и 37; Sm 1,9 и 39; Gd 1,0 и 6,0; Sc 0,57 и 23; Y 1,2 и 2,9. И. Левин

**28427.** Влияние серной кислоты на определение малых количеств германия. Нисиды (Nishida Hiroshi), Бунсэки какаку, Japan Analyst, 1957, 6, № 10, 654—658 (японск.; реф. англ.)

Если 2 мл конц.  $\text{H}_2\text{SO}_4$ , содержащей 10  $\gamma$ —5 мг Ge, разбавить водой до получения < 18 н. р-ра по  $\text{H}_2\text{SO}_4$ , выпарить, нагреть 1 час при т-ре выделения густых белых паров и разбавить водой до 100 мл, то выделяется кристаллич. осадок, трудно растворимый в воде. Если слабощел. р-р, содержащий Ge, выпарить досуха и нагреть с  $\text{H}_2\text{SO}_4$ , то образуется белый аморфный осадок, легко растворимый в воде (при ~ 2 мг Ge). Кристаллич. осадок растворим в HCl и NaOH, так что определение Ge протекает без помех; однако в присутствии кремневой к-ты Ge частично соосаждается с  $\text{SiO}_2$ , что приводит к заниженным результатам (при 10—50  $\gamma$  Ge). Если р-ры, 0,002, 7,2 и 21 н. по  $\text{H}_2\text{SO}_4$  и содержащие каждый по 1 мг Ge и 68 мг  $\text{SiO}_2$  в 100 мл, выдержать в течение 1 месяца, то в р-ре, 0,002 н. по  $\text{H}_2\text{SO}_4$ , происходит колич. выделение  $\text{SiO}_2$ , но Ge при этом не соосаждается; в р-рах 7,2 и 21 н. по  $\text{H}_2\text{SO}_4$ , наблюдается соосаждение 7,4 и 67% Ge соответственно.

Резюме автора  
**28428.** Количественный анализ рентгено-флуоресцентным методом. Определение германия в угле и угольной золе. Кемпбелл, Карл, Уайт (Quantitative analyses by fluorescent X-ray spectrography. Determination of germanium in coal and coal ash. Campbell William J., Carl Howard F., White Charles E.), Analyst. Chem., 1957, 29, № 7, 1009—1017

Описаны 4 метода определения Ge в угле и угольной золе. При 1-м методе — методе прямого сравнения готовят стандартные образцы из  $\text{Al}_2\text{O}_3$  или  $\text{SiO}_2$  с добавкой 15%  $\text{Fe}_2\text{O}_3$  и соответствующего кол-ва Ge, и по этим стандартам строят калибровочные графики. Продолжительность определения 50—100 анализов за 1 рабочий день; ошибка 25%. Метод удобен для предварительного определения Ge. При 2-м методе — методе внутреннего стандарта (ВС), в качестве ВС используют As или Ga. Выбор ВС зависит от природы мешающих примесей и поэтому требуется проведение предварительного анализа. При 3-м методе — методе добавок в исследуемый образец вносят 10% золи с известным, высоким содержанием Ge. Предполагая, что имеется линейная зависимость между интенсивностью  $\text{GeK}_\alpha$  и конц-ией Ge, можно вычислить кол-во Ge в образце. При 4-м методе, используемом для определения следовых кол-в Ge, предварительно Ge выделяют методами экстракции (экстрагент  $\text{CCl}_4$ ) и дистилляции (в форме  $\text{GeCl}_4$ ), а затем анализируют обога-

щенную фракцию. Ошибка определения Ge по 2-му и 3-му методам  $\pm 10\%$ , при конц-ии Ge > 0,1%, по 4-му методу  $\pm 10\%$  при конц-ии Ge > 0,001%. Определенный минимум при 1-м, 2-м и 3-м методах 0,001%, при 4-м методе 0,0002—0,004%. Установлено, что в процессе сжигания анализируемых образцов при 600° заметных потерь Ge не наблюдается, а при 1000° теряется 5—100% Ge. Л. Смирнов

**28429.** Применение производных нафталина в неорганическом анализе. Часть III. Моносульфокислоты нитроаминонафталина в качестве реактивов для открытия двухвалентного олова капельным методом. Андерсон, Гарнетт (The use of naphthalene derivatives in inorganic analysis. Part III. The nitroaminonaphthalene monosulphonic acids as spot tests for stannous tin. Anderson J. R. A., Garnett J. L.), Analyst. chim. acta, 1957, 17, № 5, 452—458 (англ.; реф. нем., франц.)

Синтезированы и изучены 3 изомера 6-нитро-2-аминонафталин-8-сульфокислоты (I); 8-нитро-2-аминонафталин-6-сульфокислота (аммониевая соль) (II); мононитрозамещенное, образующееся при нитровании 2-аминонафталин-5-сульфокислоты (пиридиниевая соль моноацетильного производного плавится при 212°) (III), и второе изомерное моонитрозамещенное (пиридиниевая соль моноацетильного производного этого нитрозамещенного плавится при 260—261°) (IV). На фильтровальную бумагу наносили по 0,01 мл водн. р-ра соли исследуемого металла (0,1 мг металла), опрыскивали 0,1%-ными водн. р-рами II, III или IV, высушивали на воздухе, освещали УФ-светом и отмечали интенсивность флуоресценции (Ф). Затем опрыскивали 15 н. р-ром  $\text{NH}_4\text{OH}$ , высушивали и снова подвергали УФ-освещению, фиксируя интенсивность Ф. Из 48 исследованных катионов только  $\text{Sn}^{2+}$  (после опрыскивания р-ром  $\text{NH}_4\text{OH}$ ) дает чувствительную р-цию с каждым из указанных реактивов (интенсивная голубая Ф с II и IV и желто-зеленая Ф с III). Другие катионы либо дают лишь слабую Ф, либо не дают совсем. Чувствительность открытия  $\text{Sn}^{2+}$  приблизительно одинакова (0,1—0,01  $\gamma$ ) для II, III и IV и несколько меньше, чем для I. Часть II см. РЖХим, 1957, 15777.

А. Немодрук

**28430.** Спектрофотометрическое определение олова с помощью хинализарина. Вакамацу (Wakamatsu Shigeo), Нихон киндзюку гаккайси, J. Japan Inst. Metals, 1957, 21, № 7, 450—453 (японск.; реф. англ.)

Описан спектрофотометрич. метод определения Sn в железе и стали, основанный на р-ции  $\text{Sn}^{4+}$  с хинализарином в среде ацетатного буферного р-ра с pH 3,0—3,3. Закон Бера соблюдается при 1—200  $\gamma$  Sn (550 м $\mu$ ). Sn отделяют от больших кол-в Fe соосаждением с  $\text{MnO}_2$ , осадок растворяют в HCl с добавкой  $\text{H}_2\text{O}_2$  и полученный р-р спектрофотометрируют с хинализарином при 550 м $\mu$ . Продолжительность определения, не считая времени на растворение образца, 30 мин.

Резюме автора

**28431.** Определение олова в цирконии и его сплавах. Вуд, Кларк (The determination of tin in zirconium and its alloys. Wood D. F., Clark R. T.), Analyst, 1957, 82, № 978, 624—630 (англ.)

Описан метод, основанный на восстановлении Sn с помощью Al в присутствии  $\text{Ti}^{3+}$  и на последующем окислении Sn с помощью  $\text{KIO}_3$ . При определении 0,5—2% Sn в присутствии < 0,5% Cr или 2—20% Sn в присутствии < 0,25% Cr навеску 0,2—5 г растворяют при нагревании в смеси 50—75 мл HCl и 5—15 мл HF, удаляют содержащий HCl в р-ре 1:1, прибавляют 15 мл 1%-ного р-ра  $\text{TiCl}_3$ , нагревают до ~ 70° и прибавляют 1 г Al-стружки. По окончании растворения Al колбу, в которой растворяли навеску, закрывают ре-



пробкой с трубкой, погруженной в р-р  $\text{Na}_2\text{CO}_3$ . Р-р кипятят 10 мин., охлаждают до 18–20°, прибавляют 2 г  $\text{NaI}$ , встряхивают, прибавляют 5 мл 1%-ного р-ра коахмала и титруют 0,005, 0,01 или 0,02 н. р-ром  $\text{KIO}_3$ . Если содержание  $\text{Cr} > 0,25\%$ , то анализируемый р-р разбавляют до 250 мл и для анализа используют аликвотную порцию этого р-ра, соответствующую  $< 0,25\%$   $\text{Cr}$ . При определении  $\text{Sn}$  в присутствии больших кол-в  $\text{Cr}$  предварительно  $\text{Sn}$  отделяют осаждением сероводородом (приведена методика). Стандартное отклонение результатов определения  $\sim 2\%$ .  $\text{Sn}$  составляет 0,015. Определению не мешает присутствие до 20%  $\text{Fe}$  и  $\text{Ni}$ , до 10%  $\text{W}$ , до 5%  $\text{Cu}$ ,  $\text{Mo}$  и  $\text{V}$ . Ф. Линкова

**28432. Количественное рентгеноспектральное определение титана по вторичным спектрам.** Ивойлов А. С., Лосев Н. Ф., Изв. АН СССР Сер. физ., 1957, 21, № 10, 1465–1468

Разработана методика определения  $\text{Ti}$  в рудах для концентрации  $\text{TiO}_2$  0,7–50%, основанная на применении рентгеновского спектрографа конструкции М. А. Влокина (Заводск. лаборатория, 1950, 16, 681, 941). Пробу минеральной руды, смешанную с буфером (в качестве буфера используют руду, состоящую в основном из кварца — до 70%  $\text{SiO}_2$ ) и желатиновым клеем, наносят на  $\text{Al}$ -пластинку, прессуют и прокалывают до выгорания клея. Стандарты готовят последовательным разведением ильменита указанным буфером. Спектр  $\text{Ti}$  возбуждают излучением  $\text{Cr}$ , электролитически нанесенного на зеркало  $\text{Cu}$ -анода, при 24 кВ и 15 мА на трубке. Аналитич. линия служит  $\text{Ti} = K_\alpha$ , во 2-м порядке отражения. Средняя относительная ошибка 10%. Продолжительность определения — 8–10 анализов за 1 рабочий день. Л. Смирнов

**28433. Определение титана в сталях методом амперометрического титрования купфером.** Усатенко Ю. И., Беклешова Г. Е., Тр. Научно-техн. о-ва черной металлургии. Укр. респ. правл., 1956, 4, 39–43

Описан метод, основанный на прямом амперометрич. титровании  $\text{Ti}$  р-ром купферона (I) до появления диффузионного тока на вращающемся  $\text{Pt}$ -электроде. 0,2–2 г стали, содержащей 0,5–0,01%  $\text{Ti}$ , растворяют при нагревании в  $\text{H}_2\text{SO}_4$  (1:1) и прибавляют на холоду 0,5 мл 0,1 М  $\text{FeCl}_3$  и 5 мл 0,3%-ного р-ра I. Осадок фильтруют через фильтр «красная лента», промывают 1–2 раза холодной водой и смывают с фильтра горячей водой. К р-ру прибавляют  $\sim 10$  мл горячей 1 н.  $\text{H}_2\text{SO}_4$ , кипятят, прибавляют щепотку  $(\text{NH}_4)_2\text{S}_2\text{O}_8$ , упаривают до появления густых паров  $\text{SO}_3$ , разбавляют водой, слегка нейтрализуют аммиаком, прибавляют  $\text{Na}_2\text{SO}_3$ , кипятят до удаления  $\text{SO}_2$  и охлаждают. В полученный р-р опускают вращающийся  $\text{Pt}$ -микроэлектрод и ключ от н. к. э., включают моторчик и выставляют потенциал + 0,85 в. При этом стрелка гальванометра уходит за шкалу вследствие наличия в р-ре  $\text{Fe}^{2+}$ . Для окисления  $\text{Fe}^{2+}$  к р-ру прибавляют по 1 мл разб. р-р ванадата аммония до возвращения стрелки к началу шкалы. Р-р нейтрализуют аммиаком в присутствии 1 капли 0,1%-ного р-ра метилового фиолетового до появления устойчивой зеленой окраски (рН 1,0–1,5), прибавляют 10 мл 1%-ного р-ра комплекса III, 3–4 г  $\text{NH}_4\text{Cl}$  и титруют р-ром I (титр р-ра I стабилизированного фенацетином, не изменяется) в течение 3 месяцев при хранении в темном месте) до полного увеличения диффузионного тока. Вычерчивая кривую титрования и производят расчет, как описано ранее (РЖХим, 1956, 1121). Описанным методом можно определить любые содержания  $\text{Ti}$  в сталях вплоть до тысячных долей процента. Установлено, что при отделении  $\text{Ti}$  от большей части  $\text{Fe}$  добавлением кол-ва I в первую очередь осаждаются купфе-

ронат  $\text{Ti}$ , а затем уже купферонат  $\text{Fe}^{3+}$ ; при очень большом избытке  $\text{Fe}^{3+}$  осадок купферонатов вообще не образуется.

Л. Горин

**28434. Определение титана в каменноугольной золе.** Кесслер, Дочкалова (Studie stanovení titanu v uhelných popelech. Kessler Ferdinand M., Dočkalová Libuše), Šbirka prací výzkumn. úst., 1957, A8, № 17–26, 188–213 (чешск.; рез. русск., англ., нем.)

Описаны фотометрич. метод, основанный на измерении экстинкции желтого соединения  $\text{Ti}^{4+}$  с  $\text{H}_2\text{O}_2$  в среде 5%-ной  $\text{H}_2\text{SO}_4$ , и полярографич. метод, основанный на измерении высоты волны  $\text{Ti}$  на фоне  $\text{H}_2\text{SO}_4$  и винной к-ты. При полярографич. определении  $\text{Ti}$  прямая пропорциональность между конц-ией и высотой волны  $\text{Ti}$  наблюдается лишь до  $\text{Fe}:\text{Ti} = 12$ ; в присутствии в каменноугольной золе  $> 10\%$   $\text{Fe}_2\text{O}_3$  найденные кол-ва  $\text{Ti}$  не соответствуют истинным содержаниям  $\text{Ti}$ . Описаны оптимальные условия электролитич. удаления  $\text{Fe}$  из р-ров каменноугольной зола. Оба метода пригодны для определения  $\text{Ti}$  в каменноугольной золе. Полярографич. метод более сложен и требует больше времени для анализа, но выгоден при определении 0,2–0,8%  $\text{TiO}_2$  в присутствии  $> 0,05\%$   $\text{V}$  (зола бурых углей). Фотометрич. метод более прост, быстр, не требует удаления  $\text{Fe}$  и дает достаточно точные результаты. Из резюме авторов

**28435. Фотометрическое определение следовых количеств циркония.** Пирш (Colorimetric determination of zirconium in trace analyses. Píř M.), Repts. «J. Stefan» Inst., 1956, 3, 175–178 (англ.)

Описан метод определения гаммовых кол-в  $\text{Zr}$  в золах углей, сталях и бокситах, основанный на осаждении  $\text{Zr}$   $n$ -диметиламиноазофениларсоновой к-той (I) и на последующем фотометрировании избытка I. Установлено, что максимум светопоглощения I находится при 500 мμ. При определении  $\text{Zr}$  в стали навеску  $\sim 1$  г растворяют в 20–30 мл  $\text{HCl}$ , остаток справляют с 5–6-кратным (по весу) кол-вом смеси (3:1)  $\text{Na}_2\text{CO}_3$ – $\text{Na}_2\text{B}_4\text{O}_7$ , нагревают 10 мин., плав растворяют в воде, присоединяют к основному р-ру, осаждают полоторные окислы ( $\text{R}_2\text{O}_3$ ) 30%-ным р-ром  $\text{NaOH}$  и нагревают на паровой бане 30 мин. Навеску угольной зола или боксита ( $\sim 0,5$  г) сплавляют с таким же кол-вом карбонатно-боратной смеси, нагревают 20–30 мин., обрабатывают водой (50 мл), прибавляют 1 мл р-ра  $\text{FeCl}_3$  (5 мг/мл  $\text{FeCl}_3$ ) и осаждают  $\text{R}_2\text{O}_3$  30%-ным р-ром  $\text{KOH}$ . В обоих случаях осадок  $\text{R}_2\text{O}_3$  растворяют в 5–10 мл горячей  $\text{HCl}$  (1:1) и разбавляют водой до 25 мл. К аликвотной порции полученного р-ра (5 мл), содержащей 20–30 γ  $\text{Zr}$ , прибавляют немного твердого  $\text{NH}_4\text{OH} \cdot \text{HCl}$  (для восстановления  $\text{Fe}^{3+}$  до  $\text{Fe}^{2+}$ ), 2 мл 0,3%-ного р-ра I в  $\text{HCl}$  (1:1) и нагревают на паровой бане 1 час. Осадок центрифугируют в течение 10 мин. со скоростью 3000 об/мин и центрифугат фотометрируют при 560 мμ. При  $< 1$  γ/мл  $\text{Zr}$  к анализируемому образцу перед определением добавляют 0,1–0,2 мл стандартного р-ра  $\text{Zr}$  в 1 н.  $\text{HCl}$ , содержащего 100 γ/мл  $\text{ZrO}_2$ . Кол-во  $\text{Zr}$  определяют по калибровочному графику. Относительная ошибка определения  $\sim 0,2\%$ .  $\text{ZrO}_2$  не превышает  $\pm 10\%$ . Присутствие 100-кратного кол-ва  $\text{Th}$  и 30-кратного кол-ва  $\text{Ti}$  не мешает. Мешают  $\text{F}^-$ ,  $\text{PO}_4^{3-}$ ,  $\text{WO}_4^{2-}$ ,  $\text{SO}_4^{2-}$ ,  $\text{NO}_3^-$  и  $\text{MoO}_4^{2-}$ .

Р. Моторкина

**28436. Определение циркония в цирконе методом осаждения из гомогенного раствора.** Иванага (Iwanaga Tadakatsu), Гифу дайгаку когакубэнкю хококу, Res. Repts Fac. Engng Gifu Prefect. Univ., 1956, № 6, 104–106 (японск.; рез. англ.)

К анализируемому р-ру, 3,6 н. по  $\text{H}_2\text{SO}_4$ , прибавляют избыток метафосфорной к-ты, выдерживают 8–10 час. при комнатной т-ре, осадок отфильтровывают, прока-

ливают и взвешивают в форме  $ZrP_2O_7$ . При таком способе осаждения Zr выделяющийся осадок более плотный и легче отфильтровывается, а Ti и другие элементы меньше сосаждаются, чем при непосредственном осаждении Zr с помощью  $(NH_4)_2HPO_4$ . При определении Zr в цирконе описанным методом получены результаты, совпадающие с данными метода с  $(NH_4)_2HPO_4$ .

**28437. Резюме автора** Новый метод выделения гаммовых количеств тория из сложных смесей. Коста (New method for the isolation of microgram amounts of thorium from complex mixtures. Kosta L.), Repts. «J. Stefan» Inst., 1956, 3, 163—170 (англ.)

Описан быстрый метод выделения и определения Th в горных породах и многокомпонентных смесях, основанный на соосаждении Th с фторидом La и гипофосфатом Bi, восстановлении Bi до металла действием щел. р-ра формальдегида и фотометрировании окрашенного р-ра комплекса Th с торием (1-о-арсенониллазо-2-нафтол-3,6-дисульфокислота) (I). Условия выделения Th на указанных и некоторых других коллаторах ( $VF_3$ ,  $SeF_3$ ), а также оптимальная конц-ия  $HClO_4$ , используемой в качестве среды для соосаждения, определены при помощи радиоактивного индикатора  $Th^{234}$ , 1—2 г пробы ( $\sim 0.01\%$  Th) сплавляют с 6-кратным кол-вом  $Na_2O_2$  при 300—400° в течение 1 часа, плав растворяют в воде, нагревают несколько минут и центрифугируют. Осадок растворяют в  $HCl$ , прибавляют последовательно 5 мл 1%-ного р-ра  $La(NO_3)_3 \cdot 6H_2O$  и 10 мл 5 M  $HCl$ , нагревают до кипения и центрифугируют. К осадку прибавляют 4 мл конц.  $HClO_4$ , нагревают до появления паров  $HClO_4$ , разбавляют водой до конц-ии  $HClO_4$  2 M, прибавляют 2 мл р-ра  $Bi(NO_3)_3$  (1,63 г  $Bi(NO_3)_3 \cdot 5H_2O$  растворяют в 100 мл 2 M  $HClO_4$ ) и 5 мл 2%-ного р-ра  $Na_2H_2P_2O_6 \cdot 6H_2O$ , нагревают и центрифугируют. Осадок промывают 0,5 M р-ром  $HClO_4$ , прибавляют 1 мл 5%-ного р-ра тиомочевина, 5 мл 2 M  $NaOH$  и нагревают до полного разложения гипофосфата. Осадок сульфидов промывают разб. р-ром  $NaOH$  (10 мл), водой (10 мл), растворяют в 6 мл 4 M  $HClO_4$ , кипятят для удаления  $H_2S$ , прибавляют 3 мл 0,1%-ного р-ра I, разбавляют водой до 25 мл и фотометрируют (РЖХим, 1956, 68683). Ошибка определения  $\leq 0,02\%$ . В присутствии больших кол-в Fe и Са необходимо пересаживание фторидов. При анализе руд, содержащих 0,005—0,1% Th, получены удовлетворительные результаты.

**28438. Определение ванадия с помощью β-бензоил-фенилгидразина.** Музил, Хас (Bestimmung von Vanadium mit β-Benzoylphenylhydrazin. Musil A., Haas W.), Mikrochim. acta, 1957, № 6, 803—808 (нем.; рез. англ., франц.)

Для фотометрич. определения V использован комплекс V с β-бензоилфенилгидразином (I), окрашенный в желто-зеленый цвет и имеющий максимум светопоглощения при 420 мμ. Для приготовления 12 моля фенилгидразина растворяют в 5-кратном кол-ве эфира и постепенно прибавляют 1 моль бензоилхлорида. Осадок отфильтровывают, обрабатывают горячей водой, а остаток перекристаллизуют из  $C_2H_5OH$ . Т-ра плавления полученных кристаллов 168°. Для фотометрирования готовят 0,2%-ный р-р I в смеси 90% ацетона и 10% лед.  $CH_3COOH$ . К 90 мл анализируемого р-ра, содержащего 0—10 γ V, прибавляют 10 мл р-ра I и фотометрируют с синим светофильтром. Конц-ия  $CH_3COOH$  в анализируемом р-ре должна быть  $\sim 0,5$  н. Определению не мешают катионы щел. и щел-зем. металлов. Мешают  $H_3PO_4$ , окрашенные катионы металлов группы  $(NH_4)_2S$ , а также Mo и W.

**28439. Быстрые методы анализа металлов и минерального сырья. III. Полярографическое определе-**

ние ванадия в минеральном сырье. Шульцен (Rychlé metody v analýze kovů a nerostných surovin III. Polarografické stanovení vanadu v nerostných surovinách. Sulcek Zdeněk), Chem. listy, 1957, 51, № 8, 1453—1456 (чешск.)

Описан полярографич. метод определения V в горных породах.  $VO_3^-$  в р-ре, 0,2 M по KCN и 0,02 M по комплексону III, обнаруживает полярографич. волну при  $-1,37$  в (насыщ.  $Hg_2Cl_2$ -электрод). 0,5—1 г мелкозернистой пробы обрабатывают в Pt-тигеле смесью 5—10 мл 40%-ной  $HCl$  и 0,5 мл  $H_2SO_4$  (1:1). Сухой остаток прокалывают, размельчают и сплавляют со смесью 6 г  $Na_2CO_3$  и 0,5—1 г буры. Плав охлаждают, обрабатывают кипящей водой (100 мл), прибавляют кусок твердой  $Na_2O_2$  (для восстановления образующегося Mn), нагревают до кипения, фильтруют, остаток на фильтре промывают теплым 0,5%-ным  $Na_2CO_3$ , подкисляют соляной к-той, упаривают до 70 мл и разбавляют водой до 100 мл. К 25 мл полученного р-ра прибавляют 5 мл 0,2 M р-ра комплексона III, нейтрализуют щелочью по бромтимоловому синему, прибавляют 5 мл 2 M KCN и 0,2 мл 0,5%-ного р-ра желатина, разбавляют водой до 50 мл и полярографируют. Определению V мешает  $CrO_4^{2-}$ ; в присутствии  $Cr^{3+}$  искажается форма полярографич. кривых. Сообщение II см. РЖХим, 1957, 51609.

**28440. Колориметрическое определение небольших количеств хрома (до 0,15%) в чугунах и сталях.** (Колориметрично определяне на малки количества хром в чугун и стомана (до 0,15 на сто).), Тежия промишленост, 1957, 6, № 7, 40 (болг.)

Описан метод определения Cr в чугунах и сталях, основанный на окислении Cr до  $CrO_4^{2-}$  и колориметрировании продукта взаимодействия  $CrO_4^{2-}$  с дифенилкарбазидом (I). 0,200 г анализируемого материала в виде стружек растворяют при слабом нагревании в 10 мл разб.  $H_2SO_4$  (1:9), прибавляют конц.  $HNO_3$ , кипятят 1—2 мин. до прекращения выделения окислов N, прибавляют 3—4 мл 1%-ного р-ра  $KMnO_4$ , кипятят 1—2 мин. до разрушения избытка  $KMnO_4$ , охлаждают, прибавляют 15—20 мл воды и 40 мл 7,5%-ного р-ра  $Na_2CO_3$ , разбавляют водой до 100 мл и фильтруют через сухой фильтр. К 50 мл полученного фильтрата прибавляют 20 мл  $H_2SO_4$  (1:3) и 5 мл р-ра I (0,1 г растворяют в 10 мл лед.  $CH_3COOH$  и разбавляют спиртом до 100 мл), разбавляют водой до 100 мл и флюоресцентную окраску полученного р-ра сравнивают с окраской стандартных р-ров, приготовленных из  $K_2Cr_2O_7$ . Ошибка определения  $\pm 0,005\%$  Cr.

**28441. Определение малых количеств молибдена в вольфраматах.** Винтерштейн (Über die Bestimmung kleiner Mengen von Molybdän in Wolframaten. Winterstein Christoph), Z. Erzbergbau und Metallhüttenwesen, 1957, 10, № 11, 549—551 (нем.)

При фотометрич. определении Mo с помощью KSCN для устранения мешающего влияния больших кол-в W использован NaF, являющийся маскирующим комплексобразующим реактивом для W. Пробу анализируемой W-руды сплавляют с содой, плав выщелачивают водой, в случае необходимости фильтруют и разбавляют водой до определенного объема. К алиquotной порции полученного р-ра ( $< 0,5$  мг  $MoO_3$ ) прибавляют 30 мл 4%-ного р-ра NaF, нейтрализуют (по лакмусу) разб. р-ром  $H_2SO_4$  (1:1), прибавляют 10 мл  $H_2SO_4$  (1:1), перемешивают, переносят в делительную воронку, охлаждают до 12—15°, прибавляют 10 мл 10%-ного р-ра KSCN, 3 мл р-ра  $SnCl_2$  (10 г  $SnCl_2 \cdot 2H_2O$  растворяют в 30 мл конц.  $HCl$  и разбавляют водой до 100 мл), 20 мл бутилацетата (I) и энергично встряхивают в течение 30—40 сек. Слои I отделяют и повторяют экстрагирование до получения бесцветного слоя I, используя каждый раз по 10 мл I и добавляя 1—2 мл



р-ра  $\text{SnCl}_2$  перед 2-м экстрагированием и 0,5—1 мл перед 3-м. Экстракты объединяют, разбавляют с помощью 1 до 50 мл и фотометрируют со светофильтром № 436 (470 мμ). Ошибка определения Mo в присутствии 200—1600-кратного кол-ва W составляет 2—10%. Метод пригоден для определения Mo в W-рудах, ферровольфраме и вольфраматах.

А. Немодрук  
28442. Флуориметрическое определение вольфрама с помощью роданина В. Мурата, Ямаути (Murata Akira, Yamauchi Fumio), Сидзуока дайгаку когакубу кэнкю хококу, Repts. Fac. Engng Shizuoka Univ., 1956, № 7, 70—75 (японск.; рез. англ.)

Ср. РЖХим, 1957, 19578. Описан метод определения микроколичеств W, основанный на измерении степени уменьшения интенсивности флуоресценции (ИФ) роданина В (I) в кислом р-ре в зависимости от кол-ва присутствующего W. Оптимальные условия определения 0—23 γ/мл W: конц-ия  $\text{NaCl}$  0,1 н., pH 2,0, конц-ия I 0,01%; измерение ИФ анализируемого р-ра производят через 1 час после приготовления пробы по отношению к ИФ стандартного р-ра I, не содержащего W. Определению не мешают  $\text{Ca}^{2+}$ ,  $\text{Mg}^{2+}$ ,  $\text{Ni}^{2+}$ ,  $\text{Co}^{2+}$ ,  $\text{Mn}^{2+}$ ,  $\text{Zn}^{2+}$ ,  $\text{Cd}^{2+}$ , As (3+) и  $\text{Cu}^{2+}$ ; мешают Cr (6+),  $\text{Hg}^{2+}$ , Mo (6+), As (5+), Au<sup>3+</sup>,  $\text{Ti}^{3+}$ ,  $\text{PO}_4^{3-}$ ,  $\text{Al}^{3+}$ , Cr<sup>3+</sup>, V (5+),  $\text{Fe}^{3+}$ , F<sup>-</sup> и  $\text{C}_2\text{O}_4^{2-}$ . При отделении W циклонизированным методом сохраняется мешающее влияние только As (5+) и  $\text{C}_2\text{O}_4^{2-}$ .

Резюме авторов  
28443. n-Крезотиновая кислота как реактив для открытия микроколичеств урана. Сант, Джоши (p-cresotic acid — a microreagent for uranium. Sant B. R., Joshi M. K.), Naturwissenschaften, 1957, 44, № 20, 536 (англ.)

Описан новый метод открытия микроколичеств U, основанный на возникновении интенсивной красной окраски при добавлении водн. р-ров солей уранила к спирт. р-ру n-крезотиновой к-ты (I). При открытии U напыленным методом фильтровальную бумагу пропитывают 2%-ным р-ром I в 80%-ном  $\text{C}_2\text{H}_5\text{OH}$ , высушивают и наносят 1 каплю нейтр. анализируемого р-ра; в присутствии U образуется пятно красного цвета. Открытый минимум 14 γ U, предельное разбавление 1:2000. Посторонние ионы, за исключением  $\text{Fe}^{3+}$ ,  $\text{Ce}^{4+}$ ,  $\text{Th}^{4+}$ ,  $\text{PO}_4^{3-}$ ,  $\text{C}_2\text{O}_4^{2-}$ ,  $\text{WO}_4^{2-}$ , свободных к-т и больших кол-в  $\text{Cu}^{2+}$ ,  $\text{Co}^{2+}$ ,  $\text{Ni}^{2+}$  и  $\text{SO}_4^{2-}$ , определению не мешают.

А. Немодрук  
28444. Осаждение урана какодиловой кислотой. Пич (Die Fällung von Uran mit Kakodylsäure. Pietsch R.), Z. analyt. Chem., 1957, 159, № 1, 37—41 (нем.)

Описан весовой метод определения U осаждением каноидилата Na. Анализируемый р-р, содержащий  $\text{UO}_2(\text{NO}_3)_2$ , разбавляют водой до 200—400 мл, прибавляют по 2,5 мл 25%-ного водн. р-ра каноидилата Na на каждые предполагаемые 100 мг U, несколько капель р-ра бромфенолового синего, нагревают до кипения, нейтрализуют р-ром  $\text{NH}_4\text{OH}$  до перехода желтой окраски р-ра в синюю (pH 4—4,5) и кипятят 10 мин. Выпавший осадок  $\text{UO}_2(\text{CH}_3)_2\text{AsO}_2$  (I) отфильтровывают через бумажный фильтр (голубая лента), промывают холодной водой, высушивают, прокалывают при 950—1000° и взвешивают в форме  $\text{U}_3\text{O}_8$ . Фактор пересчета 0,8480. Ошибка определения < 1,5%. По другому варианту осадок I отфильтровывают через фильтрующий тигель № 4, промывают холодной водой, высушивают при 200° и взвешивают в форме I. Фактор пересчета 0,4376. Ошибка определения < 0,5%. Тартраты мешают.  $\text{SO}_4^{2-}$  и  $\text{CH}_3\text{COO}^-$  не мешают, если осаждение производить при pH ~ 7,0. Cl<sup>-</sup> и  $\text{NO}_3^-$  не мешают.

А. Немодрук  
28445. Определение урана в растворе рентгенофлуоресцентным методом. Вильсон, Уилер (The determination of uranium in solution by X-ray

spectrometry. Wilson Harry M., Wheeler G. V.), Appl. Spectroscopy, 1957, 11, № 3, 128—131 (англ.)

Описан метод, пригодный для определения 0,2—2,0 мг/мл U. Стандартные и анализируемые образцы готовят растворением  $\text{U}_3\text{O}_8$  в 1 н.  $\text{HNO}_3$ . Применяют спектрометр Норелко, в конструкцию которого внесены некоторые несущественные изменения, и трубку с Mo-анодом при 50 кВ и 40 мА. Анализатором служит кристалл LiF, а приемником — сцинтилляционный счетчик с кристаллом NaJ, активированным таллием. Применением амплитудного дискриминатора импульсов на выходе счетчика достигнуто 3-кратное увеличение отношения линия/фон, что важно при анализировании образцов, имеющих радиоактивные примеси. Средняя статистич. ошибка при конц-ии U 1,0 мг/мл равна 0,6%, однако результаты анализа описанным методом на 5% выше данных, полученных на масс-спектрографе. Причина этого расхождения не выяснена.

Л. Смирнов  
28446. Определение урана методом УФ-спектрофотометрии. Пейдж, Эллиотт, Рейн (Ultraviolet spectrophotometric determination of uranium. Paige Bernice E., Elliott Maxine C., Rein James E.), Analyt. Chem., 1957, 29, № 7, 1029—1032 (англ.)

Описан метод определения U, основанный на измерении оптич. плотности р-ра комплекса U с трибутилфосфатом (I) в изеооктане. Спектрофотометрически установлено, что наиболее полное экстрагирование U (6+) происходит 25%-ным изеооктановым р-ром I в присутствии 6 M  $\text{NaNO}_3$  при pH 3. В этих условиях U (6+) отделяется от многих мешающих ионов. Изучено влияние 24 катионов и 14 анионов и установлены допустимые конц-ии этих ионов. При определении U к 10 мл анализируемого р-ра (0,01—0,1 мг/мл U) прибавляют 5,1 г твердого  $\text{NaNO}_3$ , перемешивают, добавлением  $\text{HNO}_3$  или NaOH устанавливают pH р-ра на уровне 3 (конечная конц-ия  $\text{NaNO}_3$  5 M), р-р переносят в делительную воронку емк. 60 мл, прибавляют 10 мл 25%-ного изеооктанового р-ра I и перемешивают 4 мин. Органич. слой отделяют и фотометрируют при 250 мμ, используя в качестве р-ра сравнения смесь всех реактивов, кроме U. При > 0,1 мг/мл U конечная конц-ия должна быть 6 M, а соотношение объемов вода: изеооктан = 1:1. При < 0,01 мг/мл U кол-во  $\text{NaNO}_3$  повышают до 10,2 г, соотношение вода: изеооктан = 4:1. Описанным методом определяют 0,002—5 мг/мл U с ошибкой ≤ 1%.

Р. Моторкина  
28447. Спектрохимическое определение малых количеств урана в природных образцах. Морозкина Т. М., Прокофьев В. К., Смирнова М. Н., Заводск. лаборатория, 1957, 23, № 11, 1324—1327

Анализ производят по методу добавок. Для повышения чувствительности анализа и перевода хим. соединения проб и добавок в одну форму пробу руд, содержащих 50—70%  $\text{SiO}_2$ , 3—50% окислов Fe, 10—30%  $\text{Al}_2\text{O}_3$  и немного Mg, Ca, Mn, V, Ti, Mo и Th, спекают в королек, помещая ее в канал угольного электрода, обогреваемый с боков дуговым разрядом переменного тока при 3 а в течение 1 мин. Королек помещают на Cu-электрод, имеющий небольшое углубление. Дуговой промежуток между королем и верхним Cu-электродом с притупленным конусом равен 3 мм. Спектр возбуждают в дуге переменного тока при 7 а; экспозиция 2 мин. Спектр фотографируют на большом спектрографе Хильгера при щели 0,015 мм, которая освещается при помощи кварцевой сфероцилиндрич. линзы, установленной на 28 см от щели; у самой щели помещают сферич. линзу. В качестве внутреннего стандарта служат Mo или W, которые вводят в пробы в виде 0,05—0,1%-ных р-ров  $(\text{NH}_4)_2\text{MoO}_4$  или  $(\text{NH}_4)_2\text{WO}_4$ . Аналитич. линии: U 4090,135—Mo 4084,383, U 4472,335—W 4484,19 А. Используют фотопластинки

Никфи чувствительностью 120 по X и Д. При 0,001% U почернение линии U превосходит почернение фона всего на 0,01—0,03. Несмотря на это возможно построение графика при учете фона с применением метода наименьших квадратов. Ошибка анализа  $\pm 6\%$ . Получено удовлетворительное совпадение результатов спектрального, хим. и люминесцентного методов определения U.

Г. Кибисов

**28448.** Вольтамметрия и амперометрическое титрование двух-, трех- и семивалентного марганца в пирофосфатных растворах с применением вращающегося платинового электрода. Кольтофф, Якобсен (Voltammetry and amperometric titration at the rotated platinum electrode of manganese (II), (III), and (VII) in pyrophosphate medium. Kolthoff I. M.; Jacobsen Einar, Microchem. J., 1957, 1, № 1, 3—16 (англ.).

$MnO_4^-$  при восстановлении на вращающемся Pt-электроде при  $pH < 3$  в пирофосфатном буферном р-ре (ПБР) дает 2 волны. 1-я волна соответствует восстановлению  $MnO_4^-$  до  $Mn^{3+}$ , 2-я волна — восстановлению  $Mn^{3+}$  до  $Mn^{2+}$ . При  $pH 4-8$   $MnO_4^-$  дает только одну волну, соответствующую восстановлению  $MnO_4^-$  до  $Mn^{2+}$ . Ион  $Mn^{3+}$  в ПБР при  $pH \leq 3$  дает одну хорошо выраженную волну, соответствующую восстановлению  $Mn^{3+}$  до  $Mn^{2+}$ ; при  $pH > 4$  восстановление  $Mn^{3+}$  до  $Mn^{2+}$  не наблюдается. На основании полученных данных разработаны методы амперометрич. титрования  $Mn^{2+}$  с помощью  $MnO_4^-$ , а также  $MnO_4^-$  с помощью  $Mn^{2+}$  и пирофосфатного комплекса  $Mn^{3+}$  с помощью  $(NH_4)_2Fe(SO_4)_2$  (I). При определении  $Mn^{2+}$  с помощью I его окисляют в 0,25 M ПБР с помощью  $PbO_2$  до  $Mn^{3+}$ , отфильтровывают избыток  $PbO_2$  и в фильтрате при  $pH \sim 2,0$  в отсутствие  $O_2$  воздуха (вытесняют пропусканием  $N_2$ ) титруют  $Mn^{3+}$  0,01 M р-ром I при  $-0,2$  в (относительно к. э.). При определении  $\geq 0,3$  мг  $Mn^{2+}$  ошибка  $< 0,5\%$ . 10—100-кратные кол-ва  $Fe^{3+}$ ,  $Cu^{2+}$ ,  $Cd^{2+}$ ,  $Zn^{2+}$ ,  $Co^{2+}$  и  $Ni^{2+}$  не мешают. Мешающее действие  $Cr(6+)$ ,  $Ce(4+)$  и  $V(5+)$  устраняют осаждением с помощью пиридина в присутствии больших кол-в  $Fe^{3+}$ . 2-й вариант определения  $Mn^{2+}$  с помощью I состоит в окислении  $Mn^{2+}$  до  $Mn^{3+}$  с помощью  $PbO_2$  в 0,1 M ПБР при  $pH 2,0$  и титровании  $Mn^{3+}$  0,02 M р-ром I при  $+1,1$  В и  $pH 0,5$  ( $Fe^{2+}$  в этих условиях не образует пирофосфатного комплекса). При определении 0,3—3,5 мг  $Mn^{2+}$  ошибка  $\sim 0,25\%$ . Прямым титрованием  $Mn^{2+}$  р-ром  $KMnO_4$  в ПБР при  $pH 4-8$  определяют  $\sim 0,01$  мг  $Mn^{2+}$  в 50 мл с ошибкой  $\sim 0,5\%$ . Определению 0,06 мг  $MnO_4^-$  титрованием с помощью  $Mn^{2+}$  в ПБР при  $pH 5-8$  не мешают даже большие кол-ва  $V(5+)$ ,  $Ce(4+)$  и  $Cr(6+)$ .

А. Немодрук

**28449.** Определение марганца в меди и ее сплавах. Поль (Vergleichende Mangan-Bestimmungen in Kupfer und seinen Legierungen. Pohl H.), Metall, 1957, 11, № 11, 947—949 (нем.).

Описан потенциометрич. метод определения Mn в Cu-сплавах. 0,5—1,0 г пробы растворяют в 20 мл конц. HCl с добавкой 5—10 мл 30%-ной  $H_2O_2$ , прибавляют 5 мл  $H_2SO_4$  (1:1) и упаривают до появления густых паров  $SO_3$ . Остаток растворяют в воде, в р-р вводят 2—3 г гранулированного Zn, нагревают до обесцвечивания р-ра (выделение Cu) кипятят 2—3 мин., фильтруют и промывают водой (общий объем р-ра  $\sim 150$  мл). Фильтрат с промывными водами переливают в р-р 40 г  $Na_2P_2O_7$  в 120 мл воды, устанавливают pH на уровне  $6,5 \pm 0,5$  и при 25—30° титруют потенциометрически р-ром  $KMnO_4$  (0,5 г/мл) с использованием Pt- и Hg<sub>2</sub>Cl<sub>2</sub>-электродов. При сравнении результатов анализа 12 образцов Cu-сплавов различными методами обнаружена хорошая сходимость результатов описанного и фотометрич. (перiodатного) методов.

С. Кобрин

**28450.** Восстановление и определение малых количеств семивалентного рения. Шпитц, Мэдж, Вильсон (The reduction and determination of small amounts of rhenium-VII. Spitz Hana, Magee Robert J., Wilson Cecil L.), Mikrochim. acta, 1957, № 3-4, 354—360 (англ.; рец. нем., франц.).

Описан титриметрич. метод определения Re(7+) титрованием р-ром  $Ce(SO_4)_2$  после восстановления до Re(5+) Bi-амальгамой в среде 18 н.  $H_2SO_4$ . Установлено, что  $SnCl_2$ , аскорбиновая к-та,  $NH_2OH \cdot HCl$ ,  $NH_3$  и Na-амальгама неприменимы для колич. восстановления Re(7+). Изучено светопоглощение продуктов восстановления Re(7+) различными восстановителями в области 500—1000 мμ. Показано, что Re(5+) образует с HCl комплекс, светопоглощение которого резко отличается от светопоглощения других соединений Re(5+).  $H_2C_2O_4$  стабилизирует Re(5+), однако это не является результатом комплексобразования Re(5+) с  $H_2C_2O_4$ . При определении Re к 20 мл анализируемого р-ра (1—3 мг Re) в делительной воронке прибавляют 2 мл Bi-амальгамы, встряхивают 7 мин., сливают амальгаму, прибавляют избыток р-ра  $Fe_2(SO_4)_3$ , 0,05 мл р-ра индикатора (o-фенантролин +  $FeSO_4$ ) и титруют 0,01 н. р-ром  $Ce(SO_4)_2$  (1 мл 0,01 н.  $Ce(SO_4)_2$  соответствует 931,5 γ Re). Все р-ры, кроме р-ра индикатора, приготовлены на 18 н.  $H_2SO_4$ . При титровании гамма-вых кол-в Re применяют бюретку-шприц, позволяющую отсчитывать 0,0002 мл титрующего р-ра, и фенилантрапиловую к-ту в качестве индикатора. Стандартное отклонение результатов при определении 0,1—10 мг Re составляет  $\pm 0,02$  мг Re.

Р. Моторкин

**28451.** Определение железа методом кулонометрического титрования. Инуэма, Йосимори (Inuma H., Yoshimori T.), Гифу дайгаку когаку кэнкю хококу, Res. Repts. Fac. Engng Gifu Prefect. Univ., 1956, № 6, 83—92 (японск.; рец. англ.).

При определении  $Fe^{2+}$  кулонометрич. титрованием генерируемыми ионами  $Ce^{4+}$  для установления конечной точки титрования применен метод, описанный ранее Фурманом с сопр. (Anal. Chem., 1951, 23, 1662). Присутствие  $> 0,2$  г Na или 30 γ  $V(4+)$  в 50 мл титруемого р-ра мешает. Мешающее влияние этих элементов можно устранить использованием  $VOSO_4$  вместо  $Ce_2(SO_4)_3$ , но при этом несколько снижается точность титрования. В этом случае 400 γ  $Fe^{2+}$  определяют в присутствии 5 мг  $V(4+)$  и 250 γ  $Fe^{2+}$  — в присутствии 2 г Na с ошибкой 2,5%. При применении описанного метода к анализу технич. продуктов получены удовлетворительные результаты.

Резюме авторов

**28452.** К фотометрическому определению двухвалентного железа при помощи диметилглиоксима с использованием гидросульфита натрия в качестве стабилизатора окраски. Инуэма, Йосимори (Inuma Hiroshi, Yoshimori Takayoshi), Гифу дайгаку когаку кэнкю хококу, Res. Repts. Fac. Engng Gifu Prefect. Univ., 1954, № 4, 66—70 (японск.; рец. англ.).

Установлена эффективность  $Na_2S_2O_4$  в качестве стабилизатора окраски комплекса  $Fe^{2+}$  с диметилглиоксимом (I).  $Na_2S_2O_4$  следует вводить в анализируемый р-р после прибавления I и  $NH_4OH$ . Введение  $Na_2S_2O_4$  до прибавления  $NH_4OH$  приводит к значительным ошибкам, что, по-видимому, обусловлено помутнением р-ра сульфидом металлов. Рекомендуются следующая методика определения Fe. К 5—10 мл анализируемого р-ра прибавляют 2—3 мл 20%-ного водн. р-ра соли Рошеля, 3—4 мл 4%-ного спирт. р-ра I, 6—8 мл конц.  $NH_4OH$  и  $\sim 0,3$  г твердого  $Na_2S_2O_4$ , выдерживают 20 мин., разбавляют до 100 мл и фотометрируют со светофильтром S53 (530 мμ). Допустимые кол-ва мешающих катионов (в 100 мл р-ра):  $< 25$  γ Pb,  $< 200$  γ



Cu, < 1 мг Sn, < 2 мг Mn, < 40 мг Zn и < 200 мг Ti.

Резюме авторов

28453. Определение миллионных долей железа в адипиновой кислоте методом УФ-спектрофотометрии. Сиббер, Уайт, Фербер (The determination of parts per million of iron in adipic acid by ultraviolet absorption. Seeber Richard E., White Robert G., Ferber Kelvin H.), Appl. Spectroscopy, 1957, 11, № 3, 113—114 (англ.).

10 г адипиновой к-ты (I) растворяют в ~50 мл  $\text{C}_2\text{H}_5\text{OH}$ , прибавляют 15 мл конц. HCl, 2 мл 3%-ной  $\text{H}_2\text{O}_2$  (для окисления всего присутствующего Fe до  $\text{Fe}^{3+}$ ), охлаждают до комнатной т-ры, разбавляют спиртом до 100 мл и спектрофотометрируют при 360 мμ, используя в качестве р-ра сравнения р-р, содержащий все реактивы, кроме I. Кол-во Fe находят по калибровочному графику, построенному с применением чистой I и 0,1 н.  $\text{NH}_4\text{Fe}(\text{SO}_4)_2$ . Описанным методом определяют 0,000025—0,0015% Fe с ошибкой 6—15%.

А. Немодрук

28454. Фотометрическое определение малых количеств никеля в рудах. Исоно (Isono Kiyoshi), Бунсеки кагаку. Japan Analyst, 1957, 6, № 9, 557—561 (японск.; рез. англ.).

Установлено, что при фотометрич. определении Ni с помощью диметилглиоксима (экстрагент  $\text{CHCl}_3$ ) образование осадка Ni в фотометрируемом р-ре за счет превращения диметилглиоксимата  $\text{Ni}(3+)$  в диметилглиоксимат  $\text{Ni}(2+)$  можно полностью предотвратить добавлением стабилизатора — 25%-ного р-ра  $\text{NH}_4\text{Cl}$  вплоть до конц-ии Ni 1,5 мг на 100 мл. Улучшенный метод свободен от мешающего влияния различных элементов и пригоден для определения 0,005—2,0% Ni в многокомпонентных рудах. На основании результатов сравнения этого метода с весовым методом сделан вывод, что фотометрич. метод особенно пригоден для определения < 0,2% Ni, когда весовой метод дает неточные результаты.

Из резюме автора

28455. Определение палладия, платины, родия и иридия рентгено-флуоресцентным методом. Мак-Невин, Хаккила (Fluorescent x-ray spectroscopic estimations of palladium, platinum, rhodium, and iridium. Mac Nevin William M., Hakkiila Eero Arnold), Analys. Chem., 1957, 29, № 7, 1019—1022 (англ.).

Описано определение Pd, Pt, Rh и Ir в р-рах их солей. Аналитич. линиями служат  $\text{PdK}_\alpha$ ,  $\text{PtL}_\beta$ ,  $\text{RhK}_\alpha$  и  $\text{IrL}_\alpha$ . Для получения стандартных образцов кусочки фильтровальной бумаги смачивают р-рами солей указанных металлов в 0,1 н. HCl и высушивают. По этим стандартам строят калибровочные графики. При определении Rh и Ir вводят поправки на содержание Pd и Pt, линии которых накладываются на аналитич. линии Rh и Ir. Применяют трубку с W-анодом при 50 кВ и 30 ма и Г.—М.-счетчик с аргоновым наполнением. Чувствительность определения Pt, Pd, Rh и Ir соответственно равна 0,10; 0,20; 0,14 и 0,02 мг/мл; средняя ошибка 1,86%.

Л. Смирнов

28456. Открытие платины в неводных средах. Мата Васкес, Фишбах (Reconocimiento del platino en medio no acuoso. Mata Vasquez Jesus, Fischbach Carlos E.), Acta cient. venezolana, 1957, 8, № 4, 87—89 (исп.; рез. англ.).

При открытии Pt в водн. р-ре  $\text{H}_2\text{PtCl}_6$  1 мл этого р-ра подкисляют 4 каплями конц. HCl, экстрагируют дважды равным объемом бутилового спирта (I) и экстракт выпаривают досуха. К полученному остатку прибавляют 2 капли I и 2—4 микрокапли свежеприготовленного р-ра рубановодородной к-ты (II) (5 мл 1%-ного спирт. р-ра II смешивают с 1 мл конц. HCl и немедленно разбавляют спиртом до 8 мл с целью

растворения образовавшегося осадка). В присутствии > 0,5 γ Pt возникает красно-фиолетовая окраска. Открытию Pt не мешает присутствие 500-кратных кол-в  $\text{Al}^{3+}$ ,  $\text{Cd}^{2+}$ ,  $\text{Ni}^{2+}$ ,  $\text{Ba}^{2+}$ ,  $\text{Zn}^{2+}$ ,  $\text{Mg}^{2+}$ ,  $\text{Ag}^+$ ,  $\text{Pb}^{2+}$ ,  $\text{Na}^+$ ,  $\text{Bi}^{3+}$ ,  $\text{Sr}^{2+}$ ,  $\text{NH}_4^+$ ,  $\text{Sb}^{3+}$ ,  $\text{Sn}^{2+}$ ,  $\text{Mn}^{2+}$ ,  $\text{Cr}^{3+}$ ,  $\text{Ca}^{2+}$ ,  $\text{Fe}^{2+}$ ,  $\text{Au}^{3+}$ ,  $\text{Ir}^{3+}$ ,  $\text{PO}_4^{3-}$ ,  $\text{AsO}_4^{3-}$ ,  $\text{CN}^-$  и  $\text{MnO}_4^-$ , 50-кратных кол-в  $\text{Fe}^{3+}$ ,  $\text{SnCl}_2^{2-}$ ,  $\text{SbCl}_2^{2-}$  и  $\text{CrO}_4^{2-}$ , 30-кратного кол-ва  $\text{Cu}^{2+}$ , 20-кратного кол-ва  $\text{Hg}^{2+}$  и 25-кратного кол-ва  $\text{Os}(8+)$ . Мешающее влияние  $\text{Co}^{2+}$  устраняют с помощью щелочей, а  $\text{Pd}^{2+}$  — с помощью диметилглиоксима. При экстрагировании 5 мл р-ра  $\text{H}_2\text{PtCl}_6$ , подкисленного 1 мл конц. HCl, с помощью 6 мл различных р-рителей в экстрактах найдены следующие кол-ва  $\text{H}_2\text{PtCl}_6$  (в %): эфир 4,85; I 44,20; изоамиловый спирт (III) 23,30; амиловый спирт 11,20; этилацетат 11,10; амилацетат 9,09,  $\text{CHCl}_3$  9,99;  $\text{CCl}_4$  6,50; смесь I + III (1:1) 27,60; смесь I + + изопропиловый спирт (IV) + III (50:25:25) 32,70; смесь I + IV  $\text{C}_2\text{H}_5\text{OH}$  (80:10:10) 19,60; смесь I + IV (75:25) 23,90. Чувствительным реактивом на Pt является, кроме II, также *n*-нитрозодиэтиланилин, малочувствительными — феноксиазин, α,α'-дипиридил, ксантогенат К, *n*-нитрозодиметиланилин и роданин.

Н. Туркевич

28457. Нафтиламинсульфокислоты — новый класс органических реактивов для спектрофотометрического определения следовых количеств осмия. Ст и Л, Ио (Naphthylaminesulfonic acids. A new class of organic reagents for spectrophotometric determination of trace amounts of osmium. Steele Edgar L., Yoe John H.), Analyt. Chem., 1957, 29, № 11, 1622—1624 (англ.).

При взаимодействии  $\text{Os}(6+)$  с 1-нафтиламин-4,6,8-трисульфокислотой (I) в кислой среде образуется комплексное соединение (KC), имеющее максимум светопоглощения при 560 мμ. Закон Бера соблюдается при 0,1—6 γ Os. В присутствии металлов Pt-группы,  $\text{Al}^{3+}$ ,  $\text{Cr}^{3+}$ ,  $\text{V}^{3+}$ ,  $\text{Fe}^{3+}$ ,  $\text{Fe}^{2+}$ ,  $\text{Co}^{2+}$ ,  $\text{Ni}^{2+}$ ,  $\text{Cu}^{2+}$ ,  $\text{Zn}^{2+}$ ,  $\text{Pb}^{2+}$ ,  $\text{Mg}^{2+}$ ,  $\text{Mn}^{2+}$  и  $\text{Ag}^+$  в соотношении > 1:1 Os предварительно окисляют азотной к-той до  $\text{OsO}_4$ , отгоняют и восстанавливают до  $\text{Os}(6+)$  ионами  $\text{OH}^-$  в присутствии I. Соотношение I:Os в KC 1:1 при избытке Os и 2:1 при избытке I. В образовании KC принимают участие аминогруппы; при образовании 1 моля KC выделяется 2H<sup>+</sup>.

Н. Чудинова

28458. Соли N-замещенных дитиокарбаминных кислот и их применение к определению родия и иридия. Пшеницын Н. К., Федоренко Н. В., Ж. неорг. химии, 1957, 2, № 10, 2375—2382

Изучена возможность определения Rh и Ir осаждением *n*-аминофенилдитиокарбаматом аммония (I). Из уксуснокислых р-ров при нагревании осаждается как Rh, так и Ir, но осаждение не количественное. Из солянокислых р-ров Rh и Ir осаждаются количественно (при нагревании). Образующиеся при этом осадки склонны к переходу в колл. состояние, вследствие чего определение Rh и Ir возможно только при добавлении коагулятора — метилового фиолетового (II). При использовании II в качестве коагулятора Rh количественно выделяется при pH 2—7, а Ir при pH 3—5. Без прибавления II Rh количественно осаждается при pH 6—7 (этим создается возможность определения Rh непосредственным взвешиванием в форме соединений с I), а Ir без добавления II ни при каких значениях pH количественно не осаждается. Соединения Rh и Ir с I, впервые выделенные авторами, представляют собой порошкообразные в-ва оранжевого цвета с желтым (для Rh) или коричневым (для Ir) оттенком, не растворимые в воде, но растворимые в некоторых органич. р-рителях (приведены результаты качеств. исследования растворимостей); состав указанных соединений характеризуется соотношением M:I = 1:3

(подтвержден хим. анализом). I неприменим для отделения Rh от Ir, так как оба металла реагируют с I приблизительно в одинаковых условиях. Установлено, что I, полученный по ранее описанной методике (РЖХим, 1956, 1057), содержит в своем составе 2 молекулы воды. Л. Горин

**28459. Определение водорода в твердом и жидком чугунах. Часть I. Введение и экспериментальная часть. Циммерман. Часть II. О содержании водорода в чугунах по данным предыдущих исследований. Улицш (Zur Bestimmung des Wasserstoffs in festem und flüssigem Roheisen. I. Allgemeiner und experimenteller Teil. Zimmermann K. II. Über den Wasserstoffgehalt im Roheisen an Hand der bisherigen Untersuchungen. Uhlitzsch H.), Neue Hütte, 1957, 2, № 10, 607—616 (нем.; рез. англ., франц., русск.)**

10 г твердого чугуна промывают сначала ацетоном, а затем  $\text{CCl}_4$ , сушат в токе теплого воздуха, помещают в прокаленную кварцевую лодочку, которую вводят в прокаленную кварцевую реакционную трубку печи, включают форвакуумный насос на 1 мин. для создания в трубке вакуума и продолжают откачку воздуха диффузионным насосом до давления в трубке  $10^{-4}$  мм рт. ст. Затем с помощью форвакуумного насоса давление доводят до  $10^{-2}$  мм рт. ст., после чего откачку продолжают диффузионным насосом. Раскаленную до  $1250^\circ$  передвижную печь подводят к реакционной трубке. Экстракция, включая сплавление пробы, продолжается 30 мин. Через 10 мин. после сплавления пробы  $\text{H}_2$  полностью извлекается из реакционной трубки при помощи насоса. Описана пипетка, в которой производится точный анализ экстрагированных газов; катализатором при сжигании смеси газа и  $\text{O}_2$  служит подогретая Pt-спираль. Продолжительность определения  $\text{H}_2$  в твердом чугуне 1 час, в жидком 45 мин. Средняя ошибка определения  $0,2 \text{ см}^3 \text{ H}_2$  на 100 г железа. Растворимость  $\text{H}_2$  в чугунах зависит от t-ры и давления и описывается уравнением  $[\text{H}]_t = K \sqrt{p \text{ H}_2}$ , где K — коэф. пропорциональности растворимости  $\text{H}_2$  в чугуне при заданной t-ре и атмосферном давлении. Главные легирующие элементы, как Mn, Ni, Co и V, повышают, а C, Si, Al, Cr, Mo и W снижают растворимость  $\text{H}_2$  в чугунах. Приведен снимок аппаратур для горячей экстракции, описан прибор для взятия пробы чугуна, даны кривая растворимости  $\text{H}_2$  в чугунах, кривая коэф. диффузии  $\text{H}_2$  в зависимости от t-ры и таблица пересчета различных систем представления результатов определения  $\text{H}_2$ . Библ. 80 назв. X. III.

**28460. Быстрое определение водорода в титане и его сплавах. Ода, Норисима (Oda N., Norishima K.), Дэнки кагаку, J. Electrochem. Soc. Japan, 1957, 25, № 5, 269—273, E55—E56 (японск.; рез. англ.)**

Описан метод, основанный на сжигании H в токе  $\text{O}_2$ . Применена обычная установка, состоящая из систем для очистки  $\text{O}_2$ , сжигания пробы и поглощения образующихся при сжигании водяных паров. Для эффективной очистки  $\text{O}_2$  использована подогреваемая окись Cu, помещенная в кварцевой трубке диам. 24 и длиной 300 мм. Во избежание проникновения влаги применена кварцевая трубка для сжигания спец. конструкции (диам. 28, длина 900 мм); все части установки соединены между собой с помощью стеклянных шаровых шлифов. За поглотительной трубкой (диам. 16 мм, длина 130 мм) имеется кран для предотвращения обратного тока  $\text{O}_2$  во время сжигания пробы. Сжигание проводят при  $1300\text{—}1350^\circ$  и скорости пропускания  $\text{O}_2$   $1800\text{—}2000 \text{ см}^3/\text{мин}$ . Продолжительность анализа одной пробы  $\sim 20$  мин. Результа-

ты анализа очень близки к данным, полученным методом вакуум-плавления (ошибка  $< 8\%$ ; открываемый минимум  $0,005\%$  H).

**28461. Спектрофотометрическое определение бора в тугоплавких сплавах хиализариновым методом. Джонс (Spectrophotometric determination of boron in high — temperature alloys by quinalizarin method. Jones A. H.), Analyt. Chem., 1957, 29, № 7, 1101—1105 (англ.)**

Изучены условия образования светопоглощения комплекса В с хиализарином (I). Установлено, что спектрофотометрич. определение В лучше всего провести при 615 мμ, так как в этой области спектра расхождение кривых светопоглощения I и комплекса В с I максимально. Тонкоизмельченный образец, содержащий  $\leq 0,3 \text{ мг В}$  и  $\leq 50 \text{ мг Ti}$ , сплавляют с 8 г  $\text{Na}_2\text{O}_2$  в Fe-тигле. Плав перемешивают 5 мин., выщелачивают горячей водой, переносят в конич. колбу емк. 300 мл, снабженную обратным холодильником и охлаждаемую водой, прибавляют 26 мл конц.  $\text{H}_2\text{SO}_4$ , кипятят 5 мин., охлаждают, прибавляют твердый  $\text{Na}_2\text{SO}_3$  (для восстановления  $\text{Cr}_2\text{O}_7^{2-}$ ) и разбавляют водой до 100 мл. К 2 мл полученного р-ра прибавляют 25 мл р-ра I (3 мг I в 500 мл конц.  $\text{H}_2\text{SO}_4$ ), перемешивают и спектрофотометрируют при 615 мμ, используя в качестве р-ра сравнения р-р, приготовленный смешиванием такой же аликвотной порции анализируемого р-ра с 25 мл конц.  $\text{H}_2\text{SO}_4$ . Относительная ошибка определения  $0,01\text{—}0,10\%$  В  $\leq 5,6\%$ . Определению мешают  $\text{Ti}^{4+}$ , F $^-$ ,  $\text{NO}_3^-$ ,  $\text{Cr}_2\text{O}_7^{2-}$  и окислители. Если содержание Ti в анализируемом р-ре известно, то в результаты определения В вносят соответствующую поправку; влияние окислителей устраняют добавлением  $\text{Na}_2\text{SO}_3$ .

**28462. Простой метод определения микроколичеств углерода в железе, стали и ферросплавах. Гото, Ватанабе, Судзук (Goto Hidehiro, Watanabe Toshio, Suzuki Kyohei), Буисэки нагаку, Japan Analyst, 1957, 6, № 10, 650—654 (японск.; рез. англ.)**

Для определения микроколичеств ( $< 0,1\%$ ) C в железе, стали и ферросплавах применен ранее описанный метод (РЖХим, 1956, 47346). Получены результаты, совпадающие с данными весового метода. Продолжительность определения 24—26 мин.

Резюме авторов

**28463. Индикаторный метод открытия окиси углерода. Скала (Průkazník na kyslíčník uhelnatý. Skála Jiří), Protipož. techn., 1957, 5, № 9, 166 (чешск.)**

Кратко описано содержание чехосл. патента № 79691, согласно которому анализируемый воздух предварительно очищают от  $\text{CO}_2$  с помощью NaOH или натровой извести, а затем пропускают через катализатор (напр., гонокалит) для окисления CO в  $\text{CO}_2$  и образующийся  $\text{CO}_2$  выявляют при помощи индикаторов (напр. фенолового красного или метилового красного), которые нанесены на силикагель. Применяемый для этой цели прибор портативен и позволяет быстро обнаружить  $0,2\text{—}5 \text{ об. } \%$  CO или  $\text{CO}_2$  в воздухе.

Н. Турквич

**28464. Определение углерода в титане и цирконии. Элзуэлл, Вуд (The determination of carbon in titanium and zirconium. Elwell W. T., Wood D. F.), Analyst, 1957, 82, № 980, 769 (англ.)**

Установлено, что при определении C в металлах Ti и Ti-сплавах окисление образца легко контролировать, если применять трубку для сжигания, предварительно наполненную аргоном. Дальнейшие операции анализа аналогичны обычным; определение выделяющегося  $\text{CO}_2$  можно производить весовым или кондуктометрич. методами. При весовом определении



возможно использование больших навесок. Этот модифицированный метод успешно применен для определения С в титане и его сплавах в присутствии Рb-флюса и в цирконии и его сплавах без использования флюсов.

Л. Горин  
28465. Методы определения свободного кремнезема. Стубичан (Metode odredivanja slobodne kremične kiseline. Stubičan V.), Arhiv hig. rada i toksikol., 1957, 8, № 2, 166—182 (сербо-хорв.; рез. англ.)  
Обзор. Библ. 39 назв.

Ф. Судаков  
28466. Фотометрический метод определения кремнезема в присутствии монов фосфора и его применение к анализу фосфатов натрия. Дезире (Dosage colorimétrique de la silice en présence d'ions phosphoriques. Application aux phosphates de sodium. Désiré Piégre), Chaleur et ind 1957, 38, № 387, 271—276 (франц.)

Изучены условия определения  $\text{SiO}_2$  методом молибденовой сини. В присутствии  $> 10$  мг  $\text{P}_2\text{O}_5$  в анализируемый раствор прибавляют 0,4 мл 10%-ного р-ра  $(\text{NH}_4)_2\text{MoO}_4$  на каждые  $x$  мг  $\text{P}_2\text{O}_5$ . Осадок фосфатомолибдата отфильтровывают и  $\text{SiO}_2$  определяют в аликвотной порции р-ра. Для стабилизации синей окраски р-ра восстановленной формы кремнемолибденовой к-ты используют  $\text{H}_2\text{C}_2\text{O}_4$  (10%-ный р-р). Оптимальный pH 3,5 (индикатор *n*-нитрофенол). Вследствие неустойчивости восстановителя (1,2,4-аминоафталсульфокислота) необходима частая проверка калибровочного графика. Модифицированным методом открывают 0,01 мг  $\text{SiO}_2$  в присутствии 50 мг  $\text{P}_2\text{O}_5$  и определяют  $\text{SiO}_2$  в фосфатах с ошибкой  $\pm 0,01$  мг.

С. Кобрин  
28467. Открытие нитратов капельным методом. Уэст, Сарма (A spot test for nitrates. West Philip W., Sarma P. L.), Mikrochim. acta, 1957, № 3-4, 506—509 (англ.; рез. нем., франц.)

Описан новый капельный метод открытия  $\text{NO}_3^-$  по желтой окраске, развивающейся при взаимодействии  $\text{NO}_3^-$  и хромотроповой к-той (I). Максимум светопоглощения комплекса I с  $\text{NO}_3^-$  находится при 415 мμ. Открытию  $\text{NO}_3^-$  с помощью I мешают  $\text{J}^-$ ,  $\text{Cl}^-$ ,  $\text{Br}^-$ ,  $\text{NO}_2^-$  и окислители. Для устранения влияния окислителей анализируемый р-р предварительно обрабатывают  $\text{Na}_2\text{SO}_3$  и  $\text{H}_2\text{SO}_4$ , а влияние  $\text{NO}_2^-$  предотвращают введением в анализируемый р-р сульфаниловой к-ты. К нескольким каплям подготовленного таким образом р-ра на белой каплевой пластинке прибавляют 1 каплю 0,05%-ного р-ра I (или Na-соли I) в  $\text{H}_2\text{SO}_4$ . В присутствии больших кол-в (до нескольких мг)  $\text{NO}_3^-$  мгновенно возникает желтая окраска. В присутствии гаммовых кол-в  $\text{NO}_3^-$  желтая окраска образуется только после прибавления нескольких капель конц.  $\text{H}_2\text{SO}_4$ . Описанным методом открывают 0,2 γ  $\text{NO}_3^-$  при предельном разбавлении 1:200 000.

Р. Моторкина  
28468. К фотометрическому определению фосфора методом молибденовой сини с использованием гидрохинона в качестве восстановителя. Судо, Хамакава, Кубота (Sudo Takeo, Hamakawa Tatsu, Kubota Mitugu), Бунсеки какагу, Japan Analyst, 1957, 6, № 9, 564—568 (японск.; рез. англ.)

Показана возможность использования в качестве восстановителя одного гидрохинона без активатора  $\text{Na}_2\text{SO}_3$ , а тем самым и возможность предотвращения ошибок, обусловленных вносимыми вместе с  $\text{Na}_2\text{SO}_3$  примесями Р и особенно ощутимых при определении следовых кол-в Р. Окраска, развивающаяся в среде  $\text{H}_2\text{SO}_4$  при нагревании в течение 10—20 мин. при 50—60°, устойчива во времени. Относительная ошибка определения  $\sim 1$  ч. Р на 1 млн. ч. пробы составляет 0,5%.

Из резюме авторов

28469. Об экспрессном фотоколориметрическом методе определения содержания фосфора в стали с навлечением изоамиловым спиртом фосфорно-молибденового комплекса. Тарасов Н. Я., Богданов Т. Г., Слюсарев Ф. Г., Тр. Научно-техн. о-ва черной металлургии. Укр. респ. правл., 1956, 4, 104—106. Выступления, 107

0,5 г стали растворяют при нагревании в 20 мл  $\text{HNO}_3$  (1:1), прибавляют 5 мл 1,5%-ного р-ра  $\text{KMnO}_4$ , кипятят до разложения избытка  $\text{KMnO}_4$ , прибавляют 5 мл 5%-ного р-ра  $\text{H}_2\text{C}_2\text{O}_4$ , нагревают до просветления р-ра, охлаждают, разбавляют водой до 100 мл и перемешивают. 2 мл полученного р-ра помещают в делительную воронку емк. 10—15 мл, в которую предварительно наливают 1 мл р-ра  $(\text{NH}_4)_2\text{MoO}_4$  (7,5 г реактива растворяют при нагревании в 50 мл воды и вливают при перемешивании в 50 мл  $\text{HNO}_3$ , 1:1), встряхивают 2—3 раза, прибавляют 3 мл изоамилового спирта, встряхивают 3 раза, отстаивают, прибавляют по стенкам воронки по каплям 1 мл р-ра  $\text{SnCl}_2$  (12,5 г металл. Sn растворяют при нагревании в колбе с клапаном Бунзена в 300 мл  $\text{HCl}$ , уд. в. 1,19, разбавляют водой до 1 л, фильтруют и пропускают  $\text{CO}_2$  в течение 10 мин.; перед употреблением р-р разбавляют равным объемом воды), перемешивают и сливают нижний слой жидкости. Верхний спирт. слой перемешивают 2 раза и фотометрируют со светложелтым или красным светофильтром. Ошибка определения 0,03% и 0,03—0,08% Р составляет соответственно  $\pm 0,002$  и  $\pm 0,004\%$ . Вместо изоамилового спирта можно использовать этиловый эфир. Л. Горин

28470. Фотометрическое полумикроопределение фосфора в сталях и огарках. Бонштедт, Буденц (Halbmikroverfahren zur photometrischen Phosphorbestimmung besonders in Stählen und Isolierungsrückständen. Bohnstedt U., Budenz R.), Z. analyt. Chem., 1957, 159, № 1, 12—21 (нем.)

Улучшен ранее описанный метод молибденовой сини (Zinzadze Ch., Ind. Engng Chem. analyt. Ed., 1935, 106, 284; Z. analyt. Chem., 1936, 106, 284): уточнены максимум светопоглощения окрашенного р-ра и время полного развития окраски, подобрана оптимальная кислотность и т. д. Улучшенный метод пригоден для определения 2—120 γ Р в навеске 0,1 г. При определении 2—20 γ Р ошибка составляет 10—25%, при определении 20—120 γ Р 4—10%. Продолжительность определения  $\sim 3$  часа.

А. Немодрук  
28471. Быстрое определение фосфора в феррофосфоре. Вакамацу (Wakamatsu Shigeo), Бунсеки какагу, Japan Analyst, 1957, 6, № 9, 579—583 (японск.; рез. англ.)

Анализируемый образец сплавляют с  $\text{Na}_2\text{O}_2$ , плав растворяют в теплой воде и полученный р-р фильтруют для отделения  $\text{PO}_4^{3-}$  от Fe и других элементов. Аликвотную порцию фильтрата сначала подкисляют винной и соляной к-тами, а затем подщелачивают аммиаком, прибавляют KCN и стандартный р-р  $\text{Mg}^{2+}$ , перемешивают до колич. осаждения  $\text{MgNH}_4\text{PO}_4 \cdot 6\text{H}_2\text{O}$  (3—5 мин. и избыток  $\text{Mg}^{2+}$  оттитровывают р-ром комплексона III. Продолжительность определения 20 мин.

Резюме автора  
28472. Определение фосфора в удобрениях методом автоматического титрования. Брабсон, Уилхайд (Determination of phosphorus in fertilizers by automatic titration. Brabson J. A., Wilhide W. D.), J. Assoc. Offic. Agric. Chemists, 1957, 40, № 2, 594—606 (англ.)

Предложен потенциометрич. вариант (экранированный Pt-электрод сравнения и индикаторный Pt-Rh-электрод) ранее описанного метода (РЖХим, 1956, 43537). При титровании применен автоматич. титратор Сарджента — Мальмстадта (РЖХим, 1958, 11145). Про-

должительность титрования ~ 2,5 мин. Метод с успехом применен для анализа различных фосфатных руд и удобрений.

Н. Полянский  
28473. Титриметрическое определение мышьяка в форме хинолинарсеномолибдата. Мейер, Кох (Maßanalytische Bestimmung von Arsen als Chinolinarsenmolybdat. Meyer S., Koch O. G.), Z. analyt. Chem., 1957, 158, № 6, 434—438 (нем.)

Описан метод, основанный на осаждении As в форме  $(C_9H_7N)_3 \cdot H_2[AsO_4 \cdot 12MoO_3]$  (I), растворении I в 0,1 н. NaOH и оттитровании избытка NaOH. Нейтр. или слабо кислый анализируемый р-р разбавляют водой до ~ 50 мл, прибавляют 1,0 г  $KClO_3$  (для окисления всего As до  $As^{5+}$ ), 5 мл HCl (уд. в. 1,19), нагревают до кипения и прибавляют 20 мл 10%-ного р-ра винной к-ты (для удержания  $MoO_4^{2-}$  в р-ре) и 20 мл р-ра хинолиномолибдата ( $250 \text{ г } Na_2MoO_4 \cdot 2H_2O$  растворяют в 500 мл воды, прибавляют 460 мл HCl, уд. в. 1,19, и 1 каплю 30%-ной  $H_2O_2$ ; отдельно растворяют 28 мл перегнанного хинолина в 600 мл разб. HCl, 1:1; оба р-ра смешивают, нагревают до кипения и через 24 часа фильтруют). Выделившийся желтый осадок I отфильтровывают, промывают 3 раза разб. р-ром HCl (1:10), а затем водой до отсутствия кислой р-ции промывной воды, переносят вместе с фильтром в колбу, прибавляют 50 мл воды, определенное кол-во 0,1 н. NaOH, встряхивают до растворения I, разбавляют водой до ~ 100 мл, прибавляют 4 капли 0,4%-ного спирт. р-ра фенолфталеина и титруют 0,1 н. р-ром HCl. Одновременно проводят контрольное титрование. 1 мл 0,1 н. NaOH соответствует 0,208812 мг As. Описанным методом определяют 0,01—10 мг As с ошибкой  $\pm 0,01$  мг; продолжительность определения ~ 20 мин.

А. Немодрук  
28474. Сравнительное изучение методов определения мышьяка в рудах, концентратах и агломератах. Бутенко Г. А., Родионова Е. М., Тр. Научно-техн. о-ва черной металлургии. Укр. респ. правл., 1956, 4, 119—124. Выступления, 131—137

Описаны результаты сравнительного изучения способов перевода As в р-р и методов отделения и определения As. Лучшим окислителем при растворении пробы As является  $KMnO_4$ , удаление которого не требует длительного кипячения и выпаривания. В тех случаях, когда анализируемый материал не растворим в HCl, лучшим способом перевода в р-р является предварительное кратковременное спекание с содой (50 сек. при  $1000^\circ$ ). Из всех существующих методов определения As наибольшую практич. ценность представляют броматометрич. и фотометрич. (с использованием мышьяковомолибденового комплекса) методы с предварительным отделением As дистилляцией. Броматометрич. метод особенно удобен для определения As в солянокислом дистилляте. Фотометрич. метод имеет преимущества перед броматометрич. в чувствительности и точности (особенно при малых навесках) определения As. Точность броматометрич. метода можно повысить применением амперометрич. титрования солянокислого дистиллята.

Л. Горин  
28475. Определение сурьмы в чугунах. Руни (The determination of antimony in cast iron. Rooney R. C.), Analyst, 1957, 82, № 978, 619—623 (англ.)

Для определения Sb в чугунах применен йодидный фотометрич. метод после выделения Sb соосаждением с  $MnO_2$ . 5 г (при < 0,05% Sb) или 1 г (при 0,05—0,25% Sb) чугуна растворяют соответственно в 120 или в 30 мл  $HNO_3$  (1:4) при осторожном нагревании. Для определения Sb в нерастворимом остатке последний отфильтровывают и прокаливают в фарфоровом тигле при  $600^\circ$ , переносят в Pt-тигель, прибавляют 10 капель  $H_2SO_4$  (1:4), 2—3 мл HF и выпаривают до суха. Остаток сплавляют с 1—2 г  $KHSO_4$ , плав выпаривают водой, к р-ру прибавляют 10 мл 20 н.  $H_2SO_4$ ,

выпаривают до появления густых паров  $SO_3$ , остаток растворяют в воде. Р-р охлаждают, прибавляют 20 мл р-ра, содержащего 500 г KJ и 100 г  $NaH_2PO_2$  в 1 л и через 5 мин. прибавляют 1—2 капли р-ра крахмала. При появлении голубой окраски к р-ру по каплям прибавляют 1%-ный р-р  $Na_2S_2O_3$  до появления желтой окраски, разбавляют водой до 50 мл и фотометрируют при 425 мμ, используя в качестве р-ра сравнения р-р контрольного опыта. Для определения Sb в фильтрате к последнему прибавляют 10 мл 2,5%-ного р-ра  $KMnO_4$ , кипятят 2—3 мин., охлаждают, прибавляют  $H_2O_2$  до растворения  $MnO_2$ , кипятят 5 мин., сохраняя объем его 200 мл, прибавляют 1 мл р-ра  $KMnO_4$  и кипятят еще 15 мин. Осадок отфильтровывают, промывают 2%-ным р-ром  $NH_4NO_3$ , переносят в стакан, в котором производилось осаждение, прибавляют конц. HCl и  $H_2O_2$  до растворения  $MnO_2$  и фильтр промывают горячей водой. К полученному р-ру прибавляют 1 мл 20 н.  $H_2SO_4$ , 10 мл конц.  $HNO_3$ , выпаривают до появления густых паров  $SO_3$  и остаток растворяют в 10 мл воды. При содержании < 0,05 г Fe к р-ру прибавляют 9 мл 20 н.  $H_2SO_4$ , выпаривают до появления густых паров  $SO_3$ , разбавляют водой до 50 мл и далее продолжают, как описано выше. При содержании > 0,05 г Fe производят повторное соосаждение Sb с  $MnO_2$ . Мешающее влияние Bi незначительно.

Ф. Линкова  
28476. Определение висмута в свинце и свинцовых сплавах. Флетчер, Уордл (The determination of bismuth in lead and lead alloys. Fletcher N. W., Wardle R.), Analyst, 1957, 82, № 980, 747—750 (англ.)

Описан метод, основанный на фотометрировании р-ров бромидов Bi в HBr. 1 г анализируемого материала растворяют в 20 мл 5%-ного р-ра  $Br_2$  в 46—48%-ной HBr, прибавляют 10 мл 60%-ной  $HClO_4$  и упаривают до 2—3 мл (для удаления летучих бромидов As, Sb и Se). Если в р-ре имеется белый осадок, то прибавляют еще 5 мл р-ра  $Br_2$  и повторяют упаривание. По охлаждении прибавляют 25 мл 46—48%-ной HBr, 5 мл 10%-ной аскорбиновой к-ты (для удаления  $Br_2$ , содержащегося в HBr), разбавляют водой до 50 мл и фотометрируют при 375 мμ. Из найденного значения оптич. плотности вычитают величину оптич. плотности, полученную для р-ра контрольного опыта, и по калибровочному графику находят содержание Bi. Для устранения влияния конц-ий HBr фотометрирование проводят в р-рах с постоянной конц-ией HBr. Для устранения мешающего влияния Te анализируемый р-р, полученный после растворения навески в HBr, кипятят 3—4 мин. (для удаления  $Br_2$ ), прибавляют 1 мл 25%-ного р-ра  $SnBr_2$  в 46—48%-ной HBr, через 1 час отфильтровывают элементарный Te (РЖХим, 1958, 28484) и далее продолжают, как описано выше. Описанным методом определяют  $\geq 0,001\%$  Bi.

А. Немодрук  
28477. Объемноаналитическое определение висмута в различных соединениях и лекарственных смесях. Сообщение 1. Щиголь М. Б. Сообщение 2. Определение висмута в лекарственных смесях. Щиголь М. Б., Бурчинская Н. Б., Аптеч. дело, 1956, 5, № 5, 24—27; 1957, 6, № 2, 36—38

1. Описан метод определения Bi в неорганич. и органич. соединениях, основанный на образовании растворимых комплексных соединений Bi. К 0,02—0,05 г анализируемого в-ва прибавляют 0,5—1 г KJ и 10 мл ~ 0,1 н.  $H_2SO_4$ , нагревают до полного растворения в-ва, прибавляют необходимое для обеспечения р-ра кол-во ~ 0,4 н.  $Na_2C_2O_4$ , охлаждают и оттитровывают свободную к-ту 0,1 н. р-ром NaOH в присутствии метилового красного. Затем к этому же р-ру прибавляют избыток 0,1 н. NaOH (4 мл), кипя-



тит 2—3 мин. для разрушения оксалатного комплекса  $\text{Bi}$  и оттитровывают свободную щелочь 0,1 н. р-ром  $\text{H}_2\text{SO}_4$  в присутствии фенолфталеина (Б мл). Содержание  $\text{Bi}$  находят по ф-ле:  $C = A - B$ , где  $C$  — кол-во 0,1 н. р-ра соли  $\text{Bi}$  в анализируемом препарате в мл. При определении  $\text{Bi}$  в нитрате  $\text{Bi}$ , основном нитрате  $\text{Bi}$ , оксалате  $\text{Bi}$ , основном оксалате  $\text{Bi}$ , ксероформе и биохиноле получены результаты, удовлетворительно совпадающие с данными весового метода. Продолжительность определения 30 мин.

А. Травин  
2. Описанный выше метод применен для определения основного нитрата  $\text{Bi}$  в смесях с салолом и бензолафтолом и для определения  $\text{Bi}$  в различных мазях.

Н. Полянский  
28478. Определение кислорода в титане и титановых сплавах методом хлорирования. Элзуэлл, Пик (The determination of oxygen in titanium and titanium alloys, based on the principle of chlorination. Ellwell W. T., Peake D. M.), Analyst, 1957, 82, № 980, 734—742 (англ.)

Описан метод, основанный на хлорировании газобразным  $\text{Cl}_2$  (не содержащим  $\text{O}_2$ ) смеси анализируемого материала (~5 г) с графитом при 825° в токе  $\text{Ar}$ . В этих условиях  $\text{Ti}$  хлорируется до  $\text{TiCl}_4$ , а содержащийся в нем  $\text{O}$  взаимодействует с  $\text{C}$  с образованием  $\text{CO}$  и частично  $\text{COCl}_2$ . Выходящие из реакционной трубки газы поступают в колонку, наполненную металл.  $\text{Sb}$  (в виде палочек); образующийся при этом  $\text{SbCl}_5$  конденсируется и поступает в спец. ловушку. Для перевода  $\text{CO}$  и  $\text{COCl}_2$  в  $\text{CO}_2$  смесь газов пропускают через трубки, наполненные  $\text{MnO}_2$  и  $\text{CuO}$ ; образующийся  $\text{CO}_2$  количественно поглощают аскаритом в поглотительной трубке. По приресту трубки определяют кол-во выделяющегося  $\text{CO}_2$ ; 1 мг  $\text{CO}_2$  соответствует 0,3636 мг  $\text{O}$ . Продолжительность определения ~2,5 часа. При определении  $\text{O}$  в  $\text{Ti}$  и  $\text{Ti}$ -сплавах получены результаты, хорошо совпадающие с данными метода вакуум-плавления. Описанный метод, в отличие от метода вакуум-плавления, пригоден также для определения  $\text{O}$  в  $\text{Ti}$ -сплавах, содержащих  $\text{Mn}$ .

А. Немодрук  
28479. Изотопные вариации серы в природе. Часть 1. Приготовление двуокиси серы для масс-спектрометрического анализа. Рафтер (Sulphur isotopic variations in nature. Part 1. The preparation of sulphur dioxide for mass spectrometer examination. Rafter T. A.), N. Z. J. Sci. and Technol., 1957, 838, № 8, 849—857 (англ.)

Описан простой и почти колич. метод приготовления  $\text{SO}_2$  из различных  $\text{S}$ -содержащих соединений. Образцы или прямо сжигают до  $\text{SO}_2$  (пириты, сульфиды и др.) или  $\text{S}$  в образце (каменный уголь) количественно превращают в сульфат, осаждают в форме  $\text{BaSO}_4$ , восстанавливают графитом до  $\text{BaS}$ , осаждают в форме  $\text{Ag}_2\text{S}$ , сжигают в токе  $\text{O}_2$  и получают  $\text{SO}_2$ , содержащую < 2%  $\text{CO}_2$  и пригодную для масс-спектрометрич. определения отношения изотопов  $\text{S}^{32}/\text{S}^{34}$ .

Э. Чудинов  
28480. Метод определения серы в различных материалах восстановлением парами цинка. Куратов М. С., Заводск. лаборатория, 1957, 23, № 11, 1294—1296

Описан метод определения  $\text{S}$  в минералах, рудах и углях, основанный на превращении ее в  $\text{SO}_4^{2-}$ , восстановлении  $\text{SO}_4^{2-}$  парами  $\text{Zn}$  до  $\text{S}^{2-}$  и йодометрич. определении  $\text{H}_2\text{S}$ . Анализируемую пробу (3—5 мг  $\text{S}$ ), не содержащую полисульфидов,  $\text{Sb}$ ,  $\text{As}$ ,  $\text{Pb}$ ,  $\text{Mg}$  и  $\text{P}$ , смешивают с 0,5 г смеси Эшке, вводят 0,5—0,8 г металлическ.  $\text{Zn}$ , засыпают сверху смесью Эшке и нагревают при 920—950° до прекращения выделения паров  $\text{Zn}$ . В присутствии полисульфидов, элементарной  $\text{S}$ ,  $\text{As}$ ,  $\text{Sb}$ ,  $\text{Pb}$  и  $\text{Mg}$  пробу предварительно смешивают

с 0,5 г  $\text{Zn}$ -порошка и несколькими кристалликами  $\text{SnCl}_2$ . Тигель охлаждают, переносят в аппарат для отгонки  $\text{H}_2\text{S}$  и разлагают сульфиды действием  $\text{HCl}$  при одновременном пропускании  $\text{CO}_2$  или без пропускания  $\text{CO}_2$  в присутствии металл.  $\text{Zn}$  или  $\text{Cd}$ . Выделяющийся  $\text{H}_2\text{S}$  собирают в 5%-ный р-р  $\text{Cd}(\text{CH}_3\text{COO})_2$  в 25%-ной  $\text{CH}_3\text{COOH}$  и кол-во образующегося при этом  $\text{CdS}$  определяют йодометрически. Описанный метод дает результаты, удовлетворительно совпадающие с данными других методов, и имеет перед ними преимущество в скорости (продолжительность одного определения 1,5 часа).

Р. Моторкина

28481. Определение серы в стеклах. Вильямс, Фарнком, Маллокка (Determination of sulfur in glass. Williams J. P., Farncomb F. J., Magliocca Theresa S.), J. Amer. Ceram. Soc., 1957, 40, № 10, 352—354 (англ.)

Для быстрого определения общей  $\text{S}$  (0,01—1,0%  $\text{SO}_3$ ) применен метод сжигания в печи с индукционным нагревом. К 0,5—1,0 г анализируемого стекла в циркононом тигле прибавляют по 1,3 г  $\text{Sn}$ - и  $\text{Fe}$ -катализаторов (в виде стружек). Если в стекле содержится  $\text{As}$ , то к пробе прибавляют, кроме того ~0,4 г  $\text{MgO}$ . Тигель нагревают, помещают в аппарат для сжигания и производят сжигание в течение 6 мин. при скорости пропускания  $\text{O}_2$  1 л/мин. Для титрования  $\text{S}$  применяют автоматич. титратор. Полученные результаты удовлетворительно совпадают с данными классич. метода (осаждение в форме  $\text{BaSO}_4$ ) и метода рентгеновской флуоресценции. При определении сульфидной  $\text{S}$  к 3,0 г стекла, содержащего 0,05—0,1%  $\text{S}^{2-}$ , в  $\text{Pt}$ -чашке прибавляют 40 мл 1%-ного р-ра  $\text{CH}_3\text{COOAg}$  и 40 мл 48%-ной  $\text{HF}$ , перемешивают, нагревают 30 мин. на паровой бане, охлаждают и фильтруют через фильтровальную бумагу при слабом отсасывании. Осадок промывают 3 раза 5%-ной  $\text{HF}$  и 10 раз водой. Если присутствует  $\text{Cl}^-$ , осадок, кроме того, промывают 5 раз 5%-ным  $\text{NH}_4\text{OH}$  и несколько раз водой. Осадок с фильтром обрабатывают 5 мл 36 н.  $\text{H}_2\text{SO}_4$  и 12 н.  $\text{HNO}_3$ , выпаривают до появления паров  $\text{H}_2\text{SO}_4$ , охлаждают, разбавляют водой до 200 мл и  $\text{Ag}$  оттитровывают потенциометрически ( $\text{Ag-Cl}$  и  $\text{Au}$ -электроды) 0,02 н. р-ром  $\text{NH}_4\text{SCN}$ . Вводят поправку на  $\text{Br}^-$ ,  $\text{J}^-$  и селениды.

Л. Горин

28482. Применение обменных реакций осаждения в аналитической химии. III. Определение сульфат- и сульфид-ионов. Эрден, Баньян (Csapadékcseréléses reakciók alkalmazása az analitikai kémiaiában. III. Szulfát- és szulfidionok meghatározása. Erdey László, Bánai Éva), Magyar tud. akad. Kém. tud. oszt. közl., 1956, 7, № 2, 187—198 (венг.)

См. РЖХим, 1957, 8534.

28483. Полярографическое определение сульфата в электролитической двуокиси марганца. Мураки, Кондо, Танабэ (Muraki Ichiro, Kondo Hiroshi, Tanabe Tomoko), Kore kagaku daasshi, J. Chem. Soc. Japan. Industr. Chem. Sec., 1957, 60, № 9, 1096—1098 (японск.)

Описан косвенный метод определения  $\text{SO}_4^{2-}$ , при котором после растворения  $\text{MnO}_2$  в  $\text{HCl}$  ионы  $\text{SO}_4^{2-}$  количественно осаждают в форме  $\text{PbSO}_4$ , осадок  $\text{PbSO}_4$  растворяют в р-ре  $\text{CH}_3\text{COONH}_4$  и в полученном р-ре  $\text{Pb}^{2+}$  определяют полярографически. Установлено, что растворимость  $\text{PbSO}_4$  увеличивается с повышением конц-ии  $\text{MnCl}_2$  при постоянной конц-ии  $\text{C}_2\text{H}_5\text{OH}$ , добавляемого для уменьшения растворимости  $\text{PbSO}_4$ . Хорошие результаты получаются при конц-ии  $\text{MnCl}_2$  < 0,06 моль/л, и конц-ии  $\text{C}_2\text{H}_5\text{OH}$  10%. При содержании в пробе < 10 мг  $\text{SO}_4^{2-}$  ошибка определения увеличивается в сторону отрицательных значений. В этом случае для получения удовлетворительных

результатов кол-во  $\text{SO}_4^{2-}$  в анализируемом р-ре под-держивают на уровне  $> 20$  мг добавлением стандартного р-ра  $\text{Na}_2\text{SO}_4$ .

Ким Су Ен  
28484. Определение теллура в свинце и свинцовых сплавах. Флетчер, Уордл (The determination of tellurium in lead and lead alloys. Fletcher N. W., Wardle R.), Analyst, 1957, 82, № 980, 743—746 (англ.)

Описан метод определения Те, основанный на фотометрировании р-ров бромида Те в НВг. Около 2 г анализируемого материала растворяют в 5%-ном р-ре  $\text{Br}_2$  в 46—48%-ной НВг, кипятят 5 мин. для удаления  $\text{Br}_2$ , охлаждают до  $\sim 80^\circ$ , прибавляют 5 мл 25%-ного р-ра  $\text{SnBr}_2$ , хорошо размешивают и оставляют на 1 час. Выпавший элементарный Те отфильтровывают через фильтрующий тигель № 4 и промывают сначала спец. р-ром для промывания (40 мл 46—48%-ной НВг + 20 мл 25%-ного р-ра  $\text{SnBr}_2$  + вода до 200 мл), а затем водой. Отключают вакуум, в тигель вносят 10 мл 5%-ного р-ра  $\text{Br}_2$  в 46—48%-ной НВг, через 3—4 мин. (после растворения всего Те) включают вакуум и отсасывают р-р в чистую колбу. Для удаления мешающих элементов (Sb, As, частично Se) в форме их летучих бромидов р-р упаривают до  $\sim 3$  мл, охлаждают, прибавляют 35 мл 46—48%-ной НВг, 5 мл 10%-ного р-ра аскорбиновой к-ты (для удаления  $\text{Br}_2$ , содержащегося в НВг и затрудняющего последующее определение Те вследствие собственного светопоглощения), разбавляют водой до 50 мл и фотометрируют при 442 мμ. Из найденного значения оптич. плотности вычитают величину оптич. плотности, полученную для р-ра контрольного опыта, и по калибровочному графику находят содержание Те. Метод пригоден для определения 0,005—0,02% Те; Se мешает.

А. Немодрук

28485. Быстрое определение микроколичеств фтора комбинационным методом дистилляции и абсорбции. Балцо, Доплер, Ланик (Eine rasche Fluor-Mikrobestimmung durch Destillation und Absorption. Balczó H., Doppler G., Lanik A.), Mikrochim. acta, 1957, № 6, 809—822 (нем.; рез. англ., франц.)

Описан эффективный аппарат для отгонки с водяным паром  $< 500$  γ F и поглощения F титрованным р-ром  $\text{AlCl}_3$ , содержащим  $\text{NaNO}_3$ , стадия выпаривания дистиллята при этом исключается. Полнота извлечения F не зависит от скорости дистилляции. Для определения F непрореагировавший Al фотометрируют при 550 мμ в форме окрашенного лака Al с хромазуролом S в спирт. р-ре. Ge, B, Se и Te определению не мешают. As, Mn и Cr перед дистилляцией окисляют. В присутствии  $\text{Cl}^-$  и  $\text{S}^{2-}$  к анализируемому р-ру добавляют  $\text{AgNO}_3$ , а в аппарат вводят  $\text{Ag}$ -спираль. Колл.  $\text{SiO}_2$  связывают в комплекс добавлением  $\text{ZrOCl}_2$ .

Н. Чудинова

28486. Применение обменных реакций осаждения в аналитической химии. II. Определение хлоридов. Эрдей, Баньян (Csapadéscseréléses reakciók alkalmazása az analitikai kémiában. II. Kloridionok meghatározása. Erdey László Bányai Éva), Magyar tud. akad. Kém. tud. ost. közl., 1956, 7, № 2, 175—186 (венг.)

См. РЖХим, 1957, 1257.

28487. Открытие следовых количеств хлоридов в чистых химикалиях. Фейгль, Гольдштейн, Росселл (Nachweis von Spuren Chlorid in Feinchemikalien. Feigl F., Goldstein D., Rosell R. A.), Z. analyt. Chem., 1957, 158, № 6, 421—427 (нем.)

Описан метод, основанный на окислении  $\text{Cl}^-$  до свободного  $\text{Cl}_2$  и на последующем взаимодействии  $\text{Cl}_2$  с 4,4'-бис-диметиламинобензофеноном (I), сопровождающемся переходом желтой окраски I в го-

лубую. К 5—100 мг анализируемого препарата или 1 капле нейтр. или слабощел. р-ра (в последнем случае р-р выпаривают досуха) в микропробирке прибавляют 4 капли насыщ. р-ра  $\text{K}_2\text{Cr}_2\text{O}_7$ , в конц.  $\text{H}_2\text{SO}_4$  и перемешивают. Отверстие микропробирки закрывают кружочком фильтровальной бумаги, пропитанной 0,1%-ным бензольным р-ром I, и микропробирку погружают на  $\sim 3/4$  высоты в кипящую водяную баню. В присутствии  $\text{Cl}^-$  на бумаге в течение 0,5—4 мин. образуется голубое пятно. Открываемый минимум 0,2 γ  $\text{Cl}^-$ . Аналогичную цветную р-цию с I дают  $\text{Br}^-$  и  $\text{J}^-$ . Открытию  $\text{Cl}^-$  мешают также  $\text{NO}_3^-$ ,  $\text{NO}_2^-$  и  $\text{MoO}_4^{2-}$ . При открытии  $\text{Cl}^-$  в нитратах и нитритах тяжелых металлов пробы предварительно разлагают прокаливанием. При открытии  $\text{Cl}^-$  в роданидах, цианидах, ферро- и феррицианидах пробы предварительно растворяют, в полученных р-рах осаждают  $\text{Cl}^-$  при помощи  $\text{AgNO}_3$ , осадки отфильтровывают, промывают, высушивают, прокалывают и в полученных остатках открывают  $\text{Cl}^-$ , как описано выше. Высказаны некоторые соображения о механизме р-ции.

А. Немодрук

28488. Потенциометрическое определение йодида и йода в йод-йодидных растворах. Майер, Томаш (Potenciometrické stanovenie jodidu a jodu v jód-jodidových roztokoch. Majer J., Tomášch E.), Ceskosl. farmac., 1957, 6, № 7, 380—383 (словацк.; рез. русск., англ., нем.)

Описаны 3 различных метода определения J и J $^-$  в одном и том же р-ре с использованием при каждом методе одного титрующего р-ра. При перманганатометрич. методе, применяемом только в отсутствие органич. в-в, анализируемый р-р, содержащий по 0,02 г-экв J и J $^-$  каждый, смешивают с 25 мл 8 н.  $\text{H}_2\text{SO}_4$  и 30 мл лед.  $\text{CH}_3\text{COOH}$ , разбавляют водой до 100 мл, отбирают аликвотную порцию р-ра и титруют потенциометрически 0,02 н. р-ром  $\text{KMnO}_4$ . После достижения 1-го скачка потенциала к этому же р-ру прибавляют 10 мл 0,5 н. KCN или 10 мл ацетона и продолжают титрование 0,02 н. р-ром  $\text{KMnO}_4$  до 2-го скачка потенциала. Введение  $\text{CH}_3\text{COOH}$  в титруемый р-р предотвращает улетучивание J $_2$ . Авторы отрицают возможность образования J $^+$  при титровании и считают, что J $_2$  реагирует с KCN с образованием KCN и J $^-$ , а с ацетоном — с образованием  $\text{CH}_3\text{COOCH}_2\text{J}$ , J и H $^+$ . 1 г-экв  $\text{KMnO}_4$  соответствует 2 г-экв J $^-$ . При йодатометрич. методе анализируемый р-р смешивают с 25 мл 8 н.  $\text{H}_2\text{SO}_4$ , 50 мл лед.  $\text{CH}_3\text{COOH}$ , разбавляют водой до 100 мл и аликвотную порцию р-ра титруют 0,05 н. р-ром  $\text{KJO}_3$ . После достижения 1-й точки эквивалентности к этому же р-ру прибавляют 20 мл 25%-ной  $\text{HCl}$  и продолжают титрование до 2-й точки эквивалентности.  $\text{HCl}$  связывает J $_2$  с образованием  $\text{JCl}$  и J $^-$ . 1 г-экв  $\text{KJO}_3$  соответствует 2,5 г-экв J $^-$ . При аргентометрич. методе анализируемый р-р смешивают с 50 мл  $\text{C}_2\text{H}_5\text{OH}$  (для предотвращения улетучивания J $_2$ ), 25 мл 8 н.  $\text{H}_2\text{SO}_4$ , 10 г  $(\text{NH}_4)_2\text{SO}_4$ , разбавляют водой до 100 мл и аликвотную порцию р-ра титруют 0,05 н. р-ром  $\text{AgNO}_3$ . После достижения 1-й точки эквивалентности прибавляют 10 мл ацетона и продолжают титрование до 2-й точки эквивалентности.

Н. Туркевич

28489. Новый метод определения йодата и бромата в их смеси. Эпик П. А., Орочко А. И., Изв. Киевск. политехн. ин-та, 1957, 20, 90—94

Разработан быстрый и точный метод определения  $\text{BrO}_3^-$  и  $\text{JO}_3^-$  при их совместном присутствии в любых кол-вах, основанный на различии противокислотной устойчивости этих окислителей. 20 мл р-ра  $\text{BrO}_3^-$  и  $\text{JO}_3^-$  кипятят в течение 10 мин. с 20 мл конц.  $\text{H}_2\text{SO}_4$  (при этом  $\text{BrO}_3^-$  полностью разрушается, а  $\text{JO}_3^-$  остается без изменения), охлаждают, раз-



бавляют водой до 100 мл, добавляют KJ и выделяют иод. Иод оттитровывают р-ром  $\text{Na}_2\text{S}_2\text{O}_3$ . Кол-во  $\text{BrO}_3^-$  находят по разности между результатами титрования суммы  $\text{BrO}_3^- + \text{IO}_3^-$  до кипячения анализируемого р-ра с  $\text{H}_2\text{SO}_4$  и титрования одного  $\text{IO}_3^-$  после кипячения р-ра с  $\text{H}_2\text{SO}_4$ .

Н. Чудинова  
28490. Новый метод фотометрического микроопределения цианидов. Кралич, Мате (Eine neue Methode für fotometrische Mikrobestimmung von Cyaniden. Kraljić I., Mate M.), Bull. scient. Conseil acad. RPFY, 1957, 3, № 3, 75 (нем.)

Сообщается о новом методе определения  $\text{CN}^-$ , который основан на ингибирующем действии  $\text{CN}^-$  на р-цию между  $\text{Fe}(\text{CN})_6^{4-}$  и нитробензолом, катализируемую ртутью. Кол-во образующегося по этой р-ции фиолетового комплекса  $[\text{Fe}(\text{CN})_5\text{C}_6\text{H}_5\text{NO}]^-$  зависит от конц-ии Hg; зависимость конц-ии окрашенного комплекса от конц-ии  $\text{CN}^-$  — линейная. Уменьшение экстинкции измеряют на спектрофотометре при 528 мμ или на фотометре с зеленым светофильтром.

Л. Горин  
28491. К открытию цианида на основе реакции образования берлинской лазури. Лесса-Баэтос (Contribuição á identificação do cianeto pela reação do azul da prússia. Lessa Bastos Milton), Engenharia e quim., 1957, 9, № 3, 9—10 (порт.)

При открытии  $\text{CN}^-$  на основе р-ции образования берлинской лазури для устранения желтой окраски, обусловленной ионами  $\text{Fe}^{3+}$  и мешающей наблюдению за окраской берлинской лазури, рекомендуется анализировать р-р последовательно прибавлять 2 капли р-ра Fe-содержащего реактива, р-р КОН до перехода цвета осадка в каштановый и 1 каплю конц.  $\text{H}_2\text{PO}_4$ .

И. Крауз  
28492. Амперометрическое определение амидосульфоновой кислоты и нитрита. Готфрид, Новак (Polarometrické stanovení kyseliny amidosulfonové a dusitanu. Gottfried Jaroslav, Novák Jiří V. A.), Chem. průmysl, 1957, 7, № 9, 476—478 (чешск.; рез. русск., англ.)

Описан амперометрич. метод титрования  $\text{NH}_2\text{SO}_3\text{OH}$  р-ром  $\text{NaNO}_2$  в среде 0,1 н. HCl, пригодный для производственного контроля и для определения небольших кол-в  $\text{NH}_2\text{SO}_3\text{OH}$  в присутствии имидосульфонов, а также в отходных щелоках, содержащих значительные кол-ва  $\text{H}_2\text{SO}_4$  и сульфатов. Описан также амперометрич. метод определения  $\text{NO}_2^-$  в присутствии  $\text{NO}_3^-$ .

Резюме авторов  
28493. Определение воды с помощью реактива Карла Фишера. Керстен (Wasserbestimmung mit Karl—Fischer—Lösung. Kerstan W.), Pharmazie, 1957, 12, № 11, 711—718 (нем.)

Обзор. Библ. 43 назв. Ф. Судаков  
28494. Применение экстратирования в химическом контроле материалов металлургического производства. Жаровский Г. Г., Тр. Научно-техн. о-ва черной металлургии. Укр. респ. правл., 1956, 4, 138—148

Обзор. Библ. 85 назв. Н. Чудинова

28495. Основы, методы и применение спектрального анализа к металлам. Джанке (Principi, metodi ed apparecchiature dell'analisi spettrale di emissione. Junkes S. J., Joseph), Metallurgia ital., 1957, 49, № 6, 399—404 (итал.; рез. англ., нем., франц.)

Для измерения т-ры паров дуги между металлич. электродами использован сплошной спектр, излучаемый дугой. Наиболее простой способ состоит в измерении отношения  $I/I_0$  в определенной спектральной области для данного источника и сравнении полученного распределения интенсивности с эмиссионными характеристиками какого-либо изученного источника

(«серого» тела), напр. водородной лампы в области 2300—3300 Å или угольной дуги в видимой области. Для перехода от потертостей к интенсивностям фотоэмульсия калибруется. Изучение дуг, горящих между Al-, Mg- и Cu-электродами, показывает, что сплошной фон в спектре от 2300 до 3500 Å имеет нетермич. природу. Метод применим также к различным пламенам.

Б. Львов  
28496. Использование соосаждения для получения аналитических концентратов Cd, Pb, Bi и Zn при анализе сплавов. Бабю А. К., Марченко П. В., Заводск. лаборатория, 1957, 23, № 11, 1278—1283

Описаны условия концентрирования микропримесей (до 10<sup>4</sup>%) Cd, Bi, Pb и Zn соосаждением их в форме сульфидов с HgS или NiS при определении этих элементов в W-Ni- или Mo-Ni-сплавах. При анализе W-Ni-сплавов сульфиды Cd, Bi, Pb и Zn можно выделить количественно в кислой среде (pH 2—3) с коллектором HgS в присутствии винной к-ты и в аммиачной среде (pH 10) с коллектором NiS сероводородной водой в присутствии пиридина или тиацетамидов. В 1-м случае примеси отделяются полностью от W и Ni, во 2-м случае от W полностью, от Ni частично. При анализе Mo-Ni-сплавов осаждение микропримесей в форме сульфидов возможно лишь в аммиачной среде. Осаждение Zn во всех случаях недостаточно полно. Применение при осаждении микропримесей комплексобразующего реактива — пиридина — и медленно действующего осадителя — тиацетамидов — обуславливает медленное формирование осадков сульфидов и способствует, таким образом, колич. осаждению микропримесей Pb, Cd и Bi в присутствии больших кол-в основных компонентов. Описаны способы очистки реактивов и фильтров, применяемых в процессе концентрирования микропримесей.

Р. Моторкина  
28497. Определение карбидов в нержавеющей стали методом электролиза. Шапиро М. М., Заводск. лаборатория, 1957, 23, № 11, 1292—1294

Описаны условия наиболее полного выделения карбидов при электролитич. растворении нержавеющей стали. Электролиз проводят в течение 30—45 мин. при плотности тока 0,6—0,7 А/см<sup>2</sup>. В качестве электролита используют р-р 15%-ный по NaCl и 2,5%-ный по винной или лимонной к-те, а в качестве катода — Cu-пластинку, изогнутую по стенке ванны. Кол-во электролита на каждый образец стали длиной 50 мм и диам. 10 мм составляет 4 л. Выход по току (кол-во растворенной стали на единицу кол-ва электричества) при электролизе описанным методом больше, чем при электролизе методом Саверини (Физико-химические методы исследования металлов. ЦНИИТМАШ, Машгиз, 1950, стр. 168—181), что приводит к сокращению продолжительности электролиза, а следовательно и к наиболее благоприятному протеканию процесса электролиза (длительный электролиз всегда приводит к изменению карбидного осадка за счет побочных р-ций).

Р. Моторкина

28498. Сравнение соляной и серной кислот как растворителей при определении азота в железе и стали. Икэгами, Нагаока, Ямаэки (Тацу хаганз, J. Iron and Steel Inst. Japan, 1957, 43, № 9, 951—953 (японск.)

Установлено, что образцы железа и стали растворяются в HCl быстрее, чем в  $\text{H}_2\text{SO}_4$ , при содержании в образцах < 0,1% С. При содержании > 0,1% С, наоборот, образцы растворяются быстрее в  $\text{H}_2\text{SO}_4$ , чем в HCl. Результаты определения N, полученные при использовании в качестве р-рителей HCl и  $\text{H}_2\text{SO}_4$ , совпадают между собой при содержании до 0,2% С. При содержании > 0,2% С для образцов, растворен-

ных в  $H_2SO_4$ , получаются несколько завышенные (на 0,001%) результаты, если определение N заканчивается титрованием. При фотометрич. определении N получаются совпадающие результаты во всех случаях, причем эти результаты близко подходят к данным титриметрич. метода, полученным при использовании  $HCl$  в качестве р-рителя.

28499. Фотометрическое определение ванадия и титана в легированных сталях. Корошин, Гауч (Fotometrično določanje vanadija in titana v plemenitih jeklih. Korošin Janez, Gautsch Otmar), Tehnika, 1957, 12, № 12, Rud. i metalurg., 8, № 12, 287—290 (словенск.; рез. англ.)

Обсуждаются фотометрич. методы определения V и Ti в низколегированных Cr—W-сталях и высоколегированных Cr—Ni-сталях. Особое внимание обращается на вопросы, касающиеся мешающего влияния других элементов и составления калибровочных графиков. В качестве иллюстраций приводятся эксперим. данные.

Резюме авторов  
28500. Влияние структуры сплава ВЛ7-45У на результаты спектрального анализа. Грикит И. А., Заводск. лаборатория, 1957, 23, № 11, 1341—1346

Приведены результаты анализа различных проб жаропрочного сплава ВЛ7-45У, отличающихся одна от другой условиями отливки и термич. обработки. Спектр возбуждали в конденсированной искре по схеме Райского при емк. 0,01 мф и самондукции 0,01 мкс с постоянным угольным электродом. Аналитич. линии (в А): Cr 2853,2 — Ni 2863,7, W 2397,0 — Ni 2392,5/1, Fe 2399,2 — Ni 2392,5/1, Mn 2558,5 — Ni 2583,9, Si 2516,1 — Ni 2583,9. В пробах, отлитых в землю, найдены более высокие конц-ии W, Cr и Fe, чем в пробах, отлитых в кокиль. Применение более жесткого разряда ( $L=0$ ) с угольным и Cu-электродами также не приводит к совпадению конц-ий у проб, прошедших различные литейную и термич. обработки. Только Cu-электрод со сферой радиуса 1 мм устраняет это различие. Для выяснения причин указанного различия произвели обсыкивание в атмосфере Ar. Процесс обсыкивания в Ar развивается медленнее, чем в воздухе, что связано с расширением пятна обсыкивания из-за отсутствия окислов. Металлографич. исследованием установлено наличие менее крупных зерен и менее крупных карбидных выделений на границе зерен в пробах, отлитых в кокиль, по сравнению с пробами, отлитыми в землю. В процессе обсыкивания как в воздухе, так и в Ar в-во расходует быстрее по границам зерен и из междендритных пространств, что особенно сильно выражено у крупнозернистых сплавов, отлитых в землю. Более мелкозернистый кокильный сплав не обнаруживает селективности обсыкивания. Следовательно, влияние структуры сплава не объясняется только процессами окисления. При применении Cu-электрода с малым радиусом кривизны быстрее заканчивается процесс обсыкивания и наступает разрушение всех компонентов структуры вследствие ограничения пятна обсыкивания слоем окислов.

Г. Кибицов  
28501. Спектральный метод определения железа, марганца, магния, кремния и свинца в мельхиоре марки МН-19. Волкогон Г. М., Смирнова Г. Д., Рогов В. И., Заводск. лаборатория, 1957, 23, № 11, 1337—1338

Спектры возбуждают в дуговом разряде переменного тока с верхним угольным электродом и фотографируют на среднем кварцевом спектрографе. Аналитич. линии (в А): Si 2881,0; Pb 2833,0; Mg 2779,3 и общая линия сравнения Cu 2883,06; Fe 3075,7; Mn 2933,06 и общая линия сравнения Cu 3073,8. Продолжительность анализа одной пробы  $\leq 45$  мин. Г. Кибицов

28502. Простой метод выделения титана, ниобия и тантала из твердых сплавов. Ласснер, Вейссер (Einfache Methode zur Abtrennung von Titan, Niob und Tantal aus Hartmetallen. Lassner E., Weisser H.), Z. analyt. Chem., 1957, 157, № 5, 343—345 (нем.)  
Описан метод выделения Ti, Nb и Ta из твердых сплавов на основе WC—TiC—Co и WC—TiC—TaC(NbC)—Co осаждением аммиаком. Соосаждение незначительных кол-в W, Fe и Co предотвращают добавлением комплексона III и глицерина. 0,5 г анализируемого образца обрабатывают азотной к-той (уд. в. 1,74), разбавляют водой, добавляют 10 мл глицерина, 150 мл 25%-ного  $NH_4OH$ , 150 мл воды, 1 г комплексона III, кипятят 5 мин., осадок отфильтровывают через плотный фильтр, прокаливают при 1000° и взвешивают. Относительная ошибка определения не превышает  $\pm 1\%$ .

Р. Моторкина  
28503. Спектральный анализ цинка высокой чистоты с применением вакуумной сублимации. Шварц Д. М., Капорский Л. Н., Заводск. лаборатория, 1957, 23, № 11, 1309—1313

Перед анализом производят обогащение примесей Cu, Sn, Sb, Bi и Pb методом, основанным на различии упругости паров Zn и указанных примесей. Навеску цинка 4—5 г помещают в ампулу из жаростойкого стекла с водяным холодильником и создают вакуум  $3\text{--}5 \cdot 10^{-2}$  мм рт. ст. При нагревании ампулы в печи при 500° Zn возгоняется и конденсируется на холодильнике, а на дне ампулы образуется остаток в виде пленок  $ZnO$ , в которых концентрируются примеси Cu, Bi, Fe, Al, Sb, Sn, Ni, Pb. Продолжительность возгонки 2 часа. Исследована зависимость продолжительности возгонки от т-ры и веса остатка. При помощи радиоактивных изотопов установлено, что в остатке концентрируется 80—90% Sn и Sb и 90—98% Fe и Co. Эталоны готовят синтетически сплавлением Zn с примесями или в виде порошков внесением р-ров солей примесей в р-р  $Zn(NO_3)_2$ . Литые эталоны анализируют химически и корректируют по эталонам — порошкам. Остаток из ампулы взвешивают и помещают в канал угольного электрода diam. 4 мм и глубиной 3 мм. Верхний электрод также угольный. Торцы электродов для очистки прокалывают током в 250—300 а. Спектр возбуждают в дуге постоянного тока при 7 а с промежуток в 4 мм при включении угля с пробой анодом. Экспозиция 40 сек. обеспечивает полное испарение в-ва. Спектры фотографируют на среднем спектрографе на пластинках «спектральные», тип II, чувствительностью 16 ед. ГОСТ. Анализ ведут по твердым градуировочным графикам в координатах  $\Delta S$ ,  $\lg C$ . Вероятная ошибка анализа 20—25%. Вследствие незначительного различия в упругости паров Zn и Cd кадмий определяют без предварительного обогащения по линии 2288,0 А с чувствительностью  $1\text{--}2 \cdot 10^{-5}\%$ . Кусочки металла помещают в канал электрода. Спектр возбуждают в дуге переменного тока при 9 а. Пластинки «спектральные», тип III.

Г. Кибицов  
28504. Систематический анализ алюминиевых сплавов с применением метода хроматографии на колонке с целлюлозой. Сообщение II. Количественный анализ. Вентурелло, Ге (Analisi sistematica di leghe di alluminio mediante cromatografia di eluzione da colonne di cellulosa. Nota II. Analisi quantitativa. Venturullo Giovanni, Ghe Anna Maria), Ann. chimica, 1957, 47, № 7-8, 919—928 (итал.)  
Предварительное разделение наиболее важных компонентов Al-сплавов (Mn, Mg, Cu, Fe, Zn, Ni и Cr) производят хроматографич. методом, описанным в сообщении I (РЖХим, 1958, 24874). 0,25 г пробы растворяют при нагревании на песчаной бане в 6—7 мл  $HCl$  (1:1) и р-р разбавляют соляной к-той (1:1)



до 10 мл. Для хроматографирования используют 0,4 мл полученного р-ра. Для определения Mn к соответствующему элюату прибавляют 0,2 мл конц.  $\text{HNO}_3$ , 0,2 мл  $\text{H}_2\text{SO}_4$  (1:50), 0,2 мл конц.  $\text{H}_3\text{PO}_4$ , 4 капли 0,1 н.  $\text{AgNO}_3$  и 0,5 г  $(\text{NH}_4)_2\text{S}_2\text{O}_8$ , нагревают 20 мин. при 70–80° и фотометрируют при 530 мμ. Для определения Ni к соответствующему элюату прибавляют 2 мл  $\text{HCl}$  (1:20), 1 мл аммиачного р-ра цитрата аммония (2 г цитрата аммония растворяют в 10 мл воды и к р-ру прибавляют 10 мл  $\text{NH}_4\text{OH}$ , 1:1), 1 мл бромной воды (1,5 мл  $\text{Br}$  в 100 мл воды при 60°), 1,7 мл  $\text{NH}_4\text{OH}$  (1:10) до обесцвечивания р-ра от  $\text{Br}$ , а затем еще 0,3 мл  $\text{NH}_4\text{OH}$  (1:10) до pH 9–10, 1%-ный р-р диметилглиоксима в разб.  $\text{C}_2\text{H}_5\text{OH}$  (4:1) и фотометрируют при 530 мμ. Для определения Mg соответствующий элюат нагревают 5 мин. при 80–90°, прибавляют 10 мл диоксана, 5 мл 5%-ного р-ра желатинаты, 4 мл 0,01%-ного спирта р-ра хиализарина и 15 мл 5%-ного р-ра  $\text{KOH}$ , разбавляют водой до 30 мл и фотометрируют при 644–700 мμ. Для определения Cr соответствующий элюат кипятят 2 часа с 0,5 г  $\text{Na}_2\text{O}_2$ , поддерживая общий объем р-ра постоянным прибавлением воды до 25 мл, затем р-р упаривают до 20 мл, выдерживают 7–8 час. (рН р-ра ~10–11), подкисляют с помощью 0,5 мл 6 н.  $\text{H}_2\text{SO}_4$  до pH ~2–3, прибавляют 2–3 мл реактива (смесь 1 мл 6 н.  $\text{H}_2\text{SO}_4$  с 1 мл 0,5%-ного ацетонового р-ра дифенилкарбазида), разбавляют водой до определенного объема и фотометрируют при 644–700 мμ. Для определения Cu к соответствующему элюату прибавляют 8 мл  $\text{NH}_4\text{OH}$  (1:9) до pH ~9–10, 0,5 мл  $\text{CH}_3\text{COONH}$  (1:1) до pH ~5, 1 мл 2%-ного р-ра желатинаты, 6 мл теплой (80–90°) воды и 1 мл 0,1%-ного спирта р-ра рубановодородной к-ты, разбавляют водой до 90 мл, добавляют 1 мл  $\text{C}_2\text{H}_5\text{OH}$ , 1 мл 2%-ного р-ра желатинаты и фотометрируют при 644–700 мμ. Для определения Zn соответствующий элюат разбавляют ацетилацетоном до 25 мл, из 5 мл полученного р-ра извлекают Zn и Fe взбалтыванием с 8 мл 0,11 н.  $\text{HCl}$  и водн. слою прибавляют 3 мл  $\text{HCl}$  (1:9), 10 мл 6%-ного р-ра купферона, извлекают Fe с помощью 40 мл эфира, к водн. слою прибавляют 30 мл 0,5 М  $\text{CH}_3\text{COONa}$  и 30 мл буферного р-ра с pH ~5,5–5,7 (15 капель 12,5%-ного р-ра  $\text{NH}_4\text{OH}$  и 1,5 мл 5%-ного р-ра оксалата аммония + 15 мл 5%-ного р-ра  $\text{KCN}$  + +35 мл 1 н.  $\text{HCl}$  + 235 мл 5%-ного р-ра  $\text{CH}_3\text{COONa}$  + +120 мл 50%-ного р-ра  $\text{Na}_2\text{S}_2\text{O}_3$  + вода до 500 мл), производят 10–12-кратное экстрагирование с помощью 10 мл  $\text{CCl}_4$  до полного обесцвечивания водн. слоя, извлекают Zn из водн. слоя с помощью 5 мл 0,002%-ного р-ра дитизона в  $\text{CCl}_4$  и 3–4 мл чистого  $\text{CCl}_4$  и фотометрируют слой  $\text{CCl}_4$  с зеленым светофильтром. Для определения Fe 5 мл соответствующего элюата разбавляют ацетилацетоном до 25 мл, прибавляют 8 мл 0,1 н.  $\text{HCl}$ , 10 мл 50%-ного р-ра  $\text{KNCS}$ , 20 мл эфира, взбалтывают, водн. слой еще раз взбалтывают с 20 мл эфира, эфирные экстракты разбавляют эфиром до 95 мл и через 45 мин. с момента прибавления  $\text{KSCN}$  фотометрируют при 509 мμ. Ошибка определения всех указанных элементов колеблется от ±0,02 до ±0,04%.

Н. Туркевич

28505. Спектральный анализ сплавов на основе титана. Моисеева К. А., Сухенко К. А., Младенцева С. И., Аксенова А. В., Заводск. лаборатория, 1957, 23, № 11, 1316

Спектры возбуждают в высоковольтной конденсированной искре от генератора ИГ-2, включенного по сложной схеме. Искровой промежуток 2 мм, емк. 0,01 мф, самоиндукция 0,01 мген, продолжительность обжига 1,5 мин., верхний электрод угольный, заточенный на полусферу. Аналитич. линии (в Å): Al 3061,5 — Ti 3989,7, Al 3092,7 — Ti 3048,7, Cr 2843,2 — Ti

2841,9, Fe 2599,40 — Ti 2555,99, Si 2881,5 — Ti 2901,9 или Ti 2841,9. Спектры Si возбуждают в дуговом разряде переменного тока при 6 а с дуговым промежутком 1,5 мм; продолжительность обжига 5 сек. Спектры фотографируют на среднем спектрографе. Различие в структуре литых и кованных образцов на результаты анализа не влияет.

Г. Кибисов

28506. Спектрально-аналитическое определение примесей в титане. Филимонов Л. Н., Эссен А. И., Захарова З. А., Заводск. лаборатория, 1957, 23, № 11, 1313–1315

Пробу Ti в виде мелких стружек или крупинок окисляют в Pt-чашке при 1100° в течение 1–2 час. Полученный тонкий порошок  $\text{TiO}_2$  смешивают с  $\text{SiO}$  в соотношении 1:1 и прессуют в брикеты диам. 6 мм и весом 0,5 г. Для приготовления эталонов металлич. Cu, Ni, Co, Fe, Mn и Mg растворяют в  $\text{HNO}_3$ , р-р выпаривают и полученные соли прокалывают при 600°. Остальные элементы (Si, W, Al, Cr, Mo, V, Nb, Ti) смешивают в виде окислов. Общую смесь растирают и прессуют. Брикеты помещают в небольшое углубление нижнего угольного электрода (катод) и с верхним Cu-электродом зажигают дугу постоянного тока при 5,8 а. После частичного расплавления брикета дугу гасят и быстро зажигают вновь. Через 25 сек. брикет расплавляется, и с этого момента начинают экспозицию. Для предотвращения роста капли на конце верхнего электрода брикет расплавляют при максим. дуговом промежутке. Спектры фотографируют на спектрографе фирмы Дитерт с дифракционной решеткой без конденсора на пленку для звукозаписи ЗТ-6. Градуировочные графики строят в координатах  $\lg I_{\lambda}/I_{\phi}$ ,  $\lg C$  или  $\Delta S$ ,  $\lg C$ . Определяемая конц-ия примесей 0,01–0,2%. Для Mg, Mn, Cr, Fe и Si линиями сравнения служат линии Ti, для остальных элементов — фон. Определение <0,04% Fe и Si ненадежно. Вследствие большого числа определяемых компонентов спектры снимают при трех экспозициях: 30, 90 и 120 сек.; при экспозиции 90 сек. на щель ставят ослабитель. Средняя ошибка анализа для конц-ий 0,1% составляет 3–12%.

Г. Кибисов

28507. Количественное определение примеси кремния и фосфора в двуокиси титана методом спектрального анализа. Атрошенко М. П., Козырева М. С., Заводск. лаборатория, 1957, 23, № 11, 1317–1320

Спектры возбуждают в дуговом разряде переменного тока и фотографируют на среднем спектрографе. Эталоны изготовляют смешением порошков  $\text{TiO}_2$ ,  $\text{SiO}_2$  и  $(\text{NH}_4)_2\text{HPO}_4$ ; загрязнение основы устанавливают по методу добавок. Р определяют по графику в координатах  $S$ ,  $\lg C$  по линии Р 2553,2 А при силе тока 20 а. Для конц-ий Р 0,01–0,1% в дуге сжигают 3 навески пробы по 8,0 мг при экспозиции  $3 \times 100$  сек.; используют угольный электрод с отверстием диам. 4,4 и глубиной 8 мм. Для конц-ий Р 0,13–1% заменяют угольный электрод с отверстием диам. 3 и глубиной 6,5 мм; экспозиция 60 сек. Верхний электрод заточен на плоскость; фотопластики диапозитивные; дуговой промежуток 2 мм; ширина щели 0,02 мм; освещение трехлинзовое; промежуточная диафрагма 1 мм. Для определения 0,01–1% Si пробу смешивают для стабилизации испарения с закисью Ni и углем в соотношении 2:1:1. Аналитич. линии: Si 2514,3 — Ni 2540 Å; градуировочный график строят в координатах  $\Delta S$ ,  $\lg C$ . Навеску 30 мг испаряют полностью при токе 11 а из канала электрода, имеющего шейку диам. 2,2 мм; глубина канала 4,5, диам. 3,9 мм. Средняя ошибка определения ±8%.

Г. Кибисов

28508. К анализу ильменита. Вакамацу (Wakamatsu S.), Тэцу то хаганэ, J. Iron and Steel Inst. Japan, 1957, 43, № 9, 886–887 (японск.)

Анализируемую пробу сплавляют с NaOH или со смесью NaOH + Na<sub>2</sub>O<sub>2</sub> и отделяют Fe и Ti от Sc, Al, V и Cr обычными методами. Подробно описаны обычные методики определения TiO<sub>2</sub>, SiO<sub>2</sub>, Al<sub>2</sub>O<sub>3</sub>, V<sub>2</sub>O<sub>5</sub> и Cr<sub>2</sub>O<sub>3</sub>. Fe определяют титрованием восстановленного Fe<sup>2+</sup> р-ром NH<sub>4</sub>VO<sub>3</sub>.

Ким Су Ен  
28509. Статистическое изучение спектрального определения SiO<sub>2</sub> и Al<sub>2</sub>O<sub>3</sub>. Войнович, Вильна (Etude statistique du dosage de SiO<sub>2</sub> et Al<sub>2</sub>O<sub>3</sub> par spectrographie. Voinovitch I. A., Vilnat m-me), Bull. Soc. franç. céram., 1957, № 36, 83—108 (франц.; рез. англ., нем.)

Для исследования точности и воспроизводимости результатов определения SiO<sub>2</sub> и Al<sub>2</sub>O<sub>3</sub> в алюмосиликатах приготовлено по 50 проб огнеупорного кирпича, обожженной глины и смеси окислов. При возбуждении спектра в дуге постоянного тока снято 393 спектра. Для сравнения кирпич и глина были анализированы 21 раз хим. методом. Для спектрального анализа среднюю пробу сушат, растирают и просеивают, затем 3—5 г пробы обжигают в течение 1 часа при 1100°. Навеску 50 мг, взвешенную с точностью до 0,1 мг, перемешивают в тиглях из стекла пирекс с 2,5 г Ni-пудры, 2,5 г графита и 12,5 мг борной к-ты. Угольные электроды имеют кратер анода размером 3 × 4 мм; дуговой промежуток 2 мм, сила тока 10 а, спектрограф Z3 de Jobin et Yvon с кварцевой оптикой и логарифмич. 6-ступенчатым сектором. Аналитич. линий: Si 2528—Ni 2540 и Al 3092—Ni 3145 А. Установлено, что спектральный метод по своей точности и воспроизводимости очень близок к хим. методам. Расхождение между результатами хим. анализа, напр. глины, полученными в различных лабораториях, больше, чем расхождение между результатами спектрального и хим. анализов, полученными авторами. Продолжительность 5 определений Si и Al составляет 10—11 час. (продолжительность хим. анализа 3—3,5 дня).

Т. Гуревич

28510 Д. Определение таллия в виде комплексного соединения тетрароданодинимхромната таллия. Мирзоева Т. Р. Автореф. дисс. канд. хим. н., Азерб. ун-т, Баку, 1957

28511 Д. Некоторые особенности спектрального определения углерода, серы и фосфора в металлических сплавах и сварных швах. Демьянчук А. С. Автореф. дисс. канд. физ.-матем. н., Гос. оптич. ин-т, б. м., 1957

28512 С. Методы анализа минералов. Определение свинца, меди и цинка в железосодержащих минералах. Весовой и электролитический методы (Metodi di analisi chimica dei minerali. Determinazione del piombo, del rame e dello zinco nei minerali di ferro. Metodo gravimetrico ed elettrolitico). Итал. стандарт, 3869; 1957 (итал.)

28513 С. Методы анализа минералов. Определение свинца, меди и цинка в железосодержащих минералах. Электролитический и весовой методы быстрого анализа (Metodi di analisi chimica dei minerali. Determinazione del piombo, del rame e dello zinco nei minerali di ferro. Metodo elettrolitico e gravimetrico per analisi correnti). Итал. стандарт, 3870; 1957 (итал.)

## АНАЛИЗ ОРГАНИЧЕСКИХ ВЕЩЕСТВ

Редактор Н. А. Фукс

28514. 2,2-диметоксипропан как осушитель при приготовлении образцов для получения инфракрасных спектров. Эрли (2,2-dimethoxypropane as a drying

agent for preparation of infrared samples. Erley D. S.), Analyt. Chem., 1957, 29, № 10, 1564 (англ.)

Слабые к-ты или в-ва, стабильные в среде слабых к-т, осушают добавлением 2,2-диметоксипропана (I). Установлено, что 96% воды реагирует в смеси с I при 30° в мол. отношении 1:1 с образованием метанола и ацетона, которые испаряются при небольшом нагревании или в вакууме. Этот осушитель применим и для очень гигроскопичных в-в, которые смешивают с I и маслом Нуйол, затем мелко размельчают, после чего безводн. образец пригоден для получения ИК-спектров.

И. Демиденкова  
28515. Скоростные методы микроэлементарного анализа. Сообщение 14. Микроопределение углерода и водорода во фторорганических соединениях. Гельман Н. Э., Коршун М. О., Шевелева Н. С. Ж. аналит. химии, 1957, 12, № 4, 526—533 (рез. англ.)

Для колич. микроопределения С и Н в фторорганич. соединениях навеску в-ва быстро пиролизически разлагают при 900° в кварцевой пробирке, наполненной MgO и помещенной в кварцевую трубку для сжигания. При этом фтор полностью удерживается MgO, а продукты пиролиза превращают в CO<sub>2</sub> и H<sub>2</sub>O, улавливают и определяют, как обычно. Метод применим для определения С и Н в фторорганич. соединениях, содержащих также N, галоиды, S, B, P, Si и металлы, не образующие труднорастворимых карбонатов. Пользуясь одним из вариантов метода в в-вах, содержащих С, Н, О, N и F, можно одновременно с С и Н ориентировочно определять также и F. Сообщение 13 см. РЖХим, 1957, 77415.

Д. Васкевич

28516. Автоматическое сжигание навески или применение бунзеновской горелки в быстром методе определения серы поглощением серебром. Как. Грим (Automatic ignition of the sample vs. use of the Bunsen burner in the rapid silver absorbent method for sulfur. Kuck J. A., Grim Elizabeth C.), Mikrochim. acta, 1957, № 3-4, 361—367 (англ.; рез. нем., франц.)

При быстром определении S в органич. в-вах ранее опубликованным авторами (РЖХим, 1955, 3988) методом сжигания и поглощения SO<sub>2</sub> серебром, нагревание навески осуществлялось горелкой Бунзена, передвигаемой рукой, и автоматич. трехсекционной неподвижной электропечью. Серия параллельных анализов чистых контрольных в-в показала, что оба способа сжигания дают результаты, очень близкие к теории и отличающиеся одинаково хорошей воспроизводимостью. Однако сравнение статистически обработанных данных выявляет незначительное преимущество автоматич. сжигания обеспечивающего несколько большую точность результатов.

Е. Терентьева

28517. К диенометрии с помощью п-бензохинона. Лора-Тамайо (Neue Beiträge zur Diеноmetrie mit p-Benzochinon. Lora-Tamayo M.), Fetta, Seifen, Anstrichmittel, 1954, 56, № 10, 790—793 (нем.; рез. англ., франц., исп.)

28518. Способ калибровки эталонной шкалы для колориметрического определения ацетиленов. Корш М. П., Заводск. лаборатория, 1957, 23, № 11, 1299—1300

Для колориметрич. определения C<sub>2</sub>H<sub>2</sub> в виде ацетиленов Si рекомендуется применять искусств. шкалы эталонов 3 видов в зависимости от оттенка окраски колл. р-ра ацетиленов Si: красно-фиолетовую шкалу готовят из р-ров, содержащих в 100 мл 20 г Co(NO<sub>3</sub>)<sub>2</sub>·6H<sub>2</sub>O и 10 г Cr(NO<sub>3</sub>)<sub>3</sub>·6H<sub>2</sub>O; добавлением в каждую пробирку этой шкалы 1—2 капель фиолетовых чернил получают фиолетовую шкалу; в этало-



нак красно-коричневой шкалы содержится избыток Со. Для калибрования искусств. шкал отмеренное кол-во  $C_2H_2$  (1 мл) адсорбируют 100 мл поглотительного р-ра и полученный р-р ацетилада Су разбавляют поглотительным р-ром для получения эталонов. Рекомендуются следующие поглотительные р-ры, стабилизирующие эталоны. 1. К 10 мл воды добавляют 2 г  $Cu(NO_3)_2 \cdot 6H_2O$ , 8 мл 25%-ного р-ра  $NH_4OH$  и ~ 6 г  $NH_4OH \cdot HCl$  до обесцвечивания р-ра, разбавляют водой до 50—60 мл, добавляют 10 мл 5%-ного р-ра желатин и разбавляют водой до 100 мл. 2. 0,5 мг  $Cu(NO_3)_2 \cdot 6H_2O$  растворяют в 20 мл воды, добавляют точно 0,5 г  $NH_3$ , 2,25 г  $NH_4OH \cdot HCl$ , 4,5 мл 2%-ного р-ра желатин, 33 мл  $C_2H_5OH$  и разбавляют водой до 100 мл. 3. Спирт. реактив, содержащий 10 мл 5%-ного р-ра желатин в 100 мл обычного поглотительного р-ра.

Н. Чудинова

28519. Разделение некоторых нелетучих органических алифатических карбоновых кислот. Камп, Кноп (Het scheiden van enkele niet-vluchtige alifatische carboxzuren. Kam p W., Kноп C. J.), Pharmas. weekbl., 1957, 92, № 20, 699—703 (гол.; рез. англ.)

Методом ионообменной хроматографии (на анионите дауэкс 1 X 2, 100—200 меш) осуществлено разделение щавелевой (I), лимонной (II), винной (III) и молочной (IV) к-т. Для разделения I, II и III анализируемый р-р вносят в верхнюю часть колонки анионита в Cl-форме; отбирают первые 400 мл элюата, полученного при элюировании р-ром HCl с pH 1,5. Элюат выпаривают, остаток растворяют в воде и вносят р-р в колонку с анионитом в боратной форме. К-ты элюируют боратым буферным р-ром А (0,16 M по  $NaNO_3$ , 0,0013 M по  $Na_2B_4O_7$ , 0,3 M по  $H_3BO_3$ ) с pH 6,15. Первой элюируется III, затем II, I элюируют при помощи воды, подкисленной HCl. При анализе смесей I, II, III и IV, I выделяют на анионите в Cl-форме элюированием р-ром HCl с pH 1,5, IV — на анионите в боратной форме элюированием р-ром А, в котором конц-ия  $NaNO_3$  уменьшена вдвое. Для выделения II и III применяют р-р А. Содержащие к-т определяют титрованием р-ром  $KMnO_4$  или каким-либо иным подходящим методом. Т. Леви

28520. Определение воды в уксусной кислоте уксусным ангидридом и анилином. Дас (Determination of water in acetic acid with acetic anhydride and aniline. Das Mihir Nath), J. Indian Chem. Soc., 1957, 34, № 3, 248—250 (англ.)

Предложен способ определения воды в уксусной к-те (I), основанный на р-ции воды с избытком уксусного ангидрида (II) (0,1—0,2 M р-р в I). Реакция катализируется  $HClO_4$ , добавленной к I (0,001 н.). Гидролиз протекает в ~ 10 мин. Не подвергшийся гидролизу II взаимодействует с анилином (0,1—0,2 M р-р в безводн. I), избыток которого оттитровывают 0,1 н.  $HClO_4$  в лед. I в присутствии метилового фиолетового (0,2% р-р в лед. I). Титруют до исчезновения фиолетового оттенка. Максим. отклонения от 1,04 до -0,87%.

М. Виталина

28521. Исследование с солями двухвалентного хрома. Часть II. Восстановление красителей сульфатом двухвалентного хрома. Тандон, Мехротра (Studies in bivalent chromium salts. Part II. Reduction of dye-stuffs with chromous sulphate. Tandon J. P., Mehrotra R. C.), Z. analyt. Chem., 1957, 158, № 3, 189—192 (англ.)

При помощи р-ра  $CrSO_4$  можно успешно титровать метиленовый голубой, индиго, кристаллич. фиолетовый, возин, малахитовый зеленый, фуксин и оранжевый G. Метод дает такие же точные результаты, как метод с  $TiCl_3$ . Однако  $CrSO_4$  восстанавливает краси-

тели более легко, чем  $TiCl_3$ . Часть I см. РЖХим, 1958, 28382.

М. Иванютин

28522. Определение сорбита. Адкок (The determination of sorbitol. Adcock L. H.), Analyst, 1957, 82, № 975, 427—434 (англ.)

Предложен метод определения сорбита (I) в препаратах и биологич. материалах, содержащих углеводы и моноангидриды I, препятствующие определению I с помощью  $KJO_4$ . Углеводы окисляют в щел. среде, образующиеся к-ты отделяют в колонке с ионообменными смолами. Зео-Карб 225 и Де-Ацидиф FF. От моноангидридов I и других примесей, окисляющихся  $KJO_4$ , отделяют I хроматографией на бумаге. Для определения 100—400 γ I окисляют  $KJO_4$  в кислой среде ( $H_2SO_4$ ) при 100°, прибавляют KJ и титруют выделившийся  $I_2$  тиосульфатом. Для определения 10—50 γ I обрабатывают смесью  $NaJO_4 + NaHCO_3$ , затем р-ром  $PbS_2O_8$ , центрифугируют, к аликвотной части р-ра прибавляют хромотроповую к-ту и  $SnCl_2$ , образующие окраску с выделившимся  $CH_2O$ , центрифугируют и колориметрируют при 570 мμ. Приведены примеры определения I в крови, моче, препаратах для диабетиков. В этом случае колориметрируют в 1-см микрокювете емк. 0,5 мл.

Д. Васкевич

28523. Полярграфическое определение 5-пиримидинилдисульфидов. Лутч, Ламб (Polarographic detection of 5-pyrimidinyl disulfides. Luthy Nydia G., Lamb Bertha), Analyt. Chem., 1957, 29, № 10, 1454—1456 (англ.)

Исследовано полярграфич. восстановление ди-(2,4-диокси-6-метилпиримидин-5-ил)-дисульфид-(6-метилурацил-5-дисульфида) на фоне 0,1 M р-ра KOH с насыщ. к. э. В условиях опыта кетонная и энольная формы находятся в равновесии. Обнаружено несколько ступеней восстановления; наиболее четкие из них:  $E_{1/2} = -0,1$ ;  $-0,25$  и  $-0,58$  в. Рекомендуется пользоваться  $E_{1/2} = -0,58$  в. Метод применен для конц-ий  $1 \cdot 10^{-3}$ — $1 \cdot 10^{-4}$  M, в этом интервале высота волны пропорциональна при конц-ии. При  $E_{1/2} = -0,25$  в высота волны не зависит от конц-ии; волна при  $E_{1/2} = -0,1$  в характерна для пиримидинового кольца. Волны в интервале от 0 до  $-0,1$  в связаны с не содержащими серу производными урацила. Другие 5-пиримидинилдисульфиды ведут себя аналогично.

Д. Васкевич

28524. Образование красящих веществ, производных пирилия, из никотина. Лунс, Нидерль (Pyrgulium colors from nicotine. Luis P., Niederl J. B.), Mikrochim. acta, 1957, № 5, 724—725 (англ.; рез. нем., франц., исп.)

Изучено красящее в-во (I), образующееся при чувствительной цветной микрохим. р-ции на никотин (РЖХим, 1957, 27283). Элементарным анализом свободного основания I доказано, что I представляет собой пиридо-пирен, образующийся из никотина в результате окисления, причем промежуточным продуктом является какой-то дикетон. Продукт обработки основания конц.  $H_2SO_4$  (сульфат пиридо-пирилия) обладает такими же хим. свойствами и характеристиками, как соли бензопирилия.

Т. Леви

28525 К. Аналитический контроль в химическом производстве. Том 5. Анализ органических продуктов. Полупродукты. Растворители (Kontrola analityczna w przemyśle chemicznym. Praca zbiorowa. T. 5. Analiza produktów organicznych. Półprodukty. Rozpuszczalniki. Warszawa, PWT, 1957, 368 с., ил., 60 зл.) (польск.)

28526 К. Качественные микрохимические реакции по органической химии. Учебн. пособие для студ. мед.

ин-тов. Рево А. Я. М., Медгиз, 1957, 223 стр., илл., 4 р. 95 к.

См. также: Общие вопросы: Спектральный метод анализа 27609; магнетохимич. и кристаллографич. анализ ферромагнитных окислов с помощью дифракции электронов 27712; хроматографические методы 28113, 28307, 28583—28585; газовый анализ 28593—28596, 28612, 28613, 28615; экстракция 27823, 28005, 28218, 28601, 28602, 29058; радиометрическое определение Са 27820; методы изотопного анализа вод 27821; опред. рН 28045; полярография 28073; кондуктометрич. и потенциометрич. титрование 28183, 28211; комплексные соед. 28189; ридохимич. методы 29212. Анализ неорганич. в-в: анализ вод 29213, 29215—29223; определение: органич. азота в подземных водах 28340, 28341; лития с помощью пламенной фотометрии 28344; силикатов 29521; анализ минералов 29523; анализ стекла 29587. Анализ органич. в-в: устройство для получения чистых органич. в-в 28598; полярографич. р-ция на белки 28078. Анализы: лекарств. препаратов 29862—29865; косметических ма-

зей 30020, нефтей 30203, 30204, 30206, 30208—30210, 30217, 30218, шати-фуда 10879Бх; определение: N-сульфанилил-N'-н-бутилмочевины 29858, фенола 29859, в угольных золах 30131, цистина и цистеина 10812Бх, микроопред. первичных аминогрупп 10813Бх, глюкопротейдов в сыворотке крови 10816Бх, 10819Бх, сахаров 10826Бх, природных жиров 10829Бх, холестерина 10830Бх, липидов в сыворотке крови 10833Бх, холестерина в сыворотке крови 10834Бх, витамина А в маргарине 10835Бх, витамина В<sub>1</sub> в зерновых продуктах 10836Бх, витамина С 10838Бх, 10839Бх, витамина D 10840Бх, 17-оксикортикостероидов мочи 10842, микроопределение флавиновых соед. в животных тканях 10844Бх, адреналина и норадреналина 10845Бх; Мп и экстракта тканей 10849Бх, гемоглобина 10852Бх, Са в сыворотке крови 10857Бх, мочевины в крови 10858Бх; имидазолуксусной к-ты в моче 10861Бх; параоксипропиофенола в моче 10862Бх, мочевины в биол. материале 10863Бх, креатина в биол. жидкостях 10865Бх, летучих жирных к-т 10867Бх, атропина 10874Бх, протовератрина 10877Бх, хлорофилла в свежих растениях 10880Бх.

## ОБОРУДОВАНИЕ ЛАБОРАТОРИЙ. ПРИБОРЫ, ИХ ТЕОРИЯ, КОНСТРУКЦИЯ, ПРИМЕНЕНИЕ

Редактор А. И. Саразов

28527. Крутильные весы и методика их исследования. Щедровицкий С. С., Флексер Л. А., Измерит. техника, 1957, № 3, 26—31

Применение крутильных весов в производственных условиях потребовало замены кварцевой нити на металлическую для повышения их стойкости к вибрациям и резким толчкам. Описан метод заделки концов металлич. нити, обеспечивающий постоянство и стабильность показаний. Указаны специфич. методы испытаний и проверки. Э. Финкель

28528. Высокочастотный понный источник с высоким выходом ионов для электростатического генератора. Циленшек (Eine Hochfrequenz i onenquelle mit guter Ionenausbeute. Cilenšek E.), Repts. «J. Stefan» Inst., 1953, 1, 45—48 (нем.)

28529. Электронные приборы, применяемые в ядерной спектроскопии. Острем (Some electronic instruments used in nuclear spectroscopic investigations. Aström Björn), Arkiv fys., 1957, 12, № 3, 215—236 (англ.)

Подробно описаны 2 спектрометра импульсов: сцинтилляционный спектрометр электромагнитных колебаний и 50-канальный анализатор импульсов для измерения энергии  $\alpha$ -частиц. А. Бабад-Захряпин

28530. Спектрофотометр «CF4 Оптика». Полли (Spettrofotometro CF4 optica. Polli Bruno), Metallurgia ital., 1957, 49, № 6, 462—464 (итал.; рез. англ., нем., франц.)

Описан спектрофотометр с монохроматором в виде решетки, с электронной стабилизацией питания, 2-лучевым регистрирующим устройством и спец. приспособлением для работы в ближней ИК-области.

Л. Розенштейн  
28531. Спектрометры с прямым отсчетом. Описание и применение некоторых новых приборов. Монно (Spectromètres a lecture directe. Description et applications de quelques appareils récents. Monnot G. A.), Techn. mod., 1956, 48, № 10, 489—496 (франц.)

Описаны конструкции, условия эксплуатации и возможности применения приборов: кварцевого спектро-

графа Хильгера «Медиум» (средняя дисперсия в области 2000—3400 Å равна 10 Å/мм), спектрографа с решеткой «полихроматора» ( $R = 3$  м, 600 штрихов на 1 мм, дисперсия для спектра первого порядка 5,9 Å/мм) и спектрометра фирмы Jarrel Ash с решеткой  $R = 1,5$  м, 6180 штрихов на 1 мм, с дисперсией в первом порядке 5,4 Å в области 2100—4600 Å.

Л. Розенштейн

28532. Уменьшенная шкала для дополнительной записи спектра в инфракрасной области. Ститт, Бейли (Reduced-scale auxiliary recording of infrared spectra. Stitt Fred, Bailey Glen F.), Analyt. Chem., 1957, 29, № 10, 1557—1558 (англ.)

Описано устройство, позволяющее получать ИК-спектры в масштабе, уменьшенном по сравнению с обычной записью. К самописцу добавлена шкала пропускания длиной 5 см; шкала длин волн составляет 1,25 см/μ; при этом можно производить одновременно записи и на самописце спектрофотометра с обычной шкалой. Спектр записывают на стандартные карточки в координатах пропускание — длина волны.

И. Демиденкова

28533. Эталоны длин волн для калибровки призм спектрометров. Плайлер, Блейн, Новак (Reference wavelengths for calibrating prism spectrometers. Plyler Earle K., Blaine L. R., Nowak Matthew), J. Res. Nat. Bur. Standards, 1957, 58, № 4, 195—200 (англ.)

Приведены кривые поглощения полистирола, 1,2,4-трихлорбензола, толуола, дидимового стекла и вращательной структуры полосы метана 3,3 μ. Спектры охватывают область 0,6—24 μ. Наибольшее число полос лежит в области 3—6 μ. Значения длин волн калибровочных полос поглощения сведены в таблицу.

В. Лытин

28534. Об условиях работы и применениях регистрирующих спектрометров. Гийо (Sur les conditions d'emploi et les applications des spectromètres enregistreurs. Guillot M.), Techn. pharm., 1957, 4, № 9, conférence (франц.)



Даны рекомендации для выбора прибора и приведен обзор регистрирующих спектрометров.

Л. Розенштейн

28535. Одновременное измерение поглощения и испускания света за ударной волной. Харшбаргер (Simultaneous light-absorption and emission measurements behind a shock wave. Harshbarger F.), J. Chem. Phys., 1956, 24, № 6, 1261 (англ.)

Свет Хе-лампы (продолжительность вспышки  $\sim 400$  мсек.) модулируется с частотой  $\sim 10$  Мгц с помощью ячейки Керра, заполненной нитробензолом, и пересекает ударную трубку в момент прохождения ударной волны в месте пересечения. Фотоумножитель воспринимает одновременно свет лампы, частично поглощенный реагентами, а также свет, излучаемый реагирующей смесью. Осциллограф, соединенный с фотоумножителем, регистрирует сигнал, переменная составляющая которого соответствует поглощению, а постоянная — испусканию. Метод применен к исследованию разложения ацетилена.

Р. Васильев

28536. Комплект приспособлений к современной электронодифракционной аппаратуре. Иобин (Ausgrüßung und Einsatzmöglichkeiten einer modernen Elektronenbeugungsanlage. Jobin F.), Chem. Rundschau, 1957, 10, № 18, 408—410 (нем.)

Описан набор дифракционных камер (ДК) для электронографа (Э) фирмы Трюб, Таубер и Ко (Цюрих). ДК со шлюзом позволяет менять объекты во время съемки без нарушения вакуума в Э. Набор цапг-объектодержателей позволяет снимать последовательно 6 или одновременно 2 образца. Предусмотрена возможность перемещения образца в плоскости во время съемки для выбора нужного участка. ДК снабжена 3-й электронной пушкой (ускоряющее напряжение 3 кэ) для компенсации поверхностного заряда на образцах-изоляторах и ионной пушкой (ускоряющее напряжение 1—4 и 10—40 кэ) для травления поверхности объекта. ДК с нагревателем и охлаждающей системой позволяет проводить исследования до  $900^\circ$  с любой охлаждающей жидкостью. Съемка ведется через щель на движущуюся пленку. Спец. ДК может быть использована для получения конденсированных пленок и для проведения их оптич. и электрич. анализа. В комплект входит ДК для электронографии газовых молекул.

А. Лопманов

28537. Двойной круговой сектор для электронографии. Такаги (The double circular-disc sector used for electron diffraction. Takagi Miko), Acta crystallogr., 1957, 10, № 11, 708—709 (англ.)

Предложены две конструкции дисковых секторов (С) для электронографии, в которых время экспозиции для рассеянных электронов пропорционально  $\sim S \sin^2 \varphi$ . Первый С выполнен из двух касающихся круговых секторов. Второй представляет собой два касающихся диска (в точках касания  $S=0$ ). Экспозиция в произвольной точке на окружности С пропорциональна углу  $\varphi$ , между контуром окружности и касательной в точке  $S=0$ .  $\sin \varphi_r = r/2a$ , где  $r$  — радиус-вектор, проведенный из точки  $S=0$  в точку на окружности С,  $a$  — радиус окружности С. При малых  $\varphi$ , (1-й сектор) экспозиция пропорциональна  $\sim S$ , при больших  $\varphi$ , (2-й сектор)  $\sim S^2$ . Приведены соображения о необходимой точности при изготовлении окружности С.

А. Бабад-Захряпин

28538. Определение положения кристалла и счетчика для монокристалльного рентгеновского дифрактометра. Арндт, Филлипс (On the determination of crystal and counter settings for a single-crystal X-ray diffractometer. Arndt U. W., Phillips D. C.), Acta crystallogr., 1957, 10, № 8, 508—510 (англ.)

Сконструирован простой механич. вычислитель углов  $\omega$ ,  $\varphi$  и  $\theta$ , определяющих положение кристалла и счетчика при измерении интегральных интенсивностей в трехкружном однокристалльном дифрактометре, в котором движение счетчика происходит в одной плоскости. Показано, что измерение интегральной интенсивности этим методом равно точности, получаемой методом колеблющегося кристалла. А. Бабад-Захряпин

28539. Рентгеновский микроанализатор с электронным зондом. Беркс, Брукс (Electron probe X-ray microanalyzer. Birks L. S., Brooks E. J.), Rev. Scient. Instrum., 1957, 28, № 9, 709—712 (англ.)

Сконструирован микроанализатор (М) для проведения рентгеновских спектрохим. анализов металл. и неметалл. объектов. Анализирующий электронный пучок (зонд) сечением  $1-3 \mu$  (при напряжении 20—30 кэ и силе тока  $< 0,1 \text{ а}$ ) создается обычной электронной пушкой и фокусируется двумя магнитными линзами на поверхность исследуемого объекта. Объектодержатель имеет 2 степени свободы. Для удобства юстировки образца относительно пучка используется микроскопич. устройство с осветителем. Для питания М применены стандартные приборы. Сформулированы условия стабильной работы М. Рентгеновские спектры, получаемые в М, анализируются при помощи спектрометра с изогнутым кристаллом. Для проведения анализов неметалл. объектов необходимо предварительное напыление на его поверхность пленки Mg или Cu. Работа М иллюстрируется примерами. Отмечено, что М может быть быстро переделан для целей микрографии, рентгено- и электронографии, а также теневой электронной микроскопии.

А. Бабад-Захряпин

28540. Прибор для механического определения межплоскостных расстояний решетки. Кголь Франтишек, Кристаллография, 1957, 2, № 5, 604—608

Описанный прибор основан на возможности отображения ур-ния Вульфа — Брегга прямоугольным треугольником, при этом гипотенуза равна  $d$ , а катет, противолежащий углу  $\theta$ ,  $\lambda/2$ . На плите прибора укреплен рычаг, вращающийся вокруг оси. На плите же нанесены 2 серии параллельных прямых, отстоящих от оси на расстояниях, соответствующих значениям  $\lambda/2$  для Mo, Cu, Co, Fe, Cr. Линии одной серии нанесены в масштабе  $1 \text{ \AA} = 1 \text{ мм}$ , другой — в масштабе  $1 \text{ \AA} = 1 \text{ мм}$ . Коаксиально с осью располагается цилиндрич. держатель, в который вкладывается дебаграмма, полученная в цилиндрич. камере. На рычаге укреплен визир, с помощью которого рычаг устанавливается на дебаевскую линию, образуя угол  $\theta$  с прямыми, отбрасываемыми длины воли. Величины  $d$  прочитываются по шкале, нанесенной на рычаге, в точке пересечения с линией соответствующего значения  $\lambda$ . Значения  $d$  могут определяться и по рентгенограммам обратной съемки. Для этого служит спец. держатель плоских пленок, вспомогательная ось, серия прямых в масштабе  $1 \text{ \AA} = 1 \text{ мм}$  для различных  $\lambda$ , а также нанесенная на плите окружность, центр которой совпадает со второй вспомогательной осью, а сама окружность проходит через первую ось. Непосредственно по рентгенограмме с помощью линий эталонного  $\lambda$  находят угол  $180-2\theta$ . Пользуясь условием, что центральный угол вдвое больше соответствующего внешнего, находят положение рычага, на шкале которого, аналогично вышеуказанному, прочитывают искомое значение  $d$ .

М. Уманский

28541. Запаянные сверхвысоковольтные рентгеновские трубки с геттером и ионным насосом. Гейл (Cold sealed getter/ion pumped superevoltage x-ray tubes. Gale A. John), Nat. Sympos. Vacuum Technol. 1956. Trans. London — New York — Paris, Pergamon Press, 1957, 12—14 (англ.)

Сконструирована рентгеновская трубка (РТ) на 1—2 Ме для дефектоскопии и радиационной терапии. Вакуумные уплотнения, изготовленные из эпоксид-цемента, позволили производить «отпайку» РТ от насосов без нагрева. В РТ при помощи насоса предварит. вакуума создается давление  $\sim 10^{-3}$  мм рт. ст. Далее РТ отключается от этого насоса и дальнейшая откачка ее производится с помощью насоса высокого вакуума, представляющего собой систему из ионного насоса Пеннинга с Ti-геттером. Такая система поддерживает вакуум в РТ  $< 10^{-6}$  мм рт. ст. Геттер распыляется при помощи W-спирали. Скорость откачки багородных газов с помощью такой системы значительно меньше, чем скорость откачки химически активных газов. Избирательность скорости откачки разных газов позволяет использовать такую систему в качестве теченска-теля, чувствительность которого не менее чувствительности масс-спектрометрич. теченска-теля. Приведены характеристики системы, а также скорости откачки разных газов.

А. Бабад-Захряпин

**28542. Эксплуатационные характеристики масс-спектрометров.** Тауберт (Betriebsigenschaften von Massenspektrometern. Taubert Rolf, Erdöl und Kohle, 1957, 10, № 8, 516—518 (нем.).

Для характеристики эксплуатационных качеств хим.-аналитич. масс-спектрометров предлагается пользоваться следующими понятиями: 1) чувствительность (абс. чувствительность), определяемая по-фле  $E = I_i \cdot A_0 / I_e \cdot n$  (сек/моль), где  $I_i$  — ионный ток на приемник,  $I_e$  — электронный ток на ловушку в ионном источнике,  $A_0$  — разрешающая способность в случае равенства ширины входной и выходной щелей анализатора,  $n$  — кол-во газа, протекающее за единицу времени через ионизационную камеру. При этом должно быть указано в-во, с которым производилось определение  $E$ . Для большей наглядности можно пользоваться отношением  $I_i/n$ ; 2) стабильность, мерой которой может служить относительная средняя квадратичная погрешность отдельного измерения, выраженная в %; 3) интерференция, под которой подразумевается степень приближения масс-спектра смеси газов к линейной суперпозиции спектров чистых компонент смеси. Для испытания на интерференцию предлагается применять смесь метан-н-бутан (пик, соответствующий массовому числу 16). Приведены результаты определения предложенных характеристик на масс-спектрометре английской фирмы Метрополитен-Виккерс MS2.

В. Васильев

**28543. О масс-спектрометре CH 3.** Енкель (Über das Massenspektrometer CH 3. Jenckel Rudolf, Erdöl und Kohle, 1957, 10, № 10, 675—677 (нем.).

Сообщается об усовершенствованиях в масс-спектрометре, выпускаемом фирмой Атлас-верке (ФРГ). Прибор снабжен системой напуска газа, работающей при  $t \sim 150^\circ$ , а также цифровым регистратором ионных токов. Принцип действия последнего состоит в том, что измеряемое выходное напряжение усилителя постоянного тока автоматически компенсируется при помощи электронной схемы со ступенчатым переключением, причем каждая ступень соответствует цифре в десятичной системе исчисления. За 1 сек. регистрируются 100 значений ионных токов. Точность регистрации составляет 0,1% для напряжений в пределах 0,1—10 в. Рассмотрены различные схемы откачки ионного источника.

В. Васильев

**28544. Масс-спектрометр с поверхностной ионизацией для производственного контроля.** Экоу, Морган (A surface ionization mass spectrometer for production control. Echo M. W., Morgan T. D.), Analyt. Chem., 1957, 29, № 11, 1593—1595 (англ.)

Описан масс-спектрометр для определения конц-ий и изотопного состава U, сконструированный на основе масс-спектрометра, построенного ранее (Stevens C. M., Inghram M. G., U. S. Atomic Energy Commission, Rep. ANL-5251 (1954)). Ионный источник прибора работает на принципе поверхностной ионизации и снабжен вакуумным шлюзом для быстрой смены образцов (см. также РЖХим, 1953, 3563).

**28545. Высоковакуумная лаборатория для нанесения (из паров) слоев проводников и диэлектриков.** Мейснер (A high vacuum laboratory for vapor deposition of conductors and dielectrics. Meissner C. R.), Nat. Sympos. Vacuum Technol., 1956. Trans. London—New York—Paris, Pergamon Press, 1957, 15—23 (англ.)

**28546. Новый тип ионизационного насоса.** Комма, Муса (Un nou tip de pompă de ionizare. Comma George, Musa Geavit), Studii și cercetări fiz. Acad. RPR, 1957, 8, № 2, 119—133 (рум.; реу. русск. франц.)

Описан принцип работы и способ изготовления ионизационного насоса с двумя электродами: нитью накали и сеткой; коллектором ионов служит внутренняя поверхность стеклянной колбы. Предельный вакуум  $< 10^{-8}$  мм рт. ст. Скорость откачки до 0,27 л/сек. Насос имеет простую и прочную конструкцию и легко обслуживается.

Э. Финкель

**28547. Пароструйный вакуумный насос улучшенной конструкции.** Хикман, Кинселла (A pre-conditioned vapor vacuum pump. Hickman K. C. D., Kinsella J. J.), Nat. Sympos. Vacuum Technol., 1956. Trans. London—New York—Paris, Pergamon Press, 1957, 52—56 (англ.)

Описана конструкция металлич. паро-масляного вакуумного насоса; его отличительной особенностью является наличие резервуара, в который переходит рабочая жидкость из испарителя при выпуске в насос атмосферного воздуха. Холодильник насоса выполнен в виде перевернутого конуса, окружающего систему сопел, на внешней поверхности которого находится металлич. спираль, по которой циркулирует вода. Охлаждение насоса может быть прекращено немедленно после выключения подогрева. Авторы утверждают, что им удалось для данной мощности подогрева вдвое увеличить быстроту действия насоса и второе повысить выпускное давление, сохранив обычное предельное давление. Приведено также описание стеклянной модификации насоса с аналогичными параметрами.

В. Васильев

**28548. Измерение скорости откачки.** Руфер (The measurement of pumping speeds. Rufer Charles E.), Nat. Sympos. Vacuum Technol. 1956. Trans. London—New York—Paris, Pergamon Press, 1957, 74—77 (англ.)

**28549. «Акустический» вакуумный манометр.** Шварц (Acoustical vacuum gauge. Schwarz Helmut J.), Nat. Sympos. Vacuum Technol. 1956. Trans. London—New York—Paris, Pergamon Press, 1957, 37—38 (англ.)

Краткое сообщение о разработке вакуумного манометра, чувствительным элементом которого является конденсатор, состоящий из неподвижной пластины и колеблющейся тонкой мембраны. В одном варианте мембрана колеблется с резонансной частотой под действием переменного электростатич. поля, и давление определяется по амплитуде колебаний. В другом варианте мембрана приводится в движение с помощью легкого штифта из ферромагнитного материала, скрепленного с ней и помещенного в маленькую катушку, через которую пропускается переменный ток. Диапазон измеряемых давлений от атмосферного до  $10^{-4}$  мм рт. ст.

В. Васильев



28550. Новые улучшения в вакуумном манометре «альфатрон». Вакка (Recent advances in the «Alphatron» vacuum gauge. Vacca R. H.), Nat. Sympos. Vacuum Technol. 1956. Trans. London—New York—Paris, Pergamon Press, 1957, 93—100 (англ.)

Изложены различные улучшения в конструкции радиоактивного ионизационного манометра «альфатрон», которые снижают чувствительность манометра к загрязнениям, улучшают линейность шкал, уменьшают время отсчета и снижают зависимость от электрич. помех. Для сухого воздуха достигнута линейность  $< 2\%$  во всем диапазоне измеряемых давлений (от  $10^{-6}$  до  $1000$  мм рт. ст.). Смещение нуля не превышало  $1\%$  на самой чувствительной шкале при изменении напряжения сети на  $\pm 10\%$ . В. Васильев

28551. К выбору датчика магнито-компенсационного микроманометра. Бахтин В. И., Приборостроение, 1957, № 10, 13—14

Описан микроманометр, в котором недостатки, присущие деформационным микроманометрам, устранены тем, что измеряемое давление определяется по току в обмотке электродинамич. механизма, удерживающего мембрану в плоскости заделки при любом значении внешнего давления. Приведенный калибровочный график для модели с резиновой мембраной показывает, что в диапазоне давл.  $5 \cdot 10^{-3}$ — $15$  мм рт. ст. между давлением и током измерительной схемы наблюдается линейность, близкая к прямо пропорциональной. Для области очень низких давлений в датчике следует применять тонкие и мягкие мембраны. Л. Абрамович

28552. Преобразователь барометрического давления в электрический ток. Лапинский (A barometric pressure to current transducer. Lapinski Francis A.), IRE Trans. Instrum., 1957, 1—6, № 2, 139—143 (англ.)

Описан преобразователь давления для области  $675$ — $105$  мм рт. ст. с точностью  $\pm 0,25$  мм рт. ст. при  $0$ — $50^\circ$ . В качестве чувствительного элемента использован блок сильфонов, который через рычажное устройство воздействует на зазор катушки электромагнита, подключенной к входу усилителя на полупроводниковых триодах. Магнитный механизм обратной связи компенсирует силу, вызывающую перемещение рычажного устройства, благодаря чему ток на выходе усилителя прямо пропорционален измеряемому давлению.

Л. Абрамович  
28553. Отыскание течей в вакуумном оборудовании. Часть I. Общие методы. Шумов (La recherche des fuites en technique du vide. Première partie. Méthodes générales. Choumoff S.), Rev. techn. C. F. T. H., 1957, № 25, 115—134 (франц.)

Теоретическое рассмотрение различных методов отыскания течей в вакуумных установках с обзором литературы. Библ. 13 назв. В. Васильев

28554. Применение масс-спектрометра в качестве течеискателя. Лаплюм (La recherche des fuites en technique du vide. Deuxième partie. Emploi du spectromètre de masse comme détecteur de fuite. Laplume J.), Rev. techn. C. F. T. H., 1957, № 25, 135—142 (франц.)

Обзор различных конструкций масс-спектральных течеискателей и основные технич. характеристики течеискателей французской фирмы Томсон—Хаустон (модели TH M 101 и TH M 105). В. Васильев

28555. Масс-спектральный течеискатель, рассчитанный на смеси с малым содержанием гелия. Вармолт, Грэфте (Spectromètre de masse pour détection des fuites, fonctionnant avec un mélange à faible teneur en hélium. Warmoltz N., Grefte H. A. M. de), Vide, 1957, 12, № 69, 202—207 (франц.; рец. англ.)

Описан масс-спектрометр типа Нира для отыскания течей, в котором измерителем ионного тока служит электронный умножитель. Прибор регистрирует наличие He в пробном газе  $\geq 1\%$  и может быть использован для анализа в диапазоне масс  $4$ — $50$ . В. Васильев

28556. Новый гелиевый масс-спектрометрический течеискатель. Питерс, Рейбл (A new helium mass spectrometer leak detector. Peters John, Raible Frank), Nat. Sympos. Vacuum Technol. 1956. Trans. London—New York—Paris, Pergamon Press, 1957, 107—109 (англ.)

Описан гелиевый масс-спектрометрич. течеискатель фирмы Вакуум-Илектроник Энджиниринг, отличительной особенностью которого является применение в обычном ионном источнике типа Нира выталкивающего электрода в виде плоской сетки. Сетка нагревается до  $1000^\circ$  для предотвращения образования на стенках источника непроводящих пленок из продуктов разложения масла из диффузионного насоса.

В. Васильев  
28557. Упрощенный масс-спектрометрический гелиевый течеискатель. Шарпантье (A simplified mass spectrometer type helium leak detector. Charpentier Douglass E.), Nat. Sympos. Vacuum Technol. 1956. Trans. London—New York—Paris, Pergamon Press, 1957, 114—118 (англ.)

Описание портативного масс-спектрометрич. гелиевого течеискателя фирмы Консолидейтед Илектродайнемик Корпорейшн (США), позволяющего отыскивать течи до  $10^{-8}$  атм см<sup>3</sup>/сек.

В. Васильев  
28558. Универсальный ВЧ-течеискатель. Муди (Versatile RF type leak detector. Moody R. E.), Nat. Sympos. Vacuum Technol. 1956. Trans. London—New York—Paris, Pergamon Press, 1957, 119—123 (англ.)

Описаны гелиевый течеискатель и газоанализатор фирмы Бексан (США) с диапазоном масс  $1$ — $100$ , основу конструкции которых составляет ВЧ-масс-спектрометр.

В. Васильев  
28559. Прецизионные напускатели для калибровки течеискателей. Робертс (Precision leaks for standardizing leak detection equipment. Roberts John A.), Nat. Sympos. Vacuum Technol. 1956. Trans. London—New York—Paris, Pergamon Press, 1957, 124—126 (англ.)

Описаны образцовые стеклянные напускатели и изложена методика калибровки течеискателей.

В. Васильев  
28560. Исследование газового потока через течи. Неркен (Experiments on flow of gases through leaks. Nerken A.), Nat. Sympos. Vacuum Technol. 1956. Trans. London—New York—Paris, Pergamon Press, 1957, 1—4 (англ.)

Результаты опытов по изучению влияния природы газа (вязкости и мол. веса), перепада давления и геометрии течи на скорость течения газов. В. Васильев

28561. Определение параметров потока жидкости через течи и капилляры. Сантелер, Моллер (Fluid flow conversion in leaks and capillaries. Santeler D. J., Moller T. W.), Nat. Sympos. Vacuum Technol. 1956. Trans. London—New York—Paris, Pergamon Press, 1957, 29—36 (англ.)

Построены номограммы для расчета скорости потока жидкостей и газов при различных давлениях по известной скорости потока определенной жидкости или газа при данном давлении. Номограммы позволяют сравнивать чувствительность различных методов отыскания течей в вакуумных системах в широком диапазоне давлений.

В. Васильев  
28562. Распределение газового потока у краев цилиндрических труб. Дейтон (Gas flow patterns at entrance and exit of cylindrical tubes. Dayton B. B.), Nat. Sympos. Vacuum Technol. 1956. Trans.

London — New York — Paris, Pergamon Press, 1957, 5—11 (англ.)

Теоретически рассмотрено угловое распределение молекул на входе и выходе прямой цилиндрич. трубы с учетом отражения молекул от стенок трубы по направлению к обоим концам ее в условиях мол. режима течения газа. На основании полученных результатов обсуждается течение газа в месте соединения двух труб различного диаметра.

В. Васильев  
28563. Простое вакуумное стеклянное скользящее соединение. Гор (A simple glass sliding joint for vacuum work. Gore G. W.), J. Scient. Instrum., 1957, 34, № 11, 459 (англ.)

Предлагается конструкция скользящего соединения, состоящая из двух стеклянных трубок, вставленных одна в другую с небольшим зазором. На поверхности внутренней трубки имеются два кольцевых желобка на некотором расстоянии друг от друга, в которые закладываются О-образные неопреновые прокладки, прижимающиеся к внутренней поверхности внешней трубки. Пространство между прокладками заполнено дибутилфталатом, который облегчает скольжение внутренней трубки во внешней. Уплотнение обеспечивает вакуум до  $10^{-3}$  мм рт. ст.

Э. Финкель  
28564. Соответствие контура, получаемого при нанесении тонких пленок в вакууме, очертаниям образца. Толанский (Perfection of contour by vacuum deposited thin films. Tolansky S.), Vacuum, 1954 (1957), 4, № 4, 456—463 (англ.; рез. франц.)

Искажения контуров образца по мере конденсации в вакууме тонких пленок Ag, криолита и ZnS измерялись методом прецизионной многолучевой интерферометрии. Объектом исследования служила ступень высотой в 480 Å на спирали карбида кремния. Измерение высоты ступени на расстоянии 0,075 мм от уступа не обнаружили изменений вплоть до максим. толщины Ag-пленки (26 700 Å). Измерения на краю уступа показали снижение высоты ступени, начиная с толщины пленки в 6000 Å; при толщине Ag-пленки ~ 27 000 Å уменьшение высоты ступени достигало 97 Å. Для пленок криолита и ZnS уменьшение высоты ступени на краю уступа начиналось при меньших толщинах покрытия, чем можно объяснить сглаживание неровностей поверхности при нанесении многослойных пленок, состоящих из этих в-в. Результаты исследований подтверждают обоснованность применения Ag-покрытий для изучения микротопографии поверхностей с помощью интерферометрии.

Л. Абрамович  
28565. Измерение толщины сублимированных пленок методом многократной интерференции светового пучка. Скотт (The measurement of the thickness of evaporated films by a multiple beam interference method. Scott G. David), Nat. Sumpos. Vacuum Technol. 1956. Trans. London — New York — Paris, Pergamon Press, 1957, 24—28 (англ.)

Разработан оптич. метод измерения толщины Δt тонких (10—10 000 Å) сублимированных пленок с точностью ±1 Å, площадь которых может быть < 1 мм<sup>2</sup>. На исследуемом слое (ИС) процарапывается до поверхности подложки полоса шириной 0,1—0,2 мм. Пластина с ИС (со стороны ИС) и другая пластинка покрываются пленкой Ag толщиной < 1000 Å и накладываются посеребренными поверхностями одна на другую. Пучок белого света от лампы накаливания направляется при помощи полупрозрачного зеркала на такую стопу. Величина воздушного зазора между пластинками, в котором и происходит многократная интерференция, регулируется спец. винтами. Спектры разного хроматич. порядка регистрируются при помощи спектроскопа.  $\Delta t = n/2 \Delta \lambda$ , где  $n = \lambda_2/(\lambda_1 - \lambda_2)$ ,  $\lambda_1, \lambda_2$  — длина волн спектральных линий,  $\Delta \lambda$  — разность

длин волн света, отраженного от поверхности подложки и от поверхности исследуемого слоя (наблюдается в виде излома спектральной линии). Обсуждено влияние различных факторов на точность метода.

А. Бабад-Захрияни  
28566. Прибор для измерения малых углов смачивания между жидкостью и твердым телом. Спиритковский, Гейне (Apparatus for the measurement of small contact angles between liquids and solids. Speece A. L., Rutkowski C. P., Gaines G. L., Jr), Rev. Scient. Instrum., 1957, 28, № 8, 636—637 (англ.)

Исследуемый материал в форме пластинки (П) подвешивается на двух микрометрич. винтах и опускается горизонтально в кювету с жидкостью. Затем при помощи одного из винтов П наклоняется до тех пор, пока поверхность жидкости на границе раздела жидкость — П станет плоской. При этом угол между поверхностью жидкости и П равен углу смачивания. Угол наклона П регистрируется по форме отраженного узкого и широкого светового луча от поверхности жидкости. Приведены примеры определения углов смачивания для некоторых в-в.

А. Бабад-Захрияни  
28567. Новый метод измерения давления насыщенных паров труднолетучих жидкостей. Нейман (Nová metoda měření tence par flegmatických kapalin. Neuman Jaroslav), Slaboproudý obzor, 1957, 18, № 7, 460—464 (чешск.; рез. русск., нем., англ., франц.)

Тензиометр предназначен для измерения давления паров в-в с малой упругостью пара, таких как октоил, дибутилфталат и др. Действие прибора основано на измерении угла поворота спец. турбинки, помещенной в струю пара исследуемого в-ва. Турбинка, выполненная в виде колеса многолопастного осевого вентилятора, подвешена на вертикальной крутильной нити. Под турбинкой находится плоская чашка с исследуемым в-вом. Пары исследуемого в-ва, непрерывно откачиваемые вакуумным насосом, вызывают поворот турбинки, пропорциональный давлению пара. Угол поворота измеряют методом зеркала и шкалы.

А. Сарахов  
28568. Об истечении жидкостей значительной вязкости при переменном уровне и теории вискозиметра Энглера. Альтшуль А. Д., Ж. техн. физики, 1957, 27, № 4, 805—811

28569. Микроволновой прибор для изучения на длине волны в 3 см действия температуры и давления на диэлектрические свойства газов. Кришнаджи, Сривастава (A three centimetre microwave bench for studying the pressure and temperature effects on dielectric behaviour of gases. Krishnaji, Srivastava G. P.), J. Scient. and Industr. Res., 1957, A16, № 7, 289—294 (англ.)

Описан прибор для исследования действия т-ры и давления на рассеяние и поглощение сантиметровых волн в газах. Газовая ячейка представляет собой помещенный в термостат изогнутый волновод. Прибор позволяет проводить исследования при т-рах от -30 до +80°. Миним. измеряемая величина коэф. поглощения  $0,5 \cdot 10^{-6}$  см<sup>-1</sup>, а миним. величина для электрич. восприимчивости  $2 \cdot 10^{-5}$ .

Л. Абрамович  
28570. Болометрический детектор для измерения скорости распространения взрыва в газах с низкой плотностью. Клаустон, Драммонд, Хантер (A bolometer detector for the measurement of shock velocity in low density gases. Clouston J. G., Drummond L. J., Hunter W. F.), J. Scient. Instrum., 1957, 34, № 8, 321—324 (англ.)

Описан метод измерения скорости распространения взрывной волны в газовой среде низкой плотности, использующий эффект скачка т-ры на границе фронта



волны. В качестве чувствительных элементов использованы сконструированные для этой цели болометры, состоящие из запрессованных в стеклянную пробку ZW-электродов, между которыми нанесен проводящий Au-мостик сопротивлением 10—20 ом. Сигналы болометров усиливаются широкополосными усилителями с малой постоянной времени. 3 болометра расположены с промежутками 50 см внутри расширительной трубки и дают возможность фиксировать скорости в диапазоне 200—3000 м/сек.

Л. Абрамович  
28571. Электроннооптические исследования процессов окисления в высоком вакууме. Гулбрансен, А. и др. (Electron optical studies of oxidation processes occurring in high vacuum. Gulbransen E. A., Andrew K. F.), Nat. Sumpos. Vacuum. Technol. 1956, Trans. London—New York—Paris, Pergamon Press, 1957, 190—201 (англ.)

Предложен вакуумный прибор для исследования процессов окисления металлов при повышенных ( $< 850^\circ$ )  $t$ -рах и давл.  $> 10^{-8}$  мм рт. ст. Нагреваемая часть прибора изготовлена из муллитовой керамики. Остальные детали (вакуумпроводы, газопроводы) изготовлены из пирекса, непосредственно спаянного с муллитом. Вакуум создается диффузионным Нг-сосом. В вакуумной системе имеются ловушки с жидким азотом и твердой  $CO_2$ , а также узлы для очистки и напуска  $H_2$  и  $O_2$ . Приведены результаты исследования чистого Fe и железа армо. При исследовании использовали электронномикроскопич., электрографич. и микроскопич. методы. Продемонстрировано влияние C в металле на окисление его поверхности.

А. Бабад-Захрияни  
28572. Точки затвердевания очень чистых металлов как точные температурные стандарты. I. Точные измерения стандартными термометрами сопротивлений. Мак-Ларен (The freezing points of high purity metals as precision temperature standards. I. Precision measurements with standard resistance thermometers. McLaren E. H.), Canad. J. Phys., 1957, 35, № 1, 78—90 (англ.)

Описаны техника и границы точности, достигаемые при использовании Pt-термометра сопротивлений, метода Мюллера и ячеек тройной точки воды.

Ю. Третьяков  
28573. Регулирование температуры с высокой точностью. Применение описываемой схемы для измерения термодинамических констант при высокой температуре. Олетт, Тюппен (Dispositif de régulation et d'asservissement de température de haute précision. Application à la mesure des constantes thermodynamiques à température élevée. Olette Michel, Tuppin Claude), Silicates industr., 1957, 22, № 6, 343—351 (франц.)

Высокая точность измерения достигается применением дифференциальной схемы, состоящей из 2 термисторов, один из которых погружен в измеряемую среду, а другой в среду с постоянной  $t$ -рой. В случае использования схемы для регулирования последний можно заменить постоянным сопротивлением в 10000 ом с нулевым температурным коэф. Нижний элемент чехла термистора изготовлен из электролитич. Si и припаян к стеклянной трубке, в которой создается вакуум. На дно чехла наливается масло. Такая конструкция исключает передачу тепла в окружающую среду через арматуру. Система прерывистого регулирования обеспечивает точность поддержания  $t$ -ры  $\pm 0,001^\circ$ . Схема применима для регулирования адиабат. калориметров.

З. Хаимский  
28574. Принципиальные основы метода определения термических констант на основе термографии. Ягфаров М. Ш., Берг Л. Г., Изв. Казанск. фил. АН СССР. Сер. хим. н., 1957, вып. 3, 31—36

Рассмотрены принципиальные основы нового способа одновременного определения теплоемкости  $C_p$ , тепловых эффектов  $\Delta H$  и теплопроводности  $\lambda$  в-в  $\lambda$  по методу непрерывного нагрева с постоянной скоростью, осуществляемого через плохо теплопроводящую оболочку. Особенностью данного способа является одновременное сравнение  $t$ -р исследуемого образца и двух других: стандартного в-ва с известной  $C_p$  и воздуха, причем все три образца находятся в одинаковых условиях теплообмена. В этом случае возможно избежать непосредственного учета условий теплообмена (кроме легко определяемых скорости нагрева и факторов формы); приведены ф-лы для вычисления  $C_p$ ,  $\Delta H$  и  $\lambda$  из эксперим. данных.

И. Левитин  
28575. Станция низких температур Института неорганической химии Ягеллонского университета в Кракове, 1915—1953. Пастернак, Войташек (Stacja Niskich Temperatur Zakładu Chemii Nieorganicznej UJ w latach 1915—1953. Pasternak Antoni, Wojtaszek Zdzisław), Zesz. nauk. Uniw. Jagiellońskiego. Mat., fiz., chem., 1956, № 1, 167—188 (польск.; реф. русск., англ.)

28576. Два типа высокотемпературных печей для лабораторных целей. Уокер, Бауэр (Two resistance-type hot-pressing furnaces for laboratory use. Walker R. F., Bauer S. G.), Rev. Scient. Instrum., 1957, 28, № 7, 563—568 (англ.)

Подробно описано устройство трубчатых печей: графитовой, работающей в инертной атмосфере при  $t$ -рах до  $3000^\circ$ , и молибденовой, позволяющей работать при  $t$ -ре  $2000^\circ$  как в вакууме, так и в инертной атмосфере.

Н. Москвитин  
28577. Точные термометры для измерения температур газов. Блага (Přesné teploměry k měření teplot plynů. Bláha O.), Strojirenství, 1957, 7, № 8, 639—640 (чешск.)

Приведены технич. характеристики двух термометров сопротивления и термопары для измерения  $t$ -ры газов: один термометр для  $t$ -р от  $-150$  до  $+150^\circ$ , второй — от 0 до  $850^\circ$ , а также термопара для  $t$ -р до  $1400^\circ$ .

В. Свиридов  
28578. Техника измерения pH и успехи в этой области. Зюсс (La tecnica di misura del pH ed i suoi più recenti progressi. Süs), Strum. e automaz., 1957, 5, № 9, 391—397 (итал.)

Обзор.  
А. Сарахов  
28579. Простая конструкция ртутного струйчатого электрода. Полашек (Jednoduchá konstrukce rtuťové tryskové elektrody. Polánek Jan), Průmysl potravin, 1957, 8, № 9, 493 (чешск.)

Предложена простая конструкция Hg-струйчатого электрода, позволяющая получать на осциллографе полярограммы 0,001 M р-ров  $NiSO_4$  и  $CoSO_4$  (а также их смесей) в 1 M  $NH_4OH$  и 1 M  $NH_4Cl$ . Н. Туркевич

28580. Новое универсальное электродное стекло для измерений pH. Швабе (Ein neues Universal-Elektroden Glas zur pH-Messung. Schwabe Kurt), Chem. Technik, 1957, 9, № 10, 594—596 (нем.)

Описаны электрохим. свойства нового универсального стекла (УС) для стеклянных электродов, изготовленного на основе окислов щел. металлов с прибавлением окислов тяжелых металлов (в частности U). Электродная функция электродов из УС почти линейна в пределах pH 0—13 при большой конц-ии ионов  $Na^+$ . По сравнению со стеклом Мак-Иннеса УС имеет вдвое большую электропроводность (что позволяет измерять pH без усилителей) и внято меньшую растворимость; это дает возможность производить измерения в небуферных р-рах. УС устойчиво при  $t$ -рах до  $100^\circ$  и легко обрабатывается.

Ю. Плесков

28581. Электрическая теория озонаторов. II. Теория динамических характеристик озонаторов. Емельянов Ю. М., Филиппов Ю. В., Ж. физ. химии, 1957, 31, № 7, 1628—1635 (рез. англ.)

Разработана теория процесса протекания тока через озонатор. Выведены ур-ния для расчета мгновенных значений тока и напряжения на разрядном промежутке и диэлектрич. барьерах озонатора, а также для определения моментов возникновения и прекращения в нем разряда. Теория дает объяснение динамич. характеристик озонатора. Часть I см. РЖХим, 1958, 3982.

Э. Финкель

28582. Электрометрические методы измерения. Небль (Elektrometrische Meßmethoden. Nebl), Praxis Phys., Chem. Photogr., 1957, 6, № 4, Chemie, 28—30 (нем.)

28583. Хроматографический универсальный прибор для анализа сложных газовых смесей. Туркельтауб Н. М., Жуховицкий А. А., Заводск. лаборатория, 1957, 23, № 9, 1120—1124

Прибор основан на одновременном применении хроматографии и распределительной и адсорбционной провизительной хроматографии. Прибор состоит из колонки с силикагелем (вдоль которой движется печь, создающая подвижной градиент  $t$ -ры), колонки, заполненной смесью диатомита с дибутилфталатом, и колонки с активированным углем. На выходе установки имеется 2 фиксирующих прибора, определяющих концы компонентов по изменению теплопроводности (для высоких концы) или по тепловому эффекту сгорания (для низких концы). На приборе можно определять в смеси содержание водорода, СО, метана, этана, этилена, пропана, пропилена, изобутана, бутана, изобутилена, транс-бутилена-2, цис-бутилена-2, изопентана, пентенов, дивинила, гексана, гептана, октана. Продолжительность анализа 1,5—2 часа. Приведены эксперим. кривые разделения сложных смесей.

Л. Дмитренко

28584. Высокоэффективные колонки для анализа углеводородов с помощью газожидкостной хроматографии. Скотт, Чешир (High-efficiency columns for the analysis of hydrocarbons by gas-liquid chromatography. Scott R. P. W., Cheshire J. D.), Nature, 1957, 180, № 4588, 702—703 (англ.)

Кратко описана колонка с эффективностью в 12 000 теоретич. тарелок, имеющая следующие данные: длина 825 см, диам. 4 мм, насадка фирмы Джонсон — Мавиль С-22 с зернением 0,15—0,25 мм, содержание жидкой фазы в насадке 5%,  $t$ -ра колонки 78°, газ-носитель 25%  $N_2 + 75\% H_2$ . Проба смеси газа для разделения  $\leq 400$   $\gamma$ . Получено хорошее разделение искусств. смеси следующего состава:  $n$ -пентан,  $n$ -гексан,  $n$ -гептан,  $n$ -октан, метилциклопентан, метилциклогексан, толуол, бензол, этилбензол,  $o$ -ксилол,  $p$ -ксилол,  $m$ -ксилол.

Л. Дмитренко

28585. Автоматическое регистрирование анализов, производимых при помощи газовой хроматографии. Змитко, Бродский, Бижа (Automatický zápis analyz prováděných plynovou chromatografií. Zmítko Jiří, Brodský Jan, Biža Václav), Chem. průmysl, 1957, 7, № 8, 414—416 (чешск.; рез. русск., англ., нем., франц.)

На выходе газовой хроматографич. колонки установлен катарометр, показания которого с помощью луча света и зеркального гальванометра записываются на движущейся фотобумаге. Прибор позволяет анализировать смеси, содержащие воздух,  $CH_4$ ,  $C_2H_6$ ,  $C_2H_4$ ,  $C_3H_8$ ,  $iso-C_4H_{10}$ ,  $n-C_4H_{10}$ , 1-бутен, транс-2-бутен, цис-2-бутен, бутадиев.

Н. Туркевич

28586. Инфракрасная индикация в газовой хроматографии. Секерка, Спевак, Фридрих (Infračervená indikace v plynové chromatografii. Sekerka

Bedřich, Spěvák Antonín, Friedrich Kurt), Chem. průmysl, 1957, 7, № 11, 602—604 (чешск.; рез. русск., англ.)

Описаны результаты использования термисторов для бездисперсионной ИК-индикации компонентов при хроматографировании систем жидкость — газ.

Резюме авторов

28587. Простой недорогой источник питания для электрофореза на бумаге. Вулфсон (Simple inexpensive power supply for paper electrophoresis. Wolfson William Q.), Lab World, 1956 7, № 5, 244—245 (англ.)

Предложена простая схема выпрямителя с удвоением напряжения на двух селеновых столбиках (130 в, 200 ма).

А. Лопманов

28588. Определение размера частиц менее 0,06 мкм. II. Седиментационные методы. Вечерикова, Бареш, Харват (Měření velikosti částic pod 0,06 mkm. II. Methody sedimentační. Večeřiková V., Bareš F., Charvát V.), Sbirka prací vyzkumn. úst., 1957, A8, № 17—26, 87—109 (чешск.; рез. русск., нем., англ.)

При проверке методов седиментометрич. анализа (СА), предложенных Андреазеном (А), Келли (Б) и Копецким (В), установлено, что методы А и В дают воспроизводимые результаты при СА барита (I), глины (II) и золы (III). В качестве диспергирующей среды в методе А применялись либо вода (в случае I), либо смесь  $CCl_4$  и метанола (II и III). Метод В применим для СА I, но дает невоспроизводимые результаты в случае II и III.

В. Свиридов

28589. Простой прибор для регистрации запыленности воздуха и его калибровка. Эффенбергер (Ein einfaches Registriergerät für das Grobstaub (Staub) und dessen Eichung. Effenberger Ernst), Staub, 1957, № 52, 715—728 (нем.; рез. англ., франц.)

Прибор действует по принципу инерционного осаждения. При помощи насоса в корпусе прибора создается разрежение. Окружающий проверяемый воздух непрерывно поступает в корпус через сопло, образуя скоростную струю, которая направляется на медленно вращающийся барабан. Поверхность последнего покрыта бумагой. Вследствие расширения воздуха в струе происходит конденсация водяного пара на частицах, что способствует удержанию их на бумаге. Одновременно с вращением барабана сопло перемещается параллельно его оси; в результате чего на бумаге образуется спиральная пылевая полоса, плотность которой оценивается визуально методом сравнения с эталонной шкалой. При помощи шкалы определяется запыленность воздуха в мг/л, или счетная концы частиц (кол-во частиц в 1 л воздуха). Дано краткое описание статистич. методов, использованных при калибровке. В приборе оседает лишь часть содержащейся в воздухе пыли, т. е. плотность пылевой линии является лишь относительной характеристикой запыленности. Однако измерения показали, что существует приблизительно прямая пропорциональность между плотностью линии и абс. запыленностью.

В. Дунский

28590. Новые седиментационные весы. Берд (New balance for sedimentation. Bird R. T. H.), Chem. Prod., 1957, 20, № 9, 372—373 (англ.)

Кратко описаны автоматич. седиментационные крупительные весы, выпускаемые фирмой Сарторус. Увеличение веса осевших на чашку весов частиц исследуемого порошка записывается как функция времени. Коромысло весов оптически связано с фотоэлектрич. системой, которая при изменении навески на весах возвращает коромысло в первоначальное равновесное



положение. Прибор позволяет исследовать системы с частицами диам.  $< 60 \mu$ . Н. Москвитин

28591. Фотоэлектрический прибор для измерения молекулярной ориентации в пленках высокополимеров. Виноградов, Биссет (A photoelectric instrument for the measurement of molecular orientation in films of high polymers. Winogradoff N. N., Bisset D. C.), J. Polymer. sci., 1957, 26, № 113, 187—198 (англ.; рез. нем., франц.)

Предложен простой метод определения разности хода лучей (порядка  $10^{-8}$  см) при их прохождении через ориентированные пленки высокополимеров. Метод основан на измерении интенсивности света, проходящего через два скрещенных вращающихся поляризатора, между которыми расположена исследуемая пленка. Дана теория метода, устанавливающая связь между двулучепреломлением образца и интенсивностью пропущенного света для случая направлений колебаний электрич. вектора в трех взаимно перпендикулярных направлениях. Прибор позволяет непрерывно измерять и записывать двулучепреломление дуоосно ориентированных пленок и одноосно ориентированных волокон. Метод может быть применен при изучении сорбции, отжига, деформации и тому подобных процессов, происходящих в ориентированных полимерах. Ю. Липатов

28592. Панорамный безынерционный анализатор многокомпонентной газовой смеси ПГА-1.— Радиотехн. произ-во, 1957, № 10, 34—35

Прибор для быстрого определения состава газа в вакуумной пром-сти, основанный на принципе безмагнитного пролетного масс-спектрометра, позволяет обнаруживать одновременно  $H_2$ ,  $H_2O$ ,  $(N_2 + CO)$ ,  $O_2$ ,  $CO_2$  и  $Cl_2$  и регистрировать процессы, длящиеся 0,002 сек. и больше. Чувствительность прибора  $2 \cdot 10^{-6}$  мм рт. ст. на 1 мм шкалы. Б. Анваер

28593. Аппарат для количественного определения в воздухе окиси и двуокиси углерода и газообразных компонентов жидкого топлива (углеводородов). Дзедзичек В. П., Демидов А. В., Лабор. дело, 1957, № 4, 46—51

Для определения содержания в воздухе  $CO$ ,  $CO_2$  и суммы углеводородов при санитарно-гигиенич. исследованиях описан прибор, основанный на тех же принципах каталитич. сжигения и обратного титрования р-ра  $Ba(OH)_2$ , что и титриметрич. газоанализатор (Туркельтауб Н. М., Ж. аналит. химии, 1950, 5, № 4, 200). Благодаря компактному расположению частей прибор имеет малый вес ( $\sim 300$  г) и малые габариты ( $6 \times 12 \times 18$  см). Применяются 0,02 н. р-ры. Продолжительность анализа 10—15 мин. Б. Анваер

28594. Приборы для измерения малых количеств двуокиси серы в атмосфере. Каммингс, Редферн (Instruments for measuring small quantities of sulphur dioxide in the atmosphere. Cummings W. G., Redfearn M. W.), J. Inst. Fuel, 1957, 30, № 202, 628—635 (англ.)

Описаны 2 прибора: а) самопишущий прибор основан на абсорбции  $SO_2$  р-ром, содержащим 5 мл  $H_2O_2$  и 1 мл типолола на 1 л  $H_2O$  с добавкой 0,01 н. р-ра  $H_2SO_4$ . Абсорбция производится в непрерывной противоточной колонке. Измеряется изменение электропроводности в результате образования  $H_2SO_4$ . Скорость подачи реактива 3 мл/мин, воды 12 л/мин. Скорость движения ленты самописца 15 см/час. Инерция  $\leq 3$  мин.

б) Портативный прибор основан на поглощении  $SO_2$  р-ром, содержащим в 1 л 1 г растворимого крахмала, 2 мл 0,01 н. р-ра  $H_2SO_4$ , 2 мл 0,05 н. р-ра  $I_2$  и 2 г  $KJ$ . Концентрация  $SO_2$  определяется по изменению окраски посредством фотоэлемента, соединенного с гальванометром. Вес прибора без аккумуляторов 13,5 кг. Чувствительность обоих приборов 1 ч.  $SO_2$  на  $10^8$  частей

воздуха. Область измерения  $(0-50) \cdot 10^{-6}\%$ . Область измерения может быть расширена, но чувствительность падает в той же степени, в какой увеличивается определяемая конц-ия. Б. Анваер

28595. Новые измерительные приборы для определения кислорода в газовой и жидкой фазе. Загосшен (Neue Messgeräte zur Bestimmung von Sauerstoff in Gas- und flüssiger Phase. Sagoschen J.), Chem. Rundschau, 1957, 10, № 18, 418—419 (нем.)

Описаны следующие приборы: 1. «Деоксо-индикатор» для определения  $O_2$  или  $H_2$  в газах в присутствии  $N_2$ ,  $CO_2$  или редких газов. Прибор имеет 2 диапазона измерений: до 0,1 и 1%. Точность  $\pm 20$  от всей шкалы. Метод основан на каталитич. сжигении и определении теплоты сгорания. Теплота сжигания измеряется термопарой с отсчетом показаний по гальванометру или с автоматич. записью. 2. «Деоксо-SSS-индикатор», основанный на том же принципе, служит для измерения  $O_2$  в областях конц-ии до 0,02 и 0,25% (2 диапазона). Этот прибор позволяет определять  $H_2$  или  $O_2$  в газах, содержащих до 3%  $CO$ . 3. Прибор Герша, основанный на электрохим. принципе, позволяет определять конц-ию  $O_2$  в газе до  $10^{-6}$  или  $10^4$  (2 диапазона) с точностью  $\pm 5\%$  от всей шкалы. Метод основан на измерении кол-ва  $O_2$ , адсорбированного на  $Ag$ -катоде, соединенном с  $Cd$ -анодом. Образующийся  $OH^-$  окисляет на аноде  $Cd$  до  $Cd(OH)_2$  и измеренная э. д. с. прямо пропорциональна содержанию  $O_2$ . 4. Для непрерывного определения конц-ии  $O_2$ , растворенного в жидкости, служит прибор Беккера — Герша, основанный на том же принципе, как и предыдущий, причем  $O_2$  вымывается из жидкой фазы током  $H_2$ . Области измерения до 0,02 и 0,1 см<sup>3</sup>/л (2 диапазона). Точность  $\pm 5\%$  от всей шкалы. Б. Анваер

28596. Индикатор газов. Фиман (Indikator plynu Fiehnman Jifi), Chem. průmysl, 1957, 7, № 11, 605—606 (чешск.; рез. русск., англ.)

Разработан прибор (катарометр) для индикации газов, основанный на косвенном определении теплопроводности или сравнении теплопроводностей 2 различных газов. Индикатор может быть использован для определений в любом диапазоне конц-ии 2 газов с достаточно отличающимися теплопроводностями. Прибор сравнительно прост, безопасен, нетребователен в производственном отношении. Сочетая индикатор с соответствующим устройством, можно осуществить непрерывное автоматич. определение конц-ии смесей различных газов. Резюме автора

28597. Прибор для открытия химических элементов. Линкерт (Science's chemical element detective. Linkert W. G.), Design Engng, 1957, 3, № 9, 59—61, 82, 88—89 (англ.)

Популярное изложение основ спектрального анализа и краткое описание конструкции «проеекционного» денситометра, в котором исследуемый спектр в увеличенном масштабе просматривается на экране, имеющем сетку со значениями длин волн.

А. Бабад-Захарянин  
28598. Простое устройство для зонной очистки органических веществ. Севенстер (A simple apparatus for zone refining organic substances. Sevenster P. G.), S. Afric. Industr. Chemist, 1957, 11, № 3, 59—60 (англ.)

Описано устройство для получения чистых органич. в-в методом зонной плавки под вакуумом. Устройство состоит из горизонтально расположенной стеклянной трубки (Т) диам. 2,2 см и длиной 80 см, которая свободно подвешена на крючках, изготовленных из 2-мм проволоки. С помощью привода Т медленно перемещается сквозь 4 последовательно соединенные проволочные нагревательные элементы. При очистки нафталина расстояние между элементами 15 см,

потребляемая мощностью 85 вт, скорость перемещения  $T$  4 см/час, время плавки 200 час. Т открыта с одного конца, который после загрузки обрабатываемого материала заглушается хлоропреновой пробкой. Аппарат рассчитан для работы с в-вами, т-ра плавления которых  $\leq 350^\circ$ .

Б. Сумм  
28599. Способ обогрева лабораторных ректификационных колонн. Зыков Д. Д., Хлебникова В. В., Соболев Г. В., Заводск. лаборатория, 1957, 23, № 8, 995

Предложена система защиты ректификационных колонн от теплообмена с окружающей средой при помощи нагревательной рубашки, т-ра которой посредством реле автоматически поддерживается равной т-ре колонны. Рубашка и колонна изготовлены из одинакового металла.

Н. Москвитин  
28600. Бомбы для разложения органических веществ. Глуховская Р. Д., Угольников Н. А., Тр. Томского ун-та, 1957, 145, 173—176

Описана бомба для элементарного органич. анализа, в которой крышка не привинчивается, а прижимается к бомбе. Площадка с отверстием в центре для пробирки бомбы укрепляется неподвижно на двух колонках, прикрепленных к стальной подошве. Винт с шариком на конце проходит через траверсу, опирающуюся на колонки, и плотно прижимает крышку к пробирке. Прокладка изготовлена из 1 мм листовой Cu. На операции закрывания, охлаждения и открывания бомбы тратится 1—2 мин. Применение нескольких пробирок различных размеров позволяет использовать бомбу для макро-, микро- и полумикрометодов.

Б. Анваер  
28601. Лабораторная экстракционная техника. Шейбел (Bench scale liquid extraction techniques. Scheibel Edward G.), Industr. and Engng Chem., 1957, 49, № 10, 1679—1684 (англ.)

Для исследования экстракции в системах жидкость — жидкость создан аппарат, содержащий 21 стеклянную делительную воронку (ДВ), которые расположены в два яруса. Приводной механизм позволяет менять местами ярусы ДВ; при этом ДВ остаются в вертикальном положении. ДВ могут отклоняться в обе стороны от вертикальной оси, что позволяет переливать содержимое из верхней ДВ в нижние, расположенные слева и справа от них. Аппарат дает возможность исследовать методами периодич. экстракции процесс непрерывной ступенчатой экстракции в различных его модификациях. Рассмотрены результаты, полученные при исследовании экстракции растворенного в-ва из р-ра с помощью несмешивающегося р-рителя, двух несмешивающихся р-рителей, одного р-рителя и флегмы.

Ю. Петровский  
28602. Лабораторная экстракционная колонка. Марушкин Б. К., Новости нефт. техн. Нефтепереработка, 1957, № 8, 13—14

Непрерывно действующая экстракционная колонка представляет собой вертикальную стальную трубку с насадкой в виде колец из нихромовой проволоки. Наклонная сливная трубка автоматически поддерживает уровень рафинатного р-ра. Температурный градиент по высоте колонки обеспечивает внутреннюю рециркуляцию. Т-ра и градиент регулируются при помощи водяной рубашки с термосифоном. При экстракции дизельного топлива фенолом эффективность колонки высотой  $\sim 3$  м составляет  $\sim 8$  теоретич. ступеней при скорости подачи дизельного топлива 80—150 мл/час, фенола 200 мл/час и воды 7—20 мл/час. Исследована зависимость выхода и качества рафинатов от числа ступеней очистки.

Б. Анваер  
28603. Политеновый трубчатый клапан для жидкостей. Сейл (A polythene tubing control valve for liquids. Sale A. J. H.), J. Scient. Instrum., 1957, 43, № 10, 418 (англ.)

Политеновая трубка для большей эластичности размягчается при  $100^\circ$ , зажимается в тисках при таком давлении, чтобы слегка уменьшить толщину стенки трубки. После охлаждения трубка остается плоской и достаточно силы небольшого соленоида, чтобы пережать плоский участок и перекрыть поток протекающей по трубке жидкости.

З. А. Соколова  
28604. Индикатор уровня жидкости с горячей проволокой. Маймони (Hot wire liquid-level indicator. Maimoni Arturo), Rev. Scient. Instrum., 1956, 27, № 12, 1024—1027 (англ.)

Приведена теория устройства для определения уровня жидкого азота по изменению сопротивления нагретой Pt-проволоки, частично погруженной в жидкость. Диапазон измерения индикатора  $\sim 50$  мм при ошибке определения  $< 2,5$  мм и рассеиваемой мощности  $\sim 6,8$  ватт. Описанное устройство может быть использовано для определения уровня и других жидкостей с малой вязкостью.

Л. Абрамович  
28605. Расходомер для измерения малых расходов жидкости при непрерывном расходе под давлением. Нагиев М. Ф., Вечхайзер И. В., Мэрузалер, АзербССР. Элмлер Акад., Докл. АН АзербССР, 1957, 13, № 10, 1057—1061 (рез. азерб.)

Описан расходомер с емкостным датчиком с изменяющимся диэлектриком для измерения малых расходов непроводящих жидкостей (10—100 мл/час) под давлением при непрерывном расходе. Изменение емкости измеряется мостом переменного тока типа Ульриха, отградуированным в см<sup>3</sup>. Абс. ошибка  $\leq 0,5$  мл.

Э. Финкель  
28606. Электронный счетчик агрессивных жидкостей. Куратов В. М., Бюл. цветн. металлургии, 1957, № 16, 26—29

Описаны электронные счетчики типов ЭСД-1/40 и ЭСИ-1/100, предназначенные для измерения и регулирования расхода агрессивных жидкостей при давл. до 5 кг/см<sup>2</sup> и т-ра  $\leq 70^\circ$ . В качестве датчика используется помещенная в герметичный корпус виниловая крыльчатка, на которой укреплен стальной пластина. При вращении крыльчатки пластинка наводит в расположенной снаружи катушке электромагнита импульсы тока, которые после усиления 3-каскадным электронным усилителем подаются на командное регулирующее устройство со счетчиком (ЭСД-1/40) или интегратор (ЭСИ-1/100).

Л. Абрамович  
28607. Перевод из ампул в резервуар легко окисляемых порошков. Льюис (Transferring easily oxidized powders. Lewis F. A.), Chemistry and Industry, 1957, № 43, 1415 (англ.)

Предлагается метод перевода самоокисляющихся порошков из стеклянных вакуумных ампул. Для этой цели на ампулу, помещенную в откачанный приемный резервуар, одевают нихромовую петлю, через которую пропускают электрич. ток, вызывающий растрескивание ампулы вдоль предварительно сделанной царапины.

Л. Абрамович  
28608. Запайка стеклянных ампул с гелием при высоких давлениях. Эбер (Sealing helium under high pressure in glass capsules. Hébert G. R.), Rev. Scient. Instrum., 1957, 28, № 7, 575—577 (англ.)

Описан метод отпайки ампул из стекла пирекс, заполненных He до давл. 77 атм. Для этой цели ампулу помещают в термостатическую камеру так, чтобы верхний открытый отпаянный конец ампулы попал внутрь спирали W-подогревателя. После заполнения камеры He до нужного давления через подогреватель кратковременно пропускают электрич. ток, вызывающий запайвание конца ампулы. Качество пайки проверяется под микроскопом.

Л. Абрамович  
28609. Изменение диапазона измерений и чувствительности электронного ваттметра. Саркар (Va-



riation of range and sensitivity of electronic wattmeters. Sarker H., J. Scient. and Industr. Res., 1957, A16, № 4, 176—178 (англ.)

Изменение диапазона измерений и чувствительности электронного ваттметра осуществлялось с помощью соответствующих комбинаций сопротивлений, включаемых в катодную цепь двойного триода, работающего в 2-тактной схеме. Приведены электрич. схема и калибровочные кривые описанного прибора для активной и реактивной нагрузок при промышленных частотах.

Л. Абрамович

28610. Калибровка и эксплуатация воздушной ультрацентрифуги. Джонсон (The calibration and use of an air-driven ultracentrifuge. Johnson P., J. Scient. Instrum., 1957, 34, № 3, 91—97 (англ.))  
Описаны усовершенствования воздушной ультрацентрифуги Фиве. Система вентиля и клапанов позволяет обеспечить постоянство скорости вращения ротора в пределах  $\pm 1\%$  в течение нескольких часов. Величина скорости измеряется электромагнитным устройством. Для контроля т-ры применен термистор, включенный в одно из плеч моста Уитстона. Величина поправки, характеризующей отклонение измеренной т-ры ротора ультрацентрифуги, определялась по точке плавления окиси дифенила. При расположении термистора на расстоянии 0,8 мм от ротора эта поправка составляла 0,6° и оставалась неизменной в широком диапазоне скорости вращения ротора и давления водорода. Седиментационные константы для различных в-в, полученные с помощью описанной ультрацентрифуги, хорошо совпадают с определениями, созданными на ультрацентрифуге Спинко.

Л. Абрамович

28611 П. Прибор для изучения физических свойств твердых частиц, взвешенных в жидкости. Коултер (Apparatus for studying the physical properties of a suspension of particles in a liquid medium. Coulter W. H.). Англ. пат. 722418, 26.01.55

Предложен метод счета твердых частиц, взвешенных в электропроводной жидкости, основанный на измерении сопротивления весьма малого объема этой суспензии. Если электропроводность частиц отличается от электропроводности жидкости, то сопротивление элементарного объема суспензии будет отличаться от сопротивления жидкости, если в этом элементарном объеме будет присутствовать твердая частица. Описано 3 варианта прибора: суспензия пропускается из одного сосуда в другой через тонкое отверстие, а измерительные электроды помещены в сосуды; суспензия пропускается через капилляр, в котором на противоположных стенках вмонтированы электроды; в суспензию погружен вращающийся по окружности тонкий электрод, а второй массивный неподвижен. Электрич. часть прибора представляет собой счетную схему, регистрирующую число частиц.

А. Сарахов

28612 П. Метод и прибор для поддержания равновесия газа с жидкостью и для анализа газа. Вильямс (Method and apparatus for equilibrating a gas with a liquid and for analyzing a gas. Williams Frederick G., Jr.). Пат. США 2760922, 28.08.56

Для определения содержания  $O_2$  в газах посредством амперометрич. или полярографич. анализа предлагается прибор, обеспечивающий быстрое насыщение р-ра электролита кислородом и непрерывную подачу этого р-ра к электродам. Прибор состоит из перевернутой круглодонной колбы, в которую снизу через пробку входит газ, распыляя в колбе р-р электролита, помещенный в горлышке колбы над пробкой. Над р-ром в колбе находится катод; через пористую мембрану р-р попадает к аноду. При пробукливании

газа через р-р непрерывно поддерживается равновесие электролита с газом и изменение парц. давления  $O_2$  вызывает быстрое изменение тока во внешней цепи электролитич. ячейки, в которой  $O_2$  восстанавливается на катоде. Метод позволяет определять также конц-ию любого компонента газовой смеси, обладающего окислительными или восстановительными свойствами, и удалять  $O_2$  при амперометрич. определении ионов металлов.

Б. Анявер

28613 П. Прибор для открытия и измерения концентрации кислорода в других газах. Херш (Appareil pour la detection ou la mesure de la concentration de l'oxygene dans d'autres gaz. Hersch Paul) [The Mond Nickel Co. Ltd.]. Швейц. пат. 319625 15.04.57

Прибор состоит из гальванич. ячейки, через которую проходит исследуемый газ, причем  $O_2$  абсорбируется на катоде и ток изменяется в зависимости от конц-ии  $O_2$ . Катод изготавливается из материала, который не подвергается воздействию электролита (Ag для щел. электролита, Au для кислого), анод — из металла, легко реагирующего с электролитом в присутствии  $O_2$  и не реагирующего в отсутствие  $O_2$  (пористый Ni, на котором осажден электрически Cd для щел. электролитов, Cu — для кислых).  $O_2$  для калибровки изготавливается в электролизере. Прибор может применяться для косвенного определения горючих газов измерением избытка  $O_2$  после их сжигания.

Б. Анявер

28614 П. Устройство для распределения малых количеств жидкости (Dispositif de distribution de petites quantités de liquide) [N. V. Kunstzijdespinnerij Nyma]. Франц. пат. 1114735, 16.04.56

Для получения непрерывного и постоянного медленного потока жидкости предлагается использовать капиллярные зазоры, образуемые трубками, расположенными концентрически вокруг сплошного цилиндрич. стержня. Нижний конец стержня находится ниже среза трубок, чтобы по нему сливалась жидкость. Можно также применять пластину, согнутую в виде спирали, так что капиллярные зазоры образуются между параллельными плоскостями. При этом засорение в какой-либо точке не изменяет скорости слива, и устройство легко демонтируется для промывки.

Б. Анявер

28615 П. Метод и устройство для качественного и количественного определения газов, содержащихся в растворимых солях. Хеймель (Verfahren und Vorrichtung zur qualitativen und quantitativen Bestimmung von salzgebundenen Gasen in löslichen Salzen. Heymel Waldemar). Пат. ГДР 10305, 25.08.55

Прибор состоит из реакционного сосуда для растворения соли, в котором находится перлоновый фильтр, приемника для сбора и измерения газа, в форме перевернутой воронки, диаметром несколько меньше, чем диаметр сосуда, с градуировкой в горлышке и нескольких склянок для запаса р-рителя (воды) и запорной жидкости (напр.,  $CCl_4$ ), соединенных сифонами с реакционным сосудом. Р-ритель предварительно насыщается газом, сходным по качеств. составу с газом, содержащимся в исследуемых солях. Образец соли помещают на фильтр. Запорная жидкость удаляет приставший к образцу воздух. При растворении соли содержащийся в ней газ собирается в воронку, соединенную с водоструйным насосом, замеряется в горлышке и переводится в аналитич. прибор.

Б. Анявер

См. также: Радиоспектроскоп с электрической мол. модуляцией 27635. Спектрометр со штатковской мо-

дуляцией 27637, 27638. Видоизмененная оптическая машина Эллера 27673. Аппаратура для измерения термодиффузии 27787. Прибор для измерения вязкости 27803. Стеклянная установка для получения меченных тритием органич. соед. 27817. Лабораторная установка для измерения давления пара над р-рами статич. методом 27857. Видоизмененный прибор Кольбуерна для исслед. равновесия жидкость — пар 27861. Газо-

вый термометр 27870. Установка для исследования взаимодействия ионных пучков с твердыми поверхностями 27933. Интерферометр Рэлея для исслед. термодиффузии KCl в водном р-ре 28017. Масс-спектрометр для анализа сложных газовых смесей 28363. Установка для быстрого опред. водорода в титане и его сплавов 28460. Электронный микроскоп для исслед. фракций гиалоплазмы 10806Бх

Рефер

28616. С  
фенилф  
Fulvene  
го G ü  
90, № 10  
Обсужда  
телей на  
на степен  
Б. С. рост  
телей в п  
формы Б.  
6-метил-6-  
фенил)-фу  
(IV), 6-(n  
6-(n-меток

рядинофе  
I равен 1.  
жается в  
Для всех  
жонные а  
эксперим.  
и незаме  
эксперим.  
растанием  
щением а  
кольцу VI  
поле пяти  
ной форми  
Полярност  
свойств п  
располагае  
> I. Наибо  
мол. рефр  
наблюдает  
шая у I и  
взаимодей  
VI > III >  
VIII ЭР  
R' = CH<sub>3</sub>.  
n-CH<sub>3</sub>OC<sub>6</sub>H<sub>5</sub>  
замещ. фе  
может вы  
с VIII зам



# РЕФЕРАТИВНЫЙ ЖУРНАЛ ХИМИЯ

Рефераты 28616—29003

№ 9

10 мая 1958 г.

## II

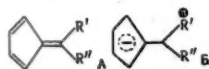
### ОРГАНИЧЕСКАЯ ХИМИЯ

#### ОБЩИЕ И ТЕОРЕТИЧЕСКИЕ ВОПРОСЫ ОРГАНИЧЕСКОЙ ХИМИИ

Редактор М. Е. Вольпин

28616. Структура фульвена. Свойства некоторых фенилфульвенов. Кресе, Гёц (Zur Struktur der Fulvene. Eigenschaften einiger Phenylfulvene. Kresche Günter, Goetz Horst), Chem. Ber., 1957, 90, № 10, 2161—2176 (нем.)

Обсуждается влияние электронодонорных заместителей на электронную структуру фенилфульвенов и на степень близости ее к граничной структуре А или Б. С ростом электронодонорного характера заместителей в положении 6 возрастает участие мезомерной формы Б. Исследовались 6-метил-6-фенилфульвен (I), 6-метил-6-*n*-толилфульвен (II), 6-метил-6-(*n*-метоксифенил)-фульвен (III), 6-(*n*-метоксифенил)-фульвен (IV), 6-(*n*-диметиламинофенил)-фульвен (V), 6-фенил-6-(*n*-метоксифенил)-фульвен (VI), 6-метил-6-(*n*-пипе-



ридинофенил)-фульвен (VII). Дипольный момент ( $\mu$ ) I равен 1,19—1,22 D;  $\mu$  III из-за полимеризации снижается в течение нескольких дней с 2,17 до 2,03 D. Для всех соединений, кроме I и II, наблюдаются заниженные значения вычисленного  $\mu$  по сравнению с эксперим.  $\mu$ . Повышенную полярность по отношению к незамещ. фульвену (VIII) и расхождение между эксперим. и вычисленными  $\mu$  авторы объясняют возрастанием участия мезомерной формы Б, смещением электронной плотности от заместителя к кольцу VIII, обобществлением шести  $\pi$ -электронов в поле пяти ядер в кольце VIII и образованием хиноидной формы в фенильном кольце с пара-заместителем. Полярность растет с увеличением электронодонорных свойств пара-заместителей.  $\mu$  остальных соединений располагается в ряду  $V > VII > IV > VI > III > II > I$ . Наибольшее  $\mu$  3,65 D наблюдается у V. Сравнение мол. рефракции с вычисленной показывает, что везде наблюдается экзальтация рефракции (ЭР), наименьшая у I и II, наибольшая у V. ЭР в I объясняется взаимодействием  $\pi$ -электронов двойных связей. Подвижность  $\pi$ -электронов уменьшается в ряду  $V > IV, VI > III > VII > I, II$ . Для *n*-метоксифенилзамещ. VIII ЭР в случае  $R'' = H, C_6H_5$  больше, чем при  $R'' = CH_3$ . Наличие метила выводит группу  $n-CH_3O-C_6H_4-$  из копланарности с системой VIII. В ди-замещ. фенилфульвенах незамещ. фенильное кольцо может выворачиваться, не выводя из копланарности с VIII замещ. фенильное кольцо. Зависимость поля-

ризуемости от характера пара-заместителя подтверждается УФ-спектрами. Все УФ спектры исследованных соединений имеют две сильные полосы и плечо при 25 000—26 000  $cm^{-1}$ ; последние соответствуют длинноволновой слабой полосе VIII. Коротковолновая сильная полоса (40 000—44 000  $cm^{-1}$ ) не имеет аналогии в спектре VIII; длинноволновая сильная полоса испытывает батохромный и гипсохромный сдвиги тем большие, чем сильнее электронодонорные свойства пара-заместителя. Наибольший сдвиг наблюдается у V 25 641  $cm^{-1}$  вместо 41 320  $cm^{-1}$  для VIII. Сравнение с соответствующими замещ. стирола и стильбена показывает, что электронодонорная группа в фенильном ядре производных VIII оказывает наиболее сильное влияние на поглощение. УФ-спектры *n*-метоксифенилпроизводных VIII так же, как и мол. рефракция, указывают на стерич. препятствия при наличии метильной группы, угол скручивания для III составляет 30°. Измерение УФ-спектра и  $\mu$  I в  $CS_2$ ,  $C_6H_6$  и  $C_7H_8$  указывает на отсутствие взаимодействия с *p*-рителем. Сравнение ИК-спектров фенилфульвенов со спектрами VIII, диазоциклопентадиена (IX) и ферроцена (X) показывает, что циклопентадиеновое кольцо в фенилфульвенах приобретает заметно более отрицательный характер (ближе к структуре Б), чем в VIII. Увеличение электронодонорных свойств пара-заместителей вызывает смещение полос 890—910  $cm^{-1}$  и 710—740  $cm^{-1}$  к большим частотам. Для группы *n*-N(CH<sub>3</sub>)<sub>2</sub> полоса 1430—1450  $cm^{-1}$  сдвигается к 1390—1400  $cm^{-1}$ , как у IX и X. Полоса 1300—1335  $cm^{-1}$ , отсутствующая у IX и X, расщепляется у метоксизамещ. фенилфульвенов. Измерение  $\mu$  I и II в жидком состоянии при 20—50° указывает на отсутствие ассоциации. Прибавлением *n*-метилацетофенона и циклопентадиена к *p*-ру КОН в  $CH_3OH$  получают II, выход 27%, т. кип. 117,5°/0,4 мм,  $n_D^{20}$  1,6330,  $d_4^{20}$  1,0011. Аналогично получены: из *n*-метоксинацетофенона III, выход 5,6%, т. кип. 127°/0,3 мм, т. пл. 66—67°,  $n_D^{20}$  1,6219,  $d_4^{20}$  0,9895; из анисового альдегида IV, выход 9,1%, т. пл. 70,5° (из сп., петр. эф.); из *n*-диметиламинобензальдегида V, выход 30%, т. пл. 106,5°; из *n*-метоксibenзофенона VI, выход 21%, т. пл. 83,5—84,5° (из сп.); из *n*-пиперидинацетофенона, полученного из *n*-бромацетофенона и пиперидина, VII, выход 14%, т. пл. —17°,  $n_D^{20}$  ~1,673 (VII на воздухе разлагается).

В. Якерсон 28617. Строение  $\beta$ -динафтилдихингидрона. Кассебаум (Die Konstitution des  $\beta$ -Dinaphthyldichinhydrons. Cassebaum Heinz), Chem. Ber., 1957, 90, № 8, 1537—1547 (нем.)

Для изучения строения  $\beta$ -динафтилдихингидрона (I), образующегося из  $\beta$ -нафтохинона (II), сопоставлены окислительно-восстановительные потенциалы  $E_0$  и УФ-спектры аналогов и производных I и II. 3,7-диметилнафтохинон-1,2 (III) и гидрохинон III (IV) дают

2,6,2',6'-тетраметил-1,1'-динафтилдихинон-3,4,3',4' (V), но не хингидрон. При смешивании уксуснокислых р-ров III и гидрохинона V (VI) в отсутствие  $H_2SO_4$  ни хингидрона, ни динафтилдихингидрона не образуется.

2,6,2',6'-тетраметил- $\beta$ -динафтилдихингидрон (VII) получают частичным восстановлением V  $H_2SO_3$ ;  $HNO_3$  окисляет VII в V, а  $SnCl_2$  восстанавливает его в VI. VII также как и I существует в виде *o*- и *n*-хиноидных форм.  $E_0$  4- $\alpha$ -нафтилнафтохинона-1,2 (VIII), 4-(2-метокси-1-нафтил)-нафтохинона-1,2 (IX), 4-(4-окси-1-нафтил)-нафтохинона-1,2 (X), II и I приблизительно равны (0,588—0,598 e). УФ-спектры VIII, IX, X и 4-(2-окси-1-нафтил)-нафтохинона-1,2 из-за невозможности сопряжения нафталиновых колец, благодаря отсутствию копланарности, аддитивно складываются из УФ-спектров II и нафталина, неролина,  $\alpha$ - и  $\beta$ -нафтолов. УФ-спектр I в хлороформе можно составить из спектра II и  $\beta$ -нафтогидрохинона (XI). При замене р-рителя на  $CH_3OH$  спектр I изменяется, однако не выяснено, является ли это следствием изменения природы р-рителя или окисления XI кислородом воздуха. Сравнение дегидразного действия 2-оксинафтохинона-1,4 (XII), 4-оксинафтохинона-1,2 (XIII), 2-метокси-нафтохинона-1,4 (XIV), 4-метокси-нафтохинона-1,4 (XV) показывает, что XII, XIII и XIV являются неактивными в отличие от XV. Определение  $E_0$  VIII (0,56 e) и 3,3'-диметокси-1,1'-динафтилхинона-4,4' (0,67 e) в совокупности с остальными данными показывает, что I является 4-(3,4-диоксинафтил-1)-нафтохиноном-1,2 (*o*-хиноидная форма). Р-р 3,7-диметилнафтола в ацетоне с водн. р-ром нитродисульфата калия и  $KH_2PO_4$  дает III, т. пл.  $151^\circ$  (из сп.). Р-р III и IV в лед.  $CH_3COOH$  обрабатывают 50%-ной  $H_2SO_4$  (100°, 15 мин.), затем  $HNO_3$  (*d* 1,4), получают V, т. пл.  $270-271^\circ$  (из водн. диоксана). Обработкой  $\alpha$ -нафтиламина  $H_2SO_4$  и  $Fe_2(SO_4)_3$  (75°, 7 час.; 100°, 5 час.), а затем  $(CH_3CO)_2O$  получают 4,4'-диацетамин-1,1'-динафтил, т. пл.  $363-364^\circ$  (из нитробензола). Р-р 3,3'-динитро-1,1'-динафтила в диоксане гидрируют над скелетным Ni, получают 3,3'-диамино-1,1'-динафтил (XVI), т. пл.  $268-269^\circ$ . Нагреванием р-ра XVI в бензоле с  $(CH_3CO)_2O$  получают 3,3'-диацетамин-1,1'-динафтил (XVII), т. пл.  $319-320^\circ$  (из водн. диметилформамида). Суспензию XVII в лед.  $CH_3COOH$  обрабатывают  $HNO_3$  (*d* 1,4) ( $80-90^\circ$ ), получают 4,4'-динитро-3,3'-диацетамин-1,1'-динафтил (XVIII), т. пл.  $303-304^\circ$  (из лед.  $CH_3COOH$ ). XVIII со спирт. р-ром NaOH (2 часа кипячения) дает 4,4'-динитро-3,3'-диоксид-1,1'-динафтил (XIX), т. пл.  $220-221^\circ$  (разл.). Р-р XIX в диоксане обрабатывают эфирным р-ром  $CH_2N_2$ , получают 4,4'-динитро-3,3'-диметокси-1,1'-динафтил, т. пл.  $289-291^\circ$ . 4,4'-диметокси-1,1'-динафтил при обработке лед.  $CH_3COOH$  и  $HNO_3$  (*d* 1,4) (кипение, 5 мин.) дает 3,3'-динитро-4,4'-диметокси-1,1'-динафтил (XX), т. пл.  $224^\circ$  (из лед.  $CH_3COOH$ ). 3,3'-динитро-4,4'-диокси-1,1'-динафтил с эфирным р-ром  $CH_2N_2$  дает XX. Гидрированием в диоксане над скелетным Ni XX переводят в 4,4'-диметокси-3,3'-диамино-1,1'-динафтил, т. пл.  $182^\circ$  (из водн. сп.). Дитоксинпроизводное получают аналогично, т. пл.  $174^\circ$  (из бал.-сп.). В. Якерсон

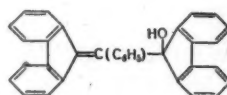
28618. К вопросу об электронной теории в органической химии. Путохин Н. И., Сб. научн. тр. Куйбышевск. индустр. ин-та, 1957, вып. 7, 3-19

Автор считает, что бромамиды и бромимиды являются не N-бромпроизводными  $RC(=O)NBr$  и  $RC(OH)=NBr$ , а смешанными ангидридами бромноватистой к-ты и псевдокислот общей ф-лы  $RC(=NH)OBr$ , где атом Br несет положительный заряд. Исходя из этого предположения, перегруппировка Гофмана рассматривается как внутримолекулярный окислительно-восстановительный процесс.

А. Волькин  
28619. Синтезы с триарилвинилмагнийбромидом.  $\alpha$ ,  $\gamma$ -бисдифенилен- $\beta$ -фенилаллил — устойчивый сво-

бодный радикал. Кёльш (Syntheses with triarylvinylmagnesium bromides.  $\alpha$ ,  $\gamma$ -bisdiphenylene- $\beta$ -phenylallyl, a stable free radical. Koelsch C. F.), J. Amer. Chem. Soc., 1957, 79, № 16, 4439-4441 (англ.)

В отличие от  $\alpha$ ,  $\beta$ ,  $\gamma$ ,  $\gamma$ -пентафенилаллилового и  $\alpha$ ,  $\alpha$ ,  $\beta$ -трифенил- $\gamma$ -дифениленаллилового спиртов (J. Amer. Chem. Soc., 1932, 54, 3384), которые в кислой среде образуют производные индена,  $\alpha$ ,  $\gamma$ -бисдифенилен- $\beta$ -фенилаллиловый спирт (I) неспособен к подобным превращениям вследствие экранированности орто-положений дифениленовых групп. При обработке I разб. р-ром  $H_2SO_4$  в спирте или  $CH_3OH$  образуются с ~100%-ным выходом соответствующие эфиры, которые с NaHg дают сначала синий р-р моно-Na-органического соединения (II), а с избытком NaHg (40%) — три-Na-



производное (III), при гидролизе образующее  $\alpha$ ,  $\gamma$ -бисдифенилен- $\beta$ -фенилпропан (IV). I с р-ром HCl в  $C_6H_6$  дает  $\alpha$ ,  $\gamma$ -бисдифенилен- $\beta$ -фенилаллилхлорид (V), который при обработке Hg образует свободный радикал  $\alpha$ ,  $\gamma$ -бисдифенилен- $\beta$ -фенилаллил (VI). Определение мол. веса показывает, что VI существует в виде димера ( $\alpha = 5,6\%$ ). VI в твердом виде зеленый, р-ры VI красные; VI стоек по отношению к  $O_2$ ; бромом медленно и NaHg быстро расщепляется на неидентифицируемые продукты. Термодинамич. исследования р-ции присоединения Na к VI (Keevil N. B., J. Amer. Chem. Soc., 1957, 59, 2104), а также физико-хим. методы анализа подтверждают возможность существования VI в виде свободного радикала необычайной стойкости. 6 г I в 360 мл горячего  $CH_3OH$  охлаждают и смешивают с 5 мл конц.  $H_2SO_4$  в 20 мл  $CH_3OH$ , через 10 час. выпадает метиловый эфир I (VII), выход 5,7 г, т. пл.  $184-186^\circ$  (из бал.-лигр.); этиловый эфир I, т. пл.  $187-190^\circ$ . С тетраметилендибромидом (VIII) II не реагирует; с фенилизонантом (IX) и бензилхлоридом (X) р-ция идет, но кристаллич. производные не получены.  $CO_2$ , IX, X кристаллич. аддуктов с III не образуют, а VIII дает II. При гидролизе III получен IV, выход 0,6 г, т. пл.  $236-237^\circ$  (из  $CH_3COOH$ ). 16 г I в миним. кол-ве сухого  $C_6H_6$  охлаждают до  $15^\circ$ , прибавляют несколько г порошка CaCl<sub>2</sub> и пропускают ток сухого HCl (1 час), получают V, т. разл.  $145-155^\circ$  (из бал.-лигр.). 12 г V в 200 мл эфира встряхивают с 50 г Hg (12 час.), фильтруют, р-р промывают эфиром, экстрагируют горячим  $C_6H_6$ , получают 5,8 г VI.  $C_6H_6$ , т. пл.  $222-224^\circ$  (из бал.); при нагревании ( $100^\circ$ , 2 часа в вакууме) получают коричневые иглы VI, т. пл.  $188-191^\circ$  (из  $CH_3COOH$ ). Красный р-р VI в ацетоне синее в присутствии твердого KOH; окраска исчезает при добавлении воды. Эфирный р-р VI с 40% NaHg синее, затем краснеет. При гидролизе VI образуется с ~100%-ным выходом IV, при восстановлении VI Na в амиловом спирте также получен IV. VI при окислении хромовой к-той в  $CH_3COOH$  дает  $C_6H_5COOH$  и флуоренон.

В. Райгородская  
28620. Дипольные моменты и трансаннулярное азот-карбонильное взаимодействие в циклических аминокетонах. Леонард, Морроу, Роджерс (Electric moments and transannular nitrogen-carbonyl interaction in cyclic aminoketones. Leonard Nelson J., Morrow Duane F., Rogers Max T.), J. Amer. Chem. Soc., 1957, 79, № 20, 5476-5479 (англ.)

Рассматриваются конформации различных циклич. аминокетонов на основании данных об их дипольных

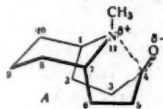
моментах. В (I) с  $CH_2(COCH_3)_2$  2,6-к-та (III), инем, метилин в дитиловый 2,6-к-ты (IV), следующим лучен 11-мет

Определены V, 4,87; псе до-4 (VII), спектры для главным об трансаннулар разделением > 330°, в кол зарядов [N+], 1,27 D вышние зарядов найденных конформации наиболее в спектры и стует тран для ф большая рванны. Вза 600 мл пир кипение т. разл. > 0,23 моля I 4 ат, 60° д VIII·HCl, очнц. VIII дение) и C ~100°, 20 нагревания ния р-рите дипропион (из сп.-эти нагревая 150 мл  $C_6H_6$  т. кип. 1 300 мл абе быстром п К и избы гравуют 7 300 мл 6 HCl, нагр щепачивае при 80°/0 2:1). Пе т. пл. 177 III, V, VI в УФ-сп 28621. с образо стым в Ассес ungesä plexibil stoff Asse № 17-



inyl-  
allyl-  
chem.  
о и  
(J.  
свой  
ени-  
доб-  
рто-  
те I  
ся с  
ото-  
нич  
-Na-

моментах. Взаимодействием пиридиндальдегида-2,6 (I) с  $\text{CH}_2(\text{COOH})_2$  (II) получена пиридиндиакриловая-2,6 к-та (III), которая последовательным гидрированием, метилированием и этерификацией превращена в диэтиловый эфир 1-метилпиридиндипропионовой-2,6 к-ты (IV). Из IV циклизацией по Дикману с последующим гидролизом и декарбоксилированием получен 11-метил-11-азобиккло-[5,3,1]-гептдеканон-4 (V)



Определены (в  $\text{C}_6\text{H}_6$ ;  $25^\circ$ ) дипольные моменты ( $\mu$ ): V, 4,87; псевдопеллтерин (VI), 2,75; 1-этилпиридин-4 (VII), 2,95; 1-метилпиридин, 0,80. ИК- и УФ-спектры для V показывают, что кетон существует главным образом в форме (A), где осуществляется трансаннулярное CO—N-взаимодействие с частичным разделением зарядов. Получен перхлорат V, т. разл.  $> 330^\circ$ , в котором осуществляется полное разделение зарядов  $[\text{N}^+, \text{CO}^-]$ . Высокое значение  $\mu_{\text{найд}}$  для V (на 1,27 D выше  $\mu_{\text{выч}}$ ) подтверждает частичное разделение зарядов (на 11—12%) и структуру A. Сравнением найденных и вычисленных величин  $\mu$  для различных конформаций и изучением мол. моделей определены наиболее выгодные конформации V и VI. ИК- и УФ-спектры и  $\mu_{\text{найд}}$  для VI показывают, что в нем отсутствует трансаннулярное C—N-взаимодействие. Для VII  $\mu_{\text{выч}}$  для формы кресла и  $\mu_{\text{найд}}$  очень близки, а небольшая разница отнесена за счет примеси формы ванны. Взаимодействием 0,74 моля I и 3,02 моля II в 600 мл пиридина и 10 мл пиперидина ( $\sim 100^\circ$ , 2 часа; кипячение 4 часа) получают III, выход 78% (неочищ.), т. разл.  $> 315^\circ$  (из водн. 66%-ного диметилформамида). 0,23 моля III в 640 мл лед.  $\text{CH}_3\text{COOH}$  гидрируют ( $\text{PtO}_2$ ; 4 ат,  $60^\circ$ ) до пиперидиндипропионовой-2,6 к-ты (VIII); VIII·HCl, т. пл.  $207\text{—}208^\circ$  (из лед.  $\text{CH}_3\text{COOH}$ ). К неочищ. VIII прибавляют 90 мл 88%-ной  $\text{HCOOH}$  (охлаждение) и 0,24 моля 36%-ного р-ра  $\text{HCHO}$  ( $25^\circ$ , 1 час;  $\sim 100^\circ$ , 20 час.; добавление 0,08 моля  $\text{HCHO}$  во время нагревания), добавляют 40 мл 12 н. HCl и после удаления р-рителя получают хлоргидрат 1-метилпиридиндипропионовой-2,6 к-ты (IX·HCl), т. пл.  $228,5\text{—}229,5^\circ$  (из сн.-этилацетата). Неочищ. IX·HCl этирифицируют, нагревая (72 часа, кипячение) с 150 мл абс. спирта, 150 мл  $\text{C}_6\text{H}_6$  и 0,3 г  $n\text{-CH}_3\text{C}_6\text{H}_4\text{SO}_3\text{H}$  (X), выход IV 93%, т. кип.  $115\text{—}120^\circ/0,1$  мм,  $n_D^{20}$  1,4651. 0,16 моля IV в 800 мл абс. ксилола прибавляют за 104 часа при очень быстром перемешивании к трет- $\text{C}_4\text{H}_9\text{OK}$  (из 0,35 г-атома K в избытка трет- $\text{C}_4\text{H}_9\text{OH}$ ) в 1,4 л ксилола; смесь нагревают 7 час., извлекают продукт 600 мл 12 н. HCl и 300 мл 6 н. HCl, к HCl (p-ру) добавляют 400 мл 12 н. HCl, нагревают 24 часа, концентрируют до 250 мл, подщелачивают, выход V 23%, т. пл.  $137\text{—}142^\circ$  (возгонка при  $80^\circ/0,1$  мм); пикрат, т. разл.  $> 312^\circ$  (из водн.-сп., 2:1). Перхлорат VI, т. пл.  $256\text{—}258^\circ$ . Соль VI с X, т. пл.  $171\text{—}172^\circ$  (из абс. сп.). Приведены ИК-спектры III, V, VI, перхлоратов V и VI,  $n$ -толуолсульфоната VI и УФ-спектры V и VI.

28621. Основность ненасыщенных углеводородов и образование комплексов их с хлористым и бромистым водородом при низких температурах. Террес, Ассемми (Beiträge zur Kenntnis der Basizität von ungesättigten Kohlenwasserstoffen und deren Komplexbildung mit Chlorwasserstoff und Bromwasserstoff bei tiefen Temperaturen. Terres Ernst, Assemmi M. Taghi), Brennstoff-Chemie, 1956, 37, № 17—18, 257—263 (нем.)

Изучены диаграммы плавления 20 бинарных систем ароматич. и олефиновых углеводородов с HCl и HBr. Ароматич. углеводороды образуют с HCl и HBr при низких т-рах достаточно стабильный комплекс в мол. соотношении 1:1,  $n$ -кумол дает комплекс с 2 молекулами галогеноводорода. Основность углеводородов повышается с увеличением числа алкильных групп в ароматич. ядре, причем заместитель в мета-положении оказывает большее влияние, чем в орто- или пара-положениях. Из исследованных олефинов — циклогексен (I), октен-1, нонен-1, децен-1, 1-метилциклогексен (II) и триметилэтилен (III) только I дает комплекс (в мол. отношении 1:1). II и III реагируют с образованием хлорированных углеводородов. Авторы считают, что причиной комплексобразования является взаимодействие  $\pi$ -электронов двойной связи с полярной молекулой галогеноводорода с образованием  $\pi$ -комплекс.

Н. Кельцев

28622. Индуктивные влияния алкилгрупп в электрофильном ароматическом замещении. Де-ла-Мар (Inductive effects of alkyl groups in electrophilic aromatic substitution. De la Mare P. B. D.), Chemistry and Industry, 1957, № 43, 1419—1420 (англ.). Возражая против утверждения (РЖХим, 1958, 14301) о наличии электромерного эффекта трет- $\text{C}_4\text{H}_9$ -группы в р-ции нитрования 3-нитро-трет-бутил-бензола, автор указывает на необходимость более глубокого эксперим. обоснования подобных выводов, и в частности, на необходимость исследования кинетики р-ции и вычисления парц. скоростей нитрования для различных положений  $\text{NO}_2$ -группы.

Г. Балусева

28623. Исследования в области стереохимии. XXVI. Сольволитическая перегруппировка в системе 1,2-дифенил-2-метилбутанола-1. Крам, Аллингер (Studies in stereochemistry. XXVI. Solvolytic rearrangements in the 1,2-diphenyl-2-methyl-1-butanol system. Cram Donald J., Allinger Janet), J. Amer. Chem. Soc., 1957, 79, № 11, 2858—2865 (англ.)

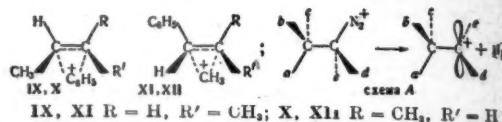
Исследован сольволиз оптически деятельных форм тозилатов трео-(I) и эритро-1,2-дифенил-2-метилбутанола-1 (II) (см. РЖХим, 1956, 32331) в безводн.  $\text{CH}_3\text{COOH}$  и в  $\text{HCOOH}$ . Основными продуктами сольволиза являются ацетаты и формиаты соответствующих трео-(III) и эритро-спиртов (IV) и 1,1-дифенил-2-метилбутанола-2 (V). (III—V свободные спирты). Кроме того, образуется смесь (VI) 1,1-дифенил-2-метилбутана, 1,1-дифенил-2-метилбутена-2 и 1,1-дифенил-2-метилбутена-1 (VII). Омыление продуктов сольволиза производилось действием  $\text{LiAlH}_4$ . Изучением ИК-спектра спирт. фракции установлено следующее содержание спиртов в продуктах омыления (указаны исходный тозилат, р-ритель, % V, III и IV на основании сравнения интенсивности полос при 1355, 1054 и  $895\text{ см}^{-1}$ ): (+)-I,  $\text{CH}_3\text{COOH}$ , 19, 22, 64; (+)-II,  $\text{CH}_3\text{COOH}$ , 24, 32, 45; (—)-I,  $\text{HCOOH}$ , 65, 15, 23; (—)-II,  $\text{HCOOH}$ , 70, 6, 26. Изучение смесей известного состава показало, что ошибка при определении V не превышает 2%, тогда как ошибка определения III и IV значительна. Поэтому продукт омыления обрабатывали щелочью в условиях, в которых V распадается на метилэтилкетон (VIII) и дифенилметан (IX), а III и IV не изменяются. Состав выделенных этим путем смесей III и IV определялся спектральным и поляриметрич. анализами. Указаны исходный тозилат, р-ритель, % III и IV на основании интенсивности полос при 1054 и  $895\text{ см}^{-1}$  (в скобках то же для 916 и  $885\text{ см}^{-1}$ ), % III и IV по данным поляриметрич. анализа: (+)-I,  $\text{CH}_3\text{COOH}$ , 30, 73 (28, 75), 30, 70; (+)-II,  $\text{CH}_3\text{COOH}$ , 47, 55 (43, 62), 44, 56; (—)-I,  $\text{HCOOH}$ , 58, 45 (57, 47), 54, 46; (—)-II,  $\text{HCOOH}$ , 26, 76 (27, 74), 25, 75. Судя по окраске 2,4-динитрофенилгидразонов (ДНФГ), при щел. обработке продуктов формолиза наряду с VIII и IX образуются

также следы ароматич. кетонов, возможно, ацетофенона или пропиофенона, что указывает на наличие в продукте сольволиза 2,3-дифенилпентанола-3 или 2,3-дифенилпентанола-2. Анализ VI производился путем озонирования VI и спектрального определения соотношения 1,1-дифенилбутанона-2 (X), 1,1-дифенилпропанона-2 (XI) и бензофенона (XII) в продукте озонизации. Указаны исходный тозилат, р-ритель, выход VI в % (считая на тозилат), % X, XI, XII: (+)-I,  $\text{C}_6\text{H}_5\text{COOH}$ , 67, 14, 67, 11; (+)-II,  $\text{C}_6\text{H}_5\text{COOH}$ , 55, 11, 69, 11; (-)-I,  $\text{HCOOH}$ , 49, 3, 68, 9; (-)-II,  $\text{HCOOH}$ , 42, 8, 72, 16. Контрольными опытами установлено, что ацетаты III и IV в условиях сольволиза не переходят друг в друга. Форматы III и IV не были получены; по аналогии с форматами стереоизомерных 1,2-дифенилпропанолов-1 (РЖХим, 1956, 68205) авторы считают, что они образуются быстрее, чем переходят друг в друга. Полученные результаты показывают, что  $\text{C}_6\text{H}_5$ -группа мигрирует значительно легче, чем алкильная. Относительное кол-во продуктов перегруппировки несколько меньше в  $\text{CH}_3\text{COOH}$  и больше в  $\text{HCOOH}$ , являющейся менее нуклеофильным и более ионизирующим агентом. В  $\text{HCOOH}$  процесс этерификации (без перегруппировки) протекает несколько более стереоспецифично с сохранением конфигурации исходного в-ва, тогда как в  $\text{CH}_3\text{COOH}$  этот процесс идет преимущественно с обращением. Авторы считают, что основное переходное состояние при ацетоллизе в отношении пространственного расположения реагирующих центров аналогично активированному комплексу р-ции  $\text{S}_\text{N}2$ . Относительное преобладание *трео*-формы при ацетоллизе как I, так и II объясняется стерич. влиянием заместителей при  $\beta$ -C-атоме, располагающихся в переходном состоянии таким образом, чтобы обеспечить дисондную ориентацию замещающего агента и  $\beta$ - $\text{CH}_3$ -группы. В отличие от ацетоллиза формоллиз проходит в основном с участием  $\text{C}_6\text{H}_5$ -группы через фенониевый ион, который стабилизируется с сохранением исходной конфигурации, либо с миграцией  $\text{C}_6\text{H}_5$ -группы. Последний процесс приводит к V или к третичному карбониевому иону  $\text{CH}_3(\text{C}_6\text{H}_5)\text{C}^+(\text{CH}_3)_2$ , который затем переходит в VI. По-видимому, в  $\text{HCOOH}$  фенониевый ион стабилизируется преимущественно по первому, а в  $\text{CH}_3\text{COOH}$  — по второму пути. Сравнительно низкий выход VII в обоих р-рителях, вероятно, объясняется влиянием стерич. факторов. На основании этих и ранее полученных данных авторы рассматривают зависимость механизма перегруппировки Вагнера — Меервейна от природы немигрирующих заместителей. Смесь 100 мл  $\text{C}_6\text{H}_6$ , 8,95 г (+)-IV и 1,5 г К кипятят 4 часа в атмосфере  $\text{N}_2$ , при 0° добавляют 7,16 г  $n\text{-CH}_3\text{C}_6\text{H}_4\text{SO}_2\text{Cl}$ , перемешивают 30 мин., фильтруют, из фильтрата выделяют (+)-II, выход 43%, т. пл. 52° (разл.; из эф.-пентана),  $[\alpha]_D^{25} +60,2^\circ$  (с 3,9; хлф.). Аналогично из 8,7 г (-)-IV получают (-)-II, выход 69%, т. пл. 54° (разл.),  $[\alpha]_D^{25} -59,8^\circ$  (с 3,7;  $\text{C}_6\text{H}_6$ ). В тех же условиях (+)-III и (-)-III дают неустойчивые (+)-I, выход 74%, т. пл. 54° (разл.), и (-)-I, выход 53%, т. пл. 56° (разл.). Сообщение XXV см. РЖХим, 1956, 77973. Л. Бергельсон 28624. Исследования в области стереохимии. XXVII.

Влияние конформаций на природу мигрирующей группы при дезаминировании 3-фенилбутиламина-2. Крам, Мак-Карти (Studies in stereochemistry. XXVII. Conformational control of the migrating group in the deamination of 3-phenyl-2-butylamine. Gram Donald J., McCarty John E.), J. Amer. Chem. Soc., 1957, 79, № 11, 2866—2875 (англ.)

При дезаминировании оптически чистых стереоизомеров *трео*-(I) и *эритро*-3-фенилбутиламина-2 (II) действием  $\text{HNO}_2$  в среде  $\text{CH}_3\text{COOH}$  и последующим омылением продукта р-ции действием  $\text{LiAlH}_4$  получены *трео*-(III) и *эритро*-3-фенилбутанол-2 (IV), 1-фенил-2-метил-

пропанол-1 (V) и 2-фенилбутанол-2 (VI) в следующих пропорциях [указаны исходный амин, кол-во оптически активного III, *рац*-III, оптически активного IV, *рац*-IV, оптически активного V, *рац*-V, VI (всюду указано процентное содержание в спиртовой фракции), общий выход спиртовой фракции в %]: I, 6,19, 14, 5, 5, 27, 24, 50; II, 6,0, 68, 0, 0,2, 6, 20, 50. Наряду со спиртами при дезаминировании I и II образуются также 3-фенилбутен-1 (VII) (11% из I и 4% из II). Изучение оптич. активности 3-фенилбутана (VIII), полученного гидрированием VII, показало, что VII образуется в случае I полностью, а в случае II на 80% путем стереоспецифичного процесса (без рацемизации). Полученные результаты показывают, что в случае I  $\beta$ - $\text{CH}_3$ -группа мигрирует в 1,5 раза быстрее  $\text{C}_6\text{H}_5$ -группы, тогда как в случае II  $\text{C}_6\text{H}_5$ -группа мигрирует в 8 раз быстрее  $\text{CH}_3$ -группы. Миграция  $\text{C}_6\text{H}_5$ -группы происходит менее стереоспецифично, чем при ацетоллизе тозилатов III и IV (см. Gram D. J., J. Amer. Chem. Soc., 1949, 71, 3863; 1952, 74, 2129, 2137). По-видимому, основная масса III и IV реагирует через промежуточные циклич. *цис*- и *транс*-фенониевые ионы (IX и X). Образование небольших кол-в *рац*-IV из активного I и оптически ак-



тивного III из II вызвано тем, что IX и X частично переходят в нециклич. («классические») карбониевые ионы. Миграция  $\text{CH}_3$ -группы при дезаминировании I свидетельствует, по мнению авторов, о переходе I в метилкарбониевый ион (XI), который может стабилизироваться, превращаясь при действии  $\text{CH}_3\text{COOH}$  в оптически активный ацетат V, либо изомеризоваться в нециклич. карбониевый ион  $\text{C}_6\text{H}_5\text{C}^+(\text{CH}_3)_2$ , присоединяющий ацетат-ион с образованием *рац*-ацетата V. Аналогичный метилкарбониевый ион (XII) может образовываться из II. При этом I дает относительно большее кол-во оптически активного V, чем II, что объясняется большей устойчивостью XI по сравнению с XII, в котором  $\text{C}_6\text{H}_5$ - и  $\text{CH}_3$ -группы *цис*-ориентированы. Авторы считают, что первой стадией р-ции дезаминирования является образование диазониальных ионов, которые затем отщепляют  $\text{N}_2$ , переходя в карбониевые ионы. Стерич. направленность процесса дезаминирования авторы объясняют, исходя из следующих предположений: 1) конформация карбониевого иона соответствует конформации диазониального иона, 2) при распаде диазониального иона образуется «горячий» карбониевый ион, обладающий большой энергией, который поэтому столь неустойчив, что реагирует быстрее, чем меняет свою конформацию, 3) в карбониевом ионе мигрирует только тот заместитель, который находится, исходя из конформации исходного амина, в одной плоскости со свободной вакантной р-орбитой карбониевого C-атома (заместитель а в схеме А). В случае I этим заместителем является  $\text{CH}_3$ -группа, а в случае II —  $\text{C}_6\text{H}_5$ -группа. Поэтому в случае I мигрирует главным образом  $\text{CH}_3$ , а в случае II — группа  $\text{C}_6\text{H}_5$ . (+)-I, (-)-I и (+)-II получены, как описано ранее (РЖХим, 1956, 39415), (-)-II ( $n_D^{20}$  1,5157,  $\alpha_D^{20} +9,21^\circ$ ) синтезирован из оптически чистого тозилата (-)-IV через соответствующий бензамид. Пользуясь правилом Фрейденберга (Ber., 1930, B63, 2380), авторы приписывают (+)-I и (+)-II L-конфигурацию. Расщеплением рацемич. кислого фталата V через бруциновую соль получают активный кислый фталат V, выход 24%, т. пл. 93,6—94,1°,  $[\alpha]_D^{25} +45,1^\circ$  (с 3,5; хлф.), гидролиз которого приводит к (+)-V, выход 94%,  $n_D^{20}$  1,5113,  $\alpha_D^{25} +20,6^\circ$ ,  $[\alpha]_D^{25} +48,3^\circ$



(с 6,7; эф.). Ранее описанным методом (см. ссылку выше) синтезированы: ацетат L-(-)-III,  $n_D^{25} 1,4877$ ,  $[\alpha]_D^{25} -7,8^\circ$  и ацетат D-(+)-IV,  $n_D^{25} 1,4877$ ,  $[\alpha]_D^{25} +32,38^\circ$ ; ацетат (+)-V, выход 96%,  $n_D^{25} 1,4853$ ,  $[\alpha]_D^{25} +104,68^\circ$ . Л. Бергельсон

28625. Механизм реакций обмена между галондацилами и молекулярными галогенами. Голдман, Ноёс (Mechanisms of exchange reactions between acyl halides and molecular halogens. Goldman Alex, Noyes Richard M.), J. Amer. Chem. Soc., 1957, 79, № 20, 5370—5375 (англ.)

Изучена кинетика обмена между  $\text{CH}_3\text{COI}$  (I) и  $\text{J}_2^{131}$  в толуоле (II), между  $\text{C}_6\text{H}_5\text{COI}$  (III) и  $\text{J}_2^{131}$  в II,  $\text{CCl}_4$ ,  $\text{C}_6\text{H}_5\text{Cl}$  и  $\text{CH}_2\text{ClCH}_2\text{Cl}$ , между  $\text{C}_6\text{H}_5\text{COBr}$  (IV) и  $\text{Br}_2^{82}$  в  $\text{CCl}_4$  при 0, 25 и  $40^\circ$ . В I обмен идет быстро, однако разделение компонентов смеси произвести не удалось.

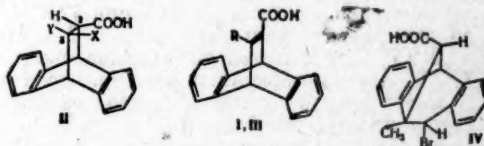


В III обмен происходит со скоростью  $R = k_1[\text{III}][\text{J}_2] + k_2[\text{III}][\text{J}_2]^2$ , где  $k_1$  и  $k_2$  сильно зависят от диэлектрической постоянной р-рителя. Галондацил обмен в случае IV идет по тому же у-р-нию скорости, но медленнее, чем у III. Показано, что в условиях опыта не происходит галондирования ароматич. ядра. На основании изменения цвета при смешении р-ров  $\text{J}_2$  и III делается заключение об образовании комплекса между ними в процессе р-ции. Отсутствие ускоряющего действия света свидетельствует о несущественности влияния радикальных процессов на обмен. Увеличение скорости обмена под действием воды объясняется ее гидролизующим действием. Отмечено сильное ускоряющее действие малых кол-в  $\text{J}_2$  на обмен между IV и  $\text{Br}_2$ . Результаты трактуются как следствие обмена, идущего по двум параллельным механизмам: бимолекулярному — через переходное состояние типа А, поляризованное в такой степени, что образуется ионная пара  $\text{C}_6\text{H}_5\text{CO}^+\text{J}_2^-$ , и тримолекулярному — через переходное состояние Б.

В. Антоновский  
28626. Реакции пространственно затрудненных  $\alpha$ -замещенных кислот. V. Влияние  $\beta$ -метильной группы на катализируемую кислотой перегруппировку. Вон, Шёндалер (Reactions of hindered  $\alpha$ -substituted acids. V. The effect of a  $\beta$ -methyl group on the acid-catalyzed rearrangement. Vaughan Wymen R., Schoenthaler A. Charles), J. Amer. Chem. Soc., 1957, 79, № 24, 5777—5780 (англ.)

При действии  $\text{HBr}$  в толуоле на дибензобикло-[2,2,2]октатриенкарбоновую-2 к-ту (I) образуется *цис*-3-бромдibenzo-[2,2,2]-бициклооктадиенкарбоновая-2 к-та (*цис*-II), а при действии  $\text{HBr}$  в  $\text{CH}_3\text{COOH}$  — *транс*-II (вероятно, за счет эпитермизации *цис*-II). В противоположность этому при действии  $\text{HBr} \cdot \text{CH}_3\text{COOH}$  на 3-метилдibenzo-[2,2,2]-бициклооктатриенкарбоновую-2 к-ту (III) образуется продукт (IV), изомерный ожидаемому бромиду; вероятно, дibenzo-[3,2,1]-бициклооктадиеновая система (не дает антрахинона при окислении  $\text{KMnO}_4$ ). Роль  $\text{CH}_3$ -группы в перегруппировке дibenzo-[2,2,2]-бициклооктадиеновой системы в дibenzo-[3,2,1]-бициклооктадиеновую систему отмечалась раньше: а) 2-окси-3-метилдibenzo-[2,2,2]-бициклооктадиен-*транс*-дикарбоновая-2,3 к-та (V) под действием 48%-ной  $\text{HBr}$  переходит в 6-лактон 2-эзо-окси-6-метил-3,4,7,8-дibenzo-[3,2,1]-бициклооктадиен-*цис*-дикарбоновой-2,6 к-ты (VI) (Vaughan W. R., Milton K. M., J. Amer. Chem. Soc., 1952, 74, 5623), в то время как 2-оксидibenzo-[2,2,2]-бициклооктадиен-*транс*-дикарбоновая-2,3 к-та, так и не перегруппировывается; б) ангидрид 2-хлор-3-метилдibenzo-[2,2,2]-бициклооктадиен-*цис*-дикарбоновой-2,3 к-ты (VII) перегруппировывается очень легко (см. сообщение IV, РЖХим, 1955, 48814).

Из обсуждения трех примеров перегруппировки (III, V и VII) сделан вывод, что действие  $\text{CH}_3$ -группы в случае III объясняется ее электронным влиянием, стабилизирующим промежуточно образующийся карбониевый ион, и пространственным, экранирующим влиянием (препятствует присоединению к карбониевому иону  $\text{Br}^-$ ). В случае VII  $\text{CH}_3$ -группа тоже оказывает пространственное и, в меньшей степени, электронное влияние. С помощью спец. опыта показано, что непосредственное участие  $\text{CH}_3$ -группы в перегруппировке исключается, так как перегруппировка оптически активной (OA) V приводит к OA VI, чего не могло бы быть в случае промежуточной стадии с  $\text{CH}_3$ -мостиком. Авторы называют влияние  $\text{CH}_3$ -группы в случае V «структурным». В р-р 0,012 моля I в 300 мл толуола пропускают  $\text{HBr}$  ( $0^\circ$ , 2 часа), выход *цис*-II 44% (неочищ.), т. пл.  $205,5-206,5^\circ$  (разл.; из водн.  $\text{CH}_3\text{COOH}$ ); метиловый эфир ( $\text{CH}_3\text{N}_2$ ), т. пл.  $192,5-193,5^\circ$  (из  $\text{CH}_3\text{OH}$ -воды). 0,662 ммоль *цис*-II обрабатывают 20 мл 30%-ной  $\text{HBr}$  в  $\text{CH}_3\text{COOH}$  ( $15-20^\circ$ , 3 недели), в р-ре получают *транс*-II, выход 68%, т. пл.  $216-216,5^\circ$  (разл.; из водн.  $\text{CH}_3\text{COOH}$ ). *Транс*-II получают также: а) взаимодействием 0,0137 моля  $\beta$ -бромакриловой к-ты и 0,0137 моля антрацена в присутствии гидрохинона в толуоле (кипение 12 дней), после сублимации ( $100^\circ/0,1$  мм) и перекристаллизации из водн.  $\text{CH}_3\text{COOH}$ , выход 32%; метиловый эфир, т. пл.  $125-126^\circ$  (из  $\text{CH}_3\text{OH}$ -воды); б) действием 75 мл 30%-ного р-ра  $\text{HBr}$  в  $\text{CH}_3\text{COOH}$  на 0,0269 моля I ( $15-20^\circ$ , 18 час.), выход 57%. При действии 25 мл 30%-ного р-ра  $\text{HBr}$  в  $\text{CH}_3\text{COOH}$  на 0,00305 моля III ( $15-20^\circ$ , 4 дня) получают IV, выход 7%, т. пл.  $178-179,5^\circ$  (разл.; из кислоты). V разделяют на оптич. антиподы в виде соли с бруцином (кипение в спирте  $1^\circ$  час), разлагают соль с т. пл.  $185-187^\circ$  (разл.) действием  $2/3$ -ного р-ра KOH, подкисляют и получают OA V, т. пл.  $211-212^\circ$  (разл.; из  $\text{C}_6\text{H}_5\text{Cl}$ ),  $[\alpha]_D^{25} -28,7^\circ$  (сп., с 4,61 г/100 мл, l 10 см,



I R - H; III R -  $\text{CH}_3$ ; *цис*-II X - Br, Y - H; *транс*-II Y - Br, X - H

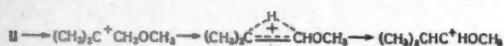
как и в остальных случаях). VI разделяют на оптич. антиподы в виде соли с хинином (в сп.), разлагают соль, т. пл.  $221-222^\circ$  (разл.),  $[\alpha]_D^{25} -209^\circ$  (диметилформамид, с 5,55 г/100 мл), действием 10%-ной HCl получают OA VI  $\cdot \text{H}_2\text{O}$ , т. разл.  $118-145^\circ$ ,  $[\alpha]_D^{25} -253^\circ$  (сп., с 6,25 г/100 мл). Взаимодействием 0,00173 моля OA V с 75 мл 48%-ной  $\text{HBr}$  ( $\sim 100^\circ$ , 24 часа) получают OA VI  $\cdot \text{H}_2\text{O}$ , выход 69%,  $[\alpha]_D^{25} +256^\circ$  (сп., с 7,95 г/100 мл).

Н. Волькенгау

28627. Реакции, близкие к пинаколиновой перегруппировке. Часть 1. Катализируемая кислотами перегруппировка 2-метилпропандиола-1,2 и его простых эфиров. Ли, Вернон (Reactions related to the pinacol-pinacone rearrangement. Part I. The acid-catalyzed rearrangement of 2-methylpropane-1,2-diol and its ethers. Ley J. B., Vernon C. A.), J. Chem. Soc., 1957, July, 2987—2993 (англ.)

Показано, что перегруппировка в кислой среде 2-метилпропандиола-1,2 (I), 1,2-диметоксис-2-метилпропана (II) и 1-метоксис-2-метилпропанола-2 (III) приводит к изобутиральдегиду (IV) или, при проведении р-ции в безводн.  $\text{CH}_3\text{OH}$ , к ацеталью IV. Метилэтилкетон при этом не получается. Изучена скорость перегруппировки I в IV в разных к-тах и показано, что эта р-ция имеет 1-й порядок, причем скорость р-ции зависит от

функции кислотности Хамметта. Скорость р-ции определяется скоростью образования иона карбония:  $(\text{CH}_3)_2\text{C}(\text{O}+\text{H}_2)\text{CH}_2\text{OH} \rightarrow (\text{CH}_3)_2\text{C}^+\text{CH}_2\text{OH}$ . Р-ция в 0,93 M  $\text{H}_2\text{SO}_4$  в  $\text{H}_2\text{O}$  протекает в 2,28 раза медленнее, чем в 95%  $\text{D}_2\text{O}$ . Исследование перегруппировки II в 2 M  $\text{HClO}_4$  в присутствии  $\text{H}_2\text{O}^{18}$  при 72,9° показало, что перегруппировка идет без участия промежуточного продукта окисного строения и без разрыва связи  $\text{CH}_3-\text{O}$ , так как выделенный при р-ции  $\text{CH}_3\text{OH}$  имел нормальный изотопный состав кислорода. Исследование перегруппировки II в безводн.  $\text{CH}_3\text{OH}$ , содержащем

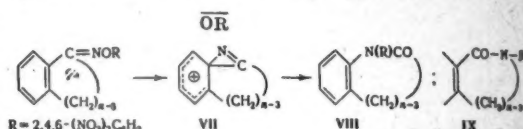


$\text{CH}_3\text{OD}$ , показало, что на 67% водородный сдвиг происходит внутримолекулярно (см. схему). 33% образующегося  $(\text{CH}_3)_2\text{CHCH}(\text{OCH}_3)_2$  (V) содержат 1 атом D, внедрившегося в V за счет протекания р-ции через olefin. К смеси *трет*- $\text{C}_4\text{H}_9\text{OH}$  и  $\text{H}_2\text{O}_2$  добавлен безводн.  $\text{Na}_2\text{SO}_4$ , спиртовый слой отделен, высушен  $\text{Na}_2\text{SO}_4$  и насыщен изобутиленом. После обработки смеси  $\text{OsO}_4$  и фракционирования получен I (т. кип. 74°/10 мм,  $n_D^{25}$  1,4309). II и III получены при метилировании I  $(\text{CH}_3)_2\text{SO}_4$  и  $\text{CH}_3\text{J}$  соответственно. V (т. кип. 101,5—102°/760 мм,  $n_D^{25}$  1,3850) получен из IV при кипячении с  $\text{CH}_3\text{OH}$  в присутствии  $\text{CH}_3\text{C}_6\text{H}_4\text{SO}_3\text{H}$ . Кинетика р-ции определялась полярографически по скорости образования IV, а в случае I также титрованием перйодатом по скорости исчезновения I. Р. Кудрявцев

28628. Реакции, близкие к пинаколиновой перегруппировке. Часть II. Судьба иона карбония, образованного из 2-метилпропандиола-1,2. Ли, Вернон (Reactions related to the pinacol-pinacolone rearrangement. Part II. The fate of the carbonium ion derived from 2-methylpropane-1:2-diol. Ley J. B., Vernon C. A.), J. Chem. Soc., 1957, July, 3256—3262 (англ.)  
Изучены превращения 2-метилаллилового спирта (I), 2-хлор-2-метилпропанола-1 (II) и 1,2-эпокси-2-метилпропана (III) в кислой среде при 72,9°. I и II дают при этом изобутиральдегид (IV) и 2-метилпропандиол-1,2 (V) приблизительно в одинаковом отношении (1:3). Авторы объясняют это тем, что в обоих случаях имеет место промежуточное образование одного и того же иона карбония  $(\text{CH}_3)_2\text{C}^+\text{CH}_2\text{OH}$  (VI). V может в условиях р-ции превращаться в IV, поэтому для доказательства того, что IV и V возникают одновременно, проведена р-ция I с водн. р-ром  $\text{HClO}_4$  при низкой температуре, когда V стабилен. При этом была получена смесь IV и V в отношении 1:3. Изучение кинетики сольволиза II показало, что эта р-ция подчиняется ур-нию 1-го порядка. При сольволизе III также получаются IV (2,7—4,9%) и V (96,8—92,5%). Несмотря на то, что, по мнению авторов, сольволиз III тоже протекает с промежуточным образованием иона VI соотношение продуктов р-ции при этом получается иным, чем в случае I или II. Авторы объясняют эту разницу специфич. характером иона VI, образующегося из III, проявляющемся в том, что VI начинает взаимодействие с водой, приводящее к V, еще не приняв равновесное конформационное положение, при котором наиболее благоприятны условия для миграции водорода. При щел. гидролизе 1-хлор-2-метилпропанола-2 (VII) получен III (т. кип. 50—51°,  $n_D^{25}$  1,3700), из которого под действием р-ра  $\text{HCl}$  в эфире получается смесь II и VII (1:1). Р. Кудрявцев

28629. К химизму перемещения арила при перегруппировке Бекмана. II. Хейсен, Витте, Уги (Zum Chemismus der Arylwanderung bei der Beckmann-Umlagerung. II. Huisgen Rolf, Witte Josef, Ugi Ivar), Chem. Ber., 1957, 90, № 9, 1844—1849 (нем.)

Определены скорости изомеризации тринитрофеноловых эфиров (ТЭ) 1,2-бензоциклонооксимов. Ниже приведены  $k \cdot 10^6$  сек<sup>-1</sup> при 70° и  $E$  ккал для ТЭ антиоксимов следующих кетонов:  $\alpha$ -инданона (I) — не измеримо мала;  $\alpha$ -тетралона (II), 0,02, —; 1,2-бензосуберона (III) 1865, 24,2; 1,2-бензоциклооктена (IV) 429000; 20,2; и *син*-оксимов, 1,2-бензосуберона (V) 6,43; 26,4; 1,2-бензоциклооктена (VI) 2,96; 27,8 (проставки *анти*- и *син*- определяют относительное расположение ароматич. ядра и оксимного гидроксила). Возрастание скорости изомеризации при переходе от 6-к 8-членным кольцам у антиоксимов связано с образованием промежуточного циклич. иона (VII), который переходит в конечный продукт циклизации (VIII) по правилам бекмановской перегруппировки. Умень-



шение скорости перегруппировки с укорочением цепи катиона VII объясняется деформацией углов, сопровождаемой повышением энергии катиона VII и увеличением уровня энергии исходного ТЭ из-за стерических препятствий сопряжению. В случае *син*-оксимов образуется продукт (IX). Сравнение скорости перегруппировок 8-членных *син*- и *анти*-ТЭ показывает, что арильный радикал мигрирует в 140 000 раз быстрее алкильного. I был приготовлен из инданоноксида и пикрилхлорида (X) по методу, описанному ранее (Charman, Howis, J. Chem. Soc., 1933, 806) с выходом 68%, т. пл. 186—186,5°. Аналогично получен II, выход 78%, т. пл. 165,5°. V получен из X в смеси пиридина и ацетона, выход 10—19,5%, т. пл. 156—157° (из смеси ацетона и метанола). Из маточного р-ра выделен III, выход 18%, т. пл. 107°. VI приготовлен из *син*-оксима 1,2-бензоциклооктена и X и NaOH в ацетоне при 0°, выход 61%, т. пл. 144—145° (разл.). Неустойчивый IV получен из оксима и V при 25° в ацетоновом р-ре с добавкой  $(\text{C}_2\text{H}_5)_3\text{N}$ , выход 76%, т. пл. 81°. N-тринитрофенилбензосуберонизоксим получен нагреванием III в  $\text{C}_2\text{H}_4\text{Cl}_2$ , выход 83%, т. пл. 199—200°. Из V и VI в тех же условиях образуются соответствующие лактамы IX с выходами соответственно 83%, т. пл. 224° и 74%, т. пл. 212°. При выдерживании IV в  $\text{C}_2\text{H}_4\text{Cl}_2$  кристаллизуется N-тринитрофенил-1,2-бензалактам, выход 84%, т. пл. 207—209°. Даны УФ-спектры полученных соединений. Сообщ. I см. РЖХим, 1958, 21329. А. Я. 28630. Перегруппировка Курциуса. I. Распад метампара-замещенных бензазидов в толуоле. Юкава, Цуно (The Curtius rearrangement. I. The decomposition of *m*- and *p*-substituted benzazides in toluene. Yukawa Yasuhide, Tsuno Yuhō), J. Amer. Chem. Soc., 1957, 79, № 20, 5530—5534 (англ.)

Исследована кинетика распада ряда замещ. бензазидов,  $\text{RC}_6\text{H}_4\text{CON}_3$  (I), в толуоле. Ниже приведены R, константа скорости р-ции ( $10^3 k$  в мин<sup>-1</sup>) при 65,2°  $\Delta E_{\text{ант}}$  ккал·моль<sup>-1</sup>,  $\lg PZ$  в мин<sup>-1</sup>: *n*-трет- $\text{C}_4\text{H}_9$ , 2,28, 26,2, 14,26; H, 2,19, 27,1, 14,88; *n*- $\text{CH}_3$ , 1,984, 28,4, 15,62; *n*-OH, 1,81, 28,9, 15,90; *n*- $\text{CH}_3\text{O}$ , 1,48, 28,6, 15,65; *n*- $\text{C}_2\text{H}_5\text{O}$ , 1,39, 28,6, 15,6; *n*-Cl, 1,69, 27,7, 15,09; *n*-Br, 1,685, 27,4, 14,95; *n*- $\text{NO}_2$ , 1,88, 28,0, 15,38; *m*- $\text{CH}_3$ , 2,54, 24,5, 13,25; *m*- $\text{CH}_3\text{O}$ , 2,18, 27,7, 15,16; *m*-Br, 1,66, 27,7, 15,13; *m*- $\text{NO}_2$ , 1,303, 29,2, 16,01. Р-ция идет по ур-нию первого порядка; различные заместители незначительно изменяют величину  $k$ , хотя  $\Delta E_{\text{ант}}$  и  $\lg PZ$  меняются в довольно широких пределах. В мета-положении электронодонорные заместители ускоряют р-цию, а электронакцепторные замедляют ее. Для мета-



заместителей хорошо соблюдается ур-ние Хамметта; для пара-заместителей такого соответствия не найдено; за исключением *n*-трет-С<sub>4</sub>H<sub>9</sub>, все заместители в пара-положении замедляют скорость р-ции. Авторы высказывают предположение, что реакционная способность I, содержащих заместители в мета-положении, зависит главным образом от полярного влияния заместителей, в то время как для I с пара-заместителями реакционная способность обусловлена характером сопряжения карбонильной группы с бензольным кольцом и с триазогруппой. Г. Балуева

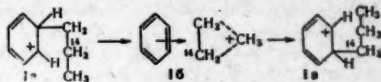
28631. Молекулярные перегруппировки. Часть 1. N-хлорацетанилид. Айад, Бирд, Гарвуд, Хиккинботтом (Molecular rearrangements. Part 1. N-chloroacetanilide. Ayad K. N., Beard C., Garwood R. F., Hickinbottom W. J.), J. Chem. Soc., 1957, July, 2981—2986 (англ.).

N-хлорацетанилид (I) при кипячении с CCl<sub>4</sub> в темноте в присутствии (C<sub>6</sub>H<sub>5</sub>CO)<sub>2</sub>O<sub>2</sub> (II) (2 мол.%) через 100 час. полностью переходит в *n*- и *o*-хлорацетанилиды. Аналогично ведут себя N-хлорпроизводные *o*-, *m*-, *n*-ацетамидотолуола и *o*-ацетамидостилбензола. Взаимодействие I с 2-ацетамидонафталином в тех же условиях приводит к 2-ацетамидо-1-хлорнафталину. Р-ции свидетельствуют о радикальном междумолекулярном механизме перегруппировок. I превращается также при замене II α,α'-азоизобутиронитрилом или под действием излучения ртутной лампы. Возможность как гомолитич., так и гетеролитич. разрыва связи N—Cl в N-хлорацетогруппе показана при N-2,4,6-тетрахлоранилида (III) с толуолом, этилбензолом, *m*- и *n*-ксилолами, мезитилом, α-метилнафталином, фенантроном (IV), дифенилметаном, трифенилметаном и аценафеном. В присутствии II (1 мол.%) в описанных условиях хлорируется боковая цепь (гомолитич. расщепление N—Cl); в уксусной к-те происходит обычное электрофильное замещение в ядре (гетеролитич. расщепление с образованием C<sup>+</sup>). В гомолитич. условиях избыток циклогексана, в отличие от флуорена и IV, при действии III дает хлористый циклогексил. При перегруппировке *n*-N-хлорацетамидотолуола наряду с 4-ацетамидо-3-хлортолуолом образуются 4-ацетамидо-3,5-дихлортолуол и *n*-ацетамидотолуол. Предложены вероятные механизмы изученных перегруппировок. III приготовлен из 2,4,6-трихлорацетанилида в уксусной к-те и HClO<sub>4</sub> действием *p*-ра NaClO. А. Дулов

28632. Диспропорционирование алкилбензолов. II. Перегруппировка *n*-пропиловой группы при действии AlCl<sub>3</sub> на *n*-пропил-β-С<sup>14</sup>-бензол. Робертс, Бранденбергер (Disproportionation of alkylbenzenes. II. Rearrangement of the *n*-propyl group in treatment of *n*-propyl-β-С<sup>14</sup>-benzene with aluminum chloride. Roberts Royston M., Brandenberger Stanley G.), J. Amer. Chem. Soc., 1957, 79, № 20, 5484—5488 (англ.).

Исследовано диспропорционирование *n*-пропилбензола (I), меченного С<sup>14</sup> (в β-положении), под действием AlCl<sub>3</sub> при 25, 100 и 159°. Оказалось, что при этом до 31% С<sup>14</sup> перемещается из β-положения в α-положение. Те же результаты получены при изучении превращений меченного С<sup>14</sup> ди-*n*-пропилбензола (II). Спектрофотометрич. (ИК-спектры), масс-спектрометрич. и паракротографич. анализы продуктов р-ции показали, что в условиях р-ции перегруппировка I в изопропилбензол (III) происходит лишь на 2—4%. Это указывает на то, что изотопная перегруппировка (III) не происходит через образование III. Так как степень III алкильных групп подвергнуто действию AlCl<sub>3</sub> I и в образовавшемся при этом II одинакова, авторы предполагают, что III происходит независимо от диспропорционирования. Для объяснения полученных данных они предлагают схему

р-ции, где взаимодействие I с протоном катализатора приводит к образованию σ-комплекса (Ia), который через промежуточный π-комплекс (Ib) превращается в изомерный σ-комплекс (Iv). Подобная схема (за исключением изопропиловой перегруппировки) предложена для изомеризации диалкилбензолов (Baddely G., J.



Chem. Soc., 1950, 994; РЖХим, 1956, 71584). Для проверки изотопного распределения в α-, β- и γ-положениях I избирательно разрушался последовательной обработкой *N*-бромсукцинимидом (IV), пиридином (V), H<sub>2</sub>O<sub>2</sub> + HCOOH (VI) и т. д. по схеме C<sub>6</sub>H<sub>5</sub>CH<sub>2</sub>CH<sub>2</sub>CH<sub>2</sub>CH<sub>2</sub> → C<sub>6</sub>H<sub>5</sub>CHBrCH<sub>2</sub>CH<sub>2</sub>CH<sub>2</sub>CH<sub>2</sub> → C<sub>6</sub>H<sub>5</sub>CH=CHCH<sub>2</sub>CH<sub>2</sub>CH<sub>2</sub>CH<sub>2</sub> → C<sub>6</sub>H<sub>5</sub>C(α)H

NOHC(β) NOHC(γ)H<sub>2</sub> → C<sub>6</sub>H<sub>5</sub>C(α)HO + OC(β)HC(γ)H<sub>2</sub> → NaOJ → NaO<sub>2</sub>C(β)H + C(γ)HJ<sub>2</sub>. Активность в α-положении определялась окислением I в бензойную, а II во фталевую к-ты. Синтез меченого I проводился по схеме: CH<sub>3</sub>C<sup>14</sup>H<sub>2</sub>J → CH<sub>3</sub>C<sup>14</sup>H<sub>2</sub>CN → CH<sub>3</sub>C<sup>14</sup>H<sub>2</sub>COONa → CH<sub>3</sub>C<sup>14</sup>H<sub>2</sub>COC<sub>6</sub>H<sub>5</sub> → CH<sub>3</sub>C<sup>14</sup>H<sub>2</sub>CH<sub>2</sub>C<sub>6</sub>H<sub>5</sub>. Выход I по отношению к исходному этил-[1-С<sup>14</sup>]-йодиду составлял 55%. Предыдущее сообщение см. РЖХим, 1956, 39435.

Н. Высоцкая

28633. Диспропорционирование алкилбензолов. Сообщение IV. Этилбензол и диэтилбензол. Мак-Коли, Лин (Disproportionation of alkylbenzenes. IV. Ethylbenzene and diethylbenzene. McCaulay D. A., Lien A. P.), J. Amer. Chem. Soc., 1957, 79, № 22, 5953—5955 (англ.).

Изучено диспропорционирование этилбензола (I), 1,3-диэтилбензола (II) и смеси (1:1) I и 1,3,5-триэтилбензола (III) в присутствии HF (200 или 150 об.%) и BF<sub>3</sub> (1—1,2 моля на моль I и 1,3 или 0,26 моля на моль II) при 11—80°. Для I быстро достигается первоначальное равновесие с соотношением компонентов: 45% C<sub>6</sub>H<sub>6</sub>, 10% I, 45% II. Повышение т-ры или увеличение времени р-ции приводит к появлению четвертого компонента — III (до 25% через 96 час.), чему при низких т-рах препятствует связывание II в комплексный ион (II·H) + BF<sub>4</sub><sup>-</sup>. Образование тетраэтилбензола еще более затруднено вследствие очень большой основности III. Приведены способы графич. и аналитич. расчета состава равновесных смесей в зависимости от числа этильных групп, приходящихся на бензольное кольцо в исходной смеси. Сообщение III см. РЖХим, 1955, 23578.

А. Дулов

28634. Кинетика термической изомеризации 2-трет-бутил-3-фенилоксиазирана. Хоторн, Страм (Kinetics of the thermal isomerization of 2-tert-butyl-3-phenyloxazirane. Hawthorne M. Frederick, Strahm R. Donald), J. Organ. Chem., 1957, 22, № 10, 1263—1264 (англ.).

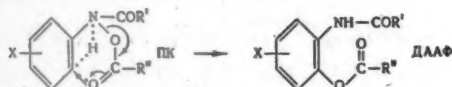
Исследовалась кинетика термич. изомеризации C<sub>6</sub>H<sub>5</sub>-

CHONC<sub>6</sub>H<sub>5</sub>-трет (I) в *N*-трет-бутилбензальдоксим (II) при 60,85 и 100° в среде диэтилкарбита. Показано, что I в присутствии II может быть определен спектрофотометрически (при λ<sub>макс</sub> 298 мμ). Р-ция протекает по первому порядку (k<sub>100°</sub> 530—545 · 10<sup>-7</sup> сек<sup>-1</sup>); ΔH<sub>акт</sub> 28 ккал/моль, ΔS<sub>акт</sub> -3 ± 1 энтр. ед. Из этого авторы делают вывод о том, что I и II имеют одинаково жестко закрепленную структуру. Н. Высоцкая

28635. Изучение процесса замещения. XII. Перегруппировка и термический распад ацилированных гидроксиламинов. Хорнер, Штенпанн (Stu-

dien zum Ablauf der Substitution. XII. Umlagerung und thermischer Zerfall acylierter Hydroxylamine. Horner Leopold, Steppan Hartmut, Liebigs Ann. Chem., 1957, 606, № 1—3, 24—47 (нем.)

Ряд О,N-диацил-N-арилгидроксиламинов (ДАГ), R'CON(R)OCOR'' получен с использованием трех методов ацилирования арилгидроксиламинов (АГ): R' = R''; А) в эфирном р-ре + C<sub>6</sub>H<sub>5</sub>N (мол. соотношение АГ: R'COCl = 1:2); Б) в C<sub>6</sub>H<sub>6</sub> + насыщ. водн. р-р NaHCO<sub>3</sub> (АГ: R'COCl = 1:2); В) R' ≠ R''; N-ацилирование в абс. эфире (АГ: R'COCl = 2:1) и О-ацилирование в эфире + C<sub>6</sub>H<sub>5</sub>N (N-ацил-АГ: R'COCl = 1:1). Осуществлен синтез следующих ДАГ [приводятся R, R', R'', метод, выход чистого или сырого (в скобках) продукта в %, т. пл. в °C]: C<sub>6</sub>H<sub>5</sub>, C<sub>6</sub>H<sub>5</sub>, C<sub>6</sub>H<sub>5</sub> (I), Б, 90, 117—119 (сп.); C<sub>6</sub>H<sub>5</sub>, CH<sub>3</sub>, CH<sub>3</sub> (II), А, 70, 43—44 (бал.-петр. эф.); C<sub>6</sub>H<sub>5</sub>, n-C<sub>6</sub>H<sub>4</sub>OCH<sub>3</sub>, n-C<sub>6</sub>H<sub>4</sub>OCH<sub>3</sub> (III), А (87),



148 (сп.); C<sub>6</sub>H<sub>5</sub>, n-C<sub>6</sub>H<sub>4</sub>NO<sub>2</sub>, n-C<sub>6</sub>H<sub>4</sub>OCH<sub>3</sub> (IV), В, 86, 119,5—121 (бал.-петр. эф.); C<sub>6</sub>H<sub>5</sub>, n-C<sub>6</sub>H<sub>4</sub>OCH<sub>3</sub>, n-C<sub>6</sub>H<sub>4</sub>NO<sub>2</sub> (V), В, 84, 119 (этилацетат-петр. эф.); C<sub>6</sub>H<sub>5</sub>, n-C<sub>6</sub>H<sub>4</sub>NO<sub>2</sub>, n-C<sub>6</sub>H<sub>4</sub>NO<sub>2</sub> (VI), А (74), 147 (сп.); C<sub>6</sub>H<sub>5</sub>, n-C<sub>6</sub>H<sub>4</sub>NO<sub>2</sub>, C<sub>6</sub>H<sub>5</sub>, В, 83, 144 (сп.); C<sub>6</sub>H<sub>5</sub>, n-C<sub>6</sub>H<sub>4</sub>Cl, C<sub>6</sub>H<sub>5</sub>, В, 69, 148 (сп.); C<sub>6</sub>H<sub>5</sub>, C<sub>6</sub>H<sub>5</sub>, n-C<sub>6</sub>H<sub>4</sub>Cl, В, 58, 118—120 (сп.); C<sub>6</sub>H<sub>5</sub>, n-C<sub>6</sub>H<sub>4</sub>Cl, n-C<sub>6</sub>H<sub>4</sub>Cl, А (91), 134—135 (CH<sub>3</sub>ОН-этилацетат); C<sub>6</sub>H<sub>5</sub>, C<sub>6</sub>H<sub>5</sub>, 3,4,5-C<sub>6</sub>H<sub>2</sub>Br<sub>3</sub>, В, 63, 165—166 (раал.); C<sub>6</sub>H<sub>5</sub>, 3,4,5-C<sub>6</sub>H<sub>2</sub>Br<sub>3</sub>, C<sub>6</sub>H<sub>5</sub>, В, 78, 104—105 (бал.-петр. эф.); CH<sub>3</sub>, C<sub>6</sub>H<sub>5</sub>, C<sub>6</sub>H<sub>5</sub>, В, 71, 58 (эф.-петр. эф.); n-C<sub>6</sub>H<sub>5</sub>, C<sub>6</sub>H<sub>5</sub>CH<sub>2</sub>, C<sub>6</sub>H<sub>5</sub>CH<sub>2</sub>, В, —, —; n-C<sub>6</sub>H<sub>5</sub>, C<sub>6</sub>H<sub>5</sub>, C<sub>6</sub>H<sub>5</sub>, В, —, —; n-C<sub>6</sub>H<sub>5</sub>, n-C<sub>6</sub>H<sub>4</sub>Cl, n-C<sub>6</sub>H<sub>4</sub>Cl, В, 81, 40 (бал.-петр. эф.); n-C<sub>6</sub>H<sub>5</sub>, n-C<sub>6</sub>H<sub>4</sub>NO<sub>2</sub>, n-C<sub>6</sub>H<sub>4</sub>NO<sub>2</sub>, В, 48, 125 (бал.); C<sub>6</sub>H<sub>5</sub>CH<sub>2</sub>, C<sub>6</sub>H<sub>5</sub>CH<sub>2</sub>, C<sub>6</sub>H<sub>5</sub>CH<sub>2</sub>, В, 20, 36 (эф.-петр. эф.); C<sub>6</sub>H<sub>5</sub>CH<sub>2</sub>, C<sub>6</sub>H<sub>5</sub>, C<sub>6</sub>H<sub>5</sub> (VII), В, 90, 97 (сп.-эф.); n-C<sub>6</sub>H<sub>4</sub>Cl, C<sub>6</sub>H<sub>5</sub>, C<sub>6</sub>H<sub>5</sub>, А (86), 87—88 (сп.); 3,4,5-C<sub>6</sub>H<sub>2</sub>Cl<sub>3</sub>, C<sub>6</sub>H<sub>5</sub>, C<sub>6</sub>H<sub>5</sub>, А (86), 115—125; n-C<sub>6</sub>H<sub>4</sub>CH<sub>3</sub>, C<sub>6</sub>H<sub>5</sub>, C<sub>6</sub>H<sub>5</sub>, А (87), 130—131 (сп.-этилацетат); n-C<sub>6</sub>H<sub>4</sub>CN, C<sub>6</sub>H<sub>5</sub>, C<sub>6</sub>H<sub>5</sub>, В, 90, —, 171—172 (CH<sub>3</sub>ОН); α-нафтил, C<sub>6</sub>H<sub>5</sub>, C<sub>6</sub>H<sub>5</sub>, (VIII), В, 34, 135—136 (этилацетат); n-C<sub>6</sub>H<sub>4</sub>OCH<sub>3</sub>, C<sub>6</sub>H<sub>5</sub>, C<sub>6</sub>H<sub>5</sub> (IX), А (95), —. При нагревании ДАГ до t-р ≤ 150° они перегруппировываются в О,N-диацилированные о-аминофенолы (ДААФ); нагревание до более высоких t-р сопровождается разложением. Перегруппировка ДАГ проходит через промежуточный комплекс (ПК). При нагревании ДААФ (R' = R'' = C<sub>6</sub>H<sub>5</sub>, X = Н) до 250° получается 2-фенилбензоксазол (выход 90%). Легкость превращения ДАГ → ДААФ возрастает с увеличением силы к-т, производными которых являются ДАГ, в ряду II < I < V < VI. Из испытанных р-рителей (декалин, диметилформамид, нитробензол) наибольшие выходы ДААФ получены в C<sub>6</sub>H<sub>5</sub>NO<sub>2</sub>. Наряду с перегруппировкой происходит распад ДАГ с первичным гомотелизом связи N—О. Радикальный характер распада установлен полимеризацией акрилонитрила (X) при нагревании (150°) ДАГ (R = C<sub>6</sub>H<sub>5</sub>) в р-ре мономера. I, III и IV полимеризуют X сильно, V и VI слабо; II, VIII и IX не вызывают полимеризации X. IX быстро перегруппировывается в ДААФ уже при ~20°, VIII легко при плавлении. Предложена схема распада, объясняющая образование бензанилида, C<sub>6</sub>H<sub>5</sub>COOH, CO<sub>2</sub>, дифенила, лопина и некоторых других соединений при нагревании ДАГ > 180°. Сообщение XII см. РЖХим, 1957, 60454. Ю. Сорокин

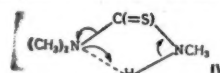
28636. О термической диссоциации органических соединений. XII. Влияние заместителей на термическую диссоциацию замещенных фенилмочевин. Озаки, Нагоя (On the thermal dissociation of organic compounds. XII. The effects of the substituents on the thermal dissociation of substituted phe-

nylureas. Ozaki Shoichiro, Nagoya Tsutomu, Bull. Chem. Soc. Japan, 1957, 30, № 5, 444—449 (англ.)

Определены мономолекулярные константы скорости термич. диссоциации ряда замещ. производных мочевины: RC<sub>6</sub>H<sub>4</sub>NHCON(C<sub>6</sub>H<sub>5</sub>)<sub>2</sub> (I) в CH<sub>2</sub>ClCOOH при 95° и в капроновой к-те при 150°, RC<sub>6</sub>H<sub>4</sub>NHCONHC<sub>6</sub>H<sub>11</sub> (II) и (RC<sub>6</sub>H<sub>4</sub>NH)<sub>2</sub>CO (III) обе в CH<sub>2</sub>ClCOOH при 139,5°. В случае I (R = Н) в CH<sub>2</sub>ClCOOH энергия активации равна 22,4 ккал. Для I в CH<sub>2</sub>ClCOOH соблюдается ур-ние Хамметта; ρ = -0,196, т. е. электронодонорные группы, как CH<sub>3</sub>O, ускоряют р-цию. Для III наблюдаются значительные отклонения от ур-ния Хамметта. В отличие от I, значение ρ для II (0,1778) найдено с плохим коэф. корреляции 0,895 (для I 0,964), так как распад II может идти двумя путями и константа диссоциации была поэтому определена в бензиловом спирте. Анализ полученных результатов позволяет сделать вывод, что стадией, определяющей скорость термич. диссоциации I в жирных к-тах, является присоединение протона. I получены р-цией хлорангидрида диэтилкарбаминной к-ты, соответствующего амина и триэтиламина; в отсутствие или при недостатке последнего образуется III. Р-ция аминов с пентилизоцианатом дает II. Ниже приведены R, выход в %, т. пл. в °C. Для I: Н, 62, 84,5—85; o-CH<sub>3</sub>O, 59, — (т. кип. 143—145°/0,45 мм); n-CH<sub>3</sub>O, 33,4, 61,5—62; o-CH<sub>3</sub>, 40, 78—79; m-CH<sub>3</sub>, 27,1, 101—102; n-CH<sub>3</sub>, 32, 67,5—68; o-Cl, 42, — (т. кип. 124—126°/0,4 мм); m-Cl, 17, 89—89,5; n-Cl, 17, 118—118,5; m-NO<sub>2</sub>, 12, 88—89. Для II: Н, 85, 90,5—91,5; n-CH<sub>3</sub>O, 83,5, 120,5—121,5; m-CH<sub>3</sub>, 78, 73; n-CH<sub>3</sub>, 82,5, 105—105,5; m-Cl, 92, 62,5—63; n-Cl, 82, 158—159; m-NO<sub>2</sub>, 50, 116,5—117; n-NO<sub>2</sub>, 1, 121—121,5. Для III: Н, 16, 235; o-CH<sub>3</sub>, 18, 241—242; m-CH<sub>3</sub>, 8, 221,5; n-CH<sub>3</sub>, 25, 265; o-Cl, 30, 225—226; n-Cl, 7, 247; m-NO<sub>2</sub>, 17, 244,5—245. Получен также II (R = 2,6-Cl<sub>2</sub>), выход 9%, т. пл. 250° (возгоняется), а также II (R = n-NO<sub>2</sub>), р-цией n-нитроанилина с пентилизоцианатом при 150°, выход 33%. Сообщение XI см. РЖХим, 1957, 65994. Г. Балуева

28637. Изучение кинетики реакций производных тиомочевин. III. Триметилтиомочевина и тетраметилтиомочевина. Шоу, Уокер (Kinetic studies of thiourea derivatives. 3. Trimethylthiourea and tetramethylthiourea. Shaw William H. R., Walker David G., J. Amer. Chem. Soc., 1957, 79, № 16, 4329—4331 (англ.)

Исследована кинетика термич. распада (Р) триметилтиомочевин (I) в водн. р-рах в интервале 70—120°. При Р I образуются метиламин (II), диметил-амин (III) и COS. Скорость р-ции подчиняется ур-нию первого порядка, значения констант скорости образования II (k<sub>2</sub>) и III (k<sub>3</sub>) эквивалентны и не зависят от средней конц-ии I и значения ионной силы р-ра



в пределах от 0 до 1 M. Значение k<sub>4</sub> мало меняется в интервале pH 1—2, падает при повышении pH до 5 и вновь возрастает при дальнейшем повышении pH до 13. Значение энергии активации и частотного фактора в кислых р-рах составляет 34,4 ккал/моль и 4,98 × 10<sup>14</sup> сек<sup>-1</sup>. Предполагается, что I претерпевает мономолекулярный распад через переходное состояние (V) с образованием III и метилизотиоцианата (V), подвергающегося затем быстрому гидролизу с образованием II и COS. Зависимость k<sub>4</sub> от pH объясняется сдвигом равновесия I ↔ IV в сторону I при увеличении pH и образованием сим-диметилтиомочевин за счет взаимодействия V с II. Необходимость водородной связи в IV подтверждается тем,



что тетраметилтиомочевина (VI) в нейтр. водн. р-рах не распадается даже при 150°. Образование III и COS при нагревании VI в 0,5 M р-ре HNO<sub>3</sub> и 0,5 M р-ре NaOH отнесено за счет гидролиза VI. Сообщение II см. РИХим, 1958, 17087.

И. Моисеев

28638. Природа алифатических С-нитрозосоединений. I. Изучение скорости диссоциации димеров алифатических С-нитрозосоединений в различных растворителях. Шварц (Nature of aliphatic C-nitroso compounds. I. Study of the rate of dissociation of the aliphatic C-nitroso dimer in various solvents. Schwartz Joseph R., J. Amer. Chem. Soc., 1957, 79, № 16, 4353—4355 (англ.))

Спектрофотометрически измерена скорость диссоциации димеров 2-метил-2-нитрозо-1-ацетоксипропана (I) и 2-этил-2-нитрозопропана (II) при 12,88, 18 и 25° в различных р-рителях. Активационные параметры ( $\Delta H$  ккал/моль,  $\Delta S$  энтр. ед.) составлены (перечислены р-рители,  $\Delta H$  и  $\Delta S$  для I,  $\Delta H$  и  $\Delta S$  для II): нитробензол, 28,1 и 32,1, 13,4 и 10,0; метанол, 20,9 и 7,6, 23,2 и 13,3; ацетон, 21,4 и 9,4, 27,5 и 28,8; этилацетат, 28,2 и 33,4, 25,2 и 21,3; хлороформ, 24,2 и 18,0, 18,6 и 15,5; бензол, 23,5 и 17,2, 24,9 и 20,6. Между значениями  $\Delta H$  и  $\Delta S$  в случае I и II существует линейная зависимость. Изменение значений констант скорости ( $k_1$ ) р-ции I с переходом от одного р-рителя к другому происходит пропорционально соответствующим изменениям  $k_1$  для II. Это свидетельствует о том, что значение относительной свободной энергии активации ( $\Delta F_{\text{акт}} = \Delta F_{\text{I}} - \Delta F_{\text{II}}$ ) остается неизменным во всех р-рителях. Полученное из эксперим. данных  $\Delta F_{\text{акт}}$  0,78 ккал объяснено, по мнению автора, разнице в индуктивном отталкивании электронов CH<sub>3</sub>COO- и CH<sub>3</sub> группами, которое способствует разрыву связи при диссоциации. Установлено, что димеры псевдонитрила (CH<sub>3</sub>)<sub>2</sub>C(NO)NO<sub>2</sub> и нитрозобензола диссоциируют в бензоле слишком быстро для измерений, что объясняется ослаблением N—N-связи в димере за счет влияния отрицательных заместителей. Для приготовления I [т. пл. 67—69° (из петр. эф.)] 2-метил-2-нитропропилацетат восстанавливали Zn-пылью в водн. р-ре NH<sub>4</sub>Cl. Образующийся при этом гидроксидом окислял р-ром Na<sub>2</sub>Cr<sub>2</sub>O<sub>7</sub> в 2 н. H<sub>2</sub>SO<sub>4</sub>. II (т. пл. 50,3—51,2°) получен аналогичным путем из нитросоединения, приготовленного гидролизом трет-амиломочевины с последующим окислением образующегося при этом трет-амиламина.

И. Моисеев

28639. Кинетика реакций Дильса-Альдера элеостеариновых кислот с малениновым ангидридом и замещенными малениновыми ангидридами. Бикфорд, Гофман, Хейнзелман, Фор (Kinetics of Diels-Alder reactions of eleostearic acids with maleic anhydride and substituted maleic anhydrides. Bickford W. G., Hoffmann Joan S., Heinzelman Dorothy C., Fore Sara P., J. Organ. Chem., 1957, 22, № 9, 1080—1083 (англ.))

Спектрофотометрически исследована кинетика р-ции α-(I) и β-(II)-элеостеариновых к-т с малениновым (III), хлормалениновым (IV) и цитраконовым (V) ангидридами в р-ре кислоты при 55—115°. Р-ции III и IV с I и II и р-ция V с II подчиняются ур-нию второго порядка, в случае р-ции V с I наблюдаются отклонения от ур-ния второго порядка. Значения параметров ур-ния Аррениуса ( $E$  ккал/моль, lg A) составляют в случае I и III 17 и 7,0; I и IV 19,0 и 8,0; II и III 12 и 4,3, II и IV 13 и 5,0, II и V 12 и 3,0. Пониженные значения  $E$  и повышенные значения lg A в случае р-ций II объясняются тем, что в II в отличие от I этиленовые связи 9 и 10 находятся в транс-конфигурации, что обеспечивает не только более эффективную конфигурацию II для р-ции, но и меньшую энергию пара-

локализации диеновой системы в II (Brown, J. Chem. Soc., 1950, 2730). Дезактивирующее действие группы CH<sub>3</sub> в V объясняется индуктивным эффектом этой группы. Авторы полагают, что взаимодействие атома Cl с сопряженной системой связей C=C и C=O в IV приводит к структуре Cl<sup>+</sup>=C—C=C—O<sup>−</sup>, благодаря чему понижается электрофильность этиленовой связи в IV.

И. Моисеев

28640. Катализируемая селеном цис-транс-изомеризация 9-октадециленовых кислот (олеиновая — элаидиновая). Фицпатрик, Орчин (The selenium catalyzed cis-trans isomerization of 9-octadecenoic (oleic — elaidic) acids. Fitzpatrick J. D., Orchin Milton, J. Amer. Chem. Soc., 1957, 79, № 17, 4765—4771 (англ.))

Реакция изомеризации олеиновой (I) в элаидиновую (II) к-ту под влиянием растворенного селена (III) (0,05—0,2 вес.%) подчиняется кинетич. ур-нию обратимой р-ции первого порядка. Значение кажущейся константы скорости в случае р-ции I→II пропорционально конц-ии III в степени 1/3, а в случае р-ции II→I порядок по конц-ии III 1/3. Энергия активации р-ции I→II в интервале 190—210° составляет 30 ккал/моль и не зависит от начальной конц-ии III. Близость порядка по III к 1/3 и другие кинетич. закономерности объясняются на основе механизма, включающего диссоциацию Se<sub>6</sub> ≠ 3Se<sub>2</sub>, обратимое образование π-комплекса (π-K) между Se<sub>2</sub> и I или II (за счет π-электронов двойной связи I или II и разрыхляющей орбиты Se<sub>2</sub>) и мономолекулярное превращение π-K I→π-K II, лимитирующее скорость р-ции. Авторы полагают, что растворение III в I и II при нагревании обязано образованию π-K, это подтверждается тем, что III растворяется при 200° в метилолеате (IV), коричной к-те, стибиле, дифениле, нафталине, тетрагидрофталеовом ангидриде (V), ундециновой к-те (VI), ангидриде бицикло-[2,2,1]-гептен-5-дикарбоновой-2,3 к-ты (VII) и 1-метил-4-изопропил-бицикло-[2,2,2]-октен-5-дикарбоновой-2,3 к-ты. III не растворяется (π-K не образуется), когда р-ритель не имеет двойных связей (стеариновая к-та, гексагидрофталеовый ангидрид) или система π-электронов находится в сопряжении с COO-группой (диэтилмалеат, фталевый ангидрид). При конц-ии III менее 0,2 вес.% р-ция I→II не доходит до равновесия, что объясняется превращением π-K I в комплекс, в котором III связан с I σ-связью (σ-комплекс (σ-K)). Установлено, что III не кристаллизуется из дезактивированного р-ра при охлаждении до ~20°. Продолжительная выдержка р-ров III в IV, V, VI, VII при 200° приводит также к тому, что III не выделяется из р-ра при охлаждении. Предполагается, что во всех этих случаях образуется σ-K, по структуре аналогичный гидроперекиси олефина. Последнее подтверждается тем, что σ-K образуется лишь в случае олефинов с Н-атомом в α-положении. Скорость образования σ-K в случае линолевой к-ты в 20 раз больше, чем в случае I, это значение близко к отношению скоростей автоокисления олеата и линолеата и линолената при 20° (Gunstone, Hilditch, J. Chem. Soc., 1945, 836). При повышении т-ры дезактивированного р-ра III в I или II до 250° наблюдается возвращение каталитич. способности, что объясняется радикальным распадом σ-K при этой т-ре. Незэквивалентность наблюдаемых констант скорости р-ций I→II и II→I (отношение  $k_1/k_{11}$  2,2 и не зависит от конц-ии III) объясняется тем, что превращение π-K II→σ-K II происходит быстрее, чем π-K I→σ-K I. Установлено, что стекловидный полимер III каталитически неактивен, а кристаллич. черная и красная модификации III обладают равной каталитич. активностью.

И. Моисеев





IIIb). В тех же условиях присоединение I к 1-метилциклопентену (IV) приводит к 71% *цис*- и 29% *транс*-2-метилциклопентилтиолацетата (Va и Vb). Состав смесей III и V доказан гидролизом III и V в тиолы, которые тщательно фракционировались и затем превращались при взаимодействии с  $C_6H_5CH_2Cl$  в соответствующие сульфиды с последующим окислением сульфидов в сульфоны. Тем сульфонам, которые оказались способны претерпевать изомеризацию под действием  $n-C_3H_7ONa$  в *р*-ре  $n-C_3H_7OH$  авторы приписали *цис*-строение. Свободно-радикальное присоединение  $C_6H_5SH$  к II и IV также происходит преимущественно в *транс*-положение. Присоединение I к камфену (VI),  $\alpha$ - и  $\beta$ -пинену (VII и VIII), по-видимому, идет без перегруппировки или с незначительной перегруппировкой, однако как из VII, так и из VIII образуются два тиолацетата. Отсутствие продуктов перегруппировки, по-видимому, обусловлено малым временем жизни радикалов. Вероятно, по той же причине при проведении *р*-ции в *р*-ре  $CCl_4$  в продукты *р*-ции Si не вступает. При медленном добавлении при облучении светом I к II образуется смесь IIIa и IIIb (общий выход 85%, т. кип. 110°/14 мм,  $n_D^{25}$  1,495). При действии KOH (водно-спирт. *р*-р) на смесь IIIa и IIIb после фракционирования получены соответствующие *цис*- (83%) и *транс*- (17%) 2-метилциклогексантиолы (IXa и IXb) (общий выход 82%, IXa, т. кип. 143,4°/300 мм,  $n_D^{20}$  1,4937; IXb, т. кип. 138,7°/300 мм,  $n_D^{20}$  1,4851). Из IXa действием  $C_6H_5CH_2Cl$  получен сульфид, который окислен  $H_2O_2$  в *р*-ре  $CH_3COOH$  в *цис*-2-метилциклогексилбензилсульфон (X) с выходом 73%, т. пл. 74–74,5° (из  $CH_3COOH$ ). Из X, при растворении в  $n-C_3H_7OH$  под действием  $n-C_3H_7ONa$  получен *транс*-2-метилциклогексилбензилсульфон, с т. пл. 84–84,5°. Аналогично IIIa и IIIb при *р*-ции IV с I получена смесь Va и Vb (выход 80%, т. кип. 98–101°/25 мм,  $n_D^{20}$  1,4900). Гидролиз и фракционирование смеси тиолов привели к выделению 71% *цис*-2-метилциклопентантиола (XIa) (т. кип. 142,5°/590 мм,  $n_D^{20}$  1,4884) и 29% *транс*-2-метилциклопентантиола (XIb) (т. кип. 135,8°/590 мм,  $n_D^{20}$  1,4783). Из XIa и XIb при взаимодействии с  $C_6H_5CH_2Cl$  и последующем окислении получены *цис*- и *транс*-2-метилциклопентилбензилсульфон (XIIa) и (XIIb), т. пл. 74,5–75° (из гексана) и 101–101,5° (из  $CH_3OH$ ) соответственно. При обработке чистого XIIa или смеси XIIa и XIIb  $n-C_3H_7ONa$  в *р*-ре  $n-C_3H_7OH$  образуется XIIb (выход 91%, т. пл. 98–100°). При нагревании IXa с  $C_6H_5I$  получен *цис*-2-метилциклогексилфенилсульфид (XIIIa). XIIIa получен также из II с  $C_6H_5SH$ . При окислении XIIIa получен *цис*-2-метилциклогексилфенилсульфон (XIV), т. пл. 107–108° (из  $CH_3OH$ ). При изомеризации XIV получен *транс*-2-метилциклогексилфенилсульфон с т. пл. 90–90,5° (из  $CH_3OH$ ). При действии I на камфен получен 2-(8-тиолацетоксиметил)-3,3-диметилбицикло-[2,2,1]-гептан (выход 77%, т. кип. 93–95°/0,8–1,0 мм), при щел. гидролизе которого выделен 2-меркаптометил-3,3-диметилбицикло-[2,2,1]-гептан, выход 83%, т. кип. 116°/20 мм.

Р. Кудрявцев

28647. Полярные факторы в диссоциации на радикалы. Кинетика разложения мета-замещенных фенилазотрифенилметанов. Соломон, Ван Цзи-хуа, Коэн (Polar factors in radical dissociations. Kinetics of decomposition of meta-substituted phenylazotriphenylmethanes. Solomon Stanley, Wang Chi Hua, Cohen Saul G.), J. Amer. Chem. Soc., 1957, 79, № 15, 4104–4107 (англ.)

Изучалась кинетика разложения мета-замещ. фенилазотрифенилметанов  $XC_6H_4N=NC(C_6H_5)_3$ , где X =  $CH_3$  (I), Br (II),  $NO_2$  (III) и H (IV), при *т*-рах 43,8, 53,8 и 80° в толуоле. Для I–IV кинетика разложения описывается ур-нием первого порядка. Константы скоро-

сти  $k \cdot 10^4$  (сек.<sup>-1</sup>) при 53,8°,  $E_{акт}$  ккал/моль и энтропии ( $\Delta S$  кал/моль град) составляют для I: 2,77; 27,2 ± ± 1,5; 6 ± 4; для II: 1,14; 29,9; 13; для III: 0,58; 26,5; 1; для IV 2,40; 27,6; 7. Полученные данные удовлетворительно описываются ур-нием Хамметта с  $\rho$  –0,85 и  $\sigma$  для  $CH_3$ , Br,  $NO_2$  –0,07, +0,39, +0,71 соответственно. Увеличение скорости разложения в случае  $CH_3$  (по сравнению с H) и уменьшение ее в случае Br и  $NO_2$  авторы объясняют влиянием этих групп на резонансную стабилизацию основного или переходного состояния. При разложении IV в  $CH_3COOH$  при 63° обнаружены:  $C_6H_5$  (40%), дифенил (10%), большие количества и немного тетрафенилметана. Отсутствие янтарной к-ты в продуктах разложения указывает, что в данных условиях фенильный радикал не отрывает атома H ни от  $\alpha$ -углерода, ни от  $COOH$ -группы  $CH_3COOH$ . *n*-Фенилазотрифенилметаны получались из соответствующих замещ. фенилгидразинов и  $(C_6H_5)_3CCl$  в сухом пиридине (20°, 3 часа). Пиридиновый *р*-р образовавшихся гидразосоединений отфильтровывали от  $C_6H_5N \cdot HCl$  разбавляли водой и извлекали эфиром. Образовавшиеся гидразосоединения окислялись в эфирном *р*-ре в азосоединения. IV получался за счет аутоокисления, остальные гидразосоединения обрабатывали амилнитритом в безводн. эфире с добавкой нескольких капель  $CH_3COCl$ . Кристаллизовали из  $CH_3OH$ . Приведены выходы в % и т. пл. в °C: I, 64, 108–109; II, 41, 108–109; III, —, 111–112; IV, 77, 110–112.

А. Слинкин

28648. Производные метилена в качестве промежуточных продуктов в полярных реакциях. VIII. Диформетилен в реакции хлордиформетана с метилатом натрия. Хайн, Портер (Methylene derivatives as intermediates in polar reactions. VIII. Difluoromethylene in the reaction of chlorodifluoromethane with sodium methoxide. Hine Jack, Porter John J.), J. Amer. Chem. Soc., 1957, 79, № 20, 5493–5496 (англ.)

Взаимодействие  $CHClF_2$  (I) и  $CH_2ClF$  (II) с  $CH_3ONa$  (III) и I с  $C_6H_5SNa$  (IV) при 35° в  $CH_3OH$  (V) является *р*-цией второго порядка. I в 150 раз реакционноспособнее II, что свидетельствует о невозможности  $S_N2$  механизма, при котором введение  $\alpha$ -фтора замедляет *р*-цию. При *р*-ции I с III образуются только  $CH_3OCHF_2$  (VI) и  $(CH_3O)_2CH$  (VII) (соответственно 48 и 32%, считая на I). Предложен механизм  $\alpha$ -элиминирования:  $I + CH_3O^- \rightarrow CF_2$  (VIII) +  $V + Cl^-$ ; VIII  $\rightarrow$  VI или VIII  $\rightarrow CH_3OCF \rightarrow VII$ , который подтвержден *р*-цией I с IV с образованием  $C_6H_5SCH_2F_2$  (IX), протекающей значительно медленнее *р*-ции I с III, тогда как при  $S_N2$  механизме IV намного реакционноспособнее III. Добавление III ускоряет *р*-цию I с IV в 60 раз с выходом IX более 60%, причем IV более чем в 100 раз активнее V. Образование VI (т. кип. –4°), не проанализированного вследствие нестойкости, предположено на основании аналогии с получением и свойствами родственных соединений. Предыдущее сообщение см. РЖХим, 1958, 1188.

А. Дулов

28649. Производные метилена в качестве промежуточных продуктов в полярных реакциях. IX. Одностадийный механизм  $\alpha$ -элиминирования в галоформах. Хайн, Лангфорд (Methylene derivatives as intermediates in polar reactions. IX. The concerted mechanism for  $\alpha$ -eliminations of haloforms. Hine Jack, Langford Paul B.), J. Amer. Chem. Soc., 1957, 79, № 20, 5497–5500 (англ.)

Изучена кинетика щел. гидролиза  $CHClF_2$  (I),  $CHBrF_2$  (II) при 0 и 20 или 25° и  $CDBrF_2$  (III) при 0° в водн. *р*-ре. *Р*-ции протекают с большой скоростью, что исключает возможность  $S_N2$  механизма. Для гидролиза изученных ранее галоформов был доказан двух-





90°/17 мм,  $n_D^{25}$  1,4216,  $\lambda$  макс 5,85 и 5,7 м. С 2,4-динитрофенилгидразином получен 1-(2,4-динитрофенил)-3-эвоноил-4,4-диметил-5-пиразолон. При кипячении 5 г кетона с р-ром 4,5 г КОН в 100 мл спирта получают динитрофенилкетон; 2,4-динитрофенилгидразон, т. пл. 95°. Из 0,50 моля  $n\text{-C}_3\text{H}_7\text{Br}$  (V) приготавливают  $(\text{C}_6\text{H}_5)_2\text{Cd}$  (VI), при 20° за 1,5 часа прибавляют р-р 0,35 моля октана-2 (VII) и 0,35 моля  $\text{CH}_3\text{CNBr}\cdot\text{COOC}_2\text{H}_5$  (VIII) в 30 мл  $\text{C}_6\text{H}_6$ , кипятят 2 часа, разлагают льдом и  $\text{H}_2\text{SO}_4$ , получают 74% этилового эфира 2,3-диметил-3-оксинанон-2 (IX), т. кип. 120—122°/5,5 мм,  $n_D^{25}$  1,4374. Из 0,2 моля Zn, 0,2 моля VIII и 0,2 моля VII в  $\text{C}_6\text{H}_6$  получают 79% IX, 9,4 г IX дегидратируют йодом 3 часа при 150°, получают 2,6 г этилового эфира 2,3-диметилнонен-3-овой к-ты, т. кип. 92—100°/3,5 мм,  $n_D^{25}$  1,4380—1,4400. Из 0,2 моля VII, 0,26 моля IV и VI, приотвешенного из 0,39 моля V, в  $\text{C}_6\text{H}_6$ -эфире получают 83% этилового эфира 2,2,3-триметил-3-оксинанон-2 (X), т. кип. 112—116°/3,3 мм,  $n_D^{25}$  1,4404. По РР выход X 78,4%. Из 0,2 моля Zn, VIII и динитрофенилкетона в  $\text{C}_6\text{H}_6$ -эфире получают 68,5% этилового эфира 2,5-диметил-3-изобутил-3-оксигексановой к-ты (XI), т. кип. 105—107°/4,5 мм,  $n_D^{25}$  1,4377; через VI выход XI 52%. 10 г этилового эфира 2,5-диметил-3-изобутилгексен-3-овой к-ты, получающегося дегидратацией XI (т. кип. 87—91°/4,7 мм,  $n_D^{25}$  1,4351), омыляют кипячением 12 час. с 4 г NaOH в 100 мл спирта и 100 мл воды, получают 70% к-ты, т. кип. 127—128°/4,2 мм,  $n_D^{25}$  1,4471. Из 0,1 моля Zn, VIII и гептана-4 в  $\text{C}_6\text{H}_6$ -эфире получают 80,5% этилового эфира 2-метил-3-пропил-3-оксинанон-2 (XII), т. кип. 107—110°/6,0 мм,  $n_D^{25}$  1,4340—1,4342. Из 0,2 моля Zn, VIII и  $n$ -гептаналя в  $\text{C}_6\text{H}_6$ -эфире получают 73% этилового эфира 2-метил-3-оксинанон-2 (XIII), т. кип. 122—125°/5,0 мм,  $n_D^{25}$  1,4491. Из 0,15 моля Zn, 0,15 моля VIII и 0,10 моля гептадекана-2 в  $\text{C}_6\text{H}_6$ -эфире получают 1,38 г  $\beta$ -ненасыщ. эфира, т. кип. 185—195°/2,0 мм,  $n_D^{25}$  1,4491, и 1,53 г  $\beta$ -оксифира, т. кип. 195—197°/2,0 мм,  $n_D^{25}$  1,4491. Из 0,15 моля Zn, 0,15 моля VIII и 0,10 моля октанонитрила (см. РЖХим, 1955, 51838) в  $\text{C}_6\text{H}_6$ -эфире, но без Cu-катализатора, получают 57% этилового эфира 2-метил-3-оксидекановой к-ты (XIV), т. кип. 143—145°/13 мм,  $n_D^{25}$  1,4339—1,4344. Приведены ИК-спектры IX—XIV. А. Волков

28657. О некоторых простых триенах, их конфигурации и поведении в диеновом синтезе. Альдер, Брахель (Über einige einfache Triene, ihre Konfiguration und ihr Verhalten bei Dien-Synthesen. Alder Kurt, Brachel Hanswilli von), Liebigs Ann. Chem., 1957, 608, № 1—3, 195—215 (нем.)

Изучалось строение гексатриена-1,3,5 (I), гептатриена-1,3,5 (II), октатриена-1,3,5 (III), октатриена-1,3,5 (IV) и 2,5-диметилгексатриена-1,3,5 (V), а также  $\text{транс-I}$  (VI),  $\text{транс-транс-II}$  (VII),  $\text{транс-цис-II}$  (VIII),  $\text{транс-транс-III}$  (IX),  $\text{транс-транс-транс-IV}$  (X),  $\text{транс-транс-цис-IV}$  (XI) и  $\text{транс-V}$  (XII) с маленными ангидридами (XIII). При попытках получения  $\text{цис-I}$  и  $\text{цис-V}$  выделены соответственно лишь циклогексадиен-1,3 (XIV) и 1,4-диметилциклогексадиен-1,3 (XV). Строение полученных изомерных в-в также устанавливалось с помощью УФ- и ИК-спектров. Через р-р 2,5 моля  $\text{C}_2\text{H}_5\text{MgBr}$  и 1,7 л эфира пропускали на 8 час. 2,5 моля  $\text{CH}\equiv\text{CCN}=\text{CH}_2$ ; через 12 час. смесь нагревали (1 час, кипячение), прибавили 2,3 моля  $\text{CH}_3\text{CHO}$  в эфире и снова нагревали (1 час, кипячение); образовался гексен-1-ин-3-ол-5 (XVI), выход ~70%, т. кип. 64,5°/15 мм,  $n_D^{20}$  1,4863,  $d_4^{20}$  0,9120. Из 1 моля XVI и 0,6 моля  $\text{LiAlH}_4$  в 2 л эфира (3 часа, кипячение) получен  $\text{транс-гексадиен-1,3-ол-5}$  (XVII), выход 70%, т. кип. 59°/15 мм,  $n_D^{20}$  1,4816,  $d_4^{20}$  0,8678; аддукт XVII·XIII, т. пл. 158°. При пропускании XVII

над  $\text{Al}_2\text{O}_3$  при 260°/0,01 мм со скоростью 1 моль/час образовался VI, выход 80—90%, т. кип. 42°/190 мм,  $n_D^{20}$  1,5074,  $d_4^{20}$  0,7420. При кипячении VI и XIII в эфире в присутствии гидрохинона (6—8 час.) получен ангидрид  $\text{цис-3-винилциклогексен-4-дикарбоновой к-ты}$ , выход 80—90%, т. пл. 51° (из петр. эф.); к-та (XVIII), т. пл. 166°. Строение XVIII доказано гидрированием с  $\text{PtO}_2$  в лед.  $\text{CH}_3\text{COOH}$  в  $\text{цис-3-этилциклогександикарбоновую-1,2 к-ту}$ , т. пл. 137° (из эф.-петр. эф.), и озонированием с образованием  $\text{НСНО}$ . При пропускании VI в ток  $\text{N}_2$  через стеклянную вату при 430°/12 мм со скоростью 5 г/час за 4 раза образовалось 90% XIV, т. кип. 80,5°,  $n_D^{20}$  1,4750; аддукт XIV·XIII, т. пл. 147°. Из 40 г 2,5-диэтоксигексина-3 (т. кип. 119°/12 мм) в 50 мл  $\text{C}_6\text{H}_6$  при гидрировании с 1 г  $\text{Pd/CaCO}_3$  образовался  $\text{цис-2,5-диэтоксигексен-3}$ , выход 88%, т. кип. 102°/12 мм, из которого (6—7 час., 500°) получено немного XIV. Аналогично XVI, гептен-1-ин-3-ол-5, т. кип. 80,5°,  $n_D^{20}$  1,4750; аддукт XIV·XIII, т. пл. 147° гептадиен-1,3-ол-5 (XIX), т. кип. 64°/12 мм,  $n_D^{20}$  1,4803,  $d_4^{20}$  0,8663. Из XIX при дегидратации над  $\text{Al}_2\text{O}_3$  при 260° получено 80% смеси VII и VIII (3:1), т. кип. 66°/145 мм. Из этой смеси, разбавленной  $\text{CH}_3\text{OH}$ , при —80° выделялся кристаллич. VII, т. кип. 76°/180 мм,  $n_D^{20}$  1,5283,  $d_4^{20}$  0,7599; из маточного р-ра после разбавления водой получен VIII, т. кип. 76°/180 мм,  $n_D^{20}$  1,5294,  $d_4^{20}$  0,7663. VII также образовался при дегидратации гептадиен-2,4-ола-6 (т. кип. 72,5°/12 мм,  $n_D^{20}$  1,4882,  $d_4^{20}$  0,8694). Из VII и XIII в эфире в присутствии небольшого кол-ва пирогаллола (8—10 час., кипячение), после гидролиза разб. р-ром  $\text{Na}_2\text{CO}_3$ , получена смесь 3-( $\text{транс-пропенил}$ )-(XX) и 3-метил-6-винилциклогексен-4-дикарбоновой к-ты (XXI), из которой выделена XX, т. пл. 199° (из этилацетата-петр. эф.). При гидрировании с  $\text{PtO}_2$  XX дала 3-пропилциклогександикарбоновую-1,2 к-ту (XXII), т. пл. 133°, которая также получена после гидратации и гидрирования аддукта из  $\text{транс-1-пропилбутадиена-1,3}$  и XIII. Анализ ИК-спектра смеси метиловых эфиров (т. кип. 95—100°/0,01 мм), полученной гидрированием смеси XX и XXI с последующим метилированием, показал, что эта смесь состояла из ~75% XX и ~25% XXI. При нагревании смеси ангидридов XX и XXI с  $\text{Pd/C}$  при 250—280° образовалась смесь, которая по анализу ИК-спектра, содержала 70—80% 3-пропилфталевого ангидрида и 20—30% 3-этил-6-метилфталевого ангидрида. Из VIII и XIII после гидролиза получена 3-( $\text{цис-пр-пенил}$ )-циклогексен-4-дикарбоновая-1,2 к-та (XXIII), т. пл. 171° (из этилацетата), которая при гидрировании также дала XXII. При озонировании XX и XXIII выделен  $\text{CH}_3\text{CHO}$ . При дегидратации октадиен-2,4-ола-6 (XXIV) [т. кип. 75°/12 мм; аддукт XXIV·XIII (лактон), т. пл. 140°] образовалось 80—90% смеси IX, X и XI (1:2:1), из которой ректификацией отделен IX, т. кип. 67°/60 мм,  $n_D^{20}$  1,5170; из высшей фракции (т. кип. 73—74°/60 мм) кристаллизацией в  $\text{CH}_3\text{OH}$  при —80° выделен X, т. пл. 52—53° (из  $\text{CH}_3\text{OH}$ ); из маточного р-ра получен XI, т. кип. 74°/60 мм,  $n_D^{20}$  1,5398,  $d_4^{20}$  0,7838. Из IX и XIII с последующим гидролизом получена 3-( $\text{транс-бутен-1-ил}$ )-циклогексен-4-дикарбоновая-1,2 к-та (XXV), т. пл. 181° (из этилацетата). Гидрированием в лед.  $\text{CH}_3\text{COOH}$  с  $\text{PtO}_2$  XXV превращена в  $n$ -бутилциклогександикарбоновую-1,2 к-ту, т. пл. 117° (из эф.-петр. эф.), которая также синтезирована из  $\text{транс-1-бутилбутадиена-1,3}$  и XIII. При озонировании XXV дала  $\text{C}_2\text{H}_5\text{CHO}$ . Аналогично, при гидролизе аддукта X·XIII образовалась 3-( $\text{транс-пропенил}$ )-6-метилциклогексен-4-дикарбоновая-1,2 к-та (XXVI), т. пл. 198° (из этилацетата), а из аддукта XI·XIII (т. пл. 53°) ее 3- $\text{цис-изомер}$  (XXVII), т. пл. 145° (из воды). Как XXVI, так и XXVII при гидрировании дали 3-метил-6-пропилциклогександикарбоновую-1,2

к-ту, т. пл. 168° (из эф.), образующуюся также при гидрировании аддукта *транс-транс*-1-пропил-4-метил-бутадиена-1,3 с XIII, а при озолизе дает  $\text{CH}_3\text{CHO}$ . При перегонке 2-метилбутин-3-ола-2 через колонку с  $\text{Al}_2\text{O}_3$ , нагретую до 270–280°, с такой скоростью, чтобы т-ра пара в головке колонки достигала 85–90°, образовался 2-метилбутен-1-ин-3 (XXVIII), выход 70%, т. кип. 34–36°. К 1,5 моля  $\text{C}_2\text{H}_5\text{MgBr}$  в 1 л эфира прибавлено за 5–6 час. 1,3 моля эфира. р-ра XXVIII и через 12 час. — 1,5 моля ацетона; получен 2,5-диметилгексен-1-ин-3-ол-5 (XXIX), выход 70–80%, т. кип. 66°/13 мм,  $n_D^{20}$  1,4704,  $d_4^{20}$  0,8760. Действием  $\text{LiAlH}_4$  XXIX восстановлен в *транс*-2,5-диметилгексадиен-1,3-ол-5 (XXX), выход 80%, т. кип. 69°/12 мм,  $n_D^{20}$  1,4800,  $d_4^{20}$  0,8667; аддукт XXX · XIII, т. пл. 163° (из воды); метиловый эфир лактонокислоты (из аддукта и  $\text{CH}_3\text{N}_2$ ), т. пл. 104° (из лиг.). Дегидратацией на  $\text{Al}_2\text{O}_3$  (260–270°) XXX превращен в XII, выход 70%, т. кип. 57°/50 мм,  $n_D^{20}$  1,6136,  $d_4^{20}$  0,7836. Из 82 г 2,5-диметилгексин-3-диола-2,5 в 200 мл тетрагидрофурана и 23 г  $\text{LiAlH}_4$  в 1 л того же р-рителя (20 час., кипячение) получено 50 г *транс*-2,5-диметилгексен-3-диола-2,5, т. пл. 97° (из эф.), при дегидратации которого образовалось 50–60% XII. Смесь 20 г *цис*-2,5-диметил-2,5-диакетоксигексена-3 (XXXI) (т. кип. 112°/14 мм,  $n_D^{20}$  1,4480) и 6 г Cu-порошка нагрели (220°) до прекращения отгонки; после повторения операции с дестиллатом получено 50–60% XII. При гидрировании с  $\text{PtO}_2$  аддукта XII · XIII, выход 80–90%, т. пл. 117° (из этилацетата-лиг.), образовался ангидрид 3-изопропил-5-метилциклогександикарбоновой-1,2 к-ты, т. пл. 123°, который также синтезирован из *транс*-1-изопропил-3-метилбутадиена-1,3 и XIII. При пропускании XXXI через трубку со стеклянной ватой при 390°/12 мм со скоростью 20 мл/час образовался XV, выход 70–80%, т. кип. 55,5°/50 мм,  $n_D^{20}$  1,4799,  $d_4^{20}$  0,8269; аддукт XV · XIII, выход 90%, т. кип. 125°/0,02 мм, т. пл. 58° (из бен.). XV также получен при многократном пропускании XII в  $\text{N}_2$  через трубку со стеклянной ватой при 470°/12 мм. Аддукт из XV и эфира ацетилендикарбоновой к-ты при кипячении (0,5 часа) с р-ром КОН в  $\text{CH}_3\text{OH}$  дал 3,6-диметилфталевую к-ту, ангидрид, т. пл. 143°. При дегидрировании XV перегонкой над Pd/C при 300–330° образовался *n*-ксилон.

А. Берлин

**28658.** Применение галогеносодержащих соединений для заместительного галогенирования органических веществ. Терентьев А. П., Яновская Л. А. В сб.: Реакции и методы исследования органических соединений. Кн. 6. М., Госхимиздат, 1957, 7–342. Обзор. Библ. 857 назв.

Г. К.

**28659.** Бромирование октена-1 N-бромимидом янтарной кислоты. Хараш, Малек, Ян (Bromination of octene-1 with N-bromosuccinimide. Kharasch M. S., Malek Robert, Yang N. C.), J. Organ. Chem., 1957, 22, № 114, 1443–1444 (англ.)

При действии N-бромимида янтарной к-ты (I) на октен-1 (II) на свету или в присутствии перекиси бензоила (III) получают 3-бромоктен-1 (IV), *транс*-1-бромоктен-2 (V), дибромоктены (VI) и полибромиды. Смесь 50 г II ( $n_D^{20}$  1,4088), 26,7 г I, 0,07 г III и 113 мл  $\text{CCl}_4$  кипятят 1 час в атмосфере  $\text{N}_2$ , получают IV, выход 12%, т. кип. 61°/9,5 мм, 69–70°/14 мм,  $n_D^{20}$  1,4669,  $\nu_{\text{макс}}$  1635, 985 и 920  $\text{см}^{-1}$ ; выход V 53%, т. кип. 62–63°/6 мм,  $n_D^{20}$  1,4760,  $\nu_{\text{макс}}$  1658 и 962  $\text{см}^{-1}$ ; выход VI 15%, т. кип. 95°/10–5 мм (баня). В присутствии  $\text{O}_2$  р-ция замедляется; при добавлении нитробензола (0,5 мол.%) прекращается. При нагревании IV (80°, 1 час) образуется смесь IV и V (2:7). Т. Ермолова

**28660.** Третицины трехатомные спирты ацетиленового ряда и их превращения. XI. Гидрирование

2,3,6-триметил-4-триола-2,3,6,3,4,7-триметил-нин-5-триола-3,4,7 и 2,4-ди-(оксидиопента)-бутин-3-ола-2. Никитин В. И., Тимофеева Н. И. Ж. общ. химии, 1957, 27, № 7, 1814–1818

Гидрирование над  $\text{PtO}_2$  и  $\text{Pd/CaCO}_3$  2,3,6-триметил-тин-4-триола-2,3,6 (I) (т. кип. 121–122°/1,5 мм, т. пл. 57–59), 3,4,7-триметилнин-5-триола-3,4,7 (II) (т. кип. 124–126°/2 мм,  $n_D^{20}$  1,4810) и 2,4-ди-(1-оксидиопента)-тин-бутин-3-ола-2 (III), т. пл. 93–94° (см. РЖХим, 1956, 50648), приводит соответственно к *цис*-2,3,6-триметил-4-триолу-2,3,6 (выход 85,5% и 95%, т. кип. 114–115°/2 мм,  $n_D^{20}$  1,4757,  $d_4^{20}$  1,0028), *цис*-3,4,7-триметилнин-5-триолу-3,4,7 (выход 95,2%) т. кип. 128–127°/2 мм,  $n_D^{20}$  1,4790,  $d_4^{20}$  0,9977) и 2,4-ди-(1-оксидиопента)-бутен-3-олу-2, выход 91,2–92,2%, т. пл. 129–130° (из сл.). Для гидрирования 0,002 моля I (или II, III) в 60 мл  $\text{CH}_3\text{OH}$  встряхивают с 0,07–0,1 г  $\text{PtO}_2$  (0,1–0,15 г  $\text{Pd/CaCO}_3$ ) в атмосфере  $\text{H}_2$ . По скорости гидрирования ацетиленовые триолы располагаются в ряд: на  $\text{PtO}_2$  III—II—I, на  $\text{Pd/CaCO}_3$  I—II—III. Сообщение X см. РЖХим, 1957, 26685. И. Котляревский

**28661.** Об изомерных и гомологических рядах. Сообщение XVI. Гомологические ряды триалкилкарбинолов с двумя идентичными алкильными остатками; влияние главной группы в гомологическом ряду. Брейш, Херсек (Homologe Reihen von Trialkylcarbinolen mit zwei identischen Alkylgruppen; Einfluss der Grundgruppe auf die homologe Reihe. XVI. Mitteilung über isomere und homologe Reihen. Breusch Friedrich L., Hersek Sükran), Chem. Ber., 1957, 90, № 10, 2353–2362 (нем.)

Реакцией Гриньяра из  $\text{AlkMgI}$  и *симм*-диалкилкетона или метилового эфира карбоновой к-ты синтезированы триалкилкарбинолы  $(\text{C}_{13}\text{H}_{27})_2\text{C}(\text{OH})\text{R}$  (I),  $(\text{C}_{14}\text{H}_{29})_2\text{C}(\text{OH})\text{R}$  (II),  $(\text{C}_{15}\text{H}_{31})_2\text{C}(\text{OH})\text{R}$  (III),  $(\text{C}_{16}\text{H}_{33})_2\text{C}(\text{OH})\text{R}$  (IV),  $(\text{C}_{17}\text{H}_{35})_2\text{C}(\text{OH})\text{R}$  (V) и  $(\text{C}_{18}\text{H}_{37})_2\text{C}(\text{OH})\text{R}$  (VI), где R = от  $\text{CH}_3$  до  $\text{C}_{21}\text{H}_{43}$ . У всех I–VI минимум т-ры плавления наблюдался при R =  $\text{C}_{10}\text{H}_{21}$ , а максимум — у карбинолов с тремя одинаковыми алкильными остатками. Для полного превращения полиморфных форм в наиболее стабильные все в-ва выдерживались не менее 1 года. Получены следующие соединения (перечислены тип соединения, число атомов C в R, т. пл. в °C,  $n_D^{20}$ ): I, 1, 38,5–40, 1,4360; I, 2, 29–31, 1,4370; I, 3, 43–45, 1,4375; I, 4, 39–41, 1,4377; I, 5, 29–32, 1,4380; I, 6, 33–35,5, 1,4382; I, 7, 34–35,5, 1,4387; I, 8, 30–31, 1,4390; I, 9, 29,5–30, 1,4392; I, 10, 28–29, 1,4395; I, 11, 34–35, 1,4399; I, 12, 36–37, 1,4402; I, 13, 43–43,8, 1,4410; I, 14, 41,5–43,3, 1,4413; I, 15, 39,8–41, 1,4415; I, 16, 38,8–40,3, 1,4416; I, 17, 40,9–42,1, 1,4417; I, 18, 39–40,2, 1,4420; I, 19, 38,2–39,7, 1,4420; I, 20, 38,7–40,3, 1,4421; I, 21, 37,7–39,5, 1,4422; II, 1, 34–35, 1,4373; II, 2, 28–30,2, 1,4375; II, 3, 42,2–43,8, 1,4382; II, 4, 38,2–39,4, 1,4385; II, 5, 28,5–31,5, 1,4388; II, 6, 37–39,5, 1,4391; II, 7, 36,5–38,5, 1,4394; II, 8, 30,5–32,8, 1,4398; II, 9, 30–32, 1,4400; II, 10, 27,5–28,5, 1,4403; II, 11, 32–33,5, 1,4408; II, 12, 36,4–37,3, 1,4410; II, 13, 41–41,8, 1,4416; II, 14, 46,6–47, 1,4417; II, 15, 45,7–46,7, 1,4418; II, 16, 44,7–45,3, 1,4420; II, 17, 43–45, 1,4423; II, 18, 45,5–46,5, 1,4425; II, 19, 42,3–44, 1,4426; II, 20, 41–42,8, 1,4427; II, 21, 41,1–43, 1,4430; III, 1, 46,5–47,4, 1,4383; III, 2, 40–42, 1,4387; III, 3, 54,5–56, 1,4389; III, 4, 50,6–52, 1,4393; III, 5, 37,5–39,8, 1,4397; III, 6, 43–45,5, 1,4400; III, 7, 43,3–44,4, 1,4402; III, 8, 39,5–40,5, 1,4407; III, 9, 34–35,3, 1,4410; III, 10, 30,8–32,5, 1,4415; III, 19, 51–52, 1,4432; III, 20, 48,3–49,5, 1,4433; III, 21, 48–49, 1,4433; IV, 1, 42–43,6, 1,4392; IV, 2, 40,5–42,1, 1,4398; IV, 3, 51,6–53,4, 1,4400; IV, 4, 48–49,5, 1,4402; IV, 5, 40–42,5, 1,4405; IV, 6, 46,5–47,5, 1,4408; IV, 7, 45,8–47, 1,4409; IV, 8, 43,4–44,3, 1,4411; IV, 9, 36,5–38, 1,4415; IV, 10, 31,5–32,9, 1,4418; IV, 11, 36,9–37,9, 1,4420; IV, 12,



41,6—42,4, 1,4423; IV, 13, 42,3—44,2, 1,4427; IV, 14, 46,2—48,4, 1,4429; IV, 15, 52,3—53,3, 1,4431; IV, 16, 54,5—56,4, 1,4433; IV, 17, 55—55,5, 1,4434; IV, 18, 53,2—54,8, 1,4435; IV, 19, 51,5—53, 1,4435; IV, 20, 54,5—56,9, 1,4435; IV, 21, 51,5—52,7, 1,4435; V, 1, 55—56,4, 1,4400; V, 2, 46—48, 1,4406; V, 3, 58—60,5, 1,4409; V, 4, 57—58,7, 1,4411; V, 5, 45,4—46,8, 1,4413; V, 6, 51—54, 1,4416; V, 7, 51,5—53,5, 1,4420; V, 8, 47,5—49,8, 1,4421; V, 9, 43,5—45,5, 1,4422; V, 10, 35,5—36,5, 1,4426; V, 11, 36—40,5, 1,4429; V, 19, 57,5—58,5, 1,4440; V, 20, 57,7—59, 1,4440; V, 21, 59—60,3, 1,4441; VI, 1, 51—52,4, 1,4407; VI, 2, 47,5—49,2, 1,4414; VI, 3, 59—60,3, 1,4415; VI, 4, 54—56, 1,4417; VI, 5, 40—42,9, 1,4420; VI, 6, 52—54, 1,4422; VI, 7, 51—54, 1,4424; VI, 8, 48,5—51, 1,4426; VI, 9, 46,2—47,8, 1,4427; VI, 10, 36,5—38, 1,4430; VI, 11, 41—42,5, 1,4434; VI, 12, 44,3—45,3, 1,4436; VI, 13, 47,7—49, 1,4438; VI, 14, 50,5—52,4, 1,4441; VI, 15, 52,9—54,2, 1,4442; VI, 16, 56,5—57,8, 1,4444; VI, 17, 61,6—62,6, 1,4446; VI, 18, 64—64,8, 1,4446; VI, 19, 62—63,5, 1,4446; VI, 20, 60,8—62,2, 1,4446; VI, 21, 59,4—61, 1,4447. Все т-ры плавления исправлены. Сообщение XV см. РЖХим, 1957, 63410. А. Берлин

28662. **Стереохимическое изучение олефиновых соединений.** Часть VI. Получение четырех стереоизомерных сорбиловых спиртов из одного исходного вещества. Кромби, Харпер, Смит (Stereochemical studies of olefinic compounds. Part VI. Preparation of the four stereoisomeric sorbyl alcohols from a single precursor. Crombie L., Harper S. H., Smith R. J. D.), J. Chem. Soc., 1957, June, 2754—2760 (англ.)

Стереоизомерные сорбиловые спирты — *транс-транс*-(Ia), *транс-цис*-(Ib), *цис-транс*-(Iв) и *цис-цис*-гексадиен-2,4-ол-1 (Iг) получены следующим путем: тозилэвый эфир пентин-4-ола-2 действием щелочи превращен в смесь *транс*-(IIa) и *цис*-пентен-3-ина-1 (IIб); р-цией Mg-производных IIa и IIб с  $\text{CH}_2\text{O}$  получены *транс*-(IIIa) и *цис*-гексен-4-ин-2-ол-1 (IIIб); последние при гидрировании с  $\text{LiAlH}_4$  дают Ia и Ib, а над  $\text{Pd-Pb/CaCO}_3$  — Iв и Iг. 76 г IIб в 100 мл эфира прибавляют за 2 часа к  $\text{C}_2\text{H}_5\text{MgBr}$  (из 28 г Mg и 128 г  $\text{C}_2\text{H}_5\text{Br}$  в 250 мл эфира) при 0°, кипятят 90 мин, в полученный р-р сублимируют в токе  $\text{N}_2$  45 г параформа, кипятят 1 час, через 12 час. разлагают  $\text{H}_2\text{SO}_4$ , извлекают эфиром, перегонкой выделяют IIIб, выход 51%, т. кип. 84—84,5°/18 мм,  $n_D^{20}$  1,5006;  $\alpha$ -нафтилуретан, т. пл. 110—111° (из петр. эф.). Аналогично из IIa получают IIIa, выход 72%, т. кип. 90,5—91,5°/22 мм,  $n_D^{20}$  1,5037;  $\alpha$ -нафтилуретан, т. пл. 114—115°, 4,8 г IIIa в 12 г  $\text{LiAlH}_4$  в эфире кипятят 3 часа, выделяют Ia, выход 73%, т. кип. 83°/18 мм, т. пл. 22°,  $\lambda_{\text{макс}}$  227 мк ( $\epsilon$  24,500);  $\alpha$ -нафтилуретан, т. пл. 98—99° (из петр. эф.). Аналогично из IIIб получен Ib, выход 83%, т. кип. 83—84°/17 мм,  $n_D^{20}$  1,5000,  $\lambda_{\text{макс}}$  230 мк ( $\epsilon$  23,500);  $\alpha$ -нафтилуретан, т. пл. 100—101°. 4,9 г IIIa встряхивают с 1 г скелетного Ni в метилацетате, к фильтрату добавляют 1,5 г  $\text{Pd-Pb/CaCO}_3$  и 0,2 г хинолина, гидрируют, выделяют Iв, выход 27%, т. кип. 79—80,5°/15 мм,  $n_D^{20}$  1,4942—1,4951,  $\lambda_{\text{макс}}$  229 мк ( $\epsilon$  19,800);  $\alpha$ -нафтилуретан, т. пл. 96,5—97,5°. Аналогично из IIIб (в этилацетате, 1 г  $\text{Pd-Pb/CaCO}_3$ ) получен Iг, выход 12%, т. кип. 79—81°/15 мм,  $n_D^{20}$  1,4840—1,4850,  $\lambda_{\text{макс}}$  230 мк ( $\epsilon$  14,700);  $\alpha$ -нафтилуретан, т. пл. 88,5—89,5°. Ia—Iв получены также встречными синтезами. Восстановление 21,5 г этилового эфира *транс-транс*-сорбиновой к-ты с 3 г  $\text{LiAlH}_4$  приводит к Ia, выход 85%, т. пл. 28,5—29°. Р-цией 22,4 г  $\delta$ -гексенолактона с  $\text{CH}_3\text{ONa}$  (4,6 г Na, 700 мл  $\text{CH}_3\text{OH}$ , 15°) получена *цис-транс*-гексадиен-2, 4-овая к-та, выход 71%, т. пл. 28°, и ее метиловый эфир, выход 5%, т. кип. 64—65°/13 мм,  $n_D^{20}$  1,4954; восстановление к-ты с 5,45 г  $\text{LiAlH}_4$  при-

водит к Iв, выход 54%; 3,5-динитробензоат, т. пл. 86—86,5° (из петр. эф.); фенилуретан, т. пл. 62,5—63,5°. Этот образец, чище, чем препарат, полученный на основе пентен-3-ина-1. Для синтеза Ib получен диэтилацеталь  $\alpha$ -бромкотонового альдегида, т. кип. 82—84°/10 мм,  $n_D^{20}$  1,4580, а из него (нагреванием с KOH) — 1,1-диэтоксипентин-2, т. кип. 65—67°/12 мм,  $n_D^{20}$  1,4296, который при действии винной к-ты и гидроксинаона дает бутин-2-аль (IV), т. кип. 105—108°,  $n_D^{20}$  1,4468. К 5 г активированной Zn-пыли под слоем кипящего  $\text{C}_6\text{H}_6$  (10 мл) прибавляют 4,9 г IV, 12 г  $\text{CH}_2\text{BrCOOC}_2\text{H}_5$  и 10 мл  $\text{C}_6\text{H}_6$ , кипятят 1 час, перемешивают 1 час с 60 мл 10%-ной  $\text{CH}_3\text{COOH}$ , выделяют этиловый эфир 3-оксигексен-4-овой к-ты (V), выход 27%, т. кип. 70—71°/0,1 мм,  $n_D^{20}$  1,4572. Гидрированием 2,34 г V над 0,25 г 5%-ного  $\text{Pd/BaSO}_4$  в 5 мл метилацетата получают этиловый эфир *цис*-3-оксигексен-4-овой к-ты, выход 84%, т. кип. 59—59,5°/0,06 мм,  $n_D^{20}$  1,4469. Дегидратация его действием  $\text{KHSO}_4$ ,  $\text{POCl}_3$  и пиридина в  $\text{C}_6\text{H}_6$  или  $\text{P}_2\text{O}_5$  сопровождается *цис-транс*-изомеризацией и образованием эфира *транс-транс*-гексадиен-2,4-овой к-ты, т. кип. 83—84°/14 мм,  $n_D^{20}$  1,4926. Перегонкой 6,7 г V над 5 г  $\text{P}_2\text{O}_5$  получен этиловый эфир *транс*-гексен-2-ин-4-овой к-ты, выход 39%, т. кип. 79,5—81°/9 мм,  $n_D^{20}$  1,4958 (VI). Гидрирование 2,34 г VI над 7 г  $\text{Pd-Pb/CaCO}_3$  в 75 мл этилацетата в присутствии 1,2 г хинолина приводит к этиловому эфиру *транс-цис*-гексадиен-2,4-овой к-ты (VII), выход 54%, т. кип. 85,5—86,5°/18 мм,  $n_D^{20}$  1,4858—1,4872; восстановлением 13,2 г VII с 3,35 г  $\text{LiAlH}_4$  в 70 мл эфира получен Ib, выход 78%; 3,5-динитробензоат, т. пл. 73°. Судя по УФ-спектрам, синтезированный образец Ib чище препарата, полученного восстановлением гексен-2-ин-4-ола-1, а образец Iг несколько менее чист, чем препарат, полученный восстановлением гексадиен-2,4-ола (см. РЖХим., 1956, 32378). Ia имеет сильную полосу 987  $\text{cm}^{-1}$  и слабое поглощение при 950  $\text{cm}^{-1}$ , Ib имеет две полосы — 982 и 947  $\text{cm}^{-1}$ , Iв — 986 и 952  $\text{cm}^{-1}$ . Ia—Iв имеют максимумы между 1003 и 999  $\text{cm}^{-1}$ ; в спектре Iг максимума в этой области нет. Часть V см. РЖХим, 1957, 30599.

А. Файнзильберг  
28663. **Исследование в области простых эфиров гликолей. XXXI. Синтез простых  $\gamma$ -толоидэфиров жирного ряда.** Мамедов Шамхал, Ж. общ. химии, 1957, 72, № 6, 1499—1507

$\gamma$ -Галоидэфиры  $\text{RR'CClCH}_2\text{CH}_2\text{OR''}$  (I) и  $\text{RCHBrCH}_2\text{CH}_2\text{OR''}$  (II) синтезированы алкилированием  $\alpha$ -галоидэфиров (ГЭ) газообразными этиленовыми углеводородами при атмосферном давлении в присутствии безводной  $\text{ZnCl}_2$  или  $\text{ZnBr}_2$  (5% по отношению к ГЭ). В этой р-ции галоид присоединяется к менее гидрогенизированному атому С. Через 75 г  $\text{ClCH}_2\text{OC}_6\text{H}_5$  в присутствии 3,5 г свежесплавленного  $\text{ZnCl}_2$  на стеклянной вате пропускают 36 час. пропилен, смесь разлагают водой, выход I ( $\text{R}=\text{H}$ ,  $\text{R}'=\text{CH}_3$ ,  $\text{R}''=\text{C}_6\text{H}_5$ ) (III) 40%, т. кип. 68—69°/15 мм, 179—181°,  $n_D^{20}$  1,4241,  $d_{20}^{20}$  0,9146. Аналогично получены с выходом 40—50% другие I (приведены R, R', R'', т. кип. в °C/мм,  $n_D^{20}$ ,  $d_{20}^{20}$ ):  $\text{CH}_3$ , H,  $\text{C}_2\text{H}_5$ , 43—44/15 (144°), 1,4162, 0,9357;  $\text{CH}_3$ , H, *изо*- $\text{C}_6\text{H}_{11}$ , 68—70/4, 1,4204, 0,8931;  $\text{CH}_3$ , H,  $\text{C}_6\text{H}_{17}$ , 141—144/16, 1,438, 0,8959;  $\text{C}_2\text{H}_5$ , H,  $\text{CH}_3$ , 92—94/12 (132—134°), 1,4224, 0,9521;  $\text{C}_2\text{H}_5$ , H,  $\text{C}_2\text{H}_5$ , 161—163, 1,4250, 0,9344;  $\text{C}_2\text{H}_5$ , H,  $\text{C}_4\text{H}_9$  (IV), 79—80/8 (190—193), 1,4273, 0,9041;  $\text{C}_2\text{H}_5$ , H,  $\text{C}_6\text{H}_{17}$ , 140—143/12, 1,4402, 0,8947;  $\text{CH}_3$ ,  $\text{CH}_3$ ,  $\text{C}_2\text{H}_5$ , 91—94/120, 1,4225, 0,9331;  $\text{CH}_3$ ,  $\text{CH}_3$ ,  $\text{C}_4\text{H}_9$ , 89—92/18, 1,4254, 0,9028;  $\text{C}_3\text{H}_7$ , H,  $\text{C}_2\text{H}_5$ , 77—79/15, 1,4362, 0,9298; *изо*- $\text{C}_3\text{H}_7$ , H, *изо*- $\text{C}_6\text{H}_{11}$ , 113—117/20, 1,4265, 0,8871;  $\text{C}_6\text{H}_{13}$ , H,  $\text{CH}_3$ , 104—107/16, 1,4434, 0,9292;  $\text{C}_6\text{H}_{13}$ , H,  $\text{C}_2\text{H}_5$ , 126—129/18, 1,4452, 0,9173;  $\text{C}_2\text{H}_5$ , H, *изо*- $\text{C}_6\text{H}_{11}$ , 78—80/4 (204—207°), 1,4230, 0,8908. Профилен пропускают через смесь 50 г  $\text{BiCH}_2\text{OC}_6\text{H}_5$  и 2 г безводной порошка  $\text{ZnBr}_2$  4 часа, 10°, скорость 2 л/час, через 6 час. (20°) полу-

чают 60,4% II ( $R = CH_3$ ,  $R' = C_4H_9$ ), т. кип. 99—100°/20 мм,  $n_D^{20}$  1,4478,  $d_4^{20}$  1,1400. Аналогично получены II (приведены R, R' выход в %, т. кип. в °C/мм,  $n_D^{20}$ ,  $d_4^{20}$ ):  $CH_3$ ,  $CH_3$  (V), 52,4, 54,5—56/20, 1,4491, 1,2654;  $CH_3$ ,  $C_2H_5$ , 55,4, 68—69/20, 1,4487, 1,2165;  $CH_3$ ,  $iso-C_3H_7$ , 50, 111—112/20, 1,4476, 1,124;  $C_2H_5$ ,  $CH_3$ , 55,2, 63—66/21, 1,4499, 1,2306;  $C_2H_5$ ,  $C_2H_5$ , 71,3, 76,5—77/20, 1,4489, 1,1910;  $C_2H_5$ ,  $C_4H_9$ , 59,6, 110—112/20, 1,4476, 1,1200;  $C_2H_5$ ,  $iso-C_3H_7$ , 68,7, 110—111/15, 1,4474, 1,0920. Строение I подтверждено следующими превращениями. II дает магниорганич. соединение, которое при разложении подкисленной водой дает  $n-C_4H_9OC_4H_9$ . 30 г IV и 35 г КОН в 150 г безводн. спирта нагревают 8 час., выделяют 60%  $C_2H_5CH=CHCH_2OC_4H_9$ , т. кип. 170—174°,  $n_D^{20}$  1,4198,  $d_4^{20}$  0,8083. Аналогично полученный  $CH_3CH=CHCH_2OC_2H_5$ , т. кип. 99—102°,  $n_D^{20}$  1,4060,  $d_4^{20}$  0,8056, при окислении  $KMnO_4$  дает  $CH_3COOH$  и  $C_2H_5OCH_2COOH$ . Na с I при обычной т-ре не реагирует. К 2,5 г Na и 3,4 г абс.  $C_6H_6$  прибавляют при охлаждении 16,7 г V, смесь нагревают 3 часа, получают 22,9%  $[CH_3OCH_2CH_2CH(CH_3)]_2$ , т. кип. 77—80°/30 мм,  $n_D^{20}$  1,4168,  $d_4^{20}$  0,8580 и  $CH_3OC_4H_9$ . 16,7 г V, насыщ.  $NH_4Br$  при -12°, нагревают в запаянной трубке при 80° 10 час., получают 83,3% 1,3-дибромбутана, т. кип. 74—76°/22 мм,  $n_D^{20}$  1,5068,  $d_4^{20}$  1,7960. HJ с II дает 1,3-дигалоидпроизводные с выходом 70%. Сообщение ХХХ см. РЖХим, 1958, 25061. Е. Цветков 28664.

Окисление спиртов с помощью перекисей. III. Окисление спиртов с помощью реактива Фентона. Като, Масуо. Кагаку, Chemistry (Kyoto), 1955, 10, № 3, 53—59 (японск.)

Обзор. Библ. 15 назв.

28665. Каталитическое получение кетонов из смеси уксусной кислоты и *n*-бутанового спирта. Долгов Б. Н., Голодников Г. В., Большухина Ю. А., Ж. общ. химии, 1957, 27, № 9, 2430—2434. Изучено превращение смеси  $CH_3COOH$  и  $n-C_4H_9OH$  над  $Cr-Mn$ -катализатором в присутствии  $H_2$  в мол. отношении 1:1 к смеси. Аппаратура, общая методика работы и анализ продуктов р-ции описаны ранее (см. РЖХим, 1955, 26098). Из продуктов р-ции выделены ацетон (I), метилпропилкетон (II), дипропилкетон (III), сложные эфиры (СЭ), альдегиды. Оптимальные условия образования II (выход 19,3%): 440°, объемная скорость (ОС) 60, соотношение  $CH_3COOH:C_4H_9OH = 3:1$ . СЭ при т-ре > 420° отсутствуют. Максимальный выход III (27,6%) отвечает 420°, отношению  $CH_3COOH:C_4H_9OH = 1:2$ , ОС 80. Образование II автор объясняет альдольной конденсацией  $CH_3CHO$  (IV) и  $C_4H_7CHO$  (V) — продуктов разложения  $CH_3COOC_4H_9$ . При пропускании над  $Cr-Mn$ -катализатором смеси IV, V и  $H_2$  получены аналогичные описанным результаты. Контактное окисление смеси I, IV, и  $H_2$  дает лишь 5,2% II. Не подтвердился эксперим. данные Яковлева (РЖХим 1955, 11578) и выдвинутый им механизм р-ции. И. Мильштейн 28666.

Гомологи  $\alpha$ -кетальдегидов из карбоновых кислот. Вейганд, Бестман (Homologe  $\alpha$ -Ketoaldehyde aus Carbonsäuren. Weygand Friedrich, Bestmann Hans Jürgen), Chem. Ber., 1957, 90, № 7, 1230—1234 (нем.)

Из карбоновых к-т  $RCOOH$  (всюду  $a$   $R = C_6H_5$ ,  $b$   $R = CH_2C_6H_5$ ,  $v$   $R = CH_3$ ) через диазокетоны  $RCOCHN_2$  (I) взаимодействием с  $C_2H_5SCl$  и  $C_2H_5SNa$  получены  $RCOCH(SC_2H_5)_2$  (II). Р-цией с  $Br_2$  II превращены в  $RCOCHO$  (III). Р-ция с  $Br_2$  может быть использована для колич. определения II и различных диэтилмеркапталей. К р-ру или суспензии I в абс. эфире прибавляют при -20—0° по каплям без доступа влаги эквивалентное кол-во  $C_2H_5SCl$ , после выдержки (20°, несколько часов) полученный р-р прибавляют при охлаждении к суспензии  $C_2H_5SNa$  в эфире, через

24 часа смешивают с водой, из эфирного слоя перегонкой (0,01—1 мм) выделяют II, выход 70—90%. Ia получен методом, описанным ранее (Arndt F., Amende J., Ber., 1928, 61, 1122), т. пл. 51°. IIb синтезирован с выходом 78% (считая на Iб), т. кип. 123°/0,01 мм. К 1 г IIб в 12 мл лед.  $CH_3COOH$  добавляют 4 мл воды и 1 мл конц.  $HCl$ , затем при 40—50° по каплям 2 моля  $Br_2$  в 2 мл лед.  $CH_3COOH$  и 2—3 мл воды, через 18 час. (20°) осторожно смешивают с водой, через 48 час. при 0° выпадает IIIб, выход 91%, т. пл. 119—121° (из толуола или петр. эф.). Из маточного р-ра осаждают 8% бис-2,4-динитрофенилгидразона (БДГ) IIIб, т. пл. 231—232° (из нитробензола). Аналогично из IIв и IIг и 3 молей  $Br_2$  получают соответственно БДГ IIIв, выход 78,4%, т. пл. 299° (из нитробензола), и БДГ IIIг, выход 82%, т. пл. 284°.

Е. Цветков 28667. Изучение синтеза этилениминов взаимодействием кетоксимов и реагентов Гриньяра. Хенз, Комптон (Studies on the synthesis of ethyleneimines from interaction of ketoximes and Grignard reagents. Henze Henry R., Compton W. D.), J. Organ. Chem., 1957, 22, № 9, 1036—1038 (англ.)

Алифатические кетоксимы  $RCNHC(=NOH)R'$ , подобно жирноароматическим (Campbell и др., J. Organ. Chem., 1943, 8, 102) с реагентами Гриньяра  $R''MgBr$  (мол. отношение 1:3—7) в толуоле при 90—110° дают этиленимины  $RCNHC(R''R')NH$  (I), гидролиз которых приводит

к  $\alpha$ -аминоспиртам  $RCNHNH_2CONH(R'')R''$  (II). Получены I (перечисляются R, R', R'', выход в %, т. кип. в °C/мм,  $n_D^{20}$ ,  $d_4^{20}$ , проанализованы, их т. пл. в °C):  $CH_3$ ,  $C_2H_5$ ,  $C_2H_5$ , 14, 136—142, 1,4337, 0,862, хлоргидрат (ХГ), 94—95 (из сп.-абс. эф.), замещ. фенилтиомочевина (ФТМ), 97—100 (из бэл.-целлосольва); ХГ II, 143—144,5 (из сп.-абс. эф.);  $C_2H_5$ ,  $C_2H_5$ ,  $C_2H_5$ , 37, 70—95/15, 1,4428, 0,8182; ХГ 152—155; ХГ II, 201—201,5 (из сп.-абс. эф.);  $H$ ,  $CH_3$ ,  $C_2H_5$ , 16, 81—84, 1,4360, 0,8314; ФТМ II, 114—116 (из бэл.-целлосольва);  $H$ ,  $CH_3$ ,  $C_2H_5$ , —, 81—90/30, 1,4360—1,4375, 0,8134—0,8173; ФТМ II, 114—116;  $CH_3$ ,  $C_2H_5$ ,  $C_6H_5$  (получен в загрязненном состоянии с т. кип. 80—90°/4 мм и  $n_D^{20}$  1,5160);  $C_2H_5$ ,  $C_2H_5$ ,  $C_6H_5$ , 43, 100—117/7, 1,5150, 0,9382; ХГ, 140—141 (из сп.-абс. эф.); ФТМ, 93—95 (из бэл.-целлосольва);  $CH_3$ ,  $C_2H_5$ ,  $C_2H_5$ , 53,3 г сырого продукта из 0,52 моля пропифенона, 107—108/9, 1,5155, 0,9448; ФТМ, 112—113 (из целлосольва); II,  $n_D^{20}$  1,5267. ФТМ II, 148—151 (из бэл.-целлосольва); II, синтезированный из ХГ  $\alpha$ -аминопропиофенона и  $C_2H_5MgBr$ , т. кип. 145—150/17,  $n_D^{20}$  1,5212,  $d_4^{20}$  1,002; ФТМ, т. пл. 153—154° (из бэл.-целлосольва); ХГ, т. пл. 231° (разл.; из сп.-абс. эф.);  $CH_3$ ,  $C_6H_5$ ,  $CH_3$ , 85—95/10, 1,5288, 0,9885; ФТМ, 122—123 (из бэл.-целлосольва); ХГ II, 234 (разл.; из сп.-абс. эф.). Направленное замыкание цикла с включением боковой цепи оксима объяснено близостью к ней  $OMgBr$ -группы в промежуточном продукте р-ции, напр.  $BrMgON(MgBr)C(CH_3)(C_2H_5)C_6H_5$ . Приведена т-ра плавления [98—99° (из эф.)] 2-амино-3-фенилпентанола-3, ранее считавшегося жидкостью. М. Шварцберг 28668.

О новых успехах, достигнутых в синтезе разветвленных карбоновых кислот. Кох (Über neuere bei der Synthese verzweigter Carbonsäuren erzielte Ergebnisse. Koch H.), Fette, Seifen, Anstrichmittel, 1957, 59, № 7, 493—498 (нем.; рез. англ., франц., исп.)

Обзор неопубликованных работ автора по синтезу разветвленных карбоновых к-т (РК), содержащих  $COOH$ -группу при третичном С-атоме, исходя из олефинов, воды и СО в присутствии конц.  $H_2SO_4$  или комплексов безводн.  $BF_3$  с к-тами при т-рах 0—70° и давл. 1—100 ат. Метод позволяет регенерирование катализатора. Предложен механизм р-ции, по которому на первой стадии процесса происходит присоединение к оле-



фину протона катализатора  $[H_2SO_4]$  или  $[H(BF_3OH)]$  с образованием карбониевого иона, дающего затем с молекулой CO в отсутствие воды ацильный ион. Присутствие воды на этом этапе значительно затрудняет течение р-ции. Вторая стадия представляет собой взаимодействие ацильного иона с водой, приводящее после отщепления протона к РК. Удобный лабор. способ синтеза РК заключается в одновременном прибавлении олефина (или соответствующего ему спирта) и  $HCOOH$ , служащей источником CO, к большому избытку конц.  $H_2SO_4$  при 0–20° и сильном перемешивании. Этим путем, напр., приготовлены (перечисляются названия исходного в-ва, выход РК в %, название основного компонента образующейся смеси РК, содержание последнего в смеси РК в %): пентен-2, 85  $\alpha$ , $\alpha$ -диметилмасляная к-та (I), 80; деген-2, 84,  $C_{11}$ -карбоновые к-ты, ~100; 2-метилпентен-1, 74,  $\alpha$ , $\alpha$ -диметилвалериановая к-та, 24, и димерные  $C_{12}$ -карбоновые к-ты, 55; трет-бутанол, 78, триметилуксусная к-та, 95; пентанол-1 и пентанол-2, 76–81, I, 80; циклогексен или циклогексанол, 75–78, 1-метилциклопентанкарбоновая-1 к-та, 80; метилциклогексанол, 90–95, 1-метилциклогексанкарбоновая-1 к-та (II), ~100; 3,5-диметилциклогексанол, 90–97, 1,3-диметилциклогексанкарбоновая-1 к-та, ~100; декал-2, 95, декалинкарбоновая-9 к-та, 80; циклогентен, —, II, —; циклооктен, —, 1-этилциклопентанкарбоновая-1 к-та, —; циклопентен, —, циклопентанкарбоновая к-та, —. В качестве исходного сырья успешно применялись также различные технич. смеси олефинов, получавшиеся термич. расщеплением богатых парафинами фракции нефти, синтезом из этилена и Al-алкилов по Циглеру, синтезом из CO и  $H_2$  по Фишеру — Трошцу, полимеризацией низших олефинов под влиянием кислотных катализаторов и димеризацией нормальных  $\alpha$ -олефинов под действием Al-алкилов по Циглеру.

В. Андреев

28669. Получение этиленовых кислот из дихлорвинилкарбинолов. Жулиа, Сюрзюр (Préparation d'acides éthyléniques à partir de carbinols dichlorovinyls. Julia Marc, Surzur Jean-Marie) Bull. Soc. chim. France, 1956, № 11-12, 1626–1630 (франц.)

Действием галогидного алкилмagnesия на метил- $\beta$ , $\beta$ -дихлорвинилкетон (I) получают метилалкил- $\beta$ , $\beta$ -дихлорвинилкарбинолы, тетрагидропирановые эфиры которых при действии спирт. щелочи образуют соответствующие тетрагидропирановые эфиры  $\beta$ -хлорэтинилкарбинолов, а затем  $\beta$ -алкилкарбиноновые к-ты.  $CH_3COCH=CHCl_2 + RMgX \rightarrow CH_3RC(CO)CH=CHCl_2 \rightarrow +CH_3R(OR)CH=CHCl_2 \xrightarrow{KOH} CH_3RC(OR)CH=CHCl_2 \rightarrow +CH_3C(R)=CHCOOH(R) \rightarrow \alpha$ -тетрагидропиранил. Так же реагирует со щелочью с образованием 3-метилкарбиноновой к-ты (II) тетрагидропирановый эфир 1,2-дихлор-3-метилбутен-1-ола-3 (III), получаемый хлорированием 3-метилбутин-1-ола-3 (IV) и последующей этерификацией. В р-ре  $CH_3MgJ$  (из 5,3 г Mg) замещают эфир на  $C_6H_5$ , при 0° за 3 часа добавляют 20 г I и через 12 час. разлагают р-ром  $NH_4Cl$ , выход 1,1-дихлор-3-метилбутен-1-ола-3 (V) 88%, т. кип. 74°/20 мм,  $n_D^{20}$  1,4820. При 4-дневном стоянии 19,5 г V с 15 г дигидропирана получают тетрагидропирановый эфир V (VI), выход 93%, т. кип. 128°/17 мм,  $n_D^{20}$  1,4815 (так же получают тетрагидропирановые эфиры всех других карбинолов). 0,064 моля VI кипятят 8 час. с 0,065 моля KOH в 15 мл  $CH_3OH$ , после подкисления и перегонки получают 7,8 г тетрагидропиранового эфира диметилхлорэтинилкарбинола (VII), т. кип. 88°/18 мм,  $n_D^{20}$  1,4670, ИК-спектр 4,46  $\mu$ . 4,4 г VII кипятят 2 часа с 2 н. HCl, в-во, взятое в эфир, промывают р-ром семикарбазида и получают 1-хлор-3-метилбутин-1-ол-3, выход 75%, т. кип. 52–55°/13 мм,

$n_D^{20}$  1,4580. При 18 час. кипячении 25 г VI с 30 г KOH в 130 мл  $CH_3OH$  получают 45% II, т. пл. 69°. Подобно V из I и  $C_2H_5MgBr$  получают 75% 1,1-дихлор-3-метилпентен-1-ола-3, т. кип. 81°/15 мм,  $n_D^{20}$  1,4820, его тетрагидропирановый эфир (выход 88%, т. кип. 140–141°/15 мм,  $n_D^{20}$  1,4832) при 20 час. кипячении с KOH в  $CH_3OH$  дает с выходом 42% смесь  $\alpha$ - и  $\beta$ -3-метилпентеновых к-т, т. кип. 110–114°,  $n_D^{20}$  1,455. Как V, VI и II из  $C_2H_5MgBr$  и I последовательно получают 86% 1,1-дихлор-3-фенилбутен-1-ола-3, т. кип. 84°/0,5 мм,  $n_D^{20}$  1,5660, его тетрагидропирановый эфир (сырой), т. кип. 108–112°/0,1 мм (разл.), и  $\beta$ -метилкоричную к-ту с выходом 41%, т. пл. 97–98°. К гриньяровскому реагенту (из 6,4 г Mg), приготовленному из  $C_2H_5MgBr$  и 31 г гептина, добавляют при 0° за 3 часа 28 г I, через 12 час. разлагают р-ром  $NH_4Cl$ , выход 1,1-дихлор-3-метилдецен-1-ин-4-ола-3 93%, т. кип. 94°/0,5 мм,  $n_D^{20}$  1,4898; его тетрагидропирановый эфир (выход 88%, т. кип. 121–122°/0,1 мм,  $n_D^{20}$  1,4890) при 17 час. кипячении с KOH в  $CH_3OH$  образует 40% 3-метилдецен-2-ин-4-овой к-ты (VIII), т. кип. 128°/0,3 мм, т. пл. 49° (из петр. эф.),  $\lambda_{max}$  256 м $\mu$  ( $\epsilon$  18000). При гидрировании 3,2 г VIII над  $PtO_2$  в  $CH_3OH$  получают 2,9 г 3-метилдекановой к-ты, т. кип. 154–156°/14 мм,  $n_D^{20}$  1,4360;  $n$ -бромфенилэфир, т. пл. 39°. К  $C_2H_5MgBr$  (из 4,1 г Mg) при 0° прибавляют 22 г 1-этинилциклогексена-1 и после 3 час. кипячения прибавляют 18 г I и получают 1,1-дихлор-5-(циклогексенил-1')-3-метилпентен-1-ин-4-ол-3, тетрагидропирановый эфир которого при кипячении 10 час. с KOH в 40 мл  $CH_3OH$  дает с общим выходом 12% 5-(циклогексенил-1')-3-метилпентен-2-ин-4-овую к-ту, т. пл. 118–119° (из петр. эф.),  $\lambda_{max}$  293 м $\mu$  ( $\epsilon$  16600). При стоянии в течение ночи  $CH_3=CHMgBr$  (из 3,9 г Mg и 24 г  $C_2H_5Br$ ) с 16 г I в тетрагидрофуране и разложении комплекса  $NH_4Cl$  получают 1,1-дихлор-3-метилпентадиен-1,4-ол-3 с выходом 80%, т. кип. 77–78°/13 мм,  $n_D^{20}$  1,4982. Его тетрагидропирановый эфир (выход 98%, т. кип. 85–86°/0,8 мм,  $n_D^{20}$  1,4930) при 20 час. кипячении с KOH в  $CH_3OH$  дает 3-метилпентадиен-2,4-овую к-ту с выходом 52%, т. кип. 63–65°/0,08 мм,  $\lambda_{max}$  248 м $\mu$  ( $\epsilon$  18000); S-бензилтиурониевая соль, т. пл. 160° (из 50%-ного сп.). Так же из 24 г 1-бром-2-метилпропена-1, 3,9 г Mg и 16 г I получено 12 г 1,1-дихлор-3,5-диметилгексадиен-1,4-ола-3, т. кип. 85°/13 мм, который через тетрагидропирановый эфир дает 2,4 г 3,5-диметилгексадиен-2,4-овой к-ты, т. пл. 92° (из петр. эф.),  $\lambda_{max}$  267 м $\mu$  ( $\epsilon$  13700). 84 г IV в 200 мл  $CHCl_3$  за 1,5 часа при 10° поглощают 50 г  $Cl_2$ , при разгонке получают 35% 1,2-дихлор-3-метилбутен-1-ола-3, т. кип. 75–77°/20 мм,  $n_D^{20}$  1,4820, из которого, как обычно, получен III, выход 70%, т. кип. 124°/13 мм,  $n_D^{20}$  1,4820. Из 22 г III при 40 час. кипячении с 35 г KOH в 150 мл  $CH_3OH$  получают II и 55% III, который после дополнительного кипячения с 35 г KOH (20 час.) вновь дает II. Общий выход II 47%.

И. Котляревский

28670. Изучение использования маленового ангидрида в качестве исходного вещества. III. Синтез алкенилэфирных кислот из монохлорированных парафинов и маленового ангидрида и свойства их сложных эфиров. Ямаути, Мацуда, Хирата (Yamanuchi Takeo, Matsuda Sumio, Hirata Michiaki), Koré кагаку дзасси, J. Chem. Soc. Japan. Industr. Chem. Sec., 1957, 60, № 2, 185–187 (японск.)

Маленовый ангидрид (I) нагревают при 180° в присутствии 1%  $ZnCl_2$  с 1-хлор- $n$ -додеканом (II) 26 час., с хлор- $n$ -деканом (III), продуктом хлорирования додекана 49 час., и с монохлоралкилами (IV, V), полученными в результате хлорирования керосиновых фракций парафинистой арабийской нефти с т. кип.

195—205° и 205—215° 37 час. Образуются с отщеплением хлористого водорода ангидриды додецилтарных к-т (VI и VII к-ты) и алкенилтарных к-т (VIII, IX). Ангидриды VI—IX превращают в эфиры, некоторые из которых, особенно ди-*n*-октиловые эфиры VI и VII, могут быть использованы в качестве морозостойких смазок (т-ра застывания ~ -50°). Из 40 г II и 20 г I получают диметиловый эфир VI, выход 45,1%, т. кип. 165—170°/3 мм,  $n_D^{20}$  1,4656,  $d_4^{20}$  0,892. Из 102 г III и 50 г I получают дибутиловый эфир VII, выход 40%, т. кип. 198—200°/3 мм,  $n_D^{20}$  1,4559,  $d_4^{20}$  0,938; дибутиловые эфиры VIII и IX получают с выходом 40%, т. кип. 175—195°/3 мм,  $n_D^{20}$  1,4659,  $d_4^{20}$  0,968, и т. кип. 190—210°/3 мм,  $n_D^{20}$  1,4716,  $d_4^{20}$  0,975. Приготовлены также эфиры алкенилтарных к-т (приведены к-та, эфир, т. кип. в °C/мм,  $n_D^{20}$ ,  $d_4^{20}$ ), VI, дибутиловый, 200—205/3, 1,4725, 0,905; VII, ди-*n*-октиловый, 235—257/3, 1,4599, 0,918; VIII, ди-*n*-октиловый, 215—235, 1,4680, 0,961; IX, ди-*n*-октиловый, 230—245/3, 1,4735, 0,936. Определены вязкости всех полученных эфиров при 38° и 99° и индексы вязкости по Дину — Девису и Хардману — Ниссану, а также т-ры застывания (~ -50°). Через смесь 100 г лауринового спирта и 10 г  $ZnCl_2$  при 120—130° пропускают HCl-газ 10 час., разгонкой выделяют I, выход 70%. *n*-Додекан, получают гидролизом смеси деценов, приготовленных дегидратацией лауринового спирта в присутствии  $H_3PO_4$  над скелетным Ni. *n*-Додекан хлорируют при освещении 100-вт лампой и разгонкой выделяют III, выход 30%, т. кип. 102—103°/4 мм,  $n_D^{20}$  1,4422,  $d_4^{20}$  0,871. Аналогично получают IV, т. кип. 68—85°/3 мм,  $n_D^{20}$  1,4458,  $d_4^{20}$  0,869, и V, т. кип. 80—100°/3 мм,  $n_D^{20}$  1,4515,  $d_4^{20}$  0,901. Предыдущее сообщение см. РЖХим, 1957, 52312.

Л. Яновская

**28671. Дизамещение ацетоуксусного эфира в одну стадию при помощи гидрида натрия.** Сандберг (Disubstitution of ethyl acetoacetate in one step by means of sodium hydride. Sandberg Rune), Acta chem. scand., 1957, 11, № 4, 748 (англ.)

Действием  $BrCH_2COOC_2H_5$  осуществлено бисалкилирование ацетоуксусного эфира (I) в одну стадию при помощи NaH как металлирующего агента. 0,5 моля I в 150 мл  $C_6H_6$  прибавляют 30 мин. к 1,2 моля NaH в 0,7 л  $C_6H_6$  при перемешивании в атмосфере  $N_2$ , после прекращения выделения  $H_2$  добавляют 2 часа в токе  $N_2$  1,2 моля  $BrCH_2COOC_2H_5$  в 75 мл  $C_6H_6$  при кипячении, кипятят 45 мин., выход  $CH_3COC(CH_2COOC_2H_5)_2$  77%, т. кип. 142—147°/1—2 мм; фенилгидразон, т. пл. 99—100,5°.

Е. Цветков

**28672. Цианоацетилен. II. Свойства цианоацетилена.** III. Диеновая конденсация. IV. Технические пути синтеза и определение цианоацетилена. Мураха-си, Рютани, Сюто, Кавасаки (Murahashi Shunsuke, Ryutani Bunkitchi, Shuto Yasusuke), Нихон кагаку дзасси, J. Chem. Soc. Japan. Pure Chem. Sec., 1957, 78, № 3, 324—333 (японск.)

II. В продолжение прошлой работы (см. сообщение I, РЖХим, 1957, 54295) изучены некоторые р-ции присоединения к цианоацетилену (I). 1 г I в 20 мл  $C_6H_6$  экзотермически реагирует с р-ром 2,6 г пиперидина в 20 мл  $C_6H_6$ , образуется 2,7 г β-пиперидиноакрилонитрила (II), т. кип. 120—122°/1—2 мм, т. пл. 55,5—56° (из эф.-петр. эф.); пикрат, т. пл. 166° (из сп.). I так же реагирует с анилином, давая  $C_6H_5NHCN = -CHCN$ , т. пл. 104,7—105° (из эф.-петр. эф.), и  $(C_6H_5NH)_2CHCH_2CN$ , т. пл. 133,5—134,5° (из эф.-петр. эф.). При р-ции I с гидратом  $C_6H_5NHCN \cdot CH_2NC_6H_5$  (ацетон, обычная т-ра, ~ 12 час.) получен 2-цианоэтил-1,3-дифенилтетрагидроимидазол, выход 91%, т. пл. 191—192,5° (из ацетона). При действии на 1 г I 28%-ного  $NH_4OH$  получено 0,8 г β-аминоакрилонитрила (III), т. кип.

104°/1 мм. С гидразингидратом в эфирном р-ре I дает 1,2-бис-(β-циановинил)-гидразин, т. пл. 146,5—147°. С тиосемикарбазидом (метанол, обычная т-ра, 2—3 дня) I образует β-тиосемикарбазидоакрилонитрил, выход 56%, т. пл. 147° (из сп.). При добавлении по каплям р-ра 1 г I в 5 мл эфира к охлажд. р-ру 2,2 г тиофенола (IV) в 10 мл эфира и 0,25 мл р-ра 0,01 г Na в метаноле, перемешивании 1 час при охлаждении и 5 час. при 20° получают β-тиофеноксиакрилонитрил (V), выход 76%, т. кип. 137°/3 мм,  $n_D^{15}$  1,6190; в тех же условиях при избытке IV наряду с 1,7 г V образуется 1,7 г  $(C_6H_5)_2CHCH_2CN$ , т. кип. 201°/1 мм,  $n_D^{15}$  1,6312. Из 1 г I и 3,7 г фенола в аналогичных условиях получают 2,3 г смеси β-феноксиакрилонитрила и  $(C_6H_5O)_2CHCH_2CN$ , т. кип. 127°/3 мм, из которой удалось выделить немного последнего,  $n_D^{15}$  1,5573. При действии 2,4-динитрофенилгидразина II, III и V дают 2,4-динитрофенилгидразон  $CHONCH_2CN$ .

III. Из 3,5 г цианоацетилена (I) и 4,8 г дивинила (II) в результате диеновой конденсации при нагревании 6 час. до 150° в 25 мл  $C_6H_6$  получают 2,5-дигидробензонитрила (III), выход 72,3%, т. кип. 90—91°/20 мм,  $n_D^{20}$  1,5011,  $d_4^{23}$  0,987. В аналогичных условиях с целью сравнения проведена конденсация II с другими филодиенами (даны филодиен, аддукт, выход в %, т. кип. в °C/мм,  $n_D^{20}$  (т-ра в °C)): этиловый эфир пропиоловой к-ты (IV), этиловый эфир 2,5-дигидробензойной к-ты, 78,7, 90/10, 1,4870 (20); акрилонитрил (V), Δ<sup>3</sup>-тетрагидробензонитрил, 77, 85/20, 1,4740 (22); этиловый эфир акриловой к-ты (VI), этиловый эфир Δ<sup>3</sup>-тетрагидробензойной к-ты, 93, 3, 75/10, —. В аналогичных условиях изопрен (VII) и I дают 2,5-дигидро-*n*-толуонитрил (VIII), выход 65%, т. кип. 85°/10 мм,  $n_D^{20}$  1,5011; для сравнения проводят конденсацию VII с другими филодиенами (даны филодиен, аддукт, выход в %, т. кип. в °C/мм,  $n_D^{20}$ ): пропиоловая к-та, 2,5-дигидротолуиловая к-та, 77, т. пл. 189°; IV, этиловый эфир 2,5-дигидро-*n*-толуиловой к-ты, 80,6, 105—107/10, 1,4863; V, Δ<sup>3</sup>-тетрагидро-*n*-толуонитрил, 86,7, 95—97/10, 1,4722; VI, этиловый эфир Δ<sup>3</sup>-тетрагидро-*n*-толуиловой к-ты, 89,4, 88/10, 1,4593. Конденсация I с циклопентадиеном (петр. эф., -10°, 12 час., 30°, 5 час.) привела к образованию бицикло-[2,1,2]-гептадиен-1,3-нитрила, выход 36,6%, т. кип. 85°/20 мм,  $n_D^{18}$  1,5070. Омыление III кипячением (3 часа) с водн. КОН сопровождается передвижкой двойной связи и дает не 2,5-, а 2,3-дигидробензойную к-ту, выход 66,1%, т. пл. 97° (из сп.). Строение III подтверждено бромированием ( $CHCl_3$ , -20°), при котором получают 3,4-дибром-Δ<sup>6</sup>-тетрагидробензонитрила, выход 95%, т. пл. 58° (из сп.), и дегидрированием в бензонитрил путем нагревания с S (200—210°, 1 час), выход 81,6%. Щел. омыление VIII также сопровождается передвижкой двойной связи и приводит к образованию 2,3-дигидротолуиловой к-ты, выход 86,2%, т. пл. 175°. VIII дегидрируют так же, как и III и получают *n*-толуонитрил, который омыляют до *n*-толуиловой к-ты, а последнюю окисляют в терефталевую к-ту. При конденсации хлоропрена с I получают 4-хлор-2,5-дигидробензонитрил (IX), который дегидрирован в *n*-хлорбензонитрил (X), а последний омылен до *n*-хлорбензойной к-ты. При омылении IX, которое проходит со сдвигом двойной связи, получают 4-хлор-2,3-дигидробензойную к-ту, т. пл. 217°. Приведены УФ-спектры (кривые) для IX, X, этилового эфира 4-хлор-2,5-дигидробензойной к-ты и этилового эфира 4-хлорбензойной к-ты и ИК-спектры (даны кривые) для IX и X.

IV. Рассмотрены возможные способы синтеза цианоацетилена (I) с точки зрения промышленного производства I. Наиболее привлекательными авторы считают схемы: 1)  $CH \equiv CH + HCN \xrightarrow{O_2} I + H_2O$ . 2)  $CH \equiv CH +$



+ NaCN  $\xrightarrow{\text{CuSO}_4}$  I + (Cu)<sub>2</sub>(CN)<sub>2</sub>. Опыты авторов в этих направлениях пока не дали удовлетворительных результатов. Разработаны методы определения I осаждением титрованным AgNO<sub>3</sub> в тетрагидрофуране с последующим определением избытка AgNO<sub>3</sub> и р-цией с пиперидином (см. сообщение II) с последующим гидролизом β-пиперидиноакрилонитрила, связыванием образующегося β-цианацетальдегида NaHSO<sub>3</sub> и оттитровыванием избытка NaHSO<sub>3</sub> йодом. Л. Яновская

28673. Некоторые алкиллевулинилгликоляты как пластификаторы. Ясуда (Some alkyl levulinyl glycolates as plasticizers. Yasuda Heinosuke), J. Scient. Res. Inst., 1957, 51, June, 86—90 (англ.)

Алкиллевулинилгликоляты (I) типа CH<sub>3</sub>COCH<sub>2</sub>CH<sub>2</sub>COOCH<sub>2</sub>COOR синтезируются конденсацией К- или Na-левулининов (II) с алкилмонохлорацетатами (III) в кипящих спиртах ROH. Нагреванием 0,1 моля II с 0,1 моля III в 50 мл ROH за 3 часа получены I [даны R, т-ра р-ции в °C, выход в %, т. кип. в °C/мм, т. пл. в °C 2,4-динитрофенилгидразона (ДНФГ) (из C<sub>6</sub>H<sub>5</sub>N и CH<sub>3</sub>OH), т. пл. в °C семикарбазона (из CH<sub>3</sub>OH)]: CH<sub>3</sub> (IV), 64—66, 12,8, 147—149/13, 99—101 (разл.); продукт отщепления CH<sub>3</sub>OH от ДНФГ, 119—120; C<sub>2</sub>H<sub>5</sub>, 77—79, 49,2, 108—111/5, 118—119, —; n-C<sub>3</sub>H<sub>7</sub>, 96—98, 50,5, 140—146/8, 77—78, —; изо-C<sub>3</sub>H<sub>7</sub>, 81—83, 41, 152—154/10, 85—86, —; n-C<sub>4</sub>H<sub>9</sub>, 116—118, 46, 173—183/12, —, 96—97; изо-C<sub>4</sub>H<sub>9</sub>, 107—109, 47,7, 163—173/9, —, 112—113; изо-C<sub>5</sub>H<sub>11</sub>, 129—131, 45,3, 161—176/12, —, 108—109; n-C<sub>6</sub>H<sub>13</sub>, 195—197, 32,8, 190—205/10, —, 100—101. С повышением т-ры р-ции I подвергаются алкоголизу. IV с 2,4-динитрофенилгидразином в CH<sub>3</sub>OH с конц. H<sub>2</sub>SO<sub>4</sub> образует ДНФГ метиллевулината, т. пл. 139—140°.

Е. Домнина

28674. Различные реакции органических оснований с 1,1,1-тринитроэтаном и 1-галогид-1,1-динитроэтаном. 1,1-динитроэтан в качестве промежуточного продукта. Зелдин, Шектер (Various reactions of organic bases with 1,1,1-trinitroethane and 1-halo-1,1-dinitroethanes. 1,1-dinitroethane as a reaction intermediate. Zeldin Lawrence, Shechter Harold), J. Amer. Chem. Soc., 1957, 79, № 17, 4708—4716 (англ.)

Основания реагируют с 1,1,1-тринитроэтаном (I) по двум направлениям: А — нуклеофильная атака по одной из NO<sub>2</sub>-групп I, приводящая к образованию —NO<sub>2</sub>—C(NO<sub>2</sub>)CH<sub>3</sub>, Б — взаимодействие основания с β-атомом водорода I, приводящее к выделению HNO<sub>2</sub> и образованию [H<sub>2</sub>C=C(NO<sub>2</sub>)<sub>2</sub>], дающего при р-ции с основаниями β-замещ. производные 1,1-динитроэтана. По способу А с I реагируют (CH<sub>3</sub>)<sub>2</sub>C=NO<sub>2</sub>—K<sup>+</sup> (II), CH<sub>3</sub>COCH=CH—K<sup>+</sup> (III), n-C<sub>4</sub>H<sub>9</sub>S—K<sup>+</sup> (IV) и n-C<sub>4</sub>H<sub>9</sub>Li (V). По способу Б с I реагируют (C<sub>2</sub>H<sub>5</sub>COO)<sub>2</sub>C—HK<sup>+</sup> (VI), (NH<sub>2</sub>)<sub>2</sub>C=NH (VII), пиперидин (VIII), (C<sub>2</sub>H<sub>5</sub>)<sub>3</sub>N и (CH<sub>3</sub>)<sub>3</sub>N (IX), образуя соответственно (C<sub>2</sub>H<sub>5</sub>COO)<sub>2</sub>C—CHCH<sub>2</sub>C(NO<sub>2</sub>)<sub>2</sub>—K<sup>+</sup> (X), (H<sub>2</sub>N)<sub>2</sub>C=N+HCH<sub>2</sub>C(NO<sub>2</sub>)<sub>2</sub>—≠H<sub>2</sub>NC(=NH)N+H<sub>2</sub>CH<sub>2</sub>C(NO<sub>2</sub>)<sub>2</sub> (XI), 1,1-динитро-2-пиперидиноэтан (XII), (C<sub>2</sub>H<sub>5</sub>)<sub>3</sub>N+CH<sub>2</sub>C(NO<sub>2</sub>)<sub>2</sub>—, (CH<sub>3</sub>)<sub>3</sub>N+CH<sub>2</sub>C(NO<sub>2</sub>)<sub>2</sub> (XIII). Строение XI, XII и XIII подтверждено УФ-спектрами. Обменной р-цией XIII с VII и VIII получают XI и XII, что также служит доказательством их строения. VIII с 1-бром-1,1-динитроэтаном (XIV) или с 1-хлор-1,1-динитроэтаном (XV) реагирует по способу А, образуя VIII-соль 1,1-динитроэтана (XVI) и соответственно VIII·HBr и VIII·HCl. Аналогично реагирует (C<sub>2</sub>H<sub>5</sub>COO)<sub>2</sub>CH—Na с XIV, образуя Na+O<sub>2</sub>N—C(NO<sub>2</sub>)CH<sub>3</sub> (XVII), 1,1-динитроэтан (XVIII), [(C<sub>2</sub>H<sub>5</sub>COO)<sub>2</sub>CH]<sub>2</sub> (XIX) и [(C<sub>2</sub>H<sub>5</sub>COO)<sub>2</sub>C=]<sub>2</sub> (XX). Если вместо 2 экв XIV берут 1 экв, то получают XVII, XVIII (выход 48% вместо 15,7%), BrCH(COO-C<sub>2</sub>H<sub>5</sub>)<sub>2</sub>, XX (выход 57% вместо 3,4%) и CH<sub>2</sub>(COOC<sub>2</sub>H<sub>5</sub>)<sub>2</sub> (XXI), выход 24%. К р-ру II в абс. спирте [из 0,2 моля C<sub>2</sub>H<sub>5</sub>OK и 0,2 моля (CH<sub>3</sub>)<sub>2</sub>CHNO<sub>2</sub>] прибавляют р-р 7,6 г

I в 50 мл абс. спирта, перемешивают (2 часа, 0°), получают [(CH<sub>3</sub>)<sub>2</sub>CNO<sub>2</sub>]<sub>2</sub>, выход 87%, т. пл. 210—212° (из CH<sub>3</sub>OH), KNO<sub>3</sub> и K+O<sub>2</sub>—N=C(NO<sub>2</sub>)CH<sub>3</sub> (XXII), выход 68%, т. пл. 153° (разл.; из воды); из XXII с AgNO<sub>3</sub> получают Ag-соль. В р-р III [из 0,3 моля C<sub>2</sub>H<sub>5</sub>OK и 0,3 моля (CH<sub>3</sub>CO)<sub>2</sub>CH<sub>2</sub> в 160 мл абс. спирта] прибавляют 0,1 моля I в 50 мл абс. спирта, кипятят 30 мин., перемешивают (14 час., 0°), выделяют XXII, выход 64,4%, KNO<sub>3</sub>, выход 53,2%, и ~29 г неидентифицированного высокомолекулярного продукта. К спирт. р-ру IV (из 0,1 моля C<sub>2</sub>H<sub>5</sub>SH в 100 мл спирта и 0,1 моля C<sub>2</sub>H<sub>5</sub>OK) при 80—85° прибавляют (30 мин.) 0,05 моля I в 30 мл абс. спирта, охлаждают до 25°, перемешивают 14 час., прибавляют 400 мл эфира, из осадка после обработки выделяют XXII, выход 42,3%, из фильтрата выделяют (C<sub>2</sub>H<sub>5</sub>S)<sub>2</sub>, выход 71,4%, т. кип. 88,5—89°/5,5 мм, n<sub>D</sub><sup>20</sup> 1,4920, d<sub>20</sub><sup>20</sup> 0,9464. Р-р 0,05 моля I в 60 мл абс. эфира прибавляют (2 часа) в атмосфере N<sub>2</sub> к р-ру 0,115 моля V в 100 мл эфира, через 8 час. добавляют 50 мл воды, подкисляют, отделяют эфир, остаток (после отгонки эфира) обрабатывают 0,139 моля KOH в 100 мл CH<sub>3</sub>OH, получают XXII, выход 48%. В смесь 0,22 моля XXI и 0,22 моля C<sub>2</sub>H<sub>5</sub>OK в 400 мл абс. спирта при 78° прибавляют 0,1 моля I в 50 мл абс. спирта, поддерживая кипение реакционной смеси, перемешивают при 0—5°, фильтруют, получают 27,5 г соли, суспендируют ее в 100 мл воды и при 0° прибавляют охлажд. до 0—3° водн. р-р мочевины и CH<sub>3</sub>COOH (по 0,23 моля), экстрагируют эфиром, получают (C<sub>2</sub>H<sub>5</sub>COO)<sub>2</sub>CHCH<sub>2</sub>CH(NO<sub>2</sub>)<sub>2</sub> (XXIII), выход 36,3%, т. кип. 126—130°/1,1 мм, n<sub>D</sub><sup>20</sup> 1,4498, d<sub>20</sub><sup>20</sup> 1,280; 1,1 г сырой соли промывают 1 мл воды для удаления VI и KNO<sub>3</sub>, выделяют 0,45 г X, растворяют в воде, прибавляют насыщ. р-р AgNO<sub>3</sub>, получают 0,23 г Ag-соли. К 0,005 моля XXIII в 14 мл воды при 0—5° прибавляют р-р KOH (0,005 моля) и 1,3 г CH<sub>2</sub>=CHCOOCH<sub>3</sub>, перемешивают 2 часа при 0—5° и 18 час. при 25°, экстрагируют эфиром, к CH<sub>3</sub>COOCH<sub>2</sub>CH<sub>2</sub>C(NO<sub>2</sub>)<sub>2</sub>CH<sub>2</sub>CH(COOCH<sub>2</sub>H<sub>5</sub>)<sub>2</sub> прибавляют 30 мл конц. HCl, нагревают до 135—140°, получают (HOOCCH<sub>2</sub>CH<sub>2</sub>)<sub>2</sub>C(NO<sub>2</sub>)<sub>2</sub>, выход 30%, т. пл. 138,5—140° (из воды). 0,07 моля карбоната гуанидина (XXIV) прибавляют к р-ру 0,12 моля C<sub>2</sub>H<sub>5</sub>ONa в 70 мл абс. спирта, перемешивают (30 мин., 0—5°), отделяют Na<sub>2</sub>CO<sub>3</sub> и XXIV, к р-ру при 0—5° прибавляют (за 90 мин.) 0,05 моля I в 40 мл абс. спирта, перемешивают (10 час., 25—30°), охлаждают до 0°, получают XI, выход 84,8%, т. пл. > 196°; из фильтратов и промывных р-ров выделяют 0,22 г продукта, содержащего 30,8% XI. Фильтрат упаривают, получают 7,06 г нечистого нитрита гуанидина, выход 82,3%. 2,4 г XVIII прибавляют к суспензии 2,1 г XXIV в 20 мл CH<sub>3</sub>OH, получают гуанидиниевую соль XVIII, выход 79%, т. пл. 97° (разл.; из CH<sub>3</sub>OH). Р-р 16,5 г I в 60 мл абс. эфира прибавляют (30 мин.) к охлажд. р-ру 17,85 г VIII в 50 мл абс. эфира, перемешивают 2 часа, получают 30,9 г в-ва, выход 92%, прибавляют 30 мл воды, из нерастворившейся части выделяют XII, выход 65,6%, т. пл. 108—108,5° (разл.; из горячей воды), в фильтрате идентифицируют нитрит пиперидина. Из 0,58 г XII получают Ag-соль XII. К суспензии 1,44 г O<sub>2</sub>NCH=NO<sub>2</sub>—K<sup>+</sup> в 7 мл воды и 40 мл эфира при 0° прибавляют 25 мл 0,5 н. H<sub>2</sub>SO<sub>4</sub>, эфирный слой отделяют и сейчас же прибавляют к водн. суспензии N-метилпиперидина, полученной прибавлением 2 г 36%-ного HCHO к р-ру 1,2 г VIII в 3 мл воды при 0°, перемешивают при 0°, получают XII, выход 94%. 8,3 г I, 10,1 г (C<sub>2</sub>H<sub>5</sub>)<sub>3</sub>N и 120 мл C<sub>6</sub>H<sub>6</sub> перемешивают при 27°, через 1,5 часа р-р кипятят 24 часа. Из верхнего слоя выделяют (C<sub>2</sub>H<sub>5</sub>)<sub>2</sub>NNO, выход 83,3%, т. кип. 55—60°/11—14 мм, n<sub>D</sub><sup>20</sup> 1,4369—1,4380, d<sub>20</sub><sup>20</sup> 0,961. При —80° готовят смесь 31 г I, 45,7 г X, 60 мл абс. спирта, 60 мл абс. эфира, которую выдерживают 4 дня при —13° (перемешивая), выделяют XIII,

выход 83%, т. пл. 92—92,5° [разл.; из воды (60°)]. Р-р 2,04 г  $\text{AgNO}_3$  в 2 мл воды при 25° прибавляют к р-ру 1,06 г XIII в 12 мл воды, получают продукт присоединения  $\text{C}_6\text{H}_{11}\text{N}_4\text{O}_7\text{Ag}$ , выход 79,3%, т. пл. 107° (разл.; из воды, высаживанием абс. сп.). Р-р 1,1 г XXIV в 10 мл воды нейтрализуют водн. р-ром  $\text{NaOH}$  (0,012 моля), прибавляют р-р 1,77 г XIII в 15 мл воды, перемешивают (5 час., 40—45°), нагревают до 80° 3 часа, выделяют XI, выход 28%. К р-ру 0,885 г XIII в 13 мл воды при 50—60° прибавляют 0,85 г VIII, перемешивают (5 час. 50—60°), упаривают в вакууме, обрабатывают абс. спиртом, получают XII, выход 95,6%, т. пл. 110,5—111°. К охлажд. р-ру 17 г VIII в 60 мл эфира прибавляют (40 мин.) р-р 19,9 г XIV в 70 мл эфира, получают XVI, выход 64,3%, т. пл. 113—114° (из сп.). Из фильтрата выделяют VIII·HBr, выход 50%, т. пл. 240,5—241,5°. 1,1 г VIII прибавляют к р-ру 1,54 г XVIII в  $\text{CH}_3\text{OH}$  при 25°, добавляют эфир, выделяют XVI, выход 89%. К р-ру 17 г VIII в 100 мл эфира при 25° быстро прибавляют 15,5 г XV, через 2 дня отделяют 7,3 г продукта, содержащего 4,27 г XVI и 1,4 г VIII·HCl. Из фильтрата выделяют XVI и VIII·HCl, общий выход соответственно 48,3% и 21,2%. В р-р 15 г XVIII и 8,4 г КОН в 400 мл воды при 0—5° пропускают  $\text{Cl}_2$ , получают XV, выход 86%, т. кип. 59—61°/22 мм,  $n_D^{20}$  1,4439,  $d_4^{20}$  1,465. 0,1 моля XIV прибавляют (1 час) к р-ру 0,2 моля  $(\text{H}_5\text{C}_2\text{O}_2\text{C})_2\text{CH}-\text{Na}^+$  в 220 мл абс. спирта при 5—10°, перемешивают (20 час., 25°), выливают в 400 мл эфира, получают XVII, выход 68%, XVIII, выход 15,7%, XIX, выход 62,3%, т. пл. 74,5—76° (из абс. сп.), XX, выход 3,4%, т. пл. 46—48°. Действием  $\text{Br}_2$  на р-р XVII получен XIV, выход 70—90%, т. кип. 49—50°/4,7 мм,  $n_D^{20}$  1,4757,  $d_4^{20}$  1,831. Л. Иванова

**28675.** Реакция  $\alpha$ -окисей с аммиаком, аминами и другими азотистыми соединениями. Малиновский М. С., Успехи химии, 1957, 26, № 7, 801—823

Обзор. Описаны р-ции  $\alpha$ -окисей с  $\text{NH}_3$ , аминами,  $\text{HCN}$  и  $\text{HSCN}$ . Разобраны р-ции глицидных окисей с азотистыми основаниями. Библ. 186 назв. М. Линькова

**28676.** Синтез 6-этил-8-меркаптооктановой кислоты и ее гомологов. Брокман, Фабно (Syntheses of 6-ethyl-8-mercaptooctanoic acid and its homologs. Brockman John A., Jr., Fabio Paul F.), J. Amer. Chem. Soc., 1957, 79, № 18, 5027—5029 (англ.)

Для исследования бактериостатич. активности 6-этил-8-меркаптооктановая к-та и ее гомологи синтезированы следующими р-циями:  $\text{R'OOC}(\text{CH}_2)_n\text{COCl}$  (I)  $\xrightarrow{\text{Et}_3\text{Cd}}$   $\text{R'OOC}(\text{CH}_2)_n\text{COR}$  (II)  $\xrightarrow{\text{CNCH}_2\text{COOH}}$   $\text{R'OOC}(\text{CH}_2)_n\text{CH}(\text{CH}_2\text{CN})\text{CO}_2\text{H}$  (III)  $\xrightarrow{\text{H}_2}$   $\text{R'OOC}(\text{CH}_2)_n\text{CH}_2\text{CH}_2\text{CN}$  (IV)  $\xrightarrow{\text{CoSO}_3\text{H}_2}$   $\text{R'OOC}(\text{CH}_2)_n\text{CH}_2\text{CH}_2\text{SH}$  (V)  $\rightarrow$   $\text{HOOC}(\text{CH}_2)_n\text{CH}_2\text{CH}_2\text{SH}$  (VI). I получены действием  $\text{SOCl}_2$  на полуэфиры. II ( $\text{R}=\text{R}'=\text{CH}_3$ ,  $n=4$ ) получен 10 час. кипячением 5,37 моля 6-кетогептановой к-ты с 2,2 л  $\text{CH}_3\text{OH}$  и 22 мл  $\text{H}_2\text{SO}_4$ . Остальные II получены по методу Кейзона и Праута (Синтезы органич. препаратов. М., Изд-во ин. лит., 1949, сб. 4, 314). III ( $\text{R}=\text{R}'=\text{CH}_3$ ,  $n=4$ ) получен кипячением 24 часа 634 г II ( $\text{R}=\text{R}'=\text{CH}_3$ ,  $n=4$ ), 306 г  $\text{NCCCH}_2\text{COOH}$  11,5 г  $\text{CH}_3\text{COONH}_4$ , 300 мл  $\text{C}_6\text{H}_6$  с одновременным отделением воды, отгонкой р-рителя и декарбоксилированием при 150—170°; также получают и другие III. При гидрировании III в спирте над 10%-ным  $\text{Pd/C}$  (2—3 ат, 2—48 час.) получают IV. Для синтеза V (напр.,  $\text{R}=\text{R}'=\text{CH}_3$ ,  $n=4$ ) смесь 47,8 г S, 135 г IV ( $\text{R}=\text{R}'=\text{CH}_3$ ,  $n=4$ ) и 280 мл  $\text{CH}_3\text{COOH}$  гидрируют (200°, 8 час., 80—110° ат) с  $\text{CoS}_x$  из 95,2 г  $\text{CoCl}_2 \cdot 6\text{H}_2\text{O}$ ; после отгонки  $\text{CH}_3\text{COOH}$  от фильтрата остаток кипятят 4,5 часа с 540 мл  $\text{CH}_3\text{OH}$  и 25 мл конц.  $\text{H}_2\text{SO}_4$ , выливают в воду и продукт экстрагируют эфиром. При кипячении 2 часа V с

6—8 н. КОН в 10—40%-ном спирте получают VI. Синтезированы следующие в-ва (приводятся  $\text{R}$ ,  $\text{R}'$ ,  $n$ , выход в %, т. кип. в °C/мм,  $n_D^{20}$ ,  $d_4^{20}$ ): II,  $\text{CH}_3$ ,  $\text{CH}_3$ , 4, 79,1, 120/14,2, 1,4312, 1,006; II,  $n\text{-C}_4\text{H}_9$ ,  $\text{CH}_3$ , 4, 90, 2, 137/14,8, 1,4350, 0,976; II,  $n\text{-C}_4\text{H}_9$ ,  $\text{CH}_3$ , 4, 84,9, 149/13,5, 1,4377, 0,960; II,  $\text{изо-C}_4\text{H}_9$ ,  $\text{CH}_3$ , 4, 31,5, 140/13,7, 1,4343, 0,962; II,  $\text{C}_2\text{H}_5$ ,  $\text{CH}_3$ , 2, 35,0, 123/51, 1,4247, 1,027; II,  $\text{C}_2\text{H}_5$ ,  $\text{CH}_3$ , 4, 81,8, 125—131/14, 1,4337; —; II,  $\text{C}_2\text{H}_5$ ,  $\text{CH}_3$ , 3, 84,2, 108—119/12,3, 1,4308—1,4327; —; II,  $\text{C}_2\text{H}_5$ ,  $\text{C}_2\text{H}_5$ , 5, 52,7, 145—161/15, 1,4352—1,4377; —; II,  $\text{C}_2\text{H}_5$ ,  $\text{C}_2\text{H}_5$ , 6, 37,8, 159—169/13—15, 1,4380—1,4387; —; III,  $\text{CH}_3$ ,  $\text{CH}_3$ , 4, 73,3, 153/10, 1,4604, 0,998; III,  $\text{C}_2\text{H}_5$ ,  $\text{CH}_3$ , 4, 62,2, 102/0,05, 1,4612, 0,983; III,  $n\text{-C}_4\text{H}_9$ ,  $\text{CH}_3$ , 4, 70,3, 142/3,25, 1,4601, 0,970; III,  $n\text{-C}_4\text{H}_9$ ,  $\text{CH}_3$ , 4, 71,5, 152/3,2, 1,4602, 0,959; III,  $\text{изо-C}_4\text{H}_9$ ,  $\text{CH}_3$ , 4, 22,2, 143/2,9, 1,4588, 0,954; III,  $\text{C}_2\text{H}_5$ ,  $\text{CH}_3$ , 2, 34,9, 130/5,9, 1,4600, 1,019; III,  $\text{C}_2\text{H}_5$ ,  $\text{CH}_3$ , 3, 58,9, 130/4,4, 1,4601, 1,006; III,  $\text{C}_2\text{H}_5$ ,  $\text{C}_2\text{H}_5$ , 5, 60,4, 152/3,0, 1,4579, 0,957; III,  $\text{C}_2\text{H}_5$ ,  $\text{C}_2\text{H}_5$ , 6, 57,8, 157/2,3, 1,4582, 0,955; IV,  $\text{CH}_3$ ,  $\text{CH}_3$ , 4, 87,2, 152/10,5, 1,4410, 0,972; IV,  $\text{C}_2\text{H}_5$ ,  $\text{CH}_3$ , 4, 77,0, 141/4,6, 1,4458, 0,967; IV,  $n\text{-C}_4\text{H}_9$ ,  $\text{CH}_3$ , 4, 69,7, 141/3, 1,4468, 0,951; IV,  $n\text{-C}_4\text{H}_9$ ,  $\text{CH}_3$ , 4, 64,0, 149/2,9, 1,4498, 0,948; IV,  $\text{изо-C}_4\text{H}_9$ ,  $\text{CH}_3$ , 4, 40, 144/2,8, 1,4542, 0,949; IV,  $\text{C}_2\text{H}_5$ ,  $\text{CH}_3$ , 2, 44, 145/15,4, 1,4422, 0,994; IV,  $\text{C}_2\text{H}_5$ ,  $\text{CH}_3$ , 3, 70,5, 164/20,3, 1,4437, 0,979; IV,  $\text{C}_2\text{H}_5$ ,  $\text{C}_2\text{H}_5$ , 5, 54,3, 152/3,3, 1,4470, 0,947; IV,  $\text{C}_2\text{H}_5$ ,  $\text{C}_2\text{H}_5$ , 6, 63,4, 153/2,5, 1,4499, 0,944; V,  $\text{CH}_3$ ,  $\text{CH}_3$ , 4, 56,2, 155/20, 1,4663, 0,976; V,  $\text{C}_2\text{H}_5$ ,  $\text{CH}_3$ , 4, 63,4, 148/10, 1,4697, 0,975; V,  $n\text{-C}_4\text{H}_9$ ,  $\text{CH}_3$ , 4, 63,0, 160/10,5, 1,4678, 0,966; V,  $n\text{-C}_4\text{H}_9$ ,  $\text{CH}_3$ , 4, 64,5, 163/7,7, 1,4690, 0,958; V,  $\text{изо-C}_4\text{H}_9$ ,  $\text{CH}_3$ , 4, 16,0, 170/16, 1,4673, 0,959; V,  $\text{C}_2\text{H}_5$ ,  $\text{CH}_3$ , 2, 32,4, 138—141/21, 1,4551—1,4648; —; V,  $\text{C}_2\text{H}_5$ ,  $\text{CH}_3$ , 3, 57,5, 147/15,5, 1,4699, 0,992; V,  $\text{C}_2\text{H}_5$ ,  $\text{C}_2\text{H}_5$ , 5, 50, 163—164/7,5, 1,4651—1,4617; —; V,  $\text{C}_2\text{H}_5$ ,  $\text{C}_2\text{H}_5$ , 6, 43, 176—181/10,5, 1,4628—1,4658; VI,  $\text{CH}_3$ ,  $\text{CH}_3$ , 4, 81,3, 116/0,14, 1,4802, 1,016; VI,  $\text{C}_2\text{H}_5$ , 4, 75,3, 133/0,09, 1,4813, 1,013; VI,  $n\text{-C}_4\text{H}_9$ , 4, 54,6, 140/0,08, 1,4809, 0,995; VI,  $n\text{-C}_4\text{H}_9$ , 4, 74,4, 141/0,1, 1,4810, 0,988; VI,  $\text{изо-C}_4\text{H}_9$ , 4, 60,5, 173/1,0, 1,4810, 0,987; VI,  $\text{C}_2\text{H}_5$ , 2, 52,2, 107/0,05, 1,4839, 1,044; VI,  $\text{C}_2\text{H}_5$ , 3, 74,6, 148/0,85, 1,4842, 1,031; VI,  $\text{C}_2\text{H}_5$ , 5, 54,8, 142/0,05, 1,4823, 1,004; VI,  $\text{C}_2\text{H}_5$ , 6, 37,2, 145/0,04, 1,4812, 0,993.

И. Котляревский  
**28677.** Расщепление ( $\pm$ )-транс-3-(транс-2'-карбоксипропенил)-2,2-диметилциклопропанкарбоновой-1 кислоты. Иноуэ, Оно (Resolution of ( $\pm$ )-trans-3-(trans-2'-carboxypropenyl)-2,2-dimethylcyclopropane-1-carboxylic acid. Inoue Yuzo, Ohno Minoru), Bull. Agric. Chem. Soc. Japan, 1957, 21, № 4, 265 (англ.)

Ранее (РЖХим, 1957, 19081) расщеплением ( $\pm$ )-транс-3-(транс-2'-карбоксипропенил)-2,2-диметилциклопропанкарбоновой-1 к-ты [( $\pm$ )-I] с помощью (—)- $\alpha$ -фенилэтиламина [(—)-II] выделена (+)-I, т. пл. 163—164°,  $[\alpha]_D^{25} +70,9^\circ$ . Объединенные фильтраты от соли (+)-I с (—)-II упаривают, разлагают разб.  $\text{H}_2\text{SO}_4$  и экстрагируют. К кипящему р-ру 3,4 г выделенной к-ты и 80 мл  $\text{CH}_3\text{OH}$  прибавляют 2,1 г (+)-II в 15 мл  $\text{CH}_3\text{OH}$ , оставляют на 12 час. и отфильтровывают постепенно выпадающую соль (—)-I с (+)-II, выход 0,6 г, т. пл. 223—224°,  $[\alpha]_D^{25} -28,0^\circ$  (с 1,1;  $\text{CH}_3\text{OH}$ ). Разложением 0,5 г этой соли разб.  $\text{H}_2\text{SO}_4$  получают (—)-I, выход 0,26 г, т. пл. 163—164°,  $[\alpha]_D^{25} -70,5^\circ$  (с 1,0; сп.); ди- $n$ -фенилфенилацеталь эфир, т. пл. 151—152°,  $[\alpha]_D^{25} -123,0^\circ$  (с 0,91; хлф.). Л. Хейфиз

**28678.** О получении 2,2-диметил-3-(1'-оксизтил)-1-(2'-оксизтил)-циклобутана. Арисс, Баргебур (Sur l'obtention du diméthyl-2,2-[hydroxy-1'-éthyl]-3 (hydroxy-2' éthyl)-1 cyclobutane. Harisse Marcelle, m-me, Bargeboer Aline, m-lle), C. r. Acad. sci., 1957, 245, № 18, 1550—1552 (франц.)

При восстановлении пиноновой к-ты (I) и ее эфиров LiAlH<sub>4</sub> получен 2,2-диметил-3-(1'-оксизтил)-1-(2'-оксизтил)-циклобутан, выход (при восстановлении этилово-

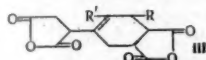


го эфира d-1) 92%, т. кип. 128—129°/3 мм, 153—154°/10 мм, 170—171°/20 мм,  $n_D^{20}$  1,475; диацетат, т. кип. 145°/16 мм,  $n_D^{20}$  1,445. Восстановление свободной I происходит труднее вследствие образования больших количеств трудно растворимого промежуточного продукта р-ция — пиноловой к-ты; выход 60%, т. пл. 114°. При восстановлении  $LiAlH_4$  3-оксипиридина-2 получен 2,3-диоксипиридин, выход колич., т. пл. 170,5° (из хлф.)

В. Андреев

28679. Образование четырехчленного цикла при присоединении малеинового ангидрида к алленам. А. Ледер, Аккерман (Über die Bildung von viergliedrigen Ringen bei der Addition von Maleinsäureanhydrid an Allene. Alder Kurt, Ackermann Otto), Chem. Ber., 1957, 90, № 9, 1697—1709 (нем.)

При взаимодействии  $C_2H_5CH=C=CH_2$  (I) с малеиновым ангидридом (II) в  $C_6H_6$  (50 час., 145—150°) кроме диангидрида (III) ( $R=CH_3$ ,  $R'=H$ ) [выход 5%, т. пл. 216° (из этилацетата)] получается с выходом 47% смесь, состоящая из аддуктов с молярным соотношением I и II 1:1, обработкой которой  $CH_3OH$  в присутствии  $H_2SO_4$  с последующей разгонкой на колон-



на выделены диметиловый эфир 1-этил-2-метилциклобутандикарбоновой-3,4 к-ты (IV-к-та) (выход ~25%, т. кип. 120°/7—8 мм), диметиловый эфир 1-пропилциклобутандикарбоновой-2,3 к-ты (V-к-та) (выход 52%, т. кип. 126°/7—8 мм), диметиловый эфир пентен-2-илантарной к-ты (VI-к-та) (выход ~17%, т. кип. 128°/7—8 мм), диметиловый эфир 1-этилпропин-2-ил-1-антарной к-ты (VII), выход ~5%, т. кип. 122°/7—8 мм. III ( $R=CH_3$ ,  $R'=H$ ) получается из I и II через промежуточное образование ангидрида пентадиен-1,3-ил-2-антарной к-ты и последующим его взаимодействием с II по схеме диенового синтеза. Аналогично из  $(CH_3)_2C=C=CH_2$  (VIII) и II получен ангидрид 1-изопропилциклобутандикарбоновой-2,3 к-ты (IX) (т. кип. 81°/0,02 мм) и III ( $R=H$ ,  $R'=CH_3$ ) [выход 15%, т. пл. 173—174° (из этилацетата)], который получается из VIII и II через промежуточное образование ангидрида 3-метилбутадие-н-1,3-ил-2-антарной к-ты и последующим его взаимодействием с II по схеме диенового синтеза. Аналогично из  $CH_3CH=C=CHCH_3$  и II получен ангидрид 3-этилдиен-4-метилциклобутандикарбоновой-1,2 к-ты (X), выход 60%, т. кип. 148°/14 мм. Из  $CH_2=C=CH_2$  и II при 160—170° наряду с аддуктом, описанным ранее (РЖХим, 1955, 21136), образуется смесь ангидрида пропин-2-илантарной к-ты и ангидрида метилциклобутандикарбоновой-1,2 к-ты, которая при действии  $CH_3OH$  и  $H_2SO_4$  превращается в смесь соответствующих эфиров с т. кип. 115—118°/10 мм; из этой смеси после гидрирования над Pt (из  $PtO_2$ ) и последующей разгонки на колонке выделены диметиловый эфир *n*-пропилянтарной к-ты (XI-к-та) (т. кип. 100—102°/10 мм) и диметиловый эфир 1-метилциклобутандикарбоновой-2,3 к-ты, т. кип. 107—108°/10 мм. Тетрафенилаллен и 1,1-дифенил-3,3-бис-(*n*-метоксифенил)-аллен, реагируя с II по типу  $\alpha$ -фенилстирола, образуют аддукты очень легко и с хорошим выходом. Строение ангидрида IV доказано образованием при его озолизе  $CH_2O$  и  $\alpha$ -этилтрикарбаллиловой к-ты [т. пл. 152° (из этилацетата)], гидрированием диметилового эфира IV над Pt (из  $PtO_2$ ) в диметиловый эфир 1-метил-2-этилциклобутандикарбоновой-3,4 к-ты (т. кип. 126°/13 мм), а также данными ИК-спектра. Строение ангидрида V доказано образованием при его озолизе  $C_2H_5CHO$  и трикарбаллиловой к-ты (XII), гидриро-

ванием диметилового эфира V над Pt (из  $PtO_2$ ) в диметиловый эфир 1-пропилциклобутандикарбоновой-2,3 к-ты (XIII) (т. кип. 129°/13 мм), а также следующими превращениями. Восстановлением XIII  $LiAlH_4$  получен 1-пропил-2,3-ди-(оксиметил)-циклобутан (выход 90%, т. кип. 106°/0,01 мм), который действием  $PBr_3$  превращается в 1-пропил-2,3-ди-(бромметил)-циклобутан (выход 85%, т. кип. 92°/0,02 мм); последний с  $(CH_3)_3N$  в  $CH_3OH$  (24 часа при 85°) переходит с выходом 91% в дибромметилат 1-пропил-2,3-ди-(диметиламино)метил-циклобутана, превращаемый затем действием  $Ag_2O$  в соответствующее четвертичное диаммониевое основание, образующее при 145° и 140—160 мм (2 часа) с выходом 55% 1-пропил-2,3-диметиленциклобутан, при озолизе которого получается XI. Строение ангидрида VI доказано гидрированием диметилового эфира VI над Pt в диметиловый эфир *n*-амилянтарной к-ты, т. кип. 120°/8 мм. Строение III ( $R=CH_3$ ,  $R'=H$ ) доказано превращением его действием  $CH_3OH$  и  $H_2SO_4$  в диметиловый эфир (5-метил-3,4-дикарбокисифенил)-антарной к-ты, которую без выделения окисляли  $HNO_3$  в 1,2,3,5-бензолтетракарбоновую к-ту, идентифицированную в виде ее тетраметилового эфира с т. пл. 109°. Строение IX доказано образованием при его озолизе ацетона и XII, а строение III ( $R=H$ ,  $R'=CH_3$ ) — его этерификацией  $CH_3OH$  в присутствии  $H_2SO_4$  с последующим окислением  $HNO_3$  в 1,2,4,5-бензолтетракарбоновую к-ту, идентифицированную в виде его тетраметилового эфира с т. пл. 142°. Строение X доказано образованием при его озолизе  $\alpha$ -метилтрикарбаллиловой к-ты, т. пл. 181° (из этилацетата). Гидрирование X над Pt (присоединение 2 молей  $H_2$ ) и последующая этерификация действием  $CH_3OH$  и  $H_2SO_4$  приводят к эфиру  $C_{11}H_{18}O_4$ , т. кип. 126°/12 мм,  $n_D^{20}$  1,4509. Строение VII приписывается на основании данных ИК-спектра. Приведены ИК-спектры I, ангидрида IV и VII. В. Дашунин 28680. Дифенилдиметиленциклобутен. Бломквист, Мейнуолд (Diphenyldimethylenecyclobutene. Blomquist A. T., Meinwald Yvonne C.), J. Amer. Chem. Soc., 1957, 79, № 19, 5317—5318 (англ.)

Дифенилдиметиленциклобутен (I) синтезирован следующим образом. Диэтиловый эфир  $\beta$ -триуксисной к-ты восстанавливают  $LiAlH_4$  в соответствующий гликоль, т. пл. 110—111°, который с  $PBr_3$  переводят в дибромид, т. пл. 95,5—96,5°, дающий при кипячении с 1 экв *N*-бромсукцинимидом в  $CCl_4$  трибромсоединение (II), т. пл. 105—105,5° (разл.). II при обработке избытком  $(CH_3)_3N$  при 50° дает две бисчетвертичные аммониевые соли, отличающиеся положением двойной связи в циклобутановом кольце; эти соли были разделены за счет различной растворимости в  $CH_2Cl_2$ : более растворимая соль, т. пл. 185—187° (разл.; из воды), менее растворимая соль, т. пл. 200—202° (разл.); дигидрат, т. пл. 228—230° (разл.). Обе соли после расщепления по Гофману при 120—140°/0,5 мм дают I, т. пл. 44—45° (после сублимирования при 40°/0,3 мм), который очень легко полимеризуется и может быть сохранен несколько дней только при 0° в атмосфере  $N_2$ . При озолизе I дает  $CH_2O$  над Pt (из  $PtO_2$ ) присоединяет одновременно 3 моля  $H_2$  и быстро реагирует с 2 молями  $Br_2$ , давая тетрабромид (III), т. пл. 118—119° (присоединение  $Br_2$  идет по метиленовым группам). Приведены УФ- и ИК-спектры I и III.

Л. Хейфиц

28681. Метилирование циклопентанов. Го, Жермен, Конья (Sur la méthylation des cyclopentanones. Gault François G., Germain Jean E., Conia Jean-Marie), Bull. Soc. chim. France, 1957, № 8—9, 1064—1069 (франц.)

При действии 2—2,2 моля  $(CH_3)_2SO_4$  и трет- $C_5H_{11}ONa$  на 1 моль циклопентанона (I) наряду с циклопентилдифенилциклопентаном с выходом 52—63% об-

разуется смесь, содержащая 32% I и 2-метилциклопентанона (II), 51% 2,2-диметилциклопентанона (III) и 17% 2,5-диметилциклопентанона (IV), 2,2,5-триметилциклопентанона (V) и 2,2,5,5-тетраметилциклопентанона (VI). Аналогично при действии 3,3 моля  $(\text{CH}_3)_2\text{SO}_4$  и *трет*- $\text{C}_5\text{H}_{11}\text{ONa}$  на 1 моль I или 1,5–2 молей  $(\text{CH}_3)_2\text{SO}_4$  и *трет*- $\text{C}_5\text{H}_{11}\text{ONa}$  на смесь диметилциклопентанона получена смесь, т. кип. 143–155°, разделить которую разгонкой не удалось. После обработки этой смеси  $\text{C}_6\text{H}_5\text{COCl}$  в присутствии *трет*- $\text{C}_5\text{H}_{11}\text{ONa}$  выделен VI (наряду с небольшим кол-вом бензоильных производных III–V), а при восстановлении по Хуан-Мишлоу образуется смесь, состоящая в основном из 1,1- и 1,3-диметилциклопентанов, а также из 1,1,3-триметилциклопентана (VII) и, по-видимому, 1,1,3,3-тетраметилциклопентана. Действием 2,2–3 молей  $(\text{CH}_3)_2\text{SO}_4$  и *трет*- $\text{C}_5\text{H}_{11}\text{ONa}$  на 1 моль 3-метилциклопентанона (VIII) получена с выходом 55–73% смесь, состоящая на 24% из 2,3,5-триметилциклопентанона, на 30% из 2,2,3-триметилциклопентанона и на 46% из 2,2,4-триметилциклопентанона. Восстановление этой смеси по Хуан-Мишлоу приводит в основном к VII и 1,1,2-триметилциклопентану. К смеси  $(\text{CH}_3)_2\text{SO}_4$  и I добавляют 2 н. р-р *трет*- $\text{C}_5\text{H}_{11}\text{ONa}$  в  $\text{C}_6\text{H}_6$ , промывают водой, разгоняют. Фракцию, т. кип. 135–148°, обрабатывают р-ром  $\text{NaHSO}_3$ , бисульфитное соединение отделяют, разлагают. Разгонкой выделяют I и II. Остаток, не вступивший в р-цию с  $\text{NaHSO}_3$ , обрабатывают  $\text{HCOOC}_2\text{H}_5$  в присутствии  $\text{CH}_3\text{ONa}$ , отделяют непрореагировавший кетон, оксиметиленовое производное разлагают кипячением с 5%-ным р-ром соды, выделяют III, т. кип. 143°,  $n_D^{20}$  1,4332. Из непрореагировавшего кетона через семикарбазон выделяют IV, т. кип. 149°,  $n_D^{20}$  1,4310. Аналогичным путем производят разделение смеси метилциклопентанов при метилировании VIII. Полученные результаты подтверждены данными газовой хроматографии.

В. Дашунин

**28682. Виниловые соединения в диеновом синтезе. 1. Взаимодействие некоторых простых виниловых эфиров с циклопентадиеном и гексахлорциклопентадиеном. Шостаковский М. Ф., Богданова А. В., Ушакова Т. М., Изв. АН СССР. Отд. хим. н., 1957, № 10, 1245–1249**

Изучено взаимодействие циклопентадиена (I) и гексахлорциклопентадиена (II) по Дильсу–Альдеру с винилбутиловым (III), винилфениловым (IV) и винилциклогексильным (V) эфирами. I с III (2:1) (14 час., 190–200°) дает 2-буктоксибицикло[2,1,2]гептен-5 (VI) (т. кип. 46–47°/2 мм,  $n_D^{20}$  1,4621,  $d_4^{20}$  0,9189) и 1,4,5,8-диэндометилен-2-буктокси-1,2,3,4,4а,5,8,8а-октагидронафталин, т. кип. 119–120°/3 мм,  $n_D^{20}$  1,4948,  $d_4^{20}$  0,9927. Аналогично из I и IV получают 2-феноксбицикло[2,1,2]гептен-5 (VII) (выход 70,1%, т. кип. 114–114,5°/5 мм,  $n_D^{20}$  1,5500,  $d_4^{20}$  1,0732) и 1,4,5,8-диэндометилен-2-фенокс-1,2,3,4,4а,5,8,8а-октагидронафталин, т. кип. 172–173°/4 мм; из I и V получают 2-циклогексоксибицикло[2,1,2]гептен-5 (выход 52,8%, т. кип. 105–107°/4 мм,  $n_D^{20}$  1,4882,  $d_4^{20}$  0,9759) и 1,4,5,8-диэндометилен-2-циклогексокси-1,2,3,4,4а,5,8,8а-октагидронафталин, выход 21%, т. кип. 111–112°/2 мм,  $n_D^{20}$  1,5070,  $d_4^{20}$  1,0122. Взаимодействием VI в II получен 1,4,5,8-диэндометилен-2-буктокси-5,6,7,8,9,9-гексахлор-1,2,3,4,4а,5,8,8а-октагидронафталин (выход 44%, т. кип. 198–198,5°/2 мм), а из VII с II — 1,4,5,8-диэндометилен-2-фенокс-5,6,7,8,9,9-гексахлор-1,2,3,4,4а,5,8,8а-октагидронафталин, выход 96,2%, т. кип. 225–227°/2 мм. При взаимодействии I и его димера с II получены соответственно 4,7-эндометилен-4,5,6,7,8,8-гексахлор-5,6-дигидроинден, т. пл. 153–154° (из  $\text{CH}_3\text{OH}$ ), и 1,4,5,8-диэндометилен-5,6,7,8,9,9-гексахлор-2,3-циклопентен-1,2,3,4,4а,5,8,8а-октагидронафталин, т. пл. 155,5–156,5° (из ацетона).

В. Бархаш

**28683. Восстановление нитропарафинов при алкилировании. I. Алкилирование солями триалкилоксония. Донарума (Reduction of nitroparaffins by alkylation. I. Alkylation with trialkyl oxonium salts. Donaruma L. Guy), J. Organ. Chem., 1957, 22, № 9, 1024–1029 (англ.)**

При алкилировании Na- и K-солей ациформ нитропарафинов оксониевыми солями происходит восстановление нитропарафинов до соответствующих оксимов; в качестве побочных продуктов образуются о-алкиловые эфиры оксимов. Взаимодействие 0,2 моля нитроциклогексана (I) в водн. р-ре NaOH с 0,2 моля  $(\text{C}_2\text{H}_5)_3\text{O}^+\text{BF}_4^-$  (II) при 50–60° приводит к оксиму циклогексанона (III) (выход 74%) и о-этиловому эфиру III (IV), выход 19%, т. кип. 60°/10 мм. Выход IV повышается с увеличением кол-ва II и избытка NaOH. При алкилировании Na-соли I с помощью  $(\text{C}_2\text{H}_5)_3\text{O}^+\text{FeCl}_4^-$  и  $(\text{C}_2\text{H}_5)_3\text{O}^+\text{AlCl}_4^-$  получают III (выход 17 и 7% соответственно) и IV, выход 10% в обоих случаях. Na- и K-соли I с  $(\text{CH}_3)_3\text{O}^+\text{BF}_4^-$  (V) дают III (выход 66 и 31% соответственно) и о-метилловый эфир III (VI), выход 13 и 21% соответственно. Строение VI подтверждено ИК-спектром и встречным синтезом из III и  $(\text{CH}_3)_2\text{SO}_4$  или из III и хлоргидрата метоксимирина. Обработка VI горячий конц.  $\text{H}_2\text{SO}_4$  приводит к ε-капролактamu, выход 68%. Аналогично взаимодействием Na-соли нитроциклопентана с II и V получают оксим циклопентанона (VII) (выходы 86 и 42% соответственно) и с незначительным выходом о-этилового и соответственно о-метилового эфира VII. Na-соль 2-нитропропана с II дает с выходом 20% оксим ацетона. II получен по Мейервейну из эпихлоргидрина (VIII) и  $(\text{C}_2\text{H}_5)_2\text{OBF}_4^-$  (J. prakt. Chem., 1940, 154, 83). Образующийся при этом борный эфир,  $[\text{C}_2\text{H}_5\text{OCH}_2\text{CH}(\text{CH}_2\text{Cl})\text{O}]_3\text{B}$ , действием  $\text{Na}_2\text{CO}_3$  переводился в 1-хлор-2-оксис-3-этоксипропан (т. кип. 73°/14 мм), который при

обработке NaOH дает эпителин  $\text{C}_2\text{H}_5\text{OCH}_2\text{CH}(\text{OCH}_2\text{C}_2\text{H}_5)$  (IX), используемый автором для получения II вместо VIII; выход II при применении IX 80%. Н. Кологринова

**28648. О «комплексоне-IV» и его аналогах. Яшунский В. Г., Щукина М. Н., Хим. наука в пром-сть, 1957, 2, № 5, 662–663**

Показано, что 1,2-диаминоциклогексан-N,N'-тетракусная к-та («комплексон-IV») (I) имеет транс-строение, а не цис-строение, как принималось ранее (Schwarzenbach G., Ackerman H., Helv. chim. acta, 1949, 32, 1682). Исходя из диметилфталата (II) с использованием р-ции Курциуса, синтезированы цис- и транс-1,2-диаминоциклогексаны (цис-III и транс-III). Гидрированием II над скелетным Ni приготовлены диметилловые эфиры цис- и транс-гексагидрофталевых к-т (цис-IV и транс-IV — эфиры, цис-V и транс-V — к-ты), которые при нагревании с гидразингидратом (VI) без р-рителя при 120–130° превращались в дигидразид транс-V (VII), т. пл. 229–231° (из воды); последний расщеплением по Курциусу превращен в транс-III, т. кип. 185–187° [дихлоргидрат (ДХГ), т. пл. 323–326° (разл.); диацетиловое производное, т. пл. 263–264°; дибензоильное производное (ДБП), т. пл. 340–343°; дибензолсульфонильное производное (ДБСП), т. пл. 153–155°, идентичный с транс-III, полученным восстановлением диоксима циклогександиона. Цис-IV с VI при ~20° в  $\text{CH}_3\text{OH}$  дает дигидразид цис-V, т. пл. 123–124,5°, который при нагревании выше т-ры плавления изомеризуется в VII, а при расщеплении по Курциусу дает цис-III, т. кип. 92–93°/18 мм, т. заст. ~20°; ДХГ, т. пл. 307–310°; дипикрат, т. пл. 260° (разл.); ДБП, т. пл. 186,5–187°; ДБСП, т. пл. 165–166°; гексагидроимидазолон (получен взаимодействием с  $\text{COCl}_2$ ), т. пл. 147–148°. Цис-III синтезирован также непосредственно из цис-V по р-ции Шмидта. При взаи-



действии *цис*-III с  $\text{ClCH}_2\text{COOH}$  ожидаемый I не образуется, а *транс*-III с  $\text{ClCH}_2\text{COOH}$  дает I. Для изучения влияния строения комплексонов на комплексообразующую способность (КС) конденсацией соответствующих ДХГ диаминов с  $\text{ClCH}_2\text{COOH}$  в присутствии щелочи синтезированы аналоги I — *транс*-1,2-диаминоциклопентан- $\text{N,N}'$ -тетрауксусная к-та (VIII) и *транс*-1,2-диаминоциклобутан- $\text{N,N}'$ -тетрауксусная к-та (IX). На основе данных потенциометрич. титрования рассчитаны константы диссоциации и константы устойчивости Са-комплексов I, VIII и IX и установлено, что I и VIII образуют прочные комплексы с Са, а IX обладает лишь слабой КС. Предполагается, что пространственное обилие в vicинальных аминогруппы в диамине и затруднение свободного вращения их относительно  $\text{C(} \alpha \text{)-C(} \beta \text{)}$  — связи способствует увеличению КС.

Л. Хейфиз

28685. Некоторые енолацетаты и енолафиры эфиров пировиноградной кислоты в реакции Дильса — Альдера. Моннен (Recherche sur quelques énolacétates et énoéthères d'esters pyruviques dans les réactions de Diels-Alder. Monnin J.), *Chimia*, 1957, 11, № 11, 337—338 (франц.)

Изучена диенофильность некоторых енолацетатов и енолаэфиров эфиров пировиноградной к-ты.  $\text{RCH}=\text{CR}'\text{COR}''$  (I) в р-ции Дильса — Альдера. Реакционная способность двойной связи I уменьшается при введении в  $\alpha$ -положение акриловой цепи ацетоксильной группы и удлинении  $\alpha$ -этиленовой  $\alpha$ -замещ. цепи. При взаимодействии I в автоклаве (160—170°, 5 час.) с 2,3-диметилбутадиеном (избыток 100%) в

присутствии гидрохинона получают  $\text{CH}_2\text{C}(\text{CH}_3)=\text{C}(\text{CH}_3)\text{CH}_2\text{CR}'\text{COR}''\text{CH}_2\text{CH}(\text{R})$  (II). Получены следующие II (перечисляются R, R', R'', выход в %, т. кип. в °C/мм):  $\text{H}$ ,  $\text{H}$ ,  $\text{OC}_2\text{H}_5$ , 94, 102/10;  $\text{H}$ ,  $\text{OCOCCH}_3$ ,  $\text{OC}_2\text{H}_5$ , 85, 90—91/0,1;  $\text{H}$ ,  $\text{OC}_2\text{H}_5$ ,  $\text{OC}_2\text{H}_5$ , 56, 120—122/10;  $\text{CH}_3$ ,  $\text{H}$ ,  $\text{OC}_2\text{H}_5$ , 75, 112/10;  $\text{CH}_3$ ,  $\text{OCOCCH}_3$ ,  $\text{OC}_2\text{H}_5$ , 29, 102—103/0,2;  $\text{CH}_3$ ,  $\text{OC}_2\text{H}_5$ ,  $\text{OC}_2\text{H}_5$ , 26, 123—125/10;  $\text{C}_6\text{H}_5$ ,  $\text{OCOCCH}_3$ ,  $\text{OC}_2\text{H}_5$ , 20, 152—158/0,4.

Т. Итальянская

28686. О гидроароматических окисях. Сообщение 2. Хопф, Гофман (Über hydroaromatische Epoxyde. 2. Mitteilung. Hopff H., Hoffmann H.), *Helv. Chim. acta*, 1957, 40, № 6, 1585—1594 (нем.)

Из 1,2,5,6-тетрагидробензонитрила (I) и метилового эфира 1,2,5,6-тетрагидробензойной к-ты (II) последовательной обработкой р-ром гипохлорита и р-ром NaOH получены соответственно 3,4-эпоксидциклогексаниитрил-1 (вероятно, смесь *цис*- и *транс*-изомеров, выход 3 г из 53,5 г I, т. кип. 111—124°/9 мм) и 3,4-эпоксид-1-ароматоксициклогексан, выход 23 г из 70 г II, т. кип. 103,5—104°/9 мм. 4-Фенилциклогексен-1 (III) при взаимодействии с безводн.  $\text{CH}_3\text{COOH}$  (20 мин. при 25° и 1 час. < 25°) дает 3,4-эпоксид-1-фенилциклогексан (выход 60%, т. кип. 99—101°/0,3 мм), который переведен в 4-фенилциклогександиол-1,2, т. пл. 127,5—128° (из водн.  $\text{C}_6\text{H}_5\text{OH}$ ). *Цис*-*цис*-*бис*-бутадиенхинон (*цис*-*цис*-IV), полученный описанным ранее способом (Alder K., Mein Y., Liebigs Ann. Chem., 1933, 501, 247), при окислении  $\text{CH}_3\text{COOH}$  дает диоксид (V) [выход 77,5% (неочищ.), т. пл. 183—186° (из ацетона и сп.)] и диоксид (VI), выход 2,1%, т. пл. 214—216° (из диоксана и *изо*- $\text{C}_6\text{H}_5\text{OH}$ ); *цис*-*транс*-IV в аналогичных условиях образует диоксид (VII) [выход 37%, т. пл. 177—179° (из ацетона и *изо*- $\text{C}_6\text{H}_5\text{OH}$ )], а *транс*-*транс*-IV — диоксид (VIII) [выход 46% (неочищ.), т. пл. 310—320° (из диоксана и *изо*- $\text{C}_6\text{H}_5\text{OH}$ )] и диоксид (IX), выход 11,5%, т. пл. 232—233° (из диоксана и сп.). VI при нагревании в метанольном р-ром NaOH превращается с выходом 10% в VIII, а V и VII в аналогичных условиях с выходом 75,4 и соответственно 94% переходят в IX, т. пл.

257—261° (из диоксана-*изо*- $\text{C}_6\text{H}_5\text{OH}$ ). *Цис*-*цис*-IV при окислении безводн.  $\text{CH}_3\text{COOH}$  при 35° под действием  $(\text{CH}_3\text{CO})_2\text{O}$ , содержащегося в  $\text{CH}_3\text{COOH}$ , частично превращается в *цис*-*транс*-IV и наряду с V образует VII. VII и IX при кипячении с водн. ацетоном в присутствии гидро-а  $\text{BF}_3$  превращаются в 2,3,6,7-тетраоксид-*транс*-*транс*-пергидроантрахион, т. пл. 318—320° (из формамида с ацетоном и водн. гликоля). Для получения III смесь 1 моля стирола, 1,67 моля  $\text{CH}_2=\text{CHCH}=\text{CH}_2$ , 100 мл  $\text{CH}_3\text{OH}$  и 5 г пикриновой к-ты нагревают 20 час. при 190°, выход III 37%, т. кип. 112—114°/10 мм, т. заст. —14°. Для получения *цис*-*транс*-IV к р-ру 60 г *цис*-*цис*-IV в 600 мл  $\text{CH}_3\text{OH}$  прибавляют за 10 мин. 6 мл конц.  $\text{H}_2\text{SO}_4$ , кипятят 1 час и выдерживают 20 час. при 20°, выход 93,4%, т. пл. 186—187° (из этилацетата). Сообщение I см. РЖХим, 1957, 60509.

С. Кустова

28687. Исследование некоторых симметричных и несимметричных этиленовых кетонов — производных суберона. Матту, Манка (Ricerche su alcuni chetoni etilenici simmetrici ed asimmetrici derivanti dal suberone. Mattu Flavio, Manca Maria Rosaria), *Ann. chimica*, 1956, 46, № 12, 1173—1182 (итал.)

Конденсацией 1 моля циклогептанона (I) с 1 молем  $n\text{-CH}_3\text{OC}_6\text{H}_4\text{CHO}$  (II) получена с выходом 85—88% смесь 2-(4'-метоксибензилиден)-циклогептанона (III) [т. пл. 78° (из сп.)]; семикарбазон (CK), т. пл. 199—200° (из сп.); тиосемикарбазон, т. пл. 187—190° (из сп.) и 2,7-ди-(4'-метоксибензилиден)-циклогептанона (IV), т. пл. 135°; соотношение III:IV = 7:5. Аналогично из I и 3,4-( $\text{CH}_3\text{O}$ ) $_2\text{C}_6\text{H}_3\text{CHO}$  (V) получена смесь 2-(3',4'-диметоксибензилиден)-циклогептанона (VI) [т. пл. 110°; CK, т. пл. 170—173° (из сп.)] и 2,7-ди-(3',4'-диметоксибензилиден)-циклогептанона (VII), т. пл. 165° (из сп. хлф.); соотношение VI:VII = 9:5. Конденсацией 1 моля I с 2 молями II получен IV с выходом 94%. Аналогично из 1 моля I и 2 молей V образуется VII с выходом 90%. Конденсацией III с V синтезирован 2-(3',4'-диметоксибензилиден)-7-(4'-метоксибензилиден)-циклогептанон (VIII), выход 91%, т. пл. 125—129° (из сп.), который образуется также при конденсации VI с II. III, IV, VI—VIII синтезируют следующими способами: а) соответствующий альдегид добавляют за 1 час к I в присутствии  $\text{CH}_3\text{ONa}$  и выдерживают 48 час.; б) смесь альдегида и I добавляют к 1—8%-ному (лучше 6,5%-ному) водн. KOH, выдерживают 24 часа, а затем еще 24 часа при 60—70°. III отделяют от IV фракционированной кристаллизацией из водн. спирта, а VI от VII — кристаллизацией из смеси  $\text{CHCl}_3$ -спирт (1:1). Приведены кривые УФ-спектров III, IV, VI—VIII.

В. Дашунин

28688. О нитрозосоединениях. VIII. Прямое окисмирование циклоалифатических углеводородов. Мюллер, Фрис, Мецгер (Über Nitrosoverbindungen. VIII. Direkte Oximierung cycloaliphatischer Kohlenwasserstoffe. Müller Eugen, Fries Dorla, Metzger Horst), *Chem. Ber.*, 1957, 90, № 7, 1188—1201 (нем.)

Показано, что нитрозирование циклогексана (I) и циклооктана (II) с помощью NO и  $\text{Cl}_2$  под влиянием УФ-света в присутствии HCl-газа приводит к образованию хлоргидрата оксима циклогексанона (III), и соответственно, хлоргидрата оксима циклооктанона (IV). В 300 мл I, насыщ. HCl-газом, при освещении светом Hg-лампы высокого давления 2,5 часа пропускают при 15° смесь  $\text{Cl}_2$  (0,40 л/час) и NO (2,4 л/час) (1:6) и одновременно HCl-газ с такой скоростью, чтобы смесь все время была насыщена им. Выделившийся маслообразный III обрабатывают 2 н. NaOH и получают оксим циклогексанона (V) (выход 49%, считая на пропущенный  $\text{Cl}_2$ ), а в органич. слое — 1-хлор-1-

нитрозоциклогексан (VI) (выход 0,25 г) и небольшие кол-ва моно- и дихлорциклогексана и циклогексилнитрата. В аналогичном опыте, но в отсутствие HCl-газа, образуется только смесь VI (0,85 г) и бис-(нитрозоциклогексана) (VII), выход 28%. При пропускании в I смеси  $\text{Cl}_2$  (0,75 л/час) и NO (1,5 л/час) (1:2) в отсутствие HCl-газа получают смесь 22,5% V и 42% VI. В присутствии HCl-газа в аналогичных условиях образуется 31% V и 30% VI, причем максим. выход V достигается при отношении  $\text{Cl}_2$ :NO = 3:1. В 300 мл II при освещении УФ-светом 2,5 часа пропускают при 16° смесь  $\text{Cl}_2$  (0,75 л/час) и NO (2,25 л/час) (в соотношении 1:3) и получают кристаллич. IV, выделенный в виде оксима циклооктанона (VIII), выход 87%, и 1-хлор-1-нитрозоциклооктан (IX), выход 0,25 г. При варьировании скорости пропускания смеси  $\text{Cl}_2$  и NO (1:3) в пределах 400—1000 мл  $\text{Cl}_2$  в час выход VIII сначала растет, а затем (после достижения известной границы, зависящей от применяемой Hg-лампы) падает, а выход IX медленно растет (от 0,17 до 0,38 г). В аналогичных условиях в присутствии HCl-газа выход IX лишь немного уменьшается, а выход VIII, получающегося значительно менее чистым (в маслообразном состоянии) вследствие частичного гидролиза, падает до 60%. При пропускании в II смеси  $\text{Cl}_2$  (0,17 л/час) и NO (1,4 л/час) (1:8) в отсутствие HCl-газа образуется 63% VIII, а также 0,25 г IX, а в присутствии HCl-газа в аналогичных условиях 77% VIII и лишь 0,075 г IX. Это объясняется тем, что при малой концентрации  $\text{Cl}_2$  бис-(нитрозоциклооктан) (X), получающийся наряду с VIII, не весь превращается в VIII, а при пропускании HCl-газа такой переход происходит нацело. Наличие X в реакционной смеси, не подвергшейся действию HCl-газа, доказано ИК-спектром и другими методами. Предложен механизм окисмивания, согласно которому облучение УФ-светом вначале приводит к возникновению возбужденных Cl-атомов, реагирующих с I или II с образованием свободных радикалов, дающих затем с мономерной формой NO мо-нитрозо-соединения. Последние либо превращаются в VII или X, либо под влиянием УФ-света и повышенной концентрации HCl (что достигается насыщением реакционной смеси HCl-газом или увеличением скорости пропускания  $\text{Cl}_2$ ) изомеризуются в V или соответственно в VIII, которые с избытком HCl дают нерастворимые III или IV или с избытком  $\text{Cl}_2$  VI или IX. Большие выходы V и смеси V и VI при пропускании HCl-газа по сравнению с выходами VII и смеси VI и VII в его отсутствие объясняются взаимодействием атомарного Cl и HCl, приводящим к регенерации Cl-атомов и, следовательно, к увеличению продолжительности их существования, а лучшие выходы IV (по сравнению с III) — большей реакционной способностью II, меньшей растворимостью IV и большей легкостью перегруппировки X в VIII. В р-р 1,00 г VII в 300 мл I при освещении УФ-светом 1 час пропускают сухой HCl-газ, экстрагируют водой и 2 н. NaOH и получают V, выход 90%. Аналогично из 1,25 г X в 300 мл II получают VIII, выход 91%. Сообщение VII см. РЖХим, 1958, 14324.

В. Андреев  
28689. Производные бицикло-[3,1,0]-гексана. I. Синтез бицикло-[3,1,0]-гексана-2 и метилового эфира бицикло-[3,1,0]-гексанкарбоновой-1 кислоты. Нелсон, Мортимер (Bicyclo[3.1.0]hexane derivatives. I. Synthesis of bicyclo[3.1.0]-2-hexanone and methyl bicyclo[3.1.0]hexane-1-carboxylate. Nelson Norman A., Mortimer George A.), J. Organ. Chem., 1957, 22, № 10, 1146—1153 (англ.).

Описан синтез новых соединений туйановой структуры — бицикло-[3,1,0]-гексана-2 (I) и метилового эфира бицикло-[3,1,0]-гексанкарбоновой-1 к-ты (II). При перемешивании и кипячении (2,5 часа) смеси 3,8 г 4-то-

зилоксициклогексана (III), 0,36 г NaNH, 50 мл безводн. диоксана и 1 капля абс. спирта получают I (выход 64%, т. кип. 69,20 мм,  $n_D^{20}$  1,4747; 2,4-динитрофенилгидразон (ДНФГ) (IV), т. пл. 175,5—176,1° (из баз.), строение которого подтверждено ИК-спектром и УФ-спектром IV. Р-ция III с эквивалентным кол-вом  $(\text{C}_6\text{H}_5)_3\text{CNa}$  (вместо NaNH) в кипящем диоксане привела к I с выходом 57% (в кипящем  $\text{C}_6\text{H}_6$  выход I 42%, а в кипящем эфире III возвращался неизменным). При применении трет- $\text{C}_4\text{H}_9\text{OK}$  в трет- $\text{C}_4\text{H}_9\text{OH}$  (кипятит 2,5 часа) выделить I не удается, так как он образует с трет- $\text{C}_4\text{H}_9\text{OH}$  постоянно кипящую смесь (IV получается из этой смеси с выходом 87%). С целью синтеза сабинакетона осуществлена попытка получения промежуточного в-ва — 4-хлор-4-изопропилциклогексана (V) путем присоединения HCl к 4-изопропилциклогексен-3-ону (VI); при этом, однако, образовалась смесь исходного VI и 4-изопропилциклогексен-2-она (VII). При барботировании HCl (газа) в эфирный р-р этилената VI (VIII) при 0° образуется этиленкеталь V (IX) [выход 78%, т. кип. 90—90,5°/0,73 мм,  $n_D^{25}$  1,4813; при 45° дает ДНФГ VII (X), т. пл. 132—132,4°, из которого получить V не удалось, так как образовывалась либо смесь VI и VII, либо возвращался неизменный IX. Поскольку в V Cl-атом, имеющий меньший объем, чем изопропил, находится преимущественно в невыгодном для образования трехчленного кольца А-положении, то интересно было получить соединение со способным к внутримолекулярному обмену заместителем, находящимся в благоприятном для образования трехчленного кольца Э-положении. Для этого синтезировано модельное соединение — йодметилат 4-диметиламиноциклогексана (XI), при кипячении которого с трет- $\text{C}_4\text{H}_9\text{OK}$  в трет- $\text{C}_4\text{H}_9\text{OH}$  и последующем действии 2,4-динитрофенилгидразина получен IV, выход 42%. Пиролиз основания, приготовленного из XI, привел к полимерным продуктам. При гидрировании метилового эфира м-оксибензойной к-ты над скелетным Ni (180°, ~115 ат) получен метиловый эфир *цис*-3-оксициклогексанкарбоновой к-ты (выход 71%, т. кип. 103—110°/1—2 мм), превращенный затем в метиловый эфир *цис*-3-(*n*-бромбензолсульфилокси)-циклогексанкарбоновой к-ты [выход 71%, т. пл. 89,5—90,0° (из баз.-пентана)], который при кипячении (25 мин.) с трет- $\text{C}_4\text{H}_9\text{OH}$  в трет- $\text{C}_4\text{H}_9\text{OH}$  дал II, выход 83%, т. кип. 79°/22 мм,  $n_D^{25}$  1,4615; амид (XII) (получен нагреванием 4 дня при 100° II и насыщ. р-ра  $\text{NH}_3$ -газа в  $\text{CH}_3\text{OH}$  в запаянной трубке), выход 66%, т. пл. 164—162° (из циклогексана-баз.). С целью попытки синтеза других производных туйана метиловый эфир циклогексен-3-карбоновой к-ты [приготовлен диеновой конденсацией бутадиена с метилакрилатом, выход 91%, т. кип. 80°/20 мм,  $n_D^{25}$  1,4589; амид, выход 78%, т. пл. 155,5—156,5° (из циклогексана-баз.)] окислением  $\text{CH}_3\text{COOH}$  в  $\text{CH}_2\text{Cl}_2$  превращен в метиловый эфир 3,4-оксидциклогексанкарбоновой к-ты (XIII), выход 77%, т. кип. 109,5—110,5°/17 мм,  $n_D^{25}$  1,4625. Однако при кипячении (1 час) XIII с трет- $\text{C}_4\text{H}_9\text{OK}$  в трет- $\text{C}_4\text{H}_9\text{OH}$  ожидаемой перегруппировки с замыканием трехчленного цикла не наблюдалось, а происходила перегруппировка, приводящая к трет-бутиловому эфиру 3,4-оксидциклогексанкарбоновой к-ты (XIV) (выход 71%, т. кип. 80,5—81,5°/1,4 мм,  $n_D^{25}$  1,4525), а при более длительном кипячении (8,5 часа) наряду с XIV (44%) выделен трет-бутиловый эфир (3,4)-метокси-4(3)-оксициклогексанкарбоновой к-ты (XV), выход 22%, т. кип. 74°/0,03 мм,  $n_D^{25}$  1,4575. Предложен анионотропный механизм образования I и II. Гидрируют гидрохинон над скелетным Ni (140°, ~115 ат), получают смесь *цис*- и *транс*-циклогександиолов-1,4 (выход 96%), превращенную затем в смесь *цис*- и *транс*-4-тозилокси-



циклогексанолов (выход 82%), окисление которой  $\text{CrO}_3$  в водно-ацетоновом р-ре  $\text{CH}_3\text{COOH}$  при  $t$ -ре  $< 20^\circ$  привело к III, выход 54%, т. пл. 97,2—97,8° (из эф. гексана); ДНФГ (XVI), т. пл. 150,4—150,6° (из сп. хлф.); семикарбазон (XVII), т. пл. 140,3—140,7° (разл.; из сп.). К 20 г 4-изопропиланизола в 50 мл абс. эфира при перемешивании прибавляют 500 мл жидкого  $\text{NH}_3$ , затем за 5 мин. 5,1 г Li и через 10 мин. 55 мл абс. спирта (за 3 мин.). После исчезновения синего окрашивания прибавляют еще 2,7 г Li и 30 мл абс. спирта и получают 2,5-дигидро-4-изопропиланизол (XVIII), выход 86%, т. кип. 98—99°/21 мм,  $n_D^{25}$  1,4748; дает ДНФГ VI (XIX), т. пл. 114,2—117°. Смесь 1,0 г  $(\text{COOH})_2$ , 40 мл воды, 90 мл ацетона, 50 мл  $\text{CH}_3\text{OH}$  и 10,0 г XVIII перемешивают 75 мин. при  $\sim 20^\circ$ , разбавляют водой, экстрагируют и получают VI, выход 90%, т. кип. 73—75°/9 мм. Смесь 300 мл  $\text{C}_6\text{H}_6$ , 36,7 г XVIII, 38,1 г этиленгликоля и 0,5 г  $n\text{-CH}_3\text{C}_6\text{H}_4\text{SO}_3\text{H}$  осторожно кипятят 2,5 часа, отгоняя  $\text{CH}_3\text{OH}$  и получают VIII, выход 71%, т. кип. 115—115,5°/18 мм,  $n_D^{25}$  1,4733; ДНФГ, т. пл. 110—111°. Ацетилированием  $n$ -аминофенола получают  $n$ -ацетамидофенол (выход 76%, т. пл. 168—170°), гидрирование которого над скелетным Ni (180°,  $\sim 130$  ат) привело к смеси *цис*- и *транс*-4-ацетамидоциклогексанолов (выход  $\sim 100\%$ ), при омылении водн. р-ром KOH и обработке HCOOH и HCHO давшей смесь *цис*- и *транс*-4-диметиламиноциклогексанолов (XX), выход 41%, т. кип. 121—123°/14 мм. При гидрировании  $n$ -диметиламинофенола над скелетным Ni XX образуется с выходом 19%. К перемешиваемой смеси 40,0 г XX, 165 мл воды и 43 мл конц.  $\text{H}_2\text{SO}_4$  при  $t$ -ре  $< 35^\circ$  прибавляют 32,2 г  $\text{K}_2\text{Cr}_2\text{O}_7$  и получают 4-диметиламиноциклогексанол, выход 12,2 г, т. кип. 95°/12 мм,  $n_D^{25}$  1,4706 (быстро темнеет на воздухе); ДНФГ (XXI), т. пл. 117,5—118° (из  $\text{CH}_3\text{OH}$ ); соль с  $n\text{-CH}_3\text{C}_6\text{H}_4\text{SO}_3\text{H}$ , т. пл. 114,2—115,6° (из этилацетата); XI, т. пл. 274° (из абс. сп.). Приведены УФ-спектры IV, IX, X, XVI—XIX и XXI и ИК-спектры I, II, VI, смеси VI и VII, XII, XIV и XV.

В. Андреев  
28690. Синтез 2,5-диметилдекалиндина-1,6. Бхаттачария, Банерджи (Synthesis of 2,5-dimethyl-decaline-1, 6-dione. Bhattacharyya Bidyut Kamal, Banerjee Amalendu), Sci. and Culture, 1957, 23, № 2, 107 (англ.)

Метилловый эфир  $\beta$ -(2-кето-3-метил-6-этилцианоацетатциклогексил)-пропионовый к-ты, т. кип. 180—185°/1 мм, при метилировании дает метилловый эфир  $\beta$ -(2-кето-3-метил-6-этилметилцианоацетатциклогексил)-пропионовый к-ты (I), т. кип. 185—190°/1 мм. I гидролизом превращен в соответствующую дикислоту (II), пиролизом которой получен 2,5-диметилдекалиндина-1,6 (III), т. кип. 80—85°/0,4 мм; моносемикарбазон, т. пл. 226—227° (разл.); моно-2,4-дигидрофенилгидразон, т. пл. 210—212° (разл.); бис-2,4-диметилдекалиндина-1,6, т. пл. 144—145°, который при этерификации дает метилловый эфир  $\beta$ -(2-кето-3-метил-6-метил- $\alpha$ -пропионатциклогексил)-пропионовый к-ты (IV), т. кип. 160—165°/1 мм. IV при циклизации и последующем гидролизе дает III с лучшим выходом. III восстановлением над  $\text{LiAlH}_4$  превращен в 2,5-диметилдекалиндина-1,6, т. пл. 144—145°, который при дегидратации и дегидрировании дает 1,6-диметилнафталин; пикрат, т. пл. 113°.

И. Цветкова  
28691. Исследование в области стереохимии циклических соединений. Сообщение 18. Синтез *транс*-*син*-*цис*-декалин 1,2-дикарбоновой кислоты. Назаров И. Н., Кучеров В. Ф., Андреев В. М., Изв. АН СССР, Отд. хим. н., 1957, № 4, 471—478

Описан синтез седьмого изомера деакиндикарбоновой-1,2 к-ты в дополнение к шести изомерам, полученным ранее (РЖХим, 1956, 39514). Окислением 7 г ан-

гидрида *син*-*цис*- $\Delta^4$ -окталиндикарбоновой-1,2 к-ты надуксусной к-той в  $\text{CHCl}_3$  получают смесь, из которой выделяют 4,2 г ангидрида 4,10-оксидекалиндикарбоновой-1,2 к-ты (I), т. пл. 161—162° (из бэл.). Остаток после выделения I омыляют 5%-ным р-ром NaOH и подкисляют. Выпадает  $\gamma$ -лактон *транс*-*син*-*цис*-4,10-диоксидекалиндикарбоновой-1,2 к-ты (II) (2,3 г), т. пл. 224—225° (из ацетона), образующийся также при омылении I 5%-ным р-ром NaOH и последующим кипячением (3 часа) с 10%-ной  $\text{H}_2\text{SO}_4$ . Строение метилового эфира II (III), т. пл. 113—114° (из бэл.), подтверждено ИК-спектром. Ацетат III имеет т. пл. 107—108° (из эф.). 9,7 г II окисляют  $\text{CrO}_3$  в  $\text{CH}_3\text{COOH}$  при 50° до  $\gamma$ -лактона *транс*-*цис*-*цис*-10-оксидекалон-4-дикарбоновой-1,2 к-ты (IV) (7,1 г), т. пл. 252—253° (разл.; из 80%-ного ацетона); метилловый эфир IV (V), т. пл. 114—115° (из бэл.-эф., 1:3). При восстановлении по Клемменсену 6,6 г IV или 0,75 г V происходит не только восстановление CO-группы при  $\text{C}_4$ , но и гидрогенолиз лактонного кольца с образованием 2-монометилового эфира (VI) *транс*-*син*-*цис*-декалиндикарбоновой-1,2 к-ты (VII), выход соответственно 3,2 и 0,45 г, т. пл. 143—144° (из эф.), омыление которого приводит к седьмому изомеру VII с т. пл. 175—176° (разл.; из 30%-ного ацетона). В случае II или при отсутствии кетогруппы у  $\text{C}_4$  подобный гидрогенолиз не наблюдается. Строение VII подтверждено следующими превращениями. Ангидрид VI, т. пл. 45—46° (из эф.-петр. эф., 1:1), при кипячении с абс.  $\text{CH}_3\text{OH}$  дает VI, а при нагревании при 250° (1 час в токе  $\text{N}_2$ ), изомеризуется в ангидрид известной *транс*-*анти*-*цис*-декалиндикарбоновой-1,2 к-ты с т. пл. 127—128° (из бэл.-петр. эф.). Омыление диметилового эфира VII, т. кип. 149—150°/5 мм,  $n_D^{20}$  1,4823,  $d_4^{20}$  1,041, с помощью 1 моля KOH приводит к 1-монометилловому эфиру VII (VIII), т. пл. 106—107° (из эф.-петр. эф., 1:3). Изомеризацией VIII кипячением в р-ре  $\text{CH}_3\text{ONa}$  в абс.  $\text{CH}_3\text{OH}$  в течение 15 час. и последующим омылением получают известную *транс*-*анти*-*транс*-декалиндикарбоновую-1,2 к-ту с т. пл. 200° (из 30%-ного ацетона). Сделано предположение, что неизвестный еще восьмой изомер, *транс*-*син*-*транс*-декалиндикарбоновой-1,2 к-та, вероятно неустойчив, так как обе COOH-группы в нем должны иметь аксиальное положение, а ангидрид его может существовать только при ваннообразной конфигурации кольца В. Сообщение 17 см. РЖХим, 1957, 68784.

Г. Сегаль  
28692. Производные 1,3- и 1,4-ди-стильбенбензола и других сложных триарилэтиленов. Бью Хо Й, Лок, Сыэнг (Derivatives of 1:3- and 1:4-di- $\alpha$ -stilbenylbenzene and other complex triarylethylenes. Buu-Hoi Ng. Ph., Loc T. B., Xuong Ng. D.), J. Chem. Soc., 1957, Sept., 3964—3967 (англ.)

С целью изучения эстрогенной активности соединений, содержащих трифенилэтиленовые группировки, синтезированы  $m$ -(I) и  $n$ -(II) ди- $\alpha$ -стильбенбензол, 4-метокси- $\alpha$ -(4- $m$ -терфенил)-стильбен (III) и их галлодозамещ., а также  $n\text{-C}_6\text{H}_4\text{OC}_6\text{H}_4\text{CH}(\text{C}_2\text{H}_5)\text{CH}(\text{C}_2\text{H}_5)\text{-C}_6\text{H}_4\text{OC}_6\text{H}_5$  (IV). К р-ру 17,8 г  $\text{C}_6\text{H}_5\text{CH}_2\text{MgCl}$  (V) в 100 мл абс. эфира постепенно прибавляют эфирный р-р  $m$ -дibenзоилбензола (VI), кипятят 30 мин. и выделяют неочищ. диол, который кипятят 5 мин. с 5 ч. HCOOH, получают I, выход 5 г, т. кип. 257—259°/0,6 мм, т. пл. 57° (из  $\text{CH}_3\text{OH}$ ). К р-ру 1 г I в 40 мл  $\text{CH}_3\text{COOH}$  прибавляют 0,7 г брома в  $\text{CH}_3\text{COOH}$ , нагревают 15 мин. при  $\sim 95^\circ$  и выделяют 0,7 г  $m$ -ди-( $\beta$ -бром- $\alpha$ -стильбенил)-бензола, т. пл. 84° (из петр. эф.). VI превращают по р-ции Кижнера в  $m$ -дibenзоилбензол, т. кип. 223—224°/13 мм,  $n_D^{20}$  1,8038. Из 29 г V и 14 г  $m$ -дibenзоилбензола в условиях, описанных для I, получают 7 г II, т. кип. 280—281°/0,9 мм, т. пл. 74° (из си.). II при бромировании дает  $n$ -ди-( $\beta$ -бром- $\alpha$ -стильбенил)-бензол,

т. пл. 206° (из  $\text{CH}_3\text{COOH}$ ). К р-ру 20 г  $n\text{-ClCOC}_6\text{H}_4\text{COC}_6\text{H}_4\text{Cl}$  и 22 г анизола в 150 мл  $\text{CS}_2$  прибавляют 26 г  $\text{AlCl}_3$ , оставляют на 24 часа при  $\sim 20^\circ$ , разлагают водой и выделяют  $n$ -ди- $n'$ -анизоилбензол (VII), выход 10 г, т. пл. 239° (из  $\text{C}_6\text{H}_5\text{Cl}_2$ ). Из 9 г VII и 15 г V получают 5 г  $n$ -ди-(4-метокси- $\alpha$ -стильбензил)-бензола (VIII), т. кип. 312°/0,2 мм, т. пл. 129° (из  $\text{CH}_3\text{OH}$ ). VIII при бромировании дает  $n$ -ди-( $\beta$ -бром-4-метокси- $\alpha$ -стильбензил)-бензол, т. пл. 224° (из  $\text{CH}_3\text{COOH}$ ), а при хлорировании в  $\text{CHCl}_3$  —  $n$ -ди( $\beta$ -хлор-4-метокси- $\alpha$ -стильбензил)-бензол, т. пл. 178° (из  $\text{CH}_3\text{COOH}$ ). К р-ру 7 г V в 80 мл эфира прибавляют 7 г 4- $n'$ -анизоил- $m$ -терфенила, получают III, выход 5 г т. кип. 287—289°/0,6 мм, т. пл. 77° (из сп.).  $\beta$ -бром-4-метокси- $\alpha$ -(4- $m$ -терфенил)-стильбен, т. пл. 119° (из сп.). Р-р 5 г  $n\text{-CH}_3\text{CH}=\text{CHC}_6\text{H}_4\text{OC}_6\text{H}_5$  в литроне насыщают при  $\sim 0^\circ$   $\text{HCl}$  (газом) и полученный р-р  $n\text{-CH}_3\text{CH}_2\text{CHClC}_6\text{H}_4\text{OC}_6\text{H}_5$  прибавляют к 10 г Fe-порошка в воде при 98°, кипятят 15 мин. и выделяют 0,5 г IV, т. пл. 142° (из сп.). П. Аронович

**28693. Синтез и фунгистатическая активность некоторых производных пентахлорфенола.** Суворов Н. Н., Першин Г. Н., Овчинникова Ж. Д., Милованова С. Н., Микерина А. Л., Ж. общ. химии, 1957, 27, № 7, 1945—1948

С целью изучения зависимости фунгистатич. активности от строения производных пентахлорфенола (I) получены соединения общей ф-лы  $\text{C}_6\text{Cl}_5\text{OR}$  (II). 0,01 моля I, 0,011 моля  $\text{HCOCl}$  и 10 мл пиридина нагревают при 95° 1 час. Таким образом получены II [приведены ацил, т. пл. II в °C (из  $\text{CH}_3\text{OH}$ ): ацетил, 186—187; пропониол, 79—79,5; бутирил, 75—76; валерил, 57; пивалил, 105,5—106; изовалерил, 82—82,5; капроил, 57—57,4; энантил, 47—47,2; каприл, 49,7—50; пеларгонил, 57,5—57,7; стеарил, 81,5 (из этилацетата); бензоил, 162,5—163,5; фенилацетил, 103—103,3. Кипятят 2,5 часа р-р I в  $\text{KOH}$ , 2,66 г I и 1,61 г  $\text{ClCH}_2\text{CH}_2\text{OH}$  в 10 мл бутанола, получают II,  $\text{R} = \text{CH}_2\text{CH}_2\text{OH}$ , выход 0,6 г, т. пл. 91—92° (из сп.). Аналогично из  $\text{ClCH}_2\text{CH}(\text{OH})\text{CH}_2\text{OH}$  в воде получают II,  $\text{R} = \text{CH}_2\text{CH}(\text{OH})\text{CH}_2\text{OH}$ , т. пл. 109,5—110,5° (из  $\text{C}_2\text{H}_5\text{Cl}_2$ , сп.), 2,66 г I, 0,65 г  $\text{KOH}$  и 1 мл  $\text{ClCH}_2\text{COCH}_3$  в 10 мл спирта оставляют на 4 часа при 20°, нагревают 4 час и выливают в разб. р-р соды, получают II,  $\text{R} = \text{CH}_2\text{COCH}_3$ , выход 0,73 г, т. пл. 106,5—106,7° (из  $\text{CH}_3\text{OH}$ ); тиосемикарбазон, т. пл. 125—125,5° (из сп.). Аналогично получают II,  $\text{R} = n\text{-CH}_2\text{OC}_6\text{H}_4\text{COCH}_3$ , т. пл. 148,5—149,5° (из сп.); II,  $\text{R} = \text{CH}(\text{C}_2\text{H}_5)\text{COOCH}_3$ , т. пл. 69,5—70° (из  $\text{CH}_3\text{OH}$ ), и  $\text{Cl}_3\text{C}_6\text{OCH}_2\text{CH}_2\text{OC}_6\text{Cl}_3$ , т. пл. 223—223,3° (из этилацетата). В. Беликов

**28694. Кислородные радикалы. VII. 2-трет-бутоксиг-4,6-ди-трет-бутилфенокси-1.** Лей, Мюллер, Шлекте (Über Sauerstoffradikale, VII. Das 2-tert-Butyloxy-4,6-di-tert-butylphenoxyl-(1). Ley Kurt, Müller Eugen, Schlechte Georg), Chem. Ber., 1957, 90, № 8, 1530—1536 (нем.)

При действии изобутилена (I) в присутствии  $\text{H}_2\text{SO}_4$  на 2,6-ди-трет-бутилгидрохинон (II), 4,6-ди-трет-бутилпрокатехин (III) или 4,6-ди-трет-бутилпрогаллол (IV) соответственно получены 4-трет-бутоксиг-2,6-ди-трет-бутилфенол (V), 2-трет-бутоксиг-4,6-ди-трет-бутилфенол (VI) и 2-трет-бутоксиг-4,6-ди-трет-бутилрезорцин (VII). При окислении VI получен свободный радикал (VIII), легко образующий димер. Для VIII сняты ИК-спектры (в  $\text{CCl}_4$  и в пленке  $\text{KBr}$ ), определена магнитная восприимчивость. Р-р 3,4 г II в 250 мл петр. эфира добавляли к 20 мл сжиженного I, приливали 2 капли конц.  $\text{H}_2\text{SO}_4$  и медленно нагревали до  $\sim 20^\circ$ . Пропускали 3 часа ток I и получили 72% V, т. пл. 99—100° (из  $\text{CH}_3\text{OH}$ ). Аналогично из I и III синтезированы VI, выход 80%, т. пл. 46—48° (из  $\text{CH}_3\text{OH}$ ); из I и IV получено 83,5% VII, т. пл. 97—98° (из  $\text{CH}_3\text{OH}$ ). К кипящему р-ру 0,55 г VI в 10 мл лед.  $\text{CH}_3\text{COOH}$  при-

бавили 3 мл конц.  $\text{HNO}_3$ , через 0,5 мин. вылили в воду и выделили 68,5% 4,6-ди-трет-бутилбензохинона, т. пл. 112—113° (из  $\text{CH}_3\text{OH}$ ). К р-ру 1 г VI в 50 мл  $\text{C}_6\text{H}_6$  в токе  $\text{N}_2$  добавляют 5 г  $\text{K}_3\text{Fe}(\text{CN})_6$  и 50 мл свободного  $\text{O}_2$  2 н.  $\text{KOH}$ , встряхивают 10 мин., промывают лишней  $\text{O}_2$  водой, бензольный слой передавливают азотом в другую колбу и в вакууме при  $-80^\circ$  удаляют р-ритель. Полученное в-во, т. пл. 92—99°, содержит 95—100% VIII. Сообщение VI см. РЖХим, 1957, 7902.

**28695. Дегидрирование фенолов. VII. Дегидрирование хавиколо в магнолол.** Эрдтман, Рунберг (Phenol dehydrogenations. VII. Dehydrogenation of chavicol to magnolol. Erdtman H., Runeberg J.), Acta chem. scand., 1957, 11, № 6, 1060—1061 (англ.)

10 г хавиколо в 40 мл спирта прибавляют за 4 часа к р-ру 28 г  $\text{FeCl}_3$  в 2,5 л дистил. воды, через который барботируют воздух. Барботирование продолжают еще 48 час., извлекают эфиром и 2 н.  $\text{NaOH}$  извлекают магнолол (I), выход 25%, т. кип. 175—177°/0,8 мм, т. пл. 101—101,5°; фенилуретан, т. пл. 143,5—144,5° (из сп.). Нагревание 2 г фенилуретана I при 200° в высоком вакууме дает 0,87 г I. Нагревание I (20 час, 140°) с р-ром  $\text{KOH}$  в амилловом спирте дает изомагнолол, т. пл. 142—143° (из лигр.). Сообщение VI см. Svensk Kem. Tidskr., 1935, 47, 223. Д. Витковский

**28696. О методе получения *виц*-гемеллитоло, пени-тола, дуrola и изодуrola.** Лежён, Бью Хой, С. Шётен (Sur une méthode de préparation du vic-hémelliténol, du préhniténol, du durénol et de l'isodurénol. Lejeune Guy, Bui-Hoi N. P., Sy Michel, Cheutin André, M-lle), Bull. Soc. chim. France, 1957, № 8-9, 1073—1077 (франц.)

Найденный ранее (см. РЖХим, 1956, 25615) метод метилирования эфиров фенолов использован для синтеза 2,3,4-триметилфенола (I), 2,3,4,5-тетраметилфенола (II), 2,3,5,6-тетраметилфенола (III) и 2,3,4,6-тетраметилфенола (IV). Метилловый эфир 2,3-диметилфенола действием диметилформамида и  $\text{POCl}_3$  превращали в 4-метокси-2,3-диметилбензальдегид (V), выход  $> 70\%$ , т. пл. 64° (из сп.); семикарбазон V, т. пл. 267°; тиосемикарбазон V, т. пл. 248°. V восстанавливали по описанному методу (Minlon H., J. Amer. Chem. Soc., 1946, 68, 2478) в метилловый эфир I ( $n_D^{20}$  1,5228), который действием хлоргидрата пиридина превращали в I, т. пл. 81 и 69° (диморфен); фенилуретан I, т. пл. 132°. Бромированием I в р-ре  $\text{CH}_3\text{COOH}$  получали 6-бром-2,3,4-триметилфенол, т. пл. 110—111° (из сп.). Конденсацией I с  $\text{ClCH}_2\text{COOH}$  получали 2,3,4-триметилфеноксиуксусную к-ту, т. пл. 183°. Авторы отмечают, в подтверждение ранее установленного правила (см. РЖХим, 1956, 35842), что обычный метод формилирования (по Гаттерману) не пригоден для получения метаформилзамещ. по отношению к двум  $\text{CH}_3$ -группам. Найдено, что V реагирует с  $\text{C}_6\text{H}_5\text{CH}_2\text{CN}$  в 20%-ном водн. р-ре  $\text{Na}_2\text{CO}_3$ , давая  $\alpha$ -фенил- $\beta$ -(4-метокси-2,3-диметилфенил)-акрилонитрил, т. пл. 132° (из сп.). Из 3,5-диметилфенола (VI) двукратным формилированием и восстановлением по аналогичному методу получали II; фенилуретан II, т. пл. 151°; 6-бромпроизводное, т. пл. 105°; 2,3,4,5-тетраметилфеноксиуксусная к-та, т. пл. 175° (из сп.). 6-метокси-2,3,4-триметилбензальдегид реагирует с  $\text{C}_6\text{H}_5\text{CH}_2\text{CN}$ , давая  $\alpha$ -фенил- $\beta$ -(6-метокси-2,3,4-триметилфенил)-акрилонитрил (VII), т. пл. 142° (из сп.-бзл.). При нагревании (30 мин.) 1 ч. VII с 5 ч.  $\text{C}_6\text{H}_5\text{N} \cdot \text{HCl}$  получали 3-фенил-5,6,7-триметилкумарин, т. пл. 161° (из сп.-бзл.). При формилировании 2,3,5-триметилфенола гексаметиленкетраминном в присутствии глицирина и борной к-ты (см. Duff, J. Chem. Soc., 1941, 547) получается 2-окси-3,5,6-триметилбензальдегид (VIII), т. пл.



400—107° (из эф.); семикарбазон VIII, т. пл. 274°. VIII, способом описанным для I, превращали в III, т. пл. 146°; 5-бромпроизводное, т. пл. 183°. Прибавлением 2 мл пиридина к смеси 1,5 г VIII и 1,2 г ацетоксиусного эфира получали 3-ацетил-5,7,8-триметилкумарин, т. пл. 173—174° (из бал.-сп.). Синтез IV осуществляли формилированием 2,4,5-триметилфенола (IX) в условиях, описанных для синтеза III, и восстановлением формилпроизводного в обычных условиях. Формилирование IX по Гаттерману идет с плохим выходом. При нагревании VI с фталевым ангидридом и  $ZnCl_2$  (3 часа, 210—220°) образуется 1,3,6,8-тетраметилфлуорен, т. пл. 271° (из сп.). Аналогично из 3,4,5-триметилфенола образуется 1,2,3,6,7,8-гексаметилфлуорен, т. пл. 240° (из бал.-сп.). В. Антонов

28697. Конденсация ацетата бензальдегида с винилэфиром. Михайлов Б. М., Поваров Л. С., Изв. АН СССР. Отд. хим., 1957, № 10, 1239—1244

Конденсацией  $C_6H_5CH(OC_2H_5)_2$  (I) с  $CH_2=CHOC_2H_5$  (II) в присутствии  $BF_3 \cdot O(C_2H_5)_2$  (III) синтезировали  $C_6H_5CH(OC_2H_5)CH_2CH(OC_2H_5)_2$  (IV). Действием II на IV получают  $C_6H_5CH(OC_2H_5)CH_2CH(OC_2H_5)_2$  (V). IV и V ( $n=2$ ) превращены при омылении в  $C_6H_5CH(OC_2H_5)CH_2CHO$  (VI) и в  $C_6H_5CH(OC_2H_5)CH_2CH(OC_2H_5)CHO$  (VII). Предположен следующий механизм реакции I с II:  $I + BF_3 \rightarrow BF_3 \cdot O(C_2H_5)_2CH(OC_2H_5)C_6H_5 \rightleftharpoons C_6H_5O + HOC_2H_5$  (VIII) +  $C_2H_5OBF_3$ ; VIII + II  $\rightarrow C_6H_5CH(OC_2H_5)CH_2C + HOC_2H_5$  (IX); IX +  $C_2H_5OBF_3 \rightleftharpoons IV + BF_3$ . К 0,78 моля I и 0,28 г эфирного р-ра III (содержащего 25%  $BF_3$ ) прибавляют при 48—50°, при охлаждении водой, 0,69 моля II, перемешивают 15 мин., прибавляют 1,5 г  $Na_2CO_3$ , перемешивают 3 часа при 20°, фильтруют и перегоняют в присутствии  $Na_2CO_3$ ; получают IV с выходом 71,9%, т. кип. 130—131/7 мм,  $n_D^{20}$  1,4724,  $d_4^{20}$  0,9642, и V ( $n=2$ ), выход 4%. В тех же условиях из 0,34 моля IV и 0,11 моля II получают V ( $n=2$ ), выход 50%, т. кип. 123—124/2 мм,  $n_D^{20}$  1,4698,  $d_4^{20}$  0,9666. При конденсации эквимолярных количеств IV и II выход V ( $n=2$ ) 10%; после отгонки V ( $n=2$ ) из 100 г остатка выделяют 28 г V ( $n=3$ ), т. кип. 156—158°/2 мм,  $n_D^{20}$  1,4682,  $d_4^{20}$  0,9682, и 15 г V ( $n=4$ ), т. кип. 180—182°/2 мм,  $n_D^{20}$  1,4670,  $d_4^{20}$  0,9688. К 58 г IV прибавляют 60 мл 2%-ной HCl, отгоняют спирт и из остатка извлекают эфиром VI, выход 88%, т. кип. 80—81°/2 мм,  $n_D^{20}$  1,5087,  $d_4^{20}$  1,0210. Аналогично из V ( $n=2$ ) получают VII с выходом 75%, т. кип. 141—142°/2 мм,  $n_D^{20}$  1,4950,  $d_4^{20}$  1,0060.

П. Аронович  
28698. Антивирусные соединения. II. Ароматические гликоксили. Моффетт, Тиффани, Аспергресс, Хейнзелман (Antiviral compounds. II. Aromatic glyoxals. Moffett Robert Bruce, Tiffany Burris D., Aspergren Brooke D., Heinzelman Richard V.), J. Amer. Chem. Soc., 1957, 79, № 7, 1687—1690 (англ.)

Фенилгликоксаль (I), некоторые его производные, а также фурил-(II) и тиенилгликоксаль (III) обладают высокой антивирусной активностью по отношению к вирусам болезни Ньюкастля (НК) и инфлюэнции (ИФ) в эмбриональных яйцах (приведены сравнительные оценки активности). Большинство антивирусных соединений получено из соответствующих метилкетонов (окислением с помощью  $SeO_2$ ). Перечисляются соединения, выход в %, т. пл. в °C (в скобках р-ритель для перекристаллизации): I:  $H_2O$ , —, —; диэтилацеталь I, —, —;  $o,o'$ ,  $n$ -( $CH_3$ ) $_2$  $C_6H_3COCHO \cdot H_2O$ , —, —;  $o,o'$ ,  $n$ -( $CH_3$ ) $_2$  $C_6H_3COCHO \cdot NaHSO_3 \cdot H_2O$ , 94 ( $H_2O$ );  $n$ -Cl- $C_6H_4COCHO \cdot 0,5H_2O$ , —, 130 ( $CHCl_3$  + гексан);  $n$ -Cl- $C_6H_4COCHO \cdot NaHSO_3$ , 84, —, (водн. сп.);  $n$ -Br- $C_6H_4COCHO \cdot 1/2 H_2O$ , 54, 127—130,5 ( $C_6H_6$  +  $H_2O$ );  $n$ -Br- $C_6H_4COCHO \cdot NaHSO_3$ , 87, — ( $H_2O$  + тетрагидрофуран);  $n$ -HOC $_6H_4$ -

$COCHO \cdot H_2O$ , —, —;  $n$ -HOC $_6H_4COCHO \cdot NaHSO_3$ , 96, — (водн. сп.);  $n$ -CH $_3$ OC $_6H_4COCHO \cdot H_2O$ , —, —;  $n$ -CH $_3$ OC $_6H_4COCHO \cdot NaHSO_3 \cdot H_2O$ , 70, — (водн. сп.);  $m$ -CH $_3$ OC $_6H_4COCHO \cdot 0,5H_2O$ , —, 98—101 ( $H_2O$  + пентан);  $m$ -CH $_3$ OC $_6H_4COCHO \cdot NaHSO_3 \cdot 0,5H_2O$ , 91, — (водн. сп.);  $p$ ,  $m$ -(HO)( $CH_3O$ ) $C_6H_3COCHO \cdot H_2O$ , —, 98—100 ( $H_2O$ );  $n$ -NO $_2$  $C_6H_4COCHO \cdot H_2O$ , —, —;  $n$ -CH $_3$ CONHC $_6H_4COCHO \cdot H_2O$ , —, —;  $n$ -CH $_3$ OOCC $_6H_4COCHO \cdot H_2O$  (IV), 72, 127—129 (тетрагидрофуран +  $H_2O$  +  $C_6H_6$ );  $n$ -CH $_3$ OOCC $_6H_4COCHO \cdot NaHSO_3$ , 97, — (водн. сп.);  $n$ -HOCC $_6H_4COCHO \cdot H_2O$ , —, —;  $n$ -HOCC $_6H_4COCHO \cdot NaHSO_3$ , 37, — ( $H_2O$ );  $n$ -( $CH_3$ ) $_2$ NC $_6H_3COCHO \cdot CH_3OH$  (V), 46, 118—122 ( $CH_3OH$ );  $n$ -( $CH_3$ ) $_2$ NC $_6H_3COCH(OC_2H_5)_2$  (VI), 91, 37—38 (пентан);  $n$ -( $CH_3$ ) $_2$ NC $_6H_3CH(ONHCH_3)CHO$  (VII), HCl, 34, 175—180 ( $H_2O$  +  $CH_3OH$  + ацетон);  $n$ -( $CH_3$ ) $_2$ NC $_6H_3CH(ONHCH_3)CH(OC_2H_5)_2$  (VIII), 95, —; гидрат II, 30, 78—81 ( $C_6H_6$ ); полугидрат III, —, —. Ацетали замещ. ароматич. гликоксалей, простые ароматич. альдегиды,  $\alpha$ -дикетоны,  $\alpha$ -кетокислоты, а также замещ. бензаль-ацетоны не активны против НК и ИФ. В связи с синтезом гликоксалей получен ряд производных  $n$ -ацетил-бензойной к-ты (IX). 0,5 моля метилового эфира IX, 0,5 моля  $SeO_2$ , 40 мл воды и 300 мл диоксана кипятят 5 час., оставляют на 12 час. при 20°, получают IV, 0,1 моля IX, 0,1 моля  $(C_2H_5)_2NCH_2CH_2Cl$  в 100 мл изо- $C_3H_7OH$  кипятят 12 час., охлаждают, кристаллич. продукт р-ции встряхивают с ледяной водой, фильтруют, извлекают эфиром хлоргидрат  $\beta$ -диэтиламиноэтилового эфира IX, выход 70%, т. пл. 156—158° (из абс. сп.). К 0,3 моля IX в 250 мл  $CH_3COOH$  прибавляют 0,3 моля  $Br_2$  в 50 мл  $CH_3COOH$  (1,5 часа) при 30—40°, затем 50 мл  $CH_3COOH$ , нагревают до 70°, получают  $n$ -( $\alpha$ -бромацетил)-бензойную к-ту (X), выход 89,5%, т. пл. 224—225° (из  $CH_3OH$ ). 0,263 моля X, 0,526 моля  $CH_3COOK$  и 500 мл  $CH_3OH$  встряхивают 5,5 часа при 20°, кипятят 30 мин., упаривают в вакууме (ниже 50°) почти досуха, добавляют 700 мл воды и немного  $CH_3COOH$ , встряхивают, отделяют  $n$ -( $\alpha$ -ацетоксиацетил)-бензойную к-ту, т. пл. 200—207°, выход 24,3 г. К 1,4 моля Li в 400 мл эфира в атмосфере  $N_2$  прибавляют 0,7 моля  $n$ -бромдиметиланилина в 300 мл эфира, затем 0,5 моля  $N$ -диэтоксиацетилпиридина, кипятят 2 часа, оставляют на 12 час., выливают в р-р  $CH_3COOH$ , извлекают эфиром VI, т. кип. 135°/0,05 мм,  $n_D^{20}$  1,5763. 47 г VI встряхивают в атмосфере  $N_2$  с 17,5 мл конц. HCl в 160 мл воды, оставляют на 41 час при 20°, добавляют немного конц. HCl, извлекают эфиром, водн. р-р нейтрализуют разб. NaOH до pH 6 (при охлаждении), осадок отделяют, перекристаллизуют из  $CH_3OH$ , получают V. К 0,15 моля VI в 200 мл спирта добавляют 5,2 г  $NaNH_4$  в 25 мл 0,1 н. р-ра NaOH, перемешивают 5 час., оставляют на 3 дня, спирт упаривают в вакууме (ниже 40°), периодически заменяя его водой, извлекают эфиром VIII, т. кип. 106/0,01 мм,  $n_D^{20}$  1,5244. 0,1 моля VIII в 180 мл воды и 20 мл конц. HCl оставляют на 24 часа при 20°, подщелачивают разб. NaOH, отделяют осадок, кипятят его в ацетоне, фильтруют и осаждают  $CH_3OH$  из р-ра в пиридине, получают VII, т. пл. 147—147,5° (разд.). К 7,12 г VII в 25 мл  $CH_3OH$  прибавляют 3,3 мл конц. HCl в 5 мл воды, подогревают, р-р фильтруют и разбавляют ацетоном, получают хлоргидрат VII (VII и его хлоргидрат представляют собой, по-видимому, димеры или полимеры). Сообщение I см. РЖХим, 1958, 25065.

А. Файнзилбергер

28699. Конденсация окиси мезитила и триоксиметилена с помощью ионообменной смолы. Виман, Тхи Тхуань Са Лэ (Condensation de l'oxyde de mésityle et du trioxyméthylène à l'aide d'échangeurs d'ions. Wiemann Joseph, Thi Thuan Sa-Le, m-me), C. r. Acad. sci. 1957, 245, № 48, 1552—1553 (франц.)

При нагревании (26 час., 95°) смеси окиси мезитила с триоксиметиленом в присутствии анионообменной смолы образуются кетоны  $(\text{CH}_3)_2\text{C}=\text{CHCOCH}_2\text{CH}_2\text{OH}$  (I), т. кип. 92—94°/14 мм, и  $(\text{CH}_3)_2\text{C}=\text{CHCOCH}(\text{CH}_2\text{OH})_2$  (II), т. кип. 135—140°/15 мм, т. пл. 66—67°. I гидрируется над скелетным Ni в соединение  $\text{C}_7\text{H}_{14}\text{O}$ , т. кип. 100—102°/13 мм,  $n_D^{21} 1.4424$ ,  $d_4^{21} 0.967$ , гидролизующееся 10%-ным р-ром КОН в смесь 4-метилпентано-на-2; 2,4-динитрофенилгидразон (ДНФГ), т. пл. 95—96°, и винилизобутилкетона; ДНФГ, т. пл. 115—116°; семикарбазон, т. пл. 171—172°. При гидрировании II над скелетным Ni получается I и в-во, т. кип. 148—150°/15 мм.

Д. Витковский  
28700. Эфиры *n*-ацилфенолов как побочные продукты каталитической конденсации фенола с жирными кислотами в присутствии активированной глины. Ватанабе (Watanabe Seiichi), Kōgō kagaku daasshi, J. Chem. Soc. Japan. Industr. Chem. Sec., 1956, 59, № 9, 1086—1087 (японск.)

Побочные продукты, образующиеся наряду с фениловым эфиром лауриновой к-ты (I) при конденсации фенола (II) с лауриновой к-той в присутствии активированной глины (см. РЖХим, 1958, 22298), идентифицированы как *n*-лаурооксилауорофенон (III), т. пл. 76,5—77,5°, и *n*-оксилауорофенон (IV), т. пл. 71—71,5°. Аналогичные побочные продукты образуются при конденсации I с другими к-тами (190°, 2 часа, 10% активированной глины) по схеме:  $\text{C}_6\text{H}_5\text{OCOR} + \text{C}_6\text{H}_5\text{OCOR} \rightarrow \text{RCOC}_6\text{H}_4\text{OCOR} + \text{I}$ ;  $\text{RCOC}_6\text{H}_4\text{OH} + \text{RCOOH} \rightarrow \text{RCOC}_6\text{H}_4\text{OCOR} + \text{H}_2\text{O}$  и  $\text{RCOC}_6\text{H}_4\text{OCOR} + \text{I} \rightarrow \text{RCOC}_6\text{H}_4\text{OH} + \text{C}_6\text{H}_5\text{OCOR}$ . Получены: из каприловой к-ты *n*-каприлоксикаприлофенон, т. пл. 56—57°, и *n*-оксикаприлоксифенон, т. пл. 62—63,5°; из каприновой к-ты *n*-капринооксикапринофенон, т. пл. 67—68°, *n*-оксикапринофенон, т. пл. 64—65°; из миристиновой к-ты *n*-миристинооксимиристинофенон, т. пл. 83—83,5°, и *n*-оксимиристинофенон, т. пл. 78—80°; из пальмитиновой к-ты *n*-пальмитинооксипальмитинофенон, т. пл. 87—88°, и *n*-оксипальмитинофенон, т. пл. 84,5—86°; из стеариновой к-ты *n*-стеаринооксистеринофенон, т. пл. 90—91°, и *n*-оксистеринофенон, т. пл. 87—89°. Предложенные схемы подтверждены образованием III и IV при нагревании I до 190° (2 часа) в присутствии активированной глины; образованием III в тех же условиях при нагревании IV с лауриновой к-той; и образованием I и IV при нагревании в аналогичных условиях III с II.

Л. Яновская  
28701. Реакции фенацилгалогенидов с реагентами Гриньяра. Синтез дибензилкетонов и дезоксибензоинов. Хуан (The reaction of phenacyl halides with Grignard reagents. A synthesis of dibenzyl ketones and deoxybenzins. Huang R. L.), J. Chem. Soc., 1957, Sept., 4089—4092 (англ.)

Действием ароматич. Mg-органич. соединений (MC) на  $\text{C}_6\text{H}_5\text{COCN}_2\text{Cl}$  (I) и последующей перегруппировкой образующегося  $\text{C}_6\text{H}_5\text{C(R)(OMgX)CH}_2\text{Cl}$  (II) получены дибензилкетон (III), дезоксибензоин (IV) и их производные. Выбранные условия перегруппировки соответствовали способности арильных радикалов к миграции. Так, при  $\text{R} = n\text{-CH}_2\text{OC}_6\text{H}_4$  или  $n\text{-CH}_2\text{C}_6\text{H}_4$  миграция имела место в кипящем эфире, а для осуществления перегруппировки II ( $\text{R} = \text{C}_6\text{H}_5$ ), требовалось нагревание при 80° и выше. К р-ру 0,12 моля MC в 75 мл эфира прибавляют за ~20 мин. 0,1 моля I в 50 мл эфира, затем по методу А кипятят 2 часа; по методу Б отгоняют эфир, прибавляют  $\text{C}_6\text{H}_5$  и кипятят при 78—80° 4 часа; по методу В эфир заменяют *n*-кетоном. Из I и  $\text{C}_6\text{H}_5\text{MgBr}$  по методу Б получают IV с выходом 62%. I с  $\text{C}_6\text{H}_5\text{CH}_2\text{MgCl}$  (V) дает по методу В III, выход 39%, т. кип. 137—138°/1 мм,  $n_D^{23} 1.5737$ , т. пл. ~29°; оксим, т. пл. 123—125°; семикарбазон, т. пл. 122—123°; 2,4-динитрофенилгидразон

(ДНФГ), т. пл. 98—99° (из сп.-этилацетата). Из I и  $n\text{-CH}_2\text{C}_6\text{H}_4\text{MgBr}$  по методу А синтезируют 4-метил-дезоксibenзоин, выход 64%, т. кип. 140°/0,4 мм, т. пл. 94—97° (из циклогексана); оксим, т. пл. 102—103,5° (из сп.). К эфирному р-ру 5 г I прибавляют р-р  $n\text{-CH}_2\text{OC}_6\text{H}_4\text{MgBr}$ , кипятят 2 часа и выделяют 3,2 г 4-метоксидезоксибензоина, т. пл. 96—98° (из  $\text{CH}_3\text{OH}$ ); ДНФГ, т. пл. 198° (из этилацетата). При р-ции I с  $n\text{-ClC}_6\text{H}_4\text{MgBr}$  получают, вероятно, смесь 4-хлор- и 4'-хлордезоксibenзоина, выход 50%, т. пл. 92—95° (из сп.); ДНФГ, т. пл. 205—212°. При действии  $o\text{-CH}_3\text{C}_6\text{H}_4\text{MgBr}$  на I образуется смесь изомеров с выходом 25%, т. кип. ~140°/1 мм; ДНФГ, т. пл. 167—181°. Из  $n\text{-CH}_2\text{OC}_6\text{H}_4\text{COCN}_2\text{Br}$  и V по методу А получают *n*-метоксидибензилкетон, выход 49%, т. пл. 140—142°/0,4 мм,  $n_D^{23} 1.5751$ ; оксим, т. пл. 102—105° (из водн. сп.).

П. Аронович  
28702. Об этерификации *o,o'*-дизамещенных бензойных кислот. Какья, Валь (Sur l'estérification des acides benzoïques *o,o'*-disubstitués. Cachia Marc, Wahl Henri), C. r. Acad. sci., 1957, 245, № 15, 1249—1252 (франц.)

Описан способ этерификации 2,6-диметилтерефталевой (I), 2,6-диметилбензойной (II) и 2,6-диметил-4-бромбензойной (III) к-т. Вследствие пространственных затруднений диэфир I не удается получить нагреванием I со спиртом в присутствии к-т. При действии  $(\text{CH}_3)_2\text{SO}_4$  (IV) на I в цел. среде получена 3,5-диметил-4-карбометоксибензойная к-та (V). Эти результаты объясняются значительно большей скоростью омыления эфирной группы, не имеющей заместителей в *o,o'*-положениях; наоборот, омыление второй эфирной группы тормозится вследствие наличия  $\text{CH}_3$ -групп в соседних положениях. К р-ру 20 г I в 150 мл  $\text{CH}_3\text{OH}$  прибавляют попеременно IV (1,5 моля на моль I) и р-р КОН в  $\text{CH}_3\text{OH}$ , разбавляют водой и подкисляют, получают 18 г V. Если р-цию заканчивают в кислой среде и кипятят затем 1 час, то при разбавлении выделяют 19 г диметилового эфира I. К р-ру 5 г II или III в 25 мл р-ра NaOH в воде или  $\text{CH}_3\text{OH}$  прибавляют постепенно при 50—60° IV и р-р NaOH; при разбавлении выпадает метиловый эфир (4,5 г) II или III.

П. Аронович  
28703. Синтез промежуточного продукта для получения хлорамфеникола и проведения некоторых родственных конденсаций. Гао И-шэн, Пань Бо-чуань, Лу Шунь-син, Сю Сю-жун, Чэнь Чжи-хао (Synthesis of a useful intermediate for the preparation of chloramphenicol and some related condensations. Kao Yee-Sheng, Pan Pei-Chuan, Loh Shuen-Hsing, Hsu Hsiu-Uong, Chen Chi-Hao), Чжунго кэсюэ, Sci. sinica, 1956, 5, № 2, 219—227 (англ.)  
См. РЖХим, 1957, 23183.

28704. О реакциях переамидирования амидов карбоновых кислот. Ридель Н. В., Герчук М. П., Хим. наука и пром-сть, 1957, 2, № 5, 665—666  
В развитие ранее начатых работ (Герчук и др., Ж. общ. химии, 1950, 20, 924) по изучению р-ции переамидирования (РП) амидов карбоновых к-т найдено, что РП катализируются HCl и проходят с хорошими выходами. Так, нагревание (180—190°, 45 мин.)  $\text{CH}_3\text{CONH}_2$  (I) и  $\text{C}_6\text{H}_5\text{NH}_2$  (II) в присутствии HCl приводит к  $\text{CH}_3\text{CONHC}_6\text{H}_5$  (III) с выходом 75%. Аналогично, из I и 2- $\text{CH}_3\text{C}_6\text{H}_4\text{NH}_2$  (IV) или из I и 4- $\text{NH}_2\text{C}_6\text{H}_4\text{N}(\text{CH}_3)_2$  (V) получают 2- $\text{CH}_3\text{CONHC}_6\text{H}_4\text{CH}_3$  (VI) и 4- $\text{CH}_3\text{CONHC}_6\text{H}_4\text{N}(\text{CH}_3)_2$  (VII), соответственно, с хорошими выходами. Установлено, что с HCl р-ция  $\text{CH}_3\text{CONHR} + \text{R}'\text{NH}_2 \rightarrow \text{CH}_3\text{CONHR}' + \text{RNH}_2$  проходит за 45 мин. при 180—190°, что позволяет с ~100%-ным выходом получать IV и III из VI и II, VI и II из IV и III, V и III из VII и II, а также 4- $\text{CH}_3\text{OC}_6\text{H}_4\text{NH}_2$  и



III из  $4\text{-CH}_3\text{OC}_6\text{H}_4\text{NHCOSCH}_3$  и II. Отдельные случаи РП могут быть использованы в пром-сти, напр., для синтеза  $4\text{-NO}_2\text{C}_6\text{H}_4\text{NH}_2$  нагреванием  $4\text{-NO}_2\text{C}_6\text{H}_4\text{NHCOSCH}_3$  с II или получения  $4\text{-NH}_2\text{C}_6\text{H}_4\text{SO}_2\text{NH}_2$  нагреванием  $4\text{-CH}_3\text{CONHC}_6\text{H}_4\text{SO}_2\text{NH}_2$  с II в присутствии HCl.

В. Скородумов

28705. Исследование в ряду хроманона-4. I. 3-арил-оксипропионовые кислоты. Колонж, Гийо (Etude sur les chromanones-4. I. Aryloxy-3 alcanoniques. Colonge J., Guyot A.), Bull. Soc. chim. France, 1957, № 10, 1228—1231 (франц.)

Взаимодействием одноатомных и двухатомных фенолов с  $\text{CH}_2=\text{CRCN}$ , (I), где  $\text{R}=\text{H}$  (Ia) или  $\text{CH}_3$  (Ib), синтезированы  $\text{ArOCH}_2\text{CHRCN}$  (II) и  $\text{Ar}(\text{OCH}_2\text{CHRCN})_2$  (III). При омылении III ( $\text{R}=\text{H}$ ) и II получены соответственно  $\text{Ar}(\text{OCH}_2\text{CH}_2\text{COOH})_2$  (IV) и  $\text{ArOCH}_2\text{CHRCOOH}$  (V). Синтез V ( $\text{R}=\text{CH}_3$ ) (Va) осуществлен также взаимодействием фенолятов с Na-солью  $\text{ClCH}_2\text{CH}(\text{CH}_3)\text{COOH}$  (VI к-та). Взаимодействием II ( $\text{R}=\text{H}$ ) (IIa) с HCl (газ) в среде бутанола и эфира получены  $\text{ArOCH}_2\text{CH}_2\text{C}(\text{=NH})\text{OC}_6\text{H}_5 \cdot \text{HCl}$ , которые действием воды превращены в  $\text{ArOCH}_2\text{CH}_2\text{COOC}_6\text{H}_5$  (VII). К 85 г  $\text{C}_6\text{H}_5\text{C}(\text{OH})(\text{CN})\text{CH}_3$  (VIII) прибавляют за 1,5 часа при  $\leq 40^\circ$  102 г  $(\text{CH}_3\text{CO})_2\text{O}$  с 4 каплями  $\text{H}_2\text{SO}_4$  и нейтрализуют NaOH, получают ацетат VIII (IX), выход 80%, т. кип.  $77^\circ/19$  мм,  $d_4^{21}$  0,994,  $n_D^{21}$  1,4064. Пирролидон IX в токе  $\text{N}_2$  при  $450^\circ$  получают Iб, выход 80%, т. кип.  $88\text{--}89^\circ$ ,  $n_D^{21}$  1,4004,  $d_4^{21}$  0,809. Охлажд. до  $0^\circ$  смесь 123 г Iб и 200 мл абс. эфира насыщают сухим HCl и оставляют на 18 час. при  $0^\circ$ , получают  $\text{ClCH}_2\text{CH}(\text{CH}_3)\text{CN}$  (X), выход 71%, т. кип.  $90\text{--}91^\circ/45$  мм,  $n_D^{22}$  1,4337,  $d_4^{22}$  1,072. Смесь 130 г X и 1 л конц. HCl кипятят 3 часа и извлекают эфиром, получают VI, выход 80%, т. кип.  $117\text{--}118^\circ/28$  мм,  $n_D^{22}$  1,4430,  $d_4^{24}$  1,2046. Смесь фенола (XI), Na (1,2 г на 1 моль XI) и небольшого избытка Ia кипятят 20 час., получают II ( $\text{Ar}=\text{C}_6\text{H}_5$ ,  $\text{R}=\text{H}$ ), выход 45%. Аналогично получают следующие II (указаны Ar, R, выход в %, т. кип. в  $^\circ\text{C}/\text{мм}$ , т. пл. в  $^\circ\text{C}$ ):  $2\text{-CH}_3\text{C}_6\text{H}_4$ , H, 42, 165—166/20, 30 (из сп.);  $3\text{-CH}_3\text{C}_6\text{H}_4$ , H, 46, 161/18, —,  $n_D^{27}$  1,518,  $d_4^{27}$  1,045;  $4\text{-CH}_3\text{C}_6\text{H}_4$ , H, 41, 166/20, 48 (из бзл.); нафтил-1, H, 74, —, 65,5 (из петр. эф.); нафтил-2, H, 43, —, 105 (из сп.);  $2\text{-CH}_3\text{OC}_6\text{H}_4$ , H, 21, —, 66 (из сп.);  $3\text{-CH}_3\text{OC}_6\text{H}_4$ , H, 49, 158—159/5 (188—189/16), 28,5;  $4\text{-CH}_3\text{OC}_6\text{H}_4$ , H, 76, —, 64 (из сп.);  $\text{C}_6\text{H}_5$ ,  $\text{CH}_3$ , 1,5, 144—146/18, —;  $4\text{-CH}_3\text{OC}_6\text{H}_4$ ,  $\text{CH}_3$ , 3,5, 147—148/12, 51,5 (из сп.); и следующие III (указаны Ar, R, выход в %, т. пл. в  $^\circ\text{C}$ ): фенилен-1,2, H, 45, 121 (из воды); фенилен-1,3, H, 57, 112 (из сп.); фенилен-1,4, H, 47, 141 (из сп.). Смесь 100 г II (или III) и 1 л конц. HCl кипятят 10—20 час. и извлекают  $\text{C}_6\text{H}_6$ ; описанным способом получают: Va ( $\text{Ar}=4\text{-CH}_3\text{C}_6\text{H}_4$ ), выход 43%, т. пл.  $90^\circ$  (из воды), и следующие IV (указаны Ar, выход в %, т. пл. в  $^\circ\text{C}$ ): фенилен-1,2, 70, 155; фенилен-1,3, 93, 177; фенилен-1,4, 87, 200; получены следующие V с  $\text{R}=\text{H}$  (указаны Ar, выход в %, т. пл. в  $^\circ\text{C}$ ):  $\text{C}_6\text{H}_5$ , 74, 98;  $2\text{-CH}_3\text{C}_6\text{H}_4$ , 55, 104;  $3\text{-CH}_3\text{C}_6\text{H}_4$ , 40, 146;  $4\text{-CH}_3\text{C}_6\text{H}_4$ , 55, 92;  $2\text{-CH}_3\text{OC}_6\text{H}_4$ , 65, 132;  $3\text{-CH}_3\text{OC}_6\text{H}_4$ , 56, 83;  $4\text{-CH}_3\text{OC}_6\text{H}_4$ , 53, 109. К р-ру 47 г XI и 30 г 85%-ного КОН в 100 мл воды прибавляют за 15 мин. р-р 66 г VI и 45 г  $\text{NaHCO}_3$  в 250 мл воды, нагревают 1,5 часа при  $90^\circ$ , подкисляют и извлекают эфиром, получают Va ( $\text{Ar}=\text{C}_6\text{H}_5$ ), выход 11%, т. пл.  $85^\circ$  (из воды). Аналогично получают следующие Va (указаны Ar, выход в %, т. пл. в  $^\circ\text{C}$ ):  $2\text{-CH}_3\text{C}_6\text{H}_4$ , 7, 74 (из воды);  $3\text{-CH}_3\text{C}_6\text{H}_4$ , 8,4 54 (из воды) (т. кип.  $208^\circ/28$  мм); нафтил-2, 4, 134 (из воды). Охлажд. до  $0^\circ$  эквимолекулярную смесь IIa бутанола и абс. эфира насыщают сухим HCl, оставляют при  $0^\circ$  на  $\sim 12$  час., обрабатывают эфиром и извлекают эфиром; описанным способом получают следующие VII (указаны Ar, выход в %, т. кип. в  $^\circ\text{C}/\text{мм}$ ):  $\text{C}_6\text{H}_5$ , 76, 174/20;  $2\text{-CH}_3\text{C}_6\text{H}_4$ , 84, 141/3;  $3\text{-CH}_3\text{C}_6\text{H}_4$ , 80, 183/20;  $4\text{-CH}_3\text{C}_6\text{H}_4$ , 80, 188/20. А. Травин

28706. Присоединение лактамов к окиси стирола и фенилацетилену и получение *цис-транс*-изомеров N-стириллактамов. Цигенбейн, Франке (Über die Addition von Lactamen an Styroloxyd und Phenylacetylen und die Darstellung von *cis*- und *trans*-isomeren N-Styryl-lactamen. Ziegenbein Willi; Franke Walter), Chem. Ber., 1957, 90, № 10, 2291—2301 (нем.)

Конденсацией окиси стирола (I) с  $\omega$ -капролактамом (II),  $\omega$ -энантолактамом (III) и 2-пирролидоном (IV) синтезированы N-( $\beta$ -окси- $\beta$ -фенилэтил)-лактамы,  $\text{C}_6\text{H}_5\text{-CH=CHNCO}(\text{CH}_2)_{n-1}\text{CH}_2$  (V), из которых получены

далее N-стириллактамы  $\text{C}_6\text{H}_5\text{CH=CHNCO}(\text{CH}_2)_{n-1}\text{CH}_2$  (VI) в их *транс*-изомерной форме. Последние синтезированы также нагреванием II и IV с  $\text{C}_6\text{H}_5\text{C}\equiv\text{CH}$  (VII) при  $180\text{--}210^\circ$ . При  $150\text{--}160^\circ$  р-ция II и III с VII приводит к термически неустойчивым *цис*-VI, превращающимся при нагревании в *транс*-изомеры. Смесь 0,5 моля III, 0,5 моля I и небольшого кол-ва NaOH нагревают 12—14 час. при  $120^\circ$  в атмосфере  $\text{N}_2$  и полученную при перегонке фракцию  $195\text{--}220^\circ/1$  мм (30 г) очищают кристаллизацией из эфира; получают V ( $n=6$ ), т. пл.  $87\text{--}88^\circ$ . Аналогично получают V ( $n=5$ ) (Va), выход 40 г (из 0,5 моля II), т. кип.  $195\text{--}202^\circ/1,5$  мм, т. пл.  $88\text{--}89^\circ$  (из эф.), и V ( $n=3$ ), выход 140 г (из 1,3 моля IV), т. пл.  $117\text{--}118^\circ$  (из бзл.). В тех же условиях при р-ции I с пиперидином и морфолином (VIII) получены соответственно N-( $\beta$ -окси- $\beta$ -фенилэтил)-пиперидин, выход 95%, и N-( $\beta$ -окси- $\beta$ -фенилэтил)-морфолин, выход 94,5%. К 114 г Va постепенно прибавляют при охлаждении 130 мл  $\text{SOCl}_2$ , нагревают 2 часа при  $45\text{--}50^\circ$ , отгоняют в вакууме избыток  $\text{SOCl}_2$ , остаток растворяют в  $\text{C}_6\text{H}_6$ , обрабатывают 200 мл воды, водн. р-р нейтрализуют  $\text{NaHCO}_3$  и извлекают  $\text{C}_6\text{H}_6$ ; полученную при перегонке фракцию  $185\text{--}235^\circ/2$  мм (60 г) очищают кристаллизацией из смеси эфира и  $\text{C}_6\text{H}_6$ ; получают *транс*-VI ( $n=5$ ) (VIa), т. пл.  $117\text{--}118^\circ$ . Аналогично получают *транс*-VI ( $n=6$ ), т. пл.  $90\text{--}100^\circ$  (из эф.-бзл.), и *транс*-VI ( $n=3$ ) (VIb), выход  $\sim 14$  г (из 32 г Vb), т. пл.  $128\text{--}129^\circ$  (из эф.-бзл.). К 23 г расплавленного II прибавляют суспензию 1—2 г Na в 4—5 г  $\text{C}_6\text{H}_6$  и 20 г VII и нагревают 6—7 час. при  $200\text{--}210^\circ$ ; полученную при перегонке фракцию  $180\text{--}210^\circ/2$  мм (24 г) очищают кристаллизацией из смеси эфира и  $\text{C}_6\text{H}_6$ ; получают VIa. Аналогично (8 час. при  $180\text{--}200^\circ$ ) из IV и VII получают VIb. Смесь 31 г III, 1—2 г тонкоизмельченного Na и 24 г VII нагревают 8 час. при  $160^\circ$ ; полученную при перегонке фракцию  $130\text{--}175^\circ/1$  мм (17 г) растворяют в эфире и оставляют в рефрижераторе; получают *цис*-VI ( $n=6$ ), т. пл.  $55\text{--}56^\circ$ . Смесь 115 г II, 5 г Na в  $\text{C}_6\text{H}_6$  и 100 г VII нагревают 8 час. при  $150\text{--}160^\circ$ ; полученную при перегонке фракцию  $162\text{--}179^\circ/2$  мм растворяют в эфире и охлаждают до  $-60^\circ$ ; получают *цис*-VI ( $n=5$ ) (VIv), т. кип.  $168^\circ/3$  мм, т. пл.  $47\text{--}48^\circ$  (из эф. или *изо*- $\text{C}_3\text{H}_7\text{OH}$ ). Гидрирование VIa и VIv над скелетным Ni ( $50\text{--}100^\circ$ , 100 ат) приводит к N-( $\beta$ -фенилэтил)- $\omega$ -капролактаму, т. пл.  $45\text{--}46^\circ$ . Смесь 11 г  $\text{C}_6\text{H}_5\text{CH}_2\text{CHO}$  и 15,5 г перегнанного над Na VIII нагревают 5 час. при  $110\text{--}120^\circ$  и полученную при перегонке фракцию  $175\text{--}183^\circ/12$  мм (9,5 г) очищают кристаллизацией из эфира; получают N-стирилморфолин, т. пл.  $77\text{--}78^\circ$ .

А. Травин

28707. О некоторых продуктах хлорирования 3-бензилфталида и 3-бензальфталида. Берти, Бернетти (Su alcuni prodotti di clorurazione della 3-benzilfaldide e della 3-benzalftalide. Berti Giancarlo, Bernetti Raffaele), Gazz. chim. ital., 1957, 87, № 6, 688—706 (итал.)

При хлорировании 3-бензилфталида (I) получается

в-во  $C_{15}H_{10}OCl_4$  (II), подробно не исследованное, и смесь *транс*-(IIIa) и *цис*-(IIIб) 3-( $\alpha$ -хлорбензаль)-фталидов. Хлорирование *цис*-(IVa) и *транс*-(IVб) 3-бензальфталидов приводит к IIIa и IIIб, а также к эритро-(Va) и *трео*-(Vб) формам 3-хлор-3-( $\alpha$ -хлорбензил)-фталидов. Таутомерная форма Va и Vб —  $\alpha$ -( $\alpha$ -хлорфенилацетил)-бензилхлорид в равновесии присутствует, вероятно, в весьма малом кол-ве, так как Va и Vб не переходят друг в друга при  $\sim 20^\circ$ ; при кипячении же с  $CH_3OH$  они претерпевают сольволиз с образованием в-ва (VI), имеющего строение 3-метоксис-3-( $\alpha$ -хлорбензил)-фталидов или метилового эфира  $\alpha$ -( $\alpha$ -хлорфенилацетил)-бензойной к-ты. Гидрирование VI приводит к в-ву (VII), строение которого соответствует 3-метоксис-3-бензилфталиду или метилового эфиру  $\alpha$ -фенилацетилбензойной к-ты. Пространственное строение IIIa и IIIб выбрано на основании их УФ-спектров и УФ-спектров IVa и IVб. Va и Vб отщепляют  $HCl$  с образованием IIIa и IIIб, причем эта р-ция проходит стереоспецифично и направление ее зависит от условий р-ции; в условиях, благоприятствующих ионной р-ции ( $CH_3COOK$  в  $CH_3COOH$ ) наряду с IIIa и IIIб также образуется не идентифицированное соединение, содержащее ацетоксигруппы. IIIa и IIIб получают из IVa и IVб не через Va и Vб и не прямым радикальным хлорированием, но, по-видимому, с отщеплением протона от промежуточного карбонового или хлорангидридного иона. К р-ру 5 г IVб в 150 мл  $CCl_4$  прибавляют при  $-10^\circ$  25 г 7%-ного р-ра  $Cl_2$  в  $CCl_4$ . После стояния в течение 12 час. в холодильнике промывают водой, р-ритель испаряют и кристаллы разделяют сначала механически, а затем кристаллизацией. Общий выход кристаллич. продуктов 5,1 г, состав которых 70% Va, т. пл.  $126-128^\circ$  (из бзл.-бзн.), 12% Vб, т. пл.  $169-171^\circ$  (из бзл.-бзн.), следы IIIa, т. пл.  $135-136^\circ$  (из  $CH_3OH$ ), и 18% IIIб, т. пл.  $170-171^\circ$  (из  $CH_3OH$ ). При проведении р-ции при  $65^\circ$  неочищ. продукт р-ции содержит на основании УФ-спектроскопич. анализа 8,5% Va, 90% Vб, 1% IIIa и 0,5% IIIб. При хлорировании 20 г IVб при  $15^\circ$  в  $CHCl_3$  выделяют 20 г кристаллич. продукта, состав которого 55% Va, 30% Vб, 3% IIIa и 12% IIIб. Хлорирование 1 г IVб при 10 или  $70^\circ$  в лед.  $CH_3COOH$  приводит только к Va с выходом 0,15 или 0,35 г. 0,2 г IVa при хлорировании в  $CCl_4$  при  $0^\circ$  дают 0,12 г Vб; в маточном р-ре остается смесь IIIa, IIIб, Va, Vб, в которой спектрофотометрически определено 3% IIIa и 4% IIIб. Действие на 5 г IVб 4,7 г  $PCl_5$  при  $140^\circ$  приводит к IIIб и Vб; остающийся маслянистый продукт после кипячения с  $CH_3OH$  дает VI. При проведении р-ции с двойным кол-вом  $PCl_5$  при  $160^\circ$  получают только IIIa и IIIб. 5 г I и 9,5 г  $PCl_5$  нагревают за 1 час до  $140^\circ$  и выдерживают при этой т-ре 30 мин., при этом отгоняется 4 г  $PCl_5$ . Продукт р-ции обрабатывают бензолом, причем остается 0,8 г II, т. пл.  $295^\circ$  (разл.; из бзл.). После испарения бензола продукт перегоняют при 1 мм и  $230-260^\circ$  (т-ра бани), получают 2 г смеси IIIa и IIIб. При гидрировании IIIa или IIIб над  $Pd/C$  или  $PdO_2/CaCO_3$  в спирте образуется I. Р-р 0,2 г IIIa в 10 мл спирта кипятят 1 час с 0,2 г порошка меди и 0,4 г порошка цинка, получают 0,02 г IVб. Из IIIб в аналогичных условиях получают 0,06 г IVб. 1 г Vб кипятят с 10 мл  $CH_3OH$  6 час., выделяют 0,4 г VI, т. пл.  $132-134^\circ$  (из бзл.-бзн.); расплавленный продукт после застывания вновь плавится при  $146-148^\circ$ . В этих условиях Va также дает VI. Гидрирование VI в спирте над  $PdO_2/CaCO_3$  приводит к VII, т. пл.  $112-114^\circ$  (из  $CH_3OH$ ). Нагревание Va при  $180^\circ$  15 мин. дает соотношение IIIa:IIIб 27,5:72,5; при нагревании Vб в тех же условиях соотношение 58:42. При 5 мин. нагревании соотношения составляют соответственно 14:86 и 70:30. Нагревание IIIa в присутствии кристаллика  $J_2$

при  $200-210^\circ$  дает за 2 часа 72,4% IIIa и 27,6% IIIб; за 5 час. 68,0% IIIa и 32,0% IIIб. Для IIIб в тех же условиях получают соответственно: 41,6, 58,4, 61,6 и 38,4%.

**28708.** Влияние нитрующей смеси и других факторов на образование орто- и пара-нитрофенолов. Бирин А. М., Сб. тр. Всес. заочн. инж.-строит. ин-т, 1957, 1, 115-128

Изучается р-ция нитрования  $C_6H_5OH$  (I) действием  $HNO_3$  различной конц-ии. Наилучшие результаты [выход смеси 2-(II) и 4- $NO_2C_6H_4OH$  (III)] 75-78,5% при, примерно равном содержании II и III получают в случае применения 50%-ной к-ты, молярном соотношении к-ты к I = 3:1 и т-ре  $20-25^\circ$ ; увеличение кол-ва к-ты до 7:1 незначительно сказывается на увеличении выхода II и III, но получается продукт менее загрязненный смолами. При повышении конц-ии  $HNO_3$  до 65% изменение т-ры резко сказывается на соотношении изомеров; при более высокой т-ре больше образуется II. I, разб. 10%-ным кол-вом воды, со скоростью 5-10 капель в 1 мин. прибавляют к  $HNO_3$ , размешивают 1 час, продукт нитрования отделяют декантацией (или всю реакционную массу нейтрализуют  $NaOH$  на конго), II перегоняют с перегретым паром, остаток кипятят с конц.  $HCl$ , отделяют смолу, р-р очищают углем, по охлаждении получают III.

В. Скородумов

**28709.** Конденсация фенолов с нитробензальдегидами. Драйвер, Мок (The condensation of phenols with nitrobenzaldehydes. Driver J. E., Mok S. F. miss), J. Chem. Soc., 1955, Nov., 3914-3918 (англ.)

При конденсации *о*-(I), *м*-(II) и *п*-(III) нитробензальдегидов с различными фенолами получены производные трифенилметана, причем замещение происходит всегда в пара-положение к гидроксильной группе. Смолообразование при этих р-циях затрудняется деактивацией реакционных центров нитрогруппой; замещение этих центров действует в том же направлении. Полученные трифенилметаны образуют молекулярные соединения с ароматич. углеводородами. К р-ру 7,6 г II и 9,4 г  $C_6H_5OH$  (IV) в 35 мл  $CH_3COOH$  при  $3-4^\circ$  прибавляют р-р 3 мл  $H_2SO_4$  в 15 мл  $CH_3COOH$ , выдерживают 48 час. при  $0-5^\circ$  и выливают на лед. Выделившуюся смолу извлекают горячим бензолом. Получают 4,4'-диокси-3"-нитротрифенилметан (V)  $\cdot 2C_6H_5$ , выход 45%, т. пл.  $72^\circ$ ; V, т. пл.  $158,5^\circ$  (из водн. сп., эф.-птр. эф., *п*-ксилола); V  $\cdot C_6H_5CH_3$ , т. пл.  $150-157,5^\circ$ ; диацетильное производное (ДАП) V, т. пл.  $98,5^\circ$  (из сп.); дибензоильное производное (ДБП) V, т. пл.  $145-146^\circ$  (из птр. эф.,  $CCl_4$ ). Аналогично при взаимодействии II с *м*-крезолом (VI) при выдержке 8 час. получают 4,4'-диокси-2,2'-диметил-3"-нитротрифенилметан (VII) в виде VII  $\cdot 2C_6H_5$ , выход 44%, т. пл.  $85-90^\circ$  (из бзл.); 2 VII  $\cdot H_2O$ , т. пл.  $140^\circ$  (из водн. сп.); VII, т. пл.  $171-172^\circ$ ; ДАП VII, т. пл. 156 (из сп.); ДБП VII, т. пл.  $173,5-175^\circ$  (из птр. эф.). При конденсации II с *о*-крезолом (VIII) (выдержка 24 часа) получают 4,4'-диокси-3,3'-диметил-3"-нитротрифенилметан (IX) в виде IX  $\cdot C_6H_5$ , выход 70%, т. пл.  $63-68^\circ$ ; IX спелается при  $63^\circ$ , точка плавления неопределенна; ДАП IX, т. пл.  $163^\circ$  (из сп.). Из II и *п*-крезола (X) (выдержка 44 часа) получают 2,2'-диокси-5,5-диметил-3"-нитротрифенилметан, т. пл.  $144^\circ$  (из птр. эф.); ДАП, т. пл.  $131^\circ$  (из сп.). Конденсация III и IV (выдержка 18 час.) приводит к 4,4'-диокси-4"-нитротрифенилметану (XI), выделенному в виде XI  $\cdot 2C_6H_5$ , выход 36%, т. пл.  $49-57^\circ$ ; XI  $\cdot C_6H_5CH_3$ , т. пл.  $45-50^\circ$ ; XI, т. пл.  $86-87^\circ$ ; тетрабромпроизводное XI, т. пл.  $241^\circ$ . III и VI дают 4,4'-диокси-2,2'-диметил-4"-нитротрифенилметан (XII), выделенный в виде XII  $\cdot 2C_6H_5$ , т. пл.  $88-$



92° затвердевает и вновь плавится при 100—110°; XII, т. пл. 203,5—204,5° (из водн. сп.). III и X дают аморфный продукт с т. пл. 210—220°. I и IV дают 4,4'-диокси-2"-нитротрифенилметан (XIII), выделенный в виде XIII·C<sub>6</sub>H<sub>6</sub>, выход 50%, т. пл. 162—163°; XIII, т. пл. 163° (из сп.). Конденсация I с VI приводит к 4,4'-диокси-2,2'-диметил-2"-нитротрифенилметану, т. пл. 236—238° (из бzl.). Из I и X получают 2,2'-диокси-3,3'-диметил-2"-нитротрифенилметан, выход 66%, т. пл. 176—177°. Получающийся из I и VIII 4,4'-диокси-3,3'-диметил-2"-нитротрифенилметан (XIV) выделяют в виде 2XIV·C<sub>6</sub>H<sub>6</sub>, выход 50%, т. пл. 100—110°; 2XIV·C<sub>6</sub>H<sub>5</sub>CH<sub>3</sub>, т. пл. 95—110°; XIV·C<sub>6</sub>H<sub>5</sub>Cl, т. пл. 85—100°; XIV, т. пл. 138—139° (из сп., десольватируется при 100°/3—5 мм). Конденсация анизол с II (выдержка 4 дня, извлечение эфиром) приводит к 4,4'-диокси-3"-нитротрифенилметану (XV), выход 55%, т. пл. 73—75° (из петр. эф.). XV получается также при метилировании V. При конденсации 2,6-диметилфенола с II получается 4,4'-диокси-3,5,3',5'-тетраметил-3"-нитротрифенилметан (XVI), выход 85%, т. пл. 146° (из петр. эф.); 3XVI·2C<sub>6</sub>H<sub>6</sub>, т. пл. ~100°; 3XVI·2n-C<sub>6</sub>H<sub>4</sub>(CH<sub>3</sub>)<sub>2</sub>, т. пл. 104°; 3XVI·2C<sub>6</sub>H<sub>5</sub>CH<sub>3</sub>, т. пл. ~100°. Гидрирование 20 г V в 100 мл спирта над PtO<sub>2</sub> дает 2,2-г-амино-4,4'-диокситрифенилметана (XVII). Аналогично из XV получают 3-амино-4,4'-диметокситрифенилметан; хлоргидрат, т. пл. ~120°. К кипящему р-ру 7 молей FeSO<sub>4</sub> в 150 мл воды прибавляют р-р 15 г V в 10 мл 12%-ного водн. NH<sub>3</sub> в 50 мл спирта, добавляют избыток аммиака и кипятят еще 10—15 мин. Извлекают эфиром и выделяют XVII·C<sub>6</sub>H<sub>6</sub>, выход 6,8 г, т. пл. ~110°; XVII, т. пл. 168° (из водн. сп.); XVII·C<sub>6</sub>H<sub>5</sub>CH<sub>3</sub>, т. пл. 80—90°. Аналогично из VII получают 3-амино-4,4'-диокси-2',2"-диметилтрифенилметан, т. пл. 245—247° (из водн. сп.), а из XI 4-амино-4,4'-диокситрифенилметан (XVIII), т. пл. 219—221° (из водн. сп.). Деаминирование XVIII через диазосоединение приводит к лейкоаурину, т. пл. 233—235°.

В. Беликов

28710. Изучение синтеза *m*-нитроацетофенона и утилизация побочных продуктов. I. Получение *m*-нитроацетофенона каталитическим окислением. Кимура. II. Утилизация 1-этил-2-нитробензола. Кимура, Ямада (Kimura Takeshi, Yamada Shunichi), Якугаку даисси, J. Pharm. Soc. Japan, 1957, 77, № 8, 884—887; 888—890 (японск.; рез. англ.).

I. При поисках новых путей синтеза хлорамфеникола найден очень простой и экономичный метод получения 4-NO<sub>2</sub>C<sub>6</sub>H<sub>4</sub>COCH<sub>2</sub>Br и, особенно 4-NO<sub>2</sub>C<sub>6</sub>H<sub>4</sub>COCH<sub>3</sub> (I), состоящий в жидкофазном окислении ~80%-ного 4-NO<sub>2</sub>C<sub>6</sub>H<sub>4</sub>C<sub>2</sub>H<sub>5</sub> (II) в присутствии ~1% различных катализаторов при 130—140° и скорости подачи O<sub>2</sub> 15 мл/мин. Из испытанных в качестве катализаторов V<sub>2</sub>O<sub>5</sub> (III), Cr(OH)<sub>3</sub> (IV) [из Cr(NO<sub>3</sub>)<sub>3</sub>], Cr<sub>2</sub>O<sub>3</sub> (V), CrO, (CH<sub>3</sub>COO)<sub>3</sub>Cr·H<sub>2</sub>O (VI), Mn(OH)<sub>2</sub>, MnO<sub>2</sub> (VII), (CH<sub>3</sub>COO)<sub>2</sub>Mn, Fe(OH)<sub>3</sub>, Fe<sub>2</sub>O<sub>3</sub>, Co(OH)<sub>2</sub> (VIII) [из Co(NO<sub>3</sub>)<sub>2</sub>], CoO, (CH<sub>3</sub>COO)<sub>2</sub>Co, Ni(OH)<sub>2</sub>, NiO, Cu(OH)<sub>2</sub>, CuO, (CH<sub>3</sub>COO)<sub>2</sub>Cu, (CH<sub>3</sub>COO)<sub>2</sub>Zn, MoO<sub>3</sub>, (CH<sub>3</sub>COO)<sub>2</sub>Pb и смеси Cr(OH)<sub>3</sub> с MnO<sub>2</sub> наилучшие результаты показывают IV, VI и VIII в течение 6, 8, 5 и 6 час., с выходом I 21,7, 20,9 и 18,5 мол. % при образовании 4-NO<sub>2</sub>C<sub>6</sub>H<sub>4</sub>COOH 2,98, 2,86 и 3,06 мол. % соответственно.

II. Для утилизации 2-NO<sub>2</sub>C<sub>6</sub>H<sub>4</sub>C<sub>2</sub>H<sub>5</sub> (IX), получаемого наряду с II при нитровании C<sub>6</sub>H<sub>5</sub>C<sub>2</sub>H<sub>5</sub>, предлагают пути превращения IX в 2-NO<sub>2</sub>C<sub>6</sub>H<sub>4</sub>COOH (X), 2,4-(NO<sub>2</sub>)<sub>2</sub>-6-C<sub>2</sub>H<sub>5</sub>C<sub>6</sub>H<sub>3</sub>OH (XI), 2,4-(OCN)<sub>2</sub>C<sub>6</sub>H<sub>3</sub>C<sub>2</sub>H<sub>5</sub> (XII) и андол (XIII). Каталитич. окислением при 130—140° над различными катализаторами (III, IV, V, VII, VIII, Co<sub>2</sub>O<sub>3</sub>) IX превращают в смесь 2-NO<sub>2</sub>C<sub>6</sub>H<sub>4</sub>COCH<sub>3</sub> (XIV) и X (до 18,3 и 3,4 мол. % в случае применения IV). Перевод XIV в X может быть осуществлен через

2-NO<sub>2</sub>C<sub>6</sub>H<sub>4</sub>COCCl<sub>3</sub>. Восстановлением IX до 2-NH<sub>2</sub>C<sub>6</sub>H<sub>4</sub>C<sub>2</sub>H<sub>5</sub>, заменой NH<sub>2</sub>-группы на OH- и нитрованием может быть получен XI; нитрованием IX получают 2,4-(NO<sub>2</sub>)<sub>2</sub>C<sub>6</sub>H<sub>3</sub>C<sub>2</sub>H<sub>5</sub>; его восстанавливают в 2,4-(NH<sub>2</sub>)<sub>2</sub>C<sub>6</sub>H<sub>3</sub>C<sub>2</sub>H<sub>5</sub> и последний превращают в XII. При каталитич. действии TiO<sub>2</sub>, CrCu/C, Al<sub>2</sub>O<sub>3</sub>/C, V<sub>2</sub>O<sub>5</sub>/C, SiO<sub>2</sub> или C (660—680°) из IX может быть получен XIII с выходом до 54,5%.

В. Скородумов

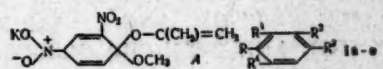
28711. О 5-нитро- и 3-нитро-2,4-дихлорбензойных кислотах. Гольдштейн, Шаф (Sur les acides nitro-5- et nitro-3-dichloro-2,4-benzoïques. Goldstein Henri, Schaaf Eugène), Helv. chim. acta, 1957, 40, № 5, 1187—1188 (франц.).

Показано, что при нитровании 2,4-дихлорбензойной к-ты (I), кроме 5-нитро-I (IIa), образуется также 3-нитро-I (IIб). К 7 мл HNO<sub>3</sub> (d 1,52) и 150 мл конц. H<sub>2</sub>SO<sub>4</sub> добавляют 30 г I, через 2 часа выливают на лед, продукт р-ции растворяют в разб. р-ре Na<sub>2</sub>CO<sub>3</sub>, фильтруют, р-р упаривают и отделяют Na-соль IIa (выход IIa 24,6 г). Маточный р-р упаривают, подкисляют, отделяют смесь IIa и IIб, из которой экстрагируют бензолом IIa, из остатка через Ba-соль выделяют 1,4 г IIб, т. пл. 215°. Метилловый эфир (MЭ) IIa (из хлорангидрида IIa (III) и CH<sub>3</sub>OH), выход 96%, т. пл. 62° (из CH<sub>3</sub>OH); этиловый эфир (ЭЭ) (из III и C<sub>2</sub>H<sub>5</sub>OH), выход 97%, т. пл. 57°, амид (из III и NH<sub>3</sub>) выход 94%, т. пл. 163° (из разб. сп.); анид, выход 98%, т. пл. 175° (из разб. сп.). Аналогично получены (указано в-во, выход в %, т. пл. в °C): MЭ IIб, 90, 96; ЭЭ IIб, 88, 84; амид IIб, 95, 172; анид IIб, 73, 175. При гидрировании IIб в р-ре CH<sub>3</sub>OH над Pd/CaCO<sub>3</sub> в присутствии KOH образуется *m*-NH<sub>2</sub>C<sub>6</sub>H<sub>4</sub>COOH.

И. Левин

28712. Реакции ароматических нитросоединений. I. Исследование реакции Яновского. Гитис С. С., Ж. общ. химии, 1957, 27, № 7, 1894—1897

Исследован механизм р-ции полинитросоединений (Ia-e) с ацетоном (II) в присутствии щелочи (р-ция Яновского). На основании различия λ<sub>макс</sub> продуктов взаимодействия 2,4-динитроацитола с ацетоналием (478 мμ) и 2,4-динитрофенилацетола с CH<sub>3</sub>OK (560 мμ) показано, что первый имеет структуру A.



Неуказанные R везде H; Ia R-R'-NO<sub>2</sub>, б R-R'-NO<sub>2</sub>, в R'-R'-NO<sub>2</sub>, г R-R'-CH<sub>3</sub>, R'-R'-NO<sub>2</sub>, д R'-R'-CH<sub>3</sub>, R'-R'-NO<sub>2</sub>, е R-R'-CH<sub>3</sub>, R'-R'-R'-NO<sub>2</sub>

К Na в ксилоле (III) прибавляют р-р II в III (1:75) и через 24—26 час. получают р-р ацетоннатрия (IV). К р-ру I в III прибавляют р-р IV в III до образования осадка. Через 12—14 час. при 16—18° осадок фильтруют, промывают смесью II и III (1:1) и абс. эфиром. Берут для получения моносодей 1/20 моля I, 1/40 г-атома Na, 1/20 моля II; дисолей — 1/40 моля I, 1/10 моля II, 1/20 г-атома Na; трисолей — 1/20 моля I, 1/10 моля II, 1/40 г-атома Na. Получены продукты присоединения IV к следующим I (приведены I, т. разл. в °C): Ia, —; Ib, —; Ic, 55—60; Id, 49—50; Ie, 60—70.

Т. Краснова

28713. Реакции ароматических нитросоединений. II. О реакции тринитроанизола и тринитрофенола с алкоголятами. Гитис С. С., Глаз А. И., Ж. общ. химии, 1957, 27, № 7, 1897—1900

На примере взаимодействия тринитроанизола (I) и тринитрофенола (II) с алкоголятами калия ROK (III а R = CH<sub>3</sub>, б R = C<sub>2</sub>H<sub>5</sub>, в R = C<sub>3</sub>H<sub>7</sub>, г R = *n*-C<sub>4</sub>H<sub>9</sub>, д R = *изо*-C<sub>4</sub>H<sub>9</sub>, е R = *изо*-C<sub>6</sub>H<sub>11</sub>) подтвержден ранее предложенный механизм р-ции образования окрашен-

ных соединений (Meisenheimer J., Liebigs Ann. Chem., 1902, 323, 205). Синтезированы продукты присоединения (ПП) IIIa к II и IIIb к I и установлена их идентичность. Гидролиз ПП на холоду приводит к образованию высших эфиров пикриновой к-ты 2,4,6-(NO<sub>2</sub>)<sub>3</sub>-C<sub>6</sub>H<sub>2</sub>OR (IVa R = n-C<sub>3</sub>H<sub>7</sub>, б R = n-C<sub>4</sub>H<sub>9</sub>, в R = *изо*-C<sub>4</sub>H<sub>9</sub>, г R = *изо*-C<sub>5</sub>H<sub>11</sub>) и при нагревании к пикратам (V). Предложен механизм превращения ПП в IV и V. К р-ру 0,01 моля I или II в 25–100 мл спирта прибавляют р-р 0,01 моля КОН в 10–15 мл спирта и выделяют ПП. Получены следующие ПП (приведены исходные продукты, выход в %, т. разл. в °C): I, IIIb, 90, 200; II, IIIa, 58, 240; I, IIIг, 89, 215–217; I, IIIд, 93, 220; I, IIIе, 59, 261–262. 1 г ПП растворяют в 100–150 мл воды и через 24 часа выделяют продукт гидролиза (приведено в-во, т. пл. в °C, выход в %): II, 78–79, 75; IVa, 43–44, 61; IVб, 35–36, 74; IVв, 52,5–53,5, 46; IVг, 44–45, 77.

Т. Краснова  
28714. Аминопроизводные 1,1-дифенилэтана. Сокольникова М. Д., Цукерман И. П., УзССР Фанлар Акад. докладари, Докл. АН УзССР, 1957, № 9, 29–31 (рез. узб.)  
4-NO<sub>2</sub>-C<sub>6</sub>H<sub>4</sub>CH(C<sub>6</sub>H<sub>5</sub>)CH<sub>3</sub> (I) и (4-NO<sub>2</sub>-C<sub>6</sub>H<sub>4</sub>)<sub>2</sub>CHCH<sub>3</sub> (II) легко гидролизуются в спирт. или бензольном р-ре (скелетный Ni, 100°, 120 ат) с образованием 4-NH<sub>2</sub>-C<sub>6</sub>H<sub>4</sub>-CH(C<sub>6</sub>H<sub>5</sub>)CH<sub>3</sub> (III) [выход 65%, т. кип. 182°/14 мм, 189–190°/16 мм, 190–195°/18 мм; ацетильное производное (АП), т. пл. 111°; бензоильное производное (БП), т. пл. 141°; хлоридат (ХГ), т. пл. 153°; пикрат (ПК), т. пл. 187° (разл.)] и (4-NH<sub>2</sub>-C<sub>6</sub>H<sub>4</sub>)<sub>2</sub>CHCH<sub>3</sub> (IV), выход 92,2%, т. пл. 121°; АП, т. пл. 194–196°; БП, т. пл. 234°; ХГ, т. пл. 280°; ПК, т. пл. 174–176°. Восстановление I и II SnCl<sub>2</sub> в CH<sub>3</sub>COOH + конц. HCl дает выход III 46,1%, IV 64,4%.

В. Скородумов  
28715. Производные 4-амино-2-оксibenзойной кислоты. V. Основные эфиры. Клинтон, Ласковский, Сальвадор, Карролла (Derivatives of 4-amino-2-hydroxybenzoic acid. 5. Basic ethers. Clinton R. O., Laskowski S. C., Salvador U. J., Carroll Patricia M.), J. Amer. Chem. Soc., 1957, 79, № 9, 2290–2295 (англ.)

При поисках новых местноанестезирующих в-в синтезированы 4-NO<sub>2</sub>-2-R<sub>2</sub>N(CH<sub>2</sub>)<sub>n</sub>OC<sub>6</sub>H<sub>3</sub>COOH (I), 4-NO<sub>2</sub>-2-R<sub>2</sub>N(CH<sub>2</sub>)<sub>n</sub>OC<sub>6</sub>H<sub>3</sub>COOR' (II), 4-NO<sub>2</sub>-2-R<sub>2</sub>N(R'X)(CH<sub>2</sub>)<sub>n</sub>OC<sub>6</sub>H<sub>3</sub>COOR' (III), 4-NH<sub>2</sub>-2-R<sub>2</sub>N(CH<sub>2</sub>)<sub>n</sub>OC<sub>6</sub>H<sub>3</sub>COOH (IV), 4-NH<sub>2</sub>-2-R<sub>2</sub>N(CH<sub>2</sub>)<sub>n</sub>OC<sub>6</sub>H<sub>3</sub>COOR' (V), 4-NH<sub>2</sub>-2-R<sub>2</sub>N(R'X)(CH<sub>2</sub>)<sub>n</sub>OC<sub>6</sub>H<sub>3</sub>COOR' (VI), а также 4-R'NH-2-R<sub>2</sub>N(CH<sub>2</sub>)<sub>n</sub>OC<sub>6</sub>H<sub>3</sub>COOR' (VII). 0,043 моля хлоридата (ХГ) II, R = R' = C<sub>2</sub>H<sub>5</sub>, n = 2, 0,17 моля Na<sub>2</sub>CO<sub>3</sub> и 200 мл 50%-ного спирта кипятят 4 часа, отгоняют спирт в вакууме, фильтрат подкисляют конц. HCl, насыщают Na<sub>2</sub>SO<sub>4</sub>, получают ХГ I, R = C<sub>2</sub>H<sub>5</sub>, n = 2 (ХГ Ia), выход неочищ. 98%, т. пл. 212–213,9° (из CH<sub>3</sub>OH). 0,1 моля ХГ Ia, 0,1 моля NaHCO<sub>3</sub> и 500 мл абс. спирта кипятят 3 часа, фильтрат выпаривают в вакууме, выход Ia 25 г, т. пл. 164,6–166,6°; пикрат (ПК), т. пл. 179–180,4°. Аналогично получают I, R = CH<sub>3</sub>, n = 2, т. пл. 193,1–194,1° (из абс. сп.), ХГ, т. пл. 208–209,6° (из абс. сп.), ПК, т. пл. 181,8–182,6° и I, R<sub>2</sub>N = C<sub>6</sub>H<sub>10</sub>N, n = 3, т. пл. 216,8–217,5° (из абс. сп.); ПК, т. пл. 143–145° (из абс. сп.). II получают четырьмя методами. Метод а: к теплому р-ру 0,2 моля 4-NO<sub>2</sub>-2HOC<sub>6</sub>H<sub>3</sub>-COOCH<sub>3</sub> в 1,4 л безвод. C<sub>6</sub>H<sub>5</sub>CH<sub>3</sub> (VIII) прибавляют 0,2 моля Na в 500 мл абс. CH<sub>3</sub>OH, отгоняют р-ритель до 110°, прибавляют 0,22 моля (C<sub>2</sub>H<sub>5</sub>)<sub>2</sub>NCH<sub>2</sub>CH<sub>2</sub>Cl (IX) в 500 мл VIII и кипятят 20 час., охлаждают, фильтруют, осадок промывают C<sub>6</sub>H<sub>6</sub>, отгоняют р-ритель в вакууме, остаток превращают в ХГ действием избытка эфира. HCl на р-р основания (OC) в этилацетате, выхзд ХГ II, R = C<sub>2</sub>H<sub>5</sub>, R' = CH<sub>3</sub>, n = 2, 85%, т. пл. 156,9–159,2° (из абс. CH<sub>3</sub>OH + этилацетат); ПК, т. пл. 149,8–

150,6°. Метод б: 0,11 моля 4-NO<sub>2</sub>-2-HOC<sub>6</sub>H<sub>3</sub>COOC<sub>2</sub>H<sub>5</sub>, 0,12 моля IX и 250 мл C<sub>2</sub>H<sub>5</sub>OH кипятят 8 час., обычной обработкой выделяют ХГ II, R = C<sub>2</sub>H<sub>5</sub>, R' = C<sub>2</sub>H<sub>5</sub>, n = 2, т. пл. 153,4–155,5°; ПК, т. пл. 98,8–100,6°. Метод в: 4-NO<sub>2</sub>-2-HOC<sub>6</sub>H<sub>3</sub>COOC<sub>2</sub>H<sub>5</sub> алкилируют посредством 4-CH<sub>3</sub>C<sub>6</sub>H<sub>4</sub>SO<sub>3</sub>CH<sub>2</sub>CH<sub>2</sub>Cl (J. Amer. Chem. Soc., 1952, 74, 592), получают 4-NO<sub>2</sub>-2-ClCH<sub>2</sub>CH<sub>2</sub>OC<sub>6</sub>H<sub>3</sub>COOC<sub>2</sub>H<sub>5</sub> (X), т. пл. 56,6–57,2° (из гексана); кипячением X с R<sub>2</sub>NH в спирте в присутствии NaJ превращают в соответствующие II, выход 50–65%. Метод г: р-цию между 4-NO<sub>2</sub>-2-HOC<sub>6</sub>H<sub>3</sub>COOR' и R<sub>2</sub>N(CH<sub>2</sub>)<sub>n</sub>Cl в присутствии RONA проводят по ранее описанному методу (J. Amer. Chem. Soc., 1952, 74, 2226), применяя в качестве р-рителя соответствующий RОН; приводятся R в RONA и выход II в % в случае применения IX: CH<sub>3</sub>, 5; C<sub>2</sub>H<sub>5</sub>, 71; C<sub>3</sub>H<sub>7</sub>, 88; C<sub>4</sub>H<sub>9</sub>, 86; CH<sub>3</sub> (в C<sub>2</sub>H<sub>5</sub>OH), 70 (этилового эфира, за счет переэтерификации). Получены следующие II (перечисляются R<sub>2</sub>N, R', n, т. пл. ХГ и ПК в °C): (CH<sub>3</sub>)<sub>2</sub>N, C<sub>2</sub>H<sub>5</sub>, 2 (IIa), 202,2–202,6, 139,4–140,4; (C<sub>2</sub>H<sub>5</sub>)<sub>2</sub>N, C<sub>2</sub>H<sub>5</sub>, 2 (IIб), 143,9–144,8, 137,8–139; (C<sub>2</sub>H<sub>5</sub>)<sub>2</sub>N, C<sub>4</sub>H<sub>9</sub>, 2, 117,6–118,6, 120,5–121,6; (изо-C<sub>3</sub>H<sub>7</sub>)<sub>2</sub>N, C<sub>2</sub>H<sub>5</sub>, 2 (OC, т. пл. 42–48,9°), 169,1–170,7, 160,3–163,2; OC<sub>2</sub>H<sub>5</sub>N, CH<sub>3</sub>, 2, 206–206,4, 161,6–162,2; OC<sub>2</sub>H<sub>5</sub>N, C<sub>2</sub>H<sub>5</sub>, 2, 207–208, 154,8–155,6; C<sub>6</sub>H<sub>10</sub>N, C<sub>2</sub>H<sub>5</sub>, 2, 191–191,5, 141,7–142,9; 2-метилпиперидил-1 (МП-радикал), C<sub>2</sub>H<sub>5</sub>, 2, 180,8–182,6, 138–139; 2,6-диметилпиперидил-1 (ДМП-радикал), C<sub>2</sub>H<sub>5</sub>, 2, 153–154, 207,6–209; (C<sub>2</sub>H<sub>5</sub>)<sub>2</sub>N, C<sub>2</sub>H<sub>5</sub>, 3, 164,8–165,6, 98,6–99,2; OC<sub>2</sub>H<sub>5</sub>N, C<sub>2</sub>H<sub>5</sub>, 3 (IIв), 142–144,6, 133,4–134,2; C<sub>6</sub>H<sub>10</sub>N, C<sub>2</sub>H<sub>5</sub>, 3 (IIг), 160,4–161,6, 139,6–140,4; МП, C<sub>2</sub>H<sub>5</sub>, 3, 158,2–159,6, 104,6–101,8. III получают двумя методами из чистых ОС, выделенных из чистых ХГ. Метод для йодметилатов и бромметилатов: к ОС II в этилацетате прибавляют 3 моля CH<sub>3</sub>J или CH<sub>3</sub>Br, через 3–20 час. при ~20°, осадок III промывают этилацетатом, перекристаллизуют из абс. спирта или смеси *изо*-C<sub>3</sub>H<sub>7</sub>OH + этилацетат; C<sub>2</sub>H<sub>5</sub>J реагирует с Ia количественно, но не взаимодействует с гомологами IIб при ~20°. Метод для бромалкилатов: ОС II в CH<sub>3</sub>CN смешивают с 3 молями R'Br и кипятят 36–72 часа. При получении бис-четвертичных солей (бис-ЧС) из Ia применяют те же условия, но отношение молей ОС: а,о-дибромалкан берут 2,4:1; при получении бис-ЧС из IIб в качестве р-рителя используют CH<sub>3</sub>NO<sub>2</sub>, смесь кипятят 48–72 часа. Для III приводят R<sub>2</sub>N, R', n, R'X, т. пл. в °C: (CH<sub>3</sub>)<sub>2</sub>N, C<sub>2</sub>H<sub>5</sub>, 2, CH<sub>3</sub>J, 190,2–191,2; (CH<sub>3</sub>)<sub>2</sub>N, C<sub>2</sub>H<sub>5</sub>, 2, C<sub>2</sub>H<sub>5</sub>J, 119,1–120,2; (CH<sub>3</sub>)<sub>2</sub>N, C<sub>2</sub>H<sub>5</sub>, 2, *изо*-C<sub>3</sub>H<sub>7</sub>Br, 180,1–182,4; (CH<sub>3</sub>)<sub>2</sub>N, C<sub>2</sub>H<sub>5</sub>, 2, *изо*-C<sub>4</sub>H<sub>9</sub>Br, 137,4–148,2; (CH<sub>3</sub>)<sub>2</sub>N, C<sub>2</sub>H<sub>5</sub>, 2, *изо*-C<sub>5</sub>H<sub>11</sub>Br, 150,6–153; (CH<sub>3</sub>)<sub>2</sub>N, C<sub>2</sub>H<sub>5</sub>, 2, HOCH<sub>2</sub>C<sub>6</sub>H<sub>4</sub>Br, 129,7–138; (CH<sub>3</sub>)<sub>2</sub>N, C<sub>2</sub>H<sub>5</sub>, 2, C<sub>6</sub>H<sub>5</sub>CH<sub>2</sub>Br, 153,3–155,4; (CH<sub>3</sub>)<sub>2</sub>N, C<sub>2</sub>H<sub>5</sub>, 2, β-циклогексилэтилбромид, 121,9–123,5; (CH<sub>3</sub>)<sub>2</sub>N, C<sub>2</sub>H<sub>5</sub>, 2, Br(CH<sub>2</sub>)<sub>2</sub>Br (бис-ЧС), 164,1–172; (CH<sub>3</sub>)<sub>2</sub>N, C<sub>2</sub>H<sub>5</sub>, 2, Br(CH<sub>2</sub>)<sub>3</sub>Br (бис-ЧС), 185,1–192; (CH<sub>3</sub>)<sub>2</sub>N, C<sub>2</sub>H<sub>5</sub>, 2, Br(CH<sub>2</sub>)<sub>4</sub>Br (бис-ЧС), 179,1–186,9; (CH<sub>3</sub>)<sub>2</sub>N, C<sub>2</sub>H<sub>5</sub>, 2, Br(CH<sub>2</sub>)<sub>5</sub>Br (бис-ЧС), 184–187 (разл.); (CH<sub>3</sub>)<sub>2</sub>N, C<sub>2</sub>H<sub>5</sub>, 2, Br(CH<sub>2</sub>)<sub>6</sub>Br, (бис-ЧС), 192,3–195,9; (C<sub>2</sub>H<sub>5</sub>)<sub>2</sub>N, CH<sub>3</sub>, 2, CH<sub>3</sub>J, 162,5–163; (C<sub>2</sub>H<sub>5</sub>)<sub>2</sub>N, C<sub>2</sub>H<sub>5</sub>, 2, CH<sub>3</sub>Br, 150,6–151,6; (C<sub>2</sub>H<sub>5</sub>)<sub>2</sub>N, C<sub>2</sub>H<sub>5</sub>, 2, CH<sub>3</sub>J, 143,1–144,6; (C<sub>2</sub>H<sub>5</sub>)<sub>2</sub>N, C<sub>3</sub>H<sub>7</sub>, 2, CH<sub>3</sub>J, 143,2–144,6; (C<sub>2</sub>H<sub>5</sub>)<sub>2</sub>N, C<sub>4</sub>H<sub>9</sub>, 2, CH<sub>3</sub>J, 118,2–120,2; (C<sub>2</sub>H<sub>5</sub>)<sub>2</sub>N, C<sub>2</sub>H<sub>5</sub>, 2, C<sub>2</sub>H<sub>5</sub>J, 140,7–141,9; (C<sub>2</sub>H<sub>5</sub>)<sub>2</sub>N, C<sub>2</sub>H<sub>5</sub>, 2, Br(CH<sub>2</sub>)<sub>2</sub>Br (бис-ЧС), 146,7–148,7; (C<sub>2</sub>H<sub>5</sub>)<sub>2</sub>N, C<sub>2</sub>H<sub>5</sub>, 2, Br(CH<sub>2</sub>)<sub>3</sub>Br (бис-ЧС), 143,2–146,8; (C<sub>2</sub>H<sub>5</sub>)<sub>2</sub>N, C<sub>2</sub>H<sub>5</sub>, 2, Br(CH<sub>2</sub>)<sub>4</sub>Br (бис-ЧС), 150,7–158,2; (изо-C<sub>3</sub>H<sub>7</sub>)<sub>2</sub>N, C<sub>2</sub>H<sub>5</sub>, 2, CH<sub>3</sub>J, 183,7–184,2; OC<sub>2</sub>H<sub>5</sub>N, CH<sub>3</sub>, 2, CH<sub>3</sub>J, 209–211; OC<sub>2</sub>H<sub>5</sub>N, C<sub>2</sub>H<sub>5</sub>, 2, CH<sub>3</sub>J, 190,5–191,3; C<sub>6</sub>H<sub>10</sub>N, C<sub>2</sub>H<sub>5</sub>, 2, CH<sub>3</sub>J, 147,7–148,9; МП, C<sub>2</sub>H<sub>5</sub>, 2, CH<sub>3</sub>J, 159,8–161; ДМП, C<sub>2</sub>H<sub>5</sub>, 2, CH<sub>3</sub>J, 192,3–192,9; (C<sub>2</sub>H<sub>5</sub>)<sub>2</sub>N, C<sub>2</sub>H<sub>5</sub>, 3, CH<sub>3</sub>J, 148–149,6; OC<sub>2</sub>H<sub>5</sub>N, C<sub>2</sub>H<sub>5</sub>, 3, CH<sub>3</sub>J, 161,1–161,7; C<sub>6</sub>H<sub>10</sub>N, C<sub>2</sub>H<sub>5</sub>, 3, CH<sub>3</sub>J, 166,9–167,9; МП, C<sub>2</sub>H<sub>5</sub>, 3, CH<sub>3</sub>J, 165,5–166,5. Из 0,01 моля II и 0,02 моля 2-HO-4-NO<sub>2</sub>-C<sub>6</sub>H<sub>3</sub>CN в этилацетате получают



2-нитро-5-нитрофенолаты (ЦНФ) II, выход 100%; ди-ЦНФ Iв, т. пл. 76–78°; ди-ЦНФ Iв, т. пл. 137,2–138,3°; ди-ЦНФ Iг, т. пл. 125,2–126°. I или их ХГ гидрируют на  $PtO_2$  в подходящем разб. или неразб. спирте при 25° и ~3 ат, получают IV (приводятся  $R_2N$ ,  $R'$ , т. пл. ОС, ХГ или ПК в °C):  $(CH_3)_2N$ , 2, ХГ, 145,5–147,2;  $(C_2H_5)_2N$ , 2, ОС, 158–158,8, ПК, 187,5–188,3;  $C_6H_{10}N$ , 3, ХГ, 162,1–162,8 (разл.). ОС или ХГ II восстанавливают Fe и HCl в соответствующем спирте, или ХГ II гидрируют на  $PtO_2$  при 25° в спирте; полученные V перекристаллизовывают из  $C_6H_6$  или из этилацетата + гексан; в кристаллич. виде легко образуются фосфаты (ФФ). Для V приводятся  $R_2N$ ,  $R'$ , т. пл. ФФ в °C, т. пл. ПК в °C:  $(CH_3)_2N$ ,  $C_2H_5$ , 2 (ОС, т. пл. 94,2–95,6°), 176,3–177,3, 140,2–141,2;  $(C_2H_5)_2N$ ,  $CH_3$ , 2, 195,8–196,8, 119–120,4 (ди-ПК);  $(C_2H_5)_2N$ ,  $C_2H_5$ , 2, 168,7–169,5, 131,6–133,2 (ди-ХГ, т. пл. 173,6–173,9°);  $(C_2H_5)_2N$ ,  $C_3H_7$ , 2, 153–154, 140,4–141,2;  $(C_2H_5)_2N$ ,  $C_4H_9$ , 2, 154,5–155,5, 120,8–122,6;  $(изо-C_3H_7)_2N$ ,  $C_2H_5$ , 2, 186–187, флавинат (ФЛ), т. пл. 196,8–197,8°;  $OC_4H_9N$ ,  $CH_3$ , 2, 151,3–152,1 (ди-ФФ), 168,5–169,7;  $OC_4H_9N$ ,  $C_2H_5$ , 2 (ОС, т. пл. 98–99,8°), 196,3–196,9, 165,8–166,8;  $C_6H_{10}N$ ,  $C_2H_5$ , 2 (ОС, т. пл. 107,3–108,5), 220,8–221,4, 159–160; МП,  $C_2H_5$ , 2 (ОС, т. пл. 91,2–92,4°), 172,4–173,6; ДМП,  $C_2H_5$ , 2, 211–211,8, 188,8–189,6;  $(C_2H_5)_2N$ ,  $C_2H_5$ , 3, 151,5–153,2, 146,2–147;  $OC_4H_9N$ ,  $C_2H_5$ , 3 (ОС, т. пл. 106,8–108°), 143,3–144,4, 210,4–211,4;  $C_6H_{10}N$ ,  $C_2H_5$ , 3 (ОС, т. пл. 109,2–110,1°), 160,2–161,6, 218–218,7; МП,  $C_2H_5$ , 3 (ОС, т. пл. 112,4–113,8°), 136,4–138,3, 180,8–183. Гидрированием III на  $PtO_2$  (25°, ~3 ат) в соответствующем разб. или неразб. спирте получают VI, выделение которых производят перегонкой в вакууме (предварительно с этилацетатом) и последующей кристаллизацией из смеси  $изо-C_3H_7OH$  + этилацетат или из абс. спирта. Для VI приводятся  $R_2N$ ,  $R'$ ,  $R''$ , т. пл. в °C:  $(CH_3)_2N$ ,  $C_2H_5$ , 2,  $CH_3J$ , 204,2–205,2;  $(CH_3)_2N$ ,  $C_2H_5$ , 2,  $C_2H_5J$ , 172,3–175,3;  $(CH_3)_2N$ ,  $C_2H_5$ , 2,  $изо-C_3H_7Br$ , 190–192,2;  $(CH_3)_2N$ ,  $C_2H_5$ , 2,  $HOCH_2CH_2Br$ , 138,9–142,3;  $(CH_3)_2N$ ,  $C_2H_5$ , 2,  $\beta$ -циклогексилэтилбромид, 101,6–105,1;  $(CH_3)_2N$ ,  $C_2H_5$ , 2,  $Br(CH_2)_2Br$  (бис-ЧС), 190–195 (разл.);  $(CH_3)_2N$ ,  $C_2H_5$ , 2,  $Br(CH_2)_4Br$  (бис-ЧС), 150 (нечетко);  $(CH_3)_2N$ ,  $C_2H_5$ , 2,  $Br(CH_2)_5Br$  (бис-ЧС), 125 (нечетко);  $(CH_3)_2N$ ,  $C_2H_5$ , 2,  $Br(CH_2)_6Br$  (бис-ЧС), 200,7–202,5;  $(C_2H_5)_2N$ ,  $CH_3$ , 2,  $CH_3J$ , 127,4–129;  $(C_2H_5)_2N$ ,  $C_2H_5$ , 2,  $CH_3Br$ , 160,3–162,1;  $(C_2H_5)_2N$ ,  $C_2H_5$ , 2,  $CH_3J$ , 139,2–141,1;  $(C_2H_5)_2N$ ,  $C_3H_7$ , 2,  $CH_3J$ , 127,4–129,6;  $(C_2H_5)_2N$ ,  $C_4H_9$ , 2,  $CH_3J$ , 88,2–92,4;  $(C_2H_5)_2N$ ,  $C_2H_5$ , 2,  $C_2H_5J$ , 141,2–143,8;  $OC_4H_9N$ ,  $C_2H_5$ , 2,  $CH_3J$ , 182,7–183,7;  $C_6H_{10}N$ ,  $C_2H_5$ , 2,  $CH_3J$ , 167,4–168,4; ДМП,  $C_2H_5$ , 2,  $CH_3J$ , 123,4–126,4;  $(C_2H_5)_2N$ ,  $C_2H_5$ , 3,  $CH_3J$ , 125–126;  $OC_4H_9N$ ,  $C_2H_5$ , 3,  $CH_3J$ , 151,9–153,1;  $C_6H_{10}N$ ,  $C_2H_5$ , 3,  $CH_3J$ , 150,1–150,6. Восстановительным акилированием V при помощи альдегидов, Zп-пыли и  $CH_3COOH$  по ранее описанному методу (J. Amer. Chem. Soc., 1952, 74, 592) получают VII (приводятся  $R_2N$ ,  $R'$ ,  $R''$ , т. пл. солей в °C):  $(C_2H_5)_2N$ ,  $C_2H_5$ ,  $C_4H_9$ , 2, ХГ, 160,5–161,8 (из абс. сп.), ФЛ, 164,6–165,6 (из сп.);  $(C_2H_5)_2N$ ,  $C_2H_5$ ,  $HO(CH_2)_5NH$ , 2, ХГ, 132,2–133,4 (из абс. сп. + гексан), ФЛ, 126–126,4; ДМП,  $C_2H_5$ ,  $HOCH_2C(CH_3)_2CH_2NH$ , 2, — (ОС, т. пл. 90–91°). V обладают местноанестетич. активностью (МАН); высокоактивны при подкожном применении и при блокаде седалищного нерва, но менее активны на роговице. Увеличение числа  $n$  или изменение основности [замена  $(CH_3)_2N$  на радикал МП] приводит к увеличению МАН; аналогично переход от  $CH_3$  к  $C_4H_9$  в сложноэфирной группировке умеренно усиливает МАН при подкожном применении и значительно — на роговице. Однако V более токсичны и несколько сильнее раздражают, чем ранее описанные эфиры (J. Amer. Chem. Soc., 1952, 74, 592). VII менее активны, чем V. К-ты IV лишены МАН. Четвертичные соли обладают высо-

кой ганглиоблокирующей активностью. Сообщение IV см. РЖХим, 1957, 77060. В. Скороумов 28716. Алкиловые и диэтиламиноэтиловые эфиры N-замещенных аминоацетиламинобензойных кислот.

Эпштейн, Каминский (Alkyl and diethylaminoethyl esters of N-substituted aminoacetylaminobenzoic acids. Epstein Elias, Kaminsky Daniel), J. Amer. Chem. Soc., 1957, 79, № 21, 5814–5817 (англ.).

Взаимодействием эфиров 4-амино- (I к-та) и 2-аминобензойной к-ты с  $ClCH_2COCl$  (II) или  $ClCH_2CH_2COCl$  (III) синтезированы соответственно 4- $Cl(CH_2)_nCONHC_6H_4COOR$  (IV) и 2- $Cl(CH_2)_nCONHC_6H_4COOR$  (V), которые при р-ции с первичными и вторичными аминами превращены в 4- $R'R''N(CH_2)_nCONHC_6H_4COOR$  (VI) и 2- $R'R''N(CH_2)_nCONHC_6H_4COOR$  (VII). К 3 молям 4- $O_2NC_6H_4COCl$  прибавляют 7 молей  $n-C_5H_{11}OH$ , размешивают 2 часа, кипятят ~8 час. (до прекращения выделения газообразного HCl), упаривают в вакууме, остаток промывают 5%-ным р-ром NaOH, прибавляют 250 мл  $изо-C_3H_7OH$  (VIII), 10 мл конц. HCl и 250 мл воды, нагревают до 70°, прибавляют постепенно при 60–70° 550 г Fe-опилки, нагревают 2 часа при 70°, фильтрат упаривают, к остатку прибавляют 100 г лимонной к-ты и 10 г  $Na_2S_2O_4$ , подщелачивают конц.  $NH_4OH$ , извлекают эфиром и в эфирный р-р пропускают HCl (газ), получают хлоргидрат амилевого эфира I, выход 83%, т. пл. 92–95° (из VIII). К р-ру 0,1 моля изобутилового эфира I в 150 мл лед.  $CH_3COOH$  быстро и при сильном размешивании прибавляют 0,11 моля III, через 30 мин. прибавляют р-р 100 г  $CH_3COONa$  в 500 мл воды и через 1 час выделяют IV ( $R = изo-C_4H_9$ ,  $n = 2$ ) (IVa), выход 94%, т. пл. 122–125° (из 90%-ного VIII). К р-ру 0,3 моля основания новоканна в 100 мл лед.  $CH_3COOH$  прибавляют за 30 мин. при ~20° р-р 0,33 моля II в 50 мл  $CH_3COOH$ , через 1 час упаривают в вакууме, остаток растворяют в эфире и нейтрализуют 5%-ным р-ром  $K_2CO_3$ ; из эфирного р-ра получают IV [ $R = (C_2H_5)_2NCH_2CH_2$ ,  $n = 1$ ], выход 95%, т. пл. 61–64° (из петр. эф.). Указанными выше способами получают также следующие IV (приведены R,  $n$ , т. пл. °C):  $CH_3$ , 1, 144–146;  $C_2H_5$ , 1, 116–118;  $изo-C_3H_7$ , 1, 105–107;  $n-C_4H_9$ , 1, 91–92;  $изo-C_4H_9$ , 1, 113–115;  $n-C_5H_{11}$ , 1, 96–98;  $C_6H_{13}CH(CH_3)$ , 1, 48–51;  $C_2H_5$ , 2, 125–128;  $изo-C_3H_7$ , 2, 127–129;  $n-C_4H_9$ , 2, 98–100;  $изo-C_4H_9$ , 2, 121–123; и следующие V (приведены R,  $n$ , т. пл. °C):  $C_2H_5$ , 1, 79–81;  $изo-C_3H_7$ , 1, 50–52;  $n-C_4H_9$ , 1, 46–48;  $C_2H_5$ , 2, 67–69. Смесь 0,04 моля IVa и 0,2 моля  $(C_2H_5)_2NH$  кипятят 4 часа, упаривают в вакууме, остаток растворяют в 250 мл эфира и подкисляют HCl (газом), получают хлоргидрат VI ( $R = изo-C_4H_9$ ,  $R' = R'' = C_2H_5$ ,  $n = 2$ ), выход 89%, т. пл. 150–152° (из VIII). Аналогично получают следующие VI (указаны R,  $R'$ ,  $R''$  (или  $NR'R''$ ),  $n$ , т. пл. основания, т. пл. хлоргидрата в °C):  $CH_3$ ,  $H$ ,  $C_2H_5$ , 1, 104–106, 231–233;  $CH_3$ ,  $H$ ,  $n-C_3H_7$ , 1, 56–60, 242–244;  $CH_3$ ,  $H$ ,  $n-C_4H_9$ , 1, 71–75, 229–232;  $CH_3$ ,  $H$ ,  $изo-C_4H_9$ , 1, —, 180–182;  $CH_3$ ,  $C_2H_5$ ,  $C_2H_5$ , 1, 60–62, 192–194;  $CH_3$ , морфолино, 1, 113–114, 233–235;  $CH_3$ ,  $H$ ,  $C_6H_{11}$ , 1, 103–104, 286–287;  $C_2H_5$ ,  $H$ ,  $C_2H_5$ , 1, 66–70, 206–208;  $C_2H_5$ ,  $H$ ,  $n-C_4H_9$ , 1, 69–72, 243–245;  $C_2H_5$ ,  $H$ ,  $изo-C_4H_9$ , 1, 42–45, 235–237;  $C_2H_5$ ,  $C_2H_5$ ,  $C_2H_5$ , 1, —, 171–174;  $C_2H_5$ ,  $C_2H_5$ ,  $C_2H_5$ , 2, —, 88–90;  $C_2H_5$ , морфолино, 1, 77–80, 182–185;  $C_2H_5$ , морфолино, 2, —, 219–221;  $C_2H_5$ ,  $H$ ,  $C_6H_{11}$ , 1, 104–107, 287–288;  $изo-C_3H_7$ ,  $H$ ,  $C_2H_5$ , 1, 52–55, 227–229;  $изo-C_3H_7$ ,  $H$ ,  $n-C_3H_7$ , 2, —, 162–165;  $изo-C_3H_7$ ,  $H$ ,  $n-C_4H_9$ , 1, 84–87, 242–244;  $изo-C_3H_7$ ,  $H$ ,  $n-C_4H_9$ , 2, 45–48, 202–203;  $изo-C_3H_7$ ,  $H$ ,  $изo-C_4H_9$ , 1, 89–92, 196–199;  $изo-C_3H_7$ ,  $C_2H_5$ ,  $C_2H_5$ , 1, —, 134–136;  $изo-C_3H_7$ ,  $C_2H_5$ ,  $C_2H_5$ , 2, —, 182–185;  $изo-C_3H_7$ , морфолино, 1, 88–90, 194–196;  $n-C_4H_9$ ,  $H$ ,  $C_2H_5$ , 1, —, 197–

199:  $n\text{-C}_4\text{H}_9$ ,  $\text{H}$ ,  $n\text{-C}_3\text{H}_7$ , 2, —, 189—194;  $n\text{-C}_4\text{H}_9$ ,  $\text{H}$ ,  $n\text{-C}_4\text{H}_9$ , 1, 70—72, 244—247;  $n\text{-C}_4\text{H}_9$ ,  $\text{H}$ ,  $n\text{-C}_4\text{H}_9$ , 2, 86—89, 192—194;  $n\text{-C}_4\text{H}_9$ ,  $\text{H}$ ,  $\text{изо-C}_4\text{H}_9$ , 1, —, 225—227;  $n\text{-C}_4\text{H}_9$ ,  $\text{H}$ ,  $\text{изо-C}_4\text{H}_9$ , 2 (VIa), —, 125—128;  $n\text{-C}_4\text{H}_9$ ,  $\text{H}$ ,  $\text{трет-C}_4\text{H}_9$ , 2, 63—67, 178—180;  $n\text{-C}_4\text{H}_9$ ,  $\text{C}_2\text{H}_5$ ,  $\text{C}_2\text{H}_5$ , 1, —, 118—122;  $n\text{-C}_4\text{H}_9$ ,  $\text{C}_2\text{H}_5$ ,  $\text{C}_2\text{H}_5$ , 2, —, 144—146;  $n\text{-C}_4\text{H}_9$ , морфолино, 1, 71—73, 106—108;  $n\text{-C}_4\text{H}_9$ , морфолино, 2, —, 217—219;  $\text{изо-C}_4\text{H}_9$ ,  $\text{H}$ ,  $\text{CH}_3$ , 1, 68—71, 176—179;  $\text{изо-C}_4\text{H}_9$ ,  $\text{H}$ ,  $\text{C}_2\text{H}_5$ , 1, 83—86, 216—219;  $\text{изо-C}_4\text{H}_9$ ,  $\text{H}$ ,  $n\text{-C}_3\text{H}_7$ , 1, —, 211—213;  $\text{изо-C}_4\text{H}_9$ ,  $\text{H}$ ,  $n\text{-C}_4\text{H}_9$ , 1, 80—82, 246—249;  $\text{изо-C}_4\text{H}_9$ ,  $\text{H}$ ,  $\text{изо-C}_4\text{H}_9$ , 1, —, 207—209;  $\text{изо-C}_4\text{H}_9$ ,  $\text{H}$ ,  $\text{изо-C}_4\text{H}_9$ , 2, —, 220—222;  $\text{изо-C}_4\text{H}_9$ ,  $\text{C}_2\text{H}_5$ ,  $\text{C}_2\text{H}_5$ , 1, —, 153—155;  $\text{изо-C}_4\text{H}_9$ ,  $n\text{-C}_4\text{H}_9$ ,  $n\text{-C}_4\text{H}_9$ , 1, —, 294—296;  $\text{изо-C}_4\text{H}_9$ , пирролидино, 1, 69—71, 178—179;  $\text{изо-C}_4\text{H}_9$ , пиперидино, 1, 86—89, 193—196;  $\text{изо-C}_4\text{H}_9$ , морфолино, 1, 92—95, 198—200;  $\text{изо-C}_4\text{H}_9$ , морфолино, 2, 109—112, 223—224;  $\text{изо-C}_4\text{H}_9$ , 2,6-диметилморфолино, 1, 94—96, 203—205;  $\text{изо-C}_4\text{H}_9$ ,  $\text{H}$ ,  $\text{C}_6\text{H}_{11}$ , 1, 155—159, 286—288;  $\text{изо-C}_2\text{H}_5$ , циклогексилметиламино, 1, 90—94, 262—264;  $\text{изо-C}_4\text{H}_9$ ,  $\text{H}$ , фурурил, 1, 244—247;  $\text{изо-C}_4\text{H}_9$ ,  $\text{H}$ ,  $(\text{CH}_3)_2\text{NCH}_2\text{CH}_2\text{CH}_2$ , 1, —, 228—228;  $\text{изо-C}_4\text{H}_9$ ,  $\text{H}$ ,  $\text{C}_6\text{H}_5\text{CH}_2$ , 1, 103—106, 240—242;  $n\text{-C}_5\text{H}_{11}$ ,  $\text{H}$ ,  $\text{C}_2\text{H}_5$ , 1, —, 206—208;  $n\text{-C}_5\text{H}_{11}$ ,  $\text{H}$ ,  $n\text{-C}_4\text{H}_9$ , 1, —, 244—246;  $n\text{-C}_5\text{H}_{11}$ ,  $\text{H}$ ,  $\text{изо-C}_4\text{H}_9$ , 1, 57—59, 205—208;  $n\text{-C}_5\text{H}_{11}$ ,  $\text{C}_2\text{H}_5$ ,  $\text{C}_2\text{H}_5$ , 1, —, 138—142;  $n\text{-C}_5\text{H}_{11}$ , морфолино, 1, 88—91, 162—164;  $n\text{-C}_5\text{H}_{11}\text{CH}(\text{CH}_3)$ ,  $\text{C}_2\text{H}_5$ ,  $\text{C}_2\text{H}_5$ , 1, —, 110—114;  $n\text{-C}_6\text{H}_{13}\text{CH}(\text{CH}_3)$ , морфолино, 1, —, 112—115;  $(\text{C}_2\text{H}_5)_2\text{NCH}_2\text{CH}_2$ ,  $\text{H}$ ,  $\text{изо-C}_4\text{H}_9$ , 1, —, 187—191;  $(\text{C}_2\text{H}_5)_2\text{NCH}_2\text{CH}_2$ ,  $\text{C}_2\text{H}_5$ ,  $\text{C}_2\text{H}_5$ , 1, 18—22, 193—195;  $(\text{C}_2\text{H}_5)_2\text{NCH}_2\text{CH}_2$ , морфолино, 1, —, 151—154; и следующие VII (указаны R, R', R'' (или NR'R''), т. пл. основания, т. пл. хлоргидрата в °C):  $\text{C}_2\text{H}_5$ ,  $\text{H}$ ,  $n\text{-C}_4\text{H}_9$ , 2, —, 145—149;  $\text{C}_2\text{H}_5$ ,  $\text{H}$ ,  $\text{изо-C}_4\text{H}_9$ , 1, 60—64, 180—183;  $\text{C}_2\text{H}_5$ ,  $\text{C}_2\text{H}_5$ ,  $\text{C}_2\text{H}_5$ , 1, 55—57, 123—127;  $\text{C}_2\text{H}_5$ ,  $\text{C}_2\text{H}_5$ ,  $\text{C}_2\text{H}_5$ , 2, —, 163—165;  $\text{C}_2\text{H}_5$ , морфолино, 1, 69—71, 129—133;  $\text{C}_2\text{H}_5$ , морфолино, 2, 59—64, 186—188;  $\text{изо-C}_3\text{H}_7$ ,  $\text{C}_2\text{H}_5$ ,  $\text{C}_2\text{H}_5$ , 1, —, 179—182;  $n\text{-C}_4\text{H}_9$ ,  $\text{C}_2\text{H}_5$ ,  $\text{C}_2\text{H}_5$ , 1, —, 127—130;  $n\text{-C}_4\text{H}_9$ , морфолино, 1, —, 136—139. VI и VII в той или другой степени обладает местноанестезирующими свойствами при сравнительно низкой токсичности. По соотношению между активностью и токсичностью VIa превосходит кокаин и новокаин более, чем в 100 раз.

А. Травин  
28717. Поиск новых местных анестетиков. Часть IV. Сен-Гупта, Каур, Васудев (Search for new local anaesthetics. Part IV. Sen Gupta I., Kaur Harwant, Vasudev I., J. Indian. Chem., Soc., 1957, 34, № 7, 528—530 (англ.))

Реакцией  $n$ -диэтиламино- и  $n$ -диметиламино-(I)-анилинов с эфирными  $p$ -рами хлорангидридов  $p$ -толуоловой (II),  $p$ -нитробензойной (III) или анисовой (IV) ж-т синтезированы для фармакологич. испытаний  $n$ -диэтиланилиды (указаны т. пл. в °C): II, 129; хлоргидрат (XG), 245 (разл.); III (IIIa), 168; IV, 146; XG, 234 (разл.) и  $n$ -диметиланилиды II, 250; XG, 262 (разл.); III (IIIb), 257, или IV, 176; XG, 228 (разл.); IIIa, б восстановлены  $\text{SnCl}_2$  и  $\text{HCl}$  в диэтил-[206; XG, 262 (разл.)] и диметил-[179; XG, 252—253 (разл.)]-анилиды  $n$ -аминобензойной к-ты. 4-часовым кипячением в спирте I с ванилином, пипероналем, ацетофеноном и анисовым или салициловым альдегидами получены 4-окси-3-метоксибензилиден-(138; XG, 320), 3',4'-метилendioксибензилиден-(112; XG, 213),  $\alpha$ -фенилэтилиден-(85; XG, 168), 4'-метоксибензилиден-(144; XG, 242) и 2'-оксибензилиден-(XG, 171)-4-аминодиметиланилины. Все синтезированные в-ва кристаллизуются из спирта. Часть III см. РЖХим, 1957, 77059.

Л. Шукина  
28718. Получение  $N,N'$ -тетрафенилтриметилэндимиана. Эльман (Darstellung von  $N,N'$ -Tetraphenyltrimethylendiamin. Oehlmann Friedrich), Chem. Technik, 1957, 9, № 10, 597 (нем.)

$(\text{C}_6\text{H}_5)_2\text{N}(\text{CH}_2)_3\text{N}(\text{C}_6\text{H}_5)_2$  (I) получают действием  $\text{Br}(\text{CH}_2)_3\text{Br}$  или  $\text{Cl}(\text{CH}_2)_3\text{Br}$  (II) на  $(\text{C}_6\text{H}_5)_2\text{NK}$  в  $\text{HCON}(\text{CH}_3)_2$  (III). К 100 г  $(\text{C}_6\text{H}_5)_2\text{NH}$  при 100° прибав-

ляют 4 г К, нагревают 3 часа в атмосфере  $\text{N}_2$ , но охлаждения эвакуируют, прибавляют 60 мл эфира, осадок отфильтровывают, промывают эфиром, добавляют 75 мл III, при охлаждении прибавляют 35 г II, кипятят 3 часа, удаляют  $p$ -ритель, извлекают эфиром, выпаривают эфир, остаток экстрагируют 8 п.  $\text{HCl}$ , фильтрат подщелачивают 2 п.  $\text{NaOH}$ , эфиром извлекают I, выход 34%, т. кип. 123—125°/1 мм,  $n_D^{20}$  1,6191,  $d_4^{20}$  1,059; 3,5-динитробензоат, т. пл. 91,5°.

В. Скородумов  
28719. О-алкилирование фенолов, сопровождающее прямое образование солей диазония в спиртовой среде. Теддер, Тикер (O-alkylation accompanying the direct formation of diazonium salts from phenols in alcoholic solution. Tedder J. M., Theaker G.), Chemistry and Industry, 1957, № 45, 1485 (англ.)

К 1 мл  $3\text{-CH}_3\text{C}_6\text{H}_4\text{OH}$  (I) в 15 мл спирта, насыщ.  $\text{HCl}$ , прибавляют 5 мл  $\text{C}_2\text{H}_5\text{ONO}$  (за 1 час, 0°), образующийся, по-видимому,  $2\text{-CH}_3\text{-4-C}_6\text{H}_4\text{OC}_2\text{H}_5\text{N}_2+\text{Cl}^-$  сочетают с  $\beta$ -нафтолом, получают краситель (KP), т. пл. 122—123° (из ацетона), не идентичный с KP, т. пл. 241° получаемым из I в водн. среде или из  $2\text{-CH}_3\text{-4-HOC}_6\text{H}_4\text{NH}_2$  обычным путем.

В. Скородумов  
28720. Исследование в области синтеза и превращений в ряду диарилмочевин. I. Синтез диарилмочевин и их производных. Кутепов Д. Ф., Розанов Н. С., Ж. общ. химии, 1957, 27, № 9, 2532—2536

С целью получения  $\text{ArNHCONHAr}$  (I) изучена р-ция  $\text{SOCl}_2$  (II) с  $\text{RNH}_2$  (III) в различных средах. Высокие выходы I в случае III,  $\text{Ar} = \text{C}_6\text{H}_5$  (IIIa) и  $2\text{-CH}_3\text{OC}_6\text{H}_4$  (IIIб) объясняются их способностью образовывать с водой эмульсии, обеспечивающие тесное соприкосновение II и III. Скорость р-ции увеличивается с увеличением основности III. На течение р-ции влияют пространственные факторы, а также связывание  $\text{HCl}$  различными акцепторами. В 20 г IIIa и 150 мл воды при постоянном поддержании щел. р-ции прибавлением  $\text{Na}_2\text{CO}_3$  за 45 мин. пропускают 11,7 г II (20°), перемешивают 1 час при 40°, выливают в 10%-ный  $\text{Na}_2\text{CO}_3$ , выход I,  $\text{Ar} = \text{C}_6\text{H}_5$ , 99,4%, т. пл. 239°. Аналогично получают I,  $\text{Ar} = 2\text{-CH}_3\text{OC}_6\text{H}_4$ , выход 98,8%, т. пл. 186°. В 20 г III,  $\text{Ar} = 2\text{-NO}_2\text{C}_6\text{H}_4$ , и 150 мл толуола при 100° 35 мин. пропускают 9,3 г II, внося постепенно  $\text{Na}_2\text{CO}_3$  (110% от теоретич. кол-ва), размешивают 1 час при 100°, охлаждают, прибавляют 15 мл воды, выход I,  $\text{Ar} = 2\text{-NO}_2\text{C}_6\text{H}_4$ , 80,89%, т. пл. 225° (из бал.). Аналогично получают I,  $\text{Ar} = 3\text{-NO}_2\text{C}_6\text{H}_4$  (Iб), выход 85,87%, т. пл. 242°. 20 г III,  $\text{Ar} = 3\text{-NO}_2\text{C}_6\text{H}_4$ , и 150 мл  $\text{C}_6\text{H}_5\text{NO}_2$  (IV) при 40°, постепенно внося  $\text{Na}_2\text{CO}_3$ , фосгенируют 9,3 г II при скорости 0,27 г/мин, перемешивают 1 час при 70°, осадок кипятят 30 мин. с 150 мл IV, отгоняют с водяным паром, осадок промывают 10%-ной  $\text{HCl}$ , выход Iб 79,52%. Аналогично синтезируют I (приводятся  $\text{Ar}$ , выход в %, т. пл. в °C):  $4\text{-NO}_2\text{C}_6\text{H}_4$ , 91,5, 312;  $4\text{-CH}_3\text{OC}_6\text{H}_4$ , 94,1, 242;  $2\text{-CH}_3\text{C}_6\text{H}_4$ , 95,2, 250;  $2\text{-CH}_3\text{-4-NO}_2\text{C}_6\text{H}_3$ , 79,6, 300.

В. Скородумов  
28721. Исследования в области производных замещенных укусовых кислот. Сообщение X. Диалкиламиноэтиловые эфиры  $\beta$ -алкилмеркаптоэтилбензилукусовых кислот. Миджоян А. Л., Татевосян Г. Т., Диванян Н. М., Изв. АН АрмССР, Сер. хим. н., 1957, 10, № 4, 267—276 (рез. арм.)

С целью получения физиологически активных препаратов синтезированы  $\text{RSC}_2\text{H}_4\text{CH}(\text{CH}_2\text{C}_6\text{H}_5)\text{COOCH}_2\text{CH}_2\text{NR}'_2$  (I) следующим путем:  $\text{RSNa} \rightarrow \text{RSC}_2\text{H}_4\text{OH} \rightarrow \text{RSC}_2\text{H}_4\text{CH}_2\text{Cl}$  (II)  $\rightarrow \text{RSC}_2\text{H}_4\text{CH}_2\text{C}(\text{COOC}_2\text{H}_5)_2\text{CH}_2\text{C}_6\text{H}_5$  (III)  $\rightarrow \text{RSC}_2\text{H}_4\text{CH}_2\text{CH}(\text{COOH})\text{CH}_2\text{C}_6\text{H}_5$  (IV)  $\rightarrow \text{RSC}_2\text{H}_4\text{CH}_2\text{CH}(\text{COCl})\text{CH}_2\text{C}_6\text{H}_5$  (V)  $\rightarrow$  I. 0,45 моля  $\text{C}_6\text{H}_5\text{CH}_2\text{CH}_2\text{C}(\text{COOC}_2\text{H}_5)_2$  быстро прибавляют в р-р 0,4 г-атома Na в 160 мл абс. спирта, кипятят 30 мин., по каплям прибавляют 0,5 моля II, кипятят 6—8 час., отгоняют спирт, к остатку прибавляют 250 мл воды,



исключением эфиrom и перегонкой выделяют III (приводятся R, выход в %, т. кип. в °C/мм,  $n_D^{20}$ ,  $d_4^{20}$ ):  $\text{CH}_3$ , 50, 190—195/8, 1,5040, 1,1040;  $\text{C}_2\text{H}_5$ , 66,2, 190—192/6, 1,4990, 1,0866;  $\text{C}_3\text{H}_7$ , 5, 187—188/4, 1,5060, 1,0785; *изо*- $\text{C}_3\text{H}_7$ , 61, 196—197/6, 1,5030, 1,0647;  $\text{C}_4\text{H}_9$ , 54,5, 195/6, 1,5040, 1,0650;  $(\text{CH}_3)_2\text{CHCH}_2$ , 64, 191/4, 1,5020, 1,0543. 0,5 моля III, 500 мл 90%-ного спирта и 1,5 моля NaOH кипятят 6 час., отгоняют спирт, прибавляют 200 мл воды, извлекают эфиром, водн. р-р подкисляют HCl, экстрагируют эфиром, после нагревания в вакууме до полного декарбонизирования перегоняют IV (приводятся те же показатели):  $\text{CH}_3$ , 92,6, 185/6, 1,5440, 1,1016;  $\text{C}_2\text{H}_5$ , 72,2, 196—197/6, 1,5270, 1,0890;  $\text{C}_3\text{H}_7$ , 89,1, 198/6, 1,5349, 1,0777; *изо*- $\text{C}_3\text{H}_7$ , 80,7, 190—192/6, 1,5323, 1,0758;  $\text{C}_4\text{H}_9$ , 90,3, 208/6, 1,5260, 1,0537;  $(\text{CH}_3)_2\text{CHCH}_2$ , 88,7, 193—194/6, 1,5270, 1,0579. 0,1 моля IV, 0,12 моля  $\text{SOCl}_2$  и 200 мл  $\text{C}_6\text{H}_6$  кипятят 18—20 час., отгоняют избыток  $\text{SOCl}_2$  и  $\text{C}_6\text{H}_6$ , получают V (перечисляются R, выход в %, т. кип. в °C/мм):  $\text{CH}_3$ , 81,3, 150/6;  $\text{C}_2\text{H}_5$ , 95,5, 109—110/0,2;  $\text{C}_3\text{H}_7$ , 86,9, 132/1,46; *изо*- $\text{C}_3\text{H}_7$ , 87,4, 118/1,02;  $\text{C}_4\text{H}_9$ , 62,3, 118/0,32;  $(\text{CH}_3)_2\text{CHCH}_2$ , 71,5, 120/1,22. К 0,09 моля V в 100 мл  $\text{C}_6\text{H}_6$  прибавляют 0,18 моля аминспирта, кипятят 6—8 час., по охлаждению нейтрализуют  $\text{Na}_2\text{CO}_3$ , прибавляют 2—3 мл конц. NaOH, экстрагируют эфиром, перегонкой выделяют I (перечисляются R,R', выход в %, т. кип. в °C/мм,  $n_D^{20}$ ,  $d_4^{20}$ , соль, т. пл. соли в °C):  $\text{CH}_3$ ,  $\text{CH}_3$ , 87,5, 89/6,63  $\cdot 10^{-5}$ , 1,5325, 1,0646, цитрат (ЦТ), 94;  $\text{CH}_3$ ,  $\text{C}_2\text{H}_5$ , 85, 95/6,63  $\cdot 10^{-5}$ , 1,5225, 1,0432, цитрат, 87, ЦТ, 95;  $\text{C}_2\text{H}_5$ ,  $\text{CH}_3$ , 84,1, 110/1,06  $\cdot 10^{-2}$ , 1,5183, 1,0386, йодметилат (ИМ), 85, ЦТ, 99;  $\text{C}_2\text{H}_5$ ,  $\text{C}_2\text{H}_5$ , 81,9, 115/1,06  $\cdot 10^{-2}$ , 1,5140, 1,0222, ЦТ, 98;  $\text{C}_3\text{H}_7$ ,  $\text{CH}_3$ , 86,5, 100/2,65  $\cdot 10^{-4}$ , 1,5180, 1,0254, ИМ, 95, ЦТ, 85;  $\text{C}_3\text{H}_7$ ,  $\text{C}_2\text{H}_5$ , 81,4, 95/6,63  $\cdot 10^{-5}$ , 1,5130, 1,0116, ЦТ, 94; *изо*- $\text{C}_3\text{H}_7$ , 93,1, 104/6,63  $\cdot 10^{-5}$ , 1,5112, 1,0148, ИМ, 96, йодметилат, 64, ЦТ, 89—90; *изо*- $\text{C}_3\text{H}_7$ ,  $\text{C}_2\text{H}_5$ , 80, 109/6,63  $\cdot 10^{-5}$ , 1,5075, 1,0019, ЦТ, 104;  $\text{C}_4\text{H}_9$ ,  $\text{CH}_3$ , 84,3, 128/1,06  $\cdot 10^{-3}$ , 1,5190, 1,0251, ИМ, 79, ЦТ, 65;  $\text{C}_4\text{H}_9$ ,  $\text{C}_2\text{H}_5$ , 80,2, 130/1,06  $\cdot 10^{-3}$ , 1,5128, 1,0102, ЦТ, 93;  $(\text{CH}_3)_2\text{CHCH}_2$ ,  $\text{CH}_3$ , 93,9, 112/2,65  $\cdot 10^{-4}$ , 1,5155, 1,0215, ЦТ, 80;  $(\text{CH}_3)_2\text{CHCH}_2$ ,  $\text{C}_2\text{H}_5$ , 83,5, 116/2,65  $\cdot 10^{-4}$ , 1,5111, 1,0099, ЦТ, 95. Сообщение IX см. РЖХим, 1958, 7980.

В. Скородумов  
28722. Взаимодействие ароматических оксикетонов и их производных с хлористым тионилем в присутствии мелкоизмельченной меди. Часть XII. Получение 2,2'-диокси-3,3'-диацетил-4,4'-диметокси-дифенилсульфида и его производных. Далви, Джадхав (Interaction of aromatic hydroxy ketones and their derivatives and thionyl chloride in presence of finely divided copper. Part XII. Preparation of 2:2'-dihydroxy-3:3'-diacetyl-4:4'-dimethoxydiphenyl thioether and derivatives. Dalvi V. J., Jadhav G. V.), J. Indian Chem. Soc., 1957, 34, № 4, 324—326 (англ.).

Взаимодействием 2-окси-6-метоксиацетофенона (I) с  $\text{SOCl}_2$  в присутствии  $\text{Cu}$ -порошка получают 2,2'-диокси-3,3'-диацетил-4,4'-диметокси-дифенилсульфид (II), строение которого подтверждено превращением его при нитровании в 2-окси-3-нитро-6-метоксиацетофенон (III). При бромировании II образуется 2,2'-диокси-3,3'-диацетил-4,4'-диметокси-5,5'-дибромдифенилсульфид (IV), который при нитровании дает 2-окси-3-нитро-5,5'-дибром-6-метоксиацетофенон (V), полученный также бромированием III. Бромирование II при повышенной температуре привело к 2-окси-6-метокситетрабромацетофенону (VI). К 9 мл  $\text{SOCl}_2$  в 60 мл сухого  $\text{CHCl}_3$  при  $\sim 0^\circ$  постепенно присыпают 6 г  $\text{Cu}$ -порошка, через 30 мин. при  $\sim 20^\circ$  прибавляют 10 г I, на другой день при  $\sim 20^\circ$  из фильтрата удаляют  $\text{CHCl}_3$ , промывают петр. эфиром и обрабатывают  $\text{CH}_3\text{COOH}$ , выход II 2,5 г, т. пл. 184—185° (из сп.); диацетильное производное, т. пл. 106—107° (из бzl.-петр. эф.); диметилловый эфир, т. пл. 135—136° (из сп.); 2,4-динитрофенилгидразон, т. пл. 230—231°. Р-ция 3 г I в 50 мл сухого эфира

( $\sim 0^\circ$ ) с 1,5 г  $\text{S}_2\text{Cl}_2$  или  $\text{SCl}_2$  дает 0,6 г II. К 10 мл  $\text{HNO}_3$  ( $d$  1,4) при  $\sim 0^\circ$  постепенно прибавляют 1 г II, через 10 мин. выливают в лед и получают III, т. пл. 102—103° (из разб. сп.). К горячему р-ру 1 г II в 20 мл  $\text{CH}_3\text{COOH}$  прибавляют 5 мл 20%-ного р-ра  $\text{Br}_2$  в  $\text{CH}_3\text{COOH}$ , оставляют на  $\sim 12$  час., разбавляют и получают IV, т. пл. 199—200° (из разб.  $\text{CH}_3\text{COOH}$ ). К 0,5 г IV в 5 мл  $\text{CH}_3\text{COOH}$  при  $\sim 0^\circ$  прибавляют 5 мл  $\text{HNO}_3$  ( $d$  1,4), через 10 мин. выливают в лед и получают V, т. пл. 156—157° (из  $\text{CH}_3\text{COOH}$ ). При действии 4 мл 20%-ного р-ра  $\text{Br}_2$  в  $\text{CH}_3\text{COOH}$  на 1 г III в 5 мл  $\text{CH}_3\text{COOH}$  также получают V. Смесь р-ров 1 г II в 20 мл  $\text{CH}_3\text{COOH}$  и 2 мл  $\text{Br}_2$  в 10 мл  $\text{CH}_3\text{COOH}$  нагревают 4 часа при  $\sim 100^\circ$ , разбавлением выделяют VI, т. пл. 101—102° (из разб. сп.). VI кипятят 2 часа с избытком 20%-ного KOH, подкисляют  $\text{HNO}_3$  и выделяют дибромпроизводное. Часть XI см. РЖХим, 1958, 4560.

Ю. Волькенштейн

28723. Исследования в ряду сульфонов. V. Новые производные 4-фенилсульфонбензоилгидразона. Мавродин, Зотта, Воре-Л-Стоенеску, Отелану (Untersuchungen aus der Gruppe der Sulfone. (V). Neue Derivate des 4-Phenylsulfon-benzoyl-hydrazons. Mavrodin A., Zotta V., Vorel-Stoeneescu M., Oteleanu D.), Pharmaz. Zentralhalle, 1957, 96, № 10, 509—516 (нем.).

При поисках новых противотуберкулезных средств нагреванием альдегидов с гидразидами замещ. дифенилсульфонкарбоновых к-т в спирте синтезированы 4- $\text{RC}_6\text{H}_4\text{SO}_2\text{C}_6\text{H}_4\text{CONHN}=\text{CHR}'-4'$  (приводятся R,R', выход в %, т. пл. в °C, в скобках р-ритель): H,  $\text{C}_6\text{H}_5$ , 80, 163—164 (диоксан); H, 2- $\text{HOC}_6\text{H}_4$ , 91, 174—175 ( $\text{CH}_3\text{COOH}$ ); H, 4- $\text{HOC}_6\text{H}_4$ , 78, 231—232 (сп.); H, 3- $\text{CH}_3\text{O}-4-\text{HOC}_6\text{H}_4$ , 70,5, 190 (диоксан); H, 4-( $\text{CH}_3$ ) $_2\text{NC}_6\text{H}_4$ , 72,6, 189—190 (ацетон-сп.); H, 4- $\text{ClC}_6\text{H}_4$ , 83,3, 148 (ксилол); H, 2- $\text{NO}_2\text{C}_6\text{H}_4$ , 65,6, 125 (водн.  $\text{CH}_3\text{COOH}$ ); H, 4- $\text{NO}_2\text{C}_6\text{H}_4$ , 58, 152 ( $\text{CH}_3\text{COOH}$ ); Cl,  $\text{C}_6\text{H}_5$ , 85, 203 (диоксан); Cl, 2- $\text{HOC}_6\text{H}_4$ , 84,2, 252 (сп.); Cl, 4- $\text{HOC}_6\text{H}_4$ , 77,4, 228—229 (диоксан); Cl, 3- $\text{CH}_3\text{O}-4-\text{HOC}_6\text{H}_4$ , 96,5, 218—219 ( $\text{CH}_3\text{COOH}$ ); Cl, 4-( $\text{CH}_3$ ) $_2\text{NC}_6\text{H}_4$ , 98,6, 236 (диоксан); Cl, 4- $\text{ClC}_6\text{H}_4$ , 97, 222—223 ( $\text{CH}_3\text{COOH}$ ); Cl, 2- $\text{NO}_2\text{C}_6\text{H}_4$ , 91, 190 ( $\text{CH}_3\text{COOH}$ ); Cl, 4- $\text{NO}_2\text{C}_6\text{H}_4$ , 81,6, 238 (диоксан); Br, 4- $\text{BrC}_6\text{H}_4$ , 80,6, 200—201 (диоксан); Br, 2- $\text{HOC}_6\text{H}_4$ , 93,8, 266 ( $\text{CH}_3\text{COOH}$ ); Br, 4- $\text{HOC}_6\text{H}_4$ , 88,3, 237 (сп.); Br, 3- $\text{CH}_3\text{O}-4-\text{HOC}_6\text{H}_4$ , 89,8, 222—223 (сп.); Br, ( $\text{CH}_3$ ) $_2\text{NC}_6\text{H}_4$ , 92,6, 240—241 (диоксан); Br, 4- $\text{ClC}_6\text{H}_4$ , 95,5, 230 (диоксан); Br, 2- $\text{NO}_2\text{C}_6\text{H}_4$ , 90,5, 193 ( $\text{CH}_3\text{COOH}$ ); Br, 4- $\text{NO}_2\text{C}_6\text{H}_4$ , 96,3, 243—244 ( $\text{CH}_3\text{COOH}$ );  $\text{C}_6\text{H}_5\text{CH}=\text{NNHCO}$ ,  $\text{C}_6\text{H}_5$ , 84,2, 273 ( $\text{CH}_3\text{COOH}$ ); 2- $\text{HOC}_6\text{H}_4\text{CH}=\text{NNHCO}$ , 2- $\text{HOC}_6\text{H}_4$ , 86,8, 249—250; 4- $\text{HOC}_6\text{H}_4\text{CH}=\text{NNHCO}$ , 4- $\text{HOC}_6\text{H}_4$ , 43, 298 (сп.); 3- $\text{CH}_3\text{O}-4-\text{HOC}_6\text{H}_4\text{CH}=\text{NNHCO}$ , 3- $\text{CH}_3\text{O}-4-\text{C}_6\text{H}_4$ , 65, 237—239; 4-( $\text{CH}_3$ ) $_2\text{NC}_6\text{H}_4\text{CH}=\text{NNHCO}$ , ( $\text{CH}_3$ ) $_2\text{NC}_6\text{H}_4$ , 61, 230 (гликоль); 4- $\text{ClC}_6\text{H}_4\text{CH}=\text{NNHCO}$ , 4- $\text{ClC}_6\text{H}_4$ , 54, 320—321 (гликоль); 2- $\text{NO}_2\text{C}_6\text{H}_4\text{CH}=\text{NNHCO}$ , 2- $\text{NO}_2\text{C}_6\text{H}_4$ , 50,6, 268—269 ( $\text{CH}_3\text{COOH}$ ); 4- $\text{NO}_2\text{C}_6\text{H}_4\text{CH}=\text{NNHCO}$ , 4- $\text{NO}_2\text{C}_6\text{H}_4$ , 61,8, 284 (диоксан). Сообщение IV см. РЖХим, 1957, 41088.

В. Скородумов

28724. Цианоэтирование некоторых сульфонов, производных 2,4,5-трихлорбензилсульфидов. Юмар, Шульце (Cyanäthylierung einiger von 2,4,5-Trichlorbenzylarylsulfiden abgeleiteter Sulfone. Jumar Alfred, Schulze Wilfried), J. prakt. Chem., 1957, 5, № 1-2, 83—90 (нем.).

При поисках в-в, обладающих инсектицидным (ИД) и акарицидным (АД) действиями, получен ряд  $\text{RCH}_2\text{SR}'$  (I), окисленных далее в  $\text{RCH}_2\text{SO}_2\text{R}'$  (II); последние действием  $\text{CH}_2=\text{CHCN}$  (III) превращаются в  $\text{RCH}(\text{CH}_2\text{CH}_2\text{CN})\text{SO}_2\text{R}'$  (IV) или, когда это позволяло пространственные условия, в  $\text{RC}(\text{CH}_2\text{CH}_2\text{CN})_2\text{SO}_2\text{R}'$  (V). 0,25 моля RSH вносят в р-р 7,5 г Na в 300—500 мл спирта, прибавляют постепенно 0,275 моля 2,4,5- $\text{Cl}_3\text{C}_6$ -

$\text{H}_2\text{CH}_2\text{Cl}$ , кипятят 2 часа, выливают в воду, эфиром экстрагируют I,  $\text{R} = 2,4,5\text{-Cl}_3\text{C}_6\text{H}_2$  [приводятся  $\text{R}'$ , выход I в %, т. кип. в  $^\circ\text{C}/\text{мм}$  или т. пл. в  $^\circ\text{C}$  (из сл.)]:  $\text{C}_6\text{H}_5$  (Ia), 86, 176,5/0,5;  $2\text{-CH}_3\text{C}_6\text{H}_4$ , 80, 162/0,15;  $4\text{-CH}_3\text{C}_6\text{H}_4$ , 82, 163,5/0,08;  $3\text{-Cl-4-CH}_3\text{C}_6\text{H}_3$  (Ib), 80, 194/0,5;  $2,3,5\text{-Cl}_3$ - $4\text{-CH}_3\text{C}_6\text{H}_3$ , 54, 126;  $4\text{-ClC}_6\text{H}_4$  (Ic), 67, 172/0,3;  $3,4\text{-Cl}_2\text{C}_6\text{H}_3$  (Id), 74, 206/0,8;  $2,5\text{-Cl}_2\text{C}_6\text{H}_3$ , 89, 89,5;  $2,4,5\text{-Cl}_3\text{C}_6\text{H}_2$ , 64, 94—100. Аналогично получают I (даны  $\text{R}, \text{R}'$ , выход в %, т. кип. в  $^\circ\text{C}/\text{мм}$ ):  $2\text{-ClC}_6\text{H}_4$ ,  $\text{C}_6\text{H}_5$ , 96, 114/0,03;  $4\text{-ClC}_6\text{H}_4$ ,  $\text{C}_6\text{H}_5$  (Id), 85, 139/0,5 (т. пл. 77,5—78 $^\circ$ );  $3,4\text{-Cl}_2\text{C}_6\text{H}_3$ ,  $\text{C}_6\text{H}_5$  (Ie), 73, 162/1,3;  $2,4\text{-Cl}_2\text{C}_6\text{H}_3$ ,  $\text{C}_6\text{H}_5$  (If), 73, 125/0,2. I,  $\text{R} = 2,4,5\text{-Cl}_3\text{C}_6\text{H}_2$ , в лед.  $\text{CH}_3\text{COOH}$  окисляют избытком  $\text{H}_2\text{O}_2$  (1 час, 50—70 $^\circ$ ; ~ 12 час., ~ 20 $^\circ$ ), получают II,  $\text{R} = 2,4,5\text{-Cl}_3\text{C}_6\text{H}_2$  [приводятся  $\text{R}'$ , выход в %, т. пл. в  $^\circ\text{C}$  (из лед.  $\text{CH}_3\text{COOH}$ ):  $\text{C}_6\text{H}_5$ , 96, 154—154,5;  $2\text{-CH}_3\text{C}_6\text{H}_4$ , 90, 134—135;  $4\text{-CH}_3\text{C}_6\text{H}_4$ , 97, 167—168;  $3\text{-Cl-4-CH}_3\text{C}_6\text{H}_3$ , 92, 159,5—161;  $2,3,5\text{-Cl}_3\text{-4-CH}_3\text{C}_6\text{H}_3$ , 68, 194,5—195;  $4\text{-ClC}_6\text{H}_4$ , 92, 159—160;  $3,4\text{-Cl}_2\text{C}_6\text{H}_3$ , 86, 172,5—175;  $2,5\text{-Cl}_2\text{C}_6\text{H}_3$ , 80, 182—184;  $2,4,5\text{-Cl}_3\text{C}_6\text{H}_2$ , 60, 203—204,5; а также II (даны  $\text{R}, \text{R}'$ , выход в %, т. пл. в  $^\circ\text{C}$ ):  $2\text{-ClC}_6\text{H}_4$ ,  $\text{C}_6\text{H}_5$ , 77, 71—71,5;  $3\text{-ClC}_6\text{H}_4$ ,  $\text{C}_6\text{H}_5$ , 91, 187,5—189;  $3,4\text{-Cl}_2\text{C}_6\text{H}_3$ ,  $\text{C}_6\text{H}_5$ , 55, 189;  $2,4\text{-Cl}_2\text{C}_6\text{H}_3$ ,  $\text{C}_6\text{H}_5$ , 94, 128—128,5. К 0,1 моля II в безводн.  $\text{CH}_3\text{CN}$  (VI) прибавляют 2,5—3 г 60%-ного тритона Б и при охлаждении льдом 12—5 III (≤ 38 $^\circ$ ) если не все переходит в р-р, прибавляют еще VI, оставляют на 20 час. при ~ 20 $^\circ$ , приливают воду, получают IV,  $\text{R} = 2,4,5\text{-Cl}_3\text{C}_6\text{H}_2$  [приводятся  $\text{R}'$ , выход в %, т. пл. в  $^\circ\text{C}$ ]:  $\text{C}_6\text{H}_5$ , 70, 130—130,5;  $2\text{-CH}_3\text{C}_6\text{H}_4$ , 94, 155—156,5;  $4\text{-CH}_3\text{C}_6\text{H}_4$ , 96, 143—144,5;  $3\text{-Cl-4-CH}_3\text{C}_6\text{H}_3$ , 88, 200—202,5;  $2,3,5\text{-Cl}_3\text{-4-CH}_3\text{C}_6\text{H}_3$ , 20, 196—200;  $4\text{-ClC}_6\text{H}_4$ , 76, 130—131,5;  $3,4\text{-Cl}_2\text{C}_6\text{H}_3$ , 73, 159—160,5;  $2,5\text{-Cl}_2\text{C}_6\text{H}_3$ , 58, 118,5—120;  $2,4,5\text{-Cl}_3\text{C}_6\text{H}_2$ , 65, 210—211, а также IV (даны  $\text{R}, \text{R}'$ , выход в %, т. пл. в  $^\circ\text{C}$ ):  $2\text{-ClC}_6\text{H}_4$ ,  $\text{C}_6\text{H}_5$ , 63, 85—86;  $2,4\text{-Cl}_2\text{C}_6\text{H}_3$ ,  $\text{C}_6\text{H}_5$ , 76, 105—105,5. Попытки получения V путем изменения условий и кол-в реагентов к успеху не приводят; удалось получить следующие V (даны те же показатели):  $4\text{-ClC}_6\text{H}_4$ ,  $\text{C}_6\text{H}_5$ , 54, 200—201,5;  $3,4\text{-Cl}_2\text{C}_6\text{H}_3$ ,  $\text{C}_6\text{H}_5$ , 59, 199,5—201. Все т-ры плавления исправлены. Особенно сильным АД обладает Id, равный известному I,  $\text{R} = \text{R}' = 4\text{-ClC}_6\text{H}_4$ ; хорошее АД проявляют Ib, Ic и If, II, IV и V лишены ИД и АД. В. Скородумов

**28725. Разложение некоторых эфиров *p*-толуолсульфокислоты.** Хиккинботтом, Роджерс (The decomposition of some esters of toluene-*p*-sulphonic acid. Hickinbottom W. J., Rogers N. W.), J. Chem. Soc., 1957, Sept., 4131—4132 (англ.)

Синтезированы и исследованы свойства циклогексидового (I), циклопентилового (II) и 1,3,3-триметилбутилового (III) эфира *p*-толуолсульфокислот (IV к-та). Очищ. I—III месяцами могут оставаться без изменения в отсутствие влаги и к-ты. Неочищ. I—III разлагаются при хранении приблизительно через неделю с выделением IV, олефинов и их полимеров; нагревание и добавка IV ускоряет разложение. I разлагается нацело при нагревании (120 $^\circ$ , 1 час) или при добавке IV. Из нейтр. продуктов разложения I и II перегонкой выделены фракции углеводородов (УВ)  $\text{C}_{12}$ , в основном насыщ. УВ (дициклогексил и другие УВ, содержащие, по-видимому, метилциклопентановое кольцо) и фракции  $\text{C}_{18}$  (по-видимому смесь, ненасыщ. УВ), а также значительное кол-во высших полимеров. III дает при разложении ненасыщ. димер, содержащий спирт, остаток, а также тример и полимеры. К 1,8 моля циклогексанола в 650 мл свежеперегнанного  $\text{C}_6\text{H}_5\text{N}$  добавляли при размешивании (—8 $^\circ$ ) 1,7 моля  $n\text{-CH}_3\text{-C}_6\text{H}_4\text{SO}_2\text{Cl}$  (в три приема, ≤ —3 $^\circ$ ) и размешивали 4 часа (0 $^\circ$ ), через ~ 12 час. (0 $^\circ$ ) обрабатывали 1 л конц.  $\text{HCl}$ ; выделено 380 г I, т. пл. 45,5—46 $^\circ$ . Аналогично получены II, т. пл. 27 $^\circ$ , и III, т. пл. 46 $^\circ$  (все из петр. эф.). Г. Крюкова

**28726. Исследования в области эфиров сульфокислот.** Сообщение I. Синтез и акарицидные свойства некоторых эфиров  $\gamma$ -хлоркротилсульфокислоты. Есаян Г. Т., Марджанян Г. М., Оганесян Р. М., Устиян А. К., Изв. АН АрмССР, Сер. хим. н., 1957, 10, № 4, 277—282 (рез. арм.)

Для изучения влияния эфирных групп на акарицидные свойства (АС) эфиров алифатич. сульфокислот получен ряд  $\text{CH}_3\text{CCl}=\text{CHCH}_2\text{SO}_2\text{OR}$  (I), где  $\text{R} = \text{C}_6\text{H}_5$  (Ia),  $2\text{-CH}_3\text{OC}_6\text{H}_4$  (Ib),  $2\text{-NO}_2\text{C}_6\text{H}_4$  (Ic),  $4\text{-ClC}_6\text{H}_4$  (Id),  $\beta$ -нафтил (Ie), хиволил-8 (If), 4-метилкумарил-7 (Ig),  $\text{ClCH}_2\text{CH}_2$  (Ia), а также  $n\text{-C}_6\text{H}_{13}$  ( $\text{OSO}_2\text{CH}_2\text{CH}=\text{CClCH}_3$ ) (II). На примере Ia изучены свойства этого ряда в-в. Ia устойчив к нагреванию с водой; омыляется 5%-ным  $\text{NaOH}$  (несколько часов, ~ 100 $^\circ$ ); под действием спирт.  $\text{KOH}$  (10 час., ~ 100 $^\circ$ ) расщепляется на фенол и  $\text{CH}_3\text{C}\equiv\text{CCH}_2\text{SO}_2\text{OK}$ ; вместо ожидаемых  $\text{C}_6\text{H}_5\text{OSO}_2\text{CH}_2\text{COOH}$  и  $\text{CH}_3\text{COOH}$  при окислении  $\text{KMnO}_4$  в водн. и ацетоновых р-рах получают газообразные продукты; при действии избытка 20%-ной  $\text{HNO}_3$  при ~ 100 $^\circ$  образуется небольшое кол-во хинона. 1 моль фенола в  $\text{C}_6\text{H}_6$  (~ 5%-ный р-р) нагревают несколько часов с 1 молем  $\text{KOH}$ , прибавляют 1 моль  $\text{CH}_3\text{CCl}=\text{CHCH}_2\text{SO}_2\text{Cl}$  (III), нагревают 6—8 час. при ~ 100 $^\circ$ , фильтрат промывают 5%-ным  $\text{NaOH}$ , перегонкой выделяют Ia, выход 49,3%, т. кип. 171—172 $^\circ$ /8 мм,  $n_D^{20}$  1,5330,  $d_4^{20}$  1,2851. Аналогично получают I (приводятся в-во, выход в %, т. кип. в  $^\circ\text{C}/\text{мм}$ ,  $n_D^{20}$ ,  $d_4^{20}$ ): Ib, 16, 19,4, 207—211/10 (т. пл. 19,4 $^\circ$ ), —, —; Ic, 31,3, 197—200/5, 1,5562, 1,4069; Id, 42,7, 180—185/4, 1,5495, 1,4035. К 1 молю OH-содержащего соединения и 1,2 моля III прибавляют 3—4-кратное кол-во  $\text{NC}_6\text{H}_5$ , оставляют на 48 час. при ~ 20 $^\circ$ , выливают в разб.  $\text{HCl}$  (в случае Ic — в воду), получают I (перечисляются в-во, выход в %, т. пл. в  $^\circ\text{C}$ ): Id, 73, 55—56; If, 51,1, 55—56; Ig, 71,9, 129—130; Ia, 24,7, — (т. кип. 162—163 $^\circ$ /6 мм,  $n_D^{20}$  1,4430,  $d_4^{20}$  1,3620); а также II, выход 70,2%, т. пл. 92—93 $^\circ$ . Наиболее сильными АС в испытаниях на паутинном клещике оказались Ig и If, мало уступая известному инсектициду  $\text{C}_6\text{H}_5\text{SO}_2\text{OC}_6\text{H}_4\text{Cl}$ -н. В. Скородумов

**28727. Новый синтетический метод получения 4-метилсульфонилбензиламина.** Танака, Акио (Akioto Toshio) Якугаку дзасси, J. Pharm. Soc. Japan, 1957, 77, № 3, 311—312 (японск.; рез. англ.)

Предложен новый метод синтеза 4-метилсульфонилбензиламина (I), пригодный для пром-сти. Через плав 36 г *p*-толилметилсульфона при 125 $^\circ$  и освещении УФ-светом пропускают 6 час. сухой  $\text{Cl}_2$ , разгонкой выделяют *p*-хлорметилфенил-метилсульфон (II), выход 56,5%, т. кип. 190—210 $^\circ$ /11,5 мм, т. пл. 65,5 $^\circ$  (из метанола). При кипячении 1 час 30 г II в 100 мл  $\text{CHCl}_3$  с 30 г гексаметилентетрамина (III) в  $\text{CHCl}_3$  получают комплекс II с III, выход 79%, т. пл. 120,5—121 $^\circ$ . При нагревании (30 мин.) комплекс со смесью 120 мл спирта и 60 мл конц.  $\text{HCl}$  получен хлоргидрат I, т. пл. 270—272 $^\circ$ . Л. Яновская

**28728. Получение азометиновых производных арилсульфамидов.** Кретов А. Е., Абражанова Е. А., Ж. общ. химии, 1957, 27, № 7, 1993—1997

При взаимодействии  $\text{C}_6\text{H}_5\text{SO}_2\text{NCl}_2$  (I) с  $\text{C}_6\text{H}_5\text{CHO}$  (II),  $m\text{-NO}_2\text{C}_6\text{H}_4\text{CHO}$  (III) и  $n\text{-(CH}_3)_2\text{NC}_6\text{H}_4\text{CHO}$  (IV) в  $\text{C}_6\text{H}_6$  под влиянием  $\text{AlCl}_3$  образуется  $\text{C}_6\text{H}_5\text{Cl}$  и  $\text{C}_6\text{H}_5\text{SO}_2\text{N}=\text{CHR}$  (V), где R соответственно  $\text{C}_6\text{H}_5$  (а),  $m\text{-NO}_2\text{C}_6\text{H}_4$  (б) и  $n\text{-(CH}_3)_2\text{NC}_6\text{H}_4$  (в). Р-ция идет через стадию образования  $\text{C}_6\text{H}_5\text{SO}_2\text{NH}_2$  (VI), так как в этих условиях VI с II—IV дает соответственно Va, б, в. Аналогично VI с альдегидами реагирует  $n\text{-ClC}_6\text{H}_4\text{SO}_2\text{NH}_2$  (VII). К 13,3 г  $\text{AlCl}_3$  и 150 мл  $\text{C}_6\text{H}_6$  при 25—30 $^\circ$  прибавляют по каплям 22,2 г I в 50 мл  $\text{C}_6\text{H}_6$  и затем 21,3 г II. Через 5 час. (100 $^\circ$ ) добавляют 10 мл 100%-ной  $\text{HCOOH}$ , отделяют осадок Va, отгоняют р-ритель в вакууме, отделяют Va, общий выход Va 47%, т. пл. 81—82 $^\circ$  (из петр. эф.). Из



маточного р-ра выделен  $C_6H_5Cl$ , выход 67%. **Va** легко гидролизуются. Аналогично из **I** и **III** синтезирован **Vb**, выход 58,2%, т. пл. 119—122° (из петр. эф. + бэл.). Из **I** и **IV** — **Vv**, выход 52,5%, т. пл. 192—195° (из бэл.). Из **VI** и **II** получено 44% **Va**; аналогично синтезированы **Vb** (60,2%), **Vv** (60,5%) и  $C_6H_5SO_2NCHR'$ ,  $R' = \alpha$ -фурил, выход 51,3%, т. пл. 126—127° (из петр. эф.). Из **VII** синтезированы  $n-ClC_6H_4SO_2N=CHR$  (приведены **V**, выход в %, т. пл. в °C):  $C_6H_5$ , 65,5, 104—106;  $n-NO_2C_6H_4$ , 74, 159—160;  $n-(CH_3)_2NC_6H_4$ , 50, 150—152;  $\alpha$ -фурил, 52,1, 101—102.

**A. Кост**  
28729. Роль стерического эффекта при образовании 5-окси-3-метокси-3-метил-2-этилиндианола. Гранже, Корбье, Вина, Но (Rôle de l'effet stérique dans la formation des hydroxy-5 et méthoxy-5 méthyl-3 éthyl-2 indanones. Granger Robert, Corbier Monique, Vinas Jacques, Nau Pierre), C. r. Acad. sci., 1957, 244, № 10, 1376—1378 (франц.).

В продолжение прошлой работы (РЖХим, 1957, 68836) действием  $CH_3CH=CH(C_2H_5)COCl$  (**I**) на  $C_6H_5OH$  (**II**) или  $C_6H_5ONH_2$  (**III**) в присутствии  $AlCl_3$  (**IV**) получены соответственно 5-окси- (**V**) и 5-метокси- (**VI**) 3-метил-2-этилиндианоны, по-видимому, транс-строения. При проведении р-ции **I** с **II** в  $C_6H_5NO_2$  (3 часа, 90°) в молярном отношении **II**:**I**:**IV** = 1:2:2,6 наряду с **V** (т. пл. 95°; динитрофенилгидразон (ДНФГ), т. пл. 218—220°) получен эфир **V** и 2-этилкетоновой к-ты (**VII**), т. кип. 200—205°/10 мм, регенерирующий при гидролизе **I** и  $CH_3CH=CH(C_2H_5)COOH$  (**VIII**), т. пл. 45°. При проведении р-ции в тех же условиях, но в  $CS_2$  (кипчение 24 часа) наряду с **I** и **VII** получено ~ 10% фенольного эфира **VIII** (**IX**), а при проведении р-ции с эквимолекулярным количеством исходных в-в (нагревание 1 час) образуется только **IX**. Отсюда сделан вывод, что **IX** является промежуточным продуктом р-ции (который затем претерпевает перегруппировку Фриса с последующей циклизацией в **V**). Это подтверждается образованием **IX** (с высоким выходом) при простом смешении на холоду **I** с **II**, а также почти колич. изомеризацией **IX** в **V** под влиянием **IV** (в  $C_6H_5NO_2$ , 3 часа, 90°). **VII** образуется либо этерификацией **V**, либо действием **I** на **IX**. Действием **I** на **III** в присутствии **IV** в условиях аналогичных синтезу **V** получены одновременно **V** и **VI** (т. кип. 80°/15 мм; ДНФГ, т. пл. 164—165°). **VI** получен также этилированием с помощью  $C_2H_5Br$  5-метокси-3-метилиндианола (**X**), полученного из  $RCOCH_3$  (где всюду  $R = m-CH_3OC_6H_4$ ) через  $CH_3CH(OH)CH_2COOC_2H_5$  (т. кип. 155°/5 мм),  $CH_3CH=CHCOOC_2H_5$  (т. кип. 150—152°/5 мм),  $CH_3CH=CHCOOH$  (т. пл. 101—102°; S-бензилтиуриониевая соль (БТС), т. пл. 135—137°),  $CH_3CH=CHCH_2COOC_2H_5$  (т. кип. 150—151°/5 мм),  $CH_3CH=CHCH_2COOH$  (БТС, т. пл. 154—155°);  $CH_3CH=CHCH_2COCl$  в присутствии **IV** дает **X**, т. кип. 175—180°/10 мм; семикарбазон, т. пл. 208—209°; ДНФГ, т. пл. 233—234°. Деметилированием **X** получен 5-окси-3-метилиндианон, т. пл. 145°; ДНФГ, т. пл. 257—259°.

**Г. Крюкова**

28730. Реакция олефинов с арилалканами, катализируемая калием. Шап, Пайне (The potassium-catalyzed reaction of olefins with arylalkanes. Schaap Luke, Pines Herman), J. Amer. Chem. Soc., 1957, 79, № 18, 4967—4970 (англ.).

При р-циях толуола (**I**), этилбензола (**II**), кумола (**III**) и циклогексилбензола (**IV**) с этиленом (**V**) и пропиленом (**VI**) в присутствии **K** и антрацена (**VII**) происходит алкилирование боковой цепи, так же как при р-циях, катализируемых **Na** (РЖХим, 1956, 46867). Механизм р-ций аналогичен предложенному ранее (см. ссылку). Кроме алкилбензолов (**AB**), при р-циях катализируемых **K**, происходит также образование алкилиндианов (**AI**). Отношение **AI** к **AB** возрастает при переходе от **I** к **II** и далее к **III**, что объясняется,

вероятно, влиянием  $CH_3$ -групп у  $\alpha$ -C-атома, препятствующих удалению отрицательно заряженного атома **C** в образовавшемся  $C_6H_5C(CH_3)_2CH_2C-N_2$  от ядра; тем самым создаются благоприятные условия для циклизации. Аппаратура и условия р-ции описаны ранее (см. ссылку выше). В р-цию вводят 1 моль **AB**, 0,2 моля олефина (**OJ**) и катализатор, состоящий из 1,7 г **K** и 1 г **VII**. Продукты р-ции разгоняют и идентифицируют по ИК-спектрам. Перечисляются исходные **AB**, **OJ**, т-ра в °C и продолжительность р-ции в часах, полученные **AB** и **AI**, их общий выход в мол.%, считая на **OJ**, отношение кол-ва **AB** и **AI** в мол.%; **I**, **V**, ~ 190, 11,  $n-C_6H_7C_6H_5$ , индан, 53, 98:2; **II**, **V**, ~ 190, 3,  $втор-C_6H_7C_6H_5$ , 1-метилиндан (**VIII**), 64, 86:14; **III**, **V**, ~ 192, 7,  $трет-C_6H_7C_6H_5$  (**IX**), 1,1-диметилиндан (**X**), 34, 49:51; **III**, **V** (прибавлены 3,4 г **Na**), 185, 3,5, **IX**, **X**, 33, 34:66; **IV**, **V**, 186, 5, 1-этил-1-фенилциклогексан,  $спиро$ -(циклогексан-1,1'-индан), 13,37:63, получено 0,5% дифенила;  $трет-C_6H_7C_6H_5$ , **V**, 190, 11,  $втор$ -бутил-трет-бутилбензолы, 18, —, **III**, **VI** (4 г **K**), 208—233, 6,5, 2,3-диметил-2-фенилбутан, 1,1,2-триметилиндан, 1,1,3-триметилиндан, 4,4, 52:27:21. Действием  $CH_3MgI$  на инданон-1 получают 1-метилинданол-1 с выходом 59%, т. кип. 102—104°/6 мм, т. пл. 56—57° (из лигр.); последний восстанавливают  $H_2$  при 220° в присутствии хромита меди в **VIII**, т. кип. 190°/748 мм,  $n^{20D}$  1,5253. Восстановлением 3,3-диметилиндианола-1 в тех же условиях и последующим гидрированием в присутствии **Pd/C** получают **X**,  $n^{20D}$  1,5141. Приведены ИК-спектры полученных **AB**.

**П. Аронович**

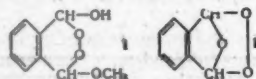
28731. Реакция 9-бромметилефлуорена с амидом калия в жидком аммиаке. Димеризация. Хаусер, Леднигер (Reaction of 9-bromomethylenefluorene with potassium amide in liquid ammonia. Dimerization. Hauser Charles R., Lednicer Daniel), J. Organ. Chem., 1957, 22, № 10, 1248—1250 (англ.).

Изучалась р-ция 9-бромметилефлуорена (**I**) с  $KNH_2$  в жидком  $NH_3$ . Вместо ожидавшегося производного фенантрена был выделен 1,2-дифлуоренил-иденэтилен (**II**) и соединение (**III**) с т. пл. 125—150°, содержащее по данным ИК-спектра  $N-H$  и  $C=N$ -группы. При ~ 20° медленно, при нагревании быстро **III** теряет  $NH_3$  и превращается в пентамерное соединение с т. пл. 311—314° состава  $C_{70}H_{47}N_5$  (**IV**), содержащее  $C=N$ -группу. Окисление **III**  $KMnO_4$  и восстановление **IV**  $H_2$  приводит к флуоренону-9 (**V**) и 9-метилфлуорену (**VI**) соответственно. Выход **II** и **III** из **I** зависит от порядка прибавления компонентов. Замена  $KNH_2$  на  $NaNH_2$  снижает выход **II** с 95 до 51%, а применение  $LiNH_2$  приводит к осмолу. Обсуждаются возможный механизм р-ции и промежуточные соединения. Описан улучшенный метод синтеза 9-флуоренилденуксусной к-ты (**VII**). 0,011 моля  $KNH_2$  в жидком  $NH_3$  добавляют за 25 мин. к 0,01 моля **I** в 30 мл эфира и 100 мл жидкого  $NH_3$ . Через 40 мин. добавляют 5 г  $NH_4Cl$  и испаряют  $NH_3$ ; остаток промывают водой и эфиром, выход неочищ. **II** 95%, т. пл. 309° (из анизол). 0,3 г **II** гидрируют в этилацетате над 0,15 г 10%-ного **Pd/C** и выделяют 197 мг ди-(9-флуоренил)-метилена, т. пл. 228—229° (из бэл.-сп.). 0,02 г **I** в 200 мл эфира добавляют в течение 1,5 часа к 0,045 моля  $KNH_2$  в 400 мл жидкого  $NH_3$ , через 1 час добавляют  $NH_4Cl$  и испаряют  $NH_3$ , остаток промывают 500 мл эфира и водой, выход **II** 12%. Эфирный экстракт промывают водой и упаривают в вакууме, остается **III**. 2,1 г **III** в 50 мл ацетона добавляют к 10 г  $KMnO_4$  в 100 мл воды, кипятят 8 час., постепенно добавляя еще 40 г  $KMnO_4$ , отделяют осадок и промывают эфиром, эфир отгоняют из остатка, хроматографией выделяют 0,56 г **V**. 0,766 г **III** нагревают до 160° в атмосфере

$\text{N}_2$  и получают 0,51 г IV. 380 мг IV восстанавливают над 10%-ным Pd/C, из продукта р-ции выделяют 120 мг в-ва, т. пл. 121—123,5° (из  $\text{CH}_3\text{OH}$ ); по упариванию маточного р-ра последнего остается смола, из которой хроматографией выделяют 80 мг VI, т. пл. 41—43°. 0,2 моля этилацетата в 80 мл эфира добавляют к 0,44 моля  $\text{LiNH}_2$  в 600 мл жидкого  $\text{NH}_3$ . Через 10 мин. добавляют эфирный р-р 0,2 моля V, заменяя  $\text{NH}_3$  на эфир, кипятят 2 часа и добавляют 200 мл разб.  $\text{HCl}$ . Органич. слой промывают водой, р-ром  $\text{NaHCO}_3$  и водой. Остаток по отгонке эфира и 2,5 г *n*-толуолсульфокислоты в 500 мл  $\text{C}_6\text{H}_6$  кипятят до конца выделения воды, добавляют  $\text{NaHCO}_3$ , промывают водой и отгоняют в вакууме р-ритель. Остаток, растворенный в 180 мл спирта, содержащего 20 г  $\text{NaOH}$  и 20 мл воды, кипятят 2,5 часа, выливают в воду, промывают эфиром, подкисляют и отделяют VII, выход 72%, т. пл. 223,5—224,5°. 0,025 моля VII превращают в дибромид, который обрабатывают водн. щелочью и получают I, выход 78%, т. пл. 73,5—74,5°.

И. Леви  
28732. Озонлиз нафталина. Бейли, Гарсия-Шарп (Ozonolysis of naphthalene. Bailey Philip S., Garcia-Sharp Francisco J.), J. Organ. Chem., 1957, 22, № 8, 1008 (англ.)

При озонировании нафталина в  $\text{C}_6\text{H}_6$  (—70°) адсорбируется 2 моля  $\text{O}_3$ ; из-за крайней неустойчивости анализировать осаждающийся озонид не удалось.



При замене  $\text{C}_6\text{H}_6$  на  $\text{CH}_3\text{OH}$  (—70°) также поглощается 2 моля  $\text{O}_3$ ; выделено 85% перекиси (I), т. пл. 126—127° (из этилацетата и  $\text{C}_6\text{H}_6$ ). При обработке I  $\text{H}_2\text{O}_2$  в кислой среде получается фталевая к-та; гидролитич. расщепление I приводит к фталдегидовой к-те. Для первичного озонида предлагается строение (II).

И. Леви

28733. Алкилирование ацетиленом  $\alpha$ - и  $\beta$ -нафтолов. Вайсер В. Л., Докл. АН СССР, 1957, 115, № 1, 91—93

Изучены условия алкилирования  $\beta$ -нафтола (I) ацетиленом (II). Найдены следующие оптимальные условия: через 10 г I в присутствии 16%  $\text{H}_3\text{PO}_4 \cdot \text{BF}_3$  и 1 г  $\text{HgO}$  в 50 мл этанола или бутанола пропускают II (2 мл/час) в течение 3 час. при 65—70° и получают 9-метил-1,2,7,8-дибензксантон (III), выход 68%, т. пл. 173° (из  $\text{CCl}_4$  или гексана). При окислении III  $\text{CrO}_3$  получен дибенз- $\gamma$ -ксантон, т. пл. 194°. Продукты, образующиеся при взаимодействии  $\alpha$ -нафтола с II, не идентифицированы.

Л. Виноград

28734. Расщепление на антиподы и реакции третичных спиртов: 2-( $\alpha$ -нафтил)-бутанол-2. Дейвис, Кенyon, Тхакер (The resolution and reactions of tertiary alcohols: 2-( $\alpha$ -naphthyl)butan-2-ol. Davies Alwyn G., Kenyon J., Thaker Kumar), J. Chem. Soc., 1957, July, 3151—3153 (англ.)

Получен в оптически активной форме 2-( $\alpha$ -нафтил)-бутанол-2 (I) и исследован ряд превращений I и *dl*-2-( $\alpha$ -нафтил)-пентанол-2 (II). [ $\alpha$ ] I сильно меняется в зависимости от р-рителя и  $\lambda$ . По Гриньяру из  $\text{C}_6\text{H}_5\text{MgBr}$  и метил- $\alpha$ -нафтилкетона получен *dl*-I, т. кип. 120—130°/0,2 мм, т. пл. 51—52° (из эф.-лигр.), пикрат, т. пл. 93—95° (из сп.) с бензоилизоцианатом и следами  $(\text{CH}_3)_3\text{N}$  дает 1-метил-1-( $\alpha$ -нафтил)-пропил-N-бензоилкарбамат, т. пл. 121—122°. Аналогично из метил-*n*-пропилкетона и  $\alpha$ -нафтил-MgBr получен II, т. кип. 122—130°/0,5 мм, т. пл. 63—64°; пикрат, т. пл. 148°. Смесь 20 г *dl*-I, 14,8 г фталевого ангидрида и 11,1 г  $(\text{C}_2\text{H}_5)_3\text{N}$  нагревают 16 час. при 90—95°, и полу-

чают кислый фталат I (III), выход 53%, т. пл. 131°. Аналогично из II получен кислый фталат, т. пл. 56° (из петр. эф.). Из р-ра 50 г III, 57 г бродина в 500 мл горячего ацетона через ~12 час. выделяется 60 г осадка «А», который после 3 перекристаллизаций из  $\text{CHCl}_3$ :ацетона (120:90) дает 18 г, чистой бродино-вой соли (—)III, из которой выделен (—)III, т. пл. 115° (из  $\text{CS}_2$ ),  $[\alpha]_D^{20} -52,6^\circ$  (с 4,67; сп.). Фильтрат после отделения осадка «А» упарен до 80 мл, отложено 8 г осадка, а фильтрат разложен разб.  $\text{HCl}$  получен (+)III, после 3 перекристаллизаций из  $\text{CS}_2$  имеющий  $[\alpha]_D^{20} +51,6^\circ$  (с 3,97; сп.), т. пл. 113—114°. Из (—)III или (+)III действием Na или  $\text{LiAlH}_4$  выделен соответственно (—)I и (+)I, т. пл. 29—30°,  $[\alpha]_D^{20} \pm 7,5^\circ$ . Р-р 1 г (—)III, 0,64 г *n*-толуолсульфината Na в 20 мл  $\text{HCOOH}$  через ~12 час, разбавляют водой и получают 1-метил-1-( $\alpha$ -нафтил)-пропил-*n*-толилсульфон (IV), т. пл. 131—132° (из сп.), оптически неактивен. IV получен также из *dl*-I и (—)I. Аналогично получен сульфен из *dl*-II, т. пл. 136° (из сп.). Из р-ра 1 г *dl*-II в 20 мл 0,3 н.  $\text{NaOH}$  через месяц получено 0,2 г осадка ди-[1-метил-1-( $\alpha$ -нафтилпропил)-фталата. Аналогично кислый фталат *dl*-II дает дифталат-II, т. пл. 68° (из эф.). Действием 90%-ной  $\text{H}_2\text{O}_2$  на *dl*-I или *dl*-III получена гидроперекись 1-метил-1- $\alpha$ -нафтилпропила в виде масла. Р-р 0,21 г последней, 0,27 г трифенилкарбинола и 10 мл  $\text{H}_2\text{SO}_4$  в 10 мл  $\text{CH}_3\text{COOH}$  через 2 часа разбавляют водой и получают перекись 1-метил-1- $\alpha$ -нафтилпропил-трифенилметила, т. пл. 114°.

В. Потапов

28735. Реакции галондметаллакаголятов. IV. Реакции галондцинкаголятов первичных и вторичных ароматических спиртов со сложными эфирами. Ланкин И. И., Рыбакова М. Н., Ж. общ. химии, 1957, 27, № 8, 2232—2234

При р-ции галондцинкаголятов первичных или вторичных ароматических спиртов со сложными эфирами образуются соответствующие диароматич. простые эфиры. При повышении электроотрицательности арильных радикалов увеличивается выход простого эфира; выходы понижаются при понижении константы диссоциации к-ты, из которой образован сложный эфир; кажущееся исключение в случае  $\text{ZnCl}_2$ -ди- $\alpha$ -нафтилкарбинолята (I) объясняется его малой растворимостью в эфире; с  $\text{CH}_3\text{COOC}_2\text{H}_5$  и  $\text{C}_6\text{H}_5\text{COOC}_2\text{H}_5$  хлоридцинкаголяты первичных и вторичных ароматич. спиртов в эквимол. соотношениях не взаимодействуют. Безводн.  $\text{ZnCl}_2$  покрывают слоем безводн. эфира (3 объема), прибавляют р-р эквимол. кол-ва  $\text{C}_2\text{H}_5\text{MgBr}$  в эфире, нагревают 1 час, прибавляют р-р карбинола в равном объеме эфира (если он плохо растворим в эфире, как напр., ди- $\alpha$ -нафтилкарбинол, то добавляют 1 объем толуола), нагревают 30 мин., постепенно добавляют эквимол. кол-во сложного эфира, нагревают 3—12 час. и разлагают водой и 10%-ной  $\text{CH}_3\text{COOH}$ . Получают [перечислены алко-голь, сложный эфир, состав продуктов р-ции (простой эфир, исходный карбинол) в %, продолжительность нагревания в часах]:  $\text{ZnCl}_2$ -бензгидролят (II) +  $\text{HCOOC}_2\text{H}_5$  (100, —), 3; II ( $\text{COOC}_2\text{H}_5$ )<sub>2</sub> (100, —), 3; II ( $\text{CH}_3\text{COOC}_2\text{H}_5$ )<sub>2</sub> (—, 100) 3; II,  $\text{CH}_3\text{COOC}_2\text{H}_5$ : (30, 70), 3; II,  $\text{C}_6\text{H}_5\text{COOC}_2\text{H}_5$  (—, 100), 3; II,  $\text{SO}_2(\text{OC}_2\text{H}_5)_2$  (30, 70), 3; II,  $\text{CH}_3\text{COOC}_2\text{H}_5$  (—, 100), 3; Zn-ди-*n*-толилкарбинолят (III),  $\text{HCOOC}_2\text{H}_5$  (67, 33), 3; III ( $\text{COOC}_2\text{H}_5$ )<sub>2</sub> (100, т. пл. 186°), 6; III,  $\text{CH}_3\text{COOC}_2\text{H}_5$ : (33, 67), 6; I,  $\text{HCOOC}_2\text{H}_5$  (54, 46), 3; I, ( $\text{COOC}_2\text{H}_5$ )<sub>2</sub> (35, 65), 3; I, ( $\text{COOC}_2\text{H}_5$ )<sub>2</sub> (66, 34), 6; I, ( $\text{COOC}_2\text{H}_5$ )<sub>2</sub> (100, —), 12. Сообщение III см. РЖХИм, 1956, 22492.

Г. Швехгеймер

28736. Ориентация в реакциях Фриделя—Крафта, проводимых с 2-метокс-1-метилнафталином. Бму Хой, Лави (Orientation in Friedel—Crafts reac-



ions with 2-methoxy-1-methylnaphthalene. Вуи-  
Hoing Ph., Lavit Denise), J. Organ. Chem.,  
1957, 22, № 8, 912—914 (англ.)

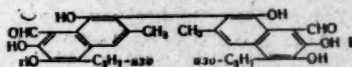
Высказанное ранее, но не подтвержденное, пред-  
положение о вступлении ацильной группы в 6-е по-  
ложение 1,2-(CH<sub>3</sub>) (OCH<sub>3</sub>)C<sub>10</sub>H<sub>6</sub> (I) при р-ции его по  
Фриделю — Крафту доказано идентичностью про-  
дуктов восстановления по Кижнеру 1,2,6-(CH<sub>3</sub>)-  
(CH<sub>3</sub>O) (CH<sub>3</sub>CO)C<sub>10</sub>H<sub>5</sub> и 1,2,6-(CHO) (CH<sub>3</sub>O) (C<sub>2</sub>H<sub>5</sub>)-  
C<sub>10</sub>H<sub>5</sub> (II). Вступление CH<sub>3</sub>CO-группы в положение 6  
и 8 при аналогичной р-ции 2-CH<sub>3</sub>OC<sub>10</sub>H<sub>7</sub> указывает  
на пространственное затруднение, создаваемое у по-  
ложения 8 пери-метильной группы I. Синтез II осу-  
ществлен формилированием 2,6-(CH<sub>3</sub>O) (C<sub>2</sub>H<sub>5</sub>)C<sub>10</sub>H<sub>6</sub>  
(III) диметилформамидом (IV) в присутствии POCl<sub>3</sub>.  
Положение CHO-группы во II доказано р-цией с  
C<sub>6</sub>H<sub>5</sub>CH<sub>2</sub>CN (V) и последующим превращением обра-  
зовавшегося 1-фенил-2-(6-этил-2-метокси-1-нафтил)-  
акрилонитрила (VI) в 3'-этил-3-фенил-5,6-бензокума-  
рил (VII). Синтезирован ряд новых замещ. в положе-  
нии 6 гомологов нафтолов, альдегидов и кетонов  
нафталинового ряда. Нагревание р-ра 66,5 г  
2,6-(CH<sub>3</sub>O) (CH<sub>3</sub>CO)C<sub>10</sub>H<sub>6</sub> (VIII) и 67 г 98%-ного  
N<sub>2</sub>H<sub>4</sub>·H<sub>2</sub>O (IX) в 400 мл диэтиленгликоля (X) при  
120° и последующая обработка 55 г КОН дают III,  
выход 50 г, т. кип. 160—161°/14 мм, т. пл. 62° (из сп.).  
Кипячением 5 час. 48,5 г III, 22,8 г IV и осторожно  
прибавленных 48,5 г POCl<sub>3</sub> получают II, выход 47 г,  
т. кип. 210—211°/12 мм, т. пл. 61° (из сп.). При вос-  
становлении 44 г II в 260 мл X 44 г IX и 39 г КОН  
получают 1,2,6-(CH<sub>3</sub>) (CH<sub>3</sub>O) (C<sub>2</sub>H<sub>5</sub>)C<sub>10</sub>H<sub>5</sub> (XI), выход  
35,5 г, т. кип. 178—180°/17 мм, т. пл. 41° (из сп.); ки-  
пение 5 г X с 20 г хлоридата пиридина (XII)  
дают 1,2,6-(CH<sub>3</sub>) (OH) (C<sub>2</sub>H<sub>5</sub>)C<sub>10</sub>H<sub>5</sub>, выход 3,5 г, т. пл.  
108° (из циклогексана). При р-ции 0,8 г II и 0,48 г V  
в тинном спирте в присутствии NaOH получают VI,  
выход 0,7 г, т. пл. 136°; кипячение 0,5 г VI с 5 г XII  
дают VII, выход 0,3 г, т. пл. 141° (из сп.). Из 100 г  
2,6-(CH<sub>3</sub>O) (C<sub>2</sub>H<sub>5</sub>CO)C<sub>10</sub>H<sub>6</sub> получен 2,6-(CH<sub>3</sub>O) (н-С<sub>3</sub>H<sub>7</sub>)-  
C<sub>10</sub>H<sub>6</sub> (XIII), выход 79 г, т. кип. 171—172°/13 мм, т. пл.  
38° (из сп.); побочным продуктом р-ции является  
соответствующий азин, т. пл. 241°. Из 78 г XIII по-  
лучен 1,2,6-(CHO) (CH<sub>3</sub>O) (н-С<sub>3</sub>H<sub>7</sub>)C<sub>10</sub>H<sub>5</sub> (XIV), выход  
75 г, т. кип. 216—218°/13 мм, т. пл. 49° (из сп.); тио-  
синкарбазон XIV, т. пл. 258° (разл., из сп.). 67 г XIV  
превращены в 1,2,6-(CH<sub>3</sub>) (CH<sub>3</sub>O) (н-С<sub>3</sub>H<sub>7</sub>)C<sub>10</sub>H<sub>5</sub> (XV),  
выход 56 г, т. кип. 183—185°/15 мм, т. пл. 35° (из сп.),  
и 33 г XV — в 1,2,6-(CH<sub>3</sub>) (OH) (н-С<sub>3</sub>H<sub>7</sub>)C<sub>10</sub>H<sub>5</sub>, выход  
44 г, т. кип. 194—195°/15 мм, т. пл. 99° (из циклогек-  
сана). Из XIV получен также 6-н-пропильный гомо-  
лог VI, т. пл. 126° (из сп.), превращенный далее в 3'-  
пропильный гомолог VII, т. пл. 136° (из сп.). Р-цией  
VIII с соответствующими альдегидами получены раз-  
ные производные халконов: 2-фуриленовое, т. пл.  
112° (из сп.), n-анизалевое, т. пл. 131° (из сп.), и 1-  
нафтиленовое, т. пл. 173° (из сп. + бвл.).

К. Хайкина

8737. Строение и реакции госсипола. V. Гексаме-  
тиловый эфир метилапогоссипола и 2,3-диметокси-  
4-изопропил-5-аллилол. Ширлей, Броди,  
Шихан (Structure and reactions of gossypol. V.  
Methylapogossypol hexamethyl ether and 2,3-dime-  
thoxy-4-isopropyl-5-allyltoluene. Shirley David  
A., Brody Sam S., Sheehan William C.),  
J. Organ. Chem., 1957, 22, № 5, 495—497 (англ.)

Восстановлением госсипола (I) LiAlH<sub>4</sub> с последую-  
щим метилированием (CH<sub>3</sub>)<sub>2</sub>SO<sub>4</sub> получен гексамети-  
ловый эфир метилапогоссипола (II). Для подтверж-  
дения строения II в качестве промежуточного про-  
дукта для его получения был синтезирован 2,3-ди-  
метокси-4-изопропил-5-аллилол (III) из 2-окси-  
4-изопропил-6-метилбензойной к-ты (IV) через 2-мет-

окси-3-изопропил-6-метилбензойную к-ту (V), 2-мет-  
окси-3-изопропил-6-метиланилин (VI), 2-метокси-3-  
изопропил-6-метилфенол (VII), аллиловый эфир  
VII (VIII) и 2-метокси-3-изопропил-4-аллил-6-метил-  
фенол (IX). К смеси 5 г порошкообразного LiAlH<sub>4</sub>  
в 200 мл эфира в атмосфере N<sub>2</sub> добавляют 5 г уксус-  
нокислого комплекса I в 300 мл эфира, размешивают  
18 час., гидролизуют влажным эфиром и водн. CH<sub>3</sub>OH,  
подкисляют разб. CH<sub>3</sub>COOH и HCl. Эфирный р-р при-



ливают к смеси 6 мл (CH<sub>3</sub>)<sub>2</sub>SO<sub>4</sub> в 25 мл CH<sub>3</sub>OH, по-  
лучают II, выход 7%, т. пл. 239—241°. К 0,3 моля  
расплавленной IV постепенно приливают р-р  
0,92 моля КОН в 90 мл воды и 0,75 моля (CH<sub>3</sub>)<sub>2</sub>SO<sub>4</sub>  
и получают метиловый эфир V, выход 43%, т. кип.  
156—160°/20 мм, n<sub>D</sub><sup>27,5</sup> 1,4988. 1,15 моля IV обрабаты-  
вают, как указано выше, добавляют 145 г КОН в  
135 мл воды, кипятят 3 часа, фильтруют, охлаждают  
и экстрагируют петр. эфиром V, выход 68%, т. пл.  
83—84°. VI получают по описанному методу (Briggs  
L. H., Littleton J. W., J. Chem. Soc., 1943, 421), выход  
хлоридрата VI 48%, VI, т. кип. 75—80°/0,1—0,15 мм,  
n<sub>D</sub><sup>20</sup> 1,5212. Водн. р-р VI диазотируют при 0—5°, диа-  
зосоединение разрушают кипячением с H<sub>2</sub>SO<sub>4</sub> и полу-  
чают VII, выход 45%, т. пл. 47—47,5°. Смесь  
0,507 моля VII, 0,507 моля бромистого аллила,  
0,507 моля K<sub>2</sub>CO<sub>3</sub> и 190 мл ацетона кипятят 19 час.,  
разбавляют 500 мл воды и извлекают петр. эфиром  
VIII, выход 88%, т. кип. 82—85°/0,7—1,1 мм, n<sub>D</sub><sup>27</sup>  
1,4980. Смесь 0,437 моля VIII и 193 мл диэтиланили-  
на кипятят 17 час. в атмосфере N<sub>2</sub> и получают IX,  
выход 94%. 0,472 моля IX метилируют смесью  
0,707 моля (CH<sub>3</sub>)<sub>2</sub>SO<sub>4</sub> и 0,94 моля КОН в 80 мл воды  
и получают III, выход 52%, т. кип. 93—98°/0,85—  
1,2 мм, n<sub>D</sub><sup>20</sup> 1,5075. Сообщение IV см. РЖХим, 1957,  
74596.

Ц. Гельфер

28738. Изучение производных нафтоилбензойной  
кислоты. Цунода (Tsunoda Takahiro),  
Тибя дайгаку когакубу кэнкю хококу, Res. Repts  
Fac. Technol. Chiba Univ., 1956, 7, № 12, 19—82  
(японск.; рез. англ.)

При конденсации фталевого ангидрида с нафтали-  
ном (I) или его производными в присутствии AlCl<sub>3</sub> об-  
разуются соединения о-RC<sub>6</sub>H<sub>4</sub>COOH (II) (приводятся  
положение заместителя в I, R и т. пл. II в °C): —,  
нафтоил-1 (IIa), —, —, нафтоил-2 (IIб), —, β-Cl,  
7-хлорнафтоил-1 (IIв), 212,5—213; β-Cl, 6-хлорнаф-  
тоил-1 (IIг), 176—177; α-Cl, 4-хлорнафтоил-1 (IIд),  
—, и IIв (образование которого происходит за счет  
перегруппировки исходного I в β-изомер); β-CH<sub>3</sub>-  
CONH, 7-ацетиламинонафтоил-1 (IIе), 243—247  
(разл.); β-CH<sub>3</sub>CONH, 6-ацетиламинонафтоил-1, 270—  
274,5 (разл.); α-OH, 4-оксинафтоил-1 (IIж), 205—206;  
α-OH, 1-оксинафтоил-2 (IIз), 184—185. Аналогично из  
ацетанилида получают II, R = n-CH<sub>3</sub>CONHC<sub>6</sub>H<sub>4</sub>CO  
(IIи), т. пл. 270—276 (разл.). При циклизации II с  
помощью H<sub>2</sub>SO<sub>4</sub> получают производные 1,2-бензантра-  
хинона (III) (приводятся исходный II, заместители  
в III и т. пл. в °C): IIб, —, —; IIв, 2-Cl, 232—233; IIг,  
3-Cl, 215—216; IIе, 2-амино, 196—197. При циклизации  
сплавлением с AlCl<sub>3</sub> IIа дает 2,3-бензантрахинон, а  
IIи — β-ацетиламиноантрахинон. IIж при обработке  
P<sub>2</sub>O<sub>5</sub> в C<sub>6</sub>H<sub>5</sub>NO<sub>2</sub> циклизуется до 3-окси-III, а при  
сплавлении с H<sub>2</sub>BO<sub>3</sub> перегруппировывается в IIз. При  
хлорировании IIа и IIб в CH<sub>3</sub>COOH получают 5-хлор-  
IIа и дихлор-IIб, т. пл. 160—161°. Бромирование IIб  
в CH<sub>3</sub>COOH дает 5-бром-IIб, т. пл. 198,5—199°, и ди-  
бром-IIб, т. пл. 165,5—166°. При нитровании III по-

лучают 1-нитро-III и 3-нитро-III, строение которого подтверждено восстановлением  $C_6H_5NHNH_2$  до аминопроизводного (т. пл. 252,5—253°). Нитрование IIа дает 8-нитро-IIа, т. пл. 244—245° (разл.). При сплавлении IIд или 5-хлор-IIа с  $AlCl_3$  получают 4-хлор-1,8-фталилнафталин, т. пл. 193—194°; в тех же условиях 5-бром-IIа дает 4-бром-1,8-фталилнафталин, т. пл. 209—210°.

**28739. Конденсация 7-бромаценафта с натрбензилцианидом.** Василу, Бэрбулеску (Condensarea 7 bromacenaftului cu cianura de benzil sodată. Vasiliu G., Bărbulescu N.), An. Univ. «C. I. Parhon». Ser. științ. natur., 1957, № 14, 85—89 (рум.; рез. русск., франц.)

С целью установления условий превращения  $C_6H_5CRR'CN$  в соответствующую к-ту синтезированы нитрилы (аценафтил-7)-фенилуксусной к-ты (I) и (аценафтил-7)-фенилэтилуксусной к-ты (II), исходя из 7-бромаценафта (III) и натрбензилцианида или натрильбензилцианида. К нагретому эфирному р-ру  $C_6H_5CH_2CN$  (200 мл : 50 г) в течение 2 час. прибавляют 4,1 г  $NaNH_2$ , нагревают еще 6 час. и через ~16 час. прибавляют 50 г III; нагревают еще 2 часа, обрабатывают водой (+5°) и выделяют I, выход 29,2 г, т. пл. 132—133° (из бзл.). Омылением I в щел. среде (10 г KOH + 50 мл изоамилового сп.) получают (аценафтил-7)-фенилуксусную к-ту, выход 66%, т. пл. 213—214° (из сп.). Омылить II не удалось ни в щелочной, ни в кислой среде.

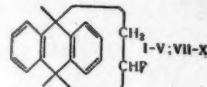
**28740. Синтез 1-нитроантрахинонкарбонной-2 кислоты.** Хида, Като (Hida Mitsuhiko, Kato Shinpachiro), Юки госэй какаку кёкайси, J. Soc. Organ. Synth. Chem. Japan, 1957, 15, № 6, 299—302 (японск.)

К 150 г толуола и 37 г фталевого ангидрида прибавляют за 30 мин. 70,7 г  $AlCl_3$ , нагревают 30 мин. при 70°, через 7 час. (~20°) разлагают водой, льдом и конц. HCl, отгоняют с паром, подщелачивают, вновь отгоняют с паром, остаток подкисляют и получают 2-л-толуилбензойную к-ту (I), выход 96,9%, т. пл. 137—139,5° (из 40%-ной  $CH_3COOH$ ). Р-р 24 г I в 144 г конц.  $H_2SO_4$  нагревают 4 часа при 120°, выливают в воду и после переосаждения из р-ра  $NaHCO_3$  получают 2-метилантрахинон (II), выход 95,4%, т. пл. 170—173,5° (из сп.). К 4,44 г II в 48,4 г 90%-ной  $H_2SO_4$  при 10—12° добавляют (2 часа) смесь 1,9 г 66,4%-ной  $HNO_3$ , 3,7 г 96,2%-ной  $H_2SO_4$  и 0,3 г воды, выдерживают при той же т-ре 3 часа и получают 1-нитро-2-метилантрахинон (III), выход 84,6%, т. пл. 274,5—275,5° (из  $o-C_6H_4Cl_2$ ), если повысить т-ру р-ции, то выход III снижается. Изучено влияние т-ры и конц-ии  $H_2SO_4$  на окисление III посредством  $CrO_3$  с целью подбора оптимальных условий образования 1-антрахинонкарбонной-2 к-ты (IV). Наилучший выход IV (86,6%) получен при окислении 8,9 г III в 75%-ной  $H_2SO_4$  (140 г 96,7%-ной  $H_2SO_4$ , 40 г воды) добавлением в течение 6 час. при 50° р-ра 17,5 г  $Na_2Cr_2O_7$  в 9 г воды с последующим нагреванием при 90° в течение 24 час., т. пл. 287—287,5° (из лед.  $CH_3COOH$ ); при снижении конц-ии  $H_2SO_4$  выход IV резко падает; в пределах 65—90° т-ра мало влияет на выход IV.

**28741. Аддукт антрацена с метиловым эфиром акриловой кислоты.** Сёно, Кодاما, Ода (Shono Tatsu, Kodama Shunichi, Oda Ryohei), Коре какаку дзасси, J. Chem. Soc. Japan. Industr. Chem. Sec., 1955, 58, № 8, 582—584 (японск.)

В продолжение прошлой работы (РЖХим, 1958, 2297) нагреванием 178 г антрацена и 258 г  $CH_2=CHCOOCH_3$  (190—200°, 5—8 ат, 10 час.) получают аддукт (I R =  $COOCH_3$ ), выход 98%, т. пл. 116,5—119,5°. При гидролизе I кипячением с 10%-ным NaOH (2 часа)

образуется к-та (II R =  $COOH$ ), выход 72—78%, т. пл. 186—189°, которая кипячением с  $SOCl_2$  превращена в хлорангидрид (III R =  $COCl$ ) с колич. выходом. Р-р III в 200 мл эфира прибавляют за 20 мин. к р-ру нагретого уксусного эфира (из 63 г  $CH_3COCH_2COOCH_3$  в 50 мл эфира и 5,2 г Na) при —2—0°, затем кипятят 1,5 часа, фильтруют, разбавляют сухим эфиром, вновь фильтруют, р-рители удаляют в вакууме, в остатке в-во [IV R =  $COCH(COCH_3)COOCH_3$ ], выход 87%, оранжевое масло. IV кипятят с 10%-ным NaOH и получают кетон (V R =  $COCH_3$ ), выход 69,5%, т. пл. 145—148°, и одновременно к-ту II, выход 20,7%, соотношение V : II = 5 : 1,5. Пиролиз V (см. ссылку выше) приводит к антрацену и метилвинилкетону (VI), выход 59%. Через р-р 26 г IV в эфире пропускают 2 часа  $NH_3$ , через 1 час разбавляют эфиром, фильтруют, упаривают, получают эфир к-ты (VII R =  $COCH_2COOCH_3$ ), выход 70%, из точного р-ра выделяют амид (VIII R =  $CONH_2$ ),



т. пл. 239—241°. При пиролизе VII при 200° образуется антрацен, VI (идентифицирован по 2,4-динитрофенилгидразону) и немного в-ва с т. кип. ~120°, по-видимому,  $CH_2=CHCOCH_2COOCH_3$ . К р-ру 13 г I в 200 мл абс. эфира добавляют 6-кратный избыток  $C_6H_5MgBr$ , кипятят 2,5 часа, получают третичный спирт [IX R =  $C(OH)(C_6H_5)_2$ ], выход 76%, т. пл. 187—188,5° (из сп.). IX дегидратируют нагреванием с  $KHSO_4$  и небольшим кол-вом фенил-β-нафтиламина при 290—300°/5,5—6 мм, получают углеводород (X HR =  $C(C_6H_5)_2=$ ), выход 73,4%, т. пл. 178—180°.

**28742. Исследования в дибензобикакло-[2.2.2]-октадиеновой системе.** Вон, Йосминнэ (Studies in the dibenzobicyclo [2.2.2]octadiene system. Vaughan Wyman R., Yoshimine Masao), J. Organ. Chem., 1957, 22, № 5, 528—532 (англ.)

Получен ряд продуктов окисления дибензобикакло-[2.2.2]-октадиена в положениях 2 и 2,3 и описаны аномальные р-ции при перегруппировке их в производные 9,10-метано-9,10-дигидроантрацена. Отмечено необычно мягкое щел. расщепление 2,3-дикетопроизводного с образованием 9,10-дигидроантрацена. Смесь 0,0242 моля дибензобикакло-[2.2.2]-октадиена-2 (I) (см. РЖХим, 1953, 8459), 0,0363 моля  $SeO_2$  и 10 мл спирта нагревают 2 часа при 145—150° и получают дибензобикакло-[2.2.2]-октадиендион-2,3 (II), выход 33%, т. пл. 199,0—201,5° (из бзл.); хиноксалиновое производное, т. пл. 291,5—292,0°. 0,0256 моля II восстанавливают 0,0256 моля  $LiAlH_4$  и 500 мл безводн. эфира (18 час.) и получают *цис*-дибензобикакло-[2.2.2]-октадиендиол-2,3 (III), выход 81%, т. пл. 200,5—201,5°. Р-р III в смеси диоксана и пиридина при действии  $SOCl_2$  превращают в эфир, т. пл. 253,0—253,5°. Попытка провести пинаколиновую перегруппировку III не дала ожидаемых результатов. Получен продукт  $C_{22}H_{20}O_2$  (IV), выход 50%, т. пл. 259,5—260,5°. Нагреванием смеси III и I в водно-бензольном р-ре в присутствии следов *n*-толуолсульфокислоты получают кеталь, т. пл. 214,5—215,0 (из петр. эф.). К р-ру 0,00409 моля III в 0,0163 моля пиридина, 35 мл диоксана и 20 мл бензола при 10° добавляют по каплям 0,00818 моля  $SOCl_2$ , размешивают 5 час. при т-ре < 18° и выделяют димер сернистокислого эфира III, выход 18%, т. пл. 234—234,5° (из сп.). Из спирт. р-ра выделяют мономер сернистокислого эфира III, выход 29%, т. пл. 191,2—192,2° (из сп.). Суспензия



0,00109 моля II в 5 мл 2,2 н. NaOH нагревают 3 мин. при размешивании до 100°, после чего охлаждают и получают 9,10-дигидроантрацен (V), выход 91,5%, т. пл. 106,5—108,5°. Суспензию 0,0059 моля II в 5,45 мл 1,49 н. NaOH нагревают 4 мин. до 400° и получают 9,10-дигидроантрацен-9-глиоксиловую к-ту (VI), выход 89,9%, т. пл. 141—142°. Р-р 0,1 г VI в 2,0 мл 1,96 н. NaOH нагревают 3 мин. и получают V выход 96%. Р-р 0,000218 моля I в 15 мл 1,78 н. спирт. р-ра КОН кипятят 1 час, добавляют 10 мл воды, смесь охлаждают и упаривают до 10 мл, подкисляют конц. HCl и получают 9,10-дигидроантрацен-9-уксусную к-ту, выход 94%, т. пл. 167—168,5° (из водн. сп.).

Ц. Гельфер

28743. Новый тип меланина и биогенезис производных перилена. Бу' Лок, Олпорт (A new type of melanin, and the biogenesis of a perylene derivative. Bu'Lock J. D., Allport D. C.), Proc. Chem. Soc., 1957, Sept., 264 (англ.)

Сравнением синтетич. и природного соединений доказано, что главным содержимым эфирного экстракта из *Daldinia concentrica* является 4,5,4',5'-тетраоксидинафтил (I). Из полимерных продуктов окисления I выделено незначительное кол-во 4,9-диоксиперилена-3,10-хинона (II); последний образуется также при окислении I HNO<sub>3</sub> и при нагревании I в р-ре H<sub>2</sub>SO<sub>4</sub> или с хлорангидром в феноле. Наибольшее кол-во II образуется при аэрации водн. суспензии I в присутствии грибковой оксидазы. Предполагается, что полимерно построенный пигмент может образовываться в растении в результате внутри- и межмолекулярных окислительных сочетаний.

И. Левин

28744. Строение флуорантендисульфоновой-4,12 кислоты. Хольбро, Кемпбелл (The orientation of fluoranthene-4:12-disulphonic acid. Holbro Th., Campbell Neil), J. Chem. Soc., 1957, June, 2652—2653 (англ.)

Строение полученной ранее (РЖХим, 1955, 48792) прямым сульфированием флуорантена (I) флуорантендисульфоновой-4,12 к-ты (II) однозначно подтверждено синтезом ее дианилида (III) 2 способами: исходя из хлоргидрата 4,12-диаминофлуорантена (IV) и из Na-соли продукта сульфирования (V). IV получен омылением 4 г 4,12-диацетаминифлуорантена 100 мл 30%-ной HCl (115°, 2 часа); при диазотировании суспензии неочищ. IV в 12 мл воды и 25 мл 38%-ной HCl р-ром 2,5 г NaNO<sub>2</sub> в 5 мл воды (—10°) с последующим осаждением 100 мл ацетона выделена твердая тетразоновая соль (VI). Суспензию VI в 50 мл CH<sub>3</sub>COOH и 2 мл конц. HCl насыщали SO<sub>2</sub> в присутствии 0,5 г Cu<sub>2</sub>Cl<sub>2</sub>; при добавлении 50 мл 10%-ной HCl выделен флуорантендисульфохлорид-4,12 (VII), выход 3,45 г. III синтезирован р-цией неочищ. VII и 20 мл анилина, т. пл. 271°. Р-ция V с PCl<sub>5</sub> (145°, 4 часа) и последующее нагревание полученного сульфохлорида с анилином привели к продукту, тождественному III, т. пл. 273°. Флуорантендисульфонилид-4,11 (VIII) синтезирован следующим образом: р-цией 97 г флуорантендикарбоновой-4,11 к-ты (IX) и 82,5 г SOCl<sub>2</sub> в 3200 г сухого C<sub>6</sub>H<sub>5</sub>Cl в присутствии 18 г пиридина (145—155°, 30 мин.) с последующим выдвиганием избытка SOCl<sub>2</sub> воздухом получена суспензия хлорангидрида IX, прибавлением к которой порциями 48 г NaN<sub>3</sub> в 132 мл воды и 25 г C<sub>6</sub>H<sub>5</sub>N(C<sub>2</sub>H<sub>5</sub>)<sub>2</sub> (0—5°), затем 5 г 10%-ной HCl (0—5°, 7 час.; 20—22°, 7 час.) синтезирован азид IX (X); X обезвожен отгонкой 350 г толуола при 100—110 мм рт. ст. из смеси X и 750 г толуола; смесь нагрета (~100°, 0,5 часа; кипячение 0,5 часа), прибавлены 145 г абс. спирта (кипячение 3 час.), причем выделен соответствующий дикарбамат (XI), выход 40 г, т. пл. 234—235° (из C<sub>6</sub>H<sub>5</sub>Cl). 100 г XI разложе-

ны 1500 г 73%-ной H<sub>2</sub>SO<sub>4</sub> (N<sub>2</sub>, 130—135°, 1,75 часа) и прибавлением NH<sub>3</sub> выделен 4,11-диаминофлуорантен (XII), выход 40 г, т. пл. 162—163° (из хлф.-петр. эф.). Флуорантендисульфохлорид-4,11 (XIII) синтезирован аналогично VII из 4,6 г XII, выход 6 г. Нагревание XIII с анилином (1 час) пришло к VIII, т. пл. 303—305° (из о-Cl<sub>2</sub>C<sub>6</sub>H<sub>4</sub>). При исследовании II методом хроматографии на бумаге найдены примеси — моносульфокислота I и следы неизмененного I.

А. Сергеев

28745. Новый синтез тетрациклических ароматических углеводородов. Муссерон, Кристоля, Салле (Nouvelle synthèse de carbures aromatiques tétracycliques. Mousseron Max, Christol Henri, Sallé Robert), C. r. Acad. sci., 1957, 245, № 17, 1366—1368 (франц.)

Исследована ретропинаколиновая перегруппировка некоторых трициклич. спиртов. Конденсацией метилвинилкетона с 2-оксиметилтетраолоном синтезирован 1,2,3,9,10,11-гексагидрофенантрон-3, выход 75%, т. пл. 103° (из сп.); динитрофенилгидразон (ДНФГ), т. пл. 186° (из бал.), превращающийся при действии 1,4-дибромбутана в присутствии *tert*-C<sub>4</sub>H<sub>9</sub>OK (см. РЖХим, 1957, 41044; 1958, 1234) в 4,4-тетраметил-1,2,3,4,9,10-гексагидрофенантрон-3, выход 80%, т. пл. 130—132° (из бал.-петр. эф.); ДНФГ, т. пл. 222—223° (из бал.), восстанавливающийся LiAlH<sub>4</sub> в спирт, дегидратация которого H<sub>2</sub>SO<sub>4</sub> сопровождается перегруппировкой в 1,2,5,6,7,8,9,10-октагидро-3,4-бензофенантрон, выход 90%, количественно дегидрируемый над Pd/C в 3,4-бензофенантрон, т. пл. 68°; пикрат (ПК), т. пл. 125—126° (из сп.). Аналогично 1,2,3,4,9,10-гексагидрофенантрон-2, т. кип. 160°/1 мм, т. пл. 67° (из петр. эф.) (синтезированный с 60%-ным выходом конденсацией тетраолона-2 и метилвинилкетона по Михаэлю) превращен в 1,1-тетраметил-1,2,3,4,9,10-гексагидрофенантрон-2, выход 80%, т. пл. 98° (из сп.); ДНФГ, т. пл. 189° (из бал.-сп.), и хризен, выход 80%, т. пл. 248—250° (из бал.), а 3-кето-1,2,3,10-тетрагидрофлуорен — в бензо-3,4-флуорен, т. пл. 124—125° (из сп.); ПК, т. пл. 130° (из сп.).

Д. Витковский

28746. Фотодегидрирование и фотоокисление некоторых термохромных производных этилена и родственных соединений. Абдель Фаттах Али Исманд, Заки Мохаммед эль-Шафей (Photo-dehydrogenation and photooxidation of some thermochromic ethylenes and related compounds. Abdel Fattah Aly Ismail, Zaki Mohammed El Shafel), J. Chem. Soc., 1957, Aug., 3393—3396 (англ.)

9,9'-Флуоренилиденантрон (I), новый представитель термохромных этиленовых соединений, полученный из 9,9-дихлорфлуорена (II) и антрона (III) и способный давать явления термохромии и пьезохромии, подвергнут фотоокислению (ФО) в присутствии O<sub>2</sub>. Происходящее при этом расщепление I на антрахинон и флуоренон указывает на существование дирадикала, а ускорение поглощения O<sub>2</sub> — на цепное появление катализатора и образование перекиси, что подтверждается специфич. обратимым изменением окраски на ранней стадии р-ции. ФО I в присутствии CO<sub>2</sub> не идет. ФО 10,9'-гиаксантилиденантрона (IV) и 9',10'-дигидро-10'-окси-10'-фенил-10,9'-антрилидентиаксантена (V) как в O<sub>2</sub>, так и в CO<sub>2</sub>, проходит с образованием соответственно 16-оксо-7-тиадибензо-[a,o]-перилена, т. пл. 245° (из бал.), и 16-окси-16-фенил-7-тиадибензо-[a,o]-перилена, т. пл. 275° (из бал.-петр. эф.). Присутствие в IV CO-группы подтверждено образованием V, т. пл. 280—281° (из толуола-петр. эф.), и 9',10'-дигидро-10,9'-антрилидентиаксантена, т. пл. 306—308° (из толуола), в результате р-ции IV соответственно с C<sub>6</sub>H<sub>5</sub>MgBr и LiAlH<sub>4</sub> и последующего гидролиза. Из 6 г II и 5,4 г III

при 140—160° получают I, выход 4 г, коричневатозеленые кристаллы, т. пл. 283—284° (из ксилола-бута-нола).

К. Хайкина

**28747. Сернокислые эфиры полициклических гидрохинонов.** Брэдли, Л. И. (Sulphuric esters of polycyclic quinols. Bradley William, Lee John Gerald), J. Chem. Soc., 1957, Aug., 3549—3554 (англ.)

Восстановлением соответствующих хинонов железом в пиридине (I) в присутствии  $\text{ClSO}_3\text{H}$  получены антрагидрохинон (II), 6,12-диоксидантрацен (III) и 3,8-диоксид-1,2,6,7-дигидроантрацен (IV) в виде солей дисернокислых эфиров (ДСЭ) и изучены их свойства. При восстановлении Na солей таких ДСЭ над скелетным Ni в спирте образуются соответствующие ароматич. углеводороды. Аналогично ведет себя 9-толуол-п-сульфонил-оксидантрацен (V), полученный из антрацена (VI) и  $n\text{-C}_6\text{H}_5\text{SO}_2\text{Cl}$  (VII) в I и восстанавливающийся в антрацен. Под действием нуклеофильных агентов, напр.,  $\text{C}_6\text{H}_5\text{NH}_2$  (VIII), KCN,  $\text{C}_2\text{H}_5\text{OK}$  и  $\text{C}_6\text{H}_5\text{COOK}$ , замещения  $\text{OSO}_2$ -группы не происходит. Лишь при нагревании суспензии Na-соли ДСЭ II и  $\text{H}_3\text{BO}_3$  в VIII получают 9,10-дианилиноантрацен. Все соли ДСЭ стойки к действию горячих едких щелочей, но легко гидролизуются водными к-тами. Однако NaOH быстро разлагает 10-ацетокси-9-антрисульфат триэтиламина. В отсутствие влаги и воздуха соли ДСЭ термически устойчивы; они стойки к действию щел. окислителей, а кислые окислители (IX) превращают их в исходные хиноны значительно быстрее, чем гидролиз в отсутствие IX. При действии на эти соли хлорной или бромной воды,  $\text{H}_2\text{O}_2$  в кислой среде или  $\text{K}_2\text{S}_2\text{O}_8$  конечные продукты содержат немного в-в фенольного характера: в случае ДСЭ II — 2-оксидантрахинон и очень мало 1-оксидантрахинона, в случае ДСЭ III — в-во, отличающееся от 3,9-диоксидантрацена и не являющееся о-оксикарбонильным соединением. К-соль ДСЭ II не реагирует с  $\text{Br}_2$  или  $\text{FeCl}_3$  в  $\text{C}_6\text{H}_6$ . В целях исследования механизма гидролиза ДСЭ изучена кинетика гидролиза  $\text{C}_6\text{H}_5\text{OSO}_2\text{K}$ ,  $n\text{-HOC}_6\text{H}_4\text{OSO}_2\text{K}$  и  $n\text{-C}_6\text{H}_4(\text{OSO}_2\text{K})_2$  HCl (к-той) в водн. и водно-ацетоновых р-рах. При т-ре ниже 20° смешивают 50 г I и 10 г  $\text{ClSO}_3\text{H}$ , нагревают до 60°, прибавляют 6 г антрахинона (X) и 4 г Fe, перемешивают 3 часа при 60—70°, затем выливают в 300 мл воды, содержащей 15 г  $\text{Na}_2\text{CO}_3$  и после отгонки I с паром высаливают Na-соль ДСЭ II в виде тетрагидрата, выход 11 г; разлагается при 90° с образованием X, нафтадиантрацена, 10,10'-диантропила и диантропила. К-соль ДСЭ II, полученная через Ba-соль, выделяется в виде дигидрата; разложение ее в вакууме при 230—240° дает X и  $\text{SO}_2$ . Аналогично из 18 г антрацена, 20 г  $\text{ClSO}_3\text{H}$ , 100 г I и 4 г Fe получают Na-соль ДСЭ III (тетрагидрат), выход 70%, а из 18 г дигидроантрахинона, 108 г I, 22 г  $\text{ClSO}_3\text{H}$  и 8 г Fe Na-соль ДСЭ IV; в отсутствие воздуха обе соли разлагаются лишь выше 150° с выделением  $\text{SO}_2$ . Из 1 г VI и 1,5 г VII в 2,5 мл I получают V, т. пл. 167—168° (из сп.).

К. Хайкина

**28748. Каталитический гидрогенолиз соединений фурана.** Шуйкин Н. И., Бельский И. Ф. (L'hydrogenolyse catalytique dans la série des composés furanniques. Chouikin N. I., Belski I. F.), Bull. Soc. chim. France, 1956, № 11—12, 1556—1560 (франц.)

См. РЖХим, 1957, 60562.

**28749. Синтез 5-карбоксиметилтетрагидрофуранкарбоновой-2 кислоты и ее полиамидов.** Хаяси, Такамуку, Хатихама (Hayashi Izumi, Takamuku Setsuo, Hachihama Yoshikazu), Kōgō kakagu dassai, J. Chem. Soc. Japan. Industr. Chem. Sec., 1957, 60, № 3, 355—356 (японск.)

Из 5-хлорметилфуранкарбоновой-2 к-ты (I) получены 5-карбоксиметилфуранкарбоновая-2 к-та (II) и

5-карбоксиметилтетрагидрофуранкарбоновая-2 к-та (III). При р-ции II и III с гексаметилендиаминном (IV) и декаметилендиаминном (V) образуются полиамиды (ПА), которые размягчаются ~100°, не растворимы в эфире и спирте. Рассмотрено влияние тетрагидрофуранового цикла на свойства полиамидов. К р-ру 50 г KCN в 100 мл воды за 30 мин. добавляют р-р 95 г I в 200 мл спирта и кипятят 1,5 часа. Рагонкой выделяют этиловый эфир 5-цианметилфуранкарбоновой-2 к-ты (VI), выход 49%. Из 36 г VI гидролиз с NaOH получают I, выход 78% (ср. Hawthorth, Jones, J. Chem. Soc., 1944, 667). 17 г I гидрируют в 100 мл воды над 2,5 г скелетного Ni ( $W = 5$ ) 2 часа при 60—130°, разбавляют 500 мл воды, хроматографируют на ионообменной смоле (дайон-SK), вымывают эфиром, получают II, выход 88%, т. пл. 86—87° (из эф.). Указаны в-ва, образующие ПА, т-ра размягчения в °C, растворитель в м-крезоле при 20° в г/100 мл: II, IV, 85—115, 0,08; II, V, 101—111, 0,11; III, IV, 70—78, 0,19; III, V, 75—85, 0,31; 1 ч. ПА III и IV в 4 ч. ПА адициновой к-ты и IV, 235—238, 0,39.

Н. Швецов

**28750. Получение некоторых нафтофуранов.** Эммотт, Ливингстон (Preparation of some naphthofurans. Emmott P., Livingstone R.), J. Chem. Soc., 1957, July, 3144—3148 (англ.)

Из оксинафтойных к-т и оксинафталдегидов (Ia—м) получены нафто-(2',1'-2,3)-(II), нафто-(2',3'-2,3)-(III) и 4-метоксинафто-(1',2'-2,3)-фураны (IV) и их 5-карбоновые к-ты, а из нафто-(1',2'-5,6)-пирона-2 (V) — нафто-(1',2'-2,3)-фуранкарбоновая-5 к-та (VI). Кипятят 4 часа р-р 6,3 г Ia в 70 мл эфира с 1,3 г  $\text{LiAlH}_4$ , получают Ib, выход 1,6 г, т. пл. 191°. К р-ру 2,1 г Ib и 4 г п-бензохинона в 60 мл  $\text{C}_6\text{H}_6$  прибавляют р-р 1,4 г (трет- $\text{C}_4\text{H}_9\text{O}$ ) $_3\text{Al}$  в 30 мл  $\text{C}_6\text{H}_6$ , кипятят 1,5 часа и получают Iv, выход 0,3 г, т. пл. 98°. Кипятят 3 часа р-р 0,4 мл  $\text{BrCH}_2\text{COOC}_2\text{H}_5$  (VII), 0,8 г

Неуказанные R веде H; а R' —  $\text{COOH}$ , R'' — OH; б R' — OH, R'' —  $\text{CH}_2\text{OH}$ ; в R' — OH, R'' —  $\text{CONH}_2$ ; г R' —  $\text{CONH}_2$ , R'' — OH; д R' —  $\text{OCH}_2\text{COOH}$ , R'' —  $\text{CONH}_2$ ; е R' —  $\text{OCH}_2\text{COOH}$ , R'' —  $\text{CONH}_2$ ; ж R' —  $\text{CONH}_2$ , R'' — OH; з R' —  $\text{CONH}_2$ , R'' —  $\text{OCH}_2\text{COOH}$ ; и R' —  $\text{CONH}_2$ , R'' —  $\text{OCH}_2\text{COOH}$ ; к R' — OH, R'' —  $\text{CONH}_2$ ; л R' —  $\text{OCH}_2\text{COOH}$ , R'' —  $\text{CONH}_2$ ; м R' —  $\text{OCH}_2\text{COOH}$ , R'' —  $\text{CONH}_2$ .



$\text{K}_2\text{CO}_3$  и 0,4 г Ig в 100 мл ацетона и получают Id, выход 0,5 г, т. пл. 91—92° (из сп.). Кипятят Id 30 мин. с 20 мл 5%-ного р-ра NaOH, выливают в разб. HCl и получают Ie, выход 0,4 г, т. пл. 173—174°. Аналогично из 2 г Iж получают Iz, выход 2,5 г, т. пл. 92°, а из 2 г Iz получают Im, выход 1,5 г, т. пл. 176—177° (из бн.); из 3 г Ik образуется Il, выход 4 г, т. пл. 89—90° и из 1 г Il получают Im, выход 0,7 г, т. пл. 179—180°. Кипятят 2 часа 0,4 г Ie, 10 мл  $(\text{CH}_3\text{CO})_2\text{O}$  и 1 г  $\text{CH}_3\text{COONa}$ , выливают в воду и получают III, выход 0,1 г, т. пл. 120° (из сп.); пикрат, т. пл. 134° (из  $\text{CH}_3\text{OH}$ ). Побочно выделяют 5-карбокси-III, выход 0,1 г, т. пл. 285° (из сп.). Аналогично из 1 г III получают II, выход 0,6 г, т. пл. 60—61° (из бн.) и 5-карбокси-II (VIII); из 0,6 г Im получают IV, выход 0,3 г, т. пл. 135°,  $n_D^{20}$  1,5749; пикрат, т. пл. 183—184° (из  $\text{CH}_3\text{OH}$ ) и 5-карбокси-IV (IX), выход 0,03 г, т. пл. 278°. Кипятят 5 час. 2,5 г Iz с 30 мл воды и 30 г KOH и подкислением выделяют VIII, выход 2 г, т. пл. 192° (из бн.). К р-ру 1 г Im в 10 мл спирта прибавляют р-р 0,2 г Na в 5 мл спирта, кипятят 5 мин., получают IX, выход 0,3 г. Кипятят 2 г V с 80 мл  $\text{CS}_2$ , охлаждают, к фильтрату прибавляют р-р 1 мл  $\text{Br}_2$  в 10 мл  $\text{CS}_2$  и отделяют 3,4-дигидро-3,4-дигидроафто-(2',1'-5,6)-пирон-2 (X), выход 1,5 г, т. пл. 113° (из петр. эф.). К р-ру 10 г V в 100 мл  $\text{CHCl}_3$  прибавляют р-р 5 мл  $\text{Br}_2$  в 20 мл  $\text{CHCl}_3$  и получают 4'-бромпроизводное-V (XI), выход 10,7 г, т. пл.



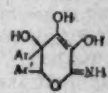
170—171° (из сп.). К р-ру 0,5 г X в 10 мл спирта прибавляют р-р 1 г КОН в воде и 10 мл спирта, смесь кипятят 30 мин. и выделяют VI, выход 0,2 г, т. пл. 150° (разл.). Кипятят 1 час 5 г XI с 100 мл 5%-ного р-ра NaOH и выделяют транс-β-(4-бром-1-оксинафтил)-2-априловую к-ту, выход 1 г, т. пл. 290—291°. Кипятят 6 час 1,9 г XI с р-ром 6,5 г KMnO<sub>4</sub> в 70 мл ацетона и выделяют 4-бром-1-оксинафтойную-2 к-ту (XII), выход 0,5 г, т. пл. 237—238° (из толуола). Нагревают несколько минут 0,4 г XII выше 238° и выделяют 4-бромнафтол-I, выход 0,2 г, т. пл. 121° (из сп.-воды). Р. Журин

28751. О редуктонах. Сообщение 9. О расширении цикла 4-арил-2-окситетронимидов действием ароматических и гетероциклически-ароматических альдегидов. Дahn, Лёве, Хаут (Über eine Ringvergrößerung von 4-Aryl-2-hydroxytetronimiden mit aromatischen und heterocyclisch-aromatischen Aldehyden. 9. Mitteilung: über Reduktone. Dahn H., Loewe Lotte, Hauth H.), Helv. chim. acta, 1957, 40, № 5, 1521—1530 (нем.)

4-арил-2-окситетронимиды (Ia—в, где а арил-C<sub>6</sub>H<sub>5</sub>, б -NO<sub>2</sub>C<sub>6</sub>H<sub>4</sub>, в 2-тиенил) при действии ароматич. или гетероцикл. альдегидов, AgCHO, в слабо-щел. среде при ~20° превращаются в шестичленные 5,6-диарил-3,4,5-триокси-5,6-дигидропиридинимиды (IIa—м), причем Ag занимает положение б в новом цикле, что показано на примере IIв, окисленного NaOJ в 2-фенил-3-(п-хлорфенил)-глицидиновую к-ту (III); строение III подтверждено встречным синтезом из метилового эфира α-(хлорфенилуксусной) к-ты (IV) и п-ClC<sub>6</sub>H<sub>4</sub>-CHO, конденсированных в метиловый эфир (V) α-фенил-β-(п-хлорфенил)-глицидиной к-ты (VI), превращенной нагреванием с H<sub>2</sub>SO<sub>4</sub> в метиловый эфир III (IIa). Не все тетронимиды реагируют как описано выше. Напр., 4-(о-хлорфенил)-2-окситетронимид не изменяется в сходных условиях; 4-(α-фурил)-4-окситетронимид — разлагается; из альдегидов не реагируют окси- или аминозамещ. и пространственно затрудненные бензальдегиды, α-нафтаальдегид и алифатич. альдегиды. По-видимому, IIa—м образуются в результате расширения циклов Ia—в без их распада на исходные компоненты (см. РЖХим, 1956, 815); это подтверждается тем, что радиоактивность 4-фенил-2-окситетронимид-1-[C<sup>14</sup>] (VII), синтезированного из K<sup>14</sup>CN, полностью сохраняется при переходе в 5,6-дигидро-3,4,5-триокси-5,6-дигидро-2-пиронимид-[2-C<sup>14</sup>] (VIII). К 46 ммольям KCN в 25 мл 1 н. р-ра поташа прибавляют в атмосфере N<sub>2</sub> одновременно 6 г дигидрата сульфитного производного глиоксала (IX) и 1,86 г тиофен-2-альдегида в 15 мл диоксана, через 30 мин. охлаждают до 0° и отделяют Iв, выход 67%, т. пл. 140—142° (из 50%-ного сп.), вторичная т. пл. 172°, который при нагревании или при действии к-т превращается в форму, т. пл. 173—175° (разл.; из CH<sub>3</sub>OH-Na). 2,6 ммоль Ia, 0,45 ммоль KCN, 10 мл 1 н. р-ра NaHCO<sub>3</sub>, 4,7 ммоль AgCHO и 5 мл диоксана размешивают 18 час. при 20° в атмосфере N<sub>2</sub> и отделяют (указаны выход в % и т. пл. в °C (разл.; из CH<sub>3</sub>OH)): Ia, 67, 198; IIб, 56, 240; IIв, 48, 215; IIг, 17, 196. 5,2 ммоль Ia, в, 9,4 ммоль AgCHO, 0,9 ммоль KCN, 40 мл CH<sub>3</sub>OH и 20 мл 1 н. р-ра NaHCO<sub>3</sub> размешивают (20°, 20 час.) в N<sub>2</sub> и отделяют IIд, 40, 199; IIе, 27, 200; IIж, 28, 213; или IIм, 15, 184. 5,2 ммоль Ia, 4,4 ммоль AgCHO, 20 мл CH<sub>3</sub>OH, 0,9 ммоль KCN, 20 мл 1 н. р-ра соды и 20 мл IX размешивают (4 часа, 20°) в N<sub>2</sub>, нейтрализуют CH<sub>3</sub>COOH и получают IIз, 44, 198—200. Аналогично из IIб, в получают IIи, 71, 197—198; IIж, 86, 198—200, или IIл, 18, 168—170. 1 г IIв, 0,5 н. р-ра J<sub>2</sub> и 15 мл CH<sub>3</sub>OH нагревают 3 часа при 25°, приливают 35 мл 2 н. р-ра NaOH и через 1 часа выделяют III, выход 83%, т. пл. 191° (разл.;

из CH<sub>3</sub>OH-бал.-петр. эф.); Na-соль, т. пл. >300°; IIIа, т. пл. 170—171° (из бал.-петр. эф.). К р-ру 0,53 г Na в 25 мл CH<sub>3</sub>OH приливают по каплям смесь 27 ммоль IV и 26 ммоль п-ClC<sub>6</sub>H<sub>4</sub>CHO и 5 мл CH<sub>3</sub>OH, размешивают 1 час при 20°, кипятят 4 часа, отгоняют р-ритель, остаток встряхивают с водой и эфиром и получают V, выход 49%, т. пл. 105° (из петр. эф.), гидролизующий метанольным р-ром КОН при 20° в VI, выход 97%, т. пл. 126° (из эф.-петр. эф.). 1,1 ммоль VI, 15 мл 2 н. H<sub>2</sub>SO<sub>4</sub> и 15 мл ацетона нагревают 20 час. при 100°, отгоняют ацетон, продукт извлекают смесью эфир-C<sub>6</sub>H<sub>6</sub> (10:1), метилируют CH<sub>2</sub>N<sub>2</sub>, хроматографи-

IIа Ag = Ag' = C<sub>6</sub>H<sub>5</sub>; б Ag = C<sub>6</sub>H<sub>5</sub>, Ag' = о-ClC<sub>6</sub>H<sub>4</sub>; в Ag = C<sub>6</sub>H<sub>5</sub>, Ag' = п-ClC<sub>6</sub>H<sub>4</sub>; г Ag = C<sub>6</sub>H<sub>5</sub>, Ag' = п-CH<sub>3</sub>C<sub>6</sub>H<sub>4</sub>; д Ag = C<sub>6</sub>H<sub>5</sub>, Ag' = 3,4-Cl<sub>2</sub>C<sub>6</sub>H<sub>3</sub>; е Ag = C<sub>6</sub>H<sub>5</sub>, Ag' = α-фурил; ж Ag = C<sub>6</sub>H<sub>5</sub>, Ag' = α-тиенил; з Ag = C<sub>6</sub>H<sub>5</sub>, Ag' = м-ClC<sub>6</sub>H<sub>4</sub>; и Ag = м-NO<sub>2</sub>C<sub>6</sub>H<sub>4</sub>, Ag' = C<sub>6</sub>H<sub>5</sub>; к Ag = Ag', Ag' = м-NO<sub>2</sub>C<sub>6</sub>H<sub>4</sub>; л Ag = α-тиенил, Ag' = C<sub>6</sub>H<sub>5</sub>; м Ag = Ag' = α-тиенил



руют на Al<sub>2</sub>O<sub>3</sub> и получают IIIа, выход 58%. 6 мг K<sup>14</sup>CN, 0,844 г KCN размешивают в атмосфере N<sub>2</sub> в 30 мл 2 н. р-ра соды, добавляют 2,72 г IX и 10 ммоль C<sub>6</sub>H<sub>5</sub>CHO в 5 мл диоксана, через 30 мин. приливают 3,5 мл CH<sub>3</sub>COOH до pH 6, размешивают 3 часа и отделяют VII, выход 65%, т. пл. 173—175° (разл.; из CH<sub>3</sub>OH). Из 2,5 ммоль KCN, 8 мл 1 н. р-ра NaHCO<sub>3</sub>, 2,6 ммоль VII и 6,7 ммоль C<sub>6</sub>H<sub>5</sub>CHO в 14 мл CH<sub>3</sub>OH (44 часа, 20°) в атмосфере N<sub>2</sub> (см. выше) получают VIII, выход 46%, т. пл. 199° (разл.; из CH<sub>3</sub>OH). Предыдущее сообщение см. РЖХим, 1957, 26654. Л. Щукина

28752. Диастереомерные тетрагидропираноловые эфиры гидрохинона, Стерн, Инглиш, Кассиди (Diastereomeric tetrahydropyranol ethers of hydroquinone. Stern Robert, English James, Jr, Cassidy Harold G.), J. Amer. Chem. Soc., 1957, 79, № 21, 5797—5800 (англ.)

Показано, что бис-2-тетрагидропираноловый эфир (I) гидрохинона (II) вопреки ранее высказанному мнению (Parham W. E., Anderson E. L., J. Amer. Chem. Soc., 1948, 70, 4187) является смесью двух стереомеров: α-(Ia), т. пл. 133,3—133,8°, и β-(Iб), т. пл. 75,8—77,1°, для которых на основании сравнения т-р плавления принята мезо- и рац-конфигурация, соответственно. I дают Li-производные, реагирующие с CO<sub>2</sub> и не реагирующие с окисью этилена (IV). Последнее может быть объяснено малой растворимостью III, но не пространственными затруднениями, так как Li-производное (V) 2-тетрагидропиранолового эфира фенола (VI) легко взаимодействует с IV и после кислотного гидролиза продукта р-ции превращается в β-(о-оксифенил)-этиловый спирт (VII). К 4 молям 2,3-дигидропирана (VIII), содержащего 8 капель конц. HCl, медленно добавляют при охлаждении 1 моль II, размешивают ~12 час., добавляют 800 мл CHCl<sub>3</sub>, промывают 10%-ным р-ром КОН, отгоняют CHCl<sub>3</sub> и VIII и получают I, выход 287 г, т. пл. 78—122°. Из 144 г I при помощи н-C<sub>6</sub>H<sub>14</sub> выделяют 46 г Ia и 5,4 г Ib. Карбоксилирование 0,0075 моля Ia приводит к 2,5-диоксисбензойной к-те, выход 65%. 2,42 г бис-метоксиметилового эфира VIII и 2,42 г амберлита IR-112 в 30 мл абс. CH<sub>3</sub>OH кипятят 3 часа и выделяют 1,5 г в-ва, из которого после перегонки выделяют 0,53 г β-оксипиридинона, т. пл. 76,4—77,6° (из хлф.). VI (т. кип. 135°/22 мм, n<sub>D</sub><sup>20</sup> 1,5223) превращен в V с последующим оксипирированием по обычной методике в о-(2-пиридинокси)-фенилэтиловый спирт (IX), выход 89%. 36 г IX в 500 мл CH<sub>3</sub>OH, 10 мл конц. HCl и 40 мл воды кипятят 1,5 часа, нейтрализуют, р-ритель испаряют в вакууме и перегонкой выделяют VII, выход 17,5 г, т. кип. 110°/0,55 мм, n<sub>D</sub><sup>18</sup> 1,5593; п-нитробензоат, т. пл. 167,8—169° (из ацетона). И. Леви

28753. Реакции эфиров с хлорангидридами кислот в присутствии хлористого алюминия. I. Синтезы 4-оксикумаринов. Мацуй, Ота (Matsui Kiyotada, Ota Minoru), Нихон какаку дзасси, J. Chem. Soc. Japan. Pure Chem. Sec., 1957, 78, № 4, 517—520 (японск.).

Монофениловый-, моно-*o*-, моно-*m*- и моно-*p*-крезильный эфиры малоновой к-ты (I, II, III и IV) при обработке  $\text{PCl}_5$  превращаются в хлорангидриды моноэфиров. Последние при действии избытка  $\text{AlCl}_3$  в результате р-ции Фриделя — Крафта дают 4-оксикумарины. К 11 г  $\text{CH}_3(\text{COOH})_2$  в 50 г эфира добавляют при охлаждении 14 г  $\text{SOCl}_2$  и кипятят 6 час. После упаривания в вакууме к остатку добавляют 20 г эфира и 9 г фенола и кипятят 3 часа. Реакционную массу экстрагируют водн.  $\text{NaHCO}_3$  и после подкисления получают I, выход 58%, т. пл. 71—73° (из бэл.). Аналогично получают II, выход 70%, т. пл. 58—59°, III, выход 66%, т. пл. 52—54°, и IV, выход 65%, т. пл. 73—75°. К *p*-ру 1,5 г I в 25 мл  $\text{C}_6\text{H}_5\text{NO}_2$  добавляют 2 г  $\text{PCl}_5$  и нагревают 2 часа при 50—55°, затем охлаждают, добавляют 3,6 г  $\text{AlCl}_3$  и перемешивают 6 час. при 60—65°, получают 4-оксикумарин, выход 67%, т. пл. 209—210° (из разб. сп.). Такой же выход получают при использовании  $\text{POCl}_3$  вместо  $\text{PCl}_5$ . Из II аналогично получают 4-окси-8-метилкумарин (V), выход 79%, т. пл. 231—232° (из разб. сп.). Из IV получают 4-окси-6-метилкумарин (VI), выход 79%, т. пл. 244—245° (из сп.). III в аналогичных условиях дает смесь 4-окси-5-метилкумарина (VII), т. пл. 233—234° (из 90%-ного сп.), и 4-окси-7-метилкумарина (VIII), т. пл. 216—218° (из 96%-ного сп.). Строение V, VI и VIII доказано гидролизом разб.  $\text{H}_2\text{SO}_4$  до соответственно 2-окси-3-метил-, 2-окси-5-метил- и 2-окси-4-метилацетофенона. При сплавлении VIII с  $\text{NaOH}$  получают 4-метилсалициловую, а из VII — 6-метилсалициловую к-ту. Н. Шведов

28754. Синтезы в ряду бензопиранов. Часть LXII. Изомеризация производных 2,6-диметил-5,7,8-триоксихромонов. Мукерджи, Раджагопалан, Сешадри (Synthetic experiments in the benzopyrone series. Part LXII — Isomerization of 2:6-dimethyl-5:7:8-trihydroxy chromone derivatives. Mukerjee S. K., Rajagopalan T. R., Seshadri T. R.), J. Scient. and Industr. Res., 1957, BC16, № 2, B58—B60 (англ.).

Показано, что 2,8-диметил-5-окси-6,7-диметоксид-(I) и 2,6-диметил-5,8-диоксид-7-метоксид-(II)-хромоны относятся различно к нагреванию со смесью  $\text{HJ}$  и  $(\text{CH}_3\text{CO})_2\text{O}$ : I при этом только деметилируется в 2,8-диметил-5,6,7-триоксихромон (III), а II — деметилируется и изомеризуется в III. I и II синтезируются метилированием III или 2,6-диметил-5,7,8-триоксихромоном (IV), полученных окислением 2,8-диметил-6-формил-(V) 2,6-диметил-(VI)-5,7-диоксихромонов  $\text{H}_2\text{O}_2$  или  $\text{Na}_2\text{S}_2\text{O}_8$  в пиридине, содержащем  $(\text{CH}_3)_4\text{NOH}$  (VII). Окислением 2,6-диметил-5-окси-7-метоксихромоном  $\text{Na}_2\text{S}_2\text{O}_8$  аналогично VI, или 2-метил-5-окси-7-метоксихромоном  $\text{K}_2\text{S}_2\text{O}_8$  в тех же условиях, получены соответственно 2,6-диметил-(т. пл. 206—208°) и 2-метил-(т. пл. 210—211° (из этилацетата))-7-метоксид-5,8-диоксихромоны. Попытки получения VI С-метилированием 2-метил-5,7,8-триоксихромонов  $\text{CH}_3\text{J}$  и  $\text{CH}_3\text{ONa}$  или окислением келлина  $\text{CrO}_3$  не имели успеха. К *p*-ру 1 г V в 15 мл пиридина и 25 мл 10%-ного *p*-ра VII приливают по каплям в атмосфере  $\text{N}_2$  (30 мин., 15—20°) 4 мл 6%-ной  $\text{H}_2\text{O}_2$ , размешивают 1 час, нагревают до 50°, выливают в разб.  $\text{HCl}$  и отделяют III, выход 0,7 г т. пл. 260—261° ( $\text{CH}_3\text{OH}$ ). 0,7 г III в 0,1 л ацетона, 2 мл  $\text{CH}_3\text{J}$  и 4 г  $\text{K}_2\text{CO}_3$  кипятят 1,5 часа, отгоняют *p*-ритель и получают I, т. пл. 123—124° (из  $\text{CH}_3\text{OH}$ ), производное с пипероналом, т. пл. 187—188°. К 2,8 г VI в 25 мл пиридина и 40 мл 10%-ного *p*-ра VII при-

ливают (3 часа, 15—20°) насыщ. *p*-р  $\text{Na}_2\text{S}_2\text{O}_8$ , через 24 часа смесь подкисляют, извлекают эфиром, добавляют 20 мл конц.  $\text{HCl}$  и 2 г  $\text{Na}_2\text{S}_2\text{O}_8$ , нагревают 30 мин. при 100° и извлекают эфиром IV, выход 0,3 г, т. пл. 255—257°. Кипятят IV с избытком  $(\text{CH}_3)_2\text{SO}_4$  и  $\text{K}_2\text{CO}_3$  в ацетоне и выделяют II, 0,2 г которого кипятят 1,5 часа с 1 мл  $\text{HJ}$  и 1 мл  $(\text{CH}_3\text{CO})_2\text{O}$ , отгоняют смесь к-т, остаток смешивают со льдом и  $\text{NaHSO}_3$  и выливают III, выход 0,1 г. Часть LXI см. РЖХим, 1957, 63517.

28755. Синтезы в ряду бензопиранов. Часть LXIII. Синтезы  $\alpha$ -метилфураноизофлавонов. Сарин, Сехгал, Сешадри (Synthetic experiments in the benzopyrone series. Part LXIII — Synthesis of  $\alpha$ -methylfuranosyl isoflavones. Sarin P. S., Sehgal J. M., Seshadri T. R.), J. Scient. and Industr. Res., 1957, BC16, № 2, B61—B64 (англ.).

Синтезированы 2'-метокси- $\alpha$ ,2-диметил-(I), 4'-метокси- $\alpha$ ,2-диметил-(II) и  $\alpha$ ,2-диметил-(III)-7,8-дигидрофураноизофлавоны, являющиеся ядами для рыб более сильными, чем соответствующие фурановые производные. Для получения I и II 2'-метоксид-(IV) и 4'-метоксид-(V)-2-метил-7-оксидизофлавоны этерифицированы бромистым аллилом (VI) и  $\text{K}_2\text{CO}_3$  в соответствующие аллиловые эфиры (VII) и (VIII), изомеризованные по Клайзену в 2'-метоксид-(IX) и 4'-метоксид-(X)-2-метил-7-оксид-8-аллилизифлавоны, превращенные нагреванием с  $\text{HBr}$  в 2'-метоксид-(XI) и 4'-метоксид-(XII)-2-метил-7-оксид-8-( $\beta$ -бромпропил)-изофлавоны, из которых действием  $\text{K}_2\text{CO}_3$  в ацетоне получены I и II. III, т. пл. 148—150° [из этилацетата (XIII)-пепт. эф.] синтезирован аналогично из 7-оксид-8-аллил-2-метилизофлавонов через 2-метил-7-оксид-8-( $\beta$ -бромпропил)-изофлавоны, т. пл. 218—219°. II и III дегидрированы *N*-бромсукцинимидом (XIV) в 4'-метоксид- $\alpha$ ,2-диметил-(XV) и  $\alpha$ ,2-диметил-(XVI)-7,8-фураноизофлавоны. 5,6 г IV или V в 150 мл ацетона, 2,6 мл VI и 12 г  $\text{K}_2\text{CO}_3$  кипятят 8 час, отгоняют ацетон, остаток встряхивают с 0,2 л воды, оставляют в холодильнике и отделяют (здесь и далее указано в-во, выход в г и т. пл. в °C) VII, 4,5, 97—98 (из сп.), или VIII, —, 126—127 (из сп.), 4,5 г VII или VIII нагревают 2 часа при 200° и получают IX, 4, 235—236 (из сп.), или X, —, 274—275 (из XIII-пепт. эф.). 3,8 г IX или X в 50 мл  $\text{CH}_3\text{COOH}$  и 4 мл 48%-ной  $\text{HBr}$  нагревают 8 час. при 100°, смесь выливают на лед и отделяют XI, 3, 91—92 (из сп.), или XII, —, 215—216° (разл.; из XIII). 2,5 г XII или XIII в 0,2 л ацетона и 6 г  $\text{K}_2\text{CO}_3$  кипятят 6 час. и выделают (см. VII) I, 1,0, 160—161 (из XIII), или II, —, 206—207 (из XIII). 0,8 г II или III, 40 мл  $\text{CCl}_4$ , 0,1 г перекиси бензоила и 0,28 г XIV кипятят 45 мин., фильтруют при 20°, отгоняют *p*-ритель, остаток растворяют в 5 мл  $\text{C}_6\text{H}_5\text{N}$ , нагревают 1 час при 100°, разбавляют водой, подкисляют 2 н.  $\text{HCl}$  и извлекают  $\text{CHCl}_3$  XV, 0,5, 185—187 (из сп.), или XVI, —, 168—169 (из XIII-пепт. эф.).

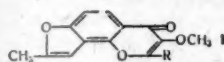
Д. Витковский  
28756. Синтезы в ряду бензопиранов. Часть LXIV. Синтезы некоторых диаллильных производных 2-метил-5,7-диоксидизофлавонов. Сарин, Сехгал, Сешадри (Synthetic experiments in the benzopyrone series: part LXIV — Synthesis of ceratin diallyl derivatives of 2-methyl-5:7-dihydroxy isoflavone. Sarin P. S., Sehgal J. M., Seshadri T. R.), J. Scient. and Industr. Res., 1957, BC 16, № 5, B206—B209 (англ.).  
С целью изучения биогенеза ротеноидов из 5,7-диокси-2-метилизофлавонов (I) через 5,7-диаллилокси-производное (II), 6,8-диаллил-I (III) и 6,8-ди-( $\beta$ -бромпропил)-I (IV) синтезирован 5,6,7,8-тетрагидрофурано- $\alpha$ , $\alpha'$ ,2-триметилизофлавоном (V). Синтез аналогичного озакину и помиферину 5-окси-6-аллил- $\alpha$ ,2-диметил-7,8-дигидрофураноизофлавоном (VI) осуществлен также из I через 7-аллилоксипроизводное (VII),



8-аллил-I (VIII), 5-оксид- $\alpha$ ,2-диметил-7,8-дигидрофурано-3-метокси-производное (X). Токсичность (Т), II, IV, V, VI и метиловых эфиров VIII была определена на рыбах и рассмотрена зависимость Т от строения. Ацетоновый р-р 10 г I и 10 мл  $C_2H_5Br$  (XI) кипятят 54 часа с 20 г  $K_2CO_3$ , отгоняют р-ритель и выделяют II, выход 7,5 г, т. пл. 86–87°. Уменьшение времени р-ции приводит лишь к частичной этерификации I. 7 г II нагревают 3 часа при 200° и получают III, выход 6,5 г, т. пл. 165–166° (из сп.). 6 г III в 100 мл лед.  $CH_3COOH$  и 60 мл 48%-ной  $HBr$  нагревают 8 час. и получают IV, выход 4,5 г, т. пл. 103–105° (из лед.  $CH_3COOH$ ). Ацетоновый р-р 4 г IV и 8 г  $K_2CO_3$  кипятят 10 час. и получают V, выход 2,6 г, т. пл. 200–214°. VII получен из 8 г I и 3,9 мл XI (кипячение 10 час.), выход 6 г, т. пл. 143–144°. Аналогично III, 5,5 г VII превращены в 4,5 г VIII, т. пл. 155–156°, а затем в IX, т. пл. 148–149°. IX обрабатывают избытком XI (48 час.) и выделяют X, т. пл. 152–154°, перегруппировкой которого синтезируют VI, т. пл. 145–146°.

И. Леви  
28757. Синтезы в ряду бензопиранов. Часть LXV. Синтез  $\alpha$ -метилкаранжина и родственных соединений. Чиббер, Гангули, Мукерджи, Сешадри (Synthetic experiments in the benzopyrone series. Part LXV. Synthesis of  $\alpha$ -methyl karanjin and related compounds. Chibber S. S., Ganguli A. K., Mukerjee S. K., Seshadri T. R.), Proc. Indian Acad. Sci., 1957, A46, № 1, 19–24 (англ.)

В качестве потенциальных инсектицидов синтезированы  $\alpha$ -метилкаранжин [3-метокси- $\alpha$ -метилфурано-(2',3'-7,8)-флавоны] (Ia) и его аналоги [16-г, здесь и далее а R =  $C_6H_5$ , б R =  $n$ - $CH_2OC_6H_4$ , в R = 2,4- $(CH_3)_2C_6H_3$ , г R = 3,4- $(CH_3)_2C_6H_3$ ], а также 3-метокси- $\alpha$ ,2-диметилфурано-(2',3'-7,8)-хромон (II). К 2-замещ. 7-оксид-8-аллил-3-метоксифлавану (IIIа) присоединяют  $HBr$ , а затем циклизируют с хорошим выходом в



дигидрофурановое производное (IVа-г). Дегидрированием IV при помощи N-бромсукцинимиды (V) синтезируют I. Аналогично синтезируют II. Установлено, что инсектицидное действие IV сильнее I и что введение  $\alpha$ - $CH_3$ -группы уменьшает токсичность фурановых соединений. Р-р 2 г IIIа в 250 мл диоксана в присутствии следов  $FeCl_3$  насыщают  $HBr$  (газом), через 24 часа выливают на лед и отделиют 2,9 г 3-метокси-7-оксид-8-( $\beta$ -бромпропил)-флавоны (VIа), т. пл. 190–220° (из хлф.). 2 г VIа нагревают 1 час в 5 мл  $C_6H_5N$ , р-р фильтруют через 30 г  $Al_2O_3$  и выделяют 0,7 г IVа, т. пл. 142–143° (из сп.). 0,5 г IVа, 0,3 г V и смеси  $(C_6H_5O)_2O$  в 25 мл  $CCl_4$  кипятят 20 мин., фильтруют упаривают до суха, к остатку добавляют 6 мл  $C_6H_5N$  (20 мин, 100°), выливают в разб. к-ту и отделивают 0,4 г Ia, т. пл. 121–122° (из разб. сп.). Аналогично, из IIIб [т. пл. 238–239° (из ацетона)], IIIв [т. пл. 228–230° (из сп.)] и IIIг [т. пл. 271–273° (из сп.)] получены соответственно (т. пл. в °C): VIб, 212–213 (из хлф.), IVб, 147–148 (из сп.), Ib, выход 0,4%, 159–160 (из сп.); VIв, выход 90%, 202–204 (из этилацетата), IVв, 144–145, Iv, 152–153; VIг, 218–219 (из хлф.- $CH_3OH$ ), IVг, 145–146, Ig, 190–191. II, т. пл. 81–152° (из сп.), получен из 2-метил-3-метокси-7-оксид-8-аллилхромона через бромхромон [т. пл. 210–211° (из этилацетата)] и  $\alpha$ ,2-диметил-3-метоксидигидрофурано-(2',3'-7,8)-хромон, т. пл. 151–152° (из сп.). Из 2-метил-5,7-диоксихромона (VII) через 7-аллил-VII [т. пл. 111–112° (из сп.)], 8-аллил-VII [т. пл. 190–191° (из разб. сп.)] и 2-метил-5,7-диоксид-8-( $\beta$ -бромпропил)-хромон [т. пл. 199–200° (из этилацетата)] синтезируют

ван  $\alpha$ ,2-диметил-5-оксидигидрофурано-(2',3'-7,8)-хромон, т. пл. 156–157° (из сп.).

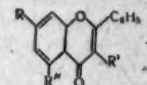
И. Леви  
28758. Антоксантины. Часть VI. Синтез третьего рацемата 6-метил-4'-метоксифлаван-3,4-диола. Джоши, Кулкарни (Anthoxanthins: Part VI.—Synthesis of the third racemate of 6-methyl-4'-methoxyflavan-3:4-diol. Joshi C. G., Kulkarni A. B.), J. Scient. and Industr. Res., 1957, BC16, № 8, B-355–B-359 (англ.)

Синтезирован третий рацемат (I) 6-метил-4'-метоксифлавандиола-3,4 (II), для чего один из оптич. изомерных 6-метил-4'-метокси-3-бромфлаванонов (IIIа, б) восстановлен с почти колич. выходом эфирным р-ром  $LiAlH_4$  (15–20°, 30 мин.) в 6-метил-4'-метокси-3-бромфлаванол-4 (IV) [т. пл. 200° (из сп.)]; ацетат (A), т. пл. 184° (из сп.), превращающийся при кипячении (30 мин.) с метанольным р-ром  $CH_3ONa$  в 6-метил-3,4'-диметоксифлаванол-4; A, т. пл. 136–137° (из сп.), а при 20-часовом кипячении в спирте с  $CH_3COOK$  и ацетилировании продукта  $(CH_3CO)_2O$  в  $C_6H_5N$  — в диацетат I (V), т. пл. 150° (из сп.), получающийся также при кипячении (30 мин.) IV в водн. диоксане с  $NaOH$  или при 70-часовом нагревании смеси IV с  $CH_3COOH$ ,  $(CH_3CO)_2O$  и  $CH_3COOK$ ; при действии щелочей или  $LiAlH_4$ , V превращается в некристаллизующееся масло; бензоилируется  $C_6H_5COCl$  в  $C_6H_5N$  в дибензоат I, т. пл. 195–197° (из сп.). Предпринята попытка получения четвертого рацемата II, для чего IIIб восстановлен в смеси  $C_6H_5$ -эфир в изомерный IV флаванол (VI), т. пл. 175° (из сп.); A, т. пл. 142°, образующий далее только некристаллизующееся в-ва; лишь в одном опыте при нагревании (50 час.) спирт. р-ра VI с  $CH_3COOK$  и ацетилировании продукта получено в-во, т. пл. 165° (из сп.), являющееся, вероятно, ацетатом 6-метил-4'-метоксифлаван-3-ола-4. При нагревании (1,5 часа, 60–70°) VI с  $iso$ - $C_3H_7ON$  и р-ром  $NaOH$  вместо ожидаемой 3,4-эпокси получен 6-метил-4'-метокси-3-изопропоксифлаванол-4, т. пл. 120–121° (из петр. эф.); A, т. пл. 135° (из сп.). При обработке IIIа, б  $CH_3COOK$ ,  $CH_3COONa$  или  $CH_3COOAg$  образуется 6-метил-4'-метоксифлаванон; при гидрировании IIIа в спирте или  $CH_3COOH$  над Pt-черным получается 6-метил-4'-метоксифлаванон, т. пл. 110° (из сп.); восстановление IIIа  $LiAlH_4$  при т-ре  $> 20^\circ$  также сопровождается дебромированием, причем образуется 6-метил-4'-метоксифлаванол-4, т. пл. 138° (из сп.). При попытке дегидратации 6-метил-4'-метоксифлаванолола-4 действием  $ZnCl_2$  в  $C_6H_6$  получен 6-метил-4'-метоксифлаволировый эфир, т. пл. 203–204° (из бал.-петр. эф.). Часть V см. РЖХим, 1958, 21438.

Л. Щукина  
28759. Хлорацетиловые и дихлорацетиловые производные флавонола, 7-оксифлавоны и хризина. Лукер, Ханнеман (Chloroacetates and dichloroacetates of flavonol, 7-hydroxyflavone, and chrysin. Looker J. H., Hanneman, Walter W.), J. Organ. Chem., 1957, 22, № 10, 1237–1239 (англ.)

С целью изучения биологич. активности, исходя из 7-оксид (Ia)-, 3-оксид (Ib)- и 5,7-диоксифлавоны (Iв) получены хлор- и дихлорацетиловые производные (Iг-ж). Смесь 59 г дибензоата 2,4-диоксинацетофенона,

Неуазанные R веде H: а R = OH; б R' = OH; в R = R' = OH; г R =  $CH_2ClCOO$ ; д R =  $CHCl_2COO$ ; е R' =  $CH_2ClCOO$ ; ж R =  $CHCl_2COO$ , R' = OH.



48 г  $C_6H_5COONa$  и 175 г  $C_6H_5COOH$  нагревают 4 часа при 200° и выделяют Ia, выход 36%, т. пл. 244–244,5° (из сп.). 3 г Ia и 12 мл  $CH_2ClCOCl$  (II) в 75 мл ксилола (III) нагревают 2 часа ( $N_2$ ), отгоняют в вакууме II и III и получают Iг, выход 77%, т. пл. 136–137° (из этилацетата-циклогексана (IV)). К смеси 75 мл III и 2 г

1а прибавляют 30 мин. 10 мл  $\text{CHCl}_2\text{COCl}$  (V) в 50 мл III, р-р 3 часа кипятят и через 24 часа при 20° выделяют Id, выход 54%, т. пл. 161—162° (из III-IV). 30 мин. нагревают 1 г Ib и 0,57 г II в 50 мл III и получают Ie, выход 0,94 г, т. пл. 159,5—160,3° (из III). Смесь 0,5 г Iв, 3,6 г V и 75 мл III кипятят 4—5 мин. ( $\text{N}_2$ ) и выделяют Ig, выход 70%, т. пл. 151—151,5° (из эф.). Получена пиридиновая соль Ig, которая при растворении в воде немедленно гидролизует, при кипячении в  $\text{CH}_3\text{OH}$  гидролиз проходит через 30 мин., при 20° в  $\text{CH}_3\text{OH}$  через 24 часа.

Т. Краснова  
28760. Об изохромане. III. Расщепление ди-(изохроманилового-1) эфира. Реакция Канниццаро в кислой среде. Рихе, Шмиц (III. Mitteilung über Isochroman. Spaltung von Di-[isochromanyl-(1)]-äther eine Cannizzaro-Reaktion in saurem Medium. Rieche Alfred, Schmitz Ernst), Chem. Ber., 1957, 90, № 4, 531—534 (нем.)

При р-ции ди-(изохроманилового-1) эфира (I) с конц.  $\text{HCl}$  или  $\text{HBr}$  получаются 2-(β-хлорэтил)-(II) или 2-(β-бромэтил)-(III)-бензальдегиды и, в обоих случаях, изохроман (IV) и изохроманон-1 (V), являющиеся, очевидно, продуктами диспропорционирования I, которое становится основной р-цией при нагревании I с 30%-ной  $\text{H}_2\text{SO}_4$ , причем выходы IV и V достигают соответственно 71 и 41%. Предложен ионный механизм этой р-ции. 15 г I и 150 мл конц.  $\text{HCl}$  кипятят 5 мин., отгоняют с паром II (т. кип. 120—122°/7 мм; 2,4-динитрофенилгидразон, т. пл. 193°), выделяемый в виде бисульфитного производного, выход 27%, и IV, выход 21%, т. кип. 79—80,5°/7 мм,  $n_D^{20}$  1,5449, который извлекают эфиром из фильтратов после отделения II; остаток от перегонки с паром извлекают эфиром, отгоняют р-ритель, продукт кипятят с 20 мл 2 н.  $\text{KOH}$ , подкисляют и извлекают эфиром V, выход 12,7%, т. кип. 159—159,5°/12 мм,  $n_D^{20}$  1,5650. Аналогично из 20 г I и 0,1 л 48%-ного  $\text{HBr}$  получают III, выход 48,2%, т. кип. 129—132°/6 мм,  $n_D^{20}$  1,5862, IV, выход 24,2%, и V, выход 9,5%. 5 г I, 40 мл воды и 10 мл конц.  $\text{H}_2\text{SO}_4$  медленно перегоняют 2 часа, восполняя отгоняющуюся воду, и из дистиллата извлекают IV, а из остатка выделяют V. Сообщение II см. РЖХим, 1957, 60578.

Д. Витковский  
28761. Дибенз-[b,f]-оксепины и родственные соединения. Лаудон, Саммерс (Dibenz[b,f]oxepins and related compounds. Loudon J. D., Summers L. A.), J. Chem. Soc., 1957, Sept., 3809—3813 (англ.)  
Дибенз-[b,f]-оксепин (I), 2-нитро-I (II) и ряд их производных синтезированы из 2-хлор-5-нитробензальдегида (III) через 2-арилокси-5-нитробензальдегиды [ $\text{R} = \text{C}_6\text{H}_5$  (IVa),  $\text{R} = \text{C}_6\text{H}_4\text{OCH}_3$ -o (IVb),  $\text{R} = \text{C}_6\text{H}_4\text{OCH}_3$ -p (IVv),  $\text{R} = 2$ -хлор-5-нитробензил (IVr)] 2-арилокси-5-нитрофенилпропионоградные к-ты [ $\text{R} = \text{C}_6\text{H}_5$  (Va),  $\text{R} = \text{C}_6\text{H}_4\text{OCH}_3$ -o (Vb)] и 2-арилокси-5-нитрофенилуксусные к-ты [ $\text{R} = \text{C}_6\text{H}_5$  (VIa),  $\text{R} = \text{C}_6\text{H}_4\text{OCH}_3$ -o (VIb)]. 40 г III, 20 г фенола и 10 г  $\text{NaOH}$  кипятят 2 часа в 400 мл воды, экстрагируют эфиром и получают IVa, выход 70%, т. пл. 67—80° (из бзл.-петр. эф.). Аналогично из о-метоксифенола получают IVb, выход 55%, т. пл. 111° (из бзл.-петр. эф.), и из п-метоксифенола — IVv, т. пл. 98° (из бзл.-петр. эф.). Из неэкстрагируемого эфиром остатка при получении IVa—в выделяют IVr, выход 1—5%, т. пл. 208° (из бзл.); оксим, т. пл. 194° (из бзл.). 0,5 г III и 13 мл 2%-ного водн.  $\text{NaOH}$  кипятят 20 мин. и получают IVr, выход 12%. 3 г III в 50 мл  $\text{CH}_3\text{OH}$  смешивают с 1 г  $\text{NaNH}_2$  в 10 мл воды, через 4 часа подкисляют, испаряют  $\text{CH}_3\text{OH}$  и получают 2-хлор-5-нитробензиловый спирт (VII), т. пл. 78° (из петр. эф.). Равные кол-ва VII, III и  $\text{K}_2\text{CO}_3$  нагревают 15 мин. при 100° и получают IVr, выход 80%. 2 моля  $(\text{CH}_3\text{CO})_2\text{O}$ , 1 моль ацетуровой к-ты, 1 моль IVa и 1 моль  $\text{KHSO}_5$  нагревают

до появления желтой окраски, оставляют на 24 часа при 18°, промывают горячей водой, сушат и получают 2-метил-4-(5-нитро-2-фенокси)-бензилденонсазолон-5 (VIIIa), выход 75%, т. пл. 188° (из бзл.-петр. эф.). Аналогично из IVb получают 2-метил-4-(2,2'-метоксифенокси-5'-нитробензилден)-оксазолон-5 (VIIIb), т. пл. 197° (разл.). 2 г VIIIa в 5 мл спирта и 2 мл конц.  $\text{H}_2\text{SO}_4$  выливают в ледяную воду и получают этиловый эфир α-ацетамидо-β-(5-нитро-2-феноксифенил)-акриловой к-ты, т. пл. 195—196° (из бзл.). 10 г VIIIa, 35 мл конц.  $\text{HCl}$ , 60 мл воды и 100 мл  $\text{CH}_3\text{COOH}$  нагревают 5 час. и выделяют Va, выход 95%, т. пл. 148° (из бзл.); оксим, т. пл. 167° (из бзл.). Аналогично из VIIIb получают Vb, т. пл. 230° (разл.). 6 г Va растворяют в 100 мл 10%-ного  $\text{NaOH}$ , при 0° добавляют 25 мл 10%-ной  $\text{H}_2\text{O}_2$  и через 4 часа выделяют VIa, выход 91%, т. пл. 140° (из бзл.-петр. эф.). Смесь 2 г Va и полифосфорной к-ты (IX) (из 14 мл конц.  $\text{H}_2\text{PO}_4$  и 21 г  $\text{P}_2\text{O}_5$ ) нагревают несколько минут при 160° и 2 часа при 100°, разбавляют водой и получают 10-карбоксо-II (X), выход 75%, т. пл. 224° (из бзл.-петр. эф.). Аналогично из Vb получают 6-метоксо-X, выход 70%, т. пл. 250° (разл.). Р-р X в водн.  $\text{K}_2\text{CO}_3$  гидрируют над  $\text{Pd}/\text{SrCO}_3$ , добавляют немного  $\text{Na}_2\text{SO}_3$ , подкисляют и получают 2-амино-10-карбоксо-10,11-дигидро-I (XI), т. пл. 210° (разл.; из водн. сп.), 0,2 г XI диазотируют  $\text{NaNO}_2$  в разб.  $\text{HCl}$ , нагревают и обрабатывают 2 мл 30%-ной гипофосфорной к-ты и через 12 час. получают 10-карбоксо-10,11-дигидро-I (XII), т. пл. 186° (из бзл.). VIa циклизуют посредством IX при 100° 2 часа, получают 10,11-дигидро-10-оксо-II (XIII), выход 80%, т. пл. 158° (из бзл.-петр. эф.); оксим, т. пл. 184° (из бзл.). Аналогично из VIb получают 6-метоксо-XIII, выход 78%, т. пл. 195° (из бзл.-петр. эф.); оксим, т. пл. 211° (из бзл.-петр. эф.). 5 г VIa, 2,3 г  $\text{K}_2\text{CO}_3$  в 500 мл воды гидрируют над 1,25 г 2%-ного  $\text{Pd}/\text{SrCO}_3$  и получают 5-амино-2-феноксифенилуксусную к-ту (XIV), выход 90%, т. пл. 148° (из воды); хлоргидрат, т. пл. 230° (разл.). Аналогично из VIb получают 2'-метоксо-XIV (XIVa), выход 90%, т. пл. 137° (из водн.  $\text{CH}_3\text{OH}$ ); хлоргидрат, т. пл. 134° (из бзл.-сп.). Из 3 г XIV аналогично XII получают 2-феноксифенилуксусную к-ту (XV), т. пл. 89° (из бзл.-петр. эф.). Из XV и XVa аналогично получают X, получают 10-оксо-10,11-дигидро-I (XVI) (оксим, т. пл. 135°) и 6-метоксо-XVI, выход 70%, т. пл. 93° (из петр. эф.). Р-р оксима XVI в  $(\text{CH}_3\text{CO})_2\text{O}$  гидрируют над  $\text{Pt}$  (из  $\text{PtO}_2$ ) и получают 10-ацетамидо-10,11-дигидро-I (XVII), выход 88%, т. пл. 139° (из бзл.-петр. эф.). XVII гидролизуют разб.  $\text{HCl}$  (кипение 4 часа) и получают 10-амино-10,11-дигидро-I, хлоргидрат, т. пл. 265° (разл.). 0,1 г XVII, 0,1 г  $\text{P}_2\text{O}_5$  и 4 мл кислоты кипятят 30 мин., декантируют, упаривают в вакууме и получают I, т. пл. 110° (из  $\text{CH}_3\text{OH}$ ). 2 г X и 10 г  $\text{Cu}$ -порошка кипятят в 50 мл хинолина 4 часа, разбавляют  $\text{C}_6\text{H}_6$  и получают II, выход 45%, т. пл. 130° (из  $\text{CH}_3\text{OH}$ ). К р-ру 0,28 г II и 0,45 г  $\text{OsO}_4$  в 15 мл  $\text{C}_6\text{H}_6$  добавляют 3 мл пиридина и выделяют цис-10,11-дигидро-10,11-диокси-II, т. пл. 196° (из бзл.-петр. эф.). К р-ру X в ацетоне добавляют избыток  $\text{KMnO}_4$  и выделяют 2,2'-дикарбоксо-4-нитродифениловый эфир, выход 90%, т. пл. 220° (из бзл.-петр. эф.- $\text{CH}_3\text{OH}$ ). 0,5 г X, 0,5 г  $\text{Na}_2\text{Cr}_2\text{O}_7$  кипятят 1 час в 5 мл  $\text{CH}_3\text{COOH}$  и получают 2-нитроксантон, выход 75%, т. пл. 202°.

Л. Виноградов  
28762. Синтез 4-арил-5-галогидродиксонов-1,3 и исследование реакции Принца. Син Ци-и, Дай Гань-хуань, Су Лан-цзюй (Hsing Chi-yi, Tai Chien-huan, Hsueh Lian-chu), Хуасянь сюэбао, Acta chim. sinica, 1957, 23, № 1, 19—29 (кит.; рез. англ.)

Доказано, что неудачные попытки получения



4-этил-5-галогидродиксонов-1,3 (I) путем присоединения  $\text{CH}_3\text{O}$  к  $\beta$ -Br- или  $\beta$ -Cl-стиролу (РЖХим, 1953, 3429) зависят от недостатка к-ты. Увеличение концентрации применяемой  $\text{H}_2\text{SO}_4$  с 5 до 50% или проведение р-ции

в  $\text{CH}_3\text{COOH}$  приводит к получению  $\text{C}_6\text{H}_5\text{CHS(X)CH}_2$

$\text{OCH}_3\text{O}$  (Ia X = Cl, б X = Br) с выходом 60—90%. В зависимости от выбора среды водн. или уксуснокислой авторами выделены два диастереоизомера Ia: т. кип. 39—90°/0,2 мм, 103—104°/1 мм,  $n_D^{20}$  1,5391,  $d_4^{20}$  1,2271, и т. кип. 141—142°/1,5 мм. Нитрованием обоих изомеров Ia получают 2 изомера 4-(4'-нитрофенил)-5-хлордиоксана-1,3 (II), т. пл. 121—122° и т. пл. 156—156,5°. Окислением II получают *п*-нитробензойную к-ту.

Т. Краснова

28763. Исследования в ряду бензодиоксана. Сообщение V. О некоторых производных 7-аминобензодиоксана. Ренци, Ланди-Виттори, Марини-Беттоло (Ricerche nella serie del benzodiossano. Nota V. Su alcuni derivati del 7-aminobenzodiossano. Renzi - Luca, Landi-Vittorio Rodolfo, Marini-Bettolo G. B.), Gazz. chim. ital., 1956, 86, № 12, 1362—1366 (итал.).

Получен ряд производных бензодиоксана (I) с заместителем в положении 7 типа  $\text{NH}(\text{CH}_2)_n\text{COR}$  (II) и типа  $\text{NHCO}(\text{CH}_2)_n\text{R}$  (III). 7-нитро-I гидрируют в спирте в присутствии 5%-ного Pd/C при 3 ат, получают 7-амино-I, т. кип. 149—151°/2 мм, 118—122°/0,15 мм; кипрат, т. пл. 194° (из сп.). При нагревании (90—95°, 6—10 час.). 0,2 моля 7-амино-I с 0,1 моля N-алкилхлор-ацетида или N-алкил- $\beta$ -хлорпропионамида образуются II (даны R,  $n$ , т. кип. в °C/мм):  $(\text{CH}_3)_2\text{N}$ , 1, 178/0,1;  $(\text{C}_2\text{H}_5)_2\text{N}$ , 1, 179/0,15; пирролидил, 1, 195/0,1; пиперидил, 1, 200/0,1; морфолинил, 1, 210/0,1;  $\text{CH}_3\text{NH}$ , 2, 170/0,15;  $(\text{C}_2\text{H}_5)_2\text{N}$ , 2, 180/0,15; пирролидил, 2, 180/0,1; пиперидил, 2, 206/0,1; морфолинил, 2, 198/0,15. Р-р 0,15 моля  $\text{ClCH}_2\text{COCl}$  в 50 мл безводн. ацетона добавляют по каплям к 0,2 моля 7-амино-I в 150 мл безводн. ацетона при -10°, кипятят 20—30 мин., упаривают, добавляют петр. эфир, выделяют N-хлорацетил-7-амино-I (IV), т. пл. 162—164° (из водн. сп.). Аналогично получают N- $\beta$ -хлорпропионил-7-амино-I (V), т. пл. 157—158° (из разб. сп.). При р-ции IV и V с аминами (нагревание 7—8 час.) получают III (даны R,  $n$ , т. кип. в °C/мм):  $\text{C}_2\text{H}_5\text{NH}$ , 1, 172/0,1;  $(\text{C}_2\text{H}_5)_2\text{N}$ , 1, 160/0,1; пиперидил, 1, 180/0,1;  $(\text{C}_2\text{H}_5)_2\text{N}$ , 2, 175/0,1; морфолинил, 2, 185/0,1; пирролидил, 2, 180/0,05. Сообщение IV см. РЖХим, 1957, 63519.

Л. Яновская

28764. Химия тиафена. Часть VI. Бромирование тиафена и бромтиафенов. Лавессон (Thiophene chemistry. Part VI. Bromination of thiophene and bromothiophenes. Lawesson Sven - Olov), Arkiv kemi, 1957, 11, № 4, 373—386 (англ.).

При бромировании тиафена 1 моле  $\text{Br}_2$  получают 2-бром-(I), 2,5-дибром-(II) и 2,3,5-трибром-(III)-тиафены; при избытке  $\text{Br}_2$  образуется также 2,3,4,5-тетрабромтиафен (IV); I бромруется 1 моле  $\text{Br}_2$  при 20° в III; при 0° р-ция не идет даже при избытке  $\text{Br}_2$ ; II как при равномолекулярном соотношении реагентов, так и при избытке  $\text{Br}_2$ , дает смесь III и IV; во всех случаях для получения и повышения выходов III и IV требуются более жесткие условия и повышение продолжительности р-ции. Ни в одном случае не обнаружены продукты присоединения  $\text{Br}_2$  к тиафену, что делает вероятным предположение о существовании различий в механизмах бромирования и хлорирования тиафена. Свободный от примеси изомеров II, выход 70%, т. кип. 79—81°/9 мм, может быть получен бромированием I N-бромсукцинимидом в  $\text{CCl}_4$  (кипение 30 час.). 3-бром-(V) и 2,3,4-трибром-(VI)-тиафены по-

лучены дебромированием III или IV  $n\text{-C}_4\text{H}_9\text{Li}$ . При р-ции бензольного р-ра V с 1 моле  $\text{Br}_2$  при 0°, последующем размешивании (8 час.) и кратковременном кипячении получается с 76%-ным выходом 2,3-дибромтиафен (VII), т. кип. 89—91°/13 мм; если р-ция ведется при 0° в  $\text{CH}_3\text{COOH}$  с 2 молями  $\text{Br}_2$  (затем 18 час. при 20° и 35 мин. при 100°), образуется III, выход 71%, т. кип. 120—122°/11 мм, т. пл. 28—29° (из петр. эф.). К р-ру 0,31 моля III в 0,1 л эфира постепенно добавляют в атмосфере  $\text{N}_2$  при 0° 0,7 моля  $n\text{-C}_4\text{H}_9\text{Li}$  в 0,4 л эфира, размешивают 30 мин., выливают на лед и выделяют V, выход 84%, т. кип. 44—46°/11 мм. Аналогично получают VI, выход 85%, т. кип. 132—134°/11 мм, т. пл. 42—44° (из петр. эф.). Приведены кривые ИК-спектров II, III, VII и 2,3,4-трибромтиафена. Часть V см. РЖХим, 1958, 25153.

Л. Шуккина

28765. Полимеризация производных тиафена. Часть VII. Превращение тиафен-1,1-диоксида в 1,10-бензотиаксантен-5,5-диоксид. Дейвис, Портер, Уилмхерст (Polymerisation of thiophene derivatives. Part VII. The conversion of thionaphthen 1:1-dioxide into 1:10-benzothiaxanthene 5:5-dioxide. Davies W., Porter Q. N., Wilmshurst J. R.), J. Chem. Soc., 1957, Aug., 3366—3370 (англ.).

Показано, что при нагревании до 195° тиафендиоксида-1,1 (I) наряду с 9-тиа-3,4-бензофлуорендиоксидом-9,9 (II) образуется 1,10-бензотиаксантендиоксид-5,5 (III), а не 9-тиа-1,2-бензофлуорендиоксид-9,9 (IV), как считалось ранее (РЖХим, 1956, 39579). Строение III доказано встречным синтезом его из *о*-аминофенил-2-хлор-1-нафтилсульфона (V) через 4-хлор-1,10-бензотиаксантен-5,5-диоксид (VI) с последующим отщеплением Cl. Конденсацией бензохинона (VII) с 3-винилтиафеном (VIII) получают 1,2-бензо-9-тиафлуоренхинон-1,4 (IX); IX восстанавливают до 1,2-бензо-9-тиафлуорена (X). Окисление X приводит к образованию IV. Смесь 60 г 2,3-тиафенилдитиола (т. кип. 125—128°/0,2 мм) в 60 мл толуола и 250 г КОН перегоняют при 230°/15 мм и выделяют VIII, выход 66%, т. кип. 133—134°/25 мм. Из 1,5 г VIII и 4,5 г VII в 30 мл лед.  $\text{CH}_3\text{COOH}$  получают IX, выход 80%, т. пл. 197—198° (из баз.). 1 г IX в 50 мл тетрагидрофурана восстанавливают 15 час. 1 г  $\text{LiAlH}_4$  и выделяют X, выход 0,7 г, т. пл. 185—186°. 0,25 г X нагревают при 100° 1 час с 0,75 мл  $\text{H}_2\text{O}_2$  и 1,5 мл  $\text{CH}_3\text{COOH}$  и получают IV, т. пл. 235,5—236°. Нагреванием 25 мин. 10 г I при 195° и хроматографированием бензольного р-ра полученного продукта на  $\text{Al}_2\text{O}_3$  получают 5,4 г масла, дающего при окислении 0,55 г II, т. пл. 234°, и 0,4 г III, т. пл. 198°. Кипячением (1 час) смеси 10 г 2-хлорнафталин-1-тиола (т. пл. 65—65,5°), 10 г *о*- $\text{NO}_2\text{C}_6\text{H}_4\text{Cl}$ , 30 мл спирта и 30 мл 30%-ного водн. р-ра NaOH получают 15 г 2-хлор-1-нафтил-*о*-нитрофенилсульфида (XI), т. пл. 141—142° (из сп.). Кипячением 10 г XI в 400 мл  $\text{CH}_3\text{COOH}$  с 15 мл 30%-ной  $\text{H}_2\text{O}_2$  получают 9,3 г 2-хлор-1-нафтил-*о*-нитрофенилсульфона (XII), т. пл. 145,6—146° (из сп.). Восстановлением 2 г XII 15 г  $\text{SnCl}_2$  в 40 мл  $\text{CH}_3\text{COOH}$  получают V, выход 1,4 г, т. пл. 193—194° (из сп.). Диназотируют 1 г V и получают 0,45 г VI, т. пл. 205,5—206° (из сп.). 0,4 г VI в 30 мл  $\text{C}_6\text{H}_6$  и 100 мл эфира кипятят с 0,2 г  $\text{LiAlH}_4$  и выделяют 8 мг III и 0,04 г 1,10-бензо-5-тиаксантена, т. пл. 79—80° (из сп.), окисляющегося  $\text{H}_2\text{O}_2$  до III. Часть VI см. РЖХим, 1957, 57509.

Т. Краснова

28766. Расщепление четвертичных аммониевых солей этаноламинном. II. Хюниг, Барон (Abbau quartärer Ammoniumsalze mit Athanolamin, II. Hü-nig Siegfried, Baron Wolfgang), Chem. Ber., 1957, 90, № 3, 403—413 (нем.).

Показано, что при кипячении с этаноламинном (I) четвертичные соли гетероциклич. оснований ( $\text{CH}_2$ ) >

$>N+R'R''J-$ , где  $n=4$  (II),  $n=5$  (III),  $n=6$  (IV),  $R'$  и  $R'' = CH_3$  или  $C_2H_5$ , и аналогичные соли 1,2,3,4-тетрагидроизохинолина  $C_8H_{10}N+R'R''J-$  (V) претерпевают деалкилирование, приводящее к третичным основаниям  $(CH_2)_n >NR$  (VI) с высшим алкильным радикалом у азота. В некоторых случаях, в зависимости от значения  $n$ ,  $R'$  и  $R''$ , наряду с деалкилированием происходит также расщепление цикла, приводящее к диаминам  $R'R''N(CH_2)_nNHCH_2CH_2OH$  (VII); последние могут циклизироваться с образованием VI ( $R = CH_2CH_2OH$ ) (VIII) в  $NHR'R''$ . По прочности цикла четвертичные соли располагаются в следующем порядке: IV = III > V > II; расщепление цикла протекает тем легче, чем выше значения  $R'$  и  $R''$ . Получены следующие продукты расщепления: из II ( $R' = R'' = CH_3$ )-50% VI ( $R = CH_3$ ,  $n=4$ ) (VIa), 25% VII ( $R' = R'' = CH_3$ ,  $n=4$ ), 18% VIII ( $n=4$ ) (VIIIa), 20%  $NH(CH_2)_2$  (IX); из II ( $R' = CH_3$ ,  $R'' = C_2H_5$ )-7% VIa, 34% VI ( $R = C_2H_5$ ,  $n=4$ ), 52% VIIIa, 53% IX; из II ( $R' = R'' = C_2H_5$ ) (IIa)-92% VIIIa, 96% IX; из III ( $R' = R'' = CH_3$ )-96% VI ( $R = CH_3$ ,  $n=5$ ) (VIb); из III ( $R' = R'' = C_2H_5$ )-9% VIb, 86% VI ( $R = C_2H_5$ ,  $n=5$ ) (VIa); из III ( $R' = R'' = C_2H_5$ ) (IIIa)-97% VIb. Из V ( $R' = R'' = CH_3$ ) получено 92% 2-метилтетрагидроизохинолина (XI), из V ( $R' = R'' = C_2H_5$ ) получено 75% XI. В аналогичных условиях йодметилат N-метилморфина претерпевает гофманский распад. Взаимодействие I с йодметилатом тропина и бромметилатом  $\psi$ -тропина приводит к образованию оснований (25–35%), которые при р-ции с  $CH_3I$  или  $CH_3Br$  снова превращаются в исходные четвертичные соли. Расщепление бромметилата N-пропилнортропина и бром-*n*-бутилата  $\psi$ -тропина приводит к *z*-вам неустановленного строения. Среди синтезированных обычным способом четвертичных солей впервые описаны IIa, выход 91%, т. пл. 250° (разл., из сп.эф.-аcetона), IIIa, выход 89%, т. пл. 263° (из сп.эф.-аcetона), IV ( $R' = CH_3$ ,  $R'' = C_2H_5$ ), выход 88%, т. пл. 249° (из сп.-эф.), IV ( $R' = R'' = C_2H_5$ ), выход 89% т. пл. 245–247° (из сп.-аcetона). Сообщение I см. РЖХим, 1957, 65992.

Л. Яхонтов  
28767. О пирролкарбоновых кислотах. Сообщение IX. С-этилпирролкарбоновые кислоты. Николаус, Николетти (Sugli acidi pirrolicarbonici. Nota IX. Acidi C-etil-pirrolicarbonici. Nicolaus Rodolfo Alessandro, Nicoletti Rosario), Ann. chimica, 1957, 47, № 2, 167–177 (итал.).

В связи с исследованием продуктов окисления порфиринов синтезированы и описаны 4-этил-(I) и 3-бром-4-этил-(II)-пирролдикарбоновые 2,5-к-ты. Для получения I 2-карбокси-4-этил-3,5-дикарбоксипиррол превращен действием уксуснокислого *p*-ра  $Br_2$  при 40–45° в 2-бром-4-этил-3,5-дикарбоксипиррол, т. пл. 131–132° (из лигр.), восстановленный в спирт. *p*-ре NaOH над скелетным Ni в 3-этил-2,4-дикарбоксипиррол (III), т. пл. 86–87° (из лигр.), гидролизированный конц.  $H_2SO_4$  (35°, 45 мин.) и 4-карбокси-3-этил-2-карбоксипиррол (IV), т. пл. 205–207° (из ксилы), декарбоксилированный в среде  $NH_2CH_2CH_2OH$  при 190–200° в 3-этил-2-карбоксипиррол (V) (гидролизированный кипящим 10%-ным спирт. *p*-ром КОН в 3-этилпирролдикарбоновую-2 к-ту (VI), т. пл. 155° (из бал.-лигроина)); формилированием V  $N,N'$ -диметилформамидом (VII), последующим окислением продукта  $KMnO_4$  в ацетоне и гидролизом образующегося 2-карбокси-4-этил-5-карбоксипиррола горячим 2 н. *p*-ром NaOH получена I, образующаяся также при гидролизе и гидролизе 3-бром-4-этил-5-карбоксипиррола (VIII) в спирт. *p*-ре над скелетным Ni (5 час., 100–120°, 75 атм.). II получена шел. гидролизом VIII или окислением (с одновременным гидролизом) 2-формил-

3-бром-4-этил-5-карбоксипиррола (IX) горячим шел. *p*-ром  $AgNO_3$ . III гидролизован спирт. *p*-ром КОН в 3-этилпирролдикарбоновую-2,4 к-ту (X), т. пл. 250° (разл.). Нагреванием (43–45°, 40 мин.) 2-метил-4-этил-3,5-дикарбоксипиррола в конц.  $H_2SO_4$  получен 2-метил-4-этил-3-карбокси-5-карбоксипиррол, т. пл. 60–70°, декарбоксилированный аналогично IV в 2-метил-4-этил-5-карбоксипиррол, т. пл. 85–86° (из петр. эф.). При хроматографировании на ватмане № 1 с применением смесей: спирт-33%-ный  $NH_3$ -вода (20:1:4); бутанол-спирт-33%-ный  $NH_3$ -вода (10:10:1:4); бутанол- $CH_3COOH$ -вода (4:1:5) получены следующие значения  $R_f$ : для I 0,48, 0,29, 0,87; для II 0,55, 0,40, 0,88; для VI 0,72, 0,69, 0,91; для X 0,39, 0,15, 0,88. К 0,35 г V и 0,19 мл VII в 4 мл эфира добавляют при ~0° 0,24 мл  $POCl_3$  в 3 мл эфира, отгоняют *p*-ритель, через 3 часа остаток нагревают 30 мин. при 100°, приливают насыщ. *p*-р  $CH_3COONa$  и извлекают продукт эфиром, выход 0,27 г. К взвеси 2 г 2-бромметил-3-бром-4-этил-5-карбоксипиррола в 45 мл эфира приливают (–10°, 20–30 мин.) 1,7 мл  $SO_2Cl_2$  в 7,8 мл эфира, смесь оставляют на 12 час. в холодильнике, отгоняют *p*-ритель, добавляют 2,4 г  $NaHCO_3$  в 60 мл воды, кипятят 15–20 мин., отделяют IX, выход 0,85 г, т. пл. 93–95° (из лигроина); 2,4-динитрофенилгидразон, т. пл. 223–225° (из сп.), *p*-р подкисляют HCl и получают VIII, выход 0,25 г, т. пл. 238–239° (из сп.). Сообщение VIII см. РЖХим, 1957, 60579.

Д. Витковский  
28768. Гетероциклические глиоксильные альдегиды. Сообщение II. Сприо, Мадония (Aldeidi glicosiliche eterocicliche. Nota II. Sprio Vincenzo, Madonna Paolino), Gazz. chim. ital., 1957, 87, № 2, 171–180 (итал.).

Показано, что (2,4,5-трифенилпиррил-3)-(I) и (1,5-дифенил-2-метилпиррил-3)-(II)-глиоксильные альдегиды образуют монопроизводные с реагентами на карбонил, но II сверх монооксима (IIa) образует также диоксим (IIb). При ацетилировании  $(CH_3CO)_2O$  в присутствии  $CH_3COONa$  II образует нормальный диацетат, т. пл. 127° (из сп.), в то время как I дает диацетильное производное (ДА), т. пл. 112° (из бал.), такого же типа, как ДА (2-метил-4,5-дифенилпиррил-3)-глиоксильного альдегида (см. сообщение I, РЖХим, 1957, 57511). Строение оксима I (Ia) и IIa показано их дегидратацией в (2,4,5-трифенилпиррил-3)-(IIIa) и (1,5-дифенил-2-метилпиррил-3)-(IIIb)-нитрилы, превращающиеся при шел. гидролизе в этиловые эфиры (IVa, б) соответствующих пирролкарбоновых к-т (Va, б), полученных также окислением I и II  $H_2O_2$  и декарбоксилированных в 2,4,5-трифенил-(VIa) и 1,5-дифенил-2-метил-(VIb)-пирролы. I и II получены окислением  $SeO_2$  2,4,5-трифенил-(VIIa) и 1,5-дифенил-2-метил-(VIIb)-3-ацетилпирролов. II восстановлен Zn-пылью в 1,5-дифенил-2-метилпиррил-3-глиоксильный спирт, т. пл. 240° (из  $CH_3COONa$ ); ацетильное производное, т. пл. 220° (из сп.). 3,4 г VIIa в 50 мл диоксана и 1,3 г  $SeO_2$  в 5 мл воды нагревают 10 час., отгоняют *p*-ритель, остаток растворяют в спирте и получают I, выход 60%, т. пл. 105° (из сп., гидрат), т. пл. 187° (из лигр., безвод.); фенилгидразон (ФГ), т. пл. 190–192° (из  $CH_3OH$ ); *n*-нитрофенилгидразон (НФГ), т. пл. 287–291° (из диоксана); семикарбазон (СК), т. пл. 202° (из сп.); хиноксалиновое производное (ХПР), т. пл. 211° (из  $CH_3OH$ ); Ia, т. пл. 228° (разл.; из сп.). 2 г фенацетилацетона, 4 г анилина и 20 мл  $CH_3COONa$  кипятят ~3 часа, выливают в воду и отделяют VIIb, т. пл. 105° (из сп.); ФГ, т. пл. 162° (из сп.); циннамоильное производное, т. пл. 130° (из сп.). Окисляют VIIb  $SeO_2$  (см. выше, нагревание 4 часа) и получают II, т. пл. 115° (из сп., моногидрат), т. пл. 177° (из диоксана, семигидрат); ФГ, т. пл. 190° (из сп.); НФГ, т. пл. 230° (из диоксана); СК, т. пл.



22° (разл.; из сп.). ХПР, т. пл. 172° (из сп.). К 4 г II приливают водно-спиртовой р-р  $\text{NH}_4\text{OH}$ , нагревают 3 часа, р-р концентрируют, выливают в воду, продукт отделяют, кипятят 20 мин. с 0,1 л спирта, отделяют II, т. пл. 247° (из диоксана), а из р-ра выделяют IIa, т. пл. 208° (из Iа и 20 г  $(\text{CH}_3\text{CO})_2\text{O}$  кипятят 3 часа, выливают на лед и получают IIa, т. пл. 247° (из сп.). 2 г IIa, 30 мл спирта и 5 мл 50%-ного р-ра  $\text{KOH}$  кипятят 1 час и выделяют IVa, т. пл. 145° (из сп.). Смешивают 1 г I в 10 мл спирта, 1 мл 36%-ной  $\text{H}_2\text{O}_2$  в 3 мл воды и 1 каплю 20%-ного р-ра  $\text{NaOH}$  и получают Va, т. пл. 224° (разл.; из сп.), декарбоксилирующуюся при нагревании > т-ры плавления в VIa, т. пл. 140–141° (из сп.). Аналогично получают IIb, т. пл. 173° (из сп.); Vb, т. пл. 226° (разл.; из сп.), VIb, т. пл. 83–84° (из бэл.). Д. Витковский

28768. Гетероциклические глиоксильные альдегиды. Сообщение III. Сприо, Мадония (Aldeidi glicosiliche eterocicliche. Nota III. Sprio Vincenzo, Madonna Paolino), Gazz. chim. ital., 1957, 87, № 4, 454–466 (итал.).

Окислением  $\text{SeO}_2$  2-фенил-(I) или 2-метил-(II)-3-ацетиллинолов, 2-метил-5-фенил-3-ацетилфурана (III) и 2,5-диметил-3-ацетилтиофена (IV) получены (2-фенилдиол-3)-(V), (2-метилдиол-3)-(VI), (2-метил-5-фенилфурил-3)-(VII) и (2,5-диметилтиенил-3)-(VIII)-глиоксильные альдегиды, образующие нормальные диацетиллы (ДА) и хинокальиновые производные (ХПР) и монофенилгидразоны (ФГ); с  $\text{NH}_4\text{OH}$  V и VI дают монооксимы (ОК), а VII и VIII — диоксимы (ДО); с  $\text{NH}_2\text{CONHNH}_2$  V, VI и VIII образуют моносемикарбазоны (СК) и только VII — дисемикарбазон (ДСК). Оксимы V, VII и VIII кипячением с  $(\text{CH}_3\text{CO})_2\text{O}$  превращены в соответствующие нитрилы, т. пл. 244° (из сп.), 125° (из петр. эф.) и 49° (из петр. эф.).  $\text{H}_2\text{O}_2$  окисляет V — VIII в 2-фенил-(IX) и 2-метил-(X)-индолкарбоновые-3, 2-метил-5-фенилфуранкарбоную-3 (XI) и 2,5-диметилтиофенкарбоную-3 (XII) к-ты. 1,8 г I, 50 мл диоксана и 1 г  $\text{SeO}_2$  кипятят 5–6 час., р-р концентрируют и получают V, т. пл. 247° (из диоксана); ДА, т. пл. 160° (из бэл.); ФГ, т. пл. 189° (из сп.), СК, т. пл. 243° (разл.; из сп.); ХПР, т. пл. 241° (из сп.), ОК, т. пл. 189° (из сп.). Аналогично получают VI, т. пл. 110° (из воды, диоксана; сольват), т. пл. 188° (безвод.); ФГ, т. пл. 168° (из сп.); СК, т. пл. 232° (из сп.); ОК, т. пл. 190° (разл.); анидид, т. пл. 194° (из бэл.); толумидид, т. пл. 224° (из сп.); ХПР, т. пл. 145° (из бэл.-петр. эф.); VII, т. пл. 120° (разл.; из бэл.-петр. эф.; семигидрат); ДА, т. пл. 110° (из сп.); ФГ, т. пл. 155° (разл.; из сп.); ДСК, т. пл. 243° (из сп.); ХПР, т. пл. 132° (из сп.); ОК, т. пл. 158° (из бэл.); ДО, т. пл. 148° (из сп.); VIII, т. пл. 112° (из воды, моногидрат); ДА, т. пл. 60° (из лигр.); ФГ, т. пл. 60° (из сп.); СК, т. пл. 163° (из воды); ХПР, т. пл. 85° (из сп.). К 2 г VIII в 10 мл спирта добавляют р-р  $\text{C}_6\text{H}_5\text{ONa}$  (из 0,2 г Na и 5 мл спирта) и 2 г амилнитрита, оставляют на 48 час. при 20° и выделяют оксим VIII, т. пл. 130° (из воды); при р-ции VIII с  $\text{NH}_4\text{OH}$  в водно-спиртовом р-ре получают ДО в двух формах, т. пл. 175° (из воды) и 145° (из воды). 3 г V — VIII в 50 мл спирта и 3 мл 36%-ной  $\text{H}_2\text{O}_2$  в 9 мл воды кипятят несколько минут, на следующий день отгоняют спирт, остаток смешивают с водой и извлекают эфиром IX, т. пл. 170° (разл.; из бэл.); этиловый эфир, т. пл. 160° (из сп.); X, т. пл. 174° (из хлф.); XI, т. пл. 180° (из бэл.-петр. эф.), или XII, т. пл. 117° (из воды). Д. Витковский

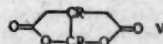
28770. Еще о пирролкарбоновых кислотах, получаемых при окислении порфиринов. Николаус, Мангони, Николетти (Altri acidi pirrolici nell'ossidazione delle porfirine. Nicolaus Rodolfo Alessandro, Mangoni Lorenzo,

Nicoletti Rosario), Ann. chimica, 1957, 47 № 2, 178–188 (итал.).

Продолжено исследование продуктов окисления порфиринов  $\text{KMnO}_4$ . Показано, что «дейтеропорфирин IX» окисляется насыщ. щел. р-ром  $\text{KMnO}_4$  в 2,5-дикарбон-4-метилпирролпропионовую-3 (I) и 4-метилпирролдикарбоную-2,5 (II) к-ты; «дибромдейтеропорфирин IX» в аналогичных условиях дает I и 4-метил-3-бромпирролдикарбоную-2,5 к-ту (III); «ди-ацетилдейтеропорфирин IX» при 0° окисляется в I, 4-метил-3-ацетилпирролдикарбоную-2,5 (IV) и 4-метилпирролтрикарбоную-2,3,5 (V) к-ты; «спирофеофорбид аз» — в I, V и 4-этилпирролтрикарбоную-2,3,5 к-ту (VI). К-ты II и III устойчивы к дальнейшему окислению  $\text{KMnO}_4$ , а IV при продолжающемся окислении дает V, которая таким образом является продуктом вторичной р-ции. Все полученные в-ва идентифицированы хроматографированием на бумаге; образец III, т. разл. > 210°; этиловый эфир, т. пл. 183–184° (из лигр.), синтезирован гидролизом 2-карбон-3-бром-4-метил-5-карботоксипиррола спирт. р-ром  $\text{KOH}$ ; образец IV — окислением 2,4-диметил-3-ацетил-5-карботоксипиррола  $\text{SO}_2\text{Cl}_2$  в 2-формил-3-ацетил-4-метил-5-карботоксипиррол [фенилгидразон, т. пл. 175–176° (из сп.)], превращенный действием  $\text{Ag}_2\text{O}$  в р-ре  $\text{KOH}$  в IV, т. пл. 230–231° (разл.; из  $\text{C}_6\text{H}_5\text{OH}$ ); метиловый эфир (VII), т. пл. 103–104° (из лигр.), т. возг. 150°/0,5 мм; динитрофенилгидразон VII, т. пл. 205–206° (из  $\text{C}_6\text{H}_5\text{COOH}$ ). Сопоставлены продукты окисления различных природных порфиринов в связи с их предполагаемым строением. Приведены значения R, при хроматографировании на ватманской бумаге № 1 с применением следующих р-рителей:  $\text{C}_6\text{H}_5\text{OH}$ -спирт-33%-ный  $\text{NH}_3$ -вода (40 : 40 : 4 : 16),  $\text{C}_6\text{H}_5\text{OH}$ -вода; спирт- $\text{NH}_3$ ;  $\text{C}_6\text{H}_5\text{OH}$ - $\text{NH}_3$ ; для I 0,05, 0,33, 0,23, 0,00; для II 0,18, 0,82, 0,40, 0,00; для III 0,29, 0,84, 0,44, 0,02; для IV 0,28, 0,79, 0,46, 0,02; для V 0,15, 0,37, 0,38, 0,00; для VI 0,24, 0,55, 0,51, 0,00; для 4-метил-3-этилпирролдикарбон-овой-2,5 к-ты 0,49, 0,89, 0,49, 0,05. См. РЖХим, 1957, 37823. Д. Витковский

28771. Реакция цианацетамида с 1,2-дикетонами. Джослин, Куин (The reaction of cyanoacetamide with 1:2-diketones. Jocelyn P. C., Queen A.), J. Chem. Soc., 1957, Nov., 4437–4440 (англ.).

Цианацетамид (I) с 1 молем бензила дает пирролин-он  $\text{C}_6\text{H}_5\text{C(=O)CNHCOC(CN)=CC}_6\text{H}_5$  (II), строение ко-



торого подтверждается образованием стабильных О-алкил-, N-метил-, O,N-диметилпроизводных и ди-ацетата, а также спектром поглощения. CN-группа II может быть элиминирована щелочью. I реагирует и с алифатич. 1,2-дикетонами, но в этом случае участвуют 2 моля I с образованием  $\text{R(HO)CNHCOC(H)(CN)C}$

$(\text{R})\text{CH}(\text{CN})\text{CONH}_2$  (III, здесь и далее а R —  $\text{CH}_3$ , б R —  $\text{C}_2\text{H}_5$ , в R —  $\text{C}_6\text{H}_5$ ). Аналогичное в-во III (г R —  $\text{C}_6\text{H}_5$ ) получено при р-ции II с I. Так как III не выделяет  $\text{NH}_3$  при нагревании с водой, то  $\text{H}_2\text{NCO}(\text{CN})\text{CH}$  и CN-группам приписывается транс-положение (см. Thorpe, kon, J. Chem. Soc., 1919, 115, 686). Холодная 90%-ная  $\text{H}_2\text{SO}_4$  превращает IIIa, б в соответствующие  $\text{R(HO)CNHCOC(H)(R')CH(R')COOH}$  (IVa, б, где R' = CN

или  $\text{CONH}_2$ ; R'' =  $\text{CONH}_2$  или CN). При кипячении с 80%-ной  $\text{H}_2\text{SO}_4$  III и IV переходят в соответствующие дилактоны β-ацил-β-алкил (или фенил)-глутаровых к-т (Va — г). К 16,7 г I и 41,9 г бензила в 700 мл спирта прибавляют (15 мин.) 22 г пиперидина, кипятят 30 мин. и выделяют 31,7 г гидрата II, т. пл. 170°;

при кристаллизации из водн.  $C_6H_5N$  переходит в II, т. пл. 186°, который получают также из этилового эфира 3-бензоил-2-цианкоричной к-ты и водно-спирт.  $NH_3$  (70°, 4 часа). Из гидрата II получают: О-метил-II, т. пл. 194°; О-этил-II, т. пл. 184° (нагреванием II с 10%-ным HCl в соответствующем спирте); диацильное производное, т. пл. 159° (из 70%-ного ацетона); 2-окси-5-оксо-2,3-дифенил- $\Delta^3$ -пирролин (кипячение 2 часа в 15%-ном NaOH), т. пл. 141°. 2,9 г гидрата II, 7,6 г  $(CH_3)_2SO_4$  и 1,32 г NaOH в 20 мл воды при ~20° дают 2,1 г О,N-диметил-II, т. пл. 158°, маточный р-р при подкислении выделяет 0,8 г N-метил-II, т. пл. 222° (оба из 60%-ного сп.). К р-ру 20 г I в 150 мл спирта прибавляют (55–60°, 30 мин.) 0,125 моля дикетона, размешивают еще 2 часа и через 12 час. отделяют III (перечисляются в-во, выход в %, т. пл. в °C): а, 90, 289° (из воды); б, 49, 325–326° (из гликоля), в (вода вместо спирта), 8,5, 343° (из гликоля). Аналогично при замене дикетона на 0,25 моля гидрата II (кипячение 80 час.) получают IIIг, выход 5,3%, т. пл. 426° (кипячение с эф., ацетоном и водой). Р-р 1 г IIIа или IIIб в 11,5 мл 90%-ной  $H_2SO_4$  через 24 часа разбавляют 30 мл ледяной воды и через 36 час. отделяют IVа, выход 75%, т. пл. 334° (из воды), и IVб, выход 25%, т. пл. 337–338° (из водн. гликоля) соответственно. IIIг в этих условиях дает 3-ацетамидо (или цианметил)-4-циан (или амидо)-2-окси-5-оксо-2,3-дифенилпирролин, выход 51%, т. пл. 338° (из гликоля). IIIа — г кипятят 24 часа в 8 н.  $H_2SO_4$  и получают V (перечисляются в-во, выход в %, т. пл. в °C (из воды), т. пл. в °C 2,4-динитрофенилгидразона): а, 95, 148, 256; б, 95, 100, —; в, 90, 88–89, 235–238; г, 10, 203–204, —.

Б. Дубинин  
28772. Восстановление алюмогидридом лития в ряду изатина. Сообщение I. О получении и свойствах 3-оксиндиолина. Джованнини, Лоренц (Reduktionen mit  $LiAlH_4$  in der Isatin-Reihe. 1. Mitteilung. Über Darstellung und Eigenschaften von 3-Hydroxy-indolin. Giovannini E., Lorenz Th.), *Helv. chim. acta*, 1957, 40, № 6, 1553–1561 (нем.)

Описано получение 3-оксиндиолина (I) путем каталитич. гидрирования индоксала (II) и восстановление изатина (III) действием  $LiAlH_4$ , приводящее к образованию I, индола (IV), индиго (V) и индирубина (VI). 2 г II [т. пл. 88° (из 25%-ной  $CH_3COOH$ )], 1 г скелетного Ni, 8 г буры и 70 г воды взбалтывают 4 часа при 100 ат и ~20° и обрабатывают как указано ранее (герм. пат. 516676, пример 1). Из эфирного экстракта выделяют IV и I, выход 10%, т. пл. 96°. I не изменяется при облучении кварцевой лампой (1 час), при обработке конц. HCl, конц.  $H_2SO_4$  (~20°, 3,5 часа) или 10%-ным р-ром KOH (~20°, 30 мин.). Не вполне чистые образцы I очень чувствительны к щелочам и к-там. I относительно устойчив до 70°, но при 80° быстро и количественно превращается в IV. I, загрязненный IV, количественно превращается в IV и при ~20°. 2 г III в 70 мл абс. эфира прибавляют за 10 мин. при т-ре <20° к 1 г  $LiAlH_4$  в 20 мл абс. эфира. Через 3 часа разлагают водой и удаляют эфир пропусканием воздуха. Из осадка извлекают эфиром IV. Нерастворимый в эфире остаток путем хроматографирования на  $Al_2O_3$  разделяют на V и VI, получаемые в кол-ве 6% каждый (определено спектроскопически). V и VI первоначально образуются в виде лейкосоединений, которые превращаются в красители при доступе воздуха. Из водн. фильтрата после разложения реакционной смеси при pH 10 выделяют IV, общий выход 27%, и I, выход 21%. Если обработку реакционной смеси проводить в более жестких условиях, как было описано ранее (Julian P. L., *Printy H. C.*, *J. Amer. Chem. Soc.*, 1949, 71, 3206), получить I не удастся и в зависимости от т-ры, продолжитель-

ности р-ции и избранного р-рителя образуются 25–67% IV, 9–28% V и 4–14% VI. Качество  $LiAlH_4$  имеет решающее значение для получаемых результатов. Приведены кривые спектров поглощения V и VI в УФ- и в видимой области.

Г. Браз  
28773. Синтез производных 3-индолилуксусной кислоты. Сообщение III. Амороза, Липпарини (Sintesi di derivati dell'acido 3-indolacetico. Nota III. Amorosa Michele, Lippardini Luigi), *Ann. chimica*, 1957, 47, № 6, 722–727 (итал.)

Циклизацией *n*-бромфенилгидразона этилового эфира левулиновой к-ты (I) синтезирован с хорошим выходом этиловый эфир (II) 5-бром-2-метилиндолилуксусной-3 к-ты (III), гидролизированный и превращенный через хлорангидрид в амид III, т. пл. 155–156° (из воды); гидразид III, т. пл. 201–202° (из сп.), конденсирован с *n*-диметиламинобензальдегидом (IV) в кипящем спирте или с ацетоном (V), ацетофеноном (VI) или пировиноградной к-той (VII) в разб.  $CH_3COOH$  при 20–50° в 5-бром-2-метил-3-индолилуксусной-3 к-ты IV, т. пл. 220–224° (из сп.), V, т. пл. 246–248° (из сп.), VI, т. пл. 223–224° (из сп.), и VII, т. пл. 205–206° (из сп.). 29,5 г I, т. пл. 114–116° (из  $CH_3OH$ ), в 275 мл 7,6%-ного р-ра HCl в абс. спирте кипятят 5 час., пропускают в р-р HCl, отгоняют 0,2 л р-рителя, остаток смешивают с водой и получают III, выход 60–65%, т. пл. 96–98° (из сп.).

Сообщение II см. РЖХим, 1957, 23024. Д. Вятковский  
28774. Синтез и циклизация  $\alpha$ -метиламино- $\beta$ -(4-карбоксиндиол-3)-пропионовой кислоты. Юле, Гаррис (The synthesis and cyclization of  $\alpha$ -methylamino- $\beta$ -(4-carboxy-3-indole)-propionic acid. Uhle Frederick C., Harris Louis S.), *J. Amer. Chem. Soc.*, 1957, 79, № 1, 102–109 (англ.)

При нагревании метилового эфира  $\alpha$ -ацетилметиламино- $\alpha$ -карбометокс- $\beta$ -(4-цианиндиол-3)-пропионовой к-ты (I) с 40%-ным KOH для получения  $\alpha$ -метиламино- $\beta$ -(4-карбоксиндиол-3)-пропионовой к-ты (II) неожиданно образовалась эквимолекулярная смесь 1,2,3,4-тетрагидро-2-метил-9Н-пирид-[3,4-*b*]-индол-3-карбоновой-3,5 к-ты (III) и ди-(4-карбоксиндиол-3)-метана (IV). Получение III и IV, по-видимому, объясняется промежуточным образованием 3-оксиметил-4-цианиндиола (V), так как кипячение I с р-ром  $CH_3ONa$  приводит к 3-метоксиметил-4-цианиндиолу (VI). При нагревании до 100° с 5,5 н. KOH V отщепляет HCHO и превращается в IV. HCHO, очевидно, реагирует с II, образуя III. Действительно, при кипячении II с 2 мол. экв. V в 30%-ном KOH III получается с почти колич. выходом. Циклизацией  $\alpha$ -N-ацетильного производного II (VII) действием  $(CH_3CO)_2O$  в присутствии KCN получен 1-ацетил-4-ацетилметиламино-5-ацетокси-1,2-дигидробенз-[с, d]-индол (VIII). Гидролизом в кислой среде VIII превращен в 4-метиламино-5-окси-1,2-дигидробенз-[с, d]-индол (IX). При действии  $O_2$  на кипящий спирт. р-р IX не удалось получить соответствующего кетопроизводного и после ацетилирования было выделено только 1,4-диацетильное производное IX (X). Таким образом IX гораздо более стоек к окислению в указанных условиях, чем 4-амино-5-окси-1,2-дигидробенз-[с, d]-индол (ср. РЖХим, 1954, 21629; 1957, 23193). К р-ру 8,4 ммоль 4-цианграмина (XI) и 10 ммоль  $CH_3CON(CH_3)CNa(COOCH_3)_2$  (XII) (РЖХим, 1957, 8224) в 30 мл  $CH_3OH$  прибавляют 17 ммоль  $(CH_3)_2SO_4$  через 20 час. отгоняют  $CH_3OH$ , остаток растворяют в  $CH_2Cl_2$  и в воде и из р-ра в  $CH_2Cl_2$  выделяют I, выход 65%, т. пл. 179–181° (из  $CH_3OH$ ). К 0,02 моля XI в 25 мл  $CH_3OH$  прибавляют 0,2 моля  $CH_3I$ , оставляют на 3 часа при 0°, отфильтровывают йодистый ди-(4-цианскатил)-диметиламоний (XIII), фильтрат упаривают в вакууме, извлекают водой при 100° и отделяют нерастворимый XIII.

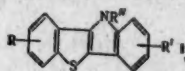


Общий выход XIII 44%, т. пл. 194—195°; из водн. вытяжки при 0° выделяется йодметилат XI, выход 40%, т. пл. 165—168°. К 7,9 ммоль йодметилата XI в 15 мл абс.  $\text{CH}_3\text{OH}$  прибавляют 7,9 ммоль XII, кипятят 5 час., упаривают в вакууме, извлекают  $\text{CHCl}_3$ , вытяжку промывают разб.  $\text{HCl}$  и выделяют I, выход 70%. Смесь 0,01 моля XIII, 0,01 моля XII и 10 мл абс.  $\text{CH}_3\text{OH}$  кипятят 15 час. и выделяют I, как указано выше, выход 80%; из солянокислого экстракта после подщелачивания выделяют 1,49 г XI. К 4 ммоль I в 64 мл спирта прибавляют 16 ммоль КОН в 16 мл воды, выдерживают 75 час. при 0° и получают  $\alpha$ -ацетилметиламино- $\beta$ -(4-цианиндолил-3)-пропионовую к-ту (XIV), выход 94%, т. пл. 210—211° (из воды). 4 ммоль XIV кипятят 120 час. с 1,5 г КОН в 5 мл воды, доводят pH р-ра до 5, упаривают в вакууме и извлекают кипящим спиртом; выход II 55%, т. пл. 258—263° (из воды). Для доказательства строения II синтезирована из 5-цианиндоляльдегида-3 (XV), 0,23 моля  $\text{C}_6\text{H}_5\text{N}(\text{CH}_3)\text{CHO}$  смешивают с 0,23 моля  $\text{POCl}_3$ , через 15 мин. прибавляют 150 мл дихлорэтана, охлаждают до 0°, прибавляют 0,1 моля 4-цианиндола, перемешивают 45 мин., присыпают 40 г  $\text{CaCO}_3$ , кипятят 30 мин., прибавляют смесь к 150 г  $\text{CH}_3\text{COONa}$  в 2,5 л воды, отгоняют дихлорэтан с паром и из фильтра выделяют XV, выход 83%, т. пл. 224—226° (из воды); семикарбазон XV, т. пл. > 300° (из сп.). 0,1 моля XV, 0,15 моля креатинина, 2,5 г  $\text{CH}_3\text{COONa}$ , 25 г  $\text{CH}_3\text{COOH}$  и 2,5 г  $(\text{CH}_3\text{CO})_2\text{O}$  кипятят 30 мин. и отфильтровывают 1-метил-2-ацетимино-5-(4-цианскатилиден)-имидазолидин-4, выход 98%, т. пл. > 300° (из  $\text{CH}_3\text{COOH}$ ). 1 ммоль последнего гидрируют в 100 мл воды, содержащей 2 ммоль  $\text{NaOH}$ , над 0,3 г  $\text{PtO}_2$  (8 час.), фильтруют, упаривают до объема в 4 мл, прибавляют 1,2 г КОН, кипятят 75 час. и получают II, выход 5%. К 75 ммоль КОН в 10 мл воды прибавляют 7,5 ммоль I, кипятят 5 дней, прибавляют 10 мл воды, к фильтрату прибавляют 6 г  $\text{HCl}$  и оставляют на 20 час. при 0°. Выделившийся IV пересаждают  $\text{HCl}$  (к-той) из его р-ра в разб.  $\text{NH}_4\text{OH}$ , выход 37%, т. пл. 253—255°; в-во быстро приобретает ярко-красную окраску. Диметилэтер эфир IV синтезирован действием эфирного р-ра  $\text{CH}_3\text{N}_2$  на IV при 0°, выход 55%, т. пл. 237—239° (из  $\text{CH}_3\text{OH}$ ). Водн. фильтрат после отделения IV от подщелачивания реакционного р-ра (см. выше) нейтрализуют  $\text{CH}_3\text{COONa}$ , оставляют на 25 час. при 0° и отфильтровывают III, выход 37%, т. пл. 265—285° (из воды после предварительного пересаживания р-ром  $\text{CH}_3\text{COONa}$  из р-ра III в разб.  $\text{HCl}$ ). К 1,5 г  $\text{H}_2\text{SO}_4$  в 10 мл  $\text{CH}_3\text{OH}$  прибавляют 0,1 г III и кипятят 15 час.; выход диметилового эфира III 55%, т. пл. 172—174° (из  $\text{CH}_3\text{OH}$ ). К 0,25 ммоль II, 0,25 мл 1 н.  $\text{H}_2\text{SO}_4$  и 1 мл воды прибавляют 0,25 мл 37%-ного формалина, кипятят 1 час, подщелачивают разб. р-ром  $\text{NH}_4\text{OH}$  и кипятят еще 1 час; выход III 66%. 4 ммоль XV восстанавливают р-ром 2 ммоль  $\text{NaBH}_4$  в  $\text{C}_6\text{H}_5\text{N}$ , разбавляют водой и оставляют при 0°; выход V 82%, т. пл. 140—146° (из этилацетата). При восстановлении XV  $\text{LiAlH}_4$  в тетрагидрофуране выход V 64%. К кипящему р-ру 1 ммоль II и 20 ммоль КОН в 4 мл воды прибавляют 2,2 ммоль V, нагревают 5 дней при 100°, разбавляют водой, фильтруют и подкисляют; выход выделившегося IV 87%. Фильтрат от IV упаривают до 4 мл, нейтрализуют  $\text{CH}_3\text{COONa}$ , выдерживают 15 час. при 0° и отфильтровывают III, выход 95%. Р-р 1 ммоль V в 50 мл воды кипятят 45 час. и отфильтровывают от горячего р-ра ди-(4-цианиндолил-3)-метан (XVI), выход 61%, т. пл. 265—270° (из водн. сп.). XVI получен также из 1 ммоль 4-цианиндола и 0,04 мл 37%-ного формалина в 1,4 мл  $\text{CH}_3\text{COOH}$  при ~25° (60 час.), выход 20%. Смесь 4,65 ммоль XI, 2 г  $\text{CH}_3\text{COONa}$  и 10 мл  $(\text{CH}_3\text{CO})_2\text{O}$  кипятят 4 часа, прибавляют к 50 мл

воды и выдерживают 2 часа при 0°; выход 1-ацетил-3-ацетоксиметил-4-цианиндола (XVII) 96%, т. пл. 162,5—163,5° (из сп.). 1 ммоль последнего кипятят 2 недели с 1,5 г КОН в 5 мл воды; выход IV 72%. II в 3 н. КОН ацетируют  $(\text{CH}_3\text{CO})_2\text{O}$  при 0° и получают VII, выход 90%, т. пл. 135—137° (из воды). 1 ммоль VII и 65 мг KCN прибавляют без доступа света к 5 мл  $(\text{CH}_3\text{CO})_2\text{O}$ , кипятят 15 час.; выход VIII 65%, т. пл. 189—191° (из этилацетата). К 50 мг VIII в 10 мл спирта при 0° прибавляют 0,1 мл 3 н. водн. КОН, оставляют на 4 часа при 0°, отгоняют спирт, растворяют в воде и подкисляют  $\text{CH}_3\text{COOH}$ , получают X, т. пл. 236—238° (из  $\text{CH}_3\text{OH}$ ). 0,83 ммоль VIII, 0,3 мл  $\text{CH}_3\text{COOH}$  и 0,5 мл 48%-ной  $\text{HBr}$  кипятят 6 час., разбавляют 2 мл  $\text{CH}_3\text{COOH}$  и выдерживают 15 мин. при 0°; выход дибромгидрата IX 60%, т. пл. > 300° (из смеси 48%-ной  $\text{HBr}$  и лед.  $\text{CH}_3\text{COOH}$ ). 0,66 ммоль дибромгидрата IX и 2,6 ммоль  $\text{CH}_3\text{COONa}$  кипятят 1 час с 5 мл спирта и 3 мл воды, прибавляют 0,5 мл  $(\text{CH}_3\text{CO})_2\text{O}$ , упаривают в вакууме и извлекают X  $\text{CH}_2\text{Cl}_2$ , выход 25%. К 1 ммоль XVII в 25 мл  $\text{CH}_3\text{OH}$  прибавляют 0,8 мл 10%-ного  $\text{NaOH}$ , оставляют на 5 час. при ~20° и получают VI, выход 86%, т. пл. 119—120° (из смеси этилацетата-петр. эф.). 1 ммоль I и р-р  $\text{CH}_3\text{ONa}$  (из 23 мг Na и 5 мл  $\text{CH}_3\text{OH}$ ) кипятят 6 час., упаривают в вакууме до 2,5 мл, оставляют на 20 час. при 0° и отфильтровывают XII, выход 89%, т. пл. ~320°. Фильтрат от XII после разбавления водой оставляют на 20 час. при 0° и получают VI, выход 86%. 2 ммоль этилового эфира  $\alpha$ -циано- $\alpha$ -ацетаминно- $\beta$ -(4-цианиндолил-3)-пропионовой к-ты прибавляют к р-ру  $\text{CH}_3\text{ONa}$  (из 46 мг Na и 10 мл  $\text{CH}_3\text{OH}$ ) и кипятят 6 час.; выход VI 17%. К р-ру 0,25 ммоль II в 1 мл воды прибавляют 4 ммоль  $\text{KCNO}$ , нагревают 1 час при 100°, подкисляют  $\text{HCl}$  (к-той) и нагревают при 100° еще 1 час. Выделившийся 1-метил-5-(4-карбоксискатил)-гидантонин пересаждают из р-ра в разб.  $\text{NH}_4\text{OH}$  уксусной к-той, выход 83%, т. пл. > 340°. 1 ммоль метилового эфира  $\alpha$ -ацетилметиламино- $\alpha$ -карбометокси- $\beta$ -(индолил-3)-пропионовой к-ты (XVIII) прибавляют к 10 ммольм КОН в 1,4 мл воды, нагревают 96 час. при 100°, подкисляют 6 н.  $\text{HCl}$ , нейтрализуют фильтрат  $\text{CH}_3\text{COONa}$ , прибавляют 10 ммоль  $\text{KCNO}$ , кипятят 30 мин., подкисляют, кипятят еще 30 мин. и выдерживают 15 час. при 0°, получают 1-метил-5-скатилгидантонин, выход 50%, т. пл. 209—211° (из воды). К 1 ммоль XVIII в 16 мл спирта прибавляют 4 ммоль КОН в 4 мл воды, выдерживают 72 часа при 0° и получают  $\alpha$ -ацетилметиламино- $\beta$ -(индолил-3)-пропионовую к-ту, выход 76%, т. пл. 80—82° (из воды). К р-ру  $\text{C}_2\text{H}_5\text{ONa}$  (из 23 мг Na и 3 мл абс. спирта) прибавляют 1 ммоль  $\text{NO}_2\text{CH}(\text{COOC}_2\text{H}_5)_2$  и 1 ммоль йодметилата XI и кипятят 15 час., выход этилового эфира  $\alpha$ -карбометокси- $\alpha$ -нитро- $\beta$ -(4-цианиндолил-3)-пропионовой к-ты 47%, т. пл. 131—133° (из абс. сп.). Приведены положения полос в УФ-спектрах ( $\lambda_{\text{max}}$  и  $\lg \epsilon$ ) соединений II, III, IV, VII и частоты в ИК-спектре соединения V. Г. Браз

28775. Тианафено-[3,2-b]-индолы. Уэрнер, Шрёдер, Рикка (Thianaphtheno(3,2-b)indoles. Werner L. H., Schroeder D. C., Ricca S., Jr., J. Amer. Chem. Soc., 1957, 79, № 7, 1675—1680 (англ.))

Производные тианафено[3,2-b]индола (I) обладающие антигистаминным действием, синтезируют двумя



способами: 1) по р-ции Фишера взаимодействием 3-окситианафенов (II) с  $\text{R}'\text{C}_6\text{H}_4\text{NHNH}_2$  и последующим алкилированием полученного I ( $\text{R}' = \text{H}$ ) или 2) непосредственно из I и  $\text{H}_2\text{NN}(\text{R}'')\text{C}_6\text{H}_4\text{R}'$  (III). По методу 1 (дает лучшие выходы) последующее N-алкилирова-

ние аминокислотами проводят при кипячении в толуоле (4 часа) в присутствии  $\text{NaNH}_2$ . Остаток после упаривания фильтрата в вакууме растворяют в этилацетате и хлоргидраты I (с сухим  $\text{HCl}$ ) кристаллизуют из спирта  $(\text{CH}_3)_2\text{CHOH}$ ,  $\text{HCON}(\text{CH}_3)_2$ , выход 60–70%. При алкилировании I ( $\text{R} = 7\text{-Cl}$ ,  $\text{R}' = \text{R}'' = \text{H}$ ) (Ia)  $\text{ClCH}_2\text{CH}(\text{CH}_3)\text{N}(\text{CH}_3)_2$  получен с выходом 60% единственный изомер I ( $\text{R} = 7\text{-Cl}$ ,  $\text{R}' = \text{H}$ ,  $\text{R}'' = \text{CH}_2\text{CH}(\text{CH}_3)\text{N}(\text{CH}_3)_2$ ) (Ib), строение которого подтверждено превращением в хлорметилат (Iв) и гофмановским расщеплением последнего в 10-пропенилпроизводное, выход 53%, т. пл. 130–132° (из гексана), восстановление которого над  $\text{Pd/C}$  дает I ( $\text{R} = 7\text{-Cl}$ ,  $\text{R}' = \text{H}$ ,  $\text{R}'' = \text{CH}_2\text{CH}_2\text{CH}_3$ ), т. пл. 91–94°, идентичный полученному прямым алкилированием Ia с  $n\text{-C}_4\text{H}_9\text{Br}$ . Ia с  $(\text{CH}_3)_2\text{CHNBr}$  образует изомер с т. пл. 143–147°. С мета-производными III образуются изомеры I, положение заместителей в которых подтверждено данными ИК-спектров. К 0,64 моля 6-хлор-II в 1200 мл лед.  $\text{CH}_3\text{COOH}$  при 80° прибавляют 0,7 моля III ( $\text{R}' = \text{R}'' = \text{H}$ ), нагревают 1 час, получают Ia, выход 76%, т. пл. 275° (из толуола). Аналогично получены I (перечисляются  $\text{R}$ ,  $\text{R}'$ ,  $\text{R}''$  и т. пл. в °C):  $\text{H}$ ,  $\text{H}$ ,  $\text{H}$ , 252–253;  $\text{H}$ ,  $\text{H}$ ,  $(\text{CH}_2)_3\text{N}(\text{CH}_3)_2 \cdot \text{HCl}$ , 189–191;  $\text{H}$ ,  $\text{H}$ ,  $(\text{CH}_2)_3\text{NH}_2 \cdot \text{HCl}$ , > 300 (Iг);  $\text{H}$ ,  $\text{H}$ ,  $(\text{CH}_2)_2\text{N}(\text{C}_2\text{H}_5)_2 \cdot \text{HCl}$ , 191–193;  $\text{H}$ ,  $\text{H}$ ,  $\text{CH}_2\text{CH}(\text{CH}_3)\text{N}(\text{CH}_3)_2 \cdot \text{HCl}$ , 227–231;  $\text{H}$ ,  $\text{H}$ ,  $(\text{CH}_2)_3\text{N}(\text{CH}_3)\text{CHCH}_2\text{CH}_2\text{CH}_2\text{CH}_2 \cdot \text{HCl}$ , 200–204, 7-Cl,  $\text{H}$ ,  $(\text{CH}_2)_2\text{N}(\text{C}_2\text{H}_5)_2 \cdot \text{HCl}$ , 213–215; 16, 262–264; 7-Cl,  $\text{H}$ ,  $(\text{CH}_2)_3\text{N}(\text{C}_2\text{H}_5)_2 \cdot \text{HCl}$ , 185–187; 7-Cl,  $\text{H}$ ,  $(\text{CH}_2)_3\text{N}(\text{CH}_3)_2 \cdot \text{HCl}$ , 273–275; 7-Cl,  $\text{H}$ ,  $(\text{CH}_2)_2\text{N} < (\text{CH}_2)_4 \cdot \text{HCl}$ , > 300; 7-Cl,  $\text{H}$ ,  $(\text{CH}_2)_2\text{N} < (\text{CH}_2)_5 \cdot \text{HCl}$ , 275–278; 7-Cl,  $\text{H}$ ,  $(\text{CH}_2)_2\text{N} < (\text{CH}_2)_6 \cdot \text{HCl}$ , 288–292; 7-Cl,  $\text{H}$ ,  $(\text{CH}_2)_2\text{NHC}_2\text{H}_5 \cdot \text{HCl}$ , 322–324; 7-Cl,  $\text{H}$ ,  $(\text{CH}_2)_2\text{N}(\text{CH}_3)_2 \cdot \text{HCl}$ , 295–300; Iв, 247–250; 8-Cl,  $\text{H}$ ,  $\text{H}$ , 222–225; 8-Cl,  $\text{H}$ ,  $\text{CH}_2\text{CH}(\text{CH}_3)\text{N}(\text{CH}_3)_2 \cdot \text{HCl}$ , 255–256 (содержит 0,5 моля  $\text{C}_2\text{H}_5\text{OH}$ ); 6-Cl,  $\text{H}$ ,  $\text{H}$ , 229–232; 6-Cl,  $\text{H}$ ,  $\text{CH}_2\text{CH}(\text{CH}_3)\text{N}(\text{CH}_3)_2 \cdot \text{HCl}$ , 256–259; 6-Cl,  $\text{H}$ ,  $(\text{CH}_2)_3\text{N}(\text{CH}_3)_2 \cdot \text{HCl}$ , 172–176 (полугидрат); 9-Cl,  $\text{H}$ ,  $\text{H}$ , 124–128 (Iд); 9-Cl,  $\text{H}$ ,  $\text{CH}_2\text{CH}(\text{CH}_3)\text{N}(\text{CH}_3)_2 \cdot \text{HCl}$ , 252–255;  $\text{H}$ , 2-Cl,  $\text{H}$ , 258–260;  $\text{H}$ , 2-Cl,  $\text{CH}_2\text{CH}(\text{CH}_3)\text{N}(\text{CH}_3)_2 \cdot \text{HCl}$ , 182–184;  $\text{H}$ , 2-Cl,  $(\text{CH}_2)_3\text{N}(\text{CH}_3)_2 \cdot \text{HCl}$ , 261–263;  $\text{H}$ , 2-Cl,  $(\text{CH}_2)_2\text{N} < (\text{CH}_2)_5 \cdot \text{HCl}$ , 264–266;  $\text{H}$ , 4-Cl,  $\text{H}$ , 164–166;  $\text{H}$ , 4-Cl,  $\text{CH}_2\text{CH}(\text{CH}_3)\text{N}(\text{CH}_3)_2 \cdot \text{HCl}$ , 225–227;  $\text{H}$ , 4-Cl,  $(\text{CH}_2)_2\text{N} < (\text{CH}_2)_5 \cdot \text{HCl}$ , 284–286;  $\text{H}$ , 3-Cl,  $\text{H}$ , 281–283;  $\text{H}$ , 3-Cl,  $\text{CH}_2\text{CH}(\text{CH}_3)\text{N}(\text{CH}_3)_2 \cdot \text{HCl}$ , 245–247; 8-Br,  $\text{H}$ ,  $\text{H}$ , 223–225; 8-Br,  $\text{H}$ ,  $\text{CH}_2\text{CH}(\text{CH}_3)\text{N}(\text{CH}_3)_2 \cdot \text{HCl}$ , 260–262; 7-Br,  $\text{H}$ ,  $\text{H}$ , 280–283; 7-Br,  $\text{H}$ ,  $\text{CH}_2\text{CH}(\text{CH}_3)\text{N}(\text{CH}_3)_2 \cdot \text{HCl}$ , 257–258; 8-F,  $\text{H}$ ,  $\text{H}$ , 241–243; 8-F,  $\text{H}$ ,  $\text{CH}_2\text{CH}(\text{CH}_3)\text{N}(\text{CH}_3)_2 \cdot \text{HCl}$ , 258–260; 7-F,  $\text{H}$ ,  $\text{H}$ , 261–264; 7-F,  $\text{H}$ ,  $\text{CH}_2\text{CH}(\text{CH}_3)\text{N}(\text{CH}_3)_2 \cdot \text{HCl}$ , 267–271; 8-CH<sub>3</sub>,  $\text{H}$ ,  $\text{H}$ , 222–224; 8-CH<sub>3</sub>,  $\text{H}$ ,  $\text{CH}_2\text{CH}(\text{CH}_3)\text{N}(\text{CH}_3)_2 \cdot \text{HCl}$ , 204–205; 7-CH<sub>3</sub>O,  $\text{H}$ ,  $\text{H}$ , 275–277; 7-CH<sub>3</sub>O,  $\text{H}$ ,  $\text{CH}_2\text{CH}(\text{CH}_3)\text{N}(\text{CH}_3)_2 \cdot \text{HCl}$ , 272–274; 7-CH<sub>3</sub>O,  $\text{H}$ ,  $(\text{CH}_2)_2\text{N} < (\text{CH}_2)_5 \cdot \text{HCl}$ , 263–265 (Ie); 7-CH<sub>3</sub>O,  $\text{H}$ ,  $\text{COCH}_2\text{N} < (\text{CH}_2)_5 \cdot \text{HCl}$ , 245–250 (Iж); 7-CH<sub>3</sub>O,  $\text{H}$ ,  $\text{CH}_2\text{CON} < (\text{CH}_2)_5$ , 324–326 (Iа); 7-CH<sub>3</sub>O,  $\text{H}$ ,  $(\text{CH}_2)_6\text{N} < (\text{CH}_2)_5 \cdot d\text{-тарtrate}$ , 81–85; 7-CH<sub>3</sub>O,  $\text{H}$ ,  $\text{CH}(\text{CH}_3)(\text{CH}_2)_3\text{N}(\text{C}_2\text{H}_5)_2 \cdot d\text{-тарtrate}$ , 105–108 (Iи); 7-CH<sub>3</sub>O,  $\text{H}$ ,  $\text{CH}_2\text{CH}_2\text{Br}$ , 159–162; 7-CH<sub>3</sub>O,  $\text{H}$ ,  $\text{H}$ , 255–259; 7-CH<sub>3</sub>O,  $\text{H}$ ,  $\text{CH}_2\text{CH}(\text{CH}_3)\text{N}(\text{CH}_3)_2 \cdot \text{HCl}$ , 295–297;  $\text{H}$ , 3-NO<sub>2</sub>,  $\text{H}$ , 350 (разл.);  $\text{H}$ , 3-NO<sub>2</sub>,  $\text{CH}_2\text{CH}_2\text{N}(\text{C}_2\text{H}_5)_2 \cdot \text{HCl}$ , 248–252; 7,8-Cl<sub>2</sub>,  $\text{H}$ ,  $\text{H}$ , 247–249; 7,8-Cl<sub>2</sub>,  $\text{H}$ ,  $\text{CH}_2\text{CH}(\text{CH}_3)\text{N}(\text{CH}_3)_2 \cdot \text{HCl}$ , 267–269; 8,9-Cl<sub>2</sub>,  $\text{H}$ ,  $\text{H}$ , 188–190; 8,9-Cl<sub>2</sub>,  $\text{H}$ ,  $\text{CH}_2\text{CH}(\text{CH}_3)\text{N}(\text{CH}_3)_2 \cdot \text{HCl}$ , 272–274; 7-Cl, 3-Cl,  $\text{H}$ , 260–262; 7-Cl, 3-Cl,  $(\text{CH}_2)_3\text{N}(\text{CH}_3)_2 \cdot \text{HCl}$ , 275; 7-Cl, 2-Cl,  $\text{H}$ , 237–239; 7-Cl, 2-Cl,  $\text{CH}_2\text{CH}(\text{CH}_3)\text{N}(\text{CH}_3)_2 \cdot \text{HCl}$ , 267–270; 7-Cl и 9-CH<sub>3</sub>,  $\text{H}$ ,  $\text{H}$ , 168–172; 7-Cl и 9-CH<sub>3</sub>,  $\text{H}$ ,  $\text{CH}_2\text{CH}(\text{CH}_3)\text{N}(\text{CH}_3)_2 \cdot \text{HCl}$ , 252–255; 7-Cl, 3-CH<sub>3</sub>O,  $\text{H}$ , 232–234; 7-Cl, 3-ОСН<sub>3</sub>,  $\text{CH}_2\text{CH}(\text{CH}_3)\text{N}(\text{CH}_3)_2 \cdot \text{HCl}$ , 225–229; 7-CH<sub>3</sub>O, 3-Cl,  $\text{H}$ , 300; 7-CH<sub>3</sub>O, 3-Cl,  $\text{CH}_2\text{CH}(\text{CH}_3)\text{N}(\text{CH}_3)_2 \cdot \text{HCl}$ , 270–272; 7-CH<sub>3</sub>O, 3-CH<sub>3</sub>O,  $\text{H}$ , 253–255; 7-CH<sub>3</sub>O, 3-CH<sub>3</sub>O,  $\text{CH}_2\text{CH}(\text{CH}_3)\text{N}(\text{CH}_3)_2 \cdot \text{HCl}$ , 244–246; 7-CH<sub>3</sub>O, 3-Cl,  $\text{H}$ , 295–300;

7-CH<sub>3</sub>O, 3-Cl,  $(\text{CH}_2)_3\text{N}(\text{CH}_3)_2 \cdot \text{HCl}$ , 292–294; 7-CH<sub>3</sub>O, 3-Cl,  $\text{CH}_2\text{CH}(\text{CH}_3)\text{N}(\text{CH}_3)_2 \cdot \text{HCl}$ , 282–285. Iг и Iе получают восстановлением  $\text{LiAlH}_4$  10-(2-дианэтил)-I и Ia соответственно. Iд выделен с выходом 4%. 2,49 г III [ $\text{R}' = \text{H}$ ,  $\text{R}'' = \text{CH}(\text{CH}_3)(\text{CH}_2)_3\text{N}(\text{C}_2\text{H}_5)_2$ ] с 1,98 г 6-метокси-II в 20 мл лед.  $\text{CH}_3\text{COOH}$  кипятят 2 часа, в фильтрат пропускают  $\text{HCl}$  до pH 2, упаривают в вакууме, прибавляют 25 мл воды, фильтрат упаривают досуха, экстрагируют конц.  $\text{HCl}$ , из остатка выделяют  $\text{K}_2\text{CO}_3$  Iи, выход 13%; пикрат, т. пл. 73–78°. 2,0 г I ( $\text{R} = 7\text{-OCH}_3$ ,  $\text{R}' = \text{R}'' = \text{H}$ ) с 10 г  $(\text{CH}_2\text{ClCO})_2\text{O}$  нагревают (140–150°, 1,5 часа), охлаждают, прибавляют 60 мл воды, получают I ( $\text{R} = 7\text{-OCH}_3$ ,  $\text{R}' = \text{H}$ ,  $\text{R}'' = \text{COCH}_2\text{Cl}$ ), выход 42%, т. пл. 160–162° (из  $\text{CH}_3\text{COC}_2\text{H}_5$ ), который (1,1 г) в 10 мл  $\text{C}_6\text{H}_6$  и 0,6 г пиридина кипятят 1 час, фильтрат упаривают в вакууме, получают основание Iж, выход 71%, т. пл. 152–154° (из этилацетата).

М. Линькова

**28776.** Реакция винилового эфира с аминами. Фурукава, Ониси, Цурута (Furukawa Junji, Onishi Akira, Tsuruta Teiji), Корё какаку дзасси, J. Chem. Soc. Japan, Industr. Chem. Sec., 1957, 60, № 2, 170–174 (японск.)

Имиды  $\text{CO}-\text{R}'-\text{CONH}$  (I) присоединяются при нагревании к виниловым эфирам  $\text{CH}_2=\text{CHOR}$  (II) с образованием в-в  $\text{CH}_3\text{CH}(\text{OR})\text{NCO}-\text{R}'-\text{CO}$  (III). Строе-

ние III подтверждено гидролитич. расщеплением до ацетальдегида и соответствующих к-т или имидов при нагревании 2–4 часа до 80° с  $\text{HCl}$  (к-той) фталимида для III ( $\text{R}' = o\text{-C}_6\text{H}_4$ ), янтарной и глутаровой к-т для III, [ $\text{R} = (\text{CH}_2)_2$  и  $(\text{CH}_2)_3$ ] и также ИК-спектрами (приведены для III  $\text{R}' = \text{C}_2\text{H}_5$  и  $o\text{-C}_6\text{H}_4$ ) в сравнении со спектрами соответствующих I. Получены (даны  $\text{R}$ ,  $\text{R}'$ , молярное отношение I/II, т-ра р-ции в °C, время р-ции в часах, выход III в %, т. пл. в °C или т. кип. в °C/мм,  $n_D^{20}$ ,  $d_4^{20}$ ; р-ция проводилась в атмосфере  $\text{N}_2$  в автоклаве в присутствии небольших кол-в гидрохинона):  $\text{C}_6\text{H}_5$ ,  $(\text{CH}_2)_2$ , 2/5, 160, 7, 93,4, 124–125/8;  $n\text{-C}_4\text{H}_9$ ,  $(\text{CH}_2)_2$ , 2/4, 195, 2, 94,9, 135–138/9, 1,4678, 1,069;  $\text{C}_6\text{H}_5$ ,  $(\text{CH}_2)_2$ , 0,10/0,15 (в присутствии 200 мл  $\text{C}_6\text{H}_6$ ), 260, 4,5, 79, 77,5–78,5 (из бал.+бал.);  $\text{C}_6\text{H}_5$ ,  $o\text{-C}_6\text{H}_4$ , 0,75/0,30, 160, 9, 81,5, 63–65 (из сп.);  $\text{C}_6\text{H}_5$ ,  $o\text{-C}_6\text{H}_4$ , 0,10/0,15 (в 200 мл  $\text{C}_6\text{H}_6$ ), 260, 2, 41,1, 92,5–93,5 (из сп.);  $n\text{-C}_4\text{H}_9$ ,  $(\text{CH}_2)_2$ , 0,30/1,5, 220, 6, 90,8, 146–146/5, 1,4750. Бензамид реагирует с II,  $\text{R} = n\text{-C}_4\text{H}_9$ , (110°, 10 час.) и с II,  $\text{R} = \text{C}_6\text{H}_5$  (кипение 2 часа), давая этилен-бис-бензамид, выход во втором случае 62,8%, т. пл. 203–205° (из бал.). N-метил- и N-аллилацетамид, ацетанилид, бензанилид, n-нитроацетанилид, o-капролактан и фенантридон не реагируют с II (200–220°). Карбазол (IV) (0,08 моля) присоединяется к II,  $\text{R} = \text{C}_2\text{H}_5$  (0,48 моля), при 180° (5 час.) и дает N-α-этоксипропилкарбазол, выход 53,5%, т. пл. 74–74,5° (из сп.), а с II,  $\text{R} = \text{COCH}_3$ , не реагирует (170°, 8 час.). I  $\text{R}' = o\text{-C}_6\text{H}_4$ , дает с II,  $\text{R} = \text{COCH}_3$  (170°, 7 час.), N-α-ацетоксипропилфталимид, выход 68,9%, т. пл. 105–107° (из сп.). n-Толуолсульфамид (V) реагирует с II,  $\text{R} = \text{C}_2\text{H}_5$ , в присутствии конц.  $\text{HCl}$  (нагревание на водяной бане 20 мин.), аналогично бензамиду, образуя этилиден-бис-n-толуолсульфамид, выход 10,8%, т. пл. 110–114° (из бал.), строение подтверждено гидролизом до  $\text{CH}_3\text{CHO}$  и V. Без  $\text{HCl}$  V и II,  $\text{R} = \text{C}_2\text{H}_5$ , дают (110°, 5 мин.) в-во, т. пл. 70–74°, которое при кристаллизации из  $\text{C}_6\text{H}_6$  или спирта разлагается с выделением V. Р-ция между N-метил-n-толуолсульфамидом (VI) и II,  $\text{R} = n\text{-C}_4\text{H}_9$ , в присутствии конц.  $\text{HCl}$  (60°, 2 часа) дает N-метил-Nα-бутоксипропил-толуолсульфамид (VII), выход 84,3%, т. кип. 160–164°/4 мм, строение подтверждено гидролизом до  $\text{CH}_3\text{CHO}$  и VI. При нагревании (250–260°/22–30 мм) VII разлагается с выделением бутанола и образованием N-метил-N-ви-



или *n*-толуолсульфамида, выход 74,1%, т. пл. 56—57,7°, т. кип. 150—157°/4 мм, последний полимеризуется в эфирном р-ре при -20° в присутствии BF<sub>3</sub>, давая белый полимер, нерастворимый в эфире, ацетоне и C<sub>6</sub>H<sub>6</sub>. Сахарин (VIII) также легко реагирует с II, R = *n*-C<sub>4</sub>H<sub>9</sub> (80°, 4 часа), однако образующееся в-во разлагается при перегонке (170—180°/4 мм) с выделением VIII. По своей реакционной способности к виниловым эфирам амины располагаются в следующем порядке: VIII > *n*-CH<sub>3</sub>C<sub>4</sub>H<sub>9</sub>SO<sub>2</sub>NH<sub>2</sub> > C<sub>6</sub>H<sub>5</sub>CONH<sub>2</sub> > сукцинимид, фталимид, карбазол, индол > имид глутаровой к-ты; реакционная способность аминов связана со значениями их  $pK_b$  и  $pK_a$ .

Л. Яновская

28777. О синтезе изатиннов по Зандмейеру. Сообщение III. Пьозци (Sulla sintesi isatinica di Sandmeier. Nota III. Piozzi Franco), Atti. Accad. naz. Lincei. Rend. Cl. sci. fis., mat. e natur., 1957, 22, № 5, 629—636 (итал.).

Исследовано действие циклизующих агентов на изонитрозоацетанилид (I) и некоторые производные оксаниловой к-ты (II). Полифосфорная к-та (III) превращает I в фенилосамид (IV), т. пл. 230—231° (из CH<sub>3</sub>COOH). При нагревании I (30 мин., 110°) с 82%-ной H<sub>2</sub>PO<sub>4</sub> образуются неидентифицируемое аморфное в-во, β-оксим изатина, выход 17—18%, т. пл. 217° (испр.; из 50%-ного сп.), и следы изатина. При кипячении I с PCl<sub>5</sub> в кипящем толуоле получаются (по-видимому, в результате Бекмановской перегруппировки второго рода) дифенилмочевина, фенилизотиоанат и цианформанилид, т. пл. 125—135° (испр.; разл.); последний при нагревании дает незначительное кол-во изатина. II, этиловый эфир II, IV, оксанилид, 4-нитро- и 2,4-динитро- (т. пл. 279—280° (испр.)) оксанилиды при действии конц. H<sub>2</sub>SO<sub>4</sub> или III дают неидентифицируемые в-ва, среди которых обнаруживаются продукты их распада: анилин и *n*-нитро- или 2,4-динитроанилины. Обсужден механизм описанных р-ций. Сообщение II см. РЖХим, 1957, 41067.

Д. Витковский

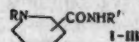
28778. Синтетические гипотензивные средства. V. Производные 4-(2'-аминоэтил)-пиперидина. Филлипс (Synthetic hypotensive agents. V. 4-(2'-aminoethyl)-piperidine derivatives. Phillips Arthur P.), J. Amer. Chem. Soc., 1957, 79, № 11, 2836—2838 (англ.). В продолжение прошлой работы (см. сообщение IV, РЖХим, 1957, 19197) синтезированы 1-метил-4-(β-R<sub>2</sub>N-этил)-пиперидины (I) и их двучетвертичные соли (ДЧС). Для получения I к 4-винилпиридину присоединяют вторичный амин и образовавшийся 4-(β-R<sub>2</sub>N-этил)-пиридин (II) гидрируют над Pt в соответствующий 4-(β-R<sub>2</sub>N-этил)-пиперидин (III), который затем действием CH<sub>3</sub>O и HCOOH превращают в I. Дийодметилаты I получают непосредственно из III действием избытка CH<sub>3</sub>I. Приведены примеры получения III, I и ДЧС I. Р-р 0,02 моля дихлоргидрата II (R<sub>2</sub>N = пирролидил-1) (т. пл. 214—216°) в 150 мл CH<sub>3</sub>OH гидрируют 5 час. при ~20° и 3—4 ат над 0,2 г Pt (из PtO<sub>2</sub>) и выделяют III (R<sub>2</sub>N = пирролидил-1), выход > 95%, т. пл. 266—267° (из сп.-этилацетата). 0,05 моля III (R = CH<sub>3</sub>) при охлаждении растворяют в 10 мл 98—100%-ной HCOOH, приливают ~10 мл 35—37%-ного формалина, нагревают 2 часа при ~100°, добавляют по 5 мл формалина и HCOOH и нагревают еще 2 часа. Затем приливают 15 мл конц. HCl и упаривают досуха. Выход I (R = CH<sub>3</sub>) (Ia) в виде дихлоргидрата 85%, т. пл. 299—300° (из сп.). 0,01 моля Ia кипятят 18 час. с 15 мл *n*-C<sub>4</sub>H<sub>9</sub>J в 50 мл CH<sub>3</sub>OH и получают дийодпропилат Ia, выход колич. (неочищ.), т. пл. 214—215° (из сп.). 0,01 моля II (R<sub>2</sub>N = пиперидил-1) в 50 мл CH<sub>3</sub>OH кипятят 2 часа с 5 мл CH<sub>3</sub>J, добавляют 5 мл CH<sub>3</sub>J и р-р 1 г NaOH в 50 мл CH<sub>3</sub>OH, кипятят еще 3 часа и получают дийодметилат III (R<sub>2</sub>N = пиперидил-1), выход колич. (неочищ.), т. пл. 290—291° (из CH<sub>3</sub>OH).

Синтезированы III (указано значение R<sub>2</sub>N, выход дихлоргидрата в %, его т. пл. в °C и р-ритель для кристаллизации): CH<sub>3</sub>NH, 100, 185—186, спирт-этилацетат; (CH<sub>3</sub>)<sub>2</sub>N, 95, 240—241, спирт; (C<sub>2</sub>H<sub>5</sub>)<sub>2</sub>N, 100, 186—187, спирт-этилацетат; пиперидил-1, 95, 301—302, спирт; морфолинил-4, 80, 290—293, спирт-CH<sub>3</sub>OH. Синтезированы ДЧС следующих I (указано значение R<sub>2</sub>N, галлолалкил, выход соли в %, ее т. пл. в °C и р-ритель для кристаллизации): (CH<sub>3</sub>)<sub>2</sub>N, CH<sub>3</sub>J, 100, 307—308, CH<sub>3</sub>OH; (CH<sub>3</sub>)<sub>2</sub>N, C<sub>2</sub>H<sub>5</sub>J, 100, 275—276, CH<sub>3</sub>OH-этилацетат; (CH<sub>3</sub>)<sub>2</sub>N, C<sub>6</sub>H<sub>5</sub>CH<sub>2</sub>Cl, 100, — (масло, тетрагидрат), спирт-эфир; пирролидил-1, -(дихлоргидрат), 95, 310—312, спирт; пирролидил-1, CH<sub>3</sub>J (IV), 95, 291—292, CH<sub>3</sub>OH-этилацетат; пирролидил-1, C<sub>2</sub>H<sub>5</sub>J (V), 100, 264—265, CH<sub>3</sub>OH-эфир; пиперидил-1, — (дихлоргидрат), 90, > 334, CH<sub>3</sub>OH-этилацетат; морфолинил-4, — (дихлоргидрат), 100, > 330, CH<sub>3</sub>OH; морфолинил-4, CH<sub>3</sub>J, 80, 298—300, водн. ацетон. Полученные I и их ДЧС в эксперименте на кошках блокируют ганглии, но их гипотензивное действие невелико и длится недолго. Лишь IV и V по силе действия приближаются к 1-метил-3-(4'-диметиламинобутил)-пиперидину и гексаметонию.

Г. Браз

28779. Местноанестезирующие средства. I. Амиды N-алкилпирролидин- и N-алкилпиперидинкарбоновых кислот. Экенстам, Эгнер, Петтерссон (Local anaesthetics. I. N-alkyl pyrrolidine and N-alkyl piperidine carboxylic acid amides. Ekenstam Bo, Egnér Börje, Pettersson Gösta), Acta chem. scand., 1957, 11, № 7, 1183—1190 (англ.).

Для испытаний в качестве местноанестезирующих средств синтезированы замещ. амиды *d,l*-N-алкилпиперидиновой (I), *d,l*-N-алкилпиперидиновой (II), N-алкилпиперидиновой (III) к-ты и *d,l*-N-алкилпролина



RNCH(CONHR')CH<sub>2</sub>CH<sub>2</sub>CH<sub>2</sub> (IV). Примененные методы

получения I—IV иллюстрируются примерами. 145 г Na-соли изоникотиновой к-ты (V-к-та), суспендируют в 550 мл толуола, прибавляют 80 г PCl<sub>5</sub>, нагревают (90°, 1 час), к фильтрату приливают по каплям 120 г 2,6-ксилидина (VI) и отфильтровывают хлоргидрат (ХГ) 2,6-ксилидида V, выход 93%, т. пл. 250—251°; основание (Va), выход 95%, т. пл. 154—155° (из сп.-эф.). 36 г Va растворяют в 100 г абс. спирта и 20 г CH<sub>3</sub>COOH, гидрируют над 0,5 г PtO<sub>2</sub> при 80° и 4 ат и из фильтрата выделяют 2,6-ксилидид изоникотиновой к-ты (VII), выход 89%, т. пл. 181—182° (из сп.-эф.). Прогидрировать аналогичным образом амид пирролкарбоновой к-ты не удается. 50 г VII нагревают с 100 г (C<sub>2</sub>H<sub>5</sub>)<sub>2</sub>SO<sub>4</sub> (~100°, 30 мин.) и получают III [R = C<sub>2</sub>H<sub>5</sub>, R' = 2,6-(CH<sub>3</sub>)<sub>2</sub>C<sub>6</sub>H<sub>3</sub>], выход 92%, т. пл. 181—182° (из сп.); ХГ, т. пл. 247—248°. 70 г пиколиновой к-ты гидрируют в условиях, аналогичных указанным при получении VII, фильтруют, приливают конц. HCl и выделяют ХГ *d,l*-пиперидиновой к-ты (VIII-к-та), выход 90—95%, т. пл. 262—264°. 100 г ХГ VIII суспендируют в 1 л CH<sub>3</sub>COCl, прибавляют 100 г PCl<sub>5</sub>, выдерживают 8 час. при 35° и прибавляют еще 50 г PCl<sub>5</sub>. Через 6 час. осадок суспендируют в 600 мл ацетона, приливают сразу 180 г VI, кипятят 30 мин., из осадка при pH 5 отгоняют с паром оставшийся VI и прибавлением NaOH осаждают 2,6-ксилидид VIII (IX), выход 80% (неочищ.), т. пл. 121° (из сп.). При получении IX из оптич. активной к-ты в указанных условиях происходит рацемизация. К 100 г IX в 200 мл CH<sub>3</sub>OH прибавляют 45 г K<sub>2</sub>CO<sub>3</sub> и 55 г (CH<sub>3</sub>)<sub>2</sub>SO<sub>4</sub> и кипятят 6 час. Выход I [R = CH<sub>3</sub>, R' = 2,6-(CH<sub>3</sub>)<sub>2</sub>C<sub>6</sub>H<sub>3</sub>] (Ia) 76%, т. пл. 150—151° (из эф.); ХГ, т. пл. 262—264°. Ia при помощи винной к-ты разделен на оптич. изомеры. 5 г ХГ хлор-

ангидрида *d,l*-пролина (*X-d,l*-пролин), полученного действием  $\text{PCl}_5$  на ХГ Х в  $\text{CH}_3\text{COCl}$  при  $0^\circ$ , суспендируют в 30 мл ацетона, прибавляют 10 г  $2\text{-Cl-6-CH}_3\text{C}_6\text{H}_4\text{-NH}_2$  (XI), нагревают 30 мин. и получают 2-хлор-6-метиламид Х (XII) в виде масла, выход 85,5%. Амид, полученный в указанных условиях из *l*-пролина, сохраняет оптич. активность. 6 г XII кипятят 20 час. в 30 мл  $n\text{-C}_4\text{H}_9\text{OH}$  с 3,6 г  $n\text{-C}_4\text{H}_9\text{Br}$  и 3 г  $\text{K}_2\text{CO}_3$ . Выход IV ( $\text{R} = n\text{-C}_4\text{H}_9$ ,  $\text{R}' = 2\text{-Cl-6-CH}_3\text{C}_6\text{H}_4$ ) 81%, т. пл.  $77-78^\circ$  (из эф.); ХГ, т. пл.  $233-235^\circ$ . *N*-алкилированные пиперидинкарбоновые к-ты предпочтительнее синтезировать алкилированием соответствующих эфиров с последующим гидролизом. Полученные к-ты действием  $\text{SOCl}_2$  превращают в хлорангидриды и затем в II или III. Хлорангидриды *N*-алкил-VIII этим методом получить нельзя и *N*-алкил-VIII переводят в амиды другими способами, в частности, действием изоцианатов. 50 г *d,l*-*N*-этилпикотиновой к-ты обрабатывают 150 г  $\text{SOCl}_2$ , под конец при нагревании (30 мин.), отгоняют избыток  $\text{SOCl}_2$ , приливают 100 мл эфира, выделившиеся кристаллы суспендируют в 300 мл ацетона, приливают по каплям 65 г XI и кипятят 15 мин. Выход II ( $\text{R} = \text{C}_2\text{H}_5$ ,  $\text{R}' = 2\text{-Cl-6-CH}_3\text{C}_6\text{H}_4$ ) 84%, т. пл.  $122-123^\circ$  (из сп.-эф.); ХГ, т. пл.  $223-224^\circ$ . 50 г *N*-этил-VIII нагревают при  $\sim 100^\circ$  с 100 г  $o\text{-CH}_3\text{C}_6\text{H}_4\text{NCO}$ , после прекращения выделения  $\text{CO}_2$  удаляют избыток изоцианата в вакууме, остаток кипятят 15 мин. с 27 мл конц.  $\text{HCl}$  и 250 мл воды и из фильтрата выделяют I ( $\text{R} = \text{C}_2\text{H}_5$ ,  $\text{R}' = o\text{-CH}_3\text{C}_6\text{H}_4$ ), выход 65%, т. пл.  $97-98^\circ$ ; ХГ, т. пл.  $224-225^\circ$ . 94 г  $\text{HCl} \cdot \text{NH}_2\text{CH}_2\text{CH}_2\text{CH}_2\text{CHNCSOON}$  в 450 мл  $\text{CH}_3\text{COCl}$  обрабатывают при охлаждении ледяной водой 188 г  $\text{PCl}_5$ , через 7 час. образовавшийся хлорангидрид суспендируют в ацетоне и нагревают 30 мин. с 120 г VI. Прибавляют воду, удаляют ацетон, при pH 5 извлекают VI эфиром и при pH 12 через 2 дня выделяют 2,6-ксилидид X, выход 49%, в виде кристаллизующегося при стоянии масла, которое после этилирования ( $\text{C}_2\text{H}_5\text{I}$ ,  $\text{SO}_4$ ) превращается в IV ( $\text{R} = \text{C}_2\text{H}_5$ ,  $\text{R}' = 2,6\text{-(CH}_3)_2\text{C}_6\text{H}_3$ ) (IVa), идентичный IVa, синтезированному из X. 121 г VI нагревают ( $155-160^\circ$ , 1 час) с 400 г  $\text{CH}_2(\text{COOC}_2\text{H}_5)_2$  (XIII), удаляют спирт и избыток XIII, прибавляют 500 мл спирта и отделяют  $\text{CH}_2\text{CONHC}_6\text{H}_3(\text{CH}_3)_2$  2,6. При разбавлении фильтрата 2 л воды выпадает  $\text{C}_2\text{H}_5\text{OOCCH}_2\text{CONHC}_6\text{H}_3(\text{CH}_3)_2$  2,6 (XIV), выход 58,8%, т. пл.  $100-101^\circ$  (из 50%-ного сп.). В р-р 60 г XIV в 400 мл  $\text{CHCl}_3$  вводят 6 час. при  $0^\circ$   $\text{NOCl}$ ; выход изонитрозопроизводного XIV 90,5%, т. пл.  $193-194^\circ$ . К 60 г последнего в 200 мл  $\text{HCOOH}$  при  $90-95^\circ$  прибавляют за 1 час 36 г  $\text{Zn}$ -пыли, выдерживают 1 час при  $90^\circ$ , выделяют из фильтрата  $\text{C}_2\text{H}_5\text{OOCCH}(\text{NH}_2)\text{CONHC}_6\text{H}_3(\text{CH}_3)_2$  2,6 (XV), выход 83%, т. пл.  $195^\circ$  (из 50%-ного сп.). К р-ру  $\text{C}_2\text{H}_5\text{ONa}$  (из 4,6 г Na и 125 мл абс. спирта) прибавляют 50 г XV, приливают при  $70^\circ$  за 20 мин. 87 г  $(\text{BrCH}_2\text{CH}_2)_2$  и кипятят 6 час. Затем отгоняют с паром спирт и избыток  $(\text{BrCH}_2\text{CH}_2)_2$ , образовавшийся маслянистый слой кипятят 3 часа с 150 мл конц.  $\text{HCl}$ , упаривают досуха, остаток растворяют в воде и выделяют IX, выход 34,5%. Синтезированы I (указаны R, R', т. пл. в  $^\circ\text{C}$  основания и хлоргидраты):  $\text{C}_2\text{H}_5$ ,  $\text{C}_6\text{H}_5$ , 108—110, 186—188;  $n\text{-C}_4\text{H}_9$ ,  $\text{C}_6\text{H}_5$ , 83—84, 158—160;  $n\text{-C}_4\text{H}_9$ ,  $2\text{-CH}_3\text{C}_6\text{H}_4$ , — (масло), 213—215;  $\text{C}_2\text{H}_5$ ,  $3\text{-CH}_3\text{C}_6\text{H}_4$ , 50—52, 140—143;  $\text{C}_2\text{H}_5$ ,  $4\text{-CH}_3\text{C}_6\text{H}_4$ , 88—90, 224—226;  $\text{C}_2\text{H}_5$ ,  $2,4\text{-(CH}_3)_2\text{C}_6\text{H}_3$ , 59—60,5, 241—243;  $\text{C}_2\text{H}_5$ ,  $2,6\text{-(CH}_3)_2\text{C}_6\text{H}_3$ , 132—133, 252—254;  $n\text{-C}_3\text{H}_7$ ,  $2\text{-(CH}_3)_2\text{C}_6\text{H}_3$ , 121, 262;  $n\text{-C}_4\text{H}_9$ ,  $2,6\text{-(CH}_3)_2\text{C}_6\text{H}_3$ , 107,5—108, 258,5; циклопентил,  $2,6\text{-(CH}_3)_2\text{C}_6\text{H}_3$ , 158, 268—269;  $\text{C}_2\text{H}_5$ ,  $2\text{-Cl-6-CH}_3\text{C}_6\text{H}_4$ , 101, 261—261,5;  $\text{C}_2\text{H}_5$ ,  $2\text{-C}_2\text{H}_5\text{C}_6\text{H}_4$ , 94—95, 234—235;  $\text{C}_2\text{H}_5$ ,  $4\text{-C}_2\text{H}_5\text{OC}_6\text{H}_4$ , 120, 174—176;  $\text{CH}_3$ ,  $2\text{-CH}_3\text{-4-C}_2\text{H}_5\text{OC}_6\text{H}_4$ , 96—97, 177;  $\text{CH}_3$ ,  $2,6\text{-(CH}_3)_2\text{-4-C}_2\text{H}_5\text{OC}_6\text{H}_4$ , 85—87, 221—223;  $\text{C}_2\text{H}_5$ ,  $4,6\text{-(CH}_3)_2\text{-2-C}_2\text{H}_5\text{OC}_6\text{H}_4$ , 85—86, 234—236;  $\text{C}_2\text{H}_5$ ,  $2,4,6\text{-(CH}_3)_3\text{-C}_6\text{H}_2$ , 117, 271—272,5;  $\text{CH}_3$ ,  $\text{C}_6\text{H}_5\text{CH}_2$  (Ib), 80—81, 200—

203, а также *N*-фенил-*N*-этиламин *N*-метил-I (Ib), масло; хлоргидрат, т. пл.  $184-186^\circ$ . Синтезированы II (обозначения те же):  $\text{CH}_3$ ,  $2,6\text{-(CH}_3)_2\text{C}_6\text{H}_3$ , 154—155, 193—195;  $\text{C}_2\text{H}_5$ ,  $2,6\text{-(CH}_3)_2\text{C}_6\text{H}_3$ , 145, 233—235;  $n\text{-C}_4\text{H}_9$ ,  $2,6\text{-(CH}_3)_2\text{C}_6\text{H}_3$ , 136—137, 196—197; *изо-C}\_3\text{H}\_7,  $2,6\text{-(CH}_3)_2\text{C}_6\text{H}_3$ , 157—158, 219—220;  $n\text{-C}_4\text{H}_9$ ,  $2,6\text{-(CH}_3)_2\text{C}_6\text{H}_3$ , 114—115, 207—208;  $\text{CH}_3$ ,  $2,6\text{-(CH}_3)_2\text{-4-C}_2\text{H}_5\text{OC}_6\text{H}_4$ , 110—112, — (масло);  $\text{CH}_3$ ,  $4,6\text{-(CH}_3)_2\text{-2-C}_2\text{H}_5\text{OC}_6\text{H}_4$ , 127—128, 192—193. III:  $\text{CH}_3$ ,  $\text{C}_6\text{H}_5$ , 140—142, 254—255. IV:  $\text{CH}_3$ ,  $2,6\text{-(CH}_3)_2\text{C}_6\text{H}_3$ , 68—70, 215—217;  $n\text{-C}_3\text{H}_7$ ,  $2,6\text{-(CH}_3)_2\text{C}_6\text{H}_3$ , 110—112, 257—258. По продолжительности местноанестезирующего действия отношение I:IV:II:III = 7:3:2:1. II и III имеют примерно одинаковую токсичность (Т). I в  $\sim 2,7$  раза токсичнее, однако их терапевтич. эффект (Э) выше. С увеличением R и ростом числа алкильных групп в R' усиливается Э и возрастает Т. Введение в R' алкоксигрупп понижает Т, но сопровождается появлением раздражающего действия на ткани. Алкилирование амидного N (как у Ib) или введение вместо R' арилалкильной группы (как у Ib) понижает Э. Оптич. изомеры в фармакологич. отношении, по-видимому, равновальны. Наиболее пригодными для клинич. применения оказались Ia («карбокаин»). Приведены значения  $\text{LD}_{50}$  ряда I, II, III и IV для мышей. Г. Браз*

28780. Гетероциклические соединения. 54. Синтез 1-алкил-2,5-диметил-4-пиперидионов. Назаров И. Н., Шарифханов А. Ш., Данилова К. Ф., Ж. общ. химии, 1957, 27, № 6, 1693—1697

Алкилированием 2,5-диметилпиперидона-4 (I) галогидролизными аллильного типа получают 1-*R*-2,5-диметилпиперидоны-4 [IIa  $\text{R} = \text{CH}_2\text{CH}=\text{CClCH}_3$ , 6R =  $\text{CH}_2\text{CH}=\text{CClCH}=\text{C}(\text{CH}_3)_2$ , в  $\text{R} = \text{CH}_2\text{CH}=\text{CHCH}=\text{C}(\text{CH}_3)_2$ , г  $\text{R} = \text{CH}_2\text{CH}=\text{CHCH}_3$ , д  $\text{R} = \text{CH}_2\text{CH}=\text{C}(\text{CH}_3)_2$ , е  $\text{R} = \text{CH}_2\text{CH}=\text{CH}_2$ ], которые являются исходными в-ми для синтеза возможных обезболяющих в-в. К 19 г I в 25 мл сухого диоксиана добавляют 9,4 г 1,3-дихлорбутена-2 в 15 мл диоксиана, нагревают 4 часа при  $100^\circ$  и через 12 час. отделяют хлоргидрат I, из фильтрата выделяют разгонкой 11,8 г IIa, т. кип.  $111-113^\circ/2 \text{ мм}$ ,  $n_D^{20} 1,4950$ ,  $d_4^{20} 1,0653$ ; пикрат, т. пл.  $122-124^\circ$ ; хлоргидрат, т. пл.  $123-124,5^\circ$  (из абс. сп.-абс. эф.). Аналогично (при  $60-65^\circ$ ) получают IIb, выход 61%, т. кип.  $140-143^\circ/0,05 \text{ мм}$ ,  $n_D^{20} 1,5135$ ; пикрат, т. пл.  $144-147^\circ$  (разл.), и IIв, выход 50%, т. кип.  $119-120^\circ/2 \text{ мм}$ ,  $n_D^{20} 1,5105$ ,  $d_4^{20} 0,9584$ ; пикрат, т. пл.  $143-145^\circ$  (разл.). Так же, но в  $\text{C}_6\text{H}_6$ , получают IIг (выход 16 г из 25,4 г I), т. кип.  $87-89^\circ/2 \text{ мм}$ ,  $n_D^{20} 1,4761$ ,  $d_4^{20} 0,9488$ ; пикрат, т. пл.  $145-147^\circ$  (из сп.); хлоргидрат, т. пл.  $165-166^\circ$  (из сп.); IIд, выход 91,2%, т. кип.  $84-86^\circ/1 \text{ мм}$ ,  $n_D^{20} 1,4810$ ,  $d_4^{20} 0,9371$ ; хлоргидрат, т. пл.  $146-147^\circ$  (из сп.-эф.); пикрат, т. пл.  $138-139,5^\circ$ . Р-р 14 г I в 14 мл диоксиана нагревают ( $70^\circ$ , 11 час.) с 11 г  $\text{CH}_2=\text{CHCH}_2\text{Cl}$ , получают 10,3 г IIе. Сообщение 53 см. РЖХим, 1958, 21464.

Н. Швецов

28781. К вопросу о строении простых дигидропиридиновых соединений, полученных восстановлением. Кюнне, Трабер, Карпер (Zur Konstitution der durch Reduktion gewonnenen einfachen Dihydropyridin-Verbindungen. Kühnle H., Trauber W., Karper P.), Helv. chim. acta, 1957, 40, № 3, 751-758 (нем.)

Восстановлением йодалкилатов амида никотиновой к-ты (см. Helv. chim. acta, 1936, 19, 811; 1937, 20, 418) синтезированы амиды *N*-метил-(I), *N*-этил-(II), т. пл.  $88-89^\circ$  (из этилацетата), и *N*-пропил (III)-дигидро-никотиновой к-ты. Показано, что I, II и III относятся к ряду орто-дигидропроизводных. При действии очень разб.  $\text{HCl}$  (pH 4) они образуют димеры невыясненного строения. Димер I (IV) идентичен синтезированному ранее «амиду *N*-метил-*n*-дигидроникотиновой к-ты» (см. первую ссылку). Приведены спек-



ральные кривые для IV в воде (при различных pH), в воде и абс. спирте. Р-р 0,7 г II в 9 мл воды подкисляют разб.  $H_2SO_4$  на конго, через 3 мин. обрабатывают  $Na_2CO_3$  и экстрагируют  $CHCl_3$  (30 мл  $\times$  15), получают димер II, выход 20–29%, т. пл. 231–233° (из  $CH_3OH$ ). Аналогично получают димер III, т. пл. 166–168° (из этилацетата). К горячему р-ру 8,84 г 2,4-динитрофенилгидразина (V) в 36 мл конц.  $HCl$  и 600 мл спирта прибавляют кипящий р-р 2,259 г II в 10 мл спирта, оставляют на 12 час. при  $\sim 20^\circ$ , осадки объединяют, получают ди-(2,4-динитрофенилгидразон)-2-карбамидглутарового диальдегида, т. пл. 155–158° (разл.; из диметилформамида- $CH_3OH$ ). То же соединение получено при действии V на I. К р-ру 3,77 г II в 350 мл  $C_6H_6$  при охлаждении и размешивании медленно прибавляют р-р 2,63 г *n*-бензохинона в 100 мл  $C_6H_6$ , получают соль гидрохинона с амином неустановленного строения, при подкислении и экстракции эфиром из соли выделяют гидрохинон. К р-ру 4,2 г II в 300 мл  $C_6H_6$  прибавляют по каплям р-р 2,7 г малеинового ангидрида в 100 мл  $C_6H_6$ , получают соль малеиновой к-ты с амином неустановленного строения, из которой аналогичным образом выделяют малеиновую к-ту.

Ю. Волькенштейн  
28782. Эфиры 2-метил- и 2,4-диметилдигидроникотиновой кислоты, Кюнис, Куес, Карпер (2-methyl- und 2,4-Dimethyl-dihydronicotinsäureester. Kühnig H., Kuss L., Karger P.), *Helv. chim. acta*, 1957, 40, № 6, 1670–1676 (нем.)

Недавно описанные (РЖХим; 1957, 11739) соединения, полученные взаимодействием  $CH_3C(NH_2)=CHCOOC_2H_5$  (I) с  $CH_2=CHCHO$  (II) или  $CH_2=CHCH=O$ , которым было придано строение этиловых эфиров (ЭЭ) 2-метил- и соответственно 2,4-диметил-1,4-дигидроникотиновой к-ты, как показывает их более детальное изучение, является не 1,4-дигидро-, а 1,6-дигидропроизводными  $NHC(CH_3)=C(COOC_2H_5)CX=$

$=CHCH_2$ , где X = H (III) или  $CH_3$  (IV). При р-ции

I и II в спирте первоначально образуется ЭЭ 2-метил- (или 6)-этокс-1,4,5,6-тетрагидроникотиновой к-ты (V), который лишь после термич. разложения превращается в III. Под влиянием разб. к-ты IV, подобно некоторым другим о-дигидропроизводным пиридина (см. пред. реф.), частично переходит в димер (VI). Р-ры III и IV не флуоресцируют. Р-р 198 мг III или 150 мг IV в 10 мл спирта приливают к кипящему р-ру 2,4-( $NO_2$ ) $_2$  $C_6H_3NHNH_2$  (VII) (3 ммоль на 1 ммоль ЭЭ) в 2,3 мл конц.  $HCl$  и 40 мл спирта; при этом, как и у других карбэтокс-о-дигидропиридинов, происходит расщепление и образуется динитрофенилгидразон  $(NO_2)_2C_6H_3NHNH = CHCH_2CHXCH(COOC_2H_5)C(CH_3)=NHNHC_6H_3(NO_2)_2$ , где X = H (VIII), выход 250 мг, т. пл. 144–146° или соответственно X =  $CH_3$ , выход 280 мг, т. пл. 166,5–170°. К р-ру 3 г IV в 3 мл спирта и 9 мл воды прибавляют 1 н.  $HCl$  до pH 3, через 30 мин. сильно подщелачивают содой и извлекают  $CHCl_3$  VI, выход  $\sim 80\%$ , т. пл. 98–99° (из эф.-петр. м.). VI в условиях получения VIII не реагирует с VII, 31 г II прибавляют за 2 часа при 40–50° к 65 г I и 2 г пиридина в 250 мл абс. спирта, кипятят 3 часа и через  $\sim 12$  час. отфильтровывают V, т. пл. 66–67°. V перегоняется без разложения при 110–118° (т-ра банн)/0,001 мм; перегонка при 145–160°/12 мм сопровождается превращением в III. Р-р V гидролизуются при pH 1, особенно быстро при нагревании. При каталитич. гидрировании V поглощает 2 моля  $H_2$  и дает 2-метилгексагидроникотиновую к-ту. Действие солянокислого р-ра VII на V приводит к образованию VIII. В отличие от IV, III в водно-спирт. р-ре при

pH 3 (30 мин.) частично превращается в ЭЭ 2-метил-никотиновой к-ты. Приведены кривые УФ-спектра V и VI.

Г. Браэ  
28783. К вопросу о строении дигидропиридинов Ганча и получаемых из них производных орто-дигидропиридина. Куес, Карпер (Zur Konstitution der Hantzsch'schen Dihydro-pyridine und der aus ihnen herstellbaren ortho-Dihydro-pyridin-Derivate. Kuss L., Karger P.), *Helv. chim. acta*, 1957, 40, № 3, 740–750 (нем.)

Озонолизом синтезированного по Ганчу диэтилового эфира 2,6-диметил-4-фенилдигидропиридиндикарбонной-3,5 к-ты (I) получена смесь  $C_6H_5CH_2COOH$  (II) и  $C_6H_5COOH$  (III); образование II подтверждает принадлежность I к производным ряда 1,4-дигидропиридина. Аналогичное строение имеет получаемый по Ганчу диэтиловый эфир дигидро-2,6-лутидиндикарбонной-3,5 к-ты. Восстановлением N-метилметосульфата диэтилового эфира 2,6-диметил-4-фенилдигидрокарбонной-3,5 к-ты (IV) получен 1,2,6-триметил-4-фенил-3,5-дикарбэтокс-1,2-дигидропиридин (V). Строение V доказывается его превращением при взаимодействии с 2,4-динитрофенилгидразином (VI) в ди-(2,4-динитрофенилгидразон)-бензальацетоуксусно-этилового эфира (VII, эфир VIII). В р-р  $\sim 1,5$  г I в 70 мл этилацетата при  $\sim 0^\circ$  пропускают при охлаждении ледяной водой двойной избыток  $O_3$ , оставляют на  $\sim 12$  час. при  $-20^\circ$ , прибавляют воду, отгоняют р-ритель в вакууме (при 10–15° в бане), остаток кипятят 1 час и экстрагируют эфиром, получают смесь II и III, выход 56,7% (в расчете на III). Описан способ разделения II и III путем хроматографирования их  $NH_4$ -солей на амберлите IRA-410. Через смесь р-ра 1 г  $Na_2CO_3$  и 0,9 г  $Na_2S_2O_4$  в 6 мл воды и конц. водн. р-ра 0,5 г IV, т. пл. 151–152° (Mumm O., Liebig's Ann. Chem., 1925, 443, 286), 3 часа пропускают  $N_2$  и экстрагируют эфиром, получают V, выход 0,275 г, т. пл. 131° (из сп.). Р-р 0,26 г V в 8,7 мл горячего спирта смешивают с кипящим р-ром 0,446 г VI в 1,8 мл конц.  $HCl$  и 32 мл спирта, через несколько часов получают VII, выход 250,2 мг, т. пл. 177–179° (из сп.). Р-р 348 мг VIII, т. пл. 150–151° (Smith W. T., Kort P. G., J. Amer. Chem. Soc., 1950, 72, 1877) в 8 мл горячего спирта смешивают с кипящим р-ром 400 мг VI в 1,75 мл конц.  $HCl$  и 30 мл спирта, получают соединение, т. пл. 194–196° (из сп. и бзл.), соответствующее по анализу моно-(2,4-динитрофенилгидразону) VIII. Смесь горячих р-ров 70 мг VIII в 2,3 мл  $C_2H_5OH$  и 120 мг VI в 0,5 мл конц.  $HCl$  и 8 мл спирта кипятят 5 мин., получают соединение, т. пл. 169–170° (из сп.), которому приписано строение 1-(3',4'-динитроанилино)-2,6-диметил-3,5-дикарбэтокс-4-фенил-1,4-дигидропиридина. Ю. Волькенштейн 28784. Гетерогенное бимолекулярное восстановление.

II. Прямое ацилирование пиридина и его гомологов и аналогов. Бакман, Шисла (Heterogeneous bimolecular reduction. II. Direct acylation of pyridine and its homologs and analogs. Bachman Bryant G., Schisla R. M.), *J. Organ. Chem.*, 1957, 22, № 11, 1302–1308 (англ.)

Пиридин (I), его гомологи и аналоги ацилируются при одновременном действии органич. к-т, их эфиров,  $N,N$ -диалкиламидов, или нитрилов и амальгамированных Al, Mg или Be (производные к-т и металлы расположены в порядке убывания активности); при этом из I образуются преимущественно 2-пиридилкетоны и в некоторых случаях незначительное кол-во 4-пиридилкетонов. Большое влияние оказывают индивидуальные факторы. Так, при р-ции I с  $C_6H_5COOC_2H_5$  (II) и Al получают 2-бензоил-(III) (выход 24–32%) и 4-бензоил-(IV) (выход 6,5–7%) пиридины и колеблющееся кол-во (3–13%) смеси бензила с бензоном

(Б + Б); с Mg кол-во III снижается до 10%. IV совсем не образуется, а выход Б + Б повышается до 19%; с Ве соответствующие цифры равны ~ 8,0 и 46%. С  $n\text{-C}_6\text{H}_4\text{COOC}_2\text{H}_5$  и Al выход аналогичных производных составляет 26,4, 0 и 6,9%; с  $n\text{-NO}_2\text{C}_6\text{H}_4\text{COOC}_2\text{H}_5$  и Al образуется только 4,4'-бис-(карботокси)-азобензол, выход 2,1%. Этиловые эфиры коричной и пиколиновой к-т дают в присутствии Al незначительные выходы (7—8%) 2-ацилпроизводных. Этиловые эфиры угольной, муравьиной, щавелевой, малоновой, ацетоуксусной и уксусной к-т не ацилируют I и только частично осмоляются в описанных условиях. *n*-Амил-, 2-этилгексил- и *втор*-бутилацетаты дают незначительный выход (6—13%) продуктов 2- и 4-ацилирования, также как этилпропионат и метилфенилацетат.  $\gamma$ -Пиколлин дает с ацетофеноном или II и Al продукт 2-ацилирования с выходом 36 и 33% соответственно; хинолин с II и Al образует также 2-бензоилхинолин, выход 20—29%, и смесь Б + Б, выход 10—12%. Ангидриды к-т реагируют иначе и дают продукты алкилирования, а не ацилирования I. Так при р-ции I с  $(\text{CH}_3\text{CO})_2\text{O}$  и Al или Mg получены 4-этилпиридин, ацетамид, ацетон и биацетил; фталевый ангидрид и  $(\text{C}_6\text{H}_5\text{CO})_2\text{O}$  не реагирует в этих условиях. В присутствии Zn р-ция не идет; с Na и  $\text{C}_6\text{H}_5\text{CON}(\text{CH}_3)_2$  получено немного (3,7%) III, много (50,3%) 4,4'-дипиридила, 13% 2,2'-дипиридила и 11,7% Б + Б. 27 г Al, 5 г  $\text{HgCl}_2$  и несколько капель Hg нагревают 2 часа при 100°, добавляют 25 г II и 25 г I, после начала р-ции к кипящему р-ру приливают по каплям 225 г пиридина, затем, в течение 24 час., 425 г II, охлажд. р-р выливают в 1 л 6 н. NaOH, или отгоняют от реакционной смеси в слабом вакууме пиридин, остаток (~0,4 л) выливают в 1,5 л петр. эфира, отделяют комплекс, который разлагают 6 н. HCl и извлекают и выделяют продукты р-ции. Сообщение I см. РЖХим, 1958, 25042. Л. Шуккина 28785.

**Строение и синтез мускопиридина.** Биман, Вюхи, Уокер (The structure and synthesis of muscoryridine. Biemann K., Büchi G., Walker B. H.), J. Amer. Chem. Soc., 1957, 79, № 20, 5558—5564 (англ.).

Предложена и подтверждена встречным синтезом ф-ла строения природного мускопиридина (I). Кипячением (22 часа, в атмосфере  $\text{N}_2$ ) циклодеканона с 1,5 моля диэтилового эфира янтарной к-ты в *трет*- $\text{C}_4\text{H}_9\text{OH}$ , содержащем 0,62 моля *трет*- $\text{C}_4\text{H}_9\text{OK}$ , получена  $\beta$ -карботокси- $\beta$ -циклодецилиденпропионовая к-та, выход 84,5%, циклизованная нагреванием (3 часа, 95—98°) с полифосфорной к-той в этиловый эфир бикцикло-[10,3,0]-пентадецен-1 (12)-он-13-карбоновой-15 к-ты  $n^{25}D$  1,5102; 2,4-динитрофенилгидразон (ДНФГ), т. пл. 147—148,2° (из этилацетата), превращенный гидролизом горячей смесью 50%-ной  $\text{CH}_3\text{COOH}$  и  $\text{H}_2\text{SO}_4$  (10:1) и перегонкой в вакууме в бикцикло-[10,3,0]-пентадецен-1 (12)-он-13 (II), выход 47%, т. кип. 161,5—163°/3,5 мм, т. пл. 27—28,5°,  $n^{25}D$  1,5238; ДНФГ, т. пл. 192—193° (из этилацетата); семикарбазон, т. пл. 215—217° (разл.; из водн.  $\text{CH}_3\text{OH}$ ), при восстановлении II по Кижнеру получена смесь олефинов, из которой хроматографированием в петр. эфире на  $\text{Al}_2\text{O}_3$  выделен продукт с преобладающим содержанием бикцикло-[10,3,0]-пентадецена-12 (III), выход 55,2%, т. кип. 112—115°/1,7 мм,  $n^{25}D$  1,5021—1,5055, что показано его превращением при действии  $\text{Os}(\text{OH})_4$  в бикцикло-[10,3,0]-пентадекандиол-12,13 (IV), окисленный  $(\text{CH}_3\text{COO})_4\text{Pb}$  в  $\text{CH}_3\text{COOH}$  (11 час., 20°) с 71%-ным выходом в  $\beta$ -(2-кетациклодекан)-пропионовую к-ту, т. пл. 104,4—105,8° (из водн. ацетона). III превращен по Шмидту в смесь 2,3-(V) и 2,6-(VI)-декаметилпиридинов, строение которых подтверждено данными УФ- и ИК-спектров, после чего VI окислен в  $\text{CH}_3\text{COOH}$  30%-ной  $\text{H}_2\text{O}_2$  (45 час., 80°) в *N*-окись VI, выход 61%, т. пл. 79—80,5° (при

окислении VI  $\text{KMnO}_4$  в воде образуется дициклолиновая к-та), изомеризованную нагреванием (12 час., 100°) с  $(\text{CH}_3\text{CO})_2\text{O}$  и последующим гидролизом продукта смесью  $\text{CH}_3\text{OH}$ -20%-ный р-р КОН в  $\alpha$ -окси-2,6-декаметилпиридин (VII), выход 80%, т. пл. 88—89° (из петр. эф.), причем образуется незначительное кол-во нерастворимого в петр. эфире в-ва, т. пл. 201—202°, являющегося, вероятно, 3-окси-2,6-декаметилпиридином. VII окислен  $\text{CrO}_3$  в пиридине (14 час., 20°) в  $\alpha$ -кето-2,6-декаметилпиридин (VIII), выход 93%, т. пл. 47—48°, кратковременным метилированием которого  $\text{CH}_3\text{I}$  в горячей смеси  $\text{C}_6\text{H}_6$ -*трет*- $\text{C}_4\text{H}_9\text{OH}$  в присутствии *трет*- $\text{C}_4\text{H}_9\text{OK}$  получен очищ. хроматографированием на  $\text{Al}_2\text{O}_3$   $\beta$ -метил- $\alpha$ -окси-2,6-декаметилпиридин; пикролат (ПН), т. пл. 113—115° (разл.; из сп.), восстановленный по Кижнеру в  $(\pm)$ -I, выход 71%,  $n^{25}D$  1,5206,  $d_4^{20}$  0,9669; ПН, т. пл. 163—166° (разл.; из сп.), разделением которого в виде соли ди-*n*-толуол-*L*-виноградной к-ты в ацетоне получена смесь  $([\alpha]_D^{25} + 13,3^\circ)$ , состоящая из ~88% (+)-изомера и 12% (—)-изомера. При длительном метилировании VIII (см. выше) избытком  $\text{CH}_3\text{I}$  образуется  $\alpha$ -кето- $\beta$ , $\beta$ -диметил-2,6-декаметилпиридин, т. кип. 150—160°/0,36 мм (т-ра бани), восстановленный по Кижнеру в  $\beta$ , $\beta$ -диметил-2,6-декаметилпиридин, выход 40%, ПН, т. пл. 170—172° (разл.). В качестве модельного синтеза 9,10-окталин превращен по Шмидту в 11-азабицикло-[4,4,1]-ундецен, выход 25%, т. кип. 74—75°/0,5 мм,  $n^{25}D$  1,5200, гидрированный в  $\text{CH}_3\text{OH}$  над Pd/C в 11-азабицикло-[4,4,1]-ундекан, 11-бензолсульфонат, т. пл. 171,4—173° (из сп.). Смесью 25 мл пиридина, 7,9 ммоль  $\text{Os}(\text{OH})_4$  и 7,9 ммоль II оставляют на 17 дней в темноте, от р-ра отгоняют р-ритель, остаток смешивают с 50 мл  $\text{C}_6\text{H}_6$ -спирт (1:1) и смесью 10,3 г маннитола, 10,3 г КОН, 25 мл воды и 50 мл спирта, кипятят 7 час, концентрируют до 30 мл, продукт извлекают эфиром, хроматографируют в  $\text{C}_6\text{H}_6$  на  $\text{Al}_2\text{O}_3$  и вымывают эфиром IV, выход 88%, т. пл. 120—120,8° (из бzl.-петр. эф.). К смеси 325 мл  $\text{CHCl}_3$ , 11 мл абс. спирта и 16 мл конц.  $\text{H}_2\text{SO}_4$  приливают (50 мин., 50°) р-р 0,047 моля III в 54 мл 1,74 н. хлороформного р-ра  $\text{NH}_3$ , затем в течение 2 час. добавляют в 3 приема 13 мл конц.  $\text{H}_2\text{SO}_4$ , выливают при 0° в р-р NaCl, подщелачивают NaOH, от органич. слоя отгоняют р-ритель, остаток перегоняют при 0,5 мм, растворяют в 17 мл 1-метилнафталина, кипятят 3,5 часа с 1 г Pd/C в токе  $\text{CO}_2$ , разбавляют петр. эфиром, р-р извлекают 20%-ной  $\text{H}_2\text{SO}_4$ , подщелачивают, продукт извлекают петр. эфиром, хроматографируют на  $\text{Al}_2\text{O}_3$  и вымывают VI, выход 17,6%, т. кип. 152—158°/3,7 мм (т-ра бани), т. пл. 15,5—16,8°,  $n^{25}D$  1,5241; пикрат, т. пл. 165—166° (из сп.); ПН, т. пл. 183—185° (разл.; из сп.), и V, т. кип. 165—175°/3,7 мм (т-ра бани), т. пл. 21,8—23,4°,  $n^{25}D$  1,5370; пикрат, т. пл. 154—155° (из сп.).

**28786. Синтез производных метилпиридина.** I. Синтез 4-замещенных производных 3-пиколлина. II. Синтез 2-цианметилпиридинов. Судзукки (Syntheses of methylpyridine derivatives. I. Synthesis of 4-substituted 3-picolines. II. Synthesis of 2-cyanomethylpyridines. Suzuki Yasuyuki), Pharmac. Bull., 1957, 5, № 1, 78—79; 13—15 (англ.).

I. Описаны превращения  $\beta$ -пиколлина (I) по схеме: I  $\rightarrow$  *N*-окись I (II)  $\rightarrow$  4-хлор-I (III)  $\rightarrow$  4-циан-I (IV)  $\rightarrow$  4-карбоксы-I (V)  $\rightarrow$  этиловый эфир V (VI). Смесью 16,5 г хлоргидрата II, 30 мл  $\text{CHCl}_3$  и 30 мл  $\text{POCl}_3$  кипятят 5 час., выливают в лед, водн. слой подщелачивают  $\text{Na}_2\text{CO}_3$ , отгоняют с паром, дистиллят насыщают NaCl и извлекают эфиром смесь оснований, из которых выделяют III, выход 35,5%, т. кип. 77—80°/30 мм; пикрат, т. пл. 152—153° (из  $\text{CH}_3\text{OH}$ ), побочные фракции содержат 2-хлор-I и 6-хлор-I. Из III получают IV, выход 42,9%, т. кип. 130—132°/80 мм, т. пл. 50—52° (из петр.

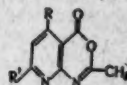
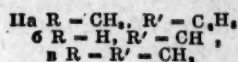


эф.); пикрат, т. пл. 154—156° (из  $\text{CH}_3\text{OH}$ ). К гриньяровскому р-ру (из 1,73 г  $\text{C}_6\text{H}_5\text{Br}$ , 2,6 г  $\text{Mg}$ , 50 мл абс. эфира и небольшого кол-ва  $\text{J}_2$ ) каплями при  $\sim 0^\circ$  прибавляют р-р 4 г IV в эфире, размешивают 30 мин. при  $\sim 0^\circ$ , упаривают, прибавляют 50 мл безводн. толуола, кипятят 2—3 часа, по охлаждении прибавляют насыщ. раствор  $\text{NH}_4\text{Cl}$  из органич. слоя извлекают 10%-ной  $\text{HCl}$  р-р, упаривают, выходя 65%, т. кип. 140—143°/3 мм; пикрат, т. пл. 178—180° (из  $\text{CH}_3\text{OH}$ ). Смесь 0,5 г IV, 0,75 г  $\text{NaOH}$  в 30 мл 70%-ного спирта нагревают ( $\sim 100^\circ$ , 3 часа), отгоняют большую часть спирта, подкисляют 10%-ной  $\text{HCl}$  в вакууме досуха, из остатка извлекают спиртом V, выходя 51,7%, т. пл. 234—236°. Смесь 1 г V и 5 мл  $\text{SOCl}_2$  кипятят 1 час, отгоняют избыток  $\text{SOCl}_2$  в вакууме, остаток кипятят 2 часа с 3 мл абс. спирта, упаривают, прибавляют воду, подщелачивают  $\text{Na}_2\text{CO}_3$  и извлекают эфиром VI, выходя 75,5%, т. кип. 116—117°/14 мм; пикрат, т. пл. 138—140° (из  $\text{CH}_3\text{OH}$ ).

II. Из соответствующих 2-хлор- и 4-хлорпиридинов синтезированы 2-цианпиридин (VII), 6-метил-VII (VIII), 5-метил-VII (IX), 4-метил-VII (X), 3-метил-VII (XI), 4,6-диметил-VII (XII), 3-этил-6-метил-VII (XIII), 4,6-диметил-3-этил-6-метилпиридин (XIV). К р-ру 9,1 г N-окси 3-этил-4-нитро-6-метилпиридина в 30 мл  $\text{CHCl}_3$  каплями при  $\sim 0^\circ$  прибавляют 17,8 мл  $\text{CH}_3\text{COCl}$ , размешивают 30 мин. при  $50^\circ$ , прибавляют каплями при охлаждении 8,8 мл  $\text{PCl}_5$ , размешивают 30 мин. при  $20^\circ$ , нагревают (60—70°, 1 час) и выделяют 4-хлор-3-этил-6-метилпиридин, выходя 67,8%, т. кип. 92—95°/20 мм; пикрат, т. пл. 133—134,5° (из сп.). Смесь 5,7 г 2-хлорпиридина (XV), 6,4 г  $\text{Na}_2\text{SO}_3$  и 70 мл воды нагревают (160—160°, 10 час. в автоклаве), обрабатывают эфиром (возвращается 1,14 г XV), водн. р-р обрабатывают углем, упаривают досуха в вакууме, остаток нагревают с 6,4 г  $\text{KCN}$ , из дистиллата выделяют VII, выходя 48,7%, т. кип. 114—116°/24 мм. Аналогично получают VIII—XIV (указаны в-во, т-ра нагревания в  $^\circ\text{C}$ , выходя в %, т. кип. в  $^\circ\text{C}/\text{мм}$ , т. пл. в  $^\circ\text{C}$ ): VIII, 170—180, 39, 135—136/38, 69—71 (из петр. эф.-эф.); IX, 200—210, 36,8, 135—138/28, 72—74 (из петр. эф.-эф.); X, 180—190, 39,1, 145—148/38, 88—89; XI, 170—180, 59, 139—142/38, 87—88; XII, 200—210, 32,6, 125—130/16, 51—52; XIII, 210—220, 40,7, 145—151/32, —; XIV, 180—200 (3 часа), 60,6, 107—110/17, —; пикрат, т. пл. 123—124 (из сп.). А. Травин 28787.

Синтезы азотсодержащих гетероциклов. Сообщение XIV. О дальнейших превращениях производных 2-амино- и 2-оксиникотиновой кислот. Дорнов, Хаманн (Über weitere Umsetzungen von 2-Amino- und 2-Oxynicotinsäurederivaten. Synthesen stickstoffhaltiger Heterocyclen. XIV. Mitteilung, Dornow Alfred, Hamann Otto), Arch. Pharmazie, 1957, 290/62, № 2, 61—66 (нем.).

При обработке этиловых эфиров 4-метил-6-фенил-(Ia), 6-метил-(Ib) и 4,6-диметил-2-аминоникотиновой к-ты (Iв)  $\text{CH}_3\text{COCl}$  в пиридине получают ангидро-2-аминиламиноникотиновые к-ты (IIa—в), которые также образуются при нагревании свободных к-т с  $(\text{CH}_3\text{CO})_2\text{O}$ . В противоположность соответствующим бензоасаннонам II не расщепляются действием воды,  $\text{H}_2\text{O}$  или гидразингидрата. Для исследования в-во, подпадающих деление клеточных ядер действием  $\text{SOOCC}_2\text{H}_5$  на амид 2-аминоникотиновой к-ты (III), синтезирован 5,7-диоксипиридино-(3',2'-4,5)-пиримидин (IV). Аналогично получены гомологи IV. 2,4-диметил-IV синтезирован также из Iв (к-ты) через промежуточное образование 4,6-диметил-2-урейдоникотиновой к-ты (V). Однако попытки циклизации 4,6-диметил-2-урейдоникотиновой к-ты (VI) остались безуспешными. Азид 2-окси-6-метилникотиновой к-ты (VII, к-та VIII) при нагревании переходит в 2-окси-6-метиллоксанно-(4',5'-2,3)-пиридин (IX). К р-ру Ia—в в пиридине при  $\sim 0^\circ$  прибавляют избыток  $\text{CH}_3\text{COCl}$ , перемешивают 10 мин., выливают на лед и отделяют II [перечисляются II, выход в %, т. пл. в  $^\circ\text{C}$  (из сп.): а, 50, 103; б, 50, 95; в, 50, 108. Iв с  $(\text{CH}_3\text{CO})_2\text{O}$  ( $\sim 100^\circ$ , 2 часа) дает N-ацетил-Iв, выходя 82%, т. пл. 156° (из сп.). Аналогично получают N-ацетил-1б, выходя 96%, т. пл. 101° (из сп.), который при нагревании с  $\text{N}_2\text{H}_4 \cdot \text{H}_2\text{O}$  отщепляет



$\text{CH}_3\text{CO}$ -группу с образованием гидразида 1б (к-ты), т. пл. 179—180°. 4 г VIII и 4 капли конц.  $\text{H}_2\text{SO}_4$  в 250 мл  $\text{CH}_3\text{OH}$  кипятят 3 часа и выделяют метиловый эфир VIII (VIIIa), выходя 70%, т. пл. 162—163°, который получают также из хлорангидрида VIII и  $\text{CH}_3\text{OH}$ , выходя почти колич. Из VIIIa и  $\text{N}_2\text{H}_4 \cdot \text{H}_2\text{O}$  в  $\text{CH}_3\text{OH}$  (кипение 4 часа) получают гидразид VIII, т. пл. 298° и вторично 365° (из  $\text{CH}_3\text{OH}$ ), р-р которого (0,9 г) в разб.  $\text{CH}_3\text{COOH}$  при действии 0,37 г  $\text{NaNO}_2$  при  $\sim 0^\circ$  осаждает азид VIII в виде тонких иголок (детонируют при ударе). Азид VIII при осторожном нагревании в сухом ксилоле дает IX, т. пл. 270—271° (из 30%-ного сп.). Из 3-амино-4,6-диметилпиридина-2 и избытка  $\text{ClCOOH}$  ( $\sim 100^\circ$ , 6 час.) получают 4-метил-IX, выходя 100%, т. пл. 299—300° (из  $\text{CH}_3\text{OH}$ ). III и небольшой избыток  $\text{ClCOOC}_2\text{H}_5$  ( $\sim 100^\circ$ , 8 час.) дают IV, т. пл. 360° (разл.; из лед.  $\text{CH}_3\text{COOH}$ ). Аналогично из 4,6-диметил-III получают 2,4-диметил-IV, выходя 90%, т. пл. 342—344° (из лед.  $\text{CH}_3\text{COOH}$ ), и из 5,6-диметил-III синтезируют 2,3-диметил-IV, т. пл. 270—271° (разл.; из лед.  $\text{CH}_3\text{COOH}$ ). Из 1 г Iв (к-ты), 20 мл 5%-ной  $\text{HCl}$ , 1 г  $\text{KCNO}$  ( $\sim 20^\circ$ , 24 часа) при подкислении выделяют хлоргидрат V, т. пл. 239—240° (из разб.  $\text{HCl}$ ), который (200—210°, 3 часа и экстракция примесей водой) дает 2,4-диметил-IV. К 1 г Iв (к-ты) в 20 мл 5%-ной  $\text{HCl}$  прибавляют 1 г  $\text{NH}_4\text{CNS}$  и через 3 часа сильно подкисляют конц.  $\text{HCl}$ , получают хлоргидрат VI, т. пл. 151° (разл.; из разб.  $\text{HCl}$ ). Сообщ. XIII см. РЖХим, 1957, 63527. В. Д. 28788.

Синтез азотсодержащих гетероциклов. Сообщение XV. О некоторых сульфамидных производных 2-аминоникотиновых кислот. Дорнов, Хаманн (Über einige Sulfonamide von 2-Aminonicotinsäuren. Synthesen stickstoffhaltiger Heterocyclen. XV. Mitteilung, Dornow Alfred, Hamann Otto), Arch. Pharmazie, 1957, 290/62, № 6, 298—302 (нем.).

Конденсацией этилового эфира 2-аминоникотиновой к-ты (I) с ацетилсульфанилхлоридом (II) синтезирован этиловый эфир 2-(ацетилсульфаниламидо)-никотиновой к-ты (III), из которого при щел. гидролизе получена 2-(сульфаниламидо)-никотиновая к-та (IV). Аналогичным образом синтезированы замещ. в пиридиновом ядре IV. 2,3 г I и 3,2 г II суспендируют в 25 мл  $\text{ClCH}_2\text{CH}_2\text{Cl}$ , приливают за 1 час 20 мл 10%-ного р-ра  $(\text{CH}_3)_3\text{N}$  в безводн.  $\text{C}_6\text{H}_6$ , нагревают 3 часа при 40—50°, приливают еще 5 мл р-ра  $(\text{CH}_3)_3\text{N}$  и нагревают 4 часа при 50°. Р-ритель отгоняют, смолстый остаток несколько раз переосаждают из спирта водой и получают III, выходя 60%, т. пл. 229° (из сп.). 2,5 г III кипятят 6 час. с 10%-ным р-ром  $\text{KOH}$ , охлаждают и нейтрализуют разб.  $\text{HCl}$ ; выходя IV 65%, т. пл. 226° (из водн.). 7 г 6-метил-I конденсируют как выше с 9 г II в 60 мл  $\text{ClCH}_2\text{CH}_2\text{Cl}$  и 48 мл р-ра  $(\text{CH}_3)_3\text{N}$  и получают 6-метил-III (V), выходя 66%, т. пл. 232° (из сп.). 8 г V кипятят 6 час. с 10%-ным р-ром  $\text{KOH}$ , фильтруют и осаждают разб.  $\text{HCl}$  N-ацетильное производное 6-метил-IV, выходя 72%, т. пл. 242° (из 20%-ного сп.). 6 г последнего растворяют в 10%-ном р-ре  $\text{KOH}$ , кипятят 10 час., охлаждают, отфильтровывают выделившуюся K-соль, растворяют в воде и нейтрализуют р-р разб.  $\text{HCl}$ ; выходя 6-метил-IV 79%, т. пл. 255—256° (из 20%-ного сп.). 9,7 г 4,6-диметил-I конденсируют с 11,1 г II в 70 мл

10%-ного р-ра  $(\text{CH}_3)_2\text{N}$  и 75 мл  $\text{ClCH}_2\text{CH}_2\text{Cl}$  и отфильтровывают выделившийся 4,6-диметил-2-ди-(ацетилсульфанил)-I (VI), выход 8,5%, т. пл. 270° (после промывки спиртом). Из фильтрата от VI удаляют р-рители, смолистый остаток извлекают 50%-ным спиртом и получают 4,6-диметил-III (VII), выход 72%, т. пл. 161° (из сп.). При нагревании VI, как и VII, с 10%-ным р-ром КОН после нейтр-ции разб. HCl выделяется 4,6-диметил-IV, выход 91%, т. пл. 170° (из воды). Из 18 г Na-производного оксиметилденметилэтилкетона в эфире действием разб.  $\text{H}_2\text{SO}_4$  выделяют кетон, эфирный р-р сушат, отгоняют эфир, к остатку прибавляют  $\text{HN}=\text{C}(\text{OC}_2\text{H}_5)\text{CH}_2\text{COOC}_2\text{H}_5$  (из 47 г хлоридрата) и нагревают 20 час. на кипящей бане, получают 5,6-диметил-I (VIII), выход 50–60%, т. пл. 124° (из сп.). Для идентификации VIII гидролизуют нагреванием с конц. HCl (3 часа) в соответствующую к-ту, т. пл. 348–350° (из воды). При диазотирования этой к-ты с последующим кипячением образовалась 2-окси-5,6-диметилпиридино-вая к-та, т. пл. 302–303° (из воды), которая затем была превращена в 5,6-диметилпиридон-2, т. пл. 204–206° (из воды). 9,7 г VIII конденсируют как выше с 11,1 г II, по окончании р-ции прибавляют 100 мл воды, извлекают эфиром и эфирный р-р немедленно отделяют. Через ~30 мин. начинает выделяться 5,6-диметил-III (IX), выход 87%, т. пл. 212–213° (из сп.). 10 г IX кипятят 10 час. с 10%-ным р-ром КОН, по охлаждении приливают воду до растворения выделившейся К-соли и прибавлением разб. HCl осаждают 5,6-диметил-IV, выход 90%, т. пл. 229° (из 80%-ного сп.). При гидролизе III, V, VI, VII и IX действием HCl (к-ты) образуются соответствующие 2-аминоникотиновые к-ты. 0,34 г амида 2-(ацетилсульфаниламидо)-5,6,7,8-тетрагидрохинолинкарбоновой-3 к-ты (получение к-ты см. РЖХим, 1956, 3893) нагревают 2 часа на кипящей бане с 3 мл 10%-ного р-ра NaOH, выделившуюся Na-соль отделяют, растворяют в воде и нейтрализуют р-р, получают 0,1 г 2-(сульфаниламидо)-5,6,7,8-тетрагидрохинолинкарбоновой-3 к-ты (X), т. пл. 240–241°. IV и ее замещ. в пиридиновом ядре производные по своему бактериостатич. действию оказались мало активными, а X вдвое слабее 6-сульфаниламидо-2,4-диметилпиримидина.

Г. Браз  
28789. Исследование продуктов взаимодействия эпихлоргидрина с ароматическими аминами. II. 1,2,3,4-тетрагидро-3-окс-7,8-бензохинолин. Ворожцов Н. Н. мл., Куткевичус С. И., Ж. общ. химии, 1957, 27, № 9, 2521–2525

Исследованы некоторые р-ции 1,2,3,4-тетрагидро-3-окс-7,8-бензохинолина (I), т. пл. 151,9–152,2° (из  $\text{C}_6\text{H}_5\text{Cl}$ ); хлоридрат (XG), т. пл. 245°, получающегося с 48%-ным выходом нагреванием (8 час., 135–145°) нафтамина-1 с эпихлоргидрином в  $\text{C}_6\text{H}_5\text{Cl}$ . I дает с 1 моле  $\text{C}_6\text{H}_5\text{COCl}$  в пиридине О-бензоильное производное, т. пл. 124,7–125° (из  $\text{CH}_3\text{OH}$ ); XG, т. пл. 172,7–173,6° (из  $\text{CH}_3\text{OH}$ ); с избытком  $\text{C}_6\text{H}_5\text{COCl}$  образуется О,Н-дibenzoильное производное, т. пл. 148,7–149,5° (из сп.).  $\text{C}_6\text{H}_5\text{CH}_2\text{Cl}$  бензилирует I в щел. среде в XG 3-бензилокси-1,2,3,4-тетрагидро-7,8-бензохинолина, т. пл. 180,4° (разл.; из сп.); N-бензоат, т. пл. 104,6–105° (из  $\text{CH}_3\text{OH}$ ). При нагревании I с фенолятом Al и циклогексаном в толуоле получен 3-окс-7,8-бензохинолин (II), т. пл. 209,1–209,5° (из  $\text{CH}_3\text{OH}$ ); XG (моногидрат), т. пл. 265,5° (из сп.); пикрат, т. пл. 241,8–242,3° (из сп.); бензоат (III), т. пл. 123,1–123,3° (из  $\text{CH}_3\text{OH}$ ); XG III, т. пл. 178°. II получен также дегидрированием I фенолом в присутствии скелетного Ni. Сообщение I см. РЖХим, 1958, 25136.

Д. Витковский  
28790. Получение некоторых N,N'-бис-(4-хинольдил)- $\alpha,\omega$ -диаминоалканов как возможных трипаноцидных веществ. Шок (The preparation of some N,N'-bis-(4-quinaldyl)- $\alpha,\omega$ -diaminoalkanes as potential trypanocides.

des. Schock R. U.), J. Amer. Chem. Soc., 1957, 79, № 7, 1672–1675 (англ.)

Взаимодействием 6-замещ. 4-хлор-(I) или 4-метокси-хиноальдинов (II) с  $\alpha,\omega$ -диаминоалканами синтезирован ряд N,N'-бис-(4-хинольдил)- $\alpha,\omega$ -диаминоалканов (III). Синтез I осуществлен по схеме:  $n\text{-RC}_6\text{H}_4\text{NH}_2$  (IV) +  $\text{CH}_3\text{COCH}_2\text{COOR}'$  (V)  $\rightarrow n\text{-RC}_6\text{H}_4\text{NHC}(\text{CH}_3)=\text{CHCOOR}'$  (VI)  $\rightarrow$  6-замещ. 4-оксихиноальдины (VII)  $\rightarrow$  I. Смесь 3,55 моля свежеперегнанного IV ( $\text{R}'=\text{N}(\text{CH}_3)_2$ ), 3,55 моля V ( $\text{R}'=\text{CH}_3$ ), 2 мл конц. HCl и 1 л  $\text{C}_6\text{H}_6$  кипятят 16 час. в приборе с водоотделителем и после отделения 71 мл воды отгоняют  $\text{C}_6\text{H}_6$ , получают VI [ $\text{R}=\text{N}(\text{CH}_3)_2$ ,  $\text{R}'=\text{CH}_3$ ] (VIa), выход 79%, т. пл. 85–86° (из  $\text{C}_6\text{H}_{12}$  или ацетона- $\text{C}_6\text{H}_{12}$ ). Аналогично получают следующие VI (указаны R, R', выход в %, т. пл. в °C): CN,  $\text{CH}_3$ , 85, 124–125;  $\text{N}(\text{CH}_3)\text{COCH}_3$ ,  $\text{CH}_3$ , 76, 106–107;  $\text{COOH}$ ,  $\text{C}_2\text{H}_5$ , 71, 172–173. К 1,7 л теплоносителя (Даутерм А) прибавляют при ~25° 426 г VIa, отделяют по охлаждению осадок и промывают ацетоном, получают VII с  $(\text{CH}_3)_2\text{N}$ -группой в положении 6 (VIIa), выход 83%, т. пл. 303–305°. Аналогично получают следующие VII (указан заместитель в положении 6, выход в %, т. пл. в °C):  $\text{NHCOCH}_3$ , 85, 300;  $\text{OCH}_3$ , 63, —;  $\text{NO}_2$ , 70, >300; CN, 72, 297–298;  $\text{N}(\text{CH}_3)\text{COCH}_3$ , 44, 360 (разл.);  $\text{COOC}_2\text{H}_5$ , —; 260–261;  $\text{COOH}$ , 50, >300; Cl, 53, >300. К 256 г VIIa прибавляют 512 мл  $\text{POCl}_3$ , оставляют на 1 час и обрабатывают 300;  $\text{OCH}_3$ , 63, —;  $\text{NO}_2$ , 70, >300; CN, 72, 297–298; группой в положении 6 (Ia, основание), из которого при обработке  $\text{NH}_4\text{OH}$  выделяют Ia, выход 89%, т. пл. 92–93° (из  $\text{CH}_3\text{OH}$ ). Аналогично получают следующие I (указаны заместитель в положении 6, выход в %, т. пл. в °C):  $\text{NHCOCH}_3$  (IIa), 83, 231–232;  $\text{OCH}_3$ , 66, 93–94;  $\text{NO}_2$ , 51, 195–196; CN, 84, 178,5–179,5;  $\text{COOC}_2\text{H}_5$ , 59, 126–127. Смесь 0,1 моля Ia, 0,05 моля 72%-ного 1,6-диаминогексана (VIII) и 20 г фенола (IX) нагревают 4 часа при 150–160° и выливают в 400 мл ацетона, фильтруют, осадок (31,2 г) суспендируют в 800 мл горячей воды, прибавляют конц. HCl до растворения, обрабатывают углем и подщелачивают 40%-ным р-ром до pH 1–2; получают дихлоргидрат N,N'-бис-(6'-диметиламино-4'-хинольдил)-1,6-диаминогексана, выход 90%. Смесь 0,2 моля IIa, 0,1 моля 70%-ного VIII и 46 г IX кипятят 2 часа, отгоняют летучие составные части (до 160° в бане), остаток выливают в смесь 200 мл спирта и 20 мл конц. HCl, разбавляют ацетоном до 700–800 мл, фильтруют и осадок кипятят 4 часа со смесью 150 мл конц. HCl и 300 мл воды; получают дихлоргидрат N,N'-бис-(6'-амино-4'-хинольдил)-1,6-диаминогексана, выход 76%. Описанными методами синтезированы дихлоргидраты следующих III (указаны число  $\text{CH}_2$ -групп в цепочке алкана, заместители в положениях 6 и 6', выход в %): 2,  $\text{NH}_2$ , 65; 3,  $\text{NH}_2$ , 65; 4,  $\text{NH}_2$ , 79; 5,  $\text{NH}_2$ , 43; 7,  $\text{NH}_2$ , 39; 8,  $\text{NH}_2$ , 69; 9,  $\text{NH}_2$ , 29; 10,  $\text{NH}_2$ , 57; 11,  $\text{NH}_2$ , 51; 12,  $\text{NH}_2$ , 50; 4,  $\text{N}(\text{CH}_3)_2$ , 61; 7,  $\text{N}(\text{CH}_3)_2$ , 61; 8,  $\text{N}(\text{CH}_3)_2$ , 42; 9,  $\text{N}(\text{CH}_3)_2$ , 54; 10,  $\text{N}(\text{CH}_3)_2$ , 95; 4,  $\text{OCH}_3$ , 72; 6,  $\text{OCH}_3$ , 77; 7,  $\text{OCH}_3$ , 43; 8,  $\text{OCH}_3$ , 80; 9,  $\text{OCH}_3$ , 88; 10,  $\text{OCH}_3$ , 66; 6, Cl, 68; 6,  $\text{NO}_2$ , 43. При испытании на мышах, зараженных *T. gambiense*, большинство III обладает трипаноцидным действием. Наиболее активны в-ва с 5–8  $\text{CH}_2$ -группами в цепочке алкана.

Л. Яхонтов  
28791. Новый метод синтеза кинуриновой кислоты. Накадзима (Nakajima Shinji), Сайкагаку, J. Japan. Biochem. Soc., 1957, 29, № 2, 129–130 (японск.)

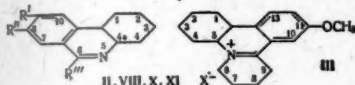
4-оксихиноальдин (I) конденсируют с бензальдегидом



полученный 4-оксн-2-стирилхинолин (II) окисляют  $\text{KMnO}_4$ . Получают 4-окснхлоральную к-ту [кинурную к-ту (III)] — продукт метаболизма триптофана. 3 г I, 2,4 г  $\text{C}_6\text{H}_5\text{CHO}$  и 2,5 г  $(\text{CH}_3\text{CO})_2\text{O}$  нагревают 6 час. при 150–160°. Получают II, выход 78%, т. пл. 103° (из разб. сп.). Окисляют 3 г II в 20 мл  $\text{C}_6\text{H}_5\text{N}$ , 4 мл воды, 4,4 г  $\text{KMnO}_4$  2 часа при 18–20°. Получают III, выход 72%, т. пл. 285° (из  $\text{CH}_3\text{OH}$ ). Н. Швецов

28792. Синтез некоторых гидрированных фенантридинов. Номура (Nomura Tetuo), Якугаку дзас-си, J. Pharm. Soc. Japan, 1957, 77, № 3, 270–274 (японск.; рез. англ.)

Частично гидрированные фенантридины (ФЕ) синтезируются по способу Бишлера — Напиральского и Пикрате — Шенгера из 2-арилциклогексиламинов и их N-ацильных производных. N-2-метоксифенилциклогексил-3-бромпентамид (I) при действии  $\text{POCl}_3$  дает ФЕ (II), который превращается в соль хинолизиния (III). При  $\text{X} = \text{J}$  III после гидрирования и метилирования дает йодметилат 11-метоксн-1,2,3,4,4а,6,7,8,9,13б-дегидро-9аН-дibenzo[ас]-хинолизиния (IV). Из 2-н-метоксифенилциклогексаламина (V) с ангидридами 3-алкилгutarовых к-т получают N-(2-н-метоксифенилциклогексил)-3-алкилгutarамовые к-ты  $\text{C}_{13}\text{H}_{21}\text{O}_4\text{NR}$ , где  $\text{R} = \text{C}_2\text{H}_5$  (VI) и  $\text{R} = \text{C}_4\text{H}_9$  (VII). 9,5 г N-(2-фенилциклогексил)-ацетамида нагревают 30 мин. при 120° с 19 мл  $\text{POCl}_3$ . После отгонки  $\text{POCl}_3$  и обработки 10%-ным  $\text{NH}_4\text{OH}$  через пикрат выделяют в-во (VIII), выход 30,6%, т. пл. 42–43° (из бзн.); пикрат, т. пл. 162–163°



II  $\text{R}' = \text{H}$ ,  $\text{R}'' = \text{OCH}_3$ ,  $\text{R}''' = \text{CH}_3$ ,  $(\text{CH}_3)_2\text{CH}$ , Br; VIII  $\text{R}' = \text{R}'' = \text{H}$ ,  $\text{R}''' = \text{CH}_3$ ; X  $\text{R}' = \text{CH}_3$ ,  $\text{R}'' = \text{H}$ ,  $\text{R}''' = \text{CH}_3$ ; XI  $\text{R}' = \text{H}$ ,  $\text{R}'' = \text{CH}_3$ ,  $\text{R}''' = \text{CICH}_3$

(разл.; из сп.); 3,5-динитробензоат, т. пл. 177–178° (разл.; из сп.). При дегидрировании 1,5 г VIII 3 г Se получают 1,3 г 6-метилфенантридина (выделяют через хлоргидрат). Восстанавливают оксим 2-н-метоксифенилциклогексана-2 Na в спирте, получают 2-(н-метоксифенил)-циклогексаламин; хлоргидрат, т. пл. 196–198°, который ацилируют  $(\text{CH}_3\text{CO})_2\text{O}$  и получают N-(2-н-метоксифенилциклогексил)-ацетамид (IX), т. пл. 114–115° (из бзн.). Из IX получают в-во (X); хлоргидрат, т. пл. 119–120° (бзн., сп.), в тех же условиях, что и VIII. Оксим н-метоксифенилциклогексана восстанавливают Na в спирте, получают V, выход 80%, т. пл. 92–93° (из бзн.); хлоргидрат, т. пл. 269–270° (из бзн., сп.); N-ацетопроизводное, т. пл. 128–129° (из разб. сп.). Из V с  $\text{ClCH}_2\text{COCl}$  по Шоттен — Бауману получают N-(2-н-метоксифенилциклогексил) - 2 - хлорацетамид, т. пл. 109–110° (из разб. сп.), 1,5 г которого нагревают 1 час с 3 г  $\text{POCl}_3$  и 1 г  $\text{P}_2\text{O}_5$  в 30 мл  $\text{C}_6\text{H}_5\text{CH}_3$  при 120°, добавляют 1 г  $\text{P}_2\text{O}_5$  и нагревают еще 3,5 часа. После отгонки  $\text{POCl}_3$  и обработки 5%-ной HCl получают хлоргидрат в-ва (XI), т. пл. 202–203° (разл.; из сп.). 5 г 2-фенилциклогексаламина, 5 г метилаля и 3 г конц. HCl нагревают 5,5 часа при 100°, получают 2,8 г хлоргидрата 1,2,3,4,4а,5,6,10б-октагидрофенантридина в виде смеси изомеров, которую разделяют перекристаллизацией из спирта. а-Изомер, т. пл. 86,5–87,5° (из петр. фл.); хлоргидрат, т. пл. 232–233°; пикрат, т. пл. 172–173° (из сп.); N-бензойное производное, т. пл. 140–141° (из разб. сп.); N-о-нитробензойное, т. пл. 145–146° (из сп.). б-Изомер, хлоргидрат, т. пл. 193–194° (из сп.), основание — масло, N-бензойное производное, т. пл. 117–118° (из разб. сп.), N-о-нитробензойное, т. пл. 171–173° (из сп.). Из 6,5 г V и 10 г 5-бромпента-

таноилхлорида по Шоттен — Бауману получают 3,5 г I, т. пл. 125–127° (из сп.). 2 г I нагревают 10 час. с 7 мл  $\text{POCl}_3$  в 20 мл  $\text{C}_6\text{H}_5\text{CH}_3$  при 120° и добавляют петр. эфир, выпавшее масло в водн. р-ре подкисляют HCl (к-той) и обрабатывают KJ, получают 0,3 г III,  $\text{X} = \text{J}$ , т. пл. 232–233° (из сп.). Гидрируют 50 мг III,  $\text{X} = \text{J}$ , в спирте над Pt из  $\text{PtO}_2$ , после отгонки спирта подщелачивают  $\text{NH}_4\text{OH}$ , экстрагируют эфиром и после отгонки эфира 3 часа метилируют  $(\text{CH}_3\text{O})_2\text{SO}_2$ , затем обрабатывают KJ, получают IV, т. пл. 275° (разл.; из сп.). Р-р 6 г V в 50 мл  $\text{C}_6\text{H}_6$  кипятят 5 час. с 4,6 г ангидрида 3-пропилгutarовой к-ты, получают 10 г смеси изомеров VI. а-Изомер, т. пл. 189–190° (из сп.), этиловый эфир ( $\text{C}_2\text{H}_5\text{OH}$ , HCl-газ), т. пл. 113–115°; б-изомер, т. пл. 159–160° (из сп.); этиловый эфир, т. пл. 118–119°. Аналогично получают VII; а-изомер, т. пл. 160–181° (из сп.); этиловый эфир, т. пл. 125–126°; б-изомер, т. пл. 158–161° (из сп.); этиловый эфир, т. пл. 98–99°.

Н. Швецов

28793. ω-Галоидметилпиридины, -хинолины и -изохинолины. Часть VI. Соединения, родственные 1,2-ди-(2-хинолил)-этилену. Барфут, Хаммик, Морган, Ро (ω-Halogenomethyl-pyridines, quinolines, and isoquinolines. Part VI. Compounds related to 1,2-Di-2'-quinolyethylene. Barfoot I. M. C., Hammick D. L. I., Morgan E. D., Roe A. M.), J. Chem. Soc., 1957, April, 1533–1536 (англ.)

Синтезированы 1,2-ди-(хинолил-2')-ацетилен (I); 1,2-дигорм-(II), 1-хлор-(III) и 1-бром-1,2-ди-(хинолил-2')-этилены (IV); 1,1,2-трихлор-(V) и 1,1,2-трибром-1,2-ди-(хинолил-2')-этаны (VI). Галоидирование этиленового радикала приводит к относительно уменьшению стабильности транс-изомеров и увеличению стабильности цис-изомеров; в ряду транс-изомеров стабильность изменяется следующим образом: 1,2-ди-(хинолил-2')-этилен (VII) > III > IV > 1,2-дихлор-1,2-ди-(хинолил-2')-этилен (VIII) > II. В частности транс-II менее стабилен, чем цис-II, что, вероятно, обусловлено стерич. влиянием атомов галоида: в транс-II ни одно из ядер не копланарно с этиленовой связью, в цис-II одно из них может быть сопряжено с этой связью. При каталитич. гидрировании цис-II, транс-II или I единственным продуктом р-ции является транс-VII. Измерены дипольные моменты транс-VII (1,60 D), транс-VIII (1,54 D), цис-VIII (4,87 D), транс-II (1,36 D) и цис-II (4,68 D). Р-р 20 г ωωω-трибромхлоральдина в 40 мл  $\text{C}_6\text{H}_5\text{N}$  прибавляют за 1 час к кипящей смеси 60 мл  $\text{C}_6\text{H}_5\text{N}$  и 10 г Си-бронзы, кипятят 30 мин., охлаждают, разбавляют 1 л воды, оставляют на 12 час., осадок отделяют, высушивают и извлекают смесью  $\text{C}_6\text{H}_6$ - $\text{CCl}_4$  (1:1), р-р хроматографируют на  $\text{Al}_2\text{O}_3$ , получают цис-II, выход 28%, т. пл. 142–143° (из бзн.), и I, выход 40%, т. пл. 179–180°. При дегалондировании транс-II 25 мин. получают I выход 52%, аналогично из транс-VIII через 60 мин. получают 38% I. В такой же р-ции с цис-II через 60 мин. возвращают 68% неизмененного в-ва и через 1080 мин. получают 34% I; с цис-VIII через 60 мин. возвращают 50% неизмененного в-ва. 0,2 г Си-бронзы постепенно прибавляют к 0,34 г 1,2-дигорм-1,2-ди-(хинолил-2')-этана, т. пл. 172–173° (см. Walker и др., J. Organ. Chem., 1951, 16, 1805), в 20 мл  $\text{C}_6\text{H}_5\text{N}$  постепенно прибавляют 0,2 г Си-бронзы и кипятят 3 часа, получают транс-VII, выход 69%, т. пл. 192–193° (из бзн.); дихлоргидрат, т. пл. 249–250° (разл.; из воды). Р-р 2 г I в 100 мл 2 н. HCl кипятят 6 мин., р-р выливают в 2 н.  $\text{NH}_4\text{OH}$ , осадок растворяют в  $\text{C}_6\text{H}_6$ - $\text{CCl}_4$  (1:1) и хроматографируют на  $\text{Al}_2\text{O}_3$ , получают III, т. пл. 110° (из бзн.); дипикрат, т. пл. 235–236° (из  $\text{CH}_3\text{OH}$ ). Аналогично из 1,5 г I получают 1,3 г IV, т. пл. 115–116° (из бзн.); дипикрат, т. пл. 211–212° (из  $\text{CH}_3\text{OH}$ ). Р-р 0,5 г III в 100 мл  $\text{CCl}_4$  обрабатывают при кипении  $\text{Cl}_2$  30 мин., получают 0,2 г V, т. пл. 138–

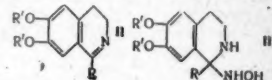
139°, затвердевает и вновь плавится при 187—190° (из водн. ацетона). Аналогично получают VI, т. пл. 150—151° (разл.; из водн. ацетона). Приведены  $\lambda_{\text{макс}}$  УФ-спектров III и IV. Часть V см. РЖХим, 1956, 9817.

А. Гуревич  
28794. Синтезы циклических азотистых соединений из аминокислот. I. Синтезы изохинолина и его производных из *dl*-фенилаланина. Муракоси (Murakoshi Isamu), Якугаку дзасси, J. Pharm. Soc. Japan, 1956, 76, № 10, 1139—1142 (японск., рез. англ.). Смесь *dl*-C<sub>6</sub>H<sub>5</sub>CH<sub>2</sub>CH(NH<sub>2</sub>)COOH и спирт. р-ра HCl (газ) нагревают 3—4 часа при ~100°, получают *dl*-C<sub>6</sub>H<sub>5</sub>CH<sub>2</sub>CH(NH<sub>2</sub>)COOC<sub>2</sub>H<sub>5</sub>·HCl (I), выход 95%, т. пл. 125°. Кипячением I с HCOOH и небольшим кол-вом (CH<sub>3</sub>CO)<sub>2</sub>O получают *dl*-C<sub>6</sub>H<sub>5</sub>CH<sub>2</sub>CH(NHCOCH<sub>3</sub>)COOC<sub>2</sub>H<sub>5</sub> (II, R = H). Из I и (CH<sub>3</sub>CO)<sub>2</sub>O получают II (R = CH<sub>3</sub>), выход 95%, т. пл. 68°. Из I и RCOCl получают следующие II (указаны R, т. пл. в °C): C<sub>6</sub>H<sub>5</sub>, 96; C<sub>6</sub>H<sub>5</sub>CH<sub>2</sub>—, 88—89; R = 20 мл 85%-ной H<sub>3</sub>PO<sub>4</sub> при t-ре < 80° прибавляют 30 г PCl<sub>5</sub>, нагревают 1,5—2 часа при ~100°, прибавляют 15—20 мл POCl<sub>3</sub>, нагревают еще 2 часа; 6—7 мл этой смеси и 0,5 г II (R = CH<sub>3</sub>) нагревают 1—1,5 часа при 100° и 2,5—3 часа при 160—170°, выливают в 150—200 мл ледяной воды, подщелачивают NaOH и извлекают эфиром; из эфирного р-ра выделяют пикрат 1-метилизохинолина, выход 0,32 г, т. пл. 230—231° (разл.); основание, т. кип. 125—128°/8 мм. Аналогично получают следующие производные изохинолина (указаны радикал в положении I, выход в %, т. пл. в °C, т. пл. пикрата в °C): H, 3, —, 223 (разл.); C<sub>6</sub>H<sub>5</sub>, 25, —, 164 (разл.); C<sub>6</sub>H<sub>5</sub>CH<sub>2</sub>—, 50, 56, 184 (разл.). При р-ции выделяют HCl (газ) и CO.

Chem. Abstr., 1957, 51, № 5, 3601. K. Kitsuta  
28795. О новом аспекте дигидроизохинолинов, замещенных в положении 1. Их характер внутренних кетиминов. Часть I. Гардан (Sur un aspect nouveau des dihydroisoquinoléines substituées en 1. Leur caractère de cétimines internes (I<sup>re</sup> partie). Gardent Jean), Bull. Soc. chim. France, 1957, № 10, 1260—1270 (франц.).

Исследовано действие NH<sub>2</sub>OH (I) на 3,4-дигидроизохинолины, замещ. в положении 1 (II). При этом получаются продукты присоединения, условно названные псевдооксимами (ПО) II (III). Последние легко гидролизуются с регенерацией исходных II. Присоединение I происходит только в тех случаях, когда II содержат в положении 1 ароматич., но не алифатич. радикал. Исключение составляет II [R = 3,4-(CH<sub>3</sub>O)<sub>2</sub>C<sub>6</sub>H<sub>3</sub>, R' = C<sub>2</sub>H<sub>5</sub>], не реагирующий с I. II [R = C<sub>6</sub>H<sub>5</sub>—CH=CH, R' = C<sub>2</sub>H<sub>5</sub>] (IIa) присоединяет I на холоду по C=C-связи стирильной группы, как видно из того, что при нагревании полученного соединения происходит распад на C<sub>6</sub>H<sub>5</sub>CH=NOH и II (R = CH<sub>3</sub>, R' = C<sub>2</sub>H<sub>5</sub>) (IIб). C<sub>6</sub>H<sub>5</sub>CH=CHCONHCH<sub>2</sub>C<sub>6</sub>H<sub>5</sub>(OC<sub>2</sub>H<sub>5</sub>)<sub>2</sub> 3,4 не реагирует с I. Йодэтилаты (ИЭ) дают при р-ции с I N<sub>(2)</sub>-этил-III и лишь из ИЭ II (R = пиридил-3, R' = C<sub>2</sub>H<sub>5</sub>) (IIв — основание) не удалось получить соответствующего N<sub>(2)</sub>-этил-III. При бекмановской перегруппировке (БП) действием H<sub>3</sub>PO<sub>4</sub>, полученного из II (R = C<sub>6</sub>H<sub>5</sub>, R' = C<sub>2</sub>H<sub>5</sub>) (IIг), соответствующего ПО (IIIа), образовались анилин (IV) и 6,7-диэтокси-3,4-дигидроизокварбостирил (V), а также небольшое кол-во 1-фенил-6 (или 7)-окси-7 (или 6)-этокс-3,4-дигидроизохинолина (VI). N<sub>(2)</sub>-этил-IIIа (VII) при БП дал 2-(C<sub>2</sub>H<sub>5</sub>NHCH<sub>2</sub>CH<sub>2</sub>)—4,5-(OC<sub>2</sub>H<sub>5</sub>)<sub>2</sub>C<sub>6</sub>H<sub>3</sub>CONHC<sub>6</sub>H<sub>5</sub>·H<sub>2</sub>O (VIII) с нережкой т. пл. 55—60° [хлоргидрат (XГ), т. пл. 203—204° (из CH<sub>3</sub>OH-эф.)], из которого при кипячении со спирт. КОН образовались IV и N-этил-V,

т. пл. 92° (из воды). Как оказалось, VII способен давать ИЭ. Так как это трудно совместить с первоначально приписанной VII ф-лой, в которой азотистый цикл разомкнут (РЖХим, 1956, 74952), сделано допущение, что VII находится в равновесии с этой своей открытой формой. При действии щелочи на ИЭ VII образуется 2-(C<sub>6</sub>H<sub>5</sub>C=NOH)-4,5-(C<sub>2</sub>H<sub>5</sub>O)<sub>2</sub>C<sub>6</sub>H<sub>3</sub>CH<sub>2</sub>CH<sub>2</sub>N=



(C<sub>2</sub>H<sub>5</sub>)<sub>2</sub> (IX). БП IX приводит к 2-(C<sub>2</sub>H<sub>5</sub>)<sub>2</sub>NCH<sub>2</sub>CH<sub>2</sub>-4,5-(C<sub>2</sub>H<sub>5</sub>O)<sub>2</sub>C<sub>6</sub>H<sub>3</sub>CONHC<sub>6</sub>H<sub>5</sub> (X), распадающемуся при действии щелочи на IV и 2-(C<sub>2</sub>H<sub>5</sub>)<sub>2</sub>NCH<sub>2</sub>CH<sub>2</sub>-4,5-(C<sub>2</sub>H<sub>5</sub>O)<sub>2</sub>C<sub>6</sub>H<sub>3</sub>COOH (XI). Йодметилат (ИМ) IIг реагирует с I, образуя N<sub>(2)</sub>-метил-IIIа (XII), который способен давать ИМ. При действии щелочи ИМ XII регенерирует XII, а при нагревании превращается в ИМ IIг. Таким образом, в принятых условиях N<sub>(2)</sub>-метил-III, в отличие от N<sub>(2)</sub>-этил-III не размыкают цикла. При БП III (R = пиридил-3, R' = C<sub>2</sub>H<sub>5</sub>) (IIIб) удалось выделить только IIв. N<sub>(2)</sub>-этил-III (R = C<sub>6</sub>H<sub>13</sub>, R' = C<sub>2</sub>H<sub>5</sub>) (XIII) при БП дал 2-(C<sub>2</sub>H<sub>5</sub>NHCH<sub>2</sub>CH<sub>2</sub>)—4,5-(C<sub>2</sub>H<sub>5</sub>O)<sub>2</sub>C<sub>6</sub>H<sub>3</sub>CONHC<sub>6</sub>H<sub>5</sub> (XIV) и 2-(C<sub>2</sub>H<sub>5</sub>NHCH<sub>2</sub>CH<sub>2</sub>)—4,5-(C<sub>2</sub>H<sub>5</sub>O)<sub>2</sub>C<sub>6</sub>H<sub>3</sub>NHCO(CH<sub>2</sub>)<sub>5</sub>CH<sub>3</sub> (XV). Попытка присоединить I к 1-фенил-6,7-диэтоксизохинолину (XVI) не удалась. Из 1-фенилдигидроорганармана (XVII — основание) при действии I превращается в ПО N<sub>(2)</sub>-этил-XVII, т. пл. 183° (из сп.). При р-ции ИЭ II с C<sub>6</sub>H<sub>5</sub>COCl (XVIII) в щел. среде во всех случаях азотистый цикл размыкается и образуются 2-RCO-4,5-(R'O)<sub>2</sub>C<sub>6</sub>H<sub>3</sub>CH<sub>2</sub>CH<sub>2</sub>N(C<sub>6</sub>H<sub>5</sub>)COOC<sub>2</sub>H<sub>5</sub> (XIX). Из сказанного о р-циях II, происходящих по C<sub>(1)</sub>, следует, что II в известной мере проявляют свойства кетопроизводных. IIг (т. пл. 79°; XГ, т. пл. 220°) нагревают (~95°, 30 мин.) с 2 г XГ I в 5 мл пиридина, подщелачивают NH<sub>4</sub>OH и получают IIIа, выход 90—95%, т. пл. 193°. 2 г IIIа нагревают (~95°, 1,5 часа) с 10 мл конц. H<sub>3</sub>PO<sub>4</sub> (из 39,5 г P<sub>2</sub>O<sub>5</sub> и 100 г 85%-ной H<sub>3</sub>PO<sub>4</sub>, кипячение 3 часа), подщелачивают NH<sub>4</sub>OH и извлекают эфиром IIг и VI, т. пл. 190°; XГ, т. пл. 233—235° (из CH<sub>3</sub>OH-эф.). Из водн. части р-ра после отгонки с паром IV выделяют V, т. пл. 135°; XГ, т. пл. 165—170° (нережко). Для доказательства строения V синтезирован конденсацией 3,4-(C<sub>2</sub>H<sub>5</sub>O)<sub>2</sub>C<sub>6</sub>H<sub>3</sub>CH<sub>2</sub>CH<sub>2</sub>NH<sub>2</sub> с ClCOOC<sub>2</sub>H<sub>5</sub> в кислоте с последующей циклизацией действием POCl<sub>3</sub>. 4 г IIг растворяют в миним. кол-ве ацетона, прибавляют 5 мл C<sub>2</sub>H<sub>5</sub>J и через 48 час. прибавлением эфира выделяют ИЭ IIг, выход 90—95%, т. пл. 185—187°. 2 г ИЭ IIг растворяют в воде, подщелачивают NH<sub>4</sub>OH и прибавляют водн. р-р I (из 2 г XГ I); выход VII 95%, т-ра плавления (в отличие от т-ры плавления, указанной ранее, см. ссылку выше) 134—135° (стойкая форма, из р-ра Na<sub>2</sub>CO<sub>3</sub>); XГ, т. пл. 210—212° (из CH<sub>3</sub>OH-эф.). ИЭ VII (получен, как указано для ИЭ IIг), т. пл. 180—181°, растворяют в воде, подщелачивают р-ром Na<sub>2</sub>CO<sub>3</sub> или NaOH и отделяют IX, т. пл. 134° (из эф.). БП IX приводит к X, т. пл. 76—77°; XГ, т. пл. 212—213°. X омылен 20%-ным р-ром КОН в C<sub>6</sub>H<sub>11</sub>OH и полученный XI выделен в виде XГ, т. пл. 186—188° (из CH<sub>3</sub>OH-эф.). ИМ IIг, т. пл. 231—233°, при действии р-ра NaOH дает соответствующий оксиметилат, т. пл. 110—111°. XII, т. пл. 135° (стойкая форма), синтезируют аналогично VII. К XII прибавляют избыток CH<sub>3</sub>J и через 10 мин. упаривают в вакууме; получают ИМ XII, т. пл. 170—173° (из CH<sub>3</sub>OH-эф.). Подщелачивают р-р 0,5 г ИЭ IIг в воде, прибавляют 0,3 г XVIII и через 24 часа отделяют XIX (R = C<sub>6</sub>H<sub>5</sub>, R' = C<sub>2</sub>H<sub>5</sub>), выход колич., т. пл. 112—113° (из водн. сп.); оксим, т. пл. 173—174° (из сп.). II [R = 3,4-(CH<sub>3</sub>O)<sub>2</sub>C<sub>6</sub>H<sub>3</sub>, R' = C<sub>2</sub>H<sub>5</sub>], т. пл. 99—100°,



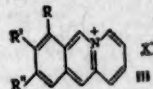
дот ИЭ, выход 92%, т. пл. 223—225°, из которого по-  
лучен N<sub>(2)</sub>-этил-III [R = 3,4-(CH<sub>3</sub>O)<sub>2</sub>, R' = C<sub>2</sub>H<sub>5</sub>], вы-  
ход колич., т. пл. 133°. Последний при действии XVIII  
получают XIX [R = 3,4-(CH<sub>3</sub>O)<sub>2</sub>C<sub>6</sub>H<sub>3</sub>, R' = C<sub>2</sub>H<sub>5</sub>], т. пл. 95—  
97° (из бал.-эф.); оксим, т. пл. 180° (из сп.). III [R =  
3,4-(C<sub>2</sub>H<sub>5</sub>O)<sub>2</sub>C<sub>6</sub>H<sub>3</sub>, R' = C<sub>2</sub>H<sub>5</sub>], т. пл. 84—85°, нагревают  
5 час. при ~95° с ХГ I в пиридине и получают III  
[R = 3,4-(C<sub>2</sub>H<sub>5</sub>O)<sub>2</sub>C<sub>6</sub>H<sub>3</sub>, R' = C<sub>2</sub>H<sub>5</sub>] (IIIa), т. пл. 143—144°  
(из сп.). Из ИЭ IIIa, т. пл. 224—226°, синтезировав  
(из сп.) ИЭ IIIa, т. пл. 85° (нерезко). Конденсацией  
N<sub>(2)</sub>-этил-IIIa с 3,4-(C<sub>2</sub>H<sub>5</sub>O)<sub>2</sub>C<sub>6</sub>H<sub>3</sub>CH<sub>2</sub>CH<sub>2</sub>NH<sub>2</sub> в присут-  
ствии Na<sub>2</sub>CO<sub>3</sub> получают n-NO<sub>2</sub>C<sub>6</sub>H<sub>4</sub>CONHCH<sub>2</sub>CH<sub>2</sub>C<sub>6</sub>H<sub>3</sub>  
(OC<sub>2</sub>H<sub>5</sub>)<sub>2</sub> 3,4, т. пл. 135°, который циклизуют кипяче-  
нием с POCl<sub>3</sub> в C<sub>6</sub>H<sub>6</sub> (1 час), выход II (R = n-NO<sub>2</sub>C<sub>6</sub>H<sub>4</sub>,  
R' = C<sub>2</sub>H<sub>5</sub>) (IIa) 82%, т. пл. 140°; ХГ, т. пл. 196—199°.  
При кипячении (8 час.) 1 г IIa в 5 мл C<sub>6</sub>H<sub>6</sub> с 3 мл  
C<sub>2</sub>H<sub>5</sub>J получают ИЭ IIa, выход 60%, т. пл. 239—241°.  
Действием XVIII на ИЭ IIa получают XIX (R = n-NO<sub>2</sub>-  
C<sub>6</sub>H<sub>4</sub>, R' = C<sub>2</sub>H<sub>5</sub>), т. пл. 146° (из сп.); оксим, т. пл.  
143—144° (из сп.). IIa превращен в III (R = n-NO<sub>2</sub>-  
C<sub>6</sub>H<sub>4</sub>, R' = C<sub>2</sub>H<sub>5</sub>), т. пл. 188—189° (из сп.). Из 3,5-(NO<sub>2</sub>)<sub>2</sub>-  
C<sub>6</sub>H<sub>3</sub>COCl и 3,4-(C<sub>2</sub>H<sub>5</sub>O)<sub>2</sub>C<sub>6</sub>H<sub>3</sub>CH<sub>2</sub>CH<sub>2</sub>NH<sub>2</sub> в пиридине  
синтезируют 3,4-(C<sub>2</sub>H<sub>5</sub>O)<sub>2</sub>C<sub>6</sub>H<sub>3</sub>CH<sub>2</sub>CH<sub>2</sub>NHCO<sub>2</sub>C<sub>6</sub>H<sub>3</sub>(NO<sub>2</sub>)<sub>2</sub>-  
3,4, т. пл. 129° (из сп.), и циклизуют кипячением  
с POCl<sub>3</sub> в C<sub>6</sub>H<sub>6</sub>; выход II [R = 3,4-(NO<sub>2</sub>)<sub>2</sub>C<sub>6</sub>H<sub>3</sub>, R' =  
C<sub>2</sub>H<sub>5</sub>] 70%, т. пл. 151—152° (из сп.); ХГ, т. пл.  
182—195°. III [R = 3,4-(NO<sub>2</sub>)<sub>2</sub>C<sub>6</sub>H<sub>3</sub>, R' = C<sub>2</sub>H<sub>5</sub>], т. пл.  
212°. 3-метил-II (R = C<sub>6</sub>H<sub>5</sub>, R' = CH<sub>3</sub>) (XX), т. пл.  
69—70° (ХГ, т. пл. 207—208°), превращен в 3-метил-III  
(R = C<sub>6</sub>H<sub>5</sub>, R' = CH<sub>3</sub>) (XXI) аналогично IIa (нагрева-  
ние 5 час.), т. пл. 191—192° (из сп.). БП XXI приводит  
к образованию IV и 3-метил-6,7-диметоксидигидроизо-  
карбостирила (XXII), т. пл. 188°. ИЭ XX, полученный  
кипячением (7 час.) основания с C<sub>2</sub>H<sub>5</sub>J в C<sub>6</sub>H<sub>6</sub>, выход  
90%, дает с почти колич. выходом N<sub>(2)</sub>-этил-XXI,  
т. пл. ~80° (нерезко), из которого при БП получен  
2-(CH<sub>3</sub>CH(NHCH<sub>3</sub>)CH<sub>2</sub>) - 4,5 - (CH<sub>3</sub>O)<sub>2</sub>C<sub>6</sub>H<sub>3</sub>CONHC<sub>6</sub>H<sub>5</sub>  
(XXIII), т. пл. 129°; ХГ, т. пл. 221—223°. При нагрева-  
нии с 20%-ным спирт. КОН XXIII дает N-этил-XXII.  
Действием XVIII на ИЭ XX с последующей обработ-  
кой образовавшегося XIX при помощи ХГ I в пири-  
дине (~95°, 8 час.) получают 2-(C<sub>6</sub>H<sub>5</sub>CON(C<sub>2</sub>H<sub>5</sub>)CH-  
(CH<sub>3</sub>)CH<sub>2</sub>)-4,5-(CH<sub>3</sub>O)<sub>2</sub>C<sub>6</sub>H<sub>3</sub>C(=NOH)C<sub>6</sub>H<sub>5</sub>, т. пл. 186°.  
16,3 г энантовой к-ты и 23,8 г 3,4-(C<sub>2</sub>H<sub>5</sub>O)<sub>2</sub>C<sub>6</sub>H<sub>3</sub>CH<sub>2</sub>CH<sub>2</sub>-  
NH<sub>2</sub> кипятят 3 часа в 30 мл ксилола с отделением  
образующейся воды, прибавляя метил. эфира выделя-  
ют 3,4-(C<sub>2</sub>H<sub>5</sub>O)<sub>2</sub>C<sub>6</sub>H<sub>3</sub>CH<sub>2</sub>CH<sub>2</sub>NHCO(C<sub>2</sub>H<sub>5</sub>)CH<sub>3</sub>, выход  
80%, т. пл. 73°, и циклизуют кипячением с POCl<sub>3</sub>  
в C<sub>6</sub>H<sub>6</sub>. Выход II (R = C<sub>6</sub>H<sub>13</sub>, R' = C<sub>2</sub>H<sub>5</sub>) 95%, т. пл.  
40,5° (из бал.-петр. эф.); ХГ, т. пл. 147—148°; ИЭ, вы-  
ход 92%, т. пл. 150—152°. XIII, т. пл. 87—90° (нерезко).  
Образование при БП XIII соединений XIV и XV под-  
тверждено тем, что после гидролиза неочищ. про-  
дукта р-ции выделены C<sub>6</sub>H<sub>13</sub>NH<sub>2</sub>, N-этил-V и 2-(C<sub>2</sub>H<sub>5</sub>-  
NHCH<sub>2</sub>CH<sub>2</sub>)-4,5-(C<sub>2</sub>H<sub>5</sub>O)<sub>2</sub>C<sub>6</sub>H<sub>3</sub>NH<sub>2</sub>, дибензойное  
производное, т. пл. 126—127° (из сп.). XIX (R = C<sub>6</sub>H<sub>13</sub>,  
R' = C<sub>2</sub>H<sub>5</sub>) — стекловидная масса, не дает кристаллич.  
осадка. 8,36 г 3,4-(C<sub>2</sub>H<sub>5</sub>O)<sub>2</sub>C<sub>6</sub>H<sub>3</sub>CH<sub>2</sub>CH<sub>2</sub>NH<sub>2</sub> и 7,04 г  
C<sub>6</sub>H<sub>5</sub>CH=CHCOOC<sub>2</sub>H<sub>5</sub> кипятят 1 час с р-ром CH<sub>3</sub>ONa  
из 1,2 г Na и 10 мл CH<sub>3</sub>OH; выход C<sub>6</sub>H<sub>5</sub>CH=CHCON-  
HCH<sub>2</sub>CH<sub>2</sub>C<sub>6</sub>H<sub>3</sub>(OC<sub>2</sub>H<sub>5</sub>)<sub>2</sub> 3,4 (XXIV) 83%, т. пл. 99° (из  
сп.). При циклизации XXIII кипячением с POCl<sub>3</sub>  
в C<sub>6</sub>H<sub>6</sub> IIa выделен в виде ХГ, т. пл. 172—174°; осно-  
вание быстро изменяется на воздухе. Из 0,4 г ХГ IIa  
в 20 мл воды действием 0,4 г ХГ I в присутствии 2,5 г  
CH<sub>3</sub>COONa на холоду получают 0,1 г ХГ' продукта  
присоединения I по C=C-связи, т. пл. 120° (нерезко),  
основание, т. пл. 100—105° (нерезко). Аналогично  
XXIV синтезируют 3,4-(C<sub>2</sub>H<sub>5</sub>O)<sub>2</sub>C<sub>6</sub>H<sub>3</sub>CH<sub>2</sub>CH<sub>2</sub>NHCO<sub>2</sub>R, где  
R = пиридил-3, (XXV), выход 82%, т. пл. 91—92° (из  
бал.-петр. эф.). 10 г XXV кипятят 3 часа с 10 г POCl<sub>3</sub>

в толуоле; в отличие от других II ХГ полученного IIa  
не извлекается CHCl<sub>3</sub>. Выход IIa 70%, т. пл. 102° (из  
бал.-петр. эф.); ди-ИЭ, т. пл. ~195° (нерезко). IIIb,  
т. пл. 208° (из сп.). 1 г II [R = 3,4-(CH<sub>3</sub>O)<sub>2</sub>C<sub>6</sub>H<sub>3</sub>CO,  
R' = CH<sub>3</sub>] (IIe) кипятят 4 часа с 2 мл C<sub>2</sub>H<sub>5</sub>J и 10 мл  
C<sub>6</sub>H<sub>6</sub> и получают ИЭ IIe, т. пл. 216—218°. ИЭ IIe рас-  
творяют в воде, прибавляют р-р ХГ I и CH<sub>3</sub>COONa  
и отфильтровывают йодгидрат N<sub>(2)</sub>-этил-III [R = 3,4-  
(CH<sub>3</sub>O)<sub>2</sub>C<sub>6</sub>H<sub>3</sub>CO, R' = CH<sub>3</sub>], т. пл. 185—187°; основание,  
т. пл. 133—134°, из которого получают XIX [R = 3,4-  
(CH<sub>3</sub>O)<sub>2</sub>C<sub>6</sub>H<sub>3</sub>CO, R' = CH<sub>3</sub>], т. пл. 145° (из сп.). Для  
получения XVI 3 г IIg кипятят 15 мин. в 20 мл карбо-  
филлена с 3 г S; т-ра плавления XVI 109—110° (из  
сп.); ХГ, т. пл. 204—207°.

Г. Браз  
28796. Ароматическая циклодегидратация. XXXV.

Алкосьные производные иона акридиния.  
Брадшер, Джонс (Aromatic cyclodehydration.  
XXXV. Alkoxyl derivatives of the acridinium ion.  
Bradsher C. K., Jones James H.), J. Amer.  
Chem. Soc., 1957, 79, № 22, 6033—6034 (англ.)

Обработкой пиколинового альдегида (I) метоксиль-  
ными производными бензилбромида (II) в присут-  
ствии CH<sub>3</sub>OH с последующим нагреванием в конц.  
HCl получены соли замещ. акридиния (IIIa R' =  
= OCH<sub>3</sub>, X = Cl; 6 R' = OH, X = Br; в R = R' = OCH<sub>3</sub>,



X = ClO<sub>4</sub>; г R'R' = OCH<sub>2</sub>O, X = Br; д RR' = OCH<sub>2</sub>O,  
X = Br; неуказанные R везде H). Циклизация кипя-  
щей HBr в случае 3-метокси-II (IIa) приводит к IIb.  
Присутствие алкоксильной группы в орто- или пара-  
положении к месту циклизации облегчает р-цию.  
Синтез IIIa и IIIb является модельным для введения  
алкоксильных групп в положения 9 и 10 протобербе-  
риновых алкалоидов. Смесь 1,8 г IIa, 0,9 г I в 20 мл  
абс. CH<sub>3</sub>OH кипятят 3 часа, добавляют 15 мл конц.  
HCl, кипятят 2 часа, упариванием в вакууме выделя-  
ют IIIa, т. пл. 180—182° (из сп.); перхлорат (из IIIa  
и HClO<sub>4</sub>), т. пл. 218—219°; пикрат, т. пл. 233°. Анало-  
гично из I и 2,3-метилendioкси-II (IIb) получают IIд,  
выход 42%, т. пл. 250—254° (из изо-C<sub>3</sub>H<sub>7</sub>OH-CH<sub>3</sub>OH);  
перхлорат, т. пл. 260—262°; пикрат, т. пл. 248—249°.  
1 г I и 1,9 г IIa в 15 мл CH<sub>3</sub>OH кипятят 1,5 часа, упарива-  
ют в вакууме, остаток кипятят 15 мин. с 15 мл  
48%-ной HBr и выделяют IIб, выход 37%, т. пл.  
250—252° (из сп.), который получают также из IIIa  
и 48%-ной HBr (кипячение 3 мин.), выход 60%; пер-  
хлорат, т. пл. 263—264°; пикрат, т. пл. 193—195° (из  
сп.). Аналогично синтезу IIIb (из IIa) из 2,3-димет-  
окси-II выделяют IIIв, выход 75%, т. пл. 198—202°;  
такой же выход и с конц. HCl (1,5 часа); пикрат,  
т. пл. 152° (полугидрат, из сп.); трибромид [получен  
добавлением бромной воды к спирт. р-ру неочищ. III  
(R = R' = OCH<sub>3</sub>, X = Br)], т. пл. 130—133°; 2 г 3,4-ме-  
тилендиоокси-II и 1 г I в 5 мл абс. C<sub>6</sub>H<sub>6</sub> нагревают  
(80°, 3 часа), декантируют, остаток нагревают (~100°  
1 час) с 50 мл конц. HCl и отфильтровывают IIIг,  
выход 31%, т. пл. 260—270° (из CH<sub>3</sub>OH); пикрат, т. пл.  
299—300° (разл.). IIб получают из 2,3-метилendioкси-  
бензилового спирта и PBr<sub>3</sub>, выход 98%, т. пл. 62—62,5°  
(из эф.). Сообщение XXXIV см. РЖХим, 1957, 68840.

Б. Дубинин

28797. Синтез 1-(4'-сульфофенил)-3-метилпиразоло-  
на-5 из дикетена и 4-сульфофенилгидразина. Левин  
П. А., Ж. общ. химии, 1957, 27, № 10, 2864—2866

0,02 моля 4-сульфофенилгидразина в 40 мл воды раз-  
мешивают 2 часа с 0,022 моля дикетена при t-ре ≤ 12°  
нагревают 1,5 часа при 60—70° и после охлаждения

отделяют 1-(4'-сульфофенил)-3-метилпиразолон-5, выход 40%.

Г. Браз  
28798. Синтез циклогидразина. Пиразолидин из 1,3-диаминопропана. Лютрингхаус, Яндер, Шнейдер (Cyclo-Hydrazinsynthese: Pyrazolidin aus 1,3-Diamino-propan. Lüttringhaus Arthur, Jander Jochen, Schneider Rupert), Naturwissenschaften, 1957, 44, № 16, 442 (нем.)

В соответствии с механизмом образования гидразина из  $\text{NH}_3$  (РЖХим, 1955, 18572; 1956, 57797) и аналогичного синтеза алкилгидразинов из аминов (РЖХим, 1956, 15979, 35808, 57954) 1,3-диаминопропан образует с  $\text{NaClO}$  (1 моль) пиразолидин (I), вероятно, через радикал  $\text{H}_2\text{N}(\text{CH}_2)_2\text{N}$ . Это доказывается выделением из реакционной смеси пиразолина в виде  $\text{C}_6\text{H}_5\text{SO}_2$ -производного (II) (выход ~30%, т. пл. 134°), который получен также при дегидрировании I посредством  $\text{C}_6\text{H}_5\text{SO}_2\text{Cl}$ , восстанавливающегося при этом до  $\text{C}_6\text{H}_5\text{SH}$ . При кипячении с 48%-ной  $\text{HBr}$  II гидролизуетс до пиразола (идентифицирован по пикрату) и  $(\text{C}_6\text{H}_5\text{S})_2$ . Обе последние р-ции наблюдаются и с заводским I.

А. Точилкин  
28799. Реакции производных гидразина. XII. Взаимодействие β-диалкиламинокетонов с гидразином. Ершов В. В., Кост А. Н., Терентьев А. П., Ж. общ. химии, 1957, 27, № 1, 258—261

Взаимодействием хлоргидратов β-диалкиламинокетонов  $\text{RCOCHNR}'\text{CH}_2\text{N}(\text{R}'')_2 \cdot \text{HCl}$  (I) с гидразингидратом (РЖХим, 1956, 78166) синтезирован ряд 3-арил-4-алкилпиразолинов  $\text{RC}=\text{NNHCH}_2\text{CHNR}'$  (II); II ( $\text{R}' = \text{H}$ )

хорошо сохраняются под водой, но очень быстро разлагаются на воздухе. К 20 мл  $\text{N}_2\text{H}_4 \cdot \text{H}_2\text{O}$ , 10 мл 40%-ного р-ра  $\text{NaOH}$  и 25 мл  $\text{CH}_3\text{OH}$  прибавляют (1 час) при нагревании р-р 27 г хлоргидрата I ( $\text{R} = n\text{-C}_6\text{H}_5\text{O}$ ,  $\text{C}_6\text{H}_5$ ,  $\text{R}' = \text{H}$ ,  $\text{R}'' = \text{C}_2\text{H}_5$ ), т. пл. 135—136°, в 50 мл  $\text{CH}_3\text{OH}$  кипятят 1 час, отгоняют (вакуум,  $\text{N}_2$ )  $\text{CH}_3\text{OH}$  и получают II ( $\text{R} = n\text{-C}_6\text{H}_5\text{O}$ ,  $\text{C}_6\text{H}_5$ ,  $\text{R}' = \text{H}$ ), выход 88%, т. пл. 82—85° (промывка водой); N-нитрозопроизводное (НП), т. пл. 142—143° (из  $\text{CH}_3\text{OH}$ ). N-бутирильное производное, выход 54%, т. пл. 106,5—107° (из ацетона). Аналогично получены следующие II [перечисляются  $\text{R}$ ,  $\text{R}'$ ,  $\text{R}''$  — одинаковые у I и II], т. пл. исходного I в °C, выход II в %, т. пл. II и его НП в °C):  $n\text{-C}_6\text{H}_5\text{O}$ ,  $\text{C}_6\text{H}_5$ ,  $\text{H}$ ,  $\text{C}_2\text{H}_5$ , 122, 80, 47—49, 106; N-ацетильное производное, т. пл. 81° (из эф.); 2,5-( $\text{CH}_3$ ) $_2\text{C}_6\text{H}_3$ ,  $\text{H}$ ,  $\text{C}_2\text{H}_5$ , 110—112, 64,1, — (т. кип. 137°/3 мм,  $n_D^{20}$  1,5943), 112;  $m\text{-O}_2\text{NC}_6\text{H}_4$ ,  $\text{H}$ ,  $\text{C}_2\text{H}_5$ , 124, 56,9, 112—115, 139;  $\text{C}_6\text{H}_5$ ,  $\text{CH}_3$ , 155—157, 87, 109—111, 90 (из водн. сп.);  $\text{C}_6\text{H}_5$ ,  $\text{C}_2\text{H}_5$ ,  $\text{CH}_3$ , 142, 73,2, 40—42 (т. кип. 127—129°/5 мм,  $n_D^{20}$  1,5895), 81 (из петр. эф.); N-фенилкарбамидное производное, т. пл. 123° (из сп.);  $n\text{-CH}_3\text{C}_6\text{H}_4$ ,  $\text{C}_2\text{H}_5$ ,  $\text{CH}_3$ , 179, 63 (т. кип. 140—141°/5 мм,  $n_D^{20}$  1,5290,  $d_4^{20}$  0,9748), —; N-бензойное производное, т. пл. 103° (из петр. эф.);  $\text{C}_6\text{H}_5$ ,  $\text{C}_6\text{H}_5$ ,  $\text{CH}_3$ , 129, 68, 36—38 (т. кип. 150—151°/5 мм,  $n_D^{20}$  1,5689), 68 (из сп.). Сообщение XI см. РЖХим, 1958, 25078.

В. Яшуцкий  
28800. Реакции производных гидразина. XIII. О синтезе пиразолинов реакцией Манниха. Кост А. Н., Ершов В. В., Ж. общ. химии, 1957, 27, № 4, 1072—1075

Описан новый метод синтеза пиразолинов взаимодействием алкиларилкетонс с параформом (I) и солянокислым гидразином (II) по р-ции Манниха, приводящим вначале к β-гидразинкетону, с последующей циклизацией в пиразолин при подщелачивании. Вследствие побочных процессов метод не является препаративным. Исследовано влияние заместителей на выходы 3-арилпиразолинов из β-диалкиламинопропиофенонов (III). 60 г ацетофенона (IV), 20 г I, 53 г  $(\text{CH}_3)_2\text{NH} \cdot \text{HCl}$  (V) и 80 мл спирта кипятят 2,5 часа, разбавляют водой, промывают эфиром, подщелачи-

вают под слоем эфира 40%-ным р-ром  $\text{NaOH}$ , в сухую эфирную вытяжку пропускают  $\text{HCl}$ , выделяют хлоргидрат III (алкил =  $\text{CH}_3$ ) (IIIa), выход 93%, т. пл. 151—153°. Аналогично получают хлоргидраты замест. IIIa из замест. IV (перечисляются заместители IV, выход III в %, т. пл. в °C):  $n\text{-CH}_3$  (IVa),  $n\text{-CH}_2\text{-IIIa}$  (IIIb), 88, 158—159;  $n\text{-OCH}_3$  (IVb),  $n\text{-OCH}_2\text{-IIIa}$  (IIIc), 85, 179; 2,5-( $\text{CH}_3$ ) $_2$  (IVv), 2,5-( $\text{CH}_3$ ) $_2\text{-IIIa}$  (IIIr), 66, 153. 3-фенилпиразолин (VI) получают: А) к 75 мл гидразингидрата в присутствии 50 мл 40%-ного р-ра  $\text{NaOH}$  и 100 мл  $\text{CH}_3\text{OH}$  прибавляют (45—50°, 1,5 часа) р-р 106,5 г IIIa в 250 мл  $\text{CH}_3\text{OH}$ , кипятят 40 мин, выделяют VI с выходом 78,3%; Б) IV, I и V в спирте кипятят 2,5 часа, прибавляют  $\text{CH}_3\text{OH}$  и воду и пускают в р-цию с гидразином, выход 70,4%; В) IV, I и II в спирте кипятят 2 часа, подщелачивают 40%-ным р-ром  $\text{NaOH}$ , выход VI 28%. 3-н-толилпиразолин получают аналогично VI по методу А из IIIg с выходом 61,4%, т. кип. 145—146°/5 мм,  $n_D^{20}$  1,5943,  $d_4^{20}$  1,0658; по методу Б из IVv с выходом 61,7% и по методу В из IVv с выходом 15,1%. Аналогично VI по методу В из 29,6 г бутирофенона, I и II получают 1,3-г-3-фенил-4-этилпиразолина, т. кип. 129°/5 мм; N-нитрозопроизводное, т. пл. 81° (из эф.).

Ю. Розанова  
28801. Синтез азианиновых красителей. Дзэппе (Zenko Nisanao), Нихон сясин гаккай кайси, J. Soc. Scient. Photogr. Japan, 1956, 19, № 2, 84—90 (японск.; рез. англ.)

Виолуровая к-та (I), 1,3-диметилвиолуровая к-та (II), 2-оксиминониндандион (III), 1,2-дифенил-3,5-дикето-4-оксиминопиразолидин (IV) и 5-оксиминопиразолидин (V) по р-ции с йодэтилатами (ИЭ) и йодэтилатами (ИЭ) гетероциклов, обладающих реакционной способностью метильной группой ( $\text{Г-CH}_3$ , где Г — гетероцикл, остаток), дают азаметиновые красители (АЗ)  $\text{Г-CH}_3 + \text{HON}=\text{C} \rightarrow \text{Г-CH}=\text{N}=\text{C}$ . Моноксим хинона (VI), моноксим 1,4-нафтохинона (VII), 1-оксим 1,2-нафтохинона (VIII) и 2-оксим 1,2-нафтохинона (IX) ( $\text{O}=\text{C}=\text{X}=\text{C}=\text{NOH}$ ) дают с  $\text{Г-CH}_3$  азаполиметиленовые, азаметианиновые красители (АП):  $\text{Г-CH}_3 + \text{HON}=\text{C}=\text{X}=\text{C}=\text{O} + \text{H}_2\text{C}=\text{Г} \rightarrow \text{Г-CH}=\text{N}=\text{C}=\text{X}=\text{CH}=\text{Г}$ . С аллоканом (X), хиноном и 5,5-дибромбарбитуровой к-той (XI)  $\text{Г-CH}_3$  тоже дают красители (КР)  $\text{Г-CH}=\text{C} < \text{хром. ф.} \rightarrow \text{Г-CH}=\text{C}=\text{N}=\text{C}$ . Из N-ацетиллизатина (XII) и β-анилидизатина (XIII) с N,N'-дифенил-3,5-дикетопиразолидином (XIV) и  $\text{Г-CH}_3$  получают индигоидные красители (ИК). Все реактивы для качеств. определения аминокислот, имеющие группировки  $-\text{CO}-\text{CO}-$ ,  $-\text{CO}-\text{CO}-\text{CO}-$  и  $-\text{CO}-(\text{CH}=\text{CH})_n\text{CO}-$ , а также моноксимы подобных в-в реагируют с  $\text{Г-CH}_3$ , но стойких красителей с циклич. кетометиленами не образуется. Р-р 5 г XIV, 1,7 г  $\text{NaNO}_2$  и 0,9 г  $\text{NaOH}$  в 8 мл воды подкисляют при 0—5° 10%-ной  $\text{H}_2\text{SO}_4$ , выпадает 4,5 г IV, т. пл. 126—127° (из сп.). 3,1 г N,N'-диметил-5,5-дибромбарбитуровой к-ты, 1 г  $\text{NH}_2\text{OH} \cdot \text{HCl}$  и 0,8 г  $\text{Na}_2\text{CO}_3$  в 8 мл воды нагревают 1,5 часа при 100°, получают 1,2 г, т. пл. 124—125° (из воды). Смесь 0,2 моля ИМ или ИЭ  $\text{Г-CH}_3$  и 0,2 моля оксимина нагревают 45 мин. при 100° в 2 мл спирта или пиридина с 4—5 каплями пиперидина. Реакционную массу упаривают в вакууме, промывают эфиром и перекристаллизовывают из спирта, получают следующие АЗ [указаны кол-во компонентов в г, выход в г, т. пл. в °C (разл.), цвет]: 0,47 ИМ α-никотина (XV), 0,35 I, 0,1, 253, красно-оранжевый; 0,50 ИМ лутидина (XVI), 0,35 I, 0,1, 268, красно-оранжевый; 0,57 ИМ хинальдицина (XVII)



0,35 I, 0,3, 310, красный; 0,6 II хинальдина (XVIII), 0,35 I, 0,35, 304, красный; 0,63 IM 6-метоксихинальдина (XIX), 0,35 I, 0,35, 308, красно-оранжевый; 0,57 XVII, 0,40 II, 0,2, 300, красный; 0,47 XV, 0,35 III, низкий, 223, коричневый; 0,57 XVII, 0,35 III, 0,3, 275, черно-пурпурный; 0,6 XVIII, 0,35 III, 0,35, 281, черно-пурпурный; 0,69 XIX, 0,35 III, 0,20, 268, темно-синий; 0,77 XV, 0,60 IV, 0,1, 239—242, оранжево-желтый; 0,57 XVII, 0,60 IV, 0,65, 298—299, алый; 0,63 XIX, 0,60 IV, 0,40, 253, алый; 0,59 XVII, 0,3 V, 0,25, 219—220, черный. Аналогично из 0,04 моля VI—IX и 0,2 моля  $\Gamma\text{-CH}_3$  получают АП (компоненты, выход в г, т. пл. в °C, цвет): XVII, VI, 0,48, 219, черный; XVII, VIII, 0,6, 205—207, ярко-зеленый; XIX, VIII, 0,15, 196, черный; XVII, IX, 0,55, 203—209, темно-пурпурный; XVII, VII, 0,6, 246—251, темно-зеленый; XIX, VII, 0,35, 242, черный. КР получают при нагревании 1 час до 100° по 0,2 моля компонентов в 2 мл пиридина (компоненты, выход в г, т. пл. в °C, цвет): XVII, X, 0,52, > 300, красный; XVIII, X, 0,55, 275, красно-оранжевый; XIX, X, 0,45, 281, красно-коричневый; IX 6-метилхинальдина, X, 0,55, 259—261, красный; XVII, хинон, 0,4, > 300, черный; XVIII, хинон, 0,4, > 300, черный; бромметилат (БМ) хинальдина, XI, 0,55, 299—300, алый; бромметилат хинальдина, XI, 0,55, > 300, алый; БМ 6-метоксихинальдина, XI, 0,45, > 300, красный. Связующие ИК получают при нагревании 45 мин. по 0,2 моля компонентов с 0,3 г  $\text{CH}_3\text{COONa}$  в 2 мл  $(\text{CH}_3\text{CO})_2\text{O}$  (компоненты, выход в г, т. пл. в °C, цвет): XIV, XII, 0,45, > 300, коричневый; XVII, XII, 0,4, 276, черный; XVIII, XIII, 0,4, 277, черный; XVIII, XII, 0,45, 273, черный; IM 6-метилхинальдина, XII, 0,3, 240, черный; диметилбарбитуровая к-та (XX), XIII, 0,25, 266—267, черный. Следующие ИК получают в тех же условиях, что и АЗ: XX, XIII, 0,25, —, коричневый; XIV, XIII, 0,35, 253, серый; XVII, XIII, 0,45, 303—305, черный; XVIII, XIII, 0,45, 293—296, черный; XIX, XIII, 0,4, 241, черный. Сплавлением 45 мин. компонентов при 230° получают ИК из XX, XIII, 0,4, 273, темно-зеленый; XVII, XIII, 0,5, 300, черный; XVIII, XIII, —, 254, черный.

Н. Швецов

28802. Исследование имидазолов. VII. Замещенные 1-( $\beta$ -фенилэтил)-имидазолы и родственные соединения. Каннон, Пауэлл, Джонс (Studies of imidazoles. VII. Substituted 1-phenethylimidazoles and related compounds. Cannon W. N., Powell C. E., Jones R. G.), J. Organ. Chem., 1957, 22, № 11, 1323—1326 (англ.).

Нагреванием аминов с хлорацеталем получены N-замещ. аминаоацетали  $\text{RNCH}_2\text{CH}(\text{OC}_2\text{H}_5)_2$  (I), которые с  $\text{HCNS}$  образуют 1-замещ. 2-меркаптоимидазолы  $\text{RNCH}=\text{CHN}=\text{CSH}$  (II). Обессеривание II со скелетным Ni

приводит к 1-R-имидазолам (III), а действие  $\text{CH}_3\text{J}$  к 1-R-2-метилмеркаптоимидазолам (IV). При р-ции II (R = гомовератрил) (IIa) с бромалкилами получены 2,4-( $\text{CH}_3\text{O}$ ) $_2\text{C}_6\text{H}_3\text{CH}_2\text{CH}_2\text{NCH}=\text{CHN}=\text{CSR}$  (V). Испыта-

ние на животных показало, что IV (R = гомовератрил) обладает заметной местноанестезирующей и бронхоспазмолитической активностью (клинич. испытания не оправдали надежд). III [R =  $\text{C}_6\text{H}_5(\text{CH}_2)_n$ , где  $n = 1-3$ ] действует на кровяное давление и сердце животных аналогично эфедрину. 3,3 моля  $\text{NaCN}$ , 3 моля 2,4-дихлорбензилхлорида, 500 мл спирта и 500 мл воды кипят 8 час. и выделяют 2,4-дихлорбензилцианид, выход 70%, т. пл. 59—60° (из сл.). Аналогично получают 3,4-дихлорбензилцианид (VI), выход 55%, т. пл. 37—37,5°. 1 моль VI в эфире восстанавливают 1 молем  $\text{LiAlH}_4$  (медленное прибавление) и выделяют  $\beta$ -(3,4-дихлорфенил)-этиламин, выход 54%, т. кип. 118—120°/4,5 мм,

$n_D^{25}$  1,5650; хлоргидрат, т. пл. 169—170° (из сл.-эф.). Аналогично получены  $\beta$ -( $\alpha$ -хлорфенил)-этиламин, выход 63%, т. кип. 94—95°/4—5 мм,  $n_D^{25}$  1,5483; хлоргидрат, т. пл. 139—140°, и  $\beta$ -(2,4-дихлорфенил)-этиламин, выход 67%, т. кип. 114—120°/3 мм,  $n_D^{25}$  1,5639; хлоргидрат, т. пл. 164—165°. 0,6 моля  $\text{ClCH}_2\text{CH}(\text{OC}_2\text{H}_5)_2$  и 2 моля гомовератриламины нагревают (120°, 24 часа), охлаждают, прибавляют 180 мл 50%-ного  $\text{NaOH}$  и  $\text{CHCl}_3$  выделяют I (R = 3,4-диметоксифенилэтил). Аналогично получают другие I. К 0,135 моля I (R =  $\alpha$ - $\text{ClC}_6\text{H}_4\text{CH}_2\text{CH}_2$ ) в 125 мл спирта прибавляют 0,16 моля  $\text{KCNS}$  и 0,15 моля 2 н.  $\text{HCl}$ , нагревают (~100°, 4 часа) с отгонкой спирта, осадок растворяют в 300 мл горячей воды, содержащей 5,4 г  $\text{NaOH}$ , осветляют углем и конц.  $\text{HCl}$  осаждают II (R =  $\alpha$ - $\text{ClC}_6\text{H}_4\text{CH}_2\text{CH}_2$ ). Аналогично получают другие II. К 0,05 моля II в 250 мл теплового спирта прибавляют избыток скелетного Ni кипятят 5 час. и выделяют III. К 0,1 молю II в 100 мл спирта прибавляют 0,15 моля  $\text{CH}_3\text{J}$  (охлаждение), выдерживают (~20°, 12 час.), осаждают эфиром йодгидрат IV, который обрабатывают р-ром 4 г  $\text{NaOH}$  в 500 мл воды, эфиром извлекают IV, сушат и сухим  $\text{HCl}$  осаждают хлоргидрат IV. Получены следующие I—IV (перечисляются R, выход I в %, т. кип. в °C/мм,  $n_D^{25}$ , выход II в %, т. пл. в °C (из сл.), выход III в %, т. кип. в °C/мм,  $n_D^{25}$ , выход хлоргидрата IV в %, т. пл. в °C (из сл.-эф.)):  $\text{C}_6\text{H}_5\text{CH}(\text{CH}_3)\text{CH}_2\text{CH}_2\text{CH}_3$ , 64,3, 117, —, 121/10, 1,4289, 53, 82, 65, 91—92/1, 1,4731, 49,5, 152—154;  $\text{CH}_3(\text{CH}_2)_4\text{CHCH}_3$ , 53, 125—129/10, 1,4283, 45, 75—76, 66 (обессеривание велось  $\text{HNO}_3$  +  $\text{NaNO}_2$ ), 118—119/3, 1,4705, 81,5, 142—143;  $\text{C}_6\text{H}_5\text{CH}_2\text{CHCH}_3$ , 68,3, 154—159/8, 1,4839, 86,5, 126—126,5, 65,5, 133/1, 1,5535, 86, 164—164,5;  $n\text{-CH}_3\text{OC}_6\text{H}_4\text{CH}_2\text{CH}_2$ , 77, 170/4, 1,4923, 87,2, 152, 54,5, 158/0,5, 1,5261, 58,5, 158—159; 3,4-( $\text{CH}_3\text{O}$ ) $_2\text{C}_6\text{H}_3\text{CH}_2\text{CH}_2$ , 62, 190—191/3, 1,5015, 66,4, 171, 60, 195/1 (т. пл. 71—71°), 1,5659, 58, 149—150;  $\alpha\text{-ClC}_6\text{H}_4\text{CH}_2\text{CH}_2$ , 53, 130—135/1, 1,5020, 83, 140,5, 58,5, 139—140/1, 1,5689, 64, 128—129;  $n\text{-ClC}_6\text{H}_4\text{CH}_2\text{CH}_2$ , 61, 140—145, 1,5, 1,4983, 79, 202—203, 73,7, 159—161/1 (т. пл. 72—72,5°), —, 39,5, 171—172; 2,4- $\text{Cl}_2\text{C}_6\text{H}_3\text{CH}_2\text{CH}_2$ , 46, 160—165/2, 1,5131, 71,5, 179,5—180, 63, 152/0,25, 1,5798, 56, 188; 3,4- $\text{Cl}_2\text{C}_6\text{H}_3\text{CH}_2\text{CH}_2$ , 41,2, 151—152/1, 1,5203, 62, 153—154, 70, 221/1,25, 1,5800, 52, 173,5;  $\text{C}_6\text{H}_5(\text{CH}_2)_3$ , 73,5, 163/4, 1,4849, 81,5, 113—114, 68, 141/1, 1,5547, 76, 95—96;  $(\text{CH}_3)_2\text{CHCH}_2\text{CH}_2$ , 75, 100—102/10, 1,4250, 78, 95—96, 70,3, 108/8, 1,4742, 78,5, 130—131;  $n\text{-C}_8\text{H}_{17}$ , 73, 97/0,25, 1,4311, 87,5, 57—57,5, 35, 115—117/0,25, 1,4781, 69, 117—118. Кроме того, получены хлоргидраты IV (R = циклогексил), выход 76%, т. пл. 166—167°, и хлоргидрат IV (R = бензил), выход 82,3%, т. пл. 169—170°. Аналогично IV, применяя IIa и бромистые алкилы вместо  $\text{CH}_3\text{J}$ , получают хлоргидраты V (перечисляются R, выход в %, т. пл. в °C):  $n\text{-C}_8\text{H}_{17}$ , 70, 117—118;  $n\text{-C}_6\text{H}_{13}$ , 72, 108—109;  $\text{CH}_3\text{CH}_2\text{COOCH}_2\text{CH}_2$ , 64, 107—108;  $\text{C}_6\text{H}_5\text{CH}_2$ , 82, 129—130;  $\text{C}_6\text{H}_5\text{CH}(\text{OH})\text{CH}_2$ , 74, 151—152. Предыдущее сообщение см. J. Amer. Chem. Soc., 1952, 74, 1085.

Б. Дубинин

28803. Бактерицидные соединения. I. Некоторые новые 2,4-диаминопиримидины. Роджерс, Линза, Саретт (Antiparasitic agents. I. Some New 2,4-diaminopyrimidines. Rogers E. F., Leanza W. J., Saret L. H.), J. Organ. Chem., 1957, 22, № 11, 1492—1494 (англ.).

Реакцией кетонитрилов  $\text{RCH}(\text{CN})\text{COR}'$  (Ia—e, где a R =  $n\text{-ClC}_6\text{H}_4$ , R' =  $\text{CF}_3$ ; б R =  $n\text{-ClC}_6\text{H}_4$ , R' =  $\text{C}_2\text{F}_5$ ; в R =  $n\text{-ClC}_6\text{H}_4$ , R' =  $\text{CH}(\text{OCH}_3)_2$ ; г R =  $\alpha$ -фурил, R' =  $\text{C}_2\text{H}_5$ ; д R =  $\alpha$ -тиенил, R' =  $\text{C}_2\text{H}_5$ ; е R = 5-хлор- $\alpha$ -тиенил, R' =  $\text{C}_2\text{H}_5$ ) с эфирным р-ром  $\text{CH}_2\text{N}_2$  и конденсацией продуктов с гуанидином синтезированы соответствующие 5-R-6-R'-2,4-диаминопиримидины (IIa—e), предназначенные для фармакологич. испытаний. Ia (т. пл. 95—97°), Ib (т. пл. 110—111°) и Ic (т. пл. 106—108°) синтезированы с 47—61%-ными выходами

конденсацией *n*-хлорфенилацетонитрила с соответствующими  $R'COOC_2H_5$  в присутствии  $C_2H_5ONa$ ; аналогично получен **Id**, выход 55%, т. пл. 90°; **Ig** легко разлагается и конденсируется с гуанидином в атмосфере  $N_2$ . 52 г 5-хлор-2-тиенилацетонитрила и 30 г  $C_2H_5COOC_2H_5$  (**III**) нагревают 20 час. при 160–165°, добавляют 30 г **III**, продолжают нагревание в течение 20 час., повышая т-ру до 185°, приливают 0,1 л эфира, оставляют на 12 час. в холодильнике, отгоняют эфир, нагревают 2 часа при 110–115°/1–2 мм и получают **Ie**; если синтез **Ie** проводят по Клайзену при т-ре от –10 до –20°, получается продукт с т. пл. 110° (из бэл.). Смесь **Ia**–**e** с избытком эфирного *p*-ра  $CH_2N_2$  оставляют на 12 час. при 0–5°, отгоняют *p*-ритель, остаток растворяют в спирте, смешивают со спирт. *p*-ром гуанидина, кипятят 4 часа и отделяют [указаны в-во и т. пл. в °C (из сп.)]: **IIa**, 243–245; **IIb**, 200–201; **IIв**, 264–267; **IIг**, 224–226; **IIд**, 247–248; **IIе**, 240–242. Л. Шуклина 28804.

Синтез пиримидинов типа пириметаминна на основе трехзамещенных изоксазолов. Альмиранте, Бьянки, Камбони (Sintesi di pirimidine del tipo della pirimetamina a partire da isossazoli trisostituiti. Almirante Luigi, Bianchi Angelo, Zamboni Valentino), Ann. chimica, 1956, 46, № 9, 623–633 (итал.).

В процессе изучения синтеза аналогов пириметаминна, обладающего противомаларийным действием, получены 3-метил-4-фенил-5-аминоизоксазол (**I**) и 3-метил-4-(2',4'-дихлорфенил)-5-аминоизоксазол (**II**). При каталитич. гидрировании **I** разрывается связь O–N и образуется  $\alpha$ -фенил- $\beta$ -амино- $\beta'$ -метилакриламид (**III**); аналогично из 3-этил-4-*n*-хлорфенил-5-аминоизоксазола (**IV**) получен  $\alpha$ -(4'-хлорфенил)- $\beta$ -амино- $\beta'$ -этилакриламид (**V**). При действии на  $V$   $CH_2ClCOCl$  (**VI**) в присутствии  $(CH_3)_2NC_2H_5$  образуется 2-дихлорметил-4-окси-5'-(*n*-хлорфенил)-6-этилпиримидин (**VII**); строение **VII** подтверждено синтезом из дихлорацетамидина (**VIII**) и этилового эфира  $\alpha$ -пропионил- $\alpha'$ -(*n*-хлорфенил)-уксусной к-ты (нагревание в спирте 3 часа). Строение **V** подтверждено синтезом: действием  $NH_3$  на  $\alpha$ -(*n*-хлорфенил)- $\beta$ -окси- $\beta'$ -этилакриламид (**IX**), полученный в свою очередь действием конц.  $H_2SO_4$  на  $\alpha$ -пропионил- $\alpha'$ -(*n*-хлорфенил)-ацетонитрил. **VII** легко реагирует с  $POCl_3$ , образуя 2-дихлорметил-4-хлор-5-(*n*-хлорфенил)-6-этилпиримидин (**X**); при *p*-ции **VII** с  $C_2H_5ONa$  образуется 2-диэтоксиметил-4-окси-5-(*n*-хлорфенил)-6-метилпиримидин (**XI**). Приведены УФ-спектры **IV**, **VII**, **IX** и 3-этил-4-*n*-хлорфенил-5-оксизоксазола. Приведены данные по ИК-спектрам для  $\alpha$ -(2',4'-дихлорфенил)- $\alpha'$ -ацетилацетонитрила (**XII**), **I**, **IV**, **V**, **VII**, **IX**,  $\alpha$ -фенил- $\beta$ -окси- $\beta'$ -метилакриламида (**XIII**), 3-метил-4-фенил-5-оксизоксазола и 3-метил-4-*n*-хлорфенил-5-оксизоксазола. Смесь 20 г 2,4-дихлорбензилцианида и 19 г этилацетата добавляют при охлаждении к порошку  $C_2H_5ONa$  (из 2,5 г Na), на другой день нагревают 2 часа, отгоняют *p*-ритель, выливают в воду, получают **XII**, т. пл. 135–136° (из разб. сп.). При синтезе **I** (Walter, Schickler, J. prakt. Chem., 1897, 55, 344) в присутствии  $CH_3COONa$  получен побочный продукт  $C_{10}H_{10}N_2O$ , т. пл. 67–68°. Смесь 3,7 г **XII**, 7 мл пиридина и 1,2 г  $HONH_2 \cdot HCl$  оставляют на 12 час., выливают на лед, получают **II**, т. пл. 152–154° (из бэл.). Бензойльное производное (**BP**) **IV**, т. пл. 120–121° (из метанола); ацетильное производное (**AP**), т. пл. 57–58° (из метанола). 5 г **I** в абс. спирте гидрируют над 0,1 г  $PtO_2 \cdot H_2O$ , получают **III**, т. пл. 164–165° (из разб. метанола); ацетильно из **IV** получают **V**, т. пл. 175–176° (из разб. метанола); **BP**, т. пл. 169–170° (из метанола); **AP**, т. пл. 194–195° (из разб. метанола). 5 г **III** обрабатывают разб.  $H_2SO_4$ , получают **XIII**, т. пл. 130–131° (из разб. метанола); аналогично из **V** получают **IX**, т. пл. 152–153° (из сп.); **AP**, т. пл. 107–

108° (из метанола). 4,5 г **V** в 40 мл  $C_2H_5Cl_2$  при 0° обрабатывают 7,3 г  $(CH_3)_2NC_2H_5$  и 2,95 мл **VI**, оставляют на 1 час при 0°, на 5 час. при ~20°, выпаривают в вакууме, обрабатывают разб. метанолом, получают **VII**, т. пл. 185–186°. 20 г хлоргидрата дихлорацетиминового эфира (Англ. пат. 667971, 1952 г.) в 20 мл безводного спирта при 0° обрабатывают 40 мл 10%-ного спирт.  $NH_3$ , через 3 часа фильтруют, упаривают в вакууме, растворяют в спирте, пропускают  $HCl$  (газ), получают хлоргидрат **VIII**, т. пл. 134–136°. 11,5 г **VII** кипятят 1 час с 80 мл  $POCl_3$ , выпаривают в вакууме, обрабатывают льдом, подщелачивают аммиаком, извлекают эфиром, получают **X**, т. пл. 77–78° (из сп.). 3,6 г **VII** и 0,6 г Na в 30 мл абс. спирта нагревают 16 час. при 160°, выпаривают, обрабатывают разб.  $HNO_3$ , извлекают эфиром, получают **XI**, т. пл. 131–132° (из метанола). Л. Яновская 28805.

Защитные группы в синтезе несимметричных пиперазинов. Харфенист, Маньян (Protecting groups in the synthesis of unsymmetrical piperazines. Harfenist M., Magnien E.), J. Amer. Chem. Soc., 1957, 79, № 9, 2215–2216 (англ.).

Изучены различные методы удаления защищающей группы R одного из двух атомов N пиперазина

$CH_2CH_2N(R)CH_2CH_2N+(R')R''X-$  (**I**) для получения четвертичных солей монозамещ. пиперазинов **I** ( $R = H$ ). В качестве R исследованы  $C_2H_5OOC-$ ,  $CH_3CO-$ ,  $ON-$  и  $H_2NCO-$  группы.  $C_2H_5OOC-$  группа может быть удалена кипячением **I** с 6 н.  $HCl$  (2–3 дня) или нагреванием со щелочью. Однако при таком кислотном гидролизе (**Г**) у **I** ( $R = C_2H_5OOC$ ,  $R' = CH_2C_6H_5$ ,  $R'' = CH_3$ ,  $X = Cl$ ) отщепляется также и  $R' = CH_2C_6H_5$ . При кислотном декарботоксигировании **I** ( $R = C_2H_5OOC$ ,  $R' = CH_2C \equiv CH$ ,  $R'' = CH_3$ ,  $X = Cl$ ) получен продукт, содержащий примеси с низким содержанием галогена. **Г** **I** ( $R = C_2H_5OOC$ ) действием оснований дает **I** ( $R = H$ ) с хорошими выходами. Применение защитной  $CH_3CO-$  группы и кислотного **Г** авторы считают наиболее подходящими. Основной **Г** с применением  $Ba(OH)_2$  пригоден для устойчивых в щелочах и растворимых в них соединений. Для удаления  $NO-$  группы каталитич. гидрогенолизом в присутствии скелетного Ni ограниченный не найдено ввиду более легкой восстановления  $NO-$  группы по сравнению с другими функциональными группами. Однако при этом продукт гидрогенолиза содержит много  $Ni^{2+}$ , который отделяют действием диметилглиоксима. Удаление  $NO-$  группы возможно также при применении соединений, необратимо связывающих освобождающуюся при гидролизе  $HNO_2$ , напр., **I** ( $R = NH_2CO$ ); выходы **I** ( $R = H$ ) – почти. Скорость **Г** **I** ( $R = NH_2CO$ ) по сравнению со скоростью *p*-ции с **I** ( $R = NO$ ) очень мала. Этот метод требует приготовления как **I** ( $R = NO$ ), так и **I** ( $R = NH_2CO$ ), но он пригоден для соединений, реагирующих с  $HNO_2$  со скоростью, соизмеримой со скоростью *p*-ции **I** ( $R = NO$ ) с **I** ( $R = NH_2CO$ ). При взаимодействии 10 г **I** ( $R = C_2H_5OOC$ ,  $R' = CH_2C \equiv CH$ ,  $R'' = CH_3$ ,  $J = Br$ ) с 295 мл 0,4 н.  $Ba(OH)_2$  (50°, 5 час.) **Г** проходит на 86–100%. При кипячении с 0,35 н.  $Ba(OH)_2$  (27 мин.) **Г** проходит на 70% [дополнительное кипячение (80 мин.) не изменяет степени гидролиза]. Щел. *p*-р. полученный при **Г** с 0,35 н.  $Ba(OH)_2$ , насыщают  $CO_2$ , нагревают в токе  $N_2$  (100°),  $BaCO_3$  отфильтровывают, фильтрат упаривают в вакууме, остаток растворяют в абс. спирте, добавляют равный объем ацетона, охлаждают и добавляют *p*-р 9 г 30%-ной  $HBr$  (к-та) в  $CH_3COOH$  и затем эфир. Получают 1,5 г бромгидрата **I** ( $R = H$ ,  $R' = CH_2C \equiv CH$ ,  $R'' = CH_3$ ,  $X = Br$ ), т. пл. 177–180° (разл.; из сп.-ацетон-эф.). При 50° получают такие же результаты. Взаимодействием последнего с суспензией  $AgCl$  в  $CH_3OH$ , содержащим  $HCl$ , получают



I ( $R = H$ ,  $R' = CH_2C \equiv CH$ ,  $R'' = CH_3$ ,  $X = Cl$ ), хлоридат, т. пл. 171–172°. Р-р 0,05 молей I ( $R = NO$ ,  $R' = CH_2C \equiv CH$ ,  $R'' = CH_3$ ,  $X = Cl$ ) в 50 мл  $CH_3OH$  гидрируют в приборе Парра в присутствии ~ 4 г скелетного Ni (вес сухого катализатора) (2,8 ст, 28°, 3,5 часа), фильтруют, добавляют небольшой избыток диметилглиоксима, фильтрат упаривают в вакууме, остаток перекристаллизовывают из смеси спирт-эфира и превращают в хлоргидрат. I ( $R = H$ ,  $R' = CH_2C \equiv CH$ ,  $R'' = CH_3$ ,  $X = Cl$ ), выход 7,2 г, т. пл. 116° (моногидрат из абс. сп.-бэл.-эф.). Высушиванием (0,01 мм, 20°, 2 часа) получают безводн. в-во, т. пл. 172–175°. Предыдущее сообщение см. РЖХим, 1958, 14520. Р. Окунев

28806. Исследование феназинов. XV. Расщепление феназинового кольца. 1. Хиноксалиндикарбоновая-2,3-кислота. Йосика, Отомасу (Studies on phenazines. XV. The ring cleavage of phenazine. (1). 2,3-quinoxalinedicarboxylic acid. Yosioka Itiro, Otomasu Hirotsuka), Pharmac. Bull., 1957, 5, № 3, 277–279 (англ.)

При окислении феназина (I)  $KMnO_4$  в щел. р-ре получается хиноксалиндикарбоновая-2,3-к-та (II) с выходом 70% и небольшое кол-во кислого в-ва, нерастворимого в  $CH_3OH$ , т. пл. > 340°,  $\lambda_{max}$  (0,1 н. NaOH) 288 мμ (lg ε 0,425), которое образуется также при окислении 1- и 2-метокси-I с выходом 45 и 24% соответственно. Исходя из II, получают метиловый эфир хиноксалиндикарбоновой-2 к-ты (III, к-та IV), превращенный в амид и гидразид IV (IVa, б), а также в хиноксалингидроксамовую-2 к-ту (V). При испытании против *M. tuberculosis*  $H_3Rv$  IVa, б и V показали некоторую активность. 1,5 г ангидрида II в 4 мл абс.  $CH_3OH$  кипятят 4 часа и получают 1,2 г полуэфира II, т. пл. 151° (разл.; из  $CH_3OH$ ), который при 150–160° в вакууме дает 1 г III, т. пл. 111–112° (возгонка). III в  $CH_3OH$ , насыщ.  $NH_3$  (~ 20°, 12 час.), дают IVa, т. пл. 200° (из  $CH_3OH$ ). 0,5 г III в 10 мл  $CH_3OH$  и 4 мл 60%-ного  $N_2H_4 \cdot H_2O$  (кипчение 2 часа) образуют IVб, т. пл. 208° (из 60%-ного  $CH_3OH$ ).  $NH_2OH$  (из  $NH_2OH \cdot HCl$  и  $CH_3ONa$ ) и III в  $CH_3OH$  кипятят 30 мин., отгоняют  $CH_3OH$  и получают V, т. пл. 190° (разл.; из  $CH_3OH$ ). Сообщение XIV см. РЖХим, 1958, 25194.

Б. Дубинин

28807. Хиноксалины и родственные соединения. Часть III. Некоторые 2-замещенные хиноксалины.

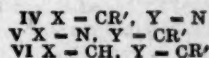
Чизман (Quinoxalines and related compounds. Part III. Some 2-substituted quinoxalines. Cheeseman G. W. H.), J. Chem. Soc., 1957, July, 3236–3239 (англ.) Реакцией *n*-бутилового эфира глиоксильной к-ты (I) с *o*-фенилендиаминном (II) синтезирован 2-оксихиноксалин (III), превращенный действием  $POCl_3$  с 95%-ным выходом в 2-хлорхиноксалин (IV), т. кип. 100°/1,4 мм, т. пл. 49–49,5°, из которого нагреванием с соответствующими аминами получены 2-метиламино-(Va), 2-диметиламино-(Vб), 2-бензиламино-(Vв), 2-морфолино-(Vг) и 2-пиперидино-(Vд)-хиноксалины. 2-меркаптохиноксалин, синтезированный из IV (см. часть II, РЖХим, 1956, 29028), метилирован  $CH_3J$  в щел. р-ре в 2-метилтиохиноксалин (VI), выход 75%, т. кип. 134°/1 мм, т. пл. 46–47° (из петр. эф.), пикрат, т. пл. 127–128° (из сп.), причем выделено также в-во неустановленного строения, т. пл. 176–178° (из бэл.). При окислении VI  $H_2O_2$  в  $CH_3COOH$  при 20° получены 2-метилсульфонилхиноксалин (VII), его N-оксид (VIII) и 2,3-диоксихиноксалин (IX); при 55° (25 час.) образуется с 36%-ным выходом только VIII, получающийся также при окислении  $H_2O_2$  VII, который при нагревании (15 мин., 95°) с 2 н. р-ром NaOH дает III; из VIII при аналогичной р-ции образуется 4-оксид III, выход 97%, т. пл. 274–275° (разл.), т. возг. 210°/0,5 мм, превращающийся при действии  $CH_3J$  в щелочи в 1,2-дигидро-1-метил-2-кетохиноксалиноксид-4, т. пл. 240–

211° (из  $CH_3OH$ ), т. возг. 200°/0,5 мм. Взаимодействием IV с  $CH_3ONa$  синтезирован 2-метоксихиноксалин, выход 90%, т. кип. 101–102°/1,5 мм, т. пл. 31,5–33° (из петр. эф.). Р-цией I с 1 ммолем *N*-метил-*o*-фенилендиаминна в 3 н. р-ре  $CH_3COOH$  (16 час., 20°, затем 1 час, 95°, после чего р-р доводят до pH 4, извлекают  $CHCl_3$  и хроматографируют на  $Al_2O_3$ ) получены 1,2-дигидро-1-метил-2-кетохиноксалин, выход 30%, т. пл. 122–123° и неидентифицированное в-во, т. пл. 234–236° (из бэл.). К р-ру I, полученному из 0,4 моля *n*-бутилового эфира виннокаменной к-ты, 0,4 моля метаперидата и 1,2 л воды добавляют 0,8 моля II в 0,4 л горячей воды и на следующий день отделяют III, выход 86%, т. пл. 267–269° (из сп.). 0,1 моля IV и 60 г спирт. 33%-ного р-ра  $NH_2CH_3$  нагревают 7 час. при 150°, отгоняют р-ритель, смешивают с водой и получают Va, выход 95%, т. пл. 129–131° (из бэл.). Аналогично получают [указаны в-во, выход в % и т. пл. в °C (из петр. эф.)]: Vб, 99, 94–95 и (без р-рителя); Vв, 70, 73–75; Vг, 100, 87–89; Vд, 100, 62–63. 0,05 моля VI в 50 мл  $CH_3COOH$  и 25 мл 30%-ной  $H_2O_2$  оставляют на 2 дня, выливают в 0,5 л воды, продукт кипятят с 0,1 л  $C_6H_6$ , отделяют IX, выход 1,8 г, т. пл. > 300° (из  $CH_3COOH$ ), идентифицируемый в виде 2,3-дихлорхиноксалина, т. пл. 151–153°; безводный р-р упаривают досуха, извлекают циклогексаном VII, выход 53%, т. пл. 126–127° (из циклогексана), а в остатке получают VIII, выход 0,65 г, т. пл. 191–194 (из бэл.).

Л. Шуккина

28808. Гетероциклические системы, родственные пирроколину. Часть II. Получение полиазаинденов дегидрирующей циклизацией. Бауэр, Рамидж. Часть III. Ультрафиолетовые спектры поглощения некоторых полиазаинденов. Бауэр (Heterocyclic systems related to pyrrocoline. Part II. The preparation of polyazaindenes by dehydrogenative cyclizations. Bower J. D., Ramage G. R. Part III. The ultraviolet absorption of some polyazaindenes. Bower J. D.), J. Chem. Soc., 1957, Nov., 4506–4510; 4510–4513 (англ.)

II. Производные пиридина  $RC(R')=NNH_2$  (I),  $RNNH(R')=NH$  (II) и  $RCH_2CH(R')NH_2$  (III), где R — пиридил-2, при действии  $K_3Fe(CN)_6$  или  $Pb(CH_3COO)_4$  циклизируются в 1,2,7а-(IV), 1,3,3а-триазаинденны (V) и 1,7а-диазаинденны (VI) соответственно. IV легко образуют йодметилаты и комплексные соединения с  $AgNO_3$  (1:1). В отличие от IV и V при образовании VI из молекулы III удаляются 4 атома H. Вероятно, здесь циклизация идет с образованием дигидросоединения, которое затем дегидрируется. Другой возможный механизм р-ции — образование промежуточного имина — был отвергнут, так как имин  $RCH_2C(C_6H_5)=NH$  не замыкается в условиях р-ции.



5 г пиридинальдегида-2 (VII) и 10 мл 90%-ного  $N_2H_4 \cdot H_2O$  (90–100°, 30 мин.) дают 4,3 г I, где  $R' = H$  (Ia), т. кип. 127°/5 мм, в остатке от перегонки альдазин ( $RCH=N-$ )<sub>2</sub>, т. пл. 152° (из сп.). Из Ia и  $C_6H_5NCS$  в кипящем  $C_6H_6$  получают 4-фенилтиосемикарбазон VII, т. пл. 191–192°. 5 г метилпиридил-2-кетона и 8 мл 100%-ного  $N_2H_4 \cdot H_2O$  (90–100°, 2,5 часа) дают 5,5 г I, где  $R' = CH_3$  (Iб), т. пл. 77–78° (из бэл.-петр. эф.); 4-фенилтиосемикарбазон кетона, т. пл. 178–179° (из сп.). 5,7 г Ia, 33,5 г  $K_3Fe(CN)_6$  и 8,6 г  $NaHCO_3$  в 220 мл воды нагревают (90–100°, 45 мин.), отделяют 1,6 г азина, к фильтрату прибавляют 20 мл 30%-ного NaOH и  $CHCl_3$  извлекают IV, где  $R' = H$  (IVa), выход 51%, т. кип. 142–147°/7 мм, т. пл. 39–40° (хроматография в 1%-ном  $CH_3OH$  в  $C_6H_6$  на  $Al_2O_3$  и возгонка при

110°/4 мм); йодметилат, т. пл. 176° (из  $C_3H_7OH$ );  $IVa \cdot AgNO_3$ , т. пл. 136° (разл.; из разб.  $HNO_3$ ). Аналогично из 3,5 г **16** получают 0,1 г  $[RC(CH_3)=N]-I$ , т. пл. 54° (из водн.  $CH_3OH$ ), и из фильтрата **IV**, где  $R' = CH_3$  (**IV6**), выход 79%, т. кип. 116—120°/2 мм, т. пл. 84—85° (из бзл.-петр. эф. и возгонка при 100°/2 мм);  $IV6 \cdot AgNO_3$ , т. пл. 195° (разл.; из воды). 7,5 г  $AlCl_3$  прибавляют к 4,7 г 2-аминопиридина и 3,3 г  $CH_3CN$  после р-ции нагревают (200°, 15 мин.), разлагают водой и эфиром выделяют **II**, где  $R' = CH_3$  (**IIa**), выход 44%, т. кип. 126—127°/3 мм, т. пл. 67—68° (хроматография и возгонка при 80°/2 мм); пикрат, т. пл. 188—189° (из  $CH_3OH$ ); производное с  $C_6H_5NCS$ , т. пл. 134° (из бзл.). Аналогично **II**, где  $R' = C_6H_5$  (**II6**) (Oxley и др., J. Chem. Soc., 1947, 1110), из *n*-толуилтрила синтезирован **II** ( $R' = n$ -толил), выход 53%, т. пл. 127° (из петр. эф.), 2,2 г **IIa** и 7,4 г  $Pb(CH_3COO)_4$  в 25 мл  $C_6H_6$  кипятят 30 мин., промывают 30%-ным  $NaOH$  и выделяют **V** ( $R' = CH_3$ ), выход 78%, т. кип. 137°/32 мм, т. пл. 49—50° (возгонка при 70°/3 мм); пикрат, т. пл. 177—178° (из  $CH_3OH$ ). 1,97 г **II6** и 4,4 г  $Pb(CH_3COO)_4$  в 15 мл  $CH_3COOH$  (кипение 10 мин. и выливание в воду) дают 1,25 г **V** ( $R' = C_6H_5$ ), т. пл. 141° (возгонка при 150°/2 мм и хроматография); пикрат, т. пл. 168° (из сп.). Аналогично получают **V** ( $R' = n$ -толил), выход 60%, т. пл. 173° (из водн. сп.). К кипящей смеси 7,5 г оксима 2-фенацлпиридина, 15 г  $Zn$  и 200 мл  $CH_3OH$  прибавляют (5 мин.) 30 мл конц.  $HCl$ , кипятят 10 мин. и выделяют 4,5 г **III** ( $R' = C_6H_5$ ), т. кип. 160°/2 мм; пикрат, т. пл. 148° (из  $CH_3OH$ ); бензоильное производное, т. пл. 148° (из лигр.). 142 г  $K_2Fe(CN)_6$ , 36,5 г  $NaHCO_3$  и 12,8 г **III** ( $R' = H$ ) в 435 мл воды нагревают (90—100°, 4 часа), щелочью и  $CHCl_3$  выделяют 2,6 г **VI**, где  $R' = H$  (**VIa**), т. кип. 108°/25 мм (хроматография в  $C_6H_6$  на  $Al_2O_3$ ); пикрат, т. пл. 151° (разл.; из сп.). **VIa** при окислении  $KMnO_4$  дает пиразолкарбоную-3 к-ту, что доказывает его строение. Из 1,5 г ( $R' = C_6H_5$ ) аналогично **VIa** (без  $NaOH$  и  $CHCl_3$ ) получают 1,3 г **VI** ( $R' = C_6H_5$ ), т. пл. 109° (из водн.  $CH_3OH$ ).

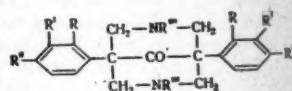
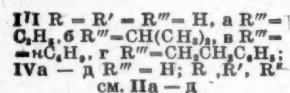
**III.** Описан улучшенный метод получения 1,3а-дизаиндена (пиримидазола) (**VIII**) и 1,2,3а-триазинидена (**IX**) и синтезирован 3-метил-**IX** (**IXa**). Строение всех **IV—IX** подтверждено изучением их УФ-спектров поглощения (УФС). Рассмотрение **IV—IX**, как азапроизводных пирроколина (**X**), показывает ясную связь между УФС и числом и положением атомов N. Замена  $CH$ -групп в положении 2 у **X** (образование 2,3а-дизаиндена) вызывает слабый гипсохромный сдвиг трех  $\lambda_{max}$ , значительно больший эффект возникает при замене в положении 1 или 3. Эффект усиливается с введением новых атомов N (у 1,2,3а-тетраазаиндена два  $\lambda_{max}$  с большей длиной волны сливаются в один). Строение 2-фенил-**VIII**, описанного Чичибабиним (Бег., 1926, 59, 2048), подтверждено его УФС. 4,65 г 2,3-дигидро-**VIII** (Bremer, Liebigs Ann. Chem., 1936, 521, 286), 31,9 г  $K_2Fe(CN)_6$  и 8,2 г  $NaHCO_3$  в 125 мл воды нагревают (90—100°, 30 мин.), щелочью в  $CHCl_3$  выделяют **VIII**, т. кип. 114—115°/3 мм, который очищают пропусканием в  $C_6H_6$  (1% спирта) через  $Al_2O_3$ , выход 60%, т. кип. 109°/2 мм; пикрат, т. пл. 205° (из сп.); йодметилат, т. пл. 207° (из  $C_3H_7OH$ ). **IX** получают ранее описанным методом (Fargher, Fuesness, J. Chem. Soc., 1915, 688), только перегонку производят после удаления избытка  $HCOOH$ , выход 81%, т. кип. 218°/6 мм, т. пл. 36° (гидрат; из влажного бзл.). 2 г 2-пиридилгидразина в 4 мл  $(CH_3CO)_2O$  кипятят 5 час., отгоняют в вакууме, обрабатывают остаток 30%-ным  $NaOH$  и  $CHCl_3$ , экстрагируют **IXa**, т. пл. 134° (из бзл.); тригидрат, т. пл. 56° (из воды); пикрат, т. пл. 239—241° (из ацетона). Йодметилат **IXa** (т. пл. 243—244° (из аце-

тона)) при кипячении с  $n$ -( $CH_3$ ) $_2NC_6H_4CHO$  в  $CH_3OH$ , содержащим немного пиперидина, образует 3-*n*-диметиламиностирил-2-метил-1,2,3а-триазиниденйодид, т. пл. 269° (из  $CH_3OH$ ). Часть I см. РЖХим, 1956, 16102.

Б. Дубинин

**28809.** Синтезы в ряду 1,5-дифенилбиспидинона-9 и 1,5-дифенилбиспидинола-9. Кьяварелли, Сеттими, Магальянес-Альвис (Sintesi nella serie dell 1-5-difenil-bispidin-9-one e dell 1-5-difenil-bispidin-9-olo. Chiavarelli Stefano, Settini Guido, Magalhães Alves Herbert, Gazz. chim. ital., 1957, 87, № 2, 109—119 (итал.).

Взаимодействием 1,3-дифенилпропанола-1 (**I**) или 1,3-ди-(2-*R*-3-*R'*-4-*R''*-фенил)-пропанов-2 (**IIa—д**, где  $a R = R' = H$ ,  $R'' = CH_3$ ; **б**  $R = CH_3O$ ,  $R' = R'' = H$ ;  $\gamma R = R' = H$ ,  $R'' = CH_3O$ ;  $\delta R = R' = H$ ,  $R'' = Cl$ ) с  $CH_2O$  и ацетатами соответствующих алкиламинов синтезированы фармакологически интересные 1,5-дифенил- (**IIIa—г**) и 1,5-диарил- (**IVa—д**), 3,7-диалкилбиспидиноны-9. **IIIa—н**, 1,5-дифенил-3,7-диметил- и 1,5-дифенилбиспидиноны-9 восстановлены кипящим эфирно-бензольным (1:1) р-ром  $LiAlH_4$  или  $H_2$  в присутствии скелетного  $Ni$  в спирте [в скобках указаны т. пл. в °C (из сп.)]: **3,7**-дизаинил- (**V**) (116—117), 3,7-дизопронил- (130), 3,7-ди-*n*-бутил- [74—75; хлоридрат, 194—195 (из ацетона)] и 3,7-диметил- (135—136), 1,5-дифенилбиспинолы-9 и 1,5-дифенилбиспидол-9 (273—274). Исходные **IIa—д** получают нагреванием в вакууме  $Pb$ -солей соответствующих арилуксусных к-т. Некоторые из синтезированных в-в обладают значительным обезболивающим действием. Водн. взвесь 60 г  $n$ - $CH_3C_6H_4CH_2COOH$  нейтрализуют  $NH_3$ , добавляют рассчитанное кол-во р-ра  $(CH_3COO)_2Pb$ , образующую соль отделяют, нагревают в вакууме и получают **IIa**, выход 17,4 г, т. кип. 155—175°/3 мм, т. пл. 52—53° (из разб. сп.). Аналогично получают [здесь и далее указаны в-во и т. пл. в °C (из сп.)]: **II6**, 50; **IIв**, 84—86; **IIг**, 99—101, и **IIд**, 95—96 (из лигр.), или 80 г  $n$ - $ClC_6H_4CH_2COOH$ , 80 мл  $(CH_3CO)_2O$  и 4 г  $CH_3COOH$  нагревают 2 часа при 150° и перегоняют **IIд**, выход 8,5 г. Смесь 0,1 моля **I**, 0,4 моля параформальдегида, 0,2 моля ацетата этиламина и 80 мл абс. спирта кипятят 4 часа и отделяют продукт или подщелачивают разб. р-ром  $NaOH$  и отделяют **IIIa**, выход 20,5 г,



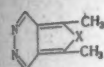
т. пл. 138—139° (из сп.). Аналогично из **I** и ацетатов  $NH_2R''$  или **IIa—д** и  $CH_3COONH_4$  получают **III6**, 178—179; **IIIв**, 81—84; **IIIг**, 117—118; **IVa**, 196—197 (из петр. эф.); **IV6**, 240—242; **IVв**, 216—217; **IVг**, 153—155; **IVд**, 238—240. Получены йодметилаты **IIIa**, т. пл. 193—194° (из ацетона), и 1,5-дифенил-3,7-диметилбиспидинона-9, т. пл. 203—205° (из разб. сп.). Приведены кривые ИК-спектров **IIIa** и **V** в  $CS_2$ .

Д. Витковский

**28810.** Реакции некоторых 1,4-дикарбонильных систем с гидразином. Мосби (The reactions of some 1:4-dicarbonyl systems with hydrazine. Mosby W. L., J. Chem. Soc., 1957, Sept., 3997—4003 (англ.). При взаимодействии 3,4-диацетилгександиона-2,5 (**I**) с 1 молем  $N_2H_4 \cdot H_2O$  (**II**) получен 3-(3,5-диметилпирозил-4)-пентандион-2,4 (**III**), в то время как с 2 молями **II** образуется 3,5,3',5'-тетраметилдипирозил-4 (**IV**), который также может быть получен при действии **II** на **III**. Строение **III** и **IV** доказано сравнением их УФ-спектров со спектрами **I** и 3,5-диметилпиразола. Для **IV** получены диацетильное (**V**) и дибензоильное (**VI**) производные, что доказывает наличие в его молекуле двух  $NH$ -групп. При обработке



3,4-диацетил-2,5-диметилфурана (VII) 1 молем II получен 1,4,5,7-тетраметилфуро-[3,4-d]-пиридазин (VIII), ИК-спектр которого указывает на отсутствие в его молекуле CO-групп. При действии II на VIII выделен 6-амино-1,4,5,7-тетраметилпирироло-[3,4-d]-пиридазин)



VIII X = O, IX X = NNH, X X = NH,  
XII X = NNHCOS, H.

(IX), который образуется также при действии на VII 2 молей II. УФ-спектры VIII и IX сходны, но не подобны, что подтверждает ф-лу IX. Из IX не удалось получить кристаллич. ацильных производных. Деаминирование IX с помощью  $\text{HNO}_2$  привело к 1,4,5,7-тетраметилпирироло-[3,4-d]-пиридазину (X). При взаимодействии I с бензоилгидразином получен 3,4-диацетил-1-бензамидо-2,5-диметилпирирол (XI), после обработки которого II выделены 6-бензамидо-X (XII) и дибензоилгидразин (XIII). Попытка дебензоилирования XI привела лишь к XIII. При действии 1 моля II на диэтиловый эфир диацетилянтарной к-ты получена не аналогичная XI структура, а диэтиловый эфир 1,4-дигидро-3,6-диметилпиридазиндикарбоновой-4,5 к-ты (XIV), УФ-спектр которого указывает на наличие в его молекуле NH- и двух эфирных групп. При обработке XIV II образуется 3,3'-диметил-5,5'-диоксодипиразолинил-4,4' (XV). УФ-спектры XV и его дибензоильного (XVa) и тетраацетильного (XVb) производных аналогичны УФ-спектру 3-метилпиразолинона-5-она. К 48 г NaOH в 1500 мл эфира прибавляют (6 час.,  $\text{N}_2$ ) 200 г пентандиона-2,4, добавляют 2 л эфира и нагревают так, чтобы пары эфира экстрагировали 254 г I, и отделяют I, выход 70,2%, т. пл. 189—190° (из  $\text{CH}_3\text{COOH}$ ). К 30 мл 85%-ного II быстро прибавляют 19,8 г I и отделяют IV, выход 82%, т. пл. 299—300° (из  $\text{CH}_3\text{OH}$  + вода); V, т. пл. 123,5—125,0 (из лигр.), VI, т. пл. 126,0—128,5° (из циклогексана-лигр.). К 2 г I в 50 мл кипящего спирта прибавляют по каплям 0,6 мл 85%-ного II, удаляют спирт и получают III, выход 65,5%, т. пл. 134—140° (из воды); из 6,0 г VII в 10 мл теплого спирта и 1,8 мл 85%-ного II (130°) получают VIII, выход 71,7%, т. пл. 144° (из бэл., быстрое нагревание); пикрат, т. пл. 173,0—174,6° (из  $\text{CH}_3\text{OH}$ ). 3,0 г VII в 8 мл  $\text{HCONH}_2$  и 3,0 мл 85%-ного II кипятят 2 часа и отделяют IX, выход 98,5%, т. пл. 294—295° (из воды, при нагревании от 290°); пикрат, т. пл. 189,5—191,0° (из  $\text{CH}_3\text{OH}$ ). К 970 мг IX в 5 мл лед.  $\text{CH}_3\text{COOH}$  при 5° прибавляют р-р 350 мг  $\text{NaNO}_2$  в 2 мл воды, выпаривают в вакууме и выделяют 800 мг X, т. разл. > 300° (из  $\text{CH}_3\text{OH}$ ). Смесь 1,98 г I, 1,36 г бензоилгидразина и 5 мл  $\text{CH}_3\text{COOH}$  кипятят 3 часа, разбавляют водой и отделяют 1,28 г XI, т. пл. 194,7—197,0° (из водн.  $\text{CH}_3\text{OH}$ ). 1,20 г XI в 30 мл спирта кипятят 4 часа с 0,5 мл 85%-ного II, удаляют спирт, из остатка экстрагируют 0,46 г XIII кипящим  $\text{CH}_3\text{NO}_2$  и получают XII, выход 40,6%, т. пл. 303,5—305,0° (из  $\text{CH}_3\text{OH}$ ). XII выделяют также при добавлении  $\text{NH}_4\text{OH}$  к маточному р-ру при получении XI, выход 32%. XIV синтезируют (Bülow, Ber, 1902, 35, 4311) из диэтилового эфира диацетилянтарной к-ты, выход 63%, т. пл. 70—71° (испр., из циклогексана). XV получают из XIV (Bülow, Ber, 1904, 37, 91), выход 80%; XVa, т. пл. 270,2—271,2° (из сп.). XVb, т. пл. 136,0—137,5° (из циклогексана).

П. Терентьев  
28811. Синтез возможных противораковых агентов. V. Удобный синтез 4(5)-амино-5(4)-карбоксамидотриазола-1,2,3. Беннетт, Байкер (Synthesis of potential anticancer agents. V. Convenient synthesis of 4(5)-amino-5(4)-carboxamido-1,2,3-triazole. Bennett L. L., Baker Harry T.), J. Organ. Chem., 1957, 22, № 6, 707—709 (англ.)

Синтезирован ряд 4,5-замещ. триазолов-1,2,3, предположительно интересных в качестве противораковых в-в. 8-азаксантин (I) действием  $\text{NH}_4\text{OH}$  превращен в 4(5)-амино-5(4)-карбоксамидотриазол-1,2,3 (II). При конденсации цианацетамида (III) с фенилазидом (IV) получен 1-фенил-4-карбоксамидо-5-аминотриазол-1,2,3 (V), подвергнутый далее перегруппировке в 4(5)-карбоксамидо-5(4)-фениламинотриазол-1,2,3 (VI). 5 г I в 200 мл конц.  $\text{NH}_4\text{OH}$  нагревают в стальной ампуле до 195—200°, выдерживают 4 часа при 175—185°, продукт р-ции осаждают  $\text{Ag}^+$ , последний осаждают  $\text{H}_2\text{S}$ , упариванием маточного р-ра выделяют II, выход 70%. т. пл. 223,5—224°, диацетильное производное (VII), т. пл. 210—212°, моноацетильное производное (при частичном гидролизе VII), т. пл. 267—268°. К р-ру 5,65 г III в 150 мл абс. спирта добавляют  $\text{C}_2\text{H}_5\text{ONa}$  (из 42 мл абс. спирта и 1,5 г Na) и 8 г IV, оставляют на 3 дня, выход V 87%, т. пл. 162—163° (вторично, т. пл. ~ 200°, из воды и сп.). V кипятят в пиридине 3 часа и подкислением выделяют VI, выход 75%, т. пл. 200—201° (из абс. сп.). Приведены данные для ИК- и УФ-спектров полученных в-в. Сообщение IV см. РЖХим, 1958, 14527.

С. Гурвич  
28812. Некоторые производные 2-этил-4,6-дифенилтриазина-1,3,5. Рейнгардт, Шифер (Über einige Derivate des 2-Äthyl-4,6-Diphenyl-1,3,5-triazins. Reinhardt Heinz, Schiefer Erich), Chem. Ber., 1957, 90, № 11, 2643—2645 (нем.)

При галоидировании 2-этил-4,6-дифенилтриазина-1,3,5 (I) получены 2-хлорэтил-(Ia), 2-бромэтил-(Ib), 2-(α,β-дихлорэтил)-(Iв) и 2-(α,β-дибромэтил)-4,6-дифенилтриазин-1,3,5 (Iг). Термич. разложение I приводит к 2-винил-4,6-дифенилтриазину-1,3,5 (II), который при действии перекиси непосредственно или в р-ре полимеризуется. Полимеризат частично растворяется только в диметилформамиде и при нагревании > 175° медленно разлагается без плавления. II с стиролом и метиловым эфиром метакриловой к-ты образует сополимеры. К 0,972 моля бензонитрила при 0° прибавляют порциями 0,54 моля  $\text{CH}_3\text{CH}_2\text{COCl}$ , 0,56 моля  $\text{NH}_4\text{Cl}$  и 50 г  $\text{AlCl}_3$ , размешивают (0°, 1 час и 70—75°, 10—12 час.), выливают на лед и эфиром экстрагируют I, выход 12%, т. кип. 233—234°/15 мм, т. пл. 66—67° (из сп.). В 130 г I при 100—120° пропускают  $\text{Cl}_2$  до веса 17,5 г и получают Ia, выход ~ 100%, т. пл. 103—104° (из сп.). Аналогично из 26 г I и 7,5 г  $\text{Cl}_2$  (140—150°) получают Ib, выход ~ 100%, т. пл. 137—138° [из  $\text{HCON}(\text{CH}_3)_2$ ]. К 26 г I при 110—120° по каплям прибавляют 16 г  $\text{Br}_2$ , выдерживают 1 час при этой т-ре и получают Ib, выход ~ 100%, т. пл. 109—110° (из сп.). К р-ру 130 г I в 500 мл  $\text{CCl}_4$  прибавляют (4 часа) при кипении 160 г  $\text{Br}_2$  в 200 мл  $\text{CCl}_4$ , нагревают еще 2 часа и выделяют Iг, выход 95%, т. пл. 162—164° [из  $\text{HCON}(\text{CH}_3)_2$ ]. Через Cu-трубку, наполненную катализатором (смесь 50 г пемзы, 50 г  $\text{SeO}_2$ , 5 г жидкого стекла и 100 мл воды сушат 12 час. при 150°), пропускают (450°, 6 час. 300—400 мм  $\text{N}_2$ ) 20 г I и получают II, выход 9%, т. пл. 81—83° (из сп.). Б. Дубинин

28813. Гомогенный катализ в органических реакциях при участии солей металлов. II. Реакция виниловых эфиров с аминоспиртами и 1,2-диаминами. Ватанабе (Homogeneous metal salt catalysis in organic reactions. II. The reaction of vinyl ethers with aminoalcohols and 1,2-diamines. Watanabe Warren H.), J. Amer. Chem. Soc., 1957, 79, № 11, 2833—2836 (англ.)

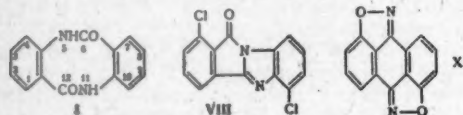
Аминоспирты  $\text{R}'\text{NH}(\text{CR}_2)_n\text{OH}$ , где R = H, алкил или арил и n = 2 или 3, с алкилвиниловыми эфирами (I) образуют 2-метилоксазолидины  $\text{CH}_3\text{CHO}(\text{CR}_2)_n\text{NR}'$  (II) n = 2) или 2-метилтетрагидро-1,3-оксазины (II n = 3); аналогично 1,2-диэтиленамины с I дают 2-метилмида-

золидины  $\text{CH}_3\text{CHNR}'\text{CH}_2\text{CH}_2\text{NR}''$  (III). Катализаторами

этих р-ций служат  $(\text{C}_6\text{H}_5\text{COO})_2\text{Hg}$  (IV) и  $(\text{CH}_3\text{COO})_2\text{Hg}$  (V), а также  $\text{CH}_3\text{COOAg}$  и  $\text{AgNO}_3$ . Обсуждается механизм р-ций. 1,03 моля 1-аминопропанола-2 и 1,19 моля 2-бутоксипропилового эфира смешивают с 1 г IV, отгоняют в-во при 55–68,5°/100 мм, операцию повторяют дважды (то 1 г IV), получают 2,5-диметилкозазолидин, выход 33%, т. кип. 62,5–64,5°/100 мм,  $n_D^{25}$  1,4366,  $d_4^{25}$  0,9371. Также получены (приведены в-во, выход в %, т. кип. в °/мм,  $n_D^{25}$ ,  $d_4^{25}$ ): 2-метилкозазолидин, 55, 50–55/60, —, —; 2-метил-4-этилкозазолидин, 55, 63–66/40, 1,4407, 0,9219; 2,4,4-триметилкозазолидин, 72 (с V выход 14%), 70,5–71/120, 1,4240, 0,8904; 2,3-диметилкозазолидин (с V), 68, 54–55/120, 1,4200, 0,9001; 2-метилтетрагидро-1,3-оксазин, 65, 68,5–69/100, 1,4407, 0,9459. При кипячении 2 часа смеси 1,03 моля N-фенилэтанолamina с 1,2 моля этилвинилового эфира (VI) и 1 г V с последующим охлаждением выпадает 2-метил-3-фенилкозазолидин, выход 64%, т. пл. 59–59,5° (из петр. эф.). Смесь 1,09 моля этилендиамина, 1,85 моля VI и 1 г IV кипятят 8 час., выдерживают 12 час. при 20°, кипятят еще 1 час с 1 г IV, после перегонки получают 2-метилкозазолидин, выход неочищ. 41%, т. пл. 47,5–48,5° (из петр. эф.) (приведен ИК-спектр, из которого следует, что в-во содержит таутомерное шиффово основание). 0,48 моля NN'-дифенилэтилендиамина смешивают с 1 молем VI и 1 г IV, кипятят 1 час и по охлаждению отделяют 2-метил-1,3-дифенилкозазолидин, выход 66%, т. пл. 92–93,5° (из  $\text{CH}_3\text{OH}$ ). Сообщение I см. РНХим, 1958, 25062.

И. Котляревский  
28814. Бекмановская перегруппировка диоксимоантрахинона и 1,5-дихлорантрахинона. Райдон, Смит, Вильямс (The Beckmann rearrangement of the dioximes of anthraquinone and 1:5-dichloranthraquinone. Rydon H.N., Smith N. H. P., Williams D.), J. Chem. Soc., 1957, April, 1900–1905 (англ.)

Синтезом диантрахилида (I) из диоксима антрахинона (II) бекмановской перегруппировкой в присутствии полифосфорной к-ты (III) установлена антиконфигурация II. Этим же методом установлено, что 1,5-дихлорантрахинон (IV) образует транс- и цис-транс-диоксими (Va и Vb), разделить которые по Фрейндру и Ахенбаху (Ber., 1910, 43, 3251) обработкой



горячей щелочью не удалось. Смесь V превращают в смесь диацетильных производных (VIa и VIb), которую обрабатывают холодным  $(\text{CH}_3\text{CO})_2\text{O}$ , нерастворившийся VIa гидролизуют до Va, последний перегруппировывается по Бекману в 4,10-дихлор-I (VII). Растворимый в  $(\text{CH}_3\text{CO})_2\text{O}$  VIb при аналогичной обработке превращается в 1,6-(или 4,9)-дихлор-11-оксоназидол-[2,1-a]-бензимидазол (VIII). Строение VII доказано превращением его в I, а также в 3-хлорантрахиноловую к-ту (IX). Вопреки Фрейндру (см. ссылку выше) Va и Vb дают бис-изоксазол (X) при действии разб. щелочи. Константы скорости образования X и освобождения при этом Cl-иона близки для обоих изомеров. Обработкой чистых Va и Vb 0,5 н. КОН при 100° (3 часа) показано, что к получению X предшествует образование равновесной смеси 23–35% Va и 77–65% Vb. Обсуждаются пути и стереохимия этих превращений. 2 г II добавляют при 100° к 60 г III, нагревают 80 мин. при 140° и выливают в воду, выход I 85%, т. пл. 336° (из воды). 12 г IV и 72 г  $\text{NH}_2\text{OH} \cdot \text{HCl}$  кипят

36 час. в 400 мл пиридина, р-р выливают в 2 н.  $\text{H}_2\text{SO}_4$  и лед, осадок обрабатывают 150 мл 2 н. NaOH, отделяют IV, подкисляют фильтрат, из высушенного осадка экстрагируют кипящим  $\text{C}_6\text{H}_5\text{Cl}$  смесь Va–b, выход 40%, т. пл. 225° (разл.; из петр. эф.). 12 г V кипятят 7 час. с 2 н. NaOH и отделяют X, выход 56%, т. пл. 330–335° (разл.; из  $\text{CH}_3\text{COOH}$ ). К 6,5 г V в 50 мл  $\text{C}_6\text{H}_5\text{N}$  добавляют 3,5 г  $\text{CH}_3\text{COCl}$ , через 24 часа выливают на лед с  $\text{H}_2\text{SO}_4$  и отделяют 8,3 г VIa–b, после обработки 50 мл  $(\text{CH}_3\text{CO})_2\text{O}$  при ~20° отделен VIa, выход 62%, т. пл. 236° (из диоксана); к фильтрату прибавляют ледяную воду и отделяют VIb, выход 30%, т. пл. 207° (из бzl-гексана; комплекс с 0,5 моля бzl. теряет  $\text{C}_6\text{H}_5$  при 50°/1 мм, т. пл. VIb 207°. 656 мг VIa нагревают при 50° с 6,7 мл 1 н. NaOH и 1 мл диоксана, р-р выливают на лед и подкисляют, выход Va 98%, т. пл. 250° (разл.). Аналогично из VIb выделен Vb, выход 92%, т. пл. 267° (разл.). Va обрабатывают 2 часа III, выход VII 72%, т. пл. 307° [из  $\text{C}_2\text{H}_5\text{OCH}_2\text{CH}_2\text{OH}$  (XI)]. Р-р 200 мг VII в 40 мл спирта, содержащих 1 г КОН, гидрируют над 2%-ным Pd/ $\text{CaCO}_3$ , выход I 93%. 100 мг VII кипятят 24 часа с 20%-ным КОН, подкисляют и отделяют IX, выход 81%, т. пл. 194°. Перегруппировка Vb приводит к VIII, выход 58%, т. пл. 282° (из XI). К 500 мг VIII в 5 мл  $\text{CH}_3\text{OH}$  добавляют 1 каплю 2 н. NaOH, через 10 мин. добавляют воду и отделяют с 92%-ным выходом 4 (или 7)-хлор-2-[3-(или 6)-хлор-2-карбометоксифенил]-бензимидазол (XII), т. пл. 191–192° (из водн.  $\text{CH}_3\text{OH}$ ); при нагревании выше т-ры плавления XII превращается в VIII. При обработке XI и щелочью VIII дает 4 (или 7)-хлор-2-[3-(или 6)-хлор-2,2'-этоксикарбонтоксифенил]-бензимидазол, выход 73%, т. пл. 175° (из водн. XI). Из смеси 4 г V (120 г III, 150°) получен VIII (из XI-сп.), выход 15%; из маточного р-ра выделен VII (52%). Подробно описаны результаты действия щелочи на V. Приведены данные УФ-спектров VIII и XII.

И. Левин  
28815. Исследование в ряду изоксазола. III. Синтез арилкозазолов. Кочетков Н. К., Хомутова Е. Д., Карнейский М. Я., Хорлин А. Я., Ж. общ. химии, 1957, 27, № 2, 452–457

Разработан синтез арилкозазолов на основе замещ. арил-β-хлорвинилкетон (I). Для замещ. в ядре I р-ция с гидроксиламином идет однозначно. Отрицательные результаты получены только с о-бромфенил-β-хлорвинилкетон. В случае фенил-β-хлорвинилкетона (II) образуется смесь примерно равных кол-в α- и γ-фенилизоксазолов (III). При взаимодействии фенил-β-диалкиламиновинилкетон с  $\text{NH}_2\text{OH} \cdot \text{HCl}$  (IV) получают III, состоящий на 90% из α-изомера, кол-во которого увеличивается с подавлением электрофильной активности карбонильной группы в ряду: феноксивинилкетон < хлорвинилкетон < диалкиламиновинилкетон. В последнем случае образуется практически чистый α-замещ. изомер. Из 63 г II, 27 г IV в 150 мл сухого  $\text{CH}_3\text{OH}$  (~100°, 6 час.) получают III, выход 70–80%, т. кип. 91–93°/3 мм,  $n_D^{20}$  1,5826. Аналогично получают α-(n-толил)-, α-(n-хлорфенил)- и α-(n-нитрофенил)-изоксазол (V) [приведены исходный кетон в г, IV в г, сухой  $\text{CH}_3\text{OH}$  в мл, выход в %, т. пл. в °C (из петр. эф.)]: 8 г n-толил-β-хлорвинилкетона, 4, 50, 90, 58–60; 6,1 г n-хлорфенил-β-хлорвинилкетона, 2,8, 50, 90, 82–82,5; 5,6 г n-нитрофенил-β-хлорвинилкетона, 2,5, 30 (через 2 часа добавляют еще 30 мл  $\text{CH}_3\text{OH}$ ), 70, 172–174 (из лед.  $\text{CH}_3\text{COOH}$ ) соответственно. Нитрованием 13,8 г III смесью  $\text{HNO}_3$  (d 1,54) —  $\text{H}_2\text{SO}_4$  (1,83) при –5° получают V, выход 68%, т. пл. 171–172° (из  $\text{CH}_3\text{OH}$ ). Строение V доказано окислением его в n-нитробензойную к-ту. III получен действием IV на метанольные р-ры фенил-β-диметиламиновинилкетона, фенил-β-диэтиламиновинилкетона, фенил-β-феноксивинилкетона и хлористого β-бензоилвинилтриэтиламмония (приведе-



ны кол-ва исходного в-ва и IV в 2, время нагревания, выход III в %): 50, 20, 6, 70—76; 30, 12, 5, 6, 72; 10, 5, 4, 5, 7, 39; 22, 10, 10, 17. Сообщение II см. РЖХим, 1955, 55149. О. Михайлова

28816. К синтезу 4-аминоизоксазолидона-3. Ратуи, Бекар (Sur une synthèse de l' amino-4 isoxazolidone-3. Ratuouis Roger, Behar Robert), Bull. Soc. chim. France, 1957, № 10, 1255—1260 (франц.)  
 Детально изучени синтез 4-аминоизоксазолидона-3

(I) по схеме:  $\text{CH}_3\text{OOCCHN}=\text{C}(\text{C}_6\text{H}_5)\text{OCH}_2$  (II)  $\rightarrow$   $\text{HONHCOSCHN}=\text{C}(\text{C}_6\text{H}_5)\text{OCH}_2$  (III)  $\rightarrow$   $\text{HONHCOSCHN}(\text{NHCOC}_6\text{H}_5)-$

$\text{CH}_2\text{Cl}$  (IV)  $\rightarrow$   $\text{C}_6\text{H}_5\text{CONHCHCONHOSCH}_2$  (V)  $\rightarrow$   $\text{CH}_3\text{OOCCHN}(\text{NH}_2)\text{CH}_2\text{ONH}_2 \cdot 2\text{HCl}$  (VI)  $\rightarrow$  I. Перемешивают (~ 20°, 15 час.) р-ры 50 г хлоргидрата метилового эфира серии на в 30 мл воды и 75 г этилбензамидина (VII) в 140 мл эфира, фильтруют, из эфирного слоя выделяют II; обработкой водн. слоя 30 г VII в 100 мл эфира получают дополнительно II; общий выход ~ 80%, т. кип. 113°/0,05 мм,  $n_D^{20}$  1,5510. II получают с меньшим выходом при действии  $\text{SOCl}_2$  на  $\text{HOSCH}_2\text{CH}(\text{NHCOC}_6\text{H}_5)\text{COOCH}_3$ . К 76,45 г  $\text{NH}_2\text{OH} \cdot \text{HCl}$  в 560 мл абс.  $\text{CH}_3\text{OH}$  и  $\text{CH}_3\text{ONa}$  (из 50,6 г Na и 860 мл  $\text{CH}_3\text{OH}$ ) прибавляют при 0° 205 г II в 720 мл абс.  $\text{CH}_3\text{OH}$ ; через 15 час. (~ 20°) добавляют 2 кг льда и подкисляют ~ 1 н.  $\text{HCl}$ , выпадает III, выход 82%, т. пл. 176° (из  $\text{CH}_3\text{OH}$ ). При работе со смесью водн. р-ров  $\text{NH}_2\text{OH} \cdot \text{HCl}$  и 20%-ного  $(\text{CH}_3)_4\text{N}$  (рН 7) выход 65%. К суспензии 50 г III в 1200 мл безводн. диоксана (VIII) прибавляют (~ 20°, 1 час) 171,5 мл VIII, насыщ. 50,7 г  $\text{HCl}$  (газ), перемешивают еще 1 час и выделяют хлоргидрат III (IIIa), выход 90%, т. пл. 125—130°. При большом избытке  $\text{HCl}$  получается дихлоргидрат III (IIIb), т. пл. 112—114°. Подогревают (60°, 2 часа) 25 г IIIa в 1280 мл VIII, выпаривают в вакууме и получают IV, выход ~ 100%, т. пл. 153—154° (из  $\text{CH}_3\text{OH}$ ). При кипячении (1 час) IV или IIIa в воде образуется  $\text{HONHCOSCH}_2(\text{NH}_2)\text{CH}_2\text{OOCCH}_3$  (IX), т. пл. 139—140° (из сп.); хлоргидрат, т. пл. 199—200°. С эквимолекулярным кол-вом  $\text{HCl}$  в  $\text{CH}_3\text{NO}_2$  III образует на холоду IIIa, но при продолжительном пропускании  $\text{HCl}$  при 0°, выпаривании в вакууме и обработке ледяной водой получается IV, что указывает на промежуточное образование IIIb. При кипячении IV в водн.  $\text{CH}_3\text{OH}$  получают IX. При 100° IIIa растворяется в VIII, образуя в-во с т. пл. 195—196°. Нагревают до 35—40° 24,25 г IV в 200 мл 20%-ного спирта, прибавляют (~ 8 час.) 200 мл 1 н.  $\text{K}_2\text{CO}_3$ , поддерживая рН р-ра < 9,8, охлаждают, прибавляют 100 мл 1 н.  $\text{HCl}$  до рН 6—4, образуется [через  $\text{C}_6\text{H}_5\text{CONHCH}(\text{CH}_2\text{Cl})\text{CONHO}-$ ] V, выход 85%, т. пл. 166°; но при прибавлении суспензии IV к р-ру  $\text{K}_2\text{CO}_3$  получается [через  $\text{C}_6\text{H}_5\text{C}(\text{O}-)=\text{NCH}(\text{CH}_2\text{Cl})\text{CONHO}-$ ] III, выход 69%. V с 7%-ным р-ром  $\text{HCl}$  в  $\text{CH}_3\text{OH}$  при стоянии образует хлоргидрат метилового эфира 2-бензамидо-3-аминооксипропионовой к-ты, т. пл. 70—74°. Кипятят (15 час.) 40 г V в 50 мл абс.  $\text{CH}_3\text{OH}$ , насыщ. при кипячении  $\text{HCl}$ , выпаривают в вакууме, отмыывают абс. эфиром  $\text{C}_6\text{H}_5\text{COOCH}_3$ , получают 9,5 г VI, выход 25%, т. пл. 110—115° (из абс. сп. + VIII); в маточном р-ре находится  $\text{HOSCH}_2\text{CH}(\text{NH}_2 \cdot \text{HCl})\text{COOCH}_3 \cdot 2$  г VI растворяют в 20 мл воды и тотчас прибавляют 29 мл 1 н.  $\text{K}_2\text{CO}_3$ , контролируя рН; щел. р-р проводят через коннообменную смолу [11 г Амберлита JR 120, замученного в воде (12 час.), промытого 100 мл 1 н.  $\text{HCl}$  и водой] отмывают  $\text{Cl}^-$  и вымывают колонку ~ 1 н.  $\text{NH}_4\text{OH}$ , рН р-ра увеличивается от 5 до 11, фракции (по 5 мл) контролируют нингидрином, объединяют фракции, содержащие I, лиофилизируют (—20°), выход 0,45 г, т. пл. 139—140° (из абс.  $\text{CH}_3\text{OH}$  при —70°). Из

4-бензамидоизоксазолидона-3 получается I с худшим выходом. П. Соков

28817. Новый синтез изоксазола и пиразола. Гаудиано, Кунлико, Рикка (Nuova sintesi dell' isossazolo e del pirazolo. Gaudiano Giorgio, Quilico Adolfo, Ricca Aldo), Rend. Cl. sci. fis., mat. e natur., 1956, 21, № 5, 253—257 (итал.)

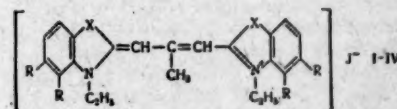
Предложен новый способ синтеза изоксазола (I) и пиразола (II), исходя из β-хлоракролеина (III). Окислением β-хлораллилового спирта посредством  $\text{MnO}_2$  в  $\text{H}_2\text{SO}_4$  в присутствии  $\text{NaHSO}_4$  получают III; 2,4-динитрофенилгидразон, т. пл. 189—190° (разл.; из  $\text{CH}_3\text{COOH}$ ); семикарбазон, т. пл. 141—141,5° (разл.; из сп.). 1,85 г неочищ. III смешивают с 1,6 г  $\text{NH}_2\text{OH} \cdot \text{HCl}$  в 15 мл воды, кипятят несколько минут, отгоняют азеотроп вода-I, обрабатывают насыщ.  $\text{CdCl}_2$ , получают I· $\text{CdCl}_2$ , выход 74%, из которого осторожной перегонкой выделяют I. При кипячении 1,5 г неочищ. III с 1,5 г  $\text{N}_2\text{H}_4 \cdot 2\text{HCl}$  в 4 мл воды в течение нескольких минут получают 0,4 г II; пикрат, т. пл. 164—166° (из бал.). При ведении р-ции между III и  $\text{N}_2\text{H}_4 \cdot 2\text{HCl}$  при ~ 20° образуется в-во с т. пл. 164° (разл.; из бутанола), которое при кипячении с водн. р-ром  $\text{N}_2\text{H}_4 \cdot 2\text{HCl}$  дает II, а с 2,4-динитрофенилгидразином образует 2,4-динитрофенилгидразон III. Л. Яновская

28818. Цианиновые красители. Часть I. Дас, Раут (Cyanine dyes. Part I. Das Bhaskar, Rout M. K.), J. Indian Chem. Soc., 1957, 34, № 7, 505—508 (англ.)

Кипячением (2-3 часа) йодметилатов (в скобках везде указаны т. пл. в °C) 2-метилбензтиазола или 4-фенил- (I) (202), 4-п-метоксифенил- (198), 4-п-этоксифенил-, 4-п-бромфенил- или 4-п-нитрофенил- (186; разл.) 2-метилтиазолов с ортомуравьиным эфиром в пиридине синтезированы с 45—50%-ными выходами, кристаллизованные из  $\text{CH}_3\text{OH}$  и плавящиеся с разложением йодиды 4,4'-дibenзо- (265), 4,4'-дифенил- (II) (187), 4,4'-ди-(п-метоксифенил)- (183), 4,4'-ди-(п-этоксифенил)- (172), 4,4'-ди-(п-бромфенил)- (240) и 4,4'-ди-(п-нитрофенил)- (191)-3,3'-диметилтиазолокарбонцианов. II получен также кипячением (1 час.) смеси I с 1 молем дифенилформамидина в  $(\text{CH}_3\text{CO})_2\text{O}$  и нагреванием образующегося йодметилата 2-(ацетанилидовинил)-4-фенилтиазола (162—163; разл.) с 1 молем I и 1 молем  $\text{N}(\text{C}_2\text{H}_5)_3$  в спирте. Л. Шуккина

28819. Реакции конденсации мезо-метилзамещенных триметинцианиновых красителей с ароматическими и гетероциклическими альдегидами. Рид, Бендер (Kondensationsreaktionen von meso-Methyl-Substituierten Trimethincyaninfarbstoffen mit Aromatischen und Heterocyclischen Aldehyden. Ried Walter, Bender Rolf), Chem. Ber., 1957, 90, № 11, 2650—2653 (нем.)

Для изучения влияния заместителей в мезо-положении на оптич. свойства карбонцианов конденсацией триметинцианинов с реактивной мезо-метильной группой (I R = H, X = S; II R = H, X = Se; III R = H, X = O; IV RR = —CH=CHCH=CH—, X = S) с арома-



тич. и гетероциклич. альдегидами синтезированы соответствующие красители (V). I получен из йодметилата 2-метилбензтиазола и  $\text{CH}_3\text{C}(\text{OC}_6\text{H}_5)_2$  (VI) в пиридине с добавкой пиперидина [см. Hamer F. M., J. Chem. Soc. (London), 1928, 3160], выход 60%, т. пл. 280—290°,  $\lambda_{\text{max}}$  543 мμ. 2-метилбензселеназолетил-п-толуолсульфонат и VI (см. Brooker, White, J. Amer. Chem. Soc.,





0° насыщают HBr и через 12 час. отделяют V, т. пл. 65° (с выделением HBr). IIIa и I (по 5 ммоль) в 10 мл спирта кипятят с пропусканием  $N_2$  и отделяют (0°, 12 час.) IVa, выход 53%, т. пл. 136° (из сп. и пиридина). Аналогично из IIIb получают IVb, выход 52%, т. пл. 133°; из IIIв—IVв, выход 45,3%, т. пл. 149°, и из IIIг—IVг, выход 62%, т. пл. 146—147°. IVa получают также из II и V в спирте (~20°, 30 мин. и кипячение 1 час в атмосфере  $N_2$ ), выход 36%. К кипящему р-ру 10 г II в 100 мл ксилола прибавляют (30 мин.) 12 г VII в 10 мл ксилола и отгоняют (30 мин.) 50—60 мл р-рителя, выход VIII 28%, т. пл. 117° (из сп.); нитрозо-производное, т. пл. 154° (из сп.). К горячему р-ру 2,5 г II в 40 мл абс.  $C_6H_6$  в атмосфере  $N_2$  прибавляют по каплям р-р 1,6 г diketона в 5 мл абс.  $C_6H_6$ , кипятят 1 час и получают IX, выход 54%, т. пл. 114° (из сп.). Соединение VII см. РЖХим, 1958, 1334. Б. Дубинин

28823. Тиадiazолы-1,2,4. Сообщение IX. Синтез и реакции 3-алкилмеркапто-5-хлортиадиазола-1,2,4. Герделер, Шперлинг (Synthese und Reaktionen der 3-Alkylmercapto-5-chlor-1,2,4-thiodiazole. IX. Mitteil. Über 1,2,4-Thiodiazole. Goerdeler Joachim, Sperling Gerhard), Chem. Ber., 1957, 90, № 6, 892—901 (нем.).

Алкилизотиомочевинны  $RSC(=NH)NH_2$  (I) (здесь и далее во всех ф-лах а  $R = CH_3$ , б  $R = C_2H_5$ , в  $R = n-C_3H_7$ , г  $R = n-C_4H_9$ , д  $R = трет-C_4H_9$ , е  $R = изо-C_4H_9$ , ж  $R = C_6H_5CH_2$ ) при р-ции с  $Cl_3CSCl$  образуют соответствующие 3-алкилмеркапто-5-хлортиадиазолы-1,2,4  $RSC=NSC(Cl)=N$  (II). Исследована способность

атома Cl II к замещению на различные аминогруппы, а также р-ции IIa с водой,  $CH_3OH$ ,  $CH_3SH$ ,  $(NH_4)_2S$  и соединениями с активными  $CH_2$ -группами. В р-р 0,5 моля бромгидрата I (в случае Ia применяют сульфат), 0,5 моля  $Cl_3CSCl$  и ~0,5 г действенного эмульгатора (напр., Fewa) в 300 мл воды прибавляют по каплям при очень сильном размешивании (0,5°, 3—5 час.) р-р 80 г NaOH в 320 мл воды, избегая сильно щел. р-ции, добавляют 20—30 мл 25%-ного  $NH_3$ , нейтрализуют и отгоняют вязкий II с паром в присутствии  $CaCO_3$ . В случае Iж для лучшего перемешивания прибавляют 10—15 мл эфира, размешивают еще 30 мин., подкисляют HCl (к-той), перемешивают, полученное масло встряхивают с 25—50 мл 10%-ного  $NH_4OH$ , извлекают эфиром, в сухой эфирный р-р пропускают 1—2 мин. сухой HCl, фильтруют, отгоняют эфир и масло по каплям прибавляют в кипящий в вакууме глицерин, дистиллят (т. кип. 143°/2 мм) растворяют в эфире и разбавляют водой (перечисляются II, выход в %, т. кип. в °C/мм,  $n_D^{20}$ ,  $d_4^{20}$ ): а, 50—55, 98/17, т. пл. 29—30° (из сп. или петр. эф.), —; б, 65—70, 115/13, 1,58285, 1,3861; в, 45—50, 131/18, 1,56865, 1,3477; г, 37, 140/14, 1,55805, 1,2650; д, 58, 118/14, 1,55635, 1,2560; е, 36, 148/14, 1,54785, 1,2233; ж, 45—50, 120/0,2, т. пл. 49—50° (из лигр.), —, 1 моль II смешивают с конц. р-ром 4—5 ммоль  $CH_3NH_2$  в  $CH_3OH$ , упаривают основную массу р-рителя, прибавляют воду и получают  $RSC=NSC(NHCH_3)=N$  (III), выход

полн. (перечисляются III, т. пл. в °C (из  $CH_3OH$  иногда с добавлением воды), т. пл. пикрата): а, 144,5—145 (изменяется при 120°), 164,5; б, 101—102 (изменяется при 92—93°), 145; в, 75—76, 128; г, 89—90, 123; д, 119—120, 138; е, 82—83, 126,5; ж (р-цию проводят при нагревании), 139—140 (изменяется при 125°), 141,5. Аналогично III с 3 молями  $C_6H_5CH_2NH_2$  (к р-ру без упаривания прибавляют разб. HCl) получают  $RSC=NSC(NHCH_2C_6H_5)=N$  [перечисляются в-во, т. пл.

в °C (из  $CH_3OH$ ): а, 114,5—115; б, 101—101,5; д, 149,5—150. Из 1 ч. IIд и 5 ч. анилина (~100° 12 час.)

получают 3-трет-бутилмеркапто-5-анилинотиадиазол-1,2,4, выход 60—65%, т. пл. 146—147,5° (из  $CH_3OH$ ). Из IIa и диметиламина получают 3-метилмеркапто-5-диметиламинотиадиазол-1,2,4, масло; пикрат, т. пл. 70,5—71,0°, который выделен также при р-ции IIa с избытком триметиламина в спирте (вероятно, вначале образуется четвертичное соединение). К р-ру  $(CH_3)_3N$  (3—4 моля) в абс.  $C_6H_6$  по каплям прибавляют IIa, через 2—3 часа коротко нагревают до 50° и быстро отфильтровывают хлористый (3-метилмеркапто-1,2,4-тиадиазолил-5)-триметиламмоний, выход ~100%, т. пл. 105° (разл.; гигроскопичен); пикрат, т. пл. 128,5—130° (из разб.  $CH_3OH$ ). Аналогично из 3-фенил-5-хлортиадиазола получают хлористый (3-фенил-1,2,4-тиадиазолил-5)-триметиламмоний, кристаллы с нерезкой т-рой плавления. К спирт. р-ру IIб прибавляют 80%-ный  $N_2H_4 \cdot H_2O$  (~3 моля), упаривают, добавляют воду и отделяют 3-этилмеркапто-5-гидразинотиадиазол-1,2,4, выход ~100%, т. пл. 112—114° (разл.; из разб.  $CH_3OH$ ); бензальгидразон, т. пл. 208° (из сп.). 48 г  $(NH_4)_2CO_3$  в 200 мл  $CH_3OH$  насыщают  $H_2S$ , прибавляют по каплям 74 г IIa, не прерывая ток  $H_2S$ , добавляют 4-кратное кол-во воды и немного  $NH_4OH$ , нагревают (60°, 30 мин.), фильтрат осветляют углем, подкисляют и получают 3-метилмеркапто-5-меркапто-тиадиазол-1,2,4 (IV), выход 55 г, т. пл. 150—151° (разл.; пересаживанием из щел. р-ра). При многочасовом нагревании IIж с тиомочевинной в спирте и разложением изотиоурониевой соли 10%-ным  $NH_4OH$  (нагревание 10 мин.) получают 3-бензилмеркапто-5-меркапто-тиадиазол-1,2,4 (V), т. пл. ~136° (разл.). При окислении измельченного IV 2 н.  $HNO_3$  (50—60°, 15 мин.) образуется бис-(3-метилмеркапто-1,2,4-тиадиазолил-5)-дисульфид, т. пл. 112,5—113° (из  $CH_3OH$ ). Из IV и вычисленного кол-ва  $NH_3$  и  $CH_3J$  в спирте (~20°, 5 час.) при разбавлении водой получают 3,5-бис-метилмеркапто-тиадиазол-1,2,4, т. пл. 40—41° (из разб.  $CH_3OH$ ), который образуется также из IIa и  $NH_3$  в  $CH_3OH$  при насыщении  $CH_3SH$ . Из V и  $C_6H_5CH_2Cl$  в спирт. р-ре  $NH_3$  (~20°, 2 дня) осаждают водой 3,5-бис-бензилмеркапто-тиадиазол-1,2,4, т. пл. 51° (из сп.). IV и IIa (1 моль) в метанольном  $NH_3$  (20°, несколько часов) дают бис-(3-метилмеркапто-1,2,4-тиадиазолил-5)-сульфид, выход ~100%, т. пл. 169,5—170° (из этилацетата 5:2). 2 г IIa в 8 мл конц.  $H_2SO_4$  (~100°, 3 часа, выливают на лед и прибавляют разб.  $NH_4OH$ ) дают 3-метилмеркапто-5-окситиадиазол-1,2,4, выход 85%, т. пл. 139—140° (из разб.  $CH_3OH$ ). К р-ру 1,1 г KOH в 10 мл  $CH_3OH$  по каплям прибавляют 1,7 г IIa, разбавляют водой и отделяют 3-метилмеркапто-5-метокситиадиазол-1,2,4, выход ~100%, т. пл. 46—47° (из лигр.). К 0,23 г измельченного Na в 15 мл  $C_6H_6$  прибавляют 2 мл  $CH_3COCH_2COOC_2H_5$ , после исчезновения Na (4 часа) добавляют 1,7 г IIa, кипятят 6 час., фильтрат упаривают, обрабатывают разб.  $NH_4OH$  и при подкислении получают α-(3-метилмеркапто-1,2,4-тиадиазолил-5)-ацетокусный эфир (VI), выход 85%, т. пл. 119—120° (разл.; из  $CH_3OH$ ). Аналогично с 2,9 г малонового эфира (нагревание 3 часа) получают (3-метилмеркапто-1,2,4-тиадиазолил-5)-малоновый эфир (VII), выход 60%, т. пл. ~143° (разл.; из  $CH_3OH$ ). Также из 0,5 г Na, 5 мл  $NCCCH_2COOC_2H_5$  и 1,7 г IIa (нагревание 3 часа) выделяют (3-метилмеркапто-1,2,4-тиадиазолил-5)-диануксусный эфир, выход 80%, т. пл. >200° (нерезко, из  $CH_3OH$ ). 3,65 г IIa, 5 мл ацетилацетона и 3,5 г порошка  $K_2CO_3$  в 25 мл  $CH_3OH$  оставляют при встряхивании на 24 часа, кипятят 6 час., через 12 час. отгоняют большую часть  $CH_3OH$ , добавляют 40 мл воды и немного  $NH_3$ , нагревают коротко при 60—70° и подкисляют, выход α-(3-метилмеркапто-1,2,4-тиадиазолил-5)-ацетилацетона 35%, т. пл. 144,5—145° (из  $CH_3OH$ ). Р-р 2 г VII в 5—6 мл 75%-ной  $H_2SO_4$  медленно

нагревают до 130°, выдерживают при этой т-ре до прекращения выделения газа 4—6 мин.) и выделяют (3-метилмеркапто-1,2,4-тиадназол-5)-уксусную к-ту, выход 70%, т. пл. 150—160° (разл.; из ацетона), которая получена также при добавлении 1,5 мл воды в р-р 0,4 г VI в 5 мл конц. H<sub>2</sub>SO<sub>4</sub> без охлаждения. К-та с CH<sub>2</sub>N<sub>2</sub> в эфире или со спиртом (H<sub>2</sub>SO<sub>4</sub>) дает этиловый эфир, т. пл. 70—71° (из ацетона-петр. эф.). Сообщение VIII см. РЖХим, 1957, 54430.

**28824.** α-Стирильные соединения лития, ртути и таллия. Борисов А. Е., Новикова Н. В. Изв. АН СССР. Отд. хим. н., 1957, № 10, 1258—1260

Действием Li на RBr [R здесь и далее C<sub>6</sub>H<sub>5</sub>C(=CH<sub>2</sub>)] получен RLi. Обменной р-цией RLi с HgBr<sub>2</sub> получена RHgBr, симметризованная в R<sub>2</sub>Hg. Действием HgCl<sub>2</sub> в ацетоне на R<sub>2</sub>Hg получена RHgCl. Р-цией RLi или R<sub>2</sub>Hg с TiBr<sub>3</sub> (I) получен R<sub>2</sub>TiBr (II). Из TiCl<sub>3</sub> (III) и R<sub>2</sub>Hg получен R<sub>2</sub>TiCl (IV). II с Hg в ацетоне образует R<sub>2</sub>Hg. Получить Sn-органич. соединения действием SnCl<sub>2</sub> на R<sub>2</sub>Hg или SnBr<sub>2</sub> (SnCl<sub>2</sub>) на II не удалось. RLi получен из 54 ммоль Li в 140 мл эфира и 54 ммоль RBr в 25 мл эфира (1,5 часа, 8—10°). К полученному р-ру за 30 мин. добавляют 44 ммоль HgBr<sub>2</sub> при 8—10°, перемешивают 1 час и разлагают 1%-ным р-ром HBr, выход RHgBr 33%, т. пл. 89,5—90,5° (из ацетона). Из 0,02 моля RHgBr в 65 мл C<sub>6</sub>H<sub>6</sub> действием сухого NH<sub>3</sub> за 1,5 часа получена R<sub>2</sub>Hg, выход 82%, т. пл. 68—69° (из CH<sub>3</sub>OH-ацетона). R<sub>2</sub>Hg получена также с выходом 84% из 52 ммоль RHgBr в 5 мл ацетона и 10 мл воды, 2,8 ммоль SnCl<sub>2</sub>·2H<sub>2</sub>O и 0,5 г NaOH в 12 мл воды. Из 2,4 ммоль R<sub>2</sub>Hg в 2 мл ацетона и 2,4 ммоль HgCl<sub>2</sub> получена RHgCl, выход 86%, т. пл. 95—96°. К эфирному р-ру RLi добавляют р-р I в эфире, через 30 мин. разлагают 1%-ным р-ром HBr, выход II 22%, т. разл. 156—158°. II получен также (выход 67%) из 3,7 ммоль R<sub>2</sub>Hg в 3 мл эфира и 1,8 ммоль I в 3,5 мл эфира. Аналогичным путем из R<sub>2</sub>Hg и III получен IV, выход 70%, т. пл. 158—160°. Перемешиванием 2 ммоль II и 10 г Hg в 25 мл ацетона 5 час. при 40° получена R<sub>2</sub>Hg с выходом 66%.

**28825.** Реакции в системах трехбромистый бор — спирт. Буйвид, Джеррард, Липперт (Reactions in boron tribromide — alcohol systems. Buiwid Z. J., Gerrard W., Lippert M. F.), Chemistry and Industry, 1957, № 42, 1386—1387 (англ.)

При смешении 1 моля BBBr<sub>3</sub> и 3 молей C<sub>4</sub>H<sub>9</sub>OH (I) или *изо*-C<sub>4</sub>H<sub>9</sub>OH при 0° с 90%-ным выходом образуется (н-C<sub>4</sub>H<sub>9</sub>O)<sub>2</sub>B (II) или (*изо*-C<sub>4</sub>H<sub>9</sub>O)<sub>2</sub>B (III). Р-ция между BBBr<sub>3</sub> и 2-C<sub>4</sub>H<sub>9</sub>OH приводит к (2-C<sub>4</sub>H<sub>9</sub>O)<sub>2</sub>B (IV) и 2-C<sub>4</sub>H<sub>9</sub>Br (V), а из *трет*-C<sub>4</sub>H<sub>9</sub>OH и BBBr<sub>3</sub> получены лишь *трет*-C<sub>4</sub>H<sub>9</sub>Br (VI) и B<sub>2</sub>O<sub>3</sub>. Эквивалентные кол-ва BBBr<sub>3</sub> и I реагируют при 0° с выделением HBr и образованием C<sub>4</sub>H<sub>9</sub>OBBr<sub>2</sub>, распадающегося при повышении т-ры на C<sub>4</sub>H<sub>9</sub>Br (VII), B<sub>2</sub>O<sub>3</sub> и BBBr<sub>3</sub>. Из продуктов р-ции III и I (1:2) при —80° после выдержки 1 час при 130°/120 мм выделена смесь *изо*-C<sub>4</sub>H<sub>9</sub>Br (VIII) и BBBr<sub>3</sub>, в остатке B<sub>2</sub>O<sub>3</sub>. При аналогичной обработке IV получено 89% V и 80% BBBr<sub>3</sub> наряду с B<sub>2</sub>O<sub>3</sub>. При —80° смешаны 2 моля BBBr<sub>3</sub> и 1 моль II, через 26 час. смесь обработана C<sub>6</sub>H<sub>5</sub>N, получено 90% неочищ. C<sub>4</sub>H<sub>9</sub>OBBr<sub>2</sub>·C<sub>6</sub>H<sub>5</sub>N; медленно разлагается при 15°. При р-ции между 2 молями II или III и 1 молем BBBr<sub>3</sub> выделены не соответствующие (RO)<sub>2</sub>BBBr<sub>3</sub> а продукты их распада — VII, VI и VIII, а также II, III и B<sub>2</sub>O<sub>3</sub>.

**28826.** Синтез некоторых алкилгалогенидов и кремнийуглеводородов. Топчиев А. В., Наметкин Н. С., Чернышева Т. И., Докл. АН СССР, 1957, 115, № 2, 326—329

Изучено присоединение HSiCl<sub>3</sub> (I) и HSiBr<sub>3</sub> (II) к изоамилену (III), нонену-1 (IV) и децену-1 (V). I и II присоединяются к IV и V в присутствии (C<sub>6</sub>H<sub>5</sub>COO)<sub>2</sub> (VI) с высокими выходами (60—70%), к III — с низ-

кими (5—8%). Из 15 г IV, 32 г II и 4 г VI (85°, 30 час.) получен C<sub>9</sub>H<sub>19</sub>SiBr<sub>3</sub> (здесь и далее при описании синтезов перечисляются выход в %, т. кип. в °C/мм, n<sub>D</sub><sup>20</sup>, d<sub>4</sub><sup>20</sup>): 79,4, 154—157/5, 1,4764, 1,4590. Из 84 г IV, 90 г I и 5 г VI (85°, 30 час.) получен C<sub>9</sub>H<sub>19</sub>SiCl<sub>3</sub>, 61, 121—123/5, 1,4498, 1,0645. Из 17 г V, 30 г II и 3 г VI (100°, 20 час.) получен C<sub>10</sub>H<sub>21</sub>SiBr<sub>3</sub>, 74, 167—168,5, 1,4692, 1,3896. Из 80 г V, 80 г I и 5 г VI (100°, 20 час.) получен C<sub>10</sub>H<sub>21</sub>SiCl<sub>3</sub>, 137/10, 1,4528, 1,0540. Из 28,7 г гексадецена-1, 93 г I и 5 г VI (60°, 14 час.) получен C<sub>16</sub>H<sub>33</sub>SiCl<sub>3</sub>, 29,7, 208/5, —. Из 30 г III, 42 г II и 3 г VI (40°, 15 час.) получен *изо*-C<sub>6</sub>H<sub>11</sub>SiBr<sub>3</sub>, 8,5, 196—198/751, —. Из 70 г III, 136 г I и 5 г VI (40°, 15 час.) получен *изо*-C<sub>6</sub>H<sub>11</sub>SiCl<sub>3</sub> (VII), 5,1, 147,5—149/754, —. При нагревании смеси 41,5 г III, 81,5 г I и 2 г VI в автоклаве (100 ат., 100°, 3,5 часа) выход VII 11,4%. В отличие от I CH<sub>3</sub>SiHCl<sub>2</sub> (VIII) присоединяется к IV и V со значительно меньшими выходами. Из 21 г IV, 110 г VIII и 5 г VI (80°, 36 час.) получен C<sub>9</sub>H<sub>19</sub>(CH<sub>3</sub>)SiCl<sub>2</sub>, 21,2, 115—117/5, 1,4546, 0,9931. Из 24 г V, 100 г VIII и 5 г VI (80°, 40 час.) получен C<sub>10</sub>H<sub>21</sub>(CH<sub>3</sub>)SiCl<sub>2</sub>, 38, 126—129/5, 1,4542, 0,9859. Полученные в-ва р-цией литийорганич. соединений (36, 10 час.) переведены в следующие кремнийуглеводороды: *изо*-C<sub>6</sub>H<sub>11</sub>Si(CH<sub>3</sub>)<sub>3</sub>, 96,3, 133—134/751, 1,4064, 0,7295; C<sub>9</sub>H<sub>19</sub>Si(CH<sub>3</sub>)<sub>3</sub>, 88,8, 83—85/5, 1,4321, 0,7801; C<sub>6</sub>H<sub>5</sub>Si(CH<sub>3</sub>)<sub>3</sub>, 70, 144—146/2, 1,4508, 0,8053; C<sub>6</sub>H<sub>5</sub>Si(CH<sub>3</sub>)<sub>2</sub>, 68, 167—168/5, 1,4532, 0,8138; C<sub>10</sub>H<sub>21</sub>Si(CH<sub>3</sub>)<sub>2</sub>, 67, 176—178/5, 1,4538, 0,8139; C<sub>16</sub>H<sub>33</sub>Si(CH<sub>3</sub>)<sub>2</sub>, 60,4, 219—223/5, 1,4609, 0,8313; C<sub>9</sub>H<sub>19</sub>(CH<sub>3</sub>)Si(CH<sub>3</sub>)<sub>2</sub>, 71,2, 160—162/5, 1,4521, 0,8115; C<sub>10</sub>H<sub>21</sub>(CH<sub>3</sub>)Si(CH<sub>3</sub>)<sub>2</sub>, 63,4, 162—164/5, 1,4529, 0,8121.

**28827.** Прямой синтез этилхлорсиланов. Андрианов К. А., Голубцов С. А., Трофимова И. В., Денисова А. С., Ж. прикл. химии, 1957, 30, № 8, 1277—1279

Направление р-ции C<sub>2</sub>H<sub>5</sub>Cl с Si-Cu-контактной массой зависит не только от активности и состава массы, но и от эффективности контакта между газом и поверхностью твердой фазы и равномерности распределения т-ры в реакционной зоне. При достаточном контакте и отсутствии местных перегревов р-цию можно направить в сторону образования (C<sub>2</sub>H<sub>5</sub>)<sub>2</sub>SiCl<sub>2</sub> (I) и C<sub>2</sub>H<sub>5</sub>SiCl<sub>3</sub>. Описан способ получения этилхлорсиланов из C<sub>2</sub>H<sub>5</sub>Cl и Sn в «кипящем» слое, с производительностью 200—300 г смеси этилхлорсиланов с 1 кг массы в 1 час, выходы по C<sub>2</sub>H<sub>5</sub>Cl и Si до 50—55%, содержание I в продуктах р-ции до 40%.

**28828.** Каталитические превращения алкилхлорсиланов и диалкилхлорсиланов в присутствии хлористого алюминия. Долгов Б. Н., Воронков М. Г., Борисов С. Н., Ж. общ. химии, 1957, 27, № 3, 709—716

При нагревании C<sub>2</sub>H<sub>5</sub>SiHCl<sub>2</sub> (I), C<sub>4</sub>H<sub>9</sub>SiHCl<sub>2</sub> (II) или (C<sub>2</sub>H<sub>5</sub>)<sub>2</sub>SiHCl (III) с AlCl<sub>3</sub> диспропорционируются по схеме: 2 R<sub>n</sub>SiHCl<sub>2-n</sub> → R<sub>n</sub>SiCl<sub>4-n</sub> + R<sub>n</sub>SiH<sub>2</sub>Cl<sub>2-n</sub>, где n = 1,2. В случае RSiHCl<sub>2</sub> (IV) возможно и более глубокое превращение: 3 IV → 2RSiCl<sub>3</sub> + RSiH<sub>3</sub>. Обсуждается механизм изученных р-ций. Выход продуктов диспропорционирования I (76—80%) не зависит от кол-ва AlCl<sub>3</sub>. В присутствии 15—20% AlCl<sub>3</sub> из I образуется 37—38% C<sub>2</sub>H<sub>5</sub>SiH<sub>2</sub>Cl (IV) и 39—43% C<sub>2</sub>H<sub>5</sub>SiCl<sub>3</sub> (VI), при > 40% AlCl<sub>3</sub> получено 17—26% V и > 50% VI; в присутствии < 5—6% AlCl<sub>3</sub> р-ция не идет. При перегонке 81,2 г I над 33,5 г AlCl<sub>3</sub> (2 часа) выделено 7,3 г V, т. кип. 41—45°, 45,9 г I и 22,3 г VI, т. кип. 97—98°. Из 61,7 г I и 32 г AlCl<sub>3</sub> (кипение 8 час. и перегонка) получено 0,1 г V, 27,9 г I и 22,3 г VI. При длительном кипячении I с AlCl<sub>3</sub> образуется исключительно VI и C<sub>2</sub>H<sub>5</sub>SiH<sub>3</sub>. После нагревания 137 г I с 6,9 г AlCl<sub>3</sub> (230—240°, 50 ат., 40 час.) получено 7,2 г V, 50,1 г I, 28,4 г VI, 5,5 г (C<sub>2</sub>H<sub>5</sub>)<sub>2</sub>SiCl<sub>2</sub> (VII). Приведены свойства в-



полученных из I (перечисляются т. кип. в °C/мм,  $n_D^{20}$ ,  $d_4^{20}$ ): V, 43/751, 1,3975, 0,9013; VI, 98/753,5, 1,4253, 1,2393; VII, 129,1/762, 1,4328, 1,0705. FeCl<sub>3</sub> в аналогичных условиях с I не взаимодействует. II реагирует с AlCl<sub>3</sub> медленнее, чем I. Перегонкой 66,1 г II над 28 г AlCl<sub>3</sub> выделено 3,1 г C<sub>6</sub>H<sub>5</sub>SiH<sub>2</sub>Cl, 0,6 г C<sub>6</sub>H<sub>5</sub>SiCl<sub>3</sub> и 28,7 г непрореагировавшего II. Перегонка 30,9 г III над 3,1 г AlCl<sub>3</sub> приводит к (C<sub>2</sub>H<sub>5</sub>)<sub>2</sub>SiH<sub>2</sub>, выход ~50%, т. кип. 54–57°,  $n_D^{20}$  1,3940, и VII, выход ~80%, т. кип. 129–130°,  $n_D^{20}$  1,4313.

Г. Моцарев  
28829. Термическая теломеризация олефинов с силинами, содержащими Si—H-связь. Несмеянов А. Н., Фрейдлина Р. Х., Чуковская Е. Ц., Докл. АН СССР, 1957, 115, № 4, 734–736

Термическая теломеризация C<sub>6</sub>H<sub>5</sub>SiCl<sub>2</sub>H (I) с этиленом (II) получены C<sub>6</sub>H<sub>5</sub>SiCl<sub>2</sub>(CH<sub>2</sub>CH<sub>2</sub>)<sub>n</sub>H (III), где  $n = 1$  (IIIa),  $n = 2$  (IIIб) и  $n = 3$  (IIIв). Для полученных III приводятся т. кип. в °C/мм,  $n_D^{20}$ ,  $d_4^{20}$ : IIIa, 84/7, 1,5180, 1,4490; IIIб, 90–91/3, 1,5140, 1,4181; IIIв, 115–118/3, 1,5100, 1,0832. Р-цией II с (C<sub>2</sub>H<sub>5</sub>)<sub>3</sub>SiH (IV) получены (C<sub>2</sub>H<sub>5</sub>)<sub>4</sub>Si (V), (C<sub>2</sub>H<sub>5</sub>)<sub>2</sub>Si(C<sub>6</sub>H<sub>5</sub>)<sub>2</sub> (VI) и фракции, содержащие высшие триэтилалкисиланы. Из II и (C<sub>2</sub>H<sub>5</sub>)<sub>3</sub>SiH выделить индивидуальных продуктов не удалось. Нагревают в автоклаве 35 г I (после продукта N<sub>2</sub>) с II 3 часа при 280–300°, получено 43 г продукта, из которого выделено 14 г IIIa, 4,7 г IIIб и 3 г IIIв. Нагревают 90 г IV с II 4 часа при 300–310°, получено 119 г продукта, из которого выделено 15 г V, 8 г VI и 18,5 г фракции с т. кип. 70–110°/4 мм.

С. Иоффе

28830. Алкоксисиланы, содержащие кремний-водородные связи. Миллер, Пик, Небергаль (Alkoxides of silicon containing silicon-hydrogen bonds. Miller Wendell S., Peake John S., Nebergall William H.), J. Amer. Chem. Soc., 1957, 79, № 21, 5604–5606 (англ.)

Синтезируются H<sub>2</sub>Si(OR)<sub>2</sub> (I) действием H<sub>2</sub>SiBr<sub>2</sub> (II) на RONA. C<sub>6</sub>H<sub>5</sub>SiH<sub>2</sub>(OR) (III) и C<sub>6</sub>H<sub>5</sub>SiH(OR)<sub>2</sub> (IV) получены действием RONA на C<sub>6</sub>H<sub>5</sub>SiH<sub>2</sub>Br (V) либо в более чистом виде р-цией C<sub>6</sub>H<sub>5</sub>SiH<sub>3</sub> (VI) с ROH в присутствии Cu. C<sub>6</sub>H<sub>11</sub>SiH<sub>2</sub>OCH<sub>3</sub> (выход 14%, т. кип. 140–150°/15 мм) получен из C<sub>6</sub>H<sub>11</sub>SiH<sub>2</sub>Br и CH<sub>3</sub>ONa. К 0,13 моля II в 50 мл петр. эфира (N<sub>2</sub>) при 0° за 4 часа добавлял суспензию 0,2 моля C<sub>2</sub>H<sub>5</sub>ONa, не содержащего спирта, в 150 мл петр. эфира, выход I (R = C<sub>2</sub>H<sub>5</sub>) 25%, т. кип. 90–92°/760 мм; неустойчив на воздухе, в запаянном сосуде через несколько дней полимеризуется; I (R = C<sub>3</sub>H<sub>7</sub>), т. кип. 136–140°/760 мм, I (R = *n*-C<sub>4</sub>H<sub>9</sub>), т. кип. 68–74°/12 мм. Из C<sub>6</sub>H<sub>5</sub>SiCl<sub>3</sub> действием LiAlH<sub>4</sub> получен VI, выход 74%, т. кип. 118–120°/760 мм. Действием HBr (газа) на р-р VI в эфире получен V. Из 0,3 моля V в 50 мл толуола и 0,2 моля CH<sub>3</sub>ONa в петр. эфире при 0° получены загрязненные III (R = CH<sub>3</sub>), выход 10,5%, и IV (R = CH<sub>3</sub>), выход 20,6%. Из 0,1 моля V в 100 мл толуола и C<sub>2</sub>H<sub>5</sub>ONa получены III (R = C<sub>2</sub>H<sub>5</sub>), выход 19,7%, и IV (R = C<sub>2</sub>H<sub>5</sub>), выход 25,5%. К 0,3–0,5 моля VI с 2 г порошка Cu добавлял постепенно 0,3–0,5 моля абс. ROH. Приводятся для III и IV R, выход в %, т. кип. в °C/мм,  $n_D^{25}$ ,  $d_4^{25}$ : CH<sub>3</sub>, 26, 60–65/10, 1,4845, 1,0051; CH<sub>3</sub>, 12, 78–84/10, 1,5400, 1,0298; C<sub>2</sub>H<sub>5</sub>, 11,1, 60–67/10, 1,4771, 0,9350; C<sub>2</sub>H<sub>5</sub>, 5, 80–84/10, 1,4814, 0,9533; C<sub>3</sub>H<sub>7</sub>, 34,1, 44–48/5, 1,4838, 0,9430; C<sub>3</sub>H<sub>7</sub>, 8, 90–96/14, 1,4781, 0,9545; C<sub>4</sub>H<sub>9</sub>, 74,4, 52–57/0,7, 1,4820, 0,9408; C<sub>4</sub>H<sub>9</sub>, 14,3, 90–96/0,7, 1,4785, 0,9662.

С. Иоффе

28831. Триалкилфторсиланы. Воронков М. Г., Изв. АН СССР. Отд. хим. н., 1957, № 4, 517–518

Описан синтез R<sub>3</sub>SiF, где R = CH<sub>3</sub> (I), C<sub>2</sub>H<sub>5</sub> (II), C<sub>6</sub>H<sub>5</sub> (III) и C<sub>4</sub>H<sub>9</sub> (IV), взаимодействием R<sub>3</sub>SiOSiR<sub>3</sub>, где R = CH<sub>3</sub> (V), C<sub>2</sub>H<sub>5</sub> (VI), в конц. H<sub>2</sub>SO<sub>4</sub> с KHF<sub>2</sub> или NH<sub>4</sub>HF<sub>2</sub>. I получен постепенным добавлением 1,5 моля KHF<sub>2</sub> к р-ру 1 моля V в 350–450 мл конц. H<sub>2</sub>SO<sub>4</sub> (0°),

выход I 85%, т. кип. 16,4°,  $d_4^{20}$  0,7946. К охлажд. до 0° р-ру 0,1 моля VI в 50 мл H<sub>2</sub>SO<sub>4</sub> прибавляют 0,15 моля KHF<sub>2</sub>, смесь выдерживают 10 мин. при 0° и 30 мин. при 20° и экстрагируют петр. эфиром II, выход 85% т. кип. 109,4°,  $n_D^{20}$  1,3900,  $d_4^{20}$  0,8360,  $d_4^{25}$  0,8326. Аналогично получены III, выход 86%, т. кип. 174,5°,  $n_D^{20}$  1,4117,  $d_4^{20}$  0,8384,  $d_4^{25}$  0,8351, и IV, выход 88%, т. кип. 225,3°,  $n_D^{20}$  1,4238,  $d_4^{20}$  0,8404,  $d_4^{25}$  0,8372. Приведены спектры комб. расщ. II и IV.

Г. Моцарев

28832. Действие четыреххлористого кремния на хлоротон. Шихлинский, Родзевич (Działanie czterochloru krzemu na chloreton. Szchylński Jerzy, Rodziewicz Włodzimierz), Roczn. chem., 1957, 31, № 1, 109–114 (польск.; рез. англ.)

Взаимодействием хлоратона (I) и SiCl<sub>4</sub> получен с хорошим выходом [CCl<sub>3</sub>C(CH<sub>3</sub>)<sub>2</sub>O]<sub>2</sub>Si(OH)<sub>2</sub> (II), т. кип. 158–160°/3 мм, т. пл. 53–55°. 50 г I, 19 г SiCl<sub>4</sub> и 58 г C<sub>6</sub>H<sub>5</sub>N нагревают 6 час. Добавляют 650 мл безводн. эфира, кипятят 3 часа, отделяют C<sub>6</sub>H<sub>5</sub>N·HCl, отгоняют эфир, выделено 20 г II. Атомы Cl в I затрудняют образование эфиров ортокремневой к-ты при р-ции с SiCl<sub>4</sub>.

S. Chudzyński

28833. Синтез некоторых винилсиланов при помощи магнийхлоридов. Розенберг, Уолберг, Станкович, Балнт, Рамеден (Preparation of some vinylsilanes with vinylmagnesium chloride. Rosenberg Sanders D., Walburn John J., Stankovich Theodore D., Balint Allen E., Ramsden Hugh E.), J. Organ. Chem., 1957, 22, № 10, 1200–1202 (англ.)

Действием CH<sub>2</sub>=CHMgCl (I) на силанхлориды синтезируются следующие в-ва (R везде CH<sub>2</sub>=CH) (перечисляются выход в %, т. кип. в °C/мм,  $n_D^{25}$ ,  $d_4^{25}$ ): (CH<sub>3</sub>)<sub>2</sub>SiR, 64, 55/760, 1,3898, 0,6917; (CH<sub>3</sub>)<sub>2</sub>SiR<sub>2</sub>, 67,1, 80/760, 1,4182, 0,7408; CH<sub>3</sub>SiR<sub>3</sub>, 72, 107,6/760, 1,4411, 0,7692; R<sub>4</sub>Si, 87,5, 130,6/760, 1,4611, 0,7926; C<sub>6</sub>H<sub>5</sub>SiR<sub>3</sub>, 81,4, 39–41/0,05, 1,4932, 0,9459; (C<sub>6</sub>H<sub>5</sub>)<sub>2</sub>SiR<sub>2</sub>, 80, 130–131/0,05, 1,5350, 1,0092; (C<sub>6</sub>H<sub>5</sub>)<sub>3</sub>SiR, 86,1, —, — (т. пл. 57–59,5°); R<sub>3</sub>SiH, 54,7, 92,5/760, 1,4498, 0,7725; (C<sub>4</sub>H<sub>9</sub>)<sub>2</sub>SiR<sub>2</sub>, 81, 59–61/2, 1,4528, 0,7916. В типовом опыте к 15,6 моля I в 3680 г тетрагидрофурана (II) за 3 часа приливают 3,5 моля SiCl<sub>4</sub> в 8 л пентана и кипятят 5 час., после обычной обработки отгоняют II на колонке (75 теоретич. тарелок) при миним. флегмовом числе, затем перегоняют R<sub>4</sub>Si без колонки. При получении высококипящих винилсиланов вместо пентана может быть применен гептан.

В. Черкаев

28834. Фотохимическое хлорирование этилсиланфторидов. Ориентирующее влияние фторсиланьных групп. Пономаренко В. А., Снегова А. Д., Ж. общ. химии, 1957, 27, № 8, 2067–2073

На основании хлорирования (C<sub>2</sub>H<sub>5</sub>)<sub>2</sub>SiF<sub>2</sub> (I) и C<sub>2</sub>H<sub>5</sub>SiF<sub>3</sub> (II) установлено, что β-ориентирующее влияние фторсиланьных групп возрастает по мере увеличения числа атомов F у Si в большей степени, чем в случае хлорсиланьных групп. При хлорировании 150 г I с непрерывным выводом продуктов р-ции (максим. т-ра 110°, 27 час.) выделены CH<sub>3</sub>CHCl(C<sub>2</sub>H<sub>5</sub>)SiF<sub>2</sub> (III) (здесь и далее при описании синтезов указаны выходы в %, т. кип. в °C/мм,  $n_D^{20}$ ,  $d_4^{20}$ ): 30, 103,2/753,2, 1,3790, 1,1155, и CH<sub>2</sub>ClCH<sub>2</sub>(C<sub>2</sub>H<sub>5</sub>)SiF<sub>2</sub> (IV), 35, 125,5/751,1, 1,3900 и 1,1467. Побочно образуется (C<sub>2</sub>H<sub>5</sub>Cl)<sub>2</sub>C<sub>2</sub>H<sub>5</sub>SiF<sub>2</sub> (V), —, 148,2/751,1, 1,4207, 1,3099. Хлорирование 61 г II (максим. т-ра 40°, 7,5 часа) приводит к CH<sub>3</sub>CHClSiF<sub>3</sub>, 7,4, 39,5/749,5, 1,3180, 1,2606, CH<sub>2</sub>ClCH<sub>2</sub>SiF<sub>3</sub>, 32,4, 68,5/749,5, 1,3418, 1,3661, и C<sub>2</sub>H<sub>5</sub>Cl<sub>2</sub>SiF<sub>3</sub> (IV), 6, 2, 91,7–92/749,5, 1,3750, 1,5007. Для выяснения строения V и VI изучены продукты хлорирования CH<sub>3</sub>CHClSiCl<sub>3</sub> (VII), CH<sub>2</sub>ClCH<sub>2</sub>SiCl<sub>3</sub> (VIII) и CCl<sub>3</sub>CH<sub>2</sub>CH<sub>2</sub>Cl (IX). При хлорировании 192,5 г VII (максим. т-ра 179°, 8 час.) выделены CH<sub>3</sub>CCl<sub>2</sub>SiCl<sub>3</sub>, выход 20,9%, т. кип. 152°/732 мм, т. пл. 109–111°, и CH<sub>2</sub>ClCHClSiCl<sub>3</sub> (X), 17,4, 179/732, 1,4835,

1,5207. Действие  $\text{Cl}_2$  на 136 г VIII (максим. т-ра 179°, 31 час) приводит к  $\text{CHCl}_2\text{CH}_2\text{SiCl}_3$  (XI), X, выход 51,5%, и  $\text{C}_2\text{H}_5\text{Cl}_2\text{SiCl}_3$  (смесь изомеров), 4,4, 80,5/17, 1,4910, 1,5908. Из продуктов хлорирования 115 г IX (максим. т-ра 184°, 32 часа) выделены  $\text{CCl}_3\text{CH}_2\text{CHCl}_2$ , 46,1, 79/24, 1,4980, 1,5736, и  $\text{CCl}_3\text{CHClCH}_2\text{CHCl}_2$ , 14,3, 85,5—86/21, 1,5078, 1,6064. На основании этих данных V и VI приписано строение преимущественно  $\beta$ , $\beta$ -дихлорэтилпроизводных. IV, в отличие от  $\text{CH}_2\text{ClCH}_2\text{Si}(\text{C}_2\text{H}_5)_2\text{Cl}_2$ , при нагревании с хинолином (XII) легко расщепляется. Из продуктов р-ции 35 г IV и 35 г XII выделено 3,1 г  $\text{C}_2\text{H}_5\text{SiCl}_3$  и 1,6 г  $(\text{CH}=\text{CH}_2)\text{C}_2\text{H}_5\text{SiCl}_2$ , 119/742, 1,4420, 1,0737. III более стоек к дегидрохлорированию, чем  $\text{CH}_3\text{CHClSi}(\text{C}_2\text{H}_5)_2\text{Cl}_2$  и IV. Из 36 г III и 37 г XII выделено немного  $(\text{CH}=\text{CH}_2)\text{C}_2\text{H}_5\text{SiF}_2$ , 5,3, 56/742, 1,3346, 0,9578; основное кол-во III остается неизменным. Резкое различие в действии XII на III и IV объясняется стабилизирующим влиянием фторсилльных групп.

Г. Моцарев

28835. Кремнеорганические производные борной кислоты — трис-(триалкилсилил)-бораты и полиборорганосилоксаны. Воронков М. Г., Згонник В. Н., Ж. общ. химии, 1957, 27, № 6, 1476—1483

Описан синтез  $(\text{RR}'_2\text{SiO})_3\text{B}$  (I) по р-ции  $3\text{R}_3\text{SiOR}' + \text{B}(\text{OH})_3 \rightarrow \text{I} + 3\text{R}'\text{OH}$ . Смесь 0,36 моля  $(\text{C}_2\text{H}_5)_3\text{SiOCH}_3$  (II) и 0,1 моля  $\text{B}(\text{OH})_3$  нагревают 6 час., выделен I ( $\text{R} = \text{R}' = \text{C}_2\text{H}_5$ ) (Ia), выход 94%, т. кип. 139—143°/2 мм, 310—312°/780 мм,  $n_D^{20}$  1,4379,  $d_4^{20}$  0,8918. При непосредственной перегонке II над  $\text{H}_3\text{BO}_3$  без предварительного нагревания выход Ia 70%. Аналогично получены другие I (перечисляются  $\text{R}, \text{R}'$ , выход в %, т. кип. в °C/мм,  $n_D^{20}$ ,  $d_4^{20}$ ):  $\text{CH}_3$ ,  $\text{C}_2\text{H}_5$ , 73, 131—133/5, 1,4225, 0,8751;  $\text{CH}_3$ ,  $\text{C}_3\text{H}_7$ , 74, 157—160/1, 1,4332, 0,8668. При попытках получения I ( $\text{R} = \text{R}' = \text{CH}_3$ ) (Ib) нагреванием 0,3 моля  $(\text{CH}_3)_3\text{SiOC}_2\text{H}_5$  и 0,1 моля  $\text{B}(\text{OH})_3$  до кипения выделены  $(\text{CH}_3)_3\text{SiOSi}(\text{CH}_3)_3$  (III) и  $\text{B}(\text{OC}_2\text{H}_5)_3$  (IV), т. кип. 119°/762 мм,  $n_D^{20}$  1,3772; в присутствии 0,2 г  $n\text{-CH}_3\text{C}_6\text{H}_4\text{SO}_3\text{H}$  наряду с III и IV образуется Iб, выход 3—7%. Смесь 0,93 моля III и 0,6 моля  $\text{B}_2\text{O}_3$  нагревают при 350° 27 час., выход Iб 20%, т. кип. 184,5°/776 мм,  $n_D^{20}$  1,3860,  $d_4^{20}$  0,8285. Установлена возможность получения I р-цией  $3\text{R}_3\text{SiCl} + \text{B}(\text{OH})_3$ , выход ~ 25%. На примере Ia показана возможность получения I р-цией  $\text{B}(\text{OR})_3$  с  $\text{R}_3'\text{SiOH}$  в присутствии  $\text{R}_3'\text{SiONa}$  или с  $\text{R}_3'\text{SiCl}$  в присутствии  $\text{FeCl}_3$ . I легко гидролизуются водой, особенно в присутствии щелочей и сильных к-т. При медленной перегонке смеси 0,15 моля  $(\text{CH}_3)_2\text{Si}(\text{OC}_2\text{H}_5)_2$  (V) и 0,05 моля  $\text{B}(\text{OH})_3$  при 78—80° получают спирт и IV (4,5 г). Из 0,3 моля  $\text{CH}_3\text{Si}(\text{OC}_2\text{H}_5)_3$  (VI) и 0,3 моля  $\text{B}(\text{OH})_3$  получен только спирт с выходом 97%. Аналогично перегонкой смеси 0,3 моля  $\text{Si}(\text{OC}_2\text{H}_5)_4$  и 0,4 моля  $\text{B}(\text{OH})_3$  получен спирт, выход 89%.  $\text{B}_2\text{O}_3$  гладко реагирует с  $\text{Si}(\text{OR})_4$  с образованием  $\text{B}(\text{OR})_3$ . При взаимодействии  $\text{B}(\text{OH})_3$  с V (1:3) получен вязкий полимер состава  $[\text{B}_2\text{O}_3 \cdot 6(\text{CH}_3)_2\text{SiO}]_n$ ; р-ция  $\text{B}(\text{OH})_3$  с VI (1:1) приводит к полимеру состава  $(\text{B}_2\text{O}_3 \cdot 4\text{CH}_3\text{SiO})_{1,5}$ . При нагревании  $(\text{CH}_3)_2\text{SiCl}_2$  с  $\text{B}(\text{OH})_3$  (3:2) — получен полимер состава  $[\text{B}_2\text{O}_3 \cdot 3(\text{CH}_3)_2\text{SiO}]_n$ . Эти соединения не изменяются при 300—350° и гидролизуются с расщеплением Si—O—B-связей.

Г. Моцарев

28836. О реакции органогидроксисилонов с изопианатами. Синтез кремнийорганических уретанов. Астахин В. В., Лосев И. П., Андрианов К. А., Докл. АН СССР, 1957, 113, № 3, 581—584

Изучена р-ция  $\text{R}_2\text{R}'\text{SiOH}$  (Ia-в) (здесь и далее  $\text{a} = \text{R} = \text{R}' = \text{C}_2\text{H}_5$ ;  $\text{b} = \text{R} = \text{C}_2\text{H}_5$ ,  $\text{R}' = \text{C}_3\text{H}_7$ ;  $\text{v} = \text{R} = \text{C}_2\text{H}_5$ ,  $\text{R}' = \text{C}_4\text{H}_9$ ) с  $m$ -толуиленидиозионом (II), приводящая к 1- $\text{CH}_3$ -2,4-( $\text{NHCOOSiR}_2\text{R}'$ ) $_2\text{C}_6\text{H}_3$  (IIIa-в), перекристаллизованных из толуола. Смесь 0,25 моля III и 1 моля Ia нагревают 1 час при 80—85°, через 12 час. (20°) продукт р-ции промывают бензином, т. пл. IIIa

152—153°. Аналогично из 0,25 моля II и 0,5 моля Ib получен IIIb, т. пл. 140—141°; из 0,25 моля II и 0,5 моля Iv выделен IIIv, т. пл. 104—106°. Для получения Iб к р-ру 100 г  $(\text{C}_2\text{H}_5)_2\text{C}_2\text{H}_7\text{SiCl}$  в 0,5 л эфира добавляют 1 г NaOH в присутствии фенолфталеина до появления розового окрашивания (—5 до —2°), выход Iб 66 г, т. кип. 171—172°/747 мм,  $n_D^{20}$  1,4365,  $d_4^{20}$  0,8598. К 314 г  $(\text{C}_2\text{H}_5)_2\text{SiCl}_2$  в 400 мл эфира добавляют эфирный р-р  $\text{C}_4\text{H}_9\text{MgBr}$  (из 274 г  $\text{C}_4\text{H}_9\text{Br}$ ), нагревают 8—10 час. до кипения и выделяют  $(\text{C}_2\text{H}_5)_2\text{C}_4\text{H}_9\text{SiCl}$  (IV); выход 60%, т. кип. 181—182°/744 мм,  $n_D^{20}$  1,4410,  $d_4^{20}$  0,8985. Из 100 г IV аналогично Iб получено 68 г Iv, т. кип. 190°/744 мм,  $n_D^{20}$  1,4390,  $d_4^{20}$  0,8608.

Г. Моцарев

28837. Исследования в области синтеза и превращений неопределенных кремнеорганических соединений. Сообщение 2. Синтез третичных трехатомных  $\gamma$ -кремнесодержащих спиртов ацетиленового ряда. Шихов И. А., Шостаковский М. Ф., Комаров Н. В., Каюенко Л. А., Изв. АН СССР. Отд. хим. н., 1957, № 9, 1139—1141

$(\text{CH}_3)_2(\text{OMgBr})\text{CC} \equiv \text{CMgBr}$  реагирует с  $\text{HSiCl}_3$  (I),  $\text{CH}_3\text{SiCl}_3$  (II) и  $\text{CH}_2 = \text{CHSiCl}_3$  (III) с образованием  $\text{RSi}(\text{C} \equiv \text{CC}(\text{CH}_3)_2\text{OH})_3$  (IVa-в), где  $\text{a} = \text{R} = \text{H}$ ,  $\text{b} = \text{R} = \text{CH}_3$ ,  $\text{v} = \text{R} = \text{CH}_2$ . К 29 г Mg и 600 мл эфира постепенно прибавляют 1,2 моля  $\text{C}_2\text{H}_5\text{Br}$ , смесь нагревают 30 мин., охлаждают до —10° и добавляют 0,64 моля диметилэтинилкарбинола (V), через ~12 час. добавляют 1 г  $\text{Cr}_2\text{Cl}_3$ , 0,5 г  $\text{HgCl}_2$  и 0,2 моля I, нагревают 12—15 час. при 34—35° и разлагают 10%-ной HCl; после обычной обработки выделен IVa, выход 53,4%, т. пл. 163—163,5° (из диоксана). Аналогично получен IVb (из 1 моля Mg, 1 моля  $\text{C}_2\text{H}_5\text{Br}$ , 0,5 моля V и 0,166 моля II), выход 92%, т. пл. 214° (из диоксана), и IVv (из 1,2 моля Mg, 1,2 моля  $\text{C}_2\text{H}_5\text{Br}$ , 0,6 моля V и 0,2 моля III), выход 65,7%, т. пл. 172,5—173° (из диоксана). Сообщение 1 см. РЖХим., 1957, 48024

Г. Моцарев

28838. Линейные диметилполисилоксаны с концевыми метоксигруппами. Лясоцкий (Szereg dwumetylopolisiloksanów liniowych o łańcuchach zakończone grupami metoksyowymi. Lasocki Zygmunt), Roczn. chem., 1957, 31, № 1, 305—307 (польск.; рез. англ.)

Частичный гидролиз диметилметоксисилоксана при помощи 0,5%-ного NaOH в 80%-ном  $\text{CH}_3\text{OH}$  в мол. отношении 1:0,75 ведет к смеси продуктов, из которых вакуум-перегонкой на колонке в 1 м выделены  $\text{CH}_3\text{O}[\text{Si}(\text{CH}_3)_2\text{O}]_n\text{CH}_3$ , где  $n = \text{от } 2 \text{ до } 10$ . Приводятся значения  $n$ , т. кип. в °C/мм,  $n_D^{25}$ ,  $d_4^{25}$ : 4, 104/13, 1,3903, 0,9299; 5, 129/13, 1,3929, 0,9384.

S. Chudzyński

28839. Реакция алкилирования хлорэфиров ортокремневой кислоты и метилэтоксисилоранов. Андрианов К. А., Голубцов С. А., Маклашина Т. С., Лобусевич Н. П., Ж. общ. химии, 1957, 27, № 4, 914—917

$\text{Cl}_{4-n}\text{Si}(\text{OC}_2\text{H}_5)_n$  (I) и  $\text{CH}_3\text{SiCl}_{3-n}(\text{OC}_2\text{H}_5)_n$  (II) реагируют с Mg и  $\text{C}_2\text{H}_5\text{Cl}$  в толуоле в присутствии ~1% эфира с образованием продуктов, которые при гидролизе дают смесь жидких  $[(\text{C}_2\text{H}_5)_2\text{SiO}]_n$  (III) и  $[\text{CH}_3(\text{C}_2\text{H}_5)\text{SiO}]_n$  (IV). К 44,5 г Mg (50°) добавляют смесь 3 мл  $\text{C}_2\text{H}_5\text{Cl}$  и 3 мл эфира, после начала р-ции прибавляют при 45—50° 150 г I (продукт р-ции 255 г  $\text{SiCl}_4$  с 103,5 г абс. сп.), 136 г  $\text{C}_2\text{H}_5\text{Cl}$ , 327 г толуола и 3 мл эфира (4—5° час.), нагревают 2—3 часа до 100°, охлаждают и гидролизуют 400 г воды и 50 г 30%-ной HCl (30—40°), выход III 72% (по  $\text{SiCl}_4$ ) и 82,5% (по I). Аналогично из 28,8 г Mg, 146 г II (из 897 г  $\text{CH}_3\text{SiCl}_3$  и 332 г сп.), 82,2 г  $\text{C}_2\text{H}_5\text{Cl}$ , 192 г толуола и 2 мл эфира, выход IV 85,3% (по  $\text{CH}_3\text{SiCl}_3$ ), 94,2% (по II). Приведены результаты частичной этерификации и этилирования при различных соотношениях между  $\text{SiCl}_4$ ,  $\text{CH}_3\text{SiCl}_3$  и спиртом. Оптимальный выход при алкил-



ровании I и II достигается при этерификации 40–50% атомов Cl в молекуле  $\text{SiCl}_4$  или  $\text{CH}_3\text{SiCl}_3$ . Г. Моцарев 28840. Реакции взаимодействия кремнийорганических соединений с хлорангидридами фосфора. Крешков А. П., Каратеев Д. А., Ж. общ. химии, 1957, 27, № 10, 2715–2720.

Изучены р-ции  $\text{Si}(\text{OR})_4$  (Ia–д), где а R =  $\text{CH}_3$ , б R =  $\text{C}_2\text{H}_5$ , в R =  $n\text{-C}_4\text{H}_9$ , г R =  $\text{C}_6\text{H}_5$ , д R =  $o\text{-CH}_3\text{C}_6\text{H}_4$ , с  $\text{POCl}_3$  и  $\text{PCl}_5$ . При кипячении 0,2 моля Ia (15 мин.) или 1б (3 часа) или 0,1 моля Iв (4 часа) с 0,1 моля  $\text{POCl}_3$  образуются соответственно следующие полимерные в-ва (перечисляются состав, выход в %,  $d_{40}^{20}$ ):  $\text{Si}_2\text{P}_2\text{C}_6\text{H}_{12}\text{O}_{10}$ , 75–80, 2,01;  $\text{Si}_2\text{P}_2\text{C}_8\text{H}_{16}\text{O}_{12}$ , 25–30, 1,68;  $\text{Si}_2\text{P}_2\text{C}_{10}\text{H}_{20}\text{O}_{14}$ , 30–35, 1,73. Из смеси эквимольных кол-в Iг и  $\text{PCl}_5$  или Id и  $\text{POCl}_3$  (кипячение 15 час. в 30 мл  $\text{C}_6\text{H}_6$ ) получены  $\text{P}(\text{OC}_6\text{H}_5)_3$  (здесь и для следующего в-ва приведены выход в %, т. кип. в  $^\circ\text{C}/758 \text{ мм}$ ,  $d_{40}^{20}$ ): 20–30, 359–360, 1,181, и  $\text{PO}(\text{OC}_6\text{H}_4\text{CH}_3)_2$ , 20–30, 409–410, 1,7905. Приведены подтвержденные ИК-спектрами данные о строении звена макромолекулы полимеров. Г. Моцарев.

28841. Синтез 1-гексаметилвинилэтилсилоксанов. Андрианов К. А., Курашева Н. А. Изв. АН СССР. Отд. хим. н., 1957, № 8, 956–961.

Солидололизом винилэтилдихлорсилана (I) и триметилхлорсилана (II) при 28–30 $^\circ$  получены следующие  $(\text{CH}_3)_2\text{SiO}[\text{Si}(\text{C}_2\text{H}_5)(\text{CH}=\text{CH}_2)\text{O}]_n\text{Si}(\text{CH}_3)_3$  (III) (перечисляются n, выход в %, т. кип. в  $^\circ\text{C}/\text{мм}$ ,  $n^{20D}$ ,  $d_{40}^{20}$ ): 1, 29,8, 45–48/5, 1,4011, 0,8421; 2, 21, 98–100/5, 1,4157, 0,8982; 3, 25, 145–152/5, 1,4215, 0,9235; 4, 9,25, 171–190/5, 1,4284, 0,9457. По коэф. вязкости (–15 $^\circ$  до 120 $^\circ$ ) III близки к линейным полидиметилсилоксанам; значения энергии активации вязкого течения III несколько выше, чем у полидиметилсилоксанов. Солидололизом винилтрихлорсилана (IV) и II при 80–86 $^\circ$  получен винилнонаметилтетрасилоксан, выход 4,4%, т. кип. 133–140/4 мм,  $n^{20D}$  1,4099,  $d_{40}^{20}$  0,9432. I получен из IV и  $\text{C}_2\text{H}_5\text{MgBr}$ , выход 28,9%, т. кип. 127–128 $^\circ$ ,  $n^{20D}$  1,4302,  $d_{40}^{20}$  1,0416. Из I обычными методами синтезированы  $\text{CH}_2=\text{CHSi}(\text{C}_2\text{H}_5)(\text{OR})_2$  (перечисляются R, выход в %, т. кип. в  $^\circ\text{C}/\text{мм}$ ,  $n^{20D}$ ,  $d_{40}^{20}$ ):  $\text{C}_2\text{H}_5$ , 30,2, 149–152, 1,4062, 0,8850;  $\text{COCH}_3$ , 42,8, 54–56/4, 1,4165, 1,0216;  $\text{C}_4\text{H}_9$ , 24,3, 71–78/5, 1,4146, 0,8509;  $iso\text{-C}_4\text{H}_9$ , 45,7, 60–61/4, 1,439, 0,8494. В. Черкаев.

28842. Аналоги неопентильной группы. I. Получение и некоторые реакции расщепления триметилсил-метильных замещенных соединений олова. Сейферт (Neopentyl group analogs. I. The preparation and some cleavage reactions of trimethylsilylmethyl-substituted tin compounds. Seyferth Dietmar), J. Amer. Chem. Soc., 1957, 79, № 22, 5881–5884 (англ.). Синтезированы  $\text{RSn}(\text{CH}_3)_3$  [I, здесь и далее R =  $(\text{CH}_3)_2\text{SiCH}_2$ ],  $\text{R}_4\text{Sn}$  (II) и  $\text{R}_2\text{SnR}'_2$  (III), где R' =  $\text{CH}_3$  (IIIa),  $\text{CH}_2=\text{CH}$  (IIIб),  $n\text{-C}_4\text{H}_9$  (IIIв) и  $\text{C}_6\text{H}_5$  (IIIг), р-цией Гриньяра в тетрагидрофуране (IV). Приведены для I–III выход в %, т. кип. в  $^\circ\text{C}/\text{мм}$ ,  $n^{25D}$ ,  $d_{40}^{20}$ : I, 86,2, 64–65/24, 1,4594, 1,136; II, 83,5, 94/0,2, 1,4839, 1,018; IIIa, 94, 55/0,7 (62/1,3), 1,4702, 1,073; IIIб, 73,5, 93–94/3,4, 1,4826, 1,078; IIIв, 91, 98/0,45, 1,4777, 1,027; IIIг, 88,4, 137/0,35 (130–132/0,2), 1,5499, 1,149. Изучены расщепление IIIa, IIIв и IIIг действием  $\text{J}_2$ ,  $\text{Br}_2$ ,  $\text{HBr}$ ,  $\text{HgBr}_2$  и  $\text{CF}_3\text{COOH}$  (приводятся исходное в-во, расщепляющий агент, полученные в-ва, выходы в %, т. кип. в  $^\circ\text{C}/\text{мм}$ ,  $n^{25D}$ ): IIIa,  $\text{J}_2$ ,  $\text{R}_2(\text{CH}_3)_2\text{SnJ}_2$ , 81,4, 56–86/0,35, 1,5268, IIIв,  $\text{J}_2$ ,  $\text{R}_2(n\text{-C}_4\text{H}_9)_2\text{SnJ}_2$ , 93,5, 105/0,4, 1,5257; IIIг,  $\text{J}_2$ ,  $\text{R}_2\text{SnJ}_2$ , 83, —, —, т. пл. 34,6–35,4 $^\circ$ , и  $\text{C}_6\text{H}_5\text{J}$ , 96, —, —; II,  $\text{J}_2$ ,  $\text{R}_3\text{SnJ}$ , 76,5, 105/0,3, 1,5237, и  $\text{RJ}$ , 78,5, —, —; IIIa,  $\text{Br}_2$ ,  $\text{R}(\text{CH}_3)_2\text{SnBr}$  (V), 31,4, 50/0,35, 1,5101, и  $\text{R}_2(\text{CH}_3)_2\text{SnBr}$  (VI), 56, 73/0,18, 1,5018; IIIв,  $\text{Br}_2$ , эквимольная смесь  $\text{R}(n\text{-C}_4\text{H}_9)_2\text{SnBr}$  (VII), 91/0,2, 1,5037, и  $\text{R}_2(n\text{-C}_4\text{H}_9)_2\text{SnBr}$ ; IIIa,  $\text{HBr}$ , V, 52, VI, 43, и

$(\text{CH}_3)_2\text{Si}$  (VIII), 54,3; IIIв,  $\text{HBr}$ , VII, 97, и VIII, 98; IIIг,  $\text{HBr}$ ,  $\text{R}_2\text{SnBr}_2$ , 98, т. пл. 38,6–39,8; IIIa,  $\text{HgBr}_2$ ,  $\text{CH}_3\text{HgBr}$ , 94; IIIв,  $\text{CF}_3\text{COOH}$ ,  $\text{R}(n\text{-C}_4\text{H}_9)_2\text{SnOOCOCF}_3$ , 54,7, т. пл. 62–63,4 $^\circ$ , и VIII, 26,2. Для получения IIIa к р-ру  $\text{RMgCl}$  (из 0,327 моля  $\text{RCl}$  в 200 мл IV) добавляют 0,125 моля  $(\text{CH}_3)_2\text{SnCl}_2$  в 70 мл IV и кипятят 20 час. I'16 получен из 0,083 моля  $\text{R}_2\text{SnBr}_2$  и 0,35 моля  $\text{CH}_2=\text{CHMgBr}$ . Расщепление III при помощи  $\text{J}_2$  проведено в ксилоле с отгонкой большей части его и повышением т-ры до  $\sim 175^\circ$ . Расщепление III действием  $\text{Br}_2$  проведено при  $\sim 20^\circ$  в  $\text{CCl}_4$ . Расщепление действием  $\text{HBr}$  проведено в  $\text{CHCl}_3$  или в  $\text{CH}_2\text{Cl}_2$  при  $-78^\circ$ . Для расщепления IIIв при помощи  $\text{CF}_3\text{COOH}$  перемешивают смесь 30 мин. при  $\sim 20^\circ$ , 2 часа при 60 $^\circ$  и 3 часа при 80 $^\circ$ . Для расщепления IIIa кипятят его с спирт. р-ром  $\text{HgBr}_2$  45 час. Из 0,01 моля  $\text{R}_2\text{SnBr}_2$  в 15 мл эфира и 0,02 моля  $\text{KOH}$  в 10 мл воды получен полимерный  $\text{R}_2\text{SnO}$ , т. пл. 145–160 $^\circ$ . Из 9,1 ммоль  $\text{R}_2\text{SnJ}_2$  в спирте и 9,1 ммоль  $\text{Na}_2\text{S} \cdot 9\text{H}_2\text{O}$  при насыщении  $\text{H}_2\text{S}$  получен  $\text{R}_2\text{SnS}$  в виде смеси тримера и тетрамера с т. пл. 74,4–75,5 $^\circ$  и высшие полимеры с т. пл. 150–165 $^\circ$ . С. Иоффе.

28843. Синтез алкилалкоксиацетоксисилонов. Андрианов К. А., Жданов А. А., Богданова А. А., Ж. общ. химии, 1957, 27, № 8, 2073–2075.

При р-ции  $\text{CH}_3\text{Si}(\text{OCOCH}_3)_3$  (I) и  $(\text{CH}_3)_2\text{Si}(\text{OCOCH}_3)_2$  (II) с  $iso\text{-C}_5\text{H}_{11}\text{OH}$  (III),  $\text{HOCH}_2\text{CH}_2\text{OH}$  (IV) или  $\text{CH}_2=\text{C}(\text{CH}_3)\text{COOCH}_2\text{CH}_2\text{OH}$  (V) ацетоксигруппы замещаются алкоксигруппами с выделением  $\text{CH}_3\text{COOH}$ . При взаимодействии 65 г I с 26 г III (54 $^\circ$ , 25 мин.; 20–25 $^\circ$ , 1 час) получен  $\text{CH}_3\text{Si}(\text{OCOCH}_3)_2(\text{OC}_5\text{H}_{11})_{11}$ -изо, т. кип. 106–108 $^\circ$ /10 мм,  $n^{20D}$  1,4065,  $d_{40}^{20}$  1,0220. Аналогично из 65 г I и 52 г III получен  $\text{CH}_3\text{Si}(\text{OCOCH}_3)(\text{OC}_5\text{H}_{11})_3$ , т. кип. 129–130 $^\circ$ /14 мм,  $n^{20D}$  1,4083,  $d_{40}^{20}$  0,9269. Из продуктов р-ции 88 г II и 31 г IV выделен циклич. эфир гликоля и диметилсиландиола. Взаимодействие 220 г I с 130 г V приводит к  $\text{CH}_3\text{Si}(\text{OCOCH}_3)_2\text{OCH}_2\text{CH}_2\text{OOCOC}(\text{CH}_3)=\text{CH}_2$  (т. кип. 133–134 $^\circ$ /0,5 мм,  $n^{20D}$  1,4335,  $d_{40}^{20}$  1,1516) легко полимеризующемуся при нагревании в присутствии инициаторов и гидролизующемуся водой с образованием полимерных продуктов. Г. Моцарев.

28844. О прочности кремнеуглеродной связи в хлорфенилтрихлорсиланах и хлорфенилэтилдихлорсиланах. Андрианов К. А., Одинец В. А., Изв. АН СССР, Отд. хим. н., 1957, № 8, 962–967.

При гидролизе  $\text{RSiCl}_3$  (I) и  $\text{R}(\text{C}_2\text{H}_5)_2\text{SiCl}_2$  (II), где R – хлорзамещ. фенильный радикал, при 38–40 $^\circ$  в 10–16%-ном р-ре  $\text{NaOH}$  или 10–14%-ном р-ре  $\text{HCl}$  связи Si–C сохраняются и образуются только  $(\text{Cl})_n\text{C}_6\text{H}_5\text{SiO}_{1-n}$  и  $(\text{Cl})_n\text{C}_6\text{H}_5\text{Si}(\text{C}_2\text{H}_5)_2\text{O}_{1-n}$ . I полученные хлорированием  $\text{C}_6\text{H}_5\text{SiCl}_3$  при 70–80 $^\circ$  в присутствии 0,5 вес. %  $\text{FeCl}_3$  (перечисляются R, т. кип. в  $^\circ\text{C}/\text{мм}$ ,  $d_{40}^{20}$ ): 3-хлорфенил, 90–95/10, 1,4102; 1,3-дихлорфенил, 105–110/10, 1,4801; 1,3,5-трихлорфенил, 123–125/10, 1,5530; 1,2,3,5-тетрахлорфенил, 135–137/10, 1,6210; 1,2,3,4,5-пентахлорфенил, 147–150/10, —. II синтезированы из I и  $\text{C}_2\text{H}_5\text{MgBr}$  (те же показатели): 3-хлорфенил, 116–118/7, 1,2947; 1,3-дихлорфенил, 130–132/10, 1,4381; 1,3,5-трихлорфенил, 142–144/12, 1,4921; 1,2,3,5-тетрахлорфенил, 123–125/3, 1,5396. В. Черкаев.

28845. Новые методы синтеза трис-(триалкилсилил)-фосфатов. Воронков М. Г., Згонник В. Н., Ж. общ. химии, 1957, 27, № 6, 1483–1486.

Описан синтез  $(\text{RR}'_2\text{SiO})_3\text{PO}$  (I) р-цией  $\text{H}_3\text{PO}_4$  с  $\text{RR}'_2\text{SiOR}$  взаимодействием  $\text{RR}'_2\text{SiCl}$  с  $\text{H}_3\text{PO}_4$  и р-цией  $(\text{RO})_3\text{PO}$  с  $\text{RR}'_2\text{SiX}$ . 0,4 моля  $(\text{C}_2\text{H}_5)_3\text{SiOCH}_3$  медленно перегоняют над 0,1 моля  $\text{H}_3\text{PO}_4$ , выделен I ( $\text{R} = \text{R}' = \text{C}_2\text{H}_5$ ) (Ia) (здесь и далее при описании в-в перечисляются выход в %, т. кип. в  $^\circ\text{C}/\text{мм}$ ,  $n^{20D}$ ,  $d_{40}^{20}$ ): 74, 183–186/3, 1,4455, 0,9668. Аналогично получены I ( $\text{R} = \text{CH}_3$ ,  $\text{R}' = \text{C}_2\text{H}_5$ ), 40, 145–147/1, 1,4302, 0,9474, и

I ( $R = CH_3$ ,  $R' = C_2H_5$ ), 50, 221—224/10, 1,4380, 0,9326. Смесь 0,61 моля  $(CH_3)_3SiCl$ , 0,195 моля  $H_3PO_4$  кипятят 6 час. до прекращения выделения  $HCl$ , выделен I ( $R = CH_3$ ), 35, 91—93/5, 1,4082, 0,9650; побочно образуются соответствующие гексаалкилдисилоксаны. Перегонкой смеси 0,095 моля  $(C_2H_5O)_3PO$  (II) и 0,31 моля  $(C_2H_5)_3SiBr$  получен Ia, выход 64%, т. кип. 240—243°/20 мм. Ia получен также с выходом 41% нагреванием смеси 0,15 моля  $(C_2H_5)_3SiCl$  и 0,05 моля II в присутствии 0,2 г безвод.  $FeCl_3$  (9 час.) до прекращения выделения  $C_2H_5Cl$ . I легко гидролизуются водой, водн. р-рами сильных к-т и оснований, расщепляются  $NaBr$  с образованием дисилоксанов. Смесь 0,3 моля  $(CH_3)_2SiCl_2$  и 0,2 моля  $H_3PO_4$  нагревают 6 час. и 4 часа в вакууме до прекращения выделения  $HCl$ , получен вязкий прозрачный растворимый полимер, гидролизующийся водой. Г. Моцарев

28846. Сложные кремнеорганические эфиры кремнеорганических кислот. Долгов Б. Н., Кухарская Э. В., Андреев Д. Н. Изв. АН СССР. Отд. хим. н., 1957, № 8, 968—971

Взаимодействием  $CH_3CH_2COOSiR_3$  (I)  $R'_3SiCH_2CH_2COOH$  (II) синтезированы с отщеплением  $C_2H_5COOH$  следующие  $R'_3SiCH_2CH_2COOSiR_3$  (III) (перечисляются  $R$ ,  $R'$ , выход в %, т. кип. в °C/мм,  $n_D^{20}$ ,  $d_4^{20}$ ):  $C_2H_5$ ,  $CH_3$  (IIIa), 41,9, 112—114,6, 1,4372, 0,8812;  $C_2H_5$ ,  $R_3 = CH_3 + (C_2H_5)_2$ , 76,1, 137,5/2, 1,4473, 0,8905. Р-цией 2 молей I и 1 моля  $(HOOCCH_2CH_2SiR'_2)_2O$  (IV) получены следующие  $(R_3SiOOCCH_2CH_2SiR'_2)_2O$  (V) (те же показатели):  $C_2H_5$ ,  $CH_3$ , 58,8, 170—172/6, 1,4405, 0,9213;  $C_2H_5$ ,  $C_2H_5$ , 37,1, 178—181/4, 1,4480, 0,9251. Для получения IIIa смесь 0,1 моля II ( $R' = CH_3$ ) и 0,13 моля I ( $R = C_2H_5$ ) нагревают 6 час. при 190—200°. Метилдиэтилсидилпропионовая к-та (VI) синтезирована следующим образом. К Na-малоновому эфиру (из 2 молей малонового эфира, 1,85 г-атома Na и 1 л абс. спирта) прибавляют 1,85 моля метилдиэтилхлорметилсилана, получают метилдиэтилсидилметилмалонат (VII), выход 63,2%, т. кип. 141°/4 мм,  $n_D^{20}$  1,4408,  $d_4^{20}$  0,9681; к р-ру 255,4 г КОН в 255 мл воды при 90° добавляют 1,14 моля VII, нагревают 1,5 часа, упаривают, добавляют 0,4 л воды и 597 мл конц.  $HCl$  и выделяют VI, выход 75,3%, т. кип. 138,5°/6 мм,  $n_D^{20}$  1,4455,  $d_4^{20}$  0,9306. К 98 мл конц.  $H_2SO_4$  за 1 час прибавляют 96,6 г VI, перемешивают 1,5—2 часа и выливают на лед, выход  $(HOOCCH_2CH_2Si(C_2H_5)_2)_2O$  83,7%, т. кип. 154—155°/4 мм,  $n_D^{20}$  1,4645,  $d_4^{20}$  1,0356. Из 0,1 моля  $(C_2H_5COO)_2Si(CH_3)_2$  и 0,25 моля II ( $R' = CH_3$ ) получен  $[(CH_3)_3SiCH_2CH_2COO]_2Si(CH_3)_2$ , выход 59,2%, т. кип. 151,5°/3 мм,  $n_D^{20}$  1,4368,  $d_4^{20}$  0,9407. В. Черкаев

28847. Действие сероводорода на диалкилхлорфосфиты. Михальский, Кравецкий (Action of hydrogen sulphide on dialkyl chlorophosphites. Michalski J., Krawiecki Cz.), Chemistry and Industry, 1957, № 40, 1323—1324 (англ.)

Взаимодействием  $(RO)_2PCl$  (I) в присутствии  $(C_2H_5)_3N$  (II) с менее чем мол. кол-вом  $H_2S$  получен наряду с  $(RO)_2P(S)H$  (III) с малым выходом  $[(RO)_2P]_2S$  (IV), являющийся промежуточным продуктом в этой р-ции. При р-ции I с  $H_2S$  в присутствии  $C_2H_5N$  образуется только III. Конденсацией I с III в присутствии II получен IV с хорошим выходом. IV ( $R = C_2H_5$ ), т. кип. 66—68°/0,05 мм, вязкое бесцветное масло, при действии  $H_2S$  и каталитич. кол-в II превращается в III ( $R = C_2H_5$ ). IV легко окисляется на воздухе с образованием  $[(C_2H_5O)_2P(O)]_2S$ , т. кип. 86—88°/0,1 мм. При добавлении IV к смеси первичного амина и карбоновой к-ты образуются амиды. С. Иоффе

28848. Новый синтетический метод получения тетрафенилфосфонийгалогенидов. Хирусава, Оку, Ямамото (Neue synthetische Methode von

Tetraphenyl-Phosphoniumhalogeniden. Horigawa Yûichi, Oku Mitsuo, Yamamoto Kazumi, Bull. Chem. Soc. Japan, 1957, 30, № 6, 667—670 (нем.)

Предложен метод получения  $(C_6H_5)_4P^+X^-$  (Ia—Ic), где  $X = Br$ , б  $X = J$ , в  $X = Cl$  из  $(C_6H_5)_3P$  (II) и  $C_6H_5X$  в  $CH_3OH$  в присутствии каталитич. кол-в  $NiX_2$  и 0,5 моля II, 0,1 моля сухого  $C_6H_5Br$ , 0,0014 моля  $NiBr_2$  и 0,5 моля  $CH_3OH$  после вытеснения воздуха  $N_2$  нагревают в автоклаве 5 час. при 160°, выход дигидрата Ia 80%, т. пл. 287°, выход Ib из I и  $C_6H_5J$  90%, т. пл. 333°. Выход Iv  $\cdot 5H_2O$  из I и  $C_6H_5Cl$  при 180° 23%, при 230° 60%, т. пл. 265°. Предполагается промежуточное образование при р-ции  $[(C_6H_5)_3P]_2NiX_2 \cdot 2C_6H_5X$ , распадающегося на I и  $NiX_2$ . С. Иоффе

28849. Синтез и исследование некоторых виниловых эфиров кислот фосфора. Гефтер Е. Л., Кабатник М. И., Докл. АН СССР, 1957, 114, № 3, 541—544. При действии избытка  $CH_3CHO$  и  $(C_2H_5)_3N$  на хлорангидриды к-т фосфора при охлаждении и перемешивании образуются с выходом 30—35% виниловые эфиры к-т фосфора. Приводятся для  $RPO(ON=CH_2)_3$  (I) значения  $R$ , т. кип. в °C/мм,  $n_D^{20}$ ,  $d_4^{20}$ :  $CH_3$ , 64—65/8, 1,4394, 1,1097;  $C_2H_5$  (Ia), 60—61/5—5,5, 1,4406, 1,0707;  $ClCH_2$ , 66—67/1, 1,4636, 1,2458;  $C_6H_5$ , 110—111/1,5—2, 1,5144, 1,1589;  $CH_2=CH$ , 49—50/1,5—2, 1,4530, 1,1020. То же для  $CH_3PO(ON=CH_2)_3$  (II):  $CH_3CH_2$ , 96—98/3,5—4, 1,4540, 1,2351;  $C_6H_5$ , 63—65/2,5—3, 1,4278, 1,0208;  $C_6H_5(CH_3)PO(ON=CH_2)_3$ , 102—104/2, 1,5224, 1,1166;  $C_6H_5OP(ON=CH_2)_3$ , 71/2—2,5, 1,5357, 1,2306.

$OSCH_2CH_2OPOON=CH_2$ , 58—59/15, 1,4577, 1,1672;  $PO$ —

$(ON=CH_2)_3$ , 84—85/10, 1,4314, 1,1240. При переэтерификации Ia  $CH_3COOH$  образуется винилацетат. При полимеризации полученных моновиниловых эфиров при 50—70° в присутствии  $(C_6H_5COO)_2$  (0,7—1,9%) образуются низкомолекулярные в-ва линейного строения; в случае ди- и тривиниловых эфиров образуются пространственные сетчатые полимеры, нерастворимые в органич. растворителях. С. Иоффе

28850. Диалкиламиды трихлорфосфазосерной кислоты и хлорангидриды N,N-диалкилсульфамид-N'-фосфорной кислоты. Кирсанов А. В., Некрасов З. Д., Ж. общ. химии, 1957, 27, № 5, 1253—1256

Реакцией  $R_2NSO_2NH_2$  (Ia, б; здесь и далее  $R = CH_3$ , б  $R = C_2H_5$ ) и  $PCl_5$  получены  $R_2NSO_2N = PCl_2$  (IIa—б). Гидролизом II действием безвод.  $HCOOH$  получен последовательно  $R_2NSO_2NHP(O)Cl_2$  (III),  $R_2NSO_2NHP(O)Cl(OH)$  (IV) и  $R_2NSO_2NHP(O)(OH)_2$  (V). Смесь 30 мл  $CCl_4$ , 0,04 моля Ia и 0,04 моля  $PCl_5$  нагревают при 85—100° 1 час, выход IIa 99%, т. пл. 73—75°. II медленно реагирует с водой, бурно со спиртами. Смесь 0,05 моля Ib и 0,05 моля  $PCl_5$  нагревают при 80° 20 мин. и  $HCl$ -газ удаляют в вакууме при 80°, выход IIб колич.,  $n_D^{20}$  1,5072,  $d_4^{20}$  1,4665. IIб получен из  $(C_2H_5)_2NSO_2Cl$  и  $NH_3$ , т. пл. 46—47° (из  $CCl_4$ ). К р-ру 0,01 моля IIa в 10 мл  $C_6H_6$  добавляют 0,01 мол.  $HCOOH$ , через 12 час. отделяют IIIa, выход 93%, т. пл. 110—112° (из  $CCl_4$ ). IIIa с водой реагирует медленнее, чем IIa. Выход IIIб колич., т. пл. 70—72° (из  $CCl_4$ ). Смесь 0,01 моля IIIa и 0,01 моля  $HCOOH$  в 50 мл  $C_6H_6$  кипятят 5 час., выход IVa 60%, т. пл. 74—80° (разл.). Выход IVб 66,2%, в-во (масло) переосаждают из р-ра в  $C_6H_6$  петр. эфиром. Смесь 0,01 моля IVa и 0,02 мол.  $HCOOH$  в 50 мл диоксиана кипятят 10 час., выход Vа 92,1%, т. пл. 187—189° (разл.). Для Vб выход 81%, т. пл. 80—95°. В. Гиляров

28851. Синтез смешанных эфиромидов монохлорфосфорной кислоты. Никоноров К. Я., Сперанская З. Г. Изв. АН СССР. Отд. хим. н., 1957, № 9, 1059—1063

Синтезированы  $[(CH_3)_2N]_2P(O)OP(S)(OR)_2$  (I) и



(C<sub>6</sub>H<sub>5</sub>)<sub>2</sub>N<sub>2</sub>P(S)OP(S)(OR)<sub>2</sub> (II). I получены действием (C<sub>6</sub>H<sub>5</sub>)<sub>2</sub>N<sub>2</sub>POCl (III) на (RO)<sub>2</sub>P(S)OH (IV) в присутствии (C<sub>6</sub>H<sub>5</sub>)<sub>3</sub>N (V). II получены взаимодействием (C<sub>6</sub>H<sub>5</sub>)<sub>2</sub>N<sub>2</sub>POCl (III) с IV в присутствии V с последующим присоединением S без выделения промежуточного продукта. Нагревают 0,1 моля (RO)<sub>2</sub>POH (VII) при 60° 1 час с 0,1 моля S и 0,1 моля V, к полученной IV прибавляют 0,1 моля III и перемешивают 4—5 часа при 40°, разбавляют бензином и выделяют I (приводятся R, выход в %, т. кип. в °C/мм, n<sub>D</sub><sup>20</sup>, d<sub>4</sub><sup>20</sup>): C<sub>2</sub>H<sub>5</sub>, 58, 159—160/3,5, 1,4700, 1,1186; изо-C<sub>3</sub>H<sub>7</sub>, 48, 150—152/3, 1,4665, 1,1237; C<sub>4</sub>H<sub>9</sub>, 45, 154—157/1, 1,4695, 1,0883; изо-C<sub>4</sub>H<sub>9</sub>, 30, 159—160/2,5, 1,4652, 1,082. Аналогично получают (CH<sub>3</sub>)<sub>2</sub>N<sub>2</sub>P(C<sub>2</sub>H<sub>5</sub>)<sub>2</sub>N(O)OP(S)(OC<sub>3</sub>H<sub>7</sub>)<sub>2</sub>, 31,7, 149—152/1,5, 1,4710, 1,0950. K IV (из 0,07 моля VII, 0,07 моля V и 0,07 моля S) добавляют при 40° 0,07 моля VI и 0,07 моля S, перемешивают при 60° 8—10 час., добавляют бензин, после отделения V·HCl выделяют II (те же показатели): C<sub>2</sub>H<sub>5</sub>, 44,8, 153—156/1—2, 1,500, 1,1097; C<sub>2</sub>H<sub>5</sub>, 49,5, 167—170/2—3, 1,4970, 1,0890; изо-C<sub>3</sub>H<sub>7</sub>, 35,5, 165—168/2—3, 1,4912, 1,0746; C<sub>4</sub>H<sub>9</sub>, 25, 172—175/2, 1,4880, 1,0670; изо-C<sub>4</sub>H<sub>9</sub>, 30, 173—177/2—3, 1,4880, 1,0567. По инсектицидной активности I и II уступают (C<sub>6</sub>H<sub>5</sub>)<sub>2</sub>P(O)<sub>2</sub> и [(CH<sub>3</sub>)<sub>2</sub>N]<sub>2</sub>P(O)<sub>2</sub>O. С. Иоффе

28852. Получение и свойства диметилфосфиновой кислоты и некоторых ее производных. Рейнхардт, Бьянки, Мёлле (Darstellung und Eigenschaften von Dimethylphosphinsäure und einiger ihrer Derivate. Reinhardt Heinz, Bianchi Dario, Mölle Dieter), Chem. Ber., 1957, 90, № 8, 1656—1660 (нем.).

При хлорировании [(CH<sub>3</sub>)<sub>2</sub>P(S)]<sub>2</sub> (I) образуется CH<sub>3</sub>PCl<sub>2</sub> (II). Окислением I получена (CH<sub>3</sub>)<sub>2</sub>P(O)OH (III), хлорирование которой ведет к (CH<sub>3</sub>)<sub>2</sub>(CCl<sub>3</sub>)P(O)OH (IV). Из (CH<sub>3</sub>)<sub>2</sub>P(O)Cl (V) и RONA получены (CH<sub>3</sub>)<sub>2</sub>P(O)(OR) (VI), которые (в случае R — ненасыщ. радикал) полимеризуются в присутствии перекиси с образованием вязких полимеров. I получен по описанному методу (Кабачник М. И., Шепелева Е. С., Изв. АН СССР. Отд. хим. н., 1949, 56), выход 85%, т. пл. 226,5—227,5° (из толуола-сп.). В р-р 7,5 г I в 300 мл CCl<sub>4</sub> пропускают 1 час Cl<sub>2</sub> при облучении УФ-светом и нагревании, через 3—4 часа отделяют II, выход колич., т. пл. 198—199°. При хлорировании I в 6 час. образуется (CCl<sub>3</sub>)<sub>2</sub>PCl<sub>2</sub>, т. пл. 187—188°. Для получения III к 150 г I в 0,5 л CCl<sub>4</sub> добавляют 235 мл 30%-ой H<sub>2</sub>O<sub>2</sub> при нагревании и нагревают еще 15 часа, выход III 95%, т. пл. 88,5—90,5°. В суспензию 10 г III и 0,1 г J<sub>2</sub> в 250 мл CCl<sub>4</sub> при нагревании и УФ-облучении пропускают Cl<sub>2</sub> 5 час., выход IV 49%, т. пл. 161—161,5° (из бзл. или эф.). V получена из III и PCl<sub>5</sub> (1 час, 115°), выход 86%, т. кип. 204—205°, т. пл. 64—66°. VI (R = CH<sub>3</sub>) получен добавлением р-ра CH<sub>3</sub>ONa (из 7 г Na и 120 мл CH<sub>3</sub>OH) к 33,5 г охлажд. V в 0,5 л C<sub>6</sub>H<sub>6</sub>. Для VI перечисляются R, выход в %, т. кип. в °C/мм, n<sub>D</sub>, т-ра в °C: CH<sub>3</sub>, 78, 78,5—79,5/760, 1,4299, 22; C<sub>2</sub>H<sub>5</sub>, 65, 97,5—98,5/14, 1,4456, 22; CH<sub>2</sub>=C(CH<sub>3</sub>)CH<sub>3</sub>, 90, 103—104/13,5, 1,4507, 20; CH<sub>3</sub>C≡CH, 5, 89—89,5/2,5, 1,4608, 22; бутинил, 80, 81—81,5/2,5, 1,4534, 22; CH<sub>3</sub>CH=CHCH<sub>3</sub>, 78, 108/11, 1,4543. 21. При пропускании окиси этилена в р-р 19 г V в 100 мл C<sub>6</sub>H<sub>6</sub> с 0,125 г AlCl<sub>3</sub> получают VI (R = CH<sub>2</sub>CH<sub>2</sub>Cl), выход колич., т. кип. 125—127°, n<sub>D</sub><sup>20</sup> 1,4581. В. Гиляров

28853. О синтезе о-окси- и о-аминобензолфосфиновых кислот, их замещенных и азокрасителей на их основе. Лукин А. М., Калинин И. Д., Хим. наука и пром-сть, 1957, 2, № 3, 400

По диазотометоду (Doak G. O., Freedman L. D., J. Amer. Chem. Soc., 1951, 73, 5658) из о-аминофенола получена о-НОС<sub>6</sub>H<sub>4</sub>P(O)(OH)<sub>2</sub> (выделена в виде продукта сочетания с диазосоединением из n-NO<sub>2</sub>C<sub>6</sub>H<sub>4</sub>NH<sub>2</sub>), из 4-Cl-2-NH<sub>2</sub>C<sub>6</sub>H<sub>3</sub>OH получена 5-Cl-2-НОС<sub>6</sub>H<sub>3</sub>P-

(O)(OH)<sub>2</sub> (выход ~ 50%), из которой также получен азокраситель с тем же диазосоединением. В измененных условиях диазотометодом из о-NO<sub>2</sub>C<sub>6</sub>H<sub>4</sub>NH<sub>2</sub> получена соль Cl-o-NH<sub>2</sub>C<sub>6</sub>H<sub>3</sub>P(O)(OH)<sub>2</sub> (I) с NH<sub>2</sub>C<sub>6</sub>H<sub>4</sub>Cl, а также оранжевое в-во, при восстановлении которого получена I. Из I получены азокрасители с Р-солью, хромотроновой к-той, к-той Невиль — Винтера и резорцином, которые представляют интерес, как реактивы на катионы, содержащие AsO<sub>3</sub>H<sub>2</sub>-группу. В. Гиляров

28854. Моноэфиры и эфирамиды ароматических фосфиновых кислот. Бургер, Андерсон (Monoesters and ester-amidates of aromatic phosphonic acids. Burger Alfred, Anderson James J.), J. Amer. Chem. Soc., 1957, 79, № 13, 3575—3579 (англ.)

В поисках бактериостатически активных в-в синтезированы ряд RP(O)(OH)OR' (I) и n-NO<sub>2</sub>C<sub>6</sub>H<sub>4</sub>P(O)(NHR)OR' (II). К нагретому до кипения р-ру 10 ммоль RPO(OH)<sub>2</sub> и 10 ммоль R'OH в 25 мл абс. тетрагидрофурана (III) прибавляют за 2,5—3 часа 11 ммоль дициклогексилкарбодиимида (IV) в 10 мл III, нагревают 8—10 час., через несколько часов (37°) отгоняют р-ритель в вакууме, остаток растворяют в 25 мл теплого 1 н. NH<sub>4</sub>OH, фильтрат подкисляют 6 н. HCl. Маслообразный I кристаллизуют из смеси бутанон-изопропиловый эфир (БИЭ); трет-C<sub>4</sub>H<sub>9</sub>OH не реагирует в этих условиях. 22 ммоль IV в 10 мл III медленно прибавляют при 25° к р-ру 20 ммоль I в 40 мл III, через 30 мин. к нагретому до кипения фильтрату прибавляют 22 ммоль RNH<sub>2</sub>, кипятят 10 час., р-ритель удаляют в вакууме, из остатка экстрагируют 75 мл кипящего эфира II, который кристаллизуют из БИЭ. I (R = n-NO<sub>2</sub>C<sub>6</sub>H<sub>4</sub>) и II восстанавливают над скелетным Ni (3 ат, 25°, 2—3 часа) в амины (Ia — IIa). К р-ру 10 ммоль n-C<sub>6</sub>H<sub>13</sub>PO(OH)<sub>2</sub> в 50 мл абс. эфира медленно прибавляют при перемешивании 55 ммоль IV в эфире, фильтрат упаривают до 5 мл и охлаждают, получают [C<sub>6</sub>H<sub>13</sub>P(O)(OH)<sub>2</sub>O], выход 65%, т. пл. 64—65°. Описаны следующие I (R = n-NO<sub>2</sub>C<sub>6</sub>H<sub>4</sub>) (указаны R', выход в %, т. пл. в °C, pKa; в скобках то же для соответствующего Ia): C<sub>6</sub>H<sub>5</sub>, 82, 139—141, 2,5 (74, 245,5—246, 4); C<sub>2</sub>H<sub>5</sub>, 83, 111—112,5, 2,5 (80, 208—210, 3,9); CH<sub>3</sub>, 60, 129—131, —, (90, 196,5—197, 3,8); CF<sub>3</sub>CH<sub>2</sub>, 77, 115—117, 2,5; C<sub>6</sub>H<sub>11</sub>, 91, 123—125, 2,6 (77, 236—238, 3,9). Получены следующие II (указаны R, R', выход в %, т. пл. в °C, pKa; в скобках то же для соответствующего IIa): C<sub>6</sub>H<sub>5</sub>CH<sub>2</sub>, C<sub>2</sub>H<sub>5</sub>, 80, 81,5—82,5, — (75, 91—93, 10,7); CH<sub>3</sub>, 2-тиазолл (T3), 77, 135—136,5, 8,6 (79, 162—163, 9,2); C<sub>2</sub>H<sub>5</sub>, T3, 85, 138—139, 8,7 (80, 163—165, 9,3); C<sub>6</sub>H<sub>5</sub>, T3, 67, 172—174, 8,9 (91, 209—211, разл., 9,7); CF<sub>3</sub>CH<sub>2</sub>, T3, 81, 143—145, 8,3 (76, 145—147, 8,7); CH<sub>3</sub>, 2-пиридил, 55, 113—115, 10,2 (80, 162—164, 10,4); C<sub>2</sub>H<sub>5</sub>, 2-пиридил, 90, 92—94, 10,4 (75, 167—169, 10,5); C<sub>6</sub>H<sub>5</sub>, 2-пиримидил, 50, 192—193, —, (75, 171—173, 10,4); C<sub>2</sub>H<sub>5</sub>, 2-(5-метилпиридил), 75, 142—144, —. Получены также следующие I (указаны R, R', выход в %, т. пл. в °C или т. кип. в °C/мм): C<sub>6</sub>H<sub>5</sub>, C<sub>6</sub>H<sub>5</sub>, 82, 70—72; n-C<sub>4</sub>H<sub>9</sub>, C<sub>2</sub>H<sub>5</sub>, 60, 147—149/1. Все т-ры плавления исправлены. Ф. Величко

28855. Фосфорорганические производные этиленмина. Сообщение 2. Присоединение к этиленамидам диалкилфосфорных кислот галогенпроизводных углеводородов и галогенов. Гречкин Н. П., Изв. АН СССР. Отд. хим. н., 1957, № 9, 1053—1058

Присоединением к (RO)<sub>2</sub>P(O)NCH<sub>2</sub>CH<sub>2</sub> (I) AgCH<sub>2</sub>Cl (II) получены (RO)<sub>2</sub>P(O)N(CH<sub>2</sub>Ag)CH<sub>2</sub>CH<sub>2</sub>Cl (III), которые омылением HCl (к-той) превращены в AgCH<sub>2</sub>Cl (ClCH<sub>2</sub>CH<sub>2</sub>)NH·HCl (IV). Действием Cl<sub>2</sub> на I получены (RO)<sub>2</sub>P(O)N(Cl)CH<sub>2</sub>CH<sub>2</sub>Cl (V). V (R = C<sub>2</sub>H<sub>5</sub>) (Va) реагирует с (C<sub>2</sub>H<sub>5</sub>O)<sub>3</sub>P по схеме арбузовской перегруппировки с образованием [(C<sub>2</sub>H<sub>5</sub>O)<sub>3</sub>P(O)]NCH<sub>2</sub>CH<sub>2</sub>Cl (VI) и C<sub>2</sub>H<sub>5</sub>P(O)(OC<sub>2</sub>H<sub>5</sub>)<sub>2</sub> (VII). Присоедине-

нием Ва к I ( $R = C_2H_5$ ) (Ia) получен  $[(C_2H_5O)_2P(O)N-(CH_2CH_2Cl)_2]$  (VIII). 10 г Ia и 7,1 г II ( $Ag = C_6H_5$ ) нагревали в трубке 4 часа при 135–145° и 2 часа при 185°, выход III ( $R = C_2H_5$ ) 55%, т. кип. 151–151,5°/1,7 мм,  $n_D^{20}$  1,5013,  $d_4^{20}$  1,1621; действием HCl получен IV ( $Ag = C_6H_5$ ), т. пл. 191–192° (из сп.). Из 10 г Ia и 9,9 г II ( $Ag = 1-C_{10}H_7$ ) нагреванием 4 часа при 165–185° получено 10 г неочищ. III ( $R = 1-C_{10}H_7$ ), разлагается при 180°/1 мм, который омылением HCl превращен в IV ( $Ag = 1-C_{10}H_7$ ), т. пл. 196–198° (из  $CH_2Cl-CH_2Cl$ ). К р-ру 6,6 г I ( $R = \text{изо-}C_4H_9$ ) в 50 мл  $CCl_4$  прибавляют при 0° р-р 2 г  $Cl_2$  в  $CCl_4$  и оставляют на 12 час. Приводятся для V R, выход в %, т. кип. в °C/мм,  $n_D^{20}$ ,  $d_4^{20}$ :  $C_2H_5$ , 80, 99–100/1, 1,4574, 1,1270;  $\text{изо-}C_3H_7$ , 64, 101–102/2, 1,4513, 1,1867;  $\text{изо-}C_4H_9$ , 67, 132–133/3, 1,4539, 1,1416;  $n-C_5H_{11}$ , 79, 149–150/2, 1,4586, 1,1444;  $n-C_6H_{13}$ , 40, 160–162/2, 1,4590, 1,0827. К 9,7 г Va прибавляют при т-ре от –35 до –50° 6,4 г  $(C_2H_5O)_3P$ , получено 2 г VII и VI, выход 74%, т. кип. 133–135°/1 мм,  $n_D^{20}$  1,4467,  $d_4^{20}$  1,2114. 10,5 г Va и 7,5 г Ia нагревают 6 час. при 120–130°, выход VIII 65%, т. кип. 109°/1,3 мм,  $n_D^{20}$  1,4484,  $d_4^{20}$  1,1912. Сообщение I см. РЖХим, 1957, 23089. С. Иоффе

**28856. Новый метод получения сурьяноароматических соединений.** Сергеев П. Г., Брукер А. Б., Ж. общ. химии, 1957, 27, № 8, 2220–2223

Разработан метод получения Sb-ароматич. соединений р-цией  $C_6H_5NHNH_2$  (I) с р-ром  $SbCl_3$  (II) и  $CuCl_2$  (III) в HCl (к-те) в присутствии  $O_2$  воздуха. Механизм р-ции состоит в окислении хлоргидрата I до  $C_6H_5N_2Cl$  (IV), который с II образует двойную соль  $C_6H_5N_2Cl \cdot SbCl_3$  (V); другая молекула I восстанавливает V до  $C_6H_5SbCl_2$  (VI), окисляясь до IV. Из VI и IV образуется  $C_6H_5N_2Cl \cdot C_6H_5SbCl_2$ , который при растворении в ацетоне с выделением  $N_2$  превращается в  $(C_6H_5)_2SbCl_3$  (VII), дающий при гидролизе  $(C_6H_5)_2Sb(O)OH$  (VIII). Избыток III окисляет VI до  $C_6H_5SbCl_4$ , последний с  $NH_4Cl$  образует  $C_6H_5SbCl_4 \cdot NH_4Cl$  (IX). При гидролизе IX образуется  $C_6H_5Sb(O)(OH)_2$  (X). В 100 мл конц. HCl и 200 мл воды растворяют 57,1 г II и 42,5 г III, добавляют по каплям 27 г I и перемешивают при доступе воздуха 5 час., осадок отфильтровывают, промывают разб. HCl (1:2), растворяют в 60–80 мл ацетона, прибавляют эфир (2 объема) и воду (3 объема). Выход VIII 15–18%. Фильтрат после отделения основного продукта р-ции перемешивают 3–4 часа, добавляют равный объем насыщ. р-ра  $NH_4Cl$  в конц. HCl, отделяют IX, который промывают HCl и размешивают с 1 л воды, выход X 20–22%. 5 г VIII растворяют при нагревании в 200 мл разб. HCl (1:2), из фильтрата при охлаждении выпадает VII, выход 92%, т. пл. 175°. 5 г VII растворяют в 125 мл HCl (1:2), добавляют 15 мл спирта, фильтруют, добавляют кристаллик KJ и пропускают 40–60 мин.  $SO_2$ , после охлаждения и частичного упаривания выпадают кристаллы  $(C_6H_5)_2SbCl_3$ , выход 77%, т. пл. 69–70°. К 10 г X прибавляют 25 мл HCl и 35 мл воды, фильтруют, добавляют к фильтрату 1–2 кристаллика KJ, пропускают при 0° 1,5–2 часа  $SO_2$ , отделяют VI, выход 58%, т. пл. 59–60°. С. Иоффе

**28857. Винильные производные элементов V группы.** Майер, Зейферт, Стоун, Рохов (Vinyl derivatives of the group V elements. Maier Ludwig, Seyferth Dietmar, Stone F. G. A., Rochow Eugene G.), Z. Naturforsch., 1957, 12b, № 4, 263–264 (англ.)

Взаимодействием  $CH_2=CHMgBr$  с галогенидами элементов V группы получены  $(CH_2=CH)_3P$ , т. кип. 119°/722 мм (здесь и далее т-ры кипения экстраполированы по упругости пара),  $(CH_2=CH)_3As$ , т. кип. 129,8°,  $\text{цис-}[(CH_2=CH)_3As]_2PtCl_2$  (т. пл. 90°),  $CH_2=CH)_3Sb$ , т. кип. 149,9° и  $(CH_2=CH)_3Bi$ , т. кип. 158,1°.

По хим. свойствам полученные в-ва аналогичны триалкильным производным указанных элементов. Винильные производные элементов V группы могут быть получены путем перераспределения, напр.  $(n-C_4H_9)_2Sn(CH=CH_2)_2 + 2AsBr_3 \rightarrow 2CH_2=CHAsBr_2 + (n-C_4H_9)_2SnBr_2$  или термич. разложением дийодидов, напр.  $(CH_2=CH)_2AsI_2 \rightarrow (CH_2=CH)_2AsI + CH_2=CHJ$ . Атомы галогена в  $(CH_2=CH)_nEX_{3-n}$  (Э — элемент V группы, X — галоген) могут замещаться на водород или алкильный радикал; напр., получен  $(C_4H_9)_2As(CH=CH_2)$ , т. кип. 52°/1,5 мм.

**28858. Реакция газообразных фтора и хлора с жидкими n-бутаном и изобутаном.** Ансон, Теддер (The reactions of gaseous fluorine and chlorine with liquid n-butane and isobutane. Anson P. C., Tedder J. M.), J. Chem. Soc., 1957, Oct., 4390–4392 (англ.)

Пропусканием через жидкий n-бутан (I) или изобутан (II) смеси  $F_2$  или  $Cl_2$  с  $N_2$  (1:4) при освещении двумя лампами по 100 вт с последующим хроматографированием в газовой фазе на Целите 545-динилфталате получены следующие результаты (перечислены исходный углеводород, галогид, т-ра р-ции в °C, соотношение образовавшихся первичного галогидного алкила к вторичному или третичному): I,  $F_2$ , –101, 1,34; I,  $F_2$ , –80, 1,21; I,  $F_2$ , –67, 1,18; I,  $F_2$ , –33, 1,32; II,  $F_2$ , –80, 4,01; I,  $Cl_2$ , –101, 0,28; I,  $Cl_2$ , –80, 0,32; I,  $Cl_2$ , –67, 0,39; I,  $Cl_2$ , –33, 0,48; II,  $Cl_2$ , –80, 0,92; II,  $Cl_2$ , –33, 2,28. Сделан вывод, что фторирование протекает преимущественно, а хлорирование частично в газовой фазе.

**28859. Простые полиэферы, содержащие фтор.** Смит, Марч, Пирс (Fluorine-containing polyethers. Smith D. D., Murch R. M., Pierce O. R.), Industr. and Engng Chem., 1957, 49, № 8, 1241–1246 (англ.)

Получены фторсодержащие эпоксисоединения и исследована их способность к полимеризации в присутствии различных катализаторов. Хлорированием  $(CH_3)_2C(OH)CF_3$  в  $CCl_4$  при 60–75° получен 2-метил-3-хлор-1,1,1-трифторпропанол-2 (I). Выход (здесь и далее при описании синтезов перечисляются т. кип. в °C,  $n_D^{25}$ ,  $d_4^{25}$ ): 28,3% без облучения УФ-светом и 56% при облучении, 116, 1,3755, 1,396; из продуктов хлорирования выделен также  $CH_3C(CH_3)_2(OH)CF_3$  (II), 136–137, 1,4036, 1,525. Действием 50%-ного р-ра NaOH на II получен 1-хлор-2-метил-3,3,3-трифтор-1,2-эпоксипропан (III), выход 46%, 65,5–66, 1,3428, 1,322. Аналогично получен 2-метил-3,3,3-трифтор-1,2-эпоксипропан (IV), выход 78%, 54,5–55, 1,3128, 1,191. При изучении полимеризации ряда в-в получены следующие результаты (указаны в-во, катализатор и его кол-во в %, время полимеризации в часах, выход полимера в % и внешний вид полимера): 3,3,3-трифтор-1,2-эпоксипропан (V),  $FeCl_3$ , 3,3, 64, 86,2, твердый; V,  $AlCl_3$ , 2, 24, 95, вязкая жидкость; IV,  $AlCl_3$ , 2, 24, 95, вязкая жидкость; IV,  $FeCl_3$ , 5, 24, 70, вязкая жидкость; IV,  $SO_2$ , 5, 24, 20, вязкая жидкость; IV,  $BCl_3$ , 5, 24, 15, вязкая жидкость. Выход эполимера V и IV в присутствии 5%  $FeCl_3$  (80–90°, 24 часа) 68–73% при соотношении V:IV от 95:5 до 80:20 и 90:95% при соотношении 50:50. Перекись бензоила, гидроперекись трет-бутила и облучение  $Co^{60}$  не инициируют полимеризацию. Малениновый ангидрид в присутствии 10% n-толуолсульфокислоты не вступает в р-цию с жидкими полимерами. Гексаметилендиизоцианат реагирует с жидким полимером IV с образованием высоковязких и твердых продуктов. А. Казакова

**28860. Новые способы получения фторированных карбоновых кислот и эфиров дифторированного спирта.** Яровенко Н. Н., Ракша М. А., Шемя-



Вина В. Н., Васильева А. С., Ж. общ. химии, 1957, 27, № 8, 2246—2250

При взаимодействии  $C_2F_4$  с  $(C_2H_5)_2NH$  (I) (10—15 ат) образуется  $CHF_2CF_2N(C_2H_5)_2$  (II), при гидролизе превращающийся в  $CHF_2CON(C_2H_5)_2$  (III), который при действии NaOH переходит в  $CHF_2COONa$  (IV). Получен  $CHClFCON(C_2H_5)_2$  (V) кислотным гидролизом продуктов взаимодействия  $CF_2=CFCl$  с I. При р-ции Hg- или Ag-солей  $CHF_2COOH$  с йодом образуются  $CHJF_2$  и  $CHF_2COOCHJF_2$  (VI). При р-ции  $CH_2FJ$  с  $(CHF_2COO)_2Hg$  (VII) также образуется VI. В охлажденной водой реактор с 550 г I пропускают  $C_2F_4$ , за 72 часа давление падает с 12 до 9,5 ат, выход II 80,5%, т. кип. 31°/15 мм. II количественно гидролизуется в III. Обработкой 151 г III р-ром 40 г NaOH в 400 мл воды получена IV, выход 92%. 6 г IV и 27 г  $PBr_3$  нагревают при 150°, выход  $CHF_2COBr$  40%, т. кип. 48°,  $n_D^{20}$  1,3820,  $d_4^{20}$  1,8862. К р-ру 58 г  $CHF_2COOH$  в 58 мл воды постепенно вносят 65 г  $HgO$ , выход VII 91%, т. пл. 185°. Смесь 19,5 г VII и 30 г йода постепенно вводят в реактор при 115—125°, выход  $CHJF_2$  35%, т. кип. 22°, выход VI 61,6%, т. кип. 64°,  $n_D^{20}$  1,300,  $d_4^{20}$  1,5038. VI получен и при р-ции 2,2 г VII с 2 г  $CH_2F_2$ , выход 93%. Нагревают 167,5 г V с 180 г конц.  $H_2SO_4$ , отбирают фракцию с т. кип. 140—165°, после добавления 50 г конц.  $H_2SO_4$  отгоняют  $CHClFCONH_2$ , выход 59,5%.

М. Энглин  
28861. О взаимодействии галогидангидридов фторированных карбоновых и тиокарбоновых кислот с азидом натрия. Яровенко Н. Н., Моторный С. П., Киренская Л. И., Васильева А. С., Ж. общ. химии, 1957, 27, № 8, 2243—2246

При действии  $NaN_3$  на  $CF_3COBr$  (I) образуется  $CF_3NCO$  (II), который с  $HX$  ( $X = \text{галогид}$ ) дает  $CF_3N\text{—}XCOX$  (IIIa—в), где  $X = Cl$ ,  $6 X = Br$ , в  $X = F$ . Продуктом р-ции  $CF_2ClCSF$  (IV) с  $NaN_3$  оказался  $CF_2ClCN$  (V), вероятно, вследствие распада промежуточно образующегося  $CF_2ClC(S)N_3$  с выделением  $N_2$  и S. IV приготовлен обработкой  $CF_2ClCF_2SCL$  (VI) оловом. V получен также нагреванием  $P_2O_5$  с  $CF_2ClCONH_2$  (VII). К 0,185 моля  $NaN_3$ , активированного  $N_2H_4 \cdot H_2O$ , при охлаждении до  $-5^\circ$  добавляют 0,2 моля I (предохранительная сетка). Смесь нагревают 1,5 часа при 40°, а затем т-ру постепенно повышают до 100° и через 2 часа до 120°, выход II 44%, т. кип.  $-35^\circ$ . В ампулу, охлажденную жидким азотом, запаивают ~40 ммоль II и ~66 ммоль HCl (газа), через ~12 час. (~20°) выход IIIa 99%,  $n_D^{23}$  1,3545,  $d_4^{23}$  1,5551. Из 27 ммоль II и 31 ммоль  $HBr$  получен IIIb, выход 71,5%,  $n_D^{23}$  1,3869,  $d_4^{23}$  1,9489. Из 75 ммоль безводн. HF и 0,1 моля II выход IIIв 71%,  $n_D^{18}$  1,2970,  $d_4^{18}$  1,4907. К 20 г Sn-фольги и 40 мл 28%-ной HCl по каплям прибавляют 0,177 моля VI, выделен IV, выход 15,6%, т. кип. 36°,  $d_4^{18}$  1,5183, и 8,2 г  $CF_2ClCF_2SSCF_2CF_2Cl$ , т. кип. 141°,  $n_D^{21}$  1,3915,  $d_4^{21}$  1,6810. К 47 ммоль  $NaN_3$  в 7 мл толуола при перемешивании и охлаждении добавляют р-р 47 ммоль IV в 5 мл толуола ( $<30-40^\circ$ ), затем т-ру реакционной смеси повышают до 60°, выход V 79%, т. кип.  $-16^\circ$ . При нагревании (1 час, 100—200 мм) 0,05 моля VII с 0,2 моля  $P_2O_5$  выход V 41%.

М. Энглин

28862. Реакция обмена галогидов в  $\alpha$ -хлорсульфидах. Петров К. А., Соколовский Г. А., Ж. общ. химии, 1957, 27, № 10, 2711—2714

Неустойчивый при  $\sim 20^\circ$   $(CH_2F)_2S$  (I) образуется при р-ции HF с  $(CH_2Cl)_2S$  при  $-10^\circ$ . Строение I доказано превращением в  $S(CH_2OCH_3)_2$  (II). Аналогично действием HF на  $C_6H_5CH_2SCH_2Cl$  (III) и  $CH_2ClCH_2SCH_2Cl$  (IV) соответственно получены  $C_6H_5CH_2SCH_2F$  (V) и  $CH_2ClCH_2SCH_2F$  (VI). Действием HF на  $C_2H_5SCH_2Cl$  (VII) получен  $CH_3CHSCH_2$  (VIII) вследствие легкости

отщепления HF от  $C_2H_5SCH_2F$ . Р-ции хлорсульфидов с безводн. HF проводили в медной пробирке при  $-10^\circ$ , избыток HF связывали KF при  $-15^\circ$ . Из 9 г III и 11 г безводн. HF получили 4,1 г V, т. кип. 25—28°/0,1 мм, разлагается при 50—60° с выделением HF. Из 8 г IV и 8,5 г HF получено 5,9 г VI, т. кип. 31—32°/1 мм. VI разлагается при 50—60° и при хранении 5 суток. Из 10 г VII и 10 г HF получено 4,4 г VIII. Из 30 г  $(CH_2Cl)_2S$  и 26 г HF ( $-10^\circ$ ) через 6—8 час. выделили 7,1 г I, т. кип. от  $-25$  до  $-22^\circ/3$  мм. К охлажд. льдом р-ру 5,2 г V в 20 мл  $CH_3OH$  по каплям вводили р-р  $CH_3ONa$  (из 0,7 г Na и 10 мл  $CH_3OH$ ), выход  $C_6H_5CH_2SCH_2OCH_3$  80%, т. кип. 114,5—115°/12 мм,  $n_D^{20}$  1,5548,  $d_4^{20}$  1,0741. Нагреванием (30 мин.) 2,5 г VIII и 3,8 г  $CH_2ClCOCl$  получен  $CH_2ClCOSCH_2CHClCH_3$ , выход 65%. При р-ции 3,1 г I с р-ром  $CH_3ONa$  (из 1,5 г Na и 10 мл  $CH_3OH$ ) или 12,2 г  $(CH_2Cl)_2S$  с р-ром  $CH_3ONa$  (из 5,4 г Na и 100 мл  $CH_3OH$ ) выход II соответственно 60 и 83%.

М. Энглин

28863. Получение дифторкетена и его полимера. Яровенко Н. Н., Моторный С. П., Киренская Л. И., Ж. общ. химии, 1957, 27, № 10, 2796—2799

$CF_2=CO$  (I) и его полимер синтезировали дегалондированием  $CF_2ClCOBr$  (II), полученный взаимодействием солей  $CF_2ClCOOH$  с  $PBr_3$ . Для получения  $CF_2ClCOOCH_3$  (III) действуют смесью  $SbF_3$  и  $SbCl_5$  на  $CCl_3COOCH_3$  (IV). К 100 г  $(CF_2ClCOO)_2Ba$  при охлаждении ледяной водой добавляют 135 г  $PBr_3$  и нагревают 3 часа при 160°, выход II 47,5%, т. кип. 49°,  $n_D^{20}$  1,3864,  $d_4^{20}$  1,8267. К 60 г Zn-пыли, активированной Cu, и 100 мл эфира по каплям прибавляют 30 г II в 20 мл эфира, получено 10,5 г I, т. кип. 34—36° (вместе с эфиром), и 1,1 г полимера I, т. кип. 72°/105 мм,  $n_D^{24}$  1,3610. При пропускании сухого  $NH_3$  в эфирный р-р I образуется  $CHF_2CONH_2$ . К хорошо перемешиваемой смеси 150 г  $SbF_3$  и 40 мл  $SbCl_5$  прибавляют 135 г IV и нагревают на голом пламени, выход III 19%, т. кип. 79—81°,  $n_D^{18}$  1,3460,  $d_4^{18}$  1,3701. Смесь 153 г  $CBBr_3$   $COOCH_3$ , 60 г  $SbF_3$  и 50 г  $Br_2$  нагревают 2 часа при 120°, получен  $CF_2BrCOOCH_3$ , выход 8,1%, т. кип. 96°,  $n_D^{23}$  1,3880,  $d_4^{23}$  1,7125.

М. Энглин

28864. Образование гексафторбензола при пиролизе трибромфторметана. Хелман, Питерс, Паммер, Уолл (Hexafluorobenzene from the pyrolysis of tribromofluoromethane. Hellmann M., Peters E., Pummer W. J., Wall L. A.), J. Amer. Chem. Soc., 1957, 79, № 21, 5654—5656 (англ.)

Подобраны условия для получения гексафторбензола (I) из  $CFBr_3$ . Из стехиометрич. кол-в  $CBBr_3$  и  $SbF_3$  в присутствии небольшого кол-ва  $Br_2$  (4—6 час., 120—140°) получен  $CFBr_3$  с выходом 60—70%.  $CFBr_3$  пропустили при 540—550° через платиновую трубку длиной 80 см и шириной 1 см, наполненную платиновой сеткой; выход I ~55% из расчета на прореагировавший  $CFBr_3$ . При применении графитовых трубок выделены следующие в-ва (в порядке уменьшения их кол-в):  $C_2F_2Br_4$ ,  $C_6F_4Br_2$ ,  $C_6F_5Br$ ,  $C_7F_6Br_2$ ,  $C_7F_7Br_2$ ,  $C_2F_2Br_2$ ,  $C_7F_8$ ,  $C_8F_4Br_2$ ,  $C_8F_6Br_2$ ,  $C_2F_4Br_2$ . Предложена схема пиролиза  $CFBr_3$ .

А. Берлин

28865. Фторпроизводные аценафтена. I. Ягупольский Л. М., Иванова Ж. М., Ж. общ. химии, 1957, 27, № 8, 2273—2276

Из аценафтена (I) через борфториды диазония (БФД) получены 2-фтор-I (Ia), 3-фтор-I (Iб) и 4-фтор-I (Iв). Окислением Ia и Ib получены ангидриды 2-фтор-(IIa) и 4-фтор-(IIв)-нафталевых к-т. Хлорированием Iв получен 4-хлор-5-фтор-I (III), строение которого доказано встречным синтезом. К 45 г 4-амино-I в 81 мл конц. HCl и 680 мл воды после диазотирования через 30 мин. (0°) добавляют  $HBF_4$  (из 33,4 г  $H_3BO_3$  и 107,5 г 40%-ной HF), перемешивают

30 мин. при  $-5^{\circ}$ , выход БФД 85%, т. разл. 122—123°, после разложения БФД выход **Iв** 37,8%, т. пл. 94—95° (из сп.); пикрат, т. пл. 152—153°. Аналогично из 2-амино-**I** получен БФД, выход 88,5%, выход **Ia** 77%, т. пл. 95—96° (из сп.); пикрат, т. пл. 137—138°; из 3-амино-**I** получен **Iб**, выход 16,8%, т. пл. 57—58° (из сп.). К р-ру **1** **Iв** в 20 мл лед.  $\text{CH}_3\text{COOH}$  постепенно добавляют 7,8 г  $\text{K}_2\text{Cr}_2\text{O}_7$ , кипятят 2 часа, выход **IIa** 57%, т. пл. 220—221° (из  $\text{CH}_3\text{COOH}$ ); диметиловый эфир 4-фторнафталевой к-ты, т. пл. 108—109° (из  $\text{CH}_3\text{OH}$ ). Окислением 0,5 г **Ia**, 2 г  $\text{K}_2\text{Cr}_2\text{O}_7$  получен **IIa**, выход 46%, т. пл. 264—265° (из  $\text{CH}_3\text{COOH}$ ). К 2 г **Iв** приливают 1,5 мл  $\text{SO}_2\text{Cl}_2$ , через 12 час. продукт р-ции растирают с петр. эфиром, выход **III** 58,3%, т. пл. 125—126° (из сп.). Из 4-хлор-5-амино-**I** (ацетильное производное, т. пл. 185—186°) через БФД получен **III** с выходом 12,7%.

**C. Иоффе**  
28866. Производные ферроцена. **I. Металлирование ферроцена. II. Некоторые продукты восстановления бензоилферроцена и 1,1-дибензоилферроцена.** Рауш, Вогел, Розенберг (Derivatives of ferrocene. I. The metalation of ferrocene. II. Some reduction products of benzoylferrocene and 1,1-dibenzoylferrocene. Rausch Marvin, Vogel Martin, Rosenherg Harold), J. Organ. Chem., 1957, 22, № 8, 900—906 (англ.)

**I. The metalation of ferrocene. II. Some reduction ( $\text{CH}_3$ )<sub>3</sub>SiCl (II) получена смесь, содержащая 19% 1-триметилсилилферроцена (III) и 27% 1,1'-ди-(триметилсилил)-ферроцена (IV). Карбоксилирование **I** дает 75% карбоксиферроцена и 25% дикарбоксиферроцена. Действием  $\text{Hg}(\text{OCOSCH}_3)_2$  (V) на ферроцен (VI) в обычных условиях с последующей обработкой р-ром KCl получена смесь 1-хлормеркурферроцена (VII), т. пл. 193—194° (разл.), и 1,1'-дихлормеркурферроцена (VIII), т. пл. 300°, содержащая 50% VII и 11% VIII при отношении V:VI = 1:5 или 19% VII и 64% VIII, когда V:VI = 1:1. Общий выход Hg-продуктов при проведении р-ции в смеси спирта с эфиром выше, чем в  $\text{CH}_3\text{COOH}$ . VII не реагирует с  $\text{C}_6\text{H}_5\text{COCl}$  и II. Реакционная масса, полученная действием на VII 10-кратного избытка 40%-ной суспензии Na в смеси нонан- $\text{C}_9\text{H}_{18}$  (25°, 3,5 часа) при гидролизе спиртом, а затем водой при 25°, дает VI, выход 29%; при т-ре  $< -30^{\circ}$  образуется бис-ферроценилртуть (IX), выход 70%. IX существует в двух формах, т. пл. 235—236° и 248—249° (разл.), идентичных по ИК-спектрам. VII симметризована также действием  $\text{Na}_2\text{SnO}_2$  или NaJ в спирте. К р-ру **I** (0,75 моля VI и 1,55 моля  $n\text{-C}_4\text{H}_9\text{Li}$ ) в 3,2 л абс. эфира, спустя 44 часа после приготовления, прибавляют в токе  $\text{N}_2$  1,5 моля II за 5 час., кипятят 15 час., гидролизуют льдом, отделяют VI вымораживанием и возгонкой в вакууме, из остатка выделяют III, т. кип. 64—65°/0,045 мм т. пл. 23°,  $n_D^{25} 1,5696$ , и IV, т. кип. 87—88°/0,06—0,07 мм, т. пл. 16°,  $n_D^{25} 1,5454$ . VI не удалось металлировать Li в  $(\text{C}_4\text{H}_9)_2\text{O}$  или Na в тетрагидрофуране.**

**II. Р-цией эквимольных кол-в VI,  $\text{C}_6\text{H}_5\text{COCl}$  (X) и  $\text{AlCl}_3$  в  $\text{CH}_2\text{Cl}_2$  без нагревания синтезирован бензоилферроцен (XI), выход 75%, т. пл. 108,1—108,3°. При взаимодействии 2 экв X и  $\text{AlCl}_3$  с 1 экв VI образуется 1,1'-дибензоилферроцен (XII), выход 91%, т. пл. 106,5—106,7°. Кипячением XII с  $\text{NH}_4\text{OH} \cdot \text{HCl}$  и KOH в спирте (4 часа) получен диоксим XII, т. пл. 172—173° (разл.); аналогично синтезирован оксим XI, т. пл. 159,6—160°. Восстановлением по Клемменсену (толуол, 72 часа кипячения) XI превращен в бензилферроцен (XIII), т. пл. 73—74°, наряду с XIII образуется много в-ва с т. разл. 250°. Получить XIII восстановлением XI смесью Mg с  $\text{MgJ}_2$  не удалось. При действии Na в спирте на XI (60°) образуется XIII с выходом 98%. В тех же условиях из XII получен**

1,1'-дибензилферроцен (XIV), выход 80%, т. пл. 105—106°. Гидрирование XI в бутаноле (30 час.) над 5%-ным Pd/C дает XIII с выходом 70%. Аналогично из XII получен XIV, выход 68%. Восстановлением XII с помощью  $\text{LiAlH}_4$  получен 1,1'-бис-( $\alpha$ -оксисбензил)-ферроцен, т. пл. 136—137°. XI действием  $\text{NaBH}_4$  в  $\text{CH}_3\text{OH}$  превращен в  $\alpha$ -оксисбензилферроцен, выход 66%, т. пл. 80,3—80,5°.  $(\text{iso-C}_3\text{H}_7\text{O})_3\text{Al}$  восстанавливает XI до XIII. Под действием  $\text{Zn}/\text{CH}_3\text{COOH}$ , а также солнечного света XI не изменяется.

**Ф. Величко**  
28867. Некоторые реакции йодметилата N,N-диметиламинометилферроцена. Хаусер, Линдси, Леднисер, Кейн (Some reactions of the methiodide of N,N-dimethylaminomethylferrocene. Hauser Charles R., Lindsay Jacques K., Ledniser Daniel, Cain Charles E.), J. Organ. Chem., 1957, 22, № 6, 717—718 (англ.)

Найдено, что, вопреки ранее опубликованным данным (РЖХим, 1957, 8117), йодметилат N,N-диметиламинометилферроцена (**I**) под действием  $\text{NH}_4\text{K}$  превращается не в 1-метил-2-диметиламинометилферроцен (**II**), а в  $\beta$ -диметиламиноэтилферроцен, йодметилат которого [т. пл. 248° (разл.)] далее переходит под действием  $\text{NH}_4\text{K}$  в винилферроцен. **II** синтезировали другим способом: а) взаимодействием **I** с водн. р-ром NaCN получен 1-циан-2-метилферроцен (**III**), выход 90%, т. пл. 81—83°; б) восстановлением и метилированием **III** синтезирован **II**, т. кип. 118—123°/0,6 мм;  $\text{II} \cdot \text{CH}_3\text{J}$ , т. пл. 258° (разл.). **III** гидролизован до 1-карбокси-2-метилферроцена (**IV**), выход 94%, т. пл. 154—156°. **IV** восстановлен в 1-оксиметил-2-метилферроцен (**V**), выход 85%, т. пл. 41—41,5°. **V** окислен «активной»  $\text{MnO}_2$  до 1-формил-2-метилферроцена, выход 15%; ИК-спектр:  $1680 \text{ см}^{-1}$  ( $\text{C}=\text{O}$ ). Согласно предварительным данным формилферроцен (РЖХим, 1957, 77164) довольно устойчив к окислению, не изменяется при действии щел. или кислого 2%-ного водноспирт. р-ра  $\text{KMnO}_4$  (10 мин.,  $\sim 100^{\circ}$ ). **Н. Волькену**

28868 К. Органические синтезы. Т. 1. Алифатические насыщенные соединения. Т. 2. Алифатические ненасыщенные соединения, алициклические соединения, ароматические соединения. Мигричан (Organic synthesis. Migrichian Vartkes. New York, Reinhold; London, Chapman and Hall, 1957, ill., 14 L., Vol. 1. Open-chain saturated compounds, XXX, 833 pp. Vol. 2. Open-chain unsaturated compounds, alicyclic compounds, aromatic compounds, XV, 834—1822 pp.) (англ.)

28869 К. Синтетические методы органической химии. Ежегодный обзор. Т. 11. Тейльхеймер (Synthetic methods of organic chemistry. (Yearbook, 11.). Theilheimer W. Basel-New York, Karger, 1957, XVI, 494 pp., 84.—Sfr.) (нем.)

28870 Д. Синтезы 2,2-диоксидезоксибензоинов, 2-оксифенилкумаронов, изофлавонов и хромено-хромонов. Ланг (Synthesen von 2,2-Dioxydesoxybenzoinen, 2-Oxy-phenyl-cumaronen, Isoflavonen und Chromeno-chromonen. Lang Josef. Diss., Naturwiss. Fak., Erlangen, 1957, Erlangen, 1956, 79 S.) (нем.)

28871 Д. Синтез и химические превращения трихлорметилных и  $\gamma,\gamma$ -дихлораллильных соединений рутин. Величко Ф. К., Автореф. дисс. канд. хим. н., Ин-т элементоорганических соединений АН СССР, М., 1957

28872 Д. Металлоорганический синтез и свойства 1-алкилнафталинов и 1,1'-ди-(1-нафтил)-алканов состава  $\text{C}_{17}$ — $\text{C}_{28}$ . Нефедов О. М. Автореф. дисс. канд. хим. н., Моск. хим.-технол. ин-та им. Д. И. Менделеева, М., 1957



28873 Д. О получении ароматических и алициклических фосфорацетиленовых соединений и некоторых их производных. Чем пик (Über die Darstellung und Eigenschaften von aromatischen und aliphatischen Phosphor-Acetylenverbindungen und einiger ihrer Derivate. Czempik Herbert. Diss., Naturwiss.-phil. Fak. Techn. Hochsch., Braunschweig, 1957, 56 S.) (нем.)

См. также разделы Промышленный органический синтез и Промышленный синтез красителей и рефераты: Общие методы 27990. Соединения: алифатич. 27614, 29835, 29886, 29887, 29894, 29900, 29981; алициклич. 28626, 28646, 29883, 29893; ароматич. 28617, 28619, 28623, 28624, 28629, 28635, 28636, 28647, 29868—29872, 29875—29877, 29879, 29880, 29882, 29884, 29902, 29903, 29980, 29982; гетероциклич. 28616, 28620, 29838, 29872, 29884, 29885, 29888—29892, 29895—29897, 29899, 29901, 29905, 29906, 29913; с мечеными атомами 27817

### ПРИРОДНЫЕ ВЕЩЕСТВА И ИХ СИНТЕТИЧЕСКИЕ АНАЛОГИ

Редакторы Л. Д. Бергельсон, М. М. Ботвинник,  
А. Д. Кузовков, В. В. Некрасов, И. В. Торгов,  
Л. М. Уткин, В. В. Шпанов

28874. Циклиты. Часть VI. Гидрирование гексаоксбензола. Анджал, Мак-Хью (Cyclitols. Part VI. The hydrogenation of hexahydroxybenzene. Angyal S. J., McHugh D. J.), J. Chem. Soc., 1957, Aug., 3682—3691 (англ.)

Изучено каталитич. гидрирование гексаоксбензола (I), полученные смеси полиоксидциклогексанов разделены хроматографией на целлюлозе и фракционной кристаллизацией. Выделено семь инозитов и четыре кварцита, включая ранее неизвестные *цис*-инозит (II), *цис*-кварцит (III) и *цис*-инозозу (IV). В качестве исходного в-ва применен тетраоксидбензохинон (V), легко восстанавливающийся до неустойчивого I. При 20° и атмосферном давлении с Pd в качестве главного продукта выделен *мисо*-инозит (VI), выход 17%; выход II 1,7%, т. пл. 390° (разл.); гексаацетат II, т. пл. 208; гексабензоат II, т. пл. 252° (из абс. сп.); выход IV 2%, т. пл. 179—180° (из водн. сп.), выделена в виде фенилгидразона, т. пл. 150—160° (из водн. CH<sub>3</sub>OH); выход III 2,7%, т. пл. 235—240° (разл.); пентаацетат III, т. пл. 165,5° (сублимация). Строение IV доказано получением *эпи*-инозита при восстановлении с Na—Hg и *цис*-инозита при гидрировании с Pt (из PtO<sub>2</sub>). При гидрировании V со скелетным Ni (120—140°, 150 ат) получено: VI 1,9%, II 4,7%, III 8,1%. При гидрировании V с 10%-ным Pd/C (20°, атмосферное давление) получено: VI 7,5%, II 20%, III 0,4%. Часть V см. РЖХим, 1957, 51344. Л. Михайлова

28875. Инозиты. Анджал (The inositols. Angyal S. J.), Quart. Revs. London. Chem. Soc., 1957, 11, № 3, 212—226 (англ.)

Обзор химии циклич. спиртов — инозитов. В статье рассмотрены проблемы синтеза инозитов, конфигурации и конформации изомерных спиртов, рассмотрены р-ции, представляющие интерес с точки зрения конформационного и конформационного анализа, а также химия в-в сходного строения (циклогексанипентолов и пентаоксициклогексанов). Библ. 76 назв.

А. Юркевич  
28876. Влияние концентрации кислоты и температуры на реверсию L-арабинозы. Хаф, Придем (Effect of acid concentration and temperature on the reversion of L-arabinose. Hough L., Pridham J. B.), Chemistry and Industry, 1957, № 35, 1178—1179 (англ.)

Ввиду важности избирательного кислотного гидролиза полисахаридов для изучения их структуры исследована реверсия L-арабинозы (I) при различных т-рах и конц-ях к-т. В 1%-ном р-ре I в H<sub>2</sub>SO<sub>4</sub> (4,5, 9,0 и 18 н.) после выдержки 3 дня при 37° хроматографически обнаружены два олигосахарида, один из которых идентифицирован как 3-β-L-арабиопиранозил-L-арабиноза. В 4,5 и 9,0 н. H<sub>2</sub>SO<sub>4</sub> обнаружены также рибоза и эритро-пентулоза. При нагревании I в 0,01 н. и 0,001 н. H<sub>2</sub>SO<sub>4</sub> до 100° обнаружено образование в-в. Аналогичное явление отмечено и для других моноз. Г. Зарубийский

28877. Синтез 2,3-диметил- D-ликозы. Верхейден, Стоффи (Synthèse du 2,3-diméthyl-D-lucose Verheijden J. P., Stoffyn P. J.), Tetrahedron (Internat. J. Organ. Chem.), 1957, 1, № 3, 253—258 (франц.; реф. англ.)

С целью идентификации продуктов расщепления нингидрином частично метилированных гексозаминов, образующихся при гидролизе метилированных мукополисахаридов, синтезирована 2,3-диметил-D-ликоза (I) по схеме: метил-D-ликопиранозид → 2,3-изопропилиден-метил-D-ликопиранозид (II) → 2,3-изопропилиден-4-тозилметил-D-ликопиранозид (III) → 4-тозилметил-D-ликопиранозид (IV) → 2,3-диметил-4-тозилметил-D-ликопиранозид (V) → 2,3-диметилметил-D-ликопиранозид (VI) → I. Свойства полученных в-в (перечисляются т. пл. в °C, р-ритель для кристаллизации, [α]<sub>D</sub><sup>20</sup>: I, 116—117, этилацетат, —10,66° → —11,33° (с 0,3; вода, 24 часа); II, 49—52, C<sub>6</sub>H<sub>6</sub> + гексан, +45,6° (с 0,91; сп.); III, 105—106, CH<sub>3</sub>OH, —18,28° (с 0,91; сп.); IV, 94—95, пропанол-2 + гексан, +61,21° (с 0,88; хлф.); V, —, (сироп), —, +32° (с 0,97; хлф.); VI, (сироп) —, —63,29° (с 0,94; сп.). Анилид I, т. пл. 107—108°; при окислении I HNO<sub>3</sub> образуется CH<sub>2</sub>O. I хроматографически идентифицирована с продуктом расщепления нингидрином 3,4-диметил-D-галактозамина. В. Векслер

28878. Щелочное расщепление производных 4-О-замещенных глюкоз. Блэрс, Макелл, Ричардс (Alkaline degradation of 4-O-substituted glucose derivatives. Blears M. J., Machell G., Richards G. N.), Chemistry and Industry, 1957, № 34, 1150—1151 (англ.)

Выходы D-глюкозосахаридов к-т при действии насыщ. р-ра Ca(OH)<sub>2</sub> на 4-метил-D-глюкозу (I), целлюлозу (II), амилозу (III) (100°) и мальтозу (IV) (25°) вдвое и более превышают их выходы при действии NaOH (для I, II, III 0,5 н.; 100°, для IV 0,05 н., 25°). В присутствии Ca<sup>2+</sup> щел. расщепление 4-замещ. сахаров происходит, по-видимому, главным образом по ранее предложенной схеме (РЖХим, 1956, 47216), что объясняется его каталитич. действием на бензильную перегруппировку. В разб. р-ре NaOH хроматографически обнаружен промежуточный продукт CH<sub>2</sub>OH-COCH<sub>2</sub>CH(OH)CH<sub>2</sub>OH (V), в чистом состоянии не выделен; 2,4-динитрофенилозазон, т. пл. 249° (разл.); при кипячении или лучше при ~20° V в, вероятно, другие дикарбонильные производные этого типа расщепляются. Так, IV в 0,05 н. NaOH при 25° в первых стадиях р-ции образует преимущественно β-диоксимасляную и гликолевую к-ты; найдены также их альдегиды. В. Зеленкова

28879. 1,2:3,5-дибензилден-α-D-глюкоза. Вуд, Дил, Флетчер (1,2:3,5-di-O-benzylidene-α-D-glucose. Wood Harry B., Jr., Diehl Harry W., Fletcher Hewitt G., Jr.), J. Amer. Chem. Soc., 1957, 79, № 14, 3862—3864 (англ.)

При встряхивании (26°, 17 час.) сухой D-глюкозы с C<sub>6</sub>H<sub>5</sub>CHO в лед. CH<sub>3</sub>COOH в присутствии ZnCl<sub>2</sub> образуется 1,2:3,5-дибензилден-α-D-глюкофураноза (I), идентичная ранее полученной (Wolfson M. L., Tanghe L. J., J. Amer. Chem. Soc. 1937, 59, 1597); выход

неочищ. I 16%, т. пл. 160—161° (из этилацетата),  $[\alpha]_D^{20} + 34,8^\circ$  (с 1,07; пиридин),  $+40^\circ$  (с 1,0; хлф.). Получены производные I: 6-ацетат, т. пл. 144—145° (из сл.),  $[\alpha]_D^{20} + 28,6^\circ$  (с 0,86; хлф.); 6-бензоат, т. пл. 157—158° (из абс. сл.),  $[\alpha]_D^{20} + 12,9^\circ$  (с 1,1; хлф.); 6-метил, т. пл. 98—100° (из эф.),  $[\alpha]_D^{20} + 25,2^\circ$  (с 1; хлф.). Т-ры плавления исправлены. А. Лютенберг 28880. Характеристика 2-амино-2-дезоксид-Д-альтросы. Фостер, Стейси, Вардхейм (Characterization of 2-amino-2-deoxy-D-altrose. Foster A. B., Stacey M., Vardheim S. V.), Nature, 1957, 180, № 4579, 247—248 (англ.)

При действии на 2, 3-ангидро-4, 6-бензилден-α-Д-метилаллопиранозид р-ра NH<sub>3</sub> в CH<sub>3</sub>OH, с последующим ацетилированием, в качестве главного продукта р-ции образуется 2-ацетиамидо-2-дезоксид-4, 6-бензилден-α-Д-метилаллопиранозид (I), выход 45,7%. т. пл. 188—189°,  $[M]_D^{20} + 218^\circ$  (ацетон), а не 2-ацетиамидо-2-дезоксид-3-ацетил-4, 6-бензилден-α-Д-метилаллопиранозид, выделенный ранее (Peat, Wiggins, J. Chem. Soc., 1938, 1810). Строение I доказывается наличием в его ИК-спектре полос поглощения, характерных для N—CO-группы, отсутствием полос поглощения, характерных для O—CO-группы. I образует л-толуолсульфонат,  $[M]_D^{20} + 296^\circ$  (ацетон), т. пл. 174° (разл.). Ступенчатый кислотный гидролиз I дает аморфный 2-ацетиамидо-2-дезоксид-α-Д-метилаллопиранозид,  $[M]_D^{20} + 94^\circ$  (вода), легко окисляемый периодатом с поглощением 1 моля окислителя. Полный кислотный гидролиз I дает кристаллич. хлоргидрат 2-амино-2-дезоксид-1 : 6-ангидро-β-Д-альтросы. Е. Алексеева 28881.

Глюкозон. I. Получение и свойства. Хадсон, Вудфорд (Glucosone. I. Preparation and properties. Hudson Marie T., Woodward Gladys E., J. Franklin Inst., 1957, 264, № 1, 61—68 (англ.))

Для изучения аналогов глюкозы в качестве ингибиторов углеводного обмена разработан способ получения чистого глюкозона (I). Разложением 3 г фенолозона глюкозы 3 мл пировиноградной к-ты в присутствии 150 мл 40%-ного изопропилового спирта с последующей очисткой на активированном угле выделено 150 мг I, т. пл. 85—96°. Чистота I доказана хроматографией на бумаге, измерена мутаротация и сняты УФ-спектры в воде, 0,25 н. р-ре NaOH и 0,1 М фосфатном буфере с pH 7,0. Редуцирующее действие I составляет 50% от действия глюкозы.

Г. Зарубинский 28882. Производные Д-глюкарной кислоты. Тоттон, Рид (Derivatives of D-glucaric acid. Totton Ezra L., Reid W. E.), J. Organ. Chem., 1957, 22, № 9, 1104 (англ.)

Ароматические диамины Д-глюкарной (глюкосахарной) к-ты (I), более устойчивые к действию щелочей, чем соответствующие алифатич. диамины, получены кипячением в абс. спирте (6 час.) 2 молей лактона I с 4,6 моля амина, выход 63%. Ди-п-толуидид I, т. пл. 228° (из диоксана); тетраацетат, т. пл. 215° (из ацетона-воды); 4,4'-диоксанилид I, т. пл. 290° (из воды); гексаацетат, т. пл. 193—194° (из сл.). Н. Сидорова 28883.

О получении арил-Н-Д-фруктозидов. Краткое сообщение. Кноц (Zur Darstellung von Aryl-N-D-fruktosiden (Kurze Mitteilung). Klotz Fl., Monatsh. Chem., 1957, 88, № 4, 703—706 (нем.))

Улучшен способ получения Н-фруктозидов. Синтез анилин-Н-Д-фруктозида (I) осуществлен при конденсации 6 г фруктозы (II) и 4 г анилина в 30 мл спирта в присутствии 0,1 моля катализатора конденсации на 1 моль II. Приведены катализаторы, продолжительность р-ции в минутах (считая от начала кипения) и выходы I в %: H<sub>2</sub>BO<sub>3</sub>, 3, 6176; (C<sub>2</sub>H<sub>5</sub>O)<sub>2</sub>POCl (III), 8, 47,65; POCl<sub>3</sub>, 3, 47,0; C<sub>6</sub>H<sub>5</sub>COOH, 30, 27,0; ClCH<sub>2</sub>COOH, 10, 44,7; (C<sub>6</sub>H<sub>5</sub>NH)<sub>2</sub>POOH, 5, 43,5; т. пл. I 152—153°

(разл.; из абс. сл.);  $[\alpha]_D^{20} - 196,7^\circ$  (с 1),  $-201,1^\circ$  (с 1; сл.). п-Фенетидин-Н-Д-фруктозид (IV) получают при кипячении (3 мин.) 6 г II и 6 г п-фенетидина в 30 мл абс. спирта с 0,54 г III; выход IV 48,6%, т. пл. 140° (из сл.);  $[\alpha]_D^{20} - 179,8^\circ$  (с 0,8). п-Анизидин-Н-Д-фруктозид синтезируют аналогично IV из 6 г II и 5 г л-анизидина, выход 50,1%, т. пл. 141—142° (разл.; из сл.);  $[\alpha]_D^{20} - 195,5^\circ$  (с 1,6). п-Толуидин-Н-Д-фруктозид (на 6 г II и 4,6 г п-толуидина), выход 45,8%, т. пл. 155—156° (из сл.);  $[\alpha]_D^{20} - 190,4^\circ$  (с 1). Уд. вращения определены в пиридине. А. Лютенберг 28884.

Избирательное замещение в сахарозе. II. Синтез 2,3,3',4,4'-пентаметилсахарозы и миграция ацетила в сахарозе от C(4) к C(6). Мак-Кьюэл, Хейуорд (Selective substitution in sucrose. II. The synthesis of 2,3,3',4,4'-penta-O-methyl sucrose and C<sub>4</sub> to C<sub>6</sub> acetyl migration in sucrose. McKeown G. G., Hayward L. D.), Canad. J. Chem., 1957, 35, № 9, 992—997 (англ.)

Изучалось строение три-(трифенилметил)-пентаацетилсахарозы (I), из которой ранее была получена 1',4,6'-триметилсахароза (II) (см. сообщение I, РЖХим, 1957, 51353). I превращали в тетрагидрат три-(трифенилметил)-сахарозы, т. размягч. 125—130°,  $[\alpha]_D^{20} + 14,7^\circ$  (с 3,3; хлф.), из которого получено пентаметильное производное,  $[\alpha]_D^{20} + 32,4^\circ$  (с 6,14; хлф.), а далее 2,3,3',4,4'-пентаметилсахароза, сироп,  $[\alpha]_D^{20} + 64,3^\circ$  (с 1,46; вода). Строение последней доказано идентификацией продуктов гидролиза 2,3,4-триметил-Д-глюкозы и 3,4-диметил-Д-фруктозы. Тем самым установлено, что I является 1,6,6'-три-(трифенилметил)-2,3,3',4,4'-пентаацетилсахарозой, образование II из I объясняется миграцией ацетила в гликопиранозном остатке пентаацетилсахарозы от C(4) к C(6) в процессе синтеза II. Обсуждается возможная конформация переходного состояния при этой миграции с образованием м-диоксанового кольца циклич. ортоэфира. В. Векслер 28885.

«О фенолгликозидах». Сообщение 4. О синтезе некоторых салициламид-α-Л-арабопиранозидов и β-Д-ксилопиранозидов и их расщепляемости «эмulsion миндаля». Вагнер, Кюмштедт (Über die Synthese einiger Salicylamid-α-L-arabopyranoside und β-D-xylopyranoside und ihre Spaltbarkeit mit «Mandel-Emulsion». 4. Mitteilung über «Phenolglykoside». Wagner Günther, Kühmstedt Hans), Arch. Pharmazie, 1957, 290, № 7, 305—312 (нем.)

Синтезированы салициламидтриацетил-β-Д-ксилопиранозид (I), салициламид-β-Д-ксилопиранозид (II), салициламидтриацетил-β-Д-ксилопиранозид (III), салициламид-β-Д-ксилопиранозид (IV), салицилдиметил-амидтриацетил-β-Д-ксилопиранозид (V), салициламидтриацетил-α-Л-арабопиранозид (VI), салициламид-α-Л-арабопиранозид (VII), салицилдиметилтриацетил-α-Л-арабопиранозид (VIII), салицилдиметил-α-Л-арабопиранозид (IX), салицилдиметилтриацетил-α-Л-арабопиранозид (X), салицилдиметил-α-Л-арабопиранозид (XI). Салициламидгликозиды пентоз (САП) труднее растворимы в воде, нежели соотв. соединения гексоз. Ферментативное расщепление САП проводилось в тех же условиях, что и для гексоз, но с более разб. р-рами. Алкилирование II и VII снижает скорость расщепления их эмульсией. Синтез салициламидпентозидов осуществляли взаимодействием 2 молей К-соли салициламида или его N-метилпроизводного с 1 молем α-ацетобром-ксилозы или β-ацетобромарабинозы в водно-ацетоновом р-ре; через 24 часа ацетон отгоняли, триацетильное производное извлекали бензолом, промывали 5%-ным р-ром КОН и водой, высушивали и бензол отгоняли в вакууме. Деацетилирование р-ром CH<sub>3</sub>ONa в CH<sub>3</sub>OH (Zemplén G., Pascu E., Ber., 1929, 62, 1613). Выход



I, 52%, т. пл. 189° (из  $\text{CH}_3\text{OH}$ ).  $[\alpha]^{21.5}_D - 70.4^\circ$  (с 5,04). II, т. пл. 172—176° (из воды),  $[\alpha]^{18.5}_D - 39.9^\circ$  (с 1,59). III, выход 53%,  $[\alpha]^{21.5}_D - 61.2^\circ$  (с 4,85). IV, т. пл. 183—185° (из воды),  $[\alpha]^{18.5}_D - 37.9^\circ$  (с 1,97). V не был получен в чистом виде. VI, выход 43%, аморфный. VII, т. пл. 163—165° (из воды),  $[\alpha]^{20}_D - 34.3^\circ$  (с 1,52). VIII, выход 40%, аморфный. IX, т. пл. 219—221° (из  $\text{CH}_3\text{OH}$ ),  $[\alpha]^{20}_D - 51.5^\circ$  (с 0,99). X, выход 36%, аморфный. XI, т. пл. 213—215° (из  $\text{CH}_3\text{OH}$ );  $[\alpha]_D + 0^\circ$ . Уд. вращение I и III определено в  $\text{CHCl}_3$ . II, IV, VII, IX и XI в  $\text{CH}_3\text{OH}$ . Сообщение 3 см. РЖХим. 1958, 18045. Е. Алексеева

28886. «О фенолгликозидах». Сообщение 5. Поведение салициламидгликозидов и салициламидагликонов при распределительной хроматографии на бумаге. Вагнер, Кюмштедт (Über das Verteilungsverhalten von Salicylamidglykosiden und Salicylamidaglykonen. 5. Mitteilung über «Phenolglykoside». Wagner Günther, Kühmstedt Hans), Arch. Pharmazie, 1957, 290, № 7, 313—317 (нем.).

Определено значение  $R_f$  для 16 салициламидгликозидов (I) ( $\beta$ -D-глюкопиранозида,  $\beta$ -D-галактопиранозида,  $\beta$ -D-ксилопиранозида,  $\alpha$ -L-арабопиранозида) и 5 агликонов (салициламида, салицилметиламида (II), салицилдиметиламида (III), *n*- и *изо*-салицилпропиламида). Для изучения распределительной способности применялись смеси (по объему): *n*-бутанол (IV): вода (1:1); IV: 2,5%-ный р-р  $\text{NH}_4\text{OH}$  (2:1); IV:  $\text{CH}_3\text{COOH}$ : вода (4:1:5). Установлено, что как для III, так и для III-гликозидов наблюдаются более низкие значения  $R_f$ , нежели для II и II-гликозидов. Это объясняется тем, что не алкилированные или моноалкилированные I способны образовывать гидрофобные ассоциаты. Обсуждается возможность влияния внутримолекулярных «хелатных» структур на поведение I при распределительной хроматографии. Е. Алексеева

28887. О несимметричных метилтолилгидразинах и их реакциях с сахарами. Штро (Über asymm. Methy-tolyl-hydrazine und ihre Reaktionen mit Zuckern. Stroh Hans-Hartwig), Chem. Ber., 1957, 90, № 3, 352—357 (нем.).

Получены и охарактеризованы три изомерных несимметричных метилтолилгидразина и исследована их способность конденсироваться с сахарами: D-треозой (I), D-эритрозой (II), L-арабинозой (III), D-ликозой (IV), D-кислотой (V), L-рамнозой (VI), L-фукозой (VII), D-галактозой (VIII), D-маннозой (IX), D-глюкозой (X), D-фруктозой (XI), D-сорбозой (XII), D-мальтозой (XIII), лактозой (XIV); а также с бензальдегидом (XV). В обычных условиях получения гидразонов  $\alpha$ -метил-*о*-толилгидразин (XVI) не дает гидразонов с I—XV;  $\alpha$ -метил-*м*-толилгидразин (XVII) и  $\alpha$ -метил-*п*-толилгидразин (XVIII) дают гидразоны с III, IV, VI—IX и XV, причем XVIII реагирует с большей скоростью и дает больший выход, чем XVII. Так как гидразоны III, VIII и IX отличаются очень плохой растворимостью, то XVIII может быть использован для выделения этих сахаров из смесей, для чего полученный гидразон расщепляют кипячением р-ра в 50%-ном спирте с  $\text{C}_6\text{H}_5\text{CHO}$ . 64,2 г *п*-толуидина растворяют в 90 мл эфира и р-р смешивают с 37,8 г  $(\text{CH}_3)_2\text{SO}_4$ ; по окончании очень бурной р-ции смесь охлаждают, смесь извлекают монометил-*п*-толуидин эфиром, а затем подвергают нитрозированию; нитрозамин, масло, т. кип. 130—131°/12 мм. Аналогичным образом получают N-нитрозо-N-метил-*о*-толуидин, масло, т. кип. 122,5—123,5°/12 мм, и N-нитрозо-N-метил-*п*-толуидин, кристаллы, т. пл. 53° (из сп.-эф.). Нитрозамин (25 г) в виде суспензии в смеси спирта (62,5 мл), воды (62,5 мл) и  $\text{CH}_3\text{COOH}$  (60 мл) восстанавливают Zn-пылью,

получают в виде бесцветных жидкостей: XVII, т. кип. 113—115°/12 мм; XVI, т. кип. 92—92°/12 мм, и XVIII, т. кип. 114—115°/12 мм и т. пл. +17°. Пропусканием сухого HCl (газа) в эфирные р-ры XVI, XVII и XVIII получают соответственно хлоргидраты (XГ): XГ XVI, т. пл. 147—148° (из сп.-эф.), XГ XVII, т. пл. 149—150° (из сп.-эф.), и XГ XVIII, т. пл. 147—148° (из сп.-эф.). Для получения гидразонов водн. р-р (30 мл), содержащий 0,0025 моля сахара, смешивают с XГ гидразина (0,00375 моля) и  $\text{CH}_3\text{COONa}$  (545 мг). Через 20 час. (~20°) кристаллы отсасывают, промывают водой и перекристаллизовывают из абс. или 80%-ного спирта. Гидразоны (перечислены сахар, гидразин, т. пл. в °C,  $[\alpha]^{20}_D$  D (с 1;  $\text{C}_6\text{H}_5\text{N}$ ): VIII, XVIII, 192, —19°; VIII, XVII, 181, —13°; IX, XVIII, 188—189, +38°; IX, XVII, 170—171, +49°; VI, XVIII, 149—150, —32°; VI XVIII, 134, —37°; VII, XVIII, 180, ~0°; VII, XVII, 167, —, III, XVIII, 172, —20°; III, XVII, 148, —14°; IV, XVIII, 147, +24°; IV, XVII, 152, —; XV, XVIII, 93, —; XV, XVII, 93, —. И. Кожина

28888. Распад гликогена до изомальтотриозы и нигерозы. Вулфром, Томпсон (Degradation of glycogen to isomaltotriose and nigerose. Wolf from M. L., Thompson A.), J. Amer. Chem. Soc., 1957, 79, № 15, 4212—4215 (англ.).

Доказано, что в продуктах частичного кислотного гидролиза гликогена (из бычьей печени) содержится кроме ранее найденных трисахаридов мальтотриозы и панозы также изомальтотриоза [ $\alpha$ -D-глюкопиранозил (1→6)- $\alpha$ -глюкопиранозил (1→6)-D-глюкопираноза] и дисахарид нигероза (3- $\alpha$ -D-глюкопиранозил-D-глюкоза). Эти факты подтверждают, что в гликогене имеются расположенные по соседству друг с другом 1—6-связи и в небольшом кол-ве 1—3-связи. После электрофореза на бумаге выделено быстро идущее в-во. Показано, что кристаллическая паноза с т. пл. 220—221°,  $[\alpha]^{25}_D + 160.4^\circ \rightarrow 150.6^\circ$  (140 мин.; с 3,8; вода) существует в двух диморфных модификациях А и Б, дающих различные рентгенограммы и способных к взаимному переходу. Е. Каверзьева

28889. Новый аспект окисления полиолов периодатом. Баркер, Шоу (A new aspect of the periodate oxidation of polyols. Barker G. R., Shaw D. F.), Proc. Chem. Soc., 1957, Sept., 259—260 (англ.).

Все соединения, содержащие *цис-цис-цис*-1,2,3-триольную группировку в шестичленном кольце, образуют относительно стабильный промежуточный комплекс (К) с  $\text{JO}_4^-$ , что может быть использовано в определении структур инозитов и их производных и исследовании мутаротации углеводов. Из рассмотрения моделей следует, что одна OH-группа должна иметь Э-, две другие — П-расположение. К не стоек в кислых р-рах. При окислении периодатом рибозы (I) в буферном р-ре, pH ~ 7, за несколько минут поглощается 1 моль окислителя, затем медленно еще 3 моля. I может быть в первой стадии возвращена из р-ра; при определении кол-ва окислителя с арсенитом после титрования избытка последнего цвет йода усиливается — то и другое подтверждает образование К. Разложение К до йодата и продуктов окисления I является р-цией первого порядка до 75%-ного расщепления I. В. Зеленкова

28890. Структура микозамина. Уолтерс, Датчер, Винтерштейнер (The structure of mycosamine. Walters David R., Dutcher James D., Wintersteiner O.), J. Amer. Chem. Soc., 1957, 79, № 18, 5076—5077 (англ.).

Азотсодержащей составляющей антифунгальных антибиотиков (А) (нистатина и амфотерицина) является аминосахар микозамин (I). Из продуктов аце-

толиза А или продуктов их гидрирования хроматографически на  $Al_2O_3$  выделили тетраацетилмикозамин (II), т. пл. 159—161°,  $[\alpha]^{23D} + 39^\circ$  (с 1; сп.). II с  $(CH_3O)_2Ba$  в  $CH_3OH$  образует N-ацетилмикозамин (III), т. пл. 191—192°,  $[\alpha]^{23D} - 46^\circ$  (с 1; сп.). III окисляется 1 молем  $HJO_4$  в 2-ацетидамо-3-окси-4-формоксипентаналь (IV). IV реагирует с 1 молем основания, образуя  $HSOON$  и 2-ацетидамо-2,5-бисдезоксипентозу, т. пл. 128—130°,  $[\alpha]^{23D} - 81^\circ$  (с 1; сп.). III с  $HCl-CH_3OH$  превращается в N-ацетилметилмикозаминид, т. пл. 168—170°,  $[\alpha]^{23D} + 47^\circ$  (с 0,9; сп.). III восстанавливается  $LiAlH_4$  до N-этилметилмикозаминид, т. пл. 90,5—92,5°,  $[\alpha]^{23D} + 25^\circ$  (с 1; вода), который с 2 молями  $NaJO_4$  дает гидрат D-метокси-D-метилдигликолевого альдегида, т. пл. 99—102°,  $[\alpha]^{23D} + 131^\circ$  (с 0,5; вода), идентичный с ранее известным (MacLay W. D. и др., J. Amer. Chem. Soc., 1939, 61, 1660). Н. основания этих данных для I предложена структура  $HOCH_2CHONCH(NH_2)CHONCH(CH_3)O$ .

В. Зеленкова

28891. О реакциях D-глюкозамина. V. Образование гликозидов D-глюкозамина из оксазолинового производного. Михель, Кёхлинг (Über die Reaktionen des D-Glucosamins, V. Die Bildung von Glykosiden des D-Glucosamins aus einem Oxazolin-Derivat. Michael Fritz, Köchling Heinz), Chem. Ber., 1957, 90, № 8, 1597—1598 (нем.).

Улучшен способ получения бромгидрата 2-фенил-4,5-(3,4,6-триацетил-D-глюкопирано)-Δ<sup>2</sup>-оксазолина (I). Проведена р-ция сухого N-бензоил-1,3,4,6-тетраацетил-D-глюкозамина с насыщ. р-ром  $HBr$  в лед.  $CH_3COOH$ ; через 1 час р-р упаривают в вакууме над  $KOH$ , остаток сиропа обрабатывают абс. эфиром; выход I 75—85%, т. пл. 110° (разл.),  $[\alpha]^{24D} + 37,3^\circ$  (с 1,1;  $C_6H_5N$ -вода, 1:1). При растворении I в холодном  $CH_3OH$  pH падает с 6,8 до 3,5 и выделяется β-метил-N-бензоил-3,4,6-триацетил-D-глюкозаминид, идентичный ранее полученному (см. сообщение IV, РЖХим, 1958, 18048), выход 80%, т. пл. 222° (из сп.),  $[\alpha]^{24D} + 29,6^\circ$  (с 1,05; хлф.). Аналогично из I образуется β-этил-N-бензоил-3,4,6-триацетил-D-глюкозаминид, выход 80—90%, т. пл. 223° (из абс. сп.),  $[\alpha]^{23D} + 20^\circ$  (с 0,98; хлф.). Действием на I абс.  $C_5H_5N$  получают 2-фенил-4,5-(3,4,6-триацетил-D-глюкопирано)-Δ<sup>2</sup>-оксазолин (II), выход 85%, т. пл. 56° (из эф.-петр. эф.),  $[\alpha]^{23D} + 44,7^\circ$  ( $C_5H_5N$ -вода, 1:1). При р-ции со спиртами II также образует β-гликозиды.

А. Лютенберг

28892. Синтезы новых производных углеводов, обладающих потенциальной противоопухолевой активностью. Часть II. Хлоргидрат бис-(2-хлорэтил)-D-глюкозамина. Варга, Фехер, Лендвай (Synthesis of new sugar derivatives of potential antitumour activity. Part II. Di-(2-chloroethyl) D-glucosamine hydrochloride. Vargha L., Fehér Ö., Lendvai S.), J. Chem. Soc., 1957, Febr., 810-812 (англ.). Хлоргидрат N-бис-(2-хлорэтил)-D-глюкозамина (I) синтезирован из D-глюкозамина. Взаимодействием тетраацетил-D-глюкозамина (II) с окисью этилена получен тетраацетил-N-бис-(2-оксэтил)-D-глюкозамин (III), который с  $SOCl_2$  образовал тетраацетил-N-бис-(2-хлорэтил)-D-глюкозамин (IV). Гидролиз IV  $HCl$ -к-той привел к I. Попытки приготовить метан- и n-толуолсульфопроизводные, аналогичные I, в надежде получить цитоактивные соединения, оказались неудачными. К р-ру 188 г окиси этилена в 340 мл воды прибавляют при 10—15° 39,3 г II, выдерживают 9—12 дней, сгущают в вакууме до 100 мл. Выпадает осадок III (23—26 г), т. пл. 131,5—132,5° (из сп.),  $[\alpha]^{20D} + 38,6^\circ$  (с 1; хлф.). К р-ру 10 г III в 80 мл  $CHCl_3$  и 7,5 мл  $C_5H_5N$  при 0° прибавляют 10 мл  $SOCl_2$ , кипятят 5 час., р-ритель отгоняют в вакууме, остаток про-

мывают ледяной водой. Выход IV 10 г, т. пл. 103—104° (из сп.),  $[\alpha]^{20D} + 39,1^\circ$  (с 1; хлф.). Действие на III n-толуолсульфохлорида в аналогичных условиях также приводит к IV. С метансульфохлоридом получен тетраацетил-N-бис-(2-метансульфоэтил)-D-глюкозамин, т. пл. 125—127° (разл.),  $[\alpha]^{20D} + 18,8^\circ$  (с 1; хлф.). Р-р 10 г IV в 95 мл конц.  $HCl$  оставляют на 7—8 час. при 50°, выпаривают в вакууме, остаток смешивают с ацетоном, выпавший осадок растворяют в водн. ацетоне (20% воды), осветляют углем и осаждают ацетоном тригидрат I, т. пл. 75,7—76,5°,  $[\alpha]^{20D} + 25,4^\circ \rightarrow +42,3^\circ$  (8 час.; с 1,14;  $CH_3OH$ ), глюкозозон и фенил-D-глюкозотриазол. При хранении в присутствии воды I превращается в  $Gl-N+(CH_2CH_2Cl)CH_2CH_2OCl^-$ , где

Гл — остаток глюкозы. I оказался активным против *Sarpin* опухоли у крыс, но в дозе, близкой к летальной. Часть I см. РЖХим, 1958, 25268. И. Кожина

28893. Новый гликозид из семян джута. Абу бакиров Н. К., Масленникова В. А., Горюниц М. Б., УзССР Фанлар акад. докладари, Докл. АН УзССР, 1957, № 6, 23—27 (рез. узб.).

Из семян джута *Corchorus olitorius* L. выделен гликозид ( $C_{25}H_{42}O_{14}$ ), олиторизид (I). 5 кг обезжиренных семян джута извлекают спиртом, упаривают р-р в вакууме, остаток разбавляют 3 л горячей воды, обрабатывают насыщ. р-ром  $(CH_3COO)_2Pb$ , избыток  $Pb^{+2}$  осаждают  $(NH_4)_2HPO_4$ , фильтрат упаривают в вакууме до 700 мл. После длительного стояния получают 3,5 г кристаллич. гликозидов. Фильтрат обрабатывают смесью  $CHCl_3$  и спирта (1:1). После упаривания получают 8,5 г вязкой массы, которую хроматографируют на  $Al_2O_3$ , вымывают спиртом. Медленным испарением элюата получают 1,5 г кристаллич. гликозида. Выход I 0,1% от веса семян. Последовательной хроматографией на  $Al_2O_3$ , многократной кристаллизацией из смеси спирта с эфиром получают I, т. пл. 224° (разл.),  $[\alpha]^{18D} - 4^\circ$  (с 2,127;  $CH_3OH$ ). I дает р-ции, характерные для стероидных гликозидов; легко гидролизуются на холоду спирт. р-ром  $HCl$ . Из гидролизата выделен генин ( $C_{25}H_{42}O_6 \cdot 0,5H_2O$ ) (II) с т. пл. 178° (разл.),  $[\alpha]^{20D} + 39,5^\circ$  (с 2,936;  $CH_3OH$ ). По свойствам II сходен со строфантинидом. Под действием спирт. р-ра  $KOH$  II изомеризуется в в-во с т. пл. 244°, трудно растворимое в спирте.

Е. Алексеева

28894. Новый метод синтеза α-гликозидов. Хельферих, Кашеликар (Über eine neue Methode zur Synthese von α-Glykosiden. Helferich Burckhardt, Kachelikar D. V.), Chem. Ber., 1957, 90, № 9, 2094—2096 (нем.).

1-(2,4,6-триметилбензоил)-β-D-глюкоза (I) и галактоза (II) в среде метилового, этилового или аллилового спирта в присутствии кислых катализаторов вступают в р-цию со спиртами с образованием соответствующих α-гликозидов. Тетраацетил производные I и II в р-цию не вступают. Р-р 1 г I и 0,2 г n- $CH_3C_6H_4SO_3H$  (III) в 50 мл абс.  $CH_3OH$  оставляют при ~20° до изменения  $\alpha D$  с +0,17° (через 3 мин.) (l 1 дм) до +2,02° (через 100,5 часа); р-р разбавляют 50 мл воды, нейтрализуют 1 н.  $NaOH$  и выпаривают в вакууме досуха; остаток ацетируют смесью  $C_5H_5N$  и  $(CH_3CO)_2O$  (~20°, 50 час.), получают тетраацетилметил-α-D-глюкозид, выход 58%, т. пл. 101—102° (из петр. эф.),  $[\alpha]^{23D} + 133^\circ$  (хлф.). Аналогично проводят р-цию с II в абс.  $CH_3OH$  и III, α + 0,36° (7 мин.) → +2,44° (40,5 часа); выход тетраацетилметил-α-D-галактозида 51%, т. пл. 84—86°,  $[\alpha]D + 132^\circ$  (хлф.). Применение этилового спирта вместо  $CH_3OH$  приводит к тетраацетилэтил-α-D-галактозиду (через 120 час αD + 1,78°), выход 52%, т. пл. 84—86° (из абс. сп. и петр. эф.),  $[\alpha]D + 135,5^\circ$  (хлф.). С аллиловым спиртом (вместо  $CH_3OH$ ) получают тетраацетилаллил-α-D-



галактозид (через 125 час.  $\alpha D +1,74^\circ$ ), выход 46%, т. пл. 67–69°,  $\alpha^{23}D +130,3^\circ$  (хлф.). Авторы считают возможным, что в природе ферментативные синтезы  $\alpha$ -гликозидной связи протекают аналогично.

А. Лютенберг

28895. Щелочной гидролиз гликозидной связи. II. Исследование целлобита, лактита и мальтита. Дрюсенус, Линдберг, Теандер (Alkaline hydrolysis of glycosidic linkages. II. Investigation of cellobitol, lactitol and maltitol. Dryselius Elisabeth, Lindberg Bengt, Theander Olof), Acta chem. scand., 1957, 11, № 4, 663–667 (англ.)  
Изучено расщепление восстановленных дисахаридов: целлобита (I), лактита (II) и мальтита (III), полученных восстановлением соответствующих дисахаридов при помощи  $\text{NaBH}_4$ , в 10%-ном р-ре щелочи при 170° (в условиях сульфитной или содовой варки целлюлозы). I, т. пл. 149–150° (из  $\text{CH}_3\text{OH}$ ),  $[\alpha]^{20}D +8^\circ$ . В этих условиях из I образуются глюкоит (IV), лево-глюкозан (V), 1,4-ангидро-D-глюцит, так называемый арлитан (VI); из II — 1,6-ангидро-D-галактоза (VII), VI, IV; в обоих случаях выделены неизмененные I и II, а также неидентифицированные соединения. Из III образуется VI и IV. Изучена устойчивость полученных в-в в условиях р-ции. Низкий выход V и VII объясняется разложением их в этих условиях. Для разделения полученных в-в смесь хроматографировали на колонке с целлюлозой. Смесь, полученная из I (1 г), р-ритель этилацетат: уксусная к-та: вода (3:1:1) состоит из следующих фракций: а 33 мг V, т. пл. 178–180° (из сп.); б 475 мг VI, т. пл. 116–117° (из сп.);  $[\alpha]^{20}D -22^\circ$ ; в 209 мг IV, т. пл. 96–97° (из сп.); г неидентифицированное в-во, при гидролизе давшее IV и глюкозу, 76 мг; д 277 мг I. Смесь, полученная из II, р-ритель метилэтилкетон, насыщ. водой, состоит из следующих фракций: а 0,18 г VII, т. пл. 224–226°,  $[\alpha]^{20}D -22^\circ$ ; б 0,18 г VI; в 0,4 г IV; г 1,49 г II. Сообщение I см. РЖХим, 1957, 67596.

А. Юркевич

28896. Строение арабогалактана из маточной сосны *Pinus banksiana* Lamb. Бишоп (Constitution of an arabogalactan from jack pine (*Pinus banksiana* Lamb). Bishop C. T.), Canad. J. Chem., 1957, 35, № 9, 1010–1119 (англ.)

Изучалось строение водорастворимого арабогалактана (I) из древесины маточной сосны (*Pinus banksiana* L.). I — гомогенное в-во, средняя степень полимеризации  $53 \pm 3$ , при гидролизе дает арабинозу (II) и галактозу (III) в мол. отношении 1:13. Гомогенность I доказана дробным осаждением спиртом и электрофорезом. Гидролиз метилированного I дал смесь 4 молей 2,3,5-триметил- $\beta$ -арабинозы, 12–13 молей 2,3,4,6-тетраметил- $\beta$ -галактозы, 19 молей 2,3,4-триметил- $\beta$ -галактозы, 1 моля 2,6-диметил- $\beta$ -галактозы, 14 молей 2,4-диметил- $\beta$ -галактозы. При гидролизе I разб.  $(\text{COOH})_2$  отщепляется в основном II, что указывает на наличие II в фуранозидной форме. Полученные результаты указывают на высокоразветвленную структуру I, в точках разветвления находятся остатки III.

А. Юркевич

28897. Окисление ламинарина периодатом. Андерсон, Херет, Маннерс (Periodate oxidation of laminarin. Anderson F. B., Hirst E. L., Mannings D. J.), Chemistry and Industry, 1957, № 35, 1178 (англ.)

Использован метод сравнительного окисления  $\text{NaJO}_4$  глюкозанов и соответствующих им спиртов (РЖХим, 1957, 57706) для определения строения «растворимого» (РЛ) и «нерастворимого» ламинарина (НЛ). При окислении РЛ получено 0,053 моля  $\text{CH}_2\text{O}$  на остаток ангидрогексозы, соответствующий ламинариту дал 0,068 моля  $\text{CH}_2\text{O}$ . Следовательно, ~75% молекул РЛ оканчиваются остатком маннита (ОМ), средняя длина цепи ~19 глюкозных остатков, что подтверждается

также кол-вом выделившейся  $\text{HCOOH}$ . В образце НЛ ~46% молекул оканчиваются ОМ, длина цепи ~24% остатка. Предполагено, что  $\beta$ -1:6-гликозидная связь между конечными ОМ и глюкозными цепями препятствует окислению последних. Г. Зарубинский

28898. Изотиоцианаты. XXVIII. Новый изотиоцианатный глюкозид (глюкобарбарин), дающий при ферментативном гидролизе (—)-5-фенил-2-оксазолидентин. Кер, Гмелин (Isothiocyanates XXVIII. A new isothiocyanate glucoside (glucobarbarin) furnishing (—)-5-phenyl-2-oxazolidinethione upon enzymic hydrolysis. Kjaer Anders, Gmelin Rolf), Acta chem. scand., 1957, 11, № 5, 906–907 (англ.)

Из экстракта семян рода *Barbarea* (*Cruciferae*) выделены 2 глюкозида: глюконастурцин, идентичный с ранее полученным (Gadamer, Liebig's Ann. Chem., 1899, 237, 507, 218), и новый глюкозид, названный глюкобарбарин (I). I при ферментативном гидролизе микробиологически образует (—)-5-фенил-2-оксазолидентин (II), т. пл. 125° (из этилацетата- $\text{H-C}_6\text{H}_5$ ),  $[\alpha]^{23}D -70,8 \pm 1,5^\circ$  (с 2;  $\text{CH}_3\text{OH}$ ); приведены данные УФ-спектра. II, вероятно, образуется из 2-окси-2-фенилэтилэтиоцианата, первичного продукта гидролиза I. Для сравнения рацемат II синтезирован из (±)-нитрила миндальной к-ты через (±)-2-амино-1-фенилэтанол по известной методике (РЖХим, 1957, 19079). Этим же способом синтезированы оба энантиомера II. Сообщение XXVII см. РЖХим, 1958, 17759.

В. Зеленкова

28899. Реакция димерной 5-альдо-1,2-изопропилиден- $\beta$ -ксило-пентофуранозы с цианидом и получение дигидрата 1,2-изопропилиден- $\beta$ -идофуруроната-6- $\text{C}^{14}$  кальция. Шаффер, Ибелл (Reaction of dimeric 5-aldol-1,2-O-isopropylidene-D-xylo-pentofuranose with cyanide and the preparation of calcium 1,2-O-isopropylidene-L-idofururonate-6- $\text{C}^{14}$  dihydrate. Schaffer Robert, Isbell Horace S.), J. Amer. Chem. Soc., 1957, 79, № 14, 3867–3868 (англ.)

Водный р-р 12,54 г 5-альдо-1,2-изопропилиден- $\beta$ -ксило-пентофуранозы (I), 12,65 г  $\text{Na}_2\text{S}_2\text{O}_8$  и 3,4 г  $\text{NaCN}$  смешивают при 0°, оставляют на 3 суток при 20° и затем 1 час при 90°, прибавляют  $\text{Na}_2\text{CO}_3$  (7 г), кипятят 3 часа, деионизируют при 0° амберлитом IR-120 H (AM), приливают при охлаждении к  $\text{Ba}(\text{OH})_2 \cdot 8\text{H}_2\text{O}$  (41,6 г), удаляют избыток последнего током  $\text{CO}_2$  и  $1/10$  часть фильтрата берут для анализа. Из остаточного р-ра при упаривании в вакууме получают моногидрат 1,2-изопропилиден- $\beta$ -глюкофуруроната бария (II) (7,77 г). Маточный р-р деионизируют 75 г AM (0°), обрабатывают  $\text{CaCO}_3$  (5 г), сгущают в вакууме и выделяют дигидрат 1,2-изопропилиден- $\beta$ -идофуруроната кальция (III) (4,2 г),  $[\alpha]^{20}D -11,8^\circ$  (с 3; вода). Повторение синтеза из 1,11 г I и 0,005 моля  $\text{NaC}^{14}\text{N}$  (12,5 мкюри) с ацетатным буфером (0,005 моля  $\text{NaOH}$  и 0,02 моля  $\text{CH}_3\text{COOH}$ ) привело к выделению 6,75 мкюри II с  $\text{C}^{14}$ . Из маточного р-ра после растворения в воде, обработки спиртом, пропускания через фильтр, покрытый углем, упаривания, обработки AM и затем 0,3 г  $\text{BaCO}_3$  получают еще 0,18 г II- $\text{C}^{14}$ , с 0,13 г  $\text{CaCO}_3$  получают 2,81 мкюри III с  $\text{C}^{14}$  (из сп. воды, 6:1), а при применении нерадиоактивного носителя еще 0,53 мкюри; радиохим. выход III  $\text{C}^{14}$  27% с учетом выхода II- $\text{C}^{14}$  (см. РЖХим, 1957, 30742) 85%. С бисульфитным буфером соответствующие цифры 34,3% и 72%.

В. Зеленкова

28900. Получение глюкозаминных олигосахаридов. I. Разделение. Хоровиц, Розман, Блументал (The preparation of glucosamine oligosaccharides. I. Separation. Horowitz Sylvia T., Roseman Saul, Blumenthal Harold J.), J. Amer. Chem. Soc., 1957, 79, № 18, 5046–5049 (англ.)

Разработана методика гидролиза хитозана конц. HCl-к-той и разделения посредством ионообменной хроматографии образовавшихся олигосахаридов различных мол. весов.

Н. Сидорова  
28901. Полумикрометодика для исследования олигосахаридов. Хаф, Вуде, Перри (A semi-micro procedure for the investigation of oligosaccharides. Hough L., Woods B. M., Perry M. B.), Chemistry and Industry, 1957, № 32, 1100—1101 (англ.)

Разработан метод исследования олигосахаридов (ОС), основанный на том, что продукты восстановления ОС окисляются HJO<sub>4</sub> при pH 3,6 с выделением 1 моля HCHO в случае 1,2-, 1,5- и 1,6-связей конечной гексидной группы и 2 молей HCHO в случае 1,3- и 1,4-связей. В фосфатном буфере (pH 8) и с NaHCO<sub>3</sub> происходит сверхокисление и гекситы 2-го типа образуют добавочно 1 моль HCHO, 5 мг лактозы восстанавливают 10 мг NaBH<sub>4</sub> в 5 мл воды, добавляют 0,2 мл 2 н. H<sub>2</sub>SO<sub>4</sub>, подходящий буфер, *n*-оксисбенальдегид и избыток 0,3 M NaJO<sub>4</sub>, доводят до 50 мл и определяют кол-во HCHO колориметрически (при pH 3,6) с хромотроповой к-той, а с NaHCO<sub>3</sub> — фенилгидразинферрицианидным методом (РЖХим, 1957, 48341). Восстановление NaBH<sub>4</sub> заканчивается за несколько часов, за исключением замещ. у C(3). Метод проверен на D-глюкозе, 3-метил-D-глюкозе, мелибиозе, мальтозе, целлобиозе, софорозе, ламинарибиозе, 5-(α-L-арабинопиранозил)-L-арабинозе, 3-(β-L-ксилопиранозил)-L-арабинозе и панозе.

В. Зеленкова  
28902. Камедь растения *Combretum verticillatum*. Мак-Илрой (Combretum verticillatum gum. McIlroy R. J.), J. Chem. Soc., 1957, Sept., 4147—4148 (англ.)

Камедь африканского дерева *Combretum verticillatum* на 90% растворима в 4%-ном водн. р-ре NaOH и осаждается подкисленным спиртом; полученный продукт растворяют в воде, подкисленной HCl, и осаждают ацетоном. Содержание золы в очищ. камеди 10,5%, [α]<sup>25</sup><sub>D</sub> +53° (с 0,90; вода); не восстанавливает Фелинговой жидкости. Из продуктов кислого гидролиза выделены хроматографически арабиноза, галактоза и глюкуроновая к-та. Камедь является галактоарабаном, содержащим 15% ангидрогалактозы и 38% ангидроарабинозы.

Р. Тонштейн  
28903. Выделение миритетин-3-дигалактозида из *Betula verrucosa* и *Betula pubescens*. Хёрхаммер, Вагнер, Лук (Isolierung eines Myricetin-3-digalaktosides aus *Betula verrucosa* und *Betula pubescens*. Hörhammer L., Wagner H., Luck R.), Arch. Pharmazie, 1957, 290, № 7, 338—341 (нем.)

Листья березы (из смеси *Betula verrucosa* и *B. pubescens*) извлекают CH<sub>3</sub>OH (при 2 ат), экстракт упаривают, остаток разбавляют горячей водой, отделяют хлорофилл и для очистки извлекают CHCl<sub>3</sub>, эфиром, смесью эфира и этилацетата (8:2) и упаривают, получают известный гиперозид (I). Дальнейшее извлечение проводят этилацетатом и при сгущении получают кристаллич. осадок, в котором хроматографией на бумаге найдены I, R<sub>f</sub> 0,51, и небольшие кол-ва побочных гликозидов: 1) R<sub>f</sub> 0,67, 2) R<sub>f</sub> 0,39, новый миритетин-3-дигалактозид (II) C<sub>27</sub>H<sub>30</sub>O<sub>18</sub>, выход 0,7 мг%, т. пл. 195—196° (из CH<sub>3</sub>OH), выделен хроматографией на бумаге. При нагревании II с 2%-ной H<sub>2</sub>SO<sub>4</sub> отщепляются 49,9% аглюкона миритетина (III). Содержание 50,1% сахара указывает на содержание двух молекул дигексозы; в гидролизате галактоза (IV) идентифицирована превращением в озазон и хроматографией на бумаге. Кипячением III с (CH<sub>3</sub>CO)<sub>2</sub>O и CH<sub>3</sub>COONa получен гексаацетилмиритетин, т. пл. 206—208° (из CH<sub>3</sub>OH). Р-р II в ацетоне кипятят 30 час. с (CH<sub>3</sub>)<sub>2</sub>SO<sub>4</sub> и K<sub>2</sub>CO<sub>3</sub>, неочищ. продукт р-ции гидролизуют 2%-ной H<sub>2</sub>SO<sub>4</sub>, получают 7,5,3',4',5'-пентаметил-

мирицетин, т. пл. (в общей части 121—123°) 221—225° (из CH<sub>3</sub>OH). Этим доказано, что обе молекулы IV находятся в виде дигалактозида у C(3). Приведен УФ-спектр II.

А. Лютенберг

28904. Действие тетраацетата свинца на терпены. XII—XIII. Действие на α-пинен. Мацубара (Matsumbara Voshiharu), Нихон кагаку дзасси, J. Chem. Soc. Japan. Pure Chem. Sec., 1957, 78, № 7, 907—913 (японск.)

XII. 150 г α-пинена (I) в 2 л лед. CH<sub>3</sub>COOH и 0,7 г (CH<sub>3</sub>CO)<sub>2</sub>O окисляют при 60° добавлением порциями по 15—20 г 760 г (CH<sub>3</sub>COO)<sub>2</sub>Pb, перемешивают 2,5 часа, выливают в воду, нейтрализуют содой, извлекают C<sub>6</sub>H<sub>6</sub>, получают 203 г окисленного продукта, разгонкой разделяют на три части: углеводородную (а), т. кип. до 60°/30 мм, смесь моноацетатов спиртов (б) от 60°/30 мм до 125°/7 мм, смесь ацетатов гликолей (в) от 125°/7 мм до 168°/2 мм. Разгонкой фракции в получают фракцию (г) с т. кип. 130—133°/4 мм, выход 58 г, *n*<sup>25</sup><sub>D</sub> 1,4705, *d*<sub>4</sub><sup>25</sup> 1,0570, и фракцию (д) с т. кип. 176—179°/1,5 мм, выход 4 г, *n*<sup>25</sup><sub>D</sub> 1,4812, *d*<sub>4</sub><sup>25</sup> 1,050. Омыванием спирт. КОН фракции г получено 18 г смеси с т. кип. 128—131°/5 мм, из которой при стоянии выделено 3,3 г пинолгидрата (II), т. пл. 131—131,5° (из водн. сп.), [α]<sup>25</sup><sub>D</sub> —37,54° (с 3,6; абс. сп.), идентифицирован гидрированием до дигидропинолгидрата, т. пл. 139,5—140° (из сп.). Помимо II получено 1,5 г транс-терпина (III), т. пл. 157,5—158,5°. Маточные р-ры после II и III упарены в вакууме досуха и остаток окислен в C<sub>6</sub>H<sub>6</sub> посредством (CH<sub>3</sub>COO)<sub>2</sub>Pb при кипячении, в результате получены формальдегид и 1-метил-4-ацетилциклогексен-1, выход 1,8 г, т. пл. 70—72°/4 мм, *n*<sup>25</sup><sub>D</sub> 1,4719, *d*<sub>4</sub><sup>25</sup> 0,9385; семикарбазон, т. пл. 160—161°. Эти данные подтверждают присутствие во фракции г *n*-ментен-1-диола-8,9 (IV). Омыванием фракции д получено 1,5 г IV.

XIII. Разгонкой фракции б (см. сообщение XII) получают фракцию (е) с т. кип. 92—97°/7 мм, выход 61,7 г, *n*<sup>25</sup><sub>D</sub> 1,4768—1,4794, *d*<sub>4</sub><sup>25</sup> 0,9837—0,9832; фракцию (ж) с т. кип. 97—102°/7 мм, выход 4,6 г, *n*<sup>25</sup><sub>D</sub> 1,4796, *d*<sub>4</sub><sup>25</sup> 0,9875, и фракцию (з) с т. кип. 110—120°/7 мм, выход 2,3 г, *n*<sup>25</sup><sub>D</sub> 1,4815, *d*<sub>4</sub><sup>25</sup> 0,9878. После омыления 31 г е разгонкой и через *n*-нитробензоаты выделены: 3 г вербанола (V), т. кип. 93—94°/9 мм, *n*<sup>25</sup><sub>D</sub> 1,4937, *d*<sub>4</sub><sup>25</sup> 0,9775, [α]<sup>25</sup><sub>D</sub> —133,98° (с 3; абс. сп.); *n*-нитробензоат, т. пл. 84—84,5° (из сп.); дегидратация 2,7 г V кипячением (2 часа) в C<sub>6</sub>H<sub>6</sub> с фталевым ангидридом привела к 1,7 г вербена с т. кип. 56—58°/15 мм, *n*<sup>25</sup><sub>D</sub> 1,5005, *d*<sub>4</sub><sup>25</sup> 0,8799, [α]<sup>25</sup><sub>D</sub> +68,70° (с 5,7; абс. сп.); дибромид, т. пл. 69—70,5° (из петр. эф.). Помимо V выделено через кислый фталат 2,1 г *n*-ментандиен-1,8-ола-3 (VI), т. кип. 94—95°/9 мм, *n*<sup>25</sup><sub>D</sub> 1,5010, *d*<sub>4</sub><sup>25</sup> 0,9597; гидрирование VI (спирт, Pt-чернь) дало оптически неактивный ментол, т. кип. 101—103°, *n*<sup>25</sup><sub>D</sub> 1,4611, *d*<sub>4</sub><sup>25</sup> 0,8999; фенилуретан, т. пл. 103—104°; дегидратация VI нагреванием (110°, 2 часа) с фталевым ангидридом дала дигидродипентен (VII), идентифицированный в виде тетрабромида с т. пл. 155—156°, 1,4 г VII получен также при выделении VI через кислый фталат, т. кип. 64—65°/15 мм, *n*<sup>25</sup><sub>D</sub> 1,4968, *d*<sub>4</sub><sup>25</sup> 0,8539, [α]<sup>25</sup><sub>D</sub> —134,80°. Наконец, через кислый фталат выделено 0,6 г *n*-ментандиен-1,4-ола-9 (VIII); фенилуретан, т. пл. 142,5—143,5° (из петр. эф.). Из 4,5 г фракции ж через кислые фталаты выделены миртенол (IX), выход 1,5 г, т. кип. 97,5—98,5°/9 мм, *n*<sup>25</sup><sub>D</sub> 1,4951, *d*<sub>4</sub><sup>25</sup> 0,9748; кислый фталат, т. пл. 114—114,5° (из разб. сп.), и DI-α-терпиненол (X); фенилуретан, т. пл. 113—114°. В фракции з путем окисления до периллового альдегида посредством CrO<sub>3</sub> идентифицирован перилловый спирт (XI). Таким образом во фракции б обнаружены и доказаны ацетаты V—XI. Разгонкой фракции а выделены дипентен, идентифицирован в виде тетрабромида, т. пл. 125—126°,



и *n*-пимол, идентифицирован по образованию *n*-окси-пропилбензойной к-ты после окисления посредством  $\text{KMnO}_4$ . Эти данные показали, что окисление I посредством  $(\text{CH}_3\text{COO})_2\text{Pb}$  сопровождается одновременной изомеризацией скелета I в окисленных продуктах. Сообщение XI см. РЖХим, 1958, 14618.

Л. Яновская  
28905. О получении ментенов и их оксидов. Пигулевский Г. В., Кожин С. А., Вестн. Ленингр. ун-та, 1957, № 10, 93—105 (рез. англ.)

Из смеси  $\Delta^2$ -(I)- и  $\Delta^3$ -ментенов (II) после окисления  $\text{CH}_3\text{COOH}$  (III) выделен *транс*-I. Гидрированием  $\alpha$ -лимонена над Pt-чернью получен *d*-карвоментен (IV). Последний и *транс*-I окислением посредством III превращают в соответствующие оксиды. Оксид I получен двумя способами: а) частичным окислением смеси I и II б) частичным гидрированием этой смеси с последующим окислением посредством III. Перечисляются в-во, т. кип. в °C/мм,  $n_D^{20}$ ,  $d_4^{20}$ ,  $\rho_4$  и  $[\alpha]_D^{20}$ : *транс*-I, 55,5—56/15, 1,4502, 0,8100, —, +133,33°; IV, 65—65,5/14, 1,4459, 0,8233, +98,40°, +119,52°,  $\alpha$ , +102,44°,  $\alpha$ , +203,76°; оксид I, 74—75/10, 1,4512, 0,9065, +42,8, +47,21°; оксид IV, 66,5—66,7/7, 1,4509, 0,9059, +52,12°, +57,53°; оксид II а) 69—70,5/11, 1,4438, 0,8928, +51,76°, +57,97°; б) 80—80,5/16, 1,4439, 0,8925, +49,96°, +55,98°.

Приведены данные о спектрах комб. расщ. *транс*-I, IV и оксидов *транс*-I, II и IV, а также обзор методов получения I, II, IV и их оксидов. С. Кустова

28906. Дегидроацетоксилирование 8-ацетоксикарвотанацетона. (Получение DL-карвона). Суга, Мацуура (Suga Takayuki, Matsuura Tamon), Нихон кагаку дзасси, J. Chem. Soc. Japan. Pure Chem. Sec., 1957, 78, № 7, 1089—1099 (японск.)

Пироллиз 8-ацетоксикарвотанацетона (I) (получен окислением DL- $\alpha$ -терпинацетата посредством *трет*-бутилхромата) при обычном давлении и 220—280° привел к смеси, фракционной разгонкой и хроматографированием которой на силикагеле (эф.-гексан, 2:3) выделены  $\text{CH}_3\text{COOH}$ , выход 91%, DL-карвон (II), выход 30%; семикарбазон, т. пл. 155—156°; оксим, т. пл. 92—92,5°; 2,4-динитрофенилгидразон, т. пл. 187—187,2°; карвакрол (III), выход 7%; фенилуретан, т. пл. 134—135,5°; минимое «диенона», 2,4-динитрофенилгидразон, т. пл. 171—171,5° (очищен хроматографией на силикагеле — вулканич. пемзе, 4:1, р-ритель бзл.-петр. эф., 1:1); шпертенон (IV), выход 13%; 2,4-динитрофенилгидразон, т. пл. 132—133° (бзл.-петр. эф. и этилацетат-сп., 15:1—15:2 (этилацетат-сп., 7:3), 183,8—184,5 (метанол-этилацетат, 4:1) (2,4-динитрофенилгидразоны разделены хроматографически на силикагеле — вулканич. пемзе, 10:1, р-ритель бзл.-петр. эф., 3:2); из три динитрофенилгидразона практически имеют один и тот же УФ-спектр. Из полученных результатов заключено, что пироллиз I проходит с отщеплением первичного атома водорода и образованием II; III образуется из II; возникновение IV объяснено примесью в исходном I 8-ацетоксишпертенона, пироллиз которого идет с отщеплением при третичном С-атоме.

Л. Яновская  
28907. Аллофанат оксима 2-метил- $\alpha$ -ионона;  $\alpha$ -нафтилсемикарбазоны пронов. Нав (Allophanate d'oxime de 2-éthyl-2- $\alpha$ -ionone;  $\alpha$ -naphtylsemicarbazones d'ionones (notes de laboratoire). Naves Yves-René), Bull. Soc. chim. France, 1957, № 10, 1220 (франц.)  
Описано получение аллофаната оксима 2-метил- $\alpha$ -ионона (I) и  $\alpha$ -нафтилсемикарбазонов (НСК): *нео- $\alpha$ -иона (II), *нео*-*изо*- $\alpha$ -иона (III) и  $\beta$ -иона (IV). Смесь 2 г 2-метил- $\alpha$ -ионона (получен гидролизом его семикарбазона, т. пл. 203—204°, кипящим водн. р-ром фталевой к-ты), 4 г  $\text{NH}_2\text{NH}_2 \cdot \text{HCl}$ , 6 г  $\text{Na}_2\text{CO}_3$  и 10 мл 70%-ного спирта кипятят 1 час, получают оксим (V), т. кип. 125—136°/2 мм,  $n_D^{20}$  1,5260. Смесь 0,5 г V, 0,5 г  $\text{NH}_4\text{CONHCOSi}$  и 7,5 мл  $\text{C}_6\text{H}_6$  выдерживают 24 часа,*

удаляют  $\text{C}_6\text{H}_6$ , остаток обрабатывают 50 мл кипящей воды, горячий р-р фильтруют и по охлаждению выделяют I, т. пл. 151—152° (из бзл.). II и III получают гидролизом из 4-фенилсемикарбазонов; IV готовят аналогичным образом из его семикарбазона. Смесь 0,5 г II (или III, IV) и 0,5 г  $\alpha$ -нафтилсемикарбазиды растворяют в 15 мл спирта и 0,5 мл  $\text{CH}_3\text{COOH}$  и получают: НСК II, т. пл. 224—225° (из бзл.), НСК III, т. пл. 188—190° (из бзл.), и НСК IV, т. пл. 199—200° (из бзл.). Приведены данные ИК-спектров I—IV и УФ-спектров II—IV. М. Бурмистрова

28908. Эфирное масло из *Chamaecyparis taiwanensis*. I. Кислотные компоненты. Линь Яо-дан, Ван Гун-цзун, Чжень Чжень-лун (The essential oil of *Chamaecyparis taiwanensis*. I. Acidic components. Lin Yau-Tang, Wang Kung-Tsung, Chen Chen-Loung), J. Chinese Chem. Soc., 1955, ser. II, 2, 91—97 (англ.)

590 г эфирного масла, выделенного из корней растения, экстрагировали 3 л 2 н. NaOH, насыщали экстракт  $\text{CO}_2$  и для отделения фенольных в-в экстрагировали опять эфиром. Эфирный экстракт встряхивали с 2 н. р-ром  $\text{CuSO}_4$ , испаряли эфир и после фракционирования в вакууме получили остаток (I), 0,5 г *n*-крезола, 75 г фракции (II), т. кип. 90—103°/8 мм, и другие фракции. 65 г II встряхивали с насыщ. р-ром  $(\text{CH}_3\text{COO})_2\text{Cu}$  и после перегонки получили остаток (III), 54 г Cu-комплекса нового трополоида, который имеет т. кип. 88—92°/8 мм,  $n_D^{20}$  1,5126, дает фиолетовое окрашивание с  $\text{FeCl}_3$  и фенилуретан, т. пл. 109—110° (из бзл.-петр. эф.). Из III выделили 0,7 г ярко-зеленых кристаллов, обесцвечивающихся без плавления при 245—248°. При обработке I спиртом получили Cu-комплексы  $\alpha$ -туйяпицина (IV) и  $\beta$ -туйяпицина, которые были разделены по растворимости. При обработке 0,4 г зеленых кристаллов IV, т. пл. 233—235°, разб.  $\text{H}_2\text{SO}_4$ , получили  $\alpha$ -туйяпицин, т. пл. 33—34°.

Chem. Abstrs, 1955, 49, № 22, 16359. P. Y. Yeh

28909. Эфирное масло из *Chamaecyparis taiwanensis* Masamune et Suzuki. II. Хамецин — новый природный трополоид. Линь Яо-дан, Ван Гун-цзун, Чжень Чжень-лун (Das ätherische Öl von *Chamaecyparis taiwanensis* Masamune et Suzuki. II. Chamaecin, ein neues, natürliches Tropoloid. Lin Yau-Tang, Wang Kung-Tsung, Chen Chen-Loung), Riechstoffe und Aromen, 1956, 6, № 4, 97—98 (нем.)

Фракция масла, т. кип. 90—103°/8 мм, при обработке насыщ. р-ром  $(\text{CH}_3\text{COO})\text{Cu}$  дает Cu-комплекс хамецина, зеленый цвет которого исчезает при 245—250°. Из него обработкой 10%-ной  $\text{H}_2\text{SO}_4$  с последующим извлечением эфиром получен хамецин, масло, при сплавлении с KOH + вода (290—300°) образует 2-оксид-4-изопропилбензойную к-ту.

С. Кустова  
28910. Реакция экзо-оксис норборнилена с бромистым водородом. Вальборский, Лонкрини (Reaction of exo-norbornylene oxide with hydrogen bromide. Walborsky H. M., Loncrini D. F.), J. Organ. Chem., 1957, 22, № 9, 1117 (англ.)

Показано, что при обработке экзо-оксис норборнилена (0,18 моля) 48%-ной HBr при  $\leq 15^\circ$  образуется 2-экзо-бром-7-син-норборнилен (I), выход 39%, т. кип. 98—100°/5 мм, т. пл. 75,5—76° (из эф.-пентана), строение которого доказано восстановлением над 10%-ным Pd/C в спирте в известный 7-оксинорборнан (II), выход 92%, т. пл. 149—150°. Фенилуретан II, т. пл. 138—139° (из ацетонитрила). Окислением II  $\text{CrO}_3$  в  $\text{CH}_3\text{COOH}$  получен норборнон-7, выход 20%; 2,4-динитрофенилгидразон, т. пл. 133—134°. При кипячении с водн. р-ром  $\text{Li}_2\text{CO}_3$  I гидролизуется в экзо-син-норборнандиол-2,7, выход 91%, т. пл. 180—181°; дифенилуретан, т. пл. 221—222°.

Г. Сегаль

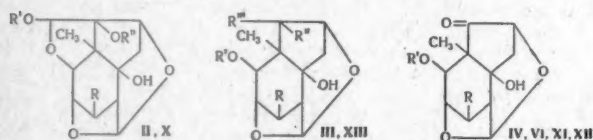
## 28911. Строение оризанола. I. Продукты омыления.

Цуття, Като, Эндо (Tsuchiya Tomotaro, Koto Akio, Endo Takuji), Токо когё сикансё хококу, Repts. Govt. Chem. Industr. Res. Inst., Tokyo, 1956, 51, № 10, 359—363 (японск.; рез. англ.)

«Оризанол» (I) (смесь в-в, выделенных из *Oryza sativa* L. и питательных для животных) омыляют 25%-ным спирт. КОН (кипчение 2 часа, затем 27—29°, 12 час.) и полученную смесь извлекают эфиром. Из эфирного экстракта получают смесь тритерпеновых спиртов, по-видимому,  $C_{30}H_{50}O$  (выход 12,3 г из 17 г I). Дробной кристаллизацией из смеси выделены спирты, названные  $\alpha$ -оризаноловым, т. пл. 155,8—156,7° (из  $CH_3OH$ ), и  $\beta$ -оризаноловым, т. пл. 110—110,7° [ $\alpha/D$  +56,3° (выделен хроматографией на  $Al_2O_3$ , вымыт  $n$ -гексаном)]. Из щел. р-ра получена смесь к-т, из которой выделена феруловая к-та, т. пл. 169,2—170,1° (из  $CH_3OH$ ). Приведена кривая УФ-спектра I. Л. Яновская 28912. О синтезе сантонина. Абэ Каракү, Chemistry (Japan), 1957, 12, № 7, 482—491 (японск.)

Обзор. Библ. 47 назв.  
28913. Пикротоксин. Часть V. Холкер, Холкер, Мак-Гукин, Робертсон, Сарджент, Хаттуэй (Picrotoxin. Part V. Holker J. S. E., Holker K. U., McGookin A., Robertson Alexander, Sargeant K., Hathway D. E.), J. Chem. Soc., 1957, Aug., 3746—3754 (англ.)

На основании р-ции восстановления пикротоксинина (I) и критич. обсуждения литературных данных (РЖХим, 1957, 63679) обсужден вопрос о строении I. При восстановлении I  $LiAlH_4$  образуются два продукта (II) и (III). II имеет 3 активных H-атома, дает монометилловый эфир, диацетат и 2,4-динитрофенилгидразон (ДНФГ), что говорит о наличии полуацетальной системы  $>C(OH)O-$ . III имеет 4 активных H-атома, дает диацетат, но не образует ни монометилового эфира, ни ДНФГ. II и его дигидропроизводное (IIa) реагируют с 1 молекулой  $HJO_4$  и дают соединения (IV) и (V) соответственно, где должна быть  $\alpha$ -гликольная груп-



II R =  $C(CH_3)=CH_2$ , R' = R'' = H; III R =  $C(CH_3)=CH_2$ , R' = H, R'' = OH, R''' =  $CH_2OH$ ; IV R =  $C(CH_3)=CH_2$ , R' =  $CHO$ , R'' =  $CH_2OH$ , R''' = H; V R =  $C(CH_3)=CH_2$ , R' = H, R'' =  $CH_2OH$ , R''' =  $CHO$ ; VI R =  $C(CH_3)=CH_2$ , R' = H, R'' =  $CH_2OH$ , R''' =  $CHO$ ; VII R =  $C(CH_3)=CH_2$ , R' = H, R'' =  $CH_2OH$ , R''' =  $CHO$ ; VIII R =  $C(CH_3)=CH_2$ , R' = H, R'' =  $CH_2OH$ , R''' =  $CHO$ ; IX R =  $C(CH_3)=CH_2$ , R' = H, R'' =  $CH_2OH$ , R''' =  $CHO$ ; X R =  $C(CH_3)=CH_2$ , R' = H, R'' =  $CH_2OH$ , R''' =  $CHO$ ; XI R =  $C(CH_3)=CH_2$ , R' = H, R'' =  $CH_2OH$ , R''' =  $CHO$ ; XII R =  $C(CH_3)=CH_2$ , R' = H, R'' =  $CH_2OH$ , R''' =  $CHO$ ; XIII R =  $C(CH_3)=CH_2$ , R' = H, R'' =  $CH_2OH$ , R''' =  $CHO$ .

пировка. Гидролиз IV дает соединение (VI) и  $HSO_3H$ . III при окислении  $HJO_4$  образует VI и  $CH_2O$ . На основании данных ИК-спектров и превращений VI и его дигидропроизводного (VIa) для II принимается присутствие  $>C(OH)CH(OH)O-C\equiv$ , а для III  $>C(OH)-CH_2OH$ -группировок. При восстановлении VIa  $LiAlH_4$  или каталитически образуется соединение (VII). При гидрировании VI также образуется VII, в то время как восстановление с  $LiAlH_4$  дает первоначально соединение (VIII), изомерное с VIa, которое при дальнейшем гидрировании превращается в VII. Одновременно показано, что при восстановлении пикротина (IX)  $LiAlH_4$  образуется соединение (X), которое при действии  $HJO_4$  дает смесь (XI) и (XII). При обработке VI надбензойной к-той с последующим восстановлением  $LiAlH_4$  образуется соединение (XIII), которое получается и при восстановлении XII, что подтверждает близость строения I и IX. Смесь 5 г  $LiAlH_4$ , 500 мл эфира и 10 г I кипятят 24 часа в аппарате Сокслета

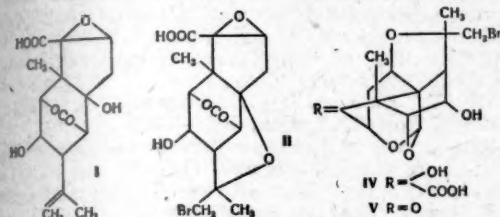
и получают 4,6 г II, т. пл. 209—211°, [ $\alpha/D$  -29° (с 1,6); диацетат, т. пл. 213—214°. Из маточного р-ра выделяют 0,3 г III, т. пл. 212—214°, [ $\alpha/D$  -53° (с 1,11); диацетат, т. пл. 160—162°; ДНФГ II, т. пл. 298—300° (разл.); монометилловый эфир II, т. пл. 170—171°, [ $\alpha/D$  +12° (с 2,38)]. При действии на последний 2,4-динитрофенилгидразин образуется ДНФГ II. Метилловый эфир II не реагирует ни с  $(CH_3CO)_2O$ , ни с  $LiAlH_4$ , ни с  $HJO_4$ , ни с 10%-ным р-ром КОН (100°, 3 часа). При восстановлении 10 г  $\alpha$ -дигидропикротоксинина  $LiAlH_4$  в условиях, описанных выше, получено 3,2 г IIa, т. пл. 209—211°, [ $\alpha/D$  -9° (с 1,43); диацетат, т. пл. 216—218°; ДНФГ, аморфный. Метилловый эфир IIa, т. пл. 179—180°, [ $\alpha/D$  +28° (с 1,08)]. К р-ру 4 г II в 60 мл воды прибавляют при 0° р-р 4,4 г  $NaJO_4$ , 20 мл воды и 3,5 мл  $H_2SO_4$  и получают 3,13 г IV, т. пл. 171—172°, [ $\alpha/D$  -121° (с 2,51)], которое не дает семикарбазона и не ацетируется. Смесь 2 г IV и 35 мл 1%-ного р-ра NaOH оставляют при 20° на 2 дня и получают 1,71 г VI, т. пл. 171—172°, [ $\alpha/D$  -178° (с 4,03)]. Из маточного р-ра выделяют  $HSO_3H$  в виде бензиллизанола, т. пл. 169—170°. Моноацетат VI имеет т. пл. 205—206°. При окислении в вышеописанных условиях из 4 г IIa получают 3,2 г V, т. пл. 187—188°, [ $\alpha/D$  -116° (с 3,09)]. При гидролизе 2,5 г V получается VIa, т. пл. 187—188°, [ $\alpha/D$  -158° (с 3)]. Моноацетат V, т. пл. 200°; ДНФГ, т. пл. 246—250° (разл.). При обработке р-ра 5 г VIa в 125 мл воды при 0° р-ром 10 г  $K_2Cr_2O_7$  в 65 мл 8 н.  $H_2SO_4$  получают 3,7 г продукта  $C_{14}H_{18}O_5$ , т. пл. 224—228° (разл.), [ $\alpha/D$  81° (с 2,79)]. При восстановлении 4 г VI 3 г  $LiAlH_4$  в 150 мл эфира образуется 3,92 г соединения (VIb), т. пл. 179—180°, [ $\alpha/D$  -49° (с 3,47)]; диацетат, т. пл. 207—209°. При обработке 0,5 г III в 20 мл воды р-ром 0,5 г  $NaJO_4$  в 6 мл 4 н.  $H_2SO_4$  получается 0,26 г VI. При восстановлении 0,5 г VI эфирным р-ром 1 г  $LiAlH_4$  получается 0,44 г VII, т. пл. 215—216,5° [ $\alpha/D$  -17° (с 3,85)]; диацетат, т. пл. 201—202°. VII образуется также при гидрировании VI, VIa или VIb в спирте в присутствии  $PtO_2$ . При восстановлении 8 г IX 5 г  $LiAlH_4$  в 500 мл эфира получают 2,5 г X, т. пл. 222—224°, [ $\alpha/D$  -45° (с 2,5)]; диацетат, т. пл. 242—244° (разл.); ДНФГ, т. пл. 297—299° (разл.). Смесь 1 г X, 1,3 г  $(CH_3COO)_2Pb$  и 30 мл  $CH_3COOH$  оставляют при 20° на 24 часа, получают 0,6 г XI, т. пл. 187—189°, [ $\alpha/D$  -130° (с 4,7)]. Р-р 4 г X в 15 мл воды прибавляют при 0° к р-ру 5 г  $NaJO_4$  в 10 мл воды, содержащей 60 капель  $H_2SO_4$ , оставляют на 1 час при 0° и получают после нагревания при 100° 2 г XII. Экстракцией водн. р-ра после выделения XI выделяют 1,5 г XII, т. пл. 224—226°, [ $\alpha/D$  -175° (с 4)]; ацетат, т. пл. 222—223°; ДНФГ, т. пл. 278—280° (разл.). При восстановлении 0,5 г XII р-ром 0,5 г  $LiAlH_4$  в 100 мл эфира получается 0,3 г XIII с двойной т. пл. 80° (разл.) и 188—190°, [ $\alpha/D$  -46° (с 2,6)]. Смесь 3,1 г VI, надбензойной к-ты и  $CHCl_3$  оставляют в темноте при 0° на 18 час., полученный продукт восстанавливают  $LiAlH_4$  и получают XIII, который дает триацетат, т. пл. 197—198°. Часть IV см. J. Chem. Soc., 1939, 1261.

С. Аванченко  
28914. Пикротоксин. III.  $\alpha$ -Пикротоксининовая и бромпикротоксининовые кислоты. Дилактон  $\alpha$ -пикротоксининовой кислоты. Конрой (Picrotoxin. III.  $\alpha$ -Picrotoxininic and bromopicrotoxininic acids; arpicrotoxininic dilactone. Conroy Harold), J. Amer. Chem. Soc., 1957, 79, № 7, 1726—1733 (англ.)

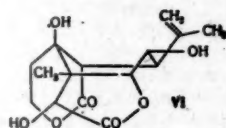
Предложены структурные ф-лы для  $\alpha$ -пикротоксининовой (I) и бромпикротоксининовой к-ты (II). Действием горячей щелочи на бромпикротоксинин (Hogmann P., Ber., 1912, 45, 2090; 1913, 46, 2793) синтезируют II в виде 2 модификаций, т. пл. 247° (разл.; из водн. сп.) и т. пл. 245—247° (разл.; образуется при упаривании насыщ. водн. р-ра). II не реагирует с



$\text{H}_2\text{O}$ , в среде  $\text{CH}_3\text{COOH}$ , содержащей  $\text{CH}_3\text{COONa}$ , но поглощает 3 экв  $\text{H}_2\text{O}$ , за 10 мин. при проведении р-ции в щел. среде. Ацетилирование II ( $\text{C}_8\text{H}_5\text{N}$ ,  $(\text{CH}_3\text{CO})_2\text{O}$ , 20°, 24 часа) приводит к ацетил- $\beta$ -бромпикротоксининовой к-те (III), выход 77%, т. пл. 250—252° (разл.; из ацетона-петр. эф.). Суспензию III в 25 мл  $\text{SOCl}_2$  и 30 мл  $\text{C}_6\text{H}_6$  кипятят 3 часа. Выделяют хлорангидрид III, выход 87,5%, т. пл. 170—171° (из этилацетата-



петр. эф.). 2,09 г II добавляют при 0° к водн. р-ру 3 г  $\text{NaBH}_4$  в 40 мл воды, выдерживают 20 час. при 25°. После обработки получают дигидро- $\beta$ -бромпикротоксининовую к-ту (IV), выход 73%, т. пл. 225—250° (разл.; из воды). IV не реагирует с 2,4-динитрофенилгидразином при кипячении 1 час в спирте в присутствии  $\text{H}_2\text{SO}_4$ , не дает р-цию Толленса и не окисляется  $\text{H}_2\text{O}_2$  или  $(\text{CH}_3\text{COO})_2\text{Pb}$ . Диацетат IV ( $\text{C}_8\text{H}_5\text{N}$ ,  $(\text{CH}_3\text{CO})_2\text{O}$ , 25°, 3 дня), т. пл. 244—246° (разл.; из воды). Суспензию 1,03 г IV и 1 г  $\text{PbO}_2$  в 7 мл лед.  $\text{CH}_3\text{COOH}$  нагревают 45 мин. при 100°. Избыток  $\text{PbO}_2$  отделяют центрифугированием, жидкую часть упаривают досуха в токе  $\text{N}_2$ , добавляют воду, этилацетатом извлекают  $\text{C}_{14}$ -кетон



(V), выход 91%, т. пл. 200—201,2° (из этилацетата); 2,4-динитрофенилгидразон V, т. пл. 287° (разл.; из водн. диоксиана и лед.  $\text{CH}_3\text{COOH}$ ). Моноацетат V, т. пл. 204,2—205° (из этилацетата-петр. эф., 1:1), получен ацетилированием V ( $\text{C}_8\text{H}_5\text{N}$ ,  $(\text{CH}_3\text{CO})_2\text{O}$ , 25°, 24 часа) или гидролизом диацетата IV. V не дает  $\alpha$ -бензил-кетенового производного с  $\text{C}_6\text{H}_5\text{CHO}$ . Р-р 10,1 г II и 6,2 г  $\text{KOH}$  в 40 мл воды нагревают 1 час при 100°, добавляют 10 мл  $\text{CH}_3\text{COOH}$ , 5 г  $\text{NH}_4\text{Cl}$  и порциями 15 г  $\text{Zn}$ -пыль. Смесь нагревают 10 мин.,  $\text{Zn}$  удаляют и выделяют диактон апопикротоксининовой к-ты (VI), выход 41%, т. пл. 305° (разл.; из водн. ацетона). VI не окисляется  $\text{H}_2\text{O}_2$ , тогда как р-р, полученный щел. гидролизом II (до обработки  $\text{Zn}$ -пылью), реагирует с 3 экв  $\text{H}_2\text{O}$ . На этом основании авторы предполагают, что промежуточным продуктом при образовании VI является тетраоксидикарбоновая к-та. VI бромруется значительно труднее пикротоксинина и I, что является подтверждением его конфигурации. При бромировании VI (475 мг) при 100° в  $\text{CH}_3\text{COOH}$  получают диактон бромапопикротоксининовой к-ты, выход 24%, т. пл. 228—230° (из ацетона-петр. эф.), и два неидентифицированных бромида. 1 г VI гидрируют с  $\text{PtO}_2$  до диактона дигидроапопикротоксининовой к-ты (VII), выход 75%, т. пл. 325° (из водн.  $\text{CH}_3\text{OH}$ ); ацетат, т. пл. 330—331° (разл.; из сп.). При гидрировании 10,3 г I с  $\text{PtO}_2$  в  $\text{CH}_3\text{COOH}$  в присутствии конц.  $\text{HCl}$  получают 3,5-дигидро- $\alpha$ -пикротоксининовую к-ту. Из маточных р-ров после стояния в течение 4 месяцев выделяют VII. Приведены данные об ИК-спектрах всех синтезированных веществ. Предыдущие сообщения см. J. Amer. Chem. Soc., 1952, 74, 491, 3046. Л. Бергельсон

28915. Инфракрасное поглощение смоляных кислот в талловом масле. Брун, Ялава (The infrared absorption of rosin acids in tall oil rosin. Bruun Henrik H., Jalava Pentti), Acta chem. scand., 1957, 11, № 2, 401—402 (англ.)

Исследованы ИК-спектры поглощения двух фракций смоляных к-т (I), полученных из смоляного таллового масла (II) как методом экстрагирования этерифицированных жирных к-т и неомыляемых в-в, так и методом осаждения смоляных к-т циклогексиламином из р-ра II в ацетоне. Обе фракции I были перекристаллизованы из метанола и ацетона. ИК-спектры обеих фракций практически одинаковы; согласно спектру фракции состоит на 55% из абиетиновой и на 45% из дигидроабиетиновой к-ты (III). При нагревании II при 300° содержание III в I увеличивается и через 3 часа I нацело превращается в III.

Е. Покровский

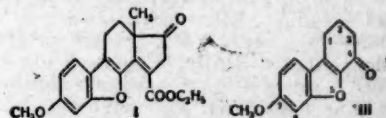
28916. Строение церина и фриделина, установленное последними исследованиями. Сеоане (Estructura de la cerina y de la friedelina, aclarada por las últimas investigaciones. Seoane E.), Rev. cienc. apl., 1957, 11, № 5, 393—402 (исп.)

Дан обзор последних работ по установлению стереохим. структуры церина и фриделина — тритерпенов, выделенных из пробки. Кратко изложены основы конформационного анализа. Библ. 26 назв.

С. Завьялов

28917. Синтез фурановых аналогов стероидов. Бхиде, Тикоткар, Тилак (Synthesis of a furanosteroid. Bhide G. V., Tikotkar N. L., Tilak B. D.), Chemistry and Industry, 1957, № 40, 1319 (англ.)

Кратко описано получение метилового эфира 15-карбэтоксис-14,15-дегидро-В-нор-6-оксаэквиленина (I). Метилловый эфир  $\gamma$ -2-окси-4-метоксисбензоилмасляной к-ты (т. пл. 58°) взаимодействием с  $\text{BrCH}_2\text{COO}-\text{C}_6\text{H}_5$  и  $\text{K}_2\text{CO}_3$  в  $\text{C}_2\text{H}_5\text{COCH}_3$  с последующим гидроли-



зом продукта р-ции превращен в  $\gamma$ -(2-карбоксиметокси-4-метоксисбензоил)-масляную к-ту (II), т. пл. 155°. II при кипячении с  $(\text{CH}_3\text{CO})_2\text{O}$  и  $\text{CH}_3\text{COONa}$  дает 3- $\omega$ -карбоксипропил-6-метоксисбензофуран, т. пл. 106°, при взаимодействии которого с  $\text{ZnCl}_2$  в кипящей смеси  $(\text{CH}_3\text{CO})_2\text{O}$  и  $\text{CH}_3\text{COOH}$  получен 7-метокси-4-кето-1,2,3,4-тетрагидродибензофуран (III), т. пл. 129°. III через 3-оксиметиленовое производное (т. пл. 184—186°) превращен в 9,10-дигидро-6-метоксидибензофурано-[3:4-d]-изоксазол, т. пл. 210—211°, при метилировании которого  $\text{CH}_3\text{I}$  в присутствии трет- $\text{C}_4\text{H}_9\text{OK}$  получен 3-циан-7-метокси-3-метил-4-кето-1,2,3,4-тетрагидродибензофуран (IV), т. пл. 121°. IV при конденсации с  $(\text{CH}_3\text{COOC}_2\text{H}_5)_2$  в присутствии трет- $\text{C}_4\text{H}_9\text{OK}$  дает I, т. пл. 135°.

В. Коптюг

28918.  $\Delta^3,5,22$ -Стигмастатриен и дистигмастерилловый эфир. Линберг, Коке (Stigmasta-3,5,22-triene and distigmasteryl ether. Linburg R. G., Cox R. H.), Canad. J. Chem., 1957, 35, № 10, 1237—1238 (англ.)

При действии безводн.  $\text{CuSO}_4$  на стигмастерин при 200° (20 мин.) образуется смесь, из которой выделены  $\Delta^3,5,22$ -стигмастатриен, т. пл. 111—112°,  $[\alpha]_D^{20} -109^\circ$  и дистигмастерилловый эфир, т. пл. 200—204°,  $[\alpha]_D^{20} -54^\circ$ .

С. Аванченко

28919. Стероиды и вальденовское обращение. Часть XXXVII. Эпимерные холестеридиолы-2,3. Шоппи, Джонс, Саммерс (Steroids and walden inversion. Part XXXVII. The epimeric cholestane-2:3-diols.

Shopper C. W., Jones D. N., Summers G. H. R.), J. Chem. Soc., 1957, July, 3100—3107 (англ.)

Синтезированы четыре эпимерных холестерандиола-2,3 и доказана их конфигурация. Кипячение (4 часа) *n*-толуолсульфонилгидразона холестеранона-3, т. пл. 172—174° (разл.; из эф.),  $[\alpha]_D +30^\circ$  (с 1, хлф.), с NaOH в диэтиленгликоле привело к холестерину-2 (I), т. пл. 71—72° (из ацетона-CH<sub>3</sub>OH),  $[\alpha]_D +66^\circ$ , полученному также кипячением (40 мин.) смеси 2-а-бромхолестанола-3β и 3α в CH<sub>3</sub>COOH в присутствии Zn-пыли. Окислением 1 30%-ной CH<sub>3</sub>CO<sub>2</sub>H синтезирован холестерандиол-2β, 3α (II), т. пл. 200—202° (из CH<sub>3</sub>OH),  $[\alpha]_D +33^\circ$  (с 1,2); диацетат (III), т. пл. 133—135° (из ацетона-CH<sub>3</sub>OH),  $[\alpha]_D +56^\circ$  (с 1,1). II получен также гидролизом 2α,3α-(IV) или 2β,3β-оксидохолестана (IVa) с помощью 2 н. H<sub>2</sub>SO<sub>4</sub>. Восстановлением 2,57 г 2-а-бромхолестанона с NaBH<sub>4</sub> в смеси эфира и влажного CH<sub>3</sub>OH (25°, 2 часа) получен продукт, который был хроматографирован на Al<sub>2</sub>O<sub>3</sub>. Смесь эфир-С<sub>6</sub>H<sub>6</sub> (1:9) вымыто 1,19 г 2-а-бромхолестанола-3β (V), т. пл. 109—111° (из ацетона),  $[\alpha]_D +13^\circ$  (с 1,2), и 555 мг 2-а-бромхолестанола-3α (VI), т. пл. 116—118° (из ацетона),  $[\alpha]_D +34^\circ$  (с 1,4). Строение V подтверждено восстановлением (в присутствии KOH) над Pd/C в спирте в холестерин-3β, т. пл. 125° и 140° (из ацетона-CH<sub>3</sub>OH), тогда как VI при ацетилизации (11,5 часа) в кипящей CH<sub>3</sub>COOH в присутствии CH<sub>3</sub>COOK и последующем хроматографировании на Al<sub>2</sub>O<sub>3</sub> дал холестерин-3 (вымыт С<sub>6</sub>H<sub>6</sub>-пентаном), т. пл. 125—127° (из ацетона-CH<sub>3</sub>OH). Аналогичный ацетилиз 1,02 г V привел к смеси, из которой хроматографированием на Al<sub>2</sub>O<sub>3</sub> выделены ацетат V, выход 0,366 г (вымыт С<sub>6</sub>H<sub>6</sub>-пентаном, 1:1), т. пл. 101—102° (из ацетона-CH<sub>3</sub>OH),  $[\alpha]_D -81^\circ$  (с 1,4), и III, выход 0,222 г (вымыт С<sub>6</sub>H<sub>6</sub> и эфиром-С<sub>6</sub>H<sub>6</sub>, 1:19). Обработка 0,412 г IV *n*-CH<sub>3</sub>С<sub>6</sub>H<sub>4</sub>SO<sub>3</sub>H в эфире привела к 0,59 г 2-тозилата II, т. пл. 150—151° (из эф.-гексана),  $[\alpha]_D +23^\circ$  (с 1,1), давшего при восстановлении с LiAlH<sub>4</sub> в эфире холестерин-3α, т. пл. 182—184° (из ацетона). Аналогично IVa дал 3-тозилат II, т. пл. 149—150°,  $[\alpha]_D +41^\circ$  (с 1,5), переходящий при восстановлении с LiAlH<sub>4</sub> в холестерин-2β, т. пл. 151—153°,  $[\alpha]_D +34^\circ$  (с 1,1). Последний при окислении CrO<sub>3</sub> в 90%-ной CH<sub>3</sub>COOH дал холестерин-2, т. пл. 126—128° (из ацетона-CH<sub>3</sub>OH),  $[\alpha]_D +48^\circ$  (с 1). Восстановление 0,279 г 2-а-ацетоксидохолестана-4-она-3 (Seebeck, Reichstein, Helv. chim. acta, 1944, 27, 948) NaBH<sub>4</sub> в эфире и влажном CH<sub>3</sub>OH привело к 0,17 г холестерин-4-диола-2α, 3β (VII), т. пл. 174° (из CH<sub>3</sub>OH),  $[\alpha]_D +38^\circ$  (с 1,1); диацетат VII, т. пл. 111—112° (из CH<sub>3</sub>OH),  $[\alpha]_D -60,5^\circ$  (с 1,6). Гидрированием VII над PtO<sub>2</sub> в CH<sub>3</sub>COOH получен холестерандиол-2α, 3β (VIII), т. пл. 204—205° (из CH<sub>3</sub>OH),  $[\alpha]_D +17^\circ$  (с 1); диацетат VIII, т. пл. 106—107° (из CH<sub>3</sub>OH),  $[\alpha]_D -27^\circ$  (с 2). Таким образом описанное ранее (Hattori, Kawasaki, J. Pharm. Soc. Japan, 1937, 57, 160) в-во с т. пл. 118° не может быть VIII. Окислением VIII CrO<sub>3</sub> в 98%-ной CH<sub>3</sub>COOH синтезирована 2,3-секохолестандикарбоновая-2,3 к-та т. пл. 196—197° (из эф.-пентана). Гидроксигированием холестерана-2 (IX) посредством OsO<sub>4</sub> в эфире приготовлен холестерандиол-2α, 3α, т. пл. 216—219° (из хлф.-ацетона и возгонка),  $[\alpha]_D +31^\circ$  (с 1,2); диацетат (X), т. пл. 134—135° (из ацетона-CH<sub>3</sub>OH),  $[\alpha]_D +29^\circ$  (с 1,5, хлф.). Смесь 0,811 г IX, 110 мл CH<sub>3</sub>COOH, 1,5 мл воды, 1,29 г AgOSCOCH<sub>3</sub> и 0,755 г I<sub>2</sub> нагревают 3 часа при 45°, ацетилируют, продукт р-ции хроматографируют на Al<sub>2</sub>O<sub>3</sub>. Смесь С<sub>6</sub>H<sub>6</sub>-пентан (1:19) вымывают диацетат (XI) холестерандиола-2β, 3β (XII), выход 50%, т. пл. 112° и 119° (из ацетона-CH<sub>3</sub>OH),  $[\alpha]_D +38^\circ$  (с 1,2), и X, выход 3%. Гидролиз XII избытком LiAlH<sub>4</sub> в эфире привел к X, т. пл. 176—177° (из ацетона),  $[\alpha]_D +38^\circ$  (с 1). Гидроксигированием по тому же методу из холестерина получена смесь, из которой хроматографирова-

нием на Al<sub>2</sub>O<sub>3</sub> выделены 3,6-диацетат холестерандиола-3β, 5,6α, выход 5%, т. пл. 181—185° (из эф.-CH<sub>3</sub>OH) (вымыт эф.-С<sub>6</sub>H<sub>6</sub>, 1:9), и 3,6-диацетат холестерандиола-3β, 5,6β, выход 5%, т. пл. 163—165° (из CH<sub>3</sub>OH). Приведены данные об ИК-спектре III.  $[\alpha]_D$  определены в CHCl<sub>3</sub>. Часть XXXVI см. РЖХим, 1958, 8109.

Г. Сеталл  
28920. Стероиды и вальденовское обращение. Часть XXXVIII. Дезаминирование эпимерных 2-, 4- и 7-аминохолестанов. Шоппи, Кремлин, Эванс, Саммерс (Steroids and Walden inversion. Part XXXVIII. The deamination of epimeric cholestan-2-, 4-, and 7-ylamines. Shoppee C. W., Cremlin R. J. W., Evans D. E., Summers G. H. R.), J. Chem. Soc., 1957, Oct., 4364—4369 (англ.)

Показано, что дезаминирование как экваториальных 2α-, 4α- и 7β-аминохолестанов (Ia—v), так и их эпимеров — полюсных 2β-, 4β- и 7α-аминохолестанов (Iг—e) — при действии NaNO<sub>2</sub> в водн. CH<sub>3</sub>COOH протекает с сохранением конфигурации и приводит к образованию холестанолов-2α, 4α и 7β (IIa—v) и соответственно холестанолов-2β, 4β и 7α (IIг—e). Превращение Iг—e в IIг—e сопровождается р-цией отщепления, в результате которой образуются соответственно Δ<sup>2</sup>-, Δ<sup>4</sup>- и Δ<sup>7</sup>-холестены (III, IV и V). Аналогично из 7β-аминохолестанола-3β (Iж), 7β-амино-Δ<sup>4</sup>-холестанола-3β (Iа) и 7β-амино-Δ<sup>4</sup>-холестена (Iи) получены холестерандиол-3β, 7β (IIж), Δ<sup>5</sup>-холестендиол-3β, 7β (IIа) и Δ<sup>4</sup>-холестендиол-7β (IIи); из 7α-амино-Δ<sup>4</sup>-холестанола-3β (Iк) образуются Δ<sup>5</sup>-холестендиол-3β, 7α (IIк) и Δ<sup>5,7</sup>-холестадииендиол-3β (VI), а из 7α-аминохолестанола-3β (Iл) получены холестерандиол-3β, 7α (IIл) и Δ<sup>7</sup>-холестендиол-3β (VII). 906 мг оксима холестерана-2 (VIII) гидрируют в 30 мл лед. CH<sub>3</sub>COOH в присутствии 281 мг PtO<sub>2</sub> и из продукта р-ции хроматографированием на Al<sub>2</sub>O<sub>3</sub> выделяют Iг, т. пл. 70—76°,  $[\alpha]_D +28,4^\circ$  (с 1,2); ацетильное производное (АП), т. пл. 117—118° и 148—150° (из CH<sub>3</sub>OH),  $[\alpha]_D +27,5^\circ$  (с 1,0); 2β-изопропилиденаминохолестан, т. пл. 115—117°,  $[\alpha]_D +4^\circ$  (с 1,1). Аналогично из оксима холестерана-4 (IX) получают Iд, т. кип. 220°/0,01 мм,  $[\alpha]_D +60^\circ$  (с 1,0); АП, т. пл. 190—193° (из ацетона),  $[\alpha]_D +33^\circ$  (с 1,0); а из оксима Δ<sup>5</sup>-холестендиол-3β-она-7 — смесь Iл и Iж, разделенную кристаллизацией из ацетона-CH<sub>3</sub>OH: Iл, выход 28%, т. пл. 158—162°,  $[\alpha]_D -18^\circ$  (Barnett и др., J. Chem. Soc., 1946, 528, опубликовали неверные константы); N-моно-АП, т. пл. 270—272° (из CH<sub>3</sub>OH),  $[\alpha]_D -9^\circ$  (с 1,3); Iж, выход 20%, т. пл. 184—186°,  $[\alpha]_D +102^\circ$  (с 0,85); N-моно-АП, т. пл. 255—259° (из ацетона-CH<sub>3</sub>OH),  $[\alpha]_D +63^\circ$  (с 0,6); дибензойное производное, т. пл. 183—184° (из ацетона),  $[\alpha]_D +31^\circ$  (с 0,6). Iл и Iж получены также гидрированием соответственно Iк и Iа. VIII при восстановлении действием Na в кипящем *изо*-С<sub>3</sub>H<sub>7</sub>OH дает Ia, очищ. хроматографией на Al<sub>2</sub>O<sub>3</sub>, т. пл. 111—113° (из пентана),  $[\alpha]_D +20^\circ$  (с 0,97); АП, т. пл. 215—216° (из этилацетата),  $[\alpha]_D -14^\circ$  (с 1,0). Аналогично (но в *н*-С<sub>4</sub>H<sub>9</sub>OH) из IX получают Iб, т. пл. 96—98° (из этилацетата),  $[\alpha]_D +10,5^\circ$  (с 0,9); АП, т. пл. 228—230° (из этилацетата),  $[\alpha]_D +36^\circ$  (с 0,9), а из оксима холестерана-7 (X) получают Iи,  $[\alpha]_D +40^\circ$  (с 3,3); АП, т. пл. 148—150° (из эф.-ацетона),  $[\alpha]_D +61^\circ$  (с 1,27); бензойное производное (БП), т. пл. 174—177° (из ацетона),  $[\alpha]_D +81^\circ$  (с 0,6). X (3,3 г при гидрировании в спирте в присутствии 200 мг PtO<sub>2</sub> (~20°) дает Iе, выход 204 мг, т. пл. ~15°,  $[\alpha]_D -20^\circ$  (с 1,33); хлоргидрат, т. пл. 268—276°; АП, т. пл. 216—218° (из эф.),  $[\alpha]_D +40^\circ$  (с 0,42), а при восстановлении LiAlH<sub>4</sub> дает смесь Iи и Iе (~2:1). Iи получают восстановлением 6 г оксима Δ<sup>5</sup>-холестадииена-7 Na в кипящем спирте, выход 2,5 г,  $[\alpha]_D +85^\circ$  (с 2,8); АП, т. пл. 150—152° и 197—198°,  $[\alpha]_D +58^\circ$  (с 1,43); БП, т. пл. 190—192°,  $[\alpha]_D +80^\circ$  (с 1,12). Деза-



аминирование осуществляют прибавлением к р-ру амина в  $\text{CH}_3\text{COOH}$  р-ра  $\text{NaNO}_2$  в воде с последующей выдержкой смеси 12 час. при  $20^\circ$ ; продукт р-ции гидролизуют 5%-ным р-ром КОН или ацетируют  $(\text{CH}_3\text{CO})_2\text{O}$  при  $100^\circ$ . Ниже перечисляются амин, продукты р-ции, их выходы в %, т. пл. в  $^\circ\text{C}$ ,  $[\alpha]_D$  и дополнительные данные: Ia, Ia, 96, 178—180° (из ацетона), +25,7° (с 0,88); ацетат Ia, т. пл. 60—62°,  $[\alpha]_D$  +14° (с 1,4); Ib, Ib, 82, 189—190 (из  $\text{CH}_3\text{OH}$ ), —; Ic, Ic, 95, 112—113 (из  $\text{CH}_3\text{OH}$ ), —; Id, Id, 21, 155° (из ацетона-пентана), +33° (с 1,0), и III (смесь с  $\Delta^1$ -изомером), 74,5, 68—71, +47° (с 0,98); Id, IV, 92, 79—80° (из ацетона), +73° (с 1,2); Ie, Ie, 36,5, 94—96° (из  $\text{CH}_3\text{OH}$ ), —, и V, 61, 75—78° (из ацетона) +10° (с 1,4); If, If, 75, 84—86 (из  $\text{CH}_3\text{OH}$ ), +54° (с 0,8); Ig, диацетат Ia, 84, 107—109° (из эф.  $\text{CH}_3\text{OH}$ ), +53° (с 1,01); Ih, ацетат II, 86,5 95—98° (из ацетона), +72° (с 1,4); Ii, диацетат II, 22, 123 (из ацетона), —, и ацетат VI, 70, 127—129 (из ацетона), —83° (с 2,2); Il, диацетат II, 23, 136—138 (из  $\text{CH}_3\text{OH}$ ), —, и ацетат VII, 59, 116—118 (из ацетона), +0° (с 1,2). Все  $[\alpha]_D$  измерены в  $\text{CHCl}_3$ .

28921. Исследования в области синтеза терпенов. Часть II. Получение промежуточного продукта для синтеза дитерпенов. Коккер, Холсэлл (Studies in the synthesis of terpenes. Part II. The preparation of an intermediate for the synthesis of diterpenes. Cocker J. D., Halsall T. G.), J. Chem. Soc., 1957, Aug., 3441—3445 (англ.).

Получен 5,5,9-триметил-транс-декалон-1 (I), промежуточное соединение для синтеза дитерпенов группы маннола — агатовой к-ты. 9-метил- $\Delta^4(10)$ -окталиндион-1,6 (II) при восстановлении  $\text{NaBH}_4$  переходит в 5-оксид-10-метил- $\Delta^1(9)$ -окталон-2 (III), тетрагидропирановый эфир (IV) которого при метилировании посредством  $\text{CH}_3\text{I}$  и трет- $\text{C}_4\text{H}_9\text{OK}$  дает 5-оксид-1,1,10-триметил- $\Delta^8$ -окталон-2 (V). Восстановлением V по Киннеру получают 1-оксид-5,5,9-триметил- $\Delta^4(10)$ -окталин (VI), а гидрированием последнего 1-оксид-5,5,9-триметил-транс-декалин (VII), окисление которого посредством  $\text{CrO}_3$  приводит к I. 10 г 2-метил-циклогександиона-1,3, 11 мл метилвинилкетона и 15 мл  $(\text{C}_2\text{H}_5)_3\text{N}$  выдерживают 7 час. при  $12^\circ$ , продукт р-ции (5,4 г) циклизуют кипячением (20 час., в атмосфере  $\text{N}_2$ ) с 3,5 г трет-бутилата Al в 30 мл  $\text{C}_6\text{H}_6$ . Полученное масло хроматографируют (в  $\text{C}_6\text{H}_6$ ) на  $\text{Al}_2\text{O}_3$ . Эфиром вымывают II, выход 0,2 г, т. пл. 49—50° (из петр. эф.), а метанолом — 10-оксид-9-метилдекалиндион-1,6 (VIII), выход 0,3 г, т. пл. 184—185° (из этилацетата). 50 г II восстанавливают  $\text{NaBH}_4$  (8,5 г) в спирте (20°, 12 мин.), продукт р-ции растворяют в эфире (75 мл), добавляют 5 мл воды и выдерживают 33 час. при т-ре  $-5^\circ$ . Выпадает моногидрат III, выход 35 г, т. пл. 47—56° (в зависимости от скорости нагревания); 2,4-динитрофенилгидразон III, т. пл. 176—178° (из спир.); семикарбазон III, т. пл. 228—229° (из спир.). В безводн. состоянии III не кристаллизуется. К смеси I и III, 7 мл дигидропирана и 2 мл эфира добавляют 1 мл  $\text{HCl}$  (к-ты), выдерживают 2 дня при  $20^\circ$ , продукт р-ции хроматографируют на  $\text{Al}_2\text{O}_3$ . Смесь петр. эфира- $\text{C}_6\text{H}_6$  (4:1) вымывает масло (0,76 г), не содержащее  $\text{CO}$ -группы (судя по ИК-спектру). Смесь петр. эфира- $\text{C}_6\text{H}_6$  (4:1) вымывают IV, выход 0,7 г, т. пл. 68—70° (из петр. эф.). К р-ру 1,98 г IV в 60 мл  $\text{C}_6\text{H}_6$  добавляют 50 мл 1 М р-ра трет- $\text{C}_4\text{H}_9\text{OK}$  в трет- $\text{C}_4\text{H}_9\text{OH}$  и затем 15 г  $\text{CH}_3\text{I}$ . Смесь выдерживают 17 час. при  $20^\circ$ , продукт растворяют в  $\text{CH}_3\text{OH}$ , добавляют 3 капли  $\text{HCl}$ , выдерживают 30 мин. при  $40^\circ$ . Хроматографированием продукта р-ции на  $\text{Al}_2\text{O}_3$  (вымывают смесью  $\text{C}_6\text{H}_6$ -эфир 5:1) выделяют V, выход 0,7 г, т. пл. 92—94° (из петр. эф.). Смесь 9 г V, 480 мл диэтиленгликоля, 40 мл  $\text{NH}_4\text{OH} \cdot \text{H}_2\text{O}$  нагревают 1 час при 90—100°, добавляют

9 г КОН и нагревают 6 час. при  $215^\circ$  (с отгонкой воды). При разбавлении реакционной смеси водой выпадает VI, выход 7,5 г, т. пл. 122—125° (из водн.  $\text{CH}_3\text{OH}$ , или возгонка при  $100^\circ/10$  мм). 86 мг VI гидрируют с  $\text{PtO}_2$  в  $\text{CH}_3\text{COOH}$  (15 мин.) до VII, т. пл. 75—77° (из петр. эф.). 50 мл VII в 5 мл ацетона окисляют  $\text{CrO}_3$  по ранее описанному методу (РЖХим, 1956, 16186) до I, т. пл. 41—43° (из водн.  $\text{CH}_3\text{OH}$ ); 2,4-динитрофенилгидразон, т. пл. 168,5—170° (из спир.). В аналогичных условиях 0,105 г VI дают 5,5,9-триметил- $\Delta^4$ -окталон-1 в виде масла; 2,4-динитрофенилгидразон, т. пл. 118—122° (из спир.). Приведены данные об УФ-спектрах II—IV, VI и об ИК-спектрах III—VIII. Часть I см. РЖХим, 1957, 8176.

28922. 21-метоксипрогестерон. Улучшенный синтез. Зорбак, Таморрия (21-methoxyprogesterone. Improved synthesis. Zorbach W., Werner, Tamorria C. Richard), J. Organ. Chem., 1957, 22, № 9, 1127 (англ.).

Предложен новый короткий путь синтеза 21-метоксипрогестерона (I), исходя из 3 $\beta$ -оксид- $\Delta^4$ -этиохоленовой к-ты. Последняя известным методом (Miescher K., Wettstein A., Helv. chim. acta, 1939, 22, 1262) превращена в 21-диазопрогестерон, 34 мг которого обрабатывают 2 мл безводн.  $\text{CH}_3\text{OH}$  при  $55^\circ$  в присутствии 0,1 мл эфира  $\text{BF}_3$ . Получают 34 мг I, т. пл. 159—164° (из  $\text{CH}_3\text{OH}$ ),  $[\alpha]_D^{20} +189 \pm 4^\circ$  (с 1,25; хлф.); бис-2,4-динитрофенилгидразон I, т. пл. 251—253,3° (из хлф.-сп.). Приведены данные об УФ-спектре I.

28923. 5- $\alpha$ -прегнантриол-3 $\beta$ ,20 $\beta$ ,21. Тейлор (5 $\alpha$ -pregnane-3 $\beta$ :20 $\beta$ :21-triol. Taylor W.), Chemistry and Industry, 1957, № 36, 1214—1215 (англ.).

Показано, что выделенные ранее образцы 5- $\alpha$ -прегнантриола-3 $\beta$ ,20 $\beta$ ,21 (I) (Steiger M., Reichstein T., Helv. chim. acta, 1938, 21, 161; Schneider J. J., J. biol. Chem., 1952, 199, 235) являются в действительности смесями. Гидрированием 21-ацетоксипрегнен-5-он-20-ола-3 $\beta$  над  $\text{PtO}_2$  в  $\text{CH}_3\text{COOH}$  с последующим ацетилированием удалось приготовить чистый образец триацетата I, т. пл. 168—170° (из  $\text{CH}_3\text{OH}$ ),  $[\alpha]_D^{20} +26^\circ$  (ацетон), строение которого подтверждено изучением ИК-спектра и мол. вращения. Гидролиз триацетата I в метанолином р-ре  $\text{HCl}$  привел к I, т. пл. 206—208°.

28924. Идентификация и синтез ацетата  $\Delta^4,17$ -прегнадиенол-20-аль-21-диона-3,11. Бейлер, Говман (Identification and synthesis of 4,17-pregnadienol-20-ol-21-al-3,11-dione acetate. Beyler R. E., Hoffman Frances), J. Amer. Chem. Soc., 1957, 79, № 19, 5297—5300 (англ.).

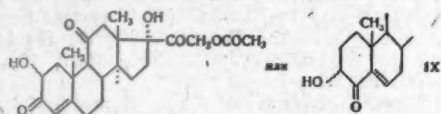
Описан синтез ацетата  $\Delta^4,17$ -прегнадиенол-20-аль-21-диона-3,11 (I) и 20-ацетата  $\Delta^4,17$ -прегнадиендиол-11 $\beta$ ,20-аль-21-она-3 (II) и изучены их р-ции. При омылении I как щелочами, так и к-тами в  $\text{CH}_3\text{OH}$  образуется 21,21-диметокси- $\Delta^4$ -прегнентрион-3,11,20 (III). При действии на I  $(\text{CH}_3\text{CO})_2\text{O}$  в присутствии  $\text{H}_2\text{SO}_4$  получается триацетат  $\Delta^4,17$ -прегнадиентриол-20,21,21-диона-3,11 (IV). С целью синтеза I дегидрокортикостерон (V) был превращен в гидрат  $\Delta^4$ -прегненаль-21-триона-3,11,20 (VI), из которого енолизацией боковой цепи с последующим ацетилированием получен I. В пробе на удержание гликогена в печени I обладает 60% активности гидрокортизона. I обладает хорошей активностью в пробе на местную гранулему и в пробе на удержание Na, но не активно в пробе на системную гранулему. II обладает меньшей активностью, чем I. Различные образцы I имеют т. пл. от 205—220 до 245—249°,  $[\alpha]_D$  +163° (с 1; хлф.). Смесь 500 мг I, 35 мл  $\text{CH}_3\text{OH}$  и 1,25 мл конц.  $\text{HCl}$  оставляют на 12 час. при  $20^\circ$  и получают 408 мг III, т. пл. 150—161°. Смесь 100 мг I, 5 мл  $\text{CH}_3\text{OH}$ , 100 мг  $\text{NaHCO}_3$  и 0,1 мл воды оставляют при  $20^\circ$  на 2 дня и получают 77 мг III; при гидролизе I

водно-метанольным р-ром NaOH получают 40% III. Смесь 1,2 г V, 2 мл  $C_6H_5N$  и 795 мг  $n\text{-CH}_3C_6H_4SO_3H$  слегка нагревают и оставляют при 20° на 4 часа; получают 930 мг тозилата 21-пиридиний- $\Delta^4$ -прегнентриона-3,11,20, т. пл. 253—256°. Смесь 70 мг последнего, 28 мг  $n$ -нитрозодиметиланилина, 5 мл  $CH_3OH$ , 1,8 мл воды и 17 мг  $KHSO_5$  оставляют на 2 часа; получают 48 мг соответствующего нитрона, т. пл. 110—117°, который суспендируют в 5 мл эфира, перемешивают с 5 мг 2,5 г  $HCl$  и после обычной обработки получают VI, т. пл. 95—105°. К р-ру 500 мг V в 10 мл  $CH_3OH$  прибавляют р-р 750 мг  $(CH_3COO)_2Cu$  в 10 мл 80%-ного  $CH_3OH$ , содержащего 2 капли  $CH_3COOH$ , нагревают 30 мин. при 60° и получают 496 мг VI, т. пл. 121—124°. 300 мг VI в смеси 1 мл  $C_6H_5N$  и 1 мл  $CH_3COOH$  нагревают при 60° 2 часа и получают 282 мг в-ва, которое ацетилируют (15 час., 20°,  $(CH_3CO)_2O$ ,  $C_6H_5N$ ), и получают 57 мг I, т. пл. 226—232°. К охлажд. до 0° р-ру 100 мг I в 2 мл  $(CH_3CO)_2O$  прибавляют 1 каплю  $H_2SO_4$ , оставляют при 0° на 45 сек. и после обычной обработки выделяют 23 мг IV, т. пл. 150—152°. К р-ру 100 мг кортикоостерона в 4 мл  $CH_3OH$  прибавляют 5 мл 80%-ного  $CH_3OH$ , содержащего 150 мг  $(CH_3COO)_2Cu$  и 1 каплю  $CH_3COOH$ , смесь нагревают 5 мин. при 100° и получают 38 мг гидрата  $\Delta^4$ -прегненол-11-аль-21-диона-3,20, т. пл. 137—141°. Смесь 333 мг последнего, 2 мл  $C_6H_5N$ , 2 мл  $CH_3COOH$  и 2 мл  $(CH_3CO)_2O$  нагревают 3 часа при 60° и после хроматографирования получают 97 мг II, т. пл. 213—217°. Приведены данные УФ- и ИК-спектров полученных веществ.

С. Ананченко

**28925. Некоторые продукты превращения ацетата кортизона. Оливето, Джеролд, Хершберг** (Some transformation products of cortisone acetate. Oliveto Eugene P., Gerold Corinne, Hershberg E. B.), J. Amer. Chem. Soc., 1957, 79, № 13, 3596—3598 (англ.)

При присоединении  $NOBr$  к ацетату кортизона (I) с последующей обработкой  $CH_3COOK$  образуются 4,5,8β (II) и 4α,5α (III) окис-И. Конфигурация II и III приписана по аналогии с литературными данными и значениями  $[\alpha]_D$  окисей, приготовленных из  $\Delta^4$ -холестерона-3 (IV). Промежуточные бромгидрины (V) в чистом виде не выделены. При обработке V, а также II или III смесью  $HBr\text{-}CH_3COOH$  получен ацетат 4-бромкортизона (VI). Дебромкортизон VI Zn и  $CH_3COOH$  дает I. Присоединение  $HOCl$  к I приводит к получе-



нию главным образом ацетата 4-хлоркортизона (VII), образующегося и при обработке II  $HCl$  в  $CH_3COOH$ . Обработка II или III  $HJ$  в  $CH_3COOH$  дает I. При восстановлении II Zn-пылью также получен I. При расщеплении II водн.  $HClO_4$  образуется 21-ацетат прегнантетраол-4α,5β,17α,21-триона-3,11,20 (VIII). III с  $CF_3COOH$  не реагирует. При длительной обработке II  $HClO_4$ , кроме VIII, получено в-во (IX),  $C_{23}H_{30}O_7$ , строение которого дано лишь предположительно. К суспензии 20 г I в 1 л тетрагидрофурана и 100 мл воды прибавляют при охлаждении льдом 100 мл 1 н. водн. р-ра  $HClO_4$  и 13,8 г N-бромацетамида, через час, когда смесь станет гомог., перемешивают 72 часа при 25° в темноте, разбавляют водой, содержащей немного  $Na_2SO_3$  и экстрагируют  $CH_2Cl_2$ . Из экстракта отгоняют р-рители в вакууме, остаток растворяют в 1 л ацетона, добавляют 40 г  $CH_3COOK$  и кипятят 5 час. После обычной обработки, ацетилирования продукта р-ции смесью 100 мл пиридина и 15 мл  $(CH_3CO)_2O$  (1 час) и хроматографирования на флоризиле получают смесь II и III

(вымывание  $CH_2Cl_2\text{-}C_6H_6$ , 1:1). Кристаллизация из ацетона-гексана дает III, выход 2,32 г, т. пл. 248—255° (из ацетона),  $[\alpha]_D +34,9^\circ$  (хлф.); из маточных р-ров выделяют II, выход 4,4 г, т. пл. 224—227° (из ацетона-гексана),  $[\alpha]_D +142,2^\circ$  (хлф.). Вместо  $HClO_4$  могут быть использованы  $CF_3COOH$  или амберлит IR 120. Смолообразные V, образующиеся на 1 г I при присоединении  $NOBr$ , растворяют в эфире, добавляют пентан и получают V, выход 1,02 г, т. пл. 145—148° (разл.; из эф.). Смесь 0,45 г амберлита, 1 г IV, 50 мл  $CHCl_3$  и 30 мл 30%-ной  $H_2O_2$  кипятят 3 часа, фильтруют, промывают ацетоном и  $CH_2Cl_2$ , остаток из фильтрата после его обработки и упаривания хроматографируют на флоризиле и при вымывании гексаном получают 4α,5α-окис II, выход 35 мг, т. пл. 120—121° (из  $CH_3OH$ ),  $[\alpha]_D -42,5^\circ$  (хлф.). Неочищ. V из 1 г I растворяют в 10 мл  $CH_3COOH$ , нагревают 30 мин. при 100°, разбавляют водой и экстрагируют  $CH_2Cl_2$ . После хроматографирования на флоризиле и вымывания  $C_6H_6\text{-}CH_2Cl_2$  (1:1) выделяют VI, выход 0,22 г, т. пл. 178—181° (разл.; из ацетона-гексана),  $[\alpha]_D 196,2^\circ$  (диоксан). Неочищ. V, полученные при присоединении  $NOBr$  к 2,5 г I, растворяют в 25 мл  $CH_3COOH$ , прибавляют 5 мл насыщ. р-ра  $HBr\text{-}CH_3COOH$ , через 1 час при 25° разбавляют водой, экстрагируют, хроматографируют и получают VI, выход 0,46 г, т. пл. 183—185°. При аналогичной обработке 0,3 г III получают VI, выход 0,23 г, т. пл. 189—191° (разл.; из ацетона-гексана). К р-ру 0,2 г II в 5 мл лед.  $CH_3COOH$  прибавляют 1 мл насыщ. р-ра  $HCl\text{-}CH_3COOH$  лед., через 1 час выливают в воду, образующийся гель кристаллизуют из ацетона-гексана и получают VII, выход 0,13 г, т. пл. 227—231° (разл.),  $[\alpha]_D +223,8^\circ$  (хлф.). При обработке 1 г I N-хлорсукцинимидом с последующей обработкой продукта  $CH_3COOK$  и хроматографировании также образуется VII, выход 0,3 г. Смесь 0,15 г II, 15 мл лед.  $CH_3COOH$  и 150 мг Zn-пыли кипятят 30 мин., затем через каждые 10 мин. добавляют 5 раз по 80 мг Zn-пыли, охлаждают и после обычной обработки получают I, выход 0,07 г, т. пл. 196—202° (из ацетона-гексана). К р-ру 20 г III в 5 мл лед.  $CH_3COOH$  при 15° приливают смесь 0,5 мл 48%-ной  $HJ$  и 2,3 мл  $(CH_3CO)_2O$ , р-р выдерживают 1,5 часа при 25°, выливают в водн. р-р  $Na_2SO_3$ , фильтруют и получают I, выход 0,14 г, т. пл. 235—240° (из ацетона-гексана). К кипящему р-ру 0,2 г VI в 20 мл спирта и 5 мл лед.  $CH_3COOH$  прибавляют 8 порций Zn-пыли, по 200 мг, через 15 мин. каждую, фильтруют, промывают осадок  $CH_2Cl_2$  и после обычной обработки, упаривания и перекристаллизации остатка выделяют I, выход 0,12 г. К смеси 0,5 г II, 25 мл ацетона и 5 мл воды добавляют 5 капель  $CF_3COOH$ , выдерживают 18 час. при 25°, разбавляют водой, экстрагируют  $CH_2Cl_2$  и получают VIII, выход 0,34 г, т. пл. 230—235° (из ацетона-гексана),  $[\alpha]_D +203^\circ$  (хлф.). Аналогичный результат получен с  $HClO_4$  при длительной обработке (72 часа), кроме VIII, из 0,5 г II выделено 35 мг IX, т. пл. 265—270° (из ацетона).

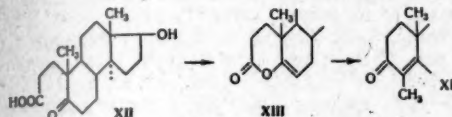
М. Бурмистрова

**28926. Стероиды. LXXXV. Синтез 4-метил- и 4,4-диметилзамещенных аналогов гормонов. Ринголд, Розенкранц** (Steroids. LXXXV. Synthesis of 4-methyl and 4,4-dimethyl hormone analogs. Ringold H. J., Rosenkranz G.), J. Organ. Chem., 1957, 22, № 6, 602—605 (англ.)

Алкилированием тестостерона (I) и 17α-метилтестостерона (II) получены 4,4-диметил- и 4,4,17-триметил- $\Delta^4$ -андростенон-3-олы-17β (III и IV), давшие при гидрировании соответственно 4,4-диметил- и 4,4,17-триметиландростанон-3-олы-17β (V и VI), а при восстановлении  $NaNH_4$ —4,4-диметил- и 4,4,17-триметил- $\Delta^4$ -андростендиолы-3β,17β (VII и VIII). V и VI восстановлены в 4,4-диметил- и 4,4,17-триметиландростандиолы-3β,17β (IX и X). Приведены доводы в пользу транс-



соединения колец A и B в V, VI, IX и X. Осуществлен синтез 4-метилтестостерона (XI), исходя из кетокислоты (XII), полученной с выходом 76% озонированием I (РЖХим, 1955, 18844). XI обладает 40% андрогенной и 120% мнотрофич. активностью I. К р-ру 20 г I в трет- $C_4H_9OH$  (400 мл), содержащем трет- $C_4H_9OK$  (из 8 г K),



прибавляют за 10 мин. в токе  $N_2$  26 мл  $CH_3J$ , смесь выдерживают 4 часа и обычным образом выделяют III, выход 68%, т. пл. 198—201° (из ацетона),  $[α]_D^{20} -40°$  (сп.). В этих же условиях из II получают IV, выход 78%, т. пл. 194—196°,  $[α]_D^{20} -32°$  (сп.). III (1 г) при гидрировании при 25° в 30 мл  $CH_3OH$  в присутствии 500 мг 10%-ного Pd/C дает V, выход 0,82 г, т. пл. 145—147° (из ацетона-гексана),  $[α]_D^{20} -12°$  (сп.). Аналогично из IV (1 г) получают VI, выход 600 мг, т. пл. 183—185° (из ацетона),  $[α]_D^{20} -35°$  (сп.). К р-ру 2 г III в 40 мл тетрагидрофурана прибавляют р-р 1 г  $NaNH_4$  в 2,5 мл воды; смесь кипятят 1 час и выделяют VII, выход 1,8 г, т. пл. 216—218° (из ацетона),  $[α]_D^{20} -82°$  (сп.). Точно так же из IV получают VIII, выход 90%, т. пл. 216—220° (из ацетона),  $[α]_D^{20} -100°$  (сп.); из V образуется IX, выход 88%, т. пл. 245—247°,  $[α]_D^{20} -16°$  (сп.); а из VI получают X, выход 87%, т. пл. 230—234°,  $[α]_D^{20} -28°$  (сп.). IX получают также при гидрировании VII (300 мг) аналогично III, выход 210 мг. Проведено сопоставление данных по мол. вращению для III—X и соответствующих неметилированных соединений. 5 г XII кипятят 21 час с 5 г  $CH_3COONa$  в 125 мл  $(CH_3CO)_2O$ , упаривают в вакууме и из остатка извлечением этилацетатом выделяют лактон енольной формы XII (XIII), выход 85%, т. пл. 125—130° (из гексана). К разбавляемому р-ру 3 г XIII в 40 мл абс. эфира и 10 мл безводн. тетрагидрофурана прибавляют при 0° по каплям 4 мл 3 н. эфирного р-ра  $C_2H_5MgBr$ , смесь размешивают в атмосфере  $N_2$  1,5 часа при 0° и 16 час. при 25° и разлагают; выделенный извлечением эфиром продукт р-ции кипятят 3 часа в токе  $N_2$  с 9 г  $NaOH$  в 45 мл воды и 260 мл  $CH_3OH$ ; полученный р-р нейтрализуют  $CH_3COOH$ , упаривают и разбавлением водой выделяют XI. Очищают хроматографированием на 150 г  $Al_2O_3$  (вымывание смесью  $C_6H_6$  и эфира, 8:2), выход 27%, т. пл. 169—171° (из ацетона-гексана),  $[α]_D^{20} +121°$  (хлф.). Сообщение LXXXIV см. РЖХим, 1958, 25283.

В. Коптюг

28927. Стероиды. LXXXVI. Синтез монофункциональных 11-кетон. Зондхеймер, Батрес, Розенкранц (Steroids. LXXXVI. Synthesis of monofunctional 11-ketones. Sondheimer Franz, Batres E., Rosenkranz G.), J. Organ. Chem., 1957, 22, № 9, 1090—1092 (англ.).

Описан синтез андростанона-11 (I), тестанона-11 (II), аллопрегнано-11 (III) и прегнано-11 (IV). К суспензии 19 г 21-ацетата аллопрегнандиол-17α, 21-триона-3,11,20 (V—диол) в 1 г  $CH_3OH$ , в атмосфере  $N_2$  добавляют р-р 2,2 г КОН в 20 мл воды, перемешивают 90 мин. при ~20° (полное растворение происходит за ~30 мин.) и добавляют 3 мл лед.  $CH_3COOH$ . Р-р упаривают в вакууме до 100 мл, приливают постепенно 400 мл воды, охлаждают льдом и получают V, выход 86%, т. пл. 208—210°,  $[α]_D^{20} +75°$ . К р-ру 10 г V в смеси 340 мл лед.  $CH_3COOH$  и 340 мл воды прибавляют 135 г висмутата Na, перемешивают 30 мин. при ~20°, приливают 1350 мл воды, охлаждают до 0°, частично нейтрализуют 1,4 л 3 н. КОН, экстрагируют

$C_6H_6$  и выделяют андростантрион-3,11,17 (VI), выход 75%, т. пл. 178—180°,  $[α]_D^{20} +158°$ . Смесь 6 г VI, 11 мл гидразингидрата, 7 г КОН, 7 мл воды и 70 мл диэтил-ленгликоля кипятят 45 мин., нагревают, пока т-ра р-ции достигнет 200°, кипятят с обратным холодильником еще 2 часа, охлаждают, разбавляют водой, экстрагируют эфиром и после хроматографирования выделяют I, выход 30%, т. пл. 49—50°,  $[α]_D^{20} +65°$ . 10 г 21-ацетата прегнандиол-17α, 21-триона-3,11,20 (VII—диол) в 400 мл  $CH_3OH$  омыляют р-ром 1 г КОН в 5 мл воды, как описано выше, добавляют 1,5 мл лед.  $CH_3COOH$ , упаривают до 200 мл, приливают 800 мл воды и при охлаждении льдом выделяют VII, выход 88%, т. пл. 231—232°. 7,5 г VII окисляют висмутатом Na, как описано выше, продукт р-ции хроматографируют и выделяют тестантрион-3,11,17 (VIII), выход 71%, т. пл. 130—132° (из эф.),  $[α]_D^{20} +144°$ . 4 г VIII восстанавливают по Кижнеру аналогично VI и после хроматографирования получают II, выход 66%, т. пл. 121—122° (из эф.),  $[α]_D^{20} +55°$ . Таким же образом из 4,5 г аллопрегнандиона-3,11,20 получают III, выход 59%, т. пл. 108—109,5° (из эф.— $CH_3OH$ ),  $[α]_D^{20} +60°$ , а из 5 г прегнандиона-3, 11,20 получают IV, выход 42%, т. пл. 111—113° (из эф.— $CH_3OH$ ),  $[α]_D^{20} +54°$ .

М. Бурмистрова

28928. Стероиды. LXXXVII. Получение некоторых эфиров эстрона. Кинкл, Ринголд, Розенкранц (Steroids. LXXXVII. Preparation of some estrogen—ethers. Kincl F. A., Ringold H. J., Rosenkranz G.), J. Organ. Chem., 1957, 22, № 9, 1127—1128 (англ.).

Описано получение следующих простых эфиров эстрона: β-оксипропилового (I), β-ацетоксипропилового (II), β-карбоксиметилового (III), β-карбоксиметилового (IV), β-карбоксиметилового (V) и 3-β-оксипропилового эфира эстрадиола (VI). Эстрогенная активность III составляет 0,002 активности эстрона. К р-ру  $C_2H_5ONa$  (из 0,12 г Na) прибавляют 1,35 г эстрона, удаляют спирт в вакууме, высушенную соль суспендируют в 30 мл сухого толуола, прибавляют 900 мг  $NaI$  и к кипящей смеси приливают по каплям за 2 часа 0,75 мл 2-бромэтилацетата. Смесь кипятят еще 18 час. и после обычной обработки и хроматографирования получают II, выход 170 мг (неочищ.), т. пл. 135—136° (из ацетона-эф.),  $[α]_D^{20} +126°$  ( $CH_3OH$ ). Р-р 80 мг II в 20 мл  $CH_3OH$  омыляют р-ром 180 мг  $KHCO_3$  в 15 мл воды, выдерживают 22 часа при ~20° и выделяют I, т. пл. 117—118° (из гексана-эф.),  $[α]_D^{20} +131°$ . К суспензии Na-соли эстрона (из 10 г эстрона) в 75 мл этиленгликоля при 140° приливают за 2 часа 6,6 мл  $BrCH_2CH_2OH$ , нагревают еще 2 часа, охлаждают, разбавляют 300 мл воды, подкисляют разб. HCl, экстрагируют этилацетатом и после обработки и хроматографирования получают I, выход 2,9 г, т. пл. 112—114° (из ацетона-эф.). 1 г эстрона суспендируют в 3,5 мл 33%-ного NaOH, растворяют, добавляя 1 мл  $CH_3OH$ , приливают 2,5 мл 50%-ной  $CH_2ClCOOH$ , нагревают при 100° 0,5 часа и затем еще 2 часа, прибавляя через каждые 20 мин. поочередно 1 мл  $CH_2ClCOOH$  и 1,5 мл р-ра NaOH. По охлаждению подкисляют, кислый продукт, выход 76%, очищают экстрагированием из органич. р-ра при помощи водн. р-ра  $NaHCO_3$  и получают III, т. пл. 213—214° (из сп.),  $[α]_D^{20} +132°$ . Этерификация III абс.  $CH_3OH$  в присутствии сухого HCl дает IV, выход ~100%, т. пл. 128—129° (из  $CH_3OH$ ),  $[α]_D^{20} +117°$ . Аналогично образуется V, т. пл. 100—102° (из эф.),  $[α]_D^{20} +126°$ . 1 г V восстанавливают  $LiAlH_4$  в тетрагидрофуране, применяя аппарат Сокслета, кипятят 1 час, получают VI, выход 520 мг, т. пл. 155—156° (из эф.—ацетона),  $[α]_D^{20} +74°$ , +65° ( $CH_3OH$ ).

М. Бурмистрова

28929. Стероиды. LXXXVIII. Новый синтез ацетата дезоксикортикостерона и ацетата 16-дегидродезоксикортикостерона

кортикостерона. Ромо, Розенкранц, Зондхеймер (Steroids. LXXXVIII. A new synthesis of desoxycorticosterone acetate and of 16-dehydro-desoxycorticosterone acetate. Romo J., Rosenkranz G., Sondheimer Franz), J. Amer. Chem. Soc., 1957, 79, № 18, 5034—5036 (англ.)

Описан новый синтез ацетата дезоксикортикостерона (I) и ацетата 16-дегидродезоксикортикостерона (II) из ацетата  $\Delta^{5,16}$ -прегнадиенол-3 $\beta$ -она-20 (III — 3 $\beta$ -ол), получающегося в свою очередь с высоким выходом при деградации диосгенина. При нагревании (1 час) 20 г III и 250 мл 85%-ной HCOOH образуется 15,3 г формата III (IIIa), т. пл. 175—177°,  $[\alpha]_D^{20}$  —40°. Смесь 20 г IIIa, 8 г n-CH<sub>3</sub>C<sub>6</sub>H<sub>4</sub>SO<sub>3</sub>H · H<sub>2</sub>O и 400 мл изопропилацетата медленно перегоняют (10 час.) через насадку Вигре и получают 3-формат, 20-ацетат  $\Delta^{5,16,20}$ -прегна-триендиол-3 $\beta$ , 20 (IV), выход 33%, т. пл. 140—142°,  $[\alpha]_D^{20}$  —62°. При нагревании (80°, 1 час.) смеси 10 г IV, 7 г N-йодсукцинимид и 35 мл диосгана образуется 3 $\beta$ -формат 21-йод- $\Delta^{5,16}$ -прегнадиенол-3 $\beta$ -он-20 (V), выход 84%, т. пл. 140—142° (разл.),  $[\alpha]_D^{20}$  —53°. При кипячении (10 час.) смеси 20 г KHSO<sub>4</sub>, 14 мл CH<sub>3</sub>COOH, 40 г V и 300 мл ацетона получается 3-формат, 21-ацетат  $\Delta^{5,16}$ -прегнадиендиол-3 $\beta$ , 21-она-20 (VI), выход 88%, т. пл. 163—165°,  $[\alpha]_D^{20}$  —35°, при окислении которого по Опшенуэру образуется II, выход 51%, т. пл. 152—154°,  $[\alpha]_D^{20}$  +146°. С другой стороны можно первоначально в VI омылить формильную группу (вода, конц. HCl, диоксан, 14 час., 20°) и полученный 21-ацетат  $\Delta^{5,16}$ -прегнадиендиол-3 $\beta$ , 21-он-20, т. пл. 174—176°,  $[\alpha]_D^{20}$  —47°, окислить по Опшенуэру до II, выход 54%. Р-р 1,5 г VI в 70 мл этилацетата гидрируют с 200 мг 10%-ного Pd/C, получают 3-формат 21 ацетат  $\Delta^5$ -прегненидиол-3 $\beta$ , 21-она-20 (VII — диол), выход 82%, т. пл. 172—173°,  $[\alpha]_D^{20}$  +32°, строение которого доказано частичным омылением в 21-ацетат VIII, т. пл. 183—185° при хроматографировании на шел. Al<sub>2</sub>O<sub>3</sub>. При окислении 3-формата 21-ацетата VII по Опшенуэру образуется I, выход 51%, т. пл. 155—157°. Приведены УФ- и ИК-спектры полученных соединений. С. Аначенко

28930. Стероиды. LXXXIX. Производные 19-нордигидротестостерона. Новый большой класс анти-эстрогенных соединений. Бауэрс, Ринголд, Дорфман (Steroids. LXXXIX. 19-nordihydrotestosterone derivatives. A potent class of anti-estrogenic compounds. Bowers A., Ringold H. J., Dorfman R. I.), J. Amer. Chem. Soc., 1957, 79, № 16, 4556—4557 (англ.)

Кратко сообщается о синтезе ряда биологически активных производных 19-нордигидротестостерона. Восстановлением 17 $\alpha$ -алкил-19-нортестостеронов Li и жидким NH<sub>3</sub> в смеси эфира и диосгана получены с хорошими выходами соответствующие 17 $\alpha$ -алкил-19-норандростанол-17 $\beta$ -оны-3 (I); здесь и ниже перечисляются алкил, т. пл. в °C и  $[\alpha]_D^{20}$  (хлф.): H, 130—132, +60°; CH<sub>3</sub>, 145—146, +35°; C<sub>2</sub>H<sub>5</sub>, 212—213, +33°; CH<sub>2</sub>=CH, 192—193, +47°; CH<sub>3</sub>C $\equiv$ C, 222—223, +6°. I действием NaBH<sub>4</sub> в водн. диосгане превращены в соответствующие 17 $\alpha$ -алкил-19-норандростандиолы-3 $\beta$ , 17 $\beta$ : H, 168—170 (с 2 молекулами ацетона), +37°; CH<sub>3</sub>, 174—176 (с 2 молекулами ацетона)  $\pm$ 0°; C<sub>2</sub>H<sub>5</sub>, 181—183, +2°; CH<sub>2</sub>=CH, 167—169, +9°; CH<sub>3</sub>C $\equiv$ C, 192—193, —15°. Аналогично из 1 $\alpha$ -метил-19-нортестостерона через 1 $\alpha$ -метил-19-норандростанол-17 $\beta$ -он-3, т. пл. 186—188°,  $[\alpha]_D^{20}$  +46° (хлф.), получен 1 $\alpha$ -метил-19-норандростандиол-3 $\beta$ , 17 $\beta$ , т. пл. 204—206°,  $[\alpha]_D^{20}$  +51° (хлф.). В. Коптюг

28931. Исследование стероидных сапогенинов. VII. Неорускогенин:  $\Delta^5$ -22b, 25L-спиростендиол-3 $\beta$ , 1, новый сапогенин из *Ruscus Aculeatus* L. Санье, Лапен (Recherches sur les sapogénines stéroïdiques. VII. Néoruscogénine: 3 $\beta$ , 1 diol,  $\Delta^5$  22b, 25 L, spirostène, nouvelle sapogénine de *Ruscus Aculeatus* L. San-

nié Charles, Lapin Henry), Bull. Soc. chim. France, 1957, № 10, 1237—1241 (франц.)

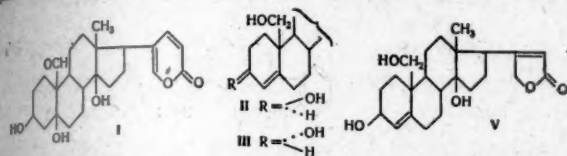
Выделенный авторами при кислотном гидролизе сапогенинов из *Ruscus Aculeatus* L. новый стероидный сапогенин «неорускогенин» (I) является  $\Delta^5$ -22b, 25L-спиростендиолом-3 $\beta$ , 1, т. е. 25-эпимером рускогенина (II). Это доказано тем, что окислением псевдогенина из I и из II выделены оптич. антиподы  $\alpha$ -метилглютаровой к-ты (III). Строение I подтверждено и окислением его CrO<sub>3</sub> и по Опшенуэру. Для отделения I, т. пл. 198—201°,  $[\alpha]_D^{20}$  —118°, от II, т. пл. 197—202°,  $[\alpha]_D^{20}$  —119°, их смесь ацетируют и разделяют образующую смесь диацетата II, т. пл. 192—194°,  $[\alpha]_D^{20}$  —85°, и диацетата I (Ia) т. пл. 132—134°,  $[\alpha]_D^{20}$  —64°, путем фракционированной кристаллизации. Смесь 2 г Ia, 5 мл (CH<sub>3</sub>CO)<sub>2</sub>O и 0,5 г AlCl<sub>3</sub> кипятят 3 часа, после охлаждения выливают в подкисленную воду, экстрагируют эфиром и промывают эфирный р-р р-ром соды и водой. Остаток после удаления эфира растворяют в CH<sub>3</sub>OH, кипятят с углем, упаривают досуха и получают псевдогенин I. Так же получают псевдогенин II. Их окисляют CrO<sub>3</sub> в CH<sub>3</sub>COOH, продукт окисления гидролизуют водно-метанольным р-ром KOH и щел. р-р экстрагируют эфиром. Из водн. р-ра упариванием, фильтрованием от примесей и перегонкой в вакууме при 200—210° получают III, т. пл. 70—72°,  $[\alpha]_D^{20}$  —23° (из II) и  $[\alpha]_D^{20}$  +18° (из I). К р-ру 1,5 г I в 300 мл CH<sub>3</sub>COOH приливают при 20° р-р 1,5 г CrO<sub>3</sub> в 80 мл 80%-ной CH<sub>3</sub>COOH. После обычной обработки выделяют  $\Delta^5$ -22b, 25L-спиростендиол-3 $\beta$ -он-1, т. пл. 230—233°,  $[\alpha]_D^{20}$  —101°, ацетат, т. пл. 209—211°,  $[\alpha]_D^{20}$  —84°. Из кислых продуктов окисления после обработки CH<sub>3</sub>N<sub>2</sub> и ацетилирования выделяют ацетат оксикислоты C<sub>10</sub>H<sub>14</sub>O<sub>6</sub>, т. пл. 113—116°,  $[\alpha]_D^{20}$  —56°. Смесь 2 г Ia в 20 мл CHCl<sub>3</sub>, 70 мл CH<sub>3</sub>OH, 4,2 мл HCl и 7 мл воды выдерживают 24 часа при ~20°. После обычной обработки получают 1-ацетат I (Ib), кристаллизующийся с 1 молекул CH<sub>3</sub>COOH, т. пл. 92—95°. Смесь 1 г Ib, 50 мл толуола, 7,5 мл циклогексанона и 2,5 г изо-(C<sub>6</sub>H<sub>5</sub>O)<sub>2</sub>Al кипятят 10 час., упаривают на водяной бане досуха, остаток растворяют в смеси эфира и разб. HCl. Эфирный р-р после обычной обработки упаривают досуха, остаток обрабатывают в течение 2 час. паром, экстрагируют эфиром, отгоняют эфир, остаток омыляют 2%-ным р-ром KOH — CH<sub>3</sub>OH, экстрагируют эфиром и получают  $\Delta^4$ -22b, 25L-спиростендион (IV), т. пл. 193—196° (из 90%-ного CH<sub>3</sub>OH),  $[\alpha]_D^{20}$  —72°. 1 г I окисляют по Опшенуэру, как описано выше, также получают IV; 2,4-динитрофенилгидразон, т. пл. 242—244° (из сп.), и  $\Delta^4$ -25L-спиростендиол-1-он-3, т. пл. 159—163°,  $[\alpha]_D^{20}$  —89°. Приведены кривые ИК-спектров I и II. Сообщение V° см. РЖХим, 1957, 48092. М. Бурмистрова

28932. Гликозиды и агликоны. Сообщение 177. О гликозидах *Bowiea volubilis* Harvey. Сообщение 10. Katz (Über die Glykoside von *Bowiea volubilis* Harvey. 10. Mitteilung. Glykoside und Aglykone, 177. Mitteilung. Katz A.), Helv. chim. acta, 1957, 40, № 3, 831—846 (нем.)

Описано превращение геллебригенина (I) в сцилла-глюкозидинол-19 (II) и 3-эписциллаглюкозидинол-19 (III) и синтез 3 $\alpha$ -(IV) и 3 $\beta$ , 14, 19-триоксикардодие-4,20(22)-олида (V) из строфантинина (VI). Р-р 0,4 г VI в 50%-ном ацетоне встряхивают (24 часа, 20°) в атмосфере O<sub>2</sub> с Pt-чернью (из 80 мг PtO<sub>2</sub> · H<sub>2</sub>O). При кипячении (15 мин., атмосфера N<sub>2</sub>) продукта р-ции в CH<sub>3</sub>COOH происходит селективная дегидратация только у C(5) с образованием 3,19-дикето-14-оксикардодие-4,20(22)-олида (VII), выход 150 мг, т. пл. 212—225° (из ацетона-эф.),  $[\alpha]_D^{20}$  +170  $\pm$  2° (с 0,987; хлф. CH<sub>3</sub>OH, 95:5), вымытого при хроматографировании на Al<sub>2</sub>O<sub>3</sub> с помощью C<sub>6</sub>H<sub>5</sub>-CHCl<sub>3</sub> (1:3), CHCl<sub>3</sub> и CHCl<sub>3</sub>-CH<sub>3</sub>OH (997,5:2,5). Аналогично 333 мг I превращают в 111 мг



3-кетосциллаглаукозидина (VIII), т. пл. 266—278° (из ацетона-эф.),  $[\alpha]_D^{25} +134 \pm 2^\circ$  (с 0,978; хлф.-CH<sub>3</sub>OH, 66:5). Восстановление 51 мг VII NaBH<sub>4</sub> в 75%-ном диоксане приводит к смеси, из которой хроматогра-



фированием на Al<sub>2</sub>O<sub>3</sub> выделяют 12,5 мг IV (вымывают CHCl<sub>3</sub>-CH<sub>3</sub>OH, 99,7:5:2,5), т. пл. 209—217° (из ацетона-эф.),  $[\alpha]_D^{25} +83,3 \pm 7^\circ$  (с 0,288; хлф.-CH<sub>3</sub>OH, 95:5), и 23,5 мг V (вымывают CHCl<sub>3</sub>-CH<sub>3</sub>OH, 99:1 и 98:2), т. пл. 208—232° (из CH<sub>3</sub>OH-эф.),  $[\alpha]_D^{25} +27,3 \pm 2^\circ$  (с 0,989; хлф.-CH<sub>3</sub>OH, 85:15), +25,5 ± 2° (с 0,982; CH<sub>3</sub>OH-хлф., 9:1). Аналогичное восстановление 245 мг VIII приводит к смеси, которую хроматографируют на Al<sub>2</sub>O<sub>3</sub>. Смесь CHCl<sub>3</sub>-CH<sub>3</sub>OH (999:1) вымывают 42 мг III, т. пл. 216—228° (из CH<sub>3</sub>OH-эф.),  $[\alpha]_D^{25} +56,4 \pm 3^\circ$  (с 0,745; хлф.-CH<sub>3</sub>OH, 95:5),  $[\alpha]_D^{25} +43,8 \pm 3^\circ$  (с 0,753; CH<sub>3</sub>OH); с помощью CHCl<sub>3</sub>-CH<sub>3</sub>OH (996:4—99:1) вымывают 116 мг II, т. пл. 217—240° (из CH<sub>3</sub>OH-эф.),  $[\alpha]_D^{25} -2,8 \pm 2^\circ$  (с 0,963; хлф.-CH<sub>3</sub>OH, 95:5), -10,9 ± 2° (с 1,008; CH<sub>3</sub>OH). Строение изомерных пар III—II и IV—V, образующихся в соотношении 1:3, а также VII и VIII подтверждено спектроскопически, методом сравнения мол. вращений и хроматографией на бумаге. II идентифицирован также окислением описанным ранее способом (см. сообщение 176, РЖХим, 1958, 471) в известный сциллаглаукозидин (IX) и обратным восстановлением последнего с помощью NaBH<sub>4</sub> в 75%-ном диоксане. Выделенный ранее (РЖХим, 1956, 16205) из *Bowiea volubilis* набрегенин, дающий при восстановлении NaBH<sub>4</sub>, II, идентичен с IX (ИК- и УФ-спектры, хроматография на бумаге и поведение по отношению к 84%-ной H<sub>2</sub>SO<sub>4</sub>). Каталитич. окисление II или III (аналогично окислению VI) приводит к 3-кетосциллаглаукозидинолу-19 (X), т. пл. 264—283° (из ацетона-эф.),  $[\alpha]_D^{25} +46,2 \pm 6^\circ$  (с 0,318; CH<sub>3</sub>OH), +62,8 ± 4° (с 0,558; хлф.-CH<sub>3</sub>OH, 95:5). В то время как при каталитич. окислении I или VI возвращается около половины исходного в-ва даже через 24 часа, окисление II или III проходит нацело уже через 6 час. Побочным продуктом в последнем случае является VIII, выход через 6 час. 5%, через 24 часа 20%. Восстановлением 250 мг I NaBH<sub>4</sub> получают смесь, из которой хроматографированием на Al<sub>2</sub>O<sub>3</sub> выделяют 124 мг геллебригенола (XI) (вымывают смесь CHCl<sub>3</sub>-CH<sub>3</sub>OH, 995:5—98:2), т. пл. 146—153° (из CH<sub>3</sub>OH-эф.),  $[\alpha]_D^{25} +5,3 \pm 2^\circ$  (с 0,981; CH<sub>3</sub>OH), +14,6 ± 2° (с 1,001; хлф.-CH<sub>3</sub>OH, 98:2). Окислением 50 мг XI с помощью O<sub>2</sub> в присутствии Pt-черни с последующей дегидратацией (кипячение с CH<sub>3</sub>COOH) получают 7 мг X (выделяют хроматографированием на Al<sub>2</sub>O<sub>3</sub>, вымывают CHCl<sub>3</sub>-CH<sub>3</sub>OH, 997,5:2,5),  $[\alpha]_D^{25} +35,7 \pm 6^\circ$  (с 0,319; хлф.). С помощью CHCl<sub>3</sub> вымывают 1 мг VIII. Приведены кривые УФ-спектров III—V, VII, VIII, X и ИК-спектров для II—IV и X. Г. Сегаль

28933. Химия дигидротоматидинов. Сато, Лейтам (Chemistry of dihydrotomatidines. Sato Yoshio, Latham H. George, Jr.), J. Amer. Chem. Soc., 1956, 78, № 13, 3146—3150 (англ.)

При восстановлении томатидина (I) получены изомерные дигидротоматидины А и В (IIa, б); ацетилирование IIa и б и частичный гидролиз продуктов р-ции приводят к изомерным N-ацетилпроизводным II (IIIa, б). При окислении IIIa и б образуются изомерные N-ацетил-3,16-бисдегидродигидротоматидины (IVa и б). Прямое окисление IIa и б последующее восста-

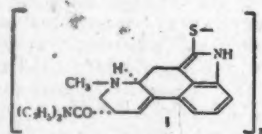
новление приводит к изомерным соланидаонам-3 (Va и б). Почти во всех случаях при окислении применен р-р CrO<sub>3</sub> в 20%-ной H<sub>2</sub>SO<sub>4</sub> (PXC) (см. предварительное сообщение, РЖХим, 1955, 52044). Р-р 1,033 г кристаллич. I (т. пл. 206—208°) в 15 мл лед. CH<sub>3</sub>COOH гидрируют над 463 мг PtO<sub>2</sub>, продукт р-ции в CHCl<sub>3</sub>-C<sub>6</sub>H<sub>6</sub> (1:4) хроматографируют на Al<sub>2</sub>O<sub>3</sub>, вымывают 1—2%-ным CH<sub>3</sub>OH в эфире, выделяют IIa, выход 35—45%, т. пл. 194,5—195,5° (из бэл.-гексана),  $[\alpha]_D^{20} -19^\circ$  (хлф.). 5%-ным р-ром CH<sub>3</sub>OH в эфире вымывают IIb, выход 30—35%, т. пл. 230—233° (из разб. CH<sub>3</sub>OH),  $[\alpha]_D^{20} +14^\circ$  (CH<sub>3</sub>OH). При гидрировании I в спирте или спирте с триэтиламиноном возрастает выход IIa (8:1); при гидрировании в спирте-CH<sub>3</sub>OH-NHCl увеличивается выход IIb (1:1). Р-р 4 г I в 1 л эфира гидрируют 6 г LiAlH<sub>4</sub>, получают 3,2 г IIa и 3,3 г IIb. Ацетилирование IIa в C<sub>6</sub>H<sub>5</sub>N-(CH<sub>3</sub>CO)<sub>2</sub>O и последующая хроматография продукта р-ции приводят к аморфному N,O,O'-триацетилдигидротоматидину,  $[\alpha]_D^{25} +2,9^\circ$  (хлф.); при кипячении (1 час) с 2%-ным р-ром КОН в CH<sub>3</sub>OH он превращается в IIIa, т. пл. 256—259°,  $[\alpha]_D^{20} +13,5^\circ$  (хлф.). Р-р 282 мг IIIa в 90 мл ацетона окисляют PXC; после хроматографии на Al<sub>2</sub>O<sub>3</sub> вымывают 1%-ным р-ром CH<sub>3</sub>OH в эфире, выделяют IVa, выход 110 мг, т. пл. 199—203° (из эф.),  $[\alpha]_D^{20} -96^\circ$  (хлф.). Получен аморфный 3-семикарбазон (СК) IVa (VI), т. пл. 213—216°. При действии C<sub>6</sub>H<sub>5</sub>N и (CH<sub>3</sub>CO)<sub>2</sub>O на IIb образуется кристаллич. O,N-диацетилдигидротоматидин (VII), т. пл. 227—229° (из CH<sub>3</sub>OH),  $[\alpha]_D^{20} -10^\circ$  (хлф.). При кипячении VII с 2%-ным р-ром КОН в CH<sub>3</sub>OH получают IIIb, т. пл. 232—233,5° (из разб. CH<sub>3</sub>OH),  $[\alpha]_D^{20} -25^\circ$  (хлф.). Окисление IIIb аналогично IIIa приводит к IVb, т. пл. 163—166° (из эф.-гексана), 196—198° (из разб. ацетона),  $[\alpha]_D^{20} -146^\circ$  (хлф.). Получен кристаллич. СК IVb (VIII), т. пл. 222—225°. При окислении VII PXC кристаллич. в-во не выделено; продукт р-ции кипятят 1 час с 2%-ным р-ром КОН в CH<sub>3</sub>OH, хроматографируют, 5%-ным р-ром CH<sub>3</sub>OH в эфире вымывают кристаллич. N-ацетил-16-дегидродигидротоматидин (IX), т. пл. 256—258°. Р-р IIa в ацетоне окисляют PXC, осадок очищают гексаном, получают промежуточный продукт р-ции (карбиноламин) C<sub>27</sub>H<sub>45</sub>O<sub>2</sub>N (X), т. пл. 131—135° (из CH<sub>3</sub>OH). Р-р 216 мг X в 10 мл этилацетата + 1 мл CH<sub>3</sub>OH гидрируют над 120 мг 10%-ного Pd/C, получают 113 мг Va, т. пл. 206—208° (из CH<sub>3</sub>OH-ацетона),  $[\alpha]_D^{20} +32^\circ$  (хлф.). Получен аморфный СК Va, т. разл. ~ 200°. Неочищ. IIa, т. пл. 188—192° окисляют CrO<sub>3</sub>, затем гидрируют над Pt в CH<sub>3</sub>OH (см. Kuhn и др., Angew. Chem., 1952, 64, 397), получают изо-С<sub>22</sub>-соланидан-3β-ол (XIa), т. пл. 213—216°,  $[\alpha]_D^{20} +12^\circ$  (хлф.). XIa образует дигитонид. Действие LiAlH<sub>4</sub> на Va также приводит к XIa. При окислении PXC XIa превращается в Va. Р-р 140 мг IIb в 1 мл CH<sub>3</sub>COOH + 35 мл ацетона окисляют PXC, получают карбиноламин (XII), т. пл. 138—143° (из бэл.-гексана). XII гидрируют над 10%-ным Pd/C в этилацетате до Vb, т. пл. 192—195° (из CH<sub>3</sub>OH-ацетона),  $[\alpha]_D^{20} +43,5^\circ$  (хлф.). Действием LiAlH<sub>4</sub> Vb восстанавливают до XIb, т. пл. 217—219°. Хороший выход XIb получают при гидрировании XII с LiAlH<sub>4</sub>, вместо Pd. Получен кристаллич. СК Vb, разлагается. Приведены ИК-спектры IVa, б, VI, VIII, IX, X. Имеются расхождения некоторых данных в общей и эксперим. части: т-ры плавления IIIa, б, IVa, б;  $[\alpha]_D^{20}$  IVa и б. А. Л. 28934. Некоторые сложные эфиры 1-N-метилэфедрина. Дубравкова, Ежо, Шефчович, Вотицкий (Niektoré estery 1-N-methylefedrinu. Dubravková L., Ježo I., Šefčovič P., Votický Z.), Chem. zvesti, 1957, 11, № 5, 281—284 (словацк.; рез. русск., нем.)

Описан ряд эфиров 1-N-метилэфедрина (I) с алифатич. ароматич. х-тами, полученными из I по способу,

описанному ранее (РЖХим, 1957, 71547). I синтезирован по прописи: 313 г *l*-эфедрина, 588 г формалина (40 г  $\text{CH}_2\text{O}$  на 100 мл) и 390 г 85%-ной  $\text{HCOOH}$  кипятили 5 час., продукт р-ции разложен 195 г  $\text{NaOH}$  в 470 мл воды; выход I 286 г, т. пл. 85–86°, т. кип. 134–135°/12 мм,  $[\alpha]_D^{20} -30^\circ$  ( $\text{CH}_3\text{OH}$ ). I этерифицировали к-тами общей ф-лы  $\text{RCOOH}$ . Приведены для алифатич. эфиров R, выход в %, т. кип. в °C,  $[\alpha]_D^{20}$  (с 5;  $\text{CH}_3\text{OH}$ ); т. пл. в °C хлоргидрата (разл.):  $\text{C}_2\text{H}_5$ , 88, 133–134/12 мм,  $-46,2^\circ$ , 199–200;  $\text{C}_2\text{H}_5$ , 81, 140–141/13 мм,  $-47,3^\circ$ , 162–163; *н*- $\text{C}_3\text{H}_7$ , 67, 136–137/16 мм,  $-45^\circ$ , 154–155; *н*- $\text{C}_3\text{H}_7$ , 74, 142–143/12 мм,  $-40, 5^\circ$ , 162–163; *н*- $\text{C}_4\text{H}_9$ , 77, 113–115/0,1 мм,  $-36^\circ$ , 5, 141–142; *н*- $\text{C}_5\text{H}_{11}$ , 75, 126–128/0,1 мм,  $-34^\circ$ , 8, 124–125;  $(\text{CH}_3)_2\text{CHCH}_2\text{CH}_2\text{CH}_3$ , 83, 148–149/0,35 мм,  $+15,3^\circ$ , 190–191. Для ароматич. эфиров даны R, выход в %, т. пл. в °C,  $[\alpha]_D^{20}$  (с 5;  $\text{CH}_3\text{OH}$ ), т. пл. в °C хлоргидрата:  $\text{C}_6\text{H}_5$ , 66, 45–46,  $+63,8^\circ$ , 181–182; *о*- $\text{CH}_3\text{OC}_6\text{H}_4$ , 74, 70–71,  $+59,5^\circ$ , 204–205; *п*- $\text{CH}_3\text{OC}_6\text{H}_4$ , 83, 75–76,  $+106,8^\circ$ , 193–194; 3,4- $(\text{CH}_3\text{O})_2\text{C}_6\text{H}_3$ , 80, 99–100,  $+94,0^\circ$ , 163–164; 3,4,5- $(\text{CH}_3\text{O})_3\text{C}_6\text{H}_2$ , 78, 85–86,  $+79,0^\circ$ , 178–179.

Л. Песин  
28935. Изучение химического и ферментативного окисления диэтиламида лизергиновой кислоты. Фретер, Аксельрод, Виткоп (Studies of the chemical and enzymatic oxidation of lysergic acid diethylamide. Freter K., Axelrod J., Witkop B.), J. Amer. Chem. Soc., 1957, 79, № 12, 3191–3193 (англ.).

При р-ции трихлорацетата диэтиламида лизергиновой к-ты (I) с  $\text{S}_2\text{Cl}_2$  получен симметричный дисульфид (II), который подвергнут восстановительному гидролизу 30%-ной  $\text{CH}_3\text{COOH}$  с  $\text{Zn}$ -пылью (в трубке в вакууме, 16 час., 110°); после очистки методом противоточного

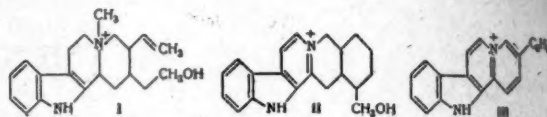


распределения получено некристаллич. в-во (III), идентичное по УФ- и флуоресцентному спектрам, цветным р-циям, коэф. распределения и  $R_f$  метаболита, выделенного при ферментативном окислении I (см. РЖХимБх, 1957, 11559). При окислении как I, так и диэтиламида I (IV) смесью лед.  $\text{CH}_3\text{COOH}$  и 30%-ной  $\text{H}_2\text{O}_2$  (5:1, 1 час, 20°), получены два в-ва, отличающиеся величинами  $R_f$  и р-цией Эрлиха. К суспензии 0,3 г IV в 100 мл  $\text{C}_6\text{H}_6$  прибавлено 0,5 г безводн.  $\text{CCl}_3\text{COOH}$  и в охлажд. р-р прилито за 15 мин. 0,69 г  $\text{S}_2\text{Cl}_2$  в 10 мл  $\text{C}_6\text{H}_6$ . Выделен трихлорацетат III, который переведен 1 н. щелочью, в II, выход 0,2 г, т. пл. 184° (из диоксиана-воды).

Н. Корецкая  
28936. Об алкалоидах из калебасс. Сообщение 25. Об алкалоидах из коры *Strychnos melinoniana*, Baillon. Бехли, Вамвакас, Шмид, Каррер (Über die Alkaloid aus der Rinde von *Strychnos melinoniana* Baillon. 25. Mitteilung: über Calabassen-Alkaloide. Bächli E., Vamvacas C., Schmid H., Karreger P.), Helv. chim. acta, 1957, 40, № 5, 1167–1187 (нем.).

Из коры *Strychnos melinoniana* выделены 14 четвертичных и третичных алкалоидов. Мелинонин «А»  $\text{C}_{22}\text{H}_{27}\text{O}_3\text{N}_2^+$ , выход  $>0,14\%$ ; хлорид, т. пл. 255°,  $[\alpha]_D^{20} -125 \pm 2^\circ$  (с 0,88; вода). Мелинонин «В»,  $\text{C}_{20}\text{H}_{27}\text{ON}_2^+$ , выход 0,027%; пикрат, т. пл. 253–255°, вероятно, имеет структуру I. Мелинонин «Е» (II)  $\text{C}_{20}\text{H}_{23} - 25\text{ON}_2^+$ , выход 0,029%; пикрат, т. пл. 120,5–122 и 216–219° (разл.; из ацетона-воды); перхлорат, т. пл. 187,5 и 220–222° (из воды); йодид, т. пл. 234–238°

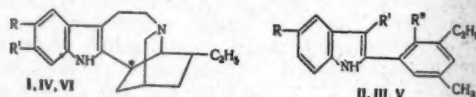
(разл.; из метанола). Для II предложена возможная ф-ла. Мелинонин «F»  $\text{C}_{13}\text{H}_{13}\text{N}_2^+$ , выход 0,0017–0,0019%; хлорид, т. пл. 288° (разл.; из метанола); пикрат, т. разл.  $\sim 233^\circ$ . В-во идентично четвертичному



N(b)-метилгарману. Мелинонин «G»  $\text{C}_{17}\text{H}_{15}\text{N}_2^+$ , выход 0,0015%; пикрат, т. пл. 229,5–230,5° (из ацетона); предложена структура (III) и предположена его идентичность с флавоперерином (РЖХим, 1957, 66251). Мелинонин «H»  $\text{C}_{20}\text{H}_{21} - 23\text{ON}_2^+$ , выход 0,0025%; пикрат, т. пл. 290–292° (разл.; из ацетона-воды); перхлорат, т. пл. 302–304° (разл.; из воды); содержит  $\text{N}-\text{CH}_3$  и  $\text{C}-\text{CH}_3$  и хинолиновую хромофорную группу. Мелинонин «I», выход 0,0035%; пикрат, т. пл. 160–170° (разл.). Мелинонин «K», выход 0,0015%; пикрат, т. пл. 196–199° (разл.); хлорид, т. пл. 210–212° (разл.; из метанола-эф.). УФ-спектры «I» и «K» показывают наличие индольной системы (5- или 8-оксидола). Мелинонин «L»  $\text{C}_{22}\text{H}_{20}\text{O}_4\text{N}_2$ , выход 0,011%, третичное основание, т. пл. 248–250° (из хлф-сп.); ацетильное производное, т. пл. 220–223° (из хлф-эф.), метопикрат, т. пл. 156–160 и 241–243° (из ацетона-воды); содержит  $\text{O}-\text{CH}_3$ ,  $\text{N}-\text{CH}_3$  и  $\text{C}-\text{CH}_3$ -группы, 2 активных Н. Мелинонин «М». выход 0,0006%; пикрат, т. пл. 242–245° (разл.). Алкалоиды «С» и «D» идентифицированы как *l*-наркотин и тебанин, присутствие которых, возможно, является результатом загрязнения и требует проверки. Кроме указанных, выделены мавакурин (0,01%) и флуорокурин (0,011%). Сообщение 26 см. РЖХим, 1958, 21596.

Л. Шахновский  
28937. Алкалоиды ибоба. II. Структура ибобамина, ибобамина и табернантина. Тейлор (Iboga alkaloids. II. The structures of ibogamine, ibogamine and tabernantheine. Taylor W. I.), J. Amer. Chem. Soc., 1957, 79, № 12, 3298–3299 (англ.).

Установлено наличие С-этильной группы в ибобаине (I). Дегидрирование I Се дало два продукта:  $\text{C}_{26}\text{H}_{20}\text{ON}_2$  (II), т. пл. 208° (N-нитрозо-II, т. пл. 196°; N-ацетил-II, т. пл. 246°), и индолохинолин (III),  $\text{C}_{26}\text{H}_{20}\text{ON}_2$ , т. пл. 176°. При дегидрировании Се ибобамина (IV) выделены сходные соединения:  $\text{C}_{19}\text{H}_{20}\text{N}_2$ , т. пл. 214°, и  $\text{C}_{19}\text{H}_{18}\text{N}_2$



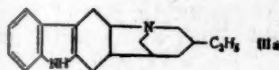
I R =  $\text{OCH}_3$ , R' = H; II R =  $\text{OCH}_3$ , R' + R' =  $\text{CH}_2\text{CH}_2\text{NH}$ ; III R =  $\text{OCH}_3$ , R' + R' =  $\text{C}(\text{CH}_3) = \text{N}$ ; IV R = R' = H, V R = H, R' + R' =  $\text{C}(\text{CH}_3) = \text{N}$ ; VI R = H, R' =  $\text{OCH}_3$ .

(V), т. пл. 196–197°. На основании сопоставления свойств и данных анализа предложены структурные ф-лы для I, IV, табернантина (VI) и продуктов их дегидрирования. Структура V подтверждено синтезом. Сообщение I см. РЖХим, 1954, 28876. Н. Корецкая  
28938. Определение метильных и этильных «ангулярных» групп методом Куна — Рота. Першерон, Гутарель (Caractérisation des chaînes méthyle et éthyle «angulaires» par la méthode de Kuhn — Roth. Percheron François, Goutarel Robert), Bull. Soc. chim. France, 1957, № 10, 1198–1200 (франц.).

Модифицированный метод Куна — Рота (РЖХим, 1956, 16221) применен для определения строения алкалоидов *Voacanga*: воакамина (I), воакарина (II);

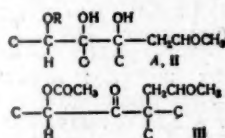


алкалоидов *Iboga*: ибогамина (III), ибогаина (IV), табернантена (V), а также алкалоида дигидрогеллермина (VI). Проверка метода на алкалоидах известного строения дала хорошие результаты. Образующаяся при окислении алкалоидов с помощью  $\text{CrO}_3$  смесь



летучих к-т анализировалась в виде К-солей хроматографией на бумаге в системе бутанол—вода. Открытие  $\text{CH}_3\text{COOH}$  (VII) свидетельствовало о наличии  $\text{CH}_3$ -группы, а открытие  $\text{C}_2\text{H}_5\text{COOH}$  (VIII) — о наличии  $\text{C}_2\text{H}_5$ -группы. При окислении I, II, III, IV, V, VI получена VII, а при окислении III, IV, V, VI — кроме того VIII. При перегонке III с Zn-пылью получен 3-метил-5-этилпиридин и метилкарбазол. Для III предложена ф-ла (IIIa). Наличие VIII подтверждено методом ИК-спектроскопии.

А. Васильев  
28939. Алкалоиды *Aconitum* и *Delphinium*. Часть III. Некоторые перегруппировки в ряду дельфелина и ликокотонина. Одноосновная дикарбоновая кислота. Куксон, Триветт (*Aconitum* и *Delphinium* alkaloids. Part III. Some rearrangements in the delphinine and lycoctonine series. A monobasic dicarboxylic acid. Cookson R. C., Trevett M. E.), J. Chem. Soc., 1956, Oct., 3864—3869 (англ.)  
Как сообщалось в части II (см. РЖХим, 1958, 25295) диметиленоксодельфелин (I) содержит группу А, где R = Н. При действии  $(\text{CH}_3\text{CO})_2\text{O}$  в пиридине из I образуется вторичный моноацетат (II R =  $\text{COCH}_3$ ); с  $\text{CH}_3\text{COCl}$  происходит превращение во вторичный α-ацетоксикетон (III),  $\text{C}_{26}\text{H}_{37}\text{O}_7\text{N}$ . При гидролизе III



получен кетол, образующий при ацетилировании изомерный ацетат, а при окислении  $\text{CrO}_3$  получ. α-дикетон (IV). В соответствии с недавними работами (РЖХим, 1957, 37758), спектроскопич. свойства IV позволяют предположить, что он является циклогександионом, содержащим мостик и что он получен из I путем расширения кольца. IV не енолизуется;  $\text{H}_2\text{O}_2$  окисляет его в дикарбоновую к-ту (V). Диметиловый эфир V (VI),  $\text{C}_{26}\text{H}_{39}\text{O}_8\text{N}$ , т. пл. 164—165° (из водн. ацетона),  $[\alpha]_D^{20} -36^\circ$ . V превращается  $(\text{CH}_3\text{CO})_2\text{O}$  в циклич. ангидрид (VII).  $\text{NaOCH}_3$  расщепл. VII до кислого эфира (VIII), который  $\text{CH}_2\text{N}_2$  превращается в VI. VIII превращен  $\text{NH}_3$  в амидокислоту, ее метиловый эфир (IX) с гипобромидом дает аминоксифир (X), стабильный к кипящей конц. HCl, что опровергает предположение о наличии в дельфелине 1,2-аминосиртовой группы. Аналогичное дегидратирующее действие производит  $\text{CH}_3\text{COCl}$  и на оксоликотонин (XI) с образованием аналога, который при воздействии сильных к-т претерпевает перегруппировку, с выделением  $\text{CH}_3\text{OH}$  и гидролизом второй  $\text{CH}_3\text{O}$ -группы, в α,β-ненасыщ. кетон ликоктамон (XII). Обработка I, оксодельфелина или оксоксодельфелина (XIII) кипящей HCl приводит к образованию α,β-ненасыщ. кетона дельфеламона (XIV). Авторы считают XIV аналогом XII, на основании ф-лы последнего (РЖХим, 1957, 37758) они предлагают ф-лу строения I и продуктов его расщепления. 112 мг I кипятили 6 час. с 5 мл  $\text{CH}_3\text{COCl}$  получен III, выход 50 мг, т. пл. 214—218° (из водн. сп.),  $[\alpha]_D -15,5^\circ$ .

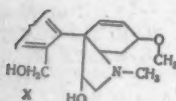
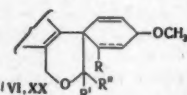
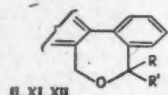
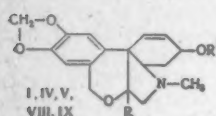
186 мг III, 6 мл спирта, 10 мл 1 н. NaOH, 2 часа кипячения, получено 156 мг кетона, из которого и 5 мл  $\text{CH}_3\text{COCl}$ , 16 час. при 20° и 30 мин. кипячения, получен изомерный ацетат, выход 111 мг, т. пл. 217—219° (из водн. сп.),  $[\alpha]_D -55^\circ$ . Из 450 мг кетона, 9 мл  $\text{C}_6\text{H}_5\text{N}$ , 450 мг  $\text{CrO}_3$  (16 час. при 20°) получен IV,  $\text{C}_{24}\text{H}_{33}\text{O}_8\text{N}$ , т. пл. 212—215° (из водн. сп.),  $[\alpha]_D -72^\circ$ . Из 200 мг IV в 35 мл 2%-ного метанольного КОН и 15 мл  $\text{H}_2\text{O}_2$  через 1 час получен V,  $\text{C}_{24}\text{H}_{35}\text{O}_8\text{N}$ , выход 160 мг, т. пл. 206° (разл.; из этилацетата),  $[\alpha]_D -22^\circ$ . 94 мг V, 10 мл  $(\text{CH}_3\text{CO})_2\text{O}$ , 6 час. кипячения, получен VII, выход 83 мг, т. пл. 248—254° (из ацетона-эф.),  $[\alpha]_D -45^\circ$ . При стоянии р-ра 50 мг VII в 5 мл 5%-ного метанольного  $\text{CH}_3\text{ONa}$  при 20° 20 час. получен VIII, выход 38 мг, т. пл. 191—192° (из ацетона-эф.),  $[\alpha]_D -30^\circ$ . Через кипящий р-р 50 мг VII в 30 мл диоксана и 30 мл  $\text{C}_6\text{H}_6$  барботировали сухой  $\text{NH}_3$  экстрагировали  $\text{CHCl}_3$  и обработали  $\text{CH}_2\text{N}_2$ , получен IX, выход 30 мг, т. пл. 228—229°,  $[\alpha]_D -5,5^\circ$ . Р-р 23 мг IX, 14 мг КОН и 10 мг  $\text{Br}_2$  в 1 мл диоксана и 5 мл воды выдержали 1 час при 20°, затем 30 мин. нагревали до 50°, получен X,  $\text{C}_{24}\text{H}_{35}\text{O}_6\text{N}_2$ , выход 15 мг, т. пл. 184—187°. Кипячением 22 мг XIII в 1 мл диоксана и 2 мл конц. HCl 10 мин., получен XIV,  $\text{C}_{22}\text{H}_{29}\text{O}_5\text{N} \cdot 0,5 \text{ H}_2\text{O}$ , выход 8 мг, т. пл. 247° (разл.; из этилацетата-циклогексана),  $[\alpha]_D +281^\circ$ . Ликокотонин при взаимодействии с  $(\text{CH}_3\text{CO})_2\text{O}$  в пиридине или со следами  $\text{H}_2\text{SO}_4$  образует моноацетат; перхлорат, т. пл. 194—195° (разл.; из сп. этилацетата). Превращением метиликокотонин-йодгидрата в свободное основание, окислением его  $\text{KMnO}_4$  в ацетоне и гидролизом полученного в-ва в XI с последующей обработкой  $\text{CH}_3\text{COCl}$  получен ацетилоксоликотонин-пинакон (XV). 734 мг XV взбалтывали с 14 мл конц. р-ра  $\text{ZnCl}_2$  (60 г в 20 мл 12%-ной HCl), через 3,5 часа р-р разбавили водой и экстрагировали  $\text{CHCl}_3$ , получен ликоктамон XII,  $\text{C}_{23}\text{H}_{31}\text{O}_6\text{N} \cdot \text{H}_2\text{O}$ , т. пл. 220—225° (из водн. сп.),  $[\alpha]_D +257^\circ$  (сп.); ацетат, т. пл. 223—225° (из водн. сп.),  $[\alpha]_D +215^\circ$  (сп.); 2,4-динитрофенилгидразон, т. пл. 236—237° (из этилацетата-циклогексана). Смесь из 100 мг XV и 100 мг  $\text{CrO}_3$  в 2 мл  $\text{C}_6\text{H}_5\text{N}$  выдерживали 20 час. при 20°, получен оксоликотонинпинакональдегид,  $\text{C}_{25}\text{H}_{35}\text{O}_7\text{N}$ , выход 60 мг, т. пл. 156—157° (из водн. сп.),  $[\alpha]_D +54^\circ$  (всп.). Смесь из 150 мг XII и 150 мг  $\text{CrO}_3$  в 3 мл  $\text{C}_6\text{H}_5\text{N}$  выдержали 2 часа при 20°, получен альдегид ликоктамона,  $\text{C}_{23}\text{H}_{29}\text{O}_6\text{N}$ , выход 112 мг, т. пл. 210—214° (из этилацетата-циклогексана),  $[\alpha]_D +282^\circ$ .

Л. Шахновский

28940. Строение и стереохимия тацеттина. Икеда, Тейлор, Цуда, Уео, Ядзима (The structure and stereochemistry of tazettine. Ikeda T., Taylor W. I., Tsuda Y., Uyeo S., Yajima H.), J. Chem. Soc., 1956, Dec., 4749—4761 (англ.)

Из деокситацеттина (I) после гофманского распада (ГР) получено в-во (Ia), которое в кислой среде перегруппировывается с выделением  $\text{CH}_3\text{OH}$  в оптически неактивный деокситацеттин неометин (II). ГР II и последующее окисление приводят к 2,2'-дикарбокси-4,5-метилendioксидифенилу (III). Показано, что Кондо (Kondo и др., Ann. Rept. ITSUO Lab., 1950, 1, 61), изучая распад тацеттина (IV), имел дело с о-метилитацетином (V). ГР IV протекает нормально, но метиновое основание IV (VI) ароматизуется и превращается в 2-диметиламиноацетоксиметил-4,5-метилendioксидифенил (VII). Деметилирование IV приводит к изот-ацеттинолу (VIII) и тацеттинолу (IX). Обсуждается стереохимия IV. 1,5 г IV восстанавливают  $\text{LiAlH}_4$  в тетрагидрофуране (12 час. 20°), получают 1,15 г тацеттадиола (X), т. пл. 118—119° (из ацетона),  $[\alpha]_D^{25} +65^\circ$  (с 1,7; сп.); ди-п-нитробензоат, т. пл. 184—185° (из хлф. + сп.). 0,25 г X при нагревании (1,5 часа) с 35 мл 3%-ной  $\text{H}_2\text{SO}_4$  дают 0,21 г I, т. пл. 135—136° (из эф.),  $[\alpha]_D^{25} +225^\circ$  (с 1,8; сп.); йодметилат I получают из I

и из X (кипятище 5 час. с  $\text{CH}_3\text{J}$  в  $\text{CH}_3\text{OH}$ ), т. пл. 231—233° (разл.; из ацетона),  $[\alpha]^{25}_D + 139^\circ$  (с 0,69; сп.). Гидрирование (5 час.) I в спирте с 30%-ным Pd/C



I R = H, R' = CH<sub>3</sub>; II R = H, R' = CH<sub>3</sub>; V R = OCH<sub>3</sub>, R' = CH<sub>3</sub>; VI R = H, R' = OH, R'' = CH<sub>3</sub>N(CH<sub>3</sub>)<sub>2</sub>; VII R = OH, R' = CH<sub>3</sub>N(CH<sub>3</sub>)<sub>2</sub>; VIII R = OH, R' = OH, R'' = H; IX R = R' = CH<sub>3</sub>; X R = R' = H; XI R = R' = CH<sub>3</sub>; XII R = R' = O; XX R = N(CH<sub>3</sub>)CHO, R' + R'' = O; — простая связь

приводит к деоксидигидроацеттину, т. пл. 82—84°,  $[\alpha]^{25}_D + 14,8^\circ$  (с 0,68;  $\text{CH}_3\text{OH}$ ); пикрат, т. пл. 191° (разл.; из ацетона). 0,56 г йодметилата I в 15 мл воды перемешивают 1 час с AgOH, фильтруют, р-р упаривают и нагревают 25 мин. при 100° и 2—3 мм, выход Ia 0,32 г,  $[\alpha]^{17}_D - 64,2^\circ$  (с 1,25; сп.); йодметилат, т. пл. 203—205° (разл.; из ацетона),  $[\alpha]^{18}_D - 72,1^\circ$  (с 0,6; сп.). 70 мг Ia растворяют в 10 мл 5%-ной HCl, через 1 час выделяют 17 мг 6-фенилпиперонилового спирта, т. пл. 102—104°, и 52 мг II,  $[\alpha]^{18}_D \pm 0^\circ$  (с 0,51 сп.); йодметилат, т. пл. 251° (разл.; из ацетона). ГР 0,45 г последнего приводит к (XI), выход 0,21 г, т. пл. 147—151°; 2,4-динитрофенилгидразон, т. пл. 227—229° (из сп.). XI при окислении  $\text{KMnO}_4$  в ацетоне дает лактон (XII), т. пл. 151—152° (из ацетона +  $\text{CH}_3\text{OH}$ ). XII гидролизом (1 час кипения) 8%-ным спиртом. KOH и последующим окислением водн.  $\text{KMnO}_4$  (5 час., 50°) переводит в III, т. пл. 251—252° (из  $\text{CH}_3\text{OH}$ ). III получают конденсацией 5 г  $3,4\text{-CH}_2\text{O}_2\text{-6-BrC}_6\text{H}_4\text{COOCH}_3$  с 6 г  $2\text{-JC}_6\text{H}_4\text{COOCH}_3$  в присутствии 7 г Cu (5 час., 225—230°), выход 0,55 г. Наряду с III выделено 1,7 г неочищ. 2,2'-дикарбометокси-дифенила (XIII), т. пл. 74° (из  $\text{CH}_3\text{OH}$ ), и 1,08 г 2,2'-дикарбометокси-4,5,4',5'-бисметилendioксифенила, т. пл. 155—157° (из  $\text{CH}_3\text{OH}$ ). 2,1 г 6-бромпицерола и 3,5 г  $2\text{-JC}_6\text{H}_4\text{COOCH}_3$  нагревают 5 час. с 4 г Cu при 230°, выделяют: 0,12 г 2,2'-диформил-4,5,4',5'-бисметилendioксифенила, т. пл. 238—240° (из ацетона + бэл.); 0,91 г XIII; 0,015 г 2,3-метилendioкси-5-карбометоксифлуоренона, т. пл. 180° (из  $\text{CH}_3\text{OH}$ ); 0,37 г 2-формил-2'-карбоксиметил-4,5-метилendioксифенила (XIV), т. пл. 103—104° (из  $\text{CH}_3\text{OH}$ ); 0,025 г 1,2,6,7-бисметилendioксифлуоренона, т. пл. 278—280° (из бэл. +  $\text{CH}_3\text{OH}$ ). Восстановление 0,142 г XIV  $\text{NaBH}_4$  в  $\text{CH}_3\text{OH}$  приводит к 2,2'-диоксиметил-4,5-метилendioксифенилу (XV), выход 0,015 г, т. пл. 134—135° (из эф.), и в-у, которое при нагревании (30 мин., 100°) дает 0,065 г XII. Нагреванием (3 часа) в спирте с  $\text{H}_2\text{SO}_4$  XV превращают в 3,4-бензо-5,6-(3,4-метилendioксибензо)-оксациклопентадиен, т. пл. 138—139° (из ацетона). 0,5 г IV, 5 г  $\text{Al}(\text{OC}_2\text{H}_5)_3$ , 50 мл циклогексана и 50 мл кислоты кипятят 6 час., выделяют 0,03 г 10-метил-6,7-метилendioксифенантридинийхлорида (XVI), т. пл. 274° (разл.; из пиридина + сп.); йодид, т. пл. > 310°. 0,03 г XVI нагревают 1 час с 0,1 г NaOH в 25 мл спирта, получают 0,018 г 10-метил-6,7-метилendioксифенантридина (XVII), т. пл. 236—238° (из сп. + бэл.). 0,3 г IV в 20 мл  $\text{CH}_3\text{OH}$  метилируют (10 дней 20°) избытком  $\text{CH}_3\text{N}_2$ , выделяют: 0,150 г IV, 0,158 г V,  $[\alpha]^{25}_D + 88,1^\circ$  (с 0,8; сп.), стифнат, т. пл. 198° (разл.; из  $\text{CH}_3\text{OH}$ ), йодметилат, т. пл. 138° (разл.; из  $\text{CH}_3\text{OH}$ ) и 150—152° (после сушки при 110° в вакууме), пикрометилат, т. пл. 189—190° (из  $\text{CH}_3\text{OH}$ ). V получен также последовательной обработкой IV  $\text{SOCl}_2$  и  $\text{CH}_3\text{ONa}$ . V не восстанавливается  $\text{LiAlH}_4$ . 0,3 г йодметилата дигидроацеттина [т. пл. 183° (разл.; из сп.)] обрабатывают

AgOH и основание нагревают 45 мин. при 100° в вакууме, выход десоснования (XVIII) в виде пикрата 0,19 г, т. пл. 129—131° (из сп.) и 137—139° (после сушки); XVIII — масло,  $[\alpha]^{25}_D + 15,8^\circ$  (с 1,2; сп.). 0,22 г XVIII кипятят 2 часа в эфире с  $\text{LiAlH}_4$ , выделяют  $(\text{CH}_3)_2\text{NC}_2\text{H}_4\text{OH}$  в виде пикрата (0,025 г) и 0,15 г нейтр. продукта (XIX). 1,3 г IV в 130 мл  $\text{CHCl}_3$  перемешивают 48 час. (20°) с 13 г  $\text{MnO}_2$ , выход тацеттама (XX) 0,45 г, т. пл. 174°,  $[\alpha]^{25}_D + 113^\circ$  (с 0,6; сп.). Гидрирование XX над Pd/C приводит к дигидроацеттамиду, т. пл. 157—158°,  $[\alpha]^{25}_D + 63^\circ$  (с 0,6; в сп.). Последний восстановлением  $\text{LiAlH}_4$  (20°) и нагреванием с 3%-ной  $\text{H}_2\text{SO}_4$  (100°, 2 часа) переводит в простой амноэфир  $\text{C}_{18}\text{H}_{25}\text{O}_5\text{N}$ ; пикрат, т. пл. 226—228° (разл.; из сп.), йодметилат,  $[\alpha]^{25}_D - 31,2^\circ$  (с 0,7; сп.). Последний превращают в хлорметилат, распад которого по Эмме (5%-ная NaHg, 100°, 6 час.) приводит к  $(\text{CH}_3)_2\text{N}$  и 4-метоксциклогексанспиру-4-(6,7-метилendioксинормохрану), т. пл. 56—58° (из сп.),  $[\alpha]^{25}_D \pm 0^\circ$  (с 0,6 сп.). 0,5 г IV нагревают (100°) 4 часа с 50 мл 10%-ной HCl, хроматографированием на  $\text{Al}_2\text{O}_3$  выделяют: 0,3 г VIII, т. пл. 204—206° (из сп.).  $[\alpha]^{25}_D + 261,7^\circ$  (с 0,5; сп.); пикрат, т. пл. 223—226° (разл.; из сп.); диацетиловое производное VIII (XXI), т. пл. 149—151° (из сп.).  $[\alpha]^{25}_D + 198^\circ$  (с 0,6; сп.); 0,1 г IX, т. пл. 187—188° (из воды),  $[\alpha]^{25}_D + 119^\circ$  (с 0,5; сп.); пикрат, т. пл. 206—208° (из воды); диацетиловое производное IX (XXII), т. пл. 199—200° (из сп.),  $[\alpha]^{25}_D + 55^\circ$  (с 0,4; сп.). Из маточного р-ра после кристаллизации VIII выделено в-во состава  $\text{C}_{17}\text{H}_{17}\text{O}_4\text{N}$ , пикрат (XXIII), т. пл. 173—175° (разл.). 0,07 г VIII кипятят 3 часа в тетрагидрофуране с  $\text{LiAlH}_4$ , продукт р-ции нагревают (100°) 1 час с 2,5%-ной  $\text{H}_2\text{SO}_4$ , выделяют 0,04 г деоксизотацеттинола (XXIV), т. пл. 122—123° (из эф.),  $[\alpha]^{10}_D + 328^\circ$  (с 0,30; сп.); пикрат, т. пл. 203—206° (из сп.); п-нитробензоат, т. пл. 185—186° (из  $\text{CH}_3\text{OH}$ ). Аналогично 0,163 г IX дают 0,032 г деокситацеттинола (XXV), т. пл. 122—123° (из эф. + петр. эф.),  $[\alpha]^{10}_D + 210^\circ$  (с 0,34; сп.); пикрат, т. пл. 225° (разл.; из сп.); п-нитробензоат, т. пл. 171—172° (из сп.). Нагревание 0,1 г X с 10%-ной HCl (4 часа) приводит к XXIV, выход 0,02 г и XXV, выход п-нитробензоата 0,005 г. 14 мл 10%-ного KOH прибавляют по каплям (30 капель в 1 час) к смеси 0,03 г IX и 2,6 г  $(\text{CH}_3)_2\text{SO}_4$ , выход йодметилата V 0,03 г, т. пл. 152—154°,  $[\alpha]^{25}_D + 66^\circ$  (с 0,95; сп.). Аналогично 0,1 г VIII дает 0,1 г йодметилата O-метилизотацеттина (XXVI),  $[\alpha]^{25}_D + 143^\circ$  (с 0,95; сп.); пикрометилат, т. пл. 204—205° (из  $\text{CH}_3\text{OH}$ ). 0,27 г XXIV перемешивают 6 дней (20°) с 3 г  $\text{MnO}_2$  в абс. эфире, выделяют 0,148 г XXIV и 0,03 г деокситацеттинона (XXVII), т. пл. 174—175° (из сп.),  $[\alpha]^{10}_D + 398^\circ$  (с 0,2; сп.). Окисление XXIV  $\text{CrO}_3$  в пиридине (12 час., 20°) приводит к XXVII. Аналогичный результат дает окисление XXV  $\text{MnO}_2$  (1 час, 20°). Оксим XXVII (XXVIII), т. пл. 204—206° (из сп.). Восстановление XXVII  $\text{NaBH}_4$  в  $\text{CH}_3\text{OH}$  (20°, 2 дня) приводит к XXIV. При окислении  $\text{MnO}_2$  в  $\text{CHCl}_3$  (2 часа, 20°) 0,2 г IX дают 0,032 г 6-(п-оксифенил)-пиперонилового спирта (XXIX), т. пл. 186—188°. Метилированием XXIX  $\text{CH}_3\text{N}_2$  получен 6-(п-метоксифенил)-пиперониловый спирт (XXX), т. пл. 147—149°, 0,62 г XXVI переводят в основание и подвергают ГР (100°, 30 мин.), получают 0,028 г 6-фенилпиперонилового спирта и 0,32 г десоснования, которое после обработки  $\text{CH}_3\text{J}$  и AgOH подвергают ГР, выделяют 0,01 г ацетата XXX, т. пл. 86—88° (из петр. эф.), и 0,03 г XXX. Измерены  $pK_a$  в 80%-ном водн.  $\text{CH}_3\text{OC}_2\text{H}_4\text{OH}$  и 40%-ном водн.  $\text{CH}_3\text{OH}$  (в скобках): IV, 6,14 (6,86); дигидроацеттин, 6,10; X, 6,23; VIII (7,75); XXI (6,53) ацетилгидратин (5,92); XXIV (8,7); XXV (7,1). Приведены УФ-спектры метинового основания I и его йодметилата, XVI—XX, XXVII—XXIX и ИК-спектры XX—XXIII, XXVII.

Е. Цветков



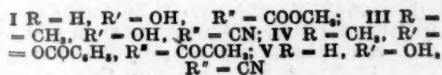
28941. **Алкалоиды мотыльковых. XXIX. Структура и синтез сантьягина. Домингес, Мендес, Рибас** (Alcaloides de las papilionaceas. XXIX. Estructura y síntesis de la santiaguina. Domínguez J., Méndez M. R., Ribas I.), An. Real soc. esp. fis. y quim., 1956, B52, № 2, 133—137 (исп.; рез. англ.)

Осуществлен синтез рац-сантьягина (I) и показано, что I имеет строение N,N'-α-трисилол-бис-(2',3'-дигидро-α,β'-дипиридила). К р-ру 0,004 моля изотрипиридина (см. Lellmann E., Schwaderer R., Ber., 1939, 22, 1318) в 20 мл эфира, содержащем 0,006 моля пиридина, добавляют 0,002 моля хлорангидрида α-трипиридина, после 3 час. кипячения получают продукт конденсации (II), выход 81%, т. пл. 257—258° (из сл.); хлоргидрат C<sub>48</sub>H<sub>66</sub>O<sub>2</sub>N<sub>6</sub> · 2HCl · CHCl<sub>3</sub>, т. пл. 267—268° (из сл.-хлф.). 0,57 г II при нагревании растворяют в 7 мл смеси 1 ч. спирта и 1 ч. 2 н. HCl, выделяют I в виде перхлората, т. пл. 238—240° (из водн. сл.); свободное основание, т. пл. 220—221° (из сл.); бромгидрат, т. пл. 241—243° (из CH<sub>3</sub>OH). Предыдущее сообщение см. РЖХим, 1956, 13035.

С. Завьялов

28942. **Конфигурация α-кокаина. Хейснер** (Die Konfiguration des «α-Cocains. Heusner Alex), Z. Naturforsch., 1957, 12b, № 8-9, 602—603 (нем.)

Образование метиловым эфиром нор-α-эконина (I) 2-(п-нитрофенил)-тетрагидроксаина-I (II), наличие в ИК-спектре тропинонанингидрина (III) полос, соответствующих водородным связям между гидроксильной группой и атомом азота, а также идентичность пикратов N-метилированного I и метилового эфира α-эконина подтверждает флу-α-кокаина (IV) и объясняет новые данные о наличии у него местноанестезирующего действия. Этот вывод противоположен ранее выдвинутому предположению (РЖХим, 1956, 58177) об α-располо-



жения бензоилированного гидроксила (транс к атому N). По аналогии с известным способом (Willstätter R., Ber., 1896, 29, 1575) из нортропина получен нортропинонанингидрин (V), не выделенный в чистом виде, т. пл. 115—135° (из ацетонитрила). V переводят в I, т. пл. 149—151°, снова затвердевает при 153° и не плавится до конца даже при 360° (из этилацетата). I с α-нитробензальдегидом дает по известному методу (РЖХим, 1954, 28867) II, т. пл. 113—115° (из изопропилового эфира).

К. Дюмаев

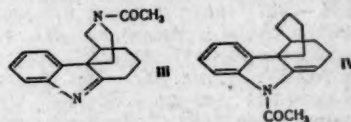
28943. **Синтез некоторых производных алкалоидов. Х. Дубравкова, Ежо, Шефчович, Вотицкий** (Syntéza niektorých derivátov alkaloidov. X. Dubravková L., Ježo I., Šefčovič P., Votický Z.), Chem. zvesti, 1957, 11, № 7, 394—397 (словацк.; рез. русск., нем.)

Описан синтез аллолупинана (I) из 6-метил-2-(β-ацетил)-пиридина (II) по схеме: II → 6-метил-2-винилпиридин (III) → 6-метил-2-(γ,γ-дихлорэтоксипропил)-пиридин (IV) → 6-метил-2-(γ-карбэтоксипропил)-пиридин (V) → 4-метил-5-кетоксилидин (VI) → I (рацемата). Из 100 г II прилитого к 300 г KOH (180—190°, вакуум) получен III, выход 66,8%, т. кип. 66—68°/10 мм; пикрат III, т. пл. 128—129° (из CH<sub>3</sub>OH); 83 г III в 50 мл абс. спирта кипятят (24 часа) с ацетонитрилом, полученным из 12,4 г Na и 24 мл абс. спирта, и 112 г этилового эфира малоновой к-ты; после выпаривания 150 мл конц. HCl и этерификации (100 мл абс. спирта + 10 мл конц. H<sub>2</sub>SO<sub>4</sub>) получен V, выход

40%, т. кип. 100—102°/0,15 мм, IV · 1/2 H<sub>2</sub>PtCl<sub>6</sub>, т. пл. 165—166° (из сл.). Из 31,05 г V в 300 мл абс. спирта после гидрирования над 10 г скелетного Ni (150 атм, 170°) получен VI, выход 92%, т. кип. 86—88°/0,20 мм. Р-цией 16,72 г VI в 250 мл абс. эфира с 11,38 г LiAlH<sub>4</sub> в 300 мл абс. эфира получен I, выход 74%, т. кип. 77—78°/10 мм; пикраты I, т. пл. 186—187° (сп.) и 195° (сп.). Сообщение IX см. РЖХим, 1957, 41263, Л. Песин 28944. **Исследование в области синтеза алкалоида магноламина. Горбачева И. Н., Лернер М. И., Запесочная Г. Г., Варнакова Л. П., Преображенский Н. А., Ж. общ. химии, 1957, 27, № 12, 3353—3357**

Получен дихлоргидрат 3',4'-диметокси-4'',6''-бис-6-метокси-7-бензилокси)3,4'-дигидроизохинолид-диметилдифенилового эфира (I) — промежуточное соединение в синтезе алкалоида магноламина. Сухой HCl пропускают (2 часа, 30°) через смесь 5 г 3,4-диметоксидифенилового эфира (II), 20 мл лед. CH<sub>3</sub>COOH и 3,6 г 38,4%-ного HCHO, массу выливают на лед, экстрагируют бензолом, выход неочищ. 3,4-диметокси-4,6-дихлорметилдифенилового эфира (III) 5,9 г. III при окислении KMnO<sub>4</sub> дает 3,4-диметокси-4'',6''-дикарбоксидифениловый эфир, т. пл. 283—284° (из ацетона). 5,9 г III в 20 мл ацетона прибавляют к нагретому р-ру 12 г KCN в 30 мл спирта и 15 мл воды, смесь кипятят 4 часа, выделяют 3,4-диметокси-4'',6''-дипианметилдифениловый эфир (IV), 4,3 г неочищ. IV в 26 мл спирта и 16 мл 50%-ного KOH кипятят 15 час., выход 3,4-диметокси-4'',6''-дикарбоксиметилдифенилового эфира (V) 3,33% (считая на II), т. пл. 141,5—143° (из воды). К р-ру C<sub>6</sub>H<sub>5</sub>OK (из 2,9 г K и 15 мл спирта) прибавляют 8,63 г п-НОС<sub>6</sub>H<sub>4</sub>CH<sub>2</sub>COOCH<sub>3</sub> в 20 мл C<sub>6</sub>H<sub>6</sub>, р-рители отгоняют, остаток высушивают в вакууме при 70—80°/2 мм, добавляют 19,6 г метилового эфира 3,4-диметокси-6-бромфенилуксусной к-ты (VI) (т. кип. 133—135°/1 мм, т. пл. 65—66°), 1,8 г Cu-катализатора и 1,5 г безводн. CuSO<sub>4</sub>, нагревают в токе N<sub>2</sub> 4 часа при 180—190°. Смесь экстрагируют эфиром, экстракт промывают 2%-ным NaOH, отгоняют эфир и VI, остаток и 0,1 г NaOH в 15 мл CH<sub>3</sub>OH оставляют на 2,5 часа, выход V 5%. 0,93 г V и 1,94 мл SOCl<sub>2</sub> нагревают 2 часа (50—60°), SOCl<sub>2</sub> отгоняют, остаток в 20 мл CHCl<sub>3</sub> прибавляют к р-ру 2,08 г β-(3-метокси-4-бензилоксифенил)-этиламина в CHCl<sub>3</sub>, вводя одновременно по каплям ~ 7,8 мл 5%-ного KOH, смесь перемешивают 30 мин., выход бис-β-(3-метокси-4-бензилокси) - фенилэтиламин-3',4'-диметокси-4'',6''-дикарбоксиметилдифенилового эфира (VII) 90%, т. пл. 127—130° (из сл.). К 0,3 г VII в 2 мл CHCl<sub>3</sub> прибавляют при охлаждении 0,3 г PCl<sub>5</sub> в 10 мл CHCl<sub>3</sub>, через 3 дня (20°) смесь кипятят 1 час, выход I 83,2%, т. пл. 137—140° (разл.; из сл.-эф.). Е. Цветков 28945. **Протоморфининовые синтезы. Джорджиян** (Protomorphinoid syntheses. Georgian V.), Chemistry and Industry, 1957, № 33, 1124—1125 (англ.)

Превращение арилгидразонов в карбазолины использовано для получения соединений, имеющих скелет, близкий к морфину. Из фенилгидразона (ФГ) транс-α-декалона (I) в кипящей лед. CH<sub>3</sub>COOH получен



4,11-тетраметилтетрагидрокарбазолин (II), т. пл. 74—75°; пикрат, т. пл. 191—192° (разл.); хлоргидрат, т. пл. 225° (разл.). УФ- и ИК-спектры II и 11-метилтетрагидрокарбазолина сходны. Аналогично о-метоксифенилгидразон I дал 8-метоксипроизводное II; пикрат, т. пл. 191—193° (разл.), а ФГ N-ацетил-5-кето-

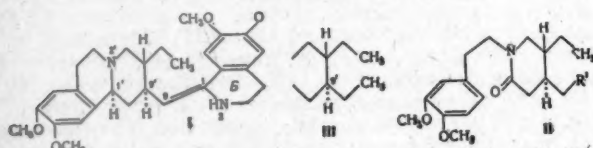
декагидроизохинолина — основание (III); пикрат, т. пл. 224,5° (разл.). Легкость превращения II под действием  $(\text{CH}_3\text{CO})_2\text{O}$  и  $\text{CH}_3\text{COONa}$  в N-ацетильное производное (IV), т. пл. 81—83°, указывает на *цис*-конфигурацию колец в полученных в-вах.

Л. Нейман 28946. О декстрометорфана. Оути Яккёку-но рёнки, 1957, 6, № 2, 17—19 (японск.).

Обзорная статья. Алкалоиды морфия, производные морфина, свойства декстрометорфана. Н. Швецов

28947. Стереохимия алкалоидов ипекакуаны. Тамелен, Олдрич, Гестер (Stereochemistry of the ipescas alkaloids. Tamelen Eugene E. van, Aldrich Paul E., Hester Jackson B., Jr.), J. Amer. Chem. Soc., 1957, 79, № 17, 4817—4818 (англ.).

На основании изучения полупродуктов полного синтеза алкалоидов ипекакуаны (Евстигнеева Р. П. и др., Ж. общ. химии, 1952, 22, 1467), предложены ф-лы (даны значения R при O): психотрина (I, R = H), о-метилпсихотрина (I, R =  $\text{CH}_3$ ), цефелина (I, R = H,  $\Delta$  1,9 насыщена), эметина (I, R =  $\text{CH}_3$ , кольцо B



ароматич.) и эметина (I R =  $\text{CH}_3$ ,  $\Delta$  1,9 насыщена). Алкилированием 3,4-диметокси- $\beta$ -фенилэтиламина этиловым эфиром *d,l*-трео-3,4-диэтил-5-бромвалериановой к-ты получен лактам *dl*-N-(3,4-метокси- $\beta$ -фенилэтил)-трео-3,4-диэтил-5-аминовалериановой к-ты (II, R =  $\text{CH}_3$ ), т. кип. 128—130°/0,1 мм. II (R =  $\text{CH}_3$ ) получен также из полупродукта синтеза эметина II (R' =  $\text{COO}-\text{C}_2\text{H}_5$ ), восстановлением  $\text{LiBH}_4$  до II (R' =  $\text{CH}_2\text{OH}$ ), т. пл. 116—117°, с дальнейшим превращением через тозилат в изотурониевую соль и десульфированием последней с Ni-катализатором. Обработка II (R =  $\text{CH}_3$ ), синтезированного обоими путями,  $\text{POCl}_3$  и последующее восстановление двойной связи привело к (III); хлоргидрат, т. пл. 247,5—248,5°. Каталитич. восстановление в этом случае приводит к присоединению водорода в аксиальное положение у C (1). Аналогичные результаты получены при восстановлении каталитическим и с  $\text{LiAlH}_4$   $\Delta$  1(2') и  $\Delta$  1(2) в случае синтеза эметина.

А. Яхонтов 28948. Исследование производных берберина и родственных алкалоидов. IV. Тани, Ишибаси, Такао, Амако (Tani Chiaki, Ishibashi Ken-ichi, Takao Nagao, Amako Sachiko), Якугаку дзасси, J. Pharmac. Soc. Japan, 1957, 77, № 3, 326—327 (японск.; рез. англ.).

С целью изучения гипотензивного действия алкалоидов типа N-метилпроизводных берберина синтезированы: метосульфат N-метилтетрагидропальмитина (основание — I), т. пл. 204—206°, тиоцианат I, т. пл. 232—233° (разл.). Протопин (II) восстанавливают  $\text{LiAlH}_4$  в дигидро-II, т. пл. 152—153°, затем превращают в N-метилтетрагидрокоптисинхлорид (III — хлорид), т. пл. 266—267° (разл.); затем в этосульфат III, т. пл. 228—229°, и далее в тиоцианат III, т. пл. 263—264°. Из тетрагидроберберубина (IV) получают метосульфат N-метил-IV, т. пл. 266—269° (разл.), затем тиоцианат N-метил-IV, т. пл. 262—264° (разл.). Из тетрагидроэтроприцина (V) получают метосульфат N-метил-V, т. пл. 243° (разл.), и тиоцианат N-метил-V, т. пл. 224° (разл.). Сообщение III см. РЖХим, 1956, 29149.

Г. Челпанова 28949. Исследование алкалоидов *Vinca erecta* Rgl. et Schmalh. Юнусов С. Ю., Юлдашев П. Х., Ж. общ. химии, 1957, 27, № 7, 2015—2018

Из корней *Vinca erecta* Rgl. et Schmalh. выведены новые алкалоиды: винканин (I),  $\text{C}_{18}\text{H}_{21}\text{N}$  ( $>\text{N}-$ )(CO), и винканидин (II),  $\text{C}_{20}\text{H}_{24}\text{O}_3\text{N}_2$ . В ИК-спектре I обнаружены полосы, характерные для групп NH ( $3330\text{ см}^{-1}$ ) и CO ( $1740\text{ см}^{-1}$ ), I и II не содержат  $>\text{NCH}_3$  и  $\text{OCH}_3$ -групп. Из надземной части (НЧ) получены I и известный минорин. Из 500 г корней получено 3,5 г I и 2 г бромгидрата II. I, т. пл. 187,5—188° (из  $\text{CH}_3\text{OH}$ ),  $[\alpha]_D^{20} -992^\circ$  (с 1,39;  $\text{CH}_3\text{OH}$ ); хлоргидрат, т. пл. 110—111° (из воды), 211—212° (из сп.),  $[\alpha]_D^{20} -932,8^\circ$  (с 1,163;  $\text{CH}_3\text{OH}$ ); нитрат, т. пл. 193—194° (разл.; из сп.); бромгидрат, т. пл. 225—227° (из сп.); перхлорат, т. пл. 206—207° (из сп.); пикрат, т. пл. 207—208° (из сп.); йодметилат, т. пл. 280—282° (из  $\text{CH}_3\text{OH}$ ); хлоргидрат фенилгидразона, т. пл. 285—286° (из водн. сп.),  $[\alpha]_D^{20} -147,2^\circ$  (с 1,962;  $\text{CH}_3\text{OH}$ ); фенилгидразон, т. пл. 188—189° ( $[\alpha]_D^{20} -192,36^\circ$  (с 1,258;  $\text{CH}_3\text{OH}$ ); гидразон, т. пл. 240—241°; оксим, т. пл. 110—112° (из эф.). Бромгидрат II, т. пл. 169—170° (из воды),  $[\alpha]_D^{20} -672,8^\circ$  (с 1,558;  $\text{CH}_3\text{OH}$ ); II обугливается при 250—280° (из разб.  $\text{CH}_3\text{OH}$ ); нитрат, т. пл. 142—142,5° (из сп.); хлоргидрат, т. пл. 175° (из воды); пикрат, т. пл. 220—221° (из сп.); йодметилат, т. пл. 312—315° (из  $\text{CH}_3\text{OH}$ ). Отмечено, что корни *Vinca erecta* содержат наибольшее кол-во алкалоидов в период отмирания НЧ.

Г. Воробьева 28950. Самоокисление каротиноидов. II. Механизм образования эпоксицидов и фураноксицидов каротина и ксантофиллов в процессе самоокисления  $\alpha$ - и  $\beta$ -каротинов. Бодя, Никоара, Меча (Asupra autoxidării carotinoidelor. Nota. II. Mecanismul de formare al epoxizilor și al furanoid-oxizilor de carotin și xantofile în procesul de autoxidare al  $\alpha$  și  $\beta$ -carotinei. Bodea C., Năcoară E., Mesea E.), Studii și cercetări chim., 1957, 5, № 1, 17—25 (рум.; рез. русск., франц.).

В продуктах самоокисления на свету  $\beta$ -каротина ( $\beta$ -I) в ацетоне, подкисленном 0,01 н.  $\text{H}_2\text{SO}_4$ , идентифицированы: его моно- и диэпоксициды (ЭО) и монофураноксицид (ФО), криптоксантин и его моно-ЭО и моно-ФО, зеаксантин и его моно-ФО. В этих же условиях из  $\alpha$ -I образуются его моно-ФО, вероятно, моноокс- $\alpha$ -I и его моно-ФО, ксантофилл (лютеин) и его моно-ФО. Подтверждается следующий механизм образования ЭО и ФО: появившаяся на  $\text{C}(3)$  или на  $\text{C}(3')$   $\beta$ -иононовых циклов НОО-группа отдаёт один О-атом на двойные связи еще не окислившись молекул I или ксантофиллов. Более устойчивы ЭО и ФО, возникшие при присоединении О-атома к двойной связи  $\beta$ -иононового кольца. Сообщение I см. РЖХим, 1956, 43073.

В. Некрасов 28951. Строение физоксантина. Бодя, Никоара (Die Konstitution des Physoxanthins. Bodea Cornel, Nicoara Elena), Liebigs Ann. Chem., 1957, 609, № 1-3, 181—185 (нем.).

Строение физоксантина (I) как 3'-окси- $\alpha$ -каротина установлено окислительным расщеплением его  $\text{KMnO}_4$  в  $\alpha$ -8-дигидраурин (II). 200 мг смеси I и криптоксантина (III), выделенной из чапельников *Physalis alkekengi* описанным методом (Ber., 1933, 66, 1746) ацетилируют  $(\text{CH}_3\text{CO})_2\text{O} + \text{C}_6\text{H}_5\text{N}$  (60°, 1 час). Реакционную смесь выдерживают 2 часа ( $\sim 20^\circ$ ), растворяют в петр. эфире и промывают водой. Эфирный р-р ацетата I (IV) и ацетата III (V) хроматографируют на  $\text{MgO} +$  кварцевый песок (1:2), вымывание производят петр. эфиром + 5%-ным спиртом, затем спиртом. Выделяют 12 мг IV, который омыляют 5%-ным спир. р-ром КОН в I,  $[\alpha]_D^{20} +288^\circ$  (бал.),  $[\alpha]_D^{20} +470^\circ$  (бал.). С целью выяснять влияние положения ОН-группы на направление окислительного расщепления проведено окисление V. Смесь 5 мг V в 20 мл  $\text{C}_6\text{H}_6$  и 12,5 г  $\text{KMnO}_4$ , 20 г  $\text{Na}_2\text{CO}_3$  в 1 л воды перемешивают 1,5 часа, разбавляют 50 мл петр. эфира. При хроматографировании



полученных продуктов окисления на  $MgO + \text{кварцевый песок}$  (вымывание производят петр. эф. + 1%-ным спир.) выделяют ацетат  $\beta$ -8-цитраурина и  $\beta$ -8-каротиналь. Из продуктов окисления IV в аналогичных условиях хроматографич. разделением на  $MgO + \text{кварцевый песок}$  выделяют ацетат II. Приведена кривая УФ-спектра I. Г. Воробьева

28952. Строение поликладина, желтого пигмента *Lepidophyllum quadrangulare*. Марини-Беттоло, Кьяварелли, Казинови (La costituzione della policladina, pigmento giallo del *Lepidophyllum quadrangulare*. Marini-Bettolo G. B., Chiavarelli Stefano, Casinovi Carlo Giulio), Gazz. chim. ital., 1957, 87, № 10, 1185—1190 (итал.)

На основании изучения некоторых р-ций поликладина (I) (Marini-Bettolo G. B., Ricerche sci., 1948, 18, 627) установлено строение I как 4,5'-диокси-3,3',6,7'-тетраметоксифлавона. I ацетируется смесью  $(CH_3CO)_2O$  и  $CH_3COONa$  (кипчение 5 час.) до 4',5'-ди-ацетокси-3,3',6,7'-тетраметоксифлавона, т. пл. 162° (из бал.). При метилировании I избытком  $(CH_3)_2SO_4$  в ацетоне в присутствии  $K_2CO_3$  (кипчение 8 час.) образуется 3,5,6,7,3',4'-гексаметоксифлавоны (II), т. пл. 142° (из воды), получающийся также при метилировании 3-окси-5,6,7,3',4'-пентаметоксифлавоны (III) (Oliverio A., Bargellini G., Gazz. chim. ital., 1948, 78, 372). При щел. расщеплении II дает вератровую к-ту. I деметируется смесью  $HJ$  (d 1,7) и  $(CH_3CO)_2O$  (нагревание 45 мин. при 125—130°) в 3,5,6,7,3',4'-гексаоксифлавоны (IV), т. пл. 295° (из разб.  $CH_3COOH$ ) (см. ссылку выше); ацетильное производное, т. пл. 212° (из сп.). Метилирование I с помощью  $CH_2N_2$  приводит к 5-окси-3,6,7,3',4'-пентаметоксифлавоны (Row L. R., Seshadri T. A., Proc. Ind. Acad. Sci., 1945, 22A, 215; 1948, 23A, 23). При кипячении с  $(C_2H_5)_2SO_4$  и  $K_2CO_3$  в ацетоне I дает 4',5'-диокси-3,6,7,3'-тетраметоксифлавоны, т. пл. 176—177° (из разб. сп.), который расщепляется кипящим 24%-ным спирт. КОН до 3-метокси-4-этоксibenзойной к-ты. Приведены  $\lambda_{\text{макс}}$  в УФ-спектре для I (дана конная), IV и в ИК-спектре для I, III и IV. С. Завьялов

28953. Структура витамина  $B_{12}$  и продукта его разложения — гексакискарбоновой кислоты. Боннет, Канон, Джонсон, Сатерленд, Тодд, Смит (The structure of vitamin  $B_{12}$  and its hexacarboxylic acid degradation product. Bonnet R., Cannon J. R., Johnson A. W., Sutherland J., Todd A. R., Smith E. Lester), Nature, 1955, 176, № 4477, 328—330 (англ.)

См. РЖХим, 1958, 14677.

28954. Синтез витамина Е. I. Фундаментальное изучение методов синтеза для механического производства  $\alpha$ -токоферола. Итикава, Исино, Накамура, Кацуми (Ichikawa Shinziro, Ishino Yoshi, Nakamura Norioki, Katsui Goichiro), Vitamins, 1957, 12, № 6, 538—541 (японск.; рез. англ.)

Изучались различные методы синтеза DL- $\alpha$ -токоферола (I). Основной промежуточный продукт 2,5,6-триметил- $\alpha$ -гидрохинон (II) получен тремя путями: 1) 5-бром-3,6-динитропсевдокумол восстанавливают в диаминное соединение, затем окисляют  $FeCl_3$  до 2,5,6-триметил- $\alpha$ -бензохинона (псевдокумохинона) (III), выход 36%; 2) 2,5,6-триметилфенол (сочетают с  $n$ -дибензосульфокислотой, восстанавливают  $SnCl_2$  в  $\alpha$ -амино-2,5,6-триметилфенол) и затем окисляют  $FeCl_3$  до III, выход 45%; 3) аналогично 3,5,6-триметилфенолу получают III, выход 39%. III с  $Na_2S_2O_4$  дает II, выход 81%, т. пл. 172°. 15 г II конденсируют с фтильбромидом, синтезированным из фитола, который получен из так называемой хлорофилловой пасты; получают 4 г I. Из 5 г III получают ацетат I, выход 4,2 г.

Г. Челпанова

28955. Синтез рацемата саркомина. Шемякин М. М., Равдель Г. А., Чаман Е. С., Швецов Ю. Б., Виноградова Е. И., Изв. АН СССР, Отд. хим. н., 1957, № 8, 1007; Chemistry and Industry, 1957, № 40, 1320—1321 (англ.)

Осуществлен синтез рацемата саркомина  $CH_2=CC(RR')CH_2-C=NNHCONH_2$  (I R = H, R' = COH),

который вследствие его нестабильности приготовлен в виде семикарбазона. Диафир  $R''HCC(RR')CH_2CH_2C=$

$=NNHCONH_2$  (II R = R' =  $COOC_2H_5$ , R'' =  $CH_3$ ), т. пл. 195—196° (с  $Br_2$  в  $CCl_4$  при 15—20° с последующей обработкой  $(C_2H_5)_3N$  образует I (R = R' =  $COOC_2H_5$ ), т. пл. 207—209° (разл.), который присоединением  $(CH_3)_2NH$  (100 час., 25°) превращен в II [R = R' =  $COOC_2H_5$ , R'' =  $CH_2N(CH_3)_2$ ], т. пл. 160—161°. Омыление последнего  $Ba(OH)_2$  (36 час., 25°) приводит к II [R = R' =  $COOH$ , R'' =  $CH_2N(CH_3)_2$ ], т. пл. выше 200° (разл.), который в хинолине (1 час, 120°) дает II [R =  $COOH$ , R' = H, R'' =  $CH_2N(CH_3)_2$ ] (IIIa), т. пл. выше 200° (разл.). Эфир IIIa (с  $CH_2N_2$ ), т. пл. выше 200° (разл.), при кипячении с  $CH_3J$  (20 мин.) образует йодметилат (IIIб), т. пл. 187—188° (разл.); пикрат, т. пл. 160—161°. Омыление IIIб (10%-ной  $Na_2CO_3$ , 15 мин., 60°, затем  $HJ$ ) дает соответствующую к-ту, т. пл. 176—178° (разл.). При нагревании этой к-ты с 1 н.  $NaOH$  (2,35 моля, 4 мин., 95°) с последующим подкислением получен I в смеси с семикарбазоном изомерной 2-метилциклопентенон-1-карбонной-3 к-ты (темнеет выше 200° без плавления). Семичиклич. положение двойной связи в I доказано озонлизом.

М. Линькова

28956. Расщепление хлорамфеникола бромом после восстановления нитрогруппы. Аве, Штольман (Der Abbau des Chloramphenicols mit Brom nach Reduktion der Nitrogruppe. Awe Walther, Stohlmann Hans), Arch. Pharmazie, 1956, 289/61, № 7, 387—393 (нем.)

Показано, что хлорамфеникол (I) в зависимости от условий восстановления  $NO_2$ -группы реагирует затем при действии  $KBrO_3 + KBr(HCl)$  с 4 или 6 экв  $Br_2$ . Высказано предположение, что образование 2,4,6-триброманилина (II) происходит тогда, когда  $NO_2$ -группа уже восстановилась, а расщепление амидной связи I (отщепление  $Cl_2CHCOOH$  или  $CH_2COOH$ ) еще не произошло. В случае длительного восстановления ( $Zn + HCl$ ), вследствие кислого гидролиза осуществляется полное отщепление  $Cl_2CHCO$ -группы, при этом II не образуется, что дает возможность применить броматометрич. определение I (потребление 4 экв.  $Br_2$ ). При кратковременном нагревании I (5—10 мин.) при прочих равных условиях наблюдается образование II, кол-во которого возрастает с уменьшением конц-ии к-ты при восстановлении. Особенно пригоден для этих целей быстро действующий  $TiCl_3$ . При этом расходуются 6 экв  $Br_2$ .

М. Линькова

28957. О конфигурации асимметрических центров дитиобензилпенициллина. Ромео, Ди-Майо (Sulla configurazione dei centri di asimmetria della ditiobenzilpenicillina. Romeo Aurelio, Di Maio Giorgio), Ann. chimica, 1957, 47, № 6, 675—683 (итал.)

Исходя из D-серина (I), осуществлен синтез N-(2') фенилэтиламино-2-пропанол-3]-валинола (II), который оказался идентичным продукту восстановления посредством  $LiAlH_4$  метилового эфира (MЭ) дитиобензилпенициллина (см. РЖХим, 1958, 14683). Таким образом показано, что асимметрич. центр в пропионильном остатке дитиобензилпенициллина имеет L-конфигурацию. К смеси 6,6 г  $NaOH$  в 140 мл воды, 5,5 г  $NaCl$  и 5 г I при —5° добавлял 6,7 мл  $C_6H_5CH_2COCl$ , перемешивал 1 час при —5°, прибавлял 14,6 мл конц.  $HCl$  в 80 мл воды при т-ре

$< 0^\circ$ , получают N-фенилацетил-D-серин (III) в виде III  $\cdot \frac{1}{2} \text{H}_2\text{O}$ , т. пл.  $74-75^\circ$  (из воды). К 0,78 г N-фенилацетил-D-серилгидразида в 9,1 мл 0,5 н. HCl при  $0^\circ$  прибавляют 0,24 г  $\text{NaNO}_2$  в 3,5 мл воды, образовавшийся азид извлекают этилацетатом и на холоду смешивают с 0,46 г МЭ D-валина в 1,5 мл этилацетата, выдерживают 0,5 часа на холоду и 24 часа при  $20^\circ$ , получают МЭ N-(N'-фенилацетил-D-серил)-D-валина (IV), т. пл.  $95-98^\circ$ . К 1,5 г  $\text{LiAlH}_4$  в 8 мл тетрагидрофурана (V) добавляют 0,5 г IV в 12 мл V, выдерживают 1 час на холоду, затем кипятят 2 часа, после удаления примесей кетонов 2,4-динитрофенилгидразином выделяют II, который очищают перегонкой при  $180^\circ$  (баня) 0,1 мм; хлоргидрат, т. пл.  $163-165^\circ$  (из  $\text{CH}_3\text{OH}$ -эф.),  $[\alpha]_D^{25} -4^\circ$  (с 1;  $\text{CH}_3\text{OH}$ ). К 0,45 г  $\text{LiAlH}_4$  в 10 мл эфира прибавляют 0,35 г диметилового эфира D-γ-детиобензилпеницилловой к-ты (РЖХим, 1957, 51410) в 18 мл эфира, выдерживают 1 час на холоду, кипятят 4 часа, получают 0,17 г диастереомера II, который очищают перегонкой при  $170^\circ$  (баня) 0,1 мм; хлоргидрат, т. пл.  $166-167^\circ$  (из  $\text{CH}_3\text{OH}$ -эф.),  $[\alpha]_D^{25} D + 6^\circ$  (с 1;  $\text{CH}_3\text{OH}$ ). Приведена кривая ИК-спектра II. С. Завьялов

28958. Изучение тетраминина и родственных соединений. VI. Раскрытие цикла инданона. Хорни, Тамура, Танака, Какэми (Horiei Len-ichi, Tamura Yasumitsu, Tanaka Kunihiko, Kakemi Hideo), Якугаку дзасси, J. Pharmac. Soc. Japan, 1956, 76, № 5, 527-530 (японск.; рез. англ.) 10 г 2-бром-3-метил-1-инданона (I) в 100 мл спирта и 11 г KCN в 30 мл воды кипятят 30 мин., разбавляют 2 объемами воды, промывают эфиром, подкисляют HCl (к-та), экстрагируют  $\text{CHCl}_3$ , обрабатывают активированным углем, встряхивают с 5%-ным р-ром NaOH, щел. слой подкисляют HCl (к-та), экстрагируют эфиром, выделяют 2,5 г 2-цианопроизводного I (II), т. кип.  $162-164^\circ$  (4 мм). К 15 г 5-метокси-3-метил-1-инданона (III) в 250 мл эфира при  $10^\circ$  прибавляют по каплям 4,8 мл  $\text{Br}_2$ , перемешивают 3 часа, промывают водой, сушат  $\text{CaCl}_2$ , отгоняют эфир, получают 21 г масла. 19 г масла, 48 г KCN в 480 мл спирта и 180 мл воды дают 7,5 г 2-цианопроизводного III (IV), т. кип.  $160-201^\circ/3$  мм. К  $\text{CH}_3\text{ONa}$  (из 3,15 г Na и 42,5 мл  $\text{CH}_3\text{OH}$ ), 8,2 мл  $\text{HCOOCH}_3$  и 65 мл  $\text{C}_6\text{H}_6$  прибавляют 10 г 3-метил-1-инданона (V) в 180 мл  $\text{C}_6\text{H}_6$ , перемешивают 4 часа в токе азота, оставляют на 12 час., промывают водой, подкисляют HCl (к-та), осадок отфильтровывают, получают 10 г 2-формильного производного V (VI), т. пл.  $98-99^\circ$ . Аналогично  $\text{CH}_3\text{ONa}$  (4,3 г Na и 57,8 мл  $\text{CH}_3\text{OH}$ ), 11 г  $\text{HCOOCH}_3$  и 16,2 г III дают 19 г 2-формильного производного III (VII), т. пл.  $141-142^\circ$ . 7 г VI в 120 мл  $\text{CH}_3\text{COOH}$  обрабатывают 3,13 г  $\text{NH}_2\text{OH} \cdot \text{HCl}$ , перемешивают 24 часа, получают 6,2 г гидроксил-амина N,N-бис-(3-метил-1-оксо-2-инданилиденметила) (VIII), т. пл.  $182-183^\circ$  (разл.; из  $\text{C}_6\text{H}_5\text{N}$ ). Аналогично 10 г VII дают 8,8 г гидроксил-амина N,N-бис-(5-метокси-3-метил-1-оксо-2-инданилиденметила) (IX), т. пл.  $189-190^\circ$  (разл.). 7,4 г V и 12 г  $\text{CO}(\text{OC}_2\text{H}_5)_2$  в 80 мл  $\text{C}_6\text{H}_6$  прибавляют к 2 г K в 20 мл  $\text{C}_6\text{H}_6$ , нагревают до  $60^\circ$ , выливают в ледяную воду, экстрагируют эфиром, получают 2,5 г 2-карбатооксипроизводного V (X), т. кип.  $88-89^\circ/0,05$  мм; семикарбазон, т. пл.  $139-140^\circ$ . 4 г II и 600 мл 5% КОН кипятят 50 час., подкисляют HCl (к-та), экстрагируют  $\text{CH}_2\text{COOC}_2\text{H}_5$ , обрабатывают насыщ. р-ром  $\text{NaHCO}_3$ , подкисляют HCl (к-та), получают 4,1 г 2- $\text{HOOCCH}_2\text{CH}(\text{CH}_3)\text{COOH}$  (XI), т. пл.  $148,5-150,5^\circ$  (из воды). 6 г VIII и 1,05 г  $\text{NH}_2\text{OH} \cdot \text{HCl}$  в 1020 мл 2%-ного NaOH кипятят 48 час., подкисляют HCl (к-та), экстрагируют эфиром, обрабатывают 5%-ным р-ром  $\text{NaHCO}_3$ , подкисляют, выделяют 2 г XI. 1,8 г X и 150 мл 10%-ного р-ра КОН кипятят 25 час., промывают эфиром, щел. слой подкисляют HCl (к-та), экстрагируют эфиром, обрабатывают р-ром  $\text{NaHCO}_3$ ,

подкисляют HCl (к-та), получают 0,4 г XI. В тех же условиях из 7 г IV получают 6,5 г 2,5- $\text{HOOC}(\text{CH}_2\text{O})\text{C}_6\text{H}_5\text{CH}(\text{CH}_3)\text{CH}_2\text{COOH}$  (XII), т. пл.  $168-169^\circ$  (из воды). 6 г IX и  $\text{NH}_2\text{OH} \cdot \text{HCl}$  дают 2,8 г XII. К 5 г V прибавляют по каплям NaOBr (из 37,6 г NaOH в 160 мл воды и 12 мл  $\text{Br}_2$ ), перемешивают 2 часа при  $24-25^\circ$ , обрабатывают  $\text{NaHSO}_3$ , экстрагируют эфиром, получают 2,5 г 2,2-дибромпроизводного V (XIII), т. пл.  $55-57^\circ$  (из петр. эф.). Щел. слой подкисляют конц. HCl, экстрагируют эфиром, обрабатывают насыщ. р-ром  $\text{NaHCO}_3$ , подкисляют HCl (к-та) получают 2,9 г 2- $\text{HOOCCH}_2\text{CH}(\text{CH}_3)\text{COOH}$  (XIV), т. пл.  $147-149^\circ$  (из воды). В выше описанных условиях 5 г V, 11,8 г NaOH, 77,8 мл воды и 6 мл  $\text{Br}_2$  дают 4,5 г XIII и 2,2 г XIV. 2 г XIII, 3,7 г NaOH, 15,6 мл воды, 1,2 г  $\text{Br}_2$  перемешивают 4 часа при  $55^\circ$ , обрабатывают, как описано выше, получают 0,15 г XIV. 3 г III, 18,8 г NaOH, 80 мл воды, 6 мл  $\text{Br}_2$  выдерживают 2 часа при  $50^\circ$ , получают 0,9 г 2,2-дибромпроизводного III (XVa), т. пл.  $86-87^\circ$ , и 0,35 г 2,5- $\text{HOOC}(\text{CH}_2\text{O})\text{C}_6\text{H}_5\text{CHCH}_2\text{COOH}$  (XV), т. пл.  $156-159^\circ$  (из воды). XV с половинным кол-вом NaOBr дает 2,9 г XVa. 3 г 1-инданона, 25,1 г NaOH, 107 мл воды, 8 мл  $\text{Br}_2$  при  $40-45^\circ$  образуют 1 г 2,2-дибром-1-инданона, т. пл.  $132^\circ$ , и 0,5 г 2- $\text{HOOCCH}_2\text{CH}_2\text{COOH}$ , т. пл.  $175^\circ$ . Сообщение В см. РЖХим, 1958, 25310.

Chem. Abstrs, 1957, 51, № 1, 329. K. Kitsuta  
28959. Изучение тетраминина и родственных соединений. VII. Синтез 4-карбокси-3-метилинданонуксусной-2 кислоты (деокситетрациновой кислоты). Хорни, Тамура, Ниномия, Кугита (Horiei Zen-ichi, Tamura Yasumitsu, Ninomiya Ichiya, Kugita Hiroshi), Якугаку дзасси, J. Pharmac. Soc. Japan, 1956, 76, № 6, 736-738 (японск.; рез. англ.)

4,1 г o- $\text{ROOCC}_6\text{H}_4\text{CHCH}_2\text{CH}_2\text{COOR}$  (I, R = H) (Ia) в 65 мл спирта и 0,8 мл конц.  $\text{H}_2\text{SO}_4$  кипятят 16 час., получают 4,1 г I, R =  $\text{C}_2\text{H}_5$  (II), т. кип.  $162-163^\circ/7$  мм. 8 г II, 180 мл полифосфорной к-ты (III) нагревают 3 часа при  $100^\circ$ , выливают в ледяную воду, экстрагируют эфиром, промывают насыщ. р-ром  $\text{NaHCO}_3$ , получают 2,6 г 4-карбатоокси-3-метил-1-инданон (IV), т. кип.  $161-164^\circ/6$  мм; 2,4-динитрофенилгидразон, т. пл.  $224-225,5^\circ$ . Р-р  $\text{NaHCO}_3$  подкисляют HCl (к-та), получают 4- $\text{COOH}$ -аналог IV (V), т. пл.  $178-182^\circ$ . 1 г Ia, 1,20 г III нагревают 35 мин. при  $150-155^\circ$ , выливают в ледяную воду, экстрагируют эфиром, промывают насыщ. р-ром  $\text{NaHCO}_3$ , подкисляют HCl (к-та), получают 0,28 г V, т. пл.  $178-182^\circ$ . 1,7 г V, 50 мл спирта, 0,5 мл конц.  $\text{H}_2\text{SO}_4$  кипятят 15 час., получают 1 г IV, т. кип.  $150-151^\circ/4$  мм. 0,9 г IV в 100 мл эфира при  $10^\circ$  обрабатывают 0,25 г  $\text{Br}_2$ , смесь выливают в ледяную воду, промывают р-ром  $\text{NaHCO}_3$ , получают 1,3 г 2-бромпроизводного IV (VI), т. пл.  $86-87^\circ$  (из петр. эф.). 1,1 г VI, 20 мл  $\text{C}_6\text{H}_6$  и Na-малоновый эфир (из 1,7 г  $\text{CH}_2(\text{COOC}_2\text{H}_5)_2$ , 0,14 г Na, 20 мл  $\text{C}_6\text{H}_6$  и 0,1 мл спирта) кипятят 11 час., продукт промывают водой, выделяют 0,8 г диэтилового эфира 4-карбатоокси-3-метил-1-инданон-2-малоновой к-ты (VII), т. кип.  $182-185^\circ/1$  мм. 0,8 г VII, 15 мл спирта и 0,7 г КОН кипятят 50 мин., отгоняют спирт, остаток выливают в воду, экстрагируют эфиром, щел. р-р подкисляют 10%-ной HCl (к-та) при  $0^\circ$ , экстрагируют эфиром, получают 0,5 г 4-карбокси-3-метил-1-инданонмалоновой-2 к-ты (VIII), т. пл.  $176-177^\circ$  (разл.; из ацетона-бал.). 0,5 г VIII нагревают до  $190^\circ$ , получают 120 мг 4-карбокси-3-метил-1-инданонуксусной-2 к-ты, т. пл.  $186-188^\circ$  (из  $\text{CH}_2\text{COOC}_2\text{H}_5$ -петр. эф.).

Chem. Abstrs, 1957, 51, № 1, 330. K. Kitsuta  
28960. Изучение тетраминина и родственных соединений. VIII. Синтез тетрациновой кислоты. Тамура (Tamura Yasumitsu), Якугаку дзасси,



1. Pharmas. Soc. Japan, 1956, 76, № 6, 739—742 (японск.; рез. англ.)

К  $\text{CH}_3\text{ONa}$  (из 3 г Na и 40 мл  $\text{CH}_3\text{OH}$ ), 10 г  $\text{HCOOCH}_3$  и 65 мл  $\text{C}_6\text{H}_6$  в атмосфере азота прибавляют по каплям 10 г 7-метокси-3-метил-1-инданон (I) в 60 мл  $\text{C}_6\text{H}_6$ , выдерживают 2 часа при 0°, перемешивают 6 час. при охлаждении водой, фильтруют, р-р выливают в разб.  $\text{HCl}$ , фильтруют, получают 2-формильное производное I (II), т. пл. 120—122° (разл.; из бал.). 4,2 г II в 60 мл  $\text{CH}_3\text{COOH}$  смешивают с 1,8 г  $\text{NH}_2\text{OH} \cdot \text{HCl}$ , выдерживают 20 час., получают 4,2 г гидроксилamina N,N-бис-(7-метокси-3-метил-1-оксо-2-инданилиденметила) (III), т. пл. 151—155° (разл.). 3 г III, 0,6 г  $\text{NH}_2\text{OH} \cdot \text{HCl}$  в 300 мл 2%-ной  $\text{NaOH}$  кипятят 50 час., фильтруют, р-р подкисляют  $\text{HCl}$  (к-та), экстрагируют  $\text{CH}_3\text{COOC}_2\text{H}_5$ , обрабатывают 5%-ным р-ром  $\text{NaHCO}_3$ , подкисляют  $\text{HCl}$  (к-та), получают 1 г 2,3- $\text{ROOC}(\text{CH}_3\text{O})\text{C}_6\text{H}_3\text{CHNCH}_2\text{CH}_2\text{COOR}'$  (IV),  $\text{R} = \text{R}' = \text{H}$  (V), т. пл. 160—161,5° (из воды). 4,6 г IV, 150 мл эфира и эфирный р-р  $\text{CH}_2\text{N}_2$  оставляют на 12 час., промывают 5%-ным р-ром  $\text{NaHCO}_3$ , выделяют 4,1 г IV,  $\text{R} = \text{R}' = \text{CH}_3$  (VI), т. кип. 158—160°/1 мм. 4,5 г VI, 70 мл  $\text{CH}_3\text{OH}$  и 17 мл 1 н.  $\text{NaOH}$  кипятят 9 час.,  $\text{CH}_3\text{OH}$  отгоняют, остаток выливают в воду, встряхивают с эфиром, водн. р-р подкисляют  $\text{HCl}$  (к-та), экстрагируют эфиром, получают 3 г IV ( $\text{R} = \text{CH}_3$ ,  $\text{R}' = \text{H}$ ) (VII), т. пл. 114,5—116° (из бал.-птр. эф.). 40 мл 89%-ной  $\text{H}_3\text{PO}_4$ , 60 г  $\text{P}_2\text{O}_5$  нагревают (3 часа, 400°), прибавляют 3,5 г VI нагревают (3 часа, 100°), выливают в воду, экстрагируют эфиром, промывают насыщ. р-ром  $\text{NaHCO}_3$ , получают 1,3 г 4-карбометокси-5-метокси-3-метил-1-инданона (VIII), т. кип. 135—165°/2 мм.; 2,4-динитрофенилгидразон VIII, т. пл. 238—239°. 3 г VII и полифосфорная к-та в таких же условиях дают 2,1 г VIII, промывание р-ром  $\text{NaHCO}_3$ , экстрагирование эфиром дает 0,5 г 4- $\text{COOH}$ -аналога VIII, т. пл. 139—140°. К 2,2 г VIII в 200 мл эфира при 5—10° прибавляют по каплям 1,5 г  $\text{Br}_2$ , перемешивают 3 часа, промывают водой, сущат, выделяют 1,6 г 2-бромпроизводного VIII (IX), т. пл. 113,5—114° (из птр. эф.). 1,4 г IX, Na-малоновый эфир (из 1,4 г  $\text{CH}_2(\text{COOC}_2\text{H}_5)_2$ , 0,13 г Na, 20 мл  $\text{C}_6\text{H}_6$  и 0,25 мл спирта) кипятят 20 час., смесь промывают водой, 5%-ной  $\text{HCl}$ , р-ритель отгоняют, остаток промывают птр. эфиром, получают 1 г диэтилового эфира 4-карбометокси-5-метокси-3-метил-1-инданонмалоновой-2 к-ты (X), т. кип. 201—208°/0,5 мм. 0,9 г X, 1 г KOH и 10 мл  $\text{CH}_3\text{OH}$  кипятят 1,5 часа,  $\text{CH}_3\text{OH}$  отгоняют, остаток растворяют в 30 мл воды, промывают эфиром, подкисляют  $\text{HCl}$  (к-та), экстрагируют  $\text{CH}_3\text{COOC}_2\text{H}_5$ , получают 0,3 г 4-карбоксо-5-метокси-3-метил-1-инданонмалоновой-2 к-ты (XI), т. пл. 180—181°. XI при 189—190° дает 4-карбоксо-5-метокси-3-метил-1-инданонуксусную-2 к-ту (метилловый эфир тетрациновой к-ты) (XII)  $\text{C}_{14}\text{H}_{14}\text{O}_6 \cdot \text{H}_2\text{O}$ , т. пл. 174—178°. 340 мг XII, 25 мл  $\text{C}_6\text{H}_5\text{NO}_2$  и 0,7 г  $\text{AlCl}_3$  нагревают 3 часа при 100°, смесь при 0° выливают в 200 мл 2%-ной  $\text{HCl}$  (к-та), экстрагируют  $\text{CH}_3\text{COOC}_2\text{H}_5$ , встряхивают с насыщ. р-ром  $\text{NaHCO}_3$ , подкисляют  $\text{HCl}$  (к-та), экстрагируют  $\text{CH}_3\text{COOC}_2\text{H}_5$ , получают 305 мг 4-карбоксо-5-оксис-3-метил-1-инданонуксусной-2 к-ты (тетрациновой к-ты), т. пл. 233—234° (разл.).

Chem. Abstrs, 1957, 51, № 1, 330. K. Kitsuta 1961. Изучение тетрамина и родственных соединений. IX. Синтез 3-(о-карбоксибензил)-масляной кислоты. Хорни, Ниномия, Тамура (Studies on terramycin and related compounds. IX. Synthesis of 3-(o-carboxyphenyl) butyric acid via the Reformatsky reaction. Horii Zenichi, Ninomiya Ichioya, Tamura Yasumitsu), Pharmas. Bull., 1957, 5, № 1, 6—10 (англ.)

При помощи р-ции Реформатского из 2- $\text{CH}_3\text{COC}_6\text{H}_4\text{COOC}_2\text{H}_5$  (I) и  $\text{BrCH}_2\text{COOC}_2\text{H}_5$  (II) через этиловый

эфир 3-метилфталидил-3-уксусной к-ты (III, IV к-та) и 2- $\text{HOOC}_6\text{H}_4\text{C}(\text{CH}_3)=\text{CHCOOH}$  (V) получают 2- $\text{HOOC}_6\text{H}_4\text{CH}(\text{CH}_3)\text{CH}_2\text{COOH}$  (VI). Строение III и V подтверждено хим. свойствами и УФ- и ИК-спектрами. Проведение р-ции Реформатского с 2- $\text{CH}_3\text{COC}_6\text{H}_4\text{COOC}_2\text{H}_5$  (VII) вместо I или с 2- $\text{CHOC}_6\text{H}_4\text{COOC}_2\text{H}_5$  (VIII) приводит к метиловому эфиру IV (IX) или этиловому эфиру фталидил-3-уксусной к-ты (X, XI к-та) соответственно. К 12 г активированной Zn-пыли и 1,5 г порошка Cu постепенно прибавляют смесь 15 г I, 22 г II и 120 мл сухого  $\text{C}_6\text{H}_6$  (после прибавления небольшого кол-ва смеси нагревают до начала р-ции), поддерживая кипение реакционной массы, размешивают 4 часа, по охлаждении разлагают 20%-ной  $\text{H}_2\text{SO}_4$ , водн. слой экстрагируют небольшим кол-вом  $\text{C}_6\text{H}_6$ , из бензольных р-ров выделяют III, выход 59%, т. кип. 173—173,5°/2,5 мм, 196—198°/9 мм; III не изменяется при нагревании с  $\text{POCl}_3$  2 часа. 6,3 г III и 100 мл 20%-ного  $\text{NaOH}$  кипятят 5 час., экстрагируют эфиром, подкисляют при охлаждении льдом, получают V, выход 72%, т. пл. 150—151° (из этилацетата). V некоторое время нагревают при 160°, по охлаждении получают IV, т. пл. 83,5—85°. 2 г V в 60 мл 10%-ного  $\text{NaOH}$  нагревают при 90°, за 90 мин. прибавляют небольшими порциями сплав Ni(Al), нагревают еще 1 час, осадок промывают водой, водн. р-ры подкисляют конц.  $\text{HCl}$ , получают VI, выход 95%, т. пл. 147,5—149,5° (из воды). Проведением р-ции Реформатского с VII (полученным из 2- $\text{CH}_3\text{COC}_6\text{H}_4\text{COOH}$  и  $\text{CH}_3\text{OH}$  в присутствии конц.  $\text{H}_2\text{SO}_4$ , т. кип. 154—156°/16,5 мм) получают IX, выход 63%, т. кип. 168—169°/2 мм. Аналогично из VIII (т. кип. 162—165°/17 мм, т. пл. 66—68°) получают X, выход 61%, т. кип. 172—175°/2 мм, т. пл. 73,5—75° (из этилацетата + бен.). Приведены УФ-спектры III, IV, V, XI, метилового эфира XI, и 2- $\text{HOOC}_6\text{H}_4\text{CH}(\text{CH}_3)\text{COOH}$  (XII), ИК-спектры III, V, X и XII.

В. Скородумов

28962. Выделение и химическое строение трегалозаминна, нового аминоксахара — продукта стрептомицета. Аркамоне, Биццоли (Isolamento e costituzione chimica della trealosamina, nuovo ammino-zucchero prodotto da uno streptomicete. Arcamone Federico, Biziooli Franco), Gazz. chim. ital., 1957, 87, № 7-8, 896—902 (итал.)

Из фильтрата культуры брожения *Streptomyces* выделен новый аминоксахар — трегалозамин (I), представляющий собой (по данным идентификации продуктов кислотного гидролиза, результатов р-ции с  $\text{NaJO}_4$  и измерения угла вращения I и его производных) α-глюкопиранозидо-2-дезоксис-2-амино-α-Д-глюкопиранозид и обладающий умеренным антибиотич. действием in vitro. Получены: хлоридат I,  $[\alpha]_D^{25} + 176^\circ$  (с 2; вода); октаацетил-I, моногидрат, т. пл. 93—102° (из воды),  $[\alpha]_D + 163,5^\circ$  (хлф.); салицил-иден-I, т. пл. 220° (разл.; из  $\text{CH}_3\text{OH}$ ). I является первым природным олигосахаридом, содержащим свободную аминогруппу.

Л. Песин

28963. Химия неомицина. I. Частичная структура для необиоаминов В и С. II. Пентозная половина. Райнхарт, Ву, Аргуделис, Гисбрехт (Chemistry of the neomycins. I. A partial structure for neobiosamines B and C. II. The pentose moiety. Rinehart Kenneth L., Jr, Woo Peter W. K., Argoudelis Alexander D., Giesbrecht Astrea M.), J. Amer. Chem. Soc., 1957, 79, № 16, 4567—4568 (англ.)

I. Показано, что необиоамины ( $\text{C}_{11}\text{H}_{22}\text{N}_2\text{O}_8$ ) (I) обоих антибиотиков неомицина (II) В и С состоят из диаминогексозидопентозы. Метанолиз II С приводит к неамину и метилнеобиозаминиду С (III). Хроматографированием (ХФ) III выделены его аномерные α- и β-глюкозиды ( $\text{C}_{11}\text{H}_{21}\text{N}_2\text{O}_7(\text{OCH}_3)$ , метил-N,N'-дибензоил-необиозаминид С (IV), т. пл. 250—252°. Гидролиз каж-

дого  $\alpha$ - и  $\beta$ -аномера ( $[\alpha]^{25}_D +113^\circ$  и  $[\alpha]^{25}_D +61^\circ$  соответственно) разб. HCl приводит к I C (с идентичной величиной мутаротации  $[\alpha]^{25}_D +104^\circ$ ), который дает на бумаге одно пятно ( $R_f$  0,227,  $\text{трет-C}_4\text{H}_9\text{OH}:\text{CH}_3\text{COOH}:\text{вода}$ , 2:1:1). Аналогичные результаты получены для I B. Оба  $\alpha$ - и  $\beta$ -аномеры ( $[\alpha]^{25}_D +13^\circ$  и  $[\alpha]^{25}_D -17^\circ$  соответственно) III B гидролизуются до постоянного вращения ( $[\alpha]^{25}_D +33^\circ$ ) и дают одно пятно на бумаге ( $R_f$  0,251).

II. Приведены доказательства, что пентоза, являющаяся составной частью I B и C является Дрибозой. При гидролизе IV разб. HCl после тщательной очистки частичным пересаживанием на ионообменных смолах и ХФ выделена рибоза (цветная проба, вращение и ХФ на бумаге). При гидролизе IV B получены аналогичные результаты. На основании приведенных данных предложена частичная ф-ла для I B и C, метилнеобизаминидов B и C и II B и C:  $\text{ROC}_5\text{H}_6(\text{OH})_2\text{OC}_6\text{H}_7\text{O}(\text{OH})_2(\text{NH}_2)_2$ , где  $R = \text{H}$ ,  $\text{CH}_3$  и  $\text{C}_{12}\text{H}_{25}\text{N}_4\text{O}_5$  (неамин) соответственно. М. Линькова

28964. Гидрогенолиз. VIII. Идентичность ориентомидина с циклосерином (оксамидином, PA-94). Мицун, Имандзун (Mitui Sekio, Imaizumi Shin), Нихон кагаку дзасси, J. Chem. Soc. Japan. Pure Chem. Sec., 1957, 78, № 6, 812—814 (японск.).

Идентичность ориентомидина (I) с циклосерином доказана одинаковыми т-рами плавления N-ацетата, N,O-диацетата (II) и фенилизотианата, полученными из различных образцов, а также тем, что при гидрогенолизе I дает амид D-серина (III), а II альдегид серина. Гидрируют 1 г I в 40 мл воды над 1 г скелетного Ni при повышенной т-ре и давлении 1 час. Получают III. Аналогично, но 3 часа, гидрируют II. Сообщение VII см. РЖХим, 1957, 54402. Н. Швецов

28965. Синтез L-4-амино-3-изоксазолидинона, не природного стереоизомера циклосерина и его антибиотическая активность. Смрт, Беканек, Зихер, Шкода, Хесс, Шорм (Synthesis of L-4-Amino-3-isoxazolidinone, the unnatural stereoisomer of cycloserine and its antibiotic activity. Smrt J., Beránek J., Sicher J., Skoda J., Hess V. F., Sorm F.), Experientia, 1957, 13, № 7, 291 (англ.; рез. нем.).

Описан прямой синтез L- и D-циклосерина  $\text{CONHOCH}_2\text{CHNH}_2$  I из L- и D-серина (II). Хлоргидрат II

при действии трифенилметилхлорида +  $\text{N}(\text{C}_6\text{H}_5)_3$  и последующим нагреванием с  $\text{CH}_3\text{SO}_2\text{Cl}$  дает  $(\text{C}_6\text{H}_5)_3\text{CNCH}_2\text{CHNCOOCH}_3$  (III), выход 80%, который при

обработке  $\text{NH}_2\text{OH} + \text{CH}_3\text{ONa}$  переходит в  $(\text{C}_6\text{H}_5)_3\text{CNCH}_2\text{CHNCONHON}$  (IV), выход 95%. IV расщепляется

HCl с образованием  $\text{ClCH}_2\text{CH}(\text{NH}_2\cdot\text{HCl})\text{CONHON}$  (V), выход 80%, последний при действии перолита FF дает I, выход 50%. I, L-, т. пл. 153—154°,  $[\alpha]^{20}_D -114,5^\circ$  (с 0,9; вода); L-, т. пл. 152—153°,  $[\alpha]^{20}_D +115^\circ$  (с 1; вода); III, L-, т. пл. 123—125°,  $[\alpha]^{20}_D -94,2^\circ$  (с 1; хлф); D-, т. пл. 123—124°,  $[\alpha]^{20}_D +95,0^\circ$  (с 2; хлф); IV, L-, т. пл. 164°,  $[\alpha]^{20}_D -101,8^\circ$  (с 1,6; хлф); D-, т. пл. 163°,  $[\alpha]^{20}_D +102,0^\circ$  (с 2,6; хлф); V, L-, т. пл. 190—194°,  $[\alpha]^{20}_D -14,1^\circ$  (с 2;  $\text{CH}_3\text{OH}$ ). D-, т. пл. 191—193°,  $[\alpha]^{20}_D +14,2^\circ$  (с 2;  $\text{CH}_3\text{OH}$ ). Показано, что DL-I задерживает рост *Escherichia coli* B. более сильно, чем D- и L-формы. Это первый случай синергизма между стереоизомерными формами антибиотика. М. Линькова

28966. Первоначальное исследование строения нового антибиотика, конгоцидина. Жюлиа, Жозеф (Premières études sur la structure chimique d'un nouvel antibiotique, la congocidine. Julia Marc, Joseph Nicole, m-lle), C. r. Acad. sci., 1956, 243, № 14, 961—964 (франц.).

При ступенчатом щел. гидролизе конгоцидина (I), для которого авторы предлагают ф-лу  $\text{C}_{18}\text{H}_{26}\text{N}_4\text{O}_{10}$ , сначала образуется основание  $\text{C}_{15}\text{H}_{19}\text{N}_4\text{O}_3$  (II) (т. пл. 233° (из разб. сп.); пикрат, т. пл. 242°; бензоат, т. пл. 265°), иминогидантоин и  $\text{NH}_3$ , затем II дает  $\text{NH}_3$  и амфотерное соединение  $\text{C}_{15}\text{H}_{19}\text{N}_5\text{O}_4$  (III) [т. пл. 167° (из воды); пикрат, т. пл. 250°], из III в свою очередь образуется  $\beta$ -аланин и амфотерное соединение  $\text{C}_{12}\text{H}_{14}\text{N}_4\text{O}_3$  (IV); сульфат (с  $2\text{H}_2\text{O}$ ), т. пл. 240°. Выход во всех случаях почти колич. При глубоком кислотном гидролизе I, II и III дают в числе прочих продуктов монометиламин, саркозин и  $\text{CO}_2$ . I является сильным двухкислотным основанием, не содержит ангидридных сложноэфирных  $\text{CH}_3\text{O}$ ,  $\text{CH}_3\text{C}$ - и активных  $\text{CO}$ -групп, но содержит группы  $\text{NCH}_3$ . Соли I весьма гигроскопичны; т-ры плавления определены мгновенным нагреванием в блоке и выражены недостаточно резко: дихлоргидрат I (осаждение воды, р-ров ацетоном, высушивание над  $\text{P}_2\text{O}_5/0,5$  мм (20°), кристаллизуется с  $2,5 \text{ H}_2\text{O}$ ) 228°; сульфат (с  $2,5 \text{ H}_2\text{O}$ ) 288° (из воды); гелиантат, 224° (из сп.); пикрат, 273° (из сп.). Свойства I близки к свойствам «нетропина», последние исследования которого привели к одинаковой с I суммарной ф-ле (РЖХим, 1957, 8221). Приведены спектроскопич. данные (УФ-спектры), значение  $pK$  и цветные р-ции I, II, III и IV.

Р. Топштейн  
28967. Внутрикислотные соединения металлов с N-бис-(2-хлорэтил)-аминокислотами. Исидата, Ханаки (Ishidate Morizo, Hanaki Akira), Якугаку дзасси, J. Pharm. Soc. Japan, 1957, 77, № 6, 634—640 (японск.; рез. англ.).

Сравнивалась способность образования внутрикислотных соединений (ВКС) с металлами у N-бис-(2-хлорэтил)-глицина (I) и -аланина (II), являющихся цитотоксич. средствами, с аналогичными соединениями N-бис-(2-оксиэтил)-глицина, саркозина и глицина. Установлено, что I и II образуют ВКС только с Cu (III, IV соответственно). Определены константы устойчивости:  $\lg K$  для III 4,90, для IV 4,30,  $\lg K_2$  для III 3,30, для IV 3,02 (много слабее, чем у остальных сравниваемых аминокислот). Установлено, что скорость выделения хлора у ВКС является величиной того же порядка, что и у свободных аминокислот. Из полученных результатов следует, что ВКС Cu с N-бис-(2-хлорэтил)-аминокислотами нестойки и при гидролизе легко переходят в более стойкие ВКС N-бис-(2-оксиэтил)-аминокислот.

Г. Челпанова  
28968. Образование кристаллических продуктов при перегруппировке Амадори из производных аминокислот. Михель, Фровейн (Synthese kristalliner Amadori-Derivate von Aminosäuren. Michael F., Frowein A.), Angew. Chem., 1957, 69, № 17, 562 (нем.).

4,6-бензилиден-D-глюкоза конденсируется с изопропиловым эфиром глицина в изопропиловый эфир (4,6-бензилиден)-N-D-глюкозилглицина (I), т. пл. 98° ( $[\alpha]^{20}_D -66^\circ$  (в пиридине)). Перегруппировкой Амадори в присутствии щавелевой к-ты из I получают оксалат изопропилового эфира 1-дезоксид-1-(2-карбоксиизопропилэтиламино)-D-фруктозы, т. пл. 132°,  $[\alpha]^{20}_D -38^\circ$  (пиридин-вода), из которой при действии эквивалентного кол-ва NaOH получен изопропиловый эфир 1-дезоксид-1-(2-карбоксиизопропилэтиламино)-D-фруктозы, т. пл. 145°,  $[\alpha]^{20}_D -69,5^\circ$  (пиридин). В. Светлаева

28969. Об активированных эфирах. VIII. Новый метод получения ариловых эфиров карбоновых кислот. Изелин, Риттель, Зибер, Швицер (Neue Methoden zur Herstellung von Carbonsäure-arylethern. Über aktivierte Ester VIII. Iselin B., Rittel W., Sieber P., Schwyzer R.), Helv. chim. acta, 1957, 40, № 2, 373—387 (нем.; рез. англ.).

Карбоновые к-ты гладко этерифицируются диари-



или (несколько медленнее) смешанными арилалкилсульфатами в присутствии  $C_6H_5N$  или других органич. оснований, причем в последнем случае, как и в первом, получаются только ариловые эфиры к-т. Триарил- и алкилдиарилфосфиты реагируют аналогично. Могут применяться также смешанные триарилфосфиты, но в этом случае выход эфиров снижается. Этим путем синтезированы эфиры карбобензоксиглицина  $C_6H_5CH_2OCONHCH_2COOR$  [Ia R =  $C_6H_5$ , б R =  $\alpha-C_{10}H_7$ , в R =  $\beta-C_{10}H_7$ , г R =  $n-CH_2OCOC_6H_4$ , д R =  $\alpha-CH_2OCOC_6H_4$ , е R =  $n-(CH_3)_2NC_6H_4$ , ж R =  $n-CNC_6H_4$ , з R =  $n-CH_2SO_2C_6H_4$ , и R =  $n-NO_2C_6H_4$ ], эфиры бензоилглицина  $C_6H_5CONHCH_2COOR$  (II а R =  $C_6H_5$ , б R =  $\alpha-C_{10}H_7$ , в R =  $\beta-C_{10}H_7$ , г R =  $n-CH_2OCOC_6H_4$ , д R =  $\alpha-CH_2OCOC_6H_4$ , е R =  $n-CH_2SO_2C_6H_4$ ) и эфиры  $RCOOR'$  [III а R =  $n-BrC_6H_4$ , б R =  $C_6H_5$ , в R = 1,2- $C_6H_4(CO)_2NCH_2$  (фталимидометил), г R =  $C_6H_5$ , д R =  $(C_6H_5)_3CNHCH_2$ , е R =  $\alpha-C_{10}H_7$ , ж R =  $C_6H_5CH_2$ , з R =  $\beta-C_{10}H_7$ ; д R =  $C_6H_5$ , е R = 2,6- $CH_3OC_6H_3$ ; в R =  $\alpha-NO_2C_6H_4$ , г R =  $n-NO_2C_6H_4$ ], ди- $\alpha$ -нафтиловый эфир щавелевой к-ты (IV) и *n*-нитрофениловые эфиры карбобензоксиглицил-*L*-валина (V), карбобензоксиглицил-*L*-лейцина (VI), карбобензоксиглицил-*L*-лейцил-*D*-фенилаланина (VII), *N*-карбобензоксиглицил-*L*-лейцил-*D*-фенилаланина (VIII), *N*-карбобензоксиглицил-*L*-лейцил-*D*-фенилаланина (IX) и *n*-цианфенилового эфира *N*-карбобензоксиглицил-*L*-лейцил-*D*-фенилаланина (X). Исходные сульфиты  $ROSOOR$  [XI а R =  $C_6H_5$ , б R =  $\alpha-C_{10}H_7$ , в R =  $\beta-C_{10}H_7$ , г R = 2,6- $CH_3OC_6H_3$ , д R =  $\alpha-CH_2OCOC_6H_4$ , е R =  $n-CH_2OCOC_6H_4$ , ж R =  $n-(CH_3)_2NC_6H_4$ , з R =  $n-NCC_6H_4$ , и R =  $n-CH_2SO_2C_6H_4$ , к R =  $n-NO_2C_6H_4$ ],  $C_6H_5OSOOC_6H_5NO_2$ -*n* (XII) и  $C_6H_5OSOOC_6H_5NO_2$ -*n* (XIII); триарилфосфиты  $P(OR)_3$  [XIV а R =  $C_6H_5$ , б R =  $\alpha-C_{10}H_7$ , в R =  $\beta-C_{10}H_7$ , г R =  $n-CH_2OCOC_6H_4$ , д R =  $n-(CH_3)_2NC_6H_4$ , е R =  $n-CNC_6H_4$ , ж R =  $n-CH_2SO_2C_6H_4$ , з R =  $n-NO_2C_6H_4$ ],  $C_6H_5OP \times X$  ( $OC_6H_4NO_2$ -*n*)<sub>2</sub> (XV),  $C_6H_5OP(OC_6H_4NO_2$ -*n*)<sub>2</sub> (XVI) и  $n-NO_2C_6H_4OP(OC_6H_4NO_2$ -*n*)<sub>2</sub> (XVII) получены взаимодей-

ствием соответствующих фенолов с  $SOCl_2$ ,  $ROSOCl$ ,  $PCl_3$  или  $ROP(OR)_3$  в присутствии  $C_6H_5N$  или  $N(C_2H_5)_3$ . Обсужден ионный механизм описанных р-ций. К 0,029 моля  $n-CH_2SO_2C_6H_4ON$  и 14,6 моля  $SOCl_2$  в 25 мл тетрагидрофурана (XVIII) приливают по каплям 0,035 моля  $N(C_2H_5)_3$  в 15 мл XVIII и через 1 час отделяют XIв, выход 51%, т. пл. 146–149°. Аналогично получают (указаны в-во, т. кип. в °C/мм или т. пл. в °C): XIа, 172–174/11; XIб, 90–92 (из эф.); XIв, 78–79 (из сп.); XIг, 97–99 (из сп.); XIд, 181–183/0,07; XIе, 90 (разл.); XIж, 58 (из сп.); XIз, 97 (разл.); XIк, 98–100 (из ацетона-эф.). К 0,02 моля  $n-NO_2C_6H_4ON$  в 20 мл эфира добавляют при 0° 0,02 моля  $C_6H_5OSOCl$  или  $C_6H_5OSOCl$ , приливают по каплям 0,02 моля  $N(C_2H_5)_3$  в 5 мл эфира и выделяют XIII, выход 61%, т. пл. 32–33° (из эф.-петр. эф.), или XII, т. пл. 42–43° (из эф.-петр. эф.). К р-ру 0,05 моля  $n-NO_2C_6H_4ON$  в 4 мл  $C_6H_5N$  и 75 мл эфира приливают при 0° 0,025 моля  $C_6H_5OPCl_2$  в 10 мл эфира, через 15 мин. фильтруют, р-р концентрируют, разбавляют петр. эфиром и отделяют XVI, выход 35%, т. пл. 64–65° (из эф.-петр. эф.). Аналогично получают (указаны в-во, т. кип. в °C/мм или т. пл. в °C): XIVа, 129–130/0,01; XIVб, 91; XIVв, 97; XIVг (неочищ.) — XIVд, 71 (из  $CH_3OH$ ); XIVе, 129–130 (из бэл.-петр. эф.); XIVж, 185–188 (из  $CH_3OH = HCON(CH_3)_2$ ); XIVз, 170–171 (из толуола); XV, 85–86 (из эф.); XVII, 62–64 (из эф.-петр. эф.). Смесь 2,4 ммоль карбобензоксиглицина (XIX), 3,1 ммоль XIв и 3 мл  $C_6H_5N$  оставляют на 2,5 часа при 20°, вливают в 0,1 л 1 н. HCl и отделяют Iв, выход 97%, т. пл. 133° (из сп.). 1 ммоль XIX, 1 мл этилацетата (или  $CHCl_3$ ), 0,16 мл  $C_6H_5N$  и 1 ммоль XIг нагревают 3 часа при 50° и выделяют Iв, выход 9%, т. пл. 124–125° (из сп.), или 1 ммоль XIX и 0,5 мл  $C_6H_5N$  и 0,5 ммоль XVI оставляют на 5 час., разбавляют  $CH_3COOH$ , отгоняют р-ритель и получают Iв, выход 92%. Аналогично получают (указаны в-во, выход в % и т. пл. в °C): Ia, 89, 68–70 (из  $CCl_4$ -петр. эф.);

Iб, 85, 87–89 (из эф.); Iв, 90, 109–116 (из эф.); Iг, 78, 70–72 (из эф.-петр. эф.); Id, 76, 121 (из  $CH_3OH$ ); Iе, 78, 109 (из разб. сп.); Iж, 81, 94 (из  $CCl_4$ ); IIа, 45, 102 (из  $CCl_4$ -петр. эф.); IIб, 46, 145 (из бэл.); IIв, 50, 149; IIг, 74, 150–151 (из этилацетата); IIд, 45, 142–143 (из бэл.); IIе, 64, 156 (из сп.); IIа, 68, 116–117 (из эф.-петр. эф.); IIв, 70, 119–121 (из ацетона-эф.); IIв, 65, 127–128 (из эф.-петр. эф.); IIг, 50, 85–86 (из петр. эф.); IIд, 49, 114–116 (из сп.); IIе, 60, 148–150 (из сп.); IV, 65, 153–155 (из бэл.); V, 85, 63 (из эф.-петр. эф.); VI, 89, 95 (из эф.-петр. эф.); VII, 76, 163–165° (из ацетона); VIII, 80, 89–91 (из сп.); IX, 33, 165–166 (из  $CH_3OH$ ); X, 76, 160 (из  $CH_3OH$ ). Сообщение VII см. РЖХим, 1957, 37802. Л. Щукина 28970. Новая группа противогистаминных соединений: морфолиды *N*-производных глицина. Смолникский (Nowa grupa połączeń antyhistaminowych: morfolidy *N*-pochodnych glicyny. Smoliński Stefan), Roczn. chem., 1956, 30, № 4, 1111–1119 (польск.; рез. англ.).

Взаимодействием *N*-хлорацетилморфолина (I) с вторичными аминами или морфолином (II) синтезированы соответственно  $RCOCH_2NR'R''$  (III) или  $RCOCH_2R$  (IV), где R — остаток II. При р-ции I с  $NH_3$  и  $CH_3NH_2$  в зависимости от условий опыта, получены III ( $R' = R'' = H$ ) (IIIа),  $N(CH_3COR)_2$  (V), I ( $R' = H$ ,  $R'' = CH_3$ ) (IIIб) и  $CH_3N(CH_2COR)_2$  (VI). К 0,1 моля  $ClCH_2COCl$  в  $C_6H_6$  прибавляют при охлаждении 0,1 моля II в  $C_6H_6$ , нагревают 4 часа на водяной бане и оставляют на ~ 12 час., получают I, выход 73%, т. кип. 135°/5 мм, 171–173°/17 мм,  $n_D^{20}$  1,5090,  $d_4^{25}$  1,285. Смесь 8,2 г I и 4,4 г II в  $C_6H_6$  кипятят 2 часа, получают хлоргидрат IV, выход 60%, т. пл. 238° (разл.; из сп.-бэл.). Из последнего при обработке эквивалентным кол-вом КОН выделяют IV, т. пл. 75° (из эф.); карбонат, т. пл. ~ 330°; пикрат, т. пл. 149° (из сп.). К 6,5 г  $(CH_3)_2NH$  в  $C_6H_6$  постепенно прибавляют при охлаждении 12,5 г I и оставляют на ~ 12 час., получают III ( $R' = R'' = CH_3$ ), выход 75%, т. кип. 119°/5 мм,  $n_D^{20}$  1,4892,  $d_4^{25}$  1,084; пикрат, т. пл. 121° (из  $CH_3OH$ ). Аналогично получают III ( $R' = R'' = C_2H_5$ ), выход 85%, т. кип. 136°/6 мм,  $n_D^{20}$  1,4860,  $d_4^{25}$  1,036; пикрат, т. пл. 161° (из сп.). К 20 г конц.  $NH_4OH$  прибавляют 5 г I и упаривают, получают хлоргидрат IIIа, выход 40%, т. пл. 241° (разл.); пикрат, т. пл. 220° (разл.). В р-р 12 г I в 50 мл  $CHCl_3$  пропускают сухой  $NH_3$ , отделяют фильтрованием  $NH_4Cl$  (~ 3,9 г) и фильтрат упаривают; получают V, выход 90%, т. пл. 156° (из абс. сп.); хлоргидрат, т. пл. 200° (разл.); пикрат, т. пл. 220,5° (разл.). Р-р 16 г  $CH_3NH_2 \cdot HCl$  в воде обрабатывают избытком КОН, сухой  $CH_3NH_2$  вводят в охлаждаемый р-р 10 г I в  $C_6H_6$ , фильтруют и упаривают в вакууме; получают IIIб, выход 40%, т. кип. 155°/14 мм,  $n_D^{20}$  1,5028,  $d_4^{25}$  1,126; пикрат, т. пл. 161° (из  $CH_3OH$ ). При аналогичной р-ции без охлаждения и нагреванием фильтрата в течение 3 час. получают VI, выход 40%, т. пл. 187–188° (разл.); пикрат, т. пл. 224° (разл.; из сп.). Описанные соединения обладают противогистаминным действием и малотоксичны. W. Lewenstein

28971. Бензильный эфир карбобензоксиглицил-*D,L*-аланина. Шнабель, Цан (Carbo-benzoxy-L-nitrotyrosyl-glycyl-DL-alanin-benzylester. Schnabel Eugen, Zahn Helmut), Monatsh. Chem., 1957, 88, № 4, 646–651 (нем.).

При взаимодействии карбобензоксиглицил-*D,L*-тирозилглицилгидразида (I) с  $NaNO_2$  наряду с образованием соответствующего азиды (II) происходит нитрование фенольного ядра тирозина. Сочетанием II с бензильным эфиром *D,L*-аланина (III) получают бензильный эфир KBЗ-*L*-нитротирозилглицил-*D,L*-аланина (IV), нитрогруппа которого в кислой и щел. средах восстанавливается до аминной. Из I и эквивалентного кол-ва





основания р-ру прибавляют HCl до 2% при содержании аминокислот 1 мг на 1 мл и 10-кратное кол-во (по отношению к общему кол-ву аминокислот) фосфорновольфрамовой кислоты; оставляют стоять (+5°, 48 час.), центрифугируют осадок (10 мин., 3000 оборотов), промывают водой (3 × 10 мл) и растворяют в смеси ацетон-вода (4:3) с расчетом 1 γ основания в 1 мл. Для разделения применяют 15 γ в-ва. Проявляют реактивами, применяемыми для проявления содержащихся в них аминокислот. Значение  $R_f$ , найденные для солей, ниже значений для свободных оснований. Приведены значения  $R_f$  для следующих свободных оснований и их солей, соответственно: гуанидин, — и 0,43; метилгуанидин, 0,84 и 0,53; гликоциамин, 0,21 и 0,05; креатинин, 0,51 и 0,41; аргинин, 0,11 и 0,04; агматин, 0,44 и 0,21; орнитин, 0,06 и 0,02; путресцин, 0,24 и 0,11; арканин, 0,50 и 0,26; гистидин, 0,08 и 0,04; лизин, 0,06 и 0,02.

Р. Топштейн

28979. Синтез аденозина. Симадатэ, Йосимура, Сато (Simadate Tosisada, Yosimura Jiji, Sato Tetuo), Нихон кагаку дзасси, J. Chem. Soc. Japan. Pure Chem. Sec., 1957, 78, № 2, 208-210 (японск.). Проведен синтез аденозина (I) и 2-метилтиоаденозина (II) на основе 2-метилтиоаденина (III). К р-ру 4 г III в 22 мл 1 н. NaOH и большом кол-ве горячей воды прибавляют р-р 6 г HgCl<sub>2</sub> в спирте, получают 8,6 г соли (IV), 8,6 г IV, 150 мл сухого ксилола и 1-хлор-2,3,5-триацетил-D-рибосуранозу (из 5 г 1,2,3,5-тетраацетил-D-рибосуранозы) в 30 мл сухого ксилола кипятят 5 час., получают 3,5 г 2-метилтио-2',3',5'-триацетиладенозина (V), 3,5 г V в 150 мл спирта нагревают с 1,5 г скелетного Ni (давление H<sub>2</sub> 10 ат, 100–110°, 3 часа), полученный продукт (2 г) растворяют в 100 мл CH<sub>3</sub>OH, добавляют 120 мл насыщ. при 0° метанольного NH<sub>3</sub>, оставляют при 0° на 12 час., упаривают, кипятят с водой, фильтруют, получают 0,84 г I. При аналогичной обработке 3,4 г V метанольным NH<sub>3</sub> получают 1,3 г II т. пл. 225°; при нагревании 5 г II в 800 мл воды + 0,5 г NaOH с 5 г скелетного Ni (давление H<sub>2</sub> 10 ат, 100–110°) получают 3,2 г I т. пл. 232–233°.

Л. Яновская

28980. Синтез «активного сульфата». Баддлэй, Бьюкенен, Леттерс (Synthesis of «active sulphate». Baddiley J., Buchanan J. G., Letters R), Proc. Chem. Soc., 1957, May, 147–148 (англ.). Аденозин-3':5'-дифосфат (I) сульфатируют пиридин-сульфотриоксидом (40°, разб. р-р NaHCO<sub>3</sub>), смесь пропускают через уголь, элюируют разб. водн. р-ром NH<sub>3</sub> и хроматографируют на бумаге [m-C<sub>6</sub>H<sub>4</sub>OH-NH<sub>4</sub>OH (d 0,88)-H<sub>2</sub>O (6:3:1)]. Кроме I обнаружены аденозин-2':3'-циклофосфо-5'-фосфат и аденозин-3'-фосфо-5'-сульфосфосфат (II) («активный фосфат»). II идентичен с природным II (хроматография, электрофорез). II гидролизуются к-той до H<sub>2</sub>SO<sub>4</sub> и смеси дифосфатов аденозина.

З. Шабарова

28981. Изучение веществ, родственных карнитину. Синтез DL-γ-триметиламино-β-оксипропансульфокислоты (DL-антикарнитина). Мацуи, Мияно, Тэрада (Matsui Masanao, Miyano Masateru, Terada Yutaka), Нихон кагаку кайси, J. Agric. Chem. Soc. Japan, 1957, 31, № 4, 223-235 (японск.). Из дибромгидрина глицерина (I) при действии Na<sub>2</sub>SO<sub>3</sub> получают Na-соль γ-бром-β-оксипропансульфокислоты (II), которая с триметиламином дает DL-антикарнитин (III), сернистый аналог карнитина. Исследовали также путь синтеза III, аналогичный синтезу карнитина: N-(γ-хлор-β-оксипропил)-бензамид (IV) превращают в C<sub>6</sub>H<sub>5</sub>CONHCH<sub>2</sub>CHONHCH<sub>2</sub>J (V), который при действии Na<sub>2</sub>SO<sub>3</sub> дает следы Na-соли N-бензил-γ-амино-β-оксипропансульфокислоты (VI). К 100 г I в 100 мл спирта при кипении добавляют за 4 часа р-р 16 г Na<sub>2</sub>SO<sub>3</sub> в 115 мл воды. Получают II, выход 95%,

т. пл. 225° (из сп.). 22 г II нагревают с 26 г CH<sub>3</sub>NH<sub>2</sub>HCl и 10 г NaOH в 50 мл воды 48 час. при 70°. Получают 7 г III, т. пл. 240° (из сп., CH<sub>3</sub>OH, ацетона). Нагревают 1 час при 40° 14 г IV с 16 г NaJ в 40 мл C<sub>2</sub>H<sub>5</sub>OCH<sub>2</sub>CH<sub>2</sub>OH. Получают V, выход 90%, т. пл. 138° (из воды). К р-ру 18 г V в 90 мл спирта добавляют 6,5 г Na<sub>2</sub>SO<sub>3</sub> в 70 мл воды, кипятят 3 часа и оставляют на 12 час. Образуется гидрат VI.

Н. Шнепов

28982. О ядовитых веществах зеленых *Amanita phalloides*. Сообщение 13. Фаллоин — новый токсин. Виланд, Маннес (Über die Giftstoffe des grünen Knollenblätterpilzes. 13. Mitteilung. Phalloin, ein weiteres Toxin. Wieland Theodor, Mannes K.), Angew. Chem., 1957, 69, № 11, 389 (нем.).

При хроматографич. разделении смеси ядовитых в-в из грибов, собранных в 1955 г., на Al<sub>2</sub>O<sub>3</sub> (со смесью водн. n-бутанола и 10 объемн. % этанола) получено в-во с т. пл. 250–280° (из воды), обладающее большей токсичностью, чем фаллоидин (I), и названное фаллоином (II). II является циклич. пептидом.  $R_f$  для II в смеси метилэтилкетон-ацетон-вода (20:2:5) 0,6–0,65. По растворимости, цветным р-циям и УФ-спектру II очень сходен с I. Мол. вес II 730 ± 4%. В гидролизате II обнаружены аланин, треонин, цистеин, алло(?)-оксипролин, оксидолилалин и аминокислоты, обладающий положительной нингидриной р-цией. Предыдущее сообщение см. РЖХим, 1958, 21654.

Е. Чаман

28983. Исследование чумы (*Cyperus esculentus* L.).

IV. Летучие компоненты оршада. Алькала-Колумбри, Касас-Карраминьяна, Примо-Юфера (Estudio sobre la chufa («*Cyperus esculentus*» L.). IV. Componentes volátiles de la horchata. Alcalá Colombrí A., Casas Carramiñana A., Primo Yúfera E.), An. Real soc. española, fis y quim., 1957, B53, № 5, 385–390 (исп.; реф. англ.).

Летучие в-ва оршада (водн. эмульсии из растертых клубеньков чумы) выделены отгонкой в вакууме (30 мм) с охлаждением отгона до –80°; в них обнаружены CH<sub>3</sub>OH, спирт, HCHO, ацетон и метилэтилкетон. Прямой перегонкой оршада из 20 кг чумы (100 г отгона) выделено 1 г масла, содержащего углеводород C<sub>25</sub>H<sub>52</sub>, т. пл. 56–60° (из сп.-эф.); судя по ИК-спектру (приведена кривая), он является 5-н-бутилнейкозаном.

С. Завьялов

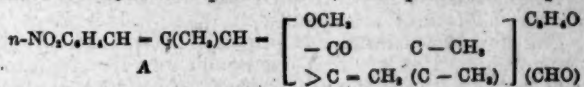
28984. Структура и синтез каннтовой кислоты. Тацуока (Tatsuoka Sueo), Юки госэй кагаку кэйкай, J. Soc. Organ. Synth. Chem., Japan, 1957, 15, № 9, 437–448 (японск.).

Обзор. Библ. 78 назв.

Л. А.

28985. Структура ауреотина. Ямадзакэ (Yamazaki Futaba), Нихон кагаку дзасси, J. Chem. Soc. Japan. Pure Chem. Sec., 1957, 78, № 4, 508–512 (японск.).

Изучалось строение ауреотина C<sub>19</sub>H<sub>21</sub>O<sub>5</sub>N (I), выделенного из *Streptomyces thioluteus*. При кипячении (30 мин.) метанольного р-ра I с конц. HCl, HBr или HI получено 900 мг десметилизоауреотина, C<sub>18</sub>H<sub>19</sub>O<sub>5</sub> (II), т. пл. 195°. Ацетилирование 1 г I ((CH<sub>3</sub>CO)<sub>2</sub>O, конц. H<sub>2</sub>SO<sub>4</sub>, ~20°, неделя) дало 900 мг ацетилдесметил-II (III), т. пл. 179°; III образуется также при ацетилировании 100 мг II посредством (CH<sub>3</sub>CO)<sub>2</sub>O в C<sub>2</sub>H<sub>5</sub>N, выход 80 мг. При действии на 600 мг II эфирного р-ра CH<sub>2</sub>N<sub>2</sub> образуется 550 мг изоауреотина, C<sub>19</sub>H<sub>20</sub>O<sub>5</sub> (IV), т. пл. 147° (из CH<sub>3</sub>OH), [α]<sub>D</sub><sup>20</sup> +146,6° (хлф.). Окисление I посредством KMnO<sub>4</sub> в ацетоне (кипячение 5 час.) дало n-нитробензойную к-ту (V). Озонирование I в CH<sub>3</sub>COOH привело к V, 4-нитро-α-метилкорич-



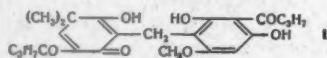
ному альдегиду,  $\text{HCOOH}$  и  $\text{CH}_2\text{O}$ . Окисление I посредством  $\text{SeO}_2$ ,  $\text{NaOCl}$ ,  $(\text{CH}_3\text{COO})_2\text{Pb}$  не дало определенных результатов; окисление посредством  $\text{HNO}_3$ ,  $\text{K}_2\text{Cr}_2\text{O}_7$  и  $\text{CrO}_3$  дало V, окисление посредством  $\text{H}_2\text{O}_2$  — V и  $\text{CH}_2\text{O}$ . На основании полученных данных и изучения ИК-спектров I, II, III и IV для I придано частичное строение (A).

Л. Яновская

28986. О веществах, содержащихся в папоротниках.

IV. Структура дезаспидина. Эбм, Капур, Бюхи (Über Farn-Inhaltsstoffe IV. Die Struktur von Desaspidin. Aebi A., Kapoor A. L., Büchi J.), Helv. chim. acta, 1957, 40, № 3, 572—575 (нем.; рез. англ.)

Выяснена структура дезаспидина (I) (см. РЖХим, 1958, 2533). При обработке I щелочью в жестких условиях образуется 2 моля *n*-масляной к-ты. В более мягких условиях (кипчение 5 мин. 15 г I в 40 мл 15%-ного р-ра NaOH в присутствии 30 г Zn-пыли)



образуется смесь, которую хроматографируют на силикагеле: С помощью  $\text{C}_6\text{H}_6$  вымывают последовательно: 0,2 г метиласпидинола, т. пл. 108—110° (из ацетона-эф.); 0,426 г бутаноилфиллициновой к-ты, т. пл. 96—98° (из ацетона-птр. эф.); 3,489 г аспидинола, т. пл. 141—143° (из ацетона-птр. эф.); 1,058 г дезаспидинола (II), т. пл. 121—123° (из ацетона-птр. эф.). Нагревание (125—130°, 48 час.) 0,32 г II с 20 мл 15%-ного р-ра NaOH в атмосфере  $\text{H}_2$  последующее хроматографирование на силикагеле приводит к монометиловому эфиру флороглицина, т. пл. 73—75° (после перегонки в высоком вакууме). Приведены данные об УФ-спектрах всех описанных в-в. Сообщение III см. РЖХим, 1958, 25332.

Г. Сегаль

28987. Выделение из злаковых растений и синтез фактора, придающего инсектицидную устойчивость этим растениям. Смесман, Ла-Пидус, Бек (Isolation and synthesis of an insect resistance factor from corn plants. Smismann Edward E., LaPridus Jules B., Beck Stanley D.), J. Amer. Chem. Soc., 1957, 79, № 17, 4697—4698 (англ.)

Из некоторых злаковых растений выделен «фактор А» (ФА), придающий им устойчивость против кукурузного мотылька. Щел. гидролизом ФА и спектральным исследованием доказано, что ФА является 6-метоксибензоксазолином (I). Идентичность ФА и I доказана сравнением с синтетич. образцом I, полученным конденсацией хлоргидрата 2-амино-4-метоксифенола (II) с мочевиной (III). 100 г сухих растений кипятят в 2 л воды, фильтровали, подкисляли до pH 2—3 и извлекали эфиром. Экстракт упаривали до 50 мл и хроматографировали на  $\text{Al}_2\text{O}_3$ , получено 14,5 мг ФА, т. пл. 154—155° (из воды); бензамид, т. пл. 163—164° (из сп.-воды); бензолсульфамид, т. пл. 163—164° (из сп.-воды). ФА гидролизуют 10%-ным р-ром NaOH и получили  $2\text{-NH}_2\text{-5-CH}_3\text{O-C}_6\text{H}_3\text{O-NHCl}$  (доказано ИК-спектрами). В кислой среде ФА устойчив. Смесь 0,034 моля II и 0,05 моля III нагревали 2 часа при 180°, промывали разб. к-той (РК), остаток растворяли в абс. спирте (плюс остаток, полученный упариванием эфирного экстракта из РК) и концентрированный р-р хроматографировали, получен I, выход 26%, т. пл. 154—155° (из воды).

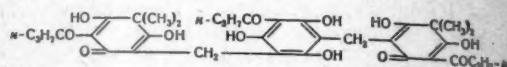
В. Зеткин

28988. Структура филиксовой кислоты. Чжань, Хассалл (The constitution of filixic acid. Chan W. R., Hassall C. H.), Experientia, 1957, 13, № 9, 349—350 (англ.; рез. нем.)

Для филиксовой к-ты (I) предложена новая структурная ф-ла. При длительном кипячении I со спиртом образуется албаспидин. Действием диазоаминобензола

I превращается в бис-бензолазофлоробутирофенон. Приведены данные УФ-спектра I (см. РЖХим, 1957, 73736).

А. Лютенберг



28989. β-Трикетоны. Часть IV. Хромофор калитрона. Берч, Инглиш (β-Triketones. Part IV. The chromophore of calythrone. Birch A. J., English R. J.), J. Chem. Soc., 1957, Aug., 3805—3806 (англ.)

Для доказательства предполагаемого строения калитрона как 4,5-диметил-2-изовалеронилциклопентен-4-диона-1,3 (I) был синтезирован его аналог 4-(3-метилбутил)-2-изовалеронилциклопентен-4-дион-1,3 (II) дегидратацией 4-(3-метил-бутил)-2-изовалеронилциклопентанол-5-диона-1,3 (III). УФ- и ИК-спектры I и II хорошо совпадают. 100 мг III в смеси 4 мл  $\text{H}_2\text{PO}_4$  и 4 г  $\text{P}_2\text{O}_5$  нагревают 8 мин. при 130°; разбавляют водой и экстрагируют эфиром. Получен II, выход 40 мг, т. пл. 75—76° (из эф.- $\text{C}_6\text{H}_{12}$ ). При кипячении II с  $(\text{CH}_3\text{COO})_2\text{Cu}$  в  $\text{CH}_3\text{OH}$  образуется Cu-соль, т. пл. 145—147° (из бал.). II с  $\text{FeCl}_3$  дает глубокую коричнево-красную окраску. Часть III см. РЖХим, 1957, 51433.

В. Зеткин

28990. Об ацетатах таксифолина и аромандендрина. Бруэртон (Note on taxifolin and aromadendrin acetates. Brewerton H. V.), N. Z. J. Sci. and Technol., 1957, B38, № 7, 697—698 (англ.)

Вещество с т. пл. 155°, полученное ранее ацетилированием таксифолина (I) и описанное как «пентаацетат I» (см. РЖХим, 1955, 37437), является тетраацетатом I (II). Пентаацетат I (III), т. пл. 82—84°, идентичен ранее описанному соединению (Graham H. M., Kurth E. F., Ind. Eng. Chem., 1949, 41, 409). В-во, т. пл. 129—130°, которому приписывалось строение III (Gripengren, J. Acta. Chem. Scand., 1952, 6, 1152), получено не было. В-во, описанное как «тетраацетат» аромандендрина (IV — аромандендрин) (3,4,5,7-тетрагидрооксифлаванона), т. пл. 133—135°, является триацетатом IV (V). Получен тетраацетат IV (VI), т. пл. 80—82° (РЖХимБх, 1957, 16620). II и V получают при мягких, строго определенных условиях.  $\text{C}_{15}\text{—OH}$  у них ацетилирован ввиду наличия водородной связи с  $\text{C=O}$ . Их УФ-спектры идентичны. III и VI получают обычными методами, их ИК-спектры идентичны. Результаты изучения спектров подтверждаются аналитич. данными. В ИК-спектрах ацетоксипроизводных I и IV, а также III и VI,  $\text{C=O}$ -полоса сдвинута в коротковолновую область на 30  $\text{cm}^{-1}$  по сравнению с обычным положением ее в соответствующих производных флаванона.

А. Краевский

28991. Обнаружение и строение ацетиландромедола (андромедотоксина). Таллент, Ритхоф, Хорнинг (Studies on the occurrence and structure of acetyl andromedol (andromedotoxin). Tallent W. H., Riethof Mary L., Horning E. C.), J. Amer. Chem. Soc., 1957, 79, № 16, 4548—4554 (англ.)

Разработан метод обнаружения ацетиландромедола (I) в растениях сем. *Ericaceae* электрофорезом на бумаге в буферном р-ре (0,01—0,05 M  $\text{Na}_2\text{B}_4\text{O}_7$ ). I обнаружен в листьях *Kalmia angustifolia* (0,06—0,09%), *K. latifolia*, *Leucothoe editorum*, *Lyonia mariana*, *Pernettya coriacea*, *Pieris (Andromeda) japonica*, *Rhododendron japonicum*, *Rh. luteum*, *Rh. ponticum*, *Rh. maximum*, *Rh. catawbiense* (в последнем и в цветах). Показана идентичность I ( $\text{C}_{22}\text{H}_{36}\text{O}_7$ ), родотоксина и «граианотоксина I». Взаимодействием I с  $\text{C}_6\text{H}_5\text{COCl}$  в пиридине получен трибензоиландромедол (II), т. пл. 217—219° (из хлф.-бэл.),  $[\alpha]_{589}^{24} + 85,5^\circ$ ,  $[\alpha]_{436}^{24} + 200,0^\circ$  (с 0,93; хлф.). Кипячением I с NaOH в водно-спирт. р-ре



(7 час.) получен андромедол (III),  $C_{20}H_{34}O_6$ , т. пл. 224–227° (из хлф.),  $[\alpha]_D^{26} 589 -16,7^\circ$ ,  $[\alpha]_D^{26} 436 -29,6^\circ$  (с 0,96; сп.). При кипячении I с водой +  $H_2SO_4$  (4 час.) образуется ангидроандромедол (IV),  $C_{20}H_{32}O_5$ , т. пл. 222–236° (из бзл.-этилацетата),  $[\alpha]_D^{25} 589 -9,3^\circ$ ,  $[\alpha]_D^{25} 436 -15,2^\circ$  (с 0,76; сп.). Приведены данные УФ-спектра I и ИК-спектров II, III и IV (ср. РЖХим, 1956, 29135).

В. Гуревич

28992. Фактор сопротивляемости кукурузы. Смиссман, Ла-Пидус, Бек (Corn plant resistance factor. Smissman Edward E., LaPridus Jules B., Beck Stanley D.), J. Organ. Chem., 1957, 22, № 2, 220 (англ.)

Из кукурузы выделен 6-метокси-2(3)-бензоксазолинон (I), т. пл. 154–155° (из воды); бензоилпроизводное, т. пл. 161–163°; бензоилсульфонилпроизводное, т. пл. 163–164°. По-видимому, I защищает растение от кукурузного червя. Осуществлен синтез I, исходя из 0-метилрезорцина; его ацетат, т. кип. 135–136°/23 мм, при нитровании в  $CH_3COOH$  образует 1-нитро-2-окси-4-метоксибензол, т. пл. 94–95°. Последний каталитически восстановлен до амина, который при сплавлении с мочевиной дает I. Приведены данные УФ-спектра I (ср. РЖХим, 1957, 38299).

Я. Нехлин

28993. Новый синтез ксантотоксина. Родигьеро, Антонелло (Nuova sintesi della xantotossina. Rodighiero Giovanni, Antonello Cipriano), Ann. Chimica, 1956, 46, № 11, 960–967 (итал.)

Описан новый синтез ксантотоксина (I). 250 г пирогаллола, эфирифицируют в ацетоне посредством  $(CH_3)_2SO_4$ , добавляя понемногу порошок  $K_2CO_3$ , перемешивают 3 часа, полученную смесь эфиров обрабатывают ацетатом Pb (Wacek A., Schöpfer J., Ostert. chem. Ztg., 1937, 40, 63) и получают 98 г 2-метилового эфира пирогаллола, т. кип. 146–150°/15 мм, который превращают в 2,4-диокси-3-метоксибензальдегид (II) (Spräh E., Schmid H., Ber., 1941, 74, 193). II конденсируют с дианкусовым эфиром в среде 20%-ного NaOH (16 час., ~20°), подкисляют 6,5%-ной HCl, кипятят 30 мин., получают 7-окси-8-метоксикумаринкарбоновую-3 к-ту (III), выход 62%, т. пл. 211–212° (разл.; из толуола). III декарбоксилируют нагреванием с  $CaCO_3$  (270°, 400 мм), возгонкой (110–130°/0,01 мм) выделяют 7-окси-8-метоксикумарин (IV), выход 86,4%, т. пл. 160–161° (из толуола). IV формилируют кипячением (24 часа) с уротропином в лед.  $CH_3COOH$  и получают 6-формил-7-окси-8-метоксикумарин (V), выход 8,8%, т. пл. 195–196° (разл.; из толуола); фенилгидразон, т. пл. 278–279° (разл.; из сп.). V конденсируют с этиловым эфиром бромуксусной к-ты (VI) кипячением в сухом ацетоне в присутствии  $K_2CO_3$  в течение 48 час. (через 24 часа ацетоновый р-р декантируют, к остатку добавляют свежую порцию ацетона,  $K_2CO_3$  и VI и продолжают кипячение); из ацетонового р-ра выделяют этиловый эфир 6-формил-8-метоксикумарин-7-оксиксусной к-ты (VII), выход 51,5%, т. пл. 165° (из абс. сп.). Омыление VII 5%-ным водно-метанольным (1:1) р-ром KOH (кипчение 30 мин. и 12 час. при ~20°) приводит к 6-формил-8-метоксикумарин-7-оксиксусной к-те (VIII), выход 60,7%, т. пл. 226° (разл.; из безводн. ацетона). VIII кипятят 1 час с  $(CH_3CO)_2O$  и  $CH_3COONa$  и получают I с выходом 33%, т. пл. 147° (из метанола). Приведены  $\lambda_{max}$  в УФ-спектре для I.

Л. Яновская

28994. Природа скандола. Корн, Проскок, Парке (The nature of scandol. Corey Elias J., Proskow Stephen, Parks Lloyd M.), J. Amer. Pharm. Assoc. Scient. Ed., 1957, 46, № 3, 183–185 (англ.)

Скандол  $C_{30}H_{50}O$  (I), выделенный ранее из *Celastrus scandens* Linné (Cook D. L. и др., 1944, 33, 15, 18), ис-

следован с применением хроматографии, противоточного распределения и ИК-спектроскопии. Показано, что I является смесью, содержащей преимущественно лупеол и  $\beta$ -амирин.

А. Лютенберг

28995. Присутствие 3-замещенного кольца фурана в лимонине и обакуноне. Кубота, Токорояма (The presence of a 3-substituted furan ring in limonin and obacunone. Kubota Takashi, Tokoro Yama Takashi), Chemistry and Industry, 1957, № 39, 1298 (англ.)

Доказано присутствие изолированного 3-замещ. кольца фурана в лимонине  $C_{26}H_{30}O_3$  (I) и обакуноне  $C_{26}H_{30}O_7$  (II). При восстановлении I (т. пл. 293°) посредством  $LiAlH_4$  образуется пентаол  $C_{26}H_{40}O_8$  (III), т. пл. 304–305°; р-ция III (100–120°) с  $C_2H_5OOC \equiv CCOOC_2H_5$  (IV) приводит к аморфному аддукту, который при каталитич. гидрировании над Pd/C в этилацетате поглощает 1 моль  $H_2$  и превращается в аморфное в-во (V). Пиролиз V при 120–200°/1 мм и гидролиза продукта р-ция дают смесь 3,4-фурандикарбоновой (VI), янтарной (VII) и малеиновой (VIII) к-т. Ацетат III  $C_{36}H_{50}O_{13}$  (IX), т. пл. 188–189°, образует с IV кристаллич. аддукт  $C_{44}H_{60}O_{17}$ , т. пл. 183–184°, который при каталитич. гидрировании, пиролизе и гидролизе также дает VI, VII и VIII. При р-ции II (т. пл. 228–229°) с IV получают аморфный аддукт (X). Восстановление II ( $LiAlH_4$ ) приводит к пентаолу  $C_{26}H_{40}O_7 \cdot H_2O$  (XI), т. пл. 193–194°. Получен аморфный ацетат X, из него приготовлен аморфный аддукт (XII). При р-циях, аналогичных описанным для I, из X и XII также получены VI, VII и VIII. Приведены данные ИК-спектров I, метилового эфира I, II, IX и XI и УФ-спектров I, II и XI. Описаны цветные р-ции исследованных веществ.

А. Лютенберг

28996. Подтверждение присутствия фуранового кольца в колумбине. Кубота, Мацуура (Confirmation of the presence of a furan ring in columbin. Kubota Takashi, Matsuura Tetsuo), Proc. Chem. Soc., 1957, Sept., 262 (англ.)

В ИК-спектре колумбина (I) имеются полосы, характерные для фурановых циклов (3,19, 6,65, 11,42  $\mu$ ). Сам I не вступает в диеновый синтез, но аморфный продукт восстановления I посредством  $LiAlH_4$  при 400° (по-видимому, пентаол), а также его ацетат образуют с  $(\equiv CCOOC_2H_5)_2$  аморфные аддукты, отщепляющие при пиролизе диэтиловый эфир фурандикарбоновой-3,4 к-ты (II); одновременно с II образуются эфиры янтарной и малеиновой к-т. (См. РЖХим, 1958, 25334).

В. Некрасов

28997. Флавоноиды, составные части лепестков *Chrysanthemum segetum* L. Гейсман, Стиллик (Flavonoid petal constituents of *Chrysanthemum segetum* L. Geissman T. A., Steelink Cornelius), J. Organ. Chem., 1957, 22, № 8, 946–948 (англ.)

Из лепестков *Chrysanthemum segetum* L. экстракцией  $CH_3OH$  и последующей бумажной хроматографией выделены: госсинитрин (3,3',4',5',7,8-гексаоксифлавоно-7-гликозид) (I), кверцимеритрин (II), хлорогеновая (III) и изохлорогеновая (IV) к-ты и флавонол неизвестного строения. Метанольный экстракт лепестков упаривают в вакууме, выпавшие кристаллы отфильтровывают, получают I, выход 6% от веса сухих лепестков, т. пл. 237–241° (из разб.  $CH_3COOH$ ). Нагреванием I с  $(CH_3CO)_2O$  в присутствии  $CH_3COONa$  (90 мин.) получают ионаацетат, т. пл. 232–236° (из водн. сп.). Гидролиз I кипящей 2н.  $H_2SO_4$  дает агликон, гиссипетин (V), т. пл. 299–304° (из водн.  $CH_3COOH$ ), и глюкозу. Гексаацетат V, т. пл. 226–228°. Метилирование V  $(CH_3)_2SO_4$  в присутствии  $K_2CO_3$  в ацетоне приводит к гексаметиловому эфиру (VI) т. пл. 171–172,5°, VI идентично синтетич. соединению, полученному из 3,3',4',7-тетраметилового эфира кверце-

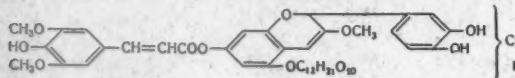
тина. Щел. расщепление VI 10%-ным р-ром КОН в  $\text{CH}_3\text{OH}$  дает вератровую к-ту и 2'-окси-2,3',4',6-тетраметоксиацетофенон, т. пл. 114,5—115,5°. Наличие остатка глюкозы в положении 7 у I установлено путем образования 7-окси-3,3',4',5,8-пентаметоксифлаво-на, т. пл. 250—251°; ацетат, т. пл. 164—168°, при гидролизе метилированного I разб.  $\text{H}_2\text{SO}_4$ . Фильтрат, после отделения I, подвергают бумажной хроматографии в 27%-ном бутаноле +  $\text{CH}_3\text{COOH}$  (1:1), выделяют II, III, IV. II идентифицирован хроматографически и образован при его гидролизе кверцетина. III и IV идентифицированы сравнением с синтетич. в-вами и образованием кофейной к-ты при их гидролизе. Вы-сказана биогенетич. гипотеза о гидроксилровании флавонолов в растениях. Г. Воробьева

28998. Химический состав лимонного масла. I. Выделение ряда замещенных кумаринов. Стэнли, Ван-нир (Chemical composition of lemon oil. I. Isolation of a series of substituted coumarins. Stanley W. L., Vannier S. H.), J. Amer. Chem. Soc., 1957, 79, № 13, 3488—3491 (англ.)

Из лимонного масла хроматографированием на  $\text{SiO}_2$  из  $\text{C}_6\text{H}_{14}$  с вымыванием  $\text{C}_6\text{H}_{14}$  смесями его с этилацетатом (ЭА) и 10%-ным р-ром спирта в ЭА выделены 7 замещ. кумаринов (приводятся выход в мг на 100 г масла,  $R_f$  на  $\text{SiO}_2$  в восходящем токе 25%-ного р-ра ЭА в  $\text{C}_6\text{H}_{14}$  для отдельных — т. пл.): 5-гераноксипсорален (I), 90, 0,68; 5-геранокси-7-метоксикумарин (II), 116, 0,64; 5-γ,γ-диметилаллил-7-метоксикумарин (?), 2,5, 0,57, 94—96; 5-γ,γ-диметилаллил-7-метоксикумарин (?), 3,0, 0,50, 90—92; 8-гераноксипсорален (III), 59,3, 0,40, 59—60; 5,7-диметоксикумарин, 53,2, 0,25, 146—148; биангелелицин, 9,0, 0,0. (Все т-ры плавления после кристаллизации из  $\text{C}_6\text{H}_{14}$  + ЭА). Гидролизом ( $\text{H}_2\text{SO}_4$  в лед.  $\text{CH}_3\text{COOH}$ ) получены: из I — 5-оксипсорален, т. пл. 270°; ацетат (IV), т. пл. 177—179° (из  $\text{CH}_3\text{OH}$ ); из II — 7-метокси-5-оксипсорален, т. пл. 227—228°; из III — 8-оксипсорален; ацетат (V), т. пл. 177—180° (из  $\text{CO}_2\text{OH}$ ). Приведены кривые УФ-спектров всех выделенных из масла в-в, а также IV, V и псоралена. Г. Воробьева

28999. Исследования по красителю красной капусты (*Brassica oleracea*). Хмельевская, Каковская, Липинский (Recherches sur le colorant du chou rouge (*Brassica oleracea*). Chmielewska I., Karkowska I., Lipiński B.), Bull. Acad. polon. sci., 1955, Cl. 3, № 10, 527—530 (франц.); Бюл. Польской АН, 1955, Отд. 3, № 10, 523—525

Для определения строения красящего в-ва красной капусты — хлорида рубробрассина (I) блокированы свободные фенольные группы I метилированием ди-азометаном (II). Так как до сих пор II не был использован для метилирования антоцианов, было показано на модельном синтезе, что продуктом метилирования цианина посредством II является 3',4',7-



триметилцианин. Установлено, что продукт метилирования I (III) посредством II содержит  $6\text{CH}_3\text{O}$ -групп, из которых три введены посредством II, что говорит о наличии в I трех свободных фенольных групп (ФГ): одной в остатке синапиновой (4-окси-3,5-диметокси-коричной) к-ты (IV к-та), двух в аглюконе. Продуктом основного гидролиза III является, кроме 3,4,5-триметокси-коричной к-ты, диметилловый эфир рубробрассина (V). Метилирование V посредством II дает триметилловый эфир рубробрассина, тождественный продукту непосредственного метилирования хлорида рубробрассина. На этом основании сделан вывод, что IV в мо-

лекуле I этерифицирует ФГ аглюкона. На основании цветной р-ции с  $\text{FeCl}_3$  установлено, что IV этерифицирует одну ФГ хромоновой системы. Установлено, что продуктом метанолиза I является монометилловый эфир аглюкона (VI). VI является монометилловым эфиром неизвестного до сих пор цианидина, который назван рубробрассидином (VII). Хлорид VII отличается от известных моноэфиров цианидинов значительной растворимостью в воде, а также способностью к образованию синего окрашивания с  $\text{FeCl}_3$  и к гидролитич. отщеплению  $\text{CH}_3$  при нагревании с разб.  $\text{HCl}$ . На основании изложенного для I предлагается строение, отвечающее приводимой формуле. W. Tuszk

29000. Химия бразилина и гематоксилина. Робинзон (Chemistry of brazilin and haematoxylin. Robinson Sir Robert), Bull. Soc. chim. France, 1958, № 1, 125—134 (англ.)

Обзор. Библ. 74 назв.

29001. Микроорганизмы в органической химии. Фолкере (Microorganisms in organic chemistry. Folkers Karl), Perspectives Organ. Chem. New York, Intersci. Publ., 1956, 392—429 (англ.)

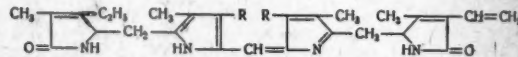
Обзор по применению микроорганизмов в органической химии. Библ. 101 назв.

29002. Некоторые новые гидрорпорфины. Эй-нер (Some novel hydorphyrins. Eisner Ulli), J. Chem. Soc., 1957, Aug., 3461—3469 (англ.)

При восстановлении Fe-комплекса октаэтилпорфина (I-порфин) посредством Na в  $\text{iso-C}_8\text{H}_{11}\text{OH}$  (РЖХим, 1958, 21647) и разделении продуктов р-ции хроматографированием на  $\text{MgO}$  из петр. эфира обнаружены: октаэтилхлорин (II), выход 32,5%, а-октаэтилтетрагидропорфин (а-III), т. пл. 138° (из  $\text{CH}_3\text{OH}$ ), и немного его изомера (б-III), не выделенного в чистом виде. Из Fe-комплекса «этиопорфина-II» в тех же условиях образуются а-тетрагидропроизводное (а-IV), «этиохлорин II» и следы (б-IV). Из Fe-комплекса II получены: октаэтилдигидропорфин (V), октаэтилгексагидропорфин (VI), а-III, б-III и II. Описанный ранее (РЖХим, 1957, 15554) красный пигмент очищен и, судя по спектру, является а-тетрагидропорфином (VII). Принимается, что а-изомеры гидрированы в соседних, а б-изомеры — в противоположащих пирульных циклах. Изучено количественное ступенчатое дигидрирование этих в-в при взаимодействии с хинонами. Приведены и обсуждены данные видимых спектров бактериохлорина, а-III, б-III, V, VI, VII, Cu-комплексов I и а-III, Fe-комплексов I и II, Zn-комплексов I, II, а-III и VI и Zn-комплексов соответствующих мезо-тетрафенилпро-изводных и кривые спектров а-III, б-III, V и VI. В. Н.

29003. Структура d-уробилина. Грей, Николсон (Structure of d-urobilin. Gray C. H., Nicholson D. C.), Nature, 1957, 180, № 4581, 336—337 (англ.)

Предложена структурная ф-ла для d-уробилина  $\text{C}_{38}\text{H}_{42}\text{O}_6\text{N}_4$  (I  $R = \text{CH}_2\text{CH}_2\text{COOH}$ ), — лабильного пигмента каала, появляющегося после лечения антибиотика-



ми или при заболевании талассемией. Хлоргидрат I,  $[\alpha]_D + 4,52 - 4,70^\circ$  (хлф.), при гидрировании в  $\text{CH}_3\text{OH}$  поглощает 2 моля  $\text{H}_2$ . В продуктах окисления I ( $\text{CrO}_3$ ) обнаружены гематинимид, янтарная к-та и имид метилаллилденовой кислоты. С. Давыдова

См. также: Углеводы и родств. соед. 10824Бх, 10827Бх, 11254Бх. Стероиды 29916—29922. Алкалоиды 11294Бх. Витамины 29844, 29909—29912, 29915. Антибиотики 29848, 29923—29926, 29928; 10914Бх, 10915Бх, 11198Бх, 11199Бх. Аминокислоты и белки 29753, 29754; 11197Бх. Др. природн. соед. 28737; 10843Бх, 10897Бх, 11310Бх

Реферат

ХИМИ

Ред

29004. Ис-  
сурсов н-  
ности. Ф-  
№ 12, 10  
29005. Ак-  
ленности  
tion in t  
Industr.  
402—407  
Экономи  
в частнос  
ирование  
фаа произ  
методов в

29006. П-  
(Chemis-  
Ernes  
139—156  
Описано  
ния тверд  
ния suscep-  
ания и к  
анкаторы  
сырья р-  
и для др

29007. С-  
нов. М-  
12—23  
29008. М-  
ния. Р-  
Spaltpr  
№ 6, 2  
Обзор.  
29009. Р-  
и, Я-  
Engng

29010 К-  
Фло-  
Miha  
1956,  
29011 К-  
лей  
нов  
nico-e



# РЕФЕРАТИВНЫЙ ЖУРНАЛ ХИМИЯ

Рефераты 29004 — 29686

№ 9

10 мая 1958 г.

## III

### ХИМИЧЕСКАЯ ТЕХНОЛОГИЯ. ХИМИЧЕСКИЕ ПРОДУКТЫ И ИХ ПРИМЕНЕНИЕ

(Часть 1)

#### ОБЩИЕ ВОПРОСЫ

Редакторы В. И. Елинек, Н. А. Ширяева

29004. Использование вторичных энергетических ресурсов на предприятиях химической промышленности. Феденко М. В., Пром. энергетика, 1957, № 12, 10—12

29005. Анализ производства в химической промышленности. Стилсон (Operations research. Application in the chemical industries. Stillson Paul), Industr. and Engng Chem., 1956, 48, № 3, Part 1, 402—407 (англ.)

Экономич. анализ взаимосвязи фаз хим. произ-ва, в частности применительно к процессу ферментации. Математич. модель процесса; ур-ния стоимости; планирование; экономич. эффект анализа взаимосвязи фаз произ-ва. Возможности применения описанных методов в других областях хим. пром-сти.

Л. Херсонская

29006. Применение ультразвука в химии. Егер (Chemical applications for ultrasonic waves. Yeager Ernest), J. Soc. Cosmetic Chemists, 1957, 8, № 3, 139—156 (англ.)

Описано применение ультразвука для диспергирования твердых тел и жидкостей, коагуляции и осаждения суспензий, удаления газов из жидкости, иницирования и контроля процесса кристаллизации, ускорения некоторых хим. р-ций, экстракции растительного сырья р-рителями, диализа, осаждения на электродах и для других гетерогенных процессов. Библ. 53 назв.

И. Вольфензон

29007. Обзор использования радиоактивных изотопов. Макино, Отомо, Сэнъи гэнпо, 1957, 14, № 7, 12—23 (японск.)

29008. Промышленное применение продуктов деления. Робертс (Die industrielle Verwendung von Spaltprodukten. Roberts R.), Atompraxis, 1957, 3, № 6, 208—217 (нем.)

В. Левин

29009. Применение радиоактивных изотопов. I. Курри, Ямадзакки, Кэмикару эндэиниярингу, Chem. Engng, 1957, 2, № 6, 554—557 (японск.)

29010 К. Подъем химической промышленности. Флореску (A. vegyipar fellendülése. Florescu Mihail. Bukarest, Allami Politikai Könyvkiadó, 1956, 107 l., ill., 1,75 lei) (венг.)

29011 К. Значение технико-экономических показателей в химической промышленности. Митрофанович, Хартштейн (Importanța indicilor tehnico-economici în industria chimică Red. Mitrofa-

novici V., Hartstein D. Ministerul Industr. Chim. București, 1956, 75 p.) (рум.)

29012 К. Основы промышленной химии. 2 том. Технология неорганических соединений. Андрилик (Základy priemyselnej chémie. 2. diel. Technológia anorganických zlúčenín. Andrlík Karel. [Překl. z. češ.]. Bratislava, SVTL, 1957, 314 s., il., 16 Kčs) (словац.)

29013 К. Атомная энергия в мирных целях: Материалы юбилейн. совещания работ. пром-сти, трансп. и стр-ва, деятелей науки и техн. г. Ленинграда. Июнь 1957 г. Ред. Комар Е. Г., Крылов Л. Ф., Манойлов В. Е. Л., Госэнергоиздат, 1957, 222 стр., илл.

См. также: Развитие хим. технологии в Германии 27514

#### ПРОЦЕССЫ И АППАРАТЫ ХИМИЧЕСКОЙ ТЕХНОЛОГИИ

Редакторы В. А. Жужилов, Б. Г. Лукьянов, В. Г. Фастовский

29014. Процессы, проводимые под высоким давлением. Делассю (Aspects industriels des réactions en continu sous hautes pressions. Delassus M.), Génie chim., 1957, 78, № 3, 70—82 (франц.; рез. исп., англ.)

Рассмотрены некоторые процессы, проводимые под высоким давлением: сжатие, перемещение газов и жидкостей, проведение хим. р-ций, конденсация или охлаждение конечных продуктов и их разделение. Указаны методы регулирования этих процессов и перспективы развития отраслей пром-сти, применяющих высокие давления.

З. Ханмский

29015. К теории течения. Хюнхен (Beitrag zur Strömungskunde. Hühnchen R.), Technik, 1957, 12, № 9, 626—632 (нем.)

Выведены ур-ния, описывающие движение частиц жидкости, расположенных неглубоко под ее поверхностью под действием газа, движущегося над жидкостью.

В. Реутский

29016. Взаимодействие между турбулентным потоком воздуха и движущейся поверхностью воды. Ханратти, Энген (Interaction between a turbulent air stream and a moving water surface. Hanratty Thomas J., Engen James M.), A. I. Ch. E. Journal, 1957, 3, № 3, 299—304 (англ.)

Исследовалось взаимодействие между движущимися параллельно турбулентным потоком воздуха и пленкой (II) воды в зависимости от скоростей воды и воздуха

а также от толщины  $\Pi$ . Показано, что при постепенном увеличении скорости воздуха происходит изменение поверхности  $\Pi$  сначала от гладкой к волнистой, а затем образуется рябь и, наконец, происходит диспергирование воды в воздух. Установлены значения критерия  $Re = hU_{\text{тр}}/\mu_L$  для переходов от одного вида поверхности к другой ( $h$  — толщина пленки,  $U_{\text{тр}}$  — скорость воздуха относительно воды,  $\rho_L$  — плотность воды,  $\mu_L$  — вязкость воды). Эксперим. исследования проводились в прямоугольном канале, причем скорость воздуха изменялась от 1,3 до 60 м/сек, а скорость воды от 0,03 до 0,1 м/сек. Толщина пленки изменялась от 0,5 до 0,7 мм.

Б. Сумм

29017. Замечания о смешении или диффузии в продольном направлении в неподвижных слоях насадок. Эрис, Амундсон (Some remarks on longitudinal mixig or diffusion in fixed beds. Aris Rutherford, Amundson Neal R.), A. I. Ch. E. Journal, 1957, 3, № 2, 280—282 (англ.)

Показано, что для неподвижного слоя насадки значение радиального диффузионного критерия  $Pe_a = 11$ . Высказана гипотеза о том, что при достаточно высоких значениях  $Re$  пустоты в слое насадки действуют аналогично смешительным камерам струйных смесителей. На основе высказанной гипотезы показано, что при больших значениях  $Re$  для сферич. частиц аксиальный диффузионный критерий  $Pe_a = 2$ .

Б. Сумм

29018. Вертикальное движение потоков воздушно-водяных смесей. I. Влияние скоростей воздуха и воды на структуру потока, изменение соотношения жидкой и газовой фаз по направлению движения и падение давления. Говьер, Радфорд, Данн (The upwards vertical flow of air-water mixtures. I. Effect of air and water-rates on flow pattern, holdup and pressure drop. Govier G. W., Radford B. A., Dunn J. S. C.), Canad. J. Chem. Engng, 1957, 35, № 2, 58—70 (англ.)

Эксперим. установка состояла из устройств для подачи и измерения кол-ва воды и воздуха, гладкой вертикальной трубы с внутренним диам. 25 мм и манометров для определения падения давления. Объемная скорость движения воздушно-водяной смеси изменялась от 0,0113 до 1,19 м/сек при изменении объемного соотношения между жидкой и газовой фазами от 0 до 348. Т-ра (21°) и давление воздушно-водяной смеси (2,53 ата) поддерживались постоянными. В результате аналитич. обработки опытных данных были выведены ур-ния и построены графики, позволяющие устанавливать структуру воздушно-водяного потока, падение давления и отношение объемного состава воздушно-водяной смеси (в конце и начале трубы) в зависимости от объемных скоростей воздуха и воды. Предложенные расчетные ур-ния не являются обобщенными.

В. Реутский

29019. Определение концентрации твердой фазы в двухфазной среде при движении ее в вертикальной трубе снизу вверх. Мирзоева Л. М., АзербССР Эмлер Акад. хэбэрлари, Изв. АН АзербССР, 1957, № 9, 11—19 (рез. азерб.)

Указывается, что при движении в вертикальной трубе снизу вверх двухфазной системы газ — твердое тело расходная или текущая конц-ия смеси не соответствует действительной ее конц-ии в вертикальном участке трубы вследствие явления «скольжения». Величина «скольжения»  $\sigma$  определяется отношением разности абс. скоростей несущей и псевдооживленной фаз к скорости несущей фазы  $\sigma = (c' - w)/c' = u/c'$ , где  $c'$  — действительная абс. скорость движения газа в вертикальном участке трубы, м/сек;  $w$  — абс. скорость движения твердых частиц на том же участке

вертикальной трубы, м/сек. Для определения действительной конц-ии твердых частиц в потоке предлагается ур-ние:  $K_G = K_G / (1 - \sigma)$ , где  $K_G$  — действительная конц-ия твердых частиц в потоке, кг/кг;  $K_G$  — весовая конц-ия твердых частиц в потоке при условии отсутствия «скольжения», т. е. текущая весовая конц-ия, кг/кг.

С. Крапчинников

29020. Высокоскоростные газовые потоки с взвешенными твердыми материалами. Адам (Feststoffbeladene Luftströmung hoher Geschwindigkeit. Adam Otto), Chem.-Ing.-Techn., 1957, 29, № 3, 151—159 (нем.; рез. англ., франц.)

Экспериментально исследованы газовые потоки со взвешенными твердыми частицами при скоростях 30—100 м/сек. Опыты проводились в медной трубке с внутренним диам. 50 мм и длиной 20 м. Исследуемый твердый материал (в основном частицы мела и кварца) подавался в спец. щель на входе в трубу, в конце трубы воздух очищался в рукавном фильтре. Установлено, что на характер потоков решающее влияние оказывают, кроме скорости питания, также еще и другие физ. свойства твердых частиц, особенно их эластичность. Взаимные столкновения частиц не оказывают значительного влияния на коэф. сопротивления при малых и средних конц-иях твердых частиц по сравнению со столкновениями частиц со стенками. Показано, что к исследуемым потокам можно применять основные положения кинетич. теории газов. Для таких потоков экспериментально наблюдаются две характерные области: 1-я область, когда число столкновений частиц о стенки больше числа столкновений частиц друг с другом, и 2-я область, когда число взаимных столкновений частиц больше числа столкновений со стенкой. В 1-й области наблюдается линейная зависимость коэф. сопротивления от конц-ии твердых частиц, во 2-й области коэф. сопротивления не зависит от конц-ии.

И. Слободяник

29021. О гидродинамике ситчатых барботажных тарелок. Сообщение I. Носков А. А., Соколов В. Н., Тр. Ленингр. технолог. ин-та им. Ленсовета, 1957, вып. 39, 110—126

На основании рассмотрения ур-ний, характеризующих движение двухфазного потока, образующегося на ситчатой тарелке в процессе барботажа, показано, что определяющими критериями являются  $W^2/gh$ ,  $\Delta p/h\sigma$  и  $\gamma_{\text{ж}} h^2/\sigma$  и симплексы  $\gamma_{\text{г}}/\gamma_{\text{ж}}$  и  $L/G$  ( $W$  — скорость газа, м/сек;  $h$  — определяющий линейный размер, м;  $\sigma$  — поверхностное натяжение, кг/м<sup>2</sup>;  $\gamma_{\text{г}}$  и  $\gamma_{\text{ж}}$  — уд. веса газа и жидкости, кг/м<sup>3</sup>;  $L$  и  $G$  — расходы жидкости и газа, кг/сек;  $g$  — ускорение силы тяжести, м/сек<sup>2</sup>;  $\Delta p$  — сопротивление орошаемой тарелки, кг/м<sup>2</sup>). Для определения влияния вязкости на  $\Delta p$  были измерены значения  $\Delta p$  в колонке диаметром  $D = 38$  мм с ситчатой тарелкой (диаметр отверстия  $d = 2$  мм, шаг 6 мм), орошаемой водой и водн. р-рами глицерина, при  $W$ , равной 0,2—3 м/сек. Установлено, что  $\Delta p$  не зависит от вязкости жидкости. В качестве  $h$  предложено принимать высоту переливного порога. Различают две зоны пенного режима: 1-я зона характеризуется ячеистой структурой пены, которая нарушается при высоких скоростях газа, 2-я зона характеризуется наличием большого кол-ва брызг и витающих капель в пространстве между тарелками. При дальнейшем увеличении  $W$  возникает режим разбрызгивания. Переход от 1-й зоны ко 2-й происходит при значении критерия Фруда  $Fr = 1 \div 1,3$ . Началу инжекционного режима соответствует  $Fr \approx 5$ . Проведены опыты по определению  $\Delta p$  на однотарелочной модели ректификационной колонны диам. 125 мм. В качестве рабочих жидкостей были применены вода, керосин и водн. р-р глицерина. Опыты проводились



с тарелками трех типов, отличающихся диаметром и шагом отверстий, высотой переливного порога. Введены следующие ур-ния: для 1-й зоны пенного режима ( $Fr < 1$ ),  $\Delta p \cdot h / \sigma = 3,8 \times 10^{-4} (w^2 / gh)^a (\gamma_{ж} h^2 / \sigma)^{0,91} \times (\gamma_r / \gamma_{ж})^{-0,87} (L / G)^{0,135} \Gamma_1^{-0,81}$ ; для 2-й зоны пенного режима ( $Fr > 1,3$ ),  $\Delta p \cdot h / \sigma = 5,9 \times 10^{-2} (W^2 / gh)^b \times (\gamma_{ж} h^2 / \sigma)^{0,91} (L / G)^{0,135} \Gamma_1^{-1,1}$ . Значения констант  $a$  и  $b$ , симплекса  $\Gamma_1 = nd^2 / D^2$  ( $n$  — число отверстий в тарелке) зависят от конструкции тарелки. В. Коган

29022. О гидравлических сопротивлениях в трубках малого диаметра. Гусак И. В., Тр. Кишиневск. с.-х. ин-та, 1957, 15, 15—25

Проведено эксперим. исследование гидравлич. сопротивления гладких трубок из красной меди диам. 5,5 и 3,8 мм. Изучено падение давления вследствие трения о стенки трубки и преодоления сопротивления при входе. Установлено, что для трубок малого диаметра имеющиеся расчетные ур-ния для определения коэф. внешнего трения  $\lambda$  дают заниженные по сравнению с опытными данными значения. Для трубок диам. 5,5 мм  $\lambda$  в ламинарной области рекомендуется рассчитывать по ур-нию  $\lambda = 26,37 / Re^{0,89}$ , а в турбулентной области:  $\lambda = 0,2253 / Re^{0,25}$ . Для трубок диам. 3,8 мм в ламинарной области  $\lambda = 75 / Re$  и в турбулентной  $\lambda = 0,3166 / Re^{0,25}$ . Найдено, что с изменением диаметра трубки изменяется зависимость  $\lambda$  от  $Re$  и границы ламинарного и турбулентного течения жидкости. Отмечается, что падение давления при входе в трубку, торцевая поверхность которой совпадает с плоской стенкой, зависит от  $Re$ . Найденные значения коэф. сопротивления  $\zeta_{вх}$  при входе в трубку значительно превосходят табличное, равное  $\zeta_{вх} = 0,5$ .

С. Крашенинников

29023. Выбор циклонов для очистки воздуха. Китаура, Кагаку кагаку, Chem. Engng (Japan), 1957, 21, № 5, 319—321 (японск.)

29024. Расчеты мешочных фильтров для очистки воздуха. Ии, Кагаку когаку, Chem. Engng (Japan), 1957, 21, № 2, 112—113 (японск.)

29025. Электрофильтры в химической промышленности. Применение, стоимость и условия работы. Хейнрих, Андерсон (Electro-precipitators in the chemical industry. Their applications, cost and operation. Heinrich R. F., Anderson J. R.), Brit. Chem. Engng, 1957, 2, № 2, 75—78 (англ.)

29026. Скруббер Вентури. Су Гэн-вэнь, Хуасюэ шичае, 1957, 12, № 11, 523—526, 527 (кит.)

Обзор. Библ. 10 назв. Г. Фонарева

29027. Пенный аппарат как пылеуловитель. Зайцев М. М., Тарнавский И. Л., Тр. Гос. н.-и. ин-та по пром. и сан. очистке газов, 1957, вып. 1, 133—139

Исследован пенный аппарат (ПА), представляющий собой газопромывное устройство, в котором газ пропускается снизу через слой воды, находящийся над ситчатой тарелкой толщиной 5,5 мм с отверстиями диам. 3,5 мм и шагом между ними 12 мм. Сообщаются результаты опытной проверки эффективности ПА при очистке газа от пыли в лаборатор. и промышленных условиях. При испытании лабор. модели ПА производительностью 250—300 м<sup>3</sup>/час на летучей золе, имеющей 82% частиц < 4,5 м, с конечней пылью в воздухе 0,7—2,4 г/м<sup>3</sup>, получена степень очистки газа  $\eta_{ог} = 92,6 \div 97,5\%$ . Предельная скорость газа в ПА 1,7 м/сек, расход воды до 2 л/м<sup>3</sup>, гидравлич. сопротивление 25—40 мм вод. ст. При очистке от свинца вентиляционного воздуха типографии ПА показал  $\eta_{ог} = 82,9\%$ ; на отходящих газах карбидных печей  $\eta_{ог} = 74 \div 80\%$ ; на газах ферро-

плавной печи  $\eta_{ог} = 70\%$ ; на саже  $\eta_{ог} = 10 \div 11\%$ .

Сделан вывод о возможности применения ПА для очистки газа от пыли с частицами 2,5—10 м. Ю. Скореецкий

29028. Номограмма для определения производительности барабанных и дисковых фильтров на основании данных, полученных на листовом фильтре (Nomogram for sizing drum and disc filters from leaf test data. Nomogram № 11), Brit. Chem. Engng, 1957, 2, № 4, 212 (англ.)

29029. Фильтровальные ткани из стекловолокна. Пискарев И. В., Легкая пром.-сть, 1957, № 7, 8—9

Перечисляются преимущества, которыми обладают ткани из стекловолокна, при применении их в качестве фильтрующих перегородок. Приведены результаты анализа механич. и физ. свойств различных образцов ткани из стекловолокна. Л. Елкин

29030. Сжатие порошков. Кавакита, Кагаку, 1956, 26, № 3, 149—150 (японск.)

Исследовано сжатие различных сухих порошков (MgO, KCl, MgSiO<sub>3</sub>, CaCO<sub>3</sub>, тальк, бентонит, сахар) с размером частиц 100—300 меш. Каждый порошок в кол-ве 5 г помещался в закрытую с одного конца стальную трубку площадью поперечного сечения 2 см<sup>2</sup> и подвергался сжатию поршнем под действием силы  $P$  от 0 до 10 136 кг. Во время сжатия отмечался ряд значений  $P$  и соответствующих им значений объема сжимаемого порошка  $V$ . На основании полученных данных вычислялся коэф. сжатия  $C = (V_0 - V) / V_0$ , где  $V_0$  — объем несжатого порошка. Установлено, что при небольших значениях  $P$  величина  $C$  пропорциональна величине  $P$ . При средних значениях  $P$  (до ~5000 кг) величина  $C = kP / (1 + kP)$ , где  $k$  — постоянная. При больших значениях  $P$  величина  $C$  асимптотически приближается к некоторому предельному значению  $C_{\infty}$ . Величина  $C_{\infty}$  изменяется в пределах от 35,71% для CaCO<sub>3</sub> до 74,07% для MgO. Найдено, что для всего исследованного диапазона  $P$  справедливо ур-ние  $P/C = 1/(ab) + (1/a)P$ , где  $a$  и  $b$  — постоянные. Установлено, что после прекращения действия поршня сжатые порошки несколько увеличивают свой объем (до 9,09% для талька). Это объяснено расширением воздуха, задержавшегося в процессе сжатия в порах порошка, и эластичными свойствами структуры сжатого порошка. М. Гусев

29031. Фильтры и фильтрующие среды. Осгуд (Filters and filtering media. Osgood G.), Manufact. Chemist, 1957, 28, № 12, 545—548, 553 (англ.)

Обзор. В. Жужиков

29032. Смешение воздухом. Като, Яманаси дайгаку когакубу кэнкю хококу, Repts Fac. Engng Yamanashi Univ., 1956, № 7, 111—113 (японск.; рез. англ.)

Смешение производилось в вертикальной стеклянной колонке диам. 90 мм. Воздух подавался снизу через пористый диск. В системе (С) вода — бензол и вода — CCl<sub>4</sub> значения крит. скорости воздуха  $W_{кр}$ , характеризующей полное смешение, возрастают с уменьшением отношений воды к бензолу и воды к CCl<sub>4</sub>. В С вода — стеклянные шарики и вода — песок  $W_{кр}$  пропорциональна диаметру частиц в степени 1,4 и концентрации твердой фазы в степени 0,32. Для С вода — песок  $W_{кр}$  несколько выше, чем в С вода — стеклянные шарики. М. Панфилов

29033. Изучение эффективности смешения порошков с помощью радиоактивных изотопов. Инаи, Хирахара (Inai Kenjiro, Hirahara Eiji), Хиросима дайгаку когакубу кэнкю хококу, Bull. Fac. Engng, Hiroshima Univ., 1957, 6, № 1, 1—6 (японск.; рез. англ.)

Предлагается метод определения эффективности и скорости смешения твердых порошкообразных систем

при помощи добавляемых в систему радиоактивных изотопов. Предварительное изучение рекомендуемого метода осуществлялось на системе  $\text{BaS}^*\text{O}_4 - \text{Na}_2\text{CO}_3$ . Установлено, что при данном числе оборотов мешалки максим. степень смешения достигается за определенный промежуток времени, после чего при дальнейшем перемешивании системы эффективность смешения начинает снижаться. Число оборотов мешалки, соответствующее случаю достижения максим. степени смешения за миним. промежуток времени, устанавливалось на основании анализа эксперим. результатов.

С. Крашенинников

29034. Автоматизация опытного центробежного насоса 10Н8 × 4. Каримов Н. Г., Новости нефт. техн. Нефтепереработка, 1957, № 9, 28—30

29035. Прибор и схема регулирования для масляного торцового уплотнения насосов и контакторов. Кожемякин Н. А., Новости нефт. техн. Нефтепереработка, 1957, № 9, 21—22

29036. Получение вакуума и его применение в химической промышленности. Бахман (La production du vide et son emploi dans l'industrie chimique. Bachmann Pierre), Indicateur industr., 1957, 38, № 667, 3 (франц.)

29037. Осевой компрессор. Части 1, 2. Уэда. Русан, J. Sulphuric Acid. Assoc. Japan, 1957, 10, № 4, 10—13; № 5, 191—195 (японск.)

29038. Номограмма для определения влажности сжатого воздуха. Дейвис (Humidity of compressed air. Davis D. S.), Brit. Chem. Engng, 1957, 2, № 12, 680 (англ.)

29039. Распределение температур в ламинарном потоке при входе в круглую трубу. Сибаяси, Сугино (On the temperature distribution at the laminar inlet in a circular pipe. Sibahayasi Minoru, Sugino Eitaro), Proc. 6th. Japan Nat. Congr. Appl. Mech., 1956. Tokyo, 1957, 389—396 (англ.)

29040. Теплоотдача и сопротивление трению для азотной кислоты. Вольф, Грей, Рие (Heat transfer and friction characteristics of red and white fuming nitric acid. Wolf H., Gray F. L., Reese B. A.), Jet Propuls., 1956, 26, № 11, 979—984 (англ.)

Получены коэф. теплоотдачи и сопротивления для дымящих азотных к-т (красной и белой) в диапазоне  $Re = 38\,000 - 450\,000$ . При отсутствии отложений в трубах фактор теплоотдачи  $j = 0,030 Re^{-0.2}$  не изменяется при увеличении давления от 4,5 до 22 кг/см<sup>2</sup>, но уменьшается с ростом т-ры. Обнаружено быстрое отложение осадков на стенках трубы, особенно в случае красной дымящей к-ты, что снижает теплоотдачу на 55% уже за 7 мин.

В. Басевич

29041. Коэффициент теплоотдачи в условиях вынужденной конвекции. — (Heat-transfer coefficient for natural convection. —), Brit. Chem. Engng, 1957, 2, № 11, 622 (англ.)

Составлена номограмма для определения коэф. теплоотдачи ( $h$ , ккал/м<sup>2</sup> час град) в условиях вынужденной конвекции воздуха, основанная на ур-нии Нуссельта — Гребера:  $h = 23,7 \cdot L^{-0.05} \cdot d^{-0.16} (pw)^{0.79} \cdot b$ , где  $L$  — длина трубы, м;  $d$  — диаметр трубы, м;  $p$  — давление газа, атм;  $w$  — линейная скорость газа, м/сек;  $b$  — коэф., зависящий от т-ры газа.

Ю. Петровский

29042. Установившееся турбулентное движение газа в круглых трубах. Лемехов Е. Е., Вестн. Ленингр. ун-та, 1957, № 13, 161—168 (рез. англ.)

Проведено теоретич. рассмотрение вопроса о зависимости трения и теплоотдачи при движении газа в трубах круглого сечения от критерия  $Pg$  и разности т-р. Выяснена зависимость поправок к средним величинам, которые применяются при рассмотрении движения газа, от различных параметров потока. Установлено, что при небольших разностях т-р трение и тепло-

передача зависят от  $Pg$  в небольшой степени. Указано, что рассмотрение турбулентного потока в виде турбулентного ядра и ламинарного пограничного слоя в случае небольших разностей т-р дает удовлетворительное соответствие с результатами эксперимента и поэтому может быть использовано при исследовании движения газа в круглых трубах; в случае больших разностей т-р приведенные результаты должны быть подвергнуты эксперим. проверке. С. Крашенинников

29043. Теплоотдача к воде в закритической области. Диккинсон, Уэлш (Heat transfer to supercritical water. Dickinson N. L., Welch C. P. Paper. Amer. Soc. Mech. Engrs. 1957, № HT-7, 7 pp., ill.) (англ.)

Исследована теплоотдача от нагреваемой электрич. током трубы из нержавеющей стали диам. 7,6 мм и длиной 122 мм к движущейся внутри нее воде в закрит. области. Т-ра стенки трубы измерялась хромель-алюмелевыми термопарами, расположенными равномерно по ее длине в 9 точках. Т-ра жидкости в данном сечении трубы определялась по увеличению энтальпии по сравнению с известным ее значением на входе; изменение энтальпии предполагалось пропорциональным длине трубы. Опыты проводились при давлении  $P = 316 \text{ кг/см}^2$  и т-рах жидкости 80—540° и в более узком температурном интервале при  $P = 246 \text{ кг/см}^2$ . Весовая скорость  $G$  изменялась в пределах  $(8 - 12) \cdot 10^6 \text{ кг/м}^2 \text{ час}$ , тепловая нагрузка составляла  $(760 - 1570) \cdot 10^3 \text{ ккал/м}^2 \text{ час}$ . Установлено, что при т-рах поверхности нагревания до 350° эксперим. данные отображаются ур-нием:  $Nu = 0,023 Re^{0.4} Pr^{0.4}$ ; физ. свойства взяты при т-ре жидкости. При т-рах поверхности нагревания 425—540° эксперим. данные представлены ур-нием:  $h/(GC_p) = 0,00189$ , где  $h$  — коэф. теплоотдачи,  $C_p$  — теплоемкость при т-ре поверхности трубы. В области т-р поверхности нагревания 350—425° эксперим. значения  $h$  выше теоретических.

Р. Артым

29044. Теория теплообмена в дефлегматорах и конденсаторах. Суковатый (Theorie výměny tepla v deflegmátorech a kondenzátorech. Sukovaty J.), Kvasný průmysl, 1956, 1, № 12, 274—275 (чешск.; рус., нем.)

29045. Лучистый теплообмен в замкнутом газовом объеме. Хоттел, Коэн (Radiant heat exchange in a gas-filled enclosure. Hottel H. C., Cohen E. S. Paper. Amer. Inst. Chem. Engrs., 1957, № HT-23, 36 pp., ill.) (англ.)

Приведены расчеты по лучистому теплообмену в замкнутом объеме, напр. в промышленных печах, где задача сводится к нахождению полей т-р в излучающих устройствах и стенках печи. Поверхность или объем поглощения и излучения расчленяется на малые участки с изотермич. полями, для которых составляются интегральные ур-ния. Рассмотрены случаи взаимного лучистого обмена: двух поверхностей с диатермичной и поглощающей средой; поверхности и газовой среды; двух газовых сред. Излучателем является газовая зона и поверхность. Рассмотрен случай излучения и поглощения реального газа и отличие его характеристик от монохроматич. идеального газа. Составлен энергетич. баланс с учетом лучистого, конвективного обменов и энтальпии потока от излучающего источника.

Н. Кондуков

29046. Исследование термодинамического цикла паровой холодильной машины с регенерацией. Михальская Р., Холодильн. техника, 1957, № 4, 42—47

29047. Развитие искусственного холода в Армении. Мирзоянц П., Холодильн. техника, 1957, № 4, 53—54



29048. Сравнительные характеристики фреонов и других основных хладагентов. Асано, Райто, Refrigeration, 1957, 32, № 353, 20—21 (японск.). Приведены свойства фреонов 11, 12, 141 и 226, а также свойства  $\text{CH}_2\text{Cl}$ ,  $\text{NH}_3$  и  $\text{SO}_2$  как хладагентов.

М. Гусев  
29049. Влияние отлагающегося льда на работу испарителей. Комедера (The effect of ice formation on evaporators. Komedera M.), Heat and Ventilation Engng, 1957, 31, № 364, 190—194 (англ.).

Рассмотрены факторы, оказывающие влияние на теплоотдачу от воздуха с высокой влажностью к трубкам испарителя. Получено уравнение для определения времени  $t$ , в течение которого внешний радиус трубы увеличивается от  $R_1$  до  $R_2$ :  $t = [q \cdot r \cdot (R_2^2 - R_1^2) / (2\lambda \Theta_1)] \lg(R_2/R_1)$ , где  $q$  и  $r$  — плотность и скрытая теплота плавления льда;  $\lambda$  — коэф. теплопроводности;  $\Theta_1 = \Theta_2 - \Theta_1$ ,  $\Theta_1$  и  $\Theta_2$  — разности между  $t$ -рой хладагента и  $t$ -рами внешней поверхности металлич. трубы и наружной поверхности образовавшегося льда. Обсуждены различные методы автоматич. включения размораживающего устройства и показано, что лучшие результаты дает датчик, реагирующий на изменение скорости воздуха или его давления перед испарителем. Для ребристых трубок рекомендуется расстояние между ребрами не менее 9, 12 и 18 мм для трубок диам. 9, 13 и 25 мм соответственно.

А. Ровинский  
29050. Влияние барботаж и перемешивания на коэффициент массопередачи в жидкостях. Джонсон, Сайто, Полейес, Хауген (Effect of bubbling and stirring on mass transfer coefficients in liquids. Johnson D. L., Saito Hiroto, Polejes J. D., Hougden O. A.), A. I. Ch. E. Journal, 1957, 3, № 3, 411—417 (англ.).

Изучено влияние условий барботажа и перемешивания жидкости на массопередачу от пузырьков газа к поверхности взвешенных частиц катализатора. В реакторе (Р) с внутренним диам. 125 мм и высотой 300 мм, рассчитанном на давление до 85 кг/см<sup>2</sup> и  $t$ -ру до 340°, осуществлялась гидрогенизация  $\alpha$ -метилстирола на палладиевом катализаторе с образованием кумена; в этой реакции определяющим является сопротивление переносу водорода со стороны жидкости. Р снабжен мешалкой со сменными лопастями, вращающимися со скоростью 180—800 об/мин; газообразный водород подавался через кольцевой распределитель с 25 отверстиями диам. 0,35 мм, обращенными вниз, отстоящий на расстоянии 12 мм от дна Р. Опыты проводились при различных скоростях вращения мешалки, кол-вах водорода,  $t$ -рах, давлениях, составе жидкости, кол-вах катализатора, числе лопастей, при наличии и отсутствии продольных перегородок. Показано, что суммарное сопротивление массопередаче от пузырька газа к частице катализатора в единице объема жидкости складается из сопротивления переносу ( $R_p$ ) со стороны жидкости, окружающей пузырек газа, и сопротивления переносу ( $R_s$ ) со стороны жидкости, окружающей твердую частицу катализатора, причем  $R_p = A \cdot x^{0.75} z^{-1.67}$  и  $R_s = B (\rho_s / m) z^{-0.75}$ , где  $x = \sigma / (\mu V_S)$ ;  $z = D^2 N_p / \mu$  — модифицированный  $Re$ ;  $\sigma$  — поверхностное натяжение;  $\mu$  — вязкость;  $\rho$  — уд. вес жидкости;  $\rho_s$  — уд. вес твердых частиц;  $D$  — диаметр мешалки;  $N$  — скорость вращения мешалки;  $m$  — кол-во катализатора в единице объема жидкости;  $V_S$  — скорость течения; константы  $A$  и  $B$  зависят от конструкции сосуда, мешалки, перегородок, распределителя газа. При высоких скоростях газа значительно возрастают его потери и затрачиваемая мощность, что не компенсируется соответствующим увеличением массопередачи. Эксперим. данные и визуальные наблюдения, проведенные в стек-

лянном Р, хорошо согласуются с теоретич. выводами.

Ю. Петровский  
29051. Влияние звуковой энергии на массообмен при контактировании твердого материала и газа. Ходжинс, Гофман, Бэй (The effect of sonic energy on mass transfer in solid-gas contacting operations. Hodgins J. W., Hoffman T. W., Pei D. C.), Canad. J. Chem. Engng, 1957, 35, № 1, 18—24 (англ.).

Проведено исследование влияния звуковых колебаний на процесс массопередачи в системе нафталин — воздух. Найдено, что наибольшая скорость сублимации нафталина с поверхности стеклянных шариков достигается при резонансной частоте звуковых колебаний. Отмечается значительное влияние акустич. свойств камеры испарения на ускорение процесса массообмена. Сила звука в опытах достигала 160 дБ при частоте 12 кГц. Опыты проводились как при стационарном слое твердой фазы, так и при псевдоожижении. Опыты обрабатывались в виде зависимости фактора массопередачи  $J_D$  от  $Re$ . Найдено, что наибольшая скорость массопередачи достигалась при неподвижном слое твердой фазы при малых  $Re$  для газа и при низких частотах звука. При  $Re = 860 \div 2500$  влияние звуковых колебаний на процесс массопередачи менее значительно (при  $Re = 860$  наблюдалось начало псевдоожижения). При  $Re > 2500$  звук не влияет на процесс массопередачи. Е. Бакляцкий  
29052. Проницаемые вентили. Роджерс, Станнетт, Шварц (Permeability valves. Rogers C. E., Stannett Vivian, Swarc Michael), Industr. and Engng Chem., 1957, 49, № 11, 1933—1936 (англ.).

Кол-во газа, проходящее через проницаемую перегородку, определяется соотношением:  $R = P(\Delta p/L)$ , где  $\Delta p$  — разность давлений по обе стороны перегородки толщиной  $L$ , а  $P$  — коэф. пропорциональности, в большинстве случаев являющийся функцией давления и  $t$ -ры. Для перегородок, образованных из нескольких слоев проницаемых материалов, для каждого из которых  $P$  не зависит от давления, величина  $R$  при постоянной  $t$ -ре не зависит от направления потока, т. е. от относительного расположения слоев различных материалов. Если  $P$  зависит от давления, то при изменении направления потока величина  $R$  будет изменяться. Для частного случая двухслойной перегородки получены теоретич. соотношения, определяющие  $R$ . Установлено, что если для одного материала  $P$  изменяется с давлением быстро, а для другого значительно медленнее (или совсем не изменяется), то двухслойная мембрана будет обладать большей проницаемостью в том случае, когда слой первого материала находится на стороне более высокого давления, и наоборот. Для проверки сделанных выводов исследовано проникновение водяных паров через двухслойную перегородку, образованную пленкой пластифицированной этилцеллюлозы толщиной 0,25 мм и пленкой нейлона толщиной 0,11 мм; для первой из них  $P$  сильно зависит от давления, а для второй эта зависимость выражена слабо. Избыточное давление водяных паров в опытах составляло 4—20 мм рт. ст. Опытные данные хорошо соответствуют расчетным, полученным на основании теоретич. соображений.

Ю. Петровский  
29053. Применение каскадного способа для осуществления высокоэффективных процессов разделения. Максимиа, Кагаку, 1957, 27, № 7, 365—366 (японск.).

29054. Расчет числа теоретических тарелок при ректификации идеальной двухкомпонентной смеси. Тум (Direkte Berechnung der theoretischen Bodenzahl bei Destillation idealer Zweistoffgemische mit unterschiedlichen Verdampfungswärmen und bei

endlichem Rücklaufverhältnis. Thum Otto), Chem.-Ingr-Techn., 1957, 29, № 10, 675—678 (нем.; рез. англ., франц.)

Приведено ур-ние для расчета числа теоретич. тарелок при ректификации идеальной бинарной смеси с конечным флегмовым числом и с учетом различающихся скрытых теплот испарения компонентов.

**29055. Определение расхода тепла при периодической ректификации.** Стил, Унбер (Evaluation of the heat requirements in batch distillation operations. Stiehl J. G., Weber James H.), A. I. Ch. E. Journal, 1957, 3, № 3, 391—394 (англ.)

Предложен точный метод определения тепловых нагрузок куба и конденсатора колонны (К) при периодич. ректификации бинарных смесей, являющийся развитием известного метода расчета К для непрерывной ректификации с помощью энтальпийной диаграммы. Предполагается, что удерживающей способностью К можно пренебречь. Приведен расчет тепловой нагрузки куба и конденсатора К, работающей при неизменном составе дистиллята, и К, работающей при постоянном значении флегмового числа.

**29056. По поводу замечаний И. Н. Ципариса к статье «Основные принципы выбора растворителя для разделения азеотропных систем методом экстрактивной дистилляции».** Кафаров В. В., Гордиенский Л. А., Ж. прикл. химия, 1957, 30, № 3, 497—498

Ответ на дискуссионную заметку И. Н. Ципариса (РЖХим, 1957, 21677). Подчеркивается, что в качестве разделяющего агента в процессе экстрактивной ректификации рекомендуется применять в-во, обеспечивающее значительное различие в «температурных депрессиях» компонентов исходной смеси и не дающее азеотропной смеси ни с одним из компонентов смеси.

**29057. Дископленочный абсорбер.** Тимкин Н. И., Хим. пром-сть, 1957, № 5, 308

Для взаимодействия  $\text{SO}_2$  с р-рами  $\text{Na}_2\text{SO}_3$  применен агрегат из двух последовательно соединенных дископленочных абсорберов (А). А представляет собой горизонтальный цилиндр из винипласта диам. 820 мм и длиной 2000 мм. По оси А смонтирован вал, на котором укреплено 11 винипластовых дисков диам. 800 мм; каждый диск имеет 600 отверстий диам. 12 мм по периферии и 600 отверстий диам. 7 мм ближе к центру. Нижняя часть каждого А залита р-ром, который подается в первый А, перетекает в другой и удаляется из установки; вал А вращается со скоростью 150 об/мин. По сравнению с ранее употреблявшейся башенной установкой съём продукта на 1 м<sup>3</sup> реакционного объема увеличивается с 0,28 до 3 т/сутки, содержание  $\text{SO}_2$  в отходящих газах уменьшается от 1,2 до 0,2%, содержание  $\text{H}_2\text{S}$  уменьшается от 1,0 до 0,1%, а расход электроэнергии увеличивается с 20 до 32 кет/час.

**29058. Расчеты по экстракции. Сравнение графического и аналитического методов.** Дейвис (Extraction calculations, a comparison of graphical and analytical methods. Davis D. S.), Brit. Chem. Engng, 1957, 2, № 12, 662—663 (англ.)

**29059. Экстракция в системе жидкость — жидкость. Часть IX. Частные коэффициенты массопередачи в насадочной колонне.** Гейлер, Прайт (Liquid — liquid extraction. Part IX. A further study of individual film coefficients for a packed column. Gayler R., Pratt H. R. C.), Trans. Instn Chem. Engrs, 1957, 35, № 4, 267—272 (англ.)

Исследован процесс массопередачи в системе этилацетат — вода в стеклянной колонне диам. 150 мм, за-

полненной насадкой (Н) из колец Рашига размером 25 мм. Высота слоя Н составляла 37 и 90 см. Опыты выполнены при постоянной линейной скорости дисперсной фазы  $V_d = 15$  м/час и переменной линейной скорости сплошной фазы  $V_c = 6 \pm 24$  м/час; а также при  $V_c = 10,7$  м/час и  $V_d = 6 \pm 24$  м/час. Полученные данные описываются ур-ниями:  $K_d \varepsilon x^{1+m} / V_d = 6,4 \cdot 10^{-5} (\text{Re}_d^0)^{0,5} \{1 + V_c x / [V_d (1-x)]\}$  и  $K_c \varepsilon x^{1+m} / V_d = 5,3 \cdot 10^{-5} (\text{Re}_d^0)^{0,5} \{1 + V_c x / [V_d (1-x)]\}$  где  $K_c$ ,  $K_d$  — коэф. массопередачи сплошной и дисперсной фаз, м/час;  $\varepsilon$  — свободный объем Н;  $x$  — удерживающая способность Н по отношению к дисперсной фазе;  $m = 0,45 - 0,00786 d_p$  ( $d_p$  — размер Н, мм);  $\text{Re}_d^0 = d_{VS}^0 \rho / \mu$ , где  $d_{VS}^0$  — характерный диаметр капли м,  $v_0$  — характерная скорость капли, м/час,  $\rho$  — плотность, кг/м<sup>3</sup>;  $\mu$  — вязкость, кг/м·час. Установлено, что  $K_c$  уменьшается за счет продольного перемешивания и образования струй. Часть VIII см. РЖХим, 1956, 80339. К. Сакодынский

**29060. Экстракция в системе жидкость — жидкость. Часть X. Общие коэффициенты массопередачи при экстракции ацетона в насадочной колонне.** Гейлер, Прайт (Liquid — liquid extraction. Part X. Overall mass transfer coefficients on an area basis for the extraction of acetone in packed columns. Gayler R., Pratt H. R. C.), Trans. Instn Chem. Engrs, 1957, 35, № 4, 273—291 (англ.)

Исследован процесс массопередачи при контактировании ацетона с водой и 4 р-рителями (этилацетатом, бутилацетатом, толуолом и дихлорэтиловым эфиром) в насадочной колонне диам. 100 мм при высоте слоя насадки 0,6; 1,2 и 3 м (кольца Рашига размером 12 мм). Для системы вода — ацетон — бутилацетат процесс массопередачи исследован также в насадочных колоннах диам. 150 и 300 мм с высотой слоя насадки 2,4 м, заполненных кольцами Рашига 12 и 37 мм. Получены данные по равновесному распределению ацетона между водой и указанными 4 р-рителями при т-рах 15—25°. Результаты опытов выражены посредством общих коэф. массопередачи  $K_{oc} \cdot F_m$ , вычисляемые по ур-нию:  $K_{oc} \cdot a \cdot F_m = (NTU)_{oc} V_c / h$ , где  $a$  — поверхность контакта фаз, м<sup>2</sup>/м<sup>3</sup>;  $(NTU)_{oc}$  — число единиц переноса;  $h$  — высота слоя насадки, м;  $V_c$  — скорость сплошной фазы, м/час; при этом  $a = 6V_d / (d_{VS}^0 v_0)$ , где  $V_d$  — скорость дисперсной фазы, м/час;  $d_{VS}^0$  — характерный диаметр капли, м;  $v_0$  — характерная скорость капли, м/час. Значения  $K_{oc} \cdot F_m$  сопоставлены со значениями, вычисленными по частным коэф. массопередачи согласно ур-нию:  $1/K_{oc} = 1/K_c + 1/HK_d$ , где  $K_c$  — частный коэф. массопередачи в сплошной фазе (м/час),  $K_d$  — частный коэф. массопередачи в дисперсной фазе (м/час),  $H$  — коэф. распределения. Установлено, что для переноса ацетона из воды в р-ритель опытные значения  $K_{oc} \cdot F_m$  превышают вычисленные на 50—200%; этот результат приписывают образованию микроволн на поверхности раздела фаз. Для переноса ацетона из р-теля в водн. фазу опытные значения  $K_{oc} \cdot F_m$  меньше вычисленных на 20—50%.

**29061. Экстракция в системе жидкость — жидкость. Часть XI. Данные по массопередаче при экстракции уранилнитрата в насадочной колонне.** Смит, Торнтон, Прайт (Liquid — liquid extraction. Part XI. Mass transfer data for the extraction of uranyl nitrate in a packed column. Smith L. E., Thornton J. D., Pratt H. R. C.), Trans. Instn Chem. Engrs, 1957, 35, № 4, 292—300 (англ.)

Исследован процесс массопередачи при экстракции



уранилнитрата метилизобутилкетонем в колонне из боросиликатного стекла диам. 100 мм с насадкой из колец Рашига диам. 12 мм при высоте слоя насадки 1,2 м. Получены данные по равновесному распределению уранилнитрата в этой системе. Опыты выполнены при экстракции уранилнитрата из водн. фазы в органич. и в противоположном направлении. В одной части опытов линейная скорость сплошной фазы (воды) была постоянной  $V_c = 7,3$  м/час, а скорость дисперсной фазы (метилизобутилкетона) изменялась в пределах  $V_d = 3,6 \div 21,2$  м/час. В другой части опытов была постоянной  $V_d = 11$  м/час, а  $V_c$  составляла  $3,6 \div 21$  м/час. Полученные результаты выражали через значения общего коэф. массопередачи (см. пред. реф.). Сделан вывод о применимости разработанного метода приближенного расчета скорости массопередачи в насадочной колонне для экстракции уранилнитрата.

К. Сакодынский  
29062. Экстракция в системе жидкость — жидкость в пульсационной колонне с перфорированными тарелками. Ли, Ньютон (Liquid-liquid extraction in a pulsed perforated-plate column. Li W. H., Newton W. M.), A. I. Ch. E. Journal, 1957, 3, № 1, 56—62 (англ.)

Исследован процесс экстракции в системе толуол — бензойная к-та — вода. Колонна (К) внутренним диам. 50 мм состояла из 11 секций, каждая высотой 50 мм. На тарелках (Т) имелось по 85 отверстий диам. 4,5 мм: общая доля свободного сечения составляла 35%. Пульсации осуществлялись насосом с диаметром плунжера 76 мм, при частоте от 0 до 110 в 1 мин. К заполняли водн. р-ром бензойной к-ты, а затем пускали противотоком толуол. В конце опыта питание прекращали, измеряли толщину слоя толуола на каждой Т, отбирали пробы воды с каждой Т и анализировали на содержание бензойной к-ты. Конц-ция бензойной к-ты в толуоле определялась по материальному балансу. В качестве дисперсной фазы использовали как толуол, так и водн. р-р бензойной к-ты. Результаты опытов выражали в значениях общего коэф. массопередачи  $k$  в зависимости от  $Re$ , который вычислялся для значений вязкости и плотности смеси среднего состава, скорости потока, определяемого по объему жидкости, вытесняемой плунжером и доле свободной поверхности Т. Обнаружено, что при постоянной скорости потоков и  $Re = 400 \div 1200$  величина  $k$  зависит от  $Re^{0,175}$  (ламинарный режим), а при  $Re = 1200 \div 1800$   $k$  зависит от  $Re^{1,07}$  (турбулентный режим). При  $Re > 1800$  наступает захлебывание. Основное сопротивление массопердаче представляет пленка толуола. Исследовано также влияние изменения пульсаций и скорости потоков водн. р-ра бензойной к-ты и толуола на  $k$ . В ламинарном режиме  $k$  зависит от скорости водн. фазы в степени 0,11, а от скорости потока толуола в степени 0,55, в турбулентном режиме  $k$  зависит от скорости водн. фазы в степени 0,23, а от скорости потока толуола в степени 1,2.

К. Сакодынский  
29063. Математическое исследование роста кристаллов в каскаде мешалок. Робинсон, Робертс (A mathematical study of crystal growth in a cascade of agitators. Robinson J. N., Roberts J. E.), Canad. J. Chem. Engng, 1957, 35, № 3, 105—112 (англ.)

Выведены ур-ния для определения кол-ва образующихся кристаллов и распределения их по размерам при кристаллизации р-ра в каскаде мешалок с идеальным перемешиванием; распределение кристаллов по размерам является простой функцией средней продолжительности их пребывания в аппаратуре. С увеличением числа мешалок в каскаде распределение частиц по размерам становится более равномерным. При

заданной производительности, отнесенной к единице объема аппаратуры, средний размер кристаллов с увеличением числа мешалок уменьшается. Полученные ур-ния применены для рассоматривания процесса кристаллизации сульфата аммония.

В. Коган  
29064. Относительно скорости растворения гранулированных твердых веществ при перемешивании. Ояма, Эндо, Кагаку когаку, Chem. Engng (Japan), 1956, 20, № 11, 576—581 (японск.; рез. англ.)

В результате анализа скорости перемещения жидкости  $v$  относительно частиц вводится коэф.  $\epsilon$  (мощность, потребляемая единицей массы перемешиваемой жидкости). Величина  $\epsilon$  пропорциональна отношению  $v^3/\delta$ , где  $\delta$  — диаметр частицы. С помощью вышеуказанного соотношения найден общий вид ур-ния, определяющего скорость растворения:  $S_h = K\delta D = k(v/D)^a (v\delta/v)^b$ , где  $S_h$  — критерий Шервуда;  $K$  — коэф. массопередачи;  $D$  — коэф. мол. диффузии;  $v$  — кинематич. вязкость жидкости;  $k$ ,  $a$  и  $b$  — постоянные, определяемые опытным путем. Эксперименты проводились в сосудах диам. 17 и 27 см, в качестве твердого в-ва использовался сахар. Опыты проводились с различными типами лопастных мешалок.

М. Иванов  
29065. Расчет процесса сушки. Храстина (Výpočet sušičho pochodu při daném teplotním intervalu. Chrástina Jar.), Strojrenství, 1957, 7, № 9, 677—679 (чешск.; рез. русск., нем., англ.)

Изложен метод расчета процесса сушки, поясненный численным примером для сушилки туннельного типа, в которой применен нагретый воздух с частичной его рециркуляцией.

Е. Стефановский  
29066. Сушилки в химической промышленности. Эллингтон (What type dryer for chemical processing? Ellington R. M.), Industr. Gas, 1956, 35, № 5, 6—12, 20 (англ.)

Описаны основные типы и конструкции сушилок.

Н. Кельцев  
29067. О расчете химических реакторов. Шёнеман, Гофман (Über die Vorausberechnung chemischer Reaktionsapparate. Schoenemann K., Hofmann Hanns), Chem.-Ingr.-Techn., 1957, 29, № 10, 665—672, 673—674, (нем.; рез. англ., франц.)

Даны сведения о методах расчета распределения т-р, объема и размеров реакторов для проведения каталитич. р-ций в газовой, жидкой и смешанных фазах.

В. Коган  
29068. Расчет реакторов с псевдооживленным слоем катализатора. Беранек, Клумпар (Fluidační katalytické reaktory a jejich výpočet. Beránek Jaroslav, Klumpar Ivan), Chem. průmysl, 1957, 7, № 2, 57—60 (чешск.; рез. русск., англ.)

Метод расчета основан на использовании данных о скорости падения частиц катализатора в среде. Определение этой скорости в зависимости от физ. свойств системы производится графически. Приведены графики для определения падения давления; скоростей, соответствующих началам псевдооживления и уносу частиц; границ расширения псевдооживленного слоя.

И. Елинек  
29069. Сосуды высокого давления для химической промышленности. Гонд (Wound high-pressure vessels for the chemical industry. Gond F.), Hung. Heavy Inds, 1956, № 19, 41—42 (англ.; рез. франц., нем., исп.)

Приводится краткое описание способа изготовления аппаратов высокого давления, по которому сосуд обматывается несколькими слоями раскатанной стальной ленты. Аппараты с внутренним диам. до 1000 мм и длиной до 15 м успешно работают при давл. 350 ат и т-ре 300°.

С. Крапачинников

29070. Принцип подобия в приложении к мельницам в процессе измельчения. Андреасен (The principle of similarity applied to mills and to the grinding process. Andreassen A. H. M.), Trans. Instn. Chem. Engrs, 1957, 35, № 2, 104—110 (англ.)

Исходя из теории подобия, показано, что для валцовых и молотковых мельниц, а также для щековых и конич. дробилок к. п. д. не зависит от их объема, если скорость вращения изменяется обратно пропорционально объему машины. Для бегунов и шаровых мельниц к. п. д. остается постоянным, если уд. вес материала, из которого изготовлены шары и бегуны, изменяется обратно пропорционально объему мельницы. Исходя из предположения о том, что работа, затрачиваемая на измельчение единицы массы обрабатываемого материала, не зависит от размера его частиц, выведено ур-ние для определения степени измельчения:  $E = C \ln F_a/F_0$ , где  $E$  — затраченная работа;  $C$  — константа, зависящая от свойств измельчаемого материала;  $F_0$  и  $F_a$  — тонина частиц до и после помола. Практически к. п. д. уменьшается с уменьшением размера частиц, что противоречит закону Риттингера о прямой пропорциональности между затратой работы на единицу массы порошка и тонной помола. Указано, что закон Риттингера подтверждается лишь при сравнительно грубом измельчении. Эксперим. проверка производилась как для ударного разрушения, так и для разрушения давлением. В качестве измельчаемого материала использовались призм. из обожженной глины, алюмосиликатов и стеклянные цилиндры. Б. Сумм

29071. Предварительное исследование измельчения смесей кварца и известняка. Холмс, Патчинг (A preliminary investigation of differential grinding — grinding of quartz-limestone mixtures. Holmes J. A., Patching S. W. F.), Trans. Instn. Chem. Engrs, 1957, 35, № 2, 111—124 (англ.)

Проведены эксперименты по измельчению (И) различных смесей кварца и известняка в шаровой мельнице с циркуляцией части продукта. По результатам хим. и ситового анализа исходной смеси и продуктов И определялись важнейшие характеристики процесса: скорость И для каждого компонента (К), распределение частиц обоих К по размерам в исходной смеси и продуктах И, влияние циркуляции, способность смеси к истиранию. Выбор кварца и известняка обусловлен большим различием в их твердости. Получены следующие выводы: 1) при совместной обработке скорость И для каждого К меньше, чем при их раздельном И в одинаковых условиях; 2) отношение скорости И для обоих К и распределение К по фракциям различного размера не зависят от соотношения К в исходной смеси; 3) выведены ур-ния, описывающие процесс И двухкомпонентных смесей в шаровых мельницах, позволяющие определить долю каждого К в циркуляционном потоке в зависимости от отношения скоростей И и уд. весов обоих К, а также от состава исходной смеси. Б. Сумм

29072. Допустимые расстояния между опорами сит просеивательных машин. Ридель (Die zulässigen Stützweiten in Siebmaschinen. Riedel Erich O.), Erdöl und Kohle, 1957, 10, № 3, 164—165 (нем.)

Рассматриваются причины преждевременного разрушения сит из проволоки и, в частности, значение расстояний между опорами сит. Получено ур-ние для определения допустимых расстояний между поддерживающими опорами сит и приведены табличные данные допустимых расстояний между опорами для сит из круглой и профилированной проволоки при различных размерах ячеек сит и диаметрах проволоки. Приведена схема рекомендуемого устройства для поддержания сита. И. Слободяник

29073. К вопросу о построении ряда распределения размеров частиц неоднородного материала. Койдэ Н. У., Заводск. лаборатория, 1957, 23, № 8, 941—947. Дается решение для построения ряда распределения частиц неоднородного материала по методу Шайля — Салтыкова и сравнение этого метода с методом хорд Спектора. Указывается, что метод хорд не позволяет определить общее число частиц и число частиц, имеющих наименьшие размеры; следовательно, в этом отношении метод Шайля — Салтыкова является более надежным. При наличии сред, состоящих из несперич. частиц, для которых оба эти метода применены быть не могут, необходимо вводить коррективы в ряды распределения диаметров сечений частиц. Отмечается, что ур-ния для определения числа частиц по методу хорд более просты, чем по методу Шайля — Салтыкова. С. Крашенинников

29074. Промышленный дозатор системы Вихтере-Пинкавова. Цыприан, Лиснер (Průmyslový dávkovač systému Wichterle-Pinkavova. Cyprian Karel, Lisner Antonín), Chem. průmysl, 1957, 7, № 8, 419—424 (чешск.)

Описан дозатор для жидкостей, устройство которого основано на использовании системы камер с поплавками. Дозатор испытывался при расходах до ~400 л/час. Е. Стефановский

29075. Расчет диаметра нижнего отверстия конического бункера. Тенека, Кагаку когаку, Chem. Engng (Japan), 1956, 20, № 12, 709—710 (японск.) Предыдущее сообщение см. РЖХим, 1957, 14203.

29076. Испытание плотности статических соединений по отношению к газу посредством обнаружения утечки в этих соединениях. Йосида, Иути (The study of the gastightness of the statical contact by means of the leakage through it. Yoshida Seishi, Iuchi Satoru), Proc. 8th Japan Nat. Congr. Appl. Mech., 1956. Tokyo, 1957, 245—248 (англ.)

29077 К. Руководство к практическим занятиям в лаборатории процессов и аппаратов химической технологии. [Учебн. пособие для хим.-технол. вузов и фак.] Ред. Романков П. Г. Л., Госхимиздат, 1957, 202 стр., илл., 5 р. 60 к.

29078 К. Машины химической промышленности [Учебн. пособие для механ. специальностей вузов и фак. хим. машиностр.] Т. I. Машины для обработки жидких и сыпучих сред. Канторович З. Б. М., Машгиз, 1957, 568 стр., илл., 17 р. 85 к.

29079 Д. Массопередача в газовой фазе на ситчатых тарелках. Соломаха Г. П. Автореф. дисс. канд. техн. н., Моск. ин-т хим. машиностр., М., 1957

29080 П. Электрофилтр. Робертс (Electrostatic precipitator. Roberts Lawrence M.) [Research Corp.], Пат. США 2756839, 31.07.56

Предложен электрофилтр (Э), предназначенный для улавливания взвешенных частиц из газов, содержащих фтор. В целях предотвращения коррозии осадительные электроды выполняются в виде деревянных труб; последние непрерывно орошаются водой в автоматич. отключаются от источника высоковольтного электрич. питания при прекращении орошения в качестве противопожарной защиты. Ю. Скорецкий

29081 П. Электрофилтр. Басфилд (Electrical precipitator. Busfield Gordon) [Research Corp.], Пат. США 2751036, 19.06.56

Описан электрофилтр, в котором при помощи непрерывно стекающей пленки воды очищаются поверхности осадительных и коронирующих электродов. Вода распределяется при помощи желобов, расположенных над электродами. Электрофилтр предназначен для работы с газами при повышенном давлении. Ю. Скорецкий



29082 П. Изолирующий кожух. Вюйе (Coquille isolante hétérogène. Vuillet Pierre). Франц. пат. 1115911, 2.05.56

Для изоляции труб предложен жесткий цилиндрич. кожух, внутри которого находится слой изоляционного материала, напр. минер. войлока; при произ-ве изоляционных работ кожух надевается на трубу.

З. Хаимский  
29083 П. Электрическая печь. Хед (Electric furnace. Head Bert L.) [Western Electric Co., Inc.]. Пат. США 2763704, 18.09.56

Для защиты открытых электрич. нагревателей в печах (П) от действия кислорода воздуха, проникающего в П при загрузке или выгрузке нагреваемого изделия, в камере П вблизи загрузочного люка, закрываемого крышкой, устанавливаются перфорированные пластины, которые изготавливаются из материала, активно реагирующего с кислородом. При открытии крышки кислород воздуха связывается с нагретым материалом пластин, имеющим относительно большую поверхность, и внутрь П проникает только азот, который не оказывает вредного действия на нагреватели.

А. Ровинский  
29084 П. Способ сжатия углекислого газа (Procédé pour la compression de l'acide carbonique) [Siemag Siegener Maschinenbau G. m. b. H.]. Франц. пат. 1123476, 21.09.56

При сжатии  $\text{CO}_2$  в одной ступени до 3—4 атм быстро образуется нагар на клапанах компрессора. Предложено осуществлять сжатие до 3—4 атм в двух ступенях с промежуточным охлаждением с тем, чтобы т-ра конца сжатия не превышала  $70^\circ$ ; это позволяет производить очистку клапанов от нагара лишь через каждые 8 недель.

Л. Херсонская  
29085 П. Устройство для непрерывного выпаривания растворов едких щелочей. Вурбс (Vorrichtung zum kontinuierlichen Eindampfen von Atzalkalilaugen. Wurbs Alfred). Пат. ФРГ 949944, 27.09.56

Предложено располагать отдельные аппараты для выпаривания р-ра щелочи на одном уровне и соединять их между собой при помощи переливных труб, расположенных несколько ниже уровня р-ра в каждом аппарате; при этом переливная труба последнего по ходу движения выпариваемой щелочи аппарата устанавливается наклонно вверх таким образом, чтобы ее выходное отверстие находилось на уровне р-ра в этом аппарате. Предлагаемое расположение аппаратов облегчает их монтаж, а расположение переливных труб ниже уровня р-ра в каждом аппарате значительно уменьшает их коррозию. Разность уровней в аппаратах при их горизонтальном расположении устанавливается автоматически за счет гидравлич. сопротивления переливных труб.

В. Реутский  
29086 П. Выпарная установка (Anordning ved væskeinddampningsanlæg) [Aktieselskabet Niro Atomizer]. Датск. пат. 823569, 11.03.57

Предложена схема выпаривания, отличающаяся тем, что между сепаратором и выпарным аппаратом (ВА) размещен теплообменник (Т), в котором происходит нагревание исходной и циркулирующей жидкостей до т-ры кипения. Кипение жидкости в Т исключается установкой между Т и ВА дроссельной заслонки, после прохождения которой жидкость вскипает на входе в ВА.

К. Герцфельд  
29087 П. Метод и аппарат для выпаривания. Виганд (Procédé et dispositif pour l'évaporation dans des évaporateurs à courant descendant. Wiegand Joachim). Франц. пат. 1117714, 25.05.56

При выпаривании стекающей жидкости затруднительно обеспечить равномерное распределение жидкости на верхней трубной решетке аппарата. Предложено подвергать жидкость перегреву, а затем дроссе-

лировать ее в сосуд, имеющий форму конуса и прижимающийся своим основанием к верхней трубной решетке выпарного аппарата. Выделяющийся при дросселировании пар способствует интенсивному перемешиванию жидкости и ее равномерному распределению. Можно применять непосредственный ввод пара в жидкость, который может одновременно служить для инжектирования жидкости.

З. Хаимский  
29088 П. Выпарная установка. Бельснес (Anordning ved inddampningsapparater. Belsnes Lars). Норв. пат. 85377, 18.04.55

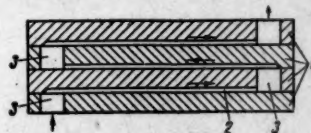
Предложена схема выпарной установки с общим сепаратором для нескольких аппаратов; каждая труба, связывающая аппарат с сепаратором, имеет ловушку для отделения р-ра. Ловушка представляет собой колпачок с отверстием в боковой стенке для тангенциального ввода паро-жидкостной смеси и отверстием в крышке для удаления пара; нижний край колпачка опущен в жидкость. Для выхода избытка пара на нижнем крае колпачка устроены прорезы или отводные трубки, концы которых опущены в жидкость.

К. Герцфельд  
29089 П. Способ подачи раствора в выпарные аппараты. Бельснес (Fremgangsmåte for innføring av løselvsske i inddampningsapparater. Belsnes Lars). Норв. пат. 85378, 18.04.55

Подлежащий выпариванию р-р по трубопроводу подается в сопло, расположенное в циркуляционной трубе, которая соединяет нижнюю часть выпарного аппарата и находящийся над последним сепаратор. Под влиянием инжектирующего действия струи р-ра, выходящей из сопла, улучшается циркуляция выпариваемого р-ра в аппарате.

К. Герцфельд  
29090 П. Аппарат для осуществления массообмена. Мель (Stoffaustauscher. Mehl Wilhelm) [Badische Anilin- & Soda-Fabrik A.-G.]. Пат. ФРГ 960183, 21.03.57

Предложена конструкция аппарата для массообмена, состоящего из ряда горизонтальных плит 1, которые по периферии уплотняются прокладками. 1 имеют большое число параллельных канавок 2, сообщающихся с каналами 3. Газ подается в нижнюю часть аппарата и движется по верхней части 2, а жид-



кость — сверху и движется по нижней части 2; при противоточном движении фаз происходит массообмен между ними. Аппарат, состоящий из 5 плит размером  $1000 \times 1000$  мм со 170 канавками треугольного сечения (высота и ширина 2 равна 5 мм), равен по кол-ву колонне диам. 140 мм, высотой 1 м с насадкой из колец Рашига  $8 \times 8$  мм. Преимуществом аппаратов предлагаемой конструкции является их малая высота.

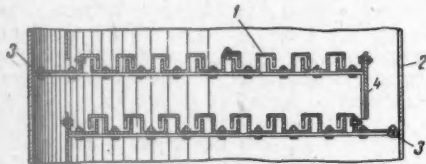
В. Коган  
29091 П. Способ разделения многокомпонентных смесей. Ашерль, Бютнер (Verfahren zur Trennung von Vielstoffgemischen. Ascherl Alfons, Büttner Franz) [Wacker-Chemie G. m. b. H.]. Пат. ФРГ 956576, 24.01.57

Предлагается метод разделения многокомпонентных смесей с помощью экстрактивной дистилляции, отличающийся тем, что в качестве разделяющего агента (РА) применяется в-во, способное экстрагировать из заданной смеси один из компонентов и образующее по крайней мере с одним из других компонентов азеотроп с минимумом т-ры кипения. В-во, экстрагируемое РА, в смеси с последним отбирается в виде

кубовой жидкости, а другие компоненты с частью РА отбираются в виде дистиллята. Кубовая жидкость и дистиллят разделяются обычными методами. РА подается в верхнюю часть колонны, а исходная смесь — в нижнюю в соотношении от 6:1 до 8:1. При разделении смесей, содержащих воду, в качестве РА применяется в-во, обладающее ограниченной взаимной растворимостью с водой. В. Коган

**29092 П.** Тарелка для ректификационных колонн (Plateau léger pour colonne de fractionnement) [Soc. Vacon-Vacuum Oil Co., Inc.]. Франц. пат. 1413779, 4.04.56

Предложена конструкция тарелки, которая собирается из штампованных профилированных элементов 1, образующих гидравлич. затворы, необходимые

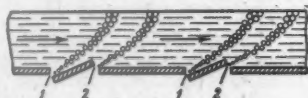


для осуществления барботажа. К корпусу колонны 2 прикрепляются кольца 3, на которых устанавливаются 1. Уровень жидкости определяется переливным порогом 4. Элементы 1 обладают достаточной жесткостью и могут быть изготовлены из тонкого металла.

З. Хаимский

**29093 П.** Контактная тарелка для ректификационных колонн. Оше (Schlitzaustauschboden für Destillier- und Rektifizierkolonnen. Aucher Jean) [L'Air Liquide, Soc. An. pour l'Etude et l'Exploitation des Procédés Georges Claude]. Пат. ФРГ 950190, 4.10.56

Предлагается тарелка, обеспечивающая равномерную толщину слоя текущей по ней жидкости. Тарелка изготавливается из тонкого листового металла, в котором просекается ряд параллельных щелей, расположенных либо вдоль радиусов, либо по касательным к концентрич. окружностям. Участку металл. листа, ограниченному двумя соседними щелями, придается

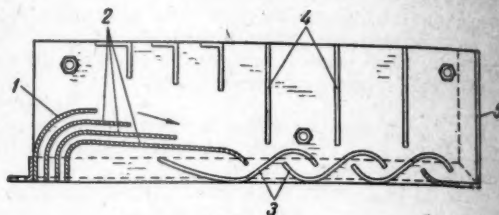


наклон по отношению к горизонтальной плоскости листа за счет пластич. деформации материала, что приводит к образованию более широких щелей 1 и 2 для прохода паров с нижележащей тарелки. Пары, пронизывая жидкость, заставляют ее в то же время двигаться в направлении, указанном на рис. стрелками. В зависимости от расположения щелей движение жидкости будет происходить либо по окружности, либо в радиальном направлении. Ю. Петровский

**29094 П.** Устройство для контактирования газа и жидкости. Хэггине (Gas-liquid contact apparatus. Higgins Clifford Andrew) [Koch Engineering Co.]. Пат. США 2757945, 7.08.56

Предлагается новая конструкция тарелки, отличающаяся формой перегородок (П). За крайней П 1, являющейся стенкой гидравлич. затвора, следуют три П с горизонтальными полками 2, по которым, стекая каскадом, жидкость попадает на несколько перекрывающих друг друга П 3. Над ними установлены вертикальные отбойные пластины 4. Перфорированная стенка 5 отделяет от паров жидкость, поступающую с последней П 3, и дает ей возможность спокойно

стекать на следующую тарелку. В тарелке такого типа создаются высокие скорости пара и оказывается



возможным осуществить эффективный контакт пара с большим кол-вом жидкости. А. Ровинский

**29095 П.** Насадка для башен. Кёлер (Füllung für Türme. Köhler Thaddäus) [Chemische Industrie G. m. b. H.]. Пат. ФРГ 962696, 25.04.57

Предложено использовать в качестве насадки для абсорбционных аппаратов пластмассовую (особенно из полихлорвиниловых пластмасс) стружку, получающуюся при токарной обработке стержней. Достоинствами такой насадки являются эластичность, хорошее растекание жидкости по поверхности, коррозионная стойкость. Насадка рекомендуется, в частности, для сернокислотного произ-ва. В. Коган

**29096 П.** Способ выделения одной или нескольких составных частей раствора. Ленерер (Verfahren zur Anreicherung bzw. Trennung eines oder mehrerer Bestandteile einer flüssigen Mischung bzw. einer Lösung. Lehnerer Wolfgang) [Badische Anilin- & Soda-Fabrik A.-G.]. Пат. ФРГ 962064, 18.04.57

При выделении составных частей р-ра с помощью адсорбции или ионообмена приходится применять большие кол-ва жидкостей для удаления адсорбированных в-в. Предложен метод разделения, основанный на добавлении к исходному р-ру в-в, изменяющих способность отдельных компонентов к адсорбции. В ионообменную или адсорбционную колонку (К) последовательно вводятся порции р-ра с добавкой и без добавки в-ва В, изменяющего способность компонента А к адсорбции. Благодаря этому по высоте К происходит периодич. изменение конц-ии А. При равных объемах р-ра с добавкой и без добавки из К поочередно отбираются порции р-ра с двойной конц-ией А и практически не содержащие А. Степень упрочнения зависит от свойств р-ра, размеров К и соотношения объемов р-ров с добавкой и без добавки. Напр., при отношении объемов р-ров 4:1 могут быть получены 4 ч. р-ра, не содержащего А, и 1 ч. р-ра с конц-ией А в 5 раз большей, чем в исходном р-ре. Потребное кол-во адсорбента зависит от свойств р-ров. Чем меньше разница в адсорбционном поведении А в р-рах с добавкой и без добавки, тем больше потребное кол-во адсорбента. Приводятся примеры применения описанного метода для выделения ряда в-в. Резорцин (Р) и флороглюцин (Ф) выделяются из р-ра в метаноле путем адсорбции на порошок окиси алюминия, В К, содержащую 7,3 см<sup>3</sup> последнего, подается р-р с расходом 0,5 мл/см<sup>3</sup> мин. В качестве добавки используется вода. 1-й р-р содержит 0,02 г Р и 0,02 г Ф в 22 мл метанола. 2-й р-р содержит 0,02 г Р, 0,02 г Ф и 1 мл воды в 21 мл метанола. Эти р-ры подаются порциями по 2,5 мл. Из нижней части К отбираются по 2,5 мл р-ра, содержащего удвоенное кол-во Р и Ф, и р-ра, содержащего следы этих в-в. В. Коган

**29097 П.** Аппарат для сублимации. Крон, Шмидт (Sublimation apparatus. Krohn Roy, Schmidt Robert J.) [United States Atomic Energy Commission]. Пат. США 2743168, 24.04.56

Предложена конструкция аппарата для сублимации при повышенном давлении. В-во, подвергающееся

сублимации, поступает в камеру с конденсатором, устройством для удаления влаги, спиральной трубой. Между теплопроводящими элементами устанавливается теплопроводящая среда между камерами. Камера снабжена клапанами, позволяющими быть при соединении у



**29098 П.** Вспомогательный прибор для газовой сублимации. Вейгт, В. (Hilfsapparat für die Gas-Sublimation. Weigt V.) [Chemische Industrie G. m. b. H.]. Пат. ФРГ 962064, 18.04.57

См. так же 30416, 30417, 30418, 30419, 30420, 30421, 30422, 30423, 30424, 30425, 30426, 30427, 30428, 30429, 30430, 30431, 30432, 30433, 30434, 30435, 30436, 30437, 30438, 30439, 30440, 30441, 30442, 30443, 30444, 30445, 30446, 30447, 30448, 30449, 30450, 30451, 30452, 30453, 30454, 30455, 30456, 30457, 30458, 30459, 30460, 30461, 30462, 30463, 30464, 30465, 30466, 30467, 30468, 30469, 30470, 30471, 30472, 30473, 30474, 30475, 30476, 30477, 30478, 30479, 30480, 30481, 30482, 30483, 30484, 30485, 30486, 30487, 30488, 30489, 30490, 30491, 30492, 30493, 30494, 30495, 30496, 30497, 30498, 30499, 30500, 30501, 30502, 30503, 30504, 30505, 30506, 30507, 30508, 30509, 30510, 30511, 30512, 30513, 30514, 30515, 30516, 30517, 30518, 30519, 30520, 30521, 30522, 30523, 30524, 30525, 30526, 30527, 30528, 30529, 30530, 30531, 30532, 30533, 30534, 30535, 30536, 30537, 30538, 30539, 30540, 30541, 30542, 30543, 30544, 30545, 30546, 30547, 30548, 30549, 30550, 30551, 30552, 30553, 30554, 30555, 30556, 30557, 30558, 30559, 30560, 30561, 30562, 30563, 30564, 30565, 30566, 30567, 30568, 30569, 30570, 30571, 30572, 30573, 30574, 30575, 30576, 30577, 30578, 30579, 30580, 30581, 30582, 30583, 30584, 30585, 30586, 30587, 30588, 30589, 30590, 30591, 30592, 30593, 30594, 30595, 30596, 30597, 30598, 30599, 30600, 30601, 30602, 30603, 30604, 30605, 30606, 30607, 30608, 30609, 30610, 30611, 30612, 30613, 30614, 30615, 30616, 30617, 30618, 30619, 30620, 30621, 30622, 30623, 30624, 30625, 30626, 30627, 30628, 30629, 30630, 30631, 30632, 30633, 30634, 30635, 30636, 30637, 30638, 30639, 30640, 30641, 30642, 30643, 30644, 30645, 30646, 30647, 30648, 30649, 30650, 30651, 30652, 30653, 30654, 30655, 30656, 30657, 30658, 30659, 30660, 30661, 30662, 30663, 30664, 30665, 30666, 30667, 30668, 30669, 30670, 30671, 30672, 30673, 30674, 30675, 30676, 30677, 30678, 30679, 30680, 30681, 30682, 30683, 30684, 30685, 30686, 30687, 30688, 30689, 30690, 30691, 30692, 30693, 30694, 30695, 30696, 30697, 30698, 30699, 30700, 30701, 30702, 30703, 30704, 30705, 30706, 30707, 30708, 30709, 30710, 30711, 30712, 30713, 30714, 30715, 30716, 30717, 30718, 30719, 30720, 30721, 30722, 30723, 30724, 30725, 30726, 30727, 30728, 30729, 30730, 30731, 30732, 30733, 30734, 30735, 30736, 30737, 30738, 30739, 30740, 30741, 30742, 30743, 30744, 30745, 30746, 30747, 30748, 30749, 30750, 30751, 30752, 30753, 30754, 30755, 30756, 30757, 30758, 30759, 30760, 30761, 30762, 30763, 30764, 30765, 30766, 30767, 30768, 30769, 30770, 30771, 30772, 30773, 30774, 30775, 30776, 30777, 30778, 30779, 30780, 30781, 30782, 30783, 30784, 30785, 30786, 30787, 30788, 30789, 30790, 30791, 30792, 30793, 30794, 30795, 30796, 30797, 30798, 30799, 30800, 30801, 30802, 30803, 30804, 30805, 30806, 30807, 30808, 30809, 30810, 30811, 30812, 30813, 30814, 30815, 30816, 30817, 30818, 30819, 30820, 30821, 30822, 30823, 30824, 30825, 30826, 30827, 30828, 30829, 30830, 30831, 30832, 30833, 30834, 30835, 30836, 30837, 30838, 30839, 30840, 30841, 30842, 30843, 30844, 30845, 30846, 30847, 30848, 30849, 30850, 30851, 30852, 30853, 30854, 30855, 30856, 30857, 30858, 30859, 30860, 30861, 30862, 30863, 30864, 30865, 30866, 30867, 30868, 30869, 30870, 30871, 30872, 30873, 30874, 30875, 30876, 30877, 30878, 30879, 30880, 30881, 30882, 30883, 30884, 30885, 30886, 30887, 30888, 30889, 30890, 30891, 30892, 30893, 30894, 30895, 30896, 30897, 30898, 30899, 30900, 30901, 30902, 30903, 30904, 30905, 30906, 30907, 30908, 30909, 30910, 30911, 30912, 30913, 30914, 30915, 30916, 30917, 30918, 30919, 30920, 30921, 30922, 30923, 30924, 30925, 30926, 30927, 30928, 30929, 30930, 30931, 30932, 30933, 30934, 30935, 30936, 30937, 30938, 30939, 30940, 30941, 30942, 30943, 30944, 30945, 30946, 30947, 30948, 30949, 30950, 30951, 30952, 30953, 30954, 30955, 30956, 30957, 30958, 30959, 30960, 30961, 30962, 30963, 30964, 30965, 30966, 30967, 30968, 30969, 30970, 30971, 30972, 30973, 30974, 30975, 30976, 30977, 30978, 30979, 30980, 30981, 30982, 30983, 30984, 30985, 30986, 30987, 30988, 30989, 30990, 30991, 30992, 30993, 30994, 30995, 30996, 30997, 30998, 30999, 31000, 31001, 31002, 31003, 31004, 31005, 31006, 31007, 31008, 31009, 31010, 31011, 31012, 31013, 31014, 31015, 31016, 31017, 31018, 31019, 31020, 31021, 31022, 31023, 31024, 31025, 31026, 31027, 31028, 31029, 31030, 31031, 31032, 31033, 31034, 31035, 31036, 31037, 31038, 31039, 31040, 31041, 31042, 31043, 31044, 31045, 31046, 31047, 31048, 31049, 31050, 31051, 31052, 31053, 31054, 31055, 31056, 31057, 31058, 31059, 31060, 31061, 31062, 31063, 31064, 31065, 31066, 31067, 31068, 31069, 31070, 31071, 31072, 31073, 31074, 31075, 31076, 31077, 31078, 31079, 31080, 31081, 31082, 31083, 31084, 31085, 31086, 31087, 31088, 31089, 31090, 31091, 31092, 31093, 31094, 31095, 31096, 31097, 31098, 31099, 31100, 31101, 31102, 31103, 31104, 31105, 31106, 31107, 31108, 31109, 31110, 31111, 31112, 31113, 31114, 31115, 31116, 31117, 31118, 31119, 31120, 31121, 31122, 31123, 31124, 31125, 31126, 31127, 31128, 31129, 31130, 31131, 31132, 31133, 31134, 31135, 31136, 31137, 31138, 31139, 31140, 31141, 31142, 31143, 31144, 31145, 31146, 31147, 31148, 31149, 31150, 31151, 31152, 31153, 31154, 31155, 31156, 31157, 31158, 31159, 31160, 31161, 31162, 31163, 31164, 31165, 31166, 31167, 31168, 31169, 31170, 31171, 31172, 31173, 31174, 31175, 31176, 31177, 31178, 31179, 31180, 31181, 31182, 31183, 31184, 31185, 31186, 31187, 31188, 31189, 31190, 31191, 31192, 31193, 31194, 31195, 31196, 31197, 31198, 31199, 31200, 31201, 31202, 31203, 31204, 31205, 31206, 31207, 31208, 31209, 31210, 31211, 31212, 31213, 31214, 31215, 31216, 31217, 31218, 31219, 31220, 31221, 31222, 31223, 31224, 31225, 31226, 31227, 31228, 31229, 31230, 31231, 31232, 31233, 31234, 31235, 31236, 31237, 31238, 31239, 31240, 31241, 31242, 31243, 31244, 31245, 31246, 31247, 31248, 31249, 31250, 31251, 31252, 31253, 31254, 31255, 31256, 31257, 31258, 31259, 31260, 31261, 31262, 31263, 31264, 31265, 31266, 31267, 31268, 31269, 31270, 31271, 31272, 31273, 31274, 31275, 31276, 31277, 31278, 31279, 31280, 31281, 31282, 31283, 31284, 31285, 31286, 31287, 31288, 31289, 31290, 31291, 31292, 31293, 31294, 31295, 31296, 31297, 31298, 31299, 31300, 31301, 31302, 31303, 31304, 31305, 31306, 31307, 31308, 31309, 31310, 31311, 31312, 31313, 31314, 31315, 31316, 31317, 31318, 31319, 31320, 31321, 31322, 31323, 31324, 31325, 31326, 31327, 31328, 31329, 31330, 31331, 31332, 31333, 31334, 31335, 31336, 31337, 31338, 31339, 31340, 31341, 31342, 31343, 31344, 31345, 31346, 31347, 31348, 31349, 31350, 31351, 31352, 31353, 31354, 31355, 31356, 31357, 31358, 31359, 31360, 31361, 31362, 31363, 31364, 31365, 31366, 31367, 31368, 31369, 31370, 31371, 31372, 31373, 31374, 31375, 31376, 31377, 31378, 31379, 31380, 31381, 31382, 31383, 31384, 31385, 31386, 31387, 31388, 31389, 31390, 31391, 31392, 31393, 31394, 31395, 31396, 31397, 31398, 31399, 31400, 31401, 31402, 31403, 31404, 31405, 31406, 31407, 31408, 31409, 31410, 31411, 31412, 31413, 31414, 31415, 31416, 31417, 31418, 31419, 31420, 31421, 31422, 31423, 31424, 31425, 31426, 31427, 31428, 31429, 31430, 31431, 31432, 31433, 31434, 31435, 31436, 31437, 31438, 31439, 31440, 31441, 31442, 31443, 31444, 31445, 31446, 31447, 31448, 31449, 31450, 31451, 31452, 31453, 31454, 31455, 31456, 31457, 31458, 31459, 31460, 31461, 31462, 31463, 31464, 31465, 31466, 31467, 31468, 31469, 31470, 31471, 31472, 31473, 31474, 31475, 31476, 31477, 31478, 31479, 31480, 31481, 31482, 31483, 31484, 31485, 31486, 31487, 31488, 31489, 31490, 31491, 31492, 31493, 31494, 31495, 31496, 31497, 31498, 31499, 31500, 31501, 31502, 31503, 31504, 31505, 31506, 31507, 31508, 31509, 31510, 31511, 31512, 31513, 31514, 31515, 31516, 31517, 31518, 31519, 31520, 31521, 31522, 31523, 31524, 31525, 31526, 31527, 31528, 31529, 31530, 31531, 31532, 31533, 31534, 31535, 31536, 31537, 31538, 31539, 31540, 31541, 31542, 31543, 31544, 31545, 31546, 31547, 31548, 31549, 31550, 31551, 31552, 31553, 31554, 31555, 31556, 31557, 31558, 31559, 31560, 31561, 31562, 31563, 31564, 31565, 31566, 31567, 31568, 31569, 31570, 31571, 31572, 31573, 31574, 31575, 31576, 31577, 31578, 31579, 31580, 31581, 31582, 31583, 31584, 31585, 31586, 31587, 31588, 31589, 31590, 31591, 31592, 31593, 31594, 31595, 31596, 31597, 31598, 31599, 31600, 31601, 31602, 31603, 31604, 31605, 31606, 31607, 31608, 31609, 31610, 31611, 31612, 31613, 31614, 31615, 31616, 31617, 31618, 31619, 31620, 31621, 31622, 31623, 31624, 31625, 31626, 31627, 31628, 31629, 31630, 31631, 31632, 31633, 31634, 31635, 31636, 31637, 31638, 31639, 31640, 31641, 31642, 31643, 31644, 31645, 31646, 31647, 31648, 31649, 31650, 31651, 31652, 31653, 31654, 31655, 31656, 31657, 31658, 31659, 31660, 31661, 31662, 31663, 31664, 31665, 31666, 31667, 31668, 31669, 31670, 31671, 31672, 31673, 31674, 31675, 31676, 31677, 31678, 31679, 31680, 31681, 31682, 31683, 31684, 31685, 31686, 31687, 31688, 31689, 31690, 31691, 31692



сублимации, помещается в контейнер, находящийся внутри продолговатого испарителя, который соединен с конденсатором (К) и трубчатым передвижным устройством для нагревания. Внутри К имеет передвижную гильзу, снабженную отходящей от нее к оси К спиральной перегородкой одинаковой длины с гильзой. Между контейнером и гильзой имеются уплотнительные кольцевые устройства, предотвращающие проникновение сублимируемого в-ва в пространство между стенками гильзы и К. Наружные стенки К снабжены змеевиком для охлаждения. Аппарат может быть применен для очистки галлоидпроизводных соединений урана.

Л. Херсонская

29098 П. Усовершенствованный метод контакта между газом и твердыми частицами (Perfectionnements à la mise en contact de gaz et de solides) [Cie pour la Fabrication des Compteurs et Matériel d'Usines à Gaz]. Франц. пат. 1123277, 19.09.56

Газ, подвергаемый обработке (очистка, каталитич. реакция), поступает через затвор 1 в трубу Вентури 2, реакционные камеры 3 и 4 и циклоны 5 и 6. Твердые частицы поступают в регенераторы 7 и 8, снабженные рубашками для нагревания или охлаждения. Из 7 и 8 твердые частицы по трубе 9 возвращаются в цикл. От основного потока ответвляется 2—3% газа для регенерации твердых частиц; эта часть потока поступает через трубу 10 и уходит в 5 через трубу 11. По трубе 12 уходит часть крупной фракции в 6, минуя 5, что предупреждает забивание 6. Новые порции твердых частиц поступают (периодически или непрерывно) через 13, а отработанные твердые частицы удаляются через 14.

3. Ханмский  
29099 П. Вращающийся автоклав с насадкой, работающий под давлением, для реакции между жидкой и газообразной фазами. Голембёвский, Пильц, Вейгт, Вагнер (Autoklaw ciśnieniowy obrotowy z wypełnieniem, do reakcji między fazą ciekłą i gazową. Gołębiowski Jacek, Pilec Aleksander, Weigt Wacław, Wagner Stanisław) [Instytut Chemii Ogólnej]. Польш. пат. 38208, 15.09.55

Автоклав (А) состоит из горизонтального цилиндрич. корпуса, внутри которого концентрически укреплена перфорированная перегородка, а кольцевое пространство между корпусом и перегородкой заполнено насадкой из колец Рашига. Внутри перегородки размещен змеевик, служащий для подачи в А греющего пара или охлаждающей воды; змеевик может легко удаляться из А при очистке или ремонте. А наполнен жидкостью, уровень которой определяется сливной трубой. При вращении А жидкость увлекается насадкой в верхнюю часть, где происходит ее взаимодействие с газами.

Ю. Скорецкий

См. также: Гидроциклоны 30415. Фильтрование 30416, 30417, 31091. Гидродинамика 31057. Выпарные аппараты 30436. Просеивание 30132. Кристаллизация 30438

## КОНТРОЛЬНО-ИЗМЕРИТЕЛЬНЫЕ ПРИБОРЫ АВТОМАТИЧЕСКОЕ РЕГУЛИРОВАНИЕ

Редакторы А. М. Дробиз, Н. Я. Феста

29100. Об автоматизации химических производств. Елшин Н. Н., Феста Н. Я., Хим. пром-сть, 1957, № 7, 433—437

Дается обзор состояния автоматизации контроля и регулирования в различных отраслях хим. пром-сти и приводятся соображения о необходимом направлении и задачах в построении схем комплексной автоматизации предприятий хим. пром-сти и развитии спец. приборостроения.

М. Людмирский

29101. Автоматизация в химической промышленности. Такэнака, Бэссацу кагаку когё, 1957, 1, № 1, 41—53 (японск.)

29102. Автоматизация в нефтеперерабатывающей, химической и металлургической промышленности. Тойма, Бэссацу кагаку когё, 1957, 1, № 1, 25—40 (японск.)

29103. Практика управления химическими процессами. Бингем (Practical chemical process control. Bingham R. S., Jr., Industr. Quality Control, 1957, 13, № 11, 46, 48, 50—51, 54, 56 (англ.)

Показывается целесообразность применения статистич. методов для контроля и управления хим. процессами. Эти методы позволяют: а) отделять флуктуации параметра от действительных отклонений; б) определять причины отклонений; в) получить уточненные данные для проектирования новых процессов; г) улучшить ведение процесса. Библ. 35 назв.

И. Ихлов

29104. Современные контрольно-измерительные приборы. Тэрао, Бэссацу кагаку когё, 1957, 1, № 1, 65—77 (японск.)

29105. Принципы автоматического регулирования. Хелмич (Principles of feedback control. Helmick K. C. G.), Chem. Age India, 1957, 8, № 3, 373—377 (англ.)  
Элементарные сведения из теории автоматич. регулирования. Вопросы качества регулирования.

В. Вольтер

29106. Применение гидравлических систем автоматического регулирования. Арая, Камикару эндзингирингу, Chem. Engng, 1957, 2, № 6, 551—553 (японск.)

29107. Прогресс в электронном управлении. Вальтер (Progress in electronic control. Walter Leo), Chem. Age India, 1957, 8, № 3, 318—321 (англ.)

Краткое описание некоторых электронных приборов для регулирования промышленных процессов.

В. Вольтер

29108. Регулирование и управление периодическими процессами. Хенгстенберг (Regelung und Steuerung von Chargenbetrieben. Hengstenberg J.), Chem. Ind., 1957, 9, № 10, 497—499 (нем.)

Хотя в последнее время периодич. процессы (ПП) все более и более вытесняются непрерывными, ПП все еще находят широкое применение. Для ПП применяют автоматич. регуляторы загрузки, давления и т-ры. В случае жидких компонентов рекомендуется применять для загрузки объемные счетчики с электр. предварительной установкой, отмеривающие определенное кол-во в-ва. Автоматич. регулирование т-ры лучше всего производить по схеме каскадного соединения двух регуляторов. 1-й регулятор поддерживает т-ру греющего (охлаждающего) агента, а его заданное значение переставляется 2-м регулятором, по т-ре в реакторе. В маленьких произ-вах рекомендуется автоматизация в 3 очереди. 1-я — стабилизация источников энергии (давление пара, газа, воздуха и т. п.). 2-я — централизация управления с применением дистанционного управления. 3-я — установка регуляторов т-ры и давления. В сложных процессах применяют программные регуляторы т-ры и циклич. переключатели, обеспечивающие правильную последовательность операций. Применение автоматизации ПП сокращает вдвое обслуживающий персонал и исключает брак продукции. Наиболее совершенная автоматизация предусматривает регулирование по качеству продукции путем измерения вязкости или конц-ии.

Для этой цели требуются приборы большого быстрого действия, разработка которых еще не закончена.

И. Ихлов

29109. Экономический эффект автоматизации химической промышленности. Зарембский (Efekty ekonomiczne automatyzacji przemyslu chemicznego. Zagębski Henryk), Chemik, 1957, 10, № 7—8, 226—232 (польск.).

Изложение доклада на технической конференции по вопросам автоматизации химической промышленности, состоявшейся в Познани с 17 по 18 июня 1957 г. Доклад основан на материалах, собранных автором во время 2-месячного пребывания в СССР.

Ю. Скорецкий  
29110. Экономическое значение автоматизации. То мо да, Бессацу кагаку когё, 1957, 1, № 1, 1—13 (японск.).

29111. Измеритель уровня с применением радиоактивного изотопа  $Co^{60}$  типа ИУ-7Б (батарейный). Геллерштейн Я. Б., Бюл. техн.-экон. информ. М-во морск. флота, 1957, 7, 50—56

Описывается переносный измеритель уровня типа ИУ-7Б для безконтактного измерения уровня углекислоты и жидкого фреона в баллонах станций углекислого тушения на судах торгового флота, измерения уровня жидкости в огнетушителях, а также жидкостей, имеющих разницу плотностей жидкой и газовой фазы не менее, чем углекислота (в том числе и агрессивных жидкостей).

Г. Людмирская

29112. Радиоактивный индикатор уровня жидкости. Гунне Х. Э., Сургучева М. В., Приборостроение, 1957, № 9, 26—27

В Институте физики АН Латвийской ССР разработан малогабаритный переносный прибор для измерения уровня жидкости типа РИУ-3, состоящий из собственно электронно-опт. индикатора, Г.-М.-счетчика и отдельно вынесенного трансформатора питания. Внутри сосуда с жидкостью возле его стенки помещается трубка, в которой находится поплавков с радиоактивным  $Co^{60}$ . Для определения уровня оператор перемещает снаружи вдоль стенки сосуда индикатор — до нахождения максимума облучения. Показана электрич. схема прибора. Пределы изменения активности изотопа выбираются с учетом материала и толщины стенки сосуда. Погрешность индикации не превышает  $\pm 5$  мм. Основное преимущество прибора РИУ-3 — удобство при измерении уровня жидкости в закрытых сосудах большого диаметра.

Г. Людмирская

29113. Электроструйный нуль-метод определения толщины гальванопокрытий. Ильин В. А., Куртц Л. Ю., Материалы по обмену опытом и науч. достиж. в мед. пром-сти, 1957, № 3(22), 90—92

Описана установка для электроструйного определения толщины гальванопокрытий, позволяющая значительно ускорить, а также повысить точность измерения толщины многослойных покрытий, с определением ее для каждого слоя отдельно.

Г. Людмирская

29114. Выбор и установка приборов для измерения расхода. Коксон (The selection and location of flow measurement devices. Coxon W. F.), Industr. Chemist, 1957, 33, № 391, 441—445 (англ.).

Приводятся рекомендации по выбору, установке и эксплуатации дроссельных устройств для измерения расхода (плоских диафрагм, сопел и труб Вентури). Погрешность измерения расхода с помощью труб Вентури 0,75%, при условии тщательной обработки поверхности, в противном случае погрешность может достигать 2—3%. Для сопел погрешность измерения составляет 1—1,8%, а для диафрагм — от 0,5%, для значений отношения  $m$  — от 0,15 до 0,7 и до 1% в остальных случаях.

И. Ихлов

29115. Определение расхода по показаниям двух последовательно соединенных счетчиков. Ренпшш

(Ermittlung der Abflußmenge aus den Anzeigen zweier hintereinandergeschalteter Flüssigkeitszähler. Rerpisch J.), Chem.-Ingr-Techn., 1957, 29, № 10, 660 (нем.).

При питании топок жидким топливом применяют циркуляцию горючего и кол-во потребленного горючего определяют по разности показаний двух счетчиков, из которых один включен до точки отбора горючего, а второй — после. Математически доказывается, что погрешность такого метода измерений, при условии равенства погрешностей обоих счетчиков, равна погрешности одного счетчика. В случае неравенства этих погрешностей общая относительная погрешность измерения достигает значительной величины при малых расходах в ответвлении. Так как получить 2 счетчика с одинаковыми погрешностями во всем диапазоне расходов практически невозможно, делается вывод о недопустимости такого метода измерения потребления топлива.

И. Ихлов

29116. Применение компенсатора при измерении расхода материала в закрытых трубопроводах с помощью объемных или скоростных счетчиков. Грөбер (Anwendung der Kompensatoren bei der Durchflußmessung von Stoffen in geschlossenen Rohrleitungen mit Volumen- oder Mengenzählern. Gröber Chr.), Ind. Elektron., 1956, 4, № 2—3, 35—36 (нем.).

Фирмой Philips совместно с фирмой Bopp und Reuther разработан точный измеритель расхода с особой электропередачей показаний, который в комплекте с обычным компенсатором фирмы Philips обладает высокой точностью и стабильностью в работе. На вал одной из шестерен счетчика расхода с овальными лопастями насаживается тонкая алюминиевая шайба, на ободе которой укреплен постоянный магнит. Вес шайбы и магнита настолько мал, что никаких погрешностей в работу счетчика расхода не вносится. Вблизи вращающегося магнита находится индукционная катушка, сердечник которой имеет изогнутый башмак для ссдания малого зазора между лям л вращающимся магнитом. Величина э. д. с., индуцируемой в катушке при вращении магнита, пропорциональна числу оборотов шестерни, а значит расходу. После выпрямления сигнал поступает на компенсатор, отградуированный непосредственно в величине расхода. Рассмотренный тахогенератор расположен внутри кожуха счетчика расхода. Отмечается, что если собственный класс овальных счетчиков порядка 0,1—0,5, то наличие описываемого преобразователя в комплекте с компенсатором не понижает класса прибора на величину  $> 0,1$ . Преобразователь дает возможность комплектовать один 12-точечный компенсатор с соответствующим числом датчиков расхода.

М. Людмирский

29117. Определение измерительного объема газометров. Менцель, Шульц (Zur Bestimmung des Meßrauminhalts von Gasmeßgeräten. Mentzel Erich, Schulz Otto), Gas- und Wasserfach, 1957, 98, № 45, 1133—1136 (нем.).

Разработана установка для проверки измерительных газгольдеров. Установка состоит из напорного бака, наполненного маслом, и сосуда, подвешенного на весах. Объем газа между определенными отметками положения колокола газгольдера определяется по весу вытекшего масла. Показываются основные источники погрешностей измерения и способы их минимализации. Для тех же целей разработаны газовые часы, заполненные маслом. Для измерения перепада давлений на газометрах разработан спец. 12-трубный манометр, позволяющий одновременно измерять давление в нескольких точках.

И. Ихлов

29118. Приборы для автоматического регулирования температуры. Мнера (Automatic furnace control



instrumentation. Misra R. A. P.), Chem. Age India, 1957, 8, № 3, 357—359 (англ.)

Общие соображения по выбору и применению чувствительных элементов и приборов для измерения и регулирования т-ры.

Б. Вольтер  
29119. Наконечники для термодатчиков погружения. Маргулис О. М., Романченко К. Г., Гетман Н. А., Сталь, 1957, № 8, 714—715

Описываются изготовленные на за-де «Электросталь» наконечники для термодатчиков погружения, позволяющие проводить контроль т-ры расплавленной стали в процессе плавки как при помощи многократных кратковременных замеров, так и путем длительного непрерывного 4-часового выдерживания термодатчика в металле.

Г. Людмирская  
29120. Автоматический контроль температуры. Кикура, Басацу кагаку когё, 1957, 1, № 1, 118—158 (японск.)

29121. Новые приборы для автоматизации титанового производства. Аркадьев А. Г., Зарецкий М. М., Пьянков В. А., Тр. Всес. н.-и. алюмин.-магн. ин-та, 1957, № 40, 413—419

Авторами в лаборатории автоматизации ВАМИ разработан метод и прибор для автоматич. выбора и подключения к регулятору термодатчика, рабочий конец которой имеет наивысшую т-ру, что сделало возможным автоматич. регулирование в ряде тепловых технологич. процессов, имеющих периодич. характер (напр., процесс магнетермич. восстановления титана с переменной зоной выделения наибольшего кол-ва тепла и наибольшей т-ры). Искатель максим. т-ры принят и произ-ву в КБ Цветметавтоматики и выпускается под маркой ИТМ-5.

М. Людмирский  
29122. Термокондуктометрический прибор для селективного измерения концентрации газа в многокомпонентной смеси. Стрейндж (A thermal conductivity instrument for selectively measuring the concentration of one gas in a multicomponent mixture. Strange John P.), Canad. Mining J., 1957, 78, № 5, 124—126 (англ.)

См. РЖХим, 1957, 17999.

29123. Автоматический газовый анализ в заводском контроле. Кёглер, Хульчиг, Фишер, Вейденбах (Automatische Gasanalyse in der Betriebskontrolle. Kögler Helmut, Hultschig Martin, Fischer Jürgen, Weidenbach Günter), Chem. Technik, 1957, 9, № 4, 220 (нем.)

Предварительное сообщение о постройке на комбинате имени Отто Гротевольа в Бёлене прибора для автоматич. газового анализа, основанного на хроматографии в газовой фазе. Состав газа, получаемого при произ-ве бутана (метан, этан, пропан, изобутан, *n*-бутан), устанавливается в течение 3 мин., причем электронное устройство обеспечивает периодич. анализ проб, взятых из 4 различных мест.

Н. Туркевич  
29124. Фотоэлектрический концентратометр для водной суспензии асбеста. Новаков Е. И., Ивановская А. С., Информ. бюл. Всес. н.-и. ин-т по машинам для пром-сти строит. материалов, 1957, № 3-4, 24—26

Описывается прибор для быстрого определения содержания асбеста в суспензии в пределах от 0,1 до 3,5% с точностью 0,1%, разработанный лабораторией электр. измерений ВНИИСТРОММАШа. Действие прибора основано на принципе измерения степени освещенности фотосопротивления типа ФС-К1 пучком света, проходящего через исследуемый материал.

Г. Людмирская  
29125. Пропускная способность клапанов. Бирд (Valve capacity and Cv. Beard C. S.), Instrum. and Automat., 1956, 29, № 2, 282—284 (англ.)

Для расчета пропускной способности клапанов в последнее время получил распространение метод, основанный на применении стандартного коэф. расхода клапана  $C_v$ , численно равного расходу воды через полностью открытый клапан при перепаде давления на клапане, равном единице. Приводятся ф-лы для расчета клапанов на жидкость, пар и газ. Для пара даны 2 ф-лы: для крит. и некрит. перепада давления на клапане, а также показано введение поправки на влажность пара. Для газа также приведены 2 ф-лы (крит. и некрит. перепад) и показывается, как вносятся поправки на т-ру и давление газа. Влияние вязкости жидкости обычно не учитывается при расчете, за исключением особо вязких жидкостей, для которых необходима спец. поправка.

И. Ихлов  
29126. Изучение процессов в пневматических сервомоторах. II. Ширер (Study of pneumatic processes in the continuous control of motion with compressed air — II. Shearer J. L.), Trans ASME, 1956, 78, № 2, 243—249 (англ.)

Результаты теоретич. и эксперим. работы (приведенной в I части, см. РЖХим, 1957, 68030) используются в расчетах системы пневматич. сервомотора, управляемого клапаным устройством. Показано, что для расчета системы могут быть применены линеаризованные ур-ния.

А. Леонов  
29127. Схема технологической сигнализации для большого числа сигнализируемых параметров. Цёффин А. Е., Эпштейн А. Л., Приборостроение, 1957, № 9, 22—23

Описывается один из вариантов современной схемы сигнализации с применением конденсаторов, работающей без изменения ее параметров при напряжении питания 36, 48 и 60 в постоянного тока и любом из промежуточных напряжений в указанных пределах. В качестве источника питания применяется любой двухполупериодный однофазный выпрямитель при условии установки конденсаторного фильтра, состоящего из электролитич. конденсатора емк. 150 мф. Сопротивление линии к датчикам не должно превышать 500 ом. Схема допускает подключение неограниченного числа датчиков, проста и надежна в работе.

Г. Людмирская  
29128. Дискуссия по статье: Бергер «Полностью автоматизированное регулирование установки искусственного климата — как средство экономии энергии». Бер (Bemerkung zu dem Aufsatz «Vollautomatische Regelung einer Klima-Anlage als Mittel zur Energie-Einsparung». Baer E. H.), Regelungstechnik, 1957, 5, № 5, 176 (нем.)

Высказывается сомнение в возможности регулирования т-ры с точностью до  $\pm 1^\circ$  и  $\pm 2,5\%$  относительной влажности при датчике с диапазоном пропорциональности 8—10%. Рекомендуется автоматически регулировать т-ру помещения по комнатному термостату, воздействуя на подогреватель или байпасную заслонку. Влажность также можно автоматически регулировать по комнатному гигрометру с диапазоном пропорциональности 2—3% относительной влажности, воздействуя на заданное значение регулятора точки росы. См. РЖХим, 1957, 79013.

И. Ихлов  
29129. Введение автоматического регулирования на осаком химическом заводе компании «Сумитомо кагаку когё». Нагамацу, Кокун, Камиякару эндзиниярингу, Chem. Engng, 1957, 2, № 1, 16—20, 44 (японск.)

29130. Некоторые аспекты оснащения газового завода контрольно-измерительными приборами. Часть II. Хаммонд (Some aspects of instrumentation at Beckton gasworks. Part II. Hammond Rolt), Instrum. Practice, 1956, 10, № 9, 787—792 (англ.)

Описаны щиты управления газогенераторами и паровыми котлами газового з-да Бектон (Англия). Теплотворная способность газа, направляемого потребителю, контролируется усовершенствованным газовым калориметром, в котором измеряется повышение т-ры стабилизированного потока воды за счет сжигания газа. Расход газа поддерживается постоянным при помощи газовых часов (ГЧ), управляемых электрочасами с маятником. Маятник через анкерную передачу обеспечивает 1 об/мин оси ГЧ. Для контроля на оси ГЧ установлена стрелка, синхронное движение которой со стрелкой маленьких часов показывает правильное действие анкерного механизма. Равенство т-р входящего газа и воды обеспечивается теплообменником. Вторичным прибором служит регистрирующий логометр (с падающей дужкой). Поступающее топливо взвешивается весами, печатающими (цифрами) результаты взвешивания на карточках и на ленте. Все ножи и призмы этих весов защищены от грязи резиновыми футлярами, заполненными смазкой с высокой т-рой плавления. Часть I см. РЖХим, 1957, 77985.

И. Ихлов  
29131. Основы автоматического регулирования магнетермического процесса восстановления титана. Аркадьев А. Г., Тр. Всес. н.-и. алюмин.-магн. ин-та, 1957, № 40, 407—412

Описываются принцип и схема автоматич. регулирования магнетермич. восстановления титана, основанные на регулировании с автоматич. перемещением точки замера т-ры, осуществляемом искателем максим. т-ры. Прибор работает в комплекте с термпарой, имеющей несколько спаев, расположенных вертикально один над другим по образующей реактора. По мере перемещения зоны р-ции прибор автоматич. подключает к регулятору спай, в данный момент наиболее нагретый. Внедрение этой схемы повышает качество реакционной массы и увеличивает производительность аппарата на 25%.

Г. Людмирская

29132 П. Указатель уровня и температуры жидкости. Кунст (Liquid level and temperature indicator. Quist Harold A.) [Sun Oil Co.] Пат. США 2760373, 28.08.56

Для измерения уровня жидкости в хранилище предлагается к спец. поплавку или к плавающей крышке сосуда прикрепить напорный сосуд с тяжелой жидкостью (Hg) и измерять давление, создаваемое этой жидкостью. Для измерения этого давления предлагается спец. многотрубный двухжидкостный манометр. Чувствительный элемент для измерений средней т-ры жидкости прикреплен к тому же поплавку, который поддерживает напорный сосуд. Длина этого элемента такова, что измеряется т-ра по всей высоте жидкости.

И. Ихлов  
29133 П. Метод и приспособление для регулирования давления газа в коксовых камерах. Крюгер (Verfahren und Vorrichtung zur Regelung des Gasdrucks in Entgasungsräumen. Krueger Hugo) [Harpener Bergbau-A.-G.]. Пат. ФРГ 950318, 4.10.56

Патентуется метод регулирования избыточного давления в рабочем пространстве газовых печей (ГП), устраивающий подсос воздуха в ГП и снижение калорийности коксового газа, которые происходят в результате сильного понижения давления (вплоть до разряжения) в рабочем пространстве ГП в конце процесса газификации. По одному из вариантов предлагаемого метода в газотводящий боров ГП вводится от общего газового коллектора коксовых батарей спец. газопровод с распылительной форсункой на конце. Выходное сопло форсунки направлено против движения отбираемого из печи газа. При понижении

давления в рабочем пространстве ГП в конце процесса коксования через форсунку от коллектора вводится газ, создающий сопротивление отбираемому потоку, в результате чего в ГП создается подпор. Когда давление в ГП нормальное, то заслонки под действием собственного веса (или противовеса) располагаются вертикально и никакого сопротивления газовому потоку практически не оказывают. При понижении давления р-цией вдуваемого в печь через форсунку газа заслонки поворачиваются, изменяя площадь поперечного сечения бора. Угол поворота заслонки пропорционален кол-ву вдуваемого через форсунку газа. Приводятся схемы. М. Людмирский

См. также: Применение радиоактивных изотопов в пром-сти 29007. Толщиномер для гальванических покрытий 29490. Оптический прибор для контроля состояния поверхности 29491. Радиоактивный ионизационный манометр 28550. Микроманометр 28551. Расходомер для измерения малых расходов жидкости 28005. Расходомер для агрессивных жидкостей 28606. Расходомер для пульпы 30089. Расходомерные газовые станции 30181. Измерение т-ры газов 28577. Измерение величины рН 28578. Автоматические анализаторы для определения концентрации смесей паров растворителей с воздухом 29009. Регулирование влажности глины при ее обработке 29532. Автоматическое регулирование сушки солода 30456. Автоматизация холодильных установок пивоваренных заводов 30460. Автоматизация в молочной пром-сти 30636. Автоматизация в производстве мороженого 30637

## КОРРОЗИЯ. ЗАЩИТА ОТ КОРРОЗИИ

Редактор И. Я. Клинов

29134. Как можно предотвратить коррозию. Мейер (How you can prevent corrosion. Meyer W. H. von), Brewers' Digest, 1957, 32, № 9, 57—58, 60 (англ.)

29135. Экономия стали в результате антикоррозионных мероприятий. Саньял, Менон (Steel economy through corrosion prevention. Sanayal B., Menon U. G. K.), J. Instn. Engrs (India), 1957, 37, № 8, Part 1, 827—834 (англ.)

Приводится сравнительный экономич. обзор потерь от коррозии и затрат на антикоррозионные мероприятия.

В. Лукнянская  
29136. Защита от коррозии, в частности в химической промышленности. Науман (Korrosionsschutz, insbesondere in der chemischen Industrie. Naumann), Industriebetrieb, 1957, 5, № 8, 328—335 (нем.)

Обзор способов защиты от коррозии оборудования из углеродистой стали в хим. пром-сти. Описаны способы получения и области применения гальванич. покрытий (П), горячих П, гомог. свинцевания, металлизационных, диффузионных и наплавленных П, двухслойных материалов, способы футеровки коррозионностойкими металлами, сплавами, пластмассами и нанесения органич. П (горячим напылением), лаков, резиновых обкладок.

М. Кристаль  
29137. Графическая интерпретация концепции локальных элементов. Купр (Graphische Darstellung der Konzeption von Lokalelementen. Cuper V.), Werkstoffe und Korrosion, 1957, 8, № 7, 385—389 (нем.; рез. англ., франц.)

Отмечая известные трудности, связанные с исследованием микроэлементов в реальных установках, автор



предлагает особую форму эквивалентной электрич. схемы, воспроизводящей работу микроэлемента. За основу взяты две эквипотенциальные плоскости, расположенные в металлич. фазе и в электролите, соединенные в замкнутую цепь анодной и катодной ветвями. Последние характеризуются определенными значениями силы тока  $i$ , сопротивления  $\omega$  и потенциала  $\epsilon$ . Взаимная связь отдельных величин, характеризующих работу микроэлемента, может быть представлена диаграммой зависимости силы тока  $i$ , протекающей через микроэлемент, которая определяется ур-нием:  $\epsilon_i - \epsilon_0 = iW_a \cdot W_k / W_a + W_k$ , где  $\epsilon_i$  — потенциал микроэлемента, нагруженного внешним током;  $\epsilon_0$  — потенциал в отсутствие внешнего тока;  $W_a$  и  $W_k$  — соответственно сопротивления анодной и катодной ветвей.

А. Шаталов  
29138. Диаграмма коррозионный ток — pH для некоторых металлов и сплавов. Маркович (Dijagrami koroziona struja — početna pH-vrijednost za neke metale i legure. Marković T.), Zast. mater., 1957, 5, № 7, 248—253 (серб.-хорв.; реф. франц.)

Приведены результаты определений коррозионного тока при прерывании кривой катодной и анодной поляризации. Дано соотношение, связывающее коррозионный ток с потерями веса в г/м<sup>2</sup>/сутки. Данные для Pb, Al, его сплавов с 1,6 и 2,96% Mg и для Mg подтверждают пригодность этой методики для систематизации коррозионных результатов. Полученные данные хорошо совпадают с литературными. Библ. 21 назв.

Т. Шалаева  
29139. Предельная катодная плотность тока и скорость коррозии меди в растворах азотной кислоты. Оксин И. В., Ж. прикл. химии, 1957, 30, № 9, 1330—1339

Результаты исследования скорости коррозии (СК) Cu в р-рах HNO<sub>3</sub> и данные измерений предельной катодной плотности тока (ПКПТ) в зависимости от концентрации HNO<sub>3</sub> (0,65—12,6 моль/л) при 25, 60, 90° показали, что активность коррозионного процесса определяется двумя резко разграниченными областями: малой и большой СК. Переход из 1-й области во 2-ю происходит тогда, когда становится измеримой ПКПТ. В области большой СК при всех условиях исследования, за исключением р-ров, конц-ия которых > 7,8 моль/л, при 25° СК близка ПКПТ. В области малой СК последняя соответствует нулевым значениям ПКПТ. На основании анализа результатов исследования предложена гипотеза механизма коррозии Cu в HNO<sub>3</sub>. Предполагается, что в области больших СК растворение Cu осуществляется как беспрепятственный переход ионов металла в р-р без промежуточного образования поверхностной CuO. В р-рах, конц-ия которых > 7,8 моль/л, при 25° вероятно образование поверхностной CuO, и коррозия Cu в этих условиях осуществляется как попеременное образование и растворение ее поверхностного оксида. Область малых СК подразделяется в свою очередь на 2 области, в 1-й из которых СК близка к нулю, и растворение Cu имеет место в результате разряда ионов водорода с последующим окислением атомов водорода ионами нитрата или непосредственного восстановления электронами металла адсорбированных на его поверхностных ионах нитратных ионов. Во 2-й области коррозия Cu происходит в результате некатализируемой катодной деполяризации недиссоциированными молекулами HNO<sub>3</sub>. Указывается на возможность определения СК непассивирующегося металла по измеренной для данной окислительной среды в данных условиях ПКПТ.

М. Кристалл  
29140. Пассивация металлов в технике. Поллак (Passivierung von Metallen in der Technik. Pollack A.), Beiztechnik, 1957, 6, № 9, 100—102 (нем.)

Рассматриваются общие вопросы и некоторые частные случаи пассивации металлов.

А. Тумовский  
29141. Кинетика газовой коррозии магниевых сплавов. Маколкин И. А., Ж. прикл. химии, 1957, 30, № 10, 1542—1547

Получены кривые увеличения веса Mg и его сплавов МЛ-1, МЛ-4 и МЛ-5 в условиях сухой газовой коррозии (ГК) при 350° и в интервале т-р 450—600°. Скорость ГК чистого Mg и сплавов МЛ-4 и МЛ-5 выражается параболич. ур-нием при т-ре < 400°, при более высокой т-ре соблюдается линейная зависимость коррозии от времени. Расчет энергии активации  $E$  ГК с помощью обычной экспоненциальной ф-лы дает следующие значения  $E$ : для Mg 23 550, МЛ-1 30 255, МЛ-4 42 860, МЛ-5 42 300 кал. В атмосфере чистого N<sub>2</sub> для МЛ-4 и МЛ-5  $E$  соответственно равны 62 270 и 83 906 кал. Наименьшие значения  $E$  получены в смеси CO<sub>2</sub> с воздухом (13 450 для МЛ-4) и в смеси SO<sub>2</sub> с воздухом (5 480 для МЛ-5). Из сопоставления кривых коррозии сделан вывод, что легирование Mg марганцем повышает жаростойкость, а Zn и Al снижают жаростойкость Mg за счет образования интерметаллич. соединений с низкой т-рой плавления.

А. Шаталов  
29142. Окисление никеля в сернистом газе при высоких температурах. Ипатьев В. В., Желтухин Д. В., Ж. прикл. химии, 1957, 30, № 9, 1281—1286

Приводятся результаты исследований по кинетике окисления Ni в условиях воздействия SO<sub>2</sub> при 600, 700 и 800°, а также данные по фазовому и хим. составу окалины, образующейся в этих условиях. Описана установка, позволяющая выяснить течение процесса окисления образца (О) во времени на одном О при заданной длительности испытания без извлечения О из печи. Скорость окисления Ni определялась путем периодич. взвешивания О, находившегося в чистом SO<sub>2</sub>. О изготовлялись из электролитич. Ni. Продолжительность испытания 20—120 час. После опыта О подвергался микроисследованию, хим. и рентгеноструктурному анализу. Приводятся основные выводы: 1) окисление Ni в SO<sub>2</sub> в интервале т-р 600—800° подчиняется закону параболы; 2) константа окалинообразования в сильной степени зависит от т-ры и достигает максим. значения при 800°; 3) скорость окисления Ni в SO<sub>2</sub> значительно больше скорости окисления его на воздухе; 4) окалина, полученная на Ni в атмосфере SO<sub>2</sub>, неоднородна и состоит из двух фаз — NiO и NiS; 5) в SO<sub>2</sub> окисление Ni, очевидно, происходит по схеме  $3Ni + SO_2 = 2NiO + NiS$ .

А. Тумовский  
29143. Окисление железа в сернистом газе при высоких температурах. Ипатьев В. В., Асоскова П. И., Бюл. научно-техн. информ. по результатам научно-исслед. работ. Ленингр. лесотехн. акад., 1957, № 47, 16—21

Методом периодич. взвешивания без извлечения образцов из реакционной трубки, помещенной в электрич. печи, получены кривые привеса Fe-образцов, содержащих 0,2% С. Образцы выдерживались при 600—900° в течение 82 час. в атмосфере SO<sub>2</sub>. Полученные кривые соответствуют параболич. закону. При 900° окалина образовывала жидкую эвтектику, стекавшую с образца. Изучение микроструктуры поперечных шлифов и данные рентгеноструктурного анализа показывают, что наружный слой окалины состоит из Fe<sub>2</sub>O<sub>3</sub>, под которым находится слой FeO. Процесс окисления Fe сернистым газом при т-рах < 900° протекает равномерно, при 900° разделение металла неравномерное. В состав окалины входит S в кол-ве, возрастающем с повышением т-ры от 1 до 14%.

А. Шаталов

29144. Коррозия под напряжением аустенитных нержавеющей сталей в воде при высоких температурах. Вильямс, Эккел (Stress corrosion of austenitic stainless steels in high temperature waters. Williams W. Lee, Eckel John F.), J. Amer. Soc. Naval Engrs, 1956, 68, № 1, 93—104 (англ.)

Рассмотрены случаи коррозионного растрескивания (КР) оборудования, изготовленного из аустенитных нержавеющих сталей (АНС) при контакте с паром или водой при высоких т-рах. Лабор. исследования показали, что КР термически обработанных сталей в воде высокой чистоты происходит очень редко. Холодная обработка стали вызывает склонность к КР в воде высокой чистоты, особенно содержащей  $O_2$ . АНС также склонны к КР в содержащих хлориды водн. средах при повышенных т-рах. Трещины при КР обычно бывают транскристаллитными, однако при склонности стали к межкристаллитной коррозии могут быть и межкристаллитными. Стабилизация аустенита путем увеличения содержания Ni не предотвращает коррозии под напряжением. Статич. напряжения порядка  $3,5 \text{ кг/мм}^2$  могут вызвать КР стали в соответствующих средах. Напр. возникающие в металле напряжения в результате протяжки труб, холодной обработки, сварки и т. п. достаточны, чтобы вызвать КР стали в некоторых средах. КР АНС в воде, содержащей  $Cl^-$ , может быть предотвращено щелочно-фосфатной обработкой воды при условии, что сталь термически обработана и не склонна к межкристаллитной коррозии. В противном случае эти стали могут подвергаться КР в обработанной воде и с низким содержанием  $O_2$ , если содержание хлоридов не очень мало. Щелочно-фосфатная обработка воды не устраняет КР в паровой фазе.  $O_2$  является сильным ускорителем коррозии под напряжением АНС в горячей воде.

М. Веденеева  
29145. Симпозиум по коррозии под действием воды высокой чистоты. 13-я ежегодная конференция Национального общества коррозионистов. Сен-Луи, Миссури, 11—15 марта 1957 г. Коррозия сплавов системы алюминий—никель в водной среде при высокой температуре. Кренц (Symposium on corrosion by high purity water. 13th Annual Conf., Nat. Assoc. Corrosion Engrs, St. Louis, Missouri, March 11—15, 1957. Corrosion of aluminum-nickel type alloys in high temperature aqueous service. Grenz F. H.), Corrosion, 1957, 13, № 9, 39—58 (англ.)

При  $200^\circ$  вода вызывает интенсивную межкристаллитную коррозию (К) Al; выделяющийся при этом водород образует под поверхностью защитной пленки пузыри, вызывающие вздутие и повреждения ее, что резко усиливает К. Введение в Al небольших кол-в Ni, Fe и Cu повышает стойкость сплава вследствие образования второй фазы, катодной по отношению к Al-основе и обуславливающей равномерную К сплава с образованием прочной защитной пленки. Исследование стойкости указанных сплавов различного состава в условиях воздействия неподвижной и проточной чистой воды при  $250—300^\circ$  с точки зрения пригодности их для изготовления защитных оболочек топливных элементов ядерно-энергетич. реакторов показало, что наилучшие результаты дали сплавы № 151 (2% Cu, 2% Ni), № 155 (0,5% Ni, 0,5% Fe, 0,2% Si) и № 157 (2% Ni, 0,5% Fe, 0,2% Si). Увеличение содержания Si до 0,5% вызывает укрупнение и неравномерное распределение частиц второй фазы. В сплавах с присадкой Cu вторая фаза находится частично в виде твердого р-ра, частично в виде интерметаллич. соединения  $CuAl_2$ . Присадки Ni и Fe дают только нерастворимую вторую фазу. Стойкость сплавов в проточной воде была не меньше, чем в статич. условиях. Малая скорость К ( $\sim 0,025 \text{ мм/год}$ ) уста-

навливается лишь после образования окисной пленки толщиной 10—20 м. Окисная пленка обладает защитными свойствами, но сравнительно хрупка и подвергается серьезным механич. повреждениям во время динамич. испытаний (эрозии); очевидно, вследствие сильной вибрации, создаваемой циркуляционным насосом. Радиация реактора незначительно влияет на К, так же как и наличие теплового потока  $\sim 100 \text{ вт/см}^2$  (усиление К на 10%).

А. Мамет  
29146. Коррозия металлических рекуператоров. Траппе (Einige Betrachtungen zum Problem der Korrosion bei Metall-Rekuperatoren. Traappe Ulrich), Gaswärme, 1957, 6, № 8, 265—273 (нем.).  
Описаны виды коррозии (К), наблюдающиеся в рекуператорах (Р), и способы защиты. Указывается, что в Р наблюдается К узлов, работающих при т-рах ниже точки росы, и узлов, работающих при т-рах  $> 500^\circ$ . В первом случае К вызывается кислородом и содержащимися в отработанных газах ( $OF$ )  $CO_2$ ,  $SO_2$  и  $SO_3$ . Особенно опасной примесью является  $SO_3$ , которая при наличии влаги образует  $H_2SO_4$ . При т-рах  $> 500^\circ$  наблюдаются окисление с образованием окислов и возрастание скорости К металла, вызываемое присутствием  $H_2S$ ,  $SO_2$ ,  $H_2O$ , а также содержащимися в  $OF$  примесями. Примеси могут вызывать К, находясь в твердом или в жидком состоянии. Отмечается отсутствие конструкционных материалов, обладающих достаточной коррозионной стойкостью в условиях низкотемпературной К Р. Описаны способы уменьшения коррозионных потерь в Р путем снижения или повышения т-ры стенки Р, введения соответствующих в-в (доломитовой пыли, соединений Si,  $NH_3$ ) в топливо или в  $OF$ , очистки топлив от примесей, вызывающих К металла.

М. Кристалл  
29147. Коррозия выпарных установок из красной меди. Ваго (Vörösmarty besúritőkészülékek korróziója. Vágó György), Bőr-és cipőtechn., 1957, 7, № 4, 85—87 (венг.; рез. нем., русск.)

Результаты лабор. исследований показали, что причиной усиленной коррозии выпарных установок (ВУ), в которых производится упаривание дубильных экстрактов, является воздействие на металл сульфокислот и аммонийных солей. Для предотвращения коррозионного разрушения этих ВУ рекомендуется заменить Cu на нержавеющую сталь типа 18-8, а также отказаться по возможности от упаривания отходов соков, содержащих много сульфокислот.

М. Кристалл  
29148. Титан, его получение и свойства. Хессе (Titan, seine Herstellung und Eigenschaften. Hesse W.), Chem. Rundschau, 1957, 10, № 7, 141—144 (нем.)

Обзор. Способы получения Ti, физ. свойства и коррозионная устойчивость, применение в хим. машиностроении.

Л. Херсонская  
29149. Нержавеющая сталь в парфюмерной промышленности. Парет (Stainless steel in aromatics production. Paré Richard E.), Amer. Perfumer and Arom., 1957, 70, № 3, 56, 58 (англ.)

Описаны преимущества нержавеющей стали, применяемой для изготовления оборудования парфюмерной пром-сти.

В. Левинсон  
29150. Коррозия паровых котлов дымовыми газами. Виделль (Rökgassidig korrosion i ångpannor. Widdell Torsten), Teknifören. Finland förhandl., 1957, 77, № 9, 209—218 (шведск.)

Обзорный доклад о 2 типах коррозии паровых котлов: высокотемпературной  $> 500^\circ$  и низкотемпературной главным образом  $< 200^\circ$ . Подробно излагается поведение паровых котлов, обогреваемых нефтяными газами, и связанный с ними материальный ущерб, наносимый продуктами сгорания нефти, вследствие отложений твердых частиц (копоти и др.) и конден-



сали на стенках капель  $H_2SO_4$ , вызывающих усиленную коррозию металла. Наряду с рассмотрением условий протекания коррозионного процесса при высокой и низкой т-рах, роли дымовых газов, влияния добавок к нефти (угольного порошка, доломита и пр.) в качестве замедлителей коррозии приводятся данные по коррозионностойким материалам, применяемым для изготовления паровых котлов, их конструкции, обслуживанию и очистке. Библ. 23 назв.

М. Голомбик

29151. Проблема коррозии на крупных паросиловых установках. Финнеган (A corrosion problem in large steam generating stations. Finnegan T. J.), Corrosion, 1957, 13, № 6, 63—67 (англ.)

Рассмотрены причины местной коррозии внутренней поверхности стенок труб паровых котлов большой мощности. Эти поражения локализируются в местах, где возможно заставание котловой воды и часто наблюдается накопление рыхлого черного шлама, состоящего из  $Fe_3O_4$ . В нормальных условиях  $Fe_3O_4$  оседает на поверхности трубопроводов и барабанов котла в виде плотно сцепленного прочного слоя. Такой слой, видимо, защищает металл от воздействия котловой воды. Образование рыхлого осадка  $Fe_3O_4$  может быть вызвано постепенным накоплением  $Fe$ , осаждающегося в условиях щел. среды, или же тем, что какие-либо факторы препятствуют формированию защитного слоя  $Fe_3O_4$ . В качестве мероприятий, устраняющих данный вид коррозии, рекомендуется поддерживать конц-ию свободной щелочи в котловой воде не выше определенного оптимума или периодически производить промывку котла водой, слегка подкисленной  $HCl$ .

А. Шаталов

29152. Предотвращение от коррозии коротковолновых установок, работающих в агрессивных условиях. Фуллер (Maintaining microwave equipment under corrosive conditions. Fuller C. G., Jr), Petrol. Engr, 1957, 29, № 5, D-61—D-62, D-64, D-66 (англ.)

Коротковолновые радиостанции, обслуживающие нефтяные промыслы, сильно подвержены коррозии вследствие наличия в атмосфере следов  $H_2S$ . Сильнее всего коррозии поражает Ag-поверхности контактов проволочек ламп, реле и т. п. Рекомендуется заменить серебрение деталей, не подвергающихся трению, родированием, что увеличивает продолжительность службы их от нескольких недель до нескольких лет. Родирование по слою Ag бесполезно. Контакты цоколей, реле и т. п., а также телефонов рекомендуется защищать смазкой «Tunerlub». Пыль, попадающая в смазку, создает посторонние шумы, поэтому смазку периодически рекомендуется обновлять. Контакты приходится проверять, иногда даже ежедневно. Число контактов в воздушных линиях следует сводить к минимуму и т. п.

Ю. Аронсон

29153. Предотвращение коррозии стальной арматуры в бетоне. Коппард (Preventing corrosion of steel reinforcements in concrete. Coppard Christopher), Prefabric. and New Build. Techn., 1957, 4, № 47, 506—507 (англ.)

Коррозия (K) стальной арматуры происходит и в период ее хранения до закладки в бетон, и во время схватывания и твердения бетона и, наконец, во время эксплуатации под влиянием проникающих через поры в бетоне кислых атмосферных осадков. Одной из причин, усиливающих K арматуры, является образующийся слой ржавчины на ней, который как принято считать, обеспечивает хорошее сцепление стали с бетоном, но одновременно поверхность стали активируется, что сильно повышает ее склонность к K. Для предотвращения K арматуры предлагается обработка ее в 3 стадии. В 1-й стадии для удаления окислов рекомендуется струнеобразный препарат

Jenolite D. J. 4, наносимый кистью, распылением или погружением. Можно также применять травление и механич. обработку; 2-й стадией является обработка фосфатирующим р-ром, одновременно удаляющим ржавчину; рекомендуется препарат Jenolite RRN, наносимый на холоду теми же способами, что и предыдущий; 3-й стадией является процесс нанесения покрытия Jenolite GS3. Препарат связывает остатки предыдущего фосфатирующего р-ра, образуя после 30-минутной сушки покрытие, стойкое к влаге, щелочи и к-там. Принятая толщина слоя бетона при данном способе защиты может быть снижена, так же как толщина металла самой арматуры.

Ю. Аронсон

29154. Случаи щелочной коррозии на котлах высокого давления. Деев И. Т., Морозова К. М., Сб. материалов по обмену опытом эксплуатации энерг. установок. Молотов, Книгоиздат, 1957, 87—91

Отмечается, что за последние 5 лет, когда усилились коррозионные повреждения труб, жесткость питательной воды составляла 4—15 (периодически 25—40) мг-экв/л, содержание  $Fe$  0,05—0,08 мг/л. Металл вблизи коррозионных язв имел сетку межкристаллитных трещин. Поверхность труб была загрязнена накипью и окислами железа. Причиной повреждений труб является щел. коррозия металла в результате глубокого упаривания котловой воды в местах трещин слоя накипи и под слоем отслоившихся кусочков последней. Рекомендованы замена труб и ряд мероприятий по уменьшению кол-ва накипи и шлама в котлах, в особенности следует упорядочить водоподготовку.

А. Мамот

29155. Коррозия котлов с высокой температурой пара. Вернер (Die Korrosion in Hochtemperaturkesseln. Werner M.), Werkstoffe und Korrosion, 1957, 8, № 10, 587—596 (нем.)

Рассмотрены вопросы окисления аустенитных хромоникелевых (типа 16/13) сталей в условиях воздействия водяного пара и топочных газов в котлах с высоким перегревом пара. Построена диаграмма для определения низшего и высшего срока эксплуатации пароперегревательных труб до разрыва при окислении металла паром по линейному и параболич. законам. При отсутствии особых факторов, способствующих резкому усилению коррозии (K), окисление стали паром протекает по параболич. закону. Пароводяная K сильно интенсифицируется при контакте металла с конц. р-ром или расплавом  $NaOH$ , а также с расплавом нейтр. солей ( $NaCl + Na_2SO_4$ ), которые разрушают защитную окисную пленку. Коррозионные транс-кристаллитные трещины в напряженном металле могут образоваться при контакте его с р-ром хлоридов щел.-зем. металлов. Т-ра наружной стенки пароперегревательных труб определяется величиной теплонапряжения, поэтому K топочными газами значительно усиливается при размещении труб в зоне радиационного обогрева, в которой т-ра стенок может быть  $> 700^\circ$ . Срок службы труб в этом случае сокращается до 32—36 тыс. час. Резкое усиление наружной K вызывается образованием на поверхности труб жидкой фазы — расплава пиросульфата и двойных сульфатов калия и железа (эвтектика), плавящихся при 400—700°. Присадка ванадия к аустенитным сталям резко повышает их механич. прочность, но понижает стойкость против K, так как  $V_2O_5$  сильно снижает т-ру плавления окисной пленки на металле.

А. Мамот

29156. Коррозия металлов и других материалов в очень загрязненной атмосфере. Зариц (Korozijska metala i drugih materijala usled jako zagađenih industrijskih atmosfera: mogućnosti zaštite sa specijalnim osvrtom na bazene Bora i Zenice. Zarić Milan),

Zašt. mater., 1957, 5, № 7, 254—257 (сербо-хорв.; рез. франц.)

Детально анализируются загрязнения атмосферы, придающие ей агрессивность по отношению к конструкционным материалам. Происхождение и кол-во примесей в сельской, городской, промышленной, приморской и спец. атмосфере. Описывается характерное поведение некоторых металлов в различных атмосферных условиях. Специально изложено влияние промышленной атмосферы на конструкционные материалы.

Т. Шалаева  
29157. Повышение устойчивости дендритных частиц медного порошка против измельчения. Помосов А. В., Тр. Уральского политехн. ин-та, 1957, сб. 69, 65—73

Для повышения устойчивости дендритных частиц порошкообразной Си против измельчения в процессе обработки и транспортирования предлагается стабилизировать ее жидкими (калиевыми) мылами или хозяйственным мылом с содой в соотношении 1:1. При этом одновременно достигается надежная защита Си против коррозии. Эффект упрочнения дендритной структуры высокодисперсных частиц металла объясняется, исходя из полимолекулярного строения стабилизирующих пленок (СП). Полимолекулярный характер фазовых Си СП подтверждается прямым определением уд. поверхности и измерением расхода мыла на стабилизацию.

А. Левин

29158. Коррозионные испытания различных металлов в продажных растворах удобрений. Фишер-Шлемм, Крепела (Korrosionsversuche mit verschiedenen Metallen in Handelsdüngerlösungen. Fischer-Schlemm W. E., Krepela W.), Landtechn. Forsch., 1957, 7, № 5, 138—139 (нем.; рез. англ., франц., исп.)

Результаты коррозионных испытаний чугуна, Си, неоксидированного и оксидированного А1, нецинкаваной и оцинкованной стали в р-рах минер. удобрений (РМУ) показали, что внесение в почву продажных РМУ в обычно принятых на практике количествах не снижает срока службы применяемых для этой цели распыляющих установок, так как испытанные металлы обладают в этих условиях достаточной коррозионной стойкостью.

М. Кристаль

29159. Исследования металлопокрытий в лаборатории Скетти-Холла Британской Ассоциации по исследованию железа и стали.—(Metal coating research at the Sketty Hall laboratories of the British Iron and Steel Research Association.—), Metal Finish. J., 1957, 3, № 31, 273—280, 294 (англ.)

Обзор работ по изучению металл. и неметаллич. покрытий по стали, проведенных лабораторией Скетти-Холла Британской Ассоциации по исследованию железа и стали, начиная с 1946 г.

А. Шаталов

29160. Влияние хромирования на усталостную и коррозионно-усталостную прочность стали. Гликман Л. А., Супрун Л. А., Богорад Л. Я., Гакман Э. Л., Тр. Центр. н.-и. ин-та морск. флота, 1956, вып. 5, 36—42

Результаты исследования влияния режима хромирования на коррозионно-усталостную и усталостную прочность стали (УПС) показали, что снижение УПС в результате хромирования объясняется возникновением в хромовом покрытии растягивающих остаточных напряжений, вызывающих его разрушение при циклич. напряжениях, причем трещины покрытия являются концентраторами напряжения, снижающими прочность основного металла. Установлено, что пористое хромирование не снижает УПС. При других видах хромирования восстановление УПС достигается отпуском при 550—600°, что объясняется снятием остаточных напряжений покрытия, а также, возмож-

но, некоторыми изменениями механич. свойств покрытия.

В. Лукинский

29161. Цинкование чугуна. Хискок (La galvanisation de la fonte. Hiscock A.), Zinc, cadm. et alliages, 1957, № 10, 13—24, 47 (франц.)

Результаты исследования процесса горячего цинкования чугуна показали, что встречающиеся практич. затруднения в этом процессе не связаны с изменениями в составе или структуре чугунов, а вызваны наличием песка на поверхности изделия. Изучением влияния продолжительности погружения на вес покрытия (ВП) при двух методах подготовки (травлением и пескоструйванием) установлено, что ВП возрастает пропорционально времени погружения. Для получения сплошного покрытия при хорошо очищ. образце достаточно 2—3 мин. погружения при 450°, что обеспечивает получение на его поверхности слоя Zn весом в 460—600 г/м<sup>2</sup> независимо от вида чугуна и метода подготовки. Приведены данные, характеризующие влияние содержания Si и P на ВП, которое уменьшается с увеличением содержания Si (1,5—4%) и P (0,1—1%). Однако влияние Si и P на изменение микроструктуры незначительно при кратковременном цинковании. ВП составляет 600—900 г/м<sup>2</sup> при погружении на 2 мин. 30 сек. и 450°. При более длительном времени погружения ВП изменяется от 750 до 3000 г/м<sup>2</sup>. Указывается, что большого снижения расхода Zn можно добиться путем уменьшения длительности цинкования с 15 мин. до 2 мин. 30 сек., что потребует тщательной подготовки чугунного лития перед цинкованием.

А. Рейхштадт

29162. Белая ржавчина на оцинкованных изделиях. Ее возникновение и защита от нее. Девес (Weißer Rost auf verzinkten Waren — Seine Entstehung und Verhütung. Daevs Karl), Draht, 1957, 8, № 8, 334—335 (нем.)

Рассматриваются возможные причины возникновения белых продуктов коррозии (БПК) на оцинкованных изделиях. Основной причиной, вызывающей появление БПК, является оседание на поверхности изделий конденсата. БПК возникают обычно на изделиях, находящихся в плотно закрытой упаковке, а также в закрытых вагонах и на складах. Защитой может быть предотвращение резких перепадов т-ры и хорошая вентиляция помещения; при невозможности последней рекомендуется применение смазок. Отмечается, что обработка в р-ре хрома после цинкования не предотвращает образования БПК, а только несколько задерживает ее распространение.

М. Кристаль

29163. Способ покрытия молибденом внутренней поверхности труб большого диаметра. Хегарти (A process for the deposition of molybdenum inside large-bore tubing. Hegarty A.), Metal Finish. J., 1957, 3, № 33, 349—352 (англ.)

Трубы диам. 40,6 мм и длиной ~ 60 см покрывались молибденом путем восстановления MoCl<sub>5</sub> (I) водородом до металла. Трубы предварительно полировались и покрывались хим. способом слоем Со (6,25 м) для предотвращения р-ции Мо с С стали. I вводился в трубу путем пропускания нагретого Ag через расплавленный I (250°). Затем в смесь Ag с парами I добавлялся H<sub>2</sub> и вся смесь поступала снизу в покрываемую трубу, установленную вертикально. Осаждение Мо происходило на участке трубы, нагретом снаружи (до 900—950°) кольцеобразной газовой горелкой. Нагреватель перемещался со скоростью 50 мм/час сверху вниз. Остальная часть трубы подогревалась ИК-лампами выше т-ры конденсации паров I. Остаточное давление внутри трубы поддерживалось в пределах 15—20 мм рт. ст. При недостатке I осаждение Мо происходит очень медленно, при избытке осадок



порист и плохо сцепляется. Плохого качества осадок получается также при давл.  $> 200$  мм рт. ст., при движении нагревателя в одном направлении со смесью газов и т. п. Покрытие может найти применение в хим. пром-сти в тех случаях, когда может быть использована высокая механич. прочность  $Pb$ , его сопротивление эрозии и истиранию, а также его высокая коррозионная стойкость. Скорость окисления  $Pb$  кислородом при высокой т-ре чрезвычайно велика. Ю. Аронсон

29164. Трубы и сосуды с защитными покрытиями из свинца. Рейнерт (Rohre und Behälter mit Schutzüberzügen aus Blei. Reinert M.), Techn. Mitt., 1957, 50, № 7—8, 272—277 (нем.)

Рассматриваются механич. и хим. свойства чистого  $Pb$  и влияние незначительных примесей некоторых элементов на изменение его свойств. Отмечается зависимость механич. свойств и коррозионной стойкости  $Pb$  от величины зерна. Оптимальные значения механич. прочности и коррозионной стойкости наблюдаются не у чистого, крупнозернистого  $Pb$ , а у мелкозернистого с незначительным кол-вом примесей других металлов. Указывается на невозможность упрочнения  $Pb$  путем наклепа ( $Pb$  при комнатной т-ре склонен к рекристаллизации). Рекомендуется при использовании  $Pb$  в качестве несущей конструкции учитывать такие характеристики, как предел ползучести ( $\sigma_p$ ) и длительную прочность ( $\sigma_D$ ). Хим. стойкость  $Pb$  в к-тах объясняется самопассивацией, т. е. образованием защитных пленок соответствующих  $Pb$ -солей. Описывается поведение чистого  $Pb$  и  $Pb$  с незначительными примесями в  $H_2SO_4$  при различных условиях. Разбираются способы защиты листовым  $Pb$  различных труб и аппаратов. Указывается на большие недостатки такого метода защиты при эксплуатации в условиях больших колебаний т-ры или вибрации. Метод обкладки листовым  $Pb$  противопоставляется как наиболее прогрессивный метод томог. свинцевания. Приводятся данные о структуре и поведении томог.  $Pb$ -слоя в различных эксплуатационных условиях. Описываются возможности применения этого метода для защиты автоклавов, колонн, сосудов и труб. Рассматриваются пути эксперим. определения сцепляемости покрытия с основным материалом и различные способы контроля полученного  $Pb$ -слоя. А. Тумовский

29165. Пламенное или холодное напыление защитных покрытий. Рейнингер (Flamm- oder Kalt-aufspritzen von Schutzüberzügen? Reininger Hans), Maschinenmarkt, 1957, 63, № 76, 11—13 (нем.)

При обычном способе пламенного напыления получающийся слой всегда порист, что сильно снижает его эффективность. Холодное напыление порошка металла, неметаллич. материала или других различных порошков осуществляется обычно посредством пистолета с двумя соплами. Через одно подается порошок или смесь порошков, через другое — вязущее, напр. на основе эпоксидных смол. Метод холодного напыления дает возможность получения беспористых покрытий и обладает рядом других преимуществ: позволяет применение любых материалов и смесей с различными т-рой плавления и степенью измельчения, получение покрытий, обладающих не только высокой стойкостью против коррозии, но и стойкостью против механич. износа и т. п. Метод нашел широкое применение в самых различных областях. Для защиты дымовых труб применялся свинец с корундом, для трамвайных ванн — свинец со стеклом, для вагонок в коксовом произ-ве — свинец с карбидом кремния, для стальных конструкций — цинк со стеклом или корундом. Испытания покрытий на коррозию и на

истирание показали, что покрытия, полученные этим способом, значительно более стойки, чем полученные горячим напылением или гальваническим путем. Испытания проводились во влажных камерах при  $50—55^\circ$  в присутствии  $SO_2$  и  $CO_2$ , в холодной, горячей и подкисленной морской воде.

Ю. Аронсон  
29166. Развитие техники металлизации распылением. III. Рейнингер (Weiterentwicklung der Metallspritztechnik (III). Reininger H.), Metall-oberfläche, 1957, 11, № 10, 329—333 (нем.)

Приведено описание применяемых в настоящее время аппаратов для металлизации ( $M$ ), способов обработки покрытий, нанесенных методом  $M$ , и способов подготовки поверхности перед  $M$ . Приведен также обзор исследований структуры и свойств металлопокрытий. Сообщение II см. РЖХим, 1957, 56594.

М. Кристалл  
29167. Металлизация как способ защиты от коррозии наружной обшивки вспомогательных судов. Гофман (Metallspritzung als Korrosionsschutz der Außenhaut von Seezeichenkontrollbooten. Hoffmann Siegfried), Schiffbautechnik, 1957, 7, № 9, 511—516 (нем.)

Сравнительным испытанием коррозионной стойкости наружной обшивки судов, обработанной разными способами, установлено, что нанесение перед окрашиванием  $Zn$ - или  $Al$ -покрытия методом металлизации обеспечивает лучшую и гораздо более длительную защиту от коррозии, чем одна окраска. Экономич. подсчет показывает, что расходы, связанные с металлизацией, окупаются уже через 3 года. В. Левинсон

29168. Плакированная сталь. Изготовление и применение в химической промышленности. Франсен (Compoundplåt. Tillverkning och användning inom kemisk industri. Franzén Alf), Tekn. ukebl., 1957, 104, № 11, 211—218 (шведск.)

Подробно описывается способ изготовления плакированной стали по методу Colvill'a. Метод состоит в том, что одна пластина берется из высококачественной, нелегированной или малолегированной стали и служит в качестве основного материала, а другая из нержавеющей кислотоупорной стали,  $Ni$  или монель-металла для внутренней обкладки. Эти пластины в виде 2 слоев основного материала и 2 внутренних слоев из коррозионностойкого металла накладываются друг на друга и подвергаются не точечной, как это производилось ранее, а автогенной сварке — по всей поверхности, причем для предотвращения сваривания внутренних пластин между последними прокладывается слой  $Cr_2O_3$ ,  $Al_2O_3$  или  $MgO$ , а затем после сварки полученный «пакет» прокатывается до толщины от  $1/8$  до  $1/16$  его исходной величины. Кроме этого, приводятся данные по предварительной обработке, условиям сварки, окончательной отделке пластин, их свойствам и расчетам прочности, а также приводятся примеры по использованию этих пластин в качестве конструкционного материала в различных отраслях пром-сти. Особенно широкое применение в последние годы плакированная сталь нашла в нефтяной пром-сти для крекингowych установок, дистил. колонок и пр. и в целлюлозном произ-ве для изготовления автоклавов и кислотостойких цистерн. Для первых используется хромистая сталь, содержащая 13%  $Cr$  и 0,08%  $C$ , а для вторых — сталь типа 18/12/2,5  $Mo$ , содержащая  $C < 0,06\%$ . М. Голомбик

29169. Обработка раствором хромовой кислоты. Исследование с применением меченых атомов. Эйслер (Chromic acid rinse treatment. Radiometric evaluation. Eisler S. L.), Industr. Finish, 1957, 9, № 111, 818—821 (англ.)

Обработка металлич. поверхности р-ром хромовой к-ты (I) после фосфатирования придает большую кор-

розионную стойкость покрытиям. Кол-во I, адсорбируемой фосфатной пленкой, невозможно определить обычными аналитич. методами. К р-ру, которым прозводилась обработка, добавлялось небольшое кол-во I, содержащей изотоп  $\text{Cr}^{51}$ . Измерением радиации образцов после обработки удалось установить, что кол-во адсорбированной I составляет  $\sim 0,02\text{--}0,15$  г на  $1 \text{ м}^2$ . Чем выше конц-ия р-ра I, тем большее кол-во ее адсорбируется покрытием, но при чрезмерном повышении ее конц-ии она начинает разрушать покрытие. Адсорбция I увеличивается при добавлении в ее р-р фосфорной к-ты. При обезжиривании трихлорэтиленом I практически не десорбируется. При промывке кипящей и холодной водой удаляется соответственно  $\leq 17$  или 6% адсорбированной I. Оптимальные результаты дает обработка р-рами, содержащими  $\sim 2,25$  г/л I или  $1,2$  г/л I и  $1,2$  г/л фосфорной к-ты. pH р-ра должен быть 2—3.

Ю. Аронсон

**29170. Защита металлов от коррозии воронением.** Христи Б., Христи И. К., Сб. студ. научн. работ. Ростовск.—в/Д гос. пед. ин-т, 1957, вып. 1(22), 135—140

Ознакомление учащихся средних школ на внеклассных занятиях или в хим. кружках с одним из эффективных средств борьбы с коррозией — воронением. Перечисляются необходимые материалы и реактивы, применяемые для подготовки поверхности металла и для воронения. Приводятся состав очистительных, декапировочных и оксидировочных ванн и режим технологич. процесса.

В. Лукинская

**29171. Химическое фрезерование.** Клоз (Milling with chemicals. Close Gilbert G., Metal Prod. Manufact., 1957, 14, № 6, 46—48, 91—92 (англ.))

Описан процесс хим. фрезерования (ХФ), состоящий в том, что на изделие наносится жидкость, которая, высохнув, оставляет химически прочную, но плохо пристающую пленку. На пленку накладывают шаблон, соответствующий по форме и размерам площади, подлежащей ХФ, и по этому шаблону подрезают, а потом снимают пленку. В травильной ванне незащищенные пленкой участки подвергаются растворению. Скорость растворения составляет  $0,025$  мм/мин. Для ХФ Al-сплавов применяют цел. травильные р-ры при  $82^\circ$ , обработку стали, Mg и Ti ведут в кислых р-рах при  $t$ -ре  $\sim 50^\circ$ .

В. Левинсон

**29172. Защита бетонных канализационных линий.** Парди, Стадл (Concrete sewer protection. Pardee Lyall A., Studley E. G.), Water and Sewage Works, 1957, 104, № 4, 145—149 (англ.)

Рассматриваются наиболее экономич. методы защиты канализационных линий от коррозии  $\text{H}_2\text{SO}_4$ , образующейся в результате окисления  $\text{H}_2\text{S}$ , присутствующего в большинстве открытых канализационных систем: механич. защита футеровочными керамич. плитками и плитками из пластмасс, применение гош-чарных труб или эксплуатация канализационных систем под давлением.

В. Лукинская

**29173. О применении кислотоупорного бетона в химической аппаратуре.** Березин В. В., Кокс и химия, 1957, № 10, 51—53

На Макеевском коксохим. з-де для защиты внутренней поверхности аппаратов применяется футеровка кислотоупорным бетоном взамен Pb или диабазовой плитки. При защите вертикальной поверхности или толстка аппарата бетон армируется стальной проволокой. Преимуществом футеровки из кислотоупорного бетона перед другими видами антикоррозионных покрытий является более длительный срок ее эксплуатации и упрощение технологии ремонта.

**29174. Защитные покрытия из битумных рулонных материалов.** Янкелс Л. Ф., Стр-во предприятий нефт. пром-сти, 1957, № 8, 15—16

Приводятся результаты обследования состояния рулонных защитных покрытий промышленных трубопроводов на предприятиях нефтяной пром-сти, расположенных в 23 районах страны с резко отличительными климатич. условиями. Обследовались рулонные покрытия из рубероида, пергамина, гидроизола, нанесенные на тепловую изоляцию. В удовлетворительном состоянии находятся покрытия из рубероида с двусторонней пропиткой и односторонней присыпкой. Почти  $1/6$  обследованных покрытий из пергамина оказались в неудовлетворительном состоянии. Покрытия из битумных рулонных материалов имеют ряд недостатков. Их нельзя наносить на изгибы трубопроводов, неровная поверхность теплоизоляции может вызвать разрыв рулонного материала при затяжке наружных колец. Преимуществом является повышение степени индустриализации теплоизоляционных работ на прокладке трубопровода.

Р. Салем

**29175. Наполненные стекляннм волокном эпоксидные смолы для защиты от коррозии и эрозии.** Оксфорд (Epoxy-fiberglass armoring for corrosion-erosion protection. Oxford W. F., Jr), Corrosion, 1957, 13, № 10, 17 (англ.)

Описана защита от коррозии и эрозии оборудования нефтедобывающей пром-сти эпоксидными смолами, наполненными стекляннм волокном. Покрытие состоит из одного слоя эпоксидной смолы, трех слоев стекляннй ткани толщиной  $0,25$  мм, пропитанной эпоксидной смолой, одного отделочного слоя эпоксидной смолы, толщина всего покрытия  $\sim 4,7$  мм. Через 10 месяцев эксплуатации покрытие находилось в хорошем состоянии.

Т. Фабрикант

**29176. Ацетобутиратцеллюлозный пластик как антикоррозионный материал.** Ролф (Cellulose acetate butyrate's role in protection. Ralph T. L.), Corros. Technol., 1957, 4, № 3, 86—88 (англ.)

Пластмасса «тенайт» (Т) на основе ацетобутирата целлюлозы (АЦ) обладает высокой светостойкостью: после 32 месяцев экспозиции прозрачной пленки Т толщиной  $1,9$  мм в пустыне Аризона не отмечено растрескивания и заметного изменения прозрачности. Р-ры АЦ в касторовом масле (конц-ия 35%) используют для получения защитной пленки на приборах и инструментах окуномением при  $149\text{--}163^\circ$  с целью предохранения их от коррозии при хранении и транспортировке. Трубы из Т успешно применяют для транспортировки сернистой корродирующей нефти, натурального газа и воды; стальные трубы, покрытые Т, работают под давл. до  $70$  атм.

Л. Песня

**29177. Пластмассы как антикоррозионный материал.** Хермелинг (Plaste im Korrosionsschutz. Hermeling W.), Plaste und Kautschuk, 1957, 4, № 4, 152—156 (нем.)

Обзор. Рассмотрены свойства основных типов антикоррозионных пластмасс. Приводится описание обкладки аппаратуры с помощью поливинилхлоридных пластиков и покрытия путем газопламенного напыления их. Рассмотрены также покрытия лаками горячей сушки и гуммирование. Библ. 3 назв.

Л. Песня

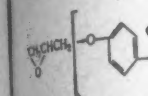
**29178. Защита от коррозии кабелей.** Ости (Protection des câbles contre la corrosion. Osty M.), Corros. et anticorros., 1957, 5, № 10, 294—298 (франц.)

Описываются методы защиты электр. кабелей от коррозии, возникающей главным образом вследствие контакта влаги с металлич. оболочкой в условиях наличия блуждающих токов, путем применения покрытий из пластиков: полиэтилена, смесей на основе полихлорвинила и композиций битума со стекляннм волокном. Приводятся методы ускоренных испытаний защитных свойств покрытий и испытаний их на механич. прочность.

Т. Фабрикант

29179. Покрытия труб пленкой с внутренней стороны. Oil and Gas (англ.)

Сообщается о покрытии труб пленкой с внутренней стороны. Пленка имеет толщину  $30''$  газопровода, представляющая собой смесь эпоксидной смолы и наполнителя (I):



Пленка после нанесения имеет толщину  $\sim 0,038$  мм. Описаны методы нанесения пленки на трубы для предотвращения коррозии. Приводятся данные о долговечности покрытия. Отношение к коррозии и эрозии. Примеры целес. применения на водопроводах.

**29180. Как долго прослужит покрытие.** L. 29—30, 32 (англ.)

Указывается, что покрытие прослужит до 20 лет. Срок до 20 лет. protection. L. 29—30, 32 (англ.)

Указывается, что покрытие прослужит до 20 лет. Срок до 20 лет. protection. L. 29—30, 32 (англ.)

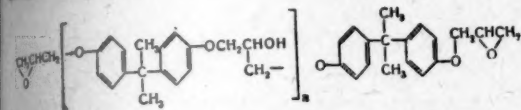
Указывается, что покрытие прослужит до 20 лет. Срок до 20 лет. protection. L. 29—30, 32 (англ.)

**29181. Защита от коррозии.** Maschinentechnik. В настоящее время окраска является основным способом защиты от коррозии (ЗК). Окрашивание кондукторов проводится в ваннах (ВН) с использованием электрохимического механизма. При прибавлении медленн. Радусы ионизации на пленку. При длительном воздействии происходит окисление фосфатной пленки, в состав которой входят Zn, Fe, Al. В состав которых входят Zn, Fe, Al. При этом, как правило, происходит окисление. При длительном воздействии происходит окисление фосфатной пленки, в состав которой входят Zn, Fe, Al. В состав которых входят Zn, Fe, Al. При этом, как правило, происходит окисление.



29179. Покрывание внутренней поверхности 36-дюймовых труб пленкой. Рисен (Here's how Transco internally coats 36-in. pipe. Resen F. Lawrence), Oil and Gas J., 1955, 54, № 7, 111—112, 114—115 (англ.).

Сообщается о проведении на трубопрокатном заводе покрытия внутренней поверхности новых 36" и 30" газопроводных труб антикоррозионным составом, представляющим собой продукт конденсации полимеров эпихлоргидрина и бифенола. Хим. ф-ла этого соединения (I):



Пленка после высыхания отличается адгезией, хим. стойкостью и эластичностью. Толщина пленки ~ 0,038 мм. Описана технология процесса подготовки труб для покрытия и произ-ва самого покрытия. Приводятся данные испытания пленки на прочность, истирание, долговечность, выветривание, стойкость по отношению к ряду спиртов, к-т, щелочи. Приводятся примеры целесообразности нанесения такой защитной пленки на водо- и газопроводных трубах. П. Богаевский

29180. Как достигнуть коррозионной защиты на срок до 20 лет. Лонг (How to get 20-year corrosion protection. Long J. S.), Gas Age, 1957, 119, № 7, 29—30, 32 (англ.).

Указывается, что при условии надлежащей подготовки поверхности изделия и покрытия ее слоем краски достаточной толщины последняя может предохранять изделие от коррозии в течение 20 лет. Толщина пленки высохшей краски должна достигать 0,2 мм при условии потерь краски в результате эрозии 0,007 мм в год. Приводятся характеристика и предъявляемые к отдельным видам красок требования.

В. Лукинская

29181. Защита от коррозии. Каспар (Neuere Korrosionsschutzfragen. Kaspar Emil), Internat. Maschinenrundschau, 1957, № 7—8, 98—99 (нем.).

В настоящее время в Европе находит широкое применение окраска с наполнителем — цинковой пылью, которая обеспечивает электрохим. защиту от коррозии (ЗК). Окраска пароходов, различной аппаратуры, стальных конструкций и мелких стальных изделий производится в Англии и Америке по грунту Вай — праймер (ВП). Отмечается, что ВП не может долго храниться в странах с тропич. климатом. Исследования механизма ЗК при применении ВП показало, что при прибавлении к нему фосфорной к-ты происходит медленное растворение тетраоксихромата Zn, нейтр-ция этой к-ты и выпадение осадка фосфата Sr. Радиусы ионов Fe и Zn имеют близкие величины, поэтому на поверхности металла образуется фосфатная пленка, в состав которой входят их соединения. При длительном растворении тетраоксихромата Zn происходит освобождение ионов хромата, реагирующих с фосфатной пленкой. Установлено, что фосфатные пленки, в состав которых входят ионы  $Fe^{2+}$  и  $Fe^{3+}$  и ионы Zn, обладают высокой коррозионной стойкостью. В Австрии под окраску применяют грунты, в состав которых входят фосфаты цел-зем. металлов. При этом, как и в случае применения ВП, достаточно грубая очистка поверхности металла. Допускается прутковка по слегка ржавой поверхности, а также при наличии на ней следов влаги и жиров. Отмечено, что остатки ржавчины на металлич. поверхности взаимодействуют с грунтом, в результате чего образуются фосфат Fe, обладающий хорошей адгезией с металлом. В обычных условиях достаточным для ЗК является

один слой грунта и один слой окраски; при агрессивных условиях коррозии применяют 2—3 слоя окраски, а также спец. составы ее. Ф. Сломинская

29182. Современные методы очистки нефтяных резервуаров. Ван-Делиндер (Modern cleaning methods for tankage equipment. Van Delinder L. S.), Corrosion, 1957, 13, № 6, 17—18 (англ.).

Описаны методы очистки нефтяных резервуаров от загрязнений различного происхождения. Для удаления масляных и жирных в-в из резервуаров, имеющих стальную, алюминиевую или защищенную фенольными смолами поверхность, рекомендуется промывка горячей (60°) водой с добавкой 0,1% неионного детергента, предпочтительно из группы вторичных спиртов.

В. Левинсон

29183. Торможение коррозии конденсационных систем. Дальбке (Es posible controlar la corrosión en los sistemas de condensado. Dalbke R. G.), Ingeniería e ind., 1957, 25, № 275, 80—85 (исп.).

Приводятся примеры применения в конденсационных системах замедлителя коррозии Filmeeen (октадециламинацетат), образующего защитную пленку на поверхности металла.

А. Гутмахер

29184. Обобщенная теория механизма торможения коррозии железа в кислых и нейтральных средах, основанная на электрохимическом поведении железа. Де (A unified theory of the mechanism of inhibition of corrosion of iron in acid and neutral media based on the electrocapillary behaviour of ions. De C. P.), Nature, 1957, 180, № 4590, 803—805 (англ.).

Рассмотрен механизм замедления коррозии некоторыми добавками капиллярно-активных анионов на основе представления об адсорбции анионов на катодных участках поверхности Fe, корродирующего в нейтр. р-рах. Потенциал катодных участков принимается в этом случае равным 0,06 в, что соответствует положительному знаку заряда поверхности Fe. В кислом р-ре стационарный потенциал Fe лежит в области отрицательно заряженной поверхности, поэтому тормозящим действием будут обладать капиллярно-активные катионы или нейтр. молекулы.

А. Шаталов

29185. Оценка эффективности замедлителей коррозии, применяемых в градирнях. Денман, Фридман (The evaluation of cooling tower corrosion inhibitors. Denman W. L., Friedman Charles B.), Corrosion, 1957, 13, № 3, 49—55 (англ.).

Приведены результаты испытаний неорганич. замедлителей коррозии (ЗК), полученные на опытной градирне с автоматич. регулированием рециркуляционной воды. В качестве ЗК были применены хроматы, полифосфаты и их смеси. Дается описание аппаратуры, режима технологич. процесса, подготовки образцов и условия проведения испытания. Приведена таблица изменения скорости коррозии в зависимости от дозировки ЗК и т-ры.

В. Лукинская

29186. Исследование органических замедлителей коррозии газопроводов. Каменецкая-Врублевская (Badania nad zastosowaniem inhibitorów organicznych przeciw korrozji gazociągów. Kamińska-Wróblewska Zofia), Koks, smoła, gaz, 1957, 2, № 4, 156—157 (польск.; рез. русск., англ., нем.).

Результаты исследования эффективности некоторых органич. замедлителей коррозии (ЗК) на разрушение труб в щел. и слабокислой почве показали, что для защиты трубопроводов можно с успехом применять такие ЗК, как дициклогексиламиннитрит или дифенилмочевина. Последнюю получали из анилина и CS<sub>2</sub>, растворяя их в спирте в присутствии S как катализатора. ЗК рекомендуется применять в виде добавки к битумной изоляции трубопроводов.

В. Левинсон

**29187.** Практическое применение химических способов снятия окисной пленки в судостроении. Хабеданк (Praktische Anwendung des Rostumwandlungsverfahrens im Schiffbau. Habedank A.), Schiffbautechnik, 1957, 7, № 9, 516—520 (нем.)

Установлено, что нанесение на ржавую поверхность подводных конструкций вязкого р-ра, основным компонентом которого является  $H_2PO_4$ , переводит ржавчину в нерастворимый фосфат и предохраняет их от дальнейшей коррозии. Для обеспечения хорошей защиты необходимо предварительно путем подбора установить опт. конц-ию  $H_2PO_4$ . Защита подводных конструкций таким способом достигается с трудом, особенно во влажное время года.

В. Левинсон  
**29188.** Способ введения «силифоса». Нальбах (Siliphos-Impfverfahren. Nalbach H.), Schweiz. Maschinenmarkt, 1957, 57, № 39, 67—68 (нем.)

Приведены общие данные по снижению скорости коррозии аппаратуры, находящейся в воде, путем добавления к воде «силифоса», в состав которого входят полимеры фосфатов и кремнекислота.

М. Кристалль  
**29189.** О механизме ингибиторного действия гетероциклических азотистых оснований при травлении стали в серной кислоте в присутствии некоторых анионов. Русьянова Н. Д., Гофман М. В., Ж. прикл. химии, 1957, 30, № 10, 1564—1569

Изучалось тормозящее действие (ТД) галогенных ионов  $Fe(CN)_6^{4-}$ ,  $SCN^{1-}$ ,  $CN^{1-}$ , хинолина и фракции азотистых оснований каменноугольной смолы, отгоняющейся при 250—270°, на растворение стали 3 в 12%-ой  $H_2SO_4$  при 70°. Существенное повышение ТД в присутствии ионов  $SCN^{1-}$ ,  $Br^{1-}$  и  $I^{1-}$  можно объяснить образованием на поверхности Fe плотной пленки комплексного соединения, в которое входит Fe, хинолин и какой-либо анион. Из числа подобных комплексных соединений были выделены в чистом виде  $Fe(SCN)_6(C_6H_5N)_4$ , т. пл. 93°,  $C_6H_5N \cdot SCN$ , т. пл. 138°,  $C_6H_5N \cdot J$ , т. пл. 195°, и  $C_6H_5N \cdot Br$ . Анионы, не способные вступать в комплексные соединения с хинолином, почти не оказывают влияния на ТД хинолина ( $Cl^{1-}$ ,  $CN^{1-}$ ,  $Fe(CN)_6^{4-}$ ). Максим. тормозящий эффект наблюдается при таком соотношении компонентов, при котором обеспечиваются оптимальные условия протекания р-ции:  $Fe(SCN)_2 + 4RNH \cdot SCN \rightarrow Fe(SCN)_6(RNH)_4$  (R — остаток азотистого гетероцикл. соединения), для чего необходим некоторый избыток ионов родана. Однако большой избыток  $SCN$ -ионов снова понижает тормозящий эффект.

А. Шаталов  
**29190.** Защита от влажности при хранении и транспортировке авиационных материалов, в частности защита моторов с помощью влагопоглотителей. Бодуэн (Protection contre l'humidité dans le stockage et l'expédition de matériel aéronautique, en particulier de moteurs, au moyen de déshydratants. Baudouin R.), Matér. et techn. engins-fusées et aviat. Paris, A. E. R. A., 1956, 212—214 (франц.) См. также РЖХим, 1957, 29227.

**29191.** Мероприятия по предотвращению коррозии путем создания соответствующей атмосферы. Кутцельнигг (Maßnahmen zur Verhinderung der Korrosion durch Aufbereitung der Atmosphäre. Kutzelnigg A.), Werkstoffe und Korrosion, 1957, 8, № 8—9, 492—498 (нем.)

Приведены данные по составу воздуха, возможному содержанию загрязнений в различных местностях и произ-вах. В качестве простейшей меры защиты от коррозии внутри помещений рекомендуется осушка воздуха, которая осуществляется различными способами. Достаточным считается осушение воздуха на складах до 40—45% относительной влажности. Эффек-

тивная защита изделий от коррозии в атмосфере может быть достигнута применением защитных смол. Удаление пыли во внутренних помещениях достигается при помощи масляной или элктрич. газовой очистки, а удаление ядовитых примесей из атмосферы производится адсорбцией, абсорбцией или каталитич. окислением. Указывается, что  $SO_2$  можно удалить из воздуха с помощью фильтров из активированного угля.

М. Кристалль  
**29192.** Снижение расходов по эксплуатации систем водяного охлаждения путем предотвращения коррозии и образования накипи. Карле (Cooling-system costs cut by corrosion and scale prevention. Carl William H., Jr.), Petrol. Engr, 1957, 29, № 5, D-52, D-54, D-56 (англ.)

Для предотвращения коррозии систем водяного охлаждения и образования накипи воду подвергают обработке различными химикатами, осаждающими соли, заменяющими вредные соли безвредными, препятствующими росту кристаллов, пассивирующими металлы и т. п. Приводятся данные о применении для этих целей полифосфатов, силикатов, хроматов, поверхностноактивных в-в. Рассмотрены другие способы предотвращения указанных явлений.

Ю. Ароносов  
**29193.** Катодная защита на бумажных фабриках. Леман (Cathodic protection in pulp and paper mills. Lehmann Joseph A.), South. Pulp and Paper Manufacturer, 1957, 20, № 7, 104—107 (англ.)

Отмечается, что одной из главных задач при применении катодной защиты (КЗ) является выбор системы защиты и материала анодов. При защите гальванич. анодами могут применяться Mg, Zn и Al. В системах КЗ с наложенным током материалом анодов может быть уголь, графит, Al, Pt и высококремнистый чугун. Большие трудности при осуществлении КЗ представляет определение необходимого тока. Величина защитного тока для неизолированного подземного трубопровода обычно равна 10,7—32,3  $ma/m^2$ , а для неизолированного подводного трубопровода 54—86  $ma/m^2$ . При хорошей изоляции подводный трубопровод защищается плотностью тока всего в 0,11  $ma/m^2$ . Более трудна КЗ конденсаторов, которая требует плотности тока в 1075  $ma/m^2$ . Хорошие результаты КЗ дает в сочетании с виниловыми и каменноугольносмоляными покрытиями, а также с различными обертками. За последние годы КЗ начинает все шире применяться на бумажных ф-ках для защиты внутренней поверхности резервуаров, оборудования для обработки воды, трубопроводов, энергетич. кабелей, фильтров, конденсаторов и теплообменников.

В. Притуз

**29194.** Катодная защита подземной и подводной трубопроводной системы. Уитли (Cathodic protection of a semi-marine pipeline system. Whitley B. J.), Corrosion, 1957, 13, № 8, Techn. top., 117—118 (англ.)

Описана система защиты трубопроводов на о. Мустанга. Трубопроводы были изолированы каменноугольносмоляной эмалью с оберткой или асбестовым картоном или стеклянной тканью. Подводный отрезок, кроме того, имел бетонное покрытие. Первая секция длиной 9,1 км и диам. 10 дюймов сначала была включена в общую систему катодной защиты главной магистрали, от которой она отходила. Для указанной секции нужен был ток 7,5 а при 6 в. Для защиты подводной части и 22,5 км линии нужно было сначала 170 а, что обеспечивало в удаленной точке защитный потенциал в 0,81 в по медносульфатному электроду. Поляризация была настолько хороша, что даже при заметном уменьшении тока защитный потенциал сохранялся. Для обеспечения более полной защиты при постоянной подаче тока 96 а при 13 в было решено временами подавать ток от сварочного генера-

тора 270 а дл-но, что лучше, но при

**29195.** Танк-Грайндер Grindgo 278—280 (американск.)

топную защи-Марин-Кемия в 18-лено 2 груп-каждый. Каж-ственно окол-

После двух л-корпуса, глав-таточной КЗ-

2 группы ус-ния и 2 груп-ка доковани-коррозии на-таких же ано-

докование по-в результате-ние. На друго-

спуска его на-по 27,2 кг в 6-после спуска-незначительн-

сохраня целя-лась также н-посередине су-находя в 185-

номия от пр-в год.

**29196.** Опыт-провода А. А. Е., Нов-№ 6, 10—12-

Краткое опи-ного нефтес-7,5 км. Соор-сменные про-

его концах-нием от выпн-ного тока в-

тивность дей-в том, что ч-1 в год, а з-

После выклк-равлений р-большее чис-

на на н-**29197.** При-Ртордан cathodic pr-

Corrosion, Рассматри-

единительны-(КЗ). Приво-проводов из-

выбора изол-случае прим-характеристи-этиленовой-

Рассматрипа-тишов изоля-погружением-им. среды, а изоляции



тора 270 а для дополнительной поляризации. Отмечено, что лучшая защита достигалась при меньшем токе, но при большей длительности его наложения.

В. Притула

29195. Танкеры США не подвергаются коррозии. Грайндрод (U. S. tankers freed from corrosion. Grindrod John), Corros. Technol., 1957, 4, № 8, 278—280 (англ.)

Американская химическая компания применила катодную защиту (КЗ) на двух океанских танкерах: «Марин-Кемист» в 12 500 т в 1950 г. и «Марин-Дау-Кемист» в 18 000 т в 1954 г. На первом было установлено 2 группы Mg-анодов по 53 шт. весом 27,2 кг каждая. Каждая группа устанавливалась непосредственно около бокового киля с обеих сторон судна. После двух лет работы выяснилось, что 20% площади корпуса, главным образом на корме, не получили достаточной КЗ. Тогда аноды были рассредоточены — установлено 6 групп по 20 анодов того же веса. По 2 группы устанавливались около каждого бокового киля и 2 группы с обеих сторон корпуса у кормы. Так как докование через год показало некоторое наличие коррозии на носу, там были установлены 2 группы таких же анодов по 10 шт. каждая. Через 13 месяцев докование показало эффективность КЗ всего корпуса. В результате применения КЗ уменьшилось обрастание. На другом танкере КЗ была установлена еще до спуска его на воду путем применения 180 Mg-анодов по 27,2 кг в 6 группах. Осмотр танкера через 3 месяца после спуска судна на воду показал наличие только незначительной коррозии на носу, где краска была содрана цепями. Незначительная коррозия наблюдалась также на корме, в том числе на самом винте, но посредние судна была полная защита участка площадью в 185 м<sup>2</sup>, где краска была совсем содрана. Экономия от применения КЗ составила ~1000 долларов в год.

В. Притула

29196. Опыт электрической защиты подводного трубопровода Артем — Апшерон от коррозии. Бабаев А. Е., Новости нефт. техн. Нефтепереработка, 1957, № 6, 10—12

Краткое описание катодной защиты (КЗ) подводного нефтепровода Артем — Апшерон протяжением 7,5 км. Сооруженный в 1935 г. нефтепровод получил сквозные проржавления уже в 1948 г. Для защиты на его концах были установлены станции КЗ с питанием от выпрямителей ВСА-6М. Параметры постоянного тока выпрямителей были 100 а и 10 в. Эффективность действия КЗ, введенной в 1952 г., сказалась в том, что число проржавлений резко упало, с 9 до 1 в год, а затем в 1954 г. они совсем прекратились. После выключения КЗ в 1955 г. число сквозных проржавлений резко увеличилось до 9—10 в год. Наибольшее число проржавлений нефтепровода приходится на наиболее глубокое место пролива В. Притула

29197. Применение кабелей при катодной защите. Риордан, Фишер (The application of cable in cathodic protection. Riordan M. A., Fisher R. G.), Corrosion, 1957, 13, № 8, t519—t526 (англ.)

Рассматриваются требования, предъявляемые к соединительным кабелям в системах катодной защиты (КЗ). Приводятся значения уд. сопротивления для проводов из Cu, Al, Pb и Fe. Даны обоснования для выбора изоляции кабеля и защитной его оболочки в случае применения для систем КЗ. Приводятся физ. характеристики и данные о скорости старения полиэтиленовой и полихлорвиниловой изоляции оболочки. Рассматриваются электрич. стабильность различных типов изоляции при испытаниях в течение 6 месяцев погружением в водопроводную воду и в некоторые хим. среды, механич. свойства изоляции, требования к изоляции в зависимости от окружающей среды,

условий ее применения и требований к выполнению соединений кабеля. Для КЗ лучшим признан кабель, имеющий полиэтиленовую изоляцию и полихлорвиниловую оболочку, при толщине первой 1,6—2,4 мм и второй 1,2—1,6 мм. Приводятся ф-лы для определения экономики применения Al-кабеля. Значительную часть общей стоимости КЗ составляет стоимость кабеля. Описаны результаты испытаний полиэтилена и полихлорвинила в ацетоне, уксусной и масляной к-тах, керосине, бензине, сырой нефти. В. Притула

29198. Новый метод прямого определения скорости коррозии путем измерения сопротивления. Стормонт (Corrosion rates directly measured by new resistance method. Stormont D. H.), Oil and Gas J., 1957, 55, № 3, 85—87 (англ.)

Описан коррозиометр, принцип действия которого основан на измерении сопротивления образца металла или сплава посредством мостовой схемы. В плечи моста входят испытуемый и стандартный образцы, изготовленные из одного и того же материала. Первый подвергается коррозионному воздействию, второй предохраняется защитной оболочкой. Шкала прибора позволяет вести прямой отсчет в единицах, выражающих меру коррозии. Приведено несколько кривых коррозии — время, полученных с помощью коррозиометра по измерению электросопротивления образцов, подвергавшихся коррозии на установках газопроводной пром-сти.

А. Шаталов

29199 II. Способ защиты поверхности стали от коррозии путем удаления ржавчины пламенем. Вилдерхолт, Кемпер, Каспрас, Помаска (Verfahren zum Korrosionsschutz von Stahloberflächen durch Flammentrostung. Wiederholt Wilhelm, Kemper Hudo, Kaspras Boleslaw, Pomaska Wolfgang) [Bundesrepublik Deutschland, vertreten durch den Bundesminister für Wirtschaft, dieser vertreten durch den Präsidenten der Bundesanstalt für Materialprüfung]. Пат. ФРГ 959425, 7.03.57

Предлагаемый способ состоит в том, что удаление толстых слоев ржавчины, окислы и остатков старой краски огневой обработкой и металл. щетками производят не до получения чистой поверхности, а таким образом, чтобы сталь осталась покрытой равномерным тонким слоем ржавчины, обогащенным FeO. Такой слой обладает одинаково высокой реакционной способностью по всей поверхности металла. Это обеспечивает получение равномерного надежного защитного слоя при последующей хим. обработке. Ее производят такими расплавами флюсов, как, напр., флюсами на основе эмали или флюсами солей, как, напр., боратами щелочей и (или) дивосфорнокислыми щелочами, или, наконец, р-рами солей, особенно цинкалюминийфосфата. Полученный при хим. обработке защитный слой нагревают открытым пламенем для придания ему плотности, прочности сцепления с металлом и для надежной осушки. Такая обработка поверхности создает прочный коррозионностойкий подслои для нанесения лакокрасочных покрытий.

Ю. Аронсон

29200 II. Способ меднения алюминия и алюминиевых сплавов. Лотон, Росс (Method of copperizing aluminum and aluminum alloys. Lawton Ledra M., Ross Stuart T.) [General Motors Corp.]. Пат. США 2737463, 6.03.56

Способ нанесения Cu-покрытия на Al-поверхности заключается в нанесении при комнатной т-ре композиции, состоящей из CuCl<sub>2</sub>, взвешенной в смоле, пластифицированной соединением типа трифенила, причем CuCl<sub>2</sub> остается во взвешенном состоянии. После нанесения композиции поверхность обрабатывается

для удаления остатка пластификатора и получения сухого хорошо сцепленного покрытия. Сушка производится при 150—180° в течение 30—60 сек. После этого изделие с высушенным покрытием нагревается при 400° в окислительной, восстановительной или нейтр. атмосфере в течение непродолжительного (~30 сек.) времени. После нанесения покрытия избыток  $\text{CuCl}_2$ , смолы, пластификатора смывается лучше всего водн. р-ром  $\text{HCl}$  или  $\text{NH}_4\text{OH}$ . Остается хорошо сцепленное  $\text{Cu}$ -покрытие. Композиция содержит 2 вес. ч. тонкоизмельченной  $\text{CuCl}_2$  и 1 ч. пасты, состоящей из тонкорасплавленной смолы, тщательно смешанной с соединением грифенила, имеющим формулу  $\text{C}_6\text{H}_5-\text{C}_6\text{H}_4-\text{C}_6\text{H}_5$ . Может применяться 1,3- или 1,4-дифенилбензол. Я. Лапин

**29201 П. Футеровка емкостей плитками из угля и графита.** Нейман, Дёч (Behälterauskleidung aus Kohle- oder Graphitsteinen. Neumann Hans, Doetsch Ernst) [Fa. C. Conradty]. Пат. ФРГ 960453, 21.03.57

Футеровка емкостей ванн, котлов, автоклавов и т. п. плитками из угля и графита получила широкое распространение ввиду их хим. стойкости и хороших теплопроводных свойств графита. Недостатком этой футеровки является различие в коэф. теплового расширения металла и слоя футеровки. При нагревании снаружи через слой футеровки это приводит иногда к отслаиванию его от металла. Кроме того, замазка, применяемая при футеровке, обладает малой теплопроводностью, что снижает теплопередачу, особенно в тех случаях, когда приходится применять подслоя из шпакля или другого керамич. материала. Для устранения этих недостатков предлагается применение эластичного изолирующего подслоя, компенсирующего различие в коэф. расширения. Теплообмен при этом должен производиться не через слой металла и футеровочного шва, а только через плитки. С этой целью тыльной стороне плиток придается такая форма, при которой установленные на место плитки образуют систему труб для циркуляции тепло- или хладоносителя. Это осуществляется путем создания в плитках отверстий или выемов, или желобков на тыльной стороне, или, наконец, применения гладких плиток такого размера, чтобы между ними и круглой стенкой емкости оставались зазоры в виде круговых сегментов, в которые подводится жидкость, служащая тепло- или хладоносителем. Ю. Аронсон

**29202 П. Метод получения защитного покрытия в баках для горячей воды.** Беруэлл (Method for producing an aggregate lined corrosion-resistant hot water tank. Burwell Maurel G.) [Century Tank Manufacturing Co.]. Пат. США 24187, 31.07.56

Предлагается защищать от коррозии цилиндрич. баки для горячей воды, котлы и т. д. с помощью цементного покрытия. Бак устанавливается на спец. установке и подвергается сравнительно быстрому вращению и вибрации во время ввода в него портланд-цемента, песка и воды (а также ускорителя схватывания, на основе  $\text{Na}_2\text{SiO}_3$ ) до тех пор, пока покрытие не затвердеет. А. Мамет

**29203 П. Защитный состав.** Радл (Coating composition. Ruddle Allan B.). Пат. США 2745758, 15.05.56

Патентуется сложный защитный состав, образующий при высыхании прочную твердую пленку, сопротивляющуюся действию воды. Смесь А состава:  $\text{H}_2\text{O}$  1 г;  $\text{Al}_2(\text{SO}_4)_3$  7,5—75 г;  $\text{Na}_2\text{SiF}_6$  7,5—75 г;  $\text{Na}_2\text{SiO}_3$  (крепостью 40° Вё) 2—20 л. Крепость смеси не ниже 32° Вё. Смесь В состава: р-р 15 г гильсонита, содержащегося в асфальтите, в 40 мл минер. масла. 15 г гильсонита можно заменить смесью из 5 г окиси свинца и 10 г гильсонита. Смесь С готовится добав-

лением 2 г  $\text{Na}_2\text{SiF}_6$  к 50 мл смеси А до образования тонкой суспензии геля кремневой к-ты. Рабочий состав готовят смешением приблизительно равных объемов смесей В и С при перемешивании до образования стойкой густой эмульсии, наносимой на поверхность металла. Высохшая пленка может выдерживать 25-минутный нагрев до 480° с последующим охлаждением. При этом пленка становится тверже и прочнее. Н. Михайлов

**29204 П. Смоляные амины (Rosin amines) [American Chemical Paint Co.].** Австрал. пат. 166332, 5.01.56

Амины общей ф-лы  $\text{RN}(\text{X})\text{CH}_2\text{R}'$ , где R — абетид, гидроабетид или дегидроабетид, X — H или  $\text{CH}_2\text{R}'$ ; R' — радикал, присоединенный к  $\text{CH}_2$ -группе через атом C, с которым соединен по крайней мере один атом H, и содержащий кетогруппу в  $\alpha$ -положении к этому C, а также смеси этих аминов с разными R применяют как замедлители коррозии металлов в кислых р-рах. С. Тайл

**29205 П. Способ защиты олова от действия кислых растворов.** Рогнер, Цир (Verfahren zum Schutz von Zinn gegen saure Lösungen. Rogner Hans, Ziehr Georg) [Henkel & Cie. C. m. b. H.]. Пат. ФРГ 965805, 19.06.57

Предлагается способ защиты Sn от воздействия на него р-ров к-т путем добавления в р-р продуктов, получаемых при взаимодействии формальдегида с гидросульфитами. Описан случай, когда скорость коррозии луженой жести в 0,5%-ной  $\text{HCl}$  была снижена с 3,2 г/м<sup>2</sup>/час до 0,73 г/м<sup>2</sup>/час путем добавления к р-ру к-ты 0,05% сульфоксилата Zn. М. Кристал

**29206 П. Замедлитель коррозии.** Стаблфилд, Кроппер (Corrosion inhibitor. Stubblefield Edward M., Cropper Walter V.) [Serval, Inc.]. Пат. США 2755170, 17.07.56

Для предотвращения коррозии и выделения  $\text{H}_2$  в оборудовании, имеющем детали из Fe, предлагается в р-р хлорида и бромида Li (35—65%) добавлять гидроксид Li (0,041—0,62%) и от 0,15 до 2,0 г молибдата Li на каждые 0,093 м<sup>2</sup> поверхности Fe, на которой при этом образуется защитная пленка. А. Мамет

**29207 П. Автоматически отключаемая катодная защита бака питания водой.** Андрус (Cathodically protected water storage tank with safety shutoff. Andrus Orrin E.) [A. O. Smith Corp.]. Пат. США 2752308, 26.06.56

Описаны 2 вида антикоррозионной автоматически отключаемой катодной защиты для металлич. хранилищ жидкостей: 1) с расходуемым анодом, без питания электрич. током от постороннего источника; 2) без расхода материала анода, с питанием от отдельного источника постоянного электрич. тока низкого напряжения. Ю. Скорецкий

**29208 П. Катодная защита металлов в паровой фазе.** Андрус (Cathodic protection of metal in vapor space. Andrus Orrin E.) [A. O. Smith Corp.]. Пат. США 2744863, 8.05.56

Предложение о способе катодной защиты (КЗ) поверхности металла, которая находится в контакте с паровой фазой, обладающей электропроводностью при конденсации. Поверхность, подлежащая защите, покрывается слоем абсорбирующего материала, такого как войлок, асбестовый картон и т. п., поверх такого слоя накладывается слой перфорированного металла (ПМ), закрепляемого на конструкции соединительными болтами. В том случае, если КЗ применяется с наложенным током, устраивается спец. ввод, для присоединения ПМ к положительному полюсу тока. При протекторной защите ПМ выбирается из более электроотрицательного металла Zn, Mg или Al, соединяемого с защищаемой конструкцией прямым болтовым соединением. Слой абсорбирующего материала,



конденсирующий через слой ПМ, играет роль электролита в созданной системе КЗ, а слой ПМ играет роль анода. Таким образом обеспечивается эффективная КЗ, в которой периодически приходится заменять слой ПМ, подвергающегося разъеданию. В. Притула 29209 П. Метод предотвращения коррозии. Рейфсвайндер (Corrosion prevention method. Raifswinder Philip J.) [Shell Development Co.] Пат. США 2756210, 24.07.56

Стальное оборудование и трубы буровых скважин природного газа подвергаются воздействию среды, состоящей из неокисляющих газов и перемешиваемой смеси сжиженных углеводородов и водн. р-ров  $\text{CO}_2$  и минер. солей ( $\text{pH} = 3,3-5,5$ ). Коррозия может быть предотвращена путем периодич. или непрерывного введения в поток незначительных кол-в замедлителей коррозии (ЗК). Предлагается применение растворимых в органич. среде кислотных продуктов присоединения  $\alpha, \beta$ -этиленполикарбонатов к-т (и их ангидридов), содержащих  $\leq 10$  атомов С в цепи, с негидроксилированными ненасыщ. полирадикалами жирных к-т, имеющими от 8 до 32 атомов С в цепи. Присоединение производится в какой-либо промежуточной точке цепи. При этом могут быть использованы глицериды соевого, льняного и сардинового масел. К этому ЗК, растворимому в органич. среде, добавляется водорастворимый ЗК, что увеличивает их совместное защитное действие. Ю. Аронсон

См. также: Электронооптические исследования процессов окисления в вакууме 28571. Оптич. св-ва и окисление пленок Ti 27731. Строение окисных пленок на Fe 27891. Окисление TiN 27967. Анодное поведение Cu-Zn-сплавов в р-ре NaCN 28060. Электрохим. поведение Cu-Ag-сплавов 28061. Биокоррозия Fe 29235. См. также раздел Лаки, краски и рефераты: Пластмассы в самолетостроении 30748—30750. Методы цинкования 29482. Жароупорные кислото- и маслостойкие трубы 29571, 29572

## ПОДГОТОВКА ВОДЫ. СТОЧНЫЕ ВОДЫ

Редактор М. И. Лапшин

29210. Изучение движений сточных вод методом меченых атомов. Юрьев К. В., Водоснабжение и сан. техника, 1957, № 8, 33—36

Краткий обзор зарубежных исследований.

П. Кандзас 29211. Применение меченых атомов при исследованиях в области водоснабжения. Страуб, Хаджи (Radioactive tracers in sanitary engineering. Straub Conrad P., Hagee G. Richard), J. Amer. Water Works Assoc., 1957, 49, № 6, 743—749 (англ.)

Приведены примеры применения для определения скорости течения рек, условий работы полупромышленных установок и др. Использовались изотопы:  $\text{Rb}^{86}$ ,  $\text{Br}^{82}$  и  $\text{I}^{131}$ . Библ. 14 назв. О. Мартынова

29212. Радиохимические методы идентификации наиболее опасных изотопов. Кан, Голдин (Radiochemical procedures for the identification of the more hazardous nuclides. Kahn Bernd, Goldin Abraham S.), J. Amer. Water Works Assoc., 1957, 49, № 6, 767—771 (англ.)

Приведены описания методов радиохим. определения наиболее опасных радиоизотопов:  $\text{Ra}^{226}$ ,  $\text{Sr}^{90}$ ,  $\text{Cs}^{137}$ ,  $\text{I}^{131}$  и  $\text{Co}^{60}$ , основанные на выделении их из воды путем соосаждения с последующим измерением активности осадков. Библ. 14 назв. О. Мартынова

29213. Простое приспособление для полярографического определения кислорода в сточных водах.

Клима (Jednoduché zařízení pro polarografické stanovení kyslíku v odpadních vodách. Klíma D.), Voda, 1957, 36, № 6, 148—151 (чешск.; рез. русск., англ., нем.)

Дан обзор электрохим. методов определения  $\text{O}_2$ . Описано простое приспособление для полярографич. определения  $\text{O}_2$ . Полярографич. метод дает более надежные результаты, чем метод Винклера.

Д. Васкевич 29214. О методах исследования загрязненных поверхностных вод. Михальский (O metodach stosowanych w badaniu zanieczyszczonych wód powierzchniowych. Michalski Karol), Gaz, woda, techn. sanit., 1957, 31, № 6, 217—218 (польск.)

29215. Определение калия в воде при помощи тетрафенилборнатрия. Гавирж (Stanovení draslíku ve vodách tetrafenylbornatriem. Havíř J.), Voda, 1956, 35, № 12, 402—403 (чешск.)

Пробу воды после удаления  $\text{Ca}^{2+}$  и  $\text{Mg}^{2+}$  нагревают до  $50-70^\circ$ , подкисляют HCl (к-та) и прибавляют по каплям 2%-ный р-р тетрафенилборнатрия с избытком в 0,1—0,2%. Через 15 мин. отфильтровывают выпавший тетрафенилборкалий, промывают, сушат при  $105-120^\circ$  30—60 мин. и взвешивают. Низкий коэф. пересчета (0,1091) позволяет определять малые кол-ва  $\text{K}^+$ . Метод дает результаты, близкие к результатам определения  $\text{K}^+$  в виде  $\text{KClO}_4$ , при значительном сокращении времени анализа. Библ. 38 назв.

С. Яворовская 29216. Простой метод определения концентрации фторидов в воде в присутствии других ионов. Венкатесварлу, Нараянагаро (A convenient method for estimation of fluorine in waters containing excessive amounts of interfering ions. Venkateswarlu P., Narayanagarao D.), Indian J. Med. Res., 1957, 45, № 2, 273—275 (англ.)

Пробу анализируемой воды кипятят с небольшим кол-вом  $\text{MgO}$ , которую вместе с адсорбированными фторидами отделяют центрифугированием или фильтрованием и дистиллируют по методу Уилларда, Уинтера (Ind. Eng. Chem. Anal. Ed., 1933, 5, 7). В дистилляте определяют конц-ию фторидов титрованием.

А. Смирнов 29217. О колориметрическом определении  $\text{SiO}_2$  в воде. Юстатова (O kolorymetrycznym oznaczaniu  $\text{SiO}_2$  w wodzie. Justatowa Janina), Zesz. nauk. Politechn. łódzkiej, 1957, № 15, 93—101 (польск.; рез. русск., англ.)

На основании эксперим. данных приведены рекомендации приготовления постоянных цветных шкал из  $\text{K}_2\text{CrO}_4$  и пикриновой к-ты для определения  $\text{SiO}_2$  в конц-ии 1—20 мг/л.

О. Ленчевский 29218. Определение фосфатов и его практическое применение. Хейден (Die Phosphatbestimmung und ihre praktische Anwendung. Heiden K. v. d.), Techn. Überwachung, 1957, 9, № 5, 120—121 (нем.)

Описан метод определения содержания фосфатов в котловой воде с применением спец. реактивов «Budenheim Neu» (молибдат аммония с добавкой реагентов, препятствующих вступлению в р-цию  $\text{SiO}_2$ ) и «Budenheim-Austausch-Lösung» (препарат, содержащий соли  $\text{Ca}^{2+}$ ). О надлежащей конц-ии фосфатов судят по времени появления и характеру образующегося осадка. М. Кристаль

29219. Применение микрофотометрического метода для анализа вод, содержащих полиметафосфаты. Ван-Бенеден (Applications d'un microdosage colorimétrique de phosphore aux eaux additionnées de polymétaphosphates. Van Beneden Georges), Bull. Centre belge étude et docum. eaux, 1957, № 35, 33—40 (франц.)

Метод фотометрич. определения Р в форме фосфоромолибденового комплекса применен для определения в воде полиметафосфатов (в частности, в присутствии Fe) и для определения Р в органич. примесях воды. Для построения калибровочной кривой в 6 пробирок, содержащих 1—6 мл стандартного р-ра фосфата ( $1,155 \text{ г Na}_2\text{HPO}_4 \cdot 12\text{H}_2\text{O}$  растворяют в воде, разбавляют сначала до 1 л, а затем еще в 10 раз для получения р-ра с конц-ией Р  $0,01 \text{ мг/мл}$ ), добавляют конц.  $\text{H}_2\text{SO}_4$  до 2%-ной конц-ии, разбавляют до 10 мл и прибавляют последовательно 2 мл 5%-ного р-ра молибдата аммония, через 5 мин. 1 мл 20%-ного р-ра  $\text{Na}_2\text{SO}_3$  и 1 мл 0,5%-ного р-ра гидрохинона, подкисленного  $\text{H}_2\text{SO}_4$ . Через 25 мин. фотометрируют при 650 мμ. При анализе р-ров метафосфатов и полиметафосфатов производят предварительный гидролиз в присутствии  $\text{H}_2\text{SO}_4$  (30 мин., 2%-ная конц-ия  $\text{H}_2\text{SO}_4$ ). При указанной конц-ии  $\text{H}_2\text{SO}_4$  присутствие  $\text{SiO}_2$  не мешает, также не мешает  $\text{Fe}^{2+}$  в конц-ии  $10 \text{ мг/л}$  при конц-ии полиметафосфатов  $1 \text{ мг/л}$ . Для определения Fe в присутствии полиметафосфатов применим дигридиловый метод. Для определения Р в органич. примесях воды последние предварительно разрушают кипячением с  $\text{H}_2\text{SO}_4$ .

Т. Леви  
29220. О расхождении при определении кислорода различными методами. Бабкин Р. Л., Электр. станции, 1957, № 6, 19—22.

Рассматриваются причины расхождения результатов определения растворенного в воде  $\text{O}_2$  индигокарминовым методом и методом тройного отбора проб. Указывается, что  $\text{Mn}(3+)$ , обладающий в кислой среде высоким окислительным потенциалом, вызывает окисление  $\text{NO}_2^-$  и  $\text{NH}_3$ , приводя к заниженным результатам определения  $\text{O}_2$ . В случае аминирования воды применение йодометрич. методов недопустимо. При определении  $\text{O}_2$  индигокарминовым методом во избежание получения завышенных результатов рекомендуется применять комплексообразующие агенты (для связывания ионов Cu и Fe).

Р. Моторкина  
29221. Рекомендуемые методы анализа промышленных сточных вод. Методы определения алюминия и цинка. — (Recommended methods for the analysis of trade effluents. Methods for the determination of aluminium and zinc. —), Analyst, 1957, 82, № 975, 443—448 (англ.).

Определение Al. Пробу СВ (объем  $\leq 25 \text{ мл}$ , содержащая Al  $\leq 25 \text{ γ}$ ) после разрушения органич. в-в в кислой среде (РЖХим, 1956, 75864) отбирают в мерную колбу емк. 50 мл, добавляют 1 мл р-ра индикатора ( $0,5 \text{ г FeCl}_3 \cdot 6\text{H}_2\text{O}$  растворяют в 100 мл дистил. воды; 1 мл р-ра доводят до объема 1 л), 2,0 мл р-ра тиогликолевой к-ты (2 мл 90%-ной тиогликолевой к-ты доводят до 100 мл) и перегнанный р-р  $\text{NH}_3$  до изменения цвета в фиолетовый. Прибавляют 2 мл 5 н.  $\text{HCl}$ , 3 мл р-ра крахмала, 5 мл р-ра ацетата аммония (в 1 л  $224 \text{ г CH}_3\text{COONH}_4$  и  $45 \text{ г CH}_3\text{COOH}$ ) и разбавляют до  $\sim 45 \text{ мл}$ . Прибавляют 3 мл 0,2%-ного р-ра алюминона (синтез препарата описан), доводят до 50 мл и нагревают 4 мин. на кипящей водяной бане. Охлаждают до  $\sim 20^\circ$  в течение 1 часа и помещают на 30 мин. в водяную баню ( $20^\circ \pm 0,5^\circ$ ). Определение возможно проводить визуально (серия стандартных р-ров с конц-ией Al  $0—0,4 \text{ мг/л}$ ), фотометрически (зеленый фильтр) или спектрофотометрически (длина волны 5200 Å). Определению не мешают:  $\text{Fe}^{3+}$  в конц-ии  $\leq 2 \text{ мг/л}$ ;  $\text{Cu}^{2+}$  ( $\leq 0,2 \text{ мг/л}$ );  $\text{Mn}^{2+}$  ( $\leq 2 \text{ мг/л}$ );  $\text{P}_2\text{O}_5$  ( $> 20 \text{ мг/л}$ ).

Определение Zn в конц-ии  $> 5 \text{ мг/л}$ . К пробе СВ (объем  $\leq 40 \text{ мл}$ , содержащая Zn  $0,1—1,0 \text{ мг}$ ) после разрушения органич. в-в в кислой среде добавляют в делительной воронке 10 мл р-ра ацетата аммония (386 г в 1 л) и экстрагируют 5 мл р-ра дитизона (I)

( $0,15 \text{ г I}$  в 100 мл  $\text{CHCl}_3$ ). Экстракт промывают сначала смесью 6 мл р-ра ацетата аммония, 3 мл  $\text{HCl}$  (1:1) и 10 мл дистил. воды, а затем 20 мл дистил. воды. СВ повторно экстрагируют р-ром I и также промывают экстракт. Объединяют экстракты, добавляют 10 мл  $\text{HCl}$  (1:10) и переносят кислый водн. слой в стакан емк. 60—100 мл. Повторно обрабатывают экстракты 10 мл  $\text{HCl}$ , приливают их в стакан и упаривают досуха. К остатку добавляют по 5 капель 60%-ной  $\text{HClO}_4$  и 30%-ной  $\text{H}_2\text{O}_2$  и упаривают досуха. Прибавляют 0,1 мл лед.  $\text{CH}_3\text{COOH}$ ,  $\sim 0,01 \text{ г NH}_4\text{F}$ , 2 мл 5%-ного р-ра KJ и 2 капли р-ра крахмала. При появлении слабого окрашивания его уничтожают  $0,002 \text{ н. Na}_2\text{S}_2\text{O}_3$ . Добавляют  $0,5 \text{ мл 1\%-ного р-ра K}_3[\text{Fe}(\text{CN})_6]$ , перемешивают и титруют  $0,002 \text{ н. Na}_2\text{S}_2\text{O}_3$ , 1 мл которого эквивалентен  $0,196 \text{ мг Zn}$ . Р-ция специфична. Определение Zn в конц-ии  $\leq 5 \text{ мг/л}$ . В пробе СВ (содержащей  $\leq 5 \text{ γ Zn}$ ) после кислотной обработки создают кислотность, равную  $0,1 \text{ н.}$ , и экстрагируют в течение 2 мин. 5 мл р-ра I (растворяют  $0,05 \text{ г I}$  в 100 мл  $\text{CCl}_4$ ; 10 мл р-ра обрабатывают дважды порциями по 50 мл  $0,4 \text{ н. NH}_3$ ; смешанные аммиачные вытяжки подкисляют разб.  $\text{HCl}$ , экстрагируют 100 мл  $\text{CCl}_4$  и промывают экстракт дважды 10 мл  $\text{H}_2\text{O}$ ). Если слой  $\text{CCl}_4$  окрашен в красный цвет, добавляют еще р-р I порциями по  $0,5 \text{ мл}$  до появления зеленой окраски. Слой  $\text{CCl}_4$  отделяют и операцию повторяют (отделение  $\text{Cu}^{2+}$ ). К оставшемуся водн. р-ру добавляют 50% (по объему) ацетатного буферного р-ра ( $136 \text{ г CH}_3\text{COONa} \cdot 3\text{H}_2\text{O}$  и 58 мл лед.  $\text{CH}_3\text{COOH}$ , доводят до объема 500 мл и обрабатывают р-ром I), перемешивают и добавляют 1 мл 25%-ного р-ра  $\text{Na}_2\text{S}_2\text{O}_3$ . Прибавляют 4 мл р-ра I и экстрагируют 2 мин. Слой  $\text{CCl}_4$  отделяют в другую делительную воронку, а водн. слой обрабатывают 1 мл  $\text{CCl}_4$ . Экстракцию р-ром I повторяют дважды. Объединяют экстракты и дважды обрабатывают (10 сек.) порциями по 10 мл 0,04%-ного р-ра  $\text{Na}_2\text{S} \cdot 9\text{H}_2\text{O}$ . Слой  $\text{CCl}_4$  высушивают  $1 \text{ г безводн. Na}_2\text{SO}_4$ , фильтруют в мерную колбу емк. 25 мл, доводят до метки и спектрофотометрируют при длине волны 5320 Å. Для построения калибровочной кривой применяют аналогично обработанные р-ры  $\text{Zn}^{2+}$ .

М. Лашин  
29222. Рекомендуемые методы анализа промышленных сточных вод. Методы определения фенолов в сульфидов. — (Recommended methods for the analysis of trade effluents. Methods for the determination of phenols and sulphide. —), Analyst, 1957, 82, № 976, 518—521 (англ.).

Определение фенолов (I). К пробе СВ (100—200 мл) прибавляют 5 капель р-ра полисульфида аммония (для превращения  $\text{CN}^-$  в  $\text{CNS}^-$ ), оставляют на 10 мин., прибавляют небольшой избыток  $\text{PbCO}_3$  и фильтруют (промывая осадок) в перегонную колбу. Прибавляют 10 мл 10%-ного (по объему) р-ра  $\text{NaOH}$ , отгоняют  $\sim 20\%$  содержимого и отбрасывают. Колбу охлаждают, прибавляют 10 мл 25%-ной (по объему)  $\text{H}_2\text{SO}_4$  и отгоняют в кол-ве, равном объему СВ (добавляя, в случае надобности, воду). При конц-ии I  $0,1—1 \text{ мг/л}$  в делительную воронку отбирают 50 мл погона и прибавляют последовательно 2 мл 5%-ного р-ра  $\text{NaHCO}_3$ , 2 мл 0,1%-ного р-ра л-аминодиметиламина (синтез реактива описан) и 2 мл 8%-ного р-ра  $\text{K}_3[\text{Fe}(\text{CN})_6]$ . Через 15 мин. окрашенную в голубой цвет жидкость экстрагируют последовательно двумя порциями (по 20 мл)  $\text{CCl}_4$ . Экстракт сушат безводн.  $\text{Na}_2\text{SO}_4$ , фильтруют, промывают фильтр и разбавляют до объема 50,0 мл. Определение возможно визуально (серия аналогично обработанных р-ров I с конц-ией  $0,1—1,0 \text{ мг/л}$ ), фотометрич. (красный фильтр) или на спектрофотометре (длина волны 6000—6400 Å). Метод бромирования. При конц-ии I  $20—$

200 мг/л к 200  
бромид-бромата  
10 мл 25%-ной  
пробой с  
10 мл 10%  
кислотность из  
бавляют еще  
Взвешивают  
р-ра крахмала  
ного р-ра эквив  
Определение  
> 5 мг/л  $\text{H}_2\text{S}$   
(по расчету 2 л  
осадок и филь  
колубу с 500 м  
других, кроме  
500 мл СВ). В  
р-ра ацетата  
перегонной ко  
ток  $\text{CO}_2$ ,  $\text{N}_2$  ил  
времено чере  
но прибавляют  
1 час. Отделив  
прибавляют не  
(или  $0,01 \text{ н.}$   
(1:1) и чере  
 $\text{Na}_2\text{S}_2\text{O}_3$  (яди  
дентен  $0,0017$   
29223. Опре  
производстве  
методом. Д  
В сб.: Вопр.  
работки про  
водск. устан  
Нефтепродук  
ственно опре  
сивности люм  
ных р-ров, п  
нон-ии в р-р  
рутно-кварце  
стекло. Этал  
ных ампулах.  
ся ускорены  
ультаты. При  
данных конц-и  
составила 0,7  
янии (соотве  
29224. Опре  
промышлен  
in textile m  
Text Inds.  
(англ.)  
Подробное  
и методов ег  
СВ.  
29225. Анал  
sollicitans.  
Aedes solli  
J. Tennesse  
(англ.)  
Главным ф  
ния солончак  
тается налич  
кички A. so  
воды с конц  
завдены в  
блюдается за  
нахт.  
29226. Обс  
диоактивн  
Инграм  
control. T  
19 Заван 318



200 мг/л к 200 мл погона прибавляют 20,0 мл р-ра бромид-бромата ( $13,92 \text{ г KBrO}_3$  и  $75 \text{ г KBr}$  в 1 л) и 10 мл 25%-ной (по объему)  $\text{H}_2\text{SO}_4$ . Быстро закрывают пробой с поглотительным сосудом, содержащим 10 мл 10%-ного р-ра КJ. После 1 часа сливают из поглотительного сосуда в колбу, прибавляют еще 10 мл р-ра КJ и титруют 0,2 н.  $\text{Na}_2\text{S}_2\text{O}_3$ . Вблизи точки эквивалентности прибавляют 5 капель р-ра крахмала и 5 капель  $\text{CCl}_4$ . 1 мл бромид-броматного р-ра эквивалентен 0,0078 г I.

Определение сульфидов. К 500 мл СВ с конц-ией  $> 5 \text{ мг/л H}_2\text{S}$  прибавляют 25%-ный р-р ацетата Zn (на расчете 2 мл на 1 л), отфильтровывают выпавший осадок и фильтр с осадком переносят в перегонную колбу с 500 мл дистил. воды (если СВ не содержит других, кроме  $\text{H}_2\text{S}$ , восстановителей, в колбу берут 500 мл СВ). В 2 склянки помещают по 50 мл 2%-ного р-ра ацетата Zn и соединяют их последовательно с перегонной колбой. Затем через прибор пропускают ток  $\text{CO}_2$ ,  $\text{N}_2$  или другого газа, свободного от  $\text{O}_2$ . Одновременно через капельную воронку в колбу медленно прибавляют 50 мл  $\text{HCl}$  (1:1). Газ пропускают 1 час. Объединив поглотительные склянки, в каждую прибавляют небольшой отмеренный избыток 0,1 н.  $\text{I}_2$  (или 0,01 н. при конц-ии  $\text{H}_2\text{S} < 5 \text{ мг/л}$ ), 10 мл  $\text{HCl}$  (1:1) и через 10 мин. титруют 0,1 н. (или 0,01 н.)  $\text{Na}_2\text{S}_2\text{O}_3$  (индикатор крахмал). 1 мл 0,1 н.  $\text{I}_2$  эквивалентен 0,0017 г  $\text{H}_2\text{S}$ . Д. Васкевич

29223. Определение содержания нефтепродуктов в производственных сточных водах люминесцентным методом. Дадашев Х. К., Агамирова С. И. В сб.: Вопр. исслед. нефтей и нефтепродуктов, разработки процессов переработки нефти и обслед. заводск. установок. Вып. I. Баку, 1957, 97—98

Нефтепродукты экстрагируют бензолом и количественно определяют в экстракте сравнением интенсивности люминесценции с люминесценцией эталонных р-ров, приготовленных из ловушечной нефти (конц-ия в р-рителе 0,01—2,5 мг/мл). Источник света — ртутно-кварцевая лампа Баха. Светофильтр — черное стекло. Эталонные р-ры хранят в темноте в запаянных ампулах. В сравнении с весовым методом является ускоренным и дает хорошо воспроизводимые результаты. При определении ловушечной нефти в пределах конц-ий 100—300 мг/л средняя ошибка опыта составила 0,75%, максим. 2,3%. При весовом определении (соответственно) 15,3 и 21,5%. П. Кандзас

29224. Определение БПК сточных вод текстильной промышленности. Эйкелекян (The B.O.D. test in textile mill waste problems. Neukelekian H.), Text. Inds, 1957, 121, № 7, 74—77, 117, 119, 121—122 (англ.)

Подробное элементарное изложение значения БПК и методов его определения применительно к данным СВ. О. Славина

29225. Анализ воды, содержащей личинки *Aedes sollicitans*. Диксон (Analyses of water containing *Aedes sollicitans* in Kentucky. Dixon Elbert B.), J. Tennessee Acad. Sci., 1957, 32, № 2, 147—151 (англ.)

Главным фактором, обуславливающим место обитания солончакового москита *Aedes sollicitans* (I), считается наличие  $\text{Cl}^-$  в высоких конц-иях. Автором личинки *A. sollicitans* были обнаружены в 6 образцах воды с конц-ией  $\text{Cl}^-$  5—16 мг/л. Во всех образцах найдены в значительных конц-иях сульфаты и наблюдалось загрязнение воды нефтью или СВ угольных шахт. Е. Дианова

29226. Обследование рек для контроля сброса радиоактивных сточных вод. Цивоглу, Харуорд, Инграм (Stream surveys for radioactive waste control. Tsivoglou Ernest C., Harward

Ernest D., Ingram W. Marcus), J. Amer. Water Works Assoc., 1957, 49, № 6, 750—766 (англ.)

Указывается на необходимость усиления контроля за сбросом радиоактивных СВ. Приведена методика организации и планирования соответствующего обследования водоемов. Отмечается необходимость правильного учета естественного радиоактивного фона. Библ. 22 назв.

О. Мартынова

29227. Загрязнение Боденского озера. Гамс (Die Verschmutzung des Bodensees. Gams Helmut), Aus Heimat, 1956, 64, № 7-8, 134—138 (нем.)

Приведены данные о качеств. и колич. измерении состава планктона Боденского озера с 1896 по 1955 г., объясняемом увеличением плотности населения, изменением прибрежной флоры, увеличением сброса промышленных СВ, содержащих ядовитые примеси. Процент насыщения воды кислородом понизился в отдельных случаях с 90 до 20%. Конц-ия  $\text{H}_2\text{S}$  и  $\text{NH}_3$  увеличилась. В целях улучшения водоснабжения необходима механич., хим. и биохим. очистка СВ.

А. Гарибянц

29228. Исследования кислородного режима открытых водоемов в Англии. — (British experiments on oxygen balance in surface waters.—), Municip. Utilities Mag., 1957, May, 36, 38, 40, 42, 58—63 (англ.)

Обзор эксперим. работ по изучению коэф. обмена или скорости поглощения  $\text{O}_2$  в зависимости от наличия: синтетич. детергентов; пеногасителей, используемых в аэротенках; цетилового спирта, добавляемого с целью уменьшения испарения воды; запруд и плотин в водотоках.

М. Губарь

29229. Законодательство в Швейцарии по защите вод от загрязнения. Мате-Доре (Legislation suisse sur la protection des eaux contre la pollution. Mathey-Doret A.), Schweiz. Z. Hydrol., 1957, 19, № 1, 40—47 (франц.)

29230. Современные теоретические представления об оздоровлении рек. Бартель (Aspects théoriques modernes de l'assainissement d'un cours d'eau. Barthel J.), Arch. Inst. Gr.-Ducal Luxembourg. Sec. sci. natur., phys. et math., 1955, 22, 111—121 (франц.)

Пример расчета допустимой нагрузки СВ на водоток в зависимости от БПК и дефицита  $\text{O}_2$ . Дано сопоставление расчетных данных с фактическими.

М. Губарь

29231. Хлорирование сточных вод и интересы рыбного хозяйства. Андерс (Abwasserchlörung unter Berücksichtigung fischereilicher Belange. Anders Heinz), Dtsch. Fisch. Ztg., 1957, 4, № 7, 217—218 (нем.)

При рациональном проведении процесс хлорирования СВ не наносит вреда рыбному хозяйству. При наличии в СВ или в воде водотока фенолов образуются хлорфенолы, которые в малых конц-иях, не оказывая вредного влияния на жизнедеятельность рыб, делают их несъедобными.

А. Смирнов

29232. Токсичность продуктов, содержащихся в сточных водах нефтеперерабатывающих заводов, в отношении *Gambusia affinis*. Уоллен, Грир, Ласатер (Toxicity to *Gambusia affinis* of certain pure chemicals in turbid waters. Wallen I. E., Greer W. C., Lasater R.), Sewage and Industr. Wastes, 1957, 29, № 6, 695—711 (англ.)

В лабор. условиях определена токсичность 86 хим. соединений. Опыты проводились при различной мутности воды (25—3000 мг/л) и различных значениях pH и t-рах. Установлены средние допустимые конц-ии для времени 24—144 час. Библ. 46 назв. Н. Ваксберг

29233. Будущие источники пресной воды. Брайфорд (Future sources of fresh water. Bradford Robert D., Jr), Cornell Engr., 1957, 22, № 8, 30—33 (англ.)

Из общего кол-ва пресной воды, выпадающей в виде осадков, 70% испаряется с поверхности почвы и растений, 12% фильтруется в почву, 18% составляет поверхностный сток. К 1980 г. водопотребление в США увеличится на 145% против современного. Указаны пути обеспечения растущего спроса на пресную воду: уменьшение испарения с почвы применением агротехнич. методов; регулирование стока рек путем гидротехнич. строительства; извлечение пресной воды из атмосферы методом искусств. дождевания (с осадками выпадает только  $\sim 1/100$  атмосферной влаги); рекламация СВ; обессоливание морской и солоноватой воды.

Л. Ленчевский  
29234. Фторидирование воды — важнейшее достижение водоснабжения округа Виннипег (Канада). — (Fluoridation is major accomplishment of greater Winnipeg Water District. —), Municip. Utilities Mag., 1957, May, 27—30 (англ.)  
Краткий обзор состояния водоснабжения.

А. Смирнов  
29235. Влияние железобактерий на работу водопроводной сети. Лып (Rola bakterii żelazistych w urządzeniach wodociągowych. Lyp Bohdan), Gaz, woda, techn. sanit., 1956, 30, № 4, 143—145 (польск.)  
Железобактерии (ЖБ) развиваются лучше всего в воде, содержащей органич. примеси. Нитевидные бактерии *Leptothrix* способствуют переходу содержащегося в воде бикарбоната  $Fe^{2+}$  в  $Fe(OH)_3$ , отлагающийся на внутренней поверхности трубопроводов и суживающий их просвет. Содержание  $Fe_2O_3$  в осадках достигает 51%. Ток воды отрывает от стенок труб  $Fe(OH)_3$  и значительные кол-ва ЖБ, повышая мутность воды. ЖБ обуславливают коррозию трубопроводов. К способам борьбы с ЖБ относится хлорирование воды. Осадок  $Fe(OH)_3$  удаляют механич. путем. Наиболее рациональная мера борьбы с развитием ЖБ — предварительное удаление из воды Fe и Mn. С. Яворовская

29236. Практические указания по определению необходимой дозы коагулятора на центральных водопроводных станциях. Кристи-Барон, Федерим (Contribuții practice la aplicarea dozei de coagulant în instalațiile centrale de apă. Cristea Baron Z., Ghederim V.), Hidrotehnica, 1957, 2, № 3, 126—128, 97—98 (рум.; рез. русск., нем., франц., англ.)

Предлагается эмпирич. ф-ла для определения необходимой дозы  $Al_2(SO_4)_3$ :  $D = (t^{0.8} + 30) : 6$ , где  $D$  — доза коагулятора,  $t$  — мутность воды (в °). Для определения  $t$  предложен прибор, состоящий из латунной трубки, зачерненной внутри (длина 1,20 м, диам. 40 мм) и имеющей стеклянное дно. Латунная трубка сообщается с градуированной стеклянной трубкой. Для определения мутности трубку заполняют водой и с помощью крана сливают ее до того момента, пока не будет четко виден положенный под трубку рисунок (при просматривании сверху). Высоту столба воды отсчитывают по уровню в стеклянной трубке. Предварительно прибор калибруют по суспензии  $SiO_2$  различных кон-ций. Длительные испытания показали хорошее соответствие между рассчитанной по ф-ле и эмпирически найденной дозой коагулятора (за исключением случаев, когда  $t$ -ра воды  $< 8^\circ$  и мутность  $> 3000^\circ$ ).

Я. Матлис  
29237. Опыт применения хлорного железа при очистке воды. Васильев А., Жил. комму. х-во, 1957, № 7, 25—27

На основании многолетнего опыта даны рекомендации по технике безопасности при работе с  $FeCl_3$  (изоляция помещения, в котором производится работы с  $FeCl_3$ , установка вентилятора и др.). Необходима высокая точность дозирования  $FeCl_3$ . В качестве дозатора использовался бачок, выполненный из эбонита и имеющий два крана, с кольцевыми заточками, в кото-

рые вкладываются сменные калиброванные шайбы. Качество обработанной воды отвечало требованиям ГОСТ 2874-54.

А. Смирнов  
29238. Флокуляторы коромыслового типа. Вильямс (Flocculators of the walking-beam type. Williams Don B.), Water and Sewage Works, 1957, 104, № 7, 279—286 (англ.)

29239. Способ устранения цветности воды. Норделл (Removing color from industrial process water. Nordell Eskel), Power, 1957, 101, № 3, 102—105 (англ.)

См. также РЖХим, 1957, 1797.

29240. Установка для фильтрования поверхностных вод производительностью 1 л/сек. Пштрасс (Upravní povrchové vody pomalou filtrací — úprava vody na 1 l/sec. Pštrass Č.), Voda, 1956, 35, № 6, 167—170 (чешск.)

Описана установка, состоящая из 3 медленных фильтров общей площадью 54 м<sup>2</sup>. Фильтрующим материалом служит песок и гравий с зернами размером 0,25—1 мм в верхнем слое, 1—3 мм в среднем и 15—30 мм в нижнем. Максим. высота слоя воды на фильтре 30 мм. Скорость фильтрования  $\leq 0,1$  м/час при конц-ии грубодисперсных примесей 20—50 мг/л и  $\leq 0,2$  м/час при конц-ии их  $< 20$  мг/л. Фильтрованная вода подвергается хлорированию, процесс которого автоматизирован. Очищ. вода по своим показателям близка к нормам для питьевой воды.

Я. Яворовская  
29241. Определение оптимальной площади фильтров. (В порядке обсуждения). Минц Д. М., Зельдович Р. Н., Водоснабжение и сан. техника, 1957, № 8, 6—9

С увеличением размеров отдельных фильтров ( $\Phi$ ) на станции осветления воды сокращаются число их и общая строительная стоимость, но увеличивается потребная мощность промывного насоса. Предлагается методика техно-экономич. расчета для определения наиболее выгоднейшего кол-ва и площади  $\Phi$  (включая  $\Phi$  АКХ и контактные осветлители).

О. Ленчевский  
29242. О строительной стоимости фильтров АКХ. Минц Д. М., Водоснабжение и сан. техника, 1957, № 5, 26—31

Показано, что экономия средств на строительстве фильтровальных станций, получаемая при применении фильтров АКХ (взамен обычных скорых фильтров), возрастает с увеличением производительности станций. Для станции производительностью 12000 м<sup>3</sup>/сутки стоимость здания, осветлителей и фильтров составляет в варианте с фильтрами АКХ 537,5 тыс. рублей, в варианте со скорыми фильтрами 533,3 тыс. рублей. Для станции производительностью 18 000 м<sup>3</sup>/сутки соответственно 693,8 и 703 тыс. рублей.

В. Клячко  
29243. Постоянство концентрации фторидов в водопроводной сети г. Ньюберга (США). Тейлор (Uniformity of fluoride ion concentration in Newburgh, N. Y., distribution system. Taylor Floyd B.), J. Amer. Water Works Assoc., 1957, 49, № 5, 512—516 (англ.)

Статистический анализ результатов 1388 определенных конц-ий  $F^-$  показал, что она может поддерживаться в точно установленных границах при наличии соответствующего оборудования и квалифицированного персонала.

А. Смирнов  
29244. Ядерная энергия для обессоливания засоленных вод. Лестер (Nuclear heat for the desalting of brackish or salt water. Leicester J.), Brit. Chem. Engng, 1957, 2, № 7, 364—367 (англ.)

Рассматриваются экономич. и технич. целесообразность использования тепла ядерного энергетич. реактора для обессоливания воды в испарительной установке большой производительности. Сооружение мно-



поступившей испарительной установки производительностью  $\sim 150$  тыс.  $\text{м}^3/\text{сутки}$  может оказаться выгодным.

**29245. Применение слабоосновных анионитов для стабилизации воды.** Мак-Гарви, Кунин (Weak-base anion exchange resins for domestic water conditioning. Mc-Garvey F. X., Kunin R.), Industr. and Engng Chem., 1957, 49, № 11, 1907—1910 (англ.)  
Изучалась возможность применения слабоосновных анионитов для устранения агрессивных свойств воды (обусловленных наличием  $\text{CO}_2$ ). Работа проводилась с анионитами IR-45 и XE-114 (последний обладает более сильными основными свойствами по сравнению с типичными слабоосновными анионитами). В лабораторных опытах в качестве исходной воды применялись р-ры, содержащие свободную  $\text{CO}_2$  (10—50  $\text{мг/л}$ ) и  $\text{CaCl}_2$  (0—500  $\text{мг/л}$ ). Регенерация проводилась 5%-ными р-рами  $\text{NH}_3$  или  $\text{Na}_2\text{CO}_3$  при скорости фильтрования  $\sim 9,6$   $\text{м/час}$  и при 25%-ном избытке регенерирующего р-ва. При фильтровании воды через слой анионита свободная  $\text{CO}_2$  удаляется полностью, pH возрастает до 8—12 (большие значения относятся к воде с высоким содержанием). За счет обмена ионов  $\text{Cl}^-$  жесткость возрастает  $\sim$  на 5%, жесткость остается неизменной. Обменная емкость (ОЕ) анионита по  $\text{CO}_2$  увеличивается при увеличении высоты слоя анионита, при уменьшении скорости фильтрования и при увеличении содержания исходной воды. При регенерации  $\text{NH}_3$  ОЕ больше, чем при регенерации  $\text{Na}_2\text{CO}_3$ . ОЕ анионита XE-114 примерно в 3—4 раза больше, чем у анионита IR-45 (последняя составляет 330—450  $\text{г-экв/м}^3$ ). Промышленные испытания, проводившиеся в течение нескольких месяцев на исходной воде с  $\text{Hr} \sim 5,2$ —5,6 и общей жесткостью 0,5  $\text{мг-экв/л}$ , дали положительные результаты.

**29246. Иониты и подготовка питьевой воды.** Кола (Les échangeurs d'ions et la préparation des eaux potables. Colas M. René, Technicien sanit. France, 1957, 33, juill.—août, 5—12 (франц.))  
Популярное изложение сущности ионитного и электродионитного методов опреснения. О. Ленчевский

**29247. Практическое применение электродионитного опреснения воды.** Волкман (The practical application of electrodialysis to the desalting of brackish water. Volckman O. B.), Brit. Chem. Engng, 1957, 2, № 3, 146—148 (англ.)  
В районах золотых приисков Южно-Африканского Союза наблюдается недостаток питьевой воды при одновременном большом избытке шахтных вод с содержанием  $> 4000$   $\text{мг/л}$ . Полупромышленные опыты электродионитного опреснения воды с применением мембран марки S. A. G. S. I. R. показали, что метод является доступным как по технич., так и по экономич. показателям. Проводятся работы в направлении уменьшения стоимости мембран и удлинения срока их службы.

**29248. Основная характеристика атмосферной деаэрационной колонки ДС-200.** Грищук И. К., Электр. станции, 1957, № 6, 9—14  
В производственных условиях установлена зависимость между конц-ией  $\text{O}_2$  в деаэрированной воде  $x$ , направл. нагрузкой колонки  $G$  и т-рой исходной воды  $t_1$  для наиболее распространенной деаэрационной колонки ДС-200 с номинальной производительностью 200  $\text{т/час}$ . Миним. продолжительность предварительного пребывания воды в баке-аккумуляторе составляла 12 мин. При  $t_1 = \text{const}$  кривая  $x = f(G)$  имеет максимум, величина которого возрастает с уменьшением  $t_1$ ; положение максимума смещается при этом в сторону меньших значений  $G$ . Кривая  $x = f(t_1)$  (при постоянной  $G$ ) также имеет максимум, возрастающий по величине при уменьшении  $G$  и смещающийся при

этом в сторону более низких т-р. При постоянных значениях  $t_1$  и конц-ии  $\text{O}_2$  в исходной воде коэф. массо-передачи деаэрационной колонки  $D$  пропорционален  $G^n$ , где  $n < 1$ . Поэтому с ростом  $G$  увеличивается  $x$ . Визуальные наблюдения показали, что вследствие массового выделения пузырьков и эжектирующего действия падающих струй уже во втором каскаде струи становятся мутными. При  $G < 75$   $\text{т/час}$  и  $t_1 \approx 40^\circ$  струи падают вертикально, но при  $G = 80$   $\text{т/час}$  наблюдается отклонение части струй, сопровождающееся срывом очень мелких капель с увеличением поверхности фазового контакта и уменьшением  $x$ . При  $G = 150$   $\text{т/час}$  наступает полное разрушение струи на мелкие капли и наблюдается частичная рециркуляция воды, уносимой паром; это также приводит к дальнейшему увеличению поверхности фазового контакта и снижению  $x$ , которая составляет при этом 0,009  $\text{мг/л}$ . Даже при очень низких  $t_1$  и  $G = 100$   $\text{т/час}$   $x < 0,01$   $\text{мг/л}$ , но  $x$  увеличивается в 9 раз при уменьшении  $G$  до 40  $\text{т/час}$ . Исследование показывает, что колонка ДС-200 при деаэрировании химически очищ. или обессоленной воды может обеспечить  $x$  не выше установленной нормы (0,03  $\text{мг/л}$ ) только при определенных ограничениях по  $G$  и  $t_1$ .

**29249. Коллоидные и взвешенные частицы во внутрикотловом физико-химическом процессе.** Дуров С. А., Чен Н. Г., Ж. прикл. химии, 1957, 30, № 7, 1096—1099

При помощи радиоактивных изотопов  $\text{C}^{14}$ ,  $\text{Ca}^{45}$ , введенных в виде  $\text{Na}_2\text{C}^{14}\text{O}_3$  и  $\text{Ca}^{45}\text{Cl}_2$ , изучалось влияние колл. и взвешенных частиц на унос солей. Установлено, что содержание твердых частиц (определенной степени дисперсности) в пене значительно превышает конц-ию их в жидкости. При достаточной высоте парового объема взвешенные частицы значительно уменьшают унос солей, при низком паровом пространстве — резко его увеличивают (пенистый переброс). Смесь  $\text{Mg}_2(\text{OH})_2\text{CO}_3$  и золя  $\text{Fe}(\text{OH})_3$  вызывает более сильное пенообразование и сильнее уменьшает унос солей, чем каждый из ее компонентов.

**29250. Водный режим ядерного реактора, охлаждаемого водой под давлением.** Обзор данных двухлетней эксплуатации. Велинский, Коэн, Симон (Chemistry of a pressurized water nuclear power plant: a review of two years operating experience. Welinsky Irving H., Cohen Paul, Seamon James M.), Proc. Amer. Power Conf., 1956, 18, Chicago, Ill., [1956], 559—570 (англ.)

Приведена характеристика вод. режима первичного контура ядерного реактора (давление охлаждающей воды 143 ат, т-ра  $232^\circ$ ), бывшего в эксплуатации  $> 2$  лет. Система очистки оборотной воды (на линии шунта) включает: а) стружечный фильтр из нержавеющей стали (размер пор  $\sim 10$   $\mu$ ) для удаления продуктов коррозии; б) фильтр совместного Н-ОН-ионирования (сильнокислотный катионит и сильноосновный анионит); в) фильтр для задержания выносимых частиц ионитов. Конструкции, соприкасающиеся с водой первичного контура, выполнены на 80% из нержавеющей стали 347, на 10% из спец. нержавеющей стали, на 10% из сплавов цветных металлов. Скорость коррозии стали 347 (составляющая при  $260^\circ$  в чистой воде  $\sim 10$   $\text{мг/дм}^2$  в месяц) заметно усиливается под влиянием излучения. Основные продукты коррозии Fe, Cr и Ni. В течение первого года эксплуатации для борьбы с коррозией в воду периодически добавлялся  $\text{H}_2$  (100  $\text{см}^3/\text{кг}$ ). В этих условиях (при сравнительно высоких значениях pH) поверхность теплообделывающих элементов оставалась относительно чистой. Качество воды первичного контура при пуске установки и при нормальной работе характеризуется следующими показателями (соответствен-

но): pH 8,5—9,3; 7,5—8,5; электропроводность 3,7; 0,3—1,5  $\mu$  м/м; грубодисперсные примеси 0,5—1,8; 0,05—0,25 мг/л;  $O_2$  по Винклеру не определяется. При снижении добавки  $H_2$  до 4—5 см<sup>3</sup>/кг конц-ия  $O_2$  возросла до 0,05 мг/кг, и в воде начала появляться  $HNO_3$  (при избытке  $H_2$  образовывался  $NH_3$ ). Из радиоизотопов в воде обнаружены:  $N^{16}$ ,  $N^{17}$ ,  $F^{18}$ ,  $Na^{24}$ ,  $K^{38}$ ,  $Ag^{41}$ ,  $Mn^{56}$ ,  $Fe^{59}$ ,  $Co^{60}$ ,  $Cu^{64}$ ,  $Ta^{182}$ ,  $W^{187}$ . Долгоживущая радиоактивность стенок медленно повышается; активность в зоне контура через 2 года примерно на 50% обуславливается долгоживущими изотопами. Для предотвращения забивки стального фильтра (в момент пуска установки) pH воды доводился до 10 (добавкой LiOH). Эффект удаления на стальном фильтре долгоживущих изотопов 60—80%, эффект снижения общей радиоактивности 15—40%. Эффект удаления ионитным фильтром короткоживущих изотопов ~99%, долгоживущих 95%.

О. Мартынова

**29251. Подготовка воды для первичных контуров водоохлаждаемых реакторов.** Ротон, Симон, Били (Water technology for primary systems in water-cooled power reactors. Wroughton D. M., Seamon J. M., Beeghly H. F.), Chem. Engng Progr. Sympos. Series, 1956, 52, № 19, 87—97 (англ.). См. также пред. реф.

О. Мартынова

**29252. Опыт совместного натрий-аммоний-катионирования.** Молчадский М. Т., Теплоэнергетика, 1957, № 8, 88—89

Установка состоит из 2 фильтров (диам. 1,5 м, высота слоя сульфогеля 1,7 м) и солерастворителя. Регенерация производилась сначала NaCl, а затем  $(NH_4)_2SO_4$  после промежуточной промывки до получения мягкого фильтрата. Обменная емкость сульфогеля 300 г-экв/м<sup>3</sup>. Расход NaCl 55 кг/м<sup>3</sup> сульфогеля,  $(NH_4)_2SO_4$  120 г-экв. Щелочность фильтрата изменяется за время фильтрации. Буферное действие промежуточных емкостей и щелочности котловой воды сглаживают эту неравномерность. После 6 месяцев работы состояние оборудования (в том числе изготовленного из медных сплавов) станции (турбина с противодавлением) и технологич. цехов а-да было то же, что и в предыдущие годы (при работе на Na-катионированной воде). Размер продувки котлов снизился с 10 до 3%.

А. Мамет

**29253. Обессоливание воды по упрощенной схеме.** Ткаченко В. К., Теплоэнергетика, 1957, № 9, 51—54, 2 (рез. англ.).

На ТЭЦ с котлами 100 ата и 510° Н-Na-катионирование добавочной воды (40 м<sup>3</sup>/час) заменено упрощенным ионитным обессоливанием ее по схеме: коагуляция — осветление — Н-катионирование — декарбонизация — ОН-анионирование (ЭДЭ—10П) — Na-катионирование. Работа проводилась на водопроводной и Москворецкой воде. Наличие в последней  $Na^+$  в повышенной конц-ии (28,1 вместо 5,1 мг/л) сокращает рабочий цикл Н-катионитных фильтров и ухудшает обескремнивание. Обессоливание сократило продувку котлов с 5—7 до 1% и снизило кремнесодержание пара до 0,01—0,02 мг/кг  $SiO_2$ . Прекратился занос лопаточного аппарата турбин. Расходы (включая стоимость ЭДЭ—10П) окупались за 6 месяцев. Обессоленная вода имеет следующие средние показатели: сухой остаток 5,2 мг/л, жесткость 3,2  $\mu$ г-экв/л, щелочность 42,0  $\mu$ г-экв/л, Cl 0,7 мг/л, pH 7,9,  $SiO_2$  0,52 мг/л. Обменная емкость сульфогеля 400 г-экв/м<sup>3</sup> на водопроводной и 248 г-экв/м<sup>3</sup> на Москворецкой воде; уд. расход  $H_2SO_4$  (соответственно) 75,5 и 116 г-экв. Кремне-емкость анионита 15—30 г-экв/м<sup>3</sup> (в зависимости от исходной конц-ии  $SiO_2$ ). Окисляемость после анионитного фильтра снижается на 15—85%. Na-катионит хорошо регулирует pH обессоленной воды. А. Мамет

**29254. Очистка котловой воды.** Рисен (How Gulf

purifies its boiler water. Resen Larry), Oil and Gas J., 1957, 55, № 6, 106—110 (англ.).

Описана сооруженная на нефтеперерабатывающем заде в Порт-Артуре (Техас) установка для последовательного Н-ОН-ионирования воды производительностью ~410 м<sup>3</sup>/час, снабженная системой автоматич. регенерации ионитных фильтров. Обессоленная вода содержит (в мг/л):  $SiO_2$  ~0,01,  $Na^+$  ~1—2, прочие ионы 0—1. Контроль работы Н-фильтров ведется по электропроводности фильтрата, а ОН-фильтров также по pH-метру и по конц-ии  $SiO_2$ .

А. Мамет

**29255. Загрязнение атмосферных осадков.** Берки (The rain fell. Burkey Olivia P.), Refrig. Serv. and Contract., 1957, 25, № 6, 19—22 (англ.).

Обзор. Рассмотрено применительно к использованию воды для целей охлаждения.

Ю. Петровский

**29256. Обзор литературы за 1956 г. по вопросам очистки сточных вод, обработки отходов и загрязнения водоемов и водотоков.** (A review of the literature of 1956 on sewage, waste treatment, and water pollution.) Sewage and Industr. Wastes, 1957, 29, № 5, 497—523; № 6, 613—653; № 7, 727—756 (англ.).

**29257. Рекламация бытовых сточных вод.** Мак-Гон (The why and how of sewage effluent reclamation. McGahey P. H.), Water and Sewage Works, 1957, 104, № 6, 265—270 (англ.).

Освещены задачи и методы рекламации (РЖХМ, 1958, 1745). Приведены примеры практич. применения.

М. Лапшин

**29258. Вспомогательная станция химической очистки сточных вод в Лос-Анжелесе, Калифорния.** Бет (The Valley Settling Basin facilities, Los Angeles, California. Betz Jack M.), Sewage and Industr. Wastes, 1957, 29, № 6, 667—671 (англ.).

Назначение станции — разгрузка основных очистных сооружений в часы пик. Очистка СВ производится коагуляцией с последующим хлорированием. Проектная мощность 3000 м<sup>3</sup>/час (работа ведется с перегрузкой 50%). Лучшие результаты получены при коагуляции смесью  $Al_2(SO_4)_3$  и Separan № 2610 (синтетич. полимер акриловой к-ты) в дозах 350 и 2 мг/л. Смесью СВ и коагулянта подается в 2 параллельных резервуара (размер 92 × 5,4 × 3,0 м; емк. 1500 м<sup>3</sup>; время пребывания СВ 1 час), 1-я треть которых служит камерой флокуляции, 2-я — отстойником (на выходе из нее в СВ вводится  $Cl_2$  18 мг/л), 3-я — резервуаром для контакта СВ с  $Cl_2$ . Дозирование р-ра коагулянта автоматизировано так же, как подача СВ на станцию. Характеристика поступающих на станцию и очищ. СВ (соответственно в мг/л): БПК 435 и 155; грубодисперсные примеси 516 и 49.

В. Разношук

**29259. Поведение железа и фосфатов при очистке бытовых сточных вод.** Стоунс (The fate of iron and of phosphates during the treatment of sewage. Stones T.), J. and Proc. Inst. Sewage Purific., 1956, № 4, 404 Discuss., 404—407 (англ.).

Наблюдения над действующими биофильтрами (Б) показали, что содержащееся в СВ железо полностью проходит через Б, конц-ия фосфатов снижается на 14%. В СВ, прошедших через Б, 80% железа и 31,5% фосфатов входят в состав взвеси, выносимой с Б. Аналогичные наблюдения над аэротенками показали, что в них конц-ия железа снижается на ~80%, фосфатов — на 65—70%.

Н. Ваксберг

**29260. Прекращение работы системы вторичной очистки в зимний период.** Печонка (Suspension of secondary treatment during winter months. Pieczonka Thaddeus J.), Sewage and Industr. Wastes, 1956, 28, № 9, 1178—1181 (англ.).

В зависимости от состояния водоема, принимающего городские СВ, на небольших станциях считается целесообразным прекращение работы сооружений вторич-



ной очистки, в частности биофильтров, на зимний период в связи с сильным замораживанием их в это время. Рекомендуется вводить биофильтры в работу в мае месяце и эксплуатировать их до ноября. В октябре необходимо начать снижение нагрузки на биофильтры с тем, чтобы разгрузить их к периоду пуска. Межпиковый период целесообразно использовать для осмотра и ремонта сооружений. С. Ковбеев

29261. Обработка загрязненных керамических фильтров. Дейвисс (Big saving effected by reconditioning diffuser tiles. Daviss M. R. Vincent), Munic. J., 1957, 65, № 3361, 1550—1551 (англ.)

На станции очистки СВ в Бирмингеме построен и эксплуатируется с 1951 г. цех по обработке фильтровых пластинок и колпаков, забивающихся в процессе их эксплуатации. Обработка производится сначала конц.  $\text{HNO}_3$  (удаление соединений железа и органич. загрязнений), в которой фильтры остаются в течение 4 суток, затем следует промывка водой и 2,5%-ным р-ром  $\text{Na}_2\text{SiO}_3$  (удаление жиров). Р-р  $\text{Na}_2\text{SiO}_3$  доводят сначала до кипения, а затем оставляют в нем фильтры при  $80^\circ$  в течение 1 суток. Обработка завершается продувкой фильтров воздухом до тех пор, пока давление в воздушной линии не упадет до  $\sim 1,5$  атм. Со 100 пластинок ( $200 \times 150$  мм) отдувается  $\sim 7,5$  л загрязнений. В целом обработка требует  $\sim 5$  суток. Сообщается о достигнутом высоком экономич. эффекте. С. Ковбеев

29262. Применение уравнения Королькова для расчета аэротенков. Ху Цзя-цзюнь (Hu Chia tsun), Тун-Цзи дасюэ сюэбао, Научн. ж. Политехн. ин-та Тун-Цзи, 1957, № 2, 111—116 (кит.; рез. англ.)

29263. Доочистка активным илом сточных вод, прошедших биофильтры. Восло, Финсен (The application of the activated sludge process to the further purification of biological filter effluent. Vosloo P. B. V., Finsen P. O.), Water and Waste Treatm. J., 1957, 6, № 8, 348—352 (англ.)

Приведены результаты лабор. опытов по окислению аммонийного N в СВ, очищ. на биофильтрах. Процесс осуществляется аэрированием СВ с осадком вторичных отстойников. При конц-ии последнего 1% (по весу) и добавке  $\text{CaCO}_3$  (для поддержания  $\text{pH} > 6$ ) за 1 час в нитраты окислялось 7—18 мг/л аммонийного N. Одновременно число бактерий снижалось в 10—50 раз. В. Разножик

29264. Обработка промышленных сточных вод. Петтет (The treatment of trade effluents: Pettet A. E. J.), Brit. Waterworks Assoc. J., 1957, 39, № 310, 379—385. Discuss. 385—390 (англ.)

Обзор. Библ. 30 назв. М. Л. 29265. Современное состояние химической очистки промышленных сточных вод. Рыбникова А. И. В сб.: Очистка пром. сточн. вод. М., Гос. изд-во лит. по стр-ву и архитект., 1957, 140—152

Обзор. П. К. 29266. Современное состояние биохимической очистки промышленных сточных вод. Калабина М. М. В сб.: Очистка пром. сточн. вод. М., Гос. изд-во лит. по стр-ву и архитект., 1957, 5—23

Обзор. П. К. 29267. Практика очистки производственных сточных вод на городских очистных сооружениях. — (Current practices in municipal treatment of industrial wastes.—), Sewage and Industr. Wastes, 1957, 29, № 6, 672—680 (англ.)

Результаты анкеты, проведенной в США, показывают: 61% станций испытывают затруднения в эксплуатации; 17% станций не справились с очисткой производственных СВ. В. Разножик

29268. Биохимическое окисление щелочных сточных вод. — (Biological oxidation of alkaline wastes.—),

J. Sanit. Engng Div. Proc. Amer. Soc. Civil Engrs, 1957, 83, № 3, 1269—1—1269—6 (англ.)

На примере обработки СВ бумажной и текстильной пром-сти, а также естественных и искусств. смесей бытовых СВ показана принципиальная возможность их биохим. очистки при  $\text{pH}$  9—11. Снижение БПК достигало 90%; сохранялась высокая активность ила. Очистка без предварительной нейтр-ции, в зависимости от местных условий, может быть достаточной для спуска СВ в водоем и дать значительную экономию.

29269. Конгресс 1957 г. в Филадельфии (США) по радиоактивным сточным водам ядерных установок. Телетке (The 1957 Nuclear Congress radioactive wastes. Teletzke G. H.), Industr. Wastes, 1957, 2, № 3, 62—64 (англ.)

Краткая информация.

О. М. 29270. Достижения в обработке радиоактивных сточных вод. Страуб (Recent developments in the treatment of atomic wastes. Straub Conrad P.), J. Sanit. Engng Div. Proc. Amer. Soc. Civil Engrs, 1957, 83, № 3, 1275—1—1275—13 (англ.)

СВ можно разделить на: а) СВ с низкой активностью ( $\sim 10^{-4}$  —  $10^{-3}$  мюри/мл), требующие разбавления в 100—1000 раз для достижения безопасного уровня; б) СВ со средней активностью и в) СВ с высокой активностью ( $\geq 100$  мюри/л). Воды последней категории образуются при обработке частично использованного ядерного топлива для выделения активного материала. СВ с низкой активностью могут быть выпущены в водотоки и водоемы либо непосредственно, либо после некоторой выдержки в спец. прудах. В Англии для определения возможности сброса СВ в р. Темзу используются ф-лы:  $A_{\text{Ra}} 2500 + A_{\text{a}} 420 + A_{\text{Ca+Sr}} 50 + A_{\beta} \leq 20$  мюри в месяц, где  $A$  (с индексом) — активность соответствующего элемента или характер активности, мюри. Для определения возможности сброса СВ в Ирландское море используются ф-лы:  $A_{\alpha}/200 + A_{\text{Ru}}/5000 + A_{\beta}/20000 \leq$  мюри в месяц и  $A_{\text{Sr}}/2500 + A_{\alpha}/300 \leq 1$  мюри в месяц. Обезвреживание СВ со средней активностью осуществляется различными способами, в том числе захоронением в заброшенных шахтах и в океане. Частично отработанное топливо, подлежащее обработке, обычно предварительно выдерживают (для распада короткоживущих изотопов) 90—120 суток. Кол-во и состав образующихся СВ зависит от типа реактора и характера топлива. Приведена следующая типичная характеристика высокоактивных СВ:  $\beta$ -активность  $1,6 \cdot 10^6$  —  $2,2 \cdot 10^{10}$  распадов/мл в 1 мин.;  $\alpha$ -активность  $6 \cdot 10^3$  —  $6 \cdot 10^6$  распадов/мл в 1 мин.; радиоактивность 26,5—106 мюри/л (после нейтр-ции); длительность жизни  $\sim 600$  лет; генерация тепла 0,07—0,3 ккал/л в 1 час; энергетич. эквивалент 1 г  $\text{U}^{235}$  24000 кат-ч (при к. п. д. 100%); продукты деления: 1 г  $\text{U}^{235}$  образует 1 г продуктов деления; расход СВ 19,4—194 л/г  $\text{U}^{235}$ ; ионный состав СВ (в молях/л):  $\text{Al}^{3+}$  0,5—2,5;  $\text{NO}_3^-$  2,0—8,0;  $\text{H}^+$  0,5—3,0;  $\text{Na}^+$  0,1—0,2;  $\text{F}^-$  2,0—3,0;  $\text{Zr}$  0,3—0,6;  $\text{SO}_4^{2-}$  0,3—0,6; уд. в. 1,1—1,4. В настоящее время все высокоактивные СВ захороняются в спец. емкостях при непрерывном контроле возможных утечек. При выделении наиболее опасных и долгоживущих изотопов (в первую очередь  $\text{Sr}^{90}$  и  $\text{Cs}^{137}$ , затем  $\text{Zr}$ ,  $\text{Nb}$ ,  $\text{J}$ ,  $\text{Ru}$  и  $\text{Ce}$ ) выдержка может быть сокращена до  $\sim 20$  лет и менее строго контролируется. Освещаются результаты опытов по значительному сокращению объема конц. СВ следующими путями: а) перевод ряда изотопов в труднорастворимые соединения; б) фиксация ряда изотопов на поверхности труднорастворимых силикатов. Библ. 39 назв.

О. Мартынова

29271. Проект обезвреживания радиоактивных отходов на атомной электростанции в Шиппингпорте. Ли (Waste disposal at Shippingport. Lee John F.),

South. Power and Ind., 1957, 75, № 6, 82, 84, 86, 108—109 (англ.)

В качестве теплоносителя и замедлителя предполагается использовать воду под давл.  $\sim 140$  ат. Обработка отработанных тепловыделяющих элементов, дающих наибольшее кол-во конц. СВ с высокой активностью, не планируется. Все СВ станции должны выводиться в спец. зону для определения степени активности, разделения, обработки или выдержки и, наконец, окончательного обезвреживания. СВ могут либо выдерживаться в резервуарах для снижения активности до требуемой величины, либо пропускаться через ионитные фильтры. Радиоактивные газообразные отходы пропускаются через скрубберы: образующиеся при этом активные СВ присоединяются к остальным. Твердые отходы (в том числе и иониты) будут либо сжигаться, либо выдерживаться при постоянном контроле.

О. Мартынова

**29272.** Обезвреживание радиоактивных сточных вод небольших промышленных энергетических ядерных установок. Форрестер (Disposal of radioactive waste effluents from small industrial nuclear power plants. Forrester Andrew L.), Water and Waste Treatm. J., 1957, 6, № 8, 353—356 (англ.)

Высказаны соображения о возможных методах очистки и приведены данные о их стоимости.

О. Мартынова

**29273.** Проблемы радиоактивных отходов, стоящие перед властями штатов. Дженсен, Элдридж, Эвертс, Клэр (Radioactive waste problems facing state governments. Jensen Emil C., Eldridge E. F., Everts Curtiss M., Clare Herbert C.), Sewage and Industr. Wastes, 1957, 29, № 6, 687—694 (англ.)

Рассматриваются проблемы обезвреживания радиоактивных отходов, возникающие в связи со все возрастающим применением ядерной энергии в мирных целях. Библи. 13 назв.

О. Мартынова

**29274.** Безопасное удаление радиоактивных отходов. Блайт (The safe disposal of radioactive wastes. Blythe H. J.), Chem. Engng and Mining Rev., 1957, 49, № 8, 59—62 (англ.)

Высказываются соображения, что считающийся наиболее надежным метод захоронения высокоактивных отходов в отдельных согласованных в международном масштабе районах океана является только временной мерой. При существующих темпах развития атомной энергетики в ближайшие десятилетия активность воды океана может заметно повыситься.

О. Мартынова

**29275.** Пути устранения загрязнения водоемов сточными водами нефтебаз. Лебедев В. М., Нефт. х-во, 1957, № 7, 52—55

Предлагается ряд мероприятий по борьбе с загрязнением СВ нефтебаз водоемов рыбохозяйственного значения и источников водоснабжения. П. Кандаас

**29276.** Исследование условий сброса сточных вод в поглощающие горизонты нефтяных месторождений. Цейдлер В. П. В сб.: Очистка пром. сточн. вод. М., Гос. изд-во лит. по стр-ву и архитект., 1957, 232—239

**29277.** Надежный способ очистки сточных промышленных вод. Смирнова А. С., Нефт. х-во, 1957, № 7, 66—67

Производилась закачка нефтепромысловых СВ в поглощающие горизонты. Глубина скважины 915 м, забой открытого типа. Конструкция: 6-дюймовая обсадная колонна на 740 м, 2,5-дюймовые насосные трубы, спущенные для замеров уровня воды во время закладки. Основные зоны поглощения — на глубине 748—754 и 770—794 м. Закачивалась диэмульгированная вода после 10—15-часового отстаивания. Конц-ия

примесей 50—60 мг/л. В сутки закачивалось до 400 т СВ. Приемистость скважины длительное время не снижается. Закачка наиболее эффективна при наименьшей конц-ии в СВ Fe, нефти и грубодисперсных примесей.

П. Кандаас

**29278.** Доочистка сточных вод нефтепромыслов физико-химическим методом. Лебедев Г. И. В сб.: Очистка пром. сточн. вод. М., Гос. изд-во лит. по стр-ву и архитект., 1957, 254—257

Промысловые СВ Татарии и западной Башкирии характеризуются высоким содержанием (сухой остаток  $\geq 230$  г/л) и конц-ией Fe  $\geq 200$  мг/л. С целью применения СВ для заводнения нефтяных пластов разработана и проверена на опытной установке очистка их известкованием. Установлены расчетные параметры для проектирования очистных станций.

П. Кандаас

**29279.** Очистка от нефти методом флотации промышленной сточной воды. Перевалов В. Г. В сб.: Очистка пром. сточн. вод. М., Гос. изд-во лит. по стр-ву и архитект., 1957, 247—253

Исследование работы промышленной установки.

М. Л.

**29280.** Гигиеническая эффективность очистки сточных вод Краснодарского нефтеперерабатывающего завода. Амелина Н. А. Гигиена и санитария, 1957, № 6, 16—20 (рез. англ.)

Приведена принципиальная схема очистных сооружений, в результате создания которых конц-ия нефтепродуктов в СВ понизилась в среднем с 343 до 50 мг/л. На поверхности воды (р. Кубань) исчезла нефтяная пленка, берега реки очистились.

Т. Брикская

**29281.** Анализ работы очистных сооружений в Гроном. Столов А. И. В сб.: Очистка пром. сточн. вод. М., Гос. изд-во лит. по стр-ву и архитект., 1957, 270—274

**29282.** Технологическая схема очистки стоков Рубжанского химического комбината и перспективы ее использования на других предприятиях органического синтеза. Кульский, Когановский (Технологічна схема очистки стоків Рубжанського хімічного комбінату і перспективи її використанні на інших підприємствах органічного синтезу. Кульський Л. А., Когановський О. М.), Вісник АН УРСР, 1957, № 7, 27—34 (укр.)

Схема включает следующие процессы: выделение осадков при смешении различных СВ с расчетом снижения pH смеси; нейтр-ция смешанного стока  $\text{Ca}(\text{OH})_2$ ; сорбция высокомолекулярных в-в  $\text{Al}(\text{OH})_3$  и  $\text{Fe}(\text{OH})_3$ ; адсорбция растворенных органич. примесей активным углем с его последующей термич. регенерацией. Окисляемость (по Шульцу) очис. СВ 42 мг/л  $\text{O}_2$ . Из СВ с высокой конц-ией сернистых соединений производится предварительная отгонка (из кислой среды)  $\text{H}_2\text{S}$  и  $\text{SO}_2$  с получением дисульфида натрия, бисульфита и серы (загрязненной). Из остальных СВ, перед направлением на общие очистные сооружения, экстрагируются бутилацетатом или изобутилацетатом амины, оксикислоты, нитрофенолы. При сорбционной очистке используется принцип взвешенного слоя. Регенерация активного угля осуществляется совместно с его активацией (в печи без доступа воздуха). Сырьем для получения активного угля служит антрацит.

С. Ковобеев

**29283.** Очистка сточных вод при тепловой мочке и пропаривании льна. Рудаков Д. И. В сб.: Очистка пром. сточн. вод. М., Гос. изд-во лит. по стр-ву и архитект., 1957, 133—139

Состав СВ цехов промышленного приготовления тресты льна зависит от способов мочки льна, его сортности, климатич. условий и характеризуется следующими показателями (в мг/л): окисляемость 597—1247,



БПК<sub>5</sub> 1470—4720, P<sub>2</sub>O<sub>5</sub> 0—51, K<sub>2</sub>O 0—312, N общий 15—32, SO<sub>4</sub><sup>2-</sup> 9—273, Cl<sup>-</sup> 51—196, Ca<sup>2+</sup> 0—158, грубодисперсные примеси 62—998, сухой остаток 2016—3994; pH 4,1—6,5. Суточный расход СВ 350—500 м<sup>3</sup>. Грубодисперсные примеси СВ от тепловой мочки в регенерированной жидкости и от пропаривания льна оседают в течение 30—60 мин. Опыты по орошению сахарной свеклы регенерированной мочильной жидкостью от тепловой мочки льна показали 6-кратное повышение урожайности. Опыты по очистке СВ на лаб. 2-ступенчатом биофильтре (нагрузка 0,5:1) показали снижение окисляемости с 480 до 45, БПК<sub>5</sub> с 3000 до 240 мг/л. Относительная стойкость возросла с 21 до 75%.

П. Кандзас  
29284. О значении и путях снижения потребления воды в производстве вискозного волокна. Черняк (O významu a cestách k snížení spotřeby vody vo výrobu viskóznového hodvábu. Černák L.), Voda, 1957, 36, № 6, 143—147 (словацк.; рез. русск., англ., нем.)

Указаны возможности снижения расхода воды, понижающие сброс СВ и облегчающие их очистку.

М. Ланшин

29285. Очистка производственных сточных вод лесохимических заводов. Сумароков В. П. В сб.: Очистка пром. сточн. вод, М., Гос. над-во лит. по стр-ву и архитект., 1957, 192—199

Обзор.

М. Л.

29286. Очистка сточных вод гидролизного и сульфитно-спиртового производства. Друблянец Э. Э., Хим. наука и пром-сть, 1957, 2, № 4, 469—474. Суточный сброс СВ составляет 6—9 тыс. м<sup>3</sup>. В зависимости от вида гидролиземого сырья и применяемого режима гидролиза состав СВ различен и характеризуется следующими показателями (в мг/л): грубодисперсные примеси 1190—4220; плотный остаток 480—9560; окисляемость 1510—3504; БПК<sub>5</sub> 1404—3424; метаны 700—2100; фурфурол 36—180; N общий 34—119; P<sub>2</sub>O<sub>5</sub> 0—5; pH 3,7—5,5; t-ра 28—64°. Рекомендуются биохим. очистка (биофильтры, аэротенки) после предварительной подготовки СВ (осветление, разбавление до БПК 400—500, обогащение питательными солями, нейтр-ция). Использование для целей орошения СВ эдов, перерабатывающих с.-х. отходы, показало, что лучшие урожаи пшеницы, бахчевых и силосных культур достигаются при применении СВ, разбавленных в 2—3 раза. Показана эффективность биохим. очистки сульфитных щелоков (сульфитно-спирт. произ-во) после снижения конц-ии примесей на 68—87% путем комплексной переработки (на спирт, дрожжи и т. п.).

П. Кандзас

29287. Снижение загрязнения реки сточными водами бумажной фабрики. Саллине (Stream improvement program for a paper mill. Sullins John K.), Sewage and Industr. Wastes, 1957, 29, № 6, 681—686 (англ.)

Описаны мероприятия, проведенные для сокращения отходов произ-ва. Сбрасываемый ф-кой известковый шлам улавливается и после центрифугирования обжигается. Регенерированная CaO возвращается в произ-во. Вода от промывки целлюлозы, содержащая Na<sub>2</sub>CO<sub>3</sub>, упаривается, сухой остаток сжигается, сода возвращается в произ-во. Устроен пруд для отстаивания грубодисперсных примесей СВ. В результате указанных мероприятий кол-во грубодисперсных примесей в СВ понизилось с 333 до 62 кг на 1 т продукции. Введение заменителей крахмала для проклейки бумаги позволило снизить БПК на 27% на 1 т продукции. На опытной установке разрабатывается метод биохим. очистки СВ.

Н. Ваксберг

29288. Опыты по биохимической очистке сточных вод от производства сульфатцеллюлозы. Марчек,

Зелинский (Badania nad biologicznym oczyszczaniem ścieków z produkcji celulozy siarczanowej. Marczek Edward, Zieliński Jerzy), Gaz, woda, techn. sanit., 1957, 31, № 6, 208—214; Przegl., papiern., 1957, 13, № 7, 213—217 (польск.)

На основании лабор. опытов установлено, что СВ могут быть очищены с помощью активного ила. Снижение БПК<sub>5</sub> достигает 90—94%; конц-ия O<sub>2</sub> в очищ. СВ ≥ 4 мг/л.

О. Ленчевский

29289. Взаимное обезвреживание сточных вод от кислотного отдела завода сульфитной целлюлозы и шлама от растворения хлорной извести. Гаврилеску (Neutralizarea apelor de scurgere deversate din atelierul de preparare a soluției bisulfite de turn și a soluției de hipoclorit. Gavrilescu Gh.), Celuloză și hîrtie, 1957, 6, № 5, 168—171 (рум.; рез. русск., нем., франц., англ.)

Применительно к одному предприятию по выработке целлюлозы показана возможность обезвреживания с целью последующего сброса в водоем.

М. Ланшин

29290. Очистка и удаление сточных вод кожевенных заводов. Шольц (Contribution à la définition des eaux résiduaires des fabrications du cuir. Scholz Herbert), Rev. techn. inds cuir, 1957, 49, № 2, 21—22, 24—26, 28—33 (франц.)

См. РЖХим, 1957, 17063.

29291. Опыты по вспениванию и пеногашению соковой воды картофелекрахмальных заводов. Зиберт (Versuche zur Verschäumung und Entschäumung von Kartoffelfruchtwasser. Siebert K.), Ernährungsforschung, 1957, 2, № 1, 127—142 (нем.)

С целью удаления белковых в-в исследовалось вспенивание соковой воды при разном разбавлении (1:2,5—1:10). Повышение конц-ии белковых в-в в пене оказалось столь малым, что метод не может иметь практич. значения. Подавление пены (при обратном использовании воды) может быть достигнуто при помощи пеногасителей. Лучшие результаты получены с пеногасителем 7800 (Mersolat) в конц-ии 100 мг/л (при разбавлении СВ 1:2,5) и 25 мг/л (при разбавлении СВ 1:10). При применении пеногасителя Antaphron те же результаты достигаются при конц-иях 850 и 300 мг/л. В гигиенич. отношении указанные пеногасители безвредны.

Н. Баканов

29292. Сточные воды предприятий птицепромышленности. Панкова Ф., Минакова Т., Мясная индустрия СССР, 1957, № 4, 34—35

СВ сильно загрязнены органич. в-вами (окисляемость 123—573, БПК<sub>5</sub> 381—1490, N общ. 62—351, NH<sub>3</sub> 25—101 мг/л); конц-ия Cl<sup>-</sup> 66—267 мг/л, грубодисперсных примесей 765—3416 мг/л, большая часть которых оседает за 15—30 мин. (нижние пределы относятся к общему стоку птицекомбинатов, высшие — к стоку птицефабрик). СВ почти непрозрачны и обладают резким неприятным запахом.

П. Кандзас

29293. Комбинированный адсорбционный фильтр.

Таубе П. Р., Рыбн. х-во, 1957, № 7, 21—22

Фильтр загружен слоем (1000 мм) дробленого кокса с диаметром зерен 5—25 мм. На этот слой загружен 200-мм слой паровозного шлама, просеянного через грохот. Фильтр предназначен для очистки образующихся на судах подсланевых вод, содержащих до 3% нефтепродуктов. По лабор. данным при наличии промежуточного отстоя 800 кг кокса можно очистить до 2000 т загрязненной воды (со снижением конц-ии нефтепродуктов до 50 мг/л). После окончания цикла работы-загрузка заменяется свежей. Отработанный кокс может быть использован как топливо.

С. Конобеев

29294. Обезвоживание осадка в Юнион-Сити, Теннесси. Мартин, Мейо (Sludge dewatering at Union City, Tennessee. Martin Deward M., Mayo

Ernest), Sewage and Industr. Wastes, 1957, 29, № 5, 594—601 (англ.)

Для обезвоживания осадка бытовых СВ и избыточного активного ила применены вакуум-фильтры с фильтрующей средой, состоящей из двух слоев стальных спиральных пружин. Вращающийся барабан (диам. 210 см) погружается в слой кондиционированного осадка. Внутри барабана создается вакуум ~ 38 см рт. ст. При повороте барабана на 180° вакуум выключается, и слои спиральных пружин отходят от барабана. Верхний слой пружин отделяется от нижнего, поднимает обезвоженный кек и с помощью ножа сбрасывает его на конвейер. Пружины после этого отгибаются в направлении, обратном вращению барабана, и подвергаются промывке водой. Фильтрат и промывная вода возвращаются на станцию очистки СВ. Обезвоженный осадок содержит ~ 65% влаги.

С. Конобеов

29295. Условия нормального сбраживания осадка. Бутен (Proper sludge digestion. Wooten John L.), Water and Sewage Works, 1957, 104, № 6, 278 (англ.)

Приведены сведения об условиях эксплуатации и об объеме аналитич. контроля.

С. Конобеов

29296 К. Практика эксплуатации осветлителей со взвешенным фильтром. Пискунов П. И., Нагорнов Н. И. М., М-во коммуна. х-ва РСФСР, 1957, 50 стр., илл., 1 р. 20 к.

29297 К. Обеззараживание питьевой воды серебром. Основные положения и результаты исследований. Брауне, Круше, Курт, Липпелт, Воратц, Тоферн (Die Trinkwassersilberung. Grundlagen und Ergebnisse. Braune J. F., Krusche F., Kurth C., Lippelt H., Woratz H., Thofern E. München, R. Oldenbourg, 1957, 130 S., илл., 16-DM) (нем.)

Подробно см. РЖХим, 1958, № 1, стр. 523.

29298 К. Опыт фторидирования воды в США. Эксер, Уолдботт (The American fluoridation experiment. Exner F. B., Waldbott G. L. New York, Devin — Adair, 1956, 285 pp., 3.75 doll.) (англ.)

29299 К. Удаление отходов промышленных предприятий. Доклады на конференции в университете в Шеффилде, состоявшейся 17—19 апреля 1956 г. (Disposal of industrial waste materials; papers read at the conference at Sheffield University 17th—19th April, 1956 with the discussions that followed. New York, Macmillan, 1957, 157 pp., илл., 7.50 doll.) (англ.)

29300 П. Способ и устройство для получения дистиллята высшей степени чистоты. Беклунд (Sätt att av vanligt vatten framställa vatten av högsta renhetsgrad samt anordning för utförande av sättet. Baecklund G.) [AB Chematur]. Шведск. пат. 156218, 18.09.56

Патентуется конструкция пародистилляционной колонки с перегородчатым устройством, препятствующим уносу солей. Дистиллят имеет уд. электропроводность ~  $10^{-7}$  ом<sup>-1</sup> см<sup>-1</sup>. Расход пара 1,2 кг на 1 кг дистиллята.

О. Ленчевский

29301 П. Обработка отработанных травильных растворов. Вундерли (Waste pickle liquor disposal. Wunderley John M.), Пат. США, 2746920, 22.05.56

Для обработки отработанных травильных р-ров, содержащих FeSO<sub>4</sub> (> 20%) и H<sub>2</sub>SO<sub>4</sub> (< 5%), используется гранулированный доменный шлак (~ 41,6% CaO). Миним. объем шлака определяется кол-вом обрабатываемых р-ров, которое он способен поглотить. Оптимальное весовое соотношение воздушно-сухого шлака и р-ра 5—8 к 1 (минимальное 1:1). CaO, содер-

жащаяся в шлаке, взаимодействуя с водой, образует Ca(OH)<sub>2</sub>, которая с H<sub>2</sub>SO<sub>4</sub> и FeSO<sub>4</sub> дает гипс и Fe(OH)<sub>3</sub>. Последняя в процессе сушки превращается в Fe(OH)<sub>2</sub>, хлопья которого обволакивают поверхность и пористый шлак, препятствуя вымыванию сорбированных примесей. Отработанный шлак может использоваться в качестве наполнителя и для других технич. целей.

С. Конобеов

См. также: Анализ: K+ 28390; Ca<sup>2+</sup> 28390; Fe, Al 28394; NO<sub>3</sub>- 28390; 28467; PO<sub>4</sub><sup>3-</sup> 28390; 28468, F- 28485; CN- 28490; влияние анионов на комплексометр. определение Mg<sup>2+</sup> 28409; органич. C 28341; органич. N 28340. Св-ва примесей: растворимость CO<sub>2</sub> в воде 27864; растворимость CaCO<sub>3</sub> в воде 28320; формы нахождения SiO<sub>2</sub> в воде 28122; растворимость SiO<sub>2</sub> в воде 28125, 28037; парциальное давление NH<sub>3</sub> из р-рных солей NH<sub>4</sub>+ 30095; строение гуминовых к-т 28120. Физ.-хим. основы технологии: закономерность процессов осаждения 27879; влияние полиэлектролитов на осаждение CaCO<sub>3</sub> 27876; растворимость в воде газов и твердых в-в 27883; рост кристаллов 28063; экстракция 29058—29062; десорбция CH<sub>3</sub>COOH с активного угля 28106. Иониты: обзор 28114; термодинамика катионного обмена 28115; адсорбция фосфатов 28117, 28118. Сорбция и десорбция фенолов 28116. Коррозия: в воде высокой чистоты 29145; на паросиловых установках 29151, 29154, 29155; защита конденсационных систем 29183; защита канализационных коллекторов 29172. Водомеры и водотоки: защита от загрязнения 29318; влияние т-ры на защиту воды от испарения 28083. Реагенты: коллоидные св-ва Al(OH)<sub>3</sub> 28127. Подготовка воды: обработка для предотвращения коррозии 29192; обработка силифосом 29188; вода в пушномеховом хоз-ве 31197; в произ-ве папиросной бумаги 31067

## ТЕХНИКА БЕЗОПАСНОСТИ. САНИТАРНАЯ ТЕХНИКА

Редакторы Н. Ф. Кононов, И. В. Саноцкий

29302. Техника безопасности в химической промышленности. Китагава, Сайкин-но кагаку когаку, 1956, Токио, 1956, 117—132 (японск.)

29303. Международная классификация и маркировка опасных веществ. Жигач А. Ф., Хим. пром-сть, 1957, № 6, 368—370

Классификацией и маркировкой опасных в-в занимается международная организация труда (МОТ), в которую входит и СССР. Классификация охватывает все огне- и взрывоопасные, ядовитые и др. вредные в-ва с учетом характера и степени опасности. Для классификации приняты 5 основных категорий, соответственно которым все опасные в-ва разделяются на: взрывоопасные, воспламеняющиеся, ядовитые, корродирующие, радиоактивные. В основу маркировки принято 5 символов, соответствующих категориям опасности и характеризующих сущность опасности. Символы просты в начертании и легко понимаются в любой стране. Приведены изображения символов. И. Лекае

29304. Программы предварительного и периодического медицинского освидетельствования работающих в городском округе Детройта. Раскин, Силвер (Preemployment and periodic physical evaluation programs in the Metropolitan Detroit area. Raskin Morris, Silver Norma G.), Arch. Industr. Health, 1957, 16, № 1, 52—54 (англ.)

Рассмотрены результаты проведенного медицинским центром Лейкайда анкетного опроса 330 предприятий о существующей практике проверки состояния здо-

рой с общим ловек. Установ системой пре Периодич. ме предприятий. гается перио графике пока меняются т медицинско 29305. Набл щей среды diological p eten Dot 49, № 2, 18 Установлен кой энергии отдельных м допустимые радиоактивн торовочным земная вода на 1 а (93), отложения 0—18,7 на 1 линкую бум Превышени неблагоприятн преживания ра и т. п.). 29306. Обс бертман мап Jo (англ.) Описано аврозолей А ды либо неог торуюч, пр вопрос с о отходов. Н вания — в предприятие твердую ф нания зас более опасн дми полу нчестве в 29307. И класисотой Чжэнь иэн, Ч 1955, 3, 29308. О едичини and its Industr. Обзор. I нтоксика Be(OH)<sub>2</sub>; наиболее тарный ко мально до мещений должител 29309. П дорогом нейке п 29310. К мом на линь, 262—26 29311. П ни у ра



тий с общим числом работающих по найму 195 000 человек. Установлено, что 78% предприятий пользуется системой предварительного медосмотра нанимаемых. Периодич. медицинские осмотры проводятся на 27% предприятий. Административный персонал подвергается периодич. осмотрам на 31% предприятий. На графике показано, на каком кол-ве предприятий применяются те или иные методы предварительного медицинского освидетельствования. Ю. Скорецкий

29305. Наблюдение за радиоактивностью окружающей среды. Лоу, Линдстен (Environmental radiological monitoring. Lowe Harry N., Jr, Lindsten Don C.), J. Amer. Water Works Assoc., 1957, 49, № 2, 187—189. Discuss., 189—190 (англ.)

Установлено, что в результате использования атомной энергии радиоактивность окружающей среды в отдельных местностях может значительно превышать допустимые значения. Нормальная естественная радиоактивность характеризуется следующими ориентировочными величинами (импульсы в 1 мин.): подземная вода 0—7,5 на 1 л (среднее 2,1), осадки 9—363 на 1 л (93), воздух 0,052—0,286 (0,16), речные донные отложения 0—6,7 на 1 г (3,4), поверхностная вода 0—18,7 на 1 г (2,9), пыль из воздуха (собирается на лицевую бумагу 1 раз в неделю) 0—4900 на 1 м<sup>2</sup> (650). Превышение указанных значений свидетельствует о неблагоприятии (напр., о неполадках в системе обезвреживания отходов какого-нибудь ядерного реактора и т. п.). О. Мартынова

29306. Обезвреживание радиоактивных отходов. Либберман (Disposal of radioactive wastes. Lieberman Joseph A.), Chemistry, 1957, 30, № 6, 36—43 (англ.)

Описано эффективное улавливание спец. фильтрами аэрозолей Ag<sup>41</sup>, J<sup>131</sup> и др. Твердые радиоактивные отходы либо непосредственно захороняются, либо, если они горючи, предварительно сжигаются. Наиболее сложен вопрос с обезвреживанием жидких высокоактивных отходов. Наиболее пригодные способы их обезвреживания — в том числе и захоронение — предполагают предварительный перевод радиоактивных примесей в твердую фазу и отделение их от жидкой. Особого внимания заслуживает возможность использования наиболее опасных изотопов Sr<sup>90</sup> и Cs<sup>137</sup> с большими периодами полураспада (25 лет и 33 года соответственно) в качестве вторичного энергоресурса. О. Мартынова

29307. Исследование случаев отравления соляной кислотой и профилактические мероприятия. Сюй Чжэнь-дун, Чжан Мэн-лин, Ли Цзюнь-шэн, Чжан Гуй-нин, Чжунхуа вэйшэн цзачжи, 1955, 3, № 5, 355—357 (кит.)

29308. Опасности, связанные с бериллием и его соединениями. Вильямс (The hazards of beryllium and its compounds. Williams Katharine), Industr. Chemist, 1957, 33, № 386, 191—193 (англ.)

Обзор. Приведена характеристика острой и хронич. интоксикации Be и его соединениями (BeSO<sub>4</sub>·4H<sub>2</sub>O; Be(OH)<sub>2</sub>; BeCl<sub>2</sub>; BeF<sub>2</sub>; BeCO<sub>3</sub>·4H<sub>2</sub>O и BeO), из которых наиболее токсичны BeF<sub>2</sub> и BeO. Рекомендуется санитарный контроль и общие меры профилактики. Максимально допустимая конц-я Be в воздухе рабочих помещений при коротком воздействии 25 γ/м<sup>3</sup>; при продолжительном воздействии — 2 γ/м<sup>3</sup>. Г. Заева

29309. Пять случаев отравления мышьяковистым водородом. Гу Сы-цзун, У Хань-вэн, Чжунхуа вэйшэн цзачжи, 1956, 4, 10, 758—762 (кит.)

29310. Исследование обстоятельств отравления хромом на пяти гальванических заводах. Сюе Хань-лин, Чжунхуа вэйшэн цзачжи, 1955, 3, № 4, 262—268 (кит.)

29311. К вопросу определения содержания СО в крови у работающих около газовых генераторов. Пет-

рович, Велашевич, Игнатович (Прилог познavaу sadrжine ugljenmonoksida u krvi radnika na gasnim generatorima. Petroviћ Љ., Велашевич К., Игнатовић Б.), Гласник. Хигијента, 1957, 6, № 1—2, 59—70 (серб.-хорв., рез. англ.)

Исследования крови по методу Вольфа у 63 рабочих, обслуживающих газовые генераторы (стаж 1—5 лет), показали, что содержание СО в крови повышалось после 4 час. работы на 0,4 об.% у курящих и на 0,35% у некурящих, после 8 час. работы — на ~ 0,8 об.% независимо от курения. Наибольшее содержание СО отмечено в крови рабочих со стажем 3—5 лет (возраст 20—29 лет). Наиболее угрожаемой группой оказались рабочие, занятые очисткой газопровода, загрузкой печи, погрузкой в вагонетки влажных шлаковых отходов. Библ. 12 назв. Т. Бржевская

29312. Случай отравления тетрагидрометаном. Кубота (Kubota Shigetaka). Юки госэй кагаку кёкайси, J. Soc. Organ. Synth. Chem., Japan, 1957, 15, № 7, 366—367 (японск.)

29313. Гигиена труда в нефтяной промышленности. Фонгауз М. И., Гигиена труда и проф. заболевания, 1957, № 5, 25—30

Перечисляются мероприятия по оздоровлению условий труда в нефтяной пром-сти, осуществленные за годы советской власти (технич. прогресс, совершенствование технологии, рациональная планировка производственных зданий, оздоровление воздушной среды и др.). Подчеркивается актуальность в настоящее время борьбы с газовыми загрязнениями воздуха, комплексной механизации, снижения тепловыделений, борьбы с пылью в произ-ве катализаторов, разработки мер профилактики при работе с радиоактивными в-вами. Т. Бржевская

29314. Оценка влияния на организм сланцевой типографской краски. Боговский П. А., Гигиена и санитария, 1957, № 9, 26—29 (рез. англ.)

При смазывании сланцевой типографской краской (СТК) (~ 40% сланцевой олифы II, ~ 20% таллового масла, ~ 30% синего 5Т, 10% веретенного масла № 2, газовая сажа не добавлялась) кожи межлопаточной области белых мышей (30—50 мг 2 раза в неделю, 50 раз в течение 172 дней с последующим наблюдением в течение 100 дней) через 2—3 недели наблюдалось временное облысение в области смазывания с восстановлением волосяного покрова через 4—5 месяцев. На коже и во внутренних органах злокачественных новообразований не обнаружено. Менее выраженные изменения определены при воздействии ротационной краски, не содержащей сланцепродуктов. При медицинском обследовании рабочих печатных и типографских цехов двух типографий не обнаружено патол. изменений, связанных с применением СТК. Возбуждение раздражающего действия СТК на кожу рекомендовано ношение резиновых перчаток и фартуков. Библ. 9 назв. Т. Бржевская

29315. Определение малых количеств линдана в воздухе с помощью спектрофотометрии в инфракрасной области спектра. Брейд, Лебеф (Determination of trace amounts of lindane in air by infrared spectrophotometry. Braid P. E., LeBoeuf Joseph), Analyt. Chem., 1957, 29, № 11, 1625—1627 (англ.)

Для поглощения инсектицида линдана [1,2,3,4,5,6-гексахлорциклогексан (I)] из воздуха применяется колонка диам. 2,5 см, содержащая гранулированную Al<sub>2</sub>O<sub>3</sub> (длина слоя 2,5 см). При протягивании 1,4 м<sup>3</sup> воздуха определяется 1—100 γ I на 0,028 м<sup>3</sup> воздуха, при скорости протягивания 0,028 м<sup>3</sup> в 1 мин. I вымывается с Al<sub>2</sub>O<sub>3</sub> горячим изоктаном (II), который затем выпаривается до небольшого объема с помощью спец. испарителя. Остаток в испарителе доводится до объема 0,5 мл II и переносится в кювету (толщина

1 мм) ИК-спектрометра. I характеризуется тремя максимумами поглощения в ИК-области при  $\lambda$  11,8; 14,3 и 14,6  $\mu$ . Последний используется для колич. определения I. Пробы, содержащие  $\leq 0,05\%$  I, анализируют дифференциальным методом. Приведены стандартные кривые для I в II. Описан прибор для получения различных кон-ий I путем возгонки его эфирных р-ров. Приведены рисунки поглотительной колонки, испарителя II, прибора для возгонки I. Библ. 9 назв. Т. Соловьева

**29316. Опасность силикоза при добыче и обработке гранита.** Шнейдер (Die Silikosegefährdung in der bayrischen Granitindustrie. Schneider H.), Staub, 1957, № 50, 450—456 (нем., реф. англ., франц.)

На 7473 работающих в гранитной пром-сти в Баварии зарегистрировано 330 случаев силикоза, из них 141 со смертельным исходом. Частота поражений зависела от вида гранита (Г), содержания в нем кварца, твердости камня, от способа обработки: заболевания силикозом более часты при применении пневматич. инструментов (большее пылеобразование, большая кон-ия рабочих мест, работа в закрытых помещениях). При ручной обработке Г содержание пылевых частиц в 1 см<sup>3</sup> воздуха составляло 40—1000, при пневматич. — от 120 до > 2000. Считают, что утверждение о сравнительной безопасности труда при новых методах обработки Г не соответствует действительности. Приведено разделение работающих в гранитной пром-сти на 6 групп в зависимости от степени опасности работы. К. Никонова

**29317. Загрязнение воздуха. Общий обзор.** Фриленд (Air pollution. General review and introduction. Freeland C. J. (Miss)), S. Afric. Engr, 1956, 47, № 462, 46—47 (англ.)

Описаны источники и характер загрязнений (З) атмосферы в городах Великобритании и США; зависимость З от особенностей отопительных систем и качества топлив; методы контроля за З; мероприятия по предупреждению З. Подчеркнута трудность введения соответствующего законодательства. Н. Кулагина

**29318. Роль инженера химика-технолога в предотвращении загрязнений атмосферы и водоемов промышленными выбросами.** Уэстон (The role of the chemical engineer in industrial pollution control. Weston Roy F.), Chem. Engng Progr., 1957, 53, № 8, 365—366 (англ.)

Характеризуется роль химиков-технологов в борьбе с промышленными выбросами и необходимость ввода соответствующих курсов в учебные программы. Наиболее экономичным решением во многих практич. случаях является применение технологич. и организационных мероприятий, снижающих до минимума кол-во выбросов и отходов произ-ва. Приведен примерный перечень превентивных мероприятий. Ю. Скорецкий

**29319. Борьба с загрязнением атмосферного воздуха в химической промышленности.** Ситтенфилд (Chemical engineering aspects of air pollution control. Sittenfield Marcus), Chem. Engng Progr., 1957, 53, № 8, 366—370 (англ.)

Первыми объектами законодательных норм по предотвращению загрязнения атмосферы (ЗА) газовыми выбросами были процессы сжигания топлива и плавления руд цветных металлов (Cu, Zn, Pb), дымовые газы которых содержат сажу, золу, SO<sub>2</sub>, As и другие в-ва, вредные для людей, животных и растительности. С развитием хим. и нефтеперерабатывающей пром-сти появились жалобы населения на ЗА дурнопахнущими и токсич. газами. Анализируются наиболее часто встречающиеся источники ЗА, непосредственно связанные с процессами хим. произ-ва. Приведены рекомендации по предотвращению ЗА от выбросов вентиляций помещений, хранилищ и др. Рассматриваются

методы улавливания загрязнителей из вентиляционных выбросов с помощью абсорбции, экстракции, адсорбции, сжигания и каталитич. окисления.

**29320. Исследование загрязнения атмосферы.** Фейт (The air pollution survey. Faith W. L.), Industr. Wastes, 1957, 2, № 4, 83—87 (англ.)

Обзор, краткие характеристики и общие рекомендации по выбору способов измерения и статистич. оценки загрязнения атмосферы (ЗА) промышленными предприятиями. Рассматриваются главные источники ЗА: дымовые трубы, открытое сжигание отходов произ-ва, факелы, открытые и закрытые вентилируемые баки-хранилища, вытяжные производственные выбросы и др. Формулируются возникающие при обследовании ЗА программные вопросы: объем собираемых данных, заданная точность измерений, классификация загрязнителей воздуха, методика специфич. анализов, границы изучения метеорологич. условий. Рекомендуются методы определения кон-ий ЗА: пыли, сажи, SO<sub>2</sub>, H<sub>2</sub>SO<sub>4</sub>, NO, CO, O<sub>3</sub>, F и паров органич. жидкостей. Указываются способы исследования вредного действия ЗА. Библ. 17 назв. Ю. Скорецкий

**29321. Замечания к решению проблемы предотвращения загрязнения атмосферы выхлопными газами автотранспорта.** Фейт (Notes on solving the auto exhaust problem in smog formation. Faith W. L.), Chem. Engng Progr., 1957, 53, № 8, 406 (англ.)

В местах интенсивного движения автотранспорта атмосферный воздух загрязняется содержащимися в выхлопных газах автомобилей продуктами горения: СО (1—6% от объема выхлопа), окислами азота (10—3000 ч. на 1 млн.), углеводородами (50—12000 ч. на 1 млн.). Газы токсичны для дыхания и способствуют образованию в приземной атмосфере туманной дымки, ослабляющей солнечную радиацию. Радикальных средств борьбы с этим видом загрязнения атмосферы (ЗА) пока нет. Разработка мероприятий по борьбе с ЗА ведется в 3 направлениях: 1) автоматич. отсечного устройства в карбюраторе, прекращающего подачу топлива при замедлении скорости движения автомобиля; 2) аппарата для улавливания или разложения окислов азота; 3) устройства в тракте выхлопа для каталитич. дожигания органич. в-в. Приведены данные о составе выхлопных газов для 4 режимов работы двигателя: при холостом ходе, ускорении, нормальном рабочем ходе и замедлении. Ю. Скорецкий

**29322. Исследование воздушного потока вокруг сооружений.** Коллинс (A full-scale study of air flow around structures. Collins G. F.), Industr. Wastes, 1957, 2, № 4, 109—110 (англ.)

При определении формы и направления газовых факелов невысоких дымовых труб при различных метеорологич. условиях пользоваться расчетными флами Бозанкета, Саттона и др. (дающими удовлетворительные решения для отдельно стоящих высоких дымовых труб) не представляется возможным из-за местных турбулентных завихрений. Обработка моделей зданий в аэродинамич. трубе также не дает требуемых результатов. Описывается техника изучения газовых факелов в натуральных условиях, практикуемая фирмой Дюпон в целях предотвращения попадания газовых выбросов одного хим. процесса в трубы забора свежего воздуха для других цехов. Газовый факел воспроизводится с помощью дымовых шашек или небольших генераторов TiCl<sub>4</sub>, подымаемых на верхушку передвижной сборной алюминиевой мачты высотой 18—24 м. Факел фотографируется кино-камерой; для каждого изучаемого источника газового выброса производится 240 наблюдений (в 10 точках местоположения, при 8 направлениях и 3 скоростях ветра).

Ю. Скорецкий



**29323. Правила открытого сжигания отходов.** Баньяс (Regulation and control of open burning. Banyas John L.), Public Health News, 1957, 38, № 7, 233—238 (англ.)

Программа мероприятий Контрольной комиссии штата Нью-Джерси (США) по борьбе с загрязнением атмосферы (ЗА). В мероприятия входит: а) контроль в области исследовательских работ по определению источников и опасности ЗА; б) надзор в плане учебных программ по контролю ЗА; в) прием и ведение жалоб по ЗА: назначение обследований и пр. Одним из объектов контроля является открытое сжигание на свалках мусора, отбросов, производственных отходов и макулатуры. Ю. Скорецкий

**29324. Эксперименты по образованию тумана в больших камерах.** Моррисс, Болз, Гудвин, Кинг (Smog experiments in large chambers. Morris Francis V., Bolze Galvin, Goodwin John T., Jr., King Frank), Industr. and Engng Chem., 1957, 49, № 8, 1249—1250 (англ.)

Экспериментальная установка состоит из двух стеклянных камер (К) объемом 60 м<sup>3</sup>, в которых на свету протекает р-ция: углеводороды + воздух + NO<sub>2</sub> → продукты окисления, тождественные по составу основным компонентам городского тумана. В результате исследований установлено, что начальная скорость р-ции возрастает с уменьшением содержания NO и увеличением NO<sub>2</sub>, что находится в соответствии с гипотезой о диссоциации NO<sub>2</sub> на NO и O<sub>2</sub> в начальной стадии фотохим. р-ций. Установлено также, что повышение концентрации углеводородов (3-метилпентан и 1-гексен) увеличивает как раздражительное действие тумана на человека, так и его окислительную способность. Описаны измерительные приборы, способы отбора проб и методы хим. анализа. Б. Сумм

**29325. К проблеме обессырения отходящих газов на фабрике вискозного волокна.** Грегор Каханяк (K problémú odsírenia odpadových plynov z továrni na viskózne vlákna. Gregor Mikuláš, Kachanák Stefan), Chem. průmysl, 1957, 7, № 10, 536—539 (словацк.)

**29326. Вопросы пылеулавливания в керамической промышленности.** Хирш (Porelháritás néhány kérdés a kerámiáiparban. Hirsch Lajos), Épitőanyag, 1957, 9, № 2, 53—56 (венг.)

Предложены мероприятия по уменьшению пыления в керамич. пром-сти, касающиеся изменения некоторых технологич. процессов (ведение пневмотранспорта, закрытое хранение материалов, механизация грузочно-разгрузочных операций и т. д.). Приведены схемы устройства местных отсосов и системы общеобменной вентиляции. С. Типольт

**29327. Критика состояния техники пылеулавливания.** Ланд, Ланл (A critique on the state of the art of dust and mist collection. Lunde K. E., Lapple C. E.), Chem. Engng Progr., 1957, 53, № 8, 385—391 (англ.)

Современные аппараты для улавливания взвешенных в газе твердых и жидких частиц разработаны 30—60 лет назад. За последние годы в конструкцию пылеулавливающих аппаратов (ПА) внесены существенные улучшения (применение циклонов малого диаметра; упрощение устройства скрубберов; применение синтетич. термостойких тканей для рукавных фильтров; усовершенствование агрегатов электрич. станции и т. д.). Несмотря на улучшения ПА не удовлетворяют возросшим требованиям защиты атмосферы от загрязнений по эффективности и по стоимости. Причиной неудовлетворительного состояния пылеулавливания авторы считают недостаточную разработку его теоретич. основ, что лишает возможности

должным образом рассчитывать мощность и эффективность ПА. Охарактеризован механизм процесса осаждения аэрозолей: инерционный, диффузионный, гравитационный, электростатич., термический. Библ. 17 назв. Ю. Скорецкий

**29328. Улавливание тонкой пыли кониметрическими приборами.** Рёбер (Mechanische Erfassung von Feinstaub mit konimetrischen Meßgeräten. Röber R.), Schweiz. Maschinenmarkt, 1957, 57, № 40, 105—108, 110—112 (нем.)

Обзор методов измерения запыленности газа кониметрами периодич. и непрерывного действия. Описана техника измерений для различных систем кониметров. Я. Дозорец

**29329. Техника измерения пылевых частиц в промышленной гигиене.** Фэрс (The technique of particle measurement in industrial hygiene. Fairs G. L.), Brit. J. Industr. Med., 1956, 13, № 4, 298—300 (англ.)

Описаны 3 основных метода определения размера пылевых частиц: микроскопич., седиментационный и при помощи отмучивания. Библ. 6 назв. Г. Заева

**29330. Высокочувствительные приборы для анализа атмосферного воздуха.** Роджерс (High sensitivity continuous instrumentation for atmospheric analyses. Rogers Lewis H.), Chem. Engng Progr., 1957, 53, № 8, 381—384 (англ.)

При непрерывном определении загрязнений атмосферы большое значение имеет чувствительность измерительных приборов, повышение которой достигается в зависимости от рода прибора, увеличением объема пробы, повышением давления, удлинением пути поглощения излучения и применением селективных реагентов. Приведены схемы и краткие описания современных самопишущих анализаторов атмосферы, в которых использованы указанные методы повышения чувствительности: двойного колориметра Остина для регистрации содержания в воздухе NO и SO<sub>2</sub>, ИК-анализатора конц-ии углеводородов, в котором проба воздуха сжимается до 12 атм и подогревается до 66°. Чувствительность последнего прибора (в частях на 1 млн.): по C<sub>2</sub>H<sub>2</sub> 0,0018, по C<sub>2</sub>H<sub>4</sub> 0,024, по остальным углеводородам 0,35—193. Ю. Скорецкий

**29331. Камеры окрашивания с водяным орошением.** Шрётер (Wasserherieselte Farbspritzkabinen. Schröter Hans), Maschinenmarkt, 1957, 63, № 81, 5—6 (нем.)

Применение водяного орошения в камерах для окрашивания деталей обеспечивает пожаробезопасность, уменьшает расходы на очистку помещений и улучшает улавливание пыли. Я. Дозорец

**29332. Проектирование распылительной камеры с нижней тягой.** Сент-Джон (Designing a down-draft spray booth. St. John Warren), Plant Engng, 1957, 11, № 7, 94—95 (англ.)

Краткое описание, эскизы, габариты и фотографии внешнего вида камеры (К), применяемой для окраски распылением относительно крупных деталей машин и аппаратов. Описаны удаление из К паров р-рителей красок и очистка от оставшегося пигмента, отсасываемого из К воздуха. Ю. Скорецкий

**29333. Определение степени пожаро- и взрывоопасности химических производств и нормы проектирования взрывоопасных цехов.** Николаев В. С., Хим. пром-сть, 1957, № 5, 302—306

Предлагается определять реальную опасность взрыва газовых смесей (Ф<sub>0</sub>) в производственных помещениях по сумме следующих факторов, выраженных в соизмеримых единицах и представляющих собой условные величины относительной взрывоопасности: от т-ры самовоспламенения в-ва (Ф<sub>1</sub>), т-ры кипения (Ф<sub>2</sub>),

т-ры вспышки ( $\Phi_3$ ), пределов взрывчатости газовой смеси ( $\Phi_4$ ) и плотности паров в-ва ( $\Phi_5$ ). Таким образом  $\Phi_0 = \Phi_1 + \Phi_2 + \Phi_3 + \Phi_4 + \Phi_5$ . Приведено сопоставление величин  $\Phi_0$ , вычисленных по этой ф-ле для 20 огнеопасных в-в. Показано, что нормы строительного проектирования цехов, в которых применяются эти в-ва, не удовлетворяют противопожарным требованиям, предъявляемым к этим в-вам, и нуждаются в пересмотре. М. Фишбейн

**29334. Образование воспламеняющихся газов в резервуарах для горячей воды.** Нилсен (Flammable gas formation in hot water storage tanks. Nielsen Louis S.), Plumb. and Heat. Business, 1956, 18, № 6, 94—96 (англ.)

Отмечается возможность образования (при наличии в воде сульфатов и сульфидов и при других условиях)  $H_2S$  и  $H_2$ ; указаны мероприятия для его предотвращения. М. Лапшин

**29335. Испытание алюминиевых панелей на огнестойкость.** Риккер, Манли (Aluminum panels pass fire tests. Ricker R. W., Manley C. R.), Ceramic Ind., 1957, 68, № 6, 95—97, 143 (англ.)

Панели из эмалированного алюминия  $2400 \times 300 \times 50$  мм, предназначены для облицовки потолков туннелей. Толщина металла 3,2 мм, толщина двуслойного эмалевого покрытия 0,1 мм. Панели нагревались одновременно в трех точках открытым пламенем газовых горелок со стороны эмалевого покрытия. Нагревание производили до  $650^\circ$  (6 мин. и 30 мин.) и до  $870^\circ$  (30 мин.). При нагревании до  $650^\circ$  изменений не было, при  $870^\circ$  наблюдался изгиб пластин. Повреждений эмалевого слоя не было. Т-ра плавления не достигалась из-за быстрого отвода тепла. Алюминиевые эмалированные панели можно использовать в качестве огнезащитных барьеров. М. Серебрякова

**29336. Сухие химические огнетушители в бумажной промышленности.** Шелдт (Dry chemical fire equipment in the paper industry. Scheldt Robert A.), Tappi, 1955, 38, № 8, 175A—177A (англ.)

Тушение пожаров на предприятиях целлюлозно-бумажной пром-сти сухими огнетушителями не приносит ущерба материалам и оборудованию в отличие от тушения только водой, при котором ущерб бывает весьма значительным. Рекомендовано комбинированное пожаротушение сухими огнетушителями и водой как наиболее экономичное. Приведены причины возникновения пожаров и меры их предупреждения на предприятиях целлюлозно-бумажной пром-сти. Е. Гурвич

**29337. Взрывные пределы смесей этилена с кислородом при различных давлениях и температурах.** Хунсман (Explosionsgrenzen von Äthylen-Sauerstoff-Mischungen bei verschiedenen Drucken und Temperaturen. Hunsman W.), Techn. Überwachung, 1957, 9, № 8, 228—230 (нем.)

Для определения конц-ий, давления и т-ры, при которых происходит окисление этилена (до окиси), исследованы тройные системы этилен — кислород — азот, представленные в виде диаграмм. Исследование проводилось при давл.  $6 \text{ кг/см}^2$  и т-рах от 50 до  $300^\circ$ . Установлено, что взрывные пределы увеличиваются с повышением т-ры и давления. Приведена схема эксперим. установок. М. Фишбейн

**29338. Новый защитный затвор для ацетиленовых установок.** Мюгге (Neues über Sicherheitsvorlagen bei Azetylenentwickeln. Mügge Fr.), Zbl. Arbeitsmed. und Arbeitsschutz, 1957, 7, № 10, 240—241 (нем.)

Описывается конструкция сухого защитного затвора, автоматически отключающего баллоны с ацетиленом или взрывоопасным газом, от системы, в которой возник взрыв или пожар. Испытания показали преимущества затвора перед применяемыми водяны-

ми «мокрыми» затворами, работа которых зависит от внимания обслуживающего персонала. Я. Дозорен

**29339. Взрыв аммиачного компрессора.** Зёльднер (Zerknall eines Ammoniak-Kompressors. Söldner), Molk- und Käser-Ztg, 1957, 8, № 41, 1447—1448 (нем.)

Описывается случай взрыва трехцилиндрового аммиачного компрессора производительностью 50 000 ккал/час, происшедший при промывке системы горячей щелочью в то время, когда компрессор не работал. Расследование причин взрыва показало, что кожух кривошипного механизма и цилиндров имел раковины. Причиной взрыва послужило повышение давл. оставшегося в системе аммиака, достигшее 33 атм при т-ре щелочи  $70^\circ$ . Я. Дозорен

**29340. Ионное кондиционирование.** Критцингер (Iono-Klimatisation. Kritzinger H.), Kälte, 1957, 10, № 9, 326, 328, 330 (нем.)

При кондиционировании воздуха регулируется его чистота, т-ра, влажность и иногда стерильность. Однако для полного приближения к состоянию атмосферного воздуха оборотный кондиционированный воздух нуждается в ионизации, что достигается созданием электрич. поля в установках для кондиционирования. Я. Дозорен

**29341. Устройство вытяжной вентиляции в гальванических и родственных им цехах.** Фишлок (Fume exhaustion in the plating and allied industries. Fishlock D. J.), Electroplating and Metal Finish, 1957, 10, № 6, 184—191 (англ.)

Освещаются вопросы применения новых материалов, в частности различных пластич. масс, для изготовления деталей вентиляционных установок в гальванич. цехах. И. Ерусалимчик

**29342. Контролирование концентрации смесей паров растворителей с воздухом с помощью инфракрасных анализаторов.** Симонсен, Крауч (Monitoring of solvent-air mixtures with infrared analyzers. Simonson D. R., Crouch H. W.), Industr. and Engng Chem., 1957, 49, № 10, 1741—1743 (англ.)

Описано устройство и принцип действия термохим. анализатора, работающего по принципу теплопроводности, и анализатора, измеряющего взрывчатость смеси паров р-рителей по их относительной плотности, а также типы некоторых ИК-газоанализаторов (ИГ). Указаны пути повышения чувствительности ИГ для получения показаний в границах предела взрываемости или токсичности паров одного или нескольких органич. р-рителей. Приведена таблица показаний ИГ при определении конц-ий смесей паров 9 р-рителей в воздухе, описана техника работы на ИГ. Библ. 9 назв. Т. Соловьева

**29343. Уничтожение бактерий при помощи перегретого пара.** Лю Го-цзе, Яосюэ тунбао, 1956, № 11, 495—500 (кит.)

**29344. Телевизионные установки для наблюдения за опасными процессами.** Штёвер (Fernseh-Anlagen zur Beobachtung gefährlicher Vorgänge. Stoewer Richard U.), Explosivstoffe, 1957, 5, № 4, 80—81 (нем.)

Описаны области применения промышленных телевизионных установок для наблюдения за опасными процессами, требования, предъявляемые к ним, а также устройство и особенности промышленных телевизионных установок фирмы Сименс. К. Никонова

**29345 К. Справочник по ядам.** Меллан, Меллан (Dictionary of poisons. Mellan Ibert, Mellan Eleanor. Philos. Libr., 1956, 150 pp. 4.75 doll.) (англ.)

**29346 К. К вопросу об исследовании силикоза.** Исследование реактивности организма в среде, насыщенной промышленной пылью. Бархад (Contri-



butii la studiul silicozei. Studiul reactivității organismului în mediul de muncă cu pulberi industriale. Barhad B. București, Ed. med., 1956, 227 p., il., 7,50 lei) (рум.)

23347 К. Техника безопасности в производстве азотной кислоты (Norme de tehnica securității la fabricarea acidului azotic. București, Ed. C. C. S., 1957, 52 p.) (рум.)

23348 К. Техника безопасности на предприятиях пищевой промышленности. Госёровский, Кубала, Сабатовский (Bezpieczeństwo pracy w zakładach przemysłu sodowego. Gąsiorowski Stanisław, Kubala Franciszek, Sabatowski Antoni. Warszawa, Państw. Wydawn. Techn., 1956, 113,3 nlb. s., il., 4,30 zł.) (польск.)

23349 К. Техника безопасности и пожарная охрана в химической промышленности. Ройзен И. С. Перев. с русск. (Bezpečnostní technika a požární ochrana v chemickém průmyslu. Rojzen I. S.), Z. ruš. Praha, Práce, 1955, 493, 2 s., 50 Kčs.) (чешск.)

23350 К. Справочник по технике безопасности в производстве растительных масел. Иванчев (Наръчник по технике на безопасността в растително-маслената индустрия. Иванчев Цветан Д. София, Наука и изкуство, 1957, 107 стр., ил., 5,50 лв.) (болг.)

23351 Д. Изменение верхних дыхательных путей под влиянием воздействия паров металлической ртуты и их профилактика у рабочих ртутного комбината. (Клинико-экспериментальное исследование). Шапаренко Б. А. Автореф. дисс. канд. мед. н., Сталинск. мед. ин-т, Сталино — Донбасс, 1957

23352 Д. Экспериментальные материалы к установлению предельно допустимой концентрации дихлорэтана в атмосферном воздухе. Борисова М. К. Автореф. дисс. канд. мед. н., Центр. ин-т усоверш. врачей, М., 1957

23353 Д. Профессиональные поражения органа зрения в условиях химического (анилино-красочного) производства. Тартаковская А. И. Автореф. дисс. канд. мед. н., 1-й Моск. мед. ин-т, М., 1957

23354 Д. Техника безопасности и противопожарная техника при транспорте и хранении нефти, нефтепродуктов и газа. (Учебн. пособие для техн. и ремесл. училищ). Изд. 2-е, переработ. и доп. Черняк И. Л., М., Гостоптехиздат, 1957, 243 стр., илл., 6 р. 40 к.

23355 П. Опыты по стабилизации антисептических водных растворов, содержащих двуокись хлора. Де-Гевара (Verfahren zur Stabilisierung von chlordioxydhaltigen, antiseptischen, wäßrigen Lösungen. De Guevara Moises L.) [Chemical Associates, Inc.]. Пат. ФРГ 961657, 11.04.57

Предлагается способ стабилизации антисептич. р-ров, содержащих двуокись хлора, путем добавления борных к-т и их солей, что способствует повышению дезинфицирующих свойств (фенольный коэф. таких р-ров в 3 и более раз выше, чем у 3%-ной йодной настойки) и уменьшению раздражающего действия р-ров. Рекомендуют следующее соотношение составных частей: тетраборат Na 15—30, хлорат K 1—10, борная к-та 15—30, перборат Na 3—10, минер. к-та 1—15, вода — до 1000 вес. ч. Антисептич. действие и стабильность р-ров могут быть повышены также путем добавления парааминобензойной, 4-амино-2-метилбензойной, 4-амино-3-пропилбензойной и др. к-т.

К. Никонова  
23356 П. Метод очистки сухих или влажных углеродсодержащих газов. Фер (Verfahren zur Reinigung von trockenen oder feuchten kohlenstofftragenden Gasen. Fehr Karl). Пат. ФРГ 950951, 18.10.56

Предлагается метод очистки дымовых газов от сажи, двуокиси серы, летучей золы и т. д. поглощением газов р-рами галлоидопродуктов углеводородов нефтяного происхождения в минер. маслах. Очистка производится в аппаратах, в которых обеспечивается достаточный контакт между р-ром и газом, создаваемый орошением, барботажем и др. методами растворения в-ва. Возможна непосредственная подача в газовый поток поглотителей в парообразном виде с дальнейшим охлаждением паро-газовой смеси и выделением содержащего поглотителя в жидком виде. Могут применяться также и другие органич. поглотители.

Я. Дозорец  
29357 П. Усовершенствование дыхательного аппарата (Improvements relating to breathing apparatus) [National Research Development Corp.]. Англ. пат. 733473, 13.07.55

Предложен автономный дыхательный аппарат (ДА) с замкнутым циклом вдыхаемого и выдыхаемого воздуха, предназначенный для работников противопожарной, горно- и газоспасательных служб. ДА отличается тем, что, кроме очистки от углекислоты и обогащения кислородом, выдыхаемый воздух подвергается в нем охлаждению до  $t_{\text{ры}} - 15^\circ$  и, соответственно этой  $t_{\text{ре}}$ , осушке. Такая обработка воздуха отнимает у носящего ДА, при умеренно напряженной работе,  $\sim 100$  ккал/час выделяемой его телом теплоты, что повышает его работоспособность. Охлажд. воздух омывает также лицо носящего ДА, предотвращая выделение пота. Приводится подробное описание ДА. Ю. Скорецкий

29358 П. Обработка дурнопахнущих газов двуокисью хлора. Вудуорд (Treatment of odor containing gases with chlorine dioxide. Woodward Eric R.) [Olin Mathieson Chemical Corp.]. Пат. США 2745714, 15.05.56

Способ дезодорации газов, выделяемых при переработке органич. в-в, заключается в тесном контактировании дурнопахнущих выхлопных и вентиляционных газов с потоком воды, при  $t_{\text{ре}} 32^\circ$ ,  $\text{pH} = 8-10$  и содержании в воде минимум 10 ч. на млн.  $\text{ClO}_2$ . Установка для дезодорации состоит из водяного бака, из которого вода поступает под давлением в водоструйные насосы, где происходит смешивание ее с обрабатываемыми газами.  $\text{ClO}_2$  получается при взаимодействии  $\text{NaClO}_2$  с  $\text{Cl}_2$  и также поступает в водоструйные насосы, где смешивается с газами и водой. Газовый поток после сепарации поступает с помощью вентилятора в каскадную водяную систему, куда также вводится  $\text{ClO}_2$ . Вода из системы возвращается в водяной бак, а обработанные газы удаляются в атмосферу.

Ю. Скорецкий  
29359 П. Незамерзающая огнегасящая жидкость. Граф (Frostsicheres Feuerlöschmittel. Graf Rupprecht) [Concordia Elektrizitäts-A.-G.]. Пат. ФРГ 965184, 6.06.57

Предложена незамерзающая огнегасящая жидкость, представляющая собой водн. эмульсию галлоидопродуктов углеводородов, в частности бромпроизводных, с добавкой к ним в качестве эмульгаторов производных целлюлозы, напр. гликолятцеллюлозы.

М. Финшбейн  
29360 П. Сухой порошок для тушения горящих легковоспламеняющихся и щелочных металлов. Шейхль (Trockenlöschpulver für Leichtmetall-, insbesondere Alkalimetall-Brände. Scheichl Ludwig) [Total K. G. Foerstner & Co.]. Пат. ФРГ 964745, 29.05.57

Предлагается состав порошка для тушения горящих щел. металлов, состоящий из тонкодисперсных и хорошо высушенных хлоридов щел. металлов или аммония с большим кол-вом формиатов, оксалатов и сукцинатов щел. металлов или аммония, способных выделять  $\text{CO}_2$ . Лучший результат дает применение

калиевых солей в кол-ве 15—30%. Средний размер частиц порошка 40 м.

Я. Дозорец  
29361 П. Сухой огнегасящий порошок. Рейсе (Trockenlöschpulver. Reiss Heinrich) [Total Kommanditgesellschaft Foerstner & Co.] Пат. ФРГ 962669, 25.04.57

Предлагается огнегасящий порошок, состоящий из 95%  $(\text{NH}_4)_2\text{SO}_4$  и 5% аморфного С. Огнегасительные свойства порошка обуславливаются разложением  $(\text{NH}_4)_2\text{SO}_4$  с образованием негорючей смеси газов (в %):  $\text{NH}_3$  25, пары  $\text{H}_2\text{O}$  13,  $\text{CO}_2$  15,  $\text{SO}_2$  47 — согласно р-ции  $4(\text{NH}_4)_2\text{SO}_4 + 3\text{C} = 4\text{NH}_3 + 3\text{CO}_2 + 2\text{H}_2\text{O} + 4\text{SO}_2$ .

Я. Дозорец  
29362 П. Звукоизоляционный состав. Кендалл, Голар (Sound deadening composition. Kendall Fred E., Golar Paul) [The E. F. Hauserman Co.] Пат. США 2756159, 24.07.56

Предложен звукоизоляционный состав (ЗС) для

огнестойких стальных панелей, применяемых в качестве стен, перегородок и потолков. ЗС пластичен, обладает хорошими адгезивными свойствами и наносится слоем толщиной 1,5—6 мм на внутренние поверхности двух смежных металлич. листов, образующих стену или перегородку (с последующей сушкой панелей). Исходными материалами для ЗС служат наполнители, жидкое стекло,  $\text{NaOH}$  и вода. Для сохранения высоких звукоизоляционных свойств содержание в ЗС связанной влаги после сушки должно составлять 20—35%, в отношении  $\text{SiO}_2/\text{Na}_2\text{O}$  1,3/1—2,3/1. Лучшим наполнителем является вермикулит, но пригодны также перлит, асбест, стеклянное волокно и шлаковая вата.

Ю. Скорепкин

См. также: Проблемы удаления радиоактивных отходов 29273, 29274. Пениный аппарат как пылеуловитель 29027

## ХИМИЧЕСКАЯ ТЕХНОЛОГИЯ. ХИМИЧЕСКИЕ ПРОДУКТЫ И ИХ ПРИМЕНЕНИЕ

### (Часть 2)

#### ХИМИКО-ТЕХНОЛОГИЧЕСКИЕ ВОПРОСЫ ЯДЕРНОЙ ТЕХНИКИ

Редакторы В. И. Елинек, В. Д. Матвеев

29363. Металлическое ядерное горючее. Фернандес-Челлини (Metales nucleares. Fernandez Cellini Ricardo), Dyna, 1957, 32, № 6, 370—379 (исп.)

29364. Ядерное горючее и его химическая обработка. Нацумэ, Кагаку, Chemistry (Japan), 1957, 12, № 7, 529—539 (японск.)

29365. Методы обработки топлива (для ядерных реакторов) и его загрузка. Кимура, Гэнсирёку когё, Nucl. Engng, 1957, 3, № 8, 43—47 (японск.)

29366. Установка с радиоактивным источником для изучения химических систем. Гибсон, Пирс (A radiation unit for the study of chemical systems. Gibson E. J., Pearce C. A. R.), Chemistry and Industry, 1957, № 20, 613—616 (англ.)

Приведены основные параметры и оборудование установки для изучения хим. процессов, протекающих под действием радиоактивного излучения. Зона облучения с радиоактивным источником  $\text{Co}^{60}$  мощностью ~100 кюри находится в оболочке, выложенной из бетонных блоков. Размеры зоны облучения  $1,2 \times 1,8 \times 2,1$  м. Установка снабжена приспособлениями для дистанционного безопасного управления и позволяет проводить облучение объектов — от маленьких образцов, заключенных в вакуированные трубки, до сложных систем, находящихся под давлением и при повышенной т-ре, в частности в автоклаве. Л. Херсонская

29367. Химия процесса выщелачивания урана в Южной Африке. Пинкни (The chemistry of the uranium process in South Africa. Pinkney E. T.), S. Afric. Industr. Chemist, 1956, 10, № 11, 264—272 (англ.)

Описан химизм процесса сернокислотного выщелачивания (В) У, широко применяемого в Южной Африке. Отмечена возможность В ряда руд без применения окислителей, а также рассмотрена схема «двойного выщелачивания» с использованием автоокислительных агентов. Приведены р-ции растворения компонентов руды, содержащей  $\text{MnO}_2$ , а также рассмотрено влияние вводимых в р-р добавок окиси Мп на окисление У и эффективность В. Отмечено влияние т-ры на эффек-

тивность В. Кратко описан процесс флоккуляции осадка и его фльтрации; дан типичный состав р-ра, получаемого при В руд. Рассмотрено влияние условий В на образование в-в, являющихся ядами для ионообменных смол. Отмечено, что регенерация  $\text{MnO}_2$  эффективно осуществляется на большинстве э-дов Южной Африки. Библ. 21 назв. Л. Херсонская

29368. Получение тетрафторидов урана и тория. Каччари, Фиццотти, Габальо, Де-Леоне (Production des tétrafluorures d'uranium et de thorium. Cacciari Alberto, Fizzotti Carlo, Gabaglio Mario, De Leone Ruggero), Energie nucl., 1957, 1, № 1, 11—16 (франц.)  
См. РЖХим, 1958, 5195.

В. Левин

29369. Испытания топливных элементов ядерных реакторов без их разрушения. Мак-Гоннагд, Мак-Лейн, Вуд (Applications of nondestructive testing to fuel elements for nuclear reactors. McGonnagle W. J., McLain Stuart, Wood E. C.), Nondestruct. Testing, 1957, 15, № 2, 86—90 (англ.)

Описаны различные методы испытания топливных элементов (ТЭ) ядерных реакторов без их разрушения. Распределение делящегося материала внутри ТЭ и толщину оболочки определяют при помощи автордиографии или рентгенографии. Методом изотерм. размораживания, который заключается в нагревании при помощи ВЧ-токов оболочки ТЭ, предварительно покрытой слоем аценафтена или дифенила, определяют дефекты в припое и оболочке. В местах, где делящееся в-во отстало от оболочки или имеются трещины в припое, органич. в-во плавится, указывая тем самым место дефекта. Применяют также краску, содержащую температурочувствительный люминесцентный материал, которой покрывают ТЭ. При нагревании оболочки дефектные места обнаруживаются по изменению люминесценции. Дефекты можно обнаружить также, пропуская через ТЭ ультразвуковой луч, сфокусированный спец. линзами, а также по изменению интенсивности звука и путем измерения местного электросопротивления. Герметичность оболочки и припоя проверяют, помещая покрытый маслом конец ТЭ в вакуумную камеру. Дефекты обнаруживают по появлению пузырьков газа. По другому методу ТЭ помещают в атмосферу Не под давл. 3,5 ат, а затем переносят в вакуумную камеру. При наличии дефектов Не выделяется из внутренних полостей ТЭ



и обнаруживается при помощи масс-спектрометра. Также помещают ТЭ в атмосферу He под давл. 30 ат и определяют места дефектов по вакуумной оболочке. Описаны коррозионные испытания водяным паром в автоклаве при 70 ат или водой, а также испытание в атмосфере  $H_2$  при 280—320° (при этом в местах дефектов ТЭ элемент разрушается вследствие образования гидроксида U).

В. Левин  
29370. Регенерация отработанного уранового ядерного горючего при помощи расплавленных фторидов. Байерс (Fused-fluoride processing of spent uranium fuel. Bayers Archie G.), Nucleonics, 1957, 15, № 6, 86—89 (англ.)

Исследован процесс очистки облученного U от продуктов деления и Pu посредством экстракции расплавленными  $UF_4$  и смесью  $UF_4$  с  $CaF_2$  и  $LiF$  из жидкого металла U. Экстракция производилась в атмосфере отщ. He в предварительно дегазированных графитовых тиглях. Экстракция Pu протекает по р-ции  $1/4 Pu + 1/4 UF_4 = 1/3 PuF_3 + 1/4 U$  (K-р-ция 4,8). Извлечение Pu составляло 95%. Три последовательными экстракциями смесью  $UF_4 + CaF_2 + LiF$  извлечено ~ 99% Pu. Исследовано влияние кол-ва  $UF_4$  и добавок  $CaF_2$  и  $LiF$  на экстракцию Pu. Продукты деления: Cs, Sr, Cs и редкие земли экстрагируются удовлетворительно (> 95%), Te и Ru — хуже. Извлечение Te происходит лучше в присутствии  $CaF_2$  и  $LiF$ . Библ. 4 назв.

В. Левин  
29371. Новые исследования в области разделения изотопов в промышленном масштабе. Виллани (Nuovi sviluppi della ricerca per la separazione degli isotopi su scala industriale. Villani S.), Energia nucl., 1957, 4, № 3, 187—195 (итал.)  
Обзор. Библ. 6 назв.

В. Матвеев

29372. Разделение и применение нерадиоактивных изотопов. I. Получение нерадиоактивных изотопов с помощью дистилляции. Креэль (Trennung und Anwendung stabiler Isotope. I. Mitt. Gewinnung stabiler Isotope als Destillationsproblem. Krell Erich), Chem. Technik, 1957, 9, № 6, 333—340 (нем.)

Отмечены ценные преимущества нерадиоактивных изотопов D,  $^{18}O$ ,  $^{13}C$  и  $^{37}Cl$  и указаны основные области их применения; описана техника разделения этих изотопов дистилляционным методом в лабор. и полупромышленных условиях.

Р. Артым

29373. Получение чистого безводного фтористого циркония. Декроли, Титта, Жерар (Préparation du fluorure de zirconium anhydre pur. Decroly C., Tittat D., Gérard J.), Energie nucl., 1957, 4, № 3, 155—160 (франц.)

Смешивают 95,5%-ный  $ZrO_2$  с  $NH_4F \cdot HF$ . Смесь нагревают 8 час. при 175—200° в расположенных одна над другой графитовых лодочках, помещенных в печь. Полученный  $(NH_4)_2ZrF_6$  разлагают в вакуумной печи при 500° на  $ZrF_4$  и  $NH_4F$ ; последний возгоняется и оседает на охлаждаемом водой конденсаторе, помещенном в верхней части печи. Процесс длится 8 час., давл.  $10^{-5}$ — $10^{-3}$  мм рт. ст.  $ZrF_4$  очищают возгонкой в вакууме при 700° и давл.  $1 \cdot 10^{-3}$ — $10^{-5}$  мм рт. ст. При этом смесь  $ZrO_2$  переходит в  $ZrOF_2$ , который не возгоняется. Выход  $ZrF_4$  95% от взятого  $ZrO_2$ . Внутренняя поверхность реакционных аппаратов выложена графитом, который очень стоек по отношению к  $ZrF_4$ .

Ю. Михайленко

29374. Графит для атомных реакторов. Фунасака. Кагаку, Chemistry (Japan), 1957, 12, № 7, 540—545 (японск.)

29375. Применение газообразного трехфтористого бора для контроля работы реактора. Коли (Using boron-trifluoride gas for reactor control. Cawley W. E.), Nucleonics, 1955, 13, № 8, 30—33 (англ.)

Описана простая система управления испытательного реактора Хэндфорд-305 с применением  $BF_3$  в качестве поглотителя нейтронов.  $BF_3$  помещен в управляющей трубке из Al диам. 9,5 мм, соединенной Al-трубкой с сильфоном. Изменение давления  $BF_3$  позволяет осуществить точную регулировку реактивности. При длительной работе с  $BF_3$  на более мощных реакторах (напр.,  $2 \cdot 10^{13}$  н/см<sup>2</sup> сек) становится заметным влияние р-ции:  $B^{10}F_3 + n^1 \rightarrow 3F + B^{11} \rightarrow (3F) + He^4 + Li^7$ , в результате которой давление в системе возрастает, но конц-ия  $B^{10}$  уменьшается; изменение последней легко контролируется посредством измерения числа нейтронов, прошедших через газ. Отработанный газ перед выпуском в атмосферу разлагается водой в сосудах из нержавеющей стали. В. Шацкий

29376 П. Способ извлечения и очистки урана и ванадия. Бейлс, Лонг (Uranium-vanadium recovery and purification process. Bailes Richard H., Long Ray S.) [United States of America as represented by the United States Atomic Energy Commission]. Пат. США 2756123, 24.07.56

Для раздельного выделения U и V из кислых р-ров, в частности фосфатных, используемых в производстве удобрений, р-р обрабатывают сильным окисляющим и комплексообразующим агентом ( $KMnO_4$ ,  $MnO_2$ ,  $H_2O_2$ ,  $NaClO_4$ ), переводя U и V соответственно в комплексные анионы уранил-фосфата и анионы 5-валентного V. Затем р-р контактируют с сильно основной (типа четвертичных аминов) анионитной смолой, сорбируя на ней анионы V, U и частично — фосфаты. Для удаления со смолы фосфатов ее обрабатывают р-ром  $Na_2SO_4$ . Затем адсорбированный на смоле V селективно восстанавливают до  $V^{4+}$  газообразным  $SO_2$  или р-ром  $FeSO_4$ . Десорбцию катиона  $V^{4+}$  производят водн. р-рами  $H_2SO_4$  и  $FeSO_4$ , этот процесс может осуществляться одновременно с восстановлением. Повышение т-ры до 60° увеличивает эффективность десорбции. Элюат представляет собой чистый р-р V. Чистый р-р U получают, десорбируя его со смолы, после V, разб. (< 3 н.) р-рами  $HCl$ ,  $NaCl$  или солянокислого амина. Во 2-м варианте фосфат-ионы десорбируют ~ 5 M  $NaCl$ , переводя одновременно уранил-фосфат в хлоридный комплекс, который затем десорбируют водой с получением чистого р-ра уранил-хлорида. После удаления U восстанавливают и десорбируют V. Так как насыщение смолы U происходит значительно быстрее, чем V, в практике возможно осуществление нескольких последовательных циклов адсорбции с десорбцией только одного U, пока смола полностью не насытится V. Адсорбция V на смоле и его десорбция могут быть осуществлены в серии колонок; при этом, если в первую из колонок подается для десорбции водн. р-р  $H_2SO_4$ , то в следующую за ней — р-р, вытекающий из 1-й колонки после его ресатурации  $SO_2$ .

Л. Херсонская

29377 П. Соединения урана и способы их применения. Спиглер (Uranium products and methods of using. Spiegler Louis) [United States of America as represented by the United States Atomic Energy Commission]. Пат. США 2759789, 21.08.56

Патентуют способ получения из  $UO_4$  растворимых перекисных соединений U. Кек, содержащий 56—67 вес.%.  $UO_4 \cdot 2H_2O$  и загрязненный ~ 0,6—0,9% F (в виде смешанного фторида Mg и U), обрабатывают при 60—90° 10—20-кратным по весу кол-вом водн. р-ра карбоната (бикарбоната или смеси карбоната с бикарбонатом) щел. металла или аммония. Растворение ведут при pH 7,6—10,8 (7,6—10,5). В частности, рекомендуется применение р-ра  $Na_2CO_3$  (pH 8,5—9,0; т-ра 65—75°), взятого в таком кол-ве, чтобы на каждый атом U приходилось 4—5 атомов Na. При раство-

рении  $UO_4 \cdot 2H_2O$  образуется смешанная соль типа  $UO_2(MCO_3)_x(OM)_{4-x}$  ( $M$  — любой щел. металл или  $NH_4$ ,  $x = 3-4$ ). Р-р этой соли отделяют фильтрованием или декантацией от нерастворимого осадка фторидов. Фильтрат подкисляют до pH 2—5 при 30—65°, вновь осаждают из р-ра  $UO_4 \cdot 2H_2O$ . Процесс получения описанной соли может применяться с целью очистки  $UO_4 \cdot 2H_2O$  от F-содержащих соединений, так как осадки содержат лишь 0,15—0,05% F. Л. Херсонская

29378 П. Получение двойных фторидов щелочного металла и циркония или гафния. Уэйнер (Preparation of alkali metal double fluorides of zirconium and hafnium. Wainer Eugene) [United States Atomic Energy Commission]. Пат. США 2743162, 24.04.56

Двойные фториды получают по р-ции между средним или основным сульфатом Zr или Hf (I), свободным от Fe, F-содержащим в-вом ( $CaF_2$  или фторсилкаты щел. металлов) (II), солью щел.-зем. металла ( $CaCO_3$ ) (III) и солью соответствующего щел. металла (сульфаты, карбонаты, фториды) (IV). При применении в качестве II  $CaF_2$  отпадает необходимость в добавках III; при введении фторсилкатов отпадает необходимость в добавках IV. При проведении р-ции мокрым путем I растворяют или суспенсируют в воде и к р-ру или суспенсию при перемешивании добавляют остальные тонкоизмельченные (—325 меш) компоненты р-ции, смесь выдерживают 1—3 часа при т-ре кипения. Если в качестве II применяют фторсилкат, I вначале кипятят с ним ~ 1 час, непрерывно перемешивая, и лишь затем прибавляют другие реагенты. После отделения сульфатного осадка из р-ра выкристаллизовывают двойной фторид. Все процессы проводят в слабоокисл. среде. При другом варианте сухую или пастообразную шихту, содержащую указанные в-ва, прокалывают в течение ~ 1 часа при 500—600°, после чего обрабатывают водой. Из р-ра выделяют конечный продукт. Реагенты, применяемые в этом случае, должны быть устойчивыми при т-рах до 600°. При любом варианте F-ион в реакционной смеси должен присутствовать в избытке. Л. Херсонская

29379 П. Способ получения очень чистого элементарного бора. Хар (Verfahren zur Herstellung von sehr reinem elementarem Bor. Haag Heinz) [Hermann C. Starck A.-G.]. Пат. ФРГ 957299, 31.01.57

Усовершенствован способ получения чистого В (РЖХим, 1956, 58653). Технич. В после хим. очистки помещают в виде свободной засыпки или небольших спрессованных таблеток в высоковакуумную печь. Рафинировку осуществляют при т-рах от 1350 до 2000° в вакууме <  $10^{-2}$  ( $10^{-4}$ ) мм рт. ст. После этого В дополнительно обрабатывают горячей чистой HF (к-та) при ~ 100°, промывают водой и сушат в вакууме. В зависимости от качества исходного продукта получают В 98—100%-ной чистоты. Л. Херсонская

29380 П. Способ производства карбида бора, содержащего алюминий, и изделий из этого материала. Лоу (Process of making boron carbide containing aluminum, and product thereof. Lowe Edwin C.) [Norton Co.]. Пат. США 2746133, 22.05.56

Предлагается материал на основе карбида В (I), который содержит ≤ 2%  $Al_2O_3$ , 2—5% Al (не считая Al в виде  $Al_2O_3$ ) и ≤ 1% примесей. К I, имеющему состав, средний между  $B_4C$  и  $B_5C_4$ , прибавляют 10—20% порошкообразного Al, содержащего ≤ 15%  $Al_2O_3$  и ≤ 1% примесей. Материал перемешивают и смесь в графитовой матрице помещают в печь сопротивления, выполненную по пат. США № 2123158. Поддерживая давление в матрице ~ 35 кг/см<sup>2</sup>, поднимают т-ру до 1800—1900°. Полученный твердый материал измельчают и подвергают мокрому размолу в течение 20—30 час. в шаровой мельнице до крупности ≤ 15 μ. При

этом из материала удаляется гидролизующийся карбид Al. Остаточный материал дополнительно промывают, сушат и анализируют на содержание Al. Если содержание Al превышает 2—5%, материал смешивают с I, свободным от Al; в противном случае — готовят по описанному выше способу материал, содержащий > 5% Al, и смешивают в определенном соотношении обе партии. Готовую смесь необходимого состава помещают в матрицу и при давл. ≥ 105 кг/см<sup>2</sup> нагревают до 1850—2325°. В полученных плотных изделиях Al распределен абсолютно равномерно, твердость изделия превышает 9 (по Моосу), а временное сопротивление 3010 кг/см<sup>2</sup>. Л. Херсонская

## ЭЛЕМЕНТЫ. ОКИСЛЫ.

### МИНЕРАЛЬНЫЕ КИСЛОТЫ. ОСНОВАНИЯ. СОЛИ

Редакторы В. И. Елинек, В. Д. Маргесс, Н. А. Шираева

### Серная кислота, сера и ее соединения

29381. Общее описание оборудования системы Петерсена для получения серной кислоты. Ояма Кэмикару энджинирингу, Chem. Engng, 1957, 2, № 4, 317—320 (японск.)

29382. Метод получения стопроцентного сернистого газа окислением пирита. Малин К. М., Бюл. прот. металлургии, 1957, № 18, 23—24

$SO_2$  получают окислением пирита с помощью  $Fe_2O_3$  (РЖХим, 1958, 8575). Дана схема установки производительностью 60 т/сутки. Окисление пирита проводят в реакторе в псевдоожиженном слое, создаваемом циркулирующей  $SO_2$ . По выходе из реактора  $SO_2$  проходит циклон и электрофильтр; затем часть его направляют на использование, а другую — возвращают в реактор. Огарок ( $Fe_2O_3$ ) из верхней части псевдоожиженного слоя по переточным трубам поступает в нижнюю (под решетку) конич. часть реактора — бункер-затвор. Далее огарок с помощью нагретого воздуха подается по пневмотранспортной трубе (где окисляется в  $Fe_2O_3$ ) в циклон, из которого возвращается в реактор. Газы из циклона проходят теплообменник, электрофильтр и выбрасываются в атмосферу. Часть огарка, соответствующая поступающему  $FeS_2$ , отводится из реактора или циклона. Г. Рабинович

29383. Исследование окисления сульфидных руд. 2. Обжиг сульфида цинка. Камэда, Эдзима (Kameda Mitsuo, Ejima Tatsuhiko), Нихон когё кайси, J. Mining Inst. Japan, 1955, 71, № 808, 23—28 (японск.; рез. англ.)

29384. Перспективы применения барботажа и метода кипящего слоя в контактном производстве серной кислоты. Кузьминых И. Н., Тр. совещания по металлургии цинка, 1954. М., Металлургиздат, 1956, 80—92

Рассмотрено: применение барботажного абсорбера для поглощения  $SO_2$ ; взамен абсорбера с 3 колпачковыми тарелками (РЖХим, 1956, 43736) предложен абсорбер с 2 ситчатыми тарелками «провального» типа, орошаемыми сверху, и с холодильниками-змеевиками, расположенными на тарелках (приведена схема). Характеризуется применение барботажных колонн для промывки и охлаждения обжиговых газов. Рассмотрено применение барботажа для охлаждения оборотных промывных к-т воздухом (с первоначальной отдувкой крепкого  $SO_2$ ). Приведен процесс окисления  $SO_2$  в псевдоожиженном слое. Даны предварительные результаты опытов по применению барботажного абсорбера для поглощения  $SO_2$  и контактированию  $SO_2$  в псевдоожиженном слое. Библ. 8 назв. Г. Рабинович



### 29385 П. Производство контактной серной кислоты.

Хорн, Японск. пат. 2662, 11.04.56  
За счет уменьшения коэф. окисления  $\text{SO}_2$  в  $\text{SO}_3$  повышают скорость прохождения  $\text{SO}_2$  через контактный аппарат, затем газ пропускают через башню для поглощения  $\text{SO}_3$ . Неокислившийся  $\text{SO}_2$ , содержащийся в газе, отходящем из поглотительной башни, поглощают в присутствии воды основными солями  $\text{Ca}$ ,  $\text{CaCO}_3$ ,  $\text{CaSO}_3$  и т. п. Полученный  $\text{Ca}(\text{HSO}_3)_2$  и  $\text{CaSO}_3$  вновь окисляют до гипса, кроме того  $\text{Ca}(\text{HSO}_3)_2$  и  $\text{CaSO}_3$  взаимодействуют между собой в присутствии воды с образованием гипса и свободной  $\text{S}$ . Таким образом, за счет кажущегося уменьшения коэф. использования сырья в результате уменьшения коэф. превращения  $\text{SO}_2$  в  $\text{SO}_3$  на первом этапе произ-ва и за счет увеличения концентрации  $\text{H}_2\text{SO}_4$  в отходящих газах резко сокращаются потери сырья и увеличивается выход  $\text{H}_2\text{SO}_4$ .

В. Зломанов

### 29386 П. Стабилизация растворов надсерной кислоты.

Гринспан, Мак-Келлар (Stabilisierung von Peroxymonschwefelsäurelösungen. Greenspan Frank Philip, Mac Kellar Donald Gordon) [Food Machinery and Chemical Corporation]. Пат. ФРГ 958290, 14.02.57

Стабилизация р-ров надсерной к-ты различной концентрации (напр. 10—43%) осуществляется прибавлением к ней дипиколиновой к-ты (I) в кол-ве 0,0005—0,1% (0,025—0,075%) или растворимых солей I.

Л. Херсонская

См. также: Получение серы при переработке нефти 30169

### Азотная промышленность

### 29387. Фиксация атмосферного азота с помощью электрических разрядов.

Агладзе Р. И., Бабицкий Г. Б., Тр. Ин-та металла и горн. дела. АН ГрузССР, 1957, 8, 223—250

### 29388. О материальном расчете предкатализа в производстве аммиака.

Бондарь А. Г., Миргородский В. Т., Изв. Киевск. политех. ин-та, 1957, 20, 174—185

### 29389. Синтез аммиака.

Ким Ен Хо, Тэхак синмун, 1956, 3 июля, № 9, 3 (кор.)

### 29390. Применение кинетики синтеза аммиака в технологических расчетах.

Темкин М. И., Хим. наука и пром-сть, 1957, 2, № 2, 219—223  
Проведено интегрирование ур-ния кинетики р-ции синтеза  $\text{NH}_3$  в проточной системе. Предложена приближенная ф-ла для облегчения вычислений. Постоянная  $k$  (характеризующая активность катализатора) вычисленная из данных заводской практики для начального периода работы катализатора, несколько меньше величины  $k$ , полученной в лабор. опытах; это объясняется диффузионным торможением процесса в заводских условиях и приближенным характером расчета. Зная величину  $k$ , можно найти содержание  $\text{NH}_3$  на выходе из колонны синтеза при изменении условий работы. Библ. 15 назв.

Г. Рабинович

### 29391. О влиянии промоторов на удельную активность железных катализаторов синтеза аммиака.

Кузнецов Л. Д., Лачинов С. С., Хим. наука и пром-сть, 1957, 2, № 2, 269—270

Проведено испытание активности 4-х образцов катализаторов на проточно-циркуляционной установке при загрузке по 2 мл катализатора зернением 1,0—1,5 мм (вес 1 мл восстановленного катализатора 2 г). Опыты проводились при 450°, давл. 300 ат, объемной скорости 7500—60 000. Образцы катализатора после определения активности были запассивированы в токе азота с 0,3%  $\text{O}_2$  и определена их поверхность. Исследования показывают различную уд. активность у об-

разцов катализатора различного исходного хим. состава.

Н. Ширяева

### 29392. Синтез синильной кислоты с псевдооживленным катализатором.

Накагава, Кагаку когё, 1956, 7, № 9, 29—33 (японск.)

### 29393. Синтез синильной кислоты из природного газа.

Сасаки, Кагаку когё, 1956, 7, прилож. № 1, 160—167 (японск.)

Обзор. Библ. 26 назв.

В. Матвеев

### 29394 П. Получение синильной кислоты из цинистого кальция.

Ямакава, Таку, Ядзу [Ибигава дэнки когё кабусики кайся]. Японск. пат. 4029, 14.06.55 [Chem. Abstrs, 1957, 51, № 18, 14216 (англ.)]

1 ч.  $\text{Ca}(\text{CN})_2$  растворяют в 5 ч. воды и отфильтровывают твердый остаток. К р-ру добавляют 0,82 ч. 50%-ной  $\text{H}_2\text{SO}_4$  (до pH 3,0) и дистиллируют HCN. Выход 98%.

Г. Рабинович

### Содовая промышленность

### 29395. Содовая промышленность и сырая [поваренная] соль.

Уэмура (Uemura Shiro), Кагаку то когё, Chem. and Chem. Ind., 1957, 10, № 9, 480—484 (японск.)

### 29396. Об установке компании Мицубиси для регенерации соды.

Иосинага, Сэйси когю, J. Paper Mills Ind., 1957, 6, № 3, 55—58 (японск.)

### 29397 С. Натрий двууглекислый технический (Uhlisitan sodný kyselý technický).

Чехосл. стандарт, CSN № 653112: 1957 (чешск.)

### 29398 С. Сода для производства поташа (Soda potašárenska).

Чехосл. стандарт CSN № 653114: 1957 (чешск.)

### Остальные элементы, окислы, минеральные кислоты, основания, соли

### 29399. Обзор производства солей в Европе и США.

Мицун, Нихон сию-гаккайси, Bull. Soc. Salt Sci. Japan, 1957, 11, № 2, 73—74 (японск.)

### 29400. Изучение процесса выщелачивания бардяной золы.

Кузнецова Т. И., Павлова К. Л., Тр. Гос. н.-и. ин-та хим. пром-сти, 1956, вып. 4, 61—68

Бардяная зола содержит 40—50%  $\text{K}_2\text{CO}_3$ , поэтому она служит сырьем для получения поташа. Процесс выщелачивания является перво-<sup>в</sup> стадией переработки бардяной золы. Выщелачивание проводят в стальных цилиндрич. аппаратах с механич. перемешиванием при 70—80° в течение 3 час. Емкость аппарата ~15 м<sup>3</sup>. Кол-во воды по отношению к золе составляет 3:1. Зола не должна содержать частиц размером более 25—40 мкм. Во время заводских испытаний переработано 200 т золы.

Н. Ширяева

### 29401. Некоторые вопросы технологического режима карбидной печи.

Солюс С. Г., Хим. пром-сть, 1957, № 6, 371—373

### 29402. Контроль качества карбида кальция.

Огуро, Хэйдзюнка, Standardization, 1957, 10, № 7, 482—487 (японск.)

### 29403. Разделение различных элементов и галлия.

И. Разделение галлия и железа анионообменной смолой в растворе соляной кислоты. Аояги, Нагоя когё гидзюцу сикэнсё хококу, Repts Govt Industr. Res. Inst., Nagoya, 1956, 5, № 1, 28—31, 3 (японск.; реза. англ.)

### 29404. Номограмма для определения плотности разбавленных водных растворов фосфорной кислоты.

Дейвис (Nomograph for density of dilute aqueous phosphoric acids. Davis D. S.), Brit. Chem. Engng, 1957, 2, № 2, 94 (англ.)

29405. Сырая аммиачная вода как растворитель сульфидных минералов сурьмы и мышьяка. Агладзе Р. И., Гаприндашвили В. Н., Мзареулишвили Н. В., Тр. Ин-та металла и горн. дела. АН ГрузССР, 1957, 8, 141—146

29406. Определение упругости сернистого ангидрида при взаимодействии сульфида и оксида сурьмы. Плетнев Н. Ф., Смирнов В. И., Тр. Уральского политехн. ин-та, 1957, сб. 58, 153—158

Описан статич. метод приближенного определения равновесия при р-ции летучих в-в. Определены равновесные упругости  $P_{SO_2}$  при р-ции  $Sb_2O_3$  с  $Sb_2S_3$ . При стехиометрич. соотношении реагентов и т-рах 800—1100° зависимость  $P_{SO_2}$  от т-ры выражается ур-нием  $\lg P_{SO_2, ат} = -9233,6/T + 6,8791$ . При нестехиометрич. соотношении реагентов  $P_{SO_2}$  несколько меньше, чем при стехиометрическом.

Г. Рабинович

29407. Карбонизация щелочно-сульфидных растворов сурьмы. Агладзе Р. И., Гаприндашвили В. Н., Басманова С. Н. Тр. Ин-та металла и горн. дела. АН ГрузССР, 1957, 8, 147—153

29408. Использование щелочно-сульфидных растворов сурьмы, полученных выщелачиванием сурьмяной руды раствором сернистого натрия. Агладзе Р. И., Ярославская М. А., Гаприндашвили В. Н. Тр. ин-та металла и горн. дела. АН ГрузССР, 1957, 8, 117—126

29409 С. Гидрофосфат натрия (Fosforečnan sodný střední sušený). Чехосл. стандарт, CSN № 684638: 1957 (чешск.)

Стандарт на  $Na_2HPO_4$ , «чистый».

В. Матвеев

29410 С. Тиосульфат натрия безводный для типографии. (Thiosíran sodný sušený pro fotografii). Чехосл. стандарт, CSN № 653119: 1956 (чешск.)

стандарт на  $Na_2S_2O_3$  для черно-белой фотографии.

В. Матвеев

29411 С. Натрий уксуснокислый технический  $[CH_3COONa \cdot 3H_2O]$  (Octan sodný technický). Чехосл. стандарт, CSN № 653139: 1957 (чешск.)

29412 С. Поташ кальцинированный технический (Potas kalcinovaný technický). Чехосл. стандарт, CSN № 652577: 1957 (чешск.)

29413 С. Калий двууглекислый технический (Uhlíčan draselný kuselý technický). Чехосл. стандарт, CSN № 652521: 1957 (чешск.)

29414 С. Медь азотнокислая (Dusičnan mědný). Чехосл. стандарт, CSN № 684432: 1957 (чешск.)

Стандарт на  $Cu(NO_3)_2 \cdot 3H_2O$  «чистую» и «чистую для анализа».

В. Елинек

29415 С. Аммоний роданистый (Rhodanid amonný krystalický). Чехосл. стандарт, CSN № 686620: 1957 (чешск.)

Стандарт на  $NH_4CNS$ , «чистый» и «чистый для анализа».

29416 С. Цинк уксуснокислый (Octan zinečnatý). Чехосл. стандарт, CSN № 684432: 1957 (чешск.)

Стандарт на  $Zn(CH_3COO)_2 \cdot 2H_2O$  «чистый» и «чистый для анализа».

В. Елинек

29417 С. Барий кремнефтористый (Fluorokřemičitan barnatý). Чехосл. стандарт, CSN № 684576: 1957 (чешск.)

Стандарт на  $BaSiF_6$  «чистый» и «чистый» для анализа.

В. Матвеев

29418 С. Кислота борная (Kyselina boritá). Чехосл. стандарт, CSN № 685008, 1957 (чешск.)

Стандарт на  $H_3BO_3$  «чистую» и «чистую для анализа».

В. Елинек

29419 С. Окись алюминия для хроматографии (Kyslíčník hlinitý pro chromatografii). Чехосл. стандарт, CSN № 685131: 1957 (чешск.)

29420 С. Гидроокись висмута (Hydroxyd vizmutitý). Чехосл. стандарт, CSN № 684733: 1957 (чешск.)

Стандарт на  $BiO(OH)$ , «чистый» и «чистый для анализа».

В. Матвеев

29421 С. Висмут углекислый основной (Uhlíčan vizmutitý zásaditý). Чехосл. стандарт, CSN № 685583: 1957 (чешск.)

Стандарт на  $2[(BiO)_2CO_3] \cdot H_2O$ , «чистый» и «чистый для анализа».

В. Матвеев

29422 С. Висмут сернокислый основной (Síran vizmutitý zásaditý). Чехосл. стандарт, CSN № 685416: 1957 (чешск.)

Стандарт на  $(BiO)_2SO_4$ , «чистый» и «чистый для анализа».

В. Матвеев

29423 С. Висмут хлористый (Chlorid vizmutitý). Чехосл. стандарт, CSN № 684820: 1957 (чешск.)

Стандарт на  $BiCl_3$  «чистый» и «чистый для анализа».

В. Елинек

29424 С. Хлорокись висмутита (Oxychlorid vizmutitý). Чехосл. стандарт, CSN № 685218: 1957 (чешск.)

Стандарт на  $BiOCl$ , «чистый» и «чистый для анализа».

В. Матвеев

29425 П. Очистка перекиси водорода. Пьеротти, Килер, Эванс, Винсент (Purification of hydrogen peroxide. Pierotti Gino J., Keeler William R., Evans Roy J., Vincent Robert E.) [Shell Development Co.]. Пат. США, 2749291, 05.06.56

Предложен непрерывный метод очистки воды. р-р  $H_2O_2$ , полученных при частичном окислении низших вторичных алифатич. спиртов (НАС). Эти р-ры содержат: НАС, в частности изопропиловый спирт (~40—90 вес. %), соответствующие низшие алифатич. карбонильные соединения (НАКС), в частности ацетон, и органич. перекисные продукты (от 1% от веса  $H_2O_2$  до кол-ва, равного кол-ву  $H_2O_2$ ) различной летучести и устойчивости. Исходный р-р (1—12 и до 20 вес. %  $H_2O_2$ ) подвергают фракционированной дистилляции в 1-й дистилляционной зоне (ДЗ), получая при этом в дистилляте (Д) водн. р-р НАС и НАКС и в кубовом остатке (КО) — 20—35%-ный водн. р-р  $H_2O_2$  с 2—40% органич. примесей (ОП). Дистилляция ведет при давл. 200—700 мм рт. ст. и т-ре в кубе ~95—105°. КО подвергается частичному испарению в 1-й испарительной зоне (ИЗ) при давл. 100—250 мм рт. ст. Остаток после испарения содержит 50—65 вес. %  $H_2O_2$ . Пары из ИЗ ( $H_2O$ ,  $H_2O_2$  и относительно летучие ОП) ректифицируют во 2-й ДЗ. Здесь в Д уходит  $H_2O$  и летучие ОП. Часть Д может возвращаться обратно в ИЗ КО 2-й ДЗ содержит водн. р-р  $H_2O_2$  с менее летучими ОП. Ректификационная система 2-й ДЗ эквивалентна 2—7 теоретич. тарелкам; флегмовое число 0,05—0,20. Разрежение во 2-й ДЗ обычно такое же, как и в ИЗ. КО из 2-й ДЗ подается в 1-ю десорбционную зону, где противотоком пропускается водяной пар (давл. 300—600 мм рт. ст.). Кол-во последнего обычно соответствует 50—100% от кол-ва входящего р-ра. Остатки ОП удаляются вместе с водяным паром без заметных потерь  $H_2O_2$ . Получаемый здесь водн. р-р  $H_2O_2$  практически свободен от примесей. Пары, выходящие из 1-й десорбционной зоны, подаются во 2-ю десорбционную зону противотоком к подаваемому туда же жидкому остатку из 1-й ИЗ. (Пары 1-й десорбционной зоны могут возвращаться частично или полностью в 1-ю ИЗ). Из 2-й десорбционной зоны пары ( $H_2O$ ,  $H_2O_2$ , летучие ОП) возвращаются в 1-ю ИЗ, а водн. р-р нелетучих ОП выводится из цикла. Чистый р-р  $H_2O_2$ , поступающий из 1-й десорбционной зоны, частично испаряется во 2-й ИЗ. Жидкость из 2-й ИЗ (65—80%-ная  $H_2O_2$ ) возвращается для очистки в 1-ю ИЗ. (Этот р-р или часть его может подаваться во 2-ю десорбционную зону). Пары из 2-й



ИЗ поступают в 3-ю ДЗ. Здесь при ректификации в кубовом остатке получается чистая 80—95%-ная  $H_2O_2$ . Легкая фракция 3-й ДЗ — водяные пары. При получении 30—50%-ной  $H_2O_2$  2-я ИЗ и 3-я ДЗ исключаются. Режим испарения и ректификации в ИЗ и 2-й ДЗ выбирается таким, чтобы кубовый остаток из ДЗ имел концентрацию  $H_2O_2$  на 5—30% выше, чем требуется получить в конечном продукте. Десорбция в 1-й десорбционной зоне осуществляется дистил. водой (15—50 вес. % от кол-ва р-ра, входящего в десорбционную зону), подаваемой в верхнюю часть десорбционной зоны, и водяным паром, поступающим в нижнюю часть. Готовый продукт получают из 1-й десорбционной зоны. В упрощенной схеме готовый продукт (50—65%-ная  $H_2O_2$ ) выводится непосредственно из ИЗ в виде жидкой кубовой фракции. Такая неполностью очищ.  $H_2O_2$  пригодна для целей промышленного синтеза. Схема включает только одну десорбционную зону, из которой выходит чистый р-р  $H_2O_2$ . Пары из десорбционной зоны поступают непосредственно в ИЗ. Л. Херсонская

**29426 П. Способ получения соединения пербората, отщепляющего при растворении кислород.** Бретшнейдер (Verfahren zur Herstellung einer beim Lösen gasförmigen Sauerstoff absaltenden Perborax-Verbindung. Bretschneider Günther) [Deutsche Gold- und Silber-Scheideanstalt vormals Roessler]. Пат. ФРГ 958737, 21.02.57

Перборат получают упариванием водн. р-ров  $Na_2B_4O_7$  и  $H_2O_2$ , после чего продукт таблетуют прессованием. При нагревании таблеток пербората в интервале 50—180° (напр., 5 час. при 60° или 0,5 часа при 100—110°) образуются соединения типа  $[a(Na_2B_4O_7) \cdot xH_2O + b(Na_2B_4O_7) \cdot O_4 + c(Na_2B_4O_7) + d(H_2O_2)]$ , где  $a, b, c, d, x$  — являются переменными коэф. Нагревание рекомендуется вести при пониженном давлении, предпочтительно < 50 мм рт. ст., в токе инертного газа, напр. нагретого сырого воздуха. Кол-во активного кислорода, выделяющегося при растворении таких соединений, зависит от т-ры и продолжительности нагревания. Л. Херсонская

**29427 П. Фторированные пирофосфаты щелочных и щелочно-земельных металлов и способ их получения.** Моссе (Fluorinated dialkali-alkaline earth pyrophosphates and method of producing same. Moss Henry V.) [Monsanto Chemical Co.]. Пат. США 2749278, 5.06.56

Новый очищающий и полирующий F-содержащий состав, является основой для приготовления зубного порошка или пасты, представляет собой фторированный пирофосфат щел., щел.-зем. металлов (I). Кол-во I в составе зубного порошка 90—99%; зубная паста состоит из 40—60% I, глицерина, воды и других в-в. Предлагаемый I является слаборастворимой комплексной солью, в которой равномерно распределен F. Получают I, смешивая при 85—95° в воде растворимый фторид щел. металла ( $NaF$ ,  $KF$ ,  $NH_4F$ ), пирофосфат щел. металла и растворимую соль щел.-зем. металла (хлориды, лактаты, ацетаты Ca или Mg). Полученную суспензию фильтруют; осадок отмывают от щел. солей и сушат при 85°. Рекомендуются фторированные:  $Na_2$ -Ca-пирофосфат (исходные продукты:  $NaF$ ,  $Na_4P_2O_7$ , соль Ca),  $K_2$ -Ca-пирофосфат (исходные продукты:  $KF$ ,  $K_4P_2O_7$  и соль Ca),  $Na_2$ -Mg-пирофосфат и  $K_2$ -Mg-пирофосфат. Исходные реагенты, в частности фториды, берут в таком кол-ве, чтобы содержание химически связанного F в I составляло ~1—5 вес. % (2—3,5). При получении  $Na_2$ -Ca-пирофосфата рекомендуется такое соотношение реагирующих в-в, чтобы готовый продукт содержал 2,9 вес. % F. Соль Ca берется в 0—200%-ном (10—20) избытке от теоретически необходимого для получения I. Л. Херсонская

**29428 П. Способ получения карбида кальция в шахтной печи.** (Procédé de préparation de carbure de calcium dans un four à cuve) [Stamicarbon N. V.]. Франц. пат. 1114493, 12.04.56

Сжигают кокс в нижней части шахтной печи, применяя кислородное дутье. При этом т-ра зоны сгорания поднимается до 2200—3000°. В верхнюю часть печи загружают смесь  $CaO$  и угля, из которой в зоне сгорания получают  $CaC_2$ . Кол-во взятого  $CaO$  должно быть в избытке против необходимого для р-ции  $CaO + 3C \rightarrow CaC_2 + CO$ . Расплав  $CaC_2$  выводит из нижней части печи. Приведена схема печи. Ю. Михайленко

**29429 П. Способ получения галогенидов алюминия.** Джонсон (Method of making aluminum halides. Johnson Clare Peter, Jr.). Пат. США 2750257, 12.06.56

Смесь тонкоизмельченных, безводн. (не содержащих  $SiO_2$ )  $AlF_3$  и хлорида щел. зем. металла (Mg или Ca) нагревают до т-ры, превышающей т-ру испарения  $AlCl_3$ , (800—1000°). Образующиеся при этом пары  $AlCl_3$  конденсируют, получая чистый не содержащий F продукт. Вместо хлоридов Mg и Ca могут быть взяты йодиды или бромиды; при этом получают соответствующие галогениды Al. Способ прост и позволяет получать из обычного сырья продукты высокой чистоты с хорошим выходом. Л. Херсонская

**29430 П. Разливка высокотитанистого шлака.** Хатч (Casting of titanium slag concentrate. Hatch Gerald G.) [Quebec Iron and Titanium Corp.]. Пат. США 2749667, 12.06.56

При медленном охлаждении (O) высокотитанистого шлака (Ш), полученного при восстановлении ильменита и содержащего ~60% окислов Ti (в пересчете на  $TiO_2$ ) и ~2—20% окислов Fe (в пересчете на Fe), часть Ti переходит в плохо растворимую рутильную форму. Быстрое O ведет к образованию мелких кристаллов  $FeTiO_3$ , также неполностью растворяющихся в  $H_2SO_4$ . Предлагается способ разливки, ведущий к получению легко вскрываемого к-той шлака. При т-ре  $\geq 1500^\circ$  Ш выливают в изложницу (И), вмещающую ~1 т Ш, и вместе с И охлаждают до полного затвердевания. Защита от окружающей атмосферы при O осуществляется стенками И или брызгами охлаждающей воды. Затвердевшую массу удаляют из И и охлаждают до нормальной т-ры, поддерживая т-ру поверхности Ш ~ 300°, в течение времени, достаточного для O внутренней части массы Ш до т-ры поверхности Ш  $\leq 300^\circ$ . Затвердевшая масса перед O может быть разбита на отдельные куски: O производится за счет радиации, либо с помощью разбрызгиваемой воды. В другом варианте расплавленный Ш выдерживают в И до образования на его поверхности прочной корки, после чего Ш удаляют из И и охлаждают брызгами воды (либо погружают в воду), соблюдая вышеописанный режим. Таким образом может производиться разливка и O многотонных (напр. 4- или 6-тонных) порций шлака. Л. Херсонская

**29431 П. Экстрагирование германия.** Камада, Мураи, Котак, Накагава, Кубо [Мицубиси киндзюку когё кабусики кайся]. Японск. пат. 2956, 20.04.56

Отработанный электролит после электролитич. рафинирования Zn и содержащий Ge (незначительное кол-во) обрабатывают в присутствии  $H_2SO_4$  кислыми р-рами, затем экстрагируют из них Ge. Метод может быть применен также для экстрагирования Ge из различных шламов с высоким выходом Ge и экономически эффективен. Пример. В экстрактор емк. 250 л, футерованный изнутри Pb и оборудованный мешалкой, помещают 54 кг полученного после электролитич. рафинирования Zn электролита состава (в %): Fe 2,76, As 4,62, Sb 0,25, Zn 22,34, Ca 13,51 Ge 0,013 и 150 л водн.

р-ра 1 н.  $H_2SO_4$ . Т-ра р-ра 70°. Через р-р при перемешивании в течение 2 час. при 70° пропускают  $SO_2$  и экстрагируют Ge. Выход Ge в р-р 6,52 г или 93%. рН р-ра после экстрагирования 2,5. Выход в р-р других компонентов из электролита 48%. Затем к экстракту добавляют  $H_2SO_4$ , доводят рН до 2 и добавляют дубильную к-ту, из расчета 50 вес. ч. дубильной к-ты на 1 ч. содержащегося в экстракте Ge, и осаждают Ge. Чистота осажжденного Ge 98%. К осадку добавляют  $HCl$  (к-та), р-р дистиллируют и получают  $GeCl_4$ , который подвергают гидролизу, фильтруют, сушат и прокаливают. Получают 5,88 г  $GeO_2$  или 84% от общего содержания его в отработанном электролите.

В. Зломанов  
29432 П. Концентрирование фосфатных руд. Хоустон, Бретт (Concentration of phosphate ores. Houston Wesley M., Brethitt Harvie W., Jr.) [Minerals & Chemicals Corp. of America]. Пат. США 2744625, 8.05.56

Фосфатную руду обрабатывают анионоактивными реагентами ( $NaOH$ , жирные к-ты, дизельное топливо), суспендируют в воде и подвергают пенной флотации. С пеной извлекается грубый фосфатный концентрат (ФК), содержащий часть силикатной породы. Силикатный осадок из флотационных машин идет в отходы. Во 2-й стадии обработки грубый ФК, суспендированный в кислом водн. р-ре (обычно сернокислотном с рН ~3) флотируют вторично. В пену при этом извлекается богатый ФК с низким (~4%) содержанием нерастворимого в-ва, который присоединяется к готовому продукту. Осадок в машинах представляет собой богатый фосфатом (Ф) промежуточный ФК. Этот материал на 3-й стадии обработки сушат (~110°) и при ~100° подвергают электростатич. сепарации (ЭС), получая богатый Ф готовый продукт и отходы силикатной породы. По 2-му варианту процесса ведется 2-стадийная ЭС. На 1-й стадии получают грубый концентрат и отходы, которые в свою очередь, вторично подвергаются ЭС. Из грубого концентрата выделяют готовый продукт и промежуточную фракцию; из отходов — также промежуточную фракцию и идущую в отвал силикатную породу. Обе промежуточные фракции возвращаются в цикл первичной ЭС. Метод позволяет при снижении затрат на оборудование и упрощение процесса получить богатый ФК с высоким извлечением в него Ф из руды.

Л. Херсонская  
29433 П. Способ получения порошков металлов восстановлением в псевдоожигенном слое. Драно, Холстед (Process of preparing metal powders by a fluo-solid reduction process. Drapeau Joseph E., Jr., Halsted Richard J.) [The Glidden Co.]. Пат. США 2758021, 7.08.56

Восстанавливаемые окислы (О) металлов (М), в частности Fe или Cu, тонко измельчают и в длинной вертикальной камере приводят в состояние псевдоожигенного слоя (ПС) с помощью потока газа — восстановителя (напр.,  $H_2$ ). О нагревают в ПС до т-ры, ниже точки плавления соответствующего М, благодаря чему М выделяется в порошкообразной форме. Нарушение состояния ПС, вызванное появлением восстановленного М, предотвращается добавкой в среднем ~1% тонкоизмельченного жароупорного материала (костяная зола, графит,  $CaF_2$ ,  $NaF$ ,  $MgO$  и т. п.), образующего пленку на поверхности металлическ. частиц. При получении смешанных порошков (П) сплавов к О Fe добавляют, в частности, 10 вес.%  $ZnO$  и  $SnO$ , которые одновременно предотвращают нарушение ПС. Кол-во О должно быть таким, чтобы в восстанавливаемой массе их конц-ия все время была  $\geq 1\%$  (от веса О Fe). Рекомендуется вводить О Zn и Sn перед началом процесса восстановления. В случае получения П Fe-Zn восстановление должны проводить при

540—650°. При получении П Fe-Sn вначале восстанавливают Fe при 540—650°, а затем Sn при 650—700°. Восстановленную массу удаляют из реакционной камеры, охлаждают, после чего от металлч. П отделим невосстановленные О Sn или Zn. Продукт практически не содержит О Fe. Аналогичным образом могут быть получены порошкообразные сплавы Cu с Zn и Sn.

Л. Херсонская

## УДОБРЕНИЯ

Редактор И. Л. Гофман

29434. Нитрат аммония и удобрения на его основе. Гринслейд (Ammonium nitrate and related fertilizers. Greenslade L. S.), Brit. Chem. Engng. 1957, 2, № 12, 664—666 (англ.)

Дан историч. обзор способов произ-ва  $NH_4NO_3$  и удобрений на его основе. Библ. 8 назв. Г. Рабинович

29435. Получение гранул известково-аммиачной селитры при помощи центробежной форсунки. Сми-Бен-Дон, Торочешников Н. С., Тр. Моск. хим.-технол. ин-та им. Д. И. Менделеева, 1957, вып. 24, 405—412

Приведены результаты опытов по разбрызгиванию плава известково-аммиачной селитры (ИС) с помощью форсунки, установленной в заводской грануляционной башне с направлением факела плава снизу вверх. Изменяли конц-ию плава  $NH_4NO_3$  (94—96%), т-ру плава ИС (120—145°), весовое соотношение  $NH_4NO_3$ :  $CaCO_3$  (50:50; 60:40; 70:30), давление (1—5 ат) и диаметр сопел. Определяли диаметр и высоту факела, гранулометрич. состав и влажность продукта и производительность форсунки. Показано, что для получения гранулированной ИС необходима башня общей высотой 12—15 м с форсункой, установленной на 5—6 м ниже свода башни; оптимальная т-ра плава 130—145°, давл. 3—4 ат. Часть гранул имеет неправильную форму; образуется некоторое кол-во мелочи (<1 мм). Для получения быстро застывающих твердых гранул большое значение имеют конструкции форсунки и диаметр сопла. Рассмотрена применительно к разбрызгиванию плава ИС гидродинамич. теория центробежной форсунки и установлены отклонения практич. данных от теоретических. Г. Рабинович

29436. Применение  $NH_3$  в жесткой воде для ирригации. Джордан ( $NH_3$  irrigation application in hard water. Jordan Frank E.), Agric. Ammdnia News, 1957, 7, № 5, 33—34 (англ.)

Для предупреждения осаждения солей Ca и Mg из жесткой воды в ирригационную систему перед подачей  $NH_3$  вводят Na-полифосфат в твердом виде или в р-ре в кол-ве, зависящем от жесткости воды.

Г. Рабинович  
29437. Агрономические свойства фосфоритов Кутанского (С. Годосани) месторождения. Беридзе А. Е., Тр. Груз. с.-х. ин-та, 1957, 44, 57—70 (груз.; рец. русск.)

Кутанские фосфориты содержат  $P_2O_5$  общей 10—11%, из них 36—45% в лимоннорастворимой форме. Вегетационные и полевые опыты показали высокую эффективность этих фосфоритов. Библ. 20 назв.

Е. Брудкус  
29438. Работа нового гранулятора на заводе компании Fertilizer Manufacturing Cooperative [в Балиморе, США]. Спилман (Operation of a new granulator at Fertilizer Manufacturing Cooperative. Spillman Albert), Agric. Chemicals, 1957, 12, № 6, 42—44, 113—114 (англ.)

Приведены схема и описание непрерывно действующей установки для гранулирования смешанных удобрений, состоящей из оборудования для дозирования



и смешения, аммонизатора TVA, гранулятора Сакет-та «Звезда», сушилки, холодильника, грохота и др. Гранулятор самоочищается при помощи 15 тяжелых стальных шаров, находящихся в кол-ве 3 шт. в каждой секции между кожухом гранулятора и корпусами лотков и ударяющих в последние при вращении. 5-месячный опыт эксплуатации гранулятора «Звезда» показал, что в нем по сравнению с обычным гранулятором получаются гранулы более однородного размера и повышается выход продукта; при гранулировании добавляется меньше воды, сушилка и холодильник работают эффективнее и расход топлива на сушку уменьшается. Е. Бруцкус

29439 К. Развитие химии и химической технологии фосфорных удобрений. Вольфович С. И. Перевод с русск. (Rozwój chemii i technologii chemicznej nawozów fosforowych. Wolkowicz S. I. Tłum. z jęz. Warszawy, Taruńskie Zakł. Nawozów Fosforowych. Inst. Kwasu Siarkowego i Nawozów Fosfor., 1957, 34 s.) польск.)

29440 К. Азотнокислотная переработка фосфатов. Набиев М. Н., Ташкент, АН УзССР, 1957, 450 стр., илл., 21 р. 60 к.

29441 Д. Влияние магниевых соединений на физико-химические свойства простого и аммонизированного суперфосфата из фосфоритов Каратау. Вишнякова А. А. Автореф. дисс. канд. хим. н., Ин-т химии АН УзССР, Ташкент, 1957

29442 П. Способ получения мочевины в форме сферических гранул для применения главным образом в качестве удобрения. Гийе, Сикар (Procédé de granulation d'urée sous forme de perles destinées principalement à l'usage agricole. Guillet Robert, Sicart André) [Office National Industriel de l'Azote]. Франц. пат. 1125099, 23.10.56

Для предупреждения образования биурета и получения сферич. гранул мочевины гранулируют при следующих условиях: водн. р-р ее концентрируют (до 94-97%) быстро при возможно более низкой т-ре; т-ру конц. р-ра, поступающего в центробежный распылитель, поддерживают постоянной (до т-ры <120-122°); гранулирование происходит при падении в камере, ашне и т. п. и охлаждении противотоком воздуха (до т-ры ~70-80°); гранулы сушат (при т-ре <80°) до влажности <0,8%, а затем опудривают или покрывают обычно применяемыми в-вами. Примерный гранулометрич. состав продукта: 34% > 2 мм, 57% 1,5-2 мм. Г. Рабинович

29443 П. Способ получения нитрата аммония. Фейт, Лурц (Verfahren zur Herstellung von Ammonitrat. Voigt Arthur, Lurz Clemens) [Farbwerke Hoechst A.-G. vormals Meister Lucius & Brüning]. Пат. ФРГ 966142, 11.07.57

Нейтр-цию  $\text{HNO}_3$  аммиаком проводят под давлением без циркуляции р-ра при т-ре кипения в 2 ступени: в 1-й реактор, который может работать при произвольном давлении, наполненный р-ром  $\text{NH}_4\text{NO}_3$ , снизу подают  $\text{NH}_3$ , а сверху — подогретую, напр. до 80°, 44%-ную  $\text{HNO}_3$  (при 1 атм т-ры в реакторе: внизу 106°, в средней части 116°, сверху 126°); выходящая из верхней части 1-го реактора смесь р-ра  $\text{NH}_4\text{NO}_3$ ,  $\text{NH}_3$ ,  $\text{HNO}_3$  и  $\text{H}_2\text{O}$ -пара поступает непрерывно для окончательной нейтр-ции в удлиненный 2-й реактор, представляющий собой сифон или змеевик, а из него в пароотделитель, откуда снизу отводится р-р  $\text{NH}_4\text{NO}_3$  (57,5%-ный), а пар направляется через каплеуловитель на использование. Приведена схема. Г. Рабинович

29444 П. Способ получения медленно действующих азотных удобрений. Шмальфельд, Фольмер (Verfahren zur Herstellung von langsam wirkenden Stickstoffdüngemitteln. Schmalfeldt Hans,

Vollmer Wilhelm) [Gewerkschaft Victor]. Пат. ФРГ 964603, 23.05.57

Мочевину смешивают с водн. р-ром альдегида, предпочтительно  $\text{HCHO}$  и с растительным в-вом, образующим гумус, напр. с торфом, бурным углем или древесными опилками, предпочтительно высушенным и измельченным и взятым в таком кол-ве, чтобы после нагревания при 80-100° и механич. обработки получался порошковидный, зернистый или гранулированный продукт. В случае необходимости гранулы можно высушить. Тонкоизмельченный продукт можно смешать: а) с азотными или другими удобрениями; б) с мочевиной или ее р-ром и с измельченным и высушенным торфом, а затем удалить часть воды нагреванием при т-ре > 100°, спрессовать полученную массу и после охлаждения намельчить ее. Пример. 18 вес. ч. мочевины растворяют в 22,5 ч. 40%-ного р-ра  $\text{HCHO}$  при 35° и смешивают с 6,5 ч. воздушно-сухого торфа (влажность 12%). Смесь нагревают до 80°, причем происходит р-ция конденсации и т-ра повышается, а затем нагревают до т-ры ~110° при перемешивании; при этом происходит гранулирование. Продукт содержит N общего 29%, водорастворимого 0,9%. Г. Рабинович

29445 П. Фосфорные удобрения, полученные нагреванием фосфатов алюминия и кальция (Engrais phosphatés obtenus par calcination de phosphates d'alumine calcareux) [Chemische Werke Albert]. Франц. пат. 1125940, 12.11.56

Природный Al-Ca-фосфат перед или во время нагревания обрабатывают к-той в виде водн. р-ра или газообразной в кол-ве, достаточном для образования Ca-соли соответствующей к-ты, в результате чего вся  $\text{P}_2\text{O}_5$  связывается с Al и находится в продукте в цитратнорастворимой форме (ЦФ). Примеры: 1) 100 кг сенегальского фосфата (СФ), содержащего (в %):  $\text{P}_2\text{O}_5$  28,8,  $\text{Al}_2\text{O}_3$  32,7,  $\text{Fe}_2\text{O}_3$  7,8,  $\text{CaO}$  7,6,  $\text{SiO}_2$  2,2, F 0,6,  $\text{H}_2\text{O}$  и п. п. п. 19,5, смешивают с 20 кг конц.  $\text{H}_2\text{SO}_4$ . Охлажд. и затвердевшую массу намельчают, а затем нагревают при 400-600° во вращающейся печи; продукт содержит  $\text{P}_2\text{O}_5$  общей 31,8%, ЦФ 29,9%; 2) Смесь СФ (100 кг) с 45%-ной  $\text{HNO}_3$  (50 кг) нагревают при 200-300°; для предупреждения разложения образующегося  $\text{Ca}(\text{NO}_3)_2$  пропускают  $\text{NO}_2$ ; из полученной массы можно выщелочить водой  $\text{CO}(\text{NO}_3)_2$ , нагреть оставшийся Al-фосфат до красного каления и получить продукт с содержанием 98%  $\text{P}_2\text{O}_5$  в ЦФ. Аналогичные результаты получают при нагревании СФ с  $\text{SO}_2$  или окислами N. После нагревания Al-Ca-фосфата с HCl-газом при 400°, выщелачивания из массы  $\text{CaCl}_2$  и сушки можно получить продукт, содержащий (в %):  $\text{P}_2\text{O}_5$  общей 31,2, ЦФ 30,3  $\text{CaO}$  <1. Е. Бруцкус

29446 П. Усовершенствование производства фосфорно-азотных удобрений (Perfectionnement à la fabrication des engrais complexes phospho-azotés) [Soc. An. des Manufactures des Glaces et Produits Chimiques de Saint-Gobain, Chauny et Cirey]. Франц. пат. 1127449, 17.12.56

В пульпу, полученную разложением природного фосфата  $\text{HNO}_3$  (одной или в смеси с другими к-тами) с последующей аммонизацией, перед или во время смешения с ретуром и (или) другими твердыми в-вами (напр., KCl) для лучшего перемешивания и получения однородной массы пропускают мельчайшие пузырьки газа ( $\text{CO}_2$ , воздух) или добавляют в-ва, выделяющие газ при р-ции с компонентами пульпы, напр.  $\text{CaCO}_3$ , в кол-ве 0,7-1,2% от веса готового продукта или  $\text{MgCO}_3$ . Объем газа должен быть в ~3 раза больше объема пульпы. Это мероприятие повышает производительность сушилки (почти вдвое) и последующего оборудования и улучшает физ. свойства продукта. Е. Бруцкус

29447 П. Удобрения для садоводства и земледелия (Engrais pour exploitations horticoles et agricoles) [Pintsch Bmag A.-G.]. Франц. пат. 1125259, 29.10.56

Для повышения содержания N к обычным удобрениям (кроме обладающих основными свойствами) добавляют меламина. Примеры: 1) при смешении 15% меламина, 50% суперфосфата и 35% KCl получают удобрение 10-12-19,5; 2) при смешении 50%  $\text{NH}_4\text{NO}_3$  и 50% меламина — удобрение, содержащее 49,5% N.

Е. Бруцкус

29448 П. Способ получения удобрения. Шмалфельдт, Фольмер (Verfahren zur Herstellung eines Düngemittels. Schmalfeldt Hans, Vollmer Wilhelm) [Gewerkschaft Victor]. Пат. ФРГ 964602, 23.05.57

Кристаллическую мочевины смешивают с тонкоизмельченным торфом или другим в-вом, образующим гумус, взятым в кол-ве, необходимом для снижения содержания N в конечном продукте до заданного. Смесь прессуют при  $t = 120^\circ$ , предпочтительно при  $135-140^\circ$ , под давл.  $2-4 \text{ кг/см}^2$ , а затем измельчают до желательного размера. Можно также смешать 75-80%-ный р-р мочевины с торфом, нагревать и прессовать смесь при  $135-140^\circ$  до полного испарения воды или при более низкой  $t$ -ре, оставляя в смеси кол-во воды, соответствующее содержанию ее в воздушно-сухом торфе. Полученные удобрения улучшают также структуру почвы.

Г. Рабинович

29449 П. Способ получения удобрений (Verfahren zur Herstellung von Düngemitteln) [Ferdinand Metzler]. Швейц. пат. 305731, 15.02.56

Микроэлементы (МЭ) в виде окисей, карбонатов или др. соединений в кол-ве до 1% (0,001-0,1%) смешивают с носителем — глиной в присутствии воды, смесь формуют, сушат, прокалывают при  $1100-1200^\circ$  и измельчают. При малом содержании CaO и MgO в глине добавляют 5-10% доломита. МЭ, смешанные в таком виде с обычными удобрениями, не выщелачиваются из почвы водой и действуют эффективнее МЭ, внесенных в почву в виде растворимых соединений.

Е. Бруцкус

29450 П. Полное удобрение, содержащее магний. Кейтель, Ян-Хельд (Magnesiumhaltiger Voll-dünger. Keitel Hellmuth, Jahn-Heid Wilhelm). [Wintershall A.-G.]. Пат. ФРГ 961627, 1.04.57

В дополнение к пат. ФРГ 939814 (РЖХим, 1957, 54938) патентуется полное удобрение, содержащее усвояемую MgO и > 55% питательных в-в и отличающееся повышенным содержанием MgO — от 3 до 8,3%, что возможно при наличии в продукте  $\text{NH}_4\text{NO}_3$  в качестве N-компонента.

Е. Бруцкус

29451 П. Получение кусковой магнезиальной извести. Кейтель, Ян-Хельд, Браун (Verfahren zur Herstellung von stückigem Magnesiakalk. Keitel Hellmuth, Jahn-Heid Wilhelm, Braun Otto) [Wintershall A.-G.]. Пат. ФРГ 958199, 21.03.57

Кусковую магнезиальную известь получают из обожженного доломита, р-ра горькой соли и кизерита, смешивая их в таких отношениях, что в конечном продукте вся вода р-ра связывается химически. Для образования кусковой структуры решающим является порядок введения реагентов: к 1 вес. ч. обожженного доломита прибавляют 1 объем р-ра, содержащего в 1 л  $350 \text{ г MgSO}_4$ , а затем такое кол-во кизерита, которое необходимо для установления весового соотношения  $\text{MgO}:\text{CaO} = 1:1$ . В частности, к 0,5 т доломита, содержащего 64% CaO и 29% MgO, прибавляют  $0,52 \text{ м}^3$  р-ра  $\text{MgSO}_4$  указанной конц-ии и, после того, как  $t$ -ра снизится до  $40-50^\circ$ ,  $0,39 \text{ т MgSO}_4 \cdot \text{H}_2\text{O}$ . Образующийся кусковой продукт содержит ~24% CaO и MgO и является прекрасным удобрением.

Л. Херсонская

## ЛЮМИНЕСЦЕНТНЫЕ МАТЕРИАЛЫ

Редакторы В. Д. Матвеев, Н. А. Ширяева

29452 П. Люминесцентные лампы. Дохерти, Сарджант (Fluorescent lamps. Doherty M. T., Sergeant G.) [Siemens Electric Lamps & Supplies Ltd.]. Англ. пат. 727392, 30.03.55

Для улучшения цветопередачи люминесцентных ламп низкого давления с парами Hg для люминесцентного покрытия применяют смесь светящегося галофосфата кальция (ГФК) (англ. пат. № 592875) и германата магния (ГМ) (> 10%) с красным свечением (см. РЖХим, 1958, 15134). Для получения дневного света смешивают 100 вес. ч. ГФК с белым свечением, 20 вес. ч. ГФК с голубым свечением и 20 вес. ч. ГМ. Для тепло-белого света смешивают 100 вес. ч. ГФК с тепло-белым свечением с 30 или 50 вес. ч. ГМ. Часть Ge может быть заменена Ti или Zr.

Б. Гутель

29453 П. Способ активации монокристаллов сульфида кадмия, применяющихся в фотоэлементах. Вильке (Verfahren zur Aktivierung in lichtelektrischen Zellen Verwendung findender Kadmiumsulfid-Einkristalle. Wilke Klaus-Thomas). Пат. ГДР, 11830, 8.08.56

Активированные Cu, Ag, As, Al, Sn и Fe монокристаллы CdS получают путем совместной сублимации CdS и сульфида активирующего металла (AM) в атмосфере  $\text{H}_2 - \text{H}_2\text{S}$ . Под активированием монокристаллов подразумевается внедрение в кристаллич. решетку основного кристалла малых кол-в ( $10^{-4}-10^{-6}$  вес. %) посторонних в-в, главным образом, тяжелых металлов. Из водн. р-ра, содержащего растворимые соединения Cd и AM, с помощью  $\text{Na}_2\text{S}_2\text{O}_3$  осаждают смесь сульфидов Cd и AM, которая идет на сублимацию. Оптимальным является соотношение: 128 г CdS и 250 г  $\text{Na}_2\text{S}_2\text{O}_3$  на 500 мл бицистала. Описанный метод позволяет ввести в CdS  $3,5 \cdot 10^{-4}-1 \cdot 10^{-6}$  вес. % Cu и  $5 \cdot 10^{-4}-1 \cdot 10^{-6}$  вес. % Ag. Сульфид AM может быть прибавлен к CdS непосредственно перед сублимацией.

Л. Херсонская

## ПРОИЗВОДСТВО КАТАЛИЗАТОРОВ И СОРБЕНТОВ

Редакторы В. И. Елинек, В. Д. Матвеев, Н. А. Ширяева

29454. Распределение загрязняющих металлов на крекирующих катализаторах. Мак-Эвой, Милликен, Миле (Distribution of metal contaminants on cracking catalysts. McEvoy J. E., Milliken T. H., Mills G. A.). Industr. and Engng Chem, 1957, 49, № 5, 865-868 (англ.)

Металлические загрязнения, в частности V и Ni, попадающие при крекинге из нефтепродуктов на частицы катализатора (К), существенно снижают его селективность. В связи с этим проведено исследование распределения этих загрязнений по объему гранул (Г) синтетич. алюмо-силикатных шарообразной формы и таблетированных природных глинистых К. Удаление большей или меньшей части материала с поверхности Г К после крекинга производили в специально сконструированной аппаратуре. Опытами установлено, что с увеличением кол-ва материала, удаленного с поверхности Г, кол-во металл. загрязнений на К непрерывно уменьшается. Снятие с поверхности Г (после лабор. парофазного крекинга) 5 вес. % материала вело к удалению из К 25-35% загрязнений. После жидкостно-парафазного крекинга в промышленных условиях снятие с поверхности Г такого же кол-ва материала обеспечивало очистку К



от 40—60% металлич. загрязнений. После жидкостно-парофазного крекинга на 4 мм таблетках К в поверхностном слое глубиной 35 м содержалось ~30% всех загрязняющих металлов. На таблетках (4 мм) стандартного К при крекинге до гудрона слой такой же глубины содержал 44 вес. % всего Ni и 58% V. В 100-м слое содержится ~90% всех загрязнений. С увеличением размеров Г К возрастают возможности для удаления с их поверхности загрязняющих примесей. Библ. 6 назв.

Л. Херсонская  
29455. Отбеливающие глины, их природа и обработка. Франц (Genesi della terra decolorante. Franz Werner), Chimica, 1956, 32, № 8, 329—330 (итал.).

29456. Получение активированного угля из виноградной лозы. Кокеч, Пырву (Studiul obținerii cărbunelui activ din coarde de viță de vie. Cocheș V., Pîrvi I.), Studii și cercetări științ. Acad. RPR. Baza Timișoara. Ser. științe chem., 1956, 3, № 1-2, 113—120 (рум.; рез. русск., франц.).

Изучено влияние т-ры, времени активирования, вторичного активирования и промывочного агента на степень активности угля, полученного из виноградной лозы. На основе построенных изотерм адсорбции были определены ее константы. Лабор. опытами установлено, что уголь с оптимальными качествами получается при двукратном активировании в течение 7 час. при 800°. Последующая промывка угля 2 н. HCl (к-та) обеспечивает ему высокую обезвреживающую способность при миним. времени обезвреживания. Отсутствие токсичных в-в в активированном угле делает возможным его применение в пищевой и фармацевтич. пром-сти. Приведены основные характеристики получаемого угля. Я. Матлис

29457 П. Катализатор из микросферидального силикагеля и метод его производства. Ашли, Джейгер (Microspheroidal silica gel catalyst and method of manufacture. Ashley Kenneth D., Jaeger Alphons O.) [American Cyanamid Co.]. Канад. пат. 519627, 20.12.55

Микросферидальный силикагель (I), активированный  $Al_2O_3$  или  $MgO$ , обладающий высокой поверхностной активностью и адсорбционной способностью (при содержании щел. металла ( $< 0.1\%$   $Na_2O$ ) и состоящий из твердых пористых гранул I, размеры которых  $> 40$  (80) меш, получают подкислением и перемешиванием водн. р-ра щел. силиката. Полученную пульпу непрерывно пропускают через сито. Дают осадку созреть при слабом перемешивании, далее осадок фильтруют, промывают и высыпают его в виде водн. пульпы в поток горячих газов с т-рой  $\geq 315^\circ$ , при этом содержание  $H_2O$  в I становится  $< 30\%$ . Содержание активирующих добавок —  $Al_2O_3$  и  $MgO$  в I составляет  $< 8.8\%$ . В. Шацкий

29458 П. Способ получения солей гидроксиламмония. Йоккерс, Майер, Винтербергер (Verfahren zur Herstellung von Hydroxylammoniumsalzen. Jockers Kurt, Maier Hermann, Wintersberger Karl) [Badische Anilin- & Soda-Fabrik A.-G.]. Пат. ФРГ 956038, 10.01.57

Способ получения солей гидроксиламмония ( $[NH_2-ONH_2]^+$ , где X — анион), восстановлением NO водородом в кислой среде отличается тем, что для повышения выхода р-цию проводят на Pt-катализаторе, содержащем элементы 5-й главной и (или) 6-й главной групп периодич. системы с ат. в. больше 31. Эти элементы можно добавлять: а) к катализатору (при его приготовлении) в виде соединений, восстанавливаемых в элементы при восстановлении NO, в кол-ве 5—45 ат. % (считая на Pt), предпочтительно в виде 3-валентных соединений 5-й главной группы или 2-х и (или) 4-валентных соединений 6-й главной

группы; б) к суспензии катализатора в реакционной среде в кол-ве 3—5 ат. % (считая на Pt). Приведены примеры приготовления катализаторов и их испытаний. Г. Рабинович

29459 П. Метод предварительной обработки катализаторов гидроформинга. Ворхис, Смит (Method of pretreating hydroforming catalysts. Voorhies Alexis, Jr., Smith Warren M.) [Esso Research and Engineering Co.]. Пат. США 2752288, 26.06.56

Патентуется улучшение в непрерывном процессе гидроформинга сырых нефтей, содержащих S, в котором катализатор (К) (окисел Mo, нанесенный на активированную  $Al_2O_3$  или шпинель  $ZnO \cdot Al_2O_3$ ) поддерживается во взвешенном состоянии в форме порошка в реакционной зоне (PЗ), а также и в зоне регенерации (ЗР). К из ЗР отбирается, регенерируется в ЗР и вновь поступает в ПЗ. В обеих зонах поддерживается повышенное давление (0,7—35 ат, лучше 3,5—17,5 ат). Во время р-ции на К откладываются соединения S (I) и отложения C. Улучшение заключается в удалении I из регенерированного К обработкой его газом в псевдооживленном слое в зоне предварительной обработки в течение 1—60 мин. (5—15) при 480—650° и давления того же порядка, что в ЗР и ЗР. Газ содержит водяной пар или  $N_2$  и меньшую часть  $H_2$ , парц. давление последнего достаточно, чтобы удалить I из регенерированного К (0,35—1,05 ат). В. Шацкий

29460 П. Регенерация катализаторов (Regeneration of catalysts) [The British Petroleum Co. Ltd.]. Австрал. пат. 166350, 5.01.56

Для регенерации катализатора, состоящего из F и окислов Co и Mo на активной  $Al_2O_3$ , его контактируют с паром при т-ре, достаточно высокой для образования HF. Полученные газы пропускаются через массу катализатора, приготовленного на основе  $Al_2O_3$ , но не содержащего F или содержащего недостаточно F (ниже оптимального кол-ва). Т-ра должна быть достаточно низкой, чтобы HF из газов регенерации поглощался массой катализатора. Поглощение продолжается до получения необходимого содержания F. М. Павловский

29461 П. Способ получения активного геля окиси алюминия. Хартман, Шольц (Verfahren zur Herstellung von aktivem Tonerde-Gel. Hartmann Helmut, Scholtz Georg). Пат. ФРГ 953699, 6.12.56

Дополнение к пат. РЖХим, 1958, 1915. Р-р алюмината, в котором мол. соотношение между  $Na_2O$  и  $Al_2O_3 < 1,2$  и содержание  $Al_2O_3 < 12$  г/л (оптимально 8 г/л), обрабатывают газообразным  $CO_2$ . Осаждение ведут в течение 60 мин. при т-ре ниже  $15^\circ$  (предпочтительно при  $10-15^\circ$ ). Перед введением  $CO_2$  к р-ру добавляют рассчитанное кол-во к-ты или нейтр. соли тяжелого металла, образующей гидроокись, и снижают таким образом отношение  $Na_2O/Al_2O_3$  до  $\sim 1,05$ . Для предотвращения старения полученный гель обрабатывают к-той или подходящей солью металла 2-й группы периодич. системы, доводя pH до нейтр. Осадок отделяют от р-ра фильтрованием, промывают и смешивают с поверхностно- или каучуко-активными в-вами (смазывающими агентами или ускорителями). Сушку ведут при т-ре  $< 70^\circ$  (предпочтительно при  $40^\circ$ ) и пониженном давл. (700—740 мм рт. ст.) до содержания влаги в продукте  $\geq 40\%$ . Л. Херсонская

29462 П. Способ получения гидрозолей кремнезема. Кимберлин (Process for the manufacture of silica hydrosols. Kimberlin Charles N., Jr.) [Esso Research and Engineering Co.]. Пат. США 2726216, 6.12.55

Водный р-р силиката щел. металла (Na) смешивают с большим избытком к-ты, предпочтительно  $H_2SO_4$ , до

pH 2–5 ( $< 4$ ). Смесь, содержащую  $\text{SiO}_2$ -гидрозоля (ГЗ), сульфитбисульфит Na и избыток к-ты, пропускают через катионит, при этом почти полностью удаляются Na-ионы. Затем из ГЗ удаляют  $\text{H}_2\text{SO}_4$  продуванием воздуха или инертного газа. Выделяющийся  $\text{SO}_2$  улавливают циркулирующим р-ром, содержащим силикат-Na и ГЗ; часть этого р-ра направляют обратно в начало процесса. Способ позволяет получать ГЗ, содержащие до 15%  $\text{SiO}_2$  и  $< 0,1\%$   $\text{Na}_2\text{O}$  (считая на сухое в-во) без выделения  $\text{SiO}_2$ -геля на катионите. Для регенерации катионит промывают р-ром  $\text{H}_2\text{SO}_4$  или HCl. Приведена схема.

Г. Рабинович  
29463 П. Способ увеличения концентрации метастабильного золя кремневой кислоты. Айлер (Process for increasing the concentration of a metastable silica sol. Iler Ralph K.) [E. I. du Pont de Nemours and Co.]. Пат. США 2727008, 13.12.55

Для увеличения конц-ии метастабильного золя  $\text{SiO}_2$ , содержащего частицы  $< 4 \text{ мк}$  в диаметре и имеющего конц-ию  $\text{SiO}_2 < 4\%$ , золь при т-ре  $< 60^\circ$  смешивают (при энергичном перемешивании для мгновенного достижения гомогенности р-ра) с р-ром силиката щел. металла (напр.,  $\text{Na}_2\text{SiO}_3$ ), имеющим конц-ию  $\sim 10\text{--}36 \text{ вес}\%$ . Кол-во р-ра силиката таково, чтобы получить конц-ию щел. металла в смеси  $< 0,4 \text{ н}$ . Затем удаляют ионы щел. металла пропусканием смеси через катионнообменник в Н-форме, причем элюант имеет pH  $< 4$ . Повторяют процесс, используя выходящий из катионнообменника р-р в качестве исходного золя, пока конц-ия  $\text{SiO}_2$  в элюате не достигнет  $10\text{--}20\%$ .

В. Шацкий  
29464 П. Способ получения активированного угля (Procédé de production de charbon actif) [Farbenfabriken Bayer A.-G.]. Франц. пат. 1117024, 15.05.56

Для образования на поверхности угля групп  $\text{COOH}$  (способных к ионному обмену), связанных с углеродным скелетом, 500 г медцинского угля помещают в цилиндрич. сосуд, в который вводят 20%-ный р-р NaOH до полного покрытия угля. Затем в течение 20 час. в нижнюю часть цилиндра вводят  $\text{Cl}_2$  и 20%-ный NaOH. Избыток р-ра (содержащий  $\text{Cl}^-$ ) выливается из верхней части сосуда. Общий расход щелочи 3 л. Обработанный уголь промывают водой и избытком 1 н. HCl; 1 г полученного сухого угля содержит 1,95 м эквивалентов кислотных остатков.

Ю. Михайленко  
29465 П. Способ понижения адсорбционной способности активированного угля по отношению к водяному пару (Verfahren, um die Wasserdampfadsorptionseigenschaft von Aktivkohle herabzusetzen) [Drägerwerk, Heinh. & Bernh. Dräger]. Пат. ФРГ 952797, 22.11.56

При адсорбции примесей из влажных газов (напр., в защитных дыхательных масках) активированный уголь (АУ) быстро насыщается водяным паром и его адсорбционная способность резко снижается. Для предотвращения этого предлагается АУ предварительно обрабатывать гидрофобными в-вами (напр., маслами или жирами). В 1 л воды добавляют 10 г машинного масла и смесь интенсивно перемешивают в течение 1 часа до получения эмульсии. Затем 1 кг АУ опрыскивают этой эмульсией или опускают в нее, после чего дают жидкости стечь, размещают АУ в плоской посуде слоем толщиной 1 см и полностью высушивают при т-ре  $\sim 120^\circ$ .

А. Ровинский  
29466 П. Регенерация отработанного активированного угля, содержащего диатомовую землю. Мицун, Имото. Японск. пат. 2464, 4.04.56

Отработанный активированный уголь (АУ), применяемый для рафинирования сахара, обычно содержит (в %): инфузорной земли 20, которая добавляется к уголю для улучшения его фильтрационных свойств, углерода 20, воды 60 и других нерастворимых неорганич. в-в 0,1–0,3. При регенерации отработанного АУ вначале удаляют путем отмучивания или флотации

большую часть диатомовой земли. Затем к уголю добавляют в шестикратном кол-ве (по отношению к уголю) 5%-ный р-р NaOH и все это в течение 5 час. кипятят при  $100^\circ$  и нормальном давлении, растворяя и удаляя остатки диатомовой земли. После этого уголь нейтрализуют, промывая водой, и добавляют в шестикратном кол-ве (к весу угля) 3%-ную  $\text{H}_2\text{SO}_4$ , затем 1 час кипятят при  $100^\circ$  и полностью удаляют содержащиеся в угле окисы Fe и MgO и большую часть  $\text{Al}_2\text{O}_3$ . Затем уголь промывают теплой водой и при помощи центрифуги удаляют из него до 70% воды. После этого в угле остаются еще частично  $\text{Al}_2\text{O}_3$ ,  $\text{SiO}_2$  и некоторые другие примеси, поэтому к уголю добавляют (до 3%)  $\text{HNO}_3$  и продувают сквозь уголь газ  $\text{SiF}_4$ , или обрабатывают уголь водн. р-ром  $\text{SiF}_4$  при  $60^\circ$ .  $\text{SiF}_4$  вступает в р-цию с водой, содержащейся в угле, и образует HF по р-ции:  $\text{SiF}_4 + 3\text{H}_2\text{O} \rightarrow 4\text{HF} + \text{H}_2\text{SiO}_3$ . HF воздействует на оставшийся еще в угле  $\text{SiO}_2$ , и последний удаляется из угля в виде  $\text{SiF}_4$ . Затем уголь тщательно промывают водой пока pH р-ра не станет равным 6. Воду удаляют центрифугированием.

В. Зломанов  
См. также: Катализаторы: йод 29710; нефтеперерабатывающей пром-сти 30158; гидрирования полисахаридов 30310

## ЭЛЕКТРОХИМИЧЕСКИЕ ПРОИЗВОДСТВА.

### ЭЛЕКТРООСАЖДЕНИЕ.

#### ХИМИЧЕСКИЕ ИСТОЧНИКИ ТОКА

Редактор М. М. Мельникова

29467. Распределение тока в щели и цилиндрическом отверстии при одновременной работе внешней плоской поверхности катода. Кадапер Л. И. Ж. физ. химии, 1957, 31, № 9, 2085–2092 (рез. англ.)

Рассматривается решение задачи о распределении тока в щели (двухмерная задача) и круговом цилиндрич. отверстии (трехмерная задача) при одновременной работе внешней плоской поверхности катода с учетом катодной поляризации. Показано, что относительное распределение тока в щели и цилиндрич. отверстии практически не зависит от межэлектродного расстояния.

З. Соловьева

29468. Рост неровных осадков на катоде. Хоричи (Growth of uneven deposit on cathode. Horichi Toshio B.). Proc. Fujihara Mem. Fac. Engng Keio Univ., 1956, 9, № 32, 21–32 (англ.)

Изучен механизм осаждения порошков и образования дендритных и ветвистых осадков методом микроскопич. наблюдения за поверхностью катода и снятия поляризационных кривых при постоянном катодном потенциале при электроосаждении Cu из сернокислых р-ров. Установлено 4 вида электролитич. осадков: а) сцепляющиеся осадки с хорошо развитыми кристаллич. гранями; б) сцепляющиеся осадки с тонким зерном; в) большие дендриты и г) порошки или тонкие дендриты. При образовании сцепляющихся осадков с хорошо развитыми гранями существует пропорциональность между поляризацией и силой тока, а при образовании мелкозернистого сцепляющегося осадка — пропорциональность между поляризацией и логарифмом силы тока. Когда потенциал становится отрицательнее равновесного  $\text{H}_2$ -электрода, на катоде осаждаются тонкие дендриты, не блестящие и другого цвета. При уменьшении потенциала рост порошка прекращается и опять осаждаются ветвистые блестящие осадки. При осаждении Ag из азотнокислых р-ров также обнаруживаются 4 типа осадков, хотя рост нитей заметнее, чем дендритов, причем нити растут так быстро, что измерить потенциал



на них невозможно. Установлено, что логарифм размера зерна порошка пропорционален логарифму потенциала, причем наклон кривой этой зависимости меняется (излом) при потенциале, равном 0 (по  $H_2$ -шкале). Высказывается мнение, что для контроля размера зерна порошка достаточно контролировать величину катодного потенциала. Микроскопич. наблюдением установлено, что возникновение неспешающихся осадков (дендритов, порошка) происходит только тогда, когда в диффузионном слое происходит заметное обеднение ионами металла. Высказывается мнение, что катодная поляризация, измеренная при образовании дендритов, является главным образом концентрационной поляризацией. Механизм образования дендритных осадков объясняется как результат обеднения прикатодного слоя ионами металла и увеличения различия между скоростью осаждения на выступах и впадинах поверхности катода, обуславливающего преимущественный рост в глубь p-ра.

З. Соловьева

29469. Расчет сглаживания при электрохимической полировке металлов. Кричмар С. И. Ж. физ. химии, 1957, 31, № 7, 1593—1599 (рез. англ.)

Приводится расчет сглаживания неровностей поверхности металлов при электрохим. полировке по поляризационному механизму и под влиянием местной кривизны профиля. Исходя из полученных ф-л и результатов их проверки для случая электрополировки Cu, показано, что поляризационный механизм сглаживания имеет место при сравнительно больших размерах неровностей (напр., при  $H \geq 5 \mu$  и  $a \geq 10 \mu$ , где  $H$  — высота выступа,  $a$  — ширина его основания). Влияние локальной кривизны микропрофиля на процесс сглаживания проявляется при  $H=1 \mu$  и  $H/a \geq 1$ .

П. Щиголов

29470. Метод полировки алмазными пастами. Зидшлаг (Die DP-Poliermethode. Siedschlag), Metalloberfläche, 1957, 11, № 10, 338—339 (нем.)

Метод полировки алмазными пастами различной дисперсности отличается высоким качеством, быстротой и дешевой, удобен для получения шлифов для металлографич. исследований. Полировка может производиться на любом полировальном станке, свободном от толчков и вибрации, со скоростью до 250 об/мин.

Л. Хилькевич

29471. Об обезжиривании и травлении поверхности металлов перед нанесением на них металлических покрытий. Танимура, Киндзоку хэмэн гидзюцу гандзё памфурётто, 1957, № 40, 26—27 (японск.)

В настоящее время для обезжиривания поверхности металлов перед нанесением на них металлич. покрытий пользуются p-рами едких щелочей, что приводит к образованию на поверхности металлов тонкой пленки и уменьшает силу сцепления покрытия с основным металлом. Предлагается для этой цели применять 10%-ный p-р NaCN. Отмечается, что при промывании поверхности металлов после травления обычной водой на поверхности металла образуется тонкая нерастворимая пленка из основного карбоната кальция, а это также уменьшает сцепление покрытия с основным металлом. Предлагается промывать поверхность металлов после травления мягкой водой.

В. Зломанов

29472. Обезжиривание с помощью хлорированных органических растворителей. Ченчарелли (Il degreassaggio con solventi clorurati organici. Cenciarelli Angelo), Elettificazione, 1957, № 4, Elettrochimica, 25—29 (итал.)

Рассматриваются вопросы, связанные с обезжириванием изделий в хлорсодержащих органич. p-рите-лях: трихлорэтилене, перхлорэтилене, стабилизированном добавкой небольшого кол-ва фенолов и поли-

фенолов, напр. пиридина, триэтиламина, дифенилгуанидина, дибутиламина и др. Описывается аппаратура для обезжиривания в парах трихлорэтилена, для пароструйной обработки. Приводятся данные для выбора p-рителя и технологии процесса в зависимости от условий.

Я. Лапин

29473. Структура электрополированной поверхности меди. Дмитриев В. А., Ржевская Е. В., Христофоров В. А., Изв. Казанск. фил. АН СССР. Сер. хим. н., 1957, № 4, 115—126

Исследованы изменения в структуре поверхности поликристаллич. меди и монокристаллов меди в процессе анодного растворения в  $H_3PO_4$  (уд. в. 1,535) при различном режиме процесса и кристаллографич. ориентации. Структура поверхности исследовалась с помощью оптич. и электронного микроскопов. Процесс растворения меди осуществляется при режимах, соответствующих трем основным участкам на кривой  $D_a$  — напряжение на ванне (участок травления, горизонтальный участок и участок, на котором происходит наряду с растворением металла процесс разряда  $OH^-$ -ионов и выделение газообразного  $O_2$ ). Показано, что даже индивидуальные плоскости реального монокристалла не являются эквипотенциальными, вследствие чего первоочередному растворению подвергаются те участки, атомы которых удерживаются кристаллич. решеткой менее прочно. Так же, как и в случае поликристаллич. меди, при увеличении 23 000 и 20 000 на микроскопически гладкой электрополированной поверхности индивидуальных граней монокристалла имеется субмикроскопич. шероховатость. Характер этой шероховатости на разных участках одной и той же плоскости монокристалла существенно различен. Автор считает, что одной из характерных особенностей строения электрополированной поверхности является наличие субмикроскопич. шероховатости. Эта шероховатость обусловлена избирательным характером растворения субмикроскопич. участков поверхности металла и она не отражает каких-либо закономерных кристаллографич. форм. Из сравнения микрофотографий различных плоскостей монокристалла видно, что характер субмикроскопич. шероховатости не связан с наличием той или иной кристаллографич. ориентации.

П. Щиголов

29474. Анодное оксидирование алюминия. Корелич (Anodna oksidacija aluminija. Korelič Olga), Kemija u industriji, 1957, 6, № 9, 281—285 (сербохорв.; рез. англ., франц., нем.)

Описаны современные взгляды на природу образования анодных окисных пленок на Al, а также их хим., физ. и механич. свойства. Исследованием влияния t-ры (в пределах  $13-35^\circ$ ),  $D_a$  ( $0,5-3,5 \text{ a/dm}^2$ ), времени оксидирования (5—30 мин.) и рода применяемого тока на толщину пленки установлено, что пленки толщиной 10—15  $\mu$  получают в 20%-ной  $H_2SO_4$  при t-ре  $15-20^\circ$  и  $D_a = 1,5-2,0 \text{ a/dm}^2$  в течение 30 мин. при применении постоянного тока. При применении переменного тока  $D_a$  и время необходимо увеличить.

В. Левинсон

29475. Некоторые исследования растворов на основе фосфорной кислоты, применяемых для химического полирования алюминия. Брейс, Громобой (Some studies of phosphoric acid-based chemical brightening solutions for aluminium. Brace A. W., Gromoboy T. S. de), Trans. Inst. Metal Finish., 1955—1956, 33, 177—197. Discuss., 226—244 (англ.)

Исследовано влияние состава электролитов, содержащих в качестве основного компонента  $H_3PO_4$ , t-ры, содержания ионов Al в электролите, добавки Cu на скорость растворения технич. Al и его некоторых сплавов. Были использованы следующие типы электроли-

тов:  $\text{H}_3\text{PO}_4 - \text{H}_2\text{SO}_4$ ,  $\text{H}_3\text{PO}_4 - \text{H}_2\text{SO}_4 - \text{HNO}_3$ ,  $\text{H}_3\text{PO}_4 - \text{CH}_3\text{COOH} - \text{HNO}_3$ ,  $\text{H}_3\text{PO}_4 - \text{H}_2\text{O} - \text{HNO}_3$ . Для получения полированных поверхностей с высокой отражательной способностью электролит должен содержать 5 об. %  $\text{HNO}_3$ .  $\text{CH}_3\text{COOH}$  уменьшает скорость растворения металла, особенно при  $t$ -рах  $> 100^\circ$ . Повышенное содержание  $\text{H}_2\text{O}$  обеспечивает процесс полирования при накоплении в электролите больших кол-в ионов Al. Получены кривые весовые потери — время для различных сплавов и технич. Al в указанных электролитах. Изучено влияние состава сплавов на качество хим. полирования. Рекомендуется электролит с пониженным содержанием  $\text{H}_3\text{PO}_4$ , который дешевле, чем обычно применяемые смеси, и дает хорошие результаты. Состав электролита (в об. %):  $\text{H}_3\text{PO}_4$  (уд. в. 1,5) 75,  $\text{H}_2\text{O}$  20,  $\text{HNO}_3$  5,  $\text{CuSO}_4 \cdot 5\text{H}_2\text{O}$  0,25. П. Щеголев

**29476. Щелочное электроглянцевание и анодирование алюминия.** Пуллен, Скотт (Alkaline electro-brightening and anodising of aluminium. Pullen N. D., Scott B. A.), Trans. Inst. Metal Finish., 1955—1956, 33, 163—176. Discuss., 226—244 (англ.)

Рассматривается современное состояние вопроса о применении хорошо известного щел. электролита для электролитич. полирования алюминия (так называемый Бритальпроцесс, предложенный Пулленом в 1936 г.). Состав электролита (в вес. %):  $\text{Na}_2\text{CO}_3$  (безводн.) 15,  $\text{Na}_3\text{PO}_4$  (безводн.) 5,  $\text{H}_2\text{O}$  80. Условия полирования:  $t$ -ра  $80-82^\circ$ , напряжение 12 в,  $D_a$  в начале процесса  $\sim 4 \text{ а/дм}^2$ , а затем она быстро падает до  $2 \text{ а/дм}^2$ , продолжительность обработки 5—15 мин. Рекомендуется сначала изделие погрузить на 10—30 сек. в электролит без тока для того, чтобы удалить загрязненный и деформированный слой металла. После электрополировки изделия быстро извлекаются из ванны под током и промываются в проточной воде. Для удаления образовавшейся на поверхности Al в процессе электрополировки тонкой окисной пленки применяется горячий  $p$ -р, содержащий  $\text{H}_3\text{PO}_4$  и  $\text{CrO}_3$ . После этого электрополированный Al подвергается анодированию в  $p$ -ре  $\text{H}_2\text{SO}_4$  стандартным методом. Лучшее качество электрополировки достигается для очень чистого Al (99,99%) и сплавов Al-Mg (1,5% Mg), Al-Mg-Si-Cu (0,7% Mg, 0,3% Si, 0,25% Cu), полученных из очень чистых компонентов. Хорошие результаты получаются также для Al (99,8%). Описанный способ полирования применяется в произ-ве рефлекторов из Al, а также для декоративной отделки разнообразных изделий. Рассматриваются также вопросы теории электрополировки, приведены некоторые свойства (оптич., коррозионные) электрополированного и анодированного алюминия. П. Щеголев

**29477. Химически полированный и анодированный алюминий и его применение в автомобильном производстве.** Бауман, Нейнинг (Chemically brightened and anodised aluminium and its employment in automobile manufacture. Baumann F., Neunzing H.), Trans. Inst. Metal Finish., 1955—1956, 33, 214—225. Discuss., 226—244 (англ.)

Обсуждается опыт применения метода «блестящего» анодирования Al и сплавов Al-Mg в качестве отделочной операции в произ-ве различных деталей автомобиля. Процесс «блестящего» анодирования состоит из следующих последовательных операций: предварительная механич. подготовка деталей и очистка, хим. полирование, анодирование и уплотнение анодной пленки. Хим. полирование производилось в электролите состава (вес. %):  $\text{HNO}_3$  13,  $\text{NH}_4\text{HF}_2$  16,  $\text{Pb}(\text{NO}_3)_2$  0,02,  $\text{H}_2\text{O}$  70,98.  $t$ -ра электролита  $50-80^\circ$ , продолжительность обработки 15—30 сек. Отполированные изделия промывали в проточной холодной воде и затем погружали на короткое время в 30—40%-ный  $p$ -р  $\text{HNO}_3$  для удаления поверхностных пленок. После этого их снова промыва-

ли в воде. Если изделия сразу же не подвергались анодированию, то их погружали в 1%-ный  $p$ -р  $\text{Na}_2\text{Cr}_2\text{O}_7$  или  $\text{K}_2\text{Cr}_2\text{O}_7$  с добавкой 2 г/л  $\text{NaHCO}_3$ , где они могут сохраняться без изменения длительное время. Анодирование осуществляется в 21%-ном  $p$ -ре  $\text{H}_2\text{SO}_4$  при  $18^\circ$ ,  $D_a = 1,5 \text{ а/дм}^2$  в течение 12—15 мин. Толщина образующейся окисной пленки составляла 4—7 м. После анодирования изделия тщательно промывали в проточной воде. Наполнение анодных пленок производилось с помощью водяного пара. Время обработки должно быть, по крайней мере, равно времени анодирования. После наполнения изделия погружали на короткое время в 40%-ный  $p$ -р  $\text{HNO}_3$  при  $20-25^\circ$ , затем промывали в холодной воде и сушили в потоке горячего воздуха. Для «блестящего» анодирования рекомендуется применять Al высокой степени чистоты (99,99%) и сплав Al-Mg, содержащий 0,5—2% Mg. Изделия, изготовленные из прокатанного материала, перед хим. полированием необходимо подвергнуть отжигу в течение 4 час. при  $300-320^\circ$ . Штампованные изделия не требуют спец. термич. обработки. Рассматриваются также следующие вопросы: теория хим. полирования металлов, влияние содержания примесей Fe, Ni, Cu в Al и его сплаве на качество полировки, дефекты на полированной поверхности и причины их возникновения, методы испытания анодных пленок на коррозию. П. Щеголев

**29478. Непрерывное анодирование алюминиевой проволоки с целью ее изоляции.** Брамли, Пуллен (Continuous anodising of aluminium wire for insulation. Bramley G. E. A., Pullen N. D.), Light Metals, 1957, 20, № 230, 148 (англ.)

Анодная пленка на алюминии обладает хорошими электроизоляционными свойствами, пробивное напряжение 250—280 в. При наматывании и разматывании, а также при повышенных  $t$ -рах пленка на проволоке не разрушается. И. Ерусалимчик

**29479. Электрохимические свойства рения.** Гвоздева И. И., Журин А. И., Тр. Ленингр. политех. ин-та, 1957, № 188, 212—224

Изучена зависимость катодного потенциала при электроосаждении Re от конц-ии  $\text{KReO}_4$  и  $\text{H}_2\text{SO}_4$ ,  $t$ -ры, pH, природы электрода и определены оптимальные условия электролиза. Установлено, что потенциал Re в  $p$ -ре, содержащем 10 г/л  $\text{KReO}_4$  и 15 г/л  $\text{H}_2\text{SO}_4$ , при  $30^\circ$  составляет +0,35 в (по сравнению с насыщ. к.э.). Потенциал катодного осаждения Re на 0,4—0,6 в более отрицателен, чем равновесный. Увеличение конц-ии Re и H-ионов в  $p$ -ре, повышение  $t$ -ры смещает катодный потенциал в положительную сторону. Наиболее электроположителен катодный потенциал на Re-катоде, менее положителен на Ni- и особенно на Cu- и Fe-электродах. Оптимальные условия электроосаждения металлического Re следующие:  $p$ -р 15 г/л  $\text{KReO}_4$  + 12—15 г/л  $\text{H}_2\text{SO}_4$  (pH 0,9—1),  $L_k = 15 \text{ а/дм}^2$ ;  $t$ -ра  $85-90^\circ$ . Этим условиям соответствует максим. ВТ и лучшее качество осадков. С повышением конц-ии  $\text{KReO}_4 > 15 \text{ г/л}$  и при снижении  $< 15 \text{ г/л}$  ВТ уменьшается. ВТ возрастает с повышением  $D_k$  и  $t$ -ры, но лучшее качество осадков получается при  $10-15 \text{ а/дм}^2$ . При  $90^\circ$  ВТ достигает 19%. При малой кислотности  $p$ -ра осадки Re получают сажистые и состоят из окислов. Показано, что на катоде идут лишь две р-ции — выделение Re и  $\text{H}_2$ , на аноде — выделение  $\text{O}_2$ . Значительная величина катодной поляризации при осаждении Re объясняется разрядом сложных ионов. З. Соловьева

**29480. Изучение цианистых электролитов для блестящего меднения. I. Оптимальные условия получения блестящих покрытий.** Накамура, Киндзюку хэмэн гидзюцу, J. Metal Finish. Soc. Japan, 1957, 8, № 4, 24—27 (японск.; рез. англ.)



Наиболее употребляемыми блескообразователями являются  $\text{SeO}_2$ ,  $\text{As}_2\text{O}_3$  и  $\text{KCNS}$ . Изучением работы цинковых ванн, содержащих  $\text{SeO}_2$ , установлено, что интервал, в котором получают блестящие покрытия, широк; при этом  $D_K$ , т-ра и конц-ия  $\text{Cu}$  и  $\text{K}^+$  должны быть большими, а конц-ия свободного  $\text{CN}^-$  — невысокой. Применение в электролите  $\text{KOH}$  предпочтительнее  $\text{NaOH}$ . Рекомендуется следующий режим работы. Состав ванны (в г/л):  $\text{Cu}$  60—70,  $\text{CN}^-$  своб 5—10,  $\text{KOH}$  20,  $\text{SeO}_2$  1, т-ра 70—75°,  $D_K = 2 \text{ а/дм}^2$ . Применяя перемешивание, можно увеличить  $D_K$  и получать блестящие покрытия в более широких пределах. В. Левинсон

29481. Основы кислотного меднения и способ Купатъе Штраусе, Рот (Die Grundlagen der sauren Verkupferung und das Cupatier-Verfahren. Strauß W., Roth E.), Metalloberfläche, 1957, 11, № 9, 281—285 (нем.)

Рассматриваются теоретич. основы электроосаждения  $\text{Cu}$  из сернокислых р-ров и свойства сернокислого электролита с органич. добавками и  $\text{H}_2\text{S}$ , известного в промышленности под именем ванны Купатъе, из которой осаждаются блестящие осадки  $\text{Cu}$  непосредственно на  $\text{Fe}$ , которое предварительно погружается на 1 мин. в разб. р-р  $\text{H}_2\text{S} + 4 \text{ л}$  Cupatier-гравитора на 100 л р-ра для образования мономолекулярного адсорбционного слоя, препятствующего выделению  $\text{H}_2$  и контактного выделению  $\text{Cu}$  на  $\text{Fe}$ . З. Соловьева

29482. Краткий обзор методов цинкования, применявшихся в Европе в 1955 году. Фагг (Aperçu de la pratique de la galvanisation en Europe en 1955. Fagg D. N.), Zinc, cadm. et alliages, 1956, № 8, 30—31 (франц.)

Приводится режим ванн, сравнение экономичности различных методов обогрева ванн и изменение режима ванн с целью уменьшения потерь цинка. Приведены данные по производительности европейских и американских установок. В. Лукниская

29483. Никелирование. Кастелль (La nichelatura. Castell H. C.), Galvanotecnica, 1957, 8, № 4, 85—100 (итал.)

Обзор новых способов и методов никелирования. Рассматривается зависимость прочности на растяжение, на разрыв, относительно удлинения и твердости осадков, полученных из р-ров типа ванны Уатта от рН, а также изменение прочности на растяжение осадка в зависимости от  $D_K$  в тех же р-рах при т-ре 55° и рН 3. Дана характеристика защитных свойств  $\text{Ni}$ -покрытий в условиях атмосферной коррозии, описаны покрытия большой толщины, способы меднения, хромирования  $\text{Ni}$ -покрытий по сравнению с нанесением сплавов  $\text{Ni-Cr}$  и  $\text{Ni-Cu}$ . Описано получение блестящих  $\text{Ni}$ -покрытий из р-ров с органич. добавками, а также способ лим. никелирования. Библ. 11 назв. Я. Лапин

29484. Масляные поры в гальванических осадках никели. Зоммер (Ölporen in galvanischen Nickelniederschlägen. Sommer K.), Metalloberfläche, 1957, 11, № 11, 366—367 (нем.)

Описан особый вид пор в электролит. осадках  $\text{Ni}$ , образование которых вызвано жидким маслом или жиром и названных «масляными» порами в отличие от пор, вызванных водородом или дефектами поверхности. З. Соловьева

29485. Блестящее никелирование. Йонэяма, Киндзюку хэмэн гидзюку, J. Metal Finish. Soc. Japan, 1957, 8, № 3, 22—30 (японск.)

Описано оборудование и технология процесса. В. Зломанов

29486. О снятии олова с жести в щелочных растворах, содержащих нитрокислоты. Прандеская Е. А., Ж. прикл. химии, 1957, 30, № 9, 1394—1397

$\text{Sn}$  из отходов белой жести получают химико-электролитич. методом в 1,25 н. р-ре  $\text{NaOH}$  с добавкой 0,15 молей  $m$ -нитробензойнокислого натрия  $\text{NO}_2\text{C}_6\text{H}_4\text{COONa}$  (I). При взаимодействии олова со щел. р-ром анион I восстанавливается до аниона гидразобензойной к-ты  $[\text{OOC}_6\text{H}_4\text{NHNHC}_6\text{H}_4\text{COO}]^-$  который, реагируя с кислородом воздуха, окисляется до аниона азобензойной к-ты  $[\text{OOC}_6\text{H}_4\text{N}=\text{NC}_6\text{H}_4\text{COO}]^-$ . Последний, окисляя  $\text{Sn}$ , вновь восстанавливается до аниона гидразобензойной к-ты. Исследования добавок  $\text{Na}$ -солей 3-нитрофталеовой  $\text{NO}_2\text{C}_6\text{H}_3(\text{COOH})_2$  (II) и  $m$ -нитробензолсульфоновой  $\text{NO}_2\text{C}_6\text{H}_4\text{SO}_3\text{H}$  (III) к-т показали, что механизм окисления остается таким же, как при добавлении I. В отсутствие  $\text{O}_2$  воздуха окисление замедляется. Кол-во  $\text{Sn}$  в г, растворившегося за 1 час после выдержки в течение 18 час. в щел. р-ре при т-ре 75° без тока, составляет с добавкой I — 39,8, с добавкой II — 10,8 с добавкой III — 22,3. Н. Михайлов

29487. Исследование различия концентраций в свинцовой фторборатной ванне. Габриэльсон (An examination of concentration differences in lead-fluoborate plating baths. Gabrielson Gunnar), Metal Finish. J., 1957, 3, № 32, 335—337 (англ.)

Аналитическим методом (весовым) изучено изменение конц-ии  $\text{Pb}$  в электролите по высоте ванны. Показано, что конц-ия  $\text{Pb}$  в верхней и средней частях электролита отличается на 4—5 г/л, а в нижней части электролита конц-ия  $\text{Pb}$  на 85—95 г/л больше, чем в верхней. Это имеет место как в работающем электролите, так и в покоящемся. Высказывается мнение, что недостаточная скорость диффузии в изученном электролите связана не с вязкостью р-ра, так как она невысокая, а с большим размером диффундирующих ионов в комплексном р-ре. Для выравнивания конц-ии электролита рекомендуется работать с перекачиванием электролита и при повышенной т-ре (40°).

З. Соловьева  
29488. Электроосаждение сплавов  $\text{Sn-Ni}$  и  $\text{Sn-Sb}$ . Серавалле (Elettrodeposizione di leghe  $\text{Sn-Ni}$  e  $\text{Sn-Sb}$ . Serravalle G.), Metallurgia ital., 1957, 49, № 2, 99—106 (итал.; рез. англ., нем., франц.)

Изучалось электрохим. поведение  $\text{Sn}$ ,  $\text{Ni}$ ,  $\text{Sb}$  в р-рах, содержащих ионы фтора, и электрохим. поведение сплавов  $\text{Sn-Ni}$  и  $\text{Sn-Sb}$  и условия их выделения. Использование фтористоводородных ванн для осаждения этих сплавов оказалось особенно целесообразным, так как комплексообразующее действие  $\text{F}^-$ -ионов позволяет сблизить потенциалы выделения  $\text{Sn}$ ,  $\text{Ni}$  и  $\text{Sb}$ . Составлено ур-ние процесса осаждения. На основании полученных результатов дано объяснение механизма процесса электроосаждения сплавов и их электрохим. поведения. Показано, что  $\text{Sn}$  образует в р-рах, содержащих достаточное кол-во  $\text{F}^-$ , комплекс  $\text{SnF}_6^{2-}$ , чему благоприятствует избыток комплексообразователя и отсутствие ионов  $\text{H}^+$  и препятствует присутствию в р-ре сильных к-т; никакого влияния не оказывает т-ра и характер аниона соли  $\text{Sn}$ . Сплав  $\text{Sn-Ni}$  осаждается из р-ра состава (в г/л):  $\text{NiCl}_2 \cdot 6\text{H}_2\text{O}$  300,  $\text{SnCl}_2 \cdot 2\text{H}_2\text{O}$  50,  $\text{NH}_4\text{F}$  35,  $\text{NaF}$  28; т-ра 65°,  $D_K = 1,8\text{—}2,7 \text{ а/дм}^2$ . Сплав  $\text{Sn-Sb}$  осаждается из р-ра состава (в г/л):  $\text{SnCl}_2 \cdot 2\text{H}_2\text{O}$  60,  $\text{SbCl}_3$  40—60,  $\text{NH}_4\text{F}$  57; т-ра 65°.

Я. Лапин  
29489. Гальванопластические трафареты для окрашивания. Спиро (Electroformed spray masks. Spiro P.), Trans. Inst. Metal Finish., 1955—1956, 33, 443—449. Discuss., 450—451 (англ.)

Описаны гальванопластич. способы изготовления трафаретов для окрашивания объемных изделий (формы для наращивания, технология электроосаждения металла и способы окончательной обработки и применения трафаретов), заключающиеся в изготовлении пластмассовой формы, нанесении проводящего слоя

хим. серебрением двухсопловым пистолетом и меднении сначала в кислой ванне, затем в цианистой с применением реверсивного тока (для снятия внутренних напряжений) до толщины 1 мм.

В. Жогина  
29490. Определение толщины гальванических покрытий с помощью магнитного прибора. — (La determinazione magnetica dello spessore dei rivestimenti galvanici con l'apparecchio Mogne-Gage.), Galvanotecnica, 1956, 7, № 12, 303—310 (итал.)

Приведено описание и дана характеристика прибора для определения толщины гальванич. покрытий. Прибор состоит из постоянного магнита, снабженного пружиной из сплава Be-Cu, работающей на кручение. Магнит опирается на покрытие, а пружина закручивается или откручивается до тех пор, пока магнит не отделится от образца. Отсчет показаний производится на основании соответствующих калибровочных кривых, определяющих толщину покрытия в зависимости от крутящего момента. С помощью прибора можно измерять толщину покрытий на немагнитных металлич. основаниях, так как сила притяжения магнита и покрытия пропорциональна толщине последнего; можно измерять толщину немагнитных покрытий на черных металлах, используя уменьшение магнитного притяжения основного металла вследствие наличия немагнит. слоя покрытия. Приведены данные по установке и обслуживанию прибора, по влиянию примесей Fe и Co в осадке и магнитных свойств основного металла, а также микрометрии поверхности, на точность измерения. Общая точность определения имеет порядок  $\pm 10-15\%$ .

Я. Лацин  
29491. Контроль поверхности с помощью оптического прибора. Бенингхофф (Oberflächenprüfung durch optische Vergleichsteste. Benninghoff H.), Metallwaren-Ind. und Galvanotechn. 1957, 48, № 7, 310 (нем.)

Сообщение об оптич. приборе для контроля поверхности изделия путем визуального сравнения ее при 10-кратном увеличении с эталонным образцом. Прибор может применяться как для контроля качества обработки поверхностей, так и для определения пористости лаковых и гальванич. покрытий.

В. Ельцов  
29492. Цех гальванических покрытий. — (Plating T. C. hinges Thomas Crompton and Sons Ltd.), Prod. Finish, 1957, 10, № 6, 85—87 (англ.)

Описан цех компании Thomas Crompton and Sons Ltd (Англия), оборудованный обычными стационарными ваннами и барабанами. Для латунирования на предприятии изготовлен конвейер, автоматически перемещающий барабаны с деталями из ванны в ванну по ходу процесса.

В. Ельцов  
29493. Выпрямитель в гальванотехнике. Шрётер (Gleichrichter in der Galvanotechnik. Schröter Erich), Metallwaren-Ind. und Galvanotechn., 1956, 47, № 2, 72—75 (нем.)

См. также РЖХим, 1957, 41809.

29494. Графическое изображение электролитических процессов. Крижан (Grafický výpočet elektrolytických procesov. Křížan Vladimír), Chem. zvesti, 1957, 11, № 6, 378—382 (словацк.; рез. русск., нем.)

Приведена номограмма, с помощью которой можно быстро рассчитать процесс электролиза, а также стоимость затрачиваемой электроэнергии при разных тарифах.

В. Левинсон  
29495. Номограмма для вычисления веса и поверхности пружин. Филд (Alignment chart for finding weight and area of springs. Field George C.), Plating, 1957, 44, № 4, 386—387 (англ.)

Приведена номограмма для вычисления поверхности и веса пружин в пересчете на 1000 изделий. Исходными величинами являются диаметр проволоки, число витков и средний диаметр, представляющий собой раз-

ность наружного диаметра пружины и диаметра проволоки. Поверхность закрытой (работающей на растяжение) пружины составляет 75% от поверхности открытой (работающей на сжатие) пружины при условии равенства кол-ва витков, диаметра и толщины проволоки. Номограмма дает возможность рассчитать число пружин и их вес для заданной величины поверхности. Эти данные необходимы в гальванотехнике для расчета загрузки электролитич. ванн.

Н. Михайлов  
29496 Д. Исследование физико-химических свойств электролитов промышленных алюминийных ванн. Новиков Н. И. Автореф. дисс. канд. техн. н., Моск. ин-т цветн. мет. и золота, М., 1957

29497 П. Способ изготовления токопроводящего покрытия на электродах. Рид (Method of making conductively coated electrodes. Reid Raymond W.), [The Dow Chemical Co.] Пат. США 2745774, 15.05.56

Для соединения магниевого анода с катодом соседнего элемента батареи применяется электропроводное покрытие, препятствующее проникновению электролита. Для нанесения покрытия магниевый анод после травления натрачивается графитом и покрывается тонким слоем нефтяного или асфальтового пека, смешанного с графитом. Поверх слоя пека накладывается слой воска с графитом, причем т-ра плавления воска должна быть ниже, чем пека. Путем нагревания и прессовки элементы склеиваются друг с другом.

Б. Герчиков  
29498 П. Получение марганцевого деполяризатора. Уэлш, Холмс (Treating oxidized manganese carbonate products. Welsh Jay Y., Holmes Russell A.) [Manganese Chemicals Corp.] Пат. США 2758012, 7.08.56

Для получения продукта, содержащего  $MnO_2$  и обладающего хорошими деполяризационными свойствами, рекомендуется следующий процесс обработки карбоната марганца: а) обжиг в течение 6 час. при 260—290° в атмосфере, содержащей пары  $H_2O$  и 3—10%  $CO_2$ ; б) выдержка полученного при этом окисленного продукта, содержащего 50—85% свободного  $O_2$ , в течение  $\geq 2$  час. при 88—93° в атмосфере воздуха, находящегося в равновесии с водой; в) нагрев в течение  $\geq 3$  час. при 120—200° в воздухе (желательно с добавкой до 10%  $CO_2$ ).

В. Левинсон  
29499 П. Конструкция батарей из гальванических элементов. Вудринг (Battery. Woodring William B.) [Olin Mathieson Chemical Corp.] Пат. США 2751427, 19.06.56

Батарея из последовательно соединенных марганцевых гальванич. элементов в виде ленты любой длины. На ленту из пластич. материала (перхлорвинила) наносятся соединительные полосы, состоящие из токопроводящего материала, напр. сажи с поливиниловым связующим, а на концы токопроводящих полос намазываются электроды, попеременно двуокись марганца и цинк в виде порошка со связующим. Могут применяться также и кружки металлич. цинка, а двуокись марганца может быть нанесена на бумажные прокладки. Сепарацией служит гигроскопич. бумага с краемалом, пропитанная электролитом. Ленты накладываются друг на друга так, чтобы угольно-марганцевые электроды приходились против цинковых. Для соединения краев лент и отделения элементов друг от друга служит воск или другой материал.

Б. Герчиков  
29500 П. Газопроницаемая мембрана для гальванического элемента воздушной деполяризации. Марсэл (Gas permeable membrane for airdepolarized cell. Marsall Paul A.) [Union Carbide and Carbon Corp.] Пат. США 2759038, 14.08.56

Для предохранения гальванич. элементов воздушной деполяризации от высыхания и поглощения  $H_2O$  и  $CO_2$



отверстия в сосуде, служащие для проникновения воздуха, перекрывают мембранами из полиэтиленовой пленки с оптимальной толщиной ~ 0,008 мм. Полиэтиленовая или этилцеллюлозная пленка обладает селективной пропускной способностью. Она хорошо пропускает кислород и плохо пропускает азот, водяной пар и  $\text{CO}_2$ . Б. Герчиков

**29501 П.** Способ изготовления сухозаряженных свинцовых аккумуляторов. Гринберг, Орсино (Dry charged batteries. Greenburg Reginald H., Orsino Joseph A.) [National Lead Co.]. Пат. США 2759037, 14.08.56

Патентуется способ изготовления сухозаряженных свинцово-кислотных аккумуляторов без применения сухого пара или горячих инертных газов для сушки отрицательных пластин. Для предотвращения окисления губчатого Pb активной массы отрицательных пластин к пасте, которая вмазывается в решетку и состоит из глета и расширителя (сажа, бланфикс, лигнин), добавляется небольшое кол-во (0,2 ÷ 2,5%) ингибитора, препятствующего окислению губчатого Pb кислородом воздуха. Ингибитор не должен растворяться в  $\text{H}_2\text{SO}_4$ , электролита и разрушаться в процессе формовки пластин. К в-вам, препятствующим окислению и обладающим указанными свойствами, относятся гидроксинафталины, диметилхинолины, бензотриаксинон, нафталины к-ты и их гомологи. После приготовления пасты с добавкой ингибитора и намазки проводится блочная формовка; затем блоки разбираются, пластины промываются и сушатся в струе воздуха. Аккумуляторы, собранные из таких пластин, сохраняли до 92% емкости. Б. Герчиков

**29502 П.** Конструкция борнов серебряно-цинкового аккумулятора. Ярдин (Battery-terminal connection method. Yardney Michel N.) [Yardney International Corp.]. Пат. США 2753620, 10.07.56

Патентуется новая конструкция борнов серебряно-цинкового аккумулятора (СЦА). Крышка СЦА имеет два цилиндрич. выступа с расширяющимся книзу конич. отверстиями, через которые пропускаются тоководы положительных и отрицательных электродов. Собранный СЦА с вклеенной в бачок крышкой и пропущенными через конич. отверстия тоководами переворачивается вверх дном. На цилиндрич. выступы надеваются шайбы из термопластика, которые могут быть окрашены соответствующим образом для обозначения полярности. Затем на выступы надевается плотно прилегающий к ним металл. колпачок (К), наполовину заполненный мелкодробленым припоем. После этого СЦА ставится снова вертикально на дно и к каждому К подводится сверху паяльное устройство, которое может состоять из двух электродов, нагревающих К и расплавляющих припой. Одновременно паяльное устройство осуществляет нажим на К, благодаря которому тоководы в расплавленном припое загибаются крючком, и горячий К напрессовывается на шайбы из термопластика, обеспечивая герметизацию узла. Б. Герчиков

**29503 П.** Герметизированный аккумулятор. Линдстрём (Hermetiskt sluten ackumulatorcell. Lindström G.) [Svenska Akkumulator AB Jungner]. Шведск. пат. 157795, 12.02.57

В герметизированном аккумуляторе, в котором газы, образующиеся при зарядке, поглощаются активным материалом электродов, пространство между электродами (Э) разной полярности заполнено пропитанной электролитом массой, напр. из  $\text{Al}_2\text{O}_3$ , кизельгура, молотого пластика и др. Отношение кол-ва электролита к нерастворимой и не проводящей тока гранулированной присадки, а также расстояние между Э выбрано так, что выделяющиеся при зарядке пузырьки газа могут перекрыть расстояние между Э, не поднимаясь

на поверхность массы. В этом аккумуляторе отпадает необходимость в пространствах для газа и шлама; миним. расстояние между Э равной полярности фиксировано изоляцией, напр., стержнями, лентой пластика или крупноплетистой сеткой из пластика.

**29504 П.** Метод изготовления пористого материала для аккумуляторных сепараторов с использованием растворимых веществ. Бьоре (Procédé de fabrication de matières poreuses, notamment pour séparateurs d'accumulateurs, par emploi de substances solubles. Bioret Marcel) [Cie Générale d'Electricité]. Франц. пат. 1128034, 13.11.56

Для изготовления аккумуляторных сепараторов, отличающихся высокими диэлектрич. свойствами, рекомендуется применять р-р латекса в поливинилхлориде или поливинилиденхлориде с добавкой значительного кол-ва мелкозернистого, растворимого в воде и стойкого при умеренных т-рах в-ва, напр. мочевины, и небольшого кол-ва нерастворимого в воде наполнителя, напр. силиката или тончайшего кремнезема. Из такой высушенной и измельченной смеси изготавливают горячим каландрованием пористые пластины, которые после промывки и сушки можно использовать в качестве сепараторов. В. Левинсон

**29505 П.** Аппарат для электролиза растворов сульфатов щелочных металлов. Мюллер (Apparatus for the electrolysis of aqueous alkali sulphate solutions. Müller Wilhelm) [E. Merck]. Пат. США 2744864, 8.05.56

Предложена ванна для электролиза сульфатов щел. металлов с целью получения щелочи. Ванна представляет собой обычный электролизер с Hg-катодом. Особенностью конструкции является то, что каждая анодная плита, подвешенная на токоподводящем стержне, заключена в ячейку из электроизоляционного материала, сообщающуюся с газовым пространством ванны сверху и закрытую диафрагмой снизу. Поверхность диафрагмы имеет небольшой уклон в сторону, противоположную движению ртути. Этим облегчается удаление из-под нее пузырьков водорода, которые могут значительно увеличить напряжение на ванне. Каждая анодная ячейка сообщается с расположенным вдоль электролизера каналом, в который выводится кислый анолит. Амальгама щел. металла, полученная в электролизере, направляется в разлагатель обычного типа. При электролизе  $\text{Na}_2\text{SO}_4$  конц-ней 350 г/л при т-ре 58° и  $D = 22 \text{ а/дм}^2$  напряжение составляло 4,7—4,9 в, ВТ = 98—99%. Одновременно получена  $\text{H}_2\text{SO}_4$  конц-ней 150 г/л. В. Ельцов

**29506 П.** Раствор, применяемый при резке металлических стержней. Курафудзи, Японск. пат. 5900, 22.08.55

1 л растворимого стекла с уд. в. 1,3 подогревают до 40°, добавляют к нему 75 г  $\text{Na}_2\text{CO}_3$ , хорошо перемешивают. Полученный р-р помещают в аппарат для резки цилиндров. В качестве электродов используют полые цилиндры из пластинок мягкой стали толщиной 0,5 мм. Скорость вращения металл. стержней 9 м/сек, напряжение 37 в, сила тока 7 а. Обрабатываемый предмет — цилиндрич. стержень из мягкой стали диам. 6 мм. Продолжительность резки: вначале стержень в течение 51 сек. обрабатывается только лишь в р-ре жидкого стекла и дополнительно 43 сек. в смешанном р-ре жидкого стекла и  $\text{Na}_2\text{CO}_3$ . Поверхность среза ровная, гладкая. Вместо  $\text{Na}_2\text{CO}_3$  могут быть использованы  $\text{K}_2\text{CO}_3$ ,  $\text{NaHCO}_3$ ,  $\text{KHCO}_3$ , сульфаты, фосфаты,  $\text{NaOH}$ ,  $\text{KOH}$  или их смеси. В. Зломанов

**29507 П.** Химическое покрытие для металла, дающее возможность определить деформацию при нагрузке. Ямамото [Нихон кокую тэцудо]. Японск. пат. 3385, 20.05.55

Берется 76 ч. свинцовой смолы, 7 ч.  $PbO$ , все это плавится и к расплаву добавляют 17 ч.  $CaO$ , растворенный в небольшом кол-ве  $H_2O$ . Затем  $H_2O$  выпаривают и получают твердое в-во, которое в расплавленном состоянии наносится на металл. Такое покрытие почти совершенно не подвергается воздействию т-ры и влаги и при его помощи легко и просто можно обнаружить деформацию поверхности металла при нагрузке. Даже при малейшей деформации поверхности металла на поверхности покрытия начинают появляться трещины.

В. Зломанов

**29508 П. Электролитическая полировка алюминия и его сплавов.** Таката. Японск. пат. 2818, 16.04.56

В качестве электролита используют щел. р-ры, содержащие  $Na_2P_2O_7$ ,  $(NaPO_3)_6$ ,  $Na$ -соль этилендиаминтетрауксусной к-ты. Анод — алюминий сравнительно низкой чистоты или его сплавы; катод — железо или нержавеющая сталь. В результате полирования получают зеркальную блестящую поверхность, аналогичную поверхности, которую получают при полировании  $Al$ , обладающего высокой степенью чистоты. Примеры. Анод — полируемое изделие из  $Al$  (98,5%); катод — железная пластина; электролит состава (в %):  $NaOH$  3,  $Na_2P_2O_7$  10,  $(NaPO_3)_6$  5,  $H_2O$  — остальное, напряжение на ванне 20 в,  $D_a = 20$  а/дм<sup>2</sup>, т-ра электролита 40°, продолжительность электролиза 5 мин.

В. Зломанов

**29509 П. Электроосаждение никеля.** Шенк (Electrodeposition of nickel. Shenk Wilbur J.) [The Harshaw Chemical Co.]. Пат. США 2757133, 31.07.56

Электроосаждение блестящих  $Ni$ -осадков осуществляется из р-ра  $NiCl_2$ ,  $NiSO_4$  (или их смеси), содержащего добавку следующей ф-лы  $R-SO_2NHSO_2-R'$ , где  $R$  — ароматич. радикал, имеющий  $\leq 10$  циклич. атомов  $C$ ;  $R'$  — выбран из класса ароматич. радикалов, имеющих  $\leq 10$  циклич. атомов  $C$ , алифатич. радикалов, имеющих 1—18 атомов  $C$  и включающих по крайней мере один ненасыщ. атом  $C$ , ариламещенных алифатич. радикалов, имеющих 7—11 атомов  $C$ , радикалов следующих ф-л:  $R''-SO_2NHSO_2R'''$ ,  $RR''SO_2NHSO_2-R'''$ ,  $ROR''-SO_2NHSO_2-R'''$  и  $RCH_2R''-SO_2NHSO_2-R'''$ ,  $R$ ,  $R''$  и  $R'''$  — ароматич. радикалы, имеющие не  $> 10$  циклич. атомов  $C$ . Конц-ия добавки 0,1—6 г/л. Добавки отличаются высокой растворимостью в воде и могут применяться не только одни, но и в сочетании с другими добавками.

З. Соловьева

**29510 П. Получение металлических циркония или гафния с применением в качестве растворителя раствора аммиака.** Осига [Сэва дэнко кабусики кайся]. Японск. пат. 2954, 20.04.56

При электролизе р-ра солей  $Zr$  или  $Hf$  в р-ре  $NH_4OH$  на катоде образуется осадок из металла  $Zr$  или  $Hf$ . Для получения  $Zr$  или  $Hf$ , не окисляющихся в атмосфере, необходимо во время электролиза правильно определить  $D_k$ , которая ниже  $D_k$  при электролизе водн. р-ров. При использовании  $Hg$ -анода в процессе электролиза образуется амальгама циркония или гафния, которая почти не растворяется в  $Hg$ , а всплывает поверх  $Hg$  и покрывает поверхность катода. Во избежание этого необходимо в процессе электролиза все время перемешивать электролит. Вместо  $Hg$  в качестве катода или анода может быть использована амальгама щел. и щел.-зем. металлов. Полученную при электролизе амальгаму  $Hf$  или  $Zr$  нагревают в атмосфере инертного газа, водорода или под вакуумом и удаляют  $Hg$ . В качестве катализатора, способствующего растворению солей  $Zr$  и  $Hf$  в  $NH_4OH$ , могут быть использованы соли  $NH_4Cl$ ,  $NH_4Br$ ,  $NH_4I$ ,  $NaCl$ ,  $NaBr$ ,  $NaI$ ,  $CaBr_2$  и некоторые др. Соли щел. металла и слабей к-ты применять нельзя. Пример. 600 г хорошо просушенного  $NH_4Cl$  растворяют в 1 л  $NH_4OH$ , в полученном р-ре растворяют 23 г  $ZrCl_4$ . В качестве анода

используют графит, в качестве катода  $Zn$ -пластинку. Напряжение на ванне 3в,  $D_k = 1-3$  а/дм<sup>2</sup>. ВТ  $Zr$  50—70%, чистота  $Zr$  97%. При получении гафния вместо  $ZrCl_4$  берется  $HfCl_4$ .

В. Зломанов

**29511 П. Электроосаждение хрома.** Браун, Миллидж (Electroplating of chromium. Brown Henry, Millage Donald R.) [The Udylyte Research Corp.]. Пат. США 2750337, 12.06.56

В электролит ( $CrO_3 + H_2SO_4$ ) для уменьшения образования брызг и тумана над ванной вводится добавка пиридина или пикколина или их смеси в кол-ве 5—60 г/л и небольшое кол-во соединения  $(0,05\text{ г/л})$ , имеющего ф-лу  $R_FSO_3X$ , где  $R_F$  — насыщ. фторкарбонная цепочка, содержащая 4—8 атомов  $C$ ,  $X$  — катион. Можно добавлять в электролит также соединения  $Cu$ ,  $Zn$  или их смеси в кол-ве 5—20 г/л.

З. Соловьева

**29512 П. Алюминиевые подшипники с нанесенным слоем металла.** Кумс, Фост, Шер (Plated aluminum bearings. Combs Eugene L., Faust Charles L., Schaer Glenn R.) [American Brake Shoe Co.]. Пат. США 2766195, 9.10.56

Патентуется способ нанесения тонких слоев  $Sn$  и  $Cu$  на рабочую поверхность  $Al$ -подшипников. Подшипники после обезжиривания погружаются на 10 мин. в 10%-ный р-р  $H_2SO_4$ , содержащий 2—40 г/л  $H_2C_2O_4$ . Лужение производится в ванне, содержащей в качестве основных компонентов  $SnSO_4$  и пиррофосфорнокислый калий, или же в борфтористоводородной ванне. Меднение производится в пиррофосфатном электролите.

И. Ерусалимчик

**29513 П. Метод и приспособление для нанесения гальванических покрытий.** Райнс (Electroplating method and system. Rines Robert H.). Пат. США 2744859, 8.05.56

Если между катодом и анодом создать напряжение, недостаточное для электролиза, поместить перед катодом экран электронно-лучевой трубки, покрытый изнутри электропроводным материалом, и включить трубку в работу, то падающий в какую либо точку экрана электронный луч вызовет в близлежащем участке катода осаждение металла. Автор объясняет это явление возникновением емкостной связи между экраном электронно-лучевой трубки и катодом. Если управлять перемещением луча, заставляя падать его только в определенные участки экрана, то осаждение металла будет идти только в соответствующих местах катода, давая определенный рисунок. Подобный же эффект можно получить, если нанести на экран электропроводный материал в виде рисунка, который желательно получить при электроосаждении металла.

В. Ельцов

**29514 П. Методы нанесения и приспособления для гальванических покрытий на металлических изделиях.** Хорн (Verfahren und Vorrichtung zur Herstellung örtlich verstärkter galvanischer Niederschläge auf Metallwaren. Horn Adolf) [Metallwarenfabrik Nagold Inh. Otto Kaltbach]. Пат. ФРГ 954470, 20.12.56

Описана особая конструкция применяемых при ускоренном серебрении анодов из гранулированного серебра. Автор предлагает аноды с отверстиями, расположенными на различной высоте и закрытыми нерастворимым фильтром. Большая поверхность анодов позволяет применять высокие  $D$  и таким образом увеличить скорость осаждения покрытия. Предлагаемая конструкция анодов облегчает диффузию ионов серебра, что позволяет поднять производительность процесса с одновременным обеспечением качества покрытия. Рекомендуются приспособления для работы с движущимися электродами.

М. Левиназов



**29515 П. Контактные ролики для электролитического лужения ленты.** Уик, Франсиско (Contact roll for electrolytic tin lines. Wick Richard M., Francisco Herbert H.) [Bethlehem Steel Co.]. Пат. США 2754485, 10.07.56

Патентуется агрегат контактных роликов для электролитич. лужения при больших скоростях движения ленты в электролите. Агрегат способен пропускать большие токи (до 5000 а на каждый ролик) без существенного перегрева и с ничтожным падением напряжения в месте контакта. Коллекторный вал стальной, внутренняя ось (проводник) и фланцы медные. Поверхности роликов хромируются, места контактов покрываются серебром. Предусмотрено воздушное охлаждение вала. Приведены рисунки, объясняющие устройство агрегата.

Н. Михайлов

**29516 П. Метод и аппаратура для осаждения меди.** Мет (Method and apparatus for depositing copper. Meth Max). Пат. США 2748023, 29.05.56

Заянтован метод нанесения слоя металлич. Cu на Ag-поверхность зеркал, заключающийся в контактом выделении Cu из р-ра  $\text{CuSO}_4$  порошками металлов, имеющих более электроотрицательный, чем медь, потенциал в ряду напряжения. Наилучшие результаты получены при применении Zn-порошка толщиной слоя 300 меш в виде суспензии конц-ией 15—22,5 г/л и р-ра  $\text{CuSO}_4$  конц-ией 120 г/л. Р-ры сливаются вместе непосредственно на обрабатываемой поверхности. Осаждение меди производится сразу же после промывки зеркала от серебряного р-ра во избежание окисления пленки Ag.

В. Ельцов

**29517 П. Метод нанесения гальванического покрытия.** Серта (Method of plating. Certa Anthony J.) [Philco Corp.]. Пат. США 2766194, 9.10.56

Патентуется приспособление для покрытия или электрополировки мелких деталей сложной конфигурации, представляющее собой стальной гуммированный диск, горизонтально расположенный в ванне. В резиновой оболочке диска по всей ее нижней поверхности сделаны гнезда, в которые вставляются небольшие постоянные магниты, служащие одновременно и для крепления деталей и для подвода тока к последним.

В. Ельцов

**29518 П. Аппарат для нанесения гальванических покрытий на мелкие детали в барабанах.** Лутер (Apparatus for barrel-plating small articles. Luther Edgar W.) [Underwood Corp.]. Пат. США 2766201, 9.10.56

Патентуется применение вспомогательных контейнеров шарообразной или какой-либо другой формы, загружаемых в барабаны обычной конструкции вместе с крупными деталями. Корпус контейнера предпочтительнее изготавливать из электроизоляционного материала, в стенки которого впрессовываются шпурпообразные контакты для подвода тока к деталям. Контейнер по всей поверхности имеет перфорацию, достаточную для свободного проникновения электролита. Применение указанных приспособлений облегчает загрузку, выгрузку и сортировку деталей.

В. Ельцов

**29519 П. Восстановление фтора из отходящих газов при электролизе алюминия.** Китакава, Ямамото [Нихон кэйкиндоку кабусики кайся]. Японск. пат. 2823, 16.04.56

Газы, выделяющиеся из промышленных ванн при электролизе Al, состоят главным образом из CO и  $\text{CO}_2$ , которые образуются в результате сгорания угля анодов. В газах содержится и некоторое кол-во HF, который получается при разложении электролита. Для регенерации фтора из этой газовой смеси ее прежде всего промывают р-ром  $\text{Na}_2\text{CO}_3$  и  $\text{NaHCO}_3$ . В результате р-ций  $\text{Na}_2\text{CO}_3 + 2\text{HF} = 2\text{NaF} + \text{CO}_2 + \text{H}_2\text{O}$  или  $\text{NaHCO}_3 + \text{HF} = \text{NaF} + \text{CO}_2 + \text{H}_2\text{O}$  получают р-р, со-

державший NaF. К этому р-ру добавляют  $\text{Na}_2\text{AlO}_3$ , и смешанным р-ром вторично промывают газовую смесь, уже прошедшую первичную промывку. Щелочь, содержащаяся в промывном р-ре, вступает в р-цию с  $\text{CO}_2$ , образует  $\text{Na}_2\text{CO}_3$  или  $\text{NaHCO}_3$  и из р-ра выпадает  $\text{Na}_3\text{AlF}_6$ :  $\text{Na}_2\text{AlO}_3 + 6\text{NaF} + 3\text{CO}_2 = \text{Na}_3\text{AlF}_6 + 3\text{Na}_2\text{CO}_3$  или  $\text{Na}_2\text{AlO}_3 + 6\text{NaF} + 6\text{CO}_2 + 3\text{H}_2\text{O} = \text{Na}_3\text{AlF}_6 + 6\text{NaHCO}_3$ .  $\text{Na}_3\text{AlF}_6$  отделяют от маточного р-ра, а маточный р-р вновь используют для первичной промывки газа. Так как после промывки газа в р-р могут попасть частицы пыли, то его перед второй промывкой рекомендуется профильтровывать.

В. Зломанов

**29520 П. Электролиз тетрахлорида титана для получения титана.** Нормор, Скоби (Electrolysis of titanium tetrachloride to produce titanium. Normore William M., Scobie Alexander Gordon) [The Shawinigan Water and Power Co., Ltd.]. Пат. США 2755240, 17.07.56

Для устранения анодного эффекта (АЭ) при электролитич. получении титана из  $\text{TiCl}_4$  предлагается вводить в расплав небольшие добавки (0,02—0,1%) фтористых солей: KF, NaF, LiF,  $\text{CaF}_2$ ,  $\text{K}_2\text{TiF}_6$  или  $\text{Na}_3\text{AlF}_6$ . Приведены примеры устранения АЭ этими солями.

Б. Лешинских

См. также: Определение  $\text{SO}_4^{2-}$  в  $\text{MnO}_2$  28483. Li в полож. пластине Ni-аккумулятора 28072. Герметик для аккумуляторов 30855. Быстрое определение  $\text{H}_2$  в Ti и его сплавах 28460. Структура электроосажденных металлов 27743. Равновесие в расплавах NaCl-KCl содержащих Ti,  $\text{TiCl}_2$  и  $\text{TiCl}_3$  27889. Исследование диаграммы состояния электролита для получения Al 27899. Исследование физ.-хим. св-в электролита Al-ванны 28046, 28047. Кинетическое изучение реакции электроосаждения металлов (Ni) 28054. Влияние добавок на никелирование 28085. Получение Cd-порошка и его окисление 28056. Осаждение Fe 28057. Поведение анода при электролизе криолит-глиноземных расплавов 28070. Механизм электровосстановления  $\text{CrO}_2$  28085. Электроструйный метод определения толщин гальванич. покрытий 29113. Отравления Cr на гальванич. заводах 29310. Электроорганич. хим. окисление и восстановление 27944. Выделение  $\text{H}_2$  при электролизе р-ров NaCl 28065; электролиз р-ров NaCl 28066. Восстановление нитросоединений 28067. Анодное окисление метанола 28068. Новое объяснение электрокинетических явлений 28152. Получение Zr и его сплавов 28160

## КЕРАМИКА.

## СТЕКЛО. ВЯЖУЩИЕ ВЕЩЕСТВА. БЕТОНЫ

### Общие вопросы

Редакторы П. П. Будников, С. И. Горелкина, А. С. Пантелеев

**29521. Методы экспресс-анализа силикатов.** Лангмюр (Systemer for hurtig kjemisk analyse av silikater. Langmyhr Finn J.), Tidsskr. kjemi, bergves. og metallurgi., 1957, 17, № 8, 125—128 (норв.)

Рекомендуется гравиметрич. метод определения  $\text{SiO}_2$  осаждением желатиной в солянокислом р-ре, позволяющий проводить определение с точностью до +0,5% при незначительном увеличении времени анализа. Экспрессные методы определения  $\text{SiO}_2$ ,  $\text{Al}_2\text{O}_3$ ,  $\text{Fe}_2\text{O}_3$ , CaO и MgO в известняке, клинкере и цементе разрабатаны Лангмюром и Сетером (РЖХим, 1957, 45306).

Р. Герцфельд

**29522. Метод измерения теплопроводности пород и строительных материалов.** Гафнер (The applicati-

on of a transient method to the measurement of the thermal conductivity of rocks and building materials. Gafner G.), Brit. J. Appl. Phys., 1957, 8, № 10, 393—397 (англ.)

Метод определения теплопроводности изоляторов был применен с некоторыми видоизменениями для измерения теплопроводности пород и строительных материалов. Описываются конструкция прибора и способ выполнения измерений.

Б. Левман

29523. Спектрохимический анализ сырья для тонкой керамики. Bassett (Spectrochemical study of some whiteware materials. Bassett L. B.), J. Canad. Ceram. Soc., 1957, 26, 48—60 (англ.)

На основе спектрохим. анализов 21 образцов минералов, наиболее применяемых в качестве сырья для тонкой керамики, и литературного обзора авторы изучали возможность колич. определений путем сравнения интенсивности линий с эталонами. Приведены 3 соответствующие методики и результаты определенных.

А. Говоров

29524. Механизм пептизации глины в гранулометрическом анализе. Дал (Mechanisme van het peptiseren van klei in de granuometrische analyse. Dal P. H.), Klei, 1957, 7, № 8, 263—277 (гол.)

На графике зависимость кол-ва свободного пептизатора (П) — оксалата Na в фильтрате глиняной суспензии от кол-ва введенного в суспензию П выразилась прямой, имеющей излом в точке, соответствующей 5,5 мг-экв введенного П. Характер зависимости дает основание полагать, что пептизация протекает с адсорбцией катионов, на основе р-ции обмена и образования  $\text{CaC}_2\text{O}_4$ . Кол-во 5 мг-экв оксалата Na было достаточно для пептизации исследованной глины Коебонгерклеи, но недостаточно для жирных гли. При пептизации глины  $\text{Na}_2\text{P}_2\text{O}_7$  точка излома прямой графика находилась при 1,67 ммол/л П: в фильтрате суспензии обнаруживается весь  $\text{P}_2\text{O}_5$  прибавленного П, но по характеру кривой р-ция обмена с образованием растворимого комплекса пирофосфата и Ca глины.

К. Герцфельд

29525. Третичные кварциты Ваккерсдорфа и изучение возможности их технического применения. Эрнст, Форкель, Гелен (Quarzite in der tertiären Braunkohle von Wackersdorf (Opf.) und Untersuchungen über ihre technische Verwertbarkeit. Ernst Th., Forkel W., Gehlen K. von), Ber. Dtsch. keram. Ges., 1957, 34, № 10, 321—326 (нем.)

Исследуются третичные кварциты буроугольной формации. Обсуждаются условия образования кварцитов, залегающих в виде отдельных линз. Приведены результаты микроскопич., хим. и рентгенографич. исследования. Подробно исследовано поведение кварцита при обжиге. Выяснены характер выгорания органич. в-в (до 18 вес.%) и скорости полиморфных превращений кварцита в кристобалит и тридимит. Изготовлена опытная партия кирпича. Определены т-ры плавления и т-ры размягчения. Установлено, что по своим данным исследуемый кварцит сравним с цементными кварцитами, применяемыми для изготовления динаса. Однако наличие органич. в-в приводит при обжиге к возникновению большого кол-ва микропор (общая пористость кирпича ~ 35%). Так как полное выгорание органич. в-в в сформованном кирпиче идет медленно, рекомендуется предварительный выжиг органич. в-в (пористость снижается с 44% до 35%). Кварциты рекомендуются применять при изготовлении легковесного динасового кирпича с малой теплопроводностью. Благодаря своей тонкой пористости обожженный кварцит может быть употреблен в качестве носителя катализатора.

Н. Сивельников

29526. Силикаты. Де-Рейтере (Les silicates. De Reyttere Robert), Rev. univers. mines, 1957, 12, № 10, 599—609 (франц.)

Приведены общие сведения о сырье для динасовых и алюмосиликатных огнеупоров; полиморфные превращения кварца, тридимита и кристобалита; основы технологии произ-ва динаса, изменения его фазового состава при службе в коксовых и мартеновских печах; пластичность гли и ее измерение при помощи пластициметра конструкции Детай (Detaile); изменения гли при обжиге; выявление муллитизации 2 гли при помощи электронной микроскопии.

А. Говоров

См. также: Месторождения и св-ва гли в Вичентино 28300. Статистическое изучение спектрального определения  $\text{SiO}_2$  и  $\text{Al}_2\text{O}_3$  28509

### Керамика

Редакторы С. В. Глебов, С. И. Горелкина, В. В. Клыкова

29527. Художественный фарфор в Китайской Народной Республике. Ефремов Г. Л., Будников П. П., Барзаковский В. П. (Artystyczna porcelana w Chińskiej Republice Ludowej. Jefriemow G. L., Budnikow P. P., Barzakowski W. P.), Szkło i ceram., 1957, 8, № 4, 106—110 (польск.)

Перевод. См. РЖХим, 1957, 38369, 38370.

29528. Керамические материалы с малыми потерями, изготавливаемые на основе индийского талька. Бхушан, Рой (Low-loss ceramic bodies from Indian talcs. Bhushan Bhan, Roy H. N.), Trans. Indian Ceram. Soc., 1956, 15, № 3, 141—174 (англ.)

Изложены результаты эксперим. изучения индийского талька трех различных месторождений, проведенного с целью изыскания стеатитовых материалов, обладающих малыми диэлектрич. потерями. Исследованные материалы получены с применением глинистой и фосфатной связок и различных минерализаторов.

А. Борисенко

29529. Изолирующие спаи, работающие при высоких температурах. Уэйд (Insulated lead-through seals for use at high temperatures. Wade F. Repts. Atomic Energy Res. Establ., 1957, № R/R 2274, 4 pp., 3 pp. ill.) (англ.)

Описано изготовление спаев кварца, витреозила, искусств. сапфира, стеатита и других керамич. материалов со сплавами: 36% Ni-Fe; 42% Ni-Fe; 48% Ni-Fe и 29% Ni + 17% Co + 54% Fe. Главным условием, обеспечивающим продолжительность срока службы спаев, является равенство коэф. термич. расширения соединяемых материалов. Для обеспечения сохранности спаев при быстрых изменениях т-ры стенки последних должны иметь миним. толщину. Технология изготовления спаев состоит в удалении газов с поверхности деталей, сборке их в вакуумной установке и запаивании деталей при 950° с помощью Cu-Ag-сплава, содержащего 3—12% Ti. Механизм спаек заключается в растворении Ti расплавленным сплавом и смачивании получившимся расплавом поверхности керамики.

В. Кушаковский

29530. Добавки тонкомолотого нефелинового шенита к глинистым массам с высоким содержанием талька. Вильсон, Кёниг (Use of nepheline syenite in high-talc-ball clay bodies. Wilson Robert C., Koenig C. J.), Amer. Ceram. Soc. Bull., 1957, 36, № 9, 347—351 (англ.)

Малые добавки нефелинового шенита вводились в массу из 60% талька и 40% глины, обжигаемую при конусе 03. Улучшение свойств изделий обнаружилось лишь при очень большой тонкости помола вводимого

шенита. Пр  
шенит, ввод  
свойства пл  
тонкого сис  
уменьшила  
прочность  
жиге, умень  
канч. проч  
верхностное  
29531. Гр  
Ионеск  
Ionesc  
(рум.)  
Кратко о  
графито-кер  
кация ф-ки  
ф-н. Переч  
рандашей  
29532. Ре  
процессе  
Regelung  
rand der  
Jörg, T  
(нем.)  
Приводят  
тодов опре  
для регули  
званные в  
ция установ  
дательность  
датчика, в  
устройств  
го прибора  
Само регу  
с двумя о  
ного орган  
различной  
нижнего о  
см. После  
нут настоя  
ия проме  
ми. Прибо  
различным  
тельные ро  
ра колеба  
величины  
29533. О  
и глины  
hamutég  
1957, 6,  
Проводи  
произ-ва  
тов (ТЭ)  
в качестве  
80% и 20  
глина мер  
сти, если  
мелают тр  
товом пр  
зуп и Г  
(300 кг/м³)  
Положите  
лению пор  
с добавле  
лучают Т  
шей (41 к  
ционных  
произ-ву  
ных порк  
см до 86  
ства.  
21 Знак 31



сиенита. При размере частиц  $\leq 37 \mu$  нефелиновый сиенит, вводимый в кол-ве 6—9%, улучшил некоторые свойства шликера и изделий. При добавке 6% сверхтонкого сиенита с 98% зерен  $< 10 \mu$  значительно уменьшилась усадка при сушке, возросла механич. прочность после сушки, увеличилась усадка при обжиге, уменьшилось водопоглощение, увеличилась механич. прочность, сильно возросла прочность на поперечное откалывание. А. Говоров

**29531. Графито-керамические черные карандаши.** Ионеску (Creioanele negre ceramice de grafit. Ionescu I.), Ind. lemn., 1957, 6, № 8, 306—309 (рум.)

Кратко описана технология изготовления черных графито-керамич. карандашей. Приводятся классификация ф-ки Кокинор по ГОСТу СССР и румынских ф-к. Перечислены области применения керамич. карандашей различной степени твердости. Я. Матлис

**29532. Регулирование влажности кирпичных глин в процессе их подготовки и обработки.** Хомайр (Die Regelung des Wassergehaltes von Ziegeltonen während der Aufbereitung und Verformung. Homayr Jörg), Tonind.-Ztg, 1957, 81, № 17—18, 288—291 (нем.)

Приводятся результаты исследования известных методов определения влажности с целью их применения для регулирования подачи воды в смесители, используемые в произ-ве кирпича. Описывается регулирующая установка, основанная на определении производительности шнековой глиномешалки. Она состоит из датчика, в форме небольшого шнека, регулирующего устройства, связанного с вентилем и регистрирующего прибора, фиксирующего любое положение вентилей. Само регулирующее устройство состоит из ваттметра с двумя ограничителями, причем при переходе верхнего ограничителя водяной вентиль открывается с различной продолжительностью импульсов, а переход нижнего означает получение слишком влажной массы. После этого водяной вентиль должен быть повернут настолько, чтобы показатель ваттметра снова занял промежуточное положение между ограничителями. Прибор был опробован на многих произ-вах с различными рабочими агрегатами и показал положительные результаты. При использовании этого прибора колебания влажности глинистой массы от заданной величины составляли  $\pm 1\%$ . Г. Масленникова

**29533. Обожженный кирпич из золы угольной пыли и глины.** Альберт (Agyagkötésű égetett porszénhamutégélak. Albert János), Magyar Építőipar, 1957, 6, № 3—4, 163—166 (венг.)

Проводились опыты по разработке технологии произ-ва кирпича (К) и теплоизоляционных элементов (ТЭ) из золы угольной пыли (ЗУП) и глины (Г) в качестве вяжущего. ЗУП должна содержать  $> 40\%$   $SiO_2$  и  $20\%$   $Al_2O_3$ . Для произ-ва К может применяться глина мергелистая или с низким содержанием извести, если ее пластичность и вяжущая способность отвечают требованиям. Формовка проводилась на винтовом прессе. Правильным подбором соотношения ЗУП и Г получают морозостойкий К об. в. 1250—1300  $kg/m^3$ ,  $\sigma_{сж}$  158  $kg/cm^2$ . Максим. т-ра обжига 1000°.

Положительные результаты дали опыты по изготовлению пористых ТЭ при соотношении ЗУП:Г = 1:1 с добавлением 14% древесных опилок. При этом получают ТЭ об. в. 950—1000  $kg/m^3$ ,  $\sigma_{сж}$  в 2 раза больше (41  $kg/cm^2$ ), чем у обычных пористых теплоизоляционных плиток из обожженной Г. Затраты по произ-ву и обжигу значительно ниже, чем для обычных пористых плиток. Дырчатый К из ЗУП и Г имеет  $\sigma_{сж}$  до 86  $kg/cm^2$  и высокие теплоизоляционные свойства. С. Типольт

**29534. Сравнение различных методов определения морозостойкости кирпича.** Бергман (Vergleichende Untersuchungen zur Frostprüfung von Ziegeln. Bergmann K.), Ziegelindustrie, 1957, 10, № 11, 359—365 (нем.)

Сравнивались результаты определения морозостойкости (М) по общепринятому методу DIN 105, а также по скоростным методам Пфейфера и Дитцеля (РЖХим, 1956, 36654; 1957, 9005). Установлено, что при определении М по методу Пфейфера на всех изделиях уже в 1-м цикле появляются дефекты, в связи с чем этот метод считается непригодным. Наоборот, при применении метода Дитцеля можно за сравнительно короткое время получить результаты, позволяющие предсказать степень М опробованных изделий. Однако в тех случаях, когда наряду с М необходимо установить безопасное время, после которого появляются дефекты, так же как и причину недостаточной М, рекомендуется использовать общепринятый метод, несмотря на его большую продолжительность и высокую стоимость. Отмечается, что независимо от применяемого метода на результаты определения М существенное влияние оказывает способ отбора проб. П. Беренштейн

**29535. Развитие высокочастотной электротермии и ее применение в строительной индустрии.** Бабаг Г. И., Сб. тр. Всес. заочн. инж.-строит. ин-т, 1957, 1, 139—157

**29536. Пароувлажнение в производстве кирпича в Чехословакии.** Ширгал (Die Heissaufbereitung in der tschechoslowakischen Ziegelindustrie. Sirhal H.), Ziegelindustrie, 1957, 10, № 5, 142—150 (нем.)

На основе опыта кирпичной пром-сти Чехословакии показано, что пароувлажнение (П) можно осуществлять на существующих агрегатах (в круглом и ящичном подавателях, мешалке). Применение спец. устройств для П рекомендуется лишь в исключительных случаях, напр. при использовании плохо прорабатываемого трудно размокаемого сырья, требующего предварительного измельчения. Установлено, что при применении П достигается: снижение формовочной влажности на 5—15%, снижение потребляемой мощностью пресса на 15—20%, увеличение производительности пресса на 10—13%, сокращение времени сушки на 15—20%, увеличение механич. прочности обожженного кирпича на 15—25%. Оптимальная т-ра прогрева сырья зависит от свойств сырья, типа сушилки и др. Лучшие результаты достигаются при т-ре прогрева 35—47°. Приводятся случаи ухудшения качества кирпича при П высокочувствительных, склонных к структурообразованию глин, что объясняется неравномерным выходом бруса из мундштука вследствие имеющих место при П изменений физ.-мех. свойств сырья (пластичности, связности и др.). Указывается, что в таких случаях необходима предварительная регулировка мундштука, обеспечивающая при новых условиях равномерный выход бруса по поперечному сечению. Предыдущее сообщение см. РЖХим, 1957, 58172. П. Беренштейн

**29537. Стеклофаза в шамотных изделиях. Часть II. Влияние  $Fe_2O_3$  и щелочей на образование муллита и стекла в обожженной глине.** Бос, Мюллер-Хессе, Швите (Die Schmelzphase in Schamottesteinen. Teil II. Der Einfluß von Eisen (III)-oxyd und Alkalien auf die Mullit- und Glasbildung in gebranntem Ton. Bose Arun Kumar, Müller-Hesse Hermann, Schwiete Hans-Ernst), Arch. Eisenhüttenwesen, 1957, 28, № 10, 667—670 (нем.)

К чистому каолиниту добавлено 1,9; 3,36; 5,75 и 7,71%  $Fe_2O_3$  или 0,30; 1,66; 3,04 и 5,80  $K_2O$  (в форме ортоклаза), или от 2 + 1,5 до 6 + 3% смеси  $Fe_2O_3$  +

+K<sub>2</sub>O. Таким образом, составлено 14 синтетич. смесей, которые были тщательно смешаны и обожжены при 1050, 1150, 1250, 1350, 1450 и 1550° с выдержкой 2—14 час. при конечной т-ре. Выдержка в течение 6 час. оказалась в большинстве случаев достаточной для достижения равновесия. Определение минер. состава обожженных образцов производили конизационным рентгеновским методом, причем содержание стеклофазы (С) определяли по разности путем вычитания (из 100%) кол-ва подсчитанного муллита (М), кристобалита и корунда. Содержание С в пробах, обожженных при 1350—1450°, практически не изменялось; это указывает, что 2-часовая выдержка шамота при т-рах  $\geq 1350^\circ$  достаточна для максим. муллитизации черепка. Содержание М и кристобалита быстро росло с 1050 до 1350°, достигло при 1350° максимума, а затем содержание кристобалита резко падало, содержание С росло. Содержание М практически не изменялось до 1450°, а далее несколько падало, особенно в шамоте, содержащем 5,75—7,71% Fe<sub>2</sub>O<sub>3</sub>. Повышение содержания R<sub>2</sub>O сказывается на убывании кол-ва М; так, при повышении содержания R<sub>2</sub>O с 2 до 8% содержание М в черепке падает с 40 до ~20%. Таким образом, различие в кол-ве плавней в глинах вызывает сравнительно небольшие изменения в составе кристаллич. фаз шамота. Путем выделения из черепка М (методом растворения С в 10%-ном р-ре HF) установлено, что при т-ре обжига 1250° в С находится максим. кол-во Fe<sub>2</sub>O<sub>3</sub> (25—60%); при повышении т-ры обжига до 1350° Fe<sub>2</sub>O<sub>3</sub> внедряется в решетку М, а С обедняется Fe<sub>2</sub>O<sub>3</sub>. При дальнейшем повышении т-ры обжига содержание Fe<sub>2</sub>O<sub>3</sub> в С вновь постепенно растет, достигая при 1550° 30—40% от всего содержания Fe<sub>2</sub>O<sub>3</sub> в глине. Часть I см. РЖМет, 1957, 9531. С. Глебов

29538. Литой камень (базальт). Попов (La piedra colada. Porow K. I.), Construcciones, 1957, 13, № 2, 53—58 (исп.).

Обзор по вопросам изготовления изделий из базальта для хим. и электротехнич. пром-сти. Библ. 16 назв. С. Горелкина

29539. О прочности спеченного корунда. Павлушкин Н. М., Стекло и керамика, 1957, № 7, 14—17

Описаны опыты по определению  $\sigma_{\text{сж}}$  образцов спеченного корунда различных типов и по определению  $\sigma_{\text{изг}}$  образцов спеченного корунда с обычной, шлифованной и травленной поверхностью. Образцы для испытания на сжатие имели diam. 8—8,7 и высоту 7—8 мм. В одном случае средний  $\sigma_{\text{сж}}$  составлял 312,2, во втором 347,7 кг/мм<sup>2</sup>. Приведены данные о  $\sigma_{\text{сж}}$  образцов чистого и модифицированного окисью Mg корунда, изготовленного из Al<sub>2</sub>O<sub>3</sub>, различного типа (обычный, обожженный и электроплавленный) и разной степени дисперсности.  $\sigma_{\text{изг}}$  измерен для образцов чистого и модифицированного корунда размерами 5×5×35 мм и вдвое меньших размеров.  $\sigma_{\text{изг}}$  больших образцов в среднем составил для чистого корунда 14,2, для модифицированного 45,4 кг/мм<sup>2</sup>.  $\sigma_{\text{изг}}$  образцов меньшего размера модифицированного корунда 55,0 кг/мм<sup>2</sup>. Образцы малого размера с травленной поверхностью имели  $\sigma_{\text{изг}}$  60,7 кг/мм<sup>2</sup>, а образцы с полированными гранями 67,5 кг/мм<sup>2</sup>. Приведены сравнительные данные о прочности образцов монокристаллич. корунда. Н. Павлушкин

29540. О рыхлых разностях хромитов как сырье для производства сводовых хромомагнетитовых огнеупоров. Зубаков С. М., КазССР Гылым. Акад. хабарлары, Изв. АН КазССР. Сер. горн. дела, металлургии, стр-ва и стройматериалов, 1957, вып. 3, 103—113 (рез. каз.).

Приведены данные о лабор. опробовании рыхлой разности низкосортных хромитов Кемпирсайского месторождения в качестве сырья для сводовых хромомагнетитовых огнеупоров. Дан хим. состав пробы хромита. Микроскопич. исследование показало неоднородность минералогич. состава руды и непостоянство колич. содержания примесей (3—20%) в различных ее образцах. Рекомендуются новая технология предварительной подготовки низкосортных рыхлых кемпирсайских руд, состоящая в их тонком помоле, брикетировании и обжиге при 1500—1600° до получения плотного, прочного и однородного клинкера Н. Полляк

29541. Служба огнеупоров в электропечах. Скорход С. Д., Тр. научно-техн. о-ва черной металлургии, 1957, 18, 639—651

29542. Служба огнеупоров в мартеновском производстве. Назаров М. П., Тр. Научно-техн. о-ва черной металлургии, 1957, 18, 497—514

29543. Служба огнеупоров в конвертере, работающем с применением кислорода. Иванов Е. В., Тр. Научно-техн. о-ва черной металлургии, 1957, 18, 719—724

29544. Прошлое и будущее карбида кремния. Батлер (The past and future of silicon carbide. Butler G. M.), J. Electrochem. Soc., 1957, 104, № 10, 640—644 (англ.).

Обзор. Библ. 10 назв. А. Новиков

29545. Опыт применения жароупорного бетона в строительстве колпаковых отжигаемых (вакуумных) электропечей. Альтшулер Б. А., Салманов Г. Д., Соколовский А. Д., Карасев П. П., Огнеупоры, 1957, № 9, 425—429

При применении жароупорного бетона вместо легковесного фасонного шамота в строительстве колпаковых отжигаемых вакуумных электропечей подовые части последних (стенды) не требовали ремонта после 60 циклов отжига электротехнич. стали, в то время как стенды из легковесного фасонного шамота после 10 циклов отжига требовали полной перекладки. Для изготовления бетонных блоков и железобетонной связки стенда использовали жароупорный бетон на глиноземистом цементе марки 400 (огнеупорность 1400°) с шамотным заполнителем (огнеупорность 1690°). Приведена технология изготовления бетонных блоков и монтажа стенда. А. Черепанов

29546 К. Основы изучения силикатов. Барта, Главач, Прохазка, Шатава (Základní výuk silikátů. Bárta Rudolf, Hlaváč Jan, Procházka Svante, Šatava Vladimír. Praha, SNTL, 1957, 104 с., ил., 9,70 Kčs) (чешск.).

29547 К. Огнеупорные материалы. Материаловедение и хранение. Стахурский (Materiały ogniotrwałe. Materiałoznawstwo i przechowywanie. Stachurski Justyn. Warszawa, Pol. Wydawn. Gospodarcze, 1957, 84 с., ил., 5 zł.) (польск.).

29548 К. Керамзит. (Исследования по технологии). Гервиде И. А., М. Госстройиздат, 1957, 76 стр., илл., 2 р. 65 к.

29549 П. Обогащение керамического сырья, содержащего окислы титана. Судзуки, Томидзава, Огата, [Kogé гидзюцуинтэ]. Японск. пат. 7082, 27.10.54

Керамич. сырье (глины, каолин, полевой шпат и др.), содержащее окислы Ti и Fe, предложено обрабатывать струей газов, содержащих CO и Cl<sub>2</sub>, напр. смесью городского газа с Cl<sub>2</sub>. Окислы Ti и Fe при этом вступают в р-цию с CO и Cl<sub>2</sub> и удаляются в виде TiCl<sub>4</sub> и FeCl<sub>3</sub>. М. Гусев

29550 П. Способ очистки от железистых примесей. Кувада, Сугихара. Японск. пат. 6121, 25.04.54



Для очистки огнеупорных глин или каолинов от железистых примесей предложено обрабатывать их р-рами  $\text{NaHSO}_3$ ,  $\text{Na}_2\text{S}_2\text{O}_3$ ,  $\text{Na}_2\text{SO}_3$  или солями  $\text{Zn}$ ,  $\text{Mg}$ ,  $\text{Al}$  тех же к-т.  $\text{Fe}$  при этом переходит в растворимые соли, которые удаляются с промывными водами. Пример: к 1000 г железистого каолина добавляют 1500 см<sup>3</sup> 3%-ного р-ра  $\text{NaHSO}_3$ ; через 3 часа перемешивания взвесь отфильтровывают, промывают водой и получают чистый белый каолин. М. Гусев

29551 П. Метод получения дисперсных продуктов с большой удельной поверхностью из природных силикатов. Клэпфер, Фрей, Вейтбрехт, Коля (Verfahren zur Herstellung feinteiliger Produkte mit großer aktiver Oberfläche aus natürlichen Silicaten. Kloepper Harry, Frey Artur, Weithrecht Gerhard, Kohl Hans) [Deutsche Gold- und Silber-Scheideanstalt vormals Roessler]. Пат. ФРГ 958024, 14.02.57

Метод заключается в нагревании в автоклаве водн. суспензий алюмосиликатных минералов (каолин, галлоизит, монтмориллонит и др.) со щел.-зем. окислами с последующим фильтрованием и сушкой. При обработке бентонитов рекомендуется брать 20—40 вес. ч.  $\text{CaO}$  на 100 вес. ч. бентонита. После мокрого смещения взятых навесок полученную суспензию обрабатывают при 180—200° в автоклаве в течение нескольких часов. Продукты р-ции отделяют от воды и сушат. В. Кушаковский

29552 П. Новая борокальцитная керамика, обжигаемая при низкой температуре. Данеролль (Nouvelles céramiques borocalciques cuisant à basse température. Daneurolle Charles-Antoine). Франц. пат. 1125076, 23.10.56

Новая керамика представляет собой белый, просветляющий типа фарфора твердый материал, остекловывающийся в пределах 1000—1150° благодаря образованию стекловидной фазы, состоящей вначале из борозвестковоманганевого стекла, которое потом реагирует с другими, входящими в состав керамики, алюмосиликатами. Приводятся следующий примерный состав шихты, новой керамики (в %):  $\text{CaSO}_4$  26,  $\text{H}_3\text{BO}_3$  16,  $\text{SiO}_2$  52, беложгущейся глины 6. Материалы хорошо смешивают с водой, затем высушивают до остаточной влажности в 5—6%. В таком состоянии масса может храниться. Перед формованием ее слегка увлажняют, добавляют масла или керосина или терпентинного масла. После прессования и сушки изделия могут обжигаться с быстрым подъемом т-ры до 500°. Чтобы избежать вздутий черепка после диссоциации  $\text{H}_3\text{BO}_3$ , необходим замедленный подъем т-р для завершения р-ции образования боратов. Дальнейший обжиг может протекать нормально, и образовавшееся стекло растворяет кварц и глинозем. Охлаждение может происходить быстро, так как черепок новой керамики обладает большой термостойкостью. С. Туманов

29553 П. Способ нанесения рельефных изображений на глазурированный фосфор (Verfahren zum Aufbringen von Reliefverzierung auf glasierte Porzellanflächen.) [Rosenthal-Porzella A.-G.]. Пат. ФРГ 963852, 16.05.57

Способ состоит в том, что украшение из сырой фарфоровой массы с малым коэф. расширения, получаемой отпрессовкой в гипсовой форме, накладывается на поверхность обожженного фарфора и с помощью глазури закрепляется в политем обжиге. С. Туманов

29554 П. Смесь для изготовления электрического сопротивления. Сайто, Хаяма. Японск. пат. 6080, 29.08.55

К  $\text{CdO}$ , прокаленному в электрич. вакуумной печи при 800°, добавляют глину или бентонит. К полученной смеси в качестве связки добавляют 3% феноль-

ной смолы. Из смеси формуют образцы и обжигают. В зависимости от т-ры и продолжительности обжига, а также атмосферы печи величина сопротивления составляет 0,1—100 ом. Содержание  $\text{CdO}$  в составе может быть 30—50%. М. Гусев

29555 П. Окислы металлов с высокой магнитной проницаемостью. Карасава, Комацу, Канадзава [Токи дэнки кагаку когё кабусики кайся]. Японск. пат. 6789, 23.09.55

Смесь порошков с величиной зерна, проходящей через сито 100—200 меш и состоящей в вес. %):  $\text{CuO}$  1—5;  $\text{MnO}$  0,5—4;  $\text{NiO}$  2—6;  $\text{ZnO}$  10—16;  $\text{BaO}$  0,5—8;  $\text{CoO}$  0—2 и остальное  $\text{Fe}_2\text{O}_3$ , хорошо перемешивают и из нее формуют образцы, которые обжигают при 1250—1300° до полурасплавленного состояния. М. Гусев

29556 П. Процесс приготовления магнитного порошка. Миллер (Process for making magnetic powder. Miller Paul M.) [National Cash Register Co.]. Пат. США 2766211, 9.10.56

Железную окалину ( $\text{O}$ ), измельченную до —325 меш, нагревают до т-ры 330—650° в инертной атмосфере, в частности в атмосфере  $\text{N}_2$ . После 4—5-часовой выдержки нагретый материал охлаждают до комнатной т-ры, поддерживая избыточное давление инертного газа ( $\text{N}_2$ ) ~40 мм вод. ст. Наиболее предпочтительная т-ра термообработки 0—350°. Получаемый при этом магнитный порошок (МП) обладает коэрцитивной силой 200 э и остаточной магнитной индукцией 600 гс. При более высоких т-рах продолжительность термообработки снижается выше; т-ры 425° остаточная магнитная индукция МП начинает уменьшаться, при повышении т-ры до 540° уменьшается и коэрцитивная сила. О получают нагреванием  $\text{Fe}$  на воздухе до т-ры красного каления. Особенно пригодна по хим. составу и размеру частиц  $\text{O}$ , полученная при волочении проволоки, приточенной из стали, содержащей 0,90—0,40%  $\text{C}$ . Хорошим материалом для получения  $\text{O}$  могут служить и легированные стали. Л. Херсонская

29557 П. Плотные изделия из бурого корунда (Pièces compactes en corindon brun) [Les Abrasifs du Sud-Ouest]. Франц. пат. 1126014, 13.11.56

Предлагается изготовлять из бурой разовидности отмагнитченного электрокорунда ( $\text{Э}$ ) плотные термостойкие огнеупорные изделия, обладающие высокой механич. прочностью и термостойкостью. При формовке изделий из полусухих масс в качестве временной связки используется декстрин, патока и т. п. в кол-ве ~200 г/л воды. Крупность зерен  $\text{Э}$  может увеличиваться и достигать 2—5 мм с увеличением размеров изделий. Для изделий весом <5 кг рекомендуется брать (в %):  $\text{Э}$  0—2 мм 75 и микронника 25, для изделий до 20 кг зерен  $\text{Э}$  2—5 мм 30, 2—0 мм 50 и микронника 20. Изделия прессуют с одновременной вибрацией при давл. 4000—5000 кг/см<sup>2</sup>. При обжиге подъем т-ры до 300° производят со скоростью от 30—40 град/час, до 1300—500—600 град/час, затем 200—300 град/час с выдержкой при 1500—1600° в течение 1 часа; охлаждение — со скоростью 200—300 град/час. Свойства изделий: об. в.  $\geq 3,5$  г/см<sup>3</sup>,  $\sigma_{\text{сж}}$  1000—2000 кг/см<sup>2</sup>,  $\sigma_{\text{разр}}$  100—150 кг/см<sup>2</sup>, термостойкость >30 воздушных теплосмен, огнеупорность >1900°. А. Новиков

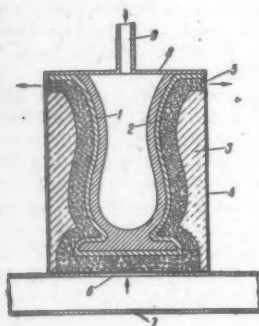
29558 П. Устройство для предварительного подогрева пресс-формы для формовки изделий из керамической массы. Иосида. Японск. пат. 6281, 7.09.55

Предлагается приспособление для подогрева пресс-формы для формовки изделий из керамич. массы. В пространстве между крышкой камеры и внутрен-

ней перегородкой, разделяющей эту камеру примерно на две равных части, размещено нагревательное устройство. Нагревание осуществляется электрическим током или сухим насыщенным паром. Между перегородкой и днищем помещается керамическая масса. М. Гусев

**29559 П. Форма для отливки изделий особенно из керамических масс.** Зипрат (Gießform für Formkörper, insbesondere aus keramische Rohmaterial. Sieprath Heinz). Пат. ФРГ 962595, 25.04.57

Для формирования полых изделий (горшков, ваз, чаш) в целях ускорения набора черепка, сушки форм, а также экономии гипса рекомендуется применение многослойной формы. 1-й внутренний слой толщиной ~10 мм состоит из гипса 1, 2-й из цементованного газопроницаемого зернистого материала (песок, стекло) 2; 3-й газонепроницаемый слой из тонкого песка со связующим 3. Этот слой закрывается бандажом 4. 3-й и бандажный слой имеют два верхних боковых отверстия 5 для выхода, напр. воздуха и паров воды. Бандаж имеет нижнее отверстие 6, соединяющее форму с трубой 7, по которой подается нагретый воздух. Форма герметически может закрываться верхней крышкой 8 с патрубком 9, через который шликер может подаваться под давлением. В трубе 7 вместо подогретого воздуха может создаваться вакуум. Опыты показали, что отливка в таких формах толстостенных изделий вместо 8 час. протекает за 1—1½ часа.



жет подаваться под давлением. В трубе 7 вместо подогретого воздуха может создаваться вакуум. Опыты показали, что отливка в таких формах толстостенных изделий вместо 8 час. протекает за 1—1½ часа.

С. Туманов

**29569 П. Способ подготовки шамотной массы.** Росс [Асахи Гарасу Кабусики Кайся]. Японск. пат. 6036, 20.09.54

Предлагается способ подготовки полусухой шамотной массы, состоящей из 60% молотого шамота и 40% пластичной глины, с добавкой 6—20% H<sub>2</sub>O; в воду предварительно вводят растворимое стекло. Na<sub>2</sub>CO<sub>3</sub> или NH<sub>4</sub>OH. Масса смешивается в бегунах, помещающихся в герметически закрытом кожухе, из которого выкачивается воздух до образования вакуума 740—750 мм рт. ст. Из вакуумированной массы готовят шамотные изделия по полусухому или полупластичному методу. В случае необходимости накопления вакуумированная масса из кожуха бегунов пересыпается в другую вакуум-мешалку, где из массы дополнительно удаляется оставшийся воздух; далее масса используется, как обычно, однако формовка изделий производится также под вакуумом. Полученные изделия имеют кажущуюся пористость в пределах 7—20%.

М. Гусев

**29561 П. Термостойкая футеровка печи из керамических материалов.** Егер (Hochhitzebeständige Ofenauskleidung aus keramischem Werkstoff. Jaeger Gustav) [Deutsche Gold- und Silber-Scheideanstalt vormals Roessler]. Пат. ФРГ 954282, 13.12.56

Для повышения термостойкости футеровки предлагается собирать ее из отдельных керамических изделий, не применяя цементирующей связки. Тепловые напряжения в футеровке тем меньше, чем меньше размеры изделий, ее составляющих. Скреплять изделия можно при помощи пазов и шпонок, проволоки или стержней. Крепление при помощи проволоки или стержней осуществляется путем пропускания последних через отверстия в изделиях. Изделия и скрепляющие стержни можно изготавливать из высокоогнеупор-

ных окислов (BeO, ZrO<sub>2</sub>, TiO<sub>2</sub>, Al<sub>2</sub>O<sub>3</sub>) или их соединений (шпинель, силикаты). Скрепляющие токопроводящие материалы (проволока, угольные или графитовые стержни) могут быть использованы в качестве нагревателей. Применяя пористые и плотные керамические изделия, можно получать футеровки с заданной теплопроводностью.

В. Кушаковский

**29562 П. Производство алюмосиликатных огнеупоров на кордиеритовой связке.** Фукуи [Осака Кабусики Кайся]. Японск. пат. 4933, 9.08.54

Для образования кордиеритовой связки в шихту алюмосиликатных огнеупоров полусухого прессования, состоящую из (в вес. %): шамота 60, агальматолита 20, каолина 20, добавляют (сверх 100%) 5—10% в-ва, содержащего MgO, напр. MgO из морской воды, серпентинита, перидотита из расчета 1—5% MgO в продукте. Размер зерен добавки должен быть <35 м. После обжига на 1380° готовые изделия имеют термостойкость в 4—5 раз выше, чем обычные шамотные изделия.

М. Гусев

**29563 П. Производство хромомagneзитовых огнеупоров с использованием окиси магния, полученной из морской воды или рапы.** Оикава. Японск. пат. 6442, 9.10.54

К морской воде, рапе или другим рассолам добавляют Ca(OH)<sub>2</sub> (или NaOH, или гашеный доломит) из расчета 112 кг 92%-ной Co(OH)<sub>2</sub> на 1 м<sup>3</sup> соленой воды конц-ией 3,4° Bé и 100 кг порошка хромита (или Cr<sub>2</sub>O<sub>3</sub>). После перемешивания в течение 2 час. взвесь оставляют осесть в течение ~1 часа. По оседании отфильтровывают и просушивают осадок. Сухой осадок смешивают с коксом из расчета 40 кг кокса на 100 кг осадка, смесь обжигают при t-ре >1500° и получают хромомagneзитовый клинкер.

М. Гусев

**29564 П. Производство хромомagneзитовых огнеупоров.** Нагатаи [Осака Кабусики Кайся]. Японск. пат. 3775, 28.06.54

Способ произ-ва хромомagneзитовых огнеупоров (ХО) заключается в следующем. Приготавливают клинкер из порошка хромита и магнезита (1:1), замешанных на 6%-ном р-ре MgCl<sub>2</sub> (30° Bé). Клинкер обжигают при 1650°, размалывают и приготавливают порошок из двух фракций с размером зерен <0,4 и <4 мм. Безобжиговые ХО прессуют под давл. 1050 кг/см<sup>2</sup> из шихты состава (в вес. %): тонкой фракции клинкера 26, грубозернистой 62, хромита молотого 8, каустич. магнезита с зерном размером <0,4 мм 4; к шихте добавляют 3 вес. % р-ра MgCl<sub>2</sub> (30° Bé). Спрессованные огнеупоры после сушки имеют пористость ~9%, об. в. 3,22 г/см<sup>3</sup>, t-ру начала размягчения под нагрузкой 2 кг/см<sup>2</sup> 1630°, высокую термостойкость.

М. Гусев

**29565 П. Производство огнеупорного кирпича.** Томита, Ивабаси [Токё Кабусики Кайся]. Японск. пат. 5093, 14.08.54

Способ произ-ва огнеупорного кирпича из шихты состава (в вес. %): молотого кварца с зернами 0,6—8 мм 10—80, агальматолита с зернами <3,5 мм 90—20. Массу замешивают на 5%-ном р-ре сульфитно-синтетической борды; изделия прессуют полусухим способом, сушат, обжигают при 1350°. Свойства изделий: об. вес. 1,98 г/см<sup>3</sup>, σ<sub>сж</sub> 185 кг/см<sup>2</sup>.

М. Гусев

**29566 П. Производство углеродистых огнеупоров.** Усигоме, Хаяси, Томита, Като, Симамура, Курасаки, Ватанабе, Косима, Арига Хияма. Японск. пат. 8279, 16.11.55

Способ произ-ва углеродистых огнеупоров с повышенным сопротивлением против окисления при нагревании на воздухе отличается следующим: к углеродистому сырью (кокс, антрацит, древесный или ретортный уголь, графит) добавляют буру, полевой шпат, порошок стекла или их смесь в отношении: углерод:



стие в-ва: добавки = 2:1, замачивают смесь водой и формируют из нее брикет. После сушки брикет обжигают при  $t_{\text{ре}} > 1200^\circ$  в засыпке из антрацита или кокса. Обожженный брикет размалывают до зерна  $< 3$  мм, добавляют к порошку 5—10% углеродистых в-в и 30—35% связующей глины, формируют из массы изделия пластичным способом и вторично обжигают в засыпке из кокса. Обожженные изделия имеют  $\sigma_{\text{сж}} > 300 \text{ кг/см}^2$  и в 1,5—2 раза более устойчивы против окисления, чем обычные углеродистые изделия из кокса.

М. Гусев  
29567 П. Производство огнеупоров для футеровки вращающихся цементных печей. Мада, Миядзава [Иваки сээнто кабусики кайся]. Японск. пат. 8435, 21.12.54

Способ изготовления кирпича для футеровки вращающихся цементных печей отличается тем, что шихта составляется из (в вес. ч.): молотого портланд-цементного клинкера с зернами 0,6—2,5 мм 1—2, портланд-цемента 1, железной окалины 0,10—0,15. Смесь затворяют на воде, изделия прессуют под давл. 1000 кг/см<sup>2</sup>, выдерживают в течение 7 суток во влажной атмосфере, просушивают и обжигают при 1400°. Полученные кирпичи не рассыпаются (из-за образования  $\gamma\text{-CaOSiO}_2$ ) и имеют  $\sigma_{\text{сж}} > 200 \text{ кг/см}^2$ .

М. Гусев  
29568 П. Производство огнеупоров с высокой щелочестойкостью. Есика, Мацумото, Осири [Асахи гарасу кабусики кайся]. Японск. пат. 7731, 24.10.55

Шихта щелочестойких огнеупоров имеет состав: (в вес. %): шамота 70, пластичной огнеупорной глины 18, альбита  $\text{Na}_2\text{O} \cdot \text{Al}_2\text{O}_3 \cdot 6\text{SiO}_2$ , или жадеита  $\text{Na}_2\text{O} \cdot \text{Al}_2\text{O}_3 \cdot 4\text{SiO}_2$ , или нефелина  $\text{Na}_2\text{O} \cdot \text{Al}_2\text{O}_3 \cdot 2\text{SiO}_2$  12. Перемешанную смесь увлажняют, прессуют, сушат и обжигают при 1300—1500°. Свойства огнеупоров: кажущаяся пористость 12—18%,  $\sigma_{\text{сж}} 700\text{—}780 \text{ кг/см}^2$ .

М. Гусев  
29569 П. Способ производства теплопроводной огнеупорной замазки на основе карбида кремния. Кавасима, Накамура. Японск. пат. 1291, 11.03.54  
Теплопроводную замазку для соединения стеновых блоков для обмуровки паровых котлов и мест соединения паровых труб со стенками предложено изготавливать следующим образом. Порошок SiC обрабатывают р-ром NaOH для удаления свободного Si, затем удаляют примесь графита путем отмучивания. Составляют смесь (в вес. %): очищ. SiC 30—60, NaOH,  $\text{Na}_2\text{SiO}_3$  (или другое щел. соединение) 5—25, глицерин (или другое органич. вязущее в-во) 5—25. Смесь тщательно перемешивают и используют как замазку. Пример смеси (вес. %): х. ч. SiC 65,  $\text{Na}_2\text{SiO}_3$  18,  $\text{Fe}_2\text{O}_3$  5, глицерин 7, касторовое масло 5. Теплопроводность такой замазки 229 кал/см сек град,  $\sigma_{\text{сж}} 810 \text{ кг/см}^2$ ,  $\sigma_{\text{изг}} 82 \text{ кг/см}^2$ , пористость 30%.

М. Гусев  
29570 П. Изготовление теплоизоляционных огнеупоров. Фудзи, Исидо. Японск. пат. 86, 10.01.56

К порошку какого-либо огнеупорного материала, содержащего  $\text{SiO}_2$ ,  $\text{Al}_2\text{O}_3$ , Cr, MgO, или к смеси этих порошков добавляют р-р растворимого стекла с молярным отношением  $\text{SiO}_2$  к щелочи  $\sim 2$ . Затем добавляют некоторое кол-во пенообразователя и ускорителя затвердевания растворимого стекла, напр.  $\text{Na}_2\text{SiF}_6$ . Всю смесь хорошо перемешивают и заливают в форму. Когда смесь затвердеет, ее вынимают из формы, просушивают. После просушки блоки помещают в р-р какой-либо минер. к-ты и нейтрализуют. Затем их промывают водой, сушат и обжигают. Пример. Смесь готовят из 800 г диаспора и 400 г 25%-ного р-ра растворимого стекла (с молярным отношением  $\text{SiO}_2$  к щелочи, равным 3,2). Смесь тщательно перемешивают и добавляют в качестве пенообразователя натрие-

вую соль сульфазиров высших спиртов в таком кол-ве, чтобы об. вес огнеупоров после их сушки был равен 0,5. Затем добавляют  $\text{Na}_2\text{SiF}_6$  в кол-ве 4% от содержания в смеси растворимого стекла. Все это вновь тщательно перемешивают, заливают в формы и на несколько часов оставляют в покое. Спустя несколько часов изделие вынимают из формы, просушивают при 110°, затем погружают в HCl, после чего промывают водой, вновь просушивают и обжигают при 1300°. Полученный материал имеет огнеупорность 1885°, об. в. 0,52,  $\sigma_{\text{сж}} 8,4 \text{ кг/см}^2$ , теплопроводность 0,12 ккал/м час град (при средней  $t_{\text{ре}} 200^\circ$ ).

М. Гусев  
29571 П. Производство жароупорных кислото- и маслостойких труб. Такуми. Японск. пат. 1535, 3.03.56

К 70 вес. ч. смеси молотой глины и диатомита (1:1) добавляют 30 вес. ч. растворимого стекла и хорошо размешивают; к смеси можно добавлять ускоритель схватывания. Полученную вязкую массу наносят на листовое стекло слоем 9 мм. После схватывания массы слой отделяют от стекла и сгибают, изготавливая цилиндрич. трубы. Полученные трубы выдерживают  $t_{\text{ру}} 1200^\circ$ , обладают электроизоляционными свойствами, кислото- и щелочестойкостью и могут быть использованы как дымовые, а также для устройства трубопроводов для к-т, слабых щелочей и масел.

В. Зломанов  
29572 П. Производство жароупорных кислото- и маслостойких труб. Такуми. Японск. пат. 1536, 3.03.56

К 60 вес. ч. смеси молотой глины и диатомита (1:1) добавляют 10 вес. ч. смеси стекляного волокна, асбеста и листовидной слюды (1:1:1) и 30 вес. ч. растворимого стекла; добавляют к смеси также небольшое кол-во ускорителя схватывания. Из полученной массы формируют цилиндрич. трубы диам. 10 см, длиной 90—180 см, с толщиной стенок 1 см и сушат. Трубы выдерживают  $t_{\text{ру}} 1200^\circ$ , обладают электроизоляционными свойствами и хим. стойкостью.

В. Зломанов  
29573 П. Нитрид кремния. Эразмус, Форгенг (Silicon nitride. Erasmus Hendrik D., Forging William D.) [Union Carbide and Carbon Corp.]. Пат. США 2750268, 12.06.56

Способ изготовления абразивного инструмента из нитрида кремния (НК); отличающийся следующим: порошок металл. Si или FeSi, содержащего  $\geq 65\%$  Si с добавкой до 50% SiC или без нее прессуют в виде абразивных кругов на связке из глюкозы, обжигают круги при 1400—1600° в среде  $\text{N}_2$  или  $\text{NH}_3$  в течение 24—108 час. и получают изделия, состоящие из НК:  $\text{SiC} \geq 2:1$ . Можно также получать НК в порошке путем обжига порошка металл. Si или его смеси с SiC в атмосфере  $\text{N}_2$  с последующим использованием НК в виде пасты и в войлочных кругах. Круги, бруски и шлифовальная шкурка из НК изготавливаются обычными методами с применением керамиц. плавящихся связок, магнизиальных или органич. клеев. По твердости НК соответствует SiC, по шлифовальным свойствам при полировании чугуна, сплава CO-Cr-W и рубина превосходит SiC и электрокорунд.

Н. Згонник  
29574 П. Материал для заточки и шлифовки режущего инструмента. Хагихара. Японск. пат. 3292, 16.05.55

К 10 вес. ч. порошка  $\text{Cr}_2\text{O}_3$  добавляют 2—4 ч.  $\text{Na}_2\text{SiO}_3 \cdot 5\text{H}_2\text{O}$  и 0,2—0,7 ч. какого-либо полифосфата, напр. гексаметафосфата натрия ( $\text{Na}_6\text{P}_6\text{O}_{18}$ ). Эту смесь наносят на стеклянную пластинку и прокалывают при 300—400°.

М. Гусев  
29575 П. Абразивные изделия из плавящего глинозема и способ их изготовления. Рассел (Schleifkörper aus geschmolzenen Tonerdekörnern und Ver-

fahren zu ihrer Herstellung. Russel Henry) [The Carborundum Co.] Пат. ФРГ 960435, 21.03.57

Способ изготовления абразивных кругов повышенной стойкости, обладающих самозатачиванием и малым тепловыделением при шлифовании, отличается тем, что: 1) в качестве фриттованной связки применяются щел. боросиликаты, содержащие 1,5—5,0%  $\text{Li}_2\text{O}$  с повышенным содержанием  $\text{SiO}_2$  (60—69%) и  $\text{B}_2\text{O}_3$  (13%), состоящие, напр. из (вес. %):  $\text{SiO}_2$  58,1, полевого шпата 0,08,  $\text{Al}_2\text{O}_3$  0,05,  $\text{B}_2\text{O}_3$  20,3, криолита 7,6,  $\text{KNO}_3$  3,5,  $\text{CaF}_2$  0,02, талька 2,16,  $\text{Li}_2\text{CO}_3$  6,91; 2) формовка изделий производится полусухим прессованием; 3) обжиг ведется при 1000° и ниже в течение 10 час. Связка обладает высокой адгезионной способностью. Низкая т-ра обжига позволяет изготавливать высокопрочные круги, армированные стальной арматурой, а также шлифовальные головки с заформованными в них валиками.

Н. Згонник

29576 II. Шлифующие и полирующие тела для обработки массовых изделий во вращающихся барабанах. Нанн, Хегер (Schleif und Polierkörper für die Bearbeitung von Massenartikeln in umlaufenden Behältern. Nann Hermann, Heger Gottfried) [Metallgesellschaft A.-G.] Пат. ФРГ 965192, 6.06.57

Для шлифования и полирования массовых мелких деталей, которые прежде приходилось обрабатывать вручную, напр. пластинок из трансформаторной стали для якорей мелких моторов и др., предлагается использовать шлифующие и полирующие тела в виде зерен, состоящих из природной или искусств. пемзы. Поверхность и открытые поры зерен заполняются шлифующим материалом, напр. мелкозернистым корундом всухую или мокрым способом. Детали вместе с зернами пемзы, пропитанными абразивом, помещают в барабан и подвергают шлифовке путем вращения. По окончании обработки отделение деталей от шлифующих тел производится рассевом.

Н. Згонник

29577 II. Производство искусственных минералов. близких по структуре к наждаку. Ямагути. Японск. пат. 7736, 22.11.54

Смесь боксита с пиритными огарками и небольшой добавкой глины, имеющую хим. состав (в вес. %):  $\text{Al}_2\text{O}_3$  40—90,  $\text{Fe}_2\text{O}_3$  5—40,  $\text{SiO}_2$  1—15,  $\text{CaO} + \text{MgO} + \text{TiO}_2$  0—15, размалывают в шаровой мельнице мокрого помола, обезвоживают, формируют под давлением в брикеты и по высушиванию обжигают при 1500—1800° до спекания. Структура полученного материала близка к структуре наждака.

М. Гусев

29578 II. Защита графитовых огнеупоров от окисления. Ямагути, Судзуки. Японск. пат. 3485, 15.06.54

Для защиты графитовых огнеупоров, в частности тиглей, от окисления рекомендуется покрытие их жидкой обмазкой, замешанной на воде, состоящей из (в вес. ч.):  $\text{SiO}_2$  100,  $\text{Al}_2\text{O}_3$  19,5,  $\text{K}_2\text{O} + \text{Na}_2\text{O}$  8, порошка  $\text{SiC}$  20. После высушивания обмазки изделия прокалывают и их поверхность покрывается защитной глазурью. Стойкость глазурованных графитовых тиглей в службе в 2—3,7 раза выше, чем неглазурованных.

М. Гусев

### Стекло

Редакторы О. К. Ботвинкин, С. И. Горалкина, С. И. Иофе

29579. «Идеальные» и «реальные» стекла. Ботвинкин О. К., Сб. статей Всес. заочн. политехн. ин-та, 1957, вып. 19—20, 118—121

Рассматриваются вопросы строения стекла (С). Понятие структуры С включает 3 основных элемента:

1) макроструктуру; 2) участки каркаса С, обладающие правильной внутренней структурой—сложные анионы в сочетании с собственными катионами; 3) внутреннее строение агрегатов, образующих как расплав, так и каркас С. Двух- и более компонентные С всегда характеризуются неизбежным появлением в расплаве участков с различной конц-ией компонентов. «Реальные» С всегда содержат макроучастки, отличающиеся неоднородностью свойств. Приблизить «реальное» стекло к «идеальному» можно за счет перехода к высокотемпературной варке С, широкого применения различных гомогенизаторов, улучшением стойкости огнеупорных материалов при повышенных т-рах. Структура С является беспорядочной пространственной сеткой, а определяется сочетанием анионных группировок, характерных для отдельных хим. соединений. Легкость разрушения каркаса С при повышении т-ры указывает на наличие слабых полярных связей между анионными группировками и на гомеополарный тип связей между анионными группировками и на гомеополарный тип связи внутри анионов. В заключение сделан вывод об отсутствии упорядоченных элементов структуры С-кристаллитов.

И. Михайлова

29580. Строение натриево-, калиево- и литиево-фосфатных стекол. Уэстман, Гартганис (Constitution of sodium, potassium, and lithium phosphate glasses. Westman A. E. R., Gartaganis P. A.), J. Amer. Ceram. Soc., 1957, 40, № 9, 293—299 (англ.). Нейтральные щелочно-фосфатные стекла (С) плавятся в платиновом тигле. Исходные материалы были комбинацией орто- и метафосфатов или щел. карбонатов и фосфорной к-ты. Смесь нагревалась в течение 30 мин. и затем быстро охлаждалась между двумя холодными медными блоками. Калиево- и натриево-фосфатные С были весьма гигроскопичны и легко растворялись в воде; литиево-фосфатные С плохо растворялись в воде, но легко растворялись в 0,5 н.  $\text{HCl}$ . Строение полученных фосфатных С определялось хромографич. методом. Полученные результаты подтверждают сделанные ранее выводы, за исключением того, что циклич. фосфаты обнаружены в р-рах С, имеющих или приближающихся к составу метафосфатных С.

Н. Павлушкин

29581. Исследование системы  $\text{Na}_2\text{O}-\text{TiO}_2-\text{SiO}_2$  в области стекол. Ботвинкин О. К., Миронова М. Л., Стекло. Информ. бюл. Ин-та стекла 1957, № 2 (96), 14—23

Для приготовления образцов применялся кремнезем в виде тонкого порошка, полученного из горного хрусталя (99,98%  $\text{SiO}_2$ ),  $\text{TiO}_2$ , содержащая 99,75%  $\text{TiO}_2$ , и х. ч. углекислый натрий. Смеси сплавлялись в силитовой печи в платиновых тиглях. Однородность стекол контролировалась методом центрифугирования. Состав большей части стекол контролировался хим. анализом. Для изучения фазовых равновесий применялся метод закалки. Для определения т-ры ликвидуса расплавов использовался визуально-политермич. метод Бергмана. Идентификация кристаллич. фаз производилась кристаллооптич. методом. Предварительными опытами было установлено, что большинство стекол системы при повторной термич. обработке становятся глухими. В результате проведенного исследования установлено, что в области стекол системы  $\text{Na}_2\text{O}-\text{TiO}_2-\text{SiO}_2$  имеется 6 послед. устойчивости различных фаз, найдено 5 трояных точек, установлено образование 2, не известных ранее трояных соединений состава  $\text{Na}_2\text{O} \cdot \text{TiO}_2 \cdot \text{SiO}_2$  и соединений  $\text{Na}_2\text{O} \cdot 2\text{TiO}_2 \cdot 6\text{SiO}_2$  плавающих с разложением на  $\text{TiO}_2$  и жидкость.

Н. Павлушкин

29582. Некоторые замечания об ортосиликате и ортогерманате свинца и их стекловании. Меркер, Вондрачек (Einige Bemerkungen zum Bleiortho-



silikat und — germanat und deren Glasigkeit. Merker Ludwig, Wondratschek Hans), Glas-techn. Ber., 1957, 30, № 11, 471—473 (нем.; рез. англ., франц.)

29583. Металлы платиновой группы в стекле. Хоз (The platinum metals in glass. Hawes M. G.), Platinum Metals Rev., 1957, 1, № 2, 44—48 (англ.)

В последнее время установлено, что Pt, введенная в состав стекла в тонкодисперсном состоянии, окрашивает его в разные цвета в зависимости от состава основного стекла и от состояния платины; механизм окрашивания стекла Pt такой же, как и при получении золотого или медного рубина. Окраска стекла Pt происходит при термич. обработке. Величина коллоидных частиц составляет от 60 до 243 А. При чрезмерно длительной термич. обработке получается непрозрачное (глушеное) стекло. Pd придает стеклам сначала желто-коричневую ионную окраску, а при больших конц-ях Pd получается темно-серый и коричневый цвета. Rh также присутствует в стекле, главным образом в ионной форме, давая желтую, персиковую, янтарную и оранжевую окраску; при высоких конц-ях металлич. Rh дает серую окраску. Pt в силикатных и боратных стеклах дает серую окраску; в фосфатных стеклах получается желтый, оранжевый или коричневый цвет. При конц-ии Pt > 0,1% она выпадает в виде кристаллов, в результате чего получают авантюриновые стекла. Установлено, что присутствие зародышевых центров платины в стекловом расплаве вызывает разделение стекла на две фазы. Дан обзор патентов по применению металлов платиновой группы в стеклах. Введением Pd получают фоточувствительные стекла. Конц-ия Pd составляет ~0,01%, Au или Ag ~0,02%; добавление кремнефтористого натрия к стекловому расплаву образует опаловый фон для изображения. Применение Ru дает красные и черные стекла, глазури и эмали. В свинцово-боросиликатных и свинцово-силикатных стеклах Ru дает оттенки от розового до красновато-черного. Изучение механизма окраски стекла металлами платиновой группы имеет практич. значение в произ-ве декоративных, оптич. и бесцветных стекол, служащих для защиты от излучения.

Э. Житомирская

29584. Влияние степени химической неоднородности стекломассы на кристаллизационные свойства стекла. Сообщение I. Ботвинкин О. К., Камцева Л. А., Тр. Всес. н.-и. ин-та стекла, 1957, вып. 38, 3—17 См. РЖХим, 1956, 13631.

29585. Термическая подготовка стекловых шихт. Коновалов В. В., Четкин В. И., Зализняк Д. В., Фирер М. Я., Стекло и керамика, 1957, № 7, 1—6

Работа проведена в целях ускорения и улучшения процесса варки стекла (С). Шихта (Ш) предварительно термически подготавливалась и подавалась в печь (П) в виде горячих спеков с т-рой 800—900°. Проведенные опыты позволяют ожидать значительного сокращения продолжительности варки С. Для термич. подготовки (спекания) стекловых Ш использован метод каталитич. сжигания газа непосредственно в слое Ш на специальных устройствах с прососом газа. Для обеспечения процесса спекания в Ш вводят разрыхлители в виде 10% опилок или торфяной крошки. Ш увлажняется в пределах 11—15% и затем подвергается спеканию в агломерационной чаше. Подробно изучалось влияние различных видов разрыхлителей, кол-ва сульфата в Ш, степени увлажнения, высоты спекаемого слоя, кол-ва просасываемой газо-воздушн. смеси на скорость спекания стекловых Ш. На основании проведенной работы следует, что использование горячих спеков для питания Ш ванной П

позволит увеличить ее производительность, снизить уд. расход тепла на единицу продукции и удлинить срок кампания П вследствие почти полного вывода агрессивных газов из плавильного пространства П.

Н. Павлушкин

29586. Влияние гидратации компонентов стекловых шихт на ее способность к расслоению при транспортировке и загрузке. Гантуа (L'influence de l'hydratation de certains constituants de la composition à verre sur les manipulations de celle-ci. Gantois M.), Silicates industr., 1957, 22, № 9, 461—467 (франц.)

Доказывается, что увлажнение шихты (Ш), предотвращающее ее расслоение и распыление при перевозке и загрузке, является эффективным только в том случае, когда т-ра Ш на выходе из смесителя > 33°. При более низкой т-ре образуются гидраты углекислого и сернистого Na с присоединением воды, играющей в Ш роль связующего, вследствие чего Ш вновь становится сыпучей. На основании теплового баланса подсчитывается т-ра Ш обычного оконного стекла и рекомендуются мероприятия, поддерживающие ее на уровне, превышающем > 33°.

В. Полляк

29587. Определение содержания в стекле окислов алюминия и кальция бесстружковым методом. Колобова К. К., Герасимова В. А., Научно-иссл. тр. Всес. н.-и. ин-та стекл. волокна, 1957, сб. 5, 129—132

Описана методика определения  $Al_2O_3$  и CaO в известково-натриевом стекле (С) с применением бесстружкового метода и с помощью реактива стильбазо. Длительность одного определения — 25—30 мин. Точность определения содержания  $Al_2O_3$  и CaO в С удовлетворяет требованиям произ-ва. Библ. 9 назв.

И. Михайлова

29588. Некоторые аспекты вязко-упругих свойств стекла и его структура. Керби (Some aspects of the visco-elasticity of glass and its structure. Kirby P. L.), J. Soc. Glass Technol., 1957, 41, № 198, T95—T116 (англ.)

Стекла нельзя классифицировать как абсолютно упругие твердые тела или идеально текучие жидкости. Обсуждаются реологич. свойства стекла и сделана попытка вывести изменение этих свойств при т-рах, лежащих ниже и выше интервала размягчения. Замедленная упругая деформация может быть изображена ф-лой  $S/S_0 = a l g t$ , где  $S_0$  — максим. задержанное напряжение,  $S$  — напряжение в период времени  $t$ ; при комнатной т-ре указанная зависимость становится линейной. При более высоких т-рах максимум в спектре релаксации выражается ур-нием  $lg S/S_0 = at$ . Мгновенный модуль упругости  $G_1$  уменьшается с изменением т-ры вследствие термич. расширения материала, а также благодаря меньшей затрате энергии при повышенных тепловых флуктуациях. Дается качеств. объяснение реологич. поведения стекол в зависимости от изменения внутри структуры стекла; в этой связи рассматриваются также явление «стабилизации». Дана температурная зависимость четырех основных вязко-упругих параметров:  $G_1$ , модуль релаксации  $G_2$  и соответствующих коэф. вязкости  $\eta_2$  и  $\eta_3$ .

А. Бережной

29589. Сравнение измерений плотности и показателя преломления, проведенных различными лабораториями методами текущего контроля. — (The comparison of measurements of density and refractive index carried out in different laboratories on apparatus used for normal routine testing.—), J. Soc. Glass Technol., 1956, 40, № 194, 60P—69P (англ.)

Проведен анализ повторимости результатов определений плотности и показателя преломления одних и

тех же стекол. Определения проводились в 9 разных лабораториях обычными методами. Плитки оптич. стекла с плотностью  $\sim 2,5$ ; 3,0 и 3,9 г/см<sup>3</sup> были разрезаны на образцы  $\sim 15 \times 15 \times 10$  мм. В шести лабораториях определения проводились по методу гидростатич. взвешивания, в трех — по иммерсионному методу. Отклонения в определениях отдельных лабораториями составляли 4,8; 7,0 и  $10,7 \times 10^{-4}$  в зависимости от типа стекла. Для определения показателя преломления были использованы 4 типа оптич. стекла в виде плиток толщиной от 13 до 25 мм, которые разрезались на образцы  $25 \times 25$  мм. Проведенные измерения в разных лабораториях показали, что отклонения в определении показателя преломления составляют 0,0001 и 0,0002. Как показывает анализ полученных данных, точность определения плотности и показателя преломления позволяет для обычного стекла улавливать отклонения по составу (в %): Na<sub>2</sub>O 0,08—0,06, CaO 0,04—0,03. Таким образом, оба метода являются достаточно чувствительными для применения их при текущем контроле произ-ва. Н. Павлушкин

**29590. Парамагнитный резонанс и оптическое исследование силикатных стекол и плавного кварца, окрашенных рентгеновскими лучами. Виринген, Кате** (Paramagnetic resonance and optical investigation of silicate glasses and fused silica, coloured by X-rays. Wieringen J. S., van, Kats A.), Philips Res. Repts, 1957, 12, № 5, 432—454 (англ.; рез. нем., франц.)

Сообщается о результатах опытов по облучению рентгеновскими лучами при комнатной т-ре и т-ре жидкого азота силикатных и двух- и трехкомпонентных стекол состава (в %): A<sub>2</sub>O 30, SiO<sub>2</sub> 70 и A<sub>2</sub>O 15; RO 15, SiO<sub>2</sub> 70, где A — Li, Na, K, Rb или Cs, a R — Be, Mg, Ca, Sr, Ba. Были получены окрашенные центры, оптич. свойства и парамагнитный резонанс которых подвергались изучению. Все стекла обнаружили два максимума парамагнитного резонанса, приписываемые двум различным окрашенным центрам; оба центра имеют спин, равный  $1/2$ , и лежат в местных электрич. полях очень низкой симметрии. Проведено сравнение с результатами оптич. измерений. В щел. силикатных стеклах относительные интенсивности электронного максимума парамагнитного резонанса (МПР) уменьшались в последовательности: Li-Na-K-Rb-Cs. Измерялись оптич. и парамагнитные свойства плавного кварца, облучавшегося рентгеновскими лучами при комнатной т-ре; при этом были также обнаружены два МПР. Поведение плавного кварца сильно зависело от содержания в нем воды. А. Бережной

**29591. Причины растрескивания изделий из накладных молочных стекол. Варгин В. В., Красоткина Н. И., Стекло и керамика, 1957, № 7, 8—11**

Для изучения характера явлений, наблюдаемых в молочных стеклах (С) при отжиге, исследованы С простых систем Na<sub>2</sub>O—SiO<sub>2</sub>; K<sub>2</sub>O—SiO<sub>2</sub> с добавками F. Образцы длиной 100 мм и diam. 5—6 мм подвергались тепловой обработке в муфеле; часть образцов нагревалась до 500°, другая — до 780°. Измерение термич. расширения (ТР) образцов проводилось на кварцевом dilatометре. При небольших добавках F к С состава Na<sub>2</sub>O·3SiO<sub>2</sub>, нагретым предварительно до 500°, ТР увеличивается по сравнению с С, не содержащими F. При добавках 6—9 ч. F ТР С выше, чем у исходного С, но ниже, чем у С с добавкой 3 ч. F. При добавлении 12 ч. F ТР уменьшается. Т-ра размягчения С при добавках 3—9 ч. F ниже, а при добавках 12 ч. F выше т-ры размягчения исходного С, не содержащего F. У образцов, предварительно нагретых до 780°, кривые расширения при 200—220° дали резкие перегибы. Исследование силикатов натрия с большим содержанием кремнезема, в которые на 100 ч. С

вводилось 6 ч. F, показало, что при нагревании образцов до 780° рост коэф. расширения происходит лишь в стеклах, содержащих > 2 молекул SiO<sub>2</sub> на 1 молекулу Na<sub>2</sub>O. Исследованы также стекла системы K<sub>2</sub>O—SiO<sub>2</sub> и С сложного состава. Результаты исследования позволили наметить правила подбора составов молочных С, в которых не происходит выделения кристаллов кремнезема. Введение в качестве щел. окисла K<sub>2</sub>O вместо Na<sub>2</sub>O приводит к уменьшению кристаллизации кремнезема. Исходя из кристаллохим. представлений, приводится объяснение процессу растрескивания накладных С.

**29592. Критерии для оценки установки контрольно-измерительной аппаратуры на стеклоплавильных печах. Кательфамо** (Criteri per la strumentazione di forni per vetro. Catalfamo Antonio), Strum. e automaz., 1957, 5, № 8, 331—336 (итал.)

На примере стеклоплавильной ванной печи (СП) с регенераторами и продольными горелками рассмотрены вопросы оснащения СП контрольно-измерительными приборами (КИП), даны основные характеристики необходимых КИП. Предложены критерии для оценки экономич. эффективности установки КИП. Если принять стоимость КИП для СП за 100, то стоимость монтажа КИП составит 50, ежегодная амортизация 10, обслуживание и мелкий ремонт 10.

**29593. О шлифуемости стекол. Часть II. Гипсер** (Beitrag zur Schleifbarkeit von Gläsern. II. Teil. Gypser Joachim), Silikattechnik, 1957, 8, № 7, 264—266 (нем.; рез. русск., англ.)

Исследовано влияние различных жидкостей: воды, спирта, ксилола, керосина, 0,3%-ных р-ров HCl и KOH, а также некоторых поверхностноактивных в-в на процесс шлифовки листового стекла связанным абразивом. Показано, что кол-во сошлифованного стекла в присутствии воды, спирта, а также при добавлении к воде небольших кол-в щелочи, к-ты и некоторых поверхностноактивных в-в, остается практически одинаковым. В присутствии ксилола и керосина сошлифовка стекла заметно уменьшается. Значительное ее увеличение наблюдается при повышении т-ры воды, участвующей в процессе шлифовки (в исследованных пределах от 10 до 95°). Установлено также, что оптимальные значения скорости вращения шлифовальной пайбы, отвечающие максим. сошлифовке стекла, изменяются в зависимости от т-ры воды, уменьшаясь по мере ее увеличения. Обсуждается вопрос о влиянии некоторых свойств (т-ры размягчения, теплопроводности, теплоемкости, вязкости) различных по составу стекол на величину оптимальной скорости шлифовальника. Указывается, что давление шлифовальника и сошлифовка стекла связаны между собой пропорциональной зависимостью. Библи. 4 назв. Часть I см. РЖХим, 1956, 36619.

**29594. Развитие производства полых стеклянных изделий в СССР. Гурфинкель И. Е., Стекло и керамика, 1957, № 11, 13—15**

**29595. Современные достижения в области производства оптического стекла. Косидзак, Её** (Кёкайси, J. Ceram. Assoc., Japan, 1957, 65, № 742, C333—C338 (японск.))

**29596. Влияние окислов хрома на окраску стекол, окрашенных сульфидом. Лажарт, Майе** (Influence de l'oxyde de chrome sur la coloration des verres ambre aux sulfures. Lajarte S. de, Mahieux F.), Silicates industr., 1957, 22, № 5, 259—270 (франц.)

Изучено влияние добавок окислов Cr 0,01—1,0% на цвет стекол (С), окрашенных окислами Fe и сульфидами и сваренных в окислительных или восстановительных условиях. Помимо визуальной оценки окраски, получены кривые спектрального пропускания С.



Установлено, что даже небольшие добавки окислов  $\text{Sr}$  изменяют цвет тех  $\text{C}$ , которые первоначально были окрашены сульфидом: из янтарных или коричневых они становятся зелеными. Спектральные кривые показывают при восстановительных условиях варки высокое пропускание в области длин волн 380 мк; это исключает присутствие в соответствующих  $\text{C}$  ионов 6-валентного  $\text{Sr}$ . Наличие в  $\text{C}$ , сваренных в восстановительных условиях, полосы интенсивного поглощения при 685 мк подтверждает предположение о существовании устойчивого комплекса, образованного ионами 3- и 6-валентного  $\text{Sr}$ . Повышенное, по сравнению со  $\text{C}$ , сваренными в окислительных условиях, поглощение этих  $\text{C}$  в области длин волн  $> 500$  мк может быть объяснено преобладанием ионов 3-валентного  $\text{Sr}$  и 2-валентного  $\text{Fe}$ . Разрушение сульфидной и сульфидоферритной окраски в присутствии  $\text{Sr}$  авторы приписывают образованию комплексных сульфохромитов или же при наличии железа хромитов типа  $\text{Sr}_2\text{O}_3 - \text{Fe}_2\text{O}_3$ . Вибл. 5 назв.

**29597. Тончайшее пленочное стекло и области его применения.** Китайгородский И. И., Блинов В. А., Тр. Моск. хим.-технол. ин-та им. Д. И. Менделеева, 1957, вып. 24, 314—317

Описан процесс получения сверхтонких стеклянных пленок (ССП) (50—1 мк); приведены состав, свойства и применение СПП для изготовления конденсаторов и искусств. слюды. Стеклянные конденсаторы, изготовленные из СПП толщиной 20—50 мк, не подвержены воздействию влаги, обладают высокой емкостью на единицу объема, пригодны для службы при высоких  $t$ -рах и отличаются рядом других преимуществ перед конденсаторами из слюды. Для приготовления искусств. слюды использовались СПП толщиной 1—20 мк, которая найдет применение в электронных и трансмиссионных лампах, в быту и для получения новых технич. и конструкционных материалов.

**29598. Получение пеностекла из легкоплавких глин.** Китайгородский И. И., Ришина В. А., Септюрин Г. Г., Тр. Моск. хим.-технол. ин-та им. Д. И. Менделеева, 1957, вып. 24, 318—323

Проведены работы по изучению условий получения пеностекла (ПС) непосредственно из сырьевых материалов, минуя варку стекла. Применялись глины и горные породы (составы приводятся). В качестве главных использовались  $\text{Na}_2\text{SiF}_6$ , силикатглиба и  $\text{Na}_2\text{CO}_3$ ; газообразователь — кокс, антрацит, сажа. Наиболее благоприятные результаты дали одинокосая глина, вулканич. пепел, липарит (газообразователь — сажа). Вибропомол снижает об. вес ПС: на шихте с 30 мин. измельчением получен образец ПС с об. в. 0,23 г/см<sup>3</sup>, с хорошо остекленными порами. Уменьшение содержания в шихте соды способствует увеличению об. веса и возрастанию механич. проч. пеностекла до 137 кг/см<sup>2</sup>, что дает возможность использования ПС в ответственных конструкциях. Глину Буньковского месторождения также можно применять для получения ПС в заводских условиях.

**29599. Нефритованные соединения бора в керамике.** 2. Кол (Ongefritte beriumverbindungen in keramische massa's — 2. Cool B.), Klei, 1957, 7, № 7, 239—243 (гол.; реэ, англ.)

При стоянии смесей 4 молей  $\text{Na}_2\text{B}_4\text{O}_7$  и 2 молей  $\text{Ca}(\text{OH})_2$ , взвешенных в воде, образуется улексит (I) при 25° в течение 2—7 дней в зависимости от величины частиц минералов, при 10° р-ция длится несколько недель. Соли 2-валентных металлов осаждают I. Суспензия осажденного I применима в качестве нефритованной глазури, не склонной к образованию водных трещин вследствие высокой дисперсности неф-

ритованных соединений. Для глазурования к I, высушенному при 50°, добавляют несколько % некол. материала. Сообщение I см. РЖХим, 1957, 61256.

**29600. Интерпретация уровня глушения в циркониевых глазури.** Джейкобс (Interpretation of opacifier level in zirconium type glazes. Jacobs C. W. F.), J. Canad. Ceram. Soc., 1957, 26, 38—39 (англ.)

Установлено, что стабильной фазой заглушения в циркониевых глазури является  $\text{ZrSiO}_4$  (I) независимо от того, какое соединение I вводилось в глазурь. При изучении циркониевых глазури отмечается, что когда содержание  $\text{Al}_2\text{O}_3$  при постоянном содержании  $\text{SiO}_2$  или отношение  $\text{SiO}_2 : \text{Al}_2\text{O}_3$  возрастает при постоянном проценте добавки I, глазурь становится более заглушенной и при этом мол. содержание I в глазури возрастает и вместе с тем увеличивается степень заглушенности глазури. Приводится таблица заглушенности I в зависимости от мол. содержания в ней I. Так, добавка 0,150—250 мол. эквивалент I дает умеренно заглушающую глазурь, 0,250—0,350 дает заглушающую глазурь и 0,350—0,450 дает весьма заглушающую глазурь. Отмечается, что во избежание ошибочных заключений заглушенность глазури должна изучаться при расположении образцов на черной поверхности.

**29601. Соображения о термостойкости эмалей по чугуны.** Пёшман (Betrachtungen zur Temperaturwechselstabilität bei Gußemails. Pöschmann H.), Mit. Vereins Dtsch. Emailfachleute, 1957, 5, № 10, 81—83 (нем.)

Наряду с хим. стойкостью эмалей (Э) не менее важную роль играет термостойкость (ТС) Э. ТС зависит от напряжений, возникающих между чугуном (Ч) и Э при изменении  $t$ -ры. Принимая термич. коэф. расширения Э, равным  $320 \cdot 10^{-7}$ , а Ч  $400 \cdot 10^{-7}$ , рассматривается поведение Э в случаях: а) нагрева со стороны Ч; б) резкое охлаждение со стороны Э; в) двухстороннее резкое охлаждение; г) резкое охлаждение со стороны Ч. Подробно описываются возникающие напряжения, их характер в Э. Исследования влияния грунтовой Э (ГЭ) на ТС Э показало, что длительный обжиг ГЭ улучшает ТС Э. Из различных видов ГЭ лучшие свойства показала фриттованная ГЭ. Для исследования ТСЭ был применен следующий метод. Пластина Ч размером  $80 \times 125 \times 13$  мм обрабатывается разными способами, покрывается ГЭ и покрывается ГЭ. Эмалированные пластины нагреваются в сушильном шкафу при 100° в течение 40 мин. и бросаются в бак с водой ( $t$ -ра воды 20°). Такие испытания проводятся при повышающейся  $t$ -ре через каждые 20°. После каждого опыта проводят электрич. проверку пластин. Источник постоянного тока напряжением 200 в подает ток на металлич. пластинку и на кисточку. Э заливается р-ром фенолфталеина. При движении кисточки по Э, в случае нарушения целостности поверхности, замыкается электрич. цепь, что видно по отклонению стрелки амперметра. В местах нарушения целостности Э появляется красное окрашивание. За меру ТС Э принимается наивысшая  $t$ -ра нагрева, при которой нет разрушения. Таким методом было установлено, напр., что покрытия по стали более термостойки, чем по чугуны.

Б. Варшал

**29602 Д. Изучение некоторых свойств титано-циркониевых силикатных стекол.** Качан И. С. Автореф. дисс. канд. техн. н., Белорусск., политехн. ин-т, Минск., 1957

**29603 П. Способ получения стекла.** Кальзинг (Verfahren zur Herstellung von Glas. Kalsing

Harry) [Jenaer Glaswerk Schott und Gen.] Пат. ФРГ 955990, 10.01.57

Предлагается способ получения стекла (С), обладающего высокой хим. устойчивостью, малым коэф. термич. расширения и относительно низкой областью размягчения. Для этой цели к высококремнеземистому С с содержанием  $\text{SiO}_2 \geq 75\%$  для облегчения процесса плавки добавляется большое кол-во плавней (до 10%) в небольших кол-вах от 0,1 до 5,5%. Полученное стекло плавится и осветляется значительно легче, чем обычные высококремнеземистые стекла, имеет коэф. термич. расширения  $\sim 40 \times 10^{-7}$ , хим. устойчивость его соответствует I гидролитич. классу; оно имеет высокую термич. устойчивость и малую склонность к кристаллизации. Предлагаемое стекло может иметь следующий состав (в %):  $\text{SiO}_2$  82,0,  $\text{B}_2\text{O}_3$  5,4,  $\text{Al}_2\text{O}_3$  2,0,  $\text{As}_2\text{O}_3$  0,3,  $\text{Sb}_2\text{O}_3$  0,5,  $\text{TiO}_2$  0,05,  $\text{P}_2\text{O}_5$  0,5,  $\text{MgO}$  0,3,  $\text{CaO}$  0,7,  $\text{BaO}$  0,5,  $\text{ZnO}$  0,5,  $\text{PbO}$  0,1,  $\text{Na}_2\text{O}$  4,5,  $\text{K}_2\text{O}$  1,5,  $\text{Li}_2\text{O}$  0,2  $\text{F}_2$  0,5

В. Мейтина  
29604 П. Листовое стекло. Браун (Sheet glass. Brown Wilbur F.) [Libbey-Owens-Ford Glass Co.] Пат. США 2755212, 17.07.56

Патентуется состав (в %) листового стекла (С), пригодного для выработки методом непрерывного вытягивания и применяемого в качестве ветрового автомобильного С (сталинита или триплекса):  $\text{SiO}_2$  72,92,  $\text{Fe}_2\text{O}_3$  0,54,  $\text{Al}_2\text{O}_3$  1,05,  $\text{TiO}_2$  0,02,  $\text{CaO}$  8,44,  $\text{MgO}$  3,46,  $\text{Na}_2\text{O}$  13,21,  $\text{K}_2\text{O}$  0,10,  $\text{SO}_3$  0,29,  $\text{Co}_3\text{O}_4$  0,0008. С имеет голубовато-зеленую окраску и отличается пониженной ослепляемостью встречным светом благодаря способности поглощать некоторые видимые и тепловые лучи без уменьшения общей видимости.

А. Бережной  
29605 П. Способ предохранения стекла, преимущественно оконного, от выветривания. Селле (Procédé pour la conservation du verre, notamment du verre à vitres. Sellier Francois). Франц. пат. 1415779, 30.04.56

Способ предохранения от выветривания при хранении листового (оконного) стекла заключается в припудривании его поверхности тонким порошком силиката.

В. Полляк  
29606 П. Приспособление для вытягивания листового стекла (Anordning för dragning av glasskivor) [H. Huber]. Шведск. пат. 157811, 12.02.57

Приспособление для вытягивания листового стекла (С) с охлаждающим устройством (ОУ) над ванной по обе стороны вытягиваемого листа имеет прямые или изогнутые экраны из кварцевого, боросиликатного или закаленного С, установленные между вытягиваемым листом и ОУ, отражающие тепловое излучение листа С и отклоняющие от последнего конвекционные газные потоки.

К. Герцфельд  
29607 П. Способ производства стеклянных изделий. Карлсон (Method of making glassware article. Carlson Charles W.). Пат. США 2754629, 17.07.56

Патентуется способ ручного изготовления полых тонкостенных художественно-декоративных изделий, напр., кубков, чаш, бокалов и т. п. без выдувания и отрезки/колпачка изделия. Из набора стекломассы на конце трубки формируется перпендикулярно ее оси круглый горизонтальный диск, при повторном разогреве и непрерывном вращении которого края диска под действием собственного веса опускаются вниз параллельно оси трубки и образуют круглое полое изделие с готовой верхней частью, не требующей никакой последующей обработки. Центральная часть набора стекломассы, прикрепленная к трубке, отделяется от нее обычным способом.

А. Бережной  
29608 П. Стекло с высокой ультрафиолетовой прозрачностью для сплавления с аппаратным стеклом или металлом. Фаульштих (Glas mit hoher

Ultraviolett-Durchlässigkeit zum Verschmelzen mit Geräteglas oder Metall. Faulstich Marga) [Jenaer Glaswerk Schott & Gen.] Пат. ФРГ 955543, 3.01.57

Патентуются фосфатные стекла с высотой УФ. прозрачностью, легкоплавкие, хорошо осветляющиеся, не кристаллизующиеся, применяемые для сплавления с аппаратным стеклом, металлами или их сплавами и имеющие следующий состав (в вес. %):  $\text{Al}_2\text{O}_3$  0—3,  $\text{P}_2\text{O}_5$  55—72;  $\text{B}_2\text{O}_3$  1—6;  $\text{SiO}_2$  0—21,  $\text{Na}_2\text{O}(\text{K}_2\text{O})$  1—5;  $\text{BaO}$  5—18. Указанные стекла могут дополнительно содержать до 10%  $\text{ZnO}$  и  $\text{MgO}$  из 13—22%  $\text{BaO}$ ,  $\text{ZnO}$  и  $\text{MgO}$ .

А. Бережной  
29609 П. Способ изготовления двухслойного полого стекла или трубок. Фишер (Verfahren zur Herstellung von Hohlglas oder Röhren mit einer Innenschicht eines anderen Glases. Fischer Hellmuth). Пат. ФРГ 958051, 14.02.57

Способ изготовления полых стеклянных изделий (СИ) или трубок с внутренним слоем из другого стекла отличается тем, что на раздутую до определенных размеров горячем наборе стекломассы из обычного силикатного стекла со стороны, противоположной концу стеклoduвной трубки, продлевается отверстие, через которое вводится расплавленная фосфатная или боросиликатная стекломасса, растекающаяся равномерным слоем по внутренней поверхности раздутого набора, после чего последний подвергается дальнейшей переработке в СИ. Вместо жидкой стекломассы может вводиться легкоплавкая шихта, превращающаяся в стекло, которое и образует внутренний слой СИ.

А. Бережной  
29610 П. Производство красных линз для сигнальных фонарей. Ватаридани. Японск. пат. 336, 9.06.54

В разъемную форму подается из горшка расплавленное окрашенное селеном стекло. При т-ре красного каления форму разнимают, извлекают из нее линзы и охлаждают.

М. Гусев  
29611 П. Приспособление для непрерывного плавления высококремнеземистого сырья в кварцевое стекло в виде небольших кусков. Штейнхофф (Vorrichtung zur kontinuierlichen Schmelzen von hochkieselsäurehaltigen Rohstoffen zu kleinstückigem Quarzglas. Steinhoff Eduard) [Didier-Werke A.-G.] Пат. ФРГ 958149, 14.02.57

Способ непрерывного плавления высококремнеземистой шихты (Ш) в мелкие кусочки кварцевого стекла заключается в том, что Ш непрерывно загружается в электрообогреваемую вертикальную шахту, где она превращается в расплавленную стекломассу (РС), медленно протекающую под действием собственного веса через спец. отверстия поддерживающей плиты, которая имеет вид колосниковой решетки. Форма, величина и кол-во указанных отверстий выбираются так, чтобы кол-во РС, протекающее через них, точно соответствовало кол-ву Ш, плавящейся за один и тот же промежуток времени. Во избежание преждевременного застывания РС предусмотрен дополнительный газовый или электрич. обогрев рабочего пространства печи ниже указанной решетки.

А. Бережной  
29612 П. Оптическое стекло. Фаульштих (Optisches Glas. Faulstich Marga) [Jenaer Glaswerk Schott & Gen.] Пат. ФРГ, 958150, 14.02.57

Предлагается состав оптич. стекла с показателем преломления  $n_D > 1,745$  и с пониженной дисперсией. Стекло системы  $\text{PbO}-\text{ZnO}-\text{B}_2\text{O}_3$  с показателем преломления  $n_D > 1,745$  и числом Аббе  $v$  42—29; между  $n_D$  и  $v$  имеется следующая зависимость:  $n_D > 2,513 - 0,0239 v$  и  $n_D > 1,943 - 0,0055 v$ . Состав стекла (в вес. %):  $\text{PbO}$  18—60,  $\text{ZnO}$  3—15,  $\text{B}_2\text{O}_3$  22—35,



$\text{La}_2\text{O}_3$  0—30,  $\text{ThO}_2$  0—15,  $\text{ZrO}_2$  0—15, Щел.-зем. окислы 0—20,  $\text{SiO}_2$  0—10. Содержание  $\text{SiO}_2$  и  $\text{B}_2\text{O}_3$  должно составлять 25—30%. Сумма  $\text{La}_2\text{O}_3 + \text{ThO}_2 + \text{ZrO}_2$  + щел.-зем. окислы должна быть  $> 7\%$ . Сумма  $\text{La}_2\text{O}_3 + \text{ThO}_2$  не должна превышать 30%, а сумма  $\text{La}_2\text{O}_3 + \text{ThO}_2 + \text{PbO}$  должна быть  $> 45\%$  (до 70%). В целях большей устойчивости к кристаллизации рекомендуется содержание  $\text{BaO} < 15\%$ ,  $\text{CaO} < 10\%$  и  $\text{SrO} < 15\%$ . Содержание  $\text{ZrO}_2$  должно быть  $\geq 2-5\%$ . Содержание  $\text{SiO}_2$  не должно превышать 6%. В стекле может быть до 5%  $\text{BeO}$ , 4—15%  $\text{ThO}_2$  и до 3%  $\text{P}_2\text{O}_5$ . Примерные составы оптич. стекла (в %): I.  $\text{SiO}_2$  2,5,  $\text{B}_2\text{O}_3$  30,0,  $\text{La}_2\text{O}_3$  7,5,  $\text{ThO}_2$  4,5,  $\text{ZrO}_2$  4,5,  $\text{PbO}$  48,0,  $\text{ZnO}$  3,0; II.  $\text{SiO}_2$  2,4,  $\text{B}_2\text{O}_3$  24,6,  $\text{ZnO}$  15,6,  $\text{ThO}_2$  10,6,  $\text{ZrO}_2$  2,2,  $\text{PbO}$  22,2,  $\text{ZnO}$  8,9,  $\text{CaO}$  5,6,  $\text{P}_2\text{O}_5$  1,0. В. Мейтина

**29613 П.** Способ и приспособления для непрерывного вытягивания листового стекла. Лон (Procédé et dispositifs d'étirage continu d'une feuille de verre. Long Bernard) [C-ies-Réunies des Glaces et Verres Spéciaux du Nord de la France]. Франц. пат. 1120282, 3.07.56

Способ вытягивания листового стекла (С) в горизонтальном направлении имеет целью получение листов с гладкой поверхностью, лишенной полосности и волнистости. Вытягивание совершается с исключительным растягиванием высоковязкого поверхностного слоя С. Это достигается путем предварительной температурной подготовки вытягиваемого С в спец. кондиционирующей лотке (Л), представляющей собой конический участок выработочного бассейна. На пути к Л и в Л поступающая на выработку стекломасса интенсивно и равномерно охлаждается с поверхности и подогревается снизу, через дно Л, с помощью электронагревателей. По толщине формируемого слоя С, образующего как бы удлиненную горизонтальную «кузовищу», создается перепад  $t-p \sim 80^\circ$ ; высоковязкая лента С как бы скользит по горячей нижней пленке расплава, которая играет роль смазки, что уменьшает величину усилий, требуемых для вытягивания С. Лента С, сходящая с Л в горизонтальном или слегка наклонном направлении, подхватывается с обеих бортов двумя парами бортоформирующих роликов, расположенных на некотором расстоянии одна от другой; ролики растягивают ленту по ширине и препятствуют ее провисанию. После роликов лента попадает на поддерживающий валик большого диаметра и на ролевой стол, транспортирующий ее в лер. Кондиционирующий Л выполняется из огнеупорных материалов с малой излучательной способностью, напр., плавящего кварца, высокоглиноземистого огнеупора и т. п., или футеруется платиной, служащей одновременно нагревателем. Предусматривается оригинальная система охлаждения С с помощью нескольких комплектов спаренных воздушных холодильников. В. Поляк

**29614 П.** Способ изготовления стеклянных трубок с точно калиброванным внутренним диаметром. Кюнер (Procédé de fabrication de tubes de verre de diamètre intérieur calibré avec une grande précision. Kühner Maxime). Франц. пат. 1120598 9.07.56

Способ изготовления стеклянных трубок цилиндрич. (диам.  $< 1$  мм) или многоугольного сечения с внутренним диаметром, калиброванным с точностью до сотых долей мм, заключается в том, что используются трубки несколько большего диаметра, чем требуемый, которые молируются на металлич. стержне — шаблоне с точно заданным диаметром. Молирование осуществляется с применением принудительного растягивания под нагрузкой трубки с шаблоном, укрепленной с одного конца в зажиме и подвергающейся нагреванию до размягчения внутри кольцевой электропечи, перемещающейся по длине трубки.

В. Поляк

**29615 П.** Машина для оплавления краев стеклянных труб. Диктер (Maschine zum Verschmelzen der Ränder an Glasröhren. Dichter Jakob). Пат. ГДР 13354, 22.06.57

Механизированный способ оплавления краев стеклянных труб (СТ) отличается тем, что конец СТ нагревается горелками до размягчения так, что внутренний диаметр его становится меньше окончательного диаметра, затем размягченный край выравнивается с помощью керн, вставляемого горизонтально в отверстие СТ до соприкосновения с ее стенками. Устройство имеет несколько кернов, перемещающихся на спец. опорах посредством цепной передачи со скоростью, равной скорости продвижения СТ мимо горелок, оплавливающих их края. Предусмотрено центрирование кернов относительно отверстия СТ.

А. Бережной

**29616 П.** Аппаратура для формования стеклянных труб. Портер (Apparatus for shaping glass tubes. Porter George K.) Пат. США 2754626, 17.06.56

Патентуется аппаратура для одновременного формования нескольких боросиликатных стеклянных труб (СТ), внутренняя полость которых имеет незначительную конусность. СТ своими верхними концами свободно подвешиваются в вертикальном положении, сверху в них вставляются металлич. конусные оправки (О). СТ вместе с О приводятся в равномерное вращение от электромотора. Нижние концы СТ запаяны с целью обеспечения в них вакуума, создаваемого вакуум-насосом. Каждая СТ с вставленной в нее О может нагреваться окружающей ее проволоочной спиралью, заключенной в теплоизолированный керамич. блок. Батарея таких нагревателей может перемещаться снизу вверх по СТ последовательно нагревая до размягчения отдельные участки СТ до тех пор, пока стекло не станет плотно облетать О и не примет ее форму. После окончания процесса формования О извлекаются из СТ. Отличительной особенностью изобретения является то, что излучение нагревателей, проходя через СТ, прогревает сначала металлич. О, которая обратным излучением нагревает СТ. Это позволяет избежать сильного перегрева стекла и предотвратить возникновение значительных остаточных напряжений, благодаря чему отпадает необходимость в дополнительном отжиге готовых СТ. А. Бережной

**29617 П.** Способ отделки горлышка медицинских ампул (Appareil pour le façonnage des ampoules de conservation) [Owens-Illinois Glass Co.]. Франц. пат. 1121995, 29.08.56

Описывается способ нанесения стандартной величины выемки (перезжима) на горлышко стеклянных медицинских ампул, симметрично расположенной по отношению к плечикам ампул. Выемка производится путем предварительного разогрева горлышек ампул на горелках и нанесения на разогретые участки круговых рисок с помощью спец. иглы. Особенность и новизна патента заключается в механизме, приводящем в действие иглу и согласующем ее перемещение с механизмом суппортов, поддерживающих ампулы.

В. Поляк

**29618 П.** Эмалевые покрытия для металла и способ их нанесения. Брандес, Уотерхаус (Beläggingsmaterial för metalltyr och sätt att anbringa ett sådant material på en metalltyr. Brandes E. A., Waterhouse R. B.) [Fulmer Research Institute Ltd]. Шведск. пат. 155941, 4.09.56

Покрытие для металла отличающееся тем, что оно содержит тугоплавкий окисел (ТО) с низкой излучающей способностью, получается из смеси (в вес. ч.): ТО 95—70, дисперсности 0,001—0,1 мм и сухой, молотой эмалевой фритты 5—30. Исходным материалом ТО служит смесь плавящего  $\text{SiO}_2$  и двух или более окислов

Zr, Mg, Se, Al или кордиерита. Эмалевую фритту получают из одного или нескольких компонентов — полевого шпата, буры и кварца с добавкой кальцинированной соды, плавикового шпата, окислов Ba, Ca, V, Zr, Al, Zn,  $\text{NaNO}_3$ ,  $\text{Na}_2\text{SiF}_6$ . Водн. суспензию смеси TO и фритты наносят на металл и нагревают до 900—1050°.

К. Герцфельд

См. также: Определение S в стеклах 28481. Новое универсальное электродное стекло для измерения pH 28580. Запайка стеклянных ампул с He при высоких давлениях 28608. Фильтровальные ткани из стекловолокна 29029

### Вязущие вещества. Бетоны и другие силикатные строительные материалы

Редакторы Ю. М. Бутт, А. С. Пантелеев

29619. Новые пути производства извести. Барта (Nové cesty výroby vápna. Bárta R.), Stavivo, 1957, 35, № 10, 407—408 (чешск.; рез. русск., англ., нем., франц.)

Кратко излагаются требования, предъявляемые к произ-ву извести, проблемы добычи сырья, обогащения и обжига.

М. Степанова

29620. О рекарбонизации обожженной извести. Вурер, Лангауэр (Über die Rekarbonatisierung von Branntkalk. Wührer Josef, Langauer Theodor), Tonind.-Ztg, 1957, 81, № 19—20, 332—335 (нем.). Исследовались основные факторы, влияющие на процесс рекарбонизации (Р) негашеной извести (И). Установлено, что Р протекает не только во влажном, но и в абсолютно сухом углекислом газе. Р становится заметной при 200°, в интервале 600—800° достигает наибольшей скорости и при 900° прекращается. Водяные пары ускоряют Р ниже т-ры разложения гидрата окиси кальция и незначительно замедляют ее выше этой т-ры. Скорость Р пропорциональна главным образом уд. поверхности И. При слабо обожженной И величина зерен известняка (до 5 мм) не оказывает влияния на Р. При изменении давления углекислого газа происходит однозначное изменение скорости р-ции рекарбонизации.

Б. Варшал

29621. Влияние условий обжига на свойства магнезиальной извести-кипелки. Бубенин И. Г., Тр. Моск. хим.-технол. ин-та им. Д. И. Менделеева, 1957, вып. 24, 111—116

См. РЖХим, 1957, 12645.

29622. Исследование влияния величины давления и длительности автоклавной обработки известково-песчаных изделий. Поль (Einige Untersuchungen über Härteindruck und Härtezeit in der Kalksandsteinindustrie. Pohl G.), Zement-Kalk-Gips, 1957, 10, № 9, 354—359 (нем.; рез. англ., франц.)

При давл. 8 атм  $R_{\text{сж}}$  достигает максимума через 16 час. изотермич. прогрева (ИП) (128 атм часов), причем через 72 атм часа прочность составляет 68% от максим. Максим.  $R_{\text{изг}}$  достигается через 104—128 атм-часов. При давл. 16 атм максим.  $R_{\text{сж}}$  обеспечивает при длительности ИП в 4,5—5 час., однако имеет место понижение прочности приблизительно на 20% по сравнению с максимумом при 8 атм. При давл. 21 атм максим.  $R_{\text{сж}}$  достигается при длительности ИП в 3 часа, но при понижении прочности, по сравнению с давл. 16 атм, приблизительно на 10%. Величина снижения  $R_{\text{сж}}$  при превышении оптимальной длительности ИП увеличивается с повышением давления. Понижение  $R_{\text{изг}}$  также имеет место, но в меньшей степени. Величина содержания в готовом продукте свободной  $\text{CaO}$  и  $\text{SiO}_2$  раств

не может являться критерием для оценки режима автоклавной обработки, так как содержание  $\text{SiO}_2$  раств значительно увеличивается и по достижении максим. прочности, а  $\text{CaO}_{\text{св}}$  практически связывается (с остаточным кол-вом  $\sim 0,5\%$ ) до достижения максим. прочности. С увеличением длительности ИП обычно несколько уменьшается содержание  $\text{CaO}$  в гидросиликате кальция. Наблюдающееся также некоторое уменьшение кол-ва воды возможно объясняется погрешностью эксперимента.

Е. Штейн

29623. Исследование сырья для получения пеносиликата. Мармелюк Т. А., Тр. Всес. Магаданск. н.-и. ин-та за 1956 г., Магадан, 1957, 165—169

29624. Классификация добавок к гипсу по механизму их действия. Розенберг Т. И., Ратинов В. Б., Сб. тр. Всес. н.-и. ин-т железобетон. изделий и нерудн. материалов, 1957, вып. 1, 49—70

Изучен механизм действия добавок (Д) к гипсу (Г) и дана их классификация, согласно которой добавки разбиты на 5 классов: 1) сильные, слабые электролиты и неэлектролиты, изменяющие растворимость Г и не образующие труднорастворимых соединений в виде фазовых пленок; 2) соли, являющиеся готовыми центрами кристаллизации; 3) поверхностноактивные продукты, адсорбирующиеся на полуводн. и двуводн. Г, а также уменьшающие скорость возникновения зародышей новой фазы р-ра; Д этого класса названы ингибиторами твердения; 4) в-ва, реагирующие с Г с образованием труднорастворимых фазовых пленок; Д этого класса названы пассиваторами; 5) комплексные двух- и трехкомпонентные Д, содержащие в-ва, принадлежащие к разным классам. Изучен механизм действия комплексных двух- и трехкомпонентных Д, состоящих из в-в различных классов, и даны способы управления сроками твердения Г в их присутствии. Предложены и экспериментально проверены ф-лы для расчета продолжительности твердения Г при одновременном введении Д 1-го, 2-го и 3-го классов. Доказана невозможность стабилизации Г с помощью Д 1-го и 2-го классов и реальность стабилизации гипса при использовании Д 4-го класса. Намечены пути синтеза продуктов, являющихся замедлителями твердения Г.

Б. Варшал

29625. Гипсовые вяжущие и их значение для строительства в Польше. Скальмовский (Spoiwa i tworzywa gipsove i ich znaczenie dla budownictwa w Polsce. Skalmowski Wlodzimierz), Budown. wiejskie, 1957, 8, № 8, 11—12 (польск.)

Дается обзор месторождений гипса в Польше. По запасам двуводного гипса Польша является одной из самых богатых стран мира. Описываются возможные области применения гипса как строительного материала. Польскими учеными разрабатываются способы улучшения качества гипсовых р-ров и изделий с помощью добавки гашеной (или негашеной) извести, а также спец. препарата, изготовленного из отходов получения фурфурола. Изучаются возможности изготовления гипсового р-ра без предварительного обжига гипса, а также получения ангидритового цемента из гипса и активизатора.

Б. Левман

29626. Новый цементный завод в Колдоне, работающий по полусухому способу. — (Blue circle use semi-dry cement process. New plant at Cauldon Low.—), Cement, 'Lime and Gravel, 1957, 32, № 4, 106—112 (англ.)

Описана технологич. схема нового цементного з-да в Англии, оборудованного печью системы Леполь по производительностью 500 т клинкера в сутки.

Б. Левман

29627. Расширение цементного завода. — (Cement works extension.—), Overseas Engr, 1957, 31, № 357, 41 (англ.)

Описывается организация работ по модернизации



цементного з-да в Англии, работающего по мокрому способу. Установка новой печи длиной 80 м, оборудованной подогревателем шлама системы Виккерс, должна увеличить вдвое мощность з-да. Помол сырья производится в трубной мельнице, работающей в замкнутом цикле с классификатором, а размол клинкера — в многокамерной мельнице открытого цикла. Для обеспыливания применяются циклоны. В отделении готового цемента предусмотрена спец. установка для погрузки цемента навалом.

**29628. Осмотр крупнейшей в мире лаборатории по исследованию цемента. Персонс** (A tour of world's largest cement research lab. Persons Hubert C.), Rock Prod., 1957, 60, № 9, 76—79, 117—118 (англ.).

Приведены краткие данные о научно-исследовательской организации Портланд-цементной ассоциации США. И. Смирнова

**29629. Отходы соапстока — интенсификатор помола сырьевой смеси.** Люкевич Р. А., Левченко С. И., Цемент, 1957, № 5, 30

Добавка отходов соапстока в кол-ве 0,5% от веса сырьевой смеси вызывает увеличение производительности мельницы на 30%. М. Степанова

**29630. Уменьшение водосодержания шлама при мокром способе производства цемента.** Ратл (Reducing water content of slurry in wet-process cement manufacture. Rutle Johs.), Pit and Quarry, 1957, 49, № 8, 78—79, 82, 83, 89 (англ.).

Описывается способ уменьшения водосодержания шлама с помощью добавки, получающейся обработкой щелочью торфа или болотистых почв. В результате взаимодействия торфа со щелочью, наряду с другими продуктами, образуется соединение, богатое карбоксильными группами. Ему приписывается эффект уменьшения водосодержания. Этот способ широко применяется со времени второй мировой войны. Для некоторых шламов водосодержание может быть уменьшено до 25%. Добавка облегчает помол клинкера. Лабор. исследования показали, что расход энергии на помол уменьшается на 15%. Потеря пыли с отходящими газами снижается вдвое. Влияние добавки зависит от ряда факторов, в том числе от вида сырья и природы торфа или болотистой почвы. И. Смирнова

**29631. О некоторых результатах исследований процессов обжига с применением радиоактивных изотопов.** Банит Ф. Г., Цемент, 1957, № 4, 10—15

Исследование с применением радиоактивных изотопов скорости движения обжигаемого материала на различных участках вращающейся печи размером 3,6/3,0/13,6 × 125,2 м подтвердило, что средняя и максим. скорости движения материала по всей длине печи обусловлены различными значениями угла естественного откоса материала и, следовательно, его различным зерновым составом. Неодинаковая скорость движения материала с различным зерновым составом неблагоприятно влияет на режим работы печи. Наиболее эффективным способом устранения указанного недостатка является сохранение на возможно большом участке печи размеров гранул, выходящих из зоны подсушки. Если все же значительная часть гранул будет превращаться в пыль, то целесообразно снизить число оборотов печи на 30—40%. Е. Штейн

**29632. Некоторые вопросы высокотемпературной технологии производства клинкера.** Вальберг Г. С., Цемент, 1957, № 5, 20—23

Исследовалось получение клинкера (К) при различных т-рах (1300—1650°). Сырьевые смеси имели различные КН, силикатный и глиноземистый модуль, а также различную степень помола. В полученных К определялось кол-во свободной окиси кальция, а также рассчитывалось кол-во жидкой фазы и минералогич.

состав. По мере повышения т-ры обжига содержание свободной СаО снижается, кол-во  $C_2S$  возрастает, а  $C_3S$  падает. С возрастанием КН, силикатного и глиноземистого модулей смесей и с введением в их состав кварцевого песка освоение СаО затрудняется. Грубый помол резко ухудшает связывание СаО. Для смесей с высокими КН и модулями требуется высокая т-ра обжига — 1600—1650°. Приводятся следующие способы высокотемпературного обжига К: а) при высоких т-рах (1700—1800°) полностью в расплавленном состоянии (доменные печи и т. д.); б) при т-ре 1600—1700° в относительно неподвижном слое и в полурасплавленном состоянии (спекательные решетки); в) в кипящем слое и во взвешенном состоянии. Б. Варшал

**29633. К вопросу об исследовании гидратации силикатов кальция.** Ван-Бемст (Contribution à l'étude de l'hydratation des silicates de calcium purs. Van Bemst A.), Chimie et industrie, 1957, 78, № 4, 342—346 (франц.; рез. англ., исп.).

Исследовали гидросиликаты кальция при обычной т-ре. Синтез гидросиликатов вели осаждением и гидролизом трехкальциевого силиката. Исследование гидросиликатов производили с использованием рентгеноструктурного анализа, электронной микроскопии, спектрометрии в ИК-лучах и термич. дифференциального анализа. Подтверждено различие между гидросиликатами  $0,8 \div 1,5 CaO \cdot SiO_2 \cdot aq$  (I) и  $2CaO \cdot SiO_2 \cdot aq$  (II). На основании исследования гидратации трехкальциевого силиката предложено объяснение механизма процесса. При гидратации образуются I и II. Первый образуется в результате растворения трехкальциевого силиката и последующего выпадения из р-ра, а второй образуется непосредственно на поверхности зерен безводн. силиката. Механизм последнего процесса еще не изучен. Условия образования II наилучшим образом реализуются при гидратации с наибольшим кол-вом воды (в пластичном тесте) или в насыщ. р-ре  $Ca(OH)_2$ . И. Смирнова

**29634. Разработка технологии получения пористой штукатурки на портланд-цементе.** Ракитский Г. А., Тр. Всес. Магаданск. и-и. ин-та за 1956 г., Магадан, 1957, 169—172

**29635. О гидравлических свойствах золы.** Мукхарджи, Чаттерджи, Лахири (A note on the poz-zolanic property of ash from Bokharo Thermal Power Station. Mukherjee Joydeb, Chatterji S., Lahiri D.), Sci. and Culture, 1957, 23, № 2, 100 (англ.).

Приведены результаты испытаний прочности бетона, изготовленного на цементно-золевой смеси состава 1:2,5:3,5 (цемент:песок:гравий); В/Ц = 0,60. Кол-во золы в смеси 0—20%. М. Степанова

**29636. Выступления в прениях на совещании по комплексному использованию доменных шлаков в строительстве.** В сб.: Доменные шлаки в строительстве, Киев, Госстройиздат УССР, 1956, 403—439

**29637. Деятельность шведских лабораторий по исследованию цемента и бетона.** Хакансон (L'activité des Laboratoires suédois de recherches du ciment et du béton (Limhamn et Stockholm). Hakanson Per), Rev. matér. constr. et trav. publics, 1957, № 503—504, 267—273 (франц.).

Стокгольмский институт цемента и бетона (Б) состоит из четырех секций: хим., физ., технич. и прикладной. Физ. секция занимается поверхностноактивными добавками к Б, тепловыделением цемента, микроструктурой гидросиликатов кальция и поглощением воды чистыми глинами типа монтмориллонита. Технич. секция изучает напряжения в Б вследствие усадки и ползучести цементного камня, пластич. деформации Б, влияние добавок на качество Б. Прикладная секция исследует морозостойкость бетонных

покрытий, произ-во бетонных работ в зимнее время, инъектирование преднапряженных конструкций.

И. Смирнова

**29638. Минералогические исследования сцепления гидратированных составляющих цемента с заполнителями.** Фарран (Contribution minéralogique à l'étude de l'adhérence entre les constituants hydratés des ciments et les matériaux enrobés. Farran Jacques), Rev. matr. constr. et trav. publics, 1956, № 492, 191—209 (франц.; рез. англ.)

Приведены результаты петрографич. и рентгенографич. исследований цементного камня (ЦК) на контакте с различными заполнителями. Испытывали образцы, изготовленные на портланд-цементе, шлакопортланд-цементе и сульфатно-шлаковом цементе. Описана серия опытов по колич. измерению сцепления ЦК на портланд-цементе с полированной поверхностью кварца и кальцита. Исследовалась морозостойкость образцов, состоящих из минерала и ЦК. Цилиндры  $d-h = 20$  мм из исследуемого минерала (кварца, кальцита, известняка) помещали в цилиндрчик. формы и на полированную поверхность верхнего основания каменного цилиндра наливали слой цементного теста высотой 20 мм. После 15 суток твердения в воде образцы подвергали испытанию на морозостойкость при  $-18^\circ$ . Каждая серия образцов состояла из 12 шт. 9 образцов с кварцем выдержали 9 циклов, в то время как 9 образцов на кальците и 11 образцов на известняке выдержали 60 циклов. Установлено, что кальцит, заключенный в ЦК, не является инертным материалом. В зоне контакта портланд-цемента и кальцита обнаружены твердые р-ры портландита и кальцита, которые благоприятствуют развитию ориентированного сцепления. Библ. 25 назв. Предыдущее сообщение см. РЖХим, 1957, 55171.

И. Смирнова

**29639. Термическое расширение бетона.** Боннелл, Харпер (The thermal expansion of the concrete. Bonnell D. G. R., Harper F. C.), Indian J. Engng and Technol., 1956, 8, № 1, 19—26 (англ.)

Исследования проводились на бетонных призмах размером  $50 \times 50 \times 150$  мм при соотношении цемента к заполнителю 1:6. При использовании кремнистого заполнителя величина коэф. линейного термич. расширения (КЛТР) была равна  $13,14 \cdot 10^{-6}/^\circ\text{C}$  при воздушном хранении и  $11,24 \cdot 10^{-6}/^\circ\text{C}$  при влажном хранении. Применяя известковый заполнитель, величина КЛТР при воздушном хранении составляла  $7,38 \cdot 10^{-6}/^\circ\text{C}$ , при влажном —  $6,12 \cdot 10^{-6}/^\circ\text{C}$ . Величины КЛТР бетонных образцов во всех случаях оставались выше КЛТР заполнителя. С целью определения влияния вида цемента на величину КЛТР бетона были изготовлены призм. из цементного теста нормального портланд-цемента, высокоалюминатного шлакопортланд-цемента, которые были замерены в интервале т-р от  $0^\circ$  до  $40^\circ$  и при сухом хранении соответственно были равны  $22,68 \cdot 10^{-6}/^\circ\text{C}$ ,  $16,02 \cdot 10^{-6}/^\circ\text{C}$ ,  $23,22 \cdot 10^{-6}/^\circ\text{C}$ , при влажном хранении величины КЛТР составляли: портланд-цемента  $14,76 \cdot 10^{-6}/^\circ\text{C}$ , высокоалюминатного  $12,06 \cdot 10^{-6}/^\circ\text{C}$ , шлакопортланд-цемента  $18,18 \cdot 10^{-6}/^\circ\text{C}$ . Изменение величины КЛТР в зависимости от возраста бетона является функцией вяжущего, но не заполнителя и зависит от физ.-хим. процессов, происходящих при гидратации цемента.

В. Горшков

**29640. Влияние изменений качества цемента на контроль качества бетона.** Кемпбелл-Аллен (Variable cement and its effect on concrete control. Campbell-Allen D.), J. Instn Engrs Australia, 1957, 29, № 4—5, 109—112 (англ.)

Изложен метод оценки влияния изменения качества цемента на качество бетона.

И. Смирнова

**29641. Бетоны с воздухововлекающими добавками.** Американский опыт. Прие (Les bétons à entraîne-

ment d'air: l'expérience américaine. Preece E.), Matér. et techn. engins-fusées et aviat. T. I. Paris, A. E. R. A., 1956, 294—296 (франц.)

Воздухововлекающие добавки (ВД) применяют в США 20 лет, но их благоприятное влияние на долговечность бетона выявилось спустя 2—3 года. Бетон, содержащий вовлеченный воздух в определенном кол-ве, имеет высокую морозостойкость, устойчив к воздействию солевых р-ров и непроницаем. Сравнительные испытания на морозостойкость показали, что образцы бетона с ВД после 1000 циклов снизили прочность на 50%, образцы без добавки разрушались через 50 циклов. В американской армии применение бетона с ВД обязательно при строительстве покрытий и частей сооружений, соприкасающихся с грунтом и водой.

И. Смирнова

**29642. Экономические и технологические вопросы, связанные с применением бетона для защитных против излучения установок при строительстве стационарных ядерных реакторов.** Егер (Wirtschaftliche und technologische Fragen der Verwendung von Beton für Strahlungsschutzanlagen von stationären Kernreaktoren. Jaeger Thomas), Bauwirtschaft, 1957, 11, № 37, 1087—1090 (нем.)

Рассматриваются основные требования, предъявляемые к бетону (Б): высокая плотность; относительно высокое содержание водорода в воде затвердения (0,4—1%); малая теплота гидратации и высокая уд. теплоемкость (что способствует снижению до минимума вредного влияния тепловыделения при схватывании и твердении); высокая теплопроводность; малая величина температурного расширения и модуля упругости (что предотвращает трещинообразование и понижает до минимума напряжения, развивающиеся в результате нагрева ядерной энергией); малая величина усадки и большая прочность при растяжении (что предотвращает возможность трещинообразования). Наиболее распространенный состав Б среднего веса (об. в.  $\approx 3,5$  т/м<sup>3</sup>): 60% барита, 22% лимонита, 11% портланд-цемента и 7% воды; большого веса (об. в.  $\approx 4,3$  т/м<sup>3</sup>): 57% крупных и мелких стальных отходов, 26% лимонита, 13% портланд-цемента и 6% воды. Для повышения вероятности улавливания нейтронов без образования жестких  $\gamma$ -лучей иногда добавляют соединения бора. Форма и зерновой состав тяжелых заполнителей часто являются неудовлетворительным, в связи с чем бетонные смеси (БС) являются относительно плохо обрабатываемыми, особенно при использовании стальных отходов угловатой формы в качестве крупного заполнителя. Не следует стремиться к уменьшению расхода цемента, поскольку его повышенное содержание обеспечивает большую плотность Б, улучшает обрабатываемость БС и повышает кол-во связанной цементами воды. При замедленном схватывании Б, что имеет место при использовании различных соединений бора, применяют глиноземистый цемент при одновременном добавлении хлористого кальция. При приготовлении БС наблюдается сильное налипание цементного клея на стенки барабана мешалки, что может быть предотвращено применением пластифицирующих добавок. При использовании стальных отходов необходимо предотвращать расслаивание БС при их укладке в опалубку и последующем вибрировании. Вибрирование нецелесообразно при использовании легко истирающихся заполнителей, как напр., барита.

Е. Штейн

**29643. Бетон для защиты от радиации.** Кимисима (Kimishima Hirotsugu), Дэнрёку гидзюцу кэнкюсё сёхо, J. Techn. Res. Lab., 1957, 7, № 1, 90—98 (японск.; рез. англ.)

Рассматриваются вопросы выбора заполнителей и соотношения компонентов в смеси.

М. Степанова



29644. О приготовлении бетона с предварительно уложенным заполнителем. I, II, III. Кубо, Когаку (Kubo, Civil Engng Mag., 1957, 6, № 1, 6—8, 3; № 2, 58—61; № 3, 105—107, 104 (японск.))

29645. Огнеупорный бетон (Le béton aux températures élevées. Ciments portl. et métallurg. Centre inform. ind. ciment. belge, 1957, № 58-60, 4, 6 p., ill.) (франц.)

Рассмотрены уд. теплоемкость, теплопроводность, коэф. термич. расширения и механич. свойства огнеупорного бетона. В температурном интервале до 100° уд. теплоемкость составляет 0,21—0,24 кал/г град в зависимости от содержания цемента и природы заполнителя. Теплопроводность влажного бетона составляет 1,20—1,30, а сухого 1,0—0,80 ккал/м час град. При т-ре 100—300° коэф. теплопроводности уменьшается на 5—15%. У легких бетонов он равен 0,07—0,55 при об. в. 450—1800 кг/м³. Приведены данные о температурном градиенте в бетоне в зависимости от продолжительности пребывания его при различной т-ре до 800°. Коэф. термич. расширения бетона зависит от природы заполнителя и расхода цемента. Он лежит в пределах 0,70—1,25·10⁻⁶. При т-ре выше 110° из бетона удаляется вода физически связанная вода и происходит некоторое снижение прочности бетона на сжатие и значительное снижение прочности на растяжение. Когда т-ра превысит 400°, происходит диссоциация гидратных соединений, сопровождающаяся значительным падением прочности бетона. При т-ре до 900—1000° дегидратация заканчивается. При 575° происходит полиморфное превращение кварца, сопровождающееся увеличением объема до 0,85%. Влияние нагрева на прочность бетона зависит от абс. значения т-ры и продолжительности ее воздействия. При повышении т-ры бетона до 400, 600 и 900° прочность на сжатие уменьшается соответственно до 60—90%, 30—50% и 10—20%. В случае применения огнеупорного заполнителя прочность бетона не изменяется при нагреве до 400°. Величина В/Ц имеет незначительное влияние на падение прочности бетона. Последнее меньше, если меньше расход цемента. Предел прочности бетона при растяжении уменьшается при повышении его т-ры до 200, 400 и 600° соответственно до 70—85%, 30—55% и 10—25%. И. Смирнова

29646. Применение заполнителей с повышенным содержанием пылевидных примесей. Сизов В. П. Бетон и железобетон, 1957, № 10, 404—406

Применение заполнителей с повышенным содержанием пылевидных примесей при их равномерном распределении не ухудшает свойств бетона. В случае же обволакивания примесью зерен песка и гравия свойства бетона ухудшаются. Рекомендуется в этом случае изменить порядок загрузки бетономешалки и перейти на двухступенчатое смешивание. Вначале загружается вода и заполнитель. Затем производится перемешивание в течение 20—30 сек., во время которого происходит снятие пылевидной и глинистой пленки с зерен заполнителя, а затем подается цемент и перемешивание продолжается 50—70 сек. Это мероприятие приводит к незначительному снижению производительности бетономешалки и некоторому увеличению затрат труда. Эти недостатки полностью покрываются экономич. эффектом от применения местного песка и гравийно-песчаной смеси в их естественном состоянии без промывки. Б. Варшал

29647. Материалы для легких бетонов. Вавржин (Lehčené betony s hlediska surovin. Vavřín F.), Stavivo, 1957, 35, № 10, 394—397 (чешск.; рез. русск., англ., нем., франц.)

Рассматривается применение очажных, котельных и доменных шлаков и золы-уноса. Приводятся свойства их и пути рационального использования. М. С.

29648. Требования к качеству гравийных материалов. Йирсак (Požadavky na jakost šterkopisků. Jirsák M.), Stavivo, 1957, 35, № 10, 405—406 (чешск.; рез. русск., англ., нем., франц.)

Рассматриваются вопросы прочности, гранулометрии, пустотности, формы зерен и др. гравия, применяемого в бетоне в качестве заполнителя.

29649. Применение крупноразмерного каменного заполнителя в массивном бетоне. Мак-Интош (The use in mass concrete of aggregate of large maximum size. McIntosh J. D.), Civil Engng and Public Works Rev., 1957, 52, № 615, 1011—1015 (англ.)

Чем крупнее заполнитель, тем меньше должен быть расход цемента для получения бетона заданной удобообработываемости и прочности. Практически применяется заполнитель с кусками размером до 300 мм. По данным для 40 плотн. величина В/Ц бетона колеблется в пределах 0,5—0,7. Следует определять фактич. В/Ц с учетом поглощения воды заполнителем. Соотношение между заполнителем и цементом в бетоне составляет от 6 до 15 в зависимости от максим. размера заполнителя. Библи. 32 назв. И. Смирнова

29650. Крупнейший автоклав, применяемый в производстве бетонных блоков. Атли (Outside autoclave used by N. M. block maker. Utley Harry F.), Pit and Quarry, 1957, 49, № 8, 221—223 (англ.)

Описан 3-д, выпускающий бетонные блоки. Формующий станок имеет часовую производительность 1080 блоков 200 × 200 × 400 мм. Твердение блоков осуществляется в две стадии: вначале 8 час. в камере с насыщ. паром при атмосферном давлении, а затем 12 час. в автоклаве размером 3 × 36 м. Единновременно в автоклав загружается 9000 блоков. И. Смирнова

29651. Производство газообразных блоков SKUS 700 в полувзаводских условиях. Смирник (Poloprevádzková výroba plynobetónových tvaroviek SKUS 700. Smržík Florián), Stavba, 1957, 4, № 6, 172—175 (словацк.)

Блоки, изготовленные из словацкого сырья и подвергнутые автоклавной обработке, по качеству не уступают «Сипорексу» и «Итонгу». И. Стефановский

29652. О водонепроницаемости пропаренных бетонов. Канкин М. М., Научн. сообщ. Всес. н.-и. ин-т цем. пром.-сти, 1957, № 1, (32), 28—30

Водонепроницаемость бетонов, пропаренных по режиму (в час.) 4—14—4, резко повышается при переходе от пластичной к жесткой консистенции. Пропаривание повышает водонепроницаемость, причем эффективность этого метода увеличивается с понижением В/Ц. М. Степанова

29653. К вопросу о слишком раннем пропаривании бетонных образцов. Зеркин (Zu frühzeitige Dampfbehandlung von Beton — Formlingen. Serkin W.), Beton, 1957, 7, № 8, 249 (нем.)

На основании проведенных опытов отмечается необходимость предварительного выдерживания перед пропариванием (П) бетонных изделий, изготовленных на основе обычного портланд-цемента. Рекомендуется начинать П изделий не ранее, чем через 3 часа после их изготовления. Описывается простейшая методика лабор. исследований для установления длительности П бетонных образцов. Г. Копелянский

29654. Влияние повторного вибрирования на свойства портланд-цементного бетона. Соьер, Ли (The effects of revibration on properties of portland cement concrete. Sawyer D. H., Lee S. F.), Proc. Amer. Soc. Test. Mater., 1956 (1957), 56, 1215—1227. Discuss., 1228 (англ.)

Исследование имело целью выяснить, как влияет на свойства бетона временная остановка процесса твердения, достигаемая посредством повторного вибриро-

вания (ПВ) бетона через некоторое время после его укладки. Процессу ПВ подвергались образцы бетонов с воздухововлекающими добавками (ВД) и без них, твердевшие от 45 мин. до 6 час. Полученные данные сравнивались с результатами испытаний контрольных бетонов нормального твердения (без ПВ). Опыты показали, что ПВ значительно повышает прочность бетона (с ВД — через 5 час., без ВД — через 6 час.). Долговечность бетона без ВД резко снижается при ПВ, в то время как на долговечности бетона с ВД процесс ПВ практически не отражается. ПВ, проведенное через допустимый отрезок времени, не вызывает расслоения бетона. В. Левман

29655. Безавтоклавный конструктивный пенобетон на золе ТЭЦ. Зинкин А. М., Тр. Среднеаз. политехн. ин-та, 1957, вып. 4, 232—236

29656. Расчет бетонной смеси с использованием золы. Накамура, Яно, Сэмэнто конкурито, Cement and Concrete, 1957, № 125, 28—42 (японск.)  
Предыдущее сообщение см. РЖХим, 1957, 58281.

29657. Методы испытания морозостойкости. Хёфген (Probleme um die Prüfung der Frostbeständigkeit. Hoeffgen Hermann), BLGA Rundschau, 1957, № 5, 143—149 (нем.)

Критич. обзор некоторых методов испытания морозостойкости строительных материалов. М. Маянц

29658. Деформации и напряжения в бетоне, вызываемые его усадкой. Вальц (Über Längenänderungen und Spannungen durch Schrumpfen und Schwinden des Betons. Walz K.), Betonstein-Ztg, 1957, 23, № 7, 523—526 (нем.; рез. англ., франц.)

Отмечается, что величина усадки бетона (Б) зависит от его состава, характера уплотнения, а также от климатич. условий и линейных размеров бетонных элементов. Подробно рассматриваются причины, вызывающие трещинообразование в Б. Отмечается, в частности, что трещины появляются тогда, когда усадке противодействуют внешние силы, как, напр., заделка бетонного элемента, собственный вес, трение об опору и т. д. Подобные недостатки можно легко устранить применением рациональных конструкций. Кроме того, имеют место так называемые «Собственные напряжения», возникающие в результате различной степени высыхания поверхностной зоны Б и его центра, а также напряжения в самой структурной решетке. Указанные напряжения нередко обуславливают уменьшение прочности на растяжение и изгиб бетонных элементов, а также приводят к трещинообразованию. При установлении предела прочности на растяжение и изгиб рекомендуется испытание влажных образцов. Величина так называемых «собственных напряжений» в значительной степени зависит от образования капилляров в цементном камне. Указывается далее на зависимость уменьшения прочности Б при его высыхании от величины усадки заполнителей. Для предупреждения возникновения высоких «собственных напряжений» рекомендуется не допускать быстрого высыхания бетонных изделий, особенно после автоклавной обработки. Е. Штейн

29659. Опыт ремонта бетонных покрытий. Шефде-виль (Quelques essais pour une solution de réparation des revêtements bétonnés. Chefdeville M.), Matér. et techn. engins-fusées et aviat. T. 1. Paris, A. E. R. A., 1956, 297—298 (франц.)

Наиболее существенные и часто наблюдаемые повреждения бетонных покрытий: дефекты поверхности вследствие плохой отделки, шелушение поверхности, вызванное недостаточной морозостойкостью или пожаром, сколы вдоль швов и на углах плит, трещины различного происхождения. Для устранения перечисленных дефектов (кроме трещин) наилучшим решением является применение р-ров с добавкой по-

ливинилацетата в кол-ве 20% веса цемента. Прочность таких р-ров на сжатие увеличивается в 3—4 раза при твердении в условиях 50%-ной относительной влажности, модуль упругости значительно уменьшается, а стойкость к истиранию, действию мороза и хим. агрессии повышается. В случае твердения р-ра под водой благоприятного влияния добавки не проявляется. Другим решением является использование цементных р-ров, к воде затворения которых добавлена битумная эмульсия. При этом увеличивается сцепление, уменьшается модуль упругости, возрастает удлинение при растяжении. И. Смирнова

29660. Швы бетонных взлетных дорожек и реактивная авиация. Жёфруа (Les joints de pistes en béton et l'influence des avions à réaction. Jeuffroy M.), Matér. et techn. engins-fusées et aviat. T. 1. Paris, A. E. R. A., 1956, 289—293 (франц.)

Для создания надежных покрытий взлетных дорожек рекомендуется: замена покрытий из обычного бетона напряженно армированным железобетоном без швов. 2-е решение состоит в применении двух уплотняющих швов материалов. Нижний слой состоит из пластичного материала, который должен придать плотность шву. Верхний слой выполняется из более жесткого материала, который играет роль защиты. Пригодным для этой цели материалом является пористая резина, которая может претерпевать значительные деформации, а под действием пламени обращает с поверхности, но не плавится. И. Смирнова

29661. Роль вредных солей в стабилизации грунта с использованием цемента и без него. 3. Уппал, Капур (Role of detrimental salts in soil stabilization with and without cement — 3. Uppal I. S., Kapur B. P.), Indian Concrete J., 1957, 31, № 7, 228—231 (англ.)

Наличие в грунте солей  $\text{Na}_2\text{SO}_4$  и  $\text{Na}_2\text{CO}_3$  часто приводит к разрушению грунтовых дорог по той причине, что переменная гидратация и дегидратация этих солей под воздействием атмосферных условий сопровождается объемными изменениями солей. Опыты авторов показали, что при гидратации соли  $\text{MgSO}_4$  практически не наблюдается изменения объема. Были также проведены опыты по определению влияния добавки соли  $\text{MgSO}_4$  (от 0 до 5%) на физ.-мех. свойства грунтоблоков, изготовляемых с добавкой цемента и без цемента. В опытах использовались четыре разновидности глинистых и суглинистых грунтов. Грунтоблоки хранились в условиях переменной т-ры и влажности и подвергались попеременному увлажнению и высушиванию. Проводились также опыты по определению капиллярной адсорбции влаги с последующим высушиванием. На поверхности грунтоблоков, сформованных без добавки цемента, наблюдались высолы, если содержание  $\text{MgSO}_4$  было более 1%. При наличии в смеси 2,5% цемента появление высолов наблюдалось лишь при содержании в грунте солей  $\text{MgSO}_4$  в кол-ве 5%. Наличие в грунте соли  $\text{MgSO}_4$  в кол-ве до 2% практически не оказывает влияния на показатели пластичности грунта; с дальнейшим повышением содержания  $\text{MgSO}_4$  пластичность грунта несколько снижается. Введение добавки в грунт  $\text{MgSO}_4$  приводило к снижению прочности грунтоблоков. Однако грунтоблоки с содержанием  $\text{MgSO}_4$  до 5% после года хранения в естественных условиях (на воздухе) не имели видимых признаков разрушения, тогда как такие же грунтоблоки, но с содержанием солей  $\text{Na}_2\text{SO}_4$  и  $\text{Na}_2\text{CO}_3$  разрушились после 3 месяцев. Наблюдения за усадкой и набуханием грунтоблоков также показали, что наличие в почве  $\text{MgSO}_4$  менее опасно по сравнению с солями  $\text{Na}_2\text{SO}_4$  и  $\text{Na}_2\text{CO}_3$ . Вредное влияние соли  $\text{MgSO}_4$  при содержании ее даже в кол-ве 5% может быть полно-



Проч-  
а раз-  
альной  
шлет-  
и хим.  
од по-  
влет-  
е це-  
бавле-  
а спе-  
астает  
прива-  
актив-  
еп бе-  
froу  
А. Ра-

доро-  
ичного  
ом без  
ушлот-  
ит из  
ондате  
более  
щиты.  
и по-  
значи-  
обро-  
прива-  
ута с  
и над-  
ibiliza-  
Ка-  
228—

о при-  
ричи-  
а этих  
сопро-  
ты ав-  
прак-  
Были  
ия до-  
свой-  
й це-  
тепере-  
ушлов.

и т-ры  
увлаж-  
опыты  
с по-  
рунто-  
наблю-  
ю бо-  
оявле-  
нии в  
грунте  
оказы-  
нта; с  
аста-  
добав-  
ности  
танием  
енных  
знаков  
но с  
идлись  
стабу-  
ащие в  
солями  
О, при  
полно-

ство устранено введением в грунт 7,5—10% цемента. Сообщение 2 см. РЖХим, 1956, 78860. П. Зильберфарб 29662. Изучение связи между бетоном и арматурой. Юнссон (Investigations of bond between rein for cement and concrete. Jonsson Olov. Handl. Svenska forskningsinst. cement och betong, 1957, № 29, 60 pp., ill.) (англ.)

29663. Разрушение колонн железобетонной градирни из неморозостойкого бетона. Алексеев С. Н., Бетон и железобетон, 1957, № 9, 368—369

Причиной разрушения является замораживание на- ших, водой пористого бетона (Б). Низкая морозостой- ность примененного Б обусловлена недостаточной плот- ностью его структуры, слишком высоким В/Ц (0,59), а также загрязненностью гравия, содержавшего ~20% песка и 11,3% пылевидных фракций. Резкое снижение изделий после пропаривания могло так- же сказаться на их морозостойкости. Е. Штейн

29664. Процессы твердения и технические свойства магнетизального огнеупорного раствора для футеро- вок вращающихся печей. Ключаров Я. В., Ме- шалкина Н. В., Цемент, 1957, № 5, 14—19

Исследовался химизм процесса твердения магне- тизального р-ра, изучалось влияние на процесс твер- дения модуля жидкого стекла, зернового состава и степени обжига заполнителя, а также условий хра- нения р-ра. Кроме того, изучено влияние хим. состав- а и степени обжига заполнителя, его зернового со- става, а также условий и сроков хранения образцов на технич. свойства р-ров. Были применены хим., петрографич., рентгеновский, спектральный, термич. и весовой анализы. Установлено, что при взаимодей- ствии  $MgO$  с жидким стеклом образуются гидросили- каты магнезия типа  $MgO \cdot SiO_2 \cdot H_2O$ . Состав образу- ющихся гидросиликатов не постоянен и зависит как от модуля стекла, так и от условий и сроков хранения образцов. Кроме этого гидросиликата образуется еще немного  $Mg(OH)_2$ . В обожженном р-ре установлено присутствие форстерита и цел. силиката магнезия типа  $MgO \cdot MgO \cdot SiO_2$ . Исследование технич. свойств р-ров показало, что лучшими свойствами обладают р-ры, приготовленные на стекле с гораздо более низкой плотностью, чем рекомендуется действующей инст- рукцией (1,35). Присутствие в заполнителе свободной  $CaO$  значительно ускоряет схватывание и увеличи- вает прочность в первые сроки. Б. Варшал

29665. Влияние кремнийорганических соединений на свойства цементных растворов. Крешков А. П., Храмова В. И., Тр. Моск. хим.-технол. ин-та им. Д. И. Менделеева, 1957, вып. 24, 91—95

Небольшая добавка к портланд-цементу этилового эфира ортокремневой к-ты и кубового остатка этило- вого эфира ортокремневой к-ты понижает водопотреб- ность и ускоряет сроки схватывания цемента. Крем- нийорганич. добавки в дозировках 0,5% приводят к по- вышению прочности портланд-цемента в среднем на 30%. М. Степанова

29666. Составы растворов и содержание в них вяжу- щего. Харизиус, Маттиас (Mischungsverhält- nis und Bindemittelgehalt von Mörtel. Charisius K., Matthias E.), Zement-Kalk-Gips, 1957, 10, № 9, 359—365 (нем.; реэ. англ., франц.)

Описание методик подбора состава растворной сме- си и определение вяжущего в р-ре, предложенных ав- тором. Рассматриваются два вида вяжущих: практиче- ски полностью растворимых в соляной к-те (напр., строительная известь, портланд-цемент) и частично растворимых (напр., трассовый портланд-цемент), и два вида заполнителей, практически нерастворимых в соляной к-те (напр., кварцевый песок) и частично не- растворимых (напр., кварцевый песок с известковыми включениями). Г. Копелянский

29667. Опыт применения нового замедлителя схваты- вания цементных растворов на промыслах Грознеф- ти. Булатов А. И., Новости нефт. техн. Нефтепро- мысл. дело, 1957, № 9, 9—10

В качестве замедлителя схватывания цементных р-ров, применяемых в сверхглубоких скважинах с т-рой 150° и давл. до 500 ат, рекомендуется 10%-ный водн. р-р натриевой соли карбоксиметилцеллюлозы.

М. Степанова

29668. Некоторые электрические свойства асфальто- бетона. Поройков И. В., Велецкая О. И., Но- рина И. А., Тр. Моск. автомоб.-дор. ин-та, 1957, вып. 20, 209—214

На основании полученных данных о значениях ди- электр. проницаемости асфальтобетона установлены соотношения, которые при известных компонентах и т-ре асфальтобетона позволяют определить процент- ное содержание битума путем измерения диэлектрич. проницаемости образцов. Показано, что минер. поро- шок уменьшает энергию диссоциации молекул, и, сле- довательно, асфальтобетонная смесь не является про- стой механич. смесью органич. вяжущего и минер. ма- териалов. М. Степанова

29669. Дорожные покрытия на основе дегтя. Рейн- бот (Über Asphaltteer-Rauhbeläge mit Straßen- teer. Reinboth Kurt), Bitum., Teere, Asph., Pechе und verw. Stoffe, 1956, 7, № 4, 147—149 (нем.)

29670. Извлечение асбестового волокна из руды пу- тем применения воздушного классификатора. Куль- тин Е. И., Сб. научно-исслед. работ. Н.-и. и проекти- ин-т механ. обработки полезных ископаемых, 1957, вып. 99, 45—70

Исследован в полупромышленных условиях вопрос обогащения асбестовых руд методом воздушной клас- сификации взамен метода отсасывания. Опыты дали положительные результаты. Разработана технологич. схема обогащения асбестовых руд с применением воз- душной классификации. Б. Варшал

29671 К. Определение содержания твердых частиц в отходящих газах цементных печей и их состав. Илефельдт (Bestimmung des Gehalts an Feststof- fen in den Abgasen der Zementwerke und deren Korn- zusammensetzung. Ihlefeldt H. Düsseldorf, Verein Dtsch Zementwerke e. V., 1955, 106 S., ill.) (нем.)

29672 К. Крупные блоки в строительстве. Технология производства. Сб. статей. Ред. Латаш М. Я. (Новое в строит. техн., вып. 12) Киев, Гос. изд-во лит. по стр-ву и архитект. УССР, 1957, 148 стр., илл., 8 р. 10 к.

29673 С. Цемент трассовый (Cement trasový). Че- хосл. стандарт 722122, 1957

29674 С. Физические и механические испытания це- ментов (Cementy. Fysikální a mechanické zkoušky cementu). Чехосл. стандарт 722110, 1957

29675 С. Диатомиты для тепловой изоляции (Křemel- lina surová). Чехосл. стандарт 727111, 1956

29676 П. Способ обработки алебаstra. Дурно (Pro- cédé de traitement du plâtre. Dournaud Pierre- André-Jean). Франц. пат. 1121125, 23.07.56

Патентуется способ обработки алебаstra с целью ускорения твердения и получения высокой механич. прочности затвердевшего материала. Форма, в кото- рую производится отливка, имеет водопроницаемую мембрану (две металлич. сетки, между которыми за- ключен угольный порошок), сообщающуюся с вакуум- установкой для отсоса воды и присоединенную к отри- цательному полюсу источника тока напряжением 120— 220 в. В форму заливается жидкая масса (60—70% воды), к которой добавлен электролит (замедлитель или ускоритель схватывания или в-ва, уменьшающие растворимость). И. Смирнова

**29677 П. Водонепроницаемый цемент. Мурата.** Японск. пат. 2684, 11.04.56

К цементу добавляют органич. р-рители, напр., метанол, ксилол, толуол, сольвентнафту, уайт-спирит или их смеси; жирные и нафтеновые к-ты и соли. Смеси хорошо перемешивают. К смеси может быть добавлено небольшое кол-во ускорителя твердения, пластификатора и пигмента. Пример. На 100 ч. цемента добавляют 2 ч. металл. мыла и 5 ч. метанола или ксилола или смеси ксилола с метанолом. Все это хорошо перемешивают и подогревают (можно не подогревать).

В. Зломанов

**29678 П. Изготовление черепицы. Сибаяма [Сибаяма Эйити, Итимура Синго].** Японск. пат. 2341, 29.03.56

На поверхность бетона накладывается несколько слоев цемента, окрашенного в различные цвета. Непосредственно перед схватыванием цемента на поверхности делают впадины и выступы. На бетонную плиту накладывается цветная черепица или глазурованная плитка, также имеющая соответствующие выступы и впадины. Плитка при наличии цемента соединяется с бетонной плитой и в результате получается красивая черепичная плитка, которая может быть использована для облицовки зданий. М. Гусев

**29679 П. Устройство для приготовления бетонных смесей меняющихся составов (Vorrichtung zum Herstellen von in der Zusammensetzung wechselnden Betongemischen)** [CHRONOS-Werk, Reuther und Reiser K. G.]. Пат. ФРГ 962412, 18.04.57

Устройство для приготовления меняющихся по своему составу бетонных смесей с помощью автоматически управляемых с центрального пункта ленточных весов для взвешивания компонентов, отличается тем, что ленточные весы установлены над бетономешалками и оборудованы приспособлениями для автоматич. отвешивания. Ленточные весы снабжены заранее настраиваемым счетчиком, устанавливаемым перед каждым взвешиванием. Настройка счетчика производится с центрального пульта. Г. Копелянский

**29680 П. Способ и приспособление для изготовления бетонной смеси. Брейтер (Verfahren und Vorrichtung zum Herstellen von Beton. Breiter Kurt).** Пат. ФРГ 952235, 15.11.56

Способ произ-ва бетонной смеси при использовании непрерывно вращающегося смесительного барабана (Б) с периодич. выгрузкой, отличается тем, что подлежащие смешению материалы подаются в Б непрерывно только до желательной степени его заполнения, а бетонная смесь выгружается периодически. Мешалка представляет собой вращающийся Б с находящимся над ним резервуаром, соединенным с внутренней полостью Б посредством механически дозирующего транспортного устройства, и имеет приспособление для выключения транспортного устройства по достижении требуемой степени заполнения Б. Выключение транспортного устройства осуществляется весом загрузки, для чего передняя опора Б у выгрузочного отверстия располагается на пружинном взвешивающем устройстве, а задняя опора — шарнирная. Выключение транспортного устройства осуществляется при повороте Б вокруг задней опоры на определенный угол под влиянием заданного веса загрузки. Е. Штейн

**29681 П. Способ изготовления легкого бетона и установка для осуществления этого способа. Скворонский (Sposób wytwarzania lekkiego betonu oraz urządzenie do wykonywania tego sposobu. Skworonski Stanisław).** Польш. пат. 36589, 20.09.55

Способ заключается в следующем: воздух вводится в бетонную смесь с помощью спец. устройства, которое представляет собой бак для бетонной смеси, соединен-

ный с наклонным желобом, перфорированным снизу и снабженным перемешивающими лопастями. В бетонную смесь, движущуюся по желобу, с помощью компрессора нагнетается воздух. Одновременно лопастями перемешивают смесь для равномерного распределения подаваемого воздуха. Лопастей установлено так, что могут поворачиваться в различных направлениях. Б. Левман

**29682. Способ получения литых изделий, напр. легкого бетона. Лундгрен, Ульссон (Sätt vid tillverkning av gjutmassa, t. ex. lättbetong. Lundgren B. A. R., Olsson K. G.)** [Internationalla Siporex AB]. Швед. пат. 157995, 26.02.57

Способ получения бетонных плит, отличающийся тем, что для выравнивания т-ры в отлитой плите в процессе твердения форму ставят на пол с змеевиком, в котором течет вода необходимой т-ры. К. Герцифальд

**29683 П. Способ изготовления огнестойких строительных плит. Бьоркман (Method of producing noncombustible building boards. Bjorkman E. B.).** Англ. пат. 707182, 14.04.54

Несгораемые строительные плиты и т. п. получают из стекляной, горной или шлаковой шерсти или асбеста (без и с добавлением древесных волокон) и 2%-ного р-ра желированного крахмала, к которому можно добавлять камедь, фенольные, крезолные, ламинарные, мочевиные смолы или мыла смоляных к-т, эмульгированное талловое масло, кровяной альбумин, производные целлюлозы, или неорганич. связующие в-ва, напр. растворимое стекло и т. п. Минер. волокно вносят в разб. р-р крахмала и NaOH, осаждают клей прибавлением  $H_2SO_4$  до pH 5,8 или сульфата Al, Fe или Zn. Образуются плотные или пористые плиты, с применением и без применения прессования; их можно покрывать древесной массой или асбестовым волокном, спрессовывать и сушить попарно. Ю. В.

**29684 П. Звукоизоляционный листовый материал и связующее для него. Гроскопф (Sound deadening sheet material and bonding materials therefor. Groskopf Edwin Otto)** [The Philip Carey Manufacturing Co.]. Пат. США 2742373, 2742374, 17.04.56

Патентуется слоистый звукоизоляционный материал, состоящий из двух слоев строительного картона, связанных между собой битумной эмульсией. Э. Левин

**29685 П. Шахтные печи для обжига известняка, доломита или магнезита. Эйген (Schachtöfen zum Brennen von Kalkstein, Dolomit oder Magnesit. Eigen Hans).** Пат. ФРГ 959536, 7.03.57

Шахтные печи для обжига известняка, доломита или магнезита с подводом газа в зону обжига прямогоном, а в зону подогрева и охлаждения — противотоком отличаются тем, что между зонами подогрева и обжига, равно как и между зонами обжига и охлаждения устроено по одному шлюзу, допускающему пропуск обжигаемого сырья, но не газа. Между перечисленными зонами устанавливается по одному выносному приспособлению, подвижная часть которого выполняется из высокоогнеупорного материала. Е. Штейн

**29686 П. Усовершенствования печей для обжига извести и цемента. Эпштейн (Perfectionnements aux fours à chaux et à ciment. Epsztein Zuzie)** [Cie de Fives-Lille]. Франц. пат. 1116508, 8.05.56

Патентуются приспособления для вращающихся печей, работающих по сухому способу. Приспособления представляют собой установленные в поперечном сечении печи дырчатые радиальные перегородки. И. Смирнова

См. также: Развитие науки о бетоне 27497. Межкристаллитные прослойки в гипсе 27776. Получение кварцевой магнезиальной извести 29451

Реферат

ХИМИ

ПРОМЫШ

Редакт

29687. О р...  
органически...  
пром-сть, 1...  
Обзорная с...  
не должны...  
ние электро...  
Библи. 11 наз...  
29688. Успе...  
Коллини...  
development...  
wood P...  
Petro. Tim...  
Обзор совр...  
тия в США...  
натов, получ...  
воздушных этил...  
29689. Про...  
ров в Япо...  
какаку кёи...  
1957, 15, №...  
Обзорная...  
29690. Связ...  
мышленно...  
айсы, J...  
№ 9, 514...  
Обзор. Би...  
29691. Маг...  
промышлен...  
chemicals...  
1957, 20, №...  
Обзор мет...  
используем...  
также основ...  
трудностей...  
Mg-органич...  
29692. О с...  
цессе С...  
Леонть...  
1287—127...  
Методом...  
бутленовой...  
линила и...  
эффективн...  
нав бутил...  
исходобути...  
~ 3% изо...  
CH<sub>2</sub> = 3,4...  
нствует



# РЕФЕРАТИВНЫЙ ЖУРНАЛ ХИМИЯ

Рефераты 29687—31306

№ 9

10 мая 1958 г.

## IV

### ХИМИЧЕСКАЯ ТЕХНОЛОГИЯ. ХИМИЧЕСКИЕ ПРОДУКТЫ И ИХ ПРИМЕНЕНИЕ (Часть 3)

#### ПРОМЫШЛЕННЫЙ ОРГАНИЧЕСКИЙ СИНТЕЗ

Редакторы С. З. Тайц, Б. П. Фабричный

29687. О развитии промышленного электролиза органических соединений. Антропов Л. И., Хим. пром-сть, 1957, № 5, 272—274  
Обзорная статья. Предложен ряд мероприятий, которые должны способствовать более широкому применению электрохим. методов в пром-сти органич. синтеза. Библ. 11 назв. В. Оноприенко

29688. Успехи нефтехимической промышленности I. Коллинсвуд, Макинтош, Стейнер (Recent developments in petroleum chemicals—I. Collinswood P. N., Mackintosh C. F. M., Steiner H.), Petrol. Times, 1957, 61, № 1553, 146—149 (англ.)  
Обзор современного состояния и направлений развития в США, Канаде, Японии и Европе пром-сти химикатов, получаемых из нефти, в особенности — производных этилена. Библ. 10 назв. О. Черников

29689. Производство растворителей и пластификаторов в Японии за 1956 год. Кавасаки, Юки госяй кагаку кёкайси, J. Soc. Organ. Synth. Chem., Japan, 1957, 15, № 6, 312—315 (японск.)  
Обзорная статья. Б. Ф.

29690. Связь работ Ренне с нефтехимической промышленностью. Йосикава, Юки госяй кагаку кёкайси, J. Soc. Organ. Synth. Chem., Japan, 1956, 14, № 9, 514—549 (японск.)  
Обзор. Библ. 28 назв. М. Пасманик

29691. Магнийорганические соединения в химической промышленности. Стерн (The grignard reagents in chemicals manufacture. Stern E. S.), Chem. Prod., 1957, 20, № 9, 357—360 (англ.)  
Обзор методов получения Mg-органич. соединений, используемых при этом р-рителей и аппаратуры, а также основных направлений применения. Дан анализ трудностей, связанных с промышленным применением Mg-органич. соединений. В. Лившиц

29692. О составе бутиленов, получающихся в процессе С. В. Лебедева. Пигулевский В. В., Леонтьева В. В., Ж. прикл. химии, 1957, 30, № 8, 1267—1270  
Методом низкотемпературной ректификации псевдобутиленовой фракции газа, полученного при синтезе динирила из спирта по Лебедеву, на спец. колонке (эффективность 19,5 теоретич. тарелок) исследован состав бутиленов, содержащихся во фракции. Технич. псевдобутилен содержит ~70%  $\beta$ -C<sub>4</sub>H<sub>8</sub>, 20%  $\alpha$ -C<sub>4</sub>H<sub>8</sub> и ~3% изо-C<sub>4</sub>H<sub>8</sub> при соотношении  $\beta$ -C<sub>4</sub>H<sub>8</sub>: $\alpha$ -C<sub>4</sub>H<sub>8</sub>:изо-C<sub>4</sub>H<sub>8</sub> = 3,4:1:0,18. Соотношение  $\beta$ -C<sub>4</sub>H<sub>8</sub>: $\alpha$ -C<sub>4</sub>H<sub>8</sub> соответствует равновесному для т-ры ~400°. изо-C<sub>4</sub>H<sub>8</sub>

образуется в процессе контактирования C<sub>2</sub>H<sub>5</sub>OH изомеризацией  $\alpha$ -C<sub>4</sub>H<sub>8</sub> и  $\beta$ -C<sub>4</sub>H<sub>8</sub>, присутствие  $n$ -C<sub>4</sub>H<sub>10</sub> (2%) объясняется частичным гидрированием  $n$ -C<sub>4</sub>H<sub>8</sub> над катализатором Лебедева. Приведен состав и кривая разгонки технич. псевдобутилена. К. Склобовский

29693. Производство и свойства четыреххлористого углерода и хлорбромметана. Грайе (Manufacture and properties of carbon tetrachloride and chlorobromomethane. Grice J. O.), Manufact. Chemist, 1957, 28, № 3, 116—119 (англ.)  
CCl<sub>4</sub> получают из CS<sub>2</sub> и Cl<sub>2</sub> 2-стадийным процессом; CH<sub>2</sub>ClBr получают бромированием CH<sub>2</sub>Cl<sub>2</sub> в присутствии Al. Приведены свойства и основные области их применения. Н. Дабагон

29694. Прямой синтез хлористого винила из газов крекинга метана. Трандафиреску, Кославский, Банк (Utilizarea directă a gazelor produse prin cracarea metanului, pentru fabricarea clorurii de vinil. Trandafirescu G., Koslawski L., Banck E.), Rev. chim., 1957, 8, № 3, 147—154 (рум.; реэ. русск., нем.)  
Хлористый винил (I) получали р-цией HCl с крекированным природным газом (содержание C<sub>2</sub>H<sub>2</sub> 10—12%) на полужаводской установке. Установлено, что при 170° в кожухе реактора конверсия C<sub>2</sub>H<sub>2</sub> достигает 96—98% при времени контакта 65 сек., т. е. адекватна конверсии C<sub>2</sub>H<sub>2</sub> при синтезе I из конц. C<sub>2</sub>H<sub>2</sub>. I может быть выделен из реакционной смеси поглощением р-рителями или адсорбцией активным углем. При начальной конц-ии I 13% насыщение угля (0,15 кг I на 1 кг угля) достигается за 4 часа, десорбцию осуществляют при 120°. Конц-ия I в продукте десорбции 85—87%. Л. Песин

29695. Каталитический метод получения изопропилового спирта. Попов В. А., Тр. Научн. студ. о-ва Горьковск. политехн. ин-та, 1957, вып. 1, 90—94  
Пропиленовую фракцию (ПФ) пирогаза гидратировали до изо-C<sub>3</sub>H<sub>7</sub>OH (I) на жидком катализаторе (ЖК). ПФ из балона подавали снизу в реактор с внутренним Рв-стаканом, в котором находился ЖК, туда же насосом подавали воду. Полученный I конденсировали, остаточный газ смешивали со свежей порцией ПФ. Конденсат фракционировали, I определяли во фракции с т. кип. 79—98° бихроматным методом. Изучено влияние т-ры, давления, объемной скорости подачи и активирующих добавок к ЖК. При 125°, 6 атм, объемной скорости 805 мл ПФ на 1 л ЖК в 1 час (ЖК содержал 55% H<sub>2</sub>SO<sub>4</sub>, 1% H<sub>2</sub>B<sub>2</sub>O<sub>3</sub> и 0,5% CoSO<sub>4</sub>) конверсия ПФ достигала 3,98%. Кол-во побочных продуктов увеличивалось с ростом т-ры и давления и уменьшалось с увеличением объемной скорости. Приведены схема модельной установки и таблицы результатов, получе-

ных в различных условиях с применением различных ЖК. К. Склобовский.

29696. Влияние воды и некоторых основных веществ на гидрирование ацетона. Орито, Кавати, Корё кагану даэсси, J. Chem. Soc. Japan. Industr. Chem. Sec., 1955, 58, № 6, 457—459 (японск.).

Ацетон подвергали каталитич. гидрированию под давлением  $H_2 \sim 40$  ат и  $t$ -ре 30—80° в качающемся автоклаве в присутствии Ni-Cr, Co-Cr или Cu-Cr-катализатора на кизельгуре (1:0,1:1) и 0,04—8 мол. % воды,  $(C_2H_5)_3N$  или NaOH. Скорость поглощения  $H_2$  в процессе гидрирования измеряли в течение 60 мин. Гидрирование заметно промотируется в случае применения Ni-Cr на кизельгуре, особенно в присутствии NaOH; скорость поглощения  $H_2$  была примерно в 30 раз больше, чем в контрольном опыте. При использовании Co-Cr на кизельгуре добавки не давали столь заметного эффекта, при работе с Cu-Cr на кизельгуре добавление воды подавляло р-цию. Рассмотрен механизм гидрирования. [Chem. Abstrs, 1956, 50, № 7, 4773 д] Katsuya Inouye.

29697. Получение уксусной кислоты и уксусного ангидрида. Виноградов А. А., Гуревич С. Г., Филимонов Н. В., Хим. наука и пром-сть, 1957, 2, № 1, 46—52.

Обзор современных методов промышленного синтеза  $CH_3COOH$  и  $(CH_3CO)_2O$ . Библ. 37 назв. О. Чернов.

29698. Исследование применения трихлорэтилена для азеотропного обезвоживания уксусной кислоты. Струмилло, Шапиро (Badanie tróchloroetylenu jako czynnika azeotropowego do odwadniania kwasu octowego. Strumillo C., Szapiro S.), Przem. chem., 1957, 13, № 8, 442—444 (польск.; рез. русск., англ.).

Для установления практич. возможности и экономич. целесообразности обезвоживания  $CH_3COOH$  при помощи трихлорэтилена (I) определены эксперим. путем кривые равновесия систем: I— $CH_3COOH$  и азеотроп (I + вода)— $CH_3COOH$ . Приведена схема прибора и описана методика наблюдений. Определена высота, соответствующая единице массопередачи для системы азеотроп— $CH_3COOH$  на ректификационной колонке с насадкой. Отношение этой высоты к такой же высоте для системы  $C_2H_5OH$ —вода, имеющей сравнительно с другими двойными системами небольшую высоту, соответствующую единице массопередачи, составляет 1,41. В связи с этим ожидается, что обезвоживание  $CH_3COOH$  азеотропным методом с помощью I может быть осуществлено в малоэффективной колонне. З. Р.

29699. Изучение синтеза мочевины из  $CO_2$  и  $NH_3$  (возвращение в реакцию непрореагировавших газов). Орито, Като, Симата, Накаяма, Токё корё сикансё хококу, Repts Govt Chem. Industr. Res. Inst. Tokyo, 1956, 51, № 1, 1326, ii—i (японск.; рез. англ.).

При получении мочевины из  $CO_2$  и  $NH_3$  непрореагировавший  $NH_3$  отделяют от продуктов р-ции уменьшением давления и  $t$ -ры и сжижением  $NH_3$ , непрореагировавший  $CO_2$  выделяют вместе с оставшимся  $NH_3$  в виде водн. р-ра. Если для синтеза употребляют 100—130%-ный избыток  $NH_3$ , то примесь  $CO_2$  к отделяемому  $NH_3$  можно удалить, превратив  $CO_2$  в твердое состояние, или вымыванием водн.  $NH_3$ . Если для облегчения плавления непрореагировавших газов добавляют  $NH_3$  и воду, то отделенный  $NH_3$ , содержащий немного  $CO_2$ , может быть легко выделен сжижением. Смесь непрореагировавших газов может быть также разделена на колонне с насадкой. И. Шалавина.

29700. О способах получения тиомочевины. Иенно, Камикару эндзиняригун, Chem. Engng, 1957, 2, № 4, 347, 362—368 (японск.).

Обзор. Библ. 133 назв.

29701. Гидрирование фенола в циклогексанол. Кинетика гидрирования и возможность получения циклогексанона, как промежуточного соединения. Борека, Тресчонович (Z badań nad uwodornianiem fenolu do cykloheksanolu. Kinetyka uwodorniania możliwości otrzymywania cykloheksanolu jako związku pośredniego. Borecka I., Treszczanowicz E.), Przem. chem., 1957, 13, № 9, 537—540 (польск.; рез. русск., англ.).

Гидрирование фенола (I) производили во вращающемся со скоростью 20 об/мин. автоклаве из нержавеющей стали, емк. 4,5 л с электроподогревом. В автоклаве помещали 190 г кристаллич. I и катализатор (K) и порциями подавали электролитич.  $H_2$ . Р-цию считали законченной, когда давление не падало 15 мин. В продукте р-ции определяли содержание непрореагировавшего I, циклогексанона и воды, а также измеряли показатель преломления. В качестве K были испытаны  $CuO$  и  $Cr_2O_3$ , осажденные на  $SiO_2$  и Ni, осажденный на  $Al_2O_3$ . Последний K оказался более активным и устойчивым (потеря активности около 20% после 19 циклов). Катализатор  $Ni/Al_2O_3$  получали одновременно осаждением гидроокисей Ni и Al из р-ров Ni-нитрата и Na-алюмината, их термич. разложением и восстановлением  $NiO$  действием  $H_2$ , при 320° в течение 8 час. Активность K возрастает при повышении  $t$ -ры, давления и увеличении кол-ва. Для гидрирования I в циклогексанол (II) оптимальная  $t$ -ра 170—180°, давл. 25—30 ат. При этих условиях, при использовании 2% K, р-ция проходила почти на 100%, полупериод р-ции 30 мин. При  $t$ -ре > 250° Ni-катализатор работает не селективно. Ni-катализатор в незначительной степени теряет активность от окисления на воздухе. Установлено, что циклогексанон может быть получен непосредственно из I как промежуточное соединение в процессе гидрирования в II или как продукт вторичного дегидрирования II. З. Рачинский.

29702. Алкилирование дихлорбензолов олефинами. Мамедалиев Ю. Г., Бабаханов Р. А., Маьрулар, Азерб. ССР Эллмэр Акад., Докл. АН АзербССР, 1957, 13, № 8, 853—857 (рез. азерб.).

Новое каучукогенное соединение — 2,5-дихлорстирол получают из  $C_6H_4Cl_2$  (I), главного побочного продукта хлорирования  $C_6H_6$ . I алкилируют олефинами, полученный алкилат дегидрируют. Алкилированием  $n$ -пропиленом, полученным из  $iso$ - $C_3H_7OH$ , при 60° в присутствии 95%-ной  $H_2SO_4$ , со соотношением 1:  $C_6H_4Cl_2$ :  $H_2SO_4$  = 1:1:1,5, получен алкилат, обработкой которого выделен 2,5-дихлоризопропилбензол (II), т. кип. 220—223°,  $d_4^{20}$  1,1602,  $n_D^{20}$  1,5346, выход 70%. Аналогично из  $o$ -I получен  $o$ -II, т. кип. 225—228°,  $d_4^{20}$  1,1658,  $n_D^{20}$  1,5338, выход 70—75%. Оба II описаны впервые. К. Склобовский.

29703. О реакции хлорирования толуола в боковую цепь. Ч. I. Кведзинский, Маслош, Ветеская (O reakcji chlorowania toluenu w łańcuchu, cz. I. Kwiedziński L., Masłosz J., Wieteska E.), Przem. chem., 1957, 13, № 8, 467—471 (польск.; рез. русск., англ.).

Хлорированием толуола (I) получают смесь  $C_6H_5CH_2Cl$  (II),  $C_6H_4CHCl_2$  (III) и  $C_6H_3Cl_3$ , которые разделяют дробной перегонкой. Исследована колич. зависимость между степенью хлорирования (CX) I и составом полученной смеси. Хлорирование I производили в жидкой фазе в колонке с насадкой непрерывным методом при 80°, в присутствии нитрила азотомасляной к-ты (катализатор). Состав продукта определяли рефрактометрически. Во всех опытах  $Cl_2$  вводили в кол-ве 7,1 г/мин, I в кол-ве от 1,0 до 3,5 моль и 1 моль  $Cl_2$ . Содержание II в продукте уменьшается с содержанием I увеличивается с уменьшением CX. Оптим. выход получен при CX 80 мол. %, при этом кол-



версии I составляет 49,4%. Уменьшение CX при постоянном притоке  $\text{Cl}_2$  требует увеличения притока I и приводит к увеличению производительности реактора. Выход II при этом возрастает сначала быстро, затем медленнее, достигая максимума (600 г/час) при CX 40%. При 100%-ном хлорировании выход II 308 г/час. Кол-во непрореагировавшего I возрастает по тому же закону как производительность реактора со 128 г/час до 883 г/час. Содержание III и  $\text{C}_6\text{H}_5\text{CCl}_2$  уменьшается с уменьшением CX с 215 г/час при CX 100% до 91 г/час при CX 40%. При молярном соотношении I к  $\text{Cl}_2$  1:1,45—1,2 скорости хлорирования в II и в III выравниваются и составляют ~1,6 моля/час. Уд. вес. продукта р-ции и величина показателя преломления уменьшаются с уменьшением CX, результаты опытов дают хорошую сходимост с теоретич. расчетами. Приведены таблицы и графики исследованных зависимостей. З. Рачинский

29704. Хлорирование фенола до пентахлорфенола. Ота, Исамура, Токё корё сикансё хококу, Repts. Govt Chem. Industr. Res. Inst. Tokyo, 1957, 52, № 4, 142—148, кв (японск.; рез. англ.)

Превращение фенола в пентахлорфенол (I) происходит поэтапно при следующих т-рах: монохлорирование 45—50°, дихлорирование 50—55°, трихлорирование 65—95°, пентахлорирование 95—170°, причем без катализатора процесс идет гладко до стадии образования трихлорфенола, а затем вместо тетра- и пентахлорфенолов образуется смола; добавление 4%  $\text{SbCl}_5$  к реакционной массе незадолго до окончания трихлорирования приводит к получению I, выход 82,9%, и  $\text{C}_6\text{HCl}_4\text{OH}$ , выход 6,6% (при этом выделяется  $\text{HCl}$  в кол-ве 109,6% от теоретич.). Катализаторами могут служить также  $\text{AlCl}_3$ ,  $\text{FeCl}_3$ ,  $\text{Sb}$ . Подкислением щел. р-ра, полученного экстракцией реакционной массы р-ром  $\text{NaOH}$ , выделяют неочищ. I. Лучшим способом отделения окрашенных примесей от I является сублимация с помощью перегретого пара. И. Шалавина

29705. Окисление фенантрена  $\text{O}_3$  до дифеновой кислоты. О'Коннор, Шмитт, Морикони (Ozone oxidation of phenanthrene to diphenic acid. O'Connor William F., Schmitt William J., Moriconi Emil J.), Industr. and Engng Chem., 1957, 49, № 10, 1701—1702 (англ.)

Дифеновую к-ту (I) получают озонированием фенантрена (II), обработкой озонида, образующегося с выделением ~100% (без выделения)  $\text{O}_2$ , катализируемым  $\text{O}_2$ , в присутствии  $\text{CH}_3\text{COONa}$  или  $\text{V}_2\text{O}_5$  и выделением I подкислением реакционной массы. В смесь 32 г техн. (90%-ного) II и 320 мл  $\text{CH}_3\text{COOH}$  пропускают газ, содержащий 3,5 об. %  $\text{O}_3$ , со скоростью 116 л в 1 час. В процессе р-ции весь II переходит в р-р. Добавляют 20 мл 0,3%-ного р-ра  $\text{CH}_3\text{COONa}$  в  $\text{CH}_3\text{COOH}$  и 1—3 часа пропускают газ, содержащий  $\text{O}_3$ , со скоростью, примерно вдвое меньшей, чем при получении озонида. К р-ру, упаренному в вакууме до объема 50 мл, добавляют 25%-ный  $\text{NaOH}$  до pH 8. Негидролизовавшийся озонид отфильтровывают. Р-р подкисляют до pH 4—4,5 и отделяют смолу. Подкислением до pH 2 осаждают I, которую для очистки растворяют в разб. щелочи, обрабатывают углем и осаждают добавлением  $\text{HCl}$ . Наибольший выход I получают, если вторую стадию р-ции проводят при 20—25°; выход достигает 50—51% при использовании техн. II, 56% — при использовании чистого II. И. Шалавина

29706. Сульфирование ароматических соединений. Сульфирование β-нафтиламина. Иида, Окава, Корё кагаку дзасси, J. Chem. Soc. Japan. Industr. Chem. Sec., 1956, 59, № 10, 1177—1181 (японск.)

При моносудьфировании β-нафтиламина конц.  $\text{H}_2\text{SO}_4$  при 30—80° образуются только 2-нафтиламин-5- (I) и

2-нафтиламин-8-сульфокислоты (II) в соотношении ~40:60%. Длительность судьфирования не отражается, т-ра р-ции мало отражается на выходах: напр., выходы II слегка понижаются с увеличением т-ры (при 30° выходы II на 4% выше, чем при 80°). При 100° образуются в качестве побочных продуктов 2-нафтиламин-6- (III) и 2-нафтиламин-7-сульфокислоты (IV), кол-во которых увеличивается с повышением т-ры и длительности судьфирования, вследствие перегруппировки I и II. Кроме того, I и II перегруппировываются друг в друга. При происходящей перегруппировке I более устойчива чем II. При дисудьфировании β-нафтиламина олеумом при 90—120° образуется смесь 2-нафтиламин-5,7- (V) и 2-нафтиламин-6,8-дисудьфокислот (VI) (в соотношении 40:60) почти независимо от условий дисудьфирования. Приведены ИК-спектры I—VI. Предыдущее сообщение см. РЖХим 1957, 52330 С. Петрова

29707. Фурфурол — новое отечественное химическое сырье. Мистрик (Furfural ako nová domáča chemická surovina. Mistrík Ed. Jura j), Chem. průmysl, 1956, 6, № 8, 322—324 (словац.)

Обзор способов переработки фурфурола, включающий методы каталитич. гидрирования и декарбонилирования, образования смол и продуктов конденсации. Вибл. 62 назв. С. Войткевич

29708. Экстракция фурфурола из низкопроцентных фурфурольных вод. Гвяздовский (Ekstrakcja furfurułu z niskoprocentowych wód furfurolowych. Gwiazdowski L.), Przem. chem., 1957, 13, № 9, 527—532 (польск.; рез. русск., англ.)

Вследствие близости т-ры кипения азеотропа фурфурол (I) — вода (97,45°) и т-ры кипения воды, фракционная перегонка требует затраты на 1 т I нескольких десятков т пара и большого кол-ва охлаждающей воды. Применение органич. р-рителя для экстракции I снижает расход пара на перегонку, легко отделяют примеси и получают безводн. техн. I. Сравнение свойств различных р-рителей (приведена таблица) показывает, что р-рителем, наиболее пригодным для экстракции I, является  $\text{C}_6\text{H}_5\text{Cl}$  (II). Экстракция I при помощи II целесообразна при содержании I ≥ 0,5%. Для извлечения остатков I из вод, проэкстрагированных II, следует применять адсорбцию на активном угле или силикагеле. Конц-ия I в р-ре при многоступенчатом противотоке II и механич. перемешивании может быть > 10%. II по сравнению с водой имеет значительно меньшую уд. теплоемкость и теплоту испарения, не образует с I азеотропа и имеет т-ру кипения, значительно отличающуюся от т-ры кипения I, что позволяет применять малоэффективные колонны и небольшое флегмовое число. При применении II экономия пара может достигать 80%. Коэф. распределения I между II и водой в зависимости от условий экстракции составляет 2—10 и более. Наличие в вод. р-ре ацетона или  $\text{CH}_3\text{COOH}$  не оказывает заметного влияния на коэф. распределения. З. Рачинский

29709. Синтез альдегидколлинана. Нарасаки, Судзуки, Токё корё сикансё хококу, Repts. Govt Chem. Industr. Res. Inst. Tokyo, 1957, 52, № 1, 8—16, i—ii (японск.; рез. англ.)

Оптимальными условиями конденсации паральдегида с  $\text{NH}_3$  в альдегидколлиндин (α-метил-β'-этилпирдин) (I) являются т-ра 225° (по достижении 200° т-ру следует повышать медленно), 10-кратный избыток 30%-ного водн.  $\text{NH}_3$  и молярное соотношение катализатора ( $\text{CH}_3\text{COONH}_4$ ) и паральдегида 0,2:1. Выход I 70%. Добавление р-рителей или эмульгаторов не повышает выхода I. При перегонке образующихся оснований получают предгон, состоящий, в основном, из α- и γ-пиколинов, идентифицируемых в виде солей с  $\text{HgCl}_2$ , и хвостовую фракцию, состоящую, в основном, из

$\beta$ -коллидина (4-метил-3-этилпиридина), 2-пропенил-5-этилпиридина и 2-метил-5-бутенил-(2')-пиридина, идентифицируемых в виде шикратов. Фракционированием водн. р-ра, собранного при указанной перегонке, получают алкиламин. Некоторые альдегиды, образующие продукты альдольной конденсации с  $\text{CH}_3\text{CHO}$ , реагируют с  $\text{NH}_3$  аналогично, давая I и его гомологи. Выделяющийся  $\text{H}_2$ , реагируя с альдегидами и  $\text{NH}_3$ , дает смолы. Для высокого выхода I важное значение имеет вода. Р-ция этилвинилового эфира с  $\text{NH}_3$  преимуществ перед указанной р-цией не имеет. И. Шалавин

**29710. Иод как катализатор.** Акройд (Iodine as a catalyst. Akroyd P. T. W.), J. Oil and Colour Chemists' Assoc., 1957, 40, № 10, 845—848 (англ.)

Краткий обзор возможного применения  $\text{I}_2$  в качестве положительного и отрицательного катализатора р-ций, применяемых в пром-сти. Библ. 10 назв. Т. Зварова

**29711 К. Нефтехимические продукты.** Асл (The chemistry of petrochemicals. Astle Melvin Jensen. New York, Reinhold; London, Chapman and Hall, 1956, v, 267 pp., ill., 52 sh.) (англ.)

**29712 П. Процесс окислительного дегидрирования.** Калб (Oxidative dehydrogenation process. Kalb George H.) [E. I. du Pont de Nemours and Co.]. Пат. США 2719171, 27.09.55

Непредельные соединения получают, подвергая окислительному дегидрированию в паровой фазе под действием  $\text{O}_2$  в присутствии  $\text{I}_2$  при 450—800° органич. в-ва, имеющие  $\text{C}_2\text{H}_5$ - или  $\text{iso-C}_3\text{H}_7$ -группы, соединенные с двоевязанным атомом С. В качестве исходных в-в применяют в-ва с 3—10 атомами С карбоциклич. и N-гетероциклич. рядов, а также алифатич. соединения, в которых вторым атомом, участвующим в образовании двойной связи, является О. При этом процессе вышеуказанные алкильные группы превращаются в алкенильные. С. Тайц

**29713 П. Очистка ацетилена.** Кирххоф (Reinigung von Acetylen. Kirchhoff Siegbert). Пат. ГДР 42190, 6.10.56

Ацетилен, получаемый из  $\text{CaC}_2$ , очищают от соединений Р и S обработкой окислами N при т-ре ~ 20°. Неочищ.  $\text{C}_2\text{H}_2$ , содержащий 230 мг/м³ S и 870 мг/м³ Р, пропускают со скоростью 600 л/час через башню, наполненную кольцами Рашига. Туда же прямотоком подают смесь 48%  $\text{NO}_2$ , 25%  $\text{NO}$ , 27%  $\text{N}_2\text{O}$  в кол-ве 5 л/час. Газ, выходящий из башни, пропускают через пустую камеру емк. 300 л, а затем промывают щелочью. Очищ. газ содержит 6 мг/м³ Р и < 1 мг/м³ S. Состав смеси окислов N может колебаться в широких пределах. При прямотоке и отсутствии избытка окислов N опасность взрыва исключена. Предложенный способ интенсивнее известных ранее. А. Волынский

**29714 П. Выделение нормальных низкокипящих углеводородов из их смесей при помощи мочевины.** Кувада, Мидзутани, Тамура [Нихон саккио кабусики кайся]. Японск. пат. 839, 18.02.54

Комплексные соединения (КС) низших углеводородов (УВ) с мочевиной (I) устойчивы только при низких т-рах, поэтому р-цию смеси низкокипящих УВ с I проводят в присутствии легколетучих ускорителей р-ции, напр.  $\text{CH}_3\text{OH}$  (II) при т-ре < 20°, не промывая КС, отгоняют при пониженном давлении II и разветвленные УВ, в случае необходимости повышая т-ру. Разложением КС водой при повышенной т-ре выделяют чистые нормальные УВ с высоким выходом. К 50 мл смеси n-гептана и толуола (1:1 по весу) добавляют 60 г порошка I и 4 мл II; смесь выдерживают ~ 15 мин. при 0°, затем при 25 мм рт. ст. отгоняют II и не вступившие в р-цию УВ, под конец перегонки повышая т-ру до 40°. Остаток разлагают водяным па-

ром и получают 97%-ный n-гептан, выход 50%. К 50 мл бензина с т. кип. 95—100° прибавляют 75 г I и 7,5 мл II, поддерживают т-ру 0° в течение 15 мин., затем отгоняют летучие в-ва при 17 мм рт. ст. и 40°. Остаток разлагают водяным паром, получают 11,5 г нормального УВ с чистотой > 90%.

**29715 П. Получение галоидных алкилов.** Шверлер Теннант (Production of alkyl halides. Schwegler Clage C., Tennant Frank M.) [Dow Chemical Co.]. Канадск. пат. 516092, 30.08.55

При присоединении галоидоводорода ( $\text{HCl}$ ,  $\text{HBr}$ ) к олефинам, содержащим 2—4 атома С, в присутствии  $\text{AlCl}_3$ ,  $\text{AlBr}_3$ ,  $\text{FeCl}_3$  или  $\text{FeBr}_3$  в инертных органич. р-рителях с т-рой кипения выше т-ры кипения получающегося галоидного алкила, вспенивание реакционной массы снижают добавлением небольшого кол-ва S. Олефин и галоидоводород применяют в примерно эквимолекулярных кол-вах. В качестве реакционной среды может применяться получаемый галоидный алкил. В случае р-ции  $\text{CH}_2=\text{CH}_2$  с  $\text{HCl}$  применяют р-ритель с т-рой кипения > 20° и  $\text{AlCl}_3$ ; из зоны р-ции непрерывно выводят часть смеси, добавляя туда свежие порции  $\text{AlCl}_3$  и S. Наличие S в реакционной смеси позволяет вести процесс с большой скоростью без вспенивания. С. Тайц

**29716 П. Способ хлорирования.** Браун, Колтон, Ландау (Chlorination process. Brown David, Colton John W., Landau Ralph) [Chempatents Inc.]. Пат. США 2746998, 22.05.56

Усовершенствование непрерывного способа получения  $\text{CCl}_4$  (I),  $\text{C}_2\text{Cl}_4$  (II) и конц.  $\text{HCl}$ -к-ты хлорированием алифатич. углеводородов, содержащих 1—4 атома С ( $\text{CH}_4$ ,  $\text{C}_2\text{H}_6$ ,  $\text{C}_3\text{H}_8$ ,  $\text{C}_4\text{H}_{10}$ ,  $\text{C}_4\text{H}_8$ ,  $\text{C}_3\text{H}_6$ ,  $\text{C}_2\text{H}_4$ ,  $\text{C}_2\text{H}_2$ ), при 500—700° (предпочтительно 550—650°) состоит в быстром поглощении горячих продуктов р-ции 19—36%-ной  $\text{HCl}$ -к-той. Смесь 1 моля  $\text{CH}_4$  и 3 молей  $\text{Cl}_2$  в присутствии разбавителя, напр. I или  $\text{HCl}$ , пропускают в реактор при указанных условиях. Горячие газы из реактора быстро охлаждают до 60° смешением с потоком 21—36%-ной  $\text{HCl}$ -к-ты. Несконденсировавшиеся пары охлаждают, сжижают и возвращают в цикл. Газообразный остаток частично сдувают для понижения содержания инертных примесей, а частично возвращают в цикл. Охлажд. смесь разделяют на два слоя. Часть водн. слоя охлаждают до 45—50° и используют для охлаждения новых порций реакционных газов. В случае необходимости в водн. слой добавляют свежие порции воды. Ректификацией органич. слоя получают 0,48 моля II и I. Привес в водн. слое 4 моля  $\text{HCl}$ . Ректификацией водн. слоя получают конц.  $\text{HCl}$ -к-ту. Аналогично из 1 моля  $\text{C}_2\text{H}_6$  и 5 молей  $\text{Cl}_2$  получают 0,94 моля II и ~ 6 молей  $\text{HCl}$ . Из 1 моля  $\text{C}_3\text{H}_8$  и 5,5 молей  $\text{Cl}_2$  получают 1,4 моля II и ~ 8 молей  $\text{HCl}$ . Для направления процесса в сторону преимущественного образования I уменьшают соотношение углеводород:  $\text{Cl}_2$ , понижают т-ру р-ции, а в качестве разбавителя из образующейся смеси в цикл возвращают II. Применение описанного метода сводит к минимуму образование  $\text{C}_2\text{Cl}_6$  и  $\text{C}_2\text{Cl}_2$ . Л. Герман

**29717 П. Получение фторорганических соединений.** Геблер (Verfahren zur Herstellung von organischen Fluorverbindungen. Gäbler Curt). Пат. ГДР 12292, 29.10.56

На хлорированные углеводороды действуют 100%-ной  $\text{HF}$  в присутствии  $\text{SbCl}_5$ ,  $\text{SbF}_3\text{Cl}_2$ ,  $\text{SbF}_5\text{Cl}_3$  (катализаторы). Поскольку в условиях р-ции часто наблюдается спекание, а интенсивное размешивание в самом реакторе по ряду причин невыгодно, все реагенты, за исключением катализатора и р-рителя, совместно с конденсирующейся флегмой предварительно поступают в смеситель; хорошее перемешивание здесь достигается за счет того, что часть реагентов ( $\text{HF}$ ,



флегма,  $\text{Cl}_2$ , добавляемый для восполнения убыли  $\text{Cl}$  в катализаторе) вводят в газообразном состоянии. Напр., реактор емк. 250 л заполняют на  $\frac{1}{3}$  равными объемами  $\text{SbCl}_5$  и  $\text{CCl}_4$  (р-ритель).  $\text{HF}$  и  $\text{CCl}_4$  (реагент) в соотношении 1:3 вводят непрерывно так, чтобы поддерживать общее заполнение реактора на  $\frac{1}{3}$ . Одновременно в реактор пропускают ток  $\text{Cl}_2$  таким образом, чтобы запах его ощущался на выходе. Давление в реакторе 1 атм, т-ра  $\sim 25^\circ$ . Отходящие газы проходят последовательно низкотемпературную ректификационную колонну, промыватели со щелочью, водой и  $\text{H}_2\text{SO}_4$ , и затем через колонну с КОН. Выход  $\text{CF}_3\text{Cl}$  80%,  $\text{CFCI}_3$  5%. Приведена технологич. схема. Б. Дяткин

29718 П. Получение галоидзамещенных олефинов. Валашевский (Verfahren zur Herstellung von halogensubstituierten Olefinen. Walaschewski Engelbert) [Farbenfabriken Bayer A.-G.]. Пат. ФРГ 964043, 16.05.57

Фторхлорпроизводные насыщ. углеводородов, в которых F и H расположены у двух соседних атомов C, пропускают при  $400\text{--}450^\circ$  над  $\text{Al}_2\text{O}_3$  в присутствии спирта, предпочтительно  $\text{CH}_3\text{OH}$ . В этих условиях отщепляется HF, образующий со спиртом фтористый алкил по схеме  $\text{CH}_2\text{ClCF}_2\text{Cl} + \text{CH}_3\text{OH} \rightarrow \text{CHCl}=\text{CFCl} + \text{CH}_3\text{F} + \text{H}_2\text{O}$ . Если исходное в-во газообразно (напр.,  $\text{CH}_2\text{ClCF}_2\text{Cl}$ ), его вводят в реактор отдельно от спирта; жидкие галоидалканы предварительно смешивают со спиртом, взятым в избытке, и в реактор подают смесь. При обычном давлении выходы получаются лучшие. Следует избегать обуглероживания реактора, так как в результате р-ция направляется в сторону отщепления HCl. В ряде случаев удобно пользоваться инертным газом в качестве носителя. Процесс ведут в фарфоровой трубке (длина 500 мм и диам. 30 мм), наполненной  $\text{Al}_2\text{O}_3$  (цилиндры  $4 \times 13$  мм), предварительно высушенной в токе  $\text{N}_2$  при  $400^\circ$ . Спирт конденсируют в холодильнике, галоидолефин — при  $-80^\circ$ , а фтористый алкил — жидким воздухом, 7 ч.  $\text{CH}_2\text{ClCF}_2\text{Cl}$  смешивают с 2 ч.  $\text{CH}_3\text{OH}$  и пропускают в течение  $\sim 1,5$  часа с постоянной скоростью через обогреваемую до  $400\text{--}450^\circ$  трубку, наполненную цилиндриками из  $\text{Al}_2\text{O}_3$ ; воздух из трубки предварительно вытесняют  $\text{N}_2$ . Получают 4,65 ч. (78%)  $\text{CHCl}=\text{CFCl}$ . Попутно образуется небольшое кол-во продуктов конденсации. 3 ч.  $\text{CH}_2\text{ClCF}_2\text{Cl}$  и 1 ч.  $\text{CH}_3\text{OH}$  пропускают через реактор при  $400\text{--}420^\circ$ . Наряду с маслом, кипящим  $> 80^\circ$ , получают 2,4 ч. (90%)  $\text{CFCI}=\text{CFCl}$ . Н. Дабагов

29719 П. Усовершенствованный способ производства хлористого винила из 1,2-дихлорэтана и ацетилен (Procédé perfectionné de fabrication de chlorure de vinyle à partir de 1,2-dichloréthane et d'acétylène) [Société Belge de l'Azote et des Produits Chimiques du Marly (S. A.)]. Франц. пат. 1110947, 20.02.56

1,2- $\text{C}_2\text{H}_4\text{Cl}_2$  (I), свободный от 1,1- $\text{C}_2\text{H}_4\text{Cl}_2$  (получен промывкой технич. I 5%-ным водн. NaOH и водой с последующей перегонкой), пропускают при  $350\text{--}450^\circ$  над активированным углем (АУ), пропитанным 20–40, предпочтительно 30 вес. %  $\text{BaCl}_2$  и 0,3–0,7, предпочтительно 0,5 вес. %  $\text{HgCl}_2$ , после чего продукты пиролиза, освобожденные конденсацией от большей части неизменного I ( $\sim 20\%$ ), который рециркулируют, и состоящие главным образом из  $\text{CH}_2=\text{CHCl}$  (II) и HCl, фильтруют для освобождения от смолы ( $\sim 0,07$  вес. %), смешивают с соответствующим содержанием HCl кол-вом  $\text{C}_2\text{H}_2$  и пропускают при т-ре  $< 180^\circ$ , предпочтительно  $110\text{--}150^\circ$ , над АУ, пропитанным 10%  $\text{HgCl}_2$ . Выход II достигает 99,5%, полученный II практически свободен от примесей. 42 кг/час очищ. I, нагретого в стальной трубе до  $350\text{--}450^\circ$ , пропускают через нагретую до  $350\text{--}450^\circ$  печь из трубок диам. 50 мм, наполненных АУ, пропитанным 30 вес. %  $\text{BaCl}_2$  и 0,5 вес. %

$\text{HgCl}_2$ . По выходе из печи газы охлаждают для конденсации неизменного I, после чего их фильтруют через пористый фарфор, смешивают с 7,4 м<sup>3</sup> очищ.  $\text{C}_2\text{H}_2$ , свободного от  $\text{H}_2\text{S}$ ,  $\text{SO}_2$ , арсенов, фосфинов, ди-ацетиленов и других гомологов  $\text{C}_2\text{H}_2$ , нагревают до  $\sim 100^\circ$  и пропускают через стальные трубки диам. 50 мм, наполненные АУ, пропитанным 10%  $\text{HgCl}_2$ . Р-ция обычно протекает при  $110\text{--}150^\circ$ . По выходе из реактора газы отмывают водой от HCl и компримируют до 12 ат. Ректификацией полученной смеси ее освобождают от I и  $\text{C}_2\text{H}_2$ , которые рециркулируют, и получают 1000 кг продукта (т. кип.  $13,9 \pm 0,1^\circ$ ), содержащего 99,99% мономерного II и  $< 0,005\%$  полимера. Я. Кантор

29720 П. Стабилизация трихлорэтилена. Стоффер (Stabilization of trichloroethylene. Stauffer William O.) [E. I. du Pont de Nemours and Co.]. Пат. США 2751421, 19.06.56

Для стабилизации трихлорэтилена (I) и составов на основе I, склонных при контакте с воздухом подвергаться окислению, применяют трет-бутил-4-оксанизол (II) в кол-ве 0,0001–1% (лучше 0,001–0,05%) от веса I. Технич. II является смесью изомеров, в которых трет-бутильная группа расположена в положениях 2 и 3 по отношению к OH-группе. II особенно пригоден для стабилизации I, применяемого для экстракции пищевых жиров и масел, а также для обезжиривания металлов и для хим. чистки. Н. Дабагов

29721 П. Переработка олефинов и других ненасыщенных соединений в спирты. Свентославский, Гужинская, Маевская, Верле (Sposób przerobu olefinów i innych związków nienasyconych na alkohole. Świętosławski Wojciech, Górzynska Janina, Majewska Halina, Werle Janina) [Polska Akademia Nauk]. Польш. пат. 37674, 30.07.55

Спирты получают из олефинов и других ненасыщ. углеводородов действием при низкой т-ре  $\text{H}_2\text{SO}_4$ , разб. органич. в-ва, растворяющимися или реагирующими с ней (органич. основания, спирты и т. п.). После разделения кислотный слой сливают в ледяную воду. Содержащиеся в смеси алкилсерные к-ты гидролизуют нагреванием и отгоняют неочищ. спирт вместе с водой. К 200 мл синтина (т. кип.  $37\text{--}41^\circ$ ) понемногу добавляют смесь 70 мл  $\text{H}_2\text{SO}_4$  и 12 мл  $\text{C}_2\text{H}_5\text{OH}$ , непрерывно встряхивая смесь при т-ре  $\leq 5^\circ$ . Кислотный слой, содержащий органич. в-ва, выливают на лед и перегоняют. Сначала отгоняют 5 мл синтина и простых эфиров, затем азеотропную смесь спиртов с водой. Получают 60 мл амиловых спиртов с примесью  $\text{C}_4\text{H}_9\text{OH}$ . Конверсия олефинов 95%. При разбавлении  $\text{H}_2\text{SO}_4$  не спиртом, а тем же кол-вом воды, получают только 15 мл спиртов; при применении конц.  $\text{H}_2\text{SO}_4$  конверсия олефинов  $\sim 4,5\%$ . Способ может быть оформлен в виде непрерывного процесса. З. Рачинский

29722 П. Производство спиртов из олефинов. Смит (Production of alcohols from olefins. Smith Warren M.) [Esso Research and Engng Co.]. Канадск. пат. 523704, 10.04.56

Процесс экзотермич. карбонилирования при повышенных т-ре и давлении заключается в пропускании через зону р-ции (ЗР)  $\text{H}_2$ , CO, олефина, воды и катализ. неактивного соединения, содержащего Co, превращении последнего в катализ. активный Со-карбонил, р-ции олефина,  $\text{H}_2$  и CO в присутствии Со-карбонила с образованием продукта, содержащего альдегид, выведении этого продукта, воды и гидрокарбонила Со из ЗР, охлаждении и пропускании смеси через зону отделения газа от жидкости при повышенном давлении. Усовершенствование процесса состоит в пропускании отделенной жидкости, содержащей альдегид, воду и растворенное соединение Со, в нижнюю

часть зоны для разделения жидкостей, поддержании постоянного уровня воды в верхней части последней зоны (значительная часть гидрокарбонил Со удаляется из продукта), отделении альдегида от воды, содержащей гидрокарбонил Со, из этой зоны, и возвращения по крайней мере части последнего в ЗР. Предусмотрены отвод из ЗР тепла, выделяющегося при экзотермич. процессе, и поддержание высокой конц-ии Со-карбонил во всей ЗР. Приведена схема процесса.

Г. Швехгеймер

#### 29723 П. Получение этиленгликоля. Андреас (Verfahren zur Herstellung von Äthylenglykol. Andreas Friedrich). Пат. ГДР 13468, 2.07.57

Водный р-р окиси этилена (I) омыляют при 60—150° (лучше при 80—100°) в присутствии твердых к-т, преимущественно ионообменных смол (ИС). Процесс проводят непрерывно пропусканием омыляемого р-ра при нагревании над раздробленной к-той, помещенной в одну или несколько колонн, обогреваемых паром. Смесь 1700 ч. воды, 308 вес. ч. I и 500 объемн. ч. ИС, содержащей сульфогруппу (напр., ИС, применяемой для очистки воды), нагревают при размешивании до 100°. Отфильтрованную ИС промывают водой. Из фильтрата отгоняют воду и 360 вес. ч. (83%) этиленгликоля (II), т. кип. 85—94°/10 мм; остается 60 вес. ч. полиэтиленгликоля. В четырех ступенчатых размещенных сосудах, снабженных холодильниками, мешалками, термометрами и переливными трубками, помещают до 500 объемн. ч. описанной выше ИС. В верхний сосуд ежесекундно надавливают, разбрызгивая, 2000 объемн. ч. смеси, состоящей из 85 вес. % воды и 15 вес. % I. Как только ИС покрывается жидкостью, начинают размешивание и нагревают до 100°. Из первого сосуда жидкость попадает в три следующих сосуда. Из последнего сосуда удаляется полностью омыленная реакционная смесь, перегонкой которой получают II. Этим способом ежесекундно получают 300—350 вес. ч. чистого II. Я. Данюшевский

#### 29724 П. Получение алифатических кислородсодержащих соединений карбонилированием спиртов и эфиров. Реппе, Фридрих (Process for the production of aliphatic oxygen compounds by carbonylation of alcohols and ethers. Reppe Walter, Friedrich Herbert) [Badische Anilin- & Soda-Fabrik A.-G.] Пат. США 2727902, 20.12.55

Насыщенные низшие спирты и их простые эфиры карбонилируют СО при повышенных т-ре и давлении в присутствии комплексных соединений галогенидов Со с органич. галогенидами, являющимися четвертичными аммониевыми или фосфониевыми производными. С. Тайц

#### 29725 П. Получение насыщенных альдегидов из нитрилов. Плинигер (Verfahren zur Herstellung von gesättigten Aldehyden aus Nitrilen. Plieninger Hans) [Knoll A.-G. Chemische Fabriken] Пат. ФРГ 963329, 9.05.57

Нитрилы гидрируют в присутствии металлов VIII группы периодической системы, к гидрируемой смеси прибавляют  $(C_2H_5NHCH_2)_2$ , образующиеся производные дифенилтетрагидроимидазола ф-лы

$C_6H_5NCH_2CH_2N(C_6H_5)CH_2NHR$  (I) расщепляют с образованием альдегидов. I плохо растворимы в воде и поэтому удобны для получения водорастворимых альдегидов. 69 г  $C_2H_5CN$  встряхивают со смесью 20 мл лед.  $CH_3COOH$ , 220 г  $(C_2H_5NHCH_2)_2$ , 300 мл  $CH_3OH$ , 300 мл воды и 20 г скелетного Ni под давлением  $H_2$  70 атм. По окончании поглощения  $H_2$  отфильтровывают катализатор, из фильтрата отгоняют спирт, к смеси прибавляют воду. Выпадает I ( $R = C_2H_5$ ), выход 60%, т. пл. 82° (из  $CH_3OH$ ), при гидролизе которого получают  $C_2H_5CHO$ . Л. Антих

#### 29726 П. Получение альдегиддиацетатов с помощью анионообменной смолы как катализатора. Ямада, Тибата, Цуруи (Tabé сайяку кабусики кайся). Японск. пат. 3917, 9.06.55

Альдегиддиацилали (альдегиддиацетаты) (I) получают р-цией жирных или ароматич. альдегидов с  $(CH_3CO)_2O$  (II) в присутствии анионообменных смол. К 17 г II добавляют 1 г смолы дауэкс-50 и при перемешивании постепенно прибавляют 10 г  $C_6H_5CHO$ , нагревают 1 час при 60°; после охлаждения отфильтровывают смолу, фильтрат выливают в ледяную воду, получают кристаллич. бензальдегиддиацетат, выход 95%, т. пл. 45—46°. К смеси 10 г фурфурола и 25 г II добавляют 1 г амберлита IR-120, нагревают при 60—90° в течение 4 час., отфильтровывают смолу, фильтрат перегоняют в вакууме, выделяют фурфуролдиацетат, выход 81,6%, т. кип. 142—144°/12 мм. К 5 г параформальдегида и 20 г II прибавляют 2 г амберлита IR-120 и нагревают до растворения альдегида; через 30 мин. охлаждают, фильтруют, экстрагируют эфиром, экстракт промывают водой. Перегонкой выделяют метилдендиацетат, выход 62,9%, т. кип. 62—65°/11 мм. К 7,6 г II добавляют 0,8 смолы дауэкс-50, затем постепенно прибавляют 5,2 г β-метилмеркаптопропионового альдегида, нагревают 3 часа при 90°, отфильтровывают смолу, фильтрат экстрагируют эфиром, экстракт промывают водой; перегонкой выделяют диацетат β-метилмеркаптопропионового альдегида, выход 56%, т. кип. 119°/5 мм. В. Каратаев

#### 29727 П. Получение галоидуксусных кислот. Бебер (Preparation of haloacetic acid. Beber Adolph J.) [Goodrich Co.] Канадск. пат. 570353, 22.02.55

Галоидуксусные к-ты получают окислением галоидальдегидов гипогалоидными к-тами ф-лы  $HXO$  ( $X = \text{галойд}$ ). Напр.,  $ClCH_2COOH$  получают окислением в водн. среде  $ClCH_2CHO$  водн. р-ров  $HClO$ . С. Тайц

#### 29728 П. Получение β-хлорпропионовой кислоты. Опперман (Process for preparing β-chloropropionic acid. Oppermann Adolf Christian Josef). Пат. США 2759018, 14.08.56

Действием галоидоводорода на 10—65%-ный (лучше 10—30%-ный) водн. р-р акриловой к-ты (I) при т-ре < 60° (лучше ~ 20°) получают с 90—95%-ным выходом β-галоидпропионовые к-ты, р-цией которых с в-вами ф-лы  $HXNY$ , где X и Y — H, алкил, аралкил, арил или ацил, при 40—60° (иногда при т-ре кипения смеси) синтезируют соответственно незамещ. или N-замещ. β-аминопропионовые к-ты. В р-р 160 ч. I в 840 ч. воды при 18° в течение 12 час. вводят  $HCl$ -газ. Воду отгоняют в вакууме до начала кристаллизации. Получают β-хлорпропионовую к-ту, выход 90%. Если после окончания введения  $HCl$  смесь медленно прибавляют к избытку водн.  $NH_3$ , оставляют на 12 час. и упаривают в вакууме до начала кристаллизации, то получают β-аминопропионовую к-ту (свободную или в виде соли), выход 80—85%, считая на I. Смесь после пропускания  $HCl$  в р-р 144 ч. I в 600 ч. воды нейтрализуют  $CaCO_3$ , фильтруют, фильтрат при т-ре ~ 20° медленно прибавляют к перемешиваемому р-ру 15 ч.  $NH_3$  в воде, оставляют на 12 час. при т-ре ~ 20° и затем для завершения р-ции нагревают до 60°. Упариванием выделяют в-во ф-лы  $HN(CH_2CH_2COOH)_2$ . И. Шалавина

#### 29729 П. Получение эфиров алифатических монокарбоновых кислот из соответствующих альдегидов. Бергер (Verfahren zur Herstellung von Estern aliphatischer Monocarbonsäuren aus den entsprechenden Aldehyden. Berger Erich) [Chemische Werke Hüls A.-G.] Пат. ФРГ 958471, 21.02.57

Указанные эфиры получают из соответствующих альдегидов  $[CH_3CHO$  (I),  $C_2H_5CHO$ ,  $C_3H_7CHO$ , 2-этил-



гексаналь] по р-ции Тищенко, применяя в качестве катализатора триалкилалюминий, возможно в смеси с алкилалюминийгалогенидами или алкоголятами Al. Желательно, чтобы триалкилалюминий содержал те же алкилы, что и применяемый альдегид. Р-цию можно проводить в присутствии р-рителей (алкилбензолы, алифатич. углеводороды, сложные эфиры) при  $t$ -ре  $< 15^\circ$  ( $\sim 0^\circ - 10^\circ$ ). Р-р 12 ч.  $(C_2H_5)_3Al$  (II) в 48 ч.  $CH_3COOC_2H_5$  (III) вводят в течение 3 час. при перемешивании в реактор вместе с 1050—1090 ч. I при  $5-10^\circ$ . Доступ воздуха устраняют пропусканием  $N_2$ . Р-ция длится  $\sim 15$  час. при  $5-10^\circ$ . Получаемый III содержит 0,05—0,1% I; ректификацией выделяют очень чистый III с выходом 99,1%, считая на вошедший в р-цию I. Если вместо 12 ч. II применяют смесь 10 ч. II и 2 ч.  $Al(C_2H_5)_2Cl$ , то выход III не меняется. Аналогично получают бутилбутират [катализатор — смесь  $(C_2H_5)_3Al$  с  $(C_2H_5O)_3Al$ ; р-ритель  $C_6H_5C_2H_5$ ], выход 98%, и изобутилизобутират, выход 98—98,5%.

А. Волынский

29730 П. Получение сложных виниловых эфиров (Verfahren zur Herstellung von Vinylestern) [Farbwerke Hoechst A.-G. vormalig Meister Lucius & Brüning]. Швейц. пат. 295391, 1.03.54 [Chem. Zbl., 1955, 126, № 33, 7783 (нем.)]

Виниловые эфиры алифатич. карбоновых к-т получают парофазной р-цией к-т с  $C_2H_2$  в присутствии носителя с активной поверхностью, пропитанного Zn-солью. Соотношение носитель: Zn должно быть в пределах от 100:12 до 100:24 (желательно 100:15). Из  $CH_3COOH$  и  $C_2H_2$  в присутствии активного угля, пропитанного Zn-ацетатом, при  $180^\circ$  ежчасно получают 200 г чистого винилацетата на 1 г катализатора, выход 96%. Аналогично получают винилпропионат, винилбутират, винилизогексилат и винилкроноат.

Р. Франкфурт

29731 П. Дегидрохлорирование эфиров  $\alpha$ -хлоризомасляной кислоты. Мюллер, Прилл (Dehydrochlorination of  $\alpha$ -chlorisobutyrate). Mueller Max B., Prill Erhard J. [Allied Chemical & Dye Corp.]. Канадск. пат. 516234, 6.09.55

Улучшение процесса каталитич. жидкофазного дегидрохлорирования эфиров  $\alpha$ -хлоризомасляной к-ты безводн.  $ZnCl_2$  заключается в том, что к смеси, содержащей указанный эфир и  $ZnCl_2$ , добавляют диалкилфталат, алкильные группы которого содержат 1—8 атомов C, и ведут процесс при такой  $t$ -ре, чтобы образующийся метакрилат отгонялся из сферы р-ции, а все вышекипящие продукты возвращались обратно в виде флегмы. В частности метилметакрилат получают в присутствии 0,1—40 вес.%  $ZnCl_2$  и 0,1—400 вес.% диметилфталата, считая на вес исходного метилового эфира  $\alpha$ -хлоризомасляной к-ты. С. Тайц

29732 П. Получение формамида и N-замещенных формамидов. Банковский, Кётниг, Клемт (Verfahren zur Herstellung von Formamid und N-substituierten Formamiden. Bankowski Otto, Köthnig Martin, Klemm Harry). Пат. ГДР 12113, 21.09.56

Жидкий  $NH_3$  или амин в смеси с  $< 50$ , предпочтительно 30—10 мол.%, алифатич. спирта обрабатывают  $CO$  или газом, содержащим  $CO$ , ( $CO + H_2$ ), практически свободным от  $O_2$  (0,01, предпочтительно 0,005 об.%  $O_2$ ) в присутствии алкоголята щел. металла (предпочтительно Na) (0,3—10 кг Na на 1 м<sup>3</sup> исходной жидкой смеси), при  $50-100^\circ$  (лучше  $70-80^\circ$ ) и повышенном давлении, которое должно быть тем выше, чем ниже конц-ия  $CO$  в газе. В случае смеси  $CO$  с  $H_2$  применяют давл. 200 ат. Смесь  $NH_3$  с 35 мол.%  $CH_3OH$  смешивают с  $C_2H_5ONa$  в кол-ве, соответствующем 4,5 кг Na на 1 м<sup>3</sup> исходной смеси, и пропускают параллельно с 95%-ной  $CO$  (остальное  $N_2$  и 0,008%  $O_2$ ) через

охлаждаемый снаружи реактор при  $80^\circ$  и 70 ат., регулируя скорость жидкости так, чтобы поглощение  $CO$  смесью стехиометрически соответствовало содержанию в ней  $NH_3$ . Собирающийся в реакторе  $N_2$  отводят вместе с небольшим кол-вом  $CO$ . Непрореагировавшую  $CO$ , выделяющуюся из реакционной смеси при спуске избыточного давления, отводят в топку, а жидкую смесь фракционируют; выход  $HCONH_2$  98,6% от прореагировавшего  $NH_3$ . Описано получение  $HCON(C_2H_5)_2$  (выход 99,1%) из  $(C_2H_5)_2NH$  и синтез-газа в присутствии  $C_2H_5OH$  и  $C_2H_5ONa$ . Я. Кантор 29833 П. Способ получения метиле-бис-мочевины [Тойо коапу когйо кабусики кайся]. Японск. пат. 9325, 21.12.55

Метиле-бис-мочевину (I) получают р-цией сильно-кислого 40—80%-ного р-ра мочевины (II) с  $CH_2O$  в молярном соотношении  $< 10:1$ . Осадок, содержащий I и небольшое кол-во II, отделяют, фильтрат, содержащий II и немного I, слегка упаривают, прибавляют недостающее кол-во II и  $CH_2O$  и подвергают дальнейшей аналогичной обработке. К р-ру 1200 г II в 792 г воды и 23,6 г 12 н. HCl, нагретому до  $60^\circ$ , прибавляют 162 г 37%-ного р-ра  $CH_2O$ , охлаждают до  $20^\circ$  и отфильтровывают осадок, содержащий 275 г твердых в-в, 74 г воды и 0,8 г HCl, кристаллизацией которого выделяют 177 г I (выход 64,2%) и 90 г II. Из фильтрата, содержащего 86 г I, 859 г II, 8 г HCl и 867 г воды, упариванием при  $50-60^\circ/20-30$  мм рт. ст. отгоняют 62 г воды, затем в нем дополнительно растворяют 341 г II и 2,4 г 12 н. HCl, при перемешивании прибавляют 162 г 37%-ного  $CH_2O$ , охлаждают до  $20^\circ$  и отфильтровывают осадок, содержащий 387 г твердых в-в, 110 г воды и 0,9 г HCl, кристаллизацией которого выделяют 267 г I и 108 г II. Из маточного фильтрата, содержащего 82 г I, 835 г II, 8 г HCl и 826 г воды, отгоняют в вакууме 21 г воды, растворяют в остатке 365 г II и 2,4 г 12 н. HCl, затем прибавляют 162 г 37%-ного  $CH_2O$  и выделяют осадок, кристаллизацией которого получают 263 г I и 113 г II. Фильтрат, содержащий 80 г I, 832 г II, 8 г HCl и 830 г воды, подвергают дальнейшей переработке. С. Петрова

29734 П. Получение моноацильных производных алкилендиаминов. Туринский (Mono-acyl derivatives of alkylene diamines and process for preparing same. Turinsky Otto) [Armour and Co.]. Пат. США 2750366, 12.06.56

Алкилендиамины, одна  $NH_2$ -группа которых ацилирована смоляными к-тами, получают с выходом  $\sim 100\%$  нагреванием 1 моля смоляных к-т [абиетиновой к-ты (I), стабилизированной I или других смоляных к-т] с 3—9 молями алкилендиаминов, напр.  $(CH_2NH_2)_2$  (II) или  $NH_2(CH_2)_6NH_2$  (III), при  $300-365^\circ$  и повышенном давлении в течение нескольких минут или нескольких часов (в зависимости от т-ры р-ции). Ацилирование диаминов указанным методом высшими алифатич. или ароматич. к-тами (каприловой, каприновой, лауриновой, миристиновой, пальмитиновой, стеариновой, бензойной, салициловой, антралиновой), а также смесями жирных к-т, напр. неочищ. или очищ. талловым маслом, к-тами из льняного, хлопкового масла или животного жира, приводит к получению соответствующих производных с высокими выходами. 30 г очищ. I (т. пл.  $154-161^\circ$ ) и 85 мл 70%-ного р-ра II нагревают при перемешивании до образования р-ра. Перемешивание прекращают и нагревают до появления паров, после чего сосуд закрывают, в течение 1 часа т-ру поднимают до  $320^\circ$  и выдерживают 2 часа при этой т-ре. После охлаждения II декантируют, остаток трижды промывают кипящей водой и сушат при  $95^\circ$ . Получают 34,2 г 91,5%-ного N-(аминоэтил)-амида I, т. пл.  $\sim 40^\circ$ . Аналогично нагреванием при  $340-360^\circ$  в течение 30 мин. 20 г очищ. лауриновой к-ты с 85 мл

70%-ного II получают 17,4 г монолаурилового производного II и 1,5 г дилаурилового производного II. Нагреванием 7,1 г стеариновой к-ты и 11,6 г III при 355° получают моностеариловое производное III; выход 90%. Алкилендиамин, моноацилированные смоляными к-тами, являются инсектицидами, гербицидами, лекарственными в-вами, детергентами, пластификаторами, используются при флотации минералов, для покрытий и пропитки бумаги. И. Шалавина

**29735 П.** Получение N,N'-диацилгексаметилендиамин и промежуточных веществ. Манн (Preparation of N,N'-diacylhexamethylenediamines and an intermediate. Mann George E.) [E. I. du Pont de Nemours and Co.]. Пат. США 2745842, 15.05.56

Реакцией тиофена с метилоламидами синтезируют α,α'-диациламидометилтиофены и действием активного Ni, адсорбировавшего H<sub>2</sub>, в инертном органич. р-рителе (низшие спирты, CH<sub>3</sub>OCH<sub>2</sub>CH<sub>2</sub>OCH<sub>3</sub>, 1,4-диоксан, диоксолан) при 25—200° превращают в N,N'-диацилгексаметилендиамин. Последние используют для получения H<sub>2</sub>N(CH<sub>2</sub>)<sub>6</sub>NH<sub>2</sub> и его солей, пригодных для произ-ва полиамидных смол. Р-р 2 молей N-метилгексаметилендиамина в CH<sub>3</sub>COOH при 0° прибавляют к р-ру 1 моля тиофена в CH<sub>3</sub>COOH, содержащей каталитич. кол-во H<sub>2</sub>SO<sub>4</sub>. Р-ритель удаляют, остаток кристаллизуют из CH<sub>3</sub>OH. Получают α,α'-дибензоилиламинотимотиофен, 10 г которого в 400 мл CH<sub>3</sub>OH кипятят 4 часа с 46 г скелетного Ni. Смесь охлаждают, Ni отфильтровывают, CH<sub>3</sub>OH отгоняют, получают 6 г (C<sub>6</sub>H<sub>5</sub>CONH)<sub>2</sub>(CH<sub>2</sub>)<sub>6</sub>. Аналогично α,α'-диэтиламинотимотиофен превращают в (CH<sub>3</sub>CONH)<sub>2</sub>(CH<sub>2</sub>)<sub>6</sub>. Смесь 20 г последнего, 1 г (NH<sub>4</sub>)<sub>2</sub>PO<sub>4</sub> и 100 г воды. р-ра NH<sub>3</sub> нагревают 3 часа во встряхиваемой трубке. Массу промывают диоксаном, р-ритель отгоняют. Перегонкой остатка получают 8 г продукта, т. кип. 130—160°/93 мм. р-р которого в CH<sub>3</sub>OH смешивают с р-ром C<sub>6</sub>H<sub>5</sub>COOH в CH<sub>3</sub>OH и выливают в (C<sub>2</sub>H<sub>5</sub>)<sub>2</sub>O. Осадок отделяют, получают 14,9 г гексаметилендиаммонийбензоата, т. пл. 199—201°; выход 41,4%. И. Шалавина

**29736 П.** Регенерация дициандиалкиламинов. Медкаф, Сиско (Recovery of dicyanodialkyl amines. Medcalf Eugene C., Sisco William E.) [American Cyanamid Co.]. Канадск. пат. 511737, 12.04.55

Для отделения водонерастворимых в-в (в частности ненасыщ.) от их р-ров в ди-(цианоалкил)-амин, в которых алкильный радикал имеет > 2 атомов С [в частности ди-(α-цианоалкил)- и ди-(β-цианоалкил)-амины], указанные р-ры смешивают в противоточной системе с водой, взятой в кол-ве, достаточном для растворения всего амина, при 70—100° и непрерывном отделении нерастворимых в воде ненасыщ. соединений. Слой вода-амин охлаждают до расслоения и отделяют дициандиалкиламин. Приведена технологич. схема. С. Тайц

**29737 П.** Получение гуанидина из цианатов щелочных металлов и сульфаматов. Гамильтон (Preparation of guanidines from cyanates of alkali metals and sulfamates. Hamilton Richard W.) [American Cyanamid Co.]. Пат. США 2759974, 21.08.56

Цианат щел. металла нагревают при 185—350° (лучше 200—250°), с NH<sub>4</sub>-сульфаматом, диаммоний-иминодисульфатом или триаммонийнитрилотрисульфатом, получают сульфат гуанидина. При 250° также образуется меламина. Смесь 82 ч. KOCN и 228 ч. NH<sub>4</sub>-сульфамата нагревают 2 часа в открытом сосуде при 210°. По охлаждении реакционную массу выщелачивают 500 мл холодной воды и дробной кристаллизацией выделяют 71,5 г сульфата гуанидина. Я. Данишевский

**29738 П.** Производство гуанидинсульфамата. Милс, Робинсон, Миллер (Process for the production of guanidine sulphamate. Mills James R., Robinson Joseph N., Miller Frederick J. L.) [The Consolidated Mining and Smelting Co. of Canada]. Канадск. пат. 523926, 17.04.56

Гуанидинсульфамат (I) получают при 200—330° р-цией 1 моля мочевины, биурета или циануровой к-ты с ≥ 2 молями H<sub>2</sub>NSO<sub>2</sub>NH<sub>2</sub> или H<sub>2</sub>NSO<sub>2</sub>NH (в последнем случае необходимо добавление NH<sub>3</sub> под давл. > 14 ат) в реакторе с внутренней поверхностью из Та; массу охлаждают, удаляют избыток NH<sub>3</sub>, фильтруют при т-ре выше т-ры плавления I, оставшийся осадок промывают водн. р-ром NH<sub>3</sub>, из р-ра отгоняют NH<sub>3</sub> и воду, остаток фильтруют при т-ре выше т-ры плавления I, оба фильтрата объединяют и выделяют I. Приведена схема процесса. И. Шалавина

**29739 П.** Нитрилы высших кислот, полученных окислением микрокристаллического парафина. Нелсон, Титер (High molecular weight nitriles derived from microcrystalline wax oxidate acids. Nelson John Walter, Teter John W.) [Sinclair Refining Co.]. Пат. США 2755301, 17.07.56

Смесь оцищ. к-т с ≥ 18 атомами С, полученную окислением микрокристаллич. парафина с 34—56 атомами С, непрерывно обрабатывают в жидкой фазе избытком NH<sub>3</sub>-газа в присутствии значительного избытка воды против стехиометрически необходимой для гидролиза присутствующих сложных эфиров (1—10 молей воды на 1 моль к-ты). Во время насыщения NH<sub>3</sub> смесь нагревают при перемешивании до 90—95°, сохраняют эту т-ру в течение 45—60 мин, после чего ее повышают до 290—310° и отгоняют воду. Вместе с NH<sub>3</sub> рекомендуется вводить в смесь водяной пар (уменьшение обугливания); рекомендуется также приостановить приток NH<sub>3</sub> во время повышения т-ры со 150 до 250° (период образования амидов). Нитрилы получают в виде рыжевато-коричневой воскообразной массы с числом омыления 20—400; после фракционирования они бесцветны или окрашены в желтый цвет. Большая часть их является моонитрилами, содержащими 18 атомов С. Они находят применение в качестве полупродуктов. Восстановленные до аминов они могут использоваться в качестве поверхностноактивных в-в или агентов флотации. Я. Кантор

**29740 П.** Получение динитрила адипиновой кислоты. Венц (Sposób otrzymywania dwunitrylu kwasu adipinowego. Węc Zdzisław) [Instytut Włókien Sztucznych i Syntetycznych]. Польск. пат. 38408, 30.01.56

Диамид адипиновой к-ты нагревают в атмосфере NH<sub>3</sub> в присутствии HPO<sub>3</sub> или ее солей; особенно NH<sub>4</sub>PO<sub>3</sub> (I). Применение их сокращает время р-ции и повышает выход. I получают постепенным прибавлением к охлаждаемому льду при непрерывном помешивании P<sub>2</sub>O<sub>5</sub> при т-ре ≤ 5°. Полученную HPO<sub>3</sub> нейтрализуют водн. р-ром NH<sub>3</sub> при энергичном охлаждении, р-р концентрируют в вакууме. Из 12,6 кг NH<sub>4</sub>OCO(CH<sub>2</sub>)<sub>4</sub>COONH<sub>4</sub> и 0,1 кг I получают 5,48 кг адиподинитрила (выход 72%) и 0,37 кг смолы. Общая продолжительность синтеза ~ 18 час., время превращения диамида ~ 4 часа. З. Рачинский

**29741 П.** Получение динитрила адипиновой кислоты. Веннер, Адам, Тришман (Verfahren zur Herstellung von Adipinsäuredinitril. Wenner Gotthilf, Adam Karl, Trieschmann Hans-Georg) [Badische Anilin- & Soda-Fabrik A.-G.]. Пат. ФРГ 951808, 8.11.56

Адиподинитрил (I) получают р-цией 1,4-дихлорбутана (II) с цианидами щел. металлов (III). Водн. р-ры III при 80—110° (85—90°) постепенно вводят в II, разб. инертным р-рителем. Можно применять технич. 35—40%-ные водн. р-ры NaCN. III расходуется практически полностью, поэтому отработанные водн. р-ры



могут отводиться без дальнейшей обработки. В смесь 384 ч. II и 2000 ч.  $\text{CH}_3\text{OCH}_2\text{CH}_2\text{OH}$  (IV), нагретую до  $\sim 85^\circ$ , 3—4 часа приливают 1050 ч. 37,4%-ного водн. р-ра NaCN при  $t$ -ре  $\sim 85$ — $90^\circ$  и нагревают еще 2 часа при  $98^\circ$ . В течение р-ции выделяются лишь следы HCN. Примерно 66% ожидаемого кол-ва NaCl выпадает сразу, его по охлаждению отсасывают и промывают небольшим кол-вом IV. NaCl содержит 2,2% NaCN. Оставшееся кол-во NaCl выпадает после отгонки воды и части IV и содержит лишь  $\sim 0,1\%$  NaCN. Фильтрат фракционируют, после удаления IV вместе с 30 ч. непрореагировавшего II отгоняется 90 ч.  $\gamma$ -хлорвалеронитрила (V), т. кип.  $58$ — $64/1$  мм, 18 ч. промежуточной фракции, содержащей кислородные соединения, т. кип.  $88/1$  мм, и 354 ч. I, включающего лишь следы 2-диазациклопентанонамина. Выход I 91,5%, считая на вошедший в р-цию NaCN, или 94%, считая на II. Действием NaCN V может быть превращен в I, поэтому V используют при новой загрузке II. NaCN, содержащийся в выделившемся NaCl, регенерируют выделением HCN и пропуская его в р-р NaOH.

Л. Антик

29742 П. Получение бис-цианугольного эфира бутандиола-1,4. Тришман, Рейтер (Verfahren zur Herstellung von Butandiol-(1,4)-bis-cyankohlensäureester. Trieschmann Hans-Georg, Reuter Lothar) [Badische Anilin- & Soda-Fabrik A.G.]. Пат. ФРГ 957939, 14.02.57

К р-ру 430 ч. бис-хлоругольного эфира бутандиола-1,4 в 700 ч. тетрагидрофурана при перемешивании добавляют 700 ч. воды. К охлажд. эмульсии быстро прибавляют 196 ч. NaCN в виде 28—30%-ного р-ра при  $t$ -ре  $\leq 25^\circ$ , перемешивание вскоре прекращают. Верхний слой промывают водой и сушат. Получают 363 ч. (92,6%) бис-цианугольного эфира бутандиола-1,4, являющегося полупродуктом, напр., для синтеза адипонитрила.

К. Склобовский

29743 П. Получение  $\alpha$ -ацетилпропионитрила. Окада, Таникути, Кадаи, Сакимото, Киккути [Нихон сода кабусики кайся]. Японск. пат. 6873, 27.09.55

$\text{CH}_3\text{COCH}(\text{CN})\text{CH}_3$  (I) получают р-цией  $\text{CH}_3\text{C}(\text{CN})(\text{OH})\text{CH}(\text{Cl})\text{CH}_3$  (II) с цианистыми металлами. К 133 ч. II в 400 ч. спирта приливают р-р 108 ч. NaCN в 300 ч. воды, размешивают 3 часа при  $20^\circ$  и кипятят 30 мин. при  $80$ — $85^\circ$ , отгоняют спирт, по охлаждению подкисляют  $\text{H}_2\text{SO}_4$ , извлекают эфиром и перегонкой выделяют 34 ч. I, выход 35%, т. кип.  $78$ — $80/20$  мм. К р-ру 108 ч. NaCN в 432 ч. воды при охлаждении льдом приливают по каплям 133 ч. II, размешивают 1 час при  $10$ — $20^\circ$  и нагревают 10 мин. при  $90$ — $100^\circ$ , охлаждают, разбавляют 100 ч. воды, подкисляют  $\text{H}_2\text{SO}_4$ , извлекают эфиром и перегонкой выделяют 30 ч. I.

С. Петрова

29744 П. Получение 1-ацетокси-1,1-дицианозтана. Ардис (Method for the preparation of 1-acetoxy-1,1-dicyano ethane. Ardis Alan Edric) [The B. F. Goodrich Co.]. Канадск. пат. 510355, 22.02.55

Кетен (1,2—2 моля) и HCN (1 моль) контактируют в паровой фазе над поверхностью неактивированного древесного угля при  $200$ — $550^\circ$  (лучше  $350$ — $400^\circ$ ). Пары, выходящие из реакционной зоны, конденсируют и фракционированием конденсата выделяют 1-ацетокси-1,1-дицианозтан.

С. Тайц

29745 П. Получение амида  $\beta,\beta',\beta''$ -нитрилтрипропионовой кислоты. Сабласки (Verfahren zur Herstellung von  $\beta,\beta',\beta''$ -Nitriltripropionamid. Subluskey Lee Anthony) [Hercules Powder Co.]. Пат. ФРГ 956227, 17.01.57

Амид акриловой к-ты (I) вводят в р-цию с водн. р-ром  $\text{NH}_3$  (избыток 0,15—18 молей) при  $0^\circ$ — $100^\circ$  (лучше при  $20$ — $50^\circ$ ) и обычном или повышенном давлении. Смесь 535 ч. 45%-ного водн. р-ра I и 500 г

28%-ного водн.  $\text{NH}_3$  оставляют на 12 час. при  $t$ -ре  $\sim 20^\circ$ . Р-р упаривают до  $1/3$  первоначального объема, отфильтровывают 230 г неочищ. амида  $\beta,\beta',\beta''$ -нитрилтрипропионовой к-ты (II), т. пл.  $176$ — $181^\circ$ . Выход II 89%. После кристаллизации из водн.  $\text{CH}_3\text{OH}$ , т. пл.  $185$ — $166^\circ$ . II является важным промежуточным продуктом при получении аппретур для несминаемых тканей.

А. Волынский

29746 П. Процесс фосгенирования. Фарсон, Лонг (Phosgenation process. Farson Frank S., Long John R.) [Wingfoot Corp.]. Канадск. пат. 513440, 31.05.55

Первичные полиамиды общей ф-лы  $\text{R}_n(\text{NH}_2)_m$  ( $\text{CR}'_2$ ) $_{n-1}$  где R — арилен, R' — H, алкил или арил, n — целое число  $> 1$ , причем каждый R замещен  $\text{NH}_2$ -группой и связан с группой  $\text{CR}'_2$  (в частности указаны: бензидин, 1,5-нафтилендиамин, 2,4-диаминотолуол, 4,4'-диаминодифенилметан, или их смеси), фосгенируют добавлением р-ра амина в инертном р-рителе к р-ру  $\text{COCl}_2$  (I) при  $t$ -ре  $< 50^\circ$ . Кол-во I в р-ре должно составлять 0,4—0,9 моля (лучше 0,55) на 1 экв амина. После смешения реагентов добавляют избыток I и нагревают смесь до завершения р-ции. Получают полиизоцианаты.

С. Тайц

29747 П. Усовершенствование способа получения изоцианатов. Вевер, Буало, Буйе, Брюла, Вагане (Perfectionnements à la fabrication des isocyanates. Wevert, Boileau, Bouillet, Brulat, Vaganay) [Etat Français représenté par M. le Ministre de la Défense Nationale et des Forces Armées (Direction des Poudres)]. Франц. пат. 1126440, 22.11.56

Изоцианаты (I) получают р-цией  $\text{COCl}_2$  (II) с первичными аминами (III); усовершенствование заключается в том, что р-цию II с III осуществляют непрерывно и под давлением, а смешение их производят инжектированием или с помощью электромагнитных или ультразвуковых колебаний. Избыток II в чистом виде или в виде р-ра, в частности в диэтилфталате или трикрезилфосфате (IV), и III, имеющий одну или несколько  $\text{NH}_2$ -групп, которые могут быть связаны в виде легко разлагающихся солей, в виде р-ра в указанных р-рителях или суспензии, непрерывно подают из питательных баков через ротаметры и дозирующие насосы в работающую под давлением и снабженную указанными перемешивающими приспособлениями смесительную камеру, откуда реакционная смесь непрерывно поступает в реактор (одна или несколько труб с наружной рубашкой или погруженный в баню змеевик), который может также быть снабжен перемешивающими приспособлениями, и в котором в зависимости от применяемого III поддерживают  $t$ -ру  $80$ — $200^\circ$  и давл.  $3$ — $20$  ат (давление паров в сообщаемой с реактором камере выделения газообразных продуктов  $15$ — $20$  ат). Р-ция протекает за несколько минут. Выделенные газы, содержащие избыточный II и HCl, пропускают через холодильник, откуда сконденсировавшийся II поступает в сборник, связанный со смесительной камерой, а остальные газы улетучиваются через клапан и направляются на абсорбцию под атмосферным давлением. Освобожденная от газов реакционная смесь, содержащая I, после снятия избыточного давления поступает в колонку (винтовую или с насадкой), нагретую до  $t$ -ры разложения промежуточных комплексов и дегазации продукта р-ции. Выход I 95% от израсходованного III. Горячий р-р I ч. толуиленамина в 4 ч. IV и р-р 2,4 ч. II в 2 ч. IV вводят в смесительную камеру, работающую, как и вся установка, под давл.  $20$  ат. В результате р-ции  $t$ -ра смеси в смесительной камере достигает  $70^\circ$ . После пропускания смеси через реактор с  $t$ -рой  $120^\circ$ , спуска давления и дегазации смеси в виде стекающей пленки в винтовой колонке при  $130$ — $170^\circ$  (наружный

обогрев) и вакууме 150 мм получают толуиленидиозоцианат, т. кип. 125°/15 мм, выход 95%. Аналогично из II и анилина, взятых в виде р-ров в диэтилфталате, получают фенилизотиоцианат, т. кип. 90°/25 мм, выход 97%. Приведена технологическая схема. Я. Кантор 29748 П. Получение сероуглерода. Нисимори [Сикоку касэй когё кабусики кайся]. Японск. пат. 5320, 30.07.55

Приведены описание и схема аппаратуры и технологич. процесса получения  $CS_2$  из  $H_2S$ ,  $O_2$  (воздуха) и угля. С. Петрова

29749 П. Получение тиурамсульфидов. Риттер (Manufacture of thiuram monosulfides. Ritter Edmond J.) [Sharples Chemicals, Inc.]. Канадск. пат. 511891, 12.04.55

Диалкил- (в частности диэтил-) или циклополиметилендиоккарбамилхлориды смешивают в жидкой фазе с водорастворимыми (в частности натриевыми) солями диалкил- (диэтил-) или циклополиметилендиоккарбаминных к-т, при т-ре ниже т-ры разложения реагирующих в-в. Образуются тетраалкилтиурамсульфиды. С. Тайц

29750 П. Получение соли тиогликолевой кислоты с высоким выходом. Барц, Хан (Sposób otrzymywania soli kwasu tioglikolowego z dużą wydajnością. Bartz Jan, Hahn Witold). Польшк. пат. 38417, 20.04.56

$ClCH_2COOH$  конденсируют с тиомочевинной в нейтр. среде, кристаллич. продукт гидролизуют в атмосфере  $NH_3$  при помощи  $NaOH$  в кол-ве  $\leq 0,1$  от стехиометрич. кол-ва. Примеси извлекают органич. р-рителем. К р-ру 94,5 г технич.  $ClCH_2COOH$  в 190 мл воды постепенно добавляют 54 г безводн.  $Na_2CO_3$  (до нейтр. р-ции). Смесь нагревают до 50° и прибавляют к ней р-р 76 г технич. тиомочевинны в 350 мл воды, а затем  $Na_2CO_3$  до рН 7. Смесь выдерживают 30 мин. при 70°, выделяется 2-имино-4-тиазолидон. Осадок отфильтровывают, промывают и добавляют к нему 200 мл 10%-ного  $NH_3$  и 10 г  $NaOH$ . Перемешиваемую смесь нагревают до 70—80°, одновременно пропуская в колбу  $NH_3$ . После гидролиза р-р экстрагируют эфиром (3 раза по 50 мл) для удаления дициандиамида. Водн. р-р чистой  $NH_4$ -соли содержит 85 г тиогликолевой к-ты (выход 90%). З. Рачинский

29751 П. Получение 3-оксипропан-1-сульфонокислоты. Манекке, Хеттерих (Verfahren zur Herstellung von 3-Oxupropan-1-sulfonsäure. Manecke Georg, Hetterich Christa) [Max-Planck-Ges. zur Förderung der Wissenschaften e. V.]. Пат. ФРГ 960540, 21.08.57

Ангидрид  $\beta$ -сульфопронионовой к-ты (I) восстанавливают  $LiAlH_4$  и с помощью ионообменной смолы получают свободную 3-оксипропансульфонокислоту, которая при перегонке в вакууме отщепляет воду и пре-

вращается в пропансульфон ф-лы  $OCH_2CH_2CH_2SO_2$ . К суспензии 20 г  $LiAlH_4$  в 500 мл эфира прибавляют при перемешивании в течение 20 мин. р-р 64 г I в 230 мл эфира, слегка нагревают 30 мин., перемешивают 1 час, при охлаждении льдом разлагают избыток  $LiAlH_4$  постепенным прибавлением 100 мл воды,вливают в 400 мл ледяной воды и осадок растворяют в 400 мл 10%-ной  $HCl$ . Эфирный слой отделяют, из кислотного слоя удаляют  $Al^{3+}$  и  $Li^+$  катионообменной смолы. После упаривания в вакууме получают 3-оксипропан-1-сульфонокислоту в виде коричневатой вязкой жидкости. Выход 60% (рассчитан по кол-ву получаемого пропансульфона). В. Оноприенко

29752 П. Получение ди-(галондалкил)-аминоалкилсульфонокислот. Идзуми, Саруватари, Иноуэ [Еситоми сэйяку кабусики кайся]. Японск. пат. 74, 10.01.56 [Chem. Abstrs, 1957, 51, № 8, 5815 (англ.)]

20 г  $(HOCH_2CH_2)_2NCH_2CH_2SO_3H$  и 100 мл  $SOCl_2$  нагревают 30 мин. при 90—100°,  $SOCl_2$  удаляют в вакууме и остаток перекристаллизуют из спирта. Получают 20 г  $(ClCH_2CH_2)_2NCH_2CH_2SO_3H$ , т. пл. 177—179°.

Я. Данюшевский 29753 П. Получение эфиров ацилированных аминокислот. Циммерман, Олехнович (Verfahren zur Herstellung von Estern acylierter Aminosäuren. Zimmermann Günther, Olechnowitz Adolf-Friedrich). Пат. ГДР 12677, 11.02.57

Этерификацию ацилированных аминокислот общей ф-лы  $RCH(NHCOR')(CH_2)_nCOOH$  ( $R$  — алкил, галондалкил, которые могут содержать заместители с длинной цепи до 20 атомов  $C$ , арил, замещ. арил или аралики,  $n = 0-9$ ,  $R'$  может иметь те же значения что и  $R$  или являться гетероциклич. ароматич. остатком, группа  $NHCOR'$  может находиться при любом атоме  $C$ , входящем в состав главной углеродной цепи) производят р-цией с одноатомными или многоатомными спиртами в присутствии катионообменных смол, содержащих группы  $SO_3H$ . Р-цию проводят при т-ре кипения смеси, катализатор можно использовать повторно. 1 моль ацетилглицина, 50 г смолы, полученной конденсацией фенолсульфонокислоты с формальдегидом, и 2 моля  $C_2H_5OH$  кипятят 6 час. при перемешивании, смолу отфильтровывают и промывают спиртом. Избыток спирта отгоняют, продукт фракционируют в вакууме. Б. Фабричный

29754 П. Получение *dl*-метионина. Ямада, Тибата, Цуран [Танабэ сэйяку кабусики кайся]. Японск. пат. 5080, 14.08.54 [Chem. Abstrs, 1956, 50, № 9, 6503d (англ.)]

$C_2H_5ONa$  (из 1,2 г  $Na$  и 35 мл  $C_2H_5OH$ ) обрабатывают при охлаждении 9,4 г  $CH_3COCH(NHCOCH_3)COOC_2H_5$  и 6,5 г  $CH_3SCH_2CH_2Cl$  в небольшом кол-ве  $C_2H_5OH$ . Смесь кипятят 4 часа, охлаждают, удаляют  $NaCl$  и фильтрат нагревают еще 4 часа с  $CH_3ONa$  (из 1,2 г  $Na$  и 25 мл  $CH_3OH$ ). Продукт подкисляют  $CH_3COOH$ , концентрируют в вакууме, нагревают 9 час. с 15 мл 10%-ной  $HCl$ , снова выпаривают, экстрагируют абс. спиртом и нейтрализуют пиридином. Осадок отфильтровывают и перекристаллизуют из 50%-ного  $CH_3OH$ . Получают 1,88 г *dl*-метионина.

Я. Данюшевский 29755 П. Превращение метилтрихлорсилана в диметилдихлорсилан. Бримм (Method of converting methyl trichlorosilane to dimethyl dichlorosilane. Brimm Eugene O.) [Union Carbide and Carbon Corp.]. Пат. США, 2759009, 14.08.56

$CH_3SiCl_3$  (I) превращает в  $(CH_3)_2SiCl_2$  (II) р-цией I с твердым метилполисилоксаном ф-лы  $(CH_3SiO_{3/2})_x$  (III) при 450—700° в отсутствие  $O_2$ . III получают выливанием I на лед при перемешивании смеси, нагреванием до полного гидролиза I и удалением  $HCl$ ; III отфильтровывают, моют и сушат. В трубку из  $SiO_2$  с внутренним диам. 25 мм загружают III (глубина слоя III 125 мм), удаляют  $O_2$ , нагревают трубку до т-ры  $> 450^\circ$  и пропускают через нее I или смесь I с инертным газом со скоростью 28,3 л/час. Отходящие газы пропускают через ловушку, охлаждаемую твердой  $CO_2$ . Собирают II и непрореагировавший I. При т-ре р-ции 600° выход II 29%, при 500—6%.

И. Шалапина 29756 П. Диспропорционирование алкоксидисилилалканов. Бейли (Disproportionation of alkoxydisilyl hydrocarbons. Bailey Donald Leroy) [Union Carbide and Carbon Corp.]. Пат. США 2745860, 15.05.56

Обработкой алкоксидисилилалканов, содержащих  $\geq 1$  атома  $C$  и 1 алкоксила, связанных с  $Si$ , ф-лы  $(R'O)_n R_m H_{3-m-n} SiR'_n (OR')_p R'_r H_{3-p-r}$  ( $R$  — 2-валентный углеводородный радикал;  $R'$  и  $R''$  — алкилы;  $n = 1$  или



2;  $m=0$  или 1;  $p$  и  $r=0-2$ ,  $p+r<3$ ) алкогалитом щел. металла при  $t$ -ре от  $\sim 50^\circ$  до  $t$ -ры кипения смеси получают дисилилалканы ф-лы  $H_2SiR_2SiH_2$ , 156 г неочищ.  $(C_2H_5O)_2HSiC_2H_4SiH_2(OC_2H_5)_2$ , содержащего три-, пента- и гексаэтоксидисилилэтаны, и 1 г  $C_2H_5ONa$  кипятят 6 час. с отбором через фракционную колонну продуктов р-ции. Получают 8,2 г  $H_2SiC_2H_4SiH_2$ , т. кип.  $45-48^\circ$ ,  $d$  0,69,  $n$  также  $(C_2H_5O)_2SiC_2H_4Si(OC_2H_5)_2$ . И. Шалавина

29757 П. Получение ди- $\beta$ -хлорэтилового эфира  $\beta$ -хлорэтилфосфорной кислоты. Лейпольд, Денк, Цорн (Verfahren zur Herstellung von  $\beta$ -Chloräthylphosphonsäure-bis-( $\beta$ -chloräthyl)-ester. Leopold Ernst-Otto, Denk Walter, Zorn Hermann) [Farbwerke Hoechst A.-G. vormals Meister Lucius & Brüning]. Пат. ФРГ 964046, 16.05.57

$(ClCH_2CH_2O)_2P$  (I) нагреванием до  $t$ -ры  $> 180^\circ$  изомеризуют в  $ClCH_2CH_2PO(OCH_2CH_2Cl)_2$ , подавляя побочную р-цию, ведущую к образованию  $ClCH_2CH_2Cl$  и неперегоняемых продуктов, применением инертных, желательнее полярных р-рителей, так как р-ция весьма экзотермична. Особенно рекомендуются  $o$ - $C_6H_4Cl_2$  и тетралин, применимы также  $CH_3C_6H_4Br$  (в виде индидуальных в-в или смесей),  $C_6H_5Br$ ,  $C_6H_5(CH_3)_2$ ,  $(CH_3O)_3PO$  и  $(CH_3C_6H_4O)_3PO$ . Целесообразно по возможности быстро нагревать реакционную смесь до оптимальной  $t$ -ры; возможно применение неочищ. I, синтезированного этоксилированием  $PCl_3$ . 100 ч. I в 100 ч.  $o$ - $C_6H_4Cl_2$  быстро нагревают до  $\sim 180^\circ$  и уменьшают подвод тепла. Сильное кипение заканчивается через 2 часа, смесь выдерживают при этой  $t$ -ре еще 0,5-1 час и перегонкой в вакууме выделяют  $\sim 90$  ч.  $ClCH_2CH_2PO(OCH_2CH_2Cl)_2$ . В. Оноприенко

29758 П. Получение циклогексена. Бинаффль (Verfahren zur Herstellung von Cyclohexen. Binapfl Josef) [Farbenfabriken Bayer A.-G.]. Пат. ФРГ 958836, 28.02.57

1- $\Delta'$ -циклогексенилциклогексанон-2 (побочный продукт при произ-ве циклогексанола) нагревают при  $100-200^\circ$  ( $140-170^\circ$ ) в присутствии дегидрирующих в-в [алюмогидросиликата (I),  $ZnCl_2$ ,  $AlCl_3$ ,  $FeCl_3$ ,  $BF_3$  и  $H_2PO_4$ ]. Перемешиваемую смесь 178 г 1- $\Delta'$ -циклогексенилциклогексанона-2 и 40 г I нагревают при  $150-160^\circ$ . Через 1,5 часа начинают отгонять бесцветную жидкость, отгонку продолжают 2,5-3 часа. По отделении 15 г воды фракционированием дистиллята получают 124 г циклогексена (II), т. кип.  $82-84^\circ$ . При употреблении вместо I 40 г  $ZnCl_2$ , 48 г  $FeCl_3$  или 30 г безводн.  $H_2PO_4$  в тех же условиях соответственно получают следующие кол-ва II: 120; 105-106 и 108 г. Применяя вместо I 30 г  $BF_3$ , получают 22-23 г мономерного II и 98 г полимерного II (масло, перегоняющееся с разложением в высоком вакууме). Я. Данюшевский

29759 П. Многоатомные циклические спирты. Франк (Polyhydric cyclic alcohols. Frank Charles E.) [E. I. du Pont de Nemours and Co.]. Канадск. пат. 511801, 12.04.55

Оксиметилциклогексанолы, содержащие в качестве заместителей алкильные, циклоалкильные и алкоксильные радикалы, каждый из которых присоединен к различному атому С, получают гидрированием соответствующих оксиметилфенолов при  $50-300^\circ$ , давл.  $H_2 > 7$  ат, в присутствии  $Ru$ -катализатора. 2,6-ди-(оксиметил)-4-метилциклогексанол получают гидрированием 2,6-ди-(оксиметил)-4-метилфенола в спирте при  $100-150^\circ$  и давл.  $H_2$  70-175 ат.

С. Тайц  
29760 П. Расщепление ненасыщенных кетонов. Вольф (Verfahren zur Spaltung von ungesättigten Ketonen. Wolf Wilhelm) [Farbenfabriken Bayer A.-G.]. Пат. ФРГ 946443, 2.08.56

Доп. к пат. ФРГ 875512 (РЖХим, 1956, 30286). Расщепление ненасыщ. кетонов, содержащих  $C=C$ -связь в соседнем положении с группой  $-CO-$  (за исключе-

нием  $o$ -циклогексиденциклогексанона), на два кетона или кетон и альдегид при нагревании с водой, предпочтительно под давлением, производят в присутствии оснований (гидроокиси щел. и щел.-зем. металлов, карбонаты щел. металлов), а не  $K$ -т, как предложено в пат. 875512. 500 г 1-циклогексенилциклогексанона-2 (I), 1000 мл воды и 2 г  $NaOH$  нагревают в автоклаве до  $274^\circ$ . I расщепляется до циклогексанона (II) через 4 мин. на 42% и через 15 мин. на 52%. При замене 2 г  $NaOH$  на 5 г  $C_6H_5COON$  (III) и при нагревании до  $290^\circ$  I расщепляется через 30 мин. на 13,1%. 500 г техн.ч. 75%-ного I нагревают при размешивании в автоклаве до  $290^\circ$  с 750 мл воды и 2 г  $Na_2CO_3$ . Через 15 мин. выход II 35%. В отсутствие катализатора за 3 часа расщепляется 10,3% I; при замене 2 г  $Na_2CO_3$  на 2 г III расщепляется 23% I. Аналогично из 500 г остатка от перегонки ацетофенона, состоящего на 70% из 1-кето-1,3-дифенил-2-бутлена (IV), при нагревании в автоклаве с 750 г воды и 0,5 г  $Ca(OH)_2$  до  $270^\circ$  через 10 мин. расщепляется до ацетофенона 73% IV, при замене же  $Ca(OH)_2$  на 0,5 г III при тех же условиях расщепляется 45% IV.

Л. Антик  
29761 П. Получение циклогексенилциануксусной и дициклогексенилциануксусной кислот. Накамурра [Дай ниппон сэйяку кабусики кайся]. Японск. пат. 2176, 23.04.54

Амиды указанных к-т получают конденсацией циклогексанона (I) и  $NCCH_2CONH_2$  (II) без применения конденсирующих агентов. Благодаря проведению р-ции в присутствии р-рителей, дающих азеотропы с водой (напр.,  $C_6H_6$ ), образующуюся воду удаляют из сферы р-ции, получают высокие выходы  $CH_2(CH_2)_4C=$

$=C(CN)CONH_2$  (III) и  $(CH_2(CH_2)_4CH)_2C(CN)CONH_2$  (IV). В колбе с обратным холодильником и водоотделителем нагревают при  $100-140^\circ$  120 г I, 84 г II и 200 мл  $C_6H_6$ . После отделения 18-20 мл воды смесь охлаждают, кристаллич. осадок промывают  $C_6H_6$ . Получают 152 г III, т. пл.  $110-112^\circ$  (из  $CH_3OH$ ). Аналогично, применяя 2,4 моля I на 1 моль II, получают IV, который очищают от примеси III промыванием метанолом и  $CH_3COON$ ; т. пл.  $245-247^\circ$ . В. Каратаев  
29762 П. Удаление сернистых соединений из бензола. Лазневский, Янковский (Sposób usuwania związków siarkowych z benzolu. Łazniewski Mikolaj, Jankowski Tadeusz). Польск. пат. 37671, 30.07.55

Технический бензол (I) обрабатывают при перемешивании (2-10 мин.) конц.  $H_2SO_4$  (5-10% от веса I) в присутствии 0,5-5% эмульгатора (растительный или животный жир), отстоявшийся I повторно обрабатывают конц.  $H_2SO_4$ , следы  $CS_2$  и воды удаляют азеотропной перегонкой с  $CH_3OH$  или  $C_2H_5OH$ .

С. Войткевич

29763 П. Получение производных бензола. Нагасава, Йосида [Мицубиси касэй когё кабусики кайся]. Японск. пат. 2428, 4.05.54 [Chem. Abstr., 1955, 49, № 21, 14803c (англ.)]

180 мл  $C_6H_6$ , 4,6 г  $(C_6H_5)_3P \cdot [Ni(CO)]_2$  и 4,5 г  $CaC_2$  загружают в автоклав, вводят  $N_2$  до давл. 5 ат и  $C_2H_2$  до давл. 15 ат, нагревают до  $120^\circ$ , охлаждают до  $20^\circ$ , вводят смесь 10 г  $CH_2=CHC\equiv CH$  с 10 г  $C_6H_6$ , нагревают 1 час при  $65^\circ$  и одновременно вводят  $C_2H_2$  до давл. 20 ат. Продукт перегоняют. Получают 6,9 г стирола, т. кип.  $64-67^\circ/48$  мм, и 1,6 г дивинилбензола, т. кип.  $74-77^\circ/8$  мм.

Я. Данюшевский

29764 П. Деполимеризация 4-метил-2,4-дифенилпентена-2 (Procédé de dépolymérisation du méthyl-4-diphényl-2,4-pentène-2) [Soc. des Usines Chimiques Rhone-Poulenc]. Франц. пат. 1102159, 18.10.55 [Chimie et industrie, 1956, 76, № 3, 504 (франц.)]

Деполимеризацию производят нагреванием в присутствии фенола с высокой т-рой кипения и возможно катализатора, напр. бисульфата щел. металла или  $\text{CuSO}_4$ . Получают  $\alpha$ -метилстирол. Ю. Васильев

29765 П. Получение 4,4'-дивинилдифенила. Трейбс, Грисбах, Лос (Verfahren zur Herstellung von 4,4'-Divinyldiphenyl. Treibs Wilhelm, Griessbach Robert, Lohs Karlheinz) [VEB Farbfabrik Wolfen]. Пат. ГДР 13540, 22.07.57

4,4'-дивинилдифенил (I) получают термич. расщеплением в вакууме 4,4'-ди-( $\alpha$ -ацетоксиэтил)-дифенила (II) при 75–110° и остаточном давл. 5 мм рт. ст. II, получаемый из 4,4'-ди-( $\alpha$ -оксиэтил)-дифенила и  $\text{CH}_3\text{COCl}$  в среде пиридина при 0°, длительное время нагревают в аппарате для вакуумной перегонки при 75° и давл. 5 мм рт. ст., а затем при 110°. Неочищ. I, загрязненный  $\text{CH}_3\text{COOH}$ , собирают в приемник, охлаждаемый льдом, промывают водой, водн. р-ром  $\text{NaHCO}_3$  и сублимируют в высоком вакууме. Получают чистый I с т. пл. 152–153°. При термич. расщеплении, во избежание полимеризации I, нагревание исходного в-ва ведут равномерно. При удалении  $\text{CH}_3\text{COOH}$  к неочищ. продукту прибавляют ингибитор полимеризации, напр., 1,5-ди-*трет*-бутилгидрохинон. I служит для получения сополимеров. Я. Данюшевский

29766 П. Получение гексахлорбензола. Бекке, Шпербер (Verfahren zur Herstellung von Hexachlorbenzol. Becke Friedrich, Sperber Heinrich) [Badische Anilin- und Soda-Fabrik A.-G.]. Пат. ФРГ 959549, 7.03.57

Гексахлорбензол (I) получают из гексахлорциклопексана (II) или его высокохлорированных гомологов; процесс ведут в среде р-рителя ( $\text{CCl}_4$ ,  $\text{CHCl}_3$ ) в присутствии  $\text{SO}_2$  в виде олеума (III). Процесс можно вести в присутствии катализаторов (галогениды Al, Fe, P или S). 100 ч.  $\alpha$ -II кипятят 90 час. с 400 ч. 26%-ного III. Выпавший I отфильтровывают и промывают водой; получают 30 ч. I; т. пл. 220–224°. 100 ч. смеси изомерных II (после извлечения  $\gamma$ -II) нагревают 8 час. с 200 ч. 25%-ного III и 200 ч.  $\text{CCl}_4$  при 200°. После обработки получают 40 ч. I, т. пл. 220–224°

К. Скловский  
29767 П. Разделение смесей 3,4- и 3,5-дихлортолуолов. Энгельберц, Фриш (Verfahren zur Trennung von Gemischen aus 3,5- und 3,4-Dichlortoluol. Engelbertz Paul, Frisch Peter) [Farbwerke Hoechst A.-G. vormals Meister Lucius & Brüning]. Пат. ФРГ 964235, 23.05.57

Смеси 3,4-дихлортолуола (I) и 3,5-дихлортолуола (II) разделяют селективным сульфированием 90–100%-ной (лучше 96–98%-ной)  $\text{H}_2\text{SO}_4$  при 55–100° (лучше при 80–85°) с последующим выделением неаменированного II и регенерацией I из соответствующей сульфокислоты. Смесь 70 ч. II и 30 ч. I при перемешивании и т-ре 80–85° сульфатируют 400 г 97%-ной  $\text{H}_2\text{SO}_4$  в течение ~ 20 час. Непрореагировавший II, содержащий примесь 3,4-дихлортолуолсульфокислоты и  $\text{H}_2\text{SO}_4$ , затвердевает при 21–22°. Его перегоняют с паром, отделяют и сушат. Получают ~ 72 г 95%-ного II с т. заст. 21,7°. Сернокислотный фильтрат нагревают до 170–200°, постепенно прибавляя воду. При этом отделяется сульфогруппа и отгоняется I. После отделения и высушивания получают ~ 23 г I с т. заст. от –21 до –22°, который может быть очищен обычными методами. Аналогично 480 г 97%-ной  $\text{H}_2\text{SO}_4$  действуют на смесь 80 ч. II с 40 ч. I при 80–85°, в течение 20 час. Затем добавляют 100 г  $\text{H}_2\text{SO}_4$  и при той же т-ре продолжают р-цию еще ~ 9 час. II выделяют, как указано выше. Получают 72 г 98,5%-ного II с т. заст. 24,8°. Сернокислотный фильтрат разбавляют 290 г воды, нагревают до 130–140° и отгоняют непрореагировавшую смесь I и II с паром, причем общее кол-во

жидкости в перегонной колбе не должно измениться. Остаток охлаждают до ~ 20° и отсасывают кристаллич. сульфокислоту. Последнюю промывают дважды по 50 мл охлажд. льдом ~ 50%-ной  $\text{H}_2\text{SO}_4$  и затем расплавляют при 170–200°. Получают ~ 32 г 98,5%-ного I с т. заст. –15,2°. Полученные I и II могут быть использованы без дополнительной очистки. Б. Дяткин

29768 П. Получение 2-хлор-*м*-ксилола. Энгельберц (Verfahren zur Herstellung von 2-Chlor-m-xylol. Engelbertz Paul) [Farbwerke Hoechst A.-G. vormals Meister Lucius & Brüning]. Пат. ФРГ 952262, 15.11.56

2-хлор-*м*-ксилол (I) получают из *виц*-*м*-ксилидина (II) по Зандмейеру приливанием р-ра комплекса диазоний- $\text{Cu}$  к  $\geq 30\%$ -ному (лучше  $\geq 40\%$ -ному) р-ву  $\text{HCl}$  в  $\text{CH}_3\text{OH}$ , объем которого должен быть  $\geq 80\%$  (желательно  $>100\%$ ) объема р-ра соли диазония. Комплекс получают при т-ре  $\leq 20^\circ$  (от 10 до  $-20^\circ$ ) и разлагают при 10–35° (в начале р-ции при 10–25°) в том же р-ре  $\text{HCl}$  в  $\text{CH}_3\text{OH}$ , в котором его получают и в котором суспендирована  $\text{Cu}_2\text{Cl}_2$ . Диазотирование проводят при т-ре от –5 до –15° (желательно от –10 до –15°), причем исходная конц-ия  $\text{HCl}$  должна быть  $\geq 15\%$  (20–30%).  $\text{NaNO}_2$  вносят в виде порошка. Неочищ. I содержит ~ 1,5% *виц*-*м*-ксилола, ~ 1,3% *виц*-*м*-ксилолметилового эфира и ~ 2% производных дифенила. Эти побочные продукты легко отделяют перегонкой. К смеси 340 г ~ 30%-ной  $\text{HCl}$  и ~ 75 мл воды при 70–75° приливают по каплям 1 моль чистого II. По охлаждении выпадает хлоргидрат II. Затем ~ 3 часа при –15° порциями вносят ~ 70 г измельченного  $\text{NaNO}_2$ . Полученный красноватый р-р постепенно приливают при т-ре от 0° до  $-10^\circ$  к суспензии ~ 8 г  $\text{Cu}_2\text{Cl}_2$  в 650 мл  $\text{CH}_3\text{OH}$ , насыщ.  $\text{HCl}$  при 0°. Смесь размешивают еще 30 мин., нагревают 2,5 часа при 10–15°, 30–45 мин. при 15–25° и несколько минут при 25–35°, причем непрерывно выделяется  $\text{N}_2$ . Разложение комплекса можно производить непрерывно. Образующийся I отделяют добавлением воды и отгоняют с паром сначала из кислого и потом из щел. р-ра. Выход неочищ. I 90–95%. После высушивания в вакууме и фракционной перегонки выход технич. чистого I ~ 90%. I является исходным в-вом для синтеза полупродуктов, из которых получают прочные красители. Л. Антик

29769 П. Получение смеси хлордифенилов, содержащих пента- и гексахлорпроизводные. Цунода, Мурата [Ниссан кагаку когэ кабусики кайя]. Японск. пат. 6718, 20.10.54 [Chem. Abstrs, 1956, 50, № 11, 7867 (англ.)]

300 мл  $\text{C}_6\text{H}_5\text{Cl}_3$ , полученного термич. разложением при 240°  $\text{C}_6\text{H}_5\text{Cl}_6$ , свободного от  $\gamma$ -изомера, пропускают через кварцевую трубку (длина 1 м, диам. 27 мм), нагретую до 650°, со скоростью 150 мл/час. Получают 367 г смеси с т. кип. 170–185°/2 мм, содержащей  $\text{Cl}_2\text{C}_6\text{H}_3\text{C}_6\text{H}_2\text{Cl}_3$  и  $\text{Cl}_3\text{C}_6\text{H}_2\text{C}_6\text{H}_2\text{Cl}_3$  в соотношении 48:52. Я. Данюшевский

29770 П. Отделение фенолов (Séparation de phénols) [Imperial Chemical Industries Ltd]. Франц. пат. 1044157, 16.11.53 [Chem. Zbl., 1955, 126, № 33, 7786 (нем.)]

Смеси, содержащие алкилфенолы, особенно 4-метил-2,6-ди-*трет*-бутилфенол (I), обрабатывают КОН или  $\text{NaOH}$ , алифатич. одноатомным спиртом ( $\text{C}_2\text{H}_5\text{OH}$ ,  $\text{CH}_3\text{OH}$ ,  $\text{C}_3\text{H}_7\text{OH}$ ,  $\text{C}_4\text{H}_9\text{OH}$ ) и водой. 50 мл смеси, полученной бутилированием крезолсодержащей кислотной фракции и содержащей ~ 50 вес. % I и различные кол-ва других алкилфенолов, обрабатывают 50 мл р-ра Клайзена, разб. 25 мл воды. Р-р Клайзена готовят растворением 350 г КОН в 250 г воды и разбавлением  $\text{CH}_3\text{OH}$  до 1 л. При прибавлении этого р-ра I выделяется в кристаллич. виде. М. Альбам



**29771 П.** Получение фенолов из ароматических карбоновых кислот. Перлман (Phenols from aromatic carboxylic acids. Pearlman Marshall B.) [The Dow Chemical Co.]. Пат. США 2727924, 20.12.55  
Соединения общей ф-лы  $C_6H_5(X)(COR)COOH$ , где  $X-H$  или  $C_6H_5$ ,  $R-OH$ , алкил или  $C_6H_5$ , имеющие по крайней мере одно незамещ. положение в ядре по соседству с  $COOH$ -группой, обрабатывают в водн. среде соединениями  $Cu^{2+}$  при т-ре, достаточной для отщепления  $CO_2$  ( $> 200^\circ$ ), но ниже т-ры деструктивной карбонизации, в присутствии газообразного  $O_2$ . Если в ядре имеются и другие заместители, они должны быть устойчивы к окислительному действию  $Cu^{2+}$ -соединений. С. Тайц

**29772 П.** Удаление летучих жирных кислот из фенолов. Уокер, Ламберт (Removal of volatile fatty acids from phenol. Walker Joseph, Lambert Norman W.) [The Pure Oil Co.]. Пат. США 2727925, 20.12.55

Летучие жирные к-ты (т. кип.  $100-205^\circ$ ) удаляют из неводн. фенольных р-ров, содержащих 0,01—1 вес. ч. указанных к-т на 100 об. ч. р-ра, обработкой р-ра твердым адсорбентом (фуллерова земля, активная  $Al_2O_3$ , активный С) при т-ре выше т-ры плавления фенола и отделением отработанного адсорбента. Получаемые фенолы содержат очень мало к-т и значительно меньше корродируют металлич. поверхности. С. Тайц

**29773 П.** Получение чистого м-крезола. Маэдзава [Осака гасу кабусики кайся]. Японск. пат. 8929, 7.12.55

м-Крезол (I) выделяют из крезольных фракций каменноугольной смолы обработкой  $\sim 2$ -кратным кол-вом безводн. На-ацетата (II), при этом образуется мол. соединение (МС) I + II, которое отфильтровывают и разлагают на I и II нагреванием в среде инертного р-рителя. К 100 г перемешиваемого технич. I (содержание чистого I 42,5%) в течение 30 мин. прибавляют 30 г измельченного II, осадок отфильтровывают и промывают 2 раза по 40 г  $C_6H_6$ , получают 40 г МС. Из фильтрата отгоняют  $C_6H_6$  и остаток соединяют с маточным р-ром. МС разлагают 30 мин. нагреванием на кипящей бане в 70 мл  $C_6H_6$ , охлаждают и отфильтровывают 30 г II от р-ра, из которого отгонной  $C_6H_6$  выделяют 13 г I. К 100 г 42,5%-ного I прибавляют 20 г II и выделяют 28,5 г МС, разложением которого получают 8,5 г I и 20 г II. Из бензольного фильтрата отгоняют  $C_6H_6$ , остаток соединяют с маточным р-ром, прибавляют 20 г II и повторяют эту обработку несколько раз. Выделяют 30 г чистого I; расход II 70 г. С. Петрова

**29774 П.** Расщепление гидроперекиси фенилциклогексана. Ванденберг (Cleavage of phenylcyclohexane hydroperoxide. Vandenberg Edwin J.) [Hercules Powder Co.]. Канадск. пат. 510359, 22.02.55  
Фенилциклогексан окисляют в соответствующую гидроперекись газообразным  $O_2$  и контактируют полученную смесь с глиноземом при т-ре от  $-15$  по  $200^\circ$  (лучше  $25-100^\circ$ ), пока существенно не уменьшится содержание гидроперекиси. Из реакционной массы выделяют 5-бензоилпентанол-1. С. Тайц

**29775 П.** Получение псевдокумохинона. Яворска, Левенштейн, Зычинская (Sposób wytwarzania pseudokumochinonu. Jaworska Romana, Lewenstein Wiesław, Zyczyńska Barbara) [Instytut Farmaceutyczny]. Польск. пат. 37283, 25.05.55

Динитропсевдокумолсульфокислоту восстанавливают Fe или Zn, продукт восстановления окисляют  $Fe^{+3}$ -сульфатом. 145 г динитропсевдокумолсульфокислоты прибавляют к кипящей смеси 750 г воды, 300 г чугунных стружек и 10 г конц. HCl. Восстановление

ведут 8 час., смесь подщелачивают и отфильтровывают окись Fe. Фильтрат подкисляют и отфильтровывают соединение псевдокумилендиаминна с Fe, которое смешивают с 640 г 10%-ной  $H_2SO_4$ , смесь кипятят 5 час. К охлажд. смеси прибавляют 340 г  $Fe^{+3}$ -сульфата, нагревают 1 час при т-ре  $\sim 100^\circ$ . Псевдокумохинон (I) отгоняют с паром, дистиллат охлаждают до  $\sim 0^\circ$  и отфильтровывают 47 г I, т. пл.  $26-27^\circ$ ; выход I  $\sim 63\%$ . С. Войткевич

**29776 П.** Получение тиосемикарбазаона полуальдегида терефталевой кислоты. Кавахара, Кобаяси [Дайнихон сэйяку кабусики кайся]. Японск. пат. 2838, 16.04.56

Нагреванием в течение 3 час. водн. р-ра 0,5 г  $n-HOOCCH_2CH(OCOSCH_3)_2$ , т. разл.  $107^\circ$ , приготовленного окислением  $n-CH_3C_6H_4COOH$  хромовым ангидридом в среде  $(CH_3CO)_2O$ , с 0,2 г тиосемикарбазида получают 0,4 г  $n-H_2NC(S)NH-CHC_6H_4COOH$ , т. пл.  $332^\circ$  (разл.). В. Каратаев

**29777 П.** Окислительная конденсация жирноароматических соединений. Ипатъев, Пайне (Oxidative condensation of aralkyl compounds. Ipatieff Vladimir N., Pines Herman) [Universal Oil Products Co.]. Пат. США 2751406, 19.06.56

Жирноароматические в-ва ф-лы  $RR'CHX$ , где  $X-COOR''$ ,  $COR''$  или  $C\equiv N$ ,  $R$ -арил,  $R'$  и  $R''-H$ , алкил, циклоалкил или арил [напр., фенилацетон (I), фенилацетальдегид, фенилуксусная к-та (II), ее эфиры и нитрил,  $n$ -толилацетон, нафтилацетон, нафтил-ацетонитрил] при нагревании до  $80-250^\circ$  (лучше  $125-200^\circ$ ) и давл.  $\leq 100$  ат в жидкой фазе в присутствии  $O_2$  окисляются и конденсируются с образованием в-в ф-лы  $RR'CXCHXRR'$ . Р-цию promoteруют  $MgCl_2$  и, в случае некислых реагентов,  $K_2CO_3$ . 67 г I нагревают 15 час. под действием УФ-света при  $180^\circ$  и пропускании воздуха со скоростью 1 л в 1 час. При этом 13,8 г I (20%) превращается в 5,2 г 3,4-дифенил-2,4-гександиона-2,4, т. пл.  $106-107^\circ$  (из абс.  $C_6H_5OH$ ,  $n-C_6H_{12}$  и  $n-C_6H_{14}$ ) и 5,8 г смолы. Аналогично из II получают 2,3-дифенилпентановую к-ту, а из смеси I и II — в-во ф-лы  $C_6H_5CH(COCH_3)CH(COOH)C_6H_5$ . Процесс можно проводить непрерывно. И. Шалавина

**29778 П.** Получение эфиров терефталевой кислоты. Бацак, Камас (Způsob přípravy esterů kyseliny tereftalové. Bačák Miloš, Kamás František). Чехосл. пат. 85736, 15.08.56

Кислые эфиры терефталевой к-ты получают окислением алкиловых эфиров  $n$ -толуиловой к-ты (I — к-та)  $O_2$  или газом, содержащим  $O_2$ , в присутствии металлич. солей высших ненасыщ. к-т. Р-цию проводят в среде разбавителя (алифатич. к-та с 5—6 атомами С) с т-рой кипения  $> 100^\circ$ , устойчивого к  $O_2$  при  $100-200^\circ$ , не смешивающегося с водой и растворяющего эфир I. 100 ч. метилового эфира I, 200 ч. изовалериановой к-ты и 0,5 ч. нафтената Со окисляют 7 час.  $O_2$ , пропускаемым со скоростью 0,83 л/мин на 1 моль  $O_2$  вдувают под уровень жидкости турбинной мешалкой, т-ру поддерживают  $\sim 170^\circ$ . Выделяющуюся воду улавливают водоотделителем. Выделившийся при охлаждении монометилтерефталат (II) отфильтровывают, маточный р-р используют для повторного окисления. Степень превращения метилового эфира I 55%, выход неочищ. II 85%. Приведен пример получения II в среде каприловой к-ты, а также получения моноэтилтерефталата окислением этилового эфира I в среде  $Cl_2C_6H_4$ . И. Елинек

**29779 П.** Очистка эфиров фталевой кислоты, особенно дибутылфталата. Ялоха, Потырала (Sposób otrzymywania estrów kwasu ftalowego zwłaszcza ftalanu dwubutyłowego oraz urządzenie do wykonywania tego sposobu. Jalocho Roman, Potyrała

Ненрук) [Zakłady Przemysłu Azotowego]. Польш. пат. 39480, 12.01.57

Неочищенные эфиры фталевой к-ты, полученные этерификацией фталевого ангидрида без катализатора и имеющие кислотное число 0,4—0,6, пропускают под давлением через слой активного угля при  $t$ -ре  $> 150^\circ$ . Дибутилфталат, имеющий  $t$ -ру  $\sim 250^\circ$ , выпускают из реактора под давл. 6—8 ат вместе с непрореагировавшим бутанолом в фильтр, работающий под давлением, где смесь распыляют по поверхности слоя активного угля, под которым создают вакуум. В сборнике для профилированного эфира испаряется бутанол. Получают бесцветный дибутилфталат, свободный от механ. примесей, с кислотным числом  $< 0,01$ . Приведена технологич. схема.

З. Рачинский

**29780 П. Получение 2,6-циклогексанон-бис-(бензиль-о-карбоновой) кислоты.** Нейнхёффер, Тильш (Verfahren zur Darstellung der 2,6-Cyclohexanon-bis-(benzyl-o-carbonsäure). Neunhoeffter Otto, Thielisch Herbert). Пат. ГДР 12751, 07.03.57

Раствор нейтр. соли 2,6-циклогексанон-бис-(бензиль-о-карбоновой) к-ты или слабо щел. р-р 2,6-циклогексанондифталаида гидрируют в присутствии металлич. катализатора при обычном или повышенном (до 50 ат) давлении. 36,2 вес. ч. 2,6-циклогексанондифталаида растворяют при нагревании в смеси 300 об. ч.  $\text{CH}_3\text{OH}$  и 12,2 об. ч. 44%-ного  $\text{NaOH}$ . К р-ру прибавляют скелетный  $\text{Ni}$  и гидрируют его при  $t$ -ре  $\sim 50^\circ$  и обычном давлении. После поглощения теоретич. кол-ва  $\text{H}_2$  катализатор отфильтровывают, фильтр подкисляют минер. к-той и выделяют 2,6-циклогексанон-бис-(бензиль-о-карбоновую) к-ту (I), выход  $\sim 100\%$ , т. пл.  $232-233^\circ$  (из сл.). 200 вес. ч. высушенной на воздухе нейтр.  $\text{Na}$ -соли 2,6-циклогексанон-бис-(бензиль-о-карбоновой) к-ты, содержащей кристаллизационную воду, суспендируют в 700 ч. воды и после прибавления скелетного  $\text{Ni}$  гидрируют при  $t$ -ре  $\sim 100^\circ$  под давл. 10—20 ат. Обычной обработкой выделяют I, т. пл.  $229-230^\circ$ , выход  $\sim 100\%$ . I находит применение для получения пластификаторов.

Б. Фабричный

**29781 П. Получение фторнитробензолов.** Людвиг (Verfahren zur Herstellung von Fluornitrobenzolen. Ludwig Wolfgang). Пат. ФРГ 960456, 21.03.57

Борофториды нитрофенилдиазониев разлагают в присутствии 100%-ной жидкой  $\text{HF}$  в автоклаве при такой  $t$ -ре (обычно  $\sim 100^\circ$ ), чтобы р-ция заканчивалась за короткое время. Напр., из солянокислого р-ра  $n$ -нитроанилина и р-ра борной к-ты в разб.  $\text{HF}$  получают кристаллич. борофторид  $n$ -нитофенилдиазония. 20 г этого в-ва растворяют в 400 г 100%-ной к-ты и нагревают в автоклаве 2 часа при  $100^\circ$ . По охлаждении давление спускают, выливают смесь в 4 л воды и точно нейтрализуют  $\text{NaOH}$ .  $n$ -Нитрофторбензол отгоняют с паром и извлекают эфиром. Выход 9,6 г (80,7%). Б. Дяткин

**29782 П. Способ восстановления азоксибензола и его производных.** Иида [Koré гиджоунтё]. Японск. пат. 270, 20.01.56 [Chem. Abstrs, 1957, 51, № 8, 5828в (англ.)]

10 ч.  $\text{C}_6\text{H}_5\text{N}(\text{O})=\text{NC}_6\text{H}_5$ , 7 ч. сплава  $\text{Fe-Si-Al-C-Mn-P-Ni}$  (80:15:4:0,5:0,2:0,1), 2 ч.  $\text{NaOH}$ , 4 ч.  $\text{Ca}(\text{OH})_2$  и 12 ч. воды нагревают при  $90-100^\circ$ , пока часть смеси не будет затвердевать при охлаждении до  $t$ -ры  $\sim 20^\circ$ . Продукт обрабатывают 15 ч. воды, кристаллы отделяют. Получают 8 ч.  $\text{C}_6\text{H}_5\text{NHNHC}_6\text{H}_5$ . Я. Данишевский

**29783 П. Получение  $N$ -монометилпарааминофенола (метола).** Суда, Камисима, Йосимура Японск. пат. 6715, 20.10.54

100 ч.  $n$ - $\text{H}_2\text{NC}_6\text{H}_4\text{OH}$  растворяют в смеси 150 ч.  $\text{H}_2\text{SO}_4$  и 600 ч. воды, к р-ру поочередно добавляют при перемешивании 100 ч.  $\text{Zn}$ -пыли и 95 ч. 35%-ного  $\text{H}_2\text{O}$ .  $\text{CH}_2\text{O}$ , поддерживая  $t$ -ру  $45-55^\circ$ ; через 30 мин.  $t$ -ру поднимают до  $75^\circ$  и нагревают 100 мин., нейтрализуют из-

вестью, отделяют  $\text{Zn}$ -пыль от горячего р-ра, фильтрат подкисляют  $\text{H}_2\text{SO}_4$  до  $\text{pH}$  5, концентрируют в вакууме, выделяют 50 ч. кристаллич. сернокислой соли метола.

В. Каратаев

**29784 П. Каталитическое получение диариламинов.** Рихе, Мёллер (Verfahren zur katalytischen Herstellung von Diarylaminen. Rieche Alfred, Möller Rolf) [VEB Farbenfabrik Wolfen]. Пат. ГДР 12023, 15.10.56

Пары моноариламинов (анилин, толуидины) с добавкой или без добавки инертных газов пропускают при  $350-500^\circ$  над контактом, содержащим  $\text{Al}_2\text{O}_3$ , в отсутствие  $\text{O}_2$ , для чего перед работой воздух из аппаратуры вытесняют  $\text{N}_2$ , очищ. от  $\text{O}_2$  с помощью нагретого  $\text{Ca}$ -порошка или щел. р-ра пирогаллола. Этим увеличивают производительность катализатора и уменьшают отложение угля. В таких условиях превращение анилина, подаваемого со скоростью 45 г/час на 450 мл каталитич. пространства, составляет при  $400-450^\circ$  25—35%, а выход чистого дифениламина равен 96—98% (теор.). Катализатор регенируют прокаливанием на воздухе.

Н. Дабагов

**29785 П. Получение галогенидов  $m$ -диметилкарбамилксифенилтриметиламина.** Сасикава-ра. Японск. пат. 5083, 14.08.54 [Chem. Abstrs, 1956, 50, № 9, 6508 g (англ.)]

21,5 г  $m$ - $\text{O}_2\text{NC}_6\text{H}_4\text{OH}$  и 21,5 г  $(\text{CH}_3)_2\text{NCOCl}$  нагревают 4 часа при  $120-130^\circ$ . Продукт экстрагируют  $\text{C}_6\text{H}_6$  и промывают 10%-ным  $\text{NaOH}$ . Перегонкой выделяют 31,9 г  $m$ - $\text{O}_2\text{NC}_6\text{H}_4\text{OCON}(\text{CH}_3)_2$ , т. кип.  $184-189^\circ/7$  мм, т. пл.  $60-63^\circ$ . 30 г  $m$ - $\text{O}_2\text{NC}_6\text{H}_4\text{OCON}(\text{CH}_3)_2$  востанавливают над 2 г 10%-ного  $\text{Pd/C}$  в 120 мл  $\text{C}_2\text{H}_5\text{OH}$ , перегонкой выделяют 25,2 г  $m$ - $\text{H}_2\text{NC}_6\text{H}_4\text{OCON}(\text{CH}_3)_2$ , т. кип.  $198-202^\circ/9$  мм, т. пл.  $85-88^\circ$ . 1 г  $m$ - $\text{H}_2\text{NC}_6\text{H}_4\text{OCON}(\text{CH}_3)_2$ , 4,8 г 49%-ного р-ра  $\text{CH}_3\text{Br}$  в  $\text{CH}_3\text{OH}$  и 0,33 г  $\text{MgO}$  нагревают в запаянной трубке (10 час.,  $100^\circ$ ),  $\text{CH}_3\text{OH}$  удаляют, остаток экстрагируют теплым  $\text{CHCl}_3$ , промывают р-ром  $\text{K}_2\text{CO}_3$ , удаляют  $\text{CHCl}_3$  и осадок перекристаллизуют из спирта. Получают 1,28 г  $m$ - $(\text{CH}_3)_2\text{NCO}_2\text{C}_6\text{H}_4\text{N}(\text{CH}_3)_3\text{Br}$ , т. пл.  $167^\circ$  (разл.). Аналогично получают  $m$ - $(\text{CH}_3)_2\text{NCO}_2\text{C}_6\text{H}_4\text{N}(\text{CH}_3)_3\text{J}$ , выход 79,7%, т. пл.  $167^\circ$  (разл.).

Я. Данишевский

**29786 П. Получение 4,4'-тиодирезорцина.** Мур (Process of preparing 4,4'-thiobisresorcinol. Moore Ralph G. D.) [General Aniline & Film Corp.]. Пат. США 2755306, 17.07.56

$\text{SCl}_2$  или р-ром  $\text{SCl}_2$  в алкиловом эфире низкой алфатич. к-ты [напр.,  $\text{HCOOC}_2\text{H}_5$ ,  $\text{CH}_3\text{COOC}_2\text{H}_5$  (I),  $\text{C}_2\text{H}_5\text{COOC}_2\text{H}_5$ ,  $\text{C}_3\text{H}_7\text{COOCH}_3$ ,  $\text{C}_3\text{H}_7\text{COOC}_2\text{H}_5$ ,  $\text{CH}_3\text{COOC}_3\text{H}_7$ ,  $\text{CH}_3\text{COOC}_5\text{H}_{11}$ -изо,  $\text{C}_3\text{H}_7\text{COOC}_5\text{H}_{11}$ -изо] действуют на резорцин 0,5—1,5 часа при  $0-15^\circ$ , нейтрализуя образующийся  $\text{HCl}$  водн. р-ром карбоната  $\text{Na}$ ,  $\text{K}$  или  $\text{Li}$  при  $t$ -ре  $< 25^\circ$  (лучше  $15-20^\circ$ ); органич. слой отделяют, эфир отгоняют при  $100-300$  мм рт. ст. и  $t$ -ре бани  $70-90^\circ$  ( $t$ -ра внутри прибора  $20-60^\circ$ ). К остатку прибавляют воду ( $1/2$  от первоначального объема эфира) и продолжают отгонку в указанных условиях. Отгоняют значительную часть воды, охлаждают до  $\sim 30^\circ$ , вносят затравку, оставляют на  $\sim 16$  час. при  $0-5^\circ$ , получают кристаллич. 4,4'-тиодирезорцин, выход 25—45%. К охлаждаемому и перемешиваемому р-ру 44 г технич. резорцина в 200 мл I в течение нескольких минут при  $t$ -ре  $\leq 15^\circ$  прибавляют р-р 20,6 г  $\text{SCl}_2$  в 45 мл I. Через 1 час холодную смесь выливают в перемешиваемый р-р 25 г  $\text{Na}_2\text{CO}_3 \cdot \text{H}_2\text{O}$  в  $\sim 150$  мл воды при  $15-20^\circ$ . Водяной слой ( $\text{pH} \sim 7$ ) отделяют, от органич. слоя отгоняют I при  $t$ -ре бани  $80-90^\circ$  и давл. 200 мм рт. ст. Добавляют 100 мл воды и отгоняют ее в указанных условиях. После внесения затравки и выдерживания остатка в холодильнике получают 18,3 г 4,4'-тиодирезорцина, т. пл.  $\sim 190^\circ$ .

И. Шалавина



29787 П. Получение сульфосалициловой кислоты. Чайковский, Котелко (Sposób otrzymywania kwasu sulfosalicylowego. Czajkowski Ignacy, Kotelko Antoni) [Akademia Medyczna w Łodzi. Wydział Farmaceutyczny. Zakład Technologii Chemicznej Środków Leczniczych]. Польш. пат. 37292, 25.05.55

1 кг сублимированной салициловой к-ты сульфировать 5 кг  $H_2SO_4$  (1 час, 110°), продукт отфильтровывают и дважды кристаллизуют из 5 л чистой  $HCl$  ( $d = 1,2$ ), кристаллы промывают  $HCl$  до отсутствия  $SO_4^{2-}$  и растворяют в небольшом кол-ве воды, через р-р продувают водяной пар до исчезновения  $Cl^-$ . Р-р упаривают в вакууме при  $t$ -ре < 70°, получают 1,0—1,3 кг сульфосалициловой к-ты. С. Войткевич

29788 П. Получение 4,4'-дипропоксикетонакарбанилида. Утида, Фудзин, Юкава [Танаба сэйяку кабусики кайся]. Японск. пат. 272, 20.01.56 [Chem. Abstrs, 1957, 51, № 8, 5827 (англ.)]

10 ч.  $n$ - $C_3H_7OC_6H_4NH_2$ , 5 ч.  $CS_2$  и 0,5 ч.  $S$  в 35 ч.  $C_6H_5OH$  кипятят 3 часа, продукт отфильтровывают и перекристаллизовывают из спирта. Получают 9,8 ч.  $(n$ - $C_3H_7OC_6H_4NH$ ) $_2CS$  в виде листочков с т. пл. 174,5°. Аналогично синтезируют  $(n$ - $изо$ - $C_3H_7OC_6H_4NH$ ) $_2CS$ , т. пл. 144°. Б. Ф.

29789 П. Получение новых производных иминодикарбоновых кислот (Verfahren zur Herstellung eines neuen Iminodicarbonsäurederivates) [Ciba A.-G.] Швейц. пат. 296918 и 296919, 1.05.54 [Chem. Zbl., 1955, 126, № 25, 5864 (нем.)]

Доп. к швейц. пат. 292453 (РЖХим, 1956, 7810). Индикаторы для аналитич. целей получают р-цией 1 моля  $\alpha$ -крезолфталейна с двумя молями иминодиуксусной к-ты и двумя молями  $CH_2O$  (темно-красный порошок, растворимый в эфире) или р-цией 1 моля азоксидеила, полученного из 4-хлор-1-аминобензола и фенола, с 1 молем иминодиуксусной к-ты и 1 молем  $CH_2O$ ;  $Na$ -соль полученного продукта растворима в воде.

В. Смит  
29790 П. Получение хлоргидрата 3,4-диокси- $\alpha$ -диметиламинопропиофенона. Ивао, Самэити [Танаба сэйяку кабусики кайся]. Японск. пат. 4419, 19.07.54

При р-ции производных  $\alpha$ -галонидпропиофенона с  $(CH_3)_2NH$  (I) и последующем действии  $HCl$  образуется  $HCl$ -соль II (II — 3,4-диокси- $\alpha$ -диметиламинопропиофенон). Конденсацию I с 3,4-диокс-, 3,4-алкокси-, или 3,4-диацетокси- $\alpha$ -галонидпропиофеноном проводят в среде органич. р-рителей ( $C_6H_6$ ,  $CHCl_3$  или диоксан); при последующей обработке продуктов конц.  $HCl$  может происходить отщепление алкокси- и ацетоксигрупп; в результате образуется  $HCl$ -соль II. К р-ру 4,7 г 3,4-диокси- $\alpha$ -бромпропиофенона, т. пл. 148—149°, в 50 мл диоксана прибавляют р-р 3,8 г в  $C_6H_6$  и оставляют на 24 часа; фильтруют, отгоняют р-ритель, остаток растворяют в 10%-ной  $HCl$  и концентрируют р-р. При стоянии выделяется 1,5 г кристаллич.  $HCl$ -соли II, т. пл. 108—110°. К р-ру 5 г 3,4-диметокси- $\alpha$ -бромпропиофенона в  $C_6H_6$  прибавляют 2,5 г I в  $C_6H_6$ , оставляют на 16 час., фильтруют, отгоняют  $C_6H_6$ , остаток перегоняют в вакууме, получают 3,5 г 3,4-диметокси- $\alpha$ -диметиламинопропиофенона (III), т. кип. 157—160°/2 мм. Растворяют III в  $HCl$ , р-р концентрируют, при стоянии выпадает кристаллич.  $HCl$ -соль III, т. разл. 137—140°. 7 г  $HCl$ -соли III нагревают 3 часа с 70 мл конц.  $HCl$  в запаянной трубке при 150—170°, после охлаждения и концентрирования р-ра получают 5,2 г  $HCl$ -соли II. 5 г 3,4-диоксипропиофенона растворяют в 11 г пиридина, прибавляют при охлаждении 7,2 г  $(CH_3CO)_2O$ , оставляют на несколько часов, выливают в холодную воду, нейтрализуют разб.  $HCl$ , экстрагируют эфиром, из эфир. р-ра выделяют 3,4-диацетоксипропиофенон, т. пл. 58—60°, т. кип. 177—178°/4 мм. К р-ру 5,2 г

3,4-диацетоксипропиофенона в 32 мл  $CHCl_3$  прибавляют по каплям 3,2 г  $Br_2$  при 50°, промывают воды, р-ром  $NaHCO_3$ , высушивают, отгоняют  $CHCl_3$ , получают 5 г 3,4-диацетокси- $\alpha$ -бромпропиофенона (IV), т. пл. 83—85°. К р-ру 4 г IV в 20 мл  $CHCl_3$  прибавляют бензольный р-р 2,5 г I, через несколько часов р-р фильтруют, отгоняют  $C_6H_6$ , к остатку прибавляют разб.  $HCl$ , слегка нагревают, затем концентрируют в вакууме; при стоянии выпадает 1,8 г  $HCl$ -соли II. В. Каратаев

29791 П. Получение четвертичных аммониевых солей, содержащих серу. Ямамото [Камогава каю кабусики кайся]. Японск. пат. 6717, 20.10.54 [Chem. Abstrs, 1956, 50, № 11, 7858 а (англ.)]

100 г  $C_6H_5SNa$  и 95 г  $HOCH_2CH_2Cl$  нагревают 4 часа в среде спирта. Р-р фильтруют, спирт удаляют. Получают 100 г  $HOCH_2CH_2SC_6H_5$ , который растворяют в 200 г  $CHCl_3$ . К р-ру прибавляют по каплям 120 г  $SOCl_2$ ,  $CHCl_3$  удаляют, получают 80 г  $ClCH_2CH_2SC_6H_5$ , который нагревают с 98 г  $CH_3(CH_2)_{10}CH_2N(CH_3)_2$  10 час. при 60—80 мм рт. ст. и 100—120°. Продукт промывают эфиром. Получают 140 г  $CH_3(CH_2)_{10}CH_2N(CH_3)_2(CH_2CH_2SC_6H_5)Cl$ , т. пл. 80° (из этилацетата). Я. Данюшевский

29792 П. Получение эфиров фосфорной кислоты. Окада, Фукусава, Омия, Миядзаки [Нихон сода кабусики кайся]. Японск. пат. 5085, 14.08.54 [Chem. Abstrs, 1956, 50, № 9, 6508 а (англ.)]

38,4 г  $(C_2H_5O)(n$ - $O_2NC_6H_4O$ ) $_2PS$  в 80 мл абс. спирта обрабатывают при 5—10°  $C_2H_5ONa$  (из 2,3 г  $Na$ ), перемешивают 30 мин., кипятят 1 час., спирт удаляют, остаток экстрагируют  $C_6H_6$ , экстракт промывают водой, сушат над  $Na_2SO_4$  и перегоняют. Получают 20,4 г  $n$ - $O_2NC_6H_4O(C_2H_5O)_2PS$  и 14,3 г  $n$ - $O_2NC_6H_4ONa$  (побочный продукт). На 47,7 г  $(n$ - $O_2NC_6H_4O$ ) $_3PS$  в 96 мл абс. спирта действуют  $C_2H_5ONa$  (из 4,6 г  $Na$ ), реакционную смесь обрабатывают как указано выше; получают 18,1 г  $n$ - $O_2NC_6H_4(C_2H_5O)_2PS$  и 28 г  $n$ - $O_2NC_6H_4ONa$ . Л. Герман

29793 П. Получение карбаминофениларсиновых кислот. Накатани, Эндо, Андзава, Канэхори [Санкё кабусики кайся]. Японск. пат. 5086, 14.08.54 [Chem. Abstrs, 1956, 50, № 9, 6508 с (англ.)]

1 кг  $n$ - $H_2NC_6H_4AsO(OH)_2$  и 1,7 кг мочевины в 300—500 мл  $C_6H_5CH_3$  нагревают 6 час. при 110—120°, охлаждают, добавляют 6—7-кратное (по объему) кол-во воды, обесцвечивают углем, добавляют разб.  $H_2SO_4$ , или  $HCl$  до рН 3 и отфильтровывают  $n$ - $H_2NC_6H_4AsO(OH)_2$ . К фильтрату добавляют разб.  $HCl$  до рН 2 и отфильтровывают 400 г  $n$ - $H_2NCONHC_6H_4AsO(OH)_2$ , т. пл. 169—170° (разл.). Я. Данюшевский

29794 П. Выделение  $\beta$ -нафтола. Вриис, Медкаф (Recovery of beta-naphthol. Vriens Gerard N., Medcalf Eugene C.) [American Cyanamid Co.]. Пат. США 2727927, 20.12.55

Из смеси, образующейся при окислении  $\beta$ -диалкилметилнафталина (I) в соответствующую гидроперекись и последующем кислотном расщеплении, состоящей из I,  $\beta$ -нафтола (II), диалкилкетона и побочно образующихся алкилнафтилкетона и диалкилнафтилкарбинола, отгоняют диалкилкетон. Остаточную часть одновременно обрабатывают до установления равновесия двумя несмешивающимися р-рителями, один из которых (полярный) растворяет II, а другой (неполярный) растворяет I и побочные продукты. Фазы разделяют и из полярного р-рителя выделяют II. В качестве неполярного р-рителя применяют насыщ. углеводороды, а в качестве полярных:  $CH_3OH$ ,  $C_2H_5OH$ , этиленгликоль, этаноламин,  $\beta$ , $\beta'$ -оксидипропионитрил,  $CH_3NO_2$ ,  $\beta$ , $\beta'$ -иминодипропионитрил, диметилформамид,  $CH_3CN$  и водн. р-ры  $NH_3$  или  $CH_3NH_2$ . С. Тайц

29795 П. Получение солей аминов с 3-фенилазо-4-амино-1-нафталинсульфоникислотой. Оса, Канэко [Дай иппон сэйяку кабусики кайся]. Японск. пат.

1600, 26.03.54 [Chem. Abstrs, 1955, 49, № 17, 11715 (англ.)]

5 ч. 4,3,1- $H_2N(C_6H_5N=N(C_{10}H_5SO_3H(I)$ ), 1 ч. 2-этанол-амин растворяют в 15 ч.  $C_2H_5OH$ , к р-ру прибавляют 5 ч. эфира. При стоянии выпадает 5 ч. диэтаноламиновой соли I в виде оранжево-красных игл. Б. Ф.

29796 П. Способ очистки ализарина. Козак, Франке (Sposób oczyszczania alizaryny. Kozak Władysław, Franke Stanisław) [Instytut Chemii Nieorganicznej]. Польск. пат. 35634, 15.04.55

Технический ализарин (I) растворяют в 15–20 вес. ч. ароматич. основания (анилин, ксилидин, толуидин или их алкильные производные, анилиновое масло) при 100–200°. Р-р фильтруют, фильтрат постепенно вводят в 5%-ную  $HCl$ , свободную от  $Fe$ . Выделенный I промывают и сушат. Приведены примеры очистки технич. I с выходом чистого I 64,2–85%.

С. Войткевич

29797 П. Эфиры 1-формил-2-диалкоксиметилантарной кислоты и их циклизация в гетероциклические соединения. Джонс, Корнфелд (1-Formyl-2-dialkoxyethylsuccinic acid esters and their cyclization to heterocyclic compounds. Jones Reuben G., Kornfeld Edmund C.) [Eli Lilly and Co.]. Пат. США 2745845, 15.05.56

Вещества общей ф-лы  $HOCH=C(COOR)CH(COOR)-CH(OR')_2$  (I), где R и R' — низшие алкилы, циклизуются с образованием пятичленных гетероциклических соединений. Циклизацией I в присутствии кислых дегидратирующих агентов получены эфиры 3,4-фурандикарбоновой к-ты, омылением которых выделена сама к-та. Циклизацией I в присутствии  $P_2S_5$  или  $NH_3$  (или солей  $NH_4^+$ ) получают эфиры 3,4-тиофенил 3,4-пирролдикарбоновых к-т, соответственно; их омылением выделяют свободные к-ты. Способы синтеза I указанных гетероциклич. в-в и их свойства см. реф. 29798.

И. Шалавина

29798 П. Способ получения гетероциклических дикарбоновых кислот. Джонс, Корнфелд (Process for the preparation of thiophene dicarboxylic acid. Jones Reuben G., Kornfeld Edmund C.) [Eli Lilly and Co.]. Пат. США 2744917, 08.05.56

Соединения ф-лы  $XCH=C(COOR)C(COOR)=CH$  (I), где X-атомы O, S или NH-группа, R — низший алкил, получают циклизацией диалкиловых эфиров ф-лы  $HOCH=C(COOR)CH(COOR)CH(OR')_2$  (II) (R' — низший алкил). II получают р-цией диалкилового эфира формилантарной к-ты с алкилортоформиадом и превращением образующегося продукта с помощью алкилформината и щелочи в II, который можно также получить р-цией диалкилового эфира формилантарной к-ты со спиртом в присутствии кислого катализатора и последующим формилированием образующегося диалкилового эфира диалкоксиметилантарной к-ты. Циклизацию II в I, где X — O, проводят в присутствии  $H_2SO_4$ ,  $H_3PO_4$ ,  $HCl$ ,  $BF_3$ ,  $ZnCl_2$ ,  $POCl_3$  и др.; при получении I, где X — S или NH, р-цию проводят в присутствии агента, вызывающего одновременную циклизацию и замещение ( $P_2S_5$  при синтезе тиофеновых соединений,  $NH_4Cl$ ,  $CH_3COONH_4$  и другие  $NH_4$ -содержащие в-ва при синтезе производных пиррола). Смесь 700 г диэтилсукцината и 370 г  $HCOOC_2H_5$  при перемешивании добавляют к суспензии 100 г измельченного Na в 2 л абс. эфира и оставляют на ~16 час. при ~20°. Добавляют ледяную воду, водн. слой отделяют и подкисляют 12 н.  $H_2SO_4$ . Диэтилформилсукцинат (III) отделяют, водн. р-р экстрагируют эфиром, экстракт объединяют с маслом, сушат и перегоняют III, т. кип. 120–135°. К смеси 1100 г III, 850 г этилортоформината и 350 мл  $C_2H_5OH$  добавляют 3 капли конц.  $H_2SO_4$ , смесь 3 часа нагревают для отгонки  $C_2H_5OH$  и  $HCOOC_2H_5$ .

Остаток перегоняют, получают 1260 г диэтилдиэтоксиметилсукцината, т. кип. 110–114°/0,5 мм;  $n_D^{25}$  1,4303;  $d_{30}^{30}$  1,042; выход 85%. Смесь 276 г этого эфира и 95 г этилформината 1,5 часа прибавляют к перемешиваемой суспензии 26,5 г Na в 500 мл абс. эфира. Смесь оставляют на 2 часа при ~20°, затем прибавляют 1 л воды. Водн. слой подкисляют разб.  $H_2SO_4$ . Масло отделяют, водн. р-р экстрагируют эфиром, получают 172 г диэтил-1-формил-2-диэтоксиметилсукцината (IV), т. кип. 124°/0,8 мм;  $n_D^{25}$  1,4682;  $d_{30}^{30}$  1,115. Смесь 454 г диэтилсукцината и 250 г  $HCOOC_2H_5$  прибавляют ~1 час к кипящей суспензии 180 г  $CH_3ONa$  в 1,5 л абс. эфира; перемешивают 3 часа, смесь оставляют на 12–16 час., добавляя 600 мл воды, водн. слой отделяют, подкисляют разб.  $H_2SO_4$  и экстрагируют эфиром; выделяют диэтилформилсукцинат (V), т. кип. ~120–125°/8 мм; выход 49%. 265 г V прибавляют к р-ру 100 г  $HCl$  в 1 л абс.  $CH_3OH$ . Смесь оставляют на 16 час. при ~20°, р-ритель удаляют в вакууме. Остаток растворяют в 600 мл эфира, промывают 5%-ным р-ром  $NaHCO_3$  в 25 мл 2,5%-ного NaOH для удаления V. Перегонкой выделяют 206 г диметил-1-диэтоксиметилсукцината, т. кип. 125–130°/6 мм;  $n_D^{25}$  1,4315. Смесь 206 г этого в-ва с 150 г  $HCOOC_2H_5$  прибавляют ~1 час к кипящей суспензии 60 г  $CH_3ONa$  в 1 л абс. эфира. Перемешивание продолжают ~3 час., затем смесь оставляют на 3 дня; добавляют 400 мл воды, водн. слой отделяют, подкисляют разб.  $H_2SO_4$  и экстрагируют эфиром. Получают 113 г диметил-1-формил-2-диэтоксиметилсукцината (VI); выход 48%. VI перегоняют, т. кип. 125–130°/0,5 мм;  $n_D^{25}$  1,4752. 165 г IV 5 мин. прибавляют при 48–52° и перемешивании к 330 мл конц.  $H_2SO_4$ . Смесь охлаждают до 0° и выливают на лед, р-р экстрагируют эфиром. Экстракты моют 300 мл 3 н. NaOH, охлажд. льдом, сушат и перегоняют. Получают 78 г диэтилового эфира 3,4-фурандикарбоновой к-ты (VII); выход 68%;  $n_D^{25}$  1,860 (при использовании  $HF$ ,  $ZnCl_2$ ,  $H_3PO_4$ ,  $POCl_3$  выход VII значительно хуже). Аналогично из 55 г VI (т-ра циклизации 45°) получают 27 г диметилового эфира 3,4-фурандикарбоновой к-ты, т. пл. 49–51° (эф. + петр. эф.). Омылением 141 г VII спирт. р-ром KOH и подкислением конц.  $HCl$  получают 100,2 г 3,4-фурандикарбоновой к-ты, т. пл. 221,5–222,5° (эф. + петр. эф.). Смесь 100 г IV, 100 г  $P_2S_5$  и 1 л абс. толуола кипятят ~2 час. и оставляют на ~16 час. при ~20°. Р-р декантируют, промывают водой, насыщ. р-ром  $NaHCO_3$  и охлажд. 5%-ным р-ром NaOH. Толуольный р-р перегоняют. Получают диэтиловый эфир 3,4-тиофендикарбоновой к-ты (т. кип. 118–130°/1 мм), омылением которого готовят 3,4-тиофендикарбоновую к-ту, т. пл. 225–226° (из воды). Смесь 60,8 г IV, 75 г  $CH_3COONH_4$ , 5 г  $NH_4Cl$ , 150 мл  $CH_3COOH$  и 5 мл воды кипятят 1 час, затем летучее в-ва отгоняют в вакууме. Остаток растворяют в 500 мл эфира, р-р моют водой и 200 мл 5%-ного NaOH, охлажд. льдом. Получают диэтиловый эфир 3,4-пирролдикарбоновой к-ты (VIII), т. пл. 153–154° (из разб. сл.), который может быть также получен постепенным прибавлением при 45° и перемешивании смеси р-ров 55,5 г IV в 75 мл эфира и 4 г  $HCl$  в 25 мл  $C_2H_5OH$  (от смеси предварительно отгоняют р-рители) к 110 мл конц.  $H_2SO_4$ , выливанием смеси на лед и выделением 18,9 г VIII; выход 49%. Омылением 1,5 г VIII спирт. р-ром NaOH и подкислением конц.  $HCl$  получают 3,4-пирролдикарбоновую к-ту, т. пл. 290–292° (разл. после пересадки  $HCl$  из р-ра в разб. щелочи). Указанным для IV способом из дипропилсукцината и пропилформината получен дипропил-1-формил-2-дипропилсиметилсукцинат, из дибутилсукцината и бутилформината — дибутил-1-формил-2-дибутоксиметилсукцинат. Из этих продуктов получены I, где R и R' —  $C_4H_9$ , X — O, S и NH, и I, где R и R' —  $C_4H_9$ , X — O, S и NH.



I являются промежуточными соединениями, напр., производные тиофена для получения антибиотиков; производные пиррола для синтеза гемина и хлорофилла. И. Шалавина

**29799 П. Способ получения бидицических гетероциклических соединений. Крэйц** (Process for preparing bicyclic heterocyclic compounds. Kreuz Kenneth L.) [The Texas Co.]. Пат. США 2727901, 20.12.55. Соединения ряда пиррола или фурана, имеющие алифатич. боковую цепь (А) не менее чем из 4 атомов С, и заместитель (Н, ОН, галогид, карбоксил) в δ-положении к А или при кольцевом атоме С, соседнем с атомом С, к которому присоединена А, контактируют в паровой фазе при 370—760° с катализатором, содержащим в основном устойчивые в условиях р-ции окиси или сульфиды металлов или металлоидов или же их смеси. Из продуктов р-ции выделяют образовавшиеся кумароны или индолы. С. Тайц

**29800 П. Получение 4,5-дигидро-2-метилфурана. Хаус** (Preparation of 4,5-dihydro-2-methylfuran. Hause Norman L.) [E. I. du Pont de Nemours and Co.]. Пат. США 2758118, 7.08.56

Усовершенствование метода получения 4,5-дигидро-2-метилфурана (I) дегидратацией γ-ацетопропанола (II) состоит в нагревании II в присутствии 0,5% (лучше 0,01—0,05%) нелетучих к-т (напр., H<sub>2</sub>SO<sub>4</sub>, стеариновая к-та, NaH<sub>2</sub>IO<sub>4</sub>, NaHSO<sub>4</sub> или лучше H<sub>3</sub>PO<sub>4</sub>; большие кол-ва кислотных агентов вызывают полимеризацию) с отгонкой образующихся I и воды через обогреваемую до 50—100° пустую колонну, длина которой в 10—70 (лучше 25—40) раз больше ее диаметра, при одновременном непрерывном введении в куб II. Для уменьшения превращения II в побочные продукты следует сокращать время нагревания II, загружая в куб небольшие кол-ва II (< 20% общего объема II, подлежащего превращению; лучше 1—15%), а затем по мере отгонки I в куб непрерывно вводить II, поддерживая постоянный объем жидкости. К дистилляту добавляют 1—2% карбоната или бикарбоната щел. или щел.-зем. металла. Для гидролиза побочно образующегося продукта присоединения II к I добавляют 1—30% (от веса нагреваемого II) воды, в частности в конце перегонки или когда уменьшается скорость отгонки. Смешивают 4 мл 0,3 н. H<sub>3</sub>PO<sub>4</sub> и 300 г П. 50 мл этого р-ра перегоняют через предварительно нагретую до 80° колонну Вигре (высота 45 см, диам. 1,5 см). Дегидратация начинается при 175°. Оставшуюся смесь вводят в куб при постоянном объеме жидкости. Т-ра отгона 85—97°. Т-ра в кубе возрастает до 195°; после добавления всей смеси т-ра постепенно поднимается до 260°. Получают 212 г I (выход 85%). Если загружают сразу весь II, то выход I 56%. I служит промежуточным в-вом напр. для синтеза витамина В<sub>1</sub>. И. Шалавина

**29801 П. Получение триалкоксигидропиррана. Каба** (си. Хи ра ки [Мицубиси касэй когё кабусики кайся] Японск. пат. 8679, 28.12.54 [Chem. Abstrs, 1956, 50, № 13, 9450 с (англ.)]. 220 г (CH<sub>3</sub>O)<sub>2</sub>CHCH<sub>2</sub>CH(ОСН<sub>3</sub>)CH<sub>2</sub>CH(ОСН<sub>3</sub>)<sub>2</sub> в 100 мл 10%-ной HCl оставляют на 7 дней при т-ре ~20°, охлажденному до 0° р-ру прибавляют 50 мл 50%-ного NaOH, осадок NaOOCCH=CHCH<sub>2</sub>CH=O отфильтровывают, фильтрат экстрагируют эфиром. Перегонкой экстракта выделяют 90,9 г 2,4,6-триметокситетрагидропиррана, т. кип. 78—79°/5 мм. Б. Ф.

**29802 П. Получение фосфорнокислого эфира гесперидина. Танака, Сакки** [Такэда якухин когё кабусики кайся]. Японск. пат. 3682, 30.05.55

4,5 г гесперидина растворяют при 100° в 20 мл H<sub>3</sub>PO<sub>4</sub>, охлаждают 16 час., выливают в ~500 мл воды, осадок отфильтровывают, промывают водой и кристаллизацией из разб. спирта выделяют ~3 г фосфорнокислого эфира гесперидина. С. Петрова

**29803 П. Способ выделения пиридиновых оснований из смол. Свентославский, Былицкий, Лисицкий, Ростафинская, Богущкий, Земборак** (Sposób otrzymywania zasad pirydynowych z olejów smolowych. Świętosławski Wojciech, Bylicki Andrzej, Lisicki Zygmunt, Rostańska Danuta, Bogucki Tadeusz, Zięborak Kazimierz) [Instytut Chemii Ogólnej]. Польск. пат. 37818, 25.06.55

При выделении пиридиновых оснований из фракции каменноугольной смолы с т. кип. до 170° (напр., из карболового масла) предварительно удаляют кислые части. Это разрушает азеотропные смеси и позволяет выделять пиридиновые основания ректификацией. С. Войткевич

**29804 П. Выделение 4-пикколина и 2,6-лутидина из пиридиновых оснований. Штайгр** (Verfahren zur Gewinnung von 4-Picolin und 2,6-Lutidin aus Pyridinbasen. Stajgr Vojtěch). Пат. ГДР 13306, 3.06.57

К пикколиновой фракции (ПФ) с т. кип. 140—145°, освобожденной от 3-пикколина (I), прибавляют р-р CuCl<sub>2</sub> в CH<sub>3</sub>OH и осаждают 4-пикколи (II) в виде двойной соли состава CuCl<sub>2</sub>·2C<sub>8</sub>H<sub>7</sub>N (III). Восстановлением избытка CuCl<sub>2</sub> в Cu<sub>2</sub>Cl<sub>2</sub> и добавлением дополнительного кол-ва Cu<sub>2</sub>Cl<sub>2</sub> из фильтрата при нагревании выделяют 2,6-лутидин (IV) в виде соли Cu<sub>2</sub>Cl<sub>2</sub>·2C<sub>8</sub>H<sub>7</sub>N (V). Подщелачиванием и перегонкой с водяным паром из двойных солей выделяют соответственно чистый II и IV. Из 1000 мл (952 г) ПФ, содержащей I, II и IV в соотношении ~1:1:1, известным способом удаляют I. К остатку, разб. CH<sub>3</sub>OH, добавляют р-р 180 г CuCl<sub>2</sub> в 300 мл CH<sub>3</sub>OH и осаждают III. После охлаждения до 20° осадок отфильтровывают, взмучивают в CH<sub>3</sub>OH, фильтруют и промывают CH<sub>3</sub>OH. Фильтрат, содержащий IV и осадок CuCl<sub>2</sub>, обрабатывают SO<sub>2</sub> или NaHSO<sub>3</sub> для восстановления CuCl<sub>2</sub> в Cu<sub>2</sub>Cl<sub>2</sub>, нагревают до кипения, добавляют к нему 140—200 г измельченной Cu<sub>2</sub>Cl<sub>2</sub>. По охлаждении отфильтровывают V, промывают водой, насыщ. SO<sub>2</sub> в CH<sub>3</sub>OH (2 × 200 мл). Двойные соли разлагают подщелачиванием NaOH и перегонкой с паром, из III получают II, т. пл. 2,4°, выход 50% (теор.) и из V—90—95%-ный IV с выходом 55%, считая на содержание IV в ПФ. II применяют в качестве р-рителя и исходного в-ва для приготовления инсектицидов, пластич. масс и гидразида изоникотиновой к-ты. IV применяют напр., для синтеза лобелина.

**29805 П. Получение азотсодержащих виниловых эфиров. Бём** (Verfahren zur Herstellung von stickstoffhaltigen Vinyläthern. Böhm Georg) [Chemische Werke Hüls A.-G.]. Пат. ФРГ 960191, 21.03.57

Эфиры общей ф-лы (R)(R')NCH<sub>2</sub>CH<sub>2</sub>OCH=CH<sub>2</sub> (R и R' — органич. остатки или же они вместе с атомом N входят в состав цикла), являющиеся полупродуктами для лекарственных в-в и пластич. масс, получают р-цией β,β'-дигалоиддиэтилового эфира с вторичным амином (диэтил-, дибутил-, дигексиламин, моноалкиламин, морфолин, пиррол, пиперидин) при т-ре 50—200°. К 1100 ч. морфолина, нагретым до 80°, прибавляют при перемешивании 430 ч. β,β'-дихлордиэтилового эфира (I) при т-ре ≤125°. Через 2 часа смесь охлаждают, добавляют 500 ч. 50%-ного NaOH, отфильтровывают NaCl, отделяют водн. фазу и перегоняют органич. слой. Получают 252 ч. β-морфолиноэтилвинилового эфира, т. кип. 94—95°/14 мм, выход 53,5%. 900 ч. ~95%-ного пиперидина обрабатывают 290 ч. I при 100°. Получают 95 ч. β-пиперидиноэтилвинилового эфира, т. кип. 102—103°/40 мм. Б. Фабричный

**29806 П. Получения азотсодержащих гетероциклических соединений, содержащих винильную группу.**

Рунге, Науман, Моргнер (Verfahren zur Herstellung von Vinylverbindungen stickstoffhaltiger Heterocyclen. Runge Franz, Naumann Günther, Morgner Manfred) [VEB Farnefabrik Wolfen]. Пат. ГДР 13099, 25.04.57

Указанные соединения и их гомологи получают гидрированием соответствующих гетероциклич. в-в, содержащих группу  $C_2H_5$ , в газовой фазе при высоких т-рах, возможно при пониженном давлении, в присутствии катализаторов (окислы 3-валентных металлов, напр.  $Al_2O_3$  или  $Cr_2O_3$  с добавкой  $ZnO$  и нелетучих солей щел. или щел.-зем. металлов, их окисей и гидроокисей и разбавителей (пары воды,  $CO_2$ ,  $N_2$ ). Смесь 300 ч. 4-этилпиридина (I) и 600 ч. воды при 600—650° ежедневно пропускают над 1 л катализатора (50%  $ZnO$ , 40%  $Al_2O_3$  и 10%  $CaO$ ), конверсия I ~ 50%. К полученной смеси неизмененного I, 4-винилпиридина, незначительных кол-в пиридина и других побочных продуктов, добавляют ингибитор полимеризации и фракционируют в вакууме. При 89—90°/30 мм отгоняют чистый 4-винилпиридин,  $n_D^{20}$  1,537. Аналогично из 200 ч. 2-метил-5-этилпиридина и 600 вес. ч. воды в присутствии  $Al_2O_3$  и  $Cr_2O_3$  получают неочищ. 2-метил-5-винилпиридин (выход ~ 50%), который при повторной перегонке имеет т. кип. 96—100°/15 мм,  $n_D^{20}$  1,5410. Продукты применяют в резиновой пром-сти и для произ-ва пластич. масс, при получении светочувствительных материалов, вспомогательных в-в в текстильной пром-сти, для произ-ва фунгицидов и анкинообменных смол.

Я. Данишевский  
29807 П. Получение виниловых соединений. Мехлинг, Моргнер, Лос (Verfahren zur Herstellung von Vinylverbindungen aus gegebenenfalls heterocyclischen Aralkylalkoholen. Mechling Max, Morgner Manfred, Lohs Karlheinz) [VEB Farnefabrik Wolfen]. Пат. ГДР 13286, 31.05.57

Аралкиловые спирты подвергаются каталитич. гидратации при 250—350° над силикагелем, пропитанным  $H_3PO_4$  (I). 7 ч. технич. р-ра жидкого стекла ( $d_4^{20}$  1,18) прибавляют при перемешивании к 5 ч. 10%-ной I до pH 4,5. Студень измельчают, промывают, сушат при 105°, вымачивают 48 час. в 5%-ной I и сушат при 350°. Над приготовленным контактом (K) при 300° и 5 мм рт. ст. пропускают 100 ч. 2-пиридинэтанол. Через 2 часа из дистиллата отгоняют 69 ч. 90%-ного 2-винилпиридина, выход 75%. Если в качестве K применяют силикагель, вымоченный 48 час. в 10%-ной I и высушенный при 350°, то выход 2-винилпиридина 80%. Аналогично могут быть получены 4-винилпиридин и 2-винилхинолин. Р-р 50 ч. 1,4-ди-( $\alpha$ -оксиэтил)-бензола в 100 ч. горячей воды пропускают над K 35 мин. при 250° и 50 мм рт. ст. Твердый  $\alpha$ -дивинилбензол отделяют от водн. фазы и перегоняют в вакууме. Выход 65%, т. пл. 31°. Р-р 50 г 4,4'-ди-( $\alpha$ -оксиэтил)-дифенила в 1000 мл диоксана пропускают по каплям при 350° над K (силикагель, полученный осаждением с помощью I и высушенный при 350° без предварительного вымачивания в р-ре I). Выход 4,4'-дивинилдифенила 75%.

Б. Фабричный  
29808 П. Получение N-этилпиридина. Левенштейн, Завадский (Sposob wytwarzania N-etylopiperydyny. Lewenstein Wiesław, Zawadzki Jerzy) [Instytut Farmaceutyczny]. Польск. пат. 36555, 30.05.55

Пиридин (I) гидрируют над Ni-Co-катализатором (K), продукт этилируют над тем же K. К р-ру 150 г азотнокислого Ni и 10 г азотнокислого Co в 100 мл дистилл. воды прибавляют 30 г силикагеля со средним диаметром частиц 0,05 мм. Приведенную суспензию прибавляют при перемешивании к р-ру 200 г  $Na_2CO_3$  в 500 мл воды. Осадок многократно декантируют, фильтруют, промывают до отсутствия  $NO_3^-$ ,

высушивают при 100° и просеивают. 15 г K восстанавливают 6 час. при 150°, пропуская  $H_2$  со скоростью 10 мл/мин, охлаждают в токе  $H_2$  и помещают в качающийся автоклав, в котором находится 100 г технич. I. Гидрируют ~ 5 час. при 150—180° и 6—100 ат. К смеси, содержащей 90% пиперидина, 10% I и K, прибавляют 100 г  $C_2H_5OH$ , нагнетают  $N_2$  до 30 ат и нагревают 4 часа при 180—200°. Фракционированием выделяют чистый N-этилпиридин с т. кип. 126—131°, выход 80%.

С. Войткевич  
29809 П. 2-хлордиоксен. Астл, Гергел (2-chlorodioxene. Astle Melvin J., Gergel William C.) [Olin Mathieson Chemical Corp.]. Пат. США 2756240, 24.07.56

2-хлордиоксен ф-лы  $OCH_2CH_2OCH=CCl$  (I) получают кипячением 2,3-дихлор-1,4-диоксана (II), непрерывно отгоняя через колонну образующиеся I и HCl, продуванием  $N_2$  или другого инертного газа через I (для удаления растворенной в нем HCl) и повторной перегонкой. Для уменьшения разложения и полимеризации I перед перегонкой желательно добавлять к I немного высококипящих инертных р-рителей, напр. диалкиловых эфиров полиэтиленгликолей (двухатомный эфир тетраэтиленгликоля, т. кип. 275°). 978,2 г II кипятят 4,5 часа. При 186° начинает выделяться HCl. Через колонну в 20 теоретич. тарелок отбирают 554 мл (749,1 г) конденсата, в колбе остается 84,2 г смолы. Конденсат фракционируют на колонне длиной 35 см с насадкой из стеклянных спиралей. Получают 572 г I, т. кип. 145—147°,  $n_D^{20}$  1,466. I дает полимеры и сополимеры и служит промежуточным в-вом для получения  $\alpha$ -диоксанона-2, используемого для сополимеризации с акрилонитрилом или в качестве пластификатора. К р-ру 22 г NaOH и 0,5 г олеиновокислого K в 200 мл воды, нагретому до кипения и охлажд. затем до 70°, в течение 45 мин. добавляют 60 г I; т-ра р-ра 80—100° (р-цию ведут в колбе с обратным холодильником). Р-р охлаждают, оставляют на ~ 16 час., кислотный р-р экстрагируют эфиром, смесь подщелачивают и снова экстрагируют эфиром. Объединенные эфирные экстракты упаривают до объема 50 мл и охлаждают твердой  $CO_2$ .  $\alpha$ -диоксанон-2 отфильтровывают и сушат на воздухе, т. пл. 26—37°. При стоянии т-ра плавления I возрастает из-за частичной полимеризации.

И. Шалавина  
29810 П. 1-фенил-4-нитрозо-2,3-диметилпиразолон-5. Косаки [Сумитомо кагаку когэ кабусики кайса]. Японск. пат. 130, 11.01.54

Чистый 1-фенил-4-нитрозо-2,3-диметилпиразолон-5 (I) получают метилированием 1-фенил-3-метилпиразолон-5 (II) действием  $n-H_3CC_6H_4SO_3CH_3$  (III) в атмосфере инертного газа и дальнейшим нитрозированием. 1 моль II и 1 моль III нагревают в атмосфере  $N_2$  до 110—115°, затем поднимают т-ру до 140—150°, далее нагревают при 165—170° в течение нескольких часов; охлаждают до ~ 95°, добавляют 45%-ный р-р NaOH до щел. р-ции, нагревают 2 часа при 98—100°, нейтрализуют 18%-ной HCl, фильтруют, добавляют водн. р-р 1 моля  $NaNO_2$  и 1 моля 18%-ной HCl при охлаждении до 0—3°; получают I, выход 94%.

В. Каратаев  
29811 П. Получение триэтиленмеламина. Ямагути [Еситоми сэйка кубусики кайса]. Японск. пат. 2190, 23.04.54

2,4,6-трис-( $\beta$ -оксиэтиламино)-триазин (I) превращают в сернокислый эфир, который при действии конц. щелочи образует триэтиленмеламин (2,4,6-трис-(1-азидинил-сим-триазин) (II). К 1 молю I медленно добавляют 3 моля конц.  $H_2SO_4$ , отгоняют воду в вакууме, к остатку прибавляют небольшой избыток 40%-ного NaOH и нагревают; после охлаждения смесь фильтруют и экстрагируют  $CHCl_3$ , р-ритель отгоняют



в вакууме. Прибавлением эфира выделяют 0,1 моля кристаллич. II, т. пл. 150° (разл.). В. Каратаев

29812 П. Получение меламина. Окада, Накаха-ра, Татибана [Тоё коацу корё кабусики кайся]. Японск. пат. 4783, 3.08.54 [Chem. Abstrs, 1956, 50, № 6, 4241e (англ.)]

Расплавленную мочевику пропускают через нагретый змеевик (внутренний диам. 3 мм, длина 50 м) при 400° под давл. 400 ат с линейной скоростью 2,5—3 м/сек. Выход меламина 23,5%. Я. Данюшевский

29813 П. Получение морфолона-3. Дитрих, Хёферман (Verfahren zur Herstellung von 3-Morpholon. Dietrich Wilhelm, Höfermann Horst) [Chemische Werke Hüls A.-G.] Пат. ФРГ 956683, 24.01.57

Амид оксизтоксиуксусной к-ты (I) нагревают при 150—350° и 10—150 атм (200—280° и 30—40 атм) жёстительно в присутствии 5—30% (10—20%) воды или водн. р-ра  $\text{NH}_3$ . I получают из лактона оксизтоксиуксусной к-ты (II), синтезируемого дегидрированием диэтиленгликоля. Процесс может быть периодическим или непрерывным. Через нагретую до 270° трубку с внутренним диам. 12 мм (объем 1,2 л) непрерывно пропускают под давл. 35 атм плав. I, содержащий 15% водн.  $\text{NH}_3$ . Перегонкой в вакууме отделяют головную фракцию II, который снова превращают в I. При времени пребывания 3 часа конверсия достигает 93%, а выход морфолона-3 85%. Приведено еще 2 аналогичных примера.

В. Оноприенко

29814 П. Получение 5-хлор-1,2,4-тиодиазолов. Гёрделер, Грошопп, Шмидт (урожд. Зомерлад), Шперлинг (Verfahren zur Herstellung von 5-chlor-1,2,4-thiodiazolen. Goerdeler Joachim, Groschopp Heinz, Schmidt Ursula, geb. Zoemerlad, Sperling Gerhard). Пат. ФРГ 960281, 21.03.57

3-замещенные 5-хлор-1,2,4-тиодиазолы общей ф-лы

$\text{AC}=\text{NSC}(\text{Cl})=\text{N}$  (I) получают с выходом 50—70% р-цией  $\text{Cl}_2\text{CSCl}$  (II) с амидинами или алкил-S-изотю мочевины (целесообразно в виде их солей) в р-рах или водн. эмульсиях, постепенно прибавляя щелочь. К смеси 47 г хлоргидрата (ХГ) ацетамида, 500 мл  $\text{CH}_2\text{Cl}_2$  и 83 г II при перемешивании и т-ре ниже -8° прибавляют по каплям р-р 100 г NaOH в 150 мл воды. NaCl отсасывают, слои разделяют, водн. слой экстрагируют  $\text{CH}_2\text{Cl}_2$ , органич. слои сушат над  $\text{Na}_2\text{SO}_4$ , р-ритель удаляют, остаток перегоняют при 45°/18 мм. Получают I (A— $\text{CH}_3$ ), т. кип. 51°/21 мм, т. пл. -18°,  $n_D^{20}$  1,52075. Из ХГ пропонамида аналогично получают I (A— $\text{C}_2\text{H}_5$ ), т. кип. 60°/17 мм, т. пл. -18°,  $n_D^{20}$  1,5129; из ХГ бензамида — I (A— $\text{C}_6\text{H}_5$ ), т. пл. 52°, т. кип. 115°/3 мм; из ХГ фенацетамида — I (A— $\text{C}_6\text{H}_5\text{CH}_2$ ), т. пл. 4°, т. кип. 123°/3 мм,  $n_D^{20}$  1,5904. К р-ру 69,5 г сульфата S-метилизотиомочевины в 300 мл воды добавляют 93 г II и немного эмульгатора, затем при перемешивании и охлаждении постепенно прибавляют р-р 80 г NaOH в 160 мл воды. После завершения р-ции прибавляют 20—30 мл 25%-ного р-ра  $\text{NH}_3$  (для разрушения оставшегося II), смесь нейтрализуют и перегоняют с паром. Нижний слой отделяют, сушат и перегоняют в вакууме или кристаллизуют охлаждением и перекристаллизовывают из  $\text{C}_2\text{H}_5\text{OH}$  или петр. эфира. Выход I (A— $\text{CH}_3\text{S}$ ) 50—55%, т. кип. 98°/17 мм, т. пл. 30°. Из бромгидрата S-этилизотиомочевины получают I (A— $\text{C}_2\text{H}_5\text{S}$ ), т. кип. 116°/13 мм, т. пл. -44°,  $d_4^{20}$  1,35. Получаемые 5-хлор-1,2,4-тиодиазолы содержат реакционноспособный галоген и являются полупродуктами для синтеза лекарственных в-в, красителей и добавок к вулканизаторам.

В. Оноприенко

29815 П. Получение 2,5-димеркапто-1,3,4-тиадиазола. Кшикалла, Полеман (Verfahren zur Herstellung von 2,5-Dimercapto-1,3,4-thiadiazol. Krzikalla Hans, Pohlmann Heinz) [Badische Anilin- & Soda-Fabrik A.-G.] Пат. ФРГ 958650, 21.02.57

Гидразин (I) вводят в р-цию с ~2 молями  $\text{CS}_2$  (II) при повышенной т-ре в присутствии  $\geq 3$  экв. щелочи; полученный р-р подкисляют. В эмалированном сосуде смешивают 1800 ч. воды, 225 ч. NaOH и 83 ч. 90,2%-ного гидрата I, при 5—10° добавляют 240 ч. II в 250 ч. спирта. Перемешивают 30 мин. при 20° и 17 час. при 78—80°. Охлаждают и нейтрализуют 700 ч. конц. HCl. Продуванием  $\text{N}_2$  удаляют  $\text{H}_2\text{S}$ , продукт отсасывают и промывают водой. Маточный р-р смешивают с 80 ч. конц. HCl и 200 ч. воды; после длительного стояния отделяют вновь выпавший продукт. Всего получают 206 ч. (93,5%) 2,5-димеркапто-1,3,4-тиадиазола, т. пл. 163° (разл.). Можно применять техн. щел. р-р, содержащий 1,9% I ( $d_4^{20}$  1,234), полученный по пат. ФРГ 735321. Полученное в-во применяют как полупродукт для различных синтезов.

Р. Склобовский

См. также: Анализ органич. продуктов 28525. Уксусная к-та, анализ 28520. Карбоновые к-ты, синтез 28668, 28669. Виниловые эфиры, р-ции 28776, 28813. Циан-ацетилен, свойства, синтез 28672. Диэтиламинопропанол, синтез 29835. Кремнийорганич. соединения 28827—28846. Эфиры тиофосфорной к-ты, синтез 29981. Производные тиофосфорной к-ты, синтез, применение 29983. Гексафторбензол 28864. Фенол, нитрование 28708. n-нитрофенол, применение 29961. Бензойные к-ты, этерификация 28702. 2,4,5-Трихлорфеноксиуксусная к-та, применение 29973—29975. Салициловая к-та, растворимость 29857. Салициламид 29875. 5- и 3-нитродихлорбензойные к-ты 2874. Нафтолы, алкилирование, 28733. Пиридиновые основания, синтез 28786. Изоникотиновая к-та 29887. Замещ. пиразины 29890.

## ПРОМЫШЛЕННЫЙ СИНТЕЗ КРАСИТЕЛЕЙ

Редактор Н. А. Медызовская

29816. Исследования в области красителей для ацетатного шелка и синтетических волокон. I. 1,5- и 1,8-ацетиламинооксантихиноны. Егорова Л. М., Уфимцев В. Н., Ямпольская Е. С., Ж. общ. химии, 1957, 27, № 6, 1650—1654

Исследованы спектры поглощения в УФ и видимой области, растворимость в этилацетате и красящая способность 1-ацетиламино-5- и 8-оксантихинонов — красителей для ацетатного шелка. Установлено, что с увеличением длины ацильного остатка резко падает красящая способность этих красителей по отношению к ацетатному шелку. Вопреки установленным воззрениям, это понижение красящей способности не находится ни в какой связи с растворимостью этих красителей в этилацетате. 37 г 1-аминоантрахинон-8-сульфокислоты (в виде 40%-ной пасты К- или Na-соли), 85 г кристаллиз.  $\text{Ba}(\text{OH})_2$  и 205 мл воды нагревают 6 час. в автоклаве при 160°/6 атм, осадок Ba-соли I (I—1-амино-8-оксантихинон) фильтруют, замещивают с 400 мл воды и при кипячении подкисляют 700 мл разбав. (1:2) х. ч. HCl, фильтруют, промывают водой и кристаллизуют I из спирта, выход 57%, т. пл. 230—231,4°. Аналогично из 1-аминоантрахинон-5-сульфокислоты (6 час., 165°) получают 1-амино-5-оксантихинон, выход 80%, т. пл. 211,0—213,4° (из сп.). К суспензии 3,1 г I в 20,5 мл сухого пиридина в течение 10 мин. прибавляют 2,5 г  $\text{CH}_3\text{COCl}$  с повышением т-ры до 54—60°, перемешивают 1 час при 60°, разбавляют 20 мл  $\text{CH}_3\text{OH}$ , фильтруют и промывают

$\text{CH}_3\text{OH}$ , получают 1-ацетиламино-8-оксантахинон, выход 95,5%, желтые иглы, т. пл. 228,2—228,6° (из смеси сн. +  $\text{CH}_3\text{COOH}$ ), растворимость в этилацетате при 25° 0,122 г/100 г р-рителя. Аналогично получены следующие 1-ацетиламино-8-оксантахиноны (указаны ацил, выход в %, т. пл. в °C и растворимость в этилацетате при 25° в г/100 г р-рителя): пропионил, 58,3, 195,8—196,2, 0,784; бутирил, 78,0, 172,4—173,1, 0,887; валерил, 79,6, 143,5—145,0, 1,118; изовалерил, 53,4, 147,0—147,5, 1,539; капроил, 89,8, 140,5—141,5, 0,768; капроил, —, 136,5, 137,5, 0,354; и следующие 1-ацетиламино-5-оксантахиноны: ацетил, 92,1, 216,8—218,0, 0,225; пропионил, 67,4, 177,2—179,2, 0,934; бутирил, 76,4, 162—163,4, 1,480; валерил, 81,8, 120,0—121,5, 3,250; изовалерил, 82,0, 136,5—137,5, 5,830; капроил, 84,5, 118,0—119,6, 2,717; капроил, 82,0, 105,0—108,0, 2,261. Хорошей красящей способностью обладают лишь производные уксусной, пропионовой и масляной к-т, производные валериановой и изовалериановой к-т красят слабо, а капроновой и каприловой — не закрашивают или почти не закрашивают ацетатного шелка. Ациламинооксантахиноны обладают очень близкими спектрами поглощения с  $\lambda_{\text{макс}}$  (в этилацетате) 410 мμ и величинами поглощения для 1,5-производных  $I_{\text{г}}$  от 3,66 до 3,73 и для 1,8-производных  $I_{\text{г}}$  от 3,63 до 3,69. В. Уфимцев

**29817. Синтез виолантрона из антрахинона.** Матидэ, Утино, Араки, Кито (Machida Seishi, Uchino Norito, Araki Kinshiro, Kito Sukeharu), Bull. Fac. Text. Fibers Kyoto Univ. Industr. Arts and Text. Fibers, 1957, 2, № 1, 117—121 (англ.)

Исследованы условия синтеза виолантрона (I) из антрахинона (II) с целью получения чистого I с хорошими выходами. Смесь 1 кг  $\text{H}_2\text{SO}_4$ , 66° Вé и 104 г II размешивают ~1 час до растворения, в течение ~3 час. прибавляют 1,5 моля Al-порошка при 25—35° и размешивают 2—3 часа при той же т-ре, выливают в 3 л воды, нагревают 1 час при 70—80° и фильтруют, полученный антрон (III) очищают обычным образом, промывают холодной водой и сушат при 80°, выход 99%, т. пл. 150—155°. К 600 г 82%-ной  $\text{H}_2\text{SO}_4$  в течение ~1 часа при размешивании прибавляют 39 г III, затем 51 г глицерина, постепенно нагревают до 80°, в течение 2 час. с 80 до 120° и 3—5 час. при 120° (происходит выделение  $\text{SO}_2$ ), охлаждают до 30° и выливают в 2 л воды, осадок отфильтровывают, промывают водой, кипятят 30—40 мин. с 600 мл 1%-ного р-ра NaOH, фильтруют, нагревают с 1 л воды, подкисленной HCl (к-той), фильтруют и промывают, выход бензантрона (IV) 67%, т. пл. 163—165°. Смесь 844 г  $\text{H}_2\text{SO}_4$ , 66° Вé и 41,6 г II размешивают ~1 час до растворения, вносят при сильном размешивании в течение ~2 час. при 30—40° 13,2 г Al-порошка, размешивают еще 2 часа, прибавляют в течение 30 мин. смесь 51,2 г глицерина и 51,2 мл воды, постепенно нагревают до 120°, выдерживают при этой т-ре еще 3 часа, охлаждают до 20°, выливают в 2 л воды, отфильтровывают и очищают IV, выход 65%, т. пл. 162—165°. Аналогично из 30 г II, 30 г Fe-порошка, 30 г глицерина, при длительности прибавления Fe и глицерина 1,5 часа и длительности р-ции 2 часа при 130°, получают IV, выход 94%. В Ni-тигле славляют 80 г твердого KOH и 24,8 г фенола, нагревают в течение 1 часа до 220°, понемногу прибавляют IV и размешивают 1 час при 220°, по охлаждении выливают в 1,5 л горячей воды и в течение 2 час. продувают р-р воздухом, отфильтровывают I, нагревают 1 час с водой при 80—90°, фильтруют и повторяют эту очистку для удаления 2-оксибензантрона еще 3—5 раз, очнц. I нагревают с водой, подкисляя HCl (к-той), отфильтровывают и сушат при 80°, выход 89%. В. Уфимцев

**29818. Переокисленные материалы в пищевом красителе FD и С синем № 1.** Лирн, Шрамм (Oxoxidized material in FD and C Blue No. 1. Leary G. E., Schramm A. T.), J. Assoc. Offic. Agric. Chemists, 1957, 40, № 2, 589—592 (англ.)

Описан метод определения кол-ва переокисленных примесей в пищевом красителе FD и С синем № 1, обладающих низкой красящей силой по сравнению с красителем. Метод основан на хроматографич. абсорбции примесей на  $\text{Al}_2\text{O}_3$  и вымывании из них основной части красителя 80%-ным  $\text{CH}_3\text{OH}$ . Присмес. обладают ~1/18 красящей силы и 1/2 восстанавливающей способности (при титровании  $\text{TiCl}_3$ ) по сравнению с чистым красителем. В. Уфимцев

**29819 П. Способ получения нерастворимых в воде моноазокрасителей.** Таубе (Verfahren zur Herstellung von wasserunlöslichen Monoazofarbstoffen. Taube Karl) [Farbenfabriken Bayer A.-G.], Пат. ФРГ 952017, 8.11.56

Нерастворимые в воде моноазокрасители (МА) получают диазотированием 2-амино-4-метил-5-циангвозола (I) и последующим сочетанием с производными анилина, способными к азосочетанию и не содержащими карбоксильных или сульфогрупп. МА пригодны для крашения ацетилцеллюлозных (АЦ) и синтетич. волокон, а также лаков и пластмасс, в яркие светопрозрачные цвета. 2,78 г I при сильном охлаждении диазотируют в 50 мл  $\text{H}_2\text{SO}_4$ , 40° Вé, диазораствор выливают в р-р 3,67 г N,N-ди-(β-оксиэтил)-м-толуидина (II) в 25 мл 50%-ной  $\text{CH}_3\text{COOH}$  и смесь выливают в 1000 мл лед. воды (сочетание происходит тотчас), выделают и кристаллизуют из  $\text{CH}_3\text{OH}$  краситель I+II, окрашивающий АЦ и полиамидные волокна в яркий фиолетовый цвет. При сочетании диазораствора из 2,78 г I с суспензией, полученной растворением 3,26 г N,N-диэтил-м-толуидина в 50 мл  $\text{CH}_3\text{COOH}$  и выливанием р-ра в 1000 мл лед. воды, получают фиолетовый МА, а при аналогичном сочетании с 3,84 г N,N-диэтил-м-фенетидина — красно-фиолетовый МА. В. У. **29820 П. Способ получения нерастворимых в воде моноазокрасителей.** Хагеллох, Раб (Verfahren zur Herstellung von wasserunlöslichen Monoazofarbstoffen. Hageloch Günter, Raab Hans) [Farbenfabriken Bayer A.-G.], Пат. ФРГ 963457, 9.05.57

Нерастворимые в воде моноазокрасители (МА) получают диазотированием ароматич. аминов, содержащих ≥1 отрицательный заместитель, и последующим сочетанием с ароматич. аминами общей ф-лы  $\text{C}_6\text{H}_5\text{N}(\text{Y})\text{CH}_2\text{CH}_2\text{NHCOR}$  (Y — алкил; R — H, алкил, оксипропил или алкоксипропил; бензольное ядро может содержать еще и другие заместители), сочетающимися в пара-положении к третичной аминогруппе; составляющие не должны содержать групп, способствующих растворению в воде. МА пригодны для крашения простых и сложных эфиров целлюлозы, напр. ацетилцеллюлозы и полиамидных волокон, в яркие алодо синева-красных цветов, обладающих хорошими прочностями к свету и мокрому обработкам. 22 ч. N-метил-N-(β-аминоэтил)-анилина (I; т. кип. 128—131°/11 мм) нагревают несколько часов при 95—100° с 34 ч. HCOOH, полученный р-р прибавляют к смеси 1000 ч. воды, 500 ч. льда и 0,5 ч. эмульгатора (напр. описанного в примере 1 пат. ФРГ 824949) и затем с прибавлением Na-ацетата до исчезновения минерально-кислой р-ции сочетают с диазораствором, полученным из 25 ч. 2-хлор-4-нитроанилина (II); по окончании сочетания выделяют синева-красный МА. 24 ч. N-этил-N-(β-аминоэтил)-анилина (т. кип. 192—195°/15 мм) смешивают с 12 ч. гликолькарбоната и нагревают при 70—80° до исчезновения первичного амина; коричневую массу, состоящую в основном из



N-этил-N-(карбо-β-оксизтоксиаминоэтил)-анилина, растворяют в лед.  $\text{CH}_3\text{COOH}$  и выливают в смесь 1500 ч. воды, 50 ч. льда и 0,5 ч. эмульгатора, а затем аналогично сочетают с диазораствором из 25 ч. II, получают МА, окрашивающий в красноватый бордо цвет. Аналогично получают следующие МА (указаны азосоставляющая и цвет окраски красителем): 30,5 ч.  $\text{C}_6\text{H}_5\text{N}(\text{CH}_3)\text{CH}_2\text{CH}_2\text{NHCOSCH}_2\text{OH}$  (получен из I и гликолида), синева-красный; 38,6 ч. 1-[N-этил-N-(γ-окси-β-бутираминоэтил)-амино]-3-метилбензола (получен из 1-(N-этил-N-β-аминоэтиламино)-3-метилбензола, т. кип. 145—148°/13 мм, и γ-бутиролактона), красновато-фиолетовый.

В. Уфимцев

29821 П. Способ получения нерастворимых в воде моноазокрасителей. Мюллер, Децнер, Грамм, Бехларе (Verfahren zur Herstellung von wasserunlöslichen Monoazofarbstoffen. Müller Gerd, Detzner Herbert, Grammann Hartmut, Bechlars Franz) [Farbenfabriken Bayer A.-G.]. Пат. ФРГ 963458, 9.05.57

Нерастворимые в воде моноазокрасители (МА) получают диазотированием 2-нитро-4-ацетиламиноанилинов, которые могут содержать в ядре галогид, алкоксил или еще другие нитрогруппы, и последующим сочетанием непосредственно или на субстрате с ариламидами I (I — 2,3-оксинафтойная к-та). МА обладают хорошими светостойкостью и растворимостью в органич. р-рителях и пригодны для окраски лаков, масляных покрытий, типографской и пигментной печати и для крашения пряделных и пластич. масс. 19,5 ч. 2-нитро-4-ацетиламиноанилина (II) диазотируют, прибавляют  $\text{CH}_3\text{COOH}$  и алкилсульфонат, при размешивании приливают р-р 32,2 ч. о-анизида I в разб. р-ре NaOH и нагревают для окончания сочетания до 40°, отфильтровывают и промывают краситель, окрашивающий в темно-коричневый цвет. Приведены примеры получения следующих МА (указаны диазо- и азосоставляющие и цвет МА): II, 2,4-диметоксис-5-хлоранилид I, красно-коричневый; 2-нитро-4-ацетиламино-5-хлоранилин, о-толуидид I, красно-коричневый; 2-нитро-4-ацетиламино-5-метоксанилин, о-толуидид I, темно-коричневый.

В. Уфимцев

29822 П. Способ получения нерастворимых в воде моноазокрасителей. Крукенберг (Verfahren zur Herstellung von wasserunlöslichen Monoazofarbstoffen. Kruckenberg Winfried) [Farbenfabriken Bayer A.-G.]. Пат. ФРГ 953548, 6.12.56. Доп. к пат. ФРГ 928902 (РЖХим, 1958, 5547)

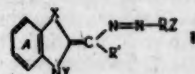
Нерастворимые в воде моноазокрасители получают диазотированием циананилинов, которые могут содержать в ядре алкил и (или) галогид, и последующим сочетанием с аминами бензольного ряда, сочетающимися в пара-положение к аминогруппе, у которых атом Н аминогруппы может быть замещен алкилом или оксикаллом, причем оксикалл может быть замкнут в кольцо с атомом С ядра, после чего получаемые красители можно ацилировать. Моноазокрасители окрашивают ацетилцеллюлозные (АЦ) и полиамидные (ПА) волокна в яркие, оранжевые до синих цвета, прочные к свету и мыльным обработкам. Получаемые окраски на АЦ и ПА одинакового или почти одинакового тона и обладают аналогичной светостойкостью. Р-р 15,3 вес. ч. 2-циан-5-хлоранилина (I) в 50 вес. ч. конц. HCl при хорошем размешивании и охлаждении диазотируют 35 вес. ч. 20%-вого р-ра  $\text{NaNO}_2$ , профильтрованный диазораствор нейтрализуют до слабосидлой р-ции на конго, смешивают с р-ром 15,1 вес. ч. N-оксизтил-м-толуидина (II) в разб. HCl; сочетание заканчивают прибавлением Na-ацетата и отфильтровывают краситель, окрашивающий после перевода в дисперсную форму АЦ и ПА в сильно красноватый оранжевый цвет. Краситель I → II кипятят ~30 мин. с избытком  $(\text{CH}_3\text{CO})_2\text{O}$ , отгоняют  $\text{CH}_3\text{COOH}$

и  $(\text{CH}_3\text{CO})_2\text{O}$  в вакууме и обработкой остатка водой выделяют краситель, окрашивающий АЦ и ПА в оранжевый цвет. Аналогично получают следующие красители (приведены состав красителя и цвет окраски на АЦ и ПА; окраска на ПА отмечена в скобках в случае отличия ее от окраски АЦ): 3-хлор-4-циананилин (III) → II, сильно красноватый оранжевый (алый); III → II с последующим ацелированием, сильно красноватый оранжевый; III → м-толуидин, оранжевый; III → N-этил-м-толуидин, оранжевый; III → 2,5-диметиланилин (IV), оранжевый; I → N-оксизтиланилин, желтовато-оранжевый; I → N-бутил-м-толуидин, оранжевый; I → IV желтовато-оранжевый; I → 2-метил-5-этоксанилин, оранжевый.

В. Уфимцев

29823 П. Металлизуемые и металлосодержащие азокрасители, способ их получения и применения. Валь, Ле-Бри (Nouveaux colorants azoiques metallisables et metalliferes, leurs procedes de preparation et leurs applications. Wahl Henri, Le Bris Marie-Therese) [Cie Francaise des Matieres Colorantes]. Франц. пат. 1115086, 19.04.56

Азокрасители общей ф-лы (I) (X — S, Se или группа = N-алкил; Y — алкил или арил, Z — окси-или карбоксильная группа, находящаяся в ортоположении к азогруппе; R' — H или остаток — N=N — арил; бензольное ядро А может содержать другие



заместители) получают непосредственно или на волокне сочетанием 1 моля диазотированного о-аминофенола или ароматич. о-аминокарбоновой к-ты с 1 молем четвертичной соли 2-метилбензотриазола, 2-метилбензаселеназола, 2-метил-3-алкилбензимидазола или их производных. Полученный моноазокраситель, который в случае необходимости сочетают со вторым молем диазосоединения, переводят непосредственно или на волокне в металл. комплекс. Первое сочетание проводят в слабощел., пиридиновой, аммиачной или содовой среде, второе — в сильнощел. среде, напр. в р-ре едкой щелочи. I пригодны для крашения шерстяных волокон (ШВ) из кислой ванны с предварительной или последующей обработкой волокна или окрашенной ткани солями Fe, Ni, Cu, Co или Cr; металл. комплексы I — для крашения животных волокон из нейтр. ванны; I, не содержащие сульфогрупп — для крашения ацетилцеллюлозных волокон (АЦ). 109 ч. о-аминофенола (II) диазотируют и приливают к р-ру 275 ч. сульфата 1,2-диметилбензотриазола (III) в 600 ч. воды, понижают кислотность прибавлением Na-ацетата и выливают смесь в 280 ч.  $\text{NH}_4\text{OH}$ ; полученный азокраситель II → III, т. пл. 191—191,5° [из пиридина (IV)], окрашивает АЦ в оранжево-красный цвет, водн. р-р его хлоргидрата окрашивает ШВ в желто-оранжевый цвет, хромированную шерсть — в фиолетовый; протравленные Cr хлопковые волокна — в фиолетовый, а протравленные Fe — коричневый. Приведены примеры получения следующих красителей (указаны состав красителя, т-ра плавления в °С и р-ритель для кристаллизации): 4-нитро-2-аминофенол → III, 250, IV; 5-нитро-2-аминофенол → III, 243,5, IV; 2-аминофенол-4-сульфамид (V) → III, 248, —; антралиновая к-та (VI) → III, 253,  $\text{CH}_3\text{NO}_2$ ; 2-аминофенол-4-сульфокислота (VII) → III, —, —; II → метилсульфат 1,2-диметилбензотриазола (VIII) → II, 262, IV или  $\text{CH}_3\text{NO}_2$ ; II → III ← л-хлоранилин, 246, IV или  $\text{CH}_3\text{NO}_2$ ; VI ← III ← л-нитроанилин, 273, —; VI → III ← л-хлоранилин, 250,5, —; V → III ← л-нитроанилин, 277,5, IV; II → III ← VI, 215—216, —; VII → VIII ← VII, —, —. Нагревают 55 ч. салициловой к-ты, 80 ч. кристаллич.  $\text{Cr}(\text{NO}_3)_3$  и NaOH в кол-ве, достаточном для получения

pH 10,6—10,8. 431 вес. ч. красителя V → VIII ← V кипятят 1,5 часа с приготовленным р-ром NaCr-салицилата, взятым в кол-ве, соответствующем 14,4 вес. ч. Cr, 2000 объемн. ч. воды и 600 объемн. ч. конц. р-ра NaOH, полученный Cr-комплекс V → VIII ← V осаждают подкислением HCl (к-той) или  $\text{CH}_3\text{COOH}$  и высаливанием NaCl, комплекс окрашивает ШВ из нейтр. ванны в интенсивный зеленовато-оливковый цвет с очень хорошей светопрочностью.

В. Уфимцев

29824 П. Способ получения дисазокрасителей. Таубе (Verfahren zur Herstellung von Disazofarbstoffen. Taube Carl) [Farbenfabriken Bayer A.-G.] Пат. ФРГ 963459, 9.05.57

Дисазокрасители (ДА) получают бисдiazотированием 1 моля 4,4'-диаминодифенил-3,3'-дикарбоновой к-ты (I) и последующим сочетанием с 1 молем 1-арил-3-метил-5-аминопиразола (II) или его карбоновой или сульфокислоты и с 1 молем 2-амино-8-нафтол-6-сульфокислоты или ее N-алкил- или N-арилпроизводного. ДА пригодны для крашения волокон хлопка или регенерированной целлюлозы; окраски при последующей обработке Cu-солями приобретают прочность к свету и мокрым обработкам. 27,2 г I в 500 мл воды при 0° бисдiazотируют 13,8 г  $\text{NaNO}_2$  и 55 мл техн. HCl, к бисдiazораствору приливают водн. суспензию 30,3 г 1-(8'-сульфонафтил-2')-3-метил-5-аминопиразола и смесь устанавливают прибавлением  $\text{NaHCO}_3$  на pH 8—9. По окончании сочетания отфильтровывают диазомоноазосоединение и в течение 12 час. при 0° сочетают с р-ром 31,5 г 2-фениламино-8-нафтол-6-сульфокислоты и 50 г соды в 1000 мл воды, затем нагревают до 50° и выделяют ДА, окрашивающий в темно-коричневый цвет. Приведен пример получения аналогичного ДА состава II → I → 2-(4'-амино-3'-сульфодифениламино)-8-нафтол-6-сульфокислоты, окрашивающего в красно-коричневый цвет.

В. Уфимцев

29825 П. Способ получения коричневого тетрааксизокрасителя и его металлических комплексов. Гёбель, Глиентберг (Verfahren zur Herstellung eines braunen Tetrakisazofarbstoffs bzw. von dessen Metallkomplexverbindungen. Goebel Hermann, Glietenberg Eugen) [Farbenfabriken Bayer A.-G.] Пат. ФРГ 951949, 8.11.56

Коричневый тетрааксизокраситель (I) получают diaзотированием 1-амино-8-нафтол-3,6-дисульфокислоты (II), сочетанием в щел. среде с резорцином (III) и последующим сочетанием моноазокрасителя II → III в слабо-щел. среде с diaзотированным 4,6-динитро-2-аминофенолом (IV) с применением исходных составляющих в молярных соотношениях. Дисазокраситель II → III ← IV сочетают в слабокислой среде с двойным молярным кол-вом diaзотированного n-нитроанилина (V) и в случае необходимости полученный I обрабатывают металлотидающими реагентами. Diaзотируют 341 ч. II и в содовой среде сочетают со 110 ч. III, а затем с диазосоединением из 220 ч. IV, по окончании сочетания избыток щелочи при 10° снимают до нейтр. р-ции на конго и приливают осветленный диазораствор из 276 ч. V и по окончании сочетания высаливают I, окрашивающий кожу, обработанную хромовыми, растительными или синтетич. дубителями, в интенсивный коричневый цвет. Окраски обладают очень хорошими прочностями к к-там,  $\text{H}_2\text{O}$ , р-рителям, свету и жесткой воде. I при превращении в Fe-комплекс приобретает очень хорошую прочность к мокрым обработкам. Приведен пример получения I по видоизмененному способу, а именно; сначала 1 моль diaзотированного V сочетают в щел. или уксуснокислой среде с 1 молем II.

В. Уфимцев

29826 П. Улучшенный способ получения метилового фиолетового. Йокояма Японск. пат. 889,11.02.56 Доп. к японск. пат. 3087, 1952.

Улучшение описанного в указанном патенте, способ заключается в том, что метиловый фиолетовый (I), полученный окислением диметиланилина в фенольном р-ре, обрабатывают HCl (к-той) и разделяют на 2 слоя; содержащийся в верхнем слое I переводят в основание и выделяют по обычному способу с одновременной регенерацией фенола. 17,4 кг NaCl, 5 кг Cu-сульфата и 1,3 кг  $\text{Cu}_2\text{Cl}_2$  растворяют в 53 кг кипящей воды, прибавляют 10 кг диметиланилина, 4 кг фенола и 0,37 кг  $\text{CH}_3\text{COOH}$ , при перемешивании прибавляют 3 кг  $\text{NaClO}_3$  и нагревают 9 час. при 65—75°, прибавляют еще 8 кг фенола и 10 кг конц. HCl, перемешивают 1 час и оставляют стоять, причем реакционная масса разделяется на 2 слоя. Верхний слой отделяют и передают на 100 кг насыщ. водн. р-ра NaCl для перевода I в основание при 20° и перемешивания прибавляют 21 кг 40%-ного водн. NaOH, перемешивают еще 3 часа, нагревают до 60°, разбавляют 50 кг насыщ. р-ра NaCl, фильтруют и промывают осадок насыщ. р-ром NaCl. Фильтрат и промывные воды соединяют, подкисляют HCl (к-той) до кислой р-ции и после 16 час. отстаивания выделяют (10,9 кг фенола. Осадок обрабатывают р-ром 1,7 кг  $\text{Na}_2\text{S}$ , фильтруют, промывают водой до исчезновения щел. р-ции, обрабатывают 2 часа при кипении чистой водой, содержащей 2,4 кг  $\text{H}_2\text{SO}_4$ , прибавлением щелочи нейтрализуют избыток к-ты, фильтруют и из фильтрата прибавлением NaCl высаливают хлоргидрат I, отфильтровывают и сушат, получают 11,71 кг хлоргидрата I, содержащего 0,3% нерастворимого остатка и 9,9% воды. К р-ру 17,4 кг NaCl, 5 кг Cu-сульфата и 1,3 кг  $\text{Cu}_2\text{Cl}_2$  в 53 кг кипящей воды, 10 кг диметиланилина, 12 кг фенола и 0,37 кг  $\text{CH}_3\text{COOH}$  при перемешивании прибавляют 3,5 кг  $\text{KClO}_3$ , перемешивают 9 час. при 65—70°, прибавляют 10 кг конц. HCl, перемешивают 1 час., после 16 час. отстаивания разделяют на 2 слоя, аналогичной переработкой верхнего слоя выделяют 11,6 кг хлоргидрата I и регенерируют 10,6 кг фенола.

С. Петрова

29827 П. Способ получения тонкодисперсных пигментных красителей диоксазинового ряда. Зедльмайр (Verfahren zur Herstellung feinverteilter Pigmentfarbstoffe der Dioxazinreihe. Sedlmayr Robert) [Farbwerke Hoechst A.-G.] Пат. ФРГ-946560, 2.08.56

Названные красители получают обработкой их в присутствии или в отсутствие органич. р-рителей при обыкновенной или повышенной т-ре  $\text{Cl}_2\text{CHCOOH}$  или ароматич. сульфокислотами и последующим выделением полученных тонкодисперсных продуктов из р-ров или суспензий. 1) 20 вес. ч. диоксазинового красителя (I), полученного по герм. пат. 517194 из 2 молей 3-амино-N-этилкарбазола и 1 моля хлоранила, размешивают 3 часа при 60—70° в 150 вес. ч. безводн.  $\text{C}_6\text{H}_5\text{NO}_2$ , по охлаждению до 20° суспензию смешивают с 20 вес. ч. м-нитробензолсульфокислоты. Когда проба под микроскопом покажет, что темные кристаллич. иголки исчезли и видны только синие сфериды, жидкую суспензию при размешивании выливают в 750 объемн. ч. спирта и отфильтровывают, отмывают  $\text{C}_6\text{H}_5\text{NO}_2$  спиртом, промывают дальше до нейтр. р-ции и сушат в вакууме, получают фиолетовый порошок (в противоположность бронзирующему зеленому исходному материалу). 2) 30 вес. ч. диоксазинового красителя из 2-нафтиламина и хлоранила размалывают в шаровой мельнице с 10—15-кратным кол-вом кислотсульфокислоты при 20° до исчезновения кристаллич. игл; содержимое мельницы выгружают в 10-кратное кол-во кипящей воды, отфильтровывают горячим, промывают до нейтр. р-ции и сушат, получают красно-фиолетовый пигмент. 3) 20 вес. ч. I вносят в 240 вес. ч. ксилолсульфокислоты при 60—70° и размешивают 1—2 часа при этой т-ре, суспензию вно-



сят в 2000 объемн. ч. кипящей воды, кипятят 15 мин., отфильтровывают горячим, промывают до нейтр. р-ции и сушат, получают фиолетовый порошок, лучшего качества по сравнению с описанным в 1. 5 вес. ч. диоксазинового красителя, полученного по пат. 606672 из 3-аминопирена и хлоранила, вносят в течение 30 мин. в 100 вес. ч.  $\text{Cl}_2\text{CHCOOH}$ , нагревают 8 час. при 80–90° до растворения, выливают в течение 15 мин. при хорошем размешивании в 1300 объемн. ч. кипящей воды, размешивают ~10 мин., отфильтровывают горячим, промывают кипящей водой до нейтр. р-ции и сушат в вакууме, получают фиолетовый пигмент. Получаемые пигменты вследствие их высокой светостойкости особенно пригодны для подцветки фталоцианиновых пигментов (для изменения их зеленоватого оттенка в красноватый). В. Уфимцев

29828 П. Полиметиновые красители для синтетических волокон. Картинос, Нормингтон (Polymethine dyes for synthetic fibers. Kartinos Nicholas J., Normington James B.) [General Aniline & Film Corp.]. Пат. США 2766233, 9.10.56. Полиметиновые красители (ПК) общих ф-л  $n\text{-}[\text{R}^2(\text{R}^1)\text{-C}=\text{CH}]\text{-C}_6\text{H}_4\text{-NR-C}_6\text{H}_4\text{-}[\text{CH}=\text{C}(\text{R}^1)\text{R}^2]\text{-n}$ ,  $n\text{-}[\text{R}^2\text{C}=\text{N-N}(\text{R}^4)\text{-CO-C}=\text{CH}]\text{-C}_6\text{H}_4\text{-NR-C}_6\text{H}_4\text{-}[\text{CH}=\text{C-CO-N}(\text{R}^4)\text{-N}=\text{CR}^3]\text{-n}$  или  $n\text{-}[\text{R}^2(\text{R}^1)\text{C}=\text{CH}]\text{-C}_6\text{H}_4\text{-N}(\text{CH}_2\text{CH}_2)_2\text{N-C}_6\text{H}_4\text{-}[\text{CH}=\text{C}(\text{R}^1)\text{R}^2]\text{-n}$  ( $\text{R}$  — низший алкил, фенил,  $\text{-C}_6\text{H}_4\text{-}[\text{CH}=\text{C}(\text{R}^1)\text{R}^2]\text{-n}$  или  $\text{-C}_6\text{H}_4\text{-}[\text{CH}=\text{C-CO-N}(\text{R}^4)\text{-N}=\text{C}(\text{R}^3)]\text{-n}$ ;  $\text{R}^1$  —

ацетил, циан или карбалкоксил, в котором алкил есть низший алкил;  $\text{R}^2$  — ацетил, карбалкоксил, карбамил, диалкилкарбамидная или N-оксидкарбамидная группа, в которых алкил есть низший алкил, карбохлортоксил, карбо-(оксидтоксил), цианкарбоксил, n-толилсульфон, бензил или тетрагидрофурил;  $\text{R}^3$  — метил, карбоксил или карботоксил;  $\text{R}^4$  — Н, фенил, хлорфенил или сульфамидофенил) получают конденсацией замещ. n, n'-иминодиарилдиальдегидов с соединениями, содержащими активную метиленовую группу, в присутствии щел. или кислых конденсирующих средств. ПК обладают высокой красящей силой, очень хорошими прочностями к свету, мокрым обработкам и возгонке и пригодны для крашения синтетич. волокон, напр. ацетатного шелка, нейлона, дакрона (полиэфирного волокна из терефталевой к-ты и этиленгликоля) и динеля (сополимера акрилонитрила и винилхлорида), а также в качестве флуоресцирующих пигментов и оптически-отбеливающих средств. Смесь 12 г N-метил-n, n'-иминодибензальдегида (I), 13 г  $\text{CNCH}_2\text{COOC}_2\text{H}_5$  (II), 50 мл изопропилового спирта (III) и 5 капель пиперидина (IV) кипятят при размешивании 1 час, по охлаждении выделают оранжевый ПК ф-лы  $\text{CH}_3\text{N} < \{ \text{-C}_6\text{H}_4\text{-CH}=\text{C}(\text{CN})\text{COOC}_2\text{H}_5\text{-n} \}_2$ , выход 81%, т. пл. 120–121°. Аналогично из 12 г I, 16 г  $\text{NCCCH}_2\text{COOCH}_2\text{CH}_2\text{CN}$ , 50 мл III и 5 капель IV (1 час) получают ПК ф-лы  $\text{CH}_3\text{N} < \{ \text{-C}_6\text{H}_4\text{-}[\text{CH}=\text{C}(\text{CN})\text{COOCH}_2\text{CH}_2\text{CN}]\text{-n} \}_2$ , выход 99%, т. пл. 134–136°; из 12 г I, 18 г 1-фенил-3-метилпиперазона-5 (V), 50 мл III и 5 капель IV (1 час) — ПК ф-лы  $\text{CH}_3\text{N} < \{ \text{-C}_6\text{H}_4\text{-}[\text{CH}=\text{C-CO-N}(\text{C}_6\text{H}_5)\text{-N}=\text{C}(\text{CH}_3)]\text{-n} \}_2$ , выход 95%, т. пл. 139–143°; из 12 г I, 13 г  $\text{C}_6\text{H}_5\text{CH}_2\text{CN}$ , 50 мл  $\text{CH}_3\text{OH}$  и 0,01 г  $\text{CH}_3\text{ONa}$  (4 часа) — ПК ф-лы  $\text{CH}_3\text{N} < \{ \text{-C}_6\text{H}_4\text{-}[\text{CH}=\text{C}(\text{CN})\text{-CH}_2\text{C}_6\text{H}_5]\text{-n} \}_2$ , т. пл. 131–142°; из 12 г I, 17 г тетрагидрофурилциан-ацетата, 50 мл III и 5 капель IV (30 мин.) — ПК ф-лы

$\text{CH}_3\text{N} < \{ \text{-C}_6\text{H}_4\text{-}[\text{CH}=\text{C}(\text{CN})\text{-CH}_2\text{-CHCH}_2\text{CH}_2\text{CH}_2\text{O}]\text{-n} \}_2$ , выход 100%, т. пл. 102–108°; из 12 г I, 20 г цианметил-(n-толил)-сульфона, 50 мл III и 5 капель IV (30 мин.) — ПК ф-лы  $\text{CH}_3\text{N} < \{ \text{-C}_6\text{H}_4\text{-}[\text{CH}=\text{C}(\text{CN})\text{-SO}_2\text{-C}_6\text{H}_4\text{CH}_2\text{-n'}]\text{-n} \}_2$ , выход 54%, т. пл. 140–144°; из 14,7 г N, N'-ди-(n, n'-ди-формилфенил)-пиперазина, 24 г II, 100 мл III и 5 капель IV (3 часа) — 19 г ПК ф-лы  $\text{X-N}(\text{CH}_2\text{CH}_2)_2\text{N-X}$ , где X есть  $\text{-C}_6\text{H}_4\text{-}[\text{CH}=\text{C}(\text{CN})\text{COOC}_2\text{H}_5]\text{-n}$ , т. пл. > 250°; из 11 г три-(n, n'-формилфенил)-амин (VI), 11 г II, 50 мл  $\text{C}_2\text{H}_5\text{OH}$  и 5 капель IV (1 час) — ПК ф-лы  $\text{N} < \{ \text{-C}_6\text{H}_4\text{-}[\text{CH}=\text{C}(\text{CN})\text{COOC}_2\text{H}_5]\text{-n} \}_2$ , выход 30%, т. пл. 148–160°; из 6,6 г VI, 10,8 г V, 25 мл  $\text{C}_2\text{H}_5\text{OH}$  и 5 капель IV (30 мин.) — ПК ф-лы  $\text{N} < \{ \text{-C}_6\text{H}_4\text{-}[\text{CH}=\text{C-CO-N}(\text{C}_6\text{H}_5)\text{-N}=\text{C}(\text{CH}_3)]\text{-n} \}_2$ , выход 96%, т. пл. 172–180°.

В. Уфимцев

29829 П. Металлодержащие фталоцианины. Синаба, Яги, Кувабара [Сумптомо кагаку когэ кабусики кайся]. Японск. пат. 842, 18.02.54. 45 ч.  $\text{o-C}_6\text{H}_4(\text{CO})_2\text{O}$ , 120 ч. мочевины, 6,2 ч. Zn-пыли, 18 ч.  $\text{TiCl}_4$  и 3 ч.  $\text{H}_3\text{BO}_3$  в 250 ч.  $\text{C}_6\text{H}_5\text{NO}_2$  нагревают 3 часа при 190–200°, образовавшийся продукт извлекают 5%-ной дымящейся  $\text{H}_2\text{SO}_4$ , выливают на лед, осадок отфильтровывают и промывают водой; получают 10 ч. Zn-фталоцианина (20,9%).

З. Тукачинская

29830 П. Приготовление выпускных форм хинондных соединений, способных к образованию куба. Бруйяр (Conditioning of vatiable quinoidic compounds. Brouillard Robert E.) [General Aniline & Film Corp.]. Пат. США 2766244, 9.10.56.

Выпускные тонкодисперсные формы кубовых красителей готовят размолом (с разминанием), с применением в основном режущих усилий, тестообразных смесей 1 ч. нерастворимого в воде, образующего куб, хинондного соединения с 0,5–4 ч. сильной, неокисляющей и нереакционной в условиях размола, к-ты 68–100%-ной конц-ии и последующим разбавлением размолотой смеси водой. В качестве к-ты применяют  $\text{H}_2\text{SO}_4$ ,  $\text{ClCH}_2\text{COOH}$ ,  $\text{H}_3\text{PO}_4$ ,  $\text{ClSiO}_3\text{H}$  или низшую алкил-сульфокислоту; в качестве хинондного соединения — ациламиноантрахиноны, антрактроны, антрахионакридоны, антрахионазины, антрахиноноксазолы, антрахионтиазолы, дибензантроны, антрахионкарбазолы, дипиразолантроны, многоядерные пери-ди-и-тетракарбоксимиды и -имидазолы, флавантроны, пирантроны, пиренхиноны и антрахионтиоксантоны. В частности патентуется применение способа к смесям: а) алголевого желтого WG и 80%-ной  $\text{H}_2\text{SO}_4$  в соотношении 1:2; б) бензо-[1,2-с, 4,5-с']-диакридин-6,9,15,18-(5Н,14Н)-тетрона и 96%-ной  $\text{H}_2\text{SO}_4$  (1:1); в) 1,2,5,6-антрахион-С-дифенилдитиазола и 70%-ной  $\text{H}_2\text{SO}_4$  (1:3); г) индантрена темно-синего ВО и 100%-ной  $\text{H}_2\text{SO}_4$  (1:1,5); д) 4,4'-добензоиламино-1,1'-диантритмидкарбазола и 100%-ной  $\text{H}_2\text{SO}_4$  (1:1,5). Практически размол проводят при 20–50° в течение от 5 мин. до 5 час. или более в аппаратах Вернера Пфлейдерера. Приведены данные об условиях приготовления выпускных форм (размол и разбавление водой) 66 кубовых красителей с длительностью размола от 15 до 60 мин.

В. Уфимцев

См. также: Восстановление красителей 28521. Аза-цианиновые 28801. Цианиновые 28818. Азокрасители 28853. Исслед. красителя красной капусты 28999. Очистка ализарина 29796

# ЛЕКАРСТВЕННЫЕ ВЕЩЕСТВА. ВИТАМИНЫ. АНТИБИОТИКИ

Редактор Н. А. Медзыховская

29831. Некоторые сведения о химико-фармацевтической промышленности Чехословакии. Тунис Я., Сорочинская В. Ф., Мед. пром-сть СССР, 1957, № 3, 61—62

Краткие сведения об организации хим.-фармацевтич. пром-сти после национализации, контроле фармацевтич. товаров, номенклатуре отечественных лекарственных препаратов, экспорте и импорте лекарственного сырья и готовых препаратов, о работах фармацевтич. и биохимич. ин-тов, ин-тов иммунологии и антибиотиков, об оригинальных препаратах и поставке аптечного дела в Чехословакии.

Н. Эвергетова

29832. Тара для лекарств. Фукая Пурасутикуссу, Japan Plastics, 1955, 6, № 11, 8—9 (японск.)

Описаны полиэтиленовые склянки, листы, обкладки и мешочки, их свойства и преимущества. Приведены результаты испытаний полиэтиленовых склянок для хранения заведомо агрессивных в-в: 47—73%-ной HF, 33%-ной  $H_2SiF_6$  и 40%-ной  $HBF_4$ .

С. Петрова

29833. Вода для фармацевтических целей. Сондере, Шоттон (Water for pharmaceutical purposes. Saunders L., Shotton E.), Soap, Perfum. and Cosmetics, 1957, 30, № 5, 497—500. Discuss., 500—504, 512 (англ.)

См. также РЖХим, 1957, 58778

А. Травин

29834. Радиоактивный йод в фармацевтических исследованиях. Кристман (Radioactive iodine in pharmaceutical science. Christian John E.), J. Amer. Pharm. Assoc. Scient., Ed., 1956, 45, № 7, 500—507 (англ.)

Актуальность применения радиоактивного йода (РЙ) определяется существенной ролью и малыми кол-вами  $J$  в нормальном обмене в-в человека и животных, концентрированием  $J$  или содержащих  $J$  соединений в некоторых тканях тела, позволяющим широкое диагностич. и терапевтич. применение, высокой чувствительностью метода (качеств. можно определить  $10^{-16}$  г, колич.  $10^{-14}$  г) недоступной для хим. исследований, и возможностью определять и измерять  $\gamma$ -излучения из РЙ на расстояниях, допускающих измерения вне тела человека и животных. Из 20 известных изотопов  $J$  наиболее пригодным для указанных целей является РЙ-131 с периодом полураспада 8,1 сут (β-,  $\gamma$ -распад), применяемый без носителя и чрезвычайно дешевый. Описано применение РЙ в фармацевтич. исследованиях в качестве меченого атома и аналитич. реактива: исследование скорости поглощения кровью и щитовидной железой иона  $J$  из таблеток, помещенных под язык; относительное поглощение кожей ионов  $J$  из оснований мазей различного состава и скорость поглощения РЙ ректой из суппозиторий; влияние местноприменяемой гиалуронидазы на проницаемость иона  $J$  через кожу; проницаемость перепонки лягушки для ионов  $J$  и влияние вяжущих средств на проницаемость (обнаружено, что вяжущие в-ва повышают проницаемость); задерживание различных в-в при каждом применении и влияние прибавления полярных и неполярных растворимых в-в в гидрофильные и липофильные основания на задерживание; накопление  $J$  в молоке кормящих матерей при лечении препаратами  $J$ . В области анализа исследовано точное определение микроколичеств в сложных смесях; определение  $10 \mu$  Ag при осаждении AgI с помощью NaI, содержащего РЙ на  $Fe(OH)_3$ ; определение малых кол-в восстановленного Ag в смесях фотоэмульсий различной плотности; определе-

ние иодированного инсулина с точностью  $10^{-3}$  г; измерение кол-ва  $J$ , связанного белком сыворотки для диагностики деятельности щитовидной железы; определение неизвестных эквивалентных весов соединений с некоторыми функциональными группами, напр. спиртов, аминов и к-т, путем образования производных с комплексом  $n$ -йодбензоилхлорида с РЙ; определение аминокислот, применяя  $n$ -йодфенилсульфонхлорид, меченный РЙ; колич. определение аминокислот в белковых гидролизатах; в анализе амфетамина; использование для бомбардировки элемента, которому желают сообщить радиоактивные свойства с целью его последующего определения, причем последний способ, по-видимому, можно использовать для определения следов токсичных в-в в фармацевтич. препаратах.

Ю. Вендельштейн

29835. Получение диметиламинопропанола из этиленциангидрина. Гортинская Т. В., Савицкая Н. В., Самолова В. Г., Цизин Ю. С., Щукина М. Н., Мед. пром-сть СССР, 1957, № 4, 23—25

Описан синтез 3-диметиламинопропанола (I) каталитич. восстановлением этиленциангидрина (II) и последующим метилированием 3-аминопропанола (III): 100 г 97%-ного II, т. кип.  $100-115^\circ/15$  мм, 250 мл 15%-ного спирт. р-ра  $NH_3$  и 25 г Ni-пасты гидрируют 3—3,5 часа при  $95-100^\circ$  и 20—25 ат, фильтруют, катализатор промывают спиртом, спирт отгоняют, остаток (III, 90—95 г ~ 800% теоретич. считая на 100%-ный продукт) прибавляют при  $20-30^\circ$  к 215 мл 85%-ной  $HCOOH$ , добавляют 215 мл 38—40%-ного формалина, нагревают на кипящей водяной бане при перемешивании 20 час., охлаждают, прибавляют 450 мл 40%-ной щелочи, экстрагируют 80 мл бэл., сумат бензольный р-р, отгоняют р-ритель, остаток перегоняют в вакууме, собирая 85—90 г фракции с т. кип.  $97-100^\circ$ , получают 98,5%-ный I с выходом 59—62% теоретич. на 100%-ный II.

Н. Эвергетова

29836. Предложения для дополнения к 6 Германской Фармакопее. Сообщение III. Производные барбитуровой кислоты. Пётке Геберт, Грезер, Вигерт (Vorschläge zum Nachtrag für das DAB 6. 3. Mitteilung. Barbitursäurederivate. Poethke W., Gebert P., Gräser H., Wigert R.), Pharmazie, 1956, 11, № 6, 365—373 (нем.)

Предложен новый текст фармакопейных статей для фанодорма, Са-фанодорма, эвипана, На-эвипана и ноктала. Сообщение II см. РЖХим, 1955, 41496. А. Травин

29837. Научные публикации по наркотическим средствам.— (Bibliography. Scientific publications on narcotic drugs for 1954.—), Bull. Narcotic, 1955, 7, № 2, 32—44 (англ.)

Библиография за 1954 год.

29838. Получение и антитуберкулостатическое действие хлорацетильных производных изоникотинол-гидразина и производных 2,6-диаминоизоникотиновой кислоты. Гао И-шэн, Вэн Цзун-яо, Лу Шунь-син (Kao Yee-sheng, Owen Tsung-yao, Lon Shuen-hsing) Хуасюэ сюэбао, Acta chim. sinica, 1956, 22, № 6, 566—571 (кит.; реангл.)

Описано получение производных изоникотинол-гидразина (I) — симм-дихлорацетил-I и симм-трихлорацетил-I, антитуберкулостатич. действие (АТД) которых против *B. Smegmatis* (B. S.) проявляется в разведениях соответственно 1:16 000 и 1:8 000. Взаимодействием I с монохлорацетилхлоридом получен хлоргидрат бетанна симм-хлорацетил-I, обладающего АТД против B. S. в разведениях 1:8 000. Попытки отщепления остатка хлоруксусной к-ты пиролизом хлоргидрата бетанна не дали удовлетворительных результатов. Исследовано АТД ряда производных 2,6-диам-



низкоактивной к-ты (II) — гидразида II, амида — II и метилового, этилового *n*-пропилового, изопропилового, *n*-бутилового, изобутилового, *n*-амилового и изоамилового эфиров II. Введение аминогрупп в положение 2 и 6 пиридинового ядра I вызывает значительно ослабленное АТД против В. С., свободная II и амид II вообще не активны, а эфиры проявляют приблизительно одинаковое АТД при разведениях 1:2000, что свидетельствует о равноценности эфирных радикалов C<sub>1</sub>—C<sub>6</sub>. Ю. Вендельштейн

29839. Кристаллические производные витамина А. I. Получение *n*-йодбифенилуретана витамина А. Агава, Цуруока, Комори (Agawa Toshio, Tsuuroka Makoto, Komori Saburo) Korē какаку дзасси, J. Chem. Soc. Japan. Industr. Chem. Sec., 1954, 57, № 4, 323—325 (японск.)

2 г конц. витамин содержащего масла (содержание витамина А 2,28 × 10<sup>6</sup> м.е./г), полученного из печени лита многократной молекулярной перегонкой, растворяют в 8 г C<sub>6</sub>H<sub>6</sub>, обрабатывают 20 мин. на водяной бане 40 г р-ра 1,55 г *n*-(*n*-JC<sub>6</sub>H<sub>4</sub>)C<sub>6</sub>H<sub>4</sub>NCО в бензоле при пропускании сухого СО<sub>2</sub>, удаляют C<sub>6</sub>H<sub>6</sub> в вакууме и получают 3,6 г твердого в-ва; его промывают 98%-ным спиртом и петр. эфиром при 40°, охлаждают, фильтруют и получают 0,27 г *n*-йодбифенилуретана витамина А, т. пл. 137,0—138,0° [из смеси эфир-ацетон (4:1)]; содержание витамина А 1,55 × 10<sup>6</sup> м.е./г; в-во растворимо в ацетоне, эфире и СНСl<sub>3</sub> и нерастворимо в спирте и петр. эфире; λ-макс. в УФ 328 мμ стабилен в течение 1 месяца в эвакуированной ампуле.

Э. Тукачинская

29840. Концентрирование витаминов, растворимых в жирах. Комори (Komori Saburo) Витамин, Vitamins, 1955, 9, № 3, 173—180 (японск.) Обзор. Библ. 20 назв.

С. Петрова

29841. Источники получения витамина В<sub>12</sub> в Японии и их использование. Таката. Какаку корē, Chem. Ind. (Japan), 1956, 7, № 8, 43—46 (японск.)

Ресурсы витамина В<sub>12</sub> в активных глинах, их использование и вновь разведанные месторождения.

С. Петрова

29842. Основные исследования молекулярной перегонки витаминсодержащих масел. Ишикава (Ishikawa Seiichi) Витамин, Vitamins, 1956, 11, № 2, 153—157 (японск.)

С. Петрова

29843. Практическое изучение молекулярной перегонки витаминных масел. Судзуки (Suzuki Yuji), Витамин. Vitamins, 1956, 11, № 2, 158—168 (японск.)

29844. Синтез тетранатриевой соли дифосфорнокислого эфира витамина К<sub>1</sub>. Исидзака, Сэки, Нисидзаки (Ishizaka, Ootaharu, Seki Takeshi, Nishizaki Tae), Нагоя сирюцу дайгаку якутакубу киё, Bull. Nagoya Univ. Pharmac. School., 1955, № 3, 28—29 (японск.)

1,8 г POCl<sub>3</sub> при т-ре < -10° приливают к 7,2 г смеси пиридина и СНСl<sub>3</sub>. 1 ч. витамина К<sub>1</sub> (I = 1,4-диоксид-2-метилнафталин) при 0° растворяют в 4 ч. смеси пиридина и СНСl<sub>3</sub> и при т-ре от -10 до +10° приливают к указанному р-ру POCl<sub>3</sub>, полученный продукт разлагают выливанием в воду, непрореагировавший I извлекают эфиром, дифосфорнокислый эфир I (II) нейтрализуют NaOH, пиридин и СНСl<sub>3</sub> отгоняют паром, после чего выделяют и кристаллизуют из спирта Na-соль II + 6H<sub>2</sub>O. выход ~ 60%, иглы, т. пл. 88°, т. разл. 225°, λ-макс 227 мμ.

С. Петрова

29845. Современные направления в производстве стероидных гормональных препаратов. Ниинобу Харосима игаку, J. Hiroshima Med. Assoc., 1956, 9, № 11-12, 8—12 (японск.)

Обзор.

С. Петрова

29846. Приготовление лутеотропина и контроль его чистоты. Квейснерова (Připrava luteotropinu a kontrola jeho čistoty. Queisnerová Milena), Ceskosl. farmac., 1956, 5, № 9, 521—522 (чешск.; реэ. русск., англ., нем.)

Описано приготовление гормона лутеотропина (пролактина) из передней доли гипофиза рогатого скота фракционированным высаливанием (по методу Февольда). Ориентировочное исследование чистоты препаратов лутеотропина осуществляют с помощью электрофореза на бумаге.

Н. Эвергетова

29847. Влияние хранения головок мака на содержание в них морфина. Кучера (Přispěvek k poznání vlivu skladování makoviny na obsah morfinu. Kučera M.), Ceskosl. farmac., 1956, 5, № 9, 530—531 (чеш.; реэ. русск., англ., нем.)

Продолжение работ (см. РЖБиол., 1956, 18286) по изучению влияния позднего сбора головок мака на содержание в них морфина (I). После отбора проб сырья тотчас после сбора урожая головки хранились при различной т-ре в сухом и влажном воздухе. Установлено, что после 4 месяцев хранения, особенно во влажной атмосфере, падение содержания I достигает 56%. Понижение содержания I наблюдается также при хранении в сухой атмосфере. Приведены сравнительные результаты калориметрич. определения I в другом сырье.

Н. Эвергетова

29848. Получение производного синтомицина, лишённого горького вкуса. Сукневич И. Ф., Чилингарян А. А., Сб. научн. тр. Ленингр. хим.-фармацевтич. ин-та, 1957, 2, 3—9

Описан способ получения стеарата синтомицина (I), основанный на р-ции между синтомицином (II) и хлорангидридом стеариновой к-ты (III, к-та — IV). Смесь 25 г IV и 21,7 г SOCl<sub>2</sub> кипятят 2 часа и отгоняют избыток SOCl<sub>2</sub> (под конец при 45 мм после добавления 5 мл дихлорэтана); получают III, выход 27 г. К р-ру 4 г II в 20 мл сухого пиридина прибавляют при охлаждении 3,8 г III, оставляют на 10 час. при ~ 20°, выливают при размешивании в 200 мл охлажденной льдом 10%-ной H<sub>2</sub>SO<sub>4</sub> и осадок после промывания на фильтре водой и 70 мл петр. эфира очищают кристаллизацией из 80%-ного спирта; получают I, выход 87,6% (с учетом регенерации II). Приведены данные о растворимости I, II и IV в ацетоне, дихлорэтано, этилацетате, C<sub>6</sub>H<sub>6</sub> и 80%-ном спирте при 15° и при т-ре кипения.

А. Травин

29849. Устойчивость некоторых препаратов ацетилсалициловой кислоты. Бауи (The stability of certain preparations of acetylsalicylic acid. Bowey A. E.), Pharmac. J. N. Z., 1957, 29, № 2, 11, 13 (англ.)

Приведены данные о скорости гидролиза аспирина (I) в водн. р-рах, содержащих соли уксусной, лимонной и фосфорной к-т, Ca(OH)<sub>2</sub> и NH<sub>4</sub>Cl (при pH 4,6—6,8). Во всех р-рах наблюдается значительное разложение I через 1, 4 и 7 дней. Наиболее устойчивыми являются р-ры, содержащие цитрат К (через 7 дней разлагается 25—28% I). В р-рах, содержащих Ca(OH)<sub>2</sub>, кол-во гидролизованного I достигает через 7 дней 53—56%. Р-ры, содержащие соли уксусной и фосфорной к-т, занимают по устойчивости среднее положение. Добавление к солям свободных одноименных к-т не оказывает существенного влияния на скорость гидролиза I. В р-рах, кислотность которых превышает pH 5, наблюдается выпадение осадков.

А. Травин

29850. Влияние малых количеств воды на устойчивость пенициллиновых масел. Тролле-Лассен (Om betydningen af små vandmaengder for stabiliteten af penicillinsalve. Trolle-Lassen C.), Arch. pharmaci og chemi, 1957, 64, № 5, 189—199 (датск.; реэ. англ.)

Исследована устойчивость так называемых безводн.

пенициллиновых масел (ПМ), содержащих 1000 ед. На-бензилпенициллина/г (П), к образцам которых добавляли 0; 0,005; 0,015; 0,025; 0,05 и 0,1% воды. После 14 дней хранения при 22° в безводн. ПМ наблюдалось незначительное падение содержания П, но примесь 0,065% воды уже вызывает значительное падение содержания П, все увеличивающееся по мере увеличения конц-ии воды в ПМ. При содержании воды в ПМ 0,1% после 14 дней хранения П разрушается почти полностью. Микроскопич. исследование ПМ с примесью 0; 0,05; 0,5% воды в проходящем и поляризованном свете показало постепенное растворение кристаллов П в воде, причем сначала исчезают мельчайшие кристаллы. Ряд попыток предотвратить разрушающее действие воды на П добавлением  $\text{Na}_2\text{SO}_4$  или заменой Na-соли антибиотика К-солью не дали вполне удовлетворительных результатов, но показали возможность разрешения вопроса.

Н. Эвергетова  
29851. Лечебные препараты тарана. Абакумова Л. Ф., Тр. Алма-Атинск. зоовет. ин-та, 1956, 9, 256—257

Описаны новые препараты, «таранальбин» (ТБ) и «тараноформ» (ТФ), приготовляемые из дубильных в-в, содержащихся в корне тарана дубильного. Получаемый из корня танинный порошок при р-ции с белками, используемыми в произ-ве таннальбина, а также с дефибрированной кровью или форменными элементами крови животных превращается в ТБ. Аналогично по методике произ-ва танноформа из порошка и формальдегида получают ТФ. Препараты испытаны с положительным результатом при лечении желудочно-кишечных заболеваний алиментарного происхождения у животных.

А. Травин  
29852. Об устойчивости водно-спиртовых растворов йода, содержащих бромистый калий. Евдокимов Д. Я., Белая А. П. В сб.: Некоторые вопросы фармации. Киев, Госмедиздат УССР, 1956, 108—112

Исследование устойчивости водно-спирт. р-ров  $\text{J}_2$ , содержащих в качестве стабилизатора КВг, при хранении до их 7,5 лет при 0—30° показало, что снижение конц-ии  $\text{J}_2$  за счет образования ионов  $\text{J}$  обнаруживается после 4 месяцев хранения р-ров при отношении  $\text{J}$  к КВг 1:0,5 и после 6 месяцев при отношении 1:1; далее протекает образование ионов  $\text{J}$ , более интенсивное при отношении  $\text{J}$  к КВг 1:0,5, достигающее кислотности 0,15 н. через 4,5 года (для отношения  $\text{J}$  к КВг 1:1 через 7 лет и 4 месяца). Конц-ия спирта падает, образуется альдегид. При хранении в неокрашенных склянках и склянках с корковыми и резиновыми пробками устойчивость р-ров  $\text{J}_2$  понижается. При т-рах < 10°  $\text{J}_2$  выпадает из р-ра. С увеличением кол-ва стабилизатора в настояках устойчивость их повышается.

Ю. Вендельштейн  
29853. Исследование устойчивости сухих препаратов.

II. Устойчивость различных солей тиамина в препаратах. Ямамото, Такахаши, Инадзу (Yamamoto Ryuichi, Takahashi Tetsuya, Inazu Kunihei) Якугаку дзасси, J. Pharmas. Soc. Japan, 1957, 77, № 1, 82—85 (японск.; рез. англ.)

Приведены результаты исследования устойчивости различных солей тиамина (I) с различной растворимостью в воде и кислотностью в виде порошков в смеси с пшеничным крахмалом (ПК), осажденным  $\text{CaCO}_3$ , аскорбиновой к-той (II) и Ca—II при хранении 100 дней при 37° и относительной влажности (ОВ) 59 и 84% (смесь I с ПК), и 30 дней при 37° и ОВ 84% (смеси солей I с II, I с  $\text{CaCO}_3$  и I с Ca—II), причем в последней серии определялась влажность порошков после хранения. Устойчивость I в смесях зависит в основном от растворимости соли I: менее растворимые соли I, как правило, более устойчивы; в смесях с  $\text{CaCO}_3$  (45 и 30 дней хранения) нейтр. соли I достаточ-

но устойчивы, но кислые соли I, даже трудно растворимые, разлагаются, видимо, в результате р-ции с водой. В смесях с II устойчивость нейтр. солей I повышается, кислые соли I, особенно мало растворимые, сохраняют устойчивость. Замена II ее Ca-солью значительно повышает устойчивость трудно растворимых нейтр. солей I. Влажность порошков после хранения 30 дней колеблется от 0,02 до 6,28%. Сообщение I см. РЖХим, 1958, 5580.

Н. Эвергетова  
29854. Консервирование водных растворов сорбита. Барр, Тайс (The preservation of aqueous sorbitol solutions. Barr Martin, Tice Linwood F.), J. Amer. Pharmac. Assoc. Scient. Ed., 1957, 46, № 4, 221—223 (англ.)

Изучено влияние рН р-ров сорбита (I) и добавления 14 различных консервирующих в-в и одной комбинации их (фармакологически приемлемых для внутреннего употребления) на рост *Staphylococcus aureus* (S. a.), *Pseudomonas aeruginosa* (P. a.), *Bacillus subtilis* (B. s.), *Monilia albicans* (M. a.), *Aspergillus niger* (A. n.), *Penicillium notatum* (P. n.) в р-рах I разных конц-ий при 37 и 25° с частым отбором проб в течение 30 дней. S. a., P. a., B. s. и P. n. не развиваются в р-рах I при рН ниже 4, A. n. при рН ниже 3, а M. a. развивается при всех рН в пределах 2—8, поэтому практически рН р-ров I не может служить защитой от бактерий и других микроорганизмов во всех случаях. Из консервирующих в-в наиболее эффективной оказалась смесь 0,12% метил- и 0,12% пропилпарабена (вес/объем), препятствующая росту всех названных микроорганизмов, а также 0,15% сорбиновой к-ты ( $\text{CH}_3\text{CH}=\text{CH}-\text{CH}=\text{CHCOOH}$ ), хотя в отдельных случаях она не предохраняла от роста P. a., M. a., A. n., P. n.

Н. Эвергетова  
29855. О действии общепотребительных дезинфекционных средств. Хайго Косю эйсэй, J. Public Health, 1956, 19, № 5, 33—35 (японск.)

29856. Влияние дезинфекции хлором на вирусы японского энцефалита. Токито. Косю эйсэй, J. Public Health, 1956, 19, № 5, 49—55 (японск.)

29857. Растворимость салициловой кислоты в водно-спиртовых смесях. Баун (The solubility of salicylic acid in various alcohol-water mixtures. Bowe A. E.), Australas. J. Pharmacy, 1957, 38, № 445, 14 (англ.)

Приведены результаты исследования растворимости салициловой к-ты (I) в спирто-водных смесях (в об.%) при 14,5° и 17°. При увеличении конц-ии спирта от 0 до 35% растворимость I увеличивается незначительно от 0,15 до 0,92 при 14,5° и от 0,18 до 1,21 при 17°; при дальнейшем повышении конц-ии спирта от 40 до 90% растворимость I повышается с 1,65 до 23,7 при 14,5° и с 2,08 до 24,6 при 17°. Для получения часто применяемых 1%-ных и выше р-ров I необходим 40%-ный спирт. Характерно отношение растворимости I при 14,5° и 17°; при конц-иях спирта от 0 до 10% это отношение также колеблется от 1,2 до 1,22, при конц-ии спирта от 45 до 90% — от 1,24 до 1,04; при конц-ии спирта от 15 до 35% это отношение резко увеличивается, составляя от 1,48 до 1,32.

Ю. Вендельштейн  
29858. О возможности колориметрического определения N-сульфанилил-N'-н-бутилмочевин. Хейслер (Eine Möglichkeit zur kolorimetrischen Bestimmung von N-Sulfanilyl-N'-n-butyl-harnstoff. Häussler A.), Dtsch. Apoth.-Ztg., 1956, 96, № 38, 879—880 (нем.)

Предложен способ колориметрич. определения N-сульфанилил-N'-н-бутилмочевин (I) (инвенол, наздан, препарат ВЗ 55): к подкисленному р-ру, содержащему в 1 мл 10—200 γ I, прибавляют 2 мл дистил. воды и 2 мл 1 н. HCl, диализируют 5 мин. 1 мл 0,1%-ного р-ра  $\text{NaNO}_2$ , прибавляют 1 мл 0,1%-ного р-ра амидосульфокислоты, сильно взбалтывают 3 мин. прибавляют 3 мл реактива, приготовленного из 2 г



тикола, 10 г  $\text{Na}_2\text{CO}_3$  и 100 мл дистил. воды, и производят спектрофотометрич. измерение при 470 мμ; параллельно измеряют обработанный аналогичным образом стандартный р-р. Метод пригоден также для определения I в сыворотке, моче и кале. А. Травин  
29859. Способ определения фенола в каламиновой примочке, приготовленной по Фармакопее США XV. Кокоски, Аллен (A method of assay for phenol in phenolated calamine lotion, U. S. P. XV. Kokoski R. J., Allen B. F.), Drug Standards, 1957, 25, N 1, 17—19 (англ.)

Разработан способ непосредственного определения фенола (I) в каламиновой примочке (КП) без отгонки I и предварительного центрифугирования КП. К точной навеске (~5 г) КП, содержащей I (предварительно в КП вводилось точное кол-во I), прибавляют 125 мл воды, 50 мл 0,1 н. Вг и 5 мл HCl (к-ты); смесь в закрытой склянке взбалтывают 30 мин., оставляют на 15 мин. и, слегка приоткрыв пробку, быстро прибавляют 5 мл 20%-ного р-ра КJ, тщательно закрывают склянку пробкой, взбалтывают, затем обмывают пробку и горлышко водой, прибавляют 1 мл  $\text{CHCl}_3$  и титруют 0,1 н. тиосульфатом обычным образом; контрольный опыт проводят с 25 мл 0,1 н. Вг; 1 мл 0,1 н. Вг отвечает 1,569 мг I. В 3 сериях (по 3 опыта в каждой) найдено в среднем 99,92; 99,80 и 99,33 % I.

Ю. Вендельштейн  
29860. Несовместимость лекарственных средств. Ч. I. Зависимость между размягчением и температурой плавления у лекарственных средств, содержащих антипирин. Ядзима, Масуно (Yajima Masakazu, Masuno Kazuko), Nagoya Univ. Pharmac. School, 1956, № 3, 47—49 (японск.)

Приготовлены смеси: из антипирина (I), ацетанилида и салициловой к-ты, из I, сульфамида и сульфпирина, и из I, фенацетина и α-бромизовалерилмочевины, и на их примере изучена зависимость между т-рой размягчения и т-рой плавления. С. Петрова

29861. Растворимость кристаллолита в различных растворителях. Андерсон (The solubility of crystal violet in various solvents. Anderson R. A.), Australas. J. Pharmacy, 1957, 38, № 446, 110—112 (англ.)

Исследована растворимость кристаллолита (хлоргидрат гексаметилазарозанилина) (I) при 19—21° в воде (в об. %), 10%-ном водн. пропиленгликоле (II), 10, 20 и 50%-ном водн. III (III — глицерин) и 5, 10, 15, 20 и 30%-ном водн. спирте. Конц-ия I определялась колориметрически, а для р-ров в воде и водн. спирте также гравиметрически. Приведены кривые растворимости I в смесях воды и III и в водн. спирте разной конц-ии. Часто применяемую ~1%-ную конц-ию I можно получить с 7%-ным р-ром спирта, 15%-ным р-ром II или 25%-ным р-ром III. Применяемую иногда 2%-ную конц-ию I можно получить в 12%-ном водн. спирте.

Ю. Вендельштейн  
29862. Титрование в неводных растворах при анализе лекарственных препаратов. II. Определение соединений пурина. Хуан Вэй-хуа, Цюй Хуэй-синь, Сунь Су-сю, Ту Го-ши (Huang Wei-hwa, Chu Hui-hsin, Sun Su-hsiu, Tu Kuo-shin), Яосюэ сюэбао, 1956, 4, № 3, 217—223 (кит.; рез. англ.)

Описан визуальный полумикрометод прямого титрования кофеина, теобромона и теофиллина в смеси нитробензола и уксусного ангидрида (1:4) (CHУ) 0,1 н.  $\text{HClO}_4$  в  $\text{CH}_3\text{COOH}$  с применением кристаллолита в качестве индикатора. Разработан визуальный способ титрования в неводн. среде составных частей кофеин-На-бензоата (КНБ) и кофеин-На-салицилата (КНС): 50—60 мг КНБ или КНС растворяют в 5 мл вышеуказанной CHУ и титруют 0,1 н.  $\text{HClO}_4$  в  $\text{CH}_3\text{COOH}$

в присутствии 1 капли 0,1%-ного р-ра тропеолина ОО в  $\text{CH}_3\text{COOH}$ ; перемена цвета в оранжевый означает конец титрования бензоата На или салицилата На. К р-ру прибавляют 1 каплю 0,5%-ного р-ра нейтрального красного в  $\text{CH}_3\text{COOH}$  и титруют до изменения окраски р-ра в синева-фиолетовую, означающего конец титрования кофеина. Сообщение I см. РЖХим, 1957, 20779.

Ю. Вендельштейн  
29863. Химическое определение пенициллина в фармацевтических препаратах. Сообщение II. Препараты пролонгированного действия, таблетки и пастилки. Сообщение III. Препараты бензатинбензилпенициллина. Нейвальд, Улекс (Chemische Wertbestimmung von Penicillin in pharmazeutischen Zubereitungen. 2. Mitt. Penicillin-Depotpräparate. Penicillin-Tabletten und Penicillin-Pastillen. 3. Mitt. Benzathin-Benzylpenicillin-Zubereitungen. Neuwald F., Ulex G.), Arch. Pharmazie, 1956, 289/61, № 3, 170—176; № 5, 274—276 (нем.)

II. Описанные ранее методы (сообщение I, РЖХим, 1957, 9640) применены для определения пенициллина (I) в препаратах пролонгированного действия, в таблетках и пастилках. Содержимое ампулы смывают в колбу для определения йодного числа 5 мл  $\text{CH}_3\text{OH}$ , прибавляют 80 мл дистил. воды, фильтруют, промывают фильтр дистил. водой и доводят объем фильтрата до 100 мл; 1 мл р-ра разбавляют 4 мл воды и определяют I йодометрич. или колориметрич. методом. Взвешенные таблетки или пастилки измельчают в ступке, отвешивают кол-во, соответствующее ~5000 ед. I, взбалтывают навеску 5 мин. с 30 мл дистил. воды, фильтруют, промывают фильтр дистил. водой и доводят объем фильтрата до 50 мл; отмеривают 25 мл р-ра и определяют I колориметрич. или изменением йодометрич. способом (см. сообщение I).

III. Содержимое ампулы тардоциллина (300 000 ед. бензатинбензилпенициллина + 300 000 ед. новокаин — пенициллина) смывают в мерную колбу водой, доводят объем до 1000 мл и хорошо взбалтывают; в 5 мл полученной таким образом суспензии определяют I йодометрич. способом.

А. Травин  
29864. Анализы лекарственных веществ и химических реагентов с помощью электрофореза на бумаге. Часть IV. Разделение и идентификация сульфамидов и анилидов. Киносита, Морияма, Симидзу (Kinoshita Yahue, Moriyama Shigetaka, Shimizu Toshiko), Бунсэки кагаку, Japan Analyst, 1957, 6, № 4, 219—224 (японск.; рез. англ.)

При помощи аппарата, описанного в части III (РЖХим, 1958, 12260), проведены опыты электрофореза в 3 буферных р-рах Кларк-Любса, Зренсена и Кольтоффа. Максим. средняя величина разницы передвижения сульфамидов в некоторых из этих р-ров найдена при pH 7, разница передвижения анилидов — при pH 2. Разделение и идентификация этих в-в при указанных величинах pH возможна при проведении испытаний при 400 в, 1 ма/см и 15° в течение 1 часа. Установление зоны передвижения осуществляется проявлением при обрызгивании р-ром, содержащим 3 г л-диметиламинобензальдегида и 7 г конц.  $\text{H}_2\text{SO}_4$  в 100 мл воды, высушенной на воздухе бумаги после электрофореза. Эта обработка позволяет определять сульфамиды, образующие оранжевые окраски, до 0,2 у и анилиды, образующие желтые окраски, до 0,25 у.

С. Петрова  
29865. Успехи полярографии в фармации. Зуман (Die Fortschritte der Polarographie in der Pharmazie. Zuman P.), Pharmazie, 1956, 11, № 7, 449—456 (нем.)

Обзор опубликованных за последние годы работ о применении полярографич. метода при анализе и

исследовании фармацевтич. препаратов и физиологически активных в-в. Рассматривается применение метода для контроля чистоты препаратов (цинхокаин, пенициллин, левометицин и др.) и определения их действующих начал (витамины, гормоны, алкалоиды, антибиотики, терпены, местные анестетики, снотворные и т. д.). Библ. 171 назв. Предыдущее сообщение см. РЖХим, 1956, 13129.

А. Травин  
29866. Письмо в редакцию по поводу статьи Блауга, Зопфа «Определение антигистаминных методом ионообменной хроматографии». Индра, Мотл. Ответ авторов (The ion-exchange chromatographic determination of antihistamines by Seymour Blaug and Louis C. Zopf. Letter to the editor. Jindra Antonin, Motl Otakar.—Authors reply, J. Amer. Pharmac. Assoc. Scient. Ed., 1956, 45, № 11, 768 (англ.).

Возражения авторов по поводу письма Индры и Мотла о нарушении их приоритета в связи с опубликованной ими работой (см. РЖХим, 1958, 18965), по определению антигистаминов хроматографич. методом. Н. Звергетова

29867 К. Химическая технология получения лекарственных препаратов микробиологическим путем. Кассан (Mikrobiológiai gyógyszerelállítások kémiai technológiája. Kasszán Béla. Budapest, 1955, 70 л., 13,50 Ft (венг.).

29868 П. Способ получения производных и гомологов 2-оксо-10-алкил-2,3,4,5,6,7,8,10-октагидро-7-нафтилметана. Абэ, Харукава, Исикава, Суми, Мики [Такеда якухин когё Кабусики Кайся]. Японск. пат. 6572, 15.10.54

К 8 г  $\text{NaNH}_2$  в 300 мл эфира прибавляют по каплям 39,6 г метил- $\alpha$ -(3-оксо-4-метилциклогексил)-пропионата в 10 мл эфира, кипятят 4 часа, к полученному продукту по каплям прибавляют 24 г 1-хлор-3-гептанона в 50 мл эфира, оставляют на 16 час., кипятят 3 часа, полученный продукт обрабатывают  $\text{CH}_3\text{ONa}$  (4,6 г Na и 100 мл  $\text{CH}_3\text{OH}$ ), кипятят 2 часа, охлаждают, нейтрализуют  $\text{CH}_3\text{COOH}$ , прибавляют большое кол-во воды, продукт экстрагируют эфиром, промывают р-ром  $\text{NaHCO}_3$  и перегоняют. Получают 2,5 г метил- $\alpha$ -(2-оксо-1,10-диметил-2,3,4,5,6,7,8,10-октагидро-7-нафтил)-пропионат (I), т. кип. 165–200°/3 мм. При омылении I получают  $\alpha$ -(2-оксо-1,10-диметил-2,3,4,5,6,7,8,10-октагидро-7-нафтил)-пропионовую к-ту (II), т. пл. 125°. I подкисляют  $\text{HCl}$ , промывают  $\text{NaHCO}_3$ , экстрагируют эфиром и маслянистый остаток обрабатывают  $\text{CH}_3\text{OH}-\text{HCl}$ ; получают I, т. кип. 165–200°/3 мм, 22 г  $\text{ClCH}_2\text{COCH}_3$  и 48 г диэтил-(3-оксо-4-метилциклогексил)-метилмалоната в 100 мл  $\text{C}_6\text{H}_6$  при 0°–5° обрабатывают (по каплям)  $\text{C}_2\text{H}_5\text{ONa}$  (4,1 г Na и 50 мл спирта) оставляют на ~ 16 час., кипятят 3 часа, продукт р-ции выливают в воду, бензольный слой отгоняют и получают диэтил-(2-оксо-10-метил-2,3,4,5,6,7,8,10-октагидро-7-нафтил)-метилмалонат, т. кип. 170–185°/1 мм. Э. Тукачинская

29869 П. Замещенные гомологи 2-оксо-8-оксн-10-алкил-2,5,6,7,8,10-гексагидронафтил-7-уксусной кислоты. Абэ, Харукава, Исикава, Мики, Суми, Умэ [Такеда якухин когё Кабусики Кайся]. Японск. пат. 6573, 15.10.54

2 г метил- $\alpha$ -сантаоната, 15 мл 1 н.  $\text{NaOH}$  и 5 мл  $\text{CH}_3\text{OH}$  нагревают на водяной бане до исчезновения розовой окраски р-ра, получают Na- $\alpha$ -сантаонат, к р-ру прибавляют по каплям 16 мл н.  $\text{CH}_3\text{COOH}$ , продукт перекристаллизовывают из  $\text{CH}_3\text{OH}$ ; получают 1,7 г  $\alpha$ -сантаоновой к-ты (I), т. пл. 147°,  $[\alpha]_D^{25}$  25,1°. Аналогично из 0,5 г  $\alpha$ -сантаонида получают 0,3 г I. 0,2 г  $\alpha$ - $\alpha$ -(2-оксо-8-оксн-1,10-диметил-2,5,6,7,8,10-гексагидро-7-нафтил)-пропиолактона (II), т. пл. 146°, и 2 г 10%-ного

КОН нагревают 30 мин. на водяной бане, подкисляют  $\text{HCl}$ , экстрагируют эфиром, промывают р-ром  $\text{NaHCO}_3$ , удаляют эфир и получают 0,06 г непрореагировавшего II; р-р  $\text{NaHCO}_3$  подкисляют  $\text{HCl}$  и экстрагируют эфиром; получают  $\alpha$ -(2-оксо-8-оксн-1,10-диметил-2,5,6,7,8,10-гексагидро-7-нафтил)-пропионовую к-ту, т. пл. 128°. 20 г  $\text{C}_2\text{H}_5$ - $\alpha$ -(2-оксо-1,10-диметил-8-оксн-2,5,6,7,8,10-гексагидро-7-нафтил)-метилмалолактона, 20 г КОН, 20 мл воды и 160 мл  $\text{CH}_3\text{OH}$  кипятят 2 часа и охлаждают; получают 21 г ди-К- $\alpha$ -(2-оксо-1,10-диметил-8-оксн-2,5,6,7,8,10-гексагидро-7-нафтил)-метилмалоната (III). Из 10 г III в 50 мл воды, подкисленной  $\text{HCl}$ , получают 7,5 г свободной к-ты III, т. пл. 160° (разл.).

Э. Тукачинская  
29870 П. Получение замещенных 2-оксо-10-метил-2,5,6,7,8,10-гексагидронафтил-7-метанов и их гомологов. Абэ, Харукава, Исикава, Мики, Цуно, Тога [Такеда якухин когё Кабусики Кайся]. Японск. пат. 5227, 21.08.54

19,2 г метил- $\alpha$ -(2-ацетокси-1,10-диметил-3-бром-3,4,5,6,7,8,10-гексагидронафтил-7-пропионата (I) кипятят 30 мин. с 70 мл свежестогнанного коллидина, отфильтровывают бромгидрат коллидина, удаляют р-ритель, остаток в эфире промывают разб.  $\text{H}_2\text{SO}_4$ , остаток в бензоле — эфире хроматографируют на колонке с  $\text{Al}_2\text{O}_3$  и получают метил-(2-оксо-1,10-диметил-2,4,5,6,7,8,10-гексагидронафтил-7-пропионат (II), т. пл. 105°. Аналогично деацелированием и дегидробромированием диэтил- $\alpha$ -(2-ацетокси-1,10-диметил-3-бром-3,4,5,6,7,8,10-гексагидронафтил-7-метилмалоната получают диэтил- $\alpha$ -(2-оксо-1,10-диметил-2,5,6,7,8,10-гексагидронафтил-7-метилмалонат (III), масло; 2,4-динитрофенилгидразон, т. пл. 197°. При омылении III получают его свободную к-ту, т. пл. 192°.

Э. Тукачинская  
29871 П. Способ получения 1-(3',4'-диоксифенил)-1-оксо-2-аралкиламиноэтанов (Fremgangsmåde til fremstilling af 1-(3',4'-dioksyfenyl)-1-oks-2-aralkylaminoetaner) [Troponwerke Dinklage & Co.]. Датск. пат. 79777, 29.08.55

1-(3',4'-диоксифенил)-1-оксо-2-аралкиламиноэтанов общей ф-лы 3,4-(HO) $_2$ C $_6$ H $_3$ COCH $_2$ NHRC $_6$ H $_5$  [R — 2-валентный углеводородный остаток с цепью, включающей 2–4 атома C, напр. группа —(CH $_2$ ) $_3$ —, —CH(CH $_3$ )CH $_2$ — или —CH(CH $_3$ )CH $_2$ —, причем бензольное ядро соединенное с группой R, может содержать заместителями углеводородные группы (напр., алкилы)] получают каталитич. гидрированием или кислотным гидролизом соединений общей ф-лы 3,4-(R'O) $_2$ C $_6$ H $_3$ COCH $_2$ NHRC $_6$ H $_5$ , где R' — фенилметильная группа. Исходные в-ва получают р-цией  $\alpha$ -галонд-3,4-диоксидифенонов, OH-группы которых замещены фенилметильными группами, напр. группами C $_6$ H $_5$ CH $_2$ , с аралкиламинами ф-лы H $_2$ NRC $_6$ H $_5$ . Дибензилловый эфир 3,4-диоксидифенона бромруют р-ром 1 моля Br $_2$  в  $\text{CHCl}_3$ . Полученное бромпроизводное ф-лы 3,4-(C $_6$ H $_5$ ) $_2$ C $_6$ H $_3$ COCH $_2$ Br (I), т. пл. 91–92° (из  $\text{CH}_3\text{OH}$ ) слегка нагревают 20 мин. с избытком H $_2$ N(CH $_2$ ) $_3$ C $_6$ H $_5$  р-р выливают в смесь равных кол-в 48%-ной HBr с уксусом. Выпадает бромгидрат 1-(3',4'-дифенилоксифенил)-2-( $\beta$ -фенилэтиламино)-1-оксоэтана, т. пл. 22° (из  $\text{CH}_3\text{OH}$ ). Полученный бромгидрат встряхивают в среде  $\text{CH}_3\text{OH}$  с катализатором [Pd(OH) $_2$ /CaCO $_3$ ] в атмосфере H $_2$ . В течение 5–6 час. поглощается 2 моля H $_2$  и отщепляется 2 моля C $_6$ H $_5$ CH $_3$ . Бромгидрат 1-(3',4'-диоксифенил)-2-( $\beta$ -фенилэтиламино)-1-оксоэтана, т. пл. 195–196°, выделяют упариванием р-ра. I вводят в р-цию с H $_2$ N(CH $_2$ ) $_3$ C $_6$ H $_5$ . Полученный бромгидрат 1-(3',4'-дифенилоксифенил)-2-( $\gamma$ -фенилпропиламино)-1-оксоэтана, т. пл. 208° (из  $\text{CH}_3\text{OH}$ ), встряхивают с 120 мл чистого  $\text{CH}_3\text{OH}$  и 3 г 10%-ного Pd(OH) $_2$ /BaSO $_4$ -катализатора в атмосфере H $_2$ , до поглощения 2 молей H $_2$ . Катализатор отфильтровывают, упарива-



ннем фильтрата выделяют бромгидрат 1-(3',4'-диоксифенил)-2-(γ-фенилпропиламино)-1-оксоэтана. I вводят в р-цию с избытком  $\text{H}_2\text{NCH}(\text{CH}_3)(\text{CH}_2)_2\text{C}_6\text{H}_5$ , получают бромгидрат 1-(3',4'-дибензилоксифенил)-2-(α-метил-γ-фенилпропиламино)-1-оксоэтана, т. пл. 144° (из  $\text{CH}_3\text{OH}$ ). Гидрированием этого соединения над  $\text{Pd}(\text{OH})_2/\text{BaSO}_4$  получают бромгидрат 1-(3',4'-диоксифенил)-2-(α-метил-γ-фенилпропиламино)-1-оксоэтана. Продукты обладают бронхоспазмолитич. действием и могут применяться при лечении астмы.

Б. Фабричный

**29872 П.** 1-Фенил-1-(2-тиазолил)-3-диметиламинопропан и его производные. Сунагава, Окада, Хатагура, Хираи, Накадзава [Санкё Кабусики Кайсё]. Японск. пат. 626, 4,02.54

Смесь (по 0,1 моля каждого)  $\text{C}_6\text{H}_5\text{CH}_2\text{CN}$ ,  $(\text{CH}_3)_2\text{NCH}_2\text{CH}_2\text{Cl}$  и  $\text{NaNH}_2$  в 50 мл  $\text{C}_6\text{H}_5\text{CH}_3$  кипятят несколько часов, полученный продукт разлагают ледяной водой,  $\text{C}_6\text{H}_5\text{CH}_2\text{CN}$ -слой отгоняют и получают  $\text{C}_6\text{H}_5\text{CH}(\text{CH}_2\text{CH}_2\text{N}(\text{CH}_3)_2)\text{CN}$  (I), т. кип. 135—137/4 мм. Из I, 2-хлортиазола и  $\text{NaNH}_2$  получают  $\text{RC}_6\text{H}_4\text{C}(\text{CH}_2\text{CH}_2\text{N}(\text{CH}_3)_2)\text{CN}$  (II) (R — 2-тиазолил), т. кип. 158°. II в 4-кратное от веса II кол-во 50—80%-ной  $\text{H}_2\text{SO}_4$  нагревают несколько часов; полученный продукт разбавляют водой, подщелачивают, экстрагируют  $\text{C}_6\text{H}_6$  и получают  $\text{RC}_6\text{H}_4\text{C}_6\text{H}_4\text{CH}_2\text{CH}_2\text{N}(\text{CH}_3)_2\text{CN}$  (III), т. кип. 128°/4 мм. Аналогично получают R(n-ClC<sub>6</sub>H<sub>4</sub>)C<sub>6</sub>H<sub>4</sub>CH<sub>2</sub>CH<sub>2</sub>NCH<sub>3</sub>, т. кип. 158—160°/2 мм, и 1-(n-хлорфенил)-1-(2,4-диметил-5-тиазолил)-3-(диметиламино)-пропан, т. кип. 183—185°/3 мм. Э. Тукачидская

**29873 П.** Способ получения ациламидов 4-амино-2-оксобензойной кислоты. Вёлнер (Verfahren zur Herstellung von 4-Amino-2-oxo-benzoesäure-acylamiden. Wöllner Johannes) [Rheinpreussen A.-G. für Bergbau und Chemie]. Пат. ФРГ 932553, 5.09.55

В развитие пат. ФРГ 930668 (РЖХим, 1956, 37216) патентуется получение ациламидов I (I — 4-амино-2-оксобензойная к-та) путем р-ции I с мочевиной, замещ. кислотными остатками, при повышенной т-ре (100—200°), в присутствии индифферентного р-рителя напр., 5-метил-5-ацетил-1,3-диоксана (II). Для ускорения р-ции можно добавлять небольшие кол-ва нелетучих сильных к-т, напр.  $\text{H}_3\text{PO}_4$  или n-толуолсульфонкислоты. Кислотные остатки могут быть алифатич., ароматич. или гетероциклич. происхождения. Примеры. 13 г n-бутироилмочевины (т. пл. 175—176°) растворяют в 10 мл II при 150—155°, в р-р вносят малыми порциями 18 г I (выделение  $\text{NH}_3$ ), выдерживают 1 час при той же т-ре и охлаждают. Кристаллы размешивают с 250 мл воды, добавляя конц. р-р  $\text{NH}_3$  для растворения непрореагировавшей I, остаток фильтруют, промывают водой и кристаллизуют из водн. метанола n-бутирамид-I, т. пл. 193—194°. Аналогично с ундециноилмочевиной (т. пл. 170—171°) получен ундециноламид-I, т. пл. 142—143°, и с бензоилмочевиной — бензоламид-I, т. пл. 218°. Амиды I, замещ. остатками жирных к-т с длинными цепями, растворимы в липидах и обладают туберкулостатич. действием.

Ю. Вендельштейн

**29874 П.** Способ получения окситоцидных и симпатомиметических препаратов на основе солей диэтиламида диэтиламиноуксусной кислоты (Procédé pour obtenir des préparations ocytociques et sympatholytiques à base de sels du liethylamide de l'acide diethylamino-acétique.) [Farmaceutici Italia]. Франц. пат. 1094035, 11.05.52 [Prod. Pharm., 1955, 10, № 11, 704 (Франц.)]

Растворяют в воде или спирте к-ту, образующую соответствующую соль, прибавляют в эквимолекулярном кол-ве основание диэтиламида диэтиламиноуксусной к-ты, образующую соль отделяют перегонкой в виде маслянистого продукта, хорошо кристаллизующегося из эфира.

Ю. Вендельштейн

**29875 П.** Получение салициламида. Такатори, Саван. Японск. пат. 827, 18.02.54

250 г o-HOC<sub>6</sub>H<sub>4</sub>COOC<sub>6</sub>H<sub>5</sub> и 1,2 л конц.  $\text{NH}_4\text{OH}$  оставляют в запаянном сосуде на 2—7 суток, подкисляют  $\text{HCl}$ , осадок отфильтровывают, промывают водой и получают 150 г o-HOC<sub>6</sub>H<sub>4</sub>CONH<sub>2</sub>, т. пл. 140° (из сп.).

Э. Тукачидская

**29876 П.** N-(оксипалкил)-3-фенилсалициламида. Сахун, Фост (N-(Hydroxyalkyl)-3-phenylsalicylamides. Sahun Melville, Faust John A.) [Cutter Labs, Inc.]. Пат. США 2751412, 19.06.56

Патентуемые производные 3-фенилсалициламида (I), в частности N-(β-оксипалкил)-I, обладающие (по предварительным испытаниям) анагетич. действием, получают р-цией низшего алкильного эфира 3-фенилсалициловой к-ты, напр., метилового, этилового, пропилового, изопропилового, бутилового, изобутилового, пентилового или гексилового, с аминоспиртами, содержащими от 2 до 6 атомов C, одну OH- и одну  $\text{NH}_2$ -группу при 20° в течение 13 дней (р-ция протекает на 86—90%), в присутствии р-рителя, напр. метанола (II), спирта или пропанола. Примеры. Смесь 10 г метилового эфира 3-фенилсалициловой к-ты, 30,5 г этаноламина, 50 мл III и 10 мл воды оставляют в закрытом сосуде на 13 дней, разбавляют 50 мл воды, подкисляют  $\text{HCl}$  (к-той) до pH ~ 2, выпавший продукт фильтруют, обрабатывают древесным углем и  $\text{CHCl}_3$  и, после прибавления гептана, постепенно охлаждают, получая 9,6 г (86% теоретич.) N-(β-оксипалкил)-I, т. пл. 128—129°. Аналогично получают N-(γ-оксипропил)-I, N-(Δ-оксибутил)-I, N-(ω-оксигексил)-I, N-(оксипентил)-I и т. п.

Н. Эвергетова

**29877 П.** Получение эфиров салицилальдоксима. Хафман (Preparation of salicylaldoxime ethers. Huffman Max N.) [Lasdon Foundation, Inc.]. Пат. США 2765339, 2.10.56

Патентуются алкоксимы салицилового альдегида (I), замещ.  $\text{NH}_2$ -группой в ароматич. цикле, и способ их получения. К нагретому до ~ 100° р-ру 8,4 г  $\text{SnCl}_2$  в 48 мл конц.  $\text{HCl}$  прибавляют 2 г 5-нитросалицилового альдегида (II). Охлажденный до ~ 10° солиноокисный р-р образующегося при этом комплекса 5-аминосалицилового альдегида (III) с  $\text{SnCl}_4$  прибавляют одновременно с р-ром 32 г  $\text{NaOH}$  в 125 мл воды к нагретому до ~ 100° р-ру 4 г  $\text{CH}_3\text{ONH}_2 \cdot \text{HCl}$  в 10 мл воды, подкисляют  $\text{CH}_3\text{COOH}$  до pH 8, нагревают при размешивании 10 мин., отделяют осадок  $\text{SnO}_2$ , фильтрат насыщают  $\text{NaCl}$ , охлаждают, подкисляют до pH 7 и оставляют при т-ре от 0° до -10°; получают метоксим III, т. пл. 67—68° (из водн. сп.). Аналогично получают метоксим 3-аминосалицилового альдегида, т. пл. 82,5—83,5°. Алкильный радикал в применяемых для получения I алкоксимами может иметь 1—4 атомов C. Препараты обладают противогрибковой активностью по отношению к *Candida albicans*, *Tricophyton mentagrophytes*, *Blastomyces dermatitis*, *Histoplasma capsulatum* и *No-cardia asteroides*. Из двух изомерных форм I α-форма является более активной.

А. Травин

**29878 П.** Способ получения соли β-диметиламино-этилбензгидрилового эфира с салициловой кислотой. Утида, Такаясу [Такаясу Масааки, Такаясу Есико, Канамоори Масаэ]. Японск. пат. 4797, 3.08.54

Доп. к японск. пат. 5198 (РЖХим, 1956, 14006). Обработкой минер. соли β-диметиламиноэтилбензгидрилового эфира (I) металлч. солями салициловой к-ты (II) на холоду или при нагревании, прямым смешением, в водн. р-ре или в органич. р-рителе получают соль I + II (III). 11,4 г хлоргидрата I растворяют в 10 мл воды, прибавляют при перемешивании р-р 6,5 г Na-соли II в 10 мл воды, отфильтровывают и кристаллизацией из  $\text{CH}_3\text{OH}$  выделяют 12 г III, т. пл. 106°. Приведены еще 7 примеров получения III с примене-

нием в качестве исходных в-в хлоргидрата и сульфата I и Na, NH<sub>4</sub>, Ca-, Mg- и Zn-солей II, в водн. р-ре, спирте или без р-рителя, с кристаллизацией III из CH<sub>3</sub>OH, бутилового спирта или C<sub>6</sub>H<sub>6</sub>. Получаемые по этим вариантам выходы III почти одинаковы.

С. Петрова

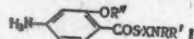
29879 П. Способ получения 2-хлорбензойных кислот, замещенных в положении 4 сульфодиадикамидной группой. Шрауфштеттер, Вирт (Verfahren zur Herstellung von in 4-Stellung durch eine Sulfon-säure-dialkylamidgruppe substituierten 2-Chlorbenzoesäuren. Schraufstatter Ernst, Wirth Wolfgang) [Farbenfabriken Bayer A.-G.]. Пат. ФРГ 960197, 21.03.57

Названные к-ты получают р-цией 2-хлорбензойных к-т, замещ. в положении 4 сульфогалоидной группой с диалкиламидами, содержащими 3—6 атомов С в алкильном остатке [ди-*n*-пропиламин (I), ди-*n*-бутиламин (II) или диизопропиламин (III)]. Получаемые продукты при одновременном применении их с пенициллином препятствуют выделению последнего в большей степени, чем незамещ. в положении 2 диалкиламиды. Примеры: а) в смесь 15 г I и 100 мл 8%-ного р-ра NaOH вносят при размешивании 16,4 г 4-сульфохлорида-2-хлорбензойной к-ты (IV), через 1 час, подкисляют HCl, отсасывают и перекристаллизуют из 70%-ного спирта, получают 4-ди-*n*-пропилсульфонамид-2-хлорбензойной к-ты, т. пл. 140°; б) к смеси 20 г II и 30 мл C<sub>6</sub>H<sub>6</sub> прибавляют при размешивании порциями 12,5 г IV, через 1 час прибавляют петр. эфир, выпавший осадок отделяют, растворяют в воде и подкислением выделяют 4-ди-*n*-бутилсульфонамид 2-хлорбензойной к-ты с т. пл. 105° после кристаллизации из 70%-ного спирта; в) р-цией IV с III по «б», но с дополнительным нагреванием на водяной бане получают 4-диизопропилсульфонамид-2-хлорбензойной к-ты, т. пл. 186°. IV, т. пл. 141°, получают обработкой 4-сульфо-2-хлорбензойной к-ты хлорсульфоновой к-той.

Ю. Вендельштейн

29880 П. Третичные аминоалкильные эфиры 4-амино-2-алкокситиолобензойной к-ты, их соли и способ их получения (Tertiary-aminoalkyl-4-amino-2-alkoxythiolbenzoate esters and their salts and the preparation thereof). Англ. пат. 717777, 3.11.54

Трет-аминоалкильные эфиры 4-амино-2-алкокситиолобензойной к-ты общей ф-лы (I), (X — алкилен с 2—4 атомами С причем S и N связаны с различными атомами С; R и R' — алкилы с 1—6 атомами С, которые могут быть связаны прямо или через O с образова-



нием насыщ. N-гетероциклич. радикала, содержащего 5—6 атомов С, R'' — алкил с 1—6 атомами С) получают взаимодействием 4-нитро-2-алкоксибензоил галоида с трет-аминоалкантиолом HS—X—NRR' и восстановлением NO<sub>2</sub>-группы в NH<sub>2</sub>. Если р-цию проводить в присутствии акцептора галоидоводорода (напр., пиридина), то получают не галоидгидраты, а свободные основания. Р-цию проводят в инертном р-рителе и для восстановления применяют Fe или Sn с HCl, FeSO<sub>4</sub> и NH<sub>3</sub> или Na-гидросульфит, или, что лучше, гидрируют в присутствии нечувствительного к S катализатора (сульфиды Mo или Co). I применяют в качестве местных анестетиков в виде свободных оснований или в виде солей относительно нетоксичных к-т (хлор-, бромгидраты, фосфаты, сульфаты, цитраты, сульфаматы, тартраты, сукцинаты, аспартаты, бензоаты или олеаты). Синтезированы I, где R'' — CH<sub>3</sub>, C<sub>2</sub>H<sub>5</sub>, C<sub>3</sub>H<sub>7</sub>, C<sub>4</sub>H<sub>9</sub>, —CH<sub>2</sub>CH(CH<sub>3</sub>)<sub>2</sub> и —(CH<sub>2</sub>)<sub>5</sub>CH<sub>3</sub>; X — (CH<sub>2</sub>)<sub>2</sub>, (CH<sub>2</sub>)<sub>5</sub> и (CH<sub>2</sub>)<sub>4</sub>; NRR' — пиперидино, 2-метилпиперидино и —N(C<sub>2</sub>H<sub>5</sub>)<sub>2</sub>.

В. Шведов

29881 П. Соли фумаровой кислоты с β-диметиламиноэтил-бензгидроловым эфиром. Мита Япония. Пат. 2999, 29.05.54

Соли фумаровой к-ты (I) с β-диметиламиноэтил-бензгидроловым эфиром (II) получают р-цией I с II в р-рителе. 116 г I растворяют при нагревании в 800 мл CH<sub>3</sub>OH, прибавляют 255 г II, кипятят ~30 мин. на водяной бане, оставляют 16 час. ставят на холод и отфильтровывают 270 г соли I + II, при дальнейшем упаривании и охлаждении маточного фильтрата выделяют еще 50 г соли I + II, общий выход 81%.

С. Петрова

29882 П. Способ получения диванилиденциклоксанона (Verfahren zur Herstellung von Divanillydcyclohexanon) [Anton von Waldheim, Chemisch-pharmazeutische Fabrik]. Пат. ФРГ 949658, 27.09.56

В процессе получения диванилиденциклоксанона (I), применяемого для лечения заболеваний печени и желчного пузыря, путем конденсации ванилина (II) с циклогексаноном (III) в кислом р-ре при повышенной т-ре и перекристаллизации сырого продукта из органич. р-рителя патентуется применение ≥ 2 моль III на 1 моль II, промывка сырого продукта конденсации холодной разб. CH<sub>3</sub>COOH (1 ч. к-ты на 1 ч. воды) с последующей перекристаллизацией из CH<sub>3</sub>COOH (4 ч. к-ты на 1 ч. воды). Выход чистого I 70—80% теоретич., сравнительно с 40% по способу, описанному в литературе. Пример. 600 г II нагревают на водяной бане с 385 г III до образования прозрачного р-ра, прибавляют при размешивании по каплям 20 мл конц. HCl и продолжают размешивание до начала затвердевания реакционной смеси, оставляют на 48 час., промывают разб. (1:1) CH<sub>3</sub>COOH, фильтруют, снова промывают указанной к-той и горячей водой, сушат при 100°, перекристаллизуют 1 раз из разб. CH<sub>3</sub>COOH (4 ч. к-ты и 1 ч. воды) и получают 535 г I (74% теоретич.), т. пл. 178—179°. Упариванием маточного в вакууме получают еще некоторое кол-во I.

Ю. Вендельштейн

29883 П. Основные производные замещенных циклопропанкарбоновых кислот и способ их получения. Крапко, Лотт (Basic derivatives of substituted cyclopropanecarboxylic acids and methods of preparation same. Krapcho John, Lott William A.) [Olin Mathieson Chemical Corp.]. Пат. США 2733241, 31.01.56

Основания общей ф-лы R'(R)C(OH)—C(—CH<sub>2</sub>CHNR<sup>4</sup>)COO—R<sup>5</sup>—N(R<sup>2</sup>)R<sup>3</sup> (I) (R — фенил; R' — фенил или тиенил; R<sup>2</sup> и R<sup>3</sup> — низший алкил или R<sup>2</sup> + R<sup>3</sup> вместе с атомом N образуют остаток пиперидила-1, пирролидила-1 или морфолина-4; R<sup>4</sup> — H или низший алкил; R<sup>5</sup> — низший алкилен) получают р-цией, карбоновой

к-ты общей ф-лы R'(R)C(OH)—C(—CH<sub>2</sub>CHNR<sup>4</sup>)COOH с основными алифатич. галоидалкилами общей ф-лы X—R<sup>5</sup>—N(R<sup>2</sup>)R<sup>3</sup> в общем органич. р-рителе для реагентов. Патентуется также получение I, солей I с к-тами и четвертичных аммониевых солей I. I и их соли пригодны в качестве терапевтически активных в-в, в особенности в качестве противоспазматич. средств, напр. хлоргидрат 2-диэтиламиноэтилового эфира 1-(α-оксобензгидрил)-дихлопропановой к-ты (II; к-та-III) применяется для уменьшения окоченения при болевом Паркинсона. Р-р C<sub>6</sub>H<sub>5</sub>MgBr (из 94,2 г C<sub>6</sub>H<sub>5</sub>Br, 200 мл эфира и 14,4 г Mg-стружки) в течение 15 мин. прибавляют к охлажд. суспензии 38 г 1-бензоилдихлопропанкарбоновой к-ты в 250 мл эфира, размешивают 1 час при 20°, кипятят 2 часа, охлаждают и несколько раз обрабатывают эфиром для превращения тяжелого масла в серый гранулированный осадок. Осадок прибавляют к холодному р-ру 15 мл конц. H<sub>2</sub>SO<sub>4</sub> в 300 мл



воды, извлекают эфиром, эфирный слой промывают 100 мл воды и извлекают р-ром 12 г NaOH в 150 мл воды. Щел. р-р подкисляют 10 мл конц. H<sub>2</sub>SO<sub>4</sub> в 100 мл воды, извлекают эфиром, сушат MgSO<sub>4</sub>, эфир испаряют, остаток суспендируют в гексане и фильтрованием выделяют ~44 г III, т. пл. ~181° (разл., из изопропилового спирта). Смесь 30 г III, 15,2 г 2-диэтиламинотилхлорида и 350 мл сухого изопропилового спирта кипятят 15 час., по охлаждению отгоняют спирт, остаток растворяют в 150 мл воды в вакууме р-ритель, остаток растворяют в 150 мл воды и обрабатывают р-ром 6 г NaOH в 50 мл воды, извлекают эфиром, сушат MgSO<sub>4</sub> и удалением р-рителя выделяют ~37 г основания II, которое растворяют в сухом эфире и прибавлением эфирного р-ра HCl получают ~40 г хлоргидрата II, т. пл. ~154—155° (из бутана) и 174—175° (другая форма при повторной кристаллизации). Обработкой р-ра 5 г основания II в 25 мл ацетона р-ром 3 г CH<sub>3</sub>Br в 50 мл ацетона получают бромметилат II. Аналогично получают 2-диэтиламиноэтиловый эфир 1-(α-этил-α-оксипропилового) и 2-(пиперидил-1)-этиловый эфиры III и 2-диэтиламиноэтиловый эфир 1-(α-оксипропилового) 2-метилциклопропанкарбонной к-ты и их соли. К охлажд. р-ру 6,7 г Na в 100 мл абс. спирта прибавляют по каплям смесь 57 г этилового эфира 2-теоилусусной к-ты и 54,5 г этилбромид и кипятят 6 час., по охлаждении обрабатывают р-ром 5 г Na в 100 мл спирта, кипятят 5 час. и по охлаждении разбавляют 500 мл воды, извлекают эфиром, эфирный слой промывают водой до нейтр. р-ции, сушат MgSO<sub>4</sub> и перегонкой выделяют 23,8 г этилового эфира 1-(теоил-2)-циклопропанкарбонной к-ты (IV; к-та—V), т. кип. ~127—130°/4 мм, n<sub>D</sub><sup>20</sup> 1,4534. 22,9 г IV прибавляют к р-ру 23 г KOH в 300 мл спирта и кипятят 2 часа, по охлаждении разбавляют 500 мл воды и несколько раз извлекают эфиром; водн. слой подкисляют разб. H<sub>2</sub>SO<sub>4</sub> и выделившуюся к-ту извлекают эфиром, эфирный экстракт сушат MgSO<sub>4</sub> и испарением р-рителя выделяют V, ее суспендируют в гексане, фильтруют и кристаллизацией из 50%-ного спирта выделяют ~9,5 г V, т. пл. 139—141° (разл.). Обработкой V р-ром C<sub>6</sub>H<sub>5</sub>Br, аналогично указанному выше, получают 1-(α-оксипропилового)-2-циклопропанкарбонную к-ту, а из нее соответствующий 2-диэтиламиноэтиловый эфир.

В. Уфимцев

**29884 П. Способ получения соединений гидразина.** Кунце (Verfahren zur Herstellung von Hydrazinverbindungen. Kunze Wilhelm) [Cassella Farbwerke Mainkur A.-G.]. Пат. ФРГ 947971, 23.08.56

Патентуемые новые соединения гидразина (I), являющиеся лекарственными в-вами (сильно понижают кровяное давление) и промежуточными продуктами для получения последних, получают р-цией 1 моля ароматич. или гетероциклич. о-динитрилов с 3 молями I и ≥1 молем формилирующего в-ва, напр. диметилформамида (II), при т-рах, не превышающих значительно 100°. Смесь 128 ч. динитрила фталевой к-ты (III), 350 ч. II и 220 ч. 80%-ного гидрата I нагревают при размешивании в течение 1 часа до 90° (выделение NH<sub>3</sub>), разбавляют водой, охлаждают, отфильтровывают осадок, промывают водой, сушат при 40° в вакууме, получают 142 ч., вероятно, 1-гидразин-3,4-триазолфталата (IV), т. разд. 295°; IV легко растворим в разб. HCl с сильноокислой р-цией, NH<sub>3</sub> выделяет IV из р-ра; при долгом стоянии HCl-р-ра или при нагревании —NHNH<sub>2</sub>-группа частично переходит в NH<sub>2</sub>-группу; р-цией IV в спиртовой суспензии при 30° с альдегидом, напр. с n-хлорбензальдегидом (V), получают моногидразон, т. пл. 275°; 163 ч. IV получают также нагреванием (3 часа при 90°) 128 ч. III, 350 ч. 80%-ного гидрата I и 65 ч. HCOOH. Аналогично

из 17,8 ч. нафталин-2,3-динитрила, 120 ч. II и 40 ч. 80%-ного гидрата I (9 час. при 85°) получают 12,5 ч. соединения I с т. разд. 315—320°, моногидразон с V, т. пл. 295°; из пиридин-2,3-динитрила, II и гидрата I (3 часа при 90°) получают 1-гидразин-3,4-триазол-5-азафалазин, т. пл. 240—242° (разл.) (из воды).

Н. Эвергетова

**29885 П. 1-изоникотинил-2-алкенил-2-алкилгидразины.** Фокс (1-isonicotinyl-2-alkenyl-2-alkyl-hydrazine. Fox Herman Herbert) [Hoffmann-La Roche Inc.]. Пат. США 2744113, 1.05.56

Патентуются новые соединения с противотуберкулезной активностью 1-изоникотинил-2-(низший)-алкенил-2-(низший)-алкилгидразины и их соли с нетоксичными к-тами (напр., HCl, HBr, винной, лимонной и т. п.), в частности 1-изоникотинил-2-аллил-2-метилгидразин (I), 1-изоникотинил-2-аллил-2-этилгидразин (II) и 1-изоникотинил-2-аллил-2-изопропилгидразин (III), получаемые р-цией 1-изоникотинил-2-(низший)-алкилгидразина с низшим галогеналкенилом или галогенангидридом изоникотиновой к-ты (или его соли) с 1-(низший)-алкенил-1-(низший)-алкилгидразином, предпочтительно в присутствии связывающего к-ты в-ва. Примеры: а) К р-ру 2,3 г Na в 100 мл спирта прибавляют при размешивании 15 г 1-изоникотинил-2-метилгидразина и после растворения последнего 8,5 мл хлористого аллила (IV), кипятят 30 мин., фильтруют для удаления NaCl, после упаривания фильтрата в вакууме получают I (масло); обработкой I спирт. р-ром HCl получают дихлоргидрат I, т. пл. 162,5—163,5° (разл.) (из изопропанола). б) Аналогично «а» из 16,5 г 1-изоникотинил-2-этилгидразина и 8,5 мл IV получают II, дихлоргидрат II, т. пл. 176,5—177,5° (разл.) (из изопропанолметанола). в) Аналогично «а» из 17,9 г 1-изоникотинил-2-изопропилгидразина и 9 г IV получают III, дихлоргидрат III, т. пл. 188,5—189,5° (разл.) (из сп.); вместо 2,3 г Na можно применять 0,69 г Li.

Н. Эвергетова

**29886 П. N-2-этилкротонил-N'-метилломочевина.** Фанчер (N-2-ethylcrotonyl-N'-methylol urea. Fancher Otis E.) [Miles Lab., Inc.]. Пат. США 2734082, 7.02.56

Патентуется N-2-этилкротонил-N'-метилломочевина (карбромаль) (I), обладающая успокаивающим и снотворным действием. Пример. 54 г α-бром-α-этилбутирилломочевина в 600 мл изопропанола кипятят 3 часа при размешивании с 27,8 г безводн. Ag<sub>2</sub>O, фильтруют, осадок экстрагируют 100 мл кипящего изопропанола и фильтруют, фильтрат упаривают, остаток перекристаллизуют и получают 2-этилкротонилломочевину, т. пл. 191—193°, 25 г которой смешивают с 1 г соды, 35 мл формалина и 800 мл воды и кипятят 16 час.; по охлаждению выпадают кристаллы (9 г) (представляющие собой в основном исходный продукт), которые отделяют, фильтрат упаривают в вакууме до 300 мл, охлаждают, фильтруют выпадающие кристаллы, фильтрат упаривают до 100 мл, вновь кристаллизуют и т. д. Кристаллы 2-й и 3-й фракций (15 г) объединяют, перекристаллизуют из воды, затем из 95%-ного спирта и получают I, спекающуюся при 124—126° и плавящуюся с выделением газа при 165—175°, содержащую 15,13% N. Ю. Вендельштейн

**29887 П. Способ получения O-ацилпроизводных оксифенилтиомочевин** (Verfahren zur Herstellung von neuen O-Acylderivaten der Oxyphenylthioharnstoffe) [Farbenfabriken Bayer A.-G.]. Австр. пат. 180933, 25.01.55 [Chem. Zbl., 1956, 127, № 12, 3377 (нем.)]

O-ацилпроизводные оксифенилтиомочевин общей ф-лы H<sub>2</sub>NCSNHC<sub>6</sub>H<sub>4</sub>OR (R — кислотный остаток) получают р-цией при 40—80° оксифенилтиомочевин с галогенангидридами к-т в присутствии кислотосвязывающих в-в (KCB) и р-рителей. Твердые кристаллич.





Производные изоаллоксазина получают конденсацией борнокислотного комплексного соединения 2-(*d*-рибозидоамино)-4,5-диметилазобензола (I) с аллоксаном или аллоксантином, идущей при каталитич. восстановлении этих соединений в органич. р-рителе, и последующим удалением 2 атомов Н путем окисления. Патентуется также получение I р-цией *d*-рибозы,  $H_2BO_3$  и 2-амино-4,5-диметилазобензола (II) или аналитич. восстановлением смеси *d*-рибонуклеотиона,  $H_2BO_3$  и II. В частности I, получают нагреванием *d*-рибозы,  $H_2BO_3$  и II в смеси воды, спирта и ацетона 2 часа при 40–45°, после чего охлаждают и оставляют стоять. 40 г I и 18 г аллоксана суспендируют в 400 мл  $CH_3OH$ , прибавляют 10 г скелетного Ni и конденсируют при каталитич. восстановлении  $H_2$  при высоком давлении, по окончании р-ции отфильтровывают катализатор, к фильтрату прибавляют  $H_2O$  для дегидрирования полученного продукта, упаривают в вакууме и кристаллизацией остатка из 5%-ной  $CH_3COOH$  выделяют 28–30 г витамина  $B_{12}$ , белые кристаллы, т. пл. 280–281° (разл.). С. Петрова

2893 II. Способ получения новых соединений циклоалкангидронафталинового ряда (Verfahren zur Herstellung neuer Cycloalkano-hydronaphthalinverbindungen) [Ciba A.-G.]. Австр. пат. 182709, 10.11.55 [Chem. Zbl., 1956, 127, № 12, 3380 (нем.)]

Способ основан на конденсации 3-этилциклооксенона-2 (I) с алифатич. 1,3-дикетонами в присутствии щел. агента и циклизации в присутствии сильной к-ты образующегося 4,10-секкогидронафталинового соединения. Смесь 17 г 2-метил-1 (т. кип. 70–80°/0,4 мм), 17 г 2-метилциклогександиона-1,3, 10 г диметиламина, 30 мл абс. трет-бутанола и 25 мл абс.  $CH_3$  нагревают в трубке 110 час. при 105–115°; получают  $\Delta^{8,14,8,11}$ -диметил-1,7-дикето-12-оксидекагидрофенантрен (II), выход 13,7 г, т. пл. 171°. Смесь 10 г II, 2,5 г  $n$ - $CH_3C_6H_4SO_3H$  и 150 мл лед.  $CH_3COOH$  кипятят 2,5 часа; получают  $\Delta^{8,14,12,13}$ -8,11-диметил-1,7-дикетодексагидрофенантрен, выход 7,6 г, т. пл. 66–88°. Аналогично получают  $\Delta^{8,9,3,8}$ -диметил-4,7-дикето-3,4- $\beta$ -кетодиклопентано-(2',1')-4,10-секкоктагидронафталин, т. пл. 82,5–83,5°, и  $\Delta^{4,10,8,9,3,8}$ -диметил-7-кето-3,4- $\beta$ -кетодиклопентано-(2',1')-гексагидронафталин, т. пл. 80–90°. Соединения ряда  $\Delta^{8,9,7}$ -кето-3,4- $\beta$ -кетодиклоалкано-(2',1')-гидронафталина применяют для синтеза стероидов или стероидоподобных в-в. А. Травин

2894 II. Способ восстановления 1,3-диметил-4-амино-5-нитрозурацила и формилирования до 1,3-диметил-4-амино-5-формиламиноурацила. Карстенс, Клемм (Verfahren zur Reduktion von 1,3-Dimethyl-4-amino-5-nitrosouracil und Formylierung zum 1,3-Dimethyl-4-amino-5-formylaminouracil. Carstens Ernst, Klemm Kurt). Пат. ГДР 13192, 4.05.57 1,3-диметил-4-амино-5-нитрозурацил (I) количественно восстанавливают р-ром  $(NH_4)_2S$  до 1,3-диметил-4,5-диаминоурацила (II), кипячением удаляют  $NH_3$ , подкислением  $HCOOH$  полученной смеси II с S переводят II в р-р, отфильтровывают S и последующим нагреванием р-ра при 60–95° формилируют II с образованием 1,3-диметил-4-амино-5-формиламиноурацила (III). 50,5 г I затирают с 50 мл воды, прибавляют по каплям 204 мл 20%-ного р-ра  $(NH_4)_2S$ , кипячением удаляют  $NH_3$ , при pH 8 охлаждают, прибавляют 15 мл 85%-ной  $HCOOH$  для растворения II, отфильтровывают S и нагреванием фильтрата в течение 1 часа при 95° получают III, выход 92,2% (на нитроосоединение). К 187 мл 20%-ного р-ра  $(NH_4)_2S$  немедленно прибавляют 50,5 г I, кипятят до pH 8 для удаления  $NH_3$ , прибавляют 15 мл 85%-ной  $HCOOH$  для растворения II, отфильтровывают S и формилированием фильтрата в течение 1 часа при 95° получают

III, выход 91,3%. III пригоден в качестве промежуточного продукта синтеза теофидина и кофеина.

В. Уфимцев  
29895 II. Эфир никотиновой кислоты. Фанд, Брокан (Nicotinic acid ester. Fand Theodore I, Broh-Kahn Robert H.) [Nepera Chemical Co., Inc.]. Пат. США 2750390, 12.06.56

Патентуется новый эфир никотиновой к-ты (I) и 3-о-толокси-1,2-пропандиола (II) (мефенезина) — 1-(2-окси-3-толокси)-пропилникотинат (III), и его соли с к-тами, напр. хлоргидрат, обладающие расслабляющим мышцу действием, более продолжительным и более активным, чем II, и способ получения III р-цией эквимолекулярных кол-в II и I или ее ангидрида или хлорангидрида в среде инертного р-рителя. Пример (в вес. ч.). 177 хлоргидрата I, 182, 2 II и 500 пиридина нагревают 1 час на водяной бане, р-ритель отгоняют в вакууме, к остатку прибавляют 5000 воды, обрабатывают избытком  $NaHCO_3$ , исчерпывающе экстрагируют эфиром; эфирные экстракты сушат  $Na_2SO_4$ , фильтруют, эфир отгоняют, остаток извлекают эфиром, прибавляют избыток эфирного р-ра  $HCl$ , жидкость сливают с осадка, последний растворяют с 800 метанола до кристаллизации осадка, прибавляют избыток безводн. эфира, фильтруют, промывают смесью эфир-метанола, получают с колич. выходом хлоргидрат III, т. пл. 163–164°. Хлоргидрат превращают в основание III растворением в воде, нейтр-цией водн. р-ром  $NaHCO_3$ , экстрагированием выделяющегося масла эфиром, отгонкой эфира; масло закристаллизовывается при 20°; т-ра плавления III 79–80°. Основание III нейтр-цией соответствующей к-той в р-рителе, напр. в воде, и выпариванием р-ра можно легко превратить в терапевтически ценные соли, напр. бромгидрат, сульфат и т. п. Н. Эвергетова

29896 II. Изоникотиноилгидразон 2,2-диметил-3-окси-пропионового альдегида. Андерсон [(2,2-dimethyl-3-hydroxy-propylidene-1) hydrazone of isonicotinic acid hydrazide. Anderson Floyd E.]. Пат. США 2743276, 24.04.56

Патентуется в качестве противотуберкулезных препаратов изоникотиноилгидразоны,  $RCONHN=CHC(R^1)(R^2)CH_2OR^3$  (I), где R — пиридил-4,  $R^1$  и  $R^2$  — H, OH, алкил, алкокси или  $CH_2OH$ -группа,  $R^3$  — H или алкил. Препараты получают нагреванием (100°, 0,5–3 часа) гидразиды изоникотиновой к-ты (II) с алифатич. альдегидами ф-лы  $OHC-C(R^1)(R^2)-CH_2OR^3$  ( $R^1, R^2, R^3$  имеют вышеуказанное значение) в воде или водн. р-рах спирта,  $CH_3OH$  и диоксана. Смесь 2,69 г II, 2 г  $\alpha, \alpha$ -диметил- $\beta$ -оксипропионового альдегида и 25 г воды нагревают 2 часа при ~100°; получают I ( $R^1 = R^2 = CH_3, R^3 = H$ ), т. пл. 195–196° (из сл.). Аналогично получают следующие I (указаны  $R^1, R^2, R^3$ ):  $CH_3, OHCH_2, H; H, H, C_2H_5; H, H, CH_3; H, OH, H; H, OCH_3, CH_3; CH_3, CH_3, CH_3; CH_3, CH_3, C_2H_5; H, OC_2H_5, C_2H_5; H, H, H$ . Насыщ. соединения, получаемые при каталитич. гидрировании I над Pt или Pd, также обладают противотуберкулезным действием. А. Травин

29897 II. Способ получения изоникотиновой кислоты. Хаядзу [Санкё Кабусики Кайся]. Японск. пат. 2835, 24.05.54

Изоникотиновую к-ту (I) получают разложением при нагревании *n*-толуолсульфоната 1-(3-холестерил)-пиридина (II) и последующим окислением полученного 4-(3-холестерил)-пиридина (III). 2 г II, т. пл. 233–234°, разлагают нагреванием при 250–260°/10 мм с отгонкой 0,6 г III ф-лы  $C_{27}H_{45}N$ , масло; или 2 г II нагревают в течение 1 часа при 250–260°, затем нагревают 1 час при 80° с 20%-ным р-ром  $NaOH$ , извлекают эфиром и перегонкой выделяют 0,6 г III. 500 мг III в 10 мл воды при 100° окисляют 50 мл 2%-ного р-ра  $KMnO_4$ , через 20 мин. окраска  $KMnO_4$  исчезает, р-р

охлаждают, фильтруют и фильтрат упаривают до 10 мл, обесцвечивают активированным углем, фильтруют и упаривают досуха. Остаток растворяют в небольшом кол-ве горячей воды, подкисляют разб.  $H_2SO_4$ , насыщают  $CuSO_4$  и отделяют осадок, который при перемешивании вносят в 70 мл воды, нагревают на водяной бане, р-р насыщают  $H_2S$ , отфильтровывают  $CuS$  и промывают горячим. Фильтрат и промывные воды соединяют, упаривают на водяной бане и кристаллизацией из кипящей воды выделяют ~70 мг I, т. пл. 310—315°. 100 мг I, 5 мл  $CH_3OH$  и 0,3 мл конц.  $H_2SO_4$  кипятят 4 часа, отгоняют в вакууме  $CH_3OH$ , остаток подщелачивают 20%-ным р-ром  $NaOH$  и извлекают, эфиром, отгонкой эфира выделяют ~80 мг метилового эфира I, масло. К последнему прибавляют 3 мл 25%-ного водн.  $NH_3$  и 2 мл спирта, оставляют стоять 24 часа,  $NH_3$  и спирт отгоняют и кристаллизацией остатка из спирта выделяют 25 мг амида I, т. пл. 154—159°.

С. Петрова

**29898 II. Окисление смеси оснований из каменноугольной смолы.** Баркер, Ибел (Oxidation of mixed tar bases. Barker, Robert S., Ebel Robert H.) [American Cyanamid Co.]. Пат. США 2748138, 29.05.56

Предложен способ получения изоникотиновой к-ты (I), основанный на обработке смеси  $\gamma$ -(II) и  $\beta$ -пиколлина (III) формалином (IV) и окислении образующейся при этом смеси метилольных производных II (V). Смесь 100 г 37%-ного IV, 45 г пиридиновых оснований (состоящих из 51% II, 36% III и 13% 2,6-лутидина), 5 г  $H_2BO_3$  и 1 г трет-бутилпирокатехина нагревают в автоклаве 45 мин. при 200—225°, охлаждают за 1 час до 150°, упаривают при 120° и остаток кипятят с двойным кол-вом (по отношению к метилольным производным) 70%-ной  $HNO_3$ . Через некоторое время медленно прибавляют половинное (к весу остатка) кол-во 100%-ной  $HNO_3$ , кипятят до окончания р-ции, упаривают при 130°, подщелачивают, отгоняют с паром непрореагировавший III, обесцвечивают углем и подкисляют  $HCl$  (к-той) до pH 3,5; получают I. Приведены также некоторые модификации описанного выше способа.

А. Травин

**29899 II. Способ получения имидазолинов.** Мишель Японск. пат. 627, 4.02.54

Замещенные или незамещ. в ароматич. ядрах 2-(N,N-дифениламинометил)-имидазолины общей ф-лы (I), в которой фенильные ядра могут содержать за-

местители  $(C_6H_5)_2NCH_2C=NCH_2CH_2NH$  и их соли с минер. к-тами, получают конденсацией замещ. или незамещ. в ароматич. ядрах N,N-дифениламиноуксусных к-т, их функциональных производных или образующих их соединений, с алкилендиаминными, аминогруппы которых находятся у соседних атомов C. В частности, патентуется применение следующих соединений: м-замещенных N,N-дифениламиноуксусных к-т, N-(n-метилфенил)-N-(m'-оксифенил)-аминоуксусной к-ты и их функциональных производных, и 1,2-этилендиамина (II). 238,3 вес. ч. N-(n-метоксифенил)-N-фенилацетонитрила (III) [исходную для его синтеза N-(n-метоксифенил)-N-фениламиноуксусную к-ту получают р-цией n-метоксибензиламина с  $CH_2O$  и  $HCl$  в среде лед.  $CH_3COOH$ ] и 72,1 вес. ч. II расплавляют при 93—95°, вводят ~1 вес. ч.  $H_2S$  и нагревают на водяной бане до прекращения выделения  $NH_3$ . Отгоняют в вакууме избыток II, остаток извлекают горячим спиртом, к экстракту прибавляют избыток спиртового р-ра  $HCl$ , фильтруют и прибавлением этилацетата выделяют хлоргидрат IV { (IV—2-[N-(n-метоксифенил)-N-фениламинометил]-имидазолин } т. пл. 178—181°; обработкой его водн. р-ра  $NH_4OH$  или р-ром соды получают основание IV, т. пл. 109—111°

(из сп.). Хлоргидрат IV также может быть аналогично получен нагреванием до прекращения выделения  $NH_3$  следующих смесей в-в: а) 119 вес. ч. III, 33 вес. ч. II и 2 вес. ч.  $CS_2$  (до конечной т-ры 115°); б) 27,2 вес. ч. N-(n-метоксифенил)-N-фениламиноацетамид (для его получения III нагревают 4 часа при 120° со спирт. р-ром  $NH_3$  и  $CS_2$ ) и 6,6 вес. ч. II при 120°; в) 29,1 вес. ч. хлоргидрата N-(n-метоксифенил)-N-фениламиноацетамидина и 7 вес. ч. II при 100°; г) 32 вес. ч. хлоргидрата N-(n-метоксифенил)-N-фениламиноацетамидино-этилового эфира и 7 вес. ч. II. К р-ру 23,8 вес. ч. III в 100 вес. ч. эфира прибавляют 5 вес. ч. абс. спирта и при охлаждении приливают эфир.  $HCl$  (3,8 вес. ч.  $HCl$ ), получают хлоргидрат N-(n-метоксифенил)-N-фениламиноацетамидиноэтилового эфира, 11,91 вес. ч. III и 11,61 вес. ч. моно-n-толуолсульфоната II нагревают в атмосфере  $N_2$  в течение ~1 часа при 200° до окончания выделения  $NH_3$ , по охлаждению мелко измельчают и обрабатывают разб. р-ром поташа, извлекают эфиром, эфир. экстракт извлекают разб.  $HCl$  и нейтр-цией поташем вновь осаждают IV, извлекают эфиром, удаляют р-ритель и кристаллизацией остатка из смеси спирта с эфиром выделяют основание IV, выход 80%. 57,1 вес. ч. этилового эфира N-(n-метоксифенил)-N-фениламиноуксусной к-ты кипятят 10 час. при 125—135° с 40 вес. ч. II, образовавшийся спирт и избыток II отгоняют в вакууме водоструйного насоса, полученный осадок [N-(n-метоксифенил)-N-фениламиноацетил]-этилендиамина смешивают с 84 вес. ч.  $CaO$  и нагревают 24 часа при 200—230°. Продукт несколько раз извлекают кипящим абс. спиртом, к экстракту прибавляют спирт.  $HCl$  до кислой р-ции на конго, упаривают и прибавлением этилацетата выделяют хлоргидрат IV. В смесь 14,02 вес. ч. N-(n-метилфенил)-N-(m'-ацетоксифенил)-аминоацетонитрила (V) и 6,01 ч. II вводят ~0,1 вес. ч.  $H_2S$ , нагревают на водяной бане до окончания выделения  $NH_3$ , продукт 2 раза извлекают спиртом, отгоняют р-ритель, а затем остаток после отгонки обрабатывают этилацетатом и разб.  $HCl$ , упаривают в вакууме и кристаллизуют из спирта, получают хлоргидрат 2-[N-(n-метилфенил)-N-(m'-оксифенил)-аминометил]-имидазолин (VI), т. пл. 240°; обработкой  $NH_4OH$  его переводят в основание VI, т. пл. 174—175°. В смесь 11,91 вес. ч. N-(n-метилфенил)-N-(m'-оксифенил)-аминоацетонитрила [полученного из V] и 7,21 вес. ч. II вводят 0,3 вес. ч.  $H_2S$ , нагревают на водяной бане до прекращения выделения  $NH_3$  и аналогично выделяют хлоргидрат VI. К суспензии 44,3 вес. ч. Na-соединения N-(n-метилфенил)-N-(m'-оксифенил)-амина в 250 объемн. ч. абс.  $C_6H_6$  при перемешивании в течение нескольких часов при 20° приливают 16,1 вес. ч.  $CH_3COCl$ , бензольный р-р промывают разб. р-ром  $NaOH$  и водой, отгоняют р-ритель, сушат и кристаллизацией из разб. спирта получают N-(n-метилфенил)-N-(m'-ацетоксифенил)-амин (VII). Смесь 150 объемн. ч. лед.  $CH_3COOH$ , 24,13 вес. ч. VII, 30 объемн. ч. воды, 4,74 вес. ч. 95%-ного параформальдегида и 13,02 вес. ч. KCN перемешивают 12 час. при 40°, выливают в 500 объемн. ч. воды и извлекают эфиром, экстракт промывают водой, р-ром соды и водой, получают V.

С. Петрова

**29900 II. Способ получения новых производных ксантина.** Дебель, Шпигельберг (Verfahren zur Herstellung neuer Xanthinderivate. Doebl Karl, Spiegelberg Hans) [F. Hoffman—La Roche & Co. A.-G.]. Пат. ФРГ 949470, 20.09.56

По патентуемому способу новые производные 1,3-диалкилксантина получают р-цией 2-хлорбутанола-3 с солью 1,3-диалкилксантина, напр. с щел. солью I (I—теофиллин), при нагревании в присутствии органич. р-рителя, напр. спирта. Патентуемые соединения обладают значительной растворимостью в воде, позво-



люющей получать водн. р-ры конц-ий до 20%, обла-  
дают действием, подобным I, и являются промежуточ-  
ными продуктами для синтеза соединений с актив-  
ностью I. Пример. 20 вес. ч. Na-I суспендируют при  
размешивании в 150 об. ч. спирта, к суспензии при-  
бавляют в течение 10 мин. 11 вес. ч. 2-хлорбутанона-3  
и кипятят при размешивании до превращения всего  
Cl в NaCl, который отфильтровывают, из фильтрата  
удаляют в вакууме спирт, остаток перекристаллизо-  
вывают из смеси метанола с эфиром или из очень  
малого кол-ва спирта и получают 7-(3-кето-2-бутил)-I,  
т. пл. 118—120° (без поправки), фенилгидразон, т. пл.  
168—170°.

29901 П. (—) 3-окси-N-пропаргилморфинаны. Грю-  
нер, Шнидер ((—)-3-hydroxy-N-propargyl-morphi-  
nanes. Grüssner Andreas, Schnider Otto)  
[Hoffmann-La Roche Inc.]. Пат. США 2740788, 3.04.56  
Патентуется (—)-3-окси-N-пропаргилморфинан (I),  
его бромидат (II) и тартрат (III), устранившие,  
так же как и известные N-аллилморфинан (IV) и  
(—)-3-окси-N-аллилморфинан (V), торможение дыха-  
ния при применении препаратов с активностью мор-  
фина, но значительно менее токсичны, чем IV и V,  
и в отличие от последних только в очень больших до-  
зах ослабляющие анагетич. действие препаратов с ак-  
тивностью морфина. Патентуемые соединения полу-  
чают нагреванием (—)-3-оксиморфинана (VI) с гало-  
идным пропаргиллом в органич. р-рителе (предпочти-  
тельно в смеси бутанола и бэл.) в присутствии кисло-  
то-связывающего в-ва, предпочтительно безводн. шел.  
карбоната. Пример: 219 вес. ч. VI растворяют в  
6000 об. ч. смеси бутанола и C<sub>6</sub>H<sub>6</sub>. (1:1) при 60° и,  
после медленного прибавления 90 об. ч. пропаргил-  
бромида, размешивают при слегка повышенной т-ре  
в присутствии 126 вес. ч. безводн. K<sub>2</sub>CO<sub>3</sub>; теплый р-р  
фильтруют и концентрируют в вакууме, остаток рас-  
творяют в 6600 об. ч. I н. HCl, обрабатывают углем  
и фильтруют, бесцветный р-р подщелачивают конц.  
NH<sub>3</sub>, по фенолфталеину, выделившее основание извле-  
кают хлф., экстракт сушат Na<sub>2</sub>SO<sub>4</sub>, хлф. удаляют в  
вакууме, остаток кристаллизуют из спирта, получая  
I, т. пл. 198—200°. Растворимый в воде II кристалли-  
зуют из смеси метанол-эфир, т. пл. 160—161°,  
[α]<sub>D</sub><sup>20</sup> -63° (с-3, в сп.). III т. пл. 184° (из сп.), [α]<sub>D</sub><sup>20</sup>  
-45,7° (с-3,5, в воде).

Ю. Вендельштейн  
29902 П. Способ получения флороглюцинов, моно-  
ацилированных в ядре. Ридль (Verfahren zur Her-  
stellung von kern-mono-acylierten Phloroglucinen.  
Riedl Wolfgang). Пат. ФРГ 941372, 12.04.56  
Моноацилированные в ядре флороглюцины и их  
при атомах О и (или) С алкилированные производные  
получают р-цией флороглюцина или его соответствую-  
щих производных с хлорангидридами карбоновых к-т  
и AlCl<sub>3</sub>, которую проводят в среде CS<sub>2</sub> в присутствии  
нитробензола (I) в кол-ве только достаточном для  
образования активного растворимого комплекса. 15 г  
высушенного при 120° флороглюцина суспендируют в  
80 мл CS<sub>2</sub>, прибавляют 48 г тонкорастертого AlCl<sub>3</sub> и  
в течение 30 мин. при размешивании приливают 30 мл  
I, а затем в течение 30 мин. при кипении 13 г хлор-  
ангидрида изомасляной к-ты, охлаждают 30 мин. при  
30° и выливают вязкую реакционную массу на 500 мл  
ледяной воды, содержащей 20 мл конц. HCl. Отгоняют  
с водяным паром р-рителя, горячий р-р фильтруют  
от небольшого кол-ва смолы, которую еще раз кипят-  
ят с водой, при охлаждении выпадает 25 г флори-  
зобутирофенона, выход 53,5%, т. пл. 138° (из воды).  
Аналогично с применением, вместо хлорангидрида  
масляной к-ты, соответствующих хлорангидридов по-  
лучают следующие производные флороглюцина (при-  
ведены наименование продукта, выход в % и т. пл.  
в °C): флорацетофенон, 30, 219; флорфенацетофенон,

40, 163; флорбутирофенон, 53, 180; флоризовалерофе-  
нон, 47, 145; флоркапрофенон, 51, 118; флоризокапро-  
фенон, 67, 122; флоркаприлофенон, 45, 128; 3-метил-  
флорбутирофеной, 41, 155; 3-метилфлоризобутирофе-  
нон, 51, 160. К р-ру 0,67 г 1-метилового эфира  
2-метилфлороглюцина и 1,74 г AlCl<sub>3</sub> в 4 мл CS<sub>2</sub> и  
3 мл I приливают 0,5 г хлорангидрида масляной к-ты  
и после аналогичной обработки перегонкой с паром  
выделяют 0,7 г 4-метилового эфира 3-метилфлорбути-  
рофенона (аспидинол), выход 71,5%, призмы, т. пл.  
141° (из гептана); аналогично получают 4-метильный  
эфир 3-метилфлоризобутирофенона, выход 69%, иглы,  
т. пл. 142° (из гептана или разб. спирта). К суспен-  
зии 0,5 г 3,3-диметилциклогексен-1-ол-2-диона-4,6 (фи-  
лициновая к-та) и 0,86 г AlCl<sub>3</sub> в 2 мл CS<sub>2</sub>, приливают  
по каплям 2 мл I, при кипении в течение 0,25—  
0,5 часа приливают 0,25 г CH<sub>3</sub>COCl, охлаждают 0,5—  
1 час и выливают на 15 мл ледяной воды, содержащей  
2 мл конц. HCl, через 15 мин. прибавляют немного  
эфира и отделяют водн. слой, содержащий Al-соедине-  
ние получаемого в-ва, водн. слой промывают взбалты-  
ванием с эфиром, фильтруют и подкислением 7 мл  
конц. HCl выделяют 1-ацетил-3,3-диметилциклогексен-  
1-ол-2-дион-4,6 (филициновая к-та — этанон), выход  
7,8%, октаэдры, т. пл. 176° (из воды). Аналогично с  
применением, вместо CH<sub>3</sub>COCl, соответствующих хлор-  
ангидридов получают: 1-(н-бутирил)-3,3-диметилци-  
клогексен-1-ол-2-дион-4,6 (филициновая к-та — бутан-  
он), выход 13,8%, призмы, т. пл. 97° (из гексана);  
1-ацетил-3,3,5-триметилциклогексен-1-ол-2-дион-4,6 (ме-  
тилфилициновая к-та — этанон), выход 38%, т. пл.  
161° (из разб. сп.); 1-(н-бутирил)-3,3,5-триметилци-  
клогексен-1-ол-2-дион-4,6 (метилфилициновая к-та — бу-  
танон), выход 31,6%, призмы, т. пл. 90—92° (из гек-  
сана); 1-изобутирил-3,3,5-триметилциклогексен-1-ол-2-  
дион-4,6 (метилфилициновая к-та — изобутанон),  
выход 51,5%, призмы, т. пл. 99—100° (из ацетона +  
+ вода или гексана). К р-ру 2 г 3,3,5,5-тетраметилци-  
клогексен-1-ол-2-диона-4,6 (тетраметилфлороглюцин) и  
2,92 г AlCl<sub>3</sub> в 8 мл CS<sub>2</sub> и 8 мл I приливают 1,3 г CH<sub>3</sub>-  
COCl, подвергают обычной переработке выделяют  
1-ацетил-3,3,5,5-тетраметилциклогексен-1-ол-2-дион-4,6  
(тетраметилфлорацетофенон), выход 5%, т. пл. 54°  
(из разб. CH<sub>3</sub>OH). Аналогично с применением 1,98 г  
хлорангидрида изовалериановой к-ты (вместо CH<sub>3</sub>COCl)  
получают 1-изовалерил-3,3,5,5-тетраметилциклогексен-1-  
ол-2-дион-4,6 (лептоспермон), выход 27,3%, масло; его  
анилинопроизводное, т. пл. 91° (из петр. эф.). По-  
лучаемые в-ва находят применение для приготовления  
физиологически активных средств.

В. Уфимцев  
29903 П. Способ получения замещенных 4-оксигид-  
ринденов. Грасхоф (Verfahren zur Herstellung  
von substituierten 4-Oxyhydrinden. Gräßhof  
Herbert) [Fa. M. Woelm]. Пат. ФРГ 951629, 31.10.56  
Замещенные 4-оксигидриндены получают восстано-  
влением 4-оксигидриндионов-3, которые могут содержать  
в качестве заместителей, только Cl и (или) алкил.  
264 г 4-окси-7-хлоргидриндона-3 (полученного из  
н-хлорфенола и β-хлорпропионовой к-ты) кипятят  
с 480 г амальгамированной (водн. р-ром 24 г HgCl<sub>2</sub> в  
течение 1 часа) Zn-стружки, 1200 мл конц. HCl и  
240 мл лед. CH<sub>3</sub>COOH, через 8 час. приливают 480 мл  
конц. HCl и кипятят еще 4 часа, по охлаждении от-  
фильтровывают осадок и промывают водой, сушат и  
извлекают низкипящим петр. эфиром, удаляют  
р-ритель и остаток кристаллизуют из разб. CH<sub>3</sub>COOH,  
получают 173 г 4-окси-7-хлоргидриндена, т. пл. 87—90°.  
700 г 1,5-диметил-4-окси-7-хлоргидриндона-3 (из 4-хлор-  
о-крезола и кротоновой к-ты) кипятят 12 час. с 1000 г  
амальгамированной Zn-стружки, 0,5 л лед. CH<sub>3</sub>COOH  
и 3,5 л конц. HCl (сначала прибавляют 1/2 конц. HCl,  
а остаток через 8 час.), масляный слой отделяют и

перегонкой в вакууме выделяют 520 г 1,5-диметил-4-окси-7-хлоргидриндена, т. пл. 53—60°. Аналогично из 920 г 1-этил-4-окси-7-хлоргидриндона-3 (из *n*-хлорфенола и  $\alpha$ -бромвалериановой к-ты), 1300 г амальгамированной Zn-стружки, 0,7 л лед.  $\text{CH}_3\text{COOH}$  и 4,6 л конц.  $\text{HCl}$  получают 1-этил-4-окси-7-хлоргидринден, т. кип. 164—165°/20 мм. К р-ру 25 г  $\text{LiAlH}_4$  в 600 мл абс. эфира постепенно приливают при размешивании р-р 25 г 1,6,7-триметил-4-оксигидриндона-3 в 100 мл абс. эфира, нагревают несколько часов, разлагают влажным эфиром и водой, осадок отфильтровывают и промывают эфиром, переводят в горячий высококипящий петр. эфир, по охлаждению отфильтровывают немного в-ва с т. пл. 125—126°; из фильтрата удаляют р-ритель и перегонкой в вакууме выделяют 1,6,7-триметил-4-оксигидринден, т. пл. 82° (из петр. эф.). Полученные замещ. 4-оксигидриндены обладают низкой токсичностью и высоким противоглистным действием (приведены данные биологич. испытаний) и не вызывают повреждения слизистой оболочки желудка; они обладают также высокой бактерицидной активностью против грамотрицательных бактерий и спороносителей и пригодны для лечения гангрены зубов или при оперативном вскрытии воспаленных полостей.

В. Уфимцев  
29904 П. Способ получения активированного сульфатазола. Хэги, Окада [Нихон сода Кабусики Кайся]. Японск. пат. 3680, 30.05.55

Активированный 2-(*n*-аминобензолсульфамидо)-тиазол (I) получают нагреванием водн. р-ра I с соединением алифатич. альдегида или кетона с  $\text{NaHSO}_3$ . Смесь 5,1 ч. I и 177 ч. воды нагревают до кипения и полного растворения, прибавляют 3,5 ч. соединения *n*-масляного альдегида с  $\text{NaHSO}_3$ , кипятят еще 5 мин., фильтруют и быстрым охлаждением выделяют 2,5 ч. активированного I, кристаллич. порошок, т. пл. 195—197°. Аналогично из 5,1 ч. I, 177 ч. воды и 3,2 ч. соединения ацетона с  $\text{NaHSO}_3$  (кипчение, 10 мин.) получают 2,5 ч. активированного I.

С. Петрова  
29905 П. Способ получения продуктов конденсации сульфатуанидина. Мартин, Рихтер, Зибер (Verfahren zur Herstellung von Kondensationsprodukten des Sulfaguanidins. Martin Henry, Richter Carl, Sieber Peter) [Cilag A.-G.]. Пат. ФРГ 949885, 27.09.56

Патентуемые новые препараты, получаемые конденсацией гуанидида *n*-аминобензолсульфокислоты (I) (сульфатуанидина) с  $\text{CH}_2\text{O}$  или в-вами, отщепляющими  $\text{CH}_2\text{O}$ , в нейтр. или кислом р-ре, обладающей большей активностью против бактерий дизентерии А и В, тифа, паратифа, *B. coli*, *B. proteus* и т. п., чем I, и против стрептококков и пневмококков, в отношении которых I не активен. Примеры: а) к р-ру 50 г I в 500 мл воды и 50 мл конц.  $\text{HCl}$  прибавляют в течение 2 мин. при размешивании 92 г 38%-ного формалина (или соответствующее кол-во гексаметилентетрамина); т-ра поднимается до 25°, образуется белый осадок; к смеси прибавляют р-р 23 г  $\text{NaOH}$  в 100 мл воды, причем устанавливается рН 6; осадок фильтруют, промывают водой и сушат; получают 47,6 г красноватого тонкого порошка продукта конденсации (ПК), т. пл. ~ 230° (вспенивание), трудно растворимого в разб. теплой  $\text{HCl}$ , нерастворимого в воде, разб. щелочах, спирте и ацетоне, содержащего 22,20% N и 12,50% S вернойной ф-лы:  $\text{CH}_2=\text{N}-\text{NHC}_6\text{H}_4\text{SO}_2\text{NHC}(\text{=NH})\text{NHC}_6\text{H}_4\text{ONH}_2$ ; б) р-р 10 г I в 100 мл спирта смешивают при 75° с р-ром 18 г 38%-ного формалина в 100 мл спирта, образующийся р-р фильтруют и охлаждают, причем выпадают кристаллы, которые отсасывают, промывают спиртом и сушат; получают продукт, т. пл. 217—232° (медленное разложение), с содержанием 20,89% N и 10,75% S; растворимость та же, что у продукта при-

мера «а»; в) суспензию 1 кг I (с кристаллизационной водой) в 9,3 л спирта смешивают с 37 г ацетата Na и 28 г лед.  $\text{CH}_3\text{COOH}$ , нагревают до 50° и прибавляют 400 г 38%-ного формалина (1,17 моля  $\text{CH}_2\text{O}$ ); размешивают при 50° до полного растворения, после чего фильтруют, фильтрат охлаждают, выпавший осадок отсасывают, промывают спиртом и сушат в вакууме; получают 1,05 кг продукта, содержащего 20,56% N и 10,63% S.

Ю. Вендельштейн  
29906 П. Синтез производных птеридина. Морита [Такеда Якухин Когё Кабусики Кайся]. Японск. пат. 974; 976 25.02.54

Пат. 974. 2,8 г 2,4,5-триамино-6-оксиптеридина (I), 5,32 г (*n*-аминобензоил)-глутаминовой к-ты (II) и 7 г  $\text{CH}_2\text{ClCHClCHONH}-\text{OSO}_2\text{Na}$  в 100 мл воды выливают в 1400 мл буферного р-ра  $\text{CH}_3\text{COOH}-\text{CH}_3\text{COONa}$  при рН 3,5—4, прибавляют в два приема 4 г  $\text{SeO}_2$ , смесь оставляют на ночь, продукт фильтруют и промывают водой. Получают 4,2 г продукта, содержащего 30% фолевой к-ты.

Пат. 976. 2,8 г I, 5,32 г II и 8 г  $\text{CH}_2\text{ClCHClCHONH}-\text{SO}_2\text{Na}$  в 300 мл воды прибавляют к 1200 мл буферного р-ра  $\text{CH}_3\text{COOH}-\text{CH}_3\text{COONa}$ , смесь перемешивают несколько часов, оставляют на ночь, осадок фильтруют и промывают водой; получают 4,3 г продукта, содержащего 50% фолевой к-ты.

Э. Тукачинская  
29907 П. Щелочные соли адениловой кислоты (Sels alcalins de l'acide édénylique). [Ernst Bischoff Cay Inc.]. Франц. пат. 1095335, 1.06.55 [Prod. Pharmas., 1955, 10, № 11, 705 (франц.)]

Патентуется получение моно- или динатровых солей адениловой к-ты нейтр-цией последней щел. основанием.

Ю. Вендельштейн  
29908 П. Способ получения солей хлорофилла со щелочными металлами. Накамура С. Японск. пат. 4895, 15.07.55

Для получения солей хлорофилла (I) со щел. металлами, р-р I в  $\text{CH}_3\text{OH}$  подщелачивают едкой щелочью, избыток щелочи связывают насыщением  $\text{CO}_2$ , отделяют труднорастворимый осадок углекислых щелочей, фильтрат упаривают досуха и извлекают для удаления фитола эфиром, в остатке получают соль I. Р-р 10 г чистого I в 100 мл 98%-ного  $\text{CH}_3\text{OH}$  подщелачивают прибавлением 2 г  $\text{NaOH}$  при перемешивании и кипятят 30 мин., пропускают в течение ~15 мин.  $\text{CO}_2$  и оставляют 30 мин. стоять, углекислые минер. соли отделяют, р-р упаривают в вакууме, промывают 3 раза эфиром (по 20 мл) для удаления фитола и сушат, получают 6,3 г темно-фиолетовой Na-соли I.

С. Петрова  
29909 П. Способ получения производных витамина В<sub>1</sub> и его гомологов. Мацукава, Маки [Такеда Якухин Когё Кабусики Кайся]. Японск. пат. 4780, 3.08.54

Производные витамин В<sub>1</sub> (I) и его гомологов общей ф-лы  $\text{H}_2\text{NC}=\text{NC}(\text{R})=\text{NCH}=\text{CCH}_2\text{N}(\text{CHO})\text{C}-$

$(\text{CH}_3)=\text{C}(\text{CH}_2\text{CH}_2\text{OR})\text{SSR}'$  (R — алкил, напр. метил или этил; R' — H или ацил; R'' — алкил, содержащий амино- или карбоксильную группу или оба заместителя одновременно) получают алкилмеркаптурованием соответствующих производных I при помощи S-содержащих алифатич. аминокислотных к-т. Р-р 1 ч. дисульфида I и 0,3 ч. хлоргидрата II (II — дис-теин) в 20 ч. воды устанавливают на рН 7,5—6 и оставляют реагировать при 20—40°, по окончании р-ции подкисляют  $\text{HCl}$  (к-той) до рН 6, отфильтровывают II, фильтрат упаривают в вакууме, прибавляют 30 ч.  $\text{CH}_3\text{OH}$ , при стоянии выделяется смесь II, витамин В<sub>1</sub>-цистеина (III) и хлоргидрата I, которую отфильтровывают и обрабатывают небольшим кол-вом воды, отфильтровывают нерастворившийся II, фильтрат упаривают в вакууме и кристаллизацией несколь-



но раз из воды выделяют III. Аналогично получают III из 1 ч. I, 0,7 ч. дистилата и 30 ч. воды (pH 7,5—8,20°) или из 1 ч. I, 0,5 ч. хлоргидрата II и 20 ч. воды (pH-ция сильно щел.) с последующим прибавлением 0,3 ч. 30%-ного р-ра  $H_2O_2$ .

С. Петрова  
29910 П. Способ получения производных витаминов В. Мацукава, Кавасаки [Такада Якухин Kogō Кабусики Кайся]. Японск. пат. 4781, 3.08.54  
Производные витамины В<sub>1</sub> общей ф-лы (I)  $H_2N-C=NC(CH_3)=NCH=CCH_2N(CHO)C(CH_3)=C(CH_2CH_2-$

OR)SSR<sup>1</sup> (R—H или арил; R<sup>1</sup>—алкил или арилалкил) получают алкил- или арилалкилмеркаптурованием гомовитамина В<sub>1</sub> (II; его хлоргидрат-III) и его сложных эфиров. К р-ру 0,8 ч. II в 50 ч. 50%-ного спирта прибавляют 0,25 ч. метилового эфира метилтиосульфидной к-ты, устанавливают 10%-ным р-ром NaOH на pH 8, нагревают при 50—60° до исчезновения тиохромоидной р-ции, упариванием в вакууме выделяют кристаллизующееся масло, которое отфильтровывают и кристаллизацией из  $C_6H_6$  выделяют 0,6 ч. I (R—H, R<sup>1</sup>—метил), палочки, т. пл. 122—123° (разл.). Аналогично из 0,9 ч. II, 50 ч. 50%-ного спирта, 0,37 ч. этилового эфира этилтиосульфидной к-ты и 10%-ного р-ра NaOH до pH 8 (50—60°, до исчезновения р-ции) получают 0,6 ч. I (R—H, R<sup>1</sup>—этил), палочки, т. пл. 132—133° (разл.); из 0,5 ч. II, 20 ч. воды, 1,7 ч. 10%-ного р-ра NaOH и 0,5 ч. Na-соли пропильтиосульфидной к-ты (несколько часов, 20°)—0,5 ч. I (R—H, R<sup>1</sup>—пропил), палочки, т. пл. 130—131° (разл.); из 0,5 ч. II, 20 ч. воды, 1,7 ч. 10%-ного р-ра NaOH и 0,5 ч. Na-соли пропильтиосульфидной к-ты (несколько часов, 20°)—0,5 ч. I (R—H, R<sup>1</sup>—бутил), палочки, т. пл. 119—120° (разл.); из 1 ч. II, 20 ч. воды, 3,5 ч. 10%-ного р-ра NaOH (смесь насыщают NaCl) и р-ра 0,4 ч. хлорангидрида метилтиосульфидной к-ты в 30 ч. эфира (~2 часа, 20°)—0,4 ч. I (R—H, R<sup>1</sup>—метил).

С. Петрова  
29911 П. Способ получения солей витамина В<sub>1</sub> с диокситрифенилметан-2-карбоновой или тетрабромдиокситрифенилметан-2-карбоновой кислотой. Ямамото, Такахаши [Синогиси Сэйяку Кабусики Кайся]. Японск. пат. 4246, 22.06.55

Соли витамина В<sub>1</sub> (I) с диокситрифенилметан-2-карбоновой к-той (II;—фталин) и тетрабромдиокситрифенилметан-2-карбоновой к-той (III) получают р-цией I с растворимыми в воде соединениями II или III, соответственно, в водн. среде. 4 г II нейтрализуют 10%-ным р-ром NaOH, фильтруют и фильтрат разбавляют до 100 мл водой, при перемешивании прибавляют р-р 2 г I в 50 мл воды, нейтрализованный 5%-ным р-ром NaOH до pH 7, оставляют 16 час. стоят при 0°, отфильтровывают и кристаллизуют из воды 6,2 г соли I + II (+ 3H<sub>2</sub>O), палочки, т. пл. 135—143° (разл., из воды), растворимость ее в воде 0,5% при 25°. Соли I + III, т. пл. 160—167°, растворимость в воде 0,2% при 25°.

С. Петрова  
29912 П. Способ фракционированного разделения витаминов В<sub>1</sub> и В<sub>2</sub> из растворов с применением монообменных смол. Мейер, Троп (Verfahren zur fraktionierten Trennung von Vitaminen des B<sub>1</sub>-Typs und des B<sub>2</sub>-Typs aus Lösungen unter Verwendung von Ionenaustauschern. Meier Erhard, Troop) [Farbenfabriken Bayer A.-G.]. Пат. ФРГ 948005, 23.08.56

Способ основан на избирательном поглощении витаминов В<sub>1</sub> (I) и В<sub>2</sub> (II) монообменными смолами. Р-р, содержащий в 1 л 3000 γ I и 5000 γ II, пропускают через систему, состоящую из двух фильтров: один из них заполнен анионитом (продукт конденсации м-фенилендиамина, полиэтилендиамина и формальдегида), другой — катионитом (продукт конденсации резорцина, бензальдегидисульфокислоты и формальдегида). На анионите поглощается II, который вымывают

смесью пиридин-метанол-вода или пиридин-лед. уксусная к-та-вода. На катионите поглощается I, который вымывают конц. HCl.

А. Травин  
29913 П. Способ разделения никотиновой и изоникотиновой кислот. Халткунст (Process for separating nicotinic acid from isonicotinic acid. Hultquist Martin Everett) [American Cyanamid Co.]. Пат. США 2748136, 29.05.56

Предложен способ разделения никотиновой (I) и изоникотиновой (II) к-т, основанный на различной растворимости их Са-солей в водн. спиртах. К нагреваемой до 70—75° смеси 45 мл спирта, 30 мл воды, 15 г I и 5 г II прибавляют Са(OH)<sub>2</sub> (~6,5 г, до появления оранжевого пятна на реактивной бумажке с бромлиантовым желтым), нагревают 15 мин. при 70—75°, фильтруют в горячем виде осадок Са-соли I (III), промывают горячей смесью 10 мл спирта и 5 мл воды и еще раз 10 мл спирта, высушенный осадок (16,2 г) смешивают с 30 мл горячей воды и подкисляют конц. HCl до pH 3,5; получают 10,1 г I. Для получения II фильтрат от III или подкисляют непосредственно или предварительно удаляют спирт или лучше нагревают до 75—80°, вносят смесь 15 г I и 5 г II и обрабатывают, как указано выше; получают 12,5 г I. При охлаждении горячей фильтрата выпадает Са-соль II, которую отделяют, растворяют в 20 мл горячей воды, подкисляют до pH 3,5 и охлаждают до 20°; получают 4,5 г II. Описано также аналогичное разделение I и II с применением СН<sub>3</sub>ОН и СН<sub>3</sub>ОСН<sub>2</sub>СН<sub>2</sub>ОН. А. Травин

29914 П. Способ перевода растворимых в жирах витаминов в растворимую в воде форму. Йосима. Японск. пат. 3850, 6.06.55

Витамины, растворимые в липидах, переводят в растворимую в воде форму путем смешения с полиоксиспиртовыми эфирами алифатич. оксикислот с длинной цепью или их сложных эфиров. Смеси обладают лишь очень небольшой гемолитич. активностью и при применении для инъекций превосходят смеси (типа Tween) с другими поверхностноактивными в-вами. Для получения этих смесей касторовое масло превращают в полиоксиспиртеновые эфиры, причем в качестве полиалкиленов применяют полиэтиленгликоли или полипропиленгликоли. Эти соединения, употребляемые для увеличения растворимости в воде, оказываются неэффективными при применении к витаминам, содержащим сравнительно большие кол-ва липидов. Смесь 1 ч. спирт. р-ра продукта, полученного молекулярной перегонкой рыбьего жира и содержащего 1 500 000 ед. витамина А (I) в 1 г продукта (в дальнейшем в скобках указывается кол-во стандартных единиц витамина в 1 г продукта), и 10 ч. полиэтиленгликолевого эфира (II) (II — рициноленовая к-та) разбавляют 100—200 ч. воды, получают водн. р-р препарата I. Аналогично получают растворимые в воде препараты: из 1 ч. кристаллич. витамина D<sub>2</sub> (III) (40 000 000) из 1 ч. витамина E (α-токоферола) или 1 ч. витамина K<sub>3</sub>. Смесь 1 ч. препарата I (1 800 000) и 20 ч. глицеридополиэтиленгликолевого эфира II разбавляют 100—200 ч. воды, получают водн. р-р I. Аналогично получают растворимые в воде препараты: из 1 ч. витамина D<sub>2</sub> (3 700 000) или из 1 ч. витамина E, полученного молекулярной перегонкой концентрата из верхушек молодых ростков. Растворимые в воде препараты витаминов аналогично получают: а) из 1 ч. концентрата рыбьего жира, содержащего I (900 000) и витамин D (400 000), 10 ч. II жира и 100—200 ч. воды; б) из смеси 1 г спирт. р-ра I (2 500 000), 0,01 г III (20 000 000), 1 г витамина K<sub>3</sub> и 20 г ПЭ этилового эфира II, 100 мл воды и р-ра 0,5 г витамина В<sub>1</sub>, 0,2 г витамина В<sub>2</sub>, 1 г витамина С, 0,2 г никотинамида, 0,2 г витамина В<sub>6</sub>, 0,2 г Са-соли пантотеновой к-ты и 2 мл витамина В<sub>12</sub> в 100 мл воды; в) из 1 ч. спирт. р-ра I

(100 000) и 10 ч. ПЭ гидрированного масла и 100 ч. воды; г) из 1 ч. спирт. р-ра I (900 000) и 10 ч. ПЭ метилового эфира гидрированного II и 100 ч. воды; д) 1 ч. кристаллич. III и 10 ч. ПЭ этилового эфира II и 100 ч. воды; е) из 1 ч. пальмита I (1 000 000) и 10 ч. ПЭ глицерида оксистеариновой к-ты (полученного из глицерида гидрированной II) и 100 ч. воды; ж) из 1 ч. спирт. р-ра I (1 800 000) в 5 ч. ацетона и 10 ч. ПЭ этилового эфира оксистеариновой к-ты в 10 ч. ацетона (после смешения ацетон отгоняют) и 100 ч. воды. Твердые растворимые в воде препараты витаминов получают: а) из 1 г спирт. р-ра I (1 500 000), 0,01 г кристаллич. III (20 000 000) и 5 г ПЭ гидрированного масла; б) (в порошкообразной форме) из 1 г спирт. р-ра I (1 500 000), 5 г ПЭ гидрированного масла и 10 г глюкозы; в) (в таблетках) из 1 ч. спирт. р-ра I (1 500 000), 5 г ПЭ гидрированного масла, 5 г глюкозы и 5 г крахмала.

С. Петрова

29915 П. Синтез пиридоксина. Джонс (Pyridoxine synthesis. Jones Reuben G.) [Eli Lilly and Co.] Пат. США 2744114, 1.05.56

В процессе синтеза 2-метил-3-окси-4,5-диоксиметилпиридина (пиридоксина) (I) патентуется нагревание соединения общей ф-лы  $C(CH_3)=C(OH)C(COOR)=$  —  $C(COOR)C=N$  (II) (R — низший алкил), в частно-

сти соединения ф-лы II, где R —  $C_4H_9$ , с  $LiBH_4$  в среде инертного р-рителя (напр., эф., диоксана, дибутилового эфира, тетрагидрофурана (III), N-этилморфолина и т. п.), прибавление к продуктам р-ции низшего алифатич. спирта, напр. метанола (IV) и минер. к-ты, нагревание смеси для превращения соединений В в эфир  $H_2BO_3$  и спирта, отделение последнего и выделение I. Примеры: а) Р-р 2 г 2-метил-3-амино-4,5-пиридиндикарбоновой к-ты (V) в 50 мл IV обрабатывают избытком диазометана (VI), растворенного в эфире, оставляют на 30 мин. при 20°, отгоняют эфир, IV и избыток VI и получают в остатке диметиловый эфир V (VII), т. пл. 94—95°. 3,4 г суспензии VII в 150 мл безводн. эфира прибавляют тонкой струей к суспензии 0,66 г  $LiBH_4$  в 50 мл эфира, кипятят 26 час., охлаждают, прибавляют 10 мл воды и 200 мл IV, содержащего 5 мл конц. HCl, и перегоняют на колонке 45 см до прекращения зеленого окрашивания пламени пробы зажженного дистиллята. В перегонную колбу прибавляют IV, подерживая объем жидкости 300 мл, добавляют 150 мл воды, отгоняют органич. р-рителя, к остатку прибавляют 5 г NaOH, экстрагируют 2 дня эфиром и 1 день этилацетатом (VIII). После выпаривания эфир. экстракта получают 1 г 2-метил-3-амино-4,5-диоксиметилпиридина (IX), т. пл. 135—136°, а экстракта VIII — 1,5 г IX, т. пл. 125—130°, после кристаллизации смеси из VIII, т. пл. 139—140°. Аналогично из 0,88 г  $LiBH_4$  и 4,51 г диметилового эфира V в среде III получают 2,17 г IX, т. пл. 139—141°. б) Смесь 5 г V и 100 мл n-бутанола насыщают HCl, кипятят 20 час., выпаривают в вакууме, остаток обрабатывают 10%-ным р-ром  $NaHCO_3$ , экстрагируют VIII, экстракт сушат и выпаривают досуха в вакууме, получая ди-n-бутиловый эфир V, т. пл. 112—114°, 5 г которого обрабатывают 2 г  $LiBH_4$  в III по примеру «а» и получают IX. Аналогично из дибензилового эфира V получают IX, т. пл. 141—142°. в) Суспензию 2 г диметилового эфира 5-метокси-7-метилцинхомероновой к-ты в 80 мл эфира обрабатывают эфирной суспензией 2 г  $LiBH_4$  по «а», полученный 2-метил-3-метокси-4,5-диоксиметилпиридин превращают в хлоргидрат, т. пл. 149—151° (из сп.), обработкой последнего HBr и гидролизом 4,5-дибромметилпроизводного получают I. Аналогично «а» из диметилового эфира 2-метил-3-ацетокси-4,5-пиридин-

дикарбоновой к-ты, т. пл. 61—62°, получают хлоргидрат I и из диметилового эфира 2-метил-3-окси-4,5-пиридиндикарбоновой к-ты, т. пл. 138,5—139° (из VIII) получают I.

Н. Эвереттова

29916 П. Стероиды (Steroids) [Upjohn Co.] Англ. пат. 734797, 10.08.55

Доп. к англ. пат. 724094 (РЖХим, 1957, 102445) Тестостерон или 10-норметилтестостерон вводят в соприкосновение с окислителями, образующимися при произрастании грибов вида *Mucor*, напр. *Mucor griseo suavis*, в аэробных условиях и получают 14-а-оксистеростерон или 14-а-окси-10-норметилтестостерон. Для окисления можно применять как культуральную среду, в которой произрастал гриб, так и сам гриб.

Ю. Вендельштейн

29917 П. Способ получения соединений ряда стероидов с кислородом в положении 11 (Verfahren zur Herstellung von Verbindungen der Steroidreihe mit Sauerstoff in 11-Stellung) [Ciba A.-G.] Австр. пат. 178167, 10.04.54 [Chem. Zbl., 1956, 127, № 12, 3380—3381 (нем.)]

Незамещенные в положении 7, ненасыщ. стероиды, содержащие при  $C_7$  и  $C_8$  атомах две сопряженные двойные связи, обрабатывают окислителями, причем образуются эпоксиды, на которые действуют гидролизующими и изомеризующими или только изомеризующими в-вами, приводящими к образованию 7,11-диоксисоединений. Дальнейшим окислением получают 11-кето- или 11-окси-соединения с одной двойной связью или оксидогруппой в кольце В, особенно в положении 8,9, которые обрабатывают восстановителями, в данном случае после окисления 8,9-ненасыщ. кетонов в положении 7, напр. в  $\Delta^{8,9}$ -7,11-дикетон. Оксид- или оксогруппу этих соединений замещают на Н. В качестве исходных в-в применяют производные холестерина, копростана, ситостана, стигматана, холана, аллохолана, прегнана, андростана и этиохолана. Исходные в-ва окисляют, напр., соединениями 6-валентного Cr ( $CrO_3$ ) или трет-бутилхроматом,  $KMnO_4$ ,  $SeO_2$ , перекисями, напр. надбензойной к-той, моно-надфталевой к-той,  $H_2O_2$ , в данном случае в присутствии  $OsO_4$  или  $O_2$  в присутствии катализатора, напр. ферментов. При окислении образуются  $\Delta^{7,9}$ -9,11-эпоксиды и  $\Delta^{9,11}$ -7,8-эпоксиды. При гидролитич. расщеплении одновременно протекает изомеризация, напр. при действии разб.  $H_2SO_4$ , более или менее конц. органич. или неорганич. к-т или их ангидридов, напр.  $HCOOH$  или трихлоруксусной к-ты, окислов или галогенидов соединений Р, напр.  $P_2O_5$  или  $PbO_2$ , или неорганич. солей, напр.  $ZnCl_2$ ,  $FeCl_3$ , щелочно реагирующих в-в, напр. щелочей, щел. земель или  $Al_2O_3$ . Напр., при обработке  $\Delta^{7,8}$ -9,11-оксидо- и  $\Delta^{9,11}$ -7,8-оксидосоединений разб.  $H_2SO_4$  при 20° получают  $\Delta^{8,9}$ -7,11-диоксисоединения, а при повышенной т-ре —  $\Delta^{8,9}$ -7-кетоны. При действии  $BF_3$  на  $\Delta^{7,8}$ -9,11-оксиды образуются  $\Delta^{8,9}$ -11-кетоны, которые можно перевести в  $\Delta^{8,9}$ -или 8,9-оксидо-7,11-дикетоны.  $\Delta^{8,9}$ -7,11-диоксисоединения окисляют избытком  $CrO_3$  в жестких условиях, причем образуются  $\Delta^{8,9}$ -или 8,9-оксидо-7,11-дикетоны. При окислении в мягких условиях получают 8,9-оксидо-7,11-диоксид-или  $\Delta^{8,9}$ -оксид-7-кетосоединения, которые последовательно можно окислить в 8,9-оксидо-или  $\Delta^{8,9}$ -7,11-дикетоны. Окисление проводят, напр., трет-бутилхроматом или  $KMnO_4$ . Дегидрирование осуществляют с помощью алкогोलатов или фенолятов металлов или карбонильных соединений, или порошками металлов в вакууме при нагревании. Примеры:  $\Delta^{7,8}$ -9,11:22-33-3β-ацетоксистерогестатриен (I) окисляют  $CrO_3$  в лед.  $CH_3COOH$  с образованием  $\Delta^{8,9}$ :22,23-3β-ацетоксид-7,11-ди-



кетостероидов, т. пл. 132—135°, который при восстановлении Zn-пылью в лед.  $\text{CH}_3\text{COOH}$  дает  $\Delta^{22,23}$ -3 $\beta$ -ацетокси-7,11-дикетостероид (II), т. пл. 195,5—196°; II получают также окислением I ббльшим кол-вом  $\text{CrO}_3$ , причем образуется  $\Delta^{22,23}$ -3 $\beta$ -ацетокси-8,9-оксидо-7,11-дикетостероид, т. пл. 130—131°, который восстанавливают в II Zn-пылью в лед.  $\text{CH}_3\text{COOH}$ . Избирательным удалением CO-группы в положении 7 из II, напр. следующими один за другим обработками сухим HCl и скелетным Ni получают  $\Delta^{22,23}$ -3 $\beta$ -ацетокси-11-кетостероид (III), т. пл. 125—126°. I окисляют  $\text{H}_2\text{O}_2$  или надкислотами, напр. моноадфталевой к-той, причем образуется  $\Delta^{7,8;22,23}$ -3 $\beta$ -ацетокси-9,11-оксидостероид (IV), т. пл. 204°. Последний изомеризуют при 35°  $\text{BF}_3$  в бензольном р-ре, получают  $\Delta^{8,9;22,23}$ -3 $\beta$ -ацетокси-11-кетостероид, т. пл. 122—123°, который гидрируют  $\text{H}_2$  в присутствии Pt до поглощения 1 моля  $\text{H}_2$  и получают III. Соединение IV растворяют в эфире, нагревают с  $\text{LiAlH}_4$ , получают дважды ненасыщенный 3 $\beta$ ,11-диоксистероид, а окислением последнего  $\text{CrO}_3$  в водн.  $\text{CH}_3\text{COOH}$   $\Delta^{8,9;22,23}$ -3,11-дикетостероид. Последний гидрируют  $\text{H}_2$  в присутствии Pt-катализатора и ацетируют обычным способом уксусным ангидридом в пиридине, получая  $\Delta^{22,23}$ -3 $\beta$ -ацетокси-11-кетостероид. Описанный порядок р-ций можно перенести на  $\Delta^{7,8;9,11}$ -3 $\beta$ -ацетоксистероид,  $\Delta^{7,8;9,11}$ -андростероид и  $\Delta^{7,8;9,11}$ -этиохолан, а также на кислород замещ. в положениях 3 и 17 производные. Дальнейшими исходными материалами служат метиловые эфиры  $\Delta^{7,8;9,11}$ -3 $\alpha$ -ацетоксистероидной к-ты (V) и  $\Delta^{7,8;9,11}$ -3 $\alpha$ -ацетоксистероидной к-ты (VI) и производные прегна аналогичного строения, которые можно легко получить из соответствующих  $\Delta^{9,11}$ -3 $\alpha$ , 7 $\alpha$ -диацетокси-12-кетосоединений. V окисляют р-ром моноадфталевой к-ты, причем получают метиловый эфир  $\Delta^{9,11}$ -3 $\alpha$ -ацетокси-7,8-оксидохеновой к-ты, т. пл. 154—155°, который при вазальвании с 2 н.  $\text{H}_2\text{SO}_4$  в р-ре в диоксане превращают в метиловый эфир  $\Delta^{8,9}$ -3 $\alpha$ -ацетокси-7,11-диоксистероидной к-ты (масло), из которого окислением  $\text{CrO}_3$  в лед.  $\text{CH}_3\text{COOH}$  получают метиловый эфир  $\Delta^{8,9}$ -3 $\alpha$ -ацетокси-7,11-дикетохеновой к-ты, т. пл. 137—139°, превращаемый действием Zn-пыли в лед.  $\text{CH}_3\text{COOH}$  в соответствующий метиловый эфир 3 $\alpha$ -ацетокси-7,11-дикетохеновой к-ты, т. пл. 159—160°. Действием сухого HCl и последующим нагреванием со скелетным Ni отщепляют 7-кетогруппу с образованием метилового эфира 3 $\alpha$ -ацетокси-11-кетохеновой к-ты, т. пл. 127—128°. Патентуемые соединения применяют в терапии или в качестве промежуточных продуктов для синтеза терапевтич. в-в.

Ю. Вендельштейн  
29918 II. Гидроксильные соединения стероидного ряда и способ их получения. Ружичка, Хейссер, Егер (Hydroxyl compounds of the steroid series and process of making same. Ruzicka Leopold, Heusser Hans, Jeger Oskar) [Ciba Pharmaceutical Products, Inc.]. Пат. США 2743287, 24.04.56

Патентуются 7, 8, 9, 11-тетраокси-(I) и 7-кето-9,11-диоксипроизводные (II) стероидного ряда, являющиеся промежуточными продуктами при синтезе терапевтически активных стероидных соединений. Синтез I осуществляют гидролизом 7,11-диокси-8,9-эпоксистероидов (III), получаемых при окислении соответствующих 8,9-непредельных соединений, применяя в качестве гидролизующих агентов разб. неорганич. к-ты (напр.,  $\text{H}_2\text{SO}_4$ ). Дегидратацией I или изомеризацией III получают II; в качестве дегидратирующих и изомеризующих агентов применяют  $\text{BF}_3$ , органич. и неорганич.

к-ты ( $\text{HCOOH}$ ,  $\text{Cl}_3\text{CCOOH}$ ,  $\text{HBr}$ ), кислородные и галогенные соединения фосфора ( $\text{P}_2\text{O}_5$ ,  $\text{PB}_3$ ), неорганич. соли ( $\text{ZnCl}_2$ ,  $\text{FeCl}_3$ ,  $\text{KHSO}_4$ ) и щелочи. К р-ру 5 г  $\Delta^{8(9);22(23)}$ -3 $\beta$ -ацетокси-7,11-диоксистероид в 800 мл диоксана прибавляют 67 мл эфирного р-ра моноадфталевой к-ты (IV), содержащего в 1 мл 51 мг активного кислорода, оставляют в темноте на 38 час. при 20° и разбавляют эфиром; эфирный р-р промывают водой,  $\text{NaHCO}_3$ , снова водой, высушивают, удаляют эфир и получают  $\Delta^{22(23)}$ -3 $\beta$ -ацетокси-7,11-диокси-8,9-эпоксистероид (V), выход 4,1 г, т. пл. 147—148°,  $[\alpha]_D + 15,5^\circ$  (в хлф.). Действием  $(\text{CH}_3\text{CO})_2\text{O}$  в пиридине V превращают в  $\Delta^{22(23)}$ -3 $\beta$ , 7,11-триацетокси-8,9-эпоксистероид, т. пл. 159—161°,  $[\alpha]_D + 5^\circ$  (в хлф.). Аналогично из  $\Delta^{8(9)}$ -3 $\beta$ , 17 $\beta$ -диацетокси-7,11-диоксистероид получают 3 $\beta$ ,17 $\beta$ -диацетокси-7,11-диокси-8,9-эпоксистероид (VI), т. пл. 186—187° (из эф.),  $[\alpha]_D + 10^\circ$  (в хлф.). Р-р 1,1 г V в 80 мл лед.  $\text{CH}_3\text{COOH}$  и 80 мл диоксана обрабатывают 0,3 мл 2 н.  $\text{H}_2\text{SO}_4$ , оставляют на 16 час. при 20° и разбавляют эфиром; эфирный р-р обрабатывают, как было указано выше и получают  $\Delta^{22(23)}$ -3 $\beta$ -ацетокси-7, 8, 9, 11-тетраоксистероид (VII), выход 90%, т. пл. 250—252° (из водн.  $\text{CH}_3\text{OH}$ ),  $[\alpha]_D + 8^\circ$  (в хлф.). К р-ру 8 г VII в 120 мл лед.  $\text{CH}_3\text{COOH}$  прибавляют 8 мл 48%-ной  $\text{HBr}$ , оставляют на 1 час при 20°, разбавляют водой и извлекают эфиром; получают  $\Delta^{22(23)}$ -3 $\beta$ -ацетокси-7-кето-9,11-диоксистероид (VIII), т. пл. 269° (из водн.  $\text{CH}_3\text{OH}$ ),  $[\alpha]_D 62^\circ$  (в хлф.); семикарбазон, т. пл. 247—249° (разл.);  $\Delta^{22(23)}$ -3 $\beta$ , 11-диацетокси-7-кето-9-оксистероид, т. пл. 191°,  $[\alpha]_D - 45^\circ$  (в хлф.). Р-р 3 г V в 300 мл абс.  $\text{C}_6\text{H}_6$  обрабатывают 10 мл р-ра комплекса  $\text{BF}_3$  с эфиром, оставляют на 2 часа при 20° и разбавляют эфиром; обрабатывают эфирный р-р как это указано, получают VIII; выход 2,5 г. Синтез VIII осуществляют также взаимодействием 3 г V в 800 мл лед.  $\text{CH}_3\text{COOH}$  с 100 мл 2 н.  $\text{H}_2\text{SO}_4$  (16 час. при 20° и 1 час при 40°), выход 2 г; или взаимодействием 1 г V в 15 мл лед.  $\text{CH}_3\text{COOH}$  с 1 мл 48%-ной  $\text{HBr}$  (1 час.), выход 0,94 г. Р-р 0,5 г VIII в 75 мл диоксана обрабатывают р-ром 2,5 г КОН в 25 мл воды, кипятят 2,5 дня и разбавляют эфиром; эфирный р-р промывают до нейтр. р-дин воды, получают  $\Delta^{8(9);22(23)}$ -3 $\beta$ , 11-диокси-7-кетостероид (IX), выход 0,34 г (неочищ.), т. пл. 209—210°,  $[\alpha]_D - 2^\circ$  (в хлф.). При ацетилировании неочищ. IX (из 5 г V и II) получают 3 $\beta$ ,11-О-диацетил-IX, выход 4,5 г, т. пл. 184—185° (из  $\text{CH}_3\text{OH}$ ),  $[\alpha]_D + 12^\circ$  (в хлф.). Р-р 0,63 г VI в 40 мл абс.  $\text{C}_6\text{H}_6$  обрабатывают 0,1 мл р-ра комплекса  $\text{BF}_3$  с эфиром, оставляют на 4 часа при 20° и разбавляют 50 мл  $\text{CHCl}_3$ , промывают водой,  $\text{NaHCO}_3$ , снова водой и получают 3 $\beta$ , 17 $\beta$ -диацетокси-7-кето-9,11-диоксистероид (X), выход 0,58 г (неочищ.), т. пл. 267,5—268° (из  $\text{CH}_3\text{OH}$ ),  $[\alpha]_D - 75^\circ$  (в хлф.). Р-р 0,37 г X в 30 мл диоксана обрабатывают р-ром 0,75 г КОН в 15 мл воды, нагревают, перемешивая 6 час. при 80°, подкисляют по охлаждению 1 мл лед.  $\text{CH}_3\text{COOH}$ , упаривают досуха в вакууме, остаток обрабатывают 5 мл воды; из нерастворившегося остатка при кристаллизации из водн.  $\text{CH}_3\text{OH}$  получают  $\Delta^{8(9)}$ -3 $\beta$ ,11  $\alpha$ , 17 $\beta$ -триокси-7-кетостероид (XI), т. пл. 263—267°,  $[\alpha]_D - 25^\circ$  (в сп.); последний, действием  $(\text{CH}_3\text{CO})_2\text{O}$  в пиридине, превращают в 3 $\beta$ , 11 $\alpha$ , 17 $\beta$ -триацетокси-7-кетостероид, т. пл. 143—145°. А. Травин

29919 II. Способ получения 7,11-дикетостероидов. Чемерда (Process for preparing 7-11-diketosteroids. Chemerda John M.) [Merck and Co., Inc.]. Пат. США 2749337, 5.06.56

Патентуется способ получения соединений 7,11-дикето ЦПГФ (ЦПГФ — циклопентанполигидрофенантрен) (являющихся промежуточными продуктами синтеза стеро-

идных гормонов, содержащих атом О, связанный с атомом С в положении 11) нагреванием соединений  $\Delta^{8(9)}$ -7-кето-ЦПГФ, напр.  $\Delta^{8(9),22}$ -3,11-диокси-7-кетостероидостадина (I),  $\Delta^{8(9)}$ -7-кето-11-оксидегидротигогенина (II),  $\Delta^{8(9)}$ -3,11-диокси-7-кетохеновой к-ты и их низших алканольных эфиров со спирт. р-ром гидроксида щел. металла, в частности получение  $\Delta^{22}$ -3-окси-7,11-дикетостерогена (III) и 7,11-дикетотигогенина нагреванием при 150° I или  $\Delta^{8(9),22}$ -3,11-диоксиде-7-кетостероидостадина (IV) и соответственно II с р-ром КОН в  $\text{C}_2\text{H}_5\text{OH}$ . Указанные 7,11-дикетоны можно получить также восстановлением  $\Delta^{8(9)}$ -7-кето-11-(ацилокси или окси)-ЦПГФ (Zn-пылью или  $\text{H}_2$  в присутствии Pt-катализатора) в 7-кето-11-(ацилокси или окси)-ЦПГФ (при желании ацилоксигруппу можно омылить спирт. щелочью) и последующим окислением  $\text{H}_2\text{CrO}_4$  в 7-11-дикетоны, или р-цией соответствующего  $\Delta^{8(9)}$ -7-кето-11-бром-ЦПГФ со спирт. р-ром минер. к-ты. Примеры. 1) К р-ру 100 мг IV в 5 мл  $\text{C}_2\text{H}_5\text{COOH}$  прибавляют 100 мг Zn-пыли, нагревают 3 часа при 100°, фильтруют, фильтрат разбавляют водой, выделяющийся смолистый продукт экстрагируют  $\text{C}_6\text{H}_6$ , последний удаляют и получают аморфный  $\Delta^{22}$ -3,11-диоксиде-7-кетостероген, который растворяют в 5 мл 5%-ного р-ра NaOH в  $\text{C}_2\text{H}_5\text{OH}$ , кипятят 1 час, разбавляют водой, жидкость сливают с смолистого осадка, который промывают и сушат, получая аморфный  $\Delta^{22}$ -3,11-диоксиде-7-кетостероген (V). К р-ру V в 5 мл ацетона прибавляют р-р 7 мг  $\text{H}_2\text{CrO}_4$  в 1 мл 2 н. водн.  $\text{H}_2\text{SO}_4$ , оставляют на 20 мин. при 20°, р-ритель удаляют в вакууме, остаток экстрагируют эфиром, экстракт хроматографируют на промытой к-той  $\text{Al}_2\text{O}_3$  и получают чистый III, т. пл. 199—200°. 2) 100 мг I растворяют в 15 мл спирта, прибавляют 20 мг окиси Pt и обрабатывают  $\text{H}_2$  под давл. 1 ат. до поглощения 1 мол. экв.  $\text{H}_2$ ; фильтруют, фильтрат упаривают в вакууме, получают V, который окисляют по примеру 1)  $\text{H}_2\text{CrO}_4$ , получают III, т. пл. 199—200°. 3) Р-р 100 мг  $\Delta^{7,9(11),22}$ -3,7-диоксиде-9,11-эпокси-эргостадина в 5 мл 5%-ного р-ра КОН в  $\text{C}_2\text{H}_5\text{OH}$  кипятят с обратным холодильником. Образующийся I, не выделяя из реакционной смеси, нагревают 8 час. под давлением при 150°, охлаждают до 20°, прибавляют воду, осадок фильтруют, хроматографируют на промытой к-той  $\text{Al}_2\text{O}_3$  и получают чистый III, т. пл. 198—200°. 4) 200 мг  $\Delta^{7,9(11),22}$ -3,7-диоксиде-эргостадина растворяют в 30 мл ацетона, прибавляют 280 мг N-бромсукцинимид (VI) и 5 мл воды. Через несколько минут VI полностью растворяется и начинается выделение кристаллов, которые фильтруют, сушат и получают чистый  $\Delta^{8(9),22}$ -3-ацетокси-7-кето-11-бромэргостадин (VII), т. пл. 150—153° (разл.), максимум поглощения при 2650 А,  $E_{1\text{см}}^{1\%}$  136, Br 14,1%. 200 мг VII растворяют в 30 мл  $\text{C}_2\text{H}_5\text{OH}$ , прибавляют 0,1 мл 2,5 н. HCl (водн.) и кипятят 3 часа. После выпаривания р-рителя в вакууме остаток хроматографируют на промытой к-той  $\text{Al}_2\text{O}_3$  и получают чистый III, т. пл. 196—198°.

Н. Эвергетова  
29920 П. Способ получения дигидротестостерона и его эфиров. Эрколи, Руджери (Method for the preparation of dihydrotestosterone and its esters. Ercoli Alberto, Ruggieri Pietro de) [Francesco Vismara Soc. per Azioni]. Пат. США 273406, 7.02.56

Способ получения 4-дигидротестостерона (I) основан на окислении хромовой к-той циангидрина андростан-3-олон-17 с образованием андростан-17-циан-17-олон-3 (II); последний обрабатывают в присутствии кислого катализатора ацетиализующим, в-вом (эфир ортомуравьиной к-ты, ариловый спирт или алифатич. гликоль). Полученное при этом 3-кетальное производное II подвергают обработке кипящим алифатич. спир-

том с 2—5 атомами С в присутствии щел. металла для удаления группы CN в положении 17 и получения в щелочно-спиртовом р-ре 3-кетальное производное I. Этот р-р подкисляют при кипении минер. к-той и разбавляют кипящей водой. Получают I. В качестве ацетиализующих в-в применяют этиловый эфир ортомуравьиной к-ты, бензиловый спирт или этиленгликоль; в качестве катализатора при ацетиализации применяют минеральные и ароматические сульфокислоты. Ацетиализация осуществляется в присутствии бензола и его метильных гомологов. Образующуюся при ацетиализации воду удаляют отгонкой р-рителя, образующего с водой азеотропную смесь. Предложено в качестве варианта после выделения 3-кетальное производное I ацилировать его в сухом состоянии у группы OH в положении 17 ангидридом органич. карбоновой к-ты, содержащей от 2 до 6 атомов С, в присутствии пиридина. Получают 17-ациловый эфир 3-кетальное производное I, гидролизуют 3-кетальную группу слабым кипячением в ацетоне, в присутствии следов минер. к-ты и воды. Получают соответствующий 17-ациловый эфир I. Пример. Из андростан-3 β-олон-17 или из неочищ. продуктов окисления дигидротестостерона получают соответствующий циангидрин (III). 10 г III [в виде смеси двух 17-эпимеров (андростан-17 α-циандиол-3 β, 17 и андростан-17 β-циандиол-3 β, 17 α, т. пл. с разл. ~ 170°) применения в неочищенном виде, после промывания петр. эфиром и высушивания в вакууме] суспендируют в смеси из 80 мл хлористого этилена и 200 мл уксусной к-ты, приливают при т-ре 15° в течение 15 мин р-р 3 г хромового ангидрида в 60 мл 90%-ной уксусной к-ты, смесь встряхивают. Через 24 часа к р-ру прибавляют эфир и воду, эфирный слой промывают несколько раз водой, сушат сульфатом натрия и упаривают в вакууме; получают 8,85 г твердого кристаллич. остатка, который после перекристаллизации из эфира дает 8,85 г андростан-17-циан-17-олон-3 (IV) с т. пл. 207° (с разлож.) 8,35 г IV суспендируют в 110 мл бензола, отгоняют для удаления влаги 55 мл бензола и при 65° прибавляют 9,5 г этилового эфира ортомуравьиной к-ты, 5 мл абс.  $\text{C}_2\text{H}_5\text{OH}$  и 0,43 мл 7%-ного р-ра HCl в абс.  $\text{C}_2\text{H}_5\text{OH}$  (0,03 г HCl). Через 15 мин. весь первоначальный продукт растворяется и начинается новая кристаллизация; после выдержки в течение 45 мин. при 65° прибавляют 0,075 мл пиридина и р-р упаривают в вакууме досуха, получают 8,9 г неочищ. 3-диэтилкетала IV (V). В растворяют в 230 мл пропилового спирта и обрабатывают на кипящей водяной бане 9 г натрия (в мелких кусочках) в течение 30 мин. По окончании р-ции смесь, содержащую 3-диэтилкетал андростан-17 β-олон-3, подкисляют на конго-рот 2 н. HCl к-той и разбавляют кипящей водой, отгоняют при низкой т-ре большую часть пропилового спирта, при охлаждении и стоянии выкристалливается 6,9 г I, т. пл. 176—178°. Приведен пример получения ацетата I (т. пл. 153—156°): путем ацетилирования неочищ. 3-диэтилкетала андростан-17 β-олон-3 (т. пл. 120—138°) уксусным ангидридом в пиридине, разбавления реакц. смеси водой, экстракций эфиром, промывания р-ром  $\text{Na}_2\text{CO}_3$ , затем выделения и перекристаллизации полученного неочищ. ацетата. Аналогичным путем получены другие эфиры дигидротестостерона.

Л. Михельсон  
29921 П. 10-норметил-4-андростентрион-3,11,17 и способ его получения. Меррей, Корнерс, Питерсон (10-normethyl-4-androstene-3,11,17-trione and process. Murray Herbert C., Corners Hickory, Peterson Durey H.) [The Upjohn Co.] Пат. США 2757186, 31.07.56

Патентуется 10-норметиладреностерон (I) (обладающий активностью полового гормона и фунгицидной, бактериостатич. анаболитич., анестетич. и адренокор-



тикогормональной активностью и являющийся промежуточным продуктом получения 11  $\beta$ -окси-10-норметилтестостерона) и способ его получения р-цией 11  $\alpha$ -окси-10-норметилтестостерона (II) с  $\geq 4$  экв  $H_2SO_4$  при 0—50°, предпочтительно при 5—30°, и выделением I. При р-ции в гетерог. среде II растворяют в органич. р-рителе, инертном к окислителю, напр. бензоле, хлор- или бромбензоле, гексанах, хлороформе, галоидированных углеводородах, этилацетате и т. п. и окисляют избытком ( $\sim 10\%$  теоретич.) воды. р-ра бихромата Na или K подкисленного  $H_2SO_4$  или смесью последней с уксусной к-той (III); продолжительность р-ции определяется главным образом интенсивностью размешивания. Р-цию в однородной среде проводят в р-ре в III,  $CrO_3$  растворяют в 80%-ной III. П р и м е р ы: а) 105 мг II растворяют в 5 мл лед. III, охлаждают до 10°, постепенно прибавляют р-р 60 мг  $CrO_3$  в 5 мл 80%-ной III и оставляют при 20° на 24 часа; после разбавления 10 мл  $CH_3OH$  смесь выпаривают при 20° в вакууме в токе воздуха, остаток суспендируют в 50 мл воды, экстрагируют трижды по 20 мл  $CHCl_3$ , экстракты промывают дважды 5%-ным р-ром  $Na_2CO_3$  и дважды водой, сушат  $Na_2SO_4$  и концентрируют, получают 89,5 мг кристаллов, которые дважды перекристаллизовывают из смеси метиленидхлорида и гексана, получая 55,5 мг I, т. пл. 205—207°,  $[a]_D^{20}$  201° (хлф.), максимум поглощения при 240,5 м $\mu$ ,  $E$  16 500 (в сп.). Окисление II в гомог. среде можно проводить также бихроматом Na или K в III или в III со следами  $H_2SO_4$  или трет-бутилхроматом в  $C_6H_6$  или толуоле. б) р-р II в хлорбензоле размешивают 12 час с водн. р-ром бихромата Na и разб.  $H_2SO_4$  при 20°, слой хлорбензола промывают р-ром  $NaHCO_3$  и водой, сушат  $Na_2SO_4$ , р-ритель выпаривают, остаток I очищают, как в «а».

Ю. Вендельштейн

29922 П. 21- $\beta$ -циклопентилпропионат кортизона. Отт (Cortisone, 21-beta-cyclopentyl-propionate. Ott Arnold C.) [The Upjohn Co.]. Пат. США 2746978, 22.05.56

К смеси 1 ч. кортизона, т. пл. 206—209° и 5 ч. пиридина прибавляют 2 ч. хлорангидрида  $\beta$ -циклопентилпропионовой к-ты, оставляют на 6 час. при  $\sim 20^\circ$ , извлекают эфиром, эфирный экстракт промывают н.  $NaOH$ , н.  $HCl$  и водой до нейтр. р-ции, отгоняют эфир, получают 21- $\beta$ -циклопентилпропионат кортизона (I), после перекристаллизации из изопропилового эфира, т. пл. 158—161°,  $[a]_D^{20}$  +190° (в хлф.). Описание приготовления инъекционных препаратов I в хлопковом, сезамовом, кукурузном и арахисовом масле и инъекционной суспензии в физиологич. р-ре. Препараты обладают пролонгированным адренокортикотропным действием.

А. Травин

29923 П. Способ получения устойчивых пенициллин-новых солей. Ода, Тайра [Мэйдзи Нюгё Кабусики Кайся]. Япон. пат. 2998, 29.05.54

Смешением щел. металлич. соли пенициллина (I) с солью производного тиазола и установлением pH р-ра 4—6 прибавлением к-ты получают устойчивую при хранении соль I с соответствующим производным тиазола. К р-ру 100 мг 2,4-диметилтиазола (II) в 0,5 мл 1 н.  $H_2SO_4$  при перемешивании прибавляют 2 мл р-ра K-соли I ( $\sim 300.000$  ед/мл), смесь усаивают на pH 4,6 и выделяют 250 мг кристаллов соли I + II (1320 ед/мл), т. пл.  $\sim 98^\circ$  (раал.). К р-ру 100 мг II в 1 мл насыщ. р-ра  $K_2HPO_4$  или  $Na_2HPO_4$  (pH 6) прибавляют 2 мл р-ра K-соли I ( $\sim 300.000$  ед/мл), прибавляют  $\sim 1$  мл 1 н.  $H_2SO_4$  до pH 4, отфильтровывают и промывают водой 350 мг соли I + II (1200 ед/мл). К р-ру 100 мг 2-аминотиазола (III) в 1 мл 1 н.  $H_2SO_4$  прибавляют 2 мл р-ра K-соли I ( $\sim 300.000$  ед/мл), перемешивают и усаивают на pH 6, отфильтровывают и промывают водой 300 мг соли I + III (1200 ед/мл), т.

пл. 103—105°. К смеси 2 мл насыщ. р-ра  $Na_2HPO_4$ , 0,5 мл 1 н.  $H_2SO_4$  и 300 мг III прибавляют 6 мл р-ра K-соли I ( $\sim 300.000$  ед/мл) при pH 6,8 прибавлением 1 н.  $H_2SO_4$  при перемешивании усаивают смесь на pH 6, нагревают, через 16 час. охлаждают и выделяют соль I + III.

С. Петрова

29924 П. Способ получения солей пенициллина с 2-амино-1,3,5-триазином и его производными. Каго, Тоёсима, Наката [Дайнихон Сэйяку Кабусики Кайся]. Японск. пат. 4746, 9.07.55

Соли пенициллина с 2-амино-1,3,5-триазином и его производными общей ф-лы  $N=C(X)N=C(Y)N=CNH_2$

(X и Y — H, галоид, алкил, окси- или аминогруппа) получают обработкой пенициллина или его солей указанными соединениями или их солями в среде р-рителя. Р-р 0,18 г хлоргидрата I (I — меламина) в 6 мл кипящей воды приливают при охлаждении к р-ру 0,36 г Na-соли пенициллина G (II) в 4 мл воды, оставляют 16 час. стоять при 0°, осадок отфильтровывают, промывают небольшим кол-вом воды, затем эфиром и сушат над  $P_2O_5$ , получают 0,38 г соли I + II, иглы, т. пл. 104—105° (разл.). Эта соль пригодна для лечения инфлюэнцы и других вирусных болезней. С. Петрова

29925 П. Способ получения труднорастворимых кристаллических солей стрептомицина и дигидрострептомицина. Циглер (Verfahren zur Herstellung schwerlöslicher kristallisierter Streptomycin- und Dihydrostreptomycinsalze. Ziegler Fritz) [Farbenfabriken Bayer A.-G.]. Пат. ФРГ 963515, 9.05.57

Для получения патентуемых соединений соль I (стрептомицин — I) и соль II (дигидрострептомицин — II) вводят в р-цию с солями III (III дифенил-4-моносульфокислота) или основание I или II вводят в р-цию с III. Получаемые соли трудно растворимы в воде, легко в спиртах и почти нерастворимы в ацетоне (IV), диоксане и лигроине, кристаллизуются из горячей воды, смесей воды — спирта и IV — спирта без изменения состава, состоят из 1 моля I или II и 3 молей III, относительно неядовиты, что допускает их парентеральное применение с протрагирующим действием, а также использование для выделения и очистки загрязненных I и II. Примеры: а) к горячему р-ру 15 г Na-III в 400 мл горячей воды прибавляют р-р 13 г сульфата I в 80 мл воды; при трении палочкой появляются зародыши кристаллов, после чего смесь охлаждают при размешивании, оставляют на несколько часов в холодильнике, фильтруют, промывают холодной водой и сушат в эксикаторе. Выход соли I и III 20 г, т. пл. 182—184°; из маточника получают еще некоторое кол-во соли; б) к р-ру 7 г сульфата II в 60—70 мл воды прибавляют при размешивании 7,5 г тонкоизмельченного Na-III, суспензию нагревают 1 час на водяной бане, оставляют в холодильнике, фильтруют, промывают и сушат. Выход соли II и III 10—11 г, т. пл. 174—176°. Летальные дозы (DL<sub>50</sub>) (внутримышечно, на мышах) 1—1,2 г соли на 1 кг.

Н. Энергетова

29926 П. Способ получения солей дигидрострептомицина. Уэда, Наката [Дайнихон Сэйяку Кабусики Кайся]. Японск. пат. 5077, 23.07.55

Соли дигидрострептомицина (I) получают восстановлением стрептомицина (II) до I и последующей обработкой производными 2-фенилазонафталинсульфокислоты или их солями. Полученную соль I с производным 3-фенилазонафталин-1-сульфокислоты отделили и разлагают  $HCl$  (к-той) или  $H_2SO_4$  с образованием соответствующей соли I. Р-р I, полученный электролитич. восстановлением 1 г сульфата II, подкисляют  $\sim 50$  мл  $HCl$  (к-ты) до pH 4,8 прибавляют  $\sim 50$  мл водн. р-ра, содержащего 1,1 г Na-соли 2-фенилазо-1-нафтол-4-сульфокислоты (III), и оставляют

16 час. стоять, осадок соли I + III отфильтровывают, промывают водой, суспендируют в 50 мл воды, доводят  $H_2SO_4$  до pH 2, фильтруют, фильтрат обесцвечивают углем, концентрируют путем выпаривания и упаривания на холоду до 5 мл и прибавлением ацетона выделяют 0,65 г сульфата I ф-лы  $C_{21}H_{41}O_{12}N_7 \cdot 1,5 H_2SO_4$ , зернышки, содержащего 780 ед./мг. Р-р 1 г хлоргидрата II в 50 мл воды каталитически восстанавливают  $H_2$  в присутствии Pt или Pd, фильтруют, к маточному фильтрату прибавляют 50 мл водн. р-ра, содержащего 1,2 г Na-соли 2-(*n*-толилазо)-1-нафтол-4-сульфокислоты, и аналогично получают (подкисление HCl (к-той) до pH 2) хлоргидрат I ф-лы  $C_{21}H_{41}O_{12}N_7 \cdot HCl$ , чешуйки, содержащий 820 ед./мг. Р-р 1 г хлоргидрата II в 50 мл воды восстанавливают тонкой амальгамированной Al-стружкой, отфильтровывают Al(OH)<sub>3</sub>, маточный фильтрат подкисляют HCl (к-той) до pH 4,8, прибавляют 50 мл р-ра, содержащего 1,2 г Na-соли 2-фенилазо-1-нафтиламин-4-сульфокислоты, и аналогично получают (подкисление  $H_2SO_4$  до pH 2) 0,65 г сульфата II. С. Петрова

**29927 П.** Способ получения белковых гидролизатов. Бейкер, Питерсен (Process for the hydrolysis of proteins. Baker Bruce E., Petersen Jorgen W.) [Her Majesty The Queen in the Right of Canada as represented by The Minister of National Defence]. Канад. пат. 512760, 10.05.55

В процессе кислотного гидролиза белков (напр., казеина) для получения белковых гидролизатов, применяемых перорально в белковой терапии, патентуется гидролиз белков при *t*-ре, не превышающей 100° в присутствии в-в, выделяющих  $SO_2$  для предотвращения разложения триптофана. Напр., гидролиз проводят в водн. р-ре  $H_2SO_3$  (содержащем 29 г/л  $SO_2$ ) и  $H_2SO_4$  или HCl или их смесей до желаемой степени гидролиза белка. Ю. Вендельштейн

**29928 П.** Разделение компонентов актиномицина С. Шмидт-Кастнер, Аухаген (Trennen der Komponenten des Actinomycins C. Schmidt-Kastner Günter, Auhagen Ernst) [Farbenfabriken Bayer A.-G.]. Пат. FRG 934715, 5.07.56

Доп. к пат. FRG 930579 (РЖХим, 1957, 39119) предложен способ разделения актиномицина С и других актиномицинов на компоненты при помощи разделительной хроматографии. В качестве р-рителей применяют смесь р-ра соли ароматич. оксикарбоновой или оксисульфоновой к-ты и не смешивающегося с водой органич. в-ва (высшие алифатич. спирты, простые алифатич. эфиры и сложные эфиры). Напр., смешивают 2,5 объема ди-*n*-бутилового эфира (I), 2,5 объема бутанола и 5 объемов 8%-ного водн. р-ра Na-соли *m*-крезотиновой к-ты (II), взбалтывают, отделяют водн. фазу, размешивают ее с целлюлозой в однородную кашину, наполняют хроматографич. колонну (5,3 × 44 см), пропускают 200 мл органич. фазы, в верхнюю часть колонны вносят р-р 5 г актиномицина Во 601 (III) в небольшом кол-ве органич. фазы и пропускают органич. фазу; III разделяется при этом на 4 зоны, которые элюируют и обрабатывают обычным образом; из 2-й зоны после многократной кристаллизации получают 2 г чистого актиномицина. Для разделения актиномицина X (IV) применяют смесь 1,5 объемов I, 3,5 объемов этилацетата и 5 объемов 10%-ного водн. р-ра II; р-р 5 г IV в 200 мл органич. фазы разделяют, как описано выше, на 3 зоны; отдельные фракции упаривают в вакууме, растворяют в  $C_6H_6$ , фильтруют и очищают хроматографией на  $Al_2O_3$ ; вымывание хроматограммы производят этилацетатом, и полученные таким образом элюаты упаривают до начала кристаллизации; получают: из 1-й фракции 1,8 г актиномицина X<sub>2</sub>, из 2-й фракции 1,2 г

актиномицина X<sub>1</sub>, из 3-й фракции 0,6 г актиномицина X<sub>0</sub>. А. Травин

**29929 П.** Рентгеноконтрастные смеси, стабилизированные карбоксиметилловыми эфирами декстрана. Новак, Хог (Carboxymethyl dextran ether-stabilized contrast compositions. Novak Leo J., Hogue Walter S.) [Midland Chemical Corp.]. Пат. США 2746906, 22.05.56

Патентуется способ стабилизации рентгеноконтрастных смесей, состоящий в добавлении к водн. суспензии сульфата Ba или Bi 0,2–0,5% карбоксиметилдекстрана, содержащего 2–3  $HOOCCH_2$ -группы в каждом ангидрогликопиранозидном фрагменте и полученного обычным образом из нативного негидролизованного декстрана. При pH 5–9,5 указанные рентгеноконтрастные суспензии стабильны в течение неопределенного времени. А. Травин

**29930 П.** Препарат смолы с адсорбированной ароматической оксикарбоновой кислотой. Гастус (Hydroxy aromatic carboxylate-resin adsorption composition. Gustus Edwin L.) [R. J. Strassenburgh Co.]. Канадск. пат. 518324, 8.11.55

Патентуемый терапевтич. препарат для лечения ревматоидного артрита состоит из полиамидной смолы с адсорбированным на ней анионом к-ты, обладающей противодартритной активностью. Строение к-ты: бензолное ядро, содержащее  $\leq$  OH-групп и боковую цепь, состоящую из  $\leq$  2 атомов C и содержащую  $COOH$ -группу, причем по меньшей мере одна OH-группа ядра связана с  $COOH$ -группой боковой цепи. В качестве применяемых к-т названы гензитиновая, салициловая и гомогензитиновая. Ю. Вендельштейн

**29931 П.** Способ приготовления устойчивых, растворимых в воде препаратов из растворимых солей нафтионовой кислоты и производных адренохрома. Флейшхаккер, Барсел (Verfahren zur Herstellung haltbarer wasserlöslicher Produkte von löslichen Salzen der p-Naphtionsäure mit Adrenochromverbindungen. Fleischhacker Desider, Barsel Norman) [International Hormones, Inc.]. Пат. FRG 948185, 30.08.56

Предложен способ получения растворимых в воде креоустойчивающих препаратов в виде комплексных соединений солей нафтионовой к-ты (I, к-та Ia) с семикарбазоном (II) или монооксисом (III) адренохрома, при весовом соотношении I:II или I:III = 20:1. Препараты должны содержать  $\geq$  1% I и  $\geq$  0,05% II или III. В 1 л дистил. воды растворяют при нагревании 100 г Na-соли Ia, вносят 5 г II или III при перемешивании и получают прозрачный р-р. Препарат устойчив, выдерживает стерилизацию и при внутримышечном введении в дозе 10 мг и более не вызывает некрозов или других побочных р-ций. Приготовленный указанным выше способом р-р упаривают досуха при  $-20^\circ$  и 100  $\mu$  рт. ст., полученный сухой продукт смешивают с обычными наполнителями (молочный сахар, крахмал и т. п.) и таблеттируют таким образом, чтобы 1 таблетка содержала  $\sim$  1 мг II или III. Суточный прием 3–5 таблеток. А. Травин

См. также: Лекарств. органич. в-ва 28676, 28692, 28698, 28715–28717, 28721, 28723, 28727, 28759, 28775, 28778–28780, 28787, 28790, 28802–28804, 28806, 28809, 28811, 28821, 28854, 28892, 28970, 29787, 29805, 29814; 11716Бх, 11719Бх, 11721Бх, 11723Бх, 11724Бх, 11727Бх, 11742Бх, 11743Бх, 11745Бх, 11758Бх, 11772Бх, 11773Бх, 11777–11783Бх. Алкалоиды 11792Бх. Природные в-ва растительного происхождения 28912, 11788Бх. Глюкозиды 29802. Витамины 28953, 29954; 11027Бх. Гормоны 11089Бх. Антибиотики 28703, 28710, 28958–28961, 28963; 11196–11199Бх, 11207Бх. Лекарств. формы 10821Бх, 10923Бх. Анализ 28477, 28522; 10837–10841Бх, 10874Бх



## ПЕСТИЦИДЫ

Редакторы Ю. А. Баскаков, Н. Н. Мельников

29932. Химические средства защиты растений. Мельников Н. Н., Рохлин М. И., Хим. пром-сть. 1957, № 7, 417—421

Обзор. Произ-во и применение пестицидов в СССР. И. Мильштейн

29933. Химия на службе сельского хозяйства. Современные средства защиты растений. IV. Гербициды. Хольц (Die Chemie hilft der Landwirtschaft. Die modernen Pflanzenschutzmittel. IV. Herbizide. Holz W.), Chem. Labor und Betrieb, 1957, 8, № 7, 278—284 (нем.)

Обзор. Гербициды сплошного (хлорат Na, арсенит Na и  $\text{CCl}_3\text{COONa}$ ) и избирательного действия (динитро-*о*-крезол, динитро-*о*-втор-бутилфенол, цианаты, минер. масла, 2,4-Д, 2М-4Х, 2,4,5-Т, 2,4-дихлорфенокси-γ-масляная и 2-метил-4-хлорфенокси-γ-масляная к-ты, 2,4-дихлорфеноксиэтилсульфат Na, изопропиловые эфиры фенил-(I)- и 3-хлорфенилкарбаминных к-т, смесь I и изопропилксантогената Na, 1-нафтилфтал-аминовая к-та, N-*n*-хлорфенил-N',N'-диметилмочевина и видоталь). Сообщение III см. РЖХим, 1958, 19042.

К. Бокарев

29934. Современные требования, предъявляемые к инсектицидам, применяемым в военном деле. Алперт, Бани (Current requirements for military insecticides. Alpert Morris, Bunn Ralph W.), Soap and Chem. Specialties, 1957, 33, № 7, 63—65, 91, 93 (англ.)

Основанием для отбора принятых на снабжение армии, флота и авиации инсектицидов являются такие факторы, как: эффективность, безопасность, универсальность действия, стабильность при хранении, невысокая стоимость и доступность, а также эффективность против устойчивых насекомых. В настоящее время принят следующий набор пестицидов, который периодически уточняется и пересматривается. Инсектициды: (р-ры) — хлордан (I) 2%, дильдрил (II) 0,5%, ДДТ 5% и 20%, ДДТ 10% + линдан (III) 2%; (порошки для суспензии) — ДДТ 75%, II 50%, III 50%; (дусты) — ДДТ 10%, III 1%; ДДТ 100%; (концентраты эмульсий) — I 46%, II 18%, ДДТ 25%, III 12%, малатион (разрабатывается); (аэрозоли) — ДДТ + аллетрин; (прочие) — арсенат Pb, ИСО, никоти-сульфат, S, зимнее масло, летнее масло. Родентициды:  $\text{Ca}(\text{CN})_2$ ,  $\text{CH}_2\text{FCOONa}$ ,  $\text{P}_2\text{Zn}_3$ , антикоагулянты. Ренелленты: (накожный препарат) M2020, (для обработки одежды) M1960.

Ю. Фадеев

29935. Успехи в борьбе с москитами в США. Паннон (The progress of mosquito control in New York and New England. Pannone Joseph F.), Mosquito News, 1956, 16, № 2, 76—78 (англ.)

Описаны меры борьбы с москитами в штатах: Нью-Йорк, Мэн, Нью-Гэмпшир, Вермонт, Массачусетс, Коннектикут и Род-Айленд.

А. Седых

29936. Влияние аэрозоля линдана на насекомых — вредителей запасов. III. Исследование потери остатков линдана и его влияние на насекомых — вредителей запасов. Ида, Кацуя, Ботю кагаку, Scient. Insect Control, 1957, 22, № 2, 235—241 (японск.; рез. англ.)

Потерю линдана (I) в результате сублимации из прилипших на предметы аэрозольных частиц I можно вычислить по ф-ле  $R = R_0 e^{-kt}$ , где  $R$  — величина остатка через время  $t$ , а  $R_0$  — первоначальный остаток и  $k$  — коэф. пропорциональности (коэф. потери). После преобразования ф-ла приобретает вид:  $\lg R = -\lg R_0 - kt/\lg e$ . При отсчете времени в днях величина  $k$  в лаборатории равна 0,235—0,298, а в условиях

теплицы — на потолке 0,1066, на стенах 0,0679 и на полу 0,1004, что, видимо, связано с влиянием токов воздуха, которые различны в лаборатории и теплице. В опытах 100%-ная гибель амбарного долгоносика происходила в течение 4 дней при контакте с осадком I, равным 0,006 г на 95 см<sup>2</sup>. При окуривании теплиц I в дозе 0,54 г/м<sup>3</sup> на стенах и на полу оседало соответственно 152,2 и 1766,0 г на 95 см<sup>2</sup>. Учитывая, что для стен и полов в теплицах  $k$  равен соответственно 0,0679 и 0,1004, расчет по приведенной ф-ле показывает, что продолжительность токсич. действия I на полу и стенах будет в этом случае соответственно 125 и 110 дней. Часть II см. РЖХим, 1957, 51813.

Ю. Фадеев

29937. Химические способы борьбы с вредителями льна. Рудакова В. П., Бюл. научно-техн. информ. Н.-и. ин-та с.-х. сев.-вост. р-нов нечерноземн. полос, 1957, № 2-3, 44—45

Для защиты всходов льна от льняной блохи семена (С) льна опудривают 12%-ным дустом ГХЦГ или протравливают меркураном (I) (из расчета 10—20 г ГХЦГ или 1,5 г I на 1 кг С). ГХЦГ и I не только защищают от вредителей, но и стимулируют рост льна. Урожай С с 1 га увеличивается на 330 кг, соломки на 1050 кг.

И. Мильштейн

29938. Уничтожение комаров *Aedes aegypti* в Америке. Северо (Eradication of the *Aedes aegypti* mosquito from the Americas. Severo Octavio Pinto), Mosquito News, 1956, 16, № 2, 115—121 (англ.)

Уничтожение комаров *Aedes aegypti*, распространяющих желтую лихорадку, достигнуто обработкой зданий в населенных пунктах 3- и 5%-ными р-рами, эмульсиями или суспензиями ДДТ. Обработку проводили снаружи и внутри помещений. В пунктах, насчитывающих до 1000 зданий, достаточно 1 хорошо проведенной обработки; в пунктах с > 5000 зданиями требуется 4 обработки. К статье приложена карта Северной и Южной Америки с обозначением областей, в которых до сих пор встречается *A. aegypti*.

А. Седых

29939. Результаты опытов по применению инсектицидных лаков для борьбы с насекомыми на кораблях. Мотоки, Нихон кокай гаккайси, J. Naut. Soc. Japan, 1957, № 16, 115—119 (японск.; рез. англ.)

Для уничтожения тараканов наряду с фумигацией HCN рекомендуется применять лак, содержащий (в вес. %): дильдрил (I) 4,5, ГХЦГ 2,5, р-ритель 93. I обеспечивает длительное остаточное инсектицидное действие лака.

К. Швецова-Шиловская

29940. Применение инсектицидов остаточного действия против анофелесов в хижинах африканского типа. Бернетт (Trials of residual insecticides against Anophelines in African-type huts. Burnett G. F.), Bull. Entomol. Res., 1957, 48, № 3, 631—668 (англ.)

Приведены результаты пятилетних опытов по изучению остаточного действия инсектицидов против комаров *Anopheles gambiae* и *A. funestus* в хижинах местного населения Кении при закрытых пологом дверях. ДДТ в виде суспензии в дозе 2,5 г/м<sup>2</sup> в хижинах, оштукатуренных абсорбирующим илом, убивал в течение 8 месяцев ~ 50% залетающих в хижину самок анофелесов. ГХЦГ в тех же условиях и при дозе 0,24 г γ-изомера на 1 м<sup>2</sup> убивал ~ 50% комаров в течение ≥ 9 месяцев. На неабсорбирующих стенах токсич. действие инсектицидов быстро падало в течение 3 месяцев и становилось незначительным к пятому месяцу; более эффективным в этом случае был дильдрил (I). Суспензии смеси ДДТ и ГХЦГ неэффективны, хотя осадки ДДТ были ~ 2,1 г/м<sup>2</sup>. ГХЦГ в мочевиноформалиновой смоле в дозе 2,5 г γ-изомера

на 1 м<sup>2</sup> действовал более продолжительно, но был неэкономичным. Суспензия алдрина на абсорбирующих стенах действовала менее длительно, чем ГХЦГ. Обработка всей хижины более эффективна, чем обработки только части их. Действие I фумигационного типа определяется частицами, которые не проходят через фильтровальную бумагу, тогда как ГХЦГ обладает истинно фумигационным действием. Частицы I могут осаждаться на чистых поверхностях, вносимых в сильнообработанные хижины, даже спустя 15 месяцев после опрыскивания и сообщают таким поверхностям токсич. свойства. Дым от сжигания древесины инактивирует I, а на ГХЦГ существенно не действует. На эффективность обработок значительное влияние оказывают сезонные изменения, особенно влажность атмосферы. Ю. Фадеев

29941. Химические соединения в борьбе с термитами. Хил (Chemicals in termite control. Neal Ralph E.), Soap and Chem. Specialties, 1957, 33, № 8, 73—76, 109 (англ.)

В борьбе с термитами, повреждающими дома и хозяйственные постройки, рекомендуется проводить полив почвы с наружной стороны фундаментов, а также с внутренней стороны эмульсиями или масляными р-рами инсектицидов: ГХЦГ (0,8% γ-изомера), хлордан (1%), дильдрин (0,5%), ДДТ (8%), линдан (0,8%), арсенит Na (10%), трихлорбензол (33%). Ю. Фадеев

29942. Обработка сборно-щитовых домов в целях защиты от повреждения термитами. Смит (New approaches to «sub» treatment of slab houses. Smith Myron W.), Pest Control, 1957, 25, № 7, 36, 38, 40 (англ.)

Рассмотрены методы и препараты, применяемые для борьбы с повреждениями сборно-щитовых домов термитами. Новые летучие инсектициды типа хлордана, дибромэтана и трихлорбензола облегчают борьбу с термитами, так как при их использовании не требуется сплошного покрытия всех поверхностей, а достаточно местное внесение. Ю. Фадеев

29943. Получение Байер L 13/59 и ДДВФ, меченных Р<sup>32</sup>, и их абсорбция и перемещение в тканях черного таракана. Акри, Бейберс, Митлин (Preparation of P<sup>32</sup>-labeled Bayer L 13/59 and DDVP, and their absorption and translocation in the American cockroach. Acree Fred, Jr, Babers Frank H., Mitlin Norman), J. Econ. Entomol., 1956, 49, № 6, 808—812 (англ.)

Получены радиоактивные Байер L 13/59 (I) и ДДВФ (II) и изучено их распределение в тканях нимф *Periplaneta americana* (L) I и II синтезированы в вакуумном приборе, позволяющем перемещать продукты р-ции в замкнутой системе. В смесь 1 г красного Р<sup>32</sup> (активность 168 мкюри) и 1,25 мл PCl<sub>3</sub> пропускают сильный ток сухого Cl<sub>2</sub> до образования PCl<sub>5</sub>, который разлагают, добавляя 4 г порошка Sb и получая Р<sup>32</sup> Cl<sub>3</sub> с выходом 79%. Р<sup>32</sup>Cl<sub>3</sub> прибавляют к СН<sub>3</sub>ОН, отгоняют побочные продукты р-ции в вакууме и выделяют диметилфосфит, меченный Р<sup>32</sup> (III) с выходом 68,5%. К 2,76 г III прибавляют 2,5 мл хлорала, нагревают смесь 8 час. на теплой водяной бане, разбавляют смесь 5 мл ССl<sub>4</sub>, охлаждают и выделяют с выходом 27,1% продукт р-ции, содержащий 91% I, с активностью 4830 имп/мин на 1 мг. 200 мг I растворяют в 1,5 мл воды и дегидрохлорируют двумя каплями NaOH при 40°, выход II (86%-ный препарат) 46,5%, активность 812 имп/мин на 1 мг. Для разделения I и II радиометрич. хроматографией на бумаге применяют в качестве р-теля смесь 25 мл скеллизольа В и 0,62 мл n-С<sub>4</sub>H<sub>9</sub>ОН насыщ. водой; R<sub>f</sub> для I и II равны соответственно 0,7 и 0,85. Спирт. р-ры I и II наносят на спинные цервикальные мембраны нимф *P. ameri-*

cana. В случае с I гемолимфа и все ткани были радиоактивными, через 20 час. радиоактивность сосредотачивалась в кишке. При обработке II наибольшая часть радиоактивности была в сердце; через 22 час. Р<sup>32</sup> сосредоточился в жировых тканях и только небольшая часть Р<sup>32</sup> найдена в кишке. И. Мильштейн

29944. Углубленное изучение с помощью биоиндикатора применения инсектицидов. Х. Восприимчивость к паратиону рисовой огневки, питающейся на различных фазах развития риса. Хасидзумэ, Ямасина, Нихон об добуцу конто гаккайси, Japan, J. Appl. Entomol. and Zool., 1957, 1, № 1, 15—19 (японск.; рез. англ.)

Изучено влияние фазы развития кормового растения на восприимчивость рисовой огневки *Chilo suppressalis* Walker к паратиону (I). LD<sub>50</sub> I для гусениц 3-го возраста 2-го поколения, питавшихся на стеблях риса в фазе образования метелки, была в 2,55 раза выше, чем для таких же гусениц, но питавшихся рисом в фазе кущения. Кроме того, восприимчивость гусениц 2-го поколения вообще ниже, чем 1-го поколения: отношение LD<sub>50</sub> для гусениц 3-го возраста 1-го поколения, питавшихся на рисе в фазе кущения, к LD<sub>50</sub> для таких же гусениц 2-го поколения было равно 1:1,42. Сообщение IX см. РЖХим, 1958, 2320. Ю. Фадеев

29945. Системные инсектициды в борьбе с подкожными паразитами. Пеллегрини (La lotta contro l'ipodermosi con insetticidi sistemici. Pellegrini D.), Veterin. ital., 1957, 8, № 11, 1113—1115 (итал.) Обзор. Применение фосфорорганич. инсектицидов — L 13/59 (диметил-1-окси-2,2,2-трихлорэтилфосфонат) и ET-57 (О,О-диметил-О-2,4,5-трихлорфенилтиофосфат) — для борьбы с паразитами рогатого скота. К. Герцфельд

29946. Новейшие опыты применения системных инсектицидов на хлопчатнике, 1955—1956 гг. Симон (Nuevas experiencias en el uso de insecticidas sistémicos en el algodón, 1955—56. Simon Juan E. Bol. Estac. exptl agric. «La Molina», 1956, № 65, 29 p., ill.) (исп.; рез. англ., нем.)

Против хлопковой тли и цикадки *Eutroasca* эффективны обработки в полевых условиях препаратом метасистокс (I) (300 мг/га) сохраняется в течение 6 недель, ситамом (300 мг/га) 2—3 недели, ОМПА (300 мг/га) 1—2 недели. Тимет (130 кг/га) эффективен против хлопковой тли в течение 9 недель. I (300 мг/га) эффективен также и против клеща *Paratetranychus peruvianus*, но токсич. действие проявляется только через 4 дня после обработки. I (0,1%) и экатин (0,1%) совершенно неэффективны против *Dysdercus peruvianus* и *Pseudococcus citri* и недостаточно эффективны против *Pinna sp. minor* и *Leucothrips theobromae*. Ю. Фадеев

29947. Поведение системных инсектицидов — О,О-диэтил-S-β-(диэтиламино)-этилтиофосфата и его солей в растениях. Меткаф, Стаффорд, Фукуто, Марч (The systemic behavior of O,O-diethyl S-2-(Diethylamino) ethyl phosphorothiolate and its salts. Metcalf R. L., Stafford E. M., Fukuto T. R., March R. B.), J. Econ. Entomol., 1957, 50, № 2, 205—210 (англ.)

Синтезированы и исследовано поведение в растениях (С<sub>2</sub>H<sub>5</sub>O)<sub>2</sub>P(O)SCH<sub>2</sub>CH<sub>2</sub>N(C<sub>2</sub>H<sub>5</sub>)<sub>2</sub>(I), (С<sub>2</sub>H<sub>5</sub>O)<sub>2</sub>P(S)OCH<sub>2</sub>CH<sub>2</sub>N(C<sub>2</sub>H<sub>5</sub>)<sub>2</sub>(II) и кислой щавелевокислой соли I (III) (т. пл. 93—95°), содержащих Р<sup>32</sup>. II, полученный, исходя из красного облученного нейтронами Р, количественно изомеризовался в I (нагревание 2,5 часа при 120—180°). I легко образует третичные аммониевые соли с эквимолекулярным кол-вом сильной к-ты (щавелевой, пикриновой, фталевой, n-толуолсульфокислотой) и четвертичную аммониевую соль с диме-



тисульфатом. Проникновение I, II и III в растения лимонов, хлопчатника через листья, корни и при нанесении на кору стволов и в плоды апельсинов и лимонов определялось по радиоактивности и токсичности объектов для *Metatetranychus citri* (Mc. G.), *Tetranychus telarius* (L.), *Heliothrips haemorrhoidalis*. I и III переносятся при всасывании корнями растений с одинаковой скоростью; при нанесении на кору ствола и при погружении листьев лимона в р-р I накапливается скорее, чем III. Через 144 час. в листья лимона проникает 34,2% III, 43,5% цитрата I, 33,5% *n*-толуол-сульфоната I, 34,6 хлоргидрата I. Плоды (лимона и апельсины) после опрыскивания до полного смачивания р-ром III, взятым в концентрации 0,106 г/л, содержали III меньше, чем допускается стандартом. Кожина плодов через 28 дней после обработки содержала III в кол-ве 0,08–0,32 мг/кг. В результате обработки семян хлопчатника I, III и тиоловым изомером диметона (IV), взятыми в кол-ве 2 мг на 1 семя, растения, выращенные из обработанных семян, устойчивы к *Frankliniella tritici* (Fitch) в течение 2–5 недель, причем продолжительность защиты увеличивается в ряду IV > I > III. Средняя летальная концентрация I в листьях хлопчатника при экспозиции 24 часа для *T. telarius* составляла 11 мг/кг. I и III чрезвычайно сильные ингибиторы холинэстеразы нервов и мускулов.  $J_{50}$  III, I и II для холинэстеразы головы мухи *in vitro* равны соответственно  $5 \cdot 10^{-9}$ ,  $3 \cdot 10^{-8}$  и  $3 \cdot 10^{-6}$  М. Хроматографией или электрофорезом на бумаге хлороформеных экстрактов листьев хлопчатника или сока лимона выделить продукты превращения в растениях I и II не удалось. Это доказывает, что I и III являются идиоптич. системными ядами.

К. Швецова-Шилова  
29948. Инсектицидные свойства и общая характеристика 1-нафтил-N-метилкарбамата. Хейнс, Ламбрек, Мурфилд (Insecticidal properties and characteristics of 1-naphthyl N-methylcarbamate. Науч. зап. Гарри Л., Ламбрек Джозеф А., Мурфилд Герберт Н.), Contribs Boyce Thompson Inst., 1957, 18, № 2, 507–513 (англ.)

Новый инсектицид — 1-нафтил-N-метилкарбамат (соединение I) имеет т. пл.  $145^{\circ}$ ,  $d_{20}^{20}$  1,232, давление паров при  $26^{\circ}$   $< 0,005$  мм рт. ст., растворимость в воде  $< 0,1\%$ . Умеренно растворим в ацетоне, N,N-диметилформамиде, изофтороне, циклогексаноне, устойчив к свету, нагреванию, действию к-т, но гидролизует в сильно щел. среде. Малотоксичен для теплокровных:  $LD_{50}$  для крыс при пероральном введении 300–700 мг/кг; при подкожном введении для кроликов  $LD_{50} > 2$  г/кг; хронич. отравлений I не вызывает. По характеру токсич. действия на насекомых I является ингибитором холинэстеразы; при опрыскивании растений водно-ацетонной эмульсией I  $LD_{50}$  в мг на 100 мл для различных насекомых были равны: мексиканский фасолевый жук (МФЖ), 0,8; гороховая тля, 2; *Prodenia litura* (Cram.), 10; комнатные мухи, 20; двупятнистый клещ,  $> 150$ . I обладает слабым системным действием и при применении путем внесения в почву достаточно эффективен только по отношению к МФЖ. Лучший способ применения I — опрыскивание или опашение растений, для чего в полевых условиях применяют 25–50%-ные смачивающиеся порошки, 1%-ные концентраты, из которых готовят водн. эмульсии, 5%-ные дусты; норма расхода I 0,5–2,2 кг/га. При этом I не проявляет фитотоксичности и может применяться без вреда для хлопка, фасоли, табака. В полевых условиях наилучшие результаты получены против МФЖ; хорошие результаты I дал против *Carpocapsa pomonella* (L.), *Aegyrotia velutinana* (Wlk.), *Grapholitha molesta* (Busck), *Anuraphis roseus* Baker, *Desmia funeralis*

(Hbn.), *Leptinotarsa decemlineata* (Say), *Cotinis nitida* (L.), *Heliothis zea* (Boddie), *Epitrix cucumeris* (Har.), *P. ornithogalli* Guen., *Empoasca fabae* (Harr.) По лабор. данным I — хорошее средство для борьбы с вредителями хлопка: *Anthonomus grandis* Boh. *Pectinophora gossypiella* (Saund.), *Aphis gossypii* Glov. По отношению к мухам, клещам, муравьям и кузнечикам I малоактивен. При применении I в виде 50%-ного смачивающегося порошка для обработки семян (2 кг I на 100 кг семян) листья выросших из них растений через 14 дней полностью убивали питающихся ими МФЖ и на 50% личинки *P. eridania*.

Г. Швиндлерман  
29949. Химический метод борьбы против мальевой моли. Исмаилов М. Г., Бюл. научно-техн. информ. Азерб. н.-и. ин-та хлопководства, 1957, № 2, 9–14

Для борьбы с мальевой молью хлопчатник обрабатывают дустами ДДТ + S (I) и арсената Ca + S (II), а также тиофосом (III). При опылении I против 1-го и 2-го поколений мальевой моли (MM) нормы расхода препарата 40, 40 и 60 кг/га соответственно. Расход II в этом случае составлял 30 и 40 кг/га. III действовал слабо. При наличии у MM растянутой яйцекладки рекомендуется проводить в борьбе с 1-м и 2-м поколением MM по 4 обработки I или II.

Л. Стонов  
29950. Эффективность дибромэтана против восковой моли. Кребе (Ethylene di-bromide — death to the wax moth. Krebs H. M.), Amer. Bee J., 1957, 97, № 4, 132–133 (англ.)

Для обработки сотовых рамок, зараженных восковой молью, предложена фумигация дибромэтаном (I). Рамки плотно складываются стопкой, сверху накрываются грубой плотной тканью, которую поливают I из расчета 1 г на 1 м<sup>3</sup> внутреннего объема стопки рамок. При таком методе обработки отпадает необходимость в газонепроницаемых камерах и достигается высокий эффект. В фумигационной камере высокая эффективность достигается при дозе I 0,5 г/м<sup>3</sup>.

Ю. Фадеев  
29951. Современные проблемы опрыскивания смесью пестицидов. Мадсен (Mixing sprays presents problems. Madsen Harold F.), West. Fruit Grower, 1957, 11, № 2, 33–36 (англ.)

29952. Влияние ветра на производительность некоторых типов сопел при опрыскивании сорняков. Морган, Расмуссен, Ортон (The effects of wind on delivery patterns of nozzles used for weed spraying. Morgan M. J., Rasmussen L. W., Orton L. W.), Weeds, 1957, 5, № 4, 350–361 (англ.)

Применение опрыскивателей с малыми отверстиями в сопле и увеличение давления в опрыскивателе повышало снос р-ров гербицидов.

Л. Стонов  
29953. Изучение прибора для определения уровня и скорости истечения жидкости для опрыскивающих машин. Гарман (A study of a flow meter for spray machines. Garman Philip), J. Econ. Entomol., 1957, 50, № 2, 223 (англ.)

29954. Определение современных инсектицидов в пищевых продуктах. Пеллати (Dosamenti dei moderni insetticidi negli alimenti. Pellati Renzo), Latte, 1957, 31, № 4, 267–272; Techn. molit; 1957, 8, № 4, 91–99 (итал.)

Для определения ДДТ в молоке и молочных продуктах 200 г молока извлекают 1 раз 250 мл и 3 раза по 100 мл смесью эфира и гексана (3:1), экстракт упаривают досуха и определяют в остатке Cl по методу Степанова. Для колориметрич. определения ДДТ 100 г молока центрифугируют, добавляют 100 мл спирта и извлекают 50 мл петр. эфира; для сыра величину навески подбирают такую, чтобы содержание жира

не превышало 5 г в 100 мл его водн. эмульсии, дальше поступают, как в первом случае. Остаток экстракта нитруют и добавлением  $\text{CH}_3\text{ONa}$  превращают продукт нитрования в окрашенное соединение, которое определяют колориметрически. Токсафен определяют по Джонсону (РЖХим, 1955, 46275).

К. Герцфельд 29955. Остатки токсафена, хлордана, паратиона, малатиона и деметона на некоторых свежих овощах. Ван-Мидделем, Уэйте (Residues of toxaphene, chlordane, parathion, malathion and demeton on several fresh vegetables. Van Middellem C. H., Waites R. E.), Proc. Amer. Soc. Hort. Sci., 1955, 65, 365—370 (англ.)

Определены остатки инсектицидов на с.-х. культурах через различные промежутки времени после опрыскивания или опыления, которое производилось неоднократно, с интервалами в 4—10 дней. Найдены (указаны в-во, овощи, число опрыскиваний, расход препарата в кг/га при каждой обработке, промежуток времени, прошедшие с момента последней обработки и соответственно остатки инсектицидов в мг/кг): токсафен, томаты, 8, 1,12—3,9, 5 и 7 дней, 2,29—3,97 и 2,05—3,54; хлордан, латук, 4, 9,7—12,8, 4 часа, 2,7 и 14 дней, 4,17—13,65, 2,16—6,43, 1,43—3,91 и 1,02—2,42; паратион, ботва турнепса, 3, 0,12—0,33, 4 и 24 часа, 3 и 7 дней, 7,19—31,07, 5,02—10,37, 2,08—4,70 и 0,81—2,62; малатион, шпинат, 2, 0,15—0,23, 4 часа, 3 и 7 дней, 80,5—142,8, 13,0—29,5 и 2,2—6,2; деметон, стручки ломкой фасоли, 2, ~ 0,27, 20 дней, 0,3—0,4. В стручках ломкой фасоли выращенной из семян, вымоченных в течение 1 часа в 2%-ном р-ре деметона, последний не обнаружен.

Г. Швиндлерман 29956. Удаление остатков токсафена и паратиона с томатов, зеленых бобов, сельдерея и горчицы путем отмывки детергентами. Томпсон, Ван-Мидделем (The removal of toxaphene and parathion residues from tomatoes, green beans, celery and mustard with detergent washings. Thompson B. D., Van Middellem C. H.), Proc. Amer. Soc. Hort. Sci., 1955, 65, 357—364 (англ.)

При мытье овощей с целью удаления остатков (О) инсектицидов наилучшим моющим средством оказалось нейтр. мыло (1%-ный р-р); из 16 опробованных синтетич. детергентов (СД) различных типов лучшие результаты дал СД типа алкиларилового эфира полиэтиленгликоля (0,1%-ный р-р). О токсафена на овощах составляли (в мг/кг) (приведены последовательно О у необмытых овощей, О после обмывания водой, СД, мылом): томаты, 3,69, 3,34, 3,19, 3,27; зеленые бобы, 31,07, 24,91, 13,18, 12,25; сельдерей, 60,44, 25,81, 16,99, 16,42; горчица, 233,64, 100,02, 23,69; 20,77. О паратиона (показатели те же): томаты, 0,30, 0,25, 0,25, 0,27; зеленые бобы, 2,31, 1,47, 1,13, 1,12; горчица, 25,69, 8,99, 4,38, 3,38. Сельдерей и бобы после обмывания СД при хранении теряют в весе больше, чем обмытые водой и мылом; для томатов потеря в весе во всех случаях одинакова.

Г. Швиндлерман 29957. Опасность, связанная с применением пестицидных препаратов. Часть II. Кук (Hazards in pest control operations. Part II. Cook Warren A.), Mod. Sanit., 1956, 8, № 1, 24, 41—46 (англ.)

Приведены указания и рекомендации по охране труда и технике безопасности при работах с родентицидами (Р) и препаратами для фумигации (ПФ). Токсич. Р. являются препарат 1080 (I) и варфарин (II). I может проникать через неповрежденную кожу. Отравляющее действие оказывает Р, содержащий 0,5%. II. Противоядием служит витамин К. При работах с эмульсиями Р токсич. действие оказывают также органич. растворители:  $\text{CCl}_4$ ,  $\text{C}_6\text{H}_6$  и др. Токсич. ПФ:  $\text{HCN}$ ,  $\text{NaCN}$ ,  $\text{Ca}(\text{CN})_2$ , смесь  $\text{NaCN}$  и  $\text{NaClO}_3$ . При обработке смеси  $\text{NaCN}$  и  $\text{NaClO}_3$ ,  $\text{HCl}$  (к-той) указанием на

опасность является раздражение глаз, вызываемое  $\text{ClCN}$ . Предельно допустимая конц-ия  $\text{HCN}$  в воздухе 10 мг/л. При работе в течение 0,5—1 час. допустимы конц-ия  $\text{HCN}$  — 50 мг/л. Необходимо также помнить о способности  $\text{HCN}$  взрываться при содержании его в воздухе в конц-ии 5,6—40%. К опасным ПФ относятся также  $\text{CH}_3\text{Br}$  (III). При работе в течение 6—8 час. допускается присутствие в воздухе 20 мг/л III. Опасным является наличие скрытого периода отравления III 2—48 час. При попадании на кожу III вызывает ожоги и опухоли. К профилактич. мероприятиям относятся хорошее вентилирование помещений (при подготовительных работах с порошками вентиляцию следует выключать). К средствам личной защиты относятся противогазы, респираторы, перчатки и очки. При работах с цианидами требуется наличие следующих препаратов: амилнитрата, р-ров  $\text{NaNO}_2$  (0,3 г в 10 мл) и  $\text{Na}_2\text{S}_2\text{O}_3$  (12,5 г в 50 мл) для подкожных впрыскиваний. Часть I см. РЖХим, 1956, 55095.

С. Яворовская 29958. Новые фунгициды. Данеган (New fungicides are being developed. Dunegan John C.), Producer's Rev., 1957, 47, № 2, 13—14 (англ.)

Краткий обзор. Е. Андреева 29959. Роль промышленности в разработке новых фунгицидов. Брандес (Industry's part in meeting our fungicide requirements. Brandes Gordon A.), Agric. Chemicals, 1956, 11, № 3, 42—45, 137, 139, 141 (англ.)

Обзор. Потребность и применение S, бордосской жидкости, цинеба, фербама, каратана, тиурама, каптана, дитана, аразана, спертгона, фитона и доу 9В в с. х.

Е. Андреева 29960. Фунгицидная активность и строение. Фунгицидная активность трихлорметилтиосульфатов. Джонстон, Рюггеберг, Блок (Fungicidal activity and structure, fungicidal activity of trichloromethyl thiolsulfonates. Johnston Thomas P., Rueggeberg H. C., Block Seymour S.), J. Agric. and Food Chem., 1957, 5, № 9, 672—674 (англ.)

Синтезированы и испытаны в качестве фунгицидов на *Curvularia lunata* и *Monilinia fructicola* в-ва с общими ф-лами  $\text{RSO}_2\text{SCCl}_3$  (I) и  $\text{ArSO}_2\text{SC}_6\text{H}_4\text{NO}_2$ -о (II). I получены добавлением  $\text{CCl}_3\text{SCl}$  при перемешивании к охлажд. 10%-ному водн. р-ру Na-солей алкил- или арилсульфинатов с последующим периодич. встряхиванием смеси в течение 0,5—1 час. Образовавшиеся I и II перекристаллизовывали из  $\text{CH}_3\text{OH}$  или, если они жидкие, пересаживали водой из р-ра в  $\text{CH}_3\text{OH}$ . В-ва общей ф-лы II получены из о-нитробензолсульфенилхлорида и Na-солей арилсульфинатов. При испытании фунгицидной активности р-ры I и II в  $(\text{CH}_3)_2\text{CHOH}$  наносили на предметные стекла, р-ритель испаряли и наносили 1%-ную суспензию спор. Учет производился через 24 часа с использованием микроскопа. При изучении фунгицидной активности I получены следующие результаты (приводятся R, выход в %, т-ра плавления в °C,  $\text{LD}_{50}$  в мг/л для *C. lunata*):  $\text{CH}_3$  (III), 83,3, 56—58, > 1000;  $\frac{1}{2}(\text{CH}_2\text{CH}_2\text{CH}_2\text{CH}_2)$  (IV), 55, 159—160, > 1000;  $\frac{1}{2}(1,3-\text{C}_6\text{H}_4)$ , 68,5, 120—123, 89;  $\text{C}_6\text{H}_5\text{CH}_2$ , 50, 83—85, < 1; о- $\text{CH}_2\text{C}_6\text{H}_4$ , 73,2, 51—52, 2; n- $\text{CH}_2\text{C}_6\text{H}_4$ , 76, 66—67,5, 2;  $\text{C}_6\text{H}_5\text{CH}=\text{CH}$  (V), —, 95—97,5, 5; о- $\text{C}_2\text{H}_5\text{C}_6\text{H}_4$ , 55, 29,5—31, 2; n- $(\text{CH}_2)_2\text{C}_6\text{H}_4$  (VI), 65,3, 80—82, 59; n- $\text{FC}_6\text{H}_4$ , 83, 37—38,5, 8; о- $\text{ClC}_6\text{H}_4$ , 70,5, 71—71,5, 2; n- $\text{ClC}_6\text{H}_4$  (VII), 94,2, 60—61, 7; 3,4- $\text{Cl}_2\text{C}_6\text{H}_3$ , 72, 57—58, 2; о- $\text{CH}_2\text{OC}_6\text{H}_4$ , 92, 112—113, 2; n- $\text{CH}_2\text{OC}_6\text{H}_4$  (VIII), 93,2, 55—56,5, 4; 5- $\text{Cl}-2-\text{CH}_2\text{OC}_6\text{H}_3$ , 98, 104—105, 2; m- $\text{NO}_2\text{C}_6\text{H}_4$ , 81,5, 65—66, < 1; m- $\text{HO}_2\text{CC}_6\text{H}_4$ , 89,5, 158, 4; 3,5-( $\text{HO}_2\text{C}$ ) $_2\text{C}_6\text{H}_3$  (IX), 78, 200, 94; n- $\text{CH}_2\text{CONHC}_6\text{H}_4$ , 58,5, 146—148, 2; 2-нафтил, 96, 56—57, 7; n- $\text{C}_6\text{H}_5\text{OC}_6\text{H}_4$  (X), 87,7, 43,5—50, 8;  $\frac{1}{2}(\text{m}-\text{C}_6\text{H}_4\text{SO}_2\text{C}_6\text{H}_4-\text{m})$ , 51, 151—156, 96;



$C_6H_5$ , —, —, 2;  $n-(CH_3)_2C_6H_3$ , —, —, 5;  $n-C_2H_5C_6H_4$ , —, —, 2;  $n$ -кумил, —, —, 5;  $n$ -(1-метилбутил)-фенил, —, —, 100. При испытании на спорах *M. fructicola* LD<sub>50</sub> III, IV, V, VI, VII, VIII, IX и X равнялись соответственно 1000, 1000, 2, 4, 1, 1, 15, 6 мг/л. При испытании II получены следующие результаты. Приводится таблица выхода на технич. продукт в %, т-ра плавления в °C, LD<sub>50</sub> в мг/л для *C. lunata* и *M. fructicola*:  $C_6H_5$ , 85,5, 81—82, 126, 103;  $n-ClC_6H_4$ , 97, 122,5—123,5, > 1000, 124;  $n-C_2H_5C_6H_4$ , 50, 53—54, 270, 160;  $o-CH_3C_6H_4$ , 100, 109,5—110,5, > 1000, 71;  $m-NO_2C_6H_4$ , 96, 112—113, > 1000, 83. Результаты испытаний показали что введение второй  $CCl_3SSO_2$ -группы в ароматич. ядро понижает фунгицидное действие I. Активность  $o$ - и  $n$ -замещ. арильных производных I примерно одинакова. При увеличении длины цепи алкила в алкиларильных производных I токсичность в-в снижается. Фунгицидная активность обусловлена наличием в молекуле I  $CCl_3S$ -группы. Замена радикала  $SCCl_3$  на  $o-NO_2C_6H_4$ -группу приводит к уменьшению активности соединений.

К. Швецова-Шиловская

29961. Испытание нового препарата — паранитрофенола в борьбе с инфекционным усыханием лимонов. Алемина О. А., Вестн. с.-х. науки, 1957, № 10, 99—105 (рез. англ., нем.)

При борьбе с несовершенным грибом *Deuterophoma tracheiphila* Petri, вызывающим инфекционное усыхание лимонов (Л), хорошие результаты в конц-ии 0,001% показали этилмеркурхлорид, этилмеркурфосфат, фенилмеркурнитрат, бисэтилмеркурфосфат, динитротрихлор-, динитророданбензол.  $n$ -Нитрофенол (I), обладающий внутрирастительным действием в конц-ии 0,005%, прекращал развитие *D. tracheiphila*; хлорозол стимулировал его развитие. Все изученные в-ва в испытанных конц-иях не были токсичными для Л. При испытании в полевых условиях с 2- и 3-летними деревьями Л внесение в почву 50 г I на 1 растение оказывает в сухую погоду хорошее профилактич. действие при 90%-ном повреждении Л в контрольном опыте; при применении I непосредственно перед дождем наблюдаются сильные ожоги Л. Опрыскивание воды р-ром I в конц-ии 0,05% предохраняет Л от эмальсекко и антракноза цитрусовых; при опрыскивании 30%-ным дустом I на каолине Л ожогаются. В целях профилактики рекомендуется вносить перед каждой вегетацией I в кол-ве 30 г на 1 растение не старше 4 лет.

И. Мильштейн

29962. Борьба с курчавостью листьев персика с помощью омадина и с бурой гнилью плодов персика с помощью омадина и некоторых антибиотиков. Миллер (Control of peach leaf curl with Omadine and of brown rot with Omadine and certain antibiotics. Miller Paul), Agric. Chemicals, 1957, 12, № 7, 53—55 (англ.)

Против грибного заболевания листьев персика, вызываемого *Taphrina deformans*, испытаны омадин (OM-1565) (50%-ный смачивающийся порошок Fe-соли N-окиси 2-пиридинтиона) (I), фермат (II), алгетол,  $Na_2CO_3$ , тионеб, тилат, ванцид А. I оказался эффективным при опрыскивании садов весной и осенью. Против бурой гнили персика, вызываемой *Monilinia fructicola*, испытаны молотая S, каптан 50 W, II, омадин (OM-1563) (50%-ный смачивающийся порошок Zn-соли N-окиси 2-пиридинтиона). После сбора урожая на плодах дополнительно испытаны омадин (OM-1564) (50%-ный смачивающийся порошок Mn-соли N-окиси 2-пиридинтиона) и антибиотики — микостатин, фунгихромин, олигомицин, аулицин. Эффективными были все изученные антибиотики в конц-ии 100—200 мг/л.

Е. Андреева

29963. Последовательность опрыскиваний против вредителей яблони. Мейбург, Хейнс, Криг-

лер (Intensive spray programme against apple-pests. Myburgh A. C., Heyns A. J., Krieglerr P. J.), Farm. S. Africa, 1957, 33, № 5, 26—28 (англ.)

Плодожорка и клещи, несмотря на проведение мер борьбы с ними, вызывают серьезные повреждения яблос. Предложена новая, наиболее интенсивная из применявшихся ранее программ борьбы с вредителями яблони. Программа состоит из 13 опрыскиваний за сезон и включает обработки препаратами зимних масел, ИСА, хлорокиси Cu, других препаратов Cu, каптана, глиодина, цинеба, цирама, тирама, смачивающейся S + цинеб, каратана, овотрана, ДДТ, паратиона, малатиона, метасистокса, келтана и димита.

Ю. Фадеев

29964. Борьба с антракнозом табака. Кол (Some control measures for anthracnose disease of tobacco. Cole J. S.), Ann. Appl. Biol., 1957, 45, № 3, 542—549 (англ.)

В лабор., тепличных и парниковых опытах изучена активность в борьбе *Colletotrichum tabacum* Böning на табаке в Южной Родезии дихлора, тирама (I), каптана (II), цинеба (III), пентахлорнитробензола, хлорокиси Cu (IV), оксисульфата Cu (V), бордосской жидкости (VI) и манеба (VII). В парниковых опытах лучшие результаты получены с I—III, VII. Ущерб от листопада при применении инсектицидов в теплую и сухую погоду в начале сезона был меньше, чем в конце сезона. Смесь III с IV, V или VI действовали лучше, чем каждый препарат в отдельности.

М. Галашина

29965. Повреждение растений вилтом. Мейер (Are wilts attacking your plants? Meyer Frances W.), Horticulture, 1957, 35, № 3, 139, 150—151 (англ.) Для обеззараживания почвы от грибов *Rhizoctonia solani*, *Sclerotium rolfsii* и *S. delphinii* применяют 20%-ный дуст тераклора и вапам в дозе 4,88 кг/га. Опрыскивание растений синоксом (оксихинолин-сульфат) предотвращает заражение их *R. solanii*.

А. Седых

29966. Дальнейшее изучение фитотоксичности современных органических инсектицидов. Мукхерджи, Вадхи (Further studies on the phytotoxicity of modern organic insecticides. Mookherjee P. B., Wadhi S. R.), Indian J. Entomol., 1957, 18, № 4, 332—335 (англ.)

Нефитотоксичными для большинства культурных растений, в том числе из семейства тыквенных (которые вообще чувствительны к ядохимикатам) оказались эмульсии: токсафена (0,25; 0,5 и 1%), ДДТ (0,25; 0,5; 1,0 и 2%), дильдрин (0,125; 0,25 и 0,5%), линдана (0,25; 0,5; 0,75 и 1%) и альдрин (0,25 и 0,5%).

Л. Стонов

29967. Действие  $\alpha,\alpha$ -дихлорпропионовой кислоты на почвенные микроорганизмы. Уэршам, Гидденс (Some effects of 2,2-dichloropropionic acid on soil microorganisms. Worsham A. D., Giddens Joel), Weeds, 1957, 5, N 4, 316—320 (англ.)

Соевые бобы высевали через 1 день, 1 и 3 недели после обработки почвы далапоном (I) в дозах 19,04; 38,08 и 76,16 кг/га. I не снижал общего кол-ва микроорганизмов в почве, а в ряде случаев стимулировал их рост (число актиномицет резко возросло на 1 неделю). Кол-во грибов также увеличивалось через 1 день после обработки при внесении I в дозах 19,04 и 76,16 кг/га. Кол-во нитратов в почве уменьшалось через 1 неделю (дозы I 76,16 кг/га), но увеличивалось через 3 недели после обработки (действие на нитрифицирующие бактерии было временным). I не влиял на клубнеобразование.

Л. Стонов

29968. Передвижение N-1-нафтилфталаминовой кислоты (алакап-1) в почве. Смит, Фелдман, Сто-

ун (Mobility of N-1-naphthylphthalamic acid (Alanap-1) in soil. Smith Allen E., Feldman Albert W., Stone Gracie M.), J. Agric. and Food Chem., 1957, 5, № 10, 745—748 (англ.)

Выводимое из почвы кол-во N-1-нафтилфталаминовой к-ты (I) прямо пропорционально внесенному кол-ву в пределах доз 1,12—8,96 кг/га. Для уменьшения вымывания I рекомендуется применять I в смеси с нерастворимыми в воде органич. к-тами. В частности, предложен препарат, содержащий (в %): 50 I, 20 стеариновой к-ты, 25 талька и 5 поверхностноактивных в-в.

Л. Стонов  
29969. Химическая борьба с сорняками citrusовых культур. Дей (Status of chemical weed control in citrus culture. Day Boysie E.), Calif. Citrograph, 1957, 42, № 12, 415, 428, 430 (англ.)

Для поражения однолетних сорняков применяют нефтяные масла и дизельное топливо. 2,24 кг/га моноурона уничтожают проростки сорняков и стерилизуют почву на 2—8 месяцев. Широколиственные многолетники (повой заборный и паслен) подавляются 0,075—0,1%-ными р-рами 2,4-Д (в пересчете на к-ту). Далапон в дозе 11,2—22,4 кг/га хорошо поражает свинной. Однолетние сорняки, а также сумах хорошо уничтожает аминотриазол (I) (4,48—6,72 кг/га). Вред citrusовым приносят дозы I > 35,84 кг/га. Молодые деревья citrusовых устойчивы к небуруну; в дозах 4,48—6,72 кг/га, внесенный во время прорастания сорняков, он освобождает поле от сорных растений на 3—6 месяцев. Новый гербицид — симазин не повреждает саженцы и взрослые деревья citrusовых.

Л. Стонов  
29970. Действие 2М-4Х и 2,4-Д на мукомольные качества и фуражные свойства ярового овса. Кент, Хатчинсон (The effect of MCPA and 2:4-D herbicides on the quality of spring oats for milling and provender feeding. Kent N. L., Hutchinson J. B.), Ann. Appl. Biol., 1957, 45, № 3, 481—488 (англ.)

Применение 2М-4Х (0,84—2,24 кг/га) на овсе в фазе 1—2 листьев незначительно ухудшает качество зерна, в то время как 2,4-Д (0,56—1,68 кг/га) уменьшает урожай и увеличивает кол-во щуплых зерен. Опрыскивание 2,4-Д в фазе 4—5 листьев увеличивает содержание N в листьях и снижает содержание в них масла.

Л. Стонов  
29971. Токсичность гербицидов для рыб. Бандт (Über die Giftwirkung von Herbiziden auf Fische. Bandt Hans-Joachim), Z. Fischerei, 1957, 6, № 1—7, 124—125 (нем.)

Хлораты Na и K в дозах 2,5—13 г/л ядовиты для окуни, плотвы, судака. Для этих пород рыб оказались токсичными также  $\text{CCl}_3\text{COONa}$  (10—12 г/л), 2,4-Д (0,075 г/л), 2М-4Х (0,2 г/л), 2,4,5-Т (0,05—0,06 г/л), смеси 2,4-Д +  $\text{CCl}_3\text{COONa}$ ; 2,4,5-Т + 2,4-Д.

Л. Стонов  
29972. Сравнение нафтилуксусной кислоты и нафтил-ацетамида при их применении для прореживания плодов у яблонь. Гофман, Эджерстон, Фишер (Comparisons of naphthaleneacetic acid and naphthaleneacetamide for thinning apples. Hoffman M. B., Edgerton L. J., Fisher E. G.), Proc. Amer. Soc. Hortic. Sci., 1955, 65, 63—70 (англ.)

Применяемые для прореживания плодов у яблонь нафтилуксусная к-та (I) и ее амид (II) сходны по характеру своего действия; однако лучшие результаты дал II, примененный в конц-ии 25—75 мг/л для опрыскивания в период от полного цветения до опадения лепестков. I действует более резко и даже в конц-ии 15 мг/л иногда вызывала чрезмерное прореживание или даже обеспложивание яблонь; при применении на ранних стадиях развития плодов I может вызывать повреждение листьев, а на более поздних

стадиях — повреждение плодов. I не рекомендована для прореживания летних сортов яблонь.

Г. Швиндлерман  
29973. Влияние опрыскивания 2,4,5-трихлорфеноксуксусной кислотой на яблоню сорта Delicious. Хаттон (Responses of the Delicious apple to sprays of 2,4,5-trichlorophenoxyacetic acid. Hatton T. T.), Proc. Amer. Soc., Hortic. Sci., 1955, 65, 59—62 (англ.)  
Трехкратное (с промежутками в 10 дней) опрыскивание (O) яблонь 0,0025—0,0075%-ными р-рами изопропилового эфира 2,4,5-Т (I) ускоряет созревание яблок (Я); оптимальные результаты получены при конц-ии I 0,0050%, когда опрыскивание проводилось через 130 дней после полного цветения. При этом Я достигали спелости приблизительно на 10 дней раньше, чем обычно, и по окраске, размерам и устойчивости при хранении были такими же, как позже созревшие Я, не подвергавшиеся O. Более раннее O еще сильнее ускоряет созревание, но Я не успевают достигнуть нужных размеров. Конц-ии I 0,0025—0,0075% применяли в течение 3 лет без вреда для деревьев; однако в жаркую погоду конц-ия I 0,0075% может повредить листья.

Г. Швиндлерман  
29974. Влияние 2,4,5-трихлорфеноксуксусной кислоты на предуборочное опадение, величину и спелость абрикосов. Крейн (Preharvest drop, size and maturity of apricots as affected by 2,4,5-trichlorophenoxyacetic acid. Grane Julian C.), Proc. Amer. Soc. Hortic. Sci., 1955, 65, 75—84 (англ.)

Опрыскивание абрикосов (А) триэтиламинной солью 2,4,5-Т (I), производившееся в период начала заворачивания косточек плодов, значительно уменьшило предуборочное опадение А. Как следствие при этом увеличивался средний диаметр (СД) и средний вес (СВ) собранных А. Так, у А сорта «Тилтон» (обработаны I в конц-ии 25 и 50 мг/л) опадение составило 6,6—6,4% вместо обычных 52,9%; СД плодов увеличился на 10,1%, СВ — на 21,2%. У А «Стюарт» (обработаны 25—100 мг/л I) опадало 1,2—0,6% вместо обычных 9%, СД плодов увеличился на 9,3%, СВ — на 33,8%. На обработанных деревьях А созревали на 3—6 дней раньше.

Г. Швиндлерман  
29975. Влияние различных факторов на эффективность опрыскивания растений 2,4,5-Т. Беренс (Influence of various components on the effectiveness of 2,4,5-T sprays. Behrens Richard), Weeda, 1957, 5, № 3, 183—196 (англ.)

При изучении эффективности опрыскивания растений р-рами в дизельном топливе, а также водн. р-рами и эмульсиями солей и эфиров 2,4,5-Т показано, что, если норма расхода (НР) гербицида, а также объем р-ра (ОР), примененный для опрыскивания единицы площади (я, следовательно, конц-ия гербицида), постоянны, то при уменьшении величины капли (ВК) и соответственном увеличении числа капель (ЧК) на единицу поверхности гербицидное действие значительно усиливается. Оно усиливается также, если при постоянных НР и ВК увеличить ЧК за счет увеличения ОР (и соответственного уменьшения конц-ии); после того, как ЧК достигнет 11,3 капли на 1 см<sup>2</sup>, дальнейшее усиление гербицидного действия идет более постепенно, или вообще прекращается, что наблюдалось в случае р-ров гербицида в фитотоксичном дизельном топливе. При постоянных ЧК и НР увеличение ВК от 200 до 800 м не влияло на эффективность опрыскивания. Из всех рассмотренных факторов наиболее существенным является ЧК; для успешного опрыскивания оно должно быть  $\geq 11,3$  капли на 1 см<sup>2</sup>, т. е. расстояние между каплями должно быть  $\leq 3100$  м.

Г. Швиндлерман  
29976. Способ получения чистого у-гексахлорциклогексана. Хагге, Повени, Кведфли,



**Хемпель, Хейш** (Verfahren zur Herstellung von reinem  $\gamma$ -Hexachlorcyclohexan. Hagge Walter, Povenz Friedrich, Quaadvlieg Mathieu, Hempel Herbert, Heusch Rudolf) [Farbenfabriken Bayer A.-G.]. Пат. ФРГ 962790, 25.04.57

Для получения чистого  $\gamma$ -ГХЦГ (I) из технич. ГХЦГ (II) к метанольному экстракту, содержащему в основном I и немного  $\alpha$ - и  $\beta$ -изомеров, добавляют хлорированный углеводород в кол-ве, достаточном для растворения I,  $\text{CH}_3\text{OH}$  отмывают двойным кол-вом воды, а выпавшие при этом  $\alpha$ - и  $\beta$ -изомеры отфильтровывают. Фильтрат упаривают и отделяют кристаллы I. Примеры: 1) 1000 ч. II смешивают с 300 ч. 85%-ного  $\text{CH}_3\text{OH}$  при 20°. Смесь фильтруют, получают 760 ч. смеси изомеров, содержащей 11—12% I, к которой добавляют 1000 ч.  $\text{CH}_3\text{OH}$ , кипятят 3 часа и перемешивают 24 часа при 20° или без кипячения перемешивают 24 часа при 20°, после чего смесь фильтруют и промывают осадок 200 ч.  $\text{CH}_3\text{OH}$ , к фильтрату добавляют 1350 ч.  $\text{CCl}_4$  и 2400 ч. воды, выпавший осадок отфильтровывают, нижний слой отделяют, отгоняют ~ 75% р-рителя и выделяют 29 ч. I, 69 и 23 ч. ГХЦГ, содержащего 57 и 36% I соответственно; 2) 600 ч. II смешивают со 150 ч. 85%-ного  $\text{CH}_3\text{OH}$ , смесь фильтруют, получают 500 ч. смеси изомеров, содержащей 13% I, которую кипятят с 845 ч.  $\text{CH}_3\text{OH}$ , перемешивают 3 часа, при т-ре ~ 20°, фильтруют, осадок промывают 100 ч.  $\text{CH}_3\text{OH}$ , добавляют 1000 ч.  $\text{CCl}_4$  и 1830 ч. воды, фильтруют, нижний слой фильтрата отделяют, отгоняют  $\text{CCl}_4$  и получают 18 ч. I, 30 ч. ГХЦГ, содержащего 58% I, и 29 ч., содержащего 47% I; 3) к 180 ч. ГХЦГ, содержащего 70% I, добавляют 1750 ч.  $\text{CH}_3\text{OH}$ , смесь перемешивают 24 часа при 20° и после аналогичной обработки получают 70 ч. I, 47 ч. 82%-ного I и 47 ч. 51%-ного II.

**И. Мильштейн**  
29977 П. Способ получения препарата  $\gamma$ -ГХЦГ, содержащего не менее 90%  $\gamma$ -изомера. Хагге, Хемпель, Хейш, Гомолка, Повенц, Кведфлиг (Verfahren zur Herstellung von  $\gamma$ -Hexachlorcyclohexan mit einem  $\gamma$ -Isomerengehalt von mindestens 90%. Hagge Walter, Hempel Herbert, Heusch Rudolf, Homolka Karl, Povenz Friedrich, Quaadvlieg Mathieu) [Farbenfabriken Bayer A.-G.]. Пат. ФРГ 960096, 14.03.57

Препарат  $\gamma$ -ГХЦГ (I), содержащий  $\geq 90\%$   $\gamma$ -изомера, получают экстракцией сырого продукта  $\text{CH}_3\text{OH}$  при т-ре  $\leq 30^\circ$ , нерастворившиеся  $\alpha$ - и  $\beta$ -изомеры отфильтровывают, фильтрат упаривают до выделения осадок I, содержащего также  $\alpha$ - и  $\beta$ -изомеры. Суспензию нагревают до т-ры  $> 65^\circ$  (преимущественно 70—150°) под давлением до растворения  $\alpha$ - и  $\beta$ -изомеров. Из р-ра при охлаждении выпадают кристаллы I, которые перекристаллизовывают аналогичным образом 2-й раз. Напр., 2100 кг технич. ГХЦГ, содержащего 13%  $\gamma$ -изомера, экстрагируют 3450 кг  $\text{CH}_3\text{OH}$  при т-ре ~ 20°, большую часть нерастворившихся  $\alpha$ - и  $\beta$ -изомеров отфильтровывают, фильтрат упаривают до выделения кристаллов, суспензию нагревают в течение 2 час. при 85°, давл. 2 атм и при сильном перемешивании, после чего ее охлаждают, отфильтровывают через 6—10 час. и выделяют 180 кг I (содержание  $\gamma$ -изомера 90%). 514 кг 90%-ного I нагревают 2 часа с 760 кг  $\text{CH}_3\text{OH}$  при 90° и давл. 2 атм и получают 365 кг I (содержание  $\gamma$ -изомера 100%).

**И. Мильштейн**  
29978 П. Способ обогащения смеси изомеров ГХЦГ  $\gamma$ -изомером. Грассов (Verfahren zur Anreicherung des  $\gamma$ -Isomeren in einem Hexachlorcyclohexanisomengemisch. Grassow Fritz). Пат. ГДР 10982, 10.12.55

ГХЦГ, содержащий 40—42%  $\gamma$ -изомера, получают экстракцией технич. ГХЦГ технич. трихлорбензолом (I) (т. кип. 210°), полученным щел. дегидрохлори-

ванием ГХЦГ.  $\alpha$ -,  $\beta$ - и  $\delta$ -Изомеры, плохо растворимые в I, отфильтровывают. I отгоняют и в остатке получают обогащенный  $\gamma$ -изомером ГХЦГ. I после отгонки снова применяют для экстракции ГХЦГ. 400 г технич. ГХЦГ с содержанием 12%  $\gamma$ -изомера нагревают 2 часа при 60° с 360 г I, смесь охлаждают и фильтруют. В осадке содержится ~ 1%  $\gamma$ -изомера, а после отгонки I из фильтрата получают 110 г ГХЦГ, содержащего 40%  $\gamma$ -изомера.

**И. Мильштейн**  
29979 П. Способ очистки 1,1,1-трихлор-2,2-бис-(4-хлорфенил)-этана (Procédé de purification du 1,1,1-trichloro-2,2-bis-(4-chlorophényl)-éthane) [J. R. Geigy Soc. An., Timbrol Ltd]. Франц. пат. 1115488, 25.04.56

Технический ДДТ (I) в виде чешуек, гранул или порошка центрифугируют при центробежной силе, превышающей в  $\geq 10$  раз гравитационную, при одновременном нагревании горячей водой, водяным паром, горячим рассолом или газом до т-ры, лежащей ниже т-ры плавления  $n,n'$ -изомера ДДТ (II), при которой примеси и  $o,n'$ -изомер ДДТ плавятся и удаляются в жидком виде. Пример. В центрифуге с дырчатым барабаном в течение 1 часа футуют 2100 ч. I в чешуйках, содержащего 66% II, при центробежной силе, в 990 раз большей гравитационной; при этом в середине барабана вводят кипящую воду, пока т-ра фильтрата не достигнет 84°; фильтрат состоит из 1690 ч. масла и 4200 ч. воды. Застывшее масло фильтрата после сушки имеет т. пл. 76°, что соответствует содержанию II 59%. Остаток в барабане (410 ч.) имеет т. пл. 100,5—104,5°, что соответствует содержанию II 92%.

**К. Герцфельд**  
29980 П. Способ получения 2,2-бис-( $n$ -метоксифенил)-1,1,1-трихлорэтана (Procédé de fabrication du 2,2-bis-( $n$ -méthoxyphényl)-1,1,1-trichlorethane et produit conforme à celui obtenu) [Soc. Industrielle de Chimie Organique]. Франц. пат. 1121559, 21.08.56

При получении 2,2-бис-( $n$ -метоксифенил)-1,1,1-трихлорэтана (I) анизол, хлораль и 100%-ную  $\text{H}_2\text{SO}_4$  смешивают при 25°, после окончания р-ции из полученной массы извлекают  $\text{CCl}_4$  технич. I, осаждают экстракт водой и отгоняют  $\text{CCl}_4$ , или промывают и нейтрализуют экстракт и отгоняют  $\text{CCl}_4$  в вакууме и очищают I кристаллизацией из спирта. Пример. Смесь состава (в г): анизол 220, безводн. хлораль 150,  $\text{H}_2\text{SO}_4$  100%-ной 200, перемешивают ~ 1 часа при 25°, когда масса загустеет, добавляют 150 г  $\text{CCl}_4$  и к концу р-ции, когда т-ра снижается, добавляют еще 100 г  $\text{CCl}_4$ , затем отделяют верхний слой и осаждают 400 мг воды, осадок нейтрализуют 100 мл 2%-ного р-ра  $\text{Na}_2\text{CO}_3$  и фильтруют. Выход I 208 г, т. пл. 82°. Фильтрат отделяют от воды и в вакууме отгоняют  $\text{CCl}_4$ , к остатку добавляют 100 мл спирта, фильтруют и получают еще 64 г I, с т. пл. 82°. Общий выход I 85%.

**К. Герцфельд**  
29981 П. Способ получения эфиров тиофосфорных кислот. Лоренц, Мюльман, Шрадер (Verfahren zur Herstellung von Thiophosphorsäureestern. Lorenz Walter, Mühlmann Rudolf, Schrader Gerhard) [Farbenfabriken Bayer A.-G.]. Пат. ФРГ 964045, 16.05.57

Эфиры тиофосфорных к-т образуются при взаимодействии  $\beta$ -галондэтилалкилсульфоксидов, получаемых окислением  $\text{H}_2\text{O}_2$  соответствующих сульфидов, с солями О,О-диалкилтио- или О,О-диалкилдитиофосфорных к-т. К 0,2 г-моля  $\text{NH}_4$ -соли О,О-диметилдитиофосфорной к-ты в 75 мл метилэтилкетона прибавляют 0,215 г-моля  $\beta$ -этоксисульфоксэтилбромид, смесь оставляют на ночь, отфильтровывают  $\text{NH}_4\text{Br}$ , отгоняют р-ритель, остаток экстрагируют  $\text{C}_6\text{H}_6$  и получают с 81%-ным выходом О,О-диметил-S-(этилсульфоксэтил)-дитиофосфат. Аналогично получают О,О-диэтил- (т. кип. 108°/0,01 мм), О,О-ди- $n$ -пропил-S-(этилсульфоксэтил)-

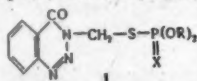
тиофосфат; О,О-диэтил- (т. кип. 108°/0,01 мм), О,О-ди-  
н-пропил-, О,О-диизопропил-S-(этилсульфонил)-  
дитиофосфаты. И. Мильштейн

**29982 П.** Способ получения О,О-диметил-О-(3-нитро-  
4-хлорфенил)-тиофосфата. Шрадер, Мерш (Ver-  
fahren zur Herstellung des O,O-Dimethyl-O-(3-nitro-  
4-chlorphenyl)-thiophosphorsäureesters. Schrader  
Gerhard, Mersch Rudolf) [Farbenfabriken  
Bayer A.-G.] Пат. ФРГ 961352, 4.04.57

В смесь 140 г 4-хлор-3-нитрофенола, 1,2 л толуола,  
150 г  $K_2CO_3$  и 4 г Cu при 85° вносят 177 г  $(CH_3O)_2$ -  
PSCl, перемешивают 2 часа при 90° и получают 280 г  
неочищ. О,О-диметил-О-(3-нитро-4-хлорфенил)-тиофос-  
фата (I), т. кип. 122°/0,01 мм. По силе инсектицидного  
действия I не уступает О,О-диметил-О-(4-нитро-3-хлор-  
фенил)-тиофосфату и в 5—10 раз менее ядовит для  
тепнокровных (токсичность для крыс per os 500 мг/кг),  
а также более устойчив к гидролизу. А. Гранов

**29983 П.** Производные тиофосфорной кислоты. Ло-  
ренц (Derivatives of thiophosphoric acid. Lorenz  
Walter) [Farbenfabriken Bayer A.-G.] Пат. США  
2758115, 7.08.56

Соединения общей ф-лы I, где X—O или S, R—  
низшие алкилы, получают взаимодействием солей  
диалкилтио- или диалкилдитиофосфорных к-т с N-га-  
лоидметилбензазимидом. Р-ция проходит при комнат-  
ной или слегка повышенной т-ре, в качестве р-рите-  
лей применяют спирты, кетоны,  $C_6H_6$  или толуол. 250 г



бензазимида смешивают с 1,6 л 30%-ного формалина  
и 300 мл воды, смесь перемешивают при слабом нагре-  
вании 15 мин. фильтруют и получают N-оксиметил-  
бензазимид (II), выход 92—100%, т. пл. 134—135°.   
4 г-моля II суспендируют в 1,5—2 л  $CHCl_3$ , быстро  
прибавляют 1,8 г-моля  $SOCl_2$  и после этого еще  
3,8 г-моля  $SOCl_2$ , смесь перемешивают 1 час при 60—65°,  
фильтруют, р-ритель отгоняют, остаток растворяют в  
1 л ацетона, р-р выливают в 4 л воды при энергичном  
перемешивании и выделяют N-хлорметилбензазимид  
(III), выход 75—89%, т. пл. 125° (из  $iso-C_3H_7OH$ ). 53 г  
III суспендируют в 250 мл  $CH_3CN$ , прибавляют при 20—  
30° 33,6 г  $PBr_3$ , смесь перемешивают 1 час при ~ 20°,  
выливают в воду и получают 20 г N-бромметилбензазим-  
ида (IV), т. пл. 126° (из  $CH_3OH$ ). 38 г О,О-диметил-  
дитиофосфорной к-ты растворяют в 100 мл ацетона и  
5 мл воды, добавляют 28 г  $NaHCO_3$ , прибавляют при  
25—30° 40 г III, перемешивают смесь 1 час при 50—60°,  
отфильтровывают  $NaCl$ , фильтрат экстрагируют  $C_6H_6$   
и из экстракта выделяют 12 г О,О-диметил-S-(бензази-  
минометил)-дитиофосфата, т. пл. 72° (из  $CH_3OH$ ). Ана-  
логично получены I (указаны X, R, т. пл. в °C): S,  
 $C_2H_5$ , 49—50 (из  $CH_3OH$ ); S,  $n-C_3H_7$ , 53 (из  $CH_3OH$ ); S,  
 $iso-C_3H_7$ , 56. К р-ру 20 г III в 200 мл метилэтилкетона  
(V) прибавляют  $NH_4$ -соль диэтилтиофосфорной к-ты  
в 100 мл V, смесь нагревают 2 часа при 70—80°,  
отфильтровывают  $NH_4Cl$ , фильтрат экстрагируют  $C_6H_6$   
и из экстракта выделяют 21 г О,О-диэтил-S-(бензази-  
минометил)-тиофосфата. Аналогично получены I  
(показатели те же): O,  $n-C_3H_7$ , —; O,  $iso-C_3H_7$ , 55°. 16 г  
диэтилдитиофосфорной к-ты суспендируют в 100 мл  
ацетона, нейтрализуют 12 г  $NaHCO_3$ , прибавляют при  
25—30° 19 г IV, смесь перемешивают несколько часов  
при 20°, отфильтровывают  $NaBr$  и получают 28 г  
О,О-диэтил-S-(бензазиминометил)-дитиофосфата (VI),  
т. пл. 52° (из  $CH_3OH$ ). I высокотоксичны для грызу-  
нов и сосущих насекомых, в особенности для паути-  
ного клеща. Так, напр., VI полностью уничтожает  
*Tetranychus bimaculatus* в конц-ии 0,001%.

И. Мильштейн

**29984 П.** Средство для борьбы с вредителями.  
Профт, Тилекке (Schädlingsbekämpfungsmittel.  
Profft Elmar, Tielecke Hans). Пат. ГДР  
13446, 27.06.57

Получаемые конденсацией винилпиридина с алифа-  
тич., ароматич. и гетероциклич. аминами пиридин-  
этиламина (II) по своему инсектицидному действию  
превосходят ДДТ. Наиболее сильным инсектицидом из  
группы II является β-(2-пиридил)-этилдибутиламин  
(I), который при конц-ии 2% в течение 30 мин. убив-  
вал 100% комнатных мух и в течение 16 час. 86%  
амбарных долгоносиков, 75% постельных клопов, 70%  
мучных хрущак, 67% тараканов, 56% рисовых хру-  
щак, 28% личинок рисового хруща в муке. Почти  
такие же результаты дал β-(2-пиридил)-этилпирипролидин.  
II обладают также фунгицидными свойствами: I  
в конц-ии 0,05% подавляет развитие *Aspergillus niger*.  
Г. Швиндлерман

**29985 П.** Инсектицидный препарат. Якоби, Лус,  
Схор, Цима (Insektenbekämpfungsmittel. Jacobi  
Ernst, Lust Siegmund, Schoor Albert  
van, Zima Otto) [Emanuel Merck, offene Han-  
delsgesellschaft]. Пат. ФРГ 956638, 24.01.57

N,N-диметилфенилкарбамат (I) активен по отноше-  
нию к комнатным мухам *Musca domestica*, устойчи-  
вым к хлорированным инсектицидам. I или смесь I  
с ГХЦГ или γ-ГХЦГ (II) применяют в виде эмуль-  
сий, дустов, туманов или дымов; в качестве наполни-  
телей — инертные или активные твердые или жидкие  
пыли и газообразующие в-ва. К препаратам можно  
добавлять р-рители, эмульгаторы, прилипатели, сни-  
жающие газы. В опытах в чашках Петри определялась  
смертность *M. domestica* 2-го поколения, устойчивого  
к ГХЦГ (приведены дозы I и ГХЦГ в мг на 65 см<sup>2</sup>  
фильтровальной бумаги, смертность мух в % при  
экспозиции в течение 3 час.): 1, —, 90; —, 1, 80; 0,1,  
1, 100; 0,1, —, 0; —, 0,1, 30; 0,01, 0,1, 60. В опытах  
с испарением в комнате при т-ре 23 ± 1° смертность  
3-го поколения мух, устойчивых к ГХЦГ, составила  
(приведены расход II и I в кг/м<sup>2</sup>, смертность мух че-  
рез 24 часа после контакта в течение 1 часа): 12, —,  
8; 12, 1,2, 20; 12, 12, 56. И. Мильштейн

**29986 П.** Пестицидные препараты, содержащие  
эфиры третичного трихлорбутилового спирта.  
Фрикке, Пимпер, Рейхардт (Ester des ter-  
tiären Trichlorbutylalkohols enthaltende Schädlings-  
bekämpfungsmittel. Fricke Gerhard, Pimper  
Rudi, Reichardt Helmut). Пат. ГДР 13287,  
31.05.57

В качестве инсектицидов, фунгицидов или бактери-  
цидов применяют соединения общей ф-лы  $(CH_3)_3CCl_3$ -  
COC(O)CH(SCN)R (I), где R =  $CH_3$ ,  $C_2H_5$  (Ia),  $iso-C_3H_7$ ,  
и  $C_4H_9$  (Ib). I применяют в виде р-ров в ацетоне или  
тетрагидрофуране (II) (напр., 5 ч. Ia в 95 ч. ацетона),  
эмульгируемых р-ров (напр., 60 ч. Ia + 20 ч. II + 20 ч.  
растворимого в воде или масле эмульгатора) или смес-  
чающихся порошков (напр., 10 ч. Ib + 1 ч. сульфиро-  
ванного жирного спирта + 89 ч. каолина). А. Гранов

**29987 П.** Средство для отпугивания кровососущих  
насекомых. Кебиш (Abschreckmittel gegen  
blutsaugende Insekten. Käbisch Gerhard)  
[Deutsche Gold- und Silber-Scheideanstalt vormals  
Roessler]. Пат. ФРГ 964537; 964538, 23.05.57

В продолжение пат. ФРГ 959751 (РЖХим, 1958,  
22554) для отпугивания кровососущих насекомых ре-  
комендуются фенилгликоль (I), высшие фенилалкан-  
диолы (II), а также I и II, замещ. в ядре или в боко-  
вой цепи. Напр., моноацетат 2-фенилпропандиола-1,2  
предохраняет от *Aedes aegypti* в течение 9 час. (пат.  
964537); смесь 25% I + 75% моноацетата I предохра-  
няет от *A. aegypti* в течение > 24 час. пат. 964538).



Взвешивают для сравнения моноацетат I и диметилфталат предохраняют в течение 8 и 4 час. соответственно. I и II особенно удобны при применении для пропитки одежды.

**29988 П.** Метод борьбы с грибами на растениях и семенах с помощью бензоилфенилгидразинол. Смит, О'Брайен, Борнман (Method of controlling fungi on plants and seeds with benzoyl phenyl hydrazines. Smith Allen E., O'Brien George E., Bornmann Adelaide) [United States Rubber Co.] Пат. США 2758053, 7.08.56

В качестве с.-х. фунгицидов применяют 1-бензоил-2-фенилгидразин (I, фенилгидразин — ФГ), 1-(2'-хлорбензоил)-2-ФГ (II) и 1-(2',4'-дихлорбензоил)-2-ФГ (III), получаемые взаимодействием равномолекулярных кол-в ФГ и галоидангидрида, ангидрида или эфира бензойной (хлор- или дихлорбензойной) к-ты. Напр., 21,6 г ФГ и 16,6 г пиридина растворяют в 100 мл  $\text{C}_6\text{H}_6$  и за 7 мин. при перемешивании прибавляют 35 г о-хлорбензоилхлорида; после 15 мин. перемешивания добавляют 100 мл воды для растворения пиридинхлоргидрата и, отделив осадок, промывают его р-ром  $\text{NaHCO}_3$ , водой и сушат на воздухе. Выход II 77,5%, т. пл. 147—150°. I—III применяют в виде дустов и водн. суспензий, последние готовят с помощью поверхностно-активных в-в различных типов. В частности, размалывают в-во с 7,5% алкилфенилового эфира полиэтиленгликоля и смесь диспергируют в дистил. воде, получая 0,2%-ую водн. суспензию. На томатах, предварительно обработанных фунгицидом и затем опрыснутых водн. суспензией спор *Alternaria solani*, I задерживал прорастание спор на 85%, II — на 99%. При высевании в зараженную почву семян кукурузы, предварительно обработанных тонкоизмельченными I или II (2 г на 1 кг семян), процент всхожести составлял соответственно 96 и 92%, в то время как всхожесть необработанных семян составляла 60%.

Г. Швиндлерман

**29989 П.** Метод получения галодированного 8-ацетоксихинолина (Verfahren zur Herstellung eines halogenierten 8-Acetoxy-chinolins) [SOLCO] Ges. für chemische Laboratorien A.-G.] Швейц. пат. 309721, 14.01.56

Ацетилирование 5-хлор-8-оксихинолина (I) проводят  $\text{CH}_3\text{COOCl}$  (II) или  $(\text{CH}_3\text{CO})_2\text{O}$  (III) в р-рителе или без него, иногда в присутствии катализатора ( $\text{H}_2\text{SO}_4$ ); а) смесь 1 г I, 5 г III и 1 капля  $\text{H}_2\text{SO}_4$  кипятят с обратным холодильником, выделяют на лед и получают 5-хлор-8-ацетоксинолин (IV), т. пл. 83° (из бен.); б) р-р 2 г I в 25 мл  $\text{CCl}_4$  кипятят 2 часа с 2 г II, после фильтрации и удаления р-рителя получают IV. IV обладает повышенной гермицидной активностью и эффективен в борьбе с патогенными грибами.

А. Грапов

**29990 П.** Фунгицидные составы, содержащие 8-оксихинолат меди, растворенный в присутствии алкилфосфорнокислых солей тяжелых металлов. Голдштейн, Поллок, Цернер (Fungicidal compositions comprising copper 8-quinolinolate solubilized with heavy metal salts of alkyl phosphoric acid esters. Goldstein Herman B., Pollock Mark W., Zerner Ernst) [Sun Chemical Corp.] Пат. США 2756175, 24.07.56

Фунгицидные составы для пропитки текстильных материалов готовят нагреванием 8-оксихинолата Cu (I) с р-рами Ni-, Cu-, Zn-, Pb-, Fe-, Co-, Mn-, Al-солей алкилфосфорных к-т в углеводородных р-рителях; при этом I полностью переходит в р-р. Наибольшей способностью переводить I в р-р обладают Ni-соли. Уксуснокислую соль металла (II) и алкил- или диалкилфосфорную к-ту в стехиометрич. кол-вах (или при небольшом избытке соли) растворяют в ксилоле

и нагревают, отгоняя образующиеся воду и  $\text{CH}_3\text{COOH}$  в виде азеотропной смеси, до получения прозрачного р-ра; затем р-р охлаждают, добавляют I и кипятят смесь до его растворения. Так, из 60 вес. ч. монодиоктилфосфорной к-ты (технич. продукт, содержащий 42% октилфосфорной 53% диоктилфосфорной к-ты, 5% триоктилфосфата и  $\text{H}_3\text{PO}_4$ ), 40 вес. ч.  $\text{Ni}(\text{CH}_3\text{COO})_2$ , 110 вес. ч. ксилола и 22 вес. ч. I получают 9,5-ный р-р I; при употреблении его разбавляют до получения 1—4%-ного р-ра. Аналогично из соответствующих кислых эфиров фосфорной к-ты и II получают амилдиоктилфосфат Zn, изоамилфосфат Cu, этилаурилфосфат Al, монодиоктилфосфат Al, амилдиоктилфосфат Ni, диоктилпирофосфат Ni. Полученные р-ры I хорошо впитываются и удерживаются текстильными тканями; добавление каких-либо связующих в-в в пропиточный р-р излишне. Ткань при обработке должна впитать ~0,75—1,5% I по весу.

Г. Швиндлерман

**29991 П.** Фунгицидное средство. Кюле, Веглер, Гресе (Fungicide Mittel. Kühle Engelbert, Wegler Richard, Grewe Ferdinand) [Farbenfabriken Bayer A.-G.] Пат. ФРГ 958611, 21.02.57

Установлено наличие сильных фунгицидных свойств у оксиминов дикарбоновых к-т A их производных общей ф-лы  $\text{CORCONOCOR}$ , где R — связанный в по-

ложениях 1,2 с карбонилами 1,2,3,6-тетрагидрофенилен (I), 4-хлор-1,2,3,6-тетрагидрофенилен (II), 3,6-эндометил-1,2,3,6-тетрагидрофенилен (III), циклогексил-1,2,3,6-тетрагидрофенилен (IV), фенилен (V);  $\text{R}' = \text{CH}_3$  (а),  $\text{C}_2\text{H}_5$  (б),  $\text{OCH}_3$  (в),  $\text{OC}_2\text{H}_5$  (г),  $n\text{-C}_6\text{H}_4\text{NO}_2$  (д),  $n\text{-C}_6\text{H}_4\text{Cl}$  (е),  $o\text{-C}_6\text{H}_4\text{Cl}$  (ж),  $2,4\text{-Cl}_2\text{C}_6\text{H}_3$  (з),  $\text{C}_6\text{H}_5$  (и). В-ва указанного типа при испытании в конц-ии 0,0005% дали следующий эффект (указаны заместители, процент задержки прорастания спор *Phytophthora*, то же для *Fusigladium dendr.*): Ia, 60, 60; Id, 76,9, 29,6; Иж, 57,5, 14,0; Ид, 84,5, 26,8; Ие, 91,3, 22,1; Ia, 54,6, 18,1; ИВ, 52,5, 10,3; Ии, 96,9, 14,0; Ив, 92,3, 10,1; Ид, 62,5, —; Иг, 99,8, 76,1; IVз, 21,8, 78,6; IVв, 99,7, 62,8; Vг, 83,5, 3,6. Г. Швиндлерман

**29992 П.** Способ получения галодарилоксикетон и галодарилтиокетон. Конц, Зеринг (Verfahren zur Herstellung von Halogenaryloxyketonen und Halogenarylthioketonen. Konz Wilhelm, Sehning Richard) [C. H. Boehringer Sohn] Пат. ФРГ 952091, 8.11.56

Соединения общей ф-лы  $\text{X}_n\text{C}_6\text{H}_5\text{—YCH}(\text{COOR}')\text{COR}$ , где X — галоид;  $n = 1\text{—}5$ ; Y — O или S; R и R' — алкилы с 1—5 атомами C, обладающие фунгицидным, гербицидным и акарицидным действиями, получают взаимодействием фенолятов или тиофенолятов щел. металлов с  $\alpha$ -хлор- $\alpha$ -карбалкокискетонами. К р-ру 110 г 2,4,5-трихлорфенолята Na в 400 мл  $\text{C}_2\text{H}_5\text{OH}$  прибавляют 92 г  $\alpha$ -хлор- $\alpha$ -карбобутоксинацетона. Смесь кипятят 3 часа, отфильтровывают NaCl и получают  $\alpha$ -2,4,5-трихлорфенокси- $\alpha$ -карбобутоксинацетон в виде неперетягивающегося масла, выход 95%. Аналогично получены  $\alpha$ -2,4,5-трихлорфенокси- $\alpha$ -карбэтоксинацетон,  $\alpha$ -п-хлорфенилтио-,  $\alpha$ -пентахлорфенокси- $\alpha$ -карбэтоксинацетон, т. пл. 90° (из петр. эф.).

И. Мильштейн

**29993 П.** Способ уничтожения вредителей, в особенности грибов. Хакман (Verfahren zum Bekämpfen von Schädlingen, insbesondere von Pilzen. Hackmann Johannes Thomas) [N. V. De Bataafsche Petroleum Maatschappij] Пат. ФРГ 956548, 17.01.57; пат. США 2758050, 7.08.56

Для защиты органич. материалов (кожа, текстиль и др.), растительных и животных организмов от грибковых заболеваний применяют производные гидразина общей ф-лы  $\text{C}_6\text{H}_5\text{NHN}=\text{C}(\text{NH}_2)\text{R}$  (I), где R — алкильная, аминоалкильная или диан-группа. I обладают системным и контактным действиями и могут применяться

в виде р-ров, эмульсий или суспензий в смеси с инсектицидами, фунгицидами, акарицидами и стимуляторами роста. К препаратам добавляют растекатели и прилипатели (алкилсульфаты, алкиларилсульфонаты, сульфосукцинаты, эфиры полиэтиленгликоля и алкилфенолов), масла, эмульгаторы, стабилизаторы эмульсий. Соединениями можно обрабатывать семена, наземные или подземные части растений, землю возле корней, а также непосредственно вводить препараты через отверстия на различных частях растений. I активны в борьбе с *Cladosporium fulvum* на томатах (Т), *Septoria apii graveolentis* на сельдерее, *Phytophthora infestans* на картофеле (К) и Т, *Colletotrichum Lindemuthianum* на бобах, *Ectobasidium vexans* на чае, *Erysiphaea* на различных растениях, *Uredinales* на злаках. Наиболее активны ацетиламидразон ( $R = CH_3CO$ ), цианамидразон ( $R = CN$ ) (III), формамидамидразон ( $R = CONH_2$ ). После обработки зараженных К и Т 0,1—0,5%-ным р-ром II степень подавления *Ph. infestans* составляет в течение 2 месяцев 68—82%, тогда как в случае обработки 0,75%-ной хлорокисью Cu наблюдалось 36—70%-ное подавление. Саженьцы яблони, обработанные 0,3%-ным р-ром III с добавкой 0,1% алкилсульфата Na в дозе 80 мл р-ра на 1 м<sup>2</sup>, на 4-й день заражают спорами яблоневой мучнистой росы; через 3 недели установлено 80%-ное торможение прорастания спор.

И. Мильштейн  
29994 П. Фунгицидное и акарицидное средство. Конц, Зеринг (Fungicide und acaricide Mittel. Konz Wilhelm, Sehning Richard) [C. H. Boehringer Sohn]. Пат. ФРГ 961042, 28.03.57

Для борьбы с грибковыми заболеваниями растений и клещами применяют галоидарилдиалкилкарбаматы общей ф-лы  $X_nC_nH_{5-n}YCONR^1R^2$  (I), где X — галоид;  $n = 1-5$ ; Y — O или S;  $R^1$  и  $R^2$  — алкилы с 1—4 атомами C. I образуются при взаимодействии эквимолькулярных кол-в хлорангидрида N,N-диалкилкарбамидной к-ты и галоидфенола в течение 3—4 час. при 120—180°, полученные соединения очищают перегонкой в вакууме. I обладают большой длительностью действия и применяются в виде суспензий на каолине или эмульсий. Они испытаны против возбудителей грибковых заболеваний (даны I, конц-ия в процентах, подавление в процентах инфекция растений *Cladosporium cucumerinum*, *Sclerotinia fructigena*, *Oidium*, *Lentis squamosus*, *Polyporus versicolor*: 2,4-дихлорфенилдиметилкарбамат (II), 0,25, 100, 100, 100, 100, 100; S-(*n*-хлорфенил)-диметилкарбамат, 0,25, 100, 90, 90, 100, 100; 2,4,5-трихлорфенилдиметилкарбамат (III), 0,5, 100, 100, —, —, 90; 2,4,5-трихлорфенилдиэтилкарбамат, 0,25, 100, 100, —, —, 100; *n*-хлорфенилдиметилкарбамат, 0,5, —, 100, 100, 90, —; 0,5%-ная суспензия (C) III полностью уничтожает *C. cucumerinum* на огурцах; 0,5%-ная C II защищает виноград от *Oidium*, не повреждая при этом растения. Смесь из 60 г пентахлорфенилдиметилкарбамата, 30 г каолина и 10 г нафталинсульфоната суспендируют из расчета 4 г смеси на 1 л воды. Полученная таким путем C полностью уничтожает красные клещи.

И. Мильштейн  
29995 П. Пестициды. Веглер, Грете, Регель (Schädlingbekämpfungsmittel. Wegler Richard, Grete Ferdinand, Regel Erik) [Farbenfabriken Bayer A.-G.]. Пат. ФРГ 956547, 17.01.57

Пестициды, обладающие преимущественно фунгицидными свойствами, содержат в качестве действующего начала N-арилоксиарилметиламины (I), арильные остатки в которых могут содержать заместители — алкил, галоид или NO<sub>2</sub>-группу. I образуются при нагревании замещ. хлорметилфенолов (II) с ароматическими аминами. II получают хлорметилированием *o*- и *p*-замещенных фенолов (*o*- и *p*-нитрофенол, нитрокрезол, дихлорфенол, трихлорфенол, мезитол и др.). При

испытании I в борьбе с *Phytophthora infestans* и *Rhizoglyphus* на растениях получены следующие результаты (даны I, т. пл. в градусах, угнетение спор (%)) при конц-ии I 0,0005%: хлоргидрат N-(2-нитрофенил)-5-нитро-2-оксibenзиламина, 168 (из ксилола), 90; хлоргидрат N-(3-нитрофенил)-5-нитро-2-оксibenзиламина, 179, 80; хлоргидрат N-(4-нитрофенил)-5-нитро-2-оксibenзиламина, 192, 80; хлоргидрат N-(2,4-дихлорфенил)-5-нитро-2-оксibenзиламина 148, 90; хлоргидрат N-(4-хлорфенил)-5-нитро-2-оксibenзиламина (III), 158 (из CH<sub>3</sub>OH), 80; N- $\alpha$ -пиридил-5-хлор-3-нитро-2-оксibenзиламин, 228, 26; N- $\alpha$ -пиридил-5-нитро-3-метил-2-оксibenзиламин, 200, 33; N-(4-хлорфенил)-3,5-дихлор-2-оксibenзиламин 114; 70, N-(5-нитро-2-оксibenзил)-аниларсиновая к-та, 245, 45. III и салициланилид при испытаниях на микропластинках в конц-ях 0,0005, 0,0001, 0,00005% подавляют *P. infestans* соответственно на 95,9 и 19,9; 82,9 и 12,1; 18,1 и 4,4%.

И. Мильштейн  
29996 П. Фунгицидный препарат. Урбшат, Титце (Fungicide Mittel. Urbchat Ewald, Tietze Ernst) [Farbenfabriken Bayer A.-G.]. Пат. ФРГ 958612, 21.02.57

Для борьбы с грибковыми заболеваниями растений применяют изотиоцианаты общей ф-лы  $XArN=C=S$  (I), где X = NH<sub>2</sub>, NHR, RCONH, COOH, CONH<sub>2</sub> или COOR; Ar — фенил или нафтил, могущие содержать в качестве заместителей также алкил, арил, галоид, а также NO<sub>2</sub>, HO-, RO-группы; R — алкил. К I можно добавлять фунгициды, инсектициды, наполнители, прилипатели, растекатели и эмульгаторы. Препараты применяют в виде дустов или эмульсий в овощеводстве и садоводстве для протравливания семян и дезинфекции почвы, для консервирования древесины и подобных материалов, 0,05—0,15%-ная суспензия фенилизотиоцианат-*n*-карбоновой к-ты (II) и 0,1%-ная суспензия 2-нафтилзотиоцианат-6-карбоновой к-ты (III) защищают картофель в теплице от *Phytophthora*, аналогично действуют Zn-соль II, фенилизотиоцианат-3-нитро-5-карбоновая к-та (IV), *n*-ацетиламинофенилизотиоцианат (V), 3,6-дихлор-4-ацетиламинофенилизотиоцианат. 7,5%-ные дусты II и III активны в борьбе с *Cladosporium fulvum* на томатах. 7,5%-ный дуст II подавляет *Bremia lactucae* на салате, предохраняет астры от увядания. Чередуя обработку хлорокисью Cu и II защищает томаты на открытом грунте от *Phytophthora* и *Alternaria*. II в конц-ях 0,001 и 0,0005% подавляет рост конидий *C. fulvum* и спор *Phytophthora* соответственно до 10—12 и 12—15%, а III в конц-ях 0,01 до 10—12%. IV и VI действуют аналогично II. Подавление развития *Fusicladium* при воздействии I изучалось на искусств. питательной среде (перечисляются I, эффективная конц-ия в %): II, < 0,001; Zn-соль II, < 0,0005; фенилизотиоцианат-*m*-карбоновая к-та (VII), < 0,0005; V, 0,001; *n*-диметиламинофенилизотиоцианат, < 0,0005. 20%-ная суспензия V предохраняет яблони на открытом грунте от *Fusicladium*, 15%-ный дуст VII и 20%-ный дуст 2-метоксифенилизотиоцианат-5-карбоновая к-та на тальке защищают корни свеклы от заболеваний при протравливании семян. Аналогично действуют I на другие культуры (перечисляются процентное содержание I в дусте, культуре, заболевании, разведение): VII, 30, ямень, *Helminthosporium gramineum*, 2:1000; VII, 30, рожь, *Fusarium*, 3:1000; III, 30, рожь, *Fusarium*, 3:1000; фенилизотиоцианат-2-метил-5-карбоновая к-та, 20, рожь, *Fusarium*, 2:1000.

И. Мильштейн  
29997 П. Препарат для опрыскивания (Spritzmittel) [Farbwerke Hoechst A.-G. vormalig Meister Lucius & Brüning]. Швейц. пат. 311720, 15.02.56

Фунгицидный препарат, не фитотоксичный в конц-ии до 0,4%, состоит из ароматич. Hg-органич. соединения и в-ва, образующего при растворении колл. мицеллы.



Примеры смесей (указано содержание компонентов в %): а) фенилмеркурацетат 5, целлюлозная смола 30, олеилметилтаурид (I) 0,5,  $\text{Na}_2\text{SO}_4$  64,5; б)  $\text{C}_6\text{H}_5\text{HgCl}$  5, Na-соль продукта конденсации  $\beta$ -нафталисульфокислоты и  $\text{CH}_2\text{O}$  30, I 0,5,  $\text{Na}_2\text{SO}_4$  64,5; в) фенилмеркурбонат 5, Na-соль бензолсульфокислоты 40,  $\text{Na}_2\text{SO}_4$  55; г) 2-нафтилмеркурхлорид 5, сернокислый эфир алкил-фенилполигликоля 10,  $\text{Na}_2\text{SO}_4$  85; д) *n*-толилмеркурацетат 5, Na-соль дибутилнафталинсульфокислоты 40,  $\text{Na}_2\text{SO}_4$  55. Для борьбы с яблоневой паршой деревья опрыскивают 0,2%-ным р-ром одной из перечисленных смесей.

29998 II. Не теряющее сыпучести средство для борьбы с сорняками и, в частности, для уничтожения корней деревьев. Даймлер (Streufähig bleibende Unkrautbekämpfungsmittel, insbesondere baumwurzeltötende Mittel. Daimler Karl) [Farbwerke Hoechst A.-G. vormalig Meister Lucius und Brüning]. Пат. ФРГ 955375, 3.01.57

Продукт, полученный при р-ции между газообразным  $\text{NH}_3$  и  $\text{SO}_2$  в отсутствие воды, представляет собой сульфат  $\text{NH}_4$ , загрязненный примесями, из-за наличия которых продукт быстро слеживается, что затрудняет его применение. Размалывая этот продукт с добавкой 10–20%  $\text{NaClO}_3$ , получают несслеживающийся гербицидный препарат, особенно пригодный для борьбы с побегами, растущими из пней; при приготовлении рекомендовано добавлять 2% нерастворимого в воде масла (напр., диоктилбензола) и немного красителя для маркировки. Вместо  $\text{NaClO}_3$  могут быть применены другие водорастворимые гербицидные соли, содержащие неионогенно связанный хлор, напр. пентахлорфенолат  $\text{Ca}$ , К-соль 2,4-Д, Na-соли моно- или трихлоруксусной и трихлормасляной к-т.

Г. Швиндлерман  
29999 II. Средство для уничтожения сорняков. Маури, Шлезингер (Unkrautvernichtungsmittel. Mowry David Thomas, Schlesinger Arthur Harry) [Monsanto Chemical Co.]. Пат. ФРГ 954927, 27.12.56

В качестве гербицидов применяют водн. суспензии и эмульсии четвертичных аммониевых солей общей ф-лы  $[\text{RC}_6\text{H}_4\text{CH}_2\text{NR}'\text{R}'''\text{Cl}]$  (I), где R — алкил, содержащий 5–9 атомов C; R' — фенил или алкил с цепью от 1 до 5 атомов C; R'' и R''' — алкилы с цепью от 1 до 5 атомов C. I получают нагреванием равномолекулярных кол-в  $\text{RC}_6\text{H}_4\text{CH}_2\text{Cl}$  и  $\text{R}'\text{R}''\text{R}'''\text{NH}$  в спирт. р-ре; затем из профильтрованного р-ра отгоняют в вакууме р-ритель и после многократной промывки эфиром продукт сушат в вакууме. По этой схеме получены (указаны в-во, выход в %, время нагревания в час. при получении): хлористый 4-втор-амилбензилфенилдиметиламмоний (II), 63, 18; хлористый 4-втор-амилбензилтри-и-амиламмоний (III), 79, 18; хлористый 4-втор-амилбензилтриметиламмоний (IV), 99, 1 (получен в  $\text{CH}_3\text{OH}$ -р-ре); хлористый 4-нонилбензилтриметиламмоний (V), 95, 3 (в  $\text{CH}_3\text{OH}$ -р-ре) и 16 (после добавления равного объема  $\text{C}_2\text{H}_5\text{OH}$ ). V получен из 4-нонилбензилхлорида с разветвленной цепью, имевшего т. кип.  $130\text{--}138^\circ/2$  мм и  $n_D^{25}$  1,5105. Гербицидная активность I проверена на огурцах (O) и пшенице (П). При выращивании O и П из семян в водн. суспензии, содержащей 100 мг/л I, при  $24,5^\circ$  в течение 4 дней длина корня по отношению к длине корня растения, выращенного в воде, соответственно для O и П составляла (в %): III, 4, 3; IV, 14, 5; II, 7, 10; V, 3, 11. Аналогичные данные для стандартных гербицидов: изопропилфенилкарбамат, 14, 2; 2,4-Д, 6, 4. 0,3%-ные водн. суспензии III, IV, V мало или умеренно повреждали кукурузу, но более сильно повреждали бобы; 1%-ные суспензии действовали на эти же культуры как дефолианты.

Г. Швиндлерман

30000 II. Регулятор роста растений (Middel til regulering af plantevækst) [American Chemical Paint Co.]. Датск. пат. 82554, 17.12.56

3-Амино-1,2,4-триазол или его производные в конц-ии 1–30 мг/л стимулируют рост растений, а в конц-ии 0,02–1,0% обладают фитотоксич. действием.

Р. Герцфельд

30001 II. Дефолиация. Лиджетт, Вулф (Defoliation. Ligett Waldo B., Wolf Calvin N.) [Ethyl Corp.]. Пат. США 2749228, 5.06.56

Для дефолиации растений применяют получаемые взаимодействием N-ариламидов с  $\text{P}_2\text{S}_5$  тиоамиды общей ф-лы  $\text{RCSNR}'\text{Ar}$  (I), (где R — алкил, Ar — арил и R' — H, алкил или арил), в частности — тиоацетанилид (II), N-пропил-II (III), N-( $\beta$ -нафтил)-II (IV), N-фенилтиоацетанид (V), тиоацетанид-ТА, N-(*n*-толил)-ТА (VI), N-( $\alpha$ -нафтил)-ТА (VII), N-(2,3-диметилфенил)-ТА (VIII), N-( $\alpha$ -нафтил)-N-метил-ТА (IX), N-фенилтио-пропионамид (X), N-фенил-изо-тиобутирамид (XI), N-фенил-*n*-тиобутирамид (XII), N-(*o*-толил)-N-метил-*n*-тиовалерамид (XIII), N-фенил-тиостеарамид (XIV). I лучше всего применять в виде водн. эмульсий или в виде 0,5–5%-ных р-ров в углеводородных р-рителях — керосине и нефитоцидных нефтяных маслах средней вязкости, а также в карбитоле (K). Так, из II, VI, VII, X, XI, XIII готовят 5%-ные р-ры в масле «Enja» (р-ритель фирмы «Стандарт ойл») или 5–10%-ные р-ры в K; перед применением р-р разбавляют до конц-ии 0,5% или с помощью поверхностно-активных в-в (ПВ) различных типов диспергируют в воде, добавляя, напр., 10%-ный р-р указанных в-в, а также VIII и XIV в K к воде, содержащей 1% ПВ (туин-80). В другом варианте 1 вес. ч. IV, V, IX, X, XII, XIII измельчают с 9 вес. ч. воды и 0,01 вес. ч. ПВ (туин-80) и затем смешивают с 200 вес. ч. р-рителя (масло T-942-B). Для получения 1%-ной водн. суспензии I 10%-ный р-р III, VII, IX, XII, XIII смешивают с водой, содержащей 1% алкиларилсульфоната (нак-нол-NR). Размалывая 50 вес. ч. IX со 100 вес. ч. бен-тонита и 0,5 вес. ч. туин-80, получают суспендируемый в воде порошок. Кроме того, IV, VI, XI–XIII применяют в виде 1%-ных дустов с фуллеровой землей, бен-тонитом, пирофиллитом, тальком и др. обычными наполнителями. При воздействии I растения сбрасывают листья на любой стадии своего развития; при этом растение не повреждается и листья через некоторое время вырастают вновь. С помощью I достигнута 70–100%-ная дефолиация сои и хлопчатника.

Г. Швиндлерман

См. также: Инсектициды: синтез 28724, 28726; синтез и выделение из растений 28987; произ-во 29804; токсикология 10989Бх, 11325Бх. Бактерициды и фунгициды: синтез 28693, 28803; произ-во 29704, 29766, 29806. Регуляторы роста: синтез 28773

## ДУШИСТЫЕ ВЕЩЕСТВА. ЭФИРНЫЕ МАСЛА. ПАРФЮМЕРИЯ И КОСМЕТИКА

Редактор В. Н. Белов

30002. Успехи в области синтетических душистых веществ в Японии за последние десять лет. Комацу, Индо, Мороз, Кацура, Корё, 1957, № 46, 134–155 (японск.)

Обзор. Библ. 178 назв.

Н. Л.

30003. Химия синтетических душистых веществ с точки зрения сырья. 11. Толуол. 12. Бензальдегид. 13. Ксилол. 14. Нафталин. Кацураги, Корё, 1955, № 37, 28–45; 1956, № 40, 10–18, 27–28; № 42, 24–33 (японск.)

Часть X см. РЖХим, 1957, 35773.

**30004. Новые синтетические методы в органической химии душистых веществ. Бете** (Les nouvelles méthodes synthétiques de la chimie organique. Beets G. J.), *Inds parfum. et cosmét.*, 1957, 12, № 8, 255—260; № 9, 286—294 (франц.)

Обзор успехов синтетич. методов в области химии душистых в-в и близких к ним природных соединений. Примеры применения в последние годы таких классич. методов, как окисление и восстановление, и новых синтетич. методов: Аренса — Ван-Дорпа, Гоаглина — Гирша, Стеттера, Боумана, Виттига, Карролла и др. Е. Смольянинова

**30005. Макроциклические мускусы. Колло** (I muschi macrociclici. Collaud Charles), *Riv. ital. essence profumi. piante offic., olii veget., saponi*, 1957, 39, № 7, 356—358 (итал.)

Методы синтетич. получения макроциклич. мускусов. Указано на синтез изоамбреттолидов, имеющих аромат природного продукта, но отличающихся от него положением двойной связи в молекуле. Последние, наряду с синтетич. пентадеканолидом, являются важнейшими синтетич. мускусами. При равном качестве их цена гораздо ниже цены природных продуктов.

А. Верецагин

**30006. Определение примесей в ванили по свинцовому числу. Робертс** (The detection of certain lead number artifacts in vanilla. Roberts Richard M.), *J. Assoc. Offic. Agric. Chemists*, 1955, 38, № 4, 941—943 (англ.)

**30007. Запахи и молекулярные колебания. Райт, Рид, Эванс** (Odor and molecular vibration. Wright R. H., Reid C., Evans H. G. V.), *Amer. Perfumer and Arom.*, 1957, 70, № 3, 43—46 (англ.)

Обзор новых теорий обоняния. Библ. 24 назв. Е. С.

**30008. Прогресс в парфюмерных материалах. Часть 2. Бедукиан** (Progress in perfumery materials. Part 2. Bedoukian Paul Z.), *Amer. Perfumer and Arom.*, 1957, 69, № 3, 41—44, 49 (англ.)

Обзор статей за 1956 г. в области душистых в-в (ирон и иононы, терпены и сесквитерпены, эфирные масла, свойства запаха некоторых душистых в-в, новые книги и обзоры). Библ. 130 назв. Часть 1 см. РЖХим, 1957, 70025.

И. Вольфензон

**30009. Одеколон. История и состав. Бергвейн** (Kölnischwasser. Seine Geschichte und Formularien. Bergwein Karl), *Seifen-Öle-Fette-Wachse*, 1957, 83, № 21/1, 631; № 22, 667—669 (нем.; рез. англ., франц., исп.)

История возникновения и развития произ-ва духов и одеколонов. Описаны составные части одеколонов и их назначение. Приведены рецептуры. Л. Шулов

**30010. О косметических изделиях [производимых в Японии]. Хасэгава**, Корё, 1957, № 46, 104—113 (японск.)

**30011. Основы для кремов и мазей. Буш** (Ointment and cream bases. Bush S. James), *Export Rev. Brit. Drug and Chem. Inds*, 1957, 17, № 203, 31—35 (англ.)

Указаны отдельные компоненты мазей и косметич. кремов, приготовленных на жировых и эмульсионных основах. Описана аппаратура для приготовления эмульсионных основ, приведены их рецептуры.

Т. Волкова

**30012. Эфиры сахаров в косметике. Осипов** (The sugar esters in cosmetics. Osipow Lloyd), *J. Soc. Cosmetic Chemists*, 1956, 7, № 3, 249—255 (англ.)

Благодаря тому, что эфиры сахаров являются хорошими эмульгаторами, нетоксичны, не вызывают раздражения, без вкуса, без запаха, доступны экономически, они найдут широкое применение в косметике, пи-

щевой и медицинской пром-сти. Показано строение и способ произ-ва эфиров.

**30013. Нитрофураны. Дейли** (The nitrofurans. Daily L. Eugene), *Drug and Cosm. Ind.*, 1956, 78, № 5, 618, 619, 708 (англ.)

Свойства нитрофуранов и применение их в косметике и медицине.

**30014. Тонкость помола в косметической промышленности. Хибботт** (Fine particles in the cosmetic industry. Hibbott H. W.), *J. Soc. Cosmetic Chemists*, 1957, 8, № 4, 186—195 (англ.)

Описано получение тонкодисперсного сырья, используемого в произ-ве пудры, путем его измельчения морым или сухим способом в шаровых, конусных, цеповых и струйных мельницах непрерывного и периодич. действия, которые часто подпадают к воздушн.-классификационным системам. Качество помола зависит от скорости подачи исходного материала, числа оборотов движущихся конструкций (цеповая мельница), формы, размера и величины загрузки мельнич. тел (шаровая мельница) и т. д. Приведено описание методов дисперсионного анализа измельченных продуктов: ситового — для характеристики грубодисперсной части; микроскопич. — для измерения размеров частиц в подситовой фракции; седиментометрич. — для определения процентного содержания частиц различной степени дисперсности ( $\leq 50 \mu$ ). Седиментометрич. анализ проводится с помощью кварцевых микровесов, пипетки Андреазена (с конц-ей исследуемого в-ва  $\sim 0,5\%$ ), приборов, основанных на отмучивании суспензии, центрифугирования взвеси в центрифугах спец. конструкций и др. Описаны методы анализа, основанные на адсорбции, обусловленной проникновением жидкости в поры в-ва и замещением адсорбционного слоя воздуха слоем жидкости. На точность седиментометрич. измерений влияет агрегативная устойчивость суспензии. Наблюдаемая агломерация частиц в ряде случаев может быть предотвращена добавлением диспергирующих агентов: гексаметафосфорнокислого натрия и пирофосфата (0,001—0,01% на общий объем суспензии), кремнекислого натрия, лимоннокислого калия, щавелевокислого натрия. Приводятся дисперсионный состав пудрового сырья.

Т. Волкова

**30015. Косметические маски. Янистин** (Les masques de beauté. Janistyn Hugo), *Inds parfum.*, 1957, 12, № 2, 54—55 (франц.)

Известно, что в-ва с активной поверхностью, напр. каолин, бентонит,  $Al_2O_3$ , кремневая к-та хорошо адсорбируют физиологически активные в-ва (гормоны, витамины, различные биологич. экстракты и пр.), сильно уменьшая их действие. Поэтому при составлении косметич. препаратов и масок, содержащих витамины и т. п., следует применять такие в-ва, как альгинат этиленгликоля.

В. Красева

**30016. Химическая возможность преобразования кератина. Скейп** (Chemische Möglichkeiten der Verformung des Keratins. Skeip C.), *Kosm. Monatsschr.*, 1957, 6, № 8, 12—13 (нем.)

Описано изменение кератина волос по месту дисульфидных связей в процессе щел. и кислотного гидролиза и при воздействии хим. соединений (напр., тиогликолевой к-ты). Даны хим. ф-лы. И. Милюанова

**30017. Изучение технологии и применения продуктов из лекарственных трав. II. Исследования о новых применениях лекарственных трав в косметике. Ровести** (Studi sulla tecnologia e le applicazioni dei prodotti erboristici. II. Ricerche su nuove applicazioni di piante officinali in cosmesi. Rovesti Paolo), *Riv. ital. essence profumi, piante, offic., olii veget. saponi*, 1955, 37, № 10, 522—525 (итал.)

Для косметич. целей исследовались препараты, полученные из некоторых растений, обладающие действи-



ем: смягчающим (мальва, алтей, подорожник), вяжущим (черника, каштан и др.), успокаивающим (зверобой, бузина, латук). Препараты получают холодным прессованием свежих или горячим экстрагированием сухих растений. Степень действия у разных растений различна. Лучшие результаты (для одного и того же растения) дали препараты, полученные прессованием, за исключением вяжущих свойств, оказавшихся одинаковыми для одного и того же растения, независимо от способа получения. Часть I см. РЖХим, 1957, 32297.

Л. Фрейдкин

30018. О раздражающих свойствах бергамотового масла. Мэроэ, Корё, 1957, № 45, 10—11, 16 (японск.)

30019. Изучение некоторых новых веществ, действующих на кожу. Ровести (Etudes sur quelques nouvelles matières premières à action eudermique. Rovesi Paolo), Inds parfum., 1956, 11, № 9, 311—313 (франц.)

Показано на основании проведенных опытов, что в соках фруктов, овощей и проросших семян пшеницы и ячменя, подвергнутых предварительной обработке методом Филатова (хранение при  $<4^{\circ}$ ), образуются фитостимулины, оказывающие более сильное действие, чем соки не подвергнутых указанной обработке фруктов, овощей и семян.

Е. Смолянинова

30020. Разделение составных частей неомыляемых веществ в мазевых основах с помощью адсорбционного процесса. Сообщение II. Анализ дерматологических и косметических масел. Шпрингер, Херцингер (Aufteilung der Bestandteile des Unverseifbaren in Salbengrundlagen mittels eines Adsorptionsverfahrens. II. Mitt. Zur Analytik dermatologischer und kosmetischer Salbenzubereitungen. Springer Rudolf, Herzinger Rudolf), Arch. Pharmazie, 1956, 289/61, № 8, 418—421 (нем.)

Адсорбцией на окиси алюминия (I) удалось количественно отделить насыщ. углеводороды — парафиновое масло, вазелин, твердый парафин — от остальных неомыляемых. I адсорбирует из сухих органич. р-рителей ароматич. и ненасыщ. углеводороды и их производные, а насыщ. углеводороды уходят с р-рителем (трихлорэтилен). Приведена детальная схема хода анализа для исследования неомыляемой части основ масел. Сообщение I см. РЖХим, 1955, 29290. Л. Шулов

30021. Paecilomyces — новый агент, содержащийся в косметических препаратах. Наварр, Бейли (Le paecilomyces, nouvel agent contaminant des préparations cosmétiques. Navarre M. G. de, Bailey Harold E.), Inds parfum., 1957, 12, № 3, 88—90 (франц.)

В косметич. изделиях найдена новая плесень Paecilomyces, развивающаяся в эмульсиях неомыляемого характера, содержащих метиловый эфир *n*-оксibenзойной к-ты (1:500), и произрастающая между другими микроорганизмами. Олеиновая к-та не оказывает действия на плесень.

И. Вольфензон

30022 С. Эфирные масла. Общие правила подготовки образцов. (Huiles essentielles. Règles générales pour l'échantillonnage). Франц. ст. Т 75—003; 1956, (франц.)

30023 С. Эфирные масла. Определение растворимости в спирте (Huiles essentielles. Essai de solubilité dans l'éthanol). Франц. ст. Т 75—101; 1956 (франц.)

30024 С. Эфирные масла. Определение температуры застывания (Huiles essentielles. Détermination du point de congélation). Франц. ст. Т 75—105. 1956 (франц.)

30025 С. Эфирные масла. Определение кислотного числа (Huiles essentielles. Détermination de l'indice d'acides). Франц. ст. Т 75—104; 1956 (франц.)

30026 С. Эфирные масла. Определение эфирного числа (Huiles essentielles. Détermination de l'indice d'esters). Франц. ст. Т 75—104; 1956 (франц.)

30027 С. Эфирные масла. Определение перекисного числа. Оценка ухудшения качества при самоокислении (Huiles essentielles. Détermination de l'indice de peroxydes. Evaluation de l'altération par auto-oxydation). Франц. ст. Т 75—105; 1956 (франц.)

30028 С. Эфирные масла. Общие правила этикетирования и маркировки тары (Huiles essentielles. Règles générales d'étiquetage et de marquage des récipients). Франц. ст. Т 75—002; 1956 (франц.)

30029 П. Искусственная хна для косметических целей. Влодарский (Preparat henny syntetycznej do celów kosmetycznych. Włodarski Władysław). Польск. пат. 39561, 10.01.57

*n*-Толуилендиамин перемешивают с ржаной или картофельной мукой и в таком виде применяют для окрашивания волос. Эти препараты неустойчивы, при длительном хранении теряют свою способность окрашивать вследствие окисления *n*-толуилендиамина. Присутствие воды в препаратах ускоряет процесс окисления. Для замедления процесса окисления и, следовательно, для повышения устойчивости препаратов необходимо добавлять водоотнимающие средства (~10% от веса препарата), напр. прокаленный  $MgSO_4$ . Водоотнимающее средство не должно вступать в р-цию с препаратом и не должно оказывать влияния на процесс окрашивания волос.

М. Рейбах

30030 П. Препарат для защиты от действия света. Берг, Фидлер (Lichtschutzpräparat. Berg Alex, Fiedler Herbert). [Dr. Karl Thomae G.m.b.H.]. Пат. ФРГ 957162, 31.01.57

Патентуются в качестве компонента для кремов и масел, употребляемых для защиты от действия света, основные эфиры и амиды *n*-метоксикоричной к-ты, а также их четвертичные соли. Последние обладают также бактерицидными и фунгицидными свойствами. Это дает возможность изготовлять препараты для защиты от действия света, обладающие одновременно дезодорирующими свойствами (в частности, уничтожающие запах пота). Примерная рецептура для пудры: средство защиты от света 2,0 г, окись цинка 5,0 г; двуокись титана 20,0 г; тальк до 100 г. Приводятся также рецептуры средств защиты от действия света в виде водн. р-ров, эмульсий, масел и масел.

Л. Шулов

30031 П. Средство для защиты от действия света. Фридрих, Лук (Lichtschutzmittel. Friedrich Herbert, Luck Werner) [Badische Anilin- & Soda-Fabrik A.-G.]. Пат. ФРГ 959403, 7.03.57

Патентуется в качестве средства (С) для защиты от действия света гепта-2,4,6-триеновая к-та (I — к-та) и ее функциональные производные (преимущественно соли и эфиры). I получают обычным методом, напр., из акриловой к-ты и ацетилен. Применение I и ее эфиров в С не оказывает никакого вредного действия на кожу. Вследствие хорошей растворимости в основах для С они могут применяться в виде кремов и масел. Их можно наносить на кожу также в виде водн. или спирт. р-ров. Максимум поглощения для этилового и бутилового эфиров I лежит при 290 мμ.

Л. Шулов

30032 П. Средство для защиты от действия света. Крафт (Lichtschutzmittel. Kraft Kurt) [Knoll A.-G. Chemische Fabriken] Пат. ФРГ 962546, 25.04.57

Патентуется применение эфиров 4'-аминобензойной к-ты (I) и низших алифатич. спиртов в кремах, применяемых для защиты от действия света. Получают их обычной этерификацией. Наилучшими свойствами обладает амиловый эфир I, имею-

ний максимум поглощения при 293 мμ; т. пл. 145—147°.

Л. Шулов  
30033 П. Средство ухода за кожей. Янистин (Ha-  
utpflegemittel. Janistyn Hugo). Пат. ФРГ 964172,  
16.05.57

Патентуется применение экстрактов (Э) мышечной  
ткани молодых животных в средствах ухода за кожей.  
Э могут применяться самостоятельно, в виде кремов и  
порошков или в совокупности с другими в-вами, при-  
меняемыми в косметике (углеводороды, спирты, лано-  
лин, жиры, эмульгаторы, пигменты и др.). Примерный  
состав (в %): 3,0 спиртов шерстяного жира; 35 угле-  
водородов, воска, ланолина и жиров; 4 производных  
ланолина; 3,0 глицерина или сорбита; 0,5 антиоксидан-  
та, консервирующего средства и отдушки; 0,2 кристал-  
лич.  $MgSO_4 \cdot 54,3$  водн. Э.

Л. Шулов  
30034 П. Средства ухода за волосами и кожей. Яни-  
стин (Haar- und Hautpflegemittel. Janistyn Hu-  
go). Пат. ФРГ 955093, 27.12.56

Патентуется средство по уходу за волосами и кожей,  
содержащее продукты обмена (ПО) галогенидов ами-  
нокислот (цистинхлорида, лейцинхлорида) или амино-  
спиртов с пантотеновой к-той, а также с ее Na- и  
Ca-солями. В кол-ве 0,2—0,5% ПО являются действующи-  
ми, ведут к росту волос и оказывают полезное дей-  
ствие на кожу. Действие ПО более эффективно, чем  
действие аминокислот или аминокислот в смеси с  
пантотеновой к-той, ее солями или пантотенолом.  
Пример. Вода для волос содержит (в %): 0,2—0,5  
ПО, 3—5 настоя арники, 0,1 салициловой к-ты, 0,1 кам-  
форы или ментола, 0,1 поливинилпирролидола, 45 эти-  
лового спирта, остальное вода.

И. Милованова  
30035 П. Гребень для волос из твердого активного  
вещества. Савелли (Peigne en substance active so-  
lidifiée. Savelli Jacques-François-Etienne-  
ne-Adolphe-Félix). Франц. пат. 1115656,  
27.04.56

Для обработки волос и покрытой волосами кожи ле-  
карственными, ветеринарными или косметич. в-вами  
последние смешивают со связывающими в-вами и из  
полученной массы изготовляют гребни или щетки или  
покрывают ею зубцы обычного гребня. Предложено  
несколько возможных способов изготовления таких  
гребней.

В. Красева  
30036 П. Приготовление твердых, ароматных, пено-  
образующих таблеток или пиллюл для полоскания  
или чистки зубов. Судзук, Кобаяси [Район ха-  
мигаки кабусики кайся]. Японск. пат. 3700, 23.06.54  
Основную массу смешивают с растворенными в во-  
де, твердыми при ~20° многоатомными спиртами и  
сушат. В полученную массу вводят распылением р-р  
соединения (I) ( $H_2O_2$  с  $NH_2CONH_2$  в спиртовом настое  
зеленого чая) сушат и таблетуют. Настоящий состав  
предотвращает загнивание зубов, уничтожает запах  
из рта и гноеотделения в ротовой полости, хорошо  
переносит хранение и перевозки и может использо-  
ваться как для полоскания, так и для чистки щеткой.  
Пример: 33 ч. карбоната магния, 30 ч. карбоната  
кальция, 10 ч. фосфата кальция, 3 ч. траганта, 20 ч.  
сорбита или маннита, 20 ч. воды перемешивают, на-  
гревают, сушат, дробят и в него вводят распылением  
отдельно приготовленный р-р 4 ч. I в настое 3 ч. зеле-  
ного чая в 16 ч. спирта, сушат при обычной т-ре и  
формируют в пиллюли или таблетки.

А. Фрадкин  
См. также: Эфирное масло *Chamaecyparis taiwanensis*  
28908; 28909. Синтез мускопиридина 28785. Производ-  
ные метил-2-нонона 28907. Действие тетраэтилсвин-  
ца на α-пинен 28904. Приготовление DL-карбона 28906;  
Исследование терпенов 28981

## ФОТОГРАФИЧЕСКИЕ МАТЕРИАЛЫ

Редактор В. С. Чельцов

30037. Международная конференция по научной фо-  
тографии. Богомолов К. С., Кириллов Н. И.,  
Левкоев И. И., Хим. наука и пром-сть, 1957, 2,  
№ 4, 497—498

30038. О желатинах. Штейгман (A propos de gé-  
latines. Steigmann Albert), Sci. et inds pho-  
togr., 1957, 28, № 9, 353—359 (франц.)

Отмечено свойство белковых в-в, в частности же-  
латины, защищать от окисления некоторые фармацев-  
тич. препараты (витамины А и D) и высказано пред-  
положение о значении этого свойства для стабилиза-  
ции и сенсibilизации фотографич. эмульсий. Изложе-  
ны результаты исследования содержания в желатине  
протаминов, глутатиона и тиазалидин-4-карбоновой  
к-ты и рассмотрена роль сернистых соединений при  
сенсibilизации фотографич. эмульсий.

Ю. Мошковский  
30039. Обработка фотографической желатины катион-  
нообменными веществами. Галамек, Лачняк,  
Немец, Шпичкова (Uprava fotografických žela-  
tín kationtovými měniči. Haláček Cyril, Lač-  
ňák Jaroslav, Němec Bořivoj, Špičková  
Jiřina), Věda a výzk. v průmyslu kožeděln., 1956, 2,  
69—76 (чешск.; рез. русск., англ.)

При обработке р-ров желатины (I) из кожи катион-  
нообменными смолами (КС) можно получить I, кото-  
рые дают большую скорость созревания эмульсий без  
изменения максим. чувствительности и вуали. Могут  
быть применены КС чехословацкого произ-ва, если они  
достаточно крупные. Обработанные I содержат мень-  
ше воды и жира, а их вязкость понижена лишь незначитель-  
но. В работе не подтверждена предполагаемая  
прямая зависимость тормозящего действия I на про-  
цесс созревания от содержания Fe. Авторы предполага-  
ют, что тормозящими в-вами являются белковые  
компоненты I с меньшим мол. весом и катионным за-  
рядом.

С. Бонгард  
30040. Коллоидные эмульсии, получение их и при-  
менение. Вабиц (Kolodijске emulzije — Dobivanje i  
upotreba. Vabić Vladimir), Kemija u industriji,  
1956, 5, № 11, 284—292 (сербо-хорв.)

Исторический обзор; характеристики применяемых  
сенсibilизаторов и различных типов коллоидных  
эмульсий.

К. Мархилевич  
30041. О важнейших химических веществах, приме-  
няемых в фотографии. Ивანი (Nihány szó a leg-  
fontosabb fényképészeti vegyszerekről. Iváni Ist-  
ván), Papír- és Nyomdatechnika, 1956, 8, № 1, 42—43  
(венг.)

Популярная статья.  
К. Мархилевич  
30042. Исследование стабилизации фотографических  
проявителей. Басинский, Томчик, Зелин-  
ский (Badania nad stabilizowaniem wywołaczy fo-  
tograficznych. Basiński Antoni, Tomczyk Ma-  
rie, Zieliński Leon), Roczn. chem., 1957, 31, № 1,  
165—173 (польск.; рез. англ.)

Исследовалось влияние различных в-в на сохране-  
ние амидолового, пирогаллового, глицинового и ис-  
тологидрохинонового проявителей при помощи сенс-  
тиметрич. и потенциометрич. методов. Молочная к-та  
в 2 раза продлила время проявляющего действия пер-  
вых трех проявителей. Амидол стабилизируется угле-  
водами, метолом, капроновой к-той и ацетонсульфи-  
том. Глицин можно стабилизировать углеводами, пи-  
рогаллолом, гидрохиноном и небольшими кол-вами  
(0,04 г/л) семикарбазидхлоргидрата и гидразинсуль-  
фата. Продолжительность хранения метологидрохино-  
нового проявителя можно увеличить более чем на 20%,



добавлением янтарной, олеиновой и молочной к-т, ацетонсульфата и третичного бутанола. Танины и цистеин уменьшают сохранность проявителей на 30%.

H. Wróblowa

30043. Истощение проявителя при обработке рентгеновских пленок. Кемпни (Iscrpljivanje razvijača pri praktičnom rentgenografskom radu. Kempni Karlo), Kemija u industriji, 1957, 6, № 9, F25—F28 (сербо-хорв.; рез. нем.)

Сантиметрическое испытание проявителя FRX-2 сменного в течение 7 дней его использования показало, что активность проявителя, характеризующаяся величиной  $\gamma$ , за определенное время проявления сначала возрастает и достигает максимума в результате проявления 5 м<sup>2</sup> пленки в 13,5 л проявителя, после чего сначала быстро, а затем медленно уменьшается. При 20° оптимальная продолжительность проявления равна 4–5 мин.

К. Мархилевич

30044. Сравнение зернистости рентгеновских пленок. Роггенхаузен (Königkeits-Vergleiche von Röntgenfilmen. Roggenhausen Marianne), Röntgen-Bl., 1957, 10, № 7, 208—220 (нем.; рез. англ., франц.)

Для сравнения зернистости рентгеновских пленок применяли три вида снимков: 100-кратные увеличения проявленных пленок, слабо экспонированных рентгеновскими лучами (почернение 0,1 над вуалью); 100-кратные увеличения со снимков контрастного свинцового радиального тест-объекта и 400-кратные увеличения со снимков оптич. радиального тест-объекта при обычном экспонировании светом. Приведены снимки трех указанных видов для различных рентгеновских пленок: экранных, безэкранных, зубных, флуорограф. и пленок для испытания материалов. Дана качествен. характеристика сравнения их зернистости.

К. Мархилевич

30045. Проявление цветной пленки с обращением Гевалор. Монакеси (Sviluppo da sè delle Gevalor invertibili. Monachesi Paolo), Progt. fotogr., 1957, 64, № 11, 469—470 (итал.)

Описаны условия обработки новой цветной пленки с обращением Геверт R-5. Процесс обработки состоит из обычных операций. Состав проявителя для черно-белого проявления: метол 1,5 г, Na<sub>2</sub>SO<sub>3</sub> 25 г, гидрохинон 4,5 г, Na<sub>2</sub>CO<sub>3</sub> · 10H<sub>2</sub>O 85 г, KBr 4 г, KJ (0,1%-ный р-р) 5 мл, KCNS 1 г, вода до 1 л. Состав цветного проявителя: дроксисхром Мэй и Бэкер (N,N-этилоксиэтил-фенилендиамин) 1,5 г, Na<sub>2</sub>CO<sub>3</sub> · 10H<sub>2</sub>O 200 г, Na<sub>2</sub>SO<sub>3</sub> 15 г, KBr 1 г, вода до 1 л. Состав стабилизирующего р-ра, применяемого после фиксирования и промывки: формальдегид (40%-ный р-р) 50 мл, вода до 1 л. После стабилизирующего р-ра проводится окончательная промывка в течение 30 сек.

К. Мархилевич

30046. Исправление градации растрового изображения при применении скрещенного раstra и литографических фотоэмульсий. Боу (Gradation with cross-line screens and lithographic emulsions. Bow J. H.), J. Photogr. Sci., 1955, 3, № 4, 121—123 (англ.)

Описан метод улучшения градации растровых изображений в фотолитографической печати за счет повышения контрастности участков изображения — «высоких светов» — дополнительной экспозицией. Процесс заключается в съемке оригинала с наложенным на него скрещенным линейчатым пурпурным растром (Р) на высококонтрастные материалы кодалит, удалении (или расфокусировании) Г и дополнительной экспозиции сним по удалении Р. Сравнительные кривые восприятия тонов показали возможность улучшения градации растровых негативов или позитивов при рекомендуемом проведении процессов.

Л. Крупенин

30047 К. Печатные краски, материалы и химические вещества для репродукционной фотографии (учебное пособие). Ланкаш, Чермин, Буреш, Гильберт (Tiskové barvy, materiály a chemikálie pro reprodukční fotografii. Pomocná kniha pro prům. školu grafickou. Lankaš Stanislav, Čermín Karel, Bureš Eduard, Gilbert Rudolf. Praha, SNTL, 1956, 380 с., 19,30 Kčs.) (чешск.)

30048 П. Способ сенсibilизации галондосеребряных эмульсий и фотографический материал. Кёнен, Цитан (Verfahren zur Sensibilisierung von Halogensilberemulsionen und danach hergestelltes photographisches Material. Coenen Max, Zietan Karl) [Agfa A.-G. für Photofabrikation]. Пат. ФРГ 960605, 21.03.57

Галондосеребряные эмульсии (Э) сенсibilизируют метиновыми красителями ф-лы  $RN-C(A)=CHCO-$

$(CN)C=(CHCH=)_n(B)C-NR'$  (I), где А и В — атомы, замыкающие 5- или 6-членное кольцо; R' и R'' — алкилы или арилалкилы; n = 0, 2, 4, 6; в гетероциклич. остатках могут быть различные заместители. I вводят в Э в любой стадии ее изготовления или обработки. Кроме сенсibilизации обычных бромосеребряных Э, способ особенно пригоден для трудно сенсibilизируемых хлоробромосеребряных Э. I отличаются от имидокарбониянов, имеющих приблизительно тот же максимум сенсibilизации, более высокой эффективностью сенсibilизации. Приведены следующие I с указанием максимума сенсibilизации (λ мк: 1-(1',3',3'-диметилбензимидазолинилден)-1 - циан-3-(1'',3'',3''-триметилиндолинилден)-пропанон (2); ~510. 1-(1',3',3',5'-тетраметилиндолинилден)-3-циан-5 - (3''-метилбензотиазолинилден)-пентен(3)он(2); ~530. 1-(1',3',3'-триметил-5'-метоксиндолинилден)-3 - циан-5-(1'',3'',3''-триметилиндолинилден)-пентен(3)он(4); ~520. 1-(1'-метилбензотиазолинилден)-3-циан-5-(1'',3'',3''-триметилиндолинилден)-пентен(3)он(4); ~530. 1-(1'-метил-6',7'-бензобензотиазолинилден)-3-циан-5 - (1'',3'',3''-триметилиндолинилден)-пентен(3)он(4); ~545. 1-(3'-этилтиазолинилден)-3-циан-5-(1'',3'',3''-триметилиндолинилден)-пентен(3)он(4); ~480. I получают конденсацией ω-цианадетиловых производных гетероциклич. метиленовых оснований с тиокетонами или гетероциклич. ω-альдегидами. Пример. 1 кг фотографич. галондосеребряной Э с содержанием 8% желатин и равными кол-вами AgBr и AgCl сенсibilизируют прибавлением 25 мг I. Основой материала может быть стекло, пленка и бумага.

К. Мархилевич

30049 П. Фитин в качестве сенсibilизатора для галондосеребряных эмульсий. Мёссен (Phytic acid sensitizer for silver halide emulsions. Moessen Gustave William) [E. I. du Pont de Nemours and Co.]. Пат. США 2757089, 31.07.56

Галондосеребряные эмульсии с хорошей стабильностью, повышенной чувствительностью и низкой вуалью получают, прибавляя в эмульсию в водонепроницаемом коллоиде малые кол-ва фитина (I) или соли фитина и цел. металла или аммония и водорастворимого полиоксиналиленгликоля (II), предпочтительно полиоксиэтиленгликоля или его простого или сложного эфира с мол. в. ≥ 400, содержащего по крайней мере один радикал  $[(-CH_2)_m-O]_n$ , где m = 2 или 3, а n от 7 до 200. Можно использовать смеси двух или более I с одним II или смесью двух и более II. Фитин или его соль можно применять в кол-вах от 0,004 до 0,06, предпочтительно от 0,001 до 0,003 моля на 1 моль галондосеребра, а полиоксиналилен от 0,03 до 1,5 г на 1 моль галондосеребра; предпочтительно применять от 0,04 до 0,10 г полиэтиленгликоля со средним мол. в. 3600. Фитин можно прибавлять предпочтитель-

но до 2-го созревания или в начале его, а полиоксидиленовые соединения — после 2-го созревания. Фитин может быть получен из инозита, фосфорной к-ты и пентаоксида фосфора. Фитин можно применять совместно с оптич. и хим. сенсibilizаторами. Приготовление полиоксидиленгликолей и их простых и сложных эфиров описано в пат. США 1970578. Пример. Промытая несозревшая эмульсия (1,5% AgI и 98,5% AgBr) разделена на три части. К первой прибавлено 0,00202 моля фитина на 1 моль галоидного серебра, ко второй то же кол-во (в молях) гексаметафосфата, третья была контрольная. pH доводили до 6,3 3 н. р-ром NaOH. После созревания каждую из трех эмульсий делили на две части и к одной части в каждом случае прибавляли 0,050 г полиэтиленгликоля со средним мол. в. 3600. После введения обычных добавок эмульсии были нанесены на основу. Были получены величины чувствительности и вуали соответственно: фитин 139 и 0,06; фитин и полиэтиленгликоль 149 и 0,08; гексаметафосфат Na 91 и 0,04; гексаметафосфат Na и полиэтиленгликоль 104 и 0,06; контрольная эмульсия 100 и 0,02; полиэтиленгликоль 108 и 0,04. К. Мархилевич

**30050 П.** Способ нанесения светочувствительных слоев. Джонс (Procédé d'enduction. Johns Walter Thomas) [E. I. du Pont de Nemours and Co.]. Франц. пат. 1111064, 22.02.56

Вязкие водн. р-ры, в частности галоидосеребряные эмульсии (I), содержащие желатину или другие водонепроницаемые коллоиды, наносят на пленочную или бумажную основу, движущуюся со скоростью  $\geq 45$  м в 1 мин., в 1—200 раз превышающей скорость истечения I, при практически полном отсутствии несжигаемых газов (воздуха), но в присутствии легко конденсирующихся паров инертной жидкости (II), растворимой в воде (т. кип.  $\leq 100^\circ$ ) при поддерживаемом давл. 20—190 мм рт. ст., парц. давлении несжигаемых газов  $\leq 5\%$  и т-ре 23—65°. В качестве II применяют воду, метиловый и этиловый спирты, ацетон. Способ предназначен для нанесения I, содержащих естественные и синтетич. коллоиды: желатину, альбумин, агар-агар, водонепроницаемые полиамиды, поливиниловый спирт и его сложные эфиры. I должны иметь вязкость от 3000 до 60 000 *спуз* для образования слоя толщиной от 0,05 до 0,7 мм. Пример. В начале полива слоя I снижают давление в зоне нанесения до 2—5 мм рт. ст. для практически полного отсутствия воздуха и вводят в эту зону пары до давл. 50—60 мм рт. ст. После этого наносят I, содержащую 50 вес. % твердых в-в (включая галогениды серебра) с вязкостью приблизительно 10 000 *спуз* из фильеры через отверстие шириной  $\sim 0,12$  мм со скоростью истечения  $\sim 24$  м в 1 мин. на ацетатную основу толщиной  $\sim 0,2$  мм с желатиновым подслоем, движущуюся со скоростью  $\sim 120$  м в 1 мин. В зоне нанесения поддерживают пониженное давл. 50—60 мм рт. ст. и т-ру 37—41°, если вводят пары воды со скоростью, превышающей скорость испарения воды из I. Пониженное давление исключает образование пузырьков и других дефектов полива. Сушку можно вести при обыкновенной или повышенной т-ре. Нанесение слоя проводят в камере с приспособлениями для удаления воздуха и для введения пара II, а также с нагревателем и рядом роликов, по которым проходит основа перед фильерой. Дана схема устройства и работы камеры. К. Мархилевич

**30051 П.** Способ прямого получения позитивных фотографических изображений (Procédé pour la production directe d'images photographiques positives) [AGFA A.-G. für Photofabrikation]. Франц. пат. 1108214, 10.01.56

Способ прямого получения позитивных фотографий. Изображений отличается от описанного в пат. 993337, в котором используются смешанные эмульсии, тем, что

две эмульсии различной чувствительности применяют при 2-слойном поливе. Пример. На основу или бумажную подложку наносят обычную AgCl-эмульсию (на 1 м<sup>2</sup> слоя 0,8—1,2 г Ag), к которой прибавляют на 1 л 0,01 г колл. Ag и кол-во HCl, необходимое для получения т-ры плавления слоя  $> 100^\circ$ . 50 мл AgBr-эмульсии разбавляют 1 л 4%-ного р-ра поливинилового спирта и наносят на ранее политый слой AgCl-эмульсии такой толщиной слоя, чтобы на 1 м<sup>2</sup> приходилось 0,01—0,1 г Ag. После экспонирования проявляют в проявителе состава: вода 1000 мл, метол 1,5 г, гидроксон 6 г, Na<sub>2</sub>SO<sub>3</sub> 80 г, Na<sub>2</sub>CO<sub>3</sub> 30 г и получают в верхнем слое негативное, а в нижнем слое позитивное изображение. После проявления слой обрабатывают в останавливающем р-ре CH<sub>3</sub>COOH, фиксируют и промывают. Слой поливинилового спирта с негативным изображением легко удаляют при промывке, а слой с позитивным изображением остается на подложке.

К. Мархилевич

**30052 П.** Применение поливинилового спирта, модифицированного реакцией с аминаоацеталем, для галоидосеребряных эмульсий. Приет, Аллен (Modification of hydroxyl containing polyvinyl resin treated with an amino acetal as a silver halide binder. Priest William J., Allen Charles F. H.) [Eastman Kodak Co.]. Пат. США 2739059, 20.03.56

Поливиниловый спирт (I), модифицированный р-цией с  $\beta$ -аминодиэтилацеталем (II), применяемый в качестве материала для галоидосеребряных эмульсий. Р-р I в воде доводят до pH 0,7 введением HCl и продолжительно нагревают с II до т-ры ниже  $100^\circ$ . К полученному модифицированному I добавляют светочувствительные галоидные соли Ag. 17 ч. I, полученного из винилацетата с вязкостью молярного р-ра в бензоле 22 *спуз*, растворяют в 158 ч. воды. Добавляют 175 ч. н. HCl и 5,26 ч. II. Смесь нагревают до  $58^\circ$ . При продолжительности нагревания 2,5, 5, 8, 24 и 48 час. содержание NNH<sub>2</sub>-групп, определенное электрометрически, равно: 0,225, 0,36, 0,6, 0,9 и 1,17 вес.%; общее содержание N: 0,2, 0,3, 0,5, 1,0 и 1,2 вес. % (по элементарному анализу). С увеличением процента N растет растворимость в органич. р-рителях (спиртах). Аминоацеталь I, содержащий 6% NNH<sub>2</sub>-групп, растворяют в воде с образованием 5%-ного р-ра. 20 ч. р-ра смешивают с 1 ч. 5%-ного CH<sub>2</sub>O, доводят до pH 7, отливают в виде тонкой пленки на стеклянную пластинку. После высушивания и выдерживания при комнатной т-ре в течение 60 час. пленка не растворяется и не разрушается водой при  $100^\circ$ . Материал пригоден также как основа для светочувствительных слоев. Ю. Васильев

**30053 П.** Процесс полива желатиновых слоев для новых фотографических материалов с улучшенными свойствами. Нокс, Райт (Procédé de couchage de compositions de gélatine et nouveaux produits mis en oeuvre. Knox William Jacob, Jr, Wright John Fowler) [Kodak-Pathé]. Франц. пат. 1108057, 16.01.56

При многослойном поливе фотографич. эмульсионных и желатиновых слоев в качестве поверхностно-активных в-в применяют полипептиды, ацилированные галоидопроизводными алифатич. к-т: каприловой, олеиновой, пеларгониевой или лауриловой. В эмульсию или желатиновый р-р вводят на 1000 ч. 0,2—5 вес. ч. полипептида, ацилированного кислотными алифатич. группами с 8—18 атомами C, и эмульсию наносят на основу или баритованную бумагу. На застуженный слой галоидосеребряной эмульсии, содержащий на 1 кг от 0,2—5 г продукта р-ции полипептида и хлорпроизводного к-ты с 8—18 атомами C, наносят водн. 2—10%-ный р-р желатини с тем же содержанием полипептида. На 1 кг эмульсии и желатинового р-ра вводят 1,1 г смеси лаурилового и миристинового полипептидов.



Пример. В 2,5 кг высокочувствительной AgBr, содержащей 7,5% желатины и 1 г-атом Ag, добавляют 2,65 г олеинового полипептида и наносят на антицеллюлозную основу (6,35 г Ag на м<sup>2</sup>). На застывший слой эмульсии наносят слой желатинового р-ра, содержащего 17 г желатины и 0,26 г олеинового полипептида в 1 л (1,67 г р-ра на м<sup>2</sup>). Аналогично наносят окрашенные желатиновые слои. Л. Крупенин

30054 П. Процесс полива желатиновых слоев для получения фотографических материалов. Ноке, Твардокус, Дейвис (Procédé de couchage de compositions contenant de la gélatine et nouveaux produits mis en oeuvre. Knox William Jacob, Twardokus Edward Frank, Davis Gordon Difley) [Kodak-Pathé]. Франц. пат. 1111062, 22.02.56

При поливе фотографич. эмульсионных и желатиновых слоев на пленку и баритованную бумагу для высокого качества слоя и прочности сцепления его с подложкой в качестве поверхностноактивных в-в применяют соединения ф-лы  $R'CO(R'')NCH_2CH_2SO_3M$  (I), где  $R'$  — углеводородный алифатич. остаток с 11—18 атомами С;  $R''$  — алифатич. остаток с 4 атомами С, фенильная или циклоалкильная группа; М — катион, обеспечивающий растворимость I в воде. I вводят в количестве от 0,055 до 5 вес. ч. на 1000 вес. ч. эмульсии. Для полива различных слоев применяют в-ва указанной ф-лы: миристил- (II), стеарил-, пальмитоил-, лаурил- и олеилметилтаурин (III) в виде растворимых в воде, напр., Na-солей. При двухслойном поливе на подложку сначала наносят слой галлодосеребряной эмульсии, на который после застывания наносят защитный желатиновый слой, и оба слоя высушивают. На 1000 ч. эмульсии вводят от 0,055 до 2,2 ч. соли щел. металла III; при поливе защитного слоя на 1000 ч. 2—40% желатинового р-ра вводят от 0,055 до 5 вес. ч. II. Пример: К 4 кг панхроматич. позитивной AgBr, эмульсии с содержанием 65 г желатины и 1 г-атома Ag добавляют 0,22 г Na-соли II в виде 2%-ного р-ра и наносят эмульсию на 20 м<sup>2</sup> основы. Л. Крупенин

30055 П. Светочувствительные полимеры для фотохимических процессов. Унру, Смит (Light-sensitive polymers for photochemical processes. Unruh Cornelius C., Smith Donald A.) [Eastman Kodak Co.]. Пат. США 2751373, 19.06.56

Светочувствительные полимеры (I), образующие равномерный слой на подложке, содержат повторяющиеся звенья, к которым присоединена группа фениламидной коричной к-ты строения  $-(COOH)CH=CH(COO-CH_2CH_2-NHCOCH=CHC_6H_5)CH_2-CH(C_6H_5)-$ . Пример. Р-р 4,0 г м-оксиметилфениламидной коричной к-ты в 3,45 г сополимера стирол-малеиновый ангидрид (1:1) в 30 мл сухого пиридина нагревают 22 часа на водяной бане. После охлаждения р-р вливают в разб.  $CH_3COOH$  и выделяют продукт. Полимер очищают 2-кратным растворением в пиридине и осаждением в разб.  $CH_3COOH$ . После промывания и сушки выход 6 г. Содержание N — 2,9% (теор. 3,1%). Светочувствительность I может быть значительно повышена сенситизаторами, описанными в патентах США 2610120, 2609966 (РЖХим, 1957, 100974), 2670285—7 (РЖХим, 1956, 8033). Участки слоя I, подвергнутые различной экспозиции светом или УФ-лучами, приобретают различную растворимость. С. Бонгард

30056 П. Светочувствительный материал для фотохимической репродукции. Зюс, Шмидт, Глос (Lichtempfindliches Material für photomechanische Reproduktionen. Süs Oskar, Schmidt Maximilian Paul, Glos Martin) [Kalle & Co. A.-G.]. Пат. ФРГ 943209, 17.05.56

Светочувствительные водонерастворимые амиды или эфиры 1,8-нитронафталинсульфокислот (I) наносят на

подложку, напр. на Al-фольгу. Экспонированные УФ-лучами участки слоя растворяются в щел. водн. р-рах, напр. 1,0—5,0%-ном р-ре  $Na_3PO_4$  или 0,5—1,0%-ном р-ре NaOH, наносимых тампоном, после чего слой промывают в слабокислом р-ре и получают рельеф, впитывающий жирорастворимые красители и применимый в качестве печатной формы. Слой получают из 1—3%-ных р-ров I в органич. неполярных р-рителях с т. кип. 70—130°. После высушивания слой еще нагревают до 80—100°. Для предупреждения кристаллизации I, повышения равномерности и прочности слоя к р-ру прибавляют растворимые в щелочи смолы. Пример. Р-р *n,n'*-бис-(4-метил-8-нитронафталин-4-сульфокси)-дифенила (II) (1%-ный) и фенолформальдегидного новолака (0,2%-ный) в монометилловом эфире гликоля наносят на механически матированную Al-фольгу, сушат в токе теплого воздуха и нагревают 5 мин. до 90°. Слой экспонируют через прозрачный позитив светом дуговой лампы (18 а) на расстоянии 70 см в течение 15 мин., окрашивают жирорастворимыми красителями, обрабатывают последовательно р-рами 1%- и 5%-ным  $Na_3PO_4$  и 1 н. р-ром NaOH и получают позитивную матрицу. II получают медленным приливанием к ацетоновому р-ру 1 моля 4-метил-8-нитронафталин-1-сульфохлорида р-ра смеси 0,5 моля *n,n'*-диоксидифенила и 1 моля NaOH в ацетоне, перемешиванием (30 мин.), отгонкой ацетона в вакууме и перекристаллизацией остатка из спирта с животным углем; т. пл. 224—225°. Приведены рекомендуемые I: анилид-, N-метиланилид-, монометиламид-4-метил-о-нитронафталин-1-сульфокислоты; 4,4'-бис-(1'',8''-нитронафталинсульфамидо)-дифенилметан, т. пл. 170° (с разл.); 4-(1',8'-нитронафталинсульфокси)-N-метил-(1'',8''-нитронафталинсульфо)-анилид, т. пл. 250°; 4,4'-бис-(4''-метил-5''-нитронафталин-1-сульфамидо)-дифенилметан, т. разл. > 160°; 1-фенил-3-метил-5-(4'-метил-8'-динитронафталин-1-сульфокси)пиразол, т. разл. > 100°; 4,4'-бис-(4''-метил-8''-динитронафталин-1-сульфамидо)-дифениламин, т. разл. > 145°; 7-(4'-метил-8', x'-динитронафталин-1-сульфамидо)-1 (или 3)-(4''-метил-8''-динитронафталин-1-сульфо)-бензимидазол, т. разл. 250°; 6-(4''-метил-8'', x''-динитронафталин-1''-сульфокси)-1,2-(1',2'-пиридино)-бензимидазол, обугливается при 190°; 4,4'-бис-(4''-метил-8'', x''-динитронафталин-1''-сульфамидо)-2,2'-диметоксидифенилсульфид, т. разл. 165°; 4,4'-бис-(4''-метил-8'', x''-динитронафталин-1''-сульфамидо)-дифенилсульфон, т. разл. 185°; 4-(нафтохинон-(1',2')-диазид-(2'')-5''-сульфамидо)-1-(1'',8''-нитронафталинсульфокси)бензол, т. пл. 220° (с разл.); 2,2'-бис-(нафтохинон-(1'',2'')-диазид-(2'')-5''-сульфокси)-динафтил(1,1')-метан. Искользованные в качестве полупродуктов 1,8-нитронафталинсульфокислоты описаны (Helv. Chim. Acta, 1930, 13, 182 и 1934, 17, 1151).

Н. Спасокукоцкий  
30057 П. Цветной растр. Валь (Farbraster. Wahl Karl) [Emimeta-Fabrikations-Anstalt]. Пат. ФРГ 962403, 18.04.57

В растре (Р) для аддитивной цветной фотографии для образования цветных линий или точек применяют флуоресцирующие красители (ФК), предпочтительно флуоресцирующие под действием УФ-лучей дневного света. Возможно применение ФК совместно с другими, преимущественно органич. красителями. Для получения Р ФК наносят на (или вводят в) прозрачную подложку из целлюлозы, желатины или пластмасс. В качестве ФК указаны: тиофлавин (зеленое свечение), аурамин (желтое свечение) и родамин 69 (красное свечение). С. Бонгард

30058 П. Фотографический способ изготовления портретов в форме медалей с применением рельефа набухания. Грисхабер, Бербессон (Procédé photographique pour la fabrication de portraits en

relief, notamment sous forme de médailles. Grieshaber René, Verbesseur André). Франц. пат. 1108483, 13.01.56

Для изготовления портретов в форме медалей с применением рельефа (Р) набухания с исходного негатива (Н) печатают позитив, который для правильной градации Р ретушируют красками; с Н, совмещенного с ретушированным позитивом, печатают коррекционную маску. С Н, совмещенного с печатью, получают промежуточный позитив (ПП), которому придают контуры медалей. С ПП печатают корректированный Н для печати на очувствленном бихроматом желатиновом слое Р для последующей гальванопластики. Л. Крушения

См. также: Скрытое изображение 28008. Желатина 28144. Красители 27984, 27995, 27996. Фотогр. эмульсии 28010, 28012. Проявители 29783. Проявление 28009. Оптич. сенсбил. 27741, 28820. Обработка фотогр. материалов 28014

### ВЗРЫВЧАТЫЕ ВЕЩЕСТВА. ПИРОТЕХНИЧЕСКИЕ СОСТАВЫ. СРЕДСТВА ХИМИЧЕСКОЙ ЗАЩИТЫ

Редактор М. С. Фишбейн

30059 П. Взрывчатое вещество. Пат (Explosive. Ruth John A.) [Olin Mathieson Chemical Corp.]. Пат. США 2760434, 28.08.56

Описано устройство составного кумулятивного заряда из метилендинитрамина плотностью 1,7, у которого передняя часть покрыта восковой оболочкой. Обладая взрывной силой, приблизительно в 1,5 раза большей силы тринитротолуола, этот заряд имеет скорость детонации, превышающую таковую тротила. Вторая часть изготовлена из такого же в-ва, но без оболочки и имеет на задней поверхности кумулятивную выемку, покрытую слоем металла, керамики, пластмассы и т. п. невзрывчатого материала.

М. Фишбейн

30060 П. Взрывчатые вещества, представляющие собой замороженную смесь четырехоксида азота с углеводородами. Росс, Мак-Гонигл (Frozen nitrogen tetroxide-hydrocarbon explosives. Ross Douglas H., McGonigle Thomas J.) [Allied Chemical & Dye Corp.]. Пат. США 2759418, 21.08.56

Запатентованы взрывчатые в-ва, получаемые путем заполнения полости, просверленной в замороженной четырехокиси азота, примерно равной 25% общего ее объема, каким-либо жидким углеводородом, или путем применения патрона, изготовленного из смеси  $N_2O_4$  и бензола, взятых в отношении 83:17 и замороженной в форме цилиндра. М. Фишбейн

30061 П. Устройство патрона. Маже (Cartouche. Mager Herbert). Франц. пат. 1123291, 19.09.56

Описано устройство патрона для снаряжения его взрывчатыми в-вами, предназначенными для геологич. разведок. М. Фишбейн

30062 П. Усовершенствованное запальное приспособление, в частности, для подрывных зарядов (Perfectionnements apportés aux dispositifs d'allumage pyrotechniques, notamment à ceux pour mines indétectables) [Soc. d'Etudes et de Commerce International]. Франц. пат. 1124655, 16.10.56

Указанное приспособление содержит в качестве воспламенительного состава смесь 1 ч. фосфора, 2 ч. сернистой сурьмы, 2 ч. стеклянного порошка, 1 ч. хлората калия, 1 ч. спиртового р-ра шеллака. М. Фишбейн

30063 П. Усовершенствованный способ фабрикации пиротехнических зарядов и снарядов (Perfectionnement aux charges et engins pyrotechniques) [Soc. E. Lacroix]. Франц. пат. 1124834, 18.10.56

Указанные снаряды (зажигательные, дымовые, осветительные и т. п.) готовят без применения оболочки, путем добавления к составам связующих в-в (полистирол, ацетилцеллюлоза, поливинилные соединения, полиэтилен и другие аналогичные в-ва), вызывающих затвердевание всей массы, из которой затем изготавливают изделия нужной формы. М. Фишбейн

См. также: Физика взрывчатых в-в 27962. Воспламенение, горение 27963

### ПЕРЕРАБОТКА ТВЕРДЫХ ГОРЮЧИХ ИСКОПАЕМЫХ

Редакторы И. Ф. Богданов, М. О. Хайкин

30064. К вопросу о возрасте ископаемых углей и их поведении при термическом разложении. Ухоя Л. П., Тр. Уральского политехн. Института, 1957, сб. 59, 146—153

Приводятся расчетные данные критериев разложения и начальных т-р разложения для торфа, бурых и каменных углей. Высказано заключение, что в-ва более устойчивые в процессе углефикации оказываются наименее устойчивыми при термич. разложении.

Н. Гаврилов

30065. Температуры возгорания донецких и кузнецких углей. Орешко В. Ф., Химия и технол. топлива и масел, 1957, № 11, 43—46

Разработана модификация описанного ранее автором (Зав. лабор., 1948, № 3) метода определения т-ры возгорания (ТВ) углей. Основные изменения сводятся к тому, что кварцевая спираль для подвески чашечки заменена молибденовыми спиралью, а термометр вводит непосредственно в навеску угля. Предлагаемая установка для измерения ТВ дает возможность проводить также исследования окислительных процессов в изотермич. и неизотермич. условиях. Преимущество метода определения ТВ как т-ры, установленной по максимуму изменения веса пробы угля, состоит в том, что этот показатель является физ.-хим. константой угля, величина которой зависит только от кон-ции  $O_2$  и природы в-ва угля. В результате измерения ТВ донецких и кузнецких углей разных марок установлено, что этот показатель закономерно изменяется в зависимости от выхода летучих в-в. А. Шахов

30066. Магнитохимия угля. I. Магнитная проницаемость угля. Хонда, Оучи (Magnetochimie of coal. 1. Magnetic susceptibility of coal. Honda H., Ouchi K.), Fuel, 1957, 36, № 2, 159—175 (англ.)

Проведено измерение при т-рах 20—115° магнитной проницаемости 28 проб японских и привозных углей с высоким содержанием витрена. Угли с помошью 60 меш промывали кипящей 6 н. HCl до удаления Fe, затем водой до удаления Cl-иона, сушили в вакууме и размалывали до 300 меш. Часть органич. в-ва угля обладает парамагнитным и свойствами. Парамагнетизм ее обусловлен наличием непарного электрона в органич. структурной единице. Примерно на каждые 500 атомов С имеется один непарный электрон. По величине истинной диамагнитной проницаемости были установлены степень ароматизации и диамагнитная анизотропия угля на 1 атом ароматич. С. Обе эти величины при увеличении содержания С в углях до 90% возрастают медленно, что соответствует 2—4 конденсированным бензольным кольцам, далее рост идет быстро. Отношение величины истинной диамагнитной проницаемости к содержанию С дает основание предполагать, что существуют два типа процесса углефикации в интервале от 80 до 90% С для углей с различным содержанием летучих в-в. У. Андреев



30067. Оптическая плотность бензольных вытяжек каменных углей как дополнительный показатель качественной их характеристики. Григорьев М. Ю., Морев В. П., Научн. тр. по вопр. переработки и качества углей. Кузнецк. н.-и. угольн. ин-т, 1957, сб. 4, 67—74.

При взаимодействии бензола с органич. массой угля в р-р переходят не только смоляные тельца, но и главным образом продукты деструкции наименее прочных высокомолекулярных соединений. Оптич. плотность (ОП) р-ра закономерно снижается с изменением содержания в угле витринизированного материала. Наибольший показатель ОП р-ра дают самые легкие фракции угля. Наименьшей ОП бензольной вытяжки характеризуются угли длиннопламенные и тонкие, наибольшей — угли с выходом летучих в-в 24,0—26,0%. Конц-ия вытяжки, зависящая от петрографич. состава угля и степени метаморфизма, может быть определена по цвету люминесценции. Метод люминесцентного анализа каменных углей в сочетании с колориметрич. определением оптич. плотности может быть использован для изучения природы углей.

В. Загребельная

30068. Некоторые вопросы химической переработки угля. Штиллер-Киштелеки, Винце (A szén vegyipari feldolgozásának egyes kérdesei. Stiller-é-Kisteleki Magda, Vincze Tiborné), Statiszt. szemle, 1957, 35, № 3, 234—240 (венг.).

Популярная статья, в которой рассматривается экономика хим. переработки угля.

А. Хаусманн

30069. Экономическая эффективность химической переработки каменного угля. Шпилевич (Ekonomiczna efektywność chemicznej przeróbki węgla kamiennego. Szpilewicz Aleksander), Koks, smoła, gaz, 1957, 2, № 4, 132—138 (польск.; русск., англ., нем.).

Отмечены идентичность структур энергетич. балансов ФРГ и ПНР и показана путем сравнения низкая эффективность использования в ПНР каменного угля. Технич.-экономич. сопоставлениями обоснована предпочтительность переработки этих углей путем коксования. Сделаны выводы о необходимости всемерного расширения гаммы углей для коксования, конц-ии этого процесса на крупных коксохимич. з-дах и их размещении вблизи металлургич. з-дов как потребителя кокса и газа, улучшения качества вырабатываемого кокса, а также развития на основе жидких и газообразных продуктов коксования соответствующих отраслей хим. пром-сти.

К. З.

30070. Химическая переработка угля, сырой нефти и природного газа в Чехословакии. Штепина Воцлав, Чехосл. тяж. пром-сть, 1957, № 9, 15—20.

Развитие химич. переработки угля, нефти и природного газа в Чехословакии после освобождения и национализации обеспечивается естественными ресурсами страны. Значительные запасы бурого (3 млрд. т) и каменного (5 млрд. т) углей, природного газа (10 млрд. м<sup>3</sup>) и возможность импортировать нефть из СССР и стран Народной Демократии позволяют в ближайшее время заметно увеличить объем и ассортимент вырабатываемых химич. продуктов.

У. Андрес

30071. Роль химической переработки угля в экономике Франции. Шо (La carbochimie dans l'économie française. Chaux R.), Mines, 1957, 12, № 3, 201—204 (франц.).

Обзор применения различных продуктов, получающихся при переработке угля в ряде отраслей пром-сти, в строительстве, сельском х-ве и т. д.

М. Пасманик

30072. Экономическая эффективность комбинирования черной металлургии с коксохимической про-

мышленностью. Улицкий Л. И., Научн. тр. Моск. экон. ин-та, 1957, вып. 4, 42—70.

Комбинирование коксохим. пром-сти с черной металлургией дает значительную экономию капитальных затрат и издержек произ-ва в обеих отраслях, а также способствует перемещению все большей доли коксохим. пром-сти на Восток, в районы с более обеспеченной сырьевой базой.

М. Пасманик

30073. Угольные ресурсы и химическая промышленность на базе угольного сырья в Хоккайдо. Такэя (Takeya Gen), Кору тару, Coal Tar, 1956, 8, № 11, 28—33 (японск.).

Обзор.

А. Н.

30074. Конференция в Сток Орчард (Англия) по применению методов химической технологии в угольной промышленности, состоявшаяся в июне 1956 г. Предварительное окисление угля. Буайе. Окисление угля в псевдоожиженном состоянии. Дженкинс. Горичее прессование углей. Грегори. Опыты полукоксования углей в псевдоожиженном состоянии. Пейтив, Фолш. Исследование смол полукоксования в псевдоожиженном слое. Уотсон, Вильямс (Conférence internationale sur le développement de la technologie chimique dans l'industrie charbonnière et les industries connexes. (Stoke Orchard (Cheltenham, Grande-Bretagne) 27 et 28 juin 1956. L'oxydation ménagée du charbon. Boyer A. F. L'oxydation fluidisée du charbon. Jenkins G. I. Agglomération à chaud. Gregory D. H. Étude de la semi-carbonisation par fluidisation. Peytavy A., Foch P. L'étude des goudrons obtenus dans la carbonisation en fluidise. Watson G. H., Williams A. Fowler), Ann. mines Belgique, 1956, № 6, 907—908, 908—912, 913—916; 1957, № 1, 25—32, 32—40; № 2, 154—167 (франц.).

Сообщение о работе конференции и доклады на ней.

И. Б.

30075. Адсорбция паров соляной кислоты и метиламина окисленными углями и гуминовыми кислотами. Нанди, Кини, Лахри (The adsorption of hydrochloric acid gas and of methylamine by oxidized coals and humic acids. Nandi S. P., Kini K. A., Lahiri A.), Fuel, 1957, 36, № 4, 475—480 (англ.).

Изложены результаты исследования адсорбции паров соляной к-ты и метиламина при 0° окисленными индийскими углями различного типа и полученными из них гуминовыми к-тами.

У. Андрес

30076. Хиноидная структура продуктов окисления битуминозных углей. Кинни, Лав (Quinone character of oxidation products of a bituminous coal. Kinney C. R., Love D. L.), Analyst. Chem., 1957, 29, № 11, 1641—1645 (англ.).

С целью изучения структуры битуминозных углей проводили полярографич. исследование продуктов их окисления азотной к-той до гуминовых к-т. Исследования проводили на капельном Hg-электроде. Полученные данные сравнивали с исследованием продуктов окисления в аналогичных условиях многоядерных хинонов. Гуминовые к-ты и продукты окисления хинонов и ароматич. соединений показали совершенно аналогичные потенциалы ионизации, что доказывает родство структур окисленных углей и многоядерных хинонов. Показана возможность использования полярографич. метода для исследования гуминовых к-т.

Н. Лапидес

30077. Структура водно-растворимых кислот-продуктов щелочного окисления битуминозного угля кислотородом. I. Хроматографическое фракционирование. Холли, Монтгомери. II. Спектрографическое исследование метиловых эфиров. Холли, Монтгомери, Голк. III. Исследование продуктов

декарбоксилирования. Монтгомери, Холли, Голк (Structures of the water-soluble acids obtained by the alkali-oxygen oxidation of bituminous coal. I. Chromatographic fractionation. Holly E. D., Montgomery R. S. II. Spectrographic studies of the methyl ester. Holly E. D., Montgomery R. S., Gohlke R. S. III. Decarboxylation studies. Montgomery R. S., Holly E. D., Gohlke R. S.), Fuel, 1956, 35, № 6, 49—55, 56—59, 60—65 (англ.)

Уголь окисляли  $O_2$  в водно-щел. суспензии при 270° и давл. 63 ат. К-ты после подкисления экстрагировали метилэтилкетон. Выход ~ 50% на С угля. Хроматографированием на силикагеле выделены одно- и двусосновые к-ты с бензольными и конденсированными циклами и алифатич. боковыми цепями. Около 39% к-т идентифицировано в виде метиловых эфиров, полученных нагреванием к-т с  $CH_3OH$  в р-ре этилендиоксида с добавкой  $H_2SO_4$ . Найдены к-ты: бензолтетракарбоновая, тримеллитовая, фталевые, нафтойная и др. Декарбоксилированием к-т (100 г) нагреванием с безводн.  $CuSO_4$  (35 г) и хинолином (330 г) при 240° в течение 4 час. получена смесь углеводородов, среди которых массенотомографически идентифицированы бензол и его гомологи, нафталин, метилнафталин, дифенил, индан, фенантрен, атрацен и др.

Е. Мильвицкая

30078. Электрические свойства прибалтийских горючих сланцев. Бродская Б. Х. ENSV Teaduste Akad. Toimetised. Tehn. ja füüs.-matem. teaduste seer.; Изв. АН ЭССР. Сер. техн. и физ.-матем. н., 1957, 6, № 2, 157—169 (рез. зст., англ.)

Излагаются результаты исследований по установлению основных электротехнич. характеристик сланца и перемежающихся с ним пород, а также зависимости этих характеристик от содержания в сланце основных компонентов органич. в-ва, минер. массы и влаги.

Н. Гаврилов

30079. Действие перекиси водорода на различные виды торфа. Драгунов С. С., Грузинова Е. В., Тр. Всес. н.-и. ин-та торф. пром.-сти, 1957, вып. 15, 91—100

При действии  $H_2O_2$  на виды низинного торфа наблюдалось интенсивное окисление с разогреванием. С верховыми видами торфа, за некоторым исключением, разогревания не происходило. Разогревание объяснено каталитич. воздействием Fe, содержащегося в торфе.

Б. Энглин

30080. Устройство для дистанционного определения уровня шихты в хранилищах. Чалый Г. Я., Кокс и химия, 1957, № 8, 12—14

Устройство состоит из датчика спец. конструкции, емкостно-измерительного моста, магнитного или электронного усилителя и вольтметра, отградуированного в долях заполнения хранилища. Приведены схемы и дано описание датчика, применяемого для сыпучих материалов, обладающих электропроводностью.

М. Пасманик

30081. Подготовка твердых топлив. Бирбрауэр (Preparation of solid fuels. Bierbrauer E.), Gas J., 1956, 287, № 4852, 94—98 (англ.)

Доклад на 5-м Международном энергетическом конгрессе в Вене. Рассмотрены принципы и методы международной классификации углей и опыт ее применения в разных районах. Определены задачи, стоящие перед обогащением углей в связи с изменениями в организации и технике их добычи. Обсуждаются сравнительные достоинства и недостатки различных методов обогащения угля и перспективы в этой области. Отмечается все более широкое использование обогащения в тяжелых средах и флотации мелочи, применение сушки и брикетирования углей, а также

возможное распространение первичного, подземного обогащения крупных классов угля.

30082. Рациональное измельчение угля для коксования. Казисин (Racjonalny przemial wegla do koksowania. Kazisyn Irena), Koks, smoła, gaz, 1957, 2, № 4, 138—143 (польск.; рез. русск., англ., нем.)

Отмечая, что одним из условий получения высококачеств. металлургич. кокса из слабококсуемых углей является их надлежащее селективное дробление, автор рассматривает методы оценки степени дробления углей и осуществление этого процесса на практике. Дан краткий обзор действующих углеподготовительных цехов и аппаратуры польских коксогазовых з-дов и намечены мероприятия по их рационализации.

К. З.

30083. Упрочнение торфа как часть проблемы управления свойствами его в залежи. Курдюмов С. В., Тр. Укр. н.-и. ин-та местн. и топлив. пром.-сти, 1956, вып. 10, 76—97

Изучены условия торфообразования на территории УССР при соответствующем гидрохим. режиме питания залежей. Показана зависимость прочности торфяного кирпича от степени дисперсности торфяной массы, зависящей от коагулирующей способности питающих вод (содержания в них ионов Ca, Mg и Fe). Проведены опыты пептизации торфяной массы р-рами NaCl различной конц-ии, показавшие возможность увеличения степени дисперсности ~ вдвое при расходе 4 кг NaCl на 1 т воздушно-сухого торфа.

Н. Гаврилов

30084. Обогащение угля. Чармбери (Preparing coal for industry. Charmburg H. B.), Coal Util., 1957, 11, № 7, 14—17 (англ.)

Обзор методов и механизмов, применяемых для обработки угля с целью повышения его качества при использовании в пром.-сти. Кратко рассмотрены основные способы сортировки, пороодоотборки углей и методы их обогащения с помощью отсадочных машин, путем разделения в тяжелых средах, а также с применением пневматич. сепарации, гидротаторов и гидроклассификаторов; даны сведения по обезвоживанию и сушке продуктов обогащения. Сделан примерный экономич. расчет выгоды обогащения угля.

А. Шахов

30085. Магнитная регенерация магнетитовой суспензии при обогащении углей крупных классов. Ципрович М. В., Кокс и химия, 1957, № 9, 8—14

На полупромышленной установке исследовалась регенерация магнетитовой суспензии крупностью 90,4% класса  $\leq 44 \mu$  при обогащении углей крупностью 60—14 и 60—6 мм. В процессе регенерации суспензия намагничивалась, размагничивалась и разделялась на магнитном сепараторе. Потери магнетита, по данным автора, доходили до 6 кг/т, но в среднем составляли 1,4 кг/т.

У. Андерс

30086. Исследование работы пневматических сепараторов УШ-3 и отсадочных машин ПОМ-1 на углеобогажительных фабриках Кузбасса. Григорьев М. Ю., Бородин В. А., Научн. тр. по вопр. переработки и качества углей. Кузнецк. н.-и. угольн. ин-т, 1957, сб. 4, 86—98

Приведены типичная схема пневматич. обогащательной ф-ки, оборудованной сепараторами УШ-3 и отсадочными машинами ПОМ-1, а также результаты обогащения углей легкой, средней и трудной обогащаемости. Показано, что на сепараторах наиболее эффективно обогащаются крупные классы угля 13—25 и 25—50 мм, а в отсадочных машинах лучше обогащаются мелкие классы угля 3—6 и 6—13 мм. Эффективность обогащения более мелких классов угля в этих машинах резко снижается. Предложена измененная технология.



даемого  
А. Шахов  
кокса  
węgla do  
noia, gaz,  
., анги.

высоко-  
ующихся  
дробле-  
степени  
цесса на  
слеподго-  
кокогазо-  
ционаде-  
К. З.  
проблеми  
дую мов  
топливи.

оритории  
ме пита-  
и торфа  
орфяной  
ости пг-  
и Fe).  
и р-рами  
кожность  
при рас-

Гаврилов  
Preparing  
al Utiliz.

ых для  
ства при  
отрени  
и углей

адачных  
а также  
отаторов  
безвозжи-  
ан при-  
тащении

А. Шахов  
и суснен-  
Цапел-  
14

довалась  
пностью  
я круп-  
нерации  
и раз-  
гнетата,  
среднем

А. Андреев  
к сепара-  
углеобо-  
горьев  
по вопр.

к. п-и

ратитель-  
и отсе-  
аты обо-  
атимо-  
эффектив-  
3—25 и  
гащают  
ивность  
машинах  
нологич.

схема обогащения, по которой при том же кол-ве операций концентрат получается более чистым за счет переобогащения мелких классов, а производительность ф-ки может быть несколько увеличена без дополни- тельного оборудования.

Б. Мокршанский  
30087. Обогащение углей в Чехословакии. Абра- хам (Stadiul preparării cărbunilor în Republica Cehoslovacă. Abraham L.), Rev. minelor, 1957, 8, № 6, 257—265, 253—254 (рум.; рез. русск., англ., франц., нем.)

В отчете автора о посещении им углеобогащительных ф-к Чехословакии особое внимание уделяется обога- щению в тяжелых суспензиях, причем указывается, что этот процесс характеризуется высокими экономич. показателями. Дается краткая характеристика чехо- слоавской углеобогащительной пром-сти. У. Андреев

30088. Центральная обогатительная фабрика Мэн- пере Майн (Англия).— (Manvers Main central coal — preparation plant.), Colliery Engng, 1957, 34, № 404, 399—409 (англ.)

Фабрика управляется из диспетчерского пункта связанного пневмосхемой. Класс 203—51 мм обога- щается в тяжелых суспензиях по системе Барвойс, класс 51-0 мм — в отсадочных машинах системы Акко, шлам обогащается на флотационных машинах. Су- пензия приготавливается из хвостов флотации, сгущен- ных в гидроциклонах. У. Андреев

30089. Пульпомер. Мелик-Гайказян В. И., Бойченко А. А., Пилясов Ф. Л., Мороз А. П., Кокс и химия, 1957, № 6, 12—13

Для определения расхода пульпы, поступающей на флотомашину, предложен пульпомер непрерывного действия в виде пластины, опущенной в верхние слои потока, текущего по желобу треугольного сечения; пластина связана со стрелкой, указывающей расход пульпы в м<sup>3</sup>/час. Такой пульпомер установлен на углеобогащительной ф-ке Горловского коксохимич. з-да. У. Андреев

30090. Современное состояние и перспективы коксо- газовой промышленности Японии. Симмура (Shimmura Tadaji), Kōgō kagaku dзасси, J. Chem. Soc. Japan. Industr. Chem. Sec., 1957, 60, № 1, 1—4 (японск.)

Обзор. Библи. 11 назв. А. Н.

30091. Коксование трамбованных шихт. Мирош- ниченко А. М., Сениченко С. Е., Санож-ников Я. Ю., Кокс и химия, 1957, № 8, 10—12

Трамбование шихты, применяющееся в случае большого процентного содержания слабоспекающихся, малометаморфизованных углей, при работе с хорошо спекающимися углями ухудшает качество кокса. В связи со строительством коксохим. з-дов в районах, не располагающих запасами хорошо спекающихся углей, проведены опыты коксования трамбованных шихт в производственном масштабе. Показано, что трамбование улучшает качество кокса, однако при участии длиннопламенных углей все показатели ниже чем при испытании кокса из типовой шихты донец-ких углей. М. Пасманик

30092. Кокс из некоксуемых углей. Часть III. Влияние добавок железной руды. Барбу, Ни-стор, Штефанеску (Cocs din cărbuni necoaci- ficabili (III) influența introducerii în rețetă a mine- rului de fier. Barbu I., Nistor Narcissa, Ștefănescu I.), Rev. minelor, 1956, 7, № 6, 278—281 (рум.; рез. русск., нем.)

По материалам опубликованных работ рассматри- вается возможность выработки коксобрикетов из не- коксуемых углей с добавкой окислов Fe (железной руды и доменной пыли). Часть II, см. РЖХим, 1957, 72450. К. З.

30093. Грохочение кокса. Коновер (Coke screening. Conover A. E.), Blast Furnace and Steel Plant, 1955, 43, № 11, 1265—1266 (англ.)

Приведены общие соображения по теоретич. осно- вкам грохочения применительно к рассеву кокса. В за- висимости от интенсивности встряхивания сита (С) и толщины слоя крупные куски сегрегируют на по- верхность, а мелочь перемещается к основанию. При высоком содержании крупных фракций толщина слоя на С должна быть уменьшена, так как в этом случае скорость перемещения мелочи к отсеивающей поверх- ности понижена. Прохождение мелочи через сетку грохота (Г) зависит от наличия свободной поверхно- сти С и скорости продвижения материалов вдоль С. Особенностями рассева кокса являются его сильное истирающее действие на сетки, небольшой вес (воз- можна повышенная толщина слоя), значительное содержание влаги. Даны рекомендации по выбору Г в различных условиях практики рассева кокса. При рассеве мелких фракций кокса с повышенной влаж- ностью для устранения залипания сетки Г рекомен- дуется применять С с обогревом, эмалированную про- волоку, а также Г с повышенной частотой вибраций. Ф. Колесанов

30094. Анализ процесса выделения летучих продук- тов из сырого коксового газа. Часть II. Первичные холодильники. Часть III. Сатуратур. Шуба (Ana- liza przebiegu procesu wydzielania z gazu surowego lotnych produktów wysokotemperaturowego odgazo- wania węgla. Część II. Chłodnice wstępne. Część III. Sytnik. Szuba Jerzy), Koks, smoła, gaz, 1956, 1, № 2, 60—67; № 4, 152—160 (польск.; рез. русск., англ.)

По данным состава коксового газа, выходящего из барильета коксовых печей (часть I см. РЖХим, 1957, 61419), а также по материалам замеров и анализов составлены материальный и тепловой балансы работы первичных водяных холодильников трубчатого типа; показана эффективность работы этих холодильников по степени конденсации (в %) водяных паров (95,2), смолы (77,5), нафталина (65), аммиака (37), сероводо- рода (8,9), а также по тепловому балансу. Отмечено, что при других параметрах процесса охлаждения газа найденные показатели не должны существенно отли- чаться от приведенных. Составлены материальный и тепловой балансы работы сатуратора коксохимич. з-да. Материальный баланс составлен в основном по аммиаку, воде и пиридиновым основаниям; по аммиаку и пиридиновым основаниям приведен свод- ный баланс (от коксовых печей до сатуратора вклю- чительно). К. З.

30095. Вымывание аммиака из сырого каменно- угольного газа и концентрирование аммиачной воды. Террес, Аттиг, Чертер (Zur Kenntnis der Vorgänge bei der Ammoniakwäsche von Steinkohlen- rohgas und der Ammoniakwasser-Konzentration. Terres Ernst, Attig Walter, Tschertter Fritz), Gas- und Wasserfach, 1957, 98, № 21-22, 512—516 (нем.)

Проведено определение парциального давления NH<sub>3</sub> над р-рами (NH<sub>4</sub>)<sub>2</sub>CO<sub>3</sub>, (NH<sub>4</sub>)<sub>2</sub>SO<sub>4</sub>, (NH<sub>4</sub>)<sub>2</sub>S при т-рах до 95° статич. методом. Описаны аппаратура и способ измерений по этому методу. Н. Гаврилов

30096. Исследование свойств каменноугольной смолы для анализа и расчетов процесса ее ректи- фикации. Потапников М. М., Коган Б. Е., Кокс и химия, 1957, № 4, 39—44

Для анализа процесса ректификации предлагается пользоваться экспериментально полученным графиком зависимости выхода дистиллятных фракций смолы от т-ры, а также данными о содержании индивидуальных

соединений в отдельных частях дистиллята и физ.-хим. характеристиками последних. Е. Мильвицкая

30097. Состав первичной буроугольной смолы. III. Азулены. Ланда, Ромовачек, Ромовачкова (Složení hnědouhelného nízkotepelného dehtu. 3. Azuleny. Landa Stanislav, Romováček Jifi, Romováčková Hana), Chem. listy, 1956, 50, № 12, 1964—1968 (чешск.)

Из фракции 142—147°/47 мм, полученной при ректификации нейтр. части среднего масла первичной буроугольной смолы перегонкой с водяным паром, извлечением 85%-ной фосфорной к-той, хроматографированием на  $Al_2O_3$ , очисткой через тринитробензолат и последующей перегонкой выделен азулен, а из фракции 159—161°/47 мм 2-метилазулен. Тем же способом (но без перегонки с водяным паром) получена смесь производных азулена, которая перегонкой в смеси с тридеканом, тетрадеканом и гексадеканом, извлечением из соответствующих фракций 85%-ной фосфорной к-той и далее обычным путем была разделена на 2-метилазулен, диметил- или этилазулен с неопределенным положением заместителей и другие соединения. Даны спектры перечисленных азуленов в видимой и УФ-областях. Сообщение II см. РЖХим, 1957, 24187.

30098. Очистка сырого бензола методом гидрирования под давлением. Стшешевская, Вишнёвский (Zagadnienie rafinacji ciśnieniowej benzolu surowego. Strzeszewska Maria, Wiszniowski Kazimierz), Koks, smoła, gaz, 1957, 2, № 3, 114—120 (польск.; рез. русск., англ., нем.)

Обзор методов гидрирования сырого бензола  $H_2$  и  $H_2$ -содержащими газами под давлением с целью его очистки и получения моторного топлива или, после дистилляции, исходных продуктов для хим. переработки. Дано описание технологич. схем, приведены технологич. и экономич. показатели, с сопоставлением описываемого метода с обычным методом очистки сырого бензола конц.  $H_2SO_4$ . Библ. 8 назв. К. 3.

30099. Исследование процесса очистки бензола. Ридль, Ромовачек (Kritika rafinační zkoušky benzenu (CSN 66 2110). Riedl R., Romováček J.), Paliva, 1957, 37, № 5, 170 (чешск.)

Приведены результаты исследования влияния т-ры (в пределах 15—45°) и числа оборотов (в пределах 210—300 об/мин) мешалки на степень очистки бензола при промывке его 96%-ной  $H_2SO_4$  при времени промывки 5 мин. Найденные зависимости представлены в форме графиков. К. 3.

30100. Термические разрушения ретортных печей. — (Distortion of carbonizing plant by heat.), Gas J., 1955, 282, № 4794, 169—171 (англ.)

Дискуссия по докладу Дугилла, см. РЖХим, 1958, 2490.

30101. Завод по улавливанию побочных продуктов коксования. — (Byproduct plant.), Coke and Gas, 1957, 19, № 216, 187—190 (англ.)

Дано описание з-да по улавливанию хим. продуктов из газа, получаемого от двух коксовых батарей, перерабатывающих 25 000 т угля в неделю. А. Зонитар

30102. Использование побочных продуктов газового производства в Тоттенхеме (Англия) (By-product developments at Tottenham), Gas J., 1955, 281, № 4789, 729, 731 (англ.)

Дискуссия по вопросу извлечения из газа и использования  $H_2S$ ,  $NH_3$  и смолы (см. РЖХим, 1957, 61423).

Н. Кельцев

30103. Новый коксохимический завод в Саут-Банк (Англия). — (New Dorman Long coking plant at South Bank.), Iron and Coal Trades Rev., 1957, 174, № 4642, 1089—1091 (англ.)

Описание крупнейшего коксохимич. з-да, располага-

ющего 150 печами с общей недельной мощностью 25 000 т угля (по загрузке). Сообщены данные о конструкции и работе коксовых печей и обслуживающих их механизмов по загрузке шихты, а также по выдате, тушению и сортировке металлургич. кокса. Даны сведения о процессах и аппаратуре для улавливания и переработки летучих продуктов коксования.

А. Шахов

30104. Реконструкция коксогозового завода в Бектоне (Англия). — (Beckton modernisation nears completion. New river wall will add 3½ acres to works site.), Gas J., 1957, 291, № 4903, 31—34 (англ.)

30105. Полукоксование в псевдооживленном слое. Ионеску, Ангел (Semicarbonizarea cărbunilor prin fluidizare. Ionescu Miti, Anghel Valeriu), Rev. minelor, 1957, 8, № 2, 98—104 (рум.; рез. русск., англ., франц., нем.)

Краткий обзор современного состояния технологии полукоксования и описание проведенных исследований, на основе которых сделано заключение о целесообразности работы на печах с псевдооживленным слоем. Библ. 8 назв. Л. Андреев

30106. Исследования оснований буроугольной смолы. III. О составе оснований легкого масла, в частности, наличии этилпиридинов. Науман, Лейбниц (Zur Kenntnis der Basen des Braunkohlenteeres. III. Über die Inhaltstoffe der Leichtölbases, insbesondere über das Vorkommen von Äthylpyridinen. Naumann K., Leibnitz E.), J. prakt. Chem., 1956, 4, № 1-2, 43—68 (нем.)

Методом противоточной дистилляции выделены узкие фракции, в которых дробным осаждением  $HgCl_2$  идентифицированы  $\alpha$ -,  $\beta$ - и  $\gamma$ -этилпиридины, до сих пор не известные в буроугольной смоле. Сообщение II см. РЖХим, 1957, 52169.

В. Загребельная

30107. Очистка кислых фракций низкотемпературного каменноугольного дегтя с применением ионообменных смол. Дегг, Ньюэрт (Refining low temperature tar acids with ion exchange resins. Degg E. A., Newworth M. B.), Industr. and Engng Chem., 1957, 49, № 2, 182—185 (англ.)

Примесь следов масляной к-ты (I) обуславливает запах кислых фракций дегтя. На искусств. смеси фенол-I-основания дегтя в р-ре метанола исследована очистка фенола от I и оснований с помощью ионообменных смол и показана возможность достижения высокой степени очистки (содержание I 0,05%; пиридина 0,1%). А. Зонитар

30108. Исследование влияния катализаторов на выход первичной смолы при сухой перегонке торфа. Хиданели А. Н., Тр. Груз. политех. ин-т, 1957, № 5, (53), 81—94

При полукоксовании в алюминиевой реторте двух образцов грузинских торфов различной степени разложения с применением катализаторов обнаружено, что добавка 4% NaCl дает максим. выход смолы, введение NaOH и KOH несколько снижают выход смолы и значительно повышают выход газов, а добавка  $Na_2CO_3$  практически не влияет на выходы продуктов полукоксования. Н. Гаврилов

30109. Печи периодического действия и туннельные печи. — (Heating batch type and tunnel kilns.), Refractories J., 1957, 33, № 2, 70—72 (англ.)

Описана газогенераторная станция, состоящая из 2 генераторов для получения смешанного газа общей производительностью 50 т в сутки; производительность каждого генератора может быть доведена до 40 т в сутки при использовании неспекающихся углей размером зерна 20—35 мм. Получаемый газ с теплотворностью 1450 ккал/м³ используются для отопления печей периодич. действия и туннельных печей для обжига керамич. изделий и огнеупоров. Н. Лапидес



30110. Окислительная деструкция керогена кукуерситов. Фомина А. С., Побуль Л. Я., Изв. АН Эст. ССР, 1954, 4, № 1, 48—56.  
Предыдущее сообщение см. РЖХим, 1957, 35292.

30111. О групповом и индивидуальном составе средней генераторной смолы эстонского горючего сланца Эйзен О. Г., Арро И. Х., Химия и технол. топлива и масел, 1957, № 11, 39—43.

Средняя смола генераторов комбината Кохтла Ярве после обесфеноливания 10%-ным р-ром NaOH поступает на дистилляцию под вакуумом на 10—20-градусные фракции, после чего определялся групповой и индивидуальный состав. Показано, что с повышением т-ры кипения фракций содержание в них парафиновых и нафтеновых углеводородов резко снижается и доходит до ~0 во фракциях с т. кип. > 400°, а содержание олефинов снижается с 23 до 0,9%; содержание ароматич. углеводородов мало изменяется в различных фракциях. Содержание кислородных соединений сильно возрастает с повышением т-ры кипения фракций и достигает значений > 60%. Повторным хроматографич. разделением выделены бензолные соединения и углеводороды с конденсированными кольцами. Полученные в результате разгонки в вакуумной ректификационной колонне фракции очищались и исследовались по УФ-спектрам, в результате чего идентифицированы: флуорен, антрацен, фенантрен, 2-метилантрацен, пирен и бензо-β-нафтол-2-3-α-фуран.

А. Шахов  
30112. Переработка газогенераторной смолы прибл.-тайских горючих сланцев на моторное топливо, химические продукты и газ. Дьякова М. К., Воль-Энштейн А. Б., Советова Л. С., Алекс Е. А., Химия и технол. топлива и масел, 1957, № 4, 28—38.

Предложены схемы переработки смолы, включающие разгонку ее, крекинг тяжелых остатков экстракцией метанолом и гидрогенизационную очистку.

Г. Марголина  
30113. Предварительные испытания экстракции фушунской сланцевой смолы жидкой двуокисью серы и водным раствором метилового спирта. Чжу Хун, Е Цзю-хэн (Chu Hung, Yeh Tsu-bane), Жаньяо сюэбао, Acta focalia sinica, 1956, 1, № 1, 64 (кит.).

Предложен метод селективной экстракции фушунского сланцевого сырого масла с применением в качестве селективных растворителей жидкой SO<sub>2</sub> и 85% водн. р-ра CH<sub>3</sub>OH, которые применяются последовательно. В результате процесса сланцевое сырое масло разделяется на 3 части: 1) экстрагированное жидкой SO<sub>2</sub> масло, в составе которого главное место занимают парафины и циклопарафины. Данное масло может применяться в качестве осветительного масла или дизельного топлива. Выход его 60%; 2) извлеченное CH<sub>3</sub>OH маслом, в основном состоящее из ароматич. углеводородов и олефинов. Выход его ~20%; 3) часть, в основном, состоящая из кислых в-в и оснований, выход ее ~18%. Приведены данные характеризующие вышеуказанные масла, и схема аппарата. А. Зонятаг

30114. Газификация твердых топлив для прямого получения конвертированного газа. Федосеев С. Д., Агусевич И. З., Певзнер И. Д., Тр. Моск. хим.-технол. ин-та им. Д. И. Менделеева, 1957, вып. 25, 127—132.

Исследованием газификации бурого угольного и сланцевого полукоксов на перегретом водяном паре в качестве реагента и теплоносителя установлена возможность получения газа с содержанием CO < 4%, который может служить сырьем для получения технич. H<sub>2</sub> без последующей конверсии CO. Изучено влияние т-ры на р-цию взаимодействия водяного пара с углеродом топлива в интервале т-р 600—900°. Средний со-

став газа (%): CO<sub>2</sub> 29; CO 2,5; CH<sub>4</sub> 1,5; H<sub>2</sub> 67. С повышением т-ры скорость процесса и степень разложения водяного пара возрастают. Изучено влияние скорости подачи водяного пара на процесс газификации. В условиях опытов увеличение скорости дутья оказывало влияние на повышение выхода газа и на температурный режим. В. Загребельная

30115. Газификация каменного угля под давлением. Тэрун, Кагаку когё. Chem. Ind. (Japan), 1957, 8, № 6, 2—7 (японск.).

30116. Экономика получения низкокалорийного газа. Вагнер (Gedanken zur Wirtschaftlichkeit der Schwachkaserzeugung. Wagener Dietrich), Erdöl und Kohle, 1957, 10, № 8, 513—515 (нем.).

Рассматриваются вопросы экономики получения низкокалорийного газа при различных вариантах сопряженного метода. Приводится сравнение стоимости газа, полученного по разным вариантам. Б. Энглин

30117. Подземная газификация угля в СССР.— (Podziemne zgarozowanie węgla w ZSRR.—), Wiadom. górnicze, 1955, 6, № 7/8, 215—219 (польск.).  
См. РЖХим, 1957, 16588.

30118. Применение стехиометрического анализа к условиям подземной газификации топлива. Дерман Б. М., Тр. Ин-та горючих ископаемых АН СССР, 1957, 7, 66—74.

Изложены принципы стехиометрич. анализа и дана обработка результатов опытов подземной газификации угля на Подмосковной станции. В. Загребельная

30119. Влияние влаги на процесс подземной газификации углей. Бруштейн Н. З., Загребельная В. С., Подземн. газификация углей, 1957, № 3, 33—38.

В отличие от газификации в наземных генераторах при подземной газификации происходит нагревание и испарение влаги топлива и нагревание окружающих пород, что вызывает ухудшение условий для р-ции восстановления CO<sub>2</sub>. Для образования газа любого состава при подземной газификации подмосковского бурого угля влаги угля вполне достаточно. Фактич. влажность газа определялась методом конденсации, расчетная — по содержанию влаги топлива и в соответствии с составом газа. Разница между расчетной и фактич. значениями влажности показывает кол-во испаренной приточной влаги; последняя только ухудшает тепловой режим газогенератора. Доказывается неправильность утверждения, что газ Подмосковной станции «Подземгаз» достигает наибольшей теплопроводности при влажности 180—200 г/м<sup>3</sup>.

В. Загребельная  
30120. Газотранспортные сети в северо-западных районах Франции.— (L'interconnexion gaz dans le bassin minier du Nord et du Pas-de-Calais.—), Mines, 1957, 12, № 3, 219—221 (франц.).

Даются краткие сведения по дислокации газопроводов в северо-западных р-нах Франции, характеристике и взаимосвязи этих газопроводов, а также по характеру транспортируемых по ним газов. Приведена карта газовой сети. К. З.

30121. Регенерация уплотнительного масла для сухих газгольдеров. Одегнал, Хауэр (Regenerace těsnícího oleje pro suche plynojemy. Odehnal S., Hauwer J.), Paliva, 1957, 37, № 9, 306—309 (чешск.; рез. нем., русск.).

Описана технологич. схема установки, сооруженной у сухого газгольдера системы М. А. Н. в Кладно (Чехословакия) для непрерывной регенерации (освобождения от воды и бензола) уплотнительного масла, стекающего из газгольдера. Установка отличается усовершенствованиями по сравнению с аналогичными установками в ФРГ и Англии, в частности применением вакуума (80 мм водн. ст.); даны производственные показатели работы установки. К. З.

30122. О газификации отходов лесозаготовок с целью получения газа повышенной теплотворности. Марченко П. Ф., Научно-техн. информ. Моск. лесотехн. ин-т, 1956, № 21 37—57.

30123. Экстракция лигнина растворителями и пиролиз экстрактов. Франк, Кроули, Элдер (Solvent extraction of lignite and carbonization of lignite extracts. Franke N. W., Crowley E. I., Elder H. J.), Industr. and Engng Chem., 1957, 49, № 9, Part 1, 1402—1408 (англ.).

Исследована возможность снижения расхода  $H_2$  при ожигании угля. Образцы лигнитов (влажность 28—39; зольность 7—11; летучие 25—31; кокс 24—28%) с помолотом 80 меш. нагревали в автоклаве в течение 45 мин. при 360—440° с донорами  $H_2$  (тетралин, декалин и др.), а также с крезолом, нафталином и другими ароматич. соединениями. Экстракты подвергали пиролизу при т-рах до 650—700°. В ряде опытов экстракцию вели под давл.  $H_2$  35—70 ат. Экстракты при гидрогенизации с Ni-катализатором давали выход дистиллята 25—50% на органич. часть, вместо 10% при пиролизе. При экстрагировании лигнитов с донорами  $H_2$  наблюдалось обогащение экстрактов водородом. Ю. Вендельштейн

30124. Равномерная газификация искусственного графита двуокисью углерода при 1100°. Питерсон (Uniform gasification of artificial graphite with carbon dioxide at 1100°C. Petersen E. E.), Industr. and Engng Chem., 1955, 47, № 8, 1630—1634 (англ.). См. также РЖХим, 1957, 35336.

30125. Изучение газовых пламен во Франции. Гуффё (La deuxième journée d'étude sur les flammes. Gouffé A.), J. usines gaz, 1956, 80, № 1, 19—22 (франц.).

Рефераты докладов по исследованиям газовых пламен, представленных на втором заседании Комитета по изучению пламен в Париже. К. 3.

30126. Метод технологического расчета и проектирования аппаратуры для очистки генераторного газа. Вайнлих (Metoda technologických výpočtů a postup při projektování čistírny generátorového plynu. Vajnlích J.), Paliva, 1957, 37, № 10, 340—347 (чешск.).

Рассмотрен пример технико-экономич. обоснования выбора нестандартной технологич. схемы очистки газа на газогенераторной станции с предельной производительностью 1 140 000  $м^3$  газа в сутки, работающей на северо-чешском буром угле. Газ с т-рой 110° проходит параллельно включенные электрофильтры 1-й ступени очистки, затем трубчатые водяные холодильники и, наконец, электрофильтры 2-й ступени, после чего газ подается к печам. Даны проектные расчеты электрофильтров и холодильников а также выходов смолы и проч., с проектными данными по сборникам, фильтрам и коммуникациям, также калкуляция вырабатываемых продуктов. К. 3.

30127. Характер микроявлений горения твердого топлива. Кнорре Г. Ф., Теплоэнергетика, 1957, № 11, 52—59, 2 (рез. англ.).

Описываются характерные микроявления при газификации и горении частиц твердого топлива и дается их качеств. трактовка. Резюме автора

30128. Лабораторное исследование процесса сгорания пылевидных топлив в слое. Новак (Laboratorní výzkum pochodu hoření ve vrstvě prachových paliv. Novák J.), Sbírka prací výzkumn. úst., 1957, A9, № 27-29, 3—83 (чешск.; рез. русск., англ., нем.).

На лабор. установке исследовался процесс сжигания пылевидного топлива на ценных решетках различного типа; устанавливался тип колосниковой решетки, обеспечивающий при нормальной производительности

ее на 1  $м^2$  площади получение высоких к. п. д. и тепловой напряженности. Определено оптимальное соотношение буроугольной пыли и мостежкого подушника для получения высоких к. п. д. Спец. исследовался вопрос увлажнения топлива и определялась оптим. его влажность при сжигании. У. Андрес

30129. К вопросу теории отбора проб угля. Томлинсон (A note on coal sampling theories. Tomlinson R. C.), Fuel, 1957, 36, № 4, 442—446 (англ.). Дается вывод теоретич. ф-лы для определения веса пробы угля в зависимости от зольности и крупности частиц. У. Андрес

30130. Исследование изменения микроструктуры углей при термическом воздействии. Аммосов И. И., Аммосова Я. М., Кокс и химия, 1957, № 5, 9—17.

Витриниты углей от длинноламенных до коксовых, находящихся на стадии метаморфизма I<sub>2</sub>, II<sub>2</sub>, III<sub>2</sub> и IV<sub>2</sub>, при нагревании изменяют микроструктуру с образованием пор; начало этого изменения может служить показателем перехода угля в пластич. состояние. В процессе формирования кокса установлено три стадии пористых структур, зависящих от изменений пластич. состояния угля. Выражением особенностей пластич. состояния являются размеры, форма и толщина стенок пор. На различных стадиях метаморфизма начало изменения микроструктуры витринита, изменение пластич. состояния и период интенсивного выделения летучих в-в неодинаковы. М. Пасмани

30131. Полярнографическое определение магния в угольных золах. Кесслер, Дочкалова (Příspevek k polarografickému stanovení hořčíku v uhelných popelech. Kessler Ferdinand M., Dočkalová Libuše), Sbírka prací výzkumn. úst., 1957, A8, № 17-26, 214—223 (чешск.; рез. русск., англ., нем.).

Разработан метод косвенного полярнографич. определения Mg в щел. среде при помощи Zn и оксималина; образование Mg-хинолата протекает количественно. Предлагаемый метод имеет преимущества перед обычным весовым методом, так как отпадают процедуры осаждения, фильтрации и прокаливания Mg-фосфата. А. Шахов

30132 П. Способ просеивания влажных мелкозернистых материалов, например угольной мелочи (Verfahren zur Sieben feuchten, feinkörnigen Gutes, wie Rohfeinkohle und Feinkohle) [Elektro-Physik Aachen G. m. b. H.]. Пат. ФРГ 946611, 2.08.53

Для просеивания применяют сито из намагниченного материала. Сито и просеиваемый продукт подвергают воздействию переменных электромагнитных полей с частотой 200—20000 гц, причем частоту выбирают соответственно резонансу отсеиваемых частиц наибольшего размера в поле, образованном силами земного притяжения. М. Пасмани

30133 П. Установка для карбонизации углеродистых материалов. Браун (Plant for the carbonization of carbonaceous materials. Brown J. A.) [National Carbonising Co., Ltd.]. Англ. пат. 739717, 2.11.55

Патентуется вертикальная реторта (по англ. пат. 469607) для карбонизации с внутренним обогревом газозаводушной смесью, решетка (Р) которой, выполненная из жаростойкой стали, состоит из плоской рабочей части по периферии Р и пирамидальной части, представляющей собой ряд панелей с загнутыми бортами и прорезями между ними для прохода газа. Во время процесса карбонизации Р закреплена к выступу на стенке реторты с помощью зажимов винтового типа; по окончании процесса Р опускается с помощью гидравлич. привода и кокс ссыпается по желобу на транспортер. Перед входом в реторту газ проходит гидрозатвор. Предусматривается возможность отсут-



стия плоской кольцевой части Р; Р может быть изготовлена из конич. каркаса, покрытого огнеупорным материалом, с вершиной из жароупорной стали. Р занимает  $\frac{1}{10}$  объема реторты. Дан эскиз. Н. Лапидес

**30134 П.** Способ алкилирования и гидроочистки бензольных углеводородов. Холт (Verfahren zum Alkylieren und hydrierenden Raffinieren von Benzolkohlenwasserstoffen. Holt Herbord von) [Fa. Carl. Still]. Пат. ФРГ 954692, 20.12.56

Для алкилирования и гидроочистки используют газы, содержащие  $H_2$  и непредельные углеводорода  $C_2-C_4$ . Смесь из бензольных углеводородов и газа, содержащего пропилен и бутилен и  $H_2$ , вначале подвергается алкилированию над фосфорной к-той, а затем гидрогенизации над обычным катализатором при 400—420° и давл. 35 ат. Н. Гаврилов

**30135 П.** Способ разделения фенолов и оснований. Ньюэрт (Separation of tar acids and tar bases. Newworth Martin B.) [Pittsburgh Consolidation Coal Co.]. Пат. США 2766297, 9.10.56

Способ разделения фенолов (Ф) и оснований (О) заключается в контактировании смеси их в жидкой фазе с синтетич. алюмосиликатным катализатором прекинга, содержащим 1—50 (1—20)  $Al_2O_3$  и 99—50 (99—80) вес. %  $SiO_2$ . Смесь Ф и О перед обработкой растворяют в полярных органич. р-рителях, напр. метилоловом, этиловом или пропиловом спиртах, ацетоне или метилэтилкетоне. О адсорбируются на катализаторе. Регенерация катализатора производится: 1) продувкой через него р-ра  $H_2SO_4$  в указанных р-рителях, разбавленных водой, 2) сжиганием отложений на катализаторе с воздухом при 480—650°. В. Кельцев

**30136 П.** Конверсия низкотемпературной смолы в высокотемпературную смолу в камерах коксовых печей. Беккер (Low temperature tar conversion to high temperature tar in high temperature coking chambers. Becker Joseph) [Koppers Co., Inc.]. Пат. США 2758198, 24.07.56

Предложен способ использования смолы низкотемпературного коксования (СНК) и полукокса в качестве добавок к шихте высокотемпературного коксования (при т-ре > 800°) с целью увеличения выработки более ценной коксовой смолы. Если к коксовой шихте добавляется только СНК, то кол-во ее составляет 1—10 вес. %, если же добавляется СНК и полукоксы, то их суммарное кол-во может достигать 10—30%; при коксовании таких смесей в горизонтальных, вертикальных или наклонных коксовых печах периодич. или непрерывного действия выработка смолы значительно увеличивается, без существенного увеличения выпуска кокса. Приведены схемы. В. Кельцев

**30137 П.** Способ отверждения пеков и битумов, особенно буроугольных пеков. Трёбс, Хервиг, Порциг (Verfahren zum Härten von Pechen und Bitumen, insbesondere Braunkohlenteerpechen. Tröbs Heinrich, Heerwig Heinz, Porzig Werner). Пат. ГДР 12641, 8.02.57

Предложен способ повышения т-ры размягчения пеков и битумов, в особенности буроугольных пеков, продувкой воздухом и отгонкой летучих в-в, с применением активирующих добавок к пеку или воздуху, отличающийся тем, что продувка воздухом и отгонка летучих в-в происходят одновременно; при этом из напыленного пеком куба, куда поступает продувочный воздух, непрерывно отводится поток пека и подается в установку дистилляции, представляющую собой вращающуюся трубчатую печь с внутренним обогревом; из печи отвержденный пек снова возвращается в куб. Процесс можно вести так, что свежий пек непрерывно закачивается в циркуляционную систему через вращающуюся трубчатую печь, а обработанный пек непрерывно отбирается из

куба. Пример. В куб. загружено 40 т буроугольного пека с т. размягч. 40° и через него при т-ре 250° пропускают 20 м<sup>3</sup>/мин воздуха. Из куба насосом забирается 5 т/час пека, который пропускают через трубчатую печь и снова возвращают в куб. Такой обработкой в течение 12 час. получают 30 т пека с т. размягч. 80°; при обычно применяемой обработке потребовалось бы 40—30 час. Приведена схема. В. Кельцев

**30138 П.** Способ повышения выхода и улучшения качества парафинов из сланцевых смол полукокса. Любен (Verfahren zur Steigerung der Ausbeute und Verbesserung der Qualität von Schieferöl-Schwelparafrinen. Lüben Robert) [Ruhrchemie A.-G.]. Пат. ФРГ 935080, 10.11.55

В развитие процесса, заявленного по пат. ФРГ 925059 (РЖХим, 1957, 31999), для улучшения запаха бензина предложено окислять органич. S-соединения с помощью воздуха,  $O_2$  или других окислителей. В качестве катализаторов окисления вместо угля или наряду с ним применяют Pt- или Pd-чернь. Образующиеся при этом соединения, в частности дисульфиды, постадийно удаляют из угля, для чего может быть применен NaOH или другое основание. Выделенные S-соединения отделяют от щел. р-ра механич., химич. или термич. путем. Процесс можно вести непрерывно. Е. Покровская

**30139 П.** Способ и аппаратура для конверсии газообразных топлив, применимые также для газификации жидких топлив (Appareil et procédé de conversion des combustibles gazeux, utilisables pour la gazéification des combustibles liquides) [Cie Générale de Construction de Fours et M. Jean Gilly]. Франц. пат. 1115753, 30.04.56

Способ и аппаратура для произ-ва промышленных горючих газов путем конверсии или газификации топлив, начиная с газообразных или жидких углеводородов и аналогичных материалов, отличающиеся тем, что процесс ведется в двух, соединенных в один блок, предпочтительно размещенных концентрически, камер, из коих одна (1К) обогревается снаружи, а вторая (2К) изнутри; газы из обеих камер, до их выхода из аппарата, смешиваются и проходят слой катализатора для завершения конверсии; при концентрич. размещении 2К располагается внутри и передает часть своего тепла окружающей ее 1К, которая дополнительно обогревается нагревателями, установленными в слое катализатора. Нагреватели могут представлять собой электросопротивления, защищенные непроницаемыми футлярами, или коаксиально расположенные трубки, из коих одна на одном конце заглушена (напр., огнестойким металлом), а вторая (внутренняя), в которой осуществляется процесс горения, изготовляется из огнестойкого, пористого материала; циркулирующие продукты горения направляются во внутренней трубке сверху вниз, а в наружной — снизу вверх. Часть 1К может быть отделена и газ из нее направлен в 2К. Установка обеспечена распределительными устройствами и задвижками, позволяющими направлять регулируемые потоки в соответствующие части 1К и 2К. Установка может быть рассчитана на одновременную переработку нескольких видов газообразных или жидких топлив; ее можно снабдить теплообменниками для использования тепла отходящих газов и дымовых газов для получения перегретого водяного пара и подогрева направляемых в процесс потоков. Даны схемы. К. З.

**30140 П.** Производство синтез-газа. Арнольд (Production of synthesis gas. Arnold John Henry) [Hydrocarbon Research, Inc.]. Пат. США 2752232, 26.06.56

Предложен способ получения синтез-газа, состоящего из CO и H<sub>2</sub>, путем неполного сжигания газообразных углеводородов (ГУ) с O<sub>2</sub>-содержащим газом. В реакционную зону вводят множество чередующихся потоков ГУ и газа-окислителя, расположенных так, что каждый поток ГУ находится между двумя потоками окисляющего газа; все эти потоки окружены в конце потоком синтез-газа. Даны схемы движения потоков.

М. Павловский

**30141 П.** Способ выделения и переработки сернистых и азотистых соединений из газов сухой перегонки или гидрогенизации угля (Procédé pour fabriquer des produits de substitution du méthane, contenant du soufre ou de l'azote, à partir de gaz provenant de la distillation sèche ou de l'hydrogénation de la houille) [Dr. C. Otto et Comp. G. m. b. H.], Франц. пат. 1117659, 25.05.56

Способ выделения и переработки S- и (или) N-соединений из искусств. горючих газов заключается в улавливании оснований и (или) к-т в газообразном состоянии с помощью селективных абсорбентов, напр. водн. р-ров аммиака, фенола, щел. солей аминокислот, после чего производится селективная отгонка абсорбированных в-в для получения в газообразном состоянии к-т, напр. H<sub>2</sub>S и (или) CO<sub>2</sub> без NH<sub>3</sub>, с одной стороны, газообразного NH<sub>3</sub> без к-т, с другой стороны. Затем осуществляется синтез мочевины (М) и (или) тиомочевины (ТМ) при нормальном или слегка повышенном давлении: в результате р-ции между газообразными к-тами получается COS, которая с NH<sub>3</sub> дает М и (или) ТМ. Газообразные к-ты могут быть переработаны обычным способом с помощью водн. р-ров Са-цианамидов в ТМ. NH<sub>3</sub> может быть переработан обычным способом с помощью Са-цианамидов или цианамидов, полученного в процессе, в гуанидин или в меламина.

К. З.

**30142 П.** Метод и аппарат для измерения степени окисления угля (Method and apparatus for measuring the degree of oxidation of coal). Англ. пат. 733000, 6.07.55

Для определения степени окисленности угольной пыли, которая связана с ее электр. свойствами, предлагается аппарат, представляющий собой 2 коаксиальных металлич. цилиндра, из которых внутренний цилиндр вращается, а внешний неподвижен. Угольная пыль сбрасывается через питатель на внутренний барабан, на котором возникает заряд электростатич. электричества. По величине заряда оценивается окисленность угля. Путем измерения заряда можно контролировать т-ру окисления, скорость воздушного или угольного потоков и др.

У. Андрес

См. также: Происхождение твердых горючих ископаемых 28288, 28289. Состав и свойства твердых горючих ископаемых 28292, 28306. К.-и. п. на углеперерабатывающих установках 29133. Анализ твердого топлива 28434, 28480

## ПЕРЕРАБОТКА ПРИРОДНЫХ ГАЗОВ И НЕФТИ. МОТОРНОЕ И РАКЕТНОЕ ТОПЛИВО. СМАЗКИ

Редакторы И. М. Руденская, М. О. Хайкин

**30143.** Вопросы терминологии в нефтеперерабатывающей промышленности. Орништейн (Probleme vechi si noi de terminologie a produselor industriale de petrol. Ornstein M.), Standardizarea, 1956, 8, № 9, 20—21 (рум.)

Рассматриваются вопросы технич. терминологии в связи со стандартизацией продуктов нефтепереработки.

К. З.

**30144.** Нефтепереработка во Франции. Анри (France now Europe's second largest refiner. Henry Guy), World Petrol., 1957, 28, № 8, 75—77 (англ.)

В настоящее время Франция занимает 2-е место в Европе по нефтепереработке: мощность нефтезаводов Франции достигла 31 млн. т в год. В 1956 г. переработано 26,8 млн. т нефти, из них нефть метрополии составляет 1,26 млн. т, а 90% импорта — нефти Среднего Востока. Приводятся данные по производительности 13 французских нефтезаводов и по количеству полученных в 1955—1956 гг. нефтепродуктов.

С. Розенберг

**30145.** Перспективы нефтепереработки в ФРГ. Штамер (West German refining capacity to double by 1965. Stahmer A. M.), World Petrol., 1957, 28, № 8, 100, 102, 104 (англ.)

Приводятся данные по расширению ряда существующих нефтезаводов. В Рейн-Рурской области должны быть построены 4 нефтеперерабатывающих з-да общей мощностью 21,5 млн. т нефти в год. Суммарная производительность нефтезаводов ФРГ в 1965 г. достигнет 35—40 млн. т нефти в год, т. е. увеличится по сравнению с 1957 в > 2 раза. Доля товарных нефтепродуктов в импорте всех нефтепродуктов снизится с 30,6% (1956 г.) до 13% (1965 г.).

С. Розенберг

**30146.** Перспективы развития нефтехимической промышленности Австралии. Кейн (The future of petrochemicals in the Australian chemical industry. Kane R. F.), Proc. Roy. Austral. Chem. Inst., 1957, 24, № 8, 444—456 (англ.)

Отмечается слабое развитие нефтехим. промышленности в Австралии, объясняемое различными причинами, и обсуждаются перспективы в этой области.

Г. Марголина

**30147.** Рост нефтепереработки в Австралии. Пилчер (Expanded Australian refineries. Pilcher D. M.), World Petrol., 1957, 28, № 8, 91—93, 130 (англ.)

Мощность нефтезаводов Австралии составляет 9,3 млн. т нефти в год (с 1951 г. построено 4 новых нефтезавода). Приводятся данные по произ-ву и потреблению различных нефтепродуктов в 1956 г. Произ-во австралийских з-дов на 85% обеспечивает потребление моторных топлив и превышает потребность страны в дизельных и котельных топливах, позволяя экспортировать эти продукты. Основными статьями импорта нефтепродуктов являются смазочные масла и осветительный керосин.

С. Розенберг

**30148.** О нефтехимической промышленности Японии. Като, Нэцу-канри сирё, Heat Engng, 1957, № 2, 1—8 (японск.)

**30149.** Нефтеперерабатывающий завод в Йорктауне (США). Мерк (The Yorktown refinery. Merck D. A.), Petroleum, 1957, 20, № 9, 331—335 (англ.)

Описание и технологич. схема нефтезавода, пущенного в эксплуатацию в конце 1956 г. и перерабатывающего 5600 м<sup>3</sup> в сутки сырой нефти.

С. Розенберг

**30150.** Переработка нефти. Кут (Petroleum refining. Coote C. W.), Engng J., 1957, 40, № 9, 1273—1276, 1287 (англ.)

В обзорном докладе автора рассматриваются вопросы размещения нефтеперерабатывающих з-дов, современные технологич. схемы переработки нефти, а также перечисляются товарные продукты, получающиеся при разных схемах переработки.

Л. Пашковская

**30151.** Производительность английских нефтезаводов. Ломак (British refinery throughput. Lomax E. Lawson), World Petrol., 1957, 28, № 8, 109—111 (англ.)



В 1956 г. нефтеперерабатывающие з-ды Англии выпустили 28,68 млн. т нефтепродуктов — на 8,5% больше, чем в 1955 г. Приводятся данные по выпуску различных нефтепродуктов в 1955 и 1956 гг. Предполагается увеличение мощностей в 1958 г. до 42 млн. т в год (в 1956 г. — 30 млн. т). Сообщаются сведения о реконструкции и расширении существующих з-дов.

С. Розеноер

**30152. Нефтехимическая промышленность Англии.** Ломакс (Petrochemicals in the U. K. Lomax E. Lawson), World Petrol., 1957, 28, № 8, 112—114, 116, 118, 120 (англ.)

Приводятся данные по развитию нефтехим. пром-сти с 1949 г. с указанием отдельных работающих и строящихся з-дов. К концу 1958 г. произ-во нефтехим. продуктов в Англии составит 900 тыс. т в год.

С. Розеноер

**30153. Использование сжиженных нефтяных газов для производства вторичного бутылочного спирта.** Хаяси (Hayashi Kiyoshige), Нэнрё кёкай-си, J. Fuel Soc. Japan, 1957, 36, № 364, 635—640 (японск.; рез. англ.)

Описание первого в Японии з-да нефтехимич. синтеза фирмы Maruzen Oil Co. З-д вырабатывает вторичный бутылочный спирт, полибутен и метилэтилкетон. Даны технологич. схемы произ-ва.

А. Нагаткина

**30154. Нейтрализация нефтей.** Марциняк, Сукмаровский (Odkwaszenie rop. Marciniak Jadwiga, Suknarski Stefan), Nafta (Polska), 1957, 13, № 9, 252—254 (польск.)

При разгонке австрийской нефти, содержащей ~0,5% S, ~0,01% Cl и нафтенные к-ты в кол-ве, отвечающем 1,2—1,8 мг KDN/g, наблюдается коррозия труб печей (вызываемая по-видимому большим содержанием нафтенных к-т). В результате лабор. опытов по нейтр-ции этой нефти и ее фракций р-рами NaOH показана предпочтительность нейтр-ции исходной сырой нефти р-рами 5—10%-ной конц-ии, с расходом 1,5 кг NaOH на 1 г нефти.

К. З.

**30155. Процесс Изо-Плюс для получения бензина с октановым числом 100 и выше.** Хейнеман, Уолсер, Шалл, Облад (Iso-plus, nouveau procédé pour la production d'essence ayant un degré d'octane de 100 ou supérieur. Heinemann Heinz, Walser F. R., Schall J. W., Oblad A. G.), Bull. Assoc. franc. techniciens pétrole, 1955, № 114, 535—551 (франц.)

**30156. Двухступенчатый крекинг с псевдоожиженным катализатором.** Хелдман, Кунрейтер, Маршалл, Рейбейн (Two-stage fluid cracking. Heldman J. D., Kunreuther F., Marshall J. A., Rehbein C. A.), Canad. Oil and Gas Inds, 1956, 9, № 11, 81—86 (англ.)

Приведены описание процесса двухступенчатого крекинга, данные по выходу продуктов из различного сырья и характеристика получаемых продуктов. См. также РЖХим, 1957, 69706.

А. Равикович

**30157. Крекинг тяжелых углеводородов по способу Гудришда.** Милс, Стивенсон, Смит, Хейнеман (Umwandlung schwerer Kohlenwasserstoffe durch das Houdresid-Verfahren. Mills G. A., Stevenson D. H., Smith R. K., Heinemann H.), Erdöl und Kohle, 1955, 8, № 11, 782—785 (нем.)

Опыт работы в США установки крекинга тяжелых нефтяных продуктов при 480—510° с движущимся зерненным катализатором. Найдено, что отложение тяжелых металлов, содержащихся в сырье, происходит на поверхности зерен катализатора. Поэтому при истирании последнего выделившиеся металлы удаляются, благодаря чему после добавки свежего катализатора протекает процесс крекинга сырья с высоким содержанием S и N-соединений. Выхода бензинов с окта-

новым числом 88,9—92,1 составляют 30—60%. Содержание олефинов во фракции C<sub>3</sub> ~ 75, во фракции C<sub>4</sub> > 60%.

Б. Энглин

**30158. Катализаторы для нефтеперерабатывающей промышленности.** Дженсен (Catalysts for the petroleum industry. Jensen James T.), Chem. and Engng News, 1956, 34, № 34, 4090—4095 (англ.)

Приводятся общие сведения о катализаторах, применяемых в нефтеперерабатывающей пром-сти США, главным образом в процессе каталитич. реформинга (платформинга), масштабах их потребления и стоимости. Схематич. представлены также хим. превращения углеводородов, имеющие место при каталитич. реформинге.

В. Щекин

**30159. Гидрогенизация в нефтепереработке.** Шервуд (L'hydrogenation sés diverses applications en raffinerie. Sherwood Peter W.), Techn. et applic. pétrole, 1956, 11, № 131, 4855, 4857, 4868; 1957, 12, № 132, 4911—4914; 12, № 133, 4971—4973 (франц.)

Предыдущее сообщение см. РЖХим, 1957, 58468.

В. Щекин

**30160. Этаноламиновая очистка газа.** (Some operating problems in ethanolamine gas purification.—), Gas World, 1957, 146, № 3811, 380—383 (англ.)

Описывается очистка газа от H<sub>2</sub>S и CO<sub>2</sub> моноэтанол-амином, диэтанол-амином и другими реагентами и рассматриваются основные вопросы эксплуатации очистных установок. Рекомендуются применение насадки и уловителей в абсорбере для уменьшения уноса абсорбента, применение реагентов, уменьшающих вспенивание, а также воды или гликолевое орошение. Хим. потери снижаются при фильтровании и ректификации части циркулирующего абсорбента, и проч. Уменьшение коррозии достигается применением спец. материалов.

С. Розеноер

**30161. Производство нефтяного газа.** Халл, Колхофф (Oil gas manufacture. Hull William Q., Kohlhoff W. A.), Australas. Engr, 1957, 49, May, 73—76 (англ.)

Приводятся описание и схема процесса коксования тяжелых нефтяных остатков, а также характеристика получаемых продуктов. Выход продуктов (вес. %): газ 28,4; кокс 20,6; смола 36,2; легкие дистилляты 4,8.

С. Розеноер

**30162. Возможности производства городского газа из жидких топлив.** Розендаль (Možnosti výroby městského plynu zplyňováním olejů. Rosendahl Fritz), Paliva, 1957, 37, № 10, 347—354 (чешск.)

Обзор работ (с описанием технологич. схем) по термич. и каталитич. крекингу нефтяного сырья, а также по его переработке при коксовании углей для получения городского газа. Библ. 23 назв.

К. З.

**30163. Получение различного типа кислот из солярового дистиллята.** Петров Г. С., Григорьев А. П., Тр. Моск. хим.-технол. ин-та им. Д. И. Менделеева, 1957, вып. 25, 49—53

В лабор. условиях производилось окисление солярового дистиллята эмбинской нефти, уд. в. 0,8980. На основании полученных данных сделан вывод, что соляровые фракции нефти целесообразно до конца (без получения вазелинового масла в качестве побочного продукта) перерабатывать в различные к-ты: сульфокислоты и карбоновые к-ты. Эти продукты могут найти применение в произ-ве эмульгирующих, моющих, смачивающих средств, а также в произ-ве пластмасс и заменителей олифы.

А. Нагаткина

**30164. Коксование в псевдоожиженном слое с целью снижения выходов тяжелого мазута.** Уиткомб (The fluid coker... for minimum production of heavy fuel oil. Whitcombe J. A.), Oil and Gas J., 1957, 55, № 21, 173—174 (англ.)

Описана установка для коксования тяжелых нефтяных остатков в псевдооживленном слое нагретых коксовых частиц с целью снижения выхода тяжелого мазута. Перерабатываются тяжелые остатки от вакуумной перегонки сырой нефти (уд. в. 1,056), подающиеся в реактор в распыленном виде на коксовые частицы, находящиеся в псевдооживленном состоянии. Высота установки 76 м, диаметр толки 15 м. Парообразные продукты из реактора проходят через циклонные сепараторы в скруббер, где выделяются два жидких продукта: тяжелый газойль — сырье для каталитич. крекинга и тяжелые масла, возвращающиеся в реактор для повторного коксования. Пары из верхней части скруббера фракционируются; отгоняется легкий газойль (поступающий затем на каталитич. крекинг или обессеривание), лигроин (поступающий на стабилизацию и обессеривание) и отделяется газ. Частицы кокса циркулируют между реактором и толкой в кол-ве 50 т в 1 мин. В толке за счет частичного сгорания они нагреваются до 607°; из реактора они выходят при т-ре 510°. Часть кокса в кол-ве, соответствующем образующемуся в процессе, выводится из системы. Продукты горения из толки, содержащие значительное кол-во СО, поступают на дожигание под паровыми котлами. Суточная производительность установки по сырому 6700 м³. Выходы продуктов (в м³/сутки): газ 570; фракция С<sub>3</sub> 350; фракция С<sub>4</sub> 220; лигроин (конец кипения 204°, уд. в. 0,757) 1160; легкий газойль (конец кипения 338°, уд. в. 0,9) 800; тяжелый газойль (конец кипения 540°, уд. в. 0,982) 2850 (газообразные продукты выражены в м³, эквивалентных жидкому сырому); кокс 1600 т/сутки. В. Кельцев

**30165. Производство нефтяного газа.** Халл (Oil gas manufacture. Hull William Q.), Australas. Engr., 1957, 49, Apr., 74—79 (англ.)

Описан процесс получения на з-де в Портленде (США) газа с теплотворностью 8900 ккал/м³, способного заменить природный газ. Процесс основан на газификации нефти в присутствии пара на кирпичной кладке, нагретой предварительно до 980—1090°. Нагрев осуществляется продуктами сгорания нефти в камерах, расположенных выше и ниже зоны газификации, и от горения углерода, отложившегося при газификации. Процесс периодический. Помимо газа образуются также хим. продукты газификации — ламповая сажа, деготь, легкие масла. Деготь перерабатывается в крезолы, мягкий и твердый пек, дорожный асфальт и сырой нафталин; из легких масел извлекается бензол, толуол, ксилолы и сольвент нафта. С. Гудков

**30166. Испытание пылевидного кокса в качестве топлива во вращающейся печи для обжига.** Конфорт, Лм (Fluidized coke tested in rotary kiln. Confort R. M., Lee E. R., Jr., Oil and Gas J., 1955, 54, № 19, 437, 439 (англ.).

См. также РЖХим, 1957, 58258.

**30167. Сжигание нефтепродуктов.** Голлин (Oil firing. Gollin G. J.), Inst. Petrol. Rev., 1957, 11, № 130, 263—274 (англ.)

Рассматривается влияние на процесс горения некоторых параметров жидких горючих: уд. веса, теплотворности, т-ры вспышки и застывания, вязкости и зольности. Описаны типы горелок для сжигания жидкого топлива, их конструкция, особенности, область применения и проч.; горелки, работающие на жидком топливе, используются для обогрева паровых котлов, обжигательных печей и другой промышленной аппаратуры. Жидкое топливо применяется также для авиационных и морских газовых турбин и т. д.

Л. Пашковская  
**30168. Сжигание газов нефтеперерабатывающих заводов в топках центральной котельной станции в Меркземе (Бельгия).** Рейфранк (Quelques con-

siderations sur la combustion du gaz des raffineries de pétrole dans les foyers des chaudières à vapeur de la centrale de Merksem. Ryffranck J.), Votre electr., 1955, 26, № 4, 27—38; № 5, 28—46 (франц.)

Обобщается опыт использования газов, получаемых от двух нефтезаводов, в качестве топлива на парокотельной центральной электростанции в Меркземе. Сообщаются: характеристики и составы газов; протяженность (до 10 км), диаметры (350 и 200 мм) и режимы работы магистральных газопроводов; схемы и аппаратура на станциях по смешению газов, их учету и регулированию (давлений и теплотворности); схемы автоматизированного оборудования газогорелочных устройств у топок паровых котлов. Подведены итоги эксплуатации станции; описаны случаи разрушения горелочных устройств и стенок топок, а также приведены материалы наблюдений и расчетов для введения соответствующих конструктивных усовершенствований. Отмечается, что частые переключения с газа на твердое топливо и мазут приводят к образованию углеродистых отложений на поверхностях теплообмена. Указаны условия по предотвращению агрессивного действия содержащегося в газе H<sub>2</sub>S на металлы, поверхности и по борьбе с опасностью утечек или взрывов газов. Сделаны общие выводы о преимуществах применения нефтяных газов в топках паровых котлов. К. З.

**30169. Получение серы при переработке нефти.** Гудман (Sulfur recovery. Goodman R. E.), Petrol. Process., 1957, 12, № 7, 127 (англ.)

На нефтезаводе в Делаваре (США) производится выделение в кол-ве до 340 т/сутки элементарной S из H<sub>2</sub>S-содержащих газов, отходящих при обессеривании высокосернистых нефтей (с содержанием 1,5—5% S). Процесс состоит в неполном окислении H<sub>2</sub>S в SO<sub>2</sub> кислородом воздуха в спец. печах с последующим взаимодействием образовавшейся SO<sub>2</sub> с оставшейся H<sub>2</sub>S по ур-нию 4H<sub>2</sub>S + 2SO<sub>2</sub> → 4H<sub>2</sub>O; одновременно выделяется большое кол-во водяного пара, используемого на установках з-да. Е. Покровская

**30170. Выбор селективного растворителя для очистки дистиллятных масел из бакинских нефтей.** Кулиев А. М., Кулиев Р. Ш., Антонова К. И., Китушина Е. Н., Тр. 1-й научн. сессии Совета по координации АН Азерб. ССР, Баку, АН Азерб. ССР, 1957, 107—113

Проведены опыты по очистке фенолом (I) и фурфуролом (II) различных по качеству масляных дистиллятов из сильносмолистой нефти месторождения «Нефтяные Камни»: автола «10» (А-10) с т. кип. 380—520° и индексом вязкости 19,3 и автола «18» (А-18) с т. кип. 420—520° и индексом вязкости 4,7. Из А-18 после очистки II получено масло с выходом на 8,5—13% выше, чем при очистке I, но худшего качества и с меньшей стабильностью. Для А-10 выход масла, очищ. II, больше на 9—12%, чем очищ. I, а качество одинаково, что объясняется большим кол-вом головных фракций в А-10 по сравнению с А-18. При очистке II близких по качеству дистиллятов А-10 и А-18 из бузовинской нефти получен выход масла на 6—7% выше, чем при очистке I при близких качествах масел и почти одинаковой стабильности. I следует применять для очистки смолистых масляных дистиллятов; II — для маловязких и сравнительно качеств. дистиллятов. Е. Покровская

**30171. Исследование масел, выделенных из петролатума.** Кулиев А. М., Кулиев Р. Ш., Дрейзман М. М., Чикарева Н. И. В сб.: Вопр. исслед. нефтей и нефтепродуктов, разработки процессов переработки нефти и обслед. заводск. установок. Вып. 1, Баку, 1957, 64—65

Для определения кол-ва масла в средней пробе заводского образца петролатума после деапарафинизации



сураханской отборной нефти проведена низкотемпературная депарафинизация петролатума при  $-25^{\circ}$  в р-ре ацетона (или бутанона) + бензол + толуол, причем было получено ~ 20% масла с т. заст. от  $-10$  до  $-14^{\circ}$ , вязкостью 0,7—0,8 и вязкостью ~ 20 сст при  $100^{\circ}$ . При депарафинизации в р-ре нефти при  $-42^{\circ}$  получается ~ 35—37% масла (на петролатум) с т. заст. от  $+1$  до  $-2^{\circ}$ . Е. Покровская

**30172. Определение условий образования кристаллогидратов при взаимодействии сероводорода, пропана и пропан-пропиленовой фракции с водой. Теодорович В. П.** Газ. пром-сть, 1957, № 5, 32—35

На спец. приборе изучено образование кристаллогидратов (КГ)  $H_2S$  и  $C_3H_8$  в диапазоне т-р  $9,1$ — $27$  и  $2,2$ — $6,9^{\circ}$  и давлений соответственно  $4$ — $20$  и  $4$ — $11$  ат. Для КГ пропана установлена ф-ла  $C_3H_8 \cdot 8H_2O$ . Твердые КГ с пропиленом не получены. Установлено образование КГ с пропан-пропиленовой фракцией в области т-р  $2,3$ — $5,0^{\circ}$  при давл.  $5,6$ — $15,4$  ат. Г. Марголина

**30173. О работе гликольаминовых установок. Кроуленберг (How glycol-amine plants operate).** Cro- lenberg J. W., Oil and Gas J., 1956, 54, № 87, 209 (англ.)

Освоен опыт очистки природного газа от  $H_2S$  и  $CO_2$  диэтиленгликольмоноэтиламиновым р-ром. В Техасе (США) работает 21 такая установка с производительностью от 325 до 4670 тыс.  $m^3$  газа в сутки. Содержание  $H_2S$  в газе после очистки снижается с  $0,3$ — $15$  до  $0,006$  г/ $m^3$ ,  $CO_2$  — с  $0,1$ — $5,4$  до  $0,01$  мол.%, содержание влаги составляет ~  $15$  г/100  $m^3$ . Для уменьшения коррозии аппаратуры рекомендовано работать с конц-ией амина в р-ре не выше  $15$ — $20\%$ , избегать высоких т-р, проводить сепарацию кислых газов. Р-р регенерируют перегонкой в вакууме.

Н. Кельцев

**30174. Классификация природных газов Чехословакии. Янак, Русек (Klasifikace československých zemních plynů. Janák J., Rusek M.), Sbirka prací výzkumn. úst., 1956, E, № 17-21, 29—35 (чешск.; рез. русск., нем.)**

См. также РЖХим, 1957, 31942.

**30175. Будущее природного газа во Франции. Фушье (L'avenir du gaz naturel en France. Fouchier Jean), Flamme et thermique, 1957, 10, № 103, 11—21, 29—30 (франц.)**

Доклад о месторождениях природного газа на юго-западе Франции (в частности, месторождения Ляк с запасом газа > 150 млрд.  $m^3$  на глубине 4 км), состав этих газов (газ месторождения Ляк содержит в об.%:  $CH_4$  70;  $H_2S$  14,5;  $CO_2$  10;  $C_2H_6$  2,9;  $C_3H_8$  и выше 2,6), перспективах их добычи (4 млрд.  $m^3$  в 1962 г.), путях энергетич. и химич. использования и влиянии на развитие французской пром-сти и экономики. К. З.

**30176. Установки по обработке природного газа месторождения Ляк (Франция). — (Une visite aux installations de traitement du gaz de Lacq.), Techn. et applic. pétrole, 1957, 12, № 137, 5183—5187 (франц.)** Сообщение о посещении месторождения природного газа и установок для его очистки и транспорта в мае 1957 г. К. З.

**30177. Производство ацетилена из природного газа. Сосаки, Караку когэ, Chem. Ind. (Tokyo), 1955, 6, № 12, 1079—1083 (японск.)**

**30178. Работа холодильной установки на газобензиновом заводе. Дауниер (Ammonia absorption refrigeration selected for gasoline plant. Downer Whit), Petrol. Engr, 1957, 29, № 7, C—25, C—28—C—30 (англ.)**

Новый газобензиновый з-д в Оклахоме (США), перерабатывающий 1,4 млн.  $m^3$  газа в сутки, применяет охлаждение газа до  $-18^{\circ}$  при 58 атм, с последующим

фракционированием углеводородного конденсата. Охлаждение газа производится с помощью холодильной установки абсорбционного типа, выбор которой обосновывается низкими эксплуатационными расходами и большой гибкостью в работе. Приводятся схемы газоразделения и аммиачной установки. С. Розеноер

**30179. Сжиженный газ для автотранспорта. Лелё (L. P. G. (Liquefied petroleum gas). Leleux Pierre), Poids lourd, 1957, 42, № 508, 29—32 (франц.)**

По материалам различных стран (Германии, Англии, Голландии, Бельгии) приводятся физ.-хим. характеристики сжиженных (пропан-бутановых) газов, применяемых в качестве автомобильного горючего, а также характеристики и условия работы на автомобилях баллонов, фильтров и карбюраторов. К. З.

**30180. Хранение охлажденного пропана. Уайт (Plant stores refrigerated propane at  $-46$  degrees F. White B. C.), Gas (USA), 1957, 33, № 4, 50-54 (англ.)**

Описана установка для получения пропано-воздушной смеси с целью удовлетворения пиковых нагрузок при снабжении природным газом из дальних газопроводов. Производительность установки 615 000  $m^3$ /час пропано-воздушной смеси с теплотворностью 12 900 ккал/ $m^3$ . Пропан хранится на установке в жидком виде при т-ре  $-43^{\circ}$  в цилиндрич. резервуаре диам. 21 м и высотой 12 м, емкостью по жидкому пропану 4900  $m^3$ . Охлаждение пропана в резервуаре поддерживается путем отвода испарившейся его части, конденсации паров при сжатии до 15,6 ат и последующем охлаждении за счет расширения и испарения при возвращении в резервуар. Жидкий пропан, поступающий из резервуара, испаряется при нагревании до  $65^{\circ}$  и смешивается с воздухом, нагнетаемым компрессором до давл. 9,5 ат. В. Кельцев

**30181. Устройство расходомерных станций. Парtridge (Design and construction of meter stations. Partridge F. M.), Petrol. Engr, 1956, 28, № 11, D48—D50, D54 (англ.)**

Описание промышленных станций, на которых производится двухступенчатое регулирование давления и замер кол-ва промышленного газа; дается спецификация приборов одной из станций фирмы Pacific Northwest США. Во избежание образования льда при редуцировании давления газа применяется добавка к газу спирта. С. Розеноер

**30182. Некоторые особенности инициированной солими металлов реакции жидкофазного окисления углеводородов. Фрейди и Б. Г., Ж. прикл. химии, 1957, 30, № 5, 768—774**

Окисление дизельной фракции  $220$ — $330^{\circ}$  синтина при  $120$ — $130^{\circ}$  в присутствии нафтенатов  $Mn^{2+}$ ,  $Co^{2+}$  и  $Cr^{3+}$  показало, что период индукции (ПИ) с 2-валентными металлами был больше, чем с 3-валентными. С увеличением конц-ии первых ПИ возрастал, а вторых — не изменялся. Исследованиями спектров поглощения продуктов в р-ции установлено, что образующиеся в ПИ соединения металлов в высшем валентном состоянии соответствуют комплексным органич. солям этих металлов. Окисление стеаратов  $Mn^{2+}$  и  $Co^{2+}$  в бензольном р-ре действием  $H_2O_2$  в присутствии различных в-в показало, что спирты ускоряют переход металлов в высшее валентное состояние. При окислении тетрадекана в присутствии 0,3% стеарата  $Mn$  с добавкой цетилового спирта продолжительность ПИ сократилась с 75 до ~ 5 мин. Выказаны соображения о механизме процесса окисления. Б. Энглин

**30183. К пересмотру стандартов на дизельное топливо (Отклики на статью П. М. Голенева). Пучков Н. Г., Лозарь А. С., Тракторенко И. А., Бруснянцев Н. В., Стандартизация, 1957, № 4, 71—74** Обсуждаются вопросы, связанные с установлением

ассортимента и показателей качества топлив для быстроходных дизелей. См. РЖХим, 1957, 78040.

Б. Энглин

**30184.** Топлива для быстроходных дизелей. Пучков Н. Г., Беляничков Г. П., Тр. Всес. н.-и. ин-т по переработке нефти и газа и получению искусств. жидк. топлива, 1957, вып. 6, 13—23

Изучали моторные свойства дизельных топлив (ДТ) — прямой гонки и компаундированного, полученного смешением прямогонного топлива с газойлем каталитич. крекинга в соотношении 70 : 30. Испытания проводили в течение 500 час. на двигателе ЯАЗ-204. Показано, что современные автотракторные двигатели можно эксплуатировать на ДТ с несколько повышенной вязкостью ( $\sim 12$  сст) и утяжеленным фракционным составом (95% выкипает  $\sim 400^\circ$ ) при отсутствии в них тяжелых смолистых остатков. В этих же двигателях можно использовать ДТ каталитич. крекинга с цетановым числом 40 как в чистом виде, так и в смеси с прямогонными топливами.

Г. Марголина

**30185.** Использование радиоактивного углерода для исследования поведения метана в условиях синтеза углеводородов из СО и  $H_2$  на железных катализаторах. Крюков Ю. Б., Бутюгин В. К., Либеров Л. Г., Степанова Н. Д., Башкиров А. Н., Химия и технол. топлива и масел, 1957, № 6, 26—33

Изучали поведение  $CH_4$ , меченого радиоактивным изотопом  $C^{14}$ , в условиях синтеза углеводородов из СО и  $H_2$  над плавленным Fe-катализатором с добавкой  $Cr$ , восстановленным  $H_2$  при  $1000^\circ$  в течение 1,5 часа. Опыты проводили при 24 ат и  $310^\circ$  с объемной скоростью 1150 час $^{-1}$  при соотношении  $CO:H_2 = 1:1$  в продолжении 2,8 часа. Установлено, что в указанных условиях  $CH_4$  является инертным в-вом, не принимает участия в образовании высших углеводородов и не вступает в р-цию изотопного обмена с СО,  $CO_2$  и углеводородами.

Б. Энглин

**30186.** Исследования по синтезу жидких топлив. Чжан Да-ю, Лу Нань-цзюнь, Чжан Чжунь-хао (Research on synthesis of liquid fuels. Chang Ta-Yu, Leo Nan-Tsuen, Chang Chun-Hao), Petroleum, 1957, 20, № 9, 336—340 (англ.)

После 1950 г. в Китае в Ин-те нефти начали развиваться работы по синтезу топлив из СО и  $H_2$ . На опытных установках с объемом катализатора до 30 л, исследован процесс на железном катализаторе, промотированном нитросоединениями. Найдено, что на выход углеводородов большое влияние оказывает давление и величина рецикла. Изучали различные составы катализаторов и способы их приготовления с целью получения катализатора, обладающего максим. селективностью. При понижении мол. отношения  $Ni:Fe$  понижался выход  $CH_4 + C_2H_6$  (на 17 г на 1 м $^3$  исходного газа  $CO + H_2$ ) без заметного увеличения выхода  $C_3 +$  выше. Изучали различные способы введения щел. металлов в состав катализатора; пропитка р-ром  $K_2CO_3$  является наиболее обнадеживающей. Описывается схема опытной установки. На железных катализаторах, содержащих  $Ni$  и  $K$ , получены бензины, имеющие ОЧ (без ТЭС) 62 и 77 с 1,3 г ТЭС на 1 кг бензина; бромное число 1,1 мг/г; содержание смол 2 мг/100 мл. После хранения в течение 12 месяцев содержание смол в бензине без ингибитора возрастает до 13,8 мг/100 мл, а в ингибированном (0,005% N,N'-ди-этор-бутилфенилендиамин) всего до 4,4 мг/100 мл. Выходы водорастворимых органич. соединений обычно не превышают 10% от выхода  $C_3 +$  выше и содержание  $O$  в кислородном слое обычно не превышает 1%. Однако при применении катализатора, обработанного КОН, это кол-во удваивается (с 8,9 до 18,1%, считая на конденсационную воду). В первом случае основными компонентами кислородсодержащих

соединений являются метанол, этанол и пропанол (соответственно 10, 5, 49,5 и 21,1% на сумму кислородсодержащих), во втором случае — этанол и уксусная к-та (соответственно 40,0 и 28,6%). Были также исследованы условия приготовления наиболее активного кобальтового катализатора. Изучено влияние величины пор носителя — кизельгура, содержание  $Co$  в катализаторе, т-ры приготовления катализатора. Оптимальное содержание  $Co$  в катализаторе составляет не более 30%.

И. Рожков

**30187.** Исследования по синтезу углеводородов. II. Синтез Фишера — Тропша в жидкой среде. III. Синтез углеводородов из СО и водяного пара. Кёльбель, Аккерман, Энгельхардт (Neue Entwicklungen zur Kohlenwasserstoff-Synthese. II. Fischer-Tropsch-Synthese im flüssigen Medium. III. Die Synthese von Kohlenwasserstoffen aus CO und  $H_2O$ -Dampf. Kölbel H. Ackermann P., Engelhardt Fr.), Erdöl und Kohle, 1956, 9, № 4, 225—228; № 5, 303—306 (нем.)

II. Описание синтеза из СО и  $H_2$  с диспергированным в жидкой фазе осажденным Fe-катализатором на полузаводской установке. При  $266^\circ$  и 12 ат при однократном пропускании смеси  $CO + H_2$  состава 1,5:1 со скоростью 230 м $^3$ /час на 1 м $^3$  реакционного объема или 2,6 м $^3$ /час на 1 кг Fe получен выход продуктов  $C_4 + 175$  г/м $^3$ ; степень превращения СО 91%. Выход фракции 25—190° с октановым числом 73—70 г/м $^3$ ; фракция 190—310° с цетановым числом 70 и т-рой застывания —13° 45 г/м $^3$ . Содержание олефинов во фракции до 190° 65—95%. При двуступенчатом процессе степень превращения СО +  $H_2$  достигала 96—97%.

III. Синтез из СО и водяного пара проводился на лаборатор. установке в жидкой фазе в присутствии диспергированного Fe-катализатора с использованием в качестве сырья колошникового газа, содержащего СО 34%,  $N_2$  57%,  $H_2$  2% и  $CO_2$  7%. Соотношение  $CO:H_2O$  составляло 3:1,15, т-ра 240—280°, дав. 15—20 ат, нагрузка на катализатор 1,8 л СО на 1 г Fe в 1 час. Степень превращения СО составила 93%, выход углеводородов  $C_1 + 182$  г,  $C_3 + 160$  г на 1 м $^3$  СО. Состав продуктов такой же, как и при жидкофазном синтезе из СО и  $H_2$ . Среднее содержание олефинов 70—80%. Р-ция проходит при строго определенном соотношении водяного пара и СО. Сообщение I см. РЖХим, 1957, 5553.

Б. Энглин

**30188.** К проблеме получения газотурбинных топлив из сланцевой смолы. Кожевников А. В., Тр. Всес. н.-и. ин-та по переработке сланцев, 1956, вып. 5, 266—271

Обсуждается вопрос о коррозии лопаток газотурбинных двигателей под действием  $V_2O_5$  в золе топлив. Приведены данные о содержании  $V$  в различных нефтях и показано, что сланцевая смола может служить источником безванадиевого тяжелого топлива для газотурбин.

Н. Лапидес

**30189.** Обработка сланцевого бензина серной кислотой. Часть III. Влияние некоторых условий обработки. Манстон, Гросберг (Acid treatment of shale gasoline. Part III. Effects of some treatment conditions. Mapstone Geo E., Grosberg J. A.), J. Inst. Petrol., 1956, 42, № 390, 168—170 (англ.)

Исследовано влияние т-ры обработки и конц-ии к-ты на стабильность сланцевого бензина, а также добавок бензальдегида и метилэтилкетона на изменение цвета. Повышение т-ры обработки 93%-ной  $H_2SO_4$  с  $0^\circ$  до  $32^\circ$  улучшает стабильность бензина к окислению, но почти такой же эффект дает и обработка в тех же условиях 70%-ной  $H_2SO_4$ . Поэтому целесообразно очищать бензин 70—72%-ной к-той (0,49—0,55 объемов) при 40—50°, т-ре, при которой не происходит чрезмерно большого образования полимеров. При содержании смоляных к-



а бензине выше 0,2% эффективность обработки может снижаться вследствие разбавления к-ты. Добавление бензальдегида и метилэтилкетона приводит лишь к незначительному возрастанию содержания фульвенов в очищ. бензине. Часть II см. РЖХим, 1954, 15402.

В Шекин  
30190. Проблемы замера топлива. Вильсон (Fuel-metering problems. Wilson L. A.), West. Aviat., 1955, 35, № 7, 14, 16—17 (англ.)

При стендовой доводке систем, регулирующих скорость подачи топлива в турбореактивном двигателе, с целью получения нужных характеристик рабочего и холостого хода встречается ряд трудностей; регулировка является только приблизительной и требует внесения поправок после установки регулирующей системы на реальном двигателе. В связи с этим доводку топливнорегулирующих систем необходимо проводить комбинированно — на стенде и в летных условиях. Серьезной проблемой, влияющей на срок службы и работоспособность топливно-регулирующей системы, а также и других частей двигателя, является загрязнение топлива механич. примесями. Устанавливаемые для улавливания твердых частиц фильтры скоро забиваются и смена их представляет значительные трудности.

Л. Пашковская  
30191. Трение смазанных поверхностей в тяжелых условиях эксплуатации. Поме (Le frottement lubrifié sous conditions sévères. Pomey J.), Rev. Inst. franç. pétrole, 1957, 12, № 6, 754—780 (франц.; рез. англ., исп.)

Теоретическое и эксперим. исследование трения и износа смазанных металл. поверхностей в условиях наиболее высоких скоростей и нагрузок, при которых применяются спец. обработку поверхности металла и масла с присадками для сверхвысоких давлений. Рассматриваются способы предотвращения задира при помощи пленок твердых металлов (цементация, азотирование), нанесения пленки латуни и хим. обработки поверхности (хлоридирование, фосфатирование, сульфидирование). Наилучшие результаты при испытании на 4-шариковой машине трения дает сульфидирование в сильной водн. р-ре. Выводятся ф-лы для расчета тр-а на металл. поверхностях трения. А. Равикович

30192. Метод измерения толщины масляной пленки. Кори, Масуо (Kori Toshinori, Masuo Ryuichi), Дзайрё сикэн, J. Japan Soc. text. mater., 1957, 6, № 45, 439—442 (японск.; рез. англ.)

Измеряя емкость конденсатора, состоящего из двух металл. пластин и заключенного между ними слоя смазочного масла, можно рассчитать толщину масляной пленки. Таким образом может быть установлено соотношение между применяемой нагрузкой и толщиной пленки, а также определена нагрузка, при которой пленка нарушается. Полученный результат можно связать также со смазывающим действием масла, оцениваемым «маслянистостью», зависящей от природы физ.-хим. сил, связывающих масло с металлом. Измеряя предельную нагрузку, нарушающую масляную пленку на данном металле, строят диаграмму в координатах тр-а — предельная нагрузка для данной тр-ры. На основании такой диаграммы можно подобрать лучшее смазочное масло для данного металла.

М. Пасманик  
30193. О механизме моющего действия алкилфенольных присадок. Дружинина А. В., Тарманин Г. С., Морозова И. В., Химия и технол. топлива и масел, 1957, № 10, 41—46

Проведено исследование влияния моющей присадки дитим-339 (дисульфидалкилфенолята Ва) на хим. состав и эксплуатационные свойства масел МС-20 грозненского и опытных образцов дизельного масла из тумазинской девонской нефти при работе на дизелях.

Изменение углеводородного состава масел в процессе эксплуатации состоит, главным образом, в изменении содержания ароматич. углеводородов, которое повышается сильнее при испытании на двигателе с более жестким режимом. В случае добавления присадки кол-во смолистых в-в в отработанном масле значительно возрастает: без присадки оно повышается с 2,7 до 5,9%, с 3% присадки — до 11,3 и 7,1%; суммарный же индекс отложений на моторе значительно понижается: для МС-20 0,76 вместо 2,8, а для дизельного масла 0,44 вместо 3,72. Можно предположить, что кислые соединения, образующиеся при работе масла в двигателе, дают соли с металлом присадки и выделяющиеся при этом алкилфенолы избирательно растворяют асфальтосмолистые в-ва.

Е. Покровская  
30194. Влияние давления на вязкость растворов некоторых кремнийорганических жидкостей в минеральном масле. Кусаков М. М., Коновалова Л. А., Авдеева В. И., Химия и технол. топлива и масел, 1957, № 4, 38—41

Изучена зависимость вязкости р-ров полисилоксановых жидкостей (ПСЖ) в минер. масле от давления при разных тр-рах. Испытаны давления до 3000 кг/см<sup>2</sup> и тр-ры 10—50°. Добавка ПСЖ изменяла степень пологости кривой зависимости вязкости от давления. Эффект действия исследованных ПСЖ тем сильнее, чем выше давление.

Г. Марголича  
30195. Определение сроков смены смазочных масел. Сандулеску, Пэтрэшкой (Determinarea perioadelor de schimb a lubrifiantilor. Săndulescu Teodor, Pătrășcoiu Pavel), Studii și cercetări chim., 1957, 5, № 1, 151—167 (рум.; рез. русск., франц.)

Исследования производились на автомобильных двигателях ГАЗ-51. Между степенью ухудшения (У) масла и пробегом автомобиля в км (l) установлена зависимость  $U = Alk$ , где  $A$  и  $k$  — константы, зависящие от качества масла и двигателя. Оценка У может производиться путем определения в масле продуктов его изменения: суммы асфальтенов, карбенов и карбидов. Для износа (У<sub>1</sub>) двигателя найдена зависимость  $U_1 = Bl + CAlk$ , где  $B$  и  $C$  — константы. Показан способ применения найденных зависимостей для наиболее целесообразного с технич. и экономич. точек зрения расчета сроков смены масла.

А. Равикович  
30196. Проект руководства по эксплуатации изоляционных масел (Proposed guide for maintenance of insulating oil. Standard. Amer. Inst. Electr. Engrs, 1956, № 64, 20 pp., ill.) (англ.)

Приведена классификация изоляционных масел, бывших в употреблении; перечислены критерии оценки пригодности таких масел к дальнейшей эксплуатации и описаны методы оценки их качества. Дано описание методов регенерации отработанных изоляционных масел. Рассматривается возможность повышения стабильности трансформаторных масел с помощью противоокислительных присадок, в частности, такого эффективного ингибитора как 2,6-дитретичный бутилпаракрезол.

А. Вишпер  
30197. Центробежная очистка масла на двигателе 24-105/13-3С. Антонов В. А., Вестн. машиностроения, 1957, № 9, 3—8

Исследования и моторные испытания маслофильтров различной конструкции показали, что маслоочистительные центрифуги ЦФ-а и ЦФ-п вполне пригодны для целей очистки. Очистка масла центробежным фильтром, включенным в систему смазки, снижает износ дизельного двигателя 24-105/13-3С в  $\geq 2$  раза. Наименьший износ получен у двигателя с полнопоточной центрифугой ЦФ-п и фильтрующим элементом ДАСФО-2 в ответвлении. В двигателе, оборудованном

центрифугой ЦФ-а в ответвлении и фильтром грубой очистки, железо (от износа деталей) на фильтре не задерживается. Присадка Цнатим-339, добавленная к дизельному маслу, при работе в двигателе, оборудованном только полнопоточным масляным фильтром, практически в течение срока службы масла не выпарывается.

Г. Марголина

**30198.** Влияние физических свойств минеральных масел на их смешиваемость с хладагентом Фреон 22 ( $\text{CHF}_2\text{Cl}$ ). Лёфлер (Der Einfluß der physikalischen Eigenschaften von Mineralölen auf deren Mischbarkeit mit dem Kältemittel Frigen 22 ( $\text{CHF}_2\text{Cl}$ ). Löffler H.-J., Kältetechnik, 1957, 9, № 9, 282—286 (нем.; рез. англ., франц.)

Для 18 масел нафтового и парафинового оснований, отличающихся величиной вязкости и содержанием ароматич. углеводородов, экспериментально получены температурные кривые растворимости в Фреоне-22 (F-22). Показано, что смешиваемость масел с F-22 улучшается с увеличением содержания в них ароматич., с уменьшением содержания парафиновых углеводородов и с понижением вязкости. Предложены формулы для расчета т-ры растворимости масел нафтового и парафинового оснований при различной их концентрации в F-22, исходя из плотности и содержания ароматич. и парафиновых углеводородов. Получено масло, имеющее неограниченную смешиваемость с F-22 при  $-23^\circ$ . Добавление 10% F-12 позволяет понизить т-ру растворимости масел в F-22 на  $\sim 10^\circ$ .

Б. Энглин

**30199.** Проблема применения нефтяных смазок на атомных станциях. Хаусман, Бусер (Application problems with petroleum lubricants in nuclear power plants. Hausman R. F., Booser E. R., Lubricat. Engng, 1957, 13, № 4, 199—202 (англ.)

Проблема смазки в аппаратуре атомной станции осложняется рядом причин: доступ к смазке (С) будет затруднен, а срок службы сокращен, если С находится близко к реактору. Как облучение нейтронами, так и  $\gamma$ -облучение вызывает разложение масел. Показателем может служить увеличение вязкости масла. При повышении ее на 25% масло становится непригодным. Предельное допустимое облучение определяется энергией абсорбции  $1-2 \cdot 10^{10}$  эрг на 1 г масла. Ароматич. соединения обладают несколько большей стойкостью. Наиболее стойкими с этой точки зрения являются синтетич. масла типа полигликоля. В зависимости от степени близости С к реактору срок ее службы меняется от  $10^9$  до  $10^2$  час., а в центре сердечника реактора  $10^{-5}$  час. В некоторых случаях применение С на основе нефтепродуктов невозможно и ее приходится заменять охлаждающей водой или жидким металлом. Отработанные масла, если они подвергались только  $\gamma$ -облучению, не становятся радиоактивными и их регенерируют обычным способом. При облучении нейтронами в присутствии металлич. компонентов (Na) масла становятся слабо-радиоактивными, если они не подвергались непосредственному действию потока нейтронов около реактора. Для уменьшения опасности радиации необходимо хорошее экранирование между реактором и аппаратурой, подвергающейся С, подбор соответствующих масел и своевременная замена их.

М. Пасманик

**30200.** Алюминиевые и литиевые консистентные смазки. Пейн (Aluminium and Lithium greases. Payne S. N. W.), Petroleum, 1957, 20, № 6, 221—224 (англ.)

Описание произ-ва Al- и Li-консистентных смазок непрерывным способом, основанным на применении теплообменника спец. конструкции с скребковыми поверхностями (для продвижения желеобразной массы), собранного в виде аппарата «Votator», используемого в стадии нагрева и охлаждения.

Р. Ошер

**30201.** Новая усовершенствованная мешалка для производства консистентных смазок. Яреш, Сиглер (A new high performance grease mixer. Yarham O. L., Sigler P. R.), Petrol. Engr, 1957, 29, № 4, C46, C48, C50 (англ.)

Описание эксперим. опытной и первой полноразмерной промышленной мешалки, конструкция которой обеспечивает осуществление непрерывного или полунепрерывного процесса, позволяет легко регулировать последний и делает произ-во более экономичным.

Р. Ошер

**30202.** Свойства и применение двусернистого молибдена в качестве смазочного материала. Зонитар (Propriétés et emplois comme lubrifiant du bisulfure de molybdène pur. Sonntag A.), Usine nouvelle, 1956, 12, № 51, 37—38 (франц.)

См. также РЖХим, 1954, 40400.

Р. О.

**30203.** Одновременный анализ пластовых проб нефти на содержание «кислых газов» и углеводородов. Риггин, Кендрик (Analyze reservoir fluids for acid gas and for hydrocarbons at same time. Riggins D. M., Kendrick C. L.), Oil and Gas J., 1955, 54, № 20, 119—120 (англ.)

Описывается новый метод анализа газообразных или жидких углеводородов, содержащих  $\text{H}_2\text{S}$  и  $\text{CO}_2$ . Анализируемый газ проходит последовательно 3 взвешенные поглотительные трубки с  $\text{Mg}(\text{ClO}_4)_2$  для поглощения влаги, пемзой, пропитанной р-ром  $\text{CuSO}_4$  и высушенной при  $150-160^\circ$ , для поглощения  $\text{H}_2\text{S}$  и асбестом с  $\text{NaOH}$  для поглощения  $\text{CO}_2$ . Метод дает суммарное содержание  $\text{H}_2\text{S}$  и меркаптанов. При анализе образцов, содержащих жидкие и газообразные углеводороды, главным образом пластовых проб нефти, аппаратура для анализа состоит из трубки высокого давления, в которой находится проба, и соединенной с ней высокотемпературной испарительной колонки, поглотительных трубок и низкотемпературной фракционной колонки, охлаждаемой жидким  $\text{N}_2$ . Вначале вся система эвакуируется до остаточного давл. 1 мм, затем производится отбор пробы на анализ. Приводятся результаты анализов, показывающие достаточную точность данного метода.

В. Кельце

**30204.** Применение эмиссионной спектроскопии в нефтяной промышленности. Нор (Some notes on the uses of emission spectrography in the petroleum industry. Noar J.), Inst. Petrol. Rev., 1955, 9, № 103, 187—191; № 104, 209—212 (англ.)

Обзор различных вариантов метода эмиссионной спектроскопии в применении к анализу смазочных масел, газойлей, этилированных бензинов, золы и металлов. Смазочные масла успешно анализируются с помощью спектроскопии на содержание присадок, а также металлов, накапливающихся вследствие износа смазываемых деталей. Для анализа требуется 0,5 г образца и значительно меньше времени, чем при хим. анализе. В сырье каталитич. крекинга метод позволяет определять металлы, при содержании их в очень малых количествах (часто менее  $10^{-9}$  г). Продукт предварительно озоляется. Спектральный анализ можно применить и без предварительного озоления. Определение ТЭС в бензине с помощью спектрального анализа занимает несколько минут и требует 1—2 мл образца. Метод весьма чувствителен. Спектральные методы применяют для анализа золы, катализаторов и различных порошков, а также металлов и сплавов, используемых в нефтяной пром-сти.

Саблина

**30205.** Расчетный способ определения состава природного газа по его физическим параметрам. Бём (Stanovenie ekvivalentného zloženia zemného plynu výpočtom z hodnot jeho fyzikálnych konštánt. Böh K.), Paliva, 1957, 37, № 40, 333—336 (словацк.; рез. нем., русск.)



Предложен способ определения хим. состава природного газа, зная только его высшую теплотворность и относительный вес по воздуху (отнесенные к сухому газу), а также содержание в нем  $\text{CO}_2$ . По системе ур-ний вычисляется содержание азота и суммы предельных углеводородов, причем эта сумма выражается в объемных процентах «эквивалентного» углеводорода. К. З.

30206. Количественное определение содержания сернистых соединений в нефтяных дистиллятах. Каримов А. К., Тр. Всес. нефт. н.-и. геологоразвед. ин-та, 1957, вып. 105, 58—60

Для установления приблизительного процентного содержания S-соединений в нефтяных фракциях (r) можно пользоваться ф-лой  $r = dM/32$ , где d — содержание S во фракции (в %), M — мол. вес. (32 ат. вес S). Ф-ла выведена на основе предположения, что все S-соединения содержат 1 атом S и по мол. весу близки к углеводородам той фракции, в которой они присутствуют. Е. Покровская

30207. Метод и прибор для ускоренного определения фактических смол в топливах. Бударов И. П., Химия и технол. топлива и масел, 1957, № 10, 66—71

Сущность ускоренного метода определения факт. смол в топливах (ГОСТ 8489-57, вводимый в действие с 1.VII.58) состоит в пропускании через определенный объем топлива определенного же кол-ва водяного пара при постоянных t-ре и времени нагревания. Для бензинов, топлива Т-1 и тракторных керосинов берутся навески соответственно 25, 20 и 10 мл. Продолжительность анализа по сравнению с ранее существовавшим методом (ГОСТ 1567-56) сокращается в 2—3 раза. Даны подробное описание и схема прибора; приведены сравнительные результаты определения смол в бензинах и топливах по предлагаемому методу и по ГОСТ 1567-56. Н. Щеголев

30208. Определение серы в жидких топливах с помощью лампы с нитяным фитилем. Баттлс (Determination of sulfur in petroleum distillates with the thread wick lamp. Battles Willis R.), Analyt. Chem., 1957, 29, № 9, 1338—1346 (англ.)

S определяют в аппарате, состоящем из лампы с калиброванной пипеткой для анализируемого образца, оканчивающейся трубкой для фитиля из белой хлопчатобумажной нитки. Фитильную трубку с помощью морской пробки вставляют в ламповое стекло, оканчивающееся газоотводной трубкой, опущенной в 1%-ный р-р  $\text{H}_2\text{O}_2$ . Для проведения анализа берут 20 мл р-ра  $\text{H}_2\text{O}_2$ . Образец (0,1—0,2 мл) сжигают в контролируемой атмосфере: 30—40%  $\text{O}_2$  и 60—70%  $\text{CO}_2$ . Для топлив, содержащих большое кол-во ароматич. соединений, рекомендуется работать с более низким содержанием  $\text{O}_2$ . Замер кол-ва сгоревшего образца ведут по делениям пипетки, причем сжигание можно прекратить в любую минуту, вынув фитильную трубку. После окончания сжигания через лампу прокачивают в течение 5 мин. воздух для удаления растворенного  $\text{CO}_2$ . Анализ занимает 12—15 мин. Кол-во S определяется титрованием образовавшейся  $\text{H}_2\text{SO}_4$  р-ром NaOH. Если в исследуемом образце содержатся галоиды или другие кислые соединения, то после титрования печально кол-во S определяют с помощью турбидиметрич. метода с  $\text{BaCl}_2$ , который позволяет определять содержание S ниже 0,05%. Полученные результаты сравнили с результатами, полученными при использовании метода ASTM. Результаты анализа известных смесей тифена и изоктана показали, что предлагаемый метод дает более точные результаты, особенно в тех случаях, когда испытуемый образец содержит элементарную S или некоторые виды летучих сернистых соединений. Н. Лапидес

30209. Определение общего содержания серы в нефтепродуктах. Метод сжигания и титрования этилендиаминтетраацетатом натрия. Хинсварк, О'Хара (Determination of total sulfur in petroleum products. Combustion and disodium ethylenediamine tetraacetate titrimetric method. Hinsvark O. N., O'Hara Francis J.), Analyt. Chem., 1957, 29, № 9, 1318—1322 (англ.)

Предлагается метод определения S в жидких нефтепродуктах (Н) путем сжигания нескольких граммов Н в открытой кварцевой трубке. Н вырывают в трубке с помощью распылительной горелки Бекмана и они сгорают в атмосфере  $\text{H}_2$  и  $\text{O}_2$ . Получающиеся в результате сжигания  $\text{SO}_2$  улавливаются и переводятся в  $\text{H}_2\text{SO}_4$  6%-ным р-ром  $\text{H}_2\text{O}_2$ . Кол-во  $\text{H}_2\text{SO}_4$  определяется путем добавления  $\text{Ba}(\text{CH}_3\text{COO})_2$  и титрованием избыточного кол-ва Ва стандартным р-ром этилендиаминтетраацетата натрия. Метод был проверен, и показано, что с его помощью можно определять S в самых разнообразных Н: низкокипящих, содержащих большое кол-во ароматич. соединений, высококипящих без предварительного разбавления, Н с различной вязкостью. Сжигание 5—7 г Н требует 3—10 мин. в зависимости от летучести и вязкости образца. Н. Лапидес

30210. Экспресс-метод анализа бензинов. Вагнер, Резнер, Кюнханс, Хюттиг (Versuch einer Schnellanalyse im Benzinbereich. Wagner Manfred, Rösner Hedwig, Kühnhanß Gerhard, Hüttig Erhard), Chem. Technik, 1957, 9, № 7, 407—409 (нем.)

Разработан экспресс-метод колич. определения в бензинах парафиновых (П), 5- и 6-членных нафтеновых (Н) и ароматич. углеводородов (А). Анализируемый бензин (Б) предварительно обрабатывают 85%-ной  $\text{H}_2\text{SO}_4$  и 10%-ным р-ром NaOH для очистки от незначительных кол-в олефинов, кислых и основных в-в, мешающих определению. 200 мл очищ. Б с помощью спец. дистилляционной колонны эффективно с 11 теоретич. тарелок разгоняют на 15 фракций, выкипающих от 36,0 до 160,0°. Для каждой из полученных фракций определяют плотность, коэф. рефракции и уд. дисперсию. Для определения плотности незначительных кол-в фракций, разработан расчетный метод. На основании полученных данных содержание П, Н и А в Б рассчитывают с помощью составленных номограмм. Ошибка определения П, Н и А не превышает 3,0%, 1,5% и 0,6% соответственно. Продолжительность определения ~10 ч. Метод рекомендован для контроля произ-ва синтетич. бензинов. А. Немодрук

30211. Проба на масляное пятно для обнаружения загрязнений и расхода присадок в маслах при работе двигателя. Гейтс, Бергстром, Ходжсон, Уэндт (Oil-spot test reveals additive depletion and oil contamination. Gates V. A., Bergstrom R. F., Hodson T. S., Wendt L. A.), SAE Journal, 1955, 63, № 6, 32—36 (англ.)

Описана простая и быстрая проба для установления изменений моторных масел в процессе работы двигателя. Проба представляет собой модификацию метода хроматографии на бумаге и заключается в нанесении капли испытуемого масла на мягкую, нейтр. фильтровальную бумагу с последующей обработкой различными индикаторами. Приведены фотографии хроматограмм, полученных для различных масел, обработанных в условиях различных режимов. Б. Хомутов

30212. Из английской практики отбора проб битумных дорожно-строительных смесей. Темме (Aus der englischen Praxis der Probenahme von bituminösem Straßenbaumischgut. Temme Th.), Bitum., Teere, Asph., Pechе und verw. Stoffe, 1957, 8, № 2, 42—45 (нем.)

Приведенные данные анализов проб битуминозных дорожно-строительных смесей показывают, что при тщательном отборе проб согласно существующих инструкций получают близко совпадающие результаты. Наибольшие расхождения между результатами анализа проб, отобранных на смесительных установках и на месте укладки, получаются при крупнозернистых смесях, причем большое значение имеет кол-во отобранной пробы. Указывается на необходимость дальнейшего уточнения кол-ва пробы, особенно для крупнозернистых дегтевых и битумных смесей. А. Кузьмина

**30213 К.** Селективная очистка минеральных масел. Сукнарковский (Selektywna rafinacja olejów mineralnych. Suknarowski Stefan. Stalinogród, Wydawn. Gorn.-Hutn., 1955, 79, 1 нлб., с., ил., 4.40 zł.) (польск.)

**30214 Д.** Влияние физических свойств минеральных масел на их смешиваемость с хладогентом «Фреон 22» ( $\text{CHF}_2\text{Cl}$ ). Лёфлер (Der Einfluß der physikalischen Eigenschaften von Mineralölen auf deren Mischbarkeit mit dem Kältemittel Frigen 22. ( $\text{CHF}_2\text{Cl}$ ). Löffler Hans-Jürgen. Abhandl. Dtsch. Kältetechn. Vereins, 1957, № 12, 112 S.) (нем.) См. реф. 30198.

**30215 С.** Нефтепродукты. Определение температуры застывания (Teplota tuhnutí). Чехосл. ст. 656167; 1956 (чешск.)

**30216 С.** Определение кислотных и основных чисел (числа нейтрализации) в нефтепродуктах колориметрическим титрованием с индикатором (Determination of acid and base numbers (neutralization value) of petroleum products by colour indicator titration). Англ. ст. В. S. 2834; 1957 (англ.)

**30217 С.** Содержание серы в нефтепродуктах. Определение в бомбе (Teneur en soufre. Méthode à la bombe). Бельг. ст. 52.046; 1956 (франц., флам.)

**30218 С.** Определение содержания тетраэтилсвинца в жидких летучих топливах, в частности, в нефтяных бензинах (Détermination de la teneur en plomb tétraéthyle des combustibles liquides volatils (en particulier des essences de pétrole). Фр. ст. М 07—014; 1956 (франц.)

**30219 С.** Испытание жидких топлив. Докторская проба (Prüfung flüssiger Brennstoffe. Doctortest). Ст. ФРГ 51765; 1957 (нем.)

**30220 С.** Жидкие горючие. Требования к котельным топливам (Flüssige Brennstoffe. Heizöle. Mindestanforderungen). Ст. ФРГ 51608; 1957 (нем.)

**30221 С.** Масла смазочные. Метод определения коксемости по Конрадсону (Conradsonovo karbonisační číslo). Чехосл. ст. 656210; 1956 (чешск.)

**30222 С.** Испытание смазочных материалов. Определение температуры вспышки в открытом тигле (по Маркусону) (Prüfung von Schmierstoffen. Bestimmung des Flammpunktes im offenen Tiegel (nach Marcusson). Ст. ФРГ 51584; 1957 (нем.)

**30223 С.** Парафины и церезины. Метод определения содержания масла (Obsah oleje). Чехосл. ст. 657015; 1956 (чешск.)

**30224 С.** Определение пенетрации петролатумов (Pénétration des pétrolatums). Бельг. ст. 52.065; 1956 (франц., флам.)

**30225 С.** Определение пенетрации консистентных смазок (Pénétration des graisses). Бельг. ст. 52.063; 1956 (франц., флам.)

**30226 П.** Процесс и аппарат для расщепления находящихся в жидком состоянии углеводородов или их содержащих веществ. Крёпелин (Verfahren und Vorrichtung zur Spaltung von Kohlenwasserstoffen oder solche enthaltenden Substanzen im flüssigen

Zustand. Kropelin Hans) [Deutsche Gold- und Silber-Scheideanstalt vormals Roessler]. Пат. ФРГ 960657, 28.03.57

Патентуется процесс расщепления жидких углеводородов или их содержащих в-в с помощью электр. дуг, образующихся в жидком слое между твердыми токонесущими дуговыми электродами (Э) и вспомогательными электродами (ВЭ), перемещающимися под влиянием выделяющихся газов, отличающийся тем, что в качестве ВЭ применяются стержни любого сечения, толщина которых превышает расстояние до двух Э. ВЭ в своей части, повернутой к Э, могут иметь шарообразную форму или зубцеобразные вырезы. В качестве ВЭ можно применять формованные электроды с естественными или искусств. порами. Аппарат для проведения процесса представляет собой сосуд с крекируемой углеводородной жидкостью, вблизи дна которого, предпочтительно параллельно поверхности дна, устанавливаются 2 ряда расположенных в шахматном порядке жестко укрепленных Э; над ними, на каждые два Э противоположного знака расположен один ВЭ в виде коромысла таким образом, что он в нижнем своем положении может частично или полностью накладываться на два Э или свободно входит между ними. Даны схемы.

**30227 П.** Улучшенный метод конверсии углеводородов. Хакмут (Método mejorado para la conversión de hidrocarburos. Nachmuth Kehl Henry) [Philips Petroleum Co.]. Мекс. пат. 55270, 14.03.55

Метод конверсии углеводородов, при котором инертный огнеупорный теплоноситель с частицами сферич. формы движется через 2 камеры: камеру нагревания и реакционную камеру. Через эти камеры пропускают два потока различных углеводородов — один в осевом направлении, другой в периферийном. В результате р-ции конверсии углеводородов получают нужный продукт, который отбирают в верхней части реакционной камеры.

**30228 П.** Каталитический крекинг углеводородов в движущемся слое твердых частиц при различных температурах. Берг (Process for treating hydrocarbons in a moving bed with solid particles at different temperature levels. Berg Clyde H. O.) [Union Oil Co. of California]. Пат. США 2759876, 21.08.56

Поток, содержащий катализатор крекинга ( $\text{SiO}_2\text{-Al}_2\text{O}_3$ ), в виде достаточно компактного слоя под действием силы тяжести опускается через зону регенерации (I) в реакционную зону, имеющую 2 температурных уровня — более низкий 150—370° (II) и более высокий 370—650° (III). Перед поступлением в I катализатор активируют, обрабатывая его паром. После I происходит разделение на 2 потока, поступающих соответственно в II и в III. Отработанный катализатор собирают и вводят в I. Смесь углеводородов с примесью углеводородных соединений, содержащих S, O и N, кипящую при т-рах кипения бензина, нагревают и в газообразном состоянии пропускают через III и II противотоком к катализатору. Полученный продукт выводят из II, охлаждают и хотя бы частично конденсируют. Часть конденсата вводят между II и III. При этом он снова испаряется и проходит с парами загруженной смеси через II. Кол-во конденсата регулируют таким образом, чтобы поддерживать в II нужную т-ру и сохранять соотношение теплосодержаний катализатора и жидкости равным 0,1—0,95. При обработке фракций газойля с примесью углеводородных N- и S-содержащих соединений, т-ру в II держат на уровне 204—357° (абсорбируются соединения N), а в III 427—565° (крекируются газойль).

М. Пасманик



30229 П. Процесс и сепаратор для отделения частиц твердого катализатора при переработке нефтяных углеводородов. Эрон (Process and separation apparatus for use in the conversions of hydrocarbons. Eron Alan H.) [Sinclair Refining Co.] Пат. США 2759877, 21.08.56

Для извлечения мельчайших твердых частиц катализатора при различных процессах переработки нефти с псевдооживленным катализатором (каталитический крекинг, реформинг) из паров образовавшихся продуктов или топочных газов, газовый поток направляют в удлиненную трубку (в виде перевернутого U) под таким углом, чтобы он изменил свое направление. При этом часть суспендированных частиц отделяется под действием силы тяжести. Газовый поток поднимается по одному колену трубки и попадает в электростатич. поле, образованное двумя электродами — заземленным (решетка из толстой проволоки или стержней) и изолированным (очень тонкая никромовая или никелевая сетка с размером отверстия 1—2,5 см), к которому приложено напряжение в 9500—25 000 в, достаточно высокое для ионизации газового потока. При этом твердые частицы получают электр. заряд и, подходя к третьему электроду, представляющему собой изолированный фильтр (покрытая стальная плита или сетка) с потенциалом того же знака, но большей величины (30 000 в), отталкиваются и по второму колену трубки падают вниз. Газы, освобожденные от частиц катализатора, выходят через фильтр. М. Пасманик

30230 П. Гидроформинг с псевдооживленным катализатором. Фриц, Мозер, Николай, Николсон (Fluid hydroforming. Fritz Robert J., Moser John F., Jr, Nicolai Lloyd A., Nicholson Edward W. S.) [Esso Research and Engineering Co.] Пат. США 2760910, 28.08.56

Гидроформинг нефтепродуктов (НП), преимущественно с т-рой кипения в пределах моторных топлив, осуществляют контактированием НП в реакторе (Р) со слоем (С) псевдооживленного катализатора (К), состоящего в основном из окиси металла VI группы на носителе, при 454—510°, 3,5—35 ат и вес. отношении К:НП = 0,5—1,5. Усовершенствование заключается в следующем: поток К непрерывно выводят из Р, отпаривают (или нет), вводят в отдельный регенератор, где регенерируют, выжигая углеродистые отложения при напр. 593—704°, выводят из регенератора, отпаривают, подают в высокоскоростной поток богатого  $H_2$  газа, который транспортирует поток К в Р выше С в течение < 10 сек. и одновременно восстанавливает К, причем газы, поступающие с потоком К, войдя в Р, отделяются от К и смешиваются с парами продукта р-ции НП над С, а К быстро оседает на С. Поток К можно транспортировать выше С в условиях прямого теплообмена с С, напр. по трубопроводу, проходящему через С снизу вверх. Приложены технологич. схемы. А. Ревикович

30231 П. Объединенный процесс обессеривания и каталитического реформинга. Мак-Ларен (Combination desulfurization and catalytic reforming process. MacLaren Donald D.) [Esso Research and Engineering Co.] Пат. США 2760905, 28.08.56

Патентуется процесс обессеривания и улучшения качества S-содержащей фракции нефтяного дистиллята (Ф). Критич. т-ра Ф 204—370°, пределы выкипания 38—260° (93—204°). Ф пропускают в зону каталитич. очистки в присутствии Н (т-ра 260—399°) при достаточно высоком давлении для сохранения Ф в жидком состоянии при т-ре несколько ниже критической. При этом S-соединения превращаются в  $H_2S$ . Гидрированную Ф охлаждают при постоянном давлении до т-ры на 13—27,5° ниже критической и отде-

ляют жидкую фазу от газообразной при высоком давлении. Затем жидкую фазу выводят из зоны сепарации и создают давление, соответствующее условиям каталитич. реформинга (Р). Газообразную фазу охлаждают, конденсируя находящиеся в ней углеводороды и при атмосферном давлении отделяют их от несконденсировавшейся части и  $H_2S$ . Конденсат доводят до давления, требуемого при Р, добавляют к жидкой фазе и вводят в зону Р, получая продукт Р и газ, богатый водородом. Часть этого газа вводят в зону Р, а часть в зону гидрирования. М. Пасманик

30232 П. Удаление фтора из продуктов реакции алкилирования. Диксон (Defluorination of reaction products. Dixon Rolland E.) [Phillips Petroleum Co.] Пат. США 2759032, 14.08.56

При непрерывном процессе алкилирования низкокипящего изопарафинового углеводорода с низкокипящим олефиновым углеводородом в присутствии катализатора, содержащего HF, продукт р-ции из зоны алкилирования поступает в зону разделения, где разделяются жидкие углеводородная (I) и HF-фракции. I переходит в первую зону дистилляции, в которой отделяется газообразная фаза (II) (HF и низкокипящие углеводороды) и жидкая фаза (III) (вышекипящие парафиновые углеводороды, органич. соединения F и не вступившие в р-цию низкокипящие парафиновые углеводороды). II охлаждают, конденсируют и разделяют полученную жидкость на 2 фазы: HF и углеводороды (IV), HF возвращают в зону разделения, часть IV — в первую зону дистилляции и пропускают остаток IV во вторую зону дистилляции, получая из нее низкокипящий парафиновый углеводород. III нагревают до 157—288° для разложения F-органич. соединений. При этом образуются легкие углеводороды и газообразная HF, которые для использования их теплоты вводят в первую зону дистилляции. Освобожденную от F жидкую фракцию вводят в третью зону дистилляции, получая 2 фазы — газообразную (не вступившие в р-цию низкокипящие изопарафиновые углеводороды) и жидкую (освобожденные от F вышекипящие парафиновые углеводороды). Для удаления следов F-органич. соединений, последнюю фракцию контактируют с бокситом. М. Пасманик

30233 П. Гидрирование при низком давлении и регенерация катализатора водородом. Хеммингер (Low pressure hydrogenation and hydrogen regeneration of the catalyst. Hemminger Charles E.) [Esso Research and Engineering Co.] Пат. США 2757128, 31.07.56

Патентуется процесс гидрогенизации олефиновых, диолефиновых, ароматич., алкилароматич. углеводородов и кислородсодержащих соединений с катализатором (К) Pt на активированной окиси алюминия, содержащей небольшое кол-во HF, в псевдооживленном слое. Сырье подается в реакционную зону хотя бы частично в виде жидкости, туда же поступает водородсодержащий газ. Т-ра в зоне р-ции 260—288°, давл. 7—35 кг/см<sup>2</sup>, при этом исключена деструктивная гидрогенизация и возможен достаточно длительный контакт для осуществления р-ции. К движется под действием силы тяжести, непрерывно выходит из зоны р-ции и поступает в зону регенерации, расположенную ниже. Там К, также находящийся в псевдооживленном состоянии, при высоких т-ре и давлении подвергается действию водорода до удаления углеродсодержащих в-в, отложившихся на нем в зоне р-ции. Регенерированный К снова поступает в зону р-ции, откуда получают готовый гидрированный продукт. М. Пасманик

30234 П. Применение карбонила никеля в процессе гидрирования, обессеривания и газификации угле-

родистых материалов. Мейленд (Process using nickel carbonyl in hydrogenation, desulfurization and gasification of carbonaceous materials. Mayland Bertrand J.) [Phillips Petroleum Co.]. Пат. США 2756194, 24.07.56

Предложен способ переработки углеродистых материалов (УМ) в жидкие углеводороды, кипящие в пределах бензина, и газ, содержащий СО и  $H_2$ , с катализатором  $Ni(CO)_4$  (I). Исходная смесь УМ, водорода и углеводородного пастообразного масла (ПМ), содержащего I, направляется в зону гидрогенизации (ЗГ), где часть УМ гидрируется, а I под действием т-ры превращается в Ni (II) и СО. Бензиновые углеводороды, образующиеся в ЗГ, выделяются как продукт процесса; тяжелый продукт гидрирования подвергается дистилляции с паром для выделения ПМ и остатка (О), в последнем, в осадке остается II. Выделенное ПМ контактируется затем с потоком газа, содержащего I растворяющийся в ПМ. Часть ПМ, с растворенным в нем I смешивается с О и направляется на газификацию паро-кислородным дутьем под давлением. В зоне газификации I превращается во II и СО, и образуется газ, содержащий значительное кол-во СО и  $H_2$ ; при охлаждении полученного газа из II и СО снова образуется I; в парообразном состоянии и при контактировании газа с ПМ I снова растворяется в ПМ. Часть полученного газа выводится как продукт процесса, а другая его часть направляется на каталитич. конверсию СО для получения  $H_2$ , который используется в ЗГ. Кол-во I составляет 0,1—1 (0,1—0,5) вес. % от ПМ. Гидрирование УМ проводится при т-ре 400—540° (433—480°), давл. 70—700 (350—550) ат, при расходе  $H_2$  0,3—1,56 (0,62—0,94) м<sup>3</sup> на 1 кг сырья и времени контакта 0,25—8 (1—3) часа. Газификация ведется при т-ре 760—1650° (980—1090°), при времени контакта 0,1—10 (1—5) сек. и давл. 1—20 (2—7) ат; охлаждение газа производится до т-ры 150° (90—150°). В качестве УМ могут использоваться каменные угли, горючие сланцы и остатки нефтепереработки. Если УМ содержат S-соединения, то при гидрировании они превратятся в  $H_2S$  и последний должен выводиться из системы. Процесс может производиться без стадии гидрогенизации и включать только газификацию в указанных выше условиях для получения газа, содержащего значительное кол-во СО и  $H_2$ . Приведена схема процесса. В. Кельцев

**30235 П.** Способ улавливания легких углеводородов из отходящих газов. Вермоузел (Způsob získávání lehkých uhlovodíků z odpadních plynů. Vermouzel Cestmír). Чешск. пат. 85693, 15.06.56

Способ улавливания легких углеводородов (ЛУ) из отходящих газов, напр. газов крекинга, путем их абсорбции и последующей фракционной дистилляции абсорбента, с применением в качестве абсорбента ЛУ, отличается тем, что на абсорбцию поступает фракция ЛУ, выделенная из исходного газа, а насыщ. абсорбент подвергается фракционированию, причем т-ры в обеих колоннах > 13,5°. Основной продукт, получаемый из дистилляционной колонны, может быть подвергнут отдельной разгонке. Дан пример улавливания этилена из крекинга-газа при давлениях в колоннах 28—30 ата; приведены составы газов и технологич. режим процесса. Р. З.

**30236 П.** Удаление органических сернистых соединений из газов. Гейнс (Removal of organic sulfur compounds from gases. Gains Wilfred C.) [Chemical Construction Corp.]. Пат. США 2762452, 11.09.56

Для удаления органич. S-компонентов из углеводородного газа последний высушивают и затем пропускают через слой силикагеля (или контактируют с ним) при комнатной т-ре. S-соединения адсорбируются гелем, а затем десорбируются при нагревании геля

до 300—700°. Десорбция может быть осуществлена также путем пропускания через отработанный силикагель сухого воздуха, нагретого до 300—500°.

**30237 П.** Крекинг тяжелых углеводородов на инертных твердых частицах. Адаме (Cracking of heavy hydrocarbons with inert solids. Adams Clark E.) [Esso Research and Engineering Co.]. Пат. США 2756195, 24.07.56

Предложен метод крекинга тяжелых углеводородных масел в псевдооживленном слое инертных, неорганич. твердых частиц (ТЧ), с высоким сопротивлением истиранию (песок, металлич. или керамич. зерна с размером частиц ~150 м и кажущейся плотностью 1,2—4). Сырье вводится в псевдооживленный слой в кол-ве 0,1—4 вес. ч. в час на 1 вес. ч. ТЧ; в нижнюю часть реакционной зоны (РЗ) вводится также газ-разбавитель; общая скорость газов и паров в слое составляет 0,6—1,5 м/сек (она не должна превышать скорости уноса ТЧ). В псевдооживленном слое ТЧ в РЗ происходит сдвигание отложенных кокса с ТЧ и частицы кокса (КЧ) уносятся продуктами р-ции и газом-разбавителем из слоя. Увлеченные газовым потоком ТЧ отделяются от потока газов и суспендированных в нем КЧ в верхней части РЗ, а газ и КЧ проходят в раздельную зону, расположенную в верхней части РЗ и имеющую ту же т-ру, что и сектор РЗ, где КЧ отделяются от газов. Часть выделенных КЧ направляется во внешнюю зону сжигания, куда вводится также  $O_2$ -содержащий газ, для сжигания КЧ и снабжения РЗ полученным теплом, передаваемым псевдооживленному слою через теплообменную поверхность. Приведена схема реактора.

**30238 П.** Процесс обработки нефтяного газа для получения дешевого городского газа. Старк (Procédé de traitement du gaz de pétrole en vue de l'obtention à bas prix d'un gaz de caractéristiques données. Stark Virgil). Франц. пат. 1122516, 10.09.56

Для получения городского газа из содержащих тяжелые углеводороды (У) нефтяных фракций последние газифицируют при 810—920°; образующиеся при горении горячие газы используются для окисления углеродистых отложений. Полученные газообразные продукты крекинга компримируют при соответствующем давлении (напр., 21 кг/см<sup>2</sup>), постепенно охлаждают, извлекают сконденсировавшиеся и выпеканияющиеся компоненты и фракционируют. Несконденсировавшиеся газообразные продукты крекинга смешивают с газами, образовавшимися при горении, или с дымовыми газами для получения городского газа с соответствующими свойствами. Для произ-ва газа с высоким содержанием  $H_2$  и с небольшим уд. весом из тяжелых нефтяных фракций или из нефтяного или заводского газа последний очищают, компримируют, охлаждают, извлекают содержащиеся в нем высшие У. Несконденсировавшийся газ подвергают каталитич. обработке для превращения оставшихся У в газ с большим содержанием  $H_2$  (~70%) и СО. Содержание  $H_2$  затем повышают до 97% конверсией СО с водяным паром, удаляют  $CO_2$ ;  $H_2$  используют главным образом для синтеза аммиака. Часть ранее выделенных высших У подвергают каталитич. обработке для получения газа с невысокой теплопроизводительностью и обогащают его другой частью высших У. Часть высших У поступает в продажу, чем снижается стоимость городского газа.

**30239 П.** Способ и приспособление для получения газа с высокой теплопроизводительностью из углеводородных масел. Карл (Verfahren und Einrichtung zur Erzeugung eines Gases mit hohem Heizwert aus Kohlenwasserstoffölen. Karl Alfred) [Heinrich Koppers G. m. b. H.]. Пат. ФРГ 947730, 18.10.56



Предлагается способ получения газа с высокой теплопроводностью из углеводородных масел конверсией углеводородных паров с  $O_2$  и водяным паром при повышенной т-ре. Сырье (С) нагревается в трубчатой печи под давлением без существенного испарения до т-ры между 200 и 400° и поступает в эвапоратор, где в свободном пространстве происходит его испарение в присутствии  $O_2$  и водяного пара. При этом давление снижается настолько, чтобы все составные части С, способные испаряться, перешли в парообразное состояние, а жидкий остаток распылился на мельчайшие капельки, создавая туман. Образующаяся в результате снижения давления смесь нефтяных паров и тумана реагирует при т-ре, повышающейся не более чем до 800°, с  $O_2$  и водяным паром, добавляемым в ограниченном кол-ве до или после снижения давления. Реакционная смесь, образующаяся в результате взаимодействия с  $O_2$ , при той же т-ре контактируется с избытком  $H_2$  или газом, его содержащим, предпочтительно с частью полученного целевого газа. Часть  $O_2$  и водяного пара, в кол-ве до 40%, предпочтительно однако не более 5% от общего кол-ва, необходимого для превращения нефтяного С, добавляется к нему до поступления С в трубчатую печь. Неиспарившуюся часть С целесообразно перед взаимодействием с  $H_2$  охлаждением удалить из реакционной смеси. Время пребывания реакционной смеси в эвапораторе при взаимодействии с  $O_2$  не превышает 20, предпочтительно 10 сек. Введение  $H_2$  или газа, его содержащего, в эвапоратор, в данном случае в часть потока, производится так, чтобы в эвапораторе в направлении потока достигался в основном одновременный подъем т-ры. Приспособление для проведения процесса состоит из эвапоратора, состоящего из 2 зон, наполненного, по крайней мере частично, насадкой, предпочтительно керамич. Насадка, по крайней мере частично, состоит из ускорителей р-ции, в частности из сероустойчивой, обладающей каталитич. действием массы. В эвапораторе поддерживается нормальное давление или разрежение. Приводится обоснование выбранных условий процесса, схема и описание его.

**30240 П.** Получение газов, содержащих окис углерода и водород, из жидких или газообразных углеводородов. Штарк (Production of gases containing carbon monoxide and hydrogen from liquid gaseous hydrocarbons. Stark V.). Англ. пат. 728439, 20.04.55  
Описана конструкция аппарата для получения горючих газов с высоким содержанием CO и  $H_2$ , используемых для восстановления металлов, напр. Fe, из руд, из смеси жидких или газообразных углеводородов (пропана, бутана, природных газов, нефтяных фракций), водяного пара и воздуха. Смесь проходит последовательно через концентрически расположенные цилиндры, изготовленные из никелевой стали, и затем через кольцевое пространство из жаропрочного материала, напр. из карбида кремния, заполненное катализатором из окиси металла. Обогревание ведут за счет сжигания газа; т-ра 900—1220°. Аппарат оборудован смесителем, в котором компоненты смеси перемешиваются с помощью ультразвукового вибратора. В аппарате предусмотрена также возможность отбора из разных зон газа с различной теплотворностью.

**30241 П.** Способ получения синтез-газа в двигателях внутреннего сгорания при одновременном получении механической энергии. Сесич (Verfahren zur Gewinnung von Synthesegas in Verbrennungskraftmaschinen unter gleichzeitiger Gewinnung mechanischer Energie. Szeszich Lajos von) [Deutsche Gold- und Silber-Scheideanstalt vormals Roessler]. Пат. ФРГ 558946, 24.01.57

Указанный способ осуществляется путем р-ции смеси углеводородных газов или тумана с  $O_2$  в кол-ве, недостаточном для полного сгорания. Двигатель начинает работать на смеси при добавлении  $O_2$  или  $O_2$ -содержащих газов, затем постепенно подвод последних уменьшается, а подача углеводородной смеси увеличивается. В начале работы в двигатель дополнительно вводят агент, уменьшающий интенсивность горения:  $CO_2$  или высшие углеводороды.

**30242 П.** Производство сульфоната. Брей (Sulfonate manufacture. Bray Ulric B.) [Bray Oil Co.]. Пат. США 2746987, 22.05.56

Патентуемый метод произ-ва маслорастворимых сульфонатов металлов состоит в сульфировании смазочного масла (ароматич. углеводороды с т. кип. > 315°) дымящей  $H_2SO_4$  при т-ре < 60°. Получается масло с содержанием 10—30% сульфоновых к-т. К нему добавляют воду в кол-ве достаточном для прекращения р-ции и р-ритель ароматич. углеводородов для лучшего разделения слоев. Фазу, содержащую сульфированные масла и р-ритель, отделяют, нейтрализуют водн. р-ром  $NH_4OH$  и добавляют полярный р-ритель — спирт или амин — содержащий не менее 6 атомов С в молекуле, смешивающийся во всех отношениях с водой и растворяющий масло. Образуются 2 фазы — водн., содержащая соли  $NH_4$ , и органич., содержащая сульфонаты. Последнюю отделяют и нагревают с соединением основного металла ( $Ca(OH)_2$ , NaOH,  $Ba(OH)_2$ ), в результате чего получается сульфонат соответствующего металла.  $NH_3$  и р-ритель улавливают и возвращают в процесс.

**30243 П.** Способ химической очистки нефтяных фракций и аналогичных продуктов. Загер (Verfahren zur chemischen Raffination von Erdölfraktionen und verwandten Stoffen. Sager Friedrich). Пат. ФРГ 958415, 21.02.57

Усовершенствование хим. очистки нефтяных фракций, продуктов переработки сланцевых, каменноугольных смол и проч. состоит в том, что для отщепливого и быстрого разделения полученных при очистке рафината и экстракта (напр., кислого гудрона) применяются один или несколько циклонов; при этом промежуточные насосы и отстойники не требуются. При применении циклонов очистка газообразных при атмосферном давлении углеводородов осуществляется в жидкой фазе под повышенным давлением. Дана схема процесса.

**30244 П.** Непрерывный метод сернокислотной очистки нефтепродуктов. Кимура (Нихон сэнсю кабусики кайся). Японск. пат. 5531, 2.09.54

Если при сернокислотной очистке вязких смазочных масел перед центрифугированием для отделения кислого гудрона добавлять к маслу щелочь (NaOH или KOH) с конц-ней 15—40° Бэ в кол-ве 0,1—1,5%, то при этом увеличивается полнота отделения кислого гудрона и улучшается качество масла. Так, при очистке масла с вязкостью 110 сст при 50° при добавлении р-ра NaOH с конц-ней 30° Бэ в кол-ве 0,2% кислотное число масла снижается до 2,5 и улучшается прозрачность масла; содержание масла в кислом гудроне уменьшается на 20%. Кислый гудрон за счет теплоты, выделяющейся при р-ции нейтр-ции, нагревается и становится менее вязким, вследствие чего можно непрерывно откачивать его в процессе очистки.

**30245 П.** Процесс каталитической очистки под давлением низкокипящих углеводородов (Procédé de raffinage catalytique sous pression d'hydrocarbures à bas point d'ébullition) [Badische Anilin- et Soda — Fabrik A.-G.]. Франц. пат. 1121045, 19.07.56

Патентуется каталитич. очистка низкокипящих углеводородов, таких как сырые бензол, бензин, освети-

тельный керосин, водородом, содержащим CO. В реакционную зону (P3) подают 0,2—2,5 м<sup>3</sup> H<sub>2</sub>, содержащего CO (напр. давление H<sub>2</sub> 10—60 атм), и 0,3—2,5 кг исходного сырья на 1 л каталитич. объема в час при 280—450° на входе в P3. В процессе очистки CO реагирует с таким кол-вом H<sub>2</sub>, что т-ра в P3 поднимается не менее чем на 10° и не более чем на 50°. В качестве катализаторов применяются: а) соединения металлов V, VI и VIII групп периодической системы, нанесенные либо на активные синтетич. носители (т-ра на входе в P3 280—350°), либо на природные носители (т-ра на входе в P3 330—420°); б) соединения металлов I—IV и VII групп (т-ра на входе в P3 350—450°), напр. активный глинозем, содержащий 10% сернистого молибдена и сернистого кобальта (молярное отношение 3:1); сернистый молибден и сернистый никель (молярное отношение 2:1).

Г. Марголина  
30246 П. Способ повышения качества крекинг-бензинов путем обработки пентоксида фосфора. Хамнер (Process for improving engine cleanliness characteristics of cracked gasolines by treating with phosphorus pentoxide. Hamner Glen P.) [Esso Research and Engineering Co.]. Пат. США 2756181, 24.07.56

Способ предусматривает удаление S-соединений, повышение октанового числа и снижение содержания смол. Предварительно дебутанизированный крекинг-дистиллят разделяется на две фракции: 30—120° и 120—220°. Каждая из этих фракций обрабатывается P<sub>2</sub>O<sub>5</sub> в жидкой фазе при 30—120° (40—65°) скорости 0,2—1 объем/1 объем/катализатора в 1 час. При этом происходит полимеризация и конденсация нежелательных компонентов, в частности, диолефинов. Затем обработанные P<sub>2</sub>O<sub>5</sub> фракции для отделения высокипящих продуктов, полученных при обработке, перегоняются, после чего смешиваются между собой.

И. Рожков

30247 П. Переработка кислых гудронов. Брей, Ворхис (Conversion of acid sludges. Bray Ulric B., Voorhees Vanderveer) [Bray Oil Co.]. Пат. США 2754192, 10.07.56

Кислый гудрон, полученный при обработке минеральных масел конц. или дымящей H<sub>2</sub>SO<sub>4</sub> и содержащий растворенные органич. в-ва, нейтрализуют, инжектируя его под давлением 0,7—3,5 кг/см<sup>2</sup> в струю газообразного NH<sub>3</sub>, движущуюся с большой скоростью под давл. 7—35 кг/см<sup>2</sup>. Затем в зоне нейтр-ции (ЗН) происходит диссоциация до частиц диам. 10—400 м и нейтр-ция. Образуется (NH<sub>4</sub>)<sub>2</sub>SO<sub>4</sub> и NH<sub>4</sub>-соли органич. к-т в тонкораздробленном состоянии. Одновременно за счет теплоты нейтр-ции происходит испарение воды и летучих органич. в-в. Пар и пыль конденсируются вне ЗН; конденсат в форме струи возвращается в ЗН, где снова испаряется. Тяжелые кислые гудроны, разбавляют р-рителями, которые после нейтр-ции конденсируют отдельно и снова используют в процессе. NH<sub>3</sub> подается в избытке (5—50%) по сравнению с кол-вом, нужным для нейтр-ции H<sub>2</sub>SO<sub>4</sub>. За счет его испарения происходит снижение т-ры крайне экзотермичной р-ции нейтр-ции, однако, в начале процесса (или при необходимости испарения р-рителей) его можно предварительно подогреть до 260°. Полученный продукт может быть использован в качестве удобрения.

М. Пасманин

30248 П. Избирательная обработка растворителями при сольвентной депарафинизации. Форд (Selective use of solvent components in solvent dewaxing. Ford Lloyd J.) [Esso Research and Engineering Co.]. Пат. США 2760904, 28.08.56

Депарафинизацию (ДП) парафинистого масла (М) при помощи двух р-рителей, из которых один является осаждающим парафин (П) кетоном (К) преимуще-

ственно метилэтилкетон (I), а второй — ароматич. р-рителем (АР) (преимущественно толуолом (II)), производят ступенчато: охлаждают М, добавляют к нему порцию К, охлажденную до примерно такой же т-ры, для осаждения из М части П; в следующей ступени охлаждают смесь М, П и К до более низкой т-ры и добавляют новую порцию К, охлажденную до примерно такой же т-ры, и так далее до добавления всего предназначенного кол-ва К и достижения желаемой т-ры ДП, после чего добавляют все предназначенное кол-во АР, охлажденное до примерно такой же т-ры, и отделяют выпавший П. Для ДП можно брать 50—70 I на 30—50 II (об. %) и всего 2—8 I + II на I (об. %). М. Пример. ДП I М (d<sub>4</sub><sup>16</sup> 0,865, вязкость 9 сст при 99°) производили 3,5 I + II (объемн. ч.), из которых (об. %) 60 I и 40 II, по предлагаемому способу и добавлением смеси I и II порциями. В 1-м и 2-м случаях скорость фильтрации была соответственно (л/м<sup>2</sup> час) 139 и 160, выхода масла 78 и 89% при одинаковой т. заст. —9°.

30249 П. Депарафинизация смазочных масел пропаном. Нокс (Propane dewaxing of lubricating oils. Knox William T.) [Esso Research and Engineering Co.]. Пат. США 2745791, 15.05.56

При депарафинизации парафинистых углеводородных дистиллятов пропаном в присутствии воды добавляют к смеси их для предупреждения образования льда депрессор, состоящий в основном из аммиака, в кол-ве < 2 (0,2—1) вес. %, считая на пропан, и охлаждают всю смесь до т-ры от 0° до —40°. Образовавшаяся при этом отдельная несмешивающаяся водоаммиачную фазу отделяют от охлажденной смеси парафин-дистиллят-пропана и последнюю немедленно фильтруют для отделения парафина. Дана схема установки.

Г. Марголина

30250 П. Метод деасфальтизации масляных дистиллятов. Лобедан, Циммерлинг (Verfahren zur Entasphaltierung von Oldestillaten. Lobedan Erich, Zimmerling Helmut). Пат. ГДР 13536, 22.07.57

Для деасфальтизации нефтяных и каменноугольных масляных дистиллятов их обрабатывают крепкой, насыщ. креозотом, щелочью (NaOH). Напр., при обработке топочного нефтепродукта креозотсодержащей 33%-ной NaOH, взятой в отношении 1:1, содержание асфальта в нефтепродукте понижается с 3,8 до 0,8%.

Г. Марголина

30251 П. Разделение углеводородов. Франсис (Hydrocarbon separation. Francis Alfred W.) [Socony Mobil Oil Co., Inc.]. Пат. США 2756266, 24.07.56

Способ выделения n-олефинов (О) с 2—8 атомами С в молекуле из смесей с парафиновыми углеводородами (П) контактированием смеси углеводородов при т-ре от —40 до +25° со смесью H<sub>2</sub>SO<sub>4</sub> с органич. р-рителем (Р). При этом Р должен смешиваться с H<sub>2</sub>SO<sub>4</sub> без заметного теплообразования и не смешиваться с П при 0°. Смесью H<sub>2</sub>SO<sub>4</sub> и Р содержит 10—50% H<sub>2</sub>SO<sub>4</sub> уд. в. ≤ 1,82 перед смешением с Р; общее кол-во воды в этой смеси должно быть ≤ 10% от H<sub>2</sub>SO<sub>4</sub>. Способ предназначен главным образом для разделения пропан-пропиленовых смесей. В качестве Р могут применяться сульфокислоты, нитроуглеводороды, или эфиры серной к-ты, напр., диметилсульфид (ДС). После контактирования смеси О и П с указанной смесью H<sub>2</sub>SO<sub>4</sub> и Р образуется два слоя: осад. экстракта, содержащий О, H<sub>2</sub>SO<sub>4</sub> и Р, и осад. слой, содержащий П. Экстракт затем контактируется при т-ре от —40 до +26° со вторым р-рителем (Р<sub>2</sub>), имеющим т-ру кипения существенно отличающуюся от т-ры кипения О и представляющим собой П или нефтяной углеводород с 3—13 атомами С в молекуле (напр. n-гептан). После второй экстракции также образуется



два слоя: слой экстракта, содержащий O и P<sub>2</sub>, и второй слой, содержащий H<sub>2</sub>SO<sub>4</sub> и P; дистилляцией 2-го экстракта выделяется O. Пример. Смесь (в. ч.) 0,1 ДС и 0,87 90%-ной H<sub>2</sub>SO<sub>4</sub> контактировалась при 0° со смесью 1,22 пропилена и 1,29 пропана, при этом 0,33 смеси углеводородов растворялось в ДС и H<sub>2</sub>SO<sub>4</sub> и образовывалось два слоя: нижний, содержащий пропилен, H<sub>2</sub>SO<sub>4</sub> и ДС, и верхний, содержащий пропан. Нижний слой экстрагировался 3,3 ч. n-гексана при 0°, при этом экстрагировалось 0,33 ч. или 62% растворенных углеводородов. Экстракт n-гексана отделялся и нагревался до комнатной т-ры (~25°), при этом выделялся газ, представляющий собой чистый пропилен. Приведена схема процесса.

**30252 П. Разделение углеводородов.** Горин (Hydrocarbon separation. Gorin Everett) [Socopol Mobil Oil Co., Inc.]. Пат. США 2759915, 21.08.56

Патентуется метод выделения нормальных α-моноолефинов (I) не менее чем с 8 атомами C в цепи из смеси, содержащей I и нормальные моноолефины (II), имеющие ≥ 8 атомов C, причем двойная связь находится ближе к центру молекулы, чем у I. К смеси добавляют мочевины, образующую кристаллический комплекс с I, который и отделяют от смеси. Метод применим также в том случае, если I не содержат более одной дополнительной не конечной группы олефина на молекулу, а II не имеет двойной связи у конечного атома C и менее трех двойных связей в молекуле. Так из смеси n-октена-1 и n-октена-2 можно выделить комплекс из первого компонента с мочевиной, разложить его и получить более конц. n-октен-1, чем до обработки. Метод применим для разделения нормальных парафиновых, олефиновых и полиолефиновых углеводородов. Т-ра, кол-во мочевины и время контакта в каждом отдельном случае различны.

**30253 П. Концентрация олефинов.** Гиллiland (Concentration of olefins. Gilliland Edwin R.) [Standard Oil Development Co.]. Канадск. пат. 514006, 21.06.55

Предложен метод выделения и конц-ии олефина (O), в котором смесь углеводородов, содержащая данный O, обрабатывается селективным р-рителем (P), образующим в результате р-ции продукт присоединения. Из р-ра, содержащего этот продукт, нежелательные компоненты отгоняются с углеводородным десорбирующим агентом (Д), не содержащим этих компонентов, после чего O выделяется из р-рителя. Метод рекомендуется: для выделения и конц-ии этилена, причем в качестве Д применяется этилен или инертное нефтяное масло; для выделения и конц-ии бутадиена, причем в качестве P применяется вода, аммиачный р-р ацетата меди, а в качестве Д — бутадиев.

**30254 П. Выделение дурола.** Беннетт, Хант, Пауерс, Спид (Durene production. Bennett Rufus B., Hunt William T., Powers John S., Speed Raymond A.) [Esso Research and Engineering Co.]. Пат. США 2766310, 9.10.56

Выделение дурола (I) высокой чистоты из нефтяной фракции с т. кип. 132—204°, содержащей 2—40% I, получаемой, напр., при гидроформинге литроновой фракции. Исходную нефтяную фракцию быстро охлаждают до т-ры —40, —62° в присутствии от 10 до 40% охлажденного газообразного углеводорода (пропана, этилена, их смеси или пропана с небольшой примесью этана и бутана), предпочтительно частичным испарением этого охлажденного углеводорода. Образующуюся легко фильтрующаяся суспензия кристаллов I быстро отфильтровывают или отделяют центрифугированием. Фильтровальную лепешку, содержащую около 50% кристаллов I, выдерживают, не

допуская ее плавления, в течение 4—24 час. при 21—43°, после чего увеличившиеся в размере кристаллы отделяют центрифугированием в течение 5 мин. Получают 95%-ный I.

**30255 П. Выделение этилбензола из ксилольной фракции.** Шлаттер (Separation of ethylbenzene from crude xylene fraction. Schlatter Maurice J.) [California Research Corp.]. Пат. США 2734930, 14.02.56

Сырую ксилольную фракцию, содержащую этилбензол (I), алкилируют олефинами, третичными спиртами, хлористыми алкилами или циклоалкилами, напр. алкилбензолом, алкилтолуолом или алкилксилолом, предпочтительно в-вом, содержащим радикал — третичный бутил, в присутствии HF, H<sub>3</sub>PO<sub>4</sub>, H<sub>2</sub>SO<sub>4</sub>, AlCl<sub>3</sub>, FeCl<sub>3</sub> при 0—55° (в зависимости от катализатора). При последующей перегонке отделяют ксилольную фракцию с уменьшенным кол-вом I и фракцию алкилированного I (трет-алкилэтилбензол), которую подвергают затем каталитич. крекингу для отщепления введенного радикала и выделения I. Пример. 394 г изобутилена растворяют в 1000 г смеси ароматич. углеводородов C<sub>8</sub> при 0° и прибавляют в течение 2 час. к 182 г жидкого HF в медном реакторе и энергично перемешивают при 0—5°, в течение еще 2 час. выливают на лед, нейтрализуют р-ром NaOH, всплывший слой отделяют, промывают 3 раза 200 мл воды, сушат и перегоняют. Содержание I в ксилольной фракции снижается с 14 до 2,5 об.%. Выход сырого продукта 1308 г.

**30256 П. Выделение изобутилена.** Гарретт (Isobutylene extraction. Garrett Bowman S.) [Esso Research and Engineering Co.]. Канад. пат. 515493, 9.08.55

Предложенный метод выделения изобутилена из сырья, содержащего углеводороды C<sub>4</sub>, состоит в контактировании сырья с H<sub>2</sub>SO<sub>4</sub> в реакционной зоне (P3) с образованием экстракта; последний переводится из P3 в регенерационную, где нагревается под давлением значительно меньшим, чем в P3. При этом большая часть углеводородов из экстракта испаряется, а H<sub>2</sub>SO<sub>4</sub> регенерируется и рециркулируется в P3. К рециркулируемой к-те добавляется обработанное к-той минер. масло, кипящее в пределах 205—480°, для предотвращения вспенивания в регенерационной зоне. Минер. масло добавляется в кол-ве 0,005—0,10 вес. % (можно в виде суспензии в трет-бутиловом спирте).

**30257 П. Производство индена.** Гофман, Суби (Fabrication de l'indene. Hoffmann Edward J., Souby Armand M.) [Standard Oil Development Co.]. Франц. пат. 1108624, 16.01.56

Для произ-ва индена или его гомологов углеводородная фракция, содержащая индан или алкилинданы с числом замещающих групп от 1 до 7, с 1 до 4 атомов C в каждой, кипящая в интервале 150—345°, нагревается при 590—750° (650—705°) в зоне реактора, не содержащей активных катализирующих в-в, под давл. 28—70 ат и времени р-ции 3—120 (5—50) сек. в присутствии 35(70)—180 м<sup>3</sup> водорода на 1 гл фракции. Инден выделяют фракционированием из продуктов р-ции. Как сырье может быть использована соответствующая фракция гидроформинга или экстракт, полученный из нее селективным р-рителем (напр., SO<sub>2</sub>). Экстракт, полученный с SO<sub>2</sub> из фракции осветительного керосина, подвергается превращению при 705°, давл. 42 ат, кол-ве H<sub>2</sub> 90 м<sup>3</sup>/гг загрузки и времени р-ции 10 сек. От полученного продукта отбирается фракция с т. кип. 150—175°, содержащая 38,4 вес. % индена.

**30258 П. Процесс выделения и очистки циклодиенов из продуктов крекинга.** Вильсон, Джонс (Pro-

cess for recovery and purification of cyclodienes from cracked petroleum. Wilson Samuel W., Jones Thomas G. [Esso Research and Engineering Co.]. Пат. США 2733279, 31.01.56

Патентуется процесс выделения циклодиенов (I) из лигроина термич. крекинга при 538—871° (II), содержащего углеводороды  $C_1$ — $C_{12}$ , заключающийся в предварительном фракционировании II, получении концентрата димеров I ( $C_7$ — $C_{12}$ ) из фракции  $C_5$ — $C_9$  и  $C_5$ — $C_{12}$  (III); последующей их деполимеризации и фракционировании с получением очищ. I. Установка имеет дистилляционные колонны для выделения узких углеводородных фракций, реакторы первой и второй ступеней для деполимеризации. III получается в колонне с 15-ю тарелками при т-ре наверху 63° и внизу 127°, давл. 0,4 ат. Деполимеризация ведется при 177—193° и давл. 0,14—1,4 ат. В колонне для окончательной очистки I поддерживается т-ра наверху 49°, внизу —71°.

30259 П. Обработка парафина. Джоанен (Processing of wax. Joanen Miles Anthony) [Sinclair Refining Co.]. Пат. США 2761851, 4.09.56

Парафиновый состав, обладающий повышенной устойчивостью против прилипания, состоит в основном из кристаллич. нефтяного парафина, к которому добавлено ~3% полиэтилена с мол. весом порядка 3700; полиэтилен добавляет в расплавленный парафин при 95°. Плитки из такого парафинового состава, а также пропитанные им листы бумаги могут долго, не слипаясь, храниться при т-ре ~38°. Г. Марголина

30260 П. Способ извлечения битума (Procédé de récupération de bitume) [Préparation Industrielle des Combustibles (Soc. An.)]. Франц. пат. 1119421, 20.06.56

Патентуется способ извлечения битумов и масел из природных или искусств. битуминозных в-в (асфальтов, горючих сланцев), отличающийся тем, что предварительно измельченное битуминозное в-во смешивают с нефтяной фракцией, выкипающей при 100—250°, смесь нагревают до т-ры, необходимой для растворения битумов и масел, затем ее подают на фильтр. Остаток на фильтре обрабатывают чистым р-рителем для извлечения оставшегося битума и затем перегретым паром для удаления р-рителя. И. Смирнова

30261 П. Способ фракционной разгонки газообразных углеводородов. Вермоузел (Způsob frakcionované destilace plyných uhlovodíků. Vermouzel Cestmír). Чешск. пат. 85692, 15.06.56

Способ фракционной разгонки газообразных углеводородов, напр. смеси этана и этилена, с добавлением к рефлюксу или вверх колонны одного или нескольких компонентов (К), отличающийся тем, что в качестве К берутся углеводороды того же гомологич. ряда, мол. вес которых выше мол. весов разделяемых углеводородов. Это позволяет вести разгонку при более высоких давлениях и при более высоких (положительных) т-рах с соответствующей экономией стоимости аппаратуры и эксплуатации. К. З.

30262 П. Метод и аппаратура для получения из природного газа смеси жидких углеводородов, в основном, содержащей метан. Мук (Verfahren und Vorrichtungen zur Gewinnung eines insbesondere flüssiges Methan enthaltenden Gemisches flüssiger Kohlenwasserstoffe aus Erdgas. Muck Otto H.). Пат. ФРГ 951751, 31.10.56

В развитие пат. ФРГ 930749 (см. РЖХим, 1956, 26635) предложено энергию, освобождаемую при снижении давления, использовать для рекомпрессии остаточного газа до давления в магистральном газопроводе. Для этого рекомендуется включение 1, 2 или 3 дополнительных циклов предварительного охлаждения, в которых осуществляется дополнитель-

ное охлаждение газа с выполнением внешней работы по рекомпрессии.

30263 П. Способ охлаждения и хранения пропана. Унемиллер (Method of cooling and storing propane and the like. Wissmiller Ivan L.) [Chicago Bridge & Iron Co.]. Пат. США 2753691, 10.07.56

Предложен способ хранения больших (порядка загрузки танкера) кол-в жидкого пропана (II), заключающийся в: 1) приеме большой партии II в короткое время при давлении ~17 ат и т-ре >4,5° в закрытый резервуар (Р) достаточной емкости, причем некоторое кол-во II испаряется в Р и тем самым охлаждает жидкий II в Р; 2) охлаждении и конденсации образовавшихся паров II в теплообменнике и возврате их в жидком виде в Р и, тем самым, дальнейшим охлаждением II в Р. Давление в Р при этом поддерживается ~5 ат. Охлаждение и конденсации паров II в теплообменнике производится р-ром, циркулирующим через теплообменник и холодильную зону, где охлаждение р-ра производится льдом. Приведены варианты схемы устройства хранилища. В. Кельцен

30264 П. Сухой газгольдер. Клёнке (Scheibengasbehälter. Klönne August) [Fa. August Klönne]. Пат. ФРГ 953963, 13.12.56

Предлагается усовершенствование конструкции сухого газгольдера (Г), в котором нижняя сторона диска снабжена насадкой (Н), одновременно используемой в качестве носителя балласта; Н при самом нижнем положении диска погружается в канавку дна Г, служащую для приема жидкости, при этом жидкость выдавливается в остающееся пространство между диском и дном Г. Усовершенствование состоит в том, что Н изготовляется кольцеобразной, устанавливается по периметру диска и при опускании на дно заполняет пространство кольцеобразной канавки в дне Г. Н может составлять часть жесткой несущей конструкции диска и совместно с последней воспринимать статич. давление, возникающее при погружении Н в канавку. Диск может быть изготовлен в виде мембраны, укрепленной кольцевой несущей конструкцией. Диск и дно Г образуют конусообразное пространство; покатошь от центра диска к канавке. Даны эскизы. Б. Энглан

30265 П. Способ получения ацетилена из ацетиленсодержащих газов. Трамм, Коллинг (Verfahren zur Gewinnung von Acetylen aus acetylenhaltigen Gasen. Tramm Heinrich, Kolling Helmut) [Ruhchemie A.-G.]. Пат. ФРГ 936266, 7.12.55

Выделение  $C_2H_2$  из промывной жидкости достигается в две или несколько ступеней понижением давления. Пример. Газ, содержащий  $C_2H_2$ , со скоростью 1 м³/час при 10 ат противоточно промывается водой в кол-ве 120 л/час. Давление промывочной воды снижается в 1-й ступени до 1 ат, при этом из нее удаляется 45 л/час газа, содержащего 40—50%  $C_2H_2$ . Во 2-й ступени давление снижается до 30 мм рт. ст.; из воды выделяется газ, содержащий 97,5—98%  $C_2H_2$ . Если через воду в 1-й ступени пропускается противоточно газ, извлеченный из 2-й ступени, то при пропуске 20 л/час газа 2-й ступени получается газ, содержащий 98,7%  $C_2H_2$ , а при пропуске 27 л/час — газ, содержащий 99,5%  $C_2H_2$ . Б. Энглан

30266 П. Выделение ацетилена из газовых смесей путем адсорбции селективными растворителями. Эйкин (Recovery of acetylene from gas mixtures by adsorption in selective solvents. Akin George A.) [Eastman Kodak Co.]. Пат. США 2731507, 17.01.56

Способ выделения  $C_2H_2$  (I) из его смеси с  $C_2H_4$  (II) заключается в обработке газовой смеси жидким р-рителем, предпочтительно растворяющим I и дающим р-р, богатый I, но с незначительной примесью II. В качестве р-рителей для I предложены диметилацет-



амид и диметилформамид с добавлением свежих порций этого р-рителя; для II предложены додекан и нефтяные поглотительные масла.

**30267 П. Процесс и аппарат для получения сажи.** Бойд (Procédé et appareil pour la fabrication du noir de fumée. Boyd Joseph) [S. Godfrey L. Cabot Inc.] Франц. пат. 1097093, 29.06.55 [Teintex, 1956, 21, № 2, 143 (Франц.)]

Струю негалообразного при нормальных условиях углеводорода вводят по оси цилиндрич. камеры, диаметр которой вдвое больше ее длины. В зону р-ции одновременно вводится горючий газ в виде нескольких струй, расположенных вокруг струи углеводорода, но без контакта с нею, и поток воздуха, вращающийся по спирали вблизи периферии зоны р-ции за уловляемыми струями горючего газа. Воздух подается в кол-ве, достаточном для полного сгорания горючего газа, но недостаточном для сгорания всего углеводорода. Газообразные продукты р-ции сжигают во 2-й зоне р-ции с меньшим диаметром и большей длиной.

В. Шер

**30268 П. Способ окисления печной сажи.** Суэйцер (Verfahren zur Oxydation von Ofenruss. Sweitzer Carl William) [Columbian Carbon Co.] Пат. ФРГ 956338, 17.01.57

Для окисления печной сажи предлагается нагревать последнюю в слое толщиной  $\leq 0,6$  см равномерно до т-ры ниже т-ры темного накала, но  $\geq 340^\circ$  и, во всяком случае, ниже т-ры воспламенения обрабатываемой сажи, пропуская одновременно над поверхностью сажи воздух или смесь воздуха с водяным паром до достижения наиболее низкого значения рН. Сажу следует нагревать до возможно высокой т-ры, при которой еще не происходит сгорания и видимого накала. Окисленная до значений рН 2,5—3,5 сажа представляет собой ценный материал для печатного дела, а также служит в качестве адсорбента и промежуточного продукта в произ-ве спец. сортов углеродистого материала.

Н. Гаврилов

**30269 П. Способ гидрогенизации высших ненасыщенных углеводородов** (Procédé pour l'hydrogénation des hydrocarbures supérieurs non saturés) [Farbenfabriken Bayer A.-G.] Франц. пат. 1126213, 19.11.56

Гидрогенизация высших жидких ненасыщ. углеводородов производится газообразными смесями углеводородов с малым содержанием  $H_2$  (коксовый газ, остаточный газ из процесса гидрогенизации углей и проч.) в аппарате с циркуляцией при высоком давлении, с приспособлением для нагревания и охлаждения. Процесс ведут при т-рах 200—350° (250—300°) и давл. 100—300, лучше при 400—500 ат. Зависимость между степенью насыщенности жидких углеводородов, содержанием водорода и углеводородов в газообразной смеси и давлением в системе должна быть такова, чтобы содержащиеся в газе углеводороды, в основном, растворялись в жидкой фазе. Перед гидрогенизацией главную массу высших спиртов из газообразной смеси удаляют.

М. Пасманик

**30270 П. Синтез углеводородов из окиси углерода, водорода и углеводорода с разветвленной цепью.** Пеннр, Сенсел, Хатч (Synthesis of hydrocarbon from carbon oxides hydrogen and branch chained hydrocarbons. Pevere Ernest F., Sensel Eugene E., Hatch George B.) [Texaco Development Corp.] Канад. пат. 519805, 20.12.55

Предлагается процесс синтеза углеводородов из  $CO$ ,  $H_2$  и изопарафиновых углеводородов с 4—6 атомами  $C$  в присутствии гидрогенизационного катализатора — металла 8 группы периодической системы, промотированного окислами  $Mg$  или  $Th$ . Процесс ведут при 163—288° и давл. 1—15 ат в случае  $iso-C_4H_{10}$  или при 163—370° и давл. до 400 ат в случае  $iso-C_5H_{12}$ . Кол-во

изопарафина в газовой смеси  $\geq 5$  мол. %, считая на  $CO$ . Не вошедший в р-цию изопарафин отделяется от продуктов р-ции и возвращается в цикл.

В. Шекин

**30271 П. Стабилизированное нефтетопливо.** Роджерс, Рудел (Stabilized heating oil. Rogers Dilworth T., Rudel Harry W.) [Esso Research and Engineering Co.] Пат. США 2742351, 17.04.56

Для предотвращения образования осадков при хранении к дизельному и другим топливам, содержащим  $\geq 10\%$  крекинг-продуктов, добавляют 0,0001—0,1 вес. % стабилизатора — фосфата, арсената, арсенита или висмута  $NH_4$ , щел. или щел.-зем. металла. Соли вводят в тонкодиспергированном виде или в виде комплексов с маслорастворимой солью нефтяной сульфокислоты (СК), напр. добавляют 0,0005—5 вес. % соли СК, содержащей 2—20% тринатрийфосфата. Для получения такого комплекса воды. р-р стабилизатора смешивают с маслорастворимой солью СК и нагревают до полного обезвоживания.

Э. Левина

**30272 П. Антиокислительная присадка, ее состав и применение.** Де-При (Antioxidant composition and use. De Pree David O.) [Ethyl Corp.] Пат. США 2742350, 17.04.56

Бензины и дизельные топлива стабилизируются против окисления на воздухе добавкой 0,0025—0,0075, но не более 0,01 вес. % присадки, содержащей в вес. %: 30—70 4-аминодифениламина (I), наиболее активного антиоксиданта, но нерастворимого в углеводородных топливах, 30—70 2-аминодифениламина (II) и 0—20 2,4-дифениламина (III), которые, не снижая эффективности I, сообщают ему растворимость. Наилучшие результаты дает смесь состава в вес. %: I 55, II 35 и III 10 или I 50—60, а остальное II. Для приготовления ~40% р-ра присадки в бензине добавляют ~1% метилового или этилового спирта.

Э. Левина

**30273 П. Производные спиртов с разветвленной цепью** (Branched chain alcohol derivatives) [General Aniline & Film Corp.] Англ. пат. 719445, 1.12.54

Соединения с общей ф-лой  $RO-(CH_2C(X)HO)_n-Z$ , ( $R$  — алкил с 10—20 атомами  $C$ , имеющий не менее двух разветвленных цепей;  $X$  — атом  $H$  или  $CH_3$ ;  $n$  — целое число от 1 до 12, а  $Z$  — группа  $H_2SO_4M$  или  $RO_2M$ , где  $M$  — катион, а  $n$  — равно  $1/2$ , 1 или 2) являются присадками для нефтепродуктов, а именно: жидких топлив, гидравлич. жидкостей, смазочных масел, масел для резания металлов и смазок и применяются для расслоения нефтяных эмульсий, для превращения нерастворимых в воде жидких или твердых продуктов (таких как углеводороды, высшие спирты, масла, жиры, парафин и смолы) в прозрачные жировые эмульсии, для получения высокодисперсных стабильных эмульсий, как эмульгаторы для инсектицидов и составов для опрыскивания в сельском хозяйстве и пр.

Е. Покровская

**30274 П. Полифункциональные смазочные композиции.** Шустер, Уайттайт (Multiple action lubricating composition. Schuster Ludvig Karl, Whitenight Harvey Aurand). Пат. США 2739915, 27.03.56

Предлагаются составы смазок для различных процессов холодной обработки металла, являющихся комбинацией следующих компонентов. I. Смесь глицеринового эфира жирной к-ты ( $RCOOSCH_2CHONCH_2OH$  или  $RCOOSCH_2CHONCH_2OOSCH$ ) с жирным амидом  $RCONHCH(CH_3)CH_2NHCH(CH_3)CH_2NH_2$ , где  $RCO$  — ацил. II. 70%-ная фосфорная к-та. III. Кислый фосфат цинка. IV.  $H_2O$ . V. Продукт конденсации окиси этилена и органич. к-ты. VI. Лярд. VII. Диэтаноламид стеариновой к-ты. VIII. Олеиновая к-та. IX. Стеариновая к-та. Примеры составов (вес. %): I 21,6; II 9,6; III

18,8; IV 50. 2) I 46,5; II 16,3; III 27,9; V 9,3. 3) I 25,4; VI 25,4; V 10,2; III 30,2; II 8,8. 4) VII 25,5; II 9,0; III 15,5; IV 50. 5) VIII 7,0; IX 3,0; I 41,5; V 10,3; II 7,2; III 31,0.

**30275 П.** Способ улучшения смазочных масел. Янг, Вандербилт, Котл, Морзуэй (Process for improving lubricating oils. Young David W., Vanderbilt Byron M., Cottle Delmer L., Morway Arnold J.) [Esso Research and Engineering Co.], Пат. США 2755224, 17.07.56

Способ повышения вязкости и улучшения индекса вязкости смазочного масла смешением последнего (минер., синтетич., полигликолевого масла, или синтетич. сложного эфира) с 0,1—5 (1—3) вес. % полигалогенированных углеводородов  $C_1$ — $C_2$  при нагревании до 175—400° (200—250°) в течение 10 мин. до 10 час. В качестве полигалогенированного углеводорода предлагается  $CCl_4$ , который можно испарять и пропускать через масло при указанных т-рах. Вязкость масла при обработке 3 вес. %  $CCl_4$  при 250° в течение 1 часа повышалась на 8%, а индекс вязкости — на 12%.

**30276 П.** Смазочное масло для сверхвысоких давлений. Беретвас (Extreme pressure lubricant. Beretvas Helen Selli) [Standard Oil Co.], Пат. США 2759893, 21.08.56

Композиция смазочного масла (СМ) содержит минер. или синтетич. смазочное масло и присадку (П) для сверхвысоких давлений — комплексное Рb-мыло (М), которое готовится нагреванием (напр., при 132—171°) смеси 2—5 ч. Рb-нафтената (содержащего, напр., 30% Рb) и 1 ч. РbО с 1,5—2,5 молями ароматич. оксикарбоновой к-ты (ОК) на 1 моль РbО в указанной смеси. В ОК входит ароматич. ядро, которое содержит  $\leq 10$  атомов С и к которому присоединены группа  $COOH$  и  $\geq 1$  группы  $OH$ . Как ОК может применяться салициловая (I). В СМ может также входить 1—10% олеиновой к-ты (II), улучшающей растворимость и эффективность действия М. Кроме М и II в К могут входить и другие П — S- и (или) Cl-содержащие органич. соединения, напр. осерненное сперматетовое масло. Примерное содержание в СМ: М, полученного с применением I, 3—7, S-содержащей П 3—10, Cl-содержащей П 2—6, II 2—3 (%). Пример: 900 г продажного Рb-нафтената, 225 г РbО и 1,5 г NaOH перемешивались  $\frac{1}{2}$  часа при 132—171°, после чего добавили 225 г I и смесь нагревали еще 1 час при 149—160°. При испытании полученного М на 4-шариковой машине трения нагрузки сваривания были: для базового масла SAE-50 неселективной очистки 100, а с добавкой 4,2% М — 220. Приводятся также данные испытания на машине трения Тимкен, показывающие эффективность М в сочетании с П — хлорированным углеводородом и осерненным маслом.

**30277 П.** Сернистые смазочные композиции. Клаусен, Петерфорд (Sulfur compounds. Clausen Theodore I., Rutherford John T.) [California Research Corp.], Канад пат. 517542, 18.10.55

Смазочная композиция состоит из способного к окислению смазочного масла, стабилизированного небольшим кол-вом (0,1—2 вес. %) продукта, полученного нагреванием S или Se с алифатич. сульфидом (диалкилсульфидом)  $\geq 14$  атомами С, содержащим не менее одной группы  $\geq C$  — (S) $_n$  — C $\leq$ , где атомы С входят в алифатич. радикалы, а n — целое число от 1 до 3. Продукт этой р-ции имеет значительно более высокую ингибирующую активность по сравнению с исходным сульфидом; он содержит 15—45% вновь введенного элемента (на S сульфида), который прочно связан с сульфидом и не отщепляется при т-ре 25°. К картерному маслу в дополнение к вышеописанному ингибитору прибавляют малое кол-во,

достаточное для улучшения специфич. свойств масел, растворимой в масле металл. соли органич. к-ты, или неорганич. к-ты, связанной с органич. радикалами. Предварительно приготовленный концентрат смазочного масла содержит 2—25 вес. % указанного продукта. Конечное масло содержит его в кол-ве 0,1—2 вес. % (на масло).

**30278 П.** Смазочные композиции, содержащие окисленные углеводородные масла. Фор, Ханли (Lubricants containing oxidized hydrocarbon oils. Foehr Edward G., Hanly Fred J.) [California Research Corp.], Пат. США 2753307, 3.07.56

Смазочная композиция (К) состоит из углеводородного смазочного масла и окисленного брайстона (Б), содержащего высокомолекулярные смолистые продукты окисления (ПО), содержание которых в К 2—25 вес. %. Б до окисления не должен содержать практически асфальтенов (А). Окисление Б производится контактированием с  $O_2$ -содержащим газом при 149—260° в течение 7—30 час.; окисленный Б должен иметь вязкость 21—880 сст при 99° и не содержать практически А. Вязкость неокисленного Б может быть ~ 40 сст при 99°, а мол. в. 400—1000. Присутствие ПО в К улучшает смазочные свойства и загущает К, снижая потери через утечку. К могут применяться как цилиндровые масла для машин перегретого пара и как трансмиссионные тракторные смазки (TTC). Пример: Б с вязкостью 40 сст при 99° продували воздухом при 218° в течение 7—20 час. Окисленный Б содержал 35—55% ПО и не содержал А. TTC была получена смешением 32 КБ, 33 обычного битума, 33 окисленного КБ и 2 Na-стеарата (%); TTC имела пенетрацию по ASTM без перемешивания 410 при 25°, вязкость 15 сст при 99° и 80 сст при 156°.

**30279 П.** Минеральное масло с присадкой. Джонс (Mineral oil composition. Jones Robert H.) [Esso Research and Engineering Co.], Пат. США 2759892, 21.08.56

Как детергентную и антикоррозийную присадку к минер. маслу добавляют продукт р-ции (ПР) между продуктом, полученным при обработке углеводородного материала (У) сульфидом -Р (преимущественно  $P_2S_5$ ) (П1) или смесью элементарных Р и S, и производным семикарбазида (П2)  $R_1(R_2)NN(R_3)C(X)N(R_4)R_5$ , где  $R_1$ — $R_5$  — Н или углеводородные радикалы с 1—20 атомами С, X — О или S; в числе П2 семикарбазида и тиосемикарбазида (I). ПР можно также получить р-цией металл. соли П1 с П2-солью неорганич. к-ты. Как У можно применять полимеры моноолефинов, напр. можно получить П1 р-цией при 149—288° между 1 молем  $P_2S_5$  и 2—5 молями полиизобутилена с мол. в. 100—50 000. Практически удобно готовить 25—50%-ные р-ры ПР в минер. масле, которые затем добавлять к применяемому маслу. Пример: к 1200 г полиизобутилена с мол. в. ~ 1200 добавили при 149° 125 г  $P_2S_5$ , смесь нагрели за 2 часа до 204°, перемешивали 3 часа и затем продували  $N_2$  5 час. при 204°. 1 ч. полученного отфильтрованного П1 растворили в 1 ч. масла селективной очистки (вязкость 32 сст при 38°) и перемешивали 3 часа при 149° с 5% (на П1) порошкообразного I. Масло селективной очистки нафтового основания (вязкость 10,5 сст при 99°) с добавкой 4% полученного отфильтрованного р-ра ПР испытывали на стандартном двигателе Лаусона: сравнительно с маслом без присадки получили значительно меньшее лакообразование на поршне и в ~ 3 раза меньшую коррозию Cu-Pb-подшипников.

**30280 П.** Способ получения присадок, улучшающих качество смазочных масел. Грубеш, Франке, Фридрих (Verfahren zur Herstellung von



Schmierölverbesserungsmitteln. Hrubesch Adolf, Franke Walter, Friederich Herbert) [Badische Anilin- & Soda-Fabrik A.-G.], Пат. FRG 90987, 28.03.57

Патентуется способ получения присадок к смазочным маслам, состоящий в галоидировании алифатич. 2- или полициклокарбонных к-т, содержащих 2,2 или 2,4 атомов С и группу  $-\text{CH}_2-\text{S}_x-\text{CH}_2-$  или их эфи-ров. Пример: смесь из 494 ч.  $\gamma$ -тиодимасляной к-ты, 10 ч.  $n$ -толуолсульфоновой к-ты и 1000—2000 ч. изобу-танолола (I) нагревают в колбе с мешалкой и обратным холодильником до прекращения отгонки воды и I, и пока т-ра смеси не поднимется до 140—160°. Продукт р-ции промывают в делительной воронке 2 раза разб. р-ром соды и 3 раза водой и сушат в вакууме на вод-ной бане при 60° (т-ра в продукте). Добавляют 10 ч. перекиси бензоила и пропускают Cl при 40—70° до тех пор, пока продукт р-ции не покажет 30—35% Cl. При добавлении к смазочному маслу 1 и 4% получен-ного продукта при испытании на 4-шариковой маши-не трения, получены цифры 500 и 1100 и 480 и 1200, соответственно для аналогичного изопропилового эфира.

Е. Покровская  
30281 П. Присадки к смазочным маслам и способ их приготовления. Синьоре, Тиртьо (Pro-ducts d'addition pour huiles lubrifiantes et leur pro-cédé de fabrication. Signouret J.-B., Tirtiaux R.) [Esso Standard (Soc. An. Française)]. Франц. пат. 1123354, 20.09.56

Для получения присадок частично этерифицируют непредельную органич. к-ту, напр. простейшую дву-основную  $\alpha$ ,  $\beta$ -кислоту или ее алкилпроизводное, алифатич. спиртом, преимущественно содержащим 3—20 (9—18) атомов С, напр. продуктом оксо-синте-за. Образовавшийся кислый эфир конденсируют за-счет части или всех оставшихся кислот Н с оксисью алкилена, преимущественно содержащего 2—6 атомов С, и полученный продукт полимеризуют как таковой или совместно с другими могущими полимеризоваться соединениями, напр., с эфирами этиленовых двусоснов-ных к-т, сложными эфирами непредельных спиртов, олефиновыми углеводородами, непредельными нитри-нами, ангидридами ненасыщ. к-т и т. п. Полученный полимер (II) является присадкой к смазочным маслам, обладающей детергентным, вязкостным и депрессор-ным действием. Пример: 1 (моль) малеиновой к-ты этерифицировали 1,5 спирта оксосинтеза с 9 атома-ми С в присутствии катализатора —  $n$ -толуолсуль-фонкислоты и бензина для удаления воды. Полученный эфир (I) после промывки  $\text{H}_2\text{O}$  и отгона бензина имел кислотное число (КЧ) 30. I конденсировали с газооб-разной оксисью этилена (II) в присутствии очень незна-чительных кол-в комплекса  $\text{BF}_3 = (\text{C}_2\text{H}_5)_2\text{O}$  18 час. при 140°, продукт р-ции продули  $\text{CO}_2$  при 110° и обработали 2% отбеливающей землей; полученный в результате конденсации эфир (III), имел КЧ 0,8 и содержал 7 ч. II на 100 ч. I. Смесь из 40 ч. III, 40 ч. малеофумарата спирта оксо-синтеза с 16—17 атомами С и 20 ч. винил-ацетата полимеризовали в присутствии 0,5% перекиси бензоила 1 час при 70°, получили II. Добавка 3,25% (на смесь) II в масло (М) парафинового основания, содер-жащее 0,4% ингибитора окисления — полимера диизо-бутилфенола с  $\text{CH}_3\text{O}$  и  $\text{NH}_2$  и 0,5% антикоррозийной присадки  $\alpha$ -пинена, обработанного  $\text{P}_2\text{S}_5$ , повысила вяз-кость М при 99° с 5,4 сст до 6,6, индекса вязкости с 112 до 131 и понизила т-ру застывания с  $-9^\circ$  до  $-27^\circ$ . При испытании II на двигателе получены вполне удовле-творительные результаты.

А. Равикович  
30282 П. Способ предотвращения пенообразования. Монсон (Process for inhibiting foam. Monson Louis T.) [Petrolite Corp.], Пат. США 2748088, 29.05.56

Для предотвращения или снижения пенообразования в водн. и неводн. средах (напр., в углеводородных сме-сях) в процессах нефтепереработки, очистки природ-ных газов и т. д. предлагается вводить в кол-ве не более 4% антипенную присадку, представляющую со-бой спирт класса терпенов, оксикаликированный оксисью пропилена или смесью окиси пропилена с окисью этилена, причем по крайней мере половину по весу упомянутого спирта должна представлять окси-пропиленовая группа  $\text{OC}_3\text{H}_5$ . Кроме  $\alpha$ - и  $\beta$ -терпинеола исходным продуктом могут служить борнеол, фенхи-ловый спирт и пихтовое масло. Получение присадки осуществляется в автоклавах под давлением окиси при нагревании в присутствии NaOH. Так, пихтовое масло обрабатывают окисью пропилена под давлением при 110—120° в присутствии 50%-ного водн. р-ра NaOH. Оксикаликирование может также производиться после-довательно вначале окисью этилена, затем окисью про-пилена. При обработке окисью этилена т-ра может до-стигать 160—170° и давление до 3—5  $\text{кал/см}^2$ . Условия оксикаликирования  $\alpha$ - и  $\beta$ -терпинеолов, борнеола, фен-хилового спирта могут быть такими же, как при р-ции с древесным скипидаром. Практически добавляемое кол-во присадки составляет 0,0001—0,1%. В. Зрелов

30283 П. Процесс полимеризации. Холлиди, Та-туайлер, Форд (Polymerization process. Holly-day William C. Jr., Tutwiler Thomas S., Ford Carol F.) [Esso Research and Engineering Co.], Пат. США 2748083, 29.05.56

Патентуется получение присадки, улучшающей ин-декс вязкости смазочного масла. Присадку получают сополимеризацией 50 вес. ч. бутоксиэтилвинилового эфира с 32 вес. ч. алкилвинилового эфира, содержащего 6—10 атомов С в молекуле, и 18 вес. ч. изобутилвини-лового эфира при т-ре от  $-70^\circ$  до  $-80^\circ$ . Катализатором служит  $\text{BF}_3$ , разбавителем на время, достаточное для полимеризации до мол. в. 12 000—22 000, — хлористый метил. Затем к р-ру полученного сополимера в сма-зывающем масле добавляют незначительное кол-во  $\alpha$ -нафтиламина и продолжают полимеризацию, под-нимая т-ру до 65—120°.

М. Пасманик

30284 П. Присадки к смазочным маслам и их син-тез. Буасле, Артозуль (Dopes d'huiles de graissage et leur procédé de fabrication. Boisselet L., Artozoul J.) [Institut Français du Pétrole, des Carburants et Lubrifiants]. Франц. пат. 1118063, 31.05.56

Как детергентные и диспергирующие присадки (II) к смазочным маслам патентуются новые соединения, отвечающие ф-ле  $\text{Nr}-\text{Ar}(\text{R}^1)(\text{R}^2)\text{SO}_2\text{X}$ , где Ar — аро-матич. ядро (бензол), Nr — нафтовое ядро (цикло-гексан или метилциклогексан), Nr и Ar имеют 2 общих атома С,  $\text{R}^1$  и  $\text{R}^2$  — радикалы, которые могут иметь по 8—18 атомов С, X — металл, обычно, II группы. В чис-ле II: (этилгексил)-1,2,3,4-тетрагидронафталинсульфо-нат-Са и Sg и додецил-1,2,3,4-тетрагидронафталинсуль-фонат-Ва (I), палмитил-1,2,3,4-тетрагидронафталин-сульфонат-Zn, стеарил-1,2,3,4-тетрагидронафталинсуль-фонат-Ва. Для приготовления II алкилируют нафтенил-ароматич. углеводороды в присутствии катализатора  $\text{BF}_3$ , из продуктов р-ции выделяют перегонкой алкили-рованные углеводороды, которые сульфатируют. К маслу добавляют II в чистом виде или в р-ре, содержание II в масле 0,5—7%. Пример. Приготовление I: 4 моля 1,2,3,4-тетрагидронафталина и 2 моля лаурилового спирта обрабатывают 2  $\text{BF}_3$  и затем 1  $\text{P}_2\text{O}_5$ . Продукт р-ции декантируют и затем перегоняют под вакуу-мом, выход лаурилтетрагидронафталина (II) 45—60% теор. 2 ч. II сульфатируют 1 ч. 20%-ного олеума при нормальной т-ре, продукт р-ции промывают р-ром 30%-ной водн. HCl и нейтрализуют  $\text{BaCO}_3$ , получен-

ный I промывают  $H_2O$  при  $70^\circ$  и высушивают, I содержит Ba 90—95% теор.

А. Равикович

**30285 П.** Смазочное средство на базе полисилоксанов. Мей (Schmiermittel auf Polysiloxanbasis. May John Junior) [Dow Corning Corp.]. Пат. ФРГ 938739, 9.02.56

Смазочное средство состоит из жидкого органич. полисилоксана с общей ф-лой  $R_nSiO_{(4-n)0,5}$ , где  $n$  равно 2—2,9, а R — остаток, содержащий метил и моноциклич. или галоидный арил, причем радикал  $CH_3$  составляет 37—100% остатка R с присадкой 0,25—5 вес. %, считая на полисилоксан, галоидированной (хлорированной или бромированной) жирной к-ты с 1—12, предпочтительно с 1—6 атомами С и небольшого кол-ва загустителя, напр. соли высокомолекулярной жирной к-ты типа стеарата лития, графита, сажи силикагеля или глины. В качестве галоидированных жирных к-т могут применяться:  $\alpha$ -броммасляная, ди- или трихлоруксусная,  $\alpha$ - или  $\beta$ -хлорпропионовая,  $\alpha$ -бромпропионовая,  $\alpha$ ,  $\beta$ -дихлормасляная,  $\alpha$ -хлор- или  $\gamma$ -бромвалериановая и т. д. Пример. К жидкому полисилоксану состава (в мол. %): диметилсилоксана 75, приметилсилоксана 14, фенилметилсилоксана 5 и дихлорфенилсилоксана 6 добавляют 2%  $\alpha$ -Br-масляной к-ты.

Б. Энглин

**30286 П.** N,N-алифатические двузамещенные галоидированного пирролидина. Эрикссон (N,N-di fatty pyrrolidinium halides. Erickson John G.) [General Mills, Inc.]. Пат. США 2748143, 29.05.56

Патентуются соединения ф-лы  $[RRN(CH_2)_4X]$  (I), где R — алифатич. углеводород, содержащий 8—22 атома С, X — галоид. При р-ции с бентонитом I дают продукт, вызывающий гелеобразование углеводородов, причем полученные гели могут служить консистентными смазками. I образуется при р-ции вторичного жирного амина ( $R_2NH$ ) с 1,4-дихлорбутаном в присутствии  $n$ -бутилового спирта при  $115$ — $118^\circ$  в течение 8—10 час. М. П.

**30287 П.** Водостойкая, не содержащая мыла, консистентная смазка с щелочными агентами. Питерсон, Ски (Water-resistant non-soap grease containing alkaline agents. Peterson Walter H., Skei Thurston) [Shell Development Co.]. Пат. США 2748081, 29.05.56

Патентуются консистентная смазка, состоящая из водонерастворимого смазочного масла и диспергированного в нем неорганич. геля (силиката или силикагеля). Вода, обычно содержащаяся в геле, заменена смазочным маслом. На поверхности геля в кол-ве 25—100% от его веса, адсорбирован катионит — гидрофобный, поверхностноактивный агент. Добавляется 0,1—1 вес. % (от веса смазки) щел. агент, который при растворении в воде дает pH  $\sim 9,5$ . Пример (вес. %). Силикагель с насыщенным весом 0,025—0,5 г/см<sup>3</sup> или с диаметром частиц 0,1—5  $\mu$  1—20, карбонат, бикарбонат, кислый фосфат или гидроокись щел. металла, в частности Na 0,1—1; катионита 25—100 от веса геля; остальное минер. смазочное масло. Главное достоинство смазки состоит в том, что добавление соединения щел. металла позволяет значительно снизить содержание гидрофобного агента без ухудшения качества смазки.

М. Пасманик

**30288 П.** Гидравлическая жидкость (Hydraulic Fluidigkeit) [Standard Oil Development Co.]. Пат. ФРГ 960921, 28.03.57

Патентуется гидравлич. жидкость, состоящая из воды или смеси воды с одно- или многоатомным спиртом, содержащая 0,5—10(1—7) вес. % (на всю жидкость) поверхностноактивного анионита, напр. щел. соли органич. сульфокислоты или сульфированного жира, напр. ализаринового масла, или же такого же кол-ва поверхностноактивного в-ва катионита, напр. солей аминов или четвертичных аммонийных основа-

ний, в особенности содержащих 1 радикал  $C_{10}$ — $C_{20}$ . Новым компонентом является добавляемое в кол-ве 5—45 (10—30) вес. % (на всю жидкость) некое поверхностноактивное в-во моно- или полиоксиналкен-производное алкилфенолов, напр. октилкрезольный эфир моноэтиленгликоля. Жидкость может также содержать присадки антипенные, напр. силиконовые, антикоррозийные, напр. диизопропиламинитрит и др., и противуизносные, напр. трибутилфосфат. Пример: «Лиссапол NX» (продукта конденсации смеси  $\alpha$ - и  $n$ -октилкрезолов с 6 молекулами окиси этилена) 11,0; этиленгликоль 4,1; вода 78,0 (все в вес. %); сульфированное касторовое масло на 50% нейтрализованного КОН 4,9%. Na-соль диоктилсульфопантарной к-ты (для улучшения вязкостных свойств при больших нагрузках) 0,99%;  $NaNO_2$  0,99%; силикон 0,02%.

Е. С. Покровская

**30289 П.** Гидравлические жидкости. Гликман, Уилкинсон (Hydraulic fluids. Glickman Samuel A., Wilkinson Joseph M.) [General Aniline & Film Corp.]. Пат. США 2736709, 28.02.56

Способ приготовления гидравлич. жидкости: к 88,6 ч. смеси алканолов, состоящей (в %) из 3-метоксипропанола-1 (35); 3,5-диметоксигексанола-1 (30); 3,5,7-триметоксипентанола-1 (22); 3,5,7,9-тетраметоксидеканола-1 (7,5); 3,5,7,9,11-пентаметоксидодеканол-1 (3,6); высших гомологов-(2,9), добавляют р-р 1 ч. буры, 0,3 ч. N-фенилморфолина и 0,1 ч. органич. нитрита в качестве ингибитора коррозии в 10 ч. этиленгликоля и смесь перемешивают до получения однородной жидкости.

М. Энглин

**30290 П.** Гидравлические жидкости. Хауэлл, Уэссон (Hydraulic transmission fluid. Howell William C., Wasson Jones I.) [Esso Research and Engineering Co.]. Пат. США 2731418, 17.01.56

К минер. смазочному маслу добавляют (в вес. %), считая на конечный продукт, 1—6 детергента — свободной от  $H_2S$  соли щел.-зем. металла алкилфенолсульфида, 0,2—1 жирной к-ты с 12—32 атомами С и 0,2—0,5 алкилмеркаптоуксусной к-ты (алкил содержит 8—24 атомов С). Можно добавлять 0,2—1% присадки, повышающей маслянистость, — триэфира фосфорной к-ты. Пример жидкости (в %): смазочное масло с вязкостью при  $99,8^\circ$  25—12 сст 92,5—98,6, соль щел.-зем. металла диизобутилфенолсульфида 2—5, жирная к-та  $C_{14}$  0,3—1, лаурилмеркаптоуксусная к-та 0,2—0,5, трикрезилфосфат 0,2—1.

В. Шекин

**30291 П.** Водные эмульсии для обработки металлов. Пример (Wäßrige Emulsion, insbesondere für die Metallbearbeitung. Reamer Thomas Eugene) [N. V. De Bataafsche Petroleum Maatschappij]. Пат. ФРГ 929208, 20.06.55

Водные эмульсии содержат: а) 3—50% нефтяного парафина, состоящего на 80% из углеводородов нормального строения, с т. пл.  $> 71^\circ$  и мол. в.  $> 475$ , или смеси парафина с его хлорпроизводными, содержащими 20—60% Cl; б) 0,1—10% маслорастворимых смазывающих кислот в-в, напр. олеиновой к-ты, дилаурилфосфата и др.; в) 1—25% эмульгатора, напр. неполного эфира монокарбоновой к-ты и многоатомного спирта. Примеры состава (в %) эмульсий: 1) парафин 33, сорбитмоностеарат 4, полиоксипропиленсорбитмоностеарат 4, дилаурилфосфат 1,5, вода 57,5; 2) парафин 36, хлорированный парафин 4, сорбитмоностеарат 4, полиоксипропиленсорбитмоностеарат 4, диолеилфосфат 2, вода 50; 3) парафин 20, триэтаноламин 2, масляная к-та 6, вода 72.

Б. Энглин

См. также: Битумы 28307. Оборудование нефтеперерабат. з-дов 29021. К.-и. п. на нефтеперерабат. з-дах 29102, 29123, 29152. Коррозия 29174, 29175, 29182, 29191. Синтез жидких топлив 27981. Хим. переработка нефти



и газа 29688, 29690, 29694, 29711. Сточные воды нефтепереработки 29275—29281. Техника безопасности в нефтяной промышленности 29313, 29321. Ядерное горючее 29363, 29365, 29369, 29370

## ЛЕСОХИМИЧЕСКИЕ ПРОИЗВОДСТВА. ГИДРОЛИЗНАЯ ПРОМЫШЛЕННОСТЬ

Редактор А. П. Хованская

30292. О структурных различиях клеточных стенок древесины лиственных пород. Корренс, Вергин, Румер (Über Strukturunterschiede in den Zellwänden von Laubböhlern. Correns Frich, Wergin Wilhelm, Ruscher Christian), Faserforsch. und Textiltechnik, 1956, 7, № 12, 565—569 (нем.; рез. англ., русск.)

Микроскопич. и рентгенографич. исследования клеточных стенок нормальной (I) и работающей на растяжение (II) древесины (D) тополя, дуба, бука и каштана показали, что в D II целлюлоза находится в кристаллич. состоянии и ее молекулы расположены почти параллельно продольной оси волокон. Микеллы целлюлозы в D I и лигнифицированных слоях вторичной стенки располагаются в виде спирали с большим углом наклона, чем в D II.

Н. Рудакова

30293. Природа так называемого третичного слоя клеточной стенки. Нечесаный (The nature of the so-called tertiary lamella. Nečesaný Vladimír), Svensk papperstidn., 1957, 60, № 1, 10—16 (англ.; рез. шведск., нем.)

Микроскопические исследования показывают, что внутренний слой клеточной оболочки волокна является неотделимой частью вторичной стенки и не может рассматриваться обособленно как морфологич. единица (третичный слой). При изучении структуры клеточной стенки может быть эффективно использовано воздействие на древесину специфич. грибов с последующим наблюдением за субмикроскопич. изменениями в клеточной стенке окраски от хлор-цинк-йода в зависимости от степени разрушения древесины.

А. Сафьян

30294. Зависимость механической прочности тканей лиственной древесины от содержания ацетильных групп. Клаудитц (Zur biologisch-mechanischen Wirkung der Acetylgruppen im Festigungsgewebe der Laubböhlern. Klauditz W.), Holzforschung, 1957, 11, № 2, 47—55 (нем.; рез. англ.)

Срезы (60 × 16 × 0,12 мм) свежесрубленной (влажности ~80%) древесины (D) березы и тополя обрабатывали 2—10 час. 0,2%-ным р-ром NaOH при 20°, определяя механич. прочность (МП) срезов до и после обработки, а также срезов высушенной D до и после обработки NaOH («техническая прочность» (ТП)). Обработка NaOH (безовой D в течение 3 час. уменьшала содержание ацетильных групп (AG) на ~85% от первоначального при незначительном изменении содержания полиуренового ангидрида, лигнина и пентанов (AG составляли 50—60% от общего кол-ва выщелоченных в-в), что сопровождалось снижением МП почти до половины первоначальной, указывая на зависимость биологич. прочности D от содержания AG. Техническая прочность при отщеплении AG снижалась меньше. Освобождающиеся при отщеплении AG COOH-группы повышают способность составных частей клеточной стенки к гидратации, что ведет к понижению МП.

Н. Эвергетова

30295. Щелочной и тно-лигнины из сосновой коры. Даути, Тейлор, Хенери (Alkali and thio lignins from pine bark. Doughty J. B., Taylor F. W.,

Henerey W. T.), Forest Prod. J., 1956, 6, № 11, 476—478 (англ.)

Лигнин (Л) извлекали подкислением отработанного щелока от щел. и крафтварки сосновой коры (СК). Сопоставлены условия варки и свойства полученного Л. Выходы Л изменялись в зависимости от модуля NaOH/СК; максимальный выход Л соответствовал получаемому по методу с 72%-ной H<sub>2</sub>SO<sub>4</sub>. Содержание OCH<sub>3</sub> и S и растворимость Л в ацетоне изменялись в зависимости от состава варочного р-ра.

Ю. Вендельштейн

30296. О лигнине. Шмидт (Lignin im Widerstreit der Meinungen. Schmidt Horst), Zellstoff und Papier, 1956, 5, № 1, 3—6 (нем.)

В докладе, прочитанном 13 мая 1955 г. в Дрездене, Фуке остановился на методах выделения лигнина (Л). Отмечен метод Асплунда, по которому при обработке древесины водяным паром при 170—180° в течение 1—1,5 мин. происходит распад связей, по-видимому, без хим. изменения Л. Метод может быть применен для выяснения природы лигнино-углеводных связей. Фуке предложил новую структурную модель для елового Л с суммарной ф-лой C<sub>43</sub>H<sub>44</sub>O<sub>11</sub> и мол. в. 784, несколько отличную от предложенной им в 1936 г. Новая модель, однако, не объясняет возможность получения из Л ванилина с выходом 25%. Окислением H<sub>2</sub>O<sub>2</sub> удалось полностью перевести в р-р Л Асплунда. В продуктах окисления найдены к-ты: муравьиная, уксусная, щавелевая, яблочная, янтарная, бензополикарбонные и др. ИК-спектр остатков окисления в области 11—13 м указывает на наличие конденсированных ядер. Опыты по ферментативной конденсации кониферилового спирта (I) показывают, что I может являться структурным звеном Л. Многие исследователи допускают возможность ферментативного синтеза структурных звеньев природного Л из углеводов.

М. Чудаков

30297. Экстракция фракции лигнина из клена жидким аммиаком. Янь, Первес (Extraction of a lignin fraction from maple wood by liquid ammonia. Yan M. M., Purves C. D.), Canad. J. Chem., 1956, 34, № 12, 1747—1755 (англ.)

Опилки клена, предварительно обработанные р-рителем, экстрагировали почти безводн. жидким NH<sub>3</sub> при 20°. Остаток после экстракции 94,3%; из экстракта выделено 4% ацетамида, 0,9% полисахаридов и ~0,7% лигнина, после фракционирования которого получены в кол-ве половины его веса фракции, близкие между собой по составу, с мол. в. ~4000 (криоскопия в диоксане). Выведенная на основании анализа ф-ла C<sub>20</sub>H<sub>20</sub>O<sub>10</sub>(OH)<sub>5</sub>(OCH<sub>3</sub>)<sub>7</sub> указывает на меньшую уплотненность фракции сравнительно с лигнином древесины. Метилирование фракции в диоксане диметилсульфатом в присутствии NaOH дало продукт с содержанием 34,7% OCH<sub>3</sub>, метанолиз кипячением с 2%-ным метанольным р-ром HCl дал продукт с 28,6% OCH<sub>3</sub>. Приведены результаты окисления фракции периодатом в забуференном до pH 4 уксусной к-той р-ре.

Ю. Вендельштейн

30298. Изменение содержания таксифолина в стволе дугласовой пихты с концентрическими включениями. Кеннеди, Вильсон (Variation in taxifolin content of a Douglas-fir stem exhibiting targetting. Kennedy R. W., Wilson J. W.), Forest Prod. J., 1956, 6, № 6, 230—231 (англ.)

В стволе дугласовой пихты (*Pseudotsuga menziesii* Mirb) с концентрич. включениями «заболони» изучено распределение в радиальном направлении таксифолина (Т) (дигидрокверцитина) — экстрагируемого в-ва типа флавонона, придающего древесине устойчивость против разрушения грибами, а также замедляющего процессы сульфитной варки. Содержание Т определи-

ли после экстракции метанолом, в электрофотометре Фишера по интенсивности сиреневой окраски, сопровождающей восстановление Т в эрио-диктиол. Наименьшее содержание Т и воздушно-сухой истинной заболони (0,15%), наибольшее — в древесине ядра (0,4—0,9%), оно возрастает с увеличением расстояния места взятия пробы от центра. Кол-во Т в зонах «включенной заболони» примерно постоянно ~ 0,25%.

Н. Рудакова

**30299.** Экстрактивные вещества древесины американских пород, используемых в производстве целлюлозы. Часть I. Значение экстрактивных веществ. Айзенберг, Бьюкенен, Уайз (Extraneous components of American pulpwoods. Part 1. The importance of extraneous components. Isenberg Irving H., Buchanan Marion A., Wise Louis E., Paper Ind., 1957, 39, № 14, 945—946 (англ.).

Обзор. Библ. 5 назв.

Л. М.

**30300.** Состав водорастворимой гемичеселлюлозы из древесины американского бука. Адамс (Constitution of a water soluble hemicellulose from American beechwood (*Fagus grandifolia*). Adams G. A., Canad. J. Chem., 1957, 35, № 6, 556—564 (англ.).

Извлечение хлором голоцеллюлозы буковой древесины давало гемичеселлюлозу (Г) с 13,4%-ным выходом и содержанием D-ксилозы (I) 72%, D-галактозы 11% и уроновой к-ты 13,2%. Очистка сырой Г образованием комплекса с фелинговым р-ром давала химически гомог. фракцию с 83%-ным содержанием I и 15,5% 4-O-метил-D-глюкуроновой к-ты. Гидролиз полностью метилированной Г дает 2,3,4-три-O-метил-I, 2,3-ди-O-метил-I, 3-O-метил-I и 3-O-метил-2-O-(2,3,4-три-O-метил-D-глюкопиранозилуриновой к-та)-I в мол. отношении 2:35:3:5. На основе данных метилирования, периодатного окисления, определений редуцирующей способности и средних значений мол. веса предложена возможная структура Г как состоящей из 45 D-ксилопиранозных единиц, связанных 1→4 при помощи β-глюкозидных связей, при наличии в молекуле двух передупирующих и одной редуцирующей конечных групп. Показаны различия Г, изолированных из древесины американского и европейского бука.

М. Чудаков

**30301.** Получение химических веществ и волокнистых материалов из древесных отходов. Снайдер (New potentials in fibers and chemicals from wood waste. Snyder Francis H., Forest Prod. J., 1955, 5, № 5, 341—345 (англ.).

Рассмотрены перспективы использования древесных отходов (ДО) как сырья для промышленной органич. химии. При непрерывном гидролизе ДО в присутствии  $H_2SO_4$  (2,27—6,8 кг на 1 т абсолютно сухой щепы) получают термореактивную смолу фенольного характера (деврол) с выходом 159—200% к весу лигнина (Л) в сырье, растворимую на 60—95% в разб. спирте и ацетоне и находящую применение как формовочный материал. При автокаталитич. р-ции ДО при т-ре 273° и pH среды ~ 2,8—7,0 в р-ре сульфата натрия и других солей получают легко белимую целлюлозу, пригодную как источник α-целлюлозы для произ-ва маделей высшего качества. При цел. гидролизе ДО 1—2%-ными р-рами щелочи (8—16 кг NaOH на 1 т абс. сухих ДО) при высоких т-рах получают почти колич. выход растворимых сахаров и переходит полная деполимеризация лигнина. Изучена переработка полученных сахаров при т-ре ~ 230° при контакте 5—15 сек. в присутствии неокислительных катализаторов с образованием высоких выходов фурфурола и оксиметилфурфурола; при одновременном введении в р-цию фенолов образуются типичные смолы (пиво-лас). При коротком контакте ДО с безводн. аммиаком при высокой т-ре получены органич. удобрения с со-

держанием 8—12% органич. и 3—4% аммиачного азота.

**30302.** Получение фурфурола из кукурузных початков. Гимарайнс-да-Фонсека, Бусчелли (Furfural de flocos de sabugo de milho. Guimarães da Fonseca Paulo, Buschnelli Julio), Rev. brasileira quim., 1955, 40, № 236, 117—120 (порт.).

Измельченную сердцевину кукурузных початков разбивали на фракции от 10 до 65 меш. Наибольшую долю (31,8%) в общем кол-ве массы занимала 3-я фракция. Выход фурфурола (Ф) по фракциям колебался от 19,7 до 25,4%. Выведена ф-ла для определения выхода Ф:  $x = 21,8 + g \pm 1,8$ , где  $x$  — выход Ф в % к сухому материалу,  $g$  — фактор, зависящий от гранулометрич. данных (для фракции 10 меш.  $g = +1,04$ ; для фракции 65 меш.  $g = -4,09$ ); знак плюс или минус при последнем члене зависит от большей или меньшей плотности фракции. Метод может быть использован в пром-сти для определения оптимальных условий получения Ф.

З. Бобры

**30303.** Химическая обработка при сушке пиломатериалов. Колгров (Chemical seasoning of lumber. Colgrove William H., Forest Prod. J., 1956, 6, № 10, 417—419 (англ.).

Сырые пиломатериалы обрабатывают перед сушкой р-рами хим. в-в, диффундирующих вглубь влажной древесины с образованием р-ров с пониженной упругостью пара, и способствующих более быстрому и равномерному ее высыханию, без растрескивания и коробления. Наилучшие результаты дает применение воды, р-ров NaCl или мочевины с добавкой соответствующих буфферов.

Н. Рудакова

**30304.** Древесный уголь. Его производство и применение. Беглингер, Лок (Charcoal — its manufacture and use. Beglinger Edward, Locke Edward G.), Econ. Bot., 1957, 11, № 2, 160—173 (англ.).

Обзор примитивных кустарных и современных индустриальных методов углежжения и сухой перегонки древесины с улавливанием побочных продуктов и брикетированием угольной мелочи. Приведены фотоснимки установок, схема произ-ва угольных брикетов, статистика годового произ-ва в США. Библ. 16 назв.

Г. Брахман

**30305.** Метиловый спирт. Теодореску, Даскалеску (Alcoolul metilic. Teodorescu Constanta, Dascalu Mihai), Paza contra incendiilor, 1957, № 8, 22—23 (рум.).

Описан технологич. процесс получения метилового спирта перегонкой древесины по фазам произ-ва: перегонка древесины, отделение газовых продуктов, древесного дегтя и подсмольной воды; ректификация подсмольной воды. Рекомендуются ряд противопожарных мероприятий.

Г. Маркус

**30306.** Об удельном весе уксусной кислоты. Хохтекар (Etikkahappojen ominaispainoista. Hohtokari E.), Suomen apteekkarilehti, 1956, № 22, 425—426 (финск.).

Сообщены сведения о торговых марках уксусной к-ты в Финляндии. При 96%-ном содержании  $CH_3COOH$  уд. в. 1,065, при 80%-ном 1,076, при 53%-ном 1,065.

М. Тойкка

**30307.** Изменения применяемых для консервирования древесины неорганических соединений фтора. Шульце, Мюллер (Das Verhalten anorganischer für den Holzschutz wichtiger Fluorverbindungen im Holz. Schulze Bruno, Müller Rudolf), Holzforschung, 1956, 10, № 4, 97—108 (нем.; рез. англ.).

Установлено, что все фтористые соединения претерпевают в древесине (Д) изменения, сопровождающиеся выделением HF. При пропитке  $NH_4HF_2$  наиболее



интенсивное выделение наблюдается за первые 30 дней после пропитки, затем процесс замедляется, через 1 год теряется около половины введенного F и в дальнейшем его концентрации практически не меняется; при пропитке  $\text{NH}_4\text{F}$ ,  $\text{KHF}_2$  или  $\text{MgSiF}_6$  за 2,5 года теряется ~50%. Для усиления консервирующего действия возможно нанесение поверхностного покрытия, препятствующего выделению HF. Строительная Д, пропитанная фторсодержащим препаратом «Осмол WB», после пяти лет эксплуатации содержала препарат в кол-ве 0,55 кг/м<sup>3</sup>, миним. сроком защитного действия этого препарата может быть принят  $\geq 10$  лет.

Н. Рудакова

**30308. Исследование процесса гидролиза древесины путем непрерывного измерения проводимости.** Корренс, Эдельман (Zur Untersuchung des Hydrolysenverlaufs von Holz durch kontinuierliche Leitfähigkeitsmessungen. Correns Erich, Edelmann Kurt), Faserforsch. und Textiltechnik, 1956, 7, № 12, 533—540 (нем.; рез. англ., русск.)

Исследованы изменения электропроводности (ЭП) и величины диэлектрич. постоянной (ДП) при изучении течения гидролиза древесины (Д), который проводили 14,9%-ной  $\text{H}_2\text{SO}_4$  при 20,0°. Для определения изменений величины ДП пробы экстрагировали смесью диоксиана с парафиновым маслом и измеряли ДП смеси. При гидролизе бука и сосны наблюдалось характерное падение кривых ЭП и ДП в течение гидролиза, после предварительной экстракции бука падение уменьшалось и исчезает после длительной экстракции. Гидролиз сухого остатка экстрактивных в-в дает кривую ДП с резким падением. Кривые ДП при гидролизе чистой целлюлозы, ксилана, лигнина, холоцеллюлозы и полиоз Д отличаются от характера кривых самой Д. Препарат лигнина Брауна не дает падения кривой. Авторы делают вывод, что падение кривой в начале р-ции обусловлено процессом растворения, падение кривой — р-циями побочных составных частей древесины, а не отщеплением и присоединением воды к лигнину, так как изменения в течении кривых так велики, что не могут быть объяснены отщеплением и присоединением воды.

Ю. Вендельштейн

**30309. Осахаривание древесины посредством гидролиза разбавленными кислотами.** Винтер (Sokeriliuosten valmistus hydrolysoimalla puuta laimennetuilla hapoilla. Winter A. O.), Suomen kem., 1957, 30, № 7—8, A141—A153 (финск.; рез. англ.)

Дан обзор развития теоретич. принципов и технич. усовершенствования применяемых методов гидролиза древесины (Д), в частности метод Ант-Вуоринена с принудительной циркуляцией гидролизующей жидкости в гидролизаппарате. При гидролизе сернистой и той метод Ант-Вуоринена обеспечивает выход сахара в кол-ве 80% от содержания углеводов в Д при т-ре варки до 195° и при общей продолжительности отщепляющего процесса гидролиза 3 часа, т. е. длительности гидролиза вдвое меньшей, чем при методе Шоллера. При повышении pH процесс может быть направлен в сторону получения целлюлозы. Возможно использовать котлы для целлюлозной варки в качестве гидролизаппаратов для осахаривания Д.

М. Тойкка

**30310. Катализаторы гидрирования полисахаридов.** Балаздин А. А., Васюнина Н. А., Барышева Г. С., Чепиго С. В., Изв. АН СССР. Отд. хим. н., 1957, № 3, 392

Установлено, что гидрированием целлюлозы в присутствии катализатора (0,1% Ru или Pd и 2%-ной  $\text{H}_2\text{SO}_4$  при 156—160° и 70 ат в течение 2 час. можно получить выход многоатомных спиртов (МС) (сорбита) или его моноангидрида в кол-ве 82% к исходной целлюлозе. Из неочищ. гемицеллюлоз (отход вис-

козного произ-ва) при указанных т-ре и давлении в течение 1 часа было получено 78% МС. Ю. Чельцова

**30311. Придание лесоматериалу огнестойкости.** Ланди (Making timber fire resistant. Lundy H.), Timber Technol., 1957, 65, № 2221, 563—566 (англ.)

Приведены существующие методы для испытания на огнестойкость лесоматериалов, а также методы придания им огнестойкости обработкой хим. в-вами в различных комбинациях и кол-вах ( $\text{NH}_4\text{H}_2\text{PO}_4$ ,  $(\text{NH}_4)_2\text{SO}_4$ , бора,  $\text{H}_3\text{PO}_4$ ,  $\text{ZnCl}_2$  и др.). А. Сафьян

**30312. Глубокая пропитка трудно насыщаемой древесины хвойных.** Илле (Tiefimprägnierung von schwer tränkbaaren Nadelhölzern. Ille Rudolf), Holzindustrie, 1957, 10, № 2, 57—58 (нем.)

Описаны причины затрудненной пропитки древесины хвойных и дан обзор различных методов пропитки сосновой древесины. Н. Рудакова

**30313. Новый способ нанесения пентахлорфенола на находящуюся в эксплуатации древесину.** Ван Аллен (A new method of applying pentachlorophenol to wood in place. Van Allen Ralph G.), Forest Prod. J., 1956, 6, № 10, 374—381 (англ.)

Препарат Woodtreat — густую эмульсию пентахлорфенола (I) в нефтяном р-рителе, диспергированную в воде в присутствии стабилизаторов (87% нефтяного р-рителя, содержащего 10% I и 13% воды со стабилизатором), — наносит на поверхность древесины кистью, шпателем или спец. механич. приспособлением, слоем толщиной 6—12 мм. По мере разрушения эмульсии происходит впитывание древесинной консервирующего в-ва, а на поверхности эмульсии образуется пленка, препятствующая испарению и выщелачиванию антисептика. Нет необходимости покрывать нанесенную пасту бандажем. При нанесении препарата на столбы из кедровой древесины среднее содержание пентахлорфенола на глубине 12 мм через месяц составляло 12—14,7 кг/м<sup>3</sup>.

Н. Рудакова

**30314. Вибрационный метод пропитки древесины под давлением.** Хадсон, Хенрикссон (The oscillating pressure method of wood impregnation. Hudson M. S., Henriksson Sten T.), Forest Prod. J., 1956, 6, № 10, 381—386 (англ.)

Для введения консервирующих р-ров в древесину (Д), трудно поддающуюся пропитке в обычных условиях, предложен процесс с быстрой сменной давлением и вакуума от 8,08 ат до разрежения в 711 мм рт. ст., с продолжительностью циклов от 1 до 6 мин. Пропитка образцов свежесрубленной Д с большим поперечным сечением продолжается около 20 час. (свыше 400 циклов), сухой Д с малым поперечным сечением — 2 часа (40 циклов). Приведены результаты пропитки Д ели и сосны 1,5—2% р-рами соли Болидена (марки S-25 и K-33 с содержанием соответственно в %):  $\text{As}_2\text{O}_5$  36,0 и 34,0;  $\text{CrO}_3$  23,5 и 26,6;  $\text{ZnO}$  11,5 и 0;  $\text{CuO}$  3,8 и 14,8 и конституционной воды 25,2 и 24,6) вибрационным способом и методом полного поглощения; в первом случае заболонь Д поглощала антисептик (в %, в расчете на  $\text{As}_2\text{O}_5$ ) послойно (от внутренней  $\frac{1}{3}$  к наружной) 0,55—0,87—1,16%, во втором случае — от следов до 0,44%.

Н. Рудакова

**30315. О влиянии добавления кислоты на самопроизвольно протекающее в древесине фиксирование U- и UA-солей (Аналитические исследования выщелачивающих вод).** Шульц, Зиппель (Über die Beeinflussbarkeit der im Holz vor sich gehenden Fixierung von U- und UA-Salzen durch Säurezusätze (Analytische Untersuchungen von Auslaugwässern). Schulz W. O., Sippel E.), Holz Roh- und Werkstoff, 1956, 14, № 7, 257—267 (нем.)

Исследовано влияние добавления к-т на фиксирование «солей Вольмана» в древесине из неподкисленных смесей U- и UA-солей. Восстановление бихромата

и фиксирование мышьяка продолжается не менее 2—3 месяцев. При свободных от мышьяка U-солей типа «Триолит U» восстановление бихромата протекает медленнее, чем при свободных от фтора UA-солей типа «Таналит ИВ». Замена бихромата Na бихроматом K не оказывает влияния на скорость восстановления бихромата. Неподкисленные свободные от As U-соли фиксируются неполностью. Фтористый компонент выпелачивается в течение 4 недель до 85%. Из неподкисленных UA-солей помимо части Cr фиксируется лишь As-компонент. Величину и скорость самопроизвольно протекающего в древесине фиксирования Cr, As и F можно варьировать в широких пределах, меняя кол-во добавляемой к-ты. Фиксирование As при прибавлении к-ты может закончиться за 4 дня. Скорость фиксирования F помимо кол-ва к-ты зависит от содержания ионов Na и K в смесях U- и UA-солей. Показано улучшение сопротивляемости поражению грибами и насекомыми древесины, пропитанной кислыми солями U и UA и промытой.

Г. Брахман

**30316. Защита деревянной обшивки судов от грибов и насекомых.** K a l u ż n y i (Ochrona drewna okrętowego przed grzybami i owadami. Kałużny Józef), Budown. okręt., 1956, 1, № 7, 171—174 (польск.)

Для предохранения деревянной обшивки судов от разрушения применяют различные сорта силиката. За рубежом (ФРГ) дерево пропитывают «солями U», образующими на поверхности волокон защитную оболочку из нерастворимых криолитов. Для защиты от грибов деревянных частей, постоянно подвергающихся действию воды, их покрывают антисептич. пастами, содержащими растворимые соли NaF или  $ZnCl_2$ . Надежной защитой от вредителей являются токсич. краски, содержащие соединения Cu или Hg.

С. Яворовская

**30317 П. Колонна для ректификации сырого газообразного ацетона и других жидкостей.** Мора (Rectifying tower for rectifying crude gaseous acetone and other fluids. Mora Fernando Mario). Пат. США 2737482, 6.03.56

Компактная и экономичная в работе установка для получения сырого ацетона (А) и его очистки отличается применением ректификационных колонн оригинальной конструкции. Р-р уксуснокислого Ca (I) вводит через распылительное устройство в цилиндрич. обогреваемую камеру (К), внутри которой движется поршень; из капелек р-ра, падающих на горячие стенки К, происходит мгновенное испарение воды, а оставшееся сухое в-во разлагается при 300° с образованием А, метилацетона и парообразного ацетонового масла (АМ) (смесь высших кетонв). Сухой остаток снимается со стенок К поршнем и выводится из К через отверстие. Газообразная смесь продуктов разложения из К поступает в дефлегматор (Д<sub>1</sub>), где выделяются тяжелые масла и часть воды; несконденсированные пары вводят в концентрационную колонну (КК), дистиллят которой содержит 20—25% А. В конденсаторе образуется флегма, необходимая для работы КК, а оставшаяся жидкость проходит через холодильник в дефлегматор Д<sub>2</sub>, к верхней части которого присоединен эксгаузер, создающий пониженное давление в КК и К и обеспечивающий быстрое удаление из К продуктов разложения I. Д<sub>2</sub> соединен с отстойником (О), где отделяется более легкое АМ, которое поступает в сборник. Водн. р-р А, собирающийся в нижней части О, отводится на подогрев, а затем направляется в нижнюю часть колонны К<sub>2</sub>, где, наряду с ректификацией, подвергается дополнительной хим. обработке. К<sub>2</sub> соединена с кубом, обо-

греваемым паром через змеевик; нижний продукт отбирают по спец. трубке, создающей жидкостной затвор. В нижнюю часть К<sub>2</sub> (выше места ввода водн. р-ра А) подают щел. р-р ( $Na_2CO_3$ , NaOH) для осаждения оставшихся масел и нейтрации примесей фенола. Затем пары из нижней части К<sub>2</sub> поступают в верхнюю ее часть, проходя при этом через промежуточный подогреватель, в который стекает жидкость из верхней части К<sub>2</sub>; здесь происходит удаление А из жидкости при нагревании жидкости паровым змеевиком. Значительный объем подогревателя обеспечивает достаточное время пребывания в нем жидкости для выделения А. В верхней части К<sub>2</sub> происходит дальнейшая ректификация водно-А смеси и обработки минер. к-той для удаления аминов и других загрязняющих примесей. Дистиллятом колонны К<sub>2</sub> является чистый А: он конденсируется в конденсаторе, частично возвращаясь в К<sub>2</sub> как флегма, а остальное кол-во выводится через холодильник и фонарь в сборник продукта. Из дефлегматора Д<sub>1</sub> смесь АМ и воды выводится в отдельный сборник АМ, где АМ отстаивается, и отделяется от нижнего водн. слоя. В спец. ректификационной колонне АМ подвергают разгонке на отдельные фракции.

Ю. Петровский

**30318 П. Способ пропитки древесины.** Гнаде (Verfahren zum Imprägnieren von Holz. Gnade Karl-Heinz). Пат. ФРГ 940323, 16.02.56

Древесину обрабатывают р-рами в-в, способных к хим. взаимодействию с лигнином, напр., соединениями фуранового ряда, в частности фурфуролового спирта, фурфурола или их хлорированных производных под давлением или без него при 130°, под вакуумом или без него, затем выдерживают при 60—130° до указанного взаимодействия лигнина, что защищает древесину от влияния влажности и воздействия вредителей.

Г. Брахман

**30319 П. Способ защиты древесины.** Андерс (Verfahren zum Schutze von Holz. Anders Helmut). Пат. ФРГ 941227, 5.07.56

Патентуется пропитывание древесины (Д) газообразными в-вами кислотного характера — летучими при т-ре обработки соединениями F, As, B, Cr или Hg, напр.  $SiF_4$ , HF,  $AsF_3$ , хлористым хромилем, диэтил-Hg и т. п., с предварительным эвакуированием обрабатываемого пространства и (или) с применением давления при пропускании газа, проникновение которого можно облегчать повышением т-ры, после чего проводят дополнительную обработку газами, напр.  $NH_3$  или органич. основаниями для образования внутри Д отложений жидких или твердых продуктов р-ции. При обработке применяют камеры или брезентовые газоупорные чехлы; избыток газа отводят и улавливают в абсорберах р-рами щелочей или щел. карбонатов, используя получаемые водн. р-ры для защиты Д другими способами. Примеры. 1. Свежесрубленный сосновый ствол после удаления сучьев покрывают быстро твердеющим газоупорным лаком, закладывают в эластичный газонепроницаемый чехол, в основание ствола вводят под давлением  $SiF_4$  и вытесняют содержащуюся в проводящих путях древесины воду, выделяющуюся по каплям из верхины ствола до прекращения выделения воды или появления свободного  $SiF_4$  в верхнем сечении ствола; остающаяся в проводящих путях часть воды вступает в р-цию с  $SiF_4$ , образуя кремневые к-ты и водн. р-р HF. Обработанный ствол извлекают из чехла и, не удаляя лака с коры, оставляют до оконч. разложения  $SiF_4$ , затем подвергают окорке и применяют для изготовления строительных деталей, мебели и пр., требующих устойчивости к вредителям Д. 2. В приспособление для пропитки под давлением вносят части строительной и мебельной



Д любого вида, эвакуируют и вводят  $\text{BF}_3$  до установившегося нормального давления, одновременно или после выпуска газа аппарат нагревают; выдерживают 15–30 мин., вводят  $\text{NH}_3$  под давл. 2 атм, оставляют на 2 часа (до исчезновения сильного запаха  $\text{NH}_3$ ). В толще древесины равномерно образуются  $\text{B}(\text{OH})_3$  и  $\text{NH}_4\text{F}$ , лишенные запаха, предохраняющие изделия от всех видов вредителей в тропич. областях, напр. от термитов, и не препятствующие обработке деревянных частей. Избыток  $\text{BF}_3$  поглощают р-ром  $\text{NaOH}$ . Обрабатываемые изделия не должны содержать металлич. частей.

Ю. Вендельштейн

30330 П. Способ и приспособление для пропитки древесины. Грубер (Verfahren und Vorrichtung zum Imprägnieren von Holz. Gruber Gregor) [Verfahren und Vorrichtung zum Imprägnieren von Holz]. Пат. ФРГ 937850, 19.01.56

Одновременно с пропитыванием древесины (Д) в открытой ванне (В) пропитывают Д в осевом направлении (ОП), нагнетая пропитывающую жидкость (ПЖ) у основания и отсасывая у вершины столба: состав и (или) конц-ия и (или) т-ра нагнетаемой ПЖ может отличаться от ПЖ ванны. Нагнетающее приспособление состоит из плиты, имеющей одностороннюю выемку, плотно привинчиваемой к основанию столба при помощи деревянного винта. Через имеющееся отверстие ПЖ подводит под давлением в пространство между плитой и древесиной. Отсасывание осуществляют при помощи воронки, соединяемой с вершиной столба через прокладку из эластичного материала. Способ обеспечивает более совершенную пропитку Д и меньшую затрату времени, сравнительно с обычными способами пропитки. Примеры пропитывающих жидкостей: а) для В 4%-ный р-р смеси динитрофенола (I),  $\text{NaF}$ ,  $\text{K}_2\text{Cr}_2\text{O}_7$  и соединения  $\text{As}$ ; для ОП, кроме указанных в-в, в состав входит  $\text{CuSO}_4$ , при общей конц-ии 1%; б) ПЖ ванны — 2%-ный р-р равных частей  $\text{KHF}_2$  и арсената  $\text{K}$  (моно), для ОП — 3%-ный р-р смеси 20 ч.  $\text{I-Na}$ , 35 ч.  $\text{K}_2\text{Cr}_2\text{O}_7$  и 45 ч. ди- $\text{Na}$ -арсената; в) ПЖ для В содержит 1%-ный р-р смеси 25 ч. полихлорфенола, 27 ч. буры и 48 ч.  $\text{NaF}$ , для ОП — 2,5%-ный р-р смеси 42 ч.  $\text{K}_2\text{Cr}_2\text{O}_7$  и 58 ч. арсената  $\text{Na}$ ; г) ПЖ для В содержит 2%-ный р-р смеси 30 ч. пентахлорфенол- $\text{Na}$ , 40 ч. буры и 30 ч. соды, для ОП — 2%-ный р-р смеси 80 ч.  $\text{NaF}$  и 20 ч.  $\text{I}$ -анилина; д) для В и ОП — 2%-ный р-р 70 ч.  $\text{NaF}$ , 20 ч. арсената  $\text{Na}$  и 10 ч. буры; т-ра р-ра для В  $\sim 40^\circ$ , для ОП  $\sim 15^\circ$  при входе жидкости в основание столба; при одинаковом составе р-ров для В и ОП и одинаковой т-ре р-ров (напр., 15–25°) конц-ия р-ра для ОП должна быть вдвое больше, чем для В. Начальное давление у основания столба 2 атм в течение 10–12 час., затем повышают до 4 атм. Р-р для ОП можно пропускать через ствол многократно в процессе циркуляции. Приложены 3 схемы.

Ю. Вендельштейн

30331 П. Способ обработки древесины для улучшения ее качества (Procédé de fabrication de bois amélioré) [Badische Anilin & Soda-Fabrik A.-G.]. Франц. пат. 1082849, 3.01.55 [Chemie et industrie, 1955, 74, № 6, 1201 (франц.)]

Древесину обрабатывают водн. р-рами продуктов, получаемых в начальной стадии р-ции формальдегида (I) с в-вами (II), образующими аминокласты, и продуктов более глубокой конденсации I с II, набухающими в воде. Обработанную древесину нагревают до 40–450°.

Ю. Вендельштейн

30332 П. Высушивание паром и предохранительная обработка древесины. Хадсон (Vapour drying and preservative treatment of wood. Hudson M. S.). Англ. пат. 732810, 29.06.55

При паровой сушке древесины в закрытом пространстве при повышенной т-ре с помощью потенциально взрывчатых органич. паров, с последующим выпуском в закрытое пространство воздуха в кол-ве, образующем взрывчатую смесь, в указанное пространство вводят водяной пар (ВП) до или во время выпуска воздуха, пока не установится давление, не превышающее  $1,4 \text{ кг/см}^2$ , и парц. давление ВП по крайней мере сравняется с парц. давлением органич. паров. ВП можно вводить в конце сушки для заполнения вакуума. Для предотвращения нежелательного поглощения воды в случаях, когда требуется относительно высокая степень высушивания, закрытое пространство сначала сообщают с атмосферой и затем выпускают ВП. При обработке древесины предохраняющими в-вами последние можно вводить тотчас вслед за выпуском ВП.

Ю. Вендельштейн

См. также: Мирицетин-3-дигалактозид из *Betula verrucosa* и *B. pubescens*. 28903. Лигнин 31305. Сорбция паров метилового спирта на дегидратирующих катализаторах 28101. Кинетика десорбции ук. к-ты 28106. Получение ук. к-ты 29697, 29698, 29772. Определение воды в ук. к-те 28520. Сосновые смолы 30961. Терпены 28904, 28906, 28915, 28921. Активность производных пентахлорфенола 28693. Гидролиз 28876, 28878, 28896, 29707, 29708. Очистка сточных вод: лесохим. 29285; гидролизных з-дов 29286

## ЖИРЫ И МАСЛА. ВОСКИ.

## МЫЛА. МОЮЩИЕ СРЕДСТВА. ФЛОТОРЕАГЕНТЫ

Редактор А. А. Зинovieв

30323. XXV Международный конгресс фабрикантов маслостройной промышленности. Рапалло, 4–7 июня 1957 г. Бьенеме (Le XXV<sup>e</sup> congrès international des fabricants d'huile (I. A. S. C.) Rappallo, 4–7 Juin 1957. Bienne A.), Oleagineux, 1957, 12, № 8-9, 487–491 (франц.)

30324. Положение с жирами на мировом рынке. Фор (La situation mondiale des corps gras. Faure J. C. A.), Oléagineux, 1957, 12, № 8-9, 495–505 (франц.)

Приведены данные по произ-ву, экспорту и потреблению на душу населения растительных масел, животных жиров, жиров морского зверя и рыбных по отдельным странам за годы: предвоенные, 1955 г., 1956 г. (предварительно) и 1957 г. (оценка). Представлены данные по экспорту различных видов семян и масел для отдельных стран, по объему потребления жиров и масел в отдельных странах Европы и баланс произ-ва, экспорта — импорта и потребления жиров и масел в США.

Г. Фрид

30325. Лейкоантоцианы в семенах хлопчатника. Чандер, Сешадри (Leucoanthocyanidin in cottonseed. Chander Katilash, Seshadri T. R.), J. Scient. and Industr. Res., 1957, A16, № 7, 319–320 (англ.)

Методом крутовой хроматографии на бумаге установлено присутствие лейкодельфинидина в оболочках семян хлопчатника. Наблюдаемое иногда покраснение поврежденных семян происходит вследствие образования флорафенов из лейкоантоциана.

А. Емельянов

30326. Хранение жмыхов перед экстракцией. Вишнеловская Ф. А., Маслостр.-жир. пром-сть, 1957, № 9, 10–12

Исследовано поведение шнекпрессовых жмыхов (Ж), полученных по различным схемам и режимам, при транспортировке и хранении их на складах завода-изготовителя и кузовом экстракционным з-дом.

При хранении (в течение 25—55 суток) подсолнечных Ж, полученных при обычном и мягком режимах по различным технологич. схемам (форпресс — экспеллер, форчан — форпресс, однократное форпрессование), содержание масла и протеина в Ж не снижается, кислотное и перекисное числа имеют тенденцию к росту, особенно заметную у перекисных чисел — масла из Ж, полученных при обычном и мягком режимах по схеме форчан — форпресс. В результате транспортировки Ж увеличивается содержание мелких фракций, особенно значительно в Ж, полученном при обычном режиме по схеме форчан — форпресс. М. Землянухина

**30327. Свойства масел растительного происхождения.** П. Карола (Caratteristiche degli olii e dei grassi di origine vegetale. P. Carola C.), Olii miner., grassi e saponi, colori e vernici, 1957, 34, № 2, 54—68 (итал.; рез. франц., англ., нем., исп.)

Данные о важнейших физ.-хим. свойствах растительных масел ореха бабассу, дикого шафрана, пшеничного, тунгового, фисташкового, миндального, орехового, ойтисикового, периллового, рисового, китайского жира (масла семян *Stillingia*), чайного семени, какао, японского воска, ореха *Bassia latifolia* и *B. parkii*. Библ. 61 назв. Часть I см. РЖХим, 1957, 59290.

Л. Фрейдкин

**30328. Уплотненные масла.** Фов (Les standolies. Fauve M.), Rev. franc. corps gras, 1957, 4, № 2, 73—79 (франц.)

Описаны процесс термич. уплотнения масел и его контроль, способы нагрева уплотняемых масел и прекращения полимеризации по достижении желаемой вязкости, влияние рода металла реакционного котла на цвет уплотненного масла. Приведены кривые изменения вязкости и кислотного числа в зависимости от продолжительности термич. обработки льняного масла при 270° при величине отношения Л:О в пределах 2,14—3,0 (Л — содержание в масле линолевой, а О — содержание в нем олеиновой к-ты), а также кривые изменения кислотности и вязкости льняного масла в зависимости от продолжительности полимеризации при разных т-рах в пределах 280—310°. Отмечено действие BF<sub>3</sub> на процесс уплотнения льняного масла (2% BF<sub>3</sub> вызывают желатинизацию масла при 105° в течение 10 мин., а при 6% BF<sub>3</sub> желатинизация происходит при т-ре воздуха в течение 40 час.). Указана возможность модификации уплотненных масел, напр. добавлением масла, богатого линоленовой к-той, к маслу с меньшим содержанием этой к-ты или добавлением масла с относительно большим содержанием триолеина к маслу с высокой степенью реактивности, но до уплотнения необходимо провести переэтерификацию для получения смешанных триглицеридов. Получение смешанных уплотненных масел возможно путем термич. обработки смеси льняного и тунгового масел при 220—240° до желаемой вязкости или путем термич. обработки смеси уплотненного льняного масла с тунговым, а также путем добавления тунгового масла к уплотненному льняному маслу, полимеризации в течение нескольких минут до 280° с последующим охлаждением уплотненной смеси.

Г. Фрид

**30329. Об анализе рафинированных растительных масел.** Принчивалле, Пиредда, Моччи (Osservazioni sull'analisi degli oli vegetali rettificati. Nota I. Princivalle E., Piredda N., Mocci C.), Olearia, 1957, 11, № 7-8, 185—186 (итал.)

Предложено фальсификацию рафинированного оливкового масла определять по показателю преломления. Целесообразность этого метода подтверждена анализом 18 образцов местного неочищ. и рафинированного оливкового масла. А. Верещагин

**30330. О реверсии запаха орехового масла.** Дюран-Верон, Прево (Etude sur la reversion de l'huile de noix. Durant-Veron S., M-me, Prevot A.), Rev. franc. corps gras, 1957, 4, № 10, 502-505 (франц.)

Для предупреждения реверсии орехового масла (появление в дезодорированном масле через некоторое время вкуса и запаха, не всегда совпадающего с акустической сортировкой и сушкой ядра, проведение пресования и других операций в строго гигиенич. условиях. Применение антиоксиданта тикосана (смесь моностеарата глицерина, аскорбиновой к-ты и масла из зародышей злаковых) в кол-ве 0,2% задерживает прогоркание масла. А. Емельянов

**30331. Распознавание модифицированных ненасыщенных масел.** Винтершейдт (Die Erkennung abgewandelter ungesättigter Öle. Winterscheidt Horst), Seifen-Öle-Fette-Wachse, 1956, 82, № 7, 154—155 (нем.; рез. англ., франц. исп.); № 8, 181—182 (нем.)

Для определения модифицированных ненасыщ. масел методом, основанным на р-ции эпоксидной группы, навеску в 0,5 г обрабатывают 50%-ным избытком изопропанола и нагревают 20—30 мин. с обратным холодильником. После охлаждения смесь разбавляют 300 мл воды и определяют избыток хлор-ионов 0,1 н. AgNO<sub>3</sub> потенциометрически (производят также слепой опыт). По расходу AgNO<sub>3</sub> вычисляют процент эпоксидного кислорода. При этом эквивалент хлора соответствует эквиваленту кислорода. При определении омылением, дающим точные результаты, при извлечении эфиром жирной к-ты в делительной воронке необходимо следить, чтобы осаждение к-ты производилось эквивалентным кол-вом 0,5—1,0 н. HCl во избежание неправильного определения кислотного числа. Л. Ф.

**30332. Использование синтетического сезамола для открытия растительных масел и гидрогенизированных жиров.** Дагетта, Брусс (L'uso del sesamolo sintetico come rivelatore dei grassi soggetti a satura. Daghetta Alberto, Bruss Ornella), Ann. sperim. agrar., 1957, 11, № 4, XCVII—CVI (итал.; рез. англ.)

Показано, что синтетич. сезамол может быть использован вместо сезамового масла для обнаружения фальсификации оливкового масла и молочного жира другими растительными маслами, гидрогенизированными жирами и маргарином с помощью р-ции Вилла-Веккиа-Фабрис. Для обработки 1 ч масла достаточно 800 мг сезамола. А. Верещагин

**30333. Исследование прибавления к оливковому маслу жиров постороннего происхождения.** И. Пробе на стерини. Витальяно, Д'Амброзио (Ricerche sull'aggiunta di grassi de altra origine all'olio di oliva. I. Prove sugli steroli. Vitagliano M., D'Ambrosio A.), Olearia, 1957, 11, № 7-8, 169—184 (итал.; рез. англ., нем., франц.)

Для обнаружения фальсификации оливкового масла предложен метод обращенно-фазовой хроматографии на бумаге. Стерины после омыления масла осаждают дигитонином и затем ацетилируют, после чего разделяют ацетаты стерина на бумаге, пропитанной гидрофобным квиллоном, используя абс. метанол в качестве р-рителя и р-цию Либермана для проявления пятен. Стерины оливкового масла имеют более низкий R<sub>f</sub> (0,33—0,41), чем стерины других растительных масел (0,49—0,58). Это дает возможность обнаружить примеси, присутствующие в кол-ве > 20%. Метод не позволяет различать присутствие многокомпонентных примесей. А. Верещагин

**30334. Определение присутствия минерального масла в пищевых маслах и жирах.** Венкатачалам,



Сундарам (Test for mineral oil in edible oils and ghes. Venkataschalam V., Sundaram S.), Current Sci., 1957, 26, № 5, 157 (англ.)

К 1 мл отфильтрованного масла или жира (при необходимости жир расплавляют при 60°) добавляют 5 мл 1 н. спирт. р-ра КОН. Масло омыляют, нагревая 5 мин. с обратным холодильником, охлаждают до ~20°, не снимая холодильника. 1 мл охлажденной жидкости отбирают в пробирку и добавляют 10 мл 30%-ного спирта и тщательно перемешивают. В присутствии минер. масла р-р мутнеет. Контрольной пробой может служить нефальсифицированное кокосовое масло. Если охлажденная жидкость после омыления затвердевает, ее расплавляют до отбора пробы. Таким путем можно обнаружить 1% примеси.

30335. Аналитическое исследование нейтрализации масел щелочью. VI. Влияние различных факторов на потери от омыления при непрерывной нейтрализации. Ноде, Бонжур, Арло, Денюзаль (Etude analytique de la neutralisation alcaline des huiles. VI. Influence de divers facteurs sur les pertes par saponification au cours de la neutralisation alcaline continue. Naudet M., Bonjour S., Arlaud M., Desnuelle P.), Rev. franç. corps gras, 1957, 4, № 3, 142—148 (франц.)

В опытах непрерывной нейтр-ции смеси прессового и экстракционного масел изучали влияние т-ры масла в момент нейтр-ции, влияние избытка щелочи и продолжительности контакта масла с соапстоком на потери при нейтр-ции. Кислотность нейтрализованного масла составила <0,1%, содержание мыла 0,20—0,35%. Показано, что при разных конц-ях щелочи потери от омыления значительно возрастают при увеличении продолжительности контакта масла с соапстоком от 20 до 35 сек. Для максим. снижения потерь от омыления при непрерывной нейтр-ции рекомендуется нейтрализовать масло в ненагретом виде теоретич. кол-вом щелочи, тщательно диспергированной в масле, затем нагревать смесь масла с соапстоком как можно быстрее и при миним. т-ре, допускающей эффективное центрифугирование, и тотчас же производить центрифугирование.

30336. О промывании водой нейтрализованных растительных масел. Броэ, Бримберг, Найман (Some problems involved in the water wash of neutralized vegetable oils. Braae Ben, Brimberg Ulla, Numan Marianne), J. Amer. Oil Chemists' Soc., 1957, 34, № 6, 293—299 (англ.)

Определение содержания мыла в нейтрализованных растительных маслах после промывания их водой показало, что некоторые из масел (кокосовое, пальмовое, оливковое) практически не содержат мыла после одной промывки, из других (льняное, рапсовое) его нельзя удалить несколькими промывками. Арахисное, подсолнечное, соевое и хлопковое масла иногда отмываются от мыла, иногда нет. Указано, что это зависит, в частности, от наличия в «сырых» маслах соединений Mg и Ca, которые не удаляются при нейтр-ции масел и при промывании их водой. Указано также, что магниевые и Ca-мыла могут попадать в масла при промывании их жесткой водой или водн. р-ров щелочей. Для масел, не поддающихся промывке, оказались ненадежными существующие методы определения мыла, так как ими не определяются кальциевые или магниевые мыла или другие соединения этих металлов. Однако содержание мыл в маслах, в том числе Ca и Mg в форме мыл или других соединений, может быть определено в неочищ., нейтрализованном в промытом масле титрованием по методу Вольфа (Wolff J. P., Oleagineux, 1948, 3, 197). Метод основан на титровании мыл, содержащихся в маслах, водно-

ацетонным р-ром HCl в присутствии бромфенолового синего как индикатора. Для улучшения результатов промывки нейтрализованных масел рекомендуется предварительная их обработка конц.  $H_2PO_4$ ,  $H_2SO_4$ , HCl или  $(COOH)_2$  и другими к-тами, а также повторная рафинация смесью NaOH и  $Na_2CO_3$ , либо  $Na_3PO_4$  и другими солями щел. р-ции. Для предупреждения загрязнения нейтрализованных масел Ca и Mg следует применять мягкую воду для р-ров, применяемых для рафинации и промывки масла. А. Емельянов

30337. Исследование процесса выделения жира из подкожного сала китов. Головин А. Н., Рыб. х-во, 1957, № 6, 85—91

Исследована сравнительная эффективность мокрого, сухого и вакуумного способов выделения жира из подкожной гладкой жировой ткани кита финвала при 50, 65, 100 и 120° и изучен механизм процесса выделения жира. Выход жира при сухом способе больше, чем при мокром. Наибольший выход дает вакуумный способ. Указано, что максим. выход жира в процессе его вытопки в вакуумных котлах (~87%) может быть достигнут при измельчении жирсырья на кусочки  $2 \times 2 \times 2$  см, удалении  $\geq 40\%$  воды из сырья и 45-мин. обработке при 100°. При последующем прессовании шквары выделяется еще 9—10% жира и суммарный его выход составляет 96—97% от его содержания в сырье. Г. Фрид

30338. Химия и биология рыбьего жира. Кауфман (Die Chemie und Biologie der Fischöle. Kaufmann H. P.), Allgem. Fischwirtschaftszeitung, 1957, 9, № 39—40, 32 (нем.)

30339. Хроматографический анализ некоторых компонентов жиров морских животных. Рейзер, Соррелс, Бендер (Chromatographic analysis of some constituents of marine—animal oils. Reiser Raymond, Sorrels Mary Frances, Bender Maurice), Comm. Fish. Fisheries Rev., 1957, 19, N4a, Suppl., 9—10 (англ.)

Жиры морских животных разделяют на колонке силикагеля на 5 фракций элюированием пятью различными системами р-рителей. Каждую фракцию концентрируют и разделяют на компоненты хроматографированием на фильтровальной бумаге из стекляных волокон, пропитанной силикагелем. Значения  $R_f$  в отдельных опытах значительно колеблются, а отсутствие закономерности в размере пятен липидов и различия в толщине применявшейся бумаги делают невозможной колич. оценку пятен. Показано, что 1-я фракция содержит витамин А — пальмитат, холестерилпальмитат, сквален, гексадецилпальмитат и токоферолы. Все триглицериды и часть жирных спиртов составляют 2-ю фракцию. Остаток жирных спиртов, витамин А, холестерин и витамин  $D_3$  обнаружены в 3-й фракции; 7-дегидрохолестерин в этой фракции не обнаружен. В 4-й фракции содержатся жирные к-ты, а в 5-й — фосфолипиды. В составе фосфолипидов обнаружен только фосфатидилэтаноламин, а лецитин не обнаружен. Наряду с хроматографированием смесей известного состава, разделяют также природные масла. В жире тресковой печени Super D обнаружены триглицериды, витамин  $D_3$ , витамин А, фосфатидилэтаноламин и неидентифицированный компонент. Те же компоненты, а также сквален обнаружены в жире тресковой печени Silmo. А. Верещагин

30340. Новые продукты из рыбьих жиров. Часть 3. Получение и разделение жирных спиртов из рыбьих жиров. Гругер (New products from fish oils. Part 3. Preparation and separation of fatty alcohols made from fish oils—a preliminary study. Gruger Edward H., Jr.), Comm. Fish. Fisheries Rev., 1957, 19, N4a, Suppl., 13—17 (англ.)

Восстановлением металлич. На получены смеси высокомолекулярных жирных спиртов (ЖС) из рыбьих жиров и исследованы методы разделения этих смесей. Этим способом получены: цетиловый спирт из метилпальмитата, октадециловый спирт из метилстеарата и олеиловый спирт из метилолеата, а также ЖС из жира ментады и из сардинного жира. Неочищ. ЖС из этих жиров представляли собой жидкие маловязкие светло-коричневые смеси насыщ. и ненасыщ. ЖС (выход 85—90%), которые разделялись низкотемпературной кристаллизацией (ацетон,  $-18^{\circ}$ ), после чего ненасыщ. ЖС подвергались дальнейшему разделению и идентификации. При фракционированной дистилляции (давл. 0,1—10 мм рт. ст.) не извлекалось значительное кол-во высококипящих полиненасыщ. спиртов (кубовый остаток составил 34,3% исходного материала). Исследовано также фракционирование ЖС методом противоточного распределения. Показатели рефракции подтвердили возможность разделения ЖС на фракции, которые подвергались дальнейшему исследованию для определения степени ненасыщенности и длины углеродной цепи соответствующих спиртов. Для определения степени возможной очистки различных фракций ЖС использована хроматография в колонке с применением в качестве адсорбента смеси фуллеровой земли, порошкообразного кремния и раздробленной окиси кальция. Наличие конъюгированных двойных связей в смесях сырых ЖС и в отдельных фракциях, полученных при дистилляции этих ЖС, установлено спектрофотометрич. исследованиями в УФ-области. Намечено также изучение возможности использования комплексных соединений с мочевиной для фракционирования смеси насыщ. и ненасыщ. ЖС из рыбьих жиров. Часть II см. РЖХим, 1958, 6061.

30341. Влияние излучения высокой энергии на окисление олеиновой кислоты и метилолеата. Дьюган, Ландис (Influence of high radiation on oxidation of oleic acid and methyl oleate. Dugan L. R., Jr, Landis Paul W.), J. Amer. Oil Chemists' Soc., 1956, 33, № 4, 152—154 (англ.).

Сравнительное окисление образцов олеиновой к-ты при  $20^{\circ}$  в темноте и облучении  $\gamma$ -лучами из источника  $\text{Co}^{60}$  показало, что последнее значительно активизирует процесс.

30342. Гидрирование хлопкового масла на скелетном никелевом катализаторе. Сокольский Д. В., Волошин И. И., Изв. АН КазССР, Сер. хим., 1956, вып. 10, 63—68

Изучена кинетика гидрирования хлопкового масла при  $40$ — $150^{\circ}$  на Ni-скелетном катализаторе, полученном в результате обработки р-ром щелочи Ni—Al-сплава. Указано, что оптимальная т-ра гидрирования  $130$ — $140^{\circ}$ . Кол-во катализатора  $0,15$ — $0,25\%$  к весу масла. Энергия активации  $4000$ — $5000$  кал/моль. При  $160^{\circ}$  катализатор теряет активность из-за утраты водорода, извлекаемого маслом при высоких т-рах.

30343. Кинетика гидрогенизации чистых алифатических эфиров. II. Моноолефины: *цис-транс*-изомерия. III. Полиолефины: селективность действия скелетного никеля. Ванденхёвел (The kinetics of the hydrogenation of pure fatty esters. II. Mono-olefinic systems: *cis-trans* isomerism. III. Poly-olefinic systems: selectivity of raneoy nickel. Vandenheuvel Franz A.), J. Amer. Oil Chemists Soc., 1956, 33, № 11, 531—535; 1957, 34, № 1, 12—15 (англ.).

II. Результаты кинетич. анализа гидрогенизации метиллинолеата и метилолеата. Приведены расчеты констант скоростей и график сравнения кривых, полученных на основании вычислений, с данными опытов.

III. Расчеты сделаны в предположении, что гидрогенизация метиллинолеата характеризуется наличием параллельных последовательных р-дий второго порядка. Установлено, что р-ция идет без *цис-транс*-изомеризации и перемещения двойных связей. Были приготовлены различными способами образцы скелетного Ni типа W<sub>5</sub>, хранившиеся на холоду под 95%-ным спиртом в атмосфере H<sub>2</sub>, N<sub>2</sub> или воздуха. Показано, что катализатор быстро теряет активность, особенно катализатор, хранившийся без H<sub>2</sub> или N<sub>2</sub>. Часть I см. РЖХим, 1957, 64972.

30344. Методика определения содержания отдельных низших жирных кислот в промывной воде. Бродская Н. И., Цысковский В. К., Масл.-жир. пром-сть, 1957, № 8, 28—30

Применен метод распределительной хроматографии для выделения к-т C<sub>1</sub>—C<sub>4</sub> из сточных вод э-дов ситетич. жирных к-т. Адсорбентом служит силикагель марки МСК, обработанный 10 н. HCl и промытый до отсутствия р-ции на Cl в промывной воде, который затем промывается абс. спиртом и сухим эфиром, высушивается в вакууме, растирается и просеивается через сито 200 меш. Для подготовки хроматографич. колонки (длина 30 см, диам. 10 мм) ее заполняют 5—6 г силикагеля, смоченного 1,5—2 мл воды и тщательно растертого, заливают в нее 10%-ный р-р (Р) бутанола в хлороформе и оставляют адсорбент под слоем р-рителя. Методика анализа: 50 мл исследуемой воды отгоняют под вакуумом и 5—10 мл отгона нейтрализуют NaOH по фенолфталеину и выпаривают досуха. Полученный порошок, содержащий смесь Na-солей к-т C<sub>1</sub>—C<sub>4</sub>, смешивают с 0,5—1 г безводн. KHSO<sub>4</sub> и выделенные к-ты 6-кратно экстрагируют Р. Хроматографирование начинают с открытия нижнего крана колонки для стока р-рителя; из вытекающей жидкости отбирают пробу ~ 2 мл. Затем в колонку вводят 0,5—1 мл упомянутого экстракта исследуемых к-т. Сначала бензолом вымывают масляную (I) и пропионовую (II) к-ты, отбирают снизу колонки фракции по 2 мл и титруют (по фенолроту) спиртовым 0,05 н. р-ром NaOH, не содержащим CO<sub>2</sub>. Затем вымывают Р. CH<sub>3</sub>COOH (III) и HCOOH (IV) и отобранные снизу колонки пробы титруют тем же путем. Выделение отдельных к-т соответствует максимумам кривой «кол-во щелочи, пошедшее на титрование, — кол-во прошедшего через колонку р-рителя». При этом кол-во к-т, вымытых бензолом, соответствует сумме I и II, а кол-во к-т, вымытых Р, соответствует сумме III и IV в пробе. Содержание IV определяют в параллельной пробе окислением окисью ртути и, следовательно, в результате получают содержание IV и III в отдельности и сумму I и II.

30345. Доклад подкомитета по моноглицеридам Комитета по анализу жиров (США) за 1956 г. Болли, Мармор, Приветт, Рини, Уокер. Пол (Report of F. A. C. monoglyceride subcommittee — 1956. Bolley D. S., Marmor R. A., Privett O. S., Rini S. J., Walker R. C., Pohle W. D.), J. Amer. Oil Chemists Soc., 1957, 34, № 6, 301—302 (англ.).

Приведены результаты сравнительного определения моноглицеридов: 1) методом Мейнера (образец растворяют в р-ре 5% диметилформамида в хлороформе с последующим окислением спирт. р-ром йодной к-ты (I); по окончании р-ции добавляют р-р NaHCO<sub>3</sub> и KI, свободный I<sub>2</sub> титруют стандартным р-ром арсенита Na с крахмалом в качестве индикатора); 2) методом экстракции (образец растворяют в хлороформе, глицерин извлекают водой; добавляют I в водн. р-ре CH<sub>3</sub>COOH. Кол-во I, израсходованное на окисление моноглицеридов, определяют йодометрич. титрованием р-ром тиосульфата Na с индикатором — крахмалом);



3) распределительным методом (образец растворяют в хлороформе, добавляют равный объем воды, взбалтывают и дают разделиться смеси на две фазы. Моноглицериды хлороформенной фазы определяют как в предыдущем случае). Рекомендован 3-й метод как наиболее точный. А. Емельянов

30346. Изучение земель Заурастра. Часть I. Гохил (Studies in Saurashtra earths. Part I. Gohil H. B.), Oils and Oilseeds J., 1956, 9, № 6, 9—11 (англ.)

Описаны результаты изучения хим. состава и отбеливающего действия различных белых глил типа бентонита, огнеупорных и фулеровой земли.

Н. Соловьева

30347. Температура вспышки растворов восков. Уайт, Миллер, Саймон, Лайт, Джерарди (Flash point of solvent type waxes. Whyte D. E., Miller W. K., Simon R. H., Light A. K., Gerardi C. A.), Soap and Chem. Specialties, 1956, 32, № 8, 133—136, 159 (англ.)

Даны краткая характеристика и обзор приборов и методов определения т-ры вспышки, а также результаты исследований т-ры вспышки трех полировочных составов: разб. политуры для автомобилей, средневязкой политуры для мебели и вязкой политуры для пола. Установлено, что т-ра вспышки таких продуктов не должна заметно отличаться от т-ры вспышки их р-рителей, если вести определение без местных перегревов продукта. Поэтому не рекомендуется чрезмерное охлаждение испытуемого образца до анализа во избежание повышения вязкости продукта, усиливающей его склонность к местному перегреву. Анализ следует начинать при т-ре ниже ожидаемой т-ры вспышки на 39—44° (вместо 17°). Испытуемый образец перемешивают со скоростью 900 об/мин. и нагревают на  $1 \pm 0,1^\circ$  в 1 мин. (вместо 5—6°).

Г. Фрид

30348. Новые синтетические твердые воски для получения средств по уходу за полами. Гиллер (Neue synthetische Hartwachse zur Herstellung von Bodenpflegemitteln. Gieler Robert), Prakt. Chem., 1956, 7, № 12, 416, 418 (нем.)

Приведены рецепты паст для ухода за полами на основе синтетич. восков.

М. Рейбах

30349. Смачивающая способность составов для ухода за полами. Заппер (Prüfung des Netzvermögens von Selbstglanzemulsionen. Sapper W.), Seifen-Öle-Fette-Wachse, 1957, 83, № 15, 446 (нем.)

Смачивающая способность эмульсий (Э) характеризуется скоростью стекания капли Э по наклонной плоскости. Условно приняты: кол-во наносимой на плоскость Э 0,05 мл, длина отрезка пути, на котором регистрируется время протекания Э, 50 мм, угол наклона плоскости  $20^\circ$ , материал пластинки, по которой стекает Э, типографский картон (DK 22 с), покрытый черной типографской краской (Mettschwarz neutral R127), т-ра окружающей среды  $20^\circ$ . Скорость стекания Э с очень хорошей смачивающей способностью < 10 сек. Дан фотоснимок и кратко описан прибор для этих определений.

Н. Гарденин

30350. Потребительская оценка качества мастик для полов. Джой («The consumer's viewpoint» on floor finishes. Joy William H.), Soap and Chem. Specialties, 1957, 33, № 5, 121, 123, 127 (англ.)

Рассматриваются свойства трех видов мастик для полов различных по назначению и применяемых в различных климатич. условиях. Дается сравнительная оценка достоинств и недостатков мастик, составленных на основе восков и эмульсий из синтетич. смол, в отношении внешнего вида покрытых ими полов, продолжительности эксплуатации покрытий и сопротивления скольжению для полов из различных материалов.

С. Светов

30351. Продукты конденсации окиси этилена в производстве мыла. Чакерт (Äthylenoxyd — Kondensationsprodukte in der Seifenindustrie. Tschakert Hans E.), Seifen-Öle-Fette-Wachse, 1957, 83, № 21/4, 610—612; № 22, 651—654 (нем.; рез. англ., франц., исп.)

Описано влияние синтетич. в-в (СВ) на качество туалетных мыл «люкс» и наполненных. Приведены величины усушки, твердости (поверхностной и общей), хрупкости и эластичности мыл, показывающие положительное влияние СВ. Указывается, что СВ облегчают применение противокислителей и способствуют использованию карбоксиметилцеллюлозы или полиакрилата, пережиривающих средств (жирных спиртов, алкилоламов жирных к-т, ланолина, сорбита и др.), фосфатов, дезинфицирующих, дезодорирующих, гермицидных и других облагораживающих средств. Описано влияние СВ (продукты конденсации жирных спиртов и аминов с окисью этилена, алкилоламы жирных к-т, полиэтиленоксидный воск 6000 и др.) на качество туалетных мыл при хранении. СВ вводились в кол-ве 2—5% в туалетную основу с  $\geq 80\%$  жирных к-т. Образцы хранились в течение 1, 3, 6 и 18 месяцев. Состояние образцов по окончании сроков хранения фиксировалось по внешнему виду (цвет, глянец, хрупкость, растрескивание, чешуйчатость, пятнистость, прозрачность). Сравнение с контрольным образцом (без СВ) указывает на положительное влияние большинства СВ. Даны фотоснимки образцов, характеризующие влияние различных в-в на цвет мыла, и сводная таблица состояния мыл после хранения.

Г. Шураев

30352. Определение содержания мыла с помощью ионообменных смол. Дженкинс (Determination of soaps by ion exchange resins. Jenkins J. W.), J. Amer. Oil Chemists' Soc., 1956, 33, № 5, 225—226 (англ.)

Описано приготовление адсорбционной колонки со смолой Довекс 50 и результаты анализа мыл, приготовленных из индивидуальных жирных к-т. При прохождении р-ра мыла через колонку происходит вытеснение жирных к-т, которые определяют титрованием щелочью р-ра, вышедшего из колонки. Даны результаты анализа этим способом нескольких образцов кремов для бритья, шампуня, мыльных хлопьев с указанием изменений, необходимых для отдельных случаев, напр. при пережиренных или содержащих электролиты продуктах. Этот метод дает возможность определить до 99,80% мыла, содержащегося в исследуемом образце.

С. Энгель

30353. Шебекинский комбинат синтетических жирных кислот и жирных спиртов. Кудряшов А. И., Маслоб.-жир. пром-сть, 1957, № 11, 33—35

30354. Развитие производства поверхностно-активных веществ промышленного назначения. Моррисро (New developments in industrial detergents. Morrisroe John), Soap and Chem. Specialties, 1957, 33, № 5, 47—51, 135, 137 (англ.)

Приведены статистич. данные о произ-ве и потреблении поверхностно-активных препаратов в США за 1955 г. с подразделением в соответствии с их хим. природой и сравнительные данные 1947 и 1954 гг. Дается обзор изменений в области использования различных видов сырья, создания препаратов с новыми свойствами; усовершенствований процессов произ-ва; расширения областей применения.

С. Светов

30355. Свойства и классификация поверхностно-активных веществ. — (Propriété et classification des tensio-actifs.). Annuaire ind. corps gras et déterg., 1957, Montreuil (Seine), 1957, 32—36 (франц.)

30356. Изучение поверхностно-активных веществ за пределами США. Уэлс (Detergent research abroad.

Wells F. V.), Soap and Chem. Specialties, 1957, 33, № 5, 57—60 (англ.)

Сообщение об открытии в Голландии научно-исследовательской лаборатории — филиала американского акционерного общества Unilever Research. Описание ее помещений, аппаратуры и оборудования. Излагаются основные проблемы, которые в ней будут разрабатываться.

С. Светов

30357. Полимерные неионогенные поверхностно-активные вещества. Стантон (Polymeric nonionic surfactants. Stanton Warren B.), Soap and Chem. Specialties, 1957, 33, № 6, 47—49 (англ.)

Излагаются общие принципы синтеза поверхностно-активных в-в, образуемых последовательным присоединением окиси пропилена и окиси этилена к пропиленгликолю или другому подходящему соединению, напр. этилендиамину. Обсуждается влияние структуры и соотношения размеров частей молекул на свойства поверхностно-активных в-в.

С. Светов

30358. Синтетические моющие средства на основе жирных кислот. Бенерджи (Synthetic detergents from fatty acids. Banerjee S. C.), Indian Soap J., 1957, 22, № 12, 257—261 (англ.)

Указано на необходимость произ-ва в Индии поверхностно-активных в-в (ПАВ), главным образом для текстильной пром-сти. Указано, что наиболее подходящим источником сырья в местных условиях может служить олеиновая к-та. Даны схемы технологич. процесса получения ПАВ восстановлением их в спирты и последующим сульфированием или конденсацией с соответствующими сульфопроизводными.

С. Светов

30359. Алкилоламиды жирных кислот в промышленности. I. Хембро (Fatty alkylolamides as fine chemicals in industry. I. Hembrough George R.), Chem. Prod., 1957, 20, № 7, 288—290 (англ.)

30360. Окисалкиламиды жирных кислот. 2. Области применения. Даттон, Рейниш (Fatty acyl alkylolamides. 2. Applications. Dutton K. R., Reinisch W. B.), Manufact. Chemist, 1957, 28, № 4, 176—180 (англ.)

Синтетические моющие средства плохо удерживают загрязнения в объеме моющего р-ра после удаления их с ткани; присутствие соды, в отличие от фосфатов, еще более усиливает этот недостаток. Сульфированные алкилоламиды (I) не имеют этого недостатка, они удерживают загрязнения в объеме р-ра даже лучше, чем мыло. Способность I предохранять ткань от рессорбции загрязнений повышается, если применять смесь сульфированных (3 ч.) и несulfированных (1 ч.) I. В отличие от других синтетич. моющих средств I могут применяться с мылом, не понижая моющей эффективности такой смеси по сравнению с моющей способностью каждого из входящих в смесь компонентов. I являются хорошими эмульгаторами и потому используются для приготовления различных косметич. препаратов. Часть I см. РЖХим, 1958, 12675.

Ф. В. Неволлин

30361. Жидкие и пастообразные моющие средства. Хейде (Flüssige und pastenförmige Waschmittel. Heide Siegfried), Seifen-Öle-Fette-Wachse, 1957, 83, № 22, 655—656 (нем.; рез. англ., франц., исп.)

Приведены данные о возрастающем произ-ве жидких и пастообразных моющих средств. Указаны типы их и высказаны соображения о составе, свойствах и применении.

Г. Шураев

30362. Безводные моющие средства для рук. Бич (Waterless hand cleaners. Beach Willis J.), Soap and Chem. Specialties, 1957, 33, № 6, 43—46, 109 (англ.)

Обсуждаются общие вопросы произ-ва безводн. моющих средств (классификация в зависимости от характера входящего в их состав р-рителя, физ. свойства,

история их развития, методы испытаний, стандартизация).

С. Светов

30363. Об определении молекулярного веса и температур плавления алкилполиэтиленоксидов. Керен, Рёш (Über Molekulargewichts- und Schmelzpunktbestimmungen an Alkylpolyäthylenoxyden. Keren M., Rösch M.), Seifen-Öle-Fette-Wachse, 1956, 82, № 20, 567 (нем.; рез. англ., франц., исп.)

Приведены результаты определения мол. весов по видоизмененному методу Раствора продуктов конденсации окиси этилена и нормальных жирных спиртов с числом атомов C 8, 10, 12, 14, 16 и 18 и с числом звеньев окиси этилена в цепи 3, 5, 7, 9, 10, 11, 13, 15, 20 и 25.

Л. Песня

30364. О тонкой структуре полиоксидных соединений. Рёш (Feinstruktur — Probleme an Polyox-Verbindungen. Rösch M.), Fette, Seifen, Anstrichmittel, 1957, 59, № 9, 745—750 (нем.; рез. англ., франц., исп.)

Указывается, что углеводородные цепи, кроме анзагообразной структуры, могут иметь другие формы, если в состав молекулы, кроме C и H, входят другие атомы с остаточной валентностью, периодически прерывающие углеводородную цепь. Напр., в модели полиоксиметиленов  $\text{CH}_2$ -группы и O-атомы винтообразно размещаются вокруг оси при укорочении элементарных групп на 0,8 Å. Цепь полиоксиметленов при определенной степени полимеризации также переходит в винтообразную форму, в которой влияние симметрии и внутримолекулярных сил на свойства молекулы проявляется сильнее, чем в полиоксиметленах. Приведены соображения также и в отношении полиоксипропиленов. Рассмотрены модели цепей полиоксидных соединений.

Г. Шураев

30365. Удерживание загрязнений в процессе мытья detergentами; модельные опыты. Татибана, Цузуки (Tachibana Taro, Tsuzuki Michi), Kōrō kagaku dzasshi, J. Chem. Soc. Japan. Indust. Chem. Sec., 1955, 58, № 11, 895—899 (японск.)

За единицу общей адгезии между поверхностью и частичками принято соотношение числа частичек ( $< 20 \mu$ )  $\text{SiC}$ ,  $\text{CaCO}_3$  или стекла, осажденных на нефтяной поверхности, к числу частичек, которые отпадают от этой поверхности, если прибор, содержащий суспензию, повернуть вверх дном. Указанное соотношение показывает незначительный максимум для ряда detergentов, прибавленных к суспензии. Найдена следующая зависимость выпадения частичек под влиянием добавленных detergentов:  $\text{Na-додецилсульфат} > \text{полиоксипропиленгликольдодециловый эфир} > \text{додецилпиридинбромид}$ . Испытывалось также влияние различных высокополимерных соединений, добавленных к суспензии, и был выявлен максимум влияния на выпадение частичек при добавлении эти полимеров к суспензии. Выведена следующая зависимость:  $\text{полиоксипропиленгликоль} > \text{поливиниловый спирт} > \text{Na-карбоксиметилцеллюлоза} > \text{метилцеллюлоза} > \text{Na-альгинат}$ . Однако прибавление высокополимерных соединений к Na-лаурилсульфату снижает его моющую способность, за исключением карбоксиметилцеллюлозы, которая значительно улучшает моющее действие. На основе полученных эксперим. данных обсуждается механизм моющего действия.

Н. Соловьев

30366. Качественная оценка стабильности пены моющих средств для мытья посуды. Линерт, Майерс (Qualitative foam stability evaluation of hand dishwashing detergents. Leenerts Lest O., Myers Howard J.), J. Amer. Oil Chemists' Soc., 1957, 34, № 7, 361—363 (англ.)

Предложен новый метод испытаний и оценки эффективности моющих средств по кол-ву и стабильности



сти образуемой ими пены. В качестве прибора для испытания используется домашняя стиральная машина с двумя барабанами. К р-рам через 3 мин. после пуска машины добавляют загрязняющую смесь, состоящую из компонентов, обычно встречающихся в действительных загрязнениях посуды (жиры, яичный порошок, овощные соки, крахмал и т. п.). С отбираемых через известные промежутки времени проб производят фотоснимки, по которым можно судить о характере образующейся пены и о времени, в течение которого она разрушается после прибавки загрязняющей смеси. При испытаниях может быть произведено сравнение качества двух одновременно испытываемых препаратов. Результаты испытаний показали хорошую сопоставимость их с результатами органолепич. испытаний тех же в-в. Отмечается хорошая воспроизводимость результатов испытаний как в отношении первоначально образующейся пены, так и стабильности ее при воздействии загрязнений.

С. Светов

30367. Количественное определение карбоната и бикарбоната натрия в мыльных порошках в присутствии других компонентов. Крайчинович, Нованович (Quantitative Bestimmung von Natriumcarbonat und Natriumhydrocarbonat neben anderen Komponenten in Seifen pulvern. Krajcinovic M., Jovanovic J. Dj.), Fette, Seifen, Anstrichmittel, 1957, 59, № 9, 753—755 (нем.; рез. исп., англ., франц.)

Для определения карбоната (I) и бикарбоната (II) в присутствии мыла, силиката Na, сульфата и тетрабората Na, определяемых обыкновенными методами, навеску мыльного порошка высушивают при 145° до постоянного веса для удаления общей (в том числе и кристаллизационной) воды и CO<sub>2</sub> из II. Содержание общей воды определяют азеотропной отгонкой с ксилолом. Разница между потерей веса при высушивании и общим содержанием воды дает вес CO<sub>2</sub> из II, по которому рассчитывают кол-во II (коэф. 3,818). I определяют по разнице между общим содержанием CO<sub>2</sub>, определяемым в аппарате Гейслера, и кол-вом CO<sub>2</sub> в II, которое равно удвоенному кол-ву CO<sub>2</sub>, удаленному из II высушиванием навески мыльного порошка. По найденному кол-ву CO<sub>2</sub> в I определяют кол-во I (коэф. 2,40). При проверке этого метода на модельном образце разница между действительным кол-вом II и найденным составила 0,53%; а для I 0,2%, считая на Na<sub>2</sub>CO<sub>3</sub> · 10H<sub>2</sub>O. Г. Шураев

30368. Антимикробная активность детергентов. Гейсен (Les activités antimicrobiennes des détergents. Ghuysen J. M.), Rev. méd. Liège, 1957, 12, № 17, 457—464 (франц.)

Неионогенные поверхностноактивные в-ва не имеют бактерицидного действия, анионные и катионные убивают вегетативные формы; активность их зависит от pH. Так, анионный детергент «азрозоль OT» не действует на стафилококков при pH 8 и уничтожает их в течение 10 мин. (при разведении 1/32000) при pH 5. Антимикробная активность связана с поверхностно-активным действием и зависит от длины молекулярной пенички. Поверхностноактивные в-ва адсорбируются бактериальной клеткой и, изменяя проницаемость клеточных стенок, вызывают выход из клетки в-в цитоплазмы и гибель бактерий.

А. Емельянов

30369. Структура и активность компонентов флотационных сосновых масел. Дезальбр (Structure et activité des constituants des huiles de pin de flottation. Desalbres L.), Rev. ind. minerale, 1956, 38, № 642, 379—386 (франц.)

Установлено, что пенообразующая способность (ПС) сосновых масел связана с наличием в них терпеновых спиртов с общей ф-лой C<sub>10</sub>H<sub>18</sub>O. Наиболее актив-

ной гидроксильной группой является третичный гидроксил, за ним следует вторичный. Выводы, полученные при рассмотрении 2-фазной пены, не полностью воспроизводятся в присутствии твердой фазы. Между растворимостью и ПС не обнаружено прямой зависимости даже для одного и того же семейства. Указано, что ПС молекулы связана со всей совокупностью свойств функционального и структурного порядка.

М. Липец

30370 К. Сбор и переработка технических животных жиров. Пшедпелский (Zbiórka i przerób technicznych tłuszczów zwierzęcych. Przedpelski Stefan. Warszawa, Wydawn. Przem. Lekkiego i Spożywcz., 1957, 164 s., il., 13.50 zł.) (польск.)

30371 К. Ежегодник промышленности жиров и детергентов: 1957 г. (Annuaire de l'industrie des corps gras et de la détergence. 1957. Montreuil (Seine), J. Deit., 1957, 222 p.) (франц.)

30372 С. Жиры рыб. Методы испытаний. Определение йодного числа (Trany. Oznaczanie liczby jodowej). Польск. ст., PN-54, A—85900: 1954 (польск.)

30373 С. Жиры рыб. Методы испытаний. Определение перекисного числа (Trany. Oznaczanie liczby nadtlenkowej). Польск. ст., PN-54, A—85904: 1954 (польск.)

30374 С. Жиры рыб. Методы испытаний. Определение кислотного числа (Trany. Oznaczanie liczby kwasowej). Польск. ст., PN-54, A—85905

30375 С. Жиры рыб. Методы испытаний. Определение витамина А (Trany. Oznaczanie witaminy A). Польск. ст., PN-54, A—85901: 1954 (польск.)

30376 С. Жиры рыб. Методы испытаний. Определение удельного веса (Trany. Oznaczanie ciężaru właściwego). Польск. ст., PN-54, A—85903: 1954 (польск.)

30377 П. Процесс экстракции материалов, содержащих масло или жир (Process for extracting materials containing oil or fat) [Wacker-Chemie Ges.]. Англ. пат. 708761, 12.05.54

Патентуется процесс экстракции масличных семян и животных жиров (рыбий жир, туловищный жир и др.), содержащих животный клей. Исходный материал обрабатывают перегретым паром для превращения его в гомог. массу и облегчения обезжиривания и затем экстрагируют тетрахлорэтиленом (I), который отгоняют для удаления влаги из экстрагируемого материала. Последний отделяют от жидкости, промывают I, обрабатывают парами I и удаляют остатки I обработкой острым паром. Затем экстрагируемый материал освобождают от остатков влаги и избытка р-рителя обработкой перегретым паром с доведением т-ры до 119°. Полученный сухой порошкообразный обезжиренный материал может служить кормом для животных.

О. Сладкова

30378 П. Процесс и аппарат для рафинации масел и жиров. Мильберс, Зондерман (Process of and apparatus for refining oils or fats. Milbers Arthur, Sondermann Karl) [Metallgesellschaft A.-G.]. Пат. США 2733253, 31.01.56

Процесс рафинации осуществляется путем тесного контактирования масла с щелочью при перемешивании паром или инертным газом в аппарате, работающем под глубоким вакуумом, предназначенным для высушивания смеси масла с образовавшимся при нейтр-ции мылом. Мыло затем высаливается, и чистое обезвоженное масло отделяется от смеси мыла с солью на центрифуге. Аппарат для нейтр-ции представляет собой вертикальный цилиндрич. сосуд, разделенный при помощи внутренней трубы и радиальных перегородок на 6 секций, сообщаящихся между

собой через щели в перегородках. В каждой секции находится по одной трубке, открытой с обоих концов и отстоящей на небольшом расстоянии от дна аппарата. В каждой из этих трубок имеется змеевик, используемый для нагрева или охлаждения смеси масла с щелочью. Секция разделена вертикальной перегородкой, имеющей щель, на две группы по 3 секции в каждой, причем во 2-й по направлению движения смеси масла с щелочью группе секций поддерживается более глубокий вакуум, чем в 1-й группе; при помощи разности давлений смесь масла с щелочью перемещается из 1-й группы секций во 2-ю. Смесь масла с щелочью поступает в 1-ю секцию и, подхваченная струей пара или газа, вводимого в каждую трубку, движется по трубке вверх, интенсивно перемешиваясь; через щель в перегородке между секциями смесь переходит во 2-ю секцию, где совершается аналогичная операция, и т. д. Нейтр-ция рапсового масла с 5%-ной кислотностью 25%-ным содовым р-ром с 10%-ным избытком против теоретич. кол-ва при 25° в первых 4-х и при 50° в последних 2-х секциях и при остаточном давлении в 1-й группе секций 30 мм рт. ст. и во 2-й группе 18 мм рт. ст. с последующим высаливанием 0,38% сульфата натрия с конц-ией 15% показала, что рафинированное масло содержит 0,03% свободных жирных к-т при 22% нейтр. жира в соапстоке в пересчете на безводн. и свободное от соли мыло.

В. Белобородов

**30379 П. Рафинация растительного масла. Вольф, Хейс (Vegetable oil refining. Wolff Hans, Hayes Lester P.)** [A. E. Staley Manufacturing Co.] Пат. США 2754309, 10.07.56

При удалении из растительных масел слизевых в-в водой добавляя 0,01% (к весу масла) кетена (I), смешивают, дают отстояться и отделяют водн. фазу от масла. В случае лецитинсодержащих масел смешивают последние при 30—100° с ~ 0,015% I и 1,5% воды (к весу масла), перемешивают до отделения водн. фазы от масляной. Обработку соевого масла проводят при 30—100° ~ 0,051% I и 1,5% воды. После удаления слизевых в-в масла дезодорируют паром под повышенным давлением и при повышенной т-ре и используют дистиллят для получения отогнанных с паром жирных к-т. Пример. К 500 мл экстрагированного соевого масла добавляют 7,5 г воды. Смесь энергично перемешивают и пропускают через нее I в течение 160 сек. при 60° (0,2 г I или 0,058% к весу масла), центрифугируют смесь для отделения масла. Этим способом получают масло хорошего качества, без осадка.

А. Емельянов

**30380. Способ вытопки жира и получения желатин. Сифферд, Андерсон (Rendering process for recovery of fat and gelatin. Sifferd Robert H., Anderson Lindson P.)** [Armour and Co.] Пат. США 2748152, 29.05.56

Патентуется процесс получения животного жира с одновременным получением желатин. Жировое сырье тонко измельчают и затем густую содержащую воду массу подают в зону нагрева, которую масса проходит при турбулентном перемешивании паром. По выходе из зоны варки смесь центрифугируют для отделения жира от водн. р-ра, который представляет собой р-р желатин. Прохождение материала через зону варки может быть ограничено промежутком времени < 1 мин. при 100—160°. Пример. 5440 кг свиного жирсырья, измельченного до частиц размером ~ 3,2 мм, предварительно подогревают до ~ 43°. Получившуюся полужидкую массу перекачивают при скорости ~ 91 к/мин через паровой подогреватель, в котором она растапливается при 100° и атмосферном давлении. По выходе из подогревателя расплавленную массу непрерывно подают в центрифугу, где разделяют на

2 фазы: водомасляную эмульсию и нерастворимые белковые частицы. Твердые белковые частицы направляют в отдельный приемник, а эмульсию перекачивают во вторую центрифугу, в которой разделяют на 3 части: чистый обезвоженный жир; жир в смеси с водой и мелкие частицы мяса, взвешенные в воде. Первую часть отправляют на дальнейшие операции для получения свиного жира; 2-ю часть перекачивают в 3-ю центрифугу, а 3-ю часть примешивают к сырью, поступающему на обработку. Вторую фракцию в центрифуге разделяют на водн. фазу, используемую при изготовлении корма для скота, и жир с небольшим кол-вом воды возвращают во 2-ю центрифугу для повторной сепарации. В результате такой обработки получают 4940 кг свиного жира.

С. Сметов

**30381 П. Метод вытапливания животных жиров. Дейен, Кристенсен (Method of rendering animal fats. Dayen William R., Cristensen Kenneth M.)** [Hygrade Food Products Corp.] Пат. США 2745856, 15.05.56

Жировую ткань измельчают до 3—15 мм и предварительно нагревают в котле до 38—49°; охлажденную таким образом массу непрерывно перекачивают в трубчатый противоточный теплообменник, где она нагревается под давлением при 71—77°. Отсюда массу перекачивают непрерывно в молотковую дробилку, где она измельчается на частицы в 50—100 м, затем поступает в котел, в котором поддерживается т-ра 66—93°, и наконец поступает на центрифугирование для отделения жидкого жира от воды и белковой массы. Указано, что метод позволяет осуществить процесс в течение нескольких секунд, получить продукт превосходного качества с относительно большим сроком хранения и выходом (для говяжьего жира 89—92% от содержания его в сырье и содержанием влаги < 0,2%).

А. Вавилов

**30382 П. Метод выделения жиров (Method of separating fats)** [Soc. An. Frigorifico Anglo]. Австрал. пат. 201067, 29.03.56

Жировое сырье с разрушенными оболочками клеток подвергают высокочастотной вибрационной обработке при т-ре несколько ниже т-ры коагуляции белковых в-в, но выше т-ры плавления жира. После этого жировое сырье пропускают через сито с отверстиями, способными отделить большую часть твердых в-в, а жидкую часть центрифугируют для отделения жира от крови, растворимого альбумина и т. д. О. Сладков

**30383 П. Способ получения высокомолекулярных жирных кислот из остатков от дистилляции. Лутер (Verfahren zur Gewinnung von hochmolekularen Fettsäuren aus Destillationsrückständen. Luther Martin)** [Badische Anilin- & Soda-Fabrik A.-G.] Пат. ФРГ 958557, 21.02.57

Остатки от дистилляции, содержащие смесь жирных к-т, образующихся при окислении парафина, обрабатывают р-рами к-т при т-рах, незначительно превышающих 100°, и затем отгоняют при пониженном давлении. Пример. 100 ч. остатка от дистилляции смеси жирных к-т, полученных окислением парафинов бурого угля, содержащего 14% неомылиемых в-в, размешивают с 100 ч. 25%-ной H<sub>2</sub>SO<sub>4</sub> в течение 0,5 часа при 95°, отмывают H<sub>2</sub>SO<sub>4</sub> горячей водой, остаток высушивают и дистиллируют затем с водяным паром под вакуумом в 1 мм. При нагревании до 340° получают 40% дистиллята с содержанием ~ 80% жирных к-т и числом омыления 176.

А. Емельянов

**30384 П. Метод производства шортенинга. Гриффин, Фисс, Кирс (Method for manufacturing shortening. Griffin Dustin H., Fiss Roy N., Kiers Lucas)** [Hunter Packing Co.] Пат. США 2728675, 27.12.55



Непрерывный поток свиного жира вводят в закрытую систему, где в него вводят газ. Массу под давлением перекачивают в шнековый охладитель, куда добавляют также смесь масла с животными фосфатидами, которую предварительно превращают в коллоидно-дисперсное состояние, и холодной пускают под давлением потоком в упомянутый шнековый охладитель, в определенном соотношении к потоку жира с выработанным газом. Смесь подвергают турбулентному движению, и затем пропускают через два смесителя для получения мягкого шортенинга. В. Мазюкевич 30385 П. Воскообразная композиция. Феррис, Дьюлинг, Тенч (Wax composition. Ferris Seymour W., Duling Irl N., Jr., Tench John D.) [Sun Oil Co.]. Пат. США 2734365, 14.02.56

Для свечей, не размягчающихся при  $\sim 38^\circ$ , предназначенных для длительного горения равномерным пламенем, разработан твердый воскообразный состав. Дистилляцией воскообразных углеводородов нефти при 2 мм отбирают легко перегоняющуюся фракцию, т. кип.  $182-260^\circ$ , содержащую 20—30% масел. Дистиллят, перегоняющийся при  $204-293^\circ$ , растворяют в смеси метилэтилкетона, бензола и толуола, охлаждают и выделяют жидкую часть с т. кип.  $182-304^\circ$ . Воскообразный продукт мелкокристаллич. структуры получают обработывая р-рителем часть, перегоняющуюся при  $>304^\circ$ . Эти 3 фракции смешивают в соотношении  $(45-55) : (40-50) : (5-7)$ . В. Мазюкевич

30386 П. Способ отбели восков, воскообразных продуктов, жиров и масел. Шеллер (Verfahren zum Bleichen von Wachsen, wachsartigen Stoffen, Fetten und Ölen. Scheller Emil) [Deutsche Gold- und Silber-Schneidanstalt vormals Roessler]. Пат. ФРГ 938501, 2.02.56

Зпатентован способ отбели восков, воскообразных продуктов, жиров и масел с применением в качестве отбеливающего средства хлоритов, преимущественно водн. р-р хлорита натрия, с которым отбеливаемый продукт в жидком виде перемешивается при повышенной т-ре не в кислой среде. По окончании процесса отбеленный продукт подвергается промывке. Преимущества способа: 1) не требуется, как при отбелке гипохлоритов, предварительный перевод воска или воскообразных продуктов в эмульсию с последующим переводом отбеленной эмульсии в прежнее жидкое состояние, 2) отбеленный продукт не содержит сколько-нибудь заметных кол-в хим. связанного хлора, 3) предотвращается образование легко летучей и дурнопахнущей двуокиси хлора, 4) обеспечивается лучший эффект отбелики по сравнению с применением перекисей (напр.,  $H_2O_2$ ). До и после отбели хлоритом натрия трудноотбеливаемых продуктов рекомендуется также обработка их отбелными землями или восстановителями, напр. гидросульфитом. Описаны примеры применения способа для отбели пчелиного и карнаубского восков, касторового и копытного масел. Пчелиный воск после предварительной перетопки и промывки отбеливается при  $80-90^\circ$  перемешиванием с 19,2%-ным р-ром хлорита натрия при расходе 0,2% активного кислорода в форме  $NaClO_2$ , а по окончании отбелики перемешивается с небольшим кол-вом горячей воды, и после отстаивания снимается светлый отбеленный воск. Г. Фрид

30387 П. Способ производства состава для чистки обуви и натирки полов. Рузicka (Verfahren zur Herstellung eines streufähigen Leder- und Fußbodenpflegemittels. Rusitzka Heinrich). Пат. ФРГ 941510, 12.04.56

Патентуемый способ произ-ва состоит в применении воды, вместо применяемых в настоящее время органич. р-рителей, в качестве среды для распределения восковой основы и других в-в, входящих в состав

препаратов для чистки обуви и натирки полов. Воска и другие в-ва распределяют в воде в виде эмульсии типа «масло в воде» с применением соответствующих эмульгаторов, напр. алкилсульфонатов, алкиларилсульфонатов, сульфированного касторового масла и др. Пример. Расплавляют 50 г восковой основы, вводят в нее в нагретом виде 2—10 г эмульгатора для получения эмульсии типа «масло в воде» и 20—50 г органич. р-рителя: бензина или скипидара. В полученный р-р при помешивании вводят постепенно сначала немного теплой воды, а после образования однородной эмульсии много холодной воды. Осаждающиеся твердые хлопья отделяют от воды и высушивают. В массу можно вводить дезинфицирующие средства, напр., тимол в смеси с камфорой. И. Этингоф

30388 П. Метод приготовления мыла. Пальмквист (Method of soap-making. Palmqvist Fredrik Teodor) [Aktiebolaget Separator]. Пат. США 2744922, 8.05.56

Сваренное мыло высаливают р-ром  $NaOH$ , что обеспечивает быстрое выделение ядра. Его отделяют центрифугированием. Нейтр-цию незначительных остатков щелочи, находящейся в ядре, осуществляют посредством двусосновных или полиосновных к-т или кислых солей этих к-т (фосфорная, борная, угольная, серная, лимонная, щавелевая, фталевая и т. д.). В этом случае не происходит образования высоковязких солей, затрудняющих перемешивание реагентов, что имеет место при нейтр-ции щелочи свободными жирными к-тами; не происходит также и возникновения мыльного клея. Для иллюстрации метода в патентном описании приведены диаграммы, показывающие состав возникающих мыльных фаз в зависимости от конц-ии  $NaCl$ . Ф. Неволин

30389 П. Метод и схема непрерывного процесса производства мыла (Method and installation for continuous soapmaking) [Aktiebolaget Separator]. Австрал. пат. 163194, 16.06.55

Непрерывный процесс произ-ва мыла состоит в проведении реагирующих материалов через многочисленные последовательные стадии. Омыляющий агент (щелок) (I) вводят в кругооборот в пункт, расположенный впереди пункта введения омыляемого в-ва (жира) (II); участок между этими пунктами является зоной выдержки. I и II непрерывно соединяют в определенном соотношении, после чего смесь заставляют циркулировать в соответствующей части аппарата. Прибавляемому объему смеси I и II точно соответствует кол-во омыленного жира, который непрерывно выводится из кругооборота в следующую стадию. Т. Кефели

30390 П. Несодержащая мыла моющая смесь. Росс (Non-soap detergent composition. Ross John) [Colgate-Palmolive Co.]. Пат. США 2731422, 17.01.56

Патентуется моющая смесь, состоящая из растворимого в воде детергента — моносulfата моноглицерида высшей жирной к-ты, имеющего 8—22 атомов C в жирнокислотной или в жирноарильной группах, и из 1—10 вес.% первичных насыщ. одноатомных жирных спиртов с 14—18 атомами C (тетрадеканол-1, гексадеканол-1, октадеканол-1, тетрадеканол + октадеканол (1:1), гексадеканол + октадеканол (1:1), спирты, полученные каталитич. восстановлением жирных к-т и др.). Е. Киселева

30391 П. Смеси синтетических моющих средств. Вайтал, Лифтин (Synthetic detergent compositions. Vitale Peter T., Liftin Muriel Eileen) [Colgate — Palmolive Co.]. Пат. США 2746931, 22.05.56

Патентуются смеси, состоящие из алкиларилсульфонатов, жирных спиртов и амидов и неорганич. солей, напр. из 10—50% алкиларилсульфонатов, 1—10% алифатич. спирта с 12—18 атомами C и такого же

кол-ва соединения ф-лы  $RCONXY$ , где  $RCO$  — алифатич. ацильный радикал и  $X, Y$  —  $H$  или алкильный радикал, содержащий до 5 атомов  $C$ , смеси  $Na_2SO_4$  и фосфорных солей.

**30392 П.** Моющие композиции. Стейнер (Detergent compositions. Stayner Richard D.) [California Research Corp.]. Пат. США 2731421. 17.01.56

Для повышения пенообразовательной способности и пенистойкости р-ров синтетич. моющих средств обычно вводят в композиции алкилоламыды, но это приводит к комкованию и слеживанию моющих порошков. Патентуется состав композиций синтетич. моющих средств на основе моноалкилбензолсульфонатов, в состав которых для повышения устойчивости пены входит  $Na$ -соль алкилдиглицина. Последнюю готовят из  $C_8$ — $C_{18}$ -алкиламина (с прямой цепью) и  $Na$ -соли хлоруксусной к-ты. Обычно в состав композиции входят: 10—50% алкилбензолсульфоната; 0,5—10% алкилдиглицина и остальное сульфат натрия, триполи- и тетрапирофосфат натрия. Приготовление алкилдиглицина: 51 г лауриламины, 21 г  $NaHCO_3$  и 25 мл изопропанола помещают в круглодонную колбу (на 500 мл) с мешалкой. Смесь нагревают до 65° и добавляют по каплям в течение ~ 15 мин. р-р 59 г  $Na$ -соли хлоруксусной к-ты в 75 мл воды, поддерживая т-ру без нагревания в пределах 65—80°. После введения всего р-ра нагревают 3 часа с обратным холодильником до полного удаления  $CO_2$ . Р-р полученного продукта имеет pH 7,5.

Ф. Неволин

**30393 П.** Моющие составы для обыкновенной и тонкой стирки. Фрочер, Тейхман, Ибершер (Verfahren zur Herstellung von Waschmitteln für Fein- und Grobwäsche. Frotscher Herbert, Teichmann Lothar, Ueberschär Klaus). Пат. ФРГ 12691, 11.02.57

Моющие составы (С) предназначаются для стирки при низких т-рах чувствительных к щел. среде текстильных изделий (напр. из шерсти, шелка или изделий, окрашенных нестойкими красителями), а при высоких т-рах — изделий, допускающих умеренную щел. среду (напр. из хлопка, льна). С содержит, кроме обыкновенных нейтр. моющих средств, кислородотдающих соединений и наполнителей, буферную смесь (БС), изменяющую pH моющего р-ра за счет отдачи  $CO_2$ . БС, кроме бикарбонатов щел. металлов (в основном  $Na$ ), содержит любую твердую при нормальной т-ре к-ту или кислую соль любой многоосновной к-ты или смесь из твердых к-т и кислых солей. БС добавляется в С в кол-ве, обеспечивающем pH моющего р-ра 7—7,5 при 30—40° и 8,5—10 при 70—100°. Пример. Р-р, состоящий из 34% первичных алкилсульфатов, 6% алкилсульфонатов, 16% полифосфата  $Na$ , 10% тринатрийфосфата, 4% гликолята целлюлозы и 30% наполнителя ( $Na_2SO_4$  с небольшим кол-вом  $NaCl$ ), высушивают при распылении до порошкообразного состояния. 50 ч. этого порошка смешивают с 50 ч. БС, состоящей из 30% динатрийпирофосфата и 70% бикарбоната  $Na$ . Водн. р-р ~ 5 г/л этого С при 30—40° имеет pH 7,1—7,2 и при длительном хранении не превышает 7,5; при нагревании до 90—100° его pH быстро повышается до 9,3—9,6.

Н. Гарденин

**30394 П.** Моющий состав. Рекке (Waschmittel. Raeske Bernhard) [Henkel & Cie G. m. b. H.]. Пат. ФРГ 945945, 15.11.56

Патентуются моющие составы (С), характеризующиеся добавкой к ним комплексных растворимых в щел. среде соединений  $Al$ . В С входят синтетич., щел., стойкие в жесткой воде и обычно не содержащие натуральных мыл моющие средства. Добавка соединений  $Al$  предназначена для снижения раздражающего действия р-ра С на кожу рук. Пример: 1) приготовление ком-

плексного соединения  $Al$ : р-р из 300 вес. ч. кристаллич.  $Al_2(SO_4)_3$  в 750 вес. ч. воды смешивают с р-ром из 300 вес. ч. сегнетовой соли в 750 вес. ч. воды, усредняют  $NaOH$  до pH 7—7,5 и высушивают распылением при 95—100°; 2) приготовление С: растворяют в воде при размешивании 13 вес. ч. алкилбензолсульфонатного натрия (алкильная группа должна иметь ~ 12 атомов  $C$ ), 20 вес. ч. сульфатов жирных к-т, 5 вес. ч. мерзолита, 30 вес. ч. соды, 12 вес. ч. тетрапирофосфата, 20 вес. ч. глауберовой соли и 10 вес. ч. описанного выше соединения  $Al$ . С обладает хорошими моющими свойствами (при кипячении) и не раздражает кожи рук.

Н. Гарденин

**30395 П.** Очищающие кожу средства в форме таблеток. Циге (Hautreinigungsmittel in Tablettenform. Ziege Karl Heinz) [Puhl & Co.]. Пат. ФРГ 936648, 15.12.55

Патентуются очищающие кожу средства в форме таблеток, состоящие из мыла, механически очищающих добавок (древесная мука, опилки и т. п.) и различных спец. добавок (щел. соль метакремневой к-ты, сода, бикарбонат, перборат, перекись  $Na$ ). Последние в присутствии воды, вводимых в таблетки к-т, напр. винной к-ты, и  $MnSO_4$  выделяют газы ( $CO_2$ ,  $O_2$ ), способствующие быстрому распаду таблеток. Таблетки покрывают тонкой пленкой из воска, лака и т. п.

Н. Фрумкина

**30396 П.** Процесс приготовления композиций синтетических моющих средств. Уэлс, Мосс (Process for making detergent compositions. Wells Louis E., Jr., Moss Henry V.) [Monsanto Chemical Co.]. Пат. США 2746930, 22.05.56

Патентуется способ приготовления композиций моющих средств в виде сыпучих порошков из жидких и полутвердых продуктов конденсации жирных к-т, жирных спиртов и аминов с окисью этилена. Пример 1. 100 ч. безводн. тетрапирофосфата смешивают с 40 ч. продукта конденсации 100 ч. таллового масла с 160 ч. окиси этилена. К смеси постепенно, при постоянном перемешивании добавляют воду в таком кол-ве, чтобы из безводн. тетрапирофосфата получить десятиводный. Готовый продукт содержит ~ 20% продуктов конденсации и 80% десятиводного тетрапирофосфата натрия. Пример 2. 15 ч. продукта конденсации таллового масла с окисью этилена прибавляют к 62 ч. тонкоизмельченного триполифосфата натрия и тщательно перемешивают. Затем прибавляют 23 ч. жидкого силиката и перемешивают еще 10 мин. или более. Получается порошкообразный продукт. Добавляют также карбоксиметилцеллюлозу. Один из типичных составов подобных порошков: продукт конденсации окиси этилена 20%, десятиводный тетрапирофосфат натрия 67%, силикат натрия ( $Na_2O:SiO_2 = 1:3,2$ ) 9%, карбоксиметилцеллюлоза 1,5%, кальцинированная сода 2,5%.

Ф. Неволин

**30397 П.** Способ получения капиллярноактивных продуктов конденсации. Мюнстер (Verfahren zur Herstellung von kapillaraktiven Kondensationsprodukten. Münster Wilhelm) [Badische Anilin & Soda-Fabrik A.-G.]. Пат. ФРГ 935603, 24.11.55

Капиллярноактивные в-ва получают введением в фенол или нафтол, напр., ксиленол, диметилдиоксibenзол, β-нафтол, крезол или хлорфенол (неалкилированные высокомолекулярным остатком) в среднем на 1 моль более одного пропильного или изопропильного остатка обычным методом в присутствии  $H_2SO_4$ ,  $AlCl_3$  и  $BF_3$  с применением р-рителя или без него. Пропил- или изопропилфенол или -нафтол очищают дистиляцией и вводят гидрофильные группы обработкой окисью этилена. Продукты такого рода, содержащие в молекуле алифатич. остаток с короткой цепью, являются хорошими смачивающими агентами.



ми, с длинной цепью — моющими средствами. Их можно смешивать с неионогенными или катион- или анионоактивными диспергирующими средствами. Примеры. 1. В 660 ч. фенола при  $\sim 20^\circ$  вводят 26,4 BF<sub>3</sub>, затем при 100—120° смесь газа, которая, наряду с насыщ. углеводородом, содержит 33% пропилена. После увеличения общего веса на 560 ч. смесь промывают, нейтрализуют и перегоняют. Получают фракцию, содержащую  $\sim 800$  ч. пропиленфенола с т. кип. 60—105°/22 мм и гидроксильным числом 309. 50 ч. этой фракции перемешивают после прибавления 5 ч. NaOH при 120—150° с 850 ч. окиси этилена в автоклаве. Получают продукт с колич. выходом, растворимый в воде на холоду, с точкой помутнения 37°. 2. 181 ч. пропиленфенола смешивают после прибавления 2 ч. NaOH при 120° с 880 ч. окиси этилена. Получают с колич. выходом в оскопный продукт, растворимый в воде. Эти продукты могут также найти применение в косметич. и фармацевтич. пром-сти. Н. Фрумкина 30398 П. Производство моющих порошков. Крукшанк, Кей (Manufacture of detergent powders. Cruickshank James H., Kay Eric) [Imperial Chemical Industries Ltd]. Канадск. пат. 511415, 29.03.55

Способ произ-ва сыпучих моющих порошков состоит в нагревании от 60 до 160° бикарбоната щел. металла в присутствии детергента, напр., продукта конденсации алкилфенола (алкильная группа которого имеет 6—20 атомов С), и окиси этилена, взятой в кол-ве 5—20 молей. Содержание детергента в смеси 5—30 вес.%, а нагревание должно быть осуществлено так, чтобы >35% бикарбоната перешло в карбонат. С. Энгель 30399 П. Катионные поверхностноактивные вещества и процесс их приготовления (Cationic surface active agents and process for preparing them) [Soc. An. Farmaceutici Italia]. Англ. пат. 730394, 25.05.55

Патентуются катионные моющие поверхностноактивные в-ва, обладающие бактерицидными свойствами общей ф-лы  $2,4\text{-(NH-C(NH}_2\text{)=NH}_2\text{)}_2\text{=C}_6\text{H}_3\text{=OR}^1\text{A}^{2+}$ , в которой A<sup>2+</sup> — радикал сильной к-ты, напр. галондородной, серной или азотной, R — алкильный радикал с прямой цепью, содержащей 8—16 атомов С. Соли приготавливают взаимодействием алкилового эфира 2,4-диаминофенола или его соли с цианамидом в горячем р-рителе (этиловый спирт для низших алкиловых эфиров, смеси этилацетата, воды и метилового спирта). Р-ция заканчивается при кипении р-ра. Описано приготовление дигидрохлоридов *n*-пропилового, *n*-бутилового, лаурилового и цетилового эфиров 2,4-дигуанидинфенола. Т. Кефели 30400 П. Способ получения органических электронейтральных солей сульфониридов. Гётте (Verfahren zur Herstellung organischer Elektroneutralsalze von Sulfonimiden. Götte Ernst) [Dehydag Deutsche Hydrierwerke G. m. b. H.]. Пат. ФРГ 952897, 22.11.56

Для получения соединений общей ф-лы  $R=X(R'=Y)N=Z$  (R и R' — одинаковые или различные углеводородные остатки, X и Y по меньшей мере один —SO<sub>2</sub>—, а другой —CO—группа, Z = NR<sup>2</sup>R<sup>3</sup>R<sup>4</sup>R<sup>5</sup> или —SR<sup>2</sup>R<sup>3</sup>R<sup>4</sup>, где R<sup>2</sup>, R<sup>3</sup>, R<sup>4</sup>, R<sup>5</sup> — углеводородные остатки, которые могут содержать гетероатомы, гетероатомные группы) подвергают NH<sub>4</sub>-соли, содержащие по меньшей мере один высокомолекулярный углеводородный остаток, взаимодействию с водорастворимыми солями дисульфон- или сульфонкарбонимидов. Смешивают водн. р-ры эквимолекулярных кол-в хлористого додецилпиперидиния и диоктадецилсульфонимидатрия; полученный C<sub>12</sub>H<sub>25</sub>N(C<sub>12</sub>H<sub>25</sub>)—N(SO<sub>2</sub>C<sub>18</sub>H<sub>37</sub>)<sub>2</sub> высушивают, обрабатывают спиртом, фильтруют и отгоняют спирт, остается воскообразный остаток. Аналогично получают электронейтральную соль взаимо-

действием эквимолекулярных кол-в хлористого диметилциклогексил-октадециламмония и дитолилдисульфонирида натрия (I). Водн. р-р образовавшегося сульфониридного соединения при р-ции изододецилмеркаптана с (CH<sub>3</sub>)<sub>2</sub>SO<sub>4</sub> смешивают с I, образовавшийся воскообразный продукт (CH<sub>3</sub>)<sub>2</sub>S(C<sub>12</sub>H<sub>25</sub>)—N(SO<sub>2</sub>C<sub>18</sub>H<sub>37</sub>)<sub>2</sub> промывают горячей водой и высушивают. Эти соединения обладают эмульгирующими свойствами. О. Магидсон 30401 П. Приготовление непляющих органических моющих композиций. Дженкинс (Preparation of non-dusting organic detergent compositions. Jenkins Russell L.) [Monsanto Chemical Co.]. Пат. США 2742436, 17.04.56

Патентуется способ приготовления непляющих синтетич. моющих средств (MC), основанный на добавлении к композициям MC 0,5—5% продуктов конденсации фенола с окисью этилена, которые содержат на 1 моль фенола 1—25 молей окиси этилена. Они могут быть введены смешением с твердыми MC, а также добавлением к композициям или р-рам MC с последующим высушиванием. Ф. Неволлин

30402 П. Метод приготовления не образующего пыли мыльного порошка. Брайфорд (Method of making dustless soap powder. Bradford Purdy) [Swift and Co.]. Пат. США 2730507, 10.01.56

Патентуется способ приготовления гранулированного, не образующего пыли, мыльного порошка путем прибавления при перемешивании к обычному мыльному порошку, хлопьям или стружке 5—20% жирных к-т и соответствующего кол-ва щелочей для омыления жирных к-т. Все тщательно перемешивается до образования гранул. Продукт просеивают для отделения комочков. Пример. 100 кг мыльных хлопьев, содержащих (в %) 80 мыла, 5 силиката натрия, 5 соды и 10 воды, смешивают с 15 кг фосфата натрия, 10 кг соды и 10 кг модифицированной соды (смесь 38% бикарбоната, 48% карбоната натрия и 14% воды). После тщательного перемешивания при  $\sim 20^\circ$  и обычном давлении прибавляют 10 кг Неофат S-142 (продажный продукт, состоящий (в %) из 46 олеиновой к-ты, 39 линолевой к-ты, 3 линоленовой к-ты и 12 смольных к-т) и перемешивают до полного омыления жирных к-т. Готовый продукт просеивают для отделения слипшихся комочков. Ф. Неволлин

30403 П. Химический способ очистки. Паульсен, Паульсен (Chemisches Reinigungsverfahren. Paulsen Franz, Paulsen Gerhard) [Paulsen & Co. G. m. b. H.]. Пат. ФРГ 951208, 25.10.56

Химический способ очистки с применением р-рителей и мыла или синтетич. моющих средств отличается тем, что наряду с этими в-вами употребляют хлорофилл в маслорастворимой форме в кол-ве  $\sim 2$ —8% (предпочтительно 3%) к весу мыла или синтетич. моющего средства. Текстильный материал перед очисткой подвергают кондиционированию в помещении с относительной влажностью воздуха  $\geq 80\%$  (предпочтительно 85—90%) в течение  $\sim 1/2$ —4 час. и затем с повышенным содержанием влаги вносят в очищающее средство. Очистка абсолютно сухого текстильного материала может привести к изменению цвета или окрашиванию материала. Способ полностью устраняет неприятный запах в теплых, меховых и других вещах и материалах и придает им свежий и приятный запах. Н. Фрумкина

30404 П. Процесс отбели при стирке белья. Робсон, Шелтмайр (Process of bleaching during laundering. Robson Homer L., Sheltmire William H.) [Olin Mathieson Chemical Corp.]. Пат. США 2733120, 31.01.56

Обелка белья при стирке осуществляется с помощью гипохлорита Na, но р-ры этого продукта нестойки. Применение для этой цели гипохлорита Ca (I), более стой-

кого продукта, является предпочтительным. Но в этом случае могут образовываться нерастворимые Са-мыла в виде хлопьев и осажаться на белье. Установлено, что если конц-ия мыла в р-ре ниже критич. конц-ия образования мицелл, то не образуется хлопьевидных Са-мыл, а они присутствуют в молекулярно-дисперсном состоянии. На этом основании патентуется применение высококачественного сухого I для отбели белья. I вводят в стиральный барабан во время второго полоскания, когда конц-ия мыла в р-ре  $< 200$  мг на 1 л.

Ф. Неволин

См. также: Исследование природных жиров 10829Бх. Показатели жира свиней в зависимости от возраста 11023Бх. Определение витамина А в марганце 10835Бх. Техника безопасности в произ-ве растительных масел 29350. Теплоемкость воды. р-ров некоторых мыл 28139. Строение жидкокристаллич. системы мыло — вода 28141

## УГЛЕВОДЫ И ИХ ПЕРЕРАБОТКА

Редактор М. С. Гарденин

30405. Свойства и изменения систем вода — сахароза, содержащих добавки и кристаллическую твердую фазу. I. Мацелка (Adalékanyagokat és kristályos szilárd fázist tartalmazó szaharóz — viz, rendszerék tulajdonságai változásai. I. Maczelka László), Elelm. írást., 1956, 10, № 8, 231—239 (венг.)

Обзор. Библ. 53 назв.

Г. Ю.

30406. О способе оценки различных сортов сахарной свеклы. Брыкчинский (Uwagi o sposobie oceny wartosci gospodarczej odmian buraka cukrowego. Brykczynski Jerzy), Gaz. cukrown., 1957, 59, № 2, 33—35 (польск.)

Выведена ф-ла для расчета рентабельности отдельных сортов сахарной свеклы.

Я. Штейнберг

30407. Оценка различных сортов сахарной свеклы в отношении потерь при хранении. Брыкчинский (Ocena wartosci gospodarczej odmian buraków cukrowych a straty przy przechowaniu. Brykczynski Jerzy), Gaz. cukrown., 1957, 59, № 7, 194—196 (польск.)

Обсуждается проблема определения потерь сахара при хранении свеклы для выбора наиболее ценных сортов. Намечена методика исследований. Приведены данные об урожайности и сахаристости свеклы в различных странах в 1946—1955 г.

Я. Штейнберг

30408. Свойства и особенности переработки мороженой сахарной свеклы. Шнейдер (Eigenschaften und Verhalten frostgeschädigter Rüben bei der Zuckerfabrikation. Schneider F. Diskussion). Zucker, 1957, 10, № 17, 375—383; № 21, 471—478 (нем.)

Исследована микробиологически и аналитически (с применением хроматографии на бумаге) замороженная и оттаянная свекла. Установлено, что мороженая свекла заражена бактериями, существенных изменений в содержании белковых в-в нет, общее содержание азота снижено за счет микробиол. распада аминокислот. На полупроизводственной установке выявлено следующее: сырой сок поддается переработке на сахар, если его доброкачественность  $> 80$  и  $\text{pH} > 5$ ; производительность диффузионной установки 70—80% по сравнению со свежей свеклой; при дефекации выпадает удовлетворительно фильтрующийся (декантирующийся) осадок при  $\text{pH}$  8,5—8,6, который вновь диспергируется при дальнейшей добавке извести и снова выпадает уже в сильно щел. среде (при введении до 1,3% СаО от веса свеклы). Рекомен-

дуется при переработке сокращать время и снижать т-ру диффузии, исключить горячую дефекацию и не добиваться высоких значений  $\text{pH}$ , увеличить процент возврата сатурационной грязи в сырой сок, при уваривании конечное значение  $\text{pH}$  сиропа держать в пределах 7—8, добавляя в выпарку соду. Сильно испорченную свеклу перерабатывать после диффузии на сухой жом и мелассу. Дискуссия.

Н. Гарденин

30409. Дискуссия по вопросам улучшения диффузионного процесса. Томчинский (Dyskusja nad usprawnieniem procesu dyfuzyjnego. Tomczyński Bronisław), Gaz. cukrown., 1957, 59, № 1, 7—12 (польск.)

На основании статистич. данных проанализирована работа диффузионных батарей сахарной пром-сти ПНР за кампанию 1955 г. Приведены основные показатели диффузионной аппаратуры и данные, характеризующие работу различных типов установок.

Я. Штейнберг

30410. Адсорбция и десорбция ионов кальция стружкой. Карратерс, Олدفилд (Absorption and desorption on calcium ions by cossettes. Carruthers A., Oldfield J. F. T.), Internat. Sugar J., 1957, 59, № 706, 277—281 (англ.)

Лабораторными опытами установлено, что обессахаренная стружка способна адсорбировать ионы кальция из воды, применяемой для процесса диффузии; при содержании в 1 кг жома 300 мг кальция дополнительно может быть адсорбировано из воды еще до 250 мг кальция. В зависимости от содержания кальция в свекловичной стружке в процессе диффузии констатирована десорбция ионов кальция и в диффузионном соке обычно содержалось 0,005% кальция. Присутствие в воде других катионов уменьшает адсорбцию кальция жомом, что бывает при возврате диффузионной воды на диффузию.

Г. Бенин

30411. Некоторые вопросы химии очистки соков. Добжицкий (Niektóre zagadnienia chemii oczyszczania sokow. Dobrzycki Jan), Gaz. cukrown., 1957, 59, № 6, 142—147 (польск.)

Обзор технологии и физ.-хим. основ всех стадий (предварительная и основная дефекация, 1-я и 2-я сатурация) процесса очистки сока. Библ. 26 назв.

Я. Штейнберг

30412. Опыты по применению 2,4-динитрофенилгидразина для анализов в сахарном производстве. Загородский, Ольшенко-Пенткова (Próby zastosowania 2,4-dwunitrofenylohydrazynu w analizie cukrowniczej. Zagrodzki S., Olszenko-Piontkowa Z.), Przem. spożywczy, 1957, 11, № 6, 258—259 (польск.)

Соответствующие гидразоны получены взаимодействием в среде воды спирта глюкозы (3 моля) и гидрохлорида 2,4-динитрофенилгидразина (2 моля). Полученные препараты оказались непригодными для аналитич. целей, кроме идентификации. Я. Штейнберг

30413. К вопросу улучшения сахарорафинадного производства. Рапп (4-way sugar refining improvement. Rapp Harold), Food Engng., 1957, 24, № 5, 74, 77—78 (англ.)

Рассмотрены мероприятия, благодаря которым фирма Refined Syrups and Sugars, Inc. (США) достигла «значительного улучшения в работе своих предприятий, выпускающих сахарный сироп: автоматизация процесса очистки сахарного р-ра, полученного из аффинированного сахара-сырца (добавление фосфорной к-ты и СаО), применение нонитов в моно-слое, установка листовых фильтров для удаления муты и автоматизированных быстроходных центрифуг.

30414. О работе прибора МС-2. Афанасьева С. С., Сахарная пром-сть, 1957, № 10, 37—39



Описана установка прибора МС-2 з-да МОСКИП по упрощенной схеме (без подачи сжатого воздуха) и результаты эксплуатации в течение двух сезонов для контроля работы мерников диффузионного сока.

М. Гарденин

30415. Применение гидроциклонов в сахарной промышленности. Цирфус (Hidrociklon cukoripari alkalmazása. Czifrusz Miklós), Cukoripar, 1956, 9, № 7, 147—152 (венг.)

О применении гидроциклонов для известкового молока, сока после 2-й сатурации и отходящих вод сахарных з-дов.

Г. Юджович

30416. Непрерывная фильтрация сока первой сатурации. Делькур (Continuous filtration of first carbonation juice. Delcourt J.), Sugar, 1957, 52, № 8, 21—23 (англ.)

См. РЖХим, 1957, 78604.

Г. Б.

30417. Второй сезон работы фильтрпрессов системы Шарейко. Гуральчик (Druga kampania blotniarek Szarejki. Góralczyk Wiesław), Gaz. cukrown., 1957, 59, № 5, 123—125 (польск.)

Изложены результаты работы на 2 сахарных з-дах, где 4 фильтрпресса обеспечивают суточную переработку 1200 т свеклы; промывка грязи 13—18 мин. и потери сахара в грязи 0,13% (в пересчете на свеклу), удаление грязи гидромеханическое. Фильтрующая ткань — стилон легко очищается обработкой разб. соляной к-той (очистка фильтрпрессов потребовалась после 33 дней работы) и выдерживает без повреждения до конца сезона. См. также РЖХим, 1957, 56239.

Я. Штейнберг

30418. Выварка выпарки. Блонский П. П., Сахарная пром-сть, 1957, № 8, 45

Рекомендуется для выварки выпарки брать с диффузии воду, нагретую до 90°, что сокращает время выварки на ≥ 3 час.

М. Г.

30419. Устранение образования накипи в выпарных аппаратах сахарных заводов. Ковальский (Combaterrea încrustațiilor din evaporatoare fabricilor de zahăr. Covalski Tr.), Rev. ind. aliment. prod. vegetale, 1956, № 6, 1—2 (рум.)

Перечислены причины, вызывающие образование накипи. Описаны методы для предотвращения образования накипи (технологич. и механич., электрич. и хим.) и способы для ее удаления.

Я. Матлис

30420. Зависимость теплового хозяйства сахарного завода от сахаристости свеклы и величина откачки сырого сока. Мозель (Abstimmung der Wärmewirtschaft einer Zuckerfabrik auf den Zuckergehalt der Rüben und den Rohsaftabzug. Mosel Peter), Z. Zuckerind., 1957, 7, № 6, 261—271; № 7, 317—329 (нем.; рез. англ., франц.)

Показано влияние изменений содержания сахара в свекле и потерь сахара на диффузии на кол-во перерабатываемой свеклы. Дана оценка принятой технологии переработки свеклы, как по полученным производственным показателям, так и по литературным данным и выявлены изменения в кол-вах продуктов на различных стадиях произ-ва в зависимости от сахаристости свеклы и величины откачки сырого сока и связанные с этим изменения в расходах тепла. По принятой технологии разработаны наиболее экономичные и технически рациональные паровая и конденсационные схемы и приведены ур-ния для расчетов потребностей как в свежем, так и в соковых (экстра) парах.

Г. Таращанский

30421. О документации литературы в области крахмала. Ульман (Zur Dokumentation auf dem Stärkegebiet. Ulmann M.), Stärke, 1957, 9, № 6, 113—121 (нем.; рез. англ.)

Описана десятичная система классификации свыше 14 тысяч литературных источников по крахмалу и

его дериватам, принятая в Науч.-исслед. ин-те питания в Потсдаме. Даны образцы карточек, разработанные для этой системы.

Н. Баканов

30422. Улучшенный метод центрифугирования крахмала. Пил, Бинц (Better separation — better starch. Piel H. C., Bintz R. A.), Food Engng, 1957, 29, № 1, 63—64 (англ.)

Для повышения качества крахмала фирма National Starch Products, Inc. В Индианополисе проводит 2-ступенчатую очистку, снижая содержание белка в крахмале до 0,25%. После обработки на центрифугах Мерко, удаляющих до 85—95% белков, крахмальное молоко очищают на 8-ступенчатой установке из гидроциклонов системы Dott Clone. В гидроциклоны, скомбинированные из 480 элементов (18 × 150 мм каждый) крахмальное молоко подается под давл. 4,3—5,6 атм. Производительность каждого элемента ~3,8—7,5 л молока в 1 мин. 8 гидроциклонов соединены последовательно и обслуживаются насосом с мотором 30 л.с. Навстречу движению молока подают промывную воду, увлекающую остатки белка. Воду повторно используют в мельничном отделении. Сепараторы Мерко (2500 об/мин) делают крахмальное молоко на 2 части, из которых верхний белковый отход (10%) направляют в кормовое отделение, а нижний, крахмальный, для окончательной очистки — в батарею гидроциклонов. При таком устройстве целиком исключаются желоба и произ-во автоматизируется.

Н. Б.

30423. Границы температур и относительной влажности воздуха для развития бактерий и плесневых грибов при хранении пшеничного крахмала. Шпихер (Grenzwerte der Temperatur und der relativen Luftfeuchtigkeit für das Wachstum von Bakterien und Schimmelpilzen in lagernden Weizenstärken. Spicher G.), Stärke, 1957, 9, № 6, 103—108 (нем.; рез. англ.)

Пшеничный крахмал с влажностью 12% с предварительно определенными кол-вами плесневых грибов, мезофильных и термофильных бактерий и их спор хранили 50 дней при 20, 25 и 30° и при относительной влажности воздуха 65, 70, 80, 90 и 100%. Кол-во мезофильных бактерий начинает возрастать после повышения т-ры до 25° и при влажности воздуха > 90%. Кол-во термофильных бактерий при 20—30° и при влажности воздуха 65—100% заметно не изменилось. Плесневые грибы значительно развиваются уже при 20—30° и при нормальной относительной влажности воздуха 70—80%. Увлажнение крахмала особенно способствует развитию мезофильных и термофильных бактерий в широких пределах т-р (20—55°). Приведены графики роста бактерий и плесеней.

Н. Баканов

30424. Определение влажности в крахмале, его дериватах и побочных продуктах по методу Финпера. Эбернус, Кемпф (Die Wasserbestimmung in Stärken, Stärkederivaten und Stärkenebenprodukten nach der Karl-Fischer-Methode. Eberius E., Kempf W.), Stärke, 1957, 9, № 4, 77—81 (нем.; рез. англ.)

Описаны методика и результаты определений влажности картофельного, пшеничного, кукурузного и рисового крахмалов, пшеничной клейковины, кукурузного ростка, патоки и паточных сиропов. В качестве контрольного метода применяли высушивание до постоянного веса. Расхождения составили (в %) для картофельного крахмала 0,5, для пшеничного 0,6, для маисового ~0,5, для клейковины 0,5, для ростка ~0,2. Расхождение определений влажности патоки ± 0,08% и сиропов ± 0,05%. Определения достаточно быстрые, дают надежную повторяемость и среднюю разницу с высушиванием при 130° в течение 1 часа в 0,5%.

Н. Баканов

**30425.** Поглощение йода амплазой в зависимости от температуры. Холло, Сейтли (Die Jodsorption der Amylose in Abhängigkeit von der Temperatur. Hollé J., Szejtli J.), Stärke, 1957, 9, № 6, 109—112 (нем.; рез. англ.)

Описана методика амперометрич. титрования для определения поглощения  $J_2$  крахмалом в зависимости от концентрации и температуры. На основании результатов исследований выведена формула зависимости концентрации свободного  $J_2$  от температуры:  $[J_2] = \frac{1}{1 + m/T + A}$ , где  $m$  и  $A$  — константы, первая из которых зависит только от тепла реакции, выраженная в размере 17,2 кал/моль  $J_2$ .

Н. Баканов

**30426.** Пектины. Безанже-Бокен (Les pectines. Bézanger-Beauquesne Lucienne), Prod. pharmas., 1957, 12, № 10, 639—641 (франц.)

**30427.** Исследования сахаров натурального и искусственного меда с помощью аналитических методов и хроматографии на бумаге. Тейфель, Мюллер (Analytische und papierchromatographische Untersuchungen über die Saccharide von Honig und Kunst-honig. Täufel K., Müller K.), Ernährungsforschung, 1957, 2, № 1, 70—82 (нем.)

Описаны исследования натурального и искусств. меда, проведенные аналитич. методами, базирующими на методе Крузе (Unters. Lebensm., 1929, 58, 261) в модификации Тейфель и Бурмейстер (Z. analyt. Chemie, 1949, 129, 352), а также методом хроматографии на бумаге с применением в качестве растворителя смеси бутанол-ацетон-вода (4:5:1) и р-ров для проявления одного из следующих реактивов: а) анилиндибензил-аминфосфорная кислота; б) анилингидрофталат (0,936 г фталевой кислоты + 1,66 г анилина в 100 мл бутанола, насыщ. водой); в) резорцинтрихлоруксусная кислота (10 мл 1%-ного спирт. р-ра резорцина + 90 мл 40%-ного водн. р-ра трихлоруксусной кислоты). На бумагу наносили 2 × 0,005 мл 50%-ного водн. р-ра меда; разделение методом нисходящей хроматографии проводилось 3 × 24 час. при ~ 20°. Исследовали образцы меда, хранившиеся при ~ 20°, при 37° и при 50°, а также образцы искусств. меда, такого же меда после сбраживания и образцы натурального меда с добавкой искусств. Хроматографич. методом обнаружены раффиноза, меллицтоза, мальтоза, сахароза, глюкоза, фруктоза и 2—3 неидентифицированные сахара. Аналитич. и хроматографич. методами выявлено характерное различие между натуральным и искусств. медом в отношении входящих в их состав сахаров; в искусств. меде имеются сахара, обладающие характерными величинами  $R_f$  и, эти вновь образованные соединения, отличаются тем, что они не сбраживаются дрожжами. Это дает возможность использовать хроматографич. метод для обнаружения искусств. меда в натуральном: 10 г меда растворяют в 100 мл воды, добавляют 3 г дрожжей и сбраживают в течение 48 час. при 30°; фильтруют или центрифугируют и полученную жидкость упаривают в вакууме на 1/3 объема. Концентрат обычным способом наносят на исходную точку хроматограммы (5 раз по 0,005 мл) и проводят разделение, применяя затем для проявления резорцинтрихлоруксусную кислоту. Сравнительные хроматограммы готовят из р-ров чистого натурального меда и искусств. меда (без патоки). По наличию или отсутствию пятен, характерных для искусств. меда, устанавливают качество натурального меда.

В. Грживо

**30428 К.** Основы сахарного производства. Том 2. Производство неочищенного сахара-сырца и побочных продуктов. Драховская-Шиманова (Základy cukrovarnictví. 2. díl. Výroba surového cukru a vedlejších produktů. Celost. vysokošk. učebnice pro

studující potravinářsk. směru a techn. zaměstnanců cukrovaru. Drachovská-Simonová Miroslava. Praha, SNTL, 1957, 316 с., ил., 32 Ккал (чешск.)

**30429 П.** Модернизация способа получения моносахаридов. Хосино, Сато, Фудзикава, Като [Токио когё дайгаку]. Японск. пат. 6110, 31.08.55

Патентуется способ электролитич. получения моносахаридов. В качестве электролита применяют состав из моносахаридного лактона (напр., D-арабинолактона) или эфира монокарбоновой кислоты (напр., метилового эфира), фосфатов щел. металлов (напр., натрия) и буры. Катодом служит ртуть, анодом — металлы, нерастворимые в серной кислоте (белые металлы, свинец, золото, серебро). В электролит в качестве буфера добавляют борную кислоту, поддерживая слабую кислотность, и, добавляя по каплям водн. р-ра кислого сульфата натрия, осуществляют электролитич. восстановление. Пример: Дно электролизера из толстого стекла (площадь дна 650 см<sup>2</sup>) покрывают слоем рафинированной ртути (650 см<sup>2</sup>). Проволоку из белого металла, впаянную в тонкую стеклянную трубку, опускают в ртуть (в качестве проводника тока). В качестве анода используют 10%-ную серную кислоту. В ванну помещают 350 г сульфата натрия, 200 г буры, 4,5 л дистил. воды. Электролизер, снабженный мешалкой и термометром, помещают в холодильную камеру с водой 10—15° и сильно размешивают ртуть. В течение 30 мин. при плотности тока на катоде 10 а/дм<sup>2</sup> получают амальгаму натрия, затем добавляют 800 г D-рибониктоксидного лактона (т. пл. 70—77°); 200 г борной кислоты и осуществляют электролитич. восстановление при плотности тока на катоде 5—8 а/дм<sup>2</sup>. По мере развития восстановительного процесса вводят 250 г насыщ. водн. р-ра кислого сульфата натрия. Ход процесса восстановления проверяют р-ром Фелинга, подачу тока прекращают по достижении максимума содержания сахара и помощью делительной воронки отделяют катодную жидкость от ртути. Отделенную жидкость 30 мин. содержат в щел. состоянии, нейтрализуют слабой серной кислотой и концентрируют в вакууме. Концентрат экстрагируют безводн. метанолом, концентрируют в вакууме и получают сироп D-рибозы. D-рибозу перекристаллизовывают из 5-кратного кол-ва безводн. спирта и получают 600—620 г белых кристаллов (т. пл. 84—86°).

А. Фрадкин

**30430 П.** Перегруппировка сахаров с помощью анионообменных смол. Ланглау, Ларсон (Interconversion of sugars using anion exchange resins. Langlois David P., Larson Roy F.) [A. E. Staley Manufacturing Co.]. Пат. США 2746889, 22.05.56

Способ перегруппировки сахаров, в частности, получение фруктозы из глюкозы, и в особенности для перевода части глюкозы, содержащейся в кукурузной (декстрозной) патоке, в фруктозу, состоит в пропускании р-ра глюкозы или патоки через колонну, заполненную высокоосновным анионитом (напр., Dowex 1, Dowex 2, Amberlite IRA, 400), над слоем которого находится инертный газ, напр.  $N_2$ . Прошедший через слой анионита р-р может быть возвращен для повторного пропускания через колонку; рециркуляция р-ра проводится 17,5—40 час. в зависимости от температуры, причем меньшему времени рециркуляции соответствует температура р-ра 52°, а большему 30°. Переход глюкозы в фруктозу сопровождается потерей 8—12,5% глюкозы, что значительно меньше, чем при применении способа Lobry de Bruyn и Van Ekenstein, предусматривающего создание щел. среды для такой перегруппировки. Кроме того, при применении анионита



р-р получается бесцветным, без побочных продуктов и неприятного запаха. Приведена схема аппарата.

Г. Бенин

**30431 П.** Способ очистки сахарных соков при производстве свекольного сахара. Шарейко, Зеро (Sposób oczyszczania soków cukrowych przy otrzymywaniu cukru z buraków. Szarejko Roman, Zero Władysław) [Cukrownia Wschowa]. Польша. пат. 36802, 20.01.56

Предварительную дефекацию сока проводят, добавляя наряду с известью,  $\text{CaCO}_3$  (лучше всего в виде сатурационной грязи), после нагрева сока получают легко отделяемый осадок, 1-я сатурация становится наипышней, улучшается очистка сока, экономия извести 1–1,2%.

**30432 П.** Метод очистки сахаросодержащих растворов, в особенности сырых соков при переработке сахарной свеклы. Вейсс (Verfahren zur Reinigung von zuckerhaltigen Lösungen, insbesondere Rohsaften der Zuckerrübenverarbeitung. Weiss Armin) [Firma Erbslöh & Co. Geisenheimer Kaolinwerke]. Пат. ГДР 13325, 20.06.57

Патентуется очистка бентонитом (Б) с последующей фильтрацией, без добавки известных вспомогательных материалов (активированный уголь, известь,  $\text{H}_2\text{PO}_4$  и др.). При пробном взыбалывании с 10%-кратным кол-вом дистил. воды Б должен давать суспензию с  $\text{pH} > 8$ . Рекомендуется Б вводить в сок последовательно небольшими порциями при интенсивном размешивании; т-ра сока не должна значительно превышать т-ру при получении. После ввода всего кол-ва Б  $\text{pH}$  среды должен быть установлен в пределах 6,8–7,2. Перед фильтрацией суспензию нагревают при интенсивном размешивании. При фильтрации не следует набирать толстого слоя осадка (применяют вращающиеся фильтры). К промывной воде целесообразно добавлять ~ 0,1% спирта с  $\leq 2$  атомами С в молекуле. Описаны методики исследования пригодности Б. Пример 1. В 1000 л сырого сока сахарной свеклы (Br 14,7°, поляризация 12,7, доброкачественность 86,5 ед.) вводят 25 кг цел. Б (при взыбалывании с 10-кратным кол-вом дистил. воды,  $\text{pH}$  среды должен быть  $> 8$ ), взмученного в 120 л воды, при размешивании нагревают смесь до 79° и по прошествии 30 мин. фильтруют. Полученный сок имеет: Br 14°, поляризацию 10,4, доброкачественность 94,5 ед.,  $\text{pH}$  7,1. Сок свободен от соединений Са и Mg, вызывающих образование накипи на поверхностях выпарных аппаратов, и имеет мало N-содержащих несахаров, вызывающих образование мелассы. Степень очистки может быть еще повышена, если в этот же сырой сок вводить Б частями при интенсивном размешивании. Этот же сок, опущ. методом дефекации и сатурации, имеет доброкачественность 92,7. Пример. Шлам, промытый горячей водой, имеет сахара 2,2%, сухих в-в 38,5%; промытый же горячей водой с добавкой 0,04% н-бутилола имеет сахар 1,1%, сухих в-в 57,3%. Использованный Б может быть регенерирован (нагреванием до 250–400°) и возвращен в произ-во совместно с свежим Б.

Н. Гарденин

**30433 П.** Метод обработки сахарных соков, в основном для улучшения их способности фильтроваться. Зензес, Мидер (Verfahren zur Behandlung von Zuckersäften, insbesondere zur Verbesserung der Filterfähigkeit. Zenzes Alexander M., Mieder Georg) [Magnetrit A.-G.]. Пат. ФРГ 958460, 31.02.57

В сок (С), обработанный известью, добавляется  $\text{MgSO}_4$  в кол-ве, эквивалентном содержанию соединений Са; в результате из С выводится большее кол-во  $\text{Ca}^{++}$ , нежели при других известных методах очистки; выпадающие кристаллы гипса в виде игл,

как присадка к грязи, повышают фильтрующую способность С; выпадающий в осадок  $\text{Mg}(\text{OH})_2$  вызывает эффект очистки С от коллоидальной части, р-ция обмена снижает  $\text{pH}$  среды, что сокращает расход к-т при последующей нейтр-ции фильтрованного С. Метод применим при всех схемах произ-ва сахара, связанных с очисткой С известью, и может быть использован для обезщелачивания сиропов при рафинировании сахара-сырца.

Н. Гарденин

**30434 П.** Метод и аппаратура для очистки сахарных растворов ионитами. Даниэлс, Маудру, Рорбао (Sugar purification ion exchange method and apparatus. Daniels Robert Martin, Maudru Joseph E., Rorabaugh Guy O.) [Holly Sugar Corp.]. Пат. США 2744840, 8.05.56

Непрерывный процесс очистки сахарных (или подобных) р-ров состоит в пропускании р-ра через слой смеси катионита и анионита в цилиндрич. колонне с конич. дном. Р-р подается снизу, а смесь ионитов поступает в верхнюю часть колонны. Очищ. р-р выходит через штуцер, в верхней части колонны, а отработанная смесь ионитов из конич. части колонны направляется (вместе с частью р-ра) на сетчатый транспортер для обессахаривания путем орошения на транспортере сперва сладкой, а затем чистой водой. Часть промывной воды добавляется к исходному р-ру, поступающему на очистку в колонну, а остальное кол-во промывной воды используется для окончательной промывки анионита после регенерации. Обессахаренная смесь ионитов попадает на сепарационный стол-трясучку и гидравлич. путем разделяется на катионит и анионит. Катионит для регенерации поступает на первый ситчатый наклонный конвейер, расположенный в сборнике, через который пропускается р-р отработанной к-ты, и затем на второй наклонный конвейер во втором сборнике, через который прокатывается свежий р-р к-ты. Отрегенерированный катионит передается ситчатым транспортером, на котором одновременно производится промывка катионита, на конвейер, связанный с колонной. На этот же конвейер поступает анионит после регенерации и промывки его и, таким образом, в колонну непрерывно поступает смесь отрегенерированных ионитов. Регенерация анионита производится р-ром щелочи таким же путем, но только в одну ступень. Приведена аппаратурная схема всего процесса.

Г. Бенин

**30435 П.** Метод извлечения сахара из практически безводных смесей сахара и несахаров, преимущественно из мелассы. Шлиппаке (Verfahren zur Gewinnung von Zucker aus praktisch wasserfreien Gemischen von Zucker-Nichtzuckerstoffen, vorzugsweise zum Entzuckern von Melasse. Schliephake Dietrich) [Braunschweigische Maschinenbauanstalt A.-G.]. Пат. ФРГ 960979, 28.03.57

В известном процессе обессахаривания с применением конц. уксусной к-ты, с последующим отделением дистилляцией несахаров от в-в, примененных для операций осаждения и промывки, включают дополнительную операцию извлечения из кубового остатка (КО) неотогнанного высококипящего в-ва и возврат его в произ-во. Для этого КО нагревают под давлением и выпускают через сопло. Испарившееся при редукции в-во улавливается в конденсаторе и возвращается в произ-во. Процесс первоначальной дистилляции ведется до получения вязкости КО, допускающей выпуск его через сопло. КО нагревают до такого состояния, при котором кол-во аккумулированного тепла будет достаточно для испарения улавливаемой составной части при редукции. Оставшийся в неиспарившейся части, получаемой в виде тонко-

дисперсного порошка, сахар может быть использован обрачиванием.

**30436 П. Греющая камера, в особенности для выпарных аппаратов сахарной промышленности.** Гатнер (Heizkammer, insbesondere für Verdampfungsapparate der Zuckerindustrie. Gattner Alois) [Wilke-Werke A.-G.]. Пат. ФРГ 962600, 25.04.57

Вокруг центральной циркуляционной трубы обычного вертикального аппарата Роберта устраивается концентрически вторая перфорированная труба большего диаметра. Греющий пар, конденсируясь, увлекает инертные газы от периферии камеры к ее центру и вытесняет их в кольцевое пространство между циркуляционной и перфорированной трубами, откуда инертные газы отводятся по штуцерам, равномерно расположенным по всей высоте перфорированной трубы. Дан чертеж устройства.

**30437 П. Процесс получения производных молочной кислоты из углеводов.** Морган (Process for the manufacture of lactic acid derivatives from carbohydrate materials. Morgan J. D.) [Thomson A. F. and Wiggins L. F.]. Англ. пат. 726659, 23.03.55

Для получения сложных эфиров молочной к-ты из мелассы, сока сахарного тростника, тростникового сахара или других углеводов, содержащих сахарозу, глюкозу или фруктозу или их смеси, водн. р-р углевода нагревается со щелочью ( $\text{CaO}$ ,  $\text{NaOH}$ ) до  $t$ -ры 88—149°, при которой образуется соль молочной к-ты. Продукт р-ции подкисляют, фильтруют и, если нужно, обезвреживают и подвергают обработке несмешивающимся с водой спиртом ( $n$ -бутиловым, изобутиловым и амиловым) так, чтобы спирт непрерывно испарялся из перегонного куба, конденсировался, проходил через р-р молочной к-ты и возвращался, перенося экстрагированную молочную к-ту в перегонный аппарат. Таким образом, одновременно происходит экстрагирование молочной к-ты из р-ра и превращение ее в эфир, который может быть выделен обычными способами в сравнительно чистом виде. Эфир образуется в перегонном аппарате, избыток спирта удаляется. Экстрагирование и этерификация могут происходить при атмосферном давлении или в других условиях. Пример: водн. р-р углевода нагревают под давлением с  $\text{CaO}$ , смесь охлаждают, подкисляют  $\text{H}_2\text{SO}_4$ , осаждают  $\text{CaSO}_4$ , удаляют и подкисленный р-р молочной к-ты экстрагируют и этерифицируют в соответствии с патентом. Комбинациями могут быть, напр., меласса и  $n$ -бутиловый спирт, сырой сахар и  $n$ -бутиловый спирт и др.

**30438 П. Аппарат и способ непрерывной кристаллизации сахара и ему подобных веществ.** Копке (Apparatus and process for continuous crystallization of sugar and the like. Kopke Ernst W.) [Ultra-Suco Co.]. Пат. США 2743198, 24.04.56

Аппарат для кристаллизации сахара в utfельной массе состоит из корытообразного сосуда с устройством для перемешивания в виде горизонтального вала с лапами и стационарно установленными теплообменными элементами из трубок для водяного охлаждения и подогрева массы. Вдоль одной из боковых стенок кристаллизатора (К) установлена труба, через которую часть utfеля из одного конца К можно возвратить в другой конец; в этой трубе расположен шнек, для рециркуляции части utfеля в пределах одного К. При перемешивании utfеля происходит энергичное перемешивание, что улучшает кристаллизацию. Для приема свежего utfеля вдоль К установлен желоб, соединенный с рециркуляционной трубой, через которую и производится питание К utfелем, если данный К является первой мешалкой-кристаллизатором. В свою очередь в желоб utfель поступает из мешалки, куда спускают utfель из

вакуум-аппарата. При наличии двух или больше К, utfель непрерывно переходит из 1-го во 2-й кристаллизатор и т. д., для чего имеется в конце каждого К в верхней его части переходной желоб, utfель из которого попадает в рециркуляционную трубу следующего К. Готовый utfель отводится по желобу в верхней части последнего К.

**30439 П. Получение полимерного крахмального эфира, обладающего высокой вязкостью.** Ясумура, Итидзи, Китабаяси. Японск. пат. 878, 29.11.55

На амилозу с нормальной цепью и амилиентин с боковой цепью, содержащихся в крахмале, действуют диметилмочевьиной, делают их структуру высокомолекулярной, вводят эфирное основание, повышают гидрофильность и с помощью воды образуют гидрофильный коллоид, обладающий высокой вязкостью. Полученное в-во используют в печатании и обработке тканей, заменяет в пищевой промышленности агар и альгинат натрия, добавляют к пилюлям и таблеткам. Пример: На 100 ч. крахмала добавляют 150 ч. 95%-ного метанола и 0,5 ч. диметилмочевьиной, при рН 4,5 проводят р-цию (4 часа, 60°), добавляют 49 ч. монохлорацетата натрия, с помощью введения по каплям каустич. щелочи поддерживают рН 11,6 при 60°. Р-цию проводят до прекращения изменений рН, затем нейтрализуют ледяной уксусной или серной к-той, фильтруют, промывают в 400 ч. 70%-ного метанола, помещают в безводн. метанол (100 ч.), фильтруют, сушат и получают 106 ч. продукта. Вязкость 1%-ного р-ра > 15000 *спуз*.

**30440 П. Способ получения лактонов альдоновых кислот.** Сато, Фудавара [Toké Kōgō Dairi-кутэ]. Японск. пат. 7719, 24.10.55

Водные р-ры щел. или щел.-зем. солей альдоновых к-т подвергают изомеризации при нагревании при обычном или повышенном давлении в присутствии аминсоединений, прибавляемых до рН 7—10, соли полученных продуктов разлагают прибавлением к-ты и подвергают лактонизации с образованием лактонов изомерных альдоновых к-т. К смеси 500 г Са-соли D-арабиновой к-ты (I) и 1 л дистил. воды прибавляют пикولين (смесь  $\alpha$ -,  $\beta$ - и  $\gamma$ -изомеров) (II) до рН 8—10 и нагревают 2—2,5 часа при 130—140° под давлением. По окончании изомеризации р-р (рН 7—8) охлаждают и отфильтровывают I, к фильтрату прибавляют поташ, отфильтровывают  $\text{CaCO}_3$  и фильтрат упаривают в вакууме до сиропообразной консистенции, растворяют в 50%-ном  $\text{CH}_3\text{OH}$ , охлаждают и отделяют 105—108 г К-соли D-трибеновой к-ты (III), т. пл. 192—193° (разл.). 100 г III растворяют в 800 мл дистил. воды, прибавляют разб.  $\text{H}_2\text{SO}_4$ , упаривают в вакууме, отфильтровывают  $\text{K}_2\text{SO}_4$ , фильтрат концентрируют, прибавляют  $\text{CH}_3\text{OH}$  и после стояния 16 час. на холоду отфильтровывают  $\text{K}_2\text{SO}_4$ , вновь упаривают в вакууме до сиропообразной консистенции и охлаждением выделяют 58—60 г D-риболоктона (IV), т. пл. 78—80°. Аналогично из 1000 г I и 2 л дистил. воды с прибавлением анилина или пинолина до рН 7—9 получают 200—210 г III, а из 200 г III, 800 мл воды и разб.  $\text{H}_2\text{SO}_4$  — 120—122 г IV, из 500 г I и 1 л дистил. воды с прибавлением  $\text{NH}_4\text{SCN}$ ,  $\text{NH}(\text{CH}_3)_2$  или  $\text{N}(\text{CH}_3)_3$  до рН 7—10 получают 110 г III, а из 100 г III, 800 мл воды и разб.  $\text{H}_2\text{SO}_4$  — 60—62 г IV; из 400 г Са-соли D-глюконовой к-ты и 1 л дистил. воды с прибавлением II до рН 8—10 получают 82—85 г К-соли D-манноновой к-ты (V), т. пл. 140—142°, а из 50 г V, 400 мл дистил. воды и разб.  $\text{H}_2\text{SO}_4$  — 32—35 г D-маннолактона, т. пл. 150—151°. К смеси 400 г I и 1 л дистил. воды прибавляют II до рН 9—10 и нагревают 2—2,5 часа при 130—140° до окончания изомеризации, прибавляют при нагревании



150 г  $\text{CaCl}_2$ , упаривают в вакууме до 50% объема, отфильтровывают I и  $\text{KCl}$ , к фильтрату прибавляют поташ, отфильтровывают  $\text{CaCO}_3$  и аналогично указанному выше выделяют 70—75 г III, а из 75 г III, 500 мл дистил. воды и разб.  $\text{H}_2\text{SO}_4$  получают 47—48 г III. К смеси 500 г I и 1 л дистил. воды прибавляют аммиак или хинолин до pH 8—10, нагревают 48 час. при 130—140° под давлением и по окончании изомеризации (pH 7—8) аналогичной обработкой выделяют 30—32 г III, а из 80 г III, 650 мл воды и разб.  $\text{H}_2\text{SO}_4$  получают 48—50 г IV. С. Петрова

30441 П. Способ экстрагирования альгиновой кислоты. Нисимада. Японск. пат. 278, 20.01.56

Патентуется промышленный способ получения бесцветной альгиновой к-ты из водорослей. Водоросли промывают водой, добавляют р-р формалина (0,2—3,0% к весу сырья), выдерживают ~ 50 мин. при обычной или повышенной т-ре (предупреждая, однако, разложение альгиновой к-ты), экстрагируют с добавлением щелочей. Пример: 10 кг высушенных на ветру бурых водорослей промывают, добавляют 0,15 кг 40%-ного р-ра формалина, выдерживают 50 мин. при 50°, удаляют р-р, 50 мин. экстрагируют при 70° р-ром 0,9 кг карбоната натрия в 200 л воды. Полученный р-р альгината натрия имеет окрасенность < 4° и при pH 8,5 имеет вязкость 2000 спуаз.

А. Фрадкин

30442 П. Гидрогенизация моносахаридов. Кейс-хейген (Hydrogenation of monosaccharides. Kasehagen Leo) [Atlas Powder Co.]. Пат. США 2749374, 5.06.56

Процесс получения не желированного, не кристаллизующегося полисахарида высокой вязкости состоит в обработке водн. р-ров (от 40 до 70%) моносахарида с 5—6 углеродными атомами (глюкозы, инвертированного сахара) гидроокисью щел. или щел.-зем. металла (0,15—0,40 моля в 1 л). Смесь нагревают до 40—80° и выдерживают при этой т-ре 6—16 час. После этого при помощи  $\text{H}_2\text{SO}_4$  pH смеси доводится до 6—8 и она гидрогенизируется на Ni-катализаторе при 120—170° и при давл. > 33 атм. Пример. 250 г глюкозы в водн. 48%-ном р-ре нагревают до 65° и прибавляют к ней гидроокись бария конц-ии 0,2 моля в 1 л. Смесь перемешивают и выдерживают при этой т-ре 6 час. После охлаждения нейтрализуют  $\text{H}_2\text{SO}_4$  до pH 6, 8. Осадок  $\text{BaSO}_4$  отфильтровывают. В фильтрат дают Ni-катализатор в кол-ве 5 г, переносят смесь в автоклав, в который дают  $\text{H}_2$  при 100 атм и нагревают до 150° в течение часа, а затем выдерживают при этой т-ре 2,5 часа. Давление, поднявшееся до 120 атм, во время гидрогенизации падает до 107 атм. Автоклав охлаждают, опорожняют и катализатор отфильтровывают. Фильтрат сгущают под вакуумом на водяной бане и из него выкристаллизовывают при 20° в водной смеси метанола (90 ч. метанола и 10 ч.  $\text{H}_2\text{O}$ ) манитол, который спустя ночь отделяется от маточного р-ра. Фильтрат под вакуумом сгущают и отгоняют из него метанол. Оставшийся вязкий сироп содержит 16% воды, не желируется и не кристаллизуется. Можно брать: инвертный сахар вместо глюкозы,  $\text{Ca}(\text{OH})_2$  вместо  $\text{Ba}(\text{OH})_2$  и смесь других алколей вместо метанола. Н. Ваканов

30443 П. Получение щавелевой кислоты из крахмалистых углеводов. Ямамото, Нобукуни [Асахи касэй когё кабусики кайся]. Японск. пат. 421, 24.01.56

В смесь  $\text{H}_2\text{SO}_4$  (40%) и  $\text{HNO}_3$  (5—10%) помещают крахмалистые углеводы и осаживают их, добавляют в качестве катализатора пятиокись ванадия, вводят 50%-ную  $\text{HNO}_3$  или смесь из 5%  $\text{H}_2\text{SO}_4$  и 45%  $\text{HNO}_3$ , одновременно пропускают  $\text{O}_2$  или воздух и осуществляют кислотное разложение. В процессе на 100 ч.

крахмала (обезвоженного) используют 150 ч.  $\text{H}_2\text{SO}_4$  и 240 ч.  $\text{HNO}_3$ . Пример. В 15,9 кг смеси  $\text{H}_2\text{SO}_4$  (67,5%),  $\text{HNO}_3$  (4%), воды (28,5%) помещают и размешивают 14,3 кг взвеси крахмала (55%) в воде (45%), осаживают 1 час при 40° и получают 30,2 кг осаживаемой жидкости. Затем вводят 5 г пятиокиси ванадия, добавляют 39,7 кг смеси 57,7%  $\text{HNO}_3$ , 6%  $\text{H}_2\text{SO}_4$  и 36,3% воды, размешивают и одновременно пропускают 7 кг  $\text{O}_2$ . При 60° разложение заканчивается через 4 часа, жидкость охлаждают до нормальной т-ры и отделяют кристаллы щавелевой к-ты (10 кг) от 52 кг жидкости. А. Фрадкин

См. также: Влияние сахарозы на свойства крахмалов 11692Бх. Применение крахмальных продуктов 31072. СВ картофелекрахмальных заводов 29291

## БРОДИЛЬНАЯ ПРОМЫШЛЕННОСТЬ

Редакторы А. М. Емельянов, Г. А. Новоселова

30444. Успехи хроматографического метода анализа. 2. Хроматография ферментов и белков. Акияма. Нихон дайдзо кёкай дзасси, J. Soc. Brew. Japan, 1956, 51, № 6, 61—70 (японск.)

Обзор методов хроматографии на бумаге, адсорбционной, ионообменной и путем электрофореза в полуфабрикатах бродильного произ-ва. Часть 1 см. РЖХим, 1958, 6163.

30445. Влияние картофельной палочки (*Bacillus mesentericus vulgatus*) на прессованные пекарские дрожжи (*Saccharomyces cerevisiae*) раса Томская «7». Мищук Е. М., Сб. научн. работ. Ленингр. ин-т сов. торговли, 1957, вып. 11, 75—90

*Bac. mesentericus vulgatus* на твердых средах паразитирует на *Sacch. cerevisiae* раса Томская «7» и активно разрушает прессованные пекарские дрожжи при 18—20°. При этом подавляется размножение дрожжей, происходят некробиотические изменения структуры протопласта, повреждаются клетки, снижается подъемная сила и стойкость при хранении, повышается кислотность. Необходимо фильтрация и стерилизация воздуха производственных помещений и выполнение инструкций по предварительной обработке сырья и аппаратуры. Г. Новоселова

30446. Происхождение сивушного масла, образующегося при спиртовом брожении. Женева, Лафон (Origine des huiles de fusel dans la fermentation alcoolique. Genevois L., Lafon M.), Chimie et industrie, 1957, 78, № 4, 323—326 (франц.) Сбраживали сахарозу винными дрожжами в искусств. среде, содержащей минер. соли, витамины, стимуляторы роста и следы ацетата, меченного по С группы  $\text{CH}_3$ . Из продуктов брожения меченый С содержали: уксусная, янтарная и лимонная к-ты, изопропиловый и амиловый спирты. Установлено, что значительная часть компонентов сивушного масла образуется из сахара через уксусную к-ту. Приведена схема образования изопропилового и амилового спиртов и их производных в процессе спиртового брожения. Выведено ур-ние побочных продуктов брожения:  $g \geq 2a + 5s + h + b + 2m + 9c + 3x + 3y$ , где  $g$  — глицерин,  $a$  — уксусная к-та,  $s$  — янтарная к-та,  $h$  — ацетальдегид,  $b$  — бутиленгликоль,  $m$  — ацетилметилкарбинол,  $c$  — лимонная к-та,  $x$  — изопропиловый спирт и  $y$  — метил-3-бутанол. Г. Опмян

30447. Влияние температуры и продолжительности брожения на сбраживание картофельных заторов. Фрей (Der Einfluß der Gärtemperatur und der Gärdauer auf die Vergärung von Kartoffelmaischen. Frey Alfred), Alkohol-Ind., 1957, 70, № 19, 451—455 (нем.)

При опытным сбраживании картофельных заторов конц-ии 20—21,3° Баллинга, при 28°, 30°, 32° и 34° получены соответственно следующие выходы спирта: 66,2, 66,3, 64,3, 66,6 л/100 кг крахмала, причем кол-во несброженных сахаров в зрелой бражке мало изменилось за промежуток от 48 до 72 час. брожения (Б) и в основном за счет декстринов в опытах с Б при 28°. В других опытах выявлено, что, если судить по кол-ву выделенного  $\text{CO}_2$  за четвертые сутки Б, выход спирта снижается на 2—3% при сокращении продолжительности Б с 72 до 48 час. При работе с чистыми и сильными культурами дрожжей и соблюдении чистоты Б можно без заметного ущерба для выхода спирта сократить продолжительность Б с 72 до 48 час. путем повышения т-ры Б до 30—32°, обеспечивая при этом соответствующее повышение производительности аппаратуры. Дальнейшее повышение т-ры Б не рекомендуется во избежание развития инфекции.

Г. Ошмян

30448. Опыты по улучшению запаха и вкуса искусственного сака. II. Исследования условий производства искусственного сака из обезжиренной соевой муки. III. О промышленном производстве искусственного сака из обезжиренной соевой муки. Сюдзуй, Тадзима, Хиротани. Катаку кэнкюдзё хококу, Repts. Scient. Res. Inst., 1955, 31, № 2, 144—157; 158—164 (японск.)

Исследованы 3 способа брожения с использованием белка соевых бобов в целях усиления аромата искусств. сака. Соевые бобы предварительно обрабатывались р-рителем, а белки расщеплялись рисовым койи (*Asp. oryzae*). Часть I см. РЖХим, 1956, 21145.

Г. Ошмян

30449. Красители для спиртных напитков. Вальтер (Farbstoffe zur Färbung von Spirituosen und Schaulaschen. Walter Erich), Alkohol-Ind., 1957, 70, № 19, 456—459 (нем.)

Органолептическая оценка разных напитков дала во всех случаях высшие показатели для окрашенных изделий по сравнению с неокрашенными изделиями того же состава и качества. Целесообразно окрашивание спиртных напитков. Приведены перечень натуральных пищевых красителей, а также синтетич. и практич. указания по их применению в ликерно-водочной пром-сти.

Г. Ошмян

30450. Влияние вида дрожжей на сбраживание вишневых и сливовых сусел и качество получаемых водок. Шварц, Мальш (Der Einfluß der Hefeart auf Kirschen- und Zwetschenmaischn und daraus gemonnene Branntweine. Schwarz G., Malsh L.), Kleinbrennerei, 1957, 9, № 10, 55—58 (нем.)

Водки наилучших вкусовых качеств получены при самопроизвольном сбраживании вишневых и сливовых сусел, однако выход спирта при этом оказался более низким, чем при применении чистых культур дрожжей. С пивными спирт. и пекарскими прессованными дрожжами получены водки неудовлетворительного качества. Применение винных дрожжей, в частности *Champagne Hautvilliers*, обеспечило получение водок удовлетворительного качества. Г. Ошмян

30451. Исследования ароматических компонентов плодовой водки. Мураки (Muraki Hiroyuki), Хакко когаку дзасси, J. Ferment. Technol., 1957, 35, № 7 270—273, 24 (японск.; рез. англ.)

Методом многократной фракционированной перегонки ~130 л яблочной водки разделили на 4 фракции: 1) в-ва с т-рой кипения, более низкой, чем т-ра кипения этаноловой фракции, 2) этанол, 3) сивушные масла и 4) вода (хвостовая). Первая фракция содержала значительные кол-ва альдегидов, а также метанол, этанол, муравьиную и уксусную к-ты и их эфиры. Для сивушного масла, освобожденного иони-

тами от свободных к-т, определены уд. вес, рефракция и поглощение в УФ-части спектра. Водная фракция содержала муравьиную, уксусную и масляную к-ты и, возможно, 2,3-бутилглицоль. Г. Ошмян

30452. Акролеин и его удаление из плодовых водок методами перегонки и ректификации. Киль (Acrolein und seine Beseitigung aus Obstbranntweinen durch Destillation und Rektifikation. Kilp W.), Alkohol-Ind., 1957, 70, № 19, 459—461 (нем.)

Обсуждаются современные данные о происхождении акролеина (I) в плодовых водках и способах его удаления методами брожения в стерильных условиях с применением чистых культур дрожжей и  $\text{SO}_2$ , добавления в бражку перед перегонкой  $\text{Ca}(\text{OH})_2$  до щел-р-ции среды и применения соответствующего режима перегонки и ректификации. Получение свободного от I спирта легче обеспечить непосредственной перегонкой бражек, чем загрязненного I спирта. Отмечено, что при перегонке I концентрируется не только в головных погонах, но также в сивушном масле, что свидетельствует о наличии I в связанной и свободной формах. При небольшом содержании I в бражке его легко удалить соответствующим отбором головных погонных альдегидной колонки. При относительно большом содержании I в бражке требуется установка дополнительной колонки после ректификационной, где спирт окончательно очищается от I. Очищ. спирт отбрасывается с основания дополнительной колонки. Г. Ошмян

30453. Примечание к статье: Вальтер «Способы переработки ароматных спиртов, эссенций и полуфракций в производстве спиртных напитков». Пантке-Бейерлинг (Stellungnahme zum Artikel Walter Erich. Destillate, Essenzen, Grundstoffe und ihre Verarbeitung in der Spirituosen-Industrie. Panke-Beyerling M.), Alkohol-Ind., 1957, 70, № 8, 200 (нем.)

Указывается на необходимость уточнения понятия «эссенция» в применении к произ-ву спиртных напитков. См. РЖХим, 1957, 75868. Г. О.

30454. Развитие пивоваренной промышленности в Бельгии. Шабо (Evolution de l'industrie de la brasserie en Belgique. Chabot Edmond), Brass. et malt. Belg., 1957, Num. spéc., 9—54 (франц.)

30455. Охлаждение и увлажнение рощи солода при пневматическом соложении. Энгерт (Kühlung und Befeuchtung von pneumatischen Keimanlagen. Engert Horst), Brauwelt, 1957, B97, № 83—84, 1741—1748 (нем.)

Изучен тепловой баланс рощи солода при ячичном соложении (в течение 8 дней при 12—18,6° с продуванием воздуха в кол-ве 40 м<sup>3</sup>/час на 100 кг замоченного ячменя). Общее кол-во тепла, выделившегося за 8 дней, составило 20 210 ккал на 100 кг сухого в-ва солода. На основе этих результатов подсчитано кол-во и т-ра воды, потребляемой в камере кондиционирования воздуха. П. Буковский

30456. Автоматическое регулирование сушки солода на сушилках высокой производительности. Кайзер (Der «Darromat». Eine automatische Regeleinrichtung zur Erhöhung der Wirtschaftlichkeit bei Hochleistungsdarren. Kaiser Alfons), Brauwelt, 1957, B97, № 89, 1831—1836 (нем.)

Описан опыт эксплуатации высокопроизводительной однорусной солодосушки, оборудованной автоматич. приборами системы Darromat для контроля сушки. Установка по автоматич. регулированию и поддержанию заданных параметров сушки выполнена на одном щите. Сюда входит также прибор-самолесен, регистрирующий точность работы установки. В единой системе блокированы приборы, которые в зависимости от заданных параметров сушки солода сами



устанавливают оптимальные режимы работы отдельных агрегатов сушилки: подачу горячей воды в калориферы, перепад т-ры и влажности входящего в слои солода и выходящего из него воздуха, число оборотов вентилятора и т. д. Эксплуатация сушилки сводится к включению приборов на панели установки (числом 7 шт.) на желаемые режимы работы сушилки по подвигиванию, сушке и отсушке солода. С точностью до 2,5% по влажности солода и температурным перепадом против заданного  $\pm 1^\circ$  обеспечивается автоматический переход от подвигивания к сушке и далее к отсушке солода. Вся работа приборов по авторегулированию, а также питанию мотора вентилятора обеспечивается постоянным током, преобразуемым в Нг-выпрямителе от обычной сети переменного тока на 220/380 в. Приведены схемы размещения, электропитания и установки приборов на заданный режим работы, а также примерная диаграмма по фиксации работы сушилки прибором-самописцем. На высокопроизводительной одноярусной сушилке, снабженной автоматич. установкой программного ведения процесса сушки проведено 3 опытные сушки солода. Высота слоя зеленого солода соответственно была равной 63, 80, 83 см. В качестве теплоносителя использовали воду от котельной установки с одним котлом полезной емк. 12 м<sup>3</sup> и рабочим давлением до 10 атм. Подвигивание солода производили в течение 4,5 часа при подаче воздуха, нагретого до 55°. В течение следующих 4,5 часа подавали воздух, нагретый до 60°, после чего начинался плавный подъем температуры подаваемого воздуха до 90° со скоростью 6 град/час. Отсушка проходила при  $\sim 90^\circ$  в течение 4 час. В зависимости от скорости влагоотдачи солода автоматически регулировался режим работы вентиляторов, подача свежего воздуха и т. д. П. Буковский

30457. Опыты раздельной обработки солодовых оболочек в пивоварении. Бозениц (Versuche über getrennte Verarbeitung der Malzspelzen im Brauprozess. B. Wozwitz G.), Nahrung, 1957, 1, № 2, 200—211 (нем.; рез. англ., франц., русск.)

Для изучения влияния солодовых оболочек (О) в засыпке затора на качество пива проведено 6 серий опытных варок с различным содержанием О в одинаковых условиях с одним и тем же солодом (размолотым при постоянной установке мельницы), хмелем и водой. Вода для затирания имела карбонатную жесткость 10,8° и общую — 15°. Проводилось сравнение затирания по способам Мерца и Кубесса. Контролем служили нормальные варки из чистого ячменного солода. Все варки сбрасывали и выдерживали в лагерьном подвале в одинаковых условиях. Готовое сусло и пиво подвергали подробному хим. анализу. Пиво из солода с большим содержанием О оказалось грубым и терпким, из солода без О — чистым и мягким. В некоторых случаях последнее обладало избыточной мягкостью и недостаточной полнотой вкуса. Большое содержание солей Са и Mg в воде, идущей на затирание, способствовало выщелачиванию О и отрицательно влияло на вкус пива. Уменьшение щелочности воды уменьшало выщелачивание и улучшало вкус пива. Затирание по способам Мерца и Кубесса при большом кол-ве О в засыпке не уменьшало грубости вкуса и придавало пиву неприятный запах.

Р. Залманзон

30458. Коагулируемые азотистые вещества сусла и пива. Кольбах (Les matières azotées coagulables au brassage et dans la bière. Kolbach Paul), Brass. et malter. Belg., 1957, 7, № 8, 367—379 (франц.; рез. нем.)

Ценостойкость (П) и белковая стойкость (БС) пива в значительной степени обусловлены процессами варки охмеленного сусла. П зависит от белковых и

горьких в-в (альбумоз и продуктов превращения  $\alpha$ -кислот). Помутнение пива связано с присутствием высокомолекулярных белков, образующих труднорастворимые соединения с дубильными в-вами ячменя и хмеля. Наряду с этим П и БС пива связаны также с присутствием коагулированных белков (КБ). Опытами Эссера показано, что небольшое кол-во коагулируемого белка в сусле заметно влияет на ПС. При кипячении сусла без хмеля БС пива возрастает вследствие уменьшения кол-ва КБ; при кипячении охмеленного сусла вновь образуются соединения, вызывающие появление мути при охлаждении пива. 50 опытных варок пива подтвердили влияние КБ на П пива. По-видимому, возможно найти технич. средства повышения содержания КБ, не вызывая образования мути на холоду. А. Емельянов

30459. О производстве белковостойкого пива. Шильд (Ein neuer Weg zur Herstellung eiweißstabiler Biere? Schild Ernst). Brauwissenschaft, 1957, 10, № 11, 270—276, Diskuss., 276—277 (нем.; рез. англ., франц.)

Для получения белковостойкого пива (сохраняющего блеск  $\geq 6$  месяцев после пастеризации или обеспложивания фильтрацией) сусло продували воздухом во время варки по 5 мин. после первой и второй задачи хмеля. Получено вполне стойкое пиво, хорошего вкуса, с лучшим пенообразованием и цветом, чем контрольное. Приводится краткое содержание дискуссии по этому вопросу. А. Емельянов

30460. О производстве белковостойкого пива. Хиршман (Ein neuer Weg zur Herstellung eiweißstabiler Biere. Hirschmann K.), Mitt. Versuchstat. Gärungsgew., 1957, 11, № 9-10, 97—98 (нем.)

Появление белковой мути, вызываемой соединениями белков с дубильными в-вами, образующимися при варке сусла, устраняют осаждением дубильными в-вами, обработкой пива ферментными препаратами или адсорбентами. Для устранения недостатков этих методов разработан и проверен в производственных условиях способ продувания сжатого воздуха через сусло во время его варки после первой и второй задачи хмеля (каждый раз по 5 мин.). Сусло после такой обработки имело более темный цвет, но после 3-недельного хранения пастеризованного пива, приготовленного из этого сусла, цвет его оказался светлее, чем у контрольного пива, так как дальнейшего потемнения при пастеризации и хранения не происходило. Кроме того, опытное пиво не имело неприятного привкуса, приобретаемого при пастеризации.

А. Емельянов

30461. Коллоидная стойкость пива. Гопкинс (La stabilité colloïdale de la bière. Hopkins R. H.), Brass. et malter. Belg., 1957, 7, № 2, 63—68 (франц.) Обзор. Библ. 10 назв. См. также РЖХим, 1957, 56298

30462. Коллоидная стойкость пива. Ирзон (La stabilité colloïdale de la bière. Urion M.), Brass. et malter. Belg., 1957, 7, № 9, 413—418 (франц.)

В подробном обзоре рассмотрена теория образования мути в пиве, ее хим. состав, влияние следов металлов на помутнение пива и условия его предупреждения. А. Е.

30463. О повышении стойкости пива. Пирацкий (O niektórych możliwościach podwyższenia trwałości piwa. Piratzky W.), Przem. spożywczy, 1957, 11, № 7, 291—293 (польск.)

Даны теоретич. основы помутнения пива. Рекомендуется удаление и разложение в-в, вызывающих помутнение, и добавление антиоксидантов. З. Фабинский

30464. Влияние тонкой мути пивного сусла на жизнеспособность дрожжей. Великая Е. И., Маль-

цев П. М., Микробиология, 1957, 26, № 5, 597—601 (рез. англ.)

Показано, что по морфологич. признакам, а также по содержанию мертвых и почкующихся клеток нет отличий в дрожжах, культивируемых в прозрачном и мутном (с тонкой взвесью) суслах. Разница в содержании спирта в опытном и контрольном суслах также невелика. Тонкие муты ускоряют размножение дрожжей; нарастания активной кислотности при брожении мутного сусла не наблюдается. А. Емельянов

**30465. Хлортетрациклин как стимулятор брожения.** Арпай, Яноткова (Chlortetracyclin als Gärungsstimulator. Arpai Jan, Janotkova Olga), Brauwissenschaft, 1957, 10, № 10, 246—249 (нем.; рез. англ.)

С чистыми культурами пивоваренных и хлебопекарных дрожжей проведены опыты применения хлортетрациклина (I) в конц-ях 5, 15, 25  $\mu$ /мл. Исследован газовый обмен дрожжей на воздухе и в атмосфере  $O_2$ . Наличие I в питательной среде ускоряет образование  $CO_2$  и понижает его потребление дрожжами. Это особенно заметно у пивоваренных дрожжей низового брожения. А. Емельянов

**30466. Силиконовый жир, как паростойчивая смазка для кранов в пивоварении.** Эрнст (Siliconfett als dämfares Hahnenfett für Brauereien. Ernst Josef), Brauwelt, 1957, B97, № 78, 1583—1584 (нем.)

Предлагается применять силиконовый жир для смазки кранов машин для розлива пива в бутылки и в бочки. Устойчивость его к нагреванию позволяет обрабатывать краны паром и горячей водой, поддерживая необходимое санитарно-гигиеническое состояние розливочной аппаратуры. Доказано, что силиконовый жир не влияет на вкус и пеностойкость пива. Р. Залманзон

**30467. О выборе микроскопа для пивоваренного завода.** Гренг (Zweckmäßige Mikroskope für Brauereibetriebe. Greng Roman), Brauwelt, 1957, B97, № 91-92, 1867—1875 (нем.)

Рассмотрены известные системы оптич. и электронных микроскопов. Для исследований микрофлоры пива и производственного контроля пивоварения рекомендовано применять спаренную систему оптич. микроскопов, состоящую из обычного микроскопа (с возможностью использования поляризованного света) и микроскопа с темным полем. П. Буковский

**30468. Новая установка системы Натана для выращивания чистой культуры пивных дрожжей.** Шмаль (Neuzeitliche Heteroeinzuchtanlage «System NATHAN». Schmal A.), Schweiz. Brauer-Rundschau, 1957, 68, № 10, 211—213 (нем.)

Установка состоит из двух сосудов: для засева дрожжей и для их размножения. Соотношение объемов сосудов: 1:5. Сосуды сделаны из нержавеющей стали и снабжены рубашкой. В конусной части, между стенками сосуда и рубашкой, находится нагревательная система для стерилизации сусла, в верхней проходят шланги для охлаждения отбродившего сусла. Внутренность сосудов свободна от аппаратуры и легко поддается очистке. При средней производительности можно получить за 10 дней 100 л дрожжей. Приводятся фотоснимки и технологич. режим двух установок с различными производственными мощностями. Р. Залманзон

**30469. Автоматизация холодильных установок пивоваренных заводов.** Биндер (Automatik für Brauerei-Kühlanlagen. Binder Karl), Internat. Fachzeitschrift Brau-, Gärungs- und Kältetechn., 1957, 10, № 5, 91—94 (нем.)

Применение приборов (прессостаты, автоматически работающие вентили на всасывающей и нагнетатель-

ной линиях, вентили-термостаты и др.) обеспечивает надежную работу холодильного оборудования на пивоваренных з-дах. Приводятся данные о рациональном размещении при монтаже и технич. особенностях этих приборов. П. Буковский

**30470. Применение изоляции в пивоваренной промышленности.** Тиле (Isolierungen in Brauereien. Thiele Herbert), Kälte, 1957, 10, № 10, 397—398 (нем.)

**30471. Пивоваренный завод фирмы Ansells Brewery Ltd. в Бирмингеме.**— (Ansells Brewery Ltd, Birmingham.—), Brewers' J. (Engl.), 1957, 93, № 1106, 490—497 (англ.)

Описание крупного пивоваренного з-да. После спуска сусла гущу из заторного чана, размешав с водой, откачивают насосом в систему из трех резервуаров, отжимают и жидкость сохраняют для приготовления новой партии сусла. Здесь же отделяют жидкость от использованного хмеля и смешивают ее с первой. Для наполнения бутылок установлены 2 полностью автоматич. линии, каждая производительностью 20 000 бутылок (0,3 л) в час, которые автоматически с пустыми бутылками, моют бутылки, наполняют пивом, закупоривают, пастеризуют 18 мин. при 57°, наклеивают этикетки и упаковывают в ящики из-под пустых бутылок. А. Конов

**30472. Лимонная кислота и уксуснокислородное брожение.** Тэйфель, Рутлофф (Citronensäure und Essigsäuregärung. Täufel K., Ruttloff H.), Z. Lebensmittel—Untersuch. und—Forsch., 1957, 106, № 4, 301—304 (нем.)

Выявлено, что при уксуснокислородном сбраживании спирта и вина образуется ~ 7 мг/л лимонной к-ты (I). Содержание I в винном уксусе (У) значительно выше, чем в спиртовом, за счет ее большего содержания в исходной бражке (440—500 мг/л). В синтетич. У не обнаружено I. Наличие I отличает натуральный У от синтетич. Для обнаружения I в У рекомендуется следующий метод: 25—30 мл анализируемого У упаривают до 5 мл, добавляют 8 капель 50%-ной  $H_2SO_4$ , 1 мл 1 М КВг и 5 мл 1,5 н.  $KMnO_4$ ; выдерживают 5 мин., обесцвечивают 3%-ным р-ром  $H_2O_2$ ; взбалтывают с 10 мл петр. эфира; двукратно промывают эфирный слой 2 мл воды; добавляют к эфирному слою 1 мл свежеприготовленного 4%-ного р-ра  $Na_2S$  и взбалтывают. Желтое окрашивание водн. слоя указывает на наличие I. Г. Опшья

**30473. Электропастеризация уксуса.** Нанни Е. П., Консервы и овощесущ. пром-сть, 1957, № 11, 26—28

Описан электропастеризатор прямого действия для уничтожения уксусных угрей, работающий на переменном токе частотой 50 гц. Изоляционная рама зажата с двух сторон электродами (из графита), к которым подведен ток (220 или 380 в). Уксус, протекая, замыкает электрич. цепь между электродами и ток, проходя через уксус, нагревает его. Плотность тока при электропастеризации 0,5 а/см<sup>2</sup>, а напряжение между электродами 100 в/см. При напряжении 360 в расстояние между электродами 3,8 см. При 46° погибло 100% угрей. Приведена схема заводской установки. Г. Новоселова

**30474. Стерилизация сбраживаемых сред  $\gamma$ -лучами и теплом.** Гиллис, Кемп (Radiation sterilization comparison of gamma radiation and heat for sterilization of fermentation mash. Gillies Robert A., Kempe Lloyd L.), J. Agric. and Food Chem., 1957, 5, № 9, 706—708 (англ.)

Молочнокислородному сбраживанию подвергали среды, содержащие 200 г глюкозы, 70 мл р-ра питательных в-в и 3930 мл воды, к которым добавляли возрастающие кол-ва кукурузной вытяжки (КВ) или солодовых ростков (СР). Стерилизацию КВ, СР и среды в целом



считает  
на апи-  
нональ-  
ности  
ковский  
й про-  
перепа-  
97—308

Brewery  
Birm-  
1108.

После  
ешав с  
резер-  
приго-  
делают  
ают се  
овлены  
дительно-  
асано-  
тыли, в  
18 мин.  
ячки  
оново  
броже-  
е и  
Н.),  
1957,

ивании  
и к-ты  
тельно  
держат  
нети-  
альный  
нотеса  
У упя-  
H<sub>2</sub>SO<sub>4</sub>  
держи-  
H<sub>2</sub>O;  
промы-  
прному  
Na<sub>2</sub>S и  
укаан-  
Ошмян  
Е. П.  
26—28  
и для  
пере-  
рамка  
и ко-  
текая,  
и ток,  
ь тока  
жение  
380 г  
попа-  
уста-  
селова  
излуче-  
steri-  
eat for  
illies  
ic and

среды,  
льных  
астаю-  
довых  
целом

среды,  
льных  
астаю-  
довых  
целом

среды,  
льных  
астаю-  
довых  
целом

среды,  
льных  
астаю-  
довых  
целом

среды,  
льных  
астаю-  
довых  
целом

среды,  
льных  
астаю-  
довых  
целом

среды,  
льных  
астаю-  
довых  
целом

среды,  
льных  
астаю-  
довых  
целом

среды,  
льных  
астаю-  
довых  
целом

осуществляли термич. способом или  $\gamma$ -излучением  $\text{Co}^{60}$  в кол-ве 2,5 М фэр. Дозировка производилась методом Вейсса (Nucleonics, 1952, 10, 29—31). Стерилизованные СР и КВ вносили асептически в стерилизованные термич. способом среды. Брожение проводили в стерильных условиях чистыми культурами *Lactobacillus delbrueckii* при pH, поддерживаемом на постоянном уровне автоматич. притоком ферментатор р-ра щелочи по мере образования молочной к-ты (I). Кол-во образуемой I по отдельным периодам брожения высчитывалось по кол-ву израсходованной щелочи. Установлено, что скорость брожения (СБ) возрастает с повышением кол-ва КВ на  $\sim 7\%$ , однако при этом соответственно снижается выход I, что связано с образованием увеличенного кол-ва побочных продуктов брожения. Стерилизация КВ  $\gamma$ -излучением заметно снижает СБ и выход I по сравнению с термич. способом стерилизации, особенно когда КВ стерилизуют в составе среды в целом. СБ выше при pH 6,2, чем при pH 5,5, и возрастает на 40—73% с повышением дозровок СР на 2—3% при использовании нестерилизованных или облученными СР и значительно слабее при использовании СР, стерилизованных термич. способом. Способ стерилизации СГ не отражается на выходе I. Следует применять  $\gamma$ -излучения, когда термич. стерилизация противопоказана, а также когда они интенсифицируют определенные биологич. процессы. Г. Ошмян

30475. Технология производства неспиртованных десертных вин в НРБ. Деков (Tehnologia producerii vinurilor de desert nealcoolizate in R. P. Bulgaria. Dekov Liudmil), Grădina, via și livada, 1957, 6, № 10, 51—55 (рум.)

30476. Соки и вино из плодов плодово-ягодных растений Молотовской области. Бранке С. Г., Тр. Молотовск. с.-х. ин-та, 1957, 15, 209—226

Исследован состав соков плодов местных сортов яблони Ранета пурпурового и яблони сибирской, черной смородины. Лия плодородная и малины Усанка (имеющих высокую кислотность и низкую сахаристость). Установлена возможность и разработана технология приготовления из местного сырья плодово-ягодных натуральных вин высокого качества. Г. Н.

30477. Молдавские марочные вина. Калугина Г. И. (Винуриле де маркă молдовенешт. Калугина Г. И.), Градинэриулу, вьеритул ши винэриулу Молдовей, 1957, № 5, 48—49 (молд.); Садоводство, виноградарство и виноделие Молдавии, 1957, № 5, 47—49. Лучшие марочные вина Молдавии: Алиготе, Рислинг, Фетяска, Траминер, Совиньон, Мускат белый сухой, кроме них на Международной выставке экспонируются также Каберне, Пуркарское, Саперави, Кагор-Чумай, Мускат десертный, Золотой луч, Трифешты, Грабешты, Лидия молдавская. Г. Н.

30478. Мускат белый — лучшее полусладкое вино Молдавии. Никандрова В. Н. (Мускат алб — май бун вин демисек ал Молдовей. Никандрова В. Н.), Прадинэриулу, вьеритул ши винэриулу Молдовей, 1957, № 5, 52—53 (молд.); Садоводство, виноградарство и виноделие Молдавии, 1957, № 5, 52—53

Описаны три варианта схемы получения из муската белого полусладкого вина, содержащего спирта 12—16 об.%, сахара 7,5—10,8% и к-ты 5,1—7,5% и получившего высокую оценку на международной конференции по виноградарству (в Чехословакия). Г. Н.

30479. Красные вина. Ренжад (Les vins rouges. Ringeade D.), Pharmas. rural, 1957, 4, № 15, 371—372 (франц.)

Описана технология приготовления красных столовых вин в Борделе (департамент Жиронда), основан-

ная на старых классич. методах. Для брожения и хранения одианых вин применяются железобетонные резервуары. Г. Валушко

30480. Виноделие Алжира. Бремон (Vinifications en Algérie. Bremond E.), Rev. agric. Afrique Nord, 1957, 55, № 1990, 726—728; № 1991, 745—748 (франц.)

Рассмотрены применяемые в Алжире способы виноделия. Даны практич. указания по вопросам сульфитации, подкисления сусла виннокаменной и лимонной к-тами, применения дрожжей и отъемов бродящего сусла при брожении и технологии дображивания. Г. Ошмян

30481. О некоторых условиях осаждения виннокислого кальция при переработке вторичных продуктов виноделия. Никова (Върху някои условия за утайване на калциевия тартарат при преработката на вторичните продукти от винопроизводството. Никова З.), Лозарство и винарство, 1957, 6, № 4, 37—40 (болг.)

Для достижения наибольшего выхода виннокислого Са при осаждении его  $\text{CaSO}_4$  и  $\text{CaCO}_3$  оптимальным является pH 4,4—4,6. Даны таблицы для определения кол-ва  $\text{CaSO}_4$  и  $\text{CaCO}_3$ , необходимых для полного извлечения винной к-ты. Г. Валушко

30482. Переработка винной гущи. Бойчинов (Събиране и преработка на винената кал. Бойчинов Атанас), Лозарство и винарство, 1957, 6, № 4, 41—45 (болг.)

Описан метод сушки дрожжевой гущи, предварительно отпрессованной, в сушилке этажерочного типа (с паровыми трубами) производительностью 1 т пресованных дрожжей в сутки. Пары спирта и воды охлаждаются и конденсируются. Сухая гуща содержит  $\sim 1/3$  сухих дрожжей,  $\sim 1/3$  органич. примесей и 20—40% винного камня. Флотацией можно повысить содержание последнего до 50—60%. Затем винный камень переводят в тартрат кальция, используемый для произ-ва винной к-ты. Непосредственная переработка винной гущи в автоклавах неэкономична. Г. Валушко

30483. Рациональные формулы для вычисления количества концентрата и спирта при получении десертных вин. Янков (Рационални формули за определяне на концентрата и спирта при получаване на десертните вина. Янков Атанас Тодоров), Лозарство и винарство, 1957, 6, № 4, 29—34 (болг.)

Для определения кол-ва вакуум-сусла при подсахаривании десертных вин предлагается видоизмененная ф-ла «звездочки»:  $K = M(B-A)/C - B$ , где  $K$  — потребное кол-во кг вакуум-сусла;  $M$  — емкость резервуара;  $B$  — сахаристость желаемая;  $C$  — сахаристость вакуум-сусла;  $A$  — начальная сахаристость. При спиртовании предлагается ф-ла:  $K = M[18,5 - (0,6/B - P)]/C - 18,5$ , где  $K$  — кол-во л спирта для спиртования;  $M$  — кол-во вина вместе с вакуум-суслом;  $B$  — сахаристость готового вина;  $P$  — процент сахара, при котором совершенно спиртование; 18,5 — желаемая спиртуозность вина;  $C$  — крепость спирта. Для перехода от л к кг кол-во л спирта умножается на 0,815. При обратном переводе коэф. равен 1,227. Г. Валушко

30484. Белковые вещества вин. I. Химический состав помутнений белого вина, вызванных быстрым нагреванием, и их связь с белковыми помутнениями и белками вина. II. Влияние нагревания сусла на стабильность белка в белых винах. Кох, Бретхауэр (Zur Kenntnis der Eiweißstoffe des Weines. I. Mitt. Chemische Zusammensetzung des Wärmetrubes kurzzeiterhitzter Weißweine und seine Beziehung zur Eiweißtrübung und zum Weineisweiß. II. Mitt. Einfluß der Mosterhitzung auf die Eiweißstabilität der Weißweine. Koch J., Bretthauer G.), Z. Lebens-

mittel-Untersuch. und Forsch., 1957, 106, № 4, 272—280; № 5, 361—367 (нем.)

Хроматографическим исследованием осадков вина, выпадающих при нагревании до 68—87° в течение 2 мин. (А), установлено, что они так же, как и естественно образующиеся белковые помутнения (Б), свободных аминокислот не содержат. В белковых гидролизатах как А, так и Б обнаружено 17 аминокислот: аланин, аргинин, аспарагиновая к-та, глутаминовая к-та, гликокол, гистидин, изолейцин, лейцин, лизин, метионин, орнитин, фенилаланин, пролин, серин, треонин, тирозин и валин, которые содержатся в вине, но не найдена  $\gamma$ -аминомасляная к-та, не содержащаяся в белках вина. Содержание белка в Б составляет 50%, а в А ~ 80% (при отсутствии примеси винного камня). А также содержит дубильные в-ва (3,7%), минер. в-ва и продукты распада пектина: галактуроновую к-ту, галактозу, арабинозу, идентифицированные хроматографией на бумаге; р-ритель: бутанол—лед. уксусная к-та—вода (40:10:50) и проявитель: анилинфталат и нафторезорцин—трихлоруксусная к-та. При хроматографировании аминокислот применяли р-ритель: вторичный бутанол—муравьиная к-та (88%)—вода (75:15:10); проявители: нингидрин или диазотированная сульфаниловая к-та. При нагревании сусла выпадает осадок, содержащий 35% белка, 22,7% глюкозы и продуктов распада пектина (галактозы, арабинозы и галактуроновой к-ты), 30,3% минер. и дубильных в-в. Белок, выпадающий при нагревании сусла, содержит те же аминокислоты, которые были найдены в осадках помутнившихся вин. Нагревание сусла в течение 2 мин. при 87° ведет к получению вина, устойчивого к белковым помутнениям. При брожении содержание аминокислот уменьшается, а затем, начиная с 10—20 дня, увеличивается. В готовых винах, по сравнению с исходным суслом, возрастает содержание аргинина, гистидина, лизина, орнитина, фенилаланина, пролина и тирозина.

Г. Валушко

### 30485. Пищевая и гигиеническая ценность вина.

Гарино-Канина (Valeur alimentaire et hygiénique du vin. Rapport général. Garino-Capina E.), Bull. Office internat. vin, 1956, 29, № 306, 60—85 (франц.)

Доклад на VIII Международном Конгрессе виноградарей и виноделов в Чили в 1956 г. Рассмотрены: I) психологич. и эстетич. ценность вина, II) биологич., физ. и микробиологич. свойства вина, III) физиологич., антисептич. и профилактич. действие вина на организм, IV) обработка вина (влияние на состав и свойства); V) диетич. вина (выбор их в зависимости от состояния организма), VI) биологич. значение вина и алкогolemии. Все докладчики признают физиологич. и диетич. ценность вина. Отмечено наличие в вине пантотеновой к-ты и мезоинозита. Отмечена положительная роль вина в обмене в-в и наличие в нем в-в, уменьшающих токсичность спирта, обладающих инсулиноподобным действием и обезвреживающих холин. Приводятся статистич. данные, показывающие, что люди, потребляющие виноградные вина в умеренном кол-ве, живут дольше, чем не потребляющие совсем или потребляющие в неумеренном кол-ве. См. РЖХим, 1957, 78668.

Н. Простосердова

30486. Возможности лучшего использования производственной мощности и механизации сельскохозяйственных спиртовых заводов. Пинш (Lepšie využitie výrobnjej kapacity a mechanizácie v poľnohospodárskych liehovaroch. Píř Emil), Kvasný průmysl, 1957, 3, № 9, 201—206 (словацк.; рез. русск., нем., англ., франц.)

Предложено повысить производственную мощность сельскохозяйственных спиртовых заводов путем приме-

нения современных промышленных методов на всех стадиях произ-ва.

30487. Применение УФ-радиации для стерилизации винных подвалов. Рёмш, Кёниг (Anwendung von UV-Entkeimungslampen in Süßmostbetrieben. Rämsh N., König E.), Technik, 1957, 12, № 5, 381—384 (нем.)

Чистые культуры типичных для виноградного сусла плесневых грибов (мицелий с конидиями) облучали в чашках Петри УФ-светом, применяя бактерицидную лампу HA 100 на расстоянии 55 см. Спустя 1—8 час. культуры переносили в пробирки с агаром и выдерживали при 28°. Через сутки наблюдали рост колоний за счет сохранивших свою жизнедеятельность конидий. В другой серии опытов колонии плесеней облучали в термостате при 30°. Прекращение роста колоний наблюдали уже через 4 часа после облучения, однако конидии погибали только через 10 час. облучения при прямом попадании на них УФ-лучей. Конидии, оставшиеся в тени, сохраняли свою жизнедеятельность и давали колонии при переносе на виноградное сусло. При стерилизации воздуха производственных помещений установлено, что высокие влажность и т-ра снижают эффект действия УФ-лучей. Добиться абсолютной стерилизации помещений при помощи УФ-радиации невозможно.

30488. Рислинг итальянский. Купча П. И. Гидролизат, виеритул ши винэритул Молдовой, 1957, № 5, 53—55 (молд.); Садоводство, виноградарство и виноделие Молдавии, 1957, № 5, 53—55

Дана сравнительная оценка винограда Рислинг итальянский и Рислинг рейнский. Первый (подобно алиготе) более равномерно накапливает сахар и имеет более низкую кислотность, а также быстрее достигает розливозрелости (в течение 2 лет). Из него при купажевании с Рислингом рейнским (3:1, максимум 2:1) и соблюдении технологии, установленной для белых европейских вин, можно получать высококачеств. столовое вино.

Г. Н.

30489. Возможности улучшения технологии производства белых столовых вин. Деков (Възможности за подобряване на технологията при производството на белите трапезни вина. Деков Людмилъ Игнатов), Лозарство и винарство, 1957, 6, № 5, 25—30 (болг.)

В результате проведения лабор. опытов с сортом Кокорка и производственных опытов с сортом Димит по сбраживанию с добавлением мезги 5 об. % получено значительное улучшение качества по сравнению с контролем, сбраживаемым без мезги. В опытных винах происходило ускорение ферментативных процессов, увеличивалось кол-во основных букетообразующих в-в: азотистых в-в, альдегидов, ацеталей и др. Делают 3 переливки: в декабре — с фильтрацией; в марте — с оклейкой желатиной и фильтрацией, и в мае — с оклейкой и фильтрацией. Дегустационные оценки опытных образцов (8,2—8,24) значительно выше контроля (6,07—6,33 балла).

Г. Валушко

30490. О технологии десертных вин типа Мавруд. Иванов, Янков (Върху технологията на маврудовите десертни вина. Иванов Трифон, Янков Атанас), Лозарство и винарство, 1957, 6, № 5, 20—24 (болг.)

Для полного извлечения красящих в-в предлагается нагрев мезги до 60° и брожение на мезге до момента спиртования при приготовлении десертных и крепких вин, что значительно улучшит качество вин. Г. Валушко

30491. Первые анималогические исследования виноградного сусла Греции. Верона, Пиччи, Мелас-Иоаннидес, Карни (Prime ricerche zimologiche sopra mosti d'uva fermentati della Grecia).



Verona O., Picci G., Melàs-Joannides Z., Carpi L., Ann. Fac. agrar. Univ. Pisa, 1956, 17, 47-49 (итал.; реф. франц.)

Из сусла винограда различных районов Греции выделены и систематизированы 109 видов дрожжей. Приведена подробная характеристика выделенных видов дрожжей (*Sacch. cerevisiae* var. *ellipsoideus* (Hansen) Dekker (A), *Sacch. oviformis* Ost., *Sacch. italicus* Cast., *Sacch. rouzii* Boultroux, *Sacch. rosei* (Guill.) Lodder et Kreger — van Rij, *Sacch. carlsbergensis* Hansen (B) *Sacch. Mayeri* Phaff et al. (B), *Pichia fermentans* Lodder, *Torulopsis bacillaris* (Kr. et Kr.), *Kloeckera apiculata* (Reess) Janke. Из них наиболее часто встречаются А, Б и В. Приведена характеристика в отношении выхода спирта и летучих к-т. В среднем наибольший выход спирта дает А, затем Б и далее В. Выход летучих к-т (на 100 мл спирта) несколько больше у В, чем у А и меньше у Б. Район нахождения (Пелопоннес или Грета) влияет на выход спирта у одних и тех же видов дрожжей. В среднем в Пелопоннесе он несколько выше, чем в Грете. Приводятся резистентность ряда дрожжей к этанолу в зависимости от т-ры: при повышении ее резистентность уменьшается. Намыренная устойчивость отмечена у В. Приведен наглядный 3-мерный график брожения дрожжей в координатах: время (дни), крепость спирта, индекс размножения дрожжей. Дается ауксологич. характеристика выделенных дрожжей по отношению к витаминам В<sub>1</sub>, Н, инозиту, пантотеновой к-те. Большинство А являются гетеротрофами, из Б гетеротрофных ~50%, а В — все гетеротрофы.

И. Скурихин  
3492. Применение в виноделии нагревания с помощью электроприборов. Аршинар, (Le chauffage électrique en vinification. Archinard P.), Progr. agric. et vitic., 1957, 74, № 39-40, 175-180 (франц.) Рассмотрены преимущества применения электронагревательных приборов по сравнению с паром при подогреве вина до 25° для завершения алкогольного брожения (в случае похолодания) и успешного проведения яблочно-молочного брожения. При проведении длительного настаивания на мезге производят сульфитацию 350 мг/л SO<sub>2</sub> с последующим нагревом (перед брожением) до 65°, который полностью удаляет SO<sub>2</sub>. Низкие дозы SO<sub>2</sub> настоев можно проводить, нагревая мезгу до 45°, что повышает качество вина.

Г. Валушко  
3493. Автоматический бродильный чан для брожения вина по красному способу. Берингер (Ein automatischer Gärtank für Rotmaischen. Böhringer P.), Dtsch. Wein-Ztg., 1957, 93, № 24-25, 466, 468, 470, 472, 474 (нем.)

Описана конструкция автоматич. бродильного чана (Ч) для непрерывного брожения вина по красному способу. Сужающийся книзу прямоугольный железобетонный резервуар, в стенках которого расположены рубцы для обогрева или охлаждения, внутри покрыт мастикой. В верхней части Ч имеется скребковый транспортер для удаления «шапки». Для лучшего извлечения красящих и экстрактивных в-в мезга тщательно перемешивается с бродящим суслом в смесителе и снова поступает в Ч. Мезгу можно направлять прямо в корзиночный пресс. Ч позволяет вести брожение в нужных условиях т-ры (20-26° для ординарных, 18-22° для марочных виноматериалов) и в атмосфере CO<sub>2</sub>. Ч может быть использован для периодич. брожения (удаляется смеситель), для хранения вина (удаляется скребковый транспортер). В Ч удобно производить купаж сусел, исправление вин добавлением более качествен. вина.

И. Скурихин  
3494. Соображения по поводу яблочно-молочного брожения вин и метод его контроля. Мишо (Considérations sur la fermentation malolactique des vins et

les moyens de la contrôler. Michod J.), Rev. roman. de agric., vitic. et arboric., 1957, 13, № 7, 54-55 (франц.)

Изучение яблочно-молочного брожения (ЯМБ) в присутствии бактерий турна и укусных показало, что бактерии ЯМБ являются антагонистами молочнокислых и укуснокислых бактерий. Последние не развиваются до полного окончания ЯМБ. Нормальному ходу и завершению ЯМБ способствуют внесение чистой культуры бактерий, умеренная сульфитация, перемешивание, подогрев, хим. понижение кислотности. Во избежание помутнения необходимо разливать только вина с законченным ЯМБ. Стерильный розлив предохраняет от ЯМБ. Контроль за ходом ЯМБ осуществляют методом хроматографии на бумаге.

Г. Валушко  
3495. Применение перекиси водорода для десульфитации соков, сусел и вин. Белогулов Д. М., Воскобойников И. М., Виноделие и виноградарство СССР, 1957, № 4, 14-15

Установлено, что при одновременном введении в сок всего кол-ва H<sub>2</sub>O<sub>2</sub>, потребного для окисления SO<sub>2</sub>, только часть H<sub>2</sub>O<sub>2</sub> расходуется на окисление SO<sub>2</sub>; а остальное кол-во идет на окисление других компонентов сока. При введении в сок 100, 53 и 35 мг/л или 208 и 113 мг/л H<sub>2</sub>O<sub>2</sub> (в виде 1%-ного р-ра) с интервалами в одни сутки основное кол-во H<sub>2</sub>O<sub>2</sub> идет на окисление SO<sub>2</sub> и в течение нескольких дней можно снизить содержание общего кол-ва SO<sub>2</sub> с 500 до 100 мг/л и свободного SO<sub>2</sub> с 208 до 20 мг/л. На окисление 1 г SO<sub>2</sub> требуется 0,531 г H<sub>2</sub>O<sub>2</sub>. Для нейтр-ции образующейся H<sub>2</sub>SO<sub>4</sub> на 1 мг окисленного SO<sub>2</sub> нужно добавлять 1,57 мг чистого мела и отфильтровывать образующийся осадок.

Г. Новоселова  
3496. Влияние виноградных выжимок на качество вина. Берозашвили У. Н., Бежаншвили А. Н. Научн. тр. студ. Груз. с.-х. ин-т, 1957, № 6-7, 411-416 (груз.)

3497. Влияние чистой культуры закваски на качество вина. Алибегашвили М. Г. Научн. тр. студ. Груз. с.-х. ин-т, 1957, № 6-7, 117-124 (груз.)

3498. Наш опыт введения новой технологии при производстве болгарского вермута. Сапунджиев (Опытът ни за въвеждане технология при производството на наши вермутови вина. Сапунджиев Тодор А.), Лозарство и винарство, 1957, 6, № 5, 56-61 (болг.)

Описывается технология приготовления болгарского вермута, выпускаемого с 1952 г. В состав трав для настоя входит до 23 ингредиентов. Для приготовления вермута применяют: вермутную настойку на травах, спирт-ректификат 95-96°, выдержанное белое вино с разившимся букетом старости, кристаллич. сахар без ультрамарина (150 г/л), р-р карамелизованного сахара и воду. Можно применять также так называемую вермутную основу (вермутгрундвайн) — десертное белое вино, полученное спиртованием при 15-16% сахара и выдержанное на солнце 2-3 года. Готовый вермут выдерживают в бутылках 3-6 месяцев.

Г. Валушко  
3499. Пороки вин, вызванные избытком железа.

Шассен (Accidents causés par l'excès de fer dans les vins. Chassain Mourice), Pharm. rural, 1957, 4, № 15, 379, 381-386 (франц.)

Рассмотрены пути попадания Fe в вино. Из винограда, даже с земель, богатых Fe, в вино переходит ≤ 3-4 мг/л Fe. Содержание Fe в гребнях в 10 раз больше, чем в мякоти. В сусло и вино из оборудования поступает до 35-40 мг/л Fe. Установлено, что Fe<sup>2+</sup> не вызывает помутнений, но, окисляясь при переливах в Fe<sup>3+</sup>, дает с танином бурый осадок таннат — голубой касс, а с фосфатами молочную опалесценцию — белый касс. Описаны методы определения Fe в вине. Для удаления Fe вина обрабатывают

таннином, с последующей оклейкой желатиной, лимонной к-той (до 5 г/дкл), желтой кровяной солью, нонитами, углем «антифером»,  $H_2S$ . Обработка гуммиарабиком (1—2 г/л), фитатами, отрубями и секвестрантами предупреждает появление кассов. Указаны преимущества и недостатки этих способов обработки вина.

Г. Валушко

**30500. Колпачки из луженого свинца для винных бутылок.** Бергнер, Шикорр (Über die hygienische Bedeutung von Weinflaschenkapseln aus verzinnem Blei. Bergner K. G., Schikorr G.), Z. Lebensmittel-Untersuch. und -Forsch., 1957, 106, № 2, 132—141 (нем.)

При длительном хранении бутылок с вином, закрытых колпачком из луженого свинца, внутренняя поверхность их корродирует, и вылитое из бутылки вино может содержать Pb в кол-ве, превышающем допустимое. Толщина слоя полуды свинцовых колпачков для бутылок с напитками должна быть  $\geq 3 \mu$ .

И. Скурихин

**30501. О проблеме созревания и старения вин.** Чоговадзе Ш. К., Сб. научн. работ. Ленингр. ин-т сов. торговли, 1957, вып. 11, 9—17

Рассмотрены теории созревания и старения вина и теория шампаннизации.

Г. Н.

**30502. Оклейка вина.** Павлов (Бистрени на вината. Павлов Диме), Лозарство и винарство, 1957, 6, № 5, 32—40 (болг.)

Рассмотрены теоретич. основы и общепринятые правила оклейки вин.

Г. Валушко

**30503. Применение отечественного сырья, богатого дубильными веществами для осветления напитков.** Грбек (Použití domácích surovin bohatých tříslovinami k číření. Hrbek Josef), Průmysl potravin, 1957, 8, № 9, 499—500 (чешск.; рез. русск., нем., англ.)

Установлена возможность осветления мутных вин и соков при помощи богатых дубильными в-вами сока терна и промывных вод из выжимок смородины и винограда.

Г. Н.

**30504. О применении бентонита в виноделии.** Ренчлер (Bentonit als Weinschönungsmittel. Rentschler H.), Schweiz. Z. Obst- und Weinbau, 1956, 65, № 24, 545—547 (нем.)

Рассмотрены достоинства и недостатки бентонита и причины малого его использования для осветления швейцарских вин. Из препаратов группы бентонита в Швейцарии применяют только коаголь — наиболее дорогой, но не содержащий металлич. солей препарат.

Н. Ваксберг

**30505. Шампаннизация вин.** Триё (Champagnisation des vins. Trieu R.), Pharmas. rural, 1957, 4, № 15, 391, 393—394 (франц.)

Рассмотрены отдельные этапы процесса приготовления шампанского бутылочным методом в Шампани.

Г. Валушко

**30506. Коньяки Молдавии.** Малтабар В. М. (Коньякуриле Молдовей. Малтабар В. М.), Грэднэрикул, виеритул ши винэрикул Молдовей, 1957, № 5, 49—52 (молд.); Садоводство, виноградарство и виноделие Молдавии, 1957, № 5, 49—51

**30507. Оксидиметрическое определение сорбита в винах после разделения хроматографией на бумаге.** Тейфель, Мюллер (Zur oxydimetrischen Bestimmung von Sorbit im Wein unter Heranziehung der papierchromatographischen Arbeitsweise. Täufel K., Müller K.), Z. Lebensmittel-Untersuch. und -Forsch., 1957, 106, № 2, 123—128 (нем.)

Важный показатель наличия в виноградном вине примеси плодового — присутствие больших кол-в сорбита (I). Виноградное вино содержит I в кол-ве 0,05—0,29 г/л, плодое — до 10 г/л. Разработан метод определения I. Пробу вина после дображивания с

прессованными дрожжами для удаления образующих сахаров, мешающих определению I, хроматографируют на бумаге с р-рителем *n*-бутанол — ацетон — вода (4:5:1), пятно I вымывают и определяют окислением  $KJO_4$ . Метод позволяет определять I в кол-ве до 20 мг/л I и быстрее, чем бензальдегидным методом.

И. Скурихин

**30508. Применение искусственных материалов в бродильной промышленности.** Парубек (Použití umělých hmot v kvasných průmyslech. Paroubek F. N.), Kvasný průmysl, 1957, 3, № 9, 206—208 (чешск.; рез. русск., нем., англ., франц.)

Приведены технич. данные о свойствах и возможностях применения труб и плит из плавленого бензальта и трубопроводов из стекла, фанеры, поливинилхлорида и полиэтилена, экспонированных на выставке трубопроводной техники в Праге в 1957 г.

Г. Ошмян

**30509 К. Технический контроль солодовенного и пивоваренного производства.** Лыготский (Technická kontrola sladařské a pivovarské výroby. Lhoták Alois, Praha, SNTL, 1957, 364 s., ил., 22,40 Kčs. (чешск.)

**30510 К. Пути развития плодово-ягодного виноделия.** Митюков А. Д. Минск, Белорусск. ун-т, 1957, 78 стр., илл., 2 р. 80 к.

**30511 С. Вино виноградное токайское.** (Hroznové víno tokajské. Norma akosti). Чехосл. ст. CSN, № 567742; 1955 (чешск.)

**30512 П. Приготовление закваски.** Сакамото (Охаси. Японск. пат. 2098, 23.03.56)

К рисовым отрубям добавляют дезодорант, 32—38% воды, перемешивают и закладывают в цилиндр с внешним кожухом. Шнек внутри цилиндра перемешивает и двигает массу вперед. Цилиндр с помощью кожуха подогревается паром или электричеством до 40—60°. Под давл. 15—27 кг/см<sup>2</sup> продукт, превращенный в  $\alpha$ -соединение, выходит наружу, его разрезают, быстро охлаждают и превращают в  $\beta$ -соединение. На полученные зерна засевают дрожжевые грибки. Пример: в 10 кг рисовых отрубей добавляют 10 г дезодоранта (хлорофилл) и 3,5 л воды, хорошо перемешивают и закладывают в цилиндр с кожухом. Подогревая цилиндр паром до 45°, с помощью шнека перемешивают и продвигают массу. Под давл. 18 кг/см<sup>2</sup> массу превращают в  $\alpha$ -соединение и выдвигают наружу. Массу режут на зерна, охлаждают под вентилятором до 3—5° и превращают в  $\beta$ -соединение. Зерна разминают и пропаривают, чтобы нарушить внешние покровы, засевают дрожжевые грибки и на 1 нед. закладывают в камеру при 60°.

**30513 П. Эпюрация спирта.** Смит (Purification of alcohol. Smith Herbert F.) [Marchants Distilling Corp.], Пат. США 2756199, 24.07.56

Патентуется способ очистки спирта (I) от примесей путем его обработки в процессе перегонки с  $NH_3$  и NaOH. Существующие колонны (K) оборудуют трубопроводами для подвода в нижнюю их часть воды,  $NH_3$  и NaOH и трубопроводом для отбора очищ. спирта из жидкой фазы одной из верхних тарелок K, что это практикуется при отборе пастеризованного I ректификата.  $NH_3$  в газовом состоянии образует соединения с т-рой кипения выше, чем у I, которые стекают к основанию K, и соединения с т-рой кипения ниже, чем у I, которые выделяются из верхней части K частично отбираются, как это практикуется при отборе непастеризованного I ректификата. Р-р  $NH_3$  вводят в K в таком кол-ве, чтобы его следы обнаруживались в конденсате паров, выделяемых из верхней части K. Очищ. I, отбираемый из жидкой фазы тарелки K, полностью очищен от примесей, содержащихся в исходном I.



1958 г.

бражильных  
роматоген-  
ацетон-  
делают  
ть в ян  
и метод  
Скурки  
риалов  
ж (Рон)  
агоубе  
206—21  
и возмо  
енного б  
ры, пол  
анных п  
в 1957  
Г. Ошмя  
ного и ш  
(Techni  
Lhotsky  
2.40 Кка  
о швед  
ун-т, 1957  
znové v  
ст. CSN  
камот  
г, 32—38  
дильнр  
а пере  
помощ  
естом  
превращ  
разрезу  
твенно. Н  
ки. Пр  
е деод  
перемеш  
Подогре  
ка пере  
(с/с) мас  
наруж  
тилятор  
на раме  
внешни  
1 недел  
Фрадки  
fication  
nts Disti  
примес  
и с NH<sub>3</sub>  
вода, р-р  
тищ, сип  
ток К, и  
ого I ра  
от соеди  
е стекл  
ния вы  
гаста К  
ется пр  
Р-р NH<sub>3</sub>  
ны обав  
е верх  
азм та

К, полностью свободен от NH<sub>3</sub>, а в случае загряз-  
нения его солями металлов, образующихся в К под  
действием NH<sub>3</sub>, прибегают к вторичной простой пе-  
гонке очищ. I, обеспечивающей его очистку от  
и. Конденсат паров, загрязненный примесями I и  
NH<sub>3</sub>, используют в качестве денатурата, либо подвер-  
гают вторичной переработке. В условиях периодич.  
пергонки р-ры NH<sub>3</sub> и NaOH вводятся в куб или ниж-  
нюю тарелку К. В условиях непрерывной перегонки  
р-ры NH<sub>3</sub> и NaOH вводятся в нижнюю часть альдегид-  
ного К, откуда I, свободный от NH<sub>3</sub>, направляется в  
ректификационную I с применением одного NaOH  
показатель перманганатной пробы очищ. спирта со-  
ставил 35—40 мин., при применении одного NH<sub>3</sub>  
54 мин., а при совместном применении NH<sub>3</sub> и NaOH  
58 мин. Повышение качества I в описанных условиях  
подтверждено спектрофотометрич. анализом очищ. I.  
Г. Ошмян

30514 П. Способ обработки частично замоченных зер-  
н (Verfahren zur Beeinflussung mindestens teil-  
weise gequellener Körnerfrüchte) [Emil Pauls].  
Швейц. пат. 311181, 31.01.56

Для повышения энергии прорастания, степени рас-  
щепления белков и диастич. активности, а также для  
уменьшения мешающих в произ-ве в-в (напр., дубиль-  
ные и горькие в-ва шелухи солода) зерновые продук-  
ты, по крайней мере частично разрыхленные замоч-  
кой, подвергают действию ультразвуковых колебаний  
при замочке или после окончания набухания. Напр.,  
при обработке набухшего за 24 часа ячменя ультра-  
звуком (1000 кц, мощность 300 ат) в течение 3 час.  
после дальнейшего разрыхления через 66 час. в ящи-  
ках и отсушки, получена степень растворения белков  
готового солода на 1,2—2,5% выше, чем в солоде, не  
подвергнутому обработке ультразвуком. А. Емельянов

30515 П. Способ стабилизации солодовых напитков,  
содержащих CO<sub>2</sub>. Бреннер (Art of stabilizing  
carbonated malt beverage. Brenner Mortimer  
W.) [Schwarz Labs Inc.]. Пат. США 2763554, 18.09.56  
Для предупреждения «убегания» пива вследствие  
дальнейшего пенообразования при открывании бутылок  
(янок) предложено добавлять одну из растворимых  
солей (ацетат, бикарбонат, сульфат, бисульфит, хло-  
рид, цитрат, глюконат, лактат) при соложении зерна  
или замачивании хмеля с таким расчетом, чтобы  
после осаждения оксалата Ca мол. соотно-  
шение ионов Са и оксалата как 10:1. Добавлять ука-  
занные соли Са можно также и к фильтрованному или  
нефильтрованному пиву с последующим фильтрованием  
перед розливом для удаления осадка оксалата. Напр.,  
при опрыскивании зеленого солода заменяют воду  
раствором р-ром CaCl<sub>2</sub> (400 мг на 1 кг солода, в котором  
содержится ~450 мг щавелевой к-ты). А. Емельянов

30516 П. Установка для пастеризации жидкостей в  
закрытых сосудах. Гёле (Vorrichtung zuw Pasteuri-  
sieren von Flüssigkeiten in geschlossenen Gefäßen.  
Goehle Günter). Пат. ГДР 13248, 22.05.57

Для непрерывной автоматич. пастеризации укупор-  
енных в бутылки жидкостей (напр., пиво, сок и др.)  
осаждение укрепляют на непрерывно движущейся  
амкнутой ленте, проходящей таким образом, что  
положение пастеризуемых сосудов меняется несколь-  
ко раз в процессе обработки. Лента движется внутри  
закрытого резервуара, снабженного оросительной си-  
стемой. Подогревательная зона расположена над па-  
стеризационной, а последняя над охлаждающей. Оро-  
сительная вода из имеющегося внутри установки по-  
догревателя поступает противотоком в зону пастери-  
зации, затем, постепенно охлаждаясь, в зону подогре-  
ва и охлаждения. Бутылки, двигающиеся по ленте,  
начала попадают в зону подогрева, затем, достигают

нужной т-ры в зоне пастеризации и, поступая в зону  
охлаждения, перед выходом из установки отдают по-  
лученное тепло обратно. Оросительная вода собирает-  
ся в подогреватель и оттуда снова через оросительные  
системы поступает на пастеризацию следующей пар-  
тии бутылок. Приводится схематич. чертеж уста-  
новки. Р. Залманзон

30517 П. Способ очистки спиртовых жидкостей. Ма-  
йор (Procédé d'affinage de liquides alcooliques. Ma-  
yot Jean). Швейц. пат. 319209, 30.03.57

Быстрое улучшение органолептич. качеств пло-  
довых спиртовых напитков достигается добавлением  
≥ 1 в-ва, способствующего старению (танин, галло-  
вая к-та), и диффундированием через напиток  
≥ 2 газов в разной последовательности (CO<sub>2</sub>, O<sub>2</sub>, O<sub>3</sub>  
или N<sub>2</sub>O). Предусматриваются также варианты  
воздействия УФ-облучением и ультразвуком. При-  
мер. К напитку добавляют 0,1% танина и пропу-  
скают через него в течение 15 мин. O<sub>2</sub> и в течение  
15 мин. CO<sub>2</sub>. Г. Ошмян

См. также: Сахароза в пекарских дрожжах 11134Бх.  
Произ-во дрожжей 1165Бх. Осахаривание картофе-  
льных заторов 11697Бх. Процесс затираания в спиртовом  
произ-ве 11698Бх. Искусств. sake 11699Бх

## ПИЩЕВАЯ ПРОМЫШЛЕННОСТЬ

Редакторы А. М. Емельянов, Г. А. Новоселова.  
А. Л. Прохорович

30518. Актуальные вопросы технологии пищевой  
промышленности. Дёрлинг (Aktuelle Probleme  
der Technologie der Lebensmittelindustrie. Dörling  
Eberhard), Wiss. Z. Karl-Marx-Univ. Leipzig,  
1956—1957, 6, № 1, 1—12 (нем.)

Предмет и метод технологии пищевой пром-сти, роль  
рабочей силы и средств произ-ва, организация труда,  
рентабельность произ-ва. Выбл. 27 назв. В. Гурни  
30519. Современные методы переработки пищевых  
продуктов. Димайр (Moderne Methoden in der  
Lebensmittelverarbeitung. Diemair W.), Ernähr.-  
Umschau, 1957, 4, № 2, 34—36 (нем.)

Рассмотрены новые способы произ-ва: добавление и  
мукте аскорбиновой к-ты, обработка паром овсяной  
крупы для инактивации ферментов, мгновенная па-  
стеризация молока, обеспложивание плодовых соков  
на фильтрах Зейтца и обработка их в атмосфере CO<sub>2</sub>  
при 7—8 атм при 150°; сгущение вымораживанием до  
содержания 70% сухих в-в и хранение при 10—15° в  
тюбиках или в парафинированных банках из белой  
жести; произ-во сухого кофе в распылительной су-  
шилке и каротина из моркови. А. Орлов

30520. Содержание фтора в пищевых продуктах.

Часть III. Приправы и сброженные продукты. Ма-  
цуура, Кокубу, Ватанабэ, Идэ, Камити-  
ка (Matsuura Sinnosuke, Kokubu Nobu-  
hide, Watanabe Syosuke, Ide Yasushi,  
Kamitika Kozu) Эйё то сёкурё, J. Japan. Soc.  
Food and Nutrition, 1957, 9, № 5, 31—33 (японск.)

Показано, что поваренная соль содержит 12—46 γ/g  
F, сахарный песок 0,7—11, соус мисо 13—47, нат-  
то (блюдо из соевых бобов) 2,1, соус сёю 2,6—3,0 мг/л,  
очищ. sake 0,92—2,4, сидр 0,48, сладкое sake 2,6, пиво  
0,92—2,2, виноградное вино 0,9—1,0. Часть II см.  
РЖХимБх, 1958, 3906.

30521. Применение холода в пищевой промышленно-  
сти и торговле. Кобулашвили Ш. Н., Геллер  
И. М., Докл. от СССР 9-му Междунар. конгрессу хо-  
лода. М., Госторгиздат, 1957, 3—9

- 30522.** Стерилизация пищевых продуктов ионизирующим излучением. Черный (Sterilace potravín ionizujícím zářením. Černý Slavoj), Průmysl potravin, 1957, 8, № 10, 542—546 (чешск.; рез. русск., англ., нем.)  
Обзор. Библ. 24 назв. Г. Н.
- 30523.** Применение ионизирующих излучений для консервирования пищевых продуктов. Либерман А. Н., Вопр. питания, 1957, 16, № 6, 52—56  
Обзор. Библ. 19 назв. Г. Н.
- 30524.** Применение антибиотиков для консервирования пищевых продуктов.—(The use of antibiotics in the preservation of foods.—), Centr. Afric. Pharmac. J., 1956, 9, № 5, 6, 8, 10, 26 (англ.)  
Обзор современного состояния вопроса о применении антибиотиков (левомицетина, окситетрациклина, хлортетрациклина и др.) для сохранения мяса, рыбы, молока. А. Т.
- 30525.** Применение бутилированного метилфенола в качестве антиокислителя для пищевых продуктов. Толленар, Вос (Untersuchungen über die Verwendung von butyliertem Hydroxytoluol als Antioxydants in Lebensmitteln. Tollenaar F. D., Vos H. J.), Fette, Seifen, Anstrichmittel, 1956, 58, № 2, 112—118 (нем.; рез. англ., франц., исп.)  
Результаты антиокислительного действия 2,6-дигрет-бутилметилфенола (I), додецилгаллата (II), бутилксианизола (III) и их смесей, введенных в свиной жир (Ж), сухое молоко (МП), маргарин (М) и масло для крема (МК). В Ж вводили 0,02% I, 0,01% II, 0,02% III и смесь 0,005% II + 0,01% I. Устойчивость определяли по Свифту при 100°. Кривая зависимости изменения перекисного числа (ПЧ) от времени для образца, содержащего 0,02% III, резко отличается от остальных. Образцы [йодное число (ИЧ) 56,0], содержащие 0,01% II; 0,01% I и 0,025% I, хранили также в бумажных стаканах в темноте при 28—29° II (0,01%) менее эффективен, чем I (0,025%). В растопленное МК (ИЧ 42,3) вводили 0,02% II, 0,02% I, смесь 0,01% II и 0,01% I. Тесто выпекали при 150° 30 мин. и хранили при 28—29°. Лучшие результаты получены для смеси I + II. Устойчивость выпеченных изделий зависит как от кол-ва и состава жира, так и от способа приготовления теста, выпечки, кол-ва и вида нежировых компонентов, влажности, упаковки и pH. В М, содержащий как растительное масло, так и 10% Ж, вводили 0,02% III, 0,005% II, смесь 0,01% III + 0,02% II и хранили при 15° в темноте 13 недель. Росту ПЧ препятствует II, смесь II + III дает большой органолептический эффект. Для МП наибольшее антиокислительное действие при хранении (28—29°) оказывает 0,01% II; МП, содержащий 0,002% III, обладает фенольным запахом. Приведен УФ-спектр I. Дан перечень применяемых в различных странах антиокислителей. А. Войцеховская
- 30526.** Лекции по консервированию пищевых продуктов. 9. Сушка пищевых продуктов. 9.1. Микробиология процессов сушки пищевых продуктов. Моссел. 9.2. Физико-химические и биохимические основы сушки пищевых продуктов. Ланге. 9.3. Технология сушки пищевых продуктов. Ленингер (Leergang in het verduurzamen van voedingsmiddelen. 9. Het verduurzamen van voedingsmiddelen door drogen. 9.1. Microbiologisch grondslagen van het verduurzamen van voedingsmiddelen door drogen. Mossel D. A. A. 9.2. Fysisch-chemische en biochemische grondslagen van het verduurzamen van voedingsmiddelen door drogen. Lange P. 9.3. De technologie van het verduurzamen van voedingsmiddelen door drogen. Leniger H. A.), Conserva, 1956, 5, № 4, 111—114; № 6, 176—181; № 7, 212—219; № 8, 241—248; № 9, 273—279; № 10, 296—307 (голл.)  
Сообщение 8 см. РЖХим, 1958, 26792.
- 30527.** О размерах частиц в пореобразных консервах для детского питания. Кочетова Л. Т., Консерв. и овощесуш. пром-сть, 1957, № 11, 20—21  
Установлено, что размер частиц пюре из моркови после обработки на протирачной машине составляет в м (в скобках колебания размеров частиц): 500 (12—725), после дополнительной обработки на финишере 196 (9—515), а в гомогенизаторе 29 (9—304), размер частиц супа-пюре томатного соответственно 203 (15—870), 95 (15—276) и 26 (6—77), супа-пюре мясo-овощного с зеленым горошком 425 (15—805), 253 (18—783) и 142 (15—525), а пюре из печени с рисом 167 (6—616), 51 (9—248) и 19 (3—109). Следовательно, применение гомогенизатора значительно уменьшает размер частиц. Г. Новоселова
- 30528.** Производственные линии консервных заводов. Калишек, Адамек, Хрз (Konservárenské výrobní linky. Kalisek Josef, Adámek Bohumil, Chrz Alois), Průmysl potravin, 1957, 8, № 8, 436—439 (чешск.; рез. русск., англ., франц., нем.)  
Перечень основных производственных линий и операций консервирования с кратким описанием оборудования, в частности новых машин, внедряемых в произ-во. А. Емельянов
- 30529.** Кулинария и техника консервирования. Санае (Kochkunst und Konservierungstechnik. Sanae H.), Fleischwirtschaft, 1957, 9, № 10, 650—653 (нем.)  
Популярная статья. С. Е.
- 30530.** О неспецифических пищевых отравлениях. Зайдель (Über unspezifische Lebensmittelvergiftungen. Seidel G.), Arch. Lebensmittelhyg., 1957, 8, № 10, 219—220 (нем.)  
Отмечено, что в числе пищевых отравлений ~ 10% случаев вызваны неспецифич. возбудителями, к числу которых относятся: *B. proteus*, *B. coli*, *B. mesentericus*, *B. subtilis*, группа анаэробов и кокков. Приведены таблицы соотношения специфич. и неспецифич. пищевых отравлений, а также перечень продуктов, вызвавших отравление, и вид выделенного возбудителя. Симптомы неспецифич. отравлений могут быть такими же, как и при специфич. отравлениях. Т. Добрынина
- 30531.** О методах непосредственного обнаружения бактериальных токсинов в пищевых продуктах. Сиротинина О. Н., Спирина А. П., Попова А. И., Информ. бюл. Моск. н.-и. ин-т санитарии и гигиены, 1957, № 9, 47—49  
Разработан метод применения р-ции преципитации со спец. антитоксич. сыворотками для непосредственного определения токсинов микробов-возбудителей арбузных отравлений, а также палочки протей. А. П.
- 30532.** Количественное определение фекальных стрептококков в пищевых продуктах при помощи среды Пэкера (кристаллический фиолетовый, азид натрия и кровяной агар). Моссел, Дипен, Брэйи (The enumeration of faecal streptococci in foods, using Packer's crystal violet sodium azide blood agar. Mossel D. A. A., Diepen H. M. J., van Bruin A. S. de), J. Appl. Bacteriol., 1957, 20, № 2, 265—272 (англ.)
- 30533.** Методика определения малых количеств йода в пищевых продуктах. Слепецкая О. М., Информ. бюл. Моск. н.-и. ин-т санитарии и гигиены, 1957, № 10-11, 28—32  
Описан метод определения J путем омыления поташом, озоления, выщелачивания и прокаливания золы, извлечения йодидов спиртом и определения йода титрованием гипосульфитом. Г. Н.



**30534. Изучение экспресс-метода Вильсона для определения магния.** Такано, Мацудзуми, Исихара (Takano Koichi, Matuzumi Seibei, Ishihara Teruyo), Эйё то сёкурё, J. Japan Soc. Food and Nutrition, 1955, 8, № 2, 44—47 (японск.)

Сравнительное изучение точности и применимости метода для различных пищевых продуктов.

**30535. Новый метод определения влажности.** Коуэй, Коу, Смит (A new method of «moisture determination». Conway T. F., Cohee R. F., Smith R. J.), Manufact. Confectioner, 1957, 37, № 5, 27, 29, 31—34 (англ.)

Для определения кол-ва влаги использован ядерно-магнитный резонанс. Метод определения основан на поглощении энергии ядром атома водорода. Атом водорода воды обладает наибольшей способностью к поглощению магнитной энергии, чем атомы других более сложных соединений, напр. углеводов. Резонансное состояние можно получить либо изменением частоты источника колебаний, либо изменением силы магнитного поля. На приборе Шлумбергера резонансная частота для водорода при напряжении магнитного поля 1750 гс составляет 7,4 Мгц. Навески образцов помещают в пробирках в спец. гнезда прибора. Для измерения кол-ва влаги в каком-либо продукте необходимо построить сначала калибровочную кривую, определяя кол-во влаги стандартными методами. Определение влаги было сделано в крахмале, кукурузной патоке, в различных видах желе, маршмеллоу, помаде, жевательной резинке; метод дал среднее отклонение от официальных методов ~ 0,10—0,24%. Б. Кафка

**30536. Определение тетраэтилсвинца в пищевых продуктах.** Русин Н. М., Рогачевская Л. Г., Информ. бюл. Моск. н.-и. ин-т санитарии и гигиены, 1957, № 10-11, 25—27

См. РЖХим, 1956, 21186.

**30537. Влияние удобрений на количество и качество клейковины.** Момтаз эль-Гинди (Die Beeinflussung der Klebermenge und Kleberqualität durch Düngungsmaßnahmen. Momtaz El-Gindy M.), Getreide und Mehl, 1957, 7, № 12, 102—104 (нем.)

Приводятся результаты исследований трех сортов пшеницы, выращенной с применением восьми комбинаций удобрений (Р, К и N): данные о минер. составе, кол-ве и качестве клейковины, а также о выходах белков с единицы посевной площади. А. Емельянов

**30538. Хранение зерна — новая отрасль научных знаний.** Трисвятский Л., Мукомольно-элеват. пром-сть, 1957, № 11, 12—15

**30539. Достижения Китайской Народной Республики в области хранения и переработки зерна.** Гинзбург М., Мукомольно-элеват. пром-сть, 1957, № 11, 32—33

**30540. Хранение влажного зерна в герметических резервуарах.** Оксли, Хайд (The air-tight storage of damp grain. Oxley T. A., Hyde Mary B.), Farm Mechanization, 1957, 9, № 102, 473—474 (англ.)

Приведены опыты хранения пшеницы и ячменя с влажностью до 24% в небольших банках и в 3 специально оборудованных стальных сварных бункерах, емк. 10 т в условиях полной герметизации. В первые месяцы хранения отмечено появление кисло-сладкого запаха и горького вкуса, остающихся после проветривания и сушки в зерне с влажностью > 16—17%. Вскосесть зерна с 23%-ной влажностью через 13 недель снизилась до нуля. Отмечено увеличение содержания растворимого азота и редуцирующих сахаров и уменьшение сахарозы. Найдено, что влажное зерно, хранившееся в этих условиях до 18 меся-

цев, вполне пригодно для кормления домашней птицы.

**30541. Основные направления научной работы в области мукомольного производства.** Хусид С., Мукомольно-элеват. пром-сть, 1957, № 11, 23—24

**30542. О влиянии тонкого помола на качество муки из цельного зерна.** Томас, Андерс (Untersuchung über den Einfluß einer Feinstvermahlung auf die Qualität von Vollkornmehl. Thomas B., Anders E.), Mühle, 1957, 94, № 15, 185—186 (нем.)

Описана мельница «Центрофан», предложенная Шульце для более полного использования составных частей зерна при помоле. Внутри вертикального цилиндрич. кожуха с наждачным покрытием вращается со скоростью 2800 об/мин горизонтально расположенное лопастное колесо. Зазор между лопастями и наждачной поверхностью ~ 15 мм. Возникающие круговой воздушный поток и центробежная сила прижимают зерно к наждачной поверхности и протаскивают его по всему кожуху, раздирая оболочки и эндосперм на мельчайшие частицы. Сверху колеса на том же валу находится другое, меньшее колесо, со спец. крыльями, создающее вихревой поток воздуха снизу вверх, вытягивающий мелкие продукты размола и направляющий их в фильтр или циклон. Крупные частицы зерна подвергаются в кожухе дальнейшему истиранию. Изменяя скорость воздуха, можно получить желаемую тонкость помола. Сравнительные исследования пшеничной и ржаной муки, размолотой обычным разовым помолом и на «Центрофане», показали: содержание в опытной муке водорастворимых экстрактивных в-в на 1,7—1,3% больше, чем в контрольной, но кол-во витаминов В<sub>1</sub>, В<sub>2</sub>, РР и Е неизменно выше. Мякиш хлеба из опытной муки немного темнее. Несмотря на интенсивный подвод кислорода при размолке на «Центрофане», изменения запаха и вкуса муки отмечены лишь после 3½ месяцев хранения в термостате при 27°. Т-ра муки при выходе из машины ≤ 30°. Производительность мельницы 10, 20 и 200 кг/час.

**30543. Амперометрическое определение фосфора в муке и в крупах.** Шинько (Amperometrische oznaczenie fosforu w mąkach i kaszach. Szyszko Edmund), Roczn. Państw. Zakł. hig., 1957, 8, № 1, 61—66 (польск.; рез. русск., англ.)

Предложено амперометрич. титрование 0,1 н. Рb(CH<sub>3</sub>COO)<sub>2</sub>, перевода последний в Рb<sub>2</sub>(PO<sub>4</sub>)<sub>3</sub>. Сравнительными определениями содержания Р в пшеничной и ржаной муке и в крупах (манной, гречневой, овсяной, рисовой, ячменной) этим методом и методами Шела и Войо показано, что он дает более высокие величины содержания Р при миним. отклонениях. Наименее точным является колориметрич. метод Шела.

**30544. О механизации мукомольного производства.** Молилари (Progrès apportés par la mécanisation dans la mouture des céréales. Molinari Ch.), Inds aliment. et agric., 1957, 74, № 11, 733—740 (франц.)

Краткий историч. очерк развития техники мукомольной пром-сти.

**30545. Микробиологическое определение лизина в крахмалосодержащих продуктах.** Харада, Камо, Харада, Никуни. Хакеко когаку дзасси, J. Ferment. Technol., 1957, 35, № 8, 303—307, 27—28 (японск.; рез. англ.)

Исследовано разрушение лизина (I) белковых в-в риса в различных условиях. Установлена устойчивость I к кислотному гидролизу в присутствии крахмала. При нагревании в нейтр. или щел. р-рах I легко разлагается, особенно в присутствии редуцирующих сахаров. Содержание I в рисе может быть легко и точно определено в гидролизатах риса (по методу

Хорна), без предварительного выделения из него белковых в-в. А. Емельянов

30546. Соевые бобы. Химия и техническое использование. Хеннинг (Die Sojabohne. Chemie und technische Verwendung. Hennig H.), Chemiker-Ztg, 1957, 81, № 19, 639—642 (нем.)

Рассмотрен хим. состав соевых бобов. Подробно приведен аминокислотный состав белка сои глицинина в сравнении с аминокислотным составом казеина. Белок сои содержит 9 незаменимых аминокислот. Дана таблица входящих в соевое масло жирных к-т. Соевые бобы применяются как продукт питания, как сырье для получения соевого масла, белка, фосфатидов (лецитина), соевой муки, алкидных смол, глицерина, жирных к-т. Соевый белок с успехом заменяет казеин, идущий на технич. нужды (клеи, галалит). Отмечено, что особенно широко соя внедряется в технику и пищевую пром-сть в США, где площадь, занятая под сою, возросла с 0,4 до 7,75 млн. га. Библ. 28 назв. Т. Добрынина

30547. О хлебопекарном достоинстве пшеницы сорта Флоренция × Аврора 2511. Маппелинк (Etude de la valeur boulangère de la variété du blé Florence × Aurore 2511 provenant du Maroc. Merrellink E. K.), Terre marocaine, 1957, 31, № 335, 298—302 (франц.)

Данные подробного исследования 5 сортов пшеницы с пробными выпечками хлеба. Сорт Флоренция × Аврора 2511, выращенный в Марокко, дал близкие результаты с 2 североамериканскими сортами пшеницы (твердая озимая 2 и Манитоба 2 северная), а по некоторым показателям оказался лучшим.

А. Емельянов

30547. О хлебопекарном достоинстве пшеницы сорта Флоренция × Аврора 2511. Грийо (Une étude hollandaise de la valeur boulangère du blé Florence × Aurore 2511. Grillo G.), Terre marocaine, 1957, 31, № 335, 295—297 (франц.)

Краткая характеристика сорта, выведенного Шрибо (Франция) и культивируемого в Марокко. Показатели на альвеографе Шоппена: Р 113, G 18,1, W 294.

А. Емельянов

30549. Влияние различных жировых веществ на клейковину и хлебопекарное достоинство пшеничной муки. Скулеруд (Einwirkung verschiedener fettähnlicher Stoffe auf Kleber und Backfähigkeit beim Weizenmehl. Schulerud Arne), Brot und Gebäck, 1957, 11, № 11, 240—243 (нем.)

Добавление к пшеничной муке ненасыщ. жирных к-т изменяет физ. свойства клейковины (К) (короткая, при растяжении рвется); это изменение возрастает с увеличением кол-ва двойных связей и сводится на нет при этерификации карбоксильных групп. При связывании К олеиновой к-ты, соответственно уменьшается ее влажность, при этом содержание сухих в-в (без жира) остается неизменным. Способность К связывать производные ненасыщ. жирных к-т не изменяется от этерификации карбоксильных групп и не распространяется на производные насыщ. жирных к-т. Кол-во синтетич. эфиров жирных к-т, связываемых К, увеличивается с увеличением их йодных чисел (ИЧ). Эта связь проявляется также и по отношению к естественным жирам: твердые жиры с низким ИЧ не связываются К. Наибольший объем хлеба получен при добавлении к муке эфиров ненасыщ. высших жирных к-т. Установлена обратная зависимость между объемом выпекаемых хлебных изделий и ИЧ добавляемых к ним жиров. Жидкие масла оказывают действие, противоположное твердым жирам. Добавление твердого жира с низкими жирными к-тами (кокосовое масло) дало плохие результаты. А. Емельянов

30550. Влияние количества дрожжей и температуры пшеничного теста на качество выпекаемых из него изделий. Шульц (Die Beeinflussung der Weizenbäckqualität durch Hefeanteil und Teigtemperatur. Schulz A.), Brot und Gebäck, 1957, 11, № 11, 231—237 (нем.)

Проведены опыты с пшеничной мукой сортового помола с прямым тестоведением при 20—35° на дрожжах (Д), задаваемых в кол-ве 1—10% к весу муки, без добавления и с добавлением сахара (2%) и жира (1%). Исследовано газообразование при брожении, подъем теста и качество выпеченных изделий (объемный выход, пористость). Установлено, что увеличение газообразования с повышением кол-ва Д и т-ры теста проходит особенно интенсивно при кол-ве Д < 5%, при дальнейшем увеличении Д повышение т-ры с 30 и 35° не увеличивает газообразования и подъема теста. Увеличение кол-ва Д > 7,5% усиливает подъем теста только при < 25°. При холодном тестоведении целесообразно добавлять сахар. Напр., при 5%-ной даче Д и т-ре теста 22° добавляют 2% сахара. Добавление 1% жира увеличивает газоудерживающую способность теста при повышении содержания Д в более высоких т-рах тестоведения. А. Емельянов

30551. О протеазах муки. Талер, Закман (Über die Proteasen des Mehles. Thaler H., Sackmann F.), Getreide und Mehl, 1957, 7, № 12, 99—101 (нем.)

Описано измерение активности протеиназ (АП) в пшеничной и ржаной муке и хлебе, основанное на определении остаточного азота (колориметрированием NH<sub>3</sub> после обработки по Кьельдалю) в экстрактах муки (хлеба) после их выдержки в термостате и последующего осаждения нерасщепленных белков трихлоруксусной к-той. Как показали исследования, АП резко возрастает через 8—12 час., причем у пшеничной муки она выше, чем у ржаной. АП установлена в образцах пшеничного и ржаного хлеба, выпеченных при 95° в течение 12 час. А. Емельянов

30552. Микрокиносъемка пузырьков теста. Олабо (Cinephotomicrography of batter bubbles. Aulaführung. Stephan H.), Bäcker und Konditor, 1957, 24—25 (англ.)

Описан метод кинематографич. микросъемки роста и движения пузырьков, образующихся в тесте. Полученные результаты иллюстрируются микрофотографиями. К. Мархилевич

30553. Об однофазном способе приготовления теста. Штефан (Richtlinien für eine einstufige Sauerteigführung. Stephan H.), Bäcker und Konditor, 1957, 11, № 11, 7—8 (нем.)

См. также РЖХим, 1957, 78712.

30554. О машинной обработке хлебного теста. Дозе (Über den heutigen Stand der maschinellen Aufbereitung von Brotteigen. Dose Otto), Brot und Gebäck, 1956, 10, № 11, 225—231 (нем.)

Краткое описание принципов действия машин для обработки теста из ржаной, пшеничной и смешанной муки: делителей, округлителей, раскаток, а также полуавтоматич. и автоматич. линий, выпускаемых фирмами Винклер, Вернер-Пфлейдерер, Дорн, Артофекс. А. Орлов

30555. Увеличение производительности тестоприготовительных агрегатов непрерывного действия системы ХТР. Брикман С. М., Хлебопек. и кондитерск. пром-сть, 1957, № 11, 34—35

Описаны изменения, внесенные в конструкцию агрегата ХТР (производительность 15 т в сутки) на Рижском макаронно-хлебопекарном з-де. Производительность увеличена до 30—35 т в сутки (украинский, ржаной и обдирный хлеб) почти без изменения расхода электроэнергии. А. Емельянов



30556. О брожении теста в хлебопекарном производстве и при изготовлении сухарей. Оло (La fermentation panaière dans les pâtes de boulangerie et plus particulièrement dans les pâtes de biscottes. Hodeau J.), Rev. techn. ind. aliment., 1957, 5, № 47, 95-99 (франц.)

Обзор по вопросу физ.-хим. изменений теста. Б. К. Пред. сообщ. см. РЖХим, 1958, 23059

30557. О механизации хлебопечения. Гине (Progrès apportés par la mécanisation dans la boulangerie. Guinet M.), Inds aliment. et agric., 1957, 74, № 11, 719-722 (франц.)

Основные процессы приготовления хлеба, определение его качества. А. Емельянов

30558. Применение электрообогрева в хлебопекарных и кондитерских печах. Зворыкин В. В., Халкин М. П., Хлебопек. и кондитерск. пром-сть, 1957, № 11, 17-20

Рассмотрены результаты испытаний 6-лучевой печи с электрообогревом на Краматорском хлебокомбинате. Установка печей с электрообогревом рекомендована для выпечки хлебобулочных и кондитерских изделий при наличии дешевой электроэнергии.

30559. Плетеные булочные изделия из 3-6 жгутов теста. Клебен (Das Flechten von drei bis acht Teigsträngen. Cleven F.), Brot und Gebäck, 1957, 11, № 11, 245-247 (нем.)

30560. Влияние различных факторов на хрупкость корки булочек из несдобного теста. Гётше (Beeinflussung der Rösche bei Brötchen. Göttsche E. A.), Brot und Gebäck, 1957, 11, № 11, 237-240 (нем.)

Хрупкость корки булочек зависит от кол-ва дрожжей, т-ры и консистенции теста. Увеличение дрожжей и т-ры теста, сокращая время созревания последнего, ведет к ухудшению качества корки; время замеса не оказывает такого влияния. Добавление сахара, жира, сухого молока и пекарских порошков изменяет качество корки. Особенно большое значение имеет время выпечки хлебцев. А. Емельянов

30561. О влиянии способа формовки теста на качество «нальнчовского» хлеба. Яницкий, Янковский, Ставничий (Wpływ sposobu formowania ciasta na jakość chleba «nałeczowskiego». Janicki Józef, Jankowski Stanisław, Stawnicz Stanisław), Przem. spożywczy, 1956, 10, № 9, 364-368 (польск.; рез. русск., англ., нем.)

Количество хлебов с треснувшей коркой при выпечке из смеси пшеничной (72%-ной) и ржаной (80%-ной) муки (соотношение 1:1), так называемого нальнчовского хлеба значительно выше (26-49%) при машинной формовке, чем при ручной (7-8%). Наименьший процент хлеба с трещинами при машинной формовке составлял 18,3 (консистенция теста 153, т-ра 26°), а при ручной с тем же тестом 6,6%. Наибольшее кол-во хлеба с треснувшей коркой (48,6% при машинной и 83% при ручной формовке), получено при консистенции теста 158 и т-ре 31°. А. Е.

30562. Временные рецептуры на основные хлебные изделия в ПНР и их рентабельности. Конечный (Tymczasowe receptury piekarnicze na podstawowe gatunki pieczywa i ich rentowność. Konieczny Zenon), Przegl. piekarn. cukiern., 1957, 5, № 9, 6-9 (польск.)

30563. Потери в весе хлебобулочных изделий при их хранении. (Ubytki w pieczywie w czasie przechowywania.—), Przegl. piekarn. cukiern., 1957, 5, № 9, 14-15 (польск.)

Приведена таблица весовых потерь в зависимости от сорта изделия. З. Ф.

30564. Значение упаковки замороженных хлебопекарных и кондитерских изделий. Мон (Packaging

of frozen bakery goods important. Maughan Merrill O.), Food in Canada, 1957, 17, № 9, 28, 28, 30 (англ.)

Сообщения о целесообразности замораживания пицц, хлеба, кексов, способах замораживания и оттаивания, применении оберток и упаковочных материалов (алюминиевая фольга, парафинированные бумага и картон, целлофан, полиэтилен). А. Кононов

30565. Механизация раскладки сухарных ломтей. Махоткин Е. А., Хлебопек. и кондитерск. пром-сть, 1957, № 11, 37-38

Описана раскладочная машина, изготовленная на Люблинском хлебокомбинате, механизующая раскладку сухарных ломтей на листы. Машина обеспечивает почти непрерывный поток произ-ва сухарей от сухорезательной машины до печи, значительно сократила лом; уменьшилось кол-во занятых рабочих.

А. Емельянов

30566. Печь ФТЛ-2 на 50 люлек. Гречко А. Я., Хлебопек. и кондитерск. пром-сть, 1957, № 11, 35-36

В результате реконструкции печи ФТЛ-2 с 28 на 50 люлек Ленинградский хлебозавод Свердловского р-на выпускает дополнительно 1,8 т сухарей в сутки на тех же производственных площадях. Приведена схема реконструированной печи. А. Емельянов

30567. Сохранение свежести сухарей с помощью соевых препаратов. Тейфель, Сежиско (Zur Frischhaltung von Dauergebäck mittels Sojapräparaten. Täufel K., Serzisko R.), Ernährungsforschung, 1957, 2, № 3, 454-459 (нем.)

Проведено опытное хранение сдобных пшеничных сухарей (рецептура: мука, маргарин, сахар в соотношении 3:2:1), изготовленных без добавления и с добавлением соевого препарата «нурупан» (Н) в кол-ве 5, 20 и 30% или цельной соевой муки (СМ), обработанной для удаления горечи, в кол-ве 20% к весу маргарина. Образцы измельченных сухарей хранили в банках, закрытых целлофаном при 18-20° на свету до 21 недели, систематически проводя органолептич. и хим. исследования. Присутствие Н или СМ в сухарях в зависимости от их кол-ва вызвало увеличение содержания свободных к-т без влияния на их вкусовые качества. При дальнейшем хранении этой зависимости не было. Р-ция на альдегиды — отрицательная. Числа перекисей подтвердили противомикробное действие Н и СМ. Вкус и запах опытных сухарей оставался свежим в течение 21 недели. А. Емельянов

30568. Оценка муки для производства бисквитов. Клулоу, Диксон (New aspects of the evaluation of biscuit flour. Clewlow G., Dixon W.), J. Sci. Food and Agric., 1957, 8, № 9, 541-547 (англ.)

Разработан метод испытания муки для бисквитов. 30 г муки и 12 мл воды смешивают в небольшой ручной месилке с определенным числом оборотов. Полученное тесто в виде шарика выдерживают 15 мин. под стеклянным колпаком. Затем из 15 г теста скатывают шарик и спрессовывают спец. устройством между двумя листами бумаги, смазанными маслом, до толщины 3,5 мм, помещают на смазанный металлич. лист и сушат при 105°. Разность между максим. диаметром лепешки и диаметром после сушки названа уд. восстановлением (формы). Разработан также метод определения водопоглощательной способности муки при замесе. Приведены результаты, показывающие, что более слабые сорта муки поглощают меньшее кол-во воды при замесе теста. Бисквитная мука должна иметь уд. восстановление < 18 и водопоглощательную способность ≤ 50. Для получения муки, пригодной для произ-ва бисквитов, рекомендуется применять при помоле SO<sub>2</sub> с паром или при приготовлении теста добавлять NaHSO<sub>3</sub> или препараты ферментов. Приведены фотографии приборов. Л. Токарев

**30569. О причинах омыления жиров сдобного теста.**

Шпихер, Тесмер (Über die Ursachen des Seifigwerdens von Mürbteigen. Spicher G., Tesmer E.), Brot und Gebäck, 1957, 11, № 10, 211—214 (нем.)

Появление «мыльного» привкуса в сдобном печенье, особенно при добавлении к тесту кокосового масла, вызывается жирорасщепляющими ферментами и микроорганизмами, вносимыми в тесто с мукой. Для предупреждения подобного рода порчи печенья рекомендовано не применять кокосового жира, пользоваться мукой, хранившейся в надлежащих условиях, держать тесто на холоду, не допуская длительного хранения, соблюдать чистоту на ф-ке. А. Емельянов

**30570. Определение некоторых органических кислот в пекарских порошках и в изделиях из взбитого теста методом хроматографии на бумаге.** Момтаз эль-Гинди, Друзе (Papierchromatographischer Nachweis einiger organischer Säuren in Backpulvern und Rührkuchen. Momtaz El Gindy M., Drews E.), Brot und Gebäck, 1957, 11, № 11, 244—245 (нем.)

Описано применение круговой хроматографии на бумаге для идентификации лимонной, винной и адипиновой к-т. А. Емельянов

**30571. Сравнение методов определения сахара в мучных изделиях.**— (Porównanie niektórych metod oznaczania cukru w pieczywie. (Tymczasowe doniesienie).—), Przegląd piekarn., 1957, 5, № 6, 12 (польск.)

Проведено сравнительное определение сахаров методами Бертрана, Хагдорна-Несена, Лuffфа-Шорля и Лейна-Эйхона. Лучшие результаты получены по последнему методу. З. Фабинский

**30572. Микробиологическая характеристика кремовых изделий.** Смирнова Л. И., Вопр. питания, 1957, 16, № 4, 47—54 (рез. англ.)

Установлено, что в кремах масляным, шарлот и заварным в течение сроков их годности и реализации могут вызывать патогенные микроорганизмы. Из испытанных микробов (кишечная и бредавльская палочки, стафилококк, энтерококк, бактерии дизентерии Зонне) только стафилококк размножается в заварном креме. В заварном креме и дрожжевом бульоне размножение стафилококка прекращается при конц-ии сахара в водн. фазе > 64%. В сливочных кремах стафилококк не размножается при обычной конц-ии сахара. В сливочном креме шарлот (по унифицированной рецептуре) даже при массивном обсеменении энтеротоксичным штаммом стафилококка энтеротоксин не образуется. Г. Новоселова

**30573. Сахарные сиропы для кондитерского производства.** Уодеуэрт (A new approach to the use of liquid sugar. Wadsworth D. V.), Manufact. Confectioner, 1957, 37, № 7, 11—13 (англ.)

Рассматривается возможность расширения применения сахарных сиропов, качество которых повышено, для произ-ва высококачественных изделий. 90% сухого в-ва жидкого сахара составляет сахароза и 10% другие сахара (инвертный сахар, глюкоза, лактоза, кукурузная патока или их смесь). Кристаллич. сахар, полученный из такого сиропа («Multi sugar»), имеет следующие по сравнению с обычным кристаллич. сахаром свойства: более мягкие неровные кристаллы, лучше растворяющиеся в воде, легче измельчается, что делает его пригодным для произ-ва шоколада (непосредственное смешивание с какао-массой), меньший уд. вес и может быть использован для всех видов глазури. В. Никифорова

**30574. Приготовление смеси основного сырья карамельно-конфетного производства.** Аллэрд (Master batching at Tuxedo. Allured Stanley), Manufact. Confectioner, 1957, 37, № 6, 29, 31 (англ.)

Основная смесь, содержащая 60 вес. ч. сахара и 40 вес. ч. кукурузной патоки с добавлением буферных

в-в, используется для произ-ва карамели, нуги, сбивных, крахмальных и жележных конфет. После растворения компонентов смеси (дозировка сахара и патоки при помощи счетчика) при 160° и анализа смеси на содержание редуцирующих в-в и цветности, ее перекачивают в резервуар, где поддерживается т-ра 125° (электрич. обогрев). Готовую смесь перекачивают в отделения, где к ней добавляют необходимое по рецептуре кол-во сахара и патоки. Добавление буферных в-в необходимо для регулирования инверсии сахарозы и цветности. В. Никифорова

**30575. Способ получения карамели с блестящей поверхностью.** Ричмонд (How to make satin finish hard candies. Richmond Walter), Manufact. Confectioner, 1957, 37, № 10, 21—22 (англ.)

Рассматриваются факторы, оказывающие влияние на блеск карамели: продолжительность вытягивания карамельной массы, т-ра карамельной массы и начинки, скорость охлаждения карамели и т-ра дисков и валков формующей машины. Описан способ получения тянутой карамели с блестящей поверхностью. В случае произ-ва карамели с небольшим кол-вом начинки, 10—15% карамельной массы, растянутой 12—14 раз, используют в качестве рубашки, которой покрывают остальную массу. При получении карамели с большим кол-вом начинки, всю массу вытягивают до получения наибольшего блеска. В. Никифорова

**30576. К вопросу о продуктах изменения сахаров и о их влиянии на свойства карамельной массы.** Соколовский А. Л., Никифорова В. Н., Ж. прикл. химии, 1957, 30, № 8, 1261—1263

Установлено, что продукты изменения сахаров в процессе варки карамельной массы содержат в основном ангидриды и продукты реверсии и незначительные кол-ва оксиметилфурфурола, красящих и гуминовых в-в. Продукты реверсии способствуют сохранению карамелью аморфного состояния. Оксиметилфурфурол и гуминовые в-ва повышают цветность и гигроскопичность карамели. Присутствие фруктозы нежелательно, так как она легко образует гигроскопич. продукты. Г. Новоселова

**30577. Пути повышения качества карамели.** Крамер (Thwarting bungles when batching. Cramer A. B.), Food Engng, 1954, 26, № 12, 87—89, 156 (англ.)

**30578. Ферментация бобов какао.** Пиньеиру-да-Фонсека (A propos de la fermentation du cacao. Pinheiro da Fonseca J.), Rev. techn. ind. aliment., 1957, 5, № 47, 74, 75, 77, 157 (франц.)

Цель ферментации — освободить эфирные масла, придающие какао характерные аромат и вкус. При этом в сладкой пульпе, облекающей бобы, развивается микроскопич. грибок, открытый Прайером и названный «*Saccharomices theobromae*». Ферментация бобов какао сорта Креол длится до двух суток, Форастеро ферментируют 5—9 суток. Ферментацию проводят в спец. ящиках. Приведен состав свежих и ферментированных бобов и потери составных частей. Б. Кафка

**30579. Исследования бобов какао Катонго.** Шпюн (Untersuchungen von Kakaobohnen der CATONGO — Art im Holländischen Königlichen Tropen — Institut. Spoon I. G. W.), Zucker- und Süßwaren-Wirtsch., 1957, 10, № 20, 808—810 (нем.)

Катонго или «белое какао» — вид бобов какао из штата Баия (Бразилия). От бобов Баия этот сорт отличается желтовато-коричневым цветом оболочки и светло-желтым цветом семядолей; они крупнее бобов Баия, менее горькие и маловязкие, йодное число их жира немного выше, кислотность ниже, содержат до 59% жира в сухом в-ве. Б. Кафка

**30580. Исследование электрофизических свойств бобов какао, арахиса и миндаля.** Птушкин А. Т.,



Тр. Моск. технол. ин-та пищ. пром-сти, 1957, вып. 10, 65—78

Изучена зависимость электрофизич. параметров бобов какао, арахиса и миндаля от частоты тока, влажности и т-ры. Выведены ф-лы для вычисления длительности обжарки в зависимости от частоты тока и напряженности поля и для определения частоты тока и напряженности поля по заданной длительности обжарки.

Г. Н. 30581. О влиянии фосфатидов на процессы структурообразования в шоколадных массах. Кузнецова Л. С., Тр. Моск. технол. ин-та пищ. пром-сти, 1957, вып. 10, 59—64

Изучено разжижающее действие фосфатидных концентратов (ФК) при добавлении в виде разогретой смеси с маслом какао в соотношении 1:1 в нагретые до 40° шоколадные массы, содержащие 0,52—0,57% влаги, 52,2—60,4% сахара, 23—32,5% жира. Оптимальная конц-ия подсолнечного ФК 0,2—0,45% от веса шоколадной массы. Оптимальная конц-ия соевого ФК 0,2—0,4%. Наиболее сильный разжижитель — сухой ФК в конц-ии 0,1—0,25%, содержащий 90% фосфатидов и 0,1% влаги. Введение любого ФК не ухудшает запаха и вида шоколадной массы. Установлено, что пластич. прочность отражает изменения, происходящие в структуре шоколадных масс при добавлении разжижителей. Для ее измерения пригоден метод конич. пластометра.

Г. Новоселова 30582. Структурно-механические свойства шоколадных продуктов. Кузнецова Л. С., Соколовский А. Л., Тр. Моск. технол. ин-та пищ. пром-сти, 1957, вып. 10, 4—23

Изучено влияние обработки шоколадных масс на их структурно-механич. свойства. Для изучения этих свойств наиболее пригоден крутильный прибор с коаксиальными цилиндрами. Наиболее важные характеристики шоколадных продуктов — вязкость и практич. предел текучести или предел прочности и пластич. прочность. Рекомендуется применение вискозиметра Воларовича с уменьшенным зазором. Конич. пластометр удобен для определения пластич. прочности масс с низким содержанием масла какао.

Г. Новоселова 30583. Реологические свойства шоколадной массы. Хейсс, Бартусх (Über die rheologischen Eigenschaften von dunklen Schokolade-Massen. Heiss R., Bartusch W.), Rev. internat. chocolat, 1957, 12, № 8, 302 (нем.), 307—311 (франц.), 312—316 (англ.); № 9, 350—354 (нем.), 355—358 (франц.), 359—362 (англ.)

См. также РЖХим, 1957, 49959.

30584. Изучение состава налета, образующегося при жировом седении шоколада. Цербулис, Клей, Мак (The composition of bloom fat in chocolate. Cerbulis J., Clay C., Mack C. H.), J. Amer. Oil Chemists' Soc., 1957, 34, № 11, 533—537 (англ.)

Установлено, что тип корпусов глазированных шоколадом конфет не влияет на жирнокислотный состав жира налета, образующегося на поверхности глазури, но влияет на скорость поселения. Опровергнута теория, объясняющая седение миграцией жира, содержащегося в глазированных орехах, к поверхности глазури. Жир налета, образующегося при жировом седении шоколада, содержит меньшее кол-во ненасыщ. жирных к-т и большее кол-во насыщ. жирных к-т, чем жир глазури. Гидроксилсодержащие продукты окисления жиров шоколада не обнаружены в мигрировавшем жире.

Г. Новоселова 30585. Применение метода седиментационного анализа в контроле шоколадного производства. Соколовский А. Л., Кузнецова Л. С., Пухов-

ская Е. И., Тр. Моск. технол. ин-та пищ. пром-сти, 1957, вып. 10, 50—58

Методом седиментационного анализа Н. А. Фигуровского изучено изменение дисперсности шоколадных масс в процессе вальцевания и обработки в отделочной машине, а также готового шоколада, изготовленного на разных ф-ках. Установлена необходимость повышения степени измельчения масс и готового шоколада путем внедрения нового оборудования и улучшения контроля произ-ва.

Г. Н. 30586. Определение сахаров в шоколаде. Борги (La determinazione degli zuccheri nei cioccolati. Borghi Mario), Dolciaria internaz., 1957, 7, № 5, 89—92 (итал.)

Обсуждены результаты, полученные Раймондоли параллельным определением сахарозы и лактозы методами Потра — Эшмана (с применением комплексо-на III), Люфф — Схорда и видоизмененным (дефекацию шоколада производили по Карпе и вместо протолитич. применили кислотный гидролиз) методом Борги. Для лактозы лучшие результаты были получены первым, а для сахарозы последним методом.

А. Марин 30587. Изучение структуры молочной крошки. Соандерс (A study of the structure of milk crumb. Saunders James), J. Sci. Food and Agric., 1956, 7, № 5, 349—354 (англ.)

На обезжиренном материале изучено влияние вакуум-сушки ингредиентов молочно-шоколадной крошки (полуфабрикат для произ-ва молочного шоколада, содержащий сухое молоко, сахарозу и тертое какао) на поглощение ею воды. В результате сушки смеси сахарозы с обезжиренным сухим молоком образуется комплекс, отличающийся большим сродством к парам воды, чем исходные ингредиенты. Образование такого комплекса не влияет на вкусовые свойства и вязкость молочного шоколада. Установлено отсутствие взаимодействия с участием гидрофильных групп между молоком и тертым какао в процессе произ-ва крошки.

Б. Хавкина 30588. Шоколадная фабрика Пюппе в Сент-Этьенне. Мусе (Chocolat Pupier Saint-Etienne. Mouchet R.), Rev. techn. ind. aliment., 1957, 5, № 47, 57—73 (франц.)

Описано произ-во шоколада на одной из крупных шоколадных ф-к Франции с краткой характеристикой применяемого оборудования и методов контроля сырья, полуфабрикатов и технологич. процессов. Приведено 39 фотографий оборудования.

Б. Кафка 30589. Способы изготовления кондитерских изделий XXV, XXVI. Донк (Handleiding bij de fabricage van suikerwerk XXV. Donk A. B.), Cacao, chocolade, suikerwerken, 1957, 25, № 7, 268—269; № 8, 308—310 (гол.)

Для изготовления пуги рекомендуется добавление яичного белка в виде препарата Нуфоама. На сбивальной машине при 130° (для твердой пуги) или 126° (для мягкой пуги) смешивают 7,5 кг сахара, 2,5 л воды и 8,75 кг глюкозы и к уваренной смеси медленно добавляют сбитые 100 г препарата с 800 мл воды и 1 кг сахарного песка и 4 кг миндаля; для уменьшения липкости рекомендуется добавление 2—6% пальмовидного масла, что облегчает резку пуги и очистку варочного аппарата. Для улучшения вкуса арахиса орехи погружают на несколько мин. в кипящую воду, после обтекания снимают кожицу и нагревают при 180 и 200° в арахисовом масле. Часть XXIV см. РЖХим, 1957, 78718.

К. Герцфельд 30590. Процессы студнеобразования конфетных фруктовых масс. Соколовский А. Л., Кузнецова Л. С., Тр. Моск. ин-та пищ. пром-сти, 1957, вып. 10, 79—95

Установлено, что оптимальная пластич. прочность конфетных студней (измеренная конич. пластометром)  $2.10^4$ — $3.10^4$   $\text{дн/см}^2$ . Прочность их зависит от соотношения сахара, пюре, влажности, pH и кол-ва лактата натрия (I). Оптимальная влажность масс из хорошо железирующего абрикосового пюре 22—24%, из плохо железирующего 15—16%. Нормальное качество конфетных студней обеспечивается соотношением кол-ва абрикосового (или хорошо железирующего сливового) и яблочного пюре 7:3. Оптимальная прочность студня достигается при pH  $\sim 3.36$  и влажности 22—24%. Введение I позволяет увеличить кол-во яблочного пюре, применять плохо железирующее абрикосовое пюре и снизить содержание редуцирующих сахаров.

Г. Новоселова  
30591. Обжарка ореховых ядер комбинированным способом с применением токов высокой частоты. Жуковичкий Б. Я., Птушкин А. Т., Хлебопек. и кондитерск. пром-сть, 1957, № 11, 20—23

Установлены возможность сушки и обжарки миндаля, арахиса, индийского ореха «кашью» и кунжута токами высокой частоты от генератора, применяемого при обжарке бобов какао, и режимы обжарки с предварительным радиационным нагревом ядра.

А. Емельянов

30592. Проблема повышения однородности партии плодов после сбора с целью получения однородных по степени зрелости товарных партий. Применение к бананам. Техника последовательности операций. Цалпатурое (Le probleme de l'homogénéisation artificielle des fruits après leur cueillette en vue de leur commerciale lisation. Applications à la banane. Techniques des alternances des traitements. Tsaltourous Alexandre), C. r. Acad. sci., 1957, 245, № 12, 1024—1027 (англ.)

Высказывается подтвержденное на практике соображение, что при отсутствии внешних термич. воздействий, при хранении увеличивается однородность степени зрелости плодов партии бананов, так как более зрелые плоды обладают большей энергией дыхания и, выделяя большее кол-во тепла, сообщают его менее зрелым плодам, интенсивность дыхания которых при этом увеличивается и процесс их созревания ускоряется. Напротив, более зрелые плоды, отдавая свое тепло, охлаждаются, и их процесс дыхания замедляется. Приведены графики дыхания и выделения тепла плодами.

Т. Сабурова

30593. Микроскопирование пищевых продуктов. 21. Апельсины, лимоны, виноград, бананы. 22. Инжир, финики, ананасы. Эссекс, Шелтон (Food microscopy... 21. Fruits: orange, lemon, grape, banana. 22. Fruits: fig, date, pineapple. Essex C. D., Shelton J. N.), Food, 1957, 26, № 312, 358—360; № 313, 400—402 (англ.)

Анатомическое и морфологич. описание и микротопографии строения. Сообщение 20 см. РЖХим, 1958, 26838.

Т. Сабурова

30594. Определение степени зрелости столовых сортов винограда. Ламазу-Бетбедер, Пеш (Observations sur la maturité d'un raisin de table. Lamazou-Betbeder, M-lle, Pech, M-me), Ann. Inst. nat. rech. agron., 1957, E6, № 3, 293—299 (франц.)

Изучена возможность определения оптимальной зрелости при снятии урожая столовых сортов винограда. Опыты проводили с виноградом сорта Шасла золотой Муассак. Показано, что для данного сорта оптимальная потребительская зрелость наступает на 10—15 дней раньше технич. зрелости и характеризуется отношением кол-ва сахара к кол-ву к-ты, равным 25. Для технич. зрелости оптимальное отношение равно 35. Опыты в течение 2 сезонов при разных усло-

виях погоды подтвердили полученные результаты.

Т. Сабурова

30595. Содержание и сохранность марганца в овощах на различных этапах их кулинарной обработки. Зайцев А. Н., Вопр. питания, 1957, 16, № 6, 61—65 (рез. англ.)

Содержание Mn (необходимого для нормальной жизнедеятельности живого организма) в овощах определяли колориметрически (в золе) по окрашенному иону  $\text{MnO}_4^-$ , окисляя  $\text{Mn}^{2+}$  персульфатом аммония в кислой среде в присутствии  $\text{Ag}^+$ . В свекле найдено 0,6 мг % Mn, в моркови 0,211 мг %, в картофеле 0,127 мг %. При кулинарной обработке картофеля (кроме вареного в кожуре) и овощей общее кол-во минер. в-в снижается на  $\leq 56\%$ , а содержание Mn на 0—29%; содержание Mn в готовых блюдах мало отличается от содержания его в сырье. Г. Новоселова

30596. Биохимические превращения плодов и овощей при переработке. Марх (Kilka uwag o przemianach biochemicznych owoców i warzyw w przetwórstwie konserwowym. March A. F.), Przem. spożywczy, 1957, 11, № 8, 325—327 (польск.)

Перевод с русск. см. РЖХим, 1954, 18425.

З. Фабинский

30597. Некоторые указания по хранению овощей. Хенкель (Einige Hinweise zur Einlagerung von Gemüse. Henkel A.), Mitschurinbewegung, 1957, 6, № 21, 979—982 (нем.)

Изложены основные правила закладки овощей на зимнее хранение: снятие урожая в сухую погоду и в надлежащей стадии зрелости, тщательная предварительная сортировка овощей по качеству, осторожная погрузка и транспортирование, исключающие механич. повреждения. Описаны способы хранения овощей в буртах, подвалах, траншеях, на чердаках (лук).

Т. Сабурова

30598. Загнивание плодов и условия хранения на складах. Моро (Pourriture des fruits et conditions d'entreposage. Moreau Claude), Fruits, 1957, 12, № 4-5, 177—183 (франц.)

Установлено, что на картофеле развитие мицелия плесневых грибов начинается при  $10^\circ$  и достигает максимума при  $24^\circ$ . На апельсинах в первые 3 дня при  $\leq 32^\circ$ — $32,5^\circ$  мицелий не развивается. При  $11^\circ$  через 1 месяц было повреждено 2,7% апельсинов, при  $8-9^\circ$ —1,9%, при  $3^\circ$  лишь 0,2%. По истечении 2 месяцев кол-во поврежденных плодов возросло с сохранением той же корреляции между процентом поврежденных плодов и т-рой хранения. Рекомендуется обертывание плодов бумагой, а также их обработка борборганич. комплексом (альботен Е). Большое значение имеет вентиляция. Для дезинфекции помещений пригоден 5%-ный водн. р-р лаурилдиметилкарбэтоксиметиламония из расчета 5 мл р-ра на  $1 \text{ м}^3$  воздуха. Применяют также 80%-ный водн. р-р альботена в кол-ве 0,25 мл/ $\text{м}^3$ .

С. Матвеев

30599. Холодильное хранение. Илдис, д'Эрсю (Comportement de certaines variétés d'oignons en entrepôt frigorifique. Ildis P., d'Ersu A.-P.), Rev. gén. froid, 1957, 34, № 10, 1075—1078 (франц.)

Описаны опыты хранения 12 сортов репчатого лука в течение 7 месяцев (август—март) при  $2-3^\circ$  и относительной влажности воздуха 70%. Выделены 4 сорта, наиболее стойкие при хранении при наименьшей потере веса.

Т. Сабурова

30600. Опыты холодильного хранения лука сорта Желтый Валенсианский в зависимости от района произрастания и срока закладки на хранение (сезон 1953—54 и 1954—55 гг.). Ильдис, Уарзаси, д'Эрсю (Essais sur la conservation de l'oignon jaune de Valence en entrepôt frigorifique en fonction de l'origine et de la date d'entreposage (campagnes



1953—54 et 1954—55). Ildis P., Ouarzazi N., M me, d'Ersu A. P.), Rev. gén. froid, 1957, 34, № 9, 909—925 (франц.)

Лук из пяти разных районов хранили с октября по апрель при 2° и относительной влажности воздуха 75%, периодически проверяя его качество непосредственно после изъятия из холодильной камеры и через 7—14 дней хранения при комнатной т-ре. Лежкость лука зависит от первоначального состояния лука и степени его зараженности микроорганизмами, вызывающими его порчу. Рекомендуется перед закладкой на хранение лук подсушивать, однако поздняя закладка его на холодильное хранение стимулирует все физиологич. процессы и увеличивает бактериальную обсемененность луковиц. Т. Сабурова

30601. Влияние степени зрелости и температуры хранения на качество замороженного зеленого горошка. Дитрих, Линдквист, Богс (Effect of maturity and storage temperature on quality of frozen peas. Dietrich W. C., Lindquist F. E., Boggs Mildred M.), Food Technol., 1957, 11, № 10, 485—487 (англ.)

В течение двух сезонов изучен процесс изменения качества при хранении замороженного зеленого горошка сорта Томас Лакстон, собранного в трех различных стадиях зрелости. Степень зрелости горошка определяли тендерометром. Опытные образцы хранили до 69 недель при —34, —23, —18, —12°. Скорость разрушения аскорбиновой к-ты пропорциональна т-ре хранения горошка. Незрелый мелкий горошек сохраняется хуже и быстрее приобретает неприятный привкус, чем более зрелый и крупный. Т. Сабурова

30602. Порча огурцов во время хранения при обыкновенной и пониженной температуре. Икс, Моррис (Deterioration of cucumbers at chilling and non-chilling temperatures. Eaks Irving L., Morris Leonard L.), Proc. Amer. Soc. Hortic. Sci., 1957, 69, 388—399 (англ.)

Изучена зависимость между т-рой и возможной длительностью хранения свежих огурцов. Опытные образцы хранили при т-ре от 0° до 30°. Оптимальная т-ра хранения огурцов 10—13°. При > 13° скорость порчи огурцов пропорциональна т-ре хранения. При т-ре от 0° до 10° огурцы портятся тем скорее, чем ниже т-ра. Скорость порчи огурцов возрастает при перенесении огурцов, хранившихся при пониженной т-ре, в помещение с т-рой 25°.

Т. Сабурова  
30603. Изменение плодов цитрусовых при холодильном хранении. Ильдис (Comportement des agrumes dans l'entreposage frigorifique. Ildis P.), Fruits, 1957, 12, № 4-5, 163—176 (франц.)

Обзор. Библ. 71 назв. С. М.  
30604. Как сохранить свежий виноград. Добровольский М. П. (Градиритул, вверитул ши виваритул Молдовой, 1957, № 5, 38—39 (молд.); Садоводство, виноградарство и виноделие Молдавии, 1957, № 5, 38—39)

Усовершенствован способ хранения винограда в бочках, хорошо высушенных на солнце и покрытых парафином. Грозди винограда укладывают в бочку, пересыпая их просушенными пробковыми опилками. После упаковки в бочку вводят 0,05—0,08 г SO<sub>2</sub> на 1 см<sup>3</sup> емкости и, закрыв отверстие, заливают его парафином. Особенно хорошо сохраняется виноград при обработке расплавленным парафином или воском с последующим хранением на стеллажах в темноте при умеренных т-ре и влажности. Перед употреблением грозди обрабатывают паром для удаления покрытия.

Г. Новоселова  
30605. Бескислородное хранение винограда. Нечаев Л. Н., Бюл. научно-технич. информ. Н.-и.

ин-та виноградарства и виноделия, 1957, № 3, 49—53  
Установлено, что для жизнедеятельности плесеней и дрожжей, повреждающих виноград при хранении, решающее значение имеет состав атмосферы виноградохранилища и особенно содержание O<sub>2</sub>. Интенсивность дыхания и гидролиза тканей ягод зависит от т-ры, приближаясь к 0 при +1°. Бескислородный режим ягод винограда при повышенных т-рах вызывает гликолиз. При предварительном охлаждении и последующем хранении при ≤ 14° виноград хорошо сохраняется в бескислородных условиях.

Г. Новоселова  
30606. Влияние содержания в окружающей атмосфере углекислого газа и кислорода на хранение груш сорта Анжу. Хансен (Reactions of Anjou pears to carbon dioxide and oxygen content of the storage atmosphere. Hansen Elmer), Proc. Amer. Soc. Hortic. Sci., 1957, 69, 110—115 (англ.)

Образцы груш сорта Анжу, полученные из разных районов, хранили при т-ре от —0,5° до —1° в течение 223 дней с последующим дозреванием плодов при 20—21° в течение 7 дней, после чего проверяли качество и состояние плодов. При содержании в атмосфере ≥ 5% CO<sub>2</sub> в грушах развивается внутреннее побурение. При пониженном содержании O<sub>2</sub> внутреннего побурения плодов не наблюдается. Дозревание груш замедляется при содержании в атмосфере > 5% CO<sub>2</sub> и < 5% O<sub>2</sub>. Повышение содержания в атмосфере CO<sub>2</sub> и понижение содержания O<sub>2</sub> загара груш не вызывает.

Т. Сабурова  
30607. Сохранение натурального цвета плодов лitchи при холодильном хранении. Мукерджи (Preservation of natural colour in litchies under cold storage. Mukerjee P. K.), Sci. and Culture, 1957, 23, № 2, 101—103 (англ.)

Даже при холодильном хранении цвет плодов лitchи сохраняется ≤ 48 час. При хранении в полиэтиленовых пакетах с мелконарезанной бумагой или ватой (для поглощения влаги) при 4° лitchи сохраняет цвет в течение 4 недель, причем вес снижается только на 4,5%, содержание сахара с 18,3 до 17,0%, а кислотность с 4,6 до 1,3 (в мл 0,1 н. NaOH на 5 г пульпы).

Г. Новоселова  
30608. Хранение арахиса в условиях тропического климата. I. Влияние продолжительности хранения на арахис в скорлупе и без скорлупы. Дьюрден, Катлер (The storage of groundnuts under tropical conditions. I. The effects of prolonged storage on undecorticated and decorticated groundnuts. Duerden J. C., Cutler J. R.), J. Sci. Food and Agric., 1957, 8, № 10, 600—604 (англ.)

Изучено снижение веса и качества арахиса, хранившегося в течение 16 месяцев в мешках на складах Северной Нигерии. При хранении неочищ. арахиса и очищ. вручную и механич. способом потери веса, повреждение насекомыми — вредителями, изменение влажности и изменение содержания жира было почти одинаково. Кислотность жира при хранении очищ. арахиса увеличивается в несколько раз быстрее, чем при хранении арахиса в скорлупе.

Т. Сабурова  
30609. Влияние азотных удобрений на урожай, качество и консервирование различных плодов. Брауэр, Шмитт (Über den Einfluß der Stickstoffdüngung auf Ertrag, Güte und Konservierfähigkeit verschiedener Früchte. Brauer A., Schmitt L.), Landwirtsch. Forsch., 1957, 10, № 2, 124—133 (нем.; рез. англ., франц.)

Изучено влияние азотных удобрений на урожайность, качество и консервирование смородины, крыжовника, ревеня и томатов.

М. Мяздрикова  
30610. Овощи для консервирования. 11, 12, 13. Харди (Vegetables for the canner. Hardy Eric),

Canning and Packing, 1956, 26, № 310, 5; № 311, 5, № 312, 5 (англ.)

11. Сахарная кукуруза. Краткое описание общепринятой технологии консервирования сахарной кукурузы цельными зернами, дробленной кукурузы, в виде мелких початков, кукурузных зерен под острым томатным соусом в смеси с другими овощами.

12. Капуста квашеная белокочанная и цветная. Краткое описание обычной технологии произ-ва квашеной белокочанной шинкованной пастеризованной капусты. Содержание соли  $\leq 2,5-3\%$ . Цветную капусту после удаления листьев закладывают в бочки и заливают рассолом, содержащим 16% соли, после чего из нее готовят пастеризованные маринады. Цветная капуста содержит 2-4% белка, 70 м. е. витамина А; 170 мкг витамина В<sub>1</sub>; 130 мкг В<sub>2</sub>; аскорбиновой к-ты 75 мкг/100 г.

13. Бататы; овощные смеси. Очищ. мелкие бататы консервируют в целом виде или в виде протертого пюре. Перечислены сорта бататов, наиболее подходящие для консервирования: Нанси. Золотая кожица, Тыквенный и др. Клубни Ямса (*Dioscorea*), культивируемого в Китае, Японии и Вест-Индии, более бедны крахмалом, чем картофель. Кратко описывается технология консервирования овощных смесей (гарниров), в состав которых могут входить в различных комбинациях молодая свекольная ботва, листья одуванчика, морковь, сельдерей, лук, овощной горошек. Сообщение 10 см. РЖХим, 1958, 26843. Т. Сабурова

30611. Влияние размера банки и соотношения количества заливочной жидкости и огурцов на процесс пастеризации маринадов. Николас, Пфлаг, Костиллов (Effects of jar size, liquor, and product-to-liquor ratio on heating characteristics of fresh-packed pickle products. Nicholas R. C., Pflug I. J., Costilow R. N.), Food Technol., 1957, 11, № 10, 488-490 (англ.)

Опыты со свежими огурцами, нарезанными кружками или дольками и залитыми маринадом, содержащим 1,4 уксусной к-ты и 5,0% NaCl, или сиропом, содержащим 50% сахарозы, показали, что скорость нагревания продукта в стеклянных банках зависит в основном не от размера банки, а от ее формы и от отношения поверхности к объему. При уменьшении кол-ва заливочной жидкости скорость нагревания почти не изменяется, но стерилизующий эффект нагревания уменьшается. При всех прочих равных условиях прогревание огурцов в сахарном сиропе протекает медленнее, чем в маринаде. Т. Сабурова

30612. Хроматографическое определение свинца в консервах из томатов. Пиллери (La cromatografia su carta e la ricerca del piombo nella conserva di pomodoro. Pilleri Rosanna), Rassegna chim., 1957, 9, № 3, 14 (итал.)

Разработан метод определения Pb при помощи хроматографии на бумаге с использованием цветной р-ции Pb с родизонатом натрия. Метод позволяет определять до 0,04% Pb, а при предварительном озоленнии до 0,008%. Г. Новоселова

30613. О пригодности различных сортов конских бобов для консервирования. Диккинсон, Найт, Рие (Varieties of broad beans suitable for canning. Dickinson D., Knight M., Rees D. I.), Chemistry and Industry, 1957, № 46, 1503 (англ.)

При консервировании конских бобов происходит нежелательное изменение их цвета, обусловленное частичным превращением лейкоантоцианов в антоцианы и темноокрашенные продукты полимеризации. Предложена следующая проба: 2-3 боба экстрагируют 50 мл метанола при кипячении на водяной бане, доводят объем до ~2 мл. К 1 мл экстракта добав-

ляют 10 мл р-ра конц. HCl в *n*-бутаноле (объемн. ч. 5:95). Смесь нагревают в закупоренной пробирке на кипящей водяной бане в течение 40 мин. При появлении красного цвета, указывающего на присутствие лейкоантоцианов, бобы признаются непригодными для консервирования. А. Емельянов

30614. Обнаружение примеси яблочного пюре и различных плодоягодным наделениям методом оптической поляризации. Чая (Polarisationsoptischer Nachweis von Apfelmarmelade in den Zubereitungen verschiedener Früchte. Czaja Alphons Th.), Z. Lebensmittel-Untersuch. und -Forsch., 1957, 106, № 4, 262-271 (нем.)

Разработана методика микроскопич. определения примеси яблочного пюре к другим плодоягодным пюре. Тонкий мазок пюре рассматривают в поляризованном свете. Клетки плодовой мякоти яблок легко обнаруживаются при добавлении яблочного пюре к пюре из ананаса, айвы, абрикосов, груш, земляники. Т. Сабурова

30615. Объективные методы оценки цвета и консистенции пюре из персиков. Вильсон, Мойер, Робинсон, Ханд (Objective evaluation of color and consistency in peach puree. Wilson D. E., Moyer J. C., Robinson W. B., Hand D. B.), Food Technol., 1957, 11, № 9, 479-482 (англ.)

В течение двух сезонов на многочисленных образцах изучена возможность применения объективных методов определения окраски и консистенции перикового пюре. Надежные результаты, хорошо согласующиеся с органолептической оценкой, дает определение цветности пюре колориметром Хантера и определение консистенции вискозиметром Брукфильда и консистометром Бостуика. Т. Сабурова

30616. Новое оборудование для консервирования персиков. Хейвигхорст (New machines and techniques cut fruit loss, raise quality. Havighorst C. R.), Food Engng, 1956, 28, № 5, 52-53, 100 (англ.)

Описана машина для удаления косточек из персиков. Персики вручную помещают в ячейку машины, в которой они разрезаются пополам вдоль бороздки, затем половинки персиков плотно захватываются резиновыми пальцами и вращательным движением поворачиваются в противоположных направлениях. Косточка при этом отрывается от мякоти и выпадает. Производительность машины 48-60 персиков в 1 мин. Очистка персиков от кожицы производится на движущемся сегчатом транспортере, на котором половинки персиков повернуты чашечками вниз. Р-р щелочи, поступающий сверху, омывает кожуцу персиков, после чего персики обрабатывают паром и чистой водой. Эти методы обработки значительно снижают кол-во отходов при очистке персиков и удалении косточек. Т. Сабурова

30617. Изучение состава и свойств ягод черной смородины. Богданский, Залевский, Богданская (Studium nad zawartością kwasu 1-askorbinowego barwą i niektórymi innymi składnikami i cechami odmian czarnej porzeczki (Ribes nigrum). Bogdański K., Zalewski W., Bogdańska H.), Roczn. nauk rolniczych, 1956, A73, № 1, 123-143 (польск.; рез. русск., англ.)

Изучена пригодность для переработки 9 сортов черной смородины. Кислотность ягод 537-669 м-экв., содержание пектиновых в-в 0,69-3,15%, аскорбиновой к-ты 168,7 мг% (243,8-106,6 мг%), толщина кожицы 9-30 м, кутикулы 4-16 м, прочность прикрепления ягод 174-236 дн. Г. Н.

30618. Вишня в сиропе. Херст (Maraschino cherries made faster, easier in barrels. Hurst Hoyt), Food Packer, 1957, 38, № 6, 14 (англ.)

Разработан ускоренный способ приготовления ви-



шен в сиропе. С помощью металлич. трубы из бочек с вишневыми отсасывают р-р, которым они залиты, содержащий 1,5%  $\text{SO}_2$  (в качестве консерванта) и 6,3 кг извести (для отбеливания) на 100 кг воды. Затем в бочки вводят сжатый воздух под небольшим давлением и промывают вишни водой при непрерывной циркуляции воздуха. После полного удаления  $\text{SO}_2$  (через 6 час.) воду отсасывают и вишни заливают при перемешивании сахарным сиропом, содержащим краситель. Быстрое удаление  $\text{SO}_2$  открывает поры вишен и облегчает поглощение красителя и сахара. Добавление 0,1% бензоата Na маскирует привкус  $\text{SO}_2$  и повышает стойкость вишни. В. Никифорова

30619. Организация бактериологического контроля переработки плодов и овощей. Жендовская (Badania nad porównaniem i ustaleniem metod kontroli mikrobiologicznej w przemyśle owocowo-warzywnym. Rzędowska Halina), Prace inst. i lab. badawcz. przem. roln. i spożywcz., 1956, 6, № 3, 1—21 (польск.; рез. русск., англ.) Przem. spożywczy, 1957, 11, № 10, 449 (польск.)

При сравнительном изучении методов для производственного пофазного контроля наиболее пригодным признан метод мазка 0,05 мл на 4 см<sup>2</sup> предметного стекла. В одном препарате определяют кол-во бактерий, дрожжевых клеток, спор и нитей мицелия. Редуктазная проба мало чувствительна при исследовании зеленого горошка и томатной пудры, а также воды. Для более точного бактериол. анализа следует применять чашечный метод, причем при исследовании зеленого горошка наиболее пригоден в качестве среды экстракт из горошка, при исследовании томатных продуктов наиболее пригодны агар и среда Камерона, а при исследовании консервов (мелкие обсемененных) более чувствительна среда с агаром, чем жидкие среды. Г. Новоселова

30620. Сушка плодов методом вакуум-сублимации. Джексон, Риктер, Чичестер (Freeze-drying of fruit. Jackson S., Rickter Suzanne L., Chichester C. O.), Food Technol., 1957, 11, № 9, 488—470 (англ.)

Изучено влияние способа нагревания на скорость сушки плодов методом вакуум-сублимации. Зрелые, очищ. от кожицы, замороженные половинки персиков сушили в вакуум-сушилке до влажности 5%, применяя следующие способы нагревания: ВЧ-ток, ИК-облучение, контактное нагревание между двумя нагретыми поверхностями (т-ра поверхностей 40°), нагревание персиков на нагретой поверхности. Скорость сушки персиков убывает в указанной последовательности (от нагревания током высокой частоты к сушке на нагретой поверхности). В первом случае продолжительность сушки в несколько раз меньше, чем в последнем. Скорость сушки ИК-лучами такая же, как при нагревании между двумя поверхностями. Считается, что наиболее перспективен метод сушки вакуум-сублимацией под действием ВЧ-тока. Т. Сабурова

30621. Порошок из свежих яблок для детского питания. Бурштейн Л. М., Консервн. и овощесуш. пром-сть, 1957, № 12, 13—15

Разработана схема и технология произ-ва. Яблоки съемной зрелости с кислотностью  $\leq 1,0\%$  замачивают, моют, очищают от семенной коробки, режут на кусочки толщиной 3—4 мм, сушат на ситах из нержавеющей стали при 65—70° до влажности 3—3,5%, выдерживают 40 мин. (в закрытом ларе, обитом нержавеющей сталью) для охлаждения и выравнивания влажности, измельчают на мельнице, просеивают через шелковое сито № 19, расфасовывают в герметич. тару и хранят при влажности воздуха  $\leq 70\%$ . Порошок рекомендован в виде добавки

к рисовой и пшеничной муке и для изготовления суфле, гурьевской кашки и киселя. При добавлении воды порошок легко восстанавливается и полностью сохраняет все питательные в-ва и желеобразующую способность. Г. Новоселова

30622. Электромагнитный сепаратор-трясун. Наскин Т. Н., Франковская В. Г., Консервн. и овощесуш. пром-сть, 1957, № 11, 32—33

Описан электромагнитный сепаратор-трясун производительностью 2,5 т картофеля в смену, изготовленный на Севском овощесушильном з-де. Г. Н.

30623. Новый вид тоματοпродуктов — томатный порошок. Кривунь П. И., Сб. научн. работ. Ленингр. ин-т сов. торговли, 1957, вып. 11, 33—38

Томатный порошок вальцевой сушки, изготовленный на Мелитопольском консервном з-де, содержал (в %): сухого в-ва 92,18, воды 7,82, сахаров 53,28, золы 6,35, аскорбиновой к-ты 98,37 мг% и имел кислотность 7,13% (в пересчете на яблочную к-ту). При добавлении воды из порошка получены пюре, паста и приправы, по органолептическим свойствам почти не отличающиеся от изготовленных из свежих томатов. Г. Новоселова

30624. Качество квашеной капусты и его зависимость от сроков заквашивания. Гримм А. И., Сб. научн. работ. Ленингр. ин-т сов. торговли, 1957, вып. 11, 18—32

Установлено, что заквашивать следует более поздние сорта капусты. Следует изменить ГОСТ 3858-54 в отношении содержания летучих к-т, так как при одинаковом общем содержании к-т лучшими вкусовыми свойствами обладает квашеная капуста с меньшим содержанием летучих к-т. Необходимо усовершенствование шинковальных машин и технологии квашения. Г. Новоселова

30625. Условия накопления пектолитических ферментов плесневыми грибами для осветления плодоягодных соков. Левачева В. М., Тр. Всес. н.-и. ин-т пивовар. пром-сти, 1957, вып. 6, 88—96

В качестве источника получения ферментативного препарата для осветления соков наиболее подходит *Aspergillus niger*. Грибница *Asp. niger*, выращенная на среде с яблочным пектином, имеет максим. пектол. активностью при возрасте пленки 44—50 час., на среде из солодовой шелухи — 48—54 час. Скорость осветления соков ферментативными препаратами максимальна при 37—42° и снижается при понижении т-ры до 8° и повышении до 48—58°. Из сухих пленок *Asp. niger* в течение 2—4 час. пектиназа извлекается почти полностью. После осаждения этанолом выход очищ. препарата ~10% веса сухой пленки. Оптимум pH для очищ. препарата 3,5—4,4. Препараты из *Batrachium cinerea* и *Penicillium Ehrlichii* достаточно активны, но культивирование их в полужаводских условиях недостаточно эффективно. Г. Новоселова

30626. Консервирование плодовых соков путем обработки ионитами. Приллингер, Заллер (Die Konservierung von Fruchtsäften durch Behandlung mit Ionenaustauschern. Prillinger Franz, Saller Walter), Industr. Obst- und Gemüseverwert., 1957, 42, № 20, 463—465 (нем.)

См. также РЖХим, 1957, 59575.

30627. Пастеризатор, вращающий банку, — принцип работы, конструкция, промышленное применение. Прутки (Spin pasteurizer — its principle, performance and industrial applications. Pruthi J. S.), Food Sci., 1957, 6, № 8, 179—182 (англ.)

Описан пастеризатор и способ пастеризации продуктов во вращающейся банке. Приведены кривые хода пастеризации концентрата лимонного сока в обычном пастеризаторе и в пастеризаторе, вращающем банку. В последнем случае длительность пасте-

ризации сокращается в 2—10 раз. Для большинства плодовоовощных консервов оптимальная скорость вращения банки 100—200 об/мин.

**30628.** О давлении в газовой фазе при пастеризации соков, содержащих  $\text{CO}_2$ . Зигрист (Über den Druck in der Gasphase bei der Dauerpasteurisation von  $\text{CO}_2$ -haltigem Süßmost. Siegrist Hans), Fruchtsaft-Ind., 1957, 2, № 5, 161—171, 158 (нем.; рез. англ., франц.) Обзор. Рассмотрены условия изменения давления газов в бутылках с плодовыми соками в зависимости от способа пастеризации, состава соков и физ.-хим. свойств  $\text{CO}_2$ ,  $\text{N}_2$  и  $\text{O}_2$ , содержащихся в напитке. Библ. 110 назв.

**30629.** Технологии производства томатного сока. Джаядеван, Тандон, Лал (Aspectos tecnológicos de la fabricación de jugo de tomate. Jaya-deviam H. S., Tandon G. L., Lal Girdhari), Inform. conserv., 1957, 5, № 40, 4—8 (исп.)

**30630.** Технологии производства томатного сока в США. Миллер (Die Technologie der Tomatensaftherstellung in USA. Miller G. B.), Fruchtsaft-Ind., 1957, 2, № 5, 173—175, 158 (нем.; рез. англ., франц.) Описание общепринятой в США технологии произ-ва натурального пастеризованного томатного сока. Приведены предъявляемые к томатному соку санитарные требования и дана принятая стандартом США характеристика томатного сока. Выпускаемый в США томатный сок содержит в среднем 140—230 мг/л аскорбиновой к-ты.

**30631.** Микроэлементы виноградного сока. Марх А. Т., Щербакова Е. В., Консервн. и овоще-суш. пром-сть, 1957, № 12, 36—38

Изучено содержание Mn, Cu, Ti, Ni, Si, Al в пастеризованном виноградном соке из винограда разных сортов и различных районов произрастания. Содержание минер. в-в и отдельных микроэлементов колеблется в широких пределах. Осветление сока отстаиванием снижает содержание минер. в-в на 19,2—26,9%, осветление желатиной и таннином на 26,9—40,7%. При хранении содержание минер. в-в сильно снижается. Хранение сока при 0°—2° не уменьшает потерь минер. в-в по сравнению с хранением при 15—20°.

**30632.** Особенности качества сока, полученного из плодов кизила. Войтенко Ф. П., Консервн. и овоще-суш. пром-сть, 1957, № 12, 34—35

Установлено, что помутнение кизилового сока при транспортировании в зимние месяцы вызывается изменением т-ры (замораживанием), а также забалтыванием при движении.

**30633.** Обнаружение присутствия монохлоруксусной кислоты в напитках. Мельо (Investigación del ácido monocloroacético en bebidas. Mallo Darío de), rR, 1955, 5, № 4, C60—C64 (исп.; рез. англ.)

Разработан простой и чувствительный метод обнаружения монохлоруксусной к-ты в безалкогольных напитках и плодовых соках. Метод основан на р-ции образования красного тионидио при взаимодействии монохлоруксусной к-ты с тиосалициловой к-той.

**30634.** Применение радиоизотопов в молочной промышленности. Дегтярев Ф., Славянов В., Молочн. пром-сть, 1957, № 12, 38—39

**30635.** Механизация в молочной промышленности. Малик (Mechanisace v mlékárenství. Malík Zdeněk), Průmysl potravin, 1957, 8, № 8, 411—416 (чешск.; рез. русск., англ., франц., нем.)

Описание 8 производственных линий переработки молока в кисломолочные продукты, масло, сыр, а также произ-ва молочного сахара. Приведены схем.

**30636.** О значении контрольно-регулирующих приборов в автоматизации процессов в молочной промышленности. Барбер (In automation, emphasis is on instrumentation. Barber J. E.), Milk Prod. J., 1956, 47, № 3, 16, 18, 21 (англ.)

**30637.** Автоматизация в производстве мороженого. Сейберлинг (Automation in ice cream processing. Seiberling D. A.), Milk Prod. J., 1956, 47, № 3, 17, 24, 26, 28, 39—41; Canad. Dairy and Ice Cream J., 1956, 35, № 3, 43—44, 46, 51 (англ.)

Обсуждаются возможность и перспективы автоматизации процесса подготовки смеси, замораживания и расфасовки мороженого, а также мойки оборудования методом рециркуляции в условиях непрерывно-поточного произ-ва.

**30638.** Сокращенная термостатная выдержка стерилизованного молока. Прокопенко М., Молочн. пром-сть, 1957, № 12, 32

Опыт работы Рогачевского молочноконсервного з-да по сокращению термостатной выдержки стуженого стерилизованного молока до 4—5 суток.

**30639.** О содержании воды в сухом молоке. Куметат (Lidt om vandbestemmelse i maelkepulver. Kume-tat K.), Nord. mejeri-tidsskr., 1955, 21, № 11, 173 (дат.)

Обзорная статья о влиянии содержания воды на качество сухого молока и методах определения влажности сухого молока. Библ. 17 назв.

**30640.** Применение в промышленности метода определения жира в сливках по сухому остатку. Стенне, Камю (Application industrielle de longue durée de la méthode de détermination de la richesse en matière grasse des crèmes par la mesure de l'extrait sec. Stenne P., Camus A.), Lait, 1957, 37, № 363—364, 139—147; Technicien lait, 1957, 9, № 115, 31—35 (франц.)

Уточнение метода определения содержания жира по сухому в-ву. Содержание воды определяют высушиванием 1 мл сливок, быстро гомогенизированных при 30—35°, серий по 24 образца в спец. сушильном шкафу ИК-лучами, в котором обеспечивается равномерная т-ра 155°, в течение 13—14 мин. Процент жира рассчитывают по ф-ле:  $100 - 1,1 \times \text{воды}$ . Применение метода в течение 2,5 лет в производственных условиях показало, что по точности метод не уступает бутиметрическому (ошибка 1,2—2%), стоимость в ~ 4 раза дешевле, продолжительность анализа 24 образцов ~ 21 мин.

**30641.** О температуре пастеризации сливок. Гоголев А., Молочн. пром-сть, 1957, № 12, 13

Опытная выработка масла на поточной линии из сливок, пастеризованных при 65°, с выдержкой их в ваннах перед подачей в маслообразователь в течение 30 мин. показала, что вкус и консистенция масла улучшились.

**30642.** Размножение микроорганизмов в масле. Гавель (Die räumliche Verteilung des Mikroorganismenwachstums in der Butter. Gavel Lotte von), Milchwissenschaft, 1957, 12, № 7, 276—280 (нем.; рез. англ.)

Исследование микротомных срезов масла показало, что основная масса влаги в масле состоит из мельчайших капель, не содержащих микроорганизмов; только в более крупных каплях отмечено небольшое кол-во клеток. Многочисленные колонии бактерий и дрожжей образуются в пустотах; рост плесеней обычно наблюдается на поверхности масла, но при наличии пустот они могут развиваться и в глубине мо-нолита. Результаты исследования срезов показали, что в масле не происходит интенсивного развития микро-бов.



30643. Определение коагулирующей силы сычужных экстрактов автоматическим прибором. Сторс (The determination of the coagulating power of commercial rennet ex racts using an automatic tester. Storrs F. C.), J. Dairy Res., 1956, 23, № 2, 269—276 (англ.)

Фабричный сычужный экстракт известной активности освобождают диализом от соли и вводят в него сухую сыворотку крови лошади, лактозу и аскорбиновую к-ту (7,0, 7,5 и 0,5 г на 100 мл). Смесь после доведения величины pH до 5,8 разливают в ампулы по 25 мл и сушат 16—24 часа сублимацией при  $-70^{\circ}$  и затем в течение 48 час.—над  $P_2O_5$ . Ампулы запаивают и хранят при  $5^{\circ}$ . Сухой препарат не изменяет своей активности > 18 месяцев и используется как эталон при контроле активности выпускаемых в продажу сычужных экстрактов. 100 мл молока свертывают при  $37^{\circ}$  р-ром эталона определенной концентрации и, параллельно, р-рами испытуемых препаратов. Миним. ошибка при контроле достигается применением в качестве субстрата сухого обезжиренного молока распылительной сушки, восстановленного в дистил. воде при  $40^{\circ}$ , с добавлением солей Ca в кол-ве, обеспечивающем нормальную длительность коагуляции. До опыта субстрат выдерживают 2 часа. При вращении коагуляции вызывает отклонение шпателя прибора под некоторым углом с замыканием электрич. цепи и включением звонка. В фиксировании длительности коагуляции ошибка прибора  $\sim 1\%$ . Приведена схема прибора.

30644. Изменение химического состава коркового и подкоркового слоев сыра во время созревания при различных способах ухода. Ведяшкин П. Ф., Сб. реф. научн. работ. Всес. н.-и ин-т маслодел. и сыродельн. пром-сти, 1957, вып. 4, 78—86

Хим. состав коркового (КС) и подкоркового слоев (ПС) (содержание влаги, NaCl, жира, активная кислотность) голландского брускового сыра во время созревания при различных способах ухода изменяются почти одинаково. Содержание влаги в КС и ПС резко снижается только во время посолки, а затем до конца созревания уменьшается постепенно. В КС на  $\sim 5\%$  влаги меньше, чем в ПС. Изменение содержания жира в КС и ПС во время созревания находится в обратной зависимости от кол-ва сухих в-в. Кол-во NaCl в ПС и КС во время созревания снижается до равномерного распределения по всей массе. Резко изменяется содержание CaO в ПС и КС за счет перемещения растворимых в воде Са-солей. pH КС и ПС резко снижается только в первые дни в период посолки, затем в КС повышается, а в ПС почти не изменяется. Тепловая обработка и ополаскивание сыров в известковой воде сокращают потери жира и Са-солей в КС. Мойка сыров (особенно первая) снижает pH, содержание NaCl и CaO в КС за счет выщелачивания растворимых в воде соединений.

А. Прогорович

30645. Таблицы в сыроварении. Шульц, Кай (Le tabelle di caseificazione. Schulz M. E., Kay H.), Latte, 1957, 31, № 10, 675—676, 678—680 (итал.)

Предложен расчет выхода сыра по эмпирич. коэф., выведенным на основании практики сыроварения. Приведены некоторые вспомогательные таблицы для расчета (зависимость между содержанием азотистых в-в и жирностью молока, таблица выхода сыра ромадур из различного по качеству молока). Приведен пример расчета выхода сыра ромадур 30%-ной жирности из 100 кг молока. Дана технологич. схема произ-ва сыра камамбер в виде брикетов по 125 г.

Т. Добрынина

30646. Изменение окраски мяса в результате химических изменений миоглобина. Якович (Promene

ne foja mesa. Janković A.), Veterin. glasnik, 1957, 11, № 2, 276—282 (сербо-хорв.; рез. англ.)

Обзор. Библ. 10 назв.

С. Е.

30647. Нежелательные изменения окраски мяса и мясных продуктов. Савич (Nepoželjne promene boje mesa. Oksidacioni proizvodi pigmentata mesa). Savić I.), Veterin. glasnik, 1957, 11, № 2, 270—275 (сербо-хорв.; рез. англ.)

Обзор. Библ. 9 назв.

С. Е.

30648. Новые производственные линии в мясной промышленности. Младек (Nové linky v masné výrobě. Mládek Bedřich), Průmysl potravin, 1957, 8, № 8, 407—410 (чешск.; рез. русск., англ., франц., нем.)

Приведены результаты работ Н.-и. ин-та холодильного и пищевого машиностроения в области создания машин для мясной пром-сти.

А. П.

30649. Медленное и быстрое замораживание мяса. Столич (Promene kod sporo i brzo hladenog mesa. Stolić P.), Veterin. glasnik, 1957, 11, № 2, 252—257 (сербо-хорв.; рез. англ.)

Обзор микробиологич., хим. и физ. изменений при медленном и быстром замораживании мяса. Библ. 7 назв.

С. Е.

30650. Критериальная зависимость для определения продолжительности замораживания мяса в камерных морозилках. Чижев Г., Холодильная техника, 1957, № 3, 61—66

На основании обработки опытного материала по замораживанию мяса в виде туш, полутуш и четвертин в камерных морозильных камерах выведена ф-ла критериальной зависимости для вычисления времени замораживания мяса (с приближением на  $\pm 20\%$ ) при постепенно понижающейся т-ре воздуха:  $\Phi_n / \Phi_k = c F \alpha B i^m$ , где  $\Phi_n$  — разность начальной т-ры мяса и т-ры воздуха  $\Phi_k$  — разность конечной т-ры мяса и т-ры воздуха  $F_0 = a_w \tau / l^2$  — критерий Фурье, в который входят полная температуропроводность мяса при замораживании ( $a_w$ ), время ( $\tau$ ), характерный линейный размер ( $l$ );  $Bi = \alpha l / \lambda$  — критерий Био, в который входят коэф. теплоотдачи от поверхности мяса к воздуху ( $\alpha$ ), характерный линейный размер ( $l$ ) и коэф. теплопроводности мяса при замораживании ( $\lambda$ ). Найдены числовые значения множителя  $c$  и показателей степени  $n$  и  $m$ .

В. Долговский

30651. Альгинат-кальциевые пленки и их применение для замораживания мяса. Берлин А., Мясная индустрия СССР, 1957, № 2, 44—47

Установлено, что при действии на жидкое альгинат-натриевое покрытие 3—5%-ных р-ров  $CaCl_2$  при т-ре  $20^{\circ}$  протекает р-ция ионного обмена, в результате которой за 30—60 сек. образуется твердая прочная альгинат-кальциевая пленка. Применение этого процесса на мясных отрубках позволяет почти мгновенно получать плотно прилегающую сплошную защитную оболочку. Для придания пленке постоянной пластичности ее погружают на 5—10 мин. в 10—20%-ный р-р глицерина. При длительном хранении замороженного мяса на поверхность пленки целесообразно наносить паронепроницаемое покрытие (парафин, ДС, СПИ-20). Доказана полная пригодность альгинат-кальциевых пленок для безконтактного замораживания мяса в жидкой среде. По сравнению с воздушным замораживанием время термич. обработки снижается в 3—4 раза, процент сушки — почти в 4 раза, устраняются потери мясного сока при размораживании. Мясо, замороженное в пленке, имеет нормальный вкус.

В. Долговский

30652. Современные достижения в консервировании мяса. Жакула (Nova dostignuća u salamurenju

mesa. Zakula R.), Veterin. glasnik, 1957, 11, № 2, 233—237 (серб.-хорв.; рез. англ.)

Обзор. Библ. 10 назв.  
30653. Качество мяса, обезвоженного методом сублимации, и его устойчивость в хранении. Хахина Л. П., Консервн. и овощесуш. пром-сть, 1957, № 4, 10—12

Обезвоженное методом сублимации мясо (ОМ) содержит 80—90% белка на сухое в-во, в ~4 раза калорийнее сырого мяса. Водорастворимый азот ОМ составляет 85% к первоначальному его содержанию в сыром мясе, а содерстворимый 90%. Коэф. набухаемости ОМ, полученного из охлажд. или парного мяса,  $\geq 3,5$ , из замороженного  $\leq 3,0$ . Приведены данные бактериальной обсемененности и усвояемости ОМ. Для уменьшения объема ОМ разработан режим прессования при следующих показателях: уд. давление мяса при прессовании 240 кг/см, вес брикета 100 г, объем 115,5 см<sup>3</sup>, объемный вес 0,865 г/см<sup>3</sup>. Опытами 2-летнего хранения ОМ установлено, что в герметич. упаковке без вакуума и в вакууме, оно хорошо сохраняет органолепич. и физ.-хим. свойства свежего продукта при t-ре 28—32° в течение 1 года, а при минус 12° > 2 лет. При упаковке в негерметич. тару ОМ может храниться в неохлажд. складе в течение 6 месяцев.

В. Долговский  
30654. Красные галофильные бактерии и их значение в производстве вяленого мяса. Гутхейль (Considerações sobre a ocorrência de bactérias halófilas vermelhas na indústria do charque. Gutheil Nelson Carlos), Rev. quim. industr. 1957, 26, № 299, 12—16 (порт.)  
Обзор. Библ. 17 назв.

К. Г.  
30655. Причины чрезмерной сочности ветчины. Кенне (Przyczyny występowania nadmiernej soczystości szynki. Koeppe S.), Przem. spożywczy, 1957, 11, № 8, 346—347 (польск.)

Чрезмерная сочность ветчины, выражающаяся в появлении мясного сока на ее разрезе, объясняется неодинаковым процентным содержанием NaCl, вводимого при посоле, в отдельных мышцах.

З. Ф.  
30656. Защитная упаковка полукопченой колбасы. Хейфец М., Мясная индустрия СССР, 1957, № 2, 19—20

Для транспортирования полукопченой колбасы в районы крайнего севера разработан следующий способ ее упаковки. Батоны опускают на 2 сек. в кипящий насыщ. р-р NaCl и завертывают вначале в листы полиэтилена, а затем в целлофан. Перевязанные шпагатом батоны навешивают на палки и на рамах загружают в паровую камеру, где их обрабатывают паром в 2 приема: при 70° и при 100°. По остывании колбасу упаковывают в стандартные ящики. Обработанная украинская колбаса после 2-месячного транспортирования к о. Шпицбергену, 8-месячного хранения при t-ре +3°, —5° не изменила первоначальный цвет, вкус, запах и другие свойства.

В. Долговский  
30657. Технологии и микробиология производства мясных консервов. Бармаш А. И., Консерв. и овощесуш. промышленность, 1957, № 7, 6—8

Информационное сообщение о совещании специалистов консервной промышленности СССР и стран народной демократии в Одессе в апреле 1957 г. Перечислены основные образцы экспонированных на совещании консервов НРБ, ВНР, ГДР, КНР, ПНР, РНР, Чехословакии. Кратко изложено содержание докладов и принятых на совещании решений по дальнейшему развитию консервной пром-сти.

В. Долговский  
30658. Проблема обработки куриного яичного белка для уничтожения бактерий *Salmonella*. Бурмейстер (Zum Problem der Vorbehandlung von Hühner-  
reiweiß zur Abtötung von Salmonellen. Burmei-

ster H.), Branntweinwirtschaft, 1957, 79, № 19, 419—424 (нем.)

Выявлено, что коагуляция яичного белка при подогреве начинается после 30 мин. при 55° и после 10 мин. при 60°, причем даже часовой подогрев при 59° не убивает грамотрицательные бактерии рода *Salmonella*. Пока не найдено эффективных способов обработки яичного белка, получаемого в значительных кол-вах в качестве побочного продукта приготовления яичных спиртных напитков, в целях умерщвления упомянутых бактерий в соответствии с требованиями действующего в ФРГ законодательства.

Г. Ошмян  
30659. Тетразолбромидная проба для определения качества рыбы. Камасастри (The tetrazolium bromide reduction test in assessing the quality of fish. Kamasastr P. V.), Current Sci., 1957, 26, № 7, 214—215 (англ.)

Изучена возможность применения солей тетразолия для определения свежести рыбы. К 2 мл суспензии мышц рыбы (10 г в 100 мл дистил. воды) добавляли 2,5 мл фосфатного буфера с pH 7,2 и 0,5 мл бромистого трифенилтетразолия. Пробирку выдерживали при 37° до появления красного окрашивания. Установлено, что время появления красного окрашивания обратно пропорционально степени порчи рыбы. Для свежей рыбы окраска появлялась через 3 часа, для испорченной менее чем через 30 мин. Присутствие NaCl тормозит появление окраски, что следует учесть при исследовании соленой рыбы.

А. Юдицкий  
30660. Об условиях, способствующих поражению «фуксин» соленой рыбы на рыбозаводах Аральского моря. Гудзовский Г. А., Сб. тр. Кирг. н.-и. ин-та эпидемиол., микробиол. и гигиены, 1956, вып. 2, 111—116

Исследованы условия обсеменения соли, используемой для посола, микробом *Serratia Salinarum*, вызывающим «фуксин» соленой рыбы, а также влияние на его развитие санитарного состояния рыбозаводов и правильности технологич. обработки рыбы. Установлено, что соль, поступающая на рыбозаводы, в значительной мере обсеменена микробами. Ее обсемененность увеличивается в 2—3 раза при транспортировании и особенно при небрежном кратковременном хранении на э-дах. Обсеменению рыбы способствуют жидкие среды (рапа, тузлук, рассолы), создающие благоприятные условия для жизнедеятельности микроба, и мытые рыбы перед отправкой в редко сменяемых тузлуках.

А. Прогорович  
30661. Некоторые характеристики поваренной соли. Семенов Н. А., Научно-техн. бюл. Н.-и. ин-та механиз. рыбн. пром-сти ВНИРО, 1957, № 3-4, 54—57

Определяли скорость растворения отдельных фракций поваренной соли, занимающей промежуточное положение между помолами № 2 и № 3 по ГОСТ 153-41, и их способность удерживать тузлук при бочковом посоле сельди. Установлено, что наиболее мелкая фракция с кристаллами менее 0,25 мм растворяется с одинаковой скоростью при 0 и 18°, а также в 2 раза интенсивнее растворяется и в 7 раз больше удерживает тузлук, чем фракция с кристаллами 5—7 мм и может быть причиной «ожога» жирной рыбы при ее посоле мелкой солью. Скорость растворения смеси фракции, из которых состояла исследуемая соль, при 0° составляет 67%, при 18° 76%.

А. Прогорович  
30662. Изучение консервирования пищевых продуктов. I. Консервирование сардин периодическим кипячением. II. Консервирование продуктов покрытием синтетической пленкой после стерилизации паром. Сугимото, Капунори, Нитта (Sugimoto Hitomi, Katsunori Taeko, Nitsuta



Tadao), Суйсантё найкай-су суйсан кэнкюсю кэн-ю хококу, Bull. Naikai Reg. Fish Res. Lab., 1957, № 10, 46—48; 49—51 (японск.; рез. англ.)

I. Большую часть сардин консервируют высушиванием (нибоши), из небольшого кол-ва в последнее время изготавливают сушеные сардины с приправой из сладкого саке (миринибоши). Высокая влажность нибоши вызывает ее быструю порчу. Для сохранения в течение 7 дней нибоши покрывают синтетич. пленкой и подвергают периодич. кипячению. Внешний вид нибоши отличается от вида обычно приготовленного продукта.

II. Для сохранения в течение 1 месяца таких скоропортящихся продуктов, как рыба тушеная с соей (торияки), мясо вареное в соевом соусе, приправленном чилийским перцем (яматони), вареные бобы (нимаме) и рыбный паплет (камобоко) рекомендуются обработка их паром под давлением и покрытие затем синтетич. пленкой. В. Гурни

30663. Способ производства рыбной пасты. Рата-нипан (A method of fish paste processing. Ratanaparn Tawat), Kao karn promong. (Fish. New.), 1955, 8, № 2, 161—163 (сiamск.)

30664. Определение прочности студия рыбопродукта камабоко. V. Влияние свежести рыбы. Симидзу, Икэути, Симидзу (Shimizu Yutaka, Ikeuti Tuno, Simidu Wataru). VI. Прочность студия крахмальных клеев. VII. Увеличение прочности студия камабоко добавлением крахмала. I. Симидзу, Симидзу (Shimizu Yutaka, Simidu Wataru). VIII. 2. Симидзу, Икэути, Симидзу (Shimizu Yutaka, Ikeuti Tuno, Simidu Wataru) Нихон суйсан гаккайси. Bull. Japan. Soc. Scient. Fisheries, 1955, 20, № 9, 811—813; № 10, 893—894; 895—897; 898—901 (японск.; рез. англ.)

V. При хранении измельченного мяса *Saurida tumida* в течение первых 20 час. при 5—10° содержание в нем растворимых коагулируемых азотсодержащих соединений не уменьшается; в дальнейшем оно резко понижается с течением времени. Величина pH незначительно уменьшается в течение первых 20 час., после чего постепенно возрастает. С увеличением длительности хранения рыбы прочность студия сначала уменьшается, а затем, начиная с некоторого момента, увеличивается в связи с повышением щелочности. Уменьшение прочности студия относят отчасти за счет денатурирования белков мяса.

VI. Прочность студия из картофельного крахмала (K) максимальна при смешении K с водой в отношении 1:2. При увеличении кол-ва воды значение модуля Юнга резко понижается. Прочность, равная прочности студия камабоко, достигается при смешении 1 ч. K с 1—1,5 ч. воды. Студия из других крахмалов уступают по прочности студии из K.

VII. При повышении содержания воды до 5—10% прочность студия камабоко уменьшается, а затем несколько увеличивается. Добавление K в кол-ве 50% от кол-ва воды обеспечивает высокую прочность студия; пшеничный крахмал менее эффективен.

VIII. При введении в рыбный паплет крахмала прочность крепких студий уменьшается, слабых — возрастает. Это явление рассматривается с точки зрения содержания растворимых белков в мясе. Части III и IV см. РЖХим, 1958, 26906. Э. Тукачинская

30665. Сухие бульоны из сельди. Ли (Dry menhaden solubles. Lee C. F.), South. Fisherman., 1955, 15, № 2, 91—92 (англ.)

Изучено качество продуктов, получаемых сушкой упаренных бульонов (прессовых вод — отхода производства кормовой муки) из сельди на барабанных атмосферных сушилках. Установлены основные требова-

ния к бульонам, дающим при сушке удовлетворительный продукт.

A. Юдицкий  
30666. Факторы, влияющие на качество завариваемого натурального кофе. Мрочковский (Czyniki wpływające na jakość pararów z kawy naturalnej. Mroczkowski Stanisław), Przem. spożywczy, 1957, 11, № 10, 433—436 (польск.; рез. русск., англ., франц., нем.)

Рассмотрены в-ва, обуславливающие аромат и вкус настоев кофе, указано содержание кофеина в основных сортах кофе. Отмечено, что настоя кофе высокого качества могут быть получены из зерна высших сортов, нормально обжаренного и хранившегося в соответствующих условиях. Помол кофе должен быть тонким и равномерным. Библ. 22 назв. В. Гурни

30667. Технология производства растворимого кофе. Камбронн (Les techniques de fabrication du café soluble. Cambrony H. R.), Café, cacao, thé, 1957, 1, № 2, 65—74 (франц.)

Изложены 2 схемы произ-ва (обычная и поточная) растворимого кофе и подробно описаны отдельные этапы произ-ва: обжарка зерен, размол, извлечение горячей водой экстрактивных в-в, концентрирование и сушка экстракта. Приведены чертежи схем. Библ. 22 назв. В. Г.

30668. Новая технологическая схема переработки цикория. Мамонтов К. Я., Тр. Моск. технол. ин-та пищ. пром-сти, 1957, вып. 10, 104—112

Разработана поточная линия для переработки цикория, состоящая из транспортера подачи, моечной машины, самотаски, быстроходной терки, сушильно-обжарочного аппарата, транспортера для охлаждения. Сушильно-обжарочный аппарат состоит из двух цилиндров, через внутренние полости которых протекает подогреваемая высококипящая жидкость. Одна половина поверхности каждого цилиндра является зоной сушки, вторая — зоной обжарки, в зоне сушки цикория мезга получает тепло только от поверхности цилиндра, на которой она находится (200°), а в зоне обжарки еще и от полуцилиндров, мимо которых проходит на расстоянии ≤ 1 мм. Сушка и обжарка завершаются в несколько секунд. Г. Новоселова

30669. Изменение катехинов при ферментации чая. Джемухадзе К. М., Шальнева Г. А., Милешко Л. Ф., Биохимия, 1957, 22, № 5, 888—893

Изучено изменение дубильных в-в при ферментации чая. Установлено, что разрушение тканей чайного листа при скручивании сопровождается энергичным снижением содержания катехинов, особенно L-эпигаллокатехина, L-эпикатехина, D, L-катехина и L-эпигаллокатехингаллата, вследствие их окисления. В готовом чае нет простых катехинов, а галловые эфиры присутствуют в незначительных кол-вах. Г. Новоселова

30670. Влияние огрубевших флешей на качество чайного сырья и готовой продукции. Хоперия Р. М., Научн. тр. студ. Груз. с.-х. ин-т, 1957, 6—7, 125—129 (рез. груз.)

Сопоставлением данных содержания огрубевших флешей в чайном листе некоторых паспортов чая, а также в искусственно составленных смесях и данных хим. и титестерской оценки полуфабриката установлено, что примесь огрубевших флешей до 8% дает полуфабрикат с оценкой 2,75—3 балла. Примесь > 8% снижает качество полуфабриката на 0,5—0,75 балла, > 15% — на 1 балл. Примесь огрубевших флешей ~5% снижает содержание экстрактивных в-в и танина, особенно резко падает их содержание при 25% примеси. По мере огрубения сырья увеличивается содержание клетчатки. В. Гурни

30671. К вопросу улучшения качества черного байхового чая. Сарджевеладзе М. В., Бюл. Всес.

и-и. ин-та чая и субтропич. культур, 1957, № 1, 83—108 (груз., русск.; рез. англ.)

В производственных условиях изучены влияние остаточной влажности чайного листа (ЧЛ) после завяливания на ферментацию, схема и энергия скручивания (С) ЧЛ, технологич. достоинства ЧЛ в различных зонах его произрастания. Рекомендовано внедрить в произ-во более сильное завяливание ЧЛ до остаточной влажности 58—59% (вместо 61—62%) и до соотношения сухого в-ва и воды 1:1,4. Такое завяливание улучшает кач-во чая в среднем на 0,24 титестерских балла. Взамен 3-кратного С по 45 мин. каждое, предложено 4-кратное С для листа 1 сорта по схеме: первое С 30 мин., второе С 30 мин., третье С 35 мин., четвертое С 40 мин., что улучшает качество чая в среднем на 0,31 балла. Для листа 2 сорта внедрить 4-кратное С по 45 мин. каждое, что улучшит кач-во чая на 0,11 балла. Технологич. нормой С является скрученная масса ЧЛ с 80—81% разрушенных клеток.

В. Гурни

**30672. Преобразование никотина в листьях видов *Nicotiana* при воздушной сушке.** Мюллер (Die Umwandlung von Nikotin in den Blättern von *Nicotiano*-Arten während der Hangtrocknung. Müller Rudolf, Ber. Inst. Tabakforsch. Dresden, 1957, 4, № 1, 103—110 (нем.; рез. англ. русск.)

В результате воздушной сушки листьев сорта Гейдтертеймер III (*Nicotiana tabacum*) незначительное кол-во первоначально содержащегося в них никотина (I) увеличилось за счет никотина (II), но в небольшом размере. В течение 4-суточного томления увеличения кол-ва I не отмечено. При сушке табака сорта Гавана II с образования I за счет II не обнаружено. Ничтожные кол-ва II, содержащиеся в исследовавшейся *N. glauca*, не дали возможности установить его преобразования как до, так и во время воздушной сушки, хотя и этот вид *Nicotiana*, как известно, обладает способностью деметилирования. В привоях *N. glauca* (содержащей в качестве главного алкалоида анабазин), полученных прививкой на Гейдтертеймер, наряду с анабазин, обнаружен I и лишь 8% II, который при воздушной сушке путем деметилирования превращается в I.

Г. Диккер

**30673. Консервирование табачных изделий ионизирующим облучением.** Шмидт, Хенглейн (Kon-servierung von Tabakerzeugnissen durch Behandlung mit ionisierenden Strahlen. Schmidt J. A., Heng-lein A.), Z. Naturforsch., 1957, 12b, № 6, 414—415 (нем.)

Табачные изделия при достаточной относительной влажности воздуха являются хорошей питательной средой для развития спор плесеней, которые всегда имеются в воздухе. Введение в табак консервирующих средств приводит к ухудшению качества дыма табака. Опыты облучения образцов ферментированных табаков типов восточного и Вирджиния лучами  $Co^{60}$  показали, что при дозах  $> 4 \cdot 10^5$  рентген в облученных табаках не наблюдалось развития плесеней при микробиологич. испытаниях на агаре. Значения рН водн. вытяжек из образцов табака до и после облучения практически одинаковы. Облучение не оказывает отрицательного влияния на органолептич. свойства дыма, нельзя ожидать образования при облучении табака этой дозой вредных кол-в продуктов его разложения.

Г. Диккер

**30674. Стигмастерин в дыме сигарет.** Козак, Суайнхарт, Тейбер, Ван-Дюрен (Stigma-sterol in cigarette smoke. Kosak Alvin I., Swinehart James S., Taber David, Van Duuren Benjamin L.), Science, 1957, 125, № 3255, 991—992 (англ.)

Из дыма табака методами хроматографии выделен стигмастерин, точка плавления которого отличается от других содержащихся в дыме стероидов. Дым одной американской сигареты обычных размеров содержит до 0,5  $\gamma$  стерина.

**30675. Технология специй.** Феррара (Technologie delle spezie. Ferrara Antonio), Riv. agric. subtrop. et trop., 1957, 51, № 7-9, 269—286 (итал.)

Краткое ботанич. описание и подробное изложение технологии обработки ванили и специй семейства зонтичных (кориандр, тмин и др.). Приведены результаты их анализа.

**30676. Определение малых количеств куркумы в при-  
постях.** Митра, Рой (Detection of the presence of small amounts of turmeric in other spices. Mitra S. N., Roy S. C.), J. and Proc. Instn Chemists (India), 1957, 29, № 3, 155—157 (англ.)

Описано два хроматографич. метода определения малых кол-в куркумы в кориандре и тмине. Первый метод: 20 г припостей растирают с петр. эфиром, экстракт декантируют. Обезжиренный остаток заливают эфиром, вытяжку фильтруют и концентрируют. Несколько капель концентрата наносят на фильтровальную бумагу, подсушивают, обрабатывают насыщ. водн. р-ром  $H_2BO_3$  и окончательно высушивают на воздухе 10 мин. Розово-красное окрашивание пятна при смачивании  $NH_4OH$ , переходящее в красное, затем в зелено-синее указывает на присутствие куркумы. Второй метод: эфирную вытяжку, полученную по 1-му способу, упаривают на водяной бане почти до сухого состояния, остаток обрабатывают 1 мл спирта. Каплю р-ра наносят на полоску бумаги ватман № 1, высушивают, подвешивают над р-рителем (смесь изобутилового и этилового спиртов и воды в соотношении 4:1:2) так, чтобы край пятна касался поверхности последнего. Путем восходящего тока через 18 час. получают хроматограмму, которую обрабатывают по 1-му методу.

**30677. Применение химических веществ в пищевой промышленности.** Мак-Брайд (Confusion on additives hazard calls for basic appraisal. McBride Russell S.), Food Engng, 1957, 29, № 6, 113, 200, 203 (англ.)

Указывается на необходимость упорядочения и улучшения законодательства в области разрешения применения в пищевой пром-сти различных хим. в-в.

Т. Сабурова

**30678. Декларация по веществам, добавляемым в пищевые продукты.** Стёр (Declaration of food additives. Steur J. P. K. van der), Voeding, 1957, 18, № 11, 660—667 (англ.)

Доклад на 2-м симпозиуме (9—12 июня 1956 г. в Амстердаме) по вопросам хим. в-в, добавляемых в пищевые продукты.

**30679. Синтетические сладкие вещества.** Аппель, Римский, Лотхольц (Educorantes sintéticos. Appel Herbert H., Rimsky Isidoro, Lotherholz Klaus), Sientia (Chile), 1956, 23, № 2, 96—106 (исп.)

Изложено содержание доклада на VI Конгрессе химиков латиноамериканских стран, состоявшемся в Каракасе (Венесуэла) в мае 1955 г. Приведены ф-лы лучших из известных натуральных и синтетич. сладких в-в, обобщены их преимущества и недостатки. Особо рассмотрены производные о-нитробензойной к-ты. Рассмотрены теории, объясняющие вариации вкуса.

Г. Новоселова

**30680. Идентификация пищевых красителей.** Бергер (Identifizierung von Lebensmittelfarben. Berger H.), Lebensmittel-Ind. 1957, 4, № 6, 190—193 (нем.)



Описан хроматографич. метод идентификации и определения чистоты синтетич. красителей, применимый в производственных условиях. В стеклянный цилиндр вносят несколько мл р-рителя (смесь изоамилового, метилового спиртов и 5—10%-ного р-ра  $\text{NH}_4\text{OH}$  в соотношении 4:3:3) и встряхиванием насыщают его парами воздушного пространства цилиндра. В цилиндре пробкой зажимают полоску бумаги Шлейхер и Шюльц 2043 (30 × 2 см), на верхнюю часть которой нанесено пятно растворенного красителя. Через 30—60 мин. опускают полоску в р-ритель на 1—2 см, чтобы пятно отстояло от поверхности р-рителя на 1—2 см. Путем восходящего тока получают хроматограмму, которую после сушки изучают при дневном и УФ-свете, а также после обработки  $\text{HCl}$  и  $\text{NH}_3$ . Приведены значения для 18 синтетич. красителей, полный анализ их хроматограмм. В. Гурни

30681. Определение разрешенных синтетических пищевых красителей в их смеси. Архангелов М. Н., Саркисянц А. С., Информ. бюл. Моск. н.-и. ин-т санитарии и гигиены, 1957, № 10-11, 33—36

Описана методика выделения красителей из конфет и определения путем капельной р-ции и р-ции окрашивания шерстинок (фиолетовый или зеленый краситель, оранжевый краситель), а также р-ции с р-ром глюкозы в щел. среде (фиолетовый или зеленый краситель). Г. Н.

30682. Сорбиновая кислота как консервант для пищевых продуктов. Крюгерс-Даньо (Sorbinol als conserveermiddel in de levensmiddelenindustrie. Krugers Dagneaux E. L.), Chem. weekbl., 1957, 53, № 37, 500 (гол.)

Описаны свойства сорбиновой к-ты, применение которой еще не разрешено в Нидерландах.

30683. Безвредность адипиновой кислоты в сравнении с лимонной и виннокаменной кислотами. Хорн, Холланд, Хейзлтон (Safety of adipic acid as compared with citric and tartaric acid. Horn Henry J., Holland Emily G., Hazleton Lloyd W.), J. Agric. and Food Chem., 1957, 5, № 10, 759—762 (англ.)

Изучена токсичность адипиновой к-ты, ввиду расширения ее применения при произ-ве пищевых продуктов. Испытаниями на животных установлено, что она менее токсична, чем лимонная и виннокаменная к-ты. Г. Новоселова

30684. Применение фольги для упаковки пищевых продуктов. Лохер (Die Folien der Verpackungsinindustrie. Locher E.), Aluminium Suisse, 1957, 7, № 3, 92, 94—97 (нем., франц.)

В настоящее время в алюминиевую фольгу (полуавтоматами и автоматами) упаковывают шоколад (плотный, узорчатый, фигурный, в порошке) сигареты и табак, плавленый сыр, масло и маргарин (Швейцария), мороженое (в брикетах и на палочке), печенье, конфеты, бульонные кубики, пищевые концентраты, кофе (включая растворимый кофе и кофе без кофеина), лимонад в порошке, чай и др. Даны фотографии образцов упаковок и автоматов для упаковки печенья и масла, а также схемы приспособлений для размотки рулона фольги и загибания ее по форме прямоугольного упаковываемого предмета. В. Гурни

30685. Расчет изолированных контейнеров для перевозки замороженных продуктов. Видеман (Die Berechnung isolierter Behälter für Tiefkühlgüter. Wiedemann Kurt), Kälte, 1957, 10, № 9, 320, 322—324, 326 (нем.)

30686. Погрузочно-разгрузочные операции на складе с затаренными морожеными пищевыми продуктами. Бескин (Handling prepacked frozen foodstuffs.

Beskin J. M.), Mech. Handling, 1957, 44, № 11, 638—640 (англ.)

Описано устройство и эксплуатация холодного склада для замороженных пищевых продуктов в упаковке. Склад двухэтажный. Полезная емкость камеры верхнего этажа для рыбы и мясных продуктов 200 т, нижней — для гороха, фасоли, овощей и фруктов — 450 т. Т-ра в камерах соответственно — 29 и —20,6°. Камеры охлаждают системой непосредственного испарения. Склад оборудован конвейерами: двумя стационарными вдоль средней линии каждой камеры и двумя передвигаемыми, горизонтальным и наклонным, на погрузочной площадке склада для загрузки и разгрузки нижней и верхней камеры. А. Кононов

30687 К. Аналитическая химия пищевых продуктов. Том 2. Пищевые продукты растительного и животного происхождения. Пищевое законодательство. Значение минеральных вод в свете современных достижений. Буоно (Chimica analitica degli alimenti. Vol. 2. Gli alimenti composti del regno vegetale ed animale. La legislazione alimentare. La dottrina delle acque minerali nelle acquisizioni odierne. Buono Giulio. Milano, Ed. Ceschina, 1956, 499 p., ill., 4500 L.) (итал.)

Том 1 см. РЖХим, 1957, 57838.

30688 К. Использование зерна на мельницах. (Научные основы). Левятин Г. М., М., Хлебозадат, 1957, 188 стр., илл., 6 р. 35 к.

30689 К. Методы анализа: пшеницы, пшеничной муки, хлеба, мучных изделий, кукурузы, солодовой муки и экстракта, дрожжей. Ди-Стефано, Линтас-Симончелли, Мунтони, Ренци (Metodi di analisi: frumento, farina di frumento, pane, paste alimentari, granturco, farine ed estratti di malto, lieviti. Red. Di Stefano F., Lintas-Simoncelli F., Muntoni F., Renzi D. Roma, Ed. Fondaz. Emanuele Paterno, 1956, 42 p., ill., 600 L.) (итал.)

30690 К. Новейшие данные в области производства плодовых соков. Изд. 2-е доп. Кох (Neuzeitliche Erkenntnisse auf dem Gebiet der Süßmostherstellung. 2. erw. Aufl. Koch Julius. Frankfurt/M., Horn, 1956, 132 S., 9,80 DM) (нем.)

30691 К. О разнообразных продуктах из молока. Телеску (1000 de produse din lapte. Telescu C. București, Ed. tineret., 1957, 127 p., ил., 2,25 lei) (рум.)

30692 К. Холодильная техника в мясной индустрии. 1930—1956 гг. Библиогр. справочник [Указатель к ж. «Мясная индустрия СССР» за 1930—1956 гг.] Прилуцкий Д. Н. Всес. н.-и. ин-т мясной пром-сти. М. 1957, 77 стр.

30693 С. Концентраты супов. Нормы качества. Общие указания. Готовый концентрат супа (Společná ustanovení norem jakosti pro tuhé polévkové přípravky). Чехосл. стандарт 580770; 1957 (чешск.)

30694 С. Концентрат мясного супа (Hotový přípravek pro polévku hovězí. Norma jakosti). Чехосл. стандарт 580799; 1957 (чешск.)

30695 С. Концентрат мясного супа (Hotový přípravek pro polévku hovědou. Norma jakosti). Чехосл. стандарт 580782; 1957 (чешск.)

30696 С. Концентрат мясного супа с макаронными изделиями (Hotový přípravek pro polévku hovězí s těstovinami. Norma jakosti). Чехосл. стандарт 580780; 1957 (чешск.)

30697 С. Концентрат рисового супа с мясом (Hotový přípravek pro polévku rýžovou s masem. Norma jakosti). Чехосл. стандарт 580787; 1957 (чешск.)

30698 С. Концентрат супа из рубца (Hotový přípravek pro polévku dršťkovou. Norma jakosti). Чехосл. стандарт 580785; 1957 (чешск.)

- 30699 С. Концентрат супа-гуляша (Hotový přípravek pro polévku gulášovou. Norma jakosti). Чехосл. стандарт 580786: 1957 (чешск.)
- 30700 С. Концентрат супа с «рисом» из печенки (Hotový přípravek pro polévku s játrovou rýží. Norma jakosti). Чехосл. стандарт 580781: 1957 (чешск.)
- 30701 С. Концентрат супа с макаронными изделиями (Hotový přípravek pro polévku těstovinové. Norma jakosti). Чехосл. стандарт 580771: 1957 (чешск.)
- 30702 С. Концентрат чесночного супа (Hotový přípravek pro polévku česnekovou. Norma jakosti). Чехосл. стандарт 580778: 1957 (чешск.)
- 30703 С. Концентрат супа из цветной капусты (Hotový přípravek pro polévku kvěťákovou. Norma jakosti). Чехосл. стандарт 580776: 1957 (чешск.)
- 30704 С. Концентрат супа с манной крупой и яйцом (Hotový přípravek pro polévku krupicovou s vejci. Norma jakosti). Чехосл. стандарт 580777: 1957 (чешск.)
- 30705 С. Концентрат супа из бобовых (Hotový přípravek pro polévku luštěninové. Norma jakosti). Чехосл. стандарт 580772: 1957 (чешск.)
- 30706 С. Концентрат супа из овощей (Hotový přípravek pro polévku zeleninové. Norma jakosti). Чехосл. стандарт 580773: 1957 (чешск.)
- 30707 С. Концентрат супа из грибов (Hotový přípravek pro polévku houbové. Norma jakosti). Чехосл. стандарт 580774: 1957 (чешск.)
- 30708 С. Концентрат супа пюре с яйцом (Hotový přípravek pro polévku bílou s vejci. Norma jakosti). Чехосл. стандарт 580775: 1957 (чешск.)
- 30709 С. Концентрат мясного блюда с макаронными изделиями (Hotový přípravek pro polévku těstovinovou s masem. Norma jakosti). Чехосл. стандарт 580788: 1957 (чешск.)
- 30710 Т. Стручковые. Горох лущеный и полированный. (Hülsenfrüchte. Erbsen geschält und poliert). Стандарт ГДР, 2978: 1956 (нем.)
- 30711 С. Карамель (Karamely. Norma jakosti). Чехосл. ст., 565210: 1957 (чешск.)
- 30712 С. Шоколад с начинкой (Plněná čokoláda. Norma jakosti). Чехосл. ст. 563730: 1957 (чешск.)
- 30713 С. Конфеты глазированные шоколадом. (Cukrovinky máčené v čokoládové polevě. Norma jakosti). Чехосл. стандарт, 563830: 1957 (чешск.)
- 30714 С. Драже шоколадное и нешоколадное (Dražé čokoládové a nečokoládové. Norma jakosti). Чехосл. ст. 564510: 1957 (чешск.)
- 30715 Т. Желейные конфеты (Zelé cukrovinky. Norma jakosti). Чехосл. ст. 564710: 1957 (чешск.)
- 30716 С. Нуга (Nuháty. Norma jakosti). Чехосл. ст. 564050: 1957 (чешск.)
- 30717 С. Питьевое молоко (Trinkmilch) Стандарт ГДР: 2760, 1956 (нем.)
- 30718 С. Консервы из хэка (Canned hake (cape cod)). Стандарт ЮАС 562: 1956 (англ.)

30719 П. Пищевой продукт и способ его производства (Procédé de fabrication d'un produit alimentaire et produit fabriqué suivant ce procédé) [Amil (Aliments Modernes Intégraux Lactés) X. Rudloff, R. Perlot, P. Berger et Co.]. Франц. пат. 1120199, 2.07.56

Патентуется способ получения вкусного и стойкого при хранении питательного и богатого витаминами продукта. Сухие дрожжи смешивают со свернувшимся молоком и шоколадом, варят в отсутствие  $O_2$  с добавлением солей для гомогенизации; можно вводить муку, плоды, зародыши семян злаков. Примерная рецептура смеси: сухих дрожжей 1 кг, сквашенного молока 2,2 кг, шоколада 1,5 кг, сахара 300 г; сухого молока 300 г, сливочного масла 200 г, соли плавителя

30 г, NaCl 25 г, воды 1—2 л. Сквашенное молоко частично или полностью может быть заменено сухим или сгущенным молоком, вода — плодовым соком.

Т. Сабурова  
30720 П. Производство легко усвояемого обогащенного пищевого продукта. Барон, Фроман (Produit alimentaire activé. Barone, Barone Elisabeth, née, Froment Jean). Франц. пат. 1120860, 16.07.56

Патентуется способ повышения усвояемости витаминов, жиров, антибиотиков, добавляемых в пищевые продукты и др., путем их очень тонкого распыления и смешивания с каким-либо тонкоизмельченным носителем. Во избежание образования комков и для получения предельно однородных смесей компоненты могут предварительно подвергаться подсушиванию, деполяризации, дегазации под вакуумом или каким-либо другим видам обработки. Измельченное биологически активное в-во окрашивают для облегчения контроля равномерности смешения. Т. Сабурова

30721 П. Метод изготовления порошкообразного крахмального продукта. Уиннер (Method of making non-lumping starch mixture and the resulting composition. Winner Bernard M.) [American Maize-Products Co.]. Пат. США 2749244, 5.06.56

Патентуется способ изготовления порошкообразного крахмального полуфабриката для приготовления пудингов путем добавления холодной воды или молока. Модифицированный крахмал смешивают с водой, подвергают клейстеризации при 71—100°, сушат, размалывают в порошок и смешивают с 0,1—8,0% (от веса крахмала) эфира жирной к-ты и спирта, обладающего в равной степени липофильным и гидрофильным свойствами и имеющего т. пл. 7—60°. Напр., моноолеат полиоксисетиленгликоля, монолаурат полиоксисетиленгликоля моноальмилитат полиоксисетиленгликоля, моностеарат полиоксисетиленгликоля (полиоксисетиленгликоль должен иметь мол. вес. 400—4000, а жирная к-та содержать от 12 до 18 атомов С), добавляют остальные компоненты и измельчают до получения частиц, 94% которых проходит через сито, имеющее 79 отв/см и 60% — через сито с 127 отв/см. Смесь образует с водн. жидкостью гомог. массу (без комков) в течение 30 сек. Пример приготовления шоколадного пудинга: смешивают 25 ч. крахмала, 35 ч. сахара, 20 ч. кукурузной патоки, 17,5 ч. какао, 1,1 ч. соли и 0,4 ч. ванильной отдушки. Смесь опрыскивают 1,0 ч. моноолеата полиоксисетиленгликоля и измельчают до получения частиц, проходящих через сито, имеющее 79 отв/см. 124 г полученной сухой смеси смешивают с 0,47 л молока и 2 взбитыми яйцами до получения однородной массы. Для приготовления пудинга требуется 30 сек.

В. Никифорова  
30722 П. Метод стабилизации вкуса и аромата эфирных масел. Эванс, Клейншмидт (Method of stabilizing the flavor of essential oils and the resulting composition. Evans James W., Kleinschmidt Albert W.) [American Maize-Products Co.]. Пат. США 2754215, 10.07.56

Запатентован метод стабилизации вкуса и аромата натуральных эфирных масел (лимонное, апельсиновое) или синтетич. отдушек (этилацетат, этилмалеат и т. п.), вводимых в сухие пищевые концентраты. Сущность метода заключается в том, что эфирные масла эмульгируют (с добавлением эмульгатора) (вводя эфирное масло по каплям при помешивании) в неводн. водорастворимом в-ве (глицерин, пропиленгликоль), в котором диспергировано белковое в-во (обезжиренное сухое молоко, соевая мука), образующее вокруг капель эфирного масла непроницаемую оболочку, предотвращающую окисление альдегидов и



полимеризацию терпенов. Эмульсию смешивают с пищевым гигроскопичным углеводом. Пример: 30 г сухого обезжиренного молока смешивают с 200 г глицерина; при непрерывном размешивании вносят по каплям 106 г лимонного масла. 0,0273 вес. ч. полученной эмульсии смешивают с 135 вес. ч. сухого пищевого концентрата, содержащего главным образом сахар и клейстеризованный крахмал. Продукт упаковывают и хранят при  $\sim 20^\circ$ . Продукт сохраняет аромат лимонного масла при хранении концентрата  $> 1$  года.

Т. Сабурова

**30723 П. Способ удаления запаха, ухудшающего качество напитков, белковых продуктов и продуктов, полученных брожением. Кобаяси, Саруно, Фурукава** [Япония. сюрый кабусики кайся]. Японск. пат. 1396, 27.02.56

Патентуется способ удаления запаха с помощью ионообменных смол. Сильноосновные катионообменные смолы для очистки промывают 10%-ным р-ром мушкет. соды, 10%-ной фосфорной к-той и водой. Через колонку с очищ. смолой пропускают жидкие пищевые продукты, спирт, вкусовые в-ва. Таким же образом можно удалять запах, сопровождающий расщепление белковых в-в, напр. соевого казеина, или запах, развивающийся при автолизе дрожжей.

А. Фрадкин

**30724 П. Повышение питательности импортного риса (в Японии). Нива** (Нива Соити, Като Коити). Японск. пат. 2874, 17.04.56

Импортируемый в Японию рис нуждается в обработке для повышения пищевой ценности и удаления неприятного запаха. Рекомендуется пропитывать импортный рис эмульсией или обрабатывать смесью эмульсии с рисовыми отрубями японского происхождения. Состав эмульсии: жиры, вода, витамины А, В<sub>1</sub>, В<sub>2</sub>, С, Д, моноглицериды жирных к-т, аспаргинат натрия и другие поверхностноактивные в-ва. Обработка с использованием отрубей: в 85 см<sup>3</sup> пищевого масла добавляют 14 см<sup>3</sup> воды, 10 см<sup>3</sup> поверхностноактивных в-в, 50 мг витамина В<sub>1</sub>, приготавливают эмульсию, которую смешивают с 1 кг рисовых отрубей. Полученную массу добавляют к 10 кг импортного риса, помещают в плотно закрытый сосуд, держат 3—12 час. и отделяют рис от отрубей.

А. Фрадкин

**30725 П. Аппарат для пропитки очищенного риса. Гибба, Иноуэ, Фукуда** [Икумори кагаку кабусики кайся]. Японск. пат. 2885, 17.04.56

Патентуется аппарат для пропитывания очищ. риса р-рами (напр., витамина В<sub>1</sub>, В<sub>2</sub> и аминокислотами), обеспечивающий в процессе обработки целостность зерна и полное поглощение р-ра. Вращающийся центральный барабан, куда подается р-р, имеет на своей поверхности симметрично расположенные камеры для загрузки риса. В месте соединения барабана и камер установлена металлич. сетка. При вращении барабана (1/2—2 об/мин.) р-р подается в нижнюю камеру, а из верхней вытекает в барабан. Приложено 6 схем.

А. Фрадкин

**30726 П. Обработка зерна и риса. Судзуки** Японск. пат. 2875, 17.04.56

Патентуется способ обработки очищ. зерна, импортного или находящегося на долгом хранении риса, для повышения вкусовых качеств и пищевой ценности. Муку или крахмал заливают водой, нагревают, получают клейкую массу, добавляют масло, растворимые в воде и масле витамины, тщательно перемешивают в высокоскоростной мешалке и получают молочно-белую вязкую массу. Массу смешивают с зерном, импортным рисом, незрелым рисом, старым зерном: Пример: на 10 кг импортного риса берут 200 см<sup>3</sup> воды и 16 г крахмала, смешивают, нагревают и получают клейкую массу, добавляют 90 г пищевого масла,

если необходимо, витамины, растворимые в воде и масле, хлорофилл, Na-глутамат, закладывают в мешалку со скоростью 1000 об/мин., 6 мин. перемешивают и получают однородную молочно-белую клейкую массу, которую добавляют к 40 кг риса и оставляют стоять 25 мин.

А. Фрадкин

**30727 П. Автоматический тестоделитель с ножом, действующим от упора жгута теста в ролик. Хеферман** (Selbsttätige Teigteilmaschine mit durch Stranganschlag betätigtem Messer. Hefermann Heinz) [Raderborner Backofen- und Maschinenfabrik Karl Oppermann]. Пат. ФРГ 939562, 23.02.56

Патентуется автоматич. тестоделитель с упором жгута теста в ролик, соединенный системой весовых коромысел с запорным стержнем, ограничивающим ход ножа через собачку с пружиной на диске, несущем нож, и свободно вращающимся на валу. На противоположном от вала конце собачки делается наклонный кант с гладкой поверхностью для скольжения по ней запорного стержня и вывода собачки из зацепления с зубьями ведущего колеса; на собачке делают вырез непосредственно после канта для заклинивания в него стержня. Передние по направлению вращения стенки выреза и стержни должны быть скошены под острым углом и плотно прилегать друг к другу. Задний кант выреза должен быть высоким во избежание выскакивания стержня при застопоривании ножа. Приложены пояснительные схемы и чертежи.

А. Орлов

**30728 П. Приготовление крекеров с добавлением сыра. Мураками**, Японск. пат. № 2873, 17.04.56

В тонкоразмолотую рисовую муку добавляют сыр, казеин, соевую муку, Na глутамат ароматизирующие в-ва, смешивают, варят на пару и толкут в ступке. Порошок раскатывают, формуют, охлаждают, сушат при 50°, поджаривают короткое время при 250—270°. Полученный продукт, вкусен, питателен, легко усваивается организмом. Пример. К 100 г рисовой муки добавляют 3—5 г казеина, 2 г соевой муки, 12—25 г твердого или мягкого сыра, 0,3 г Na глутамата, соль, ароматизирующие в-ва, иногда добавляют немного воды, перемешивают, варят на пару 40 мин. и толкут в ступке. Массу (содержание воды 35%) раскатывают валками, формуют и сушат при 50°. Изделие (содержание воды 15—20%) 5—7 мин. поджаривают при 250—270°.

А. Фрадкин

**30729 П. Подготовка орехов к удалению кожицы. Стейнер** (Process for preparing nuts for blanching. Steiner John) [The Kelling Nut Co.]. Канадск. пат. 516544, 13.09.55

Орехи обрабатывают паром при 100°, в течение 1—3 мин., а затем быстро сушат в течение 20—5 мин. при 126—143°. Сушку можно осуществлять контактированием орехов с нагретым в-вом при весовом соотношении 1:2.

З. Лебедева

**30730 П. Покрытие плодов и овощей защитной пленкой. Герикке** (Coating process for fruits and vegetables. Gericke Carl E.) [American Machinery Corp.]. Пат. США 2755189, 17.07.56

Плоды или овощи моют и во влажном состоянии покрывают методом распыления восковой эмульсией при 32—49°. Влага на поверхности плодов собирается в крупные капли и стекает; дополнительного высушивания плодов не требуется. Эмульсия содержит 7—20% (лучше 10—14%) воска (минер., растительного или животного происхождения, натурального или синтетич. или их смеси) и 1—1,5% жирорастворимых поверхностноактивных в-в, и 80—92% нетоксичного неводн. р-рителя, не смешивающегося с водой. В случае добавления в состав пленки красящих в-в последние составляют 5% и в эмульсию вводится 15—25% воды. В качестве р-рителей применяют тяже-

лые минер. масла с вязкостью 335—345 сек. сейболта и ароматич. углеводороды, преимущественно ксилол с небольшим кол-вом крезолов, терпинеол, а также алифатич. р-рители. Органич. р-рители добавляют в кол-ве, достаточном для повышения растворимости смеси и для снижения вязкости минер. масла и воска. Состав смеси зависит от вида обрабатываемых плодов и овощей. Пример 1. Состав для покрытия томатов: бензина 5,75%, парафина 7,20%, терпинеола 7,2%, каменноугольного р-рителя 7,20%, минер. масла 71,55%, поверхностноактивного в-ва 1,1%. Пример 2. Состав препарата для покрытия цитрусовых плодов: карнаубского воска 4,5%, парафина 2,0%, каменноугольного р-рителя 42,5%, нефтяного р-рителя 42,5%, поверхностноактивного в-ва 1,5%.

Т. Сабурова

**30731 П. Метод защиты персиков от порчи.** Келлер (Method of inhibiting the development of decay in peaches, and the like. Keller Herman J.) [Brogdex Co.]. Пат. США 2755188, 17.07.56

Патентуется способ защиты от порчи во время транспортирования персиков или любых других плодов путем их помещения в атмосферу, содержащую в 1 м<sup>3</sup> 50 мл трихлорэтана и 1,2—2,5 мл триэтиленгликоля. Последний смешивают с равным кол-вом трихлорэтана и испаряют с горячей поверхности при 204°. Присутствие трихлорэтана препятствует воспламенению трихлорэтиленгликоля. Остальное кол-во трихлорэтана выливают на дно вагона или помещают в открытый сосуд, откуда он испаряется в течение 24 час. Соотношение последних может колебаться от 20—40 ч. на 1 ч. Испарение указанных жидкостей производят после загрузки вагонов или автоприцепов ящиками с плодами. Через 7 дней после обработки партии плодов содержали 1,0% испорченных персиков; в контрольные партии — 80%. Т. Сабурова

**30732 П. Усовершенствованный способ производства сушеного гранулированного картофеля.** Тредуэй, Хейслер (Process for making unicellular dehydrated potato granules. Treadway Robert H., Heisler Edward G.) [United States of America as represented by the Secretary of Agriculture]. Пат. США 2750295, 12.06.56

Запатентован новый способ произ-ва сухого гранулированного картофеля, представляющего собой в готовом виде белый сыпучий порошок с влажностью < 7% и образующего при смешивании с горячим или холодным молоком или водой готовое к употреблению картофельное пюре. 2 ч. вареного протертого картофеля смешивают с 1 ч. этанола, при непрерывном размешивании отгоняют спирт с водой в вакууме при 50—55°, по мере испарения добавляют спирт или его пары, до удаления 60% от первоначального содержания влаги. К полученной кашке добавляют спирт, доводя его содержание до 80%, и фильтруют. Фильтрат содержит 20% воды, т. е. ~33% от ее первоначального содержания, влажность остатка после фильтрования 11%, остальное кол-во спирта испаряют размешиванием кашки без подогревания и окончательно досушивают любым способом до влажности ≤ 7% при 60—80°. Т. Сабурова

**30733 П. Способ консервирования картофеля, в частности картофельного салата.** Хеннинг (Verfahren zur Herstellung einer Kartoffelkonserve, insbesondere Kartoffelsalat. Henning Wolfgang). Пат. ФРГ 962400, 18.04.57

Патентуется метод производства консервированного картофельного салата. К очищ. нарезанному ломтиками картофелю добавляют небольшое кол-во соли, смешивают с подливкой или майонезом, закладывают в банки, герметически укупоривают и стерилизуют. Т. Сабурова

**30734 П. Метод консервирования фиников.** Феррен (Method of canning dates. Ferren Robert P.) [American Can Co.]. Пат. США 2760872, 28.08.56

Патентуется способ обработки и консервирования в герметич. таре сухих и полусухих фиников для придания им сочности и улучшения их консистенции и вкуса. Финики с влажностью 13—22% закладывают в банки, добавляют такое кол-во воды, чтобы довести влажность готового продукта до 23—35%, укупоривают под вакуумом 254—635 мм рт. ст., пастеризуют при 77—88°, доводя т-ру содержимого банки до 71—77°, при этом финики приобретают требуемую влажность и консистенцию и ферменты инактивируются. Кол-во добавляемой в банку воды вычисляют по ф-ле:  $A = W(M_2 - M_1)/(1 - M_2)$ , где  $A$  — вес добавляемой воды,  $W$  — вес фиников,  $M_2$  — заданная влажность фиников,  $M_1$  — начальная влажность фиников.

Т. Сабурова

**30735 П. Способ и установка для сгущения водных жидкостей.** Тулмин (Verfahren und Einrichtung zur Konzentration von wässrigen Flüssigkeiten. Toulmin Harry Aubrey) [The Commonwealth Engineering Co.]. Швейц. пат. 314308, 31.07.56

Патентуется способ сгущения водн. жидкостей, напр. плодоягодных и овощных соков, путем их охлаждения и последующего отделения образовавшихся кристаллов льда на 3-корпусной установке. Установка состоит из вертикального вращающегося цилиндра, снабженного неподвижной рубашкой, внутри которой циркулирует охлаждающий рассол. Полежащий сгущенный сок распыляется на верхней части внутренней поверхности цилиндра и стекает вниз, попадая на сито, задерживающее образовавшиеся кристаллы чистого льда; частично сгущенный сок стекает вниз в приемник, откуда попадает во вторую аналогичную секцию и затем последовательно в третью. Т-ра охлаждающего рассола в первой секции — 4°, во второй — 12°, в третьей — 24°. Скорость вращения барабана зависит от вязкости сгущаемой жидкости и тем больше, чем выше текучесть жидкости. Внутреннюю поверхность цилиндра периодически нагревают для удаления образовавшихся кристаллов льда. Дан схематич. чертеж установки. Т. Сабурова

**30736 П. Способ получения стойкого сухого мяса.** Кифер (Verfahren zur Herstellung von haltbarem Trockenfleisch. Kiefer Hans). Пат. ФРГ 962398, 18.04.57

Для получения сухого мяса, не только стойкого при хранении, но и сохранившего свою консистенцию и вкус, пласты свежего мяса толщиной ~ 5—8 мм без каких-либо консервирующих компонентов обогревают потоком горячего воздуха большой скорости движения с т-рой ~ 40° до снижения влажности мяса до 14%. При этом режиме сушки только ~ 1% белков коагулирует, и при влажности мяса 14% микрофлора не развивается. А. Манербергер

**30737 П. Сохранение цвета мяса туниа при замораживании.** Ясуда (Тайё гёгё кабусики кайся). Японск. пат. 2880, 17.04.56

Замороженный туец для сохранения цвета мяса обрабатывают 0,4—0,05%-ным р-ром селитры или Na-нитрита и аскорбиновой или лимонной к-ты. Обработанный продукт сохраняет натуральный цвет мяса в течение трех месяцев. Пример. В 0,2%-ный р-р NaNO<sub>2</sub> и аскорбиновой к-ты в соотношении 1:1 при 3° на короткое время до образования ледяной корочки (глазурь) погружают предварительно замороженный туец.

А. Фрадкин

**30738 П. Увеличение объема табака и табачных продуктов.** Бер (Puffing of tobacco and tobacco products. Baer John M.). Пат. США 2759858, 21.08.56



Патентуется способ увеличения объема табачного материала в результате его разбухания, что имеет особое значение при обработке жилок табака, так как ликвидировать вспышки жилок при сгорании в сигарете. Листовой табак или жилки, или резанный табак помещают в вакуум-камеру, понижают давление до 5–50 мм рт. ст., повышают давление, т-ру табака и его влажность, впуская в камеру пар (при давлении не выше атмосферного), а затем быстро создают вакуум, достаточный для снижения влажности и охлаждения табака, после чего в камере восстанавливают атмосферное давление. Для такой обработки табака применяют цилиндрич. вакуум-камеру, отделенную по всей площади торца опускающейся перегородкой от второй камеры, значительно большего объема; при выдвигании перегородки давление в вакуум-камере резко падает.

Г. Диккер  
30739 П. Табак. Роуленд (Tobacco. Rowland Ralph Lawrence) [R. J. Reynolds Tobacco Co.]. Пат. США 2766148, 9.10.56

Для улучшения аромата табака (вместо составления сложных смесей табаков) к нему добавляют 0,01–1,0% нелетучих в-в (при сгорании освобождающих летучие к-ты, обладающие запахом), напр. эфиров крахмала, целлюлозы, пектина, лигнина, декстрина, янулина, гликогена, гемицеллюлоз, пентозанов, гекозанов, камедей, глюкозидов, таннинов и к-т, имеющих 3–8 атомов С, напр., насыщ. алифатич. жирных к-т (пропионовая, н-масляная, изомасляная, н-валериановая, изовалериановая, 2-метилмасляная, н-капроновая, 4-метилвалериановая, 3-метилвалериановая, 2,2-диметилмасляная, 2-метилпропионовая, гептановая, каприловая), ненасыщ. алифатич. жирных к-т (акриловая, кроотоновая, винилуксусная, 4-метил-4-гексеновая, 5-метилсорбиновая), циклоалкановых или циклоалкеновых алифатич. к-т (циклопентанкарбоновая, циклогексанкарбоновая, циклопентануксусная, циклогексануксусная), ароматич. карбоновых к-т (бензойная, толуиловая), фенилуксусной к-ты. Предпочтительно применение эфиров алифатич. или алициклич. насыщ. монокарбоновых жирных к-т, содержащих 4–6 атомов С. Пример. 8,1 г сухого крахмала смешивают с 185 мл формамида при 80°, охлаждают смесь до ~20° и добавляют в нее 13 г пиридина, а затем 23 г 3-метилвалерианхлорида, оставляют смесь на 40 час., а затем вливают ее в 2500 мл охлажд. 2%-ной HCl. После фильтрации и 2-кратной промывки 95%-ным этанолом сухой остаток весит 7,3 г. 2–4 мг этого в-ва растворяют в 1 мл ацетона, спирта или эфира и опрыскивают сигарету из расчета 0,25 мл р-ра на 25 пог. мм сигареты и струей сжатого воздуха удаляют р-ритель.

Г. Диккер  
30740 П. Табак и добавляемое к нему вещество. Лар (Tobacco and an additive. Lahr Paul H.) [Union Carbide and Carbon Corp.]. Пат. США 2759859, 21.08.56

Для снижения содержания смол в дыме табака (взамен фильтров) применяют полиацетилен (купрен) в виде тонких завитых нитей диам. 0,1–1,0 м, добавляемых в кол-ве от 2 до 4% к сухому весу табака. При скуривании 1/2 и 3/4 сигарет одинакового веса, изготовленных с добавкой купрена, в дым перешел соответственно 1,25% и 2,37% смол, а без купрена — 3,77% и 5,76%. Добавление купрена также смягчает вкус дыма и повышает горючесть табака. Г. Диккер

30741 П. Табачный продукт и метод стабилизации его влажности. Фрэйнд, Домовс (Tobacco product and method of conditioning same. Freund Ernest H., Domovs Kelvin) [National Dairy Research Labs, Inc.]. Пат. США 2745775, 15.05.56

Патентуется применение в качестве стабилизатора влажности табака многоатомного спирта лактозита

(в чистом виде или в смеси с глицерином или сорбитом), получаемого путем гидрогенизации лактозы. Пример. 200 г табака опрыскивают при 20° 200 мл 6%-ного р-ра лактозита, перемешивают в течение часа, сушат в токе воздуха при 5° и затем увлажняют в герметичной камере над 33,5%-ным р-ром H<sub>2</sub>SO<sub>4</sub> в течение 72 час.

Г. Диккер  
30742 П. Фильтр для дыма табака. Статия (Tobacco smoking article. Statia Edwin V. Sr.) [To Edward L. Chapman]. Пат. США 2755206, 17.07.56

Патентуется фильтрующий патрон, поглощающий из дыма выкуриваемого табака вредные в-ва (никотин, пиридин, пиколлин, H<sub>2</sub>S, метанол, NH<sub>3</sub>, HCN, диметилпиридин, триметилпиридин), из хлопковой ваты, в середине которого помещена желатиновая или полиэтиленовая шаровидная капсуля с жидким пастообразным или желеобразным составом, содержащим органич. к-ты (дубильную, лимонную, винную), FeSO<sub>4</sub>, FeCl<sub>3</sub>, FeC<sub>4</sub>H<sub>4</sub>O<sub>6</sub> или другие подобные в-ва. Патрон заключен в оболочку из тонкого картона. На поверхности капсули имеются впадины для облегчения ее раздавливания. Перед закуриванием потребитель сжимает патрон, раздавливает капсулю и ее содержимое пропитывает вату патрона. Патроны могут быть присоединены к сигаретам при их изготовлении или вставляются в мундштуки. Патрон остается пригодным после неограниченного срока хранения.

Г. Диккер  
30743 П. Производство яблочного соуса. Граб (Method for the manufacture of apple sauce. Grab Eugene G.). Пат. США 2744016, 1.05.56

Патентуется поточный метод произ-ва яблочного соуса без предварительной сортировки яблок по размеру и удаления сердцевин, благодаря чему повышается содержание пектина в соусе и достигается более густая консистенция. Яблоки последовательно проходят следующие стадии переработки: сортировка плодов по качеству, мойка с применением моющих средств, удаление чашечки, выдерживание в течение 1 мин. в р-ре, содержащем 0,05% NaHSO<sub>3</sub>, 0,05% Na<sub>2</sub>S<sub>2</sub>O<sub>3</sub>, 0,05% аскорбиновой к-ты, 1% лимонной к-ты, 0,5% NaCl (аскорбиновая к-та тормозит процессы окисления, а остальные в-ва, содержащиеся в этом р-ре, инактивируют ферменты; могут быть применены другие в-ва, обладающие аналогичными свойствами), промывка водой, измельчение яблок, повторное погружение в такой же р-р, при этом вследствие разницы в уд. весе отделяются плодоножки и семена; повторное измельчение и погружение в такой же р-р (удаление остатков плодоножек и семян), промывка водой, шпарка острым паром под давлением на сетчатом транспортере без соприкосновения с конденсатом; смешивание с сахаром и добавление некоторого кол-ва конденсата в зависимости от густоты соуса, протирка, просмотр соуса на наклонном пластмассовом транспортере, разлив в тару. Предложена схема расположения оборудования.

Т. Сабурова  
30744 П. Новый вид соуса (Nouvel assaisonnement complexe) [Ets. Jules Parizot]. Франц. пат. 1423920, 1.10.56

Патентуется произ-во нового вида острого пастеризованного томатного соуса тонкой однородной консистенции. В состав соуса входит 28%-ная томатная паста, растительное масло, горчица и другие пряности. Полученную смесь пропускают через гомогенизатор, разливают в бутылки, пастеризуют при 90°. Примерная рецептура соуса: томатной пасты, содержащей 28% сухих в-в, 45 кг, горчицы дижонской 5 кг, масла рафинированного 5 кг, воды 32 кг, мясного экстракта 0,3 кг, сухого лука 0,15 кг, чеснока 0,1 кг, перца 0,1 кг, гвоздики молотой 0,4 кг, лаврового листа молотого 0,05 кг, приправы Метеор Паризо 10 кг (со-

став приправы (в %): жмыха белой горчицы 17, пряностей и перца молотого 0,5, NaCl 6,5, уксусной к-ты 3,6, виннокаменной к-ты 0,70, воды 71,7).

Т. Сабурова

30745 П. Способ ускорения брожения сои. Муцу-м. Японск. пат. 1399, 27.02.56

К размоchenному недущеному рису и отрубям после обработки паром добавляют соевый солод, приготавливают закваску, добавляя немного воды и соли, приостанавливают развитие *Aspergillus oryzae*, продувают воздух и поддерживают нужную т-ру. Добавляют р-р соли и соевый соус и оставляют на некоторое время. Пример. Промывают 15 кг необрушенного риса, замачивают, удаляют воду (получая 72 кг риса), добавляют 150 кг отрубей и оставляют на 1 час. Массу помещают в бак, пропаривают 5 час., удаляя запах отрубей, и получают 288,75 кг массы, из которой с добавлением соевого солода приготавливают закваску в течение 3 суток. В полученные 168,75 кг продукта добавляют р-р соли (соль 16,8 кг, вода 54 л) для прекращения развития *Aspergillus oryzae*. Для охлаждения нагревающейся массы пропускают воздух и выдер-

живают при 20—45° в течение 20 суток для развития дрожжей и молочнокислых бактерий. В массу добавляют 165,3 кг р-ра соли (19,5° Вё) и 285 кг соевого соуса, доводят т-ру массы до 30°, оставляют на 10 суток и после завершения брожения выдерживают еще 30 дней.

А. Фрадкий

См. также раздел *Техническая биохимия* (Выпуск Биологическая химия) и рефераты: Хим. состав пищевых продуктов 11650Бх. Определение инсектицидов в пищевых продуктах 29954. Аминокислоты белков пищевых продуктов 10913Бх. Биохим. характеристика проса 11260Бх. Определение витамина В в зерновых продуктах 10836Бх. Пектин и органич. кислоты при созревании яблок 11248Бх. Ферменты в грушах при созревании и хранении 11249Бх. Остатки инсектицидов на овощах 29954, 29955. Баланс питательных в-в в молоке 11685Бх. Витамины в молочном жире 11022Бх. Витамин А в свиной печени 11023Бх. Витамин А в тканях рыб 11020Бх, 11021Бх. Изучение студия рыб 11329Бх. Токсичность гербицидов для рыб 29971. Пищевые добавки 11651Бх. СВ пищевой пром-сти 29231, 29232

## ХИМИЧЕСКАЯ ТЕХНОЛОГИЯ. ХИМИЧЕСКИЕ ПРОДУКТЫ И ИХ ПРИМЕНЕНИЕ

### (Часть 4)

#### СИНТЕТИЧЕСКИЕ ПОЛИМЕРЫ. ПЛАСТМАССЫ

Редакторы А. А. Жданов, Н. С. Левкина

30746. Пластмассы и их значение. Элёд (Die Bedeutung der Kunststoffe. Elöd E.), Kunststoff-Rundschau, 1956, 3, № 3, 79—82 (нем.)

Обзор современных пластмасс и синтетич. волокон

Л. Песин

30747. Химическое строение и свойства высокополимеров. Сметс (Constitution chimique et propriétés des hauts polymères. Smets G.), Ind. plast. mod., 1956, 8, № 2, 31—34; № 3, 39—42 (франц.)

Обзор. Рассмотрены факторы, влияющие на склонность высокополимеров к кристаллизации. Библ. 37 назв.

Л. Песин

30748. Пластмассы в авиационной промышленности. Расселл (Plastics in the aircraft industry. Summary of lecture. Russell E. W.), Rubber J., 1957, 133, № 15, 499—500 (англ.)

Кратко изложены требования к пластмассам для авиационного, изучены поведение материалов при высоких скоростях и переменных т-рах и эрозия материалов дождевыми каплями.

Л. Петрова

30749. Новые идеи в области конструктивных пластмасс для самолетостроения. Гордон (Recent ideas in plastics for aircraft structures. Gordon J. E.), J. Roy. Aeronaut. Soc., 1956, 60, № 547, 476—481 (англ.)

Обзор работ, обосновывающих возможность получения конструктивных материалов повышенной прочностью и теплостойкостью, необходимых для дальнейшего развития авиации. Библ. 7 назв.

Л. Песин

30750. Теплостойкие пластмассы для авиастроения. Шулц (Warmfeste Kunststoffe für den Luftfahrzeugbau. Schulz R. W.), Luftfahrttechnik, 1957, 3, № 10, 218—223 (нем.)

Указаны требования к конструктивным пластмассам для авиастроения, возникшие в связи с большими скоростями современной авиации. Рассмотрены теплопроводность и теплостойкость усиленных пластиков из фенольных, полиэфирных и эпоксидных смол и за-

висимость физ.-мех. свойств этих материалов от т-ры, от продолжительности работы при высоких т-рах и от переменных нагрузок.

Л. Петрова

30751. Резина и пластмассы как конструкционные материалы в области атомной энергетики. Верне, Уэлс (Rubber and plastics as materials of construction in the field of atomic energy. Burns R. H., Wells H.), Rubber and Plast. Age, 1956, 37, № 1, 33—34 (англ.)

Перечислены требования к конструкционным материалам, применяемым при работах с расщепляющимися продуктами, с точки зрения легкости загрождения радиоактивными изотопами и возможности деактивации. Для 10 материалов (пластмассы, резина, синтетич. волокно и краски) приведены значения остаточной радиоактивности после соприкосновения с р-рами смеси радиоактивных изотопов в воде для 10 н. HNO<sub>3</sub> и сушки при ~ 20° с последующей отмывкой водой, синтетич. моющими в-вами и комплексобразователями.

Ю. Дубинер

30752. Применение радиоактивного облучения в промышленности пластмасс. Роберте (Radiation in the plastics industry Roberts R.), Plastics, 1956, 21, № 225, 116—117 (англ.)

Обзор возможности применения радиоактивных изотопов для инициирования полимеризации мономеров, получения привитых полимеров, вулканизации каучуков и получения спитых полимеров повышенной теплостойкости.

Л. Песин

30753. Применение пластмасс для изготовления литейных форм и инструмента. Валт (Moulding and tooling applications of plastics. Walt N. T. van der), Industr. Rev. Africa, 1956, 8, № 1, 59—60 (англ.)

Рассмотрено применение пластмасс для изготовления оболочковых форм. Для цветных отливок рекомендуются мочевиноформальдегидные смолы, для черных — фенолформальдегидные. Приведены примерные составы смесей. Кратко рассмотрены примеры применения пластмасс для изготовления инструмента и различных приспособлений.

В. Гринблат



30754. Пластмассы в литейном деле. Бартон (Plastics in the foundry. Burton Harry), Canad. Plast., 1956, July, 26—31 (англ.)

Опыт применения литых и усиленных пластиков для изготовления литейных моделей и стержневых ящиков. В. Гринблат

30755. Разработка нормалей на продукцию промышленности пластмасс. Ниче (Zur Gütenormung von Kunststoff—Erzeugnissen. Nitsche Rudolf), Kunststoffe, 1956, 46, № 3, 91—95 (нем.; реэ. англ., франц. исп.)

Обзор состояния работ по нормализации пластмасс и методов их испытания в ФРГ, США и технич. комитета № 61 Международной организации по стандартизации (ISO) в Женеве. Л. Песин

30756. Испытание изделий из пластмасс. Мейзенбург (Die Prüfung von Kunststoff—Formteilen. Meysenbug C. M.), Kunststoffe, 1956, 46, № 3, 95—97 (нем.; реэ. англ., франц., исп.)

Краткий обзор методов испытания свойств пластмасс в соответствии со стандартами ФРГ. Подчеркнута разница между испытанием стандартных образцов и готовых изделий. Л. Песин

30757. Вязко-механические представления в отношении испытания пластмасс. Дарлинг (Visco—mechanical concept of plastics testing. Darling Lerqu A.), Plastics Technol., 1956, 2, № 1, 17—21, 34 (англ.)

Динамические методы испытания пластмасс позволяют быстро и надежно охарактеризовать их поведение в условиях длительной эксплуатации. Л. Песин

30758. Испытания на динамическое растяжение. Браго (Tensile-impact: a simple, meaningful impact test. Bragaw C. G.), Mod. Plastics, 1956, 33, № 10, 199—203, 206 (англ.)

Метод испытания на динамич. растяжение дает результаты, лучше согласующиеся с данными по ударной прочности готовых изделий, чем метод Изода. Описано приспособление для осуществления таких испытаний на маятниковом копре. Е. Хургин

30759. Изучение процесса выдавливания расплавленных пластиков. Сообщение 1. Измерение вязкости полиэтилена. Йосида, Хаясида, Хигути, Окумура (Yoshida T., Hayashida K., Higuchi Y., Okumura T.), Kagaku kogaku, Chem. Engng (Japan), 1957, 21, № 2, 86—90 (японск.; реэ. англ.)

Получены характеристики текучести полиэтилена с мол. в. 23000 для 160—200° с помощью небольшой пневматической. Вычислялось давление на пластмассу при выдавливании и измерялась скорость ее истечения. Было получено соотношение между скоростью истечения и давлением; в соответствии с этим соотношением были вычислены по методу Сакурада—Соне три константы текучести в реологич. ур-нии:

$-dv/dr = (\tau + m\tau^n)/\eta^*$ , где  $-dv/dr$ —градиент скорости,  $m$ ,  $n$  и  $\eta^*$ —константы текучести, а  $\tau$ —напряжение сдвига. Отмечаются следующие преимущества описанного метода: 1) пнек обеспечивает равномерный нагрев и перемешивание массы; 2) возможны непрерывные измерения; подача и замена материалов несложны; 3) не происходит изменения скорости хода поршня, как это имеет место в аппаратуре с поршнем и цилиндром. Дается схема применявшейся аппаратуры. С. Шишкин

30760. Течение термореактивных пластмасс в области температур от 100 до 170° С во время отверждения. Лидман (Das Fließverhalten von Duroplasten im Temperaturbereich von 100 bis 170° C während der Aushärtung. Liedmann Rudolf), Plaste und Kautschuk, 1956, 3, № 2, 27—32 (нем.)

Вязкость термореактивных пластмасс определяли в

абс. единицах ( $\eta_{sp}/c$ ) на пластометре с параллельными плитами, так как этот тип наиболее подходит для измерения больших значений вязкости и дает возможность использовать плиты как электроды для ВЧ-подогрева. Т-ру замеряли в средней плоскости образца и в середине плиты. Изучались прессмассы с содержанием фенольной смолы 35 и 50% и с древесной мукой в качестве наполнителя, а также типа «меладур». Таблетки имели диам. 3 см и высоту 0,6—1 см. Применение пластометра описываемого типа позволяет легко устанавливать влияние различных переменных на ход процесса прессования.

В. Гринблат  
30761. Стойкость к поверхностной дуге. Маттеа (Resistenza agli archi superficiali. Mattea A.), Materie plast., 1956, 22, № 2, 131—133 (итал.)

Предложен метод определения дугостойкости пластмасс приливанием в пространство между электродами, прилегающими к поверхности испытуемого образца (напряжение до 600 в), каплей 0,1%-ного р-ра  $NH_4Cl$ . Выраженная в кол-ве капель весом по 10 мг до возникновения дуги дугостойкость пластмасс фенольных с древесной мукой, фенольных с асбестом, мочевиных и меламиновых, соответственно: при 300 в 5; 12; 150; 150; при 600 в 2; 6; 150; 150. Л. Песин

30762. Эволюция полиэтилена. Технические аспекты. Тибо (Evolution du polyéthylène. Aspects techniques. Thibaut Louis C.), Ind. plast. mod., 1956, 8, № 2, 35—37 (франц.)

Обзор произ-ва полиэтилена во Франции. Свойства полиэтилена объясняются с точки зрения его строения. Л. Песин

30763. Полимеризация этилена при низких давлениях циклическим и непрерывным методами. Егоров Н. М., Архипова З. В., Веселовская Е. В., Левина А. А., Семенова А. С., Булавский А. Г., Андреева И. Н., Хим. наука и пром-сть, 1957, 2, № 3, 398—399

Проверены и подтверждены литературные данные о возможности получения высокомолекулярных полимеров этилена при низких давлениях с использованием в качестве катализатора смеси  $Al(C_2H_5)_3$  (I) и  $TiCl_4$  (II). Установлено, что соотношение вводимых в р-цию I и II является основным средством управления р-цией полимеризации и получения полимеров заданных свойств; оптимальное молярное соотношение I и II (в бензине—«галоса») 1:4. Увеличение кол-ва II приводит к повышению скорости р-ции и выхода полимера, снижению расхода I и снижению степени полимеризации, уменьшение—к получению чрезвычайно высокомолекулярных продуктов, не поддающихся дальнейшей переработке. Разработана технология полимеризации этилена при низком давлении циклическим и непрерывным методами. Полимеры, полученные по обоим методам, идентичны по свойствам и обладают повышенными прочностью, жесткостью и теплостойкостью по сравнению с обычным полиэтиленом. В. Гельперина

30764. Каталитические системы «Марлекс». Кларк, Хоган, Банкс, Ланнинг (Marlex catalyst systems. Clark Alfred, Hogan J. P., Banks R. L., Lanning W. C.), Industr. and Engng Chem., 1956, 48, № 7, 1152—1155 (англ.)

$Cr_2O_3$  на носителе из  $SiO_2—Al_2O_3$  (90:10) катализует полимеризацию 1-олефинов: этилена (I), пропилена, 1-бутена, 1-пентена и гексена, а также разветвленных олефинов, в которых разветвление находится не ближе положения 4 по отношению к двойной связи, и содержащих не более 8 атомов С (4-метил-1-пентен). I полимеризуют в углеводородных р-рах (конц. 2—4%) при т-рах 110—170° и давл. 28—35  $кг/см^2$  с 100%-ным выходом. Катализатор при-

меняют в виде гранул или порошка (2,5%  $\text{Cr}_2\text{O}_3$  от веса  $\text{SiO}_2 - \text{Al}_2\text{O}_3$ ); в последнем случае р-р перемешивают. Снижение т-ры полимеризации и повышение давления приводит к росту мол. веса (100 000 при 110° и 25 000 при 170°). С ростом длины молекулы 1-олефина реакционная способность уменьшается; выход полимера снижается до 91% для 1-пентена и до 40% для 1-гексена. Сополимер I с пропиленом (90 вес.% I) с мол. в. 65 000 получен при 110°. Сополимеры I с малыми кол-вами 1-олефинов обладают повышенной гибкостью и улучшенными механич. свойствами.

**30765. Свойства полиэтилена «Марлекс 50».** Джонс, Бок (Properties of Marlex 50 ethylene polymer. Jones R. Vernon, Boeke P. J.), Industr. and Engng Chem., 1956, 48, № 7, 1155—1161 (англ.)

Сопоставлены свойства полиэтилена «Марлекс 50» (см. пред. реф.), обычного полиэтилена и других полимеров. С. Каменская

**30766. Поливинилхлоридные смолы. Часть I. Виниловые полимеры и сополимеры.** Уэллинг (Polyvinyl chloride resins. Part I. Vinyl polymers and copolymers. Welling M. S.), Adhesives and Resins, 1957, 5, № 9, 105—110 (англ.)

Обзор свойств и способов получения поливинилхлорида и его сополимера с винилиденхлоридом. Произ-во поливинилхлорида в Англии в 1956 г. составило 55 тыс. т, в 1957 г. — 75 тыс. т. В. Гельперина

**30767. Испытания труб из поливинилхлорида на кручение при низких температурах.** Оура, Тайон какаку, будзур-хэн. Low Temperat. Sci., 1955, Ser. A. № 14, 135—148 (японск.; рез. англ.)

Испытания труб из непластифицированного поливинилхлорида на кручение производили при 20, 0 и -20°. В момент приложения нагрузки труба деформировалась упруго, после чего наблюдался крип. В первом периоде крипа скорость увеличения угла скручивания постепенно уменьшалась, достигая некоторого минимума, после чего увеличивалась в возрастающей степени. Модуль упругости при упругой деформации мало зависит от т-ры; наоборот, крип сильно зависит от т-ры. Приведены данные о прочности труб при разных т-рах. Е. Хургин

**30768. О некоторых характеристиках поливинилхлорида для пластизолов.** Перад (Sur quelques aspects des chlorures de polyvinyle pour plastisols. Peyrade J.), Rev. gén. caoutchouc, 1956, 33, № 5, 427—430 (франц.; рез. англ., нем., исп., итал.)

Рассмотрены свойства и применение поливинилхлоридных паст и основные характеристики поливинилхлорида для их изготовления. Л. Песня

**30769. Морозостойкость поливиниловых композиций.** Пруст (La tenue au froid des compounds vinyliques. Proust A.), Plast. inform., 1956, 7, № 129, 10, 12 (франц.)

Применение пластификатора с низшей т-рой замерзания не гарантирует улучшения морозостойкости поливинилхлоридных композиций. Напр., морозостойкость поливинилхлоридной пленки, пластифицированной диоктилладицинатом (т. зам. -75°), хуже чем у пленки, пластифицированной диоктилсебацинатом (т. зам. -48°). Как правило, наилучшую морозостойкость обеспечивают пластификаторы, вязкость которых мало меняется с т-рой; для придания композициям заданного сочетания свойств рекомендуется применять смеси пластификаторов. Л. Песня

**30770. Вестолит S — суспензионный поливинилхлорид.** Вик, Кёниг (Vestolit S ein Suspensions-Polyvinylchlorid. Wick Georg, König Helmut), Kunststoffe, 1957, 47, № 6, 299—302 (нем.; рез. англ., франц., исп.)

Вновь разработанный суспензионный полимер «ве-

столит S» может быть использован для замены эмульсионного поливинилхлорида. Полимер, имеющий значение  $K > 170$ , перерабатывают с пластификаторами, а при  $K 50-65$  — без пластификатора, что открывает новые возможности для применения поливинилхлорида в произ-ве жестких труб, пленок и лент.

**30771. Новый сополимер.** Калькхоф-Розе, Лауренти (Un nuovo copolymere. Kalkhof Rose Walter, Laurenti Giorgio), Ingegneria chim., 1956, 5, № 1, 12—14 (итал.)

Дана характеристика нового сополимера поливинилхлорида, выпущенного фирмой Калькхоф (ФРГ) для произ-ва долгоиграющих грампластинок. Л. Песня

**30772. Тефлон. Получение, свойства, переработка, применение.** Штёкхерт (Teflon. Tillverkning, Egenskaper, Bearbetning, Användning. Stoeckhert Klaus), Plastvärlden, 1956, 6, № 1, 3—5, 8, 10—11, 13—14 (шведск.)

Обзор. Л. Песня  
**30773. Выдавливание паст из тефлона.** Томпсон, Стейблер (Paste extrusion. Thompson Wallace B., Jr, Stabler Robert E.), Mod. Plastics, 1956, 33, № 6, 115—120, 122—125 (англ.)

Разработан метод получения тонкостенных труб из тефлона выдавливанием. Порошок тефлона смешивают с лигроином или белым маслом (16—20%), из полученной массы прессуют под давл. 7—21 кг/см<sup>2</sup> цилиндрич. заготовку, из которой выдавливают на поршневом экструдере изделие, подсушивают его при 95—300°, спекают и охлаждают. Этим методом можно получать трубы с толщиной стенки от 0,25 до 2,5 мм. Приведено подробное описание технологии произ-ва труб и перечень возможного брака изделий, с указанием причин и способов его устранения. Е. Хургин

**30774. Применение пластмасс для очковых линз.** Бронсон (The use of plastic for spectacle lenses. Bronson L. D.), Opt. J. and Rev. Optom., 1956, 93, № 1, 38—39 (англ.)

Обзор. Применение алиловых смол для изготовления линз и прессованием очковых линз для применения в противогазах, защитных очках и т. д. Л. Песня

**30775. Термореактивные пластмассы.** Сулима (Tloczywa termoutwardzalne. Sulima Tadeusz), Przegl. elektrotechn., 1955, 31, № 10—11, 629—632 (польск.)

См. РЖХ, 1956, 11839

**30776. Применение ненасыщенных полиэфирных смол.** Шварц (Mise en oeuvre des polyesters non saturés. Schwartz M.), Ind. plast. mod., 1956, 8, № 3, 34—37 (франц.)

Обзор свойств, методов переработки и применения ненасыщ. полиэфирных смол. Л. Песня

**30777. Новейшие физические и химические аспекты технологии полиэфирных смол.** Хейс, Рид, Вон (Some new chemical and physical aspects of polyester resin technology. Hayes B. T., Read W. J., Vaughan L. H.), Chemistry and Industry, 1957, № 35, 1162—1170 (англ.)

Обзор литературы по улучшению свойств и технологии изготовления ненасыщ. полиэфирных смол, в частности, по повышению их гибкости, химстойкости, светостойкости и термостойкости и получению негорючих смол. В. Гальперина

**30778. Пресскомпозиции на основе полиэфирных смол.** (Reinforced polyester premixes.), Australas. Manufacturer, 1956, 41, № 2091, 84, 86, 89—90, 100, 102, 104 (англ.)

Приведены рецептура, технология изготовления и переработки и свойства пресскомпозиций на основе полиэфирных смол. С. Иофе



30779. Эпоксидные смолы и возможности их применения в качестве адгезионных композиций. Ивлиев Н. Н., Гузанова Г. М., Тр. Гос. центр. н. и. ин-та технол. и организ. произ-ва, 1957, вып. 1 (5), 46—67

Исследовалась пригодность композиций из эпоксидной смолы ЭД-6 для изготовления клеев холодного и горячего отверждения. Испытывалось влияние на прочность клеевых швов отвердителей, наполнителей, температурного режима отверждения, термообработки. Наивысшей прочностью обладают клеи горячего отверждения, содержащие в качестве отвердителя 4% дициандиамида или 30% меламин (прочность на срез для стали 250 кг/см<sup>2</sup>, для алюминия 40—50 кг/см<sup>2</sup>). Введение наполнителей увеличивает теплостойкость клея, снижая прочность. При холодном отверждении прочность шва снижается в 2,5—3 раза. Клеевой шов после отверждения водостоек, вибростоек, имеет хорошие диэлектрич. свойства. Исследованные составы пригодны для приклеивания твердых сплавов к резцам, для изготовления штампов, исправления пороков литых, для обволакивания намоточных изделий и т. д.

В. Гельперина

30780. Теплостойкость эпоксидных смол, модифицированных полисульфидами. Бреслау (Heat distortion properties of polysulfide polymer-modified epoxy resins. Breslau Alan J.), *Plastics Technol.*, 1957, 3, № 4, 291—299 (англ.)

При изучении эпоксидных смол, модифицированных полисульфидами, установлено, что наивысшей теплостойкостью обладают смеси низкомолекулярных эпоксисмол с 25—40% низкомолекулярного полисульфида (мол. в. 1000), при применении в качестве отвердителей ароматич. аминов (метафенилендиамин, 4,4'-метиленидианилин). Отвердители, дающие наивысшую теплостойкость с немодифицированными смолами (дипромеллитовый и гексахлорондометилентетрагидрофталеый ангидриды), не дают того же эффекта с модифицированными смолами. Теплостойкость увеличивается со снижением мол. веса и разветвленности полисульфида и с увеличением функциональности амина. Исследовано также влияние на теплостойкость конц-ии и мол. веса отвердителя, времени термообработки, а также применения для модификации полиэфирных смол. Описан оригинальный прибор для измерения теплостойкости.

В. Гельперина

30781. Разработка режима процесса производства фенольных смол. Хаммесфар, Джонсон, Джонсон, Селцер (Phenolic resin process design. Hammesfahr F. W., Johnson D. C., Johnson S. N., Seltzer S.), *Mod. Plastics*, 1956, 33, № 6, 139—142, 144, 149—150, 152, 248, 250 (англ.)

Сделана попытка отыскать простые аналитич. характеристики резольных смол, связанные, с одной стороны, с их качеством, а с другой стороны, с условиями проведения процесса их произ-ва. Показано, что т-ра плавления, склонность к комкованию размоленной смолы при хранении, плавкость и способность размалываться находятся в тесной связи с временем полимеризации на плитке при 150°, которое является поэтому важнейшей характеристикой смолы. В случае новолачных смол вместо этого может быть определена вязкость смолы при стандартных т-ре и содержании воды. Вторая важная характеристика — вязкость смолы — может быть определена с помощью диаграммы Дюринга. Знание этих простых лаб. показателей позволяет предсказывать эффект различных изменений режима произ-ва, анализировать операционные записи, избегать ошибок и выбирать оптимальные условия процесса.

Е. Хургин

30782. К вопросу образования мочевиноформальдегидных смол. Элерс (Zur Harzbildung aus Harn-

stoff und Formaldehyd. Ehlers Joh. F.), *Kunststoff — Rundschau*, 1956, 3, № 6, 193—196 (нем.)

Общим для мочевино- и фенолформальдегидных смол является образование  $-CH_2-$  и  $-CH_2OCH_2-$  мостиков. Однако у первых  $-CH_2-$  мостики образуются при конденсации в щел. среде, а  $-CH_2OCH_2-$  мостики — в кислой; для вторых отношение обратное. Различие в поведении метилольных производных связано в случае фенольных смол с различным положением  $-CH_2OH-$  групп в ядре, а в случае мочевиновых смол с асимметрией молекулы мочевины и симметризацией первичных продуктов конденсации.

Л. Песин

30783. Прессовочные аминопласты. Ножичка, Шульц (Aminoplastpreßmassen. Nozicka F., Schulz W.), *Prakt. Chem.*, 1957, 7, № 2, 56—58 (нем.)

Обзор.

Л. Песин

30784. Модифицированные аниноформальдегидные смолы. Долтон, Фицджералд (Modified aniline-formaldehyde resins. Dalton L. K., Fitzgerald J. S.), *Austral. J. Appl. Sci.*, 1955, 6, № 3, 344—352 (англ.)

Исследованы некоторые физ.-мех. свойства аниноформальдегидных смол, модифицированных для повышения их текучести. Смолы получали при соотношении  $CH_2O$  к анилину от 1,15 до 1,35. Для модификации применяли бензиланилин (10 и 20%) или фурфурол (8,10 и 16% с добавкой в некоторых опытах 2,5% параформа). Бензиланилин значительно повышает текучесть смолы, но снижает прочность на разрыв и т-ру деформации. Поэтому его можно добавлять в кол-ве  $\leq 10\%$ . При добавке фурфурола прочность повышается, но повышение текучести меньше, чем при добавке бензиланилина. Добавка к фурфуролу параформа, не снижая текучести, повышает скорость отверждения смолы, что позволяет применить литье под давлением. Повышение текучести коагуляцией в сильнощел. среде приводит к снижению механич. прочности запрессовок.

С. Шипкин

30785. Новый высокомолекулярный полимер капролактама с низким содержанием мономера. Холл (Et nyt højmoleculaert monomerfattigt nylon-6-polymerisat. Hall H. C.), *Plastic*, 1956, 6, № 3, 38—39 (датск.)

Новый тип поликапролактама, «грилон R 50», благодаря высокой вязкости расплава, можно успешно перерабатывать выдавливанием в трубы, шланги и другие профили; можно изготовлять бутылки выдуванием. Дана характеристика червячного пресса и приведен режим переработки. При 250° новый полимер имеет вязкость 6000 пуаз против 350 пуаз обычного поликапролактама («грилон F 35»).

Л. Песин

30786. Исследование термообработки изделий из полиамидов. Часть I. Проверка некоторых существующих методов термообработки. Часть II. Физическая обработка поверхности. Ольсен (Erfahrungen mit der Nachbehandlung von Polyamid-Formteilen. I. Teil: Untersuchungsergebnisse bei einigen bekannten Nachbehandlungsverfahren. II. Teil: Physikalische Oberflächenbehandlungen. Olsen Björn), *Kunststoffe*, 1956, 46, № 3, 131—134; № 11, 540—544 (нем.; реэ. англ., франц., исп.)

I. Исследованы некоторые известные методы термообработки изделий из полиамидов: нагревание в белом минер. масле при 120°; в  $CO_2$  при 120°; в проточном водяном паре при 100°; в соляной ванне при 150°. Для сравнения испытаны необработанные образцы. Установлено влияние различных методов термообработки на цвет, форму, размеры, твердость, механич. свойства, мол. вес и влагопоглощение образцов.

II. Обработка поверхности изделий из полиамидов ИК-облучением ( $0,8 \text{ гт/см}^2$  в течение 20–60 сек.) или обдувкой горячим газом ( $230\text{--}280^\circ$ ) значительно улучшает вид поверхности и существенно уменьшает коэф. трения при смазке маслом по сравнению с контрольными образцами.

Л. Песин  
30787. Простой метод идентификации торговых марок полиамидов. Штюлен, Хорн (Eine einfache Methode zur Unterscheidung handelsüblicher Polyamide. Stühlen Ferdinand, Horn Heinrich), Kunststoffe, 1956, 46, № 2, 63–65 (нем.; рез. англ., франц., исп.)

Предлагаемый качеств. метод основан на различной растворимости к-т, образующихся при гидролизе полиамидов в н. HCl в запаянных трубках, и на определении т-р плавления как этих к-т, так и самих полиамидов. В таблицах даны требуемые характеристики полиамидов и соответствующих к-т и состав применяемых в ФРГ торговых марок полиамидов.

Л. Песин

30788. Полиуретановые смолы. Абботсон, Уотерс (Polyurethane resins. Abbotson W., Waters R. B.), Plastics Inst Trans. and J., 1957, 25, № 60, 95–105. Discuss., 105–107 (англ.)

Реакция изоцианатных групп с гидроксильными и карбоксильными группами полиэфирных смол используется для получения полиуретановых пенопластов, применяемых для теплоизоляции, изготовления слоистых материалов с низким уд. весом, для придания незатопляемости судам. Жесткие пенопласты на основе 2,4-толуолдиизоцианата имеют прочность на сжатие  $3\text{--}10 \text{ кг/см}^2$  при уд. в.  $0,03\text{--}0,13 \text{ г/см}^3$ , обладают высокой адгезией к дереву, стали, алюминию, поливинилхлориду. Горючесть пен снижается добавлением  $\beta$ -трихлорэтилфосфата, фосфатов Mg и аммония, окиси Sb. Теплостойкость  $110^\circ$ . Пены устойчивы к действию смазочных масел, нефти, морской воды, каустика. Заливочные составы из касторового масла и 2,4-толуолдиизоцианата отверждаются при нормальной т-ре или при  $60\text{--}100^\circ$ , имеют низкую упругость в интервале  $-80\text{--}+125^\circ$ , хорошие диэлектрич. свойства. Полиуретановые водостойкие покрытия для ткани из нейлона и терилена придают ей высокие диэлектрич. свойства в тропич. условиях и стойкость к органич. р-рителям.

В. Гельперина

30789. Применение силиконов в современной технике. Ницше (Silikone und ihr heutiger Stand in der Technik, Nitzsche S.), Elektrotechnik und Maschinenbau, 1957, 74, № 15–16, 325–326 (нем.)

Обзор развития применения кремнийорганич. соединений в качестве гидрофобизирующих составов, гидравлич. жидкостей, смазок, каучука, лаков, эмалей, пластмасс в различных отраслях техники, особенно в электротехнике, в условиях высоких т-р и влажности.

В. Гельперина

30790. Эфиры одноатомных спиртов, как пластификаторы для поливинилхлорида. Вюрстлин, Клейн (Ester monofunktioneller Alkohole als PVC-Weichmacher. Esteres de alcoholes monofuncionales como plastificantes de policloruro de vinilo. Würstlin Franz, Klein Hermann), Kunststoffe, 1956, 46, № 1, 3–8 (нем.; рез. англ., франц., исп.); Rev. plast., 1956, 7, № 38, 69–77, 90 (исп.)

Сравнивались 3 основных свойства пластификаторов (II): пластифицирующая способность (ПС), растворяющая способность (РС) по отношению к поливинилхлориду (I) и совместность с I. Исследования проводили с эфирами алифатич. моно- и дикарбоновых к-т, так как эфирные группы обуславливают РС и совместность с I в  $\sim 90\%$ . II. Испытаны эфиры двухосновных к-т от щавелевой до себадиновой и одноатомных спиртов от метилового до октилового; их

хорошая ПС не может быть достаточно использована, так как эфиры с мол. в.  $< 300\text{--}350$  обладают высокой летучестью, а при мол. в.  $> 400$  плохо совмещаются с I. Повышение РС и совместности П с I достигали введением в них дополнительных полярных групп, напр. заменой центральной  $\text{CH}_2$ -группы азелаиновой к-ты на О или S или введением Cl в спиртовый радикал. Резкое снижение т-ры помутнения достигали при применении диалкиловых эфиров о-фталевой к-ты. ПС соединений, содержащих алкильные группы с разветвленной цепью, ниже, чем соединений с нормальной цепью.

С. Шипкин

30791. Пластификаторы для поливинилхлорида. Свойства линейных тетраэфиров. Неэдль, Готвейс (Změkčovadla pro polyvinylchlorid. Vlastnosti lineárních tetraesterů. Nejedlý Emil, Gottweis Jiří), Chem. průmysl, 1957, 7, № 8, 438–442 (чешск.; рез. русск., англ., нем., франц.)

Исследовалась пригодность насыщ. линейных тетраэфиров общей ф-лы  $\text{ROCOCH}_2\text{OCOR}'\text{COOCH}_2\text{COOR}$ , где R — алкил или циклогексил, а R' — алифатич. или циклич. бирадикал, в качестве пластификаторов для поливинилхлорида. Проверялись растворимость поливинилхлорида в пластификаторе, стабильность системы полимер-пластификатор, пластифицирующий эффект, летучесть и морозостойкость. Оптимальные свойства имеют полиэфиры с разделенными полярными группами, имеющие на концах цепи алифатич. радикалы с 4 атомами C; наличие такой структуры придает соединению свойства пластификатора.

В. Гельперина

30792. Шлифовальные круги из пластмасс для приготовления образцов для металлографических исследований. Хадрелл, Сайкс, Мотт (Plastic laps for the preparation of specimens for metallographic examination. Haddrell V. J., Sykes E. C., Mott B. W.), J. Inst. Metals, 1956, 84, № 5, 112–114 (англ.)

Для изготовления микрошлифов металлов предложено вместо шлифовальных кругов из воска или Pb применять круги, отпрессованные из порошка абразива с 25–33% полиэтилена; при полировке травлением рекомендованы диски из полиэтилена, покрытые териленовой тканью.

Л. Песин

30793. Быстрый метод подбора добавок, понижающих вязкости пластизолов. Паттон, Холл (Rapid screening of plastisol viscosity depressants. Patton Temple C., Hall Frederick M.), Plastics Technol., 1956, 2, № 1, 22–23, 34 (англ.)

Предложен простой и быстрый метод оценки эффективности добавок для понижения вязкости поливинилхлоридных пластизолов. Найдено, что моноорцинолеат полиэтиленгликоля 200 является весьма эффективным «депрессантом».

Л. Песин

30794. Свойства и переработка некоторых литевых термопластов. Рём (Propiedades y elaboración de los materiales termoplásticos para inyección producidos por la Farbénfabriken Bayer. Röhm), Plásticos, 1956, 3, № 14, 30, 33–38, 49 (исп.)

Обзор физ.-мех. и диэлектрич. свойств литевых пластмасс «целлюдор» (сложные эфиры целлюлозы) и «дуретан» (полиамиды и полиуретаны). Указаны особенности переработки в изделия различными способами.

Л. Песин

30795. Стеклопластики. Касперович (Zywiec syntetyczne z włóknem szklanym. Kasperowicz Witold), Przegl. techn., 1957, 78, № 12, 491–493 (польск.)

Обзор свойств и применения стеклопластиков на основе фенольных и полиэфирных смол, а также их значения для экономики Польши.

В. Гельперина

30796. Смолы для усиленных пластиков. Скейст (What's happening in resins for reinforced plastics.



Skеist Irving), *Mod. Plastics*, 1957, 34, № 6, 83—88, 207, 209, 212—214, 217, 218—220 (англ.)  
Обзор методов получения, свойств, направлений технич. и промышленного развития и отдельные примеры применения фенольных, полиэфирных и эпоксидных смол для усиленных пластиков. Библ. 9 назв.  
Л. Петрова

30797. Конструкции из пластмасс. Халберт (Plastics structures. Hulbert G. C.), *J. Roy. Aeronaut. Soc.*, 1956, 60, № 542, 114—120 (англ.)  
Обзор. Рассмотрены факторы, препятствующие более широкому применению стеклопластиков в силовых конструкциях, и намечены пути их устранения.

Е. Хургин  
30798. Отчет технического комитета T-1J по конструкционным пластикам для нефтепромыслов. — (Status report of NACE technical unit committee T-1J on oil field structural plastics.—), *Corrosion*, 1956, 12, № 3, 73—76; № 6, 69—72 (англ.)

Обсуждены результаты эксплуатационных испытаний труб из сополимеров стирола, стеклопластиков и ацетобутирата целлюлозы и резервуаров из полиэфирного и эпоксидного стеклопластиков. Приведены также результаты лабор. и полевых испытаний труб и резервуаров.  
Л. Песин

30799. Плоские и волнистые плиты из полиэфирных усиленных стеклопластиков. Современный строительный материал для хорошего освещения и облечения солнцем. Брунsvик (Polyester-Glasfasertafeln und -Wellplatten. Ein moderner Baustoff für gute Belichtung und Besonnung. Brunswick C. v.), *Kunststoffe*, 1957, 47, № 10, 580—582 (нем.; рез. англ., франц., исп.)  
Рассмотрены свойства, методы изготовления и склеивания плоских и волнистых плит из полиэфирных стеклоусиленных пластиков, а также применение этого строительного материала в высотном и индустриальном строительстве, во внутренней отделке помещений и для кровель.

Л. Петрова  
30800. Замечания о конструировании изделий из усиленных стеклопластиков. Райт, Дауман (Design notes for glass reinforced plastics. Wright J. H., Downman R. D.), *Aircraft Engng*, 1957, 29, № 344, 319—326 (англ.)

Усиленные стеклопластики на основе полиэфирных, эпоксидных, фенольных и силиконовых смол оцениваются как материалы для авиаконструкций. Рассмотрены физ.-хим. и технологич. свойства исходных смол, стеклоткани и стеклопластиков, даны рекомендации по подбору материалов и конструированию изделий.  
Л. Петрова

30801. Новые способы производства различных труб и профильных изделий из полиэфирного стеклотекстолита. Тавьер (Les nouveaux procédés de fabrication des tuyaux, tubes de canalisation et profilés en résines polyesters stratifiées. Tavière J. A.), *Corros. et anticorros.*, 1956, 4, № 7, 259—262 (франц.)

Новый способ произ-ва труб из полиэфирного стеклотекстолита состоит в навивке скрещенных нитей на оправку. Различные профили можно получать, исходя из цилиндрич. рукавов. Рассмотрено применение описанных изделий в авиации и других областях техники.  
Л. Песин

30802. Полиэфирные стеклопластики. Бодэ (Glasfaserarmiertes Polyesterharz. Bode Karl-Heinz), *Maschinemarkt*, 1957, 63, № 78, 19 (нем.)

Описаны различные способы ремонта кузовов при помощи полиэфирных смол, усиленных стекловолокном. Приведены данные о необходимых материалах и инструменте и указания по проведению ремонта.  
Л. Петрова

30803. Изделия из слоистых пластиков, комбинированных с другими материалами. Скоу (Plastics laminates bonded to other materials. Skow Norman A.), *Mater. and Methods*, 1957, 54, № 4, 118—121 (англ.)

Даны примеры применения комбинаций фенольных и полиэфирных текстолитов и стеклотекстолитов с алюминийевыми сплавами, сталью, каучуком, вулканизированной резиной, ацетилцеллюлозой и полиэфирной пленками для изготовления электротехнич. и механич. деталей.  
В. Гельперина

30804. Нанесение пленки поливинилхлорида на металл. Уинтермут (Lamination of vinyl film to metal. Wintermute Glenn E.), *Brit. Plast.*, 1957, 30, № 7, 289—292 (англ.)

Пленка поливинилхлорида наносится на предварительно фосфатированную и покрытую клеем винилового типа поверхность металла при 190—205° и при давлении валков 2.8—4.2 кг/см<sup>2</sup>. Разработан новый материал «пластил», обладающий повышенной стойкостью к сдиранию пленки. Он может подвергаться всем видам механич. обработки без нарушения целостности пленки, устойчив к кипящей воде и глицерину при 200°. Применяется для изготовления мебели и как кровельный материал.  
В. Гельперина

30805. Синтетические волокна в качестве усиливающих наполнителей для пластмасс. Грин, Мейс (Synthetic fibre reinforced thermosetting resins. Green John G., Jr., Mays George W.), *Rubber and Plast. Age*, 1957, 38, № 10, 861, 863—864, 866 (англ.)

Синтетические волокна: нейлон, полиэфирное волокно «дакрон» и акриловое волокно «орлон» были применены для получения усиленных пластиков. Пластмассы, полученные прессованием в металлич. формах при т-ре 120 и давл. ~ 3.5 кг/см<sup>2</sup> спитых матов из синтетич. волокон и полиэфирной смолы, отличаются лучшими, чем у стеклопластика диэлектрич. свойствами, погодо- и химстойкостью: после 20 недель пребывания в 40%-ной H<sub>2</sub>SO<sub>4</sub> при 50° прочность на растяжение и удар для полиэфирного стеклопластика падает на 75%, а для материала с «орлоном» практически не меняется. Подобные композиции могут использоваться для прессования деталей сложной конфигурации, с острыми углами и для кислотостойких покрытий.  
Л. Петрова

30806. Вулканизированная фибра — широко применяемый слоистый пластик. Макадат (Vulcanized fibre — the laminated plastic with a million uses. Macadam John), *Plastics Ind.*, 1956, 14, № 1, 10—14, 16, 17, 40 (англ.)

Обзор. Произ-во, переработка, свойства и применение вулканизированной фибры.  
С. Иофе

30807. Применение пластмассовых пленок в строительстве. Крюгер (Kunststoff — Folien im Bauwesen. Krüger H. E.), *Kunststoffe*, 1957, 47, № 10, 589—591 (нем.; рез. англ., франц., исп.)

Рассмотрены возможности применения пленок поливинилхлорида, полиэтилена и др. в декоративных и конструктивных элементах зданий, для устройства навесов, шатров, крыш, оранжерей, стендов, павильонов, для гидроизоляционных целей и т. д.  
В. Гельперина

30808. Производство прозрачных пленок. Рив (Transparent films — their birth and their growth. Reeve Elizabeth), *Canad. Packag.*, 1957, 10, № 6, 43—46, 64 (англ.)

Обзор мирового и канадского произ-ва прозрачных пленок, применяемых для упаковки различных товаров и пищевых продуктов. Рассмотрены свойства и применение целлофана, ацетилцеллюлозы, гидрохлорида каучука (плиофильм), полиэтилена, сарана, поливинилхлорида и майлара (полиэфирная пленка).  
В. Гельперина

**30809. Микропористые поливинилхлоридные сепараторы.** Жевло (Séparateurs vinyliques microporeux. Jevlot B.), Ind. plast. mod., 1956, 8, № 3, 6—7 (франц.)

Описаны технология и оборудование непрерывного процесса произ-ва микропористых сепараторов из смеси поливинилхлорида и силикагеля (30—35% от веса смеси), которую пропускают при 130—180° через 4-валковый профилировочный каландр, допускающий регулирование степени уплотнения и затем желатинируют полученные заготовки при 180° ≤ 2 мин. На типовой машине со скоростью протяжки в 500 м/час изготавлиют за 1 час 4000—5000 сепараторов шириной 147 мм. Длительность изготовления одного сепаратора с момента подачи смеси в каландр и до упаковки ~ 100 сек. Изготавливаемые по этому способу сепараторы обладают сопротивлением 0,8—1,4 Мом на 2 дм<sup>2</sup> (к-та 28° Вб, 25°) и в батарее на 105 а-ч выдерживают > 1500 циклов зарядки—разрядки (деревянные сепараторы в этих условиях выдерживают < 1000 циклов). Л. П.

**30810. Приготовление слабоосновных ионообменных смол и цианэтирование ароматических аминов.** Суда, Ода (Suda Hiroshi, Oda Rychei), Kōgō kagaku zasshi, J. Chem. Soc. Japan. Industr. Chem. Sec., 1955, 58, № 8, 608—609 (японск.)

18 г анилина, 21 г акрилонитрила, 10 мл лед. CH<sub>3</sub>COOH, 2 г CuCl нагревали с обратным холодильником 10 час. на масляной бане при 130°. Затем охлаждали, экстрагировали спиртом и после перекристаллизации (из бэл.) получали 12 г N,N-ди-(β-цианэтил)анилина (I) и (34%), т. пл. 84—85°. При цианэтировании м-фенилендиамин получали N,N'-ди-(β-цианэтил)-метафенилендиамин (II), т. пл. 131,5—132° (27,6%). При цианэтировании парафенилендиамина получали N,N,N',N'-тетра-(β-цианэтил)-парафенилендиамин, т. пл. 139,5—140° (53%). 10 г I, 12 г дициандиамида, 1 г КОН и 20 г H-C<sub>4</sub>H<sub>9</sub>OH или 5,4 г II, 5 г дициандиамида, 0,5 г КОН и 20 г H-C<sub>4</sub>H<sub>9</sub>OH постепенно нагревали до 115°, выдерживали при этой т-ре 4 часа, охлаждали и получали соответственно: N,N-бис-[β-(2,4-диамин-6-S-триазил)этил]-анилин (III), т. разл. 264° (95%) или N,N'-бис-[β-(2,4-диамин-6-S-триазил)этил]-метафенилендиамин (IV), т. разл. 245° (88%). Для полученной ионообменной смолы 2 г III, 4 г 30%-ного CH<sub>2</sub>O (V), 0,5 г этилендиамина (VI) или 3,8 г IV, 6,5 г V, 0,78 г VI подкисляли HCl (к-той), нагревали 5 час. при 95° и получали смолы (соответственно А и Б), которые сушили 1 час при 95° и 3 часа при 100°, после чего размывали до 40—100 меш. Максим. обменная емкость смолы А по Cl→SO<sub>4</sub> 8,57 мэкв/г, смолы Б 5,90 мэкв/г. Способность адсорбировать ионы Cu<sup>++</sup>: у А 1,58 ммоль/г, у Б 1,98 ммоль/г. В. Иоффе

**30811. Некоторые характеристики синтетических клеев.** Льюкер (Some characteristics of synthetic adhesives. Luker Leslie G.), Brit. Printer, 1956, 69, № 2, 63—64 (англ.)

Обзор.

С. Свердлов

**30812. О технике склейки с применением высокочастотного нагрева и получаемом клеевом шве.** Сефхольм (Om högfrekvenslimning — med tonvikt på limfogen. Säfholm T.), Plastic, 1956, 6, № 2, 21—25 (шведск.)

В деревообделочной и мебельной пром-сти Швеции получила широкое распространение склейка с применением ВЧ-нагрева. В качестве клеев применяют водн. р-ры мочевиновых и значительно реже — резорциновых смол холодного отверждения, годные для употребления в течение 1—6 час. после приготовления (при 20°). Длительность отверждения клеевого шва с применением ВЧ-нагрева очень мала, напр. для клея на основе мочевиновой смолы со временем отверждения

при 20° — 4 часа она составляет при 100° 5 сек.; влажность склеиваемой древесины должна быть 6—14%.

Л. Песня

**30813. Применение виниловых смол для клеев.** Черсиви, Бонвичини (Le resine viniliche negli adesivi. Cernia E., Bonvicini A.), Mat. plastiche, 1955, 21, № 11, 929—934 (итал.)

**30814. Приклеивание твердосплавных пластинок к стали при помощи смол.** Фосетт (Plastic bonds carbide to steel. Fawcett W. E.), Amer. Machinist, 1955, 99, № 5, 97—99 (англ.)

См. РЖМаш, 1956, 12323.

**30815. Адгезионные свойства эпоксидных смол.** Брейне (The adhesive properties of epoxy resins. Bruyne N. A. de), J. Appl. Chem., 1956, 6, № 7, 303—310 (англ.)

Исследованы адгезионные свойства эпоксидных смол на основе бисфенола или резорцина с отвердителем фталевым ангидридом. Показано решающее значение ОН-групп для сцепления с полярными поверхностями. Найдена явная зависимость между содержанием ОН-групп и прочностью склейки Al-сплава. Усадка смол уменьшается с повышением содержания ОН-групп. В. Гринблат

**30816. Клей для металлов «буна 32».** Сенковский (Klej do metali — buna 32. Sękowski St.), Wiedra i życie, 1956, 23, № 1, 33 (польск.)

В ГДР разработан клей «буна 32» на основе полимера бутадиена для склейки металлов (кроме Cu) с металлами, стеклом и керамикой вулканизацией под небольшим давлением при 110—150° в течение 10—15 мин. Склейки устойчивы к вибрациям и т-ре до 420° и имеют прочность 60—170 кг/см<sup>2</sup>. Л. Песня

**30817. Пластмассы как подкладочный материал.**

Эрикссон, Эрикссон (Plastic as a bedding material. Erickson Kenneth, Erickson Warren), Amer. Rifleman, 1956, 104, № 3, 45—46 (англ.)

Показано применение пластмассы в качестве подкладочного слоя в целях точной пригонки ружейного ствола к ложу.

Л. Песня

**30818. Эпоксидные смолы в электронной технике.** Гудчайлд (Epoxy resins in the electronics industry. Goodchild A. G.), Brit. Commun. and Electronics, 1956, 3, № 6, 293—299 (англ.)

Приведены рецептуры, технологич., физ.-мех. и диэлектрич. свойства композиций на основе эпоксидных смол, применяемых в радио- и электротехнич. пром-сти в качестве заливочных и пропиточных компаундов и связующих. Показаны преимущества, создаваемые применением эпоксидных смол, и обрисованы пути дальнейшего развития в этой области. С. Шипкин

**30819. Эпоксидные смолы в электротехнике.** Херд, Ежикевич (Zywiec epoksydowe w elektrotechnice. Hertz Zofia, Jerzykiewicz Andrzej), Przegl. elektrotechn., 1955, 31, № 10-11, 641—643 (польск.)

См. РЖЭ, 1957, 9709.

**30820. Слоистые материалы из пленок и прессшпана для пазовой изоляции.** Снейдоу, Паррисс (Composite film and pressboard for electrical insulation. Snadow R., Parriss W. H.), Plastics, 1956, 21, № 223, 59—61 (англ.)

Для пазовой изоляции испытывали слоистые материалы, получавшиеся склеиванием прессшпана с пленками из диацетата целлюлозы, триацетата целлюлозы (I) и полиэтилентерефталата. Для сравнения электрич. прочности и стойкости к старению изготовленных материалов испытывали образцы, намотанные на медные трубки диам. 25 мм и длиной 300 мм. Электрич. прочность изоляции испытывали в непропитанном виде и после пропитки масляно-фенольным, масляно-алкидно-меламиновым и полиэфирно-эпоксидным



№ 9

лаками, до и после старения (при  $t$ -ре от 125 до 165°). Лучшую стойкость к старению имеет материал из двух слоев прессшпана с пленкой I между ними.

С. Шишкин

30821. Расчет радиальных усилий при каландрировании и вальцевании пластмасс. Декстер, Маршалл (Calculation of roll separating forces in the calendering and milling of plastics. Dexter F. D., Marshall D. I.), SPE Journal, 1956, 12, № 4, 17—19, 40, 60 (англ.)

Метод расчета усилия, раздвигающего валки каландров и вальцев при переработке пластмасс. Входящая в расчетную ф-лу вязкость может быть определена на экструзионном пластомере. Усилия, рассчитанные для вальцевания пластифицированного полихлорвинила и полиэтилена, соответствуют измеренным значениям.

В. Гринблат

30822. Изготовление прессформ для пластмасс методом литья. Торри («Truprocess» castings for plastics dies. Torrey A.), Plastics Inst. Trans. and J., 1957, 25, № 60, 125—136 (англ.)

Описан метод изготовления литьем прессформ для пластмасс, каучука, стекла. В качестве связующего для литейных форм применяется тетраэтилсиликат. Метод дает возможность получать с удовлетворительными допусками отливки любой конфигурации весом до 350 кг, требующие лишь окончательной механич. обработки поверхности. Отливки не требуют спец. термобработки благодаря высокой пористости и низкой теплопроводности форм и могут отливаться из высокоуглеродистых и высокохромистых сталей. Метод более производителен и экономичен, чем изготовление прессформ резанием.

В. Гельперина

30823. Ребристый вкладыш («полилайнер») вместо торпеды в цилиндрах литейных машин. Бернхардт, Паджи (Polyliner improves injection molding. Bernhardt E. C., Paggi L.), Mod. Plastics, 1956, 33, № 6, 109—112, 114, 243 (англ.)

Торпеды, устанавливаемые в материальных цилиндрах литейных машин, создают очень большие сопротивления течению пластмассы, что может служить причиной плохого заполнения прессформы и брака. Новый ребристый вкладыш «полилайнер» представляет собой длинную втулку, закрытую впереди (у сопла) и открытую сзади. Втулка имеет ряд ребер, образующих ряд каналов, в которых просверлены отверстия, соединяющие эти каналы с внутренним пространством втулки. Ребра прилегают к цилиндру и служат, во-первых, для опоры и, во-вторых, для отвода тепла от стенок цилиндра ко втулке. Сопротивление для продвижения пластмассы при новом вкладыше значительно меньше, чем при торпедке. В связи с плотным прилеганием ребер втулки к цилиндру образуются три греющих поверхности: самого цилиндра, а также наружная и внутренняя поверхности втулки; пластикационная мощность цилиндра тем самым увеличивается. В цилиндре со втулкой помещается больше пластич. материала, нежели в цилиндре с торпедой, что способствует дальнейшему повышению пластикационной мощности. Все это позволяет сократить длительность цикла заливки и увеличить производительность на 25—100% в зависимости от толщины стенок изделий. Типичные размеры ребристой втулки для литейной машины на 340 г: длина 250 мм, 20 ребер толщиной 4,8 мм, 20 канавок с радиусом 3,2 мм и 23 отверстиями диам. 3,2 мм в каждой (всего 460). Для обеспечения хорошего контакта ребер втулки с цилиндром втулку выполняют из материала с большим коэф. расширения.

Е. Хурган

30824. Ручная обработка пластмасс с помощью специального паяльника. Беллингер (Handwerkliche Kunststoffbearbeitung mit Plastik-Kolben. Bellin-

ger Helmut), Maschinenmarkt, 1956, 62, № 77, 7 (нем.)

Описан спец. электр. паяльник для сварки, перфорации и резки термопластов.

Л. Песин

30825 К. Основы производства изделий из пластмасс. Пик, Левин (Bazele fabricării produselor din mase plastice. Pik I. S., Levin A. N. Trad. din limba rusă. București, Ed. 'tech., 1957, 364 p., II.) (рум.)

30826 П. Способ полимеризации веществ, растворенных в каменноугольной смоле. Вилле, Каффер (Verfahren zum Polymerisieren von polymerisierbaren, in Teerölen gelösten Stoffen. Wille Hans, Kaffer Heers) [Gesellschaft für Teerverwertung m. b. H.]. Пат. ФРГ 946265, 26.07.56

При полимеризации в-в, растворенных в каменноугольной смоле, с помощью конц.  $H_2SO_4$ , напр., при получении кумароновых смол процесс проводят при постоянной щел. р-ции среды; перед введением  $H_2SO_4$  к обрабатываемой фракции смолы добавляют неорганич. или органич. основания в таком кол-ве, чтобы в любой момент процесса полимеризации р-ция смеси была щелочной. При работе по описанному способу исключается последующая нейтр-ция смеси, не требуется предохранительных мер от перегрева, отсутствует необходимость применения дорогостоящей кислотоупорной аппаратуры, а также устраняется образование сульфированной смолы. Напр., 4000 кг сырого бензола энергично смешивают в железном смесителе с 400 кг едкого натра (уд. в. 1,375) и 160 кг  $H_2SO_4$ , которые вводят раздельно; после тщательного разделения слоев и отделения щел. р-ра сульфата р-р полимера разгоняют, получая 1600 кг светло-желтой кумароновой смолы (т. размягч. 150°) и 2400 кг сольвент-нафты.

М. Альбам

30827 П. Способ получения высокомолекулярных фторсодержащих сополимеров. Карс, Фрей, Шерер, Хан (Verfahren zur Herstellung hochmolekularer, fluorhaltiger Mischpolymerisate. Kahrs Karl-Heinz, Frey Hans-Helmut Scherer Otto, Hahn Helmut) [Farbwerke Hoechst. A.-G. vormals Meister Lucius & Brünning]. Пат. ФРГ 949083, 13.09.56

Производные этилена, содержащие фтор или одновременно и другой галоген (напр., трифторхлорэтилен или тетрафторэтилен) сополимеризуют с производными пропилена, содержащими фтор и другой галоген или водород (напр.,  $CF_3CH_2CH_2$  или  $CF_2ClCF_2CF_2$ ). Полимеризацию проводят в водн. фазе в присутствии окислительно-восстановительной системы, содержащей соединение металла с переменной валентностью. Напр., в автоклав емк. 5 л в атмосфере  $N_2$  и в вакууме ( $\sim 1$ —100 мм рт. ст.) вводят р-р 5 г  $NaHSO_3$  и 30 г  $Na_2HPO_4 \cdot 2H_2O$  в 2700 мл дистил. воды и подогревают до 30°. Затем вводят последовательно сначала 20 г 1,1,1-трифторпропилена и 980 г трифторхлорэтилена, после чего под давлением  $N_2$  (7,3 атм) р-р катализатора 5,5 г  $(NH_4)_2S_2O_8$  и 0,08 г  $CuSO_4 \cdot 5H_2O$  в 300 мл дистил. воды. Через 5 час. давление снижают, осаждают дисперсию 2,5 л 10%-ного р-ра NaCl, отфильтровывают, отмывают водой и сушат 48 час. при 130°.

М. Альбам

30828 П. Полимеризация винилхлорида и его смесей с другими виниловыми соединениями. Накао, Кавамити, Тесима, Окадо [Нихон кабайдо когё кабусики кайся]. Японск. пат. 5398, 26.08.54  
100 ч.  $CH_2=CHCl$ , 300 ч. воды, 0,046 ч.  $K_2S_2O_8$ , 0,028 ч.  $Na_2SO_3$ , 0,01 ч.  $Al_2(SO_4)_3 \cdot 18H_2O$  и 1,2 ч. Na-додецилсульфата нагревают 4 часа при 50°. Получают > 91% полимера со степенью полимеризации 1570. Аналогич-

но из 950 ч.  $\text{CH}_2=\text{CHCl}$  и 50 ч.  $\text{CH}_2=\text{CHOOCCCH}_3$  получают 93% сополимера со степенью полимеризации 1650.

Э. Тукачинская

**30829 П.** Улучшение электроизоляционных свойств поливинилхлорида. Кувада, Сугахара. Японск. пат. 3793; 3794, 28.06.54

Алюминат Na, содержащий 4,68 г  $\text{Al}_2\text{O}_3$  в 100 мл р-ра, обрабатывают силикатом Na, содержащим 4,68 г  $\text{SiO}_2$  в 100 мл р-ра; к выпавшему в осадок силикату Al (I) после фильтрации и промывания водой прибавляют 20%  $\text{H}_2\text{SO}_4$ . Влажный I нагревают 2 часа при 60–70° в 10%-ной  $\text{H}_2\text{SO}_4$ , фильтруют, промывают водой и сушат. Получают очист. I. Смесь 10 ч. очист. I, 100 ч. поливинилхлорида, 50 ч. диоктилфталата, 3 ч.  $2\text{PbCO}_3 \cdot \text{Pb}(\text{OH})_2$  и 1,5 ч. стеариновой к-ты вальцуют 30 мин. при 160°. Получают материал с электрич. сопротивлением  $15,5 \cdot 10^{13}$  ом см. По пат. 3794 поливинилхлорид вальцуют с активированными  $\text{SiO}_2$  и  $\text{Al}_2\text{O}_3$  и очист. I или с активированной кислотой глиной, обработанной  $\text{Al}(\text{OH})_3$  или основным сульфатом Al. Э. Тукачинская

**30830 П.** Дисперсия поливинилхлорида в пластификаторах, содержащих полигликольметакрилат. Берт (Dispersions of vinyl chloride resins in plasticizers containing polyglycol methacrylates. Burt Samuel L.) [Union Carbide Canada Ltd]. Канадск. пат. 509556, 25.01.55

Пластизоль состоит из тонкой дисперсии эмульсионного поливинилхлорида или его сополимера с винилацетатом (95–99:4–1) в дисперсионной среде, которая содержит смесь 10–80 вес.% диэфира метакриловой к-ты и жидкого полиэтиленгликоля (напр., диэтиленгликоля) и 20–90 вес.% не полимеризующегося при нагревании сложноефирного пластификатора, напр. ди-(2-этилгексил)-фталата. Кол-во последнего находится в такой зависимости от его мол. веса, что отвержденный материал, полученный из пластизоля, имеет твердость < 100 по Шору А и модуль изгиба < 1055 кг/см<sup>2</sup>. Кол-во полимера в дисперсии составляет 40–60 вес.%. Р. Франкфурт

**30831 П.** Смеси поливинилхлорида с сополимерами этилена и винилкарбоната. Сальер, Хербиг (Blends of vinyl chloride polymers with ethylene/vinylene carbonate copolymers. Salyer Ival O., Herbig James A.) [Monsanto Chemical Co.]. Пат. США 2733228, 31.01.56

Для улучшения свойств полимеров и сополимеров  $\geq 95$  вес.%) винилхлорида в них вводят 1–30 (или 5–15) вес.% от смеси сополимеров этилена и винилкарбоната, которые содержат в связанном виде 70–99 вес.% этилена и 1–30 вес.% винилкарбоната. Смесь получают либо механич. совмещением, либо полимеризацией винилхлорида в присутствии второго сополимера. В первом случае смешивают эмульсии, суспензии или дисперсии с последующим их осаждением, либо измельчают твердые полимеры с последующим смешением на вальцах. Во втором случае сополимер вводят в мономерный винилхлорид и последний полимеризуют обычными методами в присутствии перекисей или азосоединений. Полученные смеси могут содержать также пластификаторы (диоктилфталат, диоктиладипинат, трикрезилфосфат, диоктиловый эфир себадиновой к-ты), термостабилизаторы, наполнители, красители, пигменты, а также и другие полимеры. А. Петрашко

**30832 П.** Поливинилхлоридная паста. Вакано, Миура [Тоа госсэй кагаку когё кабусики кайся]. Японск. пат. 7042, 27.10.54

$\text{CH}_2=\text{CHCl}$  подвергают тепловой полимеризации в присутствии жиров или масел, высших жирных к-т или их эфиров, высшего алкилхлорида или в присутствии неомогенного поверхностноактивного в-ва. Полученный продукт сушат распылением; образуется

порошок (размер частиц 0,9–1,6 м), удобный для изготовления пасты.

**30833 П.** Стабилизация поливинилхлорида. Хабу [Оки дэнсэи кабусики кайся]. Японск. пат. 3994, 3.07.54

100 ч. поливинилхлорида, 50 ч. диоктилфталата, 4 ч. стабилизатора (стеарат или капроат Ba, Ca или Cd или их смесь) и 5–10 ч. неорганич. наполнителя смешивают при 60–70°, пропускают через горячие вальцы (130–140°), нарезают и прессуют в формах.

**30834 П.** Стабильный хлорсодержащий материал на основе синтетической виниловой смолы. Сиседа, Икава [Еоситомо сэйяку кабусики кайся]. Японск. пат. 7889, 29.11.54

Материал, полученный из 100 ч. поливинилхлорида, 50 ч. пластификатора и 3 ч.  $(\text{C}_6\text{H}_5\text{CH}_2)_2\text{SnCl}_2$ , стабилизируют, нагревая его 7 мин. при 150°. Э. Тукачинская

**30835 П.** Пластификаторы для виниловых смол. Кубота, Асикава [Нихон дэнсин дэнва кося]. Японск. пат. 4440, 19.07.54

В качестве пластификаторов применяют диалкил-3- или 4-нитрофталат (алкил с 3–5 атомами С) или их смесь.

**30836 П.** Способ изготовления клеевой пасты из винилхлоридной смолы. Исида [Исида Хидэёси, Нагасима Гиндзо]. Японск. пат. 4292, 15.07.54

Диаллиламилфосфат нагревают 6–12 час. при 75–85° с 0,5–2,0% перекиси бензоила, причем вязкость увеличивается в 8–10 раз. 25 ч. полученного продукта смешивают с 10 ч. диоктилфталата, 100 ч. винилхлоридной смолы в порошок, 2 ч. стеарата Са и 0,5 ч. стеариновой к-ты. Смесь листуют, в полученные листы на вальцах вводят 10–25 ч.  $(\text{CH}_3\text{C}_6\text{H}_4)_2\text{PO}_4$  и получают пасту, применяемую в качестве клея.

**30837 П.** Способ отверждения насыщенных термопластичных полимеров. Мертенс (Verfahren zur Härtung von gesättigten thermoplastischen Polymerisaten. Mertens Willi) [Siemens & Halske A.G.]. Пат. ФРГ 945957, 19.07.56

Насыщенные термопластичные полимеры подвергают набуханию в смеси мономеров, образующих пространственные сополимеры (один из мономеров содержит 2 ненасыщ. группы), после чего набухшую массу нагревают для полимеризации. Перед полимеризацией из полученной смеси можно отформовать изделия, напр., прессованием или шприцеванием. Смешение отдельных компонентов и их полимеризацию можно производить в несколько стадий. Полимеры, трудно смешивающиеся в виду их сильной вязкости, тонко измельчают в переохлажденном состоянии, и затем смешивают с другими в-вами. Полученные продукты имеют небольшие электрич. потери и применяются, напр. для изоляции электрич. проводов, а также для изготовления деталей сложной конфигурации. Напр., 75 ч. полистирола смешивают с 25 ч. стирола, содержащего 1% *n*-дивинилбензола, и однородную массу нагревают 24–48 час. при 130°. Получают прозрачный продукт, с высокой устойчивостью против деформации, не имеющий склонности к образованию трещин и способный шприцеваться. Материал имеет  $t$ -ру размягчения на 10° выше, чем у полистирола.

**30838 П.** Материал для зубных протезов. Шмитц-Юстен (Mittel zur Herstellung von Zahnersatzteilen. Schmitz-Josten Robert) [Farbenfabrik Bayer Akt.-Ges.]. Пат. ФРГ 941015, 29.03.56

Для получения указанного материала применяют полимеризующиеся виниловые соединения, содержащие сложные эфиры  $\alpha,\beta$ -ненасыщ. карбоновых к- (напр., акриловой и метакриловой) и полигликоль-



ноакриловых эфиров, в частности метакриловый эфир монометилового эфира гликоля. Напр., смешивают 400 мг мелкозернистого полимера из 94 вес. ч. метилметакрилата и 6 вес. ч. этилакрилата с 35 мг *n*-толуолсульфиновой к-ты и 0,25 мл метакрилового эфира монометилового эфира дигликоля. Смесь быстро разогреться и через 4 мин. превращается в однородный полимер. Л. Михельсон

**30839 П.** Способ получения поливинилового спирта. Йосюка, Ито, Мори, Номия [Нихон госэй какаку котё кабусики кайся]. Японск. пат. 8445, 21.12.54

Омыление эмульсии поливинилацетата минер. к-той осуществляют добавлением 5—10% растворимого или частично растворимого в воде р-рителя  $[\text{CH}_3\text{OH}$  или  $(\text{CH}_3)_2\text{CO}]$ . Э. Тукачинская

**30840 П.** Прессматериалы из виниловых смол. Кидатата. Японск. пат. 3993, 3.07.54

К-ру 2 г поливинилового спирта в 1 кг воды и 200 г 3%-ного  $\text{NH}_4\text{OH}$  прибавляют 350 г диоктилфталата, содержащего 15 г пигмента и эмульгируют; полученную эмульсию смешивают с эмульсией 1 кг поливинилхлорида в 1 кг воды, сушат при 60—120° и получают 1360 г порошка для прессования (40 меш).

Э. Тукачинская  
**30841 П.** Полимеры (Polymeric substances) [Imperial Chemical Industries, Ltd]. Англ. пат. 723777, 9.02.55

Оксациклобутан ф-лы  $\text{XCH}_2\text{C}(\text{CH}_2\text{Y})\text{CH}_2\text{OCH}_2$  полимеризуют с помощью катализаторов Фриделя — Крафта ( $\text{BF}_3$  и его эфиры,  $\text{AlCl}_3$ ,  $\text{SnCl}_4$  или  $\text{GaCl}_3$ ) при  $t$ -ре от -80 до 150°, которую регулируют введением низкокипящего р-рителя ( $\text{CH}_2\text{Cl}_2$ ,  $\text{SO}_2$ ,  $\text{CH}_2\text{FCl}_2$ ). Получаемые полимеры могут иметь линейную или пространственную структуру. В ф-ле X и Y — атомы галогена, алкокси-, арилокси-, ацилокси, CN- или OH-группы, или могут образовывать гетероцикл, содержащий атом O. Если в исходном мономере X и Y — OH-группы, их можно защищать, обрабатывая продукт ацетоном (с образованием циклич. кеталей); после полимеризации омыляют кеталь и элиминируют ацетон. Получаемые смолы используются для литья, формования, для изготовления пленок и волокон. В примерах в качестве исходных в-в указаны следующие производные оксациклобутана: 3,3-хлорметил-, 3-хлорметил-3-ацетоксиметил-, 3,3-бис-ацетоксиметил-, 3-оксиметил-3-хлорметил-, изопропилиден-3,3-бис-оксиметил-, 3,3-бис-этоксиметил- и 3,3-бис-феноксиметил-оксациклобутан. А. Жданов

**30842 П.** Способ получения полиэфиров из 2,4-диметил-4-оксизтоксиметил-1,5-пентандиола. Финк, Браун (Verfahren zur Herstellung von Polyestern des 2,4-Dimethyl-4-hydroxyäthoxymethyl-1,5-pentandiolis. Fink Carl Keister, Brown Kenneth LeRoy) [Union Carbide and Carbon Corp.]. Пат. ФРГ 946665, 2.08.56

2,4-диметил-4-оксизтоксиметил-1,5-пентандиол (I) конденсируют с дикарбоновыми к-тами (фталевой к-той, малеиновым ангидридом или их смесью) и монокарбоновыми к-тами, содержащими  $\geq 8$  атомов C (напр., высшими жирными к-тами с 8—22 атомами C в молекуле, получаемыми из высыхающих, полувсыхающих или несыхающих масел, напр., соевого, хлопкового или тунгового) при мол. соотношении ди- и монокарбоновых к-т от 5,1:1 до 0,8:1. Конденсацию проводят до получения полиэфира с кислотным числом 2—20. Полученные алкидные смолы хорошо совмещаются с виниловыми смолами. Напр., смесь (в г) 168 жирных к-т соевого масла, 195,4 фталевого ангидрида, 278,3 I и 40 ксилола нагревают с обратным холодильником в атмосфере  $\text{N}_2$  при 220—225° в течение 12 час. Готовую смолу разбавляют ксилолом до концн

80%. Смолы, полученные при замене I эквивалентным кол-вом глицерина, триметилолпропана или 1,2,6-гексантриола, не совмещаются с виниловыми смолами. М. Альбам

**30843 П.** Получение продуктов совместной конденсации фенольной и резорциновой смол. Манак, Кондо [Токио сибатура дэнки кабусики кайся]. Японск. пат. 6597, 15.10.54

Реакцией  $n\text{-CH}_3\text{C}_6\text{H}_4\text{OH}$  и  $\text{CH}_2\text{O}$  (молярное соотношение 1:2) получают 4,2,6- $\text{CH}_3(\text{HOCH}_2)_2\text{C}_6\text{H}_2\text{OH}$ . Последний смешивают с  $[2,6(\text{HO})_2\text{C}_6\text{H}_3]\text{CH}_2$  и растворяют в небольшом кол-ве спирта. Получают клей или материал для покрытий. Э. Тукачинская

**30844 П.** Способ модификации в растворе эпоксидных смол кремнийорганическими соединениями. Дегтеринг (Verfahren zur Herstellung von mit Organosiliciumverbindungen modifizierten Athoxylinharzen in gelöster Form. Detering Heinz) [Th. Goldschmidt A.-G.]. Пат. ФРГ 954456, 20.12.56

Раствор эпоксидной смолы смешивают с силаном ф-лы  $\text{R}_n\text{SiX}_{4-n}$  или с силоксаном низкой степени конденсации, содержащим OH-группы, в смесь медленно вводят воду (в кол-ве 2—100 вес.% от силана) и кипятят, отгоняя азеотроп воды и р-рителя. Катализаторами р-ции служат к-ты, металлич. мыла или соли металлов. В ф-ле R — насыщ. или ненасыщ. углеводородный радикал, который может иметь заместители, X — атом галогена, алкокси-, арилокси-, аралкокси- или OH-группа,  $n$  — число от 1 до 3. Напр., 60 вес. ч. эпоксидной смолы (из эпихлоргидрина и 4,4'-диоксидифенилбутана) растворяют в смеси (в вес. ч.) 40 этилглицольацетата, 35 ксилола и 12 бутанола, нагревают до кипения, медленно вводят 35 вес. ч. фенилтриэтоксисилана и затем малыми порциями 5 вес. ч. 5%-ной  $\text{H}_3\text{PO}_4$ . Смесь нагревают при 90—150°, отгоняя р-ритель и воду, и остаток затем разбавляют р-рителем до концн 40%. Модифицированная смола прочно склеивает металл со стеклом и устойчива к действию влаги при повышенных  $t$ -рах. А. Жданов

**30845 П.** Способ отверждения силоксановых смол. Шленкер (Verfahren zur Härtung von Polysiloxanharzen. Schlenker Felix) [Chemische Werke Albert]. Пат. ФРГ 951889, 8.11.56

В качестве отвердителей применяют модифицированные смолы, полученные из альдегидов и фенолятов многовалентных металлов. Кол-во отвердителя составляет 8—20% от силоксановой смолы. А. Жданов

**30846 П.** Безосколочное стекло, имеющее прослойку из наполненной полисилоксановой смолы. Томас (Safety glass laminate containing transparent filler for silicone resins. Thomas Frederick L.) [Bjorksten Research Labs, Inc.]. Пат. США 2756171, 24.07.56

Прозрачный триплекс имеет между листами стекла прослойку из теплостойкой полисилоксановой смолы, содержащей 5—80% наполнителя с размером частиц 2—50  $\mu$  и  $n_D^{25}$  1,39—1,46. Наполнитель имеет кубич. кристаллич. решетку и изотропен по отношению к видимому свету. В качестве наполнителя используют фториды щел. и щел.-зем. металлов с ат. в.  $< 138$ , напр. LiF или  $\text{CaF}_2$ , KCN,  $\text{K}_2\text{Cd}(\text{CN})_4$  и другие. Напр., 2,5 ч. перекиси бензоила и 10 ч.  $\text{CaF}_2$  с размером частиц  $\sim 20 \mu$  смешивают со 100 ч. полидиметилсилоксана с вязкостью  $> 2 \cdot 10^6$  спуз. Смесь прессуют в листы при 106°, применяя прокладки из Al-фольги. Получают гибкую, почти прозрачную термостойкую пленку. А. Жданов

**30847 П.** Способ склейки металлов. Едличка (Verfahren zur Verleimung von Metallen. Jedlicka Helmut). Пат. ФРГ 956711, 24.01.57

В качестве клея применяют смесь 1 вес. ч. силоксановой пасты («прыгающей замазки») с 0,5—4 вес. ч.

порошкообразной эпоксидной смолы. Смешение компонентов производят при т-ре ниже т-ры размягчения эпоксидной смолы.

**30848 П. Желатинированные составы и способ их получения.** Бичем (Gelled compositions and method for making the same. Beacham Harry H.) [National Lead Co.]. Пат. США 2736666, 28.02.56

Для получения желатинированных составов из высыхающих и полувсыхающих масел (льняного, соевого, подсолнечного, касторового и др.), масла с ИЧ  $\geq 80$  окисляют продувкой воздуха при повышенной т-ре в течение нескольких часов до вязкости 15—150 пуаз, окисленное масло смешивают при  $\sim 20^\circ$  с 2—10% эфира ортотитановой к-ты или алкоксиалкоксипроизводными ортотитановой к-ты, имеющих суммарно 4 алкокси- и ацилоксигруппы на один атом Ti. Ортоэфир получают взаимодействием производного Ti с одноатомным насыщ. спиртом, содержащим 2—22 атома С. Ацильная группа в применяемом производном содержит 3—30 атомов С. Желатинизация наступает немедленно после смешения эфира с окисленным маслом. Напр., льняное масло окисляют продувкой воздуха при  $121^\circ$  в течение 8 час. до вязкости 36 пуаз, после чего 380 ч. продутного масла смешивают с 20 ч. бутлового эфира титановой к-ты, при этом смесь немедленно желатинирует. Полученные гели применяют в произ-ве линолеума, а также в органич. синтезе в качестве носителя или катализатора. Г. Фрид

**30849 П. Материал для зубопротезных оттисков и способ его изготовления.** Корнелл, Кемлер (Dental impression material and method of making same. Cornell John A., Kemmler Harry E.) [H. D. Justi & Son, Inc.]. Пат. США 2733156, 31.01.56

Материал представляет собой смесь 4 вес. ч. карбоксиметилцеллюлозы, содержащей  $\sim 1$  COOH-группу на каждое элементарное звено глюкозы, 5 вес. ч. инертного наполнителя,  $\sim 0,5$  вес. ч.  $\text{FeCl}_2$  или оксалата Fe и  $\sim 0,5$  вес. ч. водорастворимого перхлората, соли Cr или  $\text{H}_2\text{CrO}_4$  в качестве окислителей, переводящих в водн. р-ре ионы  $\text{Fe}^{2+}$  в ионы  $\text{Fe}^{3+}$ , которые осаждают карбоксиметилцеллюлозу в виде геля. При употреблении  $\sim 1$  вес. ч. сухой смеси смешивают с  $\sim 9$  вес. ч. воды. В случае применения  $\text{FeCl}_2$  в качестве окислителя применяют  $\text{KClO}_4$ . В случае  $\text{H}_2\text{CrO}_4$  ее вводят не в сухую смесь, а добавляют в виде водн. р-ра к готовой смеси.

**30850 П. Способ получения цветных и (или) контрастирующих в проходящем свете полимеров с профилированной поверхностью.** Хопш, Шмидбауэр (Verfahren zur Herstellung farbiger und oder der Lichtdurchlässigkeit nach kontrastierender Polymerisationskunststoffe mit profilierter Oberfläche. Hensch Ludwig, Schmidbauer Hans.) [Rohm & Haas G. m. b. H.]. Пат. ФРГ 946745, 2.08.56

Полимеризацию проводят в плоских формах с профилированным дном, причем к мономерам добавляют пигменты (возможно, фосфоресцирующие или флуоресцирующие) в таком кол-ве, что до или во время полимеризации при горизонтальном положении формы пигменты оседают на профилированное дно и поэтому находятся в выступающих частях готовой пластины полимера.

**30851 П. Способ и аппарат для изготовления спиралей из термопластичного материала.** Монкрифф (Process and apparatus for making helical coils from thermoplastic material. Moncrieff Leslie John) [British Celanese Ltd.]. Пат. США 2740987, 10.04.56

Аппарат для непрерывного изготовления спиралей из термопластич. материала в виде стержней круглого, эллиптич. или многоугольного сечения имеет оправку, конич. часть которой снабжена обогревом; цилиндрич. часть оправки имеет диаметр, равный

внутреннему диаметру спирали. На конич. часть оправки наматывают размягченный стержень, вращая оправку, и далее при поступательном движении оправки передвигают спираль вдоль, к выходу из аппарата. Стержни размягчают нагреванием или действием летучих жидких размягчающих составов, которые испаряются в процессе изготовления спиралей. Так, для размягчения ацетата целлюлозы применяют смесь этанола, ацетона и воды в объемном соотношении 43:23:34. В качестве исходного материала используют эфиры (ацетат или пропionate) целлюлозы, полиэтилен, поливиниловые соединения (поливинилхлорид, полистирол, сополимеры винилхлорида и винилхлорида), акрилаты (полиэтилакрилат, полиметилметакрилат), а также линейные полимеры типа найлона, полиэтилентерефталата или поли-4-амино-1,2,4-триазола. Напр., стержень diam. 1,5 мм из пластифицированного ацетата целлюлозы, полученный горячим выдавливанием, наматывают на оправку с диаметром цилиндрич. части 9,5 мм, вращающуюся со скоростью 150 об/мин. Конич. часть оправки, на которую наматывают стержень, имеет т-ру 90—100°. Полученная спираль имеет шаг 2 мм. К описанию приложен чертеж аппарата.

**30852 П. Пенопласты со сморщенными стенками ячеек и способ их получения** (Zellkörper mit gefalteten Zellwänden und Verfahren zu dessen Herstellung) [Lonza Elektrizitätswerke und Chemische Fabriken A.-G.] Австр. пат. 181964, 10.05.55 [Chem. Zbl., 1956, 127, № 12, 3434 (нем.)]

Давление газа в ячейках пенопласта понижают, напр. путем частичной или полной замены содержащегося в них газа на пары конденсирующегося при  $\sim 20^\circ$  в-ва, и подвергают материал усадке за счет конденсации газов или паров при т-ре, ниже т-ры текучести полимера. Напр., пенопласт из поливинилхлорида и пластификатора, ячейки которого наполнены  $\text{H}_2$ , выдерживают при 60—65° несколько часов под вакуумом или обрабатывают при  $120^\circ$  перегретым водяным паром. При снятии вакуума или при охлаждении после обработки водяным паром ячейки изделия садятся, и их стенки сморщиваются. Получаемые пластины имеют повышенное сопротивление изгибу и пригодны для применения в качестве подопытного материала.

**30853 П. Изготовление легких строительных материалов.** Росман (Verfahren zum Herstellen von Leichtbaukörpern. Rossmann Rudolf) [Josef L. Halter]. Пат. ФРГ 950409, 11.10.56

Материалы растительного происхождения — волокно, пробку или торфяную пыль смешивают с минер. в-вами — песком, глиной, гипсом, асбестом, также растительной мукой, пигментами и связующими (жидким стеклом или искусств. смолой) и формуют под прессом. Полученные плиты имеют хорошие тепло- и звукоизоляционные свойства и обладают малым уд. весом и высокой прочностью. Смешивают в смесителе (в кг) 80 древесных стружек, 5 длиноволокнистой древесной массы, 2 измельченной соломой, затем вводят 2 пережженного гипса и 3 муки вики. После основательного перемешивания добавляют 6,5 р-ра смолы и 1 отвердителя. Массу формуют под прессом до окончания отвердевания связующего.

**30854 П. Способ получения монообменных смол, селективных к ионам калия.** Накадзава, Оноэ, Камида [Токуяма сода кабусики кайса]. Японск. пат. 8196, 11.12.54

20 г сырого каучука в 180 г  $\text{C}_6\text{H}_6$  медленно обрабатывают 140 г конц.  $\text{H}_2\text{SO}_4$  и нагревают 30 мин. при 100—120° и 7—8 час. при 100°. Получают 21 г сульфированной смолы (I), содержащей 9,5% S. I нагревают



3 часа при 200°, получают 11,5 г смолы (II), содержащей 4,8% S. Через II пропускают р-р, содержащий по 0,1 M KCl и NaCl. Кол-во K<sup>+</sup> и Na<sup>+</sup>, поглощенных II, составляют 80,4 и 15,2%, соответственно.

Э. Тукачинская

30855 П. Герметик для аккумуляторов. Умэдзано [Юбе дэки кабусики кайса]. Японск. пат. 293, 20.01.54

Нефтяной битум смешивают с 30% жира и 5—15%  $\alpha\text{-C}_6\text{H}_5(\text{CO}_2\text{R})_2$ , где R — бутил или октил, и сплавляют при 200°.

Э. Тукачинская

См. также раздел *Химия высокомолекулярных в-в* и рефераты: Общие вопросы 29177, 30928. Сырье 29707, 29765. Полимеризац. смолы 29832, 30052, 30055, 31155. Полиэфирные 30859. Фенолформальдегидные смолы 27957—27959, 31077. Меламиноформальд. смолы 31155. Полиамидные 31155. Полиорганосилоксаны 28843, 30285. Производные целлюлозы 29176. Пластификаторы 29734, 29780. Слоистые пластмассы 29175, 31110. Ионобменные смолы 28116, 28362, 28699, 29726, 29806, 30039, 30352. Клеи 30976

## ЛАКИ. КРАСКИ. ЛАКОКРАСОЧНЫЕ ПОКРЫТИЯ

Редактор М. Ф. Сорокин

30856. Влияние соевого лецитина на пигментные дисперсии в алкидных красках. Кронштейн (The influence of soybean lecithin on the pigment dispersion in alkyl paints. Kronsstein Max), Paint Ind. Mag., 1957, 72, № 6, 10, 15, 17—20, 68 (англ.)

Обзор результатов исследований о влиянии стандартного соевого лецитина на пигментные дисперсии красочных систем (матовые, стироллизованные, винилтолуольные алкидные краски и алкидные эмали горячей сушки, мочевиноалкидные эмали). Соевый лецитин способствует диспергированию пигментов, улучшая редиспергируемость красок, оседающих при хранении. Влияние лецитина на цвет красок очень незначительно, даже в эмалях горячей сушки.

Б. Шемякин

30857. Проблемы цвета. 1; 2. Органические покрытия. 3. Неорганические материалы. Мелдрум (Color problems. 1; 2 Organic coatings. 3. Inorganic materials. Meldrum Douglas G.), Industr. Design, 1956, № 1, 31—39; № 2, 92—108, № 3, 106—116 (англ.)

Описана постановка работ, обуславливающих развитие произ-ва органич. полупродуктов, красителей и пигментов на фирме Amer. Cyanamid Co. Отмечается выпуск сухих вальцованных с нитроцеллюлозой паст 943 цветов и оттенков (рецептура и технология не указаны).

К. Беляева

30858. Лаки и краски на основе алкидных смол. Марживаль (Peintures et vernis aux résines alkydes. Margival F.), Trav. peint., 1957, 12, № 8, 298—299 (франц.)

Перечислены основные свойства покрытий из алкидных смол, приведены типовые составы алкидных смол и красок на их основе.

Н. Аграненко

30859. Алкидные смолы. От простых смол к сложным. Части I, II. Робинсон (Alkyd resins. Part I. Robinson Ralph S.), Canad. Chem. Process., 1955, 39, № 3, 38, 40, 42, 44, 46, 48; № 4, 100, 102, 104, 106 (англ.)

Обзор типов глифталевых модифицированных смол. Библ. 23 назв.

Л. Песин

30860. Некоторые основные вопросы изучения алкидных смол. Тон (Some problems in the fundamentals study of alkyd resins. Tawn A. R. H.),

J. Oil and Colour Chemists' Assoc., 1956, 39, № 4, 223—252 (англ.)

Развитие химии и технологии алкидов во взаимосвязи с наукой о полимерах. Изучение алкоголиза масел с глицерином и исследование состава получаемых продуктов при помощи хроматографии на бумаге. Библ. 60 назв.

Б. Шемякин

30861. Алкиды «без запаха». Тримейн («Odourless» alkyls. Tremain A.), J. Oil and Colour Chemists' Assoc., 1957, 40, № 9, 737—740 (англ.)

Рассматривается влияние на запах красок некоторых типов р-рителей, сиккативов и особенно смол. В смолах до образования из них пленки обычно присутствуют пахучие в-ва; при окислении жирных к-т получаются альдегиды, имеющие запах, при дегидратации глицерина — акролеин. Для матовых стеновых красок, в качестве связующего наиболее пригодны смолы со средне-полимеризованными маслами, так как чем сильнее полимеризовано масло, тем больше замечен запах при окислении. Проведены сравнительные испытания оценки запаха алкидов на льняном масле и алкидов на соевом масле. В первом случае на ранней стадии высыхания образуется большое кол-во пахучих альдегидов и соответственно незначительное кол-во на последней стадии высыхания, но оба типа алкидов выделяют приблизительно одинаковое кол-во альдегидов.

Б. Шемякин

30862. Основные принципы составления рецептур эмульсионных красок. Части III, IV. Хейбергер (Basic concepts in latex paint formulation. Parts III, IV. Heiberger Philip), Amer. Paint J., 1955, 39, № 50, 58, 60, 62, 64, 66, 67, 70, 72; № 51, 63, 66, 68, 70, 72, 74—75 (англ.)

Общезвестные положения о составе и стабильности эмульсионных красок, о роли отдельных их компонентов: пластификаторов, антисептиков, защитных коллоидов, активспенивающих добавок, стабилизаторов против замерзания, эмульгаторов, буферных добавок, ингибиторов коррозии и диспергирующих пигменты агентов. Части I, II см. РЖХим, 1957, 21073.

К. Беляева

30863. Применение молибдена и вольфрама в производстве пигментов. Линз (Use of molybdenum and tungsten in production of pigments. Ling Arthur), Amer. Ink Maker, 1957, 35, № 7, 30—31, 61 (англ.)

Краткий обзор развития молибденовых пигментов и органич. пигментов молибдена и вольфрама. Наиболее простые, окрашенные соединения, содержащие Mo, имеют преимущественно оранжевый цвет. В настоящее время мировое произ-во пигмента молибдата оранжевого в различных формах составляет > 9072 т в год. Имеют значение органич. пигменты на основе органич. красителей в сочетании с комплексными фосфорно-молибденовой, фосфорно-вольфрамово-молибденовой и фосфорно-вольфрамовой к-тами. Библ. 57 назв.

Б. Шемякин

30864. Атмосферостойчивые масляные краски. Якубович С. В., Зубчук В. А., Пересветов М. П., Стандартизация, 1957, № 2, 68—69

Испытано 450 экспонатов и разработаны рецептуры и новый стандарт атмосферостойчивых цветных масляных красок для внешних покрытий с частичной или полной заменой наполнителя — тяжелого шпата тальком, чешуйчатые частицы которого, располагаясь горизонтальными слоями, препятствуют проникновению влаги и повышают влаго- и атмосферостойчивость покрытий. Наиболее атмосферостойчивыми красками оказались краски, содержавшие цинковые белила и тальк в отношении ~ 1:1,3. Глифталевая олифа по качеству не уступает натуральной. Атмосферостойчивость новых красок на основе талька,

цинковых белил и глифталевой (или натуральной) олифы увеличилась по сравнению с обычными стандартными красками более чем в 3 раза; эти краски сохраняют удовлетворительный внешний вид в течение 2—2,5 лет.

Б. Шемякин  
30865. Всплывание пигментов. Кол (Flotation. Cole R. J.), Oil and Colour Chemists' Assoc., 1957, 40, № 9, 741—744 (англ.)

Флотация (всплывание) пигментов в красках может приводить к некоторым дефектам покрытий. Флотация может быть, «ровной» или «неровной». Она наиболее заметна в присутствии двух различных цветных пигментов, напр. железной лазури и свинцового крона. Подвижность пигментных частиц характеризуется функцией  $d^2(q - q_0)$ , где  $d$  — диаметр частиц,  $q$  — уд. вес пигмента, а  $q_0$  — уд. вес связующего; для масляного связующего функция выражается значением  $d^2(q - 0,95)$ . Для ряда пигментов это значение найдено равным  $\sim 10^{-5}$  для тонкодисперсной сажи,  $2 \cdot 10^{-3}$  для железной лазури, 0,6 для лимонного крона и  $\sim 18,0$  для некоторых свинцовых белил. Чем больше разница между этими значениями для пигментов, тем сильнее может быть флотация в смешанных системах. В некоторых случаях добавление незначительных кол-в (0,001—0,01 ч.) силиконовых масел может регулировать флотацию.

Б. Шемякин  
30866. Химически активные грунтовки. Мюллер, Бок, Гофман, Крейнхёфнер (Wash-Primer. Müller Gerhard, Bock Rudolf, Hoffmann Konrad, Kreinhöfner R.), Angew. Chem., 1956, 68, № 23, 746—752 (нем.)

Описаны свойства химически активных хромато-фосфатных и хромо-фосфатных грунтовок. Лучшими свойствами обладают грунты, которые получают, сливая перед применением два готовых р-ра, содержащих отдельно хромат Zn и фосфорную к-ту. М. С.  
30867. Высыхающие материалы, получаемые при  $\beta$ -кетонной конденсации ненасыщенных алифатических сложных эфиров. Клеман (Composés siccatis obtenus par condensation  $\beta$ -cétonique d'esters aliphatiques insaturés. Clement R.) Peintures, pigments, vernis, 1957, 33, № 8, 711—713 (франц.)

Высыхающие масла (I) могут служить исходным материалом для получения сложных  $\beta$ -кетозэфиров и полиеновых кетонов, пленки которых высыхают быстрее и имеют более высокую твердость, чем пленки природных масел. Пленки эти довольно сильно окрашены и имеют склонность к пожелтению, но отличаются высокой хим. устойчивостью. Конденсация этиловых эфиров жирных к-т I приводит к получению масел, склонных к полимеризации и аутоксиполимеризации. Пленки, получаемые из них, имеют более высокие качества в том случае, если перед конденсацией из масла выделить насыщ. к-ты. Наилучшие результаты получаются при смешанной конденсации этиловых эфиров с высыхающими маслами. Пленки таких продуктов чрезвычайно тверды, а отдельные фракции продуктов высыхают без сиккатива при 100° в течение 20 мин.

Н. Аграненко  
30868. Замечания о нежелательных маслах, в частности о табачном масле. Гривс (Notes on non-yellowing oils, especially tobaccoseed oil. Greaves J. H.), J. Oil and Colour Chemists' Assoc., 1956, 39, № 12, 934—936 (англ.)

Склонность к пожелтению отсутствует у масел, содержащих не более нескольких процентов остатков жирных к-т с тремя и более двойными связями. Наряду с дегидратированным касторовым и соевым, к числу таких масел относится табачное масло (ТМ). ТМ применяется как высыхающее для лакокрасочных покрытий, в частности алкидных, в произ-ве ли-

нолеума, типографских красок, формовочных стержней. Его используют также как пищевой продукт и для изготовления мыла. Сырое ТМ, идущее для изготовления лакокрасочных материалов, предварительно подвергают щел. рафинации и отбеливанию. ТМ содержит суммарно  $> 70\%$  глицеридов линолевой и линоленовой к-т и высыхает поэтому быстрее соевого, содержащего 60% глицеридов тех же к-т, хотя содержание глицеридов линоленовой к-ты в соевом масле выше, чем в ТМ.

Н. Гольдберг  
30869. Каталитическое поведение пигментов и сиккативов. — (Catalytic behaviour of pigments and driers.), Paint Manufact., 1957, 27, № 8, 346—349 (англ.)

Обсуждаются вопросы фотохим. изменения поверхности пигментных частиц, значение перекисных катализаторов в составах для покрытий, действие металлических сиккативов в последних, влияние моноаммоний-фосфата и других солей на время высыхания типографских лаков и типографских красок. За последние годы значительно улучшена стойкость свинцового крона против потемнения; в большинстве случаев это достигнуто в результате добавления к осаждаемому хромату гидроокисей Al, Ti или Si, образующих на пигментных частицах сравнительно тонкий покрывный слой.

Б. Шемякин  
30870. Изотимол в качестве добавки улучшающей лак. Бюрстенбиндер (Isothymol als Lackverbessernder Zusatz. Bürstenbinder Robert), Dtsch. Farben-Z., 1957, 11, № 6, 240—241 (нем.)

Изотимол (I), будучи введен в лаки в незначительных кол-вах, оказывает на них сильное воздействие, предотвращая образование поверхностной пленки при хранении, улучшает блеск, прозрачность, адгезию и, в некоторых случаях, твердость покрытий, не изменяет оттенка лака и не замедляет его высыхания. I представляет собой 1-метил-5-изопропил-3-оксипензол, являющийся изомером  $n$ -тимола, имеет т. кип. 235—240°, т. замерз. 30—40°, легко растворим в органич. р-рителях, жирах и минер. маслах, едких щелоках, аммиаке, горячих р-рах углекислых щелочей, незначительно растворим в воде. Добавка I к масляному лаку на основе эпоксидных смол достаточна в кол-ве 0,4—1% в расчете от содержания жирных к-т масла, к тощим лакам I добавляют в кол-ве  $\sim 0,2\%$ . Оптимальные кол-ва добавки I должны в каждом случае определяться опытным путем. I имеет сильное бактерицидное действие, поэтому его можно в кол-ве 0,1—0,3% добавлять также к эмульсиям, напр., к поливинилацетатным.

Б. Шемякин  
30871. К исследованию пластификаторов для нитроцеллюлозных лаков. Сообщение 35. Поведение смеси пластификаторов. Краус (Zur Kenntnis der Weichmachungsmittel für Nitrocelluloselacke. 35. Mit. Verhalten von Weichmachergemischen. Kraus A.), Farbe und Lack, 1957, 63, № 7, 347—348 (нем.)

Приведены результаты испытаний различных комбинаций пластификаторов в нитролаках для кожи. Сопротивление многократному перегибу у всех пленок было одинаковым. Лучшее сопротивление изгибу показали пленки, полученные из комбинаций ди-октилфталат + пластификатор REA (ацетилированный бутилтрицинолеат) и трикрезилфосфат + сырое касторовое масло. В большинстве случаев продутное касторовое масло давало более твердые пленки, чем сырое касторовое масло; пластификатор REA приводил к получению более мягких пленок. После 7-дневной выдержки в холодной воде пленки почти не изменялись, но после выдержки в течение 1 часа в кипящей воде пленки, содержащие комбинации пластификаторов с пластификатором REA, отчетливо показывали свою водочувствительность. По выпотеванию худшие



результаты показали пленки, содержавшие сырое касторовое масло во всех комбинациях. При выдержке в условиях при повышенных  $t$ -рах пленки, содержавшие касторовое масло, изменяли свой цвет более или менее сильно; с пластификатором REA получены лучшие результаты. Последующие испытания проводили с комбинациями смесей пластификаторов со смолами, применяющимися для полировки дерева; образование трещин, разрывов пленок после выдержки при  $100^\circ$  в течение 45 и 60 час. наблюдалось только в двух случаях, при пластификаторе дибутилфталате. Сообщение 34 см. РЖХим, 1956, 66704. Б. Шемякин

30872. Нормальный и изобутиловый спирты и их эфиры; применение в промышленности лаков и пластических масс. Пьянтанида (L'alcole butilico normale e l'alcole iso-butilico. Loro esteri nell'industria delle vernici e delle materie plastiche. Piantanida Cesare), Ind. vernice, 1956, 10, № 12, 313—317 (итал.)

30873. Применение и свойства невоспламеняющихся жидкостей в процессе металлообработки. Мили (The use and properties of non-flammable liquids in manufacturing processes. Milne David), Steel Process., 1956, 42, № 12, 686—691, 714

Указывается на применение вододисперсионной асфальтовой шумопоглощающей мастики для кузовов автомобилей, взамен ранее применявшихся  $p$ -ров асфальта в летучих  $p$ -рителях, а также красок — вододисперсионных и на основе негорючего  $p$ -рителя трихлорэтилена. Нанесение последних производится методом окунания в герметичных ваннах с рекуперацией  $p$ -рителя, аналогично трихлорэтиленовым установкам для обезжиривания. К. Беляева

30874. Лаки, краски, эмали и другие покрытия для защиты оборудования, аппаратуры, тары в пищевой промышленности. — (Tworzywa powłokowe ochronne w przemyśle spożywczym. Jaeske Bogdan), Przem. spożywczy, 1956, 10, № 7, 273—277 (польск.)

30875. Система электростатического распыления. Джонсон (Electrostatic spraying systems. Johnson F. D.), Prod. Finish., 1957, 10, № 8, 56—61 (англ.)

Кратко рассмотрены (приведены фото) различные типы оборудования для нанесения покрытий способом распыления в электростатич. поле.

Б. Шемякин  
30876. Устройства для электростатического распыления красок и их безопасность. Готберг (Elektrostatische Farbspritzanlagen und ihre Sicherheit. Gottberg Horst von), Brandverhüt und Brandbekämpfung, 1957, 7, № 1, 1—2 (нем.)

Краткое описание электростатич. способа нанесения красок. Для обеспечения безопасной работы применяется искровое защитное устройство, срабатывающее при первом же проскоке искры. Это устройство также выключает систему при превышении установленной силы тока. Для безопасности обслуживающего персонала рабочие кабины имеют контактный зазор, срабатывающий при открывании двери.

Г. Цейтлин  
30877. Окраска обливанием. Бардин (La verniciatura a pioggia. Bardin P. C.), Ind. vernice, 1956, 10, № 10, 261—264 (итал.)

Описание установки для окраски способом обливания эмалями повышенной вязкости (110—115 сек. по воронке Форда № 4).

Л. Песин  
30878. Конвейер для нанесения жаростойкого покрытия на часть деталей из потока. Треблинг (This line lets some parts get a heat-resistant coat. Trebling L. C.), Industr. Finish. (USA), 1956, 33, № 2, 35—36, 40, 42 (англ.)

Описание конвейера сборки дизельных моторов, обеспечивающего ритмичность сборки при соблюдении такого условия, что после промывки всех деталей в горячей щел. ванне только часть из них поступает на окраску жаростойкой Al-краской (состав не указан), а остальные детали остаются неокрашенными. К. Беляева

30879. Внешние покрытия каменной кладки на основе плайолита S-5. Платнер (Exterior masonry finishes based on Pliolite S-5. Platner J.), Paint Ind. Mag., 1957, 72, № 6, 46 (англ.)

Плайолитом S-5 (I) названа смола, полученная на основе сополимеров стирола. Ее растворимость и химстойкость (особенно щелочностойкость) позволяют применять I в качестве хорошего связующего для эмалей по бетонному полу, красок для дорожных указателей, внешних покрытий каменной кладки и для других поверхностей, шел по своей природе. Для пигментирования применяют  $TiO_2$ , природные (земляные) окиси, фталоцианины зеленый и голубой и многие другие типы щелочестойких пигментов и наполнителей, напр.  $CaCO_3$ , слюду, диатомовый кремнезем. В качестве связующего, из расчета на твердые в-ва, применяют смесь I с хлорпарафином 40 и хлорпарафином 70 в соотношении 50:25:25. В качестве  $p$ -рителя применяют смесь тяжелой сольвент-нафты и нефтяного разбавителя. Краски для каменной кладки на основе I недороги, способны «дышать», цветостойки и исключительно погодостойчивы. При возобновлении окраски подготовки поверхности не требуется. Б. Шемякин

30880. Применение новых покрытий на основе эпоксид-соединений в мясной промышленности. Нидт (What do the new epoxy base paints mean to the meat industry? Nield Greg S.), Nat. Provisioner 1956, 135, № 8, 21—22 (англ.)

Указано на применение в мясной промышленности на основе эпоксидных смол для окраски поверхностей оборудования, стен, полов, потолков. Эпоксидно-полиамидные покрытия являются лучшими и используются для деревянных бетонных, металлич., пластмассовых и других поверхностей. Твердые материалы на основе эпоксид-соединений используются для заделки трещин, царапин, выбоин в чанах, котлах, трубах и полах.

В. Крылова  
30881. Качественная отделка библиотечной и лабораторной мебели. Хорн (Quality finishing in library and laboratory furniture. Horne R. E.), Industr. Finish., 1957, 33, № 8, 78, 80, 82 (англ.)

Рассматриваются вопросы окраски лаб. столов в учебных заведениях. Отмечена общая тенденция к применению красок светлых тонов и созданию привлекательной декоративной отделки мебели для занятий студентов.

Б. Шемякин  
30882. Применение асфальтовых мастик для защитных покрасок на коксовых установках. Бейдженстос (Use of heavy cutback asphaltum mastic coatings in coke plant areas. Begenstose Abner H., Jr), Iron and Steel Engr., 1955, 32, № 9, 75—78. Discuss., 78—80 (англ.)

Описана защита от коррозии металлич. конструкций на коксовых установках, находящихся в тяжелых коррозионных условиях, а также защита разведения вяжущего  $p$ -ра в кирпичной кладке (напр., в хранилищах  $(NH_4)_2SO_4$ ) с помощью асфальтовых мастик, представляющих собой смеси нефтяных битумов, пластифицированные природными битумами, разжиженные лигрономом и содержащие минер. наполнители. А. Кузьмина

30883. Разнообразие металлических деталей, проходящих по конвейеру (для окраски). Ричардс (Variety of metal parts processed on conveyor system.

Richards E. N.), Industr. Finish. (USA), 1956, 33, № 2, 60—62, 64, 66 (англ.)

Приведены схема и описание конвейера для окраски разногабаритных деталей вентиляционных устройств и установок для кондиционирования воздуха.

К. Беляева

30884. Лакировка фанерных щитов. Бардин (Production finishing of prefinished ply panels. Bardin P. C.), Industr. Finish. (USA), 1956, 33, № 1, 84, 86, 88, 90, 82 (англ.)

Описана лакировка на конвейере паркетных плит и фанерных облицовочных щитов, включающая последовательное нанесение (с обеих сторон щита) роликовой накаткой грунтлака с 6—19% сухого остатка, порозаполнителя и покрывного лака с вязкостью 40—130 сек. по воронке Форда № 4, при 25°. Мягкие породы дерева требуют применения грунтлака с более высоким сухим остатком. При лакировке применяется естественная и горячая сушка, операции шлифовки и полировки механизированы. Отмечается основное преимущество лакировки методом роликовой накатки перед методом распыления, заключающееся в возможности применения высоковязких лаков с повышенным сухим остатком.

К. Беляева

30885. Отделка твердого картона. Марш (Finishing hardboard. Marsh V. R.), Timber Technol., 1957, 65, № 2218, 406—407 (англ.)

Кратко описаны процессы нанесения различных лакокрасочных декоративных покрытий на картон.

Д. Шемякин

30886. Лаки на основе смолы «Эпикот» в качестве защитных покрытий по стеклу против раскаленных частиц металла. — (Lakken op basis van «Epikote». Als bescherming van glas tegen gloeiende metaaldeeltjes.), Plastica, 1957, 10, № 1, 21 (гол.)

Покрытие защитных стекол на племе сварщика лаками на основе эфиров смолы «эпикот 1004» (I) предупреждает оседание на их поверхности раскаленных частиц металла. Стекло без покрытия настолько забивается металлич. частицами, что становится непрозрачным уже после одного дня работы, а поверхность стекла, покрытого I, даже после 49 дней работы остается почти совершенно чистой.

Л. Песин

30887. Окраска стальных барабанов. Хазлетт (Painting steel drums. Hazlett W. A.), Industr. Finish., 1957, 33, № 9, 64—66, 68, 70, 73 (англ.)

Описана автоматизированная линия для внешней и внутренней окраски стальных барабанов. Перед окраской барабаны подвергают пятистадийной механизированной промывке и фосфатированию (фосфатом Zn). Подготовленные барабаны проходят по конвейеру через сушильную печь (при t-ре 182° в течение 2,5 мин.) и затем поступают на окраску синтетич. эмалью на основе алкидных смол. Окраска производится автоматически распылением, после чего покрытие высушивают при 149° в течение 15 мин. в газопламенной конвекционной печи и охлаждают. После этого верх и низ барабанов покрывают пигментированным лаком, барабаны маркируют при помощи печатной машины, покрывают чистым защитным лаком и подвергают горячей сушке.

Б. Шемякин

30888. Отделка телевизионных ящиков из твердых древесных пород при помощи конвейерной установки. Биллапс (ConveyORIZED setup helps in the finishing of hardwood cabinets. Billups Clyde L.), Industr. Finish., 1957, 33, № 9, 60—62 (англ.)

Кратко описаны операции по лакировке телевизионных ящиков в поточном произ-ве.

Б. III.

30889. Влияние солей в формваре на диэлектрические свойства покрытий из формвар-алкилфенольных смол на электромагнитных проводах. Касс, Лавин (The effect of salts in Formvar on the die-

lectric properties of Formvar alkylphenolic coated magnet wire. Kass Robert E., Lavin Edward), Wire and Wire Prod., 1956, 31, № 10, 1207, 1210—1211, 1267 (англ.)

Найдено, что уксуснокислый аммоний, содержащийся в формваре (проверены дозировки от 0,03 до 0,43%), применяемом для эмалирования провода в смеси с продуктом конденсации м- и п-крезола с формальдегидом, практически не оказывает влияния на электрич. прочность (ЭП) изоляции; по-видимому, в процессе эмалирования проводов при t-ре ~ 400° уксуснокислый аммоний разлагается на летучие  $\text{NH}_3$  и  $\text{CH}_3\text{COOH}$ , улетучивающиеся из композиции. Напротив, присутствие  $(\text{NH}_4)_2\text{SO}_4$  в формваре существенно понижает ЭП: при кон-ции  $(\text{NH}_4)_2\text{SO}_4$  0,8% ЭП понижается в сухом состоянии на  $1/3$  и во влажном состоянии на  $2/3$  (по-видимому дополнительное понижение ЭП по сравнению с сухим состоянием — результат ионизации). Предыдущее сообщение см. РЖХим, 1955, 53602.

Л. Песин

30890. Удаление ржавчины и окислы способом абразивной очистки. Джейкобсон (Removing rust and scale by abrasive cleaning. Jacobson Edmund), Organ. Finish., 1957, 18, № 6, 9—11 (англ.)

Рекомендуется применение абразивной очистки металлич. поверхностей от ржавчины и окислы (с целью подготовки к окраске) с помощью дробы или абразивной крупки в спец. камерах. Такая очистка проводится быстрее, оборудование значительно меньше изнашивается, чем при пескоструйной очистке.

Б. Шемякин

30891. К определению общего йодного числа с помощью паров брома. Улучшенный способ Росмана. Моргнер (Zur Bestimmung einer umfassenden Jodzähl mittels Bromdampf. (Verbessertes Rosmannsches Verfahren). Morgner J.), Plaste und Kautschuk., 1957, 4, № 5, 191—192 (нем.)

Установлено, что бром при определении йодного числа при отсутствии света только присоединяется по двойным связям, а не замещает атомы водорода. Приведена зависимость йодного числа от времени реакции для ряда высыхающих масел и полимеров — гомологов бутадиена. Для уточнения метода рекомендуется проверить возрастание веса кратким последующим бромированием. Были обнаружены лишь следы замещенного брома, не оказывающие существенного влияния на общий результат, точность которого составляет  $\pm 2\%$ .

Г. Цейтлин

30892. О прогрессе в технике испытания лаков. Мерц (Gibt es einen wahren Fortschritt in der Lackprüftechnik? Merz Otto), Dtsch. Farben-Z., 1957, 11, № 2, 43—50 (нем.)

Рассматриваются вопросы испытания лаковых пленок: измерения времени высыхания, блеска, твердости, эластичности, светостойкости и погодостойкости. Отмечено, что развитие методов и приборов для испытаний лакокрасочных материалов происходит преимущественно не в области разработки новых методов, а протекает по линии улучшения, усовершенствования существующих способов. Библ. 52 назв. См. РЖХим, 1958, 3156

Б. Шемякин

30893. Факторы, влияющие на испытания стабильности латексных красок при замерзании и последующем оттаивании. — (Factors affecting freeze-thaw stability tests of latex paints.), Offic. Digest, 1956, 28, № 382, 1021—1022, 1023—1036 (англ.)

Изучено влияние на стабильность латексных красок (ЛК) при охлаждении и последующем оттаивании: 1) кол-ва краски в таре, 2) t-ры охлаждения, 3) скорости охлаждения. Испытания проводили в основном с поливинилацетатными, а также акрилатными и бу-



тадиентрированными ЛК. Оборудование состояло из холодильника емк. 0,22 м<sup>3</sup>, снабженного приборами, регулирующими и измеряющими изменение т-ры во времени. Установлено, что кол-во образца в таре и скорость охлаждения не оказывают значительного влияния на результаты испытаний. Т-ра охлаждения влияет сильно и чем она ниже, тем сильнее разрушается краска. Поэтому испытания на стойкость при охлаждении и отогревании следует проводить по одинаковому режиму.

М. Гольдберг

30894. Стабильность эмульсий. Оспов, Берсап, Снелл (Emulsion stability. Osipow Lloyd, Birsan Saul, Snell Foster Dee). J. Amer. Oil Chemists' Soc., 1957, 34, № 1, 34—38 (англ.)

Согласно предположенной теории пленка на поверхности раздела рассматривается как энергетич. барьер, препятствующий коалесценции. Разработана ф-ла для определения стабильности эмульсии вода в масле и масла в воде; ф-ла дает результаты, совпадающие с экспериментальными.

Э. Левина

30895. Влияние климатических условий на краски, при их выдержке на воздухе. Гордон (Weather variables which affect paint exposures. Gordon John A., Jr). Paint Ind. Mag., 1957, 72, № 6, 30, 32 68—69 (англ.)

Приведено подразделение климатов на 5 общих типов, характеристика климатич. условий США, общие вопросы о влиянии последних на красочные системы при выдержке на красках на панелях на воздухе.

Б. Шемякин

30896. Укрывистость пигментов и смесей пигментов. Сондерс (The hiding power of pigment and mixtures of pigments. Saunders S. L. M.). J. Oil and Colour Chemists Assoc., 1957, 40, № 8, 643—660 (англ.)

Приведены результаты опытов, из которых следует, что укрывистость некоторых пигментов увеличивается с возрастанием содержания в них цветных пигментов до определенной величины, а затем вновь уменьшается. Напр., оптимальная укрывистость наблюдалась при добавлении к TiO<sub>2</sub> (рутильной формы) небольшого кол-ва (~ 5%) пигмента гелиокрасного и лишь при значительном добавлении (~ 50%) желтого железосодержащего пигмента. Изучалось также влияние на укрывистость типа связующего (пентафталевая смола, нитроцеллюлоза, смеси мочевиноформальдегидной смолы с резиновой или эпоксидной смолами). Укрывистость красок может зависеть от ряда факторов, не изучавшихся в данном случае, как, напр., от склонности пигмента к флокуляции.

Б. Шемякин

30897. Возможности определения модификаций TiO<sub>2</sub>. Лампрехт (Unterscheidungsmöglichkeiten von Tiandioxymodifikationen. Lamprecht W.), Farbe und Lack, 1957, 63, № 7, 342—346 (нем.)

Краткий обзор методов определения обоих типов пигмента TiO<sub>2</sub> — рутила и анатаза, основанных на различных фотохим. р-циях катализируемых TiO<sub>2</sub>.

Б. Шемякин

30898. Расчет чувствительности хрупкого лакового покрытия к деформации, на основе статистического регрессивного анализа. Далли, Дурелли (Prediction of brittle coating strain sensitivity based on a statistical regression analysis. Dally J. W., Durelli A. J.). Proc. Soc. Exptl Stress Analysis, 1955, 13, № 1, 169—180 (англ.)

Рассматриваются пять переменных, влияющих на чувствительность спец. хрупких покрытий (лаков для определения напряжений) к деформации. К таким переменным относятся число покрытий, т-ра, относительная влажность, т-ра отверждения и толщина покрытия. При помощи двух ур-ний для статистич. анализа на основе этих переменных возможно

предопределять деформационную чувствительность хрупкого покрытия и выбирать число слоев, позволяющее изменять толщину покрытия и т-ру отверждения.

Б. Шемякин

30899. Исследование влияния рода и количества пигмента на проницаемость пленок. Бергер (Untersuchungen über den Einfluss der Art und Menge von Pigmenten auf die Durchlässigkeit von Anstrichfilmen. Berger Harry), Dtsch. Farben-Z., 1956, 10, № 7, 243—251 (нем.)

Исследования проводили на покрытиях, пигментированных диоксидом цинка, TiO<sub>2</sub>, литопном и сахтолитом (ZnS). Связующими служили хлоркаучук (пергут S 40), сополимер винилхлорида с винилизобутиловым эфиром (винофлекс MP 400), полиметилметакрилат (плексигум KP 700), лаковое льняное масло, льняной пшадоль 30P, поливинилацетат (мовилит 30), пластифицированная мочевиная смола (резанин 204 F). Содержание пигмента было 60—100% по отношению к пленкообразующему. У пленок на основе пергута S 40 с увеличением кол-ва окиси цинка и диоксида титана водопроницаемость вначале уменьшается, доходя до минимума (при 40%), затем вновь повышается. Пленки винофлекса MP400 со всеми пигментами набухают незначительно (за исключением окиси цинка, для которой набухание повышается при содержании ее 60%). Краски с плексигумом KP700 близки по свойствам к винофлексам. Содержание окиси цинка > 80% в этом случае сильно повышает водопроницаемость. Пленки лакового льняного масла сильно набухают, но не пропускают воду. С литопном и сахтолитом, при увеличении их содержания, набухание повышается до максимума, а затем падает; с окисью цинка наблюдается та же закономерность без отчетливого максимума. С диоксидом титана при повышении ее содержания набухание понижается. При исследовании влияния пластификаторов (клофена A-60 и синтола T) установлено, что при содержании 20% пластификатора проницаемость пергута S 40 сильно понижается, а набухание увеличивается. Начало см. РЖХим, 1957, 28679.

Н. Аграненко

30900. Изменение способа определения твердости пленок аппаратом Клемана. Дантини (Proposition de modification de l'essai de dureté des peintures par l'appareil Cleman (Scratch Test). Dantini R.), Chim. peintures, 1957, 20, № 7, 287—288 (франц.)

Предлагается заменить нож или шарик на режущем приспособлении аппарата Клемана стальным пером с закругленным концом, движущимся под углом в 45°. Результаты, полученные при испытании по предлагаемому способу, дают возможность получить более сравнимые цифры, чем при работе на обычном приборе Клемана.

Н. Аграненко

30901. Ускоренный метод определения стойкости к растрескиванию пленок мебельных лаков.

Шрумф, Картер, Хейдер (Rapid method of evaluating check resistance of furniture lacquer films. Schrumf Wm. J., Carter Roy M., Hader Robert J.), Industr. and Engng, 1956, 48, № 8, 1327—1328; Offic. Digest, 1956, 28, № 379, 79—89 (англ.)

Предлагается ускоренный метод проверки стойкости пленок мебельных лаков к растрескиванию путем определения эластичности на стержневом приборе (шкале гибкости). Для этого лаки с одинаковыми показателями по вязкости и сухому остатку наносятся на жесткую пластинку наливом (двумя слоями, в противоположных направлениях) и затем выдерживаются в течение 14 час. при 100°. Стойкость лака рассчитывается по ф-ле: среднее число циклов = 15,44 — 12,29 × средний диаметр стержня (где 12,29 — коэф., соответствующий изменению числа циклов при изменении диаметра стержня на 25,4 мм). Цикл включает

попеременную часовую выдержку при  $t$ -рах +44 и —20°. Для практич. освоения метода рекомендуется производить калибровку в соответствии с применяемой шкалой эластичности и режимом испытания на морозостойкость.

К. Беляева

**30902. Об инструментальных и визуальных методах определения и расчета окраски.** Заушница (O instrumentalnych i nieinstrumentalnych metodach oznaczania i rachunkubarwy oraz różnicy barwy. Zausznica Adam, Przem. włókienniczy, 1957, 11, № 1, Biul. Lab. kolorystyczn., 1—2, № 2, Biul. Lab. kolorystyczn., 3—4; № 3, Biul. Lab., kolorystyczn., 5—6 (польск.))

Краткий обзор методов.

Л. П.

**30903. Новый метод вибропомолы, улучшающий текучесть сыпучих красочных материалов.** Меткаф (Improved vibratory techniques speed granular paint materials flow. Metcalfe Lyne S.), Paint Ind. Mag., 1957, 72, № 1, 20, 49 (англ.)

Высокая текучесть пигментов, красителей, наполнителей и других сыпучих материалов и предотвращение комкования при хранении имеет существенное значение как при использовании их для изготовления различных красочных составов, так и для обеспечения стандартного веса при механич. способе затаривания. Описан новый высокопроизводительный вибратор кругового действия, дающий хорошие результаты.

М. Ваньян

**30904. Компрессорные установки для окраски распылением и уход за ними.** Валь (Neuzeitliche Kompressoranlagen und deren sachgemäße Wartung für Lackierbetriebe. Wahl H.), Industrie — Lackier — Betrieb, 1957, 25, № 8, 213—216 (нем.)

Описаны некоторые конструкции компрессоров, приведены указания по уходу за ними.

Б. Ш.

**30905. Современные печатные краски.** Дифенбак (Modern printing inks. Diefenbach William T.), Tappi, 1955, 38, № 7, A123—A124 (англ.)

**30906 К. Целлюлозные лаки.** Киттель Г. Перев. Л., Госхимиздат, 1957, 327 стр., илл., 12 р. 50 к.

**30907 С. Радиоактивные светящиеся пигменты.** Обозначения и яркость свечения (Radioaktive Leuchtpigmente. Bezeichnung und Leuchtdichte). Стандарт ФРГ, DIN 5043: 1956 (нем.)

**30908 С. Методы испытания малярных красок.** Проба покрытий на удар шариками (Prüfung von Anstrichstoffen. Kugelstrahlversuch an Anstrichen). Стандарт ФРГ, DIN 53154; 1956 (нем.)

**30909 П. Связующее для муаровых покрытий.** Драммонд (Wrinkle drying oil siccative. Drummond Folsom E.) [The Commonwealth Engng Co. of Ohio]. Пат. США 2744832, 2744833, 8.05.56

Пат. 2744832. Патентуется новое связующее (I) для муаровых покрытий, отличающееся тем, что наряду с маслами (древесным, ойтисиковым, льняным) и смолами (копалами, альбертолями, канифольномалеиновыми, глицидальными) I содержит смеси глицеридов к-т — изомерной кетолнолеовой с элеостеариновой, или кетозелеостеариновой с изомерной элеостеариновой. Весовые соотношения между указанными смесями глицеридов и маслами колеблются от 20:80 до 40:60. Такие I обеспечивают быстрое образование муарового рисунка, даже при воздушной сушке. Пат. 2744833. Дополнительным компонентом масляной части связующего для муаровых покрытий являются глицериды смеси изомерных оксизелеостеариновых к-т.

К. Беляева

**30910 П. Способ получения смол из фенолоспиртов и реакционноспособных карбонильных соединений.**

**Швемер** (Verfahren zur Herstellung von Harzen aus Phenolalkoholen und reaktionsfähigen Carbonylverbindungen. Schwemer Ralph) [Kurt Herberts & Co. vormals Otto Louis Herberts]. Пат. ФРГ 884869, 30.07.53 [Chem. Zbl., 1955, 126, № 23, 5433 (нем.)]

Фенолоспирт обрабатывают (при pH 2—3) реакционноспособным карбонильным соединением с т. кип. > 80° (напр., циклогексаном, ацетофеноном, бензофеноном, бензальдегидом, салициловым альдегидом) до получения продукта, растворимого в ароматич. углеводородах, после чего непрореагировавшее карбонильное соединение отгоняют. В реакционную смесь можно вводить пластификаторы, напр., жирные масла. Смесь (в вес. ч.) 165 крезолоалкоголя, 100 бензальдегида, 55 касторового масла и 200 бутилацетата нагревают 3,5 часа при 96—128°. Полученная смола (200 ч.) растворима в ксилоле и образует на жести покрытие горячей сушки с высокой эластичностью.

М. Альбам

**30911 П. Эпоксифенольные эфиры в производстве алкидных смол, модифицированных маслами.** Коди, Уоллан (Epoxy phenolic ethers in manufacture of oil alkyds. Cody William P., Wollan Telford C.) [Alkydol Lab., Inc.]. Пат. США 2731429, 17.01.56

Для улучшения атмосферостойкости покрытия на основе масляноалкидных смол, имеющих кислотное число в пределах 1—30 и получаемых из дикарбоновых к-т (адипиновой, себадиновой) или ангидридов к-т (фталевого ангидрида) и алифатич. многоатомных спиртов (глицерина, пентаэритрита, триметилопропана) и глицеридов жирных к-т, часть алифатич. многоатомных спиртов заменяется жидкими эфирами, содержащими эпоксигруппы. Эпоксифиры являются продуктами этерификации одноатомных или алкилзамещенных одноатомных фенолов (*n*-трет-бутилфенола, октилфенола, крезол, *n*-нонилфенола) первичными алкильными спиртами (глицидолом, 1,2-эпокси-3,4-дигидрокси-*n*-бутаном). При изготовлении алкидной смолы эпоксифиры, составляющие 10—60% от веса всех компонентов, взаимодействуют при нагревании с дикарбоновыми к-тами (фталевой) с образованием сложной эфирной связи. При получении алкидной смолы используются глицериды жирных насыщ. и ненасыщ. к-т, содержащих не менее 8 атомов С (льняное, соевое и дегидрированное касторовое масло). Напр., 255 г *n*-трет-бутилфенола и 75 г NaOH растворяют в 500 ч. воды, в р-р добавляют 140 г эпихлоргидрина (при  $t$ -ре 43°) и начинают перемешивание, причем  $t$ -ра поднимается до 54°. Через 45 мин.  $t$ -ра снижается до 49°, и реакционную смесь нагревают для окончания конденсации до 83°, затем охлаждают, нейтрализуют к-той и промывают водой. Полученную вязкую жидкость обезвоживают в открытом реакторе при хорошем перемешивании. Выход глицидного эфира *n*-трет-бутилфенола 84%. 440 г рафинированного льняного масла и 130 г чистого пентаэритрита нагревают в присутствии небольшого кол-ва PbO при 232° до окончания алколиза. К реакционной смеси добавляют 150 г ранее приготовленного глицидного эфира и 280 г фталевого ангидрида и смесь нагревают при 232° до получения смолы с желаемым кислотным числом. Смолу разбавляют до 50%-ной конц-ии. Для отверждения покрытий на основе этой смолы применяют 0,05% нафтената Со и 0,5% нафтената Pb.

**30912 П. Массы для поверхностного покрытия, содержащие полиэтилен.** Спиндлер, Ширмесер (Surface coating mass containing polyethylene. Spindler W., Scheermesser W.). Англ. пат. 731940, 15.06.55



Массу для поверхностного покрытия получают при растворении высокомолекулярного полиэтилена в органич. соединении при повышенной т-ре, охлаждении и получении геля, диспергировании геля в р-рителе и смешении полученной дисперсии с р-ром, пастой или дисперсией другого макромолекулярного в-ва в большинстве органич. соединений, применяемых для растворения полиэтилена. Рекомендуется часть р-рителя и органич. соединений механически отделять от дисперсии и заменять другой дисперсионной средой в соответствии с пат. 726668. Напр., полиэтилен с мол. в. 18 000 растворяют в бензоле, полученный гель вновь диспергируют в бензоле и дисперсию смешивают с бензольным р-ром полиизобутилена с мол. в. 200 000. Б. Киселев

**30913 П. Способ получения термореактивных химически стойких покрытий на основе мочевиноформальдегидных смол. Реше** (Verfahren zur Herstellung durch Hitze härthbarer, chemikalienfeste Überzüge ergebender Harnstoff-Formaldehydharze. Reese Johannes) [Chemische Werke Albert]. Пат. ГДР 11955, 13.08.56

Способ состоит в совмещении обычной мочевиноформальдегидной смолы с относительно небольшим кол-вом соединения (I), содержащего не менее двух эпиксидных групп в молекуле с добавкой небольшого кол-ва органич. оснований в качестве отвердителя. I получают взаимодействием двухатомного фенола с эпихлоргидрином в щел. среде. Отвердителем является третичный амин, преимущественно оксиамин, в кол-ве, достаточном для отверждения эпиксидных соединений. Напр., 100 ч. мочевиноформальдегидной смолы в виде р-ра в бутаноле (с содержанием 65% сухого остатка), смешивают с 4 ч. эпиксидной смолы на основе диоксидифенилпропана и эпихлоргидрина. К смеси добавляют 4 ч. бензольного 1%-ного р-ра бис-1,3-диметиламинопропанола. Пленка покрытия, полученная отверждением при 180°, бесцветна, не разрушается при 2-часовом кипячении в 3%-ной уксусной к-те и выдерживает действие 5%-ного NaOH при 80°. Г. Цейтлин

**30914 П. Модификация растворов смол, модифицированных маслом** (Process for the modification of solutions of oil modified resins) [Chemische Werke Albert]. Англ. пат. 734675, 3.08.55

Растворы (в уайт-спирите или смеси его с бутанолом) модифицированных смол, применяемых для лаков и красок (глицеральных, фенолоальдегидных, модифицированных маслами — льняным, касторовым, соевым, древесным), а также лак и краски, содержащие такие р-ры, модифицируют добавлением при нагревании р-ра в органич. р-рителе содержащих металлы синтетич. смол (полученных согласно пат. 718283, 718284, 718359 (см. РЖХим, 1957, 49642, 72919)) в кол-ве, меньшем чем кол-во модифицированной смолы. Добавляемые смолы — смола из бутилата Al или Fe и ацетоуксусного эфира (или диэтилмалоната, формилацетофенона), смола из  $AlCl_3$  и ацетоуксусного эфира. Добавляемая смола может быть обработана продуванием воздуха, или фталевым ангидридом. Ю. Васильев

**30915 П. Способ получения отверждаемых лаков. Штарк** (Verfahren zur Herstellung von härthbaren Lacken. Starck Hans) [Chemische Werke Albert]. Пат. 12040, 23.08.56

Отверждаемые лаки, образующие пленки с особой химической стойкостью и стойкостью к р-рителям, эластичностью, адгезией и хорошими электроизоляционными свойствами, получают смешением в присутствии р-рителей пластифицированных или непластифицированных фенольных резолов с пластифицированными или непластифицированными дициандиамидами формаль-

дегидными смолами. Резолы получают из фенолов, обладающих меньшей реакционной способностью по отношению к формальдегиду, чем обычные фенолы. Напр., конденсируют в щел. среде о-крезол с формальдегидом (мол. соотношение 1:2), полученную смолу обезвоживают и этерифицируют бутанолом, пока не будет достигнута хорошая совместимость ее с ароматич. углеводородами. 50 ч. такой смолы смешивают с 50 ч. дициандиамидной смолы, полученной конденсацией 1 моля дициандиамида, 2 молей параформа и 1 моля триметилопропанадицина. Г. Цейтлин

**30916 П. Покровная композиция** (Coating composition.) [The Glidden Co.] Австрал. пат. 165913, 24.11.55  
Модификация эмульсионной покровной композиции, в которой вода способствует установлению вязкостных характеристик, а твердые в-ва (I) в системе являются инертными, не считая моновалентных анионных мыл (II) и белковых в-в. Среди последних эквивалентный объем соевого белка (III) занимает 1—13% объема I. II составляют 0,5—7% от общего объема I. Сумма объемов II и III может колебаться от 1,5 до 14% от объема I. Отношение объема III к общему объему II колеблется между 1:3 и 9:1, а сумма их составляет меньше 5% от объема I и колеблется между 1:1 и 13:1, когда сумма объемов составляет 5—14% общего объема I. Кол-во воды в этой покровной композиции составляет 40—60% общего веса. Пигмент, входящий в твердую часть, может быть в виде хлопьев. Б. Брейтман

**30917 П. Способ предотвращения оседания пигментов. Кюммель** (Verfahren zur Verhinderung des Absatzens von Pigmenten. Kümmel Paul). Пат. ФРГ 920144, 15.11.54 [Chem. Zbl., 1955, 126, № 29, 6862 (нем.)]

К краскам в процессе их изготовления или после добавляют соли поверхностноактивных в-в, которые содержат группу  $-SO_3H$  и один алифатич. остаток, содержащий по меньшей мере 8 атомов C, напр., кислые серноокислые эфиры, алкил- или аларкилсульфоневые к-ты о-ацил или о-алкилпроизводные изотионовой к-ты, N-ацил- или N-алкилпроизводные таурина; N-алкилсульфаниловые к-ты, и др., к которым добавляют до 0,5% (преимущественно 0,1—0,3%)  $NH_3$  или неароматич. аминов, напр. этиламина, диэтиламина, буталамина, этаноламина, ди- и триэаноламина, морфолина, пиперидина, пиридина, циклогексиламина, бензиламина и т. д., растворенных в небольшом кол-ве воды или в р-рителях с содержанием спиртов. Пигменты предварительно, до введения их в лаки, целесообразно перемешать с соответствующей солью на вальцах или в мельнице, а затем с другими составными частями лака, после чего могут быть добавлены загустители (Al соли высокомолекулярных к-т). Н. Аграненко

**30918 П. Способ приготовления красок, пригодных для нанесения во влажной атмосфере. Зегер** (Procédé d'exécution de peintures applicables par temps humide. Seeger C.) Франц. пат. 1100766, 23.09.55 [Peintures, pigments, vernis, 1956, 32, № 4, 337 (франц.)]

К обычным антикоррозионным краскам добавляют неорганич. в-во, способное набухать и адсорбировать воду (напр., силикагель, бентонит или другой силикат), в которое предварительно введен эмульгатор, растворимый в воде и в масле. Частицы этого в-ва могут быть покрыты тонким слоем нитролака. Можно добавлять также стабилизаторы или антиоксиданты в небольших кол-вах, напр. дифениламин Н. Аграненко

**30919 П. Синтетические высыхающие масла. Кёнек** (Synthetic drying oils. Koenecke Donald F.) [Esso Research and Engineering Co.] Пат. США 2733267, 31.01.56

Для улучшения твердости пленок, приготовленных

из полимеризованных высыхающих масел (I), при-  
тре в пределах 50—250° I вводят в р-цию с в-вом  
(II), выбранным из к-т — малеиновой, фумаровой,  
тиогликолевой, тиосалициловой, меркаптофталевой,  
итакановой, мезакановой, акриловой, а также эфиров  
и ангидридов этих к-т. II берут в пределах от 0,01%  
до кол-ва, вызывающего желатинизацию. Получаю-  
щийся продукт обрабатывают 0,1—1 моля на моль  
имеющихся в нем карбоксильных групп, органич. со-  
единением (III), содержащим не менее двух функ-  
циональных групп, одна из которых является первич-  
ной или вторичной аминогруппой, а другая — гидро-  
ксильной (или же обе гидроксильные). Далее обраба-  
тывают получающийся продукт к-той, в качестве ко-  
торой можно взять моно-, ди-, и трихлоруксусную,  
трифторуксусную, ледяную уксусную и растворимые  
сульфокислоты. В качестве III могут применяться мо-  
нопервичные или моновторичные аминоспирты, угле-  
родная структура которых подобна алифатич., арома-  
тич., алифатически-ароматич., углеводородным струк-  
турам, или таким же структурам, содержащим O и S.  
В частности, в качестве III можно применять 2-амино-  
2-(гидроксиметил)-пропандиол-1,3 или 2-амино-2-метил-  
пропандиол-1,3. М. Гольдберг

30920 П. Способ улучшения лакокрасочных мате-  
риалов. Эрбе, Кауфман (Verfahren zur Verbesse-  
rung von Anstrichstoffen. Erbe Friedrich, Kauf-  
mann Waldemar) [Farbwerke Hoechst Akt.-Ges.  
vormals Meister Lucius & Brüning]. Пат. ФРГ 947726,  
23.08.56

Предложено применять, в качестве ускорителей вы-  
сыхания лакокрасочных материалов, шиффовы осно-  
вания, содержащие энольную группировку, в сочета-  
нии с некоторым кол-вом уже известных соединений  
сиккативизирующих металлов (напр., нафтенатов Co,  
Mn, Pb и др.). Для получения оснований применяют  
ароматич. о-оксиальдегиды и о-оксикетоны (напр.,  
о-оксисбензальдегид, о-оксинацетифенон, 2-оксинафта-  
льдегид) и первичные амины, могущие содержать и не-  
сколько аминогрупп (напр., анилин, этилендиамин,  
о-фенилендиамин, триэтилентетрамин, гидразин), при-  
чем указанные компоненты могут содержать так же  
другие заместители, напр., галоиды, нитро-, алкил-,  
алкокси- или арильную группы и т. п. Высыхание  
значительно ускоряется, при сравнении с действием  
только одних известных сиккативов. М. С.

30921 П. Печатная краска и процесс окраски листов  
пластифицированной поливинилбутиральной смолы.  
Вудуэрт (Process for dyeing a sheet of plasticized  
polyvinyl butyral resin and ink therefor. Wood-  
worth Chester L.) [Monsanto Chemical Co.]. Пат.  
США 2739080, 20.03.56

Печатная краска для окраски поливинилбутирале-  
вых листов состоит из поливинилбутиральной смолы,  
р-рителя для нее (типа спиртов, кетонов, хлорирован-  
ных углеводородов и их смесей), пластификатора  
(напр., триэтиленгликоль-ди-(2-этилбутирата), краси-  
теля типа, содержащего 2—4 циклич. ядра в молекуле  
(напр., типа антрахинонового или фенилазо-β-нафто-  
лового красителя), или смеси таких красителей, а так-  
же р-рителя для них типа кетонов, хлорированных  
углеводородов и их смесей; вязкость краски состав-  
ляет 10—500 сантиу. Процесс окраски листов пластифи-  
цированной поливинилбутиральной смолы с помощью  
такой краски состоит из стадий наложения краски на  
поверхность листа в виде множества пылинкок (кро-  
шек), испарения р-рителя и выдержке окрашенных  
листов при t-ре 20—60° до образования на них сплош-  
ной красочной пленки. Окраску (печатание) можно  
проводить с помощью машины глубокой печати  
с тонко гравированными печатными валами.

Б. Шемякин

См. также: Кремнийорганические смолы 30769. Поли-  
этилен 31208. Тефлон 30772. Строение и св-ва поли-  
меров 30747. Образование мочевино-формальдегидных  
смол 30782. Сокоденсация фенольной и резорцино-  
вой смол 30843. Поливинилхлорид и сополимеры  
30766. Смеси поливинилхлорида с другими сополиме-  
рами 30831. Полиуретановые смолы 30788. Защита от  
коррозии: в химич. пром-сти 29136; лаками и краска-  
ми 29179, 29180, 29181, 29199; битумные покрытия  
29174; напыление защитных покрытий 29135. Проекти-  
рование распылительной камеры 29332. Адгезия  
31247. Адгезия эпоксиных смол 30815. Токсичность  
сланцевой краски 29134

## КАУЧУК НАТУРАЛЬНЫЙ И СИНТЕТИЧЕСКИЙ. РЕЗИНА

Редактор Д. М. Сандомирский

30922. Связь между составом латекса и свойствами  
вулканизатов. Липонский, д'Озак (Relation  
entre la composition du latex et les propriétés des  
caoutchoucs qui en sont issues. Liponski M.,  
d'Auzac J.), Rev. gén. caoutchouc, 1955, 32, № 12,  
1108—1113 (франц.; рез. англ., нем., исп., итал.)

Физико-механические свойства вулканизатов НК в  
большой степени зависят от природы и конц-ии  
некаучуковых компонентов латекса. Некоторые азот-  
стые основания действуют как ускорители. Модифици-  
руя условия коагуляции, можно воздействовать на ве-  
личину модуля или обеспечивать, в случае необходи-  
мости, его постоянство. Напр., изменяя pH при коагу-  
ляции с 5,5 до 4, можно уменьшить модуль (600%)  
вулканизата с 60 до 35 кг/см<sup>2</sup>. Природа дисперсной  
фазы и уд. поверхность глобул также влияют на свой-  
ства вулканизата. Пластич. свойства сырого каучука  
зависят от его мол. структуры и определяются при-  
родой растения. Динамич. теплообразование в вулка-  
низатах существенно зависит от содержания N в  
латексе. При увеличении конц-ии так называемого  
активного N (в форме NH<sub>2</sub>) в каучуке от 0,1 до 0,5  
(условные единицы) теплообразование при многократ-  
ных деформациях возрастает от 46 до 70°. Воздействию  
на NH<sub>2</sub>-показатель, можно регулировать теплообро-  
зование. Свойства главных торговых сортов каучука мо-  
гут быть объяснены на основе этих наблюдений. Бо-  
лее чистый каучук (бедный компонентами серума)  
имеет низкие характеристики вулканизации, но легко  
обрабатывается, имеет хорошее сопротивление мно-  
гократным деформациям, низкое теплообразование и  
хорошие диэлектрич. свойства. «Челный» каучук  
имеет большие скорости вулканизации, модуль, тепло-  
образование и хорошее сопротивление старению.

Е. Вострокнутов  
30923. Концентрирование латекса GR-S в колонне  
непрерывного действия. Стелл, Блэквелл,  
Генри (Concentrating GR-S latex by a continuous  
column. Stell R. C., Blackwell J. C., Henry  
P. J.), Industr. and Engng Chem., 1957, 49, № 11,  
1835—1837 (англ.)

Установка непрерывного действия для концентриро-  
вания латекса (Л) GR-S низкотемпературной полиме-  
ризации состоит из стандартной колонны размером  
13,7 × 2,74 м, из которой удалены тарелки, насоса,  
теплообменника, пеноуловителя и конденсатора. Уро-  
вень Л в колонне составляет 4,6 м, струя свежего и  
рециркулирующего Л подается через сопло дистрибу-  
тора. Меньшая часть конц. Л отбирается, большая —  
рециркулирует через теплообменник, смешивается с  
разб. Л и снова подается в концентратор. Вентиля в



трубы, по которым циркулирует Л, покрыты эмалью, емкости футерованы эпоксидными смолами. Конденсатор установлен под углом 15° к горизонту и помещается непосредственно под пеноуловителем. Площадь теплообмена в конденсаторе и теплообменнике равна соответственно 204 и 28,4 м<sup>2</sup>, т-ра охлаждающей воды в конденсаторе 29°. Конденсат собирается в соду, где производится улавливание стирола. Производительность установки при конц-ии исходного и конц. Л соответственно 42,7 и 62,6% равна 1910 кг/час испаряющейся Н<sub>2</sub>O или 98200 л/сутки конц. Л при скорости циркуляции 590 л/мин, т-ре 40° и давл. 50 мм рт.ст. Вследствие большого объема парового пространства пенообразование и унос с паром незначительны, что сводит к минимуму возможность закупорки паровой линии. Даже при значительных колебаниях давления в системе, колебания давления в концентраторе незначительны за счет большого объема Л, находящегося в нем, по сравнению с объемом рециркулирующего и свежего Л, что приводит к уменьшению пенообразования. Установка проста в эксплуатации и имеет значительные преимущества перед существующими периодич. способами концентрирования Л.

И. Турский

30924. Методы испытания латекса. Асисава. Нихон гому кёкайси, J. Soc. Rubber Ind., 1954, 27, № 10, 696—710 (японск.)

Описаны методы испытания латекса (состав, устойчивость, вязкость, pH и др.) и каучуковой пленки.

Ю. Ермаков

30925. Приготовление однородных латексных смесей. Асисава. Нихон гому кёкайси, J. Soc. Rubber Ind., 1954, 27, № 10, 639—658 (японск.)

Описаны применяемые при составлении латексных смесей ускорители и активаторы, влияние pH среды на растворимость ZnO в присутствии различных активаторов, влияние прибавления NH<sub>4</sub>NO<sub>3</sub> на вязкость системы ZnO — латекс, диспергаторы и их действие в зависимости от вводимого кол-ва стабилизатора и активатора.

Ю. Ермаков

30926. Графический метод определения толщины пленок, полученных желатинированием латекса в гипсовых формах. Хилл, Ханкс, Ходж (A graphical technique for determining the thickness of cast latex films. Hill James T., Hanks Guy A., Hodge John W., Jr), Rubber Age, 1957, 81, № 5, 804—806 (англ.)

Применяют цилиндрич. форму, изменение уровня латекса (Л), в которой определяют поплавковым уровнем. Пленки сушат ИК-излучением. Зависимость «(Н<sub>0</sub>—Н<sub>1</sub>) — толщина пленки» имеет вид прямой. Н<sub>0</sub> — первоначальный уровень Л, Н<sub>1</sub> — после t мин. отложения. Для определения толщины пленок строят кривую «уровень Л — время отложения», затем по калибровочной прямой находят толщину пленки в любой момент желатинирования. При изменении размера и типа формы и конц-ии Л строят новую калибровочную прямую.

И. Шмурак

30927. Применение эластомеров для получения моделей, подвергающихся действию радиации. Харрингтон (Elastomers for use in radiation fields. Harrington Robert), Rubber Age, 1957, 81, № 6, 974—980 (англ.)

При облучении деформированных образцов резин  $\gamma$ -излучением большой энергии (Co<sup>60</sup> или отработанные элементы урановых реакторов) наблюдается растрескивание резин. Так как озоностойкие резины из силиконовых каучуков или хлорсульфированного полиэтлена при облучении не растрескиваются, образование трещин объясняется действием О<sub>3</sub>, образующегося при облучении воздуха. Образование трещин возможно также вследствие изменения структуры

полимера под действием радиации, образования свободных радикалов в окружающей атмосфере или самом образце или образованием газообразных продуктов (напр., NO<sub>2</sub>). При облучении резин из бутадиен-стирольного (PR 408-70) или нитрильного (хайкар 1001) каучуков при деформации соответственно 230 и 520% дозами с 1—10·10<sup>7</sup> рентген на воздухе наблюдается растрескивание, доходящее до разрушения; в вакууме трещины не образуются. При облучении резин из PR 408-70 дозой 5·10<sup>7</sup> рентген на воздухе при атмосферном давлении не наблюдается эффекта последствия облучения по изменению твердости, эластичности, относительного удлинения и сопротивления разрыву в течение 3 суток. Мощность дозы в интервале 10<sup>4</sup>—10<sup>7</sup> рентген/час не влияет на изменение свойств различных полимеров при облучении (испытывали бутылкаучук, полиэтилены (аркилен, хайпалон, ирратен), тефлон, полиуретан (дизогран—13), неопрен, хайкар 1001, силиконовый каучук, PR 408-70, виниловый полимер (вайфлекс-140)).

И. Турский

30928. Пластмассы на основе производных каучука. Диас-Роблес (Plásticos derivados del caucho. Diaz Robles Natalia), Rev. plast., 1957, 8, № 44, 95—101 (исп.)

Обзор методов получения, свойств и применения хлорированного, гидрохлорированного, окисленного и циклизированного каучука. Бабл. 23 назв. Л. Песин

30929. Морозостойкая резина. Риттер (Arktischer Gummi. Ritter F. J.), Kautschuk und Gummi, 1957, 10, № 9, 222WT—WT227 (нем.)

Присоединение 0,5—2 мол.% тиокислоты к НК на вальцах, в латексе или в р-ре устраняет кристаллизацию при растяжении до 500%, лишь немного снижает сопротивление разрыву и несколько повышает сопротивление старению и истиранию вулканизатов. Вследствие отсутствия кристаллизации температурный предел эластичности приближается к т-ре стеклования, при этом во всех случаях играет роль строение тиокислоты. Устранение кристаллизации происходит также при р-ции тиокислоты с вулканизатом. Модифицированный НК хорошо усиливается сажей; т-ру стеклования снижают, добавляя соответствующие пластификаторы.

В. Кулезов

30930. Влияние химической природы растворителей на окисление каучука в растворах. Дегтева Т. Г., Кузьминский А. С. Докл. АН СССР, 1957, 115, № 2, 339—342

Изучена кинетика окисления (О) при 90° 1%-ных р-ров очищ. На-бутадиенового каучука в ароматич., нафтенных и нафтенно-ароматич. р-рителях, отличающихся разной реакционной способностью к О. Р-рители могут замедлять процесс О каучука (бензол, толуол, ксилол), ускорять его (этилбензол, изопропилбензол, тетралин), либо не принимать участия в процессе (декалин), являясь разбавителями. При повышении т-ры до 100° декалин ускоряет О. По ускоряющему действию применяемые р-рители располагаются в следующий ряд: тетралин > изопропилбензол > этилбензол, по замедляющему действию: бензол > толуол > ксилол.

Л. Золотаревская

30931. Измерения скорости окисления вулканизатов натурального каучука. Вейт (Oxidation rate measurements of hevea rubber vulcanizates. Veith A. G.), Industr. and Engng Chem., 1957, 49, № 10, 1775—1778 (англ.)

Скорость (r) окисления вулканизатов НК описывается ф-лой, аналогичной ф-ле для скорости окисления олефинов:  $r = r_0 + k_a (O_2)_r(I)$ , где  $r_0$  — начальная скорость окисления,  $(O_2)_r$  — кол-во О<sub>2</sub>, прореагировавшего с каучуком,  $k_a$  — автокаталитич. константа. Ф-ла I спра-

ведлива вплоть до 1 ммоль  $O_2$  на г каучука. При окислении ненаполненных или наполненных печной сажей или мелом вулканизаторов с альтаксом  $\gamma$  линейно зависит от кол-ва поглощенного  $O_2$ . При окислении ненаполненных вулканизаторов с каптаксом  $r_0$  и  $k_a$  линейно возрастают с увеличением кол-ва связанной S. Значения  $r_0$  и  $k_a$  зависят от типа ускорителя, с более активными ускорителями получают вулканизаты с пониженным сопротивлением окислению. Значения энергии активации (ккал/моль) в индукционном и автокаталитич. периоде окисления резин, полученных с разными ускорителями, равны соответственно: с каптаксом 32, 19; с дифенилгуанидином 25,—; с продуктом конденсации ацетальдегида с  $NH_3$  32, 25. Среднее значение энергии активации окисления в автокаталитич. периоде (21 ккал/моль) хорошо согласуется со значением энергии активации окисления сквалена, инициированного перекисью бензола (21,8 ккал/моль) (Tobolsky A. V., Mesrobian R., J. Polymer Sci., 1947, 2, 462), что указывает на одинаковую последовательность и температурный коэф. элементарных стадий окисления резин и олефинов. С увеличением уд. поверхности наполнителя  $k_a$  уменьшается (за исключением  $CaCO_3$ ), что объясняется обрывом реакционных цепей на поверхности наполнителя и различной конц-ей начальных активных центров вследствие образования различного кол-ва перекисей при вулканизации, а также абсорбцией  $O_2$  на поверхности наполнителя. И. Туторский

**30932. Синтезы бутадиенстирольных эластомеров и полисульфонов при помощи  $\gamma$ -излучения.** Д'Эмаус, Брей, Мартин, Андерсон (Syntheses of butadiene-styrene elastomers and of polysulfones by gamma radiation. D'Emaus H., Moeremans, Bray Bruce G., Martin Joseph J., Anderson Leigh C.), Industr. and Engng Chem., 1957, 49, № 14, 1891—1896 (англ.)

При сополимеризации 1,3-бутадиена (I) и стирола под действием  $\gamma$ -излучения ( $Co^{60}$ ) при 10—15° в зависимости от дозы облучения (мега ф. а. р.), энергетич. выход р-ции (число молекул на 100 Эв) равен: для I, заправленного фенил- $\beta$ -нафтиламином; без добавок: 20,78; 43,3; с  $K_2S_2O_8$  26,92; 31,7; с  $K_2S_2O_8$  31,57; 79,4; с наконалем 33,3; 37,2; 3,26; 403; 6,99; 125; с алконоксом 3,63; 415; для незаправленного I: без добавок 8,88; 34; с алконоксом 8,04; 154; со стеаратом Na 3,7; 346; 4,3; 172; со стеаратом Zn 3,87; 0; 6,75; 527; со стеаратом Ca 4,29; 372; 6,75; 588; с олеатом Pb 4,51; 921. Сополимеры, полученные с наконалем или алконоксом, являются эластомерами; остальные сополимеры не обладают ценными свойствами. Присутствие ингибитора незначительно сказывается на выходе р-ции и свойствах сополимеров. При сополимеризации с непредельными соединениями при мощности дозы 163—162 тыс. ф. а. р./час. при 8—15° энергетич. выход р-ции значительно выше, чем при сополимеризации углеводородов. При сополимеризации  $SO_2$  с изобутиленом или стиролом выход незначителен даже при больших дозах; с бутеном-2 выход в зависимости от дозы увеличивается экспоненциально. Содержание  $SO_2$  в сополимерах (в %) и интервал размягчения равны соответственно: с бутеном-2 51,6; 240—316°; с бутеном-1 52,2; —; с I 53; 292—305°; с пропиленом 59,9; 280—310°. Во всех случаях в сополимерах молярное отношение  $SO_2$ :мономер равно 1:1.

И. Туторский  
**30933. Применение силиконовых каучуков в авиации.** Борель (L'utilisation des caoutchoucs de silicone dans l'aviation. Borel Roger), Matér. et techn. engins-fusées et aviat. T. 1. Paris, A. E. R. A., 1956, 411—415 (франц.)  
Обзор.

Ю. М.

**30934. Обработка силиконового каучука.** Белджин (Processing silicone rubber. Belgion J. R.), Rubber J., 1957, 133, № 18, 619—620 (англ.)  
Краткая статья.

**30935. Применение силиконового каучука для селективного разделения.** Каммермейер (Silicone rubber as a selective barrier. Kammermeier Karl), Industr. and Engng Chem., 1957, 49, № 10, 1685—1686 (англ.)

На описанном ранее (Brubaker D. W., Kammermeier Karl, Industr. Engng Chem., 1952, 44, 1465—1467) облучении проведено эксперим. исследование проницаемости и разделения газов с помощью пленок из силиконового каучука (СП). По сравнению с другими полимерными пленками, газопроницаемость СП наиболее высока. Из исследованных газов ( $CO_2$ ,  $H_2$ ,  $He$ ,  $N_2$ ,  $O_2$ ) наибольшее значение проницаемости получено для  $CO_2$  через СП без подложки. Из приведенных данных по разделению газовых смесей  $N_2$ — $O_2$  и  $CO_2$ — $O_2$  следует, что СП можно применять для разделения в системах газ—газ, газ—пар и пар—пар. Высокая проницаемость СП и большая скорость прохождения газов через них позволяют вдесятеро уменьшить требуемую площадь поверхности при разделении газов по сравнению с другими полимерными пленками.

Л. Золотаревская

**30936. Карбоксилсодержащие каучуки.** Сообщение 2. Основные свойства резин на основе карбоксилсодержащих каучуков. Долгоносов Б. А., Рейх В. И., Тинякова Е. И., Калаус А. Е., Корюшенко З. А., Сладкевич Е. Г., Каучук и резина, 1957, № 6, 1—6

Каучуки: полиизопреновый, полибутадиеновый, бутадиенстирольный, бутадиеннитрильный с содержанием в основной цепи 1,5—3% метакриловой к-ты вулканизуются с помощью окисей и гидроокисей металлов (особенно  $MgO$  или  $Ca(OH)_2$ ) в присутствии или в отсутствие агентов серной вулканизации и обладают хорошими технологич. свойствами, за исключением низкого сопротивления подвулканизации. Наличие в резиновой смеси тиурама устраняет текучесть резин при  $t$ -рах  $\geq 100^\circ$ . Благодаря ориентации при растяжении, карбоксилсодержащие полимеры имеют высокое сопротивление разрыву (соответственно: 276, 337, 350, 450 кг/см<sup>2</sup>), высокие модули (50—80 кг/см<sup>2</sup>) и относительные удлинения ( $\sim 800\%$ ), хорошую эластичность по отскоку, низкое теплообразование при многократных деформациях, повышенное сопротивление тепловому старению и разрастанию порезов и трещин при статич. и динамич. режиме деформации. Повышение густоты пространственной сетки (увеличение содержания метакриловой к-ты) приводит к монотонному (без явления оптимума) изменению мех. свойств. При  $t$ -ре  $\geq 100^\circ$  кристаллизационная сетка вулканизата плавится, восстанавливаясь вновь с понижением  $t$ -ры. Наполнители при введении в смесь не оказывают усиливающего действия. Сообщение 1 см. РЖХим, 1956, 1994.

В. Кузнецов

**30937. Новые синтетические эластомеры.** Натта (New synthetic elastomers. Natta G.), Rubber and Plast. Age, 1957, 38, № 6, 495—499. Discuss., 501 (англ.)

Доклад, на Международном симпозиуме по СК в Лондоне 26—28 марта 1957 г. Рассматриваются результаты работ лаборатории автора (Институт промышленной химии, Милан) по получению изотактич. и атактич. полимеров ди- и  $\alpha$ -олефинов с определенной стереич. конфигурацией. С применением катализаторов, содержащих металлы переменной валентности, получены следующие стереоизомеры полибутадиенов: кристаллич. транс-1,4, т. пл.  $> 145^\circ$ ; цис-1,4 слабо криста-



лч. при комнатной т-ре и кристаллизующийся при растяжении; *цис-транс-1,4*, аморфный или слабо кристаллич.; *1,2-синдиотактич.* кристаллич. т. пл. > 155°; *1,2-изотактич.*, кристаллич. т. пл. > 125°; *1,2-атактич.*, аморфный. Значение периода идентичности, найденное для *цис-1,4*-полибутадиена (8,6 А), больше теоретическое предполагаемого значения вследствие отталкивания между соседними атомами Н группы  $\text{CH}_2$ . Приведены модели структур различных стереоизомеров. Изотактич. полибутадиен имеет сферич. конфигурацию цепи с трехмерной симметрией, аналогичной поли- $\alpha$ -бутену. Присутствие небольшого кол-ва *цис-1,4*-звеньев в *транс-1,4*-полибутадиене снижает его степень кристалличности и т-ру плавления. Особенно перспективным автор считает изучение полимеров  $\alpha$ -олефинов, так как исходные мономеры (пропилен, этилен, бутиден) в 3—5 раз дешевле бутадиена. При анионной полимеризации  $\alpha$ -олефинов, образующиеся полимеры имеют высокий мол. вес, отсутствие разветвлений и концевые винилиденные и  $\pi$ -алкильные группы, в то время как при катионной полимеризации образуются разветвленные полимеры с концевыми винильными и изоалкильными группами. Атактич. поли- $\alpha$ -олефины являются эластомерами с более гибкой цепью, чем полиизобутилен вследствие меньших стерич. препятствий при вращении вокруг связи С—С. Эластичность полимеров возрастает, а т-ра стеклования снижается с увеличением длины боковой цепи в макромолекуле (от  $\text{C}_1$  до  $\text{C}_4$ ). Сополимеры  $\alpha$ -олефинов обладают более низкой т-рой стеклования, чем гомополимеры. Высокая эластичность сополимеров объясняется увеличением гибкости цепи вследствие легкости вращения вокруг неаппет. С—С связи, низкой т-ры стеклования и затруднением кристаллизации полимера вследствие нарушения регулярности цепи. Явление текучести полимеров устраняется путем хим. вулканизации, способность к которой полимер приобретает в результате сополимеризации с небольшим кол-вом диолефинов или других мономеров с реакционноспособными группами, или введения в макромолекулу кислот ( $\text{SO}_3\text{H}$ ,  $\text{SO}_3\text{Cl}$ ,  $\text{COOH}$ ) или основных групп. Поперечное сшивание может также осуществляться за счет высокой реакционноспособности третичного атома С. Характер кривых растяжения резин из сополимеров и кристаллизующихся эластомеров (НК) аналогичен, т. е. резины обладают низкими начальными модулями и высоким сопротивлением разрыву. Устранение текучести вследствие образования микрокристаллич. элементов автор называет физич. вулканизацией. Способность к последней полимер приобретает вследствие того, что макромолекула состоит из чередующихся упорядоченных отрезков цепей, имеющих определенную конфигурацию (стереоблокполимеры). При растяжении стереоблокполимеров возникают микрокристаллич. области, устраняющие течение полимера, что может быть сравнимо с термолабильной обратимой вулканизацией. Сополимеры  $\alpha$ -олефинов являются весьма перспективными эластомерами вследствие дешевизны исходных мономеров, высоких эластичных и прочностных свойств, а также высокого сопротивления старению и химической стойкости вследствие своей предельности.

И. Тугорский

30938. Программа разработки новых полимеров для военно-воздушного флота. Постелнек (Air force polymer development program. Postelneк William), Rubber World, 1957, 136, № 4, 543—545, 597 (англ.)

Основной задачей работ является синтез тепло-, топливно- и маслостойких эластомеров. Исследования ведут в направлении синтеза новых органич. эластомеров (кель-Ф, фторированные полиэфир), фтор-

алкилсиликонов, гетероатомных фторсодержащих полимеров и неорганич. полимеров. Вулканизаты кель-Ф и фторированного полиэфира характеризуются соответственно следующими свойствами: сопротивление разрыву ( $\text{кг/см}^2$ ) 168, 154—168; относительное удлинение (%) 405, 125—225; твердость 55, 70—80; остаточное удлинение (%) 20, 0—1. После старения свойства этих вулканизатов ухудшаются. После 70 час. при 228° сопротивление разрыву вулканизата кель-Ф-214 уменьшается до 56  $\text{кг/см}^2$ , а фторированного полиэфира после 70 час. выдержки при 176° — до 70—93  $\text{кг/см}^2$ . Попытки синтеза гетероатомных полимеров с миним. кол-вом связей С—С или совершенно без них, привели к получению смолообразных перфтордиамидинов:  $\text{NC}-(\text{CF}_2)_3-\text{CN} + \text{NH}_3 \rightarrow \text{H}_2\text{N}-\text{C}(=\text{NH})-(\text{CF}_2)_3-\text{C}(=\text{NH})\text{NH}_2$  — полимер. Потеря веса этих продуктов после выдержки 12 и 24 час. при 350°, равна 1—2% и 2,5—3,0% соответственно, после 6 час. при 400° — 17%; экстрагирование 1 час. конц.  $\text{HNO}_3$  не вызывает никаких изменений. В настоящее время в различных местах ведут исследования следующих неорганич. полимеров: 1) —B—N—B—N—; 2) —P—O—P—O—; 3) —B—P—B—P—; 4) —Si—O—B—; 5) —Si—O—P—; 6) —Si—O—Al—; 7) —P—N—P—; 8) сложные эфиры Be. С точки зрения синтеза термостойких полимеров наибольший интерес представляют системы 1 и 3, но пока практически ценные материалы не получены. Исследования в этом направлении особенно интересны, так как современные органич. полимеры могут удовлетворить потребности авиации лишь в течение ближайших 5 лет.

Ю. Дубинкер

30939. Оценка вулканизатов сополимеров бутилакрилата и акрилонитрила [арон А-622 (SO)]. Ямада, Кобаяси, Нихон гому кёкайси, J. Soc. Rub. Ind., 1957, 30, № 7, 507—513, 560—570 (японск.; рез. англ.)

Сополимеры бутилакрилата и акрилонитрила [арон А-622 (SO)], вулканизованные триэтилентетрамином или трименовым основанием, обладают высокой термостойкостью, вулканизованные перекисью бензоила таковой не обладают. Дифенилалуганидин и  $\text{MgO}$  ускоряют вулканизацию триэтилентетрамином. Антиоксиданты не улучшают сопротивления вулканизатов тепловому старению. Вулканизаты обладают высоким сопротивлением естественному старению, особенно при наполнении углеродными или белой сажами, и высокой маслостойкостью. Добавка синтетич. полимеров к сополимерам не улучшает их морозостойкости. Электроизоляционные свойства недостаточно высоки, но их можно улучшить довулканизацией.

И. Тугорский

30940. Диффузионная теория адгезии сополимеров друг к другу. Воуцкий С. С., Каучук и резина 1957, № 7, 23—28

Теория молекулярного взаимодействия между  $\nu$ -вом клея и склеиваемой поверхностью и электр. теория адгезии не подтверждаются эксперим. данными. Представление об аналогии между аутогезией и адгезией и сведение последней к диффузии участков цепных молекул, приводящей к исчезновению границы между клеем и склеиваемыми поверхностями, позволяет объяснить многие хорошо известные факты, напр. зависимость работы адгезии от скорости отрыва, возможность высокой адгезии только при одинаковой полярности высокополимера, влияние продолжительности контакта и т-ры на прочность склеивания, резкое уменьшение адгезии каучуков в результате вулканизации, важность «освежения» склеиваемых поверхностей и зависимость адгезии от величины, формы и полярности молекул высокополимеров. Ю. Дубинкер

30941. Динамические механические свойства резиновых смесей. Мей, Америкенген (Dynamisch-me-

chanische Eigenschaften von Kautschuk-Mischungen. Meij S. de, Amerongen G. J. van), Kautschuk und Gummi, 1956, 9, № 3, WT56—WT62, WT64, WT66 (нем.)

Исследованы динамич. свойства различных ненаполненных и наполненных смесей из НК, бутылкаучука, бутадиенстирольного каучука и вулкколлана с помощью электромагнитного вибратора, подобного описанному в работе Диллона и др. (J. Appl. Phys., 1944, 15, 309). Прибор несколько усовершенствован и позволяет осуществлять деформации сжатия и сдвига. Измерения проводили в интервале частот 5—200  $\text{гц}$ , т-р от  $-40$  до  $+100^\circ$ , максим. амплитуда силы  $10^7$   $\text{дн}$ . Образцы имели вид цилиндров с максим. высотой 10  $\text{мм}$  и поперечником 20  $\text{мм}$ . Изучено влияние на модуль и потери статич. деформации, масштабного фактора, т-ры, частоты, амплитуды деформации, а также некоторых рецептурных факторов. Для ненаполненной смеси из НК динамич. модуль возрастает приблизительно вдвое с увеличением статич. сжатия от 0 до 25%, независимо от фактора формы образца. Абс. значение модуля при нулевом статич. сжатии возрастает примерно втрое при увеличении фактора формы от 0,1 до 1,24. Влияние т-ры на модуль и потери для ненаполненных смесей практически отсутствует в интервале  $20-100^\circ$ , а то время как для саженалополненных смесей модуль уменьшается в том же интервале в 2,2—2,5, а потери в 3—4 раза. Наиболее существенно влияние т-ры для наполненных смесей из бутылкаучука. Наблюдается второй максимум потерь в области  $80^\circ$  для смеси из НК, содержащей 50 вес. ч. стиролбутадиеновой (85:15) смолы. Заметно влияет частота лишь в смесях из бутылкаучука. Амплитуда деформации существенно влияет в наполненных смесях из бутадиенстирольного и в особенности бутылкаучука. Механич. потери ( $\text{tg } \delta$ ) ненаполненных серных вулканизатов НК (ускоритель-сантокор) составляют 3%, потери в тиурамовых вулканизатах 6%. Малые потери характерны также для смесей с добавками анилиновой смолы (20—30%) и аэросила (40%).

Е. Вострокнутов

30942. Проникновение органических жидкостей через резины. Мюллер (Permeability of rubber to organic liquids. Mueller William J.), Rubber Age, 1957, 81, № 6, 982—987 (англ.)

Определяли проникновение диизобутилена, SR-6 (топливо, 40% ароматики), метилового спирта, метилэтилкетона,  $\text{CCl}_4$ , этилацетата и бензина через СК: стирольный, тиокол, паракрил 18, паракрил 35 и неопрен при 25, 50 и  $105^\circ$ . Описаны аппаратура, методика эксперимента, рецепты смесей и ф-лы вычислений. Проницаемость логарифмически растет с т-рой. Найдено соотношение между проницаемостью  $Y$  и растворимостью жидкости в каучуке  $X$ :  $Y = aX^2$ ,  $a$  — константа для данной т-ры и времени. Тиокол обладает наименьшей проницаемостью. Скорость проникновения жидкости через каучук возрастает при одинаковой их степени полярности и уменьшается при различной полярности. Наибольшая степень проникания через все каучуки у бензина, наименьшая — у диизобутилена и метилового спирта.

И. Фарберова

30943. Спектроскопическое исследование масел, применяемых в масляных каучуках. Линниг, Стюарт (A spectroscopic study of oils used in oil-extended rubber. Linnig Frederic J., Stewart James E.), J. Res. Nat. Bur. Standards, 1957, 59, № 1, 27—40 (англ.)

Получены ИК-спектры (2—15  $\mu$ ) двух серий фракций различных масел, а также УФ- (210—340  $\mu$ ) и ИК-спектры (15—40  $\mu$ ) нескольких отдельных образцов. Фракции получали: (А) экстракцией масла из р-ра в пентане с помощью  $\text{HCl}$  и затем  $\text{H}_2\text{SO}_4$ , возрастающей конц-ии; (Б) хроматографич. разделением на

силикагеле с применением для вымывания фракций пентана,  $\text{C}_6\text{H}_6$ ,  $\text{CCl}_4$  и этанола. Имеется сходство между парафиновыми фракциями, полученными методами А и Б: в них содержатся линейные, разветвленные и циклич. углеводороды. Первые и вторые ацидафены и вымываемые бензолом фракции также сходны и содержат ароматич. кольца, конденсированные, или соединенные боковыми цепями, наряду с наличием групп  $\text{OH}$  и  $\text{NH}_2$ . Азотистые основания 1-й группы состоят в основном из амидов, 2-й группы — из амидов вместе с соединениями, содержащими  $\text{CO}$ ,  $\text{OH}$  и  $\text{O}$ . Фракции, вымываемые  $\text{CCl}_4$ , содержат соединения с группами  $\text{NH}_2$ ,  $\text{OH}$ ,  $\text{CONH}_2$  и  $\text{O}$ , тогда как вымываемые этилолом содержат еще органич. к-ты; последние присутствуют также в азотистых основаниях 2-й группы. Указанные компоненты различны в различных маслах. Увеличение содержания разветвленных и кольцевых структур ведет к увеличению содержания активных атомов Н у третичных атомов С, что приводит к уменьшению сопротивления старению каучуков с различными маслами. Сопротивление старению увеличивается, если активность атомов Н полимера больше, чем таковая в масле.

В. Кулеванов

30944. Свойства силикатных синтетических каучуков. Писаренко А. П., Емельянова А. П., Захарченко П. И., Каучук и резина, 1957, № 2, 6—13

Усиленные силикатным наполнителем бутадиенстирольные каучуки, условно названные силикатными, характеризуются наличием большого кол-ва тем каучук-наполнитель, однородностью распределения последнего, а их вулканизаты — высоким сопротивлением разрыву, многократным деформациям (в 2 раза больше, чем для резины с белой сажей) и естественному старению. Значительно превышают по эластичности сажевые вулканизаты. Силикатные каучуки на основе бутадиенстирольных полимеров низкотемпературной полимеризации обладают еще более высокими показателями. Из силикатных каучуков возможно изготовление цветных монолитных и микропористых подошв, хорошо зарекомендовавших себя в опытной носке.

В. Кулеванов

30945. Саже-каучуковый комплекс I. Кубота. Раба дайдзесуто, Rubber Digest, 1957, 9, № 8, 10—23 (японск.)

Обзор.

30946. Заметки о достижениях в производстве изделий из термопластичных материалов и резины. Стерн (Thermoplastics progress. An occasional commentary. Stern H. J.), Rubber J., 1957, 133, № 4, 269—270 (англ.)

Важнейшей особенностью произ-ва изделий из пластмасс является применение гранулированных материалов, подача которых в прессформы или шприцмашину производится автоматически. В настоящее время некоторые резиновые изделия, напр. изоляцию кабелей и проводов, можно изготавливать аналогичным образом. Для этого резиновые смеси после приготовления на вальцах измельчают в спец. грануляторах. Гранулы покрывают порошкообразным или жидким ускорителем и тальком, чем облегчается, в частности, их транспортировка и технологич. обработка. Применение гранулированных резиновых смесей дает значительный экономич. эффект.

Ю. Дубинин

30947. Последние достижения в технологии резины. Прайер (Desarrollos recientes en la tecnologia de la goma. Prager W. R.), Goma, 1955, 3, № 28, 27—29, № 29, 28—29; № 30, 28—29; № 31, 27—29; № 32, 27—30 (исп.)

Обзор применения некоторых ингредиентов резиновых смесей, изготавливаемых фирмой Imperial Chemical Industries.

30948. И...  
ка. 17. К...  
фрактис...  
гидразин...  
группы и...  
Ка м 6 а...  
J. Soc...  
30, №...  
17. Вул...  
сы погло...  
при 681 с...  
полоса 17...  
образован...  
Полоса 1...  
С=С. Обн...  
ных связа...  
18. Иссл...  
>C=S п...  
обработке...  
лей нитаз...  
бис-метил...  
бис-метил...  
45 см<sup>-1</sup>,...  
лодой и...  
группы С...  
полосы 1...  
(C=O).  
В обычн...  
ний не о...  
19. Т...  
вали по...  
ридом и...  
слабая...  
(группа...  
ная гру...  
став про...  
зультаты...  
тиокетон...  
30949.  
N-хлор...  
Фуру...  
J. Soc...  
(японск...  
В кач...  
N-хлор...  
без запа...  
аминном...  
с больш...  
вулкани...  
муна и...  
РНКХИ...  
30950.  
белес...  
вого э...  
Сер. т...  
В усл...  
вали ку...  
TC-35 и...  
КРНР-5...  
трактор...  
воздуха...  
75°) ут...  
тем бол...  
ной рез...  
30951.  
зинов...  
ring а...  
Plast...  
Обзор...  
частнос...  
32 Зака...



30948. Изучение структуры вулканизованного каучука. 17. Инфракрасные спектры вулканизата. 18. Инфракрасные спектры вулканизата, обработанного гидразингидратом. 19. Обнаружение тиокетонных групп в вулканизате по инфракрасным спектрам. Камбара, Мурасима, Нихон гому кёкайси, J. Soc. Rubber Ind., 1956, 29, № 11, 951—954; 1957, 30, № 1, 5—10, 10—14, 77 (японск.; рез. англ.)

17. Вулканизаты с  $S_2Cl_2$  имеют в ИК-спектре полосы поглощения 1310, 1358 и  $681\text{ см}^{-1}$ . Новая полоса при  $681\text{ см}^{-1}$  обусловлена, по-видимому, связью  $C-Cl$ , полоса  $1710\text{ см}^{-1}$  — связью  $C=O$ , что указывает на образование при холодной вулканизации связей  $CCl_2$ . Полоса  $1358\text{ см}^{-1}$ , по-видимому, обусловлена связью  $C=S$ . Обнаружено заметное уменьшение кол-ва двойных связей при вулканизации по Пичи. З. Нудельман

18. Исследование проводили для обнаружения групп  $>C=S$  по спектрам поглощения образующихся при обработке гидразонов или кетазинов. В качестве модель кетазинов синтезированы бис-ди-метилазимилен, бис-метилазимилен, бис-диэтилазимилен и бис-метилфенилазимилен. Определяли полосу  $1630-45\text{ см}^{-1}$ , обусловленную группой  $C=N$  и др. Резина холодной вулканизации, содержащая большое кол-во групп  $C=O$ , после обработки гидразингидратом дает полосу  $1565\text{ см}^{-1}$  (группа  $C=N$ ) и полосу  $1710\text{ см}^{-1}$  ( $C=O$ ), полосы  $788$  и  $689\text{ см}^{-1}$  ( $C-Cl$ ) исчезают. В обычно вулканизованном каучуке заметных изменений не обнаружено.

В. Шершнев  
19. Тиокетонные группы в вулканизате обнаруживали по спектрам продуктов обработки его бензилхлоридом или 2,4-динитрофенилгидразином. Наблюдалась слабая широкая полоса поглощения  $710-690\text{ см}^{-1}$  (группа  $C-Cl$ ), а также полоса  $1510\text{ см}^{-1}$ , обусловленная группой  $C=N$  и др. Исследовали также хим. состав продуктов, их модуль и т. д. Полученные результаты указывают на возможность обнаружения тиокетонных групп. Часть 16 см. РЖХим, 1958, 27186.

В. Шершнев  
30949. Действие свободных радикалов на каучук. Х. N-хлоримиды как новые замедлители вулканизации. Фурукава, Ямасита, Нихон гому кёкайси, J. Soc. Rubber Ind., 1957, 30, № 5, 333—337, 400 (японск.; рез. англ.)

В качестве замедлителей вулканизации применяют N-хлорсукцин- и N-хлорфталимиды — белые порошки без запаха, по устойчивости сравнимые с N-хлормеланином. Указанные в-ва можно применять в смесях с большим содержанием сажи, они снижают скорость вулканизации, не влияя на время достижения оптимума и механич. свойства вулканизатов. Часть IX см. РЖХим, 1958, 6538.

И. Тугорский  
30950. Изменение электрических характеристик кабелей с резиновой изоляцией в результате их теплового старения. Карпачев М. А., Изв. АрмССР. Сер. техн. н., 1957, 10, № 4, 69—74 (рез. арм.)

В условиях, близких к эксплуатационным, испытывали куски кабелей с резиновой изоляцией (смеси ТС-35 и ТСШ-35) типа СРГ-3000в  $1 \times 1,5$  и  $1 \times 4,0\text{ мм}^2$ , КНРП-500в  $2 \times 1,5\text{ мм}^2$  и опытный 6-жильный электропроводный кабель. Концы кабелей изолировали от воздуха. После старения в термостате ( $10$  час.,  $45$  и  $75^\circ$ ) угол диэлектрич. потерь и емкость уменьшались тем больше, чем выше т-ра. Испытания изоляционной резины на воздухе дают неверные результаты.

И. Фарберова  
30951. Применение клешнеобразующих агентов в резиновой промышленности. Эйкен (Uses of sequestering agents in rubber. Aiken J. K.), Rubber and Plast. Age, 1957, 38, № 6, 541—543 (англ.)

Обзор. Применение клешнеобразующих агентов, в частности этилендиаминотетрауксусной к-ты, для ста-

билизации латекса, предохранения резины от действия  $Si$  в водн. среде, стимулирования окислительно-восстановительной каталитич. системы в произ-ве GR-S и других синтетич. эластомеров, получаемых эмульсионной полимеризацией. Библ. 10 назв.

З. Нудельман

30952. Автоматизация в резиновой промышленности. Лангтон (Automation in the rubber industry. Langton N. H.), Process Control and Automat., 1957, 4, № 4, 121—125 (англ.)

Обзорная статья. ВЧ-нагрев ( $20$  и  $36\text{ Мгц}$ ) имеет при правильной конструкции электродов большое преимущество перед другими методами нагрева, обеспечивая равномерный прогрев, увеличение производительности (до  $300\%$ ) и упрощение оборудования. Применение ВЧ-нагрева возможно при непрерывном движении резиновой смеси. ВЧ-нагрев эффективно применяют при изготовлении изделий из латекса. Для контроля резиновых изделий используют ультразвуковые дефектоскопы, работающие на частотах  $200\text{ кгц}$ , что позволяет не применять импульсных методов и упрощает оборудование. Ультразвуковые приборы используют для контроля качества покрышек и для измерения толщины ( $3-20\text{ мм}$  с точностью  $\pm 1\text{ мм}$ ). Из испытательных резины могут быть автоматизированы испытания на истирание, определение твердости и диэлектрич. свойств. Измерение диэлектрич. проницаемости применяется при сортировке мячей для гольфа. При измерении толщины и плотности начинают находить применение радиоактивные приборы. Библ. 24 назв. Предыдущее сообщение см. РЖЗ, 1957, 36949. Е. И. Г.

30953. Защита краев транспортных лент. Пфаб (Kantenschutz bei Förderbändern. Pfab Rudolf), Gummi und Asbest, 1956, 9, № 4, 178—187 (нем.)

Обзор патентов.

М. Каплун

30954. Придание газонепроницаемости бескамерным шинам обкладкой резиной из натурального каучука с молотой слюдой. Тирьон, Шаассе (Impermeabilisation of tubeless tyres by natural rubber compounds filled with mica powders. Thirion P., Chasset R.), Rev. gén. caoutchouc, 1957, 34, № 7, 719—723 (англ.)

Определение газонепроницаемости (Г) резин из НК со слюдой, молотой сухим (I) или влажным (II) способом, показало, что II более эффективна, чем I, вследствие наличия в ней более тонких частиц. При наполнении  $20\text{ об.}\%$  Г резины с I составляет  $\sim 47\%$ , а резины с II  $\sim 22\%$  Г ненаполненной резины и  $80\%$  Г резины с мелом. Так как Г резины с I или II уменьшается в зависимости от наполнения по гиперболич. закону, то введение слюды особенно эффективно при малых наполнениях. При  $20\text{ об.}\%$  Г резины из НК с II при комнатной т-ре выше, чем резины из бутылкаучука, а при  $100^\circ$  они приблизительно одинаковы. Резина с молотой слюдой непригодна для изготовления камер, так как ее сопротивление раздиру весьма невелико, ( $3\text{ кг/см}$  по сравнению с  $7\text{ кг/см}$  для резины с мелом), но это не является препятствием для изготовления привулканизованных к каркасу внутренних обкладок бескамерных шин. Резины с I и II имеют соответственно следующие характеристики: сопротивление разрыву ( $\text{кг/см}^2$ )  $135, 140$ , относительное удлинение ( $\%$ )  $580, 480$ , модуль ( $100\%$ ) ( $\text{кг/см}^2$ )  $13, 25$ , твердость  $47, 57$ , сопротивление многократному изгибу (циклы)  $60\,000, 28\,000$ . На испытательной дорожке были испытаны шины с обкладками из резины с I и II и обычные бескамерные шины. При скорости  $60-110\text{ км/час}$  все шины вели себя практически одинаково и прошли  $\sim 4000\text{ км}$ .

Ю. Дубинкер

30955. Повышение прочности связи корда с резиной в резино-тканевых изделиях. Горелик Б. М.,

Соколовская Ф. М., Тр. н.-и. ин-та резин. пром-сти, 1957, сб. 4, 11—15

Для крепления к резине из наирита хлопчатобумажного вискозного кордшнуров применяют клей из наирита, содержащий резорцин и латексно-резорцинформальдегидный состав на основе латекса Л-4. При использовании клея в обкладочную резину вводят 1—2 вес. % уротропина, благодаря чему при вулканизации на границе раздела «резина-кордшнур» происходит фенолальдегидная конденсация. Показано преимущество клея с резорцином и латексного состава перед клеем, не содержащим резорцина.

И. Шмурак

30956. Новые пропиточные составы для повышения прочности связи с резиной кордшнура и ткани из синтетических волокон. Гагина К. Ф., Горелик Б. М., Тр. н.-и. ин-та резин. пром-сти, 1957, сб. 4, 16—20

Для крепления к резине тканей из синтетич. волокон (капрона, анида) применяли: 1) р-ры резиновой смеси в бензине и этилацетате с резорцином и без него, 2) латексно-резорцинформальдегидные составы на основе латексов Л-4 и СК-30, 3) р-р лейконата в дихлорэтаноле, 4) 3%-ный водн. р-р эпоксиаминной смолы «89» (продукт конденсации эпихлоргидрина и метакрилендиамин). Наилучшую адгезию к резине упомянутых тканей и стеклоткани обеспечивает смола «89».

И. Шмурак

30957. Крепление резины к металлу. Госсю (Le collage caoutchouc-métal. Gossot Jacques), Rev. Gén. caoutchouc, 1956, 33, № 1, 28—31 (франц.), 74 (англ.), 77 (нем.), 79 (исп.), 82 (итал.)

Описаны простые способы крепления резины к металлу, доступные небольшому предприятию с помощью: эбонита — для НК и СК и черных металлов; термопрена — для НК и любых металлов; хлорированного каучука — для нитрильных каучуков, неопрена, черных металлов и легких сплавов; тай-плай (гидрохлорид каучука) Q, S и BN — для НК (Q), неопрена (S), нитрильных каучуков (BN) и черных металлов и легких сплавов; бромбутила (хайкар 2202, применяется в комбинации с резорцинформальдегидной смолой) — для бутилкаучука и всех металлов; полиизоцианатов (десмодур R, вулкабонд и пр.) — для НК, СК и всех металлов; новейших адгезивов: тиксона, плайбонда 20 и локсита. Последние применяются для любых каучуков и металлов, дают прочность связи от 65 до 80 кг/см<sup>2</sup>. Тиксон и локсит применяют в виде двух р-ров, из которых один служит для обеспечения контакта с металлом, а другой — для связи с резиной.

Е. Вострокнутов

30958. Изготовление маслостойкой электроизоляционной трубки. Патцак (Entwicklung eines quellbeständigen, elektrisch isolierenden Schlauches. Patzak Ilse), Plaste und Kautschuk, 1956, 3, № 3, 65 (нем.)

Разработан рецепт бессажевой смеси на основе комбинации равных частей пербуна и буна S3 (ускорители — вулкацит DM и 1000), имеющей пластичность по Дефо 1130, сопротивление разрыву 70 кг/см<sup>2</sup>, относительное удлинение 300%, твердость 58, сопротивление разрыву 5—6 кг/см. Оптимум вулканизации: 20 мин. при 151°. Резина имеет уд. электросопротивление ~ 1 мгома. Степень набухания через 24 часа при нормальных условиях в вазелиновом масле 5,8%, в трансформаторном 5,9%, при 50° — 13,5%.

Е. Вострокнутов

30959. Маслостойкие резиновые прокладки. Сакура, Фудзи дэико, Fuji Electr. J., 1957, 30, № 1, 32—37 (японск.; рез. англ.)

Основными требованиями к резиновым прокладкам, применяемым в трансформаторах и другом электро-

оборудовании, погружаемом в масло, является высокая масло- и теплостойкость, малое остаточное сжатие и набухание и отсутствие в-в, экстрагируемых маслом. В настоящее время этим требованиям отвечают резины из нитрильных каучуков (I) и полиизоцианатов. Исследовали зависимость между релаксацией напряжения и отставанием деформации в маслостойкой прокладке из I.

30960. Регенерат. Обзор литературы. Часть I. Библиография, основные источники информации, хронология. Часть II. Химия, свойства, смешение, оценка. Уинкелман, Болл (Reclaimed rubber. A guided tour through the literature. Part I. Bibliography, general sources of information, chronological highlights. Part II. Chemistry, properties, compounding, evaluation. Winkelman H. A., Ball J. M.), Rubber J., 1957, 133, № 1, 14—16, 18; № 2, 41—44, 48; № 4, 110, 116—118; № 5, 143, 147—148; № 6, 174, 178 (англ.)

Обзор. Библ. 109 назв.

30961. Влияние состава сосновых смол на процесс регенерации шинных резин из СКБ + НК. Сомов С. А., Дроздовский В. Ф., Каучук и резина, 1957, № 9, 12—15

Сосновую смолу разделяли на водорастворимые к-ты и фенолы (BK); нерастворимые в бензине в-ва (НБ); нейтр. масла (НМ) — нерастворимые в 5%-ном КОН; фенольные соединения (ФС); смоляные и прочие высшие к-ты (СК). ФС и СК разделяются при действии 10%-ного BaCl<sub>2</sub>. При увеличении содержания BK в смоле повышается сопротивление разрыву вулканизата и понижается пластичность регенерата (оптимальное кол-во BK 2—3%). Фенол не оказывает влияния, гидрохинон и пирокатехи уменьшают пластичность регенерата. СК повышают пластичность, клейкость, производительность оборудования, улучшают внешний вид. НМ повышают мягкость и снижают сопротивление разрыву. НБ снижают пластичность и повышают сопротивление разрыву. Предложен оптимальный состав шихты мягчителей с основной смолой.

В. Кулезов

30962. Полярографический метод определения свободной серы в каучуках и резинах. Белицкая Р. М., Зверева Р. М., Тр. н.-и. ин-та резин. пром-сти, 1957, сб. 4, 89—97

Свободную S определяют в метанолю-пиридиновом р-ре на фоне 0,1 M CH<sub>3</sub>CO<sub>2</sub>N — 0,1 M CH<sub>3</sub>CO<sub>2</sub>Na (E<sup>1/2</sup> — 0,68 ± 0,03 в) (Poulton, Tarrant, J. Appl. Chem., 1951, 1, 29). В аналогичных условиях E<sup>1/2</sup> тиурама (I) равен — 0,57 в. При совместном присутствии I и S получают полярограммы с одной волной. Для определения свободной S в смесях, содержащих I, производят экстракцию ацетоном в присутствии стеариновой к-ты, вследствие чего I переходит в полярографически неактивное состояние и не мешает определению S. Каптакс и альтакс не влияют на высоту волны S. Потенциал деполаризации S не меняется в присутствии альтакса и сдвигается в область более положительных напряжений в присутствии каптакса. Продолжительность определения свободной S составляет 40—50 мин.

И. Тютюрский

30963. Количественный анализ вспомогательных материалов, применяемых в резиновых смесях. Сообщение 4. Лоренц, Эхте (Über die quantitative Bestimmung von Kautschuk-Hilfsstoffen. 4. Mitt. Lorenz Otto, Echte Elisabeth), Kautschuk und Gummi, 1956, 9, № 12, WT300—WT304 (нем.)

Описано колич. определение S, меркаптобензотризола (I), Zn-соли I (II) и дибензотиазолдисульфиды (III) как в виде индивидуальных соединений, так и в сложных смесях. I и II определяют кондуктометрич. и нодометрич. титрованием, III восстановлением



с  $\text{SnCl}_2$ . Описано определение смеси I, II, и III, а также элементарной S в присутствии I, II, III и Zn-соединений жирных к-т. Сообщение 3 см. РЖХим, 1956, 30964.

**30964. Быстрое определение цинка, кальция и магния в вулканизатах.** Робертсон (Rapid determination of zinc, calcium and magnesium in rubber vulcanisates. Robertson C. M.), Trans. and Proc. Instn Rubber Ind., 1957, 33, № 3, 97—100 (англ.)

Метод основан на титровании ионов Zn, Ca и Mg этилендиаминотетрауксусной к-той (I) в трех различных, соответственно указанным металлам, условиях. Первый аликвот титруют при pH 10, [индикатор эриохром черный T (II)]. Ко второму аликвоту добавляют KCN для связывания Zn в комплекс перед титрованием I. Титруется в этом случае только Ca и Mg. К третьему аликвоту также добавляют KCN и титруют I при pH 12 (индикатор мурексид). Этот индикатор не реагирует на Mg. Из данных этих титрований может быть вычислена конц-ия каждого металла. Титр р-ра I устанавливают по 0,04 н. р-ру  $\text{CaCO}_3$  в очень разб. HCl. 1. Определение суммы Zn + Ca + Mg. 25 мл испытуемого р-ра переносят в 250-мл колбу, добавляют 5 мл буферного р-ра (вместе — р-р А) ( $67,5 \text{ г } \text{NH}_4\text{Cl}$ , 570 мл р-ра  $\text{NH}_4\text{OH}$ , уд. в. 0,88,  $0,616 \text{ г } \text{MgSO}_4 \cdot 7\text{H}_2\text{O}$  и  $0,93 \text{ г } \text{I}$  в 1000 мл р-ра), 5—6 капель индикатора (II) ( $0,5 \text{ г } \text{II}$  и  $4,5 \text{ г } \text{NH}_4\text{OH} \cdot \text{HCl}$  в 100 мл спирта) и титруют 0,04 н. р-ром I до ясной синей окраски. Для лучшего выявления точки перехода можно добавлять метилоранж, изменение окраски в этом случае от винно-красно-серой до коричнево-зеленой. 2. Определение суммы Ca + Mg. К р-ру А добавляют 5 мл 10%-ного р-ра KCN, II и титруют, как указано выше. 3. Определение Ca. 25 мл испытуемого р-ра переносят в 250-мл колбу, добавляют 5 мл 10%-ного р-ра KCN, 5 мл 10%-ного р-ра NaOH, воду, р-р мурексида и титруют I до фиолетового цвета. 3. Нудельман

**30965 К. Каучук. Основы химии и технологии.** Ле Бра (Rubber; fundamentals of its science and technology. Bras Jean le. Transl. from the French. New York, Chem. Publ. Co., s. a., 464 pp., ill., 12 doll.) (англ.)

**30966 К. Производство регенерата.** [Учебн. пособие для подготовки и повышения квалифик. рабочих предприятий шинной и резин. пром-сти]. Рогов Н. А., М., Госхимиздат, 1957, 247 стр., илл., 5 р. 20 к.

**30967 П. Стабилизированный полихлоропреновый латекс.** Скотт (Stabilized polychloroprene latex. Scott George W.) [E. I. du Pont de Nemours and Co.] Пат. США 2751365, 19.08.56

Для удаления лабильного Cl из полихлоропренового латекса (Л) с  $\text{pH} \geq 11,5$  его нагревают от 1,5 мин. при  $170^\circ$  до 12 час. при  $90^\circ$  в отсутствие  $\text{O}_2$ . При этом освобождается HCl в кол-ве 10—11 ммоль на 100 г полимера, нейтрализуемый достаточным кол-вом сильного основания, (неорганич. или с четвертичным N) заранее введенным в Л. Оптимальная конц-ия Л — 30—40%. Стабилизированный Л можно хранить до 3 лет, не опасаясь коагуляции. И. Шмурак

**30968 П. Латексная губка, полученная из полибутадиенового и натурального каучука.** Роджерс, Д'Ианни, Пирсон (Foamed rubber latex sponge containing polybutadiene and natural rubber. Rogers Thomas H., Jr., D'Ianni James D., Pierson Robert M.) [The Goodyear Tire & Rubber Co.] Пат. США 2753314, 3.07.56

Латексную губку получают вспениванием смеси натурального (90—10%) и синтетич. (10—90%) полибутадиенового латекса. Губка не обладает неприятным

запахом, ее сопротивление сжатию после старения 550 час. при  $100^\circ$  возрастает на  $\leq 10\%$ . Н. Павлов

**30969 П. Бесшовные маканые изделия с венчиком из натуральных или синтетических дисперсий каучука и способ их получения.** Энслин, Шульц (Nahtlos getauchte Gegenstände mit Wulstrand aus natürlichen oder künstlichen Kautschukdispersionen und Verfahren zu ihrer Herstellung. Enslein Oskar, Schulz Ingeberg) [Metallgesellschaft A.-G.] Пат. ФРГ 956544, 17.01.57

Способ получения изделий методом пологого отложения из натурального или синтетич. латексов и вультексов, напр. ревультекса. Внутренняя часть закатанного венчика состоит из очень тонкой пленки, полученной маканием без применения фиксатора. Толщина остальной пленки в венчике постепенно увеличивается. Форму погружают в фиксатор до определенного уровня, более глубоко макают в латексную смесь, быстро поднимают ниже первоначального уровня и оставляют в смеси до достижения требуемой толщины пленки. Перед выниманием форму поднимают до уровня, лежащего ниже глубины макания в фиксатор. И. Шмурак

**30970 П. Эластичный материал для обивки и способ его изготовления.** Бухкремер, Зонненшейн (Elastic mat for upholstery and process of making same. Buchkremer Josef, Sonnenschein Heinrich) [American Enka Corp.] Пат. США 2753286, 3.07.56

Выпращаемое непрерывное вискозное волокно (толщины 1000 денье) собирается в пучок (400 волокон), подсушивается до содержания влаги  $\sim 60\%$ , проходит крутильное приспособление, где получает завивку, сушится до  $\sim 12\%$  для стабилизации завивки и раскручивается в другом крутильном приспособлении. Далее пучок завитых волокон расширяют до 60 см и наматывают на ролик. Полученные полосы с 7 роликов накладывают друг на друга и образуют 60%-ным натуральным латексом (можно применять подвулканизированный натуральный латекс, синтетич. латекс, винилацетат, винилхлорид и др.), содержащим необходимые вулканизующие агенты, сжимают до толщины 5 см так, чтобы волокна сохраняли завивку. Склеивающий агент наносится в кол-ве, равном полуторному или удвоенному весу полосы, так, чтобы каждое волокно было полностью покрыто составом. Многослойную ленту подсушивают при  $75^\circ$  и вулканизуют при  $100^\circ$ . Весь процесс непрерывный. Изделие обладает хорошей эластичностью и упругостью в направлении, перпендикулярном слою. Эти свойства сохраняются в условиях жаркого и влажного климата. П. Павлов

**30971 П. Самоусиливающийся каучук и способ его изготовления.** Те-Гротенхёйс (Self-reinforcing rubber and method of making same. TeGrotenhuis Theodore A.) [The General Tire & Rubber Co.] Пат. США 2745818, 15.05.56

Эмульсию смеси 60—95% диолефина с сопряженными двойными связями с числом атомов C  $< 8$  (напр., бутадиен, изопрен, хлоропрен, цианопрен, диметилбутадиен, смеси этих в-в) и  $\geq 5\%$  моноолефина с сопряженными связями (напр., стирол, акрилонитрил, метилметакрилат, метилвинилкетон, метил-изопропеналкетон, винилпиридин, смеси этих в-в) полимеризуют в присутствии катализатора до сополимеризации большей части мономеров. Затем добавляют такое кол-во моноолефина, что диолефин составит 2—15% от всех полимеризующихся компонентов, и заканчивают полимеризацию. Пример. В автоклаве смешивают (в вес. ч.): бутадиен 47, стирол 8, стеарат Na 5, третичный меркаптан 0,5,  $\text{K}_2\text{S}_2\text{O}_8$  0,3, вода 180. Полимеризуют при  $50^\circ$  12,5 часа, при этом

82% мономеров переходит в твердый продукт. Затем добавляют (в вес. ч.) стирол 44,4, смесь третичных меркаптанов, содержащих в среднем 16 атомов  $S_{0,5}$  и полимеризуют до конверсии 90%. Общая продолжительность полимеризации 19,25 часа. Выделенный из латекса полимер содержит ~50% связанного стирола и по своим свойствам существенно отличается от сополимера, полученного обычным путем. И. Фарберова 30972 П. Метод изготовления сополимеров изобутилена с высокой степенью ненасыщенности. Эрнст, Томас (Process for preparing highly unsaturated copolymers of isobutylene. Ernst John L., Thomas Robert M.) [Esso Research and Engng Co.] Пат. США 2739141, 20.03.56

Синтетический каучук с мол. весом 20 000—100 000, йодным числом 55—175 и вязкостью по Муни > 50 получают сополимеризацией 100 ч. изобутилена с 25—150 ч. изопрена при  $t$ -ре от 0° до -164° в присутствии катализаторов. Исходные продукты должны быть высокой степени очистки (чистота изобутилена  $\geq 98\%$ , изопрена  $\geq 99\%$ ). В качестве катализатора применяют  $AlCl_3$ , могут быть использованы  $AlBr_3$ ,  $TiCl_4$ , хлористый U, хлорбромиды Al и Ti, а также  $ZnCl_4$  в виде р-ров в  $CH_2Cl$  или  $C_2H_5Cl$ . Концентрация катализатора составляет 0,05—15%. Исходные соединения полимеризуют либо непосредственно, либо в разб. р-рителями виде. Пример. Смесь 100 ч. изобутилена (чистота  $\geq 96\%$ ) и 25—100 ч. изопрена (чистота  $\geq 99\%$ ) разбавляют  $CH_2Cl$  (2 ч. на 1 ч. изобутилена) и охлаждают до -60°. В смесь исходных мономеров вводят катализатор в виде р-ра  $AlCl_3$  в  $CH_2Cl$  (0,24 г  $AlCl_3$  на 100 мл  $CH_2Cl$ ), охлажденного до -42°. Полимеризацию проводят обычным путем. Приготавливают смесь (в вес. ч.): полимер 100,  $ZnO$  5, стеариновая к-та 3, газовая сажа 50, меркаптобензотиазол 1,5, дифенилгуанидин 0,5, 2, вулканизуют при 153°.

А. Петрашко

30973 П. Способ изготовления из полиэфиров, гликолей и диизоцианатов веществ стойких при хранении, перерабатываемых при дальнейшем введении диизоцианатов в высокоэластические формовые изделия. Нишк, Мюллер (Verfahren zur Herstellung lagerfähiger mit Diisocyanaten zu kautschukelastischen Formkörpern verarbeitbarer Kunststoffe aus Polyester, Glykolen und Diisocyanaten. Nischk Günther, Müller Erwin) [Farbenfabriken Bayer A.-G.] Пат. ФРГ 959679, 7.03.57

Смешивают линейные или преимущественно линейные, содержащие свободные гидроксильные группы, полиэферы, гликоли (напр., алифатич. гликоли, как 1,4-бутиленгликоль, гександиол, диэтиленгликоль, триэтиленгликоль, за исключением гликолей, содержащих  $\geq 2$  конденсированных ароматич. систем) или диоксигидроксилированные диамиды карбоновой к-ты (напр.,  $N,N'$ -диоксигидроксилированные) с диизоцианатами, содержащими в молекуле изоцианатные группы, реагирующие кинетически равномерно, в кол-ве, недостаточном, чтобы взаимодействовать со всеми свободными гидроксильными группами. Пример. 1000 ч. полиэфера адипиновой к-ты с этиленгликолем с гидроксильн. числом 63 и кислотным числом 1,5 обезвоживают 30 мин. при 14 мм рт. ст. и 100°; затем вводят при перемешивании 20 ч. 1,4-бутиленгликоля. При усиленном перемешивании при 110° прибавляют 130 ч. 1,5-нафтилендиизоцианата, при этом  $t$ -ра повышается до 125°. Понижив  $t$ -ру до 120°, массу выливают и затем нагревают еще 15 час. при 100°. Из полученного таким образом полиэфера на вальцах получают гладкую пластину. Вслед за этим или через некоторое время для получения структурированного высокоэластичного материала в полиэфир на каждые 100 ч. вводят на вальцах 5 ч. дифенилметандиизоциа-

ната (I), затем все прессуют 30 мин. при 150°. Из прессованного полиэфера, содержащего I на шприц-машине при 50—70° изготавливают рукава, шинные протекторы и др.

М. Лурье

30974 П. Способ изготовления из полиэфиров гликолей и диизоцианатов, веществ стойких при хранении, перерабатываемых при дальнейшем введении диизоцианатов в высокоэластические формовые изделия. Нишк, Мюллер (Verfahren zur Herstellung lagerfähiger, mit Diisocyanaten zu kautschukelastischen Formkörpern verarbeitbarer Kunststoffe aus Polyester, Glykolen und Diisocyanaten. Nischk Günther, Müller Erwin) [Farbenfabriken Bayer A.-G.] Пат. ФРГ 959604, 10.01.57

Смеси линейных или преимущественно линейных полиэфиров и гликолей, содержащих  $\geq 2$  конденсированных ароматич. систем, взаимодействуют с диизоцианатами, содержащими в молекуле кинетически неравномерно реагирующие изоцианатные группы. Кол-во диизоцианата недостаточно для взаимодействия со свободными OH-группами, содержащимися в смеси соединений. Кроме того, применяют небольшое кол-во гликолей, содержащих в молекуле  $\leq 1$  кольца. Гликоль, содержащий  $\geq 2$  конденсированных ароматич. кольцевых систем, прибавляют лишь по окончании р-ции между полиэфиром и двумя кинетически неравномерно реагирующими изоцианатными группами. Пример. 500 ч. полиэфера адипиновой к-ты и этиленгликоля с гидроксильным числом 56, и с кислотным числом 1, смешивают с 72 ч. 1,5-нафтилен- $\beta$ -диоксигидроксилированным эфиром и нагревают под давлением в 20 мм рт. ст. до 150°. Через 15 мин.  $t$ -ру понижают до 115°, причем большая часть непрореагировавшего гликоля вновь выкристаллизовывается. Затем прибавляют 87 ч. 1,2,4-толуиленидиизоцианата.  $t$ -ра повышается приблизительно до 140°, и гликоль переходит в р-р. После охлаждения до 125° массу выливают и нагревают еще 20 час. при 100°. Полученный линейный полиэфир, растворимый в ацетате гликольмоноэтилового эфира, развальцовывают в гладкую пластину. Продукт может долго храниться без изменения.

М. Лурье

30975 П. Крепление резины из силиконового каучука к твердым материалам. Кил (Bonding silicone rubber to solid materials. Keil Joseph W.) [Dow Corning Corp.] Пат. США 2751314, 19.06.56

Для крепления резины из силиконового каучука (I) к стали, Cu, Al и других металлам, стеклу и керамич. материалам, асбесту, сложным эфирам целлюлозы, виниловым полимерам и сополимерам, полистиролу, полиаминам, полиэфирам, фторуглеродам, резине из НК и СК, эластомерам, содержащим S, акриловым полимерам, тканям из естественного и синтетич. волокна и дереву на поверхность наносят слой (A), состоящий из 50—100 вес.% соединений Ti общей ф-лы  $Ti(OR)_4$  и продуктов его частичного гидролиза, растворимых в углеводородах, где R—алифатич. радикалы с числом атомов  $C \leq 13$  и гидроксигидроксилированных алифатич. радикалов с числом атомов  $C \leq 13$  и числом групп OH  $\leq 4$  и из 0—50 вес.% частично гидролизированных алкилполисиликатов (II) (напр., метил-, этил- или бутилполисиликат или их смеси). В качестве соединений Ti обычно применяют тетраметил-, тетраэтил-, тетрадецил-, октилгидрокси-, тетра-2-этилгексил-, тетрадецил- или тетраизопропилтитанаты или их комбинации. Слой A наносят в виде 5—10%-ного р-ра в толуоле или спирте кистью, пультверизатором или макием так, чтобы после испарения р-рителя оставалась сплошная пленка. На слой A наносят слой (B), состоящий из 1—10 вес.% (II) и 90—99 вес.% растворимого в толуоле органополисилоксана, содержащего 50—100 мол.%



диметилсилоксана и 0—50 мол. % органополисилоксана общей ф-лы  $R_nSiO_{(4-n)/2}$ , где R — одновалентный углеводородный радикал, а  $n \sim 2$ . В отдельных случаях на слой Б наносят слой I или клея на его основе. Для горячей или холодной вулканизации слоя Б в него вводят любые агенты, применяемые для вулканизации I; этот слой может быть также усилен различными наполнителями. Описанный метод применяют для произ-ва клейких лент, крепления металлических панелей к фюзеляжу самолетов, приклейки деталей из I к кузову автомобилей, изготовления различных слоистых деталей и т. д. Ю. Дубинкер

30976 П. Клеи из НК или СК в смеси с высокопластичными растворимыми фенольными смолами. Хульци (Klebmassen auf der Grundlage von Natur oder Kunstkautschuk im Gemisch mit hochschmelzenden, löslichen Phenolharzen. Hultsch Kurt) [Chemische Werke Albert]. Пат. ФРГ 965596, 13.06.57. Для повышения теплоустойчивости изделий, склеенных резиновыми клеями, последние готовят из смеси НК или СК с растворимыми формальдегидными конденсатами фенолов с циклич. замещающими группами в пара-положении. На  $\sim 1,5$  моля формальдегида берут 1 моль фенола. Конденсацию ведут при  $t$ -ре  $> 120^\circ$  до тех пор, пока  $t$ -ра плавления конденсата не будет  $> 90$ — $100^\circ$ , предпочтительно  $> 120^\circ$ . Для повышения растворимости  $n$ -фенилфенольных смол в алифатич. углеводородах, в фенол с циклич. замещающей группой вводят добавку алкилфенола, предпочтительно  $n$ -трет-бутил-,  $n$ -трет-амил- или  $n$ -диизобутилфенола, а также нефенольные смолоподобные модифицированные продукты. Пример. 100 ч. хлоропренового каучука 10 мин. смешивают на вальцах с 4 ч. MgO и 5 ч. ZnO. Затем 54 ч. полученной массы растворяют в смеси из 45 ч. толуола, 75 ч. уксусного эфира и 60 ч. метилхлорида. Р-р каучука смешивают с 40%, считая на каучук, фенольной смолы. М. Лурье

30977 П. Способ изготовления наполненных резиновых смесей. Вагнер, Вестлиннинг (Verfahren zur Herstellung von gefüllten Kautschukmischungen. Wagner Ernst, Westlinning Hermann) [Deutsche Gold- und Silber-Scheideanstalt vorm. Roessler]. Пат. ФРГ 962292, 18.04.57.

Для изготовления менее жестких наполненных смесей из НК, СК или каучукоподобных в-в применяют смесь  $SiO_2$  с  $Al_2O_3$  и (или) с  $TiO_2$ , полученную одновременным разложением соответствующих летучих соединений в газовой фазе. Пример. Вулканизаты содержали: на 100 ч. каучука 40 ч. наполнителя:  $SiO_2$  или смеси 90 ч.  $SiO_2$  и 10 ч.  $Al_2O_3$ . В первом случае твердость по Дефо составляла 1800, во втором 675. Остальные физ.-мех. свойства были примерно одинаковыми. М. Лурье

30978 П. Эластикатор для синтетического каучука. Мюллер (Elastikator für synthetischen Kautschuk. Müller Hans) [Siemens-Schuckertwerke A.-G.]. Пат. ФРГ 960675, 28.03.57.

В качестве эластификаторов, т. е. в-в, улучшающих мягкость сырого СК и эластичность вулканизованного, применяют сложные эфиры одно- и двухатомных спиртов и одноосновных к-т, причем компоненты эфиров образуют алифатич. неразветвленную цепь с  $\geq 7$  атомами С. Если такую цепь образует спирт, компонента эфира, то число атомов С должно быть  $\leq 10$ . На 100 ч. СК берут 20—80 ч. эластикатора. Примерами в-в с кислотной компонентой с  $\geq 7$  атомами С являются бензилолеат, циклогексилстеарат, бутилстеарат и гликолевых эфиры синтетич. смеси гентиловой, каприловой и нониловой к-т. Примером в-в со спирт. компонентой с  $\geq 7$  атомами С является пентилбензоат. М. Лурье

30979 П. Получение губчатых изделий. Бивер (Manufacture of cellular articles. Beaver David J.) [Monsanto Chemical Co.]. Пат. США 2746939, 22.05.56.

Каучук (К) (НК или СК) нагревают с S и  $\geq 5\%$  от веса К в-ва, выделяющего газ и состоящего из сплавленной (при  $t$ -ре ниже  $t$ -ры разложения) смеси 23—80 вес. ч. малеинового ангидрида (I) и 77—20 вес. ч. ускорителя вулканизации, содержащего атом С, соединенный с 2 атомами S и 1 атомом N тиазола, тиурамсульфида или дитиокарбамата, напр. 2-меркаптобензотиазола (II), 2-меркаптотиазолина, 1,3-бис-(2-беназтиазолилмеркаптометил)-мочевины, 2,2'-дитиобис-бензотиазола, N-циклогексил-2-беназтиазолсульфенамида, соли пиперидина и циклопентаметилен-дитиокарбаминовой к-ты, Zn-диметил- и Zn-диэтил-дитиокарбамата, тетраметилтиурамдисульфида, тетраметил- и тетраэтилтиураммоносульфида, тетраэтилтиурамдисульфида, 2-меркапто-4-метил- и 2-меркапто-4-этилтиазола или 2-меркапто-4,5-диметилтиазола. Пример (в вес. ч.). На паровой бане 15 мин. сплавляют смесь 115,5 (77%) I, 34,5 II (23%) и получают 141,6 сплава (выход 94%); 5 сплава прибавляют к смеси: НК 100, ZnO 5, S 3, стеариновая к-та 1,5 и III 0,5, вулканизуют 30 мин. при  $142^\circ$  и получают продукт, равномерно пронизанный тончайшими порами. Н. Эвертгова

30980 П. Способ изготовления нормальной цинковой соли меркаптобензотиазола. Харман (Process of producing normal zinc mercaptobenzothiazole. Harman Marion W.) [Monsanto Chemical Co.]. Пат. США 2754303, 10.07.56.

Для получения Zn-соли меркаптобензотиазола (I), не содержащей свободного I, продукт, полученный осаждением из водн. р-ра I растворимой Zn-соли I, нагревают при  $\sim 200^\circ \geq 2$  час. в отсутствие р-рителя химически реагирующего с Zn-солью I. Такой же обработке подвергают смесь основной Zn-соли I с I. М. Лурье

30981 П. Вулканизационные формы. Мейсон, Босомуэрт (Mold. Mason Fred H., Bosomworth George P.) [The Firestone Tire & Rubber Co.]. Пат. США 2754546, 17.07.56.

Формы, предназначенные для вулканизации резины в ВЧ-поле, изготовляют из материалов, коэф. диэлектрич. потерь которых близок или равен коэф. диэлектрич. потерь вулканизуемой резины. Вследствие этого разогревание резины и формы происходит с одинаковой скоростью. Формы изготовляют из дерева, пропитанного различными в-вами, образующими водо- и теплоустойчивые синтетич. смолы после термич. или другой обработки. Такие смолы могут быть образованы, напр. при р-ции между мочевиной и формальдегидом, фенолом и формальдегидом, алкидными смолами или ненасыщ. полиэфирами. Для этой же цели можно применять силиконовые смолы, хлорстиролы или их р-ры, винилкарбазоновые смолы и др. Для облегчения и ускорения пропитки применяют пористые сорта древесины. В качестве вкладышей для формирования поверхности внутренней полости формы можно использовать сложные готовые изделия, напр. автопокрышки; в стенки форм помещают электроды, конфигурация и расположение которых обеспечивают необходимое распределение плотности ВЧ-поля в вулканизуемом изделии. Формы такой конструкции можно применять как для вулканизации изделий из обычных резиновых смесей, так и из латекса или водн. дисперсий СК. В последнем случае дисперсии желатинируют и вулканизуют в одной форме, что исключает деформацию или повреждение изделия. Ю. Дубинкер

**30982 П.** Способ стабилизации синтетического каучука эмульсионной полимеризации. Тейпель, Бухгольц (Verfahren zum Stabilisieren von durch Emulsionspolymerisation gewonnenem Kunstkautschuk. Teupel Ernst, Buchholz Karl) [Farbenfabriken Bayer A.-G.], Пат. ФРГ 952938, 27.12.56

Для стабилизации СК в латексе после полимеризации, но до коагуляции вводят трет-бутилфенол, в частности сим-три-(трет-бутил)-фенол (I). Пример. В 100 ч. воды дисперсии бутадиенстирольного полимера вводят при перемешивании в течение 30 мин. 5 ч. эмульсии, содержащей 1 ч. I и 4 ч. 0,5%-ного р-ра мыла. Тонкая пластинка этого каучука после 8 недель облучения солнечным светом не меняет цвета и не твердеет на поверхности. После термич. окисления при 130° и 3 ат твердость смеси по Дефо изменяется от 2400 (до окисления) до 150 через 15 мин. окисления и до 120 через 50 мин. М. Лурье

**30983 П.** Противостаритель для резины. Мейс (Alterungsschuttmittel für Kautschuk. Meis Helmut) [Deutsche Gold- und Silber-Scheideanstalt vorm. Roessler]. Пат. ФРГ 964441, 23.05.57

В качестве противостарителя для резины из НК или СК применяют получающиеся в отсутствие полимеризующих в-в продукты конденсации винилбензола с ароматич. окиссоединением или побочный продукт произ-ва фенола окислением и расщеплением изопропилбензола. Пример: вулканизат (вес. ч.): НК 100, активная  $\text{SiO}_2$  40, стеариновая к-та 2,  $\text{ZnO}$  5, гликоль 4, вулкапит F 2,2, S 3 содержал в качестве противостарителя 1 ч.  $\alpha$ -метилстиролфенола. До и после старения (8 суток при 90°) резина имела сопротивление разрыву соответственно 226 и 142 кг/см<sup>2</sup>, с обычным противостарителем (продукт конденсации резорцина и стирола) 228 и 119 кг/см<sup>2</sup>. М. Лурье

**30984 П.** Удаление воздуха из вулканизационных форм. Думке (Entlüftung an Vulkanisierformen, insbesondere für Fahrzeughlutfreifen. Dumke Otto) [Continental Gummi-Werke A.-G.], Пат. ФРГ 957785, 7.02.57

Клапан для отвода воздуха из полости вулканизационных форм, в особенности форм для вулканизации покрышек, состоит из вставленного в стенку формы гнезда 1 и подвижного сердечника 2, представляющего собой конус с цилиндрич. хвостовиком, палец которого после вставления в отверстие гнезда расклипывается и, тем самым, ограничивает высоту подъема сердечника. Угол конусности конич. головки сердечника меньше угла конусности седла на 5—20°. На конич. поверхность сердечника и на поверхность седла наносят тонкие бороздки, благодаря которым воздух может выходить из полости формы даже после того, как кольцевое пространство между сердечником и гнездом будет заполнено вулканизуемым материалом. При удалении изделия из формы тонкая пленка вулканизата, образовавшаяся в зазоре, отделяется от поверхности гнезда и остается на изделии, откуда она может быть при необходимости удалена. Регулярное удаление затекшей в зазор пленки предотвращает засорение клапана. Р. Торнер

**30985 П.** Сухой метод крепления текстильного материала к резине. Бакуолтер, Олманд (Dry adhesion method for adhering textile material to rubber. Buckwalter Howard M., Almand Joseph M.) [United States Rubber Co.], Пат. США 2746898, 22.05.56

Крепление шинного корда к резинам из НК и GR-S осуществляется за счет образования резорцинформальдегидной смолы при вулканизации на границе

раздела кордкаркасная смесь, напр., при нанесении 2 вес.% параформальдегида на корд и введении 0,64—1% резорцина в смесь. При этом прочность связей по «Н»-методу выше, чем при пропитке латексно-резорцинформальдегидным составом (соответственно 9—10 кг и 7,5 кг). Параформальдегид с резорцином можно также вводить в смеси или наносить на корд.

**30986 П.** Прокладка в рукавах. Гёрке (Zwischenzeugnis zur Herstellung von Schläuchen. Goerke Armin) [Continental Gummi-Werke A.-G.], Пат. ФРГ 952129, 8.11.56

Лентообразная резиновая прокладка в рукавах, напр. для бетона, состоит из продольных параллельных нитей, собранных в группы, промежутки между которыми заполнены только резиновой смесью.

**30987 П.** Аппарат для обнаружения пор в тонкостенных полых резиновых изделиях. Мёних (Vorrichtung zum Ermitteln poröser Stellen in dünnwandigen Gummihohlkörpern. Mönnich Herbert). Пат. ФРГ 940551, 22.03.56

Аппарат состоит из двух горизонтально расположенных друг над другом прозрачных пластин. Под одной помещен источник света, на другую пластину нанесено порошкообразное или жидкое вещество — указатель; над ней расположено испытуемое изделие, наполненное сжатым воздухом. При вращении испытуемого изделия малейшее отверстие в нем обнаруживается по выходящей струе воздуха, образующей в порошке или жидкости углубление или волну. Для лучшего наблюдения прибор может быть снабжен весовым устройством, а также зеркалом. М. Лурье

**30988 П.** Способ и приспособление для изготовления резиновых растяжимых эластических дорожек, плит и т. п. Рёрих (Verfahren und Vorrichtung zur Herstellung von dehnbar elastischen Bahnen, Platten u. dgl. aus Gummi. Röhrich Georg) [Fa. Karl Richelshagen, Köln, und Georg Röhrich]. Пат. ФРГ 961129, 4.04.57

На подложку в виде фольги из пластмассы, металла, бумаги и т. п. попеременно наносят слои клеев, напр. резинового и наполненного молотого вулканизата различной зернистости. После вулканизации под небольшим давлением получают однородный эластичный продукт с гладкой или шероховатой поверхностью. При изготовлении таким образом формовки или полых предметов подложка образует форму, которая после вулканизации удаляется. М. Лурье

**30989 П.** Клеевая композиция, содержащая полисилоксановый каучук, полисилоксановое масло и усиливающий пигмент. Килбурн, Морони, Кидвелл (Adhesive composition containing polysiloxane rubber, polysiloxane oil and reinforcing pigment. Kilbourne Frederick L., Moroney Thomas S., Kidwell Alfred S.) [The Connecticut Hard Rubber Co.], Пат. США 2744079, 1.05.56

Клеевая композиция, приклеивающаяся при надавливании, состоит из 8—5 ч. теплостойкого полидиметилсилоксанового масла, 2—<5 ч. невулканизованного полидиметилсилоксанового каучука, растворимого в силиконовом масле; на каждые 10 ч. каучуко-масляной смеси вводят 1—3 ч. усиливающего пигмента ( $\text{SiO}_2$ ,  $\text{TiO}_2$ ,  $\text{Al}_2\text{O}_3$ ,  $\text{ZnO}$ , кизельгур,  $\text{CaCO}_3$ , газовая сажа), 0,2—0,25 ч. вулканизирующего агента (перекиси бензоила, трет-бутилпербензоат). Смесь наносят на ленту из бумаги или ткани и нагревают 10—60 мин. при 200°. Адгезионные свойства смеси сохраняются от —73 до +260° при повышенной влажности и при соприкосновении с углеродными маслами. Л. Золотаревская





См. также: Хлоркаучук 30899. Силиконовый каучук 30789. Глобулизация каучуков 31217. Структурирование в растворах 31254. Клей из буна 30816. Радиационная вулканизация 30752. Вулканизация, исследование с помощью ядерного магнитного резонанса 31231. Вулканизаты, релаксация напряжения 31237—31239. Тиурамсульфид, получение 29749. Резина, как конструкционный материал в области атомной энергетики 30751. Определение S 28516

## ИСКУССТВЕННЫЕ И СИНТЕТИЧЕСКИЕ ВОЛОКНА

Редактор В. А. Дерезицкая

30990. Современное состояние и перспективы развития производства синтетического волокна. Хатано. Кемикару эндзиниярингу, Chem. Engng, 1957, 2, № 5, 395—401 (японск.)

30991. Пятьдесят лет химии волокон. Схюринга (Vijftig jaar vezelchemie. Schuringa G. J.), Chem. weekbl, 1955, 51, № 10, 180—185 (гол.)

30992. Успехи промышленности синтетических волокон в Японии. Имото (Progress of synthetic fiber industry in Japan. Imoto Minoru), J. Text. Mach. Soc. Japan, 1957, 3, № 1, 1—8 (англ.)

Приводятся данные об экономике и истории развития японской промышленности синтетических волокон, свойствах, областях применения, методах производства и сырьевых источниках. В настоящее время в Японии производится поливинилхлоридное волокно тевион по сухому методу прядения из р-ра поливинилхлорида в смеси ацетон — бензол; конекалон К и N из сополимеров винилхлорида с акрилонитрилом в соотношениях 60:40 и 40:60 соответственно; курехалон из сополимера винил- и винилиденхлорида. Сообщается также о предполагающемся выпуске новых полиамидных волокон — азелон (найлон 9) — из ω-аминопеларгоновой к-ты и полиазин — из лутидиновой к-ты и гексаметилендиамина. Произ-во ω-аминопеларгоновой к-ты будет осуществляться, исходя из олеиновой к-ты получаемой из китовой ворвань по схеме:  $C_8H_{17}CH=CHC_2H_4COOH \rightarrow CHOC_2H_4COOH \rightarrow HON=CH(CH_2)_7COOH \rightarrow NH_2(CH_2)_8COOH$ . Найлон 9 обладает повышенной по сравнению с найлоном 6 и 66 термостабильностью расплава, прочность волокна 45—50 ркм т. пл. 197°. Волокно полиазин имеет т. пл. 260°, прочность 45—54 ркм и хорошо окрашивается различными красителями. Описываются также волокно из тетрагидрофуран-2,5-дипропионовой к-ты и гексаметилендиамина, называемое найлон 6Т, имеющее прочность 19 ркм и т. пл. 188—190° и полимочевяное волокно из нонаметилендиамина и мочевины (нонаметилендиамин может быть получен также, исходя из олеиновой к-ты), полиэфирное волокно из 3-метокси-4-(2-оксизетокси)-бензойной к-ты, получаемой из ванилина, который выделяют из щелоков целлюлозного произ-ва, и полиэфироамидное волокно из себацдиновой к-ты этаноламина и тетраметилендиамина.

Р. Муромова

30993. Исследование акриловых синтетических волокон. XXVI. Обсуждение окислительно-восстановительной полимеризации. Катаяма (Katayama Masamichi), Кобунси кагаку, Chem. High Polym., 1957, 14, № 141, 49—53 (японск.; рез. англ.)

Обсуждается механизм иницирования полимеризации акрилонитрила в присутствии  $Na_2S_2O_8$ , солей кислородных к-т S с восстановительными свойствами ( $Na_2SO_3$ ,  $NaHSO_3$ ,  $Na_2S_2O_4$ ) и солей  $Fe^{3+}$  или  $Cu^{2+}$ . Часть XXV см. РЖХим, 1958, 9968.

Р. Муромова

30994. Успехи в области полимеров. Часть III. Расширение фронта исследования полиэфиров. Со-

мерс (Polymer progress 1957 series. Part 3. Widening scope of polyester research. Somers J. A.), Man-Made Text, 1957, 34, № 398, 68—69 (англ.)

Путем полимеризации αα-диметил-β-пропиолактона, проводящейся при  $t_{ре} < 100^\circ$  в присутствии третичных аминов, напр. гексаметилентетрамина,  $N,N,N',N'$ -тетраметилгексаметилендиамина, диметиланилина, а также  $H_2SO_4$ , гидроокисей или алколюатов щел. металлов в качестве катализаторов, может быть получен высокомолекулярный устойчивый к гидролизу полиэфир с т. пл. 236—237°, пригодной для получения волокон, вытягивающихся на холоду и окрашивающихся дисперсными азо- и антрахиноновыми красителями. Введение бензимидазольных колец в молекулу полиэтилентерефталата и других полиэфиров повышает их способность к окрашиванию. Для введения бензимидазольных колец поликонденсация оксикарбоновых к-т или дикарбоновых к-т (или их эфиров) с гликолями проводится в присутствии бифункциональных производных бензимидазола, напр., 5-карбоксибензимидазол-2-пеларгоновой к-ты, 5-карбоксиэтил-2-метилбензимидазола и т. п.; бензимидазольные кольца можно также ввести в молекулу полифира, нагревая расплав готового полифира, с о-фенилендиамин. Для уменьшения ворсистости на тканях из полиэтилентерефталата получение последнего из диметилтерефталата и гликоля проводят при 250° в присутствии инертного р-рителя, напр. α-метилнафталина, дифенилметана, дифенилксида, дифенилбензофена. Из полифира с содержанием 7—12% р-рителя формуют волокно, из которого основная часть р-рителя удаляется при прохождении через зону с встречным потоком воздуха и через ванну с  $CCl_4$ . Удаление остатков р-рителя при  $t_{ре} 130^\circ$  обуславливает создание матовой и более грубой поверхности волокон, что препятствует образованию ворса на ткани. Часть II см. РЖХим, 1958, 27213.

Р. Муромова

30995. Использование кривых набухания целлюлозы для оценки ее пригодности при переработке в вискозу. Авизье, Хесс (Über die Charakterisierung von Zellstoffen für den Viskoseprozeß durch statistische Quellstadien-Kurven (QS-Kurven). Avisiers J., Hess K.), Holzforschung, 1956, 10, № 1, 12—18 (нем.; рез. англ.)

Для оценки пригодности целлюлозы для произ-ва вискозного волокна предлагается готовить в стандартных условиях ксантогенат целлюлозы и исследовать под микроскопом набухание ксантогенатных волокон в 25%-ном р-ре изопропилового спирта в воде. В зависимости от степени разрушения первоначальной морфологич. структуры целлюлозы за заданное время (2 часа) под микроскопом наблюдается различная форма набухшего волокна. Приведены 8 фотоснимков, характеризующие виды набухания волокон. Сопоставление полученных данных с фильтруемостью вискоз дает возможность судить о пригодности целлюлозы для произ-ва вискозного волокна.

А. Пакшвер

30996. Физико-химические и коллоидные свойства зольей некоторых пигментов, применяемых для крашения вискозы в массе. Уарова С. П., Александрова Е. М., Тр. Моск. хим.-технол. ин-та им. Д. И. Менделеева, 1957, № 25, 11—16

Разработан метод определения хим. устойчивости пигментов путем обработки красителя воды. р-рами в-в, входящих в состав вискозного р-ра, осадительных ванн и отделочных р-ров при  $t_{ре}$  и конц-ях, применяемых на произ-ве. Изучались пигменты: голубой фталоцианиновый и алый 2С, оптич. свойства зольей и условия коагуляции. Степень дисперсности определялась по Фигуровскому. Указывается, что диспер-

гатор НФ создает структурированные, стабилизирующие слои на поверхности частиц пигмента. Отмечено также стабилизирующее действие вискозы на золи пигментов. Подтверждено понижение устойчивости золь как под действием низкой т-ры, так и при высушивании.

Д. Кантер  
30997. Исследования в области получения новых волокон. II. Полиэфирные, полиакриловые и поливиниловые волокна. Холл (The search for and production of new fibres — II. Polyester, acrylic and polyvinyl fibres. Hall A. J.), *Fibres*, 1957, 18, № 2, 43—47 (англ.)

Описываются достижения последних лет в области получения полиэфирного волокна терилон и различных полиакриловых и поливиниловых волокон (саран, виньон Н, виньон N, дарлан, зефран, орлон, ровиль и волокна из поливинилового спирта). Приводятся патентные данные о применении различных катализаторов в 2 стадиях получения полиэтилентерефталата — переэтерификации и поликонденсации. Указывается, что для получения полиэтилентерефталата высокой степени чистоты поликонденсацию дигликолевого эфира терефталевой к-ты проводят в среде инертного парафинового углеводорода, кипящего выше 300°, одновременно пропуская через реакционную смесь перегретые пары ароматич. или гидроароматич. соединения, не содержащего реакционноспособных групп. Для получения полиэтилентерефталата, способного окрашиваться кислотными и протравными красителями, в его макромолекулу вводят бензимидазольные кольца. Обсуждаются новые способы прядения волокон из полиакрилонитрила (I). Напр., 59—65%-ная  $\text{HNO}_3$ , которая может употребляться также в смеси с нитрометаном, дает стабильные прядильные р-ры I, если полимеризация акрилонитрила проводилась в присутствии перекиси жирной карбоновой к-ты в качестве катализатора. Прядение таких р-ров осуществляется или в 10%-ную  $\text{HNO}_3$ , или в воду, причем в зависимости от т-ры прядения можно получать матовое или блестящее волокно. Полиакрилонитриловое волокно можно получать также прядением р-ра I в диметилнитроамине в 10%-ный или более конц. р-р какой-либо соли, напр.  $\text{CaCl}_2$ ,  $\text{ZnCl}_2$ ,  $\text{CH}_3\text{COOK}$ , или из р-ра, содержащего нитрометан и 8% воды, в осадительную ванну, состоящую в основном из безводн. нитрометана. Часть I см. РЖХим, 1957, 62278.

Р. Муромова  
30998. Вопросы переработки синтетических полимеров и современное оборудование. Фурусав. Кобуси, 1957, 6, № 60, 111—119 (японск.)

Рассмотрено применение синтетич. полимеров для изготовления волокон и дана общая характеристика оборудования, применяемого для этой цели.

В. Иоффе  
30999. Полиэтиленовое волокно. Уайдигер, Юс, Бродуэлл (Polyethylene fibers. Widiger A. T., Jouse G. H., Broadwell T. C.), *S. P. E. Journal*, 1957, 13, № 4, 32—34 (англ.)

Изучен процесс произ-ва моноволокон из полиэтиленов, полученных при высоком и низком давлениях, на обычном оборудовании для экструзии моноволокон саран. Технология получения моноволокон из полиэтилена высокого давления отличается от произ-ва волокна саран более высокой т-рой экструзии, достигающей до 205°, и повышенной вытяжкой (4—10-кратная). Как и в случае волокна саран, вытяжка производится при ~20°. Оптимальная т-ра экструзии линейного полиэтилена составляет 210°, вытяжки 110—115° ( $\pm 10^\circ$ ). При более низкой т-ре волокно ломается, а при более высокой — прилипает к поверхности ролика. Приведены свойства волокна саран и волокон из разветвленного и линейного полиэтилена

(плотность, прочность, удлинение и т. п.). Отмечается заметное падение крепости волокна из линейного полиэтилена при действии светопогоды. Однако в результате стабилизации этого волокна добавлением 2—3% сажи и антиоксидантов падение прочности значительно уменьшается.

А. Волохина  
31000. Синтетическое волокно из поливинилхлорида. Цунода. Пурасутиккусу, Japan Plastics, 1954, 5, № 11, 1—10 (японск.)

31001. Применение факториальных опытов в случае производственных процессов, не поддающихся измерению. Блага, Крейчи (Použití faktorových pokusů při neměřitelném výrobním procesu. Blaha Karel, Krejčí Miloš), *Chem. průmysl*, 1957, 7, № 8, 460—463 (чешск.; рез. русск., англ., нем., франц.)  
Для процессов, состоящих из большого числа стадий, возможность наблюдения за качеств. показателями на отдельных стадиях исключается. Авторы предлагают применять в подобных случаях факториальные опыты. На примере процесса изготовления полиамидного волокна показано, что метод, предлагаемый авторами, требует для своего осуществления малой затраты времени и небольшого кол-ва измерений.

В. Вольфсон  
31002. Искусственное волокно из древесины. Хатахама. Кобуси, 1957, 6, № 62, 220—223 (японск.)

31003. Новые методы кантогенирования щелочной целлюлозы. Рыбицкий (Nowe metody siarczkowania alkalicelulozy. Rubicki Z.), *Przem. chem.*, 1957, 13, № 1, 18—25 (польск.)

Сравнительное рассмотрение различных методов кантогенирования щел. целлюлозы (в аппаратах типа «спяной бочки» и непрерывного действия), условий кантогенирования, влияние исходной целлюлозы на процесс кантогенирования и последующую фильтруемость вискозного р-ра.

Е. Гурвич  
31004. Триацетатное волокно. Перспективы развития. Шрикке (Le triacétate. Réalités et perspectives. Schricke M.), *Teintex*, 1957, 22, № 11, 831, 833—834, 837, 839—840, 843 (франц.)

Триацетатное волокно (Триа) «с ацетильным числом 62%» — формуют из р-ров триацетилцеллюлозы в смеси  $\text{CH}_2\text{Cl}_2$  и спирта, в  $\text{CH}_3\text{COOH}$ , в тетрагидрофуране. Сформованное волокно в результате термореаксации в парах воды при 125—140°, и в сухом состоянии при 195—220°, приобретает кристаллич. структуру, которую наблюдают с помощью рентгенограмм. При термообработке под натяжением наблюдается ориентация кристаллов. Приведены кривые нагрузка — удлинение до и после термообработки. Триа красится при 100° (под давлением) дисперсными красителями для ацетатного шелка, с повышенной прочностью окрасок к мокрым обработкам, по сравнению с ацетатным волокном. Триа обладает повышенной термостойкостью, несминаемостью, сохраняет складку в изделиях, устойчив против моли и к действию микроорганизмов. Описано применение триа в смесях: с вискозным волокном (50:50), с полиамидным и с полиэфирными волокнами. К смеси триа с шерстью рекомендуется добавка нейлона от 5 до 25%, значительно повышающая прочность на износ.

Д. Кантер  
31005. Об упрочнении искусственного волокна. Уэно. Нихон гому кёкайси, *J. Soc. Rubber Ind.*, 1954, 27, № 11, 767—772 (японск.)

31006. Новое полиакриловое волокно креслан. Бендигго (Development of Creslan acrylic fibre. Bendigo C. W.), *Canad. Text. J.*, 1957, 74, № 21, 65—66 (англ.)

Новое полиакрилонитриловое волокно креслан по свойствам аналогично другим полиакрилонитриловым волокнам, но может быть окрашено в светлые и темные тона всеми классами красителей (дисперсные,



тмечается  
длинного  
как в ре-  
бавлении  
ности зна-  
Волокна  
хлориде  
1954, 5,  
в случае  
кислоте  
акторов  
Blaha  
1957, 7,  
т. франц.)  
го числа  
в. показ  
Авторы  
х факто-  
отделение  
т. предм  
ественн  
ва изм  
Вольфон  
Хати-  
онск.)  
щелочной  
siagcsko-  
m. chem.  
методов  
аппаратах  
ия), усло  
делловым  
ую филь  
Е. Гурвич  
ны разн  
perspecti-  
11, 831,  
им числом  
ы в смеси  
рофурана.  
эдаксации  
янии пре  
которую  
ермообра-  
ация кри-  
нение до  
100° (под  
цетатного  
к мокро  
волокон.  
о, несми  
устойчиво  
Описано  
волокон  
и воло  
и добав  
дая проч  
Д. Каттер  
волокон.  
ber Ind.,  
ан. Бен-  
се. Вен-  
1, 65-66  
еслан по  
риловым  
е и тем-  
перные.

основные, кислотные, прямые, хромовые и др.). Кра-  
шение продолжается 2,5—5,0 час. А. Пакшвер

31007. Успехи в области новых синтетических воло-  
кон. Сообщение 10. Новые волокна на основе сопо-  
лимеров полиакрилонитрила. Фрелих (Fortschritts-  
berichte über die neueren synthetischen Fasern.  
10. Mitt. Neue Acrylnitril-Mischpolymerisatfasern.  
Fröhlich H. G.), Z. ges. Textilind., 1957, 59, № 2,  
45—46 (нем.)

Описаны важнейшие хим., физ. и механич. свойства  
пресона и верела — новых волокон на основе сополи-  
меров полиакрилонитрила, выпускаемых американ-  
скими фирмами в виде штапель и шелка. Для краше-  
ния волокон применяют ацетатные, основные, кислот-  
ные, хромовые и другие красители. Указаны особен-  
ности отделки волокон. Кратко описаны отличитель-  
ные особенности улучшенного волокна орлон 42 при  
крашении. Предыдущее сообщение см. РЖХим, 1957,  
73748. С. Зеликман

31008. Некоторые статистические данные по оценке  
прочности волокон. Камминг (Some statistical  
observations on the estimation of fibre strength. Cum-  
ming Ian G.), J. Text. Inst. Trans., 1957, 48, № 5,  
T143—T153 (англ.)

31009. Изучение вытигивания вискозного волокна. I.  
Вытяжка и ориентация модельных волокон. II. Ис-  
следование ориентации вытянутой модельной нити.  
Синохара, Тандзава (Shinohara Y., Tan-  
zawa H.), Тоё райён кабусики кайся суюхо, Scient.  
Repts Toyo Rayon Co., 1957, 12, № 3, 93—101 (японск.;  
рез. англ.)

См. также РЖХим, 1957, 53051. А. Роговина  
31010. Структура и механические свойства вискоз-  
ного шелка. Синохара, Тандзава (Shinoha-  
ra Y., Tanzawa H.), Тоё райён кабусики кайся  
суюхо, Scient. Repts. Toyo Rayon Co., 1957, 12, № 3,  
102—108 (японск.; рез. англ.)

С целью выяснения зависимости механич. свойств  
волокон от двух основных характеристик его структу-  
ры — ориентации и степени кристалличности — на мо-  
дельном образце вискозного шелка определяли два  
модуля Юнга (перпендикулярно и параллельно оси  
волокон), два типа крутильной жесткости, разрывную  
прочность и удлинение, построена кривая нагрузка —  
удлинение. Ориентация определялась по двулучепре-  
ломлению. В первом приближении можно принять, что  
оба модуля зависят только от ориентации волокон.  
С повышением ориентации модуль Юнга параллельно  
оси волокна заметно возрастает, перпендикулярно оси  
слегка уменьшается, оба типа крутильной жесткости  
остаются практически неизменными. Форма кривой  
нагрузка — удлинение также зависит только от ориен-  
тации волокна. Величины же разрывной прочности и  
удлинение — как от ориентации, так и от степени кри-  
сталличности. Наилучшим способом определения кри-  
сталличности оказался способ определения степени  
набухания исходного геля. Следовательно, разрывная  
прочность и удлинение могут быть выражены через  
ориентацию волокна и степень набухания исходного  
геля. А. Роговина

31011. Механические свойства вискозного шелка при  
больших деформациях. Синохара (Shinohara  
Y.), Тоё райён кабусики кайся суюхо, Scient. Repts.  
Toyo Rayon Co., 1957, 12, № 3, 88—92 (японск.; рез.  
англ.)

Изучалась релаксация напряжения и зависимость  
кривой нагрузка — удлинение вискозного шелка от  
скорости растяжения на воздухе (т-ра 20°, относитель-  
ная влажность 65%) и в воде (т-ра 20°). Для объяс-  
нения полученных результатов исходили из представ-  
ления о том, что между мол. цепями существуют свя-  
зи двух типов: сильные связи, благодаря которым

образуется сетчатая структура, и слабые связи, кото-  
рые определяют внутреннее трение между макромоле-  
кулами и могут разрываться при растяжении. Теоре-  
тич. данные, рассчитанные из этой модели, хорошо  
согласуются с эксперим. величинами. А. Роговина

31012. О структуре оболочки упороченного вискоз-  
ного волокна. Кагано, Кагаку, 1955, 25, № 1, (японск.)

31013. О свойствах и возникновении оболочки воло-  
кон из полиамида-6. Швертассек, Плисек  
(Über Eigenschaften und Entstehung der Faserhaut  
bei Polyamid-6-Fasern. Schwertassek K., Pli-  
sek L.), Textil-Praxis, 1957, 12, № 9, 874—876, 6  
(нем. рез. англ., франц., исп.)

Изучались свойства и причины образования оболоч-  
ки (О) волокон из полиамида-6. Оказалось, что нали-  
чие О не влияет на окрашиваемость волокон, О мо-  
жет быть отделена от сердцевины растворением по-  
следней в  $H_2SO_4$  строго определенной конц-ии, О обна-  
руживается только на вытянутых волокнах, но отде-  
лить ее от сердцевины растворением можно лишь  
после процесса фиксации: образование О не является  
следствием окислительного процесса, так как не зави-  
сит от того, проводилось ли прядение в атмосфере  $N_2$ ,  
воздуха или  $O_2$ ; до сих пор не удалось выделить и  
обнаружить О на моноволокнах малых номеров. Вы-  
сказывается предположение, что О представляет собой  
более ориентированную и более кристаллич. часть во-  
локна и что, чем выше номер элементарного волокна,  
тем резче отличие О от сердцевин. Р. Муромова

31014. Механические свойства волокна, изготовлен-  
ного из  $\alpha$ - и  $\beta$ -казеина. Женен (Les propriétés mé-  
caniques des fibres de caséine préparées en partant  
d' $\alpha$ - et de  $\beta$ -caseines. Génin G.), Lait, 1956, 36,  
№ 357, 399—405 (франц.)

31015. Изучение структуры крученой пряжи. IV.  
Силы сжатия в крученом волокне. V. О раскручива-  
нии пряжи. Футино, Сунага, Накамити.  
1956, 12, № 1, 24—27; № 12, 887—894 (японск.; рез.  
англ.)

Часть III см. РЖХим, 1957, 56139

31016. Количественное определение синтетических  
волокон в смешанных тканях и пряже. Ульрих  
(Die quantitative Bestimmung der synthetischen Fa-  
seranteile in Mischgeweben und Mischgespinnsten. Ul-  
rich Johannes), Dtsch. Textiltechn., 1957, 7,  
№ 10, 578—579 (нем.)

Детально описана подготовка тканей и пряжи, а  
также расчет результатов при проведении колич. опре-  
деления отдельных компонентов в смешанной пряже.  
Подробно указаны условия проведения анализа для  
разделения смеси различных волокон. Для разделения  
смеси волокон из поливинилхлорида с хлопком,  
шерстью или с вискозным волокном (В) применяют  
 $CH_2Cl_2$ . Для смеси полиамида с хлопком, шерстью или  
с В используют конц.  $HCOOH$ . В случае смеси поли-  
акрилонитрильных волокон с хлопком, шерстью или  
с В р-рителем служит диметилформамид.  $NaClO$  при-  
меняют для разделения смеси полиэфирных волокон  
с шерстью. Для смеси полиэфирных волокон — хлопок  
или В рекомендуется 70%-ная  $H_2SO_4$ . С. Зеликман

31017. Способ определения крутки моноволокна на  
найлона. Асл-Флетчер (A method for evalua-  
ting the twist in nylon monofilaments. Astle-  
Fletcher M. W.), J. Text. Inst. Trans., 1957, 48,  
№ 4, T128—T132 (англ.)

При крутке моноволокна угол ориентации молекул  
относительно оси волокна ( $\theta$ ) изменяется по ф-ле  
 $tg \theta = \pi d t$ , где  $d$  — диаметр моноволокна, а  $t$  — число  
кручений на дюйм. Было найдено, что плоско-поляри-  
зованный луч, направленный под углом ( $-\theta_d$ ) к оси

волокна, после прохождения через волокно оказывается поляризованным в плоскости под углом  $(+\theta_d)$  к оси. Луч, падающий на волокно под любым другим углом, поляризуется лишь частично. Исходя из этого, предложен метод определения угла  $(\theta_d)$  с помощью поляризационного микроскопа. Образец волокна прочно закрепляется на предметном стекле. Свет пропускается через поляризатор, а затем конденсором направляется на волокно. Анализатор помещен в окуляре и связан со шкалой, показывающей угол его поворота. Поляризатор и анализатор вращаются несколько раз до тех пор, пока волокно не станет по возможности темным. В этом положении плоскость луча, падающего на волокно, наклонена к оси волокна под углом  $(-\theta_d)$ , а плоскость проходящего луча под углом  $(+\theta_d)$ . Затем, не трогая поляризатор, вращают анализатор до тех пор, пока поле зрения не станет по возможности темным. Разность между первым и вторым положением анализатора равна  $2\theta_d$ . Если для достижения второго положения анализатор вращается по часовой стрелке, волокно имеет крутку  $S$ , а если против часовой стрелки — крутку  $Z$ . Контрольные опыты показали, что при исследовании моноволокна 15 денье ошибка составляет  $\pm 0,1$  круч./дюйм. Метод годен только для волокон круглого сечения. С. Савина

**31018. «Тетрон» (тефлон) — тетрафторэтиленовое волокно.** Гофман («Tetron» tetrafluoroethylene fibre. Hofmann W. O.), Text. J. Australia, 1957, 32, № 2, 246, 248 (англ.)

Свойства и применение волокна тефлон. Благодаря исключительной химстойкости изделия из волокна тефлон могут применяться для фильтрования агрессивных жидкостей и газов, а также в качестве прокладок в вентилях при транспортировке этих в-в. Вследствие повышенной т-ры размягчения ( $290^\circ$ ) и термостабильности волокно тефлон представляет интерес для электроизоляционной про-сти, а также в военно-воздушной технике (летательные аппараты и металлические снаряды). Низкий коэф. трения (0,03) и достаточная прочность способствуют применению этого продукта для изготовления подшипников, работающих без смазки.

А. Волохина

**31019. Прядение волокна орлон.** Уэлс («Orlon» from fibre to yarn. Wells Robert A.), Text. Mercury and Argus, 1957, 137, № 3572, 487—492 (англ.)

Успехи в области произ-ва «объемной» пряжи путем прядения волокна орлон по обычным системам хлопко- и шерстопрядения.

А. Волохина

**31020. Волокно Бан-Лон; свойства, прядение, отделка, крашение.** (Les fils Ban-Lon. Propriétés. Filature-Teinture-Finition.—), Teintex, 1957, 22, № 9, 673—674, 677, 679 (франц.)

Волокно Бан-Лон отличается мягкостью, легкостью, хорошей кроющей способностью и повышенным влагопоглощением. Производство Бан-Лона состоит из 5 этапов: Найлону 70 денье придается извитость в спец. аппарате, состоящем из нагревательной трубки и питающего механизма. Нить (Н), сходящая со шпули, проходит через вальцы, создающие давл. 500—1000 кг, вследствие чего образуются извитки. Вальцы подают Н в нагревательную трубку, где извитки фиксируются под действием тепла и давления. Затем Н поступает в контрольную щель, где улавливаются все оборвавшиеся волокна, после чего на Н наносится замасливающий состав, содержащий в своем составе эмульгатор. В дальнейшем замасливатель смывается, волокна перестают быть склеенными и Н приобретает пушистость, характерную для этого волокна. В зависимости от назначения (чулки, носки, трикотаж) Н тростятся в 2,3, 7, а затем подвергаются небольшой крутке. Готовое волокно перематывается на конич. шпули, которые

должны быть средне жесткими. Подробно описаны процессы крашения и отделки изделий из Бан-Лона.

С. Савина

**31021. Результаты испытания материалов из камина (амилана).** Мацубара (Matsubara K.), Тоёрён кабусики кайся сёке, Scient. Repts Toyo Rayon Co., 1955, 10, № 3, 116—120 (японск.)

**31022 К. Изучение волокна под микроскопом: техника исследования и применение.** Стове (Fibre microscopy: its technique and application. Stoves John Lamb. London, Nat. Trade Press, 1957, vii, 286 pp., ill., 50 sh.) (англ.)

**31023 П. Способ приготовления новых прядильных смесей.** Шашуа (Nouvelles compositions de filage et leur procédé de préparation. Shashoua Victor E.) [E. I. du Pont de Nemours and Co.] Франц. пат. 1110917, 20.02.56

Патентуется способ приготовления микрогелей из полимеров с разветвленной структурой, образующих при растворении микрозоли, применяемые в качестве добавок к полимерам с целью придания им особых свойств. Напр., смесь 10 600 г акрилонитрила (I) и 308 г метилendiакриламида (в других примерах указаны смеси I с винилпиридином, этилендиметакрилатом, дивинилбензолом, фосфатом диалкилбензола, метиламиноэтиленом; винилацетата с этилендиметакрилатом) вносят в водн. р-р эмульгатора, приготовленного растворением 400 г сульфированного лаурилвоксислого Na (II) в 24 л воды, из которой удален воздух. Смесь готовится при  $40^\circ$  в атмосфере  $N_2$ . При энергичном перемешивании образуется эмульсия, в которой добавляю 20 г  $K_2S_2O_8$  в 20 г воды и 6 г  $NaHSO_3$  в 20 г воды (в случае сополимеризации I с винилпиридином, фосфатом диаллилбензола и в некоторых случаях при сополимеризации I с этилендиметакрилатом в качестве инициатора применяется  $\alpha$ -азо-бис-( $\alpha$ ,2,2-диметилвалеронитрил)). После перемешивания в течение 5 час. добавляется NaCl, вызывающий коагуляцию частиц. Полимер отделяется центрифугированием, затем тщательно промывается до полного удаления следов соли и эмульгатора. Остатки непрореагировавших органич. соединений отмываются смесью метанола с водой (1:1), а затем чистым метанолом. Получается 8,5 кг полимера в виде микрогеля со средним диаметром частиц  $0,12—0,14 \mu$ . Точка жатинизации, определенная по изменению вязкости: диметилформамиде при  $20^\circ$ , наступает при конц-и 7,8%. Микрогель, полученный описанным способом, применяется в качестве добавки к прядильным р-рам для формования волокон и пленок. Напр., 4 г микрогеля растворяют в 190 мл диметилформамида. При перемешивании добавляют 47 г полиакрилонитрила с характеристич. вязкостью 1,95. Смесь нагревают при  $130^\circ$  в течение 1,5 час. Полученный прозрачный прядильный р-р выпрядают на обычном оборудовании для сухого прядения через фильеру с 5 отверстиями diam. 0,175 мм. Т-ра головки  $115—120^\circ$ . Давление у фильеры 12,6 атм. Нити выпрядают в шахту длиной 2,7 м и diam. 15 см. Т-ра в шахте  $216^\circ$ . Скорость намотки 38 м/мин. Нити промывают в водн. р-ре II, затем вытягивают в 8 раз в паровой среде. Полученное волокно содержит 8% микрогеля. Прочность 4,6 г/дене, удлинение 11%. В зависимости от состава микрогелей они улучшают окрашиваемость полимеров, придают им воспламеняемость и т. д. Соответствующие микрогели могут быть подобраны как для природных (целлюлозы и ее эфиров), так и для синтетич. полимеров (полиамидов, полиуретанов, полиэфиров и других).

С. Савина



31024 П. Способ получения нитей из полиакрилонитрила (Verfahren zur Herstellung von Fäden aus Polyacrylnitril) [Süddeutsche Zellwolle Akt.-Ges.]. Пат. ФРГ 959849, 14.03.57

Раствор полиакрилонитрила в диметилформамиде продавливается в осадительную ванну с т-рой 100—120°, содержащую в основном сложный эфир полиалкиленгликоля и жирной монокарбоновой к-ты или его простой эфир с одноосновным спиртом, напр.  $C_{17}H_{35}COO(CH_2-CH_2)_{12}OH$ ;  $C_{17}H_{35}COO(CH_2-CH_2)_{20}OH$ ;  $C_{17}H_{35}O(CH_2-CH_2)_{12}OH$ ;  $C_{17}H_{35}O(CH_2-CH_2)_{20}OH$ ;  $CH_3(CH_2)_7-CH=CH-(CH_2)_7-O(CH_2-CH_2)_{15}OH$ . Выбор гликоля, к-ты или спирта определяется элементарным и общим номером получаемого волокна. Максимально допустимая конц-ия диметилформамида в осадительной ванне в зависимости от ее состава и номера волокна колеблется от 10 до 20%. Р. Муромова

31025 П. Метод получения маттированных нитей, волокон, щетины и ленты с высокой эластичностью из полиамидов и сополиамидов. Клейне, Индест (Verfahren zur Herstellung von mattierten Gebilden, wie Fäden, Fasern, Borten oder Bändchen, mit hoher Bauschelastizität aus Polyamiden oder deren Mischpolymerisaten. Kleine Johannes, Indest Heinz) [Vereinigte Glanzstoff-Fabriken A.-G.]. Пат. ФРГ 1001453, 4.07.57

Полиамид до прядения смешивается с другим полимером, напр. полистиролом, который не вступает с исходным полиамидом в хим. р-цию и не разлагается при т-ре плавления этого полиамида. Этот полимер в готовом продукте находится в тонкодисперсном состоянии. Напр., 10 кг стружки поликапроамида и 1,5 кг измельченного полистирола расплавляют и несколько часов перемешивают при 250—260°. Из полученной смеси формуют ленту. Измельчение ленты и формование волокон проводят обычным методом. Т-ра плавления волокна 217—219°. После вытягивания на 300% получают маттированное волокно с повышенной эластичностью, оно без затруднений проходит операцию кардочесания. Прочность волокна 47 ркм, удлинение 20%. Другой пример: в 2,5 кг расплава поли-ε-капроамида вносят 0,5 кг полиэтилентерефталата. Смесь перемешивают в вакууме в течение 2 час. Волокно получают обычным методом. С. Зеликман

31026 П. Способ улавливания низкомолекулярных фракций при прядении волокон из линейных синтетических полимеров (Procédé et dispositif pour la récupération des fractions à bas poids moléculaire de la filature des polymères linéaires synthétiques). [Perfogit (Soc. per Azioni)]. Франц. пат. 1082282, 28.12.54 [Chimie et industrie, 1955, 74, № 6, 1214 (франц.)]

Для улавливания низкомолекулярных фракций, находящихся в парообразном состоянии, пучки волокон или нити перед намоткой пропускают через трубку, имеющую устройство для циркуляции воды или другой жидкости, растворяющей мономеры. А. Пакшвер

31027 П. Метод ацетилирования вискозных волокон. Миттермайер (Verfahren zum Acetylieren von aus Viskose regenerierten Cellulosefasern. Mittermayer Martin) [Wacker-Chemie G. m. b. H.]. Пат. ФРГ 961529, 11.04.57

Метод ацетилирования вискозных волокон до содержания  $\geq 35\%$  связанной  $CH_3COOH$  (I) путем обработки волокон смесью I,  $(CH_3CO)_2O$ , катализатора и пер-рителя характеризуется тем, что р-ция проводится при 3-кратном от теоретич. кол-ве  $(CH_3CO)_2O$  при 70—118°, в качестве катализатора используется  $H_3PO_4$ . Наряду с  $H_3PO_4$  применяют небольшие кол-ва очень активного катализатора. Напр., 50 г воздушно-сухого вискозного волокна с титром 1,5 денье обрабатывают при 100° в течение 3 час. смесью, состоящей из 1570 г  $I$ , 430 г  $(CH_3CO)_2O$  (96%-ного) и 5%  $H_3PO_4$ . После тща-

тельного отделения ацетилирующей смеси волокно промывают водой до полного удаления к-ты и сушат. При такой обработке получают 76 г воздушно-сухого волокна, содержащего 49,1% связанной I. Титр волокна 2,2 денье. Ацетилирование проходит по всей толще волокна. Волокно обладает хорошей термостойкостью и не окрашивается красителями, применяемыми для шерстяных и полушерстяных тканей. Разрывная прочность волокна после ацетилирования не изменяется. С. Зеликман

31028 П. Приспособление для непрерывного удаления мономеров из расплава полиамида. Шольц (Vorrichtung zur kontinuierlichen Entfernung der monomeren Bestandteile aus Polyamidenschmelze. Scholz Richard). Пат. ГДР 13154, 27.04.57

Приспособление состоит из вакуумируемого обогреваемого пространства, проходя через которое расплав полиамида стекает тонкими струями по расположенным друг над другом воронкам с рифленой поверхностью. Внизу этого пространства имеется шнековый насос, подающий расплав к дозирующему насосу. Р. Муромова

31029 П. Изделия из волокон, склеенных ксантогенатом декстрана. Новак (Fibrous products comprising fibers bonded with dextran xanthate. Novak Leo J.). [The Commonwealth Engng Co. of Ohio]. Пат. США 2736652, 28.02.56

Способ изготовления «нетканых тканей» из натурального и искусств. штапельного волокна различной длины посредством склеивания дешевым связывающим агентом — ксантогенатом декстрана (I) с мол. в. 5000—150·10<sup>6</sup>. По этому способу волокно раскладывается до нужной толщины слоя, обрабатывается водн. р-ром или суспензией I и затем сушится под давлением или без него. Для получения патентуемых изделий, отличающихся большой прочностью в сухом и мокром состоянии, можно использовать бумагоделательные машины. Кол-во связанного I составляет 1—25% и даже 40—50% от веса волокна. Напр., штапельное волокно из гидратцеллюлозы смешивают с водой до получения 10%-ной суспензии, к которой добавляется 5% водорастворимого I и 0,5% моноальтита (от веса волокна). Затем эта суспензия подается на сетку бумагоделательной машины. А. Волохина

См. также: Фторсодержащие полимеры 30772, 30827. Полимеры оксиклробутана 30841. Полимеры капролактама 30785. Созревание цел. целлюлозы 31220. Физ.-механич. свойства полиэтилентерефталата 31241, 31242. Влияние структуры на свойства волокон 31229. Водоснабжение 29284. Техника безопасности 29325

## ЦЕЛЛЮЛОЗА И ЕЕ ПРОИЗВОДНЫЕ. БУМАГА

Редактор А. П. Хованская

31030. Полное использование дерева. Спроулл, Паркер, Белвин (Whole tree harvesting. Spruill R. C., Parker R. B., Belvin W. L.), Forest Prod., J., 1957, 7, № 4, 131—134 (англ.)

Дано экономич. обоснование возможности полного использования дерева (Д), включая корни, кору, сучья; ветви, пни для получения целлюлозной массы (ЦМ). Рассмотрены различия в размерах волокна и структуре древесины различных частей Д в связи со свойствами получаемой из них бумаги. Авторы считают, что полное использование различных частей Д может повысить выход ЦМ на 30—40%, так как каждая часть Д способна дать хорошие выходы в оптим. варочных условиях. Для получения качеств. щепы из различных частей Д нужны специфич. условия рубки. М. Чудаков

**31031.** Непрерывная варка листовых пород древесины. Слон (Continuous pulping of hardwoods. Sloan A. J., Indian Pulp and Paper, 1956, 11, № 1, 45—48 (англ.).

При непрерывной натронной варке древесины листовых пород в аппарате (А) системы Пандия получают темную целлюлозу (Ц) с выходом 70—75%, мало пригодную даже для произ-ва гофрированного картона. Нейтрально-сульфитная варка обеспечивает выход 75—80% Ц лучшего качества. Выход способной к отбеливанию Ц в этих условиях варки составляет 65—70%. При варке можно проводить повторное использование отработанных щелоков (Щ). Отработанный Щ с добавлением свежего подают в трубу № 1 варочного А, из которой избыток Щ удаляют через сдувные сетки (под давлением); пропитанную щелу передают в следующую трубу, куда поступает свежий крепкий Щ, компенсирующий разбавление варочного Щ паром. Далее щелу проходит еще через две трубы А без введения дополнительных кол-в Щ. Время варки во всех четырех трубах А составляет 10—20 мин., с получением равномерного провара древесины. После выдувки из сваренной массы отжимают Щ шнек-прессом. Щ, полученный при сдувках из первой трубы А, укрепляют свежей щелочью и возвращают обратно в первую трубу. Приведена схема конструкции А.

М. Белецкая

**31032.** О поведении целлюлозы при разных температурах. Демус (Über das Verhalten von Cellulose bei verschiedenen Temperaturen. Demus Heinrich), Faserforsch. und Textiltechnik, 1956, 7, № 8, 357—365 (нем.; рез. англ., русск.).

Показано, что с возрастанием т-ры и продолжительности нагревания в целлюлозе (Ц) уже при 100° происходит уменьшение прочности на разрыв, растяжимости, вязкости и набухаемости и возрастание медного числа Ц. Приведены продолжительности нагревания на воздухе, приводящие к уменьшению прочности Ц на разрыв вдвое. Состав окружающей атмосферы имеет влияние на снижение прочности Ц на разрыв при нагревании. В опытах с препарированными волокнами, полученными различными способами, колебания результатов перекрывают влияние воздуха и азота. Разложение Ц при нагревании связано с уменьшением стабильности самой молекулы Ц. Зафиксирована наименьшая т-ра воспламенения Ц 290°. Библ. 48 назв.

Г. Брахман

**31033.** Проницаемость древесины. Стоун (The penetrability of wood. Stone J. E.), Pulp and Paper Mag. Canada, 1956, 57, № 7, 139—145 (англ.).

Проницаемость древесины определяют по скорости прохождения сухого воздуха в приборе, состоящем из двух последовательно соединенных реометров, через кусок испытуемой древесины длиной 7,6 см и диам. 1,0 см. Коэф. проницаемости пропорционален отношению потерь напора при прохождении воздуха через стеклянный капилляр и через испытуемый образец. Средняя величина коэф., умноженного на 10<sup>-10</sup>, для заболони и ядра осины составляет соответственно 2000 и 1,0; для березы — 1300 и 450; бука — 1000 и 0,5; тополя — 400 и 120. Получаемые данные дают ориентировочные указания о глубине проникания в древесину варочных щелоков и о пригодности новых типов древесного сырья для выработки целлюлозы.

Н. Рудакова

**31034.** Технические и экономические аспекты потребности в вискозной целлюлозе для промышленности искусственного волокна Индии. Сутария (Technical and economical aspects of the requirements of dissolving pulp for the rayon industry in India. Sutaria G. C.) Indian Pulp and Paper, 1957, 11, № 12, 537—545, Discuss., 545—546 (англ.).

Рассмотрены общие требования к сырью и техни. данные о наличии целлюлозного сырья в Индии. Приведены сравнительные данные по использованию целлюлозных в-в бамбука и багассы и общие экономич. соображения об организации произ-ва в Индии целлюлозы для пром-сти искусств. волокна.

М. Чуданов

**31035.** О рациональном расходовании воды в сульфат-целлюлозной промышленности. Юра. Браун (Trends in water conservation in the Southern Kraft industry. Brown Howard B.), Tappi, 1956, 39, № 11, A14, A16, A18 (англ.).

Приведены материалы о расходе воды на отдельных стадиях целлюлозно-бумажного произ-ва и о возможности использования оборотных вод при устранении ряда отрицательно влияющих факторов (слизевобразование, трудности при проклейке, пенообразование, коррозия оборудования, снижение скорости машины и др.).

А. Сафьян

**31036.** Получение целлюлозы из костры конопли. Алекса, Вейсс (Obținerea mucedinei din puzderia de cineră. Alexa V., Weisz Ch.), Studii și cercetări științ. Acad. RPR Fil. Cluj. Ser. I. 1955, 6, № 1-2, 145—147 (рум.; рез. русск., франц.).

Полупромышленными опытами показано, что при варке конопляной костры с 20% извести от веса костры в течение 6 час. при 5—6 атм получают целлюлозный материал, который после размолота и частичного белиния хлорной известью пригоден для приготовления картона хорошего качества, а после полного белиния и рафинирования — для изготовления газетной бумаги. При добавлении наполнителей (древянных опилок, цемента, тилса) из целлюлозы могут быть получены строительные материалы. Г. Марку

**31037.** Новый сульфит-целлюлозный завод производительностью 400 т/сутки. Сконе (New 400-ton sulphite pulp mill. Sconce Robert), Paper Mill News, 1957, 80, № 26, 8—14, 18—19 (англ.).

Описан завод белевой сульфитной целлюлозы фирмы Вьерхейзер в Космополисе (штат Вашингтон), применяющий варочную к-ту с Mg-основанием. Газы, содержащие SO<sub>2</sub>, из печи после охлаждения и очистки направляют в абсорбер, насадка которого орошается суспензией MgO в воде. MgO регенерируют из отработанных сульфитных щелоков (Щ) упариванием и сжиганием их в топках паровых котлов с заменением MgO известью. Дымовые газы пропускают через антрофильтер и абсорберы, орошаемые водой. Сырую к-ту непрерывно подают в установку для тепловой регенерации SO<sub>2</sub> обычного типа, снабженную цистернами высокого и низкого давления и аккумулятором для подогретой варочной кислоты. Перед поступлением в аккумулятор варочную к-ту подогревают в теплообменнике парами от вскипания Щ. Варочные котлы оборудованы устройствами для принудительной циркуляции Щ с непрерывным обогревом. Котлы опорожняют вымывкой массы отработанным Щ для предупреждения разбавления водой Щ. 3-д регенерирует 85% общего кол-ва Щ. Отходящие производственные воды осветляют отстаиванием в прудах.

М. Элиашберг

**31038.** Стабилизация термических условий в варочном отделении сульфит-целлюлозного завода. Секаре (Stabilirea condițiilor termice în secția de fierbere a unei fabrici de celuloză sulfite. Secară Gh.), Ind. lemn. celul. și hîrt, 1956, 5, № 5, 231—240 (рум.; рез. русск., нем.).

Рассмотрены особенности работы варочного отделения сульфит-целлюлозного з-да, и дан теплотехни. расчет тепловой установки с использованием парового аккумулятора для стабилизации термич. условий.

Р. Марку



31039. Опасная критическая зона при варке сульфатной целлюлозы. Суревич (The phenomenon of dangerous crest of cooking in woodpulp digestion by the sulphate process. Surewicz Włodzimierz), *Papier ja puu*, 1957, 39, № 2, 45—49, 60 (англ.)

Исследованы условия, при которых замедляется варка целлюлозы (Ц) и приближается «опасная критическая зона». Проведены варки при максим. т-рах 166, 172 и 178° при расходе активной щелочи 15,2 и 27% к весу древесины, и продолжительности варки в пределах 2—7 час. Определяли выход, степень провара Ц, конц-ию активной щелочи в отработанном щелоке, а также кол-во потребленной и неиспользованной во время варки щелочи. Установлено, что «опасная зона» может возникать в широких пределах режима варки Ц, включая мягкую, среднюю и жесткую Ц. Наиболее часто явление опасной зоны наблюдается при пониженном расходе щелочи и низкой ее конц-ии в конечной стадии процесса, но недостаток щелочи не является единственной причиной, создающей опасные условия для варки. Наблюдается линейная зависимость между числом Бьеркмана и кол-вом потребленной Ц щелочи в критич. области варки. С. Иванов

31040. Быстрые непрерывные методы очистки от сердцевин и получение целлюлозы из багассы. Атчисон (Rapid continuous methods for depithing and pulping bagasse. Atchison Joseph E.), *Indian Pulp and Paper*, 1957, 12, № 1, 41—50; *Paper Trade J.*, 1957, 141, № 34, 36—42 (англ.)

Описаны новые непрерывные методы очистки багассы (Б) от сердцевин, использующие гидропальше непрерывного действия или дисковую мельницу, с последующей сортировкой волокнистой массы от паренхимы. В новом методе варки целлюлозы из Б применяют аппарат «Пандиа», работающий под давлением и представляющий собой горизонтальный П-образный трубчатый аппарат, с принудительным чередованием массы. Модуль при варке равен 4—5. Процесс варки заканчивается в 15 мин. Варку можно вести натронным, сульфатным и нейтрально-моносльфитным методами. Приведена схема всего произ-ва, включая очистку Б от сердцевин и варку в аппарате «Пандиа». Метод пригоден для получения легкобелой целлюлозы из других однолетних растений.

А. Закощиков

31041. Система целлюлоза — гидроокис щелочи — вода при цианэтировании целлюлозы хлопка. Клейн, Унвер, Уэбр, Юргенс (The cellulose-alkali hydroxide-water system in the cyanoethylation of cotton cellulose. Klein Elias, Weaver J. W., Webre Beverly G., Jurgens Julian F.), *Text. Res. J.*, 1957, 27, № 1, 50—53 (англ.)

Продолжена работа (см. РЖХим, 1958, 3329) по изучению скорости цианэтирования хлопковой целлюлозы в зависимости от системы NaOH — целлюлоза — вода, причем в настоящей работе в качестве оснований применялись LiOH, NaOH, KOH и CsOH. Приведены диаграммы областей максим. выходов при использовании указанных оснований, диаграмма изменения содержания N в конечном продукте в зависимости от времени при оптимальном соотношении оснований — целлюлозы — воды (условия равновесия устанавливаются через 30 мин. при 60°) и диаграмма оптимального выхода продукта цианэтирования в зависимости от молярных соотношений оснований (оптимальные молярные конц-ии для LiOH 1,4, для NaOH 0,4, для KOH 0,2 и для CsOH 0,15). Изменения в выходах и скорости цианэтирования объясняются изменениями конц-ии иона остатка целлюлозы, р-имости акрилонитрила и прочностей связи в зависимости от изменений кол-ва, конц-ии и природы щел. гидроокиси. В результате высаливающего действия NaCl,

добавление последнего к реакционной жидкости при любой частной конц-ии основания приводит к понижению содержания N в конечном продукте; напротив, прибавление гидротропных солей, напр. NaJ, KI, бензоата Na, салицилата Na или ксилолсульфоната Na, повышающих р-имость акрилонитрила в водн. фазе и скорость р-ции, повышает содержание N в продукте и уменьшает образование побочных продуктов; опыты цианэтирования с применением 2,3%-ной конц-ии NaOH в отсутствие и в присутствии 25% KI, после 40 мин. р-ции дают соответственно 3,1 и 8,7% N в продукте. Ю. Вендельштейн

31042. Применение ультрацентрифуги при исследовании растворов нитратов целлюлозы. Мейерхофф (Ultrazentrifugenmessungen an Cellulosenitrat. Meyerhoff Günther), *Das Papier*, 1957, 11, № 3-4, 43—47 (нем.; рез. англ., франц.)

Проведено сравнительное определение вязкости р-ров нитратов целлюлозы (Ц) в ацетоне и степени полимеризации (СП) этих препаратов методом седиментации в ультрацентрифуге. Хлопковую Ц подвергали нитрации и затем фракционированию; содержание N в отдельных фракциях 13,8%. Вязкость определяли в вискозиметре Оствальда, в котором для истечения чистого ацетона градиент скорости  $G = 1,3 \cdot 10^8$  сек.<sup>-1</sup> Путем экстраполяции находили «условную вязкость»  $[\eta]_{c=0}$ , а также  $[\eta]_{g=0}$ . Для показателей вязкости применяли размерность см<sup>3</sup>/г. На графике представлена логарифмич. зависимость найденных значений вязкости и СП. Полученные калибровочные кривые для  $[\eta]_{c=0}$  и  $[\eta]_{g=0}$  позволяют по показателю вязкости находить СП нитратов Ц в пределах 20—10 000. А. Яшунская

31043. Синтез фенилового эфира целлюлозы. Роговин З. А., Владимирова Т. В., *Хим. наука и пром-сть*, 1957, 2, № 4, 527—528

Фениловый эфир целлюлозы (I) синтезируют действием фенолята Na при 110—120° на р-р в феноле моногосилцеллюлозы (эфира целлюлозы (Ц) и *n*-толуолсульфохлорида). I имеет  $\gamma$  75—80, не содержит S, растворим в феноле при повышенной т-ре, частично растворим в пиридине (II), циклогексаноне, уксусной к-те, триэтилбензиламмонийгидроксида (III). I состоит из 20% фракции с  $\gamma$  58, растворимой в III, и растворимой в II фракции с  $\gamma$  80—85. Т-ра размягчения I, с  $\gamma$  75, 210—212°. Фенилирование Ц происходит по месту первичной спиртовой группы в положении 6 элементарного звена макромолекулы. Приведены прописи для получения моногосилцеллюлозы, синтеза I и получения смешанного фенилтрифитилового эфира Ц.

Ю. Чельцова

31044. Новые решения проблемы упаривания и сжигания сульфитного отработанного щелока. Росмайер (Neue Lösungen des Problems der Eindampfung und Verbrennung von Sulfitaablauge. Rosmaier Victor), *Das Papier*, 1956, 10, № 21/22, 505—511 (нем.; рез. англ., франц.)

Реферат доклада на съезде инженеров и химиков целлюлозной пром-сти в июне 1956 г. в Гармиш-Партенкирхене (ФРГ). Изложен расчет эффективности работы многокорпусных выпарных аппаратов, установок с противодавлением и с компрессированием сокового пара; описана установка Эшер-Вассе в Вальзуме для выпаривания щелока (III) с выделением гипсового шлама и компрессированием сокового пара. Приведены общие сведения о необходимом оборудовании, поведении сульфитной золы при плавления и о практич. преимуществах использования данного метода при утилизации III. М. Белецкая

31045. Упаривание черных щелоков. Часть I. Некоторые вопросы оборудования и эксплуатации. Дид-

рикс, Хедстрём (Svartlutindunstning. Del 1. Några anläggnings- och driftsproblem. Diedrichs Eric, Hedström Bengt), Svensk papperstidn., 1956, 59, № 16, 561—569 (шведск.; рез. англ., нем.). Рассмотрены некоторые вопросы, связанные с реконструкцией сульфатцеллюлозного з-да Mo och Dom-sjö в Гузум'е. Даны расчеты оптимального распределения размеров площадей по отдельным ступеням многокорпусных выпарных аппаратов. В основу расчетов положено уравнение:  $W/k(\Delta t)^2 = F/\Delta t = \text{const}$ , пригодное для любой ступени. Здесь:  $W$  — передаваемое кол-во тепла;  $k$  — число теплопередачи;  $\Delta t$  — кажущаяся разность т-р;  $F$  — поверхность теплопередачи данной ступени. Из расчетов сделан вывод о целесообразности применения разных площадей теплопередачи на отдельных ступенях, что дает по сравнению с равномерным распределением по отдельным корпусам увеличение производительности установки приблизительно на 12%. Для изготовления перегонной аппаратуры для конц. щелоков рекомендуется сталь, содержащая 5% никеля. М. Нагорский

31046. Извлечение химических реагентов из отработанного сульфитного щелока посредством пиролиза. Часть III. Способ распыления суспензии. Рабинович, Лунер, Джеймс, Говен (Chemical recovery from sulphite waste liquor by pyrolysis. Part III. The atomized suspension technique. Rabinovitch W., Luner P., James R. H., Gauvin W. H.), Pulp and Paper Mag. Canada, 1956, 57, № 13, 123—130 (англ.).

Отработанный сульфитный щелок (Щ) распыляют спец. форсункой в вершине реактора (диам. 20 см, высота — 3,05 м), в котором поддерживают т-ру 500—600°. Для повышения конц-ии Щ от 10 до 50% требуется 5 сек. В результате пиролиза Щ превращается в тонкодисперсный углистый материал с высокой теплотой сгорания. Отходящая паро-газовая смесь содержит водяной пар,  $\text{CO}_2$ ,  $\text{SO}_2$ ,  $\text{H}_2\text{S}$ ,  $\text{CO}$ ,  $\text{H}_2$ ,  $\text{CH}_4$  и т. д. Из нее может быть извлечено 60—70% S, содержащейся в Щ. Часть II см. РЖХим, 1957, 75741. Л. Михеева

31047. Гидрирование сульфата лигнина под давлением. Халмекоски, Энквист (Some comparative pressure hydrogenations of sulfate lignins. Hallmekoski Jaakko, Enkvist Terje), Suomen kem., 1956, 29, № 2, B53—B58 (англ.).

Сульфат лигнина (Л) и его фракцию, растворимую в эфире, гидрировали в водн. щел. р-рах в трех случаях газобразным водородом с применением Ni-катализатора после предварительного десульфуривания обработкой Ni-катализатором. В двух других случаях гидрировали этиловым спиртом без катализатора и предварительной обработки. При каталитич. гидрировании получали значительное кол-во водорастворимых в-в и растворимых в эфире в-в фенольного характера и небольшие кол-ва нейтр. в-в, растворимых в эфире, циклогексанола, пирокатехина и гваякола. Спиртовое гидрирование давало до 76% (от Л) нейтр. в-в, растворимых в эфире, с содержанием в них ~40% (от гидрируемого Л) летучих в-в с т. кип. <300° при 6 мм рт. ст. В низкокипящих фракциях отсутствовали циклогексаноид и водо- и эфирорастворимые продукты р-ции, содержалось относительно значительное кол-во С, Н и незначительное О. При гидрировании эфирорастворимой фракции сульфата Л образовалось меньшее кол-во в-в, нерастворимых в эфире и воде, и большее кол-во растворимой в эфире фенольной фракции и нейтр. в-в по сравнению с гидрированием сульфата Л. Л. Михеева

31048. Опыты применения гидроциклонов для окончательной очистки белого щелока. Эрироот (Eräitä kokeita pyörte-eroittimien soveltuvuudesta valko-lireän loppupuhdistukseen. Ehrnrooth Eric),

Paperi ja puu, 1957, 39, № 6, 303—307 (финск.; рез. англ.).

В опытах с гидроциклонами Vortex C730, 3/4, Bauer 601 (Centricleaner) 3', Vortrap 1 1/2" — при увеличении входного давления эффективность очистки (ЗО) возрастала. Колебания в содержании загрязнений в очищаемом щелоке (Щ) в кол-ве 150—380 мг/л не влияли на (ЗО). На ЗО решающим образом влияло качество загрязнений и кол-во концентрата загрязнений. Показано, что уд. вес остающейся в осадке тонкой фракции (ТФ) больше, чем уд. вес выделенного осадка [грубой фракции (ГФ)], что объясняется переходом в ТФ сульфида Fe. Приведен хим. состав осадка: 1) ТФ — средний диаметр частиц 1,17 м, потеря при прокаливании при 600° 10,6%,  $\text{CaCO}_3$  60,1%,  $\text{SiO}_2$  14,1%, S 3,2%, Fe 6,4%,  $\text{Na}_2\text{CO}_3$  2,5%, C 4,2%; 2) ГФ — средний диаметр частиц 5,2 м, потеря при прокаливании при 600° 4,0%,  $\text{CaCO}_3$  88,4%, S 0,9%, Fe 1,2%,  $\text{Na}_2\text{CO}_3$  2,4%, C 0,9%. 50% (вес.) частиц в ТФ имеют диам. < 5,8 м, в ГФ диам. < 9 м. ЗО составляет 58%. Гидроциклоны из твердой резины и винилпласта хорошо выдерживают истирание, не устойчивы против горячего белого Щ. При применении кислотоупорной стали возможно механич. истирание и появление шершавости. Гидроциклоны удаляют до 50—70% загрязнений, результат сильно зависит от размера частиц и мало — от уд. веса. Отделение  $\text{CaCO}_3$  из Щ можно увеличить и тем противодействовать известкованию аппаратуры варочного цеха, но С и Fe не удается отделить. М. Тойкина

31049. Содержание сухого вещества и начальная прочность во влажном состоянии после обезвоживания массы отсасыванием в лабораторных аппаратах. Брехт, Гершпах (Trockengehalt und initiale Naßfestigkeit nach Saugentwässerung im Laboratorium. Brecht Walter, Gerspach Adolf), Das Papier, 1956, 10, № 23-24, 535—539 (нем.; рез. англ., франц.).

Сульфитную целлюлозу с различной степенью размола подвергали обезвоживанию параллельно в спиртовом аппарате Котхера (АК) и в лабор. отсасывающем аппарате Нормана (АН) (приведена подробная схема). Полученные кривые изменения содержания сухих в-в (СВ) в зависимости от степени помола (СП) в градусах ШР показывали противоположное течение: при обработке в АК СВ сначала возрастало с увеличением СП целлюлозы, затем падали в области высокой СП; при обработке в АН СВ непрерывно падали по мере повышения СП. Сравнение обоих способов с обезвоживанием в бумагоделательной машине показывает, что АН дает более близкую картину с обезвоживанием в машине, чем АК. При измерении начальной прочности во влажном состоянии следует отдавать предпочтение способу с АН как основному. Сделан вывод о наличии соотношения между структурной начальной прочностью во влажном состоянии и способностью к обезвоживанию. Ю. Вендельштейн

31050. Растворимость в щелочи и бумаготехнические свойства сульфитной целлюлозы. Задлер, Трантина (Alkalilöslichkeit und papiertechnische Eigenschaften von Sulfitzellstoffen. Sadler Hans, Trantina Othmar), Das Papier, 1956, 10, № 19/20, 459—467 (нем.; рез. англ., франц.).

Исследована возможность использования растворимости целлюлозы (Ц) в щелочи, определяемой методом фибрированным методом, для характеристики качества Ц, предназначенной для переработки на бумагу. Пробы Ц были получены при определенных условиях варки с учетом влияния т-ры и длительности варки на хим. состав и выход Ц; Ц была осторожно отбелена р-ром хлорита Na. Исследованы также холоцеллюлозы с различным содержанием в них лигнина. Установлено



что соотношение между кривыми растворимости Ц в 10%- и 18%-ных р-рах щелочи позволяет делать заключение об условиях варки, о содержании β-целлюлозы и характеризует бумаготехнологич. свойства Ц.

М. Белецкая  
31051. Весовое и спектрофотометрическое определение лигнина в целлюлозе и древесине. Лурос, Лёшбрандт (Gravimetric and absorptiometric determination of lignin in pulp and wood. Lörås V., Lerschbrandt F.), Norsk skogind., 1956, 10, № 11, 402—413 (англ.; рез. норв.)

Весовое определение лигнина (I) в сульфитной целлюлозе (Ц) связано с потерями кислоторастворимого I при обработке Ц к-тами. Определение I в кислом р-ре по абсорбции УФ-лучей затруднено присутствием продуктов распада углеводов — фурфурола и оксиметилфурфурола, обладающих высокой абсорбционной способностью в УФ-области. Были исследованы образцы сульфитной еловой Ц, сваренной при 125 и 135°, двумя весовыми методами определения I — обработкой Ц смесью (10:1) HCl (уд. в. 1,19) — H<sub>2</sub>SO<sub>4</sub> (уд. в. 1,84) и 72%-ной H<sub>2</sub>SO<sub>4</sub> и двумя абсорбционными методами: — с 76%-ной H<sub>2</sub>SO<sub>4</sub> и с 80%-ной H<sub>3</sub>PO<sub>4</sub>. Для обоих весовых методов установлены значительные расхождения в результатах определений I в сульфитной Ц. Потери кислоторастворимого I определяли по поглощению в УФ-области фильтратами после удаления продуктов распада углеводов диализом. Показано, что сумма кол-ва I, определенных весовым и абсорбционными методами, весьма близка к истинному содержанию I в сульфитной Ц. Потери для двух изученных весовых методов достигали соответственно 20 и 50% от общего кол-ва I. Для сульфатных Ц и древесины оба весовых метода дают, по-видимому, правильные результаты, так как диализованные фильтраты показывают ничтожную величину поглощения в УФ-области.

М. Чудаков  
31052. Применение хроматографии для контроля производства и исследовательских целей в целлюлозной и бумажной промышленности. Дикки (Chromatography for control and research in the pulp and paper industry. Dickey E. E.), Tappi, 1956, 39, № 10, 735—736 (англ.)

Хроматографические методы анализа находят применение при разрешении целого ряда проблем целлюлозно-бумажного произ-ва, напр.; при исследовании сложных смесей полисахаридов, целлюлозных волокон, сахаров гидролизатов, экстрактивных в-в древесины и таллового масла; при изучении химии лигнина, гемиделлюлоз, таннидов и других компонентов древесины; при исследовании поведения углеводов в процессе варки и отбелки, образования сахарных к-т при действии щелочи на углеводы (в крафт-целлюлозной варке), дегидратации лигнина и действия ингибиторов варки и др.

М. Белецкая  
31053. Сообщение о 71-й конференции технической секции объединения Британской бумажной и картонной промышленности. — (Report of the 71st General Conference of the Technical Section of the British Paper and Board Makers Association, Inc.), Instrum. Practice, 1956, 10, № 6, 533—534 (англ.)

На 71-й конференции технич. секции, состоявшейся 21 марта 1956 г., заслушаны доклады: «Бумажное производство как регулируемый процесс» (Франклин Д. Н.); «Использование приборов с частичным автоматическим регулированием» (Боллс В. У.) и «Оснащение бумагоделательной машины контрольно-регулирующей аппаратурой и получаемые результаты» (Робинзон У. Е. Ф.).

М. Белецкая  
31054. Теория размола бумажной массы. Иванов (A papírpép őrlésének elmélete. Ivanov N.), Papírpap, 1957, 1, № 7-8, 122—132 (венг.; рез. русск.)

Изложена современная теория процесса размола бумажной массы. Рассмотрено влияние на процесс отдельных факторов, как-то: времени размола, уд. давления, расстояний между ножами и окружной скорости последних, вязкости, pH а также других свойств размалываемой массы, значения правильного подбора сырья. Приведены математич. ф-лы, определяющие силы связи между волокнами, прочность волокна и другие величины. Описан сконструированный автором прибор для определения степени помола.

Из резюме автора  
31055. Определение оптимальной нагрузки и полезной рециркуляции в современных размалывающих агрегатах конусного типа. Корда (Stanovení užitečné hltnosti a užitečné recirkulace u novodobých mlecích sarožů kuželového typu. Korda Josef), Papír a celulóze, 1956, 11, № 9, 197—198 (чешск.)

Основной предпосылкой организации полной автоматизации помола на бумажных фабриках является переход от периодич. помола в роллах к непрерывному помолу с помощью размалывающих и очищающих агрегатов. Для обеспечения высокого качества продукта и экономии энергии производительность насоса, подающего массу в мелющий агрегат, должна быть не выше производительности последнего, а производительность агрегата должна соответствовать производительности бумажной машины. Наиболее выгодным является последовательная установка нескольких агрегатов, работающих без рециркуляции, чем одного с рециркуляцией значительной части массы.

Е. Стефановский  
31056. Полухимическая древесная масса из мелкой древесины. Енсен, Нурдман, Альфган, Паронен (Chemigroundwoodmassaa pienpuusta. Jensen Waldemar, Nordman Lars, Alfthan Georg V., Paronen Jaakke), Paperi ja puu, 1957, 39, № 9, 405—408, 410, 412—416 (финск.; рез. англ.)

Проведены исследования по выяснению влияния полухим. древесной массы (ПХМ) на качество газетной бумаги (Б) и гофрированных материалов и картона. ПХМ потребляет при размоле ~50% энергии, потребляемой обыкновенной еловой древесной массой (ДМ). Прочность во влажном состоянии полотна (П) из березовой ПХМ такая же, как еловой ДМ, прочность П из сосновой ПХМ является более высокой. Сопротивление растяжению и продавливанию, и разрывная длина для ПХМ и еловой ДМ одинаковы, но белизна последней выше белизны ПХМ. Березовая ПХМ хорошо обезвоживается на сетке машины, сосновая ПХМ обезвоживается хуже. Осаждение на сетке смол создает трудности при обезвоживании сосновой ПХМ. При добавлении березовой ПХМ прочность готовой газетной (Б) повышается при снижении расхода сульфитной целлюлозы и при обеспечении в Б удовлетворительных качеств в отношении чистоты отделки поверхности и абсорбционной способности к краске. Березовая ПХМ может быть применена наравне с еловой ДМ при изготовлении гофрированных материалов и картона, которым она придает жесткость. Сосновая ПХМ не пригодна для изготовления легких гофрированных материалов из-за недостаточной эластичности, но может быть использована при прок-ве грубых картонов.

М. Тойкка  
31057. Гидродинамика мокрой части столовой бумагоделательной машины. 1. Ориентация волокон в потоке массы. Бейнс, Николл (Hydrodynamics of the fourdrinier wet-end. I. Fibre orientation in pipe flow. Baines W. D., Nicholl C. I. H.), Pulp and Paper Mag. Canada, 1956, 57, № 6, 119—120 (англ.)

Наблюдениями искусств. волокон (В) в сильно разб. водн. суспензиях установлено, что «числа Рейнольда», зависящие от диаметра труб, изменялись в диапазоне 2000—8000, т. е. имели тот же порядок, что и наблюдаемые в бумажном произ-ве. В ламинарных потоках В имели тенденцию занимать параллельное движению потока положение, что не согласуется с теорией малых «чисел Рейнольда». В турбулентных потоках в центральной части трубы наблюдалась произвольная ориентация В, но вблизи стенок проявляется тенденция В располагаться по течению потока. В суживающихся секциях по всему поперечному сечению трубопровода В вытягиваются в продольном направлении вследствие увеличения скорости движения. Этосправедливо для ламинарного и турбулентного потока. Полученная в конце суженной секции ориентация В сохраняется в прямой части трубы до тех пор, пока поток не станет полностью турбулентным.

М. Белецкая

**31058. Утилизация волокон на бумажной фабрике Kangas Paper Mill. Сааринен (Kuitujen talteenotto Kankaalla. Saarinen Eino), Paperi ja puu, 1956, 38, № 8, 337—341, 348 (финск.; рез. англ.)**

Волокна улавливают из оборотной воды (ОВ) вместе с наполнителями, клеящими в-вами, квасцами, красками, искусств. смолой и т. д. В модифицированной системе «РК I» использования ОВ применение свежей воды сведено до минимума, уменьшено число гасителей пены; кол-во свежей воды для отделения краевых лент, с применением экономичного пульверизаторного планга нового типа, сокращено до 10—20 л/мин. Ящики-сосуды модифицированы так, что свежая вода не попадает в систему, а использованную для очистки декельных ремней свежую воду, практически не содержащую волокон, спускают в сточные воды. В системе не используют свежей воды при наполнении, опорожнении и разбавлении массы в пульперах и роллах. Приведена диаграмма использования ОВ в произ-ве сульфитного картона весом 175 г/м<sup>2</sup>. Преимущества усовершенствованной системы: короткая система труб, которые легко держать в чистоте, незначительное общее кол-во оборотных вод (в ближних оборотах 2,25 м<sup>3</sup>, в дальних — 8 м<sup>3</sup>), смена сортов происходит плавно и быстро, потери волокна при опорожнении системы не особенно велики; образующееся при размоле волокна тепло поддерживает в системе т-ру воды приблизительно на одном уровне.

М. Тойкка

**31059. Специфические проблемы ухода за отбеливающими установками. Уилесс (Bleach plant maintenance presents special problems. Wheelless R. E. L.), Paper Trade J., 1957, 141, № 24, 46—47 (англ.)**

Ввиду особых условий работы (коррозия) отбеливающих установок рекомендуется периодич. предупредительный ремонт по отдельным узлам (ежедневная проверка в цехах, применяющих ClO<sub>2</sub> всех насосов, теплообменников, воздуходувок и пр. оборудования, качества защитных покрытий и инструмента).

М. Чудаков

**31060. Применение канифольной проклейки в бумажном и картонажном производстве. Хорлок (The use of rosin size in the paper and board industry. Horlock A. B.), World's Paper Trade Rev., 1957, 147, № 24, 1955—1956, 1958, 1960, 1962 (англ.)**

Изложено развитие методов проклейки, применяемых в бумажном и картонажном произ-ве, рассмотрены вопросы обработки сырья, используемого для проклейки, способы добавки канифоли, контроль произ-ва и некоторые специфич. вопросы технологии канифольной проклейки на бумажных ф-ках.

М. Чудаков

**31061. Вспенивание покровных смесей. Торри (The foaming of coating mixtures. Torrey W. V.), Tappi, 1956, 39, № 5, A177—A180 (англ.)**

Рассмотрена зависимость вспенивания покровных композиций (К) при меловании бумаги от различных факторов. Степень вспенивания определяли по потере в весе определенного объема К до и после перемешивания. Установлено, что для каждого в-ва, вызывающего пенение, существует продолжительность перемешивания, выше которой вспенивание не увеличивается и имеется критич. скорость перемешивания, ниже которой пена не образуется. Обычно это соответствует 400—450 оборотов мешалки в 1 мин. Связывающие материалы (казеин, крахмал) действуют как стабилизаторы пены. Наименьшее вспенивание дает К, содержащая казеинат аммония. Крахмал обуславливает меньшее пенение К, чем казеин. Тонкая пена сообщает К кажущуюся более высокую вязкость. Вспенивание понижается с повышением конц-ии крахм. Предупреждение образования пены путем ввода антивспенивателей до перемешивания К достигается более легко, нежели разрушение пены после ее образования при перемешивании. Абс. устранение пены не достигнуто; лучшими условиями для снижения пенообразования являются введение антивспенивателей и последующее перемешивание К со скоростью, не превосходящей критич. для пенообразования.

С. Иванов

**31062. Пористость бумаги. Корте (Porositätsigenschaften von Papier. Corte H.), Papierwerderl, 1956, 10, № 9, 206—207 (нем.)**

Рассмотрены явления пористости бумаги под углом зрения геометрич. структуры пор бумаги, взаимодействия между целлюлозой и в-вами, проникающими в бумагу или протекающими через нее, и действующие при этом физ.-хим. законы. Феномен проникания через бумагу проявляется в 4 видах: газ без взаимодействия с волокном бумаги, газ со взаимодействием, жидкость со взаимодействием и жидкость без взаимодействия. Воздухопроницаемость рассматривается под углом зрения известных законов Пуазейля и Кнудсена. Проницаемость бумаги для водяного пара при низкого давления подчиняется также закону Кнудсена, а при более высоких давлениях следует учитывать влияние поверхностной конц-ии и поверхностной диффузии. Прохождение инертных жидкостей сквозь бумагу аналогично прохождению воздуха с учетом различия вязкостей и явления смачивания. Для изучения воздухопроницаемости была сконструирована спец. эксперим. установка.

Г. Брахман

**31063. Оценка печатных свойств бумаг путем изготовления пробных оттисков. Гинман, Сведлин, Нурдман (Bedömning av papperets tryckbarhet genom provtryckning. Ginman Rolf, Svedlin Anders, Nordman Lars), Norsk skogind., 1957, 11, № 1, 14—21 (шведск.; рез. англ.)**

Исследовано восприятие печатной краски бумагой в зависимости от различных факторов. Кол-во краски, переходящей с клише на бумагу, увеличивается с уменьшением вязкости краски, уменьшением скорости и увеличением давления при печатании. При определении оптич. характеристик печати установлено, что при контрастности зачернения S<sub>к</sub>-равной 1,05, с увеличением передачи краски на бумагу увеличивается и просвечивание печати сквозь бумагу. Просвечиваемость зависит частично от характеристик светорассеяния в бумаге и частью от вязкости краски. Практически все свойства бумаги в той или иной мере влияют на технологич. печатания и эти зависимости могут быть установлены методом корреляционных вычислений.

М. Нагорский



31064. Мелованная бумага для офсетной печати. Коган Г. М., Чуйко В. К., Бум. пром-сть, 1957, № 9, 19—21

На Корюковской ф-ке технич. бумаг разработан усовершенствованный способ изготовления мелованной бумаги (МБ) на основе небеленой целлюлозы со значительным содержанием древесной массы. Б имеет: вес  $1 \text{ м}^2$  (в 2): 100, 120, 140, 250 ( $\pm 7$ ); гладкость 60—150 сек.; впитываемость по ксидолу 10—30 сек.; белизну 80%; сорность при размере соринки 0,5—2 мм (в наибольшем измерении) — 175—400; водостойкость 100—180 сек.; влажность 7% ( $\pm 1$ ). Для увеличения водостойкости в суспензию покрытия вводят тетраминогексаметилен в кол-ве 10—20% по отношению к казену. В опытных образцах МБ, изготовленной данным способом, при применении в офсетной печати показали хорошую степень закрепления краски на бумаге. Ю. Чельцова

31065. Новый вид бумаги для многокрасочной печати. Волкова Т. П., Зосим З. Л., Бум. пром-сть, 1957, № 9, 16—19

Описан разработанный на Нижнеднепровской бумажной фабрике совместно с авторами способ произ-ва бумаги (Б) с большим содержанием наполнителя (30%), высокой гладкости (600—1000 сек.) и повышенным объемным весом (1,1—1,2 г/см<sup>3</sup>) для текстовой и многокрасочной печати. Показано, что добавление гидрофильных в-в — карбоксиметилцеллюлозы, активированного бентонита, геля целлюлозы, благоприятно влияет на процесс осаждения наполнителя и на структурно-механич. свойства Б. Б обладает хорошими печатными свойствами. Ю. Чельцова

31066. Технология применения латексной эмульсии красителя при покрытии бумаги. Талли, Дейвис, Бентон (Latex emulsion paint technology applied to paper coatings. Talley J. P., Davis J. P., Benton R. E.), Tappi, 1956, 39, № 10, A160—A163 (англ.)

В качестве связующего используют синтетич. латексы (бутадиенстирольные, бутадиеннитриллакриловые, полиакриловые и другие). Другими компонентами покрытий, образуемых при помощи латексной эмульсии красителя, являются вода, диспергирующее средство, защитные коллоиды, антикоагулятор, пеноудалительный реагент. Приведены характеристики отдельных компонентов покрытий и виды оборудования, применяемого для получения диспергированного в воде красителя. А. Сафьян

31067. Замечания к статье Галласа «Усовершенствование водного хозяйства в производстве папиросной бумаги». Витковский (Uwagi do artykułu inż. W. Gallasa «Usprowanie gospodarki wodnej działu produkcji bibulek papierosowych. Witkowski Z.), Przegl. papiern., 1956, 12, № 9, 275—276 (польск.)

Для снижения расхода воды при произ-ве папиросной бумаги (Б) на 40% (до 166 м<sup>3</sup> на 1 кг Б) автор рекомендует использовать оборотную воду для разбавления массы в массных роллах и после роллов в мешальных бассейнах; осветленную воду подавать в массу, перед ее поступлением на сетку, для пеногашения, для промывки головного вала, в сифонные ящики для отсечки массы по ширине листа. См. РЖХим, 1957, 56412. Е. Гурвич

31068. Поверхностноактивные материалы в бумажном производстве. Фулон (Oberflächenaktive Stoffe in der Papier-Industrie. Foulon A.), Österr. Papier-Ztg, 1956, 62, № 6, 11 (нем.)

«Плюроники» (П) — группа новых высокомолекулярных поверхностноактивных в-в, изготавливаемых конденсацией окиси этилена с гидрофильными основаниями, получаемым конденсацией окиси пропиленна с пропиленгликолем. П отличаются между собой раз-

ной растворимостью в воде; так, напр., «Плюроники L 62» при т-ре 20° слабо растворим в воде, а «Плюроники F 68» растворим хорошо. Последний мало гигроскопичен, слабо пенится, очень сильно повышает всасывающую способность бумажного листа при добавлении в кол-ве 0,1% к весу бумаги (Б), увеличивая мягкость Б с сохранением ее сухости на ощупь; применяется при произ-ве креп-бумаги и других сортов пористой Б, а также спец. сортов Б для пищевой пром-сти. П пригодны в качестве очищающих средств, особенно в комбинации с алкиларилсульфонатами. П оказались очень полезными для очистки сукон бумагоделательной машины, повышая продолжительность службы сукна на 100%. П могут применяться для очистки котельной воды. Г. Брахман

31069. Растительные камеди и их применение в производстве бумаги. Бютнер (Pflanzengummi und seine Verwendung in der Papierindustrie. Büttner Martin), Wochenbl. Papierfabr., 1956, 85, № 2, 45—46 (нем.)

Нейтральные полисахариды (НП), получаемые из эндосперма плодов рожкового дерева (Среднеземноморский район) и гуарового дерева (штат Техас), обладающие резко выраженными колл. свойствами и имеющие разветвленные молекулы с длинными цепями, находят широкое использование в бумажной и текстильной пром-сти. Применение их для проклейки улучшает физ.-мех. свойства бумаги, снижает расход энергии на размоуд. По хим. составу НП представляют собой смесь маннозы и галактозы, их часто называют манно-галактановыми клеями. Освещены преимущества применения НП. М. Белецкая

31070. Термопокрытия для бумаги и картона. Торричелли (Films termo-collanti per carte e cartoni. Torricelli G.), Ingegneria chimica, 1956, 5, № 2, 9—13 (итал.)

Предложен эффективный термоклей для бумаги и картона состава: смоляная основа (I) — 50 кг, битум израильский с т. пл. 130—140° — 50 кг, канифоль таллового масла (II) — 50 кг, масло V. 2,5 (III) — 5 кг, сплавленные при 150—160°. I получают по рецептуре: II 35% и III 25% нагревают при 140° до полного растворения, добавляют порциями при 130° 20% этилцеллюлозы вязкостью ( $\eta$ ) 10 сантипуаз и 20% этилцеллюлозы с  $\eta$  100 сантипуаз; после 30—40-минутного перемешивания образуется гомог. пластичная I. Т-ра клея при нанесении на картон и бумагу 150—200°. Л. Песня

31071. Парафины. Часть II. Их характеристика, применение (в бумажной промышленности) и будущность. Хоккинг (Paraffin waxes part II. Their characteristics, applications and their future. Hocking George H.), Paper. Film and Foil Converter, 1955, 29, № 12, 22—25 (англ.)

О твердых нефтяных парафинах различной степени рафинирования с примесью микрокристаллич. парафинов и спец. добавок и об их применении в произ-ве парафинированной бумаги и картона. Часть I см. РЖХим, 1957, 32711. А. Кузьмина

31072. Новые крахмальные продукты как связующие в покрытых красках. Бонд, Лукас (New starch products in coating adhesives. Bond Robert W., Lucas Daniel E.), Tappi, 1956, 39, № 10, A158—A160 (англ.)

Лучшими видами крахмальных клеев (КК) являются окисленный крахмал и производные эфиоров крахмала, обладающие низкой и стабильной вязкостью и прекрасными пленкообразующими и клеящими свойствами. Они могут быть применяемы в высоких конц-ях (62%) в покрытиях, содержащих мало воды. Сильного снижения вязкости КК достигают конверсией крахмала ферментами. Образующиеся при этом редуцирующие сахара, действуя как пластификаторы,

сообщают гибкость и эластичность покровному слою и одновременно служат мерой деградации крахмала. Лучший продукт должен иметь низкую вязкость и малый процент редуцирующих сахаров. Хорошие адгезивные свойства имеют белые декстрины, получаемые в присутствии точно дозируемой к-ты при тщательном контроле за режимом нагревания, обладающие низкой вязкостью, с малым содержанием редуцирующих сахаров.

С. Иванов

31073. О сухих клеящих гуммированных покрытиях. Якштедт (Über Selbstklebegummierungen. Jackstädt Werner), Allgem. Papier-Rundschau, 1956, № 16, 876—880 (нем.)

В состав клеящей композиции (К) входит природный каучук с добавлением в-в, замедляющих его старение. Бумага, на которую наносится К, должна обладать нейтр. р-цией. Процесс, при котором сохраняющую клейкость массу наносят на одну поверхность, не подвергая другую поверхность какой-либо обработке, используют при изготовлении бандеролей, этикеток, упаковочного материала, защитных покрытий для металла, стекла, пластмасс, тканей. Клеящий состав наносят на гладкие поверхности бумаги, целлофана, ацетатных пленок и т. д. При хранении гуммированного материала в рулонах применяют прокладки из тонкой фольги или спец. изготовленной бумаги, удаляемые перед употреблением.

Н. Руданова

31074. Из практики ручного производства картона: сушильные установки и их работа. Небель (Aus der Praxis der Handpappen-Erzeugung: Trockenanlagen und ihr Betrieb. Nebel Fritz), Wochenbl. Papierfabr., 1956, 84, № 16, 639—643 (нем.)

Рассмотрены различные методы сушки картона, в частности, вопрос о возможности увеличения эффективности сушки применением более высокой т-ры нагревания и скорости потока горячего воздуха.

Г. Брахман

31075. Влияние физической формы сырья (при производстве картона). Кинг, Шварц (The effect of physical form of raw material—1. King F. W., Schwarz H.), Timber Technol., 1957, 65, № 2219, 473—474 (англ.)

Физическая форма сырья, принятого в произ-ве волокнистого картона, будь то нефибриллированная древесина или целлюлозная масса, оказывает глубокое влияние на качество конечного продукта. На основе законченных работ Оттавской лаборатории лесопереработки в настоящей статье рассмотрено влияние физич. формы сырья при варке целлюлозы, предварительной перед очисткой обработке и в процессе очистки.

Г. Брахман

31076. Первая фабрика, вырабатывающая изоляционный картон для канадской Johns-Monsille Co в северном заливе озера Онтарио. Прайс (First insulating board mill for Ontario, Canadian Johns-Manville at North Bay. Price Fred A.), Pulp and Paper Mag. Canada, 1957, 58, № 11, 124—127 (англ.)

Фабрика вырабатывает изоляционный картон (К) из 75% тополевой и 25% смешанной мягкой древесины. Окоренную древесину перед дефибрированием пропитывают слабым р-ром щелочи при т-ре 88—93°. Отсортированную древесную массу смешивают с проклеивающим в-вом и квасцами и формуют на машине Оливера с шириной сетки 4,35 м, диам. 3,65 м. Полотно К прессуют, пропуская через 4 рола диам. ~ 0,8 м. К с содержанием сухих в-в в 35% разрезают и роликовым конвейером передают в сушильную часть, где высушивают до влажности 3%. Проходя через увлажняющие валы, К приобретает влажность ~ 7%.

А. Сафьян

31077. Применение резольной крезолоформальдегидной смолы в промышленности волокистых плит.

Леман (Die Anwendung des Resol-Kresolharzes in der Faserplatten-industrie. Lehmann Manfred), Holzindustrie, 1957, 10, № 2, 54—56 (нем.)

Микроскопическими наблюдениями установлено, что синтетич. смола (I) под действием разб. H<sub>2</sub>SO<sub>4</sub> осаждается в виде скоплений отдельных частиц, но не покрывает волокна сплошной пленкой. Интенсивное перемешивание и поддержание рН при осаждении в пределах 4,0—4,5 приводит к колич. осаждению I (наилучшие результаты получают при размере частиц равном половине ширины волокна), при этом предотвращается попадание фенолов в сточные воды. I берут в кол-ве 3 вес. % от волокна. Описана установка для автоматич. приготовления и дозирования р-ров к-ты и смолы, обеспечивающая в заводском произ-ве оптимальные условия для внесения I, их колич. осаждения и равномерного распределения в массе.

Н. Руданова

31078. Автоматическая упаковка ленточным картоном. Меткаф (Automatic tape sealing of cartons. Metcalfe Lyne S.), Spirits, 1956, 23, № 6, 24, 26 (англ.)

Описание и фотоснимок новой компактной машины для упаковки ленточным картоном.

Г. Брашман

31079. Автоматическая регулировка веса 1 м<sup>2</sup> бумаги помощью β-лучей. Фибигер, Бош (Regolazione automatica della grammatura della carta a mezzo di raggi Beta. Fibiger Harald, Bosch Julius), Ind. carta, 1956, 10, № 10, 114—120 (итал.)

β-лучи задерживаются бумагой в зависимости от ее толщины, что фиксируется ионизационной камерой и передается на регистрирующий прибор. Точность измерений составляет ±1 г/м<sup>2</sup>. Принцип измерения использован для устройства прибора, автоматически регулирующего толщину отливаемой на машину бумаги. Для облучения используют Tl<sup>204</sup>. Описано устройство для автоматич. регулирования толщины бумаги и даны графики, показывающие степень точности автоматич. регулирования. Высказаны соображения о возможности усовершенствования автоматич. аппаратуры в направлении уменьшения инертности ее реагирования на импульсы. М. Нагорский

31080. Использование метода графического вычерчивания для определения степени шероховатости поверхности бумаги. Ивасаки: Тую кэирэ хонок, Rept. Centr. Inspect. Inst. Weights and Measures, Tokyo, 1956, 5, № 1, 28—35 (японск.; рез. англ.)

Для более точного определения степени шероховатости бумаги испытан с положительным результатом метод графич. вычерчивания, применяемый и определению шероховатости металлич. поверхностей. Описаны метод, схема прибора и результаты исследования. Ошибка определения по данному методу составляет < 0,3 м для бумаги с наиболее ровным поверхностным покрытием при силе прижатия иглы к поверхности бумаги < 0,2 г. Экспериментально полученные диаграммы и приложенные таблицы подтверждают большую точность метода по сравнению с определением на аппарате Бекка.

М. Белецкая

31081. Сопротивление излому бумаги. Кёлер (St. vikiningshållfastheten hos papper. Köhler St. gurd. Medd. Statens provningsanstalt, 1953, № 110, 31 s.) (шведск.; рез. англ.)

Исследован процесс разрушения бумаги (Б) различных сортов при определении сопротивления излому на приборе Кёлера—Молина и рассмотрено влияние на этот процесс ряда факторов: радиуса закругления пластинок, вокруг которых огибается Б, угла изгиба Б, величины растягивающей нагрузки на концы полоски исследуемой Б, растяжимости и отношения этой нагрузки к разрывной нагрузке Б до испытания, толщины Б, ее сорта и направления, по



которому вырезана полоска. При сравнении различных бумаг предложено испытывать в них остаточное сопротивление разрыву после 1000 двойных перегибов при нагрузке в 5% от нагрузки, соответствующей разрывному усилию для бумаги, не подвергавшейся испытанию на излом. М. Нагорский

31082. Разработка методов испытания гофрированного картона. Вольф (Gedanken und Untersuchungen zur Entwicklung eines werkstoffgerechten Prüfverfahrens für Wellpappe. Wolff Herbert), Verpackungsrundschau, 1956, 7, № 7, 374—382 (нем.).

Описаны аппаратура и методы испытания, разрабатываемые для определения качества гофрированного картона (ГК). Испытания сопротивления продавливанию (методы Шонпер-Далена и Мюллера), плоскому раздавливанию, прокалыванию, раздавливанию, внутренней нагрузке и др.—для картона (К) с весом  $1 \text{ м}^2$  80, 130, 160 и 235 г показали, что для изготовления ГК могут быть использованы только К двух последних плотностей. Испытания проводили на 3- и 5-слойном ГК. Результаты представлены диаграммами.

М. Белецкая

31083 П. Способ получения сильно нагретой варочной кислоты для варки сульфитной целлюлозы. Русенблад (Sätt vid framställning av högt förvärd koksyrta för sulfidcellulosakokning. Rosenblad C. F.) [AB Rosenblads Patenter.]. Шведск. пат. 450977, 2.08.55

Сильно нагретую к-ту с большим содержанием  $\text{SO}_2$  получают путем использования тепла газов (Г) и паров (П), отдаваемых содержимым варочного котла. При этом в варочную к-ту делают сдувки Г в кол-ве, приближающемся к нужному содержанию  $\text{SO}_2$ , соответствующему, как минимум, тому, которое получается в к-те при контакте с этими Г при охлаждении; обогащенную газами к-ту нагревают под давлением, используя как охлаждающую среду для непрямого охлаждения вводимых Г и П. Способ характеризуется тем, что все виды Г и П, сдуваемых из котла при разных давлениях во время и после варки, а также Г и П, которые путем самоиспарения выделяются из отработанного щелоча при опоражнивании котла, при разных т-рах и давлениях вводят в к-ту, охлаждающую в единой системе, служащей для охлаждения Г и нагревания к-ты; обогащенную Г к-ту приводят к таким условиям, что она по преимуществу непрерывным потоком протекает через указанную холодильно-нагревательную систему, в которой происходит выравнивание т-ры, кроме того поток к-ты получает тепло, так или иначе колеблющегося уровня, также и от другой нагревательной среды; тепло передаваемое потоку к-ты Г и П и (или) другой нагревательной средой, все время подогревает поток к-ты до заданной приблизительно постоянной т-ры, при которой варочная к-та должна поступать в варочный котел; с такой т-рой поток к-ты поступает в буферную цистерну, находящуюся под давлением и в ней аккумулируется; в котел закачивают эту аккумулированную к-ту непосредственно из цистерны, в которой должен быть обеспечен соответствующий запас емкости.

М. Нагорский

31084 П. Способ получения целлюлозной массы из волокнистого растительного материала. Росс, Харт, Странн, Массе (Sätt vid framställning av cellulosa massa ur fibröst växtmaterial. Ross J. H., Hart J. S., Strapp R. K., Maass O.) [Pulp and Paper Research Institute of Canada]. Швед. пат. 454056, 10.04.56

Растительное сырье (РС) в размельченном состоянии вводят в аппарат (А), находящийся под давлением, и пропитывают варочной жидкостью (ВЖ). До

пропитки варочной жидкостью РС обрабатывают водяным паром для вытеснения воздуха из межклеточных капиллярных пространств. По достижении давления, превышающего атмосферное, ввод пара прекращают и смесь пара и воздуха из А быстро выпускают, принимая меры против проникновения в него воздуха извне. Давление в А опускают до остаточного давления, которое составляет половину достигнутого в конце пропаривания. При пропаривании давление может достигать  $3,5 \text{ кг/см}^2$ . РС можно пропитывать ВЖ с т-рой ниже требующейся для р-ции сепарирования волокон. Кол-во ВЖ должно быть достаточно для полной пропитки РС. Во время пропаривания до того, как будет достигнута т-ра, необходимая для сепарирования волокон, в А должно быть осуществлено гидростатич. давление, достаточное для того, чтобы ВЖ проникла в межклеточные пространства РС. После пропитывания значительную часть ВЖ сагускают, после чего начинают собственно варку. Предварительную обработку РС паром до его пропитки рекомендуется делать несколько раз.

Пример 1. Во время загрузки щелой (Щ), в нижнюю часть котла быстрым потоком вводят пар, но не настолько сильным, чтобы он прорывался сквозь щелу. После загрузки Щ верхнюю крышку котла закрывают, но оставляют открытым вентиль в верхней горловине. Впуск пара продолжают до достижения в А т-ры  $100^\circ$ , закрывают вентиль на верхней горловине и продолжают впуск пара, пока давление в А не поднимется до  $1,4 \text{ кг/см}^2$ . Затем впуск пара прекращают, а вентили в верхней горловине и в нижнем конусе открывают, и давление в А быстро снижают до  $0,7 \text{ кг/см}^2$ . Затем в А заканчивают ВЖ до полного его заполнения и через верхний вентиль в котел дают пар для повышения давления до  $7 \text{ кг/см}^2$ . Кол-во ВЖ в А уменьшают до заданного уровня путем спуска его в кислотную цистерну, а в А пускают пар и т-ру поднимают до  $120^\circ$  в течение 45 мин.; выдерживают при указанной т-ре в течение 2 час. Общая длительность процесса  $\sim 3\frac{1}{2}$  час. При крафт-варке применяют щелок с 30% сульфидности и 16,5% активной щелочи. Пример 2. Пропаривание Щ согласно примеру 1, повторяют 4 раза. Затем в А закачивают ВЖ в кол-ве, достаточном для покрытия всей Щ, и дают пар до достижения давл.  $7 \text{ кг/см}^2$  и т-ры, лежащей ниже той, которая нужна для процесса сепарирования волокон. Затем из А спускают достаточное кол-во ВЖ, чтобы отношение ВЖ к древесине в А составило от 2,3 до 1. После этого содержимое котла за 15 мин. доводят до  $135^\circ$  и выдерживают при указанной т-ре  $2\frac{1}{2}$  часа. Приложена схема А.

М. Нагорский

31085 П. Способ и устройство для обработки целлюлозосодержащей волокнистой массы (Verfahren und Vorrichtung zur Behandlung eines zellulosehaltigen Faserbreis.) [SIS Soc. d'Investissements Collectifs]. Швейц. пат. 302923, 17.01.55 [Chem. Zbl., 1955, 126, № 27, 6424 (нем.)]

Описан способ смешения волокнистой массы с отбеливающими реагентами. Массу продавливают воздухом до разделения на отдельные волокна в смеси с отбеливающим р-ром, после чего пропускают между растирающими дисками и удаляют из зоны. Способ пригоден для волокнистой массы с содержанием сухих в-в 30—90%.

Г. Смирнова

31086 П. Метод получения четвертичных производных целлюлозы. Фротер, Шидевич (Verfahren zur Herstellung von quaternären Cellulosederivaten. Frotscher Herbert, Schiedewitz Herbert). Пат. ГДР 12291, 29.10.56

Четвертичные производные целлюлозы (I) получают взаимодействием эфиров I и ароматич. сульфо-

новых к-т с алифатич. или гетероциклич. четвертичными основаниями; при этом эфиры I, растворимые в хлороформе, переходят в водорастворимые катионоактивные соединения. Напр., 32 ч. щел. I, содержащей 25% I, вносят в р-р, состоящий из 50 ч. п-толуолсульфохлорида (II) и 250 ч.  $\text{CCl}_4$ . Смесь перемешивают в течение 15 час. при  $\sim 20^\circ$ . Затем р-ритель, содержащий некоторое кол-во непрореагировавшего II, отфильтровывают. Осадок, содержащий продукт р-ции, последовательно экстрагируют водой,  $\text{CCl}_4$  (для удаления II) и  $\text{CHCl}_3$ . После отгонки  $\text{CHCl}_3$  получают технич. тозилловый эфир I с содержанием S 15,48%. 62,4 ч. тозиллового эфира I с 300 ч. пиридина нагревают в течение 2 час. до  $80^\circ$ . Через 1—2 часа образуется красно-бурый р-р. После отгонки избытка пиридина в вакууме или с водяным паром получают водорастворимый катионоактивный продукт — пиридинтолуолсульфонат I. В другом примере 32 ч. щел. I, содержащей 25% I, вносят в р-р, состоящий из 30 ч. II и 200 ч.  $\text{CHCl}_3$ . Смесь перемешивают в течение 5 час. при т-ре кипения  $\text{CHCl}_3$  и затем в течение 10 час. при  $\sim 20^\circ$ . После отгонки р-рителя осадок экстрагируют последовательно водой,  $\text{CCl}_4$  и  $\text{CHCl}_3$ . Получают технич. тозилловый эфир I, содержащий 15,84% S. 30 ч. тозиллового эфира I нагревают в течение 2 час. с 150 ч. смеси  $\beta$ - и  $\gamma$ -пикколина. Образуется красновато-коричневая жидкость, растворимая в воде. После отгонки избытка пикколина получают коричневую пасту, растворимую в воде, обладающую катионоактивными свойствами. С. Зеликман

**31087 П. Регенерация отработанных аммониевых сульфитных щелоков.** Фелле (Treatment of waste ammonium sulfite pulping liquors. Phelps Maurice W.) [Allied Chemical and Dye Corp.]. Пат. США 2739039, 20.03.56

Для регенерации  $\text{NH}_3$  и  $\text{SO}_2$  отработанные аммониевые сульфитные щелока (ОЩ) концентрируют до содержания сухого в-ва 50—80 вес.% и диспергируют ступенчатую жидкость в 1-й зоне (I) обработки, в которой поддерживают окислительную атмосферу с помощью газообразных продуктов сгорания (Г), смешанных с воздухом и поступающих из описанной ниже зоны сгорания (ЗС). I является верхней частью вертикальной камеры, свободной от металлич. частей, в которую Г поступают из нижней части ЗС с т-рой 980—1200°; горячий конц. ОЩ вводит в расплыненном состоянии в 1-ю зону вверх на высоту  $\sim 1,2$  м, падающие в ЗС частицы (время падения в 1-ой зоне  $\geq 1$  сек.) охлаждают поднимающиеся из ЗС Г до 315—815°, сами нагреваются до 315—760°, обезвоживаются и частично разлагаются с выделением  $\text{NH}_3$  и паров воды; падая в ЗС частицы полностью сгорают, оставляя небольшое кол-во золы; конц. ОЩ подают в 1-ю зону в конц-ях и со скоростью, обеспечивающей самосгорание; воздух в ЗС подают в кол-ве, достаточном для полного сгорания С, Н и S в  $\text{CO}_2$ ,  $\text{H}_2\text{O}$  и  $\text{SO}_2$ . Присутствие водяного пара в Г предохраняет от разложения образующий  $\text{NH}_3$ , а высокая т-ра ЗС препятствует образованию  $\text{SO}_3$ . Отходящие из камеры Г должны быть охлаждены не более чем через 10 сек. после образования  $\text{NH}_3$ . После варки целлюлозную массу промывают рядом промывных вод (ПВ), повышая конц-ию сухих в-в в ПВ (кроме первой ПВ) повторным использованием ПВ для промывания. Первую ПВ, содержащую ОЩ, концентрируют до содержания сухого в-ва 12—20 вес.%, используя тепло отходящих из 1-й зоны камеры Г, причем из первой ПВ удаляют свободную и непрочно связанную  $\text{SO}_2$ , после чего продолжают концентрировать до содержания сухого в-ва 50—80%. Часть получаемого при этом конденсата, содержащего  $\text{NH}_3$ , применяют в качестве последней ПВ. Выделившиеся из камеры и

охлажд. газы поглощают р-ром  $(\text{NH}_4)_2\text{SO}_4$ , частично содержащим последнюю ПВ. Патентуемый способ позволяет полностью регенерировать ОЩ. Приложена схема. Ю. Вендельштейн

**31088 П. Способ получения сероводорода из отработанных содержащих сульфиды натронных щелоков при производстве целлюлозы.** Манбро (Sätt vid utvinning av svavelväte ur sulfidhaltiga sodalut i samband med cellulosafabrikation. Mannbro N. V.) [Hellefors Bruks AB]. Шведск. пат. 151066, 9.08.55

Патентуется способ получения  $\text{H}_2\text{S}$  из содержащих  $\text{Na}_2\text{S}$  отработанных натронных щелоков, получаемых при регенерации отработанных щелоков от варки целлюлозы, по которому смесь газов, содержащую главным образом  $\text{N}_2$  и  $\text{CO}_2$  (напр., дымовые газы от печей для сжигания щелоков, или отходящие газы от известковых печей), заставляют реагировать с натронным щелоком. При этом  $\text{CO}_2$  взаимодействует с  $\text{Na}_2\text{S}$ , образуя  $\text{H}_2\text{S}$ ; последний выделяет отдельно от  $\text{N}_2$ . Содержащую  $\text{CO}_2$  газовую смесь вводят противотоком в поглотительную башню (Б), из которой  $\text{CO}_2$  улетает практически свободной от  $\text{H}_2\text{S}$ , а кислый  $\text{CO}_2$  р-р отбирают внизу Б и из этого р-ра может быть выделен  $\text{H}_2\text{S}$ . Способ характеризуется тем, что колич. соотношение компонентов в газовой смеси регулируют так, чтобы в нижней части Б щел. р-р поглотил столько кислой составляющей ( $\text{CO}_2$ ), сколько требуется для того, чтобы не переступить pH  $\sim 9,5$ ; при этом освобождается  $\text{H}_2\text{S}$ , частью в виде свободного газа поднимающийся вверх в зону, в которой при pH несколько более высоком, чем 9,5,  $\text{CO}_2$  поглощается, а  $\text{H}_2\text{S}$  не выделяется; из остающейся смеси  $\text{N}_2$  и  $\text{H}_2\text{S}$  в следующей, лежащей выше зоне —  $\text{H}_2\text{S}$  отделяют от газа поглощением свежим щел. р-ром, который еще не соприкасался с  $\text{CO}_2$ ; в этой последней зоне конц-ия сульфидной серы делается большей, чем в подводимом и отводимом вниз щелоке, который при последующем поступлении в нижнюю часть башни, подкисляется током  $\text{CO}_2$  до появления свободного растворимого  $\text{H}_2\text{S}$ , который вместе с  $\text{H}_2\text{S}$ , образующимся при разложении  $\text{NaSH}$ , может быть выделен известными способами, напр., отработанный  $\text{CO}_2$  щелок нагревают и подвергают действию вакуума, или если башня работает под давлением, щелок переводят с меньшим, чем в башне, давлением. М. Нагорский

**31089 П. Получение ванилина из лигнина, производных лигнина и лигнинсодержащего материала.** Фрейденберг, Лауч, Бренек (Verfahren zur Gewinnung von Vanillin aus Lignin bzw. Ligninderivaten oder ligninhaltigem Material. Freudenberg Karl, Lautsch Willy, Brenek Johannes) [Zellstoffabrik Waldhof]. Пат. ФРГ 947365, 16.08.56

Для получения ванилина (I) нагревают до 107—140° лигнин (Л), производные Л или Л-содержащий материал, напр. отработанный щелок (Щ), с водой щелочью при воздействии свободного  $\text{O}_2$  под давлением или без давления, но с прибавлением соли, повышающей т-ру кипения, в отсутствие в-в, переносящих кислород. При использовании сульфитных Щ на сырье, их нагревают до 110°, под давлением, применяя или кислород, или воздух. Прибавлением повышающих т-ру кипения солей ( $\text{NaCl}$ ,  $\text{Na}_2\text{SO}_4$ ) повышается выход I. Примеры. 1. 1 кг древесной муки смешивают в автоклаве с 10 л, 2 н. щелочи, нагревают кислород и нагревают смесь при перемешивании в течение 2 час. до 120°. Осадок отделяют, р-р насыщают углекислотой до полного превращения едкой щелочи в бикарбонат; I экстрагируют бензолом или эфиром. После отгонки р-рителя получают 28,5 г сырого содержащего 85% чистого I, что составляет вых. 9,6% к Л исходного материала. 2. 1 л отработанного



сульфитного III доводят прибавлением КОН до 2 н. содержания щелочи и насыщают NaCl. Смесь кипятят с обратным холодильником в течение 12 час. при пропускании тонкораспыленного  $O_2$ . Выход I 4—5 г, или соответственно 6,8—7,3% от III, содержащегося в III.

Е. Зиллер

**31090 П. Способ и оборудование для регенерации тепла и химических веществ из отработанных целлюлоз при производстве целлюлозы или из барды мелассы.** Парен (Verfahren und Vorrichtung zur Erzeugung von Wärme und zur Rückgewinnung von Chemikalien aus Ablaugen, insbesondere aus Zellstoffablauge oder Melasseschlempen. Parén Per) [Jönköpings Mekaniska Werkstads Aktiebolag]. Пат. ФРГ 945127, 28.06.56

Предложены 2 модификации способа сжигания отработанных щелоков (ОЩ) или барды. 1. В нижнюю часть топки парового котла (Т) с помощью пара или сжатого воздуха вбрызгивают через катающуюся с помощью особого механич. приспособления сопло ОЩ или барду, предварительно упаренные до конц-ии сухого в-ва 55—56% или неупаренные с добавлением к ним нефти или другого горючего. Вершина кривой траектории частиц ОЩ, вводимых через сопло, находится в верхней части Т; за время движения в пространстве топки частицы ОЩ обезвоживаются и сгорают в нижней части Т, образуя на дне Т плав хим. в-ва, который периодически выгружают. 2. Одна из внутренних стенок нижней части Т (примерно на уровне отверстия сопла) представляет собой наклонную плоскость (НП), на поверхность которой падают мелкие частицы, которые, накапливаясь, падают на дно Т, где сгорают и плавятся; под НП стенка Т выгнута таким образом, что восходящие топочные газы омывают НП. В обоих вариантах сгоревший и сплавившийся материал оседает на дно Т в виде раздробленных частиц. Стенки Т выстилают чугунными плитами для защиты труб от осадка. Патентуемый способ почти полностью устраняет потери за счет выноса частиц газами в дымогарную трубу. Приложены 3 схемы.

Ю. Вендельштейн

**31091 П. Фильтрация бумажной массы на барабанном фильтре** (Verfahren und Vorrichtung zum Abtrennen von Feststoffen aus diese enthaltenden Suspensionen in Flüssigkeit mittels Trommelfiltern) [Cellulosefabrik Attisholz Akt.-Ges. vorm. Dr. B. Sieber]. Швейц. пат. 295691, 16.03.54 [Chem. Abstr., 1955, 49, № 21, 15238 (англ.)]

Волокна целлюлозы отделяют от жидкости путем распыления и фильтрации массы в верхней части медленно вращающегося цилиндрич. сита. Удаление с сита отделенных волокон происходит в его нижней части; при этом ячейки сита не забиваются и скорость фильтрации не уменьшается. При фильтрации массы с большим диапазоном размера частиц применяют аналогичный аппарат с тремя concentрич. цилиндрич. ситами с различной величиной меш, вращающимися на общей оси.

В. Реутский

**31092 П. Усовершенствования в производстве бумаги** (Perfectionnements à la fabrication du papier) [Bowaters Development and Research Ltd]. Франц. пат. 1414869, 6.03.56

Для предупреждения образования в бумаге пузырьков воздуха распыляют смесь в-ва (I), препятствующего образованию пены, с большим кол-вом воды на бумажное полотно при его формовании. I является продуктом конденсации 1 моля жирной оксикислоты, напр. рицинолеиновой к-ты, с 2—5 молями окиси этилена (II); в качестве I применяют также октиловый спирт, парафиновое масло, сульфированные жиры и масла, напр. сульфированное касторовое масло, сосновое масло и различные производные силикона.

I легко эмульгируется в воде без добавления эмульгатора; применяемая конц-ия I < 1 вес.% (0,05—0,3%) при расходе ~ 45 г I на 1 т бумаги. Эмульсию I в воде с помощью особого распыляющего приспособления и сжатого воздуха распыляют попеременно бумажного полотна и в шахматном порядке по отношению к транспортеру в месте, где прекращается действие регулятора толщины полотна. Описана технология обработки I и приложены 4 схемы распыляющей установки.

Ю. Вендельштейн

**31093 П. Проклейка бумаги и картона.** Альсфельд (Leimung von Papier und Pappe. Alsfeld Max) [Henkel & Cie. G. m. b. H.]. Пат. ФРГ 943735, 1.06.56

Получаемые окислением парафина, напр. синтезом по методу Фишера из CO и  $H_2$ , мылообразующие жирные к-ты первого погона (ЖК1) могут быть использованы как материал для проклейки бумаги и картона, если в ходе окисления парафина будут отходить ЖК1 с 6—10 атомами С и если их применять в виде Al-соли. Целесообразно задавать эти продукты в бумажную массу в виде Na-соли, а затем после перемешивания вводить р-р  $Al_2(SO_4)_3$ . Пример. В ролл помещают ~ 120 вес. ч. макулатуры, намелоченной на бегунах, доливают воду до конц-ии сухих в-в 6% и хорошо размешивают. Затем к массе добавляют 3,6 вес. ч. нарезанной в стружку Na-соли ЖК1 с 6—9 атомами С. Через ~ 0,5 часа вводят р-р  $Al_2(SO_4)_3$  до pH 4,8 и через некоторое время массу перерабатывают обычным способом в картон, обладающий хорошими механич. и водоотталкивающими свойствами.

С. Иванов

**31094 П. Метод контроля степени адгезии полиэтиленовых покрытий к бумаге** (Method for controlling the degree of adhesion of polyethylene coatings to paper) [Union Carbide & Carbon Corp.]. Англ. пат. 728203, 13.04.55

Адгезия к бумаге (Б) нанесенных опрыскиванием покрытий из полиэтилена, из смеси полиэтилена с парафином, или из микрокристаллич. восков, которые были откандрированы, улучшается при нагреве до 130—175° в течение не свыше 10 сек. или соответственно до 110—150° в течение не свыше 8 сек. Б с рулона проходит через кроющие валики, наносящие на Б полиэтиленовую пленку, или пленку из полиэтиленово-восковой смеси разбрызгиванием, через фильеру. Покрытая Б проходит по вращающемуся барабану, нагреваемому в пределах 105—195° радиационными нагревателями и далее она проходит через охлаждающие валики к накату. Нагревание Б регулируют изменением скорости движения полотна Б, кол-ва и мощности нагревателей и их расстояния от Б, а также изменением т-ры сушильного цилиндра.

С. Иванов

**31095 П. Производство печатной бумаги.** Мугисима, Ямагиси, Тэрун, Аоги [Нихон суйсо когио кабусики кайся]. Японск. пат. 7005, 30.09.55

Патентуется способ произ-ва мягкой, мало гигроскопичной бумаги для печати. Каолин размешивают в воде и получают отрицательный коллоид. Распускают в воде стеарат аммония и растворяют амид стеариновой к-ты. Р-ры сливают вместе и получают устойчивый коллоидный р-р, который вводят в бумажную массу (в кол-ве 34—40%) в качестве клеевого в-ва. После изготовления бумаги во время ее термич. обработки на роллах стеарат аммония превращается в нерастворимый в воде амид жирной к-ты и плотно закрепляется в бумаге. Пример. В отрицательный коллоид, состоящий из 100 вес. ч. каолинита и 100 вес. ч. воды, добавляют коллоид, состоящий из 5 вес. ч. амида стеариновой к-ты, 1 вес. ч. стеариновой к-ты, 2 вес. ч. 28%-ной аммиачной воды, 100 вес. ч.

воды и 5 вес. ч. казеина, добавляют немного антисептич. в-ва и получают однородный коллоид. Композицию вводят во влажную массу в процессе формования и затем через rolls пропускают бумагу при 120—150° для термич. обработки.

А. Фрадкин

**31096 П. Метод получения и обработки волокнистого материала.** Аштон, Машин (Treated fibrous product and method. Ashton William H., Masci Joseph N.) [Johnson & Johnson]. Пат. США 2766137, 9.10.56

Влагопрочную бумагу изготавливают пропитыванием волокон свободной карбоксиметилцеллюлозой (I), карбоксиметилцеллюлозой (II) или их соответствующими водорастворимыми солями (натриевыми или аммонийными) (III), с последующим нагреванием материала при 80—175° (в зависимости от скорости машины и примененного полуфабриката) в течение 0,5—3 час. Для нагревания используют горячий воздух, ИК-лучи, пар, нагретые пластины, цилиндры и пр. Оптимальная степень замещения (СЗ) (на 100 глюкозных остатков) I и II составляет ~ 200. Степень полимеризации (СП) I и II, выраженная вязкостью 0,5%-ного р-ра в 0,5 н. р-ре NaOH при 25,5°, от 5,7 до 36 сек. Кол-во вводимых в массу I, II, III можно изменять в широких пределах в зависимости от назначения материала. Получаемый материал с влагопрочностью  $\geq 60\%$  применяют для упаковки пищевых продуктов, для изготовления бумажных сумок, обоев, фильтровальных дисков, цыновок и пр. Приведены примеры модификаций процесса при обработке волокнистой массы I, II, III со СЗ 74—123 и СП 7—36 сек. Пример 1. Фильтровальную бумагу (Б) «ватман № 1», имеющую прочность на разрыв в сухом состоянии 1,82 кг/см на 1 см ширины и во влажном состоянии 0,035 кг/см, обрабатывают 2%-ным р-ром аммонийной соли I, имеющей СЗ 123 и СП, выраженную вязкостью р-ра соли в 0,5 н. р-ре NaOH при 25,5—24,4° сек. Обработанная бумага, содержащая 6% добавленных сухих в-в по отношению к сухим в-вам Б, высушенная воздухом при 24°, имела прочность на разрыв во влажном состоянии 1,25 кг/см. Часть бумаги была нагрета в течение 2 мин. при 160°. Прочность обработанной теплом Б во влажном состоянии составляла 2,5 кг/см. Пример 2. 2 вес. ч. кислот I (0% нейтр-ции) с СЗ 117 и СП, определяемой указанным в 1-м примере методом, 18,3 сек., были растворены в 10 ч. воды и 4 ч. конц.  $\text{NH}_4\text{OH}$  (с 28,3 вес. %  $\text{NH}_3$ ) и смесь разбавлена до содержания I 2%. Фильтровальная Б ватман № 44 с прочностью в сухом состоянии 1,8 кг/см и во влажном 0,14 кг/см была обработана 2%-ным р-ром I до содержания  $\text{NH}_4$ -соли I 5,2% и сухим в-вам Б. После высушивания в течение 3 мин. при ~ 145° Б имела прочность на разрыв во влажном состоянии 2,1 кг/см.

А. Сафьян

**31097. Копировальная бумага, сохраняющая светонепроницаемость в процессе ее использования.** Панкоке (Im Gebrauch lichtunddurchlässig bleibendes Kohlenpapier. Pankoke Karl) [Fa. Günther Wagner]. Пат. ФРГ 952683, 22.11.56

Для получения светонепроницаемой в применении, с контрастирующими в окраске обеими сторонами копировальной бумаги (КБ) между окрашенным слоем КБ и окрашенной в массу в нечерный цвет шелковой наносят промежуточный слой, содержащий термопластич. синтетич. в-во и сажу, в кол-ве достаточном для сообщения КБ светонепроницаемости. Пример: 15 ч. поливинилацетата растворяют в 25 ч. органич. р-рителя с средней т-рой кипения, прибавляют 10 ч. сажи, растирают, к массе добавляют до 100 ч. спирта, прибавляя одновременно небольшое кол-во растворимого в спирте основного красителя и танина (последний для закрепления красителя); полученную

массу наносят в качестве промежуточного слоя обычными при изготовлении КБ способами, причем отсылают выделяющиеся на нагретых rolls пары р-рителей; на этот слой обычным способом наносят собственно красящий слой КБ. По желанию оборотную сторону покрывают слоем бесцветного воска.

Ю. Вендельштейн

**31098 П. Способ физико-химической обработки бумаги и других волокнистых изделий, содержащих целлюлозу.** Гриньяр (Procédé de traitement physicochimique du papier et autres matières fibreuses renfermant de la cellulose. Grignard Roger). Франц. пат. 1409101, 23.01.56

При изготовлении светочувствительных бумаг (диазотипия) для копирования чертежей и т. п. для устранения пористости бумаги наносят слой более или менее гидрофобных в-в, препятствующих глубокому проникновению сенсibilизирующих в-в и на позволяющих достаточно равномерно покрыть бумагу сенсibilизатором, что отрицательно сказывается на скорости печатания и проявления, а также на плотности и контрастности изображения. Патентуется способ покрытия бумаги и других волокнистых целлюлозных материалов р-рами, суспензиями, дисперсиями или эмульсиями высокополимеров, при которых не образуется на поверхности бумаги непрерывной пленки, что достигается подбором высокополимеров, не склонных к самопроизвольному превращению в сплошную пленку в условиях обработки ими бумаги, отсутствием пластификатора, добавлением к высокополимеру в-в, способных к газообразованию при нагревании или под действием света, и обработкой при т-рах и в течение промежутка времени, недостаточных для образования сплошной пленки. Примеры: до сенсibilизации бумагу покрывают: а) эмульсией поливинилацетата, содержащей 60% сухого в-ва, не содержащей пластификатора, разбавленной равным объемом 1%-ного водн. р-ра ацетондикарбоновой к-ты и сущат или б) 56%-ной эмульсией поливинилацетата, разбавленной 5-кратным объемом 5%-ного водн. р-ра  $\text{NH}_4\text{HCO}_3$ , и сущат или, в) 30%-ным латексом полистирола, не содержащим пластификатора, нагревают при 80—400° и сущат. Во всех описанных случаях значительно повышается скорость печатания и проявления, плотность и контрастность изображения. Кроме указанных выше полимеров можно применять природный каучук, полихлорвинил, поливинилный спирт, полиакрилонитрил, полиметакрилаты, хлорпрен, политетрафторэтилен, силиконы, крахмал, декстрин, желатину, альгинаты, карбоксиметилцеллюлозу и др.

Ю. Вендельштейн

**31099 П. Улучшение цвета неклееной пористой бумаги.** Хатчинс (Color improvement of unsized porous paper. Hutchins Marsden Clair) [American Cyanamid Co.]. Пат. США 2730446, 10.01.56

Метод улучшения цветостойкости и увеличения удерживания красителей при произ-ве цветных бумаг заключается в добавлении в бумажную массу красителей и синтетич. смол (перед формованием бумаги), в следующих комбинациях: 1. Пигмент + катионная смола в кол-ве 0,13—10% (к весу волокна). 2. Кислотный краситель + катионная смола 0,13—10%. 3. Пигмент + катионная мочевиноформальдегидная смола 0,25—5%. 4. Кислотный краситель + катионная, мочевиноформальдегидная смола 0,25—5%. 5. Пигмент + катионная меламиноформальдегидная смола 0,25—5%. 6. Кислотный краситель + катионная меламиноформальдегидная смола 0,25—5%. М. Беленная

**31100 П. Способ изготовления водоустойчивой бумаги посредством нанесения покрытия из окисленного битума.** Наканиси [Асахи Какоси Кабусики Кайся]. Японск. пат. 225, 22.01.55

На бумагу наносят окисленный битум. Покрытие водоустойчивое.

**31101 П. (Produit titube of 1.03.56)**

Для склеивания дефектов...

...мелкие...

...поддержива...

...трах > 175...

...с примесями...

...получаемые...

...зависит от...

...диффузия...

...в 100 000—...

...кол-во погл...

...наложенны...

...кладывающ...

...ры: а) П...

...50 вес. %...

...добавляют...

...генерализа...

...толщевой...

...до влажн...

...~ 12,5 м...

...склеиваем...

...x 96,5 см...

...т-ре ~ 16...

...ний от с...

...тание в...



На бумагу наносят с обеих сторон покрытие, в частности из окисленного битума, пропуская через ванну. Поверх покрытия помещают слои бумаги и все вместе прессуют пропусканием через роилы. Полученная бумага отличается водоустойчивостью.

Ким Хван

31101 П. Клеящий материал и способ его получения (Produit adhésif et procédé pour son obtention) [Institute of Paper Chemistry]. Франц. пат. 1111560, 1.03.56

Для склеивания бумажного полотна при удалении его дефектных частей во время перематывания с рулонов на бобины печатных машин патентуется применение пленок (II), плавящихся при  $t$ -рах  $< 175^\circ$  и удерживающих кратковременное нагревание при  $t$ -рах  $> 175^\circ$ , состоящих из поливинилацетата (ПВА), с примесью 5–20% от его веса пластификатора, и получаемых высушиванием слоя водн. дисперсии указанной смеси. В качестве пластификатора применяют дибутилфталат (I), монокрезилдифенилфосфат или триэтилглицероль-2-этилбутират (II), и ПВА с мол. в. 100 000–150 000; смесь может содержать небольшое количество поперечно сшитого мономера. Между двумя наложенными друг на друга краями бумаги (Б) проглаживают II и нагревают до ее плавления. Примеры: а) ПВА с мол. в.  $\sim 125$  000 диспергируют в воде (50 вес. % ПВА и 50% воды), к полученной дисперсии добавляют 4 вес. % II, размешивают до полной гомогенизации, и отливают на стеклянной пластинке II толщиной 75  $\mu$ , которую сушат при окружающей  $t$ -ре до влажности 5% и разрезают на полоски шириной  $\sim 12,5$  мм. Полоски помещают между двумя краями склеиваемой Б (стопа 500 листов размером  $63,5 \times 96,5$  см весит 22,7 кг) и проглаживают утюгом при  $t$ -ре  $\sim 162^\circ$  поперек Б; получаемый гладкий, свободный от складок шов выдерживает необходимое испытание в печатной машине; б) аналогично получают полоски II из водн. дисперсии (с содержанием 55% твердых в-в) ПВА (мол. в. 10 000) полимеризованного с метилметакрилатом (до полимеризации в состоянии поперечно сшитого мономера), с содержанием ПВА 97% от веса полимера; в качестве пластификатора к дисперсии прибавляют 5 вес. ч. I и отливают из нее на металлическую полированную поверхность II толщиной 75  $\mu$ , качества которой при склеивании совпадают с таковыми примера (а).

Ю. Вендельштейн

31102 П. Процесс непрерывной окраски бумаги с одновременным увеличением ее прочности. Ре (Procédé pour colorier en continu du papier tout en augmentant sa solidité. Ray G.). Франц. пат. 1103735, 7.11.55 [Teintex., 1956, 21, № 7, 587 (франц.)]

Патентуется непрерывный процесс пропитки бумажного полотна для окраски и одновременного повышения механич. прочности бумаги. При раскатке на вальцах бумажное полотно (II) попадает в ашретурнопрокатный станок, где нижний вал частично погружен в ванну с  $n$ -ром пластифицирующих смол и других компонентов. Удаление избытка жидкости и регулирование пропитки осуществляет скребок. Обработанное II поступает во второй ашретурнопрокатный станок, в котором на верхний вал равномерно наносят красящий состав при помощи ряда небольших вальцов одинакового диаметра, вращающихся с разной скоростью. При выходе из станка бумажное II попадает в сушилку с нагреваемыми цилиндрами, вентиляционными вытяжными установками или подвергается облучению ИК-радиацией.

Н. Рудакова

31103 П. Печатные плиты и способы их получения (Printing plates and methods of making same) [Addressograph-Multigraph Corp.]. Англ. пат. 724907, 23.02.55

Патентуются гибкие плиты для плоской печати с на-

несенной на них Na-сульфатцеллюлозой (I), которой придана нерастворимость, в качестве носителя изображения и удерживающей влагу печатной поверхности. Сообщения нерастворимости осуществляют с помощью труднотлетучих альдегидов, напр. глиоксала, паральдегида или параформальдегида. Напр. 2,6 г глиоксала прибавляют к 97,4 г воды, нагретой до  $50^\circ$ , и размешивают с 2,6 г I. Полученным р-ром покрывают непроклеенную бумагу, сушат на воздухе, нагревают до  $70^\circ$ , охлаждают и наносят изображение. Можно применять наполнители, напр.  $Al(OH)_3$ ,  $TiO_2$ ,  $SiO_2$ , осажденный  $CaCO_3$ , каолин и др. Ю. Вендельштейн

31104 П. Стереотипные матрицы. Эйкмейер (Stereotype mat. Eichmeier Russell R.) [Burgess Cellulose Co.]. Пат. США 2739068, 20.03.56

Патентуются стереотипные матрицы (СМ), получаемые свойлачиванием смеси целлюлозных волокон и измельченного наполнителя — синтетич. силиката щел.-зем. металла, напр. Ва, Са, Mg или Sr, с уд. поверхностью (УП) не менее  $10 \text{ м}^2/\text{г}$  (определяемой методом поглощения  $N_2$  при низкой  $t$ -ре), с аморфным состоянием (АС) частиц (по дифракционной рентгенограмме), полученного осаждением растворенной в воде соли щел.-зем. металла р-ром силиката щел. металла, высушиванием и размолом, и взятого в кол-ве 10–25% от веса СМ. Получаемые СМ однородны по всей толщине, обладают высокой степенью пластичности во влажном состоянии (10–50% влажности на общий вес СМ) и отсутствием прилипания поверхности при формовке и отливке. Примеры: (в вес. ч.) к р-ру 8 ч.  $CaCl_2$  в 235 ч. воды медленно прибавляют р-р 7,3 ч. силиката Na состава  $1 Na_2O \cdot 3,3 SiO_2$ , нагревают до кипения, образующийся осадок  $1 CaO \cdot 3,3 SiO_2$  фильтруют, промывают, сушат и размалывают в шаровой мельнице, получая продукт с УП  $45,4 \text{ м}^2/\text{г}$ , аморфный, который смешивают с водн. суспензией размолотой хвойной  $\alpha$ -целлюлозы из расчета 100 ч. (к весу сухих в-в) последней и 23 ч. сухого силиката Са. Из суспензии обычным способом на машине изготавливают СМ толщиной 0,38–1 мм после обработки роиллом и сушки. При получении отиска СМ увлажняют до содержания воды 10–50% (обычно  $\sim 20\%$ ); применяя умеренное давление получают резкое изображение стереотипа с гладкой поверхностью и резко очерченными деталями. Аналогично описанному выше получают с  $Ca(OH)_2$  силикат с УП  $10,7 \text{ м}^2/\text{г}$ ; с  $1 Na_2O \cdot 1 SiO_2$  продукт с УП  $105 \text{ м}^2/\text{г}$ ; силикаты с отношением Са к  $SiO_2$  от 1:4 до 1:3,75 (в последнем случае VII 54,3  $\text{м}^2/\text{г}$ ); силикат из  $BaCl_2$  и  $1 Na_2O \cdot 3,3 SiO_2$  с УП  $25,9 \text{ м}^2/\text{г}$ ; силикат Mg из  $MgCl_2$  и  $1 Na_2O \cdot 3,3 SiO_2$  с УП  $52,5 \text{ м}^2/\text{г}$ ; силикат Sr из  $SrCl_2$  и  $1 Na_2O \cdot 3,3 SiO_2$  с УП  $28,2 \text{ м}^2/\text{г}$ . Аналогично изготовлены СМ из продажных силикатов Са и Mg с УП  $68,5 \text{ м}^2/\text{г}$  и  $528 \text{ м}^2/\text{г}$ . Все полученные силикаты аморфны.

Ю. Вендельштейн

31105 П. Способ и устройство для изготовления упаковочного материала. Хог (Method and device for fabricating packaging material. Hoag Roderick W.). Пат. США 2726975, 13.12.55

Предложены способ и конструкция машины для соединения полотна бумаги (Б) и нагретого полотна целлофана (Ц) при изготовлении составного полотна с прозрачной полосой в средней его части. Машина состоит из устройства для размотки и перемещения полотна Б и Ц, ножа для продольного разрезания Б на два полотна, устройства для регулирования движения и укладки ленты Ц на края бумажных полотен, греющего цилиндра и вальцового пресса для соединения целлофана и бумажных полотен. Дана схема.

С. Иванов

31106 П. Бумажная лента с клеящим покрытием. Эджер, Энгел (Paper backed adhesive tape. Эджер, Энгел (Paper backed adhesive tape.

Eger Laszlo Walter, Engel Sdward William) [Permacel Tape Corp.]. Пат. США 2726967, 13.12.55

Клейкая лента с чувствительным к давлению клеем покрытием, подложка которой изготовлена из пористой бумаги, имеющей гибкость, толщину и вес такие, как листовая бумага весом стопы из 480 листов размером  $61 \times 91,4$  см 2,2 кг; образующие внутреннюю ткань бумажные волокна дополнительно связаны полимерными частицами, вводимыми в виде водн. суспензии с конц-ией 30–60% по весу, что соответствует 40–60% к весу внутренней связующей ткани; в основном, это невулканизированные частицы сополимера бутадиена в смеси с 35–70% ненасыщ. стиролов, акрил-нитрилов, изобутилена и метакрилатов; будучи приклеена к какой-нибудь поверхности, лента может быть с нее снята без разрыва, так как указанные выше проклеивающие элементы сообщают ей достаточную прочность на разрыв и изгиб; прочность ленты сохраняется при изменении т-ры в пределах от т-ры заморозки до т-ры кипения воды.

Г. Брахан  
31107 П. Способ производства картона и получаемое изделие. Селигман, Лэрд (Procédé de fabrication de carton et produit en résultant. Seligman Herman, Laird Joseph Stanley) [Ford (Soc. An. française)]. Франц. пат. 1109364, 25.01.56

Картон, сохраняющий размеры, предназначенный для покрытия тканью или искусств. кожей (для отделки внутренности кузовов и т. п.), получают из бумажной массы (напр., отходов бумажного произ-ва) смешиванием с 10–25% термопластич. смолы с повышенной т-рой плавления (напр., со смолой «Vinsol» — побочным продуктом экстракции древесного дегтя, обработанным щел. или щел.-зем. основаниями для повышения т-ры плавления). рН смеси устанавливают с помощью квасцов в пределах 4,5–5,5, предпочтительно 5, добавляют пигмент, напр. сажу, и немного асфальта, массу настилают (в картоноделательной машине) с расчетом на общую толщину готового картона ~ 3 мм; влажный лист слегка отжимают и переносят на металлич. сетку с отверстиями петель 2–0,25 мм, затем на доски горячего пресса, после пресования листы вместе с сетками сушат насыщ. при 150° паром при давл.  $3,5\text{--}7 \text{ кг/см}^2$  до прекращения выделения влаги (~7 мин.). Высушенные листы погружают (в горизонтальном положении) на глубину ~ 60 см в воду с т-рой от 80° до т-ры кипения на 2–5 сек. до поглощения 2–6%, предпочтительно ~ 2,5% воды.

Ю. Вендельштейн  
31108 П. Состав силикатного клея и метод его применения (при производстве картона). Оликс (Adhesive silicate composition and method of using the same. Olix Donald J.) [Diamond Alkali Co.]. Пат. США 2736678, 28.02.56

Патентуются композиции (К) связующих в-в, содержащих жидкое силикатное стекло (С), для проклеивания листов целлюлозосодержащих материалов, напр., при изготовлении гофрированного картона (ГК). К содержат компоненты, улучшающие водостойкость и снижающие способность силикатного С прилипать к нагретой поверхности металла при произ-ве ГК. Установлено, что добавление к силикатному С некоторого кол-ва кислых эфиров крахмала повышает водостойкость и снижает его прилипание к металлич. поверхностям. В качестве такого в-ва может служить, напр., гидрофобный эфир замещ. янтарной к-ты и крахмала, имеющий рН 6,5–7,0 и т-ру желатинизации 70°. Соединение нерастворимо в воде и обычных р-рителях, что может затруднить его диспергирование в жидком С. Однако добавлением нагретого до 40° эфира к жидкому силикатному С, содержащему 50% воды, и последующим перемешива-

нием можно получить клейкий р-р с повышенной водостойкостью и пониженным прилипанием к металлу. Кислый эфир крахмала (ЭК) может быть получен действием на крахмал ангидрида замещ. циклич. дикарбоновой к-ты, имеющего структурную ф-зу  $\text{OCOR(R')CO}$ , где R — диметилен- или триметилен-

радикал, а R' — гидрофобная замещ. углеводородная, напр. алкил-, алкенил-, аракрил- или аралкенилгруппа, содержащая 1–18 атомов С. R' может быть присоединен одной межуглеродной связью, как напр., в ангидриде алкенилтантарной к-ты или двумя межуглеродными связями, как, напр., в продукте соединения малеинового ангидрида с метилпентадиеном, или в ангидридах циклопарафиноциклодикарбоновых к-т, напр., ангидриде циклогексан-1,2-дикарбоновых к-т, или может быть присоединен простой или сложной эфирной связью, как, напр., в октилосиянтарном или капроксиантарном ангидриде. Все вышеперечисленные в-ва соответствуют классу ангидридов замещ. дикарбоновых к-т, таких как янтарная и глутаровая. Вместо ангидридов органич. к-т можно применять хлориды замещ. дикарбоновых к-т, образующие циклич. ангидриды, напр., хлорид алкенилтантарной к-ты. Крахмал может быть любого происхождения — кукурузный, в том числе восковый, картофельный, рисовый, пшеничный и др., но в нежелатинированной форме (в виде природных крахмальных зерен) и должен оставаться в этой форме в течение всего процесса. Рекомендуемые композиции с жидким С содержат (в вес.%): силикат (с отношением  $\text{Na}_2\text{O}:\text{SiO}_2$  1:2,5) 4–50–75, эфир крахмала 2–25, каолин с 80–85% частиц размерами  $< 2 \mu$  5–20 и воду до 100%. Предпочтителен силикат, содержащий 1 вес. ч.  $\text{Na}_2\text{O}$  на 3,3 вес. ч.  $\text{SiO}_2$  и 37,3% твердого в-ва. Добавление сырого сахара, получаемого осахариванием зернового крахмала, или окислов железа в кол-ве 0,5–5% способствует легкому удалению жидкого силиката с нагретой металлич. поверхности при незначительном механич. воздействии. Отличные результаты получают при добавлении к силикатному С синтетич. продукты конденсации мочевины, сахара и формальдегида и окислов железа. Наиболее высокую водостойкость и низкое прилипание к нагретому металлу имели композиции, содержащие (в вес.%): силикат 50–75, эфир крахмала 2–25, сахаромочевинформальдегидную смолу 1–8, каолин 5–20,  $\text{Fe}_2\text{O}_3$  0,5–10 и воду до 100%.

А. Березин

31109 П. Строительный картон. Кавадина, Стабл (Building boards. Cavadino C. G. F. Stable F. E.) [Gyproc Products, Ltd.]. Англ. пат. 727468, 6.04.55

Бумажную прокладку алебастрового картона пропитывают водн. р-ром мочевиноформальдегидной смолы, содержащим 40–70% твердого в-ва и смесью из эфира  $\text{H}_2\text{SiO}_3$  и жидкого хлорированного алифатич. или ароматич. углеводорода (I), напр. о-дихлорбензола, хлористого метилена или этилена, дихлор-, трихлор- или тетрахлорэтана, пентахлорэтана, м-дихлорбензола, хлористого бензила или бензила или бензотрихлорида и их смесей, при отношении эфира к I 2:1 или 1:1 и отношении р-ра смолы к смеси эфира с I от 6:1 до 3:1, и нагревают для отверждения смолы. Для придания огнестойкости пропитанный смолы материал опрыскивают насыщ. р-ром  $\text{NH}_4\text{Cl}$ . В примере пропитку проводят смесью указанной смолы и составом из 1 объемн. ч. эфира  $\text{H}_2\text{SiO}_3$  и 1 объемн. ч. о-дихлорбензола, опрыскивают насыщ. р-ром  $\text{NH}_4\text{Cl}$  и отверждают.

Ю. Вендельштейн

31110 П. Способ производства древесно-волоконистых плит (Procédé pour la fabrication de panneaux dans



en fibres de bois) [Karlholms Aktiebolag]. Франц. пат. 9108998, 18.01.56

Наслаивают два или более слоев древесной массы (ДМ), отличающихся содержанием волокон, связывающих в-в (СВ) и осаждающих агентов, после чего спрессовывают для получения плиты с соблюдением следующих условий: один или несколько слоев подкисляют сульфатом Fe, а последний, верхний слой — сульфатом Al; последний слой формуют из ДМ, полученной полностью или частично из окоренного дерева или полностью или частично состоящей из механич. ДМ; последний слой не превышает 20% от предшествующих слоев; воду, вытекающую при отжиме верхнего слоя, не смешивают с водами от предыдущих слоев; один или несколько слоев пропитывают СВ (выскачивающими маслами, животным клеем, смолами из мочевины, фенолформальдегидными и их смесями); слои, не содержащие СВ, переслаивают таковыми, содержащими СВ; синтетич. смолы применяют в кол-ве 2–10%, предпочтительно 2–5% от веса сухого волокна. Получаемые блестящие с поверхности, красноватые (оттенки можно изменять комбинациями СВ) плиты обладают меньшей степенью набухания и большей прочностью на разрыв, чем изготавливаемые обычными способами.

Ю. Вендельштейн

31111 П. Способ изготовления древесно-волокнистых плит. Даймлер, Лоренц (Verfahren zur Herstellung von Holzfaserplatten. Daimler Karl, Lorenz Victor) [Farbwerke Hoechst Akt. Ges. vormals Meister Lucius & Brüning]. Пат. ФРГ 941868, 19.04.56

При изготовлении древесно-волокнистых плит (П) и других строительных деталей (напр. труб) применяют в качестве связующих в-в в водн. аммиачные р-ры соединений Zn, Cu или Cd с кислородными к-тами P, B или H<sub>2</sub>CO<sub>3</sub>, в данном случае при участии мышьяковой и хромовой к-т, причем образование связующих осуществляют в процессе изготовления П. Одновременно с патентуемыми связующими можно применять другие известные связующие, а также гидрофобные в-ва, напр. масла, жиры, воск, пек, жирные к-ты, их продукты омыления аммиаком или их эмульсии. При этом или иным способом пропитки волокнистого материала (кроме бесполезного поверхностного смазывания) р-ром аммиака и последующем нагревании комплексные соли превращаются в нерастворимые пленки на поверхности волокон, посредством которых волокна легко склеиваются друг с другом, причем изделие почти теряет способность тлеть или гореть. Примеры: к 1000 ч. 20%-ной суспензии целлюлозы в каландре прибавляют 5% 50%-ной пасты свежеприготовленного фосфата Zn, свободного от посторонних электролитов, полученного из стехиометрич. кол-в H<sub>2</sub>PO<sub>4</sub> и ZnO или Zn(OH)<sub>2</sub>. Смесь пропускают через сито для удаления избытка воды, формуют и обрабатывают в замкнутом пространстве NH<sub>3</sub> или обрызгивают конц. р-ром NH<sub>3</sub>; образуется р-р аммиаката, который при последующем высушивании при нагревании превращается в нерастворимый комплекс, обволакивающий и склеивающий друг с другом волокна; H<sub>2</sub>PO<sub>4</sub> и Zn(OH)<sub>2</sub> можно вводить в волокнистый материал на каландре; образующийся фосфат Zn обволакивает волокна и почти не теряется при отжиме. В других примерах (трудно воспламеняющиеся П) суспензию древесной массы перемешивают с р-ром из 190 ч. 55%-ной пасты Zn(OH)<sub>2</sub>, 110 вес. ч. (NH<sub>4</sub>)<sub>2</sub>HPO<sub>4</sub>, 75 вес. ч. 27%-ного NH<sub>3</sub> и 25 вес. ч. воды или добавляют к Zn-фосфату Cu-борат и жирные к-ты, содержащие 5–12 атомов C, напр. для изготовления плит, устойчивых к высокой влажности воздуха и к заражению плесенью и спорами и применяемых в банях, прачечных и красильнях.

Ю. Вендельштейн

31112 П. Многослойные покрытия для стен. Палм, Палм (Multi-layer wall covering. Palm O., Palm H.) [Palm, Geb.]. Англ. пат. 731914, 15.05.55

Многослойная обшивка стен включает влагопоглощающий внешний слой из волокнистого материала и влагоупорный внутренний слой. Внешний слой способен абсорбировать  $\geq 30$  г влаги на 1 м<sup>2</sup> при относительной влажности 80% за счет гигроскопичности и 40 г влаги на 1 м<sup>2</sup> за счет капиллярности. Внешним слоем может быть бумага, по свойствам похожая на бумажную бумагу, изготовленная, напр., из малообработанных целлюлозных нитей или шлаковой ваты с небольшим кол-вом целлюлозных нитей. В состав внешнего волокнистого слоя могут быть введены гигроскопичные соли, порошкообразный силикагель, фунгициды или бактерициды. Влагоупорный слой может быть изготовлен в виде тонкого слоя из синтетич. смолы, производного целлюлозы или металлич. листа или получен нанесением пластичного в-ва, напр. синтетич. смолы, на лист волокнистого материала, представляющего собой внешний слой. Влагоупорный слой с тыльной стороны может быть покрыт защитным слоем ткани или бумаги, подобной бумаге внешнего слоя; в этом случае влагоупорный слой может служить связующим между двумя бумажными слоями. Активное клеящее в-во на стенную часть покрытия может быть нанесено либо непосредственно на влагоупорный слой, либо на защитный бумажный слой.

Я. Зельцер

31113 П. Способы предварительной обработки строительных и изолирующих волокнистых материалов, в частности соломы. Гроскопф (Verfahren zur Behandlung von Faserstoffen, insbesondere Halmgewächsen, vor ihrer Verarbeitung zu Bau- oder Isoliermaterial. Groskopf Michael). Пат. ФРГ 937635, 12.01.56

Предлагается способ изготовления волокнистых водостойких материалов (матов или плит из камыша, соломы, конопли и т. п.) без применения гидравлич. цемента, с пропитыванием волокон основным р-ром Al<sub>2</sub>(SO<sub>4</sub>)<sub>3</sub> (I) и эмульсиями битумов или синтетич. смол, напр. поливинилацетата или силиконовых. Основной р-р I получают нейтр-цией I воды, р-ром NaOH или Na<sub>2</sub>CO<sub>3</sub> до синей окраски по лакмусу, что предупреждает образование кристаллов CaSO<sub>4</sub> при р-ции I с Ca, содержащимся в растительном материале, и способствует благодаря понижению поверхностного натяжения более глубокому проникновению отдельных компонентов эмульсий в капилляры волокон. Вместо основного р-ра I можно применять растворимое стекло, к р-ру которого добавляют 5%-ный р-р AlF<sub>3</sub>. Пропитывание обоими компонентами можно применять раздельно и последовательно. В состав пропитывающей композиции можно вводить бактерицидное в-во — пентахлорфенолят Na. Пропитываемые волокна можно смешивать с минер. мукой или термозитом (кислый доменный шлак).

С. Иофе

31114 П. Вдувание сухого крахмала в бумажную массу. Маррон (Blowing drystarch into a papermaking furnish. Magrone John C.). Пат. США 2729561, 3.01.56

Предложено метод и конструкция аппарата (А) для распределения сухих материалов, напр. крахмала (К), в других материалах, напр. в водн. суспензии бумажной массы. А состоит из воздуховода, по которому подается сжатый воздух, расходного воронкообразного сосуда, по которому К под влиянием собственного тяжести ссыпается в разгрузочную камеру, и камеры, куда поступает К и сжатый воздух, всасывающим действием увлекающий К и вдувающий его через распылительную насадку (РН) в бумажную массу непосредственно перед рольным барабаном. На конце РН

имеется контрольное отверстие, позволяющее количественно регулировать дозирование К. Описаны отдельные узлы и детали А и дана схема установки А в массовом роле. С. Иванов

См. также: Целлюлоза 28105, 30995. Определение олигосахаридов 28901. Камедь 28902. Использование прессшпана 30820. Контроль в бум. пром-сти 28359. Дозатор 29074. Очистка сточных вод 29287, 29288. Техника безопасности 29336

## КРАШЕНИЕ И ХИМИЧЕСКАЯ ОБРАБОТКА ТЕКСТИЛЬНЫХ МАТЕРИАЛОВ

Редакторы К. М. Маркузе, А. И. Матецкий

31115. Влияние температуры на физическое и химическое развитие волокон хлопка. Хеслер, Симмонс, Лейн (The effect of temperature on the physical and chemical development of cotton fiber. Hessler Lyle E., Simmons Carole R., Lane Harry C.), Text. Res. J., 1957, 27, № 5, 412—416 (англ.)

Уменьшение т-ры при произрастании хлопка < 21°, а также > 40° приводит к снижению тонины волокон, прочности, содержания целлюлозы, зрелости, толщины стенок, коэф. полимеризации, кристалличности, правильности и плотности структуры и к повышению способности к окрасиванию. Рассчитаны соответствующие коэф. корреляции. В. Штудер

31116. Поверхность волокон хлопка. Часть I. Природные волокна. Часть II. Модифицированные волокна. Трипп, Мур, Роллинс (The surface of cotton fibers. Part 1. Native fibers. Part 2. Modified fibers. Tripp Verne W., Moore Anna T., Rollins Mary L.), Text. Res. J., 1957, 27, № 6, 419—436 (англ.)

I. С помощью оптич. и электронного микроскопов изучалось строение поверхности (П) хлопкового волокна (В) по следам. Для П природного В характерна система приблизительно параллельных складок и впадин, спирально расположенных вокруг В под острым углом (20—30°) к его оси. Это является отражением спиральной структуры фибрилл целлюлозы, лежащих под первичной стенкой В. Средняя высота и расстояние между складками ~ 0,5 м. ПВ большинства разновидностей хлопка сходны, но в некоторых случаях наблюдаются заметные отклонения в расстояниях между складками. ПВ из нераскрывшихся коробочек более гладкая, но после высыхания принимает обычный для типичного В вид. Прессование, а также стирание совершенно изменяют ПВ, вызывая соответствующие деформации.

II. Хим. обработки В хлопка также влияют на состояние их П. Удаление восков лишь в малой степени изменяет ПВ; обработки же щелочами и беление открывают тонкие фибриллы первичной и в некоторых случаях вторичной стенок. Мерсеризация не устраняет волнистости ПВ. Аппретирование крахмалом, карбоксиметилцеллюлозой, полиакриловыми смолами, колл. SiO<sub>2</sub> влияет в степени, зависящей от кол-ва нанесенного аппрета. В-ва, наносимые в разб. конц-ях, осаждаются во впадинах ПВ, а с увеличением конц-и покрывают всю П. В модифицированного хлопка, наряду с увеличением площади поперечного сечения, обнаруживают более гладкую П сравнительно с природными. ПВ не получает заметных изменений при обработке тканей для придания им несминаемости. С. Светов

31117. Химия лубяных волокон. Ота Кагаку, Chemistry (Japan), 1957, 12, № 1, 61—70 (японск.)

Обзор (вопросы сбора, область применения, строе-

ние и свойства технич. и элементарных волокон, хим. состав). Библ. 11 назв.

31118. Изучение состава и химической структуры фибрина шелка. I. О частичном гидролизе продукта окислительной деградации фибрина шелка. II. Концевые аминокислоты фибрина шелка и исследование пептидов тирозина. Навита (Narita Kazo), Нихон какаку дзасси, J. Chem. Soc. Japan, Pure Chem. Sec., 1954, 75, № 5, 487—494 (японск.)

31119. Сверхокращение волокон шерсти в растворах солей Li. Граффит, Александер (The supercontraction of wool in solutions of lithium salts. Griffith June, Alexander A. E.), Text. Res. J., 1957, 27, № 10, 755—767 (англ.)

Растворы LiBr, освобожденные от следов Br, вызывают сверхокращение (С) шерсти (Ш), достигающее до 50% от исходной длины и зависящее от разности тонины шерсти и ее предыдущих обработок, но не от величины pH применяемых в последующем р-ров (в пределах pH 4—9), от состояния поверхности волокон и от наличия в Ш адсорбированных поверхностно-активных в-в или красителей. С может быть обратимо или необратимо в зависимости от т-ры и длительности обработки. Аналогичный эффект дают и другие соли Li, достаточно растворимые в воде (LiCl, LiI, LiNO<sub>3</sub>). С связано с проявлениями энтропии, вызывающими сокращение цепей волокон, приобретающих после разрыва водородных связей под действием LiBr свойства эластичности, близкие к присущим каучуку. Наличие двух типов водородных связей, разрывающихся одновременно, а также неоднородность С орто- и паракортекса приводят к несимметричному С и к отличиям в степени его обратимости. В присутствии следов Br проявление С снижается, а при его конц-и > 10<sup>-4</sup> М устраняется. Влияние Br, содержащегося в виде ионов (Br<sub>3</sub>)<sup>-</sup>, сказывается в значительном увеличении расхождений в С, обнаруживаемых в зависимости от разновидности Ш, содержания в ней поверхностно-активных в-в, а также значения pH р-ров, применяемых при последующей обработке. Р-ры с конц-ей Br > 10<sup>-3</sup> М вызывают растворение Ш. Эти явления обусловлены разрывом цистиновых связей под действием (Br<sub>3</sub>)<sup>-</sup>. А. Матецкий

31120. Пластичность шерсти. Часть III. Влияние физических и химических факторов на изменение пластичности. Ру, Спикман (The plasticity of wool. Part III. The physical and chemical causes of variation. Roux P. L. le, Speakman J. B.), Text. Res. J., 1957, 27, № 1, 1—7 (англ.)

Величина набухания в воде и 100%-ной HCOOH волокон (В) шерсти из одного и того же штапеля наименьшая для В с меньшей пластичностью (П) (первичные фолликулы) и наибольшая для В с высокой П (вторичные фолликулы). Отличия в П и набухания не связаны с изменениями в содержании цистина, а зависят от соотношения аморфной и кристаллич. частей структуры, содержание первой из которых (более доступной для реагентов) определяют по кол-ву сорбированного в парах тяжелой воды D<sub>2</sub>O. Для В с наибольшей П и набуханием отмечается больший уд. вес аморфной части, а также большее содержание тирозина. При оценке технологич. свойств шерсти не следует основываться только на показателях тонины и длины, как это обычно принято, а необходимо учитывать также П. См. РЖХим, 1956, 79316. А. Матецкий

31121. Действие на шерсть N-этилмалеимида и его применение для определения содержания сульфидных групп. Берли, Хорден (The action of N-ethylmaleimide on wool and its use for the estimation of sulphhydryl groups. Burley R. W., Horden F. W. A.), Text. Res. J., 1957, 27, № 8, 615—622 (англ.)



Медленная р-ция N-этилмалеимид (I) в водн. б-ф-ных р-рах (рН 3,5) с исходной, необработанной шерстью (Ш) ускоряется для сверхокрашенной и измельченной в порошок Ш. Количеств. соотношения при равновесии соответствуют содержанию SH-групп, превышающему на ~30% показатели, получаемые по методу с 1-(4-хлорртутьфенилазо)-нафтол-2. Причины расхождения не установлены, но оно не связано с р-цией I с другими группами кератина Ш. Блокирование действием I SH-групп Ш вызывает изменение ее физ. свойств (снижение растяжимости и способности к сверхокрашению).

31122. Обработка шерсти кислыми растворами броматов. Стейтем (The treatment of wool with acid bromate solutions. Statham Kenneth W.), Text. Res. J., 1957, 27, № 1, 41—49 (англ.)

При действии на шерсть (Ш) кислых р-ров броматов, применяемых для снижения валкоспособности Ш (напр., в присутствии HCl), выделяющиеся ионы  $\text{BrO}_3^-$  и  $\text{Cl}^-$  дают смесь  $\text{Br}_2$  и  $\text{Cl}_2$ , реагирующих затем с Ш. Р-ция активируется сильными восстановителями, обычно часть бромата восстанавливается до бромидов, реагирующих с броматом, давая Br. По-видимому, механизм р-ции в присутствии альдегидов ( $\text{CH}_2\text{O}$ , глиоксаль) другой, так как добавление соли Ag не влияет на скорость р-ции и величину усадки в валке. Такие способы имеют значительные преимущества по сравнению с включающими промежуточное образование бромидов в части меньшего разрушения и обеспечения большей равномерности изменения Ш. Содержание цистина и тирозина в бромированной Ш снижается. Микроскопич. исследования волокон Ш выявили во всех случаях разрушение их чешуйчатого слоя.

31123. Исследование волокон кроличьей шерсти. XIV. Связь между тониной волокон шерсти ангорского кролика и их протравлением. Икеда, Окадзима, Като (Ikeda Sakio, Okajima Saburo, Kato Seiji) Сэнри гаккайси, J. Soc. Text. and Cellulose Ind. Japan., 1956, 12, № 12, 895—898 (японск.; рез. англ.)

При исследовании мех. свойств исходных (ИВ) и протравленных (ПВ) волокон различной площади поперечного сечения (ПС) установлено: 1) удельная работа деформации при растяжении до 30% на единицу объема увеличивается с увеличением поперечника для волокон без сердцевинного канала, у которых площадь ПС < 200  $\mu^2$ , но для волокон с внутренним каналом, площадь ПС которых > 200  $\mu^2$ , удельная работа не зависит от тонины волокон, что относится как к ИВ, так и к ПВ; 2) удельная работа сокращения ПВ имеет такой же характер, как и работа растяжения, а для ИВ она не зависит от площади ПС волокон в пределах от 100 до 1500  $\mu^2$ ; 3) удельная работа деформации при разрыве для ПВ остается почти неизменной, а для ИВ уменьшается с увеличением площади ПС; 4) гистерезис для ИВ и ПВ увеличивается одинаково с увеличением площади ПС до величины ~500  $\mu^2$ , а после этой величины остается постоянным. (Часть XIII, см. РЖХим, 1958, 20130) С. Светов

31124. Влияние иррадиации на свойства волокон шерсти. О'Коннелл, Уоллен (Influence of ionizing radiations on wool fiber properties. O'Connell R. A., Walden M. K.), Text. Res. J., 1957, 27, № 7, 516—518 (англ.)

Действие на шерсть (Ш) радиации (Р) при использовании мягких X-лучей,  $\gamma$ -лучей  $\text{Co}^{60}$ , катодных лучей не приводит к образованию новых поперечных связей в кератине. При дозировках до 5 мегареп не наблюдается заметных повреждений Ш; по мере дальнейшего увеличения интенсивности Р повреждения Ш возрастают. УФ-облучение вызывает непосредственное

быстрое разрушение Ш независимо от ее влагосодержания.

А. Матецкий

31125. Действие радиоактивных излучений на текстильные волокна. Амэмия Сэнри гаккайси, J. Soc. Text. and Cellulose Ind. Japan., 1956, 12, № 10, 685—688 (японск.)

Обзор (изменения механ. свойств, веса, твердости, гигроскопичности, диэлектрич. свойств).

Син Мен Хен

31126. Новые методы отделки и составы смесей как факторы дальнейшего развития ассортимента текстильных изделий. Вудрафф (Finishes and blends form the future. Woodruff J. A.), Amer. Dyestuff Reporter, 1957, 46, № 14, 501—503, 516 (англ.)

Наибольшее перспективное значение получают изделия из смесей вискозного волокна (ВВ) с другими волокнами (найлоном, акрилатом, дакроном, хлопком). Преимущества ВВ — низкая стоимость, возможность варьирования тонины и длины, благоприятные физич. свойства, отсутствие возникновения статич. зарядов, способность воспринимать значительные кол-ва синтетич. смол и других реагентов при спец. обработках, возможность крашения в разнообразные цвета красителями разных групп как в волокне, так и в массе.

А. Матецкий

31127. Красящие и флуоресцирующие свойства оптических белителей триазилстильбенного ряда. I. Диаминно и диоксипроизводные. Яба, Хаяси (Yabe Akihiko, Hayashi Masako), Kogyo Kagaku Zasshi, J. Chem. Soc. Japan. Industr. Chem. Sec., 1957, 60, № 6, 740—745 (японск.)

Исследованы 6 оптич. белителей, полученных замещением мест X и Y у Na-4,4'-бис-(2X,4Y,1,3,5-триазил-6)-диаминостильбендисульфоната заместителями:  $(-\text{NH}_2, -\text{NH}_2)$ ,  $(-\text{NH}-\text{C}_6\text{H}_5, -\text{NH}-\text{C}_6\text{H}_5)$ ,  $(-\text{NH}-\text{C}_6\text{H}_4-\text{SO}_3\text{Na}, -\text{NH}-\text{C}_6\text{H}_4-\text{CO}_2\text{Na})$ ,  $(-\text{OH}, -\text{OH})$ ,  $(-\text{OCH}_3, -\text{OCH}_3)$ ,  $(-\text{OC}_2\text{H}_5, -\text{OC}_2\text{H}_5)$ . У диаминовых производных повышаются флуоресцирующие свойства (ФС) и достигается хорошая прочность к стирке и к свету (за исключением аминопроизводных ароматич. ряда). У диоксипроизводных ФС повышаются последовательно в следующем порядке:  $(-\text{OH}) \rightarrow (-\text{OCH}_3) \rightarrow (-\text{OC}_2\text{H}_5)$ . Прочность к свету у диоксипроизводных удовлетворительна, кроме  $-\text{OH}$ -производных. Прочность к стирке не особенно хорошая.

Син Мен Хен

31128. Отделка рубашечной ткани из смеси хлопка и полиэфирных волокон. Штерн, Вебер (Veredlung von Hemdenstoffen aus Baumwolle/Polyesterfasern. Stern H., Weber Th.), Ciba-Rundschau, 1957, № 131, 37—39 (нем.)

Рубашечную ткань из хлопка и полиэфирного волокна (ПЭВ) (35:65) расшиваютывают при крахмальной шпигте — ферментами, а при растворимой — р-ром 0,5—0,2 г/л ультравона W, JF или JU в присутствии 1 мл/л  $\text{NH}_4\text{OH}$  30—60 мин. при 40—60°. Загрязненные замасленные ткани обрабатывают р-ром 0,5—1 г/л ультравона W, JF или JU, 0,5—2 г/л  $\text{Na}_2\text{PO}_4$  и 1—2 г/л сольватол J 30—60 мин. при 60°, тщательно промывают и сушат на игольчатой раме с механизмом опережения. Далее ткань фиксируют при 200° в течение 20 сек. с ~12%-ным опережением и охлаждают продувкой. Возникающее иногда неравномерное пожелтение ткани устраняют отбелкой р-ром 2 г/л  $\text{NaClO}_2$ , 2 мл/л 85%-ной  $\text{HCOOH}$  и 1 г/л  $\text{NaNO}_2$  при кипячении в течение 1—1,5 час. Оптич. белиение ПЭВ производят р-ром 0,1—1% увитекса ЕВ конц. при кипячении с дополнительной обработкой при 60—70° для белиения хлопка. Для крашения плосованием особенно пригодны трибантиновые и микрофикс — красители, дающие окраски высокой прочности.

О. Славина

**31129.** Стерилизующее и отбеливающее действие состава, содержащего соединения Mg. Нодзак, Фудзисиро (Nozaki Hiroshi, Fujishiro Mitsuo), Kōgō kagaku dзасси, J. Chem. Soc. Japan Industr. Chem. Sec., 1955, 58, № 2, 156—157 (японск.)  
Указанный состав (содержание активного Cl 35,5%) применим в качестве белящего агента для хлопчатобумажных изделий. Отмечено также его стерилизующее действие на водопроводную воду (в концентрации 1 г/л), проявляющееся через 24 часа после введения.

Э. Тукачинская

**31130.** Мойка шерсти в нейтральной среде или изoeлектрической зоне. Апыхтин Ф. С., Текстильн. пром-сть, 1957, № 10, 11

В связи с рядом преимуществ мойки шерсти в нейтр. среде необходимо обеспечить быстреее внедрение этого способа.

А. Матецкий

**31131.** К вопросу о расширении применения новых моющих препаратов для мойки шерсти. Кобаяси (A conservative approach to the development of detergents for raw wool scouring. Kobayashi Fritz F.), Amer. Dyestuff Reporter, 1957, 46, № 19, 694—695 (англ.)

В связи с появлением ряда новых моющих препаратов (П) для мойки шерсти (в том числе пригодных для нейтр. мойки, без добавления  $\text{Na}_2\text{CO}_3$  или других солей) и перспективностью их использования часто возникает вопрос об оценке свойств отдельных П и выявлении их технологич. и экономич. эффективности. Для обоснованного решения таких вопросов, интересующих как представителей хим. пром-сти, связанных с синтезом и изготовлением П, так и их потребителей в шерстяной пром-сти, наиболее целесообразно проводить полупроизводственные испытания на моечном агрегате уменьшенных размеров (типа установленного в Технологич. ин-те в Лоуалле) с последующей оценкой технологич. свойств шерсти, промытой отдельными П.

А. Матецкий

**31132.** Белиние мериносовой и местной белой шерсти. Сребров (Технология за производство на чисто бели прежде от мериносова и местна бяла вълна. Сребров Б.), Лека промишленост, 1956, 5, № 9, 41 (болг.)

Шерсть (Ш) подвергают в оборудовании из керамики или из кислотоупорной стали сначала окислительному (15 мл/л  $\text{H}_2\text{O}_2$ —30%-ной, 1 г/л  $\text{Na}_3\text{PO}_4$ , pH 8—8,5, добавление  $\text{NH}_4\text{OH}$ , обработка 4—6 час), а затем восстановительному (1,5 г/л бланкита, обработка 10—12 час.) белинию. После каждой обработки Ш тщательно промывают водой, центрифугируют и сушат.

З. Бобыр

**31133.** К вопросу о снятии шерсти с овчинного лоскута. Милле, Барю (Etude sur la récupération de la laine des morceaux de peaux. Millet J., Barut J.), Bull. Inst. text. France, 1957, № 65, 41—50 (франц.; рез. англ.)

Лучшие результаты в части сохранения кожи и шерсти достигаются обработкой (24 часа) овчинного лоскута бактериями; погружением на 1 час в теплую воду (70—80°); 36-часовым действием при 40° и pH 6—6,5 р-ром фермента (8—10 г/л); промывкой в мыльно-содовом р-ре.

А. Матецкий

**31134.** Новый способ промывки пряжи. Киттель (Ein neues Verfahren zum Waschen von Garnen. Kittel H.), SVF Fachorgan Textilveredlung, 1955, 10, № 6, 292—297 (нем.)

Для промывки шерстяной пряжи (П), в частности, применяемой в ковровом произ-ве, сконструирован новый агрегат из трех барок (Б). Мотки П, не связанные друг с другом, закладывают на движущееся полотно 1-й Б и непрерывно пропускают через последующие Б при промежуточном отжиме без всякого

запутывания и свойлачивания. Достигается хорошая и равномерная промывка П, улучшается ее мягкость и обеспечивается необходимое для крашения остаточное содержание жира <1%. На агрегате можно промывать также тесьму и трикотажные изделия. Для промывки применяют, напр., 1,5—3 г/л препарата фориль Д конц. в присутствии 0,5 мл/л  $\text{CH}_3\text{COOH}$ .

О. Славина

**31135.** К вопросу о химических реакциях, снижающих валкоспособность шерсти. Ирленд (Some observations on the chemical antifelting reaction for wool. Earland Christopher), Text. Res. J., 1957, 27, № 7, 587—588 (англ.)

Сопоставление действия свободного хлора (в р-ре к-ты) с другими окислителями ( $\text{KMnO}_4$ ,  $\text{NaClO}$ ,  $\text{ClO}_2$ ) выявляет, что последние, в отличие от первого, оказываются менее эффективными в части снижения валкоспособности шерсти, а также придают фибрину шелка нерастворимость в р-рителях, обычно действующих на фиброин (купри-этилендиамин,  $\text{H}_3\text{PO}_4$ ,  $\text{CaCl}_2$  в  $\text{HCOOH}$ ). Эти отличия можно объяснить тем, что свободный хлор разрушает цистиновые связи, кератина, а также окисляет остатки тирозина без образования новых поперечных связей. При действии же других окислителей, по-видимому, в этих условиях создаются поперечные связи при взаимодействии остатков тирозина.

А. Матецкий

**31136.** Непрерывный способ заварки и промывки костюмных тканей. Райхлин Ф. И., Антонова М. И., Текстильн. пром-сть, 1957, № 10, 43—45

Лабораторными и производственными (Кунцевская и Ростокская ф-ки) опытами выявлено, что заварка шерстяных тканей при длительности <5 мин. в нейтр. или слабокислой среде (pH 5,5) при 92—95° почти не разрушает шерсти. Заварку всех (а также совместно и промывку значительного числа) костюмных камвольных тканей рекомендуется проводить на проходных аппаратах по непрерывному способу.

А. Матецкий

**31137.** Некоторые взгляды по поводу новой теории крашения. О'Брайен, Холгейт, Нерстел, Тернер (Explanatory papers on modern theory. O'Brien D. S., Holgate D., Nursten Harry E., Turner H. A.), J. Soc. Dyers and Colourists, 1955, 71, № 4, 181—182 (англ.)

См. также РЖХим, 1957, 20674

**31138.** Использование ультразвуковых колебаний при крашении шерсти. Синдо Сэнъи гаккайсе, J. Soc. Text. and Cellulose Ind. Japan, 1956, 12, № 11, 778—779 (японск.)

Ультразвуковые колебания могут быть использованы в шерстяном произ-ве для интенсификации процессов: мойки, промывки, валки, приготовления замасливающих эмульсий, крашения.

Син Мен Хен

**31139.** Крашение по непрерывному методу, в частности при использовании микродисперсных пигментов красителей. П. Петер (La tintura in continuo con particolare riferimento alle marche microdisperse dei colorante cibano. P. Peter M.), Fibre e colori, 1956, 6, № 6, 219—223 (итал.)

Обзор. Часть 1 см РЖХим, 1957, 75424.

З. Бобыр

**31140.** Агрегаты для крашения тканей в полотно при повышенном давлении. Шмидлин (Druckfärbaggregate für Stückwaren. Schmidlin H. U.), SVF Fachorgan Textilveredlung, 1957, 12, № 6, 384—398 (нем.)

Из числа выпускаемых конструкций (К): джиттера (Д), работающие в условиях избыточного давления, пригодны лишь для легких тканей (Т) и трикотажного полотна; в установках типа баротора значительно осложняется загрузка и выборка Т; аппараты с накаткой Т на перфорированные валики не обеспечивают возможности крашения более тяжелых по раз-



всего Т. Преимущество Д перед другими К — возможность отбора образцов непосредственно от окрашиваемой партии. Отсутствие возможности универсального использования для всех типов Т и высокая пока стоимость ограничивают масштабы внедрения новых К оборудования.

А. Матецкий  
31141. Применение оборудования для крашения при использовании расплавленного металла на фабрике Арронауд Со. — (Arponaug Co. gets good results with molten-metal dyeing machine.), Text. World, 1957, 107, № 6, 96—97 (англ.)

Практика крашения (К) по методам при использовании как лейко-растворов, так и суспензий кубовых красителей на установке с расплавленным металлом подтвердила возможность К при скорости выпуска ткани 45—90 м/мин и значительную эффективность процесса.

А. Матецкий  
31142. Прюционовые красители и их практическое применение. Барде (Les colorants Procion et leur emploi pratique. Bardet Gabriel), Ind. text., 1957, № 851, 737—739 (франц.)

Наряду с хим. взаимодействием проционовых красителей (ПК) с целлюлозой или белками в водн. среде происходит р-ция гидролиза ПК. Соотношение скоростей обеих р-ций более благоприятное при более низких т-рах, в соответствии с чем т-ру крашения обычно устанавливают при 30—50° (условия, при которых целлюлоза фиксирует > 70% исходного кол-ва ПК). Но отдельные представители ПК, в наименовании которых включается буква «Н», отличаются относительно меньшей активностью, в связи с чем для их фиксирования при крашении требуются более высокие значения т-ры, а при печатании создается необходимость в пропуске через зрельник. Применение ПК в крашении осуществляют на всех существующих типах оборудования при значительном сокращении длительности процесса, трудоемкости и затрат. Значительная эффективность достигается и при применении ПК в печати. В состав печатной краски вводят ПК,  $\text{NaHCO}_3$ , мочевины, алыгинат Na. Для обычных ПК не требуется при этом последующей обработки паром.

А. Матецкий  
31143. Применение проционовых красителей. Секьюлес (How to apply the procion dyes. Sekules Walter), Text. World, 1957, 107, № 8, 65 (англ.)

Прюционовые красители (ПК) хорошо растворимы в воде без подогрева, и их р-ры устойчивы при жесткости воды до 3,5 мг·эка/л. ПК можно применять в смесях друг с другом, а также в присутствии анион-активных (но не катионактивных) в-в. ПК устойчивы при хранении и транспортировке; их р-ры стабильны при 30—50° в течение 4 час., если их не подвергать кипячению и не допускать попадания щелочи. Целлюлозные изделия пропитывают р-ром ПК при 30—50°, затем вводят  $\text{NaCl}$  или  $\text{Na}_2\text{SO}_4$  и продолжают обработку 30—45 мин. По прекращении выщипывания красителя вводят  $\text{Na}_2\text{CO}_3$  и обрабатывают в щел. р-ре 1 час, после чего промывают горячим р-ром мыла и водой. При поточных методах сначала ткань плюсоют р-ром ПК, а затем обрабатывают в р-ре  $\text{NaCl}$  или  $\text{Na}_2\text{SO}_4$  и  $\text{Na}_2\text{CO}_3$ . Иногда применяют промежуточное высушивание перед щел. проявлением. ПК пригодны также для крашения белковых и полиамидных волокон.

А. Матецкий  
31144. Новые возможности применения сернистых красителей. Цукригель (Neue Anwendungsmöglichkeiten für Schwefelfarbstoffe. Zukriegel H.), SVF Fachorgan Textilveredlung, 1957, 12, № 3, 153—156 (нем.)

Разработан новый метод крашения шерстяных тканей сернистыми красителями (К) без их разрушения.

К растворяют или переводят в куб в красильной ванне или печатной краске действием сульфгидрированного этаноламина или его производных. Для создания нужной щелочности р-ра добавляют органич. основания, напр. алифатич. ароматич. или гидроароматич. амины или гетероциклич. основания. Сульфгидрированные амины получают действием  $\text{H}_2\text{S}$  на этаноламин, предпочтительно триэтианоламин. Высокое поглощение ИК-лучей многими сернистыми К повышает теплоизолирующие свойства изделий, окрашенных по новому способу.

Н. Абрамова

31145. Крашение пряжи для трикотажа из шерсти ангорского кролика. Герт (Das Färben von Angora-Strickgarn. Gert G.), Textil-Praxis, 1956, 11, № 10, 1003—1005 (нем.; реэ. англ., франц., исп.)

Вместо соды, повреждающей шерсть ангорских кроликов (ШАК), при промывке рекомендуется применять при 80° эулизин А (3—5 г/л) в присутствии лавентина KW (3—4 г/л) и гумектола С (1—2 г/л). Указанная т-ра достаточна для расплавления жиров ШАК. Промытую пряжу не отжимают, а дают р-ру свободно стечь. Следует избегать образования в ванне обильной пены и особенно прохождения через ШАК пара, во избежание свойлачивания ШАК. Уменьшать пенообразование введением спец. препаратов не рекомендуется, так как наличие их может явиться причиной неровной окраски. Крашение ШАК в основном не отличается от крашения овечьей шерсти. Применяют также пряжу из смесей ШАК и овечьей шерсти, хлопка, а также синтетич. волокон.

З. Панфилова

31146. Проблемы крашения шпип. Фрелих (Probleme der Hutfärberei. Fröhlich H. G.), SVF Fachorgan Textilveredlung, 1957, 12, № 2, 80—101 (нем.)

Обзор (применяемые оборудование и красители, влияние т-ры, длительности крашения, способов протравления, пороки крашения). Библ. 20 назв.

А. Матецкий

31147. Предварительная обработка, крашение и заключительная отделка габардинов для лыжных костюмов из шерсти и полиамидных нитей. Жига (Vorbehandeln, Färben und Ausrüsten von Skigabardine aus Wolle und Polyamidkräuselkrepp. Gyga R.), SVF Fachorgan Textilveredlung, 1957, 12, № 5, 343—345 (нем.)

Габардины (шерстяная основа и креповый уток из извитых полиамидных нитей) промывают (врасправку), валяют, промывают, стабилизируют на шпанраме при 100°, подвергают заключительной декатировке, красят (при сшивке в «мешок» по кромкам) неолановыми красителями (иногда в сочетании с цибаветовыми, синхроматными и цибапановыми), промывают, отжимают и пропитывают для придания водоупорности фоботексом CR или мигаэолом PJ с последующей сушкой при 90—100°. Далее проводят стрижку, очистку, заключительную декатировку.

А. Матецкий

31148. Крашение и отделка платяных тканей из шерсти и полиэфиного волокна «тревира». Кунце (Kleiderstoffe aus Wolle Trevira, färberische und ausrüstungstechnische Möglichkeiten. Kunze W.), Reyon, Zellwolle und and. Chemiefasern, 1957, 7, № 2, 102—106 (нем.)

Крашение проводят преимущественно в виде ленты или пряжи отдельно для шерсти (Ш) и полиэфиных волокон (ПВ). Для Ш применяют металлодержащие красители (К), комплексы 1:2; для ПВ — дисперсные, а также новые интраминовые К по спец. методам. Проводят также печатание ленты по способу «вигуре». Предусматриваются промывка ткани врасправку, заварка с накаткой на ролик, сушка, стабилизация (185°, 30 сек.), очистка, стрижка, прессование, заключительная декатировка.

А. Матецкий

**31149.** Крашение акрила и смесей акрила с шерстью. Уотерхаус (Dyeing «Acrilan» and «Acrilan» wool unions. Waterhouse F. M.), Text. Manufacturer, 1957, 83, № 992, 419—421 (англ.) См. РЖХим, 1958, 6678. А. Болденко

**31150.** Крашение ношеной шерстяной и полушерстяной одежды. Сиродо (La teinture des vêtements de laine et demi-laine passés. Sirodeau V.), Blanch-teint., 1956, № 40, 56, 58—60 (франц.)

При крашении ношеной одежды (О) приходится считаться с претерпеваемыми волокнами в период эксплуатации О изменениями в результате действия солида и атмосферы. Из числа кислотных лучше пользоваться для обеспечения большей ровноты и прочности окраски красителями (К), содержащими в молекуле одну сульфогруппу, или металлосодержащими комплексами типа 1:2 без сульфогрупп. Для полушерстяной О рекомендуются К типа хлоразолевых и полушерстяных прочных. Целесообразно, также применение вспомогательных препаратов для выравнивания окраски и предупреждения восстановительного действия продуктов разрушения шерсти в щел. среде (смеси мочевины, солей  $\text{NH}_4$  и продуктов распада белков; неизогенные продукты конденсации окиси этилена с алкилфенолами или жирными к-тами). А. Матецкий

**31151.** Крашение тканей из смесей полиэфирных и целлюлозных волокон. Мёнье (Dyeing polyester and cellulosic blends. Meunier P. L.), Dyer, 1957, 118, № 2, 139, 141 (англ.)

Приводятся рецептура и режимы крашения тканей из смесей дакрона (Д) и хлопка (Х) (обычно при соотношении 65% Д и 35% Х) при использовании оборудования периодич. и непрерывного действия. В зависимости от требуемой глубины оттенка применяются однованный или двухванный способ крашения — дисперсными красителями для Д и кубовыми — для Х. С. Светов

**31152.** Набивка и печатание. Катода Сэнги гаккайси, J. Soc. Text. and Cellulose Ind Japan, 1956, 12, № 11, 787—789 (японск.)

Обзор (сопоставление процессов, проводимых в полиграфич. и текстильном произ-вах). Библ. 4 назв. Сян Мен Хен

**31153.** О применении водных красок при печатании тканей по способу с сетчатыми шаблонами. Страусс (How to use water color inks for screen process printing. Strauss Victor), Inland Printer, 1956, 138, № 2, 50—51 (англ.)

Наибольшее распространение в текстильной пром-сти имеют печатные краски, приготовляемые в водн. среде. При использовании пигментных красителей приходится применять спец. эмульсии с содержанием органич. р-рителей. Б. Шемякин

**31154.** Новейшие опыты печатания сетчатыми шаблонами на машине с цилиндрическим валом. Претт (Die neuesten Erfahrungen im Filmdruck auf zylindrischer Unterlage. Prett K.), Melland Textil ber., 1957, 38, № 8, 918-919 (нем.; рез. англ., франц., исп.)

Годичная эксплуатация машины фирмы Kerug дала положительные результаты. Ткань проходит под сетчатыми шаблонами по поверхности вращающегося цилиндра без приклеивания. Подача шаблонов из магазина автоматизирована. Отмечены хорошая воспроизводимость рисунка, ровнота тонов, высокая производительность машины. В. Штудер

**31155.** Применение моила, меламин, поливинилового спирта при печатании по способу с сетчатыми шаблонами. Кюнциль (Monyl, melamin, polyvinylalkohol im Filmdruck. Künzli Richard), Textil-Praxis, 1956, 11, № 2, 179—181 (нем.; рез. англ., франц., исп.)

Для образования пленки на сетчатых шаблонах взамен желатины с успехом применяют поливиниловый спирт и его различные препараты, выпускаемые в порошках или в виде эмульсий. Меламиновые лаки также дают хорошие результаты, но требуют для отверждения после нанесения на сетку более длительного времени или повышения т-ры. Недостаток их — необходимость использования при их удалении 85%-ной  $\text{HCOOH}$ , что непринемлемо ни для полиамидных, ни для металлич. сеток. Нейлон рекомендуют как материал для сеток, отличающийся стойкостью к щелочам, моющим р-рам, прочностью, малой набухаемостью, эластичностью. Для указанных целей выпускается тонкая нейлоновая ткань «монил» со спец. ашпретом для устранения излишней эластичности и электризуемости. З. Панфилова

**31156.** Многокрасочные ворсовые ковры. Смитт (Le tapis tufted à plusieurs coloris. Smith Ch.), Ind. text., 1957, № 849, 590—591 (франц.)

Для печатания ворсовых ковров чрезвычайно пригодны новые проционовые красители (К). Печатную краску готовят, растворяя 30—200 г мочевины в 450—215 мл воды с последующим нагревом р-ра до 70° и введением 10—70 г К и 500 г загустителя (альгината Na). По охлаждению, непосредственно перед применением добавляют 10—15 г  $\text{NaHCO}_3$  и доводят до 1000 г. А. Матецкий

**31157.** Химия в текстильной технологии. Ода Сэнги гаккайси, J. Soc. Text. and Cellulose Ind. Japan, 1955, 11, № 8, 437—439 (японск.)

Обзор. Сян Мен Хен

**31158.** Новые пути придания малоусадочных свойств и декатировки шерстяных и полушерстяных тканей. Хартмут (Neue Wege auf dem Gebiet der Krumpf-echtmachung und Dekatur von wollenen und halb- wollenen Geweben. Hartmut G.), Z. ges. Textilind., 1957, 59, № 21, 901—902 (нем.)

Обработка на спец. формирующей и усадочной машине фирмы Каннегиссер дает лучшие результаты в части фиксирования и придания устойчивых линейных размеров ткани, а также устранения заломов. Следует машины этого типа использовать не только в швейной, но и в текстильной пром-сти. А. Матецкий

**31159.** Исследование процесса усадки шерстяных тканей при обработке на прессе Гоффманна. Зустман (Untersuchungen über die Krumpfung von Wollgeweben auf der Hoffmannpresse. Sustmann C.), Melland Textilber., 1957, 38, № 4, 452—456 (нем.; рез. англ., франц., исп.)

При обработке на прессе Гоффманна т-ра поступающего на ткань (Т) пара (П) — 98°, что исключает повреждения Т при длительности действия 5—10 сек. При давлении П 3—5 атм влагосодержание Т сначала постепенно повышается, достигая максимума через 20—30 сек., а затем снижается, причем иногда доходит до значений ниже исходного. Здесь проявляется действие влаги, не дополнительно придаваемой П, а ранее содержащейся в обрабатываемой Т, и одновременно тепла П, что и приводит к устранению скрытых напряжений Т. Обработка П без отсасывания его приводит к большей усадке, чем при отсасывании. Увеличение длительности обработки П повышает, а длительности отсасывания снижает величину достигаемой усадки. А. Матецкий

**31160.** Способы последующей обработки, в частности придания гидрофобности в процессе химической чистки. Страуд (Nachbehandlungsverfahren in der Chemischreinigung mit besonderer Betrachtung der Hydrophobier-Praxis. Stroud V. A.), Chemischreini-ger und Färber, 1957, 10, № 9, 131, 132, 143, 136 (нем.)



Так как при химчистке уничтожается эффект гидрофобности, то приходится снова повторять эту обработку. Изделия пропитывают гидрофобизирующим в-вом, растворимым в обычных р-рителях для химчистки, напр. смесью парафина с изопропиловым спиртом, сушат и затем гладят в присутствии пара; при этом бутилтитанат гидролизует с образованием  $TiO_2$  и бутанола. Последний испаряется, а  $TiO_2$  осаждается на обрабатываемом материале, связывая и упрочняя пленку парафина. Указанные эфиры сильно гидролизуются в присутствии влаги, что приводит при применении недостаточно обезвоженных р-рителей к образованию на изделии пятен и полос, а также к снижению гидрофобности. Более устойчивым является тетраэтилтитанат. Для придания молекулности обычно пользуются ДДТ, растворимым в обычно применяемых р-рителях и дающим хорошие результаты в присутствии в-в, устраняющих его кристаллизацию на одежде. Для восстановления мягкости носимой одежды применяют обработку искусств. смолами, восками и умягчающими препаратами. О. Славина

31161. Металлические нити в изделиях для домашнего обихода. Миллер (Metallic yarns in domestic. Miller E. Douglas), Mod. Text. Mag., 1957, 38, № 6, 69—70 (англ.)

Введение при ткачестве золотых и серебряных нитей как просновок для мебельных тканей, полотенец и других создает интересные декоративные эффекты, прочные к бдению, крашению, стирке и хим. чистке. О. Славина

31162. Вспомогательные вещества для крашения. Асахара, Юки Госэй кагаку кёкайси, J. Soc. Organ. Synth. Chem., Japan, 1956, 14, № 4, 112—116 (японск.)

Обзор. Библ. 8 назв. Син Мен Хен

31163. Новое значение функциональных групп в текстильных вспомогательных веществах. Сомерс (The new significance of functional groups in textile auxiliaries. Somers J. A.), Text. Recorder, 1957, 75, № 892, 60—61 (англ.)

Наиболее прочный эффект обработки обеспечивают те вспомогательные в-ва, которые присоединяются химически к активным группам в-ва волокна или образуют мостики между его макромолекулами (напр.,  $CH_3O$ ; органич. изо-цианаты; в-ва с содержанием нитрильных, а также эпосигрупп). В. Штундер

31164. Химическое повреждение шерсти. Часть I. Хроматографический метод определения. Хауфф, Бомонт (Chemical damage in wool. Part I. Determination by paper chromatography. Hough Wm. H., Beaumont R. H.), Text. Res. J., 1956, 26, № 11, 871—874 (англ.)

Разрушение шерсти (Ш) под действием окислителей и также щелочей сопровождается разрывом цистино-вых связей с образованием в первом случае цистеиновой к-ты (ЦК), а во втором — лантинина (Л). Применяя специально подобранные р-рители, можно методом хроматографии на бумаге разделить содержащиеся в гидролизатах Ш цистин, Л и ЦК, а также и все остальные аминокислоты Ш (за исключением плохо различимых гистидина и метионина). Прямым визуальным наблюдением или сопоставлением с приготовленными эталонами можно оценивать интенсивность пятен цистина и продуктов его распада и не только выявлять наличие повреждения даже в начальных его стадиях, но и судить об его степени, а также о вызвавших его причинах. Приведена методика получения гидролизатов Ш и приготовления хроматограмм. Применение метода возможно также при наличии в смесях с Ш других волокон; необходимо лишь, чтобы содержание Ш в исходной навеске составляло  $\sim 0,25$  г. А. Матецкий

31165. Применение метода хроматографии на бумаге для выявления химических повреждений шерсти. Кепке, Нильсен (The use of paper chromatography in the recognition of chemical damage to wool. Köpke Vibeke, Nilssen Bailli), J. Soc. Dyers and Colourists, 1957, 73, № 9, 413—416 (англ.)

Образцы шерсти (Ш), обработанной щелочью,  $H_2O_2$ ,  $H_2SO_4$  в различных условиях, гидролизуются действием к-ты, щелочи или папанина, а полученные р-ры — подвергались хроматографич. исследованию. В существующей форме метод выявляет лишь значительные повреждения Ш, причем лучшие результаты получаются для продуктов кислотного гидролиза. Высаливание р-ров аминокислот для очистки р-ров по методу Кондена, Гордона и Мартина (Biochem. J., 1946, 40, 580) не применимо, так как разрушает цистеиновую к-ту, метионин и, по-видимому, тирозин-сульфокислоту. А. Матецкий

31166. Определение содержания в волокнах шерсти сердцевинного слоя весовым способом. Росс, Спикман (The gravimetric estimation of medulla in wool. Ross D. A., Speakman J. B.), Text. Res. J., 1957, 27, № 5, 345—351 (англ.)

Содержание в волокнах шерсти (Ш) сердцевинного слоя определяют по весу остатка после обработки навески Ш 1,6%-ным р-ром надуксусной к-ты (48 час., 25°), а затем 1 н.  $NH_4OH$  (24 часа, 25°). В получаемый результат вводят поправку соответственно величине остатка после такой же обработки Ш без сердцевинного слоя. Анализируемые образцы шерсти не должны подвергаться действию высокой т-ры (особенно в случаях их высокого влагосодержания) во избежание образования устойчивых поперечных связей между цепями кератина, что вызывает увеличение веса остатка после описанной обработки. А. Матецкий

31167. Регенерация текстильных волокон из лоскута. I. Идентификация не поддающихся карбонизации волокон. II. Количественное выделение шерсти из смесей ее с терилоном. Аткинсон, Спикман (Reclamation of fibres from rags. I. Identification of non-carbonisable fibres. II. The isolation of wool from mixtures of wool and terylene. Atkinson J. C., Speakman J. B.), J. Soc. Dyers and Colourists, 1957, 73, № 9, 417—419, 419—423 (англ.)

I. Для распознавания в смесях с белковыми и целлюлозными волокнами (В) не поддающихся карбонизации В (ацетатного, найлона, орлона, терилена) смесь обрабатывают р-ром флуоресцирующих в-в, каждое из которых имеет сродство к определенному В. О составе смеси судят по окраске В в УФ-лучах ртутно-кварцевой лампы. Для облегчения распознавания неокрашенных В и возможности применения р-ра к смесям окрашенных В в качестве флуоресцирующих в-в подобраны соответствующие флуоресцирующие красители (дисперсный, основной и кислотный) при включении в требующихся случаях реагента для обесцвечивания исходной окраски. При темных расцветках, в особенности при окрасках сернистым черным, препарат не дает четкого разграничения В; в этих случаях обязательно предварительное обесцвечивание.

II. Учитывая, что терилон — полиэфирное волокно и что сложные эфиры карбоновых к-т разлагаются гидролизом (I) с освобождением спирта и образованием гидролиза к-ты ( $R-COOR' + H_2N-NH_2 \rightarrow R-CONHNH_2 + R'OH$ ), для разделения терилена и шерсти в смесях была опробована обработка р-ром I в бутылочном спирте. Установлено, что в условиях концентрации I 2%; т-ры 100° и длительности 60 мин., терилон растворяется полностью, шерсть повреждается незначительно. С. Светов

31168. Применение в шерстяной промышленности красителя «ваксалин красный». Миле (Note con-

cernant l'emploi du «Rouge Waxoline» dans l'industrie de la laine. Millet F., Rev. text., 1957, 56, № 6, 372—373 (франц.)

Разработан экспресс-метод определения содержания в шерсти (Ш) жира (Ж) по интенсивности окраски исследуемых образцов после их обработки растворимым в Ж красителем «ваксолин красным OS» при сопоставлении с соответствующими цветными эталонами. Метод пригоден и для определения содержания в Ш мыла после удаления из нее Ж экстрагированием эфиром и обработки в течение 10 мин. парами HCl для выделения из мыла жирных к-т, а также для распознавания жировых пятен. А. Матецкий

**31169. Применение метода иммерсии в масле при исследовании полосности смешанной ткани из шерсти и полиэфирных волокон. Шнейдер** (Application de la méthode d'immersion dans l'huile à l'étude d'un cas de striures sur tissu en mélange laine/fibre polyester. Schneider R.), Bull. Inst. text. France, 1957, № 65, 53—57 (франц.; рез. англ.)

С помощью метода иммерсии в масле установлена причина полосности исследованной ткани — неравномерность распределения компонентов смеси, усугубляемая неровнотой пряжи по номеру. Это подтверждено результатами микроскопич. исследования, а также сравнительными определениями №№ пряжи и хим. анализом. Полосность связана не с отличиями в восприятии красителя, а с использованием полиэфирных волокон, чрезмерно матированных (сравнительно с матовостью шерсти). А. Матецкий

**31170. Метод оценки технологических свойств кислотных красителей для шерсти. Эгли** (Eine Methode zur Bestimmung der färberischen Eigenschaften saurer Wollfarbstoffe. Egli Hermann), Textil-Rundschau, 1956, 11, № 6, 341—347; SVF Fachorgan Textilveredlung, 1956, 11, № 6, 328—334 (нем.); Rev. textilis, 1957, 13, № 9, 79—80, 82—84 (франц.) См. РЖХим, 1957, 20717. А. М.

**31171 К. Прозионовые красители для печатания текстильных изделий. Том 2** (Procion dyestuffs in textile printing. Vol. 2. London, Imper. Chem. Inds, 1957, 40 pp., ill., gratis) (англ.)

**31172 П. Способ шлихтования. Мацуда, Коидзуми, Камитани, Мицуи кагаку когё кабусики кайся.** Японск. пат. 2847, 26.04.55

В процессе шлихтования основу из искусств. волокон сначала обрабатывают 3%-ным р-ром  $Al_2(SO_4)_3$ , а затем непосредственно 2%-ным р-ром продукта омыления этилового эфира полиакриловой к-ты и сушат. При этом прочность основы увеличивается на 6,5% по сравнению с нешлихтованной, а устойчивость к истиранию возрастает в 6 раз. Последующую расшлихтовку ткани ведут в течение 8 час. при 100° 5%-ным р-ром  $Al_2(SO_4)_3$ . Син Мен Хен

**31173 П. Способ хлорирования шерсти (Fremgangs-måde til kløring af uld)** [Scholler Brothers, Inc.]. Датск. пат. 80514, 13.02.56

Шерсть (Ш) предварительно обрабатывают р-ром к-ты при pH 1—4 до присоединения 0,4—0,6 мг · экв к-ты на 1 г воздушно-сухой чистой Ш. Затем хлорируют, применяя, напр., р-ры с содержанием (в % от веса Ш): 1,75—6,5%  $Ca(OCl)_2$  и 4,5—10%  $NaBO_2$  при pH 7,2—9. Содержание активного хлора в исходном  $Ca(OCl)_2$ —70%. Ю. Лежнев

**31174 П. Препараты для промывки и валки. Зелле** (Wasch- und Walkmittel. Selle Hans-Dieter) [VEB Chemische Fabrik Grünau]. Пат. ГДР 13240, 22.05.57

Для придания продуктам конденсации белковых в-в и жирных к-т, проявляющим высокие поверхностно-активные свойства, еще и повышенной моющей спо-

собности проводят их р-цию с неомыляемыми гидрофобными в-вами, напр. жирными спиртами. Пример. К 2000 г 45%-ного р-ра продукта гидролиза белков добавляют 440 г хлоридов жирных к-т сурепного масла при 40°, при помешивании. Для поддержания щел. р-ции вводят частями 20%-ный р-р NaOH с тем, чтобы продукт р-ции имел pH 7,0—7,5. Затем проводят его р-цию при 60° (при перемешивании) с 1% от его веса лаурилового спирта. Получаемый вязкий продукт находит успешное применение при валке и промывке шерстяных изделий, обеспечивая их повышенную мягкость. А. Матецкий

**31175 П. Способ мокрой декатировки шерстяных тканей.** (Procédé de décatissage de la laine par voie humide et laine décatie par ce procédé) [Ciba (Soc. An.)]. Франц. пат. 1111944, 6.03.56

Для предупреждения последующего схода красителя (К) в р-р и закрашивания совместно присутствующей белой ткани шерстяные ткани, окрашенные в щел., нейтр. или слабо кислой среде металлосодержащими К, содержащими < 1 атома Cr или Co на 1 молекулу монокрасителя, характеризующего наличием метилсульфоновых и сульфонамидных групп при отсутствии сульфогрупп, обрабатывают при нагревании в водн. р-ром к-ты при pH 2—6. Применяют, напр. р-ры  $H_2SO_4$ , HCOOH и др. и их смеси при 50—90°, после чего осуществляют мокрую декатировку. А. Матецкий

**31176 П. Способ крашения шерсти, отбеленной  $H_2O_2$ . Шанли, Кауфман** (Method of dyeing peroxide-bleached wool. Shanley Edward S., Kauffmann Hans O.) [Food Machinery and Chemical Corp.]. Пат. США 2739868, 27.03.56

Для обеспечения однородности оттенков окраски шерсти (Ш), окрашиваемой кислотными красителями после белины  $H_2O_2$ , Ш перед крашением обрабатывают (3—5 мин., модуль ванны 1:50, т-ра ~ 20°) 0,1—1% от ее веса восстановителя (В), характеризующего показателем окислительно-восстановительного потенциала того же порядка, что и бисульфит. Могут быть применены, напр. бисульфиты, гидросульфиты, сульфокислоты, тиогликолаты, гипосульфиты, дрокжи. Допускается также введение тех же кол-в В непосредственно в красильную ванну. А. Матецкий

**31177 П. Способ приготвления загустки. Иезаи, Канэко.** Японск. пат. 1982, 24.03.55

Обычные загустки, применяемые при пигментной печати, требуют термич. обработки для закрепления пигментов на ткани. Предлагаемые загустки позволяют ограничиться кратковременной заключительной обработкой после печатания при сохранении яркости и прочности расцветки. Смешивают 70 ч. фталевого ангидрида с 60 ч. глицерина и ведут р-цию при т-ре < 120°. На 100 ч. полученного продукта добавляют (в ч.): 60 меламина, 260 формалина (37%-ного), 300 бутанола. Р-цию проводят при т-ре < 85° в течение 1,5 час. Удалив путем вакуумотсасывания образовавшуюся при р-ции воду, получают продукт А. Смешивают 100 ч. продукта А, 50 ч. препарата моностилена и 1 ч. дифенилбензола. Сюда добавляют требуемое кол-во печатной краски, состоящей из 1 ч. пигмента, 3 ч. продукта А, 1 ч. бутилацетата и небольшого кол-ва перекиси бензоила. После печатания ткань пропускают через сушильные барабаны при 80—90°. Син Мен Хен

**31178 П. Способ печатания или плюсования волокнистых изделий в полотно** (Process of printing or padding fibrous sheet material) [Farbenfabriken Bayer Akt. Ges.]. Англ. пат. 729119, 4.05.55

Для печатания или плюсования текстильных изделий в полотно применяют пасту, содержащую виниловые полимеры, не имеющие реакционных атомов Н и атомов галоида, напр. полимеры винилацетата,



метил или этилметакрилата, бутадиена или его сополимеров, N-винил-2-пирролидона, N-винилпирридина, винилметилового эфира или его сополимеров, виниловые сополимеры, содержащие  $\geq 1$  винилового мономера из группы низших алкилметакрилатов, винилхлорид и винилиден-хлорид и  $\geq 1$  другого винилового мономера (бутадиена, метилбутадиена, хлорбутадиена, дихлорэтена, акрилонитрила, этиленгликольдиакрилата или триметилпропан-ди- или триакрилата) и  $\leq 10$  вес. % в-в, способных образовывать поперечные связи и содержащих не менее двух ненасыщ. двойных связей (гексагидро-1,3,5-триакрилил-S-триазины, сложных эфиров акриловой к-ты и многоатомных спиртов и полиэфиров многофункциональных ненасыщ. к-т). Нагревание обрабатываемого изделия до 80–140° способствует протеканию р-ции. Пример: вискозное полотно печатают при нанесении эмульсии, содержащей латекс сополимера бутадиена и метилметакрилата, скипидар, загуститель на основе алгината, эмульгаторы, краситель гелиопрочного голубой BL и гексагидро-1,3,5-триакрилил-S-триазины.

Б. Киселев

31179 П. Способ нанесения на шляпы печатного рисунка. Ридер (Method of decorating a hat. Reider Malcolm J.) [Geo. W. Bollman & Co., Inc.]. Пат. США 2736633, 28.02.56

Пропитанный водой коппак (K) загружают в форму, куда предварительно помещают матрицу с подкладкой из отдельных сегментов, на соответствующие участки которых согласно рисунку нанесена печатная краска. Затем внутрь K закладывают упругую прокладку и действием гидростатич. давления прижимают ее к внутренней поверхности K, а последний одновременно к подкладке, в результате чего краситель попадает на определенные участки K и фиксируется на них при одновременной (иногда) обработке паром.

А. Матецкий

31180 П. Способ придания повышенного блеска шерстяным тканям. Анрион (Procédé de brillantage des tissus de laine et tissus obtenus par ce procédé. Henrion Gilles). Франц. пат. 1121974, 29.08.56

Для придания камвольным и суконным шерстяным тканям повышенного блеска и мягкости на них наносят погружением или пульверизацией р-ры  $\text{CH}_3\text{CO}$ , мочевиноформальдегидных смол, меркаптанов (напр., 15–20 г/л тиогликолевой к-ты), а затем пропускают при скорости 2–4 м/мин между вращающимися гравированными нагретыми до 180–200° валиками под давлением.

А. Матецкий

31181 П. Способ придания шерстяным тканям улучшенных свойств. Вестерман (Tissus de laine améliorés et leur procédé d'obtention. Vesterman Anatole). Франц. пат. 1123848, 28.09.56

Для придания шерстяным тканям (Т) гладкости и блеска при устойчивом закреплении волокон на поверхности Т без последующих изменений при смачивании водой Т обрабатывают водн. 0,1–5%-ным р-ром меркаптокислоты (напр., тиогликолевой или тиомолочной) или ее аммониевой соли, при 15–60° в течение 5–40 мин. Затем Т отжимают и утюжат или каландрируют, после чего обрабатывают р-ром в-ва, придающего гидрофобность (напр., силикона или трис-(карбоксиметилтио)-дигидроорцинолеата] глицерина), в летуч. органич. р-рителе, отжимают и высушивают при 100–110°. Пример: Т пропитывают 1%-ным р-ром тиогликолевой к-ты 10 мин. при 20°, отжимают и утюжат, помещая между Т и утюгом хлопчатобумажную прокладку. Затем проводят 15-минутную обработку р-ром, содержащим в 1 л бензина 40 мл силикона и 40 мл щел. вспомогательного препарата, отжим и сушку при 90–100°.

А. Матецкий

31182 П. Способ пропитывания шерсти веществами, ускоряющими кровообращение. Шенман, Траут (Verfahren zur Imprägnierung von Wolle mit die Durchblutung steigernden Stoffen. Schepmann Werner, Trauth Erwin) Johann Wülfig und Sohn]. Пат. ФРГ 954727, 20.12.56

Для повышения греющих свойств шерстяных изделий без ухудшения внешнего вида и шерстистости их предварительно высушивают до содержания влаги  $< 18\%$  (примерно до 8–10%) и затем обрызгивают под давлением  $\sim 0,5$  атм соответствующим в-вом, напр. метилсалицилатом (I), нанося 50 мл I на 1 кг шерсти.

А. Матецкий

См. также: Хим. и физ.-хим. свойства волокон: кератина 30016; вискозного шелка 31010; триацетата целлюлозы 31004. Синтетич. волокон 30999, 31006, 31007. Применение азокрасителей 29823. Анализ смеси волокон 31016. Исследование и очистка СВ 29244

## КОЖА. МЕХ. ЖЕЛАТИНА. ДУБИТЕЛИ. ТЕХНИЧЕСКИЕ БЕЛКИ

Редактор О. В. Матвеева

31183. Графическое изображение принципов работы в кожевенной промышленности. Стратта (La représentation graphique des principes du travail en tannerie. Stratta Rainero), Bull. Assoc. franç. chimistes inds cuir, 1957, 19, № 5-6, 115–130 (франц.)

Предложена разработанная автором система символов, обозначения и графич. изображения принципов работы в кожевенной пром-сти. Графич. изображение осуществляется посредством «схемы процесса» и «схемы установки». «Схемой процесса» называют изображение с письменным указанием фаз производственного цикла и используемых первичных материалов, при этом на схеме может быть дана колич. характеристика процесса. «Схема установки» изображает производственную аппаратуру (машины, резервуары, трубопроводы и т. д.) соответственно их расположению на з-де. Все части установки обозначают схематич. символами в виде простых геометрич. форм, соответствующих габаритам машин в горизонтальной и вертикальной проекции. Указывается, что графич. метод может применяться для изображения баланса материалов и энергии.

Н. Флейснер

31184. Роль бактерий в кожевном производстве. Маркус (Bacteriologia și rolul ei în industria pielăriei. Marcus S.), Ind. ușoară, 1957, 4, № 7, 300–302 (рум.)

Рассмотрена роль микроорганизмов в процессе переработки кожи, методы борьбы с отрицательным действием бактерий в некоторых процессах пром-ва и возможность использования бактерий в процессе обезволаживания шкур.

Г. Маркус

31185. Набухание коллагена под влиянием веществ, применяемых при зольении. Кюнцель, Хейдеман (Über die Quellung der Hautsubstanz unter dem Einfluß von Äscherchemikalien. Küntzel A., Heide mann E.), Leder, 1956, 7, № 9, 217–227. Diskuss. 227–229 (нем.)

Изучено набухание коллагена в р-рах и смесях р-ров  $\text{Na}_2\text{S}$ ,  $\text{Ca}(\text{OH})_2$ ,  $\text{NaCl}$  и  $\text{CaCl}_2$  различной концентрации в течение трех дней при 10 и 25°. Набухание зависит от: 1) активности  $\text{OH}$ -ионов, 2) влияния на диссоциацию активных групп коллагена концентрации и природы противоионов, 3) гидротропного набухания (действие одного  $\text{CaCl}_2$ ), 4) растворимости указанных в-в.

О. М.

31186. Хромовое дубление. Вудрофф (Le tannage au chrome. Woodroffe D.), Rev. techn. inds cuir, 1957, 49, № 2, 33—39; № 3, 52—57 (франц.)

Описаны существующие способы консервирования шкур сушкой и солением, преимущества и недостатки этих способов. Рассмотрен процесс отмоки, его значение, методы проведения и применение к-т, щелочей и смачивающих средств при отмоке. Наиболее благоприятное действие при отмоке сухих шкур оказывают  $\text{NaOH}$  и  $\text{Na}_2\text{S}$  (0,1—0,2%), затем  $\text{HCl}$ -к-та (0,25—0,50%). Метиламин и диметиламин также растворяют белковые в-ва, находящиеся между волокнами коллагена. Рассмотрены процессы зольения и обезволаживания, а также материалы, применяемые при зольении: известь,  $\text{Na}_2\text{S}$ , сульфиды мышьяка, амины, ферменты. Подробно описаны различные методы зольения, их преимущества и недостатки. Предыдущее сообщение см. РЖХим, 1958, 3396. З. Лебедева

31187. Влияние кислот и солей на растительное дубление. Часть II. Влияние солей и додубливания миробаланом на химические и физические свойства подопенной кожи, выдубленной танидами ивы. Наюдамма, Джаяраман, Кришнан (Effect of acids and salts in vegetable tanning: Part II: The effect of salts and myrobing on the chemical and physical properties of wattle tanned sole leather. Nayudamma Y., Jayaraman K. S., Krishnan T. S.), Bull. Centr. Leather Res. Inst., 1956, 3, № 5, 191—202 (англ.)

Обсуждаются результаты анализа образцов кожи, выдубленных как описано в части I (см. РЖХим, 1958, 23632). Половина образцов каждой серии додубливали миробаланом и также анализировали. Все соли увеличивают содержание кожного в-ва и уменьшают содержание вымываемых водой в-в; в сериях I и II хлорид, ацетат, оксалат, лактат, тартрат натрия и калгон уменьшают выход готовой кожи, число продуба и прочность на разрыв. В серии III формиат, цитрат, лактат, ацетат и тартрат натрия, а также калгон увеличивают выход кожи и число продуба. Самое высокое число продуба достигается в серии I при добавке  $\text{Na}_2\text{Cr}_2\text{O}_7 + \text{H}_2\text{SO}_4$  (лучше в отсутствие  $\text{NaCl}$ ) или при добавке формиата и цитрата натрия в серии III. Додубливание миробаланом в условиях опытов уменьшает выход, кол-во водорастворимых и число продуба, увеличивая кожное в-во. Додубливание миробаланом дает максим. выход и прочность на разрыв в присутствии цитрата натрия. З. Лебедева

31188. Покрывное крашение в электростатическом поле. Гаал (Fedőfestés elektrosztatikus térben. Gaál Elemér), Bőr-és cipőtechnika, 1957, 7, № 2, 44—47 (венг.; рез. русск., нем.)

Приведена теория покрывного крашения в электростатич. поле и применение его для крашения кожи. Указан расход краски при покрывном крашении кож в электростатич. поле (4 кг/см). Р-ритель в электростатич. поле испаряется в 3—4 раза быстрее, чем без него. Г. Юдкович

31189. Опыты сушки наклеенных кож. Кане (Practical experiences with paste drying of leather. Kahne Fritz), Tanner, 1955, 10, № 4; 12—13; № 5, 15—16; № 6, 23—25 (англ.)

Приведены результаты наблюдений и тщательного контроля партий кож (по 100 шт.) в процессе сушки их в наклеенном состоянии. Методика выработки кож с применением сушки в наклеенном состоянии отличается от нормальной методики выработки хромовых кож. Отсюда разница в характеристике кожи. Кожки, высушенные в наклеенном состоянии (НК), имеют хорошую форму и гладкость. Для придания НК той полноты, которая присуща обычной хромовой коже, требуется ее наполнить синтанами или тани-

дами, что связано с некоторой потерей площади. Несмотря на это, выход площади НК всегда выше, чем в коже обычной выработки. Указаны трудности, встречающиеся при сушке с наклейкой в результате отрыва к концу сушки краев НК от стекла, образования складок, порчи лицевого слоя при снятии кожи со стекла или при плохой промывке лицевого слоя кожи от приставшего клея, при отволожке НК перед тяжелой и т. д. Хорошие результаты сушка наклейкой дает при обработке кож хром-растительного или растительного дубления с грубым лицевым слоем и при наличии на них складок. Отрицательные результаты получены при сушке наклейкой шведской кожи и хромовых спилков. М. Люксембург

31190. Казеиновые закрепляющие априретуры для свиных кож с акриловыми покрытиями. Брато (Kazeinowe utrwalanie opretury skór swińskich krytych żywicami akrylowymi. Bratro J.), Przegl. skórzan, 1956, 11, № 9, 234 (польск.)

31191. Химия в кожевенной промышленности. Применение вспомогательных веществ. Торричелли (La chimica nell'industria del cuoio e dei pellami suluso e sull'abuso degli ausiliari chimici per calzaturificio. Torricelli G.), Ingegneria chim., 1956, 5, № 1, 9—11; Ind. vernice, 1957, 11, № 3, 63—67 (итал.)

Подробно рассмотрены хим. препараты, применяемые для окончательной отделки обуви и для придания ей блеска. Поверхность кожи перед нанесением цветных покрытий должна быть чистой и гладкой. Для отделки служат препараты на основе восков (природных или синтетич.), смол или парафинов. В Германии принято покрывать кожу еще при выкраивании заготовок спец. защитной пленкой, которая сохраняет поверхность кожи при всех операциях и удаляется лишь перед окончательной отделкой готового изделия. Для придания блеска применяют препараты природного или синтетич. воска; эмульсии смол не рекомендуются, так как кожа от них теряет свою мягкость и гибкость. Предыдущее сообщение см. РЖХим, 1957, 76098. З. Бобыр

31192. Электронномикроскопическое изучение процессов кожевенного производства. I. Предварительное изучение структуры кожи. Бертон, Рид, Вуд (Electron microscope studies of the processes in leather manufacture. I. A preliminary study of the structure of leather. Burton D., Reed R., Wood Margaret J.), J. Soc. Leather Trades' Chemists, 1956, 40, № 3, 91—99 (англ.)

Показано, что тонкая структура кожи зависит от вида дубления. Хромовое дубление оказывает более мягкое и равномерное действие на фибриллы коллагена (ФК), чем дубление солями циркония. ФК в коже хром-растительного дубления более полные, чем в коже хромового дубления, и промежутки между ними заполнены большими плотными частицами. Растительное дубление значительно изменяет ФК. Для этого вида дубления характерно наличие больших плотных частиц между ФК. О. М

31193. Растительное дубление. XI. Два новых метода определения кислотности в коже растительного дубления. Бертон, Ма (Vegetable tanning—XI Two new methods for determining the acidity of vegetable tanned leather. Burton D., Ma L.), J. Soc. Leather Trades' Chemists, 1955, 39, № 9, 286—300 (англ.)

От кол-ва и вида связанных и свободных к-т в коже растительного дубления зависит ее устойчивость к хранению при действии т-ры и влаги, смачиваемость, а также некоторые физ. показатели. Поэтому важно определять в коже кол-ва связанных и свободных к-т. Предложены 2 новых методики точного определения свободной к-ты в коже растительного дубления. В первой экстракция сухой кожи производится безвод-



органич. р-рителем (метиловым сп.), после чего р-ритель удаляют испарением, а к-ту оттитровывают в моль. р-ре 0,1 н. NaOH (минер. до pH 4, органич. до pH 7). По второму способу высушенную кожу обрабатывают смесью этиленгликоля и изопропилового спирта (1:1), содержащей растворенный ацетат натрия. Через 48 час. кожу отделяют фильтрованием, а фильтрат титруют 0,25 н. HCl. Часть X см. РЖХим, 1957, 46739.

М. Люксембург  
31194. Новый метод определения сернокислого магния, применяемого в качестве утяжелителя для кож растительного дубления в Восточной Индии. Митра, Дас (A new technique for detecting Epsom salt adulteration in East India tanned leathers. Mitra S. K., Das B. M.), J. Roy. Microscop. Soc., 1956 (1957), 76, № 3, 105—106 (англ.)

Кожи растительного дубления из Восточной Индии, продаваемые по весу, часто наполняют сернокислым магнием для увеличения веса (иногда до 25%). Для быстрого обнаружения фальсификации предлагается метод, основанный на определении характерной формы кристаллов  $MgNH_4PO_4$  с помощью микроскопа.

З. Лебедева

31195. Значение pH в кожевенном производстве. Терли (pH in leather making. Turley H. G.), J. Amer. Leather Chemists Assoc., 1957, 52, № 7, 354—360 (англ.)

Подчеркивается значение величины pH коллагеновых волокон для всех процессов кожевенного производства, особенно если эта величина отличается от pH обрабатывающих жидкостей. При одинаковых pH рабочих жидкостей, но при различных значениях pH волокна могут получаться различные типы кожи. Особенно большое влияние на характер кожи оказывает разница в значении pH волокна и рабочей жидкости для более толстых кож, напр. жестких и юфтевых. Необходимо совершенствовать методы определения pH коллагеновых волокон и широко внедрять их в практику кожевенного произ-ва.

З. Лебедева

31196. Действие технологических процессов на меховую шкурку. Гинцель (Die Einwirkung der Veredlung auf das Pelzfell. Ginzell A.), Pelzgewerbe, 1957, 8, № 1, 18—28 (нем.)

Приведены основные цели технологич. процессов, применяемых в меховом (сырейно-красильном) произ-ве; подробно описаны хим. состав и свойства волосяного покрова и кожной ткани шкурки и влияние на них отдельных технологич. процессов.

Н. Флейснер

31197. Вода в пушно-меховом производстве. Эрдманн (Die Bedeutung des Wassers in der Rauchwarenzurichtung. Erdmann Hans), Pelzgewerbe, 1957, 8, № 2, 49—54 (нем.)

Качество выпускаемого мехового товара в значительной степени определяется качеством воды. Для мехового произ-ва рекомендуется колодезная вода, в которой отсутствуют взвешенные частицы, остатки сточных вод. Вредными для мехового произ-ва являются соли Ca, Mg, Fe, особенно при крашении меха, вследствие их нейтрализующего действия на различные красители, приводящего к образованию осадков в красильной ванне. При крашении окислационными красителями применение жесткой воды уменьшает растворимость красителей и вызывает осаждение нерастворимых солей Ca и Mg на волосе, результатом чего является блеклая, лишенная блеска окраска волос. Присутствующие в воде соли Fe при крашении осаждаются на волосе и, действуя как железная порода, дают более темную и неровную окраску. Постоянную жесткость воды ликвидируют добавлением спец. препаратов (кориаген, трилон), образующих растворимые комплексные соединения с солями Ca и

Mg, или ионообменных в-в (пермутит, органолит). В больших установках по умягчению воды ионы Ca и Mg осаждают известью и содой при нагревании. Таковую воду при применении для процессов крашения рекомендуют слегка подкислять.

Н. Флейснер

31198. Влияние хромовых дубильных растворов на набухание коллагена. Калин (Vliv rozličných krom-ných strojilnih raztopin na breknenje kolagena. Kalin Samo), Koža i obuća, 1957, 6, № 2, 41—44 (сербохорв.)

Построены кривые набухания кожи в р-рах дубящих солей Cr различной конц-ии с добавлением солей и без них. Дубители можно разделить на 3 группы: вызывающие сильное набухание ( $Na_2Cr_2O_7 + H_2SO_4$  + меласса, смесь сульфатов Cr и Na), среднее набухание ( $Na_2Cr_2O_7$  + меласса +  $H_2SO_4$ ;  $Na_2Cr_2O_7 + SO_2$  + смесь муравьиной и павелевой к-т) и слабое набухание (сульфат Cr с добавлением формиата или оксалата Na или их смеси). На каждом из графиков наблюдается максимум набухания, после которого кривая падает более или менее круто. Наибольшее набухание получено при добавлении  $Na_2SO_4$  к дубильному р-ру, а без  $Na_2SO_4$  при конц-ии  $Cr_2O_3$  40 г/л. Эти графики хорошо согласуются с практическими результатами. Предыдущее сообщение см. РЖХим, 1958, 13347.

З. Бобыр

31199. Спектрофотометрические исследования.

Часть V. Фотометрическое дифференциальное титрование фенольных групп растительных дубильных материалов. Наюдамма, Нагасироппани, Рамасвами (Spectrophotometric studies — part V: differential titration of phenolic groups of vegetable tanning materials by photometric technique. Nayudamma Y., Nagasironpami A., Ramaswamy D.), Bull. Centr. Leather Res. Inst., 1956, 3, № 2, 56—69 (англ.)

Приведены результаты фотометрич. титрования различных таннидов р-ром NaOH по методике, описанной ранее (Bull. Centr. Leather Res. Inst., 1956, 11, 351). Кроме свободных к-т, дубильные экстракты содержат 6—10 фенольных групп с различной степенью ионизации. По изломам кривых определяют кол-во мэкк щелочи, которое требуется для титрования индивидуальных фенольных OH-групп и pH, при котором эти группы титруются для различных дубильных экстрактов. Тангенс угла наклона кривых характеризует состояние фенольных групп дубителя и для разных дубителей меняется от 3,0 до 0,58. По этому признаку дубители делят на 3 группы, в которых тангенс угла наклона равен: 1) 3,0—2,0, 2) 2,0—1,0 и 3) ниже 1,0. В первом случае фенольные OH-группы легко, а в последнем трудно ионизируются. Определяется процентное содержание каждой из этих групп по отношению к общему кол-ву всех фенольных OH-групп. Миробалан, дивидив, сумах и другие содержат фенольные OH-группы, первого и второго типа, гамбир, мангрове — второго и третьего; мимоза и квебрахо — первого, второго и третьего. Полученные результаты позволяют высказать предположения относительно роли различных фенольных компонентов в фиксации и проникновении таннидов.

С. Бреслер

31200. Сырье для приготовления искусственной волокнуистой подошвенной кожи для домашней обуви. Сухомел, Мазанек (Surovinu potřebné pro výrobu umělé vláknité kůže na podešve pro domácí obuv. Suchomel Adolf, Mazánek Miroslav), Kožářství, 1956, 6, № 11, 193—194 (чешск.)

Для приготовления указанной искусств. кожи необходимы следующие в-ва: волокнистое сырье, мягчители, стабилизаторы, пропитывающие в-ва, вулканизирующие агенты и коагуляторы. Волокнистым сырьем служит смесь измельченных отходов кожи хромового (2 ч.) и растительного (1 ч.) дубления; мягчителями —

водн. эмульсии смесей асфальта с горным воском, кумароновых смол, парафина и т. д. Для пропитки служит хлоропреновый латекс марки «Свит» с размером частиц 0,5—1 м; после коагуляции этот каучук обладает хорошими физ.-мех. свойствами, хотя против истирания он менее устойчив, чем термопластич. полимеры. Стабилизаторами для латекса служат продукты конденсации диоксифенилсульфона с сульфитными щелочами. Для вулканизации применяют 50%-ную суспензию,  $\text{CaO}$ ,  $\text{MgO}$  или  $\text{ZnO}$ , для коагуляции — прозрачные (очищ. от примесей) р-ры  $\text{Al}_2(\text{SO}_4)_3$ .

З. Бобырь

31201 К. Руководство по устранению пороков хромовой кожи. Хохлов И. И., Хохлов Ю. И., М., КОИЗ, 1957, 168 стр., илл., 8 р. 25 к.

31202 П. Способ дубления кожи типа вельвет. Кшивицкий (Sposób garbowania welwetów. Krzywicki Edward) [Politechnika Warszawska. Zakład Technologii Organicznej. II]. Польш. пат. 36509, 1.02.55

Шкуры, преимущественно молочный опоек, подвергают 2-кратному пикелеванию, а затем дублению комплексными сернисто-серными солями хрома типа  $\text{Na}_2(\text{Cr}_2(\text{OH})_2\text{SO}_3(\text{SO}_4)_2)$ . Пример. Обезоленное голье мягчат 2 часа при 37° в ванне, содержащей 200% воды и 3% орофона, чистят, повторно мягчат при 35° в свежей мягчительной ванне (200% воды + 2% орофона), промывают и пикелуют. К ванне, содержащей 12% соли и 150% воды, добавляют муравьиную к-ту (85%-ную), после чего барабан вращают 70 мин. Голье оставляют на ночь в барабане, который утром опять вращают 45 мин. После короткого обтекания голье загружают в дубильный барабан, содержащий 80% воды, 3% соли и 1% хромовых квасцов. Через 1,5 часа добавляют 15% маточного р-ра, приготовленного восстановлением 4% бихромата и 1% сернокислого алюминия медью (1,6%) и серной к-той (3,8%). В р-р добавляют 1% муравьинокислого натрия (4 равными порциями через каждые 30 мин.), после чего вращают еще 3 часа и оставляют в жидкости на ночь. Утром после вращения 2—3 часа добавляют в течение 45 мин. 0,5% сульфата. После пролежки 48 час., кожи пресуют, строгуют в обоих направлениях, промывают с прибавлением бисульфита натрия и муравьиной к-ты, нейтрализуют  $\text{NaHCO}_3$ , промывают и после обтекания красят. В красильную ванну добавляют сначала ~0,3% аммиака, а в конце муравьиной к-ту (50% от веса красителя). Жируют водн. эмульсией, содержащей 8% сульфированного копытного масла, 250% воды (55%), 4% яичных желтков. После пролежки, подвжки при 20°, сушки в течение 3 дней при большом обмене воздуха, следует пролежка в прохладном помещении 4 дня, отволожка, 2-кратная разбивка, подсушка, шлифовка крупнозернистой и мелкозернистой наждачной бумагой.

М. Люксембург

31203 П. Растворитель, смывающий красители с кожи. Сэннер (Décapant pour les teintures sur le cuir. Sanner Arthur-Jean-Marie). Франц. пат. 1120410, 5.07.56

Растворитель, смывающий красители с кожи, состоит из 50 мл этилацетата, 40 мл 95%-ного технич. денатурированного спирта и 10 мл р-ра аммиака, смешанных в указанной последовательности. Сохраняется в закрытом бидоне из белой жести. Способ употребления: кожа протирается чистой тряпкой, хорошо смоченной р-рителем. Через короткое время тряпка впитывает в себя весь краситель. Рекомендуется употреблять этот р-ритель в случаях, когда надо снять краситель при неудавшемся крашении или перед обновлением краски на старых кожаных предметах.

З. Лебедева

31204 П. Метод придания постоянной извитости волосяному покрову шкур. Рокафор-де-Ламора (Procédé pour conférer une ondulation permanente à des peaux à poils lisses. Rocafort de Lamora Julian). Франц. пат. 1113445, 29.03.56

Предложен состав для предварительного импрегнирования шкур и спец. машина для обработки шкур. Шкуру пропитывают составом, содержащим р-р аммиака, формальдегид и спирт. р-р синтетич. смолы; напр., на 3 л воды берут 0,5 л аммиака, 0,25 л 40%-ного формалина, 0,25 л спирта и 1 л р-ра смолы «Ergitofix PD». Шкуру прессуют между двумя параллельными плитами, верхняя гладкая охлаждается, а нижняя, имеющая соответствующие выступы, нагревается. После сжатия шкуры плиты приводятся в скользящее движение одна относительно другой. И. Этнитоф

31205 П. Обработка волокнистых материалов. Досон, Селле (Treatment of fibrous materials. Dawson William O., Sellet Lucien) [Jacques Wolf and Co.]. Пат. США 2737464, 6.03.56

Продукт конденсации дициандиамида (I), формальдегида (II) и борной к-ты (III) в виде водорастворимой смолы (IV) употребляется для пропитки кожи, различных текстильных материалов и бумаги. В коже IV может быть наполнителем и дубителем, в хлопчатобумажных и белковых текстильных материалах, а также во всех видах искусств. волокон и бумаге — протравой при крашении. IV получают р-цией 1 моля I, 3,6—5,0 молей II и 0,1—1,0 моля III. Напр., 168 вес. ч. (2 моля) I и 648 вес. ч. (37%-ного) II (8 молей) нагревают в течение 3,5 час. с обратным холодильником при 92—95°. Сначала образуется водонерастворимый продукт, который затем переходит в растворимый; 124 вес. ч. (2 моля) III в порошок растворяют при нагревании в 350 вес. ч. воды и прибавляют в реакционную смесь, после чего кипятят при 95° с обратным холодильником еще 2 часа. Можно III вносить в реакционную смесь сразу вместе с I и II. Пример применения IV в качестве наполнителя кожи: 100 вес. ч. кожи растительного дубления промывают в барабане 10 мин. водой при 38—43°. Затем наливают 80% воды той же т-ры и добавляют 8 вес. ч. IV в виде 35%-ного р-ра, барабан вращают 30 мин. и жидкость сливают. После промывки (5 мин.) жируют сульфированным тресковым жиром. Кожа получается очень полная, плотная, мягкая с повышенной прочностью на разрыв и уменьшенным содержанием несвязанных дубящих в-в. Пример применения IV вместо растительного дубителя: 1) обезоленное, промященное и промытое голье заливают 10—15% IV (в виде 35%-ного р-ра) и вращают в барабане до получения т-ры сваривания 80—85°. Добавляют 5%  $\text{NaCl}$ , вращают 10 мин. Прибавляют обычное кол-во серной к-ты и хромовых солей. Дальнейшая обработка как обычно. Эта обработка увеличивает толщину, вес, прочность и нежность лица; 2) 100 вес. ч. пикелеванного голья овчины заливают 100 вес. ч. 2,5%-ного р-ра  $\text{NaCl}$ , прибавляют 12—20% IV (в виде р-ра) и вращают 4 часа. Затем постепенно повышают pH бикарбонатом натрия или бурой. Дальнейшая обработка протекает обычным путем. Полученная кожа белого цвета очень мягкая, плотная и прочная.

З. Лебедева

31206 П. Способ получения растительного белка. Хесс, Хансен (Verfahren zur Gewinnung von nativem, pflanzlichem Eiweiß. Hess Kurt, Hansen Ernst-Georg) [Werner Bahlens]. Пат. ФРГ 960331, 21.03.57

Белок получают обработкой зерен хлебных злаков безводн. жидкостями, осаждающими частицы крахмала и белка; при этом белок выделяется в нативном состоянии. Пример: к 700 г пшеничной муки добавляют ~2800 г смеси, состоящей из 1 объема ч. бен-



зола и 5 объемн. ч. хлороформа, полученную суспензию вбалтывают некоторое время, затем с помощью центрифуги отделяют крахмал, а суспензию белка разбавляют бензолом и пропускают вторично через центрифугу для отделения белка. Бензол отделяют перифугу под вакуумом. Жидкость после отделения

белка доводят до плотности 1,384 (при 20°) добавлением хлороформа и используют снова. Ржаную муку обрабатывают этим же способом. Д. Горин

См. также: Кожа. Мех 29290. Защитное колл. действие желатины 28144

## ХИМИЯ ВЫСОКОМОЛЕКУЛЯРНЫХ ВЕЩЕСТВ

Редакторы Х. С. Багдасарьян, Ю. С. Липатов

31207. Новые работы в области полимеров. Одэра Кагаку, 1957, 27, № 4, 179—184 (японск.) Популярная статья.

31208. Полиэтилены: приготовление, структура и свойства. Аггарвал, Сунтинг (Polyethylene: preparation, structure, and properties. Aggarwal Sundar L., Sweeting Orville J.), Chem. Revs, 1957, 57, № 4, 665—742 (англ.) Обзор. 550 назв.

31209. О строении молекул линейных полимеров. Тадокоро, Кобунси, 1957, 6, № 65, 404—409 (японск.) Обзор. Библ. 43 назв.

31210. Структура и инфракрасные спектры поглощения высокополимеров. Тадокоро, Когэ кагаку дзасси, J. Chem. Soc. Japan. Industr. Chem. Sec., 1956, 59, № 7, 731—741 (японск.) Обзор. Библ. 99 назв.

31211. Применение физико-химических методов для характеристики плазмо-протеннов. Шульце (Anwendung physikalisch-chemischer Methoden zur Charakterisierung des Plasmaproteine. Schultze H. E.), Z. Elektrochem., 1956, 60, № 3, 262—275, Diskuss. 275—276 (нем.)

31212. Исследование скоростей денатурации арахина и конарахина II. Нейсмит, Вильямс (A study of the rates of denaturation of arachin and conarachin II. Naismith W. E. F., Williams R. K.), J. Polymer Sci., 1957, 26, № 113, 199—212 (англ.; рез. нем., франц.)

Исследовались скорости денатурации арахина (А) и конарахина II (КА) солянокислым гуанидином (GuHCl) и NaOH (pH 11—12,5). Поскольку денатурация этих белков, очевидно, сопряжена с диссоциацией нативной глобулы на субмолекулы или по крайней мере с образованием очень медленно седиментирующих (в ультрацентрифуге) макромолекул, основной метод анализа сводился к измерениям на седиментационных диаграммах площадей пиков, соответствующих нативным белкам. В ходе денатурации эти площади уменьшаются за счет появления и роста медленно седиментирующих пиков. А более подвержен денатурации обоими реагентами, чем КА. Скорости денатурации  $V_g$  во всех случаях уменьшаются при увеличении ионной силы (NaCl). Превращение А в медленно седиментирующий компонент происходит через некоторую промежуточную форму, тогда как в случае КА такая форма не наблюдалась. В случае NaOH  $V_g$  обоих белков резко возрастают с т-рой, но при денатурации GuHCl температурный эффект невелик. Из этого следует, что цел. денатурация сопряжена с большой энергией активации; последнее видно также из того, что цел. денатурация полностью необратима в отличие от денатурации гуанидином, где некоторая обратимость имеет место. Кинетич. анализ приводит к заключению, что денатурация А и КА не является р-цией 1-го порядка по отношению к конц-ии белка. Часть I см. РЖХимБх, 1957, 10486. С. Френкель

31213. Свойства разбавленных растворов поливинилхлорида. Куроива, Кобунси, 1957, 6, № 62, 256—261 (японск.)

Обзор. Библ. 26 назв.

31214. Теплота растворения синтетических полимеров. IV. Теплота набухания поливинилового спирта, подвергнутого термической обработке. Оя (Oya Seigo), Кобунси кагаку, Chem. High Polym., 1955, 12, № 125, 410—413 (японск.) Часть III см. РЖХим, 1958, 13366.

31215. Влияние обмена ионов на размер и форму ценных молекул полиэлектролитов. Купер, Уассерман (Influence of ion exchange on size and shape of chain-like polyelectrolyte molecules. Cooper R. E., Wassermann A.), Nature, 1957, 180, № 4594, 1072 (англ.)

Установлено, что при переходе от Na-соли алгиновой к-ты к Mg-соли наблюдается заметное изменение мол. веса (от 110 000 до 1 250 000) и вязкости, а также влияния градиента скорости сдвига на вязкость. Это показывает, что 2-валентный ион Mg в соединении с карбоксильными группами алгината способствует образованию внутри- и межмолекулярных солевых мостиков, число которых зависит от ориентации цепей алгината в момент ионного обмена и конц-ии. Межмолекулярные связи обуславливают определенный большой мол. вес, а внутримолекулярные связи — падение вязкости. Ю. Липатов

31216. О некоторых явлениях перехода в водных растворах поливинилового спирта. Соэя, Коно (On some transition phenomena in aqueous solution of polyvinylalcohol. Soeya Teruko, Kōno Ryusuke), J. Phys. Soc. Japan, 1957, 12, № 8, 950—954 (англ.)

Исследованы зависимости уд. объема  $v$ , скорости ультразвука  $v$  и диэлектрич. постоянной  $\epsilon$  от т-ры для разб. водн. р-ров поливинилового спирта. Кривые  $v$ — $T$  могут быть представлены в виде двух пересекающихся в точке  $T_g$  прямых.  $T_g$  линейно возрастает с конц-ией р-ра  $c$ . Температурная зависимость, вычисленная из адиабатич. сжимаемости, показывает некоторую аномальную область, средняя точка которой лежит при  $t > T_g$ . Зависимости  $T_g$  и  $T_v$  от  $c$  совпадают при  $c > c_m = 0,25$ . Кривые зависимости  $\epsilon$  от  $T$  также имеют перегиб при  $T_g$ . Продление кривых  $T_v = T_g$  выше  $c_m$  к значению  $c = 1$  дает т-ру стеклования поливинилового спирта 85°. Авторы полагают, что явления, происходящие в разб. р-рах при  $T_g$  и  $T_v$ , имеют в основе процессы, аналогичные, происходящим при стекловании пластифицированного полимера, причем роль пластификатора играет вода. Предполагается, что при  $c < c_m$  р-р имеет сетчатую структуру, которая распадается вблизи  $T_g$ ; при этом каждая молекула свертывается с образованием внутримолекулярных связей; эти связи рвутся при  $T_v$ . При конц-ии  $c > c_m$  водн. р-р имеет структуру мол. смеси полимера и пластификатора и





роданида до ионной силы 1,68 не наблюдался. Зависимость растворимости от ионной силы аналогична наблюдаемой при высаливании белков. Высаливающая способность исследуемых ионов подчиняется ряду Гофмейстера. Сообщение II см. РЖХим, 1958, Л. Матоушек 31227.

**Исследование тонкой структуры высокополимеров при помощи рентгеновских лучей.** Сакурада (Sakurada Ichiro), Kōrō кагаку дзасси, J. Chem. Soc. Japan. Industr. Chem. Sec., 1956, 59, № 7, 741—746 (японск.)

**Структурный анализ полимерных углеводородов.** I. Абрахамсе, Булхаувер, Ватерман (Strukturanalyse von Kohlenwasserstoffpolymeren. I. Abrahamse J. C., Boelhouwer C., Waterman H. I.), Brennstoff-Chemie, 1957, 38, № 11-12, 183—186 (нем.)

Проведена полимеризация ряда циклич. углеводородов: циклопентена, циклогексена, аллилбензола, тетралина и стильбена — с использованием как катализаторов силиковольфрамовой к-ты и  $AlCl_3$ . Продукты полимеризации были подвергнуты гидрированию при 250—290° над никель-кисельгуровым катализатором. Для полученных насыщ. полимеров определены уд. и мол. вес, кинематич. вязкость, поверхностное натяжение и элементарный состав. Различными методами определено среднее кол-во бензольных колец в молекуле. Для структурного анализа смесей насыщ. циклич. углеводородов в ряде случаев могут быть применены те же методы, что и при анализе минер. масел. Наиболее применимы методы определения уд. рефракции и мол. веса, а также «метод  $k - n - d$ », основанный на определении кинематич. вязкости  $v_k$ , показателя преломления  $n$  и плотности  $d$ . По практич. соображениям применение «метода  $v_k - n - d$ » ограничивается продуктами с  $v_k < 3,0$ .

**В. Загребельная**  
31229. **Влияние молекулярной структуры на свойства синтетических волокон.** О влиянии ароматического ядра. Собуэ (Sobue Hiroshi), Юкигосэй кагаку кёкайси, J. Soc. Organ. Synth. Chem., Japan, 1956, 14, № 7, 423—427 (японск.)

31230. **Исследование полиэтилена методом ядерного магнитного резонанса.** Ремпель, Уивер, Сандс, Миллер (Nuclear magnetic resonance studies of polyethylene. Rempel R. C., Weaver H. E., Sands R. H., Miller R. L.), J. Appl. Phys., 1957, 28, № 10, 1082—1089 (англ.)

Исследован ядерный магнитный резонанс (ЯМР) трех образцов полиэтилена (I) в интервале т-р от -190 до +120°. Линия ЯМР состоит из узкого пика, приписываемого аморфным областям, и размытого максимума, приписываемого кристаллич. участкам I. Узкие пики характеризуются наличием длинных хвостов, различных у разных образцов I. Эти хвосты обусловлены некоторым типом движения, дающим неполное ротационное усреднение и связанным, вероятно, с наличием точек разветвления. Изменение ширины линий обоого рода с т-рой указывает на существование двух точек перехода в аморфной и одной в кристаллич. областях. Энергии активации  $E_a$  для аморфного перехода вблизи 0° хорошо согласуются с  $E_a$ , вычисленными по вязкости I в расплаве. Из этого следует, что данный переход связан с движениями, очень сходными по природе с движением атомных ядер в жидкостях. Данные ЯМР используются для интерпретации трех областей дисперсии, выявляемых с помощью динамическо-механич. измерений. Вблизи -100° аморфные участки I претерпевают переход, связанный главным образом с размораживанием вращения линейных сегментов цепочек I. Между -35 и 0° (в зависимости от образца) начи-

нается движение аморфных сегментов, содержащих ветвления. Наконец, вблизи 60—100° начинается заметное движение сегментов в кристаллич. участках. Предложен новый метод разделения линий ЯМР на их составляющие и определены относительные кол-ва подвижных и фиксированных ядер. Методом ЯМР можно различить именно эти два состояния ядер, но нельзя определить (в отличие от рентгенографич. метода) непосредственно степень кристалличности I.

**Я. Френкель**  
31231. **Изучение с помощью ядерного магнитного резонанса влияния вулканизации на натуральный каучук.** Осиа, Кусумото (Oshima Keiichi, Kusumoto Nazime), Kōrō кагаку дзасси, J. Chem. Soc. Japan. Industr. Chem. Sec., 1956, 59, № 7, 806—809 (японск.)

Методом ядерного магнитного резонанса в поле 6090 гс (неоднородность поля 0,05 гс) в области т-р от -196 до +150° исследована вулканизация смеси НК-ускоритель  $ZnO-S$ .

**Ли Мен-юн**  
31232. **Влияние разбавителей на температуру плавления кристаллических областей в простой и задубленной шкуре коровы.** Уитнауэр, Фи (Effect of diluents on fusion temperature of the crystalline regions in plain and tanned cowhide. Witnauer Lee P., Fee Jeanne G.), J. Polymer Sci., 1957, 26, № 113, 141—150 (англ.; рез. нем., франц.)

Исследованы т-ры плавления  $t_m$  простой и задубленной коровьей шкуры, содержащей различные кол-ва разбавителей в виде этиленгликоля, формамида, фенола и воды.  $t_m$  определялась по т-ре сокращения образцов шкуры при нагреве их вблизи  $t_m$  со скоростью 0,5 град/мин.

Дубление шкуры осуществлялось растительным танином и формальдегидом. Во всех исследованных случаях  $t_m$  возрастает с уменьшением кол-ва разбавителя в согласии с теорией депрессии т-ры плавления полимеров, развитой Флори. Плавление кристаллитов в шкуре, не содержащей разбавителя, не обнаруживается экспериментально; найденное экстраполяцией на нулевое содержание разбавителя значение  $t_m$  составляет для чистой шкуры 145°, для задубленной танином 120° и для задубленной формальдегидом 151°. Различие  $t_m$  задубленных образцов указывает на то, что растительный танин действует одновременно как разбавитель, уменьшая стабильность кристаллитов. Повышение  $t_m$  в результате дубления свидетельствует об уменьшении числа доступных разбавителю групп в аморфных областях за счет сшивания. Из полученных данных определены теплоты плавления  $\Delta H_u$ ; для шкуры, содержащей гликоль, формамид и фенол,  $\Delta H_u$  равно соответственно 2200, 1600 и 1800 кал/моль. Аналогичные значения имеют и задубленные образцы. Для шкуры, содержащей воду,  $\Delta H_u = 7200$  кал/моль. Вычислены также энтропии плавления в исследованных случаях. Причины различий  $\Delta H_u$  неясны.

**Ю. Липатов**  
31233. **Явление перехода у высокомолекулярных веществ.** 3.4. О точке плавления поливинилловых спиртов. Яно, Сома Буссайрон кэнкю, 1956, № 94, 163—172, 173—180 (японск.)  
Часть 2 см. РЖХим, 1956, 43410.

31234. **Совместимость и несовместимость высокополимеров.** Каван (Kawai Toru), Kōrō кагаку дзасси, J. Chem. Soc. Japan. Industr. Chem. Sec., 1956, 59, № 7, 779—785 (японск.)  
Обзор. Библ. 63 назв.

31235. **Вязко-упругие свойства высокомолекулярных соединений и молекулярная теория.** Фурукава Дзайрё сикэн, J. Japan Soc. Test. Mater., 1956, 5, № 29, 95—102 (японск.)

31236. Динамический модуль Юнга и пьезоэлектрическая константа старых древесных материалов. Фукада, Ясуда, Кохара, Окамото (Fukada Eiichi, Yasuda Shigeo, Kohara Jiro, Okamoto Hajime), Кобаяси ригаку кэнкюсё хококу, Bull. Kobayashi Inst. Phys. Res., 1956, 6, № 2-3, 104—107 (японск.; рез. англ.)

Измерены динамич. модуль Юнга (ДМ) и пьезоэлектрич. константа (ПК) старых древесных материалов. С увеличением возраста дерева до ~300 лет ДМ и ПК увеличиваются, затем постепенно уменьшаются. Линейное соотношение между ДМ и ПК указывает на зависимость ДМ и ПК от степени кристалличности целлюлозы. Изменение ДМ и ПК древесных материалов при старении может быть объяснено кристаллизацией и тепловой диссоциацией молекул целлюлозы.

Резюме авторов

31237. Релаксация напряжения серных вулканизатов. Некоторые замечания по недавно опубликованной статье Тобольского. Берри, Уотсон (The stress relaxation of sulfur vulcanizates. Some notes on a recent review article by Tobolsky. Berry J. P., Watson W. F.), J. Polymer Sci., 1957, 25, № 111, 493—494 (англ.)

Авторы считают неправильным основное утверждение (2) работы Тобольского (РЖХим, 1957, 8281) и ссылаются на данные своей работы (РЖХим, 1956, 50985), показывающие, что происходит разрыв поперечных связей в серных вулканизатах.

А. Сидорович

31238. Замечание в ответ на статью «Релаксация напряжения серных вулканизатов. Некоторые замечания по недавно опубликованной статье Тобольского» Уотсона и Берри. Тобольский (A note in answer to «The stress relaxation of sulfur vulcanizates. Some notes on a recent review article by Tobolsky» by Watson and Berry. Tobolsky Arthur), J. Polymer Sci., 1957, 25, № 111, 494—497 (англ.)

Автор считает ошибочным заключение Уотсона и Берри (см. пред. реф.), что в серных вулканизатах рвутся поперечные связи и в доказательство этого приводит ряд данных, которые показывают, что разрыв поперечных связей менее вероятен, чем разрыв вдоль цепи.

О. Сидорович

31239. Дополнение к статье «Релаксация напряжения серных вулканизатов. Некоторые замечания по недавно опубликованной статье Тобольского». Берри, Уотсон (Addendum to «The stress relaxation of sulfur vulcanizates. Some notes on a recent review article by Tobolsky». Berry J. P., Watson W. F.), J. Polymer Sci., 1957, 25, № 111, 497—498 (англ.) См. пред. реф.

31240. Упругооптические свойства полистирола в стеклообразном состоянии. I. Влияние ориентации молекул. Андрюс, Радд. II. Влияние температуры. Радд, Герни (Photoelastic properties of polystyrene in the glassy state. I. Effect of molecular orientation. Andrews R. D., Rudd J. F. II. Effect of temperature. Rudd J. F., Gurnee E. F.), J. Appl. Phys., 1957, 28, № 10, 1091—1095; 1096—1100 (англ.)

I. Влияние ориентации молекул на упругоопт. коэф.  $k$  (отношение двулучепреломления  $\Delta n$  к приложенному напряжению) полистирола исследовалось при 24° с использованием моноволокон различных степеней ориентации. Высокие степени ориентации получались холодной вытяжкой. Оптич. измерения производились в поляризационном микроскопе с компенсатором Сенармона.  $\Delta n$ , которое можно считать показателем мол. ориентации, сильно зависит от  $k$ ;  $k$  линейно убывает от +10 брестеров при  $\Delta n = 0$  (исходный материал) до +4 при  $\Delta n = -0.04$ . Модуль Юнга  $E$  также зависит от ориентации, нелинейно возрастая с ней от

$3 \cdot 10^3$  до  $4.3 \cdot 10^3$  кг/мм<sup>2</sup> в тех же пределах  $\Delta n$ . Проведение  $g = kE$  (деформационно-опт. коэф.) убывает с  $\Delta n$  нелинейно и в меньшей степени, чем кривая  $k(\Delta n)$  (от +0.03 до +0.017 в тех же пределах  $\Delta n$ ). Поскольку в ориентированных волокнах упругоопт. константы и  $E$  представляют собой анизотропные характеристики, то полученные авторами значения относятся лишь к случаю, когда нагрузка приложена в направлении оси ориентации.

II. Влияние  $t$ -ры на  $k$  исследовалось при 12 различных  $t$ -рах от -195 до +24° для неориентированных листов полистирола.  $k$  убывает от +17 брестеров при -195° до +10 при комнатной  $t$ -ре. Измерен также  $E$  в функции  $t$ -ры, изменяющийся от  $4.5 \cdot 10^4$  до  $3.3 \cdot 10^3$  кг/мм<sup>2</sup>. Произведена численная оценка  $k$  для модели беспорядочно распределенных в упругой среде дисков, изображающих фенильные группы полистирола. При приложении нагрузки диски ориентируются и оказывается, что  $k = 4\pi(n^2 + 2)^2 N_Q(1 + v)(\delta_1 - \delta_2)/45nME$ , где  $n$  — средний показатель преломления,  $N$  — число Авогадро,  $Q$  — плотность,  $M$  — мол. вес мономера,  $v$  — коэф. Пуассона и  $\delta_1 - \delta_2$  — анизотропия поляризуемости фенильных групп. Рассчитанные таким образом  $k$  примерно вдвое превышают эксперим. значения, что, учитывая грубость модели, может быть признано удовлетворительным результатом.

С. Френкен

31241. Высокотемпературная тензометрия и ее применение к аморфному полиэтиленотерепфталату. Фостер, Хип (High-temperature tensometry and its application to amorphous polyethylene terephthalate. Foster E. L., Hear N.), Brit. J. Appl. Phys., 1957, 8, № 10, 400—402 (англ.)

Исследована зависимость напряжения от деформации полиэтиленотерепфталата в области высокоэластичности. Аппаратура сконструирована таким образом, что измерения начинались не позднее чем через секунду после нагрева. При этом спонтанная кристаллизация сводилась к минимуму. Измерения показали, что при небольших скоростях деформации кривые напряжения — деформации имели вид, типичный для вязкоэластич. тела, но при больших скоростях кривые имели характерную S-образную форму, типичную для полимеров со стабильной сеткой. Такое усиление  $\lambda$ -запринимается образованием кристаллитов. Для колич. описания явления вводится «характеристич.» кривая, за которую принимается кривая, проходящая через точку с напряжением  $7 \cdot 10^7$  дин/см<sup>2</sup> при удлинении в 500%. Скорость деформации, соответствующая этой кривой называется «характеристической» скоростью. Напряжение в точке перегиба «характеристической» кривой называется «характеристическим» напряжением. Показано, что «характеристическое» напряжение не зависит от  $t$ -ры, а логарифм «характеристической» скорости пропорционален обратной абс.  $t$ -ре.

Т. Хазанович

31242. Кривая коэффициент растяжения — температура для пленок полиэтиленотерепфталата. Яно Буссайрон кэнкю, 1956, № 95, 147—149 (японск.)

31243. Разрыв и прочность высокополимерных материалов. Гото, Аида (Goto Rempei, Aida Hirosi), Koré какаку дзасси, J. Chem. Soc. Japan. Industr. Chem. Sec., 1956, 59, № 7, 768—773 (японск.) Обзор. Библ. 42 назв.

31244. Влияние химического состава полиэфиров на механизм течения. Такаянаги Корэ какаку дзасси, J. Chem. Soc. Japan. Industr. Chem. Sec., 1956, 59, № 1, 49—54 (японск.)

31245. Диффузия в полиэтиленах. I. Кинетика десорбции из тонкой пластинки. Мак-Колл, П. Десорбция воды. Мак-Колл, Амброз, Ланда (Diffusion in ethylene polymers. I. Desorption kinetics for a water. MacColl V. L., Ambrose J. L., Lande J. 1955, 169—189 (японск.)



ties for a thin slab. McCall D. W. II. Desorption of water. McCall D. W., Ambrose J. F., Lanza V. L., J. Polymer. Sci., 1957, 26, № 113, 151—164, 165—169 (англ.)

I. Разработан метод определения коэф. диффузии  $D$  в полимерах, основанный на измерении потери веса со временем насыщенной жидкостью пластинки при десорбции. В случае, когда  $D$  является функцией конц-ии жидкости в полимере  $C$ , решение нелинейного дифференциального ур-ния диффузии может быть проведено предлагаемым автором численным методом. С помощью вычислительной машины построены кривые распределения конц-ий в пластинке при десорбции, необходимые для расчета  $D$ . Изучена десорбция бензола и  $n$ -гексана из пластинок двух образцов полиэтилена: полученного при высокой  $t$ -ре и давлении, с сильно разветвленными цепями и степенью кристалличности  $\sim 70\%$  (I) и полученного при низком давлении, с неразветвленными цепями, кристаллического более чем на 90% (II). Отношение растворимости бензола и гексана в I к растворимости в II близко к трем, т. е. к отношению кол-в аморфной фазы в полимерах. Диффузия идет только в аморфных областях полимера.  $D$  экспоненциально растет с  $C$ , что указывает на линейное уменьшение энергии активации с  $C$ . По-видимому, с ростом содержания жидкости увеличивается доля аморфных областей в полимере. Окисление I вальцеванием при  $160^\circ$  в течение 3 час. мало влияет на величину  $D$ .

II. Растворимость воды  $C_0$  в образцах полиэтилена I и II  $< 0,05$  мг/г и  $D$  не может быть определен. В окисленном I  $C_0 = 0,11$  мг/г и  $D = 1-1,5 \cdot 10^{-7}$  см<sup>2</sup>/сек; по-видимому,  $D$  пропорционален  $1/C$ . В составе для изоляции кабелей, содержащем 1,5% бутылкаучука и 0,07% дифенилпарафенилендиамина,  $C_0 = 0,21$  мг/г и  $D$  того же порядка, что и в I.

И. Слоним

31246. Изменение электропроводности полимеров во время и после облучения. Амамия, Ватанабе (Amemija Ayao, Watanabe Tsutomu), Об буцури, J. Appl. Phys., Japan, 1957, 26, № 7, 293—299 (японск.)

Обзор. Библ. 24 назв.

31247. Излучение при разрыве адгезионных связей между высокополимером и стеклом. Вильямс (Radiation due to adhesive breaks between high polymers and glass. Williams R. C.), J. Appl. Phys., 1957, 28, № 9, 1043—1048 (англ.)

Исследованы описанные Карасевым, Кротовой и Дерягиным (РЖФиз, 1954, 666) явления, происходящие при разрыве адгезионных связей между полимером (поливинилтолуол, полистирол) и стеклом. Отделение полимера от стекла в интервале  $t$ -р  $30-60^\circ$  сопровождалось вспышками видимого света, постепенно уменьшавшимися по интенсивности и числу. Излучение исследовалось при помощи фотоумножителя (в схеме с пятиканальным дискриминатором высот импульсов) и спектрографически. Продолжительность отдельных вспышек  $1-4$  мкс. Времени, в течение которого можно было наблюдать вспышки, доходило до 2,5 часа. Спектр излучения состоит из двух полос: между 5780 и 6400 Å (более интенсивная) и между 5200 и 5600 Å. Наблюдаемое явление объясняется люминесценцией стекла под действием электронов, вырванных из полимера полем двойного электрич. слоя, образующегося при отрыве полимера от стекла. Максим. энергия вспышки  $66$  Мэв, что соответствует излучению 4350 фотонов со средней энергией  $2,3$  эв каждый из электронов с энергией  $10$  кэв.

Т. Хазанович

31248. Температурная зависимость статического электричества, наблюдаемого при отдирании поли-

мерных пленок от стекла. Кобатаке, Иноуэ (Temperature dependence of static electricity observed during peeling of polymer films from glass. Kobatake Yonosuke, Inoue Yukihiko), Kolloid-Z., 1957, 154, № 2, 168—169 (англ.)

Исследованы пленки сополимера винилхлорида с винилацетатом в соотношении 85:15 и смеси поливинилацетата с нитроцеллюлозой, 40:60, приготовленные методом полива из ацетонового р-ра с последующим отдиранием от стекла при различных постоянных  $t$ -рах и относительной влажности  $< 45\%$ . Возникающий заряд измерялся при помощи статич. электрометра. Приводятся графики зависимости величины статич. заряда и модуля упругости от  $t$ -ры, между которыми наблюдается параллелизм. Установлено, что величина статич. заряда не зависит от скорости отдирания пленки от стекла. Автор полагает, что условием возникновения статич. электричества является ориентация полимерных молекул на поверхности. Подобные результаты были получены для пленок поливинилацетата на ртути, сополимера метилметакрилата с метакриловой кислотой на стекле и др.

И. Вишняков

31249. Синтетическая химия высокомолекулярных соединений. Ивакура, Караку, Chemistry (Japan), 1956, 11, № 1, 53—61 (японск.)

31250. Теория мостиковых реакций. Ойва Нихон гому кёкайси, J. Soc. Rubber Ind., 1957, 30, № 3, 196—205 (японск.)

31251. Азоксиисследования как фотохимические источники радикалов. Брейтенбах, Фриттум (Azoxyverbindungen als photochemische Radikalquellen. Breitenbach J. W., Frittum H.), J. Polymer Sci., 1957, 24, № 106, 300—301 (нем.)

При облучении чистого акрилонитрила (I) или в присутствии  $m, m'$ -азостирола длинноволновым УФ-светом или видимым светом ( $463 \mu$ ) при  $20^\circ$  полимеризация не наблюдается. В присутствии  $m, m'$ -азоксистирола наблюдается полимеризация I. В присутствии  $5,05 \cdot 10^{-5}$  или  $1,01$  моля азоксибензола на 1 моль I за 1,5 часа полимеризуется 0,65 и 0,75% I соответственно. Азобензол полимеризацию I в этих условиях не вызывает. На полимеризацию I в присутствии динитрила азозомасляной к-ты азобензол влияния не оказывает. Сделан вывод, что в указанных условиях облучения фотохимически активной является азоксигруппа (а не азогруппа или двойная связь винилового соединения). Р. Милютинская

31252. Исследование полимеризации. XII. Влияние солей на полимеризацию акрилонитрила. Бамфорд, Дженкинс, Джонстон (Studies in polymerization. XII. Salt effects on the polymerization of acrylonitrile in non-aqueous solution. Bamford C. H., Jenkins A. D., Johnston R.), Proc. Roy. Soc., 1957, A241, № 1226, 364—375 (англ.)

Исследована кинетика полимеризации акрилонитрила (I) в р-ре N, N-диметилформамида при  $60^\circ$  в присутствии LiCl, LiNO<sub>3</sub> и LiClO<sub>4</sub>. Скорость полимеризации и мол. веса образующегося полимера пропорциональны конц-ии LiCl в степени 0,5; LiNO<sub>3</sub> и LiClO<sub>4</sub> оказывают на полимеризацию значительно меньшее влияние, чем LiCl, особенно LiClO<sub>4</sub>. Методом прерывистого освещения определена средняя продолжительность жизни полимерных радикалов и на основе полученных данных рассчитаны значения констант скоростей р-ций роста  $k_p$ , обрыва  $k_0$  и передачи через СВГ  $k'_{пер}$  и триэтиламин  $k''_{пер}$ : в отсутствие LiCl  $k_p = 1960$ ,  $K_0 = 7,82 \cdot 10^6$ ,  $k'_{пер} = 100$ ,  $k''_{пер} = 368$ ; при конц-ии LiCl  $0,294$  моль/л  $k_p = 3680$ ,  $K_0 = 7,29 \cdot 10^6$ ,  $k'_{пер} = 188$ ,  $k''_{пер} = 445$  л.моль.сек. Полученные результаты авторы объясняют образованием

комплекса между полимерным радикалом и ионами соли, вследствие чего возрастает реакционная способность радикала. Отмечается, что в некоторых случаях наблюдается анионная полимеризация I, катализированная добавленной солью. Часть XI см. РЖХим, 1957, 74625.

А. Праведников  
31253. Влияние молярных соотношений диметиланилина и перекиси бензоила на скорость полимеризации метилметакрилата в растворе. Такацуги Когэ кагаку дзасси, J. Chem. Soc. Japan. Industr. Chem. Sec., 1956, 59, № 2, 260—261 (японск.)

31254. Окислительно-восстановительные системы для иницирования радикальных процессов. Сообщение 4. Окислительно-восстановительные системы для иницирования полимеризации в углеводородных средах. Тинякова Е. И., Долгопосок Б. А., Рабинович М. Б., Сообщение 5. Окислительно-восстановительные системы для структурирования каучуков в углеводородных растворах. Тинякова Е. И., Долгопосок Б. А., Рейх В. Н., Изв. АН СССР, Отд. хим. н., 1957, № 6, 702—710, № 7, 851—857

4. Гидроперекись изопропилбензола (I) с бензоином (II) или нафтенатом Fe(3+) (III) не реагирует при  $t$ -ре < 60°; выше 100° III ускоряет распад I;  $r$ -ция между I и II (конц-ии по 0,02 M) при 20—60° протекает только в присутствии III (0,002 M) и подчиняется ур-нию 2-го порядка; энергия активации (E) 18 ккал/моль. Распад перекиси бензоила (IV) при 20—25° протекает быстрее в системе IV—II—III, чем в IV—III — диэтилдиоксималеат (V). Восстановление III протекает по ур-нию:  $2Fe(RCOO-)_3 + -CHONH-CO \rightarrow 2Fe(RCOO-)_2 + -CO-CO- + 2RCOOH$ .  $r$ -ция III + II подчиняется ур-нию 2-го порядка, E = 19,7 ккал/моль (20—40°).  $r$ -ция III + V протекает значительно быстрее (за 10 мин. при 20° на 70%). Нафтенат Fe(2+) окисляется I и IV практически мгновенно даже при низких  $t$ -рах. Делается вывод о том, что скорость распада I и IV определяется скоростью восстановления III. Применением системы I—V—III можно значительно повысить скорость полимеризации стирола при 50° по сравнению со скоростью при использовании только I и системы I—V (с системой I—III скорость меньше, чем с I). При полимеризации стирола (70° и выше) в присутствии системы I ( $6,6 \cdot 10^{-2}$  M) — нафтенат металла ( $6,6 \cdot 10^{-2}$  —  $6,6 \cdot 10^{-6}$  M) найдено, что для каждого металла существует оптимальная конц-ия, выше которой  $r$ -ция протекает вначале тем быстрее, чем больше конц-ия нафтената, но останавливается при достижении меньшей глубины полимеризации, что связано с полным израсходованием I. Нафтенаты металлов по ускоряющему действию на полимеризацию при 70° при конц-иях ниже оптимальной располагаются в ряд: Co > Cu > Pd > Mn > Pb > Ag > Cr > Ni > Fe. Энергия активации распада I в этилбензоле 28,0 ккал/моль (140—160°); в присутствии нафтената Co 20,1 ккал/моль (40—60°). На 1 моль нафтенатов Cu, Co и Pd распадается > 1000 молей I.

5. Окислительно-восстановительные системы (окислители: I и IV, восстановители: II, III, V, триэтилен-тетрамин (VI), меркаптобензотиазол (каптакс) (VII), дибензотиазолдисульфид (VIII), дифенилгуанидин (IX), SO<sub>2</sub> и H<sub>2</sub>S использованы в качестве источника свободных радикалов для иницирования  $r$ -ции структурирования (C) полибутадиенового каучука (4,5%-ный  $r$ -р в этилбензоле) при 20°. С оценивалось по возрастанию вязкости  $r$ -ра во времени или во времени образования геля. Системы IV—V, IV—III, IV—II, IV—VI не вызывают C. В присутствии систем IV—V—IX, IV—II—III, IV—IV—III, II—VI, I—VII, I—VII—IX, I—VIII—IX, I—SO<sub>2</sub>, I—H<sub>2</sub>S. При нали-

чин в реакционном объеме ограниченного кол-ва воздуха вязкость  $r$ -ра вначале уменьшается, а затем в некоторых случаях возрастает, что связывается с прохождением двух конкурирующих цепных  $r$ -ций (C и окислительной деструкции). Сообщение III см. РЖХим, 1958, 440.

Т. Грищенко  
31255. Полимеризация, инициированная окислительно-восстановительными системами, содержащими металл. Сообщение I. Об ускорении полимеризации метакрилатов с помощью окислительно-восстановительных систем, содержащих металл. Сообщение 2. Действие органических соединений меди на полимеризацию метакрилатов. Сообщение 3. Гидроперекиси, образующиеся при высушивании жирных масел и их полимеризующее действие. Штрубель (Über die Polymerisation mit Hilfe von Metall-Redox-Systemen. 1. Mitt. Über die mit Hilfe von Metall-Redox-Systemen beschleunigte Polymerisation von Methakrylaten. 2. Mitt. Über die Wirkung von kupferorganischen Verbindungen auf die Polymerisation von Methakrylaten. 3. Mitt. Über die bei der Trocknung fetter Öle sich bildenden Hydroperoxyde und deren die Polymerisation auslösende Wirkung. Strubell W.), Plaste und Kautschuk, 1956, 3, № 9, 203; 1957, 4, № 3, 92; 117 (нем.)

1. По возрастанию вязкости метилметакрилата (I) (80 г) во времени в присутствии системы перекиси бензоила (II) (1,210 и 1,818 г) — бензоина (III) (1,060 и 1,590 г) — пропионолацетоната металла (0,060 и 0,090 г) (рецепты A и B соответственно) дана приближенная оценка каталитич. активности ионов металлов Cu, Fe, Ni, Pb, Mn, Hg и Co. Скорость полимеризации (II) увеличивается с увеличением кол-ва пропионолацетонатов всех металлов, кроме Cu (наблюдается обратная зависимость) и Ni (скорость не изменяется).

2. Система II—III — пропионолацетонат Cu (IV) (или ацетилацетонат) при постоянном отношении кол-в компонентов использована для иницирования II I (80 г). При малых кол-вах II (0,2017 г), III (0,1767 г) и IV (0,010 г) II не происходит.

3. I медленно полимеризуется в присутствии IV. Добавка в систему I—IV продутного воздухом льняного масла ускоряет II I; предполагается, что это вызвано наличием в масле гидроперекисей.

Т. Грищенко  
31256. Полимеры акролеина. Сообщение 6. Полимеризация акролеина в водной среде под действием окислительно-восстановительных систем. Шульц, Шердрон, Керн (Die Redox-Polymerisation des Acroleins in wässrigem Medium. Polymere Acroleine. 6. Mitt. Schulz Rolf C., Cherdron Harald, Kern Werner), Makromolek. Chem., 1957, 24, № 2, 141—151 (нем.; рез. англ.)

Изучалась полимеризация (II) акролеина (I) в водн.  $r$ -ре в присутствии 14 окислительно-восстановительных систем с различным порядком дозирования компонентов при 20°. Кинетич. зависимости изучались с системой персульфат K (II) — AgNO<sub>3</sub>  $t$ -ра 0°—40° конц-ии I ≤ 30 об.% и II 0,0095—0,090 M, отношение кол-в молей II: AgNO<sub>3</sub> = 1:1). Выход полимера за 45 мин. пропорционален  $([S_2O_8^{2-}][Ag^+])^{1/2}$  и конц-ии I (до области насыщения, далее выход падает). При повышении  $t$ -ры от 0° до 20° выход возрастает, при дальнейшем повышении до 40° — уменьшается (предполагается, что быстро истощается система II — AgNO<sub>3</sub>). Приведенная вязкость  $r$ -ров полимера в водн.  $r$ -ре SO<sub>2</sub> сильно уменьшается с увеличением  $t$ -ры II, растет с ростом конц-ии I, проходя через максимум в области насыщения  $r$ -ра I, и обратная ее величина линейно растет с ростом  $([S_2O_8^{2-}][Ag^+])^{1/2}$ . Содержание карбонильных групп в полимере мало зависит от  $t$ -ры II. В этих условиях II I имеет общее



части с виниловой П, протекающей по радикальному механизму. Сообщение 5 см. РЖХим, 1957, 77288.

Т. Гриценко

31257. Кинетика каталитической полимеризации. Часть VI. Полимеризация при катализе хлоруксусными кислотами. Часть VII. Кинетика полимеризации стирола при катализе ди- и трихлоруксусной кислотами. Часть VIII. Строение полистирола, полученного в присутствии ди- и трихлоруксусной кислот. Часть IX. Состояние хлоруксусных кислот в растворе. Часть X. Механизм полимеризации стирола при катализе хлоруксусными кислотами. Браун, Матисон (The kinetics of catalytic polymerisations. Part VI. Polymerisations catalysed by the chloroacetic acids. Part VII. Kinetics of the polymerisation of styrene catalysed by di- and tri-chloroacetic. Part VIII. The constitution of polystyrene formed by di- and tri-chloroacetic acid catalysis. Part IX. The state of the chloroacetic acids in solution. Part X. The mechanism of the polymerisation of styrene catalysed by chloroacetic acids. Brown C. P., Mathieson A. R.), J. Chem. Soc., 1957, Aug., 3608—3611; 3612—3620; 3620—3624; 3625—3630; 3631—3639 (англ.)

VI. Изучались р-ции  $\text{CCl}_3\text{COOH}$  (I) (конц-ия до 20%) с ненасыщ. соединениями (НС) при 20°; в случае медленной р-ции использовались р-рители: дихлорэтан (II) или нитрометан (III). НС с изолированной двойной связью (ДС) присоединяют I с образованием трихлорэтанов по правилу Марковникова. В случае НС с сопряженными ДС идет как присоединение, так и полимеризация (П). Если ДС находится в сопряжении с фенильной группой, происходит только П. В случае виниловых эфиров в основном идет присоединение. При наличии сильноэлектрофильных заместителей при ДС ни П, ни присоединения не происходит.

VII. Изучалась кинетика П стирола (IV) в присутствии  $\text{SnCl}_4\text{COOH}$  (V) и I. При полном отсутствии  $\text{H}_2\text{O}$  или р-рителя П не идет; в отсутствие р-рителя скорость П (СП) пропорциональна конц-ии  $\text{H}_2\text{O}$  при малых ее конц-иях, при больших — СП не зависит от конц-ии; в П малые добавки  $\text{H}_2\text{O}$  на СП не влияют, в III СП падает с ростом конц-ии  $\text{H}_2\text{O}$ . V и I расходуется в ходе П. Начальные СП при 25° ( $m$  и  $c$  — исходные конц-ии IV и V или I соответственно,  $k_p$  — общая константа скорости):  $k_p m^2 c^3$  в отсутствие р-рителя при постоянной конц-ии  $\text{H}_2\text{O}$  0,7 M,  $k_p m^2 c^2$  (в II) и  $k_p m^2 c$  (в III);  $k_0$  для V  $7,3 \cdot 10^{-8}$ ,  $3,12 \cdot 10^{-5}$  и  $1,6 \cdot 10^{-4}$  и для I  $3,1 \cdot 10^{-6}$ ,  $1,85 \cdot 10^{-3}$  и  $7,3 \cdot 10^{-3}$  соответственно (СП в моль/л сек). Суммарные энергии активации (0°—40°) в ряду р-рителей  $\text{C}_2\text{H}_5\text{Br}$ , II,  $\text{C}_2\text{H}_5\text{NO}_2$  и III (3—14 ккал/моль) возрастают с ростом диэлектрич. постоянной D р-рителя и СП. Получено выражение для СП  $K \cdot \exp(-aD)$ , где K и a постоянны для смесей двух данных р-рителей всех составов. Мол. веса M полимеров IV растут линейно с ростом  $m$  и  $c$ . Найдено ур-ние  $\lg M = B + C(D-1)/(2D+1)$ , где  $C = 0,23$  и  $B = 2,85$  (для V) и 2,90 (для I) (р-рители циклогексан, II,  $\text{C}_2\text{H}_5\text{NO}_2$  и III).  $\lg 1/M$  уменьшается линейно с  $1/T$  (т-ры от -80 до +40°; р-ритель  $\text{C}_2\text{H}_5\text{Br}$ ). Хинон затормаживает, а ацетон, нитробензол и 1,3,5-тринитробензол полностью ингибируют П. Предлагается механизм ингибирования карбониевой П хиноном и делается вывод, что ингибирование хиноном не может быть критерием радикальной природы П.

VIII. Изучались полимеры IV, полученные в присутствии V и I (хим. анализ, ИК-спектроскопия, криоскопия, вискозиметрия). В каждой молекуле полимера содержится конечная хлорэтановая группа; никаких остатков молекул р-рителей в полимер не входит. Ненасыщенность отогнанных при 70° низкомолекуляр-

ных фракций составляет 0—0,53 ДС на молекулу; в образце, экстрагированном в обычных условиях, ненасыщенность не обнаружена. Зависимость между характеристич. вязкостью в бензоле при 25° и мол. весом  $[\eta] = 5,2 \cdot 10^{-5} M$ . При П с добавками сокатализатора  $\text{H}_2\text{O}$  последние с V или I протонами не обмениваются. D из  $\text{D}_2\text{O}$  в состав полимера не входит.

IX. На основании изучения распределения уксусной и трихлоруксусной к-т при 25° между  $\text{H}_2\text{O}$  и IV и  $\text{H}_2\text{O}$  и  $\alpha$ -метилстиролом (VI), криоскопич. измерений в IV с добавками  $\text{H}_2\text{O}$  и без них и изучения зависимости растворимости  $\text{H}_2\text{O}$  в IV и VI от конц-ии к-т сделан вывод, что в р-рителях с малой D к-ты существуют главным образом в димерной форме. С ростом D и способности р-рителя к образованию водородных связей происходит диссоциация димеров; степень ассоциации в данном р-рителе растет с ростом содержания IV в к-те. К-ты в присутствии  $\text{H}_2\text{O}$  в мономерах гидратируются, что уменьшает прочность водородных связей в димерах и приводит к их диссоциации. Для IV определены т. пл. ( $-30,4 \pm 0,1^\circ$ ) и криоскопич. константа (4,32).

X. Исходя из данных частей VI—IX, предложен механизм П IV в присутствии V и I; активный центр — ионная пара с растущим полимерным катионом, условия образования, роста и гибели которого связываются со свойствами конкретных изученных реакционных систем. Часть V см. J. Chem. Soc., 1952, 2363.

Т. Гриценко

31258. Кинетика процессов роста и обрыва цепей при стереоспецифической полимеризации пропилена. Натта, Паскуон, Джакетти (Kinetik der Kettenwachstums- und Abbruchsprozesse bei der stereospezifischen Polymerisation des Propylens. Natta G., Pasquon I., Giachetti E.), Makromolek. Chem., 1957, 24, № 3, 258—290 (нем.; реф. франц.)

Изучена кинетика полимеризации пропилена (I) в присутствии  $\text{TiCl}_3$  (II) и  $\text{Al}(\text{C}_2\text{H}_5)_3$  (III) в  $n$ -гептане (IV). Парц. давл. I 450—1450 мм рт. ст.; конц-ии II 0,62—11,3 г/л, III (1,18—14,75)  $\cdot 10^{-3}$  M; т-ра 31—70°; кол-во IV 250 см<sup>3</sup>; продолжительность р-ции 20—40 час. Размер частиц II < 2 м (размол). Скорость р-ции в пределах 1-го часа проходит через максимум, далее снижается и достигает того же постоянного значения, что и при неразмолотом II (РЖХим, 1957, 63738). В области постоянства скорости во времени последняя не зависит от конц-ии III и отношения кол-ва II и III, пропорциональна парц. давлению I и кол-ву II; энергия активации  $11500 \pm 500$  ккал/моль. Стереорегулярный состав полимера не зависит от т-ры и времени р-ции. Мол. вес изотактич. фракции полимера не зависит от времени р-ции по прошествии нескольких минут от ее начала, очень мало зависит от парц. давления I (ниже 700 мм рт. ст. наблюдается тенденция к снижению мол. веса с уменьшением давления) уменьшается с увеличением кол-ва II и конц-ии III, немного снижается с повышением т-ры. На основании предложенного механизма процесса (РЖХим, 1956, 68560) авторы считают, что при т-ре < 80° и давлении I > 950 мм рт. ст. преобладает передача («обрыв») цепи через I; при малом давлении I становится заметным спонтанный обрыв цепи с выделением активного гидрида. Обсуждаются также возможности обрыва с участием II и III. Делается вывод о близости величин энергии активации для роста и всех видов обрыва цепей. Мол. веса аморфной фракции приблизительно на 1 порядок ниже, чем изотактической, но изменяются таким же образом, что объясняется сходством в механизме р-ции и различиями в величинах констант скоростей элементарных актов.

Т. Гриценко

31259. Природа некоторых растворимых катализаторов для полимеризации этилена под низким давлением. Натта, Пино, Маццанти, Джаннини, Мантика, Перальдо (The nature of some soluble catalysts for low pressure ethylene polymerization. Natta G., Pino P., Mazzanti G., Giannini U., Mantica E., Peraldo M.), J. Polymer Sci., 1957, 26, № 112, 120—123 (англ.)

Изучалась возможность полимеризации  $C_2H_4$  при низких  $T$ -рах и давлениях в присутствии каталитич. систем  $Ti(C_2H_5)_2Cl_2 + Al(C_2H_5)_3$  (I) ( $C_2H_5$  — циклопентадиенильная группа),  $Ti(C_2H_5)_2Cl_2 + Al(C_6H_5)_3 \cdot (C_2H_5)_2O$  (II),  $TiCl_4 + Al(C_6H_5)_3 \cdot (C_2H_5)_2O$  (III),  $Ti(C_2H_5)_2(C_6H_5)_2 + Al(C_2H_5)_3$  (IV),  $Ti(C_2H_5)_2(C_6H_5)_2 + Al(C_6H_5)_3 \cdot (C_2H_5)_2O$  (V) и соединений  $(C_6H_5)_2TiCl_2 \cdot Al(C_2H_5)_2$  (VI) (кристаллич., растворимый в углеводородах комплекс, получающийся из I),  $Ti(C_2H_5)_2(C_6H_5)_2$  (VII) и  $Al(C_6H_5)_3 \cdot (C_2H_5)_2O$  (VIII). Во всех случаях, кроме VII и VIII, получены полимеры. При применении II, III и V в молекулах полимера содержатся конечные группы  $C_6H_5$  (ИК-спектр). Авторы полагают, что в системах II, III, IV и V образуются комплексы, подобные VI, содержащие металлоорганич. связи и более одного атома металла; образование таких комплексов и обуславливает активность катализаторов. Полимеризация происходит по месту связи  $Al-C$ , а связи  $Ti-C$  остаются неизменными. Т. Гриценко

31260. Сополимеризация стирола с диацетатом аллилдена. Саэгуса, Ода (Saegusa Takeo, Oda Ryohai), Koré какаку дзасси, J. Chem. Soc. Japan. Industr. Chem. Sec., 1956, 59, № 8, 957—960 (японск.)

31261. Сополимеризация сложных эфиров  $\alpha, \beta$ -ненасыщенных  $\gamma$ -кетокислот и стирола. Кога, Корэ какаку дзасси, J. Chem. Soc. Japan. Industr. Chem. Sec., 1956, 59, № 4, 486—487 (японск.)

31262. Кондуктометрические определения критической концентрации мицеллообразования эмульгаторов для эмульсионной полимеризации (коллоидно-химическое исследование эмульсионной полимеризации). IV. Канамару, Фуруя (Kanamaru Kiso, Furuia Kaoru), Koré какаку дзасси, J. Chem. Soc. Japan. Industr. Chem. Sec., 1955, 58, № 4, 282—286 (японск.)

Часть III см. РЖХим, 1958, 10197.

31263. Влияние некоторых активаторов на ход процесса эмульсионной полимеризации хлорвинила, инициированной окислительно-восстановительной системой. Кучера (Vliv některých aktivátorů na průběh emulsní polymerace vinylchloridu iniciované redox-systémem. Kučera Miloslav), Chem. průmysl, 1957, 7, № 8, 443—447 (чешск.; рез. русск., англ., нем., франц.)

Исследована кинетика полимеризации винилхлорида, инициированная окислительно-восстановительными системами:  $K_2S_2O_8 - FeSO_4$ ,  $K_2S_2O_8 - Na_2SO_4$  и  $K_2S_2O_8 - N_2H_4 \cdot H_2SO_4$ . Определены константы общей скорости полимеризации для 20—40° и вычислена общая энергия активации; последняя не зависит от концентрации инициатора. Очень большие скорости полимеризации наблюдались в системе  $K_2S_2O_8 - FeSO_4$ .

Из резюме автора  
31264. Меркаптан как передатчик цепи при эмульсионной полимеризации стирола. Синха, Маллик (Mercaptan as a chain-transfer agent in emulsion polymerisation of styrene. Sinha P. R., Mallik K. L.), J. Indian Chem. Soc., 1957, 34, № 5, 424—425 (англ.)

Исследована полимеризация стирола в эмульсии при 5° в присутствии октилмеркаптана; эмульгатор — мыростат К, инициатор —  $K_2S_2O_8$  (почти насыщ. р-р). Конц-ия меркаптана определялась амперметрич. титрованием

после разложения непрореагировавшего  $K_2S_2O_8$  спир. р-ром  $FeSO_4$ . Из полученных данных рассчитано значение  $k_{пер}/k_p = 19,3$  ( $k_{пер}$  и  $k_p$  — константы скоростей р-ции передачи и роста цепи).

31265. Замедлители при эмульсионной сополимеризации акрилонитрила и винилиденхлорида. Нагао, Ямагути, Утида (Nagao Hideo, Yamaguchi Takeshi, Uchida Moriya), Koré какаку дзасси, J. Chem. Soc. Japan. Industr. Chem. Sec., 1956, 59, № 11, 1365—1367 (японск.)

При проведении эмульсионной сополимеризации акрилонитрила и винилиденхлорида в качестве замедлителей применяли гидрохинон (I) и  $m$ -динитробензол (II). По мере увеличения кол-ва добавлявшегося I происходит понижение степени полимеризации и вязкости. При использовании гидрофобного II скорость сополимеризации почти не изменяется, в то время как вязкость резко падает. Авторы полагают, что различное действие, оказываемое этими замедлителями, связано с различной растворимостью I и II в воде.

В. Иоффе  
31266. Исследования суспензионной полимеризации винилацетата. Сообщение I. Ли Сын Гм, Он Ди Хун (Чосон минчучун инмин конххвагук. твахагвон хапко, 1955, № 11, 38—43 (кор.)

Изучено влияние добавок ацетальдегида на полимеризацию винилацетата.

31267. Равновесие между этилметакрилатом и его полимером. Кук, Ивин (The equilibrium between ethyl methacrylate and its polymer. Cook R. E., Ivin K. J.), Trans. Faraday Soc., 1957, 53, № 8, 1132—1135 (англ.)

Определены равновесные давления этилакрилата над полиэтилакрилатом при 102—138,5° при облучении системы УФ-светом ( $\lambda = 240$  мμ). Из полученных данных рассчитаны значения теплового эффекта и изменения энтропии для р-ции мономер (газ, 1 атм) → полимер (тв.) при 120°:  $\Delta H = -23,2$  ккал/моль,  $\Delta S = -52,0$  энтр. ед. По методу Смолла (РЖХим, 1954, 25083) рассчитаны значения  $\Delta H$  и  $\Delta S$  для р-ции мономер (жидк.) → полимер (тв.) при 120°:  $\Delta H = -14,4$  ккал/моль,  $\Delta S = -29,7$  энтр. ед. Аналогичные опыты с поливинилацетатом показали, что в случае этого полимера р-ция отщепления молекулы мономера от полимерного радикала протекает с заметной скоростью только при  $T$ -рах выше 190° ( $T$ -ра начала деградации).

А. Праведников  
31268. Винилиденхлоридные смолы. Части VI, VII. Миюми, Сибуй, Итиноэ (Maeyumi Kanjo, Shibuya Osamu, Ichinoe Sei-ichiro), Нихон какаку дзасси, J. Chem. Soc. Japan. Pure Chem. Sec., 1957, 78, № 2, 280—285 (японск.)

VI. Приведена характеристика перекиси винилиденхлорида (I) и описаны методы приготвления I, аналитич. определения I, а также р-ция между I и водой.

VII. Рассмотрено влияние перекиси бензоила и других в-в на полимеризацию I. Часть V см. РЖХим, 1957, 55844.

31269. Применение  $S^{35}$  для определения распределения элементарной серы в полимеретанольных системах. Икэда, Корэ какаку дзасси, J. Chem. Soc. Japan. Industr. Chem. Sec., 1956, 59, № 6, 607—609 (японск.)

31270. Увеличение вязкости концентрированных растворов поливинилового спирта при хранении. Котинами, Найто, Оданака (Kominami Tsugio, Naito Ryunosuke, Odanaka Hisao), Корубиси какаку, Chem. High. Polym., 1955, 12, № 121, 218—223 (японск.)

31271. Адсорбция мономера при полимеризации акрилонитрила. Нагао, Утида, Ямагути, Корэ



О спирте  
но значе-  
скоростей  
ведников  
олимера-  
Нагао,  
Уама-  
Корё ка-  
ет. Sec.

ризации  
не замед-  
робензо-  
негоса I  
и вяз-  
скорость  
ремя на-  
различ-  
ми, свя-  
де.

И. Иоффе  
ризации  
Ок Д  
заключе-

полиме-  
В. Т.  
и его  
between  
k R. E.  
3, № 8.

акрилата  
лучения  
ных дан-  
и изме-  
ати) →  
ал./мол.  
м, 1954.  
и моле-  
ΔH =  
огичные  
-случае  
ономер  
и скоро-  
нала де-  
единица

VI, VII.  
Kajio,  
Shigo),  
e Chem.

илиден-  
I, ана-  
и водой.  
и дру-  
м, 1957.  
Иоффе  
преде-  
к систе-  
m. Soc.  
607—609

ых рас-  
ни. Ко-  
i Tsu-  
isa),  
№ 121.

ризации  
и, Корё

кагаку дзасси, J. Chem. Soc. Japan. Industr. Chem. Sec., 1956, 59, № 6, 695—698 (японск.)

31272. Расщепление высокополимерных молекул. Иноуэ, Кагаку, Chemistry (Japan), 1956, 11, № 3, 73—79 (японск.)

31273. Исследование радикальной цепной реакции дегградации. V. Термическая дегградация полиметилметакрилата при высокой температуре. VI. Термическая дегградация сополимеров стирол — метилметакрилата. Иноуэ, Оути, Ясехира (Inoue Ryozo, Ouchi Shigeo, Yasuhira Susumu), Кобунси кагаку, Chem. High Polym., 1957, 14, № 141, 54—61; 61—70 (японск.; рез. англ.)

V. Иницирование термич. дегградации полиметилметакрилата (I) ниже 300° идет только в конечных группах (константа скорости  $k_1$ ), выше 300° иницирование происходит также по закону случая (константа скорости  $k_2$ ). Начальная скорость выделения летучих продуктов, полученная из статистич. рассмотрения цепного механизма, согласуется с эксперим. результатами. Энергия активации для  $k_2$  равна 51 ккал/моль, вероятность р-ции отщепления мономера 0,9994. Значение  $k_2$  для I значительно меньше, чем для полистирола (II) при том же механизме иницирования; кинетич. длина цепи в случае I значительно больше, чем в случае II.

VI. Исследована термич. дегградация сополимеров стирол и метилметакрилата различного состава. При малых мол. долях ( $m$ ) стирол в сополимере скорость выделения мономера обратно пропорциональна  $m$ , при больших  $m$  наблюдается слабая зависимость скорости от  $m$ . Мол. отношение выделяющихся мономеров (вычислено по содержанию углерода в деградируемом сополимере) постоянно в течение всего процесса дегградации и равно составу исходного сополимера. При допущении, что иницирование происходит по закону случая, к полученным результатам применимо статистич. ур-ние (часть III, см. РЖХим, 1957, 77283). Средняя константа скорости иницирования изменяется почти линейно с  $m$ , но средняя длина кинетич. цепи быстрее уменьшается с уменьшением  $m$  в сополимерах с малым  $m$ . Часть IV см. РЖХим, 1957, 77283.

Резюме автора

31274. Связь между процессом полимеризации и термической устойчивостью сополимера акрилонитрилвинилиденхлорид. Нагао, Утида, Ямагути Корё кагаку дзасси, J. Chem. Soc. Japan Industr., Chem. Sec., 1956, 59, № 4, 471—473 (японск.)

31275. Термическая устойчивость сополимера акрилонитрилвинилиденхлорид при эмульсионной полимеризации. Нагао, Утида, Ямагути (Nagaо Hideo, Uchida Moriya, Yamaguchi Tetsuo), Корё кагаку дзасси, J. Chem. Soc. Japan. Industr. Chem., Sec., 1956, 59, № 9, 1080—1082 (японск.)

31276. Действие радиации на высокополимерные соединения. Амэмия, Ватанабэ, Инокүти (Amemija Ayao, Watanabe Tsutomu, Inokuti Mitio), Кагаку то корё, Chem. and Chem. Ind., 1956, 9, № 9, 419—427 (японск.)

Обзор. Библ. 45 назв.

31277. Кинетика механической деструкции высокополимеров. Барамбойм Н. К., Докл. АН СССР, 1957, 114, № 3, 568—570

При деструкции полимеров в шаровой мельнице в атмосфере  $N_2$  при  $-10^\circ$  мол. вес продуктов деструкции с течением времени стремится к пределу ( $M_\infty$ ), равному для поливинилацетата 11 000, ацетилцеллюлозы 10 000, полиметилметакрилата 9000, полистирола 7000, поливинилового спирта 4000. Получено эмпирич. выражение для кинетики механич. деструкции  $M_t = (M_0 - M_\infty) \cdot \exp(-kt) + M_\infty$  ( $M_0$  и  $M_\infty$  — мол. веса в начальный

момент и через время деструкции  $t$ ,  $k$  — константа). Значение  $k$  равно для полиметилметакрилата 0,12, полистирола 0,0945, поливинилацетата 0,0468, поливинилового спирта 0,0237.

И. Тугорский

31278. Бромирование полистирола N-бромсукцинимидом, дегидробромирование бромированного полистирола и привитая полимеризация винилацетата с ненасыщенным полистиролом. Саэгуэ, Ода (Saegusa Takeo, Oda Ryohei), Корё кагаку дзасси, J. Chem. Soc. Japan. Industr. Chem. Sec., 1955, 58, № 9, 700—705 (японск.)

31279. Исследование действия аммиака на первичные реакции мочевиной смолы при помощи инфракрасной спектроскопии. Танака, Миямото, Иосими (Tanaka Shigeo, Miyamoto Yasuo, Yoshimi Naoki), Корё кагаку дзасси, J. Chem. Soc. Japan. Industr., Chem. Sec., 1956, 59, № 8, 993—996 (японск.)

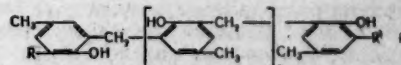
31280. Изучение аминных смол. Часть IV. Реакция между мочевиной и формальдегидом. Нинагава (Ninagawa Eisaku), Нихон кагаку дзасси, J. Chem. Soc. Japan. Pure Chem. Sec., 1956, 77, № 11, 1633—1637 (японск.)

При проведении р-ции между мочевиной и формальдегидом в эквимольных кол-вах исследовано образование моно- (I) и диметилмочевин (II). В нейтр. среде р-ция идет очень медленно, в кислой и щел. — быстро, при этом в кислой среде образуется значительное кол-во I, а в щел. — II. При уменьшении pH и понижении т-ры р-ции кол-во I возрастает, при повышении т-ры р-ции возрастает кол-во образующейся II. Часть III см. РЖХим, 1958, 16664.

В. Иоффе

31281. Получение высокомолекулярных продуктов конденсации  $n$ -крезола и формальдегида, однородных по строению и молекулярному весу. Сообщение II. Кеммерер, Рауш (Darstellung höhermolekularer  $p$ -Kresol-Formaldehydcondensate mit einheitlicher Konstitution und einheitlicher Molekülgröße. II. Mitt. Kämmerer H., Rausch W.), Makromolek. Chem., 1957, 24, № 2, 152—158 (нем.; рез. англ.)

Получены продукты конденсации  $n$ -крезола с формальдегидом типа (I).



(R и R' — галогены,  $CH_2Cl$  или  $CH_2Br$ ). В полимергомологии ряд бромпроизводных с максим. мол. весом ~1000 наблюдается пониженная склонность к автоокислению по сравнению с производными простых фенолов. С повышением мол. веса склонность к кристаллизации снижается. Т-ра плавления полученных соединений повышается в линейной зависимости от мол. веса, так же как и для хлорпроизводных. Исключением являются соединения  $C_{39}H_{38}O_8Br_2$  (или  $Cl_2$ ), эти же соединения хорошо растворимы в бензоле и нафталине, хотя растворимость падает с повышением мол. веса. Бромпроизводные удается получить с более высоким выходом по сравнению с хлорсодержащими продуктами. Бромпроизводные легко поддаются гидрирующему дегалогенированию. Полученные продукты могут быть использованы для дальнейшего синтеза. Мол. веса описанных соединений определены криоскопич. методом и по концевым группам (атом галогена). Сообщение I см. РЖХим, 1957, 48223.

Н. Мотовилова

31282. Успехи теории равновесий при полимеризации  $\epsilon$ -капролактама. Маттес (Fortschritte in der Theorie des Perlongleichgewichts. Matthes A.), Kolloid-Z., 1957, 153, № 1, 28—34 (нем.)

Обзор. Библ. 15 назв.

Т. Гриценко

31283. Селективнокомплексобразующая смола из 3-оксифенилтиомочевин. Ходзё, Корё кагаку дзасси, J. Chem. Soc. Japan. Industr. Chem. Sec., 1956, 59, № 6, 631—634 (японск.)

31284. Резинификация *n*-трет-бутилфенолформальдегидной смолы. Кобаяси Натаи, Корё кагаку дзасси, J. Chem. Soc. Japan. Industr. Chem. Sec., 1956, 59, № 4, 419—422 (японск.)

Скорость резинификации увеличивается с увеличением pH среды, кол-вом непрореагировавшего фенола и с повышением т-ры.

Ли Мен-Юн  
31285. Синтетические линейные полимеры. III. Получение затвердевающих при комнатной температуре сополимеров этиленгликольмаленинафталатметилметакрилат и исследование некоторых их свойств. Руенак, Геци, Репани (Szintetikus lineáris polimerek, III. Szobahőmérsékleten keményedő poliétilén-glikolmaleát-ftalátmetilmetakrilát kopolimerek előállítás és néhány tulajdonságának vizsgálata. Rusznák István, Géczy István, Répási Margit), Magyar tud. akad. Kém. tud. oszt. közl., 1957, 8, № 2—3, 247—252 (венг.)

Получены затвердевающие при 25° контактные смолы из этиленгликоля, маленинового (I) и фталевого (II) ангидридов и метилметакрилата. Кол-ва использованных ненасыщ. полиэфиров и сомономеров относятся как 70:30, а кол-ва перекиси бензоила — инициатора к диэтиланилину (промотор), как 1:0,25. Оптимальной хемостойкостью обладает смола, содержащая ненасыщ. полиэфир состава 0,8 моля I и 0,2 моля II. Наилучшие механич. показатели имеет сополимер, не содержащий II. Желатинизация полученных смесей при комнатной т-ре длится 180—3 мин., их полимеризация 30—5 мин. Часть II см. РЖХим, 1957, 44750.

З. Натан  
31286. Повышение реакционной способности фенольных смол по отношению к бромной воде во время процесса термического отверждения. Накамура, Корё кагаку дзасси, J. Chem. Soc. Japan. Industr. Chem. Sec., 1956, 59, № 6, 687—690 (японск.)

31287. Исследования в области гидролиза поливинилацетата. Сообщение I. Ли Си и Ги, Кан Хак Мин, Чосон минчучун имин конхвагун чвахаквон хакпо, 1955, № 11, 44—49 (кор.)

31288. Реакция распада гексаметилентетрамина и его производных. XIV. Влияние различных средних солей на распад уротропина под действием кислоты. Тада (Tada Hikoji), Корё кагаку дзасси, J. Chem. Soc. Japan. Industr. Chem. Sec., 1955, 58, № 1, 10—12 (японск.)

Часть XIII см. РЖХим, 1958, 7220. Э. Тукачинская  
31289. Поликаприамид. IV. Термический распад поликаприама под действием смешанного катализатора NaOH—KOH. Иноуэ, Сумото, Кобунси кагаку, Chem. High Polym., 1955, 12, № 128, 522—526 (японск.)

При катализе термич. распада поликаприама (I) смесь KOH—NaOH эффективнее, чем NaOH. Распад идет быстро при т-ре плавления с 95%-ным выходом  $\epsilon$ -капролактама (II). При применении KOH—NaOH константа скорости образования II из активных концов молекулы I в несколько раз больше, чем в случае применения NaOH. Каталитич. действие KOH—NaOH лучше, чем  $H_2PO_4$ . Часть III см. РЖХим, 1958, 23720. Chem. Abstr., 1957, 51, № 5, 3255. Eiichi Wada

31290. Быстрое определение длинноцепочечного алкилсульфата, присоединенного к целлюлозе. Такаяма (Takayama Vuzi), Корё кагаку дзасси, J. Chem. Soc. Japan. Industr. Chem. Sec., 1956, 59, № 7, 856—857 (японск.)

31291. Органические реакции синтетических высокомолекулярных соединений. Имото (Imoto Minoru), Юки госэй кагаку кёкайси, J. Soc. Organ.

Synth. Chem., Japan, 1957, 15, № 7, 325—340 (японск.)  
Обзор. Библ. 107 назв.

31292. Реакции сополимеризации транс-1,2-ди-(2-пиридил)-этилена. Марвел, Тунди, Эконом (Copolymerization reactions of trans-1,2-di(2-pyridyl)ethylene. Marvel C. S., Tweedie A. H., Economy James), J. Organ. Chem., 1956, 21, № 12, 1420—1422 (англ.)

Транс-1,2-ди-(2-пиридил)-этилен (I) (т. кип. 145—154°/1 мм, т. пл. 119—120°) получали конденсацией 2-пиколиллития с 2-пиридинальдегидом (II) в безводн. эфире с выходом 60% или конденсацией N-метил 2-пиколиниодида с II с последующим термич. разложением полученного йодметилата.  $\lambda$  макс 1330 и 975 см<sup>-1</sup> указывает на транс-конфигурацию этиленовой связи. I сополимеризовали с бутадиеном (III) в соотношении 20:80) эмульсионным способом в присутствии персульфата калия. Установлено, что I более активно сополимеризуется с III (8% I в сополимере), чем транс-стильбен (IV) (1% IV в сополимере). Определены константы сополимеризации I со стиролом ( $r_1 = 1,85$ ,  $r_2 = 0,17$ ) и акрилонитрилом ( $r_1 = 0,95$ ,  $r_2 = 0,02$ );  $r_2$  для I. Сополимер I с III не обладает удовлетворительными свойствами.

В. Макарова  
31293. Письмо редактору. Коршак В. В., Соин С. Л., Чистякова М. М., Изв. АН СССР. Отд. хим. н., 1957, № 10, 1271

При р-ции *n*-диизопренилбензола с различными перекисями получают полимеры различного мол. веса, которые построены из звеньев  $(-n-C_6H_4C(CH_3)_2-CH_2-CH_2-)_x$ . Наилучшие результаты получают при применении перекиси трет-бутила. Полимер образуется аналогично из дифенила и *n*-ксилола. В. Белинов  
31294. О некоторых свойствах полимеров и сополимеров простых виниловых эфиров. Михантьев Б. И., Тарасова А. В., Тр. Воронежск. ун-та, 1956, 40, 121—123

Установлено, что после 2-летнего хранения полимеры и сополимеры простых виниловых эфиров имеют в несколько раз более низкий мол. вес, чем свежеприготовленные продукты. В процессе хранения наблюдается отщепление низкомолекулярных спиртов, входящих в состав мономеров, что несколько повышает содержание углерода и водорода в полимере. Проведено бромирование сополимеров, что привело к их расщеплению и частичному омылению. Были исследованы продукты бромирования, в которых качественно определены спирты и ацетальдегид. В. Рабинович

31295. Получение и полимеризация ненасыщенных четвертичных аммониевых соединений. VIII. Преполгаемый чередующийся внутримолекулярный и межмолекулярный рост цепи. Батлер, Анджело (Preparation and polymerization of unsaturated quaternary ammonium compounds. VIII. A proposed alternating intramolecular—intermolecular chain propagation. Butler George B., Angelo Rudolph J.), J. Amer. Chem. Soc., 1957, 79, № 12, 3128—3131 (англ.)

При изучении механизма полимеризации аллильных четвертичных аммониевых солей ранее было найдено, что нелавкие, водонерастворимые полимеры были получены только из мономеров, содержащих три или более аллильные группы (АГ). Мономеры, содержащие две АГ, дают линейный, водорастворимый полимер, а мономеры, содержащие одну АГ, не способны к полимеризации (см. часть VII, РЖХим, 1957, 22560). Это аномальное явление связано, по-видимому, с тем, что одновременно с полимеризацией имеет место внутримолекулярная циклизация с образованием пиперидиновых колец. Часть двойных связей расходуется на образование циклов, что препятствует образованию разветвленных полимеров. Изучалась полимеризация диаллилдиэтиламмоний бромид (I),



диаллилдиметиламмоний бромида (II), хлоргидрата диаллиланилина (III) и триаллилбутиламмоний бромида (IV). I получали прибавлением 0,5 моля аллилбромида к 0,44 моля N,N'-диэтилаллиламина в 100 мл ацетона; выход I 84%, т. пл. 155° (из ацетона). II и IV получены аналогичным образом. К 8 г I в 4 мл воды прибавили 20 капель 60%-ной гидроперекиси трет-бутила и оставили при 60° на 48 час., получено 8 г полимера, т. пл. 346–354° (разл.), растворимого в воде. Аналогично получен растворимый в воде полимер из II, т. пл. 348–352°. Из III получен не растворимый в спирте и воде полимер, имеющий разветвленную структуру, что объясняется неспособностью III к образованию внутримолекулярных циклов. Изучено влияние инициатора, р-рителя и кислорода на полимеризацию. В атмосфере воздуха степень полимеризации равна 15–30, а в атмосфере азота 25–50. Показано на примере полимеризации IV, что разветвленный полимер может образоваться при высокой концентрации мономера и инициатора. С. Якушкина

31296. К вопросу о полимерах пиррола и его производных. Неницеску Костин Д., Иоан Внорика, Хим. ж. Акад. РНР, 1956, 1, № 1, 53–59

Краткий историч. обзор работ, посвященных выяснению структуры полимеров пиррола. Допускается, что полимеризация пиррола протекает по механизму, подобному дневным синтезам, с образованием продуктов типа (мезо-4,9-имино)-(мезо-5,8-имино)-3а,4,4а,5,8,8а,9,9а-октагидро-5',6'-бензонидола, (мезо-1,4-имино)-(мезо-5,8-имино)-1,4,5,8,10,11,12,13-октагидрокарбазола и т. п. Такой механизм подтверждается экспериментами по полимеризации пиррола в среде уксусной к-ты с водородом и с катализатором гидрогенизации — окисью платины. В продуктах р-ции идентифицирован в форме дикрата ранее не описанный в литературе кристаллич. продукт с т. пл. 83–85° общей ф-лы  $C_8H_{11}N_2$ , который, вероятно, является (мезо-4,7-имино)-октагидроиндолом. В. Рабинович

31297. Синтез и полимеризация *n*-третичного бутилфенилметакрилата. Сообщение 1. Котон М. М., Шереметьева Т. В., Женева М. Г., Изв. АН СССР. Отд. хим. н., 1957, № 7, 826–827

Синтезирован и охарактеризован *n*-трет-бутилфенилметакрилат (I). I получают из *n*-трет-бутилфенола и хлорангидрида метакриловой к-ты; т. пл. I 34,5–35°, т. кип. 131–132°/4 мм; хорошо растворим в эфире, ацетоне,  $C_6H_6$ ,  $CCl_4$ , горячем спирте, не растворим в воде. I легко полимеризуется. Блочная полимеризация I при  $t$ -рах 60, 80, 100 и 120° (24 часа) в присутствии перекиси бензоила (II) (II взята в кол-ве 0,1, 0,5, 1,5% от веса I) протекает на 89–90%. Мол. вес полимера I уменьшается с увеличением II. Полимер I представляет собой стеклообразное в-во. При 100° I полимеризуется значительно быстрее метилметакрилата (III); при 70° полимеризация I протекает с большей скоростью, чем полимеризация III только до 40% превращения. Большое кол-во остаточного I в конечном продукте авторы связывают со стереохим. препятствиями, создаваемыми наличием в бензольном ядре разветвленного заместителя. С. Виноградова

31298. Синтез и полимеризация алкоксистирола. Колесников Г. С., Погосян Г. М., Изв. АН АрмССР. Сер. хим. н., 1957, 10, № 2, 131–142 (рез. арм.)

С целью изучения влияния величины алкоксильного радикала и его положения на  $t$ -ры стеклования полимеров алкоксистирола (АОС) синтезированы *n*- и *o*-АОС и их полимеры. АОС синтезируют следующим образом. Из бромфенола и галогенного алкила (или бромированием алкоксибензола) получают алкоксибромбензол, превращают его в магниорганич. соеди-

нение, взаимодействием которого с окисью этилена синтезируют  $\beta$ -(алкоксифенил)-этиловый спирт. Дегидратация последнего нагреванием в вакууме в присутствии КОН приводит к АОС. Получены и идентифицированы: 4-метоксистерол, 4-этоксистерол, 4-*n*-пропоксистерол, 4-*n*-бутоксистерол, 4-изоамил-оксистерол, 4-*n*-гексилоксистерол, 2-метоксистерол, 2-этоксистерол, 2-*n*-пропоксистерол, 2-*n*-бутоксистерол, 2-изоамил-оксистерол, 2-*n*-гексилоксистерол, 2-*n*-нонилоксистерол. Полимеризацию АОС осуществляют нагреванием мономера при 40–120° в присутствии 0,75 мол.% перекиси бензоила. Полимеры очищают переосаждением  $CH_3OH$  из их р-ров в  $C_6H_6$  или дихлорэтано. Сопоставление  $t$ -ры стеклования полимеров АОС различного строения показало, что увеличение алифатич. радикала в алкоксигруппе АОС сопровождается понижением  $t$ -ры стеклования полимера. Полимеры *n*-АОС обладают более высокой  $t$ -рой стеклования, чем полимеры орто-изомеров, хотя разница в  $t$ -ре невелика. Авторы предполагают, что более высокие  $t$ -ры стеклования полимеров *n*-АОС по сравнению с полимерами *n*-алкилстиролов обусловлены появлением водородной связи между атомом кислорода алкоксильной группы и водорода ароматич. ядра, что приводит к более плотной упаковке полимерных цепей. Более низкая  $t$ -ра стеклования полимеров *o*-АОС объясняется пространственными затруднениями. С. Виноградова

31299. Синтез высокомолекулярных поли-*N*-бромсоединений и их реакционноспособность. Окавара, Синохара (Okawara Makoto, Shinozaki Hiroyuki), Kōgō Kagaku Zasshi, J. Chem. Soc. Japan. Industr. Chem. Sec., 1957, 60, № 1, 75–78 (японск.)

Сополимеризацией стирола с малеиновым ангидридом (1:1 и 1:3, толуол, кипячение 2 часа) получено два сополимера (I) и (II). Полимеризацией акриламида в отсутствие катализаторов (100°, 30 мин.) или в присутствии 0,5% 2,2'-азобисизобутиронитрила (III) (80–85°) получен полиакриламид (IV); аналогично в присутствии 0,5% III полимеризуют метакриламид (110 ± 10°, 30 мин., 190–195°, 30 мин.) до полиметакриламида (V). I и II обрабатывают 1,5 моля 28%-ного  $NH_4OH$  (нагревание на водяной бане 30 мин.), полученную  $NH_4$ -соль замельчают до 50 меш и нагревают при 150–260° (40–80 час.) или при 210–230° (30–60 час.), получают полиамид (VI). Бромирование 1 г замельченного до 50 меш VI в 15 мл 15%-ного NaOH и 5 мл диоксиана добавлением при 5° подноспирт. р-ра брома приводит к поли-*N*-бромимиду (VII), содержащему 10–11% активного Br. IV и V превращают в полиимиды (VIII) и (IX) нагреванием при 180–230° (0,2–5 час.); VII и IX бромируют подобно VI, получают *N*-бромполиакриламид (X), содержание активного Br 7,5–8,7%, и *N*-бромполиметакриламид (XI), содержание активного Br 7,22%. X получен также из метилакрилата путем полимеризации ( $K_2S_2O_8$ , вода, 40°, 1 час, 70°, 2 часа), превращения полиметилакрилата в имид обработкой  $NH_4OH$  (5 дней) и нагреванием при 190° с последующим бромированием. VII, X и XI окисляют дибензильный эфир и диэтиламинометилбензол до бензальдегида, выход при ведении р-ции в  $CCl_4$  в  $N_2$  из первого 55,5; 16 и 32,6% соответственно, из второго 20,3; 7,5 и 12,8% соответственно. VII, X и XI являются также бромирующими агентами и бромируют ацетанилид до *n*-бромацетанилида, выход при кипячении в  $CCl_4$  4 часа 91,4 (с VI), 14,9 (с X) и 60,2% (при использовании *N*-бромсукцинимиды). Л. Яновская

31300. Сравнение методов синтеза полиэфирных смол с применением растворителя и в отсутствие растворителя. Млейнек (Porovnanie bezrozpušadlového a rozpušadlového způsobu přípravy polyeste-

gových živíc. Mlejnek Otakar), Chem. zvesti, 1957, 11, № 6, 358—369 (словацк.; рез. русск., нем.)

В результате исследования кинетики конденсации глицерина (I) с адипиновой к-той (II), фталевым ангидридом (III), малеиновым ангидридом (IV) без р-рителя (A) и в присутствии ксилола (V) 5—12% в качестве р-рителя (B) установлено, что отношение констант скорости р-ции  $k_1:k_2$  в условиях B к константам р-ции по методу A для смолообразующей стадии р-ции (конденсации первичных продуктов — неполных эфиров) при 170 и 190° составляет соответственно: с II 1,67, 1,79; с III 1,32, 1,35 и только с IV 0,91, 0,89. При получении масляных алкидов скорость р-ции с II и III по методу B также значительно выше, чем по методу A. Метод B обеспечивает большую стабильность аналитич. показателей получаемых смол. При синтезе полиэфирных смол из I и III отклонения от средних величин (%) COOH, OH и M (мол. вес.) по методу B и A составили соответственно: 4,64 и 9,09; 2,44 и 8,77; 11,04 и 17,27. К числу достоинств метода B относятся также предотвращение резкого увеличения т-ры на первой, экзотермич. стадии р-ции, что имеет место при синтезе смол по методу A, а также уменьшение потерь III за счет сублимации. Хотя способу B присущи и некоторые недостатки, в том числе повышение огнеопасности и токсичности процесса, как правило, его следует предпочесть методу A.

Л. Песин

**31301. Синтез высокомолекулярных полимеркаптанов и их свободнорадикальные реакции.** Окава, Накагава, Имото (Okawara Mokoto, Nakagawa Tsutomu, Imoto Eiji), Koré kaгаку дзасси J. Chem. Soc. Japan. Industr. Chem. Sec., 1957, 60, № 1, 73—75 (японск.)

Синтезированы поливинилбензилмеркаптан (I), поливинилмеркаптан (II), поливинилмеркаптоацеталь (III) и  $[-(CH_2)_5N(CH_2SH)CO(CH_2)_5-]_n$  (IV). I—IV мало активны в свободнорадикальных р-циях. I и II незначительно ускоряют разложение диазоаминобензола (150°, р-ритель — смесь парафиновых углеводородов с т. кип. 80—100°/5—50 мм); аналогично I—IV немного ускоряют р-цию дегидрирования гидразосоединений (см. РЖХим, 1958, 18920). В присутствии I проходит полимеризация стирола (8 дней на свету, затем отгонка жидких частей) с образованием полистирола (V) с мол. в. 12000 (без I образуется V с мол. в. 87000). Окисление I и II в 1%-ном NaOH при 40° идет очень медленно, а при 100° на воздухе быстро. 10 г V (мол. в. 164500) нагревают с 90 г монохлорметилметилового эфира (IV) в присутствии 2,5 г ZnCl<sub>2</sub> при 35° 60 мин., получают поливинилбензилхлорид (VIIa), выход 69,4%, содержит 16,01% Cl; при нагревании 25 г V с 225 г VI (35°, 240 мин.) с 3,7 г ZnCl<sub>2</sub> получен VIIб, выход 43,3%, содержит 9,99% Cl. 3 г VIIa нагревают (65°, 90 мин.) с 1,5 г тиомочевины (VIII) в 27 мл диоксана и 30 г ацетона в присутствии 0,5 мл конц. HCl и получают 2,2 г I (SH 7,10%); аналогично из 10 г VIIб, 5 г VIII в 90 мл диоксана и 100 г ацетона с 1 мл конц. HCl за 150 мин. (т-ра не указана) получено 9 г I (SH 4,02%). II получен как описано ранее (РЖХим, 1957, 63739). Хлорацетальдегид нагревают 2 часа при 80° с поливиниловым спиртом, получают поливинилхлорацеталь (IX). 2 г IX и 1 г VIII нагревают на водяной бане 4 часа с 50 мл спирта и 50 мл воды, получают 1,8 г III. К 12 г  $[(CH_2)_5NHSO(CH_2)_5]_n$  в 40 г 90%-ной HCOOH и 40 г (CH<sub>3</sub>CO)<sub>2</sub>O при 60° медленно добавляют р-р 12 г параформа в 20 г CH<sub>3</sub>OH + небольшое кол-во KOH, добавляют 15 г CH<sub>3</sub>OH, перемешивают 30 мин., добавляют 170 мл ацетона, 170 мл воды и 5 мл конц. NH<sub>4</sub>OH, получают 18 г  $[(CH_2)_5N(CH_2OCH_3)CO(CH_2)_5]_n$  (X). Смесь 10 г X, 2 г

VIII, 30 мл CH<sub>3</sub>OH, 5 мл диоксана и 5 мл 48%-ной HBr перемешивают час при 60°, добавляют р-р 5 г KOH в 15 мл воды, перемешивают 2 часа при кипячении, получают 8 г IV (SH 0,61%).

Л. Яновская

**31302. Полимеры органосилонов.** V. Алкенилполисилоксаны. Гусман, Орбисо (Polimeros organosilicos. V. Alquienil polisiloxanos. Guzman G. M., Orbiso J. L.), An. Real soc. española fis. y quim., 1956, B52, № 12, 745—750, Discuss., 750—754 (исп.; рез. англ.)

Синтезировано несколько винил- и аллилсилонов в качестве мономеров, ранее уже описанных в литературе. Был проведен также их гидролиз до силанолов с последующей полимеризацией. В ходе гидролиза аллилхлорсиланов в сильно кислой среде имело место разрушение связи Si—C с самопроизвольным образованием силанов. Это явление не наблюдалось в слабо щел. среде. Было выделено несколько фракций диаллилсилоксанов и изучен их состав. Оказалось, что циклич. тример — гексаэтилтрисилоксан содержит некоторое кол-во силанола, а высококипящая фракция — заметное кол-во линейного тримера. В этой фракции ~ 40% аллильных групп реагируют с соседними по цепному механизму, уступая место группам изопропилового типа, непосредственно вставая к атомам кремния. Ненасыщенность аллильных соединений практически не изменялась в ходе гидролиза. В ходе синтеза был выделен новый полисилоксан: кристаллич. гексавинилтрисилоксан. Другие фракции гидролиза винильных соединений содержат мономер, димер и циклич. тример. Было также найдено, что жидкие винилсилоксаны менее устойчивы, чем соответствующие аллильные соединения. Сообщение IV см. РЖХим, 1958, 14556.

В. Рабинович

**31303. Структура молекулы крахмала.** Никун (Nikuni Ziro), Нихон ногэй кагаку кайсэй, J. Agric. Chem. Soc. Japan, 1956, 30, № 12, A131—A137 (японск.)

Обзор. Библ. 32 назв.

**31304. Формат крахмала.** Вольф, Олдс, Хилберт (Starch formate. Wolff I. A., Olds D. W., Hilbert G. E.), J. Amer. Chem. Soc., 1957, 79, № 14, 3860—3862 (англ.)

Исследования этерификация крахмала (I) избытком муравьиной к-ты (II), содержащей различное кол-во воды, при обычной т-ре и доказан равновесный характер р-ции. Равновесие достигается в течение ~ 8 час. Степень замещения I зависит от соотношения II и I и содержания в системе воды. Безводн. II реагирует с I, образуя моноформат I, в четыре раза быстрее, чем 90% II. Триформат I невозможно получить путем удаления из системы воды с помощью безводн. CaSO<sub>4</sub> или азеотропа с бензолом. Максим. степень замещения I составляет 2,3 формильных группы на C<sub>6</sub>-единицу.

С. Виноградова

**31305. Лигнин как полимерное природное вещество.** Фрэйденберг (Lignin im Rahmen der polymeren Naturstoffe. Freudenberg K.), Angew. Chem., 1956, 68, № 3, 84—92 (нем.)

Доклад о полимерных природных в-вах: целлюлозе, крахмале, дубильных в-вах и лигнине.

Ю. Вендельштейн

**31306 К. Учебник по химии полимеров.** Билмейер (Textbook of polymer chemistry. Billmeyer Fred Wallace. London—New-York, Interscience Publ., 1957, VIII, 518 pp., ill., 80 sh.) (англ.)

См. также: разделы Каучук натуральный и Синтетический. Резина и Синтетические полимеры. Пластмассы и рефераты: Физ. св-ва высокополимеров 28087, 28092, 28138. Синтез высокомогл. в-ва 29746, 29764, 29765, 29806, 29809. Природ. высокомогл. в-ва 10900Бх.



## АВТОРСКИЙ УКАЗАТЕЛЬ

## А

Абакумова Л. Ф. 29851  
Абраманова Е. А. 28728  
Абрамов Г. А. 27897,  
27899  
Абрамов М. С. 28311  
Абубакиров Н. К. 28893  
Абе 28912  
Абе Я. 29868 II —  
29870 II  
Августиним 27512  
Айдева В. И. 30194  
Айерс Р. В. 28335  
Айва 29839  
Агамирова С. И. 29223  
Агладзе Р. И. 29387,  
29405, 29407, 29408  
Аграновская А. И. 27870  
Агушев И. З. 30114  
Азаров 27512  
Азиебеков Ш. А. 28286  
Айда 31243  
Айдава Т. 29793 II  
Айхейс 27954  
Айяма 30444  
Аисенова А. В. 28505  
Алениндров А. Л. 28269  
Алениндрова Е. М.  
30996  
Алениндров С. Н. 29663  
Алениндров Л. А. 27729  
Аленин Е. А. 30112  
Аленина О. А. 29961  
Алибегашвили М. Г.  
30487  
Алишгулер Б. А. 29545  
Алишгуль А. Д. 28568  
Амао 28948  
Амбруш И. 27613  
Амелина Н. А. 29280  
Амисов И. И. 30130  
Амисова Я. М. 30130  
Аммиа 31125, 31246,  
31276  
Ангелова В. 27536  
Андо 27617  
Андо 27957, 27958  
Андреев В. М. 28691  
Андреев Д. Н. 28846  
Андреева И. Н. 30763  
Андрянов К. А. 28827,  
28836, 28839, 28841,  
28843, 28844,

Анмэ 28727  
Антипин Л. Н. 28070  
Антонов В. А. 30197  
Антонова К. И. 30170  
Антонова М. И. 31136  
Антропов Л. И. 29687  
Анфимова Е. А. 28128  
Аогл С. 31095 II  
Аояги 29403  
Апанасевич П. А. 27558  
Апыхтин Ф. С. 31130  
Арай 28400  
Арая 29106  
Арига К. 29566 II  
Аркадьев А. Г. 29124,  
29131  
Арнаутон Н. В. 28399  
Арро И. Х. 30111  
Арсеньева Р. В. 28254  
Архангелов М. Н. 30681  
Архипова З. В. 30763  
Асано 29048  
Асахара 31162  
Асикава Х. 30835 II  
Асисава 30924, 30925  
Асо 27954  
Асоскова П. И. 29143  
Астахин В. В. 28836  
Ато 28415  
Атрошенко М. П. 28507  
Афанасенко С. С. 30414  
Ахундов Ф. А. 28286

## Б

Бабаева В. П. 28177  
Бабанский М. М. 28314  
Бабат 29535  
Бабаханов Р. А. 29702  
Бабинев А. Е. 28323  
Бабицкий Г. В. 29387  
Бабкин Р. Л. 29220  
Бабко А. К. 28350,  
28496  
Баглий Т. Г. 28106  
Байченко А. А. 30089  
Баканов С. П. 28147  
Бакулина И. Н. 27666 II  
Баладин А. А. 30310  
Банит Ф. Г. 29631  
Барам С. М. 27976—  
27978  
Барамбойм Н. К. 31277  
Барановский 27512

Бармаш А. И. 30657  
Барышева Г. С. 30310  
Басманова С. Н. 29407  
Бахтин В. И. 28551  
Бацанов С. С. 27647,  
27662, 27734  
Бацанова Л. Р. 27690  
Башаев А. Е. 29196  
Башкиров А. Н. 30185  
Беманишвили А. Н.  
30496  
Беклешова Г. Е. 28433  
Белая А. П. 29852  
Белеский С. Ф. 28067  
Беленький Л. И. 27618  
Белицкая Р. М. 30962  
Белоцкий Д. П. 27923  
Бельды М. П. 27823  
Бельский И. Ф. 28748  
Белюстин А. В. 27775  
Беляев Л. И. 28046  
Беляничков Г. П. 30184  
Берг Л. Г. 28574  
Бергер Л. М. 27911,  
27912  
Березин Б. В. 29173  
Беридзе А. Е. 29437  
Берлин А. 30651  
Бирун А. М. 28708  
Близанов Г. 27537 K  
Блинов В. А. 29597  
Блонский П. П. 30418  
Бобрисевич А. П. 28270  
Богданов Т. Г. 28469  
Богданова А. А. 28843  
Богданова А. В. 28682  
Боговский П. А. 29314  
Богомолков К. С. 30037  
Богорад Л. Я. 29160  
Богословский Б. М. 27990  
Бозе А. 27753  
Бойчинов А. 30482  
Бок И. И. 28252  
Большанов К. А. 27910  
Большухина Ю. А.  
28665  
Бондарь А. Г. 29388  
Борисов А. Е. 28824  
Борисов И. 27500  
Борисов С. Н. 28828  
Борисова М. К. 29352 Д  
Бородулин В. А. 30086  
Ботаникин О. К. 29579,  
29581, 29584

Брайне С. Г. 30476  
Бринман С. М. 30555  
Бродовская А. А. 28341  
Бродская Б. Х. 30078  
Бродская Н. И. 30344  
Брунер А. В. 28856  
Бруснянцев Н. В. 30183  
Бруштейн Н. З. 30119  
Бубенин И. Г. 29621  
Бударов И. П. 30207  
Будыко П. К. 27527  
Булавский А. Г. 30763  
Буланкин И. Н. 27533 K  
Булатов А. И. 29667  
Булганова А. М. 28056  
Бурчанская Н. Б. 28477  
Бурштейн Л. М. 30621  
Бутенко Г. А. 28474  
Бутюгин В. К. 30185  
Бухман С. П. 28422

## В

Вайль Е. И. 28358  
Вайсер В. Л. 28733  
Вакамацу 28430  
Вакамацу 28471  
Вакамацу 28508  
Вакано С. 30832 II  
Вакаса 27954  
Валден Р. Г. 28292  
Вальберг Г. С. 29632  
Варгин В. В. 29591  
Варнакова Л. П. 28944  
Варфоломеева Е. К.  
27522  
Василенко Н. А. 27904  
Васильев А. 29237  
Васильев А. М. 27540  
Васильева А. С. 28860,  
28861  
Васюнина Н. А. 30310  
Ватанабе 27898  
Ватанабе 28415  
Ватанабе 28462  
Ватанабе 28700  
Ватанабе 30520  
Ватанабе 31246, 31276  
Ватанабе 29566 II  
Ватаридани Т. 29610 II  
Вахрушев В. А. 28260  
Вдовенко В. М. 27507  
Ведяшин П. Ф. 30644  
Велашев К. 29311

Велецкая О. И. 29668  
Величко Ф. К. 28871 Д  
Веневцев Ю. Н. 27747  
Верещагин Л. Ф. 27682  
Веселого В. Г. 27636  
Веселовская Е. В. 30736  
Веселовская М. М.  
28284  
Веселовский В. И. 28064  
Вечайзер И. В. 28605  
Виганд К. 27550  
Виноградов А. А. 29697  
Виноградова А. Д.  
28195  
Виноградова Е. И.  
28955  
Витиг Г. 28654  
Витяева С. И. 28076  
Вишнепольская Ф. А.  
30326  
Вишнякова А. А.  
29441 Д  
Владимирова Т. В.  
31043

Войтенко Ф. П. 30632  
Волнова Т. П. 31065  
Волкогон Г. М. 28501  
Волошин И. И. 30342  
Вольенштейн М. В.  
27811  
Вольфович С. И. 28351  
Вольфон Ф. И. 28241  
Воль-Эшштейн А. Е.  
30112  
Воробьев А. А. 28081  
Ворожцов Н. Н. 28789  
Воровнов М. Г. 28828,  
28831, 28835, 28845  
Воскобойников И. М.  
30495  
Воюцкий С. С. 30940  
Врублевская Л. В. 28210  
Вен Цзун-ло 29838

## Г

Гагина К. Ф. 30956  
Гайман Э. Л. 29160  
Гайина С. 27524  
Гао И-шэн 29838  
Гаприндашвили В. Н.  
29405, 29407, 29408  
Гаян К. Г. 28315  
Гвоздева И. И. 29479  
Гелерштейн Я. Б. 29111

Геллер И. М. 30521  
Гельман Н. Э. 28515  
Герасимова В. А. 29587  
Гервидо И. А. 29548 И  
Герцева Н. С. 28389  
Герчук М. П. 28704  
Гершунс А. Л. 28404  
Гетман И. А. 29119  
Гейстер Е. Л. 28849  
Гимельштейн В. Г. 27901  
Гинзбург М. 30539  
Гитис С. С. 28712, 28713  
Гладишевский С. 27888  
Глаз А. И. 28713  
Гликин Л. А. 29160  
Глуховская Р. Д. 18600  
Гоголев А. 30641  
Гогоршвили П. В. 28203  
Головин А. Н. 30337  
Голодников Г. В. 28665  
Голуб А. М. 28015  
Голубев Н. А. 28402  
Голубцов С. А. 28827, 28839  
Горбачев С. В. 28067  
Горбачева И. Н. 28944  
Горелик В. М. 30955, 30956  
Горовиц М. Б. 28893  
Гортинская Т. В. 29835  
Гото 27960  
Гото 28462  
Гото 31243  
Гофман М. В. 29189  
Гречкин Н. П. 28855  
Гречко А. Я. 30566  
Григорьев А. П. 30163  
Григорьев М. Ю. 30067, 30086  
Григорян Г. О. 28265, 28278  
Гриник И. А. 28500  
Гримм А. И. 30624  
Гринберг А. А. 28210  
Грицан Д. Н. 28056  
Гришук И. К. 29248  
Громянов С. Д. 27884, 27911, 27912  
Гросс Е. Ф. 27737  
Грузинова Е. В. 30079  
Губкин С. И. 27728  
Гудзевский Г. А. 30660  
Гудимова Н. 27524  
Гулян Э. Х. 28278  
Гунне Х. Э. 29112  
Гуревич А. М. 28173, 27903  
Гуревич С. Г. 29697  
Гурфинкель И. В. 29594  
Гусак И. В. 29022  
Гу Сы-даун 29309  
Гусьнова Л. В. 27849  
Гудол А. З. 27499, 27505  
Гильбов И. 27535  
Давришева Т. А. 28176  
Дадашев Х. К. 29223  
Дай Гань-хуань 28762  
Данилова К. Ф. 28780  
Дегтева Т. Г. 30930  
Дегтярев Ф. 30634  
Деев И. Т. 29154  
Денов Л. И. 30489  
Демидов А. В. 28593  
Демьянчук А. С. 28511 Д  
Денисова А. С. 28827  
Дерман Б. М. 30118  
Дерягин Б. В. 28147, 28148  
Десятников О. Г. 27900  
Диафаров А. А. 28294  
Джелаухов Г. М. 27530  
Диемухадзе К. М. 30669  
Дж 28130  
Дзедзичен В. П. 28593  
Денно 28801  
Диванян Н. М. 28721  
Дигурова Т. М. 28322  
Дюгенов Г. Г. 27901  
Дис-Майде С. 27907  
Дмитриев В. А. 29473  
Добровольский М. П. 30604  
Дои 27928  
Долгов Б. Н. 28665, 28828, 28846  
Долгопоск Б. А. 30936, 31254  
Долженкова А. Н. 28134  
Донатова В. П. 28009  
Дорофеев В. В. 27663  
Драгунов С. С. 30079  
Дрейзина М. М. 30171  
Дроздовский В. Ф. 30961  
Друбляц Э. Э. 29286  
Дружинина А. В. 30193  
Дубинина Е. Ф. 28018  
Дудова М. Я. 28340, 28341  
Дудрев В. К. 28070  
Дуров С. А. 29249  
Духин С. С. 28148  
Дымов А. М. 28351  
Дымова Т. Н. 28224  
Дьянова М. К. 30112  
Дяткина М. Е. 27579  
Евдокимов Д. Я. 29852  
Еганян А. Г. 28042  
Егоров Н. М. 30763  
Егорова Л. М. 29816  
Елшин Н. Н. 29110  
Емельянов Ю. М. 28581  
Емельянова А. П. 30944  
Еременно В. Я. 28320  
Ермаков Н. П. 28271  
Ершов В. В. 28799, 28800  
Есаян Г. Т. 28726  
Есики В. 29568 И  
Есин О. А. 28048, 28225  
Е Цзю-хэн 30113  
Жаровский Ф. Г. 28218, 28418, 28494  
Жданов А. А. 28843

Жданов А. К. 28391  
Жданов Г. С. 27747  
Жданов С. П. 28100  
Желтухин Д. В. 29142  
Желудев И. С. 27669  
Жемчужина Е. А. 28046  
Женевская М. Г. 31297  
Жигах А. Ф. 29303  
Журавлев М. В. 28313  
Журин А. И. 28361, 29479  
Журкина З. Н. 31217  
Жуховицкий А. А. 28583  
Жуховицкий Б. Я. 30591  
Заботин П. И. 28422  
Загребельная В. С. 30119  
Зайцев А. Н. 30595  
Зайцев М. М. 29027  
Зайцева А. Г. 28315  
Зайцева С. П. 28108  
Зализняк Д. В. 29585  
Запесочная Г. Г. 28944  
Зарцкий М. М. 29121  
Зарпкий П. В. 28289  
Заславская И. Г. 27837  
Захарова З. А. 28506  
Захарченко П. И. 30944  
Зверева Р. М. 30962  
Зворыкин В. В. 30558  
Звягинцев О. Е. 27501  
Звягинцева Е. Н. 27821  
Згонин В. Н. 28835, 28845  
Зельвенский Я. Д. 27813  
Зельдович Р. Н. 29241  
Земсков Е. М. 27636  
Земляничев М. М. 28407  
Зимина О. Н. 28308  
Зинкин А. М. 29655  
Зиновьев А. А. 28177  
Золотова З. Г. 27527  
Зосим Э. Л. 31065  
Зубанов С. М. 29540  
Зубов П. И. 31217  
Зубчук В. А. 30864  
Зыков Д. Д. 28599  
З 3

Ивабайси А. 29565 И  
Ивакура 31249  
Иванага 28384  
Иванага 28436  
Иванов Е. В. 29543  
Иванова Б. 27536  
Иванова Ж. М. 28865  
Ивановская А. С. 29124  
Иванчев Ц. Д. 29350 И  
Ивао Д. 29790 И  
Ивасак 31080  
Ивойлов А. С. 28432  
Игъатович Б. 29311  
Ида 29936  
Идельс С. Л. 28196  
Идзуми М. 29752 И  
Идзуми 28975  
Иде 30520  
Измайлов Н. А. 27624, 28029, 28358  
Ии 29024  
Инда 29706  
Инда Х. 29782 И  
Иинума 28384, 28392  
Иинума 28451, 28452  
Инава Д. 30834 И  
Инегами 27950  
Инегами 28498  
Инеда 31123  
Инеда 31269  
Инеути 30664  
Инея 28417  
Илиева М. 27535  
Ильин В. А. 29113  
Имандзуми 28964  
Имамура 29704  
Имото 27853  
Имото 27959  
Имото 31291  
Имото 31301  
Имото Х. 29466 И  
Инадзу 29853  
Инан 29033  
Инденом В. Л. 27777  
Индо 30002  
Ино 28129  
Инокити 31276  
Иноуэ 31272, 31273, 31289  
Иноуэ Н. 29752 И  
Иноуэ Т. 30725 И  
Иоан В. 31296  
Иониди П. П. 27498  
Ионова Е. А. 28185  
Ипатьев В. В. 29142, 29143  
Испилантис Т. 27550  
Исибаси 28362  
Исибаси 28419  
Исибаси 28948  
Исида Х. 30836 И  
Исидатэ 28967  
Исидзана 29844  
Исидзука 28305  
Исидо Е. 29570 И  
Исинова 29842  
Исинова Н. 29868 И, 29869 И  
Исино 29700  
Исино 28954  
Исириян А. А. 28099  
Исмаилов М. Г. 29949  
Исоно 28454  
Исупов В. А. 27869  
Исэки Т. 31177 И  
Итанава 28954  
Итидан Т. 30439 И  
Итинов 31268  
Ито 27919  
Ито Д. 30839 И  
И 3

Измайлов Н. А. 27624, 28029, 28358  
Ии 29024  
Инда 29706  
Инда Х. 29782 И  
Иинума 28384, 28392  
Иинума 28451, 28452  
Инава Д. 30834 И  
Инегами 27950  
Инегами 28498  
Инеда 31123  
Инеда 31269  
Инеути 30664  
Инея 28417  
Илиева М. 27535  
Ильин В. А. 29113  
Имандзуми 28964  
Имамура 29704  
Имото 27853  
Имото 27959  
Имото 31291  
Имото 31301  
Имото Х. 29466 И  
Инадзу 29853  
Инан 29033  
Инденом В. Л. 27777  
Индо 30002  
Ино 28129  
Инокити 31276  
Иноуэ 31272, 31273, 31289  
Иноуэ Н. 29752 И  
Иноуэ Т. 30725 И  
Иоан В. 31296  
Иониди П. П. 27498  
Ионова Е. А. 28185  
Ипатьев В. В. 29142, 29143  
Испилантис Т. 27550  
Исибаси 28362  
Исибаси 28419  
Исибаси 28948  
Исида Х. 30836 И  
Исидатэ 28967  
Исидзана 29844  
Исидзука 28305  
Исидо Е. 29570 И  
Исинова 29842  
Исинова Н. 29868 И, 29869 И  
Исино 29700  
Исино 28954  
Исириян А. А. 28099  
Исмаилов М. Г. 29949  
Исоно 28454  
Исупов В. А. 27869  
Исэки Т. 31177 И  
Итанава 28954  
Итидан Т. 30439 И  
Итинов 31268  
Ито 27919  
Ито Д. 30839 И  
И 3  
Иода 28129  
Июнояма 28385  
Июнояма К. 29826 И  
Июнояма 29485  
Июсида 30759  
Июсида К. 29763 И  
Июсида Х. 29558  
Июсидзава 27898  
Июсидзава 27998

Июсинова 29690  
Июсима Х. 29914 И  
Июсими 31270  
Июсимори 28392, 28451, 28452  
Июсимото 27856  
Июсимура Н. 29783 И  
Июсимура 28979  
Июсинага 29396  
Июсино 28214  
Июсинона 28806  
Июсинона 31225  
Июсинона С. 30839 И  
Июситоми 29811  
И 3  
Кабалкина С. С. 27692  
Кабачник М. И. 28849  
Каван 31234  
Каван 31224  
Каванита 29030  
Кавачи К. 30828 И  
Кавасаки 28672  
Кавасаки 28975  
Кавасаки 29689  
Кавасаки Х. 29910 И  
Кавасима Т. 29569 И  
Кавити 29755, 29696  
Кавахара К. 29776 И  
Кадавер Л. И. 29461  
Кадамов Р. З. 28407  
Кадота 31152  
Казакова З. С. 27999 И  
Казанская М. Е. 27913  
Канэми 28958  
Калабина М. М. 29266  
Калаус А. Е. 30636  
Калганов А. Ф. 28061  
Калинина И. Д. 28863  
Калугин А. С. 28240  
Калугина Г. И. 30477  
Калюнский В. А. 28220  
Камада М. 29431 И  
Камиди Т. 30854 И  
Камисима К. 29783 И  
Камитани К. 31172 И  
Камитина 30520  
Камо 30545  
Камцева Л. А. 29344  
Камед 29383  
Камэмото 28424  
Канадзава Ю. 29565 И  
Канамару 28086  
Канамару 31262  
Канторович З. Б. 29078  
Кан Хан Мин 31261  
Каноно Х. 29795 И  
Каноно Ю. 31177 И  
Канэхори Т. 29793 И  
Капкин М. М. 29662  
Капорский Л. Н. 28938  
Карабалаев К. К. 28898  
Карапетян М. А. 30998  
Карасава Т. 29555 И  
Карасев П. П. 29664  
Каратеев Л. А. 28844  
Каргин В. А. 31257  
Каримов А. К. 30988  
Каримов Н. Г. 29949  
Карнарашвили М. 28203  
Карпейский М. Я. 28849



Авторский указатель

- Карпова И. Ф. 28134  
Касаточкин В. И. 28120  
Касибаги 31224  
Катайма 30993  
Като 28079  
Като 28369  
Като 28664  
Като 28740  
Като 28911  
Като 29032  
Като 29699  
Като 30148  
Като 31012  
Като 31123  
Като И. 29566 П  
Като К. 30429 П  
Като С. 29924 П  
Катуш 28954  
Катушори 30662  
Катура 30002  
Катураги 30003  
Катуя 29936  
Качан И. С. 29602 Д  
Каленко Л. А. 28837  
Калюш Ф. 28540  
Кинуты 28014  
Кинуты М. 29743 П  
Ким Би Хо 29389  
Кисимма 29643  
Кимюра 28385  
Кимюра 28710  
Кимюра 29120  
Кимюра 29365  
Кимюра М. 30244 П  
Киноста 29864  
Киренская Л. И. 28861,  
28863  
Кириллов Н. И. 30037  
Кирсанов А. В. 28850  
Киселев А. В. 28099,  
28100  
Китабасын Х. 30439  
Китагава 29302  
Китадате С. 30840 П  
Китайгородский А. И.  
27667  
Китайгородский И. И.  
29597, 29598  
Китанава Д. 29519 П  
Китаура 29023  
Киттель Г. 30906 К  
Китушина Е. Н. 30170  
Клетенин Ю. В. 27652  
Климов В. 28043, 28186  
Ключко М. А. 28061  
Ключаров Я. В. 29664  
Ключко Ю. А. 28351  
Кнорре Г. Ф. 30127  
Кобатанэ 28133  
Кобасын 27954  
Кобасын 30939  
Кобасын 31284  
Кобасын С. 30723 П  
Кобасын У. 30036 П  
Кобасын Х. 29776 П,  
29801 П  
Кобулашвили Ш. Н.  
30521  
Ковба Л. М. 27690  
Коба 31261  
Коган Б. Е. 30096  
Коган Г. М. 31064  
Когановский О. М.  
29282  
Кодама 27942, 27943  
Кодама 28741  
Коджеспирос Ф. Ф.  
27812  
Кожевников А. В. 30188  
Кожемякин Н. А. 29035  
Кожин С. А. 28905  
Козлов А. Л. 28343  
Козлов А. С. 28401  
Козловский М. Г. 28351  
Козырева М. С. 28507  
Койдауми Б. 31172 П  
Койда Н. У. 29073  
Кокорин А. И. 28192  
Кокубу 30520  
Кокунин 29129  
Колесников В. Н. 27563  
Колесников Г. С. 31298  
Колобова К. К. 29587  
Коломойцев Ф. И.  
27812  
Колосова Н. Н. 28310  
Комар Е. Г. 29013 К  
Комаров Е. В. 28173  
Комаров Н. В. 28837  
Комацу 30002  
Комацу М. 29555 П  
Коминами 31270  
Комлев О. И. 28198  
Комова Э. М. 28124  
Комори 29839, 29840  
Кондо 27997  
Кондо 28129  
Кондо 28483  
Кондо Т. 30843 П  
Коновалов В. В. 29585  
Коновалова Л. А. 30194  
Копатина В. В. 27734  
Кореневский С. М. 28296  
Кори 30192  
Коровин С. С. 27910  
Королев Д. П. 27526  
Коростылева Л. А. 27568  
Корш М. П. 28518  
Коршан В. В. 31293  
Коршун М. О. 28515  
Корюшенко З. А. 30936  
Косани Д. 29810 П  
Косидзани 29595  
Косима Т. 29566 П  
Кост А. Н. 28799, 28800  
Костюков А. А. 27899  
Котана А. 29431 П  
Котон М. М. 31297  
Кохара 31236  
Кочетков Н. К. 27613,  
28815  
Кочетова Л. Т. 30527  
Крамаров О. П. 27724  
Красоткина Н. И. 29591  
Крейтер В. М. 28241  
Кретов А. Е. 28728  
Крешков А. П. 28840,  
29665  
Кривоглаз М. А. 27732  
Кривунь Г. И. 30623  
Кринчик Г. С. 27758  
Крип'якевич П. И. 27888  
Кричмар С. И. 29469  
Крмойя Г. В. 28042  
Крылов Е. И. 28169  
Крылов Л. Ф. 29013 К  
Крюков Ю. Б. 30185  
Кубо Т. 29431 П  
Куба 29644  
Кубота 27664  
Кубота 28468  
Кубота 29312  
Кубота 30945  
Кубота Е. 30835 П  
Кувабара Ю. 29829 П  
Кувада Ц. 29550 П,  
29714 П, 30829 П  
Кугита 28959  
Кудрин Л. Н. 28325  
Кудрявцев Б. В. 28018  
Кудрявцева Е. С. 28345  
Кудряшов А. И. 30353  
Кудряшов П. И. 27607  
Кудряшова Л. Н. 28226  
Кузнецов А. К. 28168  
Кузнецов В. И. 28383  
Кузнецов Л. Д. 29391  
Кузнецова Л. С. 30581,  
30582, 30585, 30590  
Кузнецова Т. И. 29400  
Кузьминский А. С.  
30930  
Кузьминых И. Н. 29384  
Кулаков Л. Б. 27899  
Кулиев А. М. 30170  
Кулиев Р. Ш. 30170,  
30171  
Кульский Л. А. 29282  
Культин Е. И. 29670  
Кунитоми 27778  
Купина Н. А. 27857  
Курасани М. 29566 П  
Куратов В. М. 28606  
Курафудзи Х. 29506 П  
Курашова Н. А. 28841  
Курдюмов С. В. 30083  
Кури 27992  
Кури 29909  
Куряма 27950  
Куроода 28228  
Курониа 31213  
Куронано Т. 29773 П  
Куртц Л. Ю. 29113  
Курчатова М. С. 28480  
Кусанов М. М. 30194  
Кусумото 31231  
Кутепов Д. Ф. 28720  
Куткевичус С. И. 28789  
Кухарская Э. В. 28846  
Кучеров В. Ф. 28691  
Л  
Лапин П. М. 28137  
Лапина Л. М. 27926 П  
Лапкин И. И. 28735  
Ларина Н. К. 28120  
Латаш М. Я. 29672 К  
Лачинов С. С. 29391  
Лебедев А. П. 28259  
Лебедев В. М. 29275  
Лебедев Г. И. 29278  
Лебедев Е. В. 28254  
Левачева В. М. 30625  
Левин А. И. 28057,  
28084 К  
Левин П. А. 28797  
Левина А. А. 30763  
Левкоев И. И. 30037  
Левченко С. И. 29629  
Левченко Т. Ф. 28315  
Левятин Г. М. 30688 К  
Лейкин З. М. 27974  
Лемехов Е. Е. 29042  
Леонтьева В. В. 29692  
Лернер М. И. 28944  
Либсман А. Н. 30523  
Либсман Л. Г. 30185  
Ли Сын Пя 31266, 31297  
Литвяк И. 28184  
Ли Цяю-шан 29307  
Лобучевич Н. П. 28839  
Лозарь А. С. 50183  
Лосев И. П. 28836  
Лосев Н. Ф. 28432  
Лотнарев А. Т. 28059  
Лукин А. М. 28853  
Лукин Л. И. 28241  
Лу Нань-цяюнь 30186  
Лурье А. М. 28283  
Лурье Ю. Ю. 28351  
Луцкий А. Е. 27663  
Лудновская Н. Л.  
28292  
Лучицкий И. В. 28267  
Лу Шунь-син 29838  
Лю Го-цае 29343  
Лю Го-цзюнь 28366  
Люкевич Р. А. 29629  
Ляпунов А. Н. 27877  
М  
Мабути 28385  
Мада Е. 29567 П  
Мана Д. 29909 П  
Макино 29007  
Максима 29053  
Маклашина Т. С. 28839  
Маколкин И. А. 29141  
Мансель А. 29899 П  
Мансимонович Г. А. 28311  
Малесинский В. 27855  
Малин К. М. 29382  
Малиновский М. А.  
27897  
Малиновский М. С.  
28675  
Малиновский Т. И.  
27698  
Малиновский Ф. М.  
27517  
Малтабар В. М. 30506  
Малхасян Э. Г. 28261  
Мальцев П. М. 30464  
Мамедалиев Ю. Г. 29702  
Мамедов Ш. 28663  
Мамонтов К. Я. 30668  
Манана Т. 30843 П  
Манвелян М. Г. 28042  
Манойлов В. Е. 29013 К  
Маргулис Ф. М. 29119  
Марджанян Г. М. 28726  
Маркман А. Л. 28076  
Мармелюк Т. А. 29623  
Мартьяненко Л. И. 28242  
Марушкин Б. К. 28602  
Марх А. Т. 30631  
Марченко П. В. 28496  
Марченко П. Ф. 30122  
Масико 27856  
Масленикова Б. А.  
28893  
Масуно 29860  
Масуо 28664  
Масуо 30192  
Матвеев В. Г. 28272  
Махоткин Е. А. 30565  
Мацубара 28904  
Мацубара 31021  
Мацуда 28670  
Мацуда Т. 31172 П  
Мацудзуми 30534  
Мацуи 28753  
Мацуи 28981  
Мацунава Я. 29909 П,  
29910 П  
Мацумаэ 28423  
Мацумото К. 29568 П  
Мацуура 28906  
Мацуура 30520  
Машоцев В. П. 28047  
Маэда 31224  
Маэда Д. 29733  
Маэдава М. 29773 П  
Мелин-Гайказян В. И.  
30089  
Мельнаовицкая С. Г.  
28644  
Мельников Н. Н. 29932  
Меренков Б. Я. 28269  
Мерзликина Н. В. 29664  
Мвареулишвили М. В.  
28327  
Мвареулишвили Н. В.  
29405  
Мидзугани Е. 29714 П  
Микерина А. Л. 28693  
Мини Т. 29868 П —  
29870 П  
Милановский Е. Е.  
28266  
Милешко Л. Ф. 30669  
Милованова С. Н. 28693  
Минакова Т. 29292  
Минами 27957, 27958  
Мингазин Т. А. 28158  
Мияо Я. 29889 П  
Мияд Д. М. 29241, 29242  
Миргородский В. Т.  
29388  
Мирзоева Л. М. 29019  
Мирзоева Т. Р. 28510 Д  
Мирзоянц П. 29047  
Миронова М. Л. 29581  
Мирошниченко А. М.  
30091  
Мита М. 29881 П  
Митнов И. 27529  
Митюнов А. Д. 30510 К  
Миура С. 30832 П  
Михайлов Б. М. 28697  
Михайлов М. А. 27971  
Михайлов Н. В. 27518  
Михальская Р. 29046  
Михантьев Б. И. 31294  
Михеева В. И. 28224  
Мицуи 28964  
Мицуи 29399  
Мицуи Ц. 29466 П  
Минель К. 29899 П  
Мишун Е. М. 30445

Авторский указатель

- Мыщенко К. П. 28030  
Миоми 31268  
Миядзава К. 29567 П  
Миядзани Ю. 29792 П  
Миямото 31279  
Мияно 28981  
Младенцева С. И. 28505  
Миджоян А. Л. 28721  
Мойсеева К. А. 28505  
Молчадский М. Т. 29252  
Монастырский Д. Н. 28351  
Морачевский Ю. В. 28351  
Морева В. П. 30067  
Мори 27997  
Мори М. 30839 П  
Мории 28362  
Морита К. 29906 П  
Морияма 29864  
Моров А. П. 30089  
Моровов И. С. 27896  
Морозова И. В. 30193  
Морозова К. М. 29154  
Морошкина Т. М. 28447  
Моров 30018  
Моров 30002  
Мотодзима 28394  
Мотоки 29939  
Моторный С. П. 28861, 28863  
Мохнаткин М. П. 27866  
Мугисима И. 31095 П  
Мунояма 31220  
Муравейская Г. С. 28209  
Мурам Т. 29431 П  
Мураками Д. 30728 П  
Муранки 28483  
Мураноси 28794  
Мурасима 30948  
Мурата 28442  
Мурата А. 29769 П  
Мурата Т. 29677 П  
Мурахаси 28672  
Мэгуро 28129
- Н**  
Набиев М. Н. 29440 К  
Наган 31284  
Нагамацу 29129  
Нагао 31265, 31271, 31274, 31275  
Нагаока 28498  
Нагасава Ф. 29763 П  
Нагатаки Ф. 29564 П  
Нагиев М. Ф. 28605  
Нагорнов Н. И. 29296  
Надилов Н. К. 27528  
Назаров И. М. 28396  
Назаров И. Н. 28780  
Назаров М. П. 29542  
Назаров Н. Н. 28691  
Найто 31270  
Нака 28423  
Накагава 29392  
Накагава 31301  
Накагава Ц. 29431 П  
Накадзава Л. 29872 П  
Накадзава Х. 30854 П  
Накадзима 28791  
Накаидо 27921  
Накамити 31015  
Накамори Н. 29889 П  
Накамура 28954  
Накамура 29480  
Накамура 29656  
Накамура 31286  
Накамура С. 29761 П  
Накамура С. 29908 П  
Накамур Т. 29569 П  
Наканиси К. 31100 П  
Накао С. 30828 П  
Наката К. 29924 П, 29926 П  
Накатани И. 29793 П  
Накахара К. 29812 П  
Накаяма 29699  
Наметкин Н. С. 28826  
Навий Е. П. 30473  
Нарасани 29709  
Нарита 31118  
Насакин Т. Н. 30622  
Нацумэ 29364  
Некрасова Э. Д. 28850  
Невидеску К. Д. 31296  
Несмеянов А. Н. 28829  
Нефедов В. Д. 27823  
Нефедов О. М. 28872 П  
Нечаев Л. Н. 30605  
Нива С. 30724 П  
Нинобу 29845  
Никандрова В. Н. 30478  
Никитин В. И. 28660  
Никитина В. К. 28061  
Никитина С. А. 28149  
Никифорова В. Н. 30576  
Никова З. 30481  
Николаев В. С. 29333  
Никонов К. В. 28851  
Никун 30545, 31303  
Нинагава 31280  
Ниномия 28959, 28961  
Нисидо 28427  
Нисидзани 29844  
Нисигава 28419  
Нисимада Х. 30441 П  
Нисимори Т. 29748 П  
Нитта 30662  
Нобукини Т. 30443 П  
Новаков Е. И. 29124  
Новиков Н. И. 29496 Д  
Новикова Н. В. 28824  
Нодаки 31129  
Ноздрев В. Ф. 27805  
Номия К. 30839 П  
Номура 28792  
Норина И. А. 29668  
Норисима 28460  
Носков А. А. 29021  
Носе 27942, 27943  
Нурминский Н. Н. 27901
- О**  
Обломеев Б. Н. 28161  
Овандер Л. Н. 27648  
Овчинников Е. Н. 27525  
Овчинникова Ж. Д. 28693  
Оганесян Р. М. 28726  
Огата 28655  
Огуро 29402  
Ода 28460  
Ода 28741, 30810, 31260, 31278  
Ода М. 29923 П  
Одавака 31270  
Одинец В. А. 28844  
Одинцов П. Н. 28105  
Одера 31207  
Оива 31250  
Окава К. 29563 П  
Окава 29706  
Окавара 31299, 31301  
Окада 27898  
Окада А. 29812 П  
Окада К. 29872 П  
Окадзима 31123  
Окадо Х. 30828 П  
Окамото 31236  
Окамура 27954  
Ок Ди Хун 31266  
Окинн И. В. 29139  
Окумура 30759  
Океда Х. 29743 П, 29792 П, 29904 П  
Омаров С. Т. 28306  
Омия Т. 29792 П  
Онисн 28776  
Оноэ Я. 30854 П  
Орешко В. Ф. 30065  
Орито 27955  
Орито 29696, 29699  
Орлов А. Н. 27584  
Орочко А. И. 28489  
Осиба Т. 29510 П  
Осима 31231  
Осипов Б. Д. 27635  
Осипов О. А. 27652  
Оспири К. 29568 П  
Островский Ю. И. 27561  
Осьминин Ю. П. 27902  
Осе С. 29795 П  
Ота 28753  
Ота 29704  
Ота 31117  
Отанэ 27928  
Отлан Я. 29549 П  
Отомасу 28806  
Отото 29007  
Оура 30767  
Оути 28946  
Оути 31273  
Охаси С. 30512 П  
Оя 31214  
Ояма 29064  
Ояма 29381
- П**  
Павлов В. Л. 28231  
Павлов Д. 30502  
Павлова К. Л. 29400  
Павлушкин Н. М. 29539  
Панасюк В. Д. 28204  
Панкова Ф. 29292  
Певзнер И. Д. 30114  
Пейве Я. В. 27495  
Пенкин Н. П. 27561, 27564  
Пентин Ю. А. 27659  
Пенкаля Т. 27881  
Перевалов В. Г. 29279  
Пересветова М. П. 30864  
Першин Г. Н. 28693  
Петров Г. С. 30163  
Петров Е. С. 28222  
Петров К. А. 28862  
Петровић Ђ. 29311  
Петров-Спирidonов А. Е. 28390  
Пигулевский В. В. 29692  
Пигулевский Г. В. 28905  
Пилысов Ф. Л. 30089  
Пинчук О. И. 28288  
Писаренко А. П. 30944  
Пискарев И. В. 29029  
Пискунов П. И. 29296 К  
Плансин И. Н. 28108  
Пламевская Н. Л. 28263  
Плетнев Н. Ф. 29406  
Плишкин Ю. М. 27584  
Побуль Л. Я. 30110  
Поваров Л. С. 28697  
Погосия Г. М. 31298  
Поликарпов Н. К. 28292  
Положенская Л. П. 27903  
Полонский Т. М. 28124  
Полосин В. С. 27528  
Полторак О. М. 27594  
Польвинный И. Р. 27972  
Помосов А. В. 28084 К  
Пономарев В. Д. 27972  
Пономаренко В. А. 28834  
Попов В. А. 29695  
Попова А. И. 30531  
Поройков И. В. 29668  
Поташников М. М. 30096  
Похилюк Л. Г. 27563  
Прандцкая Е. А. 29486  
Преображенская Л. Д. 28173  
Преображенский Н. А. 28944  
Прилуцкий Д. Н. 30692  
К  
Прокопенко М. 30638  
Прокофьев В. К. 28447  
Птушкин А. Т. 30580, 30591  
Пузако В. Д. 28169  
Путанов П. 28044  
Путохин Н. И. 28618  
Пуховская Е. И. 30585  
Пучков Н. Г. 30183, 30184  
Пушкарёва С. А. 28057  
Пшеницын Н. К. 28458  
Пьянков В. А. 29121  
Пятницкий М. П. 27524
- Р**  
Рабинович Б. Н. 28171  
Рабинович М. Б. 31254  
Равдель А. А. 27857  
Равдель Г. А. 28955  
Разбирин Б. С. 27737  
Райхлин Ф. И. 31136  
Ракитский Г. А. 29634  
Ракша М. А. 28860  
Раскин Н. М. 27501 К  
Ратинов В. В. 28624  
Ратнер А. П. 27903  
Рахимов Х. Р. 27914  
Ребане Т. К. 27585  
Рейндер П. А. 27513, 28351  
Ревазян А. А. 28047  
Рейбель И. М. 28204, 28205  
Рейх В. Н. 30936, 31254  
Решетников Ф. Г. 28141  
Риевская Е. В. 28473  
Ридель Н. В. 28704  
Ришина В. А. 28598  
Рогачевская Л. Г. 30586  
Рогов В. И. 28501  
Рогов Н. А. 30966  
Роговин З. А. 31043  
Родинова Е. М. 28474  
Розанова Н. С. 28729  
Розен А. М. 28022  
Розенберг Т. Н. 29623  
Розенталь К. И. 28044  
Романевич Е. А. 28349  
Романов П. Г. 29077 К  
Романов А. М. 28046  
Романченко К. Г. 29119  
Росс Д. У. 29560 П  
Рохлин М. И. 29932  
Рудаков Д. И. 29283  
Рудаков В. П. 29937  
Русак М. П. 28281  
Русьянова Н. Д. 29149  
Рухляев Ю. П. 28319  
Ручкин Е. Д. 27647  
Рыбан С. А. 27732  
Рыбакова М. Н. 28735  
Рыбникова А. И. 29285  
Рысс И. Г. 28196  
Рютани 28672
- С**  
Саван К. 29875 П  
Савицкая Н. В. 29495  
Савинова О. В. 28152  
Савченко Г. С. 27905  
Сагатеян Э. А. 28277  
Сайто Ю. 29554 П  
Сакamoto И. 30512 П  
Сакимото Р. 29743 П  
Сакия И. 29802 П  
Сакума 28079  
Сакура 30959  
Сакураба 28416, 28417  
Сакурада 31227  
Салманов Г. Д. 29546  
Самойлов О. Я. 28024  
Самолова В. Г. 29885  
Самшити М. 29790 П  
Сано 28385  
Сапрожников Я. Ю. 30001  
Саппунджиев Т. А. 30446  
Сарджиев М. В. 30671  
Саркисянц А. С. 30601  
Саруватари Т. 29732 П  
Саруно Р. 30723 П  
Сасаки 28305  
Сасаки 28978  
Сасаки 29393



# Авторский указатель

Саски 30177	30582, 30585, 30590	Тада 31288	Тибата И. 29726 П, Уэда Т. 29926 П
Сасинабара Т. 29785 П	Сокольников М. Д. 28714	Тадзима 30365	Уэмура 29395
Сато 28031	Сокольников А. Д. 25545	Тадокоро 31209, 31210	Уэно 31005
Сато 28979	Соколовский Г. А. 28862	Тайра К. 29923 П	
Сато Т. 30429	Соколовский Д. В. 30342	Такамуну 28749	Тимкин Н. И. 29057
Сато Т. 30440 П	Солнышкин В. И. 28139	Такано 30534	Тимофеева И. М. 28660
Сато Т. 28892 П	Соловьев С. П. 27747	Такао 28948	Тинякова Е. И. 30936, 31254
Савгуса 31260, 31278	Соломаха Г. П. 29079 Д	Таката 29841	Титов Е. В. 27624
Светославский В. 27855	Солжс С. Г. 29401	Таката К. 29508 П	Тихонов С. А. 28131
Свишников Б. Я. 27607	Сосин С. Л. 31293	Такатори К. 29875 П	Ткаченко В. 29253
Сигре Э. 27550	Сорочинская В. Ф. 29831	Такахаси 29853, 29911 П	Товбин М. В. 28106, 28152
Семенов Н. А. 30661	Соседов Н. С. 28312	Такадуги 31253	Тога М. 29869 П
Семенова А. С. 30763	Сосин С. Л. 31293	Такаяма 28400	Тодес О. М. 28150
Сенченко С. Е. 30091	Спасов А. 27535	Такаяма 31290	Тоёсима С. 29924 П
Сино 28741	Сперанская З. Г. 28851	Такаянаги 31244	Тонито 29856
Сентюрин Г. Г. 29598	Спирина А. П. 30531	Танаясу И. 29878 П	Толстухина К. И. 28269
Сергеев П. Г. 28856	Сребров В. 31132	Танаясу М. 29878 П	Томидзава С. 29549 П
Сердюк Л. С. 28410	Срывалин И. Т. 28048	Таки 27778	Томилли И. А. 28232
Сержанова И. В. 28383	Старик И. Е. 27506	Танигути 27921	Томита М. 29566 П
Сибаяма Э. 29678 Д	Стародубцев С. В. 28095	Таку Т. 29394 П	Томита Т. 29565 П
Сибута 31268	Степанов Б. И. 27558	Такуми И. 29571 П, 29572 П	Томихиса 27942, 27943
Сигов С. А. 27974	Степанова Н. Д. 30185	Такан 28386	Томода 29110
Сигмацу 28419	Столлов А. И. 29281	Такэмор 31223	Топтыгин Д. Я. 27896
Сидя 27938, 27992	Столлера Е. И. 28175	Такэнана 29101	Топчиев А. В. 28826
Сизов В. П. 29646	Стрелец Х. Л. 27900	Такути 28400	Топчиева К. В. 28101
Симада 29699	Стяжнина Е. Г. 28308	Таня 30073	Торочешников Н. С. 29435
Симадате 28979	Суворова Н. Н. 28693	Тамура 28958, 28959, 28960, 28961	Тотитани 27942
Симакура К. 29566 П	Суга 28906	Тамура Е. 29714 П	Тояма 29102
Симанов Ю. П. 27690	Сугимото 30662	Танабаси 28415	Трактовенно И. А. 30183
Симеонов С. Д. 28021	Сугихара Ю. 29550 П, 30829 П	Танабе 28483	Трисвятский Л. 30538
Симеонова З. 27537 К	Су Гэн-вань 29026	Танака 28727	Трофимова И. В. 28827
Симидзу 29864	Суда 30810	Танака 28821	Ту Го-ши 29862
Симидзу 30664	Суда С. 29783 П	Танака 29075	Тулупов В. А. 27987
Симура 30090	Судзуки 28080	Танака 31279	Туманова Т. А. 28030
Симо 27797	Судзуки 28228	Танака К. 28958, 29889 П	Тунис Я. 29831
Симова П. Д. 28021	Судзуки 28462	Танака Ф. 29802 П	Туркельтауб Н. М. 28583
Синабе М. 29829 П	Судзуки 29709	Танаанаев И. В. 27905, 28185, 28195	Тутунци П. 28044
Синавня Г. А. 28244	Судзуки 29843	Тандава 31009, 31010	Терада 28981
Син Бен Дон 29435	Судзуки К. 30036 П	Тани 28948	Терао 29104
Синдо 31138	Судзуки Т. 29549 П	Танигаки 27959	Теруи 30115
Синохора 27997, 31009—31011, 31299	Судзуки Х. 29578 П	Танидзани 27617	Тесима Т. 30828 П
Син Ци-и 28762	Судо 28468	Тани 28227, 28228	
Сиякку 27597	Сукава Т. 29889 П	Таникути Т. 29743 П	Уарова С. П. 30996
Сиюоя 27738	Сукневич И. Ф. 29848	Таникура 29471	Угольникова Н. А. 28600
Сиротинина О. Н. 30531	Су Лан-цзюй 28762	Танима 28821	Укине Е. А. 28084 К
Сисидо К. 30834 П	Сумаронов В. П. 29285	Тарасов Н. Я. 28469	Улицкий Л. И. 30072
Сисорхад С. Д. 29541	Сумаронова Т. 28043, 28184, 28186	Тарасова А. В. 31294	Уме М. 29869 П
Славянов В. 30634	Суми М. 29868 П, 29869 П	Тармания Г. С. 30193	Умедзоно К. 30855 П
Сладневич Е. Г. 30936	Сумиёси 28227	Тарнавский И. Л. 29027	Урбанский Т. 27616
Слепешкина О. М. 30533	Сумото 31289	Тартаковская А. И. 29353 Д	Урещи Э. 29899 П
Слауцкая Ц. И. 28312	Сунага 31015	Тарутани 28122	Усанович М. 28043, 28186
Спасарева Ф. Г. 28469	Сунагава Г. 29872 П	Тасиро 27954	Усатенко Ю. И. 28433
Смирнов А. С. 29277	Сунь Су-сю 29862	Таслакова Н. 27537 К	Усачев Д. Н. 28085 Д
Смирнов В. И. 29406	Сунь Чен-э 27929	Татевосян Г. Т. 28721	Усигоме К. 29566 П
Смирнов Г. И. 28270	Супрун Л. А. 29160	Татевский В. М. 27659	Усков И. О. 28127
Смирнов М. В. 28069	Сургучева М. В. 29112	Татибана Т. 29812 П	Ускова О. Т. 28127
Смирнов М. П. 28226	Сүто Ю. 29733 П	Таубе П. Р. 29293	Устьян А. К. 28726
Смирнова Г. Д. 28501	Сухенко К. А. 28505	Таубман А. Б. 28149	Утида 28821
Смирнова И. В. 28101	Сэки 29844	Тапука 29894	Утида И. 29788 П
Смирнова Л. И. 30572	Сюдзуй 30448	Теллер Э. 27547	Утида 31265, 31271, 31274, 31275
Смирнова М. Н. 28447	Сюе Хань-линь 29310	Темир М. И. 29390	Утида 27950
Смолевский Г. А. 27869	Сюй Чжэн-лун 29307	Теодорович В. П. 30172	Утида Ю. 29878 П
Снегова А. Д. 28834	Сюто 28672	Терентьев А. П. 28658, 28799	Уфимцев В. Н. 29816
Соболев Г. В. 28599		Теруи С. 31095 П	Ухань-вань 29309
Собуе 31221, 31229		Тиба Я. 30725 П	Ухов Л. П. 30064
Советова Л. С. 30112			Ушакова Т. М. 28682
Соколов В. Н. 29021			Уэда 29037
Соколов П. Т. 28334			
Соколов С. А. 30961			
Соколовская Ф. М. 30955			
Соколовский А. Л. 30576,			

Хатано 30990  
Хататура Т. 29872 П  
Хатихама 28749  
Хатихама 31002  
Хаттори 28328  
Хахам И. Б. 28204,  
28205  
Хахина Л. П. 30653  
Хайдзу Р. 29897 П  
Хаяси 28749  
Хаяси 30153  
Хаяси 31127  
Хаяси С. 29566 П  
Хаясида 30759  
Хаяма Х. 29554 П  
Хейфец М. 30656  
Хигути 30759  
Хида 28740  
Хидашели А. Н. 30108  
Хино 27963  
Хираи К. 29872 П  
Хираки К. 29801 П  
Хирао 27853  
Хирата 27921  
Хирата 28670  
Хирахара 29033  
Хиротани 30448  
Хитаров Н. И. 28254  
Хияма Н. 29566 П  
Хлебникова В. В. 28599  
Хлынов В. В. 28048  
Ходаков А. Л. 27724  
Ходзё 31283  
Холмогорцева Е. П.  
27877  
Хомутова Е. Д. 28815  
Хоперия Р. М. 30670  
Хори С. 29385 П  
Хорни 28958, 28959,  
28961  
Хорлин А. Я. 28815  
Хорхорина Л. П. 28022  
Хосино Т. 30429 П  
Хохлов И. И. 31201  
Хохлов Ю. И. 31201  
Христенко Л. М. 27523  
Христич В. 29170

Христич И. К. 29170  
Христофоров В. А. 29473  
Хуан Вей-хуа 29862  
Хусид С. 30541  
Ху Цзя-цяюнь 29262  
Хэги М. 29904 П

Ц

Цейдлер В. П. 29276  
Цизин Ю. С. 29835  
Циперович М. В. 30085  
Цицишвили Л. Д. 28203  
Цокова В. 27536  
Цофин А. Е. 29127  
Цудзун 30365  
Цунерванни И. П. 28644,  
28714  
Цуно М. 29869 П  
Цунода 28738  
Цунода Ю. 29769 П  
Цунода 31000  
Цуруи Т. 29726 П,  
29754 П  
Цуруона 29839  
Цурута 27931  
Цурута 28776  
Цутия 28911  
Цыковский В. К. 30344  
Цюй Хуэй-синь 29862

Ч

Чалый Г. Я. 30080  
Чаман Е. С. 28955  
Чекуннов А. А. 28150  
Чемберлен О. 27550  
Чен Н. Г. 29240  
Чепелевский М. Л.  
27904  
Чепиго С. В. 30310  
Чернашин Г. Е. 27888  
Чернышева М. А. 27777  
Чернышева Т. И. 28826  
Черняев И. И. 28209  
Черник И. Л. 29354 К  
Четкин В. И. 29585  
Чешно Ф. Ф. 27799  
Чжан Гуй-нин 29307 ]

Чжан Да-ю 30186  
Чжан Мэн-линь 29307  
Чжан Чжун-хао 30186  
Чжу Хун 30113  
Чжикон Д. М. 28171  
Чжиков Г. 30650  
Чинарева Н. И. 30171  
Чилингариан А. А. 29848  
Чистозвонова З. М.  
27982  
Чистакова М. М. 31293  
Чмутов К. В. 28121 К  
Чоговадзе Ш. К. 30501  
Чуйко В. К. 31064  
Чуковская Е. Ц. 28829

Ш

Шалыгин В. А. 27813  
Шальнева Г. А. 30669  
Шапаренко Б. А. 29351 Д  
Шапиро М. М. 28497  
Шарифанов А. Ш. 28780  
Шатейштейн А. И. 27821  
Шварц Д. М. 28503  
Шварцман Л. А. 28232  
Швецов Ю. Б. 28955  
Шеберстов В. И. 28009  
Шевелева А. С. 28128  
Шевелева Н. С. 28515  
Шелудно А. 28156 К  
Шеманова В. Н. 28860  
Шеманов М. М. 28955  
Шепелева И. М. 27584  
Шереметьева Т. В. 31297  
Шиклев С. М. 28309,  
28310, 28317  
Ширмазан М. Г. 27579  
Шихиев И. А. 28837  
Шихов В. Н. 28225  
Шипкина О. В. 28336  
Шмапленков И. В. 28351  
Шойхет М. Г. 28361  
Шолохова Е. Д. 27869  
Шолохович М. Л. 27724  
Шостановский М. Ф.  
28682, 28837

Штепина В. 30070  
Штольц А. К. 28169  
Шуйкин Н. И.  
Шуший С. К. 27510  
Шыд-Леванская К. 27616

Щ

Щедровицкий С. С. 28527  
Щербакова Е. В. 30631  
Щиголь М. Б. 28477  
Щукина М. Н. 28684,  
29835

Э

Эдзима 29383  
Эйсен О. Г. 30111  
Эйсен Ю. И. 28292  
Эндо 28911  
Эндо 29064  
Эндо Е. 29793 П  
Эпик П. А. 28489  
Эпштейн А. Л. 29127  
Эссен А. И. 28506

Ю

Юкава А. 29788 П  
Юлдашев П. Х. 28949  
Юнгман В. С. 28101  
Юнусов С. Ю. 28949  
Юрьев К. В. 29210  
Юхновская В. А. 27918  
Юшина В. В. 27984  
Юшина Л. Д. 28069

Я

Ябё 31127  
Яворский Б. М. 27618  
Яги Х. 29829 П  
Ягупольский Л. М.  
28865  
Ягфаров М. Ш. 28574  
Ядзима 29860  
Ядзу А. 29394 П  
Якубович С. В. 30864  
Ямагиси С. 31095 П  
Ямагути 28371

Ямагути 31265, 31271,  
31274, 31275  
Ямагути Г. 29577 П  
Ямагути С. 29578 П  
Ямагути Т. 29811 П  
Ямада 28710  
Ямада 30939  
Ямада 31220  
Ямада С. 29726 П,  
29754 П  
Ямадзани 28985  
Ямадзани 29009  
Ямакава Х. 29394 П  
Ямamoto 29853  
Ямamoto К. 29519 П  
Ямamoto К. 29791 П  
Ямamoto Р. 29011 П  
Ямamoto С. 30443 П  
Ямamoto Я. 29507 П  
Ямасина 28498  
Ямасина 29944  
Ямасита 30949  
Ямаути 28442  
Ямаути 28670  
Ямахара 27942, 27943  
Ямпольская Е. С.  
29816  
Янкелев Л. Ф. 29171  
Янков А. Т. 30483,  
30490  
Яно 29656  
Яно 31233, 31242  
Яновская Л. А. 28658  
Янь Цзи-минь 28075  
Яроенко Н. Н. 28809,  
28861, 28863  
Ярославская М. А. 29408  
Ясуда 31236  
Ясула С. 30737 П  
Ясумори 28352  
Ясумура Н. 30439 П  
Ясухара 31273  
Ясюкевич С. М. 28191  
Яценко А. Ф. 27733  
Яцмирский К. В.  
27849  
Яшунский В. Г. 28684

А

Abbotsonn W. 30788  
Abdel Fattah Aly Ismail  
28746  
Abel E. 27949  
Abraham L. 30087  
Abraham M. 27570  
Abrahamse J. C. 31228  
Abrasilis du Sud-Ouest  
29557  
Ackermann O. 28679  
Ackermann P. 30187  
Acree F. 29943  
Adam K. 29741 П  
Adam O. 29020  
Adamek B. 30528  
Adams C. E. 30237 П  
Adams G. A. 30300  
Adcock L. H. 28522  
Aebi A. 28986

Agawa T. 29839  
Aggarwal R. C. 27909  
Aggarwal S. L. 31208  
Agranovskaya A. I. 27869  
Ahrens L. H. 28334 К  
Aida H. 31243  
Aiken J. K. 30951  
Akin G. A. 30266 П  
Albert J. 29533  
Alcalá C. A. 28983  
Alder K. 28657, 28679  
Alderman A. R. 28291  
Aldrich P. E. 28947  
Alexa J. 28118  
Alexa V. 31036  
Alexander A. E. 31119  
Alexander G. B. 28125  
Alfthan G. 31056  
Alkemade C. T. J. 28412  
Allen A. J. 27818  
Allen B. F. 29859

Allen C. F. H. 30052 П  
Allen R. D. 28247  
Allinger J. 28623  
Allport D. C. 28743  
Allured E. 30574  
Almand J. M. 30985 П  
Almin K. E. 31218  
Almirante L. 28804  
Alpert M. 29934  
Alsfield M. 31093 П  
Alyoshina O. A. 29961  
Amako S. 28948  
Ambrose J. F. 31245  
Amdur I. 27789  
Amemiya A. 31246,  
31276  
Amerongen G. J. van  
30941  
Amorosa M. 28773  
Amstutz G. C. 28279  
Amundson N. R. 29017

Anderko K. 27675  
Anders E. 30542  
Anders H. 29231  
Anders H. 30319 П  
Anderson F. B. 28897  
Anderson F. E. 29896 П  
Anderson J. J. 28854  
Anderson J. R. 29025  
Anderson J. R. A.  
28429  
Anderson L. C. 30932  
Anderson L. P. 30380 П  
Anderson R. A. 29861  
Anderson W. 27643  
Ando N. 27167  
Andreas F. 29723 П  
Andreasen A. H. M.  
29070  
Andreatta C. 28347 К  
Andreev D. N. 28846  
Andrew K. F. 28571

Andrews R. D. 31280  
Andrianov K. A. 28941,  
28844  
Andrieux J. L. 28160  
Andrisano R. 27612  
Andrlik K. 27538,  
29012 К  
Andrus O. E. 29207 П,  
29208 П  
Angelescu E. 27920  
Angelo R. J. 31295  
Anghel V. 30105  
Angyal S. J. 28874  
Anno T. 28727  
Anson P. C. 28858  
Antipin L. N. 28070  
Antonello C. 28993  
Aoyagi I. 29408  
Apanasevich P. A. 27550  
Apers D. J. 27824  
Appel H. H. 30679



65, 31271  
5  
9577 II  
9578 II  
9811 II  
  
9726 II  
985  
009  
29394 II  
29791 II  
29911 II  
30443 II  
29507 II  
95  
44  
49  
2  
70  
42, 27943  
E. C.  
  
D. 29171  
T. 30483  
  
31242  
A. 28658  
28075  
H. 28860  
63  
A. 29408  
  
737 II  
352  
30439 II  
273  
M. 28131  
D. 27733  
K. B.  
  
B. T. 28686  
  
L. 28160  
27612  
27538  
E. 29207 II  
27920  
J. 31295  
30105  
J. 28874  
3727  
28858  
N. 28070  
28993  
9403  
P. A. 27551  
27824  
30679

Ami P. 28400  
Araki K. 29817  
Arcamone F. 28962  
Archinard P. 30492  
Ardia A. E. 29744 II  
Argoudelis A. D. 28963  
Aris R. 29017  
Arlaud M. 30335  
Arndt U. W. 28538  
Arnold J. H. 30140 II  
Aroyd P. T. W. 29710  
Arpal J. 30465  
Arzenyeva R. V. 28254  
Artouzoul J. 30284 II  
Asano S. 27936  
Ascherl A. 29091 II  
Ashley K. D. 29457 II  
Ashton W. H. 31096 II  
Aspergren B. D. 28698  
Asseml M. T. 28621  
Astle M. J. 29711 K,  
29809 II  
Astle-Fletcher M. W.  
31017  
Aström B. 28529  
Atchison J. E. 31040  
Atkinson J. C. 31167  
Ato S. 28415  
Attig W. 30095  
Aucher J. 29093 II  
Augustat S. 27502  
Auhagen E. 29928 II  
Aulabaugh S. J. 30552  
Aurivillius K. 27683,  
27767  
d'Auzac J. 30922  
Averiev V. V. 28335  
Aves R. 27742  
Avialers J. 30995  
Awe W. 28956  
Axelrod J. 28935  
Axworthy A. E. 27927  
Ayad K. N. 28631  
Azam A. M. 28060  
  
B  
Babers F. H. 29943  
Bačák M. 29778 II  
Bächli E. 28936  
Bachman G. B. 28784  
Bachmann P. 29036  
Bačić I. 28421  
Back W. 28332  
Baddiley J. 28980  
Bader A. R. 28645  
Baeklund G. 29300 II  
Baer E. H. 29128  
Baer J. M. 30738 II  
Bafna S. L. 28116  
Bagchi P. 27609  
Bagenstose A. H. 30882  
Bailar J. C., Jr 28190  
Bailes R. H. 29376 II  
Bailey D. L. 29756 II  
Bailey G. F. 28532  
Bailey H. E. 30021  
Bailey N. 28172  
Bailey P. S. 28641, 28732  
Baines W. D. 31057  
Bakanov S. P. 28147  
Baker B. E. 29927 II  
Baker D. W. 28367

Baker H. T. 28811  
Balint A. E. 28833  
Balk P. 27574  
Ball J. M. 30960  
Ballczo H. 28485  
Baltzly R. 29888 II  
Bamford C. H. 31252  
Banck E. 29694  
Bandt H. J. 29971  
Banejee A. 28690  
Banerjee S. C. 30358  
Bankowski O. 29732 II  
Banks C. V. 28395  
Banks R. L. 30764  
Bányai É. 28354, 28482,  
28486  
Banyasz J. L. 29323  
Baranger E. 27556  
Baranowski B. 28016,  
28033  
Barber J. E. 30636  
Barbezat S. 27700  
Barbour E. A. 28268  
Barbu I. 30092  
Bărbulescu N. 28739  
Bardet G. 31142  
Bardin P. C. 30877,  
30884  
Bareš F. 28588  
Barfoot J. M. C. 28793  
Bargeboer A. 28678  
Barhad B. 29346 K  
Barker G. R. 28889  
Barker R. S. 29898 II  
Barnes D. 27742  
Barnes R. G. 27569  
Baron G. 28337  
Baron W. 28766  
Barone E. 30720 II  
Barr M. 29854  
Barron E. S. G. 27935 K  
Barsel N. 29931 II  
Bárt R. 29546 K  
Bárta R. 29619  
Bartell F. E. 28103, 28104  
Barthel C. 27961  
Barthel J. 29230  
Bartholome E. 27864  
Bartlett B. E. 27965  
Barton R. J. 27858  
Bartsch W. 30583  
Bartz J. 29750 II  
Barut J. 31133  
Barzakowski W. P. 29527  
Basiński A. 30042  
Bass R. 27808  
Bassett L. B. 29523  
Batres E. 28927  
Battles W. R. 30208  
Baudoin R. 29190  
Bauer J. 27705  
Bauer S. G. 28576  
Baumann F. 29477  
Bažant V. 28643  
Beach W. J. 30362  
Beacham H. H. 30848 II  
Beals M. D. 27782 II  
Beard C. 28631  
Beard C. S. 29125  
Beaumont R. H. 31164  
Beaver D. J. 30979 II  
Beber A. J. 29727 II

Bechlers F. 29821 II  
Beck F. 29766 II  
Beck S. D. 28987, 28992  
Becker J. 30136 II  
Bedoukian P. Z. 30008  
Beeghly H. F. 29251  
Beets G. J. 30004  
Beglinger E. 30304  
Behar R. 28816  
Behrens R. 29975  
Behroun M. 28065  
Belenkil L. I. 27618  
Belevski S. F. 28067  
Belgion J. R. 30934  
Bellemans A. 28039  
Bellin J. S. 27996  
Bellinger H. 30824  
Belski I. F. 28748  
Belsnes L. 29088 II,  
29089 II  
Belvin W. J. 31030  
Bender M. 30339  
Bender R. 28819  
Bendigo C. W. 31006  
Bennett L. L. 28811  
Bennett R. B. 30254 II  
Benninghoff H. 29491  
Benson G. C. 27717,  
27719, 28088, 28140  
Benson S. W. 27927  
Benton R. E. 31066  
Beranek J. 28965  
Beránek J. 29068  
Berbesson A. 30058 II  
Berčík J. 28380 K  
Beretvas H. S. 30276 II  
Berg A. 30030 II  
Berg C. H. O. 30228 II  
Berger C. 28036  
Berger E. 29729 II  
Berger H. 30899  
Bergh A. 28321  
Bergmann K. 29534  
Bergner H. 30680  
Bergstrom R. F. 30211  
Bergström S. 27817  
Bergwein K. 30009  
Berkowitz J. 27859  
Bernetti R. 28707  
Bernhardt E. C. 30823  
Bernstein R. B. 27816  
Bernstein H. J. 27661  
Berry J. P. 31237, 31239  
Berry R. S. 27626  
Bertanza L. 27873  
Berti G. 28707  
Beskine J. M. 30686  
Bestmann H. 28666  
Bethke G. W. 27623  
Betz J. M. 29258  
Beyler R. E. 28924  
Bézanger-Blauquesne L.  
30426  
Bhargava P. N. 28820  
Bhattacharyya B. K.  
28690  
Bhattacharyya S. N. 27820  
Bhide G. V. 28917  
Bhushan B. 29528  
Blanchi A. 28804  
Blanchi D. 28852

Bickford W. G. 28639  
Bielecki A. J. 27627  
Biemann K. 28785  
Bienaymé A. 30323  
Bierbrauer E. 30081  
Billmeyer F. W. 31306  
Billups C. L. 30888  
Binapfl J. 29758 II  
Binder K. 30469  
Bingham R. S., Jr 29103  
Bintz R. A. 30422  
Bloret M. 29504 II  
Birch A. J. 28989  
Birchenall C. E. 27723  
Bird H. H. 28268  
Bird R. T. H. 28590  
Birks L. S. 28539  
Birsan S. 30894  
Bishop C. T. 28896  
Bishop G. R. 27814  
Bisset D. C. 28591  
Biža V. 28585  
Bizioli F. 28962  
Bizot J. C. 27814  
Bjorkman E. B. 29683 II  
Blackwell J. C. 30923  
Bláha K. 31001  
Bláha O. 28577  
Blaine L. R. 28533  
Blanquet L. 28326  
Blatt F. J. 27727  
Bleas M. J. 28872  
Blinne K. 28197  
Block S. S. 29960  
Bloem J. 27722  
Blomquist A. T. 28680  
Blumenthal H. J. 28900  
Blumova V. 28012  
Blythe H. J. 29274  
Bobrievich A. P. 28270  
Bobrownicki W. 28295  
Bobtelsky M. 28406  
Bock R. 30866  
Bockris J. O'M. 28063  
Bode H. 28356  
Bode K. H. 30802  
Bodea C. 28950, 28951  
Boeke P. J. 30765  
Boelhouwer C. 31228  
Bogdan E. 28215  
Bogdanova A. V. 28682  
Bogdańska H. 30617  
Bogdański H. 30617  
Boggs M. M. 30601  
Bogovskij P. A. 29314  
Bogucki T. 29803 II  
Böhm G. 29805 II  
Böhm K. 30205  
Bohnstedt U. 28470  
Böhlinger P. 30493  
Boilleau 29747 II  
Boisselet L. 30284 II  
Bolley D. S. 30345  
Bolze C. 29324  
Bond R. W. 31072  
Bondi A. 28146  
Bonjour S. 30335  
Bonnell D. G. R. 29639  
Bonnemay M. 28155 K  
Bonnett R. 28953  
Bontinck W. 27769,  
27770

Bonvicini A. 30813  
Booser E. R. 30199  
Bordwell F. G. 28646  
Borecka I. 29701  
Borel R. 30933  
Borghi M. 30586  
Borisov A. E. 28824  
Bornmann A. 29988 II  
Bornmann J. A. 27744  
Bosch J. 31079  
Bose A. K. 29537  
Bose M. 28189  
Bosewitz G. 30457  
Bosomworth G. P.  
30981 II  
Bottomley G. A. 28102  
Bouillet 29747 II  
Bouška V. 27695  
Bow J. H. 30046  
Bower J. D. 28808  
Bowers A. 28930  
Bowie A. E. 29849,  
29857  
Boyd J. S. 30267 II  
Boyer A. F. 30074  
Braae B. 30336  
Brabson J. A. 28472  
Brace A. W. 29475  
Brachel H. von 28657  
Brade H. 28038  
Bradford A. R. 27731  
Bradford P. 30402 II  
Bradford R. D. 29233  
Bradley W. 28747  
Bradsher C. K. 28706  
Bragaw C. G. 30758  
Braid P. E. 29315  
Bramley G. E. A. 29478  
Branch R. F. 28212  
Brandenberger S. G.  
28632  
Brandes E. A. 29618 II  
Brandes G. A. 29959  
Bras J. 30965  
Bratro J. 31190  
Brauer A. 30609  
Braun O. 29451 II  
Braune J. F. 29297 K  
Bray B. G. 30932  
Bray U. B. 30242 II,  
30247 II  
Breathitt H. W., Jr  
29432 II  
Brecht W. 31049  
Breitenbach J. W. 31251  
Breiter K. 29680 II  
Bremond E. 30480  
Brenck J. 31089 II  
Brenner M. W. 30515 II  
Breslau A. J. 30780  
Bretschneider G. 29426 II  
Bretthauer G. 30484  
Breusch F. L. 28661  
Brewerton H. V. 28990  
Brigman G. H. 27553  
Brimberg A. 30336  
Brimm E. O. 29755 II  
Briscoe C. V. 27726  
Broadwell T. C. 30999  
Brockman J. A. 28676  
Brodský J. 28585  
Brody S. S. 28737

- Brogdex C. 30731  
 Broh-Kahn R. H. 29895 II  
 Bronson L. D. 30774  
 Brooks E. J. 28539  
 Brötze W. 27514  
 Brouillard R. E. 29830 II  
 Brown C. P. 31257  
 Brown D. 29716 II  
 Brown H. 29511 II  
 Brown H. B. 31035  
 Brown H. C. 28167  
 Brown J. A. 30133 II  
 Brown K. L. 30842 II  
 Brown W. B. 27835  
 Brown W. F. 29604 II  
 Bru L. 27706  
 Brubaker C. H. 27946  
 Bruin A. S. de 30532  
 Brújin S. 27574  
 Brulat 29747 II  
 Bruni G. 27872  
 Brunswik C. 30799  
 Bruss O. 30332  
 Bruun H. H. 28915  
 Bruyne N. A. 30815  
 Brykzyński J. 30406, 30407  
 Buchanan J. G. 28980  
 Buchanan M. A. 30299  
 Büchi G. 28786  
 Büchi J. 28986  
 Buchholz K. 30982 II  
 Buchkremer J. 30970 II  
 Buck T. M. 27746  
 Buckley R. P. 28645  
 Buckwalter H. M. 30985 II  
 București 29347 K  
 Budenz R. 28470  
 Budnikow P. P. 29527  
 Buiwid Z. J. 28825  
 Bu'Lock J. D. 28743  
 Bülow H. 27711  
 Bunbury D. L. 28002  
 Bungenberg de Jong H. G. 28142, 28143  
 Bunn R. W. 29934  
 Buogo G. 30687  
 Bureš E. 30047  
 Burger A. 28854  
 Burkardt L. A. 27914, 27915  
 Burke K. E. 28395  
 Burkey O. P. 29255  
 Burley R. W. 31121  
 Burmeister H. 30658  
 Burnett G. F. 29940  
 Burns R. H. 30751  
 Burschies K. 29891 II  
 Bürstenbinder R. 30870  
 Burt S. L. 30830 II  
 Burton D. 31192, 31193  
 Burton H. 30754  
 Burwell M. G. 29202 II  
 Byé J. 28193  
 Bylicki A. 29803 II  
 Bylo Z. 28045  
 Buschinelli J. 30302  
 Busfield C. 29081 II  
 Bush S. J. 30011  
 Butler G. B. 31295  
 Butler G. M. 29544  
 Büttner F. 29091 II  
 Büttner M. 31069  
 Buu-Hol N. P. 28692, 28696, 28736  
 Buyers A. G. 27852, 29370  

**C**

 Cabrera N. 27762  
 Cacciari A. 29368  
 Cachia M. 28702  
 Cadle R. D. 28151  
 Cain C. E. 28867  
 Campbell N. 28744  
 Campbell W. J. 28428  
 Campbell-Allen D. 29640  
 Cambrony H. R. 30667  
 Camus A. 30640  
 Cane R. F. 30146  
 Cannon J. R. 28953  
 Cannon W. N. 28802  
 Capron P. C. 27824  
 Carboni P. 28376 K  
 Carl H. F. 28428  
 Carls W. H. 28372, 29192  
 Carlson C. W. 29607 II  
 Carlsson I. B. 27683, 27767  
 Carni I. 30491  
 Carola C. 30327  
 Carome E. F. 27807  
 Carpeni G. 27908  
 Carroll P. M. 28715  
 Carruthers A. 30410  
 Carstens E. 29894 II  
 Carter R. M. 20901  
 Casas C. A. 28983  
 Casinovi C. G. 28952  
 Cason J. 28656  
 Cassebaum H. 28617  
 Cassella F. 29891  
 Cassidy H. G. 28752  
 Castell H. C. 29483  
 Catalfamo A. 29592  
 Cavadino C. G. F. 31109 II  
 Cawley W. E. 29375  
 Cenciarelli A. 29472  
 Cencubis J. 30584  
 Čermin K. 30047  
 Černák L. 29284  
 Černia E. 30813  
 Černicki B. 27879  
 Černý S. 30522  
 Čerta A. J. 29517 II  
 Chabot E. 30454  
 Chakhovskoy N. 27917  
 Chaman G. S. 28955  
 Chan W. R. 28988  
 Chandler K. 30325  
 Chandrasekar K. S. 27691  
 Chang Chun-Hao 30186  
 Chang Ta-Yu 30186  
 Chanu J. 27830  
 Chapman D. 27632  
 Chapman J. A. 28090  
 Charistus K. 29666  
 Charlot G. 28357  
 Charnbury H. B. 30084  
 Charpentier D. E. 28557  
 Charvát V. 28588  
 Chassain M. 30499  
 Chasset R. 30954  
 Chateau H. 27848  
 Chatterjee A. 28119  
 Chatterjee G. P. 27677  
 Chatterji S. 29635  
 Chaudhuri S. R. 28250  
 Chaux R. 30071  
 Cheeseman G. W. H. 28807  
 Chefdeville M. 29659  
 Chekunov A. A. 28150  
 Chemerda J. M. 29919 II  
 Chen C.-L. 28909  
 Chen Chi-hao 28703  
 Cherdron H. 31256  
 Chernyshova T. I. 28826  
 Cheshire J. D. 28584  
 Cheshko F. F. 27799  
 Chesnut D. B. 27642  
 Cheutin A. M. 28696  
 Chiavarelli S. 28809, 28952  
 Chibber S. S. 28757  
 Chichester C. O. 30620  
 Chistiakova M. M. 31293  
 Chiurdoglu G. 27660  
 Chmura K. 28285  
 Choukin N. I. 28748  
 Choumoff S. 28553  
 Chrastina J. 29065  
 Christensen K. M. 30381 II  
 Christian J. E. 29834  
 Christol H. 28745  
 Chrs A. 30528  
 Chu C.-M., 28135  
 Chu H. 30113  
 Chu Hui-hsin 29862  
 Chukovskaia E. T. 28829  
 Chupka W. A. 27859  
 Churchill S. W. 28135  
 Cilensek E. 28528  
 Claassen H. H. 28174  
 Clare H. C. 29273  
 Clark A. 30764  
 Clark G. C. 28135  
 Clark R. T. 28431  
 Class C. M. 27545  
 Clausen T. I. 30277 II  
 Clay C. 30584  
 Clement R. 30867  
 Clevon F. 30559  
 Clewlow G. 30568  
 Clinton R. O. 28715  
 Cloese G. 29171  
 Clouston J. G. 28570  
 Cochecl U. 29456  
 Cocker J. D. 28921  
 Coenen M. 30048 II  
 Cohee R. F. 30535  
 Cohen E. R. 27539  
 Cohen E. S. 29045  
 Cohen P. 29250  
 Cohen S. G. 28647  
 Cohen S. R. 28200  
 Cohen-Adad R. 27924  
 Colas M. R. 29246  
 Cole A. R. H. 27633  
 Cole J. S. 29964  
 Cole R. J. 30865  
 Colgrove W. H. 30303  
 Collaud C. 30005  
 Collins G. F. 29322  
 Collinswood P. N. 29688  
 Collura P. 28300  
 Colonge J. 28705  
 Colton J. W. 29716 II  
 Combs E. L. 29512 II  
 Compton W. D. 28667  
 Comsa G. 28546  
 Conforth R. M. 30166  
 Conia J.-M. 28681  
 Conover A. E. 30093  
 Conroy H. 28914  
 Conway B. E. 28063  
 Conway T. F. 30535  
 Cook A. H. 27809  
 Cook R. E. 31267  
 Cook S. P. 27562  
 Cook W. A. 29957  
 Cookson R. C. 28939  
 Cool B. 29599  
 Cooper R. E. 31215  
 Coote C. W. 30150  
 Coppard C. 29153  
 Corbier M. 28729  
 Corey E. J. 28994  
 Cornea F. 27920  
 Cornell J. A. 30849 II  
 Corners H. 29921 II  
 Cornil J. 28302  
 Correns E. 30292, 30308  
 Corte H. 31062  
 Cortrell T. L. 27634  
 Costilow R. N. 30611  
 Cottle D. L. 30275 II  
 Cotton F. A. 27604  
 Cottrell A. H. 27725  
 Coulson T. 28163  
 Coulter W. H. 28611  
 Courtney W. G. 27875  
 Covalschi T. 30419  
 Cox R. H. 28918  
 Coxon W. F. 29114  
 Crăciun A. 28215  
 Craig H. C. 28370  
 Craig R. G. 28103, 28104  
 Cram D. J. 28623, 28624  
 Cramer A. B. 30577  
 Cremlyn R. J. W. 28920  
 Crick F. H. C. 27707  
 Cristea B. Z. 29236  
 Crombie L. 28662  
 Cronenberg J. W. 30173  
 Cronin J. G. 28331  
 Cropper W. V. 29206 II  
 Crouch H. W. 29342  
 Crowley E. I. 30123  
 Cruickshank E. H. 28115  
 Cruickshank J. H. 30398 II  
 Cubero M. 27673, 27706  
 Culpin M. F. 27803, 27804  
 Cumming J. G. 31008  
 Cummings W. G. 28594  
 Cupr V. 29137  
 Curtis W. 27560  
 Cutler J. R. 30608  
 Cyprian K. 29074  
 Czaja A. T. 30614  
 Czajkowski I. 29787 II  
 Czempik H. 28873 II  
 Czifrusz M. 30415  

**D**

 Daane A. H. 27748, 27858  
 Daeva K. 29162  
 Daghetta A. 30332  
 Dahn H. 28751  
 Dally L. E. 30013  
 Daimler K. 29998 II, 31111 II  
 Dakshinamurty P. 27882  
 Dal P. H. 29524  
 Dalbke R. G. 29183  
 Dalgarno A. 27554  
 Dally J. W. 30896  
 Dalvi V. J. 28722  
 D'Ambrosio A. 30333  
 Daneyrolle C. A. 29552 II  
 Daniels F. 27969  
 Daniels M. 28006  
 Daniels R. M. 20434 II  
 Dantinne R. 30900  
 Darling L. A. 30757  
 Das B. 28818  
 Das B. M. 31194  
 Das H. K. 28360  
 Das P. K. 28034  
 Das M. N. 28520  
 Dascalescu M. 30305  
 Dauphin J. 28160  
 Davids J. A. G. 28142, 28143  
 Davidson D. T. 28297  
 Davies A. G. 28734  
 Davies D. E. 27891  
 Davies W. 28765  
 Davis D. S. 29058, 29038, 29404  
 Davis G. D. 30054 II  
 Davis J. P. 31066  
 Davis L., Jr. 27720  
 Davis P. 28144  
 Davis T. 28006  
 Daviss M. R. V. 29261  
 Davisson J. W. 27670  
 Dawson L. R. 28036  
 Dawson W. O. 31205 II  
 Day B. E. 29969  
 Dayen W. R. 30361 II  
 Dayton B. B. 28562  
 De C. P. 29184  
 Dean P. 27583  
 Debras J. 28420  
 Debyser J. 28337  
 Decroly C. 29373  
 Deézi I. 27606  
 DeGuevara M. L. 29355 II  
 Dekeyser W. 27718, 27769, 27770  
 Dekov L. 30475  
 De La Mare P. B. D. 28622  
 Delassus M. 29016  
 Delcourt J. 30416  
 Delcourt J. 28253  
 De Leone R. 29368  
 Delher R. 27834  
 Del Re Giuseppe 28206  
 Delsemme A. 27660



# Астрофизический указатель

- D'Emanus H. M. 30932  
Demichowicz-Pigoniowa J. 28016  
Demidov A. V. 28593  
Demus H. 31032  
Dennayer M. E. 28273  
Denk W. 29757 II  
Denman W. L. 29185  
Depp E. A. 30107  
De Pree D. O. 30272 II  
De Ruyter R. 29526  
Derjaguin B. V. 28147, 28148  
Desalbes D. 30369  
Désiré P. 28466  
Desnuelle P. 30335  
DeTar D. L. F. 27953  
Detering H. 30844 II  
Detzner H. 29821 II  
Dévay J. 28049—28051  
Dexter F. D. 30821  
Diamond H. 28146  
D'Annunzio J. D. 30968 II  
Diaz R. N. 30928  
Dichter J. 29615 II  
Dickey E. E. 31052  
Dickinson D. 30613  
Dickinson N. L. 29043  
Diedrichs E. 31045  
Diefenback W. T. 30905  
Diehl H. W. 28879  
Dieke G. H. 27562  
Diekmair W. 30519  
Diepen H. M. J. van 30532  
Dietrich W. 29813 II  
Dietrich W. C. 30601  
Dignam M. J. 28365  
Di Malo G. 28957, 28974  
Dimroth K. 28549  
Di Stefano F. 30689 K  
Dixon E. B. 29225  
Dixon R. E. 30232 II  
Dixon W. 30568  
Dobrycki J. 30411  
Dočkalova L. 28434, 30131  
Doderio M. 28065  
Doebel K. 29900 II  
Doetsch E. 29201 II  
Doherty M. T. 29452 II  
Doi N. 27928  
Dolgoploek B. A. 20936, 31254  
Dolgow B. N. 28846  
Doljenkova A. N. 28134  
Dominguez J. 28941  
Domova K. 30741 II  
Donaruma L. 28683  
Dondos S. 27999  
Donk A. B. 30589  
Doose O. 30554  
Doppler G. 28485  
Dorfman R. I. 28930  
Dörfling E. 30518  
Dornow A. 28787  
Doughty J. B. 30295  
Dournaud P. A. J. 29676  
Dowling J. M. 27627  
Downman R. D. 30800  
Downer W. 30178  
Drachovská-Simonová M. 30428 K  
Drapeau J. E. 29433 II  
Dresselhaus G. 27621  
Drews E. 20570  
Driver J. E. 28709  
Drowart J. 27846  
Drummond F. E. 30909 II  
Drummond L. J. 28570  
Dryselius E. 28895  
Dsedsitchek V. P. 28593  
Dublinina E. F. 28018  
Dubravkova L. 28934, 28943  
Duclaux J. 27784  
Dudyrev V. K. 28070  
Duerden J. C. 30608  
Dugan L. R. 30341  
Dukhin S. S. 28148  
Dulling Irl N., Jr 30385 II  
Dumke O. 30984 II  
Du Mond J. W. M. 27539  
Dunegan J. C. 29958  
Dunitz J. D. 27595  
Dunn J. S. C. 29018  
Durant-Veron S. 30330  
Durelli A. J. 30898  
Dutcher J. D. 28890  
Dutta A. K. 27806  
Dutton K. R. 30360  
Dwyer F. P. 28211  
E  
Eaks I. L. 30602  
Earland C. 31135  
Earnshaw A. 27593  
Ebel R. H. 29898 II  
Eberius E. 30424  
Echo M. W. 28544  
Echte E. 30963  
Eckel J. F. 29144  
Economy J. 31292  
Edelmann K. 30308  
Edgerton L. J. 29972  
Effenberger E. 28589  
Eger L. W. 31106 II  
Egli H. 31170  
Egner B. 28779  
Ehlers J. F. 30782  
Ehrnrooth E. 31048  
Eichmeyer R. R. 31104 II  
Eigen H. 29685  
Eisenschitz R. 27583  
Eisenstadter J. 28406  
Eisenstein J. C. 27588  
Eisner U. 29002  
Ejima T. 29383  
Ekenstam B. 28779  
Elder H. J. 30123  
Eldridge E. T. 29273  
Elleman D. D. 27756  
Ellington R. M. 29066  
Elliott M. C. 28446  
Ellis R. H., Jr 27548  
Elld E. 30746  
Elsler S. L. 29169  
Elwell W. T. 28464, 28478  
Emel'yanov Y. M. 28581  
Emmett P. H. 27981, 28750  
Endo T. 28911  
Endoh K. 29064  
Engel E. W. 31106 II  
Engelbertz P. 29767 II, 29768 II  
Engelhardt F. 30187  
Engen J. M. 29016  
Engerth H. 30455  
English J., Jr 28752  
English R. J. 28989  
Enkvist T. 31047  
Enslin O. 30969 II  
Enstein A. S. 27749  
Epstein E. 28716  
Epstein M. B. 28094  
Epsztein Z. 29686  
Erasmus H. D. 29573 II  
Erbe F. 30920 II  
Ercoli A. 29920  
Erdey L. 28354, 28387, 28482, 28486  
Erdmann H. 31197  
Erdman H. 28695  
Erickson A. J. 28154  
Erickson J. G. 30286 II  
Erickson K. 30817  
Erickson W. 30817  
Erley D. S. 28514  
Ernst J. 30466  
Ernst J. L. 30972 II  
Ernst T. 29525  
Eron A. H. 30229 II  
d'Ersu A. P. 30599, 30600  
Essex C. D. 30593  
Eugster H. P. 27890  
Evans D. E. 28920  
Evans D. F. 28620  
Evans H. G. V. 30007  
Evans J. W. 30722 II  
Evans R. J. 29425 II  
Evans R. S. 28359  
Evans U. R. 27891  
Everhart E. 27559  
Everts C. M. 29273  
Exner F. B. 29298 K  
Eyring H. 27602  
F  
Fabio P. F. 28676  
Fagg D. N. 29482  
Failla G. 27548  
Fairs G. L. 29329  
Faith W. L. 29320, 29321  
Fancher O. E. 29886 II  
Fand T. I. 29895 II  
Farncomb F. J. 28481  
Farran J. 29638  
Farson F. S. 29746 II  
Faulstich M. 29608 II, 29612 II  
Faure J. C. A. 30324  
Faust Ch. L. 29512 II  
Faust J. A. 29876  
Fauve M. 30328  
Fawcett W. E. 30814  
Fee J. G. 31232  
Feher O. 28892  
Fehr K. 29356 II  
Feigl F. 28487  
Feldman A. W. 29968  
Ferber K. H. 28453  
Ferguson I. F. 27689  
Fernández C. R. 29363  
Derrara A. 30675  
Ferren R. P. 30734 II  
Ferrero F. 27546  
Ferris L. M. 28230  
Ferris S. W. 30385 II  
Fessenden R. J. 28656  
Fiebiger H. 31079  
Fiedman J. 28596  
Fiedler H. 30030 II  
Field G. C. 29495  
Figgis B. N. 27593  
Filippov Y. V. 28581  
Fink C. K. 30842 II  
Finnegan T. J. 29151  
Finnie L. N. 27680  
Finsen P. G. 29263  
Fischbach C. E. 28456  
Fischer E. 27994  
Fischer H. 29609 II  
Fischer J. 29123  
Fischer-Hjalmars I. 27557  
Fischer-Schlemm W. E. 29158  
Fisher E. G. 29972  
Fisher R. C. 29197  
Fishlock D. J. 29341  
Fiss R. N. 30384 II  
Fitzgerald J. S. 30784  
Fitzpatrick J. D. 28640  
Fizott C. 29368  
Flahaut J. 28348  
Fleischacker D. 29931 II  
Fletcher H. C., Jr 28879  
Fletcher N. W. 28476, 28484  
Flinn P. A. 27745  
Florescu M. 29010 K  
Foch P. 30074  
Foehr E. G. 30278 II  
Folkers K. 29001  
Fogg P. G. T. 27689  
Foner S. 27757  
Fongauz M. I. 29313  
Ford C. F. 30283 II  
Ford L. J. 30248 II  
Fore S. P. 28639  
Forgeng W. D. 29573 II  
Forkel W. 29525  
Forrester A. L. 29272  
Fosberg F. R. 28282  
Foster A. B. 28880  
Foster E. L. 31241  
Gouchler J. 30175  
Foulon A. 31068  
Fox H. H. 29885 II  
Francis A. W. 30251 II  
Francisco H. H. 29515 II  
Frank C. E. 29759 II  
Franke N. W. 30123  
Frank S. 29796 II  
Franke W. 28706, 30280 II  
Franz W. 29455  
Franzen A. 29168  
Fraschka H. 28403  
Freeland C. J. 29317  
Frei Y. 27994  
Freidlin R. K. 28829  
Freter K. 28935  
Freundberg K. 31089 II, 31305  
Freund E. H. 30741 II  
Frey A. 29551 II  
Frey A. 30447  
Frey H.-H. 30627 II  
Fricke G. 29986 II  
Friederich H. 29724 II  
Friederich H. 30031 II  
Friederich H. 30280 II  
Friedman Ch. B. 29185  
Friedrich K. 27586  
Fries D. 28688  
Frisch H. L. 28092  
Frisch P. 29787 II  
Frisch S. E. 27564  
Frittm H. 31251  
Fritz R. J. 30230 II  
Fritz H. 27864  
Fritzsche H. 27749  
Frühlich H. G. 31007, 31146  
Frondel C. 28249  
Frost B. R. T. 27801  
Frotscher H. 30393 II, 31086 II  
Frowein A. 38968  
Fujii Y. 28130  
Fujishiro M. 31129  
Fukada E. 31236  
Fukagawa K. 27898  
Fukuto T. R. 29947  
Fuller C. G., Jr 29152  
Fullman R. L. 27773  
Fulop W. 28087  
Fuls E. N. 27559  
Furry W. H. 27716  
Furukawa J. 28776, 30949  
Furusama M. 28400  
Furuya K. 31262  
Furuya 27766  
G  
Gaal E. 31188  
Gabaglio M. 29368  
Gäbler C. 29717 II  
Gabrielson G. 29487  
Gadent J. 28705  
Gafner G. 29522  
Gaines G. L., Jr 28568  
Gains W. C. 30236 II  
Gale A. J. 27541  
Galli M. 27704  
Gammaticakis P. 27615  
Gams H. 29227  
Gamsjäger H. 28344  
Ganguli A. K. 28757  
Ganguly B. K. 27609  
Gantols M. 29586  
Garcia-Charp T. J. 28732  
Garino-Canina E. 30485  
Garland C. W. 28097  
Garman P. 29953  
Garnett J. L. 38429  
Garrett B. S. 30256 II  
Gartaganis P. A. 29580  
Garwood R. F. 28631  
Gąsiorowski S. 29348 K  
Gates V. A. 30211

- Gattner A. 30436 II  
Gaudiano G. 28817  
Gault F. G. 28681  
Gautsch O. 28499  
Gauvin W. H. 31046  
Gavel L. 30642  
Gavrilescu G. 29289  
Gayler R. 29059, 29060  
Geankoplis Ch. J. 27925  
Gebert P. 29836  
Géczy I. 31285  
Gedeon A. Z. T. 28321  
Geene E. F. 27599  
Gehlen K. 29525  
Geissman T. A. 28997  
Geller S. 27686  
Gel'man N. E. 28515  
Genevois L. 30446  
Génin G. 31014  
Georgian V. 28945  
Gérard J. 29373  
Gerardi C. A. 30347  
Gergel W. C. 29809 II  
Gerlicke C. E. 30730 II  
Gerjuoy E. 27556  
Germain J. B. 28681  
Gerold C. 28925  
Gerrard W. 28825  
Gerspach A. 31049  
Gert G. 31145  
Ghe A. M. 28504  
Ghederim V. 29236  
Ghuysen J. M. 30368  
Giachetti E. 31258  
Giannini U. 31259  
Gibbons D. 28368  
Gibson E. J. 29366  
Giddens J. 29967  
Gieler R. 30348  
Giesbrecht A. M. 28963  
Gilbert R. 30047  
Bilkerson W. R. 27945  
Gilliland E. R. 30253 II  
Gillies R. A. 30474  
Gilly L. J. 27824  
Ginman R. 31063  
Ginzel A. 31196  
Giovannini E. 28772  
Giuliano R. 28976  
Glansborff P. 27829  
Glass I. I. 27790  
Glickman S. A. 30289 II  
Glietenberg E. 29825 II  
Glockler G. 27598  
Glos M. 30056 II  
Gmelin R. 28898  
Gnade K. H. 30318 II  
Gochle G. 30516 II  
Goddard E. D. 28140  
Goebel H. 29825 II  
Goerdeler J. 28823, 29814 II  
Goerke A. 30986 II  
Goetz H. 28616  
Gohl S. H. B. 30346  
Gohlke R. S. 30077  
Golar P. 29362 II  
Gold D. P. 28268  
Goldin A. S. 92212  
Goldman A. 28625  
Goldstein D. 28487  
Goldstein H. 28711  
Goldstein H. B. 29990 II  
Golebiowski J. 29099 II  
Gollin G. J. 30167  
Gond F. 29069  
Goodchild A. G. 30818  
Goode J. H. 28005  
Goodman R. E. 30169  
Goodwin J. T., Jr. 29324  
Goossak I. V. 29022  
Góralczyk W. 30417  
Gorbachev S. V. 28067  
Gordon J. A. 30895  
Gordon S. 27964  
Gordonp J. E. 30749  
Gordus A. A. 27825  
Gore G. W. 28563  
Gorin E. 30252 II  
Górzyńska J. 29721 II  
Gossot J. 30957  
Goswami A. 28055  
Goto H. 27960, 28462  
Goto R. 31243  
Gottberg H. 30876  
Götte E. 30400 II  
Gottfried J. 28492  
Göttsche E. A. 30560  
Gottweis J. 30791  
Gouffé A. 30125  
Goutarel R. 28938  
Govier G. W. 29018  
Govindan K. P. 28116  
Grab E. 30743 II  
Graf R. 29359 II  
Grahmann H. 29821 II  
Grane J. C. 29974 —  
Granger R. 28729  
Gras J. 28978  
Gräser H. 29836  
Graßhof H. 29903 II  
Grassow F. 29978 II  
Gray C. H. 29003  
Gray, F. L. 29040  
Greaves J. H. 30868  
Grechkin N. P. 28855  
Green A. 29890 II  
Green J. G. 30805  
Green R. W. 28208  
Greenberg S. A. 28037  
Greenburg R. H. 29501 II  
Greenslade L. S. 29434  
Greenspan F. P. 29386 II  
Greenstein J. L. 28234  
Greer W. C. 29232  
Grefte H. A. M. de 28555  
Gregor M. 29325  
Gregory D. H. 30074  
Grenng R. 30467  
Grew F. 29991 II, 29995 II  
Grice J. O. 29693  
Grieshaber R. 30058 II  
Griesbach R. 29765 II  
Griffin D. H. 30384 II  
Griffith J. 31119  
Griffith J. S. 27578  
Griffiths V. S. 28028  
Grignard R. 31098 II  
Grillot G. 30548  
Grim E. C. 28516  
Grindrod J. 29195  
Gröber C. 29116  
Gromadska M. 28316  
Gromoboy T. S. de 29475  
Grosberg J. A. 30189  
Groschopp H. 29814 II  
Groskopf E. O. 29684 II  
Groskopf M. 31113 II  
Grossman R. F. 27629  
Groves K. O. 27946  
Gruber G. 30320 II  
Gruger E. H. 30340  
Grunberg F. 28008  
Gruner J. W. 27696  
Grusner A. 29901 II  
Guastalla L. 28089  
Gubkin S. I. 27728  
Guédras A. 28349 K  
Guédras M. 28349 K  
Guérin H. 27907  
Guillet R. 29442 IIGull-  
lot M. 28534  
Guimaraes da Fonseca P. 30302  
Guinet M. 30557  
Gulbransen E. A. 28571  
Gurnee E. F. 31240  
Gustis E. L. 29930 II  
Guthell N. C. 30654  
Gutowski F. A. 27807  
Guyot A. 28705  
Guzman G. M. 31302  
Gwiazdowski L. 29708  
Gygax R. 31147  
Gypser J. 29593
- H**
- Haag H. 29379 II  
Haas W. 28438  
Habashi G. M. 28060  
Habedank A. 29187  
Hachichama Y. 28740  
Hachmuth K. H. 30227 II  
Hackmann J. T. 29993 II  
Haddrell V. J. 30792  
Hader R. J. 30901  
Hadži D. 27631  
Hagee G. 29211  
Hagelloch G. 29820 II  
Hagge W. 29976 II, 29977 II  
Hahmann O. 28787  
Hahn H. 30827 II  
Hahn W. 29750 II  
Hálek B. 28159  
Hakanson P. 29637  
Hakkila E. A. 28455  
Halánek C. 30039  
Halford J. O. 27841  
Hall A. J. 30987  
Hall F. M. 30793  
Hall H. C. 30785  
Hall J. G. 27790  
Hall W. K. 27981  
Halmekoski J. 31047  
Halsall T. G. 28921  
Halsey G. D., Jr 28098  
Halsted R. J. 29433 II  
Hamada H. 27950  
Hamakawa T. 28468  
Hamill W. H. 28002  
Hamilton R. W. 29737 II  
Hammesfahr T. W. 30781  
Hammick D. L. 28793  
Hammond R. 29130  
Hamner G. P. 30246 II  
Hanaki A. 28967  
Hand D. B. 30615  
Handy R. L. 28297  
Hanic F. 27705  
Hanks G. A. 30926  
Hanly F. J. 30278 II  
Hanneman W. W. 28759  
Hanratty T. J. 29016  
Hansen E. 30606  
Hanson H. P. 27604  
Hanssen E. 31206 II  
Harada H. 30545  
Harada T. 330545  
Hardy E. 30610  
Harepr S. H. 28662  
Harfenist M. 28805  
Hargreaves M. K. 28113  
Harlape M. 28678  
Harrington R. 30927  
Harle O. L. 27951  
Hartman M. W. 30980 II  
Harper F. 29639  
Harper R. C. 27792  
Harris L. S. 28774  
Harris M. R. 28109  
Harrison J. L. 28338  
Harshbarger F. 28535  
Hart J. S. 31084 II  
Harteck P. 27999  
Hartmann H. 29461 II  
Hartmut G. 31158  
Hartstein D. 29011 K  
Harward E. D. 29226  
Hashitani H. 28394  
Hashizume B. 29944  
Hass G. 27731  
Hassall C. H. 28988  
Hatch G. B. 30270 II  
Hatch G. G. 29430 II  
Hathway D. E. 28913  
Hatton T. T. 29973  
Hattori Y. 28328  
Hauer J. 30121  
Hauger R. 28978  
Hause N. L. 29800 II  
Hauser C. R. 28731, 28867  
Hausman R. F. 30199  
Häussler A. 29858  
Hauth H. 28751  
Havighorst C. R. 30616  
Havir J. 29215  
Hawes M. G. 29583  
Hawthorne M. F. 28634  
Bayashi K. 30153  
Hayashi M. 31127  
Hayshi T. 28749  
Hayashida K. 30759  
Hayes B. T. 30777  
Hayes L. P. 30379 II  
Haynes H. L. 29948  
Hayon E. 28000  
Hayward L. D. 28884  
Hazleton L. W. 30683  
Hazlett W. A. 30887  
Head B. L. 29083 II  
Heal R. E. 29941  
Heap H. 31241  
Hébert G. R. 28608  
Hedge D. G. 28091  
Hedström B. 31045  
Heerwig H. 30137 II  
Hefermann H. 30727 II  
Hegarty A. 29163  
Heger G. 29576 II  
Helberger P. 30862  
Heide S. 30361  
Heldemann E. 31186  
Heiden K. 29218  
Heiginger W. 27496  
Heinemann H. 30155, 30157  
Heinrich R. F. 29025  
Heinzelman D. 28639  
Heinzelman R. 28698  
Heisler E. G. 30732 II  
Heiss R. 30583  
Heldman J. D. 30154  
Helferich B. 28694  
Hellmann H. 28652  
Hellmann M. 28864  
Heilmé K. C. G. 29146  
Hembrough G. R. 30358  
Hemminger C. E. 30233 II  
Hempel H. 29976 II, 29977 II  
Henerey W. T. 30295  
Henglein A. 30673  
Hengstenberg J. 29108  
Hénin S. 28255  
Henkel A. 30597  
Hennig H. 30546  
Henning W. 30733 II  
Henriksson S. T. 30914  
Henrlon G. 30180 II  
Henry G. 30144  
Henry P. J. 30923  
Henze H. R. 28667  
Hepler L. G. 28023  
Herbig J. A. 30831 II  
Herman R. 27939  
Hermeling W. 29177  
Herrmann K. W. 2776  
Hersch P. 28613 II  
Hersek S. 28661  
Hershberg E. B. 28925  
Hertz Z. 30819  
Hervier B. 27848  
Herzinger R. 30020  
Hess K. 30995  
Hess K. 31206 II  
Hess V. F. 28965  
Hess W. 29148  
Hessler L. E. 31115  
Hester J. B., Jr 29047  
Hetterlich Ch. 29751 II  
Heukelekian H. 29224  
Heusch R. 29976 II, 29977 II  
Heusner A. 28942  
Heusser H. 29918 II  
Hewett W. A. 28646  
Heymel W. 28615 II  
Heyns A. J. 29963  
Heyns K. 28083  
Hibbott H. W. 30014  
Hickinbottom W. J. 28631, 28725



- 29941  
241  
29908  
29891  
31045  
30137 II  
H. 30727 II  
29163  
2976 II  
30862  
361  
E. 31186  
29218  
F. 27496  
H. 30155  
F. 29025  
D. 28639  
R. 28698  
G. 30732 II  
583  
D. 30156  
28894  
28862  
28864  
C. G. 29106  
R. 30356  
H. 30239 II  
29976 II  
T. 30296  
30673  
J. 29108  
255  
10597  
30546  
30733 II  
30733 II  
30180 II  
0144  
30923  
28667  
29023  
30831 II  
27939  
7. 29177  
W. 2774  
8613 II  
8661  
B. 28925  
119  
27848  
30020  
95  
206 II  
28965  
148  
3. 31115  
Jr 28947  
n- 29751 II  
H. 29224  
29976 II  
28942  
29918 II  
A. 28844  
28615 II  
29963  
8083  
W. 30014  
W. J.  
25
- Hickman K. C. D. 28547  
Hida M. 28740  
Higuchi Y. 30759  
Hilbert G. E. 31304  
Hill J. T. 30926  
Hine J. 28648, 28649  
Hino K. 27963  
Hinsvark O. N. 30209  
Hirahara E. 29033  
Hirakawa H. 27639  
Hiram M. 28138  
Hirao K. 27853  
Hirata M. 28670  
Hirata T. 27921  
Hirotsu S. 30448  
Hirsch L. 29326  
Hirsch P. B. 27708  
Hirschmann K. 30460  
Hirst E. L. 28897  
Hirawawa Y. 28848  
Hiscock A. 29161  
Hlaváč J. 29546 R  
Hoag R. W. 31105 II  
Hochanadel C. J. 28006  
Hock R. 28318  
Hocking G. H. 31071  
Hodeau J. 30556  
Hodge J. W. 30926  
Hodgins J. W. 29051  
Hodgson T. S. 30211  
Hoeffgen H. 29657  
Hoeffmann J. S. 28639  
Höfermann H. 29813 II  
Hoffman C. J. 27860  
Hoffman F. 28924  
Hoffman M. B. 29972  
Hoffman T. W. 29051  
Hoffmann E. J. 30257 II  
Hoffmann H. 28686 —  
Hoffmann K. 30866  
Hoffmann S. 29167  
Hofmann H. 29067  
Hofmann W. O. 31018  
Hogan J. P. 30764  
Hogan V. D. 27964  
Hogue W. S. 29929 II  
Hohtokari E. 30306  
Holjthink G. J. 27576  
Holbro T. 28744  
Holdermann K. 27508  
Holgate D. 31137  
Holker J. S. E. 28913  
Holker K. U. 28913  
Holland E. G. 30683  
Hollé J. 30425  
Holly E. D. 30077  
Hollyday W. C. 30283 II  
Holmes J. A. 29071  
Holmes J. A. 29071  
Holmes R. A. 29498 II  
Holobradý K. 28378 R  
Holt H. 30134 II  
Holz W. 29933  
Homayr J. 29532  
Homolka K. 29977 II  
Honda H. 30066  
Honig R. E. 27846  
Honjo G. 27710  
Hopff H. 28686  
Hopkins R. H. 30461  
Hoppe R. 28197  
Horden F. W. A. 31121
- Hörhammer L. 28903  
Hori T. 27712  
Hori Z. 28958, 28959,  
28961  
Horiuchi T. B. 29468  
Horiuti J. 27979  
Horlock A. B. 31060  
Horn A. 29514 II  
Horn H. 30787  
Horn H. J. 30683  
Horne R. E. 30881  
Horner L. 28635  
Hornig D. F. 27628,  
27932  
Hornig E. O. 28003  
Hornig E. C. 28991  
Horwitz S. T. 28900  
Hosch L. 30850 II  
Hotta S. 28138  
Hottel H. C. 29045  
Houff W. H. 31164  
Hugen O. A. 29050  
Hough L. 28876, 28901  
Houston W. M. 29432 II  
Hove J. E. 27755  
Howell W. C. 30290 II  
Hrbek J. 30503  
Hrdlička J. 28012  
Hrubesch A. 30280 II  
Hsing Chi-yl 28762  
Hsueh Lian-chy 28762  
Hsu Hsiu-yong 28703  
Huang R. L. 28701  
Huang Wei-hwa 29862  
Hudson M. S. 30322 II,  
30314  
Hudson M. T. 28881  
Huffman M. N. 29877 II  
Huggins C. A. 29094 II  
Hughes J. W. 27672  
Hühnchen R. 29015  
Hulsen R. 28038,  
28629  
Hulbert G. C. 30797  
Hull W. Q. 30161,  
30165  
Hultquist M. E. 29913 II  
Hultschig M. 29123  
Hultsch K. 30976 II  
Hume D. N. 28187,  
28188  
Hünig S. 28766  
Hunsmann W. 29337  
Hunt W. T. 30254 II  
Hunter W. F. 28570  
Hurst H. 30618  
Hush N. S. 27576  
Hutchins M. C. 31099 II  
Hutchinson J. B. 29970  
Hüttig E. 30210  
Huzinaga S. 27786  
Hyde M. B. 30540
- I  
Ianu A. 28202  
Ichikawa S. 28954  
Ichino S. 31268  
Ida M. 29936  
Ide Y. 30520  
Ihlefeldt H. 29671 K  
Iida H. 29706
- Iinuma H. 28384,  
28392, 28451, 28452  
Ikeda S. 31123  
Ikeda T. 28940  
Ikekovič H. 28319  
Ikeuti T. 30664  
Ikeya S. 28417  
Ildis P. 30599, 30600,  
30603  
Iler R. K. 29463 II  
Ille R. 30312  
Imalzumi S. 28964  
Imamura J. 29704  
Imoto E. 31301  
Imoto F. 27853  
Imoto M. 30992  
Imoto M. 31291  
Imre L. 27975  
Inaagaki H. 28138  
Inai K. 29033  
Inazu K. 29853  
Indest H. 31025 II  
Inghram M. G. 27859  
Ingram W. M. 29226  
Inokuti M. 31276  
Inoue R. 31273  
Inoue Y. 31248  
Inouye Y. 28677  
Iofa Z. A. 28062  
Ionescu I. 29531  
Ionescu M. 30105  
Ionescu M. V. 27541  
Ipatieff V. N. 29777 II  
Isbell H. S. 28899  
Iselin B. 28969  
Isenberg I. H. 30299  
Ishibashi K. 28948  
Ishibashi M. 28419  
Ishida K. 27916  
Ishidate M. 28967  
Ishiharo T. 30534  
Ishiharo T. 30534  
Ishikawa S. 29842  
Ishino Y. 28954  
Ishizaka O. 29844  
Ishizuka Y. 28305  
Isirikyán A. A. 28099  
Isono K. 28454  
Isupov V. A. 27869  
Ito K. 27919  
Iuchi S. 29076  
Iushina L. D. 28069  
Ivanov N. 31054  
Iványi I. 30041  
Iveković H. 28421  
Ivin K. J. 31267  
Iwanaga T. 28384,  
28436  
Iwasaki M. 31080  
Izmailov N. A. 28358  
Izum Y. 28975
- J  
Jackson D. A. 27567  
Jackson S. 30620  
Jackett W. 31073  
Jacobi E. 29985 II  
Jacobs C. W. F. 29600  
Jacobsen E. 28448  
Jacobson E. 30890  
Jacquot A. 27700  
Jadhav G. V. 28722
- Jaeger A. O. 29457 II  
Jaeger G. 29561 II  
Jaeger T. 29642  
Jaeske B. 30874  
Jaffe H. W. 28239  
Jaffray J. 27871  
Jahn-Held W. 29450 II,  
29451 II  
Jahn V. K. 27874  
Jalava P. 28915  
Jalocha R. 29779 II  
James R. H. 31046  
Jamieson J. C. 27685  
Janák J. 30174  
Jander G. 28377 K  
Jander J. 28798  
Janicki J. 30561  
Janistyn H. 30015,  
30033 II, 30034 II  
Janković A. 30646  
Jankowski S. 30561  
Jankowski T. 29662 II  
Janotkova O. 30465  
Janssen C. 28114  
Janssen M. J. 28182  
Jaworska R. 29775 II  
Jayadevlam H. S. 30629  
Jayaraman K. S. 31187  
Jayson G. G. 28000  
Jedlicka H. 30847 II  
Jefferies P. R. 27633  
Jefferson C. F. 27894  
Jeffries C. D. 27570  
Jeffimenko O. 27560  
Jefremow G. L. 29527  
Jeger O. 29918 II  
Jellinek F. 27681  
Jenckel L. 28543  
Jenkins A. D. 31252  
Jenkins G. I. 30074  
Jenkins J. W. 30352  
Jenkins R. L. 30401 II  
Jensen E. C. 29273  
Jensen J. T. 30158  
Jensen L. H. 27701  
Jensen R. 28194  
Jensen W. 31056  
Jerzykiewicz A. 30819  
Jeuffroy M. 29660  
Jeuken M. E. J. 28412  
Jewelot B. 30809  
Ježo I. 28934, 28943  
Jindra A. 29866  
Jirsák M. 29648  
Joanen M. A. 30259 II  
Jobin P. 28536  
Jocelyn P. C. 28771  
Jockers K. 29458 II  
Johns W. T. 30050 II  
Johnson A. W. 28958  
Johnson C. P. 27603  
29429 II  
Johnson D. C. 30781  
Johnson D. L. 29050  
Johnson F. D. 30875  
Johnson P. 28610  
Johnson S. N. 30781  
Johnston H. S. 27941  
Johnston R. 31252  
Johnston T. P. 29960  
Jolly W. L. 27860  
Jones A. H. 28461
- Jones D. N. 28919  
Jones J. H. 28796  
Jones P. R. 27550  
Jones R. G. 28802  
Jones R. G. 29797 II,  
29798 II, 29915 II  
Jones R. H. 30279 II  
Jones T. G. 20258 II  
Jonsson O. 29662  
Jordan F. E. 29436  
Joseph N. 28966  
Joshi C. G. 28758  
Joshi M. K. 28443  
Jovanovic J. D. 30367  
Joy W. H. 30350  
Jubitz K. B. 28237  
Julia M. 28669, 28966  
Jumar A. 28724  
Junkes S. J. J. 28495  
Jurgens J. F. 31041  
Jurkiewicz L. 27549  
Justatowa J. 29217  
Jyo O. 28130
- K  
Kabadi M. B. 27906  
Kabisch G. 29987 II  
Kachanák S. 29325  
Kadaner L. I. 29467  
Kaffer H. 30826 II  
Kahn B. 29212  
Kahne F. 31189  
Kahrs K. H. 30827 II  
Kaiser A. 30456  
Kajutenko L. A. 28837  
Kakemi H. 28958  
Kakowska I. 28999  
Kalb G. H. 29712 II  
Kalganov A. F. 28081  
Kalin S. 31198  
Kallsek J. 30528  
Kalous V. 28078  
Kalsing H. 29603 II  
Kaluzy J. 30316  
Kalyuzny V. A. 28270  
Kamasastri P. V. 30659  
Kambara S. 30948  
Kameda M. 29383  
Kamemoto Y. 28424  
Kames F. 29778 II  
Kamieniecka-Wróblew-  
ska Z. 29186  
Kaminsky D. 28716  
Kaminsky M. 28032  
Kamitika K. 30520  
Kamiya I. 28011  
Kämmerer H. 31281  
Kammermeyer K. 30935  
Kamo S. 30545  
Kamp W. 38519  
Kanamaru K. 31262  
Kanick K. 28295  
Kao Yee-cheng 29838  
Kao Yee-cheng 28703  
Kapoor A. L. 28986  
Kapur B. P. 29661  
Karamata S. 28299  
Kargin V. A. 31217  
Karl A. 30239 II  
Karpova I. F. 28134  
Karrer P. 28781—28783

- Karrer P. 28936  
Kartinos N. J. 29828 II  
Kasehagen L. 30442 II  
Kashelkar D. V. 28894  
Kashiwagi R. 31224  
Kaspar E. 29181  
Kasperowicz W. 30795  
Kaspras B. 29199 II  
Kassatochkin V. I. 28120  
Kassán B. 29867  
Katayama M. 30993  
Kato A. 28911  
Kato J. 28079  
Kato J. 29699  
Kato R. 28369  
Kato S. 28740  
Kato S. 31123  
Kato Y. 29032  
Kats A. 29590  
Katsui G. 28954  
Katsunori T. 30662  
Katsuya Sh. 29936  
Katz A. 28932  
Katz L. 27688  
Kauffmann H. O. 31176 II  
Kaufmann H. P. 30338  
Kaufmann W. 30920 II  
Kaur H. 28717  
Kawachi S. 27955, 29696  
Kawai T. 31223, 31234  
Kawasaki H. 28975  
Kawasaki K. 28672  
Kay E. 30398 II  
Kay H. 30645  
Kazanskaya M. E. 27618  
Kazistyn I. 30082  
Kedzie R. W. 27570  
Keeler W. R. 29425 II  
Keenan P. C. 28233  
Kehren M. 30363  
Keil J. W. 30975 II  
Keitel H. 29450 II, 29451 II  
Keller H. J. 30731 II  
Kelley K. K. 27843  
Kellogg H. H. 27889  
Kelly F. M. 27566  
Kemmler H. E. 30849  
Kempe L. L. 30474  
Kemper H. 29199 II  
Kempf W. 30424  
Kempni K. 30043  
Kendall F. E. 29362 II  
Kendrick C. L. 30203  
Kennedy R. W. 30298  
Kent N. L. 29970  
Kenyon J. 28734  
Kera W. 31256  
Kerstan W. 28493  
Kessler F. M. 28434, 30131  
Keyes R. J. 27757  
Kharasch M. S. 28659  
Khitarov N. I. 28254  
Kidwell A. 30989 II  
Kiefer H. 30736 II  
Kiers L. 30384 II  
Kihara T. 27783  
Kilbourne F. L. 30989 II  
Kilp W. 30452  
Kimberlin C. N. 29462 II  
Kimishima H. 29643  
Kimura K. 28385  
Kimura T. 28710  
Kincl F. A. 28928  
King A. G. 27772  
King F. 29324  
King F. W. 31075  
King I. R. 27940  
Kini K. A. 30075  
Kinney C. R. 30076  
Kinoshita Y. 29864  
Kinsella J. J. 28547  
Kirby P. L. 29588  
Kirchhof S. 29713 II  
Kiselev A. V. 28099, 28100  
Kiss A. I. 27610  
Kitamura I. 27710  
Kito S. 29817  
Kittel H. 31134  
Kivalo P. 28216, 28217  
Kjaer A. 28898  
Klauditz W. 30294  
Klein E. 28010  
Klein E. 31041  
Klein G. E. 28007  
Klein H. 30790  
Kleine J. 31025 II  
Kleinschmidt A. W. 30722 II  
Klemm K. 29894 II  
Klempner W. 27626  
Klemm H. 29732 II  
Kleppa O. J. 27847  
Klima D. 29213  
Kloepfer H. 29551 II  
Klönne A. 30264 II  
Klumpar I. 29068  
Knappwost A. 27754  
Knight M. 30613  
Knop C. J. 28519  
Knop C. P. 27946  
Knorre G. F. 30127  
Knotz F. 28883  
Knox W. J. 30053 II, 30054 II  
Knox W. T. 30249 II  
Kobatake Y. 31248  
Kobayashi C. 30939  
Kobayashi F. F. 31131  
Kobayashi H. 27966  
Kobayashi S. 27573  
Koch H. 28668  
Koch J. 30484  
Koch J. 30690 K  
Koch O. G. 28473  
Köchling H. 28891  
Kodama S. 27942, 27943  
Kadama S. 28741  
Koelsch C. F. 28619  
Koenecke D. 30919 II  
Koening C. J. 29530  
Koeppe S. 30655  
Kögler H. 29123  
Kohara J. 31236  
Kohl H. 29551 II  
Köhler S. 31081  
Köhler T. 29095 II  
Kohlhoff W. A. 30161  
Kohman T. P. 27818  
Koide S. 27575  
Kojima T. 27637  
Kokes R. J. 27981  
Kokoski R. J. 29859  
Kokubu N. 30520  
Kolbach P. 30458  
Kölbel H. 30187  
Kolesnikov V. N. 27563  
Kolling H. 30265 II  
Kolm H. H. 27757  
Kolthoff I. M. 28448  
Komarov N. V. 28837  
Komedera M. 49049  
Kominami T. 31270  
Komiya Y. 27697  
Komori S. 29839, 29840  
Kondo H. 28483  
Konieczny Z. 30562  
König E. 30487  
König H. 30770  
Konkoly Thege I. 28408  
Kono R. 31216  
Konow R. 28052  
Konstantynowicz E. 28245  
Konz W. 29992 II, 29994 II  
Kopke E. W. 30438 II  
Köpke V. 31165  
Korda J. 31055  
Korellé O. 29474  
Korenevsky S. M. 28296  
Kori T. 30192  
Kornfeld E. 29797 II, 29798 II  
Korošín J. 28499  
Korostyleva L. A. 27568  
Korshak V. V. 31293  
Korshun M. O. 28515  
Korst W. L. 27680  
Kortüm G. 27658  
Kosak A. I. 30674  
Koslowski L. 29694  
Kosta L. 28437  
Kotelko A. 29787 II  
Köthnig M. 29732 II  
Koton M. M. 31297  
Kováč J. 28374  
Kozak W. 29796 II  
Kraft K. 30032 II  
Krajinovic M. 30367  
Kraljić I. 28490  
Kramer G. M. 27792  
Kramer H. 28411  
Krapcho J. 29883 II  
Kraus A. 30871  
Krause A. 27986, 28178—28180  
Krawiecki C. 28847  
Krebs H. M. 29950  
Kreglewski A. 27796  
Kreinhöfner R. 30866  
Kreiter V. M. 27241  
Krejčí M. 31001  
Krell E. 29372  
Krenz F. H. 29145  
Krepela W. 29158  
Kresze G. 28616  
Kreuz K. L. 29799 II  
Krey W. C. 27889  
Krichmar S. I. 29469  
Krieger R. A. 28331  
Kriegler P. J. 29963  
Kriegsmann H. 27622  
Krimm S. 27701  
Krishna B. 27651  
Krishnaji 28569  
Krishnamurthi M. 28019  
Krishnamurty V. G. 27860  
Krishnan T. S. 31187  
Kritzinger H. 29340  
Križan V. 29494  
Kroepelin H. 27844, 28082, 30226 II  
Krüger F. A. 27722  
Krohn R. 29097 II  
Kronstein M. 30856  
Kruckenberg W. 29822 II  
Krueger H. 29133 II  
Krüger H. E. 30807  
Krugers Dagneaux E. L. 30682  
Krusche F. 29297 K  
Krzikalla H. 29815 II  
Krzywicki E. 31202 II  
Kubala F. 29348 K  
Kubo M. 27655  
Kubota M. 28468  
Kubota S. 29312  
Kubota T. 27664  
Kubota T. 28995, 28996  
Kučera M. 29847, 31263  
Kuck J. A. 28516  
Kudriashov P. I. 27606  
Kudriavtzeva B. B. 28018  
Kudrjashova L. N. 28226  
Kugita H. 28959  
Kühle E. 29991 II  
Kühmstedt H. 28885, 28886  
Kuhner M. 29614 II  
Kühnhanas G. 30210  
Kühnis H. 28781, 28782  
Kukharskaya E. V. 28846  
Kulkarni A. B. 28758  
Kulp J. L. 28240  
Kumarkrishna Rao V. N. 27863  
Kumetat K. 30639  
Kümmel P. 30917 II  
Kunin R. 29245  
Kunitomi M. 27778  
Kunreuther F. 30156  
Küntzel A. 31185  
Kunze W. 29884 II  
Kunze W. 31148  
Künzl R. 31155  
Kuppel O. T. 28292  
Kurasheva N. A. 28841  
Kurl S. 27992  
Kurita Y. 27655  
Kuriyama S. 27950  
Kurmanadharao K. V. 27860  
Kuroda T. 28228  
Kurth C. 29297 K  
Kuss L. 28782, 28783  
Kusumoto H. 31231  
Kutschke K. O. 27937  
Kutzelnigg A. 29191  
Kuwahara S. 27709  
Kwiciński L. 29708  
Kynra P. I. 30488  
L  
Labhart H. 27581  
Lacko L. 31226  
Lačák J. 30039  
Lafon M., 30446  
Lahiri A. 30075  
Lahiri D. 29635  
Lahr P. H. 30740 II  
Laird J. S. 31107 II  
Lajarte S. de 28596  
Lal G. 30629  
Lamazou-Betheder 30594  
Lamb B. 28523  
Lamb J. 27808  
Lambert J. D. 27791  
Lambert N. W. 29772 II  
Lambrecht J. A. 29948  
Lampe F. W. 28001  
Lamprecht W. 30897  
Land H. 28651  
Landa S. 30097  
Landau R. 29716 II  
Landis P. W. 30341  
Landi-Vittory R. 28768  
Lane H. C. 31115  
Lang J. 28870 D  
Langauer Th. 29620  
Lange P. 30526  
Langer A. 27603  
Langer T. 28653  
Langford P. B. 28649  
Langlois D. P. 30430 II  
Langmyhr F. J. 29521  
Langton N. H. 30952  
Lanik A. 28485  
Lankaš S. 30047  
Lanning W. C. 30764  
Lanza V. L. 31245  
La Pidus J. B. 28907, 28992  
Lapin H. 28931  
Lapinski F. A. 28552  
Laplume J. 28554  
Lapovsky A. B. 27714  
Lappel C. E. 29327  
Lappert M. F. 28825  
Larina N. K. 28120  
Lark-Horovitz K. 27749  
Larson R. F. 30430 II  
Lasater R. 29232  
Laskowski S. C. 28715  
Lasocki Z. 28838  
Lassner E. 28502  
Latham H. G., 28933  
Laurenti G. 30771  
Lausch W. 31089 II  
Lavin E. 30889  
Lavit D. 28736  
Lawesson S. O. 28764  
Lawrence H. C. 28370  
Lawrence K. S. 28429  
Lawton L. M. 29200 II  
Lax B. 27757  
Layton Th. W. 27539  
Łazniewski M. 29762 II  
Leanza W. J. 28803  
Leary G.  
Leavitt F.  
Lebedev F.  
Le Boeuf  
Le Bris  
Lednec  
28867  
Lee C. F.  
Lee E. L.  
Lee E. F.  
Lee J. F.  
Lee J. G.  
Lee S. F.  
Leenerts  
Le Fevre  
Le Fevre  
27649  
Lehmann  
Lehmann  
Lehnerer  
Leibnitz  
Leicester  
Lejeune  
Leleux I.  
Lemecho  
Lendvai  
Leniger  
Leo Nam  
Leonard  
Leprince  
Leroux  
Le Roy  
Lessa B.  
Letterer  
Leupold  
Levin A.  
Levin A.  
Levine  
Lewenstein  
29808  
Lewis  
Lewis  
Lewis  
Lewow  
Ley J.  
Ley K.  
Lhotsky  
Li J.  
Li W.  
Lieber  
Lieber  
Liedm  
Lien  
Lietz  
Liftin  
Ligett  
Light  
Limid  
Linbu  
Lindh  
Lindh  
Lindq  
Linds  
Linds  
Ling  
Linh  
Linn  
Lints  
300



# Авторы указатель

- L. 29703  
 30488  
 Leary G. E. 29818  
 Leavitt F. 28645  
 Lebedev A. P. 28259  
 Lebedev E. B. 28254  
 Le Boeuf J. 29315  
 Le Bris M. T. 29823 II  
 Lednicer D. 28731,  
 28867  
 Lee C. F. 30665  
 Lee E. L. 28096  
 Lee E. R. 30166  
 Lee J. F. 29271  
 Lee J. G. 28747  
 Lee S. F. 29654  
 Leenerts L. O. 30366  
 Le Fevre C. G. 27649  
 Le Fevre R. J. W.  
 27649  
 Lehmann J. A. 29193  
 Lehmann M. 31077  
 Lehnerer W. 29096 II  
 Leibnitz E. 30106  
 Leicester J. 29244  
 Lejeune G. 28696  
 Leleux P. 30179  
 Lemeschov E. E. 29042  
 Lendvai S. 28892  
 Leniger H. A. 30526  
 Leo Nan-Tsuen 30186  
 Leonard N. J. 28620  
 Lepinace P. 27989  
 Leroux J. 28393  
 Le Roy F. J. 28365  
 Lessa Baños M. 28491  
 Letters R. 28980  
 Leopold E. O. 29757 II  
 Levin A. I. 28057  
 Levin A. N. 30825 K  
 Levine M. M. 27762  
 Lewenstein W. 29775 II,  
 29808 II  
 Lewis F. A. 28607  
 Lewis I. 27672  
 Lewis J. 27593  
 Lewowicki S. 28285  
 Ley J. B. 28627, 28628  
 Ley K. 28694  
 Lhotaký A. 30509 K  
 Li J. C. M. 27832  
 Li W. H. 29062  
 Lieberman D. S. 27668  
 Lieberman J. A. 29306  
 Liedmann R. 30760  
 Lien A. P. 28633  
 Lietzke M. H. 28058  
 Littin M. E. 30391 II  
 Liggett W. B. 30001 II  
 Light A. K. 30347  
 Limido J. 27989  
 Linburg R. G. 28918  
 Lindberg B. 28895  
 Lindner A. 27933  
 Lindquist F. E. 30601  
 Lindsay J. K. 28867  
 Lindstedt S. 27817  
 Lindsten D. C. 29305  
 Lindström G. 29503 II  
 Ling A. 30863  
 Linkert W. G. 28597  
 Linnig F. J. 30943  
 Lintas-Simoncelli F.  
 30689 K  
 Lin Yau-Tang 28908,  
 28909  
 Lipinski B. 28999  
 Liponski M. 30922  
 Lipparini L. 28773  
 Lippelt H. 29297 K  
 Lipscomb W. N. 27696  
 Lisicki Z. 29803 II  
 Liška M. 28191  
 Lisner A. 29074  
 Littmann G. 27658  
 Livingston R. 27640  
 Livingstone R. 28750  
 Liyama T. 27730  
 Lobedan E. 30250 II  
 Loc T. B. 28692  
 Locher E. 30684  
 Locke E. G. 30304  
 Loewe L. 28751  
 Löffler H. J. 30198,  
 30214  
 Lofthus A. 27605  
 Lohs K. 29765 II,  
 29807 II  
 Loh Shuen-hsing 28703,  
 29838  
 Lomax E. L. 30151,  
 30152  
 Lombard J. 27715  
 Loncrini D. F. 28910  
 Long B. 29613 II  
 Long J. R. 29746 II  
 Long J. S. 29180  
 Long R. S. 29376 II  
 Longworth L. G. 28017  
 Lonsdale H. K. 27787  
 Looker J. H. 28759  
 López Castro A. 27673  
 Loras V. 31051  
 Lora-Tamayo M. 28517  
 Lorenz O. 30963  
 Lorenz T. 28772  
 Lorenz V. 31111 II  
 Lorenz W. 29981 II,  
 29983 II  
 Lofschbrandt F. 31051  
 Lotholz K. 30679  
 Lott W. A. 29883 II  
 Loudon J. D. 28761  
 Love D. L. 30076  
 Loveridge B. A. 28368  
 Lowe E. C. 29380 II  
 Lowe H. N. 29305  
 Lüben R. 30138 II  
 Lucas D. E. 31072  
 Luchitsky I. V. 28267  
 Luck R. 28903  
 Luck W. 30031 II  
 Ludwig G. 27831  
 Ludwig W. 29781 II  
 Luis P. 28523  
 Lukasik S. J. 27868  
 Luker L. 30811  
 Lukin L. I. 28241  
 Lund E. W. 27694  
 Lunde K. E. 29327  
 Lundgren B. A. R.  
 29682 II  
 Lundy H. 30311  
 Luneau J. 27883  
 Luner P. 31046  
 Lupinski J. H. 27641  
 Lurye A. M. 28283  
 Lurz C. 29443 II  
 Lust S. 29985 II  
 Luther E. W. 29518 II  
 Luther M. 30383 II  
 Luthy N. G. 28523  
 Lüttringhaus A. 28798  
 Luzzati V. 27674,  
 27707, 28141  
 Lynn N. 27554  
 Lyon W. S. 27822  
 Lyp B. 29235  
 M  
 Ma L. 31193  
 Maass O. 31084 II  
 Mabuchi H. 28385  
 Macadam J. 30806  
 McBride R. S. 30677  
 McCall D. W. 31245  
 McCarroll W. H. 37688  
 McCarty J. E. 28624  
 McCaulay D. A. 28633  
 McClelland J. D. 27755  
 McConnell H. M. 27642,  
 27643  
 McEvoy J. E. 29454  
 McGarvey F. X. 29245  
 McGahey P. H. 29257  
 McGonigle T. J. 30060 II  
 McGonnagle W. J.  
 29369  
 McGookin A. 28913  
 Mach C. H. 30584  
 Machell G. 28878  
 Machida S. 29817  
 Machu W. 28060  
 McHugh D. J. 28876  
 McIlroy R. J. 28902  
 McIntosh J. D. 29649  
 McKay H. A. C. 27819,  
 28162  
 MacKay R. A. 28258  
 MacKellar D. G. 29386 II  
 Mackenzie R. B. 27742  
 McKeown G. G. 28884  
 McKim F. S. 27746  
 Mackintosh C. F. M. 29688  
 McLain S. 29369  
 MacLaren D. D. 30231 II  
 McLaren E. H. 28572  
 MacNevin W. M. 28455  
 Maczelka L. 30405  
 Madonia P. 28768,  
 28769  
 Madsen H. F. 29951  
 Maeda H. 31224  
 Maffett P. 28393  
 Magalhães Alves H.  
 28809  
 Magdoff B. S. 27707  
 Magee R. F. 28450  
 Magliocca T. S. 28481  
 Magnien E. 28805  
 Mah A. D. 27850  
 Mahieux F. 29596  
 Maler H. 29458 II  
 Maier L. 28857  
 Maimoni A. 28604  
 Maine P. A. D. 28035  
 Majer J. 28488  
 Majewska H. 29721 II  
 Malec R. 28659  
 Malek J. 31226  
 Malik Z. 30635  
 Mallik K. L. 31264  
 Malm J. G. 27656,  
 28174  
 Mälmeisters A. 27497  
 Malsch L. 30450  
 Maltsev P. M. 30464  
 Malvano R. 27546  
 Malý J. 28118  
 Manca M. R. 28687  
 Manecke G. 29751 II  
 Mangoni L. 28770  
 Manley C. R. 29335  
 Mannbro N. V. 31088 II  
 Mannes D. J. 28897  
 Mannes K. 28982  
 Manning I. 27828  
 Mantica E. 31259  
 Mapstone G. E. 30189  
 March A. F. 30596  
 March R. B. 29947  
 Marciniak J. 30154  
 Marcus R. A. 27936  
 Marcus S. 31184  
 Marcsek E. 29286  
 Margival F. 30858  
 Margulis O. M. 29119  
 Marhol M. 28118  
 Marini-Bettolo G. B.  
 28763, 28952  
 Marković T. 29138  
 Marmo V. 28264  
 Marmor R. A. 30345  
 Marques de Almeida  
 R. P. A. 28248  
 Marquieville J. 28194  
 Marrone J. C. 31114 II  
 de Mars G. 27720  
 Marsal P. A. 29500 II  
 Marsh V. R. 30885  
 Marshall D. I. 30821  
 Marshall J. A. 30156  
 Marshall J. F. 27750  
 Marshall R. R. 28238  
 Martelli G. 27873  
 Martens G. 28388  
 Martin D. M. 29294  
 Martin H. 29905 II  
 Martin J. J. 30932  
 Martin P. E. 27634  
 Marvel C. S. 31292  
 Marx W. 28822  
 Masci J. N. 31096 II  
 Mashiko Y. 27856  
 Masłoz J. 29703  
 Mason E. A. 27600,  
 27787  
 Mason F. H. 30981 II  
 Mason H. F. 27968  
 Massalski J. M. 27549  
 Mastalerz P. 28977  
 Masuno K. 29860  
 Masuo R. 30192  
 Mata Vasquez J. 28456  
 Mate M. 28490  
 Mathey-Doret A. 29229  
 Mathieson A. R. 31257  
 Mathieu F. F. 28301  
 Mathieu J. P. 27741  
 Mathieu M. 27660  
 Mátrai T. 27606  
 Matschinski M. 28257  
 Matsen F. A. 27553  
 Matsubara K. 31021  
 Matsubara Y. 28904  
 Matsuda S. 28670  
 Matsui K. 28753  
 Matsui M. 28981  
 Matsumae T. 28423  
 Matsunaga Y. 27657  
 Matsuura S. 30520  
 Matsuura T. 28906  
 Matsuura T. 28996  
 Mattea A. 30761  
 Matthes A. 31282  
 Matthias E. 29666  
 Mattu F. 28687  
 Matuzumi S. 30534  
 Maudru J. E. 30434  
 Maughan M. O. 30564  
 Mauser H. 27882  
 Mavrodin A. 28723  
 May J. J. 30285 II  
 Mayland B. J. 30234 II  
 Mayo E. 29294  
 Mayor J. 30517 II  
 Mays G. W. 30805  
 Mayumi K. 31268  
 Mazánek M. 31200  
 Mazzanti G. 31259  
 Mazzi F. 28413  
 Mead E. J. 28167  
 Mead H. W. 27723  
 Meares P. 28115  
 Mecea E. 28950  
 Mechling M. 29807 II  
 Médard L. 27962  
 Medcalf E. C. 29736 II,  
 29784 II  
 Meder G. 30433 II  
 Mehrotra R. C. 28382,  
 28521  
 Meler E. 29912 II  
 Melj S. 30941  
 Meljerling J. L. 27839,  
 27854  
 Melnwald Y. C. 28680  
 Mels H. 30983 II  
 Melssner C. R. 28545  
 Melster A. G. 27627  
 Melander L. 27590  
 Melas-Joannides Z.  
 30491  
 Meldrum D. G. 30857  
 Mellan E. 29345  
 Mellan I. 29345 K  
 Mello D. 30633  
 Méndez M. R. 28941  
 Menon U. G. K. 29135  
 Mentzel E. 29117  
 Meppelink E. K. 30547  
 Mercea Z. 27785  
 Mering J. 28298  
 Merker L. 29582  
 Mersch R. 29982 II  
 Mertens W. 30837 II  
 Merz O. 30892  
 Metcalf R. L. 29947  
 Metcalfe L. S. 30903,  
 31078  
 Meth M. 29516 II  
 Metzger H. 28688

- Meunier P. L. 31151  
Meurs G. J. 27504  
Meyer E. 28083  
Meyer F. W. 29965  
Meyer S. 28473  
Meyer W. H. 29134  
Meyer-Berkhout U. 27545  
Meyerhoff G. 31042  
Meysenbug C. M. 30756  
Michalski J. 28847  
Michalski K. 29214  
Micheel F. 28891, 28968  
Michel A. 27973  
Michod J. 30494  
Mickel J. P. 27946  
Migowski M. 27549  
Migrichian V. 28868 K  
Miholic S. 28330  
Mikhailov B. M. 28697  
Milbers A. 30378 II  
Milburn R. H. 28153  
Milicevic B. T. 27913  
Milicka L. 28126  
Millage D. R. 29511 II  
Miller E. D. 31161  
Miller F. J. L. 29738 II  
Miller G. A. 27841  
Miller G. B. 30630  
Miller J. F. 27782  
Miller J. G. 27792  
Miller P. 29962  
Miller P. M. 29556 II  
Miller R. L. 31230  
Miller W. K. 30347  
Miller W. S. 28830  
Millet F. 31168  
Millet J. 31133  
Millet R. J. 28368  
Milliken T. H. 29454  
Mills G. A. 29454, 30157  
Mills J. R. 29738 II  
Milne D. 30873  
Milsted J. 28164  
Minato T. 28276  
Mirk D. A. 30149  
Misra R. A. P. 29118  
Mistrik E. J. 29707  
Mitchell A. H. 27759  
Mitlin N. 29943  
Mitra S. K. 31194  
Mitra S. N. 30676  
Mitra S. P. 98117  
Mitrofanovici V. 29011 K  
Mitsui T. 29399  
Mittermayer M. 31027 II  
Mitui S. 28964  
Miyamoto Y. 31279  
Miyano M. 28981  
Mizushima M. 27580  
Mladek B. 30648  
Mlejnek O. 31300  
Mocel C. 30329  
Moessen G. W. 30049 II  
Moffett R. B. 28698  
Mok S. F. miss 28709  
Mokhnatkin B. P. 27866  
Moldvai R. 27893  
Molinari C. 30544  
Mölle D. 28852  
Möller R. 29784 II  
Möller T. W. 28561  
Momtaz El-Gindy M. 30537, 30570  
Monachesi P. 30045  
Moncrieff L. J. 30851 II  
Monkman J. L. 28393  
Mönnich H. 30987  
Monnier P. 28978  
Monnin J. 28685  
Monnot G. A. 28531  
Monson L. T. 30282 II  
Montgomery H. C. 27752  
Montgomery R. S. 30077  
Moody R. E. 28558  
Mookherjee P. B. 29966  
Moore A. T. 31116  
Moore G. E. 27939  
Moore L. E. 27739  
Moore R. G. D. 29786 II  
Moore W. J. 27933  
Moorefield H. H. 29948  
Mora F. M. 30317 II  
Moreau C. 30598  
Morette A. 28326  
Morgan E. D. 28793  
Morgan J. D. 30437 II  
Morgan M. J. 29952  
Morgan T. D. 28544  
Morgner J. 30891  
Morgner M. 29806 II  
Moriconi E. J. 29705  
Moriyama S. 29864  
Moroney T. S. 30989 II  
Morris L. L. 30602  
Morrisroe J. 30354  
Morriss F. V. 29324  
Morrow D. F. 28620  
Mortimer G. A. 28689  
Morway A. J. 30275 II  
Mosby W. L. 28810  
Mosel P. 30420  
Moser H. 27870  
Moser J. F. 30230 II  
Moss H. V. 29427 II, 30396  
Mossel D. A. A. 30526, 30532  
Mott O. 29866  
Motojima K. 28394  
Motoki M. 29939  
Mott B. W. 30792  
Mott N. F. 27592  
Mouchet R. 30588  
Mousseron M. 28745  
Mowry D. T. 29999 II  
Moyer J. C. 30615  
Mroczkowski S. 30666  
Muck O. H. 30262 II  
Mueller M. B. 29731 II  
Mueller W. J. 30942  
Muessig S. 28247  
Mügge F. 29338  
Mühlmann R. 29981 II  
Mukerjee P. K. 30607  
Mukerjee S. K. 28754, 28757  
Mukherjee J. 29635  
Mukherjee J. K. 27677  
Mukoyama S. 31220  
Müller E. 28688, 28694  
Müller E. 30973 II, 30974 II  
Müller G. 29821 II  
Müller G. 30866  
Müller H. 30978 II  
Müller K. 30427, 30507  
Müller R. 30307, 30672  
Müller W. 29505 II  
Müller-Hesse H. 29537  
Munemori M. 28355  
Munn G. E. 29735 II  
Münster A. 27967  
Münster W. 20397 II  
Muntoni F. 30689 K  
Murahashi S. 28672  
Muraki H. 30451  
Muraki I. 28483  
Murakoshi I. 28794  
Murashima N. 30948  
Murata A. 28442  
Murbach E. W. 27852  
Murch R. M. 28859  
Murray H. C. 29921 II  
Murray H. H. 28338  
Murty C. R. K. 27650  
Musa G. 28546  
Musha S. 28355  
Mussil A. 28438  
Mustacchi H. 28141  
Muth B. R. 27610  
Myburgh A. C. 29963  
Myers H. J. 30366  
N  
Nagao H. 31265, 31275  
Nagashima T. 27575  
Nagasironmani A. 31199  
Nager H. 30061 II  
Nagoya T. 28636  
Nagy S. B. 27922  
Nair V. S. K. 28027  
Naismith W. E. F. 31212  
Naito R. 31270  
Naka K. 28423  
Nakagawa T. 31301  
Nakaldo Y. 27921  
Nakajima S. 28791  
Nakamura M. 29480  
Nakamura N. 28954  
Nakamura T. 27840  
Nakaya U. 27779  
Nakayama A. 29699  
Nalbach 29188  
Nametkin N. S. 28826  
Nancollas G. H. 28027  
Nandi S. P. 30075  
Nann H. 29576 II  
Náprstek V. 28293  
Narasaki H. 29709  
Narasimhan S. 28093  
Narasimha Rao 27653  
Narayanarao D. 29216  
Narita K. 31118  
Natta G. 30937  
Natta G. 31258, 31259  
Nau P. 28729  
Naudet M. 30335  
Naumann 29136  
Naumann G. 29806 II  
Naumann K. 30106  
Navarre M. G. 30021  
Naves Y. R. 28907  
Nayudamma Y. 31187, 31199  
Nazarov I. M. 28396  
Nebe W. 28373  
Nebel F. 31074  
Nebergall W. H. 28830  
Nebi 28582  
Necesaný V. 30293  
Neilson E. F. 27842  
Nejedly E. 30791  
Nelson J. W. 29739 II  
Nelson N. A. 28689  
Némec B. 30039  
Nerken A. 28560  
Nesmelanov A. N. 28829  
Neufeld J. 27793  
Neuman J. 28567  
Neumann H. 29201 II  
Neumann K. K. 27844  
Neunhoeffer O. 29780 II  
Neunzig H. 29477  
Neuwald F. 29863  
Neuwirth M. B. 30107, 30135 II  
Newman L. 21187, 28188  
Newman R. C. 27763  
Newport Th. G. 28331  
Newton W. M. 29062  
Nicholas R. C. 30611  
Nicholl C. I. H. 31057  
Nicholson A. E. 27952  
Nicholson D. C. 29003  
Nicholson E. W. S. 30230 II  
Nickel O. 27887  
Nicoar E. 28950, 28951  
Nicolas M. 28008  
Nicolai L. A. 30230 II  
Nicolas L. 31219  
Nicolau E. 28202  
Nicolaus R. A. 28767, 28770  
Nicoletti R. 28767, 28770  
Niederl J. B. 28524  
Niedt G. S. 30880  
Nielsen L. S. 29334  
Nieuwenhuys W. H. 28262  
Niezoldi O. 28381 K  
Nikiforova M. M. 28062  
Nikitina S. A. 28149  
Nikonorov K. V. 28851  
Nikuni Z. 30545, 31303  
Nilasen B. 31165  
Nilason N. J. 28353  
Ninagawa E. 31280  
Ninomiya I. 28959, 28962  
Nischk G. 30973 II, 30974 II  
Nishida H. 28427  
Nishikawa T. 27637  
Nishikawa Y. 28419  
Nishizaki T. 29844  
Nistor M. 30092  
Nitsche R. 30755  
Nitsuta T. 30662  
Nitsche S. 30789  
Niyogy S. C. 28220  
Noar J. 30204  
Nomura T. 28792  
Nordell E. 29239  
Nordman L. 31056, 31063  
Norishima K. 28460  
Normington J. B. 29828 II  
Normore W. M. 29520 II  
Norriah R. G. W. 27854  
Novák J. 30128  
Novák J. V. A. 28492  
Novak L. J. 29829 II, 31029 II  
Novak M. 28118  
Novikova N. V. 28824  
Nowak M. 28533  
Noyes R. M. 28625  
Nozaki H. 31129  
Nozdrev V. P. 27805  
Nozicka F. 30783  
Nursten H. E. 31127  
Nyholm R. S. 27593  
Nyman M. 30336  
O  
Oberlin A. 28298  
Obiad A. G. 30155  
O'Brien C. D. 27933  
O'Brien C. J. 27843  
O'Brien D. S. 31137  
O'Brien G. E. 29988 II  
Obrowski W. 27678  
O'Connell R. A. 31126  
O'Connor W. P. 29798  
Oda K. 28460  
Oda R. 28741, 31269, 31278  
Odanaka H. 31270  
Odehnal S. 30121  
Odinets V. A. 28844  
Oehlmann F. 28718  
Oel H. J. 27721  
Ogata Y. 28655  
Ogawa K. 28355  
Ogg R. A. 27644, 27645, 27851  
O'Hara F. J. 30209  
Ohkawa M. 29708  
Ohno K. 27582  
Ohno M. 28677  
Ohta N. 29704  
Oka T. 27639  
Okada S. 27898  
Okajima S. 31123  
Okamoto H. 31236  
Okawara M. 31299, 31301  
Okumura T. 30759  
O'Laughlin J. W. 28395  
Oldfield J. T. 30410  
Olds D. W. 31304  
Olechnowitz A.-F. 29753 II  
Olette M. 28573  
Oliveto E. P. 28925  
Olix D. J. 31108 II  
Olovsson I. 27687  
Olsen B. 30786  
Olsen S. R. 28107  
Olsen T. 27795



- Olsson K. G. 29682 II  
Olansenko-Plontkova Z. 30412  
Omolt A. 28236  
Onishi A. 28776  
Onishi H. 28425  
Ookawa A. 27774  
Opfermann A. C. J. 29728  
Orbiso J. L. 31302  
Orchin M. 28640  
Orgel L. E. 27578, 27595  
Orto I. 29699  
Orto Y. 27955, 29696  
Ornig H. 28344  
Ornstern M. 30143  
Orsino J. A. 29501 II  
Orson L. W. 29952  
Osgood G. 29031  
Oshima K. 31231  
Osipov B. D. 27635  
Osipow L. 30012, 30894  
Ostachowski E. 27503  
Oster G. 27995, 27996  
Ostroff A. G. 28221  
Ostrovsky Y. I. 27561  
Ostry 27534 K  
Osty M. 29178  
Ota M. 28753  
Otake T. 27928  
Otleanu D. 28723  
Otomasa H. 28806  
Oti A. C. 29922 II  
Otto J. 27870  
Ouarzazi N., m-me 30600  
Ouchi A. 27783  
Ouchi K. 30066  
Ouchi S. 31273  
Ovander L. N. 27648  
Owen Tsung-yao 29838  
Oxford W. F. 29175  
Oxley T. A. 30540  
Oya S. 31214  
Oyama Y. 29064  
Ozaki S. 28636
- P**  
Pace R. J. 28166  
Paggi L. 30823  
Paige B. E. 28446  
Palm H. 31112 II  
Palm O. 31112 II  
Palmqvist F. T. 30388 II  
Pani S. 28207  
Pankoke K. 31097 II  
Pannone J. F. 29935  
Pan Pei-chuan 28703  
Pantke-Beyerling M. 30453  
Pantulu A. J. 28820  
Paoletti P. 28206  
Papailhau J. 28251  
Paparian H. A. 27745  
Pappalardo G. 27612  
Pardee L. A. 29172  
Parén P. 31090 II  
Paret R. E. 29149  
Parker R. B. 31030  
Parks L. M. 28994  
Paronen J. 31056  
Paroubek F. N. 30508  
Parrish R. G. 27701  
Parriss W. H. 30820  
Partington J. R. 27520  
Partridge F. M. 30181  
Paskin A. 27671  
Pasquon I. 31258  
Pasternak A. 28575  
Pasternak J. 27670  
Patching S. W. F. 29071  
Patnaik D. 28034  
Patnaik R. K. 28207  
Pătrăşcoiu P. 30195  
Patton T. C. 30793  
Patzak I. 30958  
Paul H. 27544  
Paulsen G. 30403 II  
Paulsen T. 30403 II  
Paulik J. 28074  
Pavela T. O. 28068  
Payne J. N. W. 30200  
Pearce C. A. R. 29366  
Pebo A. 28526 K  
Pellati R. 29954  
Pellegrini D. 29945  
Penndorf R. B. 28136  
Peraldo M. 31259  
Percheron F. 28938  
Peretti E. A. 28229  
Perry M. B. 28901  
Perryman E. C. W. 27761  
Persons H. C. 29628  
Peter M. 31139  
Peters J. 28556  
Peters L. 28132  
Petersen E. E. 30124  
Petersen J. W. 29927 II  
Peterson D. H. 29921 II  
Petrescu P. 28329  
Petrů F. 28159  
Pettet A. E. J. 29264  
Peytavy A. 30074  
Peake D. M. 28478  
Peake J. S. 28830  
Pearlman M. B. 29771 II  
Pech, m-me 30594  
Pédro G. 28255  
Peed W. F. 27565  
Pei D. C. 29051  
Penco A. M. 27703  
Penkin N. P. 27561, 27564  
Pentin Y. A. 27659  
Perch W. 29891 II  
Pérez R. M. 27673, 27706  
Peters E. 28864  
Peterson W. H. 30287 II  
Petrů F. 27538  
Pettersson G. 28779  
Peverer E. F. 30270 II  
Peyrade J. 30768  
Pfab R. 30953  
Pfeiffer R. R. 27702  
Pflug I. J. 30611  
Phelps M. W. 31087 II  
Phillips A. P. 28778  
Phillips C. S. G. 28111  
Phillips D. C. 28538  
Plantanida C. 30872  
Picci G. 30491  
Picon M. 28348 K  
Pieczonka T. J. 29280  
Piel H. C. 30422  
Pierce O. R. 28859  
Pierotti G. J. 29425 II  
Pierson R. M. 30968 II  
Pietsch R. 28444  
Pik I. S. 30825 K  
Pilo C. 29099 II  
Pilcher D. M. 30147  
Pilleri R. 30612  
Pimper R. 29986 II  
Pinchbeck P. H. 27988  
Pines H. 28730, 29777 II  
Pinheiro da Fonseca J. 30578  
Pinkney E. T. 29367  
Pino P. 31259  
Piontelli R. 28053  
Piozzi F. 28777  
Piratzky W. 30463  
Piredda N. 30329  
Pirš M. 28435  
Pirvu I. 29456  
Piš E. 30486  
Plane R. A. 28200  
Plate W. 27886  
Platner J. 30879  
Pleninger H. 29725 II  
Plisek L. 31013  
Piško E. 28191  
Plumb R. C. 27628  
Plyler E. K. 28533  
Poethke W. 29836  
Pohl G. 29622  
Pohl H. 28449  
Pohle W. D. 30345  
Pohlemann H. 29815 II  
Pokhilko L. G. 27563  
Polánek J. 28579  
Polejes J. D. 29050  
Pollack A. 29140  
Polli B. 28530  
Pollock M. W. 29990 II  
Polos L. 28387  
Poltorak O. M. 27594  
Pomaska W. 29199 II  
Pomerantz M. A. 27750  
Pomey J. 30191  
Popow K. I. 29538  
Porter G. K. 29616 II  
Porter J. J. 28648  
Porter Q. N. 28765  
Porzig W. 30137 II  
Pöschmann H. 29601  
Posener D. W. 27638  
Postelnek W. 30938  
Potyrala H. 29779 II  
Poulet H. 27741  
Pouradier J. 27848  
Povarov L. S. 28697  
Povenz F. 29976 II  
29977 II  
Powell C. E. 28802  
Powers J. M. 30254 II  
Prakash D. 28117  
Pratt H. R. C. 29059, 29060, 29061  
Preece E. 29641  
Prenzlów C. F. 28098  
Press F. 28346 K  
Prett K. 31154  
Preuss H. 27551  
Preuss H. 27577  
Prevot A. 30330  
Price E. W. 28037  
Price F. A. 31076  
Pridham J. B. 28876  
Priest W. J. 30052 II  
Prigogine I. 27827  
Prill E. J. 29731 II  
Prillinger F. 30626  
Primo Yllera E. 28983  
Princiville E. 30329  
Prins J. A. 27802  
Prins W. 27802  
Privett O. S. 30345  
Procházka S. 29546 K  
Procházka V. 28159  
Profft E. 29984 II  
Proskow S. 28994  
Proszt J. 28074  
Proust A. 30769  
Prredpeksi S. 30370 K  
Pruthi J. S. 30627  
Pryce M. H. L. 27588  
Pryer W. R. 30947  
Pšross C. 29240  
Ptak W. 28040  
Pullen N. D. 29476, 29478  
Pummer W. J. 28864  
Pungor E. 28408  
Purkayastha B. C. 27820  
Purves C. B. 30297
- Q**  
Quaedvlieg M. 29976 II, 29977 II  
Qualde W. 28303  
Queen A. 28771  
Quelanerová M. 29846  
Quillico A. 28817  
Quinn A. W. 28239  
Quist H. A. 29132 II
- R**  
Raab H. 29820 II  
Rabinovitch W. 31046  
Rabford B. A. 29018  
Raecke B. 30394 II  
Rafter T. A. 28479  
Raghavacharya M. V. 27862  
Raible F. 28556  
Raifsnider P. J. 29209 II  
Rajagopalan T. R. 28754  
Ralph T. L. 29176  
Ramachandran G. N. 27691  
Ramage G. R. 28808  
Ramana Rao D. V. 28409  
Rama Rao G. J. 27862  
Ramaseshan S. 27692  
Ramaswamy D. 31199  
Ramdas L. A. 28093  
Rämsch H. 30487  
Ramsden H. E. 28833  
Rankama K. 28346 K  
Rao D. A. A. S. N. 27649  
Rao M. N. 27863  
Rao P. S. 27513  
Rao R. P. 28820  
Rapp H. 30413  
Raskin M. 29304  
Rasmussen L. W. 29952  
Rastas J. 28216, 28217  
Ratanapan T. 30663  
Ratouis R. 28816  
Raub E. 27886  
Rausch M. 28866  
Rausch W. 31281  
Ravdel G. A. 28965  
Ray B. C. 27806  
Ray G. 31102 II  
Ray J. D. 27644, 27645, 27851  
Read H. J. 27713  
Read W. J. 30777  
Reamer T. E. 30291 II  
Redfean M. W. 28594  
Reed R. 31192  
Rees D. 27819  
Rees D. I. 30613  
Reese B. A. 29040  
Reese J. 30913 II  
Reeve E. 30808  
Reeves C. G. 28102  
Regel E. 29995 II  
Rehbein C. A. 30156  
Reichardt H. 29986 II  
Reid C. 27542 K  
Reid C. 30007  
Reid R. W. 29497 II  
Reid W. E. 28882  
Reider M. J. 31179 II  
Reik H. G. 27826  
Reikh V. N. 31254  
Rein J. E. 28446  
Reinboth K. 29669  
Reinert M. 29164  
Reinhardt H. 28812, 28852  
Reininger H. 29165, 29166  
Reinisch W. B. 30360  
Reiser R. 30339  
Rempel R. C. 31230  
Renninger M. 27771  
Rentschler H. 30504  
Renzi D. 30689 K  
Renzi L. 28763  
Répási M. 31285  
Reppe W. 29724 II  
Repplich J. 29115  
Resen F. L. 29179  
Resen L. 29254  
Reuter L. 29742 II  
Ribas I. 28941  
Ricca A. 28817  
Ricca S., Jr 28775  
Richards E. N. 30883  
Richards G. N. 29878  
Richmond W. 30575  
Richter C. 29905 II  
Ricker R. W. 29335  
Riecke S. L. 30620  
Rieche A. 28760, 29784 II  
Ried W. 28810, 28822  
Riedel E. O. 29072  
Riedel K. 28405  
Riedl R. 30099  
Riedl W. 29902 II  
Riemen W. P. 27969, 27970  
Riethof M. L. 28991  
Riggin D. M. 30203  
Rightmire R. A. 27818  
Rimmer D. E. 27725  
Rimsky I. 30679

- Rinehart J. S. 28235  
Rinehart K. L., Jr 28963  
Rines R. H. 29513 II  
Ringade D. 30479  
Ringold H. J. 28926, 28928, 28930  
Ringwood A. E. 28275  
Rini S. J. 30345  
Rinkis G. 28375  
Riordan M. A. 29197  
Rittell W. 28969  
Ritter E. J. 29749 II  
Ritter F. J. 30929  
Ritschl R. 27625  
Roberts J. A. 28559  
Roberts J. E. 29063  
Roberts L. M. 29080 II  
Roberts R. 29008, 30752  
Roberts R. M. 28682, 30006  
Robertson A. 28913  
Robertson C. M. 30964  
Robinson J. N. 29063, 29738 II  
Robinson J. V. 28123  
Robinson M. T. 28007  
Robinson R. S. 30859  
Robinson S. R. 29000  
Robinson W. B. 30615  
Robson H. L. 30404 II  
Rocafort de Lamoga J. 31204  
Rochow E. G. 28857  
Rodighiero G. 28993  
Rodziewicz W. 28832  
Roe A. M. 28793  
Roebler R. 29328  
Rogers C. E. 29052  
Rogers D. T. 30271 II  
Rogers E. F. 28803  
Rogers L. H. 29330  
Rogers M. T. 28620  
Rogers N. W. 28725  
Rogers T. H. 30968 II  
Roggenhausen M. 30044  
Rogner H. 29205 II  
Rogosa G. L. 27565  
Rohleder J. 27743  
Röhm P. 30794  
Röhrich G. 30988 II  
Rojzen J. S. 29349 K  
Roldan González L. 27706  
Rollett J. S. 27539  
Rollins M. L. 31116  
Romanchenko K. G. 29119  
Romankevich E. A. 28339  
Romeo A. 28957, 28974  
Romo J. 28929  
Romováček J. 30097, 30099  
Romováčková H. 30097  
Rooney R. C. 28475  
Roßmaier V. 31044  
Rorabaugh G. O. 30434 II  
Röscher M. 30363, 30364  
Rosell R. A. 28487  
Roseman S. 28900  
Rosenberg A. 27764  
Rosenberg H. 28866  
Rosenberg S. D. 28833  
Rosenblad C. F. 31083 II  
Rosendahl F. 30162  
Rosenkranz G. 28926, 28927, 28928, 28929  
Rosenstock H. M. 27602  
Rosental K. I. 28064  
Roshe N. 27885  
Rösner H. 30210  
Ross D. A. 31166  
Ross D. H. 30060 II  
Ross G. N. 28363  
Ross J. 28094, 30390 II, 28094  
Ross J. H. 31084 II  
Ross S. T. 29200 II  
Rosseinsky D. R. 27944  
Rossi H. H. 27548  
Rossmann R. 30853 II  
Rostafiriska K. 29803 II  
Roth E. 29481  
Rout H. K. 27806  
Rout M. K. 28818  
Roux P. L. 31120  
Rovesti P. 30017  
Rovesti R. 30019  
Rowland R. L. 30739 II  
Roy H. N. 29528  
Roy S. 28250  
Roy S. C. 30676  
Rozmarin G. 28157  
Ruckenstein E. 27798  
Rudd J. F. 31240  
Ruddle A. B. 29203  
Rudel H. W. 30271 II  
Rueggeberg H. C. 29960  
Ruehrwein R. A. 27876  
Rufer C. E. 28548  
Ruggieri P. 29920 II  
Runcorn S. K. 28346 K  
Runeberg J. 28695  
Runge F. 29806 II  
Ruscher C. 30292  
Rusek M. 30174  
Rusitzka H. 30387 II  
Russel H. 29575 II  
Russell E. W. 30748  
Russell P. B. 29888 II  
Rust F. F. 28650  
Rusznák I. 31285  
Ruth J. A. 30059 II  
Rutherford J. T. 30277 II  
Rutkowski C. P. 28566  
Rutle J. 29630  
Ruttloff H. 30472  
Ruyven B. H. 28025, 28026  
Ruzicka L. 29918 II  
Rybicki Z. 31003  
Rydon H. N. 28814  
Ryffranck J. 30168  
Ryutani B. 28672  
Rzędowska H. 30619
- S**
- Saarinen E. 31058  
Sabatka J. A. 28096  
Rabatowski A. 29348 K  
Sacconi L. 28206  
Sachse H. 27515  
Sackmann F. 30551  
Sackmann H. 27895  
Sadler H. 31050  
Saegusa T. 31260, 31278  
Safholm T. 30812  
Sagel K. 27675  
Sager F. 30243 II  
Sagoschen J. 28595  
Sahyun M. 29876 II  
St. John W. 29332  
Saito H. 29050  
Sakuma M. 28079  
Sakura T. 30959  
Sakurada S. 28416, 28417  
Sakurada I. 31227  
Sale A. J. H. 28603  
Sallé R. 28745  
Saller W. 30626  
Salmerón P. 28073  
Salomon G. 28364  
Salter R. 27791  
Salvador U. J. 28715  
Salyer I. O. 30831 II  
Samal K. 27646  
Sancho J. 28073  
Sandberg R. 28671  
Sanderson R. T. 28221  
Sands R. H. 31230  
Săndulescu T. 30195  
Sanghi I. 28072  
Sanner A. J. M. 31203  
Sannié C. 28931  
Sano H. 28385  
Sant B. R. 28443  
Santeler D. J. 28561  
Sanyal B. 29135  
Sanyal P. K. 28360  
Sapper W. 30349  
Sarett L. H. 28803,  
Sargeant K. 28913  
Sargeson A. M. 28211  
Sarin P. S. 28755, 28756  
Sarkar H. 28009  
Sarma P. L. 28467  
Sarnowski M. 28033  
Sasaki H. 28973  
Sasaki S. 28305  
Sasaki Y. 27980  
Sātava V. 29546 K  
Sato H. 27679  
Sato T. 28979  
Sato Y. 28031  
Sato Y. 28933  
Sauer M. C., Jr 27825  
Saunders J. 30587  
Saunders L. 29833  
Saunders S. L. M. 30896  
Savelli J. F. E. A. F. 30035  
Savić I. 30647  
Sawicki E. 27611  
Sawyer D. H. 29654  
Saxena R. S. 28183  
Schaaf E. 28711  
Schaap L. 28730  
Schadt C. F. 28151  
Schaefer G. R. 29512 II  
Schaffer R. 28899  
Schall J. W. 30155  
Schatzki T. F. 27788  
Scheermesser W. 30912 II  
Scheibel E. G. 28601  
Scheichl L. 29360 II  
Scheldt R. A. 29336  
Scheller E. 30386 II  
Scheludko A. 28145  
Schepmann W. 31182 II  
Scherer O. 30827 II  
Schick M. 28256  
Schiedewitz H. 31086 II  
Schiefer E. 28812  
Schikorr G. 30500  
Schild E. 30459  
Schiller K. 28110  
Schiller P. 28397  
Schilt A. A. 28199  
Schisla R. M. 28784  
Schlamp G. 27967  
Schlatter M. J. 30255 II  
Schlea C. S. 27925  
Schlechte G. 28694  
Schlenker F. 30845 II  
Schlesinger A. H. 29999 II  
Schlephake D. 30435 II  
Schmal A. 30468  
Schmalfeldt H. 29444 II, 29448 II  
Schmid H. 28936  
Schmidbauer H. 30850 II  
Schmidlin H. U. 31140  
Schmidt H. 30296  
Schmidt J. A. 30673  
Schmidt M. P. 30056 II  
Schmidt R. J. 29097 II  
Schmidt U. 29814 II  
Schmidt-Kastner G. 29928 II  
Schmitt L. 30609  
Schmitt W. J. 29705  
Schmitz E. 28760  
Schmitz-Josten R. 30838 II  
Schnabel E. 28971  
Schneider F. 30408  
Schneider H. 29316  
Schneider R. 31169  
Schneider R. 28798  
Schnider O. 29901 II  
Schock R. U. 28790  
Schoenemann K. 29067  
Schoenthaler A. C. 28626  
Scholes G. 28000  
Scholtz G. 29461 II  
Scholz H. 29290  
Scholz R. 31028  
Schoor A. 29985 II  
Schotte L. 27619, 27630  
Schrader G. 29981 II, 29982 II  
Schramm A. T. 29818  
Schraufstätter E. 29879 II  
Schricke M. 31004  
Schröder A. 27735  
Schroeder D. C. 28775  
Schröter E. 29493  
Schröter H. 29331  
Schrumpf W. J. 30901  
Schuele D. E. 27807  
Schulerud A. 30549  
Schüller A. 28304  
Schulte J. W. 28004  
Schultze H. E. 31211  
Schulz A. 30550  
Schulz I. 30969 II  
Schulz M. E. 30645  
Schulz O. 29117  
Schulz R. C. 31256  
Schulz R. W. 30750  
Schulz W. 30783  
Schulz W. O. 30315  
Schulze B. 30307  
Schulze W. 28724  
Schuringa G. J. 30991  
Schuster L. K. 30274 II  
Schwabe K. 28590  
Schwartz C. 27555  
Schwartz J. R. 28639  
Schwartz M. 30776  
Schwarz G. 30450  
Schwarz H. 31076  
Schwarz H. J. 28549  
Schwarz K. 28386  
Schwarz-Bergkampff R. 28344  
Schwarzenbach G. 28379 II  
Schwegler C. C. 29715 II  
Schwemer R. 30919 II  
Schwertassek K. 31049  
Schwiete H. E. 29537  
Schwing J. P. 28193  
Schwyzer R. 28960  
Scoble A. G. 29520 II  
Sconce R. 31037  
Scott B. A. 29476  
Scott G. D. 28565  
Scott G. W. 30967 II  
Scott R. P. W. 28564  
Seaman W. 28370  
Seamon J. M. 29256, 29251  
Searcy A. W. 27680  
Sears G. W. 27765  
Sébilleau F. 27781 K  
Secarà G. 31038  
Sedlmayr R. 29827 II  
Sedzimir J. 27509  
Seeber R. E. 28453  
Seeger C. 30918 II  
Sefković P. 28934, 28943  
Segel S. L. 27569  
Sengal J. M. 28755, 28756  
Sehring R. 29992 II, 29994 II  
Selberling D. A. 30987  
Seldel G. 30530  
Selwert R. 27738  
Sekerka B. 28586  
Seki T. 29844  
Sekiyama H. 27575  
Sekowski S. 30816  
Sekules W. 31143  
Selbin J. 28190  
Seligman H. 31107 II  
Selle H. D. 31174 II  
Sellet L. 31205 II  
Sellers F. 29605 II  
Seltzer S. 30781  
Selwood P. W. 28094  
Sen Gupta I. 28717  
Sens H. 30529  
Sensel E. E. 30270 II  
Seoane E. 28916  
Sergeant G. 29452 II  
Serkin W. 29653  
Serravalle G. 29458  
Serzisko R. 30567  
Seshadri T. R. 30325, 28757, 28754, 28755  
Setinek K. 28643



Авторы указатель

- 30783  
O. 30815  
30807  
28724  
J. 30801  
K. 30274 II  
28580  
27555  
R. 28630  
30776  
30450  
31075  
J. 28548  
28388  
gkampf E.  
ch G. 28370  
C. 29715 II  
30940 II  
K. 31010  
E. 28587  
P. 28193  
28969  
G. 29520 II  
31037  
29476  
28565  
W. 30967 II  
P. W. 28584  
28370  
M. 28250  
W. 27680  
W. 27765  
27781 R  
31038  
28922 II  
27509  
E. 28453  
30918 II  
28934, 28943  
27569  
28755, 28794  
28992 II  
D. A. 30687  
30530  
27736  
28586  
28944  
H. 27575  
30816  
31143  
28190  
H. 31107 II  
D. 31174 II  
31205 II  
29605 II  
30781  
W. 28064  
I. 28717  
3529  
E. 30270 II  
28916  
29452 II  
29653  
G. 29488  
30567  
R. 30325  
3754, 28755  
28643
- Seltimj G. 28809  
Sevenster P. G. 28598  
Severo O. P. 29938  
Seylerth D. 28842, 28857  
Shalygin V. A. 27813  
Shanley E. S. 31176 II  
Shapiro A. H. 28154  
Shashoua V. E. 31023 II  
Shatas R. A. 27750  
Shatenshtein A. I. 27821  
Shaw D. F. 28889  
Shaw W. H. R. 28637  
Shearer J. L. 28126  
Shechter H. 28674  
Sheehan W. C. 28737  
Sheltire W. H. 30404 II  
Shelton J. H. 30593  
Shemyakin M. M. 28955  
Shenk W. J. 29509 II  
Shepp A. 27937  
Sheremetieva T. V. 31297  
Sherman M. I. 27947  
Sherwood P. W. 30159  
Sheveleva N. S. 28515  
Shewnon P. 27878  
Shibuya O. 31268  
Shida S. 27938, 27992  
Shigematsu T. 28419  
Shikhiev I. A. 28837  
Shimada K. 28699  
Shimizu T. 29864  
Shimizu Y. 30664  
Shimmura T. 30090  
Shinohara H. 31299  
Shinohara Y. 31009—  
31011  
Shirai M. 27654  
Shirley D. A. 28737  
Shishkina O. V. 28336  
Shoemaker D. P. 27699  
Sholokhova E. D. 27869  
Shono T. 28741  
Shopee C. W. 28919,  
28920  
Shostakovsky M. F.  
28682, 28837  
Shotton E. 29833  
Shuler K. E. 27939  
Shuto Y. 28672  
Shuzui K. 30448  
Shvesov Y. B. 28955  
Sibahayasi M. 29039  
Sicart A. 29442 II  
Sicher J. 28965  
Sieber P. 28969,  
29905 II  
Siebert K. 29291  
Siedschlag 29470  
Siegrist H. 30628  
Sieprath H. 29559 II  
Sifferd R. H. 30380 II  
Sigler P. R. 30201  
Sigmouret J. B. 30281 II  
Sikora S. 28295  
Silar J. 28324  
Silver N. G. 29304  
Silverman L. 28414  
Silverman S. 27939  
Simadate T. 28979  
Simba R. 28092  
Simidu W. 30664  
Simmons C. R. 31115
- Simon A. 27622  
Simon F. J. E. 29946  
Simon R. H. 30347  
Simonsen D. R. 29342  
Sims D. 28132  
Sing K. S. W. 28109  
Singh K. 28034  
Sinha P. R. 31264  
Sippel E. 30315  
Sirhal H. 29536  
Sirodeau V. 31150  
Sisco W. E. 29736 II  
Sitaramaiah G. 28181  
Sittenfield M. 29319  
Skála J. 28463  
Skalmowski W. 29625  
Skel Th. 30287 II  
Skeip C. 30016  
Skeist I. 30796  
Skinner H. C. W. 28291  
Skoda J. 28965  
Skoulios A. 28141  
Skow N. A. 30803  
Skowronski S. 29681 II  
Sloan A. J. 31031  
Smallman R. E. 27801  
Sméral J. 28307  
Smets G. 30747  
Smiltens J. 27892  
Smirnoff M. P. 28226  
Smirnov G. I. 28270  
Smirnov M. V. 28069  
Smirnova I. V.  
Smissman E. E. 28987,  
28992  
Smith A. E. 29968,  
29988 II  
Smith A. W. 28071  
Smith C. 31156  
Smith D. A. 30055 II  
Smith D. D. 28859  
Smith D. K. 27696  
Smith E. L. 28953  
Smith H. F. 30513 II  
Smith J. W. 28170  
Smith L. 29061  
Smith M. W. 29942  
Smith N. H. P. 28814  
Smith R. J. 30535  
Smith R. J. D. 28662  
Smith R. K. 30157  
Smith W. L. 28239  
29459 II, 29722 II  
Smolensky G. A. 27869  
Smoliński S. 28970  
Smrt J. 28965  
Smržík F. 29651  
Snadow R. 30820  
Snell F. D. 30894  
Snyder F. H. 30301  
Snyder W. S. 27793  
Sobczyk L. 27665  
Sobieránski W. 27521  
Sobue H. 31221, 31229  
Sodha M. S. 27874  
Soeya T. 31216  
Söldner 29339  
Solère M., m-lle 28978  
Soliman A. 28403  
Solnyshkin V. I. 28139  
Solomon S. 28647  
Som K. C. 27677
- Somers J. A. 30994,  
31163  
Sommer K. 29484  
Sondermann K. 30378 II  
Sondheimer F. 28927,  
28929  
Sonnenschein H. 30970 II  
Sonntag A. 30202  
Soo A. 28054  
Sorm F. 28643 II  
Sorm F. 28965  
Sorrels M. F. 30339  
Sosin S. L. 31293  
Souby A. M. 30257 II  
Sövegjártó M. J. 28246  
Spacu P. 28202  
Speakman J. B. 31120,  
31166  
Spedding F. H. 27748,  
27858  
Speece A. L. 28566  
Speed R. A. 30254  
Speranskaja Z. G. 28851  
Sperber H. 29766 II  
Sperling G. 28823, 29814 II  
Spévák A. 28586  
Spicher G. 30423,  
30569  
Spíčkova J. 30039  
Spiegelberg H. 29900 II  
Spiegler L. 29377 II  
Spillman A. 29438  
Spindler W. 30912 II  
Spiro P. 29489  
Spiro V. 28768  
Spitz H. 28450  
Spoon I. W. 30579  
Springer R. 30020  
Sproull R. C. 31030  
Squire C. F. 27726  
Srivastava G. P. 28569  
Srivastava K. K. 27651  
Stable F. E. 31109 II  
Stabler R. E. 30773  
Stacey M. 28880  
Stachurski J. 29547 R  
Stafford E. M. 29947  
Stahmer A. M. 30145  
Staigr V. 29804 II  
Stankovich T. D. 28833  
Stanley W. L. 28998  
Stannett V. 29052  
Stanton R. L. 28280  
Stanton W. B. 30357  
Starck H. 30915 II  
Stark V. 30238 II,  
30240 II  
Statham K. W. 31122  
Statia E. V. 30742 II  
Statz H. 27720  
Stauffer W. O. 29720 II  
Stawniczy S. 30561  
Stayner R. D. 30392 II  
Steele E. L. 28457  
Steenberg B. 31218  
Steelink C. 28997  
Stefănescu I. 30092  
Stegena L. 28321  
Steigmann A. 30098  
Stein M. L. 28976  
Steiner H. 29688  
Steiner J. 30729 II
- Steinhoff E. 29611 II  
Stell R. C. 30923  
Stenne P. 30640  
Stepanov B. II. 27558  
Stephan H. 30553  
Steppan H. 28635  
Stern E. S. 29691  
Stern H. 31128  
Stern H. J. 30946  
Stern R. 28752  
Steur J. P. K. 30678  
Stevens K. W. H.  
27592  
Stevenson D. H. 30157  
Stewart J. E. 30943  
Stiehl J. G. 29055  
Stillerné-Kisteleki M.  
30068  
Stillson P. 29005  
Stitt F. 28532  
Stock J. T. 28077  
Stohlmann H. 28956  
Stoeckert K. 30772  
Stoewer R. U. 29344  
Stoffyn P. J. 28877  
Stolić P. 30649  
Stone F. G. A. 28857  
Stone G. M. 29968  
Stone J. E. 31033  
Stone N. W. B. 27809  
Stones T. 29259  
Stormont D. H. 29198  
Storrs F. C. 30643  
Stoves J. L. 31022 K  
Stoughton R. W. 28058  
Strahm 28634  
Stralen H. A. C. 28112  
Strange J. P. 29122  
Strapp R. K. 31084 II  
Strasenburgh R. J. Co  
29930  
Stratta R. 31183  
Straub C. P. 29211, 29270  
Strauss V. 31153  
Strauß W. 29481  
Strickland J. D. H.  
27947  
Stroh H. H. 28887  
Stroud V. A. 31160  
Strubell W. 31255  
Strumillo C. 29698  
Strzeszewska M. 30098  
Stubblefield E. M. 29206 II  
Stublićan V. 28465  
Studley E. G. 29172  
Stühlen F. 30787  
Subluskey L. A. 29745 II  
Suchomel A. 31200  
Suda H. 30810  
Sudo T. 28468  
Suga T. 28906  
Sugano S. 27589  
Sugaike S. 27676  
Sugimoto H. 30662  
Sugino E. 29039  
Suknarowski S. 30154,  
30213  
Sukovaty J. 29044  
Sulcek Z. 28439  
Sulima T. 30775  
Sullins J. K. 29287  
Sumiyoshi H. 28227
- Summers G. H. R. 28919,  
28920  
Summers L. A. 28761  
Sundaram S. 30334  
Sundbom M. 27557  
Sun Su-hsiu 29862  
Surewicz W. 31039  
Suryanarayana M. 28019  
Surzur J. M. 28669  
Süs O. 30056 II  
Süss 28578  
Sustmann C. 31159  
Sutarla G. C. 31034  
Sutherland I. 28953  
Suzuki H. 29709  
Suzuki K. 28462  
Suzuki T. 28228  
Suzuki Y. 24843  
Svedlin A. 31063  
Svendsen S. R. 27694  
Sveshnikov B. J. 27607  
Swami D. R. 27863  
Sweeting O. J. 31208  
Sweltzer C. W. 30268 II  
Świętosławski W.  
29721 II, 29803 II  
Swinehart J. S. 30674  
Sy M. 28696  
Sykes E. C. 30792  
Symons M. C. R. 28172  
Syrkin J. K. 27665  
Szapiro S. 29698  
Szarejko R. 30431 II  
Szejtli J. 30425  
Szeszich L. 30241 II  
Szpliewicz A. 30069  
Szuba J. 30094  
Szwarc M. 28645  
Szwarc M. 29052  
Szychliński J. 28832  
Szyzsko E. 30543
- T  
Tabata Y. 31221  
Taber D. 30674  
Tabor D. 28090  
Tabushi I. 28655  
Tachibana T. 30365  
Tada H. 31288  
Tadokoro H. 31210  
Tai Chien-huan 28762  
Tajima O. 30448  
Takagi M. 28537  
Takahashi T. 29853  
Takamuku S. 28749  
Takano K. 30594  
Takao N. 28948  
Takayama Y. 28400  
Takayama Y. 31290  
Takeshi Sh. 28386  
Takenuchi T. 28400  
Takeya G. 30073  
Taki S. 27778  
Takiguchi T. 27921  
Takimoto K. 28276  
Tallent W. H. 28991  
Talley J. P. 31066  
Tamelén E. E. 28947  
Tamorra C. R. 28922  
Tamura Y. 28958, 28959,  
28961  
Tanabashi M. 28415

- 562 —



702, 29823 II  
0904  
90057 II  
A. L. 27806  
29878 II  
R. 27930  
E. 29955  
S. 28430  
471  
H. 27880  
K. E. 29713 II  
J. 28383  
L. 29298 II  
K. 31123  
28045  
H. 28710  
G. 28637  
29772 II  
C. 30845  
P. 28576  
28864  
A. 31222  
E. 29232  
27934 R  
J. C. 27370  
R. 30155  
F. 30753  
30449, 30002  
29107  
28083  
D. R. 28800  
H. M. 28910  
29658  
Hua 28803  
g-Tsang 28800  
H. N. 27310  
27688  
28476, 28484  
H. 27544  
L. 28239  
N. 28555  
R. 28013  
H. A. 31215  
I. 30290 II  
I. 28415  
N. 27981  
F. S. 28087  
S. 28398  
S. 28700  
S. 30520  
T. 28462  
T. 31246, 31230  
W. H. 28810  
F. M. 31100  
R. B. 296181  
H. I. 31123  
B. 30788  
W. A. 2885  
G. H. 3007  
W. F. 31235

Weigt W. 29099  
Well E. I. 28358  
Well R. 27713  
Weinstock B. 27656,  
28174  
Wells C. 27953  
Wells A. 30432 II  
Wells J. 28000  
Welsner H. 28502  
Welsar G. 31036  
Weibrecht G. 29551 II  
Welch C. P. 29043  
Wellnsky I. H. 29250  
Welling M. S. 30766  
Wells F. V. 30356  
Wells H. 30751  
Wells L. E. 30396 II  
Wells R. A. 31019  
Welsh J. Y. 29498 II  
Wendlandt W. W. 28426  
Wend H. 28377 K  
Wendt L. A. 30211  
Wenner G. 29741 II  
Wergin W. 30292  
Werle J. 29721 II  
Werner B. 31206  
Werner L. H. 28775  
Werner M. 29155  
Werner P. W. 28342  
West P. W. 28467  
Westlinning H. 30977 II  
Westman A. E. R.  
29580  
Weston R. F. 29318  
Westrum E. F., Jr 27894  
Weyert 29747 II  
Weygand F. 28666  
Wheeler C. M. 28000  
Wheeler G. V. 28445  
Whelan M. J. 27708  
Whelans R. E. L. 31059  
Whetten N. R. 27714  
Whitcombe J. A. 30164  
White B. C. 30180  
White C. E. 28428  
White D. 27842  
White R. G. 28453  
Whitnight H. A. 30274 II  
Whitley B. J. 29194  
Whyte D. E. 30347  
Wick R. M. 29515 II  
Widell T. 29150  
Widiger A. T. 30999  
Widom B. 27571  
Wiedemann K. 30685  
Wiederholt W. 29199 II

Wiegand C. 27800  
Wiegand J. 29087 II  
Wieland T. 28972, 28982  
Wiemann J. 28699  
Wienke K. 28082  
Wieringen J. S. van  
29590  
Wieteska E. 29703  
Wigert R. 29836  
Wight H. M. 27789  
Wildt A. 28082  
Wilhide W. D. 28472  
Wilke K. T. 29453 II  
Wilkinson J. M. 30289 II  
Willard J. E. 27825,  
28003  
Wille H. 30826 II  
William Q. 28587  
Williams A. F. 30074  
Williams D. 27756  
Williams D. 28814  
Williams D. B. 29238  
Williams F. G. 28612 II  
Williams F. V. 27876  
Williams J. P. 28481  
Williams K. 29308  
Williams R. C. 31247  
Williams R. K. 31212  
Williams R. L. 28166  
Williams R. R., Jr  
28002  
Williams W. L. 29144  
Wilmshurst J. K. 27661,  
29521  
Wilmshurst J. R. 28765  
Wilson A. 28094  
Wilson A. J. C. 27672  
Wilson C. L. 28450  
Wilson D. E. 30615  
Wilson F. C. 27699  
Wilson H. M. 28445  
Wilson J. W. 30298  
Wilson L. A. 30190  
Wilson M. K. 27623  
Wilson R. C. 29530  
Wilson S. W. 30258 II  
Winkelmann H. A. 30960  
Winner B. M. 30721 II  
Winogradoff N. N. 28591  
Winter A. O. 30309  
Winter S. S. 31222  
Wintermeyer U. 28972  
Wintermute G. E. 30804  
Wintersberger K. 29458 II  
Winterseheldt H. 30331  
Winterstein C. 28441

Wintersteiner O. 28890  
Wirth W. 29879 II  
Wise L. E. 30299  
Wisniewski I. L. 30263 II  
Wisniewski K. 30098  
Witkop B. 28935  
Witkowski Z. 31067  
Witnauer L. P. 31232  
Witte J. 28629  
Wlodarski W. 30029  
Wojtaszek Z. 28575  
Wolf C. N. 30001 II  
Wolf H. 29040  
Wolf W. 29760 II  
Wolff G. A. 27768  
Wolff H. 30379 II  
Wolff H. 31082  
Wolff I. A. 31304  
Wolkowicz S. I. 29439 K  
Wolfson M. L. 28888  
Wolkenstein M. V. 27811  
Wollan T. C. 30911 II  
Wöllner J. 29873 II  
Wolski W. 28178—28180  
Wandratschek H. 29582  
Woo P. W. K. 28963  
Wood D. F. 28431, 28464  
Wood D. L. 27701  
Wood E. G. 29369  
Wood H. B., Jr 28879  
Wood M. J. 31192  
Woodring W. B. 29499 II  
Woodroffe D. 31186  
Woodruff J. A. 31126  
Woods B. M. 28901  
Woods S. B. 27751  
Woodward C. E. 28881  
Woodward E. R. 29358 II  
Woodworth C. L. 30921 II  
Wooten J. L. 29295  
Woratz H. 29297 K  
Worsham A. D. 29967  
Wotherspoon N. 27995  
Wright J. F. 30053 II  
Wright J. H. 30800  
Wright R. H. 30007  
Wroughton D. M. 29251  
Wuhrer J. 29620  
Wunderley J. M. 29301 II  
Wurbs A. 29085 II  
Würstlin F. 30790  
Wynne-Jones W. F. K.  
28072

Y  
Yabe A. 31127  
Yajima H. 28940  
Yajima M. 29860  
Yamada K. 31220  
Yamada S. 28710  
Yamada T. 30939  
Yamagata N. 28398  
Yamagata T. 28398  
Yamaguchi S. 27712  
Yamaguchi S. 28371  
Yamaguchi T. 31265,  
31275  
Yamamoto K. 28848  
Yamamoto R. 29853  
Yamashina H. 29944  
Yamasita S. 30940  
Yamauchi F. 28442  
Yamauchi T. 28670  
Yan M. M. 30297  
Yang A. C. 28097  
Yang N. C. 28659  
Yardney M. N. 29502 II  
Yarham O. L. 30201  
Yashira S. 31273  
Yasuda 31236  
Yasuda H. 28673  
Yasumori Z. 28352  
Yates J. S. 27948  
Yatsenko A. F. 27733  
Yavorski B. M. 27618  
Yeager E. 29006  
Yeh Tsu-hang 30113  
Yen Chi-min 28075  
Yoda O. 28129  
Yoe J. H. 28457  
Yokoyama Y. 28385  
Yoshida S. 29076  
Yoshida T. 30759  
Yoshikawa K. 29690  
Yoshimi N. 31279  
Yoshimine M. 28742  
Yoshimori T. 28392,  
28451, 28452  
Yoshimoto T. 27856  
Yoshino T. 28214  
Yoshioka T. 31225  
Yoshizawa S. 27898  
Yosimura J. 28979  
Yoslaka I. 28806  
Young D. A. 27965  
Young D. N. 30275 II  
Youse G. H. 30999  
Yukawa Y. 28630  
Yungman V. S. 28101

Yushina V. V. 27984  
Z  
Zagrodzki S. 30412  
Zahn H. 28971  
Zaki Mohamed El Shafel  
28746  
Zakula R. 30652  
Zalewski W. 30617  
Zamboni V. 28804  
Zarebski H. 29109  
Zarić M. 29156  
Zaritsky P. V. 28289  
Zausznica A. 30902  
Zawadzki J. 29808 II  
Zeggeren F. 27717, 27719,  
28088  
Zeldes H. 27640  
Zeldin Z. 28674  
Zel'venskii Y. D. 27813  
Zembura Z. 27509  
Zemskov E. M.  
Zenko N. 28801  
Zenzen A. M. 30433 II  
Zerner E. 29990 II  
Zero W. 30431 II  
Zhdanov S. P. 28100  
Zhenevskaya M. G.  
Zhurkina Z. N. 31217  
Zięborak K. 29803 II  
Zięge K. H. 30395 II  
Ziegenbein W. 28706  
Ziegler F. 29025 II  
Ziehr G. 29205 II  
Zieliński J. 29288  
Zielinski L. 30042  
Ziemba F. P. 27559  
Zietan K. 30048 II  
Zima O. 29985 II  
Zimmer E. L. 28165  
Zimmerling H. 30250 II  
Zimmermann G. 29753 II  
Zimmermann K. 28450  
Zimtko J. 28585  
Zolotov V. A. 27776  
Zorbach W. 28922  
Zorn H. 29757 II  
Zotta V. 28723  
Zudov P. I. 31217  
Zukriegel H. 31144  
Zuman P. 29865  
Zuruki Y. 28786  
Zvyagintseva E. N. 27821  
Zwerdling S. 27757  
Zwicker U. 27675  
Zyczyńska B. 29775 II

## УКАЗАТЕЛЬ ДЕРЖАТЕЛЕЙ ПАТЕНТОВ

H. E. 31230  
J. W. 3104  
H. 29055  
R. 28223  
W. H. 28810  
G. 31044  
29740 II  
R. 29991 II  
I  
ch G. 29123

A  
AB Chematur 29300  
AB Niro Atomizer 29086  
AB Rosenblads Patenter 31083  
AB Separator 30388, 30389  
Addressograph-Multigraph  
Corp. 31103  
Aga Akt. Ges. für Photofab-  
rikation. 30048, 30051

Akademia Medycznaw Lodzi  
29787  
Aktieselskabet Niro Atomizer  
29086  
Alkydol Lab., Inc. 30911  
Allied Chemical and Dye Corp.  
29731, 30060, 31087  
American Brake Choe Co. 29512  
American Can Co. 30734

American Chemical Paint Co.  
29204, 30000  
American Cyanamid Co.  
29457, 29736, 29737, 29794,  
29890, 29898, 29913, 31099  
American Enka Corp. 30970  
American Machinery Corp.  
30730  
American Minerals & Chemi-  
cals Corp. 29432

American Naize-Products Co.  
30721  
Amil (Aliments Modernes  
Intégraux Lactés)  
X. Rudloff, R. Pernot,  
P. Berger et Co. 30719  
Anders H. 30319  
Anderson F. E. 29896  
Andreas F. 29723  
Anton von Waldheim, Chemi-

- schpharmazeutische  
Fabrik. 29882
- Armour and Co. 29734, 30380
- Atlas Powder Co. 30442
- Badische Anilin-&Soda-Fabrik Akt. Ges. 29090, 29096, 29458, 29724, 29741, 29742, 29766, 29815, 30031, 30245, 30280, 30321, 30383, 30397
- Bankowski O. 29732
- Bartz J. 29750
- Belsnes L. 29088, 29089
- Bethlehem Steel Co. 29515
- Bischoff E. Cky Inc. 29907
- Bjorkman E. B. 29683
- Bjorksten Research Labs., Inc. 30846
- Boehringer C. H. Sohn. 29992, 29994
- Bowaters Development and Research Ltd 31092
- Braunschweigische Maschinenbauanstalt Akt. Ges. 30435
- Bray Oil Co. 30242, 30247
- Breiter K. 29680
- British Celanese Ltd 30851
- British Petroleum Co. Ltd 29460
- Bundesrepublik Deutschland 29199
- Burgess Cellulose Co. 31104
- Burroughs Wellocke & Co. Inc. 29888
- California Research Corp. 30277, 30278, 20255, 30392
- California Union Al Co. 30228
- Canadian Consolidated Mining and Smelting Co. 29738
- Carborundum Co. 29575
- Carlson C. W. 29607
- Carstens E. 29894
- Cassella Fabwerke Mainkur Akt. Ges. 29884
- Cellulosefabrik Attisholz Akt. Ges. vorm. Dr. B. Sieber 31091
- Century Tank Manufacturing Co. 29209
- Chemical Associates, Inc. 29355
- Chemical Construction Corp. 30236
- Chemische Fabrik Crünau. 31174
- Chemische Industrie G. m. b. H. 29095
- Chemische Werke Albert. 29445, 30845, 30913—30915, 30976
- Chemische Werke Hüls Akt. Ges. 29729, 29805, 29813
- Chempatents, Inc. 29716
- Chiba Ltd 29899
- Chicago Bridge & Iron Co. 30263
- CHRONOS-Werk, Reuther und Reiser K. G. 29679
- Ciba Akt. Ges. 29789, 29893, 29917, 31175
- Ciba Pharmaceutical Products, Inc. 29918
- Cie pour la Fabrication des Compteurs et Matériel d'Usines à Gaz. 29098
- Cie Française des Matières Colorantes. 29823
- Cie Générale de Construction de Fours et Gilly M. J. 30139
- Cie Générale d'Electricité 29504
- Cies Réunies des Glaces et Verres Spéciaux du de la France 29613
- Cilag Akt. Ges. 29905
- Coal Industry 30142
- Coldate-Palmolive Co. 30390, 30391
- Columbian Carbon Co. 30268
- Commonwealth Engineering Co. 30735, 30909, 31029
- Concordia Elektrizitäts Akt. Ges. 29359
- Connecticut Hard Rubber Co. 30989
- Conradt F. C. 29201
- Continental Gummi-Werke Akt. Ges. 30984, 30986
- Cukrownia Wschowa 30431
- Cutter Labs. Inc. 29876
- Daneyrolle C. A. 29552
- Deutsche Gold und Silber-Cheideanstalt vormals Roessler. 29426, 29551, 29561, 29987, 30226, 30241, 30386, 30977, 30983
- Deutsche Hydrierwerke G. m. b. H. 30400
- Diamond Alkali Co. 31108
- Dichter J. 29615
- Didler-Werke Akt. Ges. 29611
- Dow Chemical Co. 29497, 29715, 29771
- Dow Corning Corp. 30285, 30975
- Drägerwerk, Heiner. & Bernh. Dräger, 29465
- Du Pont de Nemours E. J. and Co. 29462, 29712, 29720, 29735, 29759, 29800, 30049, 30050, 30967, 31023
- Eastman Kodak Co. 30052, 30055, 30266
- Eigen H. 29674
- Elektro-Physik Aachen G. m. b. H. 30132
- Emimeta-Fabrikations-Anstalt. 30057
- Esso Research and Engineering Co. 29459, 29462, 29722, 30230, 30231, 30233, 30237, 30246, 30248, 30249, 30254, 30256, 30258, 30271, 30275, 30279, 30283, 30290, 30919, 30972
- Esso Standart (Soc. Anon. Francaise) 30281
- Etat Français Représenté par M. le Ministre de la Défense Nationale et des Forces Armées (Direction des Poudres), 29747
- Ethyl Corp. 30001, 30272
- Ets. Jules Parizot 30744
- Farckenfabriken Bayer Akt. Ges. 29464, 29719, 29758, 29760, 29819, 29820, 29821, 29822, 29824, 29825, 29879, 29887, 29912, 29924, 29928, 29977, 29981—29983, 29991, 29995, 29996, 30269, 30838, 30973, 30974, 30982, 31178
- Farbenfabrik Wolfen 29765, 29784 29806, 29807
- Farbwerke Hoechst Akt. Ges. vormals Meister Lucius & Brüning 29443, 29730, 29757, 29768, 29827, 29997, 29998, 30827, 30920, 31111
- Farmaceutici Italia. 29874
- Fehr. K. 29356
- Ferdinand Metzler 29449
- Phomal K. G. m. b. H. 30030
- Firestone Tire & Rubber Co. 90981
- Firma Erbslöh & Co. Geisenheimer Kaolin werke 30432
- Firma Günther Wagner 31097
- Firma Karl Richelshagen, Köln, und Georg Röhrich 30988
- Firma Klönne A. 30264
- Firma Still Carl. 30134
- Firma Woelm M. 29903
- Fischer H. 29609
- Foertner & Co. 29361
- Food Machinery and Chemical Corp. 29386, 31176
- Ford Soc. Anon. française 31107
- Francesco V. Soc. per. Azioni 29920
- Fricke G. 29986
- Fulmer Research Institute Ltd 29618
- Gäbler C. 29717
- Geigy J. R. Soc. Anon. 29979
- General Aniline & Film Corp. 29786, 29828, 29830, 30273, 30289
- General Motors Corp. 29200
- General Mills, Inc. 30286
- General Tire & Rubber Co. 30971
- Geo W. Bollman & Co., Inc. 31179
- Gesellschaft für Teerverwertung m. b. H. 30826
- Gewerkschaft Victor 29444, 29448
- Glidden Co. 29433, 30916
- Gnade K. H. 30318
- Godfrey L. Cabot Inc. 30267
- Goehle G. 30516
- Goerdeler J. 29814
- Goldschmidt T. Akt. Ges. 30844
- Goodrich Co. 29727, 29744
- Goodyear Tire & Rubber Co. 30968
- Grassow F. 29978
- Grieshaber R. 30058
- Gyproc Products utd 31109
- Halter Josef L. 30853
- Harpener Bergbau-Akt. Ges. 29133
- Harshaw Chemical Co. 29509
- Hartmann H. 29461
- Hauserman E. F., Co. 29362
- Hellefors Bruks AB 31088
- Henkel & Cie. C. m. b. H. 29205, 30394, 31093
- Herberts Kurt & Co. vormals Otto Louis Herberts 30910
- Hercules Powder Co. 29745, 29774
- Her Majesty the Queen in the Right of Canada as represented by the Minister of National Defence. 29929
- Hermann C. Starck Akt. Ges. 29379
- Heymel W. 28615
- Hoffmann-La Roche F. & Co. Akt. Ges. 29900
- Hoffmann-La Roche Inc. 29885, 29901
- Holly Sugar Corp. 30434
- Huber H. 29606
- Hudson M. S. 30322
- Hunter Packing Co. 30384
- Hydrocarbon Research, Inc. 30140
- Hygrade Food Products Corp. 30381
- Imperial Chemical Industries Ltd 29770, 30398, 30841
- Institute of Paper Chemistry 31101
- Institut Français du Pétrole, des Carburants et Lubrifiants 30284
- Instytut Chemii Nieorganicznej. 29796
- Instytut Chemii Ogólnej 29999, 29803
- Instytut Farmaceutyczny 29775, 29808
- Instytut Włókien Sztucznych i Syntetycznych 29740
- International Hormones, Inc. 29931
- Internationalla Siporex AB. 29682
- Jałocha R. 29779
- Janistyn H. 30033, 30034
- Jedlicka H. 30847
- Jenaer Glaswerk Schott und Gen 29603, 29608, 29612
- Johnson & Johnson 31096
- Johnson P. P. 29429
- Jönköpings Mekaniska Werkstads AB 31090
- Kalle & Co. Akt. Ges. 30056
- Karlholms AB. 31110
- Kelling Nut Co. 30729
- Kirchhof S. 29713
- Knoll Akt. Ges. Chemische Fabriken 29725, 30032
- Koch Engineering Co. 29994
- Kodak-Pathé 30053, 30054
- Koppers Co., Inc. 30136
- Koppers H. G. m. b. H. 30231
- Kuhner M. 29614
- L'Air Liquide (Soc. Anon pour l'Etude et l'Exploitation des Procédés Georges Claude) 29093



- o. 29509  
a. 29362  
b. 31088  
c. b. H.  
d. 29745  
e. 93  
f. vormal  
g. 29910  
h. 29745  
i. Queen in  
j. a as rep  
k. Minister  
l. 29929  
m. Akt. Ges.  
n. F. & Co.  
o. Inc.  
p. 0434  
q. 30384  
r. h. Inc.  
s. eta Corp.  
t. industries  
u. 30841  
v. chemistry  
w. Pétrole,  
x. organio-  
y. ej 29099,  
z. deutymy  
aa. tucnych  
ab. 740  
ac. nes, Inc.  
ad. rex AB,  
ae. 00034  
af. hoth und  
ag. 31096  
ah. ta Werk-  
ai. ea. 30056  
aj. 0  
ak. 0729  
al. Chemische  
am. 30032  
an. Co. 29094  
ao. 30054  
ap. 0136  
aq. H. 30231  
ar. Anon pour  
as. exploitation  
at. (es Claude)
- Landon Foundation, Inc. 29877  
Larsen M. 29762  
Latter-Owens-Ford Glass Co.  
29604  
Lau E. and Co. 29797, 29798,  
29815  
Lebedev E. 30250  
Loma Elektricitetswerke und  
Chemische Fabriken  
Akt. Ges. 30852  
Ludwig W. 29781  
Mager H. 30061  
Magnesit Akt. Ges. 30433  
Manganese Chemicals Corp.  
29498  
Max-Planck-Ges. zur Förde-  
rung der Wissenschaften e.V.  
29751  
Mayer J. 30517  
Merchants Distilling Corp.  
30513  
Merck and Co., Inc. 29919  
Merck E. 29505 II  
Merck E. offene Handelsgesell-  
schaft. 29985  
Metallgesellschaft Akt. Ges.  
29576, 30378, 30969  
Metallwarenfabrik Nagold Inh.  
Otto Kaltenbach. 29514  
Meth M. 29516  
Midland Chemical Corp. 29929  
Miles Lab., Inc. 29886  
Mond Nickel Co. Ltd. 28613  
Monsanto Chemical Co. 29427,  
29999, 30896, 30401, 30831,  
30921, 30979, 30980  
Mora F. M. 30317  
Muck O. H. 30262  
National Carbonising Co.,  
Ltd. 30133  
National Cash Register & Co.  
28556  
National Lead Co. 29501, 30848  
National Research Develop-  
ment Corp. 29357  
Nepers Chemical Co., Inc.  
29935  
Neunhoeffer O. 29780  
Norton Co. 29380  
N. V. De Bataafsche Petroleum  
Maatschappij. 29993, 30291  
N. V. Kunstzijdespinnerij Nym-  
ma. 28614  
Office National Industriel de  
l'Azote. 29442  
Olin Mathieson Chemical Corp.  
29358, 29499, 29809, 29883,  
30050, 30404  
Otto C. et Comp. G. m. b. H.  
30141  
Owens-Illinois Glass Co. 29617  
Palm, Gebr. 31112  
Paula E. 30514  
Paulsen & Co. J. m. b. H.  
30403  
Perfogit (Soc. per Azioni) 31026  
Permacel Tape Corp. 31106  
Petrolite Corp. 30282  
Philco Corp. 29517  
Philip Carey Manufacturing Co.  
29684  
Phillips Petroleum Co. 30227,  
30232, 30234  
Pintsch Barmag Akt. Fes.  
29447  
Pittsburgh Consolidation Coal  
Co. 30135  
Politechnika Warszawska  
Zaklad Technologii  
Organicznej. 31202  
Polska Akademia Nauk, 29721  
Porter G. K. 29816  
Preparation Industrielle des  
Combustibles Soc. Anon.  
30260  
Profft E. 29984  
Puhl and Co. 30395  
Pulp and Paper Research.  
31084  
Pure Oil Co. 29772  
Quebec Iron and Titanium Co.  
29490  
Raderbommes Backofen und  
Maschinenfabrik Karl  
Oppermann. 30727  
Research Corp. 29080, 29081  
Reynolds E. J. Tobacco Co.  
30739  
Rheinpreussen Akt. Ges. für  
Bergbau und Chemie. 29873  
Riedl W. 29902  
Rines R. H. 29513  
Röhm & Haas G. m. b. H.  
30850  
Rosenthal Porzellan Akt. Ges.  
29553  
Ruhchemie Akt. Fes. 30138,  
30265  
Rusitzka H. 30887  
Sager F. 30243  
Scholler Brothers, Inc. 31173  
Schuster L. K. 30274  
Schwarz Labs Inc. 30515  
Sellier F. 29605  
Serval, Inc. 29206  
Sharples Chemicals, Inc. 29749  
Shawinigan Water and Power  
Co., Ltd. 29529  
Shell Development Co. 29209,  
29425, 29995, 30287  
Siemag Siegener Maschinen-  
bau G. m. b. H. 29084  
Siemens Electric Lamps &  
Supplies Ltd. 29452  
Siemens & Halske Akt. Ges.  
30887  
Siemens-Schuckertwerke Akt.  
Ges. 30975  
Sieprath H. 29559  
Sinclair Refining Co. 29739,  
30229, 30259  
SIS Soc. d'Investissements  
Collectifs. 31095  
Skowroński S. 29481  
Smith A. O. Corp. 29207,  
29298  
Soc. Anon. Pharmaceutici  
Italia. 29599  
Soc. Anon. Frigorifico Anglo.  
30382  
Soc. Anon. des Manufactures  
des Glaces et Produits  
Chimiques de Saint-Gobain  
Chauxy et Crey. 29446  
Soc. Belge de l'Azote et des  
Produits Chimiques du  
Mariy (Soc. Anon.). 29710  
Soc. E. Léonik. 30963  
Soc. d'Etudes et de Commerce  
International. 30983  
Soc. Industrielle de Chimie  
Organique. 29980  
Socony Mobil Oil Co., Inc.  
30251, 30252  
Socony-Vacuum Oil Co., In-  
corp. 29082  
Soc. des Usines Chimiques  
Rhône-Poulenc. 29765  
Solcoo Ges. für chemische  
Laboratorien Akt. Ges. 29989  
Stalgr V. 29904  
Staley A. E. Manufacturing  
Co. 30379, 30439  
Stamcarbon N. V. 29429  
Standard Oil Co. 30276  
Standard Oil Development Co.  
30253, 30257, 30286  
Stark V. 30238, 30240  
Süddeutsche Zellwolle Akt. Ges.  
31026  
Sun Chemical Corp. 29990  
Sun Oil Co. 29182, 30985  
Svenska Akkumulator AB  
Jungner. 29568  
Swift & Co. 30402  
Texaco Development Corp.  
30270  
Texas Co. 29799  
Thomson A. T. and Wiggins  
L. F. 30437  
Timbrel Ltd. 29979  
Total K. G. Foerstner & Co.  
29380  
Tröbs H. 30137  
Troponwerke Dinklage & Co.  
29971  
Trottscher H. 30393  
Udylite Research Corp. 29611  
Ultra-Suco Co. 30438  
Underwood Corp. 29518  
Union Carbide and Carbon  
Corp. 29500, 29578, 29755,  
29756, 30740, 30890, 31094  
Universal Oil Products Co.  
29777  
Upjohn Co. 29916, 29921,  
29922  
USA, Secretary of Agriculture  
30732  
USA, US Atomic Energy Com-  
mission 29097, 29876, 29877,  
29378  
U. S. Rubber Co. 30985, 29986  
Vereinigte Glanzstoff-Fab-  
riken. 31025  
Verfahren und Vorrichtung  
zum Imprägnieren von  
Holz. 30820  
Vermouzek C. 30235, 30261  
Voillet P. 29082  
Wacker-Chemie Ges. 30277,  
31027  
Western Electric Co., Inc.  
29083  
Wiegand J. 29087  
Wilke K. T. 29458  
Wilke-Werke Akt. Ges.  
30436  
Williams F. G. 28612  
Wingfoot Corp. 29746  
Wintershall Akt. Ges. 29450,  
29451  
Wlodarski W. 30029  
Wolf J. and Co. 31205  
Wüllingv. und Sohn 31182  
Wunderley J. M. 29301  
Wurbs A. 29085  
Yardney International Corp.  
29502  
Zellstoffabrik Waldhof. 31099  
Zimmermann G. 29759

Технический редактор Р. М. Демисов

Подписано в печать 10.V.1958 г. Тираж 4225 (в т. ч. 700 экз. отд. отт.) Формат бумаги 64×106<sup>1</sup>/<sub>2</sub>  
Зак. 318. Печ. л. 57,81 Бум. л. 17<sup>1</sup>/<sub>2</sub> Уч.-изд. 106,3

2-й тип. Издательства АН СССР, Москва, Шуваловский пер., д. 10

Цена 31 р. 50 к.

Printed in the USSR



